

Eingabe: Farbmetrisches Offset-Reflektiv-System ORS18

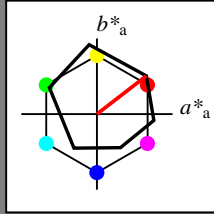
für Buntton $h^* = lab^*h = 38/360 = 0.105$

lab^*tch und lab^*nch

D65: Buntton O

LCH*Ma: 48 83 38

olv*Ma: 1.0 0.0 0.0



ORS18; adaptierte CIELAB-Daten

	$L^*=L^*_a$	a^*_a	b^*_a	$C^*_{ab,a}$	$h^*_{ab,a}$
O _{Ma}	47.94	65.39	50.52	82.63	38
Y _{Ma}	90.37	-10.26	91.75	92.32	96
L _{Ma}	50.9	-62.83	34.96	71.91	151
C _{Ma}	58.62	-30.34	-45.01	54.3	236
V _{Ma}	25.72	31.1	-44.4	54.22	305
M _{Ma}	48.13	75.28	-8.36	75.74	354
N _{Ma}	18.01	0.0	0.0	0.0	0
W _{Ma}	95.41	0.0	0.0	0.0	0
R _{CIE}	39.92	58.66	26.98	64.57	25
J _{CIE}	81.26	-2.16	67.76	67.79	92
G _{CIE}	52.23	-42.25	11.76	43.87	164
B _{CIE}	30.57	1.15	-46.84	46.86	271

Dreiecks-Helligkeit t^*

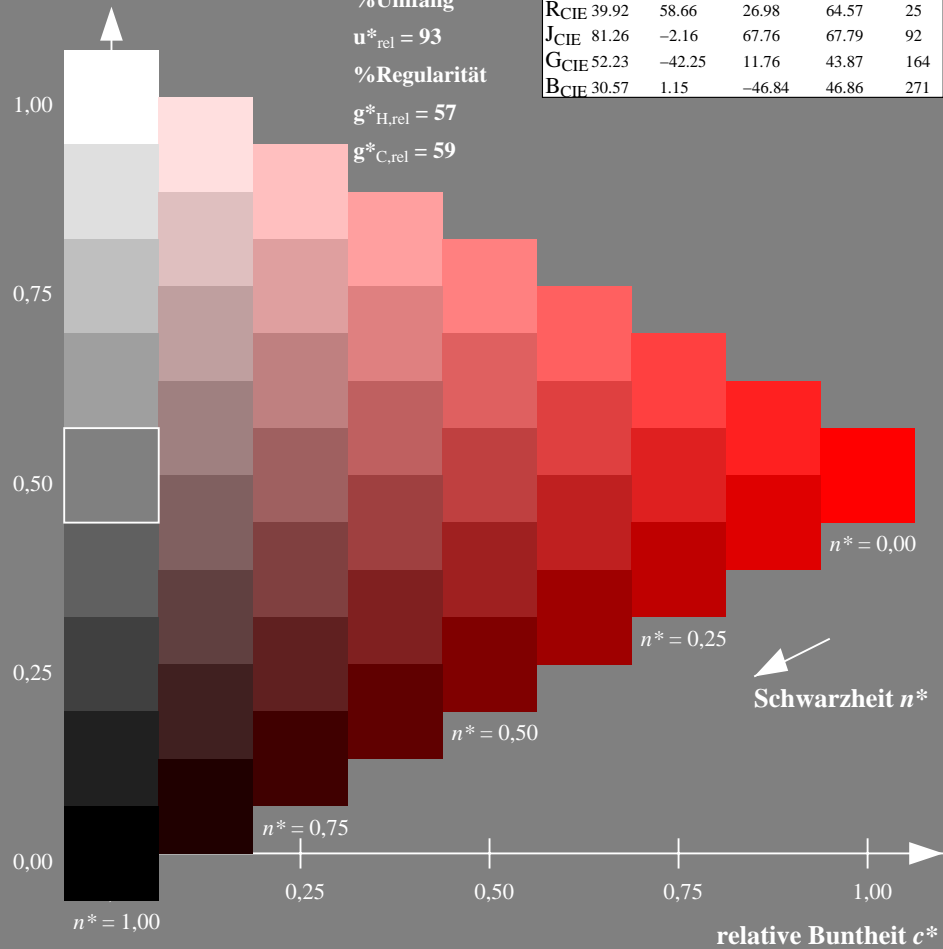
%Umfang

$u^*_{rel} = 93$

%Regularität

$g^*_{H,rel} = 57$

$g^*_{C,rel} = 59$



NG900-7, 9stufige Reihen für konstanten CIELAB Buntton 38/360 = 0.105 (links)

Ausgabe: Farbmetrisches Offset-Reflektiv-System ORS18

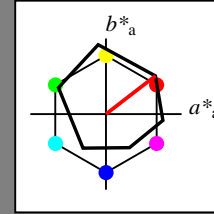
für Buntton $h^* = lab^*h = 38/360 = 0.105$

lab^*tch und lab^*nch

D65: Buntton O

LCH*Ma: 48 83 38

olv*Ma: 1.0 0.0 0.0



ORS18; adaptierte CIELAB-Daten

	$L^*=L^*_a$	a^*_a	b^*_a	$C^*_{ab,a}$	$h^*_{ab,a}$
O _{Ma}	47.94	65.39	50.52	82.63	38
Y _{Ma}	90.37	-10.26	91.75	92.32	96
L _{Ma}	50.9	-62.83	34.96	71.91	151
C _{Ma}	58.62	-30.34	-45.01	54.3	236
V _{Ma}	25.72	31.1	-44.4	54.22	305
M _{Ma}	48.13	75.28	-8.36	75.74	354
N _{Ma}	18.01	0.0	0.0	0.0	0
W _{Ma}	95.41	0.0	0.0	0.0	0
R _{CIE}	39.92	58.66	26.98	64.57	25
J _{CIE}	81.26	-2.16	67.76	67.79	92
G _{CIE}	52.23	-42.25	11.76	43.87	164
B _{CIE}	30.57	1.15	-46.84	46.86	271

Dreiecks-Helligkeit t^*

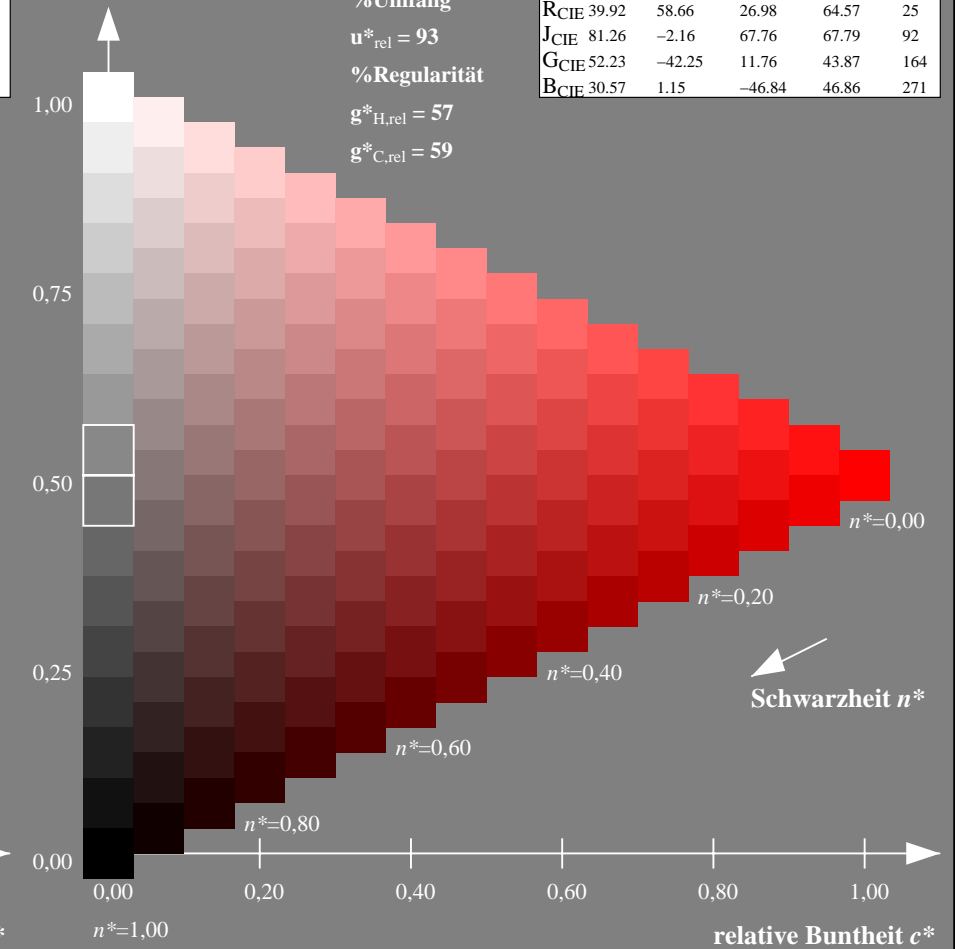
%Umfang

$u^*_{rel} = 93$

%Regularität

$g^*_{H,rel} = 57$

$g^*_{C,rel} = 59$



16stufige Reihen für konstanten CIELAB Buntton 38/360 = 0.105 (rechts)

Eingabe: Farbmetrisches Offset-Reflektiv-System ORS18

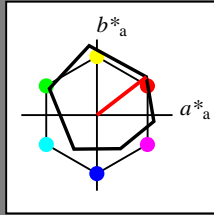
für Buntton $h^* = lab^*h = 38/360 = 0.105$

lab^*tch und lab^*nch

D65: Buntton O

LCH*Ma: 48 83 38

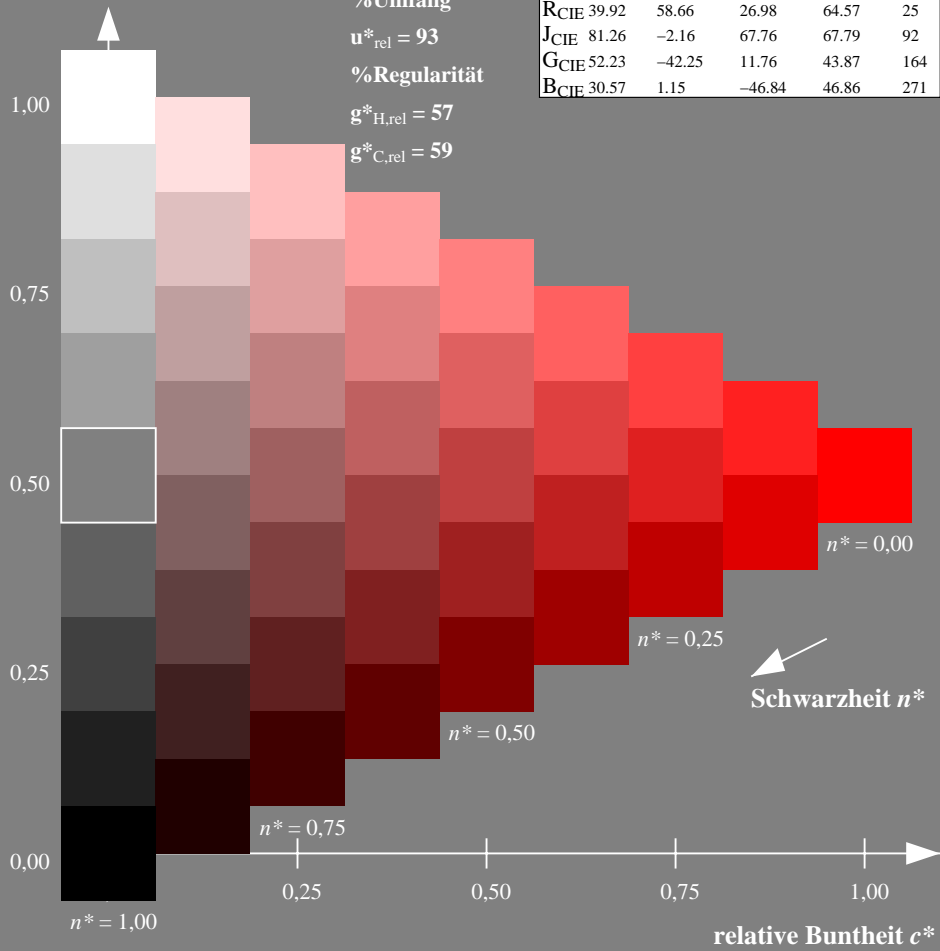
olv*Ma: 1.0 0.0 0.0



ORS18; adaptierte CIELAB-Daten

	$L^*=L^*_a$	a^*_a	b^*_a	$C^*_{ab,a}$	$h^*_{ab,a}$
OMa	47.94	65.39	50.52	82.63	38
YMa	90.37	-10.26	91.75	92.32	96
LMa	50.9	-62.83	34.96	71.91	151
CMa	58.62	-30.34	-45.01	54.3	236
VMa	25.72	31.1	-44.4	54.22	305
MMa	48.13	75.28	-8.36	75.74	354
NMa	18.01	0.0	0.0	0.0	0
WMa	95.41	0.0	0.0	0.0	0
RCIE	39.92	58.66	26.98	64.57	25
JCIE	81.26	-2.16	67.76	67.79	92
GCIE	52.23	-42.25	11.76	43.87	164
BCIE	30.57	1.15	-46.84	46.86	271

Dreiecks-Helligkeit t^*



Ausgabe: Farbmetrisches Fernseh-Licht-System TLS00

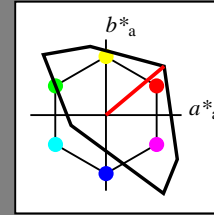
für Buntton $h^* = lab^*h = 40/360 = 0.111$

lab^*tch und lab^*nch

D65: Buntton O

LCH*Ma: 51 100 40

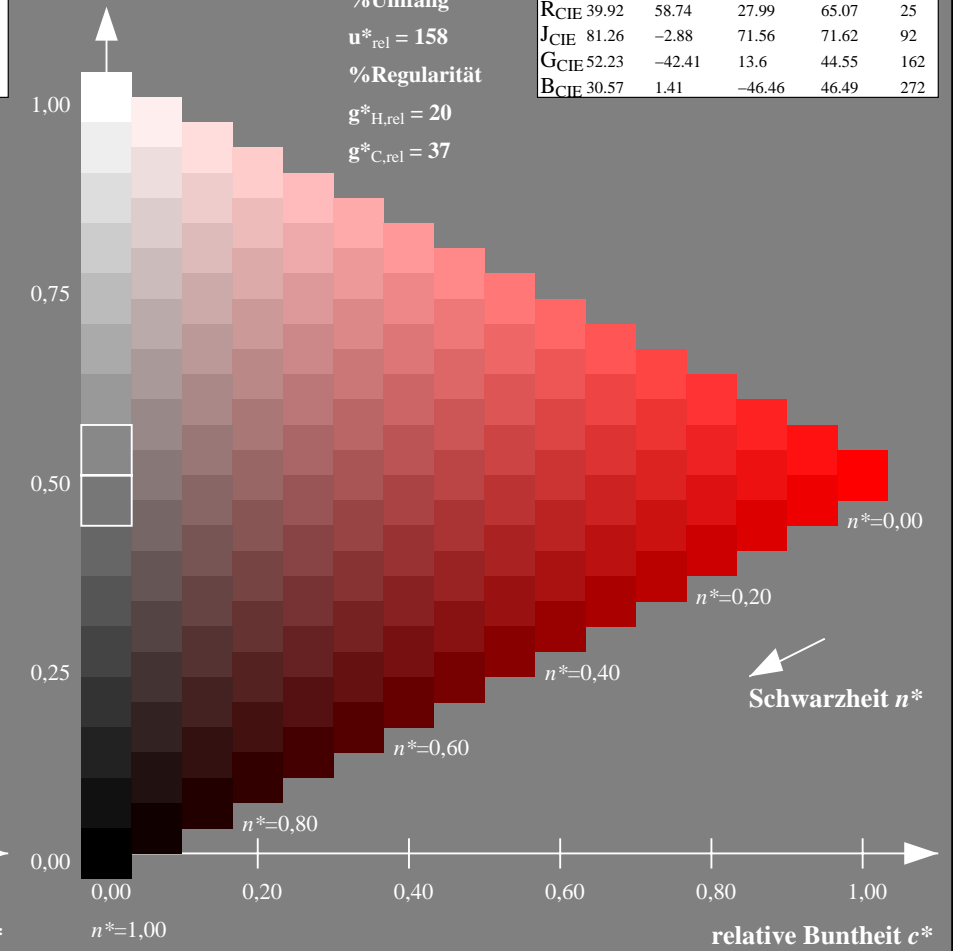
olv*Ma: 1.0 0.0 0.0



TLS00; adaptierte CIELAB-Daten

	$L^*=L^*_a$	a^*_a	b^*_a	$C^*_{ab,a}$	$h^*_{ab,a}$
OMa	50.5	76.92	64.55	100.42	40
YMa	92.66	-20.69	90.75	93.08	103
LMa	83.63	-82.75	79.9	115.04	136
CMa	86.88	-46.16	-13.55	48.12	196
VMa	30.39	76.06	-103.59	128.52	306
MMa	57.3	94.35	-58.41	110.97	328
NMa	0.01	0.0	0.0	0.0	0
WMa	95.41	0.0	0.0	0.0	0
RCIE	39.92	58.74	27.99	65.07	25
JCIE	81.26	-2.88	71.56	71.62	92
GCIE	52.23	-42.41	13.6	44.55	162
BCIE	30.57	1.41	-46.46	46.49	272

Dreiecks-Helligkeit t^*



NG900-7, 9stufige Reihen für konstanten CIELAB Buntton $38/360 = 0.105$ (links)

16stufige Reihen für konstanten CIELAB Buntton $40/360 = 0.111$ (rechts)

Eingabe: Farbmetrisches Offset-Reflektiv-System ORS18

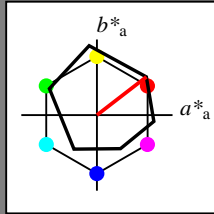
für Buntton $h^* = lab^*h = 38/360 = 0.105$

lab^*tch und lab^*nch

D65: Buntton O

LCH*Ma: 48 83 38

olv*Ma: 1.0 0.0 0.0



ORS18; adaptierte CIELAB-Daten

	$L^*=L^*_a$	a^*_a	b^*_a	$C^*_{ab,a}$	$h^*_{ab,a}$
OMa	47.94	65.39	50.52	82.63	38
YMa	90.37	-10.26	91.75	92.32	96
LMa	50.9	-62.83	34.96	71.91	151
CMa	58.62	-30.34	-45.01	54.3	236
VMa	25.72	31.1	-44.4	54.22	305
MMa	48.13	75.28	-8.36	75.74	354
NMa	18.01	0.0	0.0	0.0	0
WMa	95.41	0.0	0.0	0.0	0
RCIE	39.92	58.66	26.98	64.57	25
JCIE	81.26	-2.16	67.76	67.79	92
GCIE	52.23	-42.25	11.76	43.87	164
BCIE	30.57	1.15	-46.84	46.86	271

Dreiecks-Helligkeit t^*

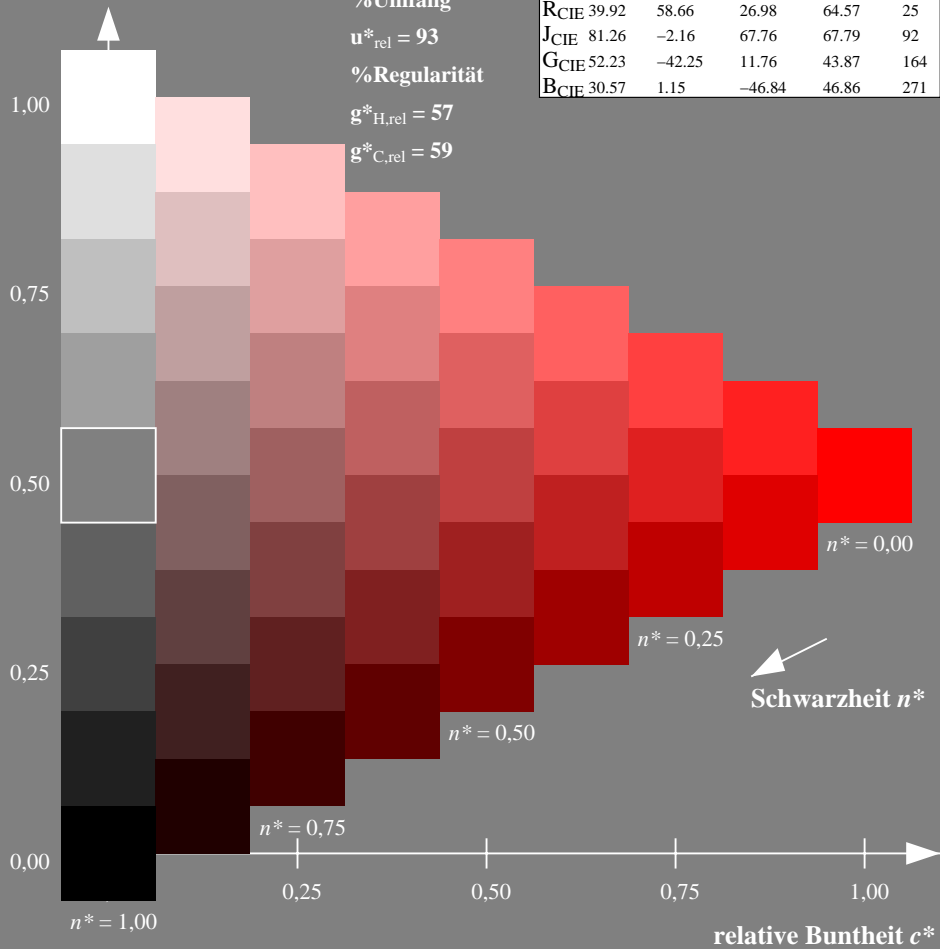
%Umfang

$u^*_{rel} = 93$

%Regularität

$g^*_{H,rel} = 57$

$g^*_{C,rel} = 59$



Ausgabe: Farbmetrisches Drucker-Reflektiv-System DRSXX

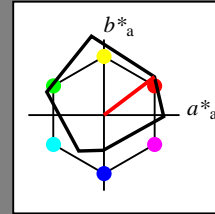
für Buntton $h^* = lab^*h = 37/360 = 0.103$

lab^*tch und lab^*nch

D65: Buntton O

LCH*Ma: 42 84 37

olv*Ma: 1.0 0.0 0.0



DRSXX; adaptierte CIELAB-Daten

	$L^*=L^*_a$	a^*_a	b^*_a	$C^*_{ab,a}$	$h^*_{ab,a}$
OMa	42.21	66.82	50.6	83.82	37
YMa	90.32	-16.51	104.33	105.63	99
LMa	48.21	-75.63	30.65	81.61	158
CMa	53.44	-33.33	-47.49	58.03	235
VMa	34.16	-0.92	-46.56	46.58	269
MMa	42.71	79.0	-1.95	79.03	359
NMa	16.56	0.0	0.0	0.0	0
WMa	96.31	0.0	0.0	0.0	0
RCIE	39.92	59.78	25.77	65.1	23
JCIE	81.26	-2.51	69.07	69.11	92
GCIE	52.23	-41.57	11.3	43.09	165
BCIE	30.57	2.6	-48.62	48.7	273

Dreiecks-Helligkeit t^*

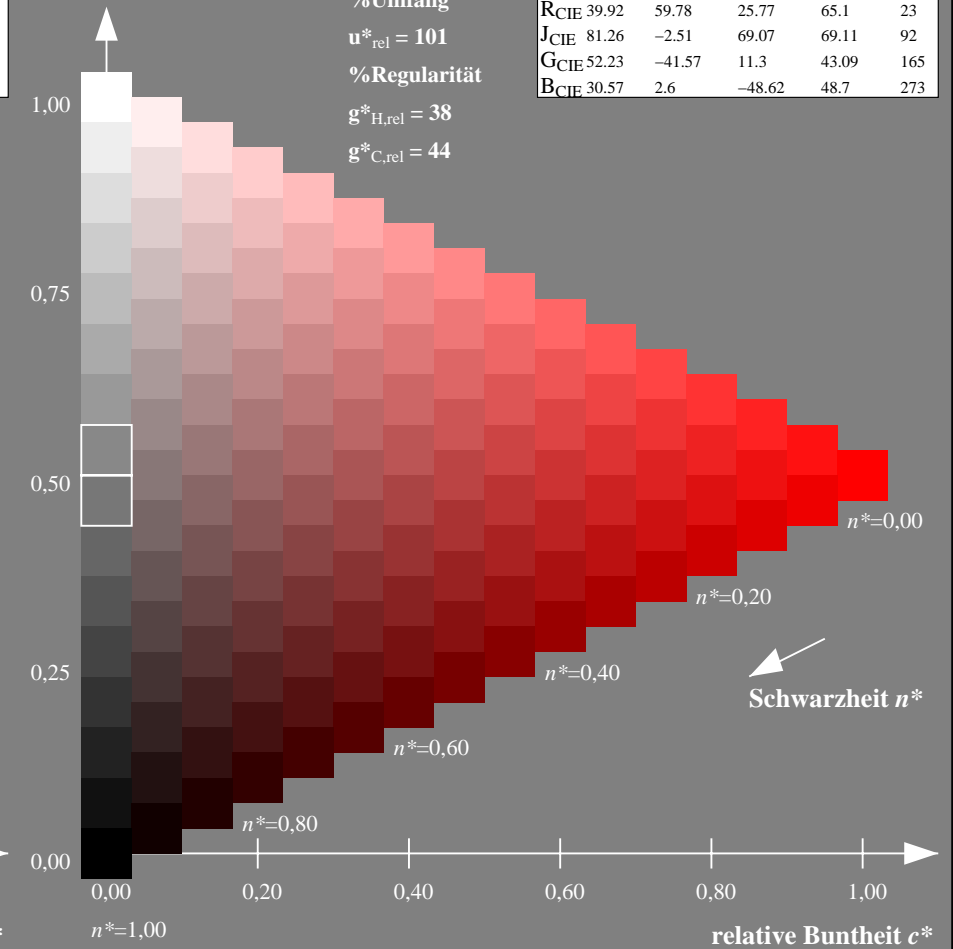
%Umfang

$u^*_{rel} = 101$

%Regularität

$g^*_{H,rel} = 38$

$g^*_{C,rel} = 44$



NG900-7, 9stufige Reihen für konstanten CIELAB Buntton $38/360 = 0.105$ (links)

16stufige Reihen für konstanten CIELAB Buntton $37/360 = 0.103$ (rechts)

Eingabe: Farbmetrisches Offset-Reflektiv-System ORS18

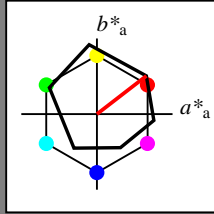
für Buntton $h^* = lab^*h = 38/360 = 0.105$

lab^*tch und lab^*nch

D65: Buntton O

LCH*Ma: 48 83 38

olv*Ma: 1.0 0.0 0.0



ORS18; adaptierte CIELAB-Daten

	$L^*=L^*_a$	a^*_a	b^*_a	$C^*_{ab,a}$	$h^*_{ab,a}$
OMa	47.94	65.39	50.52	82.63	38
YMa	90.37	-10.26	91.75	92.32	96
LMa	50.9	-62.83	34.96	71.91	151
CMa	58.62	-30.34	-45.01	54.3	236
VMa	25.72	31.1	-44.4	54.22	305
MMa	48.13	75.28	-8.36	75.74	354
NMa	18.01	0.0	0.0	0.0	0
WMa	95.41	0.0	0.0	0.0	0
RCIE	39.92	58.66	26.98	64.57	25
JCIE	81.26	-2.16	67.76	67.79	92
GCIE	52.23	-42.25	11.76	43.87	164
BCIE	30.57	1.15	-46.84	46.86	271

Dreiecks-Helligkeit t^*

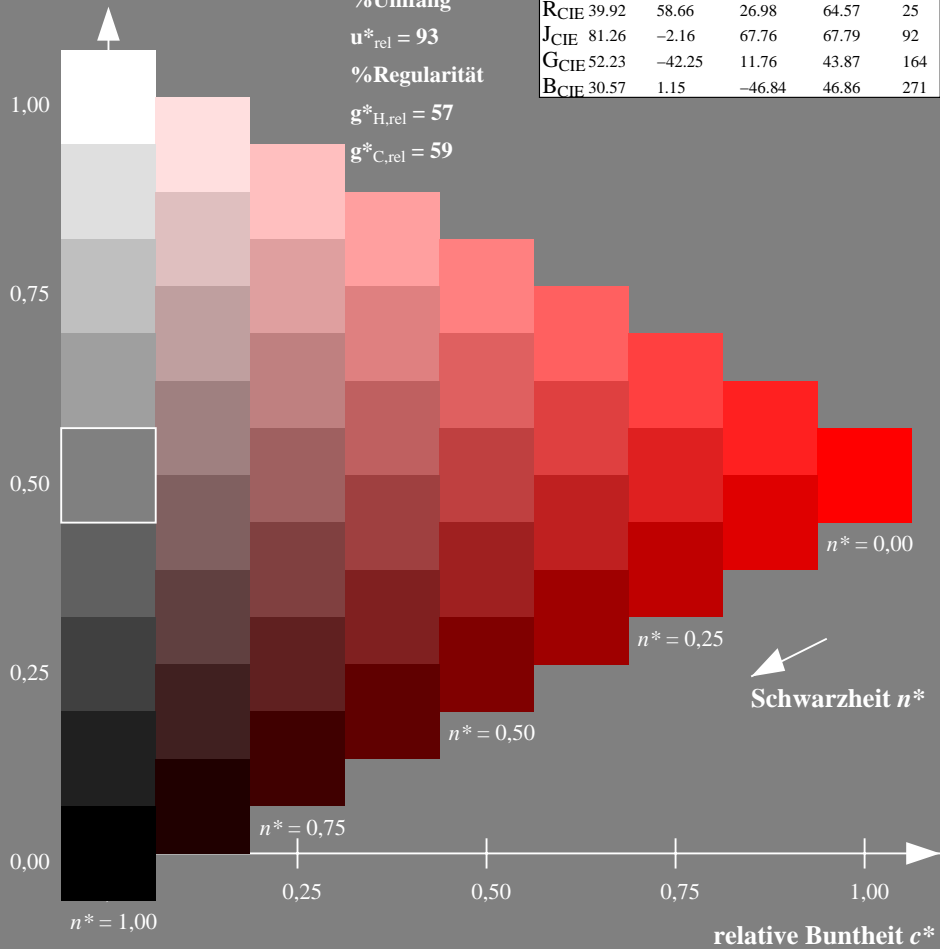
%Umfang

$u^*_{rel} = 93$

%Regularität

$g^*_{H,rel} = 57$

$g^*_{C,rel} = 59$



Ausgabe: Farbmetrisches Fernseh-Licht-System TLS18

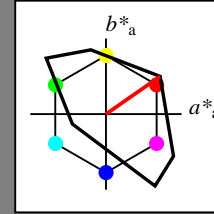
für Buntton $h^* = lab^*h = 35/360 = 0.097$

lab^*tch und lab^*nch

D65: Buntton O

LCH*Ma: 53 87 35

olv*Ma: 1.0 0.0 0.0



TLS18; adaptierte CIELAB-Daten

	$L^*=L^*_a$	a^*_a	b^*_a	$C^*_{ab,a}$	$h^*_{ab,a}$
OMa	52.76	71.63	49.88	87.29	35
YMa	92.74	-20.02	84.97	87.3	103
LMa	84.0	-78.98	73.94	108.2	137
CMa	87.14	-44.41	-13.11	46.32	196
VMa	35.47	64.92	-95.06	115.12	304
MMa	59.01	89.33	-55.67	105.26	328
NMa	18.01	0.0	0.0	0.0	0
WMa	95.41	0.0	0.0	0.0	0
RCIE	39.92	58.74	27.99	65.07	25
JCIE	81.26	-2.88	71.56	71.62	92
GCIE	52.23	-42.41	13.6	44.55	162
BCIE	30.57	1.41	-46.46	46.49	272

Dreiecks-Helligkeit t^*

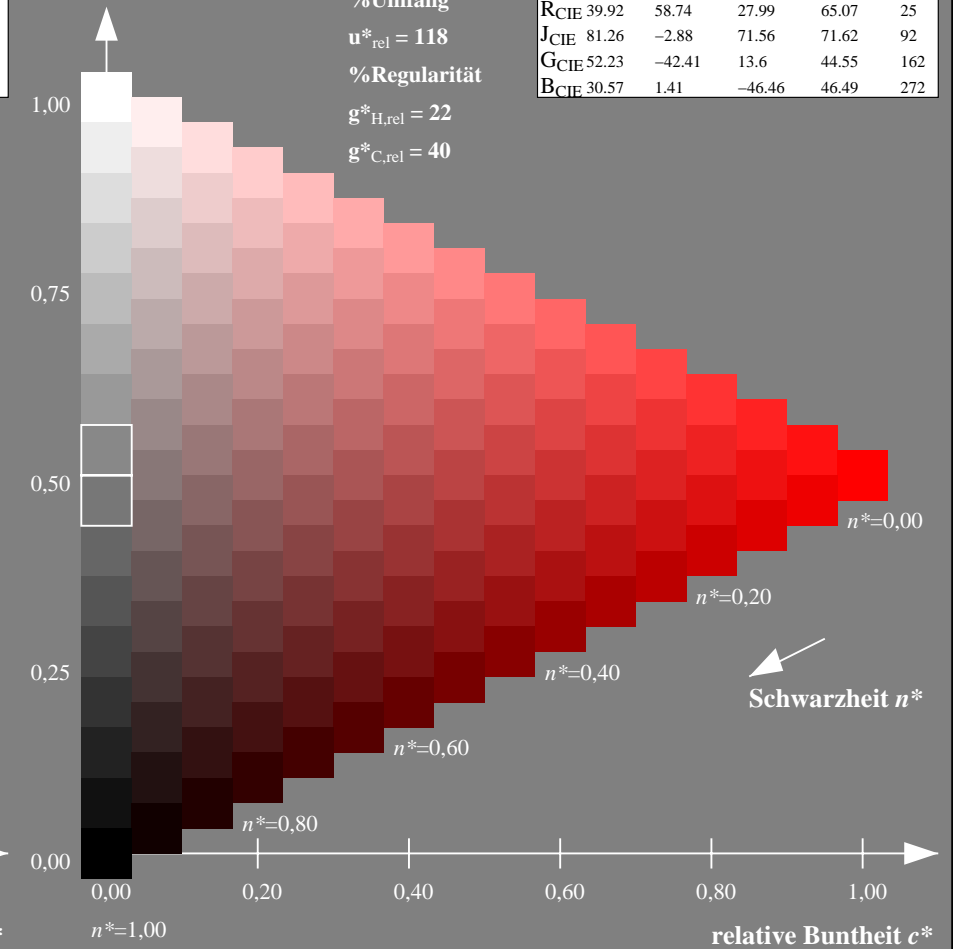
%Umfang

$u^*_{rel} = 118$

%Regularität

$g^*_{H,rel} = 22$

$g^*_{C,rel} = 40$



NG900-7, 9stufige Reihen für konstanten CIELAB Buntton $38/360 = 0.105$ (links)

16stufige Reihen für konstanten CIELAB Buntton $35/360 = 0.097$ (rechts)

Eingabe: Farbmatisches Offset-Reflektiv-System ORS18

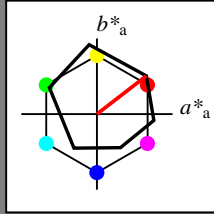
für Buntton $h^* = lab^*h = 38/360 = 0.105$

lab^*tch und lab^*nch

D65: Buntton O

LCH*Ma: 48 83 38

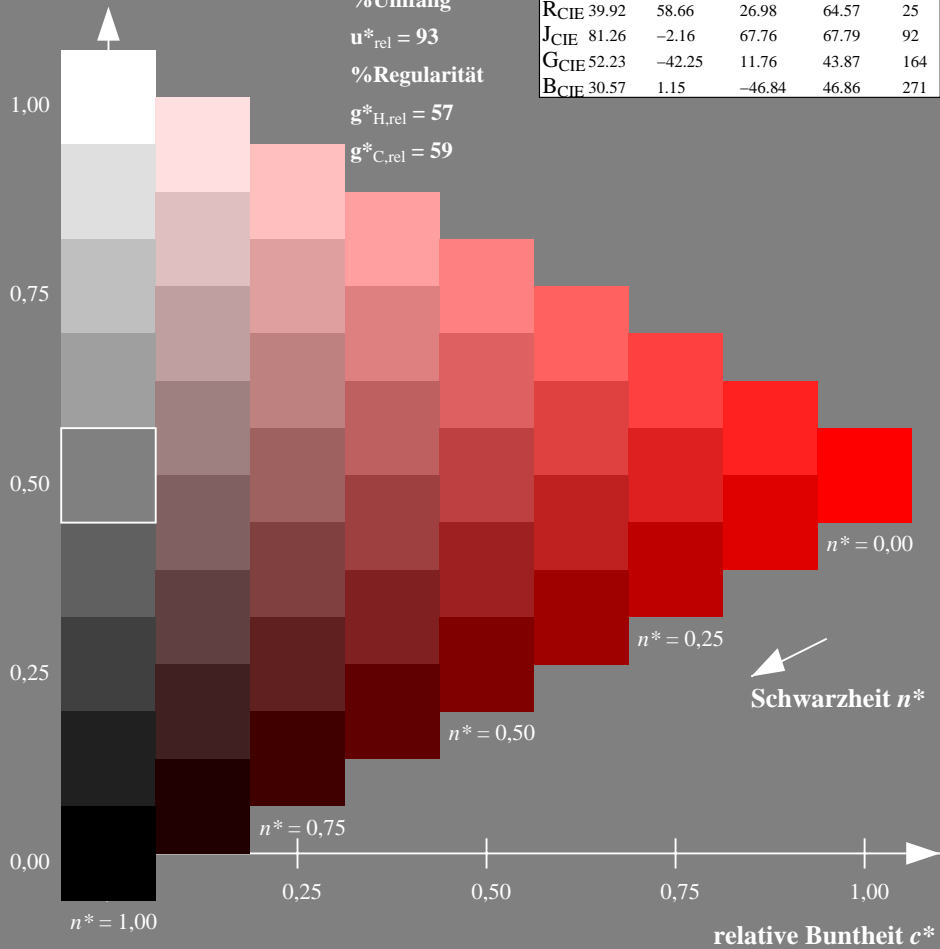
olv*Ma: 1.0 0.0 0.0



ORS18; adaptierte CIELAB-Daten

	$L^*=L^*_a$	a^*_a	b^*_a	$C^*_{ab,a}$	$h^*_{ab,a}$
O _{Ma}	47.94	65.39	50.52	82.63	38
Y _{Ma}	90.37	-10.26	91.75	92.32	96
L _{Ma}	50.9	-62.83	34.96	71.91	151
C _{Ma}	58.62	-30.34	-45.01	54.3	236
V _{Ma}	25.72	31.1	-44.4	54.22	305
M _{Ma}	48.13	75.28	-8.36	75.74	354
N _{Ma}	18.01	0.0	0.0	0.0	0
W _{Ma}	95.41	0.0	0.0	0.0	0
R _{CIE}	39.92	58.66	26.98	64.57	25
J _{CIE}	81.26	-2.16	67.76	67.79	92
G _{CIE}	52.23	-42.25	11.76	43.87	164
B _{CIE}	30.57	1.15	-46.84	46.86	271

Dreiecks-Helligkeit t^*



NG900-7, 9stufige Reihen für konstanten CIELAB Buntton $38/360 = 0.105$ (links)

Ausgabe: Farbmatisches Natürliches-Licht-System NLS00

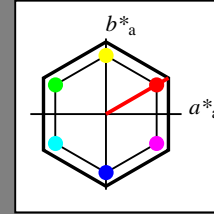
für Buntton $h^* = lab^*h = 30/360 = 0.083$

lab^*tch und lab^*nch

D65: Buntton O

LCH*Ma: 32 95 30

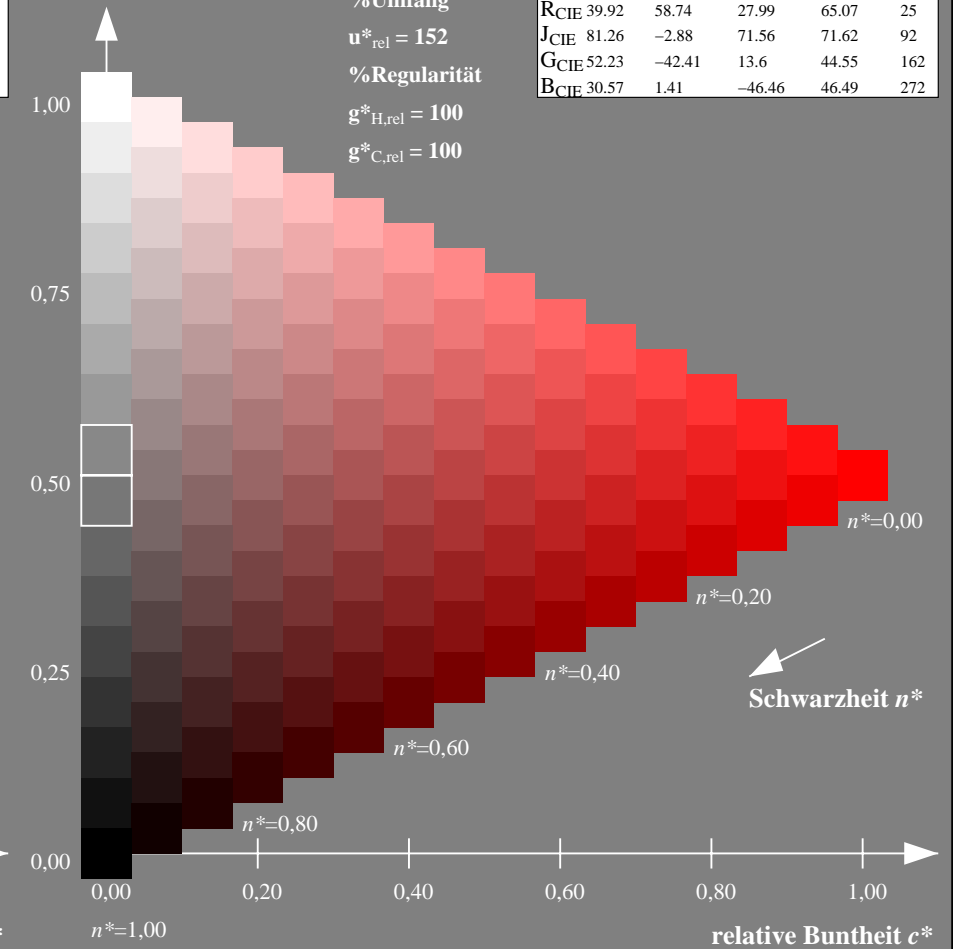
olv*Ma: 1.0 0.0 0.0



NLS00; adaptierte CIELAB-Daten

	$L^*=L^*_a$	a^*_a	b^*_a	$C^*_{ab,a}$	$h^*_{ab,a}$
O _{Ma}	31.81	82.62	47.7	95.4	30
Y _{Ma}	63.61	0.0	95.4	95.4	90
L _{Ma}	31.81	-82.61	47.7	95.4	150
C _{Ma}	63.61	-82.61	-47.69	95.4	210
V _{Ma}	31.81	0.0	-95.39	95.4	270
M _{Ma}	63.61	82.62	-47.69	95.4	330
N _{Ma}	0.01	0.0	0.0	0.0	0
W _{Ma}	95.41	0.0	0.0	0.0	0
R _{CIE}	39.92	58.74	27.99	65.07	25
J _{CIE}	81.26	-2.88	71.56	71.62	92
G _{CIE}	52.23	-42.41	13.6	44.55	162
B _{CIE}	30.57	1.41	-46.46	46.49	272

Dreiecks-Helligkeit t^*



16stufige Reihen für konstanten CIELAB Buntton $30/360 = 0.083$ (rechts)

Eingabe: Farbmatisches Offset-Reflektiv-System ORS18

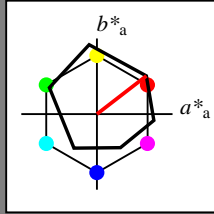
für Buntton $h^* = lab^*h = 38/360 = 0.105$

lab^*tch und lab^*nch

D65: Buntton O

LCH*Ma: 48 83 38

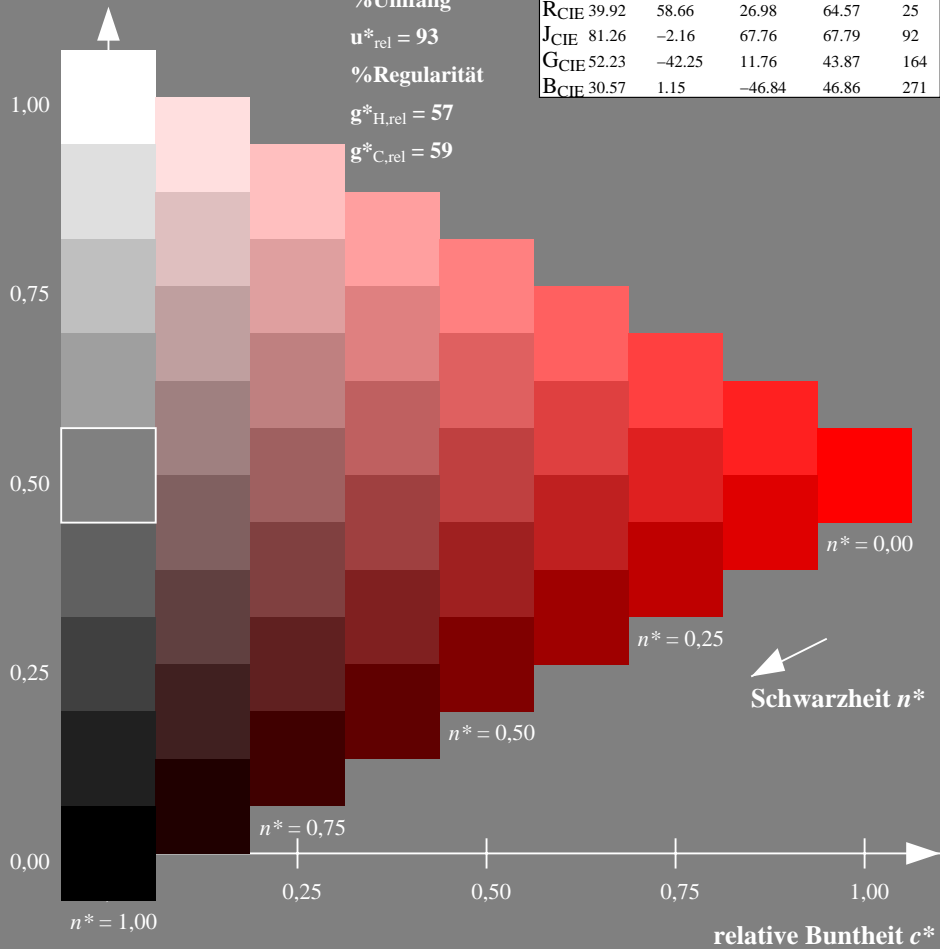
olv*Ma: 1.0 0.0 0.0



ORS18; adaptierte CIELAB-Daten

	$L^*=L^*_a$	a^*_a	b^*_a	$C^*_{ab,a}$	$h^*_{ab,a}$
OMa	47.94	65.39	50.52	82.63	38
YMa	90.37	-10.26	91.75	92.32	96
LMa	50.9	-62.83	34.96	71.91	151
CMa	58.62	-30.34	-45.01	54.3	236
VMa	25.72	31.1	-44.4	54.22	305
MMa	48.13	75.28	-8.36	75.74	354
NMa	18.01	0.0	0.0	0.0	0
WMa	95.41	0.0	0.0	0.0	0
RCIE	39.92	58.66	26.98	64.57	25
JCIE	81.26	-2.16	67.76	67.79	92
GCIE	52.23	-42.25	11.76	43.87	164
BCIE	30.57	1.15	-46.84	46.86	271

Dreiecks-Helligkeit t^*



Ausgabe: Farbmatisches Natürliches-Reflektiv-System NRS18

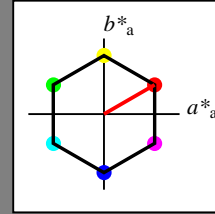
für Buntton $h^* = lab^*h = 30/360 = 0.083$

lab^*tch und lab^*nch

D65: Buntton O

LCH*Ma: 44 77 30

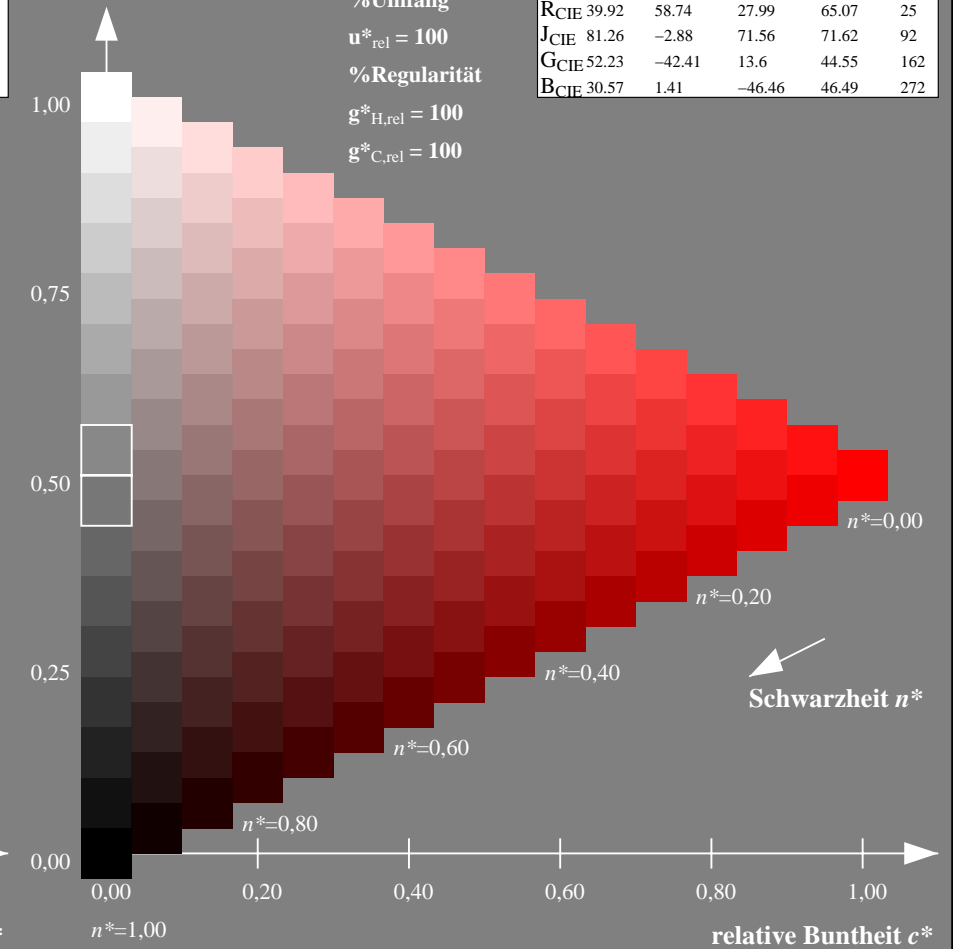
olv*Ma: 1.0 0.0 0.0



NRS18; adaptierte CIELAB-Daten

	$L^*=L^*_a$	a^*_a	b^*_a	$C^*_{ab,a}$	$h^*_{ab,a}$
OMa	43.81	67.03	38.7	77.4	30
YMa	69.61	0.0	77.4	77.4	90
LMa	43.81	-67.02	38.7	77.4	150
CMa	69.61	-67.02	-38.69	77.4	210
VMa	43.81	0.0	-77.39	77.4	270
MMa	69.61	67.03	-38.69	77.4	330
NMa	18.01	0.0	0.0	0.0	0
WMa	95.41	0.0	0.0	0.0	0
RCIE	39.92	58.74	27.99	65.07	25
JCIE	81.26	-2.88	71.56	71.62	92
GCIE	52.23	-42.41	13.6	44.55	162
BCIE	30.57	1.41	-46.46	46.49	272

Dreiecks-Helligkeit t^*



NG900-7, 9stufige Reihen für konstanten CIELAB Buntton 38/360 = 0.105 (links)

16stufige Reihen für konstanten CIELAB Buntton 30/360 = 0.083 (rechts)

Eingabe: Farbmimetrisches Offset-Reflektiv-System ORS18

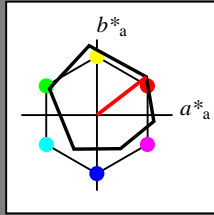
für Buntton $h^* = lab^*h = 38/360 = 0.105$

lab^*tch und lab^*nch

D65: Buntton O

LCH*Ma: 48 83 38

olv*Ma: 1.0 0.0 0.0



ORS18; adaptierte CIELAB-Daten

	$L^*=L^*_a$	a^*_a	b^*_a	$C^*_{ab,a}$	$h^*_{ab,a}$
OMa	47.94	65.39	50.52	82.63	38
YMa	90.37	-10.26	91.75	92.32	96
LMa	50.9	-62.83	34.96	71.91	151
CMa	58.62	-30.34	-45.01	54.3	236
VMa	25.72	31.1	-44.4	54.22	305
MMa	48.13	75.28	-8.36	75.74	354
NMa	18.01	0.0	0.0	0.0	0
WMa	95.41	0.0	0.0	0.0	0
RCIE	39.92	58.66	26.98	64.57	25
JCIE	81.26	-2.16	67.76	67.79	92
GCIE	52.23	-42.25	11.76	43.87	164
BCIE	30.57	1.15	-46.84	46.86	271

Dreiecks-Helligkeit t^*

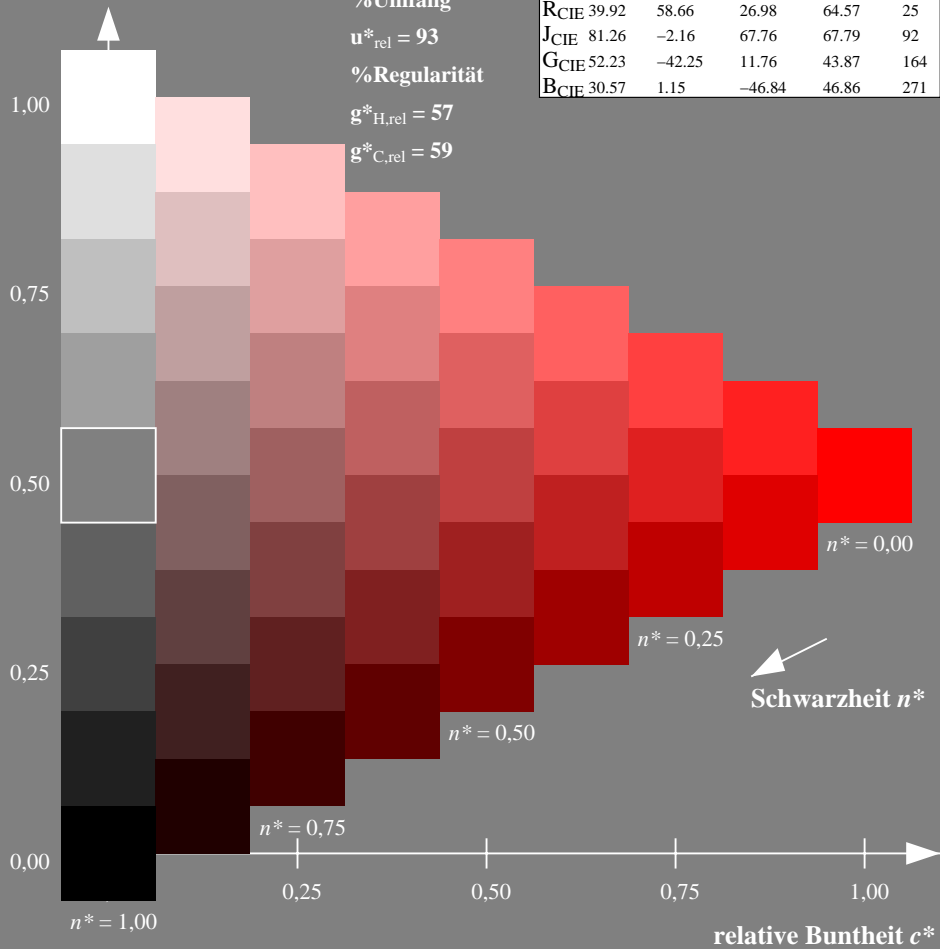
%Umfang

$u^*_{rel} = 93$

%Regularität

$g^*_{H,rel} = 57$

$g^*_{C,rel} = 59$



Ausgabe: Farbmimetrisches Standard-Reflektiv-System SRS18

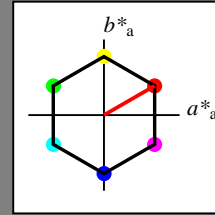
für Buntton $h^* = lab^*h = 30/360 = 0.083$

lab^*tch und lab^*nch

D65: Buntton O

LCH*Ma: 57 77 30

olv*Ma: 1.0 0.0 0.0



SRS18; adaptierte CIELAB-Daten

	$L^*=L^*_a$	a^*_a	b^*_a	$C^*_{ab,a}$	$h^*_{ab,a}$
OMa	56.71	67.03	38.7	77.4	30
YMa	56.71	0.0	77.4	77.4	90
LMa	56.71	-67.02	38.7	77.4	150
CMa	56.71	-67.02	-38.69	77.4	210
VMa	56.71	0.0	-77.39	77.4	270
MMa	56.71	67.03	-38.69	77.4	330
NMa	18.01	0.0	0.0	0.0	0
WMa	95.41	0.0	0.0	0.0	0
RCIE	39.92	58.74	27.99	65.07	25
JCIE	81.26	-2.88	71.56	71.62	92
GCIE	52.23	-42.41	13.6	44.55	162
BCIE	30.57	1.41	-46.46	46.49	272

Dreiecks-Helligkeit t^*

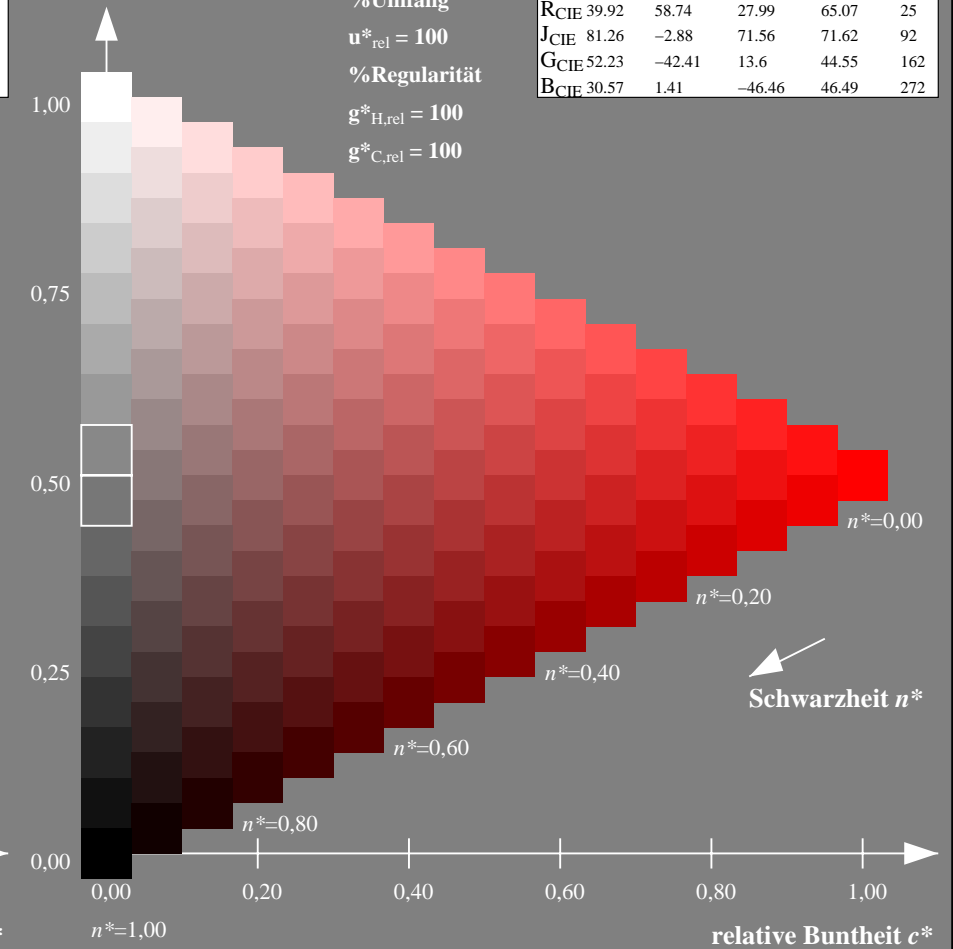
%Umfang

$u^*_{rel} = 100$

%Regularität

$g^*_{H,rel} = 100$

$g^*_{C,rel} = 100$



NG900-7, 9stufige Reihen für konstanten CIELAB Buntton $38/360 = 0.105$ (links)

16stufige Reihen für konstanten CIELAB Buntton $30/360 = 0.083$ (rechts)

Eingabe: Farbmetrisches Offset-Reflektiv-System ORS18

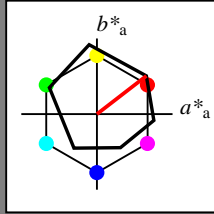
für Buntton $h^* = lab^*h = 38/360 = 0.105$

lab^*tch und lab^*nch

D65: Buntton O

LCH*Ma: 48 83 38

olv*Ma: 1.0 0.0 0.0



ORS18; adaptierte CIELAB-Daten

	$L^*=L^*_a$	a^*_a	b^*_a	$C^*_{ab,a}$	$h^*_{ab,a}$
O _{Ma}	47.94	65.39	50.52	82.63	38
Y _{Ma}	90.37	-10.26	91.75	92.32	96
L _{Ma}	50.9	-62.83	34.96	71.91	151
C _{Ma}	58.62	-30.34	-45.01	54.3	236
V _{Ma}	25.72	31.1	-44.4	54.22	305
M _{Ma}	48.13	75.28	-8.36	75.74	354
N _{Ma}	18.01	0.0	0.0	0.0	0
W _{Ma}	95.41	0.0	0.0	0.0	0
R _{CIE}	39.92	58.66	26.98	64.57	25
J _{CIE}	81.26	-2.16	67.76	67.79	92
G _{CIE}	52.23	-42.25	11.76	43.87	164
B _{CIE}	30.57	1.15	-46.84	46.86	271

Dreiecks-Helligkeit t^*

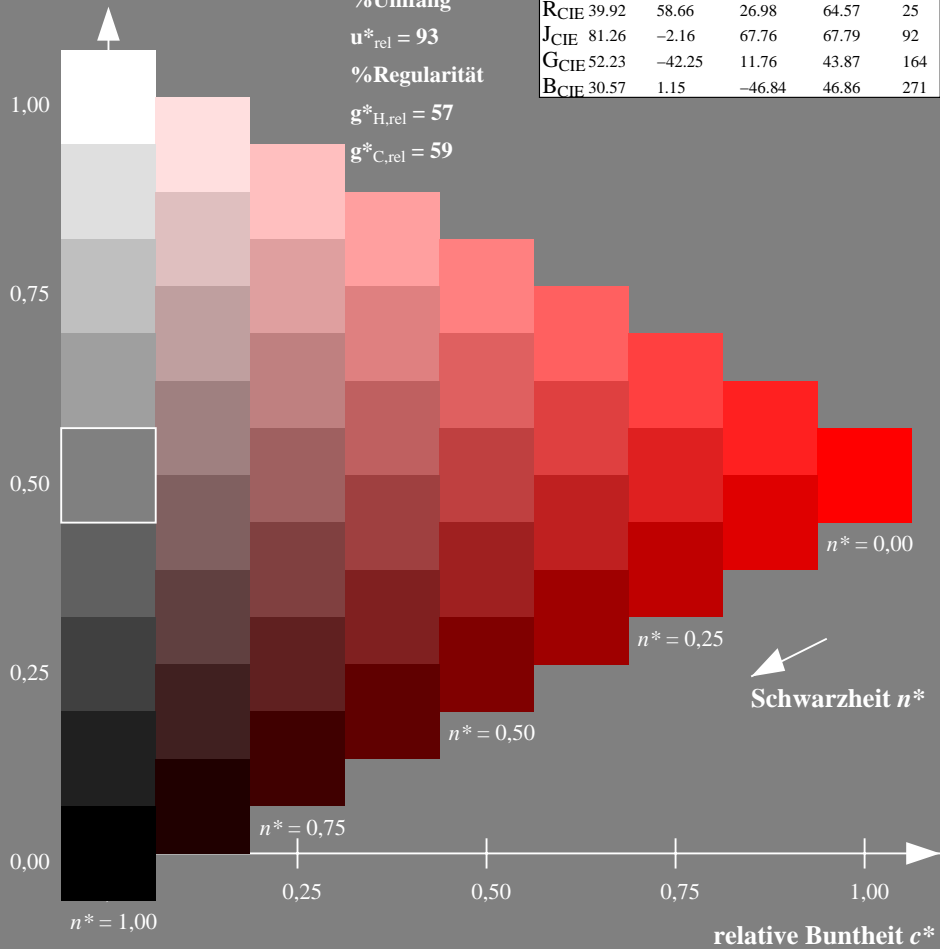
%Umfang

$u^*_{rel} = 93$

%Regularität

$g^*_{H,rel} = 57$

$g^*_{C,rel} = 59$



Ausgabe: Farbmetrisches Fernseh-Licht-System TLS70

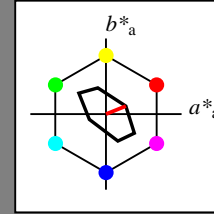
für Buntton $h^* = lab^*h = 22/360 = 0.061$

lab^*tch und lab^*nch

D65: Buntton O

LCH*Ma: 76 28 22

olv*Ma: 1.0 0.0 0.0



TLS70; adaptierte CIELAB-Daten

	$L^*=L^*_a$	a^*_a	b^*_a	$C^*_{ab,a}$	$h^*_{ab,a}$
O _{Ma}	76.43	26.27	10.57	28.32	22
Y _{Ma}	93.93	-10.76	34.63	36.27	107
L _{Ma}	89.32	-35.8	27.64	45.24	142
C _{Ma}	90.93	-21.95	-7.07	23.07	198
V _{Ma}	72.1	15.76	-35.63	38.97	294
M _{Ma}	78.5	37.52	-25.23	45.22	326
N _{Ma}	69.7	0.0	0.0	0.0	0
W _{Ma}	95.41	0.0	0.0	0.0	0
R _{CIE}	39.92	58.74	27.99	65.07	25
J _{CIE}	81.26	-2.88	71.56	71.62	92
G _{CIE}	52.23	-42.41	13.6	44.55	162
B _{CIE}	30.57	1.41	-46.46	46.49	272

Dreiecks-Helligkeit t^*

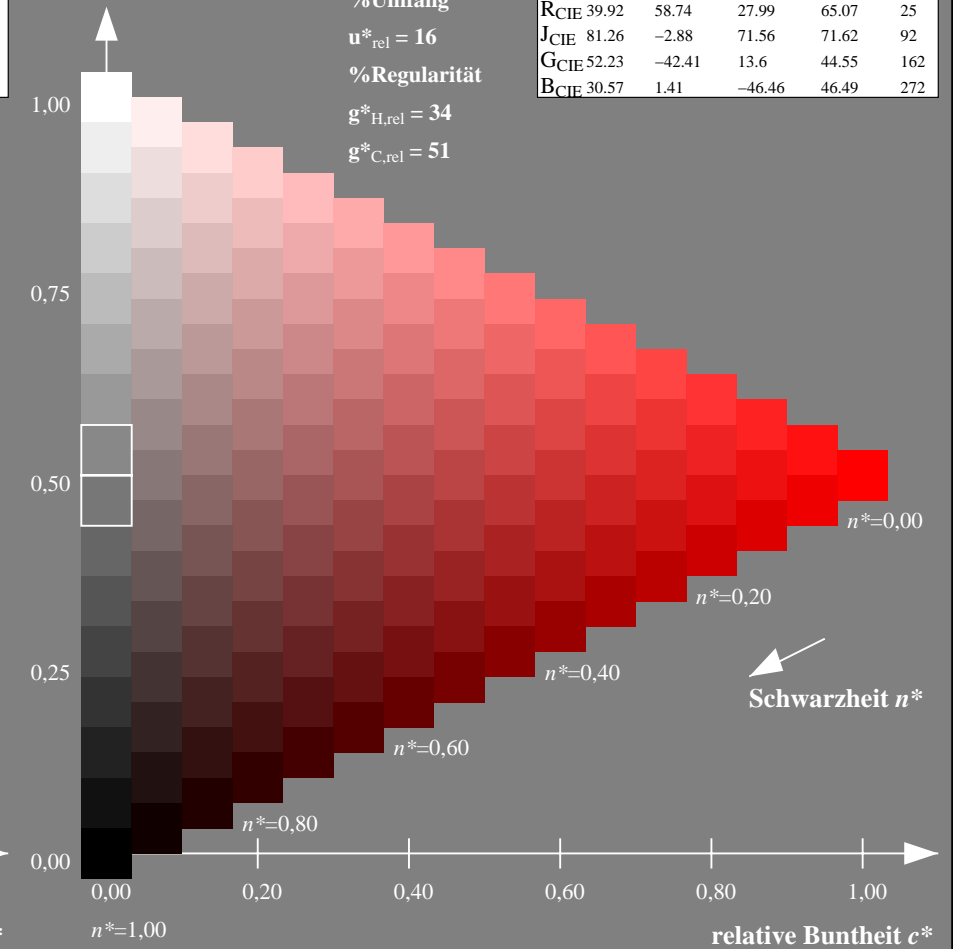
%Umfang

$u^*_{rel} = 16$

%Regularität

$g^*_{H,rel} = 34$

$g^*_{C,rel} = 51$



NG900-7, 9stufige Reihen für konstanten CIELAB Buntton $38/360 = 0.105$ (links)

16stufige Reihen für konstanten CIELAB Buntton $22/360 = 0.061$ (rechts)

Eingabe: Farbmetrisches Fernseh-Licht-System TLS00

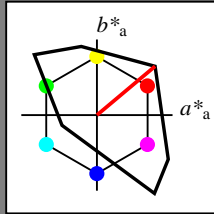
für Buntton $h^* = lab^*h = 40/360 = 0.111$

lab^*tch und lab^*nch

D65: Buntton O

LCH*Ma: 51 100 40

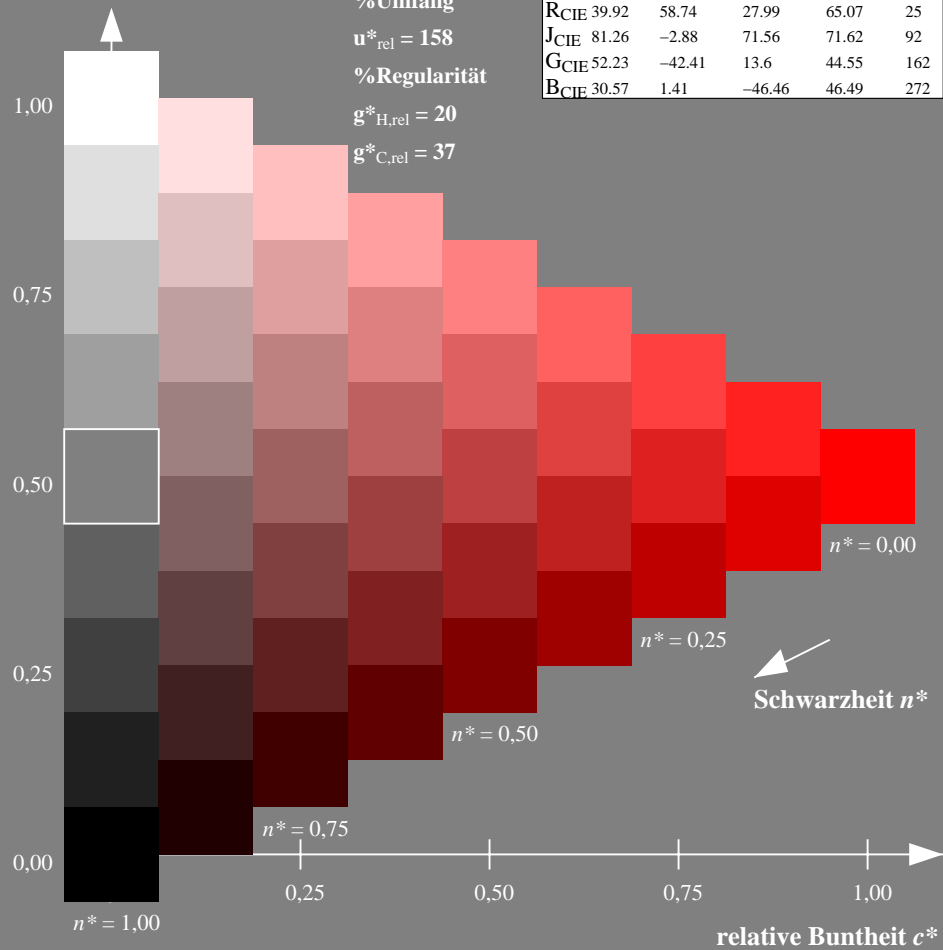
olv*Ma: 1.0 0.0 0.0



TLS00; adaptierte CIELAB-Daten

	$L^*=L^*_a$	a^*_a	b^*_a	$C^*_{ab,a}$	$h^*_{ab,a}$
OMa	50.5	76.92	64.55	100.42	40
YMa	92.66	-20.69	90.75	93.08	103
LMa	83.63	-82.75	79.9	115.04	136
CMa	86.88	-46.16	-13.55	48.12	196
VMa	30.39	76.06	-103.59	128.52	306
MMa	57.3	94.35	-58.41	110.97	328
NMa	0.01	0.0	0.0	0.0	0
WMa	95.41	0.0	0.0	0.0	0
RCIE	39.92	58.74	27.99	65.07	25
JCIE	81.26	-2.88	71.56	71.62	92
GCIE	52.23	-42.41	13.6	44.55	162
BCIE	30.57	1.41	-46.46	46.49	272

Dreiecks-Helligkeit t^*



Ausgabe: Farbmetrisches Offset-Reflektiv-System ORS18

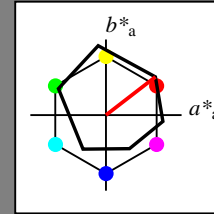
für Buntton $h^* = lab^*h = 38/360 = 0.105$

lab^*tch und lab^*nch

D65: Buntton O

LCH*Ma: 48 83 38

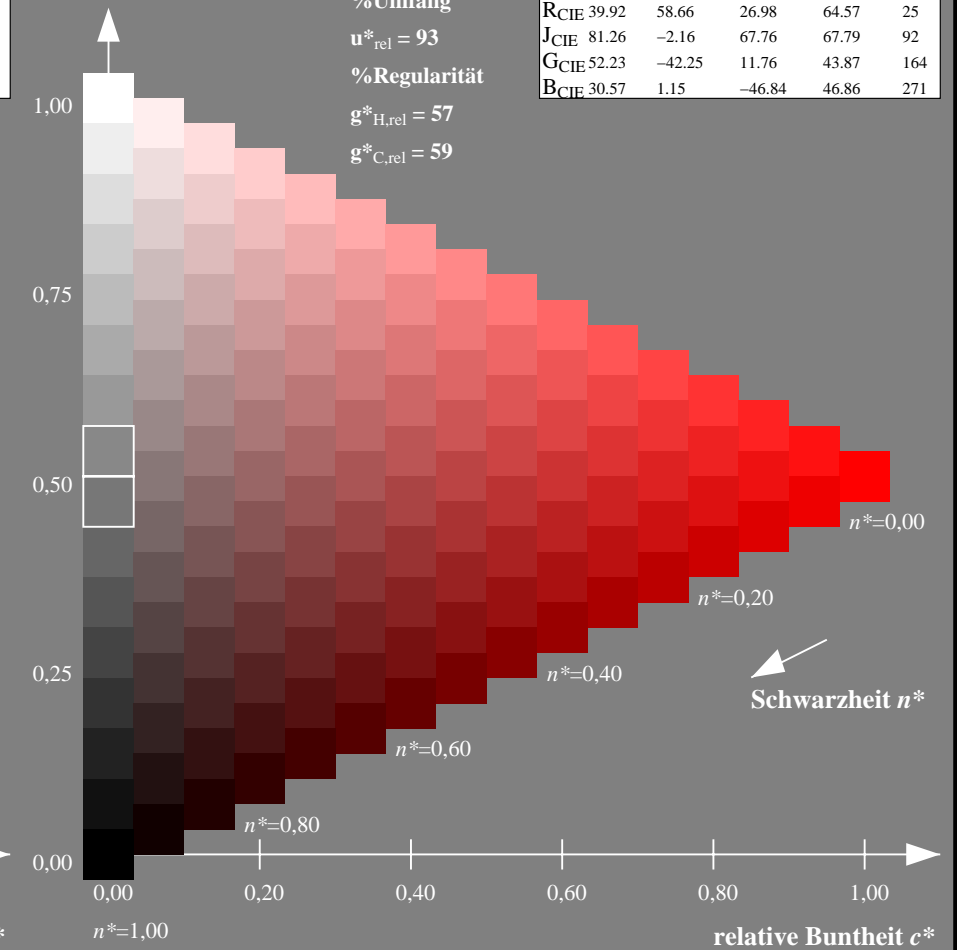
olv*Ma: 1.0 0.0 0.0



ORS18; adaptierte CIELAB-Daten

	$L^*=L^*_a$	a^*_a	b^*_a	$C^*_{ab,a}$	$h^*_{ab,a}$
OMa	47.94	65.39	50.52	82.63	38
YMa	90.37	-10.26	91.75	92.32	96
LMa	50.9	-62.83	34.96	71.91	151
CMa	58.62	-30.34	-45.01	54.3	236
VMa	25.72	31.1	-44.4	54.22	305
MMa	48.13	75.28	-8.36	75.74	354
NMa	18.01	0.0	0.0	0.0	0
WMa	95.41	0.0	0.0	0.0	0
RCIE	39.92	58.66	26.98	64.57	25
JCIE	81.26	-2.16	67.76	67.79	92
GCIE	52.23	-42.25	11.76	43.87	164
BCIE	30.57	1.15	-46.84	46.86	271

Dreiecks-Helligkeit t^*



NG900-7, 9stufige Reihen für konstanten CIELAB Buntton $40/360 = 0.111$ (links)

16stufige Reihen für konstanten CIELAB Buntton $38/360 = 0.105$ (rechts)

Eingabe: Farbmétrisches Fernseh-Licht-System TLS00

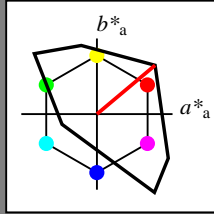
für Buntton $h^* = lab^*h = 40/360 = 0.111$

lab^*tch und lab^*nch

D65: Buntton O

LCH*Ma: 51 100 40

olv*Ma: 1.0 0.0 0.0



TLS00; adaptierte CIELAB-Daten

	$L^*=L^*_a$	a^*_a	b^*_a	$C^*_{ab,a}$	$h^*_{ab,a}$
OMa	50.5	76.92	64.55	100.42	40
YMa	92.66	-20.69	90.75	93.08	103
LMa	83.63	-82.75	79.9	115.04	136
CMa	86.88	-46.16	-13.55	48.12	196
VMa	30.39	76.06	-103.59	128.52	306
MMa	57.3	94.35	-58.41	110.97	328
NMa	0.01	0.0	0.0	0.0	0
WMa	95.41	0.0	0.0	0.0	0
RCIE	39.92	58.74	27.99	65.07	25
JCIE	81.26	-2.88	71.56	71.62	92
GCIE	52.23	-42.41	13.6	44.55	162
BCIE	30.57	1.41	-46.46	46.49	272

Dreiecks-Helligkeit t^*

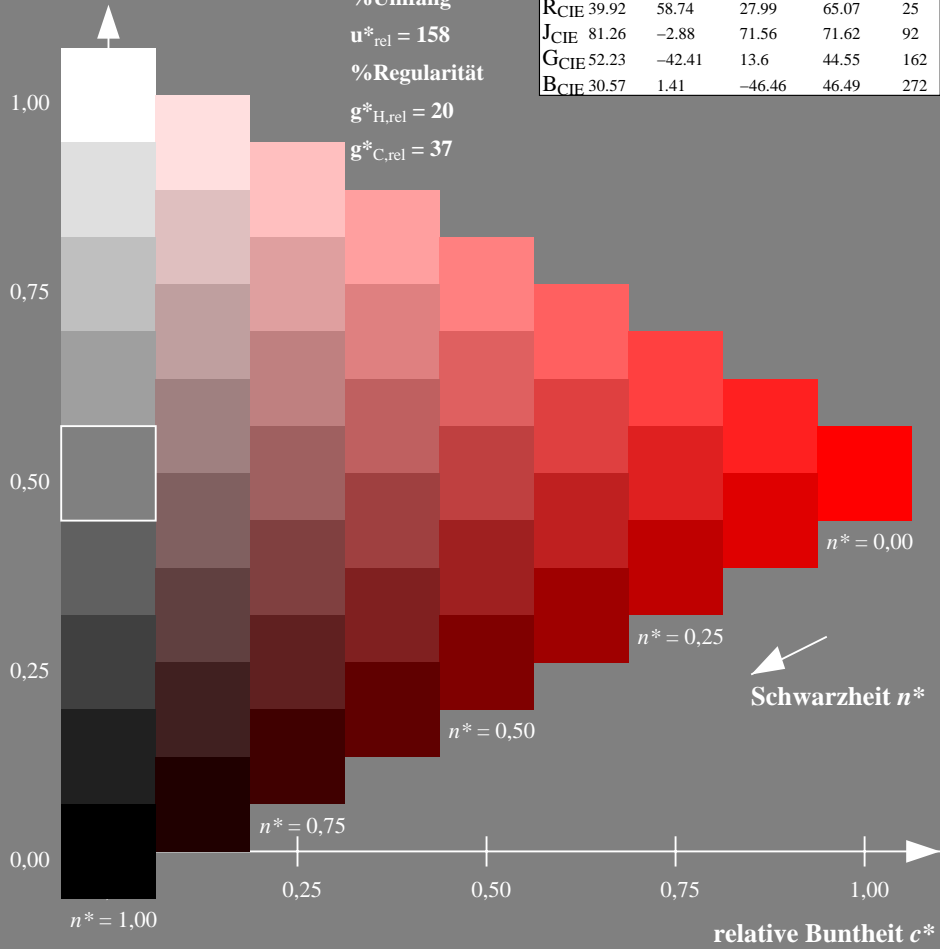
%Umfang

$u^*_{rel} = 158$

%Regularität

$g^*_{H,rel} = 20$

$g^*_{C,rel} = 37$



Ausgabe: Farbmétrisches Fernseh-Licht-System TLS00

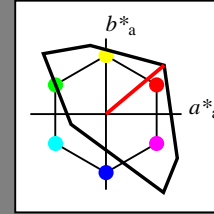
für Buntton $h^* = lab^*h = 40/360 = 0.111$

lab^*tch und lab^*nch

D65: Buntton O

LCH*Ma: 51 100 40

olv*Ma: 1.0 0.0 0.0



TLS00; adaptierte CIELAB-Daten

	$L^*=L^*_a$	a^*_a	b^*_a	$C^*_{ab,a}$	$h^*_{ab,a}$
OMa	50.5	76.92	64.55	100.42	40
YMa	92.66	-20.69	90.75	93.08	103
LMa	83.63	-82.75	79.9	115.04	136
CMa	86.88	-46.16	-13.55	48.12	196
VMa	30.39	76.06	-103.59	128.52	306
MMa	57.3	94.35	-58.41	110.97	328
NMa	0.01	0.0	0.0	0.0	0
WMa	95.41	0.0	0.0	0.0	0
RCIE	39.92	58.74	27.99	65.07	25
JCIE	81.26	-2.88	71.56	71.62	92
GCIE	52.23	-42.41	13.6	44.55	162
BCIE	30.57	1.41	-46.46	46.49	272

Dreiecks-Helligkeit t^*

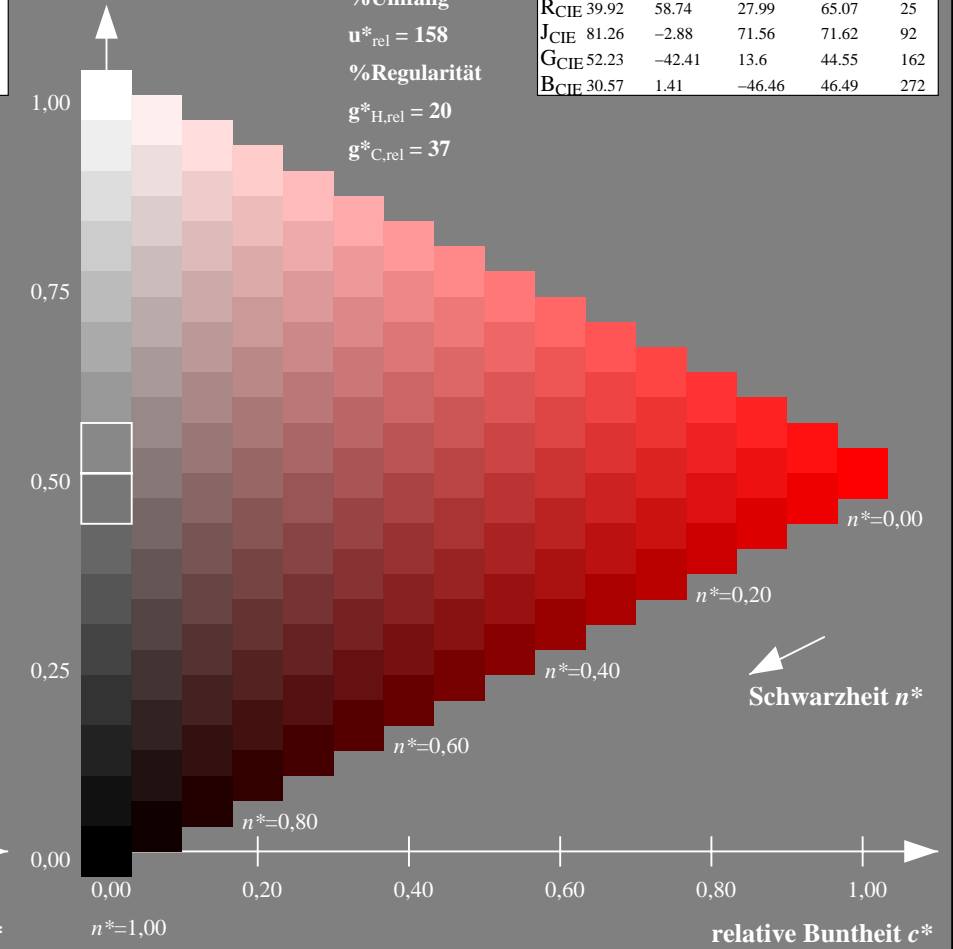
%Umfang

$u^*_{rel} = 158$

%Regularität

$g^*_{H,rel} = 20$

$g^*_{C,rel} = 37$



NG900-7, 9stufige Reihen für konstanten CIELAB Buntton $40/360 = 0.111$ (links)

16stufige Reihen für konstanten CIELAB Buntton $40/360 = 0.111$ (rechts)

Eingabe: Farbmimetrisches Fernseh-Licht-System TLS00

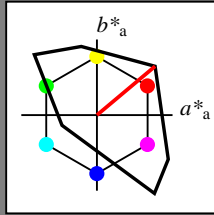
für Buntton $h^* = lab^*h = 40/360 = 0.111$

lab^*tch und lab^*nch

D65: Buntton O

LCH*Ma: 51 100 40

olv*Ma: 1.0 0.0 0.0



TLS00; adaptierte CIELAB-Daten

	$L^*=L^*_a$	a^*_a	b^*_a	$C^*_{ab,a}$	$h^*_{ab,a}$
OMa	50.5	76.92	64.55	100.42	40
YMa	92.66	-20.69	90.75	93.08	103
LMa	83.63	-82.75	79.9	115.04	136
CMa	86.88	-46.16	-13.55	48.12	196
VMa	30.39	76.06	-103.59	128.52	306
MMa	57.3	94.35	-58.41	110.97	328
NMa	0.01	0.0	0.0	0.0	0
WMa	95.41	0.0	0.0	0.0	0
RCIE	39.92	58.74	27.99	65.07	25
JCIE	81.26	-2.88	71.56	71.62	92
GCIE	52.23	-42.41	13.6	44.55	162
BCIE	30.57	1.41	-46.46	46.49	272

Dreiecks-Helligkeit t^*

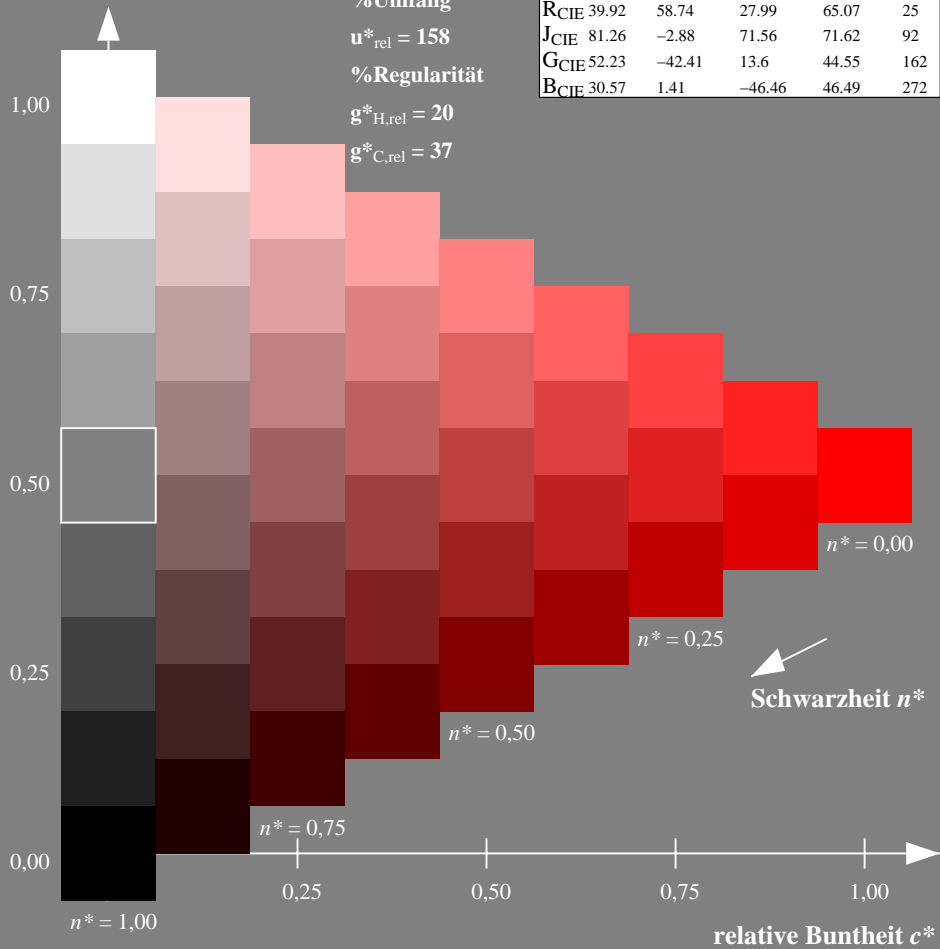
%Umfang

$u^*_{rel} = 158$

%Regularität

$g^*_{H,rel} = 20$

$g^*_{C,rel} = 37$



Ausgabe: Farbmimetrisches Drucker-Reflektiv-System DRSXX

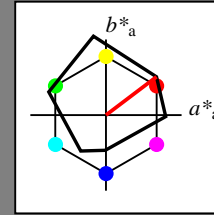
für Buntton $h^* = lab^*h = 37/360 = 0.103$

lab^*tch und lab^*nch

D65: Buntton O

LCH*Ma: 42 84 37

olv*Ma: 1.0 0.0 0.0



DRSXX; adaptierte CIELAB-Daten

	$L^*=L^*_a$	a^*_a	b^*_a	$C^*_{ab,a}$	$h^*_{ab,a}$
OMa	42.21	66.82	50.6	83.82	37
YMa	90.32	-16.51	104.33	105.63	99
LMa	48.21	-75.63	30.65	81.61	158
CMa	53.44	-33.33	-47.49	58.03	235
VMa	34.16	-0.92	-46.56	46.58	269
MMa	42.71	79.0	-1.95	79.03	359
NMa	16.56	0.0	0.0	0.0	0
WMa	96.31	0.0	0.0	0.0	0
RCIE	39.92	59.78	25.77	65.1	23
JCIE	81.26	-2.51	69.07	69.11	92
GCIE	52.23	-41.57	11.3	43.09	165
BCIE	30.57	2.6	-48.62	48.7	273

Dreiecks-Helligkeit t^*

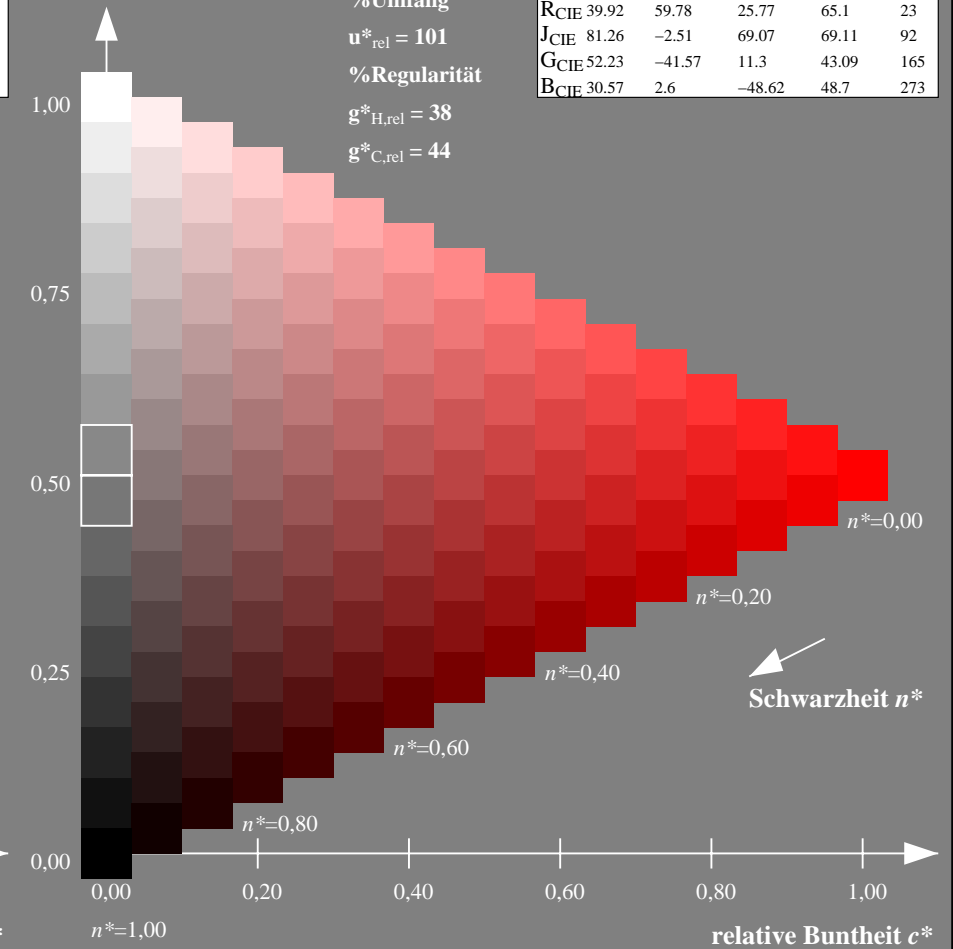
%Umfang

$u^*_{rel} = 101$

%Regularität

$g^*_{H,rel} = 38$

$g^*_{C,rel} = 44$



NG900-7, 9stufige Reihen für konstanten CIELAB Buntton $40/360 = 0.111$ (links)

16stufige Reihen für konstanten CIELAB Buntton $37/360 = 0.103$ (rechts)

Eingabe: Farbmetrisches Fernseh-Licht-System TLS00

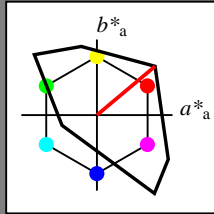
für Buntton $h^* = lab^*h = 40/360 = 0.111$

lab^*tch und lab^*nch

D65: Buntton O

LCH*Ma: 51 100 40

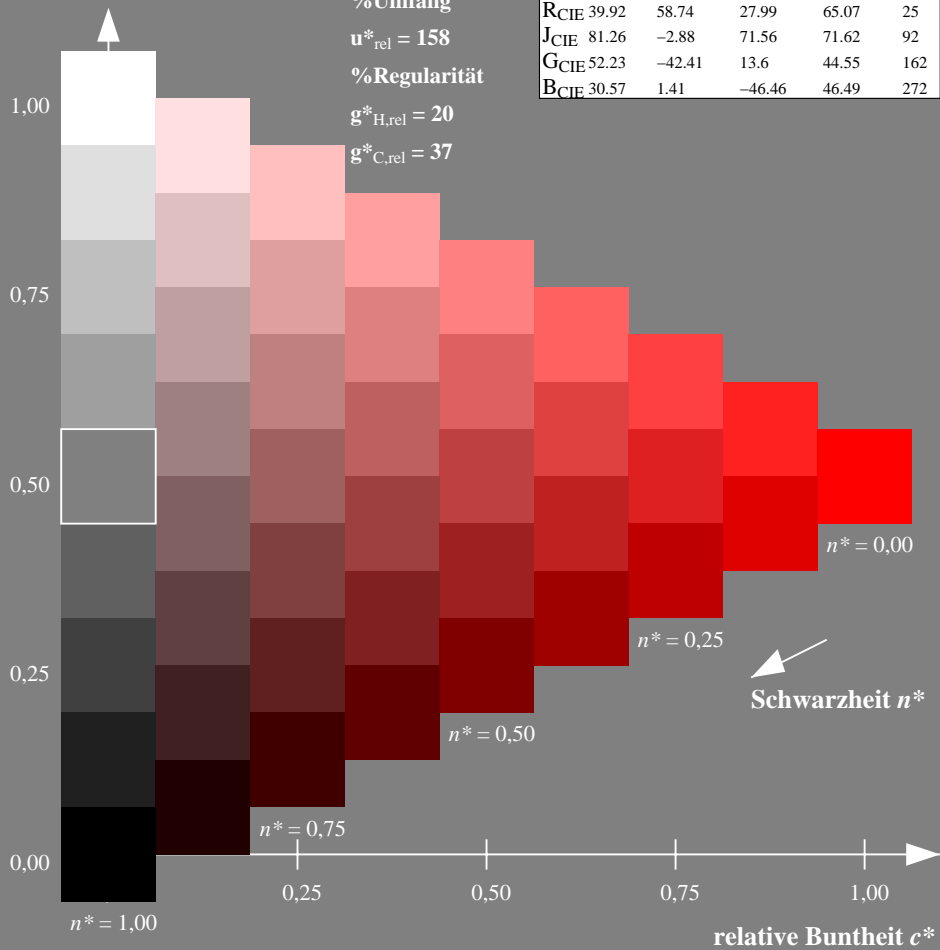
olv*Ma: 1.0 0.0 0.0



TLS00; adaptierte CIELAB-Daten

	$L^*=L^*_a$	a^*_a	b^*_a	$C^*_{ab,a}$	$h^*_{ab,a}$
OMa	50.5	76.92	64.55	100.42	40
YMa	92.66	-20.69	90.75	93.08	103
LMa	83.63	-82.75	79.9	115.04	136
CMa	86.88	-46.16	-13.55	48.12	196
VMa	30.39	76.06	-103.59	128.52	306
MMa	57.3	94.35	-58.41	110.97	328
NMa	0.01	0.0	0.0	0.0	0
WMa	95.41	0.0	0.0	0.0	0
RCIE	39.92	58.74	27.99	65.07	25
JCIE	81.26	-2.88	71.56	71.62	92
GCIE	52.23	-42.41	13.6	44.55	162
BCIE	30.57	1.41	-46.46	46.49	272

Dreiecks-Helligkeit t^*



Ausgabe: Farbmetrisches Fernseh-Licht-System TLS18

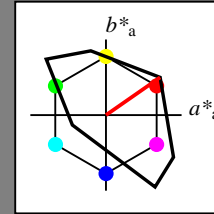
für Buntton $h^* = lab^*h = 35/360 = 0.097$

lab^*tch und lab^*nch

D65: Buntton O

LCH*Ma: 53 87 35

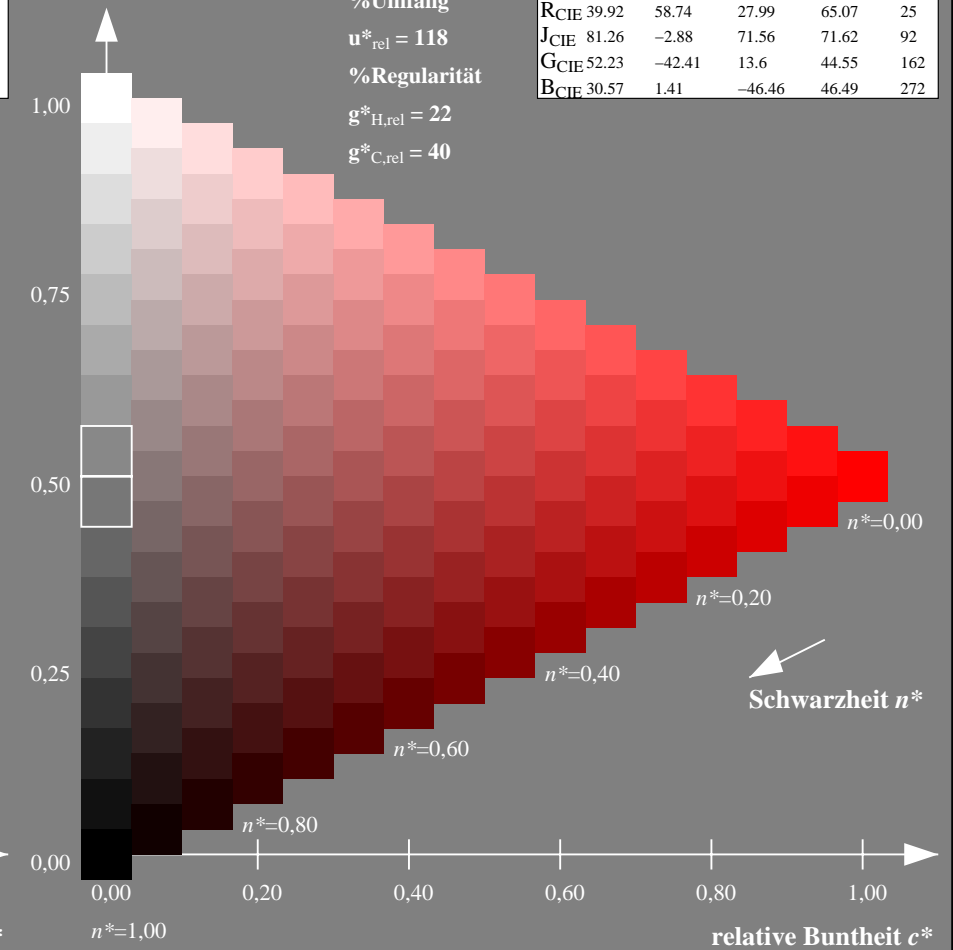
olv*Ma: 1.0 0.0 0.0



TLS18; adaptierte CIELAB-Daten

	$L^*=L^*_a$	a^*_a	b^*_a	$C^*_{ab,a}$	$h^*_{ab,a}$
OMa	52.76	71.63	49.88	87.29	35
YMa	92.74	-20.02	84.97	87.3	103
LMa	84.0	-78.98	73.94	108.2	137
CMa	87.14	-44.41	-13.11	46.32	196
VMa	35.47	64.92	-95.06	115.12	304
MMa	59.01	89.33	-55.67	105.26	328
NMa	18.01	0.0	0.0	0.0	0
WMa	95.41	0.0	0.0	0.0	0
RCIE	39.92	58.74	27.99	65.07	25
JCIE	81.26	-2.88	71.56	71.62	92
GCIE	52.23	-42.41	13.6	44.55	162
BCIE	30.57	1.41	-46.46	46.49	272

Dreiecks-Helligkeit t^*



NG900-7, 9stufige Reihen für konstanten CIELAB Buntton $40/360 = 0.111$ (links)

16stufige Reihen für konstanten CIELAB Buntton $35/360 = 0.097$ (rechts)

Eingabe: Farbmetrisches Fernseh-Licht-System TLS00

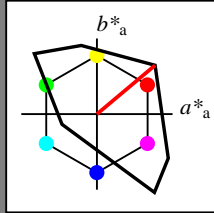
für Buntton $h^* = lab^*h = 40/360 = 0.111$

lab^*tch und lab^*nch

D65: Buntton O

LCH*Ma: 51 100 40

olv*Ma: 1.0 0.0 0.0



TLS00; adaptierte CIELAB-Daten

	$L^*=L^*_a$	a^*_a	b^*_a	$C^*_{ab,a}$	$h^*_{ab,a}$
O _{Ma}	50.5	76.92	64.55	100.42	40
Y _{Ma}	92.66	-20.69	90.75	93.08	103
L _{Ma}	83.63	-82.75	79.9	115.04	136
C _{Ma}	86.88	-46.16	-13.55	48.12	196
V _{Ma}	30.39	76.06	-103.59	128.52	306
M _{Ma}	57.3	94.35	-58.41	110.97	328
N _{Ma}	0.01	0.0	0.0	0.0	0
W _{Ma}	95.41	0.0	0.0	0.0	0
R _{CIE}	39.92	58.74	27.99	65.07	25
J _{CIE}	81.26	-2.88	71.56	71.62	92
G _{CIE}	52.23	-42.41	13.6	44.55	162
B _{CIE}	30.57	1.41	-46.46	46.49	272

Dreiecks-Helligkeit t^*

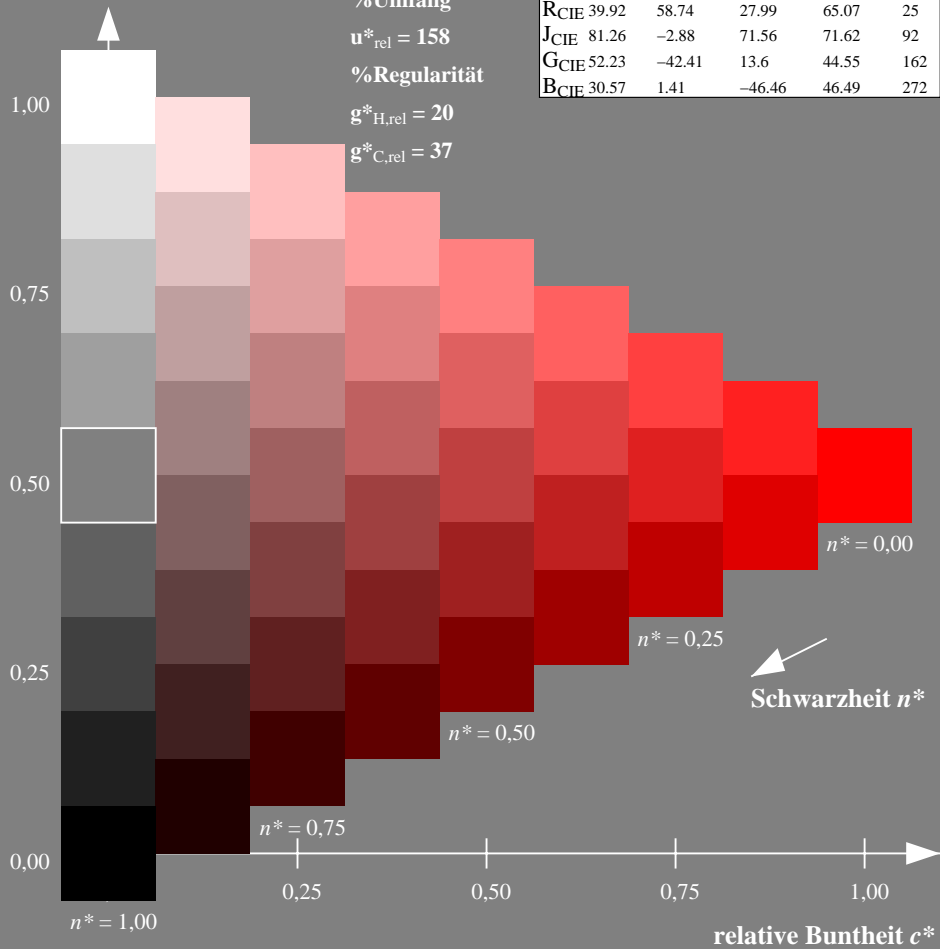
%Umfang

$u^*_{rel} = 158$

%Regularität

$g^*_{H,rel} = 20$

$g^*_{C,rel} = 37$



Ausgabe: Farbmetrisches Natürliches-Licht-System NLS00

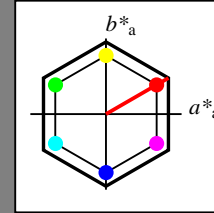
für Buntton $h^* = lab^*h = 30/360 = 0.083$

lab^*tch und lab^*nch

D65: Buntton O

LCH*Ma: 32 95 30

olv*Ma: 1.0 0.0 0.0



NLS00; adaptierte CIELAB-Daten

	$L^*=L^*_a$	a^*_a	b^*_a	$C^*_{ab,a}$	$h^*_{ab,a}$
O _{Ma}	31.81	82.62	47.7	95.4	30
Y _{Ma}	63.61	0.0	95.4	95.4	90
L _{Ma}	31.81	-82.61	47.7	95.4	150
C _{Ma}	63.61	-82.61	-47.69	95.4	210
V _{Ma}	31.81	0.0	-95.39	95.4	270
M _{Ma}	63.61	82.62	-47.69	95.4	330
N _{Ma}	0.01	0.0	0.0	0.0	0
W _{Ma}	95.41	0.0	0.0	0.0	0
R _{CIE}	39.92	58.74	27.99	65.07	25
J _{CIE}	81.26	-2.88	71.56	71.62	92
G _{CIE}	52.23	-42.41	13.6	44.55	162
B _{CIE}	30.57	1.41	-46.46	46.49	272

Dreiecks-Helligkeit t^*

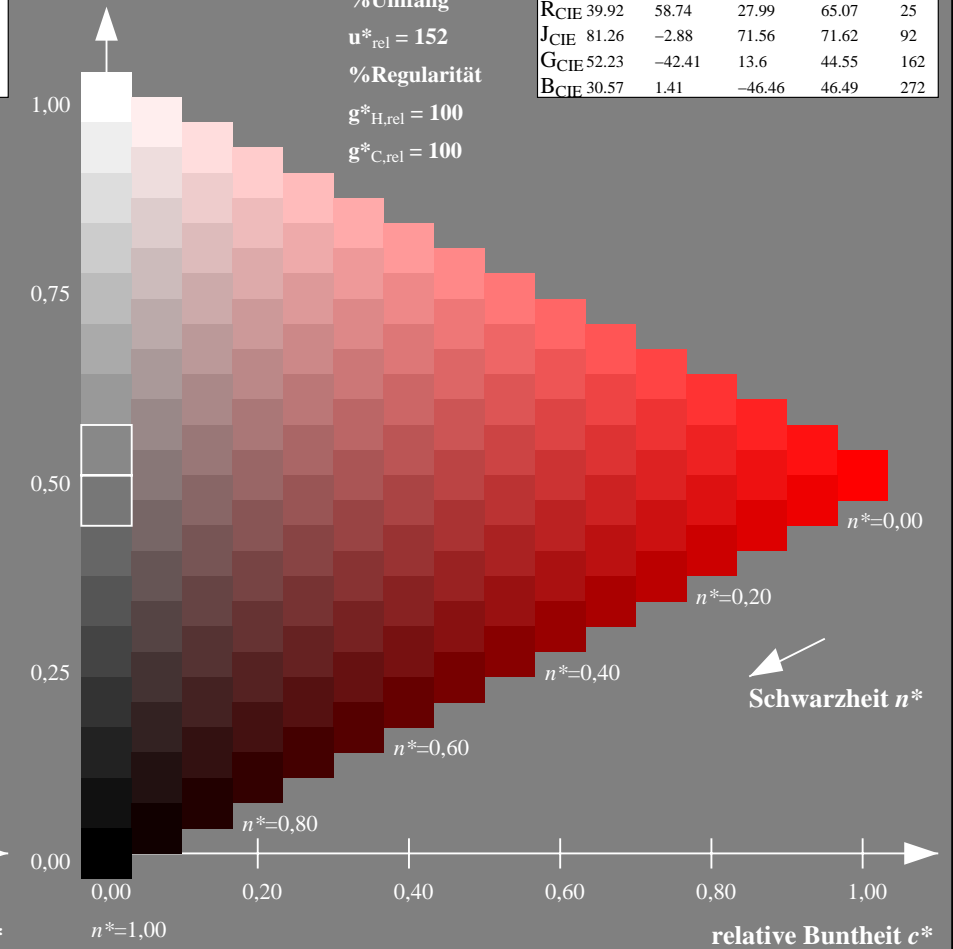
%Umfang

$u^*_{rel} = 152$

%Regularität

$g^*_{H,rel} = 100$

$g^*_{C,rel} = 100$



NG900-7, 9stufige Reihen für konstanten CIELAB Buntton 40/360 = 0.111 (links)

16stufige Reihen für konstanten CIELAB Buntton 30/360 = 0.083 (rechts)

Eingabe: Farbmetrisches Fernseh-Licht-System TLS00

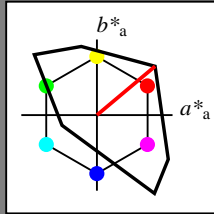
für Buntton $h^* = lab^*h = 40/360 = 0.111$

lab^*tch und lab^*nch

D65: Buntton O

LCH*Ma: 51 100 40

olv*Ma: 1.0 0.0 0.0



TLS00; adaptierte CIELAB-Daten

	$L^*=L^*_a$	a^*_a	b^*_a	$C^*_{ab,a}$	$h^*_{ab,a}$
O _{Ma}	50.5	76.92	64.55	100.42	40
Y _{Ma}	92.66	-20.69	90.75	93.08	103
L _{Ma}	83.63	-82.75	79.9	115.04	136
C _{Ma}	86.88	-46.16	-13.55	48.12	196
V _{Ma}	30.39	76.06	-103.59	128.52	306
M _{Ma}	57.3	94.35	-58.41	110.97	328
N _{Ma}	0.01	0.0	0.0	0.0	0
W _{Ma}	95.41	0.0	0.0	0.0	0
R _{CIE}	39.92	58.74	27.99	65.07	25
J _{CIE}	81.26	-2.88	71.56	71.62	92
G _{CIE}	52.23	-42.41	13.6	44.55	162
B _{CIE}	30.57	1.41	-46.46	46.49	272

Dreiecks-Helligkeit t^*

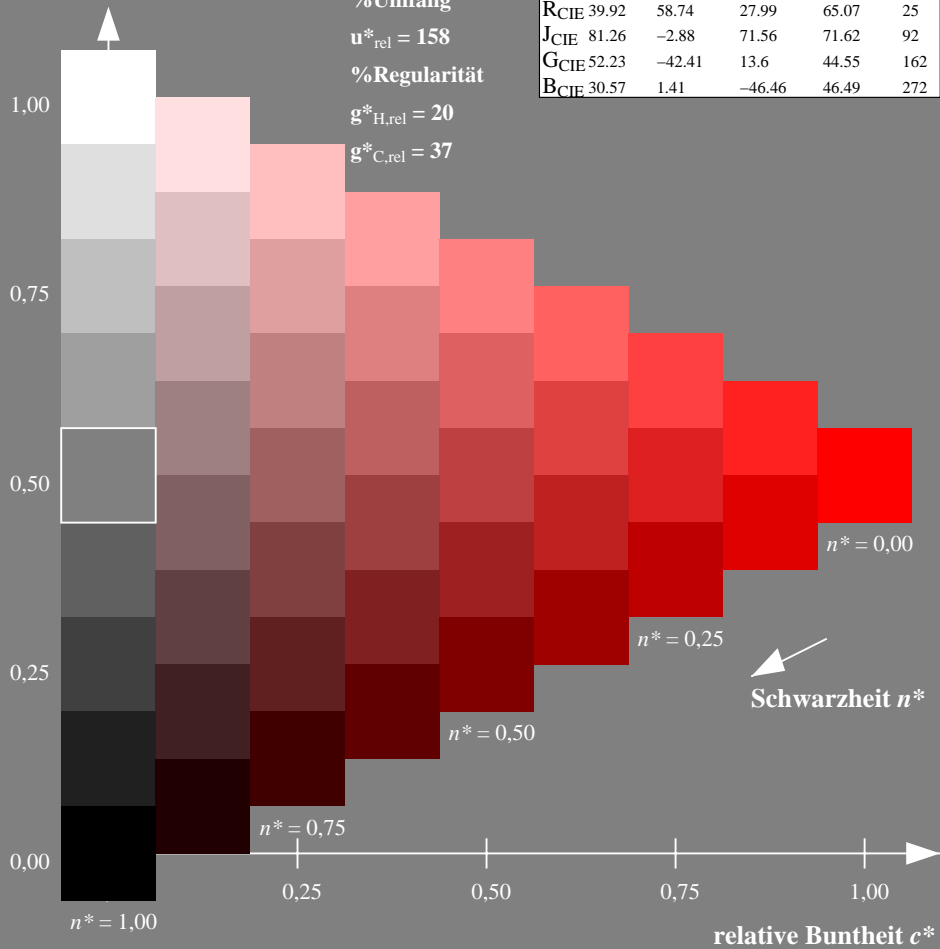
%Umfang

$u^*_{rel} = 158$

%Regularität

$g^*_{H,rel} = 20$

$g^*_{C,rel} = 37$



Ausgabe: Farbmetrisches Natürliches-Reflektiv-System NRS18

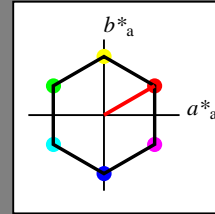
für Buntton $h^* = lab^*h = 30/360 = 0.083$

lab^*tch und lab^*nch

D65: Buntton O

LCH*Ma: 44 77 30

olv*Ma: 1.0 0.0 0.0



NRS18; adaptierte CIELAB-Daten

	$L^*=L^*_a$	a^*_a	b^*_a	$C^*_{ab,a}$	$h^*_{ab,a}$
O _{Ma}	43.81	67.03	38.7	77.4	30
Y _{Ma}	69.61	0.0	77.4	77.4	90
L _{Ma}	43.81	-67.02	38.7	77.4	150
C _{Ma}	69.61	-67.02	-38.69	77.4	210
V _{Ma}	43.81	0.0	-77.39	77.4	270
M _{Ma}	69.61	67.03	-38.69	77.4	330
N _{Ma}	18.01	0.0	0.0	0.0	0
W _{Ma}	95.41	0.0	0.0	0.0	0
R _{CIE}	39.92	58.74	27.99	65.07	25
J _{CIE}	81.26	-2.88	71.56	71.62	92
G _{CIE}	52.23	-42.41	13.6	44.55	162
B _{CIE}	30.57	1.41	-46.46	46.49	272

Dreiecks-Helligkeit t^*

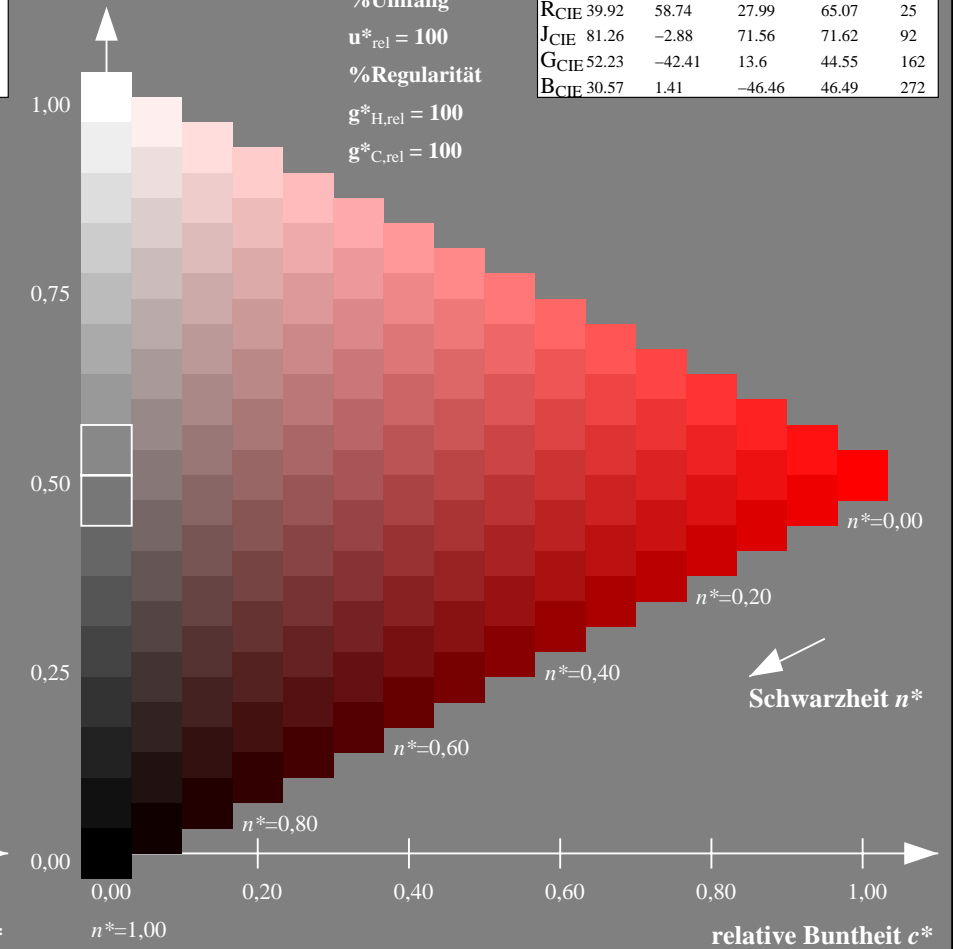
%Umfang

$u^*_{rel} = 100$

%Regularität

$g^*_{H,rel} = 100$

$g^*_{C,rel} = 100$



NG900-7, 9stufige Reihen für konstanten CIELAB Buntton 40/360 = 0.111 (links)

16stufige Reihen für konstanten CIELAB Buntton 30/360 = 0.083 (rechts)

Eingabe: Farbmetrisches Fernseh-Licht-System TLS00

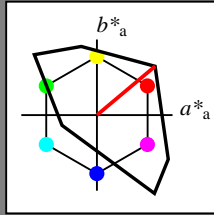
für Buntton $h^* = lab^*h = 40/360 = 0.111$

lab^*tch und lab^*nch

D65: Buntton O

LCH*Ma: 51 100 40

olv*Ma: 1.0 0.0 0.0



TLS00; adaptierte CIELAB-Daten

	$L^*=L^*_a$	a^*_a	b^*_a	$C^*_{ab,a}$	$h^*_{ab,a}$
OMa	50.5	76.92	64.55	100.42	40
YMa	92.66	-20.69	90.75	93.08	103
LMa	83.63	-82.75	79.9	115.04	136
CMa	86.88	-46.16	-13.55	48.12	196
VMa	30.39	76.06	-103.59	128.52	306
MMa	57.3	94.35	-58.41	110.97	328
NMa	0.01	0.0	0.0	0.0	0
WMa	95.41	0.0	0.0	0.0	0
RCIE	39.92	58.74	27.99	65.07	25
JCIE	81.26	-2.88	71.56	71.62	92
GCIE	52.23	-42.41	13.6	44.55	162
BCIE	30.57	1.41	-46.46	46.49	272

Dreiecks-Helligkeit t^*

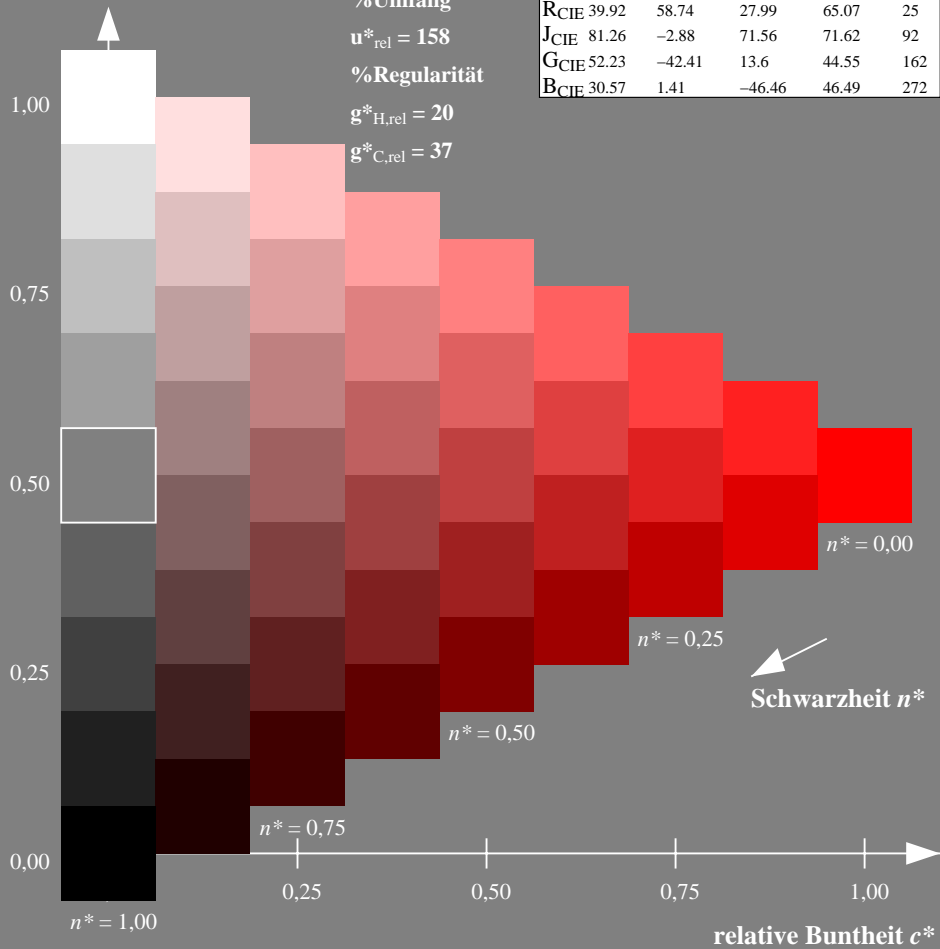
%Umfang

$u^*_{rel} = 158$

%Regularität

$g^*_{H,rel} = 20$

$g^*_{C,rel} = 37$



Ausgabe: Farbmetrisches Standard-Reflektiv-System SRS18

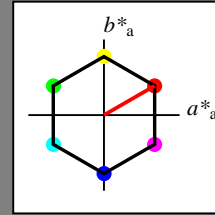
für Buntton $h^* = lab^*h = 30/360 = 0.083$

lab^*tch und lab^*nch

D65: Buntton O

LCH*Ma: 57 77 30

olv*Ma: 1.0 0.0 0.0



SRS18; adaptierte CIELAB-Daten

	$L^*=L^*_a$	a^*_a	b^*_a	$C^*_{ab,a}$	$h^*_{ab,a}$
OMa	56.71	67.03	38.7	77.4	30
YMa	56.71	0.0	77.4	77.4	90
LMa	56.71	-67.02	38.7	77.4	150
CMa	56.71	-67.02	-38.69	77.4	210
VMa	56.71	0.0	-77.39	77.4	270
MMa	56.71	67.03	-38.69	77.4	330
NMa	18.01	0.0	0.0	0.0	0
WMa	95.41	0.0	0.0	0.0	0
RCIE	39.92	58.74	27.99	65.07	25
JCIE	81.26	-2.88	71.56	71.62	92
GCIE	52.23	-42.41	13.6	44.55	162
BCIE	30.57	1.41	-46.46	46.49	272

Dreiecks-Helligkeit t^*

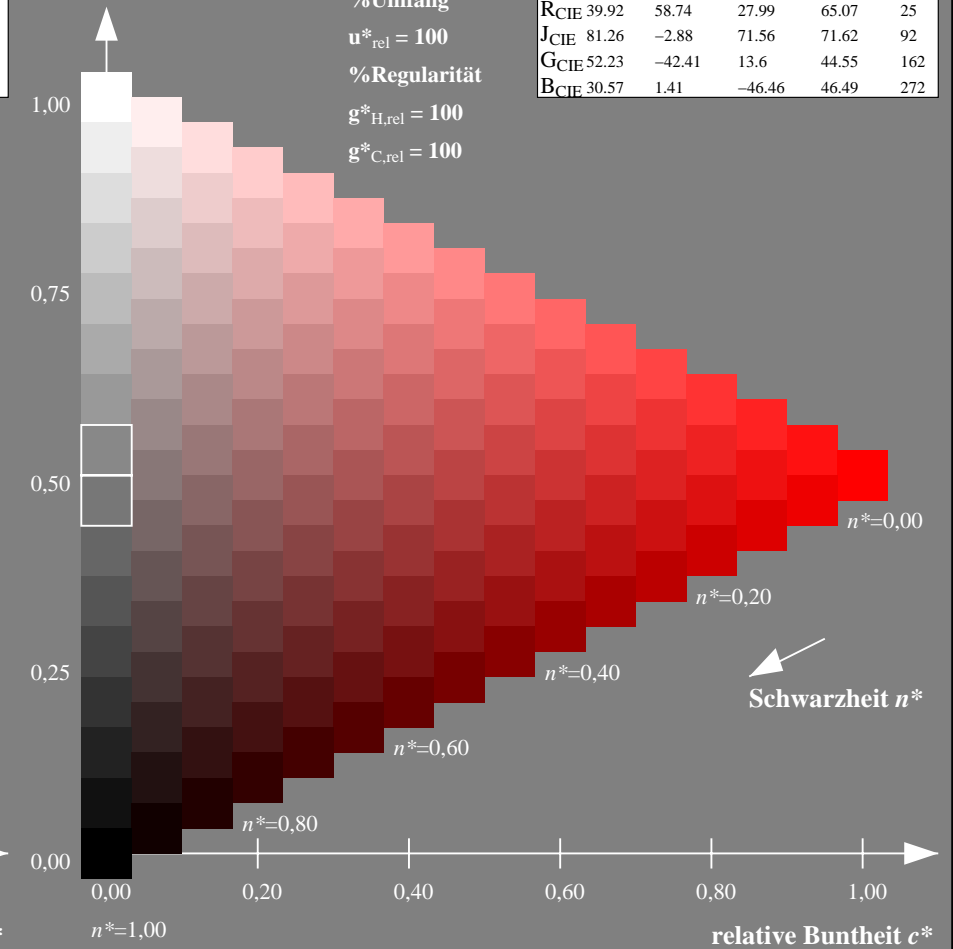
%Umfang

$u^*_{rel} = 100$

%Regularität

$g^*_{H,rel} = 100$

$g^*_{C,rel} = 100$



NG900-7, 9stufige Reihen für konstanten CIELAB Buntton $40/360 = 0.111$ (links)

16stufige Reihen für konstanten CIELAB Buntton $30/360 = 0.083$ (rechts)

Eingabe: Farbmetrisches Fernseh-Licht-System TLS00

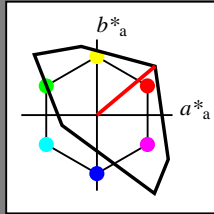
für Buntton $h^* = lab^*h = 40/360 = 0.111$

lab^*tch und lab^*nch

D65: Buntton O

LCH*Ma: 51 100 40

olv*Ma: 1.0 0.0 0.0



TLS00; adaptierte CIELAB-Daten

	$L^*=L^*_a$	a^*_a	b^*_a	$C^*_{ab,a}$	$h^*_{ab,a}$
OMa	50.5	76.92	64.55	100.42	40
YMa	92.66	-20.69	90.75	93.08	103
LMa	83.63	-82.75	79.9	115.04	136
CMa	86.88	-46.16	-13.55	48.12	196
VMa	30.39	76.06	-103.59	128.52	306
MMa	57.3	94.35	-58.41	110.97	328
NMa	0.01	0.0	0.0	0.0	0
WMa	95.41	0.0	0.0	0.0	0
RCIE	39.92	58.74	27.99	65.07	25
JCIE	81.26	-2.88	71.56	71.62	92
GCIE	52.23	-42.41	13.6	44.55	162
BCIE	30.57	1.41	-46.46	46.49	272

Dreiecks-Helligkeit t^*

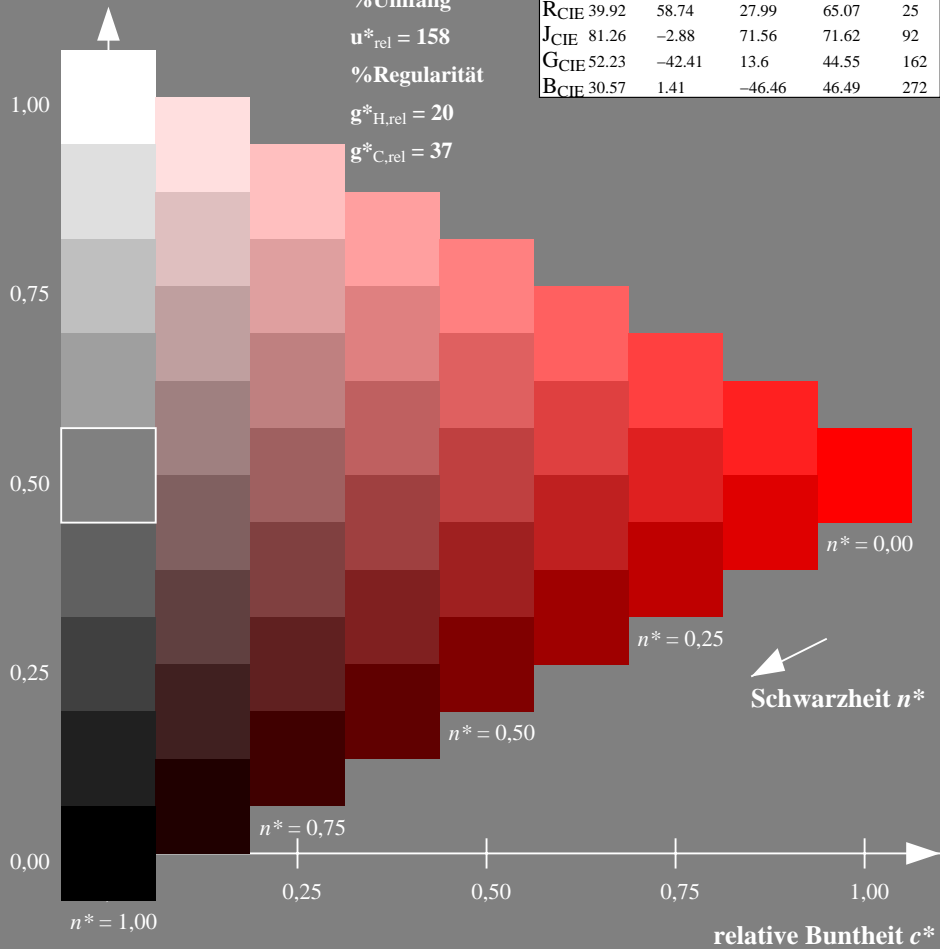
%Umfang

$u^*_{rel} = 158$

%Regularität

$g^*_{H,rel} = 20$

$g^*_{C,rel} = 37$



Ausgabe: Farbmetrisches Fernseh-Licht-System TLS70

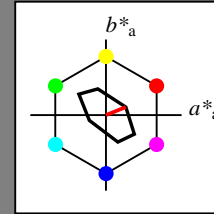
für Buntton $h^* = lab^*h = 22/360 = 0.061$

lab^*tch und lab^*nch

D65: Buntton O

LCH*Ma: 76 28 22

olv*Ma: 1.0 0.0 0.0



TLS70; adaptierte CIELAB-Daten

	$L^*=L^*_a$	a^*_a	b^*_a	$C^*_{ab,a}$	$h^*_{ab,a}$
OMa	76.43	26.27	10.57	28.32	22
YMa	93.93	-10.76	34.63	36.27	107
LMa	89.32	-35.8	27.64	45.24	142
CMa	90.93	-21.95	-7.07	23.07	198
VMa	72.1	15.76	-35.63	38.97	294
MMa	78.5	37.52	-25.23	45.22	326
NMa	69.7	0.0	0.0	0.0	0
WMa	95.41	0.0	0.0	0.0	0
RCIE	39.92	58.74	27.99	65.07	25
JCIE	81.26	-2.88	71.56	71.62	92
GCIE	52.23	-42.41	13.6	44.55	162
BCIE	30.57	1.41	-46.46	46.49	272

Dreiecks-Helligkeit t^*

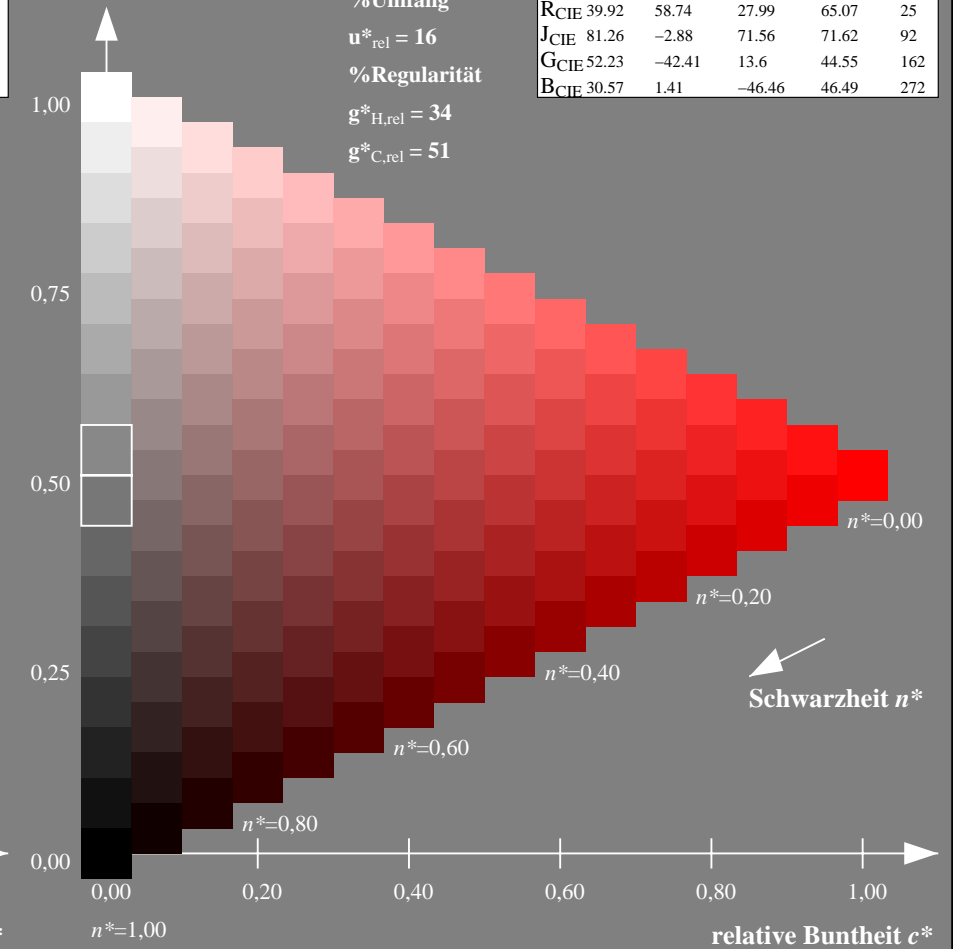
%Umfang

$u^*_{rel} = 16$

%Regularität

$g^*_{H,rel} = 34$

$g^*_{C,rel} = 51$



NG900-7, 9stufige Reihen für konstanten CIELAB Buntton $40/360 = 0.111$ (links)

16stufige Reihen für konstanten CIELAB Buntton $22/360 = 0.061$ (rechts)

Eingabe: Farbmetrisches Drucker-Reflektiv-System DRSXX

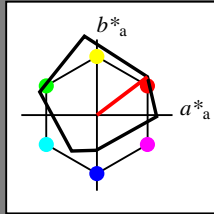
für Buntton $h^* = lab^*h = 37/360 = 0.103$

lab^*tch und lab^*nch

D65: Buntton O

LCH*Ma: 42 84 37

olv*Ma: 1.0 0.0 0.0



DRSXX; adaptierte CIELAB-Daten

	$L^*=L^*_a$	a^*_a	b^*_a	$C^*_{ab,a}$	$h^*_{ab,a}$
OMa	42.21	66.82	50.6	83.82	37
YMa	90.32	-16.51	104.33	105.63	99
LMa	48.21	-75.63	30.65	81.61	158
CMa	53.44	-33.33	-47.49	58.03	235
VMa	34.16	-0.92	-46.56	46.58	269
MMa	42.71	79.0	-1.95	79.03	359
NMa	16.56	0.0	0.0	0.0	0
WMa	96.31	0.0	0.0	0.0	0
RCIE	39.92	59.78	25.77	65.1	23
JCIE	81.26	-2.51	69.07	69.11	92
GCIE	52.23	-41.57	11.3	43.09	165
BCIE	30.57	2.6	-48.62	48.7	273

Dreiecks-Helligkeit t^*

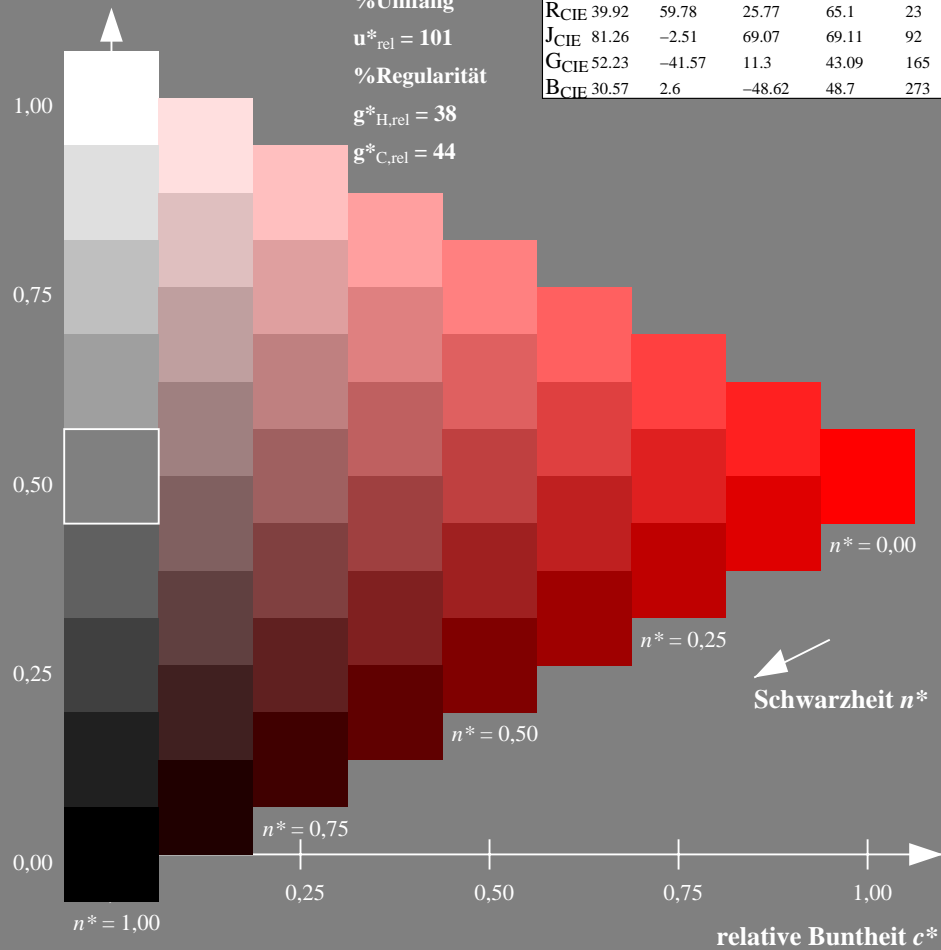
%Umfang

$u^*_{rel} = 101$

%Regularität

$g^*_{H,rel} = 38$

$g^*_{C,rel} = 44$



Ausgabe: Farbmetrisches Offset-Reflektiv-System ORS18

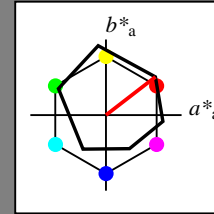
für Buntton $h^* = lab^*h = 38/360 = 0.105$

lab^*tch und lab^*nch

D65: Buntton O

LCH*Ma: 48 83 38

olv*Ma: 1.0 0.0 0.0



ORS18; adaptierte CIELAB-Daten

	$L^*=L^*_a$	a^*_a	b^*_a	$C^*_{ab,a}$	$h^*_{ab,a}$
OMa	47.94	65.39	50.52	82.63	38
YMa	90.37	-10.26	91.75	92.32	96
LMa	50.9	-62.83	34.96	71.91	151
CMa	58.62	-30.34	-45.01	54.3	236
VMa	25.72	31.1	-44.4	54.22	305
MMa	48.13	75.28	-8.36	75.74	354
NMa	18.01	0.0	0.0	0.0	0
WMa	95.41	0.0	0.0	0.0	0
RCIE	39.92	58.66	26.98	64.57	25
JCIE	81.26	-2.16	67.76	67.79	92
GCIE	52.23	-42.25	11.76	43.87	164
BCIE	30.57	1.15	-46.84	46.86	271

Dreiecks-Helligkeit t^*

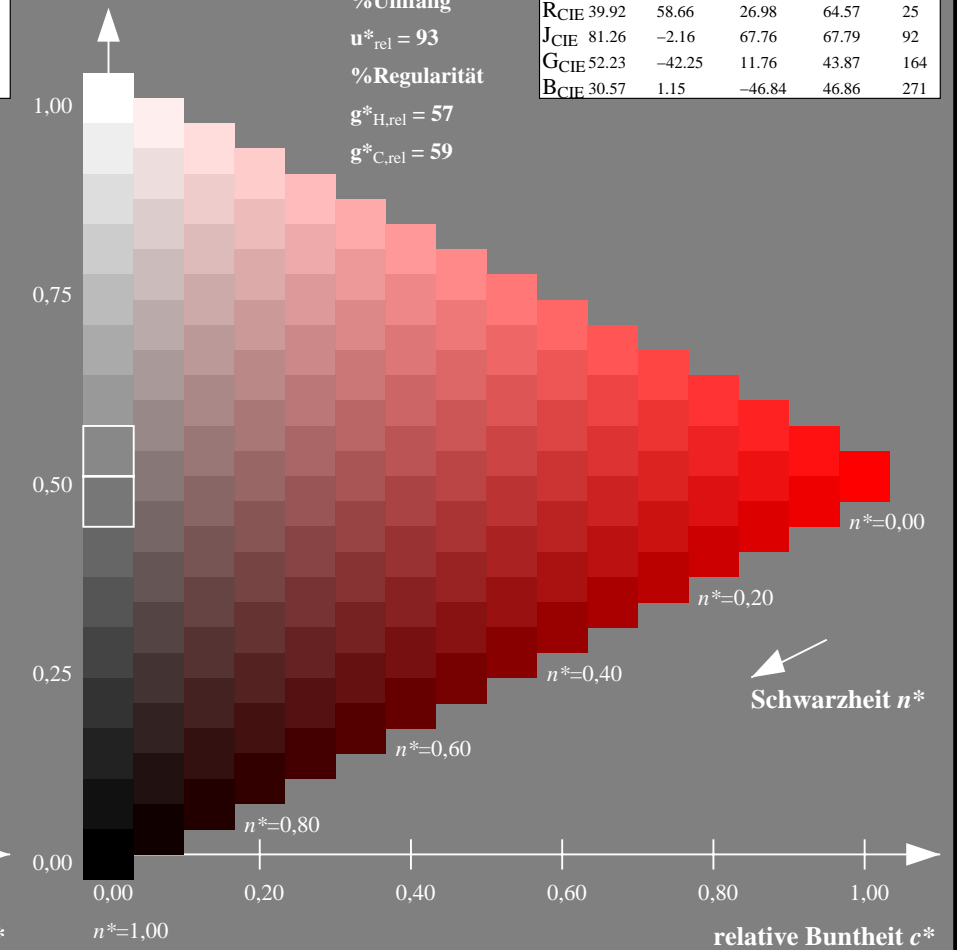
%Umfang

$u^*_{rel} = 93$

%Regularität

$g^*_{H,rel} = 57$

$g^*_{C,rel} = 59$



NG900-7, 9stufige Reihen für konstanten CIELAB Buntton $37/360 = 0.103$ (links)

16stufige Reihen für konstanten CIELAB Buntton $38/360 = 0.105$ (rechts)

Eingabe: Farbmetrisches Drucker-Reflektiv-System DRSXX

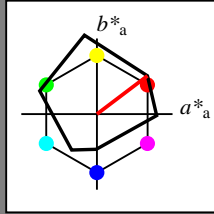
für Buntton $h^* = lab^*h = 37/360 = 0.103$

lab^*tch und lab^*nch

D65: Buntton O

LCH*Ma: 42 84 37

olv*Ma: 1.0 0.0 0.0



DRSXX; adaptierte CIELAB-Daten

	$L^*=L^*_a$	a^*_a	b^*_a	$C^*_{ab,a}$	$h^*_{ab,a}$
O _{Ma}	42.21	66.82	50.6	83.82	37
Y _{Ma}	90.32	-16.51	104.33	105.63	99
L _{Ma}	48.21	-75.63	30.65	81.61	158
C _{Ma}	53.44	-33.33	-47.49	58.03	235
V _{Ma}	34.16	-0.92	-46.56	46.58	269
M _{Ma}	42.71	79.0	-1.95	79.03	359
N _{Ma}	16.56	0.0	0.0	0.0	0
W _{Ma}	96.31	0.0	0.0	0.0	0
R _{CIE}	39.92	59.78	25.77	65.1	23
J _{CIE}	81.26	-2.51	69.07	69.11	92
G _{CIE}	52.23	-41.57	11.3	43.09	165
B _{CIE}	30.57	2.6	-48.62	48.7	273

Dreiecks-Helligkeit t^*

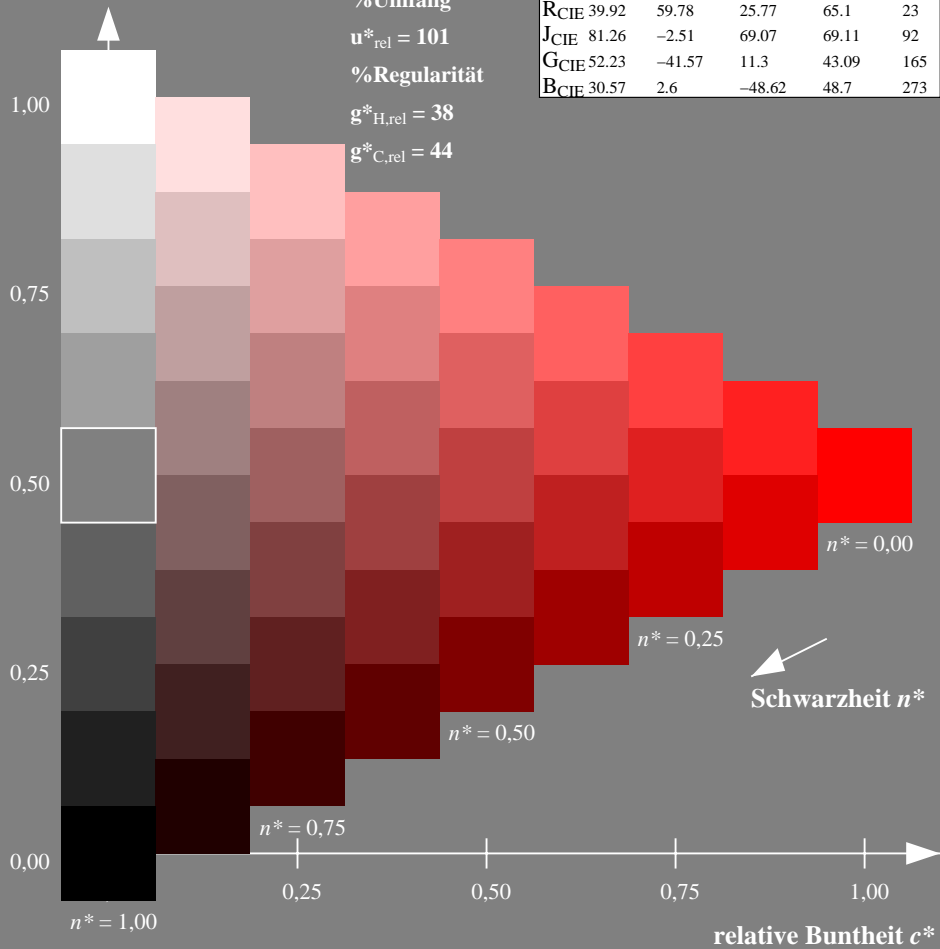
%Umfang

$u^*_{rel} = 101$

%Regularität

$g^*_{H,rel} = 38$

$g^*_{C,rel} = 44$



Ausgabe: Farbmetrisches Fernseh-Licht-System TLS00

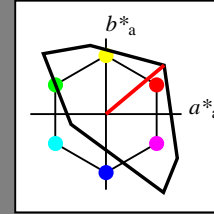
für Buntton $h^* = lab^*h = 40/360 = 0.111$

lab^*tch und lab^*nch

D65: Buntton O

LCH*Ma: 51 100 40

olv*Ma: 1.0 0.0 0.0



TLS00; adaptierte CIELAB-Daten

	$L^*=L^*_a$	a^*_a	b^*_a	$C^*_{ab,a}$	$h^*_{ab,a}$
O _{Ma}	50.5	76.92	64.55	100.42	40
Y _{Ma}	92.66	-20.69	90.75	93.08	103
L _{Ma}	83.63	-82.75	79.9	115.04	136
C _{Ma}	86.88	-46.16	-13.55	48.12	196
V _{Ma}	30.39	76.06	-103.59	128.52	306
M _{Ma}	57.3	94.35	-58.41	110.97	328
N _{Ma}	0.01	0.0	0.0	0.0	0
W _{Ma}	95.41	0.0	0.0	0.0	0
R _{CIE}	39.92	58.74	27.99	65.07	25
J _{CIE}	81.26	-2.88	71.56	71.62	92
G _{CIE}	52.23	-42.41	13.6	44.55	162
B _{CIE}	30.57	1.41	-46.46	46.49	272

Dreiecks-Helligkeit t^*

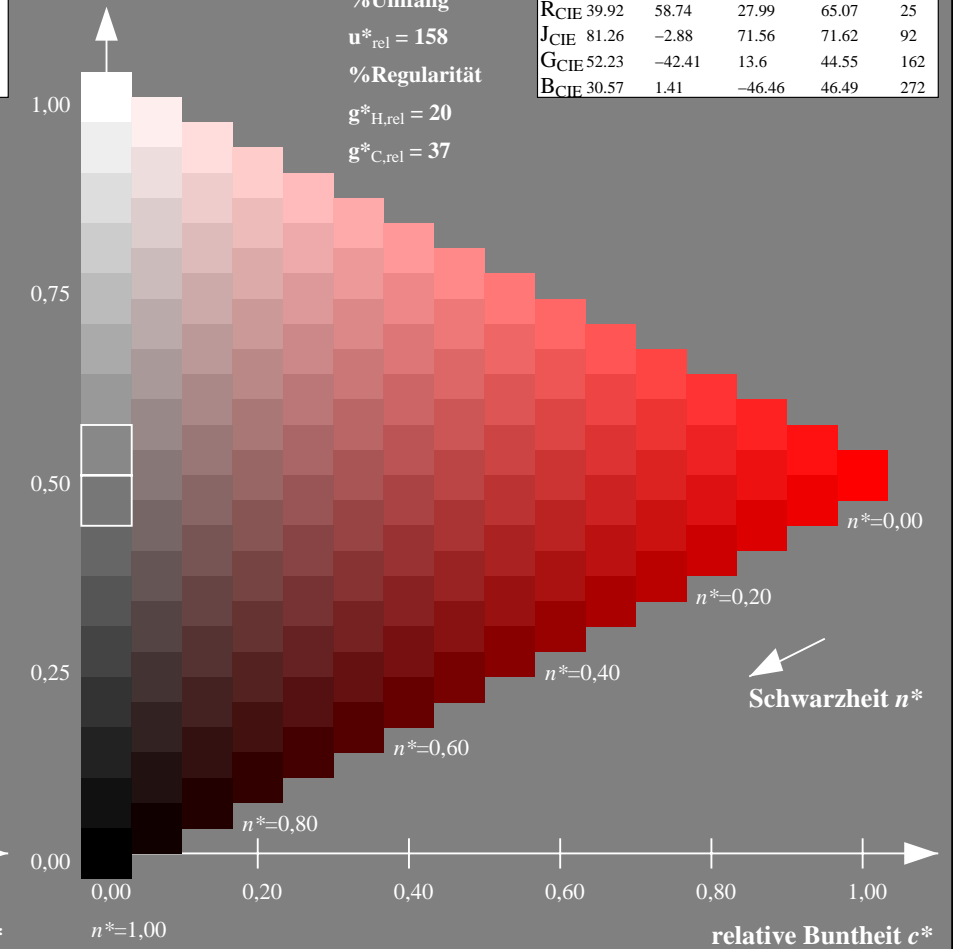
%Umfang

$u^*_{rel} = 158$

%Regularität

$g^*_{H,rel} = 20$

$g^*_{C,rel} = 37$



NG900-7, 9stufige Reihen für konstanten CIELAB Buntton $37/360 = 0.103$ (links)

16stufige Reihen für konstanten CIELAB Buntton $40/360 = 0.111$ (rechts)

Eingabe: Farbmétrisches Drucker-Reflektiv-System DRSXX

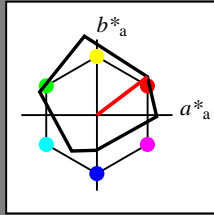
für Buntton $h^* = lab^*h = 37/360 = 0.103$

lab^*tch und lab^*nch

D65: Buntton O

LCH*Ma: 42 84 37

olv*Ma: 1.0 0.0 0.0



DRSXX; adaptierte CIELAB-Daten

	$L^*=L^*_a$	a^*_a	b^*_a	$C^*_{ab,a}$	$h^*_{ab,a}$
OMa	42.21	66.82	50.6	83.82	37
YMa	90.32	-16.51	104.33	105.63	99
LMa	48.21	-75.63	30.65	81.61	158
CMa	53.44	-33.33	-47.49	58.03	235
VMa	34.16	-0.92	-46.56	46.58	269
MMa	42.71	79.0	-1.95	79.03	359
NMa	16.56	0.0	0.0	0.0	0
WMa	96.31	0.0	0.0	0.0	0
RCIE	39.92	59.78	25.77	65.1	23
JCIE	81.26	-2.51	69.07	69.11	92
GCIE	52.23	-41.57	11.3	43.09	165
BCIE	30.57	2.6	-48.62	48.7	273

Dreiecks-Helligkeit t^*

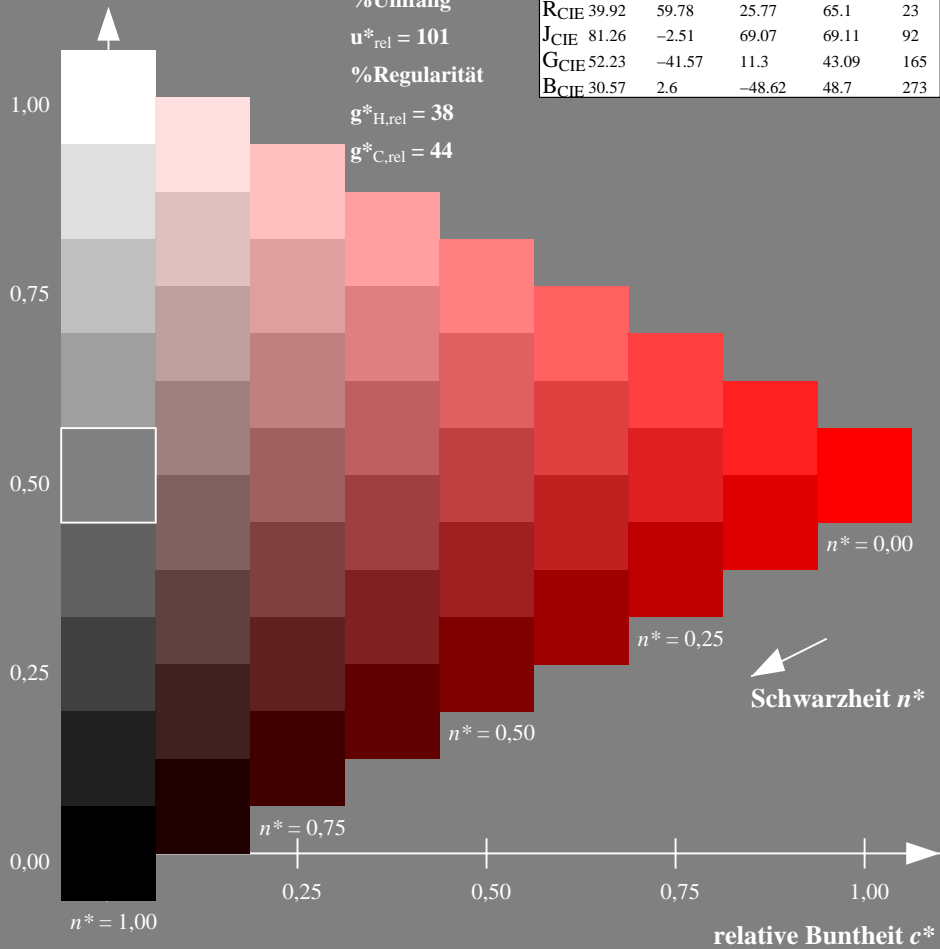
%Umfang

$u^*_{rel} = 101$

%Regularität

$g^*_{H,rel} = 38$

$g^*_{C,rel} = 44$



Ausgabe: Farbmétrisches Drucker-Reflektiv-System DRSXX

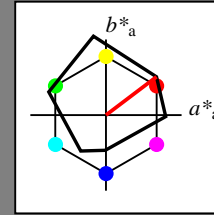
für Buntton $h^* = lab^*h = 37/360 = 0.103$

lab^*tch und lab^*nch

D65: Buntton O

LCH*Ma: 42 84 37

olv*Ma: 1.0 0.0 0.0



DRSXX; adaptierte CIELAB-Daten

	$L^*=L^*_a$	a^*_a	b^*_a	$C^*_{ab,a}$	$h^*_{ab,a}$
OMa	42.21	66.82	50.6	83.82	37
YMa	90.32	-16.51	104.33	105.63	99
LMa	48.21	-75.63	30.65	81.61	158
CMa	53.44	-33.33	-47.49	58.03	235
VMa	34.16	-0.92	-46.56	46.58	269
MMa	42.71	79.0	-1.95	79.03	359
NMa	16.56	0.0	0.0	0.0	0
WMa	96.31	0.0	0.0	0.0	0
RCIE	39.92	59.78	25.77	65.1	23
JCIE	81.26	-2.51	69.07	69.11	92
GCIE	52.23	-41.57	11.3	43.09	165
BCIE	30.57	2.6	-48.62	48.7	273

Dreiecks-Helligkeit t^*

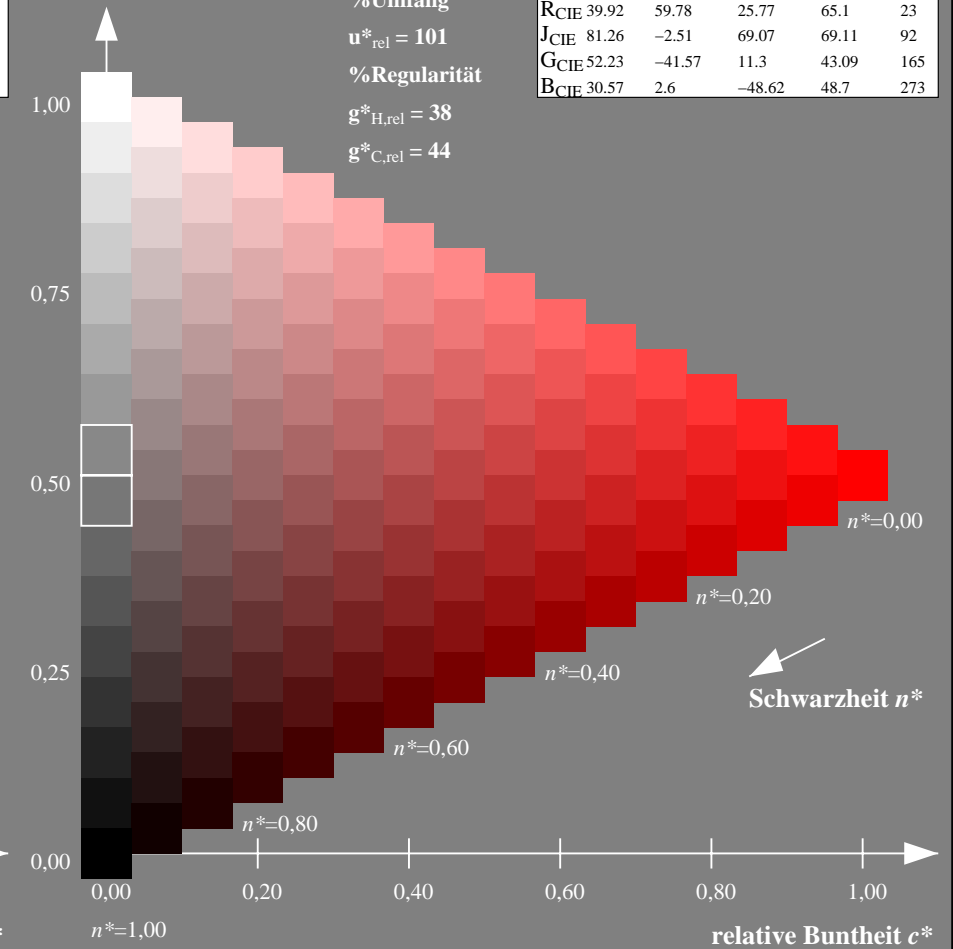
%Umfang

$u^*_{rel} = 101$

%Regularität

$g^*_{H,rel} = 38$

$g^*_{C,rel} = 44$



NG900-7, 9stufige Reihen für konstanten CIELAB Buntton 37/360 = 0.103 (links)

16stufige Reihen für konstanten CIELAB Buntton 37/360 = 0.103 (rechts)

Eingabe: Farbmetrisches Drucker-Reflektiv-System DRSXX

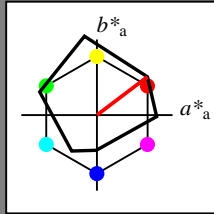
für Buntton $h^* = lab^*h = 37/360 = 0.103$

lab^*tch und lab^*nch

D65: Buntton O

LCH*Ma: 42 84 37

olv*Ma: 1.0 0.0 0.0



DRSXX; adaptierte CIELAB-Daten

	$L^*=L^*_a$	a^*_a	b^*_a	$C^*_{ab,a}$	$h^*_{ab,a}$
OMa	42.21	66.82	50.6	83.82	37
YMa	90.32	-16.51	104.33	105.63	99
LMa	48.21	-75.63	30.65	81.61	158
CMa	53.44	-33.33	-47.49	58.03	235
VMa	34.16	-0.92	-46.56	46.58	269
MMa	42.71	79.0	-1.95	79.03	359
NMa	16.56	0.0	0.0	0.0	0
WMa	96.31	0.0	0.0	0.0	0
RCIE	39.92	59.78	25.77	65.1	23
JCIE	81.26	-2.51	69.07	69.11	92
GCIE	52.23	-41.57	11.3	43.09	165
BCIE	30.57	2.6	-48.62	48.7	273

Dreiecks-Helligkeit t^*

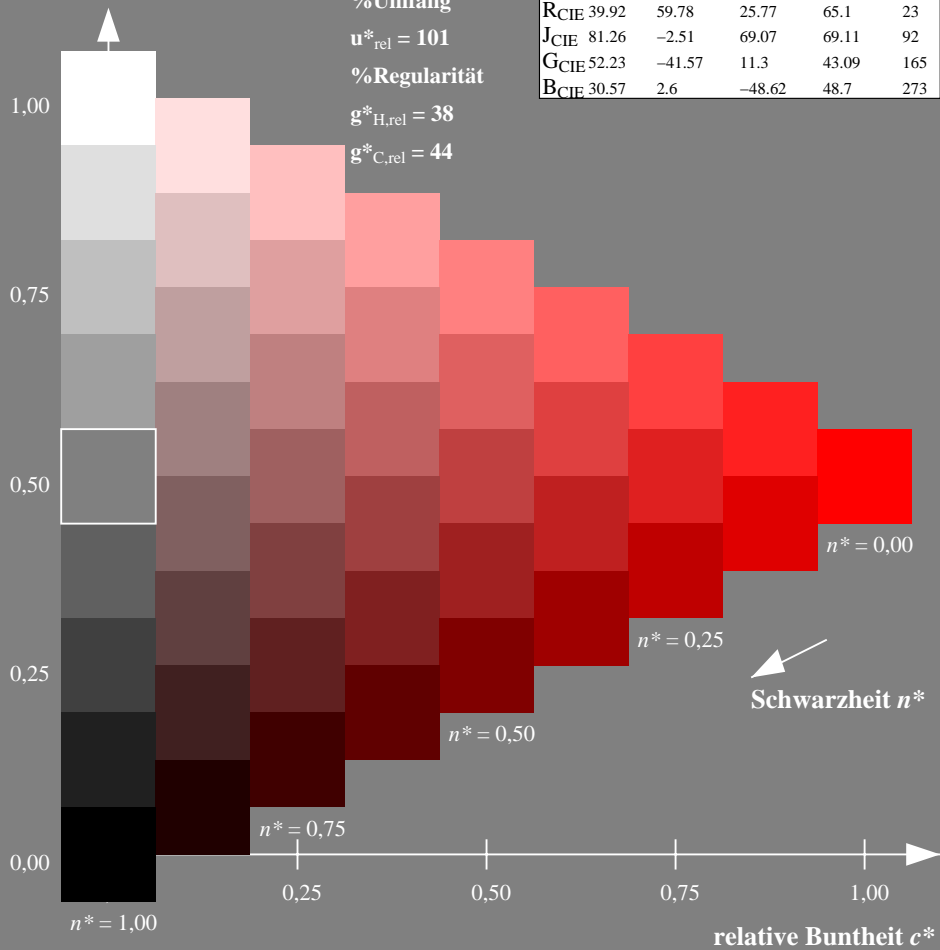
%Umfang

$u^*_{rel} = 101$

%Regularität

$g^*_{H,rel} = 38$

$g^*_{C,rel} = 44$



Ausgabe: Farbmetrisches Fernseh-Licht-System TLS18

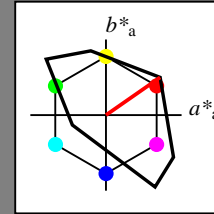
für Buntton $h^* = lab^*h = 35/360 = 0.097$

lab^*tch und lab^*nch

D65: Buntton O

LCH*Ma: 53 87 35

olv*Ma: 1.0 0.0 0.0



TLS18; adaptierte CIELAB-Daten

	$L^*=L^*_a$	a^*_a	b^*_a	$C^*_{ab,a}$	$h^*_{ab,a}$
OMa	52.76	71.63	49.88	87.29	35
YMa	92.74	-20.02	84.97	87.3	103
LMa	84.0	-78.98	73.94	108.2	137
CMa	87.14	-44.41	-13.11	46.32	196
VMa	35.47	64.92	-95.06	115.12	304
MMa	59.01	89.33	-55.67	105.26	328
NMa	18.01	0.0	0.0	0.0	0
WMa	95.41	0.0	0.0	0.0	0
RCIE	39.92	58.74	27.99	65.07	25
JCIE	81.26	-2.88	71.56	71.62	92
GCIE	52.23	-42.41	13.6	44.55	162
BCIE	30.57	1.41	-46.46	46.49	272

Dreiecks-Helligkeit t^*

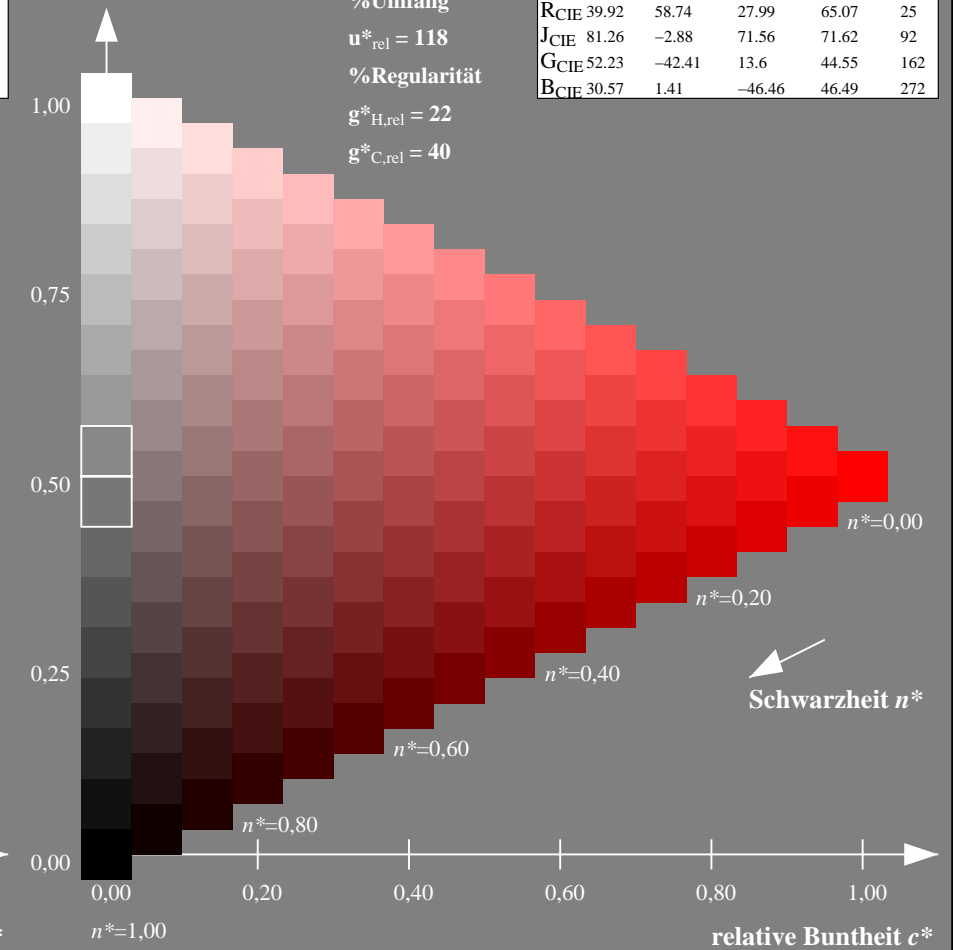
%Umfang

$u^*_{rel} = 118$

%Regularität

$g^*_{H,rel} = 22$

$g^*_{C,rel} = 40$



NG900-7, 9stufige Reihen für konstanten CIELAB Buntton $37/360 = 0.103$ (links)

16stufige Reihen für konstanten CIELAB Buntton $35/360 = 0.097$ (rechts)

Eingabe: Farbmetrisches Drucker-Reflektiv-System DRSXX

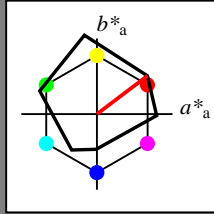
für Buntton $h^* = lab^*h = 37/360 = 0.103$

lab^*tch und lab^*nch

D65: Buntton O

LCH*Ma: 42 84 37

olv*Ma: 1.0 0.0 0.0



DRSXX; adaptierte CIELAB-Daten

	$L^*=L^*_a$	a^*_a	b^*_a	$C^*_{ab,a}$	$h^*_{ab,a}$
OMa	42.21	66.82	50.6	83.82	37
YMa	90.32	-16.51	104.33	105.63	99
LMa	48.21	-75.63	30.65	81.61	158
CMa	53.44	-33.33	-47.49	58.03	235
VMa	34.16	-0.92	-46.56	46.58	269
MMa	42.71	79.0	-1.95	79.03	359
NMa	16.56	0.0	0.0	0.0	0
WMa	96.31	0.0	0.0	0.0	0
RCIE	39.92	59.78	25.77	65.1	23
JCIE	81.26	-2.51	69.07	69.11	92
GCIE	52.23	-41.57	11.3	43.09	165
BCIE	30.57	2.6	-48.62	48.7	273

Dreiecks-Helligkeit t^*

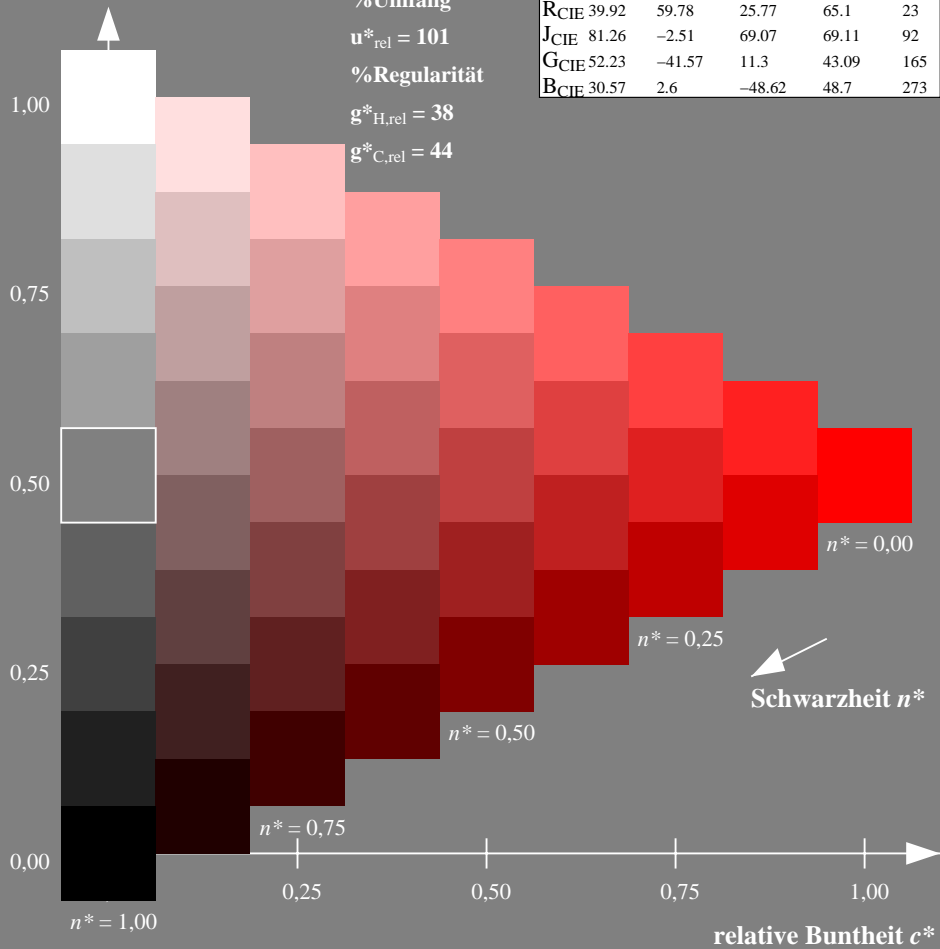
%Umfang

$u^*_{rel} = 101$

%Regularität

$g^*_{H,rel} = 38$

$g^*_{C,rel} = 44$



Ausgabe: Farbmetrisches Natürliches-Licht-System NLS00

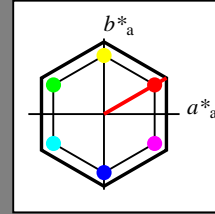
für Buntton $h^* = lab^*h = 30/360 = 0.083$

lab^*tch und lab^*nch

D65: Buntton O

LCH*Ma: 32 95 30

olv*Ma: 1.0 0.0 0.0



NLS00; adaptierte CIELAB-Daten

	$L^*=L^*_a$	a^*_a	b^*_a	$C^*_{ab,a}$	$h^*_{ab,a}$
OMa	31.81	82.62	47.7	95.4	30
YMa	63.61	0.0	95.4	95.4	90
LMa	31.81	-82.61	47.7	95.4	150
CMa	63.61	-82.61	-47.69	95.4	210
VMa	31.81	0.0	-95.39	95.4	270
MMa	63.61	82.62	-47.69	95.4	330
NMa	0.01	0.0	0.0	0.0	0
WMa	95.41	0.0	0.0	0.0	0
RCIE	39.92	58.74	27.99	65.07	25
JCIE	81.26	-2.88	71.56	71.62	92
GCIE	52.23	-42.41	13.6	44.55	162
BCIE	30.57	1.41	-46.46	46.49	272

Dreiecks-Helligkeit t^*

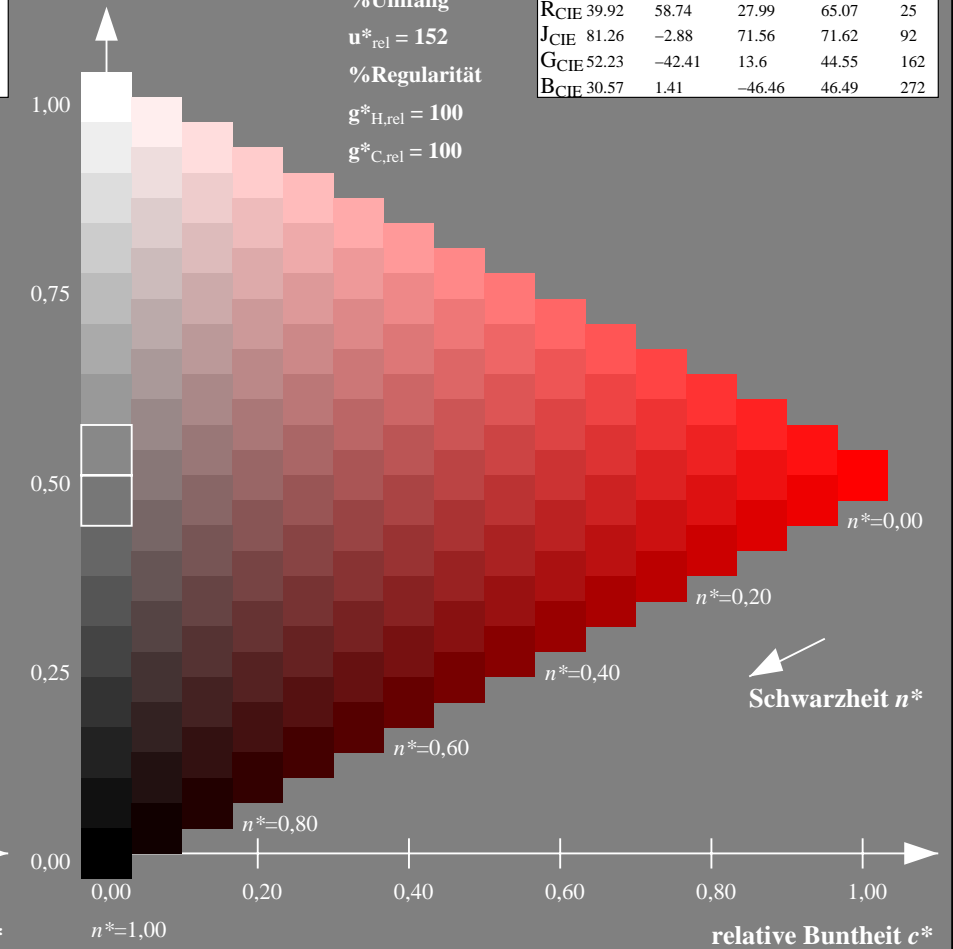
%Umfang

$u^*_{rel} = 152$

%Regularität

$g^*_{H,rel} = 100$

$g^*_{C,rel} = 100$



NG900-7, 9stufige Reihen für konstanten CIELAB Buntton $37/360 = 0.103$ (links)

16stufige Reihen für konstanten CIELAB Buntton $30/360 = 0.083$ (rechts)

Eingabe: Farbmetrisches Drucker-Reflektiv-System DRSXX

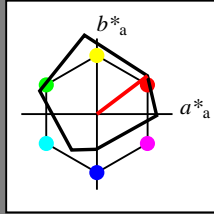
für Buntton $h^* = lab^*h = 37/360 = 0.103$

lab^*tch und lab^*nch

D65: Buntton O

LCH*Ma: 42 84 37

olv*Ma: 1.0 0.0 0.0



DRSXX; adaptierte CIELAB-Daten

	$L^*=L^*_a$	a^*_a	b^*_a	$C^*_{ab,a}$	$h^*_{ab,a}$
OMa	42.21	66.82	50.6	83.82	37
YMa	90.32	-16.51	104.33	105.63	99
LMa	48.21	-75.63	30.65	81.61	158
CMa	53.44	-33.33	-47.49	58.03	235
VMa	34.16	-0.92	-46.56	46.58	269
MMa	42.71	79.0	-1.95	79.03	359
NMa	16.56	0.0	0.0	0.0	0
WMa	96.31	0.0	0.0	0.0	0
RCIE	39.92	59.78	25.77	65.1	23
JCIE	81.26	-2.51	69.07	69.11	92
GCIE	52.23	-41.57	11.3	43.09	165
BCIE	30.57	2.6	-48.62	48.7	273

Dreiecks-Helligkeit t^*

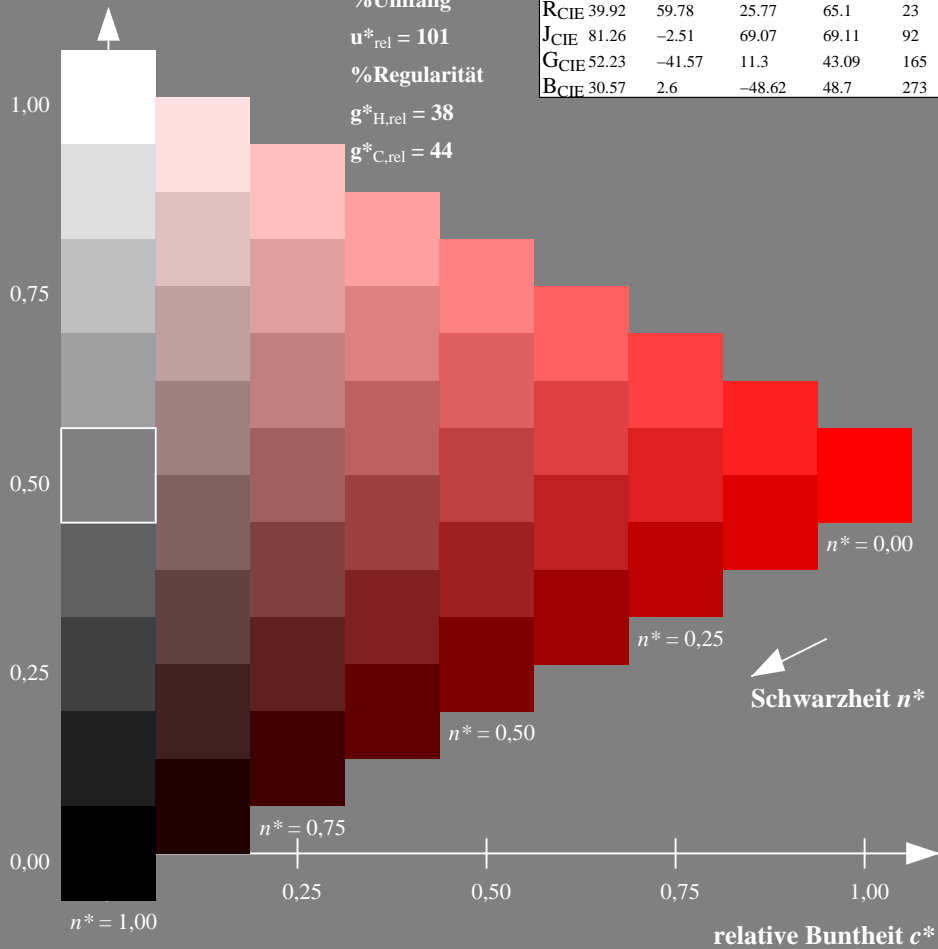
%Umfang

$u^*_{rel} = 101$

%Regularität

$g^*_{H,rel} = 38$

$g^*_{C,rel} = 44$



Ausgabe: Farbmetrisches Natürliches-Reflektiv-System NRS18

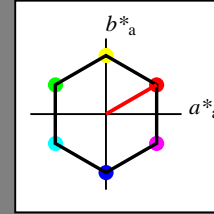
für Buntton $h^* = lab^*h = 30/360 = 0.083$

lab^*tch und lab^*nch

D65: Buntton O

LCH*Ma: 44 77 30

olv*Ma: 1.0 0.0 0.0



NRS18; adaptierte CIELAB-Daten

	$L^*=L^*_a$	a^*_a	b^*_a	$C^*_{ab,a}$	$h^*_{ab,a}$
OMa	43.81	67.03	38.7	77.4	30
YMa	69.61	0.0	77.4	77.4	90
LMa	43.81	-67.02	38.7	77.4	150
CMa	69.61	-67.02	-38.69	77.4	210
VMa	43.81	0.0	-77.39	77.4	270
MMa	69.61	67.03	-38.69	77.4	330
NMa	18.01	0.0	0.0	0.0	0
WMa	95.41	0.0	0.0	0.0	0
RCIE	39.92	58.74	27.99	65.07	25
JCIE	81.26	-2.88	71.56	71.62	92
GCIE	52.23	-42.41	13.6	44.55	162
BCIE	30.57	1.41	-46.46	46.49	272

Dreiecks-Helligkeit t^*

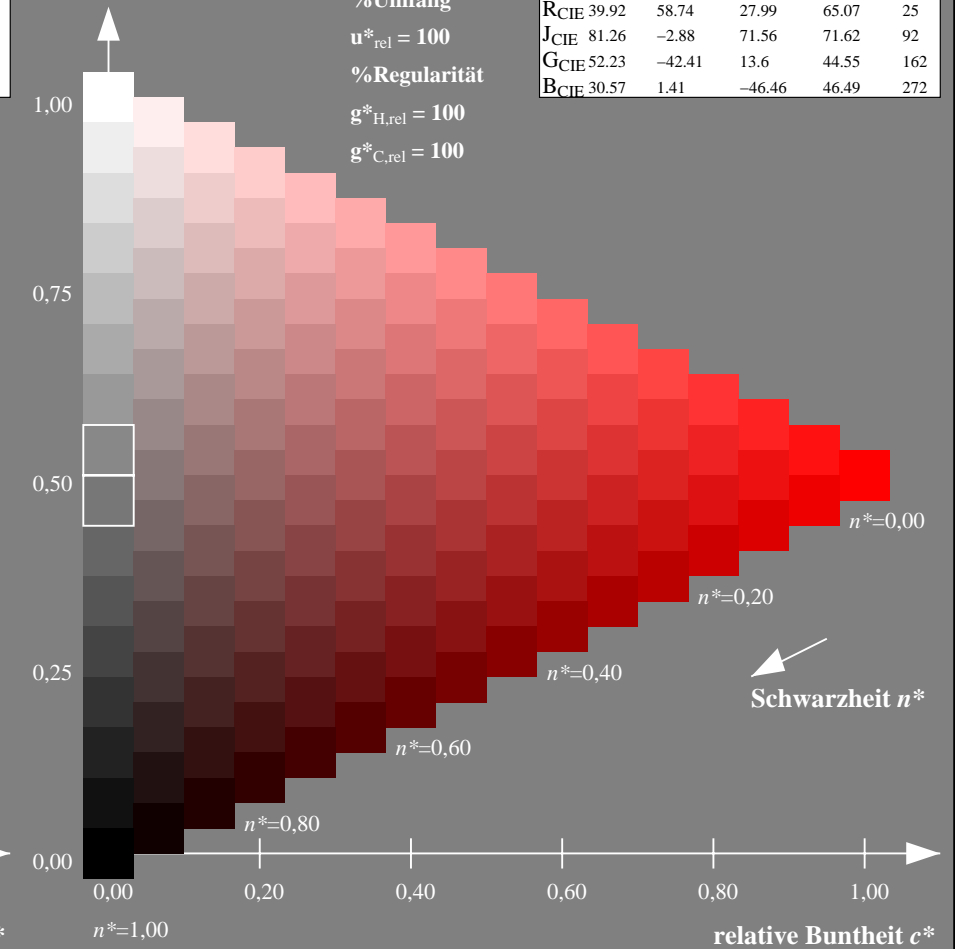
%Umfang

$u^*_{rel} = 100$

%Regularität

$g^*_{H,rel} = 100$

$g^*_{C,rel} = 100$



NG900-7, 9stufige Reihen für konstanten CIELAB Buntton 37/360 = 0.103 (links)

16stufige Reihen für konstanten CIELAB Buntton 30/360 = 0.083 (rechts)

Eingabe: Farbmetrisches Drucker-Reflektiv-System DRSXX

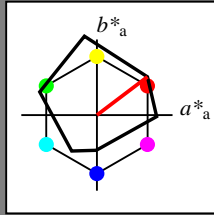
für Buntton $h^* = lab^*h = 37/360 = 0.103$

lab^*tch und lab^*nch

D65: Buntton O

LCH*Ma: 42 84 37

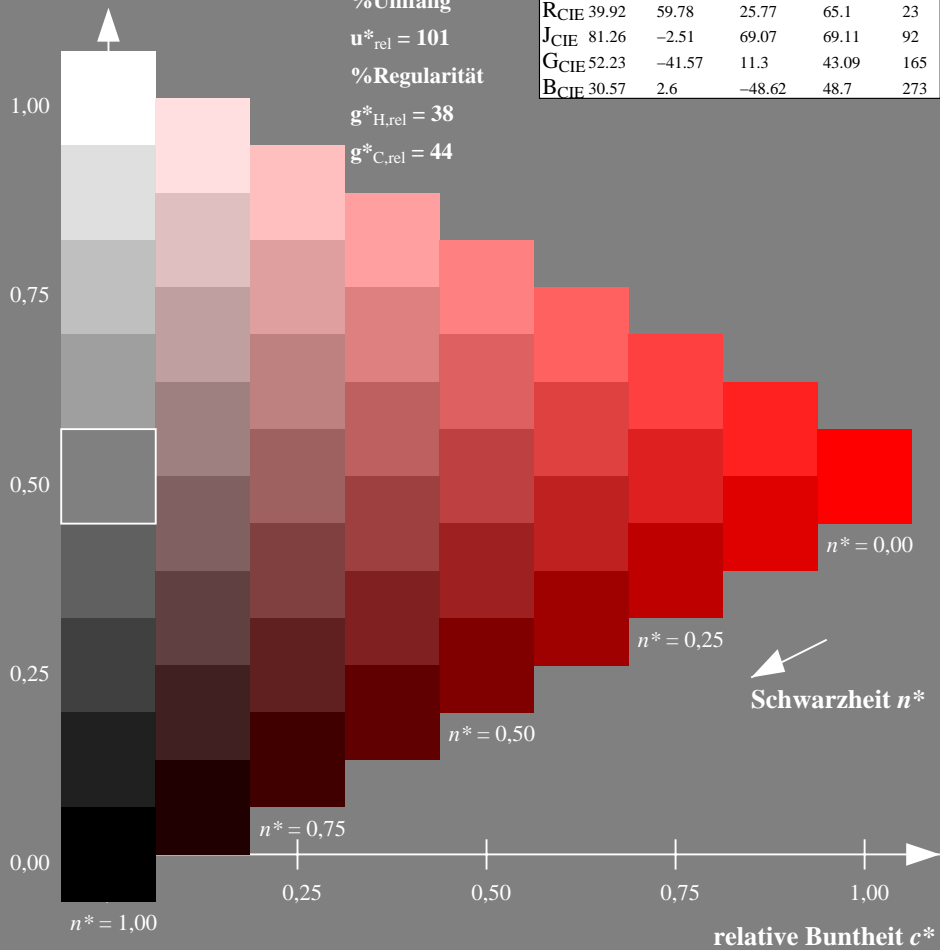
olv*Ma: 1.0 0.0 0.0



DRSXX; adaptierte CIELAB-Daten

	$L^*=L^*_a$	a^*_a	b^*_a	$C^*_{ab,a}$	$h^*_{ab,a}$
OMa	42.21	66.82	50.6	83.82	37
YMa	90.32	-16.51	104.33	105.63	99
LMa	48.21	-75.63	30.65	81.61	158
CMa	53.44	-33.33	-47.49	58.03	235
VMa	34.16	-0.92	-46.56	46.58	269
MMa	42.71	79.0	-1.95	79.03	359
NMa	16.56	0.0	0.0	0.0	0
WMa	96.31	0.0	0.0	0.0	0
RCIE	39.92	59.78	25.77	65.1	23
JCIE	81.26	-2.51	69.07	69.11	92
GCIE	52.23	-41.57	11.3	43.09	165
BCIE	30.57	2.6	-48.62	48.7	273

Dreiecks-Helligkeit t^*



Ausgabe: Farbmetrisches Standard-Reflektiv-System SRS18

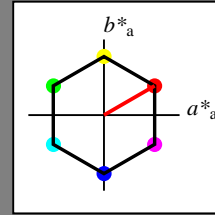
für Buntton $h^* = lab^*h = 30/360 = 0.083$

lab^*tch und lab^*nch

D65: Buntton O

LCH*Ma: 57 77 30

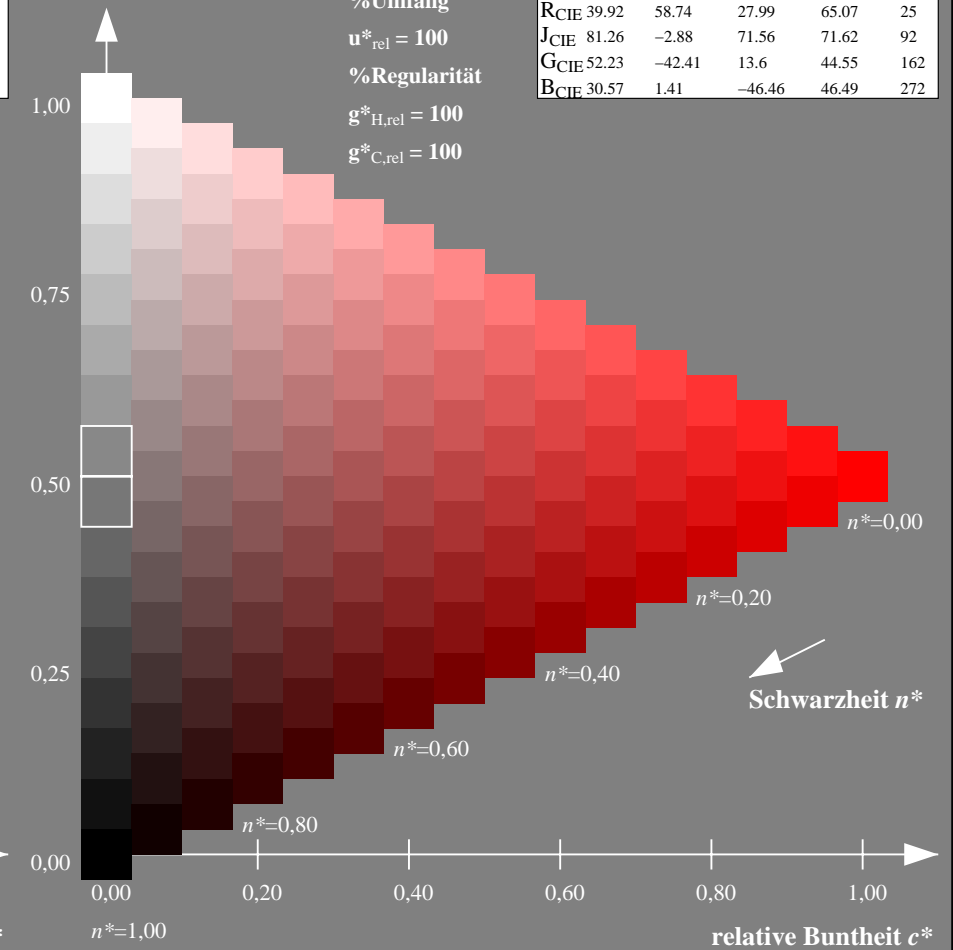
olv*Ma: 1.0 0.0 0.0



SRS18; adaptierte CIELAB-Daten

	$L^*=L^*_a$	a^*_a	b^*_a	$C^*_{ab,a}$	$h^*_{ab,a}$
OMa	56.71	67.03	38.7	77.4	30
YMa	56.71	0.0	77.4	77.4	90
LMa	56.71	-67.02	38.7	77.4	150
CMa	56.71	-67.02	-38.69	77.4	210
VMa	56.71	0.0	-77.39	77.4	270
MMa	56.71	67.03	-38.69	77.4	330
NMa	18.01	0.0	0.0	0.0	0
WMa	95.41	0.0	0.0	0.0	0
RCIE	39.92	58.74	27.99	65.07	25
JCIE	81.26	-2.88	71.56	71.62	92
GCIE	52.23	-42.41	13.6	44.55	162
BCIE	30.57	1.41	-46.46	46.49	272

Dreiecks-Helligkeit t^*



NG900-7, 9stufige Reihen für konstanten CIELAB Buntton $37/360 = 0.103$ (links)

16stufige Reihen für konstanten CIELAB Buntton $30/360 = 0.083$ (rechts)

Eingabe: Farbmetrisches Drucker-Reflektiv-System DRSXX

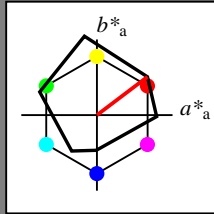
für Buntton $h^* = lab^*h = 37/360 = 0.103$

lab^*tch und lab^*nch

D65: Buntton O

LCH*Ma: 42 84 37

olv*Ma: 1.0 0.0 0.0



DRSXX; adaptierte CIELAB-Daten

	$L^*=L^*_a$	a^*_a	b^*_a	$C^*_{ab,a}$	$h^*_{ab,a}$
O _{Ma}	42.21	66.82	50.6	83.82	37
Y _{Ma}	90.32	-16.51	104.33	105.63	99
L _{Ma}	48.21	-75.63	30.65	81.61	158
C _{Ma}	53.44	-33.33	-47.49	58.03	235
V _{Ma}	34.16	-0.92	-46.56	46.58	269
M _{Ma}	42.71	79.0	-1.95	79.03	359
N _{Ma}	16.56	0.0	0.0	0.0	0
W _{Ma}	96.31	0.0	0.0	0.0	0
R _{CIE}	39.92	59.78	25.77	65.1	23
J _{CIE}	81.26	-2.51	69.07	69.11	92
G _{CIE}	52.23	-41.57	11.3	43.09	165
B _{CIE}	30.57	2.6	-48.62	48.7	273

Dreiecks-Helligkeit t^*

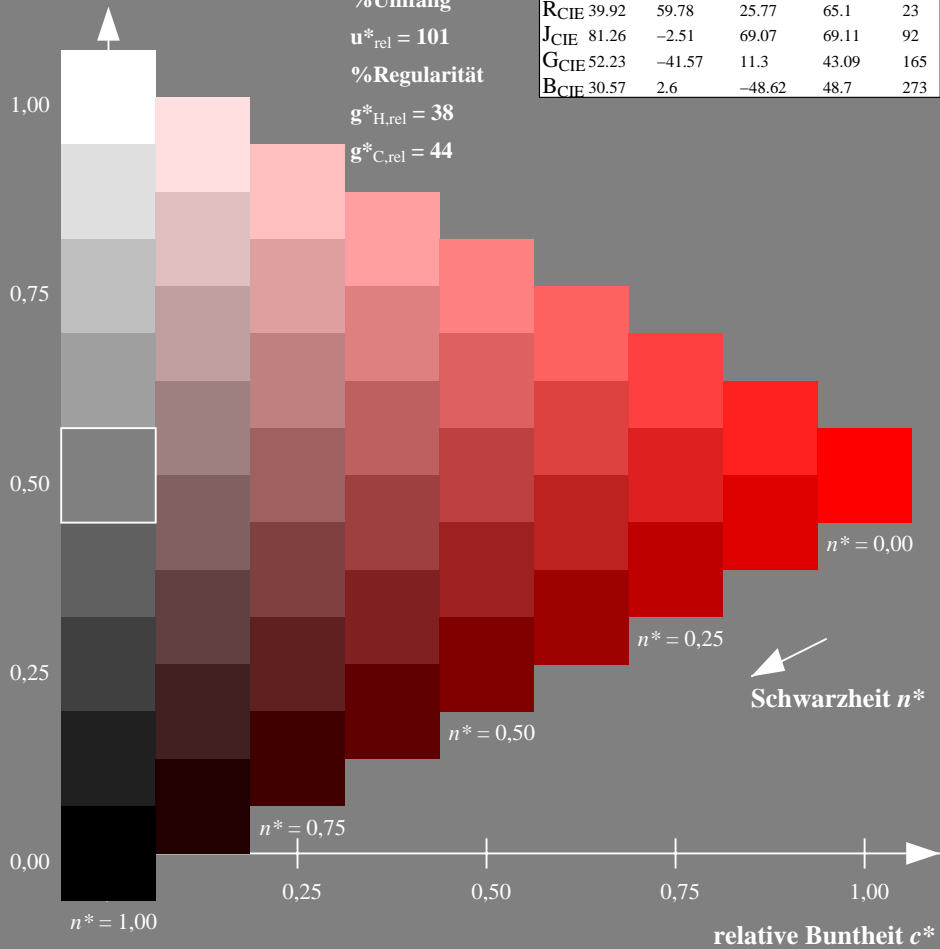
%Umfang

$u^*_{rel} = 101$

%Regularität

$g^*_{H,rel} = 38$

$g^*_{C,rel} = 44$



Ausgabe: Farbmetrisches Fernseh-Licht-System TLS70

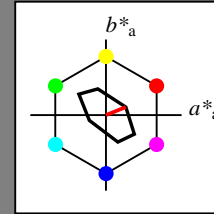
für Buntton $h^* = lab^*h = 22/360 = 0.061$

lab^*tch und lab^*nch

D65: Buntton O

LCH*Ma: 76 28 22

olv*Ma: 1.0 0.0 0.0



TLS70; adaptierte CIELAB-Daten

	$L^*=L^*_a$	a^*_a	b^*_a	$C^*_{ab,a}$	$h^*_{ab,a}$
O _{Ma}	76.43	26.27	10.57	28.32	22
Y _{Ma}	93.93	-10.76	34.63	36.27	107
L _{Ma}	89.32	-35.8	27.64	45.24	142
C _{Ma}	90.93	-21.95	-7.07	23.07	198
V _{Ma}	72.1	15.76	-35.63	38.97	294
M _{Ma}	78.5	37.52	-25.23	45.22	326
N _{Ma}	69.7	0.0	0.0	0.0	0
W _{Ma}	95.41	0.0	0.0	0.0	0
R _{CIE}	39.92	58.74	27.99	65.07	25
J _{CIE}	81.26	-2.88	71.56	71.62	92
G _{CIE}	52.23	-42.41	13.6	44.55	162
B _{CIE}	30.57	1.41	-46.46	46.49	272

Dreiecks-Helligkeit t^*

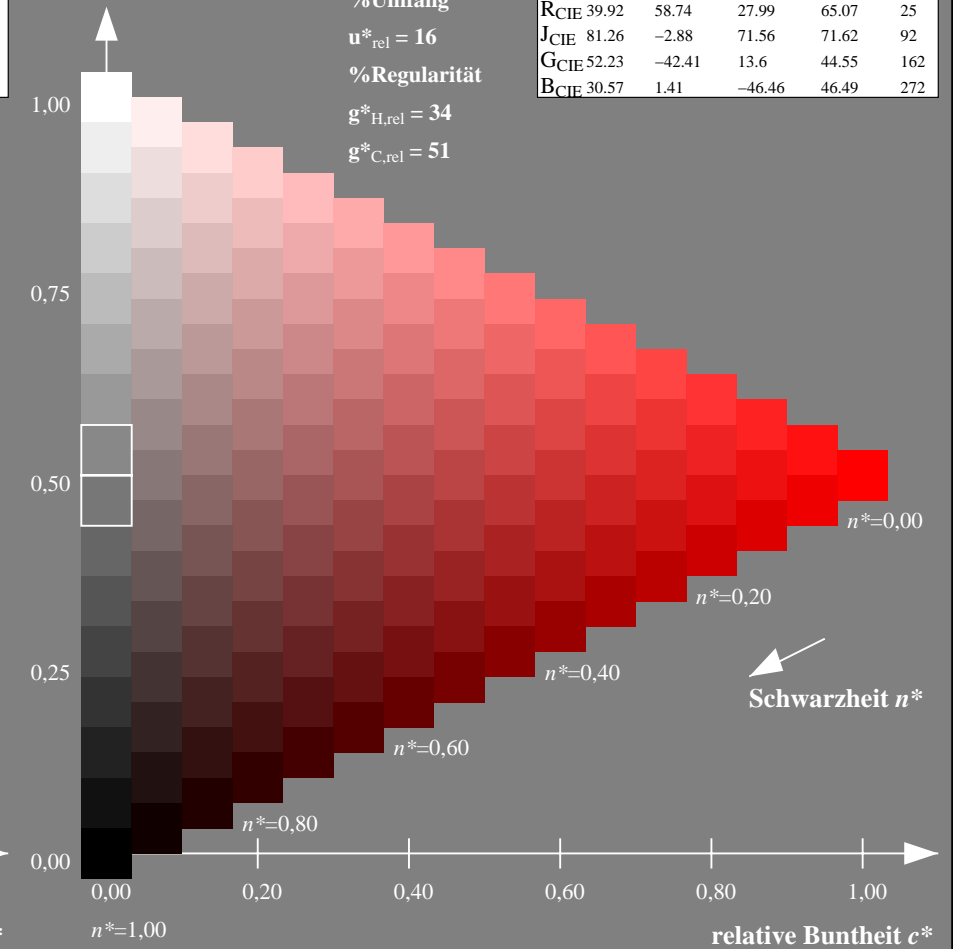
%Umfang

$u^*_{rel} = 16$

%Regularität

$g^*_{H,rel} = 34$

$g^*_{C,rel} = 51$



NG900-7, 9stufige Reihen für konstanten CIELAB Buntton $37/360 = 0.103$ (links)

16stufige Reihen für konstanten CIELAB Buntton $22/360 = 0.061$ (rechts)

Eingabe: Farbmetrisches Fernseh-Licht-System TLS18

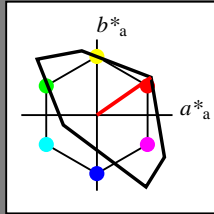
für Buntton $h^* = lab^*h = 35/360 = 0.097$

lab^*tch und lab^*nch

D65: Buntton O

LCH*Ma: 53 87 35

olv*Ma: 1.0 0.0 0.0



TLS18; adaptierte CIELAB-Daten

	$L^*=L^*_a$	a^*_a	b^*_a	$C^*_{ab,a}$	$h^*_{ab,a}$
OMa	52.76	71.63	49.88	87.29	35
YMa	92.74	-20.02	84.97	87.3	103
LMa	84.0	-78.98	73.94	108.2	137
CMa	87.14	-44.41	-13.11	46.32	196
VMa	35.47	64.92	-95.06	115.12	304
MMa	59.01	89.33	-55.67	105.26	328
NMa	18.01	0.0	0.0	0.0	0
WMa	95.41	0.0	0.0	0.0	0
RCIE	39.92	58.74	27.99	65.07	25
JCIE	81.26	-2.88	71.56	71.62	92
GCIE	52.23	-42.41	13.6	44.55	162
BCIE	30.57	1.41	-46.46	46.49	272

Dreiecks-Helligkeit t^*

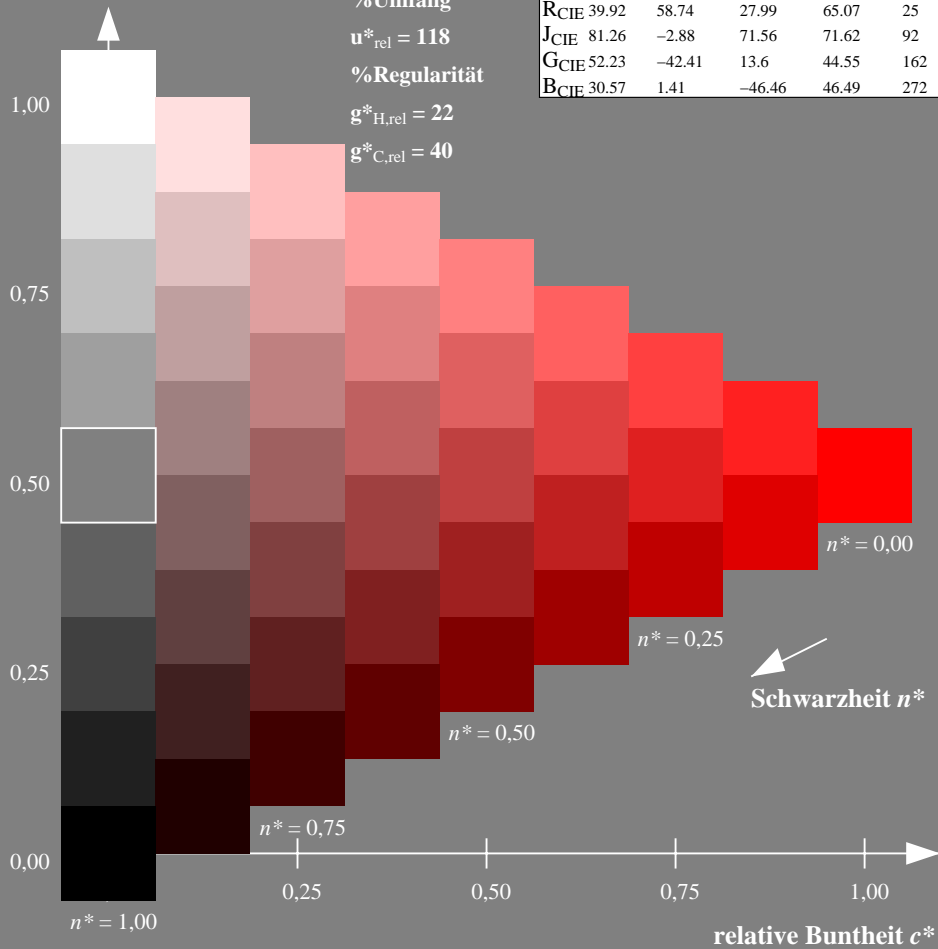
%Umfang

$u^*_{rel} = 118$

%Regularität

$g^*_{H,rel} = 22$

$g^*_{C,rel} = 40$



Ausgabe: Farbmetrisches Offset-Reflektiv-System ORS18

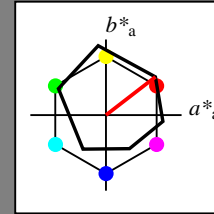
für Buntton $h^* = lab^*h = 38/360 = 0.105$

lab^*tch und lab^*nch

D65: Buntton O

LCH*Ma: 48 83 38

olv*Ma: 1.0 0.0 0.0



ORS18; adaptierte CIELAB-Daten

	$L^*=L^*_a$	a^*_a	b^*_a	$C^*_{ab,a}$	$h^*_{ab,a}$
OMa	47.94	65.39	50.52	82.63	38
YMa	90.37	-10.26	91.75	92.32	96
LMa	50.9	-62.83	34.96	71.91	151
CMa	58.62	-30.34	-45.01	54.3	236
VMa	25.72	31.1	-44.4	54.22	305
MMa	48.13	75.28	-8.36	75.74	354
NMa	18.01	0.0	0.0	0.0	0
WMa	95.41	0.0	0.0	0.0	0
RCIE	39.92	58.66	26.98	64.57	25
JCIE	81.26	-2.16	67.76	67.79	92
GCIE	52.23	-42.25	11.76	43.87	164
BCIE	30.57	1.15	-46.84	46.86	271

Dreiecks-Helligkeit t^*

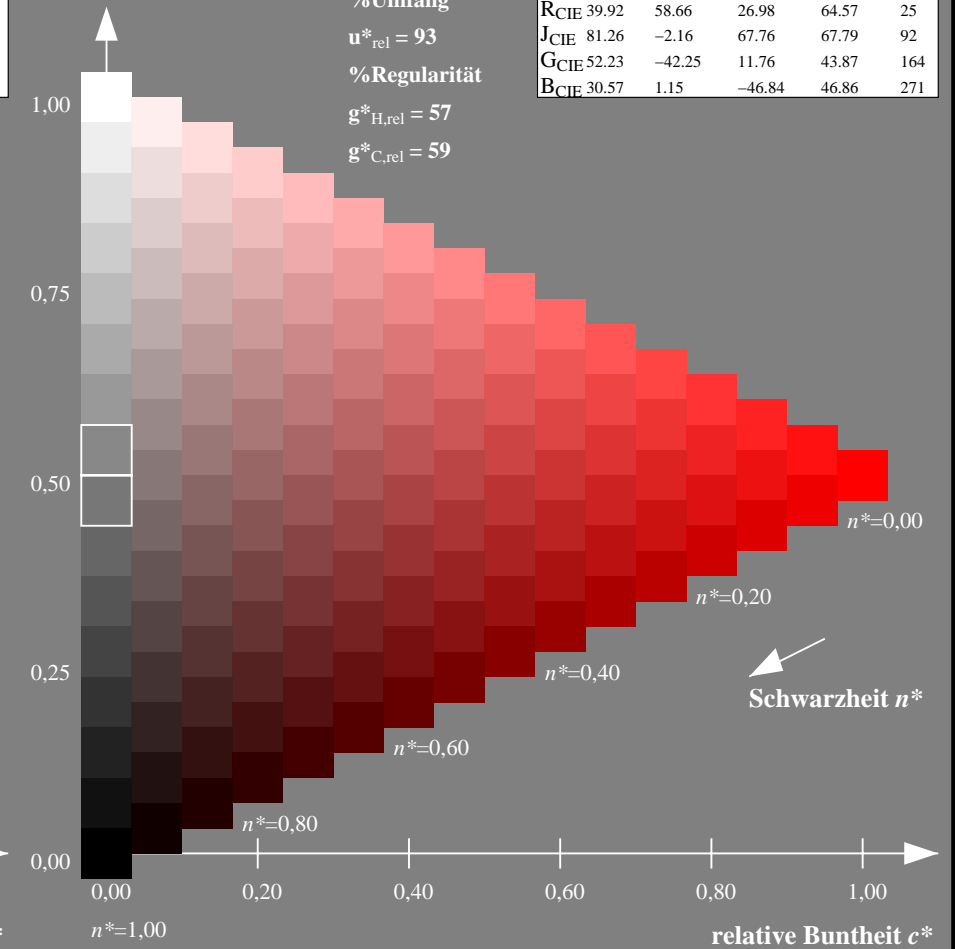
%Umfang

$u^*_{rel} = 93$

%Regularität

$g^*_{H,rel} = 57$

$g^*_{C,rel} = 59$



NG900-7, 9stufige Reihen für konstanten CIELAB Buntton $35/360 = 0.097$ (links)

16stufige Reihen für konstanten CIELAB Buntton $38/360 = 0.105$ (rechts)

Eingabe: Farbmetrisches Fernseh-Licht-System TLS18

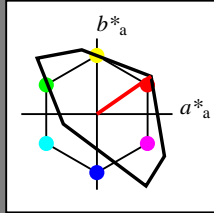
für Buntton $h^* = lab^*h = 35/360 = 0.097$

lab^*tch und lab^*nch

D65: Buntton O

LCH*Ma: 53 87 35

olv*Ma: 1.0 0.0 0.0



TLS18; adaptierte CIELAB-Daten

	$L^*=L^*_a$	a^*_a	b^*_a	$C^*_{ab,a}$	$h^*_{ab,a}$
OMa	52.76	71.63	49.88	87.29	35
YMa	92.74	-20.02	84.97	87.3	103
LMa	84.0	-78.98	73.94	108.2	137
CMa	87.14	-44.41	-13.11	46.32	196
VMa	35.47	64.92	-95.06	115.12	304
MMa	59.01	89.33	-55.67	105.26	328
NMa	18.01	0.0	0.0	0.0	0
WMa	95.41	0.0	0.0	0.0	0
RCIE	39.92	58.74	27.99	65.07	25
JCIE	81.26	-2.88	71.56	71.62	92
GCIE	52.23	-42.41	13.6	44.55	162
BCIE	30.57	1.41	-46.46	46.49	272

Dreiecks-Helligkeit t^*

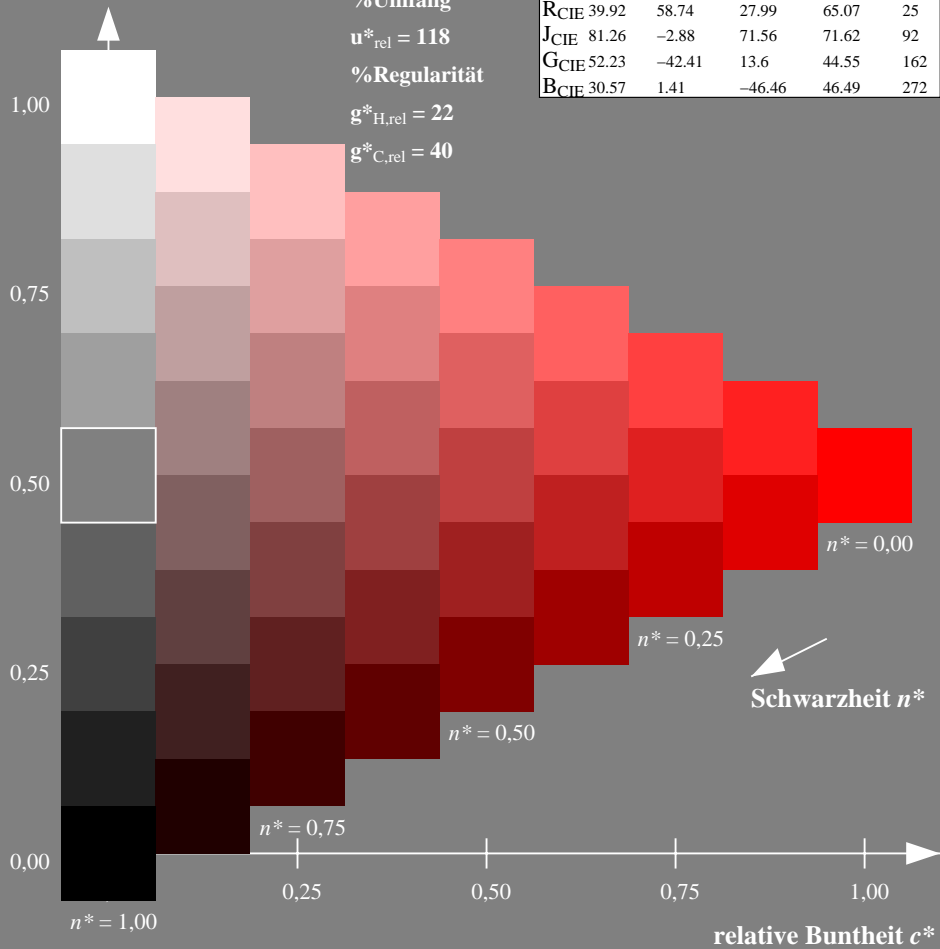
%Umfang

$u^*_{rel} = 118$

%Regularität

$g^*_{H,rel} = 22$

$g^*_{C,rel} = 40$



Ausgabe: Farbmetrisches Fernseh-Licht-System TLS00

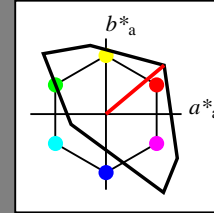
für Buntton $h^* = lab^*h = 40/360 = 0.111$

lab^*tch und lab^*nch

D65: Buntton O

LCH*Ma: 51 100 40

olv*Ma: 1.0 0.0 0.0



TLS00; adaptierte CIELAB-Daten

	$L^*=L^*_a$	a^*_a	b^*_a	$C^*_{ab,a}$	$h^*_{ab,a}$
OMa	50.5	76.92	64.55	100.42	40
YMa	92.66	-20.69	90.75	93.08	103
LMa	83.63	-82.75	79.9	115.04	136
CMa	86.88	-46.16	-13.55	48.12	196
VMa	30.39	76.06	-103.59	128.52	306
MMa	57.3	94.35	-58.41	110.97	328
NMa	0.01	0.0	0.0	0.0	0
WMa	95.41	0.0	0.0	0.0	0
RCIE	39.92	58.74	27.99	65.07	25
JCIE	81.26	-2.88	71.56	71.62	92
GCIE	52.23	-42.41	13.6	44.55	162
BCIE	30.57	1.41	-46.46	46.49	272

Dreiecks-Helligkeit t^*

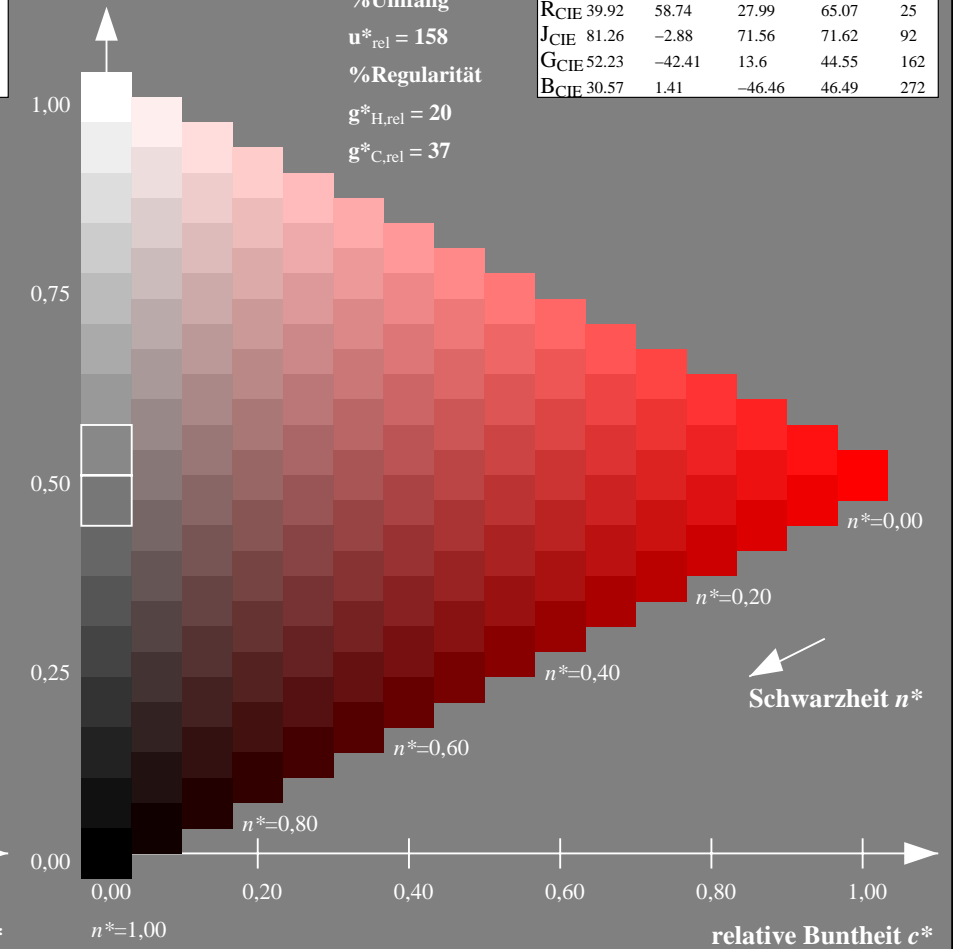
%Umfang

$u^*_{rel} = 158$

%Regularität

$g^*_{H,rel} = 20$

$g^*_{C,rel} = 37$



NG900-7, 9stufige Reihen für konstanten CIELAB Buntton $35/360 = 0.097$ (links)

16stufige Reihen für konstanten CIELAB Buntton $40/360 = 0.111$ (rechts)

Eingabe: Farbmetrisches Fernseh-Licht-System TLS18

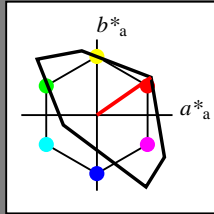
für Buntton $h^* = lab^*h = 35/360 = 0.097$

lab^*tch und lab^*nch

D65: Buntton O

LCH*Ma: 53 87 35

olv*Ma: 1.0 0.0 0.0



TLS18; adaptierte CIELAB-Daten

	$L^*=L^*_a$	a^*_a	b^*_a	$C^*_{ab,a}$	$h^*_{ab,a}$
OMa	52.76	71.63	49.88	87.29	35
YMa	92.74	-20.02	84.97	87.3	103
LMa	84.0	-78.98	73.94	108.2	137
CMa	87.14	-44.41	-13.11	46.32	196
VMa	35.47	64.92	-95.06	115.12	304
MMa	59.01	89.33	-55.67	105.26	328
NMa	18.01	0.0	0.0	0.0	0
WMa	95.41	0.0	0.0	0.0	0
RCIE	39.92	58.74	27.99	65.07	25
JCIE	81.26	-2.88	71.56	71.62	92
GCIE	52.23	-42.41	13.6	44.55	162
BCIE	30.57	1.41	-46.46	46.49	272

Dreiecks-Helligkeit t^*

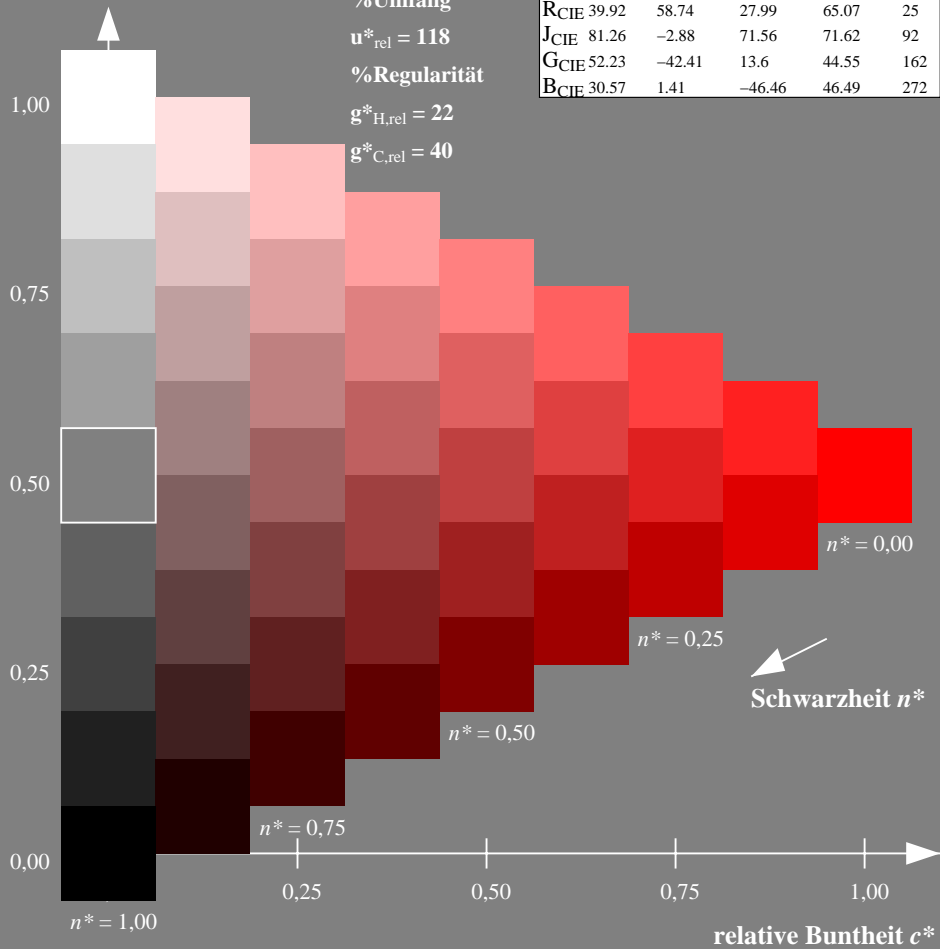
%Umfang

$u^*_{rel} = 118$

%Regularität

$g^*_{H,rel} = 22$

$g^*_{C,rel} = 40$



Ausgabe: Farbmetrisches Drucker-Reflektiv-System DRSXX

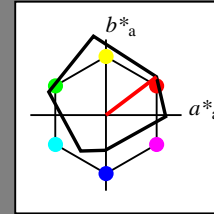
für Buntton $h^* = lab^*h = 37/360 = 0.103$

lab^*tch und lab^*nch

D65: Buntton O

LCH*Ma: 42 84 37

olv*Ma: 1.0 0.0 0.0



DRSXX; adaptierte CIELAB-Daten

	$L^*=L^*_a$	a^*_a	b^*_a	$C^*_{ab,a}$	$h^*_{ab,a}$
OMa	42.21	66.82	50.6	83.82	37
YMa	90.32	-16.51	104.33	105.63	99
LMa	48.21	-75.63	30.65	81.61	158
CMa	53.44	-33.33	-47.49	58.03	235
VMa	34.16	-0.92	-46.56	46.58	269
MMa	42.71	79.0	-1.95	79.03	359
NMa	16.56	0.0	0.0	0.0	0
WMa	96.31	0.0	0.0	0.0	0
RCIE	39.92	59.78	25.77	65.1	23
JCIE	81.26	-2.51	69.07	69.11	92
GCIE	52.23	-41.57	11.3	43.09	165
BCIE	30.57	2.6	-48.62	48.7	273

Dreiecks-Helligkeit t^*

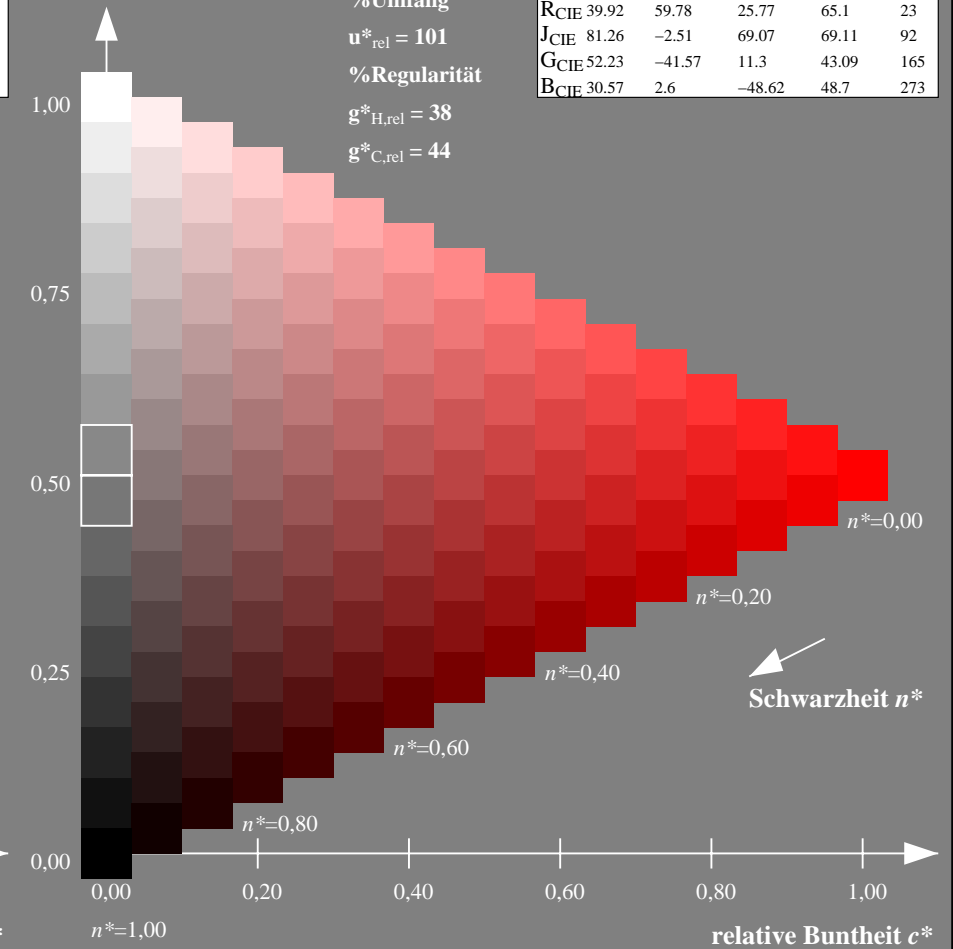
%Umfang

$u^*_{rel} = 101$

%Regularität

$g^*_{H,rel} = 38$

$g^*_{C,rel} = 44$



NG900-7, 9stufige Reihen für konstanten CIELAB Buntton $35/360 = 0.097$ (links)

16stufige Reihen für konstanten CIELAB Buntton $37/360 = 0.103$ (rechts)

Eingabe: Farbmetrisches Fernseh-Licht-System TLS18

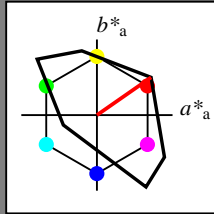
für Buntton $h^* = lab^*h = 35/360 = 0.097$

lab^*tch und lab^*nch

D65: Buntton O

LCH*Ma: 53 87 35

olv*Ma: 1.0 0.0 0.0



TLS18; adaptierte CIELAB-Daten

	$L^*=L^*_a$	a^*_a	b^*_a	$C^*_{ab,a}$	$h^*_{ab,a}$
OMa	52.76	71.63	49.88	87.29	35
YMa	92.74	-20.02	84.97	87.3	103
LMa	84.0	-78.98	73.94	108.2	137
CMa	87.14	-44.41	-13.11	46.32	196
VMa	35.47	64.92	-95.06	115.12	304
MMa	59.01	89.33	-55.67	105.26	328
NMa	18.01	0.0	0.0	0.0	0
WMa	95.41	0.0	0.0	0.0	0
RCIE	39.92	58.74	27.99	65.07	25
JCIE	81.26	-2.88	71.56	71.62	92
GCIE	52.23	-42.41	13.6	44.55	162
BCIE	30.57	1.41	-46.46	46.49	272

Dreiecks-Helligkeit t^*

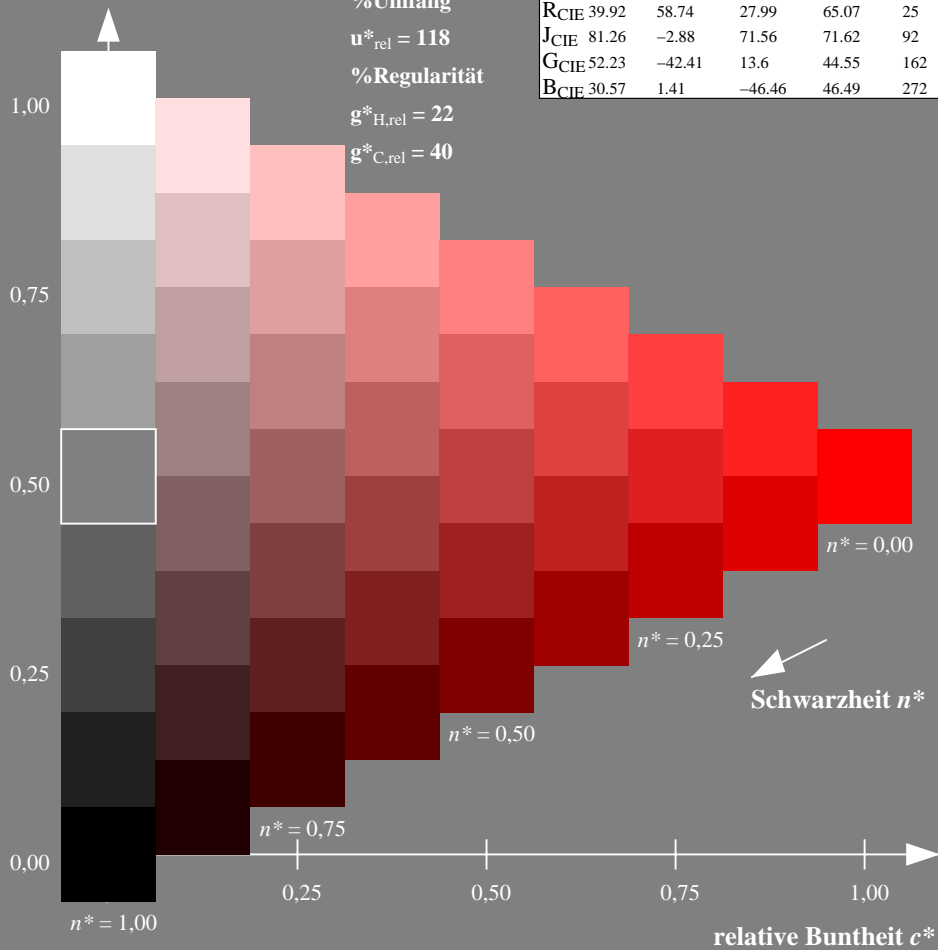
%Umfang

$u^*_{rel} = 118$

%Regularität

$g^*_{H,rel} = 22$

$g^*_{C,rel} = 40$



Ausgabe: Farbmetrisches Fernseh-Licht-System TLS18

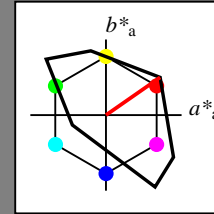
für Buntton $h^* = lab^*h = 35/360 = 0.097$

lab^*tch und lab^*nch

D65: Buntton O

LCH*Ma: 53 87 35

olv*Ma: 1.0 0.0 0.0



TLS18; adaptierte CIELAB-Daten

	$L^*=L^*_a$	a^*_a	b^*_a	$C^*_{ab,a}$	$h^*_{ab,a}$
OMa	52.76	71.63	49.88	87.29	35
YMa	92.74	-20.02	84.97	87.3	103
LMa	84.0	-78.98	73.94	108.2	137
CMa	87.14	-44.41	-13.11	46.32	196
VMa	35.47	64.92	-95.06	115.12	304
MMa	59.01	89.33	-55.67	105.26	328
NMa	18.01	0.0	0.0	0.0	0
WMa	95.41	0.0	0.0	0.0	0
RCIE	39.92	58.74	27.99	65.07	25
JCIE	81.26	-2.88	71.56	71.62	92
GCIE	52.23	-42.41	13.6	44.55	162
BCIE	30.57	1.41	-46.46	46.49	272

Dreiecks-Helligkeit t^*

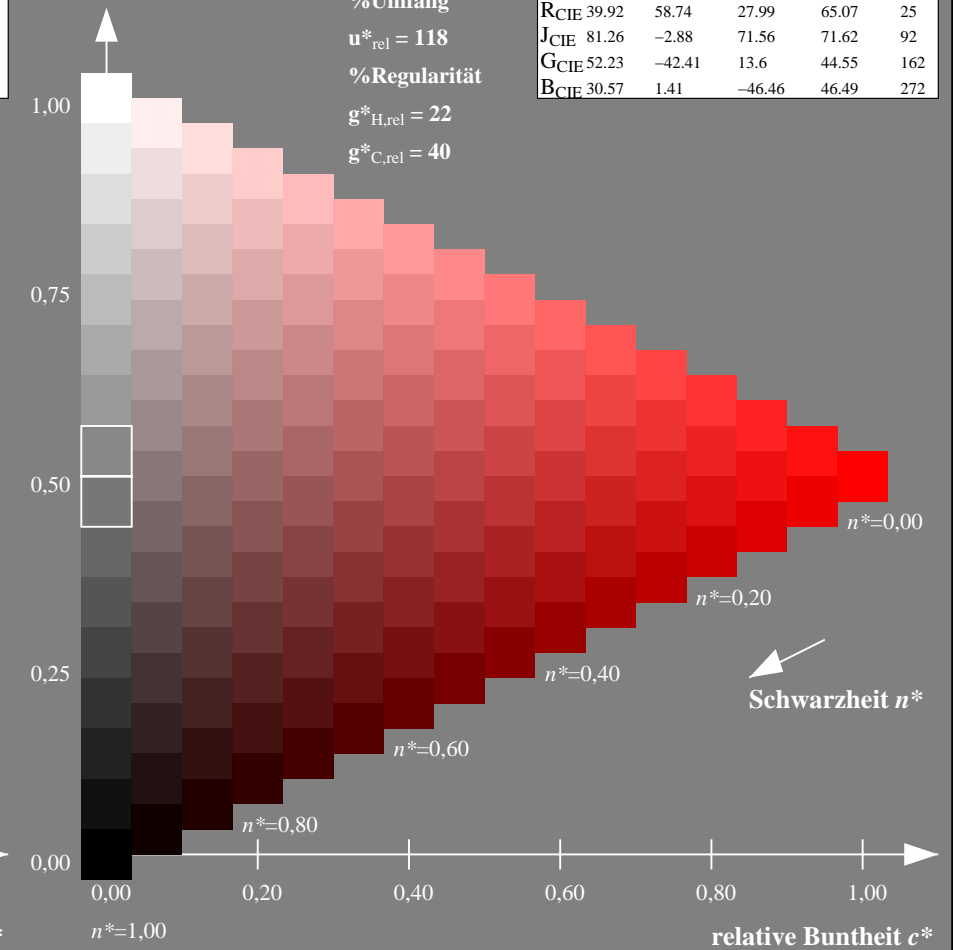
%Umfang

$u^*_{rel} = 118$

%Regularität

$g^*_{H,rel} = 22$

$g^*_{C,rel} = 40$



NG900-7, 9stufige Reihen für konstanten CIELAB Buntton 35/360 = 0.097 (links)

16stufige Reihen für konstanten CIELAB Buntton 35/360 = 0.097 (rechts)

Eingabe: Farbmetrisches Fernseh-Licht-System TLS18

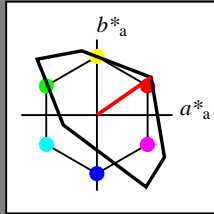
für Buntton $h^* = lab^*h = 35/360 = 0.097$

lab^*tch und lab^*nch

D65: Buntton O

LCH*Ma: 53 87 35

olv*Ma: 1.0 0.0 0.0



TLS18; adaptierte CIELAB-Daten

	$L^*=L^*_a$	a^*_a	b^*_a	$C^*_{ab,a}$	$h^*_{ab,a}$
OMa	52.76	71.63	49.88	87.29	35
YMa	92.74	-20.02	84.97	87.3	103
LMa	84.0	-78.98	73.94	108.2	137
CMa	87.14	-44.41	-13.11	46.32	196
VMa	35.47	64.92	-95.06	115.12	304
MMa	59.01	89.33	-55.67	105.26	328
NMa	18.01	0.0	0.0	0.0	0
WMa	95.41	0.0	0.0	0.0	0
RCIE	39.92	58.74	27.99	65.07	25
JCIE	81.26	-2.88	71.56	71.62	92
GCIE	52.23	-42.41	13.6	44.55	162
BCIE	30.57	1.41	-46.46	46.49	272

Dreiecks-Helligkeit t^*

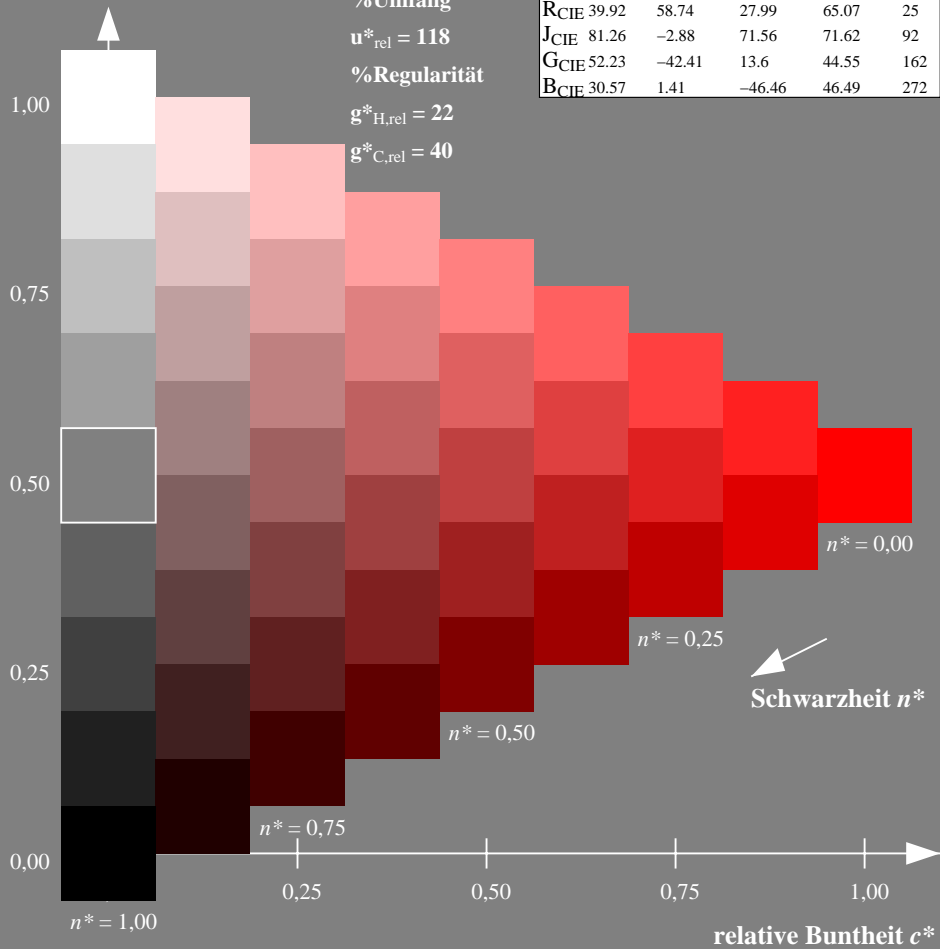
%Umfang

$u^*_{rel} = 118$

%Regularität

$g^*_{H,rel} = 22$

$g^*_{C,rel} = 40$



Ausgabe: Farbmetrisches Natürliches-Licht-System NLS00

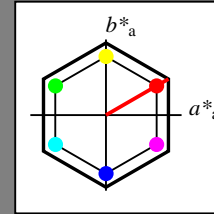
für Buntton $h^* = lab^*h = 30/360 = 0.083$

lab^*tch und lab^*nch

D65: Buntton O

LCH*Ma: 32 95 30

olv*Ma: 1.0 0.0 0.0



NLS00; adaptierte CIELAB-Daten

	$L^*=L^*_a$	a^*_a	b^*_a	$C^*_{ab,a}$	$h^*_{ab,a}$
OMa	31.81	82.62	47.7	95.4	30
YMa	63.61	0.0	95.4	95.4	90
LMa	31.81	-82.61	47.7	95.4	150
CMa	63.61	-82.61	-47.69	95.4	210
VMa	31.81	0.0	-95.39	95.4	270
MMa	63.61	82.62	-47.69	95.4	330
NMa	0.01	0.0	0.0	0.0	0
WMa	95.41	0.0	0.0	0.0	0
RCIE	39.92	58.74	27.99	65.07	25
JCIE	81.26	-2.88	71.56	71.62	92
GCIE	52.23	-42.41	13.6	44.55	162
BCIE	30.57	1.41	-46.46	46.49	272

Dreiecks-Helligkeit t^*

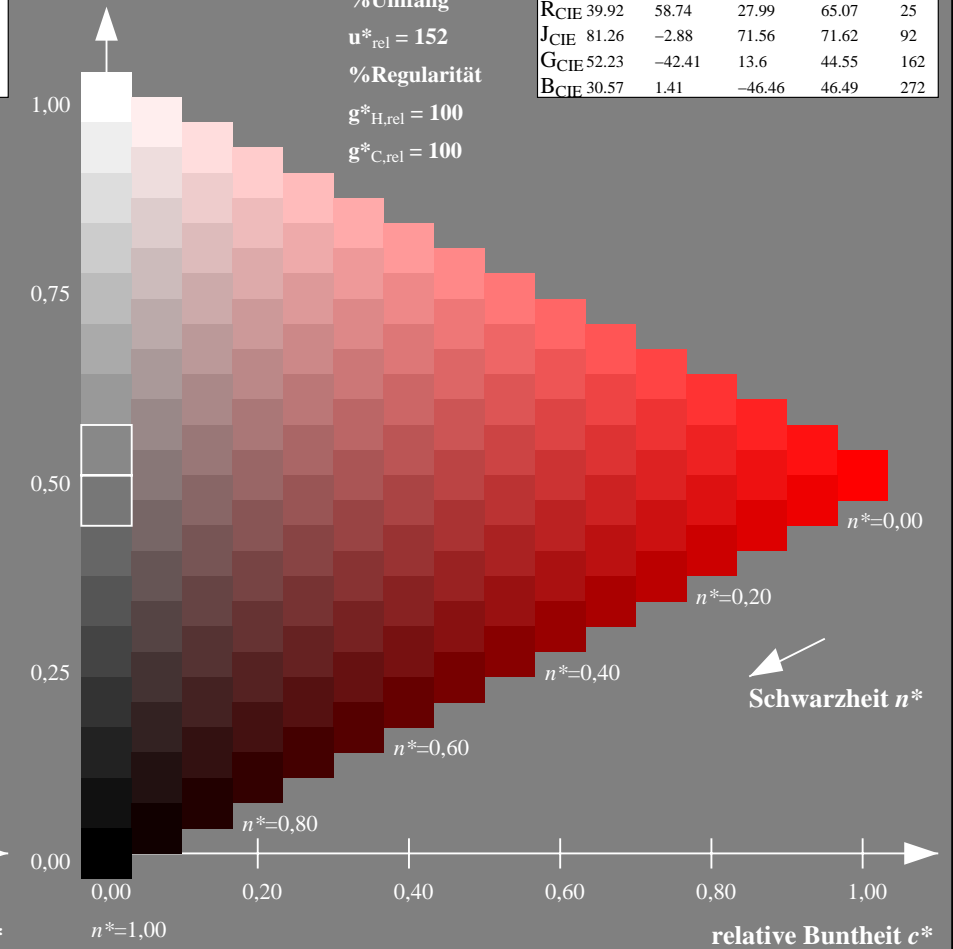
%Umfang

$u^*_{rel} = 152$

%Regularität

$g^*_{H,rel} = 100$

$g^*_{C,rel} = 100$



NG900-7, 9stufige Reihen für konstanten CIELAB Buntton $35/360 = 0.097$ (links)

16stufige Reihen für konstanten CIELAB Buntton $30/360 = 0.083$ (rechts)

Eingabe: Farbmetrisches Fernseh-Licht-System TLS18

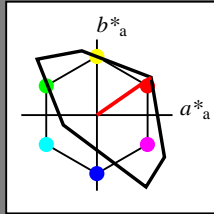
für Buntton $h^* = lab^*h = 35/360 = 0.097$

lab^*tch und lab^*nch

D65: Buntton O

LCH*Ma: 53 87 35

olv*Ma: 1.0 0.0 0.0



TLS18; adaptierte CIELAB-Daten

	$L^*=L^*_a$	a^*_a	b^*_a	$C^*_{ab,a}$	$h^*_{ab,a}$
O _{Ma}	52.76	71.63	49.88	87.29	35
Y _{Ma}	92.74	-20.02	84.97	87.3	103
L _{Ma}	84.0	-78.98	73.94	108.2	137
C _{Ma}	87.14	-44.41	-13.11	46.32	196
V _{Ma}	35.47	64.92	-95.06	115.12	304
M _{Ma}	59.01	89.33	-55.67	105.26	328
N _{Ma}	18.01	0.0	0.0	0.0	0
W _{Ma}	95.41	0.0	0.0	0.0	0
R _{CIE}	39.92	58.74	27.99	65.07	25
J _{CIE}	81.26	-2.88	71.56	71.62	92
G _{CIE}	52.23	-42.41	13.6	44.55	162
B _{CIE}	30.57	1.41	-46.46	46.49	272

Dreiecks-Helligkeit t^*

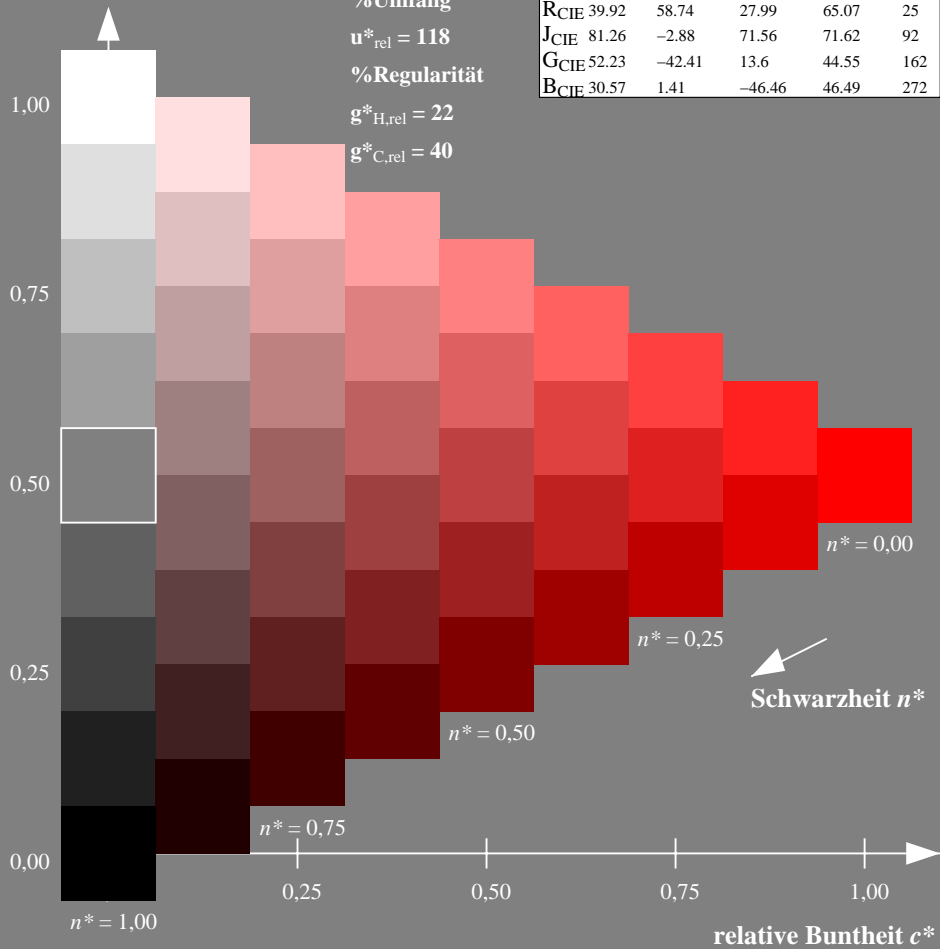
%Umfang

$u^*_{rel} = 118$

%Regularität

$g^*_{H,rel} = 22$

$g^*_{C,rel} = 40$



Ausgabe: Farbmetrisches Natürliches-Reflektiv-System NRS18

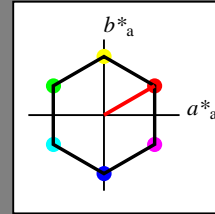
für Buntton $h^* = lab^*h = 30/360 = 0.083$

lab^*tch und lab^*nch

D65: Buntton O

LCH*Ma: 44 77 30

olv*Ma: 1.0 0.0 0.0



NRS18; adaptierte CIELAB-Daten

	$L^*=L^*_a$	a^*_a	b^*_a	$C^*_{ab,a}$	$h^*_{ab,a}$
O _{Ma}	43.81	67.03	38.7	77.4	30
Y _{Ma}	69.61	0.0	77.4	77.4	90
L _{Ma}	43.81	-67.02	38.7	77.4	150
C _{Ma}	69.61	-67.02	-38.69	77.4	210
V _{Ma}	43.81	0.0	-77.39	77.4	270
M _{Ma}	69.61	67.03	-38.69	77.4	330
N _{Ma}	18.01	0.0	0.0	0.0	0
W _{Ma}	95.41	0.0	0.0	0.0	0
R _{CIE}	39.92	58.74	27.99	65.07	25
J _{CIE}	81.26	-2.88	71.56	71.62	92
G _{CIE}	52.23	-42.41	13.6	44.55	162
B _{CIE}	30.57	1.41	-46.46	46.49	272

Dreiecks-Helligkeit t^*

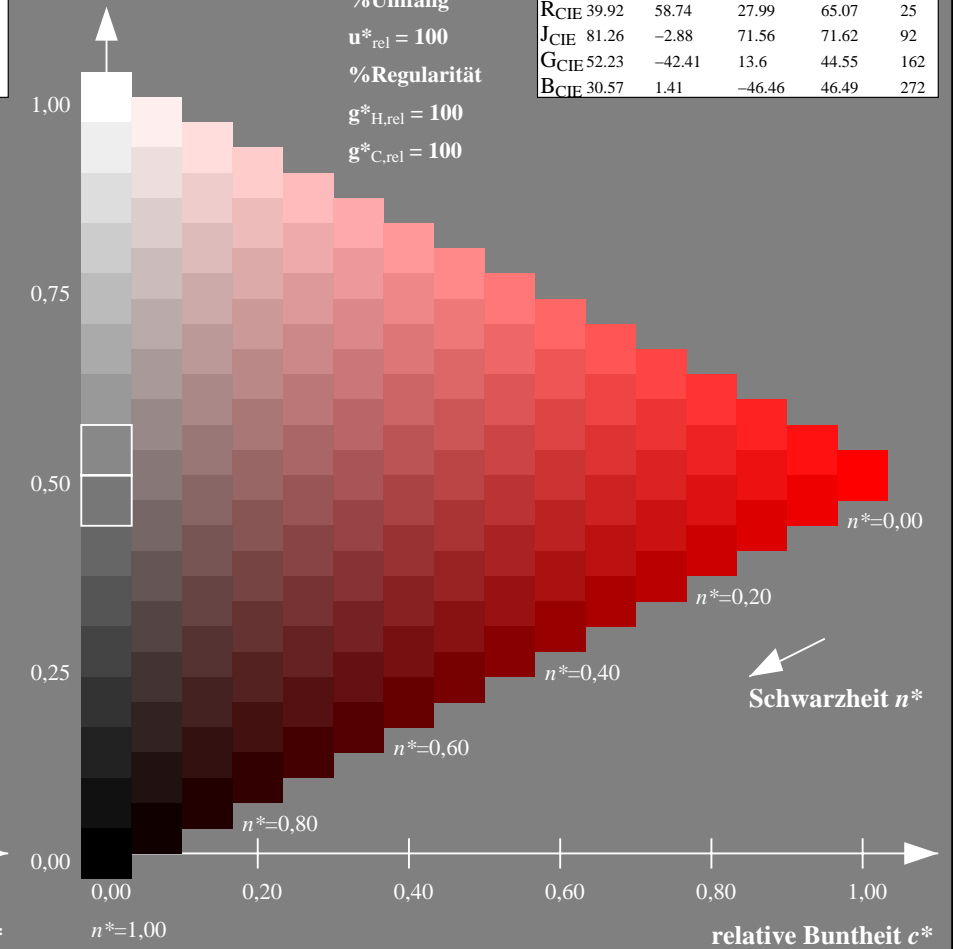
%Umfang

$u^*_{rel} = 100$

%Regularität

$g^*_{H,rel} = 100$

$g^*_{C,rel} = 100$



NG900-7, 9stufige Reihen für konstanten CIELAB Buntton $35/360 = 0.097$ (links)

16stufige Reihen für konstanten CIELAB Buntton $30/360 = 0.083$ (rechts)

Eingabe: Farbmetrisches Fernseh-Licht-System TLS18

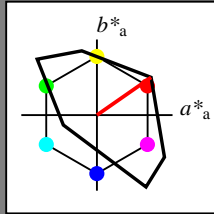
für Buntton $h^* = lab^*h = 35/360 = 0.097$

lab^*tch und lab^*nch

D65: Buntton O

LCH*Ma: 53 87 35

olv*Ma: 1.0 0.0 0.0



TLS18; adaptierte CIELAB-Daten

	$L^*=L^*_a$	a^*_a	b^*_a	$C^*_{ab,a}$	$h^*_{ab,a}$
OMa	52.76	71.63	49.88	87.29	35
YMa	92.74	-20.02	84.97	87.3	103
LMa	84.0	-78.98	73.94	108.2	137
CMa	87.14	-44.41	-13.11	46.32	196
VMa	35.47	64.92	-95.06	115.12	304
MMa	59.01	89.33	-55.67	105.26	328
NMa	18.01	0.0	0.0	0.0	0
WMa	95.41	0.0	0.0	0.0	0
RCIE	39.92	58.74	27.99	65.07	25
JCIE	81.26	-2.88	71.56	71.62	92
GCIE	52.23	-42.41	13.6	44.55	162
BCIE	30.57	1.41	-46.46	46.49	272

Dreiecks-Helligkeit t^*

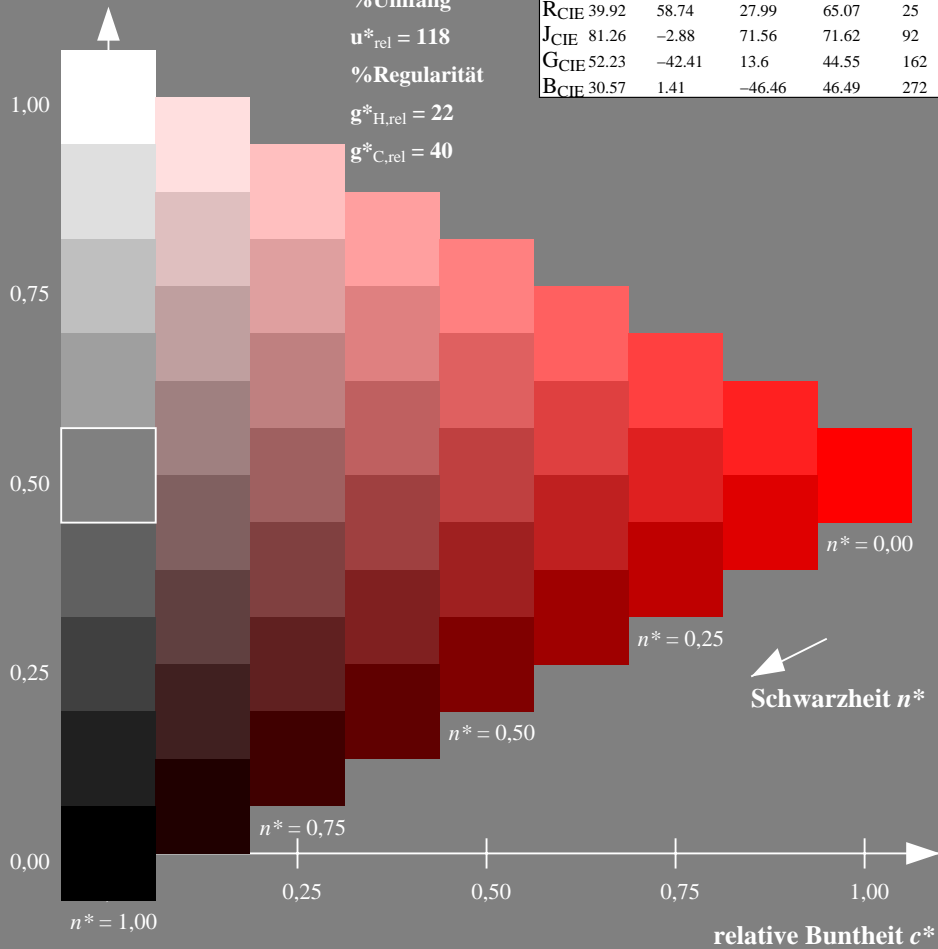
%Umfang

$u^*_{rel} = 118$

%Regularität

$g^*_{H,rel} = 22$

$g^*_{C,rel} = 40$



Ausgabe: Farbmetrisches Standard-Reflektiv-System SRS18

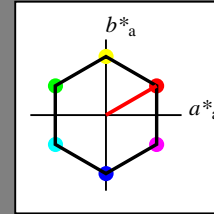
für Buntton $h^* = lab^*h = 30/360 = 0.083$

lab^*tch und lab^*nch

D65: Buntton O

LCH*Ma: 57 77 30

olv*Ma: 1.0 0.0 0.0



SRS18; adaptierte CIELAB-Daten

	$L^*=L^*_a$	a^*_a	b^*_a	$C^*_{ab,a}$	$h^*_{ab,a}$
OMa	56.71	67.03	38.7	77.4	30
YMa	56.71	0.0	77.4	77.4	90
LMa	56.71	-67.02	38.7	77.4	150
CMa	56.71	-67.02	-38.69	77.4	210
VMa	56.71	0.0	-77.39	77.4	270
MMa	56.71	67.03	-38.69	77.4	330
NMa	18.01	0.0	0.0	0.0	0
WMa	95.41	0.0	0.0	0.0	0
RCIE	39.92	58.74	27.99	65.07	25
JCIE	81.26	-2.88	71.56	71.62	92
GCIE	52.23	-42.41	13.6	44.55	162
BCIE	30.57	1.41	-46.46	46.49	272

Dreiecks-Helligkeit t^*

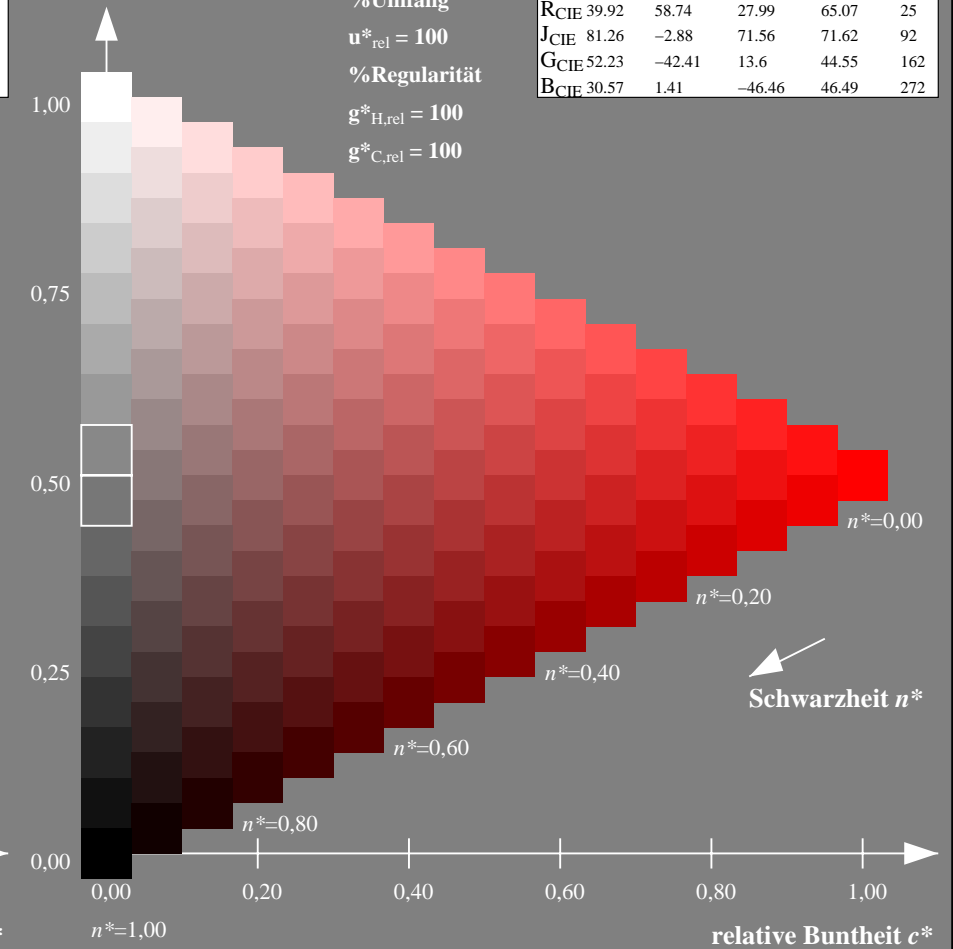
%Umfang

$u^*_{rel} = 100$

%Regularität

$g^*_{H,rel} = 100$

$g^*_{C,rel} = 100$



NG900-7, 9stufige Reihen für konstanten CIELAB Buntton 35/360 = 0.097 (links)

16stufige Reihen für konstanten CIELAB Buntton 30/360 = 0.083 (rechts)

Eingabe: Farbmetrisches Fernseh-Licht-System TLS18

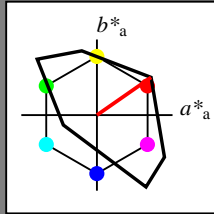
für Buntton $h^* = lab^*h = 35/360 = 0.097$

lab^*tch und lab^*nch

D65: Buntton O

LCH*Ma: 53 87 35

olv*Ma: 1.0 0.0 0.0



TLS18; adaptierte CIELAB-Daten

	$L^*=L^*_a$	a^*_a	b^*_a	$C^*_{ab,a}$	$h^*_{ab,a}$
OMa	52.76	71.63	49.88	87.29	35
YMa	92.74	-20.02	84.97	87.3	103
LMa	84.0	-78.98	73.94	108.2	137
CMa	87.14	-44.41	-13.11	46.32	196
VMa	35.47	64.92	-95.06	115.12	304
MMa	59.01	89.33	-55.67	105.26	328
NMa	18.01	0.0	0.0	0.0	0
WMa	95.41	0.0	0.0	0.0	0
RCIE	39.92	58.74	27.99	65.07	25
JCIE	81.26	-2.88	71.56	71.62	92
GCIE	52.23	-42.41	13.6	44.55	162
BCIE	30.57	1.41	-46.46	46.49	272

Dreiecks-Helligkeit t^*

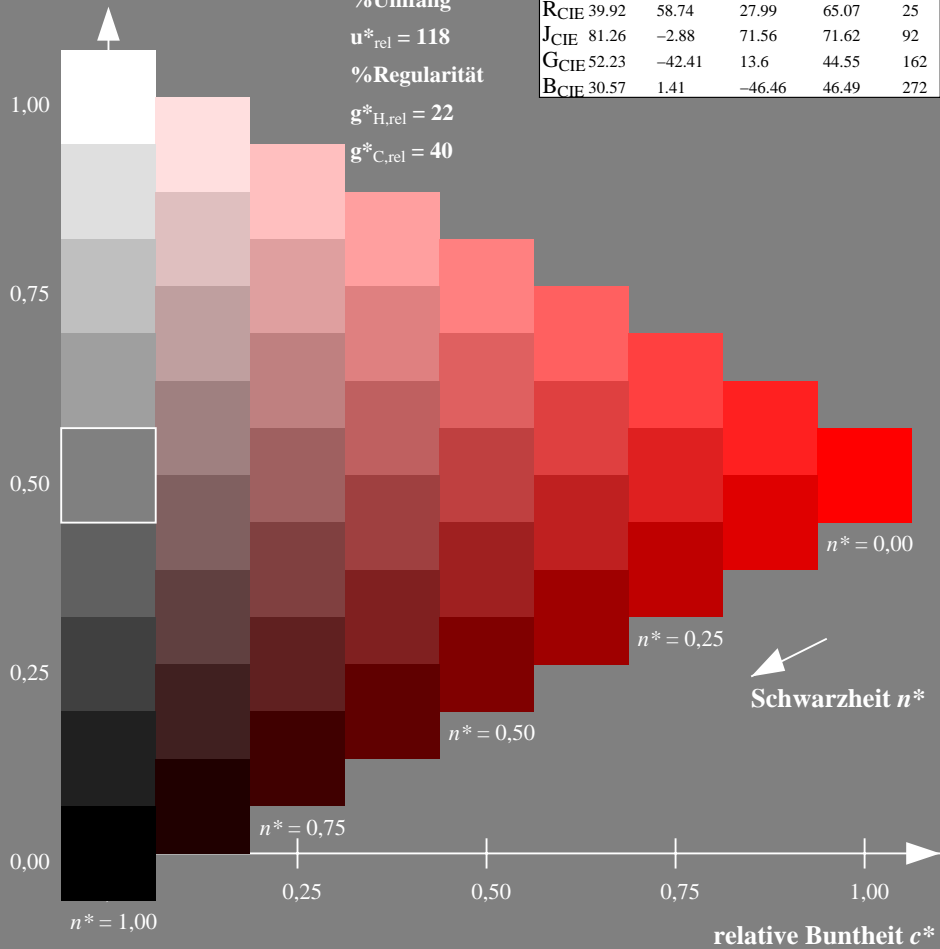
%Umfang

$u^*_{rel} = 118$

%Regularität

$g^*_{H,rel} = 22$

$g^*_{C,rel} = 40$



NG900-7, 9stufige Reihen für konstanten CIELAB Buntton $35/360 = 0.097$ (links)

Ausgabe: Farbmetrisches Fernseh-Licht-System TLS70

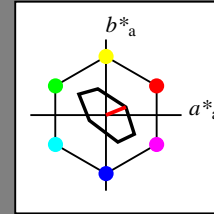
für Buntton $h^* = lab^*h = 22/360 = 0.061$

lab^*tch und lab^*nch

D65: Buntton O

LCH*Ma: 76 28 22

olv*Ma: 1.0 0.0 0.0



TLS70; adaptierte CIELAB-Daten

	$L^*=L^*_a$	a^*_a	b^*_a	$C^*_{ab,a}$	$h^*_{ab,a}$
OMa	76.43	26.27	10.57	28.32	22
YMa	93.93	-10.76	34.63	36.27	107
LMa	89.32	-35.8	27.64	45.24	142
CMa	90.93	-21.95	-7.07	23.07	198
VMa	72.1	15.76	-35.63	38.97	294
MMa	78.5	37.52	-25.23	45.22	326
NMa	69.7	0.0	0.0	0.0	0
WMa	95.41	0.0	0.0	0.0	0
RCIE	39.92	58.74	27.99	65.07	25
JCIE	81.26	-2.88	71.56	71.62	92
GCIE	52.23	-42.41	13.6	44.55	162
BCIE	30.57	1.41	-46.46	46.49	272

Dreiecks-Helligkeit t^*

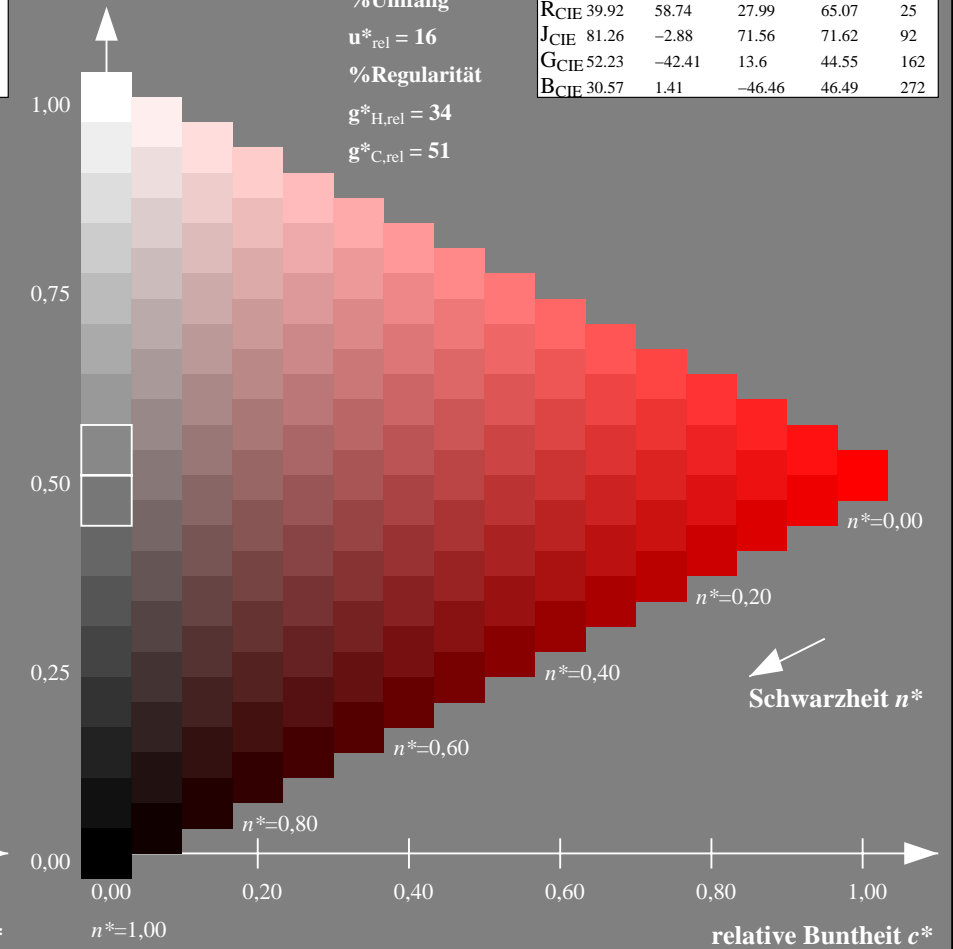
%Umfang

$u^*_{rel} = 16$

%Regularität

$g^*_{H,rel} = 34$

$g^*_{C,rel} = 51$



16stufige Reihen für konstanten CIELAB Buntton $22/360 = 0.061$ (rechts)

Eingabe: Farbmetrisches Natürliches-Licht-System NLS00

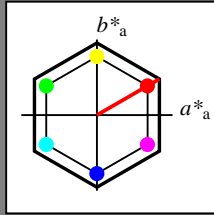
für Buntton $h^* = lab^*h = 30/360 = 0.083$

lab^*tch und lab^*nch

D65: Buntton O

LCH*Ma: 32 95 30

olv*Ma: 1.0 0.0 0.0



NLS00; adaptierte CIELAB-Daten

	$L^*=L^*_a$	a^*_a	b^*_a	$C^*_{ab,a}$	$h^*_{ab,a}$
O _{Ma}	31.81	82.62	47.7	95.4	30
Y _{Ma}	63.61	0.0	95.4	95.4	90
L _{Ma}	31.81	-82.61	47.7	95.4	150
C _{Ma}	63.61	-82.61	-47.69	95.4	210
V _{Ma}	31.81	0.0	-95.39	95.4	270
M _{Ma}	63.61	82.62	-47.69	95.4	330
N _{Ma}	0.01	0.0	0.0	0.0	0
W _{Ma}	95.41	0.0	0.0	0.0	0
RCIE	39.92	58.74	27.99	65.07	25
J _{CIE}	81.26	-2.88	71.56	71.62	92
G _{CIE}	52.23	-42.41	13.6	44.55	162
B _{CIE}	30.57	1.41	-46.46	46.49	272

Dreiecks-Helligkeit t^*

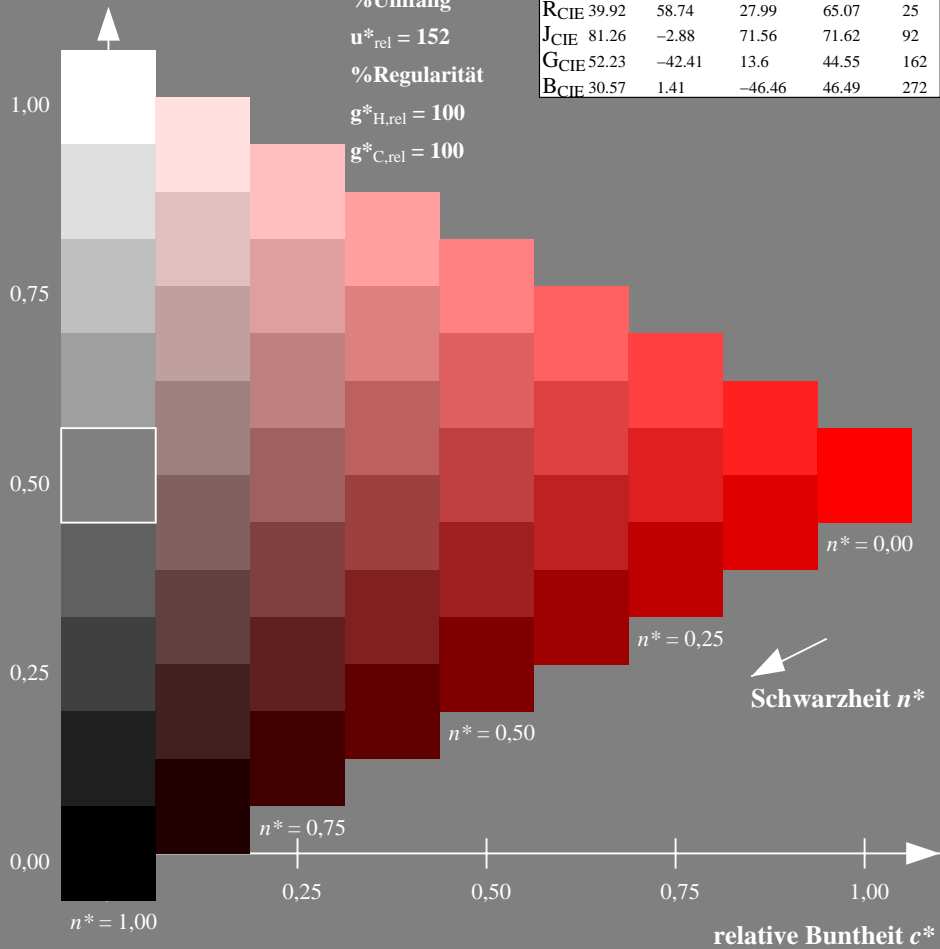
%Umfang

$u^*_{rel} = 152$

%Regularität

$g^*_{H,rel} = 100$

$g^*_{C,rel} = 100$



Ausgabe: Farbmetrisches Offset-Reflektiv-System ORS18

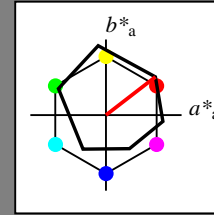
für Buntton $h^* = lab^*h = 38/360 = 0.105$

lab^*tch und lab^*nch

D65: Buntton O

LCH*Ma: 48 83 38

olv*Ma: 1.0 0.0 0.0



ORS18; adaptierte CIELAB-Daten

	$L^*=L^*_a$	a^*_a	b^*_a	$C^*_{ab,a}$	$h^*_{ab,a}$
O _{Ma}	47.94	65.39	50.52	82.63	38
Y _{Ma}	90.37	-10.26	91.75	92.32	96
L _{Ma}	50.9	-62.83	34.96	71.91	151
C _{Ma}	58.62	-30.34	-45.01	54.3	236
V _{Ma}	25.72	31.1	-44.4	54.22	305
M _{Ma}	48.13	75.28	-8.36	75.74	354
N _{Ma}	18.01	0.0	0.0	0.0	0
W _{Ma}	95.41	0.0	0.0	0.0	0
RCIE	39.92	58.66	26.98	64.57	25
J _{CIE}	81.26	-2.16	67.76	67.79	92
G _{CIE}	52.23	-42.25	11.76	43.87	164
B _{CIE}	30.57	1.15	-46.84	46.86	271

Dreiecks-Helligkeit t^*

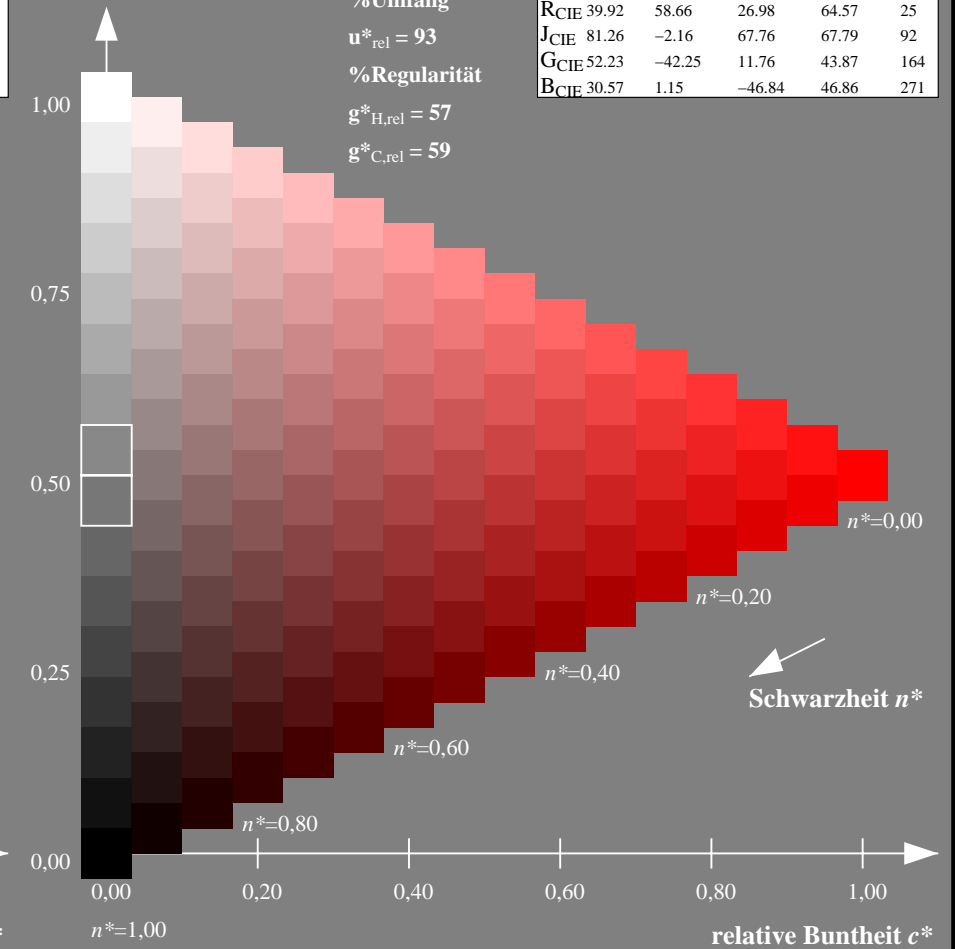
%Umfang

$u^*_{rel} = 93$

%Regularität

$g^*_{H,rel} = 57$

$g^*_{C,rel} = 59$



NG900-7, 9stufige Reihen für konstanten CIELAB Buntton 30/360 = 0.083 (links)

16stufige Reihen für konstanten CIELAB Buntton 38/360 = 0.105 (rechts)

Eingabe: Farbmetrisches Natürliches-Licht-System NLS00

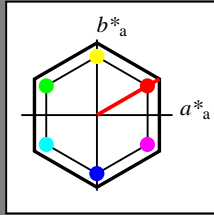
für Buntton $h^* = lab^*h = 30/360 = 0.083$

lab^*tch und lab^*nch

D65: Buntton O

LCH*Ma: 32 95 30

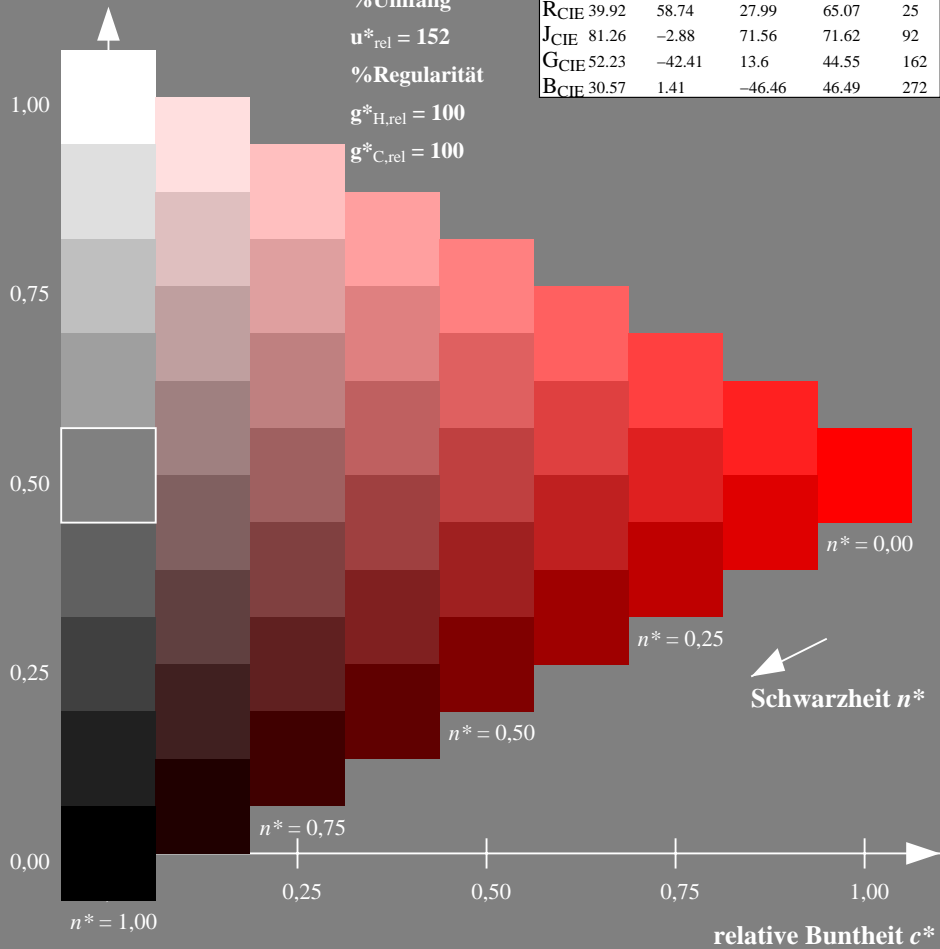
olv*Ma: 1.0 0.0 0.0



NLS00; adaptierte CIELAB-Daten

	$L^*=L^*_a$	a^*_a	b^*_a	$C^*_{ab,a}$	$h^*_{ab,a}$
OMa	31.81	82.62	47.7	95.4	30
YMa	63.61	0.0	95.4	95.4	90
LMa	31.81	-82.61	47.7	95.4	150
CMa	63.61	-82.61	-47.69	95.4	210
VMa	31.81	0.0	-95.39	95.4	270
MMa	63.61	82.62	-47.69	95.4	330
NMa	0.01	0.0	0.0	0.0	0
WMa	95.41	0.0	0.0	0.0	0
RCIE	39.92	58.74	27.99	65.07	25
JCIE	81.26	-2.88	71.56	71.62	92
GCIE	52.23	-42.41	13.6	44.55	162
BCIE	30.57	1.41	-46.46	46.49	272

Dreiecks-Helligkeit t^*



NG900-7, 9stufige Reihen für konstanten CIELAB Buntton $30/360 = 0.083$ (links)

Ausgabe: Farbmetrisches Fernseh-Licht-System TLS00

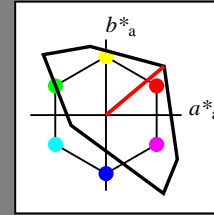
für Buntton $h^* = lab^*h = 40/360 = 0.111$

lab^*tch und lab^*nch

D65: Buntton O

LCH*Ma: 51 100 40

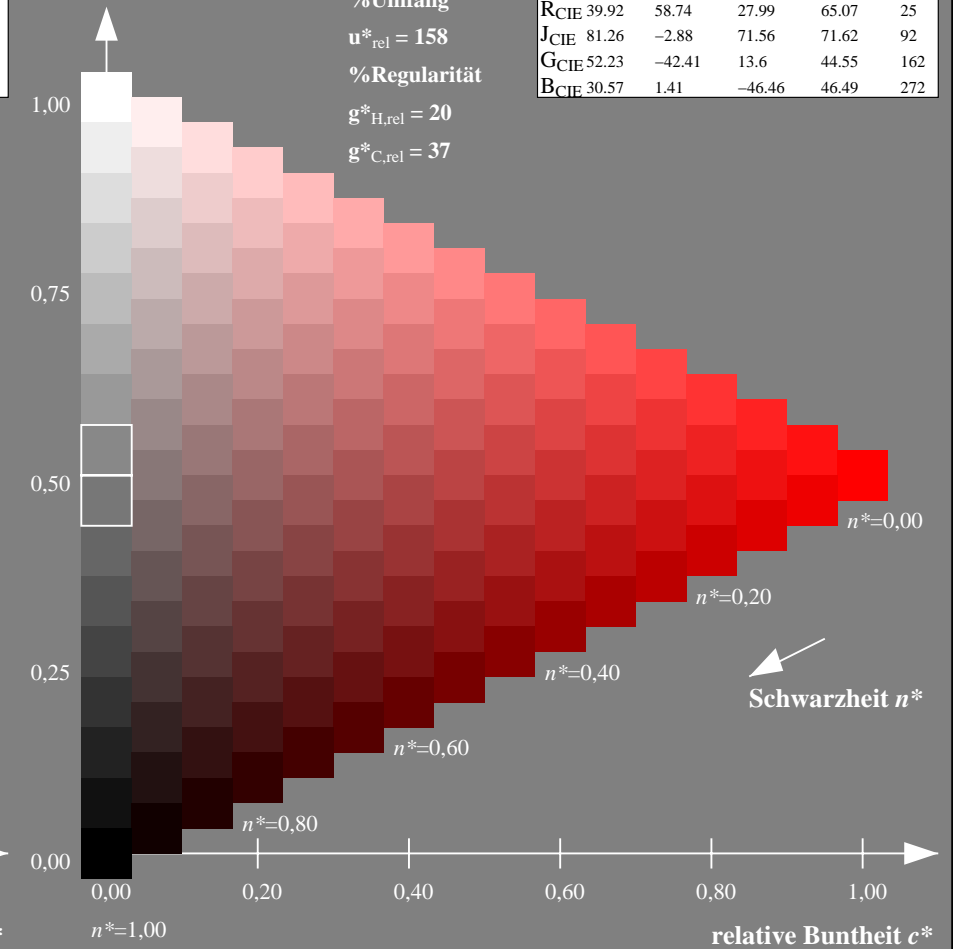
olv*Ma: 1.0 0.0 0.0



TLS00; adaptierte CIELAB-Daten

	$L^*=L^*_a$	a^*_a	b^*_a	$C^*_{ab,a}$	$h^*_{ab,a}$
OMa	50.5	76.92	64.55	100.42	40
YMa	92.66	-20.69	90.75	93.08	103
LMa	83.63	-82.75	79.9	115.04	136
CMa	86.88	-46.16	-13.55	48.12	196
VMa	30.39	76.06	-103.59	128.52	306
MMa	57.3	94.35	-58.41	110.97	328
NMa	0.01	0.0	0.0	0.0	0
WMa	95.41	0.0	0.0	0.0	0
RCIE	39.92	58.74	27.99	65.07	25
JCIE	81.26	-2.88	71.56	71.62	92
GCIE	52.23	-42.41	13.6	44.55	162
BCIE	30.57	1.41	-46.46	46.49	272

Dreiecks-Helligkeit t^*



16stufige Reihen für konstanten CIELAB Buntton $40/360 = 0.111$ (rechts)

Eingabe: Farbmetrisches Natürliches-Licht-System NLS00

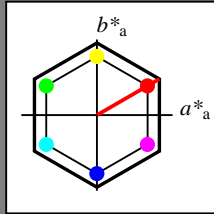
für Buntton $h^* = lab^*h = 30/360 = 0.083$

lab^*tch und lab^*nch

D65: Buntton O

LCH*Ma: 32 95 30

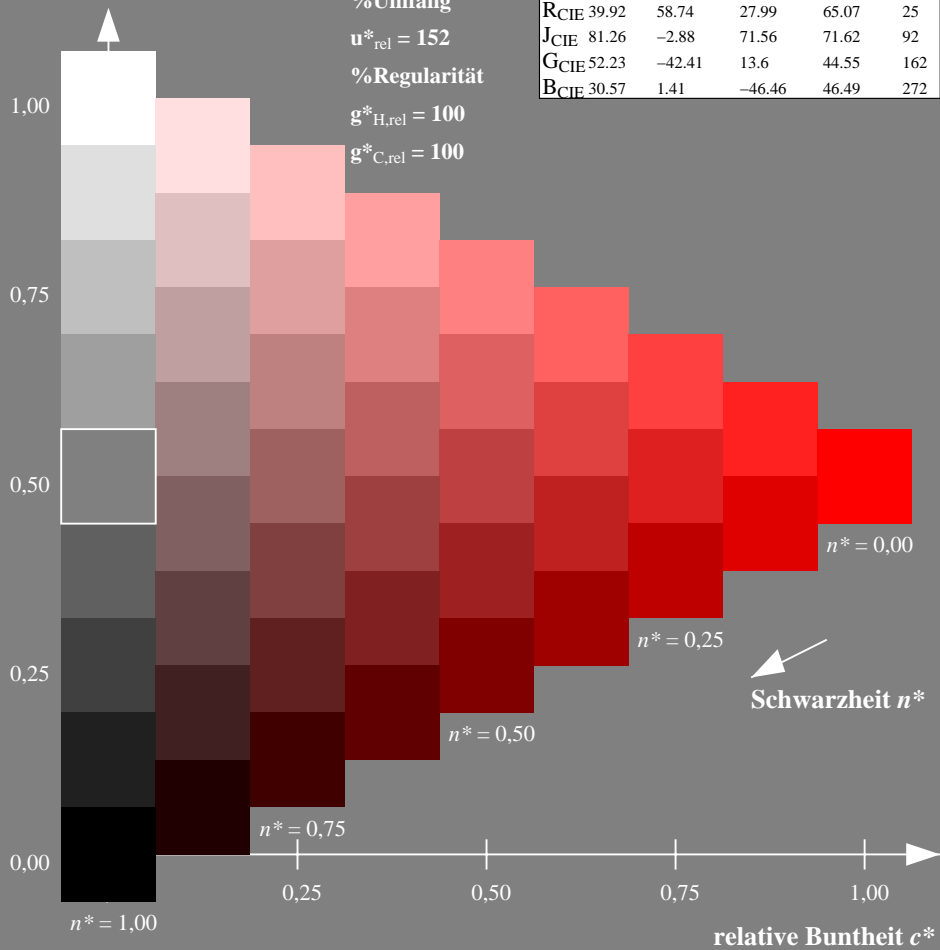
olv*Ma: 1.0 0.0 0.0



NLS00; adaptierte CIELAB-Daten

	$L^*=L^*_a$	a^*_a	b^*_a	$C^*_{ab,a}$	$h^*_{ab,a}$
OMa	31.81	82.62	47.7	95.4	30
YMa	63.61	0.0	95.4	95.4	90
LMa	31.81	-82.61	47.7	95.4	150
CMa	63.61	-82.61	-47.69	95.4	210
VMa	31.81	0.0	-95.39	95.4	270
MMa	63.61	82.62	-47.69	95.4	330
NMa	0.01	0.0	0.0	0.0	0
WMa	95.41	0.0	0.0	0.0	0
RCIE	39.92	58.74	27.99	65.07	25
JCIE	81.26	-2.88	71.56	71.62	92
GCIE	52.23	-42.41	13.6	44.55	162
BCIE	30.57	1.41	-46.46	46.49	272

Dreiecks-Helligkeit t^*



Ausgabe: Farbmetrisches Drucker-Reflektiv-System DRSXX

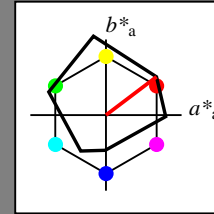
für Buntton $h^* = lab^*h = 37/360 = 0.103$

lab^*tch und lab^*nch

D65: Buntton O

LCH*Ma: 42 84 37

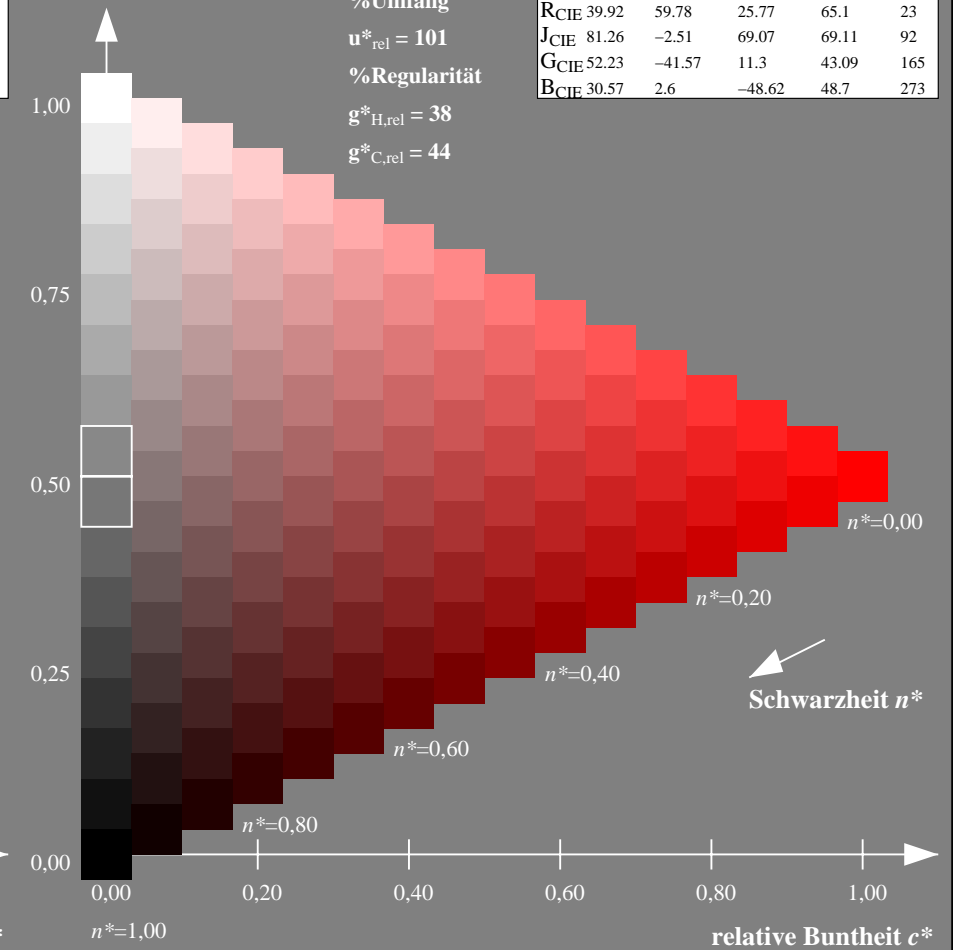
olv*Ma: 1.0 0.0 0.0



DRSXX; adaptierte CIELAB-Daten

	$L^*=L^*_a$	a^*_a	b^*_a	$C^*_{ab,a}$	$h^*_{ab,a}$
OMa	42.21	66.82	50.6	83.82	37
YMa	90.32	-16.51	104.33	105.63	99
LMa	48.21	-75.63	30.65	81.61	158
CMa	53.44	-33.33	-47.49	58.03	235
VMa	34.16	-0.92	-46.56	46.58	269
MMa	42.71	79.0	-1.95	79.03	359
NMa	16.56	0.0	0.0	0.0	0
WMa	96.31	0.0	0.0	0.0	0
RCIE	39.92	59.78	25.77	65.1	23
JCIE	81.26	-2.51	69.07	69.11	92
GCIE	52.23	-41.57	11.3	43.09	165
BCIE	30.57	2.6	-48.62	48.7	273

Dreiecks-Helligkeit t^*



NG900-7, 9stufige Reihen für konstanten CIELAB Buntton $30/360 = 0.083$ (links)

16stufige Reihen für konstanten CIELAB Buntton $37/360 = 0.103$ (rechts)

Eingabe: Farbmetrisches Natürliches-Licht-System NLS00

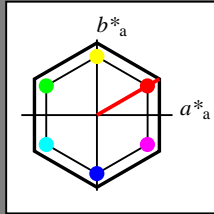
für Buntton $h^* = lab^*h = 30/360 = 0.083$

lab^*tch und lab^*nch

D65: Buntton O

LCH*Ma: 32 95 30

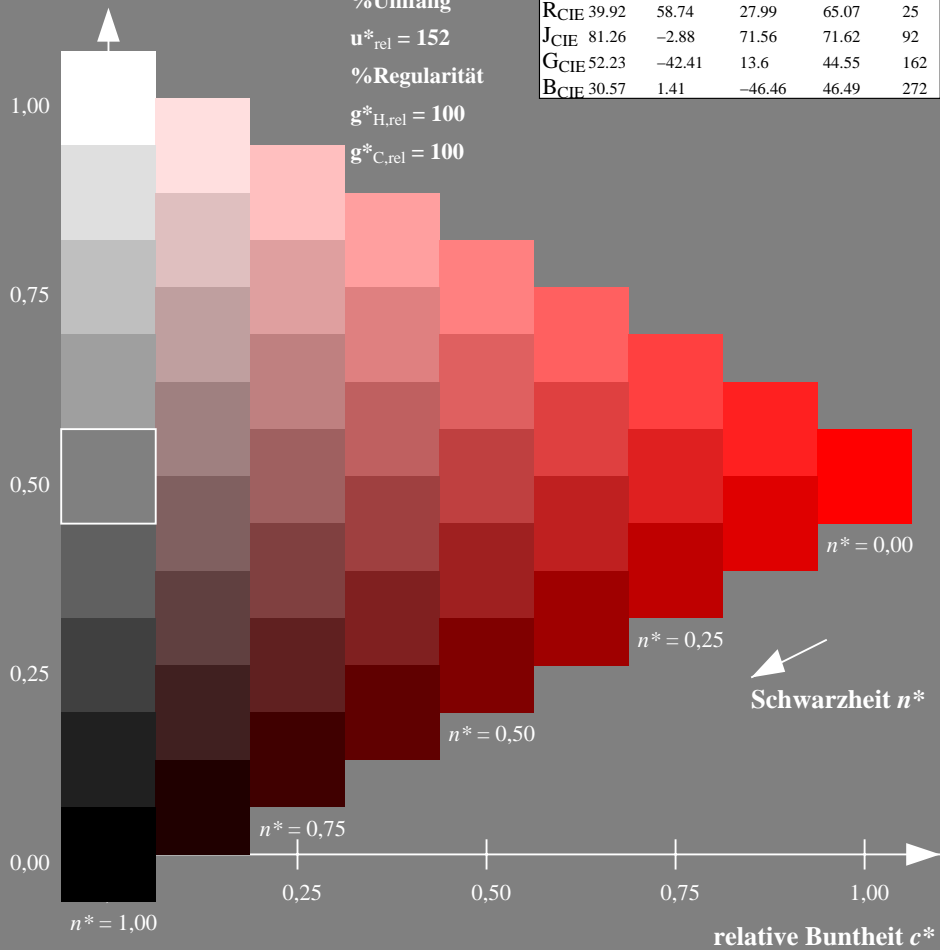
olv*Ma: 1.0 0.0 0.0



NLS00; adaptierte CIELAB-Daten

	$L^*=L^*_a$	a^*_a	b^*_a	$C^*_{ab,a}$	$h^*_{ab,a}$
OMa	31.81	82.62	47.7	95.4	30
YMa	63.61	0.0	95.4	95.4	90
LMa	31.81	-82.61	47.7	95.4	150
CMa	63.61	-82.61	-47.69	95.4	210
VMa	31.81	0.0	-95.39	95.4	270
MMa	63.61	82.62	-47.69	95.4	330
NMa	0.01	0.0	0.0	0.0	0
WMa	95.41	0.0	0.0	0.0	0
RCIE	39.92	58.74	27.99	65.07	25
JCIE	81.26	-2.88	71.56	71.62	92
GCIE	52.23	-42.41	13.6	44.55	162
BCIE	30.57	1.41	-46.46	46.49	272

Dreiecks-Helligkeit t^*



Ausgabe: Farbmetrisches Fernseh-Licht-System TLS18

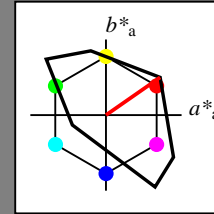
für Buntton $h^* = lab^*h = 35/360 = 0.097$

lab^*tch und lab^*nch

D65: Buntton O

LCH*Ma: 53 87 35

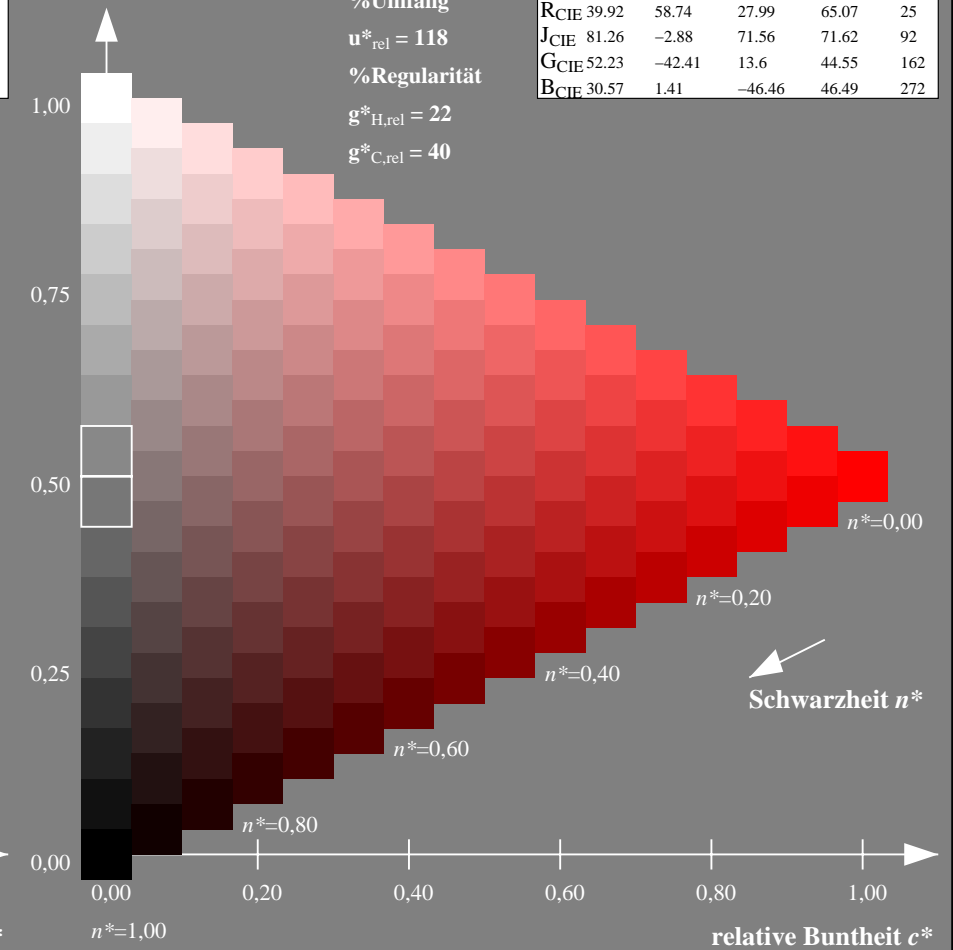
olv*Ma: 1.0 0.0 0.0



TLS18; adaptierte CIELAB-Daten

	$L^*=L^*_a$	a^*_a	b^*_a	$C^*_{ab,a}$	$h^*_{ab,a}$
OMa	52.76	71.63	49.88	87.29	35
YMa	92.74	-20.02	84.97	87.3	103
LMa	84.0	-78.98	73.94	108.2	137
CMa	87.14	-44.41	-13.11	46.32	196
VMa	35.47	64.92	-95.06	115.12	304
MMa	59.01	89.33	-55.67	105.26	328
NMa	18.01	0.0	0.0	0.0	0
WMa	95.41	0.0	0.0	0.0	0
RCIE	39.92	58.74	27.99	65.07	25
JCIE	81.26	-2.88	71.56	71.62	92
GCIE	52.23	-42.41	13.6	44.55	162
BCIE	30.57	1.41	-46.46	46.49	272

Dreiecks-Helligkeit t^*



NG900-7, 9stufige Reihen für konstanten CIELAB Buntton $30/360 = 0.083$ (links)

16stufige Reihen für konstanten CIELAB Buntton $35/360 = 0.097$ (rechts)

Eingabe: Farbmetrisches Natürliches-Licht-System NLS00

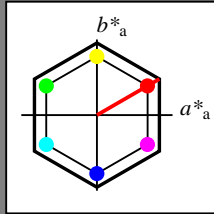
für Buntton $h^* = lab^*h = 30/360 = 0.083$

lab^*tch und lab^*nch

D65: Buntton O

LCH*Ma: 32 95 30

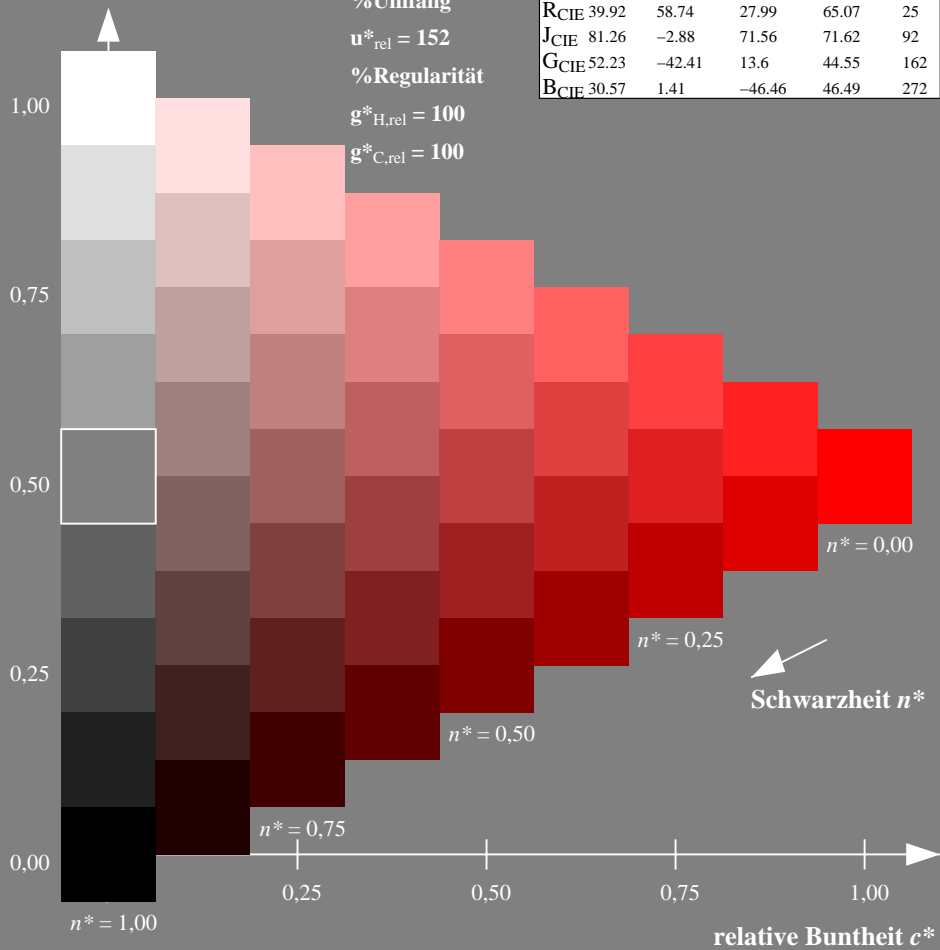
olv*Ma: 1.0 0.0 0.0



NLS00; adaptierte CIELAB-Daten

	$L^*=L^*_a$	a^*_a	b^*_a	$C^*_{ab,a}$	$h^*_{ab,a}$
O _{Ma}	31.81	82.62	47.7	95.4	30
Y _{Ma}	63.61	0.0	95.4	95.4	90
L _{Ma}	31.81	-82.61	47.7	95.4	150
C _{Ma}	63.61	-82.61	-47.69	95.4	210
V _{Ma}	31.81	0.0	-95.39	95.4	270
M _{Ma}	63.61	82.62	-47.69	95.4	330
N _{Ma}	0.01	0.0	0.0	0.0	0
W _{Ma}	95.41	0.0	0.0	0.0	0
R _{CIE}	39.92	58.74	27.99	65.07	25
J _{CIE}	81.26	-2.88	71.56	71.62	92
G _{CIE}	52.23	-42.41	13.6	44.55	162
B _{CIE}	30.57	1.41	-46.46	46.49	272

Dreiecks-Helligkeit t^*



%Umfang

$u^*_{rel} = 152$

%Regularität

$g^*_{H,rel} = 100$

$g^*_{C,rel} = 100$

Ausgabe: Farbmetrisches Natürliches-Licht-System NLS00

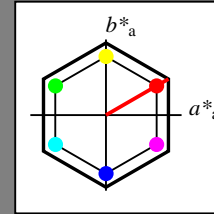
für Buntton $h^* = lab^*h = 30/360 = 0.083$

lab^*tch und lab^*nch

D65: Buntton O

LCH*Ma: 32 95 30

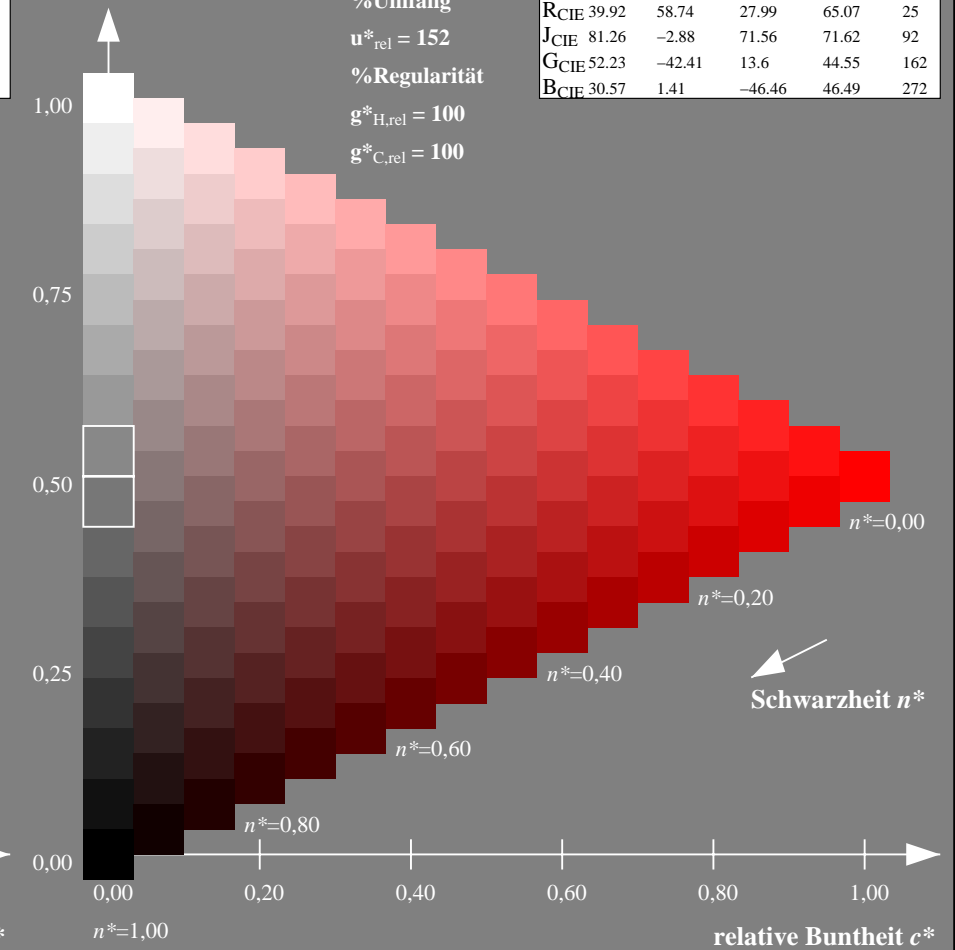
olv*Ma: 1.0 0.0 0.0



NLS00; adaptierte CIELAB-Daten

	$L^*=L^*_a$	a^*_a	b^*_a	$C^*_{ab,a}$	$h^*_{ab,a}$
O _{Ma}	31.81	82.62	47.7	95.4	30
Y _{Ma}	63.61	0.0	95.4	95.4	90
L _{Ma}	31.81	-82.61	47.7	95.4	150
C _{Ma}	63.61	-82.61	-47.69	95.4	210
V _{Ma}	31.81	0.0	-95.39	95.4	270
M _{Ma}	63.61	82.62	-47.69	95.4	330
N _{Ma}	0.01	0.0	0.0	0.0	0
W _{Ma}	95.41	0.0	0.0	0.0	0
R _{CIE}	39.92	58.74	27.99	65.07	25
J _{CIE}	81.26	-2.88	71.56	71.62	92
G _{CIE}	52.23	-42.41	13.6	44.55	162
B _{CIE}	30.57	1.41	-46.46	46.49	272

Dreiecks-Helligkeit t^*



%Umfang

$u^*_{rel} = 152$

%Regularität

$g^*_{H,rel} = 100$

$g^*_{C,rel} = 100$

NG900-7, 9stufige Reihen für konstanten CIELAB Buntton 30/360 = 0.083 (links)

16stufige Reihen für konstanten CIELAB Buntton 30/360 = 0.083 (rechts)

Eingabe: Farbmetrisches Natürliches-Licht-System NLS00

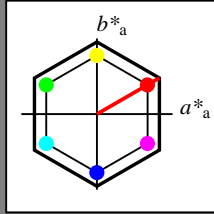
für Buntton $h^* = lab^*h = 30/360 = 0.083$

lab^*tch und lab^*nch

D65: Buntton O

LCH*Ma: 32 95 30

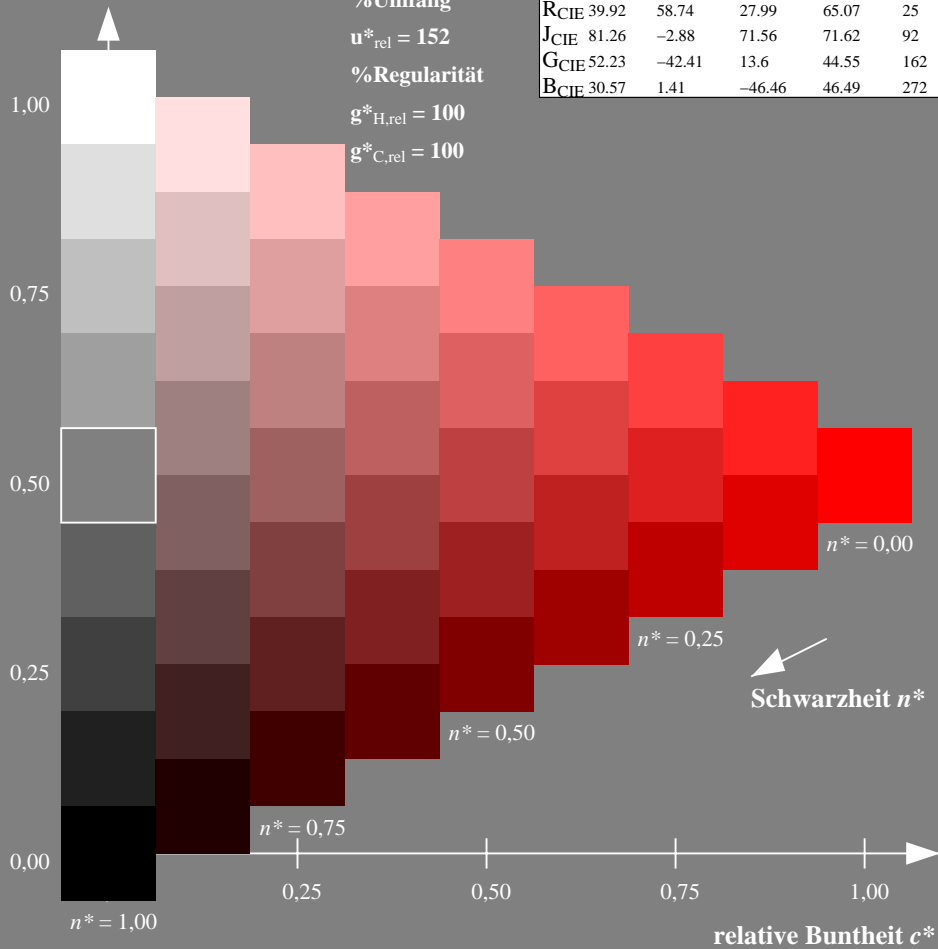
olv*Ma: 1.0 0.0 0.0



NLS00; adaptierte CIELAB-Daten

	$L^*=L^*_a$	a^*_a	b^*_a	$C^*_{ab,a}$	$h^*_{ab,a}$
O _{Ma}	31.81	82.62	47.7	95.4	30
Y _{Ma}	63.61	0.0	95.4	95.4	90
L _{Ma}	31.81	-82.61	47.7	95.4	150
C _{Ma}	63.61	-82.61	-47.69	95.4	210
V _{Ma}	31.81	0.0	-95.39	95.4	270
M _{Ma}	63.61	82.62	-47.69	95.4	330
N _{Ma}	0.01	0.0	0.0	0.0	0
W _{Ma}	95.41	0.0	0.0	0.0	0
R _{CIE}	39.92	58.74	27.99	65.07	25
J _{CIE}	81.26	-2.88	71.56	71.62	92
G _{CIE}	52.23	-42.41	13.6	44.55	162
B _{CIE}	30.57	1.41	-46.46	46.49	272

Dreiecks-Helligkeit t^*



%Umfang

$u^*_{rel} = 152$

%Regularität

$g^*_{H,rel} = 100$

$g^*_{C,rel} = 100$

Schwarzheit n^*

Ausgabe: Farbmetrisches Natürliches-Reflektiv-System NRS18

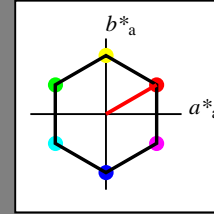
für Buntton $h^* = lab^*h = 30/360 = 0.083$

lab^*tch und lab^*nch

D65: Buntton O

LCH*Ma: 44 77 30

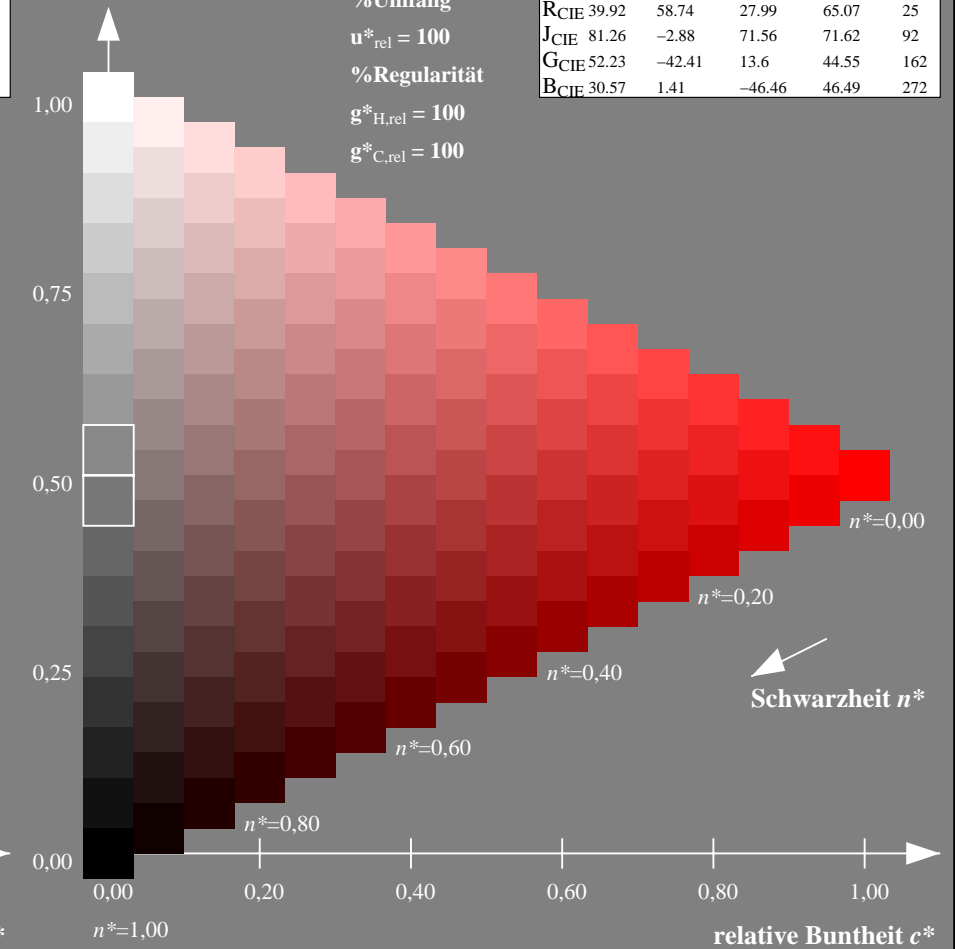
olv*Ma: 1.0 0.0 0.0



NRS18; adaptierte CIELAB-Daten

	$L^*=L^*_a$	a^*_a	b^*_a	$C^*_{ab,a}$	$h^*_{ab,a}$
O _{Ma}	43.81	67.03	38.7	77.4	30
Y _{Ma}	69.61	0.0	77.4	77.4	90
L _{Ma}	43.81	-67.02	38.7	77.4	150
C _{Ma}	69.61	-67.02	-38.69	77.4	210
V _{Ma}	43.81	0.0	-77.39	77.4	270
M _{Ma}	69.61	67.03	-38.69	77.4	330
N _{Ma}	18.01	0.0	0.0	0.0	0
W _{Ma}	95.41	0.0	0.0	0.0	0
R _{CIE}	39.92	58.74	27.99	65.07	25
J _{CIE}	81.26	-2.88	71.56	71.62	92
G _{CIE}	52.23	-42.41	13.6	44.55	162
B _{CIE}	30.57	1.41	-46.46	46.49	272

Dreiecks-Helligkeit t^*



%Umfang

$u^*_{rel} = 100$

%Regularität

$g^*_{H,rel} = 100$

$g^*_{C,rel} = 100$

Schwarzheit n^*

NG900-7, 9stufige Reihen für konstanten CIELAB Buntton 30/360 = 0.083 (links)

16stufige Reihen für konstanten CIELAB Buntton 30/360 = 0.083 (rechts)

Eingabe: Farbmetrisches Natürliches-Licht-System NLS00

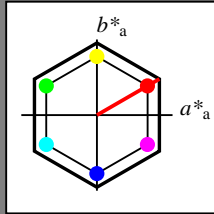
für Buntton $h^* = lab^*h = 30/360 = 0.083$

lab^*tch und lab^*nch

D65: Buntton O

LCH*Ma: 32 95 30

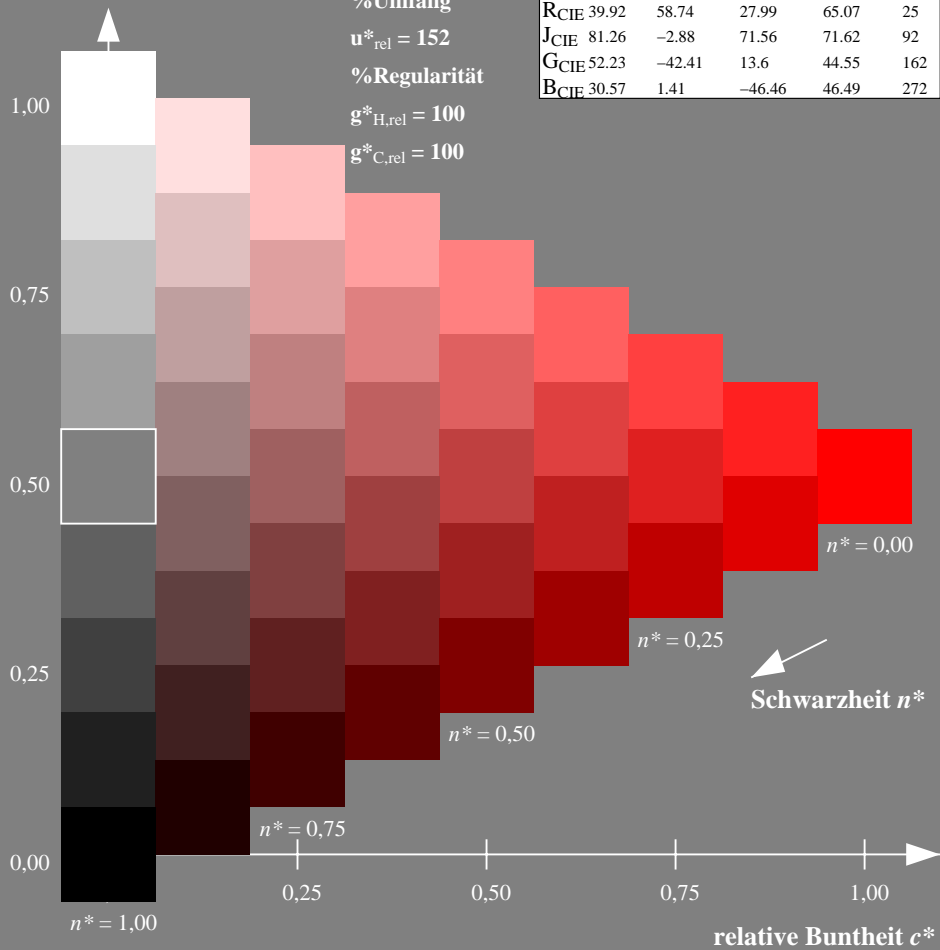
olv*Ma: 1.0 0.0 0.0



NLS00; adaptierte CIELAB-Daten

	$L^*=L^*_a$	a^*_a	b^*_a	$C^*_{ab,a}$	$h^*_{ab,a}$
O _{Ma}	31.81	82.62	47.7	95.4	30
Y _{Ma}	63.61	0.0	95.4	95.4	90
L _{Ma}	31.81	-82.61	47.7	95.4	150
C _{Ma}	63.61	-82.61	-47.69	95.4	210
V _{Ma}	31.81	0.0	-95.39	95.4	270
M _{Ma}	63.61	82.62	-47.69	95.4	330
N _{Ma}	0.01	0.0	0.0	0.0	0
W _{Ma}	95.41	0.0	0.0	0.0	0
R _{CIE}	39.92	58.74	27.99	65.07	25
J _{CIE}	81.26	-2.88	71.56	71.62	92
G _{CIE}	52.23	-42.41	13.6	44.55	162
B _{CIE}	30.57	1.41	-46.46	46.49	272

Dreiecks-Helligkeit t^*



Ausgabe: Farbmetrisches Standard-Reflektiv-System SRS18

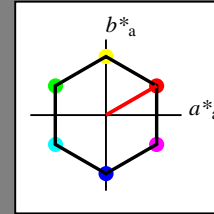
für Buntton $h^* = lab^*h = 30/360 = 0.083$

lab^*tch und lab^*nch

D65: Buntton O

LCH*Ma: 57 77 30

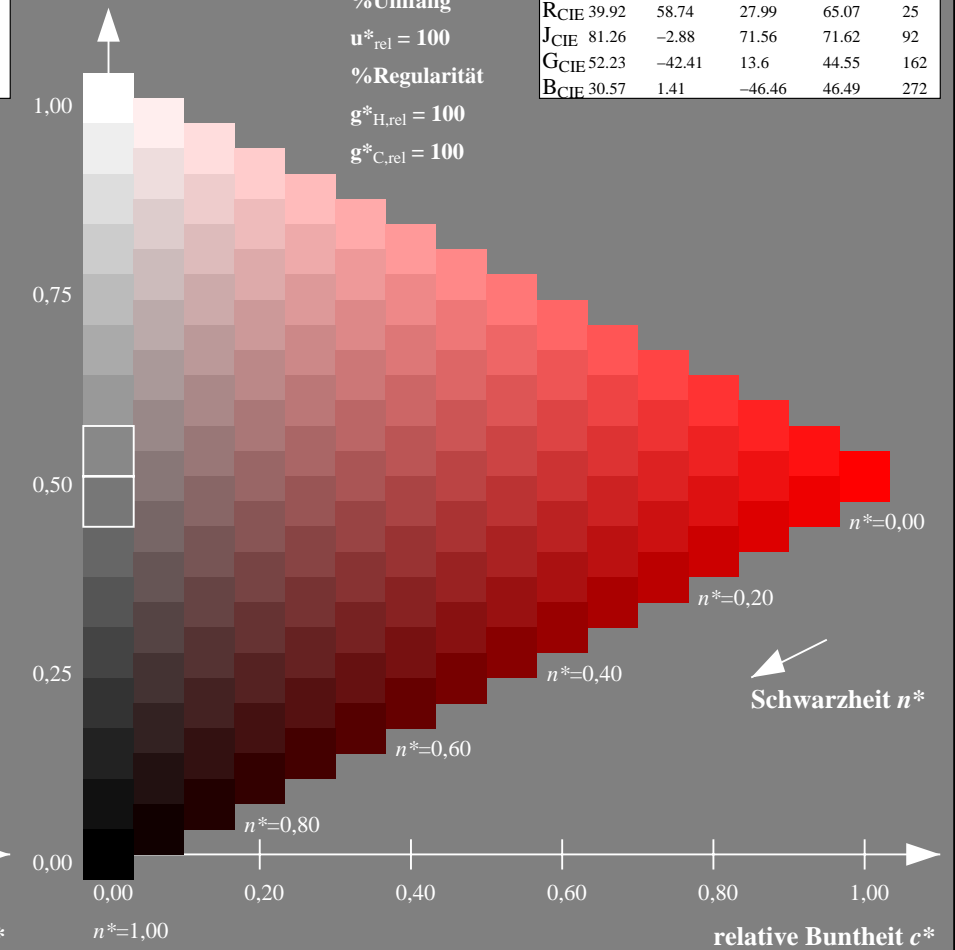
olv*Ma: 1.0 0.0 0.0



SRS18; adaptierte CIELAB-Daten

	$L^*=L^*_a$	a^*_a	b^*_a	$C^*_{ab,a}$	$h^*_{ab,a}$
O _{Ma}	56.71	67.03	38.7	77.4	30
Y _{Ma}	56.71	0.0	77.4	77.4	90
L _{Ma}	56.71	-67.02	38.7	77.4	150
C _{Ma}	56.71	-67.02	-38.69	77.4	210
V _{Ma}	56.71	0.0	-77.39	77.4	270
M _{Ma}	56.71	67.03	-38.69	77.4	330
N _{Ma}	18.01	0.0	0.0	0.0	0
W _{Ma}	95.41	0.0	0.0	0.0	0
R _{CIE}	39.92	58.74	27.99	65.07	25
J _{CIE}	81.26	-2.88	71.56	71.62	92
G _{CIE}	52.23	-42.41	13.6	44.55	162
B _{CIE}	30.57	1.41	-46.46	46.49	272

Dreiecks-Helligkeit t^*



NG900-7, 9stufige Reihen für konstanten CIELAB Buntton 30/360 = 0.083 (links)

16stufige Reihen für konstanten CIELAB Buntton 30/360 = 0.083 (rechts)

Eingabe: Farbmetrisches Natürliches-Licht-System NLS00

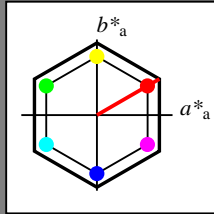
für Buntton $h^* = lab^*h = 30/360 = 0.083$

lab^*tch und lab^*nch

D65: Buntton O

LCH*Ma: 32 95 30

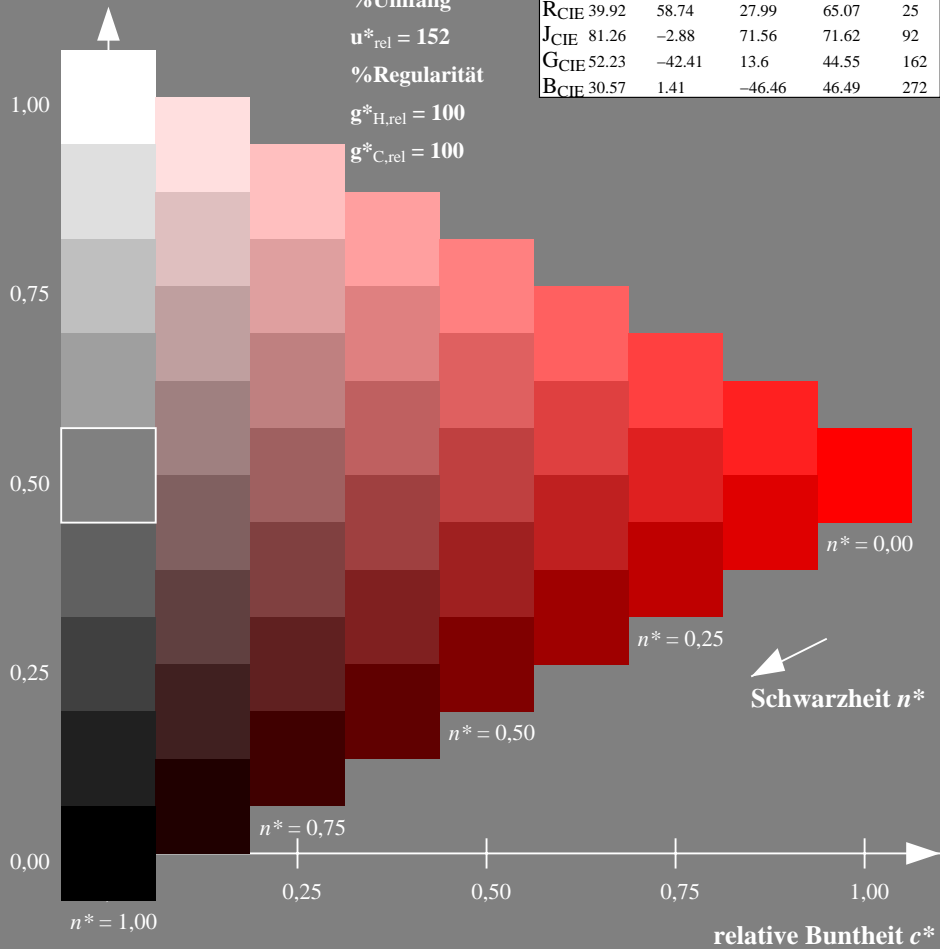
olv*Ma: 1.0 0.0 0.0



NLS00; adaptierte CIELAB-Daten

	$L^*=L^*_a$	a^*_a	b^*_a	$C^*_{ab,a}$	$h^*_{ab,a}$
O _{Ma}	31.81	82.62	47.7	95.4	30
Y _{Ma}	63.61	0.0	95.4	95.4	90
L _{Ma}	31.81	-82.61	47.7	95.4	150
C _{Ma}	63.61	-82.61	-47.69	95.4	210
V _{Ma}	31.81	0.0	-95.39	95.4	270
M _{Ma}	63.61	82.62	-47.69	95.4	330
N _{Ma}	0.01	0.0	0.0	0.0	0
W _{Ma}	95.41	0.0	0.0	0.0	0
R _{CIE}	39.92	58.74	27.99	65.07	25
J _{CIE}	81.26	-2.88	71.56	71.62	92
G _{CIE}	52.23	-42.41	13.6	44.55	162
B _{CIE}	30.57	1.41	-46.46	46.49	272

Dreiecks-Helligkeit t^*



Ausgabe: Farbmetrisches Fernseh-Licht-System TLS70

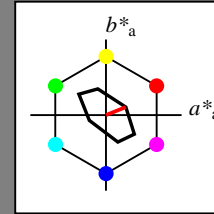
für Buntton $h^* = lab^*h = 22/360 = 0.061$

lab^*tch und lab^*nch

D65: Buntton O

LCH*Ma: 76 28 22

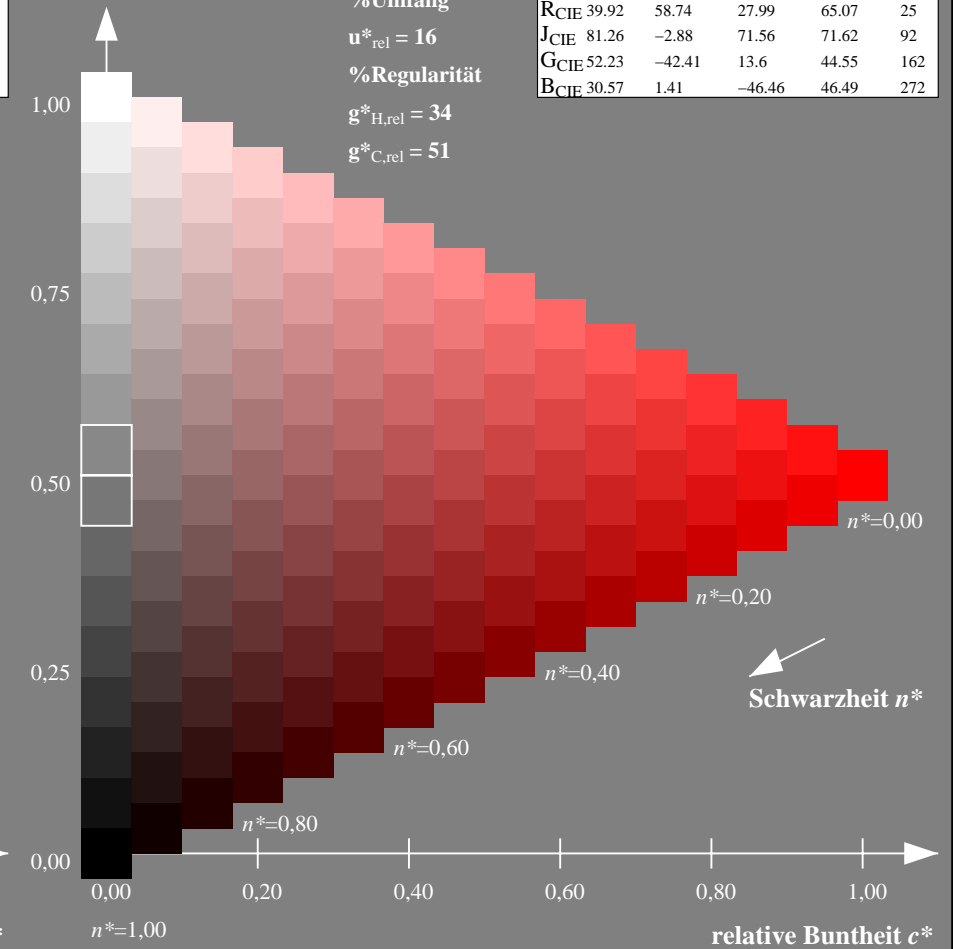
olv*Ma: 1.0 0.0 0.0



TLS70; adaptierte CIELAB-Daten

	$L^*=L^*_a$	a^*_a	b^*_a	$C^*_{ab,a}$	$h^*_{ab,a}$
O _{Ma}	76.43	26.27	10.57	28.32	22
Y _{Ma}	93.93	-10.76	34.63	36.27	107
L _{Ma}	89.32	-35.8	27.64	45.24	142
C _{Ma}	90.93	-21.95	-7.07	23.07	198
V _{Ma}	72.1	15.76	-35.63	38.97	294
M _{Ma}	78.5	37.52	-25.23	45.22	326
N _{Ma}	69.7	0.0	0.0	0.0	0
W _{Ma}	95.41	0.0	0.0	0.0	0
R _{CIE}	39.92	58.74	27.99	65.07	25
J _{CIE}	81.26	-2.88	71.56	71.62	92
G _{CIE}	52.23	-42.41	13.6	44.55	162
B _{CIE}	30.57	1.41	-46.46	46.49	272

Dreiecks-Helligkeit t^*



NG900-7, 9stufige Reihen für konstanten CIELAB Buntton $30/360 = 0.083$ (links)

16stufige Reihen für konstanten CIELAB Buntton $22/360 = 0.061$ (rechts)

Eingabe: Farbmatisches Natürliches-Reflektiv-System NRS18

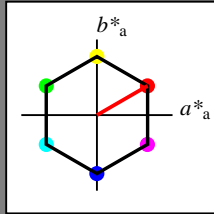
für Buntton $h^* = lab^*h = 30/360 = 0.083$

lab^*tch und lab^*nch

D65: Buntton O

LCH*Ma: 44 77 30

olv*Ma: 1.0 0.0 0.0



NRS18; adaptierte CIELAB-Daten

	$L^*=L^*_a$	a^*_a	b^*_a	$C^*_{ab,a}$	$h^*_{ab,a}$
OMa	43.81	67.03	38.7	77.4	30
YMa	69.61	0.0	77.4	77.4	90
LMa	43.81	-67.02	38.7	77.4	150
CMa	69.61	-67.02	-38.69	77.4	210
VMa	43.81	0.0	-77.39	77.4	270
MMa	69.61	67.03	-38.69	77.4	330
NMa	18.01	0.0	0.0	0.0	0
WMa	95.41	0.0	0.0	0.0	0
RCIE	39.92	58.74	27.99	65.07	25
JCIE	81.26	-2.88	71.56	71.62	92
GCIE	52.23	-42.41	13.6	44.55	162
BCIE	30.57	1.41	-46.46	46.49	272

Dreiecks-Helligkeit t^*

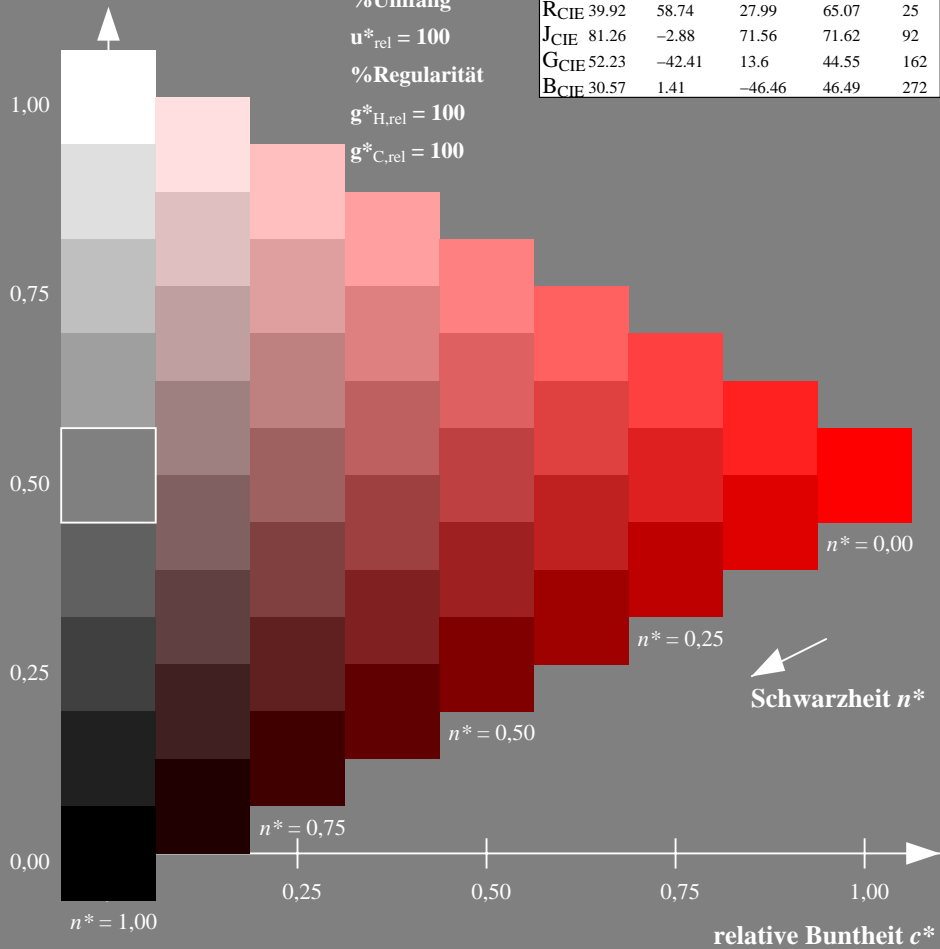
%Umfang

$u^*_{rel} = 100$

%Regularität

$g^*_{H,rel} = 100$

$g^*_{C,rel} = 100$



Ausgabe: Farbmatisches Offset-Reflektiv-System ORS18

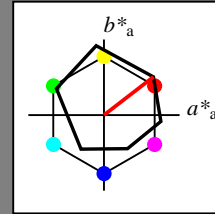
für Buntton $h^* = lab^*h = 38/360 = 0.105$

lab^*tch und lab^*nch

D65: Buntton O

LCH*Ma: 48 83 38

olv*Ma: 1.0 0.0 0.0



ORS18; adaptierte CIELAB-Daten

	$L^*=L^*_a$	a^*_a	b^*_a	$C^*_{ab,a}$	$h^*_{ab,a}$
OMa	47.94	65.39	50.52	82.63	38
YMa	90.37	-10.26	91.75	92.32	96
LMa	50.9	-62.83	34.96	71.91	151
CMa	58.62	-30.34	-45.01	54.3	236
VMa	25.72	31.1	-44.4	54.22	305
MMa	48.13	75.28	-8.36	75.74	354
NMa	18.01	0.0	0.0	0.0	0
WMa	95.41	0.0	0.0	0.0	0
RCIE	39.92	58.66	26.98	64.57	25
JCIE	81.26	-2.16	67.76	67.79	92
GCIE	52.23	-42.25	11.76	43.87	164
BCIE	30.57	1.15	-46.84	46.86	271

Dreiecks-Helligkeit t^*

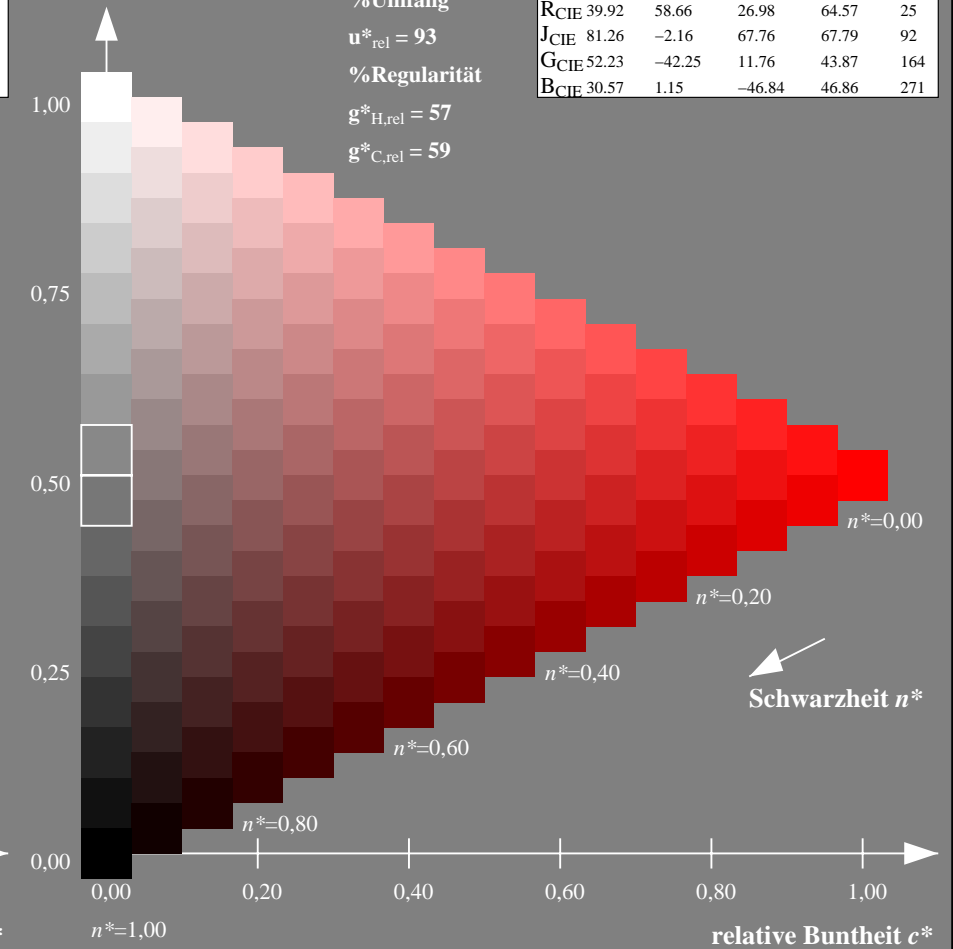
%Umfang

$u^*_{rel} = 93$

%Regularität

$g^*_{H,rel} = 57$

$g^*_{C,rel} = 59$



NG900-7, 9stufige Reihen für konstanten CIELAB Buntton 30/360 = 0.083 (links)

16stufige Reihen für konstanten CIELAB Buntton 38/360 = 0.105 (rechts)

Eingabe: Farbmetrisches Natürliches-Reflektiv-System NRS18

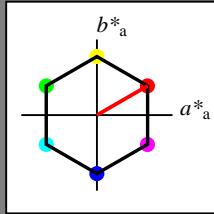
für Buntton $h^* = lab^*h = 30/360 = 0.083$

lab^*tch und lab^*nch

D65: Buntton O

LCH*Ma: 44 77 30

olv*Ma: 1.0 0.0 0.0



NRS18; adaptierte CIELAB-Daten

	$L^*=L^*_a$	a^*_a	b^*_a	$C^*_{ab,a}$	$h^*_{ab,a}$
OMa	43.81	67.03	38.7	77.4	30
YMa	69.61	0.0	77.4	77.4	90
LMa	43.81	-67.02	38.7	77.4	150
CMa	69.61	-67.02	-38.69	77.4	210
VMa	43.81	0.0	-77.39	77.4	270
MMa	69.61	67.03	-38.69	77.4	330
NMa	18.01	0.0	0.0	0.0	0
WMa	95.41	0.0	0.0	0.0	0
RCIE	39.92	58.74	27.99	65.07	25
JCIE	81.26	-2.88	71.56	71.62	92
GCIE	52.23	-42.41	13.6	44.55	162
BCIE	30.57	1.41	-46.46	46.49	272

Dreiecks-Helligkeit t^*

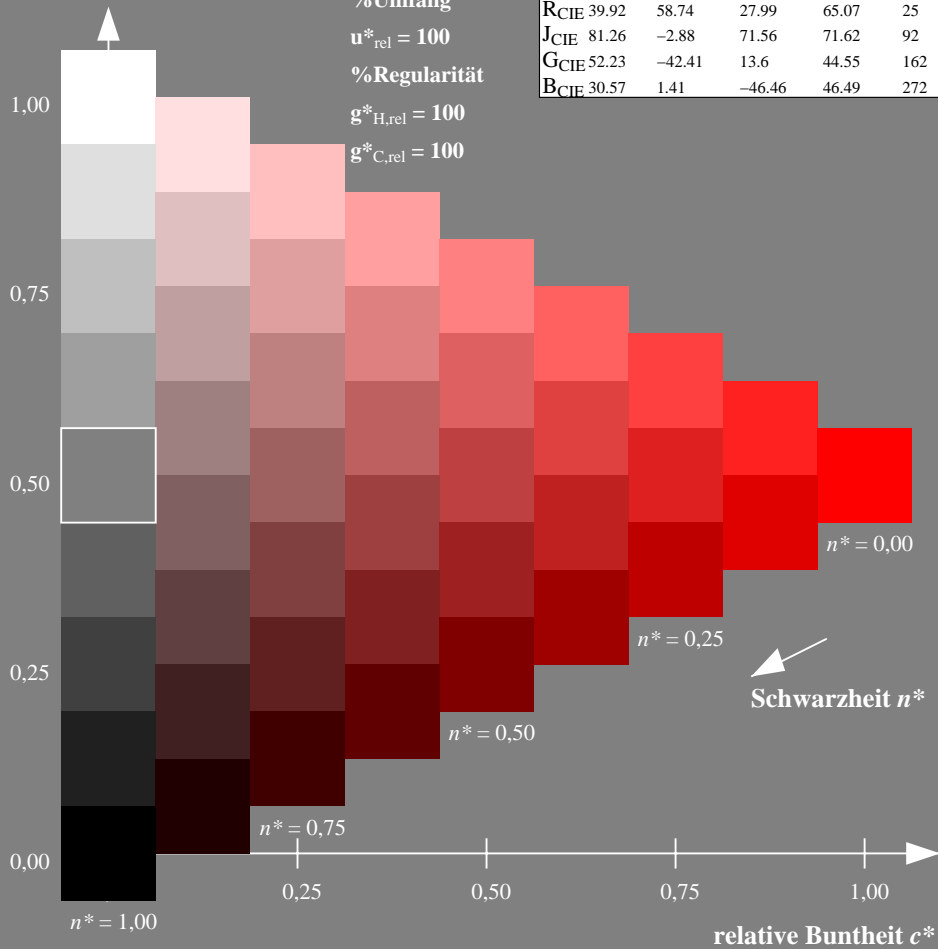
%Umfang

$u^*_{rel} = 100$

%Regularität

$g^*_{H,rel} = 100$

$g^*_{C,rel} = 100$



Ausgabe: Farbmetrisches Fernseh-Licht-System TLS00

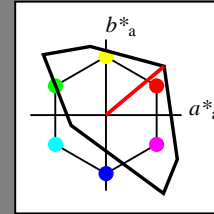
für Buntton $h^* = lab^*h = 40/360 = 0.111$

lab^*tch und lab^*nch

D65: Buntton O

LCH*Ma: 51 100 40

olv*Ma: 1.0 0.0 0.0



TLS00; adaptierte CIELAB-Daten

	$L^*=L^*_a$	a^*_a	b^*_a	$C^*_{ab,a}$	$h^*_{ab,a}$
OMa	50.5	76.92	64.55	100.42	40
YMa	92.66	-20.69	90.75	93.08	103
LMa	83.63	-82.75	79.9	115.04	136
CMa	86.88	-46.16	-13.55	48.12	196
VMa	30.39	76.06	-103.59	128.52	306
MMa	57.3	94.35	-58.41	110.97	328
NMa	0.01	0.0	0.0	0.0	0
WMa	95.41	0.0	0.0	0.0	0
RCIE	39.92	58.74	27.99	65.07	25
JCIE	81.26	-2.88	71.56	71.62	92
GCIE	52.23	-42.41	13.6	44.55	162
BCIE	30.57	1.41	-46.46	46.49	272

Dreiecks-Helligkeit t^*

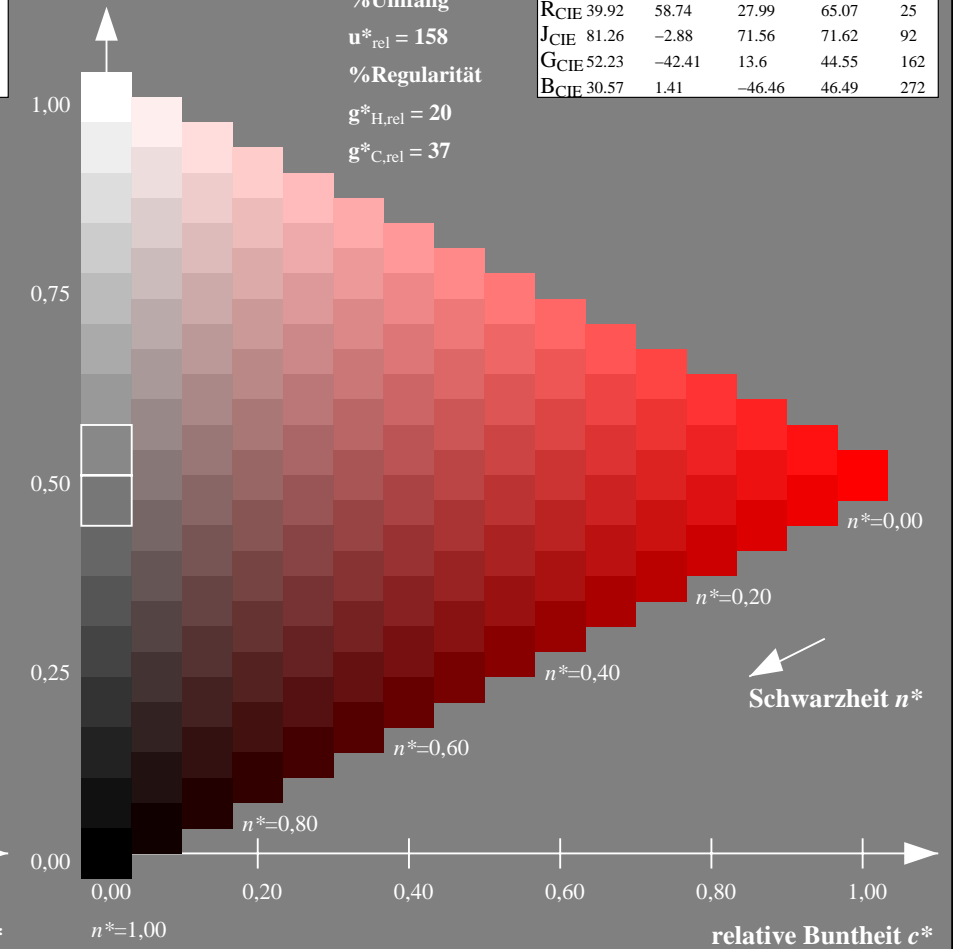
%Umfang

$u^*_{rel} = 158$

%Regularität

$g^*_{H,rel} = 20$

$g^*_{C,rel} = 37$



NG900-7, 9stufige Reihen für konstanten CIELAB Buntton $30/360 = 0.083$ (links)

16stufige Reihen für konstanten CIELAB Buntton $40/360 = 0.111$ (rechts)

Eingabe: Farbmatisches Natürliches-Reflektiv-System NRS18

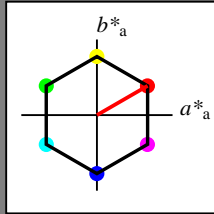
für Buntton $h^* = lab^*h = 30/360 = 0.083$

lab^*tch und lab^*nch

D65: Buntton O

LCH*Ma: 44 77 30

olv*Ma: 1.0 0.0 0.0



NRS18; adaptierte CIELAB-Daten

	$L^*=L^*_a$	a^*_a	b^*_a	$C^*_{ab,a}$	$h^*_{ab,a}$
OMa	43.81	67.03	38.7	77.4	30
YMa	69.61	0.0	77.4	77.4	90
LMa	43.81	-67.02	38.7	77.4	150
CMa	69.61	-67.02	-38.69	77.4	210
VMa	43.81	0.0	-77.39	77.4	270
MMa	69.61	67.03	-38.69	77.4	330
NMa	18.01	0.0	0.0	0.0	0
WMa	95.41	0.0	0.0	0.0	0
RCIE	39.92	58.74	27.99	65.07	25
JCIE	81.26	-2.88	71.56	71.62	92
GCIE	52.23	-42.41	13.6	44.55	162
BCIE	30.57	1.41	-46.46	46.49	272

Dreiecks-Helligkeit t^*

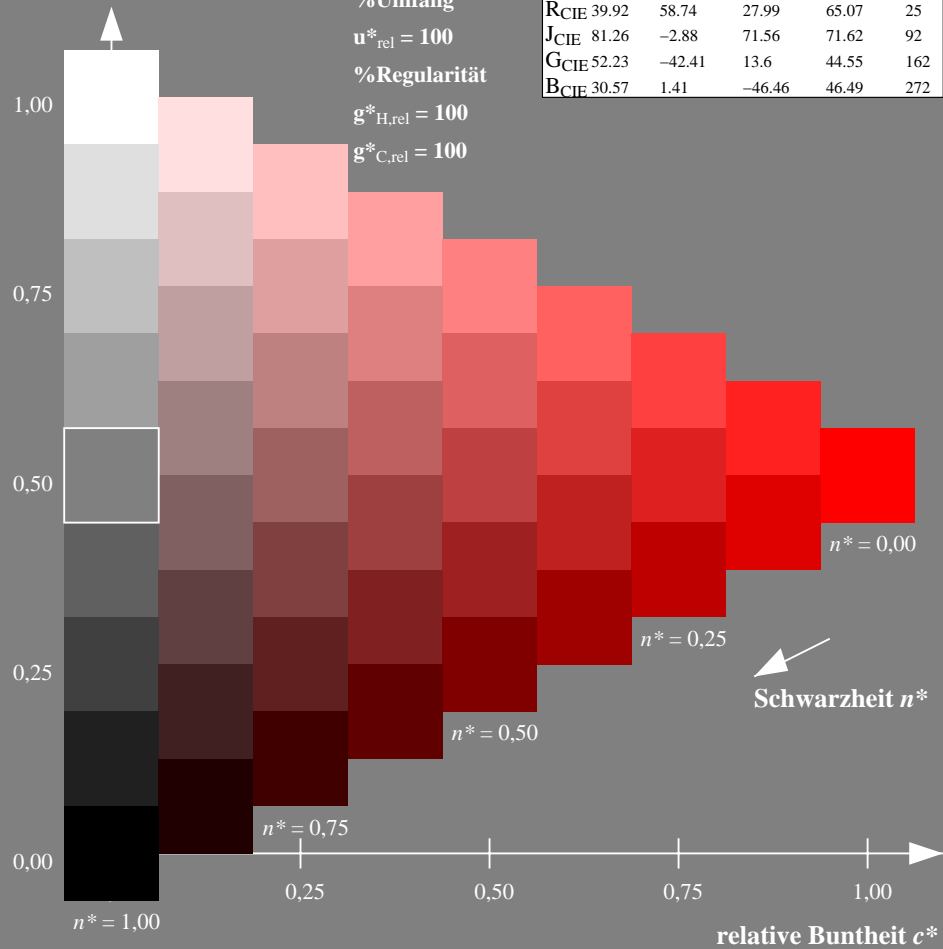
%Umfang

$u^*_{rel} = 100$

%Regularität

$g^*_{H,rel} = 100$

$g^*_{C,rel} = 100$



Ausgabe: Farbmatisches Drucker-Reflektiv-System DRSXX

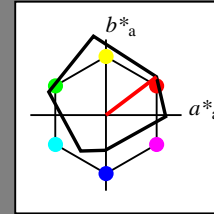
für Buntton $h^* = lab^*h = 37/360 = 0.103$

lab^*tch und lab^*nch

D65: Buntton O

LCH*Ma: 42 84 37

olv*Ma: 1.0 0.0 0.0



DRSXX; adaptierte CIELAB-Daten

	$L^*=L^*_a$	a^*_a	b^*_a	$C^*_{ab,a}$	$h^*_{ab,a}$
OMa	42.21	66.82	50.6	83.82	37
YMa	90.32	-16.51	104.33	105.63	99
LMa	48.21	-75.63	30.65	81.61	158
CMa	53.44	-33.33	-47.49	58.03	235
VMa	34.16	-0.92	-46.56	46.58	269
MMa	42.71	79.0	-1.95	79.03	359
NMa	16.56	0.0	0.0	0.0	0
WMa	96.31	0.0	0.0	0.0	0
RCIE	39.92	59.78	25.77	65.1	23
JCIE	81.26	-2.51	69.07	69.11	92
GCIE	52.23	-41.57	11.3	43.09	165
BCIE	30.57	2.6	-48.62	48.7	273

Dreiecks-Helligkeit t^*

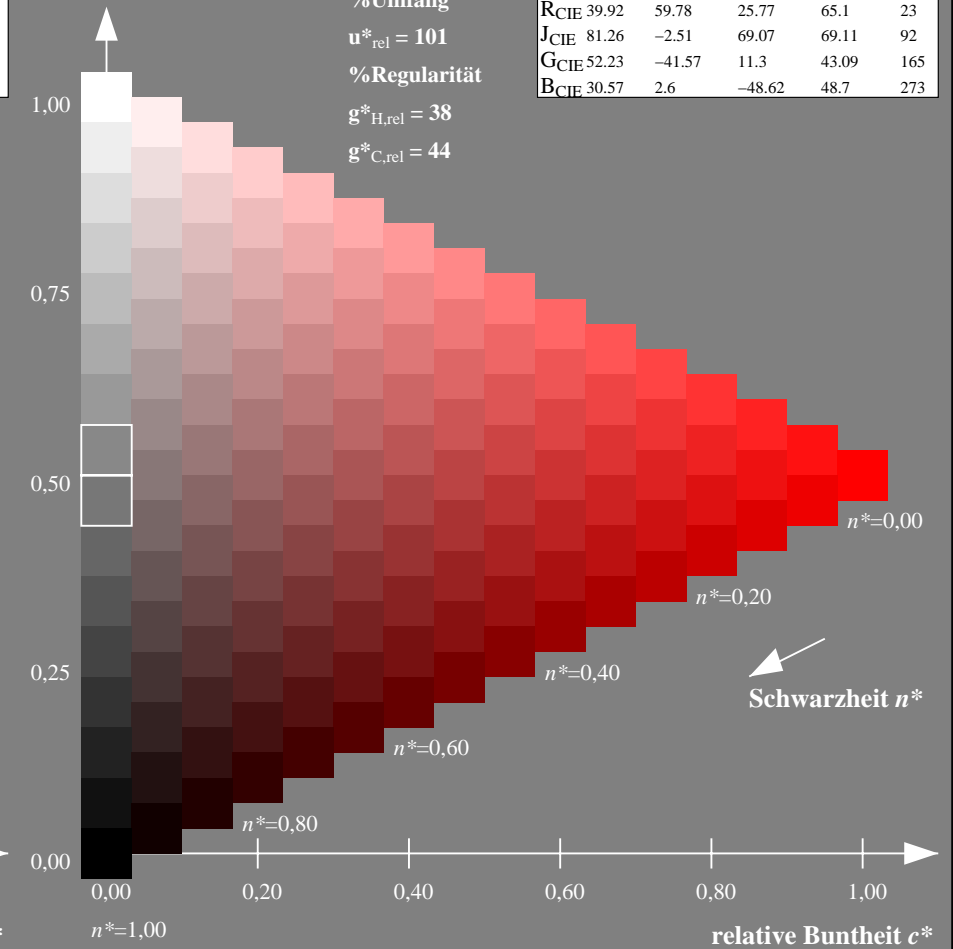
%Umfang

$u^*_{rel} = 101$

%Regularität

$g^*_{H,rel} = 38$

$g^*_{C,rel} = 44$



NG900-7, 9stufige Reihen für konstanten CIELAB Buntton 30/360 = 0.083 (links)

16stufige Reihen für konstanten CIELAB Buntton 37/360 = 0.103 (rechts)

Eingabe: Farbmetrisches Natürliches-Reflektiv-System NRS18

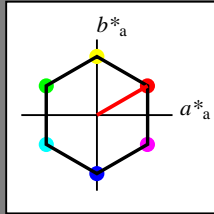
für Buntton $h^* = lab^*h = 30/360 = 0.083$

lab^*tch und lab^*nch

D65: Buntton O

LCH*Ma: 44 77 30

olv*Ma: 1.0 0.0 0.0



NRS18; adaptierte CIELAB-Daten

	$L^*=L^*_a$	a^*_a	b^*_a	$C^*_{ab,a}$	$h^*_{ab,a}$
OMa	43.81	67.03	38.7	77.4	30
YMa	69.61	0.0	77.4	77.4	90
LMa	43.81	-67.02	38.7	77.4	150
CMa	69.61	-67.02	-38.69	77.4	210
VMa	43.81	0.0	-77.39	77.4	270
MMa	69.61	67.03	-38.69	77.4	330
NMa	18.01	0.0	0.0	0.0	0
WMa	95.41	0.0	0.0	0.0	0
RCIE	39.92	58.74	27.99	65.07	25
JCIE	81.26	-2.88	71.56	71.62	92
GCIE	52.23	-42.41	13.6	44.55	162
BCIE	30.57	1.41	-46.46	46.49	272

Dreiecks-Helligkeit t^*

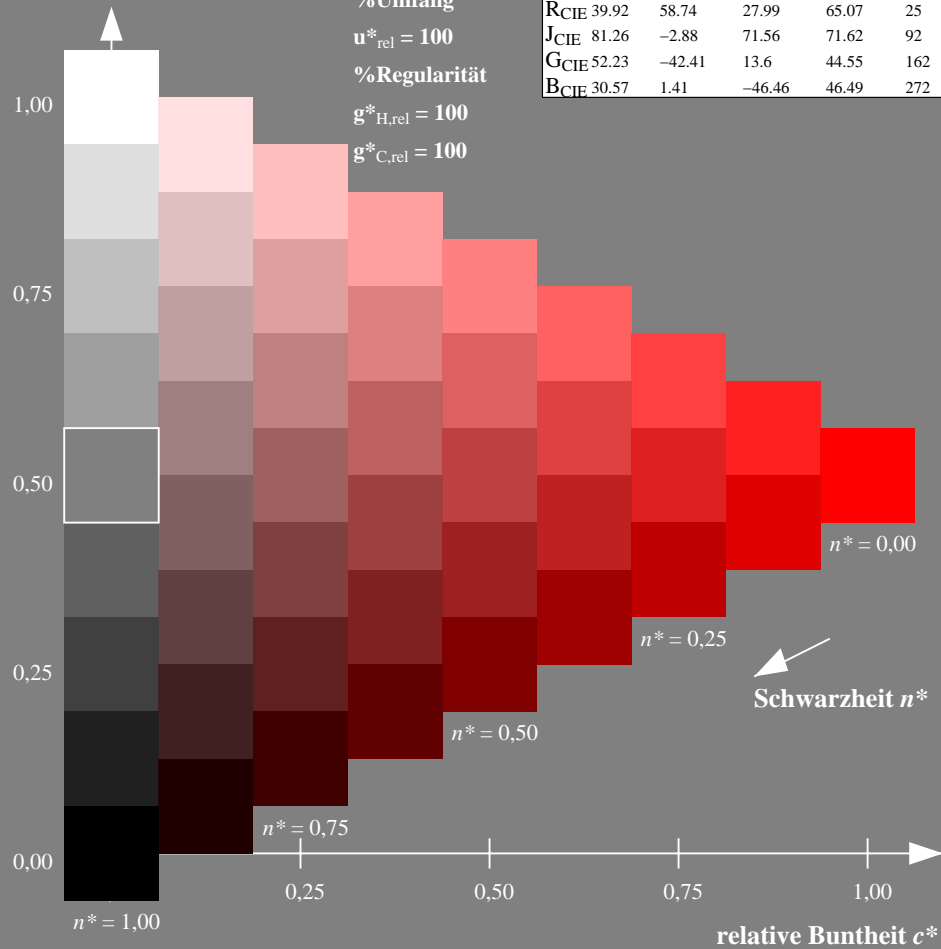
%Umfang

$u^*_{rel} = 100$

%Regularität

$g^*_{H,rel} = 100$

$g^*_{C,rel} = 100$



Ausgabe: Farbmetrisches Fernseh-Licht-System TLS18

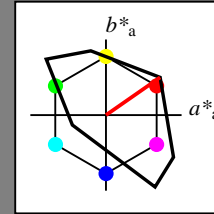
für Buntton $h^* = lab^*h = 35/360 = 0.097$

lab^*tch und lab^*nch

D65: Buntton O

LCH*Ma: 53 87 35

olv*Ma: 1.0 0.0 0.0



TLS18; adaptierte CIELAB-Daten

	$L^*=L^*_a$	a^*_a	b^*_a	$C^*_{ab,a}$	$h^*_{ab,a}$
OMa	52.76	71.63	49.88	87.29	35
YMa	92.74	-20.02	84.97	87.3	103
LMa	84.0	-78.98	73.94	108.2	137
CMa	87.14	-44.41	-13.11	46.32	196
VMa	35.47	64.92	-95.06	115.12	304
MMa	59.01	89.33	-55.67	105.26	328
NMa	18.01	0.0	0.0	0.0	0
WMa	95.41	0.0	0.0	0.0	0
RCIE	39.92	58.74	27.99	65.07	25
JCIE	81.26	-2.88	71.56	71.62	92
GCIE	52.23	-42.41	13.6	44.55	162
BCIE	30.57	1.41	-46.46	46.49	272

Dreiecks-Helligkeit t^*

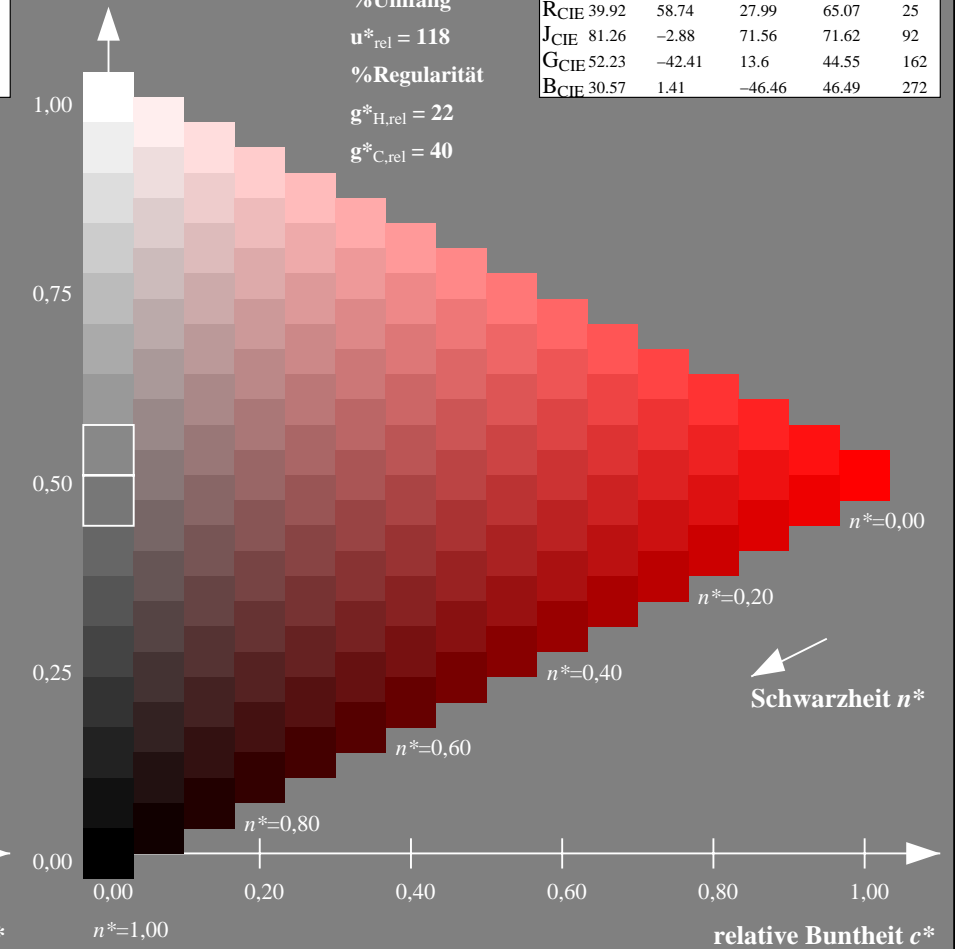
%Umfang

$u^*_{rel} = 118$

%Regularität

$g^*_{H,rel} = 22$

$g^*_{C,rel} = 40$



NG900-7, 9stufige Reihen für konstanten CIELAB Buntton $30/360 = 0.083$ (links)

16stufige Reihen für konstanten CIELAB Buntton $35/360 = 0.097$ (rechts)

Eingabe: Farbmetrisches Natürliches-Reflektiv-System NRS18

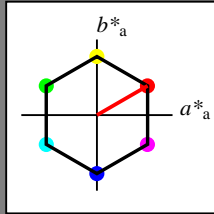
für Buntton $h^* = lab^*h = 30/360 = 0.083$

lab^*tch und lab^*nch

D65: Buntton O

LCH*Ma: 44 77 30

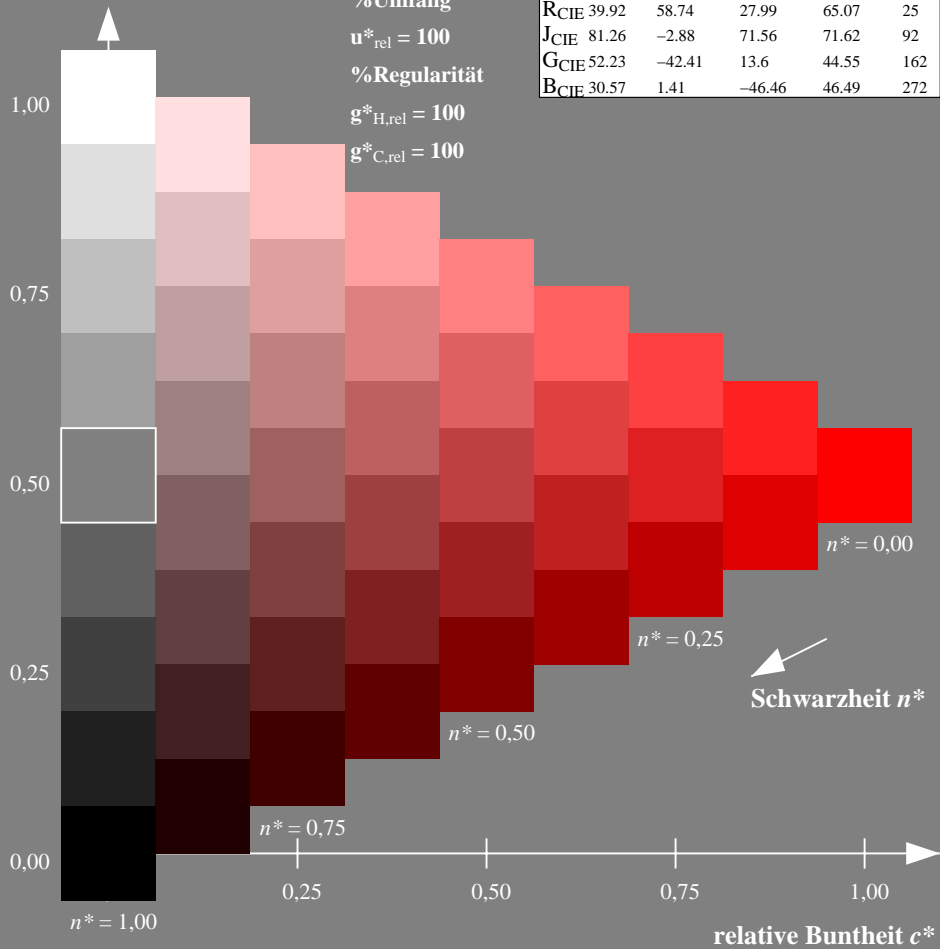
olv*Ma: 1.0 0.0 0.0



NRS18; adaptierte CIELAB-Daten

	$L^*=L^*_a$	a^*_a	b^*_a	$C^*_{ab,a}$	$h^*_{ab,a}$
OMa	43.81	67.03	38.7	77.4	30
YMa	69.61	0.0	77.4	77.4	90
LMa	43.81	-67.02	38.7	77.4	150
CMa	69.61	-67.02	-38.69	77.4	210
VMa	43.81	0.0	-77.39	77.4	270
MMa	69.61	67.03	-38.69	77.4	330
NMa	18.01	0.0	0.0	0.0	0
WMa	95.41	0.0	0.0	0.0	0
RCIE	39.92	58.74	27.99	65.07	25
JCIE	81.26	-2.88	71.56	71.62	92
GCIE	52.23	-42.41	13.6	44.55	162
BCIE	30.57	1.41	-46.46	46.49	272

Dreiecks-Helligkeit t^*



%Umfang

$u^*_{rel} = 100$

%Regularität

$g^*_{H,rel} = 100$

$g^*_{C,rel} = 100$

Ausgabe: Farbmetrisches Natürliches-Licht-System NLS00

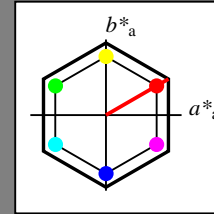
für Buntton $h^* = lab^*h = 30/360 = 0.083$

lab^*tch und lab^*nch

D65: Buntton O

LCH*Ma: 32 95 30

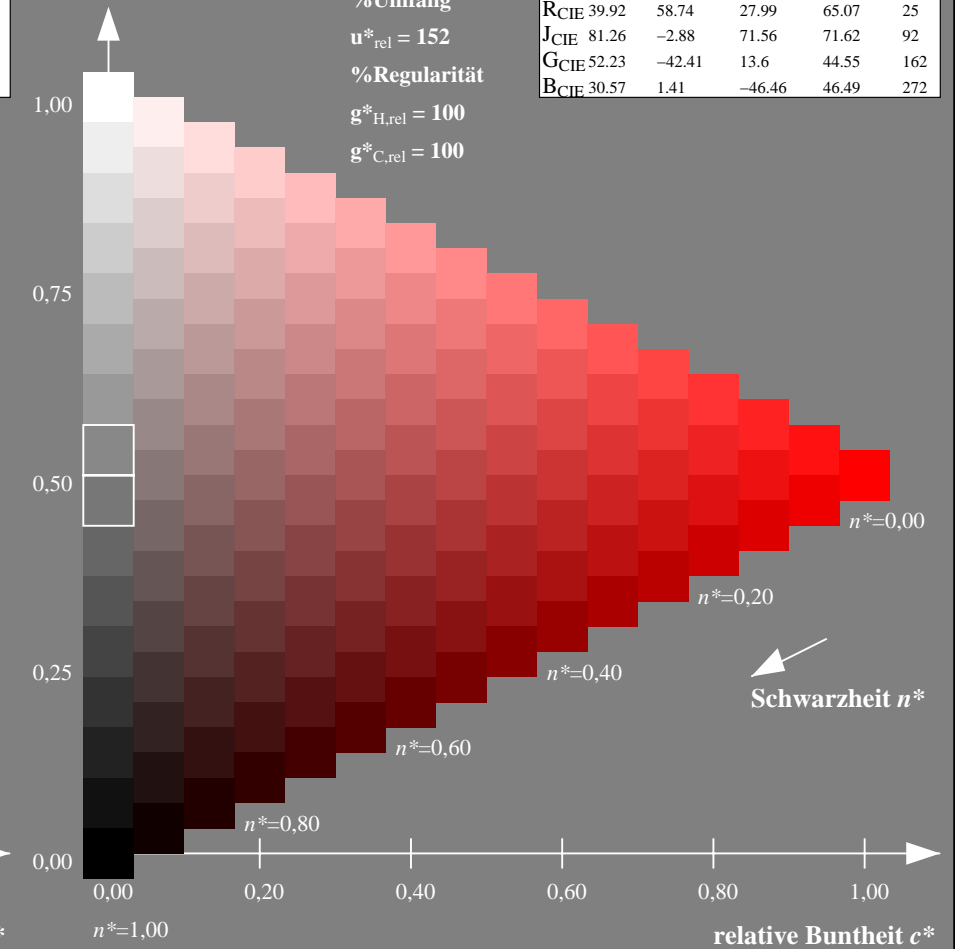
olv*Ma: 1.0 0.0 0.0



NLS00; adaptierte CIELAB-Daten

	$L^*=L^*_a$	a^*_a	b^*_a	$C^*_{ab,a}$	$h^*_{ab,a}$
OMa	31.81	82.62	47.7	95.4	30
YMa	63.61	0.0	95.4	95.4	90
LMa	31.81	-82.61	47.7	95.4	150
CMa	63.61	-82.61	-47.69	95.4	210
VMa	31.81	0.0	-95.39	95.4	270
MMa	63.61	82.62	-47.69	95.4	330
NMa	0.01	0.0	0.0	0.0	0
WMa	95.41	0.0	0.0	0.0	0
RCIE	39.92	58.74	27.99	65.07	25
JCIE	81.26	-2.88	71.56	71.62	92
GCIE	52.23	-42.41	13.6	44.55	162
BCIE	30.57	1.41	-46.46	46.49	272

Dreiecks-Helligkeit t^*



%Umfang

$u^*_{rel} = 152$

%Regularität

$g^*_{H,rel} = 100$

$g^*_{C,rel} = 100$

NG900-7, 9stufige Reihen für konstanten CIELAB Buntton 30/360 = 0.083 (links)

16stufige Reihen für konstanten CIELAB Buntton 30/360 = 0.083 (rechts)

Eingabe: Farbmetrisches Natürliches-Reflektiv-System NRS18

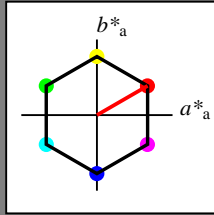
für Buntton $h^* = lab^*h = 30/360 = 0.083$

lab^*tch und lab^*nch

D65: Buntton O

LCH*Ma: 44 77 30

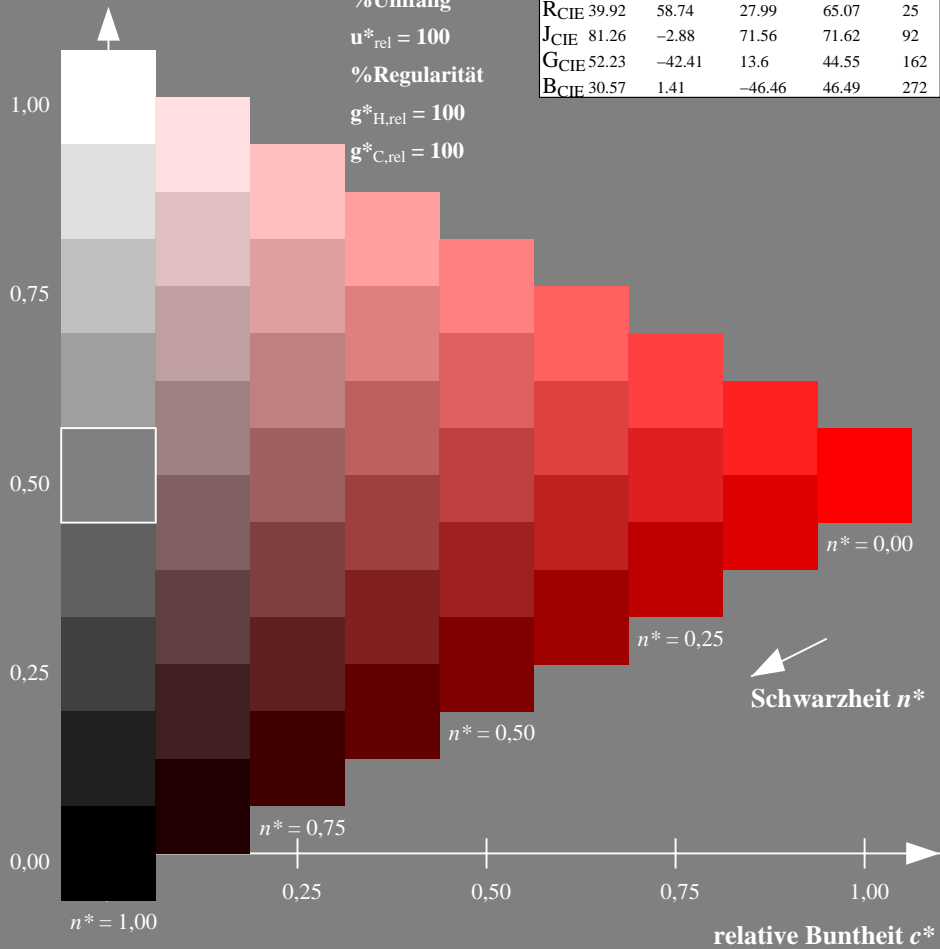
olv*Ma: 1.0 0.0 0.0



NRS18; adaptierte CIELAB-Daten

	$L^*=L^*_a$	a^*_a	b^*_a	$C^*_{ab,a}$	$h^*_{ab,a}$
OMa	43.81	67.03	38.7	77.4	30
YMa	69.61	0.0	77.4	77.4	90
LMa	43.81	-67.02	38.7	77.4	150
CMa	69.61	-67.02	-38.69	77.4	210
VMa	43.81	0.0	-77.39	77.4	270
MMa	69.61	67.03	-38.69	77.4	330
NMa	18.01	0.0	0.0	0.0	0
WMa	95.41	0.0	0.0	0.0	0
RCIE	39.92	58.74	27.99	65.07	25
JCIE	81.26	-2.88	71.56	71.62	92
GCIE	52.23	-42.41	13.6	44.55	162
BCIE	30.57	1.41	-46.46	46.49	272

Dreiecks-Helligkeit t^*



Ausgabe: Farbmetrisches Natürliches-Reflektiv-System NRS18

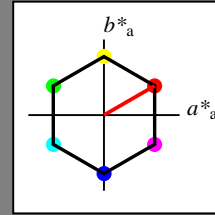
für Buntton $h^* = lab^*h = 30/360 = 0.083$

lab^*tch und lab^*nch

D65: Buntton O

LCH*Ma: 44 77 30

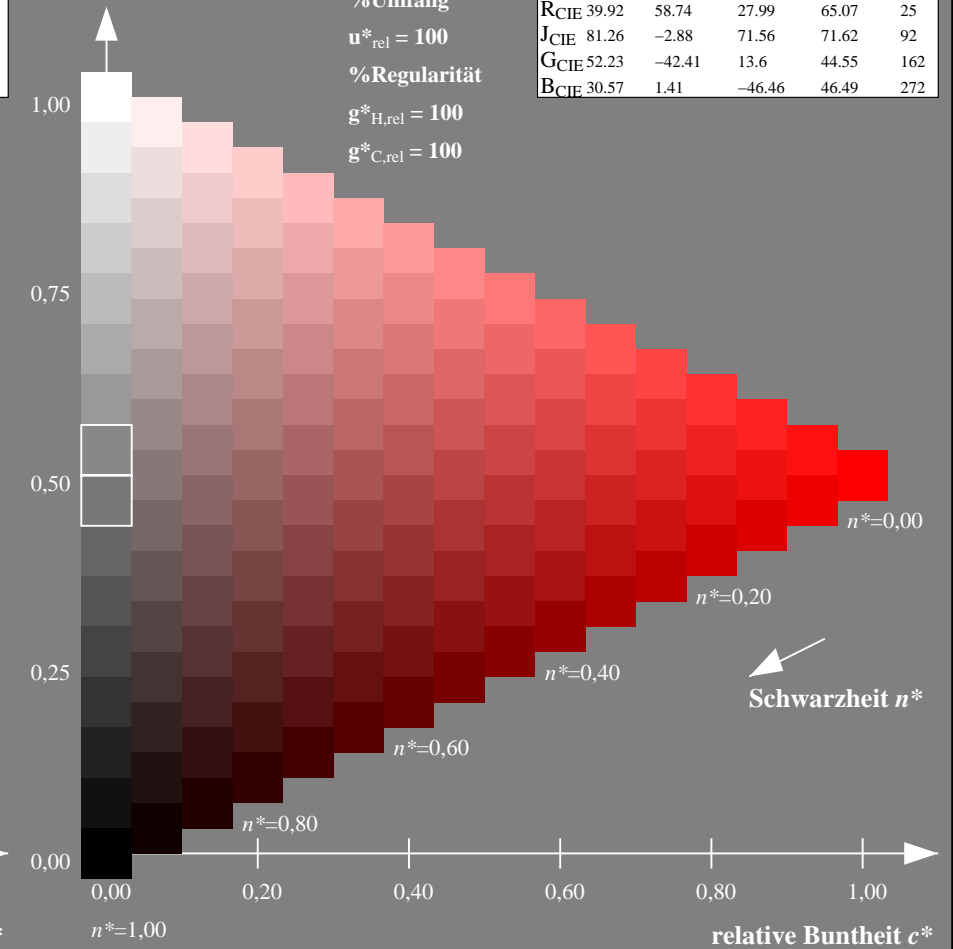
olv*Ma: 1.0 0.0 0.0



NRS18; adaptierte CIELAB-Daten

	$L^*=L^*_a$	a^*_a	b^*_a	$C^*_{ab,a}$	$h^*_{ab,a}$
OMa	43.81	67.03	38.7	77.4	30
YMa	69.61	0.0	77.4	77.4	90
LMa	43.81	-67.02	38.7	77.4	150
CMa	69.61	-67.02	-38.69	77.4	210
VMa	43.81	0.0	-77.39	77.4	270
MMa	69.61	67.03	-38.69	77.4	330
NMa	18.01	0.0	0.0	0.0	0
WMa	95.41	0.0	0.0	0.0	0
RCIE	39.92	58.74	27.99	65.07	25
JCIE	81.26	-2.88	71.56	71.62	92
GCIE	52.23	-42.41	13.6	44.55	162
BCIE	30.57	1.41	-46.46	46.49	272

Dreiecks-Helligkeit t^*



NG900-7, 9stufige Reihen für konstanten CIELAB Buntton $30/360 = 0.083$ (links)

16stufige Reihen für konstanten CIELAB Buntton $30/360 = 0.083$ (rechts)

Eingabe: Farbmatisches Natürliches-Reflektiv-System NRS18

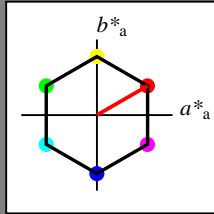
für Buntton $h^* = lab^*h = 30/360 = 0.083$

lab^*tch und lab^*nch

D65: Buntton O

LCH*Ma: 44 77 30

olv*Ma: 1.0 0.0 0.0



NRS18; adaptierte CIELAB-Daten

	$L^*=L^*_a$	a^*_a	b^*_a	$C^*_{ab,a}$	$h^*_{ab,a}$
OMa	43.81	67.03	38.7	77.4	30
YMa	69.61	0.0	77.4	77.4	90
LMa	43.81	-67.02	38.7	77.4	150
CMa	69.61	-67.02	-38.69	77.4	210
VMa	43.81	0.0	-77.39	77.4	270
MMa	69.61	67.03	-38.69	77.4	330
NMa	18.01	0.0	0.0	0.0	0
WMa	95.41	0.0	0.0	0.0	0
RCIE	39.92	58.74	27.99	65.07	25
JCIE	81.26	-2.88	71.56	71.62	92
GCIE	52.23	-42.41	13.6	44.55	162
BCIE	30.57	1.41	-46.46	46.49	272

Dreiecks-Helligkeit t^*

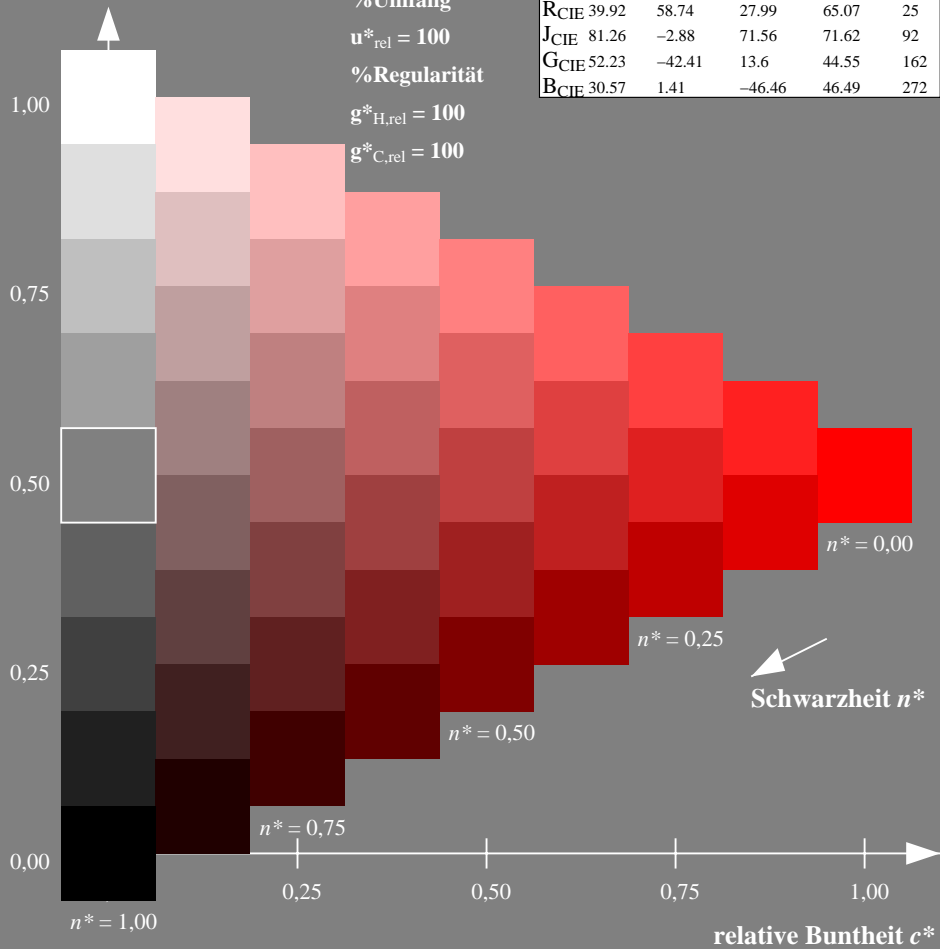
%Umfang

$u^*_{rel} = 100$

%Regularität

$g^*_{H,rel} = 100$

$g^*_{C,rel} = 100$



Ausgabe: Farbmatisches Standard-Reflektiv-System SRS18

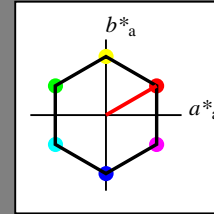
für Buntton $h^* = lab^*h = 30/360 = 0.083$

lab^*tch und lab^*nch

D65: Buntton O

LCH*Ma: 57 77 30

olv*Ma: 1.0 0.0 0.0



SRS18; adaptierte CIELAB-Daten

	$L^*=L^*_a$	a^*_a	b^*_a	$C^*_{ab,a}$	$h^*_{ab,a}$
OMa	56.71	67.03	38.7	77.4	30
YMa	56.71	0.0	77.4	77.4	90
LMa	56.71	-67.02	38.7	77.4	150
CMa	56.71	-67.02	-38.69	77.4	210
VMa	56.71	0.0	-77.39	77.4	270
MMa	56.71	67.03	-38.69	77.4	330
NMa	18.01	0.0	0.0	0.0	0
WMa	95.41	0.0	0.0	0.0	0
RCIE	39.92	58.74	27.99	65.07	25
JCIE	81.26	-2.88	71.56	71.62	92
GCIE	52.23	-42.41	13.6	44.55	162
BCIE	30.57	1.41	-46.46	46.49	272

Dreiecks-Helligkeit t^*

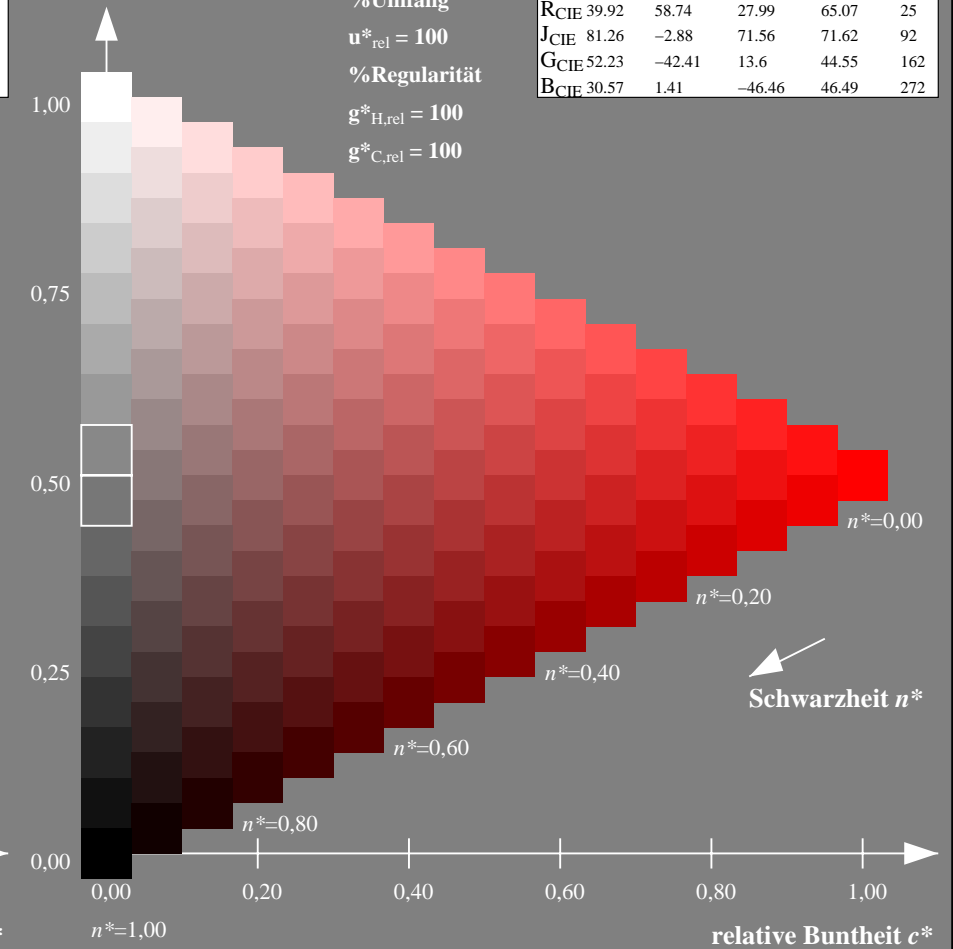
%Umfang

$u^*_{rel} = 100$

%Regularität

$g^*_{H,rel} = 100$

$g^*_{C,rel} = 100$



NG900-7, 9stufige Reihen für konstanten CIELAB Buntton $30/360 = 0.083$ (links)

16stufige Reihen für konstanten CIELAB Buntton $30/360 = 0.083$ (rechts)

Eingabe: Farbmetrisches Natürliches-Reflektiv-System NRS18

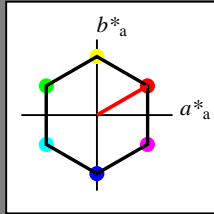
für Buntton $h^* = lab^*h = 30/360 = 0.083$

lab^*tch und lab^*nch

D65: Buntton O

LCH*Ma: 44 77 30

olv*Ma: 1.0 0.0 0.0



NRS18; adaptierte CIELAB-Daten

	$L^*=L^*_a$	a^*_a	b^*_a	$C^*_{ab,a}$	$h^*_{ab,a}$
OMa	43.81	67.03	38.7	77.4	30
YMa	69.61	0.0	77.4	77.4	90
LMa	43.81	-67.02	38.7	77.4	150
CMa	69.61	-67.02	-38.69	77.4	210
VMa	43.81	0.0	-77.39	77.4	270
MMa	69.61	67.03	-38.69	77.4	330
NMa	18.01	0.0	0.0	0.0	0
WMa	95.41	0.0	0.0	0.0	0
RCIE	39.92	58.74	27.99	65.07	25
JCIE	81.26	-2.88	71.56	71.62	92
GCIE	52.23	-42.41	13.6	44.55	162
BCIE	30.57	1.41	-46.46	46.49	272

Dreiecks-Helligkeit t^*

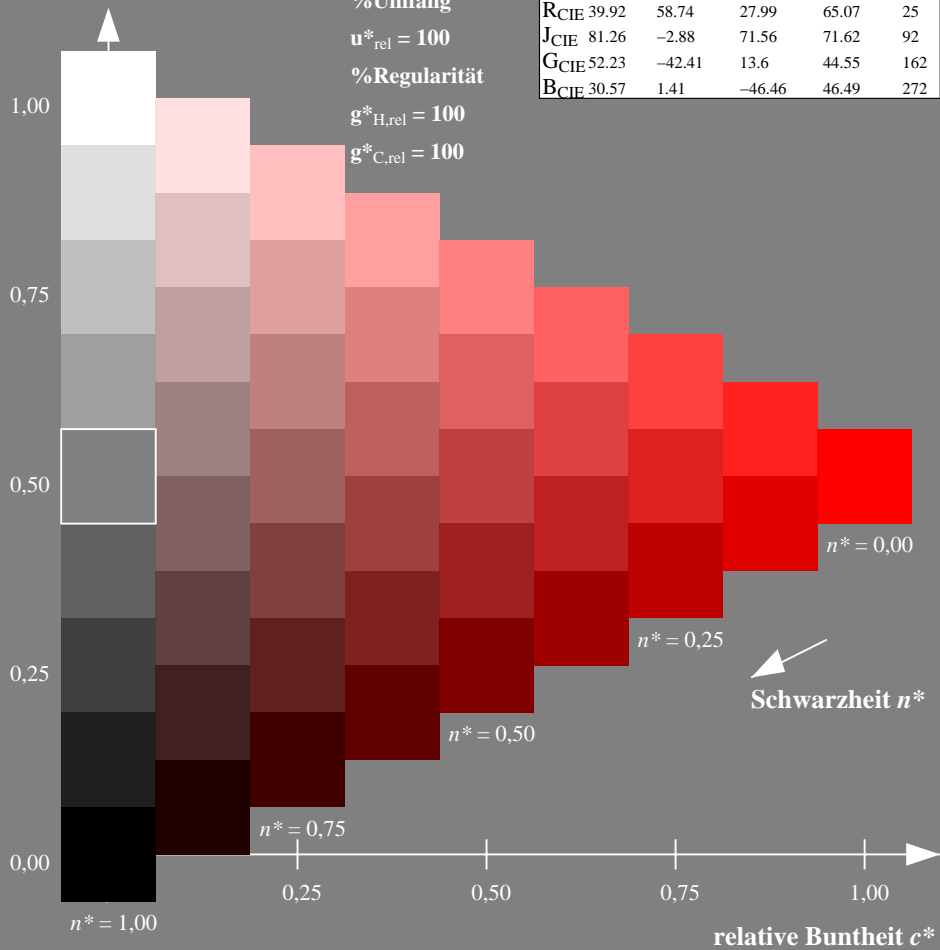
%Umfang

$u^*_{rel} = 100$

%Regularität

$g^*_{H,rel} = 100$

$g^*_{C,rel} = 100$



Ausgabe: Farbmetrisches Fernseh-Licht-System TLS70

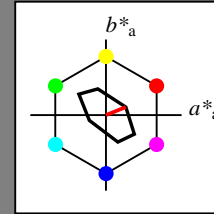
für Buntton $h^* = lab^*h = 22/360 = 0.061$

lab^*tch und lab^*nch

D65: Buntton O

LCH*Ma: 76 28 22

olv*Ma: 1.0 0.0 0.0



TLS70; adaptierte CIELAB-Daten

	$L^*=L^*_a$	a^*_a	b^*_a	$C^*_{ab,a}$	$h^*_{ab,a}$
OMa	76.43	26.27	10.57	28.32	22
YMa	93.93	-10.76	34.63	36.27	107
LMa	89.32	-35.8	27.64	45.24	142
CMa	90.93	-21.95	-7.07	23.07	198
VMa	72.1	15.76	-35.63	38.97	294
MMa	78.5	37.52	-25.23	45.22	326
NMa	69.7	0.0	0.0	0.0	0
WMa	95.41	0.0	0.0	0.0	0
RCIE	39.92	58.74	27.99	65.07	25
JCIE	81.26	-2.88	71.56	71.62	92
GCIE	52.23	-42.41	13.6	44.55	162
BCIE	30.57	1.41	-46.46	46.49	272

Dreiecks-Helligkeit t^*

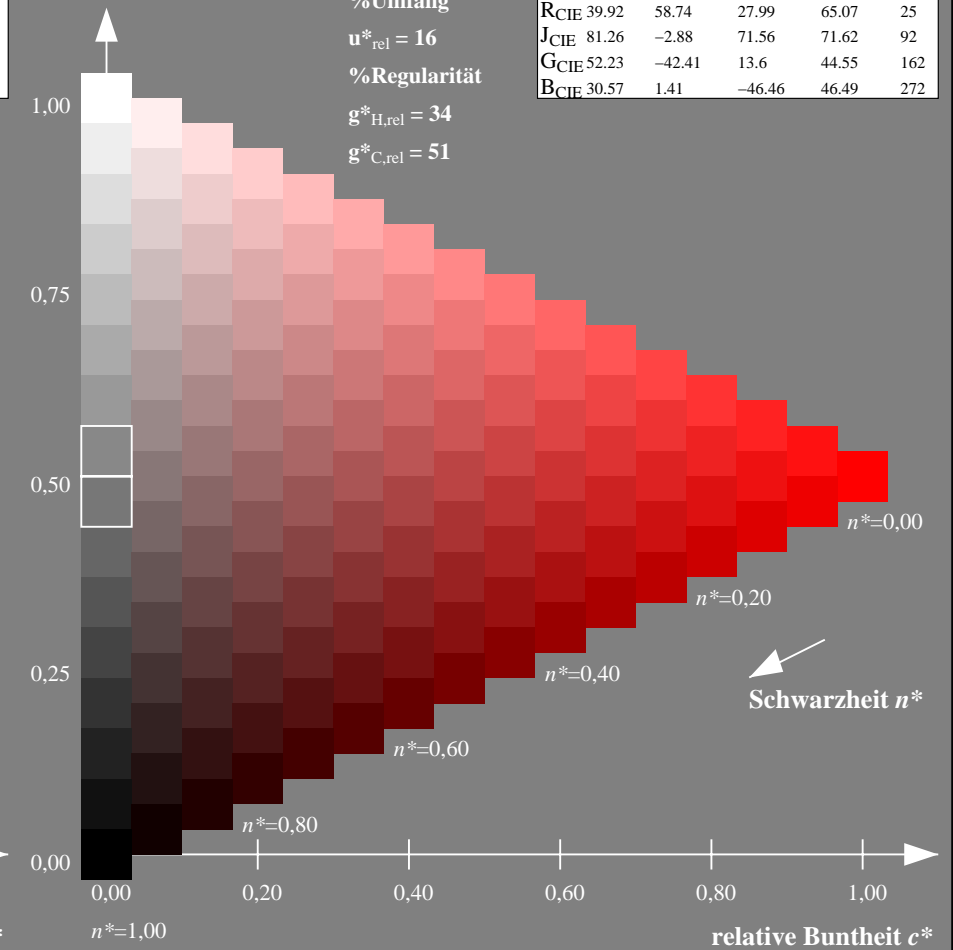
%Umfang

$u^*_{rel} = 16$

%Regularität

$g^*_{H,rel} = 34$

$g^*_{C,rel} = 51$



NG900-7, 9stufige Reihen für konstanten CIELAB Buntton 30/360 = 0.083 (links)

16stufige Reihen für konstanten CIELAB Buntton 22/360 = 0.061 (rechts)

Eingabe: Farbmetrisches Standard-Reflektiv-System SRS18

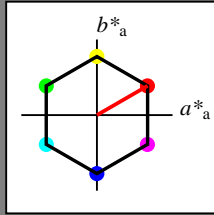
für Buntton $h^* = lab^*h = 30/360 = 0.083$

lab^*tch und lab^*nch

D65: Buntton O

LCH*Ma: 57 77 30

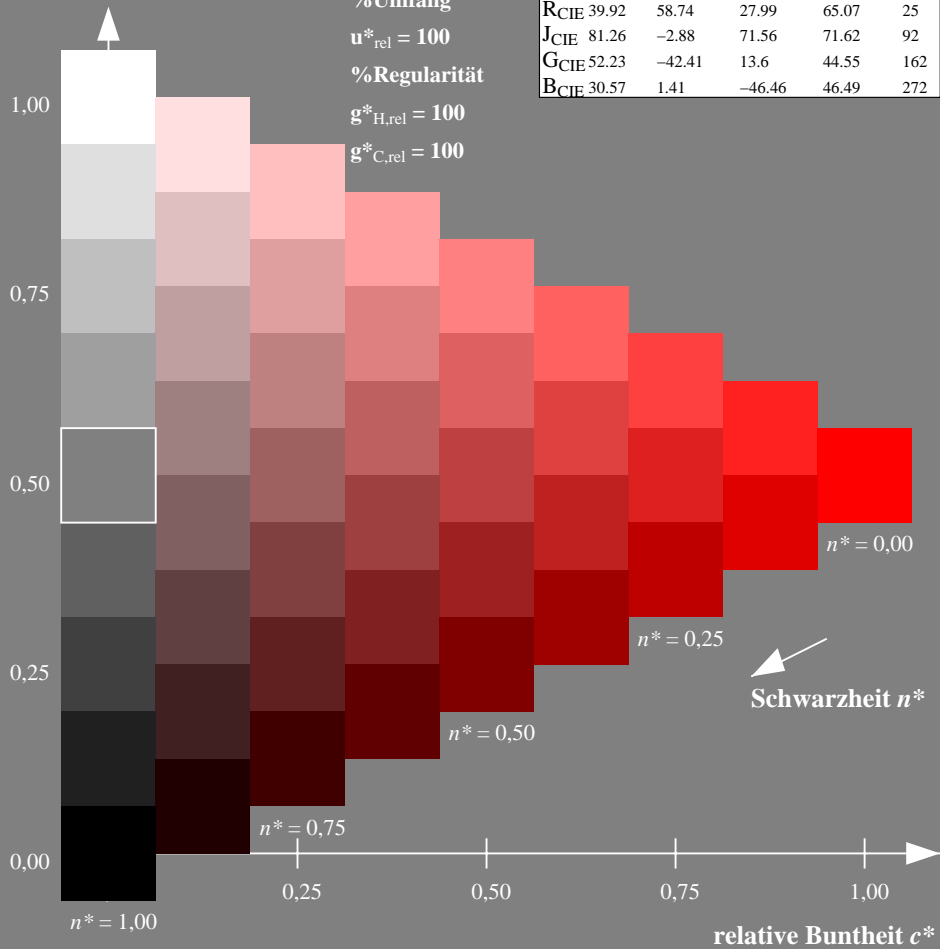
olv*Ma: 1.0 0.0 0.0



SRS18; adaptierte CIELAB-Daten

	$L^*=L^*_a$	a^*_a	b^*_a	$C^*_{ab,a}$	$h^*_{ab,a}$
O _{Ma}	56.71	67.03	38.7	77.4	30
Y _{Ma}	56.71	0.0	77.4	77.4	90
L _{Ma}	56.71	-67.02	38.7	77.4	150
C _{Ma}	56.71	-67.02	-38.69	77.4	210
V _{Ma}	56.71	0.0	-77.39	77.4	270
M _{Ma}	56.71	67.03	-38.69	77.4	330
N _{Ma}	18.01	0.0	0.0	0.0	0
W _{Ma}	95.41	0.0	0.0	0.0	0
R _{CIE}	39.92	58.74	27.99	65.07	25
J _{CIE}	81.26	-2.88	71.56	71.62	92
G _{CIE}	52.23	-42.41	13.6	44.55	162
B _{CIE}	30.57	1.41	-46.46	46.49	272

Dreiecks-Helligkeit t^*



Ausgabe: Farbmetrisches Offset-Reflektiv-System ORS18

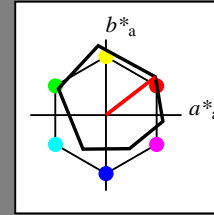
für Buntton $h^* = lab^*h = 38/360 = 0.105$

lab^*tch und lab^*nch

D65: Buntton O

LCH*Ma: 48 83 38

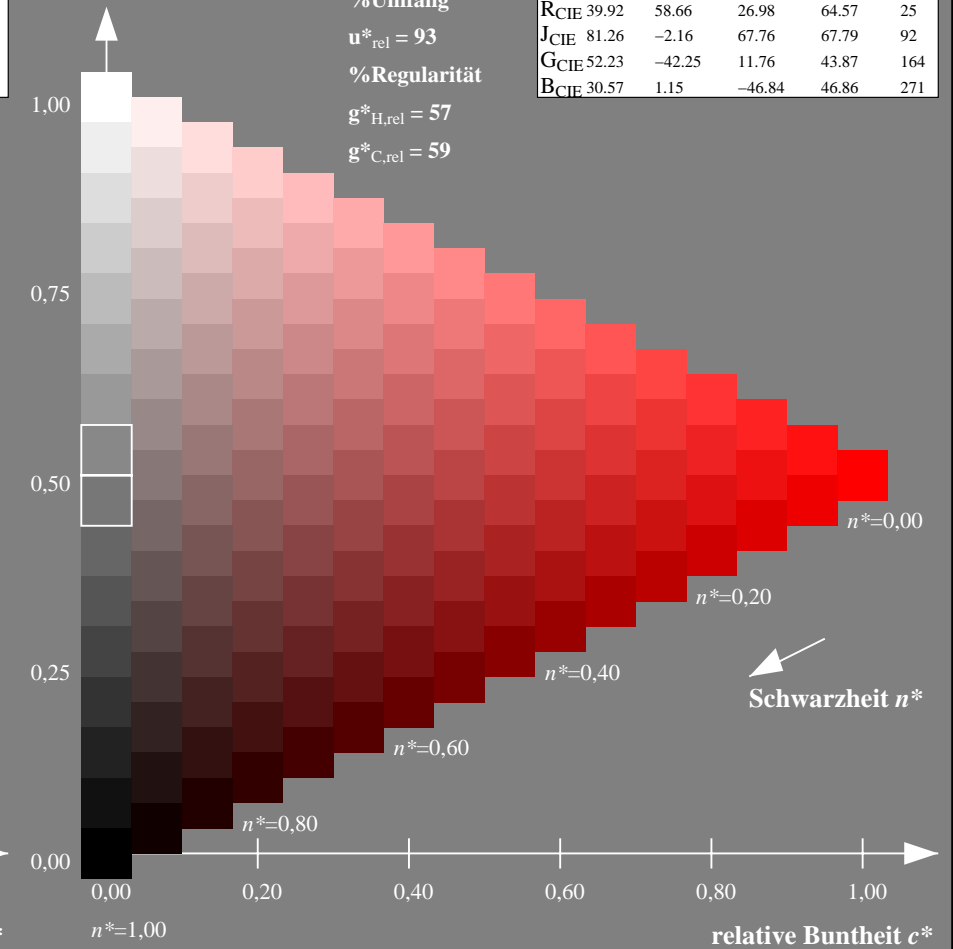
olv*Ma: 1.0 0.0 0.0



ORS18; adaptierte CIELAB-Daten

	$L^*=L^*_a$	a^*_a	b^*_a	$C^*_{ab,a}$	$h^*_{ab,a}$
O _{Ma}	47.94	65.39	50.52	82.63	38
Y _{Ma}	90.37	-10.26	91.75	92.32	96
L _{Ma}	50.9	-62.83	34.96	71.91	151
C _{Ma}	58.62	-30.34	-45.01	54.3	236
V _{Ma}	25.72	31.1	-44.4	54.22	305
M _{Ma}	48.13	75.28	-8.36	75.74	354
N _{Ma}	18.01	0.0	0.0	0.0	0
W _{Ma}	95.41	0.0	0.0	0.0	0
R _{CIE}	39.92	58.66	26.98	64.57	25
J _{CIE}	81.26	-2.16	67.76	67.79	92
G _{CIE}	52.23	-42.25	11.76	43.87	164
B _{CIE}	30.57	1.15	-46.84	46.86	271

Dreiecks-Helligkeit t^*



NG900-7, 9stufige Reihen für konstanten CIELAB Buntton 30/360 = 0.083 (links)

16stufige Reihen für konstanten CIELAB Buntton 38/360 = 0.105 (rechts)

Eingabe: Farbmetrisches Standard-Reflektiv-System SRS18

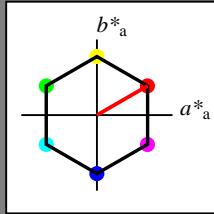
für Buntton $h^* = lab^*h = 30/360 = 0.083$

lab^*tch und lab^*nch

D65: Buntton O

LCH*Ma: 57 77 30

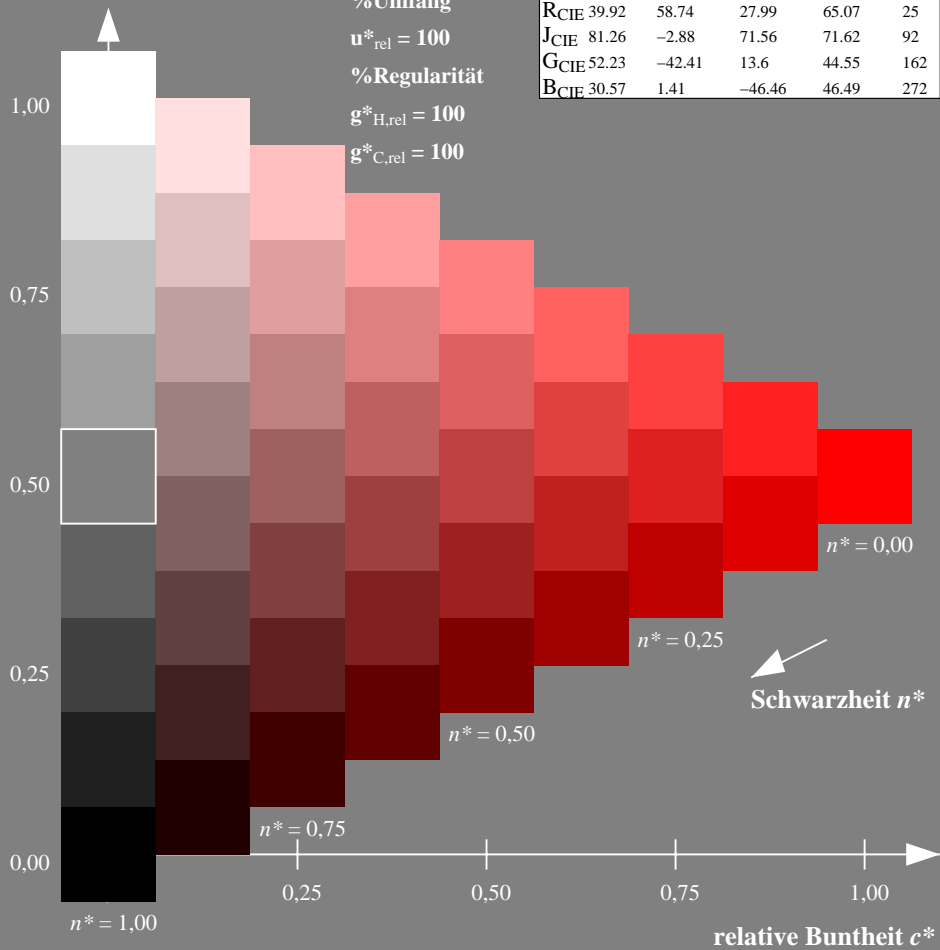
olv*Ma: 1.0 0.0 0.0



SRS18; adaptierte CIELAB-Daten

	$L^*=L^*_a$	a^*_a	b^*_a	$C^*_{ab,a}$	$h^*_{ab,a}$
O _{Ma}	56.71	67.03	38.7	77.4	30
Y _{Ma}	56.71	0.0	77.4	77.4	90
L _{Ma}	56.71	-67.02	38.7	77.4	150
C _{Ma}	56.71	-67.02	-38.69	77.4	210
V _{Ma}	56.71	0.0	-77.39	77.4	270
M _{Ma}	56.71	67.03	-38.69	77.4	330
N _{Ma}	18.01	0.0	0.0	0.0	0
W _{Ma}	95.41	0.0	0.0	0.0	0
R _{CIE}	39.92	58.74	27.99	65.07	25
J _{CIE}	81.26	-2.88	71.56	71.62	92
G _{CIE}	52.23	-42.41	13.6	44.55	162
B _{CIE}	30.57	1.41	-46.46	46.49	272

Dreiecks-Helligkeit t^*



Ausgabe: Farbmetrisches Fernseh-Licht-System TLS00

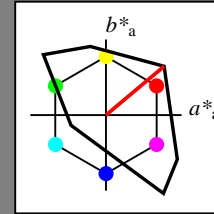
für Buntton $h^* = lab^*h = 40/360 = 0.111$

lab^*tch und lab^*nch

D65: Buntton O

LCH*Ma: 51 100 40

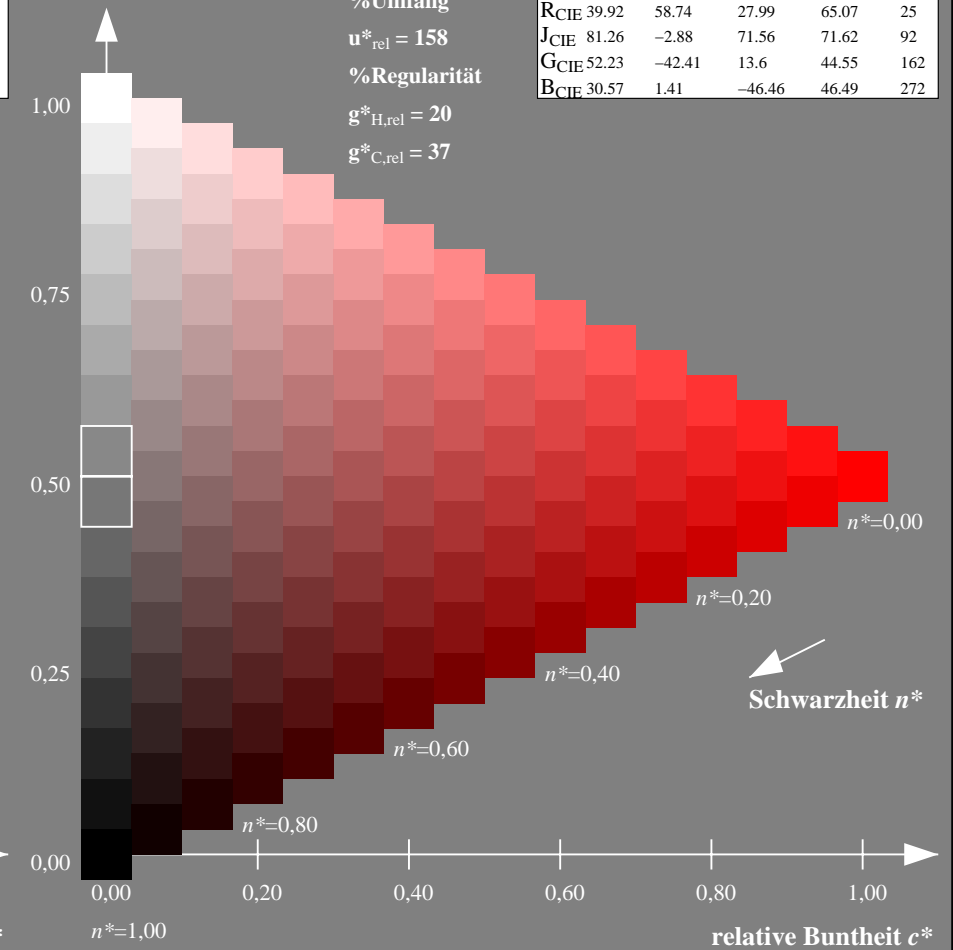
olv*Ma: 1.0 0.0 0.0



TLS00; adaptierte CIELAB-Daten

	$L^*=L^*_a$	a^*_a	b^*_a	$C^*_{ab,a}$	$h^*_{ab,a}$
O _{Ma}	50.5	76.92	64.55	100.42	40
Y _{Ma}	92.66	-20.69	90.75	93.08	103
L _{Ma}	83.63	-82.75	79.9	115.04	136
C _{Ma}	86.88	-46.16	-13.55	48.12	196
V _{Ma}	30.39	76.06	-103.59	128.52	306
M _{Ma}	57.3	94.35	-58.41	110.97	328
N _{Ma}	0.01	0.0	0.0	0.0	0
W _{Ma}	95.41	0.0	0.0	0.0	0
R _{CIE}	39.92	58.74	27.99	65.07	25
J _{CIE}	81.26	-2.88	71.56	71.62	92
G _{CIE}	52.23	-42.41	13.6	44.55	162
B _{CIE}	30.57	1.41	-46.46	46.49	272

Dreiecks-Helligkeit t^*



NG900-7, 9stufige Reihen für konstanten CIELAB Buntton 30/360 = 0.083 (links)

16stufige Reihen für konstanten CIELAB Buntton 40/360 = 0.111 (rechts)

Eingabe: Farbmatisches Standard-Reflektiv-System SRS18

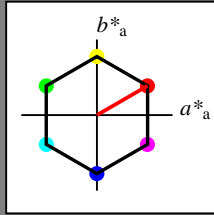
für Buntton $h^* = lab^*h = 30/360 = 0.083$

lab^*tch und lab^*nch

D65: Buntton O

LCH*Ma: 57 77 30

olv*Ma: 1.0 0.0 0.0



SRS18; adaptierte CIELAB-Daten

	$L^*=L^*_a$	a^*_a	b^*_a	$C^*_{ab,a}$	$h^*_{ab,a}$
OMa	56.71	67.03	38.7	77.4	30
YMa	56.71	0.0	77.4	77.4	90
LMa	56.71	-67.02	38.7	77.4	150
CMa	56.71	-67.02	-38.69	77.4	210
VMa	56.71	0.0	-77.39	77.4	270
MMa	56.71	67.03	-38.69	77.4	330
NMa	18.01	0.0	0.0	0.0	0
WMa	95.41	0.0	0.0	0.0	0
RCIE	39.92	58.74	27.99	65.07	25
JCIE	81.26	-2.88	71.56	71.62	92
GCIE	52.23	-42.41	13.6	44.55	162
BCIE	30.57	1.41	-46.46	46.49	272

Dreiecks-Helligkeit t^*

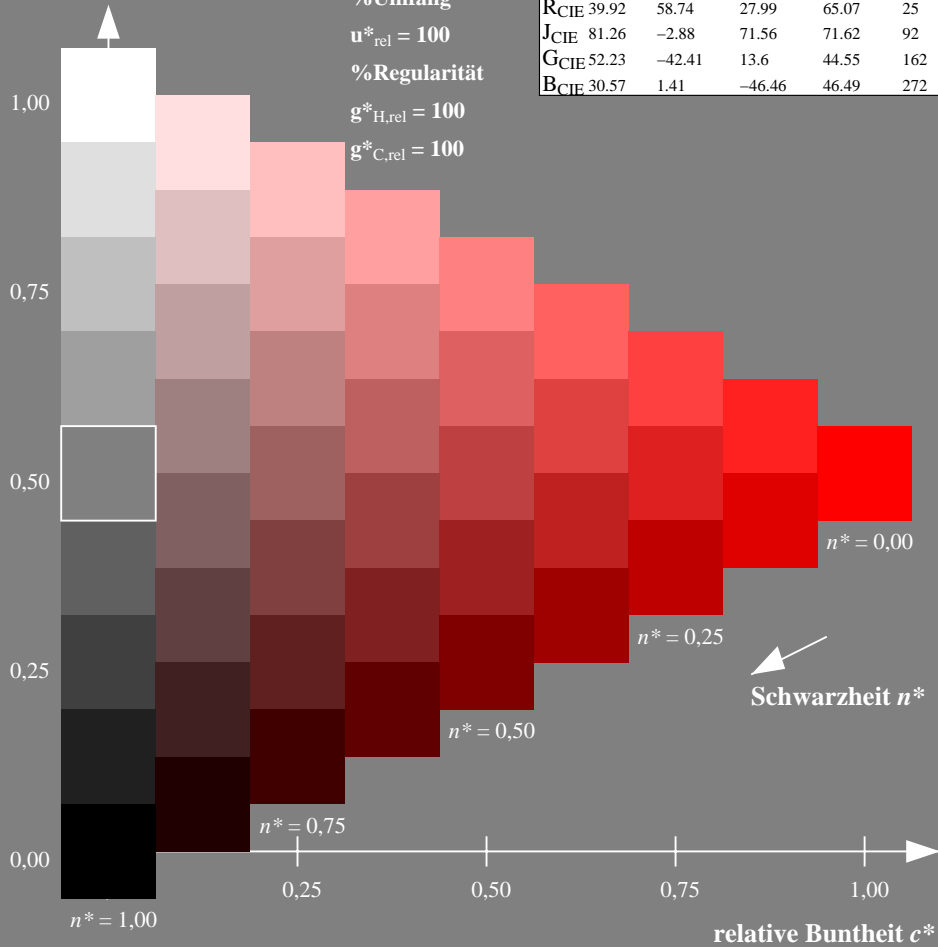
%Umfang

$u^*_{rel} = 100$

%Regularität

$g^*_{H,rel} = 100$

$g^*_{C,rel} = 100$



Ausgabe: Farbmatisches Drucker-Reflektiv-System DRSXX

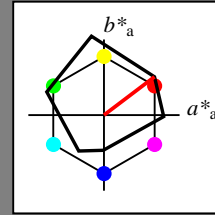
für Buntton $h^* = lab^*h = 37/360 = 0.103$

lab^*tch und lab^*nch

D65: Buntton O

LCH*Ma: 42 84 37

olv*Ma: 1.0 0.0 0.0



DRSXX; adaptierte CIELAB-Daten

	$L^*=L^*_a$	a^*_a	b^*_a	$C^*_{ab,a}$	$h^*_{ab,a}$
OMa	42.21	66.82	50.6	83.82	37
YMa	90.32	-16.51	104.33	105.63	99
LMa	48.21	-75.63	30.65	81.61	158
CMa	53.44	-33.33	-47.49	58.03	235
VMa	34.16	-0.92	-46.56	46.58	269
MMa	42.71	79.0	-1.95	79.03	359
NMa	16.56	0.0	0.0	0.0	0
WMa	96.31	0.0	0.0	0.0	0
RCIE	39.92	59.78	25.77	65.1	23
JCIE	81.26	-2.51	69.07	69.11	92
GCIE	52.23	-41.57	11.3	43.09	165
BCIE	30.57	2.6	-48.62	48.7	273

Dreiecks-Helligkeit t^*

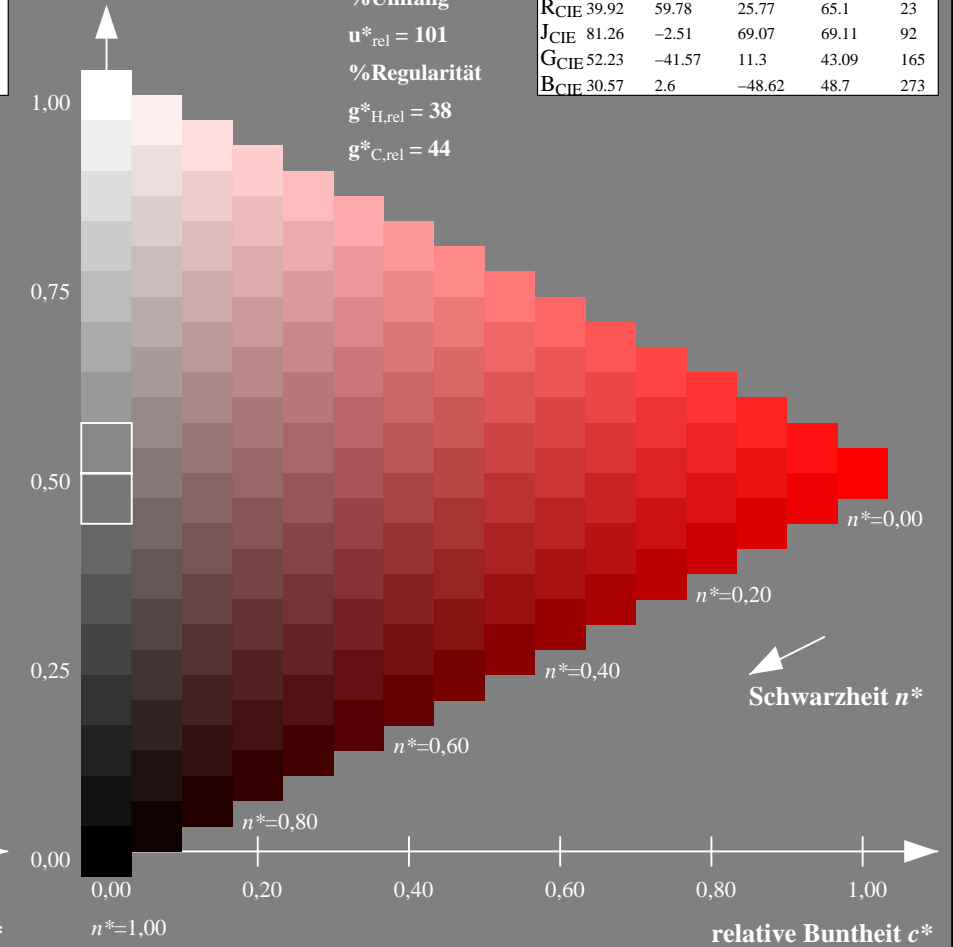
%Umfang

$u^*_{rel} = 101$

%Regularität

$g^*_{H,rel} = 38$

$g^*_{C,rel} = 44$



NG900-7, 9stufige Reihen für konstanten CIELAB Buntton $30/360 = 0.083$ (links)

16stufige Reihen für konstanten CIELAB Buntton $37/360 = 0.103$ (rechts)

Eingabe: Farbmetrisches Standard-Reflektiv-System SRS18

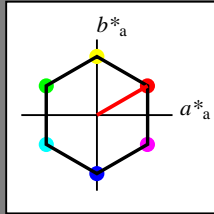
für Buntton $h^* = lab^*h = 30/360 = 0.083$

lab^*tch und lab^*nch

D65: Buntton O

LCH*Ma: 57 77 30

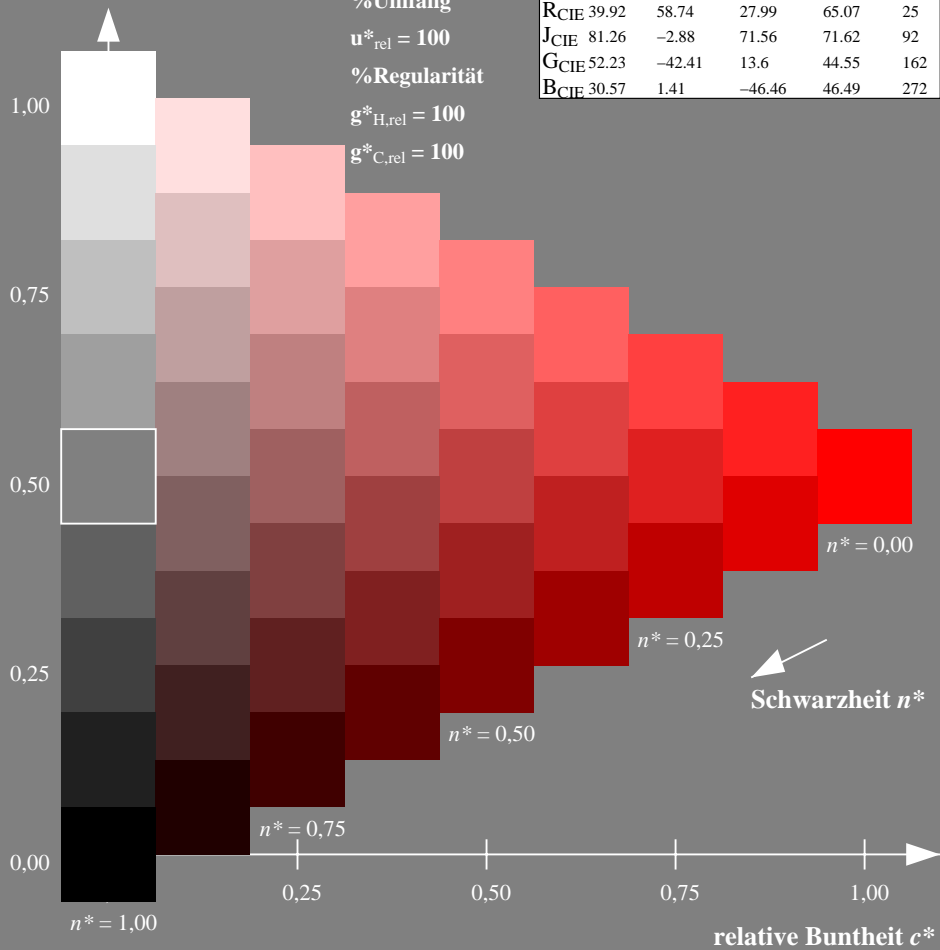
olv*Ma: 1.0 0.0 0.0



SRS18; adaptierte CIELAB-Daten

	$L^*=L^*_a$	a^*_a	b^*_a	$C^*_{ab,a}$	$h^*_{ab,a}$
OMa	56.71	67.03	38.7	77.4	30
YMa	56.71	0.0	77.4	77.4	90
LMa	56.71	-67.02	38.7	77.4	150
CMa	56.71	-67.02	-38.69	77.4	210
VMa	56.71	0.0	-77.39	77.4	270
MMa	56.71	67.03	-38.69	77.4	330
NMa	18.01	0.0	0.0	0.0	0
WMa	95.41	0.0	0.0	0.0	0
RCIE	39.92	58.74	27.99	65.07	25
JCIE	81.26	-2.88	71.56	71.62	92
GCIE	52.23	-42.41	13.6	44.55	162
BCIE	30.57	1.41	-46.46	46.49	272

Dreiecks-Helligkeit t^*



%Umfang

$u^*_{rel} = 100$

%Regularität

$g^*_{H,rel} = 100$

$g^*_{C,rel} = 100$

Ausgabe: Farbmetrisches Fernseh-Licht-System TLS18

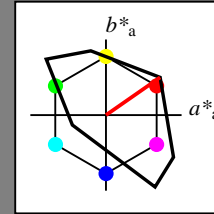
für Buntton $h^* = lab^*h = 35/360 = 0.097$

lab^*tch und lab^*nch

D65: Buntton O

LCH*Ma: 53 87 35

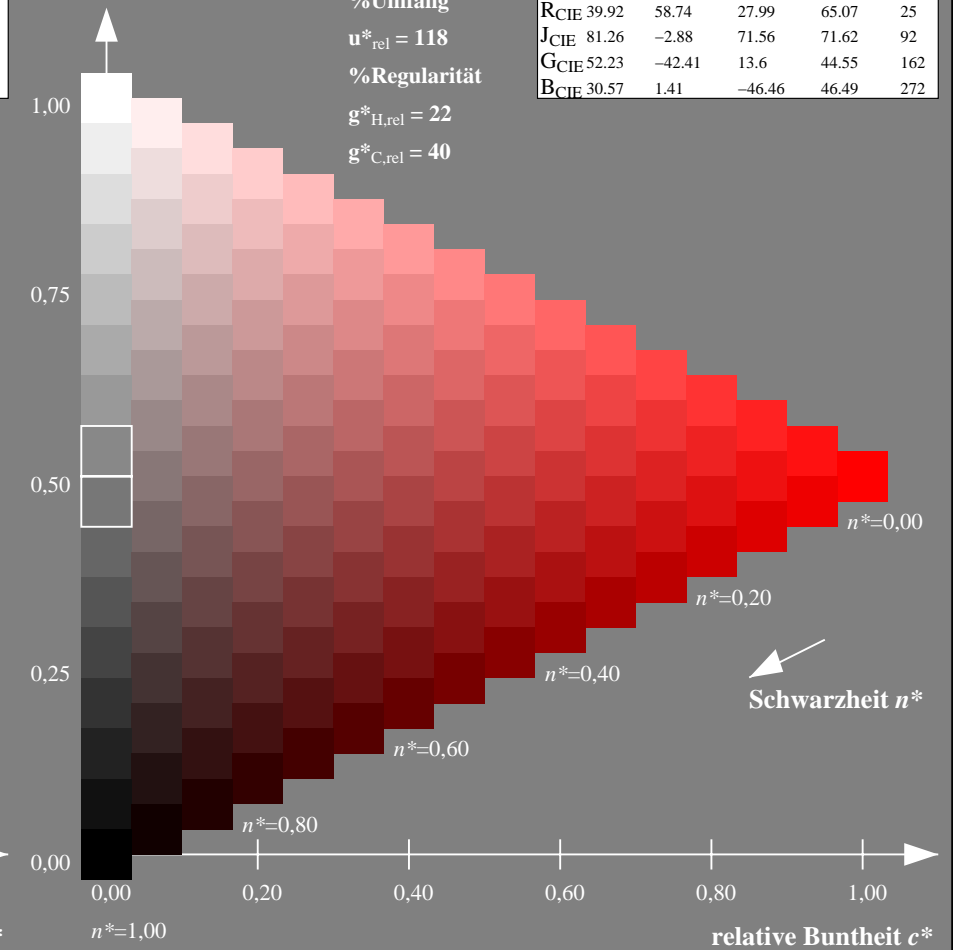
olv*Ma: 1.0 0.0 0.0



TLS18; adaptierte CIELAB-Daten

	$L^*=L^*_a$	a^*_a	b^*_a	$C^*_{ab,a}$	$h^*_{ab,a}$
OMa	52.76	71.63	49.88	87.29	35
YMa	92.74	-20.02	84.97	87.3	103
LMa	84.0	-78.98	73.94	108.2	137
CMa	87.14	-44.41	-13.11	46.32	196
VMa	35.47	64.92	-95.06	115.12	304
MMa	59.01	89.33	-55.67	105.26	328
NMa	18.01	0.0	0.0	0.0	0
WMa	95.41	0.0	0.0	0.0	0
RCIE	39.92	58.74	27.99	65.07	25
JCIE	81.26	-2.88	71.56	71.62	92
GCIE	52.23	-42.41	13.6	44.55	162
BCIE	30.57	1.41	-46.46	46.49	272

Dreiecks-Helligkeit t^*



%Umfang

$u^*_{rel} = 118$

%Regularität

$g^*_{H,rel} = 22$

$g^*_{C,rel} = 40$

NG900-7, 9stufige Reihen für konstanten CIELAB Buntton $30/360 = 0.083$ (links)

16stufige Reihen für konstanten CIELAB Buntton $35/360 = 0.097$ (rechts)

Eingabe: Farbmatisches Standard-Reflektiv-System SRS18

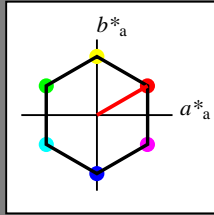
für Buntton $h^* = lab^*h = 30/360 = 0.083$

lab^*tch und lab^*nch

D65: Buntton O

LCH*Ma: 57 77 30

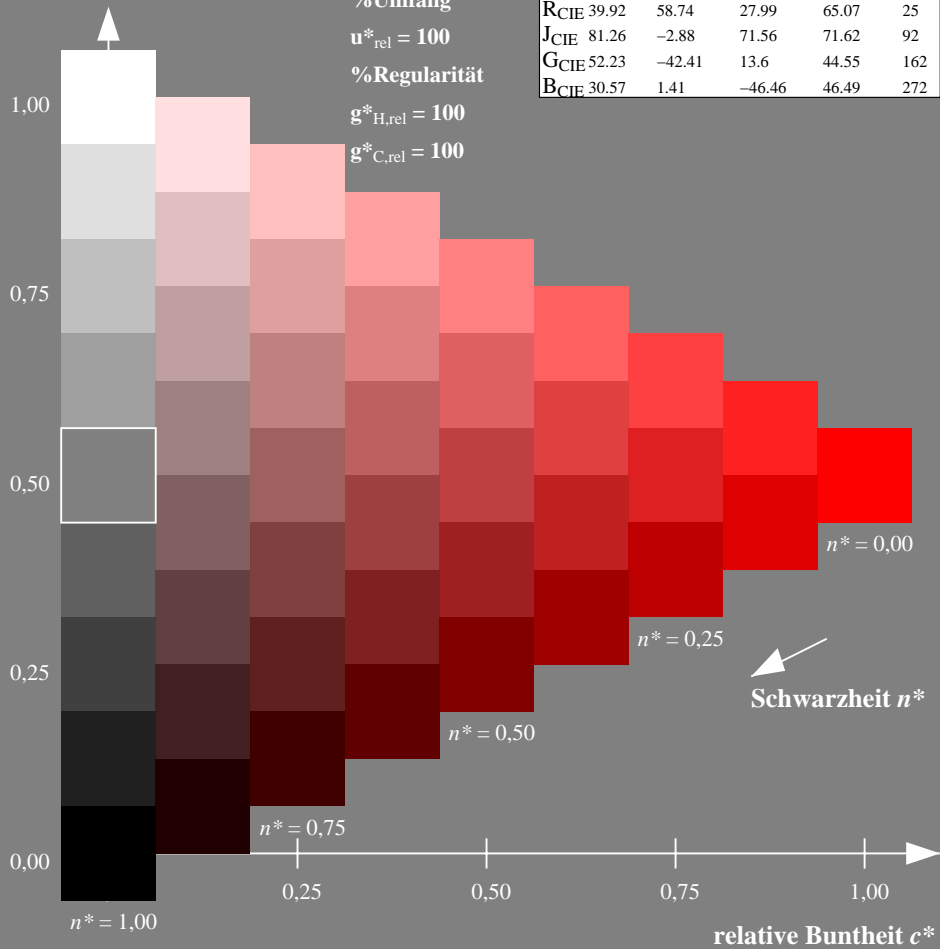
olv*Ma: 1.0 0.0 0.0



SRS18; adaptierte CIELAB-Daten

	$L^*=L^*_a$	a^*_a	b^*_a	$C^*_{ab,a}$	$h^*_{ab,a}$
OMa	56.71	67.03	38.7	77.4	30
YMa	56.71	0.0	77.4	77.4	90
LMa	56.71	-67.02	38.7	77.4	150
CMa	56.71	-67.02	-38.69	77.4	210
VMa	56.71	0.0	-77.39	77.4	270
MMa	56.71	67.03	-38.69	77.4	330
NMa	18.01	0.0	0.0	0.0	0
WMa	95.41	0.0	0.0	0.0	0
RCIE	39.92	58.74	27.99	65.07	25
JCIE	81.26	-2.88	71.56	71.62	92
GCIE	52.23	-42.41	13.6	44.55	162
BCIE	30.57	1.41	-46.46	46.49	272

Dreiecks-Helligkeit t^*



Ausgabe: Farbmatisches Natürliches-Licht-System NLS00

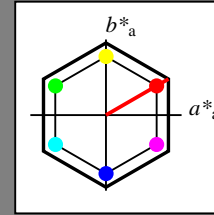
für Buntton $h^* = lab^*h = 30/360 = 0.083$

lab^*tch und lab^*nch

D65: Buntton O

LCH*Ma: 32 95 30

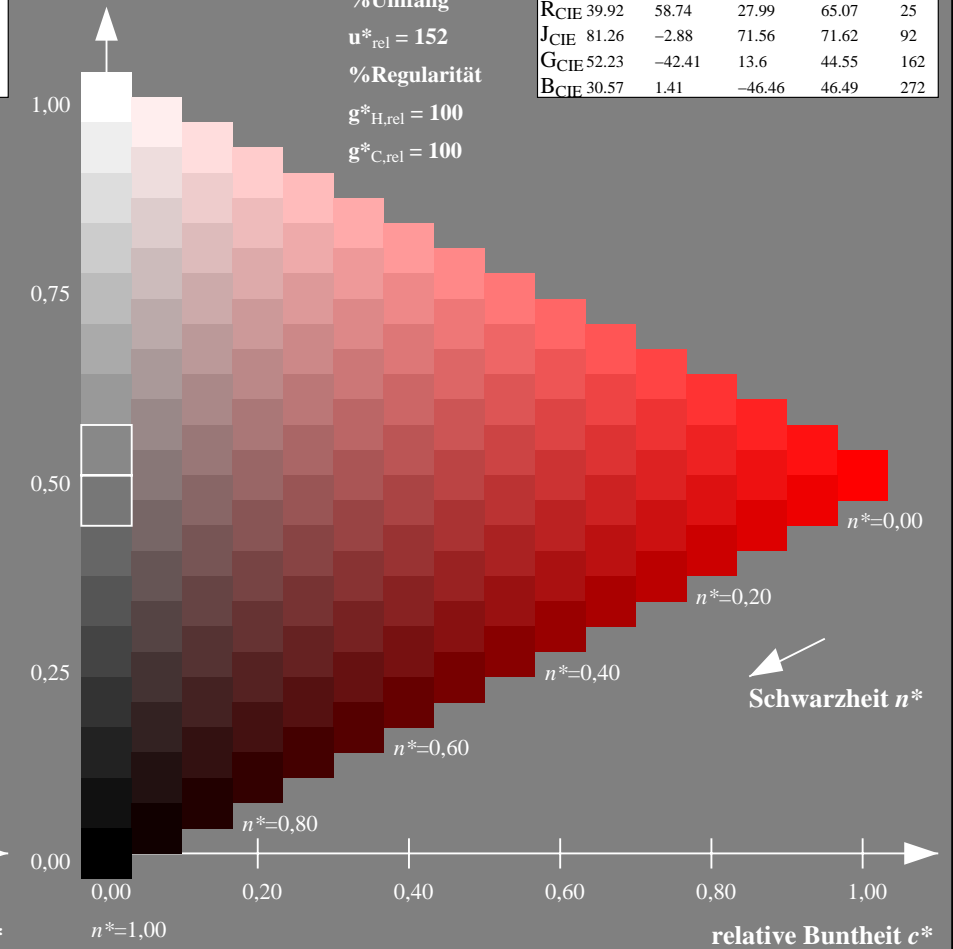
olv*Ma: 1.0 0.0 0.0



NLS00; adaptierte CIELAB-Daten

	$L^*=L^*_a$	a^*_a	b^*_a	$C^*_{ab,a}$	$h^*_{ab,a}$
OMa	31.81	82.62	47.7	95.4	30
YMa	63.61	0.0	95.4	95.4	90
LMa	31.81	-82.61	47.7	95.4	150
CMa	63.61	-82.61	-47.69	95.4	210
VMa	31.81	0.0	-95.39	95.4	270
MMa	63.61	82.62	-47.69	95.4	330
NMa	0.01	0.0	0.0	0.0	0
WMa	95.41	0.0	0.0	0.0	0
RCIE	39.92	58.74	27.99	65.07	25
JCIE	81.26	-2.88	71.56	71.62	92
GCIE	52.23	-42.41	13.6	44.55	162
BCIE	30.57	1.41	-46.46	46.49	272

Dreiecks-Helligkeit t^*



NG900-7, 9stufige Reihen für konstanten CIELAB Buntton 30/360 = 0.083 (links)

16stufige Reihen für konstanten CIELAB Buntton 30/360 = 0.083 (rechts)

Eingabe: Farbmatisches Standard-Reflektiv-System SRS18

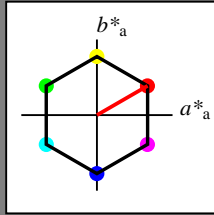
für Buntton $h^* = lab^*h = 30/360 = 0.083$

lab^*tch und lab^*nch

D65: Buntton O

LCH*Ma: 57 77 30

olv*Ma: 1.0 0.0 0.0



SRS18; adaptierte CIELAB-Daten

	$L^*=L^*_a$	a^*_a	b^*_a	$C^*_{ab,a}$	$h^*_{ab,a}$
OMa	56.71	67.03	38.7	77.4	30
YMa	56.71	0.0	77.4	77.4	90
LMa	56.71	-67.02	38.7	77.4	150
CMa	56.71	-67.02	-38.69	77.4	210
VMa	56.71	0.0	-77.39	77.4	270
MMa	56.71	67.03	-38.69	77.4	330
NMa	18.01	0.0	0.0	0.0	0
WMa	95.41	0.0	0.0	0.0	0
RCIE	39.92	58.74	27.99	65.07	25
JCIE	81.26	-2.88	71.56	71.62	92
GCIE	52.23	-42.41	13.6	44.55	162
BCIE	30.57	1.41	-46.46	46.49	272

Dreiecks-Helligkeit t^*

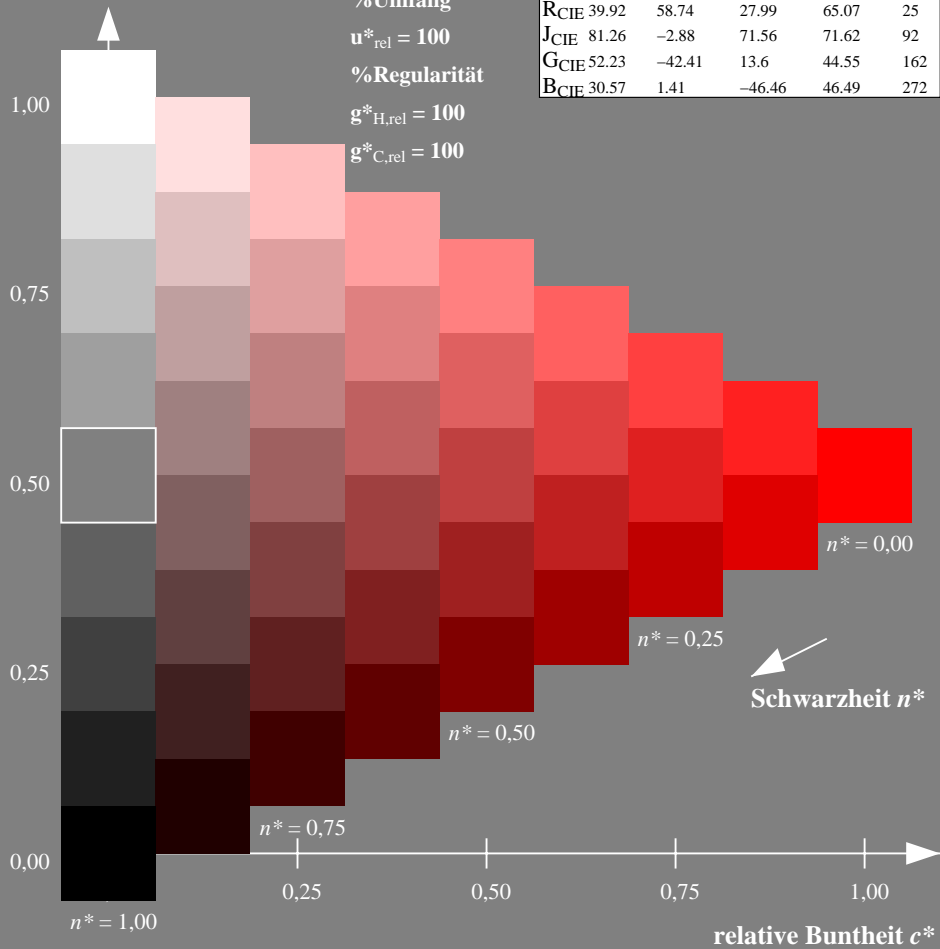
%Umfang

$u^*_{rel} = 100$

%Regularität

$g^*_{H,rel} = 100$

$g^*_{C,rel} = 100$



Ausgabe: Farbmatisches Natürliches-Reflektiv-System NRS18

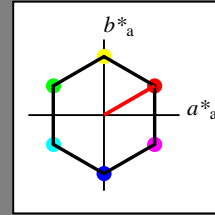
für Buntton $h^* = lab^*h = 30/360 = 0.083$

lab^*tch und lab^*nch

D65: Buntton O

LCH*Ma: 44 77 30

olv*Ma: 1.0 0.0 0.0



NRS18; adaptierte CIELAB-Daten

	$L^*=L^*_a$	a^*_a	b^*_a	$C^*_{ab,a}$	$h^*_{ab,a}$
OMa	43.81	67.03	38.7	77.4	30
YMa	69.61	0.0	77.4	77.4	90
LMa	43.81	-67.02	38.7	77.4	150
CMa	69.61	-67.02	-38.69	77.4	210
VMa	43.81	0.0	-77.39	77.4	270
MMa	69.61	67.03	-38.69	77.4	330
NMa	18.01	0.0	0.0	0.0	0
WMa	95.41	0.0	0.0	0.0	0
RCIE	39.92	58.74	27.99	65.07	25
JCIE	81.26	-2.88	71.56	71.62	92
GCIE	52.23	-42.41	13.6	44.55	162
BCIE	30.57	1.41	-46.46	46.49	272

Dreiecks-Helligkeit t^*

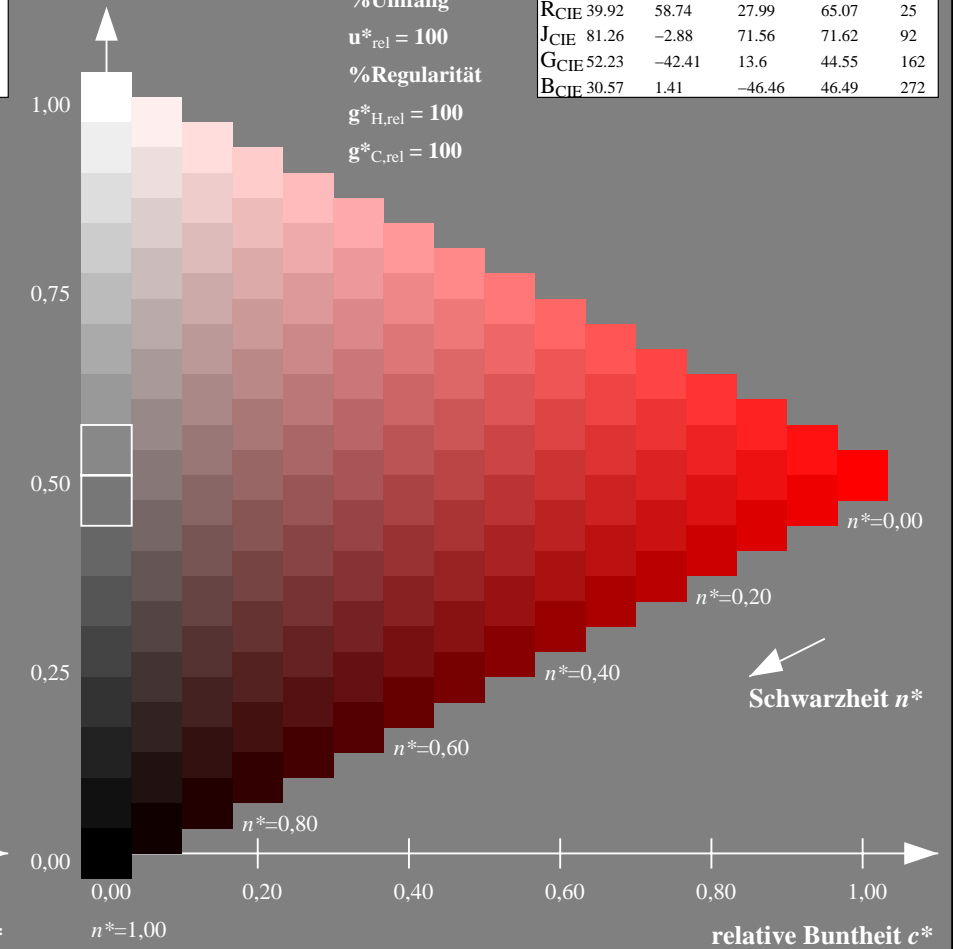
%Umfang

$u^*_{rel} = 100$

%Regularität

$g^*_{H,rel} = 100$

$g^*_{C,rel} = 100$



NG900-7, 9stufige Reihen für konstanten CIELAB Buntton 30/360 = 0.083 (links)

16stufige Reihen für konstanten CIELAB Buntton 30/360 = 0.083 (rechts)

Eingabe: Farbmimetrisches Standard-Reflektiv-System SRS18

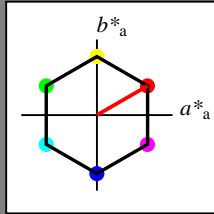
für Buntton $h^* = lab^*h = 30/360 = 0.083$

lab^*tch und lab^*nch

D65: Buntton O

LCH*Ma: 57 77 30

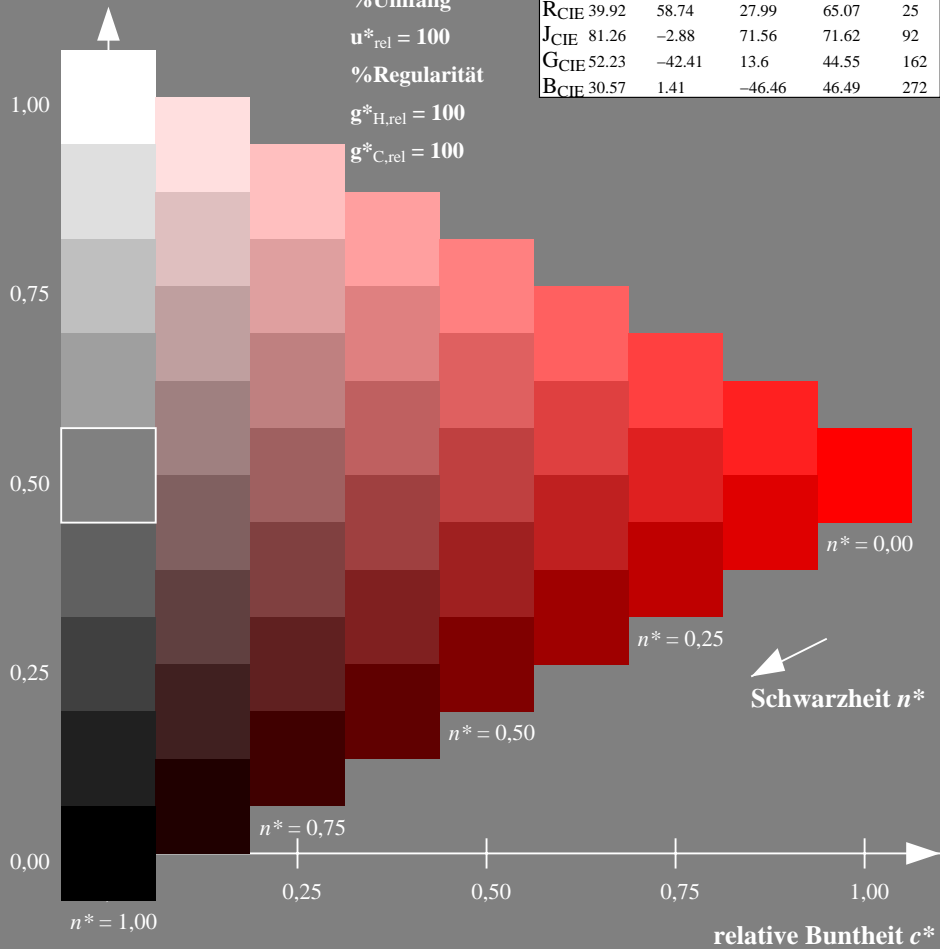
olv*Ma: 1.0 0.0 0.0



SRS18; adaptierte CIELAB-Daten

	$L^*=L^*_a$	a^*_a	b^*_a	$C^*_{ab,a}$	$h^*_{ab,a}$
OMa	56.71	67.03	38.7	77.4	30
YMa	56.71	0.0	77.4	77.4	90
LMa	56.71	-67.02	38.7	77.4	150
CMa	56.71	-67.02	-38.69	77.4	210
VMa	56.71	0.0	-77.39	77.4	270
MMa	56.71	67.03	-38.69	77.4	330
NMa	18.01	0.0	0.0	0.0	0
WMa	95.41	0.0	0.0	0.0	0
RCIE	39.92	58.74	27.99	65.07	25
JCIE	81.26	-2.88	71.56	71.62	92
GCIE	52.23	-42.41	13.6	44.55	162
BCIE	30.57	1.41	-46.46	46.49	272

Dreiecks-Helligkeit t^*



Ausgabe: Farbmimetrisches Standard-Reflektiv-System SRS18

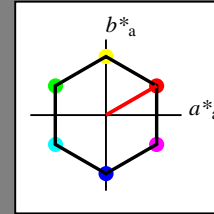
für Buntton $h^* = lab^*h = 30/360 = 0.083$

lab^*tch und lab^*nch

D65: Buntton O

LCH*Ma: 57 77 30

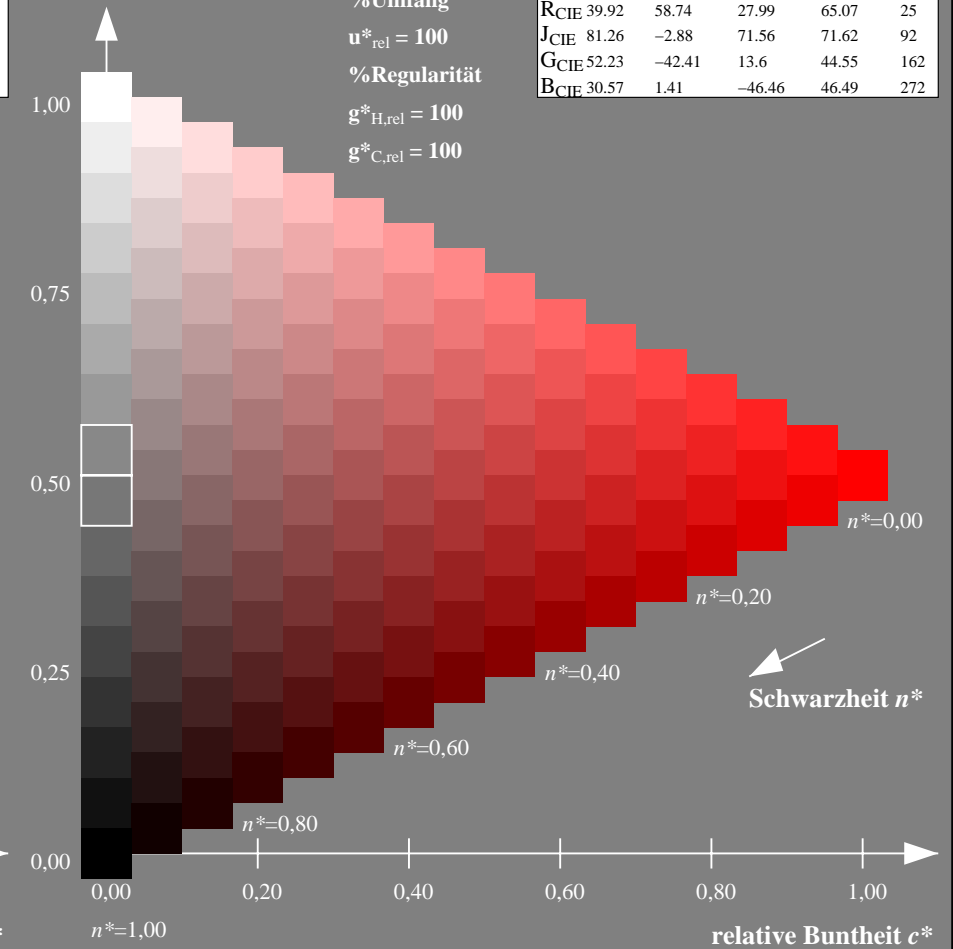
olv*Ma: 1.0 0.0 0.0



SRS18; adaptierte CIELAB-Daten

	$L^*=L^*_a$	a^*_a	b^*_a	$C^*_{ab,a}$	$h^*_{ab,a}$
OMa	56.71	67.03	38.7	77.4	30
YMa	56.71	0.0	77.4	77.4	90
LMa	56.71	-67.02	38.7	77.4	150
CMa	56.71	-67.02	-38.69	77.4	210
VMa	56.71	0.0	-77.39	77.4	270
MMa	56.71	67.03	-38.69	77.4	330
NMa	18.01	0.0	0.0	0.0	0
WMa	95.41	0.0	0.0	0.0	0
RCIE	39.92	58.74	27.99	65.07	25
JCIE	81.26	-2.88	71.56	71.62	92
GCIE	52.23	-42.41	13.6	44.55	162
BCIE	30.57	1.41	-46.46	46.49	272

Dreiecks-Helligkeit t^*



NG900-7, 9stufige Reihen für konstanten CIELAB Buntton $30/360 = 0.083$ (links)

16stufige Reihen für konstanten CIELAB Buntton $30/360 = 0.083$ (rechts)

Eingabe: Farbmetrisches Standard-Reflektiv-System SRS18

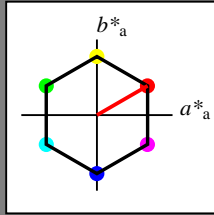
für Buntton $h^* = lab^*h = 30/360 = 0.083$

lab^*tch und lab^*nch

D65: Buntton O

LCH*Ma: 57 77 30

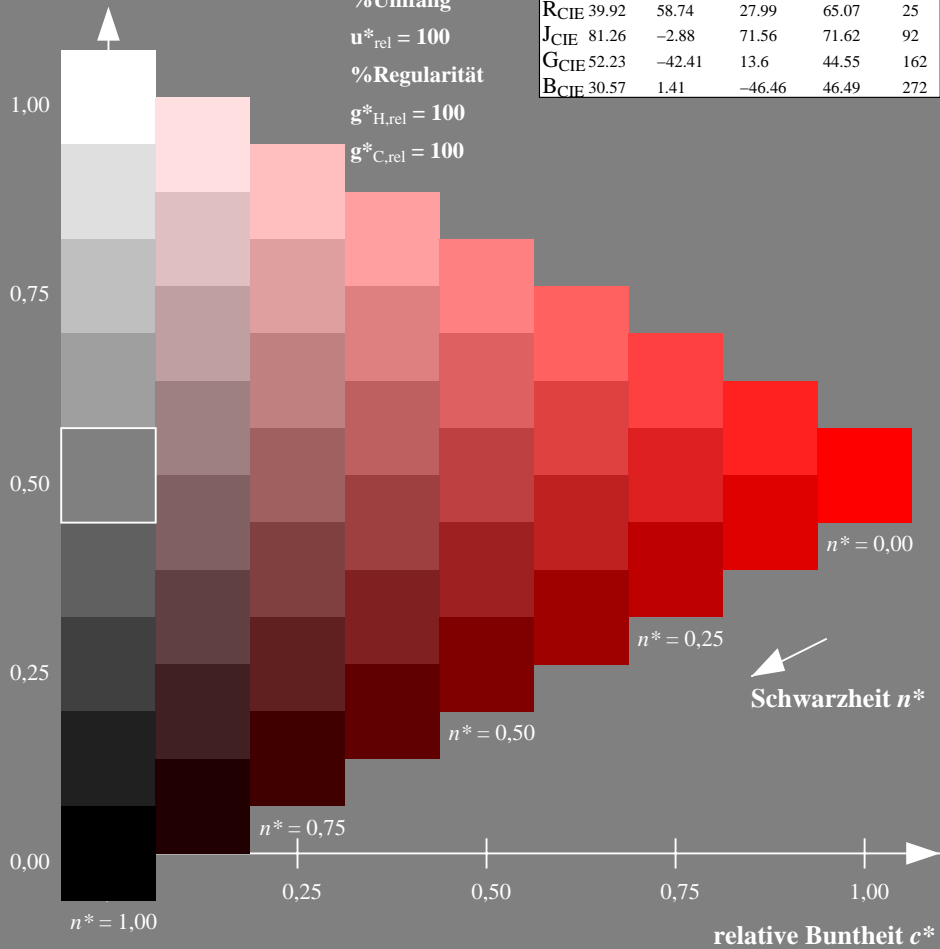
olv*Ma: 1.0 0.0 0.0



SRS18; adaptierte CIELAB-Daten

	$L^*=L^*_a$	a^*_a	b^*_a	$C^*_{ab,a}$	$h^*_{ab,a}$
OMa	56.71	67.03	38.7	77.4	30
YMa	56.71	0.0	77.4	77.4	90
LMa	56.71	-67.02	38.7	77.4	150
CMa	56.71	-67.02	-38.69	77.4	210
VMa	56.71	0.0	-77.39	77.4	270
MMa	56.71	67.03	-38.69	77.4	330
NMa	18.01	0.0	0.0	0.0	0
WMa	95.41	0.0	0.0	0.0	0
RCIE	39.92	58.74	27.99	65.07	25
JCIE	81.26	-2.88	71.56	71.62	92
GCIE	52.23	-42.41	13.6	44.55	162
BCIE	30.57	1.41	-46.46	46.49	272

Dreiecks-Helligkeit t^*



Ausgabe: Farbmetrisches Fernseh-Licht-System TLS70

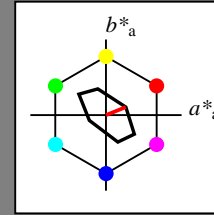
für Buntton $h^* = lab^*h = 22/360 = 0.061$

lab^*tch und lab^*nch

D65: Buntton O

LCH*Ma: 76 28 22

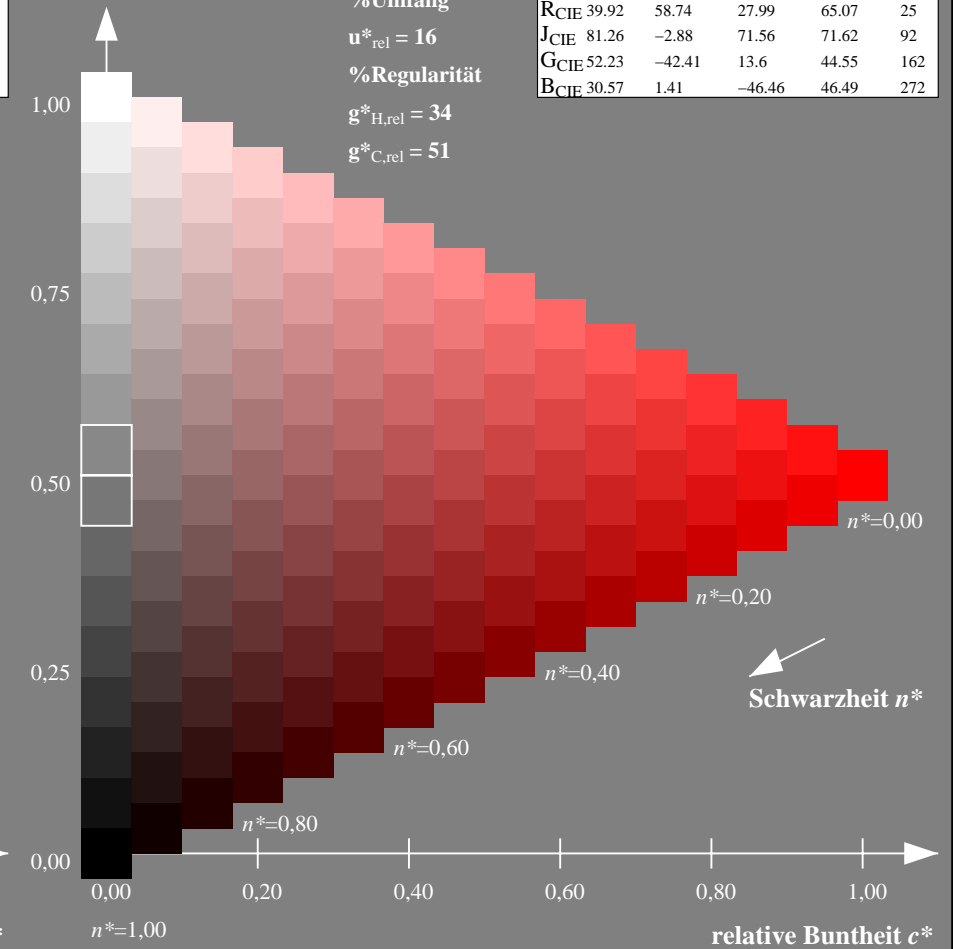
olv*Ma: 1.0 0.0 0.0



TLS70; adaptierte CIELAB-Daten

	$L^*=L^*_a$	a^*_a	b^*_a	$C^*_{ab,a}$	$h^*_{ab,a}$
OMa	76.43	26.27	10.57	28.32	22
YMa	93.93	-10.76	34.63	36.27	107
LMa	89.32	-35.8	27.64	45.24	142
CMa	90.93	-21.95	-7.07	23.07	198
VMa	72.1	15.76	-35.63	38.97	294
MMa	78.5	37.52	-25.23	45.22	326
NMa	69.7	0.0	0.0	0.0	0
WMa	95.41	0.0	0.0	0.0	0
RCIE	39.92	58.74	27.99	65.07	25
JCIE	81.26	-2.88	71.56	71.62	92
GCIE	52.23	-42.41	13.6	44.55	162
BCIE	30.57	1.41	-46.46	46.49	272

Dreiecks-Helligkeit t^*



NG900-7, 9stufige Reihen für konstanten CIELAB Buntton $30/360 = 0.083$ (links)

16stufige Reihen für konstanten CIELAB Buntton $22/360 = 0.061$ (rechts)

Eingabe: Farbmetrisches Fernseh-Licht-System TLS70

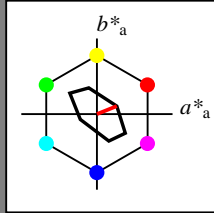
für Buntton $h^* = lab^*h = 22/360 = 0.061$

lab^*tch und lab^*nch

D65: Buntton O

LCH*Ma: 76 28 22

olv*Ma: 1.0 0.0 0.0



TLS70; adaptierte CIELAB-Daten

	$L^*=L^*_a$	a^*_a	b^*_a	$C^*_{ab,a}$	$h^*_{ab,a}$
OMa	76.43	26.27	10.57	28.32	22
YMa	93.93	-10.76	34.63	36.27	107
LMa	89.32	-35.8	27.64	45.24	142
CMa	90.93	-21.95	-7.07	23.07	198
VMa	72.1	15.76	-35.63	38.97	294
MMa	78.5	37.52	-25.23	45.22	326
NMa	69.7	0.0	0.0	0.0	0
WMa	95.41	0.0	0.0	0.0	0
RCIE	39.92	58.74	27.99	65.07	25
JCIE	81.26	-2.88	71.56	71.62	92
GCIE	52.23	-42.41	13.6	44.55	162
BCIE	30.57	1.41	-46.46	46.49	272

Dreiecks-Helligkeit t^*

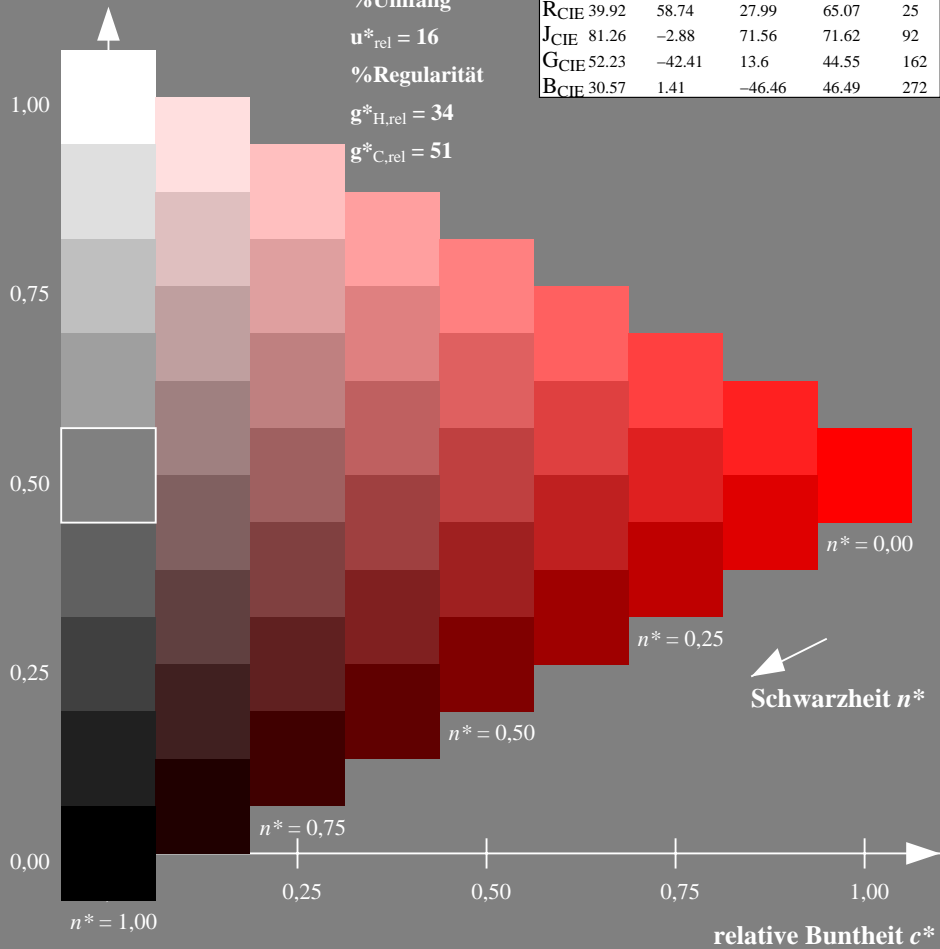
%Umfang

$u^*_{rel} = 16$

%Regularität

$g^*_{H,rel} = 34$

$g^*_{C,rel} = 51$



Ausgabe: Farbmetrisches Offset-Reflektiv-System ORS18

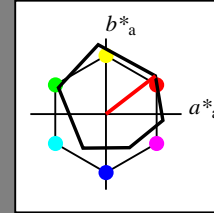
für Buntton $h^* = lab^*h = 38/360 = 0.105$

lab^*tch und lab^*nch

D65: Buntton O

LCH*Ma: 48 83 38

olv*Ma: 1.0 0.0 0.0



ORS18; adaptierte CIELAB-Daten

	$L^*=L^*_a$	a^*_a	b^*_a	$C^*_{ab,a}$	$h^*_{ab,a}$
OMa	47.94	65.39	50.52	82.63	38
YMa	90.37	-10.26	91.75	92.32	96
LMa	50.9	-62.83	34.96	71.91	151
CMa	58.62	-30.34	-45.01	54.3	236
VMa	25.72	31.1	-44.4	54.22	305
MMa	48.13	75.28	-8.36	75.74	354
NMa	18.01	0.0	0.0	0.0	0
WMa	95.41	0.0	0.0	0.0	0
RCIE	39.92	58.66	26.98	64.57	25
JCIE	81.26	-2.16	67.76	67.79	92
GCIE	52.23	-42.25	11.76	43.87	164
BCIE	30.57	1.15	-46.84	46.86	271

Dreiecks-Helligkeit t^*

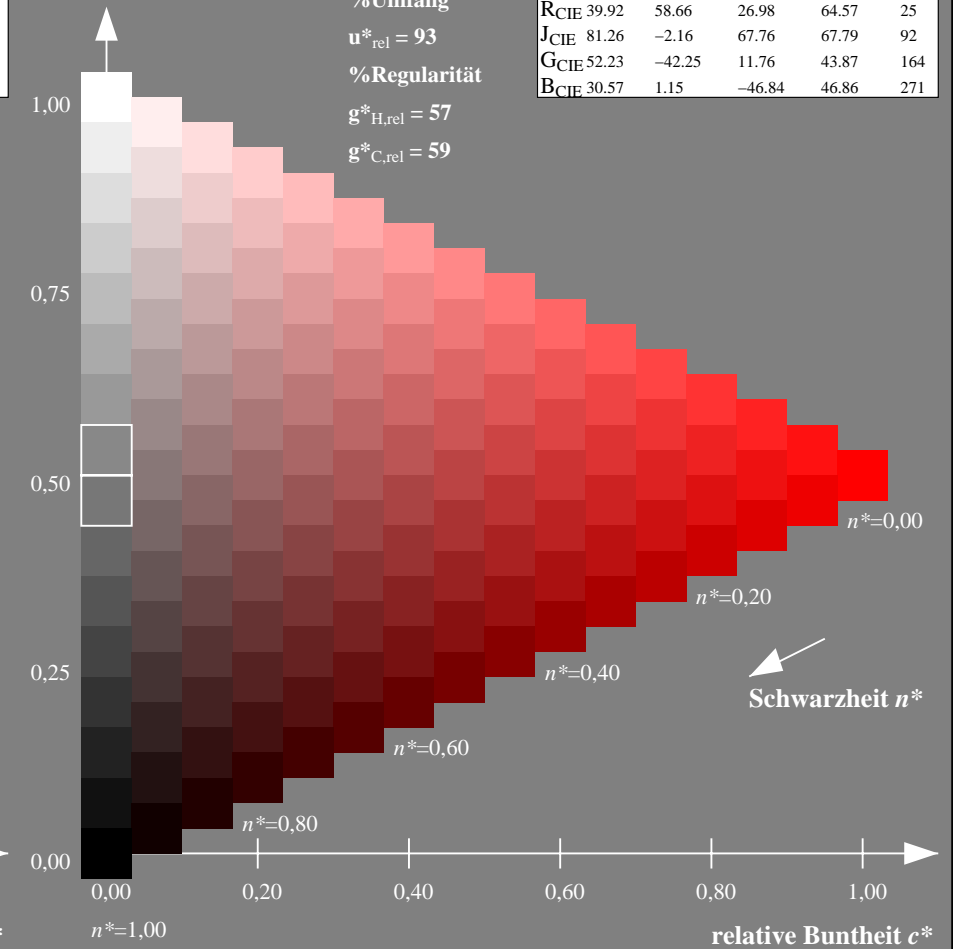
%Umfang

$u^*_{rel} = 93$

%Regularität

$g^*_{H,rel} = 57$

$g^*_{C,rel} = 59$



NG900-7, 9stufige Reihen für konstanten CIELAB Buntton $22/360 = 0.061$ (links)

16stufige Reihen für konstanten CIELAB Buntton $38/360 = 0.105$ (rechts)

Eingabe: Farbmetrisches Fernseh-Licht-System TLS70

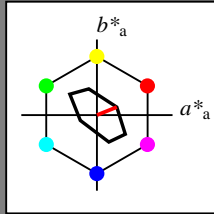
für Buntton $h^* = lab^*h = 22/360 = 0.061$

lab^*tch und lab^*nch

D65: Buntton O

LCH*Ma: 76 28 22

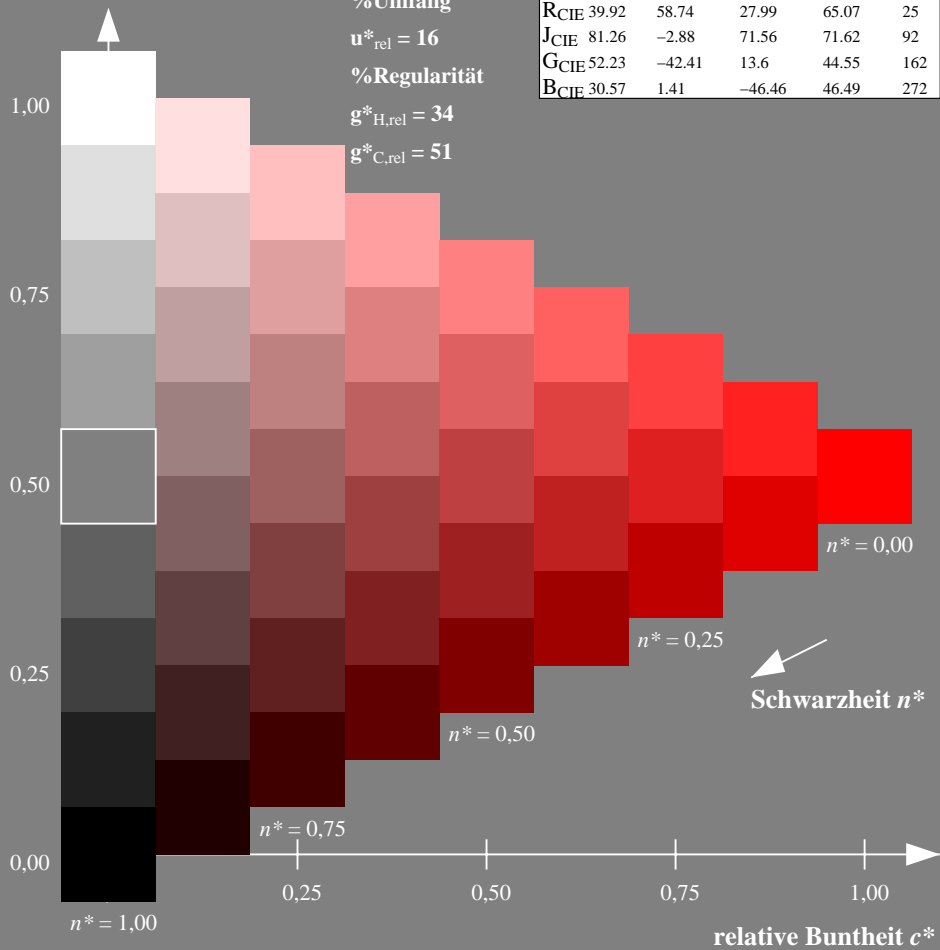
olv*Ma: 1.0 0.0 0.0



TLS70; adaptierte CIELAB-Daten

	$L^*=L^*_a$	a^*_a	b^*_a	$C^*_{ab,a}$	$h^*_{ab,a}$
OMa	76.43	26.27	10.57	28.32	22
YMa	93.93	-10.76	34.63	36.27	107
LMa	89.32	-35.8	27.64	45.24	142
CMa	90.93	-21.95	-7.07	23.07	198
VMa	72.1	15.76	-35.63	38.97	294
MMa	78.5	37.52	-25.23	45.22	326
NMa	69.7	0.0	0.0	0.0	0
WMa	95.41	0.0	0.0	0.0	0
RCIE	39.92	58.74	27.99	65.07	25
JCIE	81.26	-2.88	71.56	71.62	92
GCIE	52.23	-42.41	13.6	44.55	162
BCIE	30.57	1.41	-46.46	46.49	272

Dreiecks-Helligkeit t^*



Ausgabe: Farbmetrisches Fernseh-Licht-System TLS00

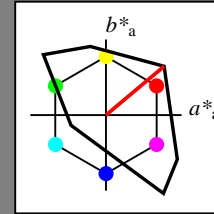
für Buntton $h^* = lab^*h = 40/360 = 0.111$

lab^*tch und lab^*nch

D65: Buntton O

LCH*Ma: 51 100 40

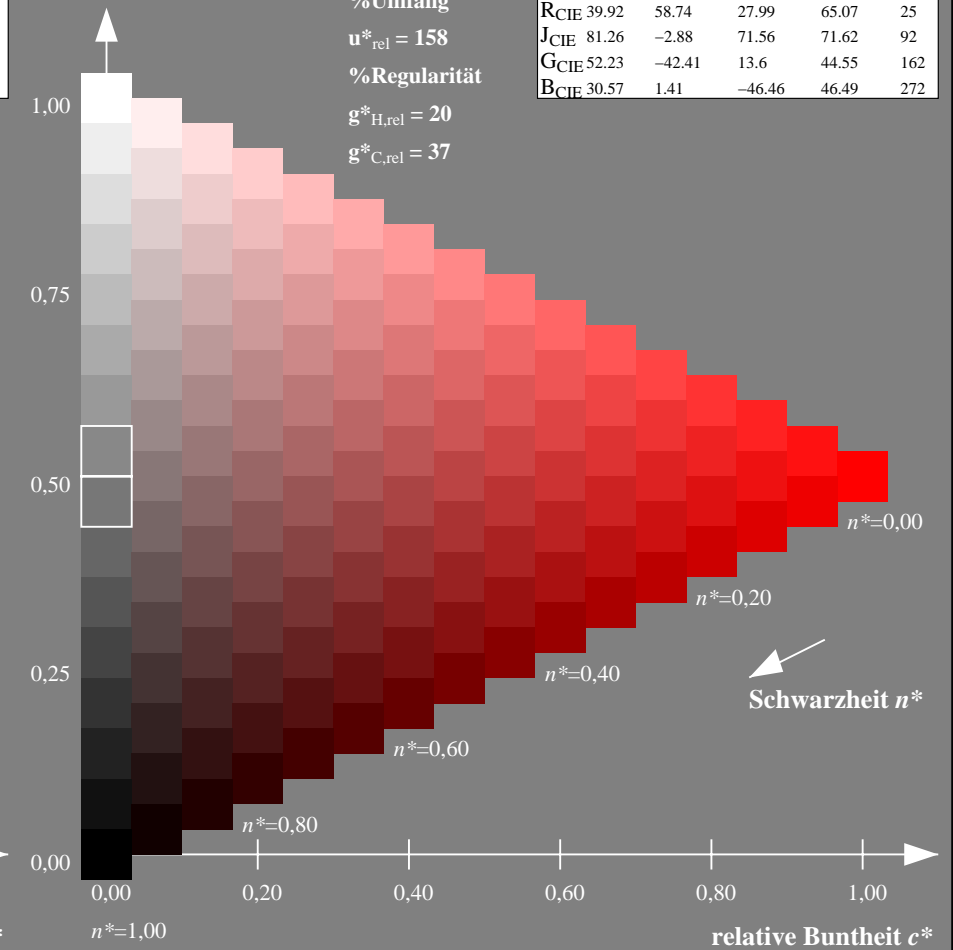
olv*Ma: 1.0 0.0 0.0



TLS00; adaptierte CIELAB-Daten

	$L^*=L^*_a$	a^*_a	b^*_a	$C^*_{ab,a}$	$h^*_{ab,a}$
OMa	50.5	76.92	64.55	100.42	40
YMa	92.66	-20.69	90.75	93.08	103
LMa	83.63	-82.75	79.9	115.04	136
CMa	86.88	-46.16	-13.55	48.12	196
VMa	30.39	76.06	-103.59	128.52	306
MMa	57.3	94.35	-58.41	110.97	328
NMa	0.01	0.0	0.0	0.0	0
WMa	95.41	0.0	0.0	0.0	0
RCIE	39.92	58.74	27.99	65.07	25
JCIE	81.26	-2.88	71.56	71.62	92
GCIE	52.23	-42.41	13.6	44.55	162
BCIE	30.57	1.41	-46.46	46.49	272

Dreiecks-Helligkeit t^*



NG900-7, 9stufige Reihen für konstanten CIELAB Buntton $22/360 = 0.061$ (links)

16stufige Reihen für konstanten CIELAB Buntton $40/360 = 0.111$ (rechts)

Eingabe: Farbmetrisches Fernseh-Licht-System TLS70

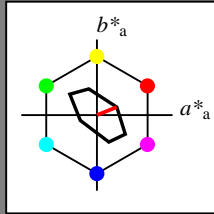
für Buntton $h^* = lab^*h = 22/360 = 0.061$

lab^*tch und lab^*nch

D65: Buntton O

LCH*Ma: 76 28 22

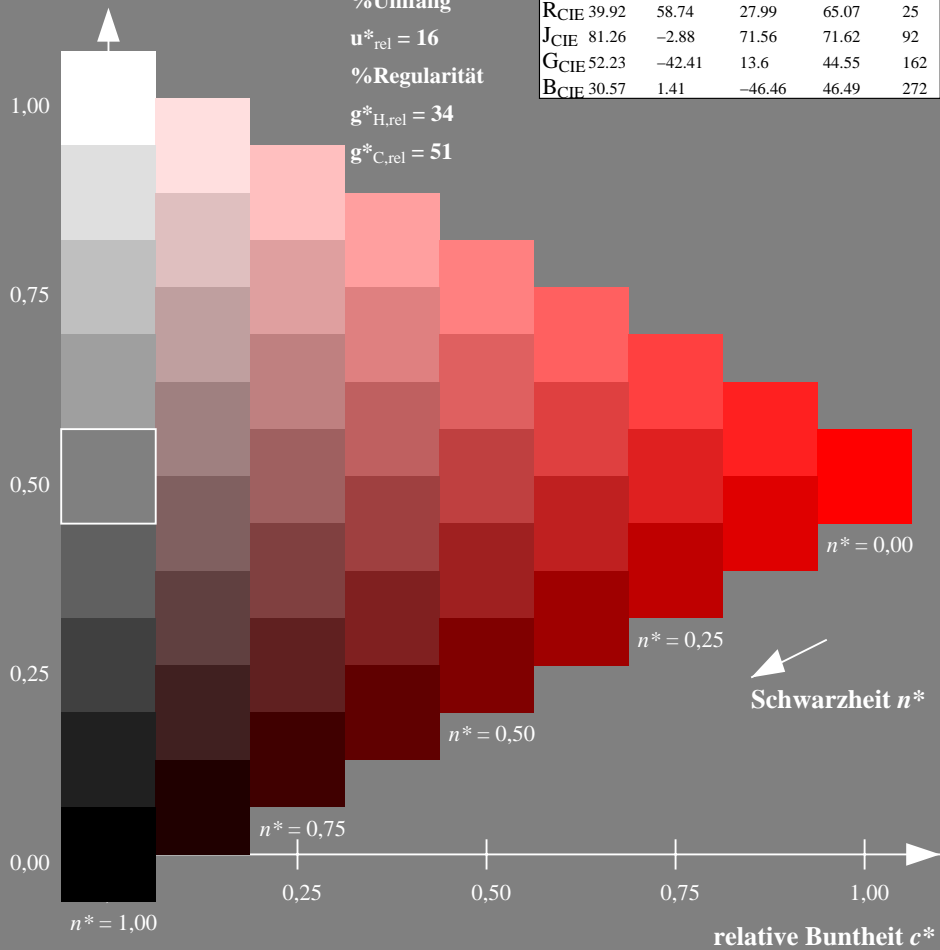
olv*Ma: 1.0 0.0 0.0



TLS70; adaptierte CIELAB-Daten

	$L^*=L^*_a$	a^*_a	b^*_a	$C^*_{ab,a}$	$h^*_{ab,a}$
OMa	76.43	26.27	10.57	28.32	22
YMa	93.93	-10.76	34.63	36.27	107
LMa	89.32	-35.8	27.64	45.24	142
CMa	90.93	-21.95	-7.07	23.07	198
VMa	72.1	15.76	-35.63	38.97	294
MMa	78.5	37.52	-25.23	45.22	326
NMa	69.7	0.0	0.0	0.0	0
WMa	95.41	0.0	0.0	0.0	0
RCIE	39.92	58.74	27.99	65.07	25
JCIE	81.26	-2.88	71.56	71.62	92
GCIE	52.23	-42.41	13.6	44.55	162
BCIE	30.57	1.41	-46.46	46.49	272

Dreiecks-Helligkeit t^*



Ausgabe: Farbmetrisches Drucker-Reflektiv-System DRSXX

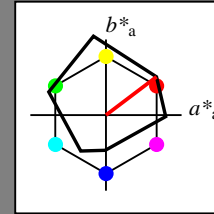
für Buntton $h^* = lab^*h = 37/360 = 0.103$

lab^*tch und lab^*nch

D65: Buntton O

LCH*Ma: 42 84 37

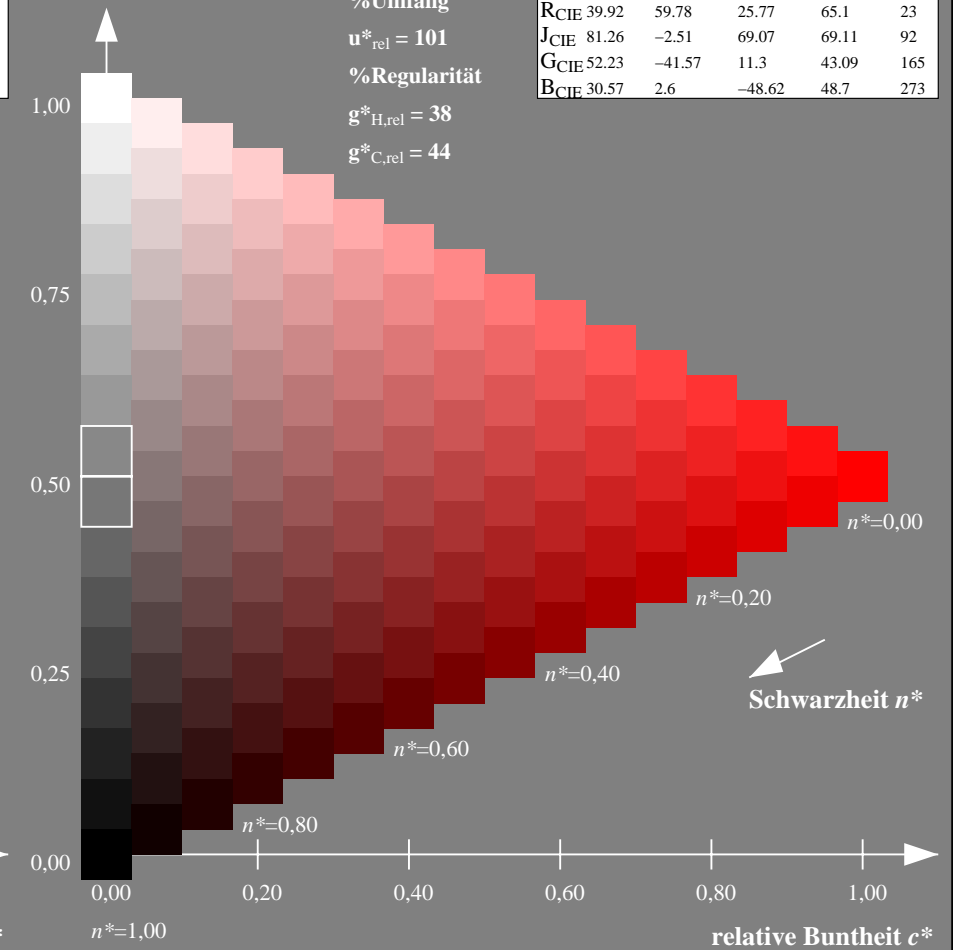
olv*Ma: 1.0 0.0 0.0



DRSXX; adaptierte CIELAB-Daten

	$L^*=L^*_a$	a^*_a	b^*_a	$C^*_{ab,a}$	$h^*_{ab,a}$
OMa	42.21	66.82	50.6	83.82	37
YMa	90.32	-16.51	104.33	105.63	99
LMa	48.21	-75.63	30.65	81.61	158
CMa	53.44	-33.33	-47.49	58.03	235
VMa	34.16	-0.92	-46.56	46.58	269
MMa	42.71	79.0	-1.95	79.03	359
NMa	16.56	0.0	0.0	0.0	0
WMa	96.31	0.0	0.0	0.0	0
RCIE	39.92	59.78	25.77	65.1	23
JCIE	81.26	-2.51	69.07	69.11	92
GCIE	52.23	-41.57	11.3	43.09	165
BCIE	30.57	2.6	-48.62	48.7	273

Dreiecks-Helligkeit t^*



NG900-7, 9stufige Reihen für konstanten CIELAB Buntton $22/360 = 0.061$ (links)

16stufige Reihen für konstanten CIELAB Buntton $37/360 = 0.103$ (rechts)

Eingabe: Farbmetrisches Fernseh-Licht-System TLS70

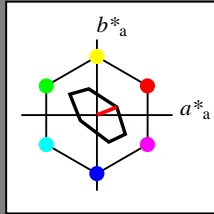
für Buntton $h^* = lab^*h = 22/360 = 0.061$

lab^*tch und lab^*nch

D65: Buntton O

LCH*Ma: 76 28 22

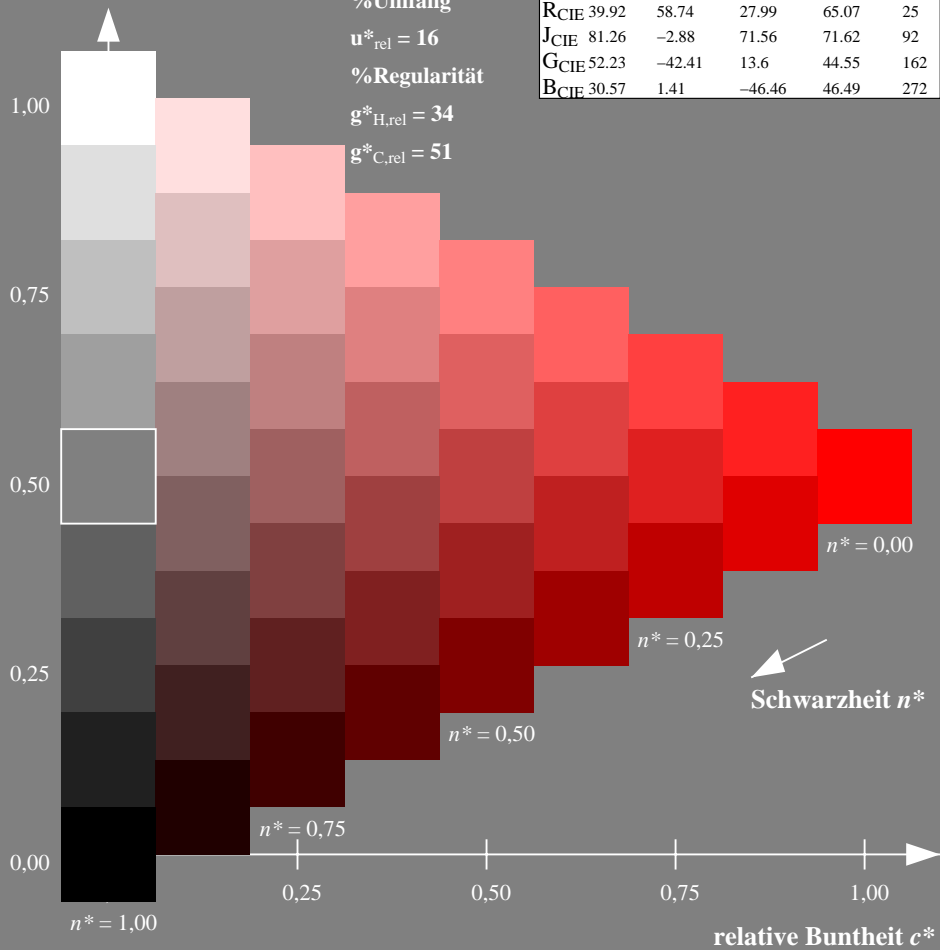
olv*Ma: 1.0 0.0 0.0



TLS70; adaptierte CIELAB-Daten

	$L^*=L^*_a$	a^*_a	b^*_a	$C^*_{ab,a}$	$h^*_{ab,a}$
OMa	76.43	26.27	10.57	28.32	22
YMa	93.93	-10.76	34.63	36.27	107
LMa	89.32	-35.8	27.64	45.24	142
CMa	90.93	-21.95	-7.07	23.07	198
VMa	72.1	15.76	-35.63	38.97	294
MMa	78.5	37.52	-25.23	45.22	326
NMa	69.7	0.0	0.0	0.0	0
WMa	95.41	0.0	0.0	0.0	0
RCIE	39.92	58.74	27.99	65.07	25
JCIE	81.26	-2.88	71.56	71.62	92
GCIE	52.23	-42.41	13.6	44.55	162
BCIE	30.57	1.41	-46.46	46.49	272

Dreiecks-Helligkeit t^*



Ausgabe: Farbmetrisches Fernseh-Licht-System TLS18

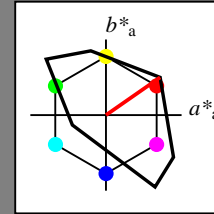
für Buntton $h^* = lab^*h = 35/360 = 0.097$

lab^*tch und lab^*nch

D65: Buntton O

LCH*Ma: 53 87 35

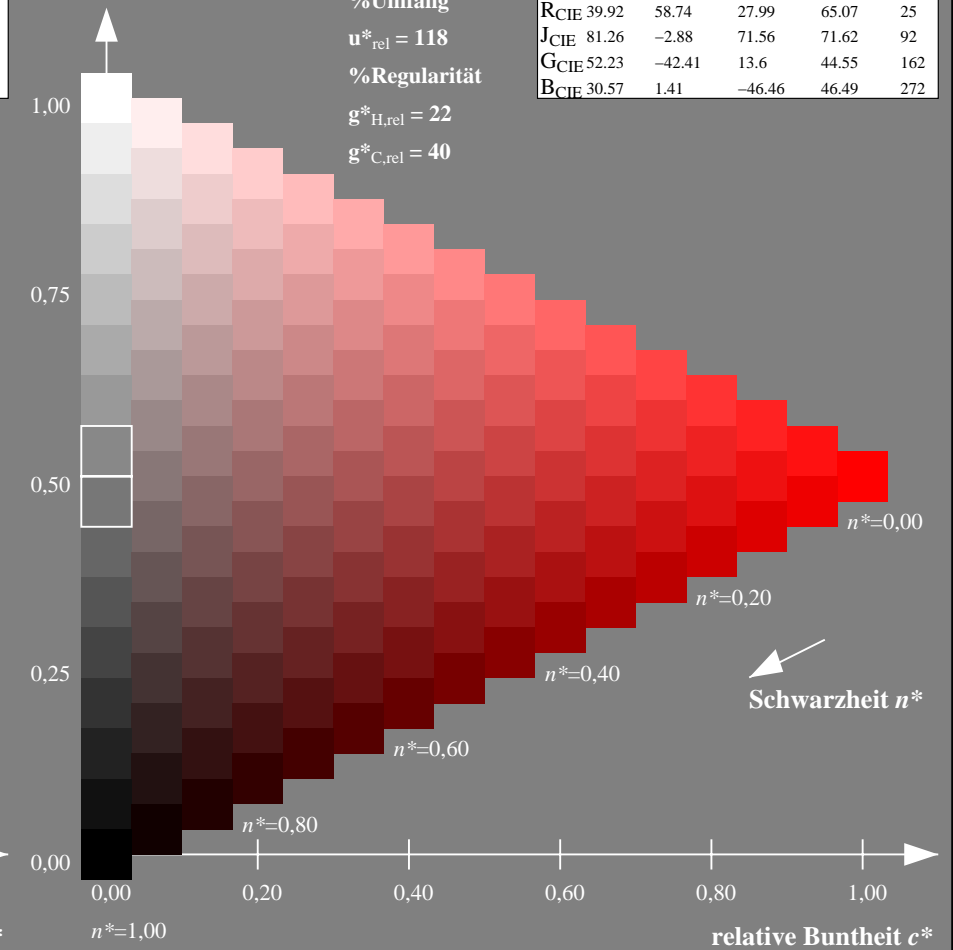
olv*Ma: 1.0 0.0 0.0



TLS18; adaptierte CIELAB-Daten

	$L^*=L^*_a$	a^*_a	b^*_a	$C^*_{ab,a}$	$h^*_{ab,a}$
OMa	52.76	71.63	49.88	87.29	35
YMa	92.74	-20.02	84.97	87.3	103
LMa	84.0	-78.98	73.94	108.2	137
CMa	87.14	-44.41	-13.11	46.32	196
VMa	35.47	64.92	-95.06	115.12	304
MMa	59.01	89.33	-55.67	105.26	328
NMa	18.01	0.0	0.0	0.0	0
WMa	95.41	0.0	0.0	0.0	0
RCIE	39.92	58.74	27.99	65.07	25
JCIE	81.26	-2.88	71.56	71.62	92
GCIE	52.23	-42.41	13.6	44.55	162
BCIE	30.57	1.41	-46.46	46.49	272

Dreiecks-Helligkeit t^*



NG900-7, 9stufige Reihen für konstanten CIELAB Buntton $22/360 = 0.061$ (links)

16stufige Reihen für konstanten CIELAB Buntton $35/360 = 0.097$ (rechts)

Eingabe: Farbmetrisches Fernseh-Licht-System TLS70

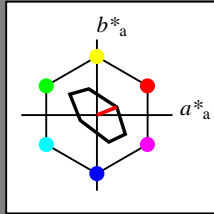
für Buntton $h^* = lab^*h = 22/360 = 0.061$

lab^*tch und lab^*nch

D65: Buntton O

LCH*Ma: 76 28 22

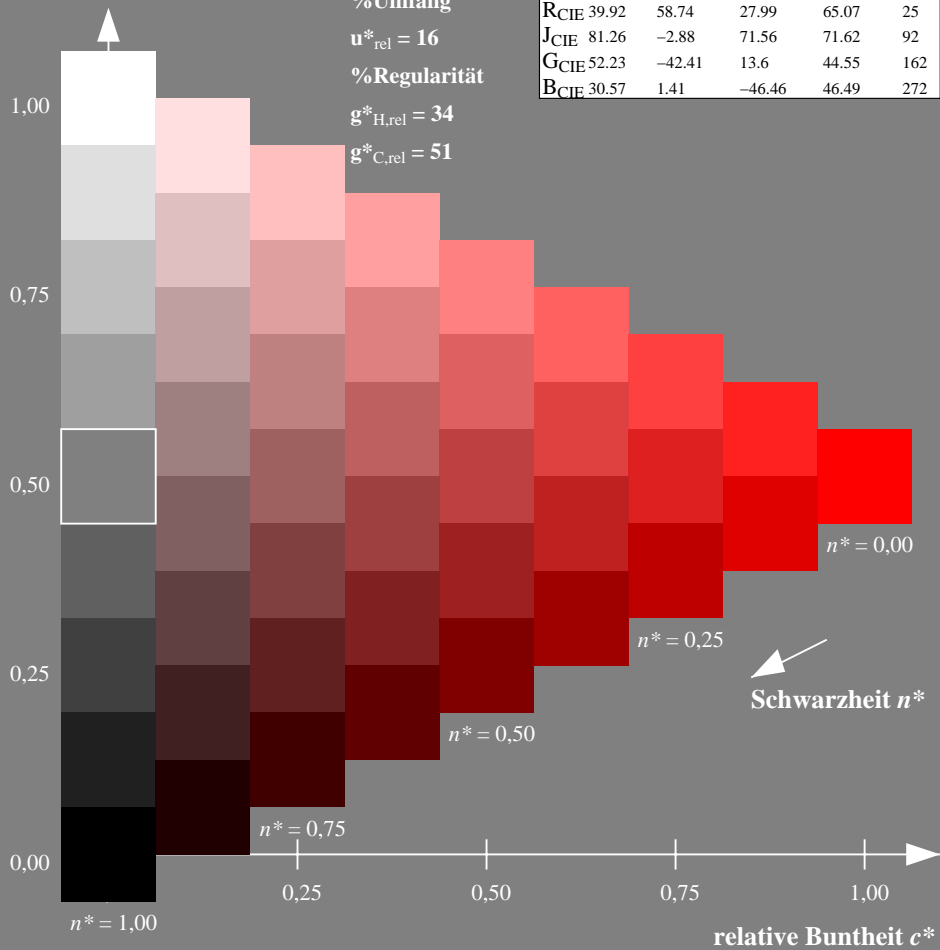
olv*Ma: 1.0 0.0 0.0



TLS70; adaptierte CIELAB-Daten

	$L^*=L^*_a$	a^*_a	b^*_a	$C^*_{ab,a}$	$h^*_{ab,a}$
O _{Ma}	76.43	26.27	10.57	28.32	22
Y _{Ma}	93.93	-10.76	34.63	36.27	107
L _{Ma}	89.32	-35.8	27.64	45.24	142
C _{Ma}	90.93	-21.95	-7.07	23.07	198
V _{Ma}	72.1	15.76	-35.63	38.97	294
M _{Ma}	78.5	37.52	-25.23	45.22	326
N _{Ma}	69.7	0.0	0.0	0.0	0
W _{Ma}	95.41	0.0	0.0	0.0	0
R _{CIE}	39.92	58.74	27.99	65.07	25
J _{CIE}	81.26	-2.88	71.56	71.62	92
G _{CIE}	52.23	-42.41	13.6	44.55	162
B _{CIE}	30.57	1.41	-46.46	46.49	272

Dreiecks-Helligkeit t^*



Ausgabe: Farbmetrisches Natürliches-Licht-System NLS00

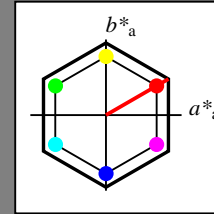
für Buntton $h^* = lab^*h = 30/360 = 0.083$

lab^*tch und lab^*nch

D65: Buntton O

LCH*Ma: 32 95 30

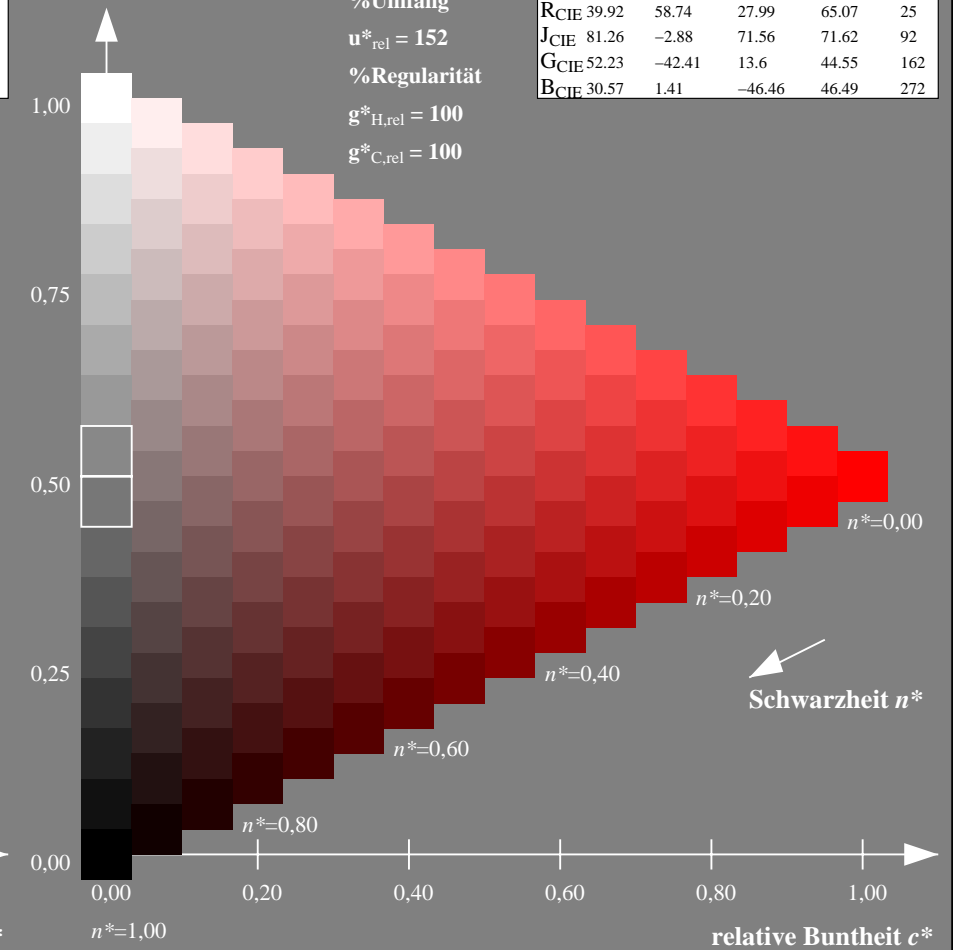
olv*Ma: 1.0 0.0 0.0



NLS00; adaptierte CIELAB-Daten

	$L^*=L^*_a$	a^*_a	b^*_a	$C^*_{ab,a}$	$h^*_{ab,a}$
O _{Ma}	31.81	82.62	47.7	95.4	30
Y _{Ma}	63.61	0.0	95.4	95.4	90
L _{Ma}	31.81	-82.61	47.7	95.4	150
C _{Ma}	63.61	-82.61	-47.69	95.4	210
V _{Ma}	31.81	0.0	-95.39	95.4	270
M _{Ma}	63.61	82.62	-47.69	95.4	330
N _{Ma}	0.01	0.0	0.0	0.0	0
W _{Ma}	95.41	0.0	0.0	0.0	0
R _{CIE}	39.92	58.74	27.99	65.07	25
J _{CIE}	81.26	-2.88	71.56	71.62	92
G _{CIE}	52.23	-42.41	13.6	44.55	162
B _{CIE}	30.57	1.41	-46.46	46.49	272

Dreiecks-Helligkeit t^*



NG900-7, 9stufige Reihen für konstanten CIELAB Buntton $22/360 = 0.061$ (links)

16stufige Reihen für konstanten CIELAB Buntton $30/360 = 0.083$ (rechts)

Eingabe: Farbmetrisches Fernseh-Licht-System TLS70

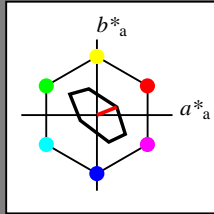
für Buntton $h^* = lab^*h = 22/360 = 0.061$

lab^*tch und lab^*nch

D65: Buntton O

LCH*Ma: 76 28 22

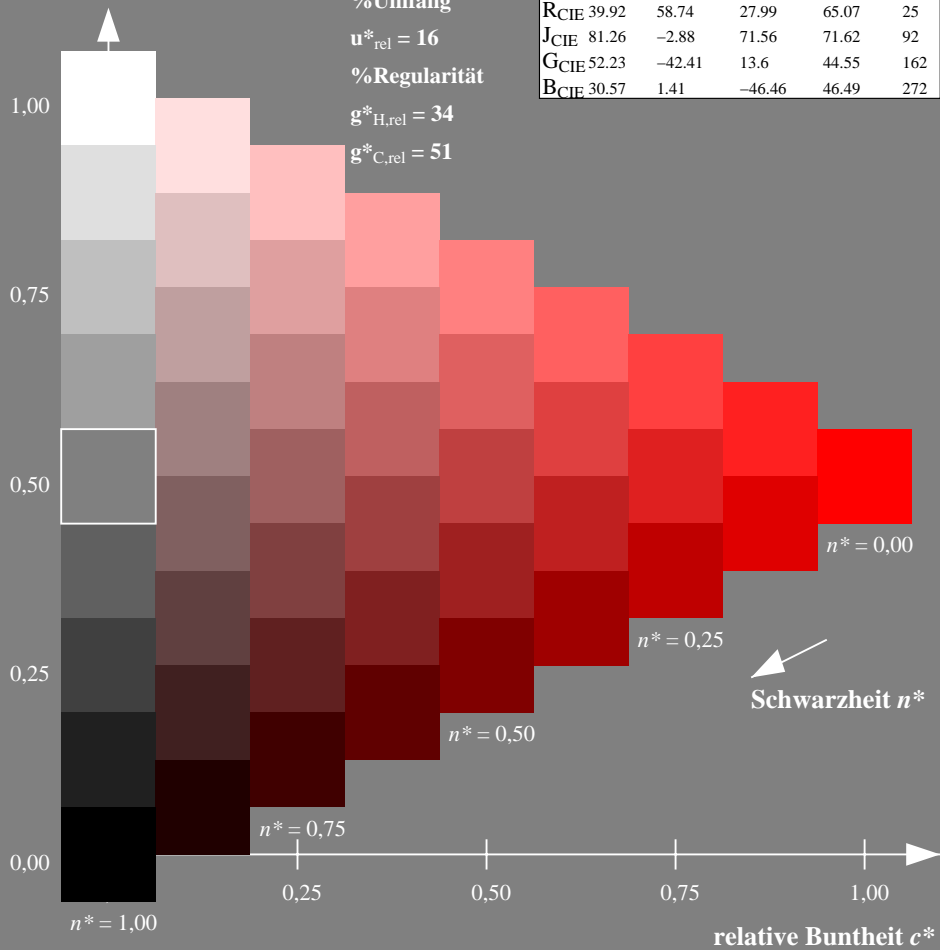
olv*Ma: 1.0 0.0 0.0



TLS70; adaptierte CIELAB-Daten

	$L^*=L^*_a$	a^*_a	b^*_a	$C^*_{ab,a}$	$h^*_{ab,a}$
OMa	76.43	26.27	10.57	28.32	22
YMa	93.93	-10.76	34.63	36.27	107
LMa	89.32	-35.8	27.64	45.24	142
CMa	90.93	-21.95	-7.07	23.07	198
VMa	72.1	15.76	-35.63	38.97	294
MMa	78.5	37.52	-25.23	45.22	326
NMa	69.7	0.0	0.0	0.0	0
WMa	95.41	0.0	0.0	0.0	0
RCIE	39.92	58.74	27.99	65.07	25
JCIE	81.26	-2.88	71.56	71.62	92
GCIE	52.23	-42.41	13.6	44.55	162
BCIE	30.57	1.41	-46.46	46.49	272

Dreiecks-Helligkeit t^*



Ausgabe: Farbmetrisches Natürliches-Reflektiv-System NRS18

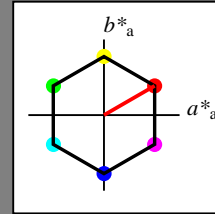
für Buntton $h^* = lab^*h = 30/360 = 0.083$

lab^*tch und lab^*nch

D65: Buntton O

LCH*Ma: 44 77 30

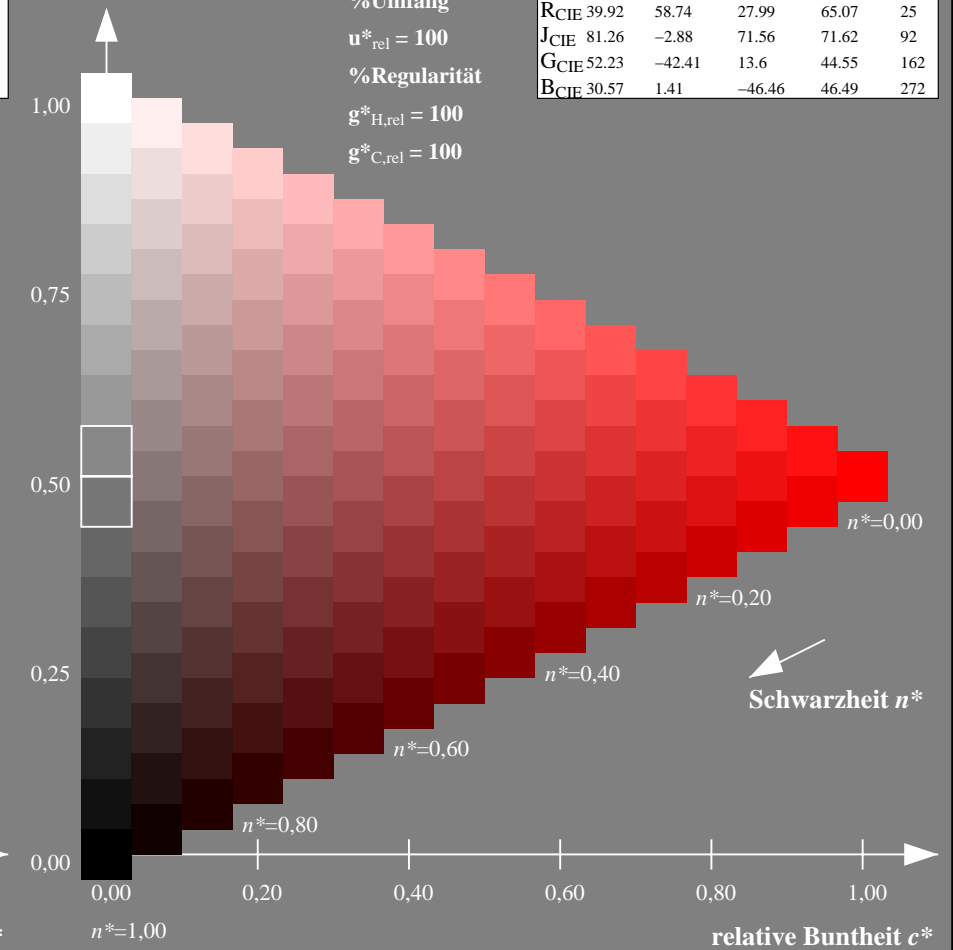
olv*Ma: 1.0 0.0 0.0



NRS18; adaptierte CIELAB-Daten

	$L^*=L^*_a$	a^*_a	b^*_a	$C^*_{ab,a}$	$h^*_{ab,a}$
OMa	43.81	67.03	38.7	77.4	30
YMa	69.61	0.0	77.4	77.4	90
LMa	43.81	-67.02	38.7	77.4	150
CMa	69.61	-67.02	-38.69	77.4	210
VMa	43.81	0.0	-77.39	77.4	270
MMa	69.61	67.03	-38.69	77.4	330
NMa	18.01	0.0	0.0	0.0	0
WMa	95.41	0.0	0.0	0.0	0
RCIE	39.92	58.74	27.99	65.07	25
JCIE	81.26	-2.88	71.56	71.62	92
GCIE	52.23	-42.41	13.6	44.55	162
BCIE	30.57	1.41	-46.46	46.49	272

Dreiecks-Helligkeit t^*



NG900-7, 9stufige Reihen für konstanten CIELAB Buntton $22/360 = 0.061$ (links)

16stufige Reihen für konstanten CIELAB Buntton $30/360 = 0.083$ (rechts)

Eingabe: Farbmetrisches Fernseh-Licht-System TLS70

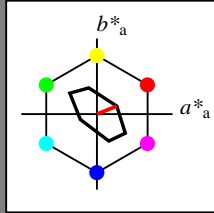
für Buntton $h^* = lab^*h = 22/360 = 0.061$

lab^*tch und lab^*nch

D65: Buntton O

LCH*Ma: 76 28 22

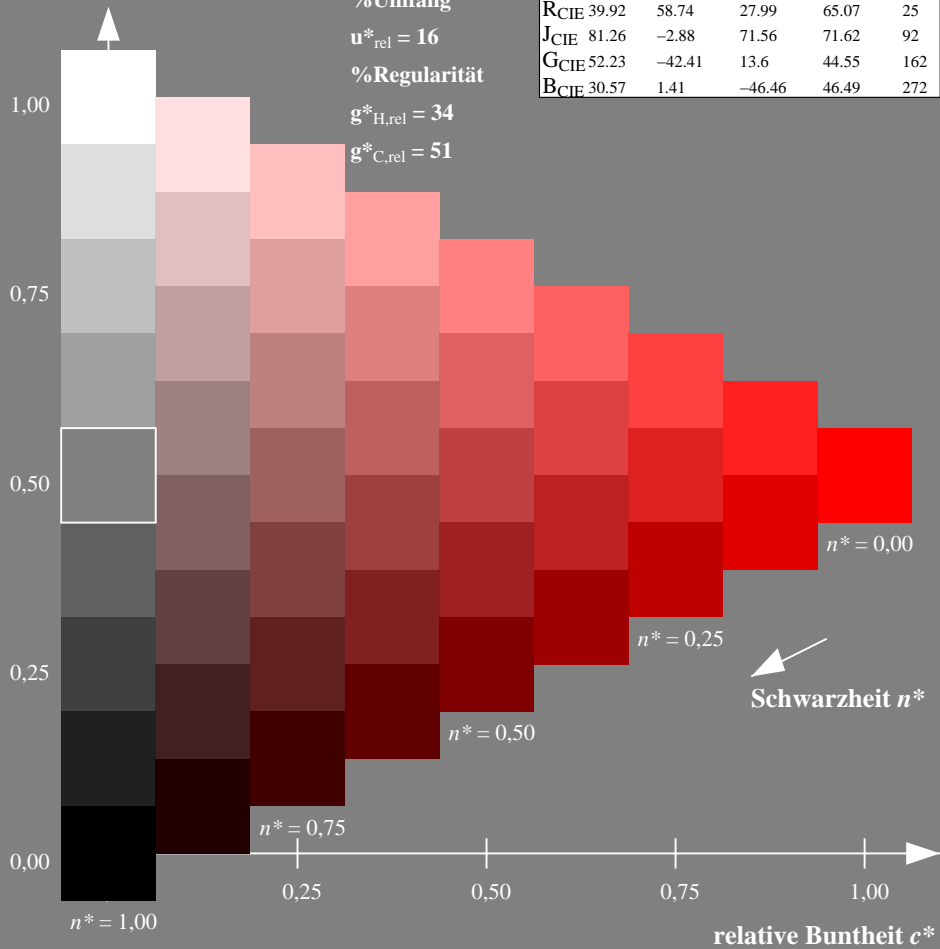
olv*Ma: 1.0 0.0 0.0



TLS70; adaptierte CIELAB-Daten

	$L^*=L^*_a$	a^*_a	b^*_a	$C^*_{ab,a}$	$h^*_{ab,a}$
OMa	76.43	26.27	10.57	28.32	22
YMa	93.93	-10.76	34.63	36.27	107
LMa	89.32	-35.8	27.64	45.24	142
CMa	90.93	-21.95	-7.07	23.07	198
VMa	72.1	15.76	-35.63	38.97	294
MMa	78.5	37.52	-25.23	45.22	326
NMa	69.7	0.0	0.0	0.0	0
WMa	95.41	0.0	0.0	0.0	0
RCIE	39.92	58.74	27.99	65.07	25
JCIE	81.26	-2.88	71.56	71.62	92
GCIE	52.23	-42.41	13.6	44.55	162
BCIE	30.57	1.41	-46.46	46.49	272

Dreiecks-Helligkeit t^*



Ausgabe: Farbmetrisches Standard-Reflektiv-System SRS18

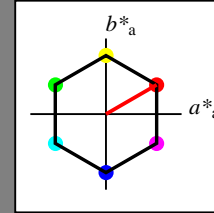
für Buntton $h^* = lab^*h = 30/360 = 0.083$

lab^*tch und lab^*nch

D65: Buntton O

LCH*Ma: 57 77 30

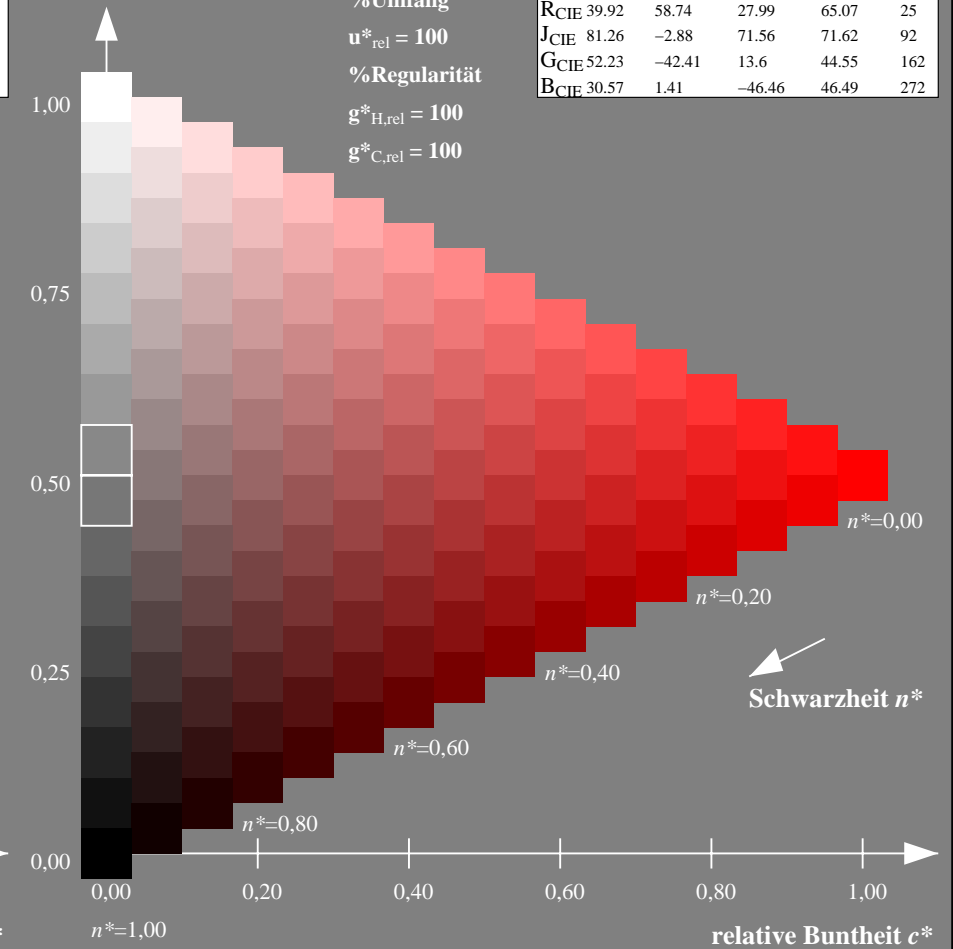
olv*Ma: 1.0 0.0 0.0



SRS18; adaptierte CIELAB-Daten

	$L^*=L^*_a$	a^*_a	b^*_a	$C^*_{ab,a}$	$h^*_{ab,a}$
OMa	56.71	67.03	38.7	77.4	30
YMa	56.71	0.0	77.4	77.4	90
LMa	56.71	-67.02	38.7	77.4	150
CMa	56.71	-67.02	-38.69	77.4	210
VMa	56.71	0.0	-77.39	77.4	270
MMa	56.71	67.03	-38.69	77.4	330
NMa	18.01	0.0	0.0	0.0	0
WMa	95.41	0.0	0.0	0.0	0
RCIE	39.92	58.74	27.99	65.07	25
JCIE	81.26	-2.88	71.56	71.62	92
GCIE	52.23	-42.41	13.6	44.55	162
BCIE	30.57	1.41	-46.46	46.49	272

Dreiecks-Helligkeit t^*



NG900-7, 9stufige Reihen für konstanten CIELAB Buntton $22/360 = 0.061$ (links)

16stufige Reihen für konstanten CIELAB Buntton $30/360 = 0.083$ (rechts)

Eingabe: Farbmetrisches Fernseh-Licht-System TLS70

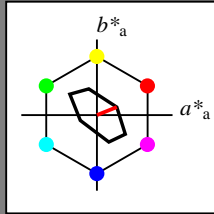
für Buntton $h^* = lab^*h = 22/360 = 0.061$

lab^*tch und lab^*nch

D65: Buntton O

LCH*Ma: 76 28 22

olv*Ma: 1.0 0.0 0.0



TLS70; adaptierte CIELAB-Daten

	$L^*=L^*_a$	a^*_a	b^*_a	$C^*_{ab,a}$	$h^*_{ab,a}$
O _{Ma}	76.43	26.27	10.57	28.32	22
Y _{Ma}	93.93	-10.76	34.63	36.27	107
L _{Ma}	89.32	-35.8	27.64	45.24	142
C _{Ma}	90.93	-21.95	-7.07	23.07	198
V _{Ma}	72.1	15.76	-35.63	38.97	294
M _{Ma}	78.5	37.52	-25.23	45.22	326
N _{Ma}	69.7	0.0	0.0	0.0	0
W _{Ma}	95.41	0.0	0.0	0.0	0
R _{CIE}	39.92	58.74	27.99	65.07	25
J _{CIE}	81.26	-2.88	71.56	71.62	92
G _{CIE}	52.23	-42.41	13.6	44.55	162
B _{CIE}	30.57	1.41	-46.46	46.49	272

Dreiecks-Helligkeit t^*

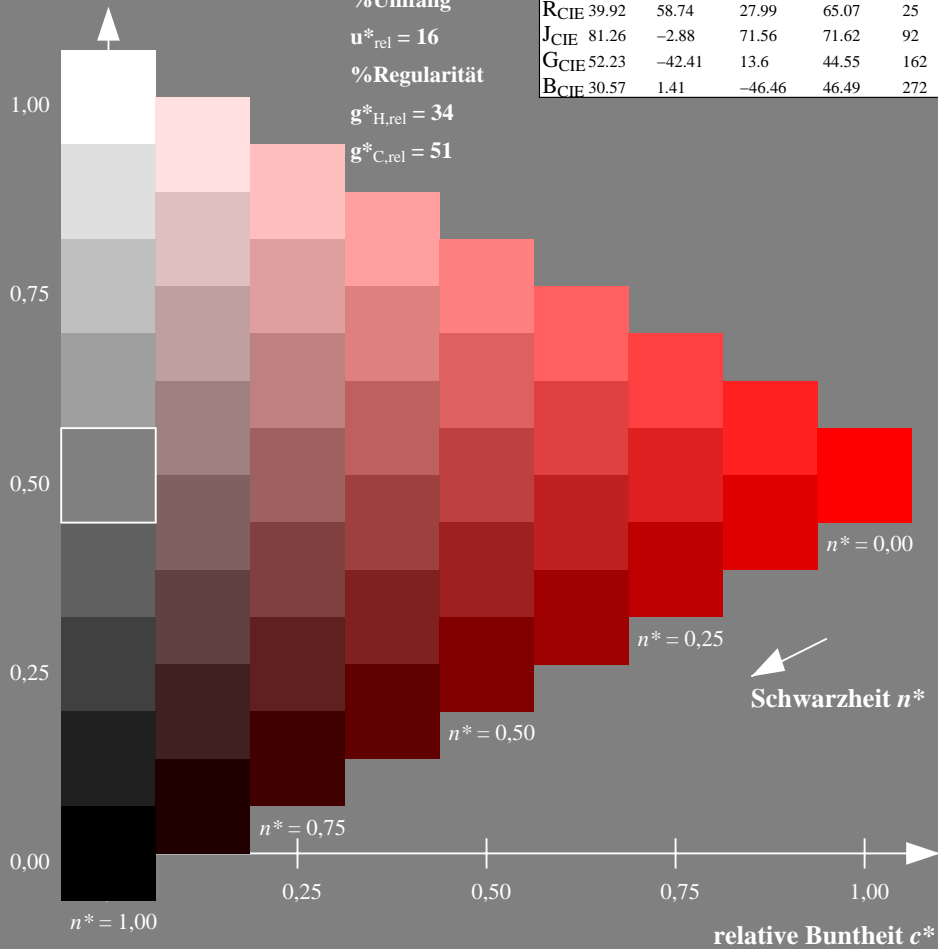
%Umfang

$u^*_{rel} = 16$

%Regularität

$g^*_{H,rel} = 34$

$g^*_{C,rel} = 51$



Ausgabe: Farbmetrisches Fernseh-Licht-System TLS70

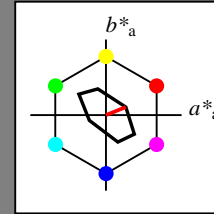
für Buntton $h^* = lab^*h = 22/360 = 0.061$

lab^*tch und lab^*nch

D65: Buntton O

LCH*Ma: 76 28 22

olv*Ma: 1.0 0.0 0.0



TLS70; adaptierte CIELAB-Daten

	$L^*=L^*_a$	a^*_a	b^*_a	$C^*_{ab,a}$	$h^*_{ab,a}$
O _{Ma}	76.43	26.27	10.57	28.32	22
Y _{Ma}	93.93	-10.76	34.63	36.27	107
L _{Ma}	89.32	-35.8	27.64	45.24	142
C _{Ma}	90.93	-21.95	-7.07	23.07	198
V _{Ma}	72.1	15.76	-35.63	38.97	294
M _{Ma}	78.5	37.52	-25.23	45.22	326
N _{Ma}	69.7	0.0	0.0	0.0	0
W _{Ma}	95.41	0.0	0.0	0.0	0
R _{CIE}	39.92	58.74	27.99	65.07	25
J _{CIE}	81.26	-2.88	71.56	71.62	92
G _{CIE}	52.23	-42.41	13.6	44.55	162
B _{CIE}	30.57	1.41	-46.46	46.49	272

Dreiecks-Helligkeit t^*

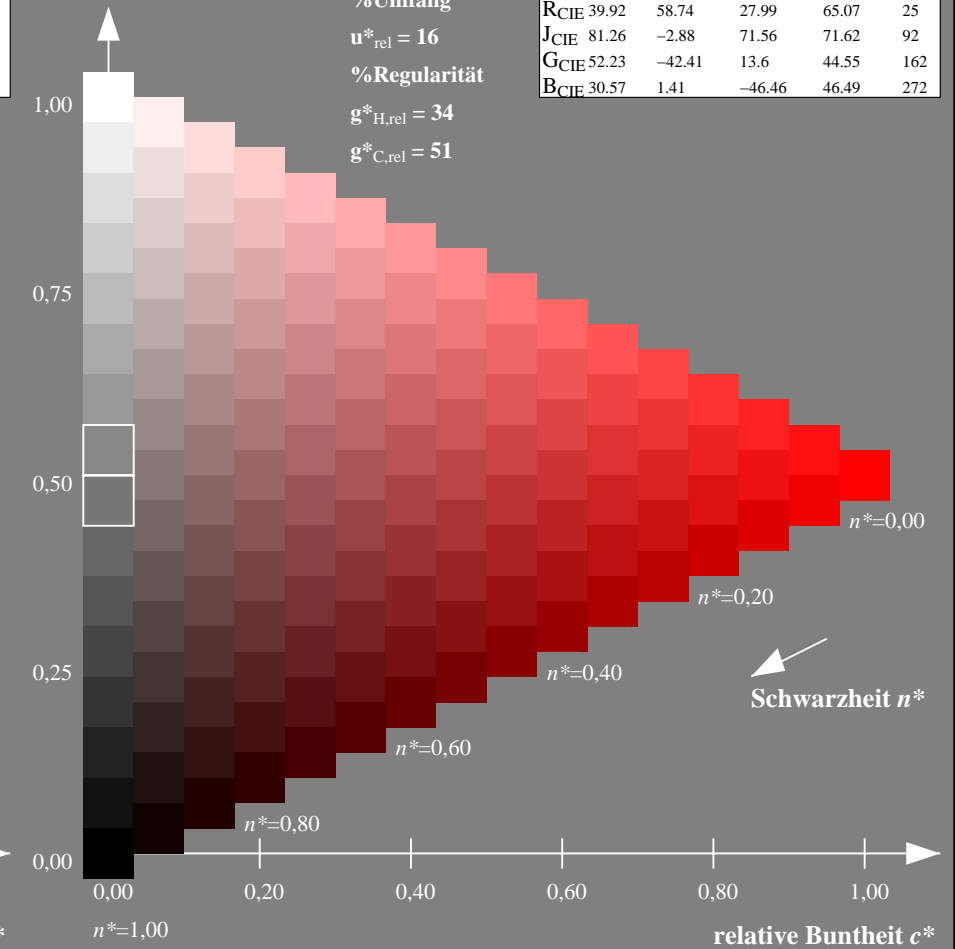
%Umfang

$u^*_{rel} = 16$

%Regularität

$g^*_{H,rel} = 34$

$g^*_{C,rel} = 51$



NG900-7, 9stufige Reihen für konstanten CIELAB Buntton $22/360 = 0.061$ (links)

16stufige Reihen für konstanten CIELAB Buntton $22/360 = 0.061$ (rechts)

Eingabe: Farbmetrisches Offset-Reflektiv-System ORS18

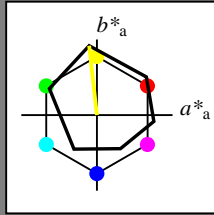
für Buntton $h^* = lab^*h = 96/360 = 0.268$

lab^*tch und lab^*nch

D65: Buntton Y

LCH*Ma: 90 92 96

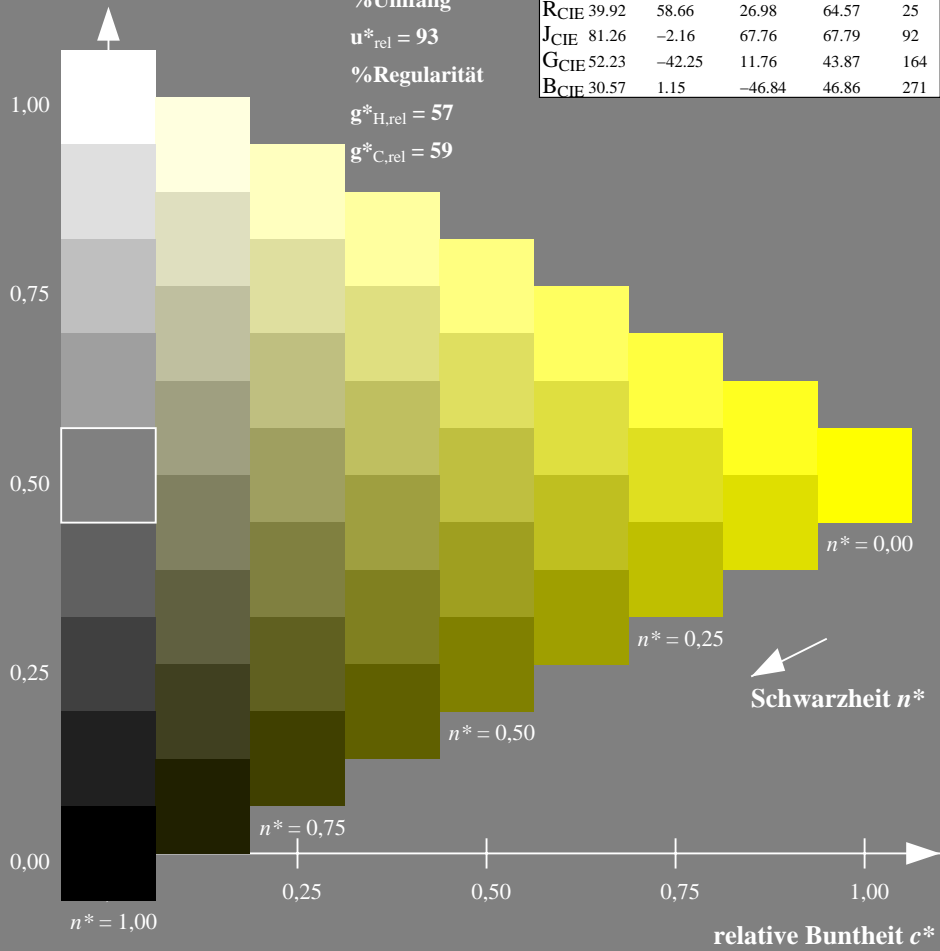
olv*Ma: 1.0 1.0 0.0



ORS18; adaptierte CIELAB-Daten

	$L^*=L^*_a$	a^*_a	b^*_a	$C^*_{ab,a}$	$h^*_{ab,a}$
O _{Ma}	47.94	65.39	50.52	82.63	38
Y _{Ma}	90.37	-10.26	91.75	92.32	96
L _{Ma}	50.9	-62.83	34.96	71.91	151
C _{Ma}	58.62	-30.34	-45.01	54.3	236
V _{Ma}	25.72	31.1	-44.4	54.22	305
M _{Ma}	48.13	75.28	-8.36	75.74	354
N _{Ma}	18.01	0.0	0.0	0.0	0
W _{Ma}	95.41	0.0	0.0	0.0	0
R _{CIE}	39.92	58.66	26.98	64.57	25
J _{CIE}	81.26	-2.16	67.76	67.79	92
G _{CIE}	52.23	-42.25	11.76	43.87	164
B _{CIE}	30.57	1.15	-46.84	46.86	271

Dreiecks-Helligkeit t^*



Ausgabe: Farbmetrisches Offset-Reflektiv-System ORS18

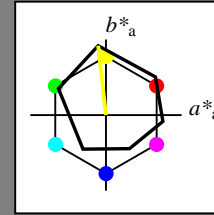
für Buntton $h^* = lab^*h = 96/360 = 0.268$

lab^*tch und lab^*nch

D65: Buntton Y

LCH*Ma: 90 92 96

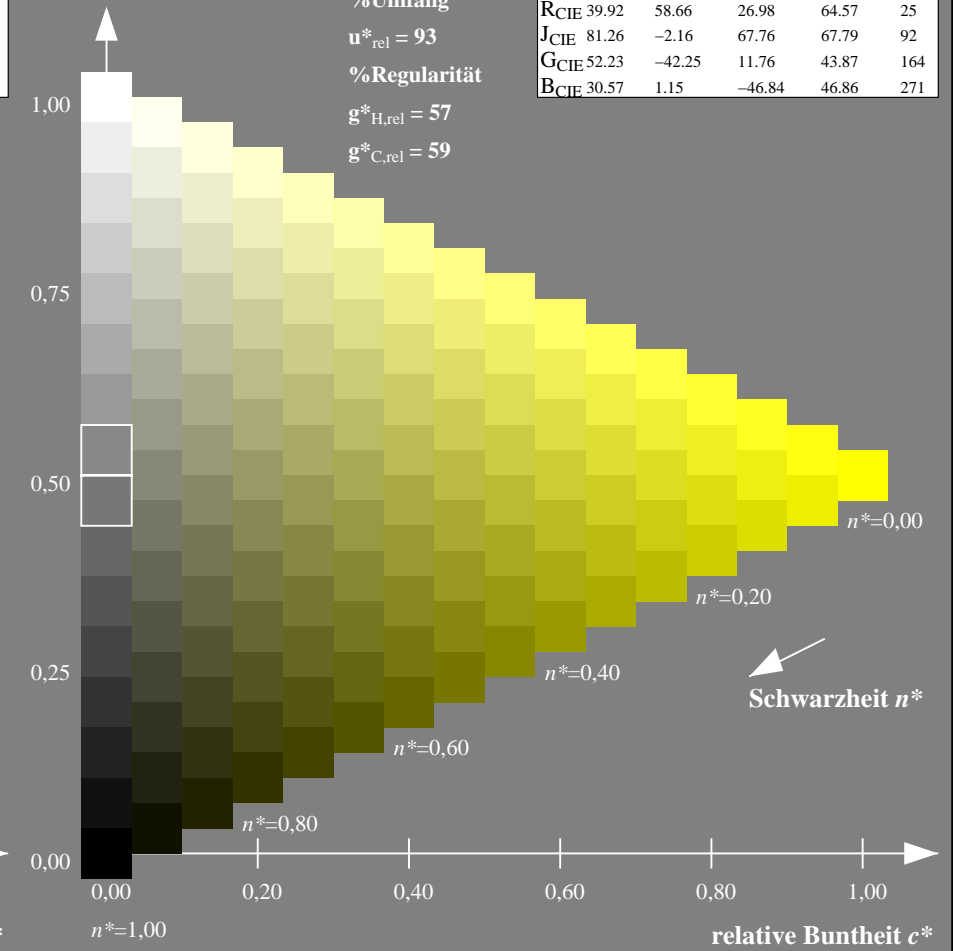
olv*Ma: 1.0 1.0 0.0



ORS18; adaptierte CIELAB-Daten

	$L^*=L^*_a$	a^*_a	b^*_a	$C^*_{ab,a}$	$h^*_{ab,a}$
O _{Ma}	47.94	65.39	50.52	82.63	38
Y _{Ma}	90.37	-10.26	91.75	92.32	96
L _{Ma}	50.9	-62.83	34.96	71.91	151
C _{Ma}	58.62	-30.34	-45.01	54.3	236
V _{Ma}	25.72	31.1	-44.4	54.22	305
M _{Ma}	48.13	75.28	-8.36	75.74	354
N _{Ma}	18.01	0.0	0.0	0.0	0
W _{Ma}	95.41	0.0	0.0	0.0	0
R _{CIE}	39.92	58.66	26.98	64.57	25
J _{CIE}	81.26	-2.16	67.76	67.79	92
G _{CIE}	52.23	-42.25	11.76	43.87	164
B _{CIE}	30.57	1.15	-46.84	46.86	271

Dreiecks-Helligkeit t^*



NG900-7, 9stufige Reihen für konstanten CIELAB Buntton $96/360 = 0.268$ (links)

16stufige Reihen für konstanten CIELAB Buntton $96/360 = 0.268$ (rechts)

Eingabe: Farbmetrisches Offset-Reflektiv-System ORS18

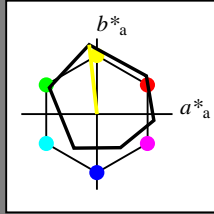
für Buntton $h^* = lab^*h = 96/360 = 0.268$

lab^*tch und lab^*nch

D65: Buntton Y

LCH*Ma: 90 92 96

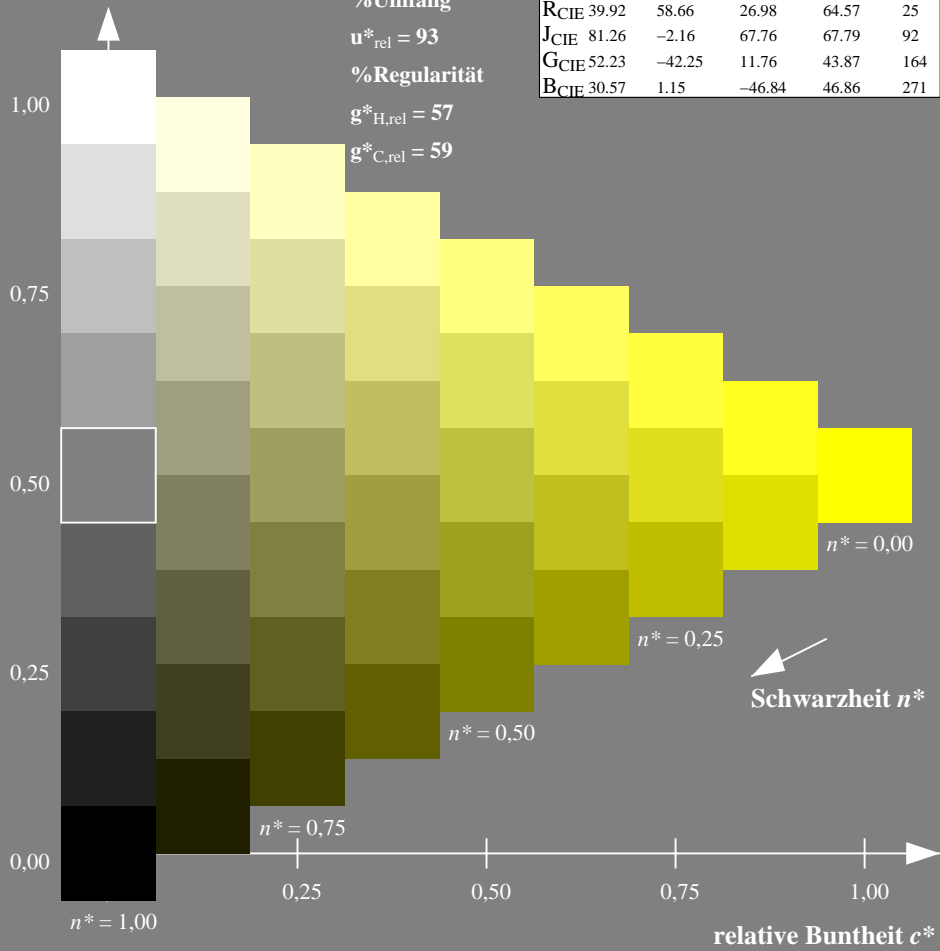
olv*Ma: 1.0 1.0 0.0



ORS18; adaptierte CIELAB-Daten

	$L^*=L^*_a$	a^*_a	b^*_a	$C^*_{ab,a}$	$h^*_{ab,a}$
O _{Ma}	47.94	65.39	50.52	82.63	38
Y _{Ma}	90.37	-10.26	91.75	92.32	96
L _{Ma}	50.9	-62.83	34.96	71.91	151
C _{Ma}	58.62	-30.34	-45.01	54.3	236
V _{Ma}	25.72	31.1	-44.4	54.22	305
M _{Ma}	48.13	75.28	-8.36	75.74	354
N _{Ma}	18.01	0.0	0.0	0.0	0
W _{Ma}	95.41	0.0	0.0	0.0	0
R _{CIE}	39.92	58.66	26.98	64.57	25
J _{CIE}	81.26	-2.16	67.76	67.79	92
G _{CIE}	52.23	-42.25	11.76	43.87	164
B _{CIE}	30.57	1.15	-46.84	46.86	271

Dreiecks-Helligkeit t^*



NG900-7, 9stufige Reihen für konstanten CIELAB Buntton $96/360 = 0.268$ (links)

Ausgabe: Farbmetrisches Fernseh-Licht-System TLS00

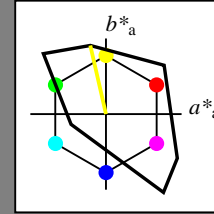
für Buntton $h^* = lab^*h = 103/360 = 0.286$

lab^*tch und lab^*nch

D65: Buntton Y

LCH*Ma: 93 93 103

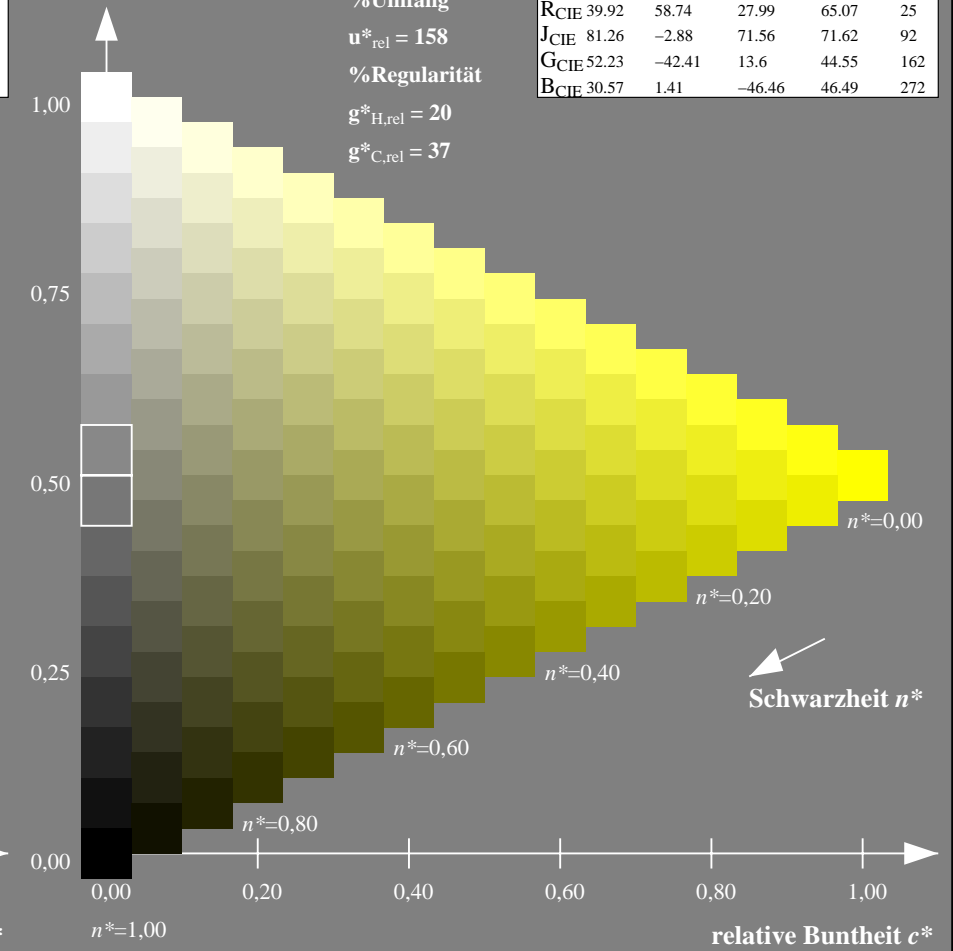
olv*Ma: 1.0 1.0 0.0



TLS00; adaptierte CIELAB-Daten

	$L^*=L^*_a$	a^*_a	b^*_a	$C^*_{ab,a}$	$h^*_{ab,a}$
O _{Ma}	50.5	76.92	64.55	100.42	40
Y _{Ma}	92.66	-20.69	90.75	93.08	103
L _{Ma}	83.63	-82.75	79.9	115.04	136
C _{Ma}	86.88	-46.16	-13.55	48.12	196
V _{Ma}	30.39	76.06	-103.59	128.52	306
M _{Ma}	57.3	94.35	-58.41	110.97	328
N _{Ma}	0.01	0.0	0.0	0.0	0
W _{Ma}	95.41	0.0	0.0	0.0	0
R _{CIE}	39.92	58.74	27.99	65.07	25
J _{CIE}	81.26	-2.88	71.56	71.62	92
G _{CIE}	52.23	-42.41	13.6	44.55	162
B _{CIE}	30.57	1.41	-46.46	46.49	272

Dreiecks-Helligkeit t^*



16stufige Reihen für konstanten CIELAB Buntton $103/360 = 0.286$ (rechts)

Eingabe: Farbmetrisches Offset-Reflektiv-System ORS18

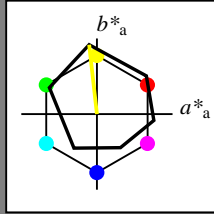
für Buntton $h^* = lab^*h = 96/360 = 0.268$

lab^*tch und lab^*nch

D65: Buntton Y

LCH*Ma: 90 92 96

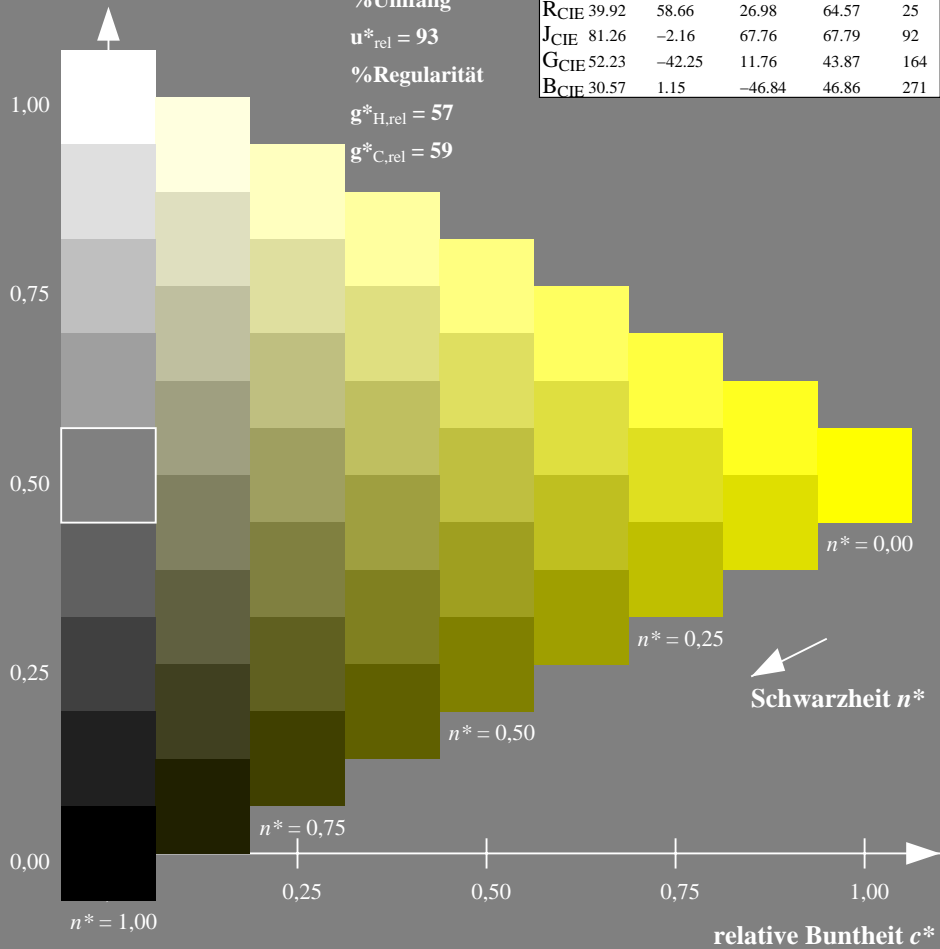
olv*Ma: 1.0 1.0 0.0



ORS18; adaptierte CIELAB-Daten

	$L^*=L^*_a$	a^*_a	b^*_a	$C^*_{ab,a}$	$h^*_{ab,a}$
O _{Ma}	47.94	65.39	50.52	82.63	38
Y _{Ma}	90.37	-10.26	91.75	92.32	96
L _{Ma}	50.9	-62.83	34.96	71.91	151
C _{Ma}	58.62	-30.34	-45.01	54.3	236
V _{Ma}	25.72	31.1	-44.4	54.22	305
M _{Ma}	48.13	75.28	-8.36	75.74	354
N _{Ma}	18.01	0.0	0.0	0.0	0
W _{Ma}	95.41	0.0	0.0	0.0	0
R _{CIE}	39.92	58.66	26.98	64.57	25
J _{CIE}	81.26	-2.16	67.76	67.79	92
G _{CIE}	52.23	-42.25	11.76	43.87	164
B _{CIE}	30.57	1.15	-46.84	46.86	271

Dreiecks-Helligkeit t^*



Ausgabe: Farbmetrisches Drucker-Reflektiv-System DRSXX

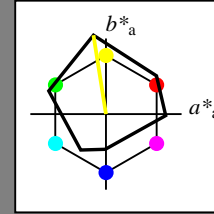
für Buntton $h^* = lab^*h = 99/360 = 0.275$

lab^*tch und lab^*nch

D65: Buntton Y

LCH*Ma: 90 106 99

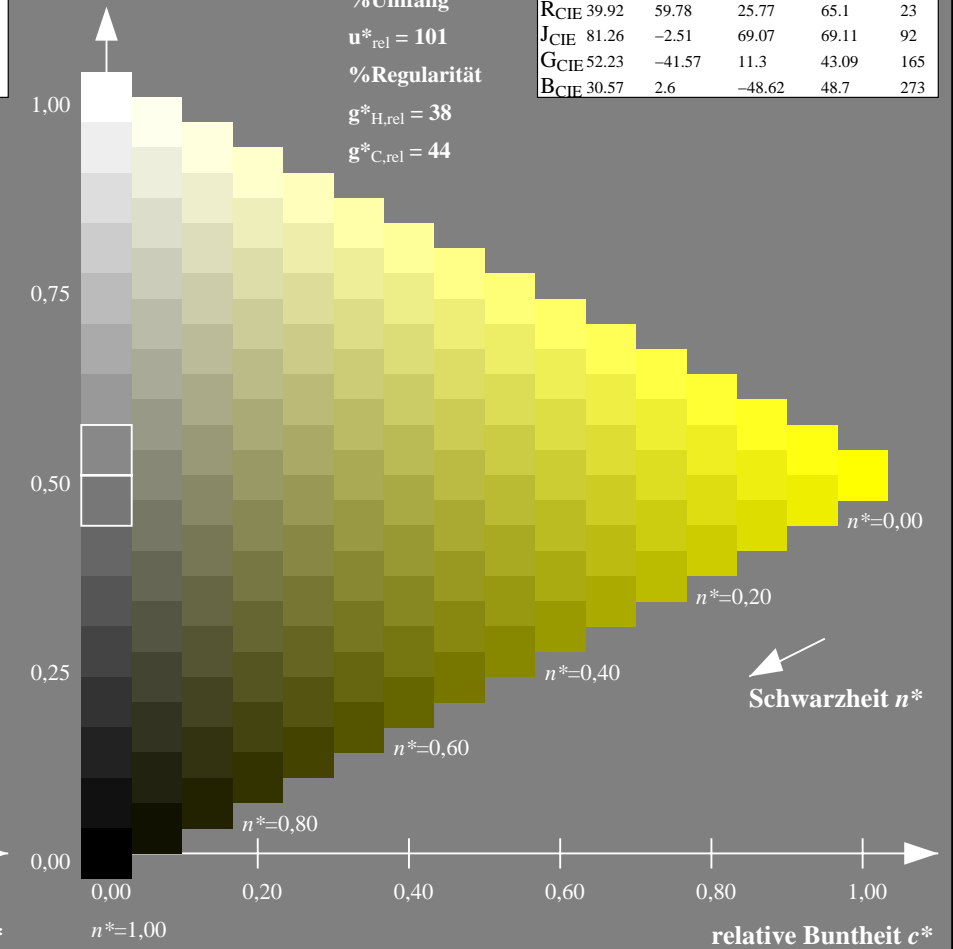
olv*Ma: 1.0 1.0 0.0



DRSXX; adaptierte CIELAB-Daten

	$L^*=L^*_a$	a^*_a	b^*_a	$C^*_{ab,a}$	$h^*_{ab,a}$
O _{Ma}	42.21	66.82	50.6	83.82	37
Y _{Ma}	90.32	-16.51	104.33	105.63	99
L _{Ma}	48.21	-75.63	30.65	81.61	158
C _{Ma}	53.44	-33.33	-47.49	58.03	235
V _{Ma}	34.16	-0.92	-46.56	46.58	269
M _{Ma}	42.71	79.0	-1.95	79.03	359
N _{Ma}	16.56	0.0	0.0	0.0	0
W _{Ma}	96.31	0.0	0.0	0.0	0
R _{CIE}	39.92	59.78	25.77	65.1	23
J _{CIE}	81.26	-2.51	69.07	69.11	92
G _{CIE}	52.23	-41.57	11.3	43.09	165
B _{CIE}	30.57	2.6	-48.62	48.7	273

Dreiecks-Helligkeit t^*



NG900-7, 9stufige Reihen für konstanten CIELAB Buntton $96/360 = 0.268$ (links)

16stufige Reihen für konstanten CIELAB Buntton $99/360 = 0.275$ (rechts)

Eingabe: Farbmetrisches Offset-Reflektiv-System ORS18

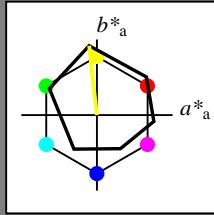
für Buntton $h^* = lab^*h = 96/360 = 0.268$

lab^*tch und lab^*nch

D65: Buntton Y

LCH*Ma: 90 92 96

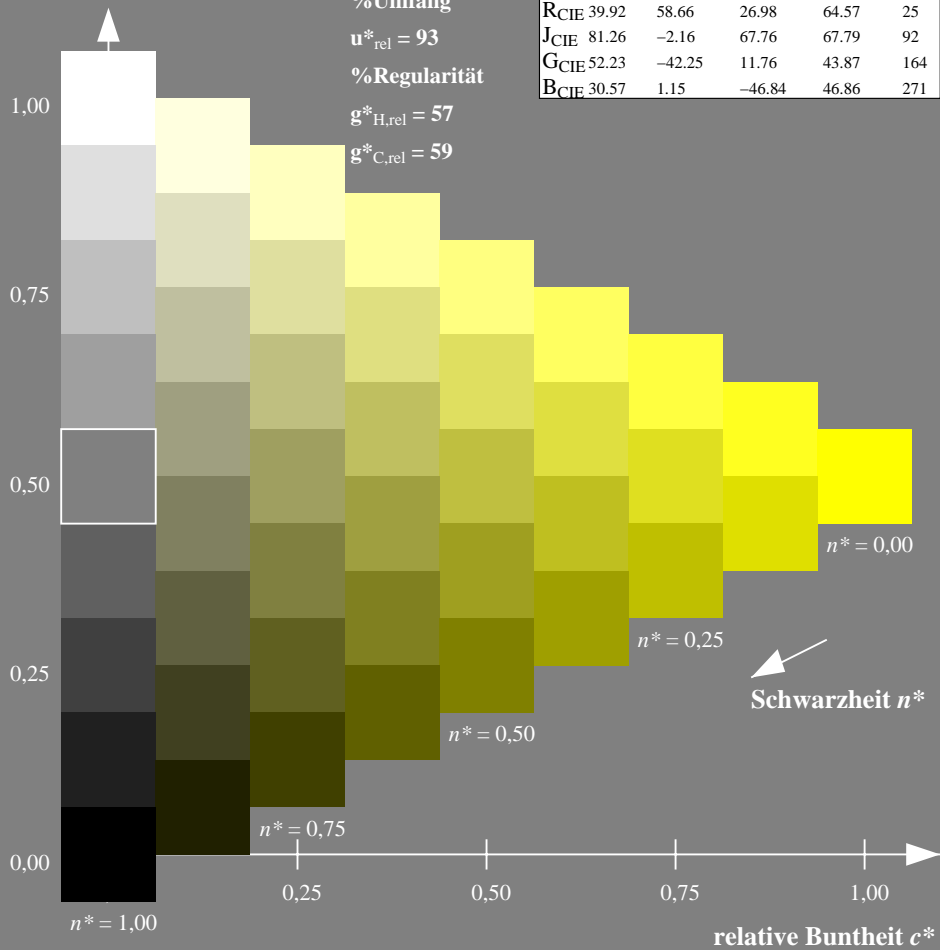
olv*Ma: 1.0 1.0 0.0



ORS18; adaptierte CIELAB-Daten

	$L^*=L^*_a$	a^*_a	b^*_a	$C^*_{ab,a}$	$h^*_{ab,a}$
OMa	47.94	65.39	50.52	82.63	38
YMa	90.37	-10.26	91.75	92.32	96
LMa	50.9	-62.83	34.96	71.91	151
CMa	58.62	-30.34	-45.01	54.3	236
VMa	25.72	31.1	-44.4	54.22	305
MMa	48.13	75.28	-8.36	75.74	354
NMa	18.01	0.0	0.0	0.0	0
WMa	95.41	0.0	0.0	0.0	0
RCIE	39.92	58.66	26.98	64.57	25
JCIE	81.26	-2.16	67.76	67.79	92
GCIE	52.23	-42.25	11.76	43.87	164
BCIE	30.57	1.15	-46.84	46.86	271

Dreiecks-Helligkeit t^*



Ausgabe: Farbmetrisches Fernseh-Licht-System TLS18

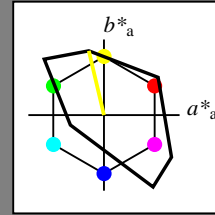
für Buntton $h^* = lab^*h = 103/360 = 0.287$

lab^*tch und lab^*nch

D65: Buntton Y

LCH*Ma: 93 87 103

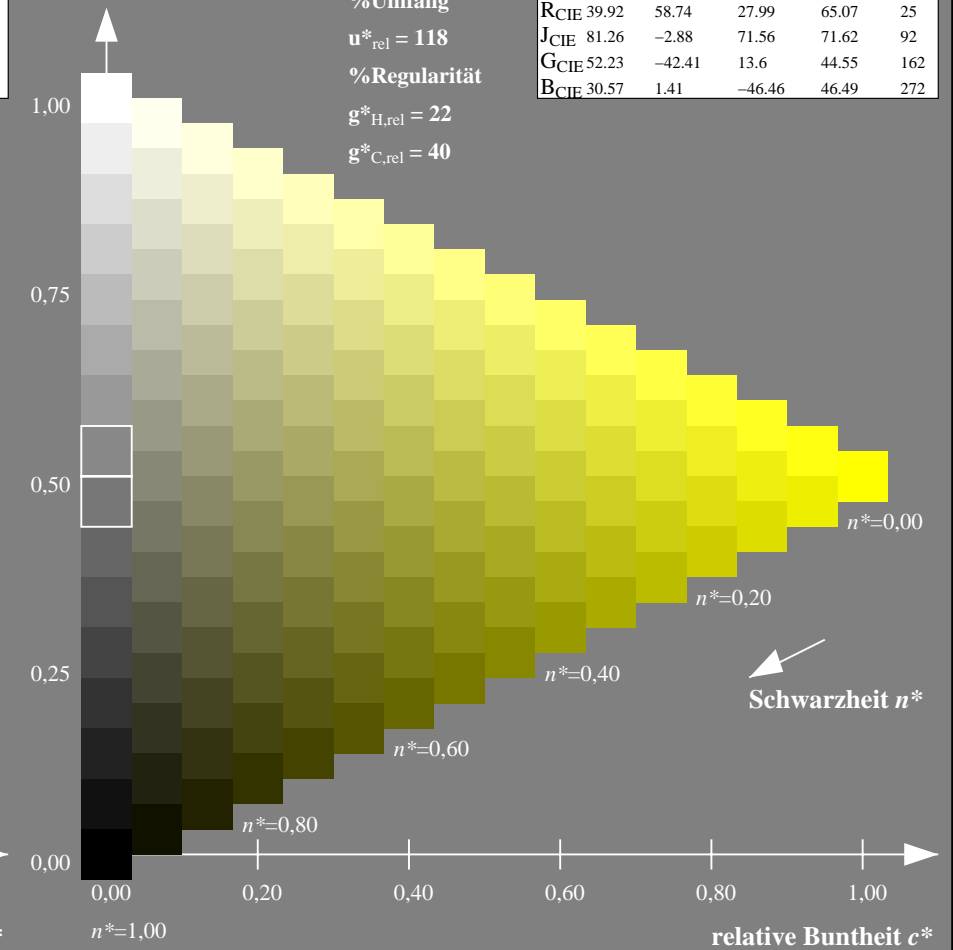
olv*Ma: 1.0 1.0 0.0



TLS18; adaptierte CIELAB-Daten

	$L^*=L^*_a$	a^*_a	b^*_a	$C^*_{ab,a}$	$h^*_{ab,a}$
OMa	52.76	71.63	49.88	87.29	35
YMa	92.74	-20.02	84.97	87.3	103
LMa	84.0	-78.98	73.94	108.2	137
CMa	87.14	-44.41	-13.11	46.32	196
VMa	35.47	64.92	-95.06	115.12	304
MMa	59.01	89.33	-55.67	105.26	328
NMa	18.01	0.0	0.0	0.0	0
WMa	95.41	0.0	0.0	0.0	0
RCIE	39.92	58.74	27.99	65.07	25
JCIE	81.26	-2.88	71.56	71.62	92
GCIE	52.23	-42.41	13.6	44.55	162
BCIE	30.57	1.41	-46.46	46.49	272

Dreiecks-Helligkeit t^*



NG900-7, 9stufige Reihen für konstanten CIELAB Buntton $96/360 = 0.268$ (links)

16stufige Reihen für konstanten CIELAB Buntton $103/360 = 0.287$ (rechts)

Eingabe: Farbmetrisches Offset-Reflektiv-System ORS18

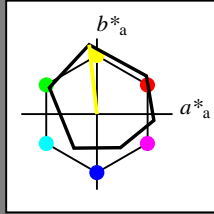
für Buntton $h^* = lab^*h = 96/360 = 0.268$

lab^*tch und lab^*nch

D65: Buntton Y

LCH*Ma: 90 92 96

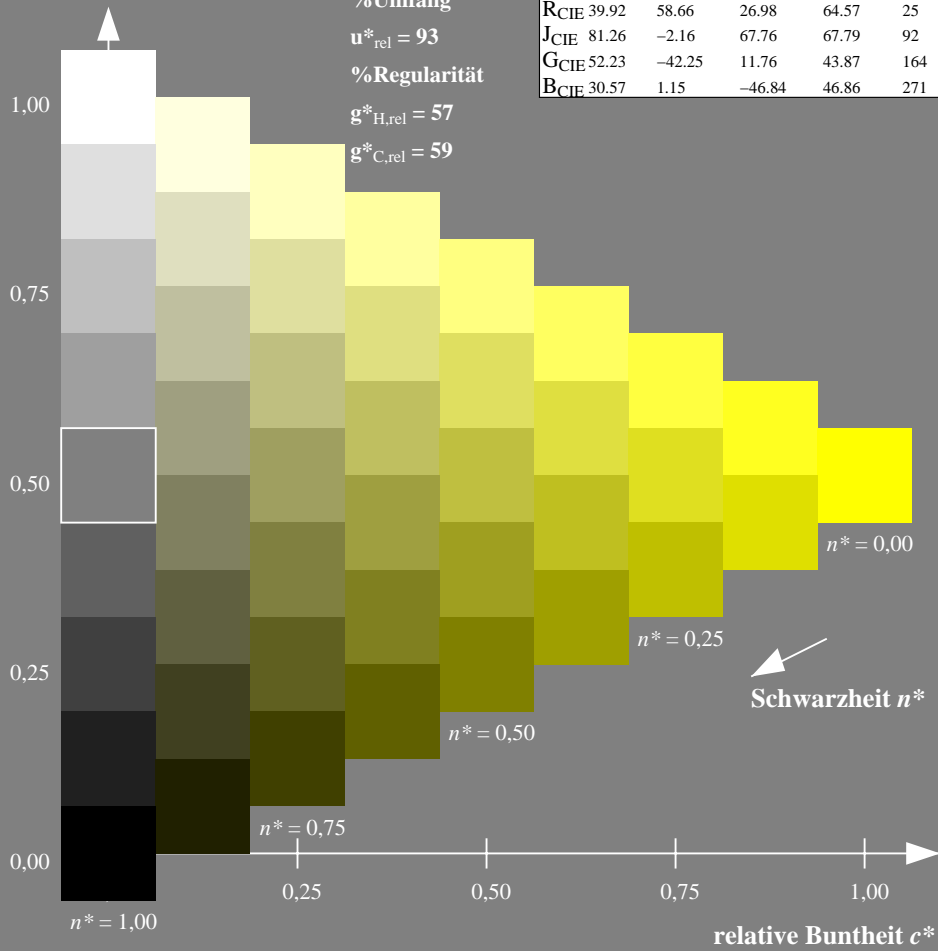
olv*Ma: 1.0 1.0 0.0



ORS18; adaptierte CIELAB-Daten

	$L^*=L^*_a$	a^*_a	b^*_a	$C^*_{ab,a}$	$h^*_{ab,a}$
O _{Ma}	47.94	65.39	50.52	82.63	38
Y _{Ma}	90.37	-10.26	91.75	92.32	96
L _{Ma}	50.9	-62.83	34.96	71.91	151
C _{Ma}	58.62	-30.34	-45.01	54.3	236
V _{Ma}	25.72	31.1	-44.4	54.22	305
M _{Ma}	48.13	75.28	-8.36	75.74	354
N _{Ma}	18.01	0.0	0.0	0.0	0
W _{Ma}	95.41	0.0	0.0	0.0	0
R _{CIE}	39.92	58.66	26.98	64.57	25
J _{CIE}	81.26	-2.16	67.76	67.79	92
G _{CIE}	52.23	-42.25	11.76	43.87	164
B _{CIE}	30.57	1.15	-46.84	46.86	271

Dreiecks-Helligkeit t^*



Ausgabe: Farbmetrisches Natürliches-Licht-System NLS00

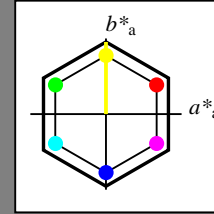
für Buntton $h^* = lab^*h = 90/360 = 0.25$

lab^*tch und lab^*nch

D65: Buntton Y

LCH*Ma: 64 95 90

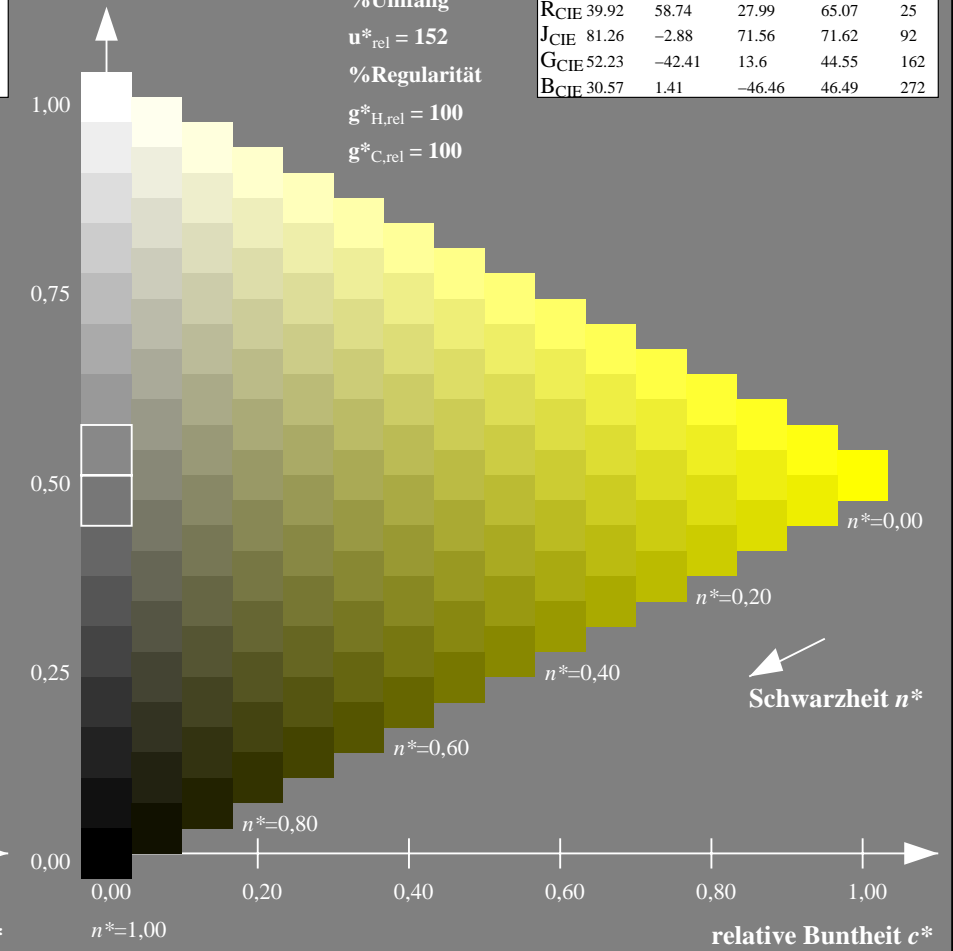
olv*Ma: 1.0 1.0 0.0



NLS00; adaptierte CIELAB-Daten

	$L^*=L^*_a$	a^*_a	b^*_a	$C^*_{ab,a}$	$h^*_{ab,a}$
O _{Ma}	31.81	82.62	47.7	95.4	30
Y _{Ma}	63.61	0.0	95.4	95.4	90
L _{Ma}	31.81	-82.61	47.7	95.4	150
C _{Ma}	63.61	-82.61	-47.69	95.4	210
V _{Ma}	31.81	0.0	-95.39	95.4	270
M _{Ma}	63.61	82.62	-47.69	95.4	330
N _{Ma}	0.01	0.0	0.0	0.0	0
W _{Ma}	95.41	0.0	0.0	0.0	0
R _{CIE}	39.92	58.74	27.99	65.07	25
J _{CIE}	81.26	-2.88	71.56	71.62	92
G _{CIE}	52.23	-42.41	13.6	44.55	162
B _{CIE}	30.57	1.41	-46.46	46.49	272

Dreiecks-Helligkeit t^*



NG900-7, 9stufige Reihen für konstanten CIELAB Buntton $96/360 = 0.268$ (links)

16stufige Reihen für konstanten CIELAB Buntton $90/360 = 0.25$ (rechts)

Eingabe: Farbmetrisches Offset-Reflektiv-System ORS18

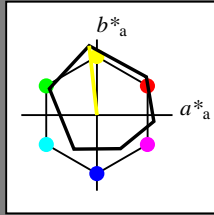
für Buntton $h^* = lab^*h = 96/360 = 0.268$

lab^*tch und lab^*nch

D65: Buntton Y

LCH*Ma: 90 92 96

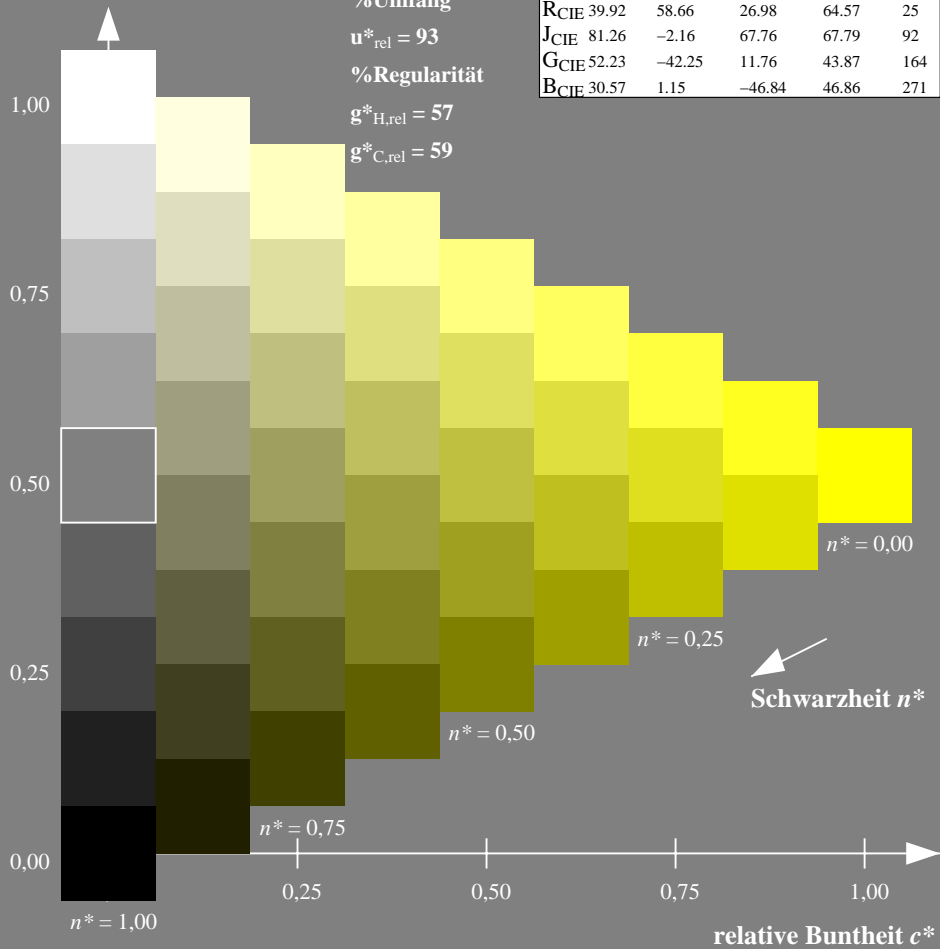
olv*Ma: 1.0 1.0 0.0



ORS18; adaptierte CIELAB-Daten

	$L^*=L^*_a$	a^*_a	b^*_a	$C^*_{ab,a}$	$h^*_{ab,a}$
OMa	47.94	65.39	50.52	82.63	38
YMa	90.37	-10.26	91.75	92.32	96
LMa	50.9	-62.83	34.96	71.91	151
CMa	58.62	-30.34	-45.01	54.3	236
VMa	25.72	31.1	-44.4	54.22	305
MMa	48.13	75.28	-8.36	75.74	354
NMa	18.01	0.0	0.0	0.0	0
WMa	95.41	0.0	0.0	0.0	0
RCIE	39.92	58.66	26.98	64.57	25
JCIE	81.26	-2.16	67.76	67.79	92
GCIE	52.23	-42.25	11.76	43.87	164
BCIE	30.57	1.15	-46.84	46.86	271

Dreiecks-Helligkeit t^*



Ausgabe: Farbmetrisches Natürliches-Reflektiv-System NRS18

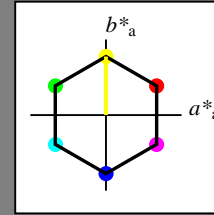
für Buntton $h^* = lab^*h = 90/360 = 0.25$

lab^*tch und lab^*nch

D65: Buntton Y

LCH*Ma: 70 77 90

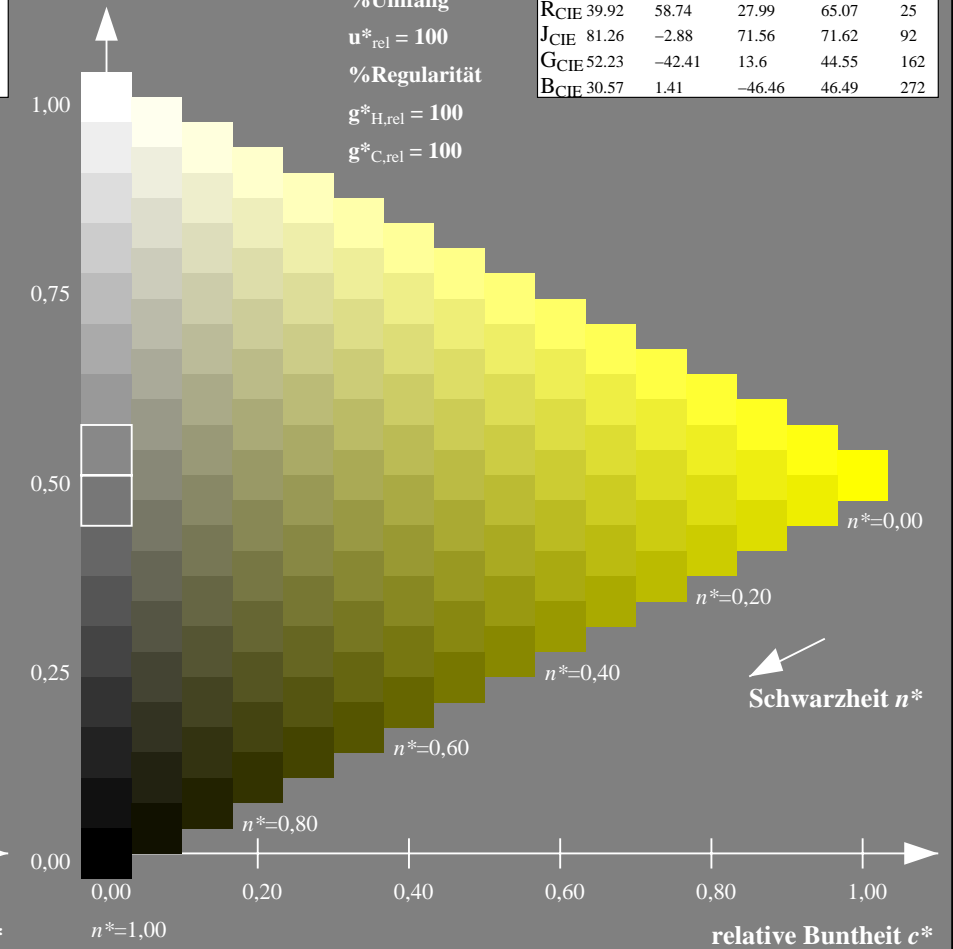
olv*Ma: 1.0 1.0 0.0



NRS18; adaptierte CIELAB-Daten

	$L^*=L^*_a$	a^*_a	b^*_a	$C^*_{ab,a}$	$h^*_{ab,a}$
OMa	43.81	67.03	38.7	77.4	30
YMa	69.61	0.0	77.4	77.4	90
LMa	43.81	-67.02	38.7	77.4	150
CMa	69.61	-67.02	-38.69	77.4	210
VMa	43.81	0.0	-77.39	77.4	270
MMa	69.61	67.03	-38.69	77.4	330
NMa	18.01	0.0	0.0	0.0	0
WMa	95.41	0.0	0.0	0.0	0
RCIE	39.92	58.74	27.99	65.07	25
JCIE	81.26	-2.88	71.56	71.62	92
GCIE	52.23	-42.41	13.6	44.55	162
BCIE	30.57	1.41	-46.46	46.49	272

Dreiecks-Helligkeit t^*



NG900-7, 9stufige Reihen für konstanten CIELAB Buntton $96/360 = 0.268$ (links)

16stufige Reihen für konstanten CIELAB Buntton $90/360 = 0.25$ (rechts)

Eingabe: Farbmetrisches Offset-Reflektiv-System ORS18

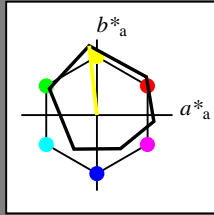
für Buntton $h^* = lab^*h = 96/360 = 0.268$

lab^*tch und lab^*nch

D65: Buntton Y

LCH*Ma: 90 92 96

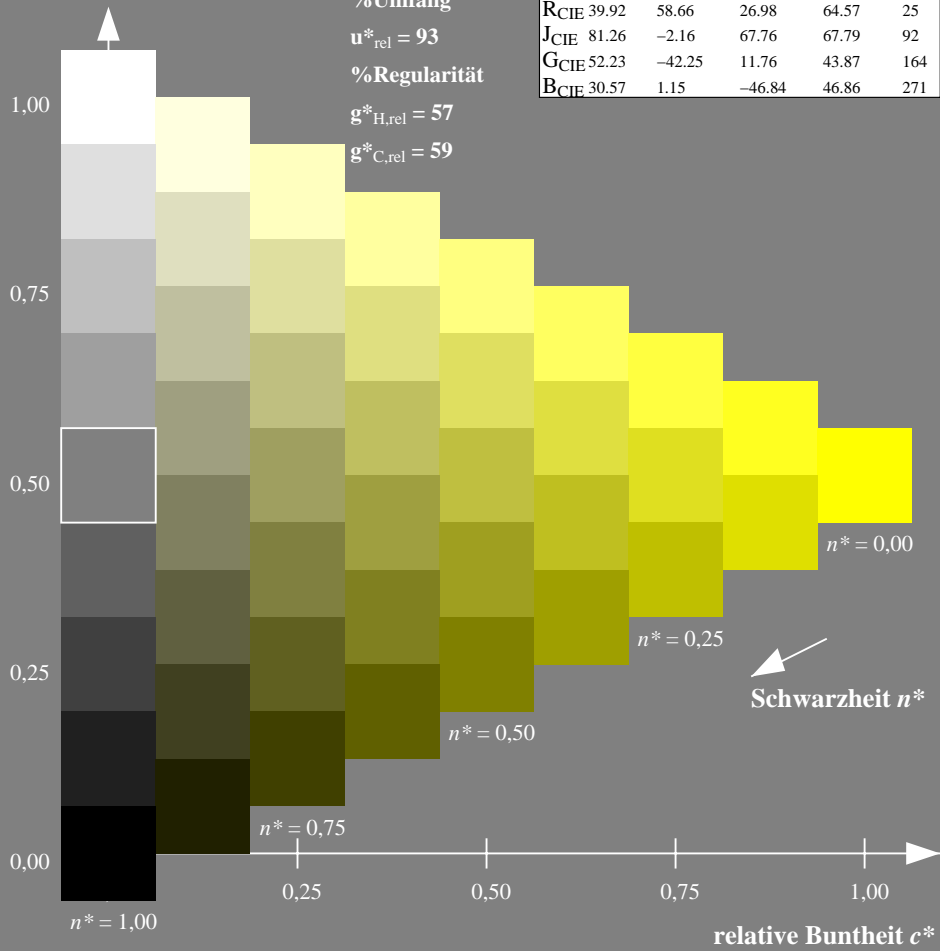
olv*Ma: 1.0 1.0 0.0



ORS18; adaptierte CIELAB-Daten

	$L^*=L^*_a$	a^*_a	b^*_a	$C^*_{ab,a}$	$h^*_{ab,a}$
OMa	47.94	65.39	50.52	82.63	38
YMa	90.37	-10.26	91.75	92.32	96
LMa	50.9	-62.83	34.96	71.91	151
CMa	58.62	-30.34	-45.01	54.3	236
VMa	25.72	31.1	-44.4	54.22	305
MMa	48.13	75.28	-8.36	75.74	354
NMa	18.01	0.0	0.0	0.0	0
WMa	95.41	0.0	0.0	0.0	0
RCIE	39.92	58.66	26.98	64.57	25
JCIE	81.26	-2.16	67.76	67.79	92
GCIE	52.23	-42.25	11.76	43.87	164
BCIE	30.57	1.15	-46.84	46.86	271

Dreiecks-Helligkeit t^*



Ausgabe: Farbmetrisches Standard-Reflektiv-System SRS18

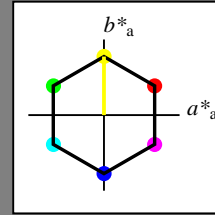
für Buntton $h^* = lab^*h = 90/360 = 0.25$

lab^*tch und lab^*nch

D65: Buntton Y

LCH*Ma: 57 77 90

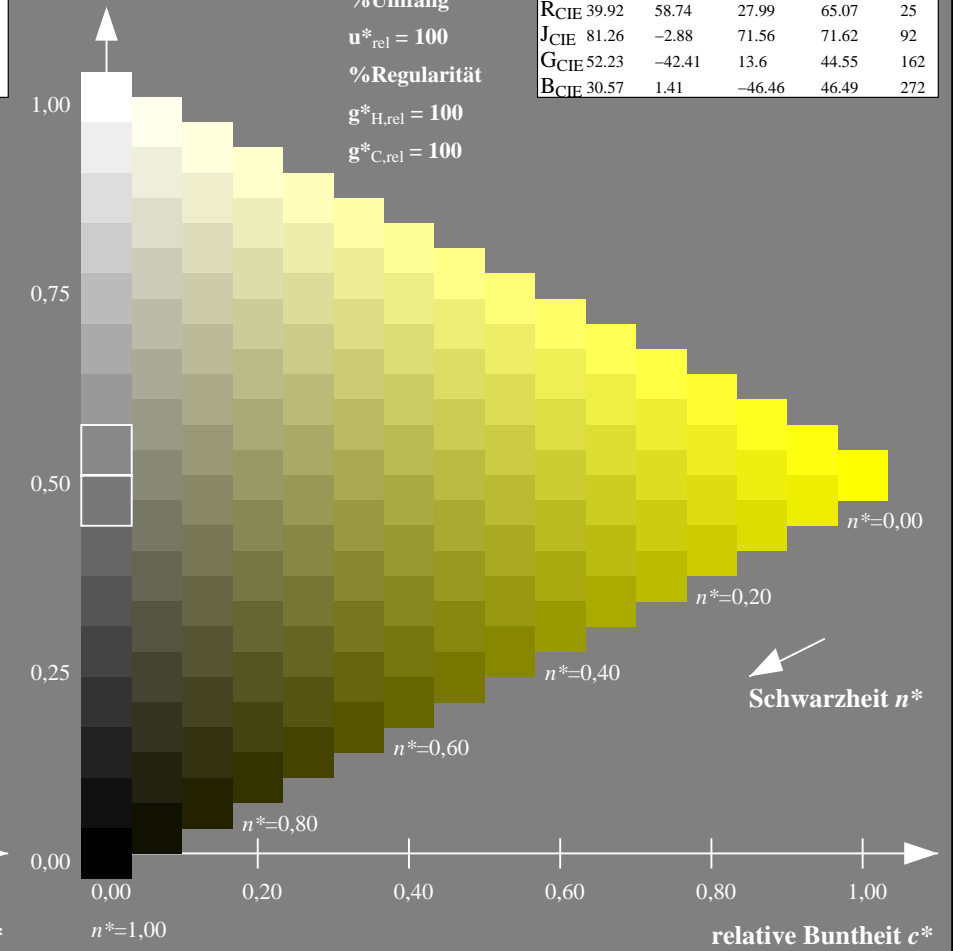
olv*Ma: 1.0 1.0 0.0



SRS18; adaptierte CIELAB-Daten

	$L^*=L^*_a$	a^*_a	b^*_a	$C^*_{ab,a}$	$h^*_{ab,a}$
OMa	56.71	67.03	38.7	77.4	30
YMa	56.71	0.0	77.4	77.4	90
LMa	56.71	-67.02	38.7	77.4	150
CMa	56.71	-67.02	-38.69	77.4	210
VMa	56.71	0.0	-77.39	77.4	270
MMa	56.71	67.03	-38.69	77.4	330
NMa	18.01	0.0	0.0	0.0	0
WMa	95.41	0.0	0.0	0.0	0
RCIE	39.92	58.74	27.99	65.07	25
JCIE	81.26	-2.88	71.56	71.62	92
GCIE	52.23	-42.41	13.6	44.55	162
BCIE	30.57	1.41	-46.46	46.49	272

Dreiecks-Helligkeit t^*



NG900-7, 9stufige Reihen für konstanten CIELAB Buntton $96/360 = 0.268$ (links)

16stufige Reihen für konstanten CIELAB Buntton $90/360 = 0.25$ (rechts)

Eingabe: Farbmetrisches Offset-Reflektiv-System ORS18

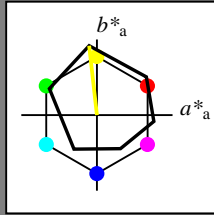
für Buntton $h^* = lab^*h = 96/360 = 0.268$

lab^*tch und lab^*nch

D65: Buntton Y

LCH*Ma: 90 92 96

olv*Ma: 1.0 1.0 0.0



ORS18; adaptierte CIELAB-Daten

	$L^*=L^*_a$	a^*_a	b^*_a	$C^*_{ab,a}$	$h^*_{ab,a}$
O _{Ma}	47.94	65.39	50.52	82.63	38
Y _{Ma}	90.37	-10.26	91.75	92.32	96
L _{Ma}	50.9	-62.83	34.96	71.91	151
C _{Ma}	58.62	-30.34	-45.01	54.3	236
V _{Ma}	25.72	31.1	-44.4	54.22	305
M _{Ma}	48.13	75.28	-8.36	75.74	354
N _{Ma}	18.01	0.0	0.0	0.0	0
W _{Ma}	95.41	0.0	0.0	0.0	0
R _{CIE}	39.92	58.66	26.98	64.57	25
J _{CIE}	81.26	-2.16	67.76	67.79	92
G _{CIE}	52.23	-42.25	11.76	43.87	164
B _{CIE}	30.57	1.15	-46.84	46.86	271

Dreiecks-Helligkeit t^*

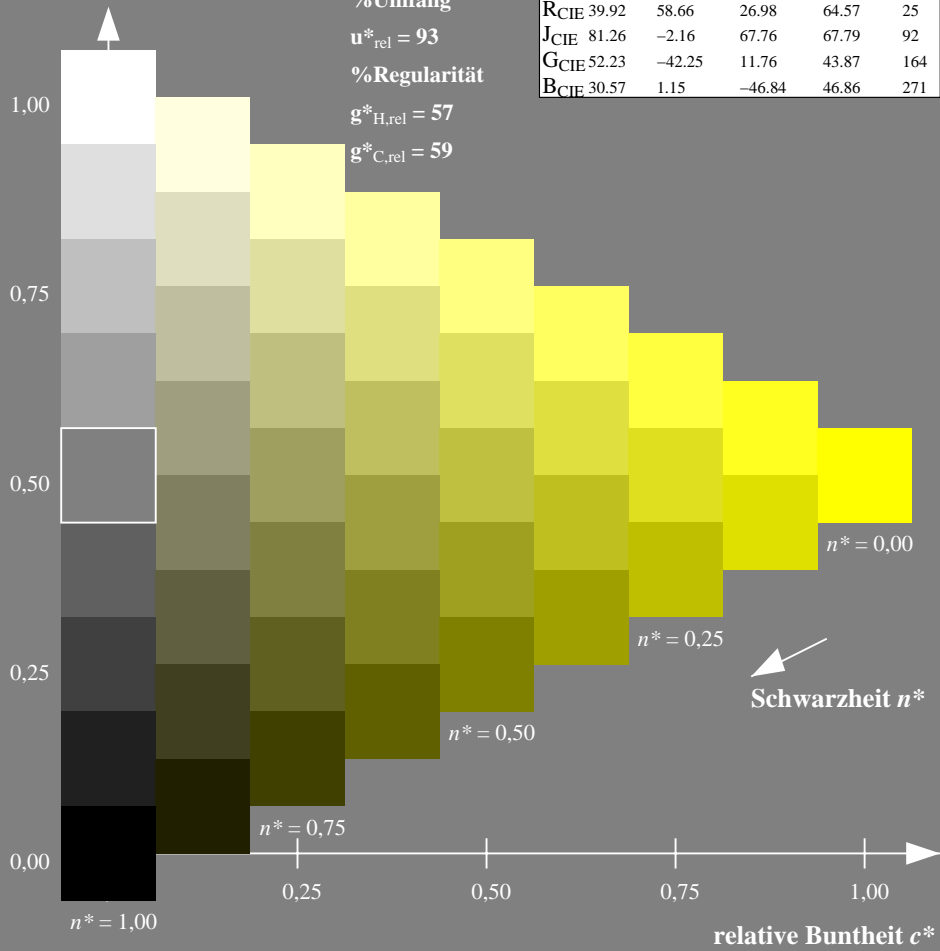
%Umfang

$u^*_{rel} = 93$

%Regularität

$g^*_{H,rel} = 57$

$g^*_{C,rel} = 59$



Ausgabe: Farbmetrisches Fernseh-Licht-System TLS70

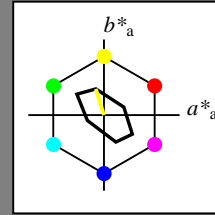
für Buntton $h^* = lab^*h = 107/360 = 0.298$

lab^*tch und lab^*nch

D65: Buntton Y

LCH*Ma: 94 36 107

olv*Ma: 1.0 1.0 0.0



TLS70; adaptierte CIELAB-Daten

	$L^*=L^*_a$	a^*_a	b^*_a	$C^*_{ab,a}$	$h^*_{ab,a}$
O _{Ma}	76.43	26.27	10.57	28.32	22
Y _{Ma}	93.93	-10.76	34.63	36.27	107
L _{Ma}	89.32	-35.8	27.64	45.24	142
C _{Ma}	90.93	-21.95	-7.07	23.07	198
V _{Ma}	72.1	15.76	-35.63	38.97	294
M _{Ma}	78.5	37.52	-25.23	45.22	326
N _{Ma}	69.7	0.0	0.0	0.0	0
W _{Ma}	95.41	0.0	0.0	0.0	0
R _{CIE}	39.92	58.74	27.99	65.07	25
J _{CIE}	81.26	-2.88	71.56	71.62	92
G _{CIE}	52.23	-42.41	13.6	44.55	162
B _{CIE}	30.57	1.41	-46.46	46.49	272

Dreiecks-Helligkeit t^*

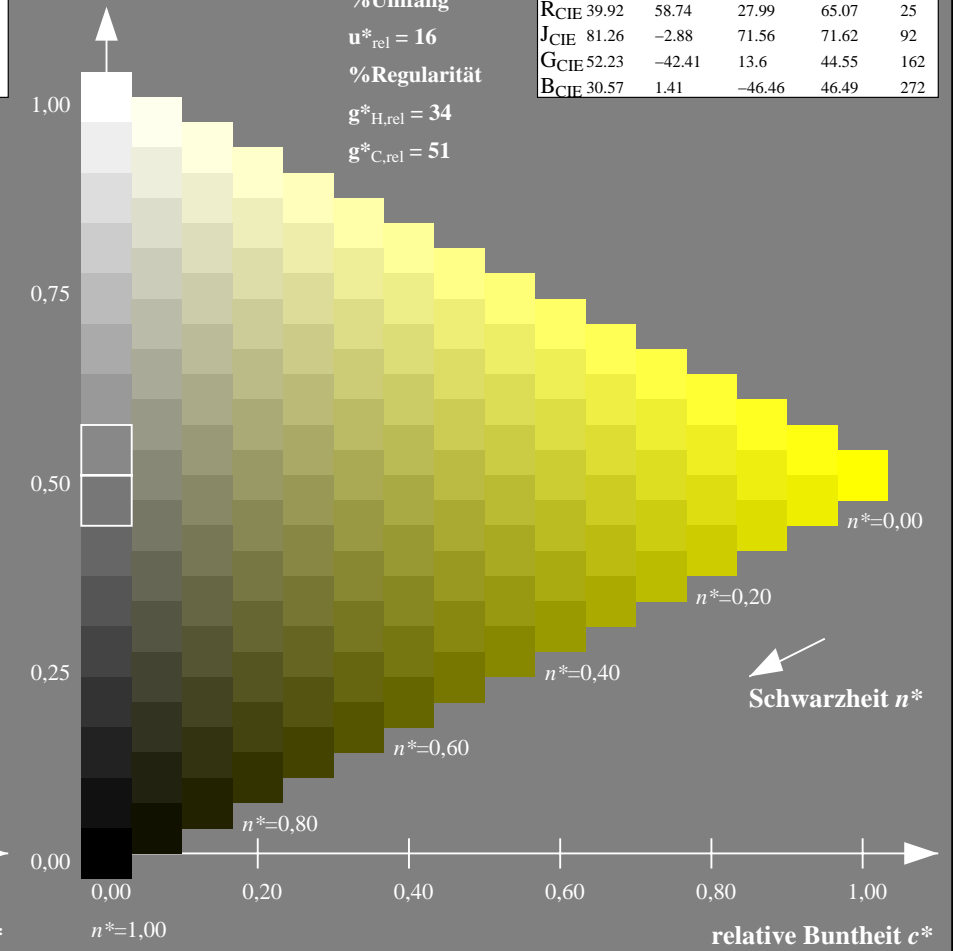
%Umfang

$u^*_{rel} = 16$

%Regularität

$g^*_{H,rel} = 34$

$g^*_{C,rel} = 51$



NG900-7, 9stufige Reihen für konstanten CIELAB Buntton $96/360 = 0.268$ (links)

16stufige Reihen für konstanten CIELAB Buntton $107/360 = 0.298$ (rechts)

Eingabe: Farbmetrisches Fernseh-Licht-System TLS00

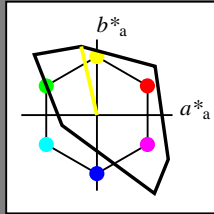
für Buntton $h^* = lab^*h = 103/360 = 0.286$

lab^*tch und lab^*nch

D65: Buntton Y

LCH*Ma: 93 93 103

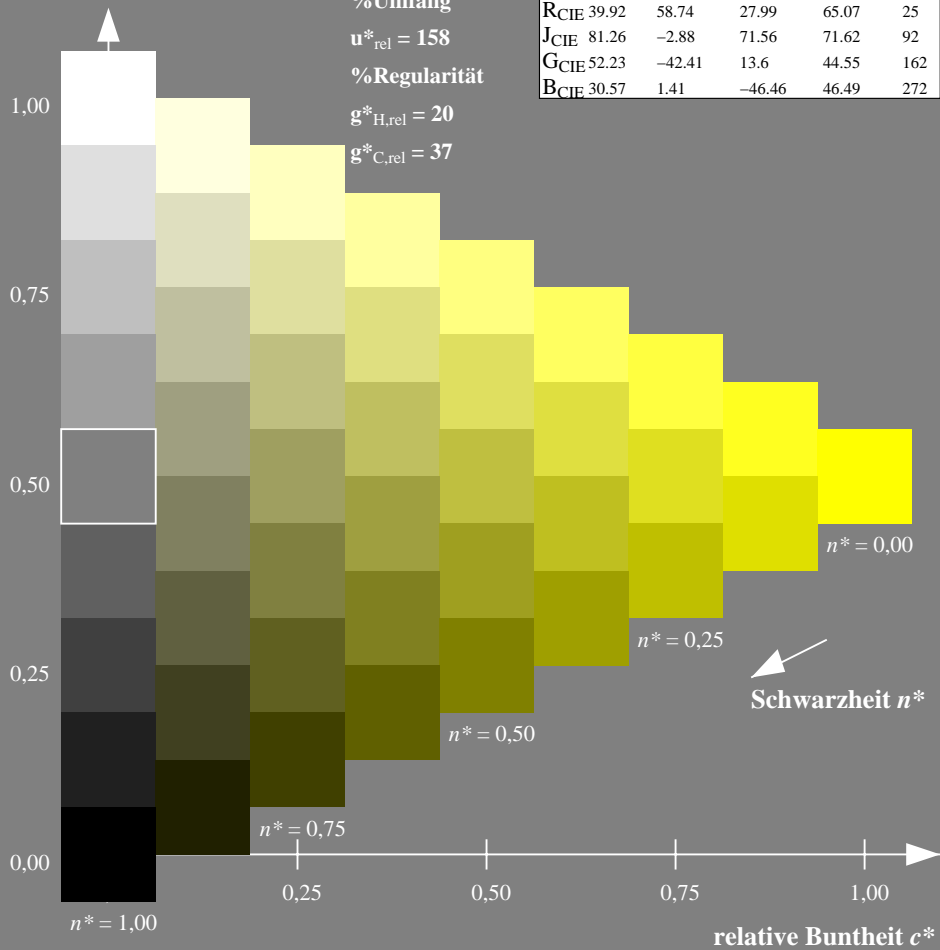
olv*Ma: 1.0 1.0 0.0



TLS00; adaptierte CIELAB-Daten

	$L^*=L^*_a$	a^*_a	b^*_a	$C^*_{ab,a}$	$h^*_{ab,a}$
OMa	50.5	76.92	64.55	100.42	40
YMa	92.66	-20.69	90.75	93.08	103
LMa	83.63	-82.75	79.9	115.04	136
CMa	86.88	-46.16	-13.55	48.12	196
VMa	30.39	76.06	-103.59	128.52	306
MMa	57.3	94.35	-58.41	110.97	328
NMa	0.01	0.0	0.0	0.0	0
WMa	95.41	0.0	0.0	0.0	0
RCIE	39.92	58.74	27.99	65.07	25
JCIE	81.26	-2.88	71.56	71.62	92
GCIE	52.23	-42.41	13.6	44.55	162
BCIE	30.57	1.41	-46.46	46.49	272

Dreiecks-Helligkeit t^*



NG900-7, 9stufige Reihen für konstanten CIELAB Buntton $103/360 = 0.286$ (links)

Ausgabe: Farbmetrisches Offset-Reflektiv-System ORS18

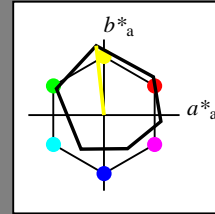
für Buntton $h^* = lab^*h = 96/360 = 0.268$

lab^*tch und lab^*nch

D65: Buntton Y

LCH*Ma: 90 92 96

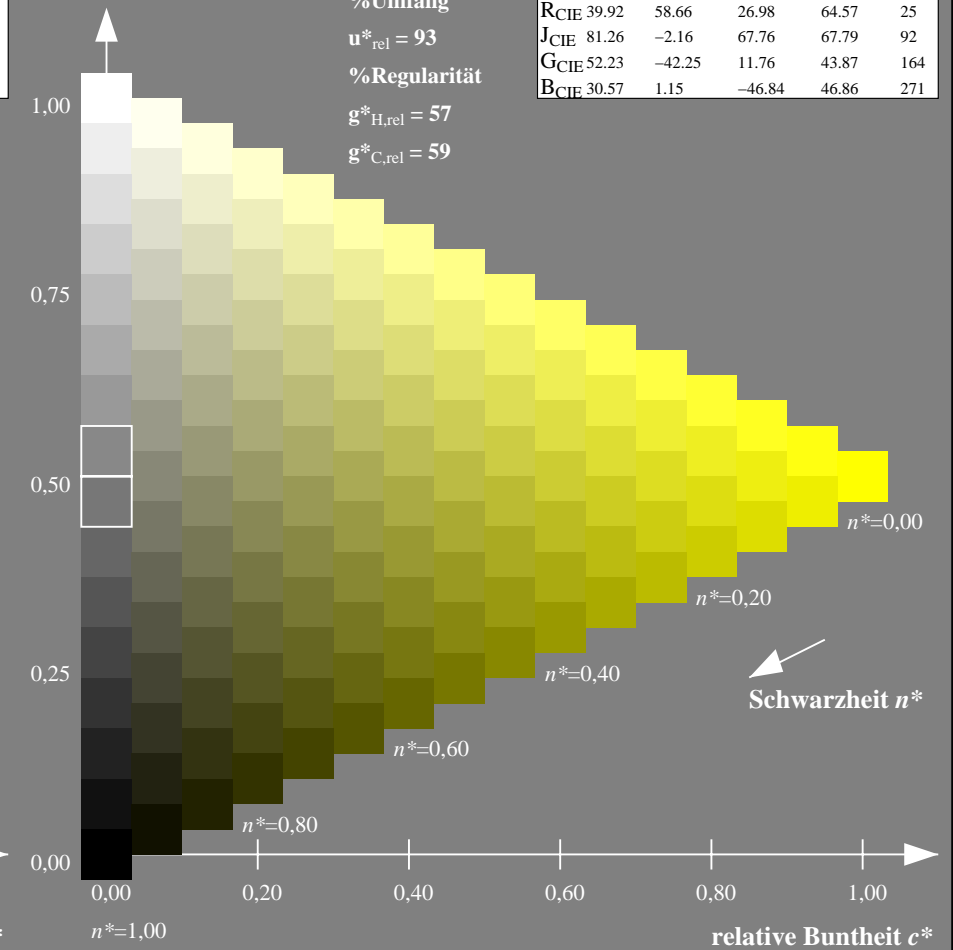
olv*Ma: 1.0 1.0 0.0



ORS18; adaptierte CIELAB-Daten

	$L^*=L^*_a$	a^*_a	b^*_a	$C^*_{ab,a}$	$h^*_{ab,a}$
OMa	47.94	65.39	50.52	82.63	38
YMa	90.37	-10.26	91.75	92.32	96
LMa	50.9	-62.83	34.96	71.91	151
CMa	58.62	-30.34	-45.01	54.3	236
VMa	25.72	31.1	-44.4	54.22	305
MMa	48.13	75.28	-8.36	75.74	354
NMa	18.01	0.0	0.0	0.0	0
WMa	95.41	0.0	0.0	0.0	0
RCIE	39.92	58.66	26.98	64.57	25
JCIE	81.26	-2.16	67.76	67.79	92
GCIE	52.23	-42.25	11.76	43.87	164
BCIE	30.57	1.15	-46.84	46.86	271

Dreiecks-Helligkeit t^*



16stufige Reihen für konstanten CIELAB Buntton $96/360 = 0.268$ (rechts)

Eingabe: Farbmétrisches Fernseh-Licht-System TLS00

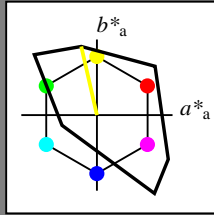
für Buntton $h^* = lab^*h = 103/360 = 0.286$

lab^*tch und lab^*nch

D65: Buntton Y

LCH*Ma: 93 93 103

olv*Ma: 1.0 1.0 0.0



TLS00; adaptierte CIELAB-Daten

	$L^*=L^*_a$	a^*_a	b^*_a	$C^*_{ab,a}$	$h^*_{ab,a}$
OMa	50.5	76.92	64.55	100.42	40
YMa	92.66	-20.69	90.75	93.08	103
LMa	83.63	-82.75	79.9	115.04	136
CMa	86.88	-46.16	-13.55	48.12	196
VMa	30.39	76.06	-103.59	128.52	306
MMa	57.3	94.35	-58.41	110.97	328
NMa	0.01	0.0	0.0	0.0	0
WMa	95.41	0.0	0.0	0.0	0
RCIE	39.92	58.74	27.99	65.07	25
JCIE	81.26	-2.88	71.56	71.62	92
GCIE	52.23	-42.41	13.6	44.55	162
BCIE	30.57	1.41	-46.46	46.49	272

Dreiecks-Helligkeit t^*

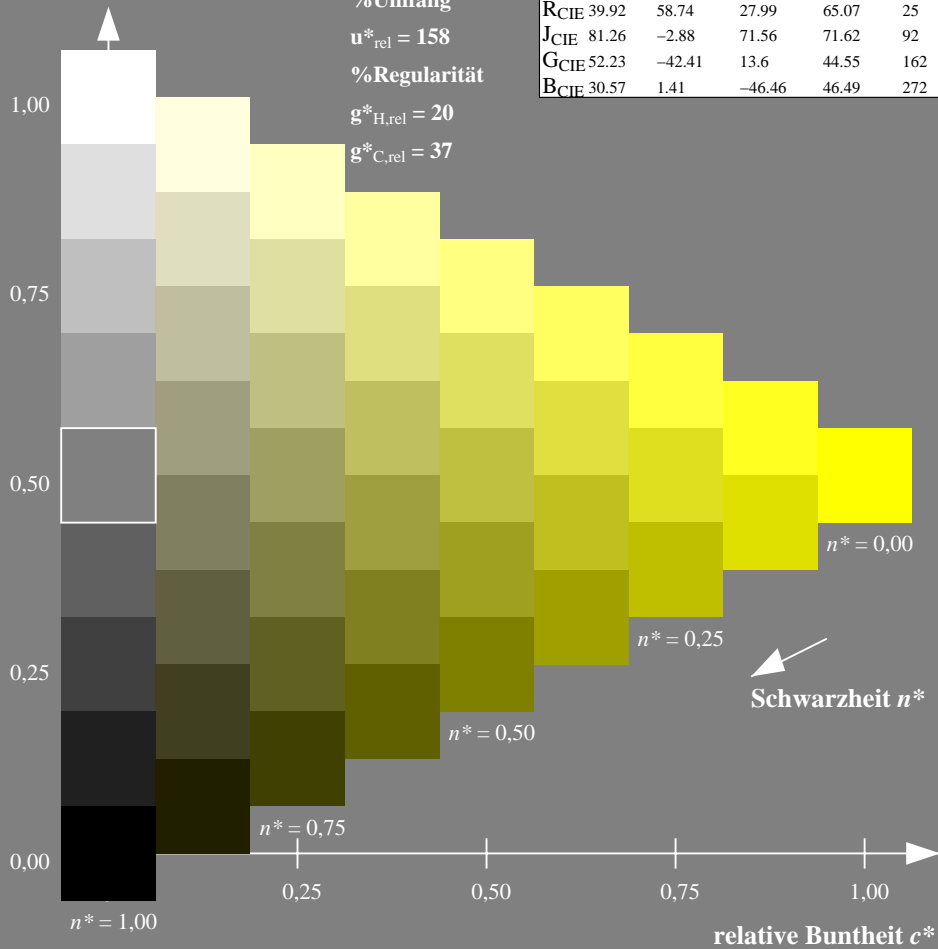
%Umfang

$u^*_{rel} = 158$

%Regularität

$g^*_{H,rel} = 20$

$g^*_{C,rel} = 37$



Ausgabe: Farbmétrisches Fernseh-Licht-System TLS00

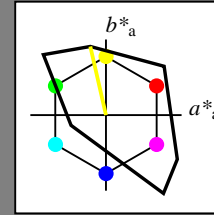
für Buntton $h^* = lab^*h = 103/360 = 0.286$

lab^*tch und lab^*nch

D65: Buntton Y

LCH*Ma: 93 93 103

olv*Ma: 1.0 1.0 0.0



TLS00; adaptierte CIELAB-Daten

	$L^*=L^*_a$	a^*_a	b^*_a	$C^*_{ab,a}$	$h^*_{ab,a}$
OMa	50.5	76.92	64.55	100.42	40
YMa	92.66	-20.69	90.75	93.08	103
LMa	83.63	-82.75	79.9	115.04	136
CMa	86.88	-46.16	-13.55	48.12	196
VMa	30.39	76.06	-103.59	128.52	306
MMa	57.3	94.35	-58.41	110.97	328
NMa	0.01	0.0	0.0	0.0	0
WMa	95.41	0.0	0.0	0.0	0
RCIE	39.92	58.74	27.99	65.07	25
JCIE	81.26	-2.88	71.56	71.62	92
GCIE	52.23	-42.41	13.6	44.55	162
BCIE	30.57	1.41	-46.46	46.49	272

Dreiecks-Helligkeit t^*

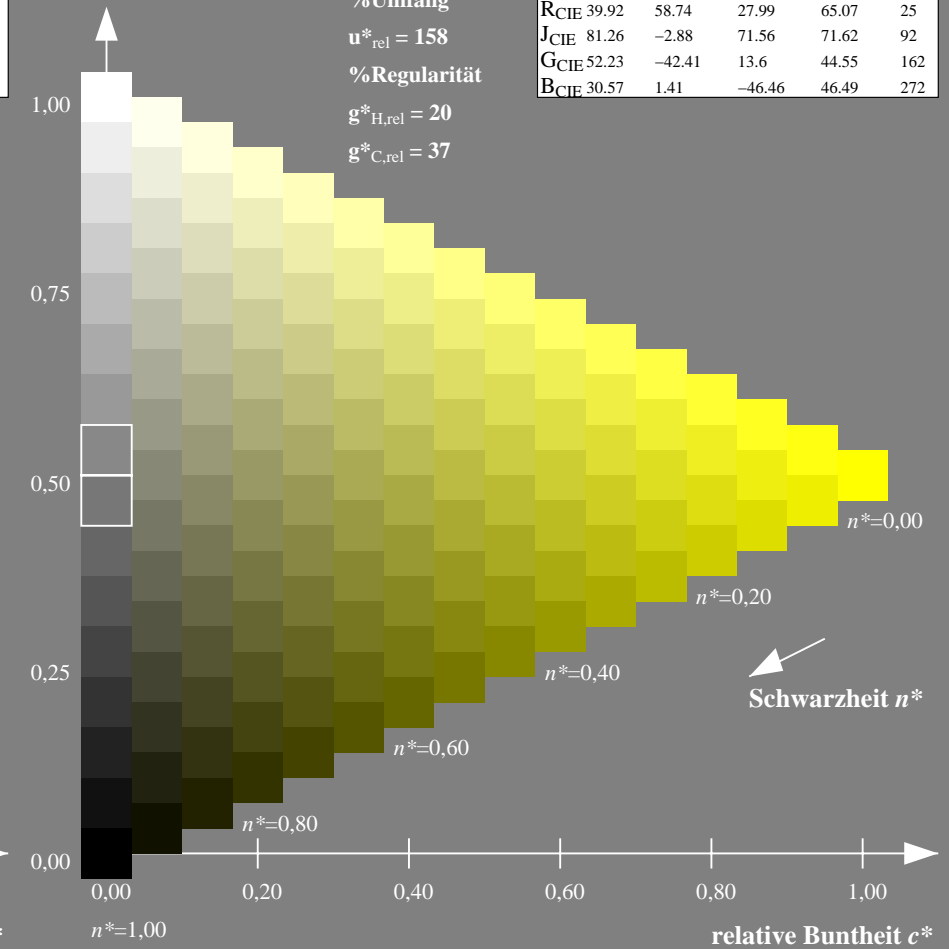
%Umfang

$u^*_{rel} = 158$

%Regularität

$g^*_{H,rel} = 20$

$g^*_{C,rel} = 37$



NG900-7, 9stufige Reihen für konstanten CIELAB Buntton 103/360 = 0.286 (links)

16stufige Reihen für konstanten CIELAB Buntton 103/360 = 0.286 (rechts)

Eingabe: Farbmetrisches Fernseh-Licht-System TLS00

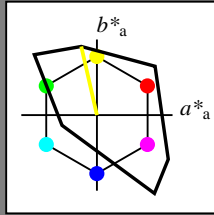
für Buntton $h^* = lab^*h = 103/360 = 0.286$

lab^*tch und lab^*nch

D65: Buntton Y

LCH*Ma: 93 93 103

olv*Ma: 1.0 1.0 0.0



TLS00; adaptierte CIELAB-Daten

	$L^*=L^*_a$	a^*_a	b^*_a	$C^*_{ab,a}$	$h^*_{ab,a}$
OMa	50.5	76.92	64.55	100.42	40
YMa	92.66	-20.69	90.75	93.08	103
LMa	83.63	-82.75	79.9	115.04	136
CMa	86.88	-46.16	-13.55	48.12	196
VMa	30.39	76.06	-103.59	128.52	306
MMa	57.3	94.35	-58.41	110.97	328
NMa	0.01	0.0	0.0	0.0	0
WMa	95.41	0.0	0.0	0.0	0
RCIE	39.92	58.74	27.99	65.07	25
JCIE	81.26	-2.88	71.56	71.62	92
GCIE	52.23	-42.41	13.6	44.55	162
BCIE	30.57	1.41	-46.46	46.49	272

Dreiecks-Helligkeit t^*

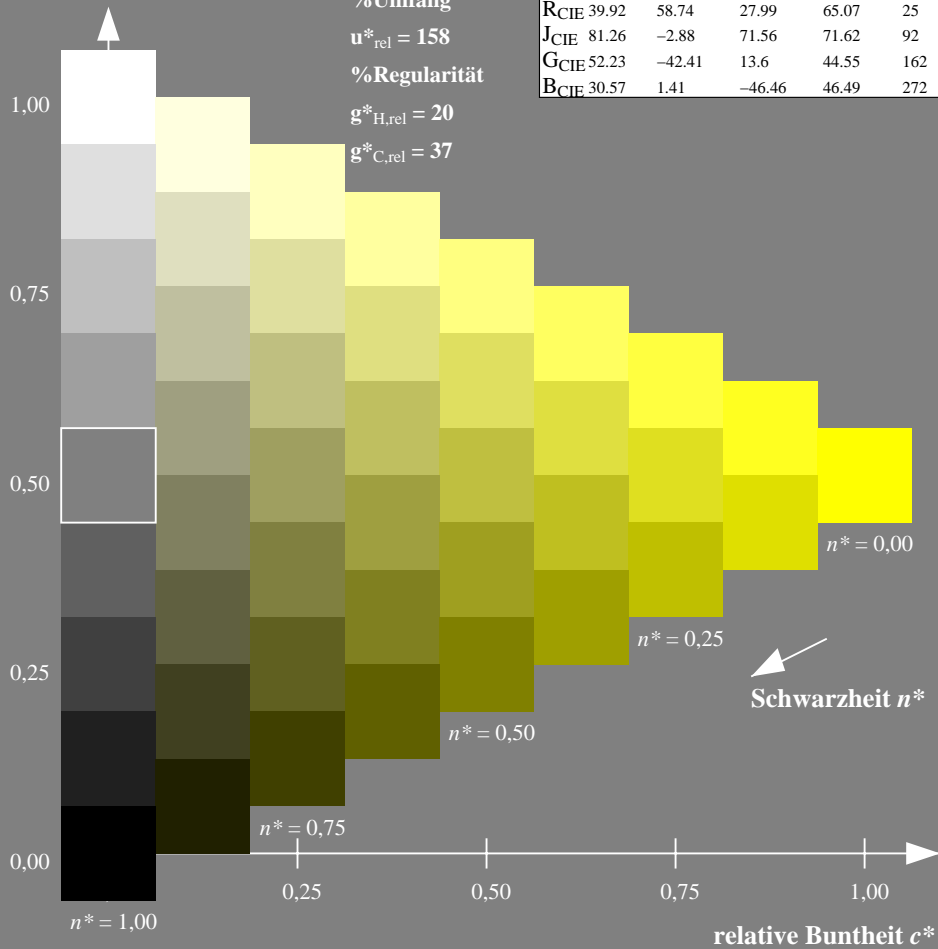
%Umfang

$u^*_{rel} = 158$

%Regularität

$g^*_{H,rel} = 20$

$g^*_{C,rel} = 37$



Ausgabe: Farbmetrisches Drucker-Reflektiv-System DRSXX

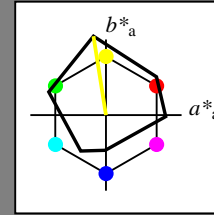
für Buntton $h^* = lab^*h = 99/360 = 0.275$

lab^*tch und lab^*nch

D65: Buntton Y

LCH*Ma: 90 106 99

olv*Ma: 1.0 1.0 0.0



DRSXX; adaptierte CIELAB-Daten

	$L^*=L^*_a$	a^*_a	b^*_a	$C^*_{ab,a}$	$h^*_{ab,a}$
OMa	42.21	66.82	50.6	83.82	37
YMa	90.32	-16.51	104.33	105.63	99
LMa	48.21	-75.63	30.65	81.61	158
CMa	53.44	-33.33	-47.49	58.03	235
VMa	34.16	-0.92	-46.56	46.58	269
MMa	42.71	79.0	-1.95	79.03	359
NMa	16.56	0.0	0.0	0.0	0
WMa	96.31	0.0	0.0	0.0	0
RCIE	39.92	59.78	25.77	65.1	23
JCIE	81.26	-2.51	69.07	69.11	92
GCIE	52.23	-41.57	11.3	43.09	165
BCIE	30.57	2.6	-48.62	48.7	273

Dreiecks-Helligkeit t^*

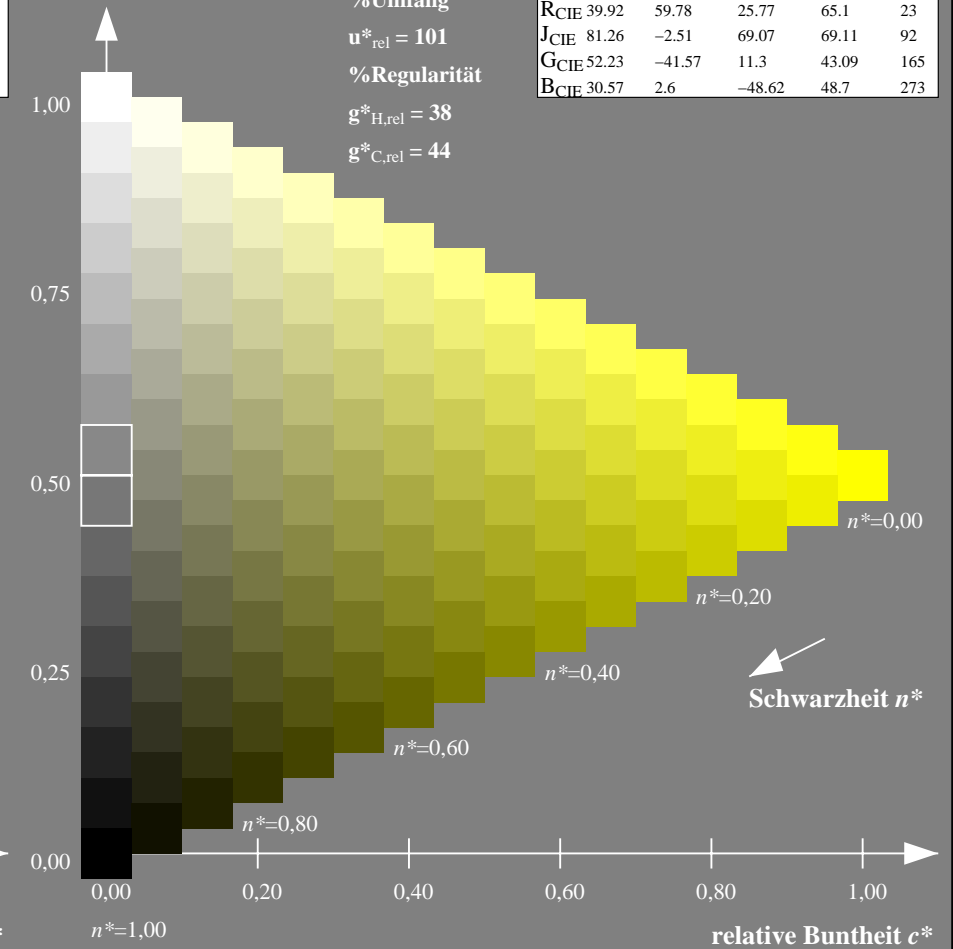
%Umfang

$u^*_{rel} = 101$

%Regularität

$g^*_{H,rel} = 38$

$g^*_{C,rel} = 44$



NG900-7, 9stufige Reihen für konstanten CIELAB Buntton 103/360 = 0.286 (links)

16stufige Reihen für konstanten CIELAB Buntton 99/360 = 0.275 (rechts)

Eingabe: Farbmetrisches Fernseh-Licht-System TLS00

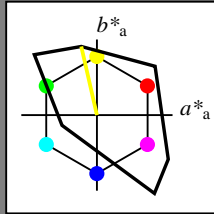
für Buntton $h^* = lab^*h = 103/360 = 0.286$

lab^*tch und lab^*nch

D65: Buntton Y

LCH*Ma: 93 93 103

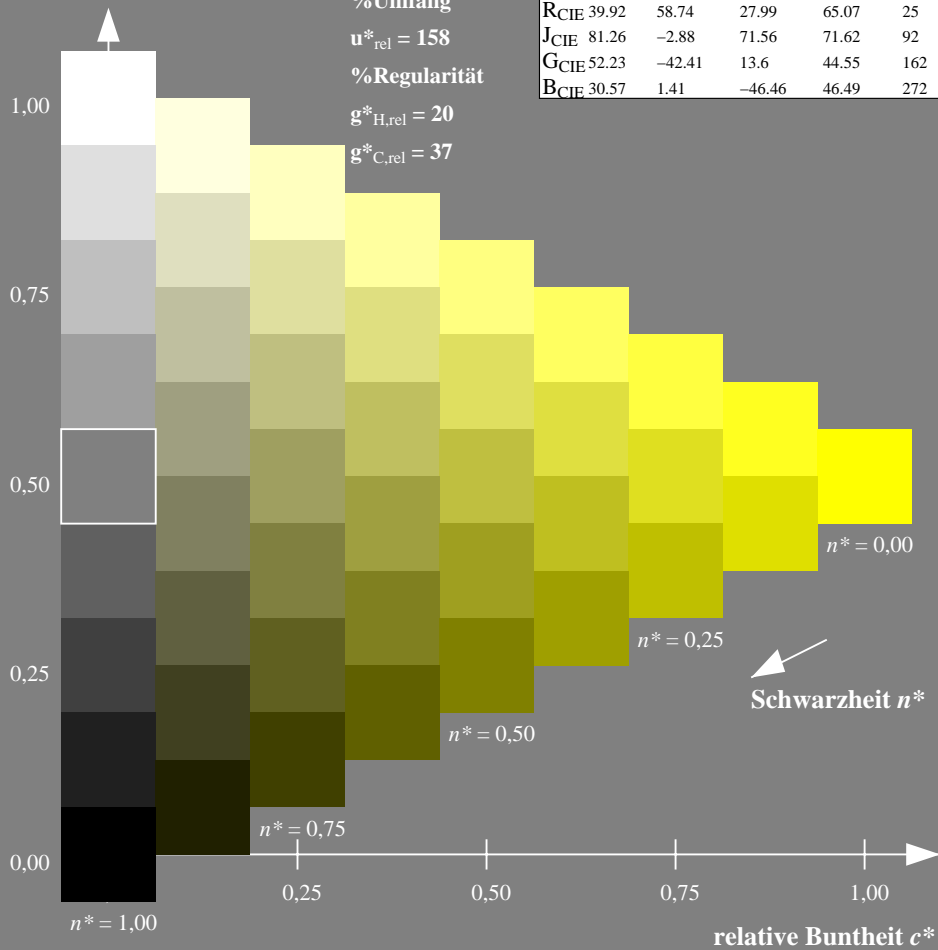
olv*Ma: 1.0 1.0 0.0



TLS00; adaptierte CIELAB-Daten

	$L^*=L^*_a$	a^*_a	b^*_a	$C^*_{ab,a}$	$h^*_{ab,a}$
OMa	50.5	76.92	64.55	100.42	40
YMa	92.66	-20.69	90.75	93.08	103
LMa	83.63	-82.75	79.9	115.04	136
CMa	86.88	-46.16	-13.55	48.12	196
VMa	30.39	76.06	-103.59	128.52	306
MMa	57.3	94.35	-58.41	110.97	328
NMa	0.01	0.0	0.0	0.0	0
WMa	95.41	0.0	0.0	0.0	0
RCIE	39.92	58.74	27.99	65.07	25
JCIE	81.26	-2.88	71.56	71.62	92
GCIE	52.23	-42.41	13.6	44.55	162
BCIE	30.57	1.41	-46.46	46.49	272

Dreiecks-Helligkeit t^*



Ausgabe: Farbmetrisches Fernseh-Licht-System TLS18

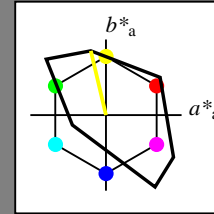
für Buntton $h^* = lab^*h = 103/360 = 0.287$

lab^*tch und lab^*nch

D65: Buntton Y

LCH*Ma: 93 87 103

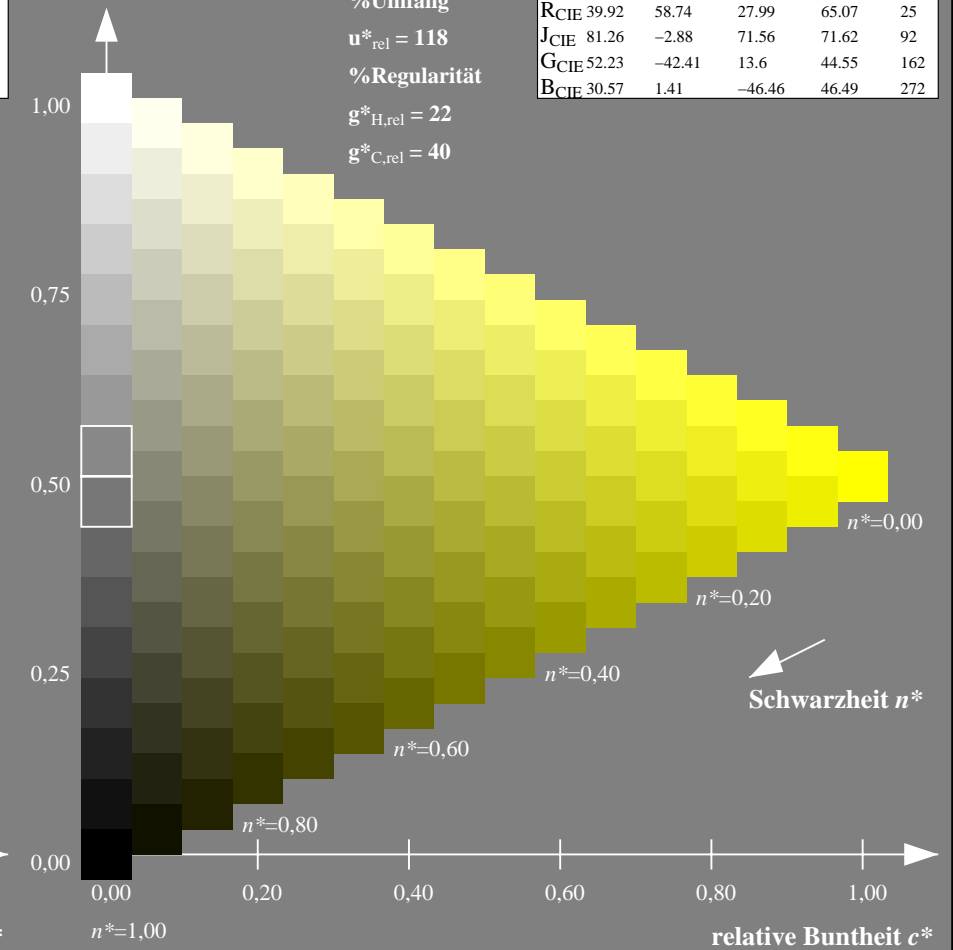
olv*Ma: 1.0 1.0 0.0



TLS18; adaptierte CIELAB-Daten

	$L^*=L^*_a$	a^*_a	b^*_a	$C^*_{ab,a}$	$h^*_{ab,a}$
OMa	52.76	71.63	49.88	87.29	35
YMa	92.74	-20.02	84.97	87.3	103
LMa	84.0	-78.98	73.94	108.2	137
CMa	87.14	-44.41	-13.11	46.32	196
VMa	35.47	64.92	-95.06	115.12	304
MMa	59.01	89.33	-55.67	105.26	328
NMa	18.01	0.0	0.0	0.0	0
WMa	95.41	0.0	0.0	0.0	0
RCIE	39.92	58.74	27.99	65.07	25
JCIE	81.26	-2.88	71.56	71.62	92
GCIE	52.23	-42.41	13.6	44.55	162
BCIE	30.57	1.41	-46.46	46.49	272

Dreiecks-Helligkeit t^*



NG900-7, 9stufige Reihen für konstanten CIELAB Buntton $103/360 = 0.286$ (links)

16stufige Reihen für konstanten CIELAB Buntton $103/360 = 0.287$ (rechts)

Eingabe: Farbmetrisches Fernseh-Licht-System TLS00

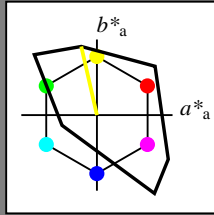
für Buntton $h^* = lab^*h = 103/360 = 0.286$

lab^*tch und lab^*nch

D65: Buntton Y

LCH*Ma: 93 93 103

olv*Ma: 1.0 1.0 0.0



TLS00; adaptierte CIELAB-Daten

	$L^*=L^*_a$	a^*_a	b^*_a	$C^*_{ab,a}$	$h^*_{ab,a}$
OMa	50.5	76.92	64.55	100.42	40
YMa	92.66	-20.69	90.75	93.08	103
LMa	83.63	-82.75	79.9	115.04	136
CMa	86.88	-46.16	-13.55	48.12	196
VMa	30.39	76.06	-103.59	128.52	306
MMa	57.3	94.35	-58.41	110.97	328
NMa	0.01	0.0	0.0	0.0	0
WMa	95.41	0.0	0.0	0.0	0
RCIE	39.92	58.74	27.99	65.07	25
JCIE	81.26	-2.88	71.56	71.62	92
GCIE	52.23	-42.41	13.6	44.55	162
BCIE	30.57	1.41	-46.46	46.49	272

Dreiecks-Helligkeit t^*

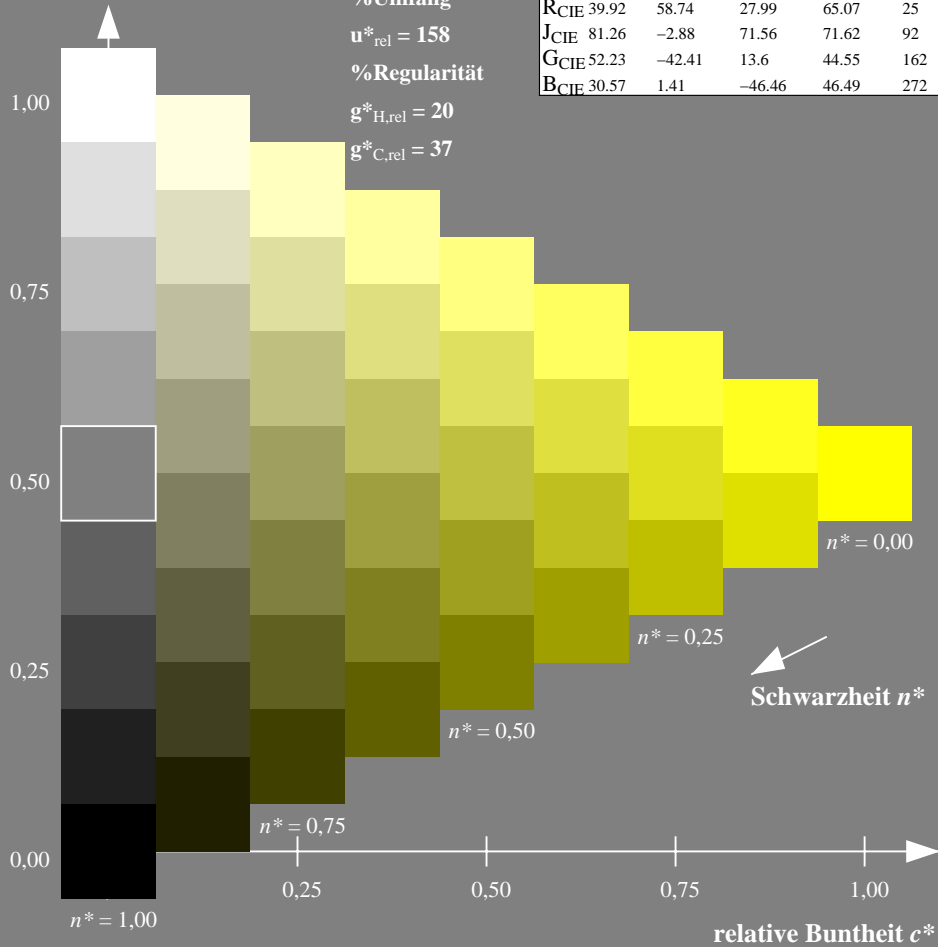
%Umfang

$u^*_{rel} = 158$

%Regularität

$g^*_{H,rel} = 20$

$g^*_{C,rel} = 37$



Ausgabe: Farbmetrisches Natürliches-Licht-System NLS00

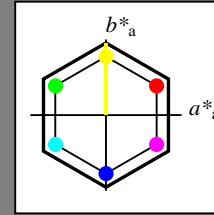
für Buntton $h^* = lab^*h = 90/360 = 0.25$

lab^*tch und lab^*nch

D65: Buntton Y

LCH*Ma: 64 95 90

olv*Ma: 1.0 1.0 0.0



NLS00; adaptierte CIELAB-Daten

	$L^*=L^*_a$	a^*_a	b^*_a	$C^*_{ab,a}$	$h^*_{ab,a}$
OMa	31.81	82.62	47.7	95.4	30
YMa	63.61	0.0	95.4	95.4	90
LMa	31.81	-82.61	47.7	95.4	150
CMa	63.61	-82.61	-47.69	95.4	210
VMa	31.81	0.0	-95.39	95.4	270
MMa	63.61	82.62	-47.69	95.4	330
NMa	0.01	0.0	0.0	0.0	0
WMa	95.41	0.0	0.0	0.0	0
RCIE	39.92	58.74	27.99	65.07	25
JCIE	81.26	-2.88	71.56	71.62	92
GCIE	52.23	-42.41	13.6	44.55	162
BCIE	30.57	1.41	-46.46	46.49	272

Dreiecks-Helligkeit t^*

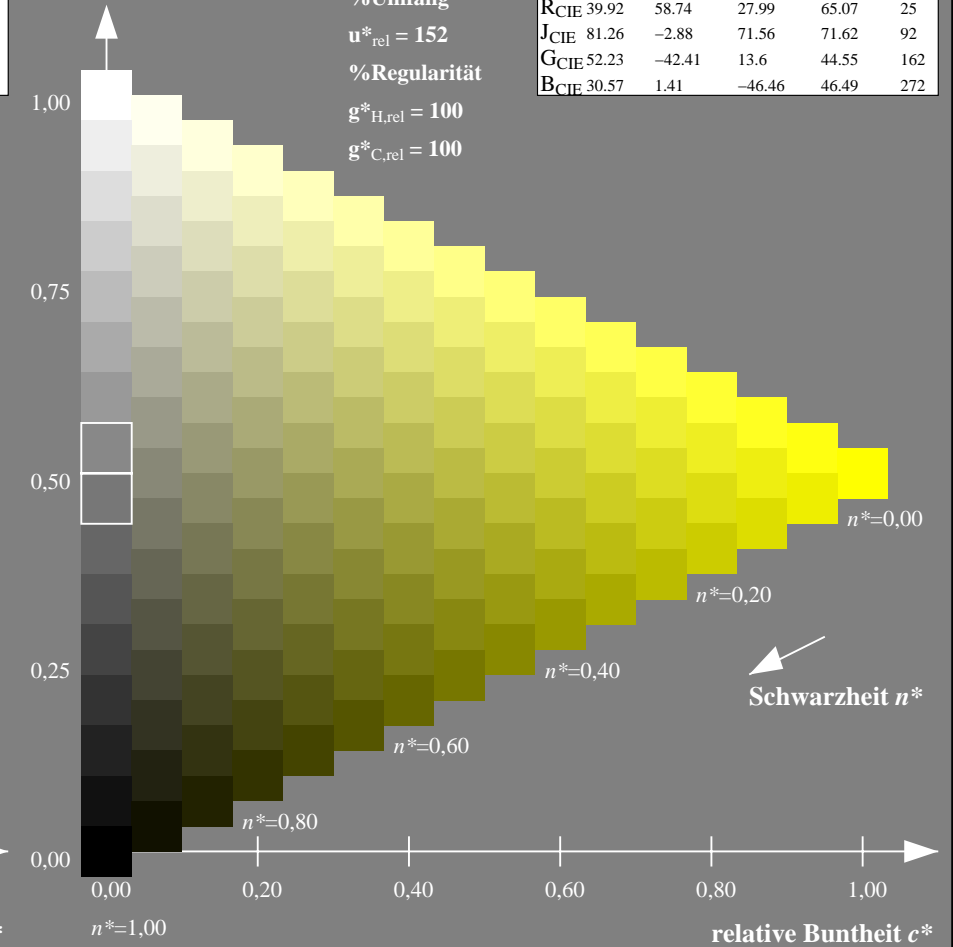
%Umfang

$u^*_{rel} = 152$

%Regularität

$g^*_{H,rel} = 100$

$g^*_{C,rel} = 100$



NG900-7, 9stufige Reihen für konstanten CIELAB Buntton 103/360 = 0.286 (links)

16stufige Reihen für konstanten CIELAB Buntton 90/360 = 0.25 (rechts)

Eingabe: Farbmetrisches Fernseh-Licht-System TLS00

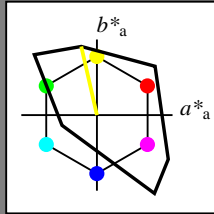
für Buntton $h^* = lab^*h = 103/360 = 0.286$

lab^*tch und lab^*nch

D65: Buntton Y

LCH*Ma: 93 93 103

olv*Ma: 1.0 1.0 0.0



TLS00; adaptierte CIELAB-Daten

	$L^*=L^*_a$	a^*_a	b^*_a	$C^*_{ab,a}$	$h^*_{ab,a}$
OMa	50.5	76.92	64.55	100.42	40
YMa	92.66	-20.69	90.75	93.08	103
LMa	83.63	-82.75	79.9	115.04	136
CMa	86.88	-46.16	-13.55	48.12	196
VMa	30.39	76.06	-103.59	128.52	306
MMa	57.3	94.35	-58.41	110.97	328
NMa	0.01	0.0	0.0	0.0	0
WMa	95.41	0.0	0.0	0.0	0
RCIE	39.92	58.74	27.99	65.07	25
JCIE	81.26	-2.88	71.56	71.62	92
GCIE	52.23	-42.41	13.6	44.55	162
BCIE	30.57	1.41	-46.46	46.49	272

Dreiecks-Helligkeit t^*

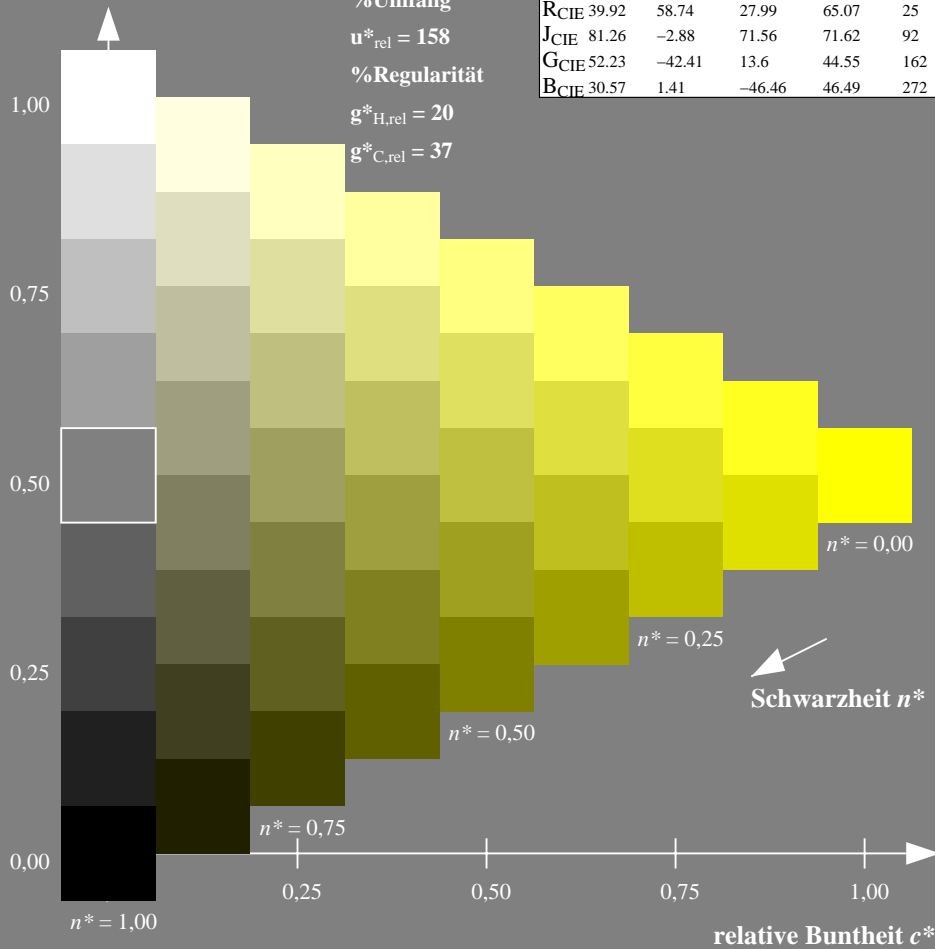
%Umfang

$u^*_{rel} = 158$

%Regularität

$g^*_{H,rel} = 20$

$g^*_{C,rel} = 37$



Ausgabe: Farbmetrisches Natürliches-Reflektiv-System NRS18

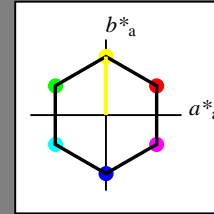
für Buntton $h^* = lab^*h = 90/360 = 0.25$

lab^*tch und lab^*nch

D65: Buntton Y

LCH*Ma: 70 77 90

olv*Ma: 1.0 1.0 0.0



NRS18; adaptierte CIELAB-Daten

	$L^*=L^*_a$	a^*_a	b^*_a	$C^*_{ab,a}$	$h^*_{ab,a}$
OMa	43.81	67.03	38.7	77.4	30
YMa	69.61	0.0	77.4	77.4	90
LMa	43.81	-67.02	38.7	77.4	150
CMa	69.61	-67.02	-38.69	77.4	210
VMa	43.81	0.0	-77.39	77.4	270
MMa	69.61	67.03	-38.69	77.4	330
NMa	18.01	0.0	0.0	0.0	0
WMa	95.41	0.0	0.0	0.0	0
RCIE	39.92	58.74	27.99	65.07	25
JCIE	81.26	-2.88	71.56	71.62	92
GCIE	52.23	-42.41	13.6	44.55	162
BCIE	30.57	1.41	-46.46	46.49	272

Dreiecks-Helligkeit t^*

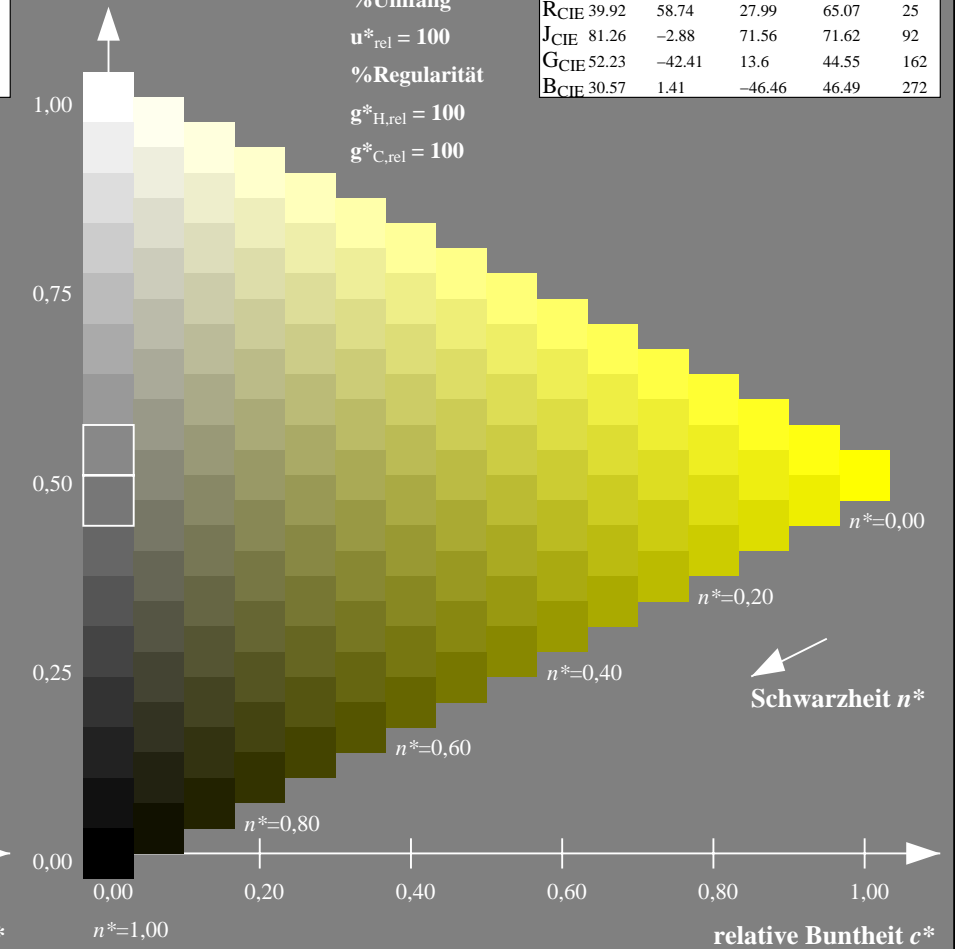
%Umfang

$u^*_{rel} = 100$

%Regularität

$g^*_{H,rel} = 100$

$g^*_{C,rel} = 100$



NG900-7, 9stufige Reihen für konstanten CIELAB Buntton $103/360 = 0.286$ (links)

16stufige Reihen für konstanten CIELAB Buntton $90/360 = 0.25$ (rechts)

Eingabe: Farbmetrisches Fernseh-Licht-System TLS00

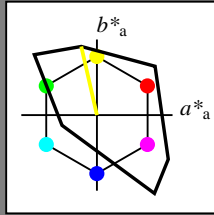
für Buntton $h^* = lab^*h = 103/360 = 0.286$

lab^*tch und lab^*nch

D65: Buntton Y

LCH*Ma: 93 93 103

olv*Ma: 1.0 1.0 0.0



TLS00; adaptierte CIELAB-Daten

	$L^*=L^*_a$	a^*_a	b^*_a	$C^*_{ab,a}$	$h^*_{ab,a}$
OMa	50.5	76.92	64.55	100.42	40
YMa	92.66	-20.69	90.75	93.08	103
LMa	83.63	-82.75	79.9	115.04	136
CMa	86.88	-46.16	-13.55	48.12	196
VMa	30.39	76.06	-103.59	128.52	306
MMa	57.3	94.35	-58.41	110.97	328
NMa	0.01	0.0	0.0	0.0	0
WMa	95.41	0.0	0.0	0.0	0
RCIE	39.92	58.74	27.99	65.07	25
JCIE	81.26	-2.88	71.56	71.62	92
GCIE	52.23	-42.41	13.6	44.55	162
BCIE	30.57	1.41	-46.46	46.49	272

Dreiecks-Helligkeit t^*

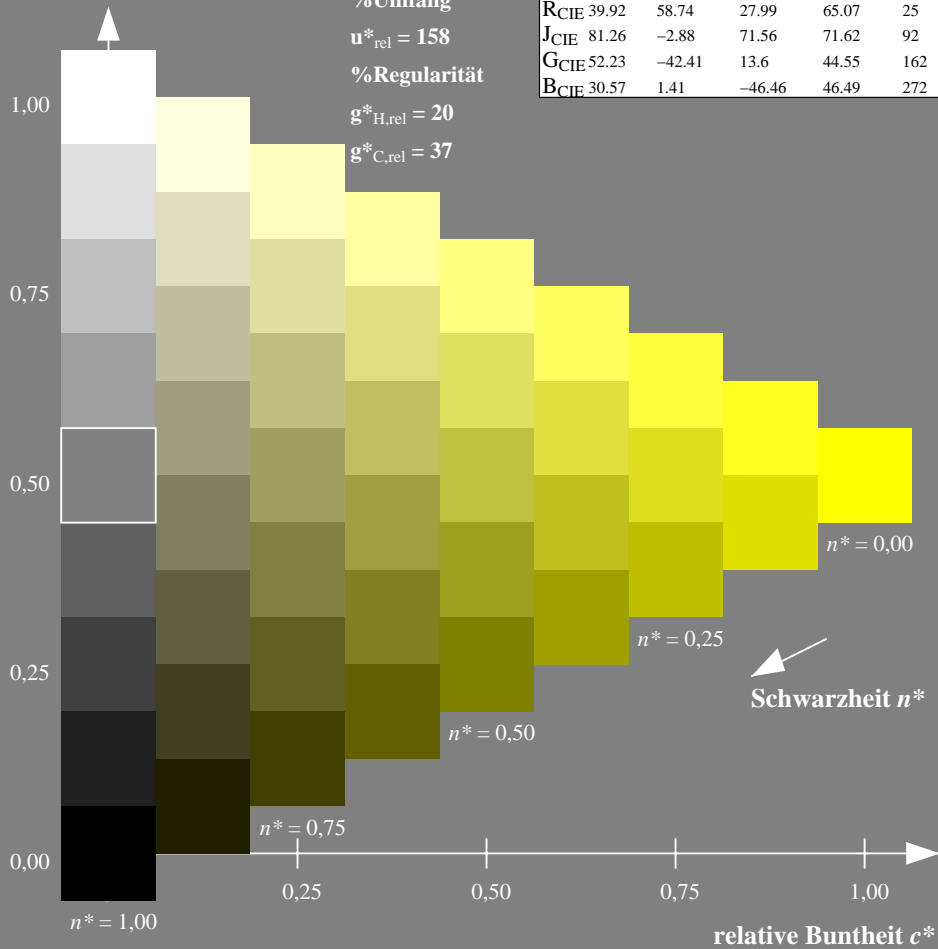
%Umfang

$u^*_{rel} = 158$

%Regularität

$g^*_{H,rel} = 20$

$g^*_{C,rel} = 37$



Schwarzheit n^*

Ausgabe: Farbmetrisches Standard-Reflektiv-System SRS18

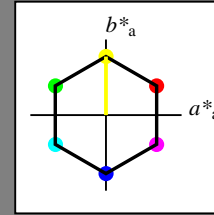
für Buntton $h^* = lab^*h = 90/360 = 0.25$

lab^*tch und lab^*nch

D65: Buntton Y

LCH*Ma: 57 77 90

olv*Ma: 1.0 1.0 0.0



SRS18; adaptierte CIELAB-Daten

	$L^*=L^*_a$	a^*_a	b^*_a	$C^*_{ab,a}$	$h^*_{ab,a}$
OMa	56.71	67.03	38.7	77.4	30
YMa	56.71	0.0	77.4	77.4	90
LMa	56.71	-67.02	38.7	77.4	150
CMa	56.71	-67.02	-38.69	77.4	210
VMa	56.71	0.0	-77.39	77.4	270
MMa	56.71	67.03	-38.69	77.4	330
NMa	18.01	0.0	0.0	0.0	0
WMa	95.41	0.0	0.0	0.0	0
RCIE	39.92	58.74	27.99	65.07	25
JCIE	81.26	-2.88	71.56	71.62	92
GCIE	52.23	-42.41	13.6	44.55	162
BCIE	30.57	1.41	-46.46	46.49	272

Dreiecks-Helligkeit t^*

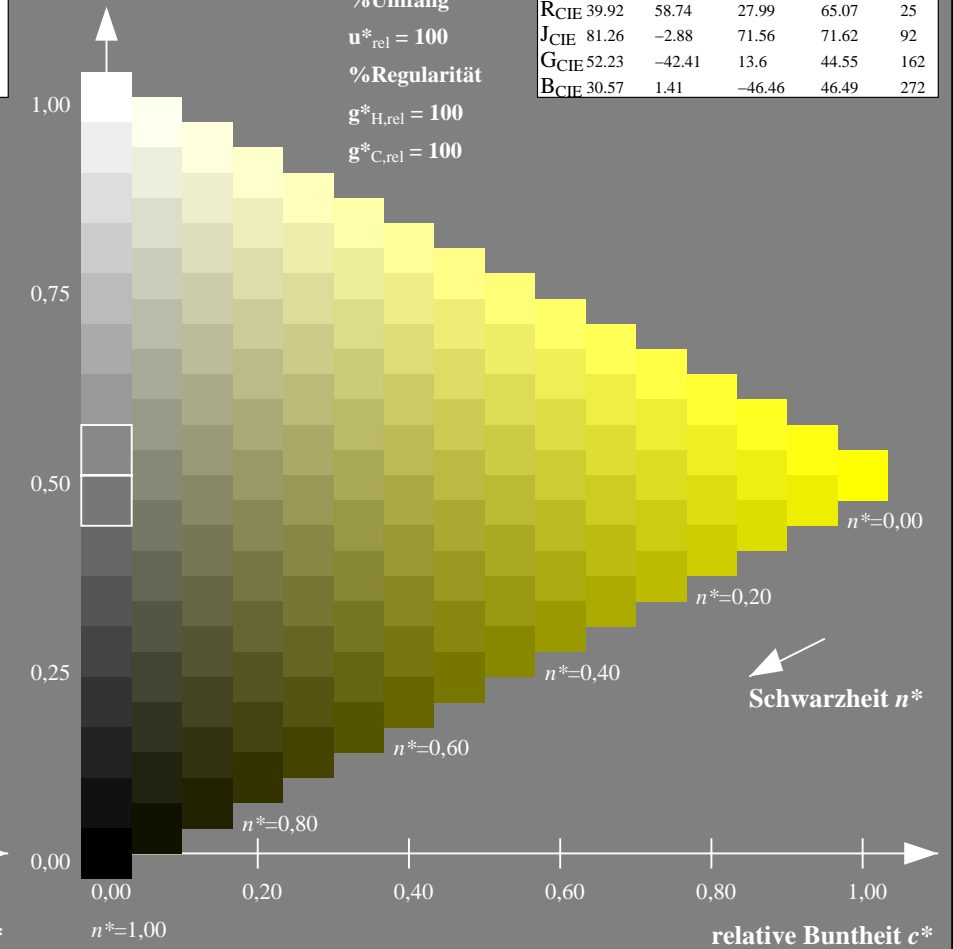
%Umfang

$u^*_{rel} = 100$

%Regularität

$g^*_{H,rel} = 100$

$g^*_{C,rel} = 100$



Schwarzheit n^*

NG900-7, 9stufige Reihen für konstanten CIELAB Buntton $103/360 = 0.286$ (links)

16stufige Reihen für konstanten CIELAB Buntton $90/360 = 0.25$ (rechts)

Eingabe: Farbmetrisches Fernseh-Licht-System TLS00

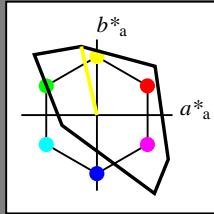
für Buntton $h^* = lab^*h = 103/360 = 0.286$

lab^*tch und lab^*nch

D65: Buntton Y

LCH*Ma: 93 93 103

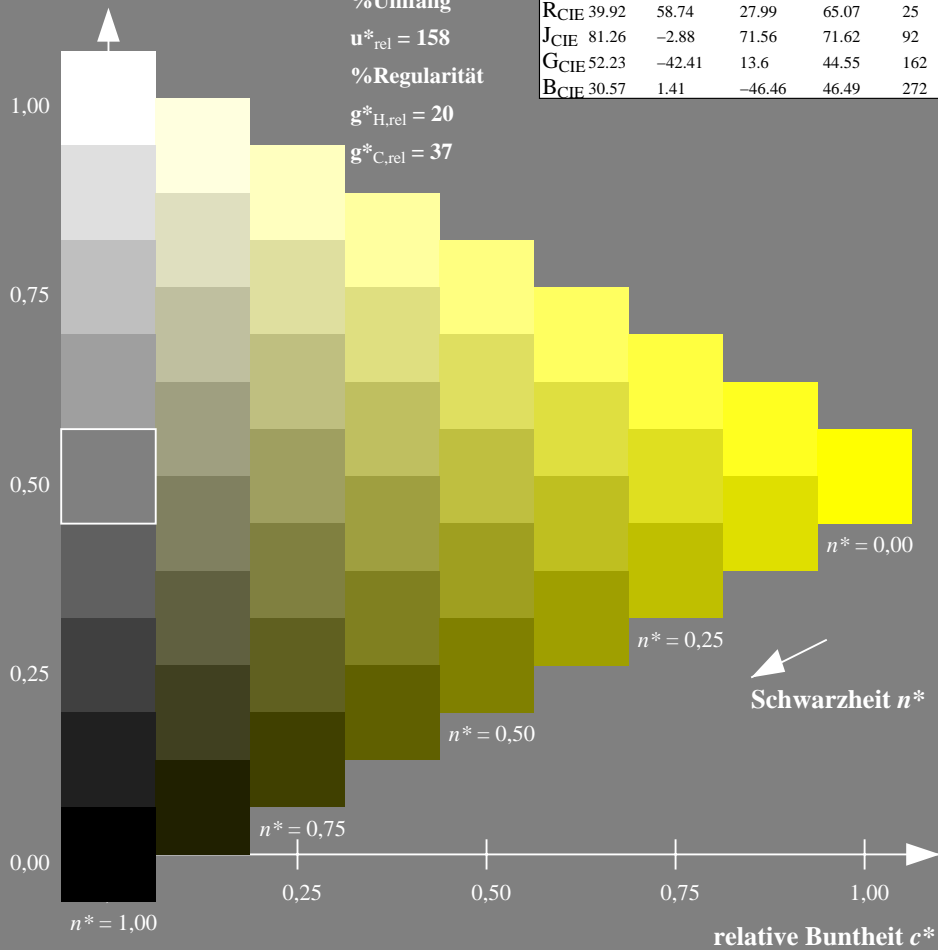
olv*Ma: 1.0 1.0 0.0



TLS00; adaptierte CIELAB-Daten

	$L^*=L^*_a$	a^*_a	b^*_a	$C^*_{ab,a}$	$h^*_{ab,a}$
O _{Ma}	50.5	76.92	64.55	100.42	40
Y _{Ma}	92.66	-20.69	90.75	93.08	103
L _{Ma}	83.63	-82.75	79.9	115.04	136
C _{Ma}	86.88	-46.16	-13.55	48.12	196
V _{Ma}	30.39	76.06	-103.59	128.52	306
M _{Ma}	57.3	94.35	-58.41	110.97	328
N _{Ma}	0.01	0.0	0.0	0.0	0
W _{Ma}	95.41	0.0	0.0	0.0	0
R _{CIE}	39.92	58.74	27.99	65.07	25
J _{CIE}	81.26	-2.88	71.56	71.62	92
G _{CIE}	52.23	-42.41	13.6	44.55	162
B _{CIE}	30.57	1.41	-46.46	46.49	272

Dreiecks-Helligkeit t^*



Ausgabe: Farbmetrisches Fernseh-Licht-System TLS70

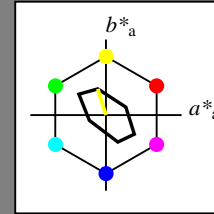
für Buntton $h^* = lab^*h = 107/360 = 0.298$

lab^*tch und lab^*nch

D65: Buntton Y

LCH*Ma: 94 36 107

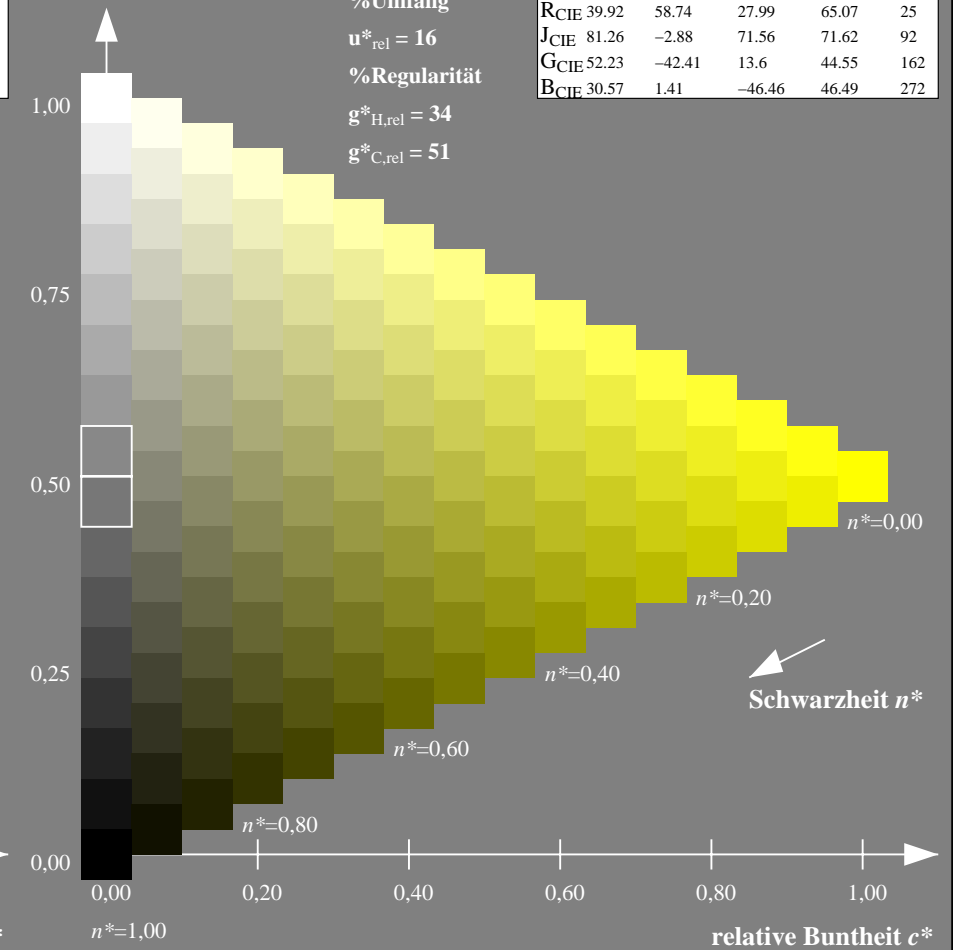
olv*Ma: 1.0 1.0 0.0



TLS70; adaptierte CIELAB-Daten

	$L^*=L^*_a$	a^*_a	b^*_a	$C^*_{ab,a}$	$h^*_{ab,a}$
O _{Ma}	76.43	26.27	10.57	28.32	22
Y _{Ma}	93.93	-10.76	34.63	36.27	107
L _{Ma}	89.32	-35.8	27.64	45.24	142
C _{Ma}	90.93	-21.95	-7.07	23.07	198
V _{Ma}	72.1	15.76	-35.63	38.97	294
M _{Ma}	78.5	37.52	-25.23	45.22	326
N _{Ma}	69.7	0.0	0.0	0.0	0
W _{Ma}	95.41	0.0	0.0	0.0	0
R _{CIE}	39.92	58.74	27.99	65.07	25
J _{CIE}	81.26	-2.88	71.56	71.62	92
G _{CIE}	52.23	-42.41	13.6	44.55	162
B _{CIE}	30.57	1.41	-46.46	46.49	272

Dreiecks-Helligkeit t^*



NG900-7, 9stufige Reihen für konstanten CIELAB Buntton $103/360 = 0.286$ (links)

16stufige Reihen für konstanten CIELAB Buntton $107/360 = 0.298$ (rechts)

Eingabe: Farbmetrisches Drucker-Reflektiv-System DRSXX

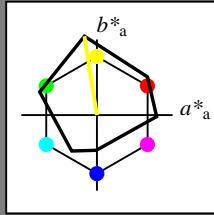
für Buntton $h^* = lab^*h = 99/360 = 0.275$

lab^*tch und lab^*nch

D65: Buntton Y

LCH*Ma: 90 106 99

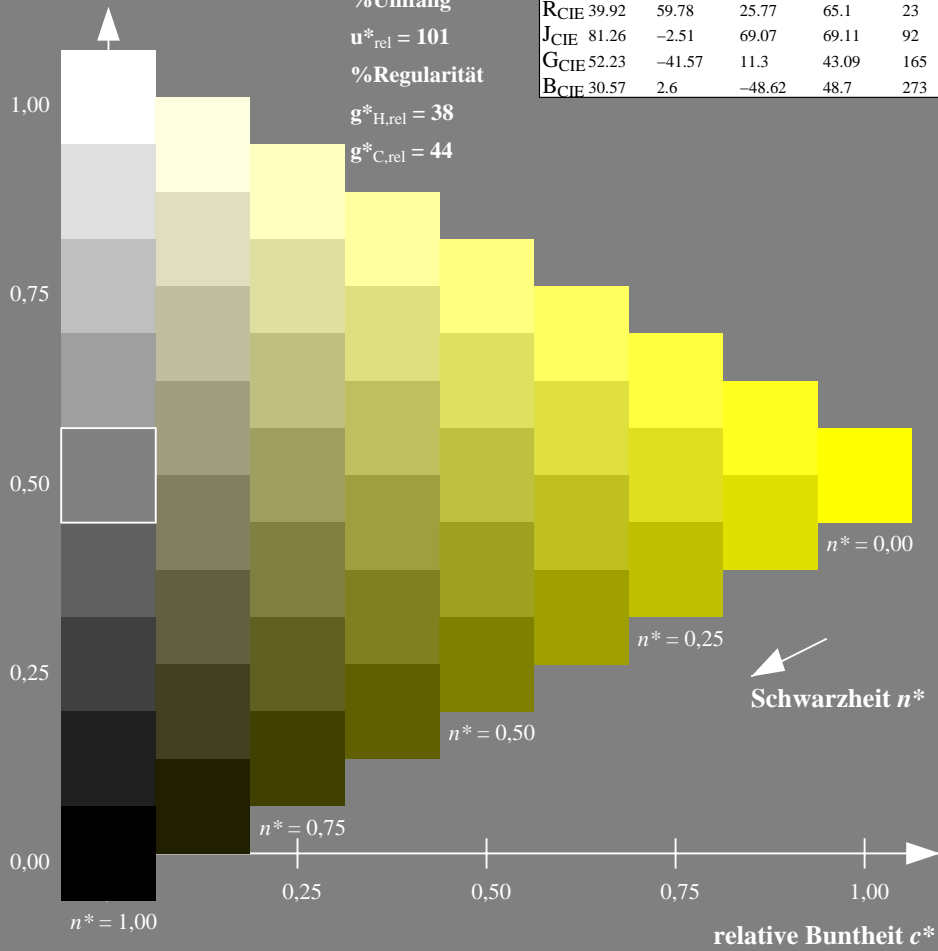
olv*Ma: 1.0 1.0 0.0



DRSXX; adaptierte CIELAB-Daten

	$L^*=L^*_a$	a^*_a	b^*_a	$C^*_{ab,a}$	$h^*_{ab,a}$
O _{Ma}	42.21	66.82	50.6	83.82	37
Y _{Ma}	90.32	-16.51	104.33	105.63	99
L _{Ma}	48.21	-75.63	30.65	81.61	158
C _{Ma}	53.44	-33.33	-47.49	58.03	235
V _{Ma}	34.16	-0.92	-46.56	46.58	269
M _{Ma}	42.71	79.0	-1.95	79.03	359
N _{Ma}	16.56	0.0	0.0	0.0	0
W _{Ma}	96.31	0.0	0.0	0.0	0
R _{CIE}	39.92	59.78	25.77	65.1	23
J _{CIE}	81.26	-2.51	69.07	69.11	92
G _{CIE}	52.23	-41.57	11.3	43.09	165
B _{CIE}	30.57	2.6	-48.62	48.7	273

Dreiecks-Helligkeit t^*



Ausgabe: Farbmetrisches Offset-Reflektiv-System ORS18

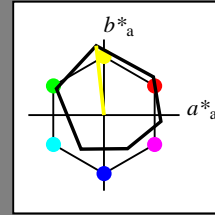
für Buntton $h^* = lab^*h = 96/360 = 0.268$

lab^*tch und lab^*nch

D65: Buntton Y

LCH*Ma: 90 92 96

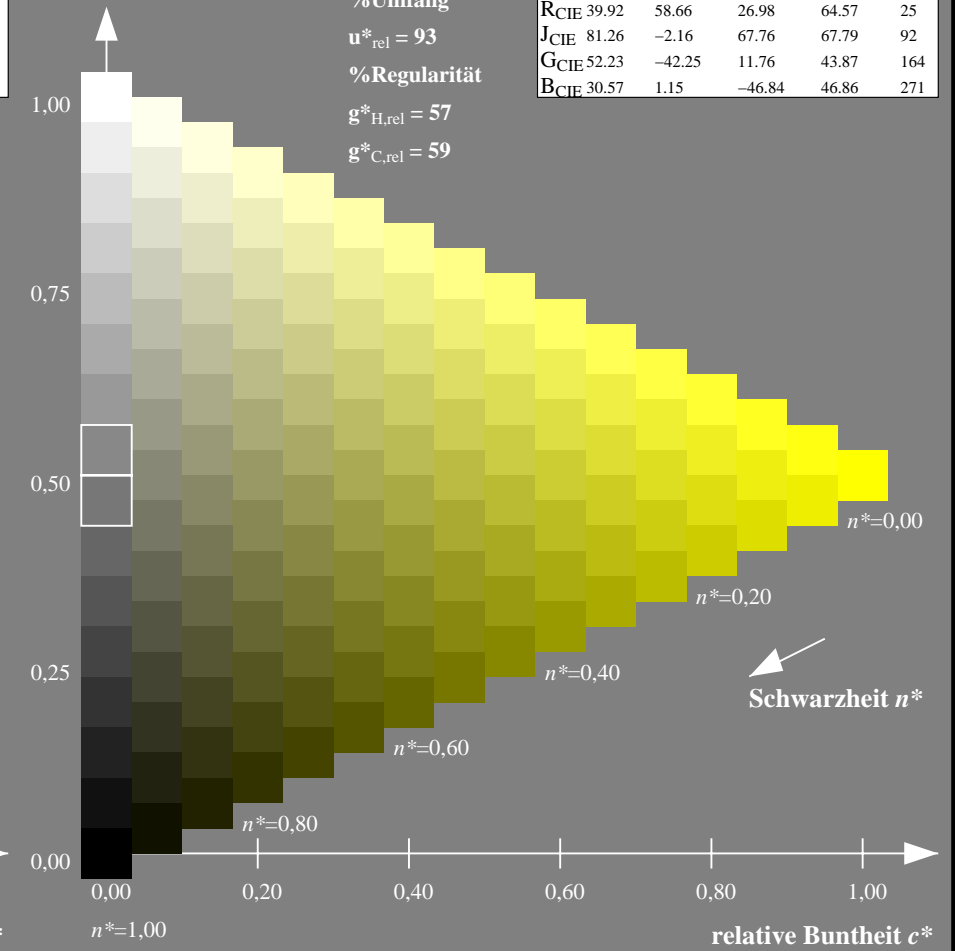
olv*Ma: 1.0 1.0 0.0



ORS18; adaptierte CIELAB-Daten

	$L^*=L^*_a$	a^*_a	b^*_a	$C^*_{ab,a}$	$h^*_{ab,a}$
O _{Ma}	47.94	65.39	50.52	82.63	38
Y _{Ma}	90.37	-10.26	91.75	92.32	96
L _{Ma}	50.9	-62.83	34.96	71.91	151
C _{Ma}	58.62	-30.34	-45.01	54.3	236
V _{Ma}	25.72	31.1	-44.4	54.22	305
M _{Ma}	48.13	75.28	-8.36	75.74	354
N _{Ma}	18.01	0.0	0.0	0.0	0
W _{Ma}	95.41	0.0	0.0	0.0	0
R _{CIE}	39.92	58.66	26.98	64.57	25
J _{CIE}	81.26	-2.16	67.76	67.79	92
G _{CIE}	52.23	-42.25	11.76	43.87	164
B _{CIE}	30.57	1.15	-46.84	46.86	271

Dreiecks-Helligkeit t^*



NG900-7, 9stufige Reihen für konstanten CIELAB Buntton $99/360 = 0.275$ (links)

16stufige Reihen für konstanten CIELAB Buntton $96/360 = 0.268$ (rechts)

Eingabe: Farbmetrisches Drucker-Reflektiv-System DRSXX

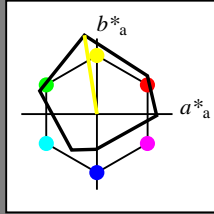
für Buntton $h^* = lab^*h = 99/360 = 0.275$

lab^*tch und lab^*nch

D65: Buntton Y

LCH*Ma: 90 106 99

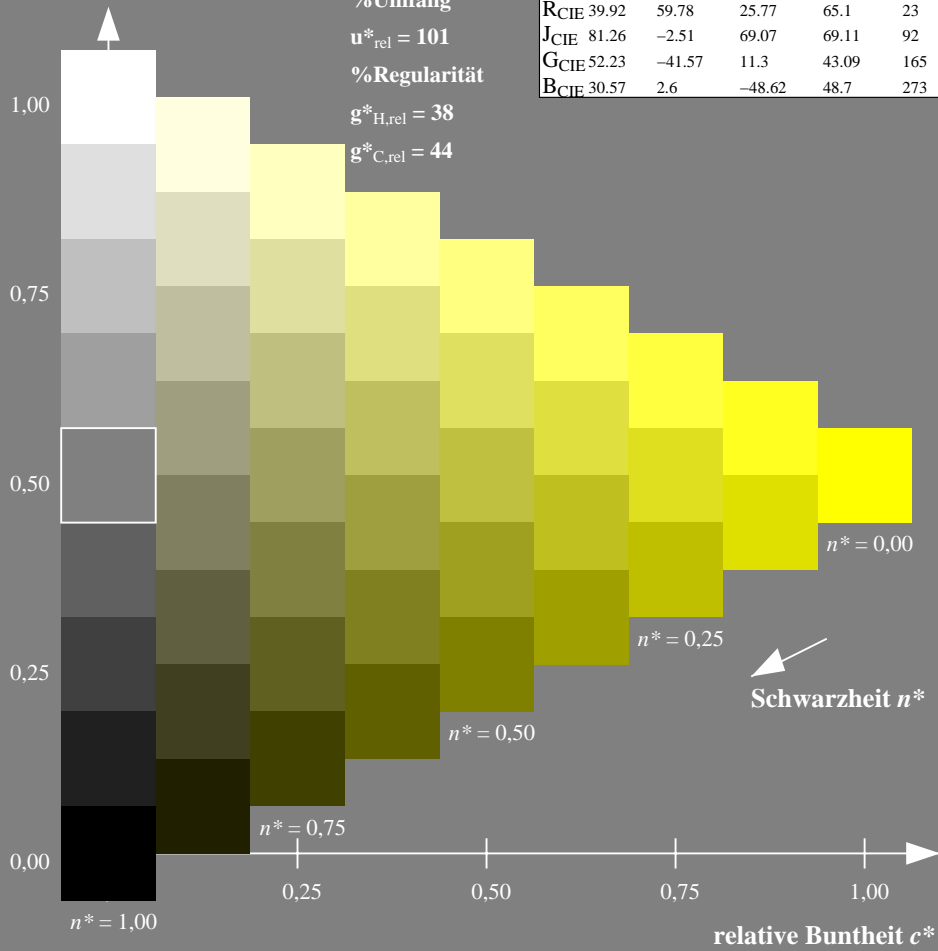
olv*Ma: 1.0 1.0 0.0



DRSXX; adaptierte CIELAB-Daten

	$L^*=L^*_a$	a^*_a	b^*_a	$C^*_{ab,a}$	$h^*_{ab,a}$
O _{Ma}	42.21	66.82	50.6	83.82	37
Y _{Ma}	90.32	-16.51	104.33	105.63	99
L _{Ma}	48.21	-75.63	30.65	81.61	158
C _{Ma}	53.44	-33.33	-47.49	58.03	235
V _{Ma}	34.16	-0.92	-46.56	46.58	269
M _{Ma}	42.71	79.0	-1.95	79.03	359
N _{Ma}	16.56	0.0	0.0	0.0	0
W _{Ma}	96.31	0.0	0.0	0.0	0
R _{CIE}	39.92	59.78	25.77	65.1	23
J _{CIE}	81.26	-2.51	69.07	69.11	92
G _{CIE}	52.23	-41.57	11.3	43.09	165
B _{CIE}	30.57	2.6	-48.62	48.7	273

Dreiecks-Helligkeit t^*



Ausgabe: Farbmetrisches Fernseh-Licht-System TLS00

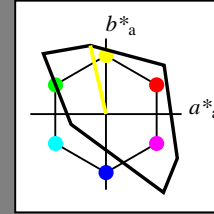
für Buntton $h^* = lab^*h = 103/360 = 0.286$

lab^*tch und lab^*nch

D65: Buntton Y

LCH*Ma: 93 93 103

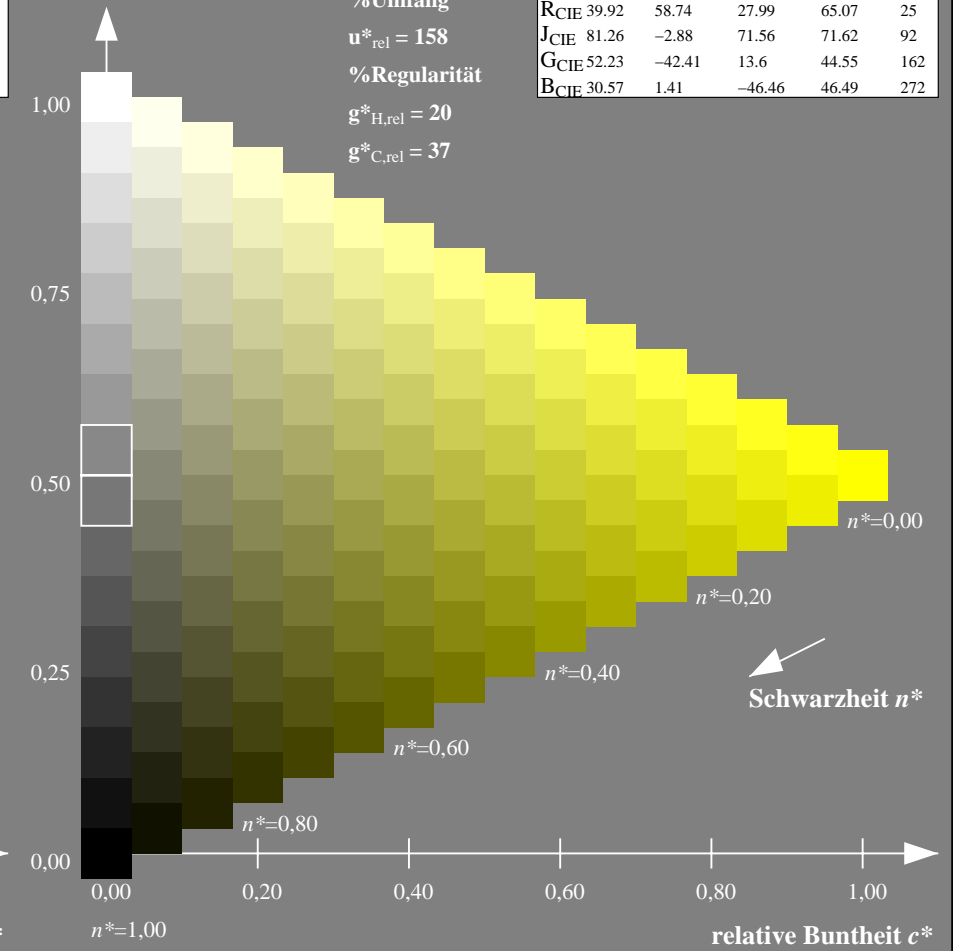
olv*Ma: 1.0 1.0 0.0



TLS00; adaptierte CIELAB-Daten

	$L^*=L^*_a$	a^*_a	b^*_a	$C^*_{ab,a}$	$h^*_{ab,a}$
O _{Ma}	50.5	76.92	64.55	100.42	40
Y _{Ma}	92.66	-20.69	90.75	93.08	103
L _{Ma}	83.63	-82.75	79.9	115.04	136
C _{Ma}	86.88	-46.16	-13.55	48.12	196
V _{Ma}	30.39	76.06	-103.59	128.52	306
M _{Ma}	57.3	94.35	-58.41	110.97	328
N _{Ma}	0.01	0.0	0.0	0.0	0
W _{Ma}	95.41	0.0	0.0	0.0	0
R _{CIE}	39.92	58.74	27.99	65.07	25
J _{CIE}	81.26	-2.88	71.56	71.62	92
G _{CIE}	52.23	-42.41	13.6	44.55	162
B _{CIE}	30.57	1.41	-46.46	46.49	272

Dreiecks-Helligkeit t^*



NG900-7, 9stufige Reihen für konstanten CIELAB Buntton $99/360 = 0.275$ (links)

16stufige Reihen für konstanten CIELAB Buntton $103/360 = 0.286$ (rechts)

Eingabe: Farbmetrisches Drucker-Reflektiv-System DRSXX

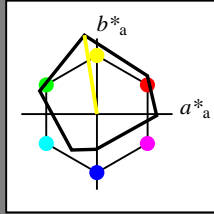
für Buntton $h^* = lab^*h = 99/360 = 0.275$

lab^*tch und lab^*nch

D65: Buntton Y

LCH*Ma: 90 106 99

olv*Ma: 1.0 1.0 0.0



DRSXX; adaptierte CIELAB-Daten

	$L^*=L^*_a$	a^*_a	b^*_a	$C^*_{ab,a}$	$h^*_{ab,a}$
O _{Ma}	42.21	66.82	50.6	83.82	37
Y _{Ma}	90.32	-16.51	104.33	105.63	99
L _{Ma}	48.21	-75.63	30.65	81.61	158
C _{Ma}	53.44	-33.33	-47.49	58.03	235
V _{Ma}	34.16	-0.92	-46.56	46.58	269
M _{Ma}	42.71	79.0	-1.95	79.03	359
N _{Ma}	16.56	0.0	0.0	0.0	0
W _{Ma}	96.31	0.0	0.0	0.0	0
R _{CIE}	39.92	59.78	25.77	65.1	23
J _{CIE}	81.26	-2.51	69.07	69.11	92
G _{CIE}	52.23	-41.57	11.3	43.09	165
B _{CIE}	30.57	2.6	-48.62	48.7	273

Dreiecks-Helligkeit t^*

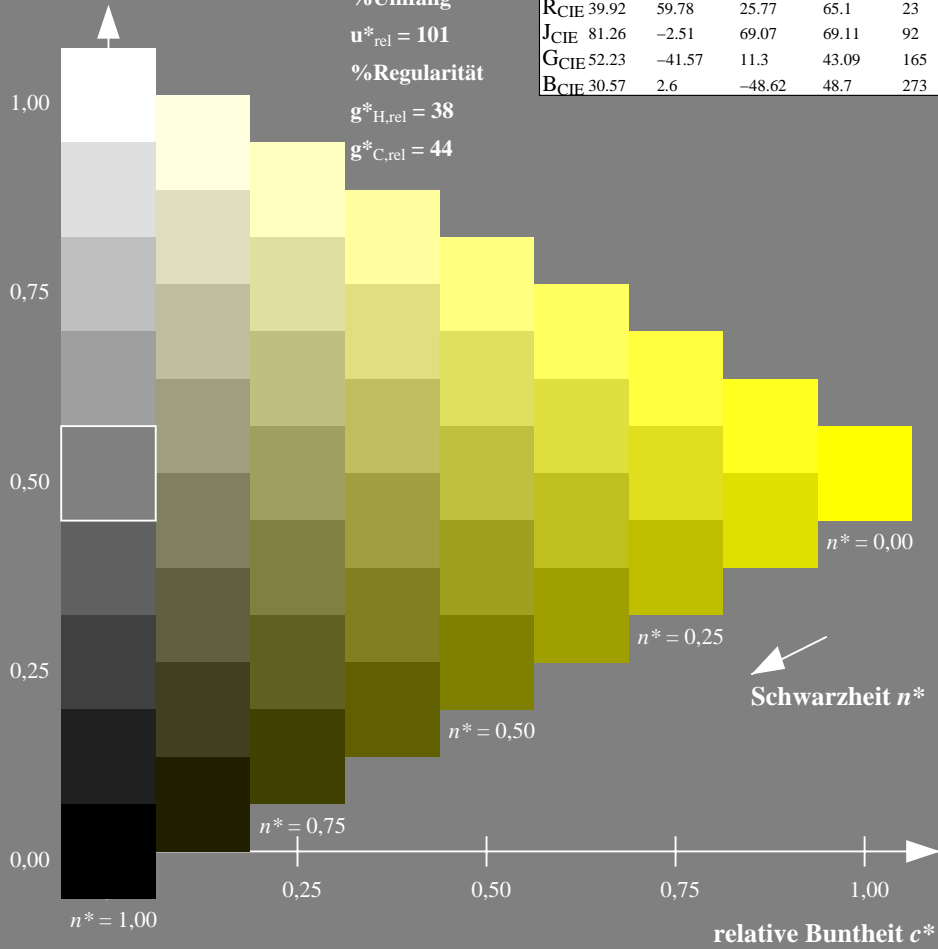
%Umfang

$u^*_{rel} = 101$

%Regularität

$g^*_{H,rel} = 38$

$g^*_{C,rel} = 44$



Ausgabe: Farbmetrisches Drucker-Reflektiv-System DRSXX

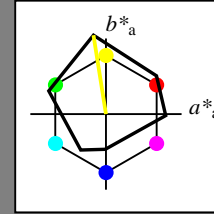
für Buntton $h^* = lab^*h = 99/360 = 0.275$

lab^*tch und lab^*nch

D65: Buntton Y

LCH*Ma: 90 106 99

olv*Ma: 1.0 1.0 0.0



DRSXX; adaptierte CIELAB-Daten

	$L^*=L^*_a$	a^*_a	b^*_a	$C^*_{ab,a}$	$h^*_{ab,a}$
O _{Ma}	42.21	66.82	50.6	83.82	37
Y _{Ma}	90.32	-16.51	104.33	105.63	99
L _{Ma}	48.21	-75.63	30.65	81.61	158
C _{Ma}	53.44	-33.33	-47.49	58.03	235
V _{Ma}	34.16	-0.92	-46.56	46.58	269
M _{Ma}	42.71	79.0	-1.95	79.03	359
N _{Ma}	16.56	0.0	0.0	0.0	0
W _{Ma}	96.31	0.0	0.0	0.0	0
R _{CIE}	39.92	59.78	25.77	65.1	23
J _{CIE}	81.26	-2.51	69.07	69.11	92
G _{CIE}	52.23	-41.57	11.3	43.09	165
B _{CIE}	30.57	2.6	-48.62	48.7	273

Dreiecks-Helligkeit t^*

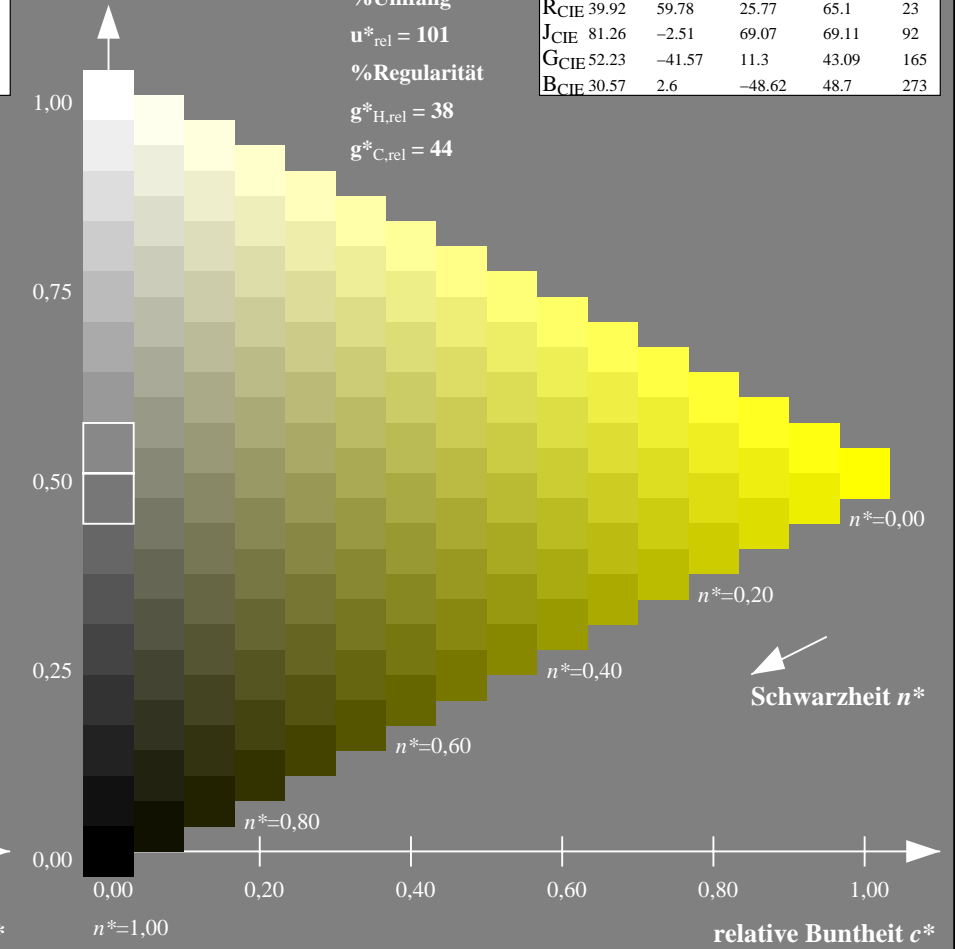
%Umfang

$u^*_{rel} = 101$

%Regularität

$g^*_{H,rel} = 38$

$g^*_{C,rel} = 44$



NG900-7, 9stufige Reihen für konstanten CIELAB Buntton 99/360 = 0.275 (links)

16stufige Reihen für konstanten CIELAB Buntton 99/360 = 0.275 (rechts)

Eingabe: Farbmetrisches Drucker-Reflektiv-System DRSXX

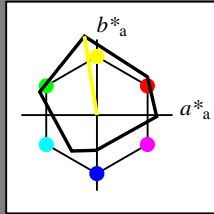
für Buntton $h^* = lab^*h = 99/360 = 0.275$

lab^*tch und lab^*nch

D65: Buntton Y

LCH*Ma: 90 106 99

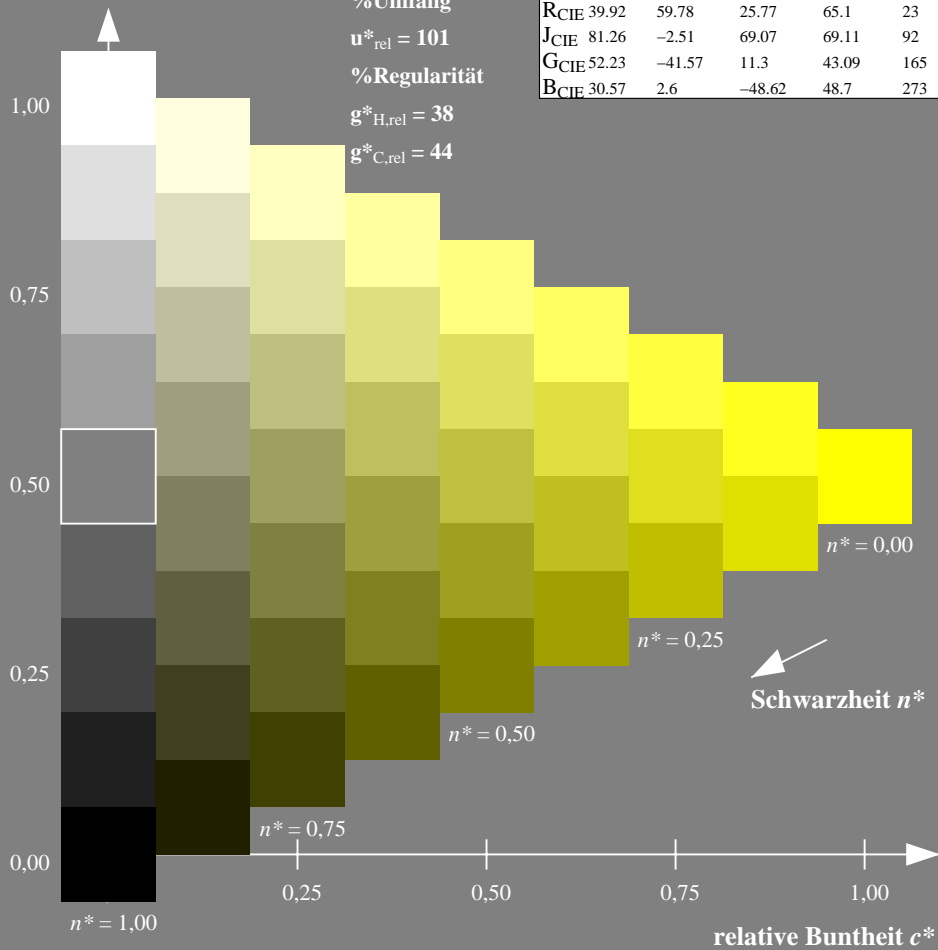
olv*Ma: 1.0 1.0 0.0



DRSXX; adaptierte CIELAB-Daten

	$L^*=L^*_a$	a^*_a	b^*_a	$C^*_{ab,a}$	$h^*_{ab,a}$
O _{Ma}	42.21	66.82	50.6	83.82	37
Y _{Ma}	90.32	-16.51	104.33	105.63	99
L _{Ma}	48.21	-75.63	30.65	81.61	158
C _{Ma}	53.44	-33.33	-47.49	58.03	235
V _{Ma}	34.16	-0.92	-46.56	46.58	269
M _{Ma}	42.71	79.0	-1.95	79.03	359
N _{Ma}	16.56	0.0	0.0	0.0	0
W _{Ma}	96.31	0.0	0.0	0.0	0
R _{CIE}	39.92	59.78	25.77	65.1	23
J _{CIE}	81.26	-2.51	69.07	69.11	92
G _{CIE}	52.23	-41.57	11.3	43.09	165
B _{CIE}	30.57	2.6	-48.62	48.7	273

Dreiecks-Helligkeit t^*



Ausgabe: Farbmetrisches Fernseh-Licht-System TLS18

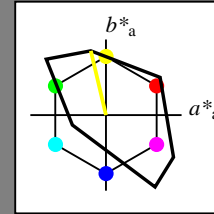
für Buntton $h^* = lab^*h = 103/360 = 0.287$

lab^*tch und lab^*nch

D65: Buntton Y

LCH*Ma: 93 87 103

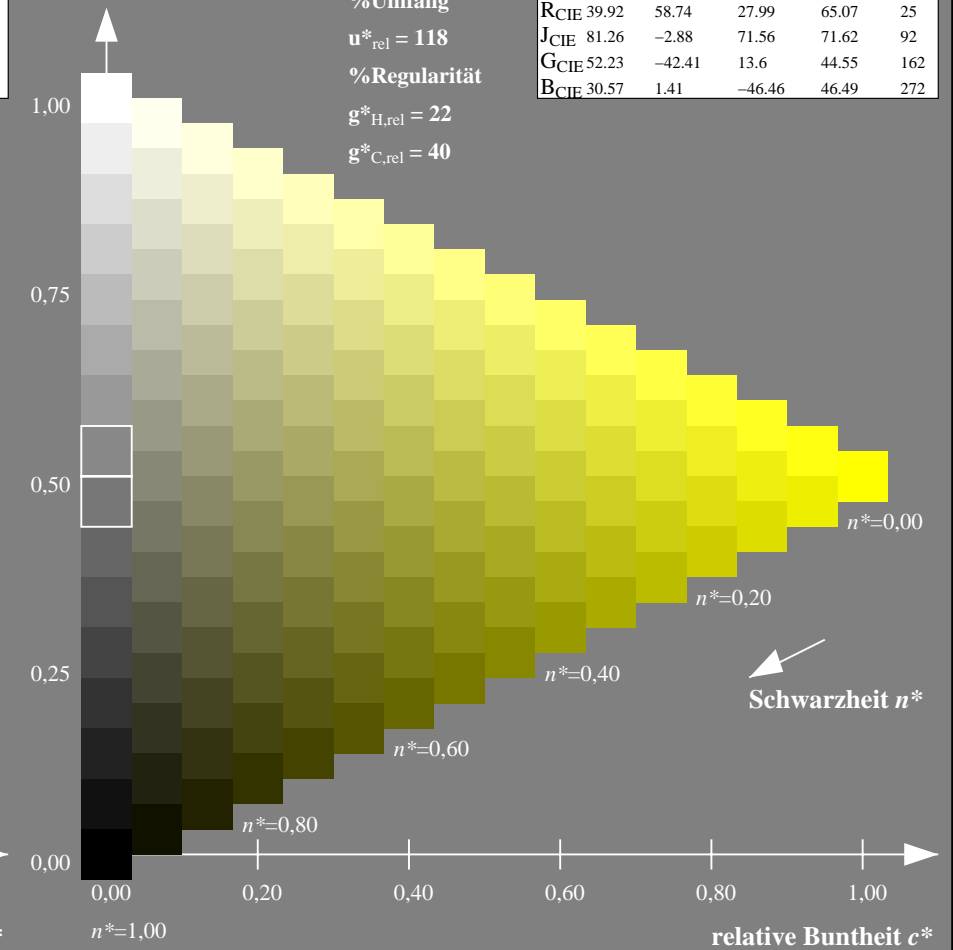
olv*Ma: 1.0 1.0 0.0



TLS18; adaptierte CIELAB-Daten

	$L^*=L^*_a$	a^*_a	b^*_a	$C^*_{ab,a}$	$h^*_{ab,a}$
O _{Ma}	52.76	71.63	49.88	87.29	35
Y _{Ma}	92.74	-20.02	84.97	87.3	103
L _{Ma}	84.0	-78.98	73.94	108.2	137
C _{Ma}	87.14	-44.41	-13.11	46.32	196
V _{Ma}	35.47	64.92	-95.06	115.12	304
M _{Ma}	59.01	89.33	-55.67	105.26	328
N _{Ma}	18.01	0.0	0.0	0.0	0
W _{Ma}	95.41	0.0	0.0	0.0	0
R _{CIE}	39.92	58.74	27.99	65.07	25
J _{CIE}	81.26	-2.88	71.56	71.62	92
G _{CIE}	52.23	-42.41	13.6	44.55	162
B _{CIE}	30.57	1.41	-46.46	46.49	272

Dreiecks-Helligkeit t^*



NG900-7, 9stufige Reihen für konstanten CIELAB Buntton $99/360 = 0.275$ (links)

16stufige Reihen für konstanten CIELAB Buntton $103/360 = 0.287$ (rechts)

Eingabe: Farbmetrisches Drucker-Reflektiv-System DRSXX

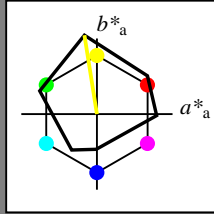
für Buntton $h^* = lab^*h = 99/360 = 0.275$

lab^*tch und lab^*nch

D65: Buntton Y

LCH*Ma: 90 106 99

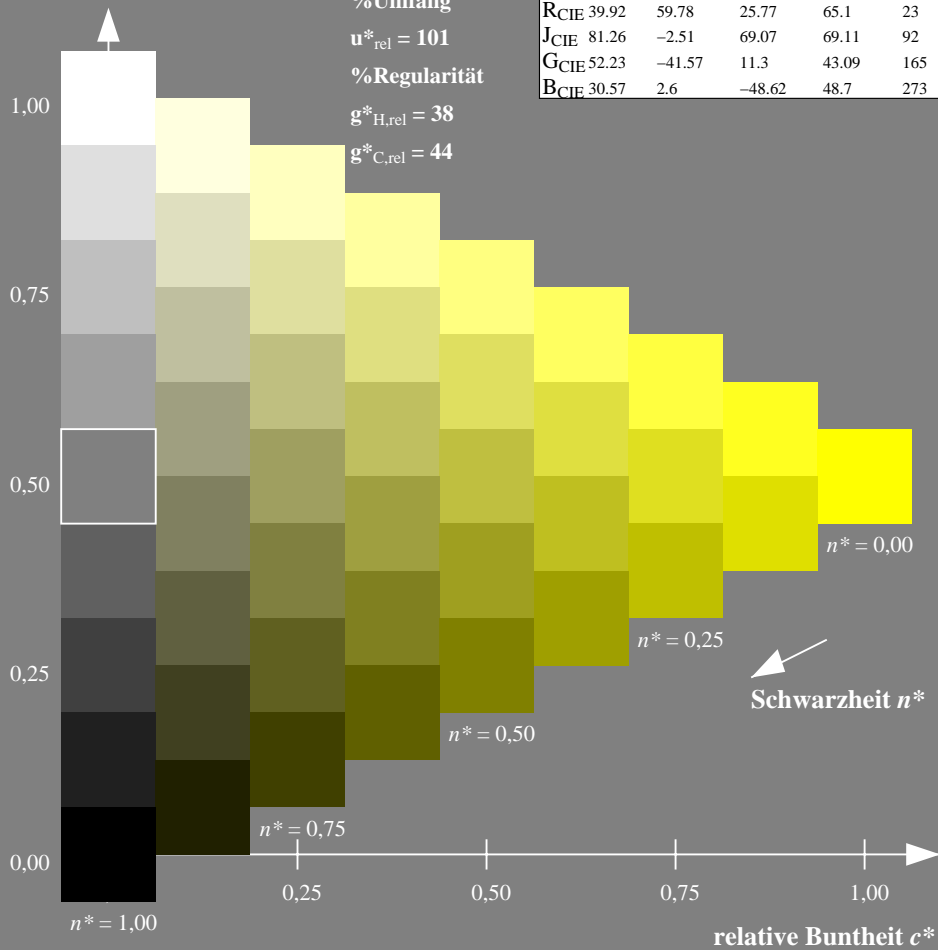
olv*Ma: 1.0 1.0 0.0



DRSXX; adaptierte CIELAB-Daten

	$L^*=L^*_a$	a^*_a	b^*_a	$C^*_{ab,a}$	$h^*_{ab,a}$
O _{Ma}	42.21	66.82	50.6	83.82	37
Y _{Ma}	90.32	-16.51	104.33	105.63	99
L _{Ma}	48.21	-75.63	30.65	81.61	158
C _{Ma}	53.44	-33.33	-47.49	58.03	235
V _{Ma}	34.16	-0.92	-46.56	46.58	269
M _{Ma}	42.71	79.0	-1.95	79.03	359
N _{Ma}	16.56	0.0	0.0	0.0	0
W _{Ma}	96.31	0.0	0.0	0.0	0
R _{CIE}	39.92	59.78	25.77	65.1	23
J _{CIE}	81.26	-2.51	69.07	69.11	92
G _{CIE}	52.23	-41.57	11.3	43.09	165
B _{CIE}	30.57	2.6	-48.62	48.7	273

Dreiecks-Helligkeit t^*



Ausgabe: Farbmetrisches Natürliches-Licht-System NLS00

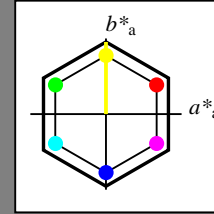
für Buntton $h^* = lab^*h = 90/360 = 0.25$

lab^*tch und lab^*nch

D65: Buntton Y

LCH*Ma: 64 95 90

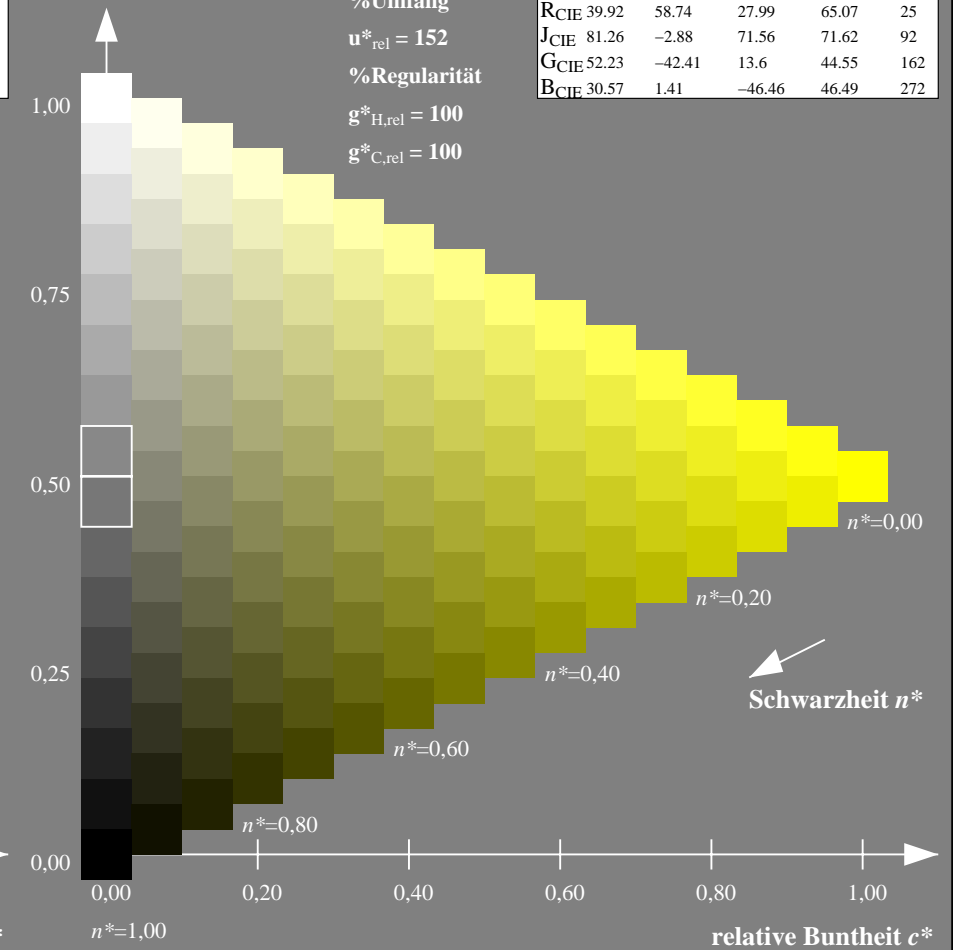
olv*Ma: 1.0 1.0 0.0



NLS00; adaptierte CIELAB-Daten

	$L^*=L^*_a$	a^*_a	b^*_a	$C^*_{ab,a}$	$h^*_{ab,a}$
O _{Ma}	31.81	82.62	47.7	95.4	30
Y _{Ma}	63.61	0.0	95.4	95.4	90
L _{Ma}	31.81	-82.61	47.7	95.4	150
C _{Ma}	63.61	-82.61	-47.69	95.4	210
V _{Ma}	31.81	0.0	-95.39	95.4	270
M _{Ma}	63.61	82.62	-47.69	95.4	330
N _{Ma}	0.01	0.0	0.0	0.0	0
W _{Ma}	95.41	0.0	0.0	0.0	0
R _{CIE}	39.92	58.74	27.99	65.07	25
J _{CIE}	81.26	-2.88	71.56	71.62	92
G _{CIE}	52.23	-42.41	13.6	44.55	162
B _{CIE}	30.57	1.41	-46.46	46.49	272

Dreiecks-Helligkeit t^*



NG900-7, 9stufige Reihen für konstanten CIELAB Buntton $99/360 = 0.275$ (links)

16stufige Reihen für konstanten CIELAB Buntton $90/360 = 0.25$ (rechts)

Eingabe: Farbmetrisches Drucker-Reflektiv-System DRSXX

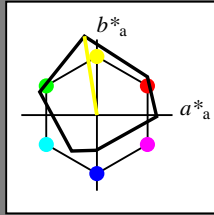
für Buntton $h^* = lab^*h = 99/360 = 0.275$

lab^*tch und lab^*nch

D65: Buntton Y

LCH*Ma: 90 106 99

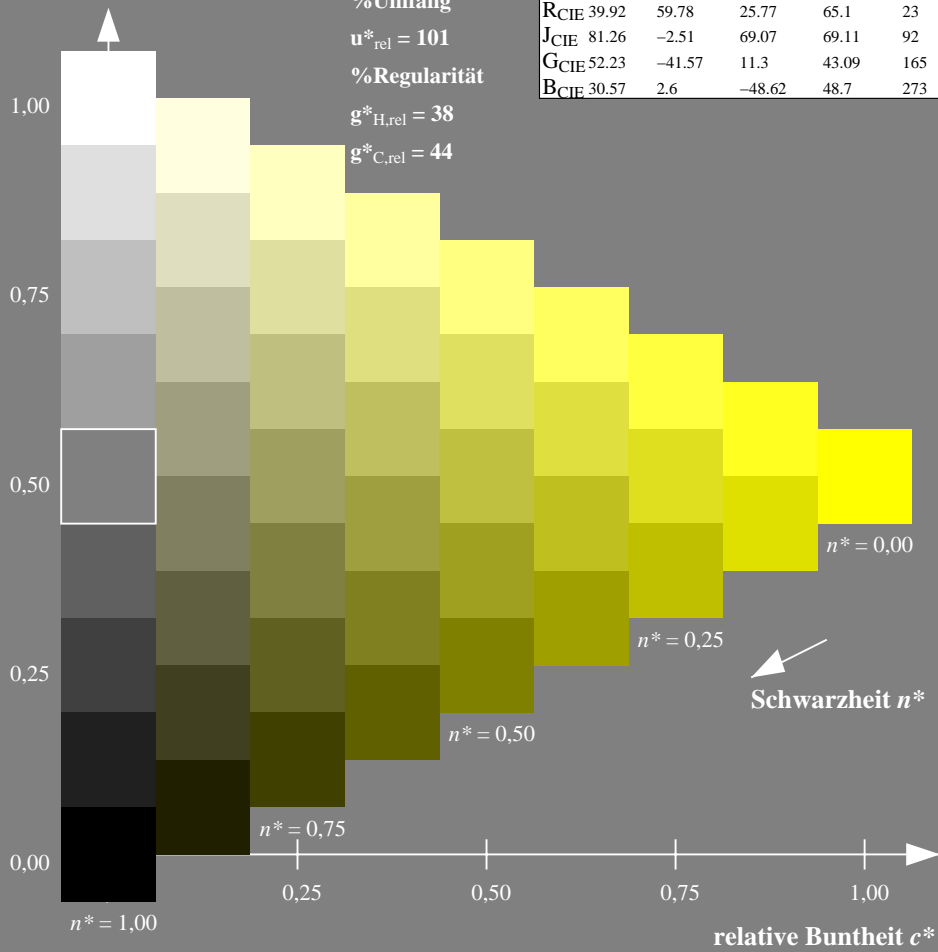
olv*Ma: 1.0 1.0 0.0



DRSXX; adaptierte CIELAB-Daten

	$L^*=L^*_a$	a^*_a	b^*_a	$C^*_{ab,a}$	$h^*_{ab,a}$
O _{Ma}	42.21	66.82	50.6	83.82	37
Y _{Ma}	90.32	-16.51	104.33	105.63	99
L _{Ma}	48.21	-75.63	30.65	81.61	158
C _{Ma}	53.44	-33.33	-47.49	58.03	235
V _{Ma}	34.16	-0.92	-46.56	46.58	269
M _{Ma}	42.71	79.0	-1.95	79.03	359
N _{Ma}	16.56	0.0	0.0	0.0	0
W _{Ma}	96.31	0.0	0.0	0.0	0
R _{CIE}	39.92	59.78	25.77	65.1	23
J _{CIE}	81.26	-2.51	69.07	69.11	92
G _{CIE}	52.23	-41.57	11.3	43.09	165
B _{CIE}	30.57	2.6	-48.62	48.7	273

Dreiecks-Helligkeit t^*



NG900-7, 9stufige Reihen für konstanten CIELAB Buntton $99/360 = 0.275$ (links)

Ausgabe: Farbmetrisches Natürliches-Reflektiv-System NRS18

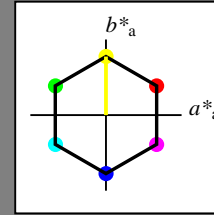
für Buntton $h^* = lab^*h = 90/360 = 0.25$

lab^*tch und lab^*nch

D65: Buntton Y

LCH*Ma: 70 77 90

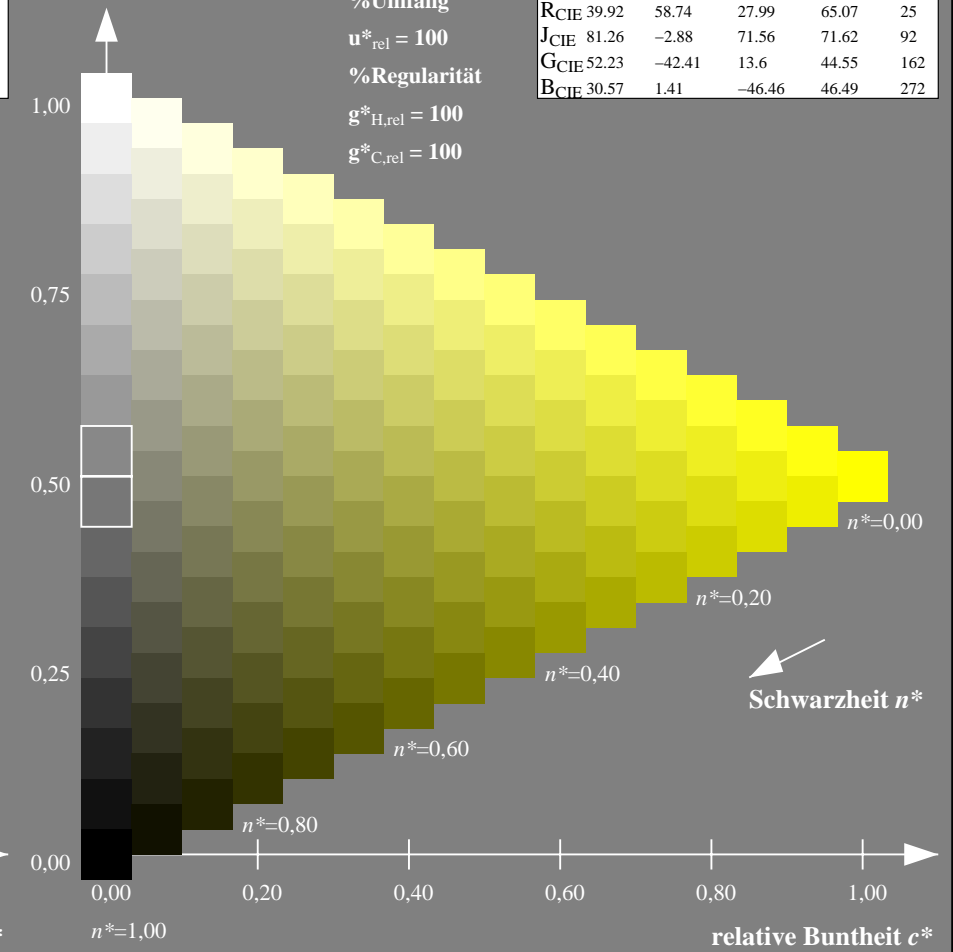
olv*Ma: 1.0 1.0 0.0



NRS18; adaptierte CIELAB-Daten

	$L^*=L^*_a$	a^*_a	b^*_a	$C^*_{ab,a}$	$h^*_{ab,a}$
O _{Ma}	43.81	67.03	38.7	77.4	30
Y _{Ma}	69.61	0.0	77.4	77.4	90
L _{Ma}	43.81	-67.02	38.7	77.4	150
C _{Ma}	69.61	-67.02	-38.69	77.4	210
V _{Ma}	43.81	0.0	-77.39	77.4	270
M _{Ma}	69.61	67.03	-38.69	77.4	330
N _{Ma}	18.01	0.0	0.0	0.0	0
W _{Ma}	95.41	0.0	0.0	0.0	0
R _{CIE}	39.92	58.74	27.99	65.07	25
J _{CIE}	81.26	-2.88	71.56	71.62	92
G _{CIE}	52.23	-42.41	13.6	44.55	162
B _{CIE}	30.57	1.41	-46.46	46.49	272

Dreiecks-Helligkeit t^*



16stufige Reihen für konstanten CIELAB Buntton $90/360 = 0.25$ (rechts)

Eingabe: Farbmetrisches Drucker-Reflektiv-System DRSXX

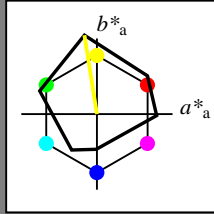
für Buntton $h^* = lab^*h = 99/360 = 0.275$

lab^*tch und lab^*nch

D65: Buntton Y

LCH*Ma: 90 106 99

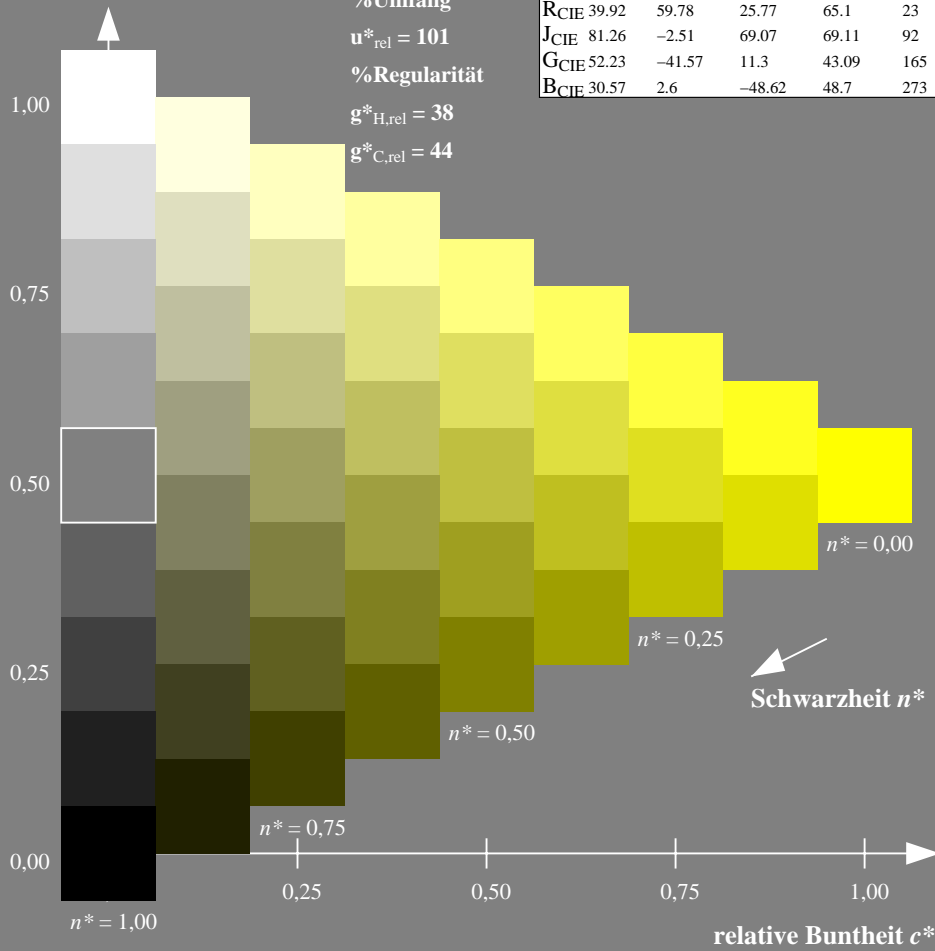
olv*Ma: 1.0 1.0 0.0



DRSXX; adaptierte CIELAB-Daten

	$L^*=L^*_a$	a^*_a	b^*_a	$C^*_{ab,a}$	$h^*_{ab,a}$
OMa	42.21	66.82	50.6	83.82	37
YMa	90.32	-16.51	104.33	105.63	99
LMa	48.21	-75.63	30.65	81.61	158
CMa	53.44	-33.33	-47.49	58.03	235
VMa	34.16	-0.92	-46.56	46.58	269
MMa	42.71	79.0	-1.95	79.03	359
NMa	16.56	0.0	0.0	0.0	0
WMa	96.31	0.0	0.0	0.0	0
RCIE	39.92	59.78	25.77	65.1	23
JCIE	81.26	-2.51	69.07	69.11	92
GCIE	52.23	-41.57	11.3	43.09	165
BCIE	30.57	2.6	-48.62	48.7	273

Dreiecks-Helligkeit t^*



NG900-7, 9stufige Reihen für konstanten CIELAB Buntton $99/360 = 0.275$ (links)

Ausgabe: Farbmetrisches Standard-Reflektiv-System SRS18

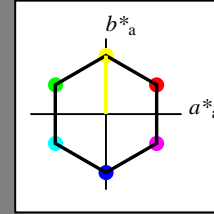
für Buntton $h^* = lab^*h = 90/360 = 0.25$

lab^*tch und lab^*nch

D65: Buntton Y

LCH*Ma: 57 77 90

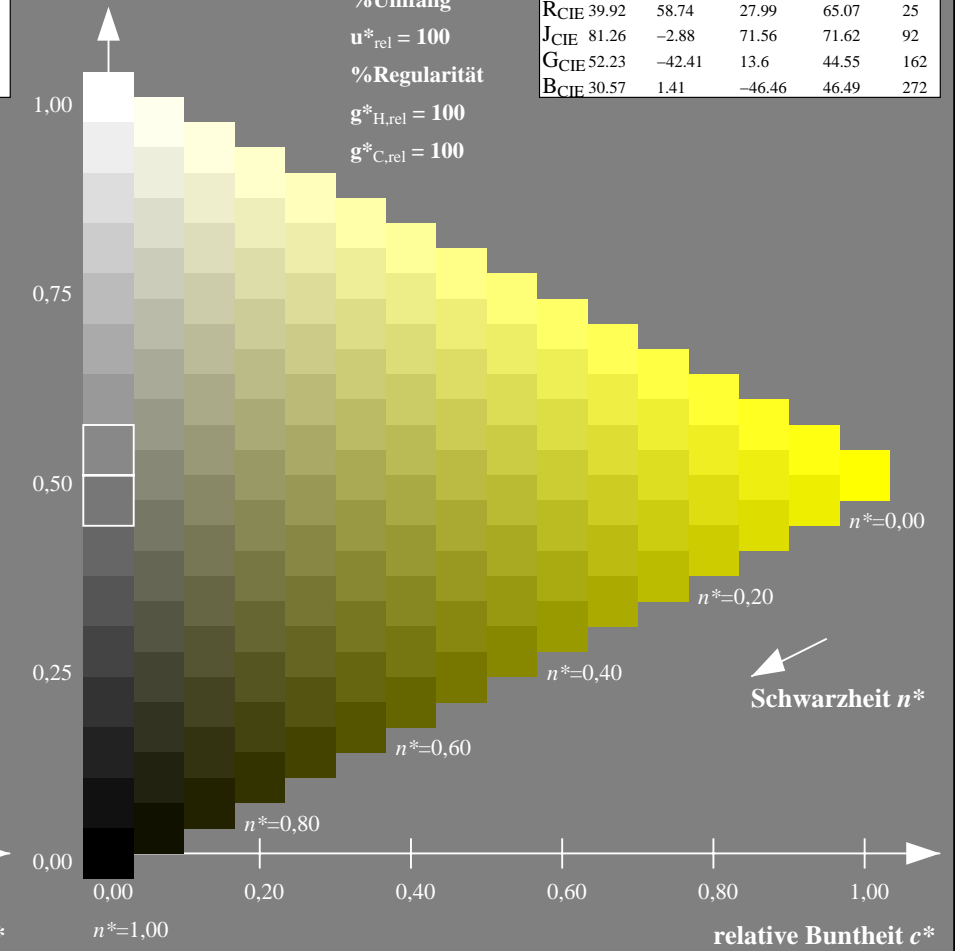
olv*Ma: 1.0 1.0 0.0



SRS18; adaptierte CIELAB-Daten

	$L^*=L^*_a$	a^*_a	b^*_a	$C^*_{ab,a}$	$h^*_{ab,a}$
OMa	56.71	67.03	38.7	77.4	30
YMa	56.71	0.0	77.4	77.4	90
LMa	56.71	-67.02	38.7	77.4	150
CMa	56.71	-67.02	-38.69	77.4	210
VMa	56.71	0.0	-77.39	77.4	270
MMa	56.71	67.03	-38.69	77.4	330
NMa	18.01	0.0	0.0	0.0	0
WMa	95.41	0.0	0.0	0.0	0
RCIE	39.92	58.74	27.99	65.07	25
JCIE	81.26	-2.88	71.56	71.62	92
GCIE	52.23	-42.41	13.6	44.55	162
BCIE	30.57	1.41	-46.46	46.49	272

Dreiecks-Helligkeit t^*



16stufige Reihen für konstanten CIELAB Buntton $90/360 = 0.25$ (rechts)

Eingabe: Farbmetrisches Drucker-Reflektiv-System DRSXX

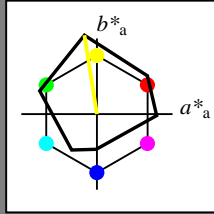
für Buntton $h^* = lab^*h = 99/360 = 0.275$

lab^*tch und lab^*nch

D65: Buntton Y

LCH*Ma: 90 106 99

olv*Ma: 1.0 1.0 0.0



DRSXX; adaptierte CIELAB-Daten

	$L^*=L^*_a$	a^*_a	b^*_a	$C^*_{ab,a}$	$h^*_{ab,a}$
O _{Ma}	42.21	66.82	50.6	83.82	37
Y _{Ma}	90.32	-16.51	104.33	105.63	99
L _{Ma}	48.21	-75.63	30.65	81.61	158
C _{Ma}	53.44	-33.33	-47.49	58.03	235
V _{Ma}	34.16	-0.92	-46.56	46.58	269
M _{Ma}	42.71	79.0	-1.95	79.03	359
N _{Ma}	16.56	0.0	0.0	0.0	0
W _{Ma}	96.31	0.0	0.0	0.0	0
RCIE	39.92	59.78	25.77	65.1	23
J _{CIE}	81.26	-2.51	69.07	69.11	92
G _{CIE}	52.23	-41.57	11.3	43.09	165
B _{CIE}	30.57	2.6	-48.62	48.7	273

Dreiecks-Helligkeit t^*

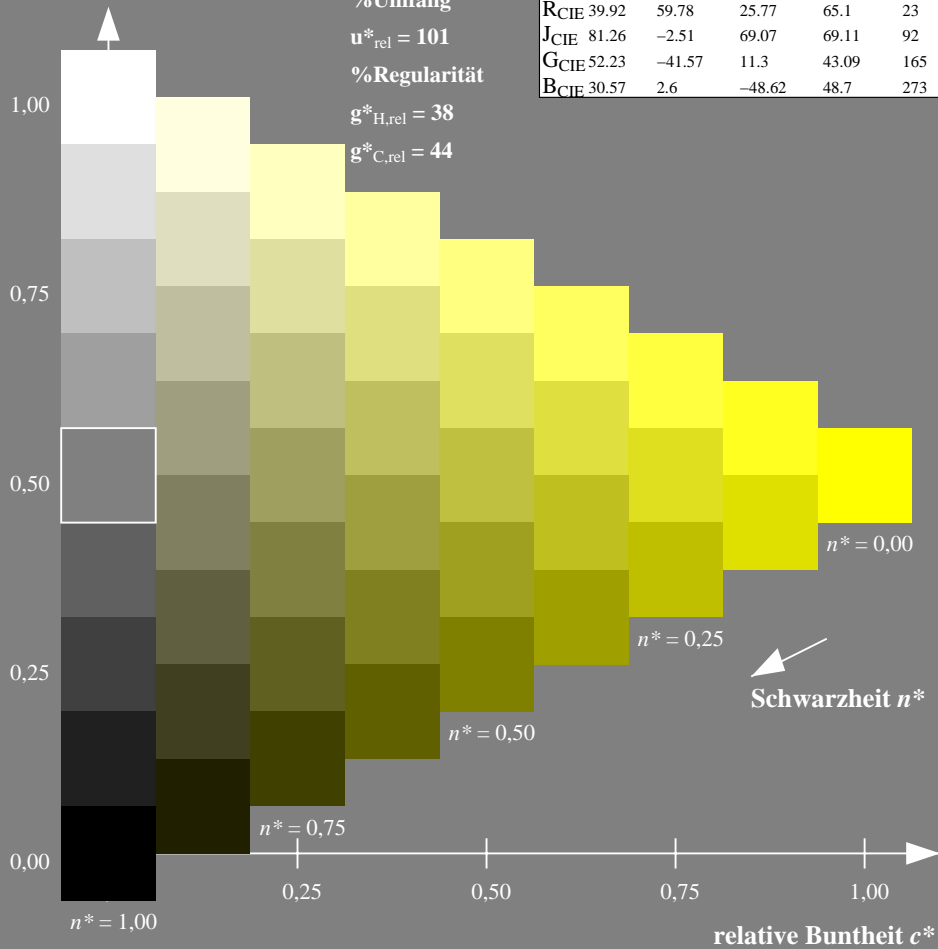
%Umfang

$u^*_{rel} = 101$

%Regularität

$g^*_{H,rel} = 38$

$g^*_{C,rel} = 44$



Ausgabe: Farbmetrisches Fernseh-Licht-System TLS70

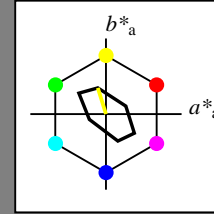
für Buntton $h^* = lab^*h = 107/360 = 0.298$

lab^*tch und lab^*nch

D65: Buntton Y

LCH*Ma: 94 36 107

olv*Ma: 1.0 1.0 0.0



TLS70; adaptierte CIELAB-Daten

	$L^*=L^*_a$	a^*_a	b^*_a	$C^*_{ab,a}$	$h^*_{ab,a}$
O _{Ma}	76.43	26.27	10.57	28.32	22
Y _{Ma}	93.93	-10.76	34.63	36.27	107
L _{Ma}	89.32	-35.8	27.64	45.24	142
C _{Ma}	90.93	-21.95	-7.07	23.07	198
V _{Ma}	72.1	15.76	-35.63	38.97	294
M _{Ma}	78.5	37.52	-25.23	45.22	326
N _{Ma}	69.7	0.0	0.0	0.0	0
W _{Ma}	95.41	0.0	0.0	0.0	0
RCIE	39.92	58.74	27.99	65.07	25
J _{CIE}	81.26	-2.88	71.56	71.62	92
G _{CIE}	52.23	-42.41	13.6	44.55	162
B _{CIE}	30.57	1.41	-46.46	46.49	272

Dreiecks-Helligkeit t^*

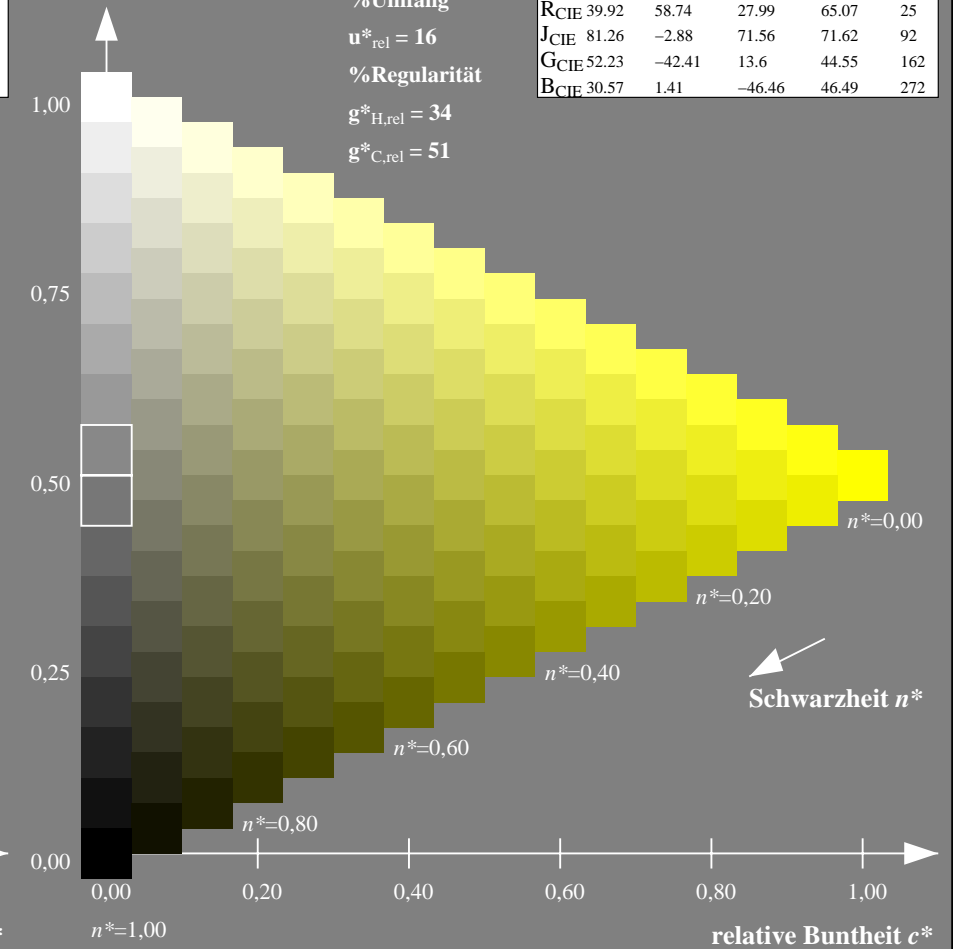
%Umfang

$u^*_{rel} = 16$

%Regularität

$g^*_{H,rel} = 34$

$g^*_{C,rel} = 51$



NG900-7, 9stufige Reihen für konstanten CIELAB Buntton $99/360 = 0.275$ (links)

16stufige Reihen für konstanten CIELAB Buntton $107/360 = 0.298$ (rechts)

Eingabe: Farbmetrisches Fernseh-Licht-System TLS18

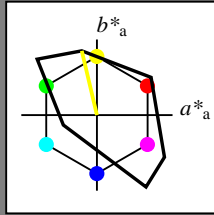
für Buntton $h^* = lab^*h = 103/360 = 0.287$

lab^*tch und lab^*nch

D65: Buntton Y

LCH*Ma: 93 87 103

olv*Ma: 1.0 1.0 0.0



TLS18; adaptierte CIELAB-Daten

	$L^*=L^*_a$	a^*_a	b^*_a	$C^*_{ab,a}$	$h^*_{ab,a}$
OMa	52.76	71.63	49.88	87.29	35
YMa	92.74	-20.02	84.97	87.3	103
LMa	84.0	-78.98	73.94	108.2	137
CMa	87.14	-44.41	-13.11	46.32	196
VMa	35.47	64.92	-95.06	115.12	304
MMa	59.01	89.33	-55.67	105.26	328
NMa	18.01	0.0	0.0	0.0	0
WMa	95.41	0.0	0.0	0.0	0
RCIE	39.92	58.74	27.99	65.07	25
JCIE	81.26	-2.88	71.56	71.62	92
GCIE	52.23	-42.41	13.6	44.55	162
BCIE	30.57	1.41	-46.46	46.49	272

Dreiecks-Helligkeit t^*

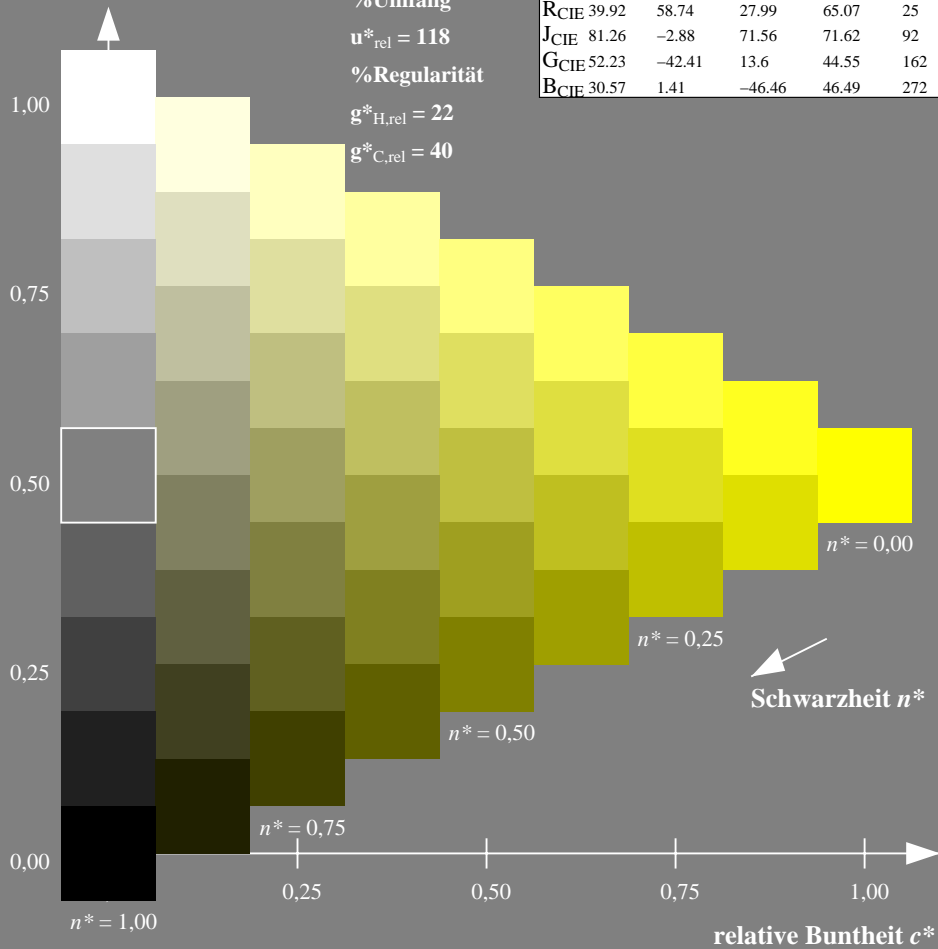
%Umfang

$u^*_{rel} = 118$

%Regularität

$g^*_{H,rel} = 22$

$g^*_{C,rel} = 40$



Ausgabe: Farbmetrisches Offset-Reflektiv-System ORS18

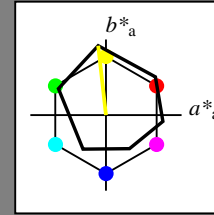
für Buntton $h^* = lab^*h = 96/360 = 0.268$

lab^*tch und lab^*nch

D65: Buntton Y

LCH*Ma: 90 92 96

olv*Ma: 1.0 1.0 0.0



ORS18; adaptierte CIELAB-Daten

	$L^*=L^*_a$	a^*_a	b^*_a	$C^*_{ab,a}$	$h^*_{ab,a}$
OMa	47.94	65.39	50.52	82.63	38
YMa	90.37	-10.26	91.75	92.32	96
LMa	50.9	-62.83	34.96	71.91	151
CMa	58.62	-30.34	-45.01	54.3	236
VMa	25.72	31.1	-44.4	54.22	305
MMa	48.13	75.28	-8.36	75.74	354
NMa	18.01	0.0	0.0	0.0	0
WMa	95.41	0.0	0.0	0.0	0
RCIE	39.92	58.66	26.98	64.57	25
JCIE	81.26	-2.16	67.76	67.79	92
GCIE	52.23	-42.25	11.76	43.87	164
BCIE	30.57	1.15	-46.84	46.86	271

Dreiecks-Helligkeit t^*

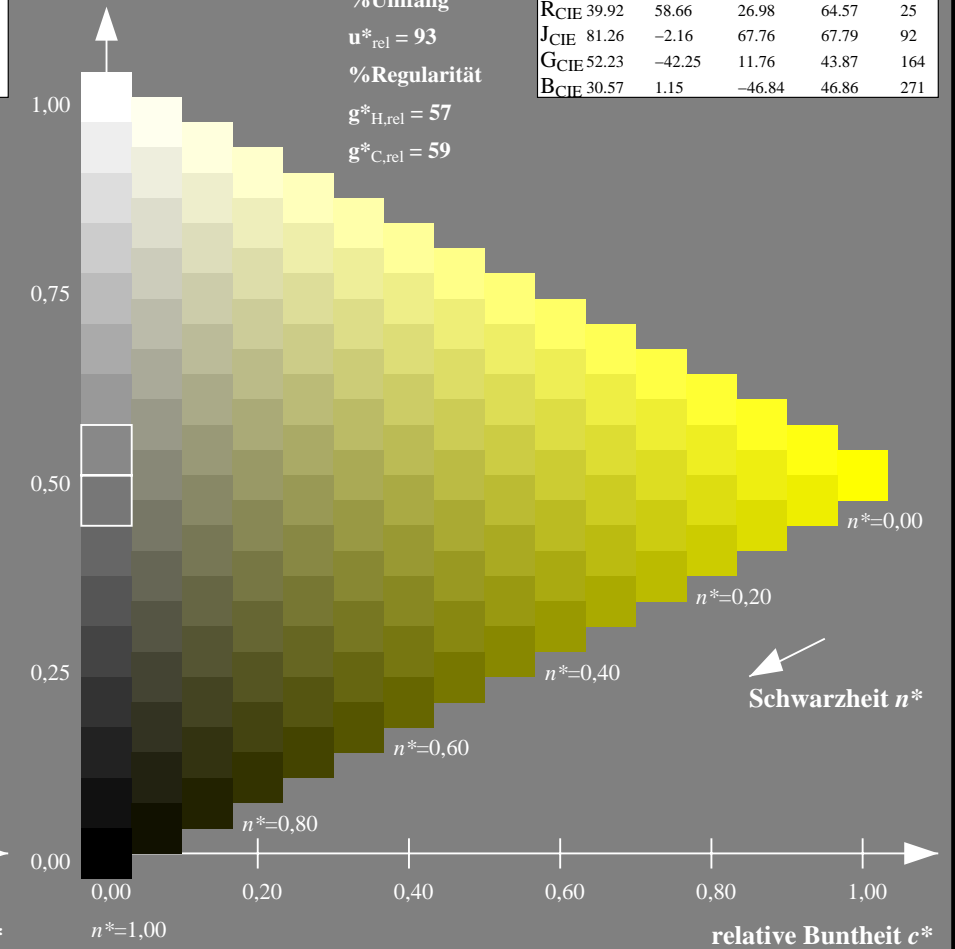
%Umfang

$u^*_{rel} = 93$

%Regularität

$g^*_{H,rel} = 57$

$g^*_{C,rel} = 59$



NG900-7, 9stufige Reihen für konstanten CIELAB Buntton $103/360 = 0.287$ (links)

16stufige Reihen für konstanten CIELAB Buntton $96/360 = 0.268$ (rechts)

Eingabe: Farbmetrisches Fernseh-Licht-System TLS18

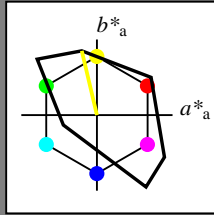
für Buntton $h^* = lab^*h = 103/360 = 0.287$

lab^*tch und lab^*nch

D65: Buntton Y

LCH*Ma: 93 87 103

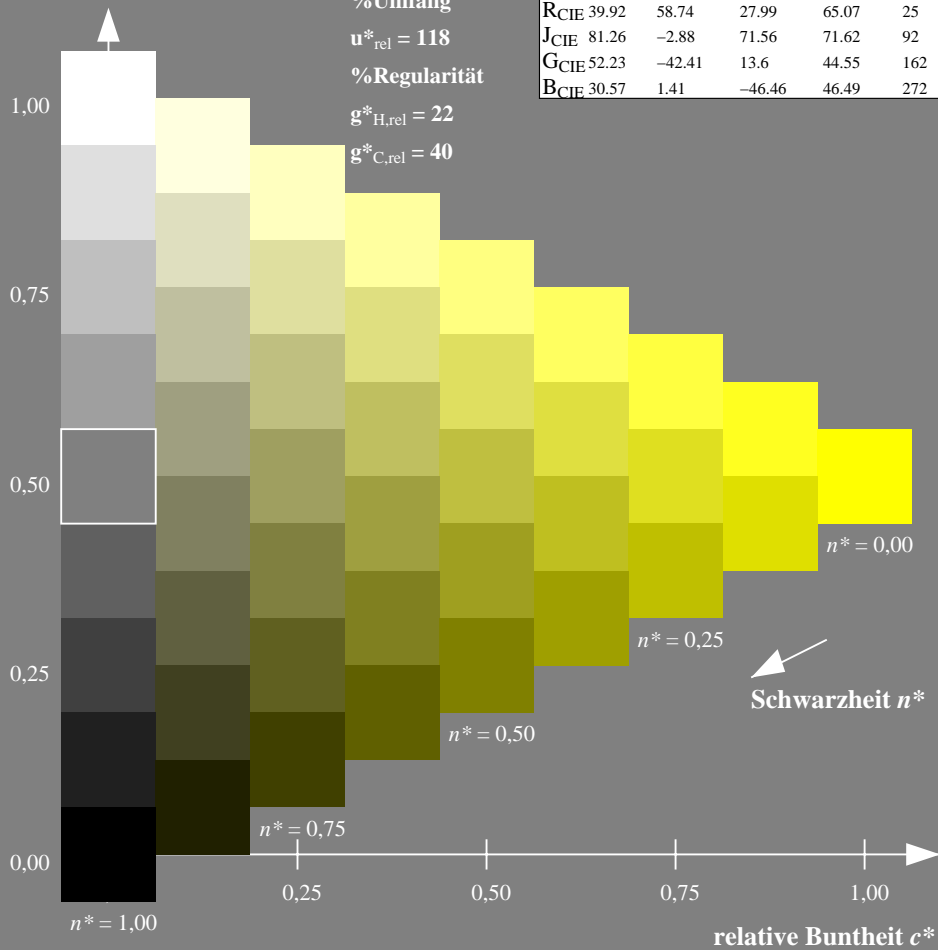
olv*Ma: 1.0 1.0 0.0



TLS18; adaptierte CIELAB-Daten

	$L^*=L^*_a$	a^*_a	b^*_a	$C^*_{ab,a}$	$h^*_{ab,a}$
O _{Ma}	52.76	71.63	49.88	87.29	35
Y _{Ma}	92.74	-20.02	84.97	87.3	103
L _{Ma}	84.0	-78.98	73.94	108.2	137
C _{Ma}	87.14	-44.41	-13.11	46.32	196
V _{Ma}	35.47	64.92	-95.06	115.12	304
M _{Ma}	59.01	89.33	-55.67	105.26	328
N _{Ma}	18.01	0.0	0.0	0.0	0
W _{Ma}	95.41	0.0	0.0	0.0	0
R _{CIE}	39.92	58.74	27.99	65.07	25
J _{CIE}	81.26	-2.88	71.56	71.62	92
G _{CIE}	52.23	-42.41	13.6	44.55	162
B _{CIE}	30.57	1.41	-46.46	46.49	272

Dreiecks-Helligkeit t^*



Ausgabe: Farbmetrisches Fernseh-Licht-System TLS00

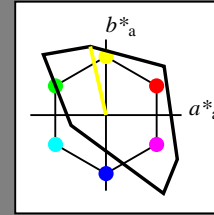
für Buntton $h^* = lab^*h = 103/360 = 0.286$

lab^*tch und lab^*nch

D65: Buntton Y

LCH*Ma: 93 93 103

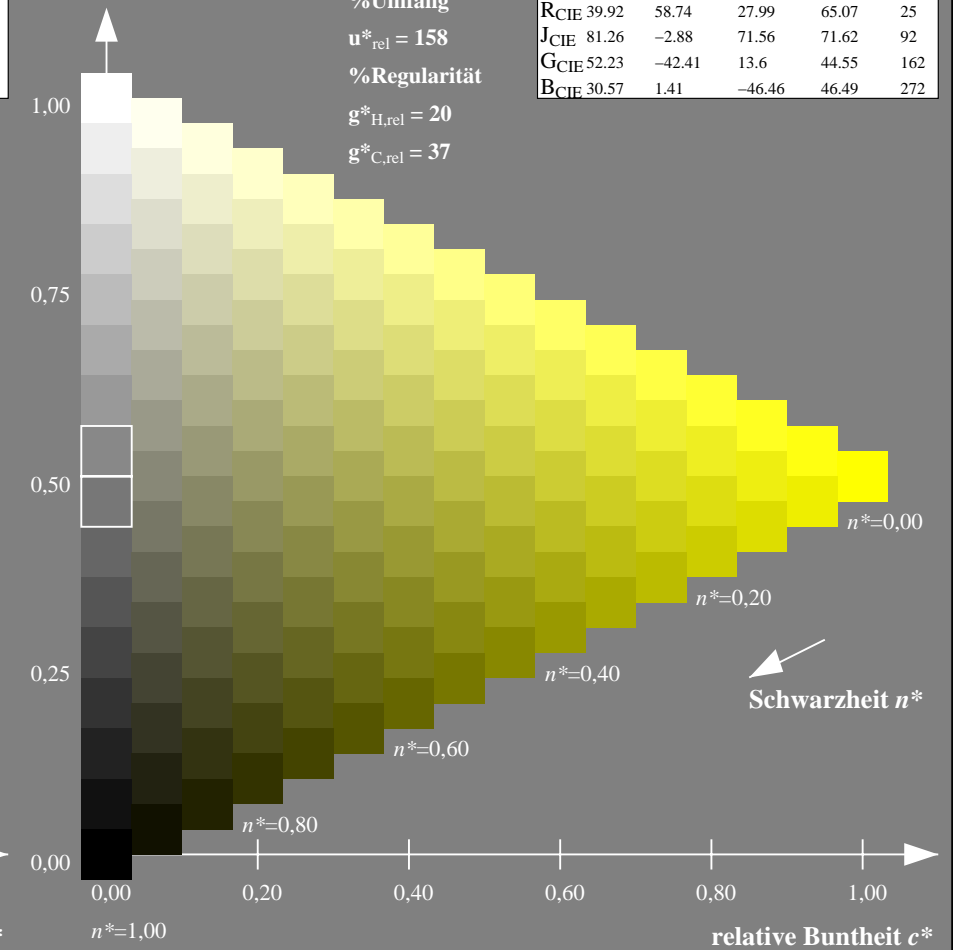
olv*Ma: 1.0 1.0 0.0



TLS00; adaptierte CIELAB-Daten

	$L^*=L^*_a$	a^*_a	b^*_a	$C^*_{ab,a}$	$h^*_{ab,a}$
O _{Ma}	50.5	76.92	64.55	100.42	40
Y _{Ma}	92.66	-20.69	90.75	93.08	103
L _{Ma}	83.63	-82.75	79.9	115.04	136
C _{Ma}	86.88	-46.16	-13.55	48.12	196
V _{Ma}	30.39	76.06	-103.59	128.52	306
M _{Ma}	57.3	94.35	-58.41	110.97	328
N _{Ma}	0.01	0.0	0.0	0.0	0
W _{Ma}	95.41	0.0	0.0	0.0	0
R _{CIE}	39.92	58.74	27.99	65.07	25
J _{CIE}	81.26	-2.88	71.56	71.62	92
G _{CIE}	52.23	-42.41	13.6	44.55	162
B _{CIE}	30.57	1.41	-46.46	46.49	272

Dreiecks-Helligkeit t^*



NG900-7, 9stufige Reihen für konstanten CIELAB Buntton $103/360 = 0.287$ (links)

16stufige Reihen für konstanten CIELAB Buntton $103/360 = 0.286$ (rechts)

Eingabe: Farbmetrisches Fernseh-Licht-System TLS18

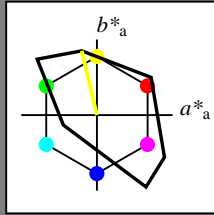
für Buntton $h^* = lab^*h = 103/360 = 0.287$

lab^*tch und lab^*nch

D65: Buntton Y

LCH*Ma: 93 87 103

olv*Ma: 1.0 1.0 0.0



TLS18; adaptierte CIELAB-Daten

	$L^*=L^*_a$	a^*_a	b^*_a	$C^*_{ab,a}$	$h^*_{ab,a}$
OMa	52.76	71.63	49.88	87.29	35
YMa	92.74	-20.02	84.97	87.3	103
LMa	84.0	-78.98	73.94	108.2	137
CMa	87.14	-44.41	-13.11	46.32	196
VMa	35.47	64.92	-95.06	115.12	304
MMa	59.01	89.33	-55.67	105.26	328
NMa	18.01	0.0	0.0	0.0	0
WMa	95.41	0.0	0.0	0.0	0
RCIE	39.92	58.74	27.99	65.07	25
JCIE	81.26	-2.88	71.56	71.62	92
GCIE	52.23	-42.41	13.6	44.55	162
BCIE	30.57	1.41	-46.46	46.49	272

Dreiecks-Helligkeit t^*

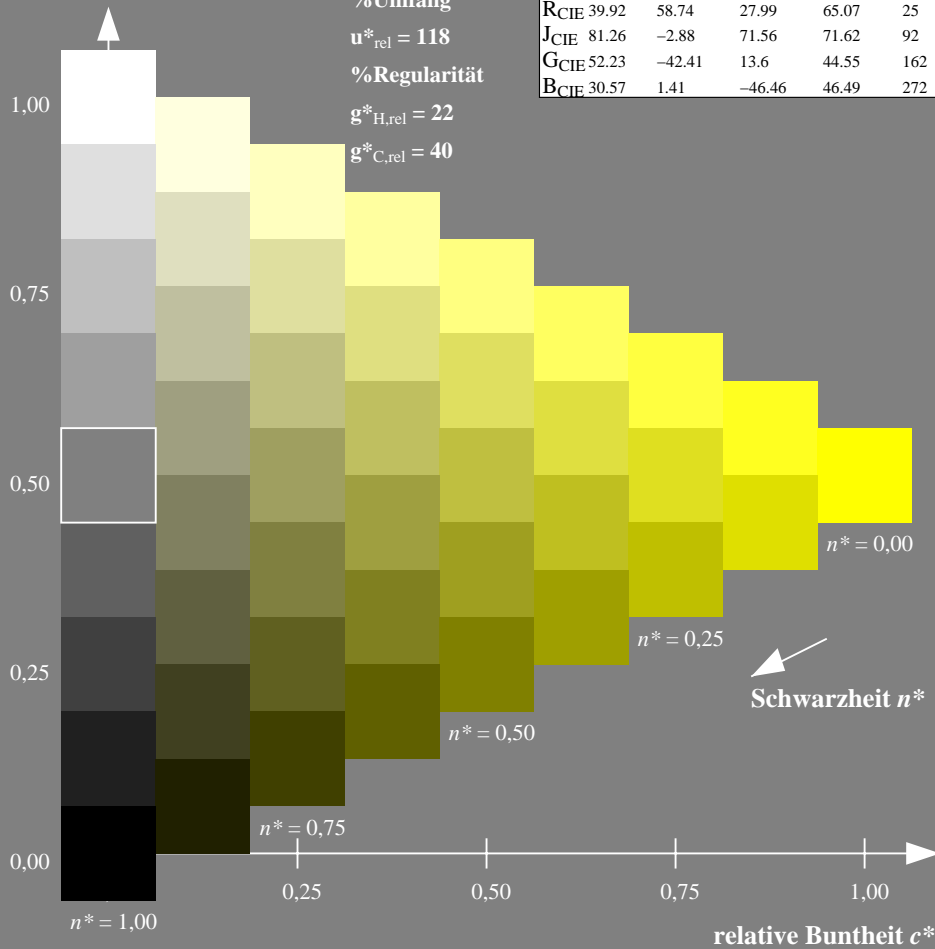
%Umfang

$u^*_{rel} = 118$

%Regularität

$g^*_{H,rel} = 22$

$g^*_{C,rel} = 40$



Ausgabe: Farbmetrisches Drucker-Reflektiv-System DRSXX

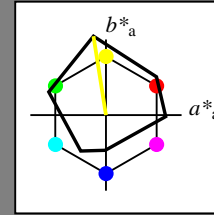
für Buntton $h^* = lab^*h = 99/360 = 0.275$

lab^*tch und lab^*nch

D65: Buntton Y

LCH*Ma: 90 106 99

olv*Ma: 1.0 1.0 0.0



DRSXX; adaptierte CIELAB-Daten

	$L^*=L^*_a$	a^*_a	b^*_a	$C^*_{ab,a}$	$h^*_{ab,a}$
OMa	42.21	66.82	50.6	83.82	37
YMa	90.32	-16.51	104.33	105.63	99
LMa	48.21	-75.63	30.65	81.61	158
CMa	53.44	-33.33	-47.49	58.03	235
VMa	34.16	-0.92	-46.56	46.58	269
MMa	42.71	79.0	-1.95	79.03	359
NMa	16.56	0.0	0.0	0.0	0
WMa	96.31	0.0	0.0	0.0	0
RCIE	39.92	59.78	25.77	65.1	23
JCIE	81.26	-2.51	69.07	69.11	92
GCIE	52.23	-41.57	11.3	43.09	165
BCIE	30.57	2.6	-48.62	48.7	273

Dreiecks-Helligkeit t^*

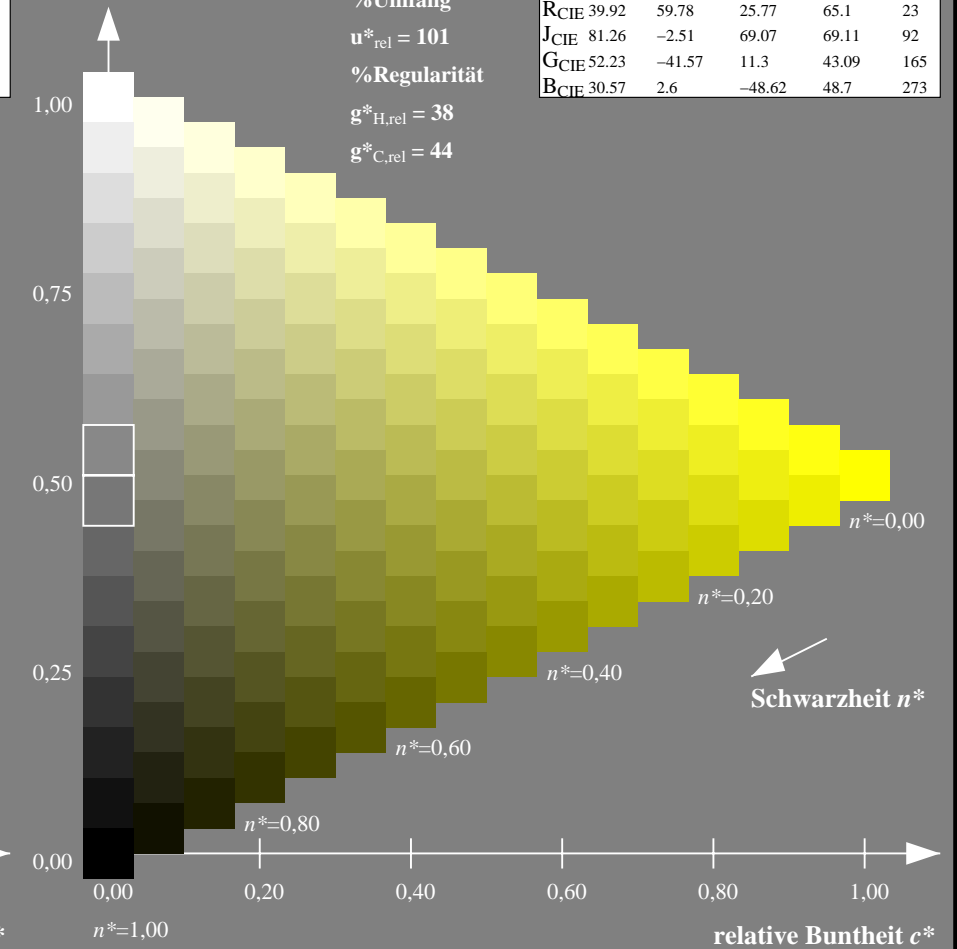
%Umfang

$u^*_{rel} = 101$

%Regularität

$g^*_{H,rel} = 38$

$g^*_{C,rel} = 44$



NG900-7, 9stufige Reihen für konstanten CIELAB Buntton $103/360 = 0.287$ (links)

16stufige Reihen für konstanten CIELAB Buntton $99/360 = 0.275$ (rechts)

Eingabe: Farbmetrisches Fernseh-Licht-System TLS18

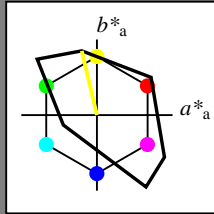
für Buntton $h^* = lab^*h = 103/360 = 0.287$

lab^*tch und lab^*nch

D65: Buntton Y

LCH*Ma: 93 87 103

olv*Ma: 1.0 1.0 0.0



TLS18; adaptierte CIELAB-Daten

	$L^*=L^*_a$	a^*_a	b^*_a	$C^*_{ab,a}$	$h^*_{ab,a}$
OMa	52.76	71.63	49.88	87.29	35
YMa	92.74	-20.02	84.97	87.3	103
LMa	84.0	-78.98	73.94	108.2	137
CMa	87.14	-44.41	-13.11	46.32	196
VMa	35.47	64.92	-95.06	115.12	304
MMa	59.01	89.33	-55.67	105.26	328
NMa	18.01	0.0	0.0	0.0	0
WMa	95.41	0.0	0.0	0.0	0
RCIE	39.92	58.74	27.99	65.07	25
JCIE	81.26	-2.88	71.56	71.62	92
GCIE	52.23	-42.41	13.6	44.55	162
BCIE	30.57	1.41	-46.46	46.49	272

Dreiecks-Helligkeit t^*

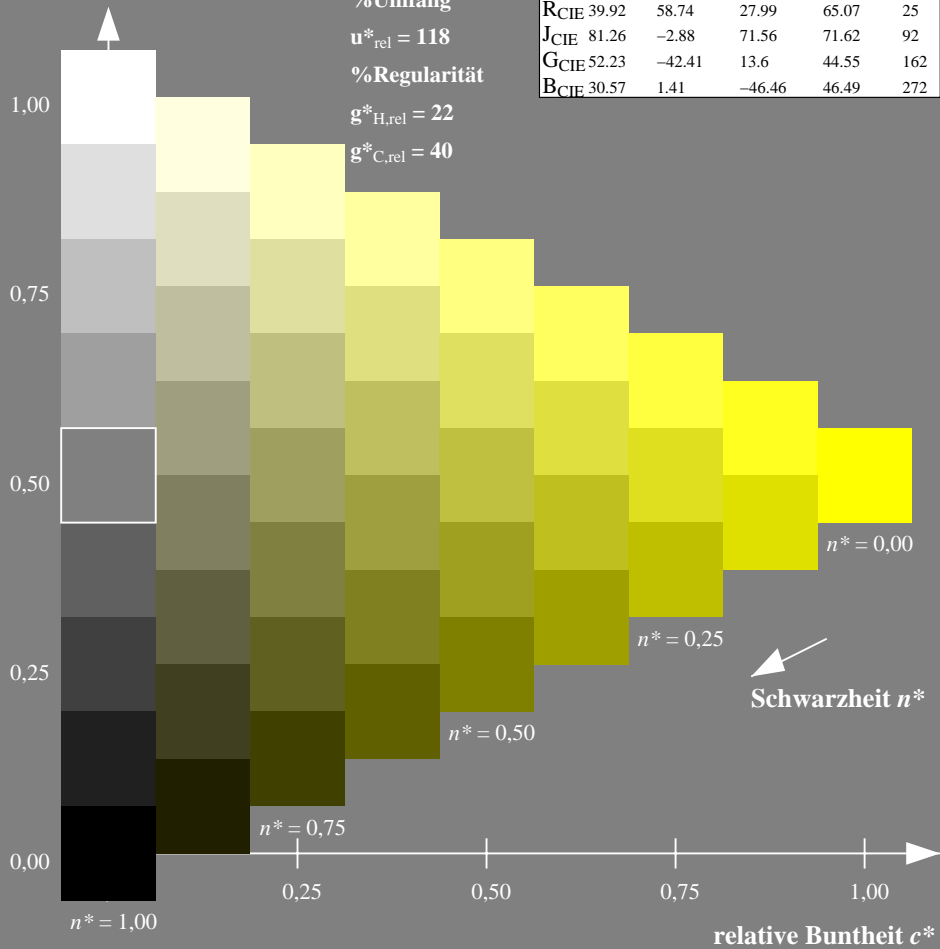
%Umfang

$u^*_{rel} = 118$

%Regularität

$g^*_{H,rel} = 22$

$g^*_{C,rel} = 40$



Ausgabe: Farbmetrisches Fernseh-Licht-System TLS18

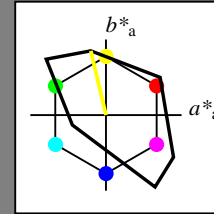
für Buntton $h^* = lab^*h = 103/360 = 0.287$

lab^*tch und lab^*nch

D65: Buntton Y

LCH*Ma: 93 87 103

olv*Ma: 1.0 1.0 0.0



TLS18; adaptierte CIELAB-Daten

	$L^*=L^*_a$	a^*_a	b^*_a	$C^*_{ab,a}$	$h^*_{ab,a}$
OMa	52.76	71.63	49.88	87.29	35
YMa	92.74	-20.02	84.97	87.3	103
LMa	84.0	-78.98	73.94	108.2	137
CMa	87.14	-44.41	-13.11	46.32	196
VMa	35.47	64.92	-95.06	115.12	304
MMa	59.01	89.33	-55.67	105.26	328
NMa	18.01	0.0	0.0	0.0	0
WMa	95.41	0.0	0.0	0.0	0
RCIE	39.92	58.74	27.99	65.07	25
JCIE	81.26	-2.88	71.56	71.62	92
GCIE	52.23	-42.41	13.6	44.55	162
BCIE	30.57	1.41	-46.46	46.49	272

Dreiecks-Helligkeit t^*

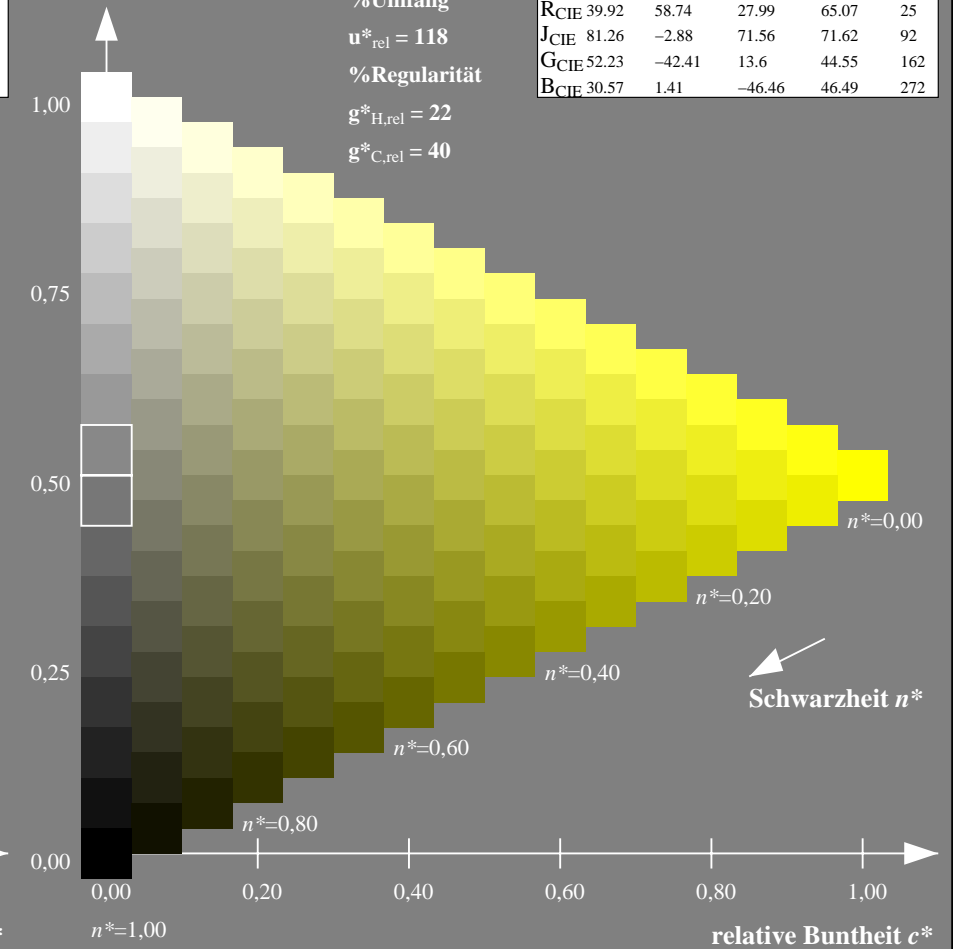
%Umfang

$u^*_{rel} = 118$

%Regularität

$g^*_{H,rel} = 22$

$g^*_{C,rel} = 40$



NG900-7, 9stufige Reihen für konstanten CIELAB Buntton 103/360 = 0.287 (links)

16stufige Reihen für konstanten CIELAB Buntton 103/360 = 0.287 (rechts)

Eingabe: Farbmetrisches Fernseh-Licht-System TLS18

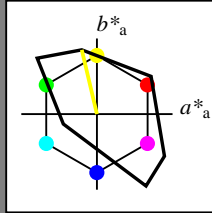
für Buntton $h^* = lab^*h = 103/360 = 0.287$

lab^*tch und lab^*nch

D65: Buntton Y

LCH*Ma: 93 87 103

olv*Ma: 1.0 1.0 0.0



TLS18; adaptierte CIELAB-Daten

	$L^*=L^*_a$	a^*_a	b^*_a	$C^*_{ab,a}$	$h^*_{ab,a}$
OMa	52.76	71.63	49.88	87.29	35
YMa	92.74	-20.02	84.97	87.3	103
LMa	84.0	-78.98	73.94	108.2	137
CMa	87.14	-44.41	-13.11	46.32	196
VMa	35.47	64.92	-95.06	115.12	304
MMa	59.01	89.33	-55.67	105.26	328
NMa	18.01	0.0	0.0	0.0	0
WMa	95.41	0.0	0.0	0.0	0
RCIE	39.92	58.74	27.99	65.07	25
JCIE	81.26	-2.88	71.56	71.62	92
GCIE	52.23	-42.41	13.6	44.55	162
BCIE	30.57	1.41	-46.46	46.49	272

Dreiecks-Helligkeit t^*

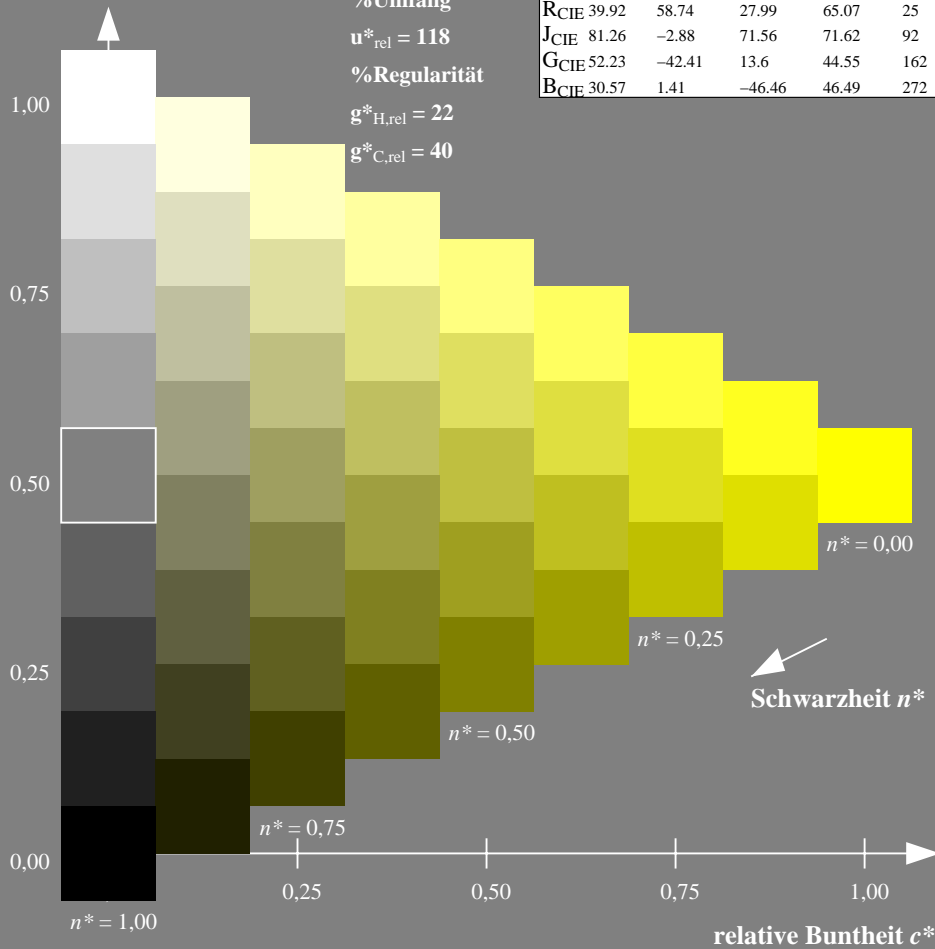
%Umfang

$u^*_{rel} = 118$

%Regularität

$g^*_{H,rel} = 22$

$g^*_{C,rel} = 40$



Ausgabe: Farbmetrisches Natürliches-Licht-System NLS00

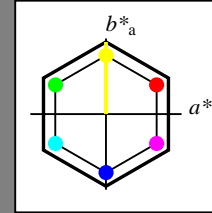
für Buntton $h^* = lab^*h = 90/360 = 0.25$

lab^*tch und lab^*nch

D65: Buntton Y

LCH*Ma: 64 95 90

olv*Ma: 1.0 1.0 0.0



NLS00; adaptierte CIELAB-Daten

	$L^*=L^*_a$	a^*_a	b^*_a	$C^*_{ab,a}$	$h^*_{ab,a}$
OMa	31.81	82.62	47.7	95.4	30
YMa	63.61	0.0	95.4	95.4	90
LMa	31.81	-82.61	47.7	95.4	150
CMa	63.61	-82.61	-47.69	95.4	210
VMa	31.81	0.0	-95.39	95.4	270
MMa	63.61	82.62	-47.69	95.4	330
NMa	0.01	0.0	0.0	0.0	0
WMa	95.41	0.0	0.0	0.0	0
RCIE	39.92	58.74	27.99	65.07	25
JCIE	81.26	-2.88	71.56	71.62	92
GCIE	52.23	-42.41	13.6	44.55	162
BCIE	30.57	1.41	-46.46	46.49	272

Dreiecks-Helligkeit t^*

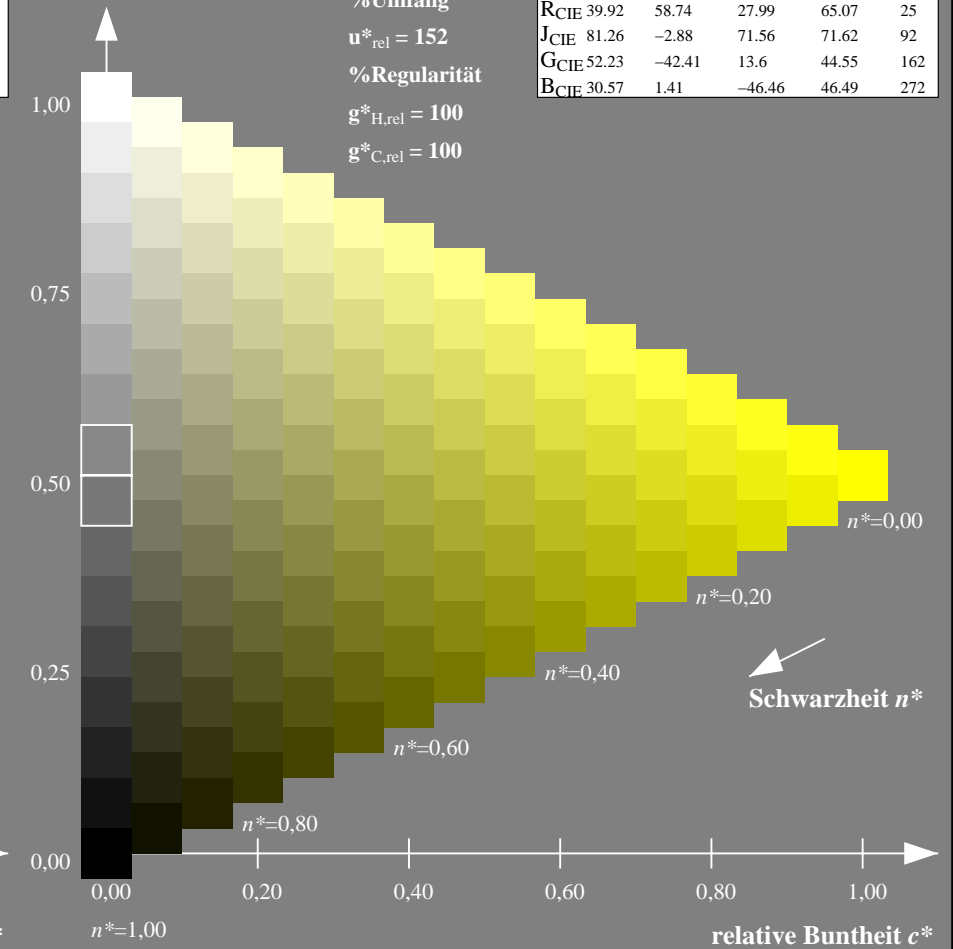
%Umfang

$u^*_{rel} = 152$

%Regularität

$g^*_{H,rel} = 100$

$g^*_{C,rel} = 100$



NG900-7, 9stufige Reihen für konstanten CIELAB Buntton $103/360 = 0.287$ (links)

16stufige Reihen für konstanten CIELAB Buntton $90/360 = 0.25$ (rechts)

Eingabe: Farbmetrisches Fernseh-Licht-System TLS18

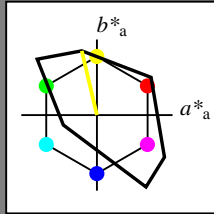
für Buntton $h^* = lab^*h = 103/360 = 0.287$

lab^*tch und lab^*nch

D65: Buntton Y

LCH*Ma: 93 87 103

olv*Ma: 1.0 1.0 0.0



TLS18; adaptierte CIELAB-Daten

	$L^*=L^*_a$	a^*_a	b^*_a	$C^*_{ab,a}$	$h^*_{ab,a}$
OMa	52.76	71.63	49.88	87.29	35
YMa	92.74	-20.02	84.97	87.3	103
LMa	84.0	-78.98	73.94	108.2	137
CMa	87.14	-44.41	-13.11	46.32	196
VMa	35.47	64.92	-95.06	115.12	304
MMa	59.01	89.33	-55.67	105.26	328
NMa	18.01	0.0	0.0	0.0	0
WMa	95.41	0.0	0.0	0.0	0
RCIE	39.92	58.74	27.99	65.07	25
JCIE	81.26	-2.88	71.56	71.62	92
GCIE	52.23	-42.41	13.6	44.55	162
BCIE	30.57	1.41	-46.46	46.49	272

Dreiecks-Helligkeit t^*

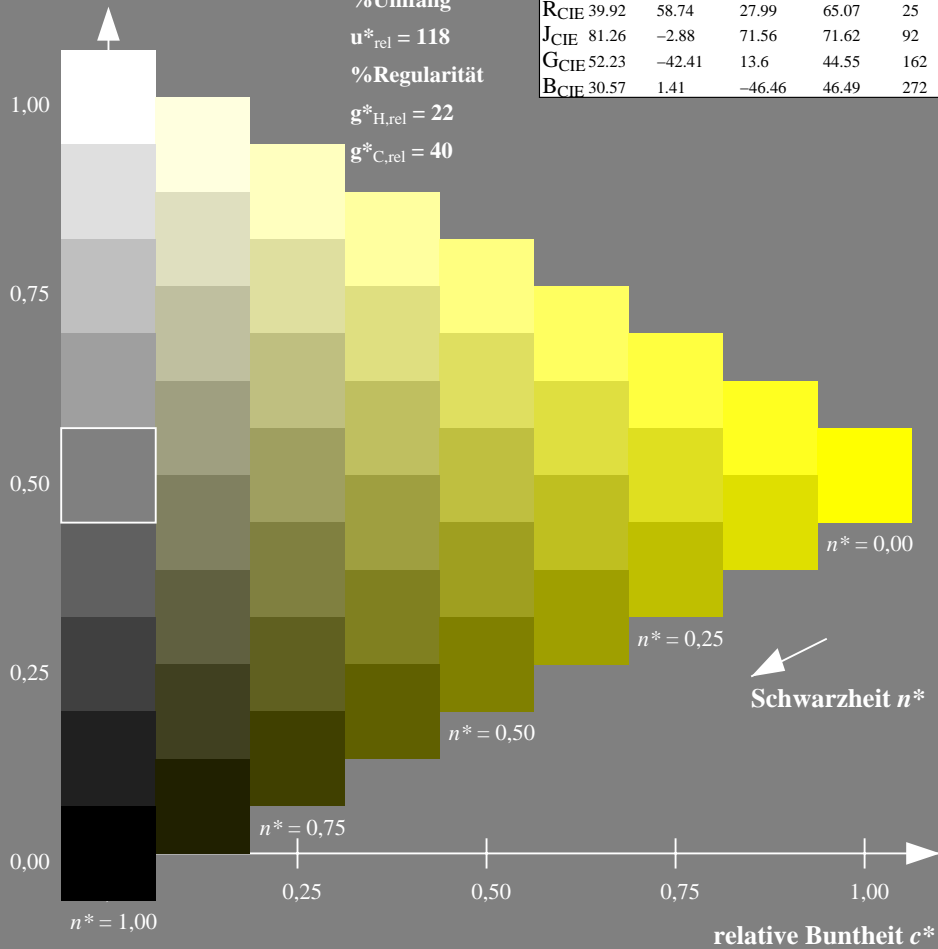
%Umfang

$u^*_{rel} = 118$

%Regularität

$g^*_{H,rel} = 22$

$g^*_{C,rel} = 40$



Ausgabe: Farbmetrisches Natürliches-Reflektiv-System NRS18

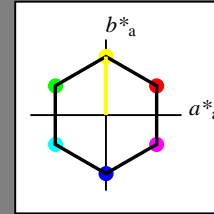
für Buntton $h^* = lab^*h = 90/360 = 0.25$

lab^*tch und lab^*nch

D65: Buntton Y

LCH*Ma: 70 77 90

olv*Ma: 1.0 1.0 0.0



NRS18; adaptierte CIELAB-Daten

	$L^*=L^*_a$	a^*_a	b^*_a	$C^*_{ab,a}$	$h^*_{ab,a}$
OMa	43.81	67.03	38.7	77.4	30
YMa	69.61	0.0	77.4	77.4	90
LMa	43.81	-67.02	38.7	77.4	150
CMa	69.61	-67.02	-38.69	77.4	210
VMa	43.81	0.0	-77.39	77.4	270
MMa	69.61	67.03	-38.69	77.4	330
NMa	18.01	0.0	0.0	0.0	0
WMa	95.41	0.0	0.0	0.0	0
RCIE	39.92	58.74	27.99	65.07	25
JCIE	81.26	-2.88	71.56	71.62	92
GCIE	52.23	-42.41	13.6	44.55	162
BCIE	30.57	1.41	-46.46	46.49	272

Dreiecks-Helligkeit t^*

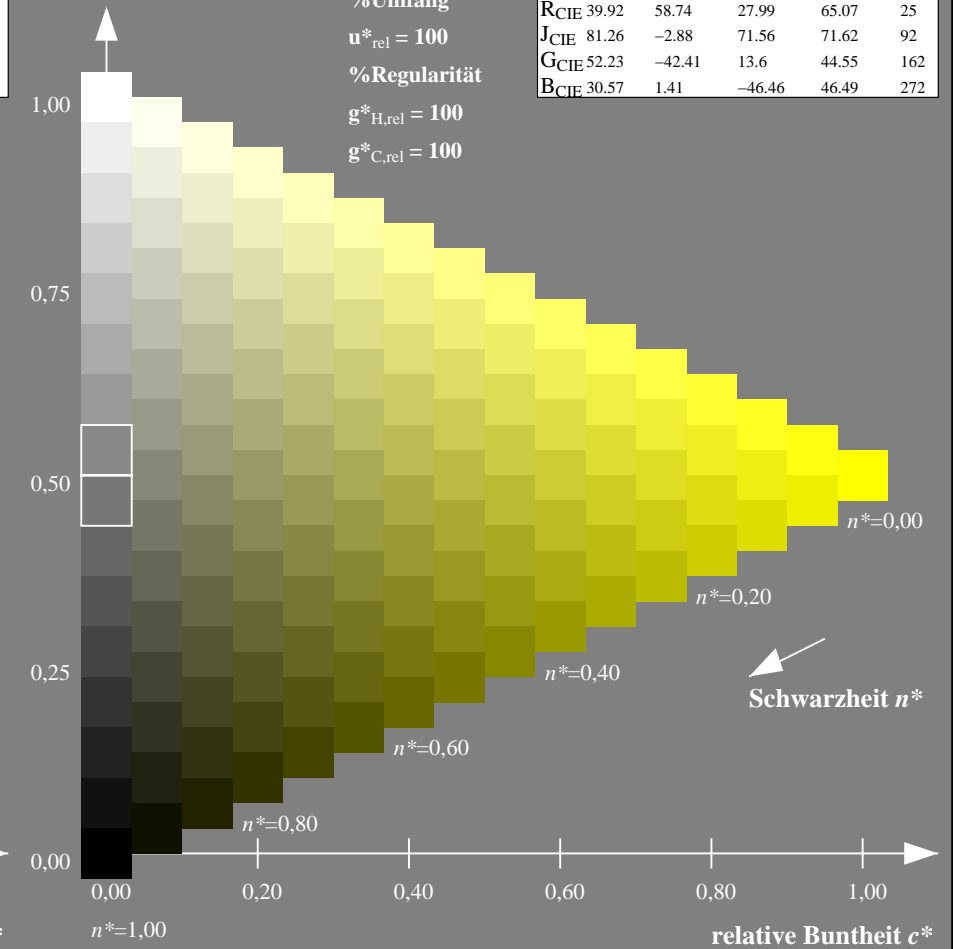
%Umfang

$u^*_{rel} = 100$

%Regularität

$g^*_{H,rel} = 100$

$g^*_{C,rel} = 100$



NG900-7, 9stufige Reihen für konstanten CIELAB Buntton $103/360 = 0.287$ (links)

16stufige Reihen für konstanten CIELAB Buntton $90/360 = 0.25$ (rechts)

Eingabe: Farbmetrisches Fernseh-Licht-System TLS18

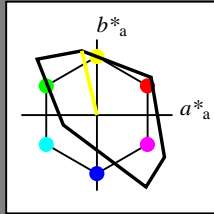
für Buntton $h^* = lab^*h = 103/360 = 0.287$

lab^*tch und lab^*nch

D65: Buntton Y

LCH*Ma: 93 87 103

olv*Ma: 1.0 1.0 0.0



TLS18; adaptierte CIELAB-Daten

	$L^*=L^*_a$	a^*_a	b^*_a	$C^*_{ab,a}$	$h^*_{ab,a}$
OMa	52.76	71.63	49.88	87.29	35
YMa	92.74	-20.02	84.97	87.3	103
LMa	84.0	-78.98	73.94	108.2	137
CMa	87.14	-44.41	-13.11	46.32	196
VMa	35.47	64.92	-95.06	115.12	304
MMa	59.01	89.33	-55.67	105.26	328
NMa	18.01	0.0	0.0	0.0	0
WMa	95.41	0.0	0.0	0.0	0
RCIE	39.92	58.74	27.99	65.07	25
JCIE	81.26	-2.88	71.56	71.62	92
GCIE	52.23	-42.41	13.6	44.55	162
BCIE	30.57	1.41	-46.46	46.49	272

Dreiecks-Helligkeit t^*

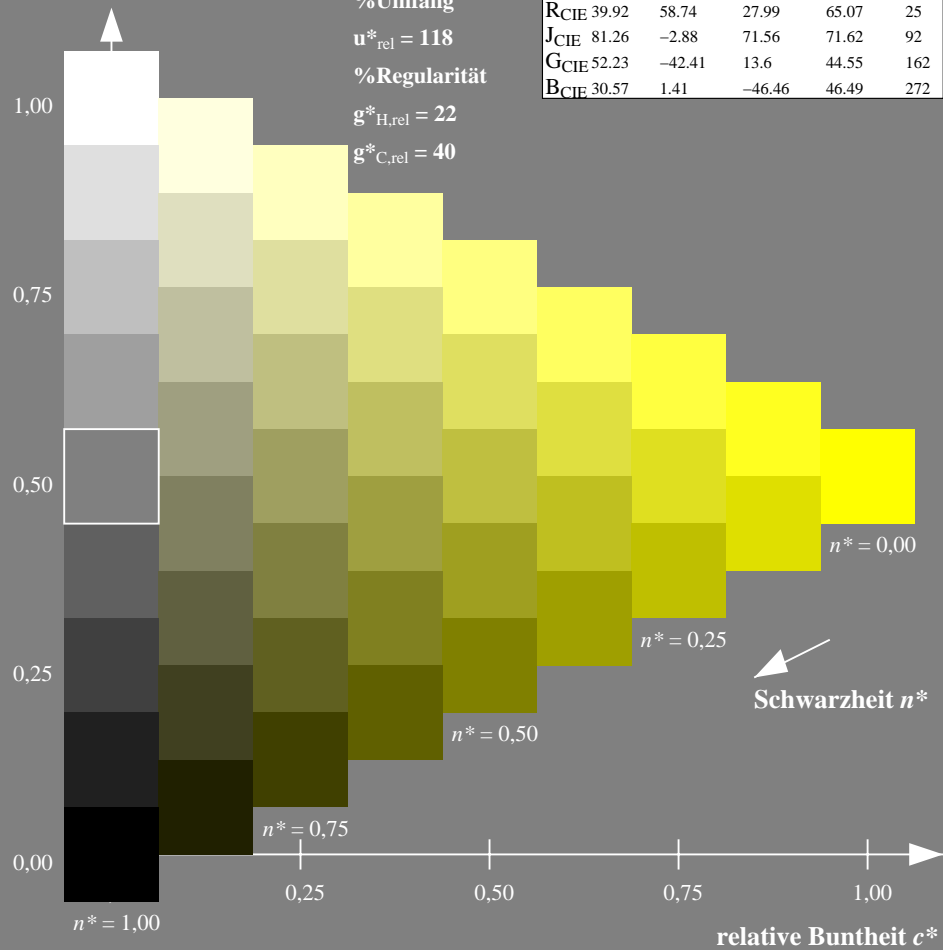
%Umfang

$u^*_{rel} = 118$

%Regularität

$g^*_{H,rel} = 22$

$g^*_{C,rel} = 40$



Ausgabe: Farbmetrisches Standard-Reflektiv-System SRS18

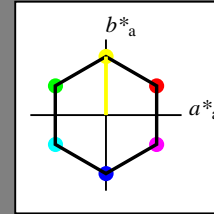
für Buntton $h^* = lab^*h = 90/360 = 0.25$

lab^*tch und lab^*nch

D65: Buntton Y

LCH*Ma: 57 77 90

olv*Ma: 1.0 1.0 0.0



SRS18; adaptierte CIELAB-Daten

	$L^*=L^*_a$	a^*_a	b^*_a	$C^*_{ab,a}$	$h^*_{ab,a}$
OMa	56.71	67.03	38.7	77.4	30
YMa	56.71	0.0	77.4	77.4	90
LMa	56.71	-67.02	38.7	77.4	150
CMa	56.71	-67.02	-38.69	77.4	210
VMa	56.71	0.0	-77.39	77.4	270
MMa	56.71	67.03	-38.69	77.4	330
NMa	18.01	0.0	0.0	0.0	0
WMa	95.41	0.0	0.0	0.0	0
RCIE	39.92	58.74	27.99	65.07	25
JCIE	81.26	-2.88	71.56	71.62	92
GCIE	52.23	-42.41	13.6	44.55	162
BCIE	30.57	1.41	-46.46	46.49	272

Dreiecks-Helligkeit t^*

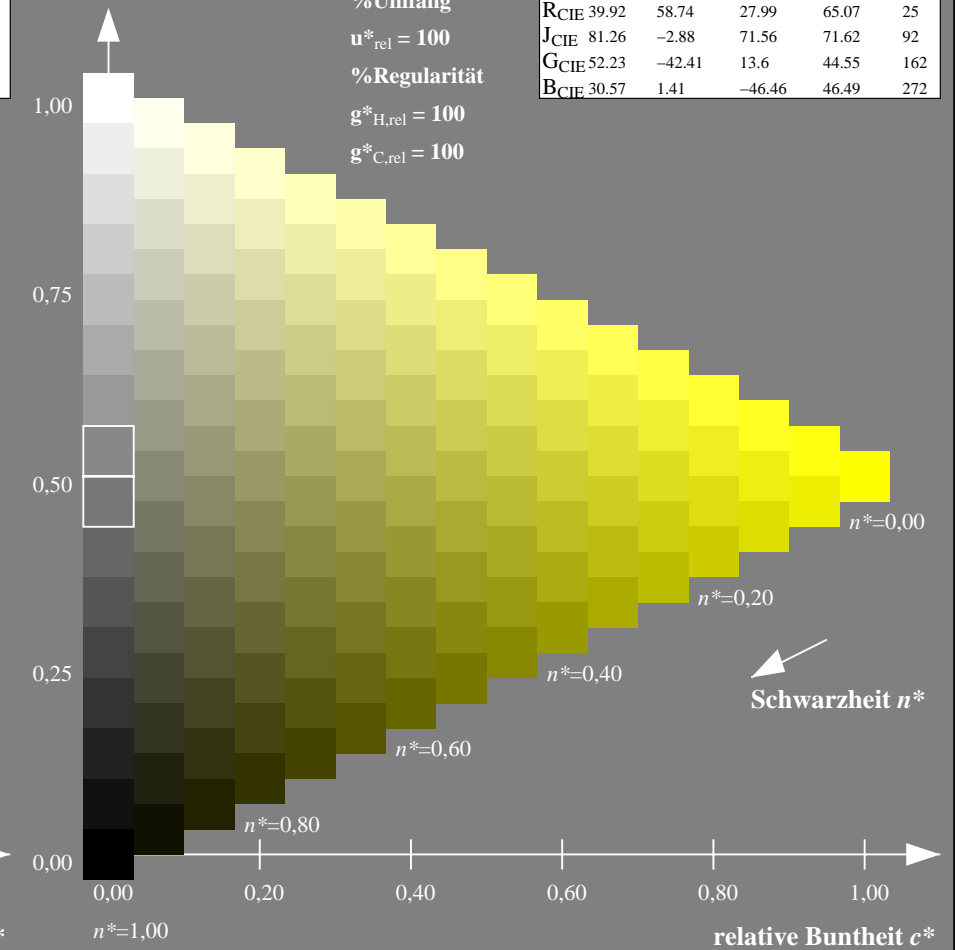
%Umfang

$u^*_{rel} = 100$

%Regularität

$g^*_{H,rel} = 100$

$g^*_{C,rel} = 100$



NG900-7, 9stufige Reihen für konstanten CIELAB Buntton $103/360 = 0.287$ (links)

16stufige Reihen für konstanten CIELAB Buntton $90/360 = 0.25$ (rechts)

Eingabe: Farbmetrisches Fernseh-Licht-System TLS18

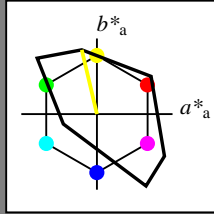
für Buntton $h^* = lab^*h = 103/360 = 0.287$

lab^*tch und lab^*nch

D65: Buntton Y

LCH*Ma: 93 87 103

olv*Ma: 1.0 1.0 0.0



TLS18; adaptierte CIELAB-Daten

	$L^*=L^*_a$	a^*_a	b^*_a	$C^*_{ab,a}$	$h^*_{ab,a}$
OMa	52.76	71.63	49.88	87.29	35
YMa	92.74	-20.02	84.97	87.3	103
LMa	84.0	-78.98	73.94	108.2	137
CMa	87.14	-44.41	-13.11	46.32	196
VMa	35.47	64.92	-95.06	115.12	304
MMa	59.01	89.33	-55.67	105.26	328
NMa	18.01	0.0	0.0	0.0	0
WMa	95.41	0.0	0.0	0.0	0
RCIE	39.92	58.74	27.99	65.07	25
JCIE	81.26	-2.88	71.56	71.62	92
GCIE	52.23	-42.41	13.6	44.55	162
BCIE	30.57	1.41	-46.46	46.49	272

Dreiecks-Helligkeit t^*

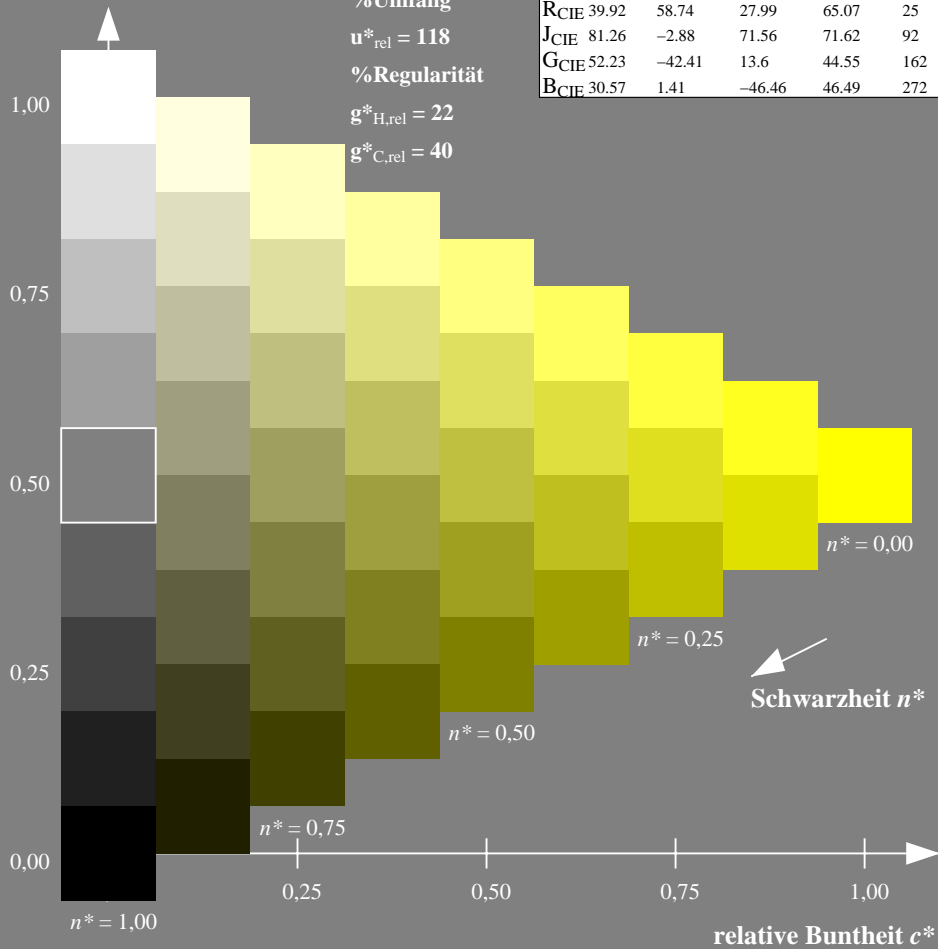
%Umfang

$u^*_{rel} = 118$

%Regularität

$g^*_{H,rel} = 22$

$g^*_{C,rel} = 40$



Ausgabe: Farbmetrisches Fernseh-Licht-System TLS70

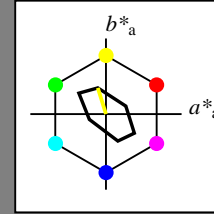
für Buntton $h^* = lab^*h = 107/360 = 0.298$

lab^*tch und lab^*nch

D65: Buntton Y

LCH*Ma: 94 36 107

olv*Ma: 1.0 1.0 0.0



TLS70; adaptierte CIELAB-Daten

	$L^*=L^*_a$	a^*_a	b^*_a	$C^*_{ab,a}$	$h^*_{ab,a}$
OMa	76.43	26.27	10.57	28.32	22
YMa	93.93	-10.76	34.63	36.27	107
LMa	89.32	-35.8	27.64	45.24	142
CMa	90.93	-21.95	-7.07	23.07	198
VMa	72.1	15.76	-35.63	38.97	294
MMa	78.5	37.52	-25.23	45.22	326
NMa	69.7	0.0	0.0	0.0	0
WMa	95.41	0.0	0.0	0.0	0
RCIE	39.92	58.74	27.99	65.07	25
JCIE	81.26	-2.88	71.56	71.62	92
GCIE	52.23	-42.41	13.6	44.55	162
BCIE	30.57	1.41	-46.46	46.49	272

Dreiecks-Helligkeit t^*

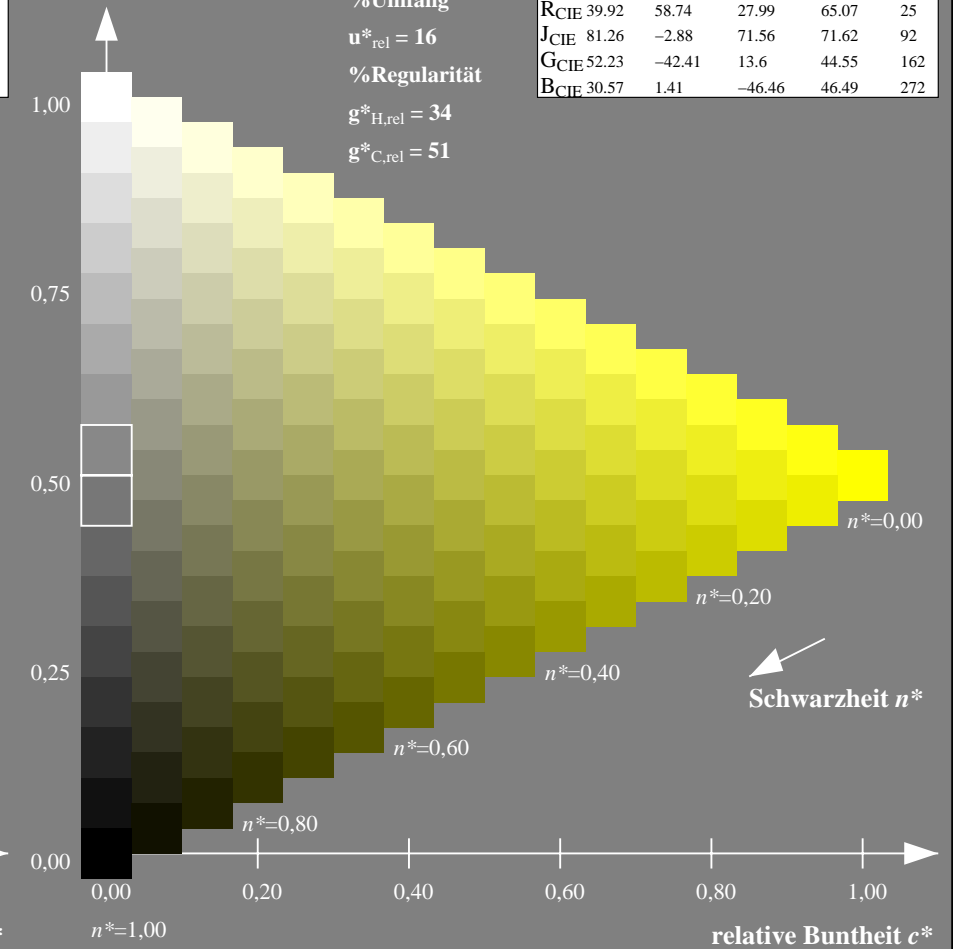
%Umfang

$u^*_{rel} = 16$

%Regularität

$g^*_{H,rel} = 34$

$g^*_{C,rel} = 51$



NG900-7, 9stufige Reihen für konstanten CIELAB Buntton $103/360 = 0.287$ (links)

16stufige Reihen für konstanten CIELAB Buntton $107/360 = 0.298$ (rechts)

Eingabe: Farbmetrisches Natürliches-Licht-System NLS00

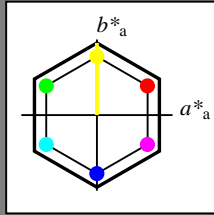
für Buntton $h^* = lab^*h = 90/360 = 0.25$

lab^*tch und lab^*nch

D65: Buntton Y

LCH*Ma: 64 95 90

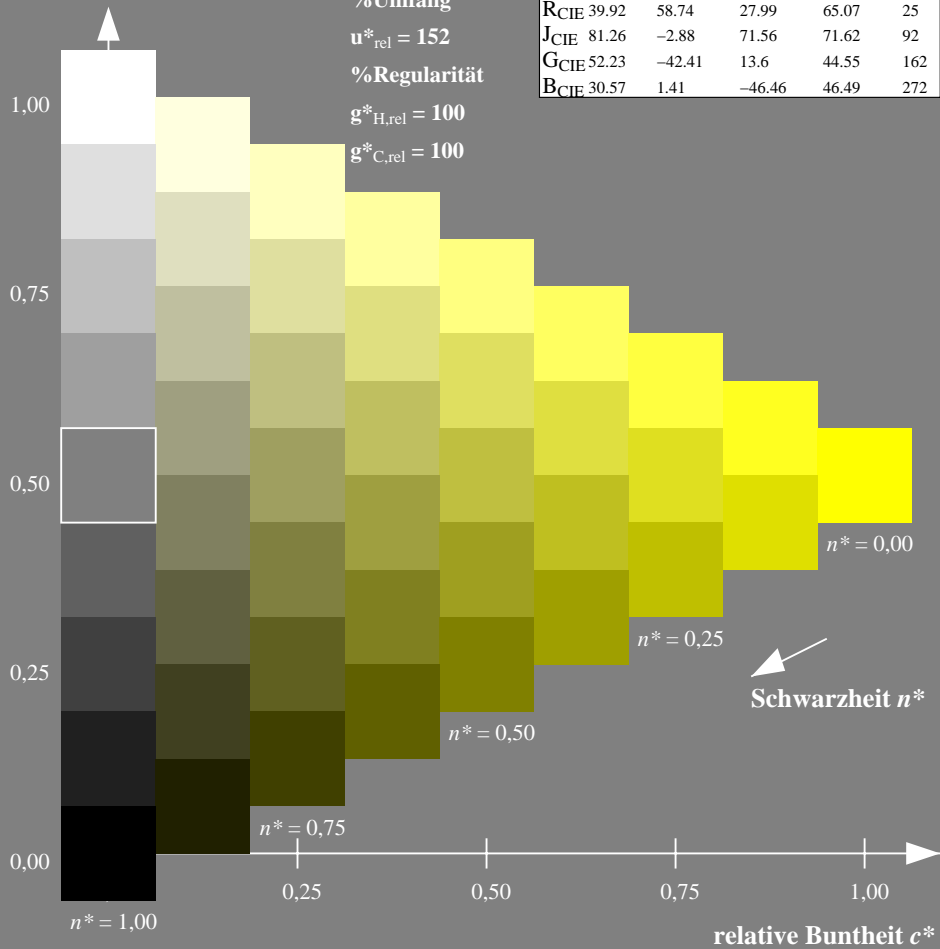
olv*Ma: 1.0 1.0 0.0



NLS00; adaptierte CIELAB-Daten

	$L^*=L^*_a$	a^*_a	b^*_a	$C^*_{ab,a}$	$h^*_{ab,a}$
OMa	31.81	82.62	47.7	95.4	30
YMa	63.61	0.0	95.4	95.4	90
LMa	31.81	-82.61	47.7	95.4	150
CMa	63.61	-82.61	-47.69	95.4	210
VMa	31.81	0.0	-95.39	95.4	270
MMa	63.61	82.62	-47.69	95.4	330
NMa	0.01	0.0	0.0	0.0	0
WMa	95.41	0.0	0.0	0.0	0
RCIE	39.92	58.74	27.99	65.07	25
JCIE	81.26	-2.88	71.56	71.62	92
GCIE	52.23	-42.41	13.6	44.55	162
BCIE	30.57	1.41	-46.46	46.49	272

Dreiecks-Helligkeit t^*



Ausgabe: Farbmetrisches Offset-Reflektiv-System ORS18

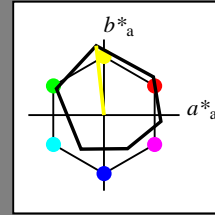
für Buntton $h^* = lab^*h = 96/360 = 0.268$

lab^*tch und lab^*nch

D65: Buntton Y

LCH*Ma: 90 92 96

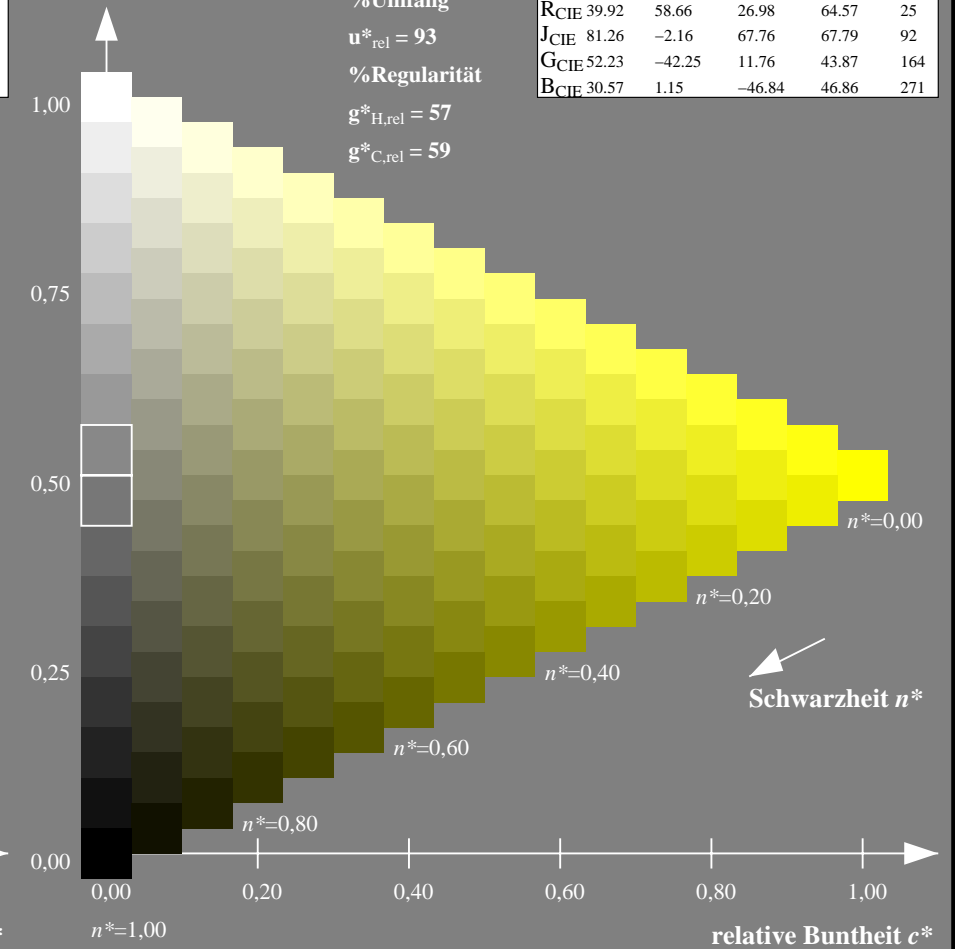
olv*Ma: 1.0 1.0 0.0



ORS18; adaptierte CIELAB-Daten

	$L^*=L^*_a$	a^*_a	b^*_a	$C^*_{ab,a}$	$h^*_{ab,a}$
OMa	47.94	65.39	50.52	82.63	38
YMa	90.37	-10.26	91.75	92.32	96
LMa	50.9	-62.83	34.96	71.91	151
CMa	58.62	-30.34	-45.01	54.3	236
VMa	25.72	31.1	-44.4	54.22	305
MMa	48.13	75.28	-8.36	75.74	354
NMa	18.01	0.0	0.0	0.0	0
WMa	95.41	0.0	0.0	0.0	0
RCIE	39.92	58.66	26.98	64.57	25
JCIE	81.26	-2.16	67.76	67.79	92
GCIE	52.23	-42.25	11.76	43.87	164
BCIE	30.57	1.15	-46.84	46.86	271

Dreiecks-Helligkeit t^*



NG900-7, 9stufige Reihen für konstanten CIELAB Buntton $90/360 = 0.25$ (links)

16stufige Reihen für konstanten CIELAB Buntton $96/360 = 0.268$ (rechts)

Eingabe: Farbmetrisches Natürliches-Licht-System NLS00

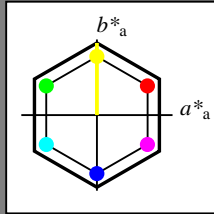
für Buntton $h^* = lab^*h = 90/360 = 0.25$

lab^*tch und lab^*nch

D65: Buntton Y

LCH*Ma: 64 95 90

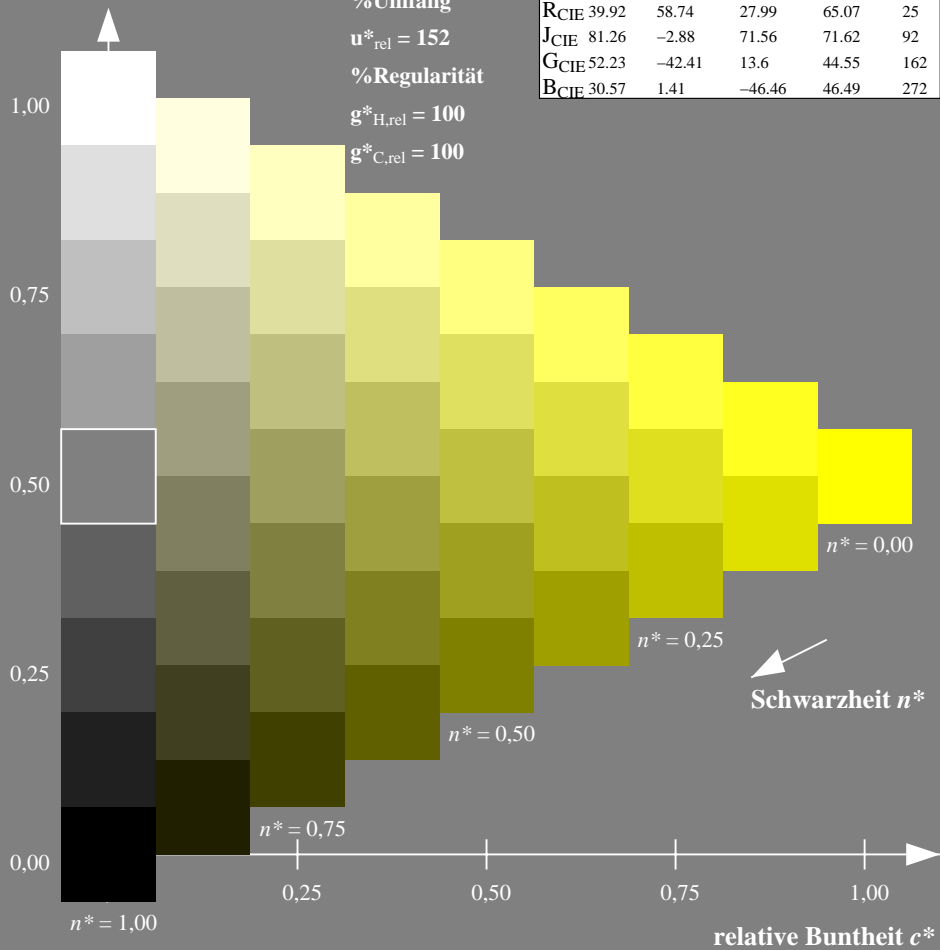
olv*Ma: 1.0 1.0 0.0



NLS00; adaptierte CIELAB-Daten

	$L^*=L^*_a$	a^*_a	b^*_a	$C^*_{ab,a}$	$h^*_{ab,a}$
O _{Ma}	31.81	82.62	47.7	95.4	30
Y _{Ma}	63.61	0.0	95.4	95.4	90
L _{Ma}	31.81	-82.61	47.7	95.4	150
C _{Ma}	63.61	-82.61	-47.69	95.4	210
V _{Ma}	31.81	0.0	-95.39	95.4	270
M _{Ma}	63.61	82.62	-47.69	95.4	330
N _{Ma}	0.01	0.0	0.0	0.0	0
W _{Ma}	95.41	0.0	0.0	0.0	0
R _{CIE}	39.92	58.74	27.99	65.07	25
J _{CIE}	81.26	-2.88	71.56	71.62	92
G _{CIE}	52.23	-42.41	13.6	44.55	162
B _{CIE}	30.57	1.41	-46.46	46.49	272

Dreiecks-Helligkeit t^*



Ausgabe: Farbmetrisches Fernseh-Licht-System TLS00

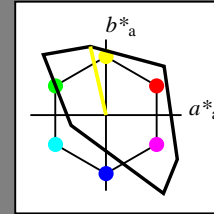
für Buntton $h^* = lab^*h = 103/360 = 0.286$

lab^*tch und lab^*nch

D65: Buntton Y

LCH*Ma: 93 93 103

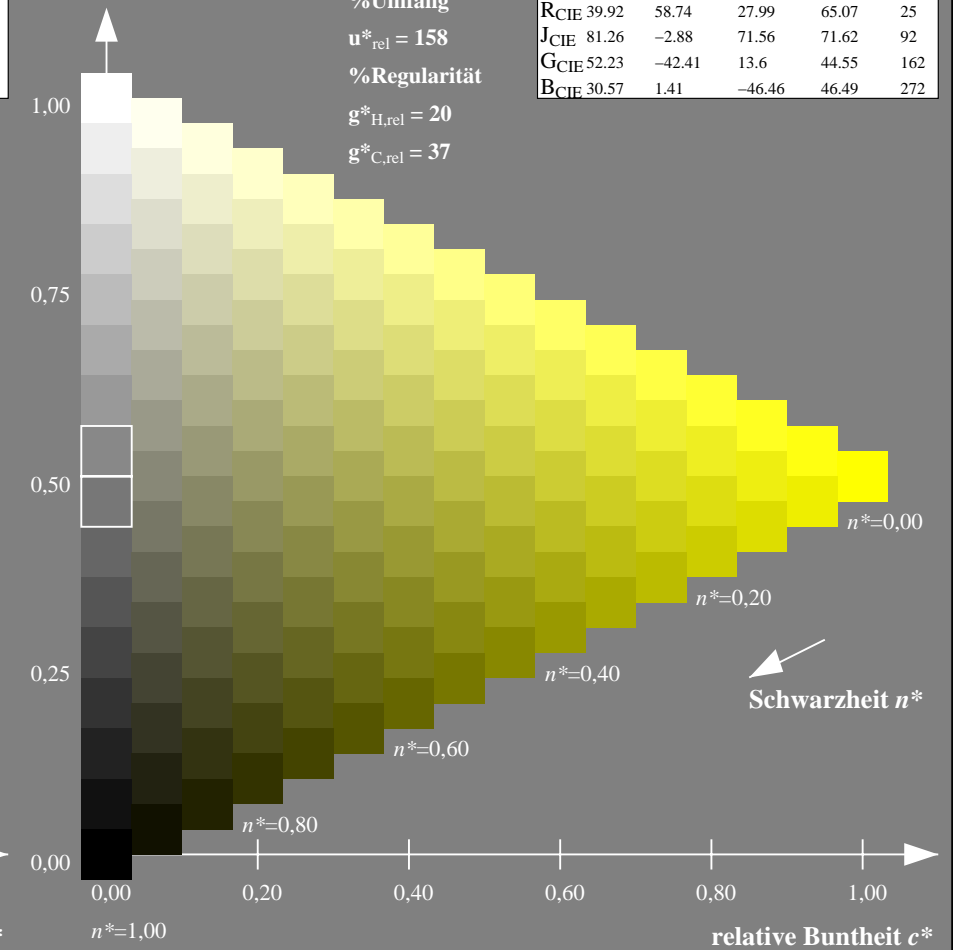
olv*Ma: 1.0 1.0 0.0



TLS00; adaptierte CIELAB-Daten

	$L^*=L^*_a$	a^*_a	b^*_a	$C^*_{ab,a}$	$h^*_{ab,a}$
O _{Ma}	50.5	76.92	64.55	100.42	40
Y _{Ma}	92.66	-20.69	90.75	93.08	103
L _{Ma}	83.63	-82.75	79.9	115.04	136
C _{Ma}	86.88	-46.16	-13.55	48.12	196
V _{Ma}	30.39	76.06	-103.59	128.52	306
M _{Ma}	57.3	94.35	-58.41	110.97	328
N _{Ma}	0.01	0.0	0.0	0.0	0
W _{Ma}	95.41	0.0	0.0	0.0	0
R _{CIE}	39.92	58.74	27.99	65.07	25
J _{CIE}	81.26	-2.88	71.56	71.62	92
G _{CIE}	52.23	-42.41	13.6	44.55	162
B _{CIE}	30.57	1.41	-46.46	46.49	272

Dreiecks-Helligkeit t^*



NG900-7, 9stufige Reihen für konstanten CIELAB Buntton $90/360 = 0.25$ (links)

16stufige Reihen für konstanten CIELAB Buntton $103/360 = 0.286$ (rechts)

Eingabe: Farbmetrisches Natürliches-Licht-System NLS00

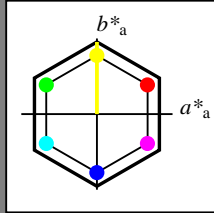
für Buntton $h^* = lab^*h = 90/360 = 0.25$

lab^*tch und lab^*nch

D65: Buntton Y

LCH*Ma: 64 95 90

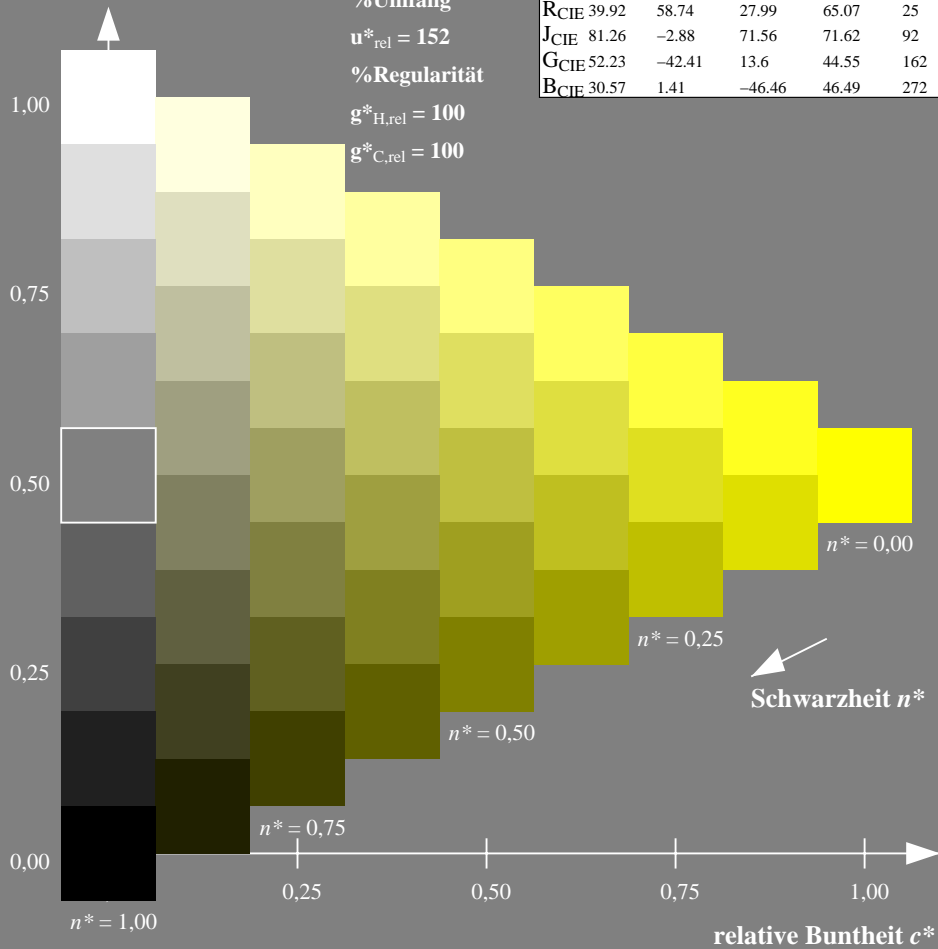
olv*Ma: 1.0 1.0 0.0



NLS00; adaptierte CIELAB-Daten

	$L^*=L^*_a$	a^*_a	b^*_a	$C^*_{ab,a}$	$h^*_{ab,a}$
OMa	31.81	82.62	47.7	95.4	30
YMa	63.61	0.0	95.4	95.4	90
LMa	31.81	-82.61	47.7	95.4	150
CMa	63.61	-82.61	-47.69	95.4	210
VMa	31.81	0.0	-95.39	95.4	270
MMa	63.61	82.62	-47.69	95.4	330
NMa	0.01	0.0	0.0	0.0	0
WMa	95.41	0.0	0.0	0.0	0
RCIE	39.92	58.74	27.99	65.07	25
JCIE	81.26	-2.88	71.56	71.62	92
GCIE	52.23	-42.41	13.6	44.55	162
BCIE	30.57	1.41	-46.46	46.49	272

Dreiecks-Helligkeit t^*



Ausgabe: Farbmetrisches Drucker-Reflektiv-System DRSXX

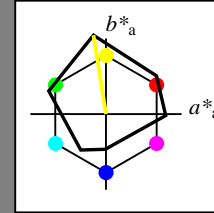
für Buntton $h^* = lab^*h = 99/360 = 0.275$

lab^*tch und lab^*nch

D65: Buntton Y

LCH*Ma: 90 106 99

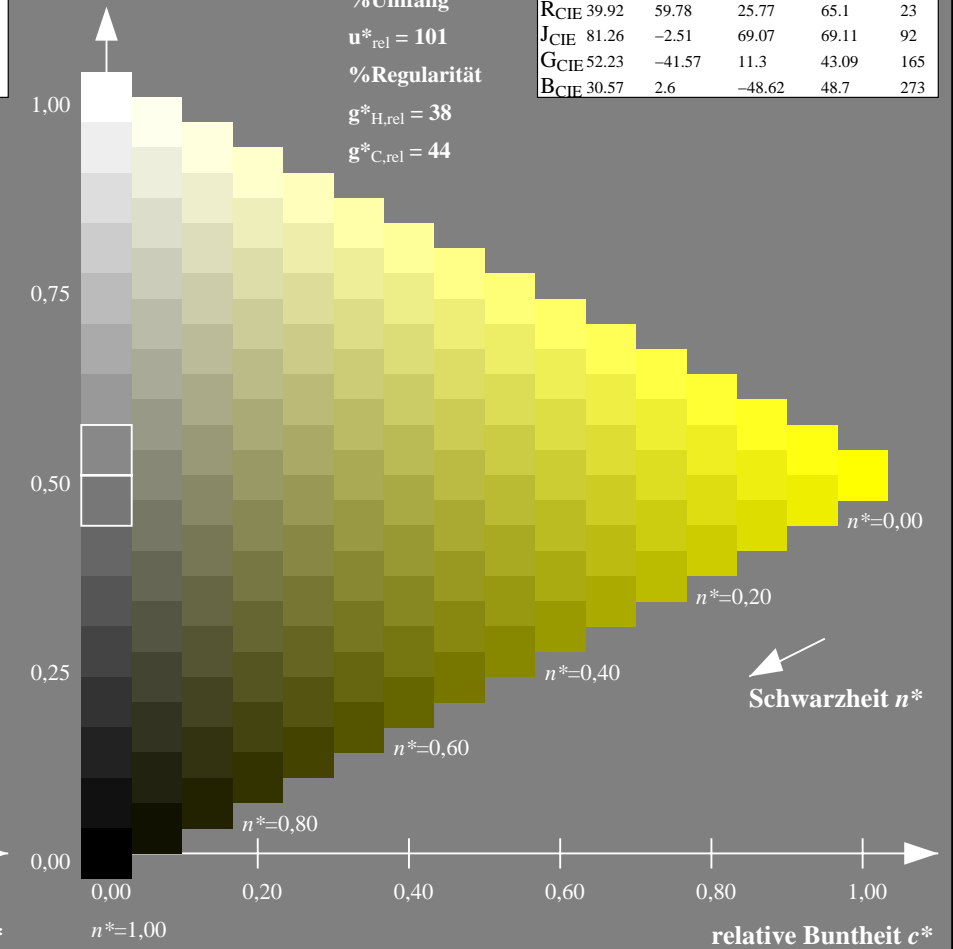
olv*Ma: 1.0 1.0 0.0



DRSXX; adaptierte CIELAB-Daten

	$L^*=L^*_a$	a^*_a	b^*_a	$C^*_{ab,a}$	$h^*_{ab,a}$
OMa	42.21	66.82	50.6	83.82	37
YMa	90.32	-16.51	104.33	105.63	99
LMa	48.21	-75.63	30.65	81.61	158
CMa	53.44	-33.33	-47.49	58.03	235
VMa	34.16	-0.92	-46.56	46.58	269
MMa	42.71	79.0	-1.95	79.03	359
NMa	16.56	0.0	0.0	0.0	0
WMa	96.31	0.0	0.0	0.0	0
RCIE	39.92	59.78	25.77	65.1	23
JCIE	81.26	-2.51	69.07	69.11	92
GCIE	52.23	-41.57	11.3	43.09	165
BCIE	30.57	2.6	-48.62	48.7	273

Dreiecks-Helligkeit t^*



NG900-7, 9stufige Reihen für konstanten CIELAB Buntton $90/360 = 0.25$ (links)

16stufige Reihen für konstanten CIELAB Buntton $99/360 = 0.275$ (rechts)

Eingabe: Farbmetrisches Natürliches-Licht-System NLS00

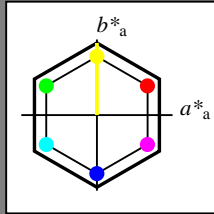
für Buntton $h^* = lab^*h = 90/360 = 0.25$

lab^*tch und lab^*nch

D65: Buntton Y

LCH*Ma: 64 95 90

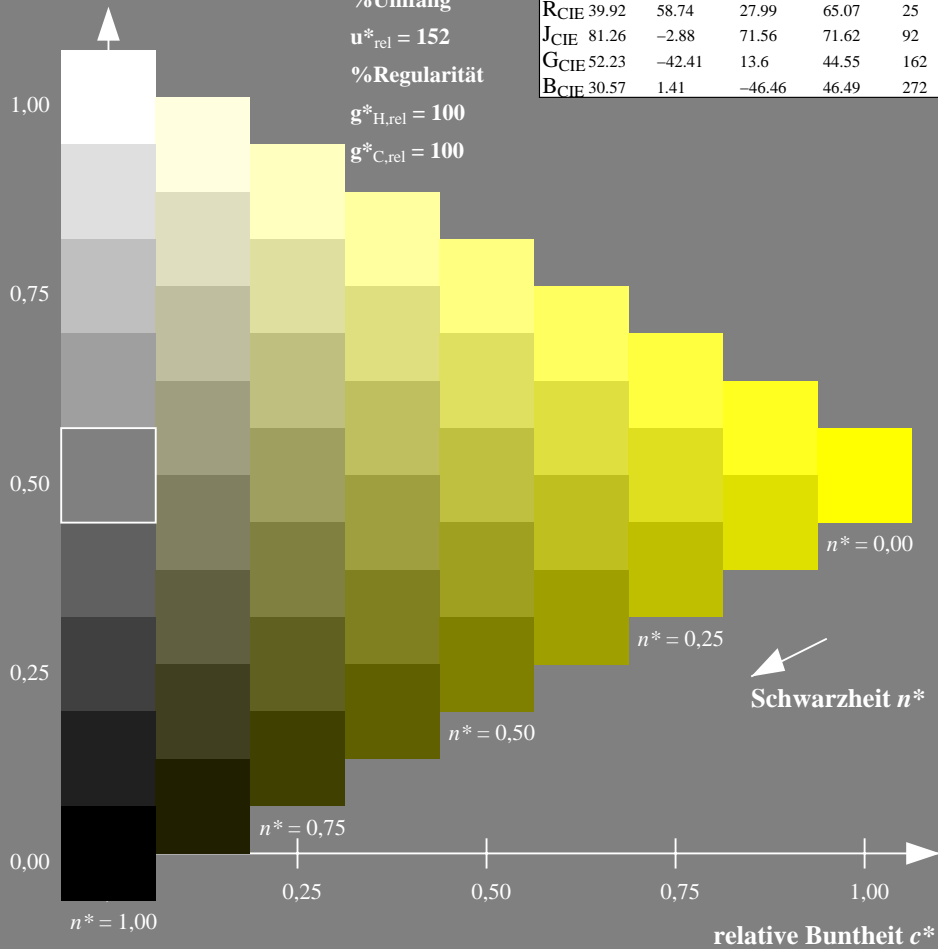
olv*Ma: 1.0 1.0 0.0



NLS00; adaptierte CIELAB-Daten

	$L^*=L^*_a$	a^*_a	b^*_a	$C^*_{ab,a}$	$h^*_{ab,a}$
O _{Ma}	31.81	82.62	47.7	95.4	30
Y _{Ma}	63.61	0.0	95.4	95.4	90
L _{Ma}	31.81	-82.61	47.7	95.4	150
C _{Ma}	63.61	-82.61	-47.69	95.4	210
V _{Ma}	31.81	0.0	-95.39	95.4	270
M _{Ma}	63.61	82.62	-47.69	95.4	330
N _{Ma}	0.01	0.0	0.0	0.0	0
W _{Ma}	95.41	0.0	0.0	0.0	0
R _{CIE}	39.92	58.74	27.99	65.07	25
J _{CIE}	81.26	-2.88	71.56	71.62	92
G _{CIE}	52.23	-42.41	13.6	44.55	162
B _{CIE}	30.57	1.41	-46.46	46.49	272

Dreiecks-Helligkeit t^*



Ausgabe: Farbmetrisches Fernseh-Licht-System TLS18

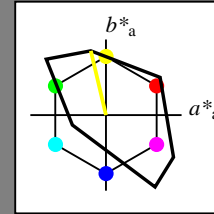
für Buntton $h^* = lab^*h = 103/360 = 0.287$

lab^*tch und lab^*nch

D65: Buntton Y

LCH*Ma: 93 87 103

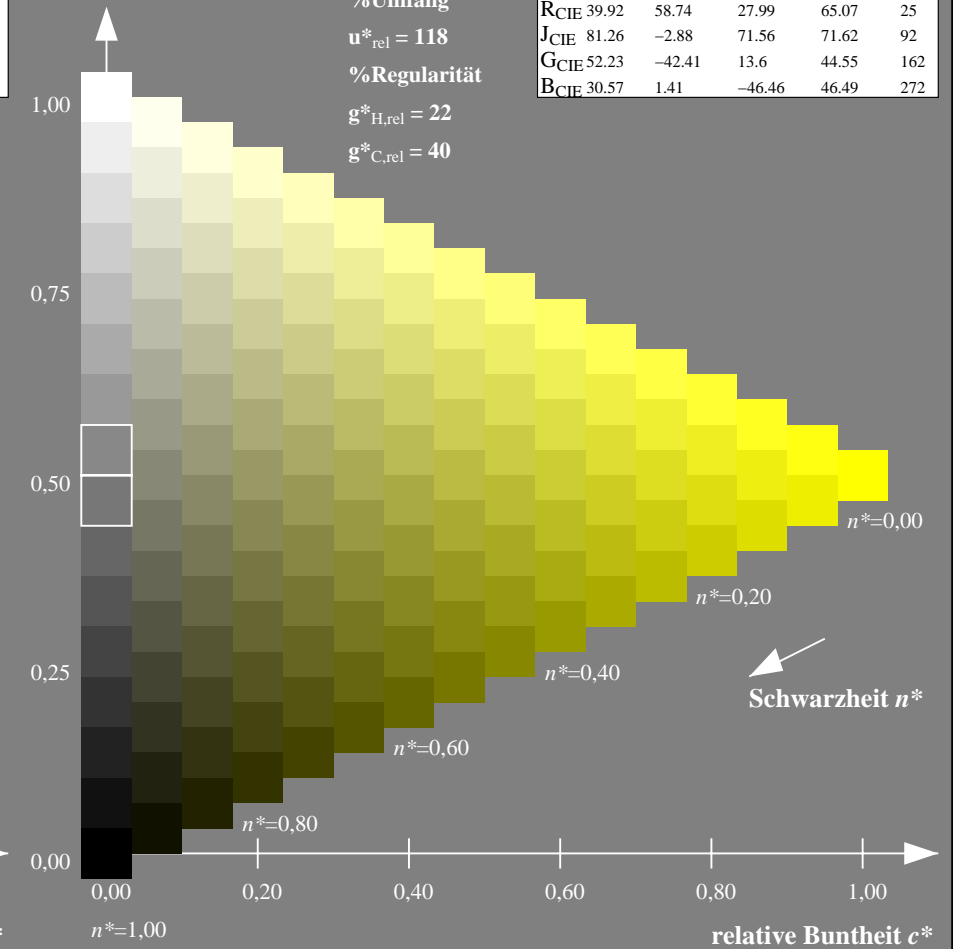
olv*Ma: 1.0 1.0 0.0



TLS18; adaptierte CIELAB-Daten

	$L^*=L^*_a$	a^*_a	b^*_a	$C^*_{ab,a}$	$h^*_{ab,a}$
O _{Ma}	52.76	71.63	49.88	87.29	35
Y _{Ma}	92.74	-20.02	84.97	87.3	103
L _{Ma}	84.0	-78.98	73.94	108.2	137
C _{Ma}	87.14	-44.41	-13.11	46.32	196
V _{Ma}	35.47	64.92	-95.06	115.12	304
M _{Ma}	59.01	89.33	-55.67	105.26	328
N _{Ma}	18.01	0.0	0.0	0.0	0
W _{Ma}	95.41	0.0	0.0	0.0	0
R _{CIE}	39.92	58.74	27.99	65.07	25
J _{CIE}	81.26	-2.88	71.56	71.62	92
G _{CIE}	52.23	-42.41	13.6	44.55	162
B _{CIE}	30.57	1.41	-46.46	46.49	272

Dreiecks-Helligkeit t^*



NG900-7, 9stufige Reihen für konstanten CIELAB Buntton $90/360 = 0.25$ (links)

16stufige Reihen für konstanten CIELAB Buntton $103/360 = 0.287$ (rechts)

Eingabe: Farbmetrisches Natürliches-Licht-System NLS00

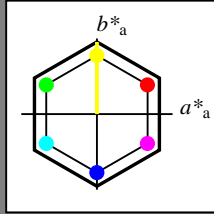
für Buntton $h^* = lab^*h = 90/360 = 0.25$

lab^*tch und lab^*nch

D65: Buntton Y

LCH*Ma: 64 95 90

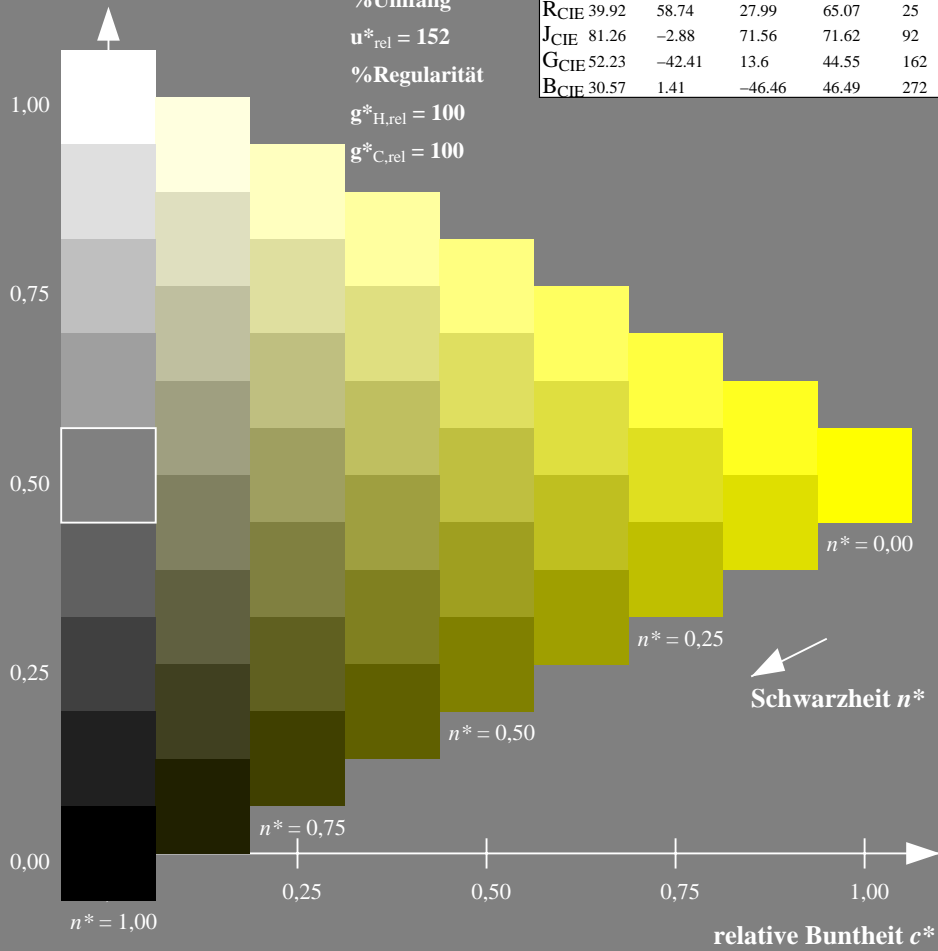
olv*Ma: 1.0 1.0 0.0



NLS00; adaptierte CIELAB-Daten

	$L^*=L^*_a$	a^*_a	b^*_a	$C^*_{ab,a}$	$h^*_{ab,a}$
O _{Ma}	31.81	82.62	47.7	95.4	30
Y _{Ma}	63.61	0.0	95.4	95.4	90
L _{Ma}	31.81	-82.61	47.7	95.4	150
C _{Ma}	63.61	-82.61	-47.69	95.4	210
V _{Ma}	31.81	0.0	-95.39	95.4	270
M _{Ma}	63.61	82.62	-47.69	95.4	330
N _{Ma}	0.01	0.0	0.0	0.0	0
W _{Ma}	95.41	0.0	0.0	0.0	0
R _{CIE}	39.92	58.74	27.99	65.07	25
J _{CIE}	81.26	-2.88	71.56	71.62	92
G _{CIE}	52.23	-42.41	13.6	44.55	162
B _{CIE}	30.57	1.41	-46.46	46.49	272

Dreiecks-Helligkeit t^*



NG900-7, 9stufige Reihen für konstanten CIELAB Buntton 90/360 = 0.25 (links)

Ausgabe: Farbmetrisches Natürliches-Licht-System NLS00

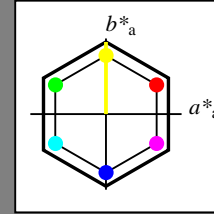
für Buntton $h^* = lab^*h = 90/360 = 0.25$

lab^*tch und lab^*nch

D65: Buntton Y

LCH*Ma: 64 95 90

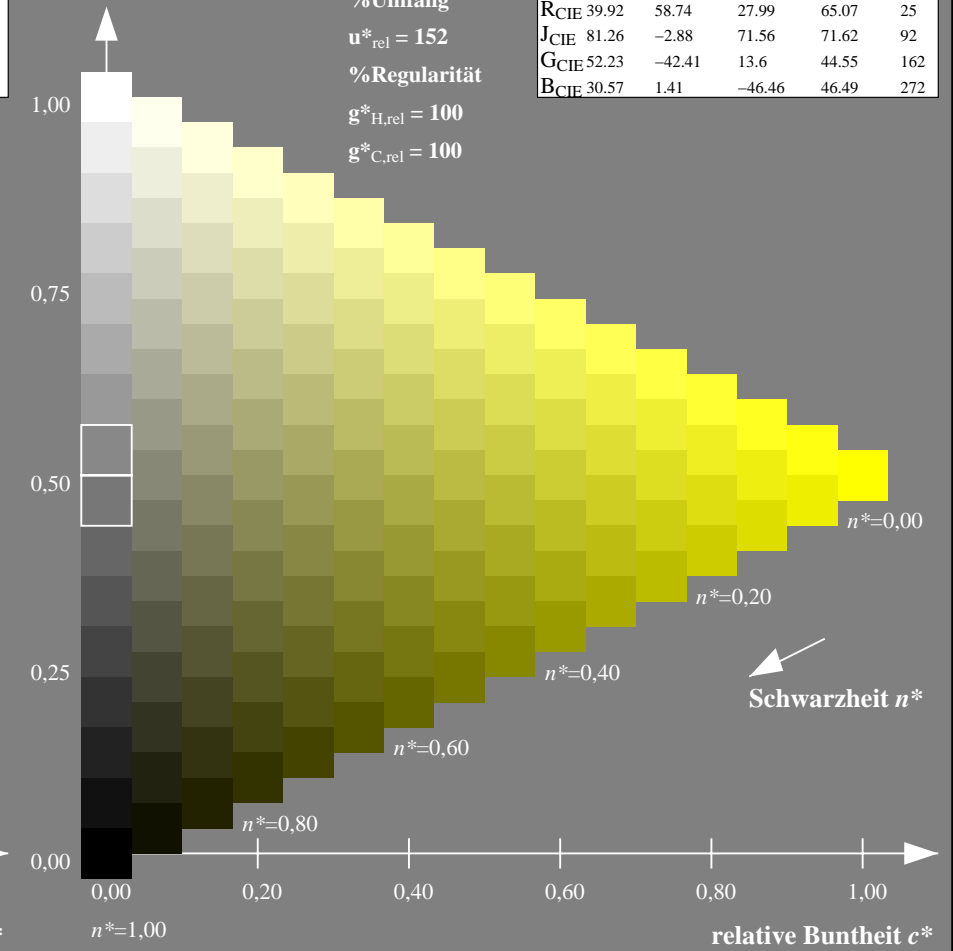
olv*Ma: 1.0 1.0 0.0



NLS00; adaptierte CIELAB-Daten

	$L^*=L^*_a$	a^*_a	b^*_a	$C^*_{ab,a}$	$h^*_{ab,a}$
O _{Ma}	31.81	82.62	47.7	95.4	30
Y _{Ma}	63.61	0.0	95.4	95.4	90
L _{Ma}	31.81	-82.61	47.7	95.4	150
C _{Ma}	63.61	-82.61	-47.69	95.4	210
V _{Ma}	31.81	0.0	-95.39	95.4	270
M _{Ma}	63.61	82.62	-47.69	95.4	330
N _{Ma}	0.01	0.0	0.0	0.0	0
W _{Ma}	95.41	0.0	0.0	0.0	0
R _{CIE}	39.92	58.74	27.99	65.07	25
J _{CIE}	81.26	-2.88	71.56	71.62	92
G _{CIE}	52.23	-42.41	13.6	44.55	162
B _{CIE}	30.57	1.41	-46.46	46.49	272

Dreiecks-Helligkeit t^*



16stufige Reihen für konstanten CIELAB Buntton 90/360 = 0.25 (rechts)

Eingabe: Farbmetrisches Natürliches-Licht-System NLS00

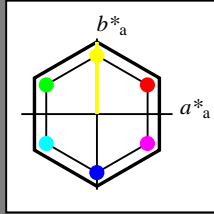
für Buntton $h^* = lab^*h = 90/360 = 0.25$

lab^*tch und lab^*nch

D65: Buntton Y

LCH*Ma: 64 95 90

olv*Ma: 1.0 1.0 0.0



NLS00; adaptierte CIELAB-Daten

	$L^*=L^*_a$	a^*_a	b^*_a	$C^*_{ab,a}$	$h^*_{ab,a}$
OMa	31.81	82.62	47.7	95.4	30
YMa	63.61	0.0	95.4	95.4	90
LMa	31.81	-82.61	47.7	95.4	150
CMa	63.61	-82.61	-47.69	95.4	210
VMa	31.81	0.0	-95.39	95.4	270
MMa	63.61	82.62	-47.69	95.4	330
NMa	0.01	0.0	0.0	0.0	0
WMa	95.41	0.0	0.0	0.0	0
RCIE	39.92	58.74	27.99	65.07	25
JCIE	81.26	-2.88	71.56	71.62	92
GCIE	52.23	-42.41	13.6	44.55	162
BCIE	30.57	1.41	-46.46	46.49	272

Dreiecks-Helligkeit t^*

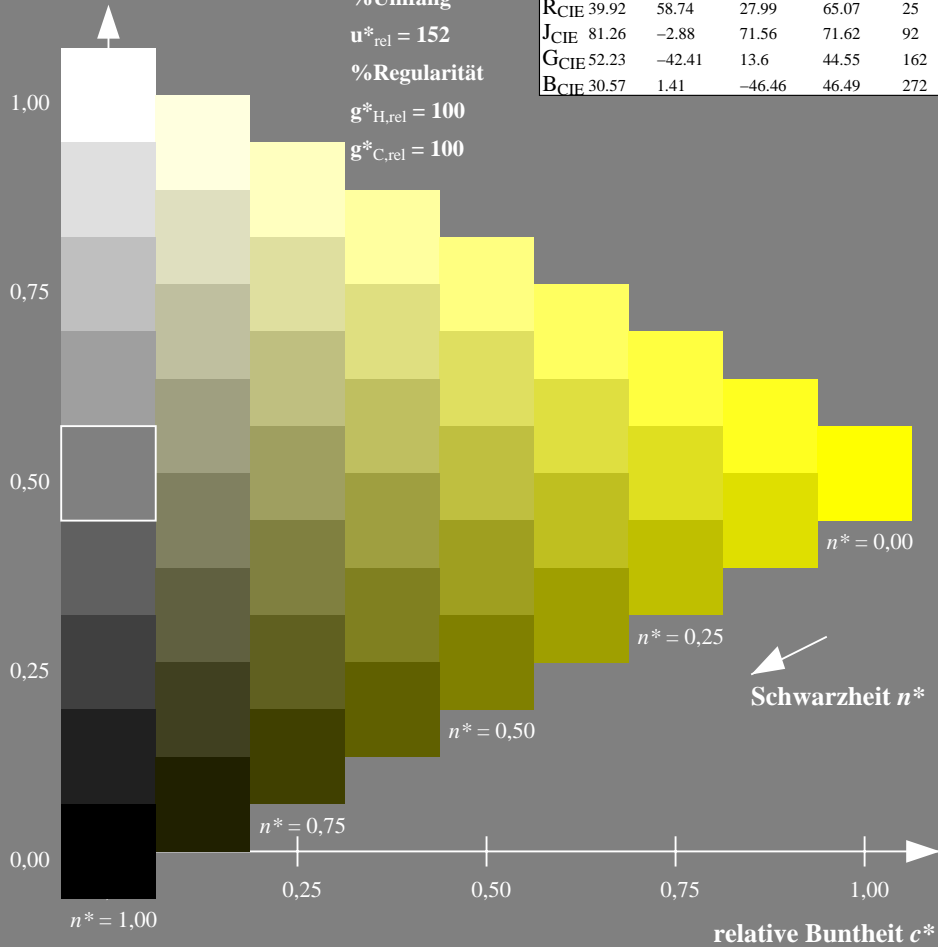
%Umfang

$u^*_{rel} = 152$

%Regularität

$g^*_{H,rel} = 100$

$g^*_{C,rel} = 100$



Ausgabe: Farbmetrisches Natürliches-Reflektiv-System NRS18

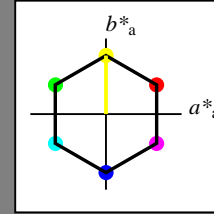
für Buntton $h^* = lab^*h = 90/360 = 0.25$

lab^*tch und lab^*nch

D65: Buntton Y

LCH*Ma: 70 77 90

olv*Ma: 1.0 1.0 0.0



NRS18; adaptierte CIELAB-Daten

	$L^*=L^*_a$	a^*_a	b^*_a	$C^*_{ab,a}$	$h^*_{ab,a}$
OMa	43.81	67.03	38.7	77.4	30
YMa	69.61	0.0	77.4	77.4	90
LMa	43.81	-67.02	38.7	77.4	150
CMa	69.61	-67.02	-38.69	77.4	210
VMa	43.81	0.0	-77.39	77.4	270
MMa	69.61	67.03	-38.69	77.4	330
NMa	18.01	0.0	0.0	0.0	0
WMa	95.41	0.0	0.0	0.0	0
RCIE	39.92	58.74	27.99	65.07	25
JCIE	81.26	-2.88	71.56	71.62	92
GCIE	52.23	-42.41	13.6	44.55	162
BCIE	30.57	1.41	-46.46	46.49	272

Dreiecks-Helligkeit t^*

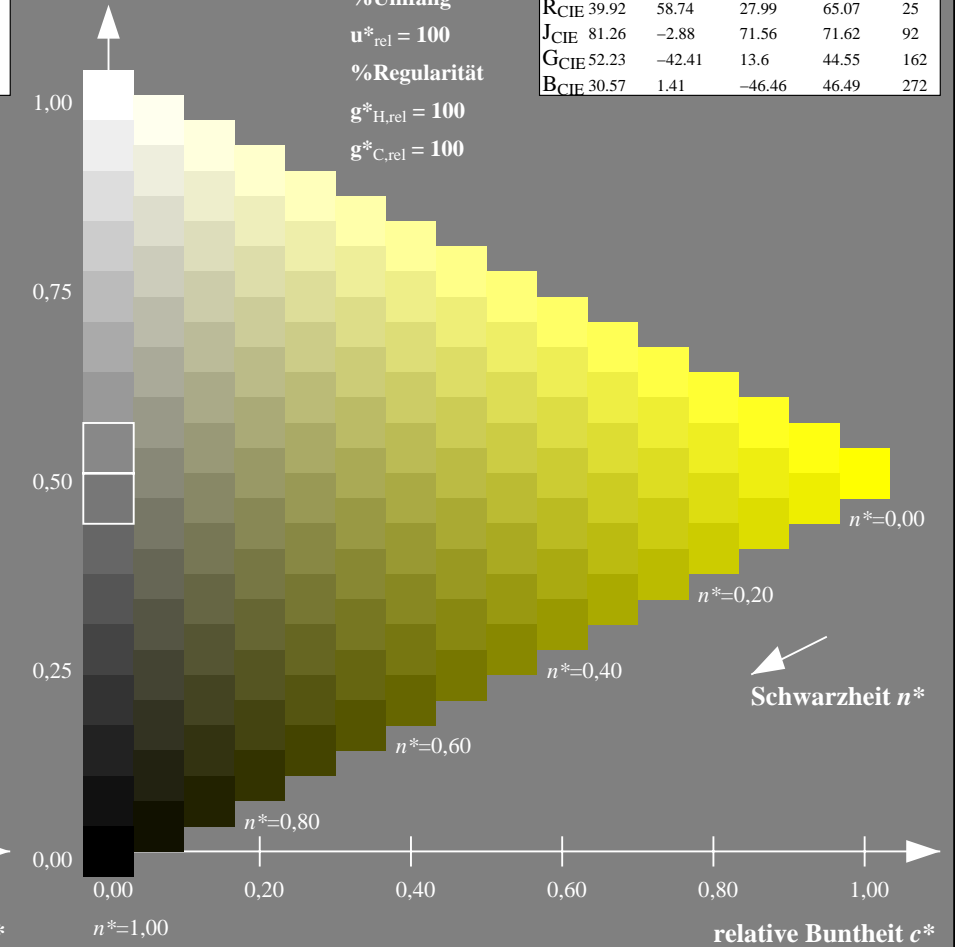
%Umfang

$u^*_{rel} = 100$

%Regularität

$g^*_{H,rel} = 100$

$g^*_{C,rel} = 100$



NG900-7, 9stufige Reihen für konstanten CIELAB Buntton 90/360 = 0.25 (links)

16stufige Reihen für konstanten CIELAB Buntton 90/360 = 0.25 (rechts)

Eingabe: Farbmetrisches Natürliches-Licht-System NLS00

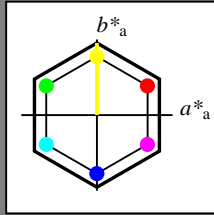
für Buntton $h^* = lab^*h = 90/360 = 0.25$

lab^*tch und lab^*nch

D65: Buntton Y

LCH*Ma: 64 95 90

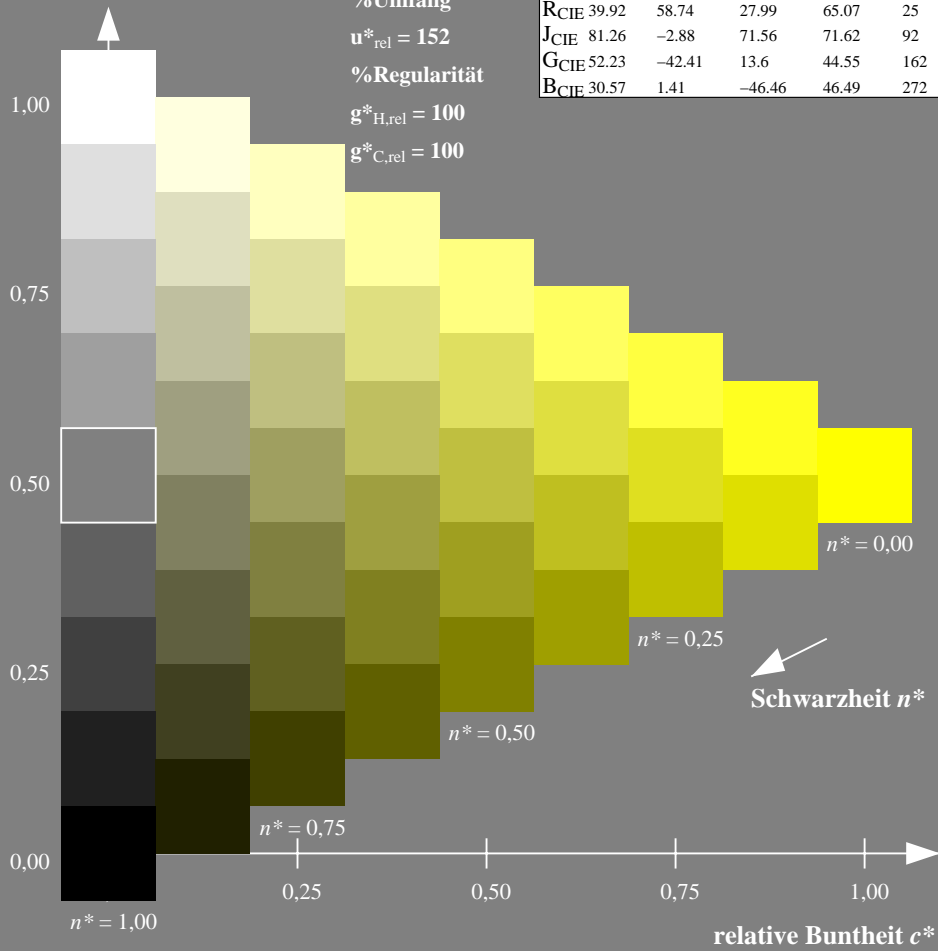
olv*Ma: 1.0 1.0 0.0



NLS00; adaptierte CIELAB-Daten

	$L^*=L^*_a$	a^*_a	b^*_a	$C^*_{ab,a}$	$h^*_{ab,a}$
OMa	31.81	82.62	47.7	95.4	30
YMa	63.61	0.0	95.4	95.4	90
LMa	31.81	-82.61	47.7	95.4	150
CMa	63.61	-82.61	-47.69	95.4	210
VMa	31.81	0.0	-95.39	95.4	270
MMa	63.61	82.62	-47.69	95.4	330
NMa	0.01	0.0	0.0	0.0	0
WMa	95.41	0.0	0.0	0.0	0
RCIE	39.92	58.74	27.99	65.07	25
JCIE	81.26	-2.88	71.56	71.62	92
GCIE	52.23	-42.41	13.6	44.55	162
BCIE	30.57	1.41	-46.46	46.49	272

Dreiecks-Helligkeit t^*



Ausgabe: Farbmetrisches Standard-Reflektiv-System SRS18

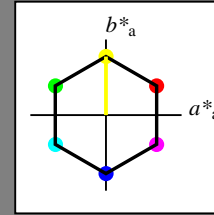
für Buntton $h^* = lab^*h = 90/360 = 0.25$

lab^*tch und lab^*nch

D65: Buntton Y

LCH*Ma: 57 77 90

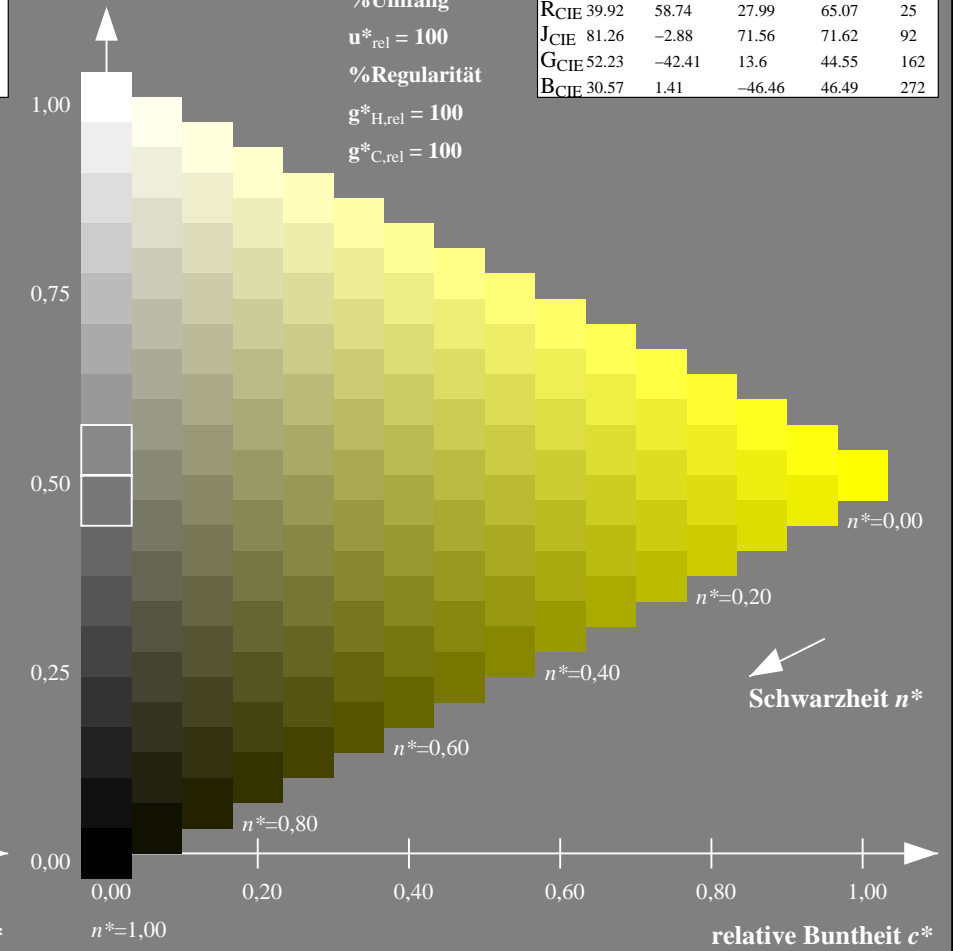
olv*Ma: 1.0 1.0 0.0



SRS18; adaptierte CIELAB-Daten

	$L^*=L^*_a$	a^*_a	b^*_a	$C^*_{ab,a}$	$h^*_{ab,a}$
OMa	56.71	67.03	38.7	77.4	30
YMa	56.71	0.0	77.4	77.4	90
LMa	56.71	-67.02	38.7	77.4	150
CMa	56.71	-67.02	-38.69	77.4	210
VMa	56.71	0.0	-77.39	77.4	270
MMa	56.71	67.03	-38.69	77.4	330
NMa	18.01	0.0	0.0	0.0	0
WMa	95.41	0.0	0.0	0.0	0
RCIE	39.92	58.74	27.99	65.07	25
JCIE	81.26	-2.88	71.56	71.62	92
GCIE	52.23	-42.41	13.6	44.55	162
BCIE	30.57	1.41	-46.46	46.49	272

Dreiecks-Helligkeit t^*



NG900-7, 9stufige Reihen für konstanten CIELAB Buntton $90/360 = 0.25$ (links)

16stufige Reihen für konstanten CIELAB Buntton $90/360 = 0.25$ (rechts)

Eingabe: Farbmetrisches Natürliches-Licht-System NLS00

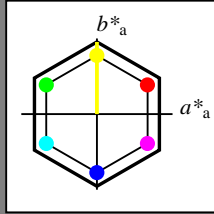
für Buntton $h^* = lab^*h = 90/360 = 0.25$

lab^*tch und lab^*nch

D65: Buntton Y

LCH*Ma: 64 95 90

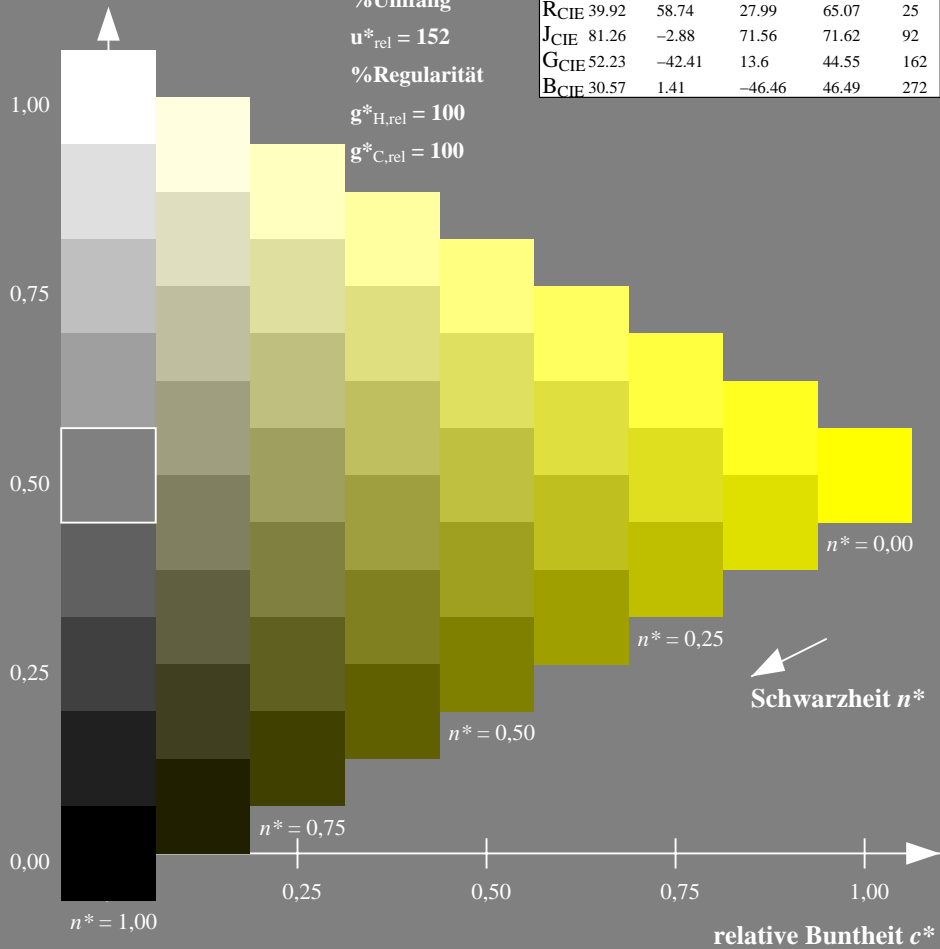
olv*Ma: 1.0 1.0 0.0



NLS00; adaptierte CIELAB-Daten

	$L^*=L^*_a$	a^*_a	b^*_a	$C^*_{ab,a}$	$h^*_{ab,a}$
O _{Ma}	31.81	82.62	47.7	95.4	30
Y _{Ma}	63.61	0.0	95.4	95.4	90
L _{Ma}	31.81	-82.61	47.7	95.4	150
C _{Ma}	63.61	-82.61	-47.69	95.4	210
V _{Ma}	31.81	0.0	-95.39	95.4	270
M _{Ma}	63.61	82.62	-47.69	95.4	330
N _{Ma}	0.01	0.0	0.0	0.0	0
W _{Ma}	95.41	0.0	0.0	0.0	0
R _{CIE}	39.92	58.74	27.99	65.07	25
J _{CIE}	81.26	-2.88	71.56	71.62	92
G _{CIE}	52.23	-42.41	13.6	44.55	162
B _{CIE}	30.57	1.41	-46.46	46.49	272

Dreiecks-Helligkeit t^*



Ausgabe: Farbmetrisches Fernseh-Licht-System TLS70

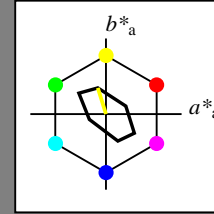
für Buntton $h^* = lab^*h = 107/360 = 0.298$

lab^*tch und lab^*nch

D65: Buntton Y

LCH*Ma: 94 36 107

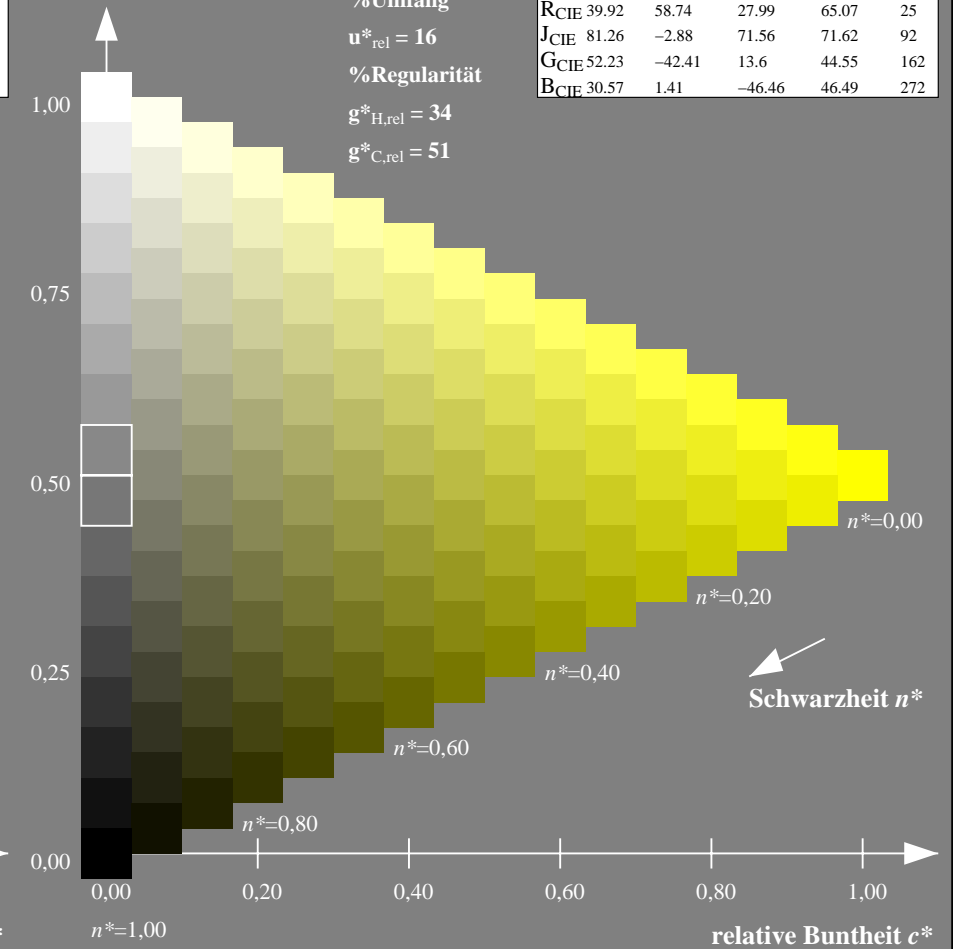
olv*Ma: 1.0 1.0 0.0



TLS70; adaptierte CIELAB-Daten

	$L^*=L^*_a$	a^*_a	b^*_a	$C^*_{ab,a}$	$h^*_{ab,a}$
O _{Ma}	76.43	26.27	10.57	28.32	22
Y _{Ma}	93.93	-10.76	34.63	36.27	107
L _{Ma}	89.32	-35.8	27.64	45.24	142
C _{Ma}	90.93	-21.95	-7.07	23.07	198
V _{Ma}	72.1	15.76	-35.63	38.97	294
M _{Ma}	78.5	37.52	-25.23	45.22	326
N _{Ma}	69.7	0.0	0.0	0.0	0
W _{Ma}	95.41	0.0	0.0	0.0	0
R _{CIE}	39.92	58.74	27.99	65.07	25
J _{CIE}	81.26	-2.88	71.56	71.62	92
G _{CIE}	52.23	-42.41	13.6	44.55	162
B _{CIE}	30.57	1.41	-46.46	46.49	272

Dreiecks-Helligkeit t^*



NG900-7, 9stufige Reihen für konstanten CIELAB Buntton $90/360 = 0.25$ (links)

16stufige Reihen für konstanten CIELAB Buntton $107/360 = 0.298$ (rechts)

Eingabe: Farbmetrisches Natürliches-Reflektiv-System NRS18

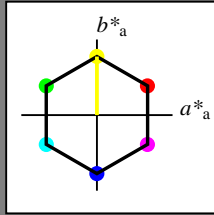
für Buntton $h^* = lab^*h = 90/360 = 0.25$

lab^*tch und lab^*nch

D65: Buntton Y

LCH*Ma: 70 77 90

olv*Ma: 1.0 1.0 0.0



NRS18; adaptierte CIELAB-Daten

	$L^*=L^*_a$	a^*_a	b^*_a	$C^*_{ab,a}$	$h^*_{ab,a}$
OMa	43.81	67.03	38.7	77.4	30
YMa	69.61	0.0	77.4	77.4	90
LMa	43.81	-67.02	38.7	77.4	150
CMa	69.61	-67.02	-38.69	77.4	210
VMa	43.81	0.0	-77.39	77.4	270
MMa	69.61	67.03	-38.69	77.4	330
NMa	18.01	0.0	0.0	0.0	0
WMa	95.41	0.0	0.0	0.0	0
RCIE	39.92	58.74	27.99	65.07	25
JCIE	81.26	-2.88	71.56	71.62	92
GCIE	52.23	-42.41	13.6	44.55	162
BCIE	30.57	1.41	-46.46	46.49	272

Dreiecks-Helligkeit t^*

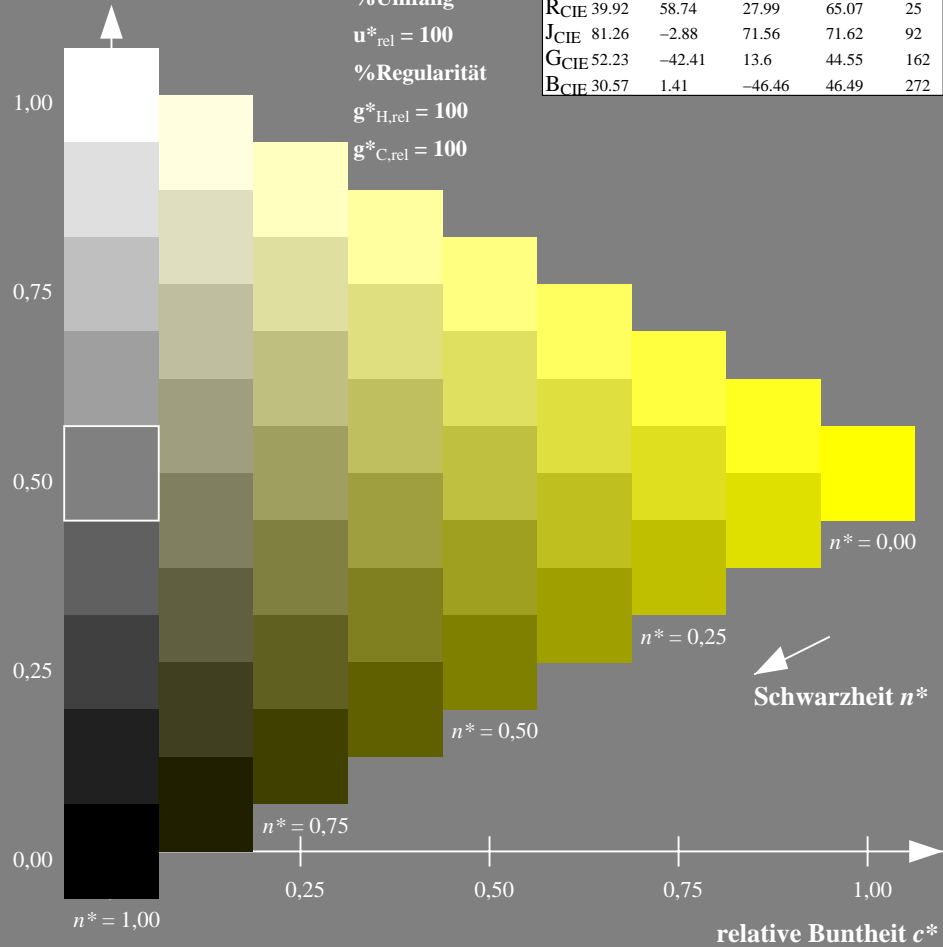
%Umfang

$u^*_{rel} = 100$

%Regularität

$g^*_{H,rel} = 100$

$g^*_{C,rel} = 100$



Ausgabe: Farbmetrisches Offset-Reflektiv-System ORS18

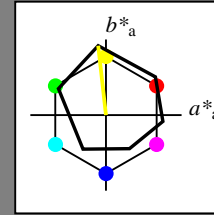
für Buntton $h^* = lab^*h = 96/360 = 0.268$

lab^*tch und lab^*nch

D65: Buntton Y

LCH*Ma: 90 92 96

olv*Ma: 1.0 1.0 0.0



ORS18; adaptierte CIELAB-Daten

	$L^*=L^*_a$	a^*_a	b^*_a	$C^*_{ab,a}$	$h^*_{ab,a}$
OMa	47.94	65.39	50.52	82.63	38
YMa	90.37	-10.26	91.75	92.32	96
LMa	50.9	-62.83	34.96	71.91	151
CMa	58.62	-30.34	-45.01	54.3	236
VMa	25.72	31.1	-44.4	54.22	305
MMa	48.13	75.28	-8.36	75.74	354
NMa	18.01	0.0	0.0	0.0	0
WMa	95.41	0.0	0.0	0.0	0
RCIE	39.92	58.66	26.98	64.57	25
JCIE	81.26	-2.16	67.76	67.79	92
GCIE	52.23	-42.25	11.76	43.87	164
BCIE	30.57	1.15	-46.84	46.86	271

Dreiecks-Helligkeit t^*

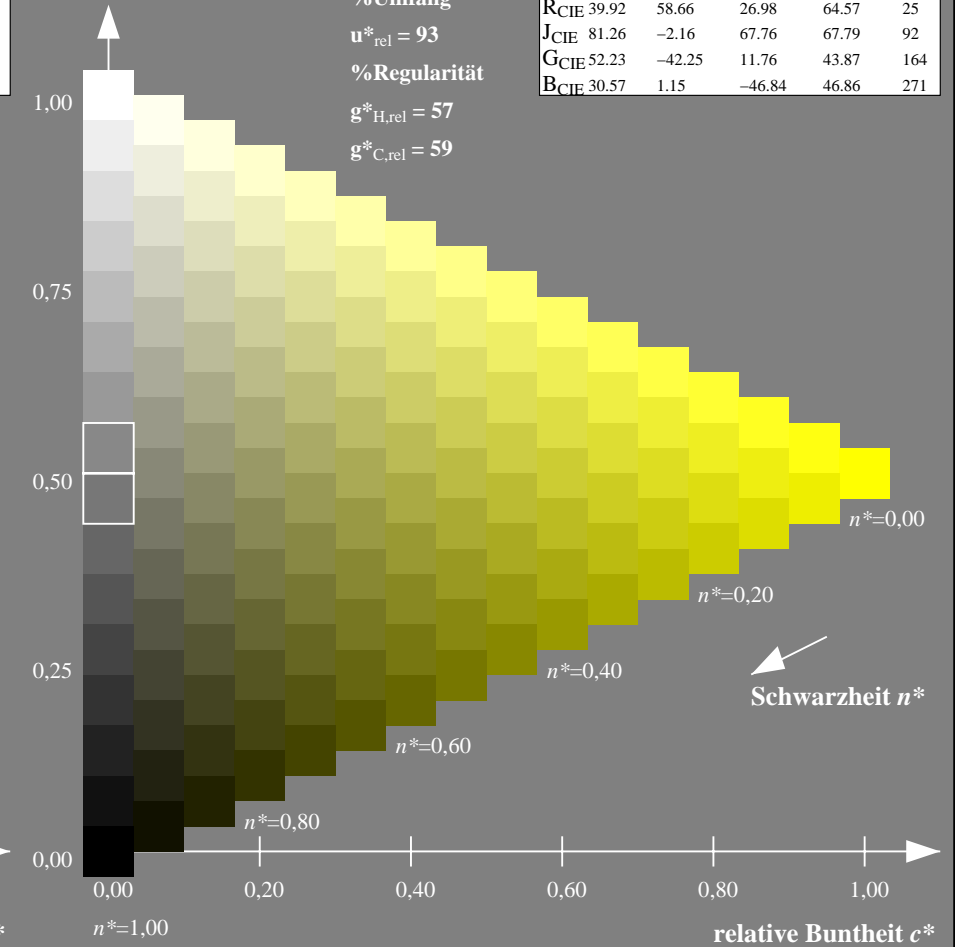
%Umfang

$u^*_{rel} = 93$

%Regularität

$g^*_{H,rel} = 57$

$g^*_{C,rel} = 59$



NG900-7, 9stufige Reihen für konstanten CIELAB Buntton $90/360 = 0.25$ (links)

16stufige Reihen für konstanten CIELAB Buntton $96/360 = 0.268$ (rechts)

Eingabe: Farbmetrisches Natürliches-Reflektiv-System NRS18

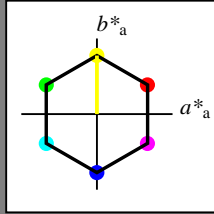
für Buntton $h^* = lab^*h = 90/360 = 0.25$

lab^*tch und lab^*nch

D65: Buntton Y

LCH*Ma: 70 77 90

olv*Ma: 1.0 1.0 0.0



NRS18; adaptierte CIELAB-Daten

	$L^*=L^*_a$	a^*_a	b^*_a	$C^*_{ab,a}$	$h^*_{ab,a}$
OMa	43.81	67.03	38.7	77.4	30
YMa	69.61	0.0	77.4	77.4	90
LMa	43.81	-67.02	38.7	77.4	150
CMa	69.61	-67.02	-38.69	77.4	210
VMa	43.81	0.0	-77.39	77.4	270
MMa	69.61	67.03	-38.69	77.4	330
NMa	18.01	0.0	0.0	0.0	0
WMa	95.41	0.0	0.0	0.0	0
RCIE	39.92	58.74	27.99	65.07	25
JCIE	81.26	-2.88	71.56	71.62	92
GCIE	52.23	-42.41	13.6	44.55	162
BCIE	30.57	1.41	-46.46	46.49	272

Dreiecks-Helligkeit t^*

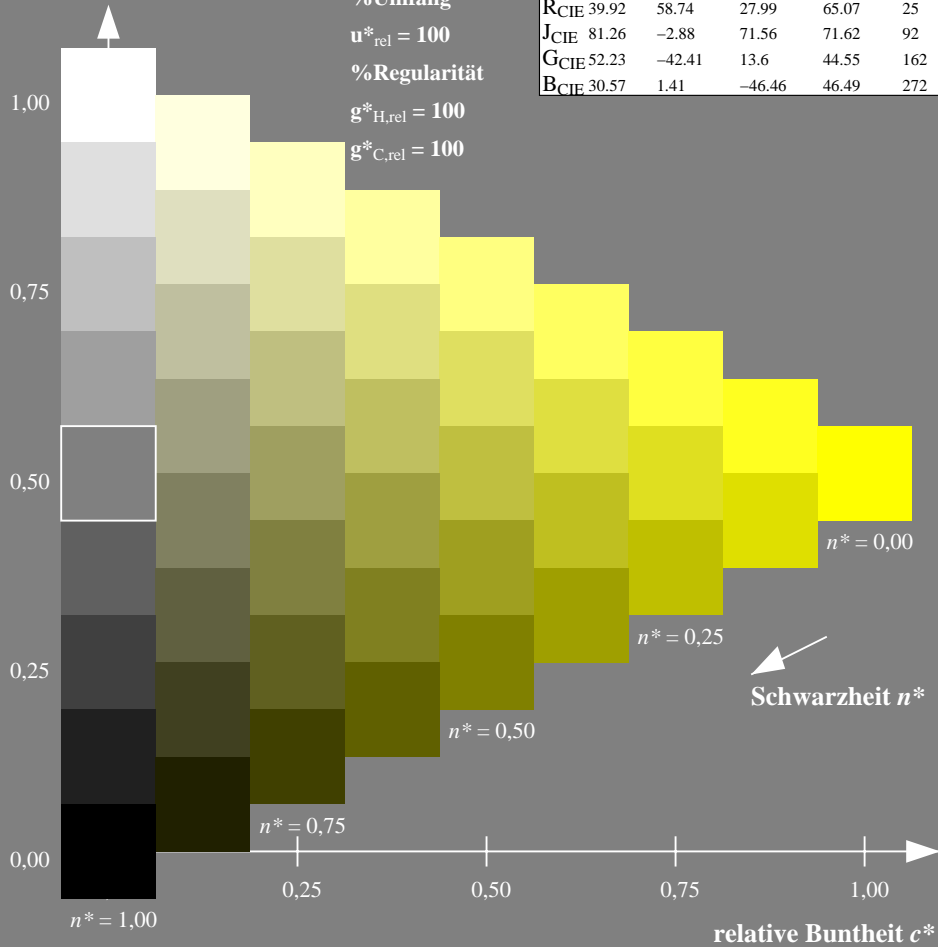
%Umfang

$u^*_{rel} = 100$

%Regularität

$g^*_{H,rel} = 100$

$g^*_{C,rel} = 100$



Ausgabe: Farbmetrisches Fernseh-Licht-System TLS00

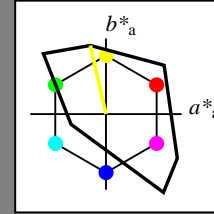
für Buntton $h^* = lab^*h = 103/360 = 0.286$

lab^*tch und lab^*nch

D65: Buntton Y

LCH*Ma: 93 93 103

olv*Ma: 1.0 1.0 0.0



TLS00; adaptierte CIELAB-Daten

	$L^*=L^*_a$	a^*_a	b^*_a	$C^*_{ab,a}$	$h^*_{ab,a}$
OMa	50.5	76.92	64.55	100.42	40
YMa	92.66	-20.69	90.75	93.08	103
LMa	83.63	-82.75	79.9	115.04	136
CMa	86.88	-46.16	-13.55	48.12	196
VMa	30.39	76.06	-103.59	128.52	306
MMa	57.3	94.35	-58.41	110.97	328
NMa	0.01	0.0	0.0	0.0	0
WMa	95.41	0.0	0.0	0.0	0
RCIE	39.92	58.74	27.99	65.07	25
JCIE	81.26	-2.88	71.56	71.62	92
GCIE	52.23	-42.41	13.6	44.55	162
BCIE	30.57	1.41	-46.46	46.49	272

Dreiecks-Helligkeit t^*

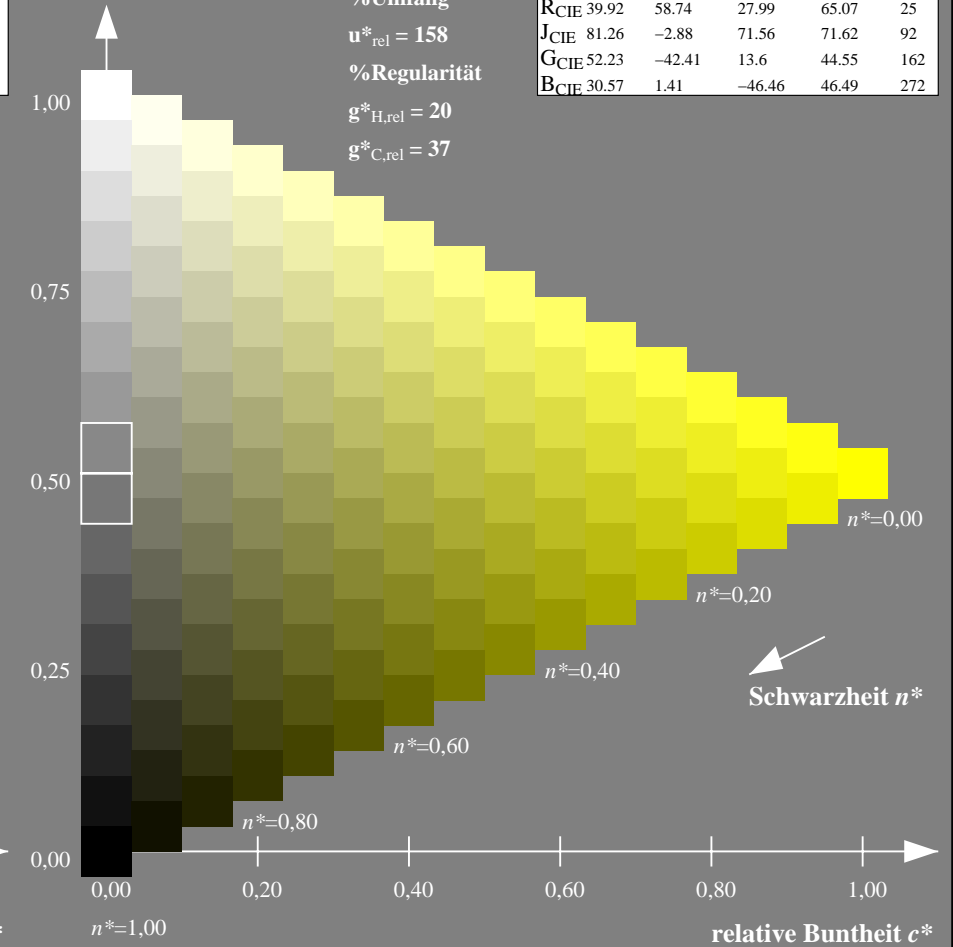
%Umfang

$u^*_{rel} = 158$

%Regularität

$g^*_{H,rel} = 20$

$g^*_{C,rel} = 37$



NG900-7, 9stufige Reihen für konstanten CIELAB Buntton $90/360 = 0.25$ (links)

16stufige Reihen für konstanten CIELAB Buntton $103/360 = 0.286$ (rechts)

Eingabe: Farbmetrisches Natürliches-Reflektiv-System NRS18

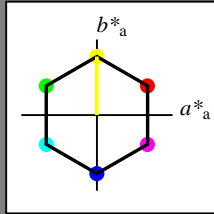
für Buntton $h^* = lab^*h = 90/360 = 0.25$

lab^*tch und lab^*nch

D65: Buntton Y

LCH*Ma: 70 77 90

olv*Ma: 1.0 1.0 0.0



NRS18; adaptierte CIELAB-Daten

	$L^*=L^*_a$	a^*_a	b^*_a	$C^*_{ab,a}$	$h^*_{ab,a}$
OMa	43.81	67.03	38.7	77.4	30
YMa	69.61	0.0	77.4	77.4	90
LMa	43.81	-67.02	38.7	77.4	150
CMa	69.61	-67.02	-38.69	77.4	210
VMa	43.81	0.0	-77.39	77.4	270
MMa	69.61	67.03	-38.69	77.4	330
NMa	18.01	0.0	0.0	0.0	0
WMa	95.41	0.0	0.0	0.0	0
RCIE	39.92	58.74	27.99	65.07	25
JCIE	81.26	-2.88	71.56	71.62	92
GCIE	52.23	-42.41	13.6	44.55	162
BCIE	30.57	1.41	-46.46	46.49	272

Dreiecks-Helligkeit t^*

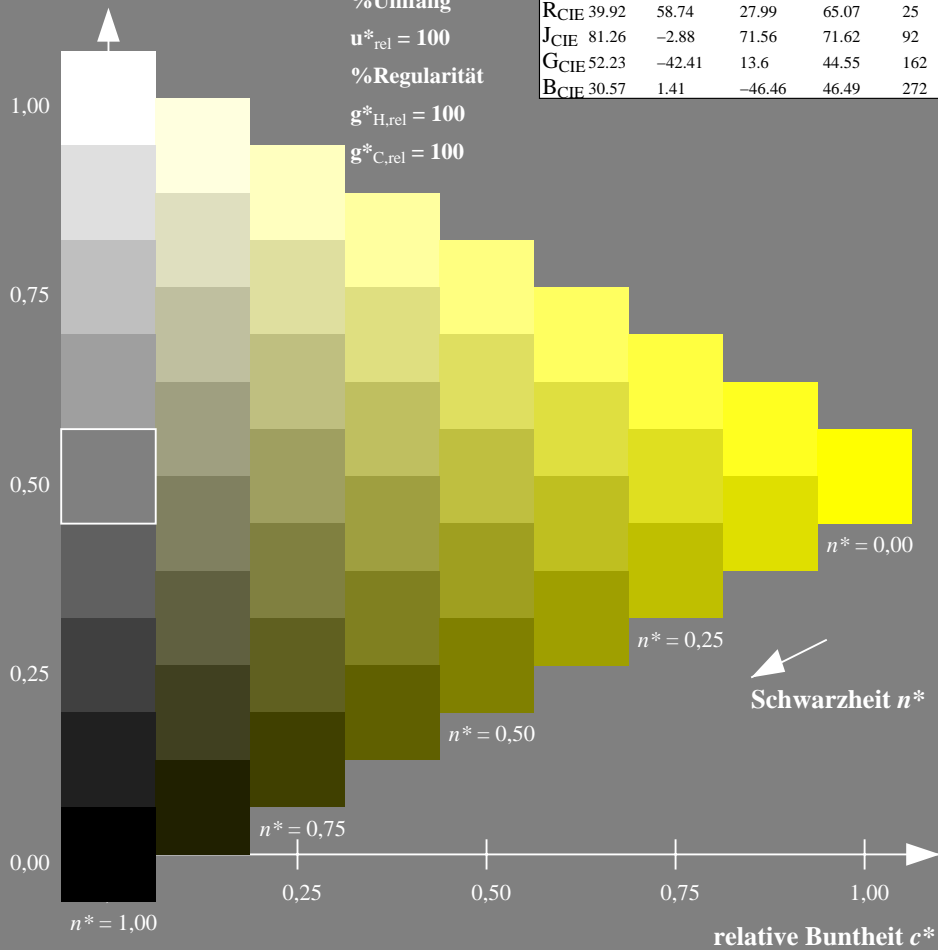
%Umfang

$u^*_{rel} = 100$

%Regularität

$g^*_{H,rel} = 100$

$g^*_{C,rel} = 100$



Ausgabe: Farbmetrisches Drucker-Reflektiv-System DRSXX

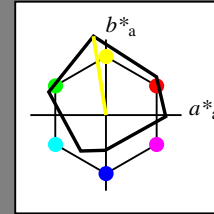
für Buntton $h^* = lab^*h = 99/360 = 0.275$

lab^*tch und lab^*nch

D65: Buntton Y

LCH*Ma: 90 106 99

olv*Ma: 1.0 1.0 0.0



DRSXX; adaptierte CIELAB-Daten

	$L^*=L^*_a$	a^*_a	b^*_a	$C^*_{ab,a}$	$h^*_{ab,a}$
OMa	42.21	66.82	50.6	83.82	37
YMa	90.32	-16.51	104.33	105.63	99
LMa	48.21	-75.63	30.65	81.61	158
CMa	53.44	-33.33	-47.49	58.03	235
VMa	34.16	-0.92	-46.56	46.58	269
MMa	42.71	79.0	-1.95	79.03	359
NMa	16.56	0.0	0.0	0.0	0
WMa	96.31	0.0	0.0	0.0	0
RCIE	39.92	59.78	25.77	65.1	23
JCIE	81.26	-2.51	69.07	69.11	92
GCIE	52.23	-41.57	11.3	43.09	165
BCIE	30.57	2.6	-48.62	48.7	273

Dreiecks-Helligkeit t^*

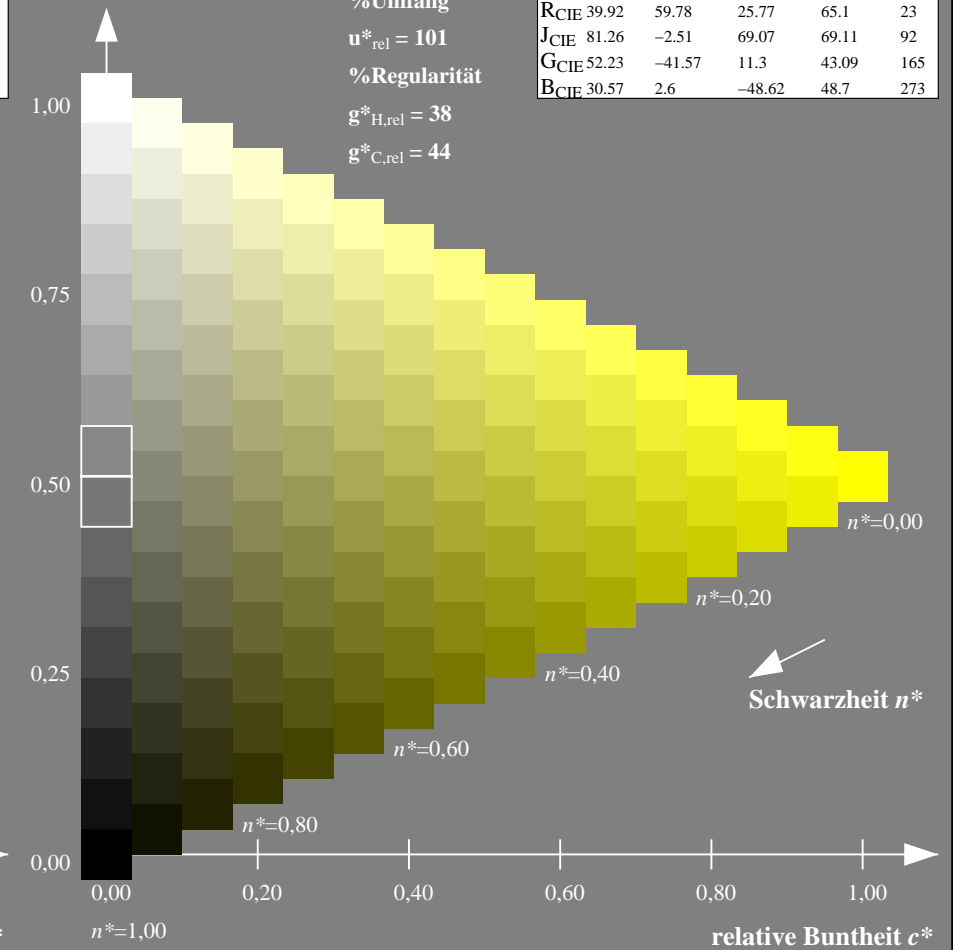
%Umfang

$u^*_{rel} = 101$

%Regularität

$g^*_{H,rel} = 38$

$g^*_{C,rel} = 44$



NG900-7, 9stufige Reihen für konstanten CIELAB Buntton 90/360 = 0.25 (links)

16stufige Reihen für konstanten CIELAB Buntton 99/360 = 0.275 (rechts)

Eingabe: Farbmetrisches Natürliches-Reflektiv-System NRS18

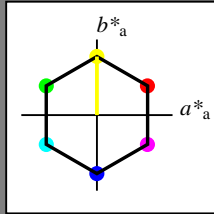
für Buntton $h^* = lab^*h = 90/360 = 0.25$

lab^*tch und lab^*nch

D65: Buntton Y

LCH*Ma: 70 77 90

olv*Ma: 1.0 1.0 0.0



NRS18; adaptierte CIELAB-Daten

	$L^*=L^*_a$	a^*_a	b^*_a	$C^*_{ab,a}$	$h^*_{ab,a}$
OMa	43.81	67.03	38.7	77.4	30
YMa	69.61	0.0	77.4	77.4	90
LMa	43.81	-67.02	38.7	77.4	150
CMa	69.61	-67.02	-38.69	77.4	210
VMa	43.81	0.0	-77.39	77.4	270
MMa	69.61	67.03	-38.69	77.4	330
NMa	18.01	0.0	0.0	0.0	0
WMa	95.41	0.0	0.0	0.0	0
RCIE	39.92	58.74	27.99	65.07	25
JCIE	81.26	-2.88	71.56	71.62	92
GCIE	52.23	-42.41	13.6	44.55	162
BCIE	30.57	1.41	-46.46	46.49	272

Dreiecks-Helligkeit t^*

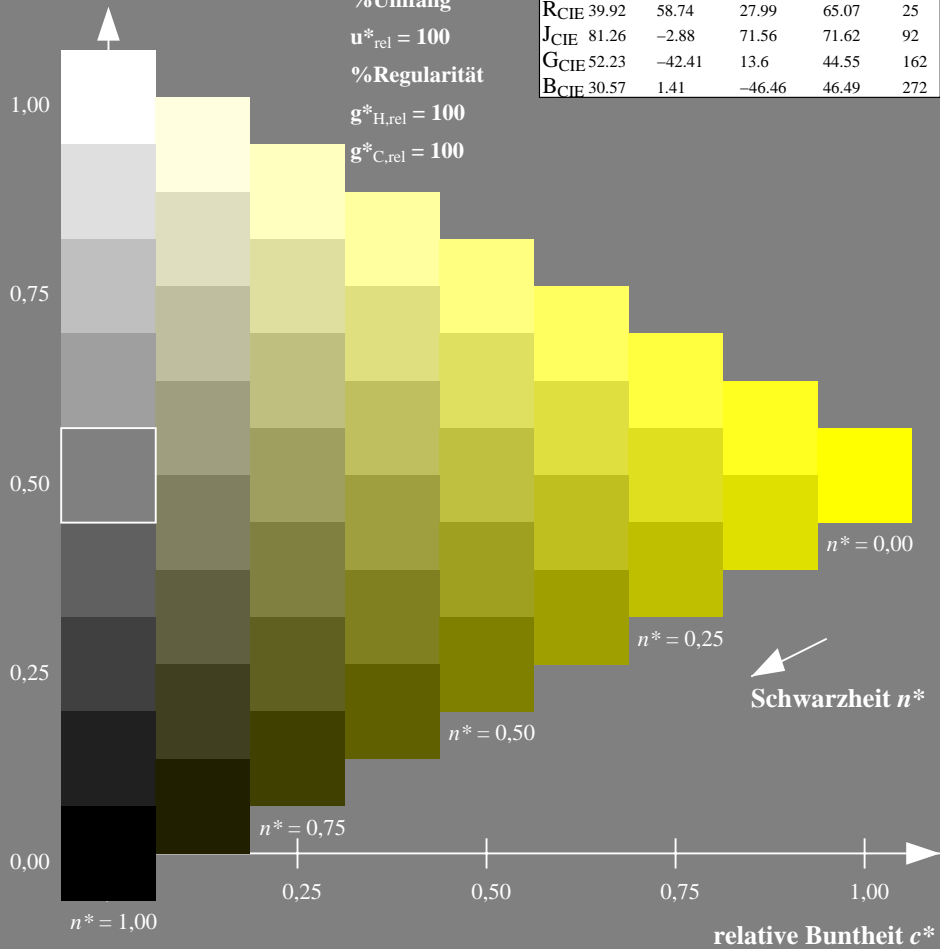
%Umfang

$u^*_{rel} = 100$

%Regularität

$g^*_{H,rel} = 100$

$g^*_{C,rel} = 100$



Ausgabe: Farbmetrisches Fernseh-Licht-System TLS18

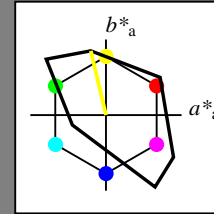
für Buntton $h^* = lab^*h = 103/360 = 0.287$

lab^*tch und lab^*nch

D65: Buntton Y

LCH*Ma: 93 87 103

olv*Ma: 1.0 1.0 0.0



TLS18; adaptierte CIELAB-Daten

	$L^*=L^*_a$	a^*_a	b^*_a	$C^*_{ab,a}$	$h^*_{ab,a}$
OMa	52.76	71.63	49.88	87.29	35
YMa	92.74	-20.02	84.97	87.3	103
LMa	84.0	-78.98	73.94	108.2	137
CMa	87.14	-44.41	-13.11	46.32	196
VMa	35.47	64.92	-95.06	115.12	304
MMa	59.01	89.33	-55.67	105.26	328
NMa	18.01	0.0	0.0	0.0	0
WMa	95.41	0.0	0.0	0.0	0
RCIE	39.92	58.74	27.99	65.07	25
JCIE	81.26	-2.88	71.56	71.62	92
GCIE	52.23	-42.41	13.6	44.55	162
BCIE	30.57	1.41	-46.46	46.49	272

Dreiecks-Helligkeit t^*

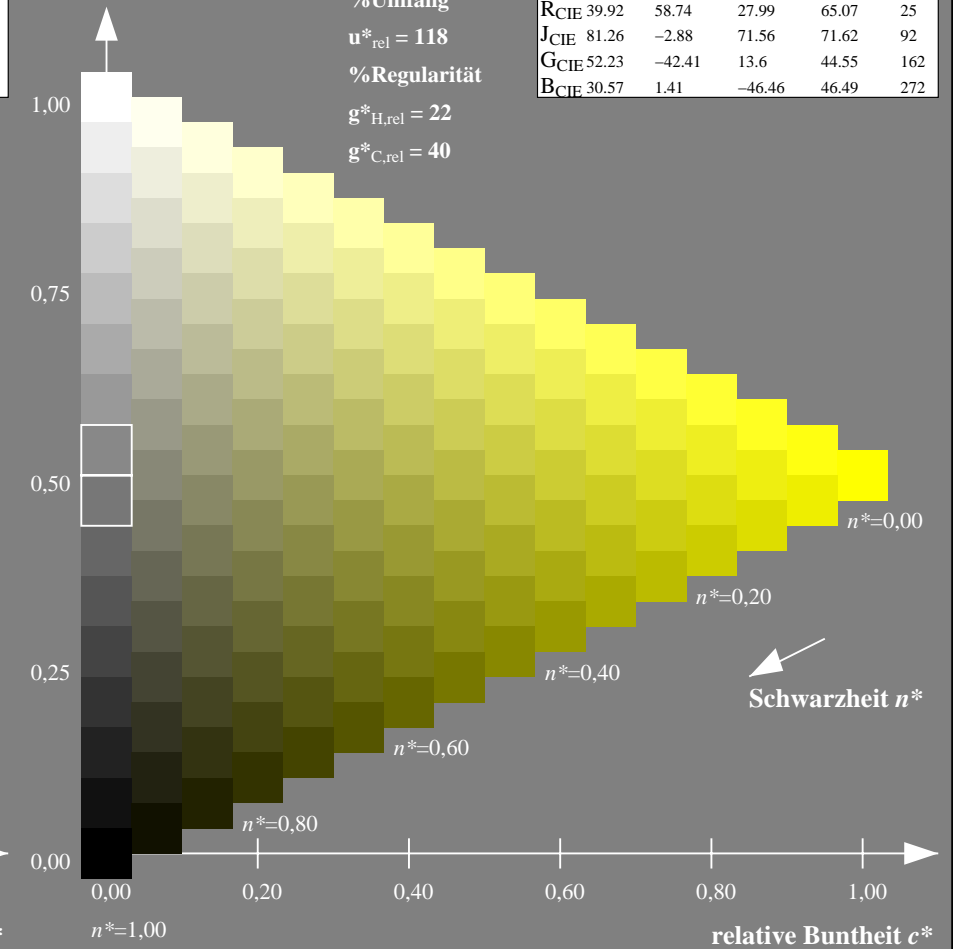
%Umfang

$u^*_{rel} = 118$

%Regularität

$g^*_{H,rel} = 22$

$g^*_{C,rel} = 40$



NG900-7, 9stufige Reihen für konstanten CIELAB Buntton $90/360 = 0.25$ (links)

16stufige Reihen für konstanten CIELAB Buntton $103/360 = 0.287$ (rechts)

Eingabe: Farbmimetrisches Natürliches-Reflektiv-System NRS18

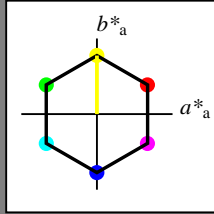
für Buntton $h^* = lab^*h = 90/360 = 0.25$

lab^*tch und lab^*nch

D65: Buntton Y

LCH*Ma: 70 77 90

olv*Ma: 1.0 1.0 0.0



NRS18; adaptierte CIELAB-Daten

	$L^*=L^*_a$	a^*_a	b^*_a	$C^*_{ab,a}$	$h^*_{ab,a}$
OMa	43.81	67.03	38.7	77.4	30
YMa	69.61	0.0	77.4	77.4	90
LMa	43.81	-67.02	38.7	77.4	150
CMa	69.61	-67.02	-38.69	77.4	210
VMa	43.81	0.0	-77.39	77.4	270
MMa	69.61	67.03	-38.69	77.4	330
NMa	18.01	0.0	0.0	0.0	0
WMa	95.41	0.0	0.0	0.0	0
RCIE	39.92	58.74	27.99	65.07	25
JCIE	81.26	-2.88	71.56	71.62	92
GCIE	52.23	-42.41	13.6	44.55	162
BCIE	30.57	1.41	-46.46	46.49	272

Dreiecks-Helligkeit t^*

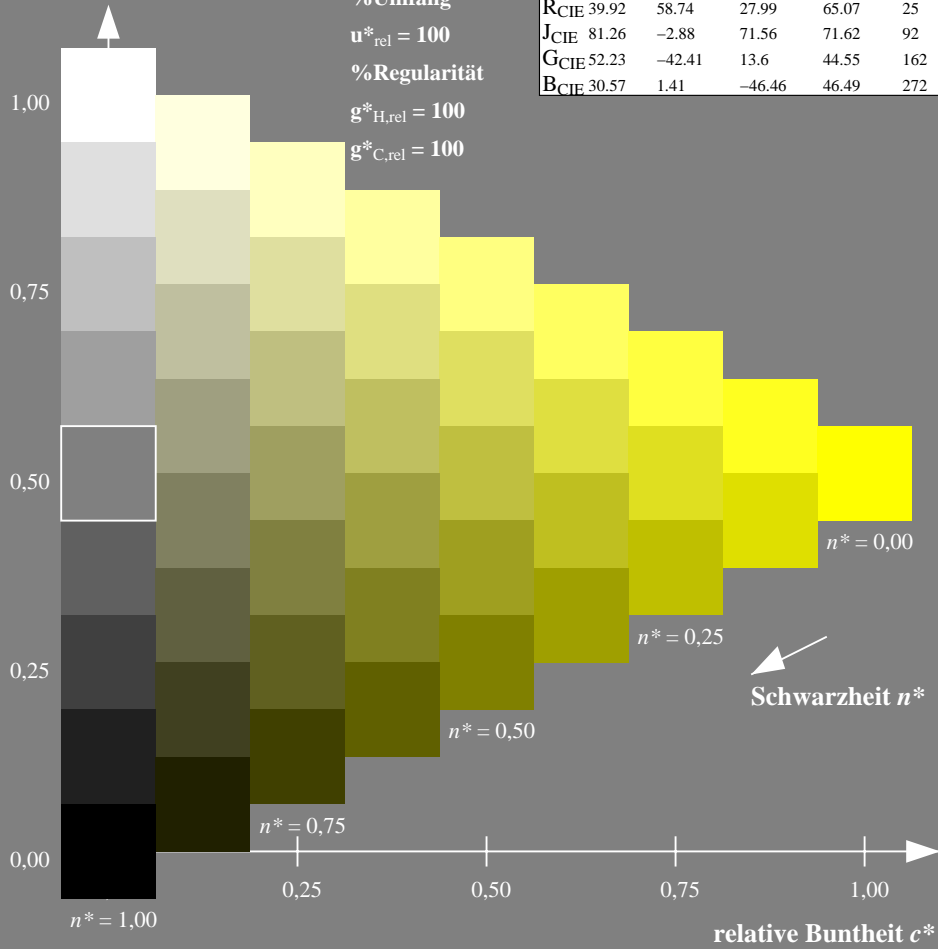
%Umfang

$u^*_{rel} = 100$

%Regularität

$g^*_{H,rel} = 100$

$g^*_{C,rel} = 100$



Ausgabe: Farbmimetrisches Natürliches-Licht-System NLS00

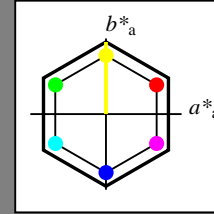
für Buntton $h^* = lab^*h = 90/360 = 0.25$

lab^*tch und lab^*nch

D65: Buntton Y

LCH*Ma: 64 95 90

olv*Ma: 1.0 1.0 0.0



NLS00; adaptierte CIELAB-Daten

	$L^*=L^*_a$	a^*_a	b^*_a	$C^*_{ab,a}$	$h^*_{ab,a}$
OMa	31.81	82.62	47.7	95.4	30
YMa	63.61	0.0	95.4	95.4	90
LMa	31.81	-82.61	47.7	95.4	150
CMa	63.61	-82.61	-47.69	95.4	210
VMa	31.81	0.0	-95.39	95.4	270
MMa	63.61	82.62	-47.69	95.4	330
NMa	0.01	0.0	0.0	0.0	0
WMa	95.41	0.0	0.0	0.0	0
RCIE	39.92	58.74	27.99	65.07	25
JCIE	81.26	-2.88	71.56	71.62	92
GCIE	52.23	-42.41	13.6	44.55	162
BCIE	30.57	1.41	-46.46	46.49	272

Dreiecks-Helligkeit t^*

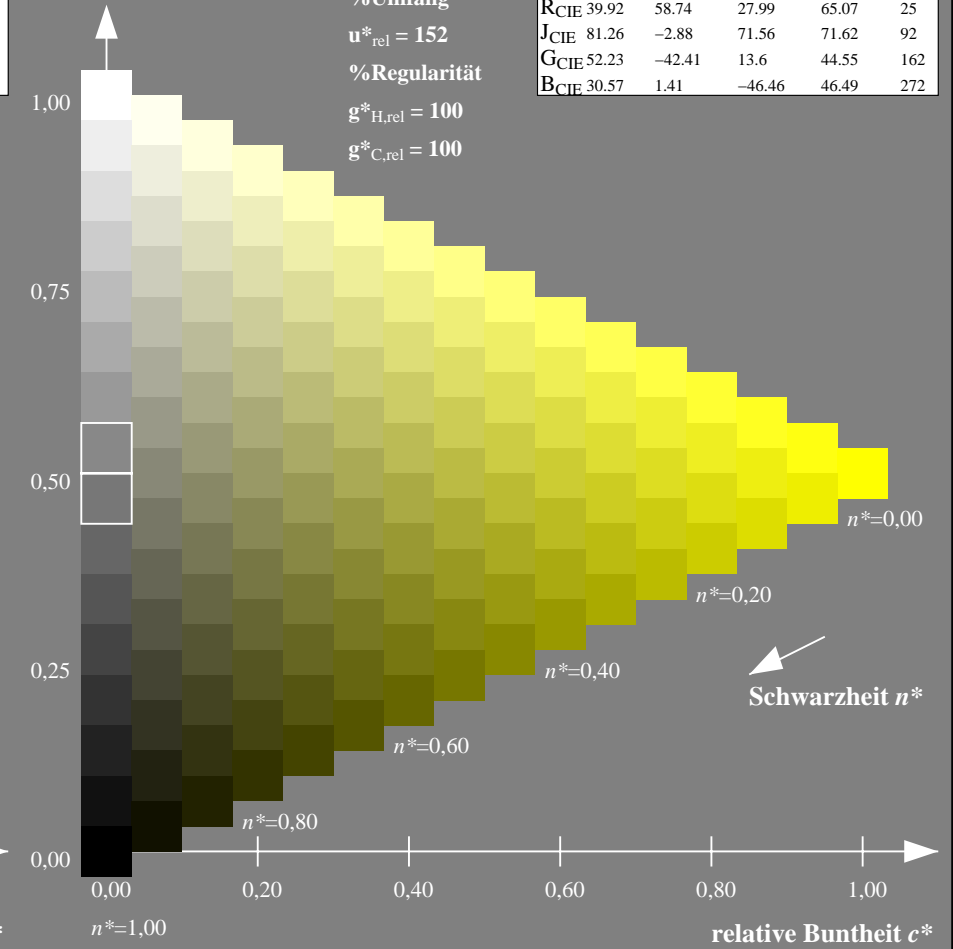
%Umfang

$u^*_{rel} = 152$

%Regularität

$g^*_{H,rel} = 100$

$g^*_{C,rel} = 100$



NG900-7, 9stufige Reihen für konstanten CIELAB Buntton $90/360 = 0.25$ (links)

16stufige Reihen für konstanten CIELAB Buntton $90/360 = 0.25$ (rechts)

Eingabe: Farbmatisches Natürliches-Reflektiv-System NRS18

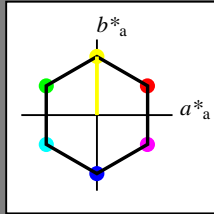
für Buntton $h^* = lab^*h = 90/360 = 0.25$

lab^*tch und lab^*nch

D65: Buntton Y

LCH*Ma: 70 77 90

olv*Ma: 1.0 1.0 0.0



NRS18; adaptierte CIELAB-Daten

	$L^*=L^*_a$	a^*_a	b^*_a	$C^*_{ab,a}$	$h^*_{ab,a}$
OMa	43.81	67.03	38.7	77.4	30
YMa	69.61	0.0	77.4	77.4	90
LMa	43.81	-67.02	38.7	77.4	150
CMa	69.61	-67.02	-38.69	77.4	210
VMa	43.81	0.0	-77.39	77.4	270
MMa	69.61	67.03	-38.69	77.4	330
NMa	18.01	0.0	0.0	0.0	0
WMa	95.41	0.0	0.0	0.0	0
RCIE	39.92	58.74	27.99	65.07	25
JCIE	81.26	-2.88	71.56	71.62	92
GCIE	52.23	-42.41	13.6	44.55	162
BCIE	30.57	1.41	-46.46	46.49	272

Dreiecks-Helligkeit t^*

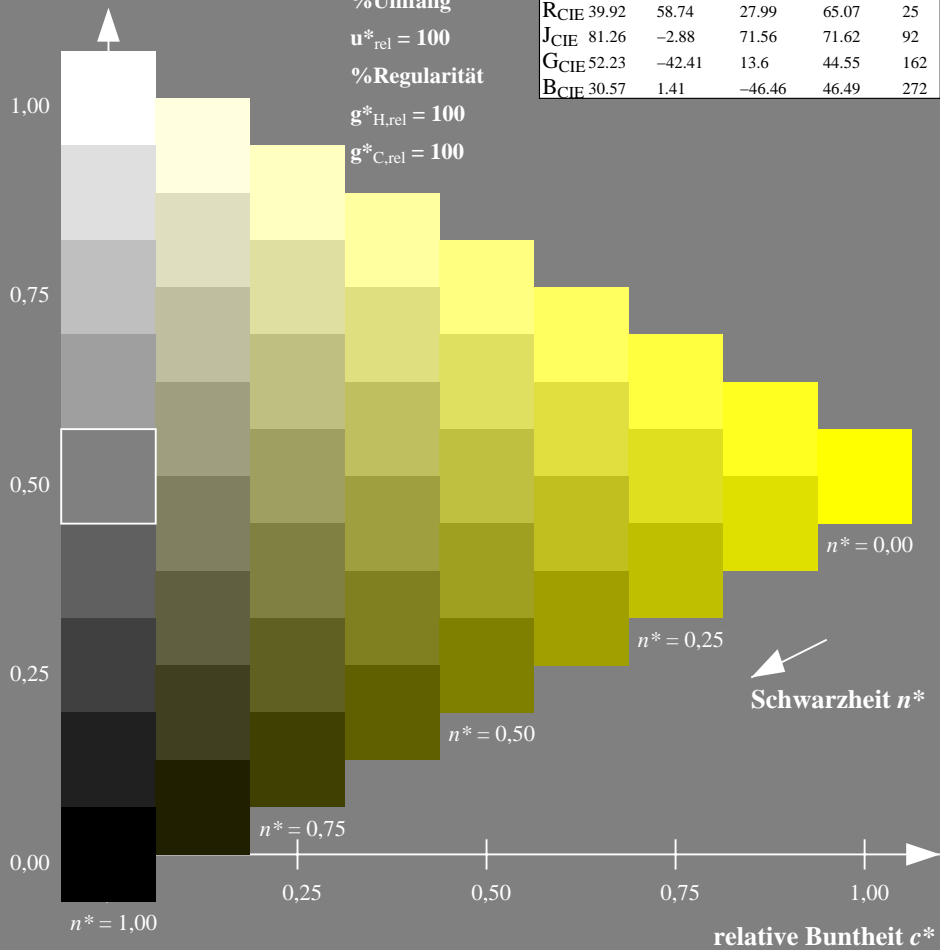
%Umfang

$u^*_{rel} = 100$

%Regularität

$g^*_{H,rel} = 100$

$g^*_{C,rel} = 100$



Ausgabe: Farbmatisches Natürliches-Reflektiv-System NRS18

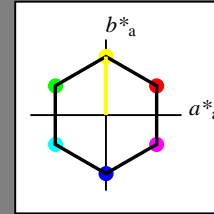
für Buntton $h^* = lab^*h = 90/360 = 0.25$

lab^*tch und lab^*nch

D65: Buntton Y

LCH*Ma: 70 77 90

olv*Ma: 1.0 1.0 0.0



NRS18; adaptierte CIELAB-Daten

	$L^*=L^*_a$	a^*_a	b^*_a	$C^*_{ab,a}$	$h^*_{ab,a}$
OMa	43.81	67.03	38.7	77.4	30
YMa	69.61	0.0	77.4	77.4	90
LMa	43.81	-67.02	38.7	77.4	150
CMa	69.61	-67.02	-38.69	77.4	210
VMa	43.81	0.0	-77.39	77.4	270
MMa	69.61	67.03	-38.69	77.4	330
NMa	18.01	0.0	0.0	0.0	0
WMa	95.41	0.0	0.0	0.0	0
RCIE	39.92	58.74	27.99	65.07	25
JCIE	81.26	-2.88	71.56	71.62	92
GCIE	52.23	-42.41	13.6	44.55	162
BCIE	30.57	1.41	-46.46	46.49	272

Dreiecks-Helligkeit t^*

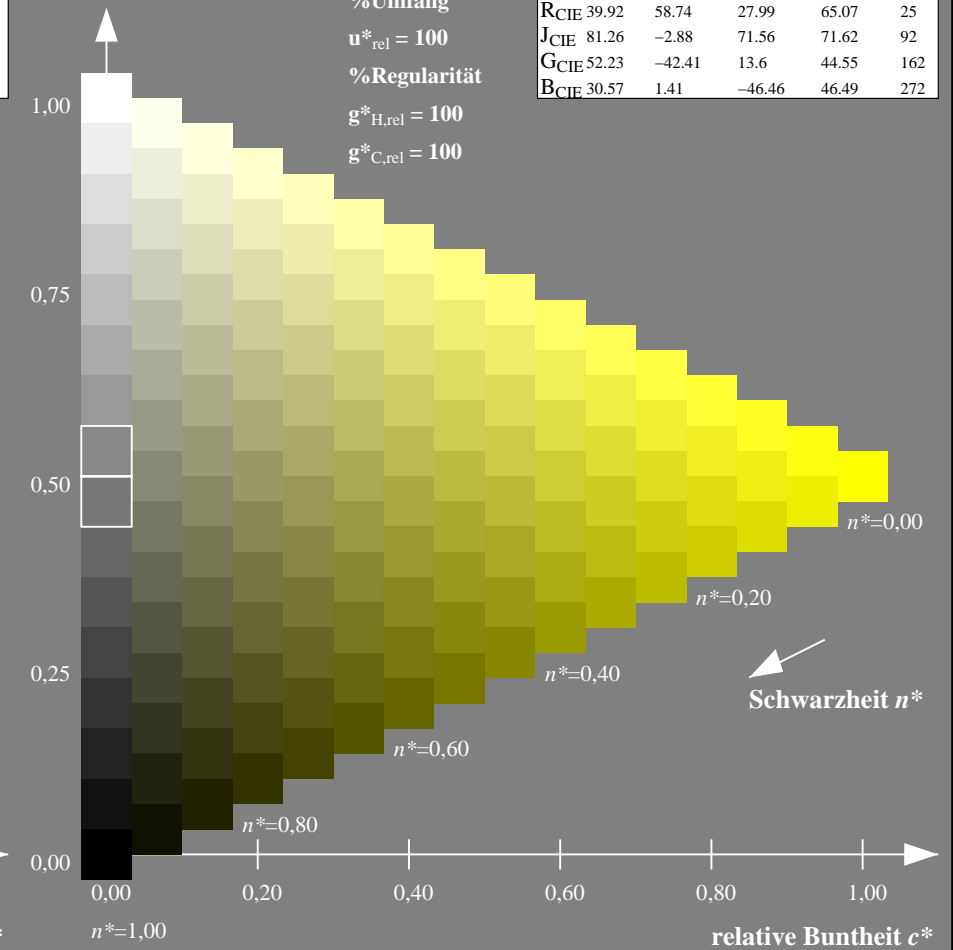
%Umfang

$u^*_{rel} = 100$

%Regularität

$g^*_{H,rel} = 100$

$g^*_{C,rel} = 100$



NG900-7, 9stufige Reihen für konstanten CIELAB Buntton 90/360 = 0.25 (links)

16stufige Reihen für konstanten CIELAB Buntton 90/360 = 0.25 (rechts)

Eingabe: Farbmimetrisches Natürliches-Reflektiv-System NRS18

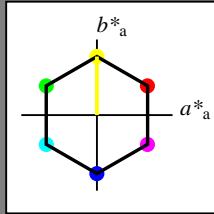
für Buntton $h^* = lab^*h = 90/360 = 0.25$

lab^*tch und lab^*nch

D65: Buntton Y

LCH*Ma: 70 77 90

olv*Ma: 1.0 1.0 0.0



NRS18; adaptierte CIELAB-Daten

	$L^*=L^*_a$	a^*_a	b^*_a	$C^*_{ab,a}$	$h^*_{ab,a}$
OMa	43.81	67.03	38.7	77.4	30
YMa	69.61	0.0	77.4	77.4	90
LMa	43.81	-67.02	38.7	77.4	150
CMa	69.61	-67.02	-38.69	77.4	210
VMa	43.81	0.0	-77.39	77.4	270
MMa	69.61	67.03	-38.69	77.4	330
NMa	18.01	0.0	0.0	0.0	0
WMa	95.41	0.0	0.0	0.0	0
RCIE	39.92	58.74	27.99	65.07	25
JCIE	81.26	-2.88	71.56	71.62	92
GCIE	52.23	-42.41	13.6	44.55	162
BCIE	30.57	1.41	-46.46	46.49	272

Dreiecks-Helligkeit t^*

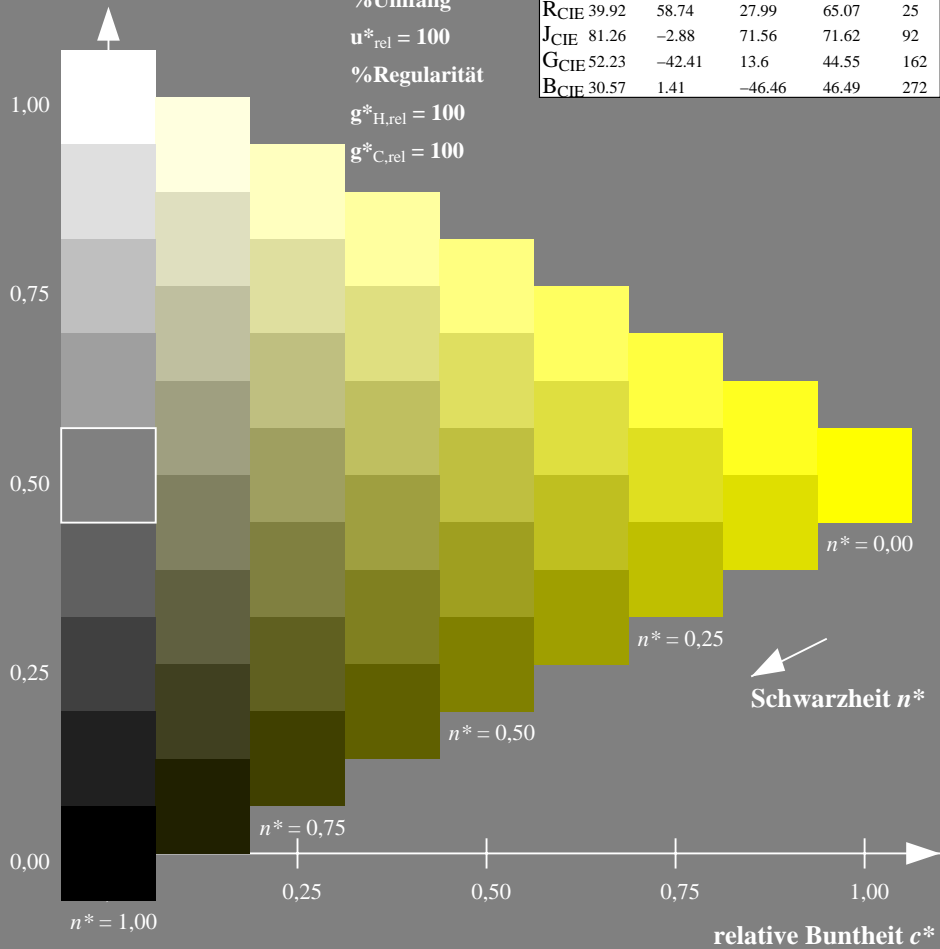
%Umfang

$u^*_{rel} = 100$

%Regularität

$g^*_{H,rel} = 100$

$g^*_{C,rel} = 100$



Ausgabe: Farbmimetrisches Standard-Reflektiv-System SRS18

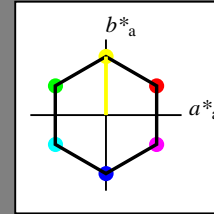
für Buntton $h^* = lab^*h = 90/360 = 0.25$

lab^*tch und lab^*nch

D65: Buntton Y

LCH*Ma: 57 77 90

olv*Ma: 1.0 1.0 0.0



SRS18; adaptierte CIELAB-Daten

	$L^*=L^*_a$	a^*_a	b^*_a	$C^*_{ab,a}$	$h^*_{ab,a}$
OMa	56.71	67.03	38.7	77.4	30
YMa	56.71	0.0	77.4	77.4	90
LMa	56.71	-67.02	38.7	77.4	150
CMa	56.71	-67.02	-38.69	77.4	210
VMa	56.71	0.0	-77.39	77.4	270
MMa	56.71	67.03	-38.69	77.4	330
NMa	18.01	0.0	0.0	0.0	0
WMa	95.41	0.0	0.0	0.0	0
RCIE	39.92	58.74	27.99	65.07	25
JCIE	81.26	-2.88	71.56	71.62	92
GCIE	52.23	-42.41	13.6	44.55	162
BCIE	30.57	1.41	-46.46	46.49	272

Dreiecks-Helligkeit t^*

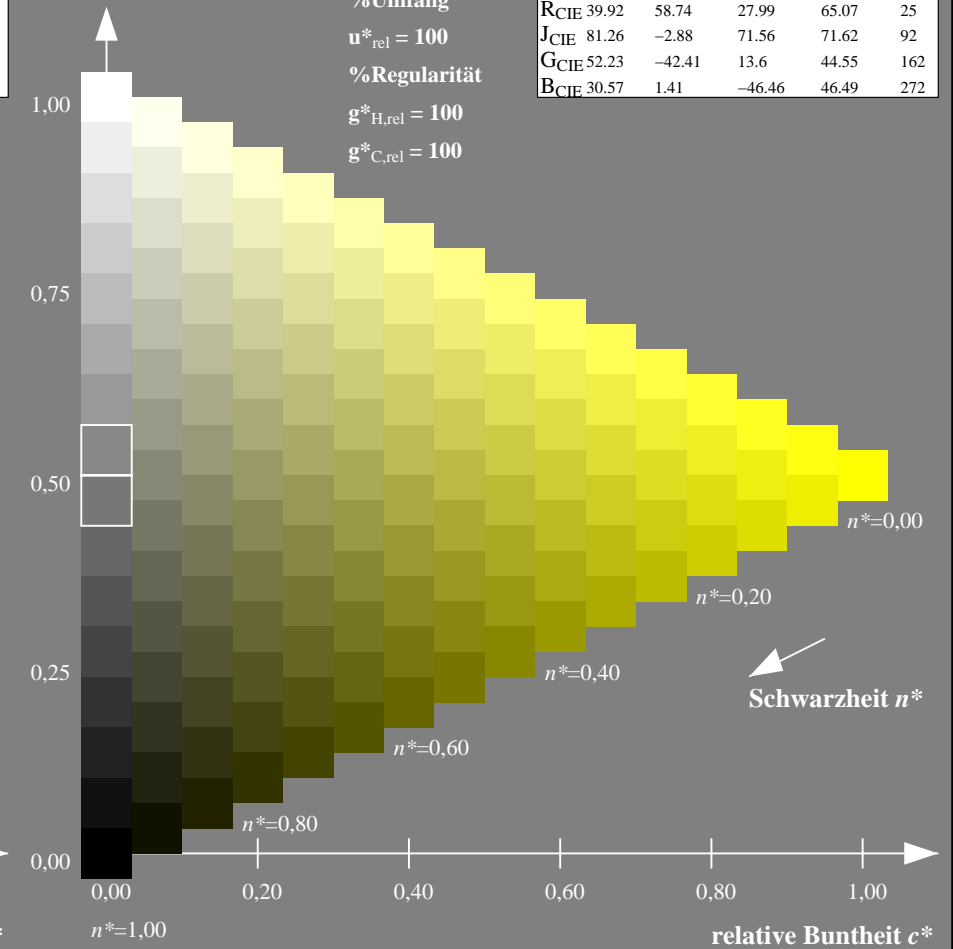
%Umfang

$u^*_{rel} = 100$

%Regularität

$g^*_{H,rel} = 100$

$g^*_{C,rel} = 100$



NG900-7, 9stufige Reihen für konstanten CIELAB Buntton $90/360 = 0.25$ (links)

16stufige Reihen für konstanten CIELAB Buntton $90/360 = 0.25$ (rechts)

Eingabe: Farbmetrisches Natürliches-Reflektiv-System NRS18

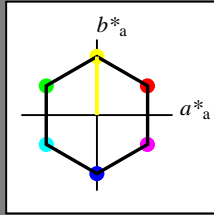
für Buntton $h^* = lab^*h = 90/360 = 0.25$

lab^*tch und lab^*nch

D65: Buntton Y

LCH*Ma: 70 77 90

olv*Ma: 1.0 1.0 0.0



NRS18; adaptierte CIELAB-Daten

	$L^*=L^*_a$	a^*_a	b^*_a	$C^*_{ab,a}$	$h^*_{ab,a}$
O _{Ma}	43.81	67.03	38.7	77.4	30
Y _{Ma}	69.61	0.0	77.4	77.4	90
L _{Ma}	43.81	-67.02	38.7	77.4	150
C _{Ma}	69.61	-67.02	-38.69	77.4	210
V _{Ma}	43.81	0.0	-77.39	77.4	270
M _{Ma}	69.61	67.03	-38.69	77.4	330
N _{Ma}	18.01	0.0	0.0	0.0	0
W _{Ma}	95.41	0.0	0.0	0.0	0
R _{CIE}	39.92	58.74	27.99	65.07	25
J _{CIE}	81.26	-2.88	71.56	71.62	92
G _{CIE}	52.23	-42.41	13.6	44.55	162
B _{CIE}	30.57	1.41	-46.46	46.49	272

Dreiecks-Helligkeit t^*

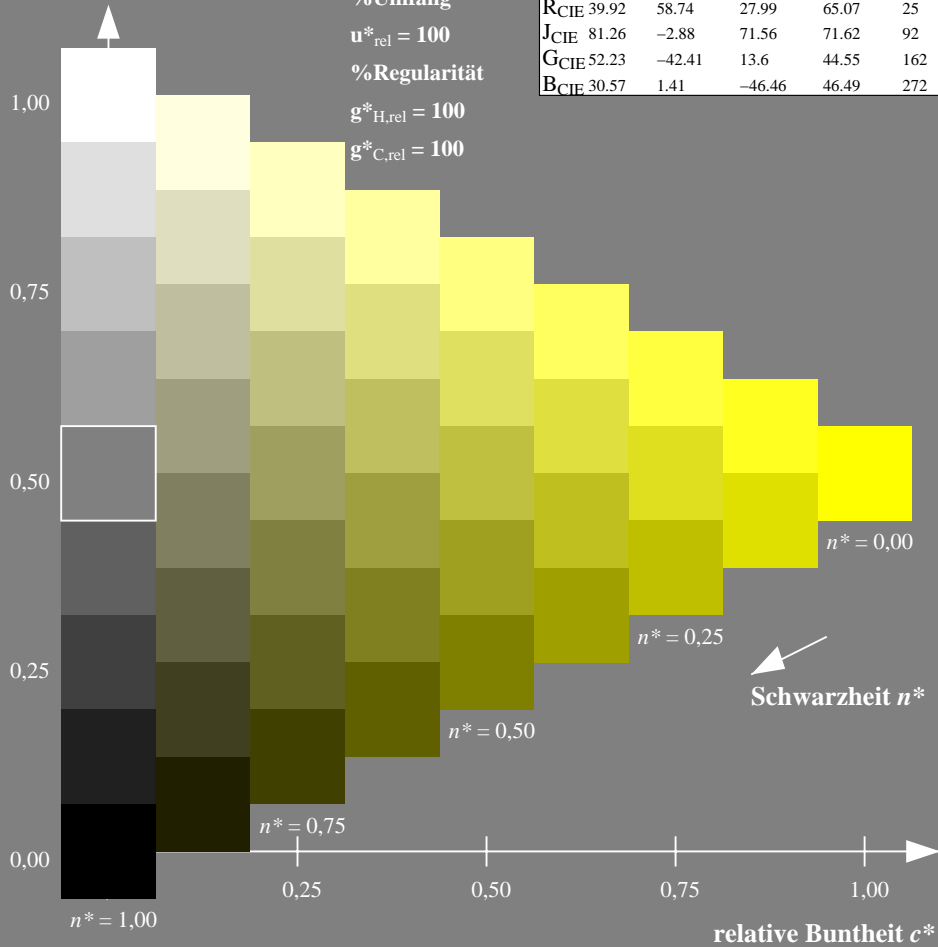
%Umfang

$u^*_{rel} = 100$

%Regularität

$g^*_{H,rel} = 100$

$g^*_{C,rel} = 100$



Ausgabe: Farbmetrisches Fernseh-Licht-System TLS70

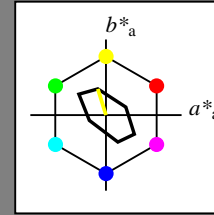
für Buntton $h^* = lab^*h = 107/360 = 0.298$

lab^*tch und lab^*nch

D65: Buntton Y

LCH*Ma: 94 36 107

olv*Ma: 1.0 1.0 0.0



TLS70; adaptierte CIELAB-Daten

	$L^*=L^*_a$	a^*_a	b^*_a	$C^*_{ab,a}$	$h^*_{ab,a}$
O _{Ma}	76.43	26.27	10.57	28.32	22
Y _{Ma}	93.93	-10.76	34.63	36.27	107
L _{Ma}	89.32	-35.8	27.64	45.24	142
C _{Ma}	90.93	-21.95	-7.07	23.07	198
V _{Ma}	72.1	15.76	-35.63	38.97	294
M _{Ma}	78.5	37.52	-25.23	45.22	326
N _{Ma}	69.7	0.0	0.0	0.0	0
W _{Ma}	95.41	0.0	0.0	0.0	0
R _{CIE}	39.92	58.74	27.99	65.07	25
J _{CIE}	81.26	-2.88	71.56	71.62	92
G _{CIE}	52.23	-42.41	13.6	44.55	162
B _{CIE}	30.57	1.41	-46.46	46.49	272

Dreiecks-Helligkeit t^*

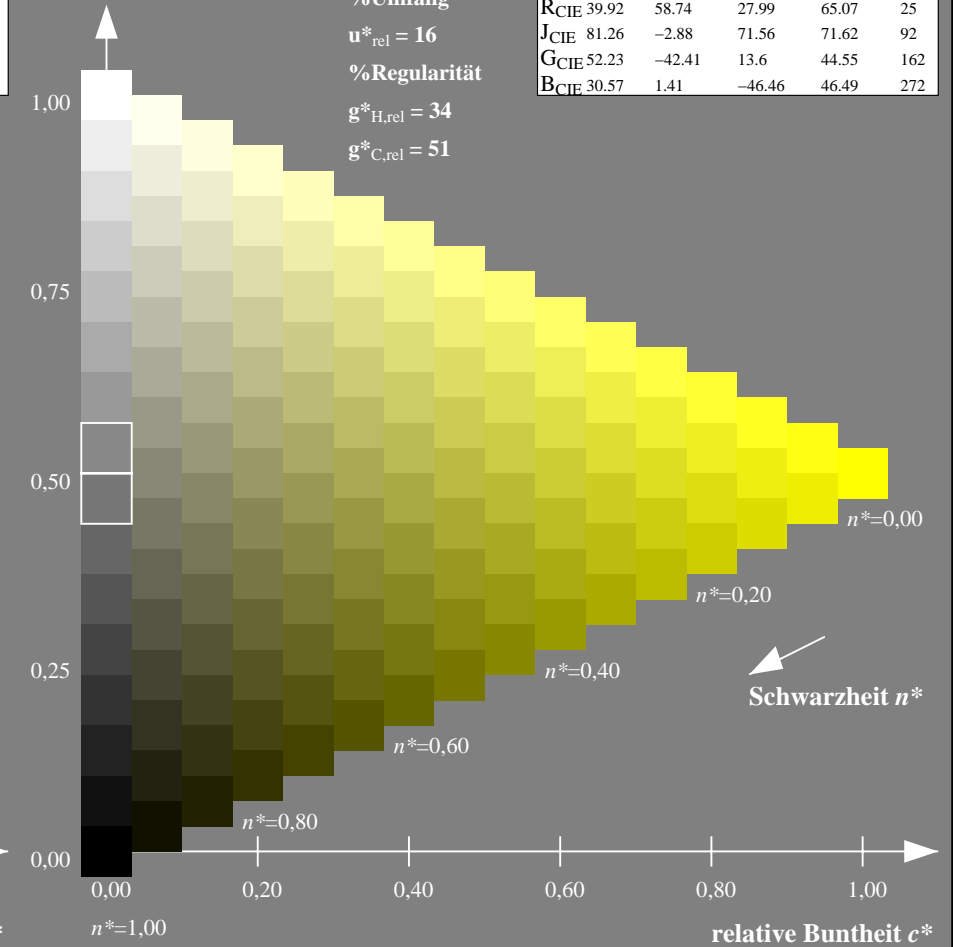
%Umfang

$u^*_{rel} = 16$

%Regularität

$g^*_{H,rel} = 34$

$g^*_{C,rel} = 51$



NG900-7, 9stufige Reihen für konstanten CIELAB Buntton $90/360 = 0.25$ (links)

16stufige Reihen für konstanten CIELAB Buntton $107/360 = 0.298$ (rechts)

Eingabe: Farbmetrisches Standard-Reflektiv-System SRS18

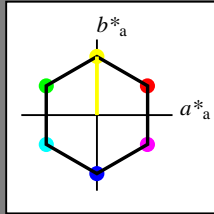
für Buntton $h^* = lab^*h = 90/360 = 0.25$

lab^*tch und lab^*nch

D65: Buntton Y

LCH*Ma: 57 77 90

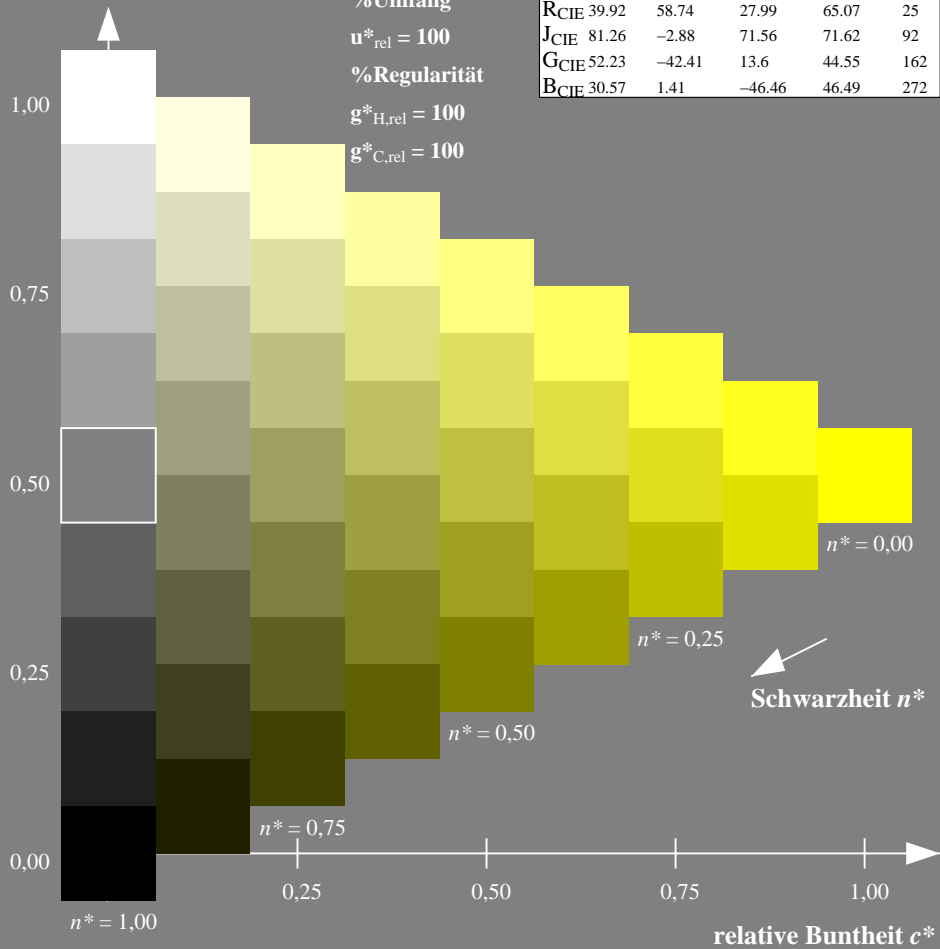
olv*Ma: 1.0 1.0 0.0



SRS18; adaptierte CIELAB-Daten

	$L^*=L^*_a$	a^*_a	b^*_a	$C^*_{ab,a}$	$h^*_{ab,a}$
O _{Ma}	56.71	67.03	38.7	77.4	30
Y _{Ma}	56.71	0.0	77.4	77.4	90
L _{Ma}	56.71	-67.02	38.7	77.4	150
C _{Ma}	56.71	-67.02	-38.69	77.4	210
V _{Ma}	56.71	0.0	-77.39	77.4	270
M _{Ma}	56.71	67.03	-38.69	77.4	330
N _{Ma}	18.01	0.0	0.0	0.0	0
W _{Ma}	95.41	0.0	0.0	0.0	0
R _{CIE}	39.92	58.74	27.99	65.07	25
J _{CIE}	81.26	-2.88	71.56	71.62	92
G _{CIE}	52.23	-42.41	13.6	44.55	162
B _{CIE}	30.57	1.41	-46.46	46.49	272

Dreiecks-Helligkeit t^*



Ausgabe: Farbmetrisches Offset-Reflektiv-System ORS18

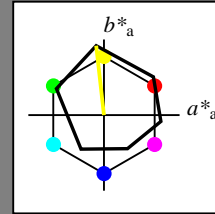
für Buntton $h^* = lab^*h = 96/360 = 0.268$

lab^*tch und lab^*nch

D65: Buntton Y

LCH*Ma: 90 92 96

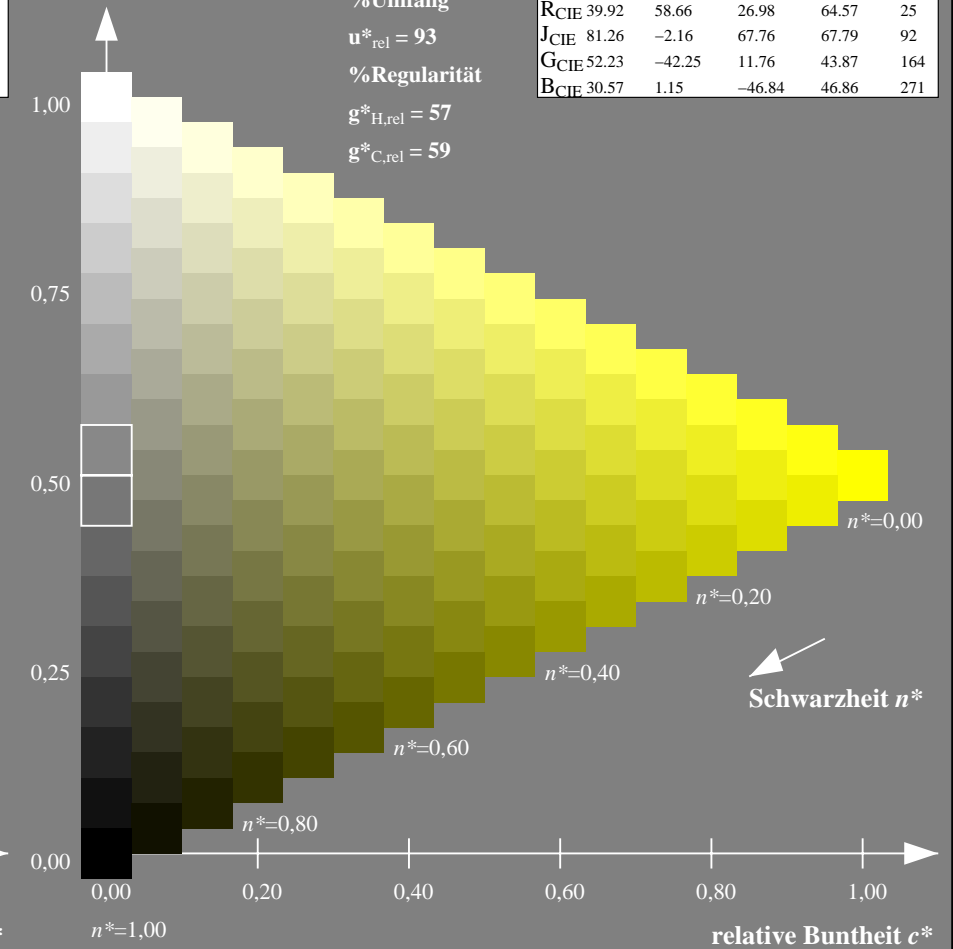
olv*Ma: 1.0 1.0 0.0



ORS18; adaptierte CIELAB-Daten

	$L^*=L^*_a$	a^*_a	b^*_a	$C^*_{ab,a}$	$h^*_{ab,a}$
O _{Ma}	47.94	65.39	50.52	82.63	38
Y _{Ma}	90.37	-10.26	91.75	92.32	96
L _{Ma}	50.9	-62.83	34.96	71.91	151
C _{Ma}	58.62	-30.34	-45.01	54.3	236
V _{Ma}	25.72	31.1	-44.4	54.22	305
M _{Ma}	48.13	75.28	-8.36	75.74	354
N _{Ma}	18.01	0.0	0.0	0.0	0
W _{Ma}	95.41	0.0	0.0	0.0	0
R _{CIE}	39.92	58.66	26.98	64.57	25
J _{CIE}	81.26	-2.16	67.76	67.79	92
G _{CIE}	52.23	-42.25	11.76	43.87	164
B _{CIE}	30.57	1.15	-46.84	46.86	271

Dreiecks-Helligkeit t^*



NG900-7, 9stufige Reihen für konstanten CIELAB Buntton 90/360 = 0.25 (links)

16stufige Reihen für konstanten CIELAB Buntton 96/360 = 0.268 (rechts)

Eingabe: Farbmetrisches Standard-Reflektiv-System SRS18

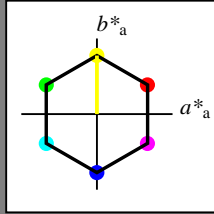
für Buntton $h^* = lab^*h = 90/360 = 0.25$

lab^*tch und lab^*nch

D65: Buntton Y

LCH*Ma: 57 77 90

olv*Ma: 1.0 1.0 0.0



SRS18; adaptierte CIELAB-Daten

	$L^*=L^*_a$	a^*_a	b^*_a	$C^*_{ab,a}$	$h^*_{ab,a}$
O _{Ma}	56.71	67.03	38.7	77.4	30
Y _{Ma}	56.71	0.0	77.4	77.4	90
L _{Ma}	56.71	-67.02	38.7	77.4	150
C _{Ma}	56.71	-67.02	-38.69	77.4	210
V _{Ma}	56.71	0.0	-77.39	77.4	270
M _{Ma}	56.71	67.03	-38.69	77.4	330
N _{Ma}	18.01	0.0	0.0	0.0	0
W _{Ma}	95.41	0.0	0.0	0.0	0
R _{CIE}	39.92	58.74	27.99	65.07	25
J _{CIE}	81.26	-2.88	71.56	71.62	92
G _{CIE}	52.23	-42.41	13.6	44.55	162
B _{CIE}	30.57	1.41	-46.46	46.49	272

Dreiecks-Helligkeit t^*

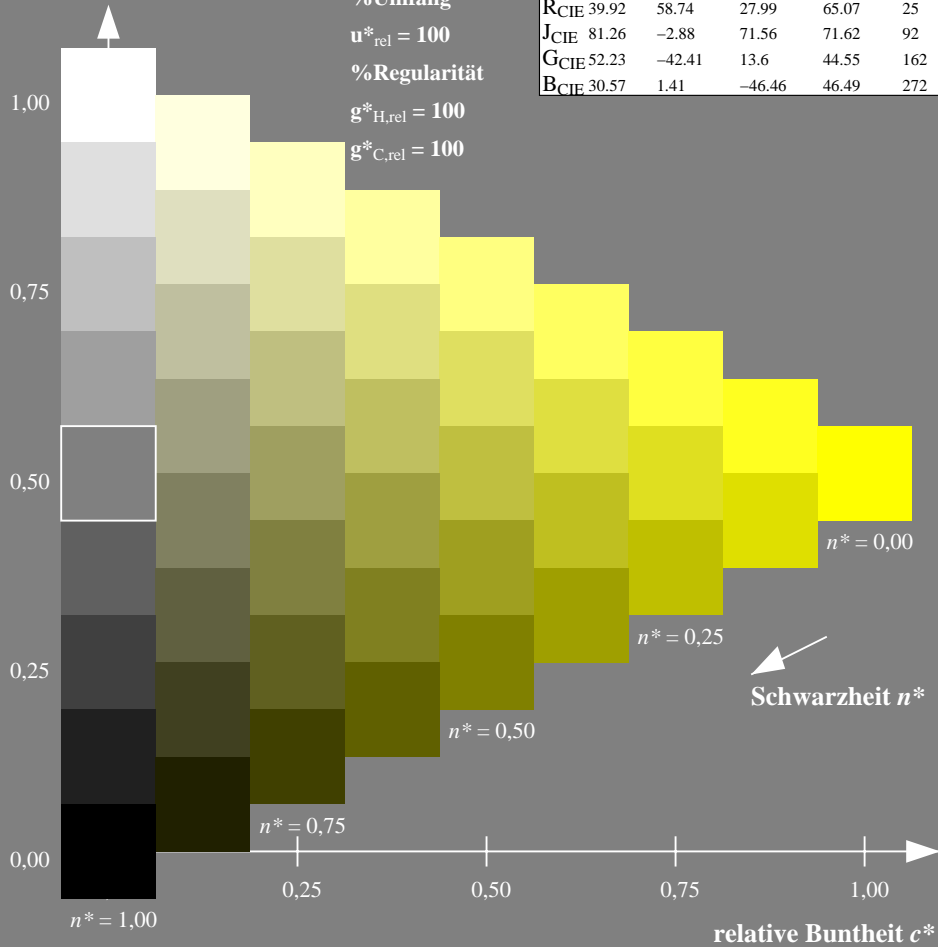
%Umfang

$u^*_{rel} = 100$

%Regularität

$g^*_{H,rel} = 100$

$g^*_{C,rel} = 100$



Ausgabe: Farbmetrisches Fernseh-Licht-System TLS00

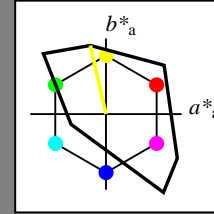
für Buntton $h^* = lab^*h = 103/360 = 0.286$

lab^*tch und lab^*nch

D65: Buntton Y

LCH*Ma: 93 93 103

olv*Ma: 1.0 1.0 0.0



TLS00; adaptierte CIELAB-Daten

	$L^*=L^*_a$	a^*_a	b^*_a	$C^*_{ab,a}$	$h^*_{ab,a}$
O _{Ma}	50.5	76.92	64.55	100.42	40
Y _{Ma}	92.66	-20.69	90.75	93.08	103
L _{Ma}	83.63	-82.75	79.9	115.04	136
C _{Ma}	86.88	-46.16	-13.55	48.12	196
V _{Ma}	30.39	76.06	-103.59	128.52	306
M _{Ma}	57.3	94.35	-58.41	110.97	328
N _{Ma}	0.01	0.0	0.0	0.0	0
W _{Ma}	95.41	0.0	0.0	0.0	0
R _{CIE}	39.92	58.74	27.99	65.07	25
J _{CIE}	81.26	-2.88	71.56	71.62	92
G _{CIE}	52.23	-42.41	13.6	44.55	162
B _{CIE}	30.57	1.41	-46.46	46.49	272

Dreiecks-Helligkeit t^*

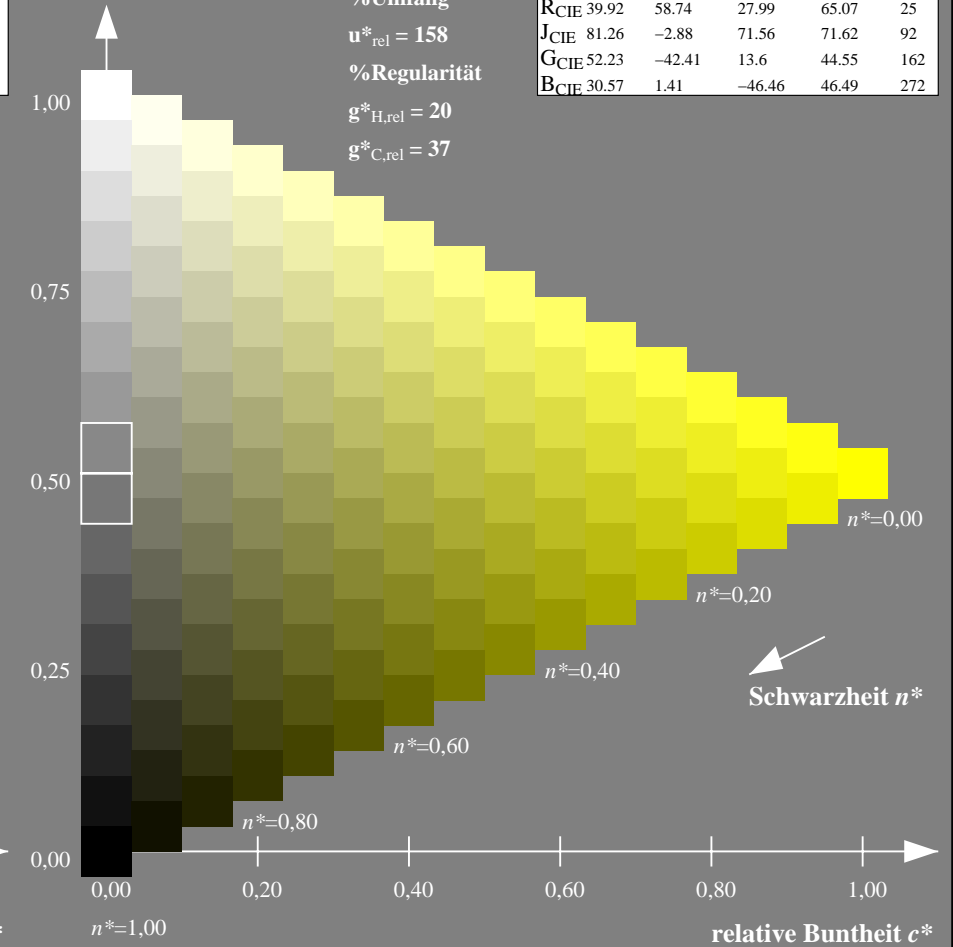
%Umfang

$u^*_{rel} = 158$

%Regularität

$g^*_{H,rel} = 20$

$g^*_{C,rel} = 37$



NG900-7, 9stufige Reihen für konstanten CIELAB Buntton $90/360 = 0.25$ (links)

16stufige Reihen für konstanten CIELAB Buntton $103/360 = 0.286$ (rechts)

Eingabe: Farbmetrisches Standard-Reflektiv-System SRS18

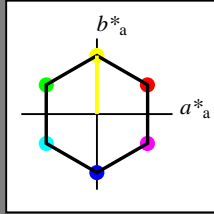
für Buntton $h^* = lab^*h = 90/360 = 0.25$

lab^*tch und lab^*nch

D65: Buntton Y

LCH*Ma: 57 77 90

olv*Ma: 1.0 1.0 0.0



SRS18; adaptierte CIELAB-Daten

	$L^*=L^*_a$	a^*_a	b^*_a	$C^*_{ab,a}$	$h^*_{ab,a}$
O _{Ma}	56.71	67.03	38.7	77.4	30
Y _{Ma}	56.71	0.0	77.4	77.4	90
L _{Ma}	56.71	-67.02	38.7	77.4	150
C _{Ma}	56.71	-67.02	-38.69	77.4	210
V _{Ma}	56.71	0.0	-77.39	77.4	270
M _{Ma}	56.71	67.03	-38.69	77.4	330
N _{Ma}	18.01	0.0	0.0	0.0	0
W _{Ma}	95.41	0.0	0.0	0.0	0
R _{CIE}	39.92	58.74	27.99	65.07	25
J _{CIE}	81.26	-2.88	71.56	71.62	92
G _{CIE}	52.23	-42.41	13.6	44.55	162
B _{CIE}	30.57	1.41	-46.46	46.49	272

Dreiecks-Helligkeit t^*

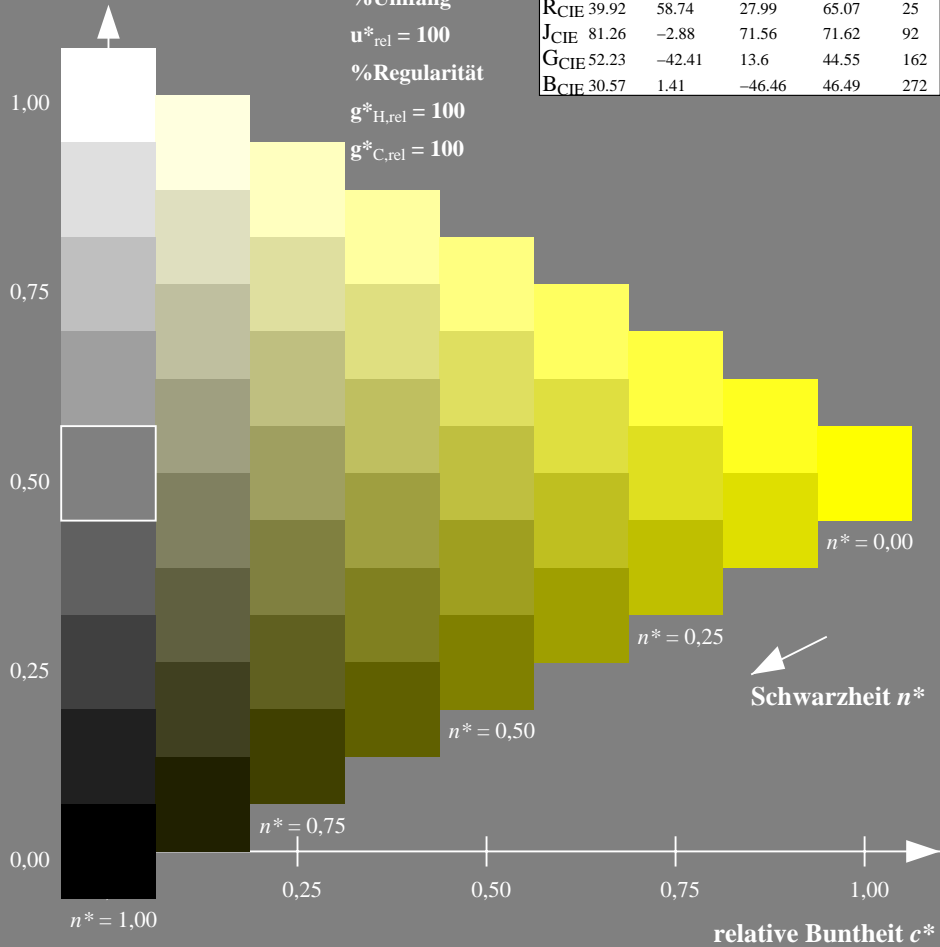
%Umfang

$u^*_{rel} = 100$

%Regularität

$g^*_{H,rel} = 100$

$g^*_{C,rel} = 100$



NG900-7, 9stufige Reihen für konstanten CIELAB Buntton $90/360 = 0.25$ (links)

Ausgabe: Farbmetrisches Drucker-Reflektiv-System DRSXX

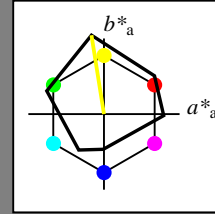
für Buntton $h^* = lab^*h = 99/360 = 0.275$

lab^*tch und lab^*nch

D65: Buntton Y

LCH*Ma: 90 106 99

olv*Ma: 1.0 1.0 0.0



DRSXX; adaptierte CIELAB-Daten

	$L^*=L^*_a$	a^*_a	b^*_a	$C^*_{ab,a}$	$h^*_{ab,a}$
O _{Ma}	42.21	66.82	50.6	83.82	37
Y _{Ma}	90.32	-16.51	104.33	105.63	99
L _{Ma}	48.21	-75.63	30.65	81.61	158
C _{Ma}	53.44	-33.33	-47.49	58.03	235
V _{Ma}	34.16	-0.92	-46.56	46.58	269
M _{Ma}	42.71	79.0	-1.95	79.03	359
N _{Ma}	16.56	0.0	0.0	0.0	0
W _{Ma}	96.31	0.0	0.0	0.0	0
R _{CIE}	39.92	59.78	25.77	65.1	23
J _{CIE}	81.26	-2.51	69.07	69.11	92
G _{CIE}	52.23	-41.57	11.3	43.09	165
B _{CIE}	30.57	2.6	-48.62	48.7	273

Dreiecks-Helligkeit t^*

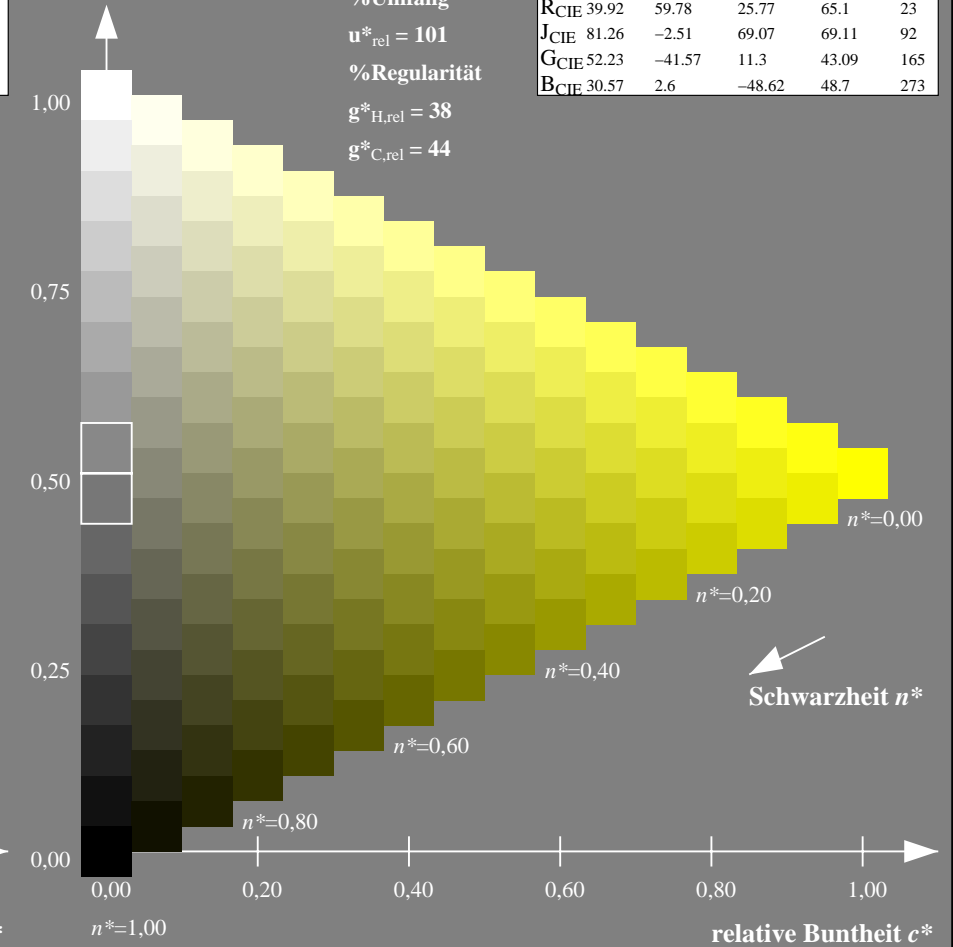
%Umfang

$u^*_{rel} = 101$

%Regularität

$g^*_{H,rel} = 38$

$g^*_{C,rel} = 44$



16stufige Reihen für konstanten CIELAB Buntton $99/360 = 0.275$ (rechts)

Eingabe: Farbmetrisches Standard-Reflektiv-System SRS18

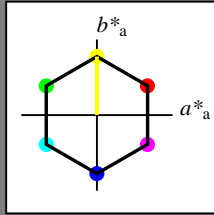
für Buntton $h^* = lab^*h = 90/360 = 0.25$

lab^*tch und lab^*nch

D65: Buntton Y

LCH*Ma: 57 77 90

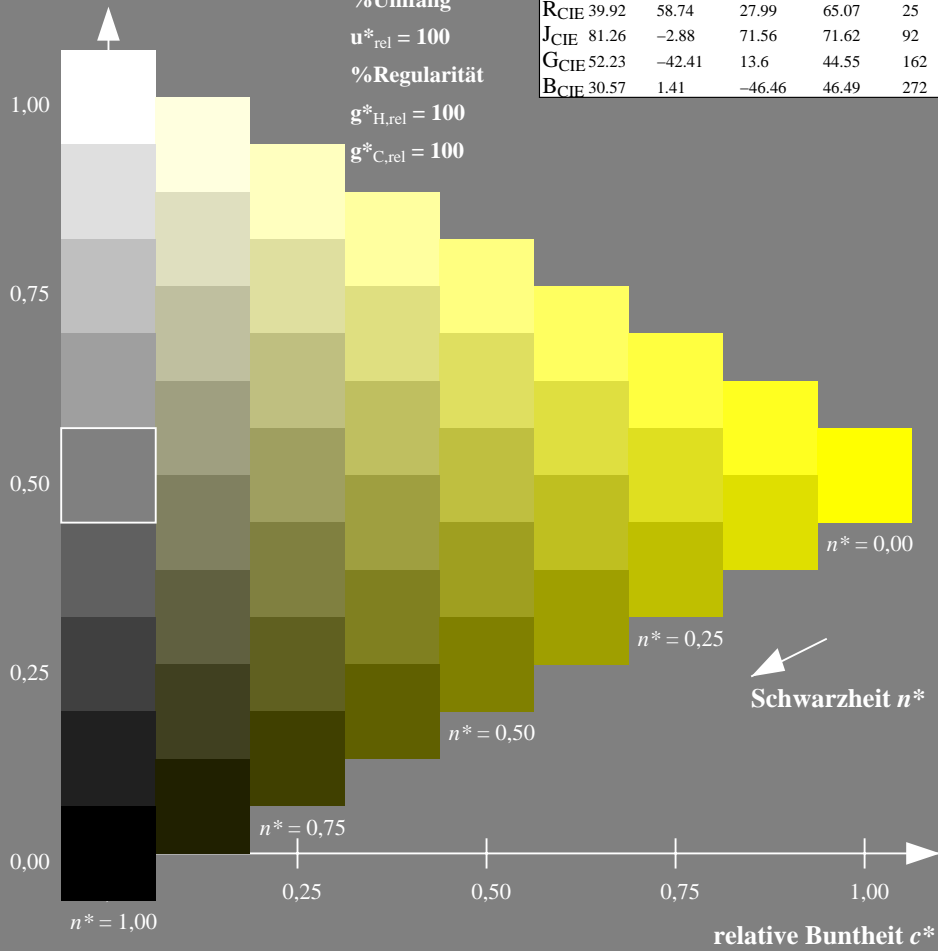
olv*Ma: 1.0 1.0 0.0



SRS18; adaptierte CIELAB-Daten

	$L^*=L^*_a$	a^*_a	b^*_a	$C^*_{ab,a}$	$h^*_{ab,a}$
OMa	56.71	67.03	38.7	77.4	30
YMa	56.71	0.0	77.4	77.4	90
LMa	56.71	-67.02	38.7	77.4	150
CMa	56.71	-67.02	-38.69	77.4	210
VMa	56.71	0.0	-77.39	77.4	270
MMa	56.71	67.03	-38.69	77.4	330
NMa	18.01	0.0	0.0	0.0	0
WMa	95.41	0.0	0.0	0.0	0
RCIE	39.92	58.74	27.99	65.07	25
JCIE	81.26	-2.88	71.56	71.62	92
GCIE	52.23	-42.41	13.6	44.55	162
BCIE	30.57	1.41	-46.46	46.49	272

Dreiecks-Helligkeit t^*



NG900-7, 9stufige Reihen für konstanten CIELAB Buntton $90/360 = 0.25$ (links)

Ausgabe: Farbmetrisches Fernseh-Licht-System TLS18

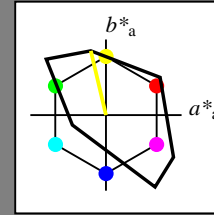
für Buntton $h^* = lab^*h = 103/360 = 0.287$

lab^*tch und lab^*nch

D65: Buntton Y

LCH*Ma: 93 87 103

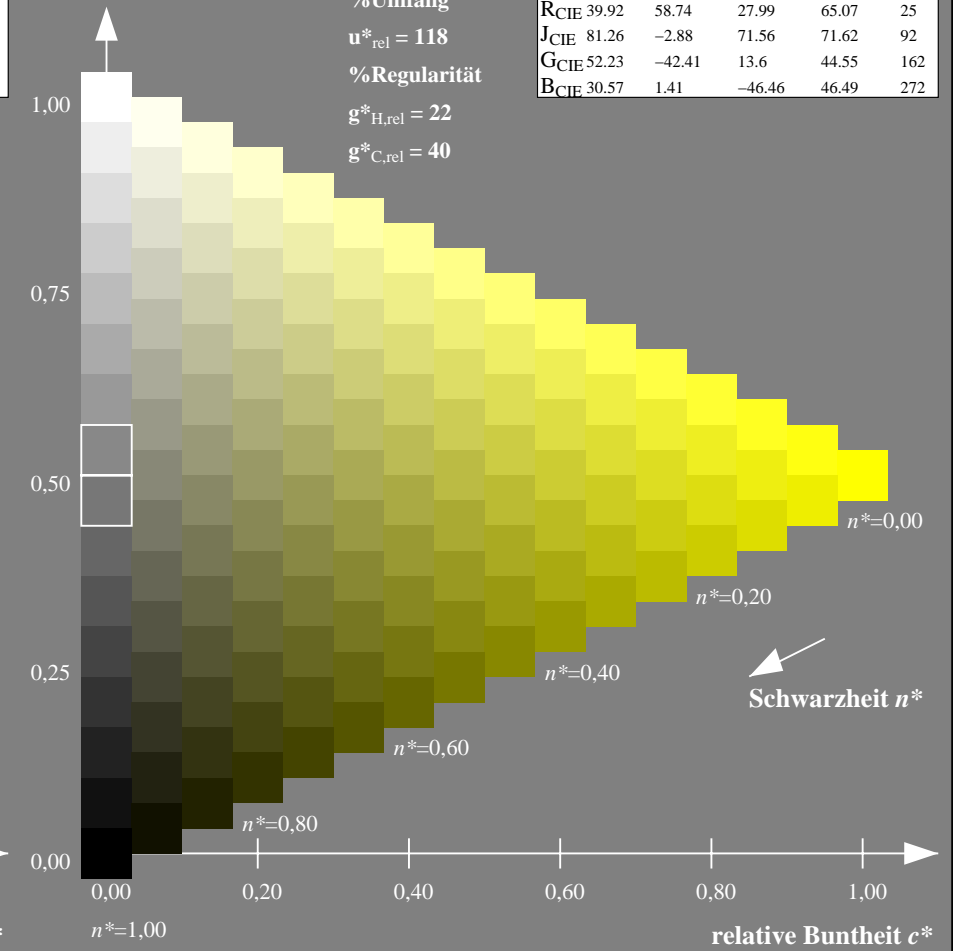
olv*Ma: 1.0 1.0 0.0



TLS18; adaptierte CIELAB-Daten

	$L^*=L^*_a$	a^*_a	b^*_a	$C^*_{ab,a}$	$h^*_{ab,a}$
OMa	52.76	71.63	49.88	87.29	35
YMa	92.74	-20.02	84.97	87.3	103
LMa	84.0	-78.98	73.94	108.2	137
CMa	87.14	-44.41	-13.11	46.32	196
VMa	35.47	64.92	-95.06	115.12	304
MMa	59.01	89.33	-55.67	105.26	328
NMa	18.01	0.0	0.0	0.0	0
WMa	95.41	0.0	0.0	0.0	0
RCIE	39.92	58.74	27.99	65.07	25
JCIE	81.26	-2.88	71.56	71.62	92
GCIE	52.23	-42.41	13.6	44.55	162
BCIE	30.57	1.41	-46.46	46.49	272

Dreiecks-Helligkeit t^*



16stufige Reihen für konstanten CIELAB Buntton $103/360 = 0.287$ (rechts)

Eingabe: Farbmetrisches Standard-Reflektiv-System SRS18

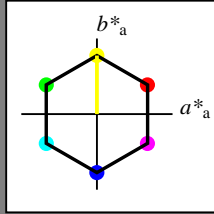
für Buntton $h^* = lab^*h = 90/360 = 0.25$

lab^*tch und lab^*nch

D65: Buntton Y

LCH*Ma: 57 77 90

olv*Ma: 1.0 1.0 0.0



SRS18; adaptierte CIELAB-Daten

	$L^*=L^*_a$	a^*_a	b^*_a	$C^*_{ab,a}$	$h^*_{ab,a}$
OMa	56.71	67.03	38.7	77.4	30
YMa	56.71	0.0	77.4	77.4	90
LMa	56.71	-67.02	38.7	77.4	150
CMa	56.71	-67.02	-38.69	77.4	210
VMa	56.71	0.0	-77.39	77.4	270
MMa	56.71	67.03	-38.69	77.4	330
NMa	18.01	0.0	0.0	0.0	0
WMa	95.41	0.0	0.0	0.0	0
RCIE	39.92	58.74	27.99	65.07	25
JCIE	81.26	-2.88	71.56	71.62	92
GCIE	52.23	-42.41	13.6	44.55	162
BCIE	30.57	1.41	-46.46	46.49	272

Dreiecks-Helligkeit t^*

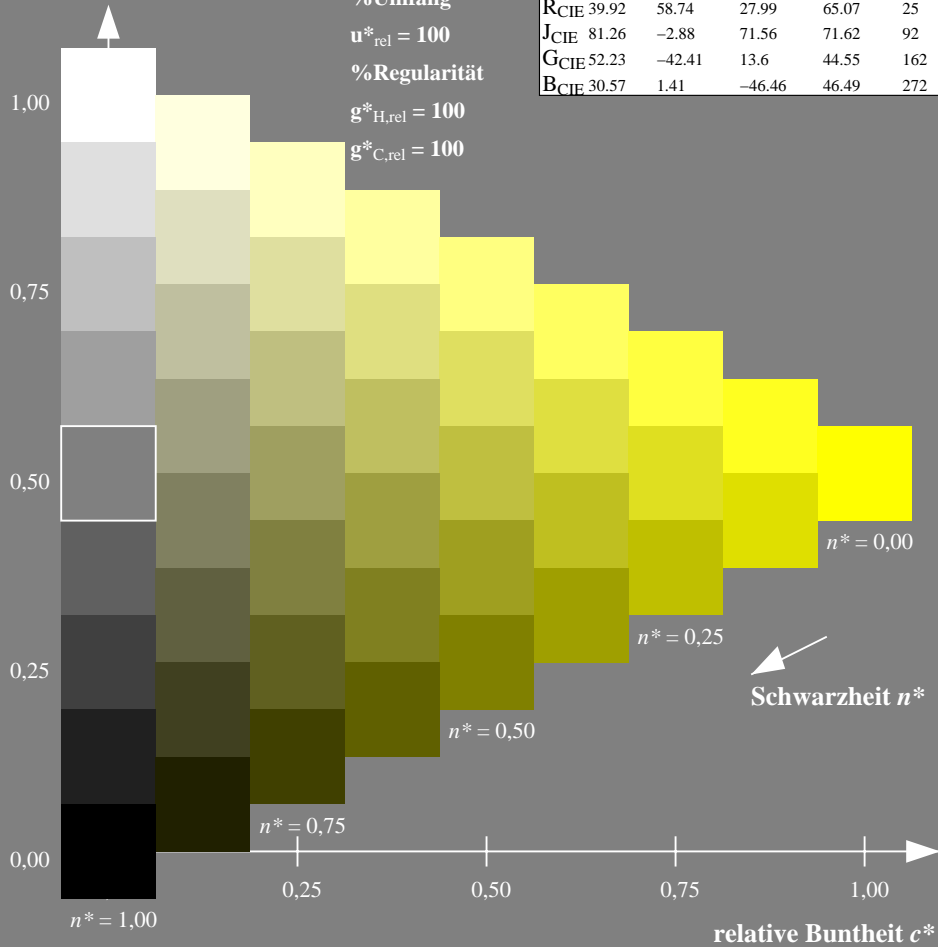
%Umfang

$u^*_{rel} = 100$

%Regularität

$g^*_{H,rel} = 100$

$g^*_{C,rel} = 100$



Ausgabe: Farbmetrisches Natürliches-Licht-System NLS00

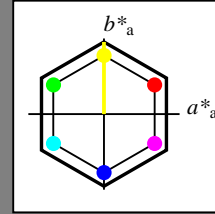
für Buntton $h^* = lab^*h = 90/360 = 0.25$

lab^*tch und lab^*nch

D65: Buntton Y

LCH*Ma: 64 95 90

olv*Ma: 1.0 1.0 0.0



NLS00; adaptierte CIELAB-Daten

	$L^*=L^*_a$	a^*_a	b^*_a	$C^*_{ab,a}$	$h^*_{ab,a}$
OMa	31.81	82.62	47.7	95.4	30
YMa	63.61	0.0	95.4	95.4	90
LMa	31.81	-82.61	47.7	95.4	150
CMa	63.61	-82.61	-47.69	95.4	210
VMa	31.81	0.0	-95.39	95.4	270
MMa	63.61	82.62	-47.69	95.4	330
NMa	0.01	0.0	0.0	0.0	0
WMa	95.41	0.0	0.0	0.0	0
RCIE	39.92	58.74	27.99	65.07	25
JCIE	81.26	-2.88	71.56	71.62	92
GCIE	52.23	-42.41	13.6	44.55	162
BCIE	30.57	1.41	-46.46	46.49	272

Dreiecks-Helligkeit t^*

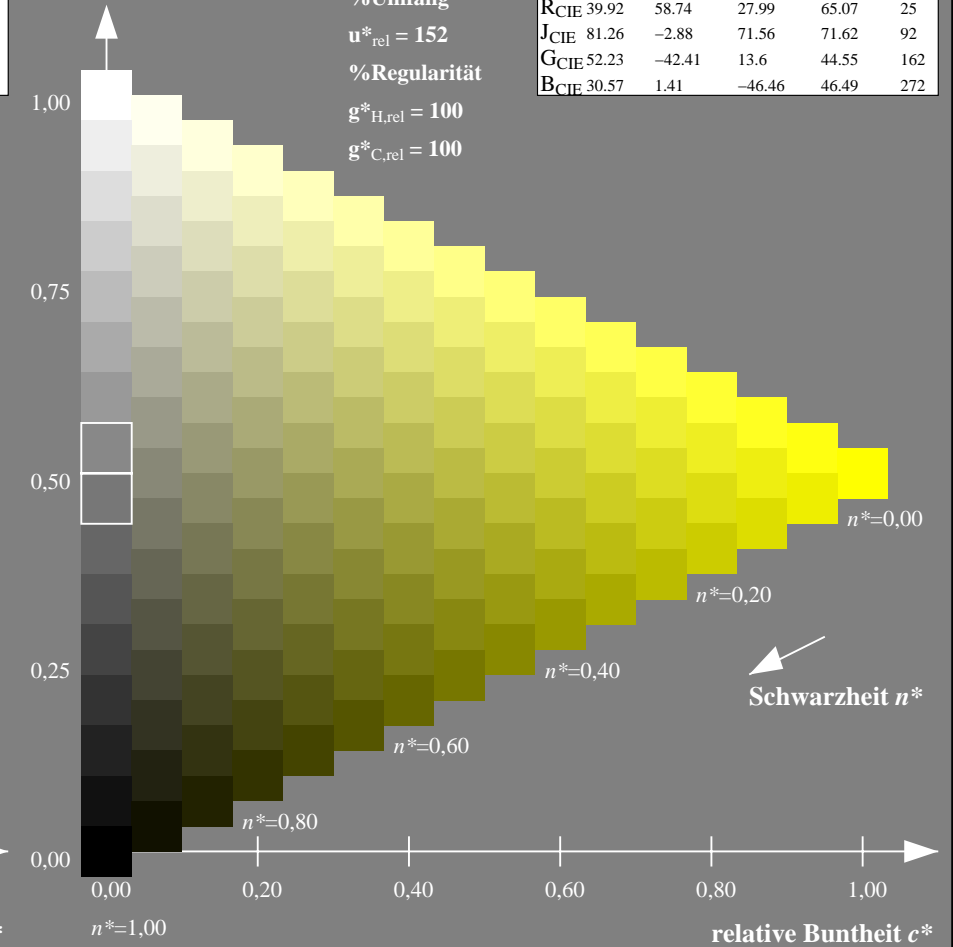
%Umfang

$u^*_{rel} = 152$

%Regularität

$g^*_{H,rel} = 100$

$g^*_{C,rel} = 100$



NG900-7, 9stufige Reihen für konstanten CIELAB Buntton $90/360 = 0.25$ (links)

16stufige Reihen für konstanten CIELAB Buntton $90/360 = 0.25$ (rechts)

Eingabe: Farbmetrisches Standard-Reflektiv-System SRS18

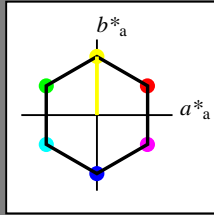
für Buntton $h^* = lab^*h = 90/360 = 0.25$

lab^*tch und lab^*nch

D65: Buntton Y

LCH*Ma: 57 77 90

olv*Ma: 1.0 1.0 0.0



SRS18; adaptierte CIELAB-Daten

	$L^*=L^*_a$	a^*_a	b^*_a	$C^*_{ab,a}$	$h^*_{ab,a}$
O _{Ma}	56.71	67.03	38.7	77.4	30
Y _{Ma}	56.71	0.0	77.4	77.4	90
L _{Ma}	56.71	-67.02	38.7	77.4	150
C _{Ma}	56.71	-67.02	-38.69	77.4	210
V _{Ma}	56.71	0.0	-77.39	77.4	270
M _{Ma}	56.71	67.03	-38.69	77.4	330
N _{Ma}	18.01	0.0	0.0	0.0	0
W _{Ma}	95.41	0.0	0.0	0.0	0
R _{CIE}	39.92	58.74	27.99	65.07	25
J _{CIE}	81.26	-2.88	71.56	71.62	92
G _{CIE}	52.23	-42.41	13.6	44.55	162
B _{CIE}	30.57	1.41	-46.46	46.49	272

Dreiecks-Helligkeit t^*

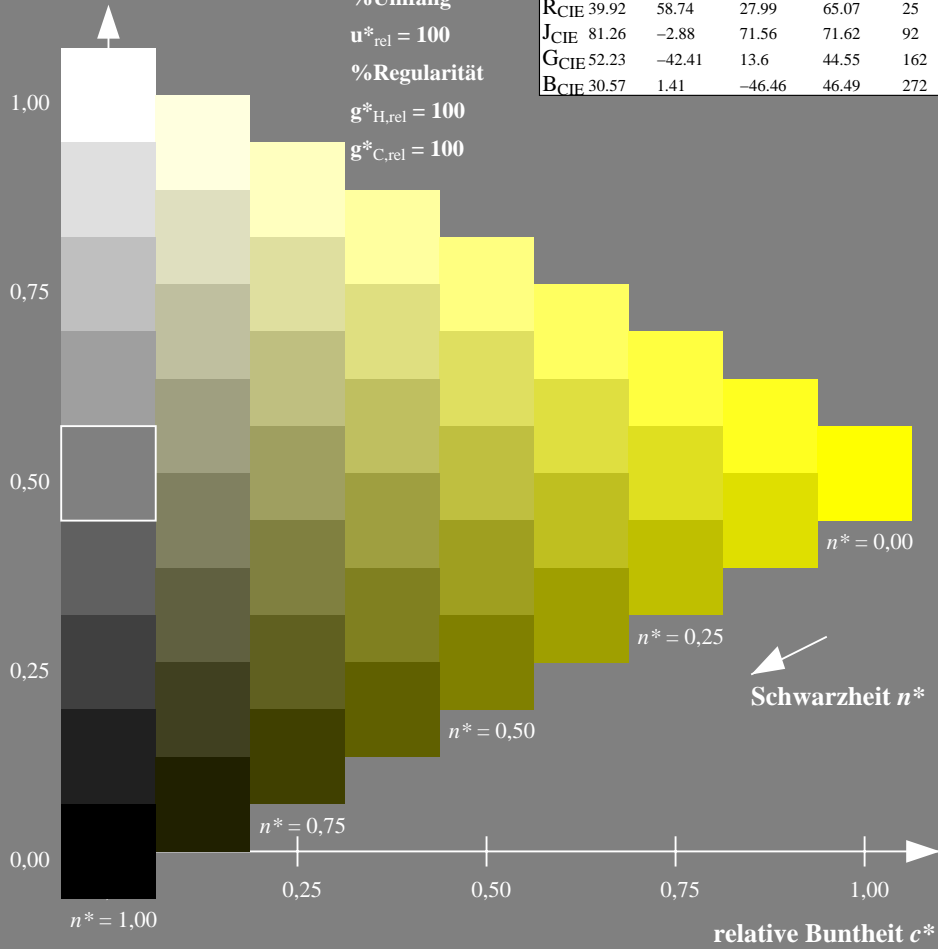
%Umfang

$u^*_{rel} = 100$

%Regularität

$g^*_{H,rel} = 100$

$g^*_{C,rel} = 100$



Ausgabe: Farbmetrisches Natürliches-Reflektiv-System NRS18

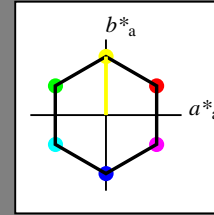
für Buntton $h^* = lab^*h = 90/360 = 0.25$

lab^*tch und lab^*nch

D65: Buntton Y

LCH*Ma: 70 77 90

olv*Ma: 1.0 1.0 0.0



NRS18; adaptierte CIELAB-Daten

	$L^*=L^*_a$	a^*_a	b^*_a	$C^*_{ab,a}$	$h^*_{ab,a}$
O _{Ma}	43.81	67.03	38.7	77.4	30
Y _{Ma}	69.61	0.0	77.4	77.4	90
L _{Ma}	43.81	-67.02	38.7	77.4	150
C _{Ma}	69.61	-67.02	-38.69	77.4	210
V _{Ma}	43.81	0.0	-77.39	77.4	270
M _{Ma}	69.61	67.03	-38.69	77.4	330
N _{Ma}	18.01	0.0	0.0	0.0	0
W _{Ma}	95.41	0.0	0.0	0.0	0
R _{CIE}	39.92	58.74	27.99	65.07	25
J _{CIE}	81.26	-2.88	71.56	71.62	92
G _{CIE}	52.23	-42.41	13.6	44.55	162
B _{CIE}	30.57	1.41	-46.46	46.49	272

Dreiecks-Helligkeit t^*

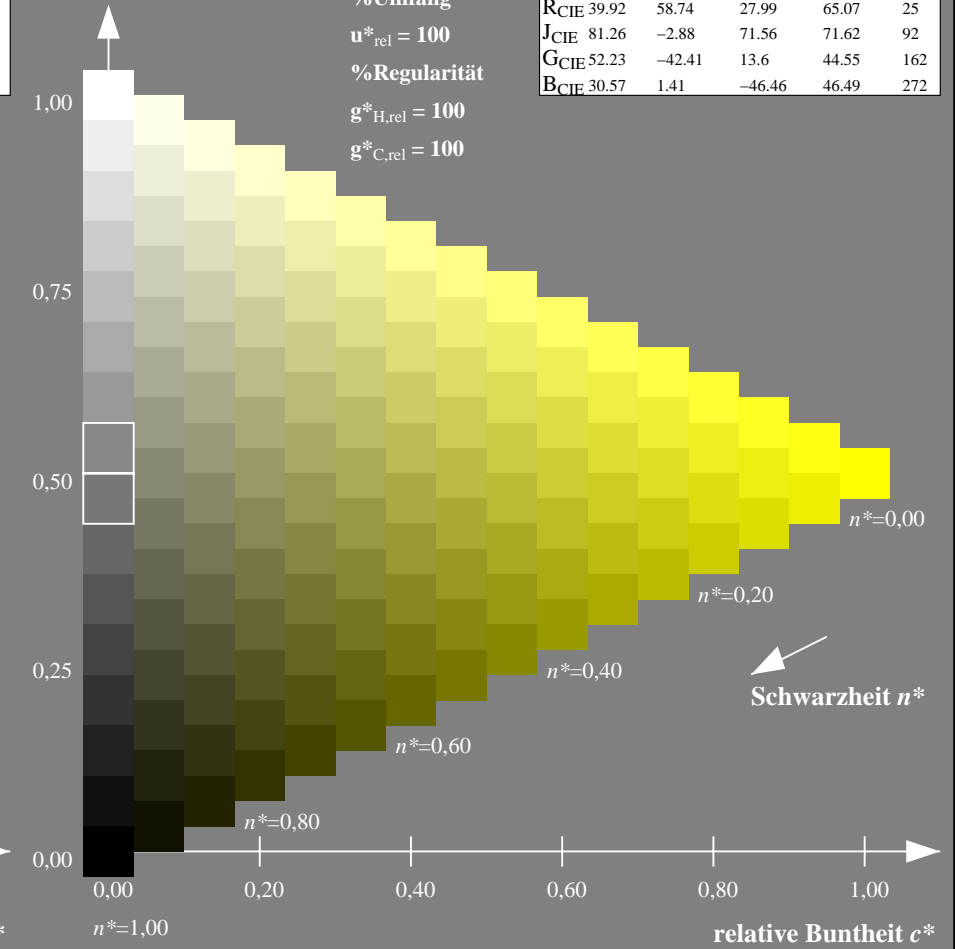
%Umfang

$u^*_{rel} = 100$

%Regularität

$g^*_{H,rel} = 100$

$g^*_{C,rel} = 100$



NG900-7, 9stufige Reihen für konstanten CIELAB Buntton 90/360 = 0.25 (links)

16stufige Reihen für konstanten CIELAB Buntton 90/360 = 0.25 (rechts)

Eingabe: Farbmatisches Standard-Reflektiv-System SRS18

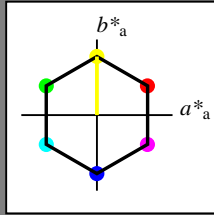
für Buntton $h^* = lab^*h = 90/360 = 0.25$

lab^*tch und lab^*nch

D65: Buntton Y

LCH*Ma: 57 77 90

olv*Ma: 1.0 1.0 0.0



SRS18; adaptierte CIELAB-Daten

	$L^*=L^*_a$	a^*_a	b^*_a	$C^*_{ab,a}$	$h^*_{ab,a}$
OMa	56.71	67.03	38.7	77.4	30
YMa	56.71	0.0	77.4	77.4	90
LMa	56.71	-67.02	38.7	77.4	150
CMa	56.71	-67.02	-38.69	77.4	210
VMa	56.71	0.0	-77.39	77.4	270
MMa	56.71	67.03	-38.69	77.4	330
NMa	18.01	0.0	0.0	0.0	0
WMa	95.41	0.0	0.0	0.0	0
RCIE	39.92	58.74	27.99	65.07	25
JCIE	81.26	-2.88	71.56	71.62	92
GCIE	52.23	-42.41	13.6	44.55	162
BCIE	30.57	1.41	-46.46	46.49	272

Dreiecks-Helligkeit t^*

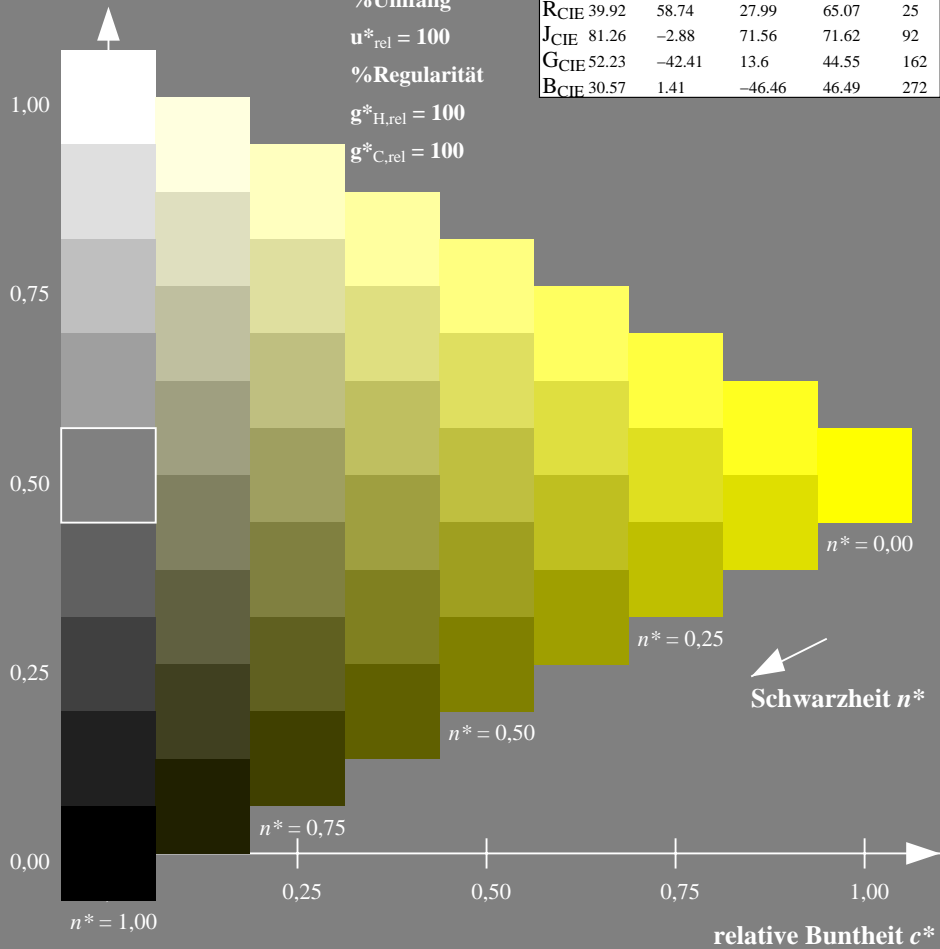
%Umfang

$u^*_{rel} = 100$

%Regularität

$g^*_{H,rel} = 100$

$g^*_{C,rel} = 100$



NG900-7, 9stufige Reihen für konstanten CIELAB Buntton 90/360 = 0.25 (links)

Ausgabe: Farbmatisches Standard-Reflektiv-System SRS18

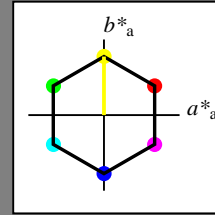
für Buntton $h^* = lab^*h = 90/360 = 0.25$

lab^*tch und lab^*nch

D65: Buntton Y

LCH*Ma: 57 77 90

olv*Ma: 1.0 1.0 0.0



SRS18; adaptierte CIELAB-Daten

	$L^*=L^*_a$	a^*_a	b^*_a	$C^*_{ab,a}$	$h^*_{ab,a}$
OMa	56.71	67.03	38.7	77.4	30
YMa	56.71	0.0	77.4	77.4	90
LMa	56.71	-67.02	38.7	77.4	150
CMa	56.71	-67.02	-38.69	77.4	210
VMa	56.71	0.0	-77.39	77.4	270
MMa	56.71	67.03	-38.69	77.4	330
NMa	18.01	0.0	0.0	0.0	0
WMa	95.41	0.0	0.0	0.0	0
RCIE	39.92	58.74	27.99	65.07	25
JCIE	81.26	-2.88	71.56	71.62	92
GCIE	52.23	-42.41	13.6	44.55	162
BCIE	30.57	1.41	-46.46	46.49	272

Dreiecks-Helligkeit t^*

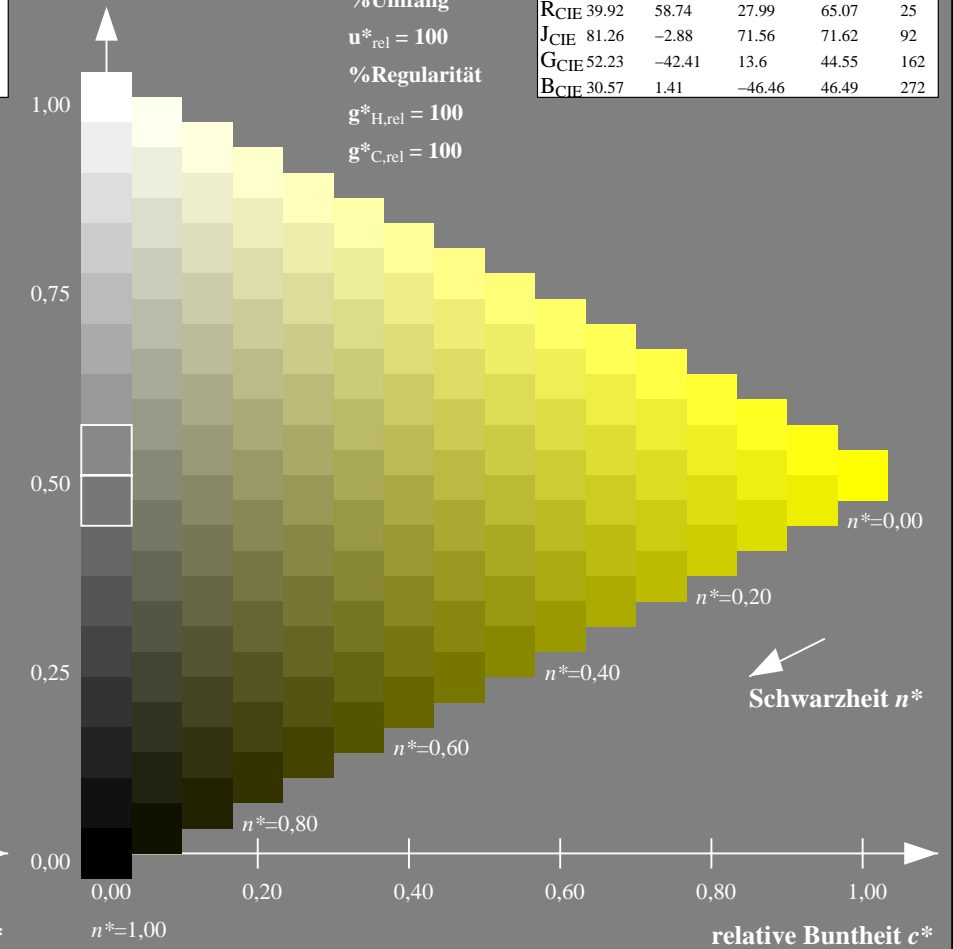
%Umfang

$u^*_{rel} = 100$

%Regularität

$g^*_{H,rel} = 100$

$g^*_{C,rel} = 100$



16stufige Reihen für konstanten CIELAB Buntton 90/360 = 0.25 (rechts)

Eingabe: Farbmetrisches Standard-Reflektiv-System SRS18

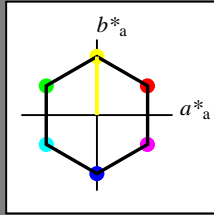
für Buntton $h^* = lab^*h = 90/360 = 0.25$

lab^*tch und lab^*nch

D65: Buntton Y

LCH*Ma: 57 77 90

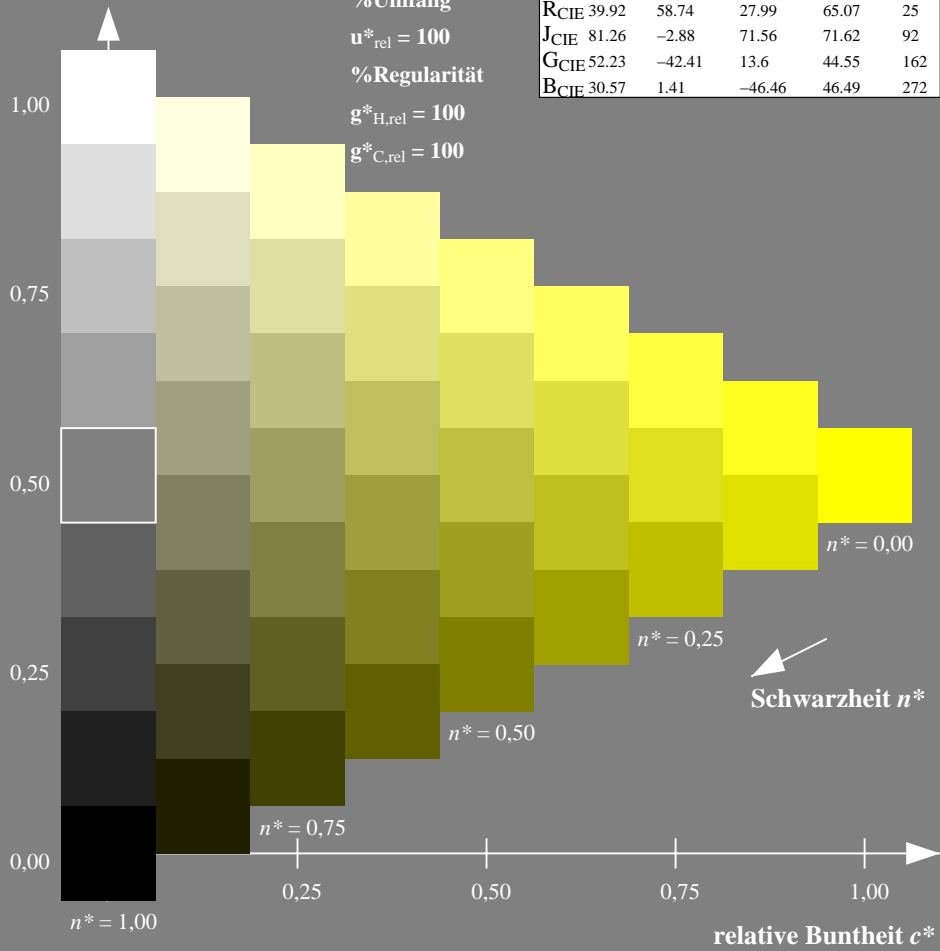
olv*Ma: 1.0 1.0 0.0



SRS18; adaptierte CIELAB-Daten

	$L^*=L^*_a$	a^*_a	b^*_a	$C^*_{ab,a}$	$h^*_{ab,a}$
O _{Ma}	56.71	67.03	38.7	77.4	30
Y _{Ma}	56.71	0.0	77.4	77.4	90
L _{Ma}	56.71	-67.02	38.7	77.4	150
C _{Ma}	56.71	-67.02	-38.69	77.4	210
V _{Ma}	56.71	0.0	-77.39	77.4	270
M _{Ma}	56.71	67.03	-38.69	77.4	330
N _{Ma}	18.01	0.0	0.0	0.0	0
W _{Ma}	95.41	0.0	0.0	0.0	0
R _{CIE}	39.92	58.74	27.99	65.07	25
J _{CIE}	81.26	-2.88	71.56	71.62	92
G _{CIE}	52.23	-42.41	13.6	44.55	162
B _{CIE}	30.57	1.41	-46.46	46.49	272

Dreiecks-Helligkeit t^*



NG900-7, 9stufige Reihen für konstanten CIELAB Buntton $90/360 = 0.25$ (links)

Ausgabe: Farbmetrisches Fernseh-Licht-System TLS70

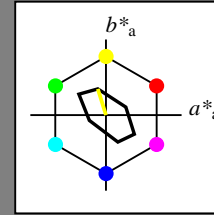
für Buntton $h^* = lab^*h = 107/360 = 0.298$

lab^*tch und lab^*nch

D65: Buntton Y

LCH*Ma: 94 36 107

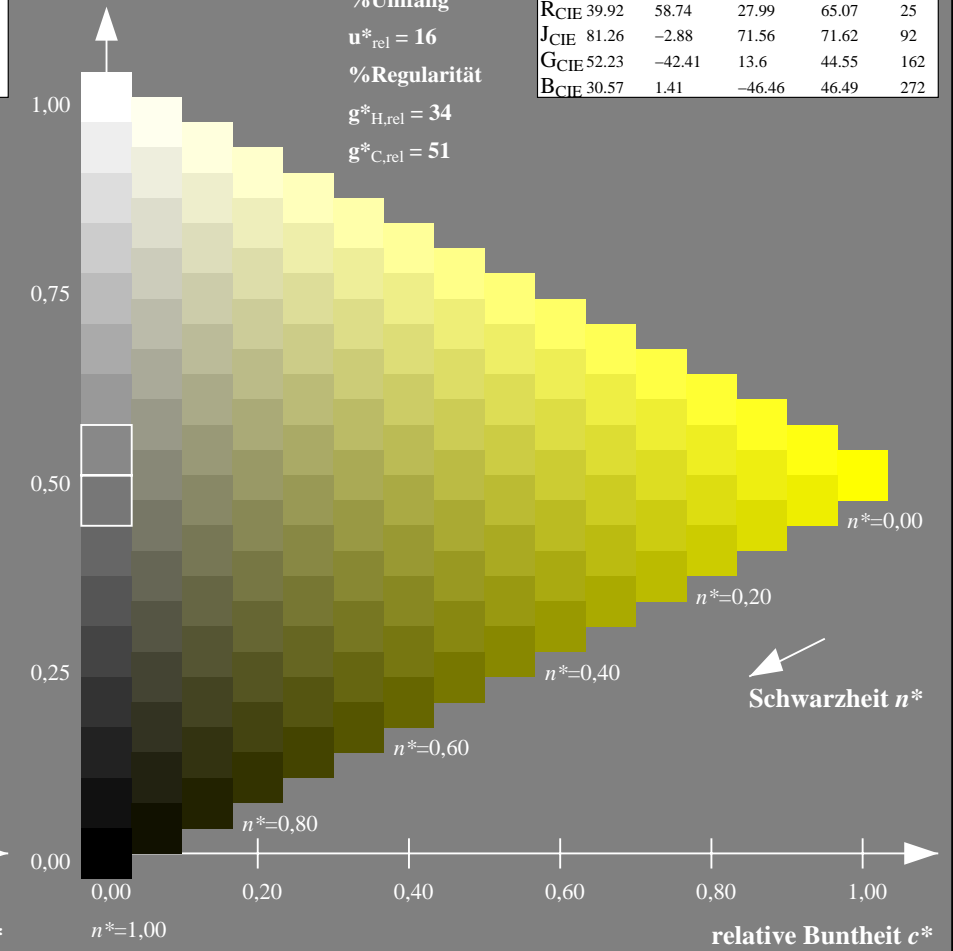
olv*Ma: 1.0 1.0 0.0



TLS70; adaptierte CIELAB-Daten

	$L^*=L^*_a$	a^*_a	b^*_a	$C^*_{ab,a}$	$h^*_{ab,a}$
O _{Ma}	76.43	26.27	10.57	28.32	22
Y _{Ma}	93.93	-10.76	34.63	36.27	107
L _{Ma}	89.32	-35.8	27.64	45.24	142
C _{Ma}	90.93	-21.95	-7.07	23.07	198
V _{Ma}	72.1	15.76	-35.63	38.97	294
M _{Ma}	78.5	37.52	-25.23	45.22	326
N _{Ma}	69.7	0.0	0.0	0.0	0
W _{Ma}	95.41	0.0	0.0	0.0	0
R _{CIE}	39.92	58.74	27.99	65.07	25
J _{CIE}	81.26	-2.88	71.56	71.62	92
G _{CIE}	52.23	-42.41	13.6	44.55	162
B _{CIE}	30.57	1.41	-46.46	46.49	272

Dreiecks-Helligkeit t^*



16stufige Reihen für konstanten CIELAB Buntton $107/360 = 0.298$ (rechts)

Eingabe: Farbmetrisches Fernseh-Licht-System TLS70

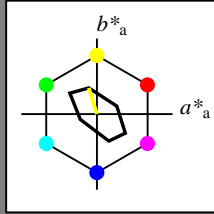
für Buntton $h^* = lab^*h = 107/360 = 0.298$

lab^*tch und lab^*nch

D65: Buntton Y

LCH*Ma: 94 36 107

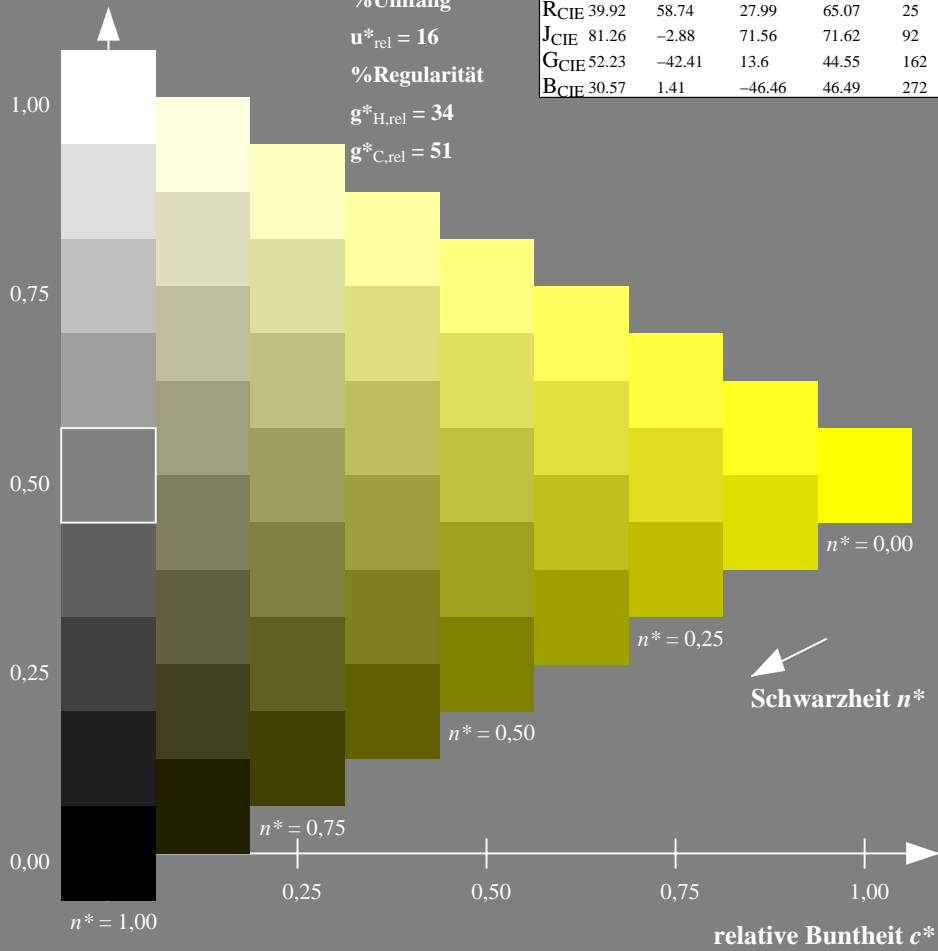
olv*Ma: 1.0 1.0 0.0



TLS70; adaptierte CIELAB-Daten

	$L^*=L^*_a$	a^*_a	b^*_a	$C^*_{ab,a}$	$h^*_{ab,a}$
OMa	76.43	26.27	10.57	28.32	22
YMa	93.93	-10.76	34.63	36.27	107
LMa	89.32	-35.8	27.64	45.24	142
CMa	90.93	-21.95	-7.07	23.07	198
VMa	72.1	15.76	-35.63	38.97	294
MMa	78.5	37.52	-25.23	45.22	326
NMa	69.7	0.0	0.0	0.0	0
WMa	95.41	0.0	0.0	0.0	0
RCIE	39.92	58.74	27.99	65.07	25
JCIE	81.26	-2.88	71.56	71.62	92
GCIE	52.23	-42.41	13.6	44.55	162
BCIE	30.57	1.41	-46.46	46.49	272

Dreiecks-Helligkeit t^*



Ausgabe: Farbmetrisches Offset-Reflektiv-System ORS18

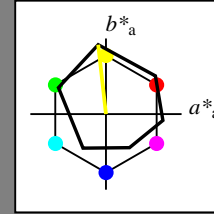
für Buntton $h^* = lab^*h = 96/360 = 0.268$

lab^*tch und lab^*nch

D65: Buntton Y

LCH*Ma: 90 92 96

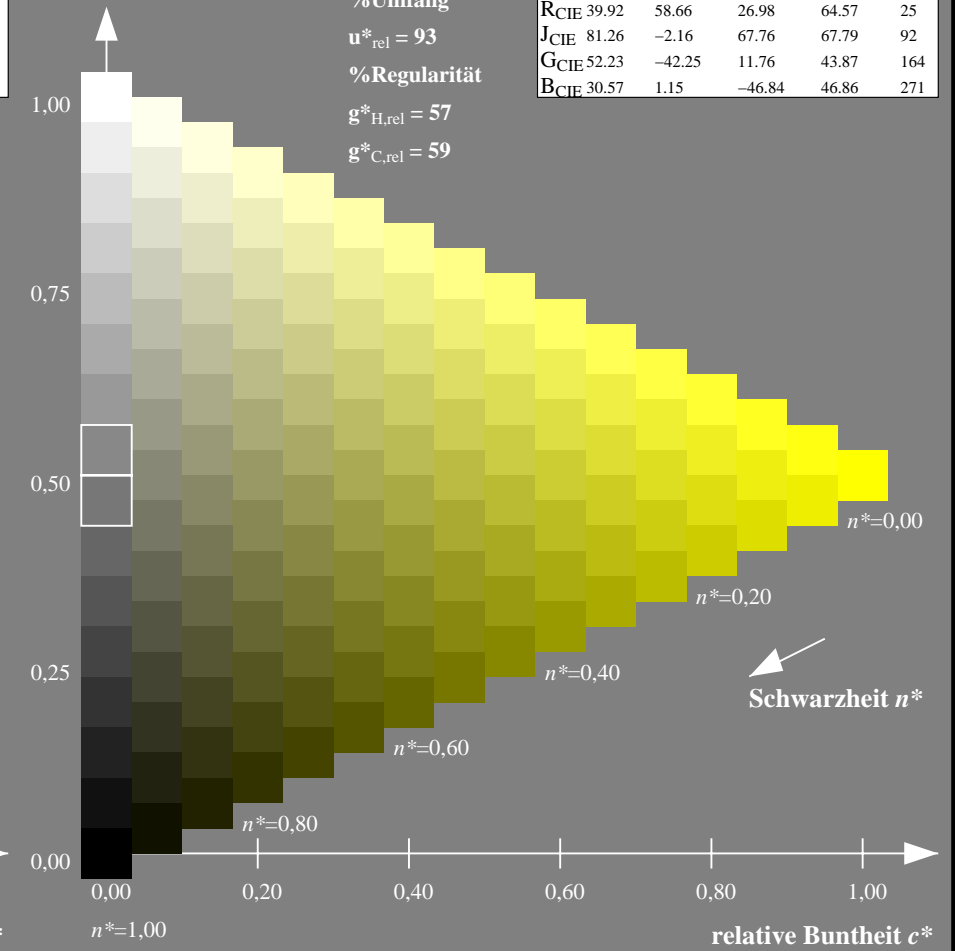
olv*Ma: 1.0 1.0 0.0



ORS18; adaptierte CIELAB-Daten

	$L^*=L^*_a$	a^*_a	b^*_a	$C^*_{ab,a}$	$h^*_{ab,a}$
OMa	47.94	65.39	50.52	82.63	38
YMa	90.37	-10.26	91.75	92.32	96
LMa	50.9	-62.83	34.96	71.91	151
CMa	58.62	-30.34	-45.01	54.3	236
VMa	25.72	31.1	-44.4	54.22	305
MMa	48.13	75.28	-8.36	75.74	354
NMa	18.01	0.0	0.0	0.0	0
WMa	95.41	0.0	0.0	0.0	0
RCIE	39.92	58.66	26.98	64.57	25
JCIE	81.26	-2.16	67.76	67.79	92
GCIE	52.23	-42.25	11.76	43.87	164
BCIE	30.57	1.15	-46.84	46.86	271

Dreiecks-Helligkeit t^*



NG900-7, 9stufige Reihen für konstanten CIELAB Buntton $107/360 = 0.298$ (links)

16stufige Reihen für konstanten CIELAB Buntton $96/360 = 0.268$ (rechts)

Eingabe: Farbmetrisches Fernseh-Licht-System TLS70

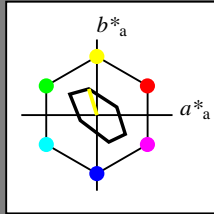
für Buntton $h^* = lab^*h = 107/360 = 0.298$

lab^*tch und lab^*nch

D65: Buntton Y

LCH*Ma: 94 36 107

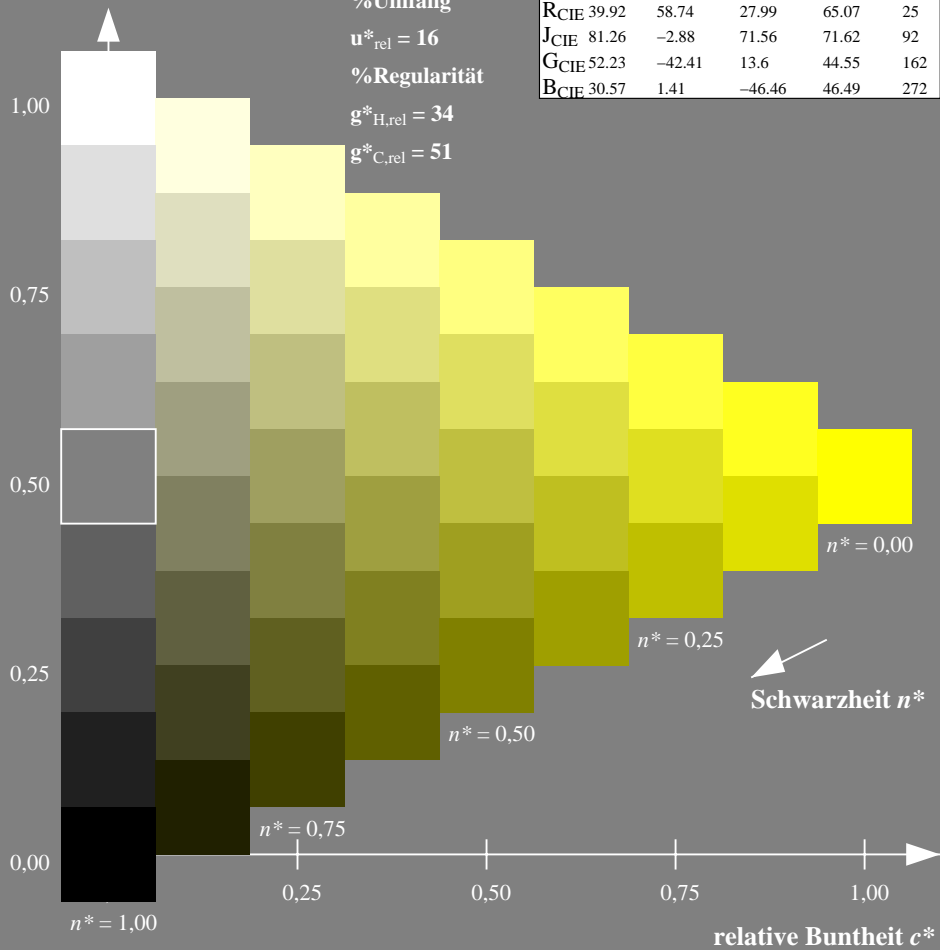
olv*Ma: 1.0 1.0 0.0



TLS70; adaptierte CIELAB-Daten

	$L^*=L^*_a$	a^*_a	b^*_a	$C^*_{ab,a}$	$h^*_{ab,a}$
O _{Ma}	76.43	26.27	10.57	28.32	22
Y _{Ma}	93.93	-10.76	34.63	36.27	107
L _{Ma}	89.32	-35.8	27.64	45.24	142
C _{Ma}	90.93	-21.95	-7.07	23.07	198
V _{Ma}	72.1	15.76	-35.63	38.97	294
M _{Ma}	78.5	37.52	-25.23	45.22	326
N _{Ma}	69.7	0.0	0.0	0.0	0
W _{Ma}	95.41	0.0	0.0	0.0	0
R _{CIE}	39.92	58.74	27.99	65.07	25
J _{CIE}	81.26	-2.88	71.56	71.62	92
G _{CIE}	52.23	-42.41	13.6	44.55	162
B _{CIE}	30.57	1.41	-46.46	46.49	272

Dreiecks-Helligkeit t^*



Ausgabe: Farbmetrisches Fernseh-Licht-System TLS00

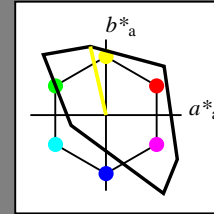
für Buntton $h^* = lab^*h = 103/360 = 0.286$

lab^*tch und lab^*nch

D65: Buntton Y

LCH*Ma: 93 93 103

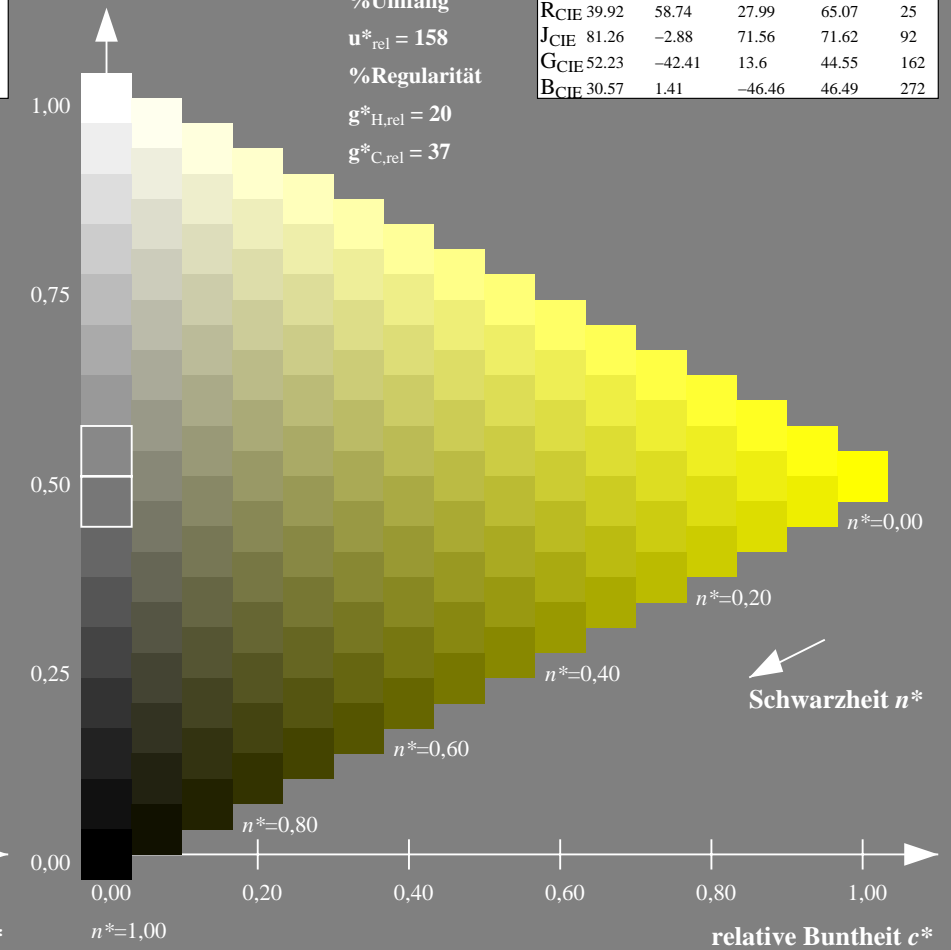
olv*Ma: 1.0 1.0 0.0



TLS00; adaptierte CIELAB-Daten

	$L^*=L^*_a$	a^*_a	b^*_a	$C^*_{ab,a}$	$h^*_{ab,a}$
O _{Ma}	50.5	76.92	64.55	100.42	40
Y _{Ma}	92.66	-20.69	90.75	93.08	103
L _{Ma}	83.63	-82.75	79.9	115.04	136
C _{Ma}	86.88	-46.16	-13.55	48.12	196
V _{Ma}	30.39	76.06	-103.59	128.52	306
M _{Ma}	57.3	94.35	-58.41	110.97	328
N _{Ma}	0.01	0.0	0.0	0.0	0
W _{Ma}	95.41	0.0	0.0	0.0	0
R _{CIE}	39.92	58.74	27.99	65.07	25
J _{CIE}	81.26	-2.88	71.56	71.62	92
G _{CIE}	52.23	-42.41	13.6	44.55	162
B _{CIE}	30.57	1.41	-46.46	46.49	272

Dreiecks-Helligkeit t^*



NG900-7, 9stufige Reihen für konstanten CIELAB Buntton $107/360 = 0.298$ (links)

16stufige Reihen für konstanten CIELAB Buntton $103/360 = 0.286$ (rechts)

Eingabe: Farbmetrisches Fernseh-Licht-System TLS70

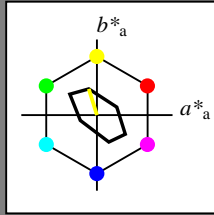
für Buntton $h^* = lab^*h = 107/360 = 0.298$

lab^*tch und lab^*nch

D65: Buntton Y

LCH*Ma: 94 36 107

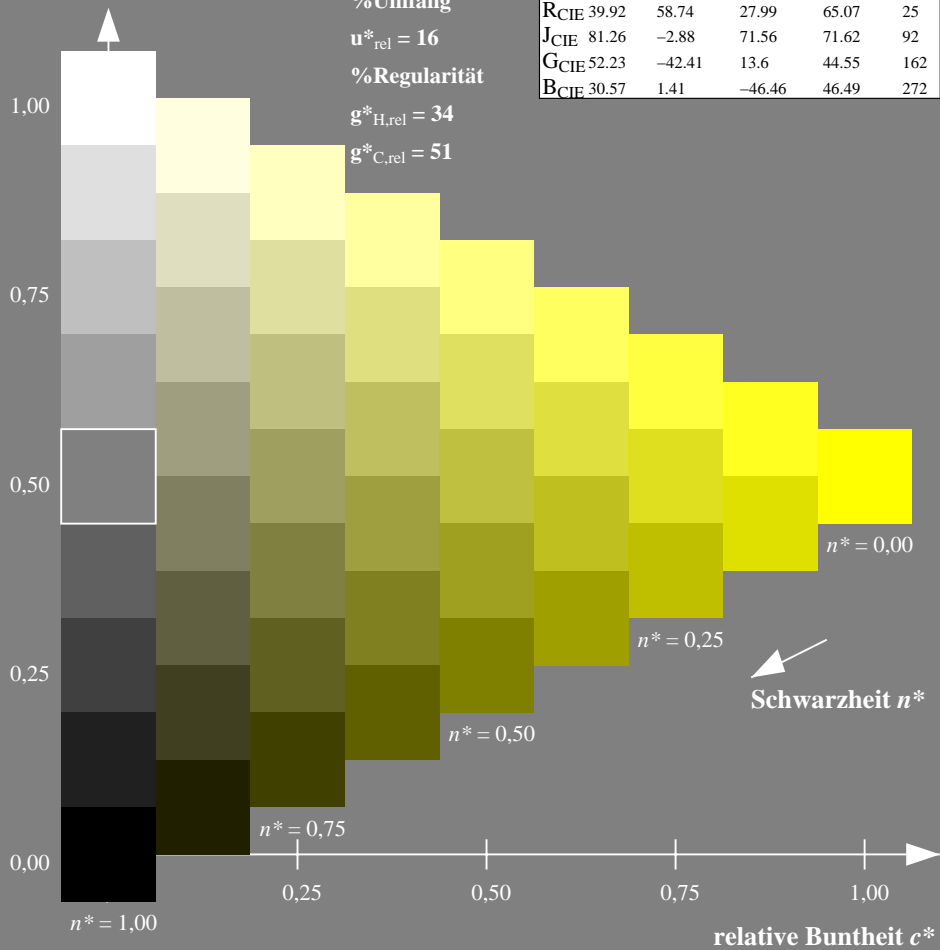
olv*Ma: 1.0 1.0 0.0



TLS70; adaptierte CIELAB-Daten

	$L^*=L^*_a$	a^*_a	b^*_a	$C^*_{ab,a}$	$h^*_{ab,a}$
OMa	76.43	26.27	10.57	28.32	22
YMa	93.93	-10.76	34.63	36.27	107
LMa	89.32	-35.8	27.64	45.24	142
CMa	90.93	-21.95	-7.07	23.07	198
VMa	72.1	15.76	-35.63	38.97	294
MMa	78.5	37.52	-25.23	45.22	326
NMa	69.7	0.0	0.0	0.0	0
WMa	95.41	0.0	0.0	0.0	0
RCIE	39.92	58.74	27.99	65.07	25
JCIE	81.26	-2.88	71.56	71.62	92
GCIE	52.23	-42.41	13.6	44.55	162
BCIE	30.57	1.41	-46.46	46.49	272

Dreiecks-Helligkeit t^*



NG900-7, 9stufige Reihen für konstanten CIELAB Buntton 107/360 = 0.298 (links)

Ausgabe: Farbmetrisches Drucker-Reflektiv-System DRSXX

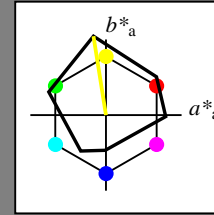
für Buntton $h^* = lab^*h = 99/360 = 0.275$

lab^*tch und lab^*nch

D65: Buntton Y

LCH*Ma: 90 106 99

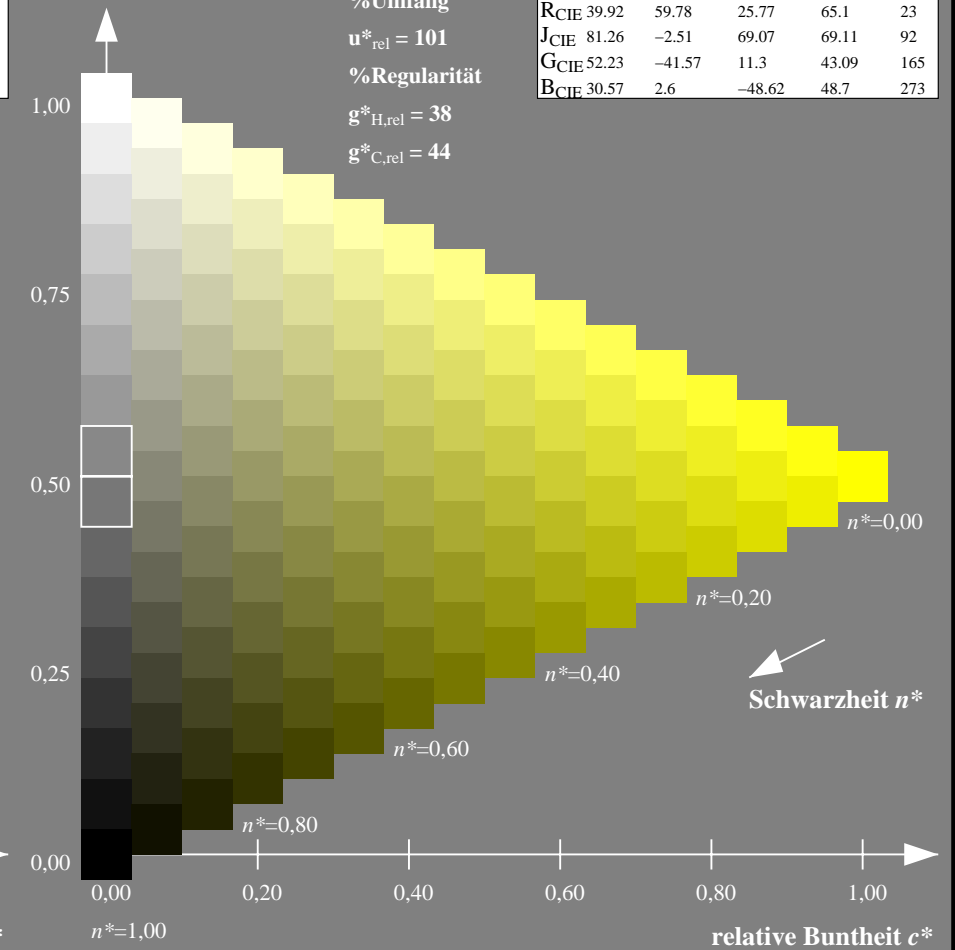
olv*Ma: 1.0 1.0 0.0



DRSXX; adaptierte CIELAB-Daten

	$L^*=L^*_a$	a^*_a	b^*_a	$C^*_{ab,a}$	$h^*_{ab,a}$
OMa	42.21	66.82	50.6	83.82	37
YMa	90.32	-16.51	104.33	105.63	99
LMa	48.21	-75.63	30.65	81.61	158
CMa	53.44	-33.33	-47.49	58.03	235
VMa	34.16	-0.92	-46.56	46.58	269
MMa	42.71	79.0	-1.95	79.03	359
NMa	16.56	0.0	0.0	0.0	0
WMa	96.31	0.0	0.0	0.0	0
RCIE	39.92	59.78	25.77	65.1	23
JCIE	81.26	-2.51	69.07	69.11	92
GCIE	52.23	-41.57	11.3	43.09	165
BCIE	30.57	2.6	-48.62	48.7	273

Dreiecks-Helligkeit t^*



16stufige Reihen für konstanten CIELAB Buntton 99/360 = 0.275 (rechts)

Eingabe: Farbmetrisches Fernseh-Licht-System TLS70

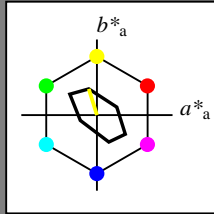
für Buntton $h^* = lab^*h = 107/360 = 0.298$

lab^*tch und lab^*nch

D65: Buntton Y

LCH*Ma: 94 36 107

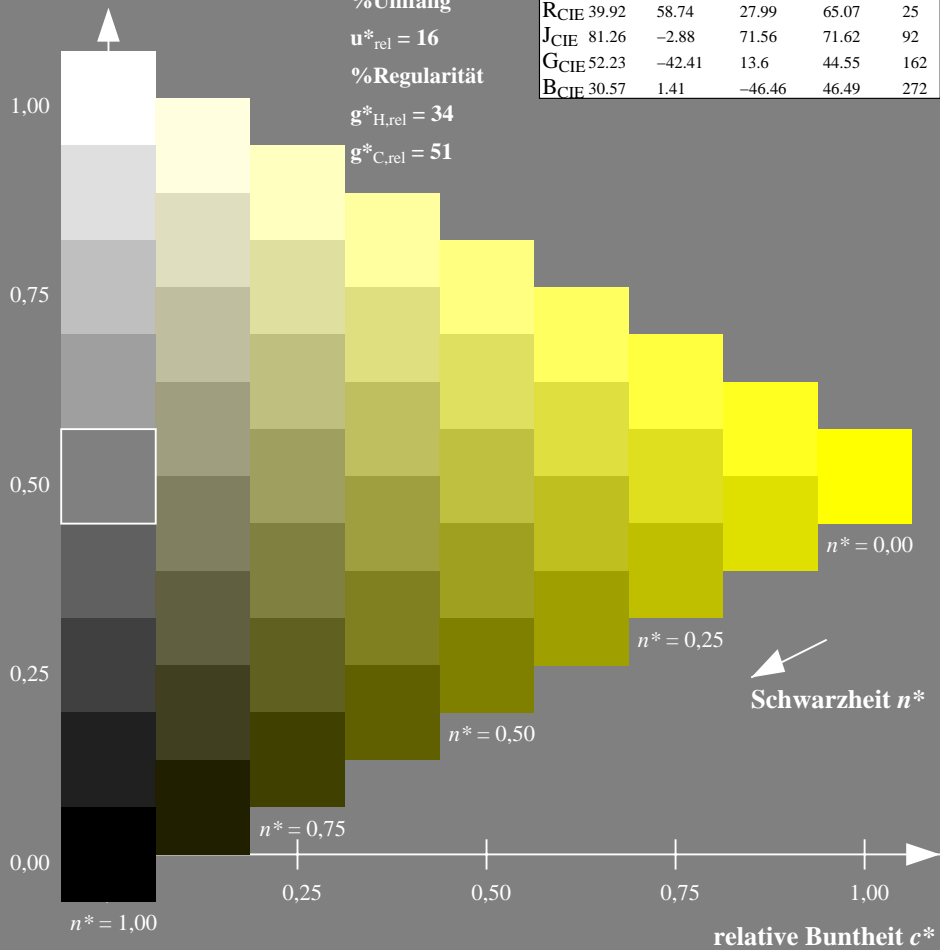
olv*Ma: 1.0 1.0 0.0



TLS70; adaptierte CIELAB-Daten

	$L^*=L^*_a$	a^*_a	b^*_a	$C^*_{ab,a}$	$h^*_{ab,a}$
OMa	76.43	26.27	10.57	28.32	22
YMa	93.93	-10.76	34.63	36.27	107
LMa	89.32	-35.8	27.64	45.24	142
CMa	90.93	-21.95	-7.07	23.07	198
VMa	72.1	15.76	-35.63	38.97	294
MMa	78.5	37.52	-25.23	45.22	326
NMa	69.7	0.0	0.0	0.0	0
WMa	95.41	0.0	0.0	0.0	0
RCIE	39.92	58.74	27.99	65.07	25
JCIE	81.26	-2.88	71.56	71.62	92
GCIE	52.23	-42.41	13.6	44.55	162
BCIE	30.57	1.41	-46.46	46.49	272

Dreiecks-Helligkeit t^*



Ausgabe: Farbmetrisches Fernseh-Licht-System TLS18

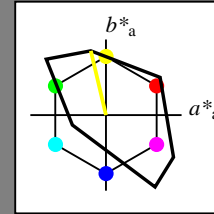
für Buntton $h^* = lab^*h = 103/360 = 0.287$

lab^*tch und lab^*nch

D65: Buntton Y

LCH*Ma: 93 87 103

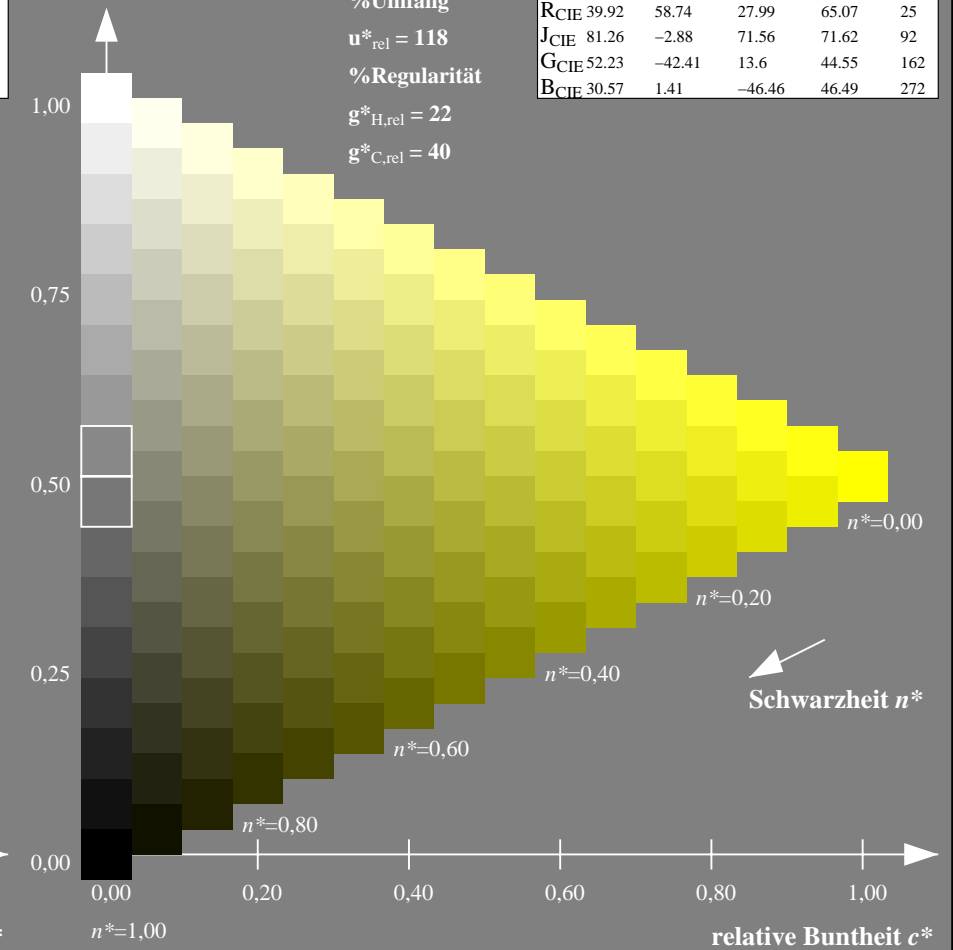
olv*Ma: 1.0 1.0 0.0



TLS18; adaptierte CIELAB-Daten

	$L^*=L^*_a$	a^*_a	b^*_a	$C^*_{ab,a}$	$h^*_{ab,a}$
OMa	52.76	71.63	49.88	87.29	35
YMa	92.74	-20.02	84.97	87.3	103
LMa	84.0	-78.98	73.94	108.2	137
CMa	87.14	-44.41	-13.11	46.32	196
VMa	35.47	64.92	-95.06	115.12	304
MMa	59.01	89.33	-55.67	105.26	328
NMa	18.01	0.0	0.0	0.0	0
WMa	95.41	0.0	0.0	0.0	0
RCIE	39.92	58.74	27.99	65.07	25
JCIE	81.26	-2.88	71.56	71.62	92
GCIE	52.23	-42.41	13.6	44.55	162
BCIE	30.57	1.41	-46.46	46.49	272

Dreiecks-Helligkeit t^*



NG900-7, 9stufige Reihen für konstanten CIELAB Buntton $107/360 = 0.298$ (links)

16stufige Reihen für konstanten CIELAB Buntton $103/360 = 0.287$ (rechts)

Eingabe: Farbmetrisches Fernseh-Licht-System TLS70

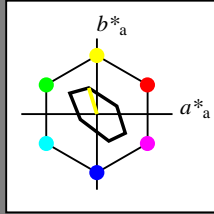
für Buntton $h^* = lab^*h = 107/360 = 0.298$

lab^*tch und lab^*nch

D65: Buntton Y

LCH*Ma: 94 36 107

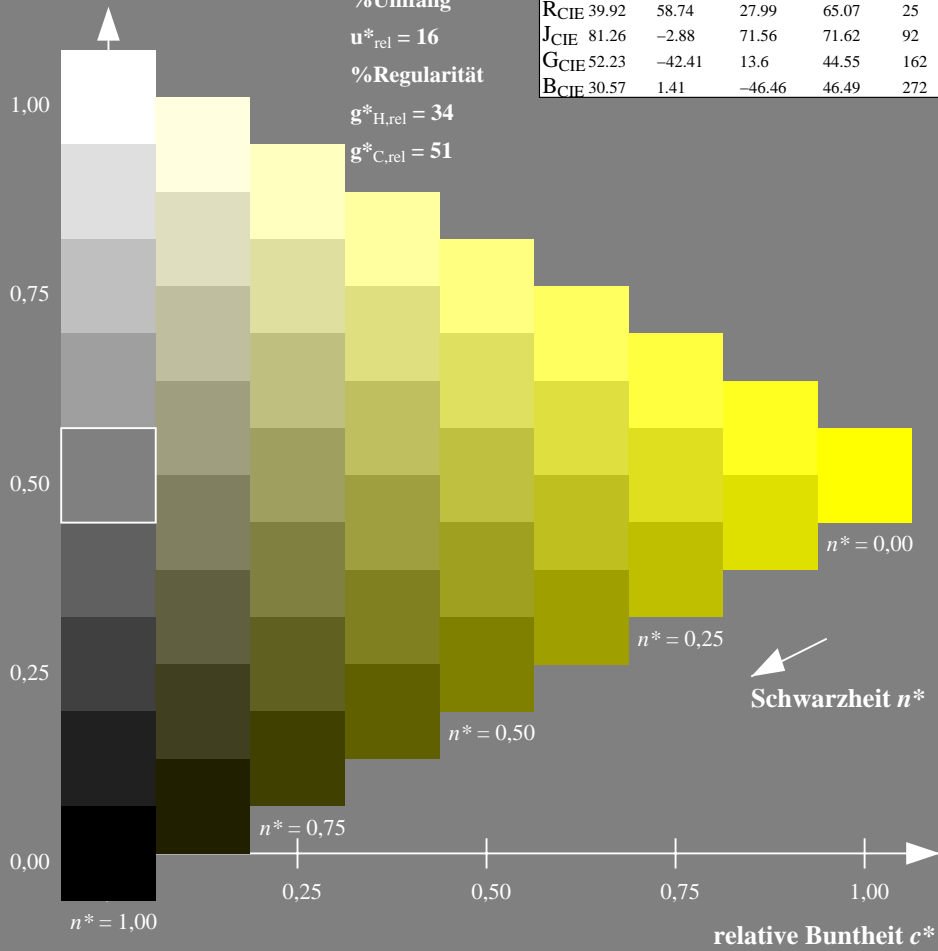
olv*Ma: 1.0 1.0 0.0



TLS70; adaptierte CIELAB-Daten

	$L^*=L^*_a$	a^*_a	b^*_a	$C^*_{ab,a}$	$h^*_{ab,a}$
OMa	76.43	26.27	10.57	28.32	22
YMa	93.93	-10.76	34.63	36.27	107
LMa	89.32	-35.8	27.64	45.24	142
CMa	90.93	-21.95	-7.07	23.07	198
VMa	72.1	15.76	-35.63	38.97	294
MMa	78.5	37.52	-25.23	45.22	326
NMa	69.7	0.0	0.0	0.0	0
WMa	95.41	0.0	0.0	0.0	0
RCIE	39.92	58.74	27.99	65.07	25
JCIE	81.26	-2.88	71.56	71.62	92
GCIE	52.23	-42.41	13.6	44.55	162
BCIE	30.57	1.41	-46.46	46.49	272

Dreiecks-Helligkeit t^*



Ausgabe: Farbmetrisches Natürliches-Licht-System NLS00

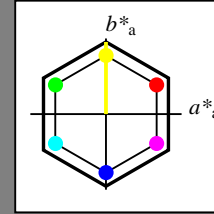
für Buntton $h^* = lab^*h = 90/360 = 0.25$

lab^*tch und lab^*nch

D65: Buntton Y

LCH*Ma: 64 95 90

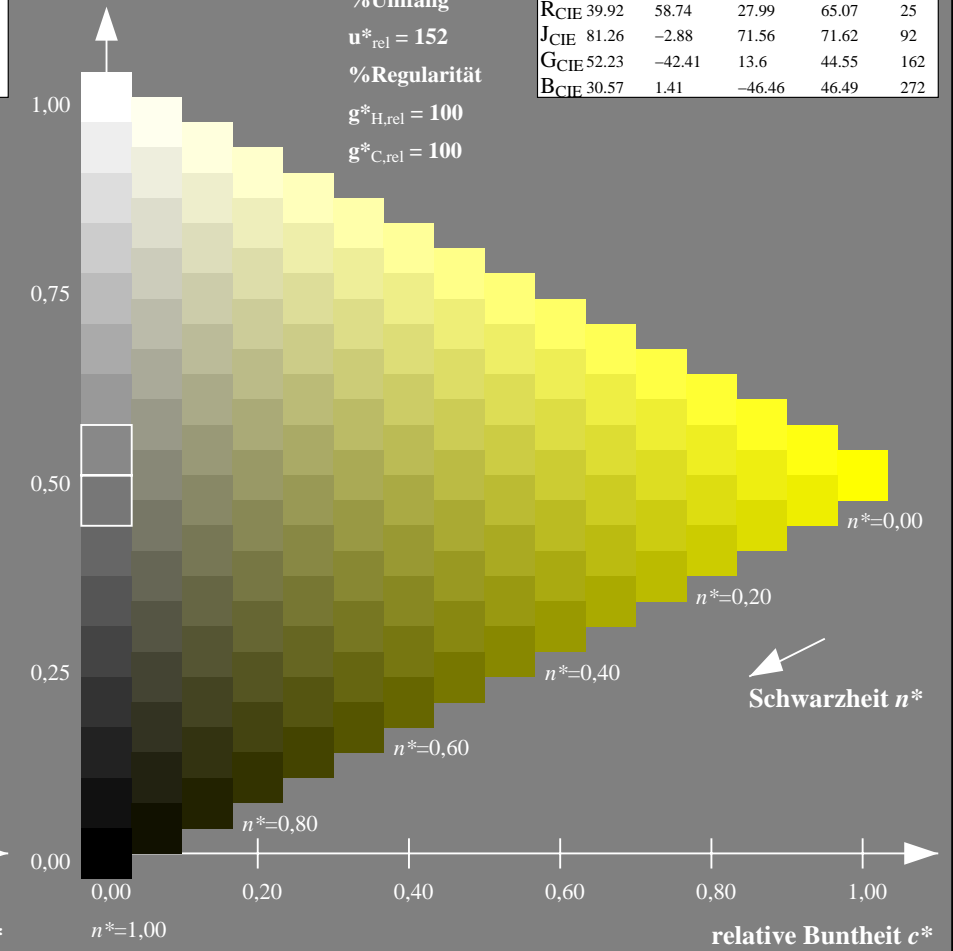
olv*Ma: 1.0 1.0 0.0



NLS00; adaptierte CIELAB-Daten

	$L^*=L^*_a$	a^*_a	b^*_a	$C^*_{ab,a}$	$h^*_{ab,a}$
OMa	31.81	82.62	47.7	95.4	30
YMa	63.61	0.0	95.4	95.4	90
LMa	31.81	-82.61	47.7	95.4	150
CMa	63.61	-82.61	-47.69	95.4	210
VMa	31.81	0.0	-95.39	95.4	270
MMa	63.61	82.62	-47.69	95.4	330
NMa	0.01	0.0	0.0	0.0	0
WMa	95.41	0.0	0.0	0.0	0
RCIE	39.92	58.74	27.99	65.07	25
JCIE	81.26	-2.88	71.56	71.62	92
GCIE	52.23	-42.41	13.6	44.55	162
BCIE	30.57	1.41	-46.46	46.49	272

Dreiecks-Helligkeit t^*



NG900-7, 9stufige Reihen für konstanten CIELAB Buntton $107/360 = 0.298$ (links)

16stufige Reihen für konstanten CIELAB Buntton $90/360 = 0.25$ (rechts)

Eingabe: Farbmetrisches Fernseh-Licht-System TLS70

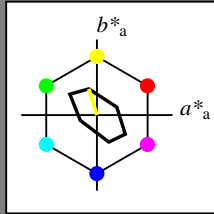
für Buntton $h^* = lab^*h = 107/360 = 0.298$

lab^*tch und lab^*nch

D65: Buntton Y

LCH*Ma: 94 36 107

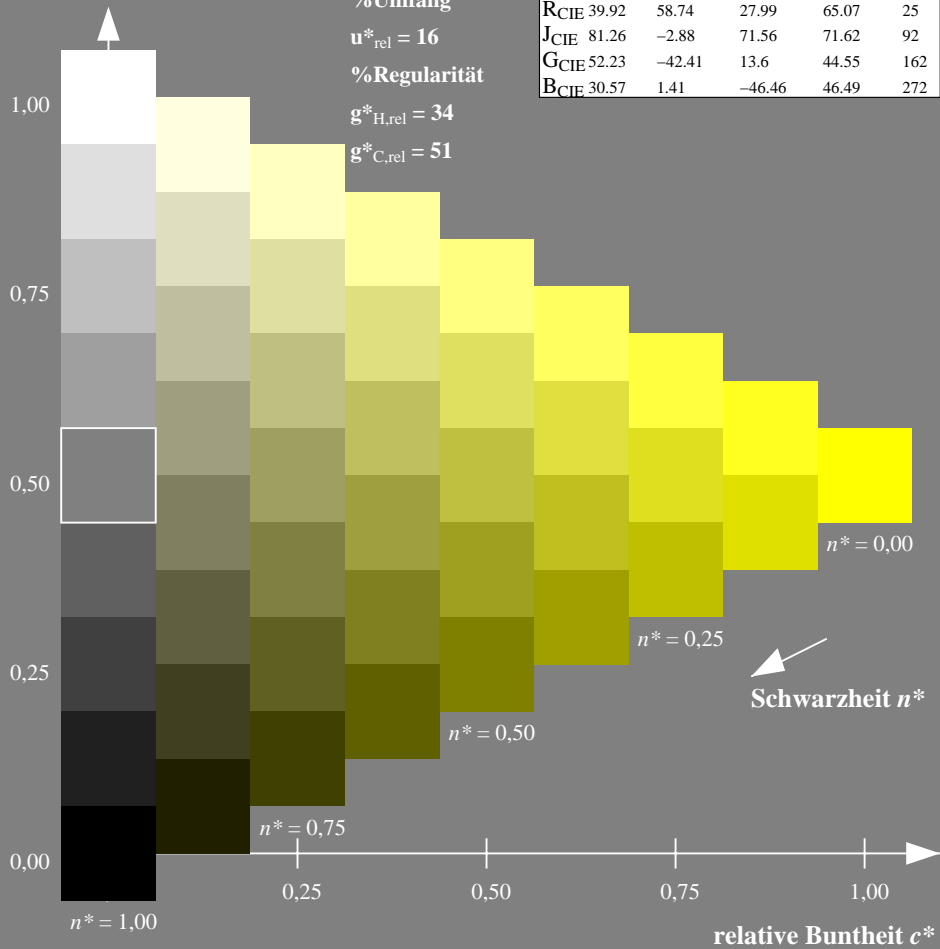
olv*Ma: 1.0 1.0 0.0



TLS70; adaptierte CIELAB-Daten

	$L^*=L^*_a$	a^*_a	b^*_a	$C^*_{ab,a}$	$h^*_{ab,a}$
OMa	76.43	26.27	10.57	28.32	22
YMa	93.93	-10.76	34.63	36.27	107
LMa	89.32	-35.8	27.64	45.24	142
CMa	90.93	-21.95	-7.07	23.07	198
VMa	72.1	15.76	-35.63	38.97	294
MMa	78.5	37.52	-25.23	45.22	326
NMa	69.7	0.0	0.0	0.0	0
WMa	95.41	0.0	0.0	0.0	0
RCIE	39.92	58.74	27.99	65.07	25
JCIE	81.26	-2.88	71.56	71.62	92
GCIE	52.23	-42.41	13.6	44.55	162
BCIE	30.57	1.41	-46.46	46.49	272

Dreiecks-Helligkeit t^*



NG900-7, 9stufige Reihen für konstanten CIELAB Buntton $107/360 = 0.298$ (links)

Ausgabe: Farbmetrisches Natürliches-Reflektiv-System NRS18

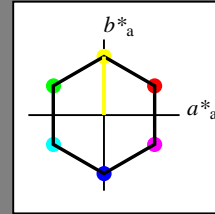
für Buntton $h^* = lab^*h = 90/360 = 0.25$

lab^*tch und lab^*nch

D65: Buntton Y

LCH*Ma: 70 77 90

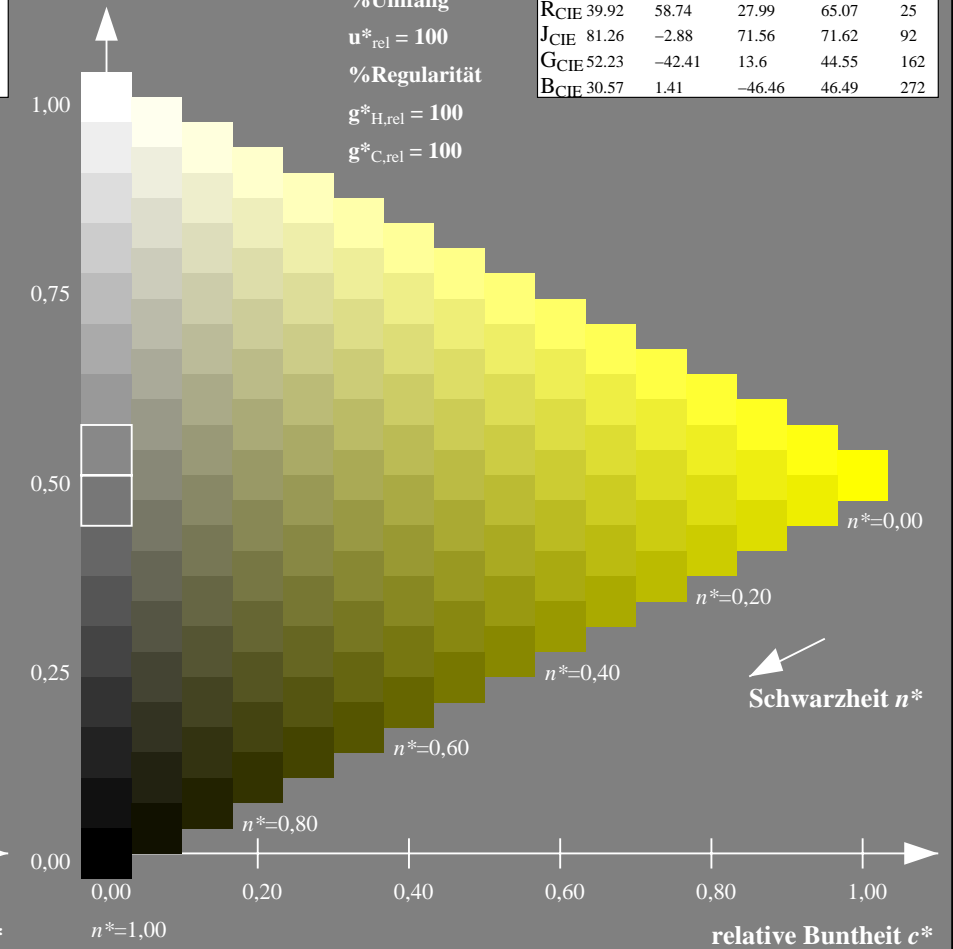
olv*Ma: 1.0 1.0 0.0



NRS18; adaptierte CIELAB-Daten

	$L^*=L^*_a$	a^*_a	b^*_a	$C^*_{ab,a}$	$h^*_{ab,a}$
OMa	43.81	67.03	38.7	77.4	30
YMa	69.61	0.0	77.4	77.4	90
LMa	43.81	-67.02	38.7	77.4	150
CMa	69.61	-67.02	-38.69	77.4	210
VMa	43.81	0.0	-77.39	77.4	270
MMa	69.61	67.03	-38.69	77.4	330
NMa	18.01	0.0	0.0	0.0	0
WMa	95.41	0.0	0.0	0.0	0
RCIE	39.92	58.74	27.99	65.07	25
JCIE	81.26	-2.88	71.56	71.62	92
GCIE	52.23	-42.41	13.6	44.55	162
BCIE	30.57	1.41	-46.46	46.49	272

Dreiecks-Helligkeit t^*



16stufige Reihen für konstanten CIELAB Buntton $90/360 = 0.25$ (rechts)

Eingabe: Farbmetrisches Fernseh-Licht-System TLS70

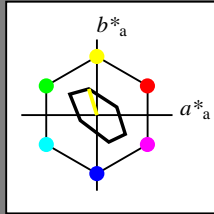
für Buntton $h^* = lab^*h = 107/360 = 0.298$

lab^*tch und lab^*nch

D65: Buntton Y

LCH*Ma: 94 36 107

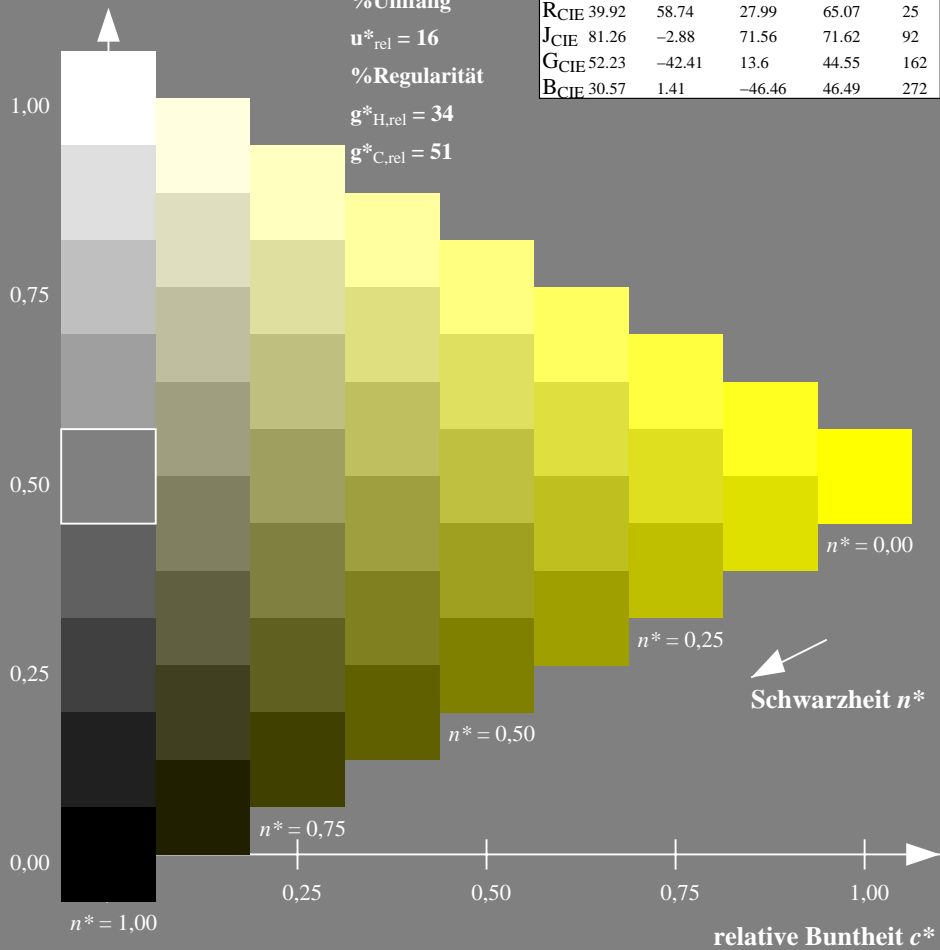
olv*Ma: 1.0 1.0 0.0



TLS70; adaptierte CIELAB-Daten

	$L^*=L^*_a$	a^*_a	b^*_a	$C^*_{ab,a}$	$h^*_{ab,a}$
OMa	76.43	26.27	10.57	28.32	22
YMa	93.93	-10.76	34.63	36.27	107
LMa	89.32	-35.8	27.64	45.24	142
CMa	90.93	-21.95	-7.07	23.07	198
VMa	72.1	15.76	-35.63	38.97	294
MMa	78.5	37.52	-25.23	45.22	326
NMa	69.7	0.0	0.0	0.0	0
WMa	95.41	0.0	0.0	0.0	0
RCIE	39.92	58.74	27.99	65.07	25
JCIE	81.26	-2.88	71.56	71.62	92
GCIE	52.23	-42.41	13.6	44.55	162
BCIE	30.57	1.41	-46.46	46.49	272

Dreiecks-Helligkeit t^*



Ausgabe: Farbmetrisches Standard-Reflektiv-System SRS18

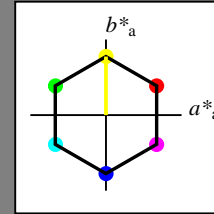
für Buntton $h^* = lab^*h = 90/360 = 0.25$

lab^*tch und lab^*nch

D65: Buntton Y

LCH*Ma: 57 77 90

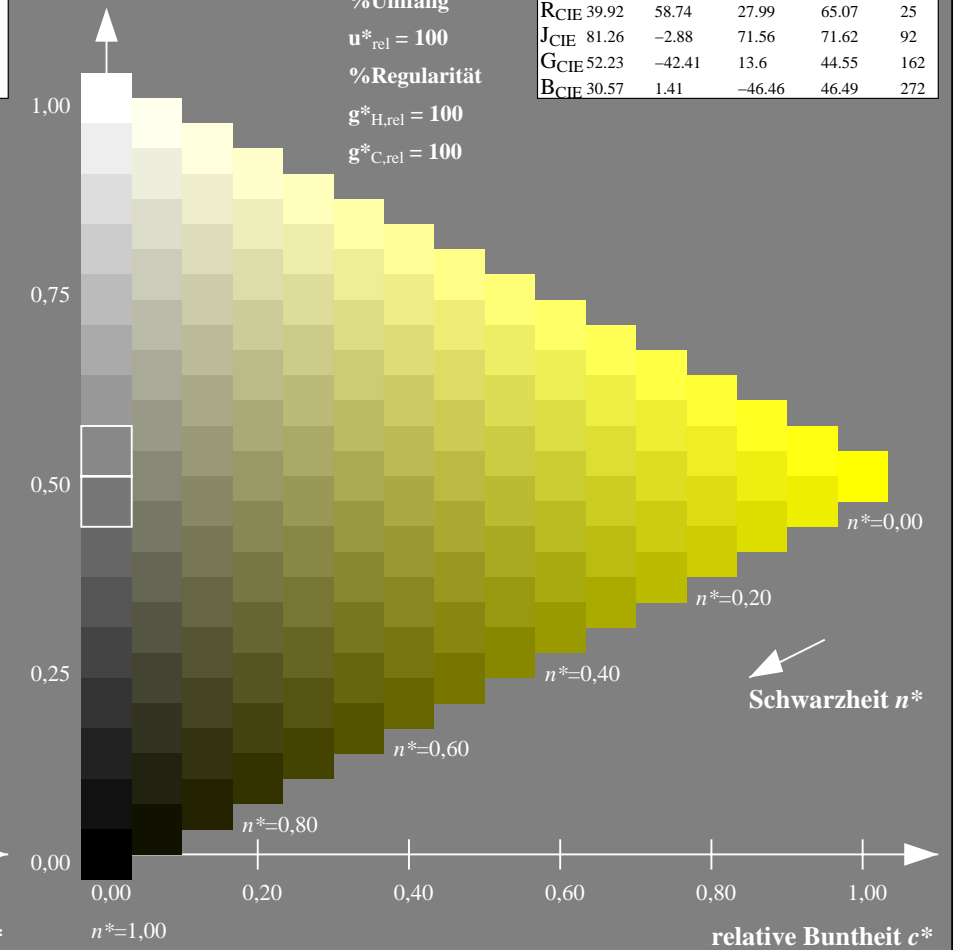
olv*Ma: 1.0 1.0 0.0



SRS18; adaptierte CIELAB-Daten

	$L^*=L^*_a$	a^*_a	b^*_a	$C^*_{ab,a}$	$h^*_{ab,a}$
OMa	56.71	67.03	38.7	77.4	30
YMa	56.71	0.0	77.4	77.4	90
LMa	56.71	-67.02	38.7	77.4	150
CMa	56.71	-67.02	-38.69	77.4	210
VMa	56.71	0.0	-77.39	77.4	270
MMa	56.71	67.03	-38.69	77.4	330
NMa	18.01	0.0	0.0	0.0	0
WMa	95.41	0.0	0.0	0.0	0
RCIE	39.92	58.74	27.99	65.07	25
JCIE	81.26	-2.88	71.56	71.62	92
GCIE	52.23	-42.41	13.6	44.55	162
BCIE	30.57	1.41	-46.46	46.49	272

Dreiecks-Helligkeit t^*



NG900-7, 9stufige Reihen für konstanten CIELAB Buntton $107/360 = 0.298$ (links)

16stufige Reihen für konstanten CIELAB Buntton $90/360 = 0.25$ (rechts)

Eingabe: Farbmetrisches Fernseh-Licht-System TLS70

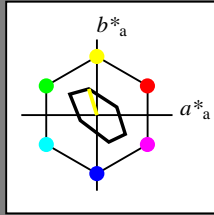
für Buntton $h^* = lab^*h = 107/360 = 0.298$

lab^*tch und lab^*nch

D65: Buntton Y

LCH*Ma: 94 36 107

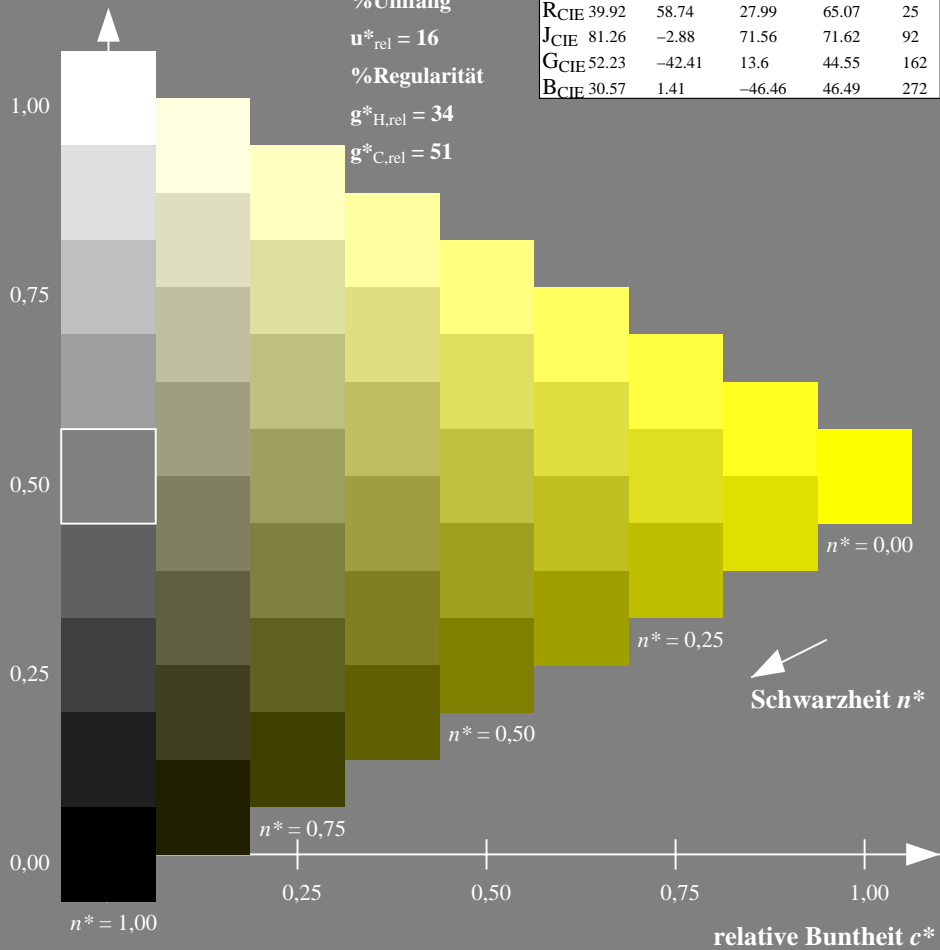
olv*Ma: 1.0 1.0 0.0



TLS70; adaptierte CIELAB-Daten

	$L^*=L^*_a$	a^*_a	b^*_a	$C^*_{ab,a}$	$h^*_{ab,a}$
OMa	76.43	26.27	10.57	28.32	22
YMa	93.93	-10.76	34.63	36.27	107
LMa	89.32	-35.8	27.64	45.24	142
CMa	90.93	-21.95	-7.07	23.07	198
VMa	72.1	15.76	-35.63	38.97	294
MMa	78.5	37.52	-25.23	45.22	326
NMa	69.7	0.0	0.0	0.0	0
WMa	95.41	0.0	0.0	0.0	0
RCIE	39.92	58.74	27.99	65.07	25
JCIE	81.26	-2.88	71.56	71.62	92
GCIE	52.23	-42.41	13.6	44.55	162
BCIE	30.57	1.41	-46.46	46.49	272

Dreiecks-Helligkeit t^*



NG900-7, 9stufige Reihen für konstanten CIELAB Buntton 107/360 = 0.298 (links)

Ausgabe: Farbmetrisches Fernseh-Licht-System TLS70

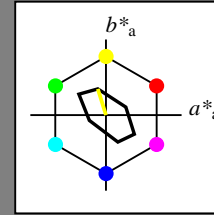
für Buntton $h^* = lab^*h = 107/360 = 0.298$

lab^*tch und lab^*nch

D65: Buntton Y

LCH*Ma: 94 36 107

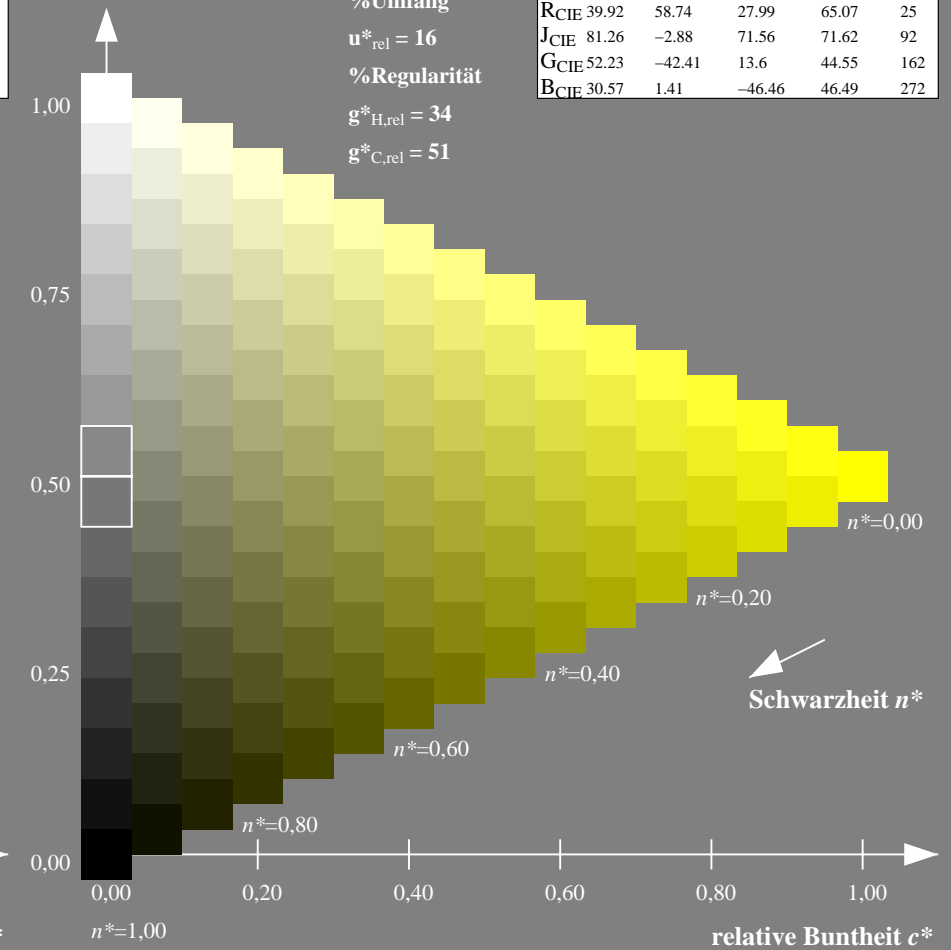
olv*Ma: 1.0 1.0 0.0



TLS70; adaptierte CIELAB-Daten

	$L^*=L^*_a$	a^*_a	b^*_a	$C^*_{ab,a}$	$h^*_{ab,a}$
OMa	76.43	26.27	10.57	28.32	22
YMa	93.93	-10.76	34.63	36.27	107
LMa	89.32	-35.8	27.64	45.24	142
CMa	90.93	-21.95	-7.07	23.07	198
VMa	72.1	15.76	-35.63	38.97	294
MMa	78.5	37.52	-25.23	45.22	326
NMa	69.7	0.0	0.0	0.0	0
WMa	95.41	0.0	0.0	0.0	0
RCIE	39.92	58.74	27.99	65.07	25
JCIE	81.26	-2.88	71.56	71.62	92
GCIE	52.23	-42.41	13.6	44.55	162
BCIE	30.57	1.41	-46.46	46.49	272

Dreiecks-Helligkeit t^*



16stufige Reihen für konstanten CIELAB Buntton 107/360 = 0.298 (rechts)

Eingabe: Farbmetrisches Offset-Reflektiv-System ORS18

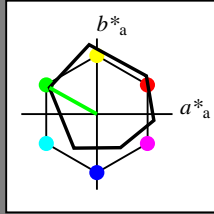
für Buntton $h^* = lab^*h = 151/360 = 0.419$

lab^*tch und lab^*nch

D65: Buntton L

LCH*Ma: 51 72 151

olv*Ma: 0.0 1.0 0.0



ORS18; adaptierte CIELAB-Daten

	$L^*=L^*_a$	a^*_a	b^*_a	$C^*_{ab,a}$	$h^*_{ab,a}$
O _{Ma}	47.94	65.39	50.52	82.63	38
Y _{Ma}	90.37	-10.26	91.75	92.32	96
L _{Ma}	50.9	-62.83	34.96	71.91	151
C _{Ma}	58.62	-30.34	-45.01	54.3	236
V _{Ma}	25.72	31.1	-44.4	54.22	305
M _{Ma}	48.13	75.28	-8.36	75.74	354
N _{Ma}	18.01	0.0	0.0	0.0	0
W _{Ma}	95.41	0.0	0.0	0.0	0
R _{CIE}	39.92	58.66	26.98	64.57	25
J _{CIE}	81.26	-2.16	67.76	67.79	92
G _{CIE}	52.23	-42.25	11.76	43.87	164
B _{CIE}	30.57	1.15	-46.84	46.86	271

Dreiecks-Helligkeit t^*

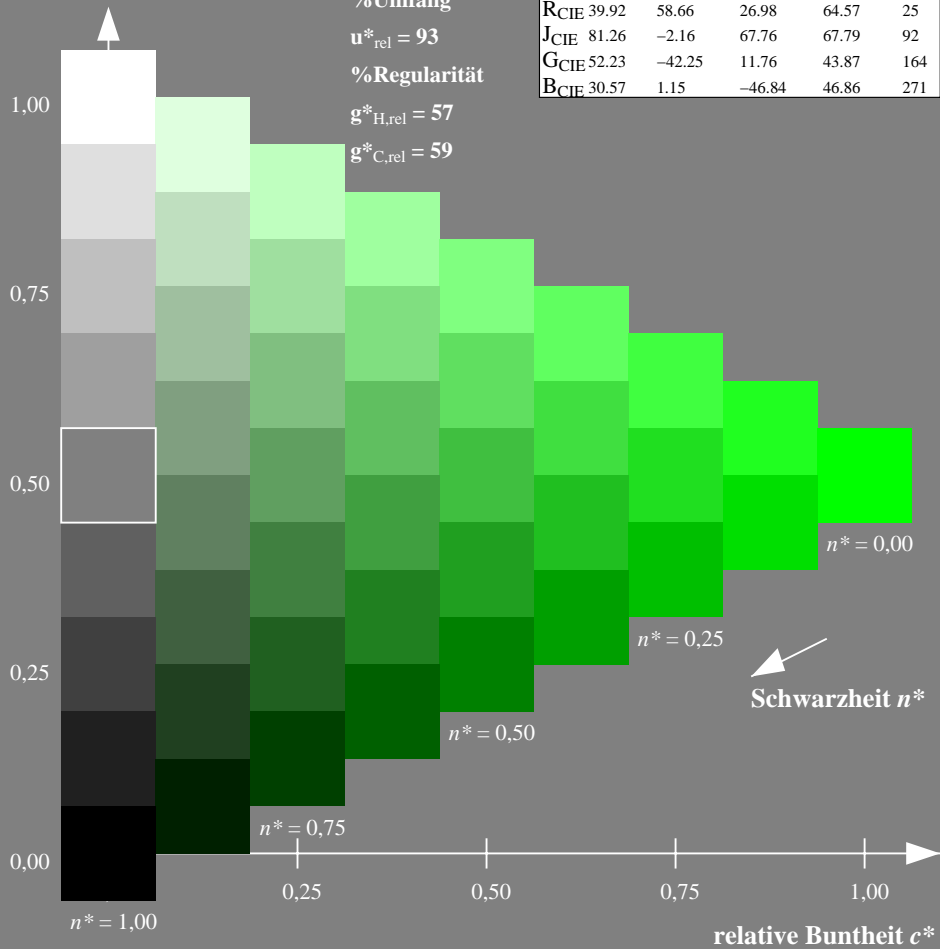
%Umfang

$u^*_{rel} = 93$

%Regularität

$g^*_{H,rel} = 57$

$g^*_{C,rel} = 59$



Ausgabe: Farbmetrisches Offset-Reflektiv-System ORS18

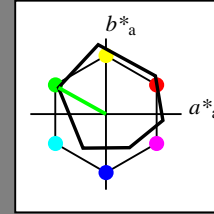
für Buntton $h^* = lab^*h = 151/360 = 0.419$

lab^*tch und lab^*nch

D65: Buntton L

LCH*Ma: 51 72 151

olv*Ma: 0.0 1.0 0.0



ORS18; adaptierte CIELAB-Daten

	$L^*=L^*_a$	a^*_a	b^*_a	$C^*_{ab,a}$	$h^*_{ab,a}$
O _{Ma}	47.94	65.39	50.52	82.63	38
Y _{Ma}	90.37	-10.26	91.75	92.32	96
L _{Ma}	50.9	-62.83	34.96	71.91	151
C _{Ma}	58.62	-30.34	-45.01	54.3	236
V _{Ma}	25.72	31.1	-44.4	54.22	305
M _{Ma}	48.13	75.28	-8.36	75.74	354
N _{Ma}	18.01	0.0	0.0	0.0	0
W _{Ma}	95.41	0.0	0.0	0.0	0
R _{CIE}	39.92	58.66	26.98	64.57	25
J _{CIE}	81.26	-2.16	67.76	67.79	92
G _{CIE}	52.23	-42.25	11.76	43.87	164
B _{CIE}	30.57	1.15	-46.84	46.86	271

Dreiecks-Helligkeit t^*

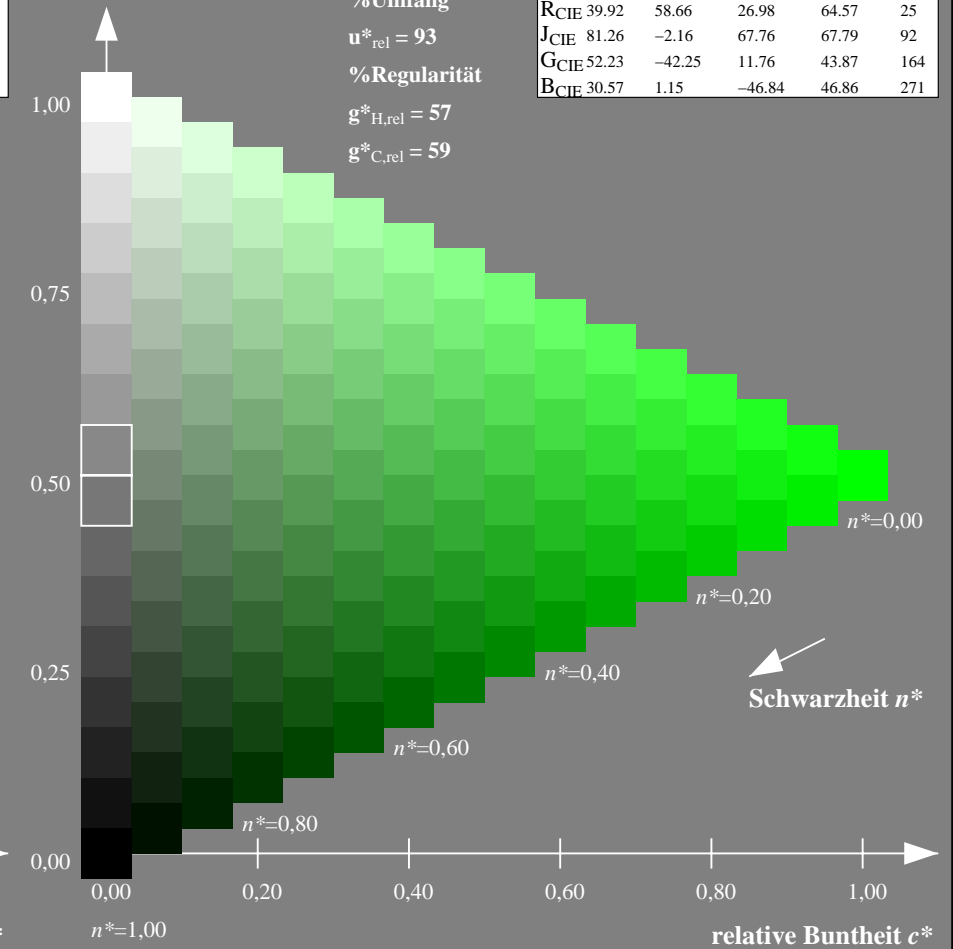
%Umfang

$u^*_{rel} = 93$

%Regularität

$g^*_{H,rel} = 57$

$g^*_{C,rel} = 59$



NG900-7, 9stufige Reihen für konstanten CIELAB Buntton 151/360 = 0.419 (links)

16stufige Reihen für konstanten CIELAB Buntton 151/360 = 0.419 (rechts)

Eingabe: Farbmetrisches Offset-Reflektiv-System ORS18

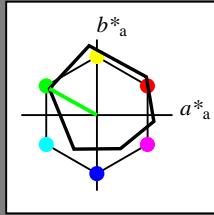
für Buntton $h^* = lab^*h = 151/360 = 0.419$

lab^*tch und lab^*nch

D65: Buntton L

LCH*Ma: 51 72 151

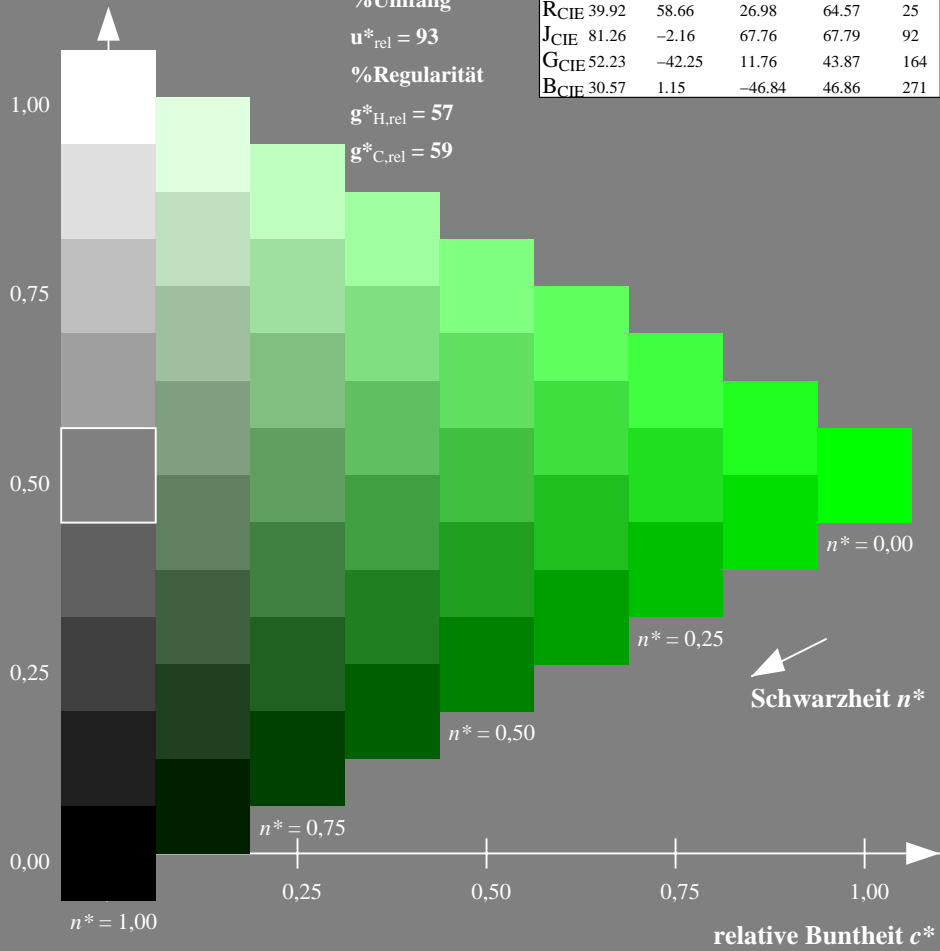
olv*Ma: 0.0 1.0 0.0



ORS18; adaptierte CIELAB-Daten

	$L^*=L^*_a$	a^*_a	b^*_a	$C^*_{ab,a}$	$h^*_{ab,a}$
O _{Ma}	47.94	65.39	50.52	82.63	38
Y _{Ma}	90.37	-10.26	91.75	92.32	96
L _{Ma}	50.9	-62.83	34.96	71.91	151
C _{Ma}	58.62	-30.34	-45.01	54.3	236
V _{Ma}	25.72	31.1	-44.4	54.22	305
M _{Ma}	48.13	75.28	-8.36	75.74	354
N _{Ma}	18.01	0.0	0.0	0.0	0
W _{Ma}	95.41	0.0	0.0	0.0	0
R _{CIE}	39.92	58.66	26.98	64.57	25
J _{CIE}	81.26	-2.16	67.76	67.79	92
G _{CIE}	52.23	-42.25	11.76	43.87	164
B _{CIE}	30.57	1.15	-46.84	46.86	271

Dreiecks-Helligkeit t^*



Ausgabe: Farbmetrisches Fernseh-Licht-System TLS00

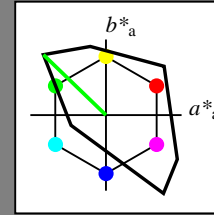
für Buntton $h^* = lab^*h = 136/360 = 0.378$

lab^*tch und lab^*nch

D65: Buntton L

LCH*Ma: 84 115 136

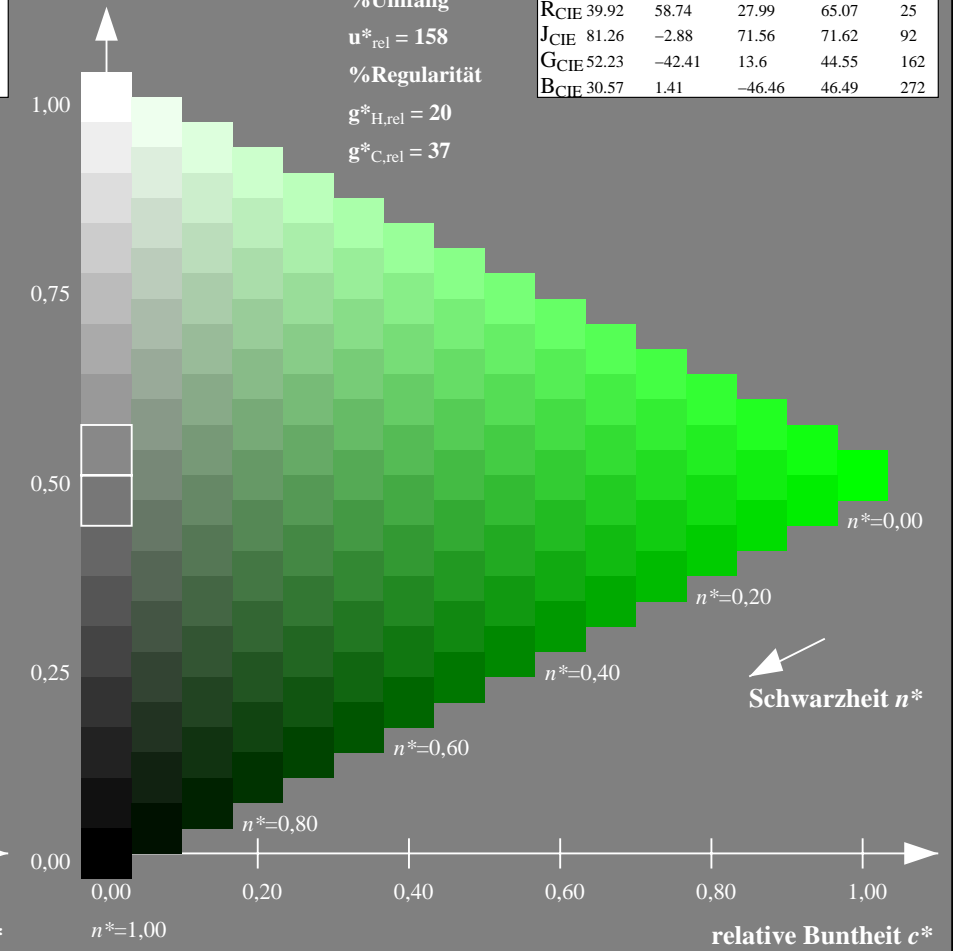
olv*Ma: 0.0 1.0 0.0



TLS00; adaptierte CIELAB-Daten

	$L^*=L^*_a$	a^*_a	b^*_a	$C^*_{ab,a}$	$h^*_{ab,a}$
O _{Ma}	50.5	76.92	64.55	100.42	40
Y _{Ma}	92.66	-20.69	90.75	93.08	103
L _{Ma}	83.63	-82.75	79.9	115.04	136
C _{Ma}	86.88	-46.16	-13.55	48.12	196
V _{Ma}	30.39	76.06	-103.59	128.52	306
M _{Ma}	57.3	94.35	-58.41	110.97	328
N _{Ma}	0.01	0.0	0.0	0.0	0
W _{Ma}	95.41	0.0	0.0	0.0	0
R _{CIE}	39.92	58.74	27.99	65.07	25
J _{CIE}	81.26	-2.88	71.56	71.62	92
G _{CIE}	52.23	-42.41	13.6	44.55	162
B _{CIE}	30.57	1.41	-46.46	46.49	272

Dreiecks-Helligkeit t^*



NG900-7, 9stufige Reihen für konstanten CIELAB Buntton $151/360 = 0.419$ (links)

16stufige Reihen für konstanten CIELAB Buntton $136/360 = 0.378$ (rechts)

Eingabe: Farbmetrisches Offset-Reflektiv-System ORS18

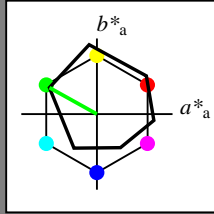
für Buntton $h^* = lab^*h = 151/360 = 0.419$

lab^*tch und lab^*nch

D65: Buntton L

LCH*Ma: 51 72 151

olv*Ma: 0.0 1.0 0.0



ORS18; adaptierte CIELAB-Daten

	$L^*=L^*_a$	a^*_a	b^*_a	$C^*_{ab,a}$	$h^*_{ab,a}$
OMa	47.94	65.39	50.52	82.63	38
YMa	90.37	-10.26	91.75	92.32	96
LMa	50.9	-62.83	34.96	71.91	151
CMa	58.62	-30.34	-45.01	54.3	236
VMa	25.72	31.1	-44.4	54.22	305
MMa	48.13	75.28	-8.36	75.74	354
NMa	18.01	0.0	0.0	0.0	0
WMa	95.41	0.0	0.0	0.0	0
RCIE	39.92	58.66	26.98	64.57	25
JCIE	81.26	-2.16	67.76	67.79	92
GCIE	52.23	-42.25	11.76	43.87	164
BCIE	30.57	1.15	-46.84	46.86	271

Dreiecks-Helligkeit t^*

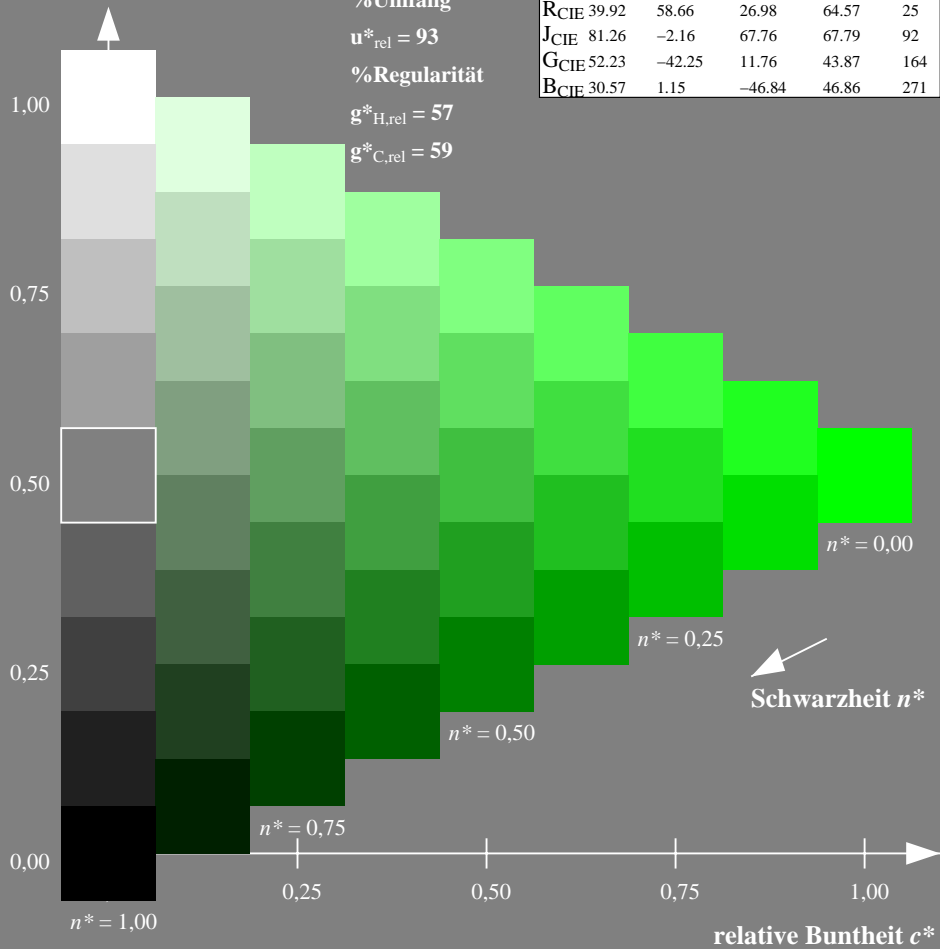
%Umfang

$u^*_{rel} = 93$

%Regularität

$g^*_{H,rel} = 57$

$g^*_{C,rel} = 59$



Ausgabe: Farbmetrisches Drucker-Reflektiv-System DRSXX

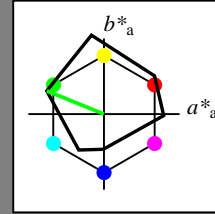
für Buntton $h^* = lab^*h = 158/360 = 0.439$

lab^*tch und lab^*nch

D65: Buntton L

LCH*Ma: 48 82 158

olv*Ma: 0.0 1.0 0.0



DRSXX; adaptierte CIELAB-Daten

	$L^*=L^*_a$	a^*_a	b^*_a	$C^*_{ab,a}$	$h^*_{ab,a}$
OMa	42.21	66.82	50.6	83.82	37
YMa	90.32	-16.51	104.33	105.63	99
LMa	48.21	-75.63	30.65	81.61	158
CMa	53.44	-33.33	-47.49	58.03	235
VMa	34.16	-0.92	-46.56	46.58	269
MMa	42.71	79.0	-1.95	79.03	359
NMa	16.56	0.0	0.0	0.0	0
WMa	96.31	0.0	0.0	0.0	0
RCIE	39.92	59.78	25.77	65.1	23
JCIE	81.26	-2.51	69.07	69.11	92
GCIE	52.23	-41.57	11.3	43.09	165
BCIE	30.57	2.6	-48.62	48.7	273

Dreiecks-Helligkeit t^*

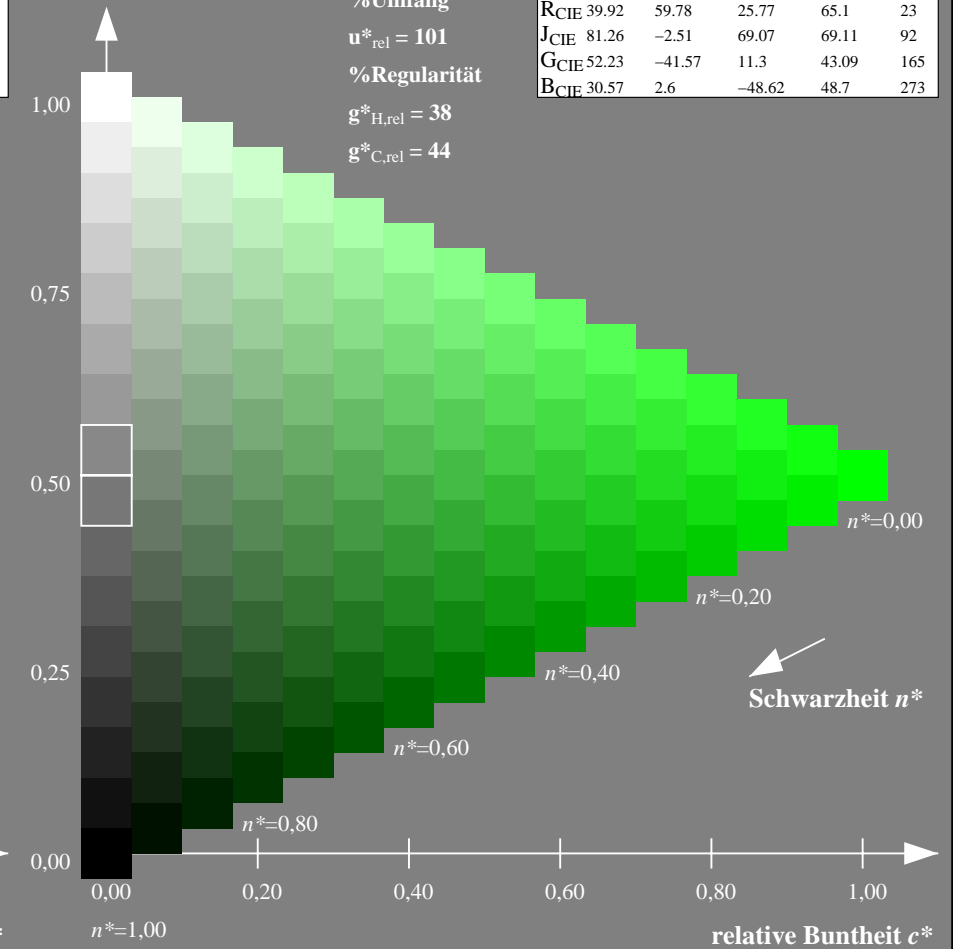
%Umfang

$u^*_{rel} = 101$

%Regularität

$g^*_{H,rel} = 38$

$g^*_{C,rel} = 44$



NG900-7, 9stufige Reihen für konstanten CIELAB Buntton $151/360 = 0.419$ (links)

16stufige Reihen für konstanten CIELAB Buntton $158/360 = 0.439$ (rechts)

Eingabe: Farbmetrisches Offset-Reflektiv-System ORS18

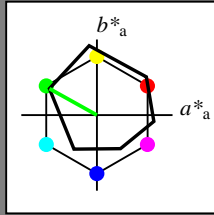
für Buntton $h^* = lab^*h = 151/360 = 0.419$

lab^*tch und lab^*nch

D65: Buntton L

LCH*Ma: 51 72 151

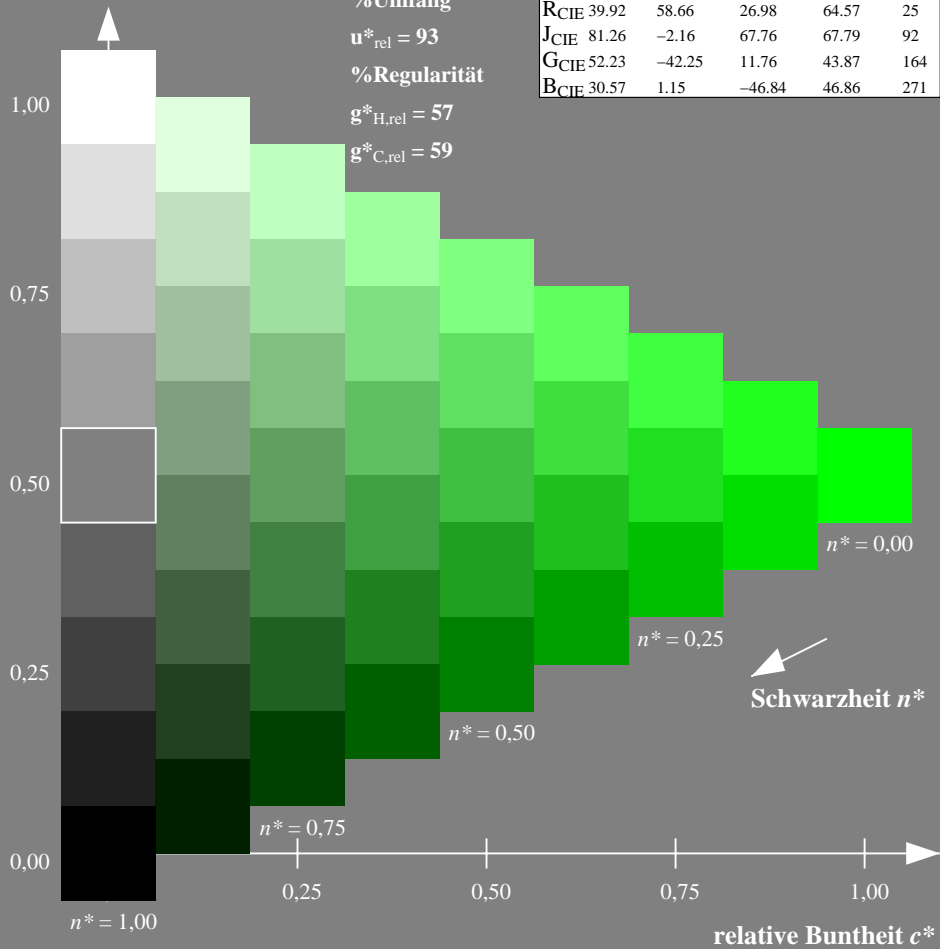
olv*Ma: 0.0 1.0 0.0



ORS18; adaptierte CIELAB-Daten

	$L^*=L^*_a$	a^*_a	b^*_a	$C^*_{ab,a}$	$h^*_{ab,a}$
OMa	47.94	65.39	50.52	82.63	38
YMa	90.37	-10.26	91.75	92.32	96
LMa	50.9	-62.83	34.96	71.91	151
CMa	58.62	-30.34	-45.01	54.3	236
VMa	25.72	31.1	-44.4	54.22	305
MMa	48.13	75.28	-8.36	75.74	354
NMa	18.01	0.0	0.0	0.0	0
WMa	95.41	0.0	0.0	0.0	0
RCIE	39.92	58.66	26.98	64.57	25
JCIE	81.26	-2.16	67.76	67.79	92
GCIE	52.23	-42.25	11.76	43.87	164
BCIE	30.57	1.15	-46.84	46.86	271

Dreiecks-Helligkeit t^*



Ausgabe: Farbmetrisches Fernseh-Licht-System TLS18

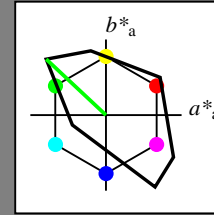
für Buntton $h^* = lab^*h = 137/360 = 0.38$

lab^*tch und lab^*nch

D65: Buntton L

LCH*Ma: 84 108 137

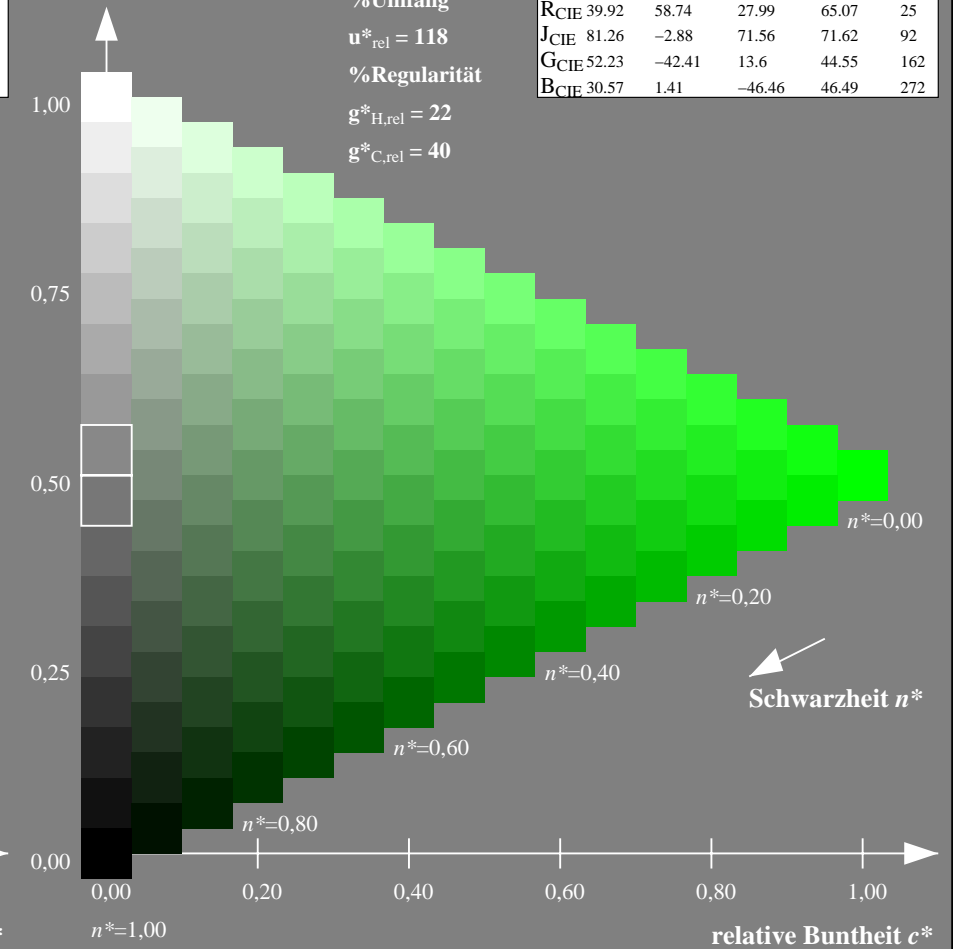
olv*Ma: 0.0 1.0 0.0



TLS18; adaptierte CIELAB-Daten

	$L^*=L^*_a$	a^*_a	b^*_a	$C^*_{ab,a}$	$h^*_{ab,a}$
OMa	52.76	71.63	49.88	87.29	35
YMa	92.74	-20.02	84.97	87.3	103
LMa	84.0	-78.98	73.94	108.2	137
CMa	87.14	-44.41	-13.11	46.32	196
VMa	35.47	64.92	-95.06	115.12	304
MMa	59.01	89.33	-55.67	105.26	328
NMa	18.01	0.0	0.0	0.0	0
WMa	95.41	0.0	0.0	0.0	0
RCIE	39.92	58.74	27.99	65.07	25
JCIE	81.26	-2.88	71.56	71.62	92
GCIE	52.23	-42.41	13.6	44.55	162
BCIE	30.57	1.41	-46.46	46.49	272

Dreiecks-Helligkeit t^*



NG900-7, 9stufige Reihen für konstanten CIELAB Buntton $151/360 = 0.419$ (links)

16stufige Reihen für konstanten CIELAB Buntton $137/360 = 0.38$ (rechts)

Eingabe: Farbmetrisches Offset-Reflektiv-System ORS18

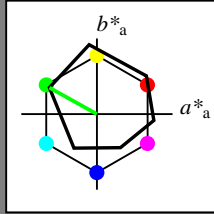
für Buntton $h^* = lab^*h = 151/360 = 0.419$

lab^*tch und lab^*nch

D65: Buntton L

LCH*Ma: 51 72 151

olv*Ma: 0.0 1.0 0.0



ORS18; adaptierte CIELAB-Daten

	$L^*=L^*_a$	a^*_a	b^*_a	$C^*_{ab,a}$	$h^*_{ab,a}$
O _{Ma}	47.94	65.39	50.52	82.63	38
Y _{Ma}	90.37	-10.26	91.75	92.32	96
L _{Ma}	50.9	-62.83	34.96	71.91	151
C _{Ma}	58.62	-30.34	-45.01	54.3	236
V _{Ma}	25.72	31.1	-44.4	54.22	305
M _{Ma}	48.13	75.28	-8.36	75.74	354
N _{Ma}	18.01	0.0	0.0	0.0	0
W _{Ma}	95.41	0.0	0.0	0.0	0
R _{CIE}	39.92	58.66	26.98	64.57	25
J _{CIE}	81.26	-2.16	67.76	67.79	92
G _{CIE}	52.23	-42.25	11.76	43.87	164
B _{CIE}	30.57	1.15	-46.84	46.86	271

Dreiecks-Helligkeit t^*

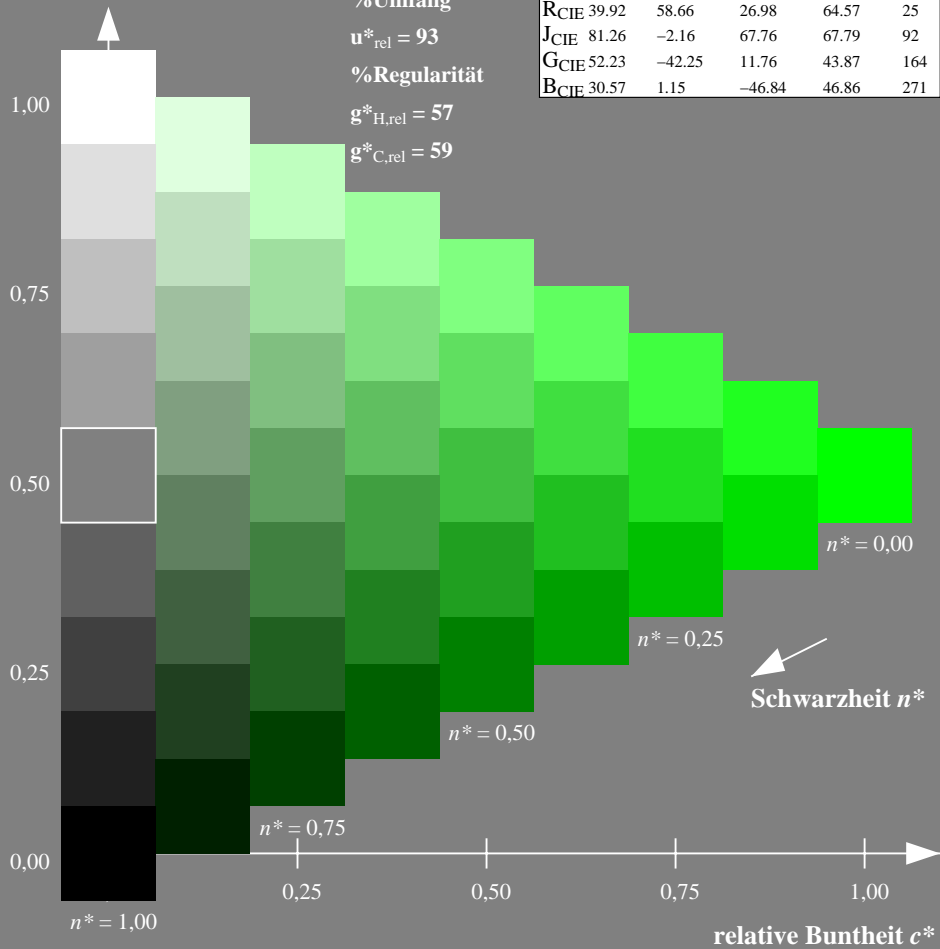
%Umfang

$u^*_{rel} = 93$

%Regularität

$g^*_{H,rel} = 57$

$g^*_{C,rel} = 59$



Ausgabe: Farbmetrisches Natürliches-Licht-System NLS00

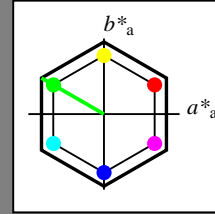
für Buntton $h^* = lab^*h = 150/360 = 0.417$

lab^*tch und lab^*nch

D65: Buntton L

LCH*Ma: 32 95 150

olv*Ma: 0.0 1.0 0.0



NLS00; adaptierte CIELAB-Daten

	$L^*=L^*_a$	a^*_a	b^*_a	$C^*_{ab,a}$	$h^*_{ab,a}$
O _{Ma}	31.81	82.62	47.7	95.4	30
Y _{Ma}	63.61	0.0	95.4	95.4	90
L _{Ma}	31.81	-82.61	47.7	95.4	150
C _{Ma}	63.61	-82.61	-47.69	95.4	210
V _{Ma}	31.81	0.0	-95.39	95.4	270
M _{Ma}	63.61	82.62	-47.69	95.4	330
N _{Ma}	0.01	0.0	0.0	0.0	0
W _{Ma}	95.41	0.0	0.0	0.0	0
R _{CIE}	39.92	58.74	27.99	65.07	25
J _{CIE}	81.26	-2.88	71.56	71.62	92
G _{CIE}	52.23	-42.41	13.6	44.55	162
B _{CIE}	30.57	1.41	-46.46	46.49	272

Dreiecks-Helligkeit t^*

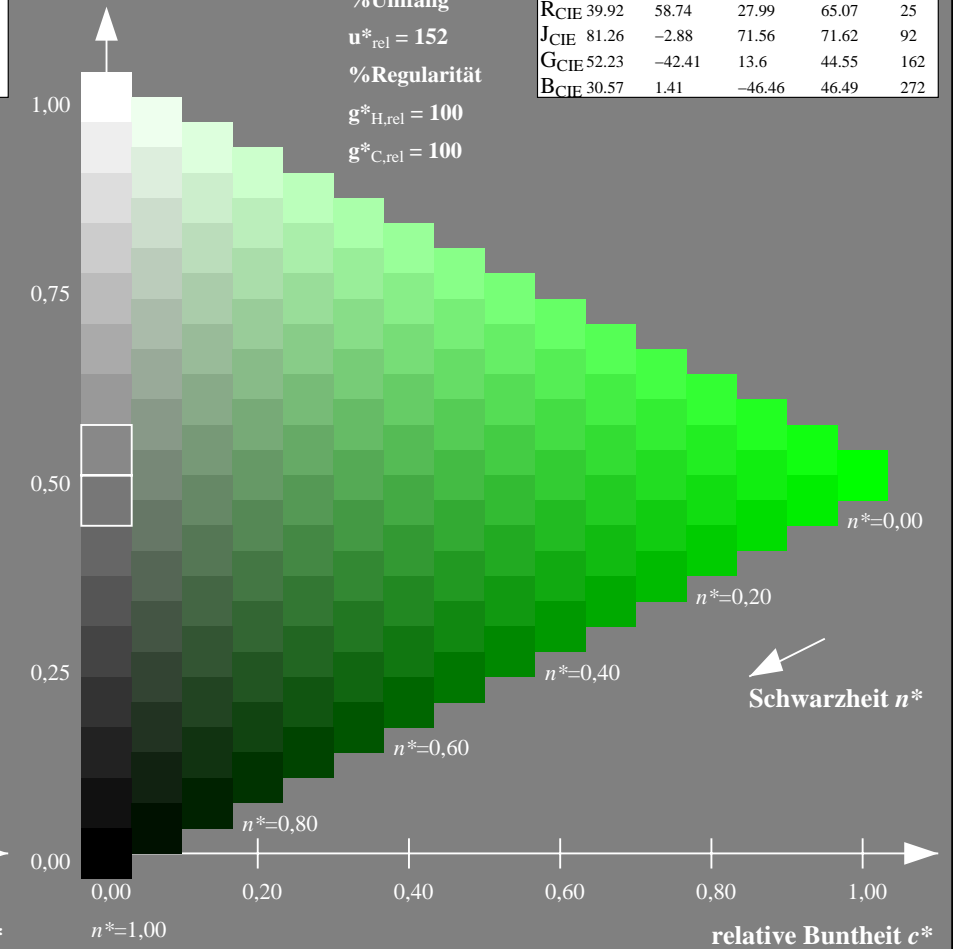
%Umfang

$u^*_{rel} = 152$

%Regularität

$g^*_{H,rel} = 100$

$g^*_{C,rel} = 100$



NG900-7, 9stufige Reihen für konstanten CIELAB Buntton $151/360 = 0.419$ (links)

16stufige Reihen für konstanten CIELAB Buntton $150/360 = 0.417$ (rechts)

Eingabe: Farbmetrisches Offset-Reflektiv-System ORS18

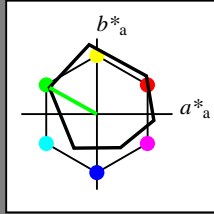
für Buntton $h^* = lab^*h = 151/360 = 0.419$

lab^*tch und lab^*nch

D65: Buntton L

LCH*Ma: 51 72 151

olv*Ma: 0.0 1.0 0.0



ORS18; adaptierte CIELAB-Daten

	$L^*=L^*_a$	a^*_a	b^*_a	$C^*_{ab,a}$	$h^*_{ab,a}$
OMa	47.94	65.39	50.52	82.63	38
YMa	90.37	-10.26	91.75	92.32	96
LMa	50.9	-62.83	34.96	71.91	151
CMa	58.62	-30.34	-45.01	54.3	236
VMa	25.72	31.1	-44.4	54.22	305
MMa	48.13	75.28	-8.36	75.74	354
NMa	18.01	0.0	0.0	0.0	0
WMa	95.41	0.0	0.0	0.0	0
RCIE	39.92	58.66	26.98	64.57	25
JCIE	81.26	-2.16	67.76	67.79	92
GCIE	52.23	-42.25	11.76	43.87	164
BCIE	30.57	1.15	-46.84	46.86	271

Dreiecks-Helligkeit t^*

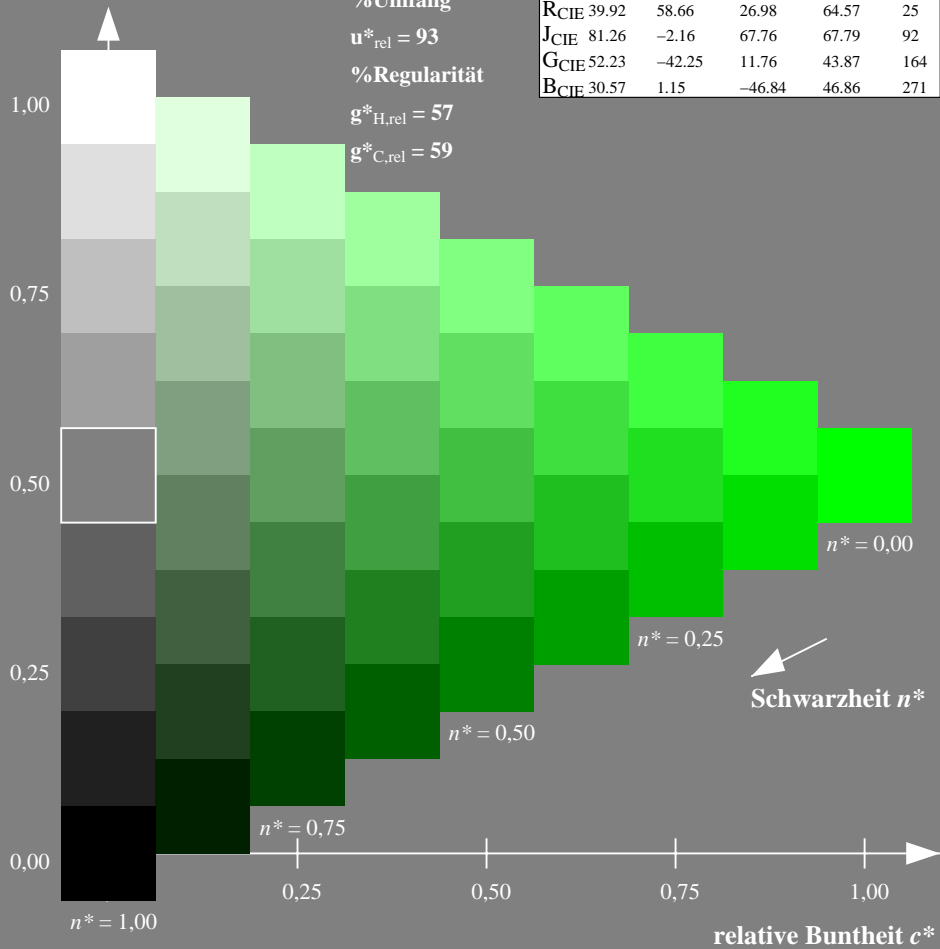
%Umfang

$u^*_{rel} = 93$

%Regularität

$g^*_{H,rel} = 57$

$g^*_{C,rel} = 59$



Ausgabe: Farbmetrisches Natürliches-Reflektiv-System NRS18

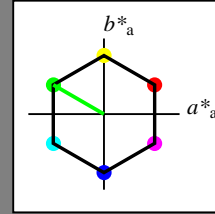
für Buntton $h^* = lab^*h = 150/360 = 0.417$

lab^*tch und lab^*nch

D65: Buntton L

LCH*Ma: 44 77 150

olv*Ma: 0.0 1.0 0.0



NRS18; adaptierte CIELAB-Daten

	$L^*=L^*_a$	a^*_a	b^*_a	$C^*_{ab,a}$	$h^*_{ab,a}$
OMa	43.81	67.03	38.7	77.4	30
YMa	69.61	0.0	77.4	77.4	90
LMa	43.81	-67.02	38.7	77.4	150
CMa	69.61	-67.02	-38.69	77.4	210
VMa	43.81	0.0	-77.39	77.4	270
MMa	69.61	67.03	-38.69	77.4	330
NMa	18.01	0.0	0.0	0.0	0
WMa	95.41	0.0	0.0	0.0	0
RCIE	39.92	58.74	27.99	65.07	25
JCIE	81.26	-2.88	71.56	71.62	92
GCIE	52.23	-42.41	13.6	44.55	162
BCIE	30.57	1.41	-46.46	46.49	272

Dreiecks-Helligkeit t^*

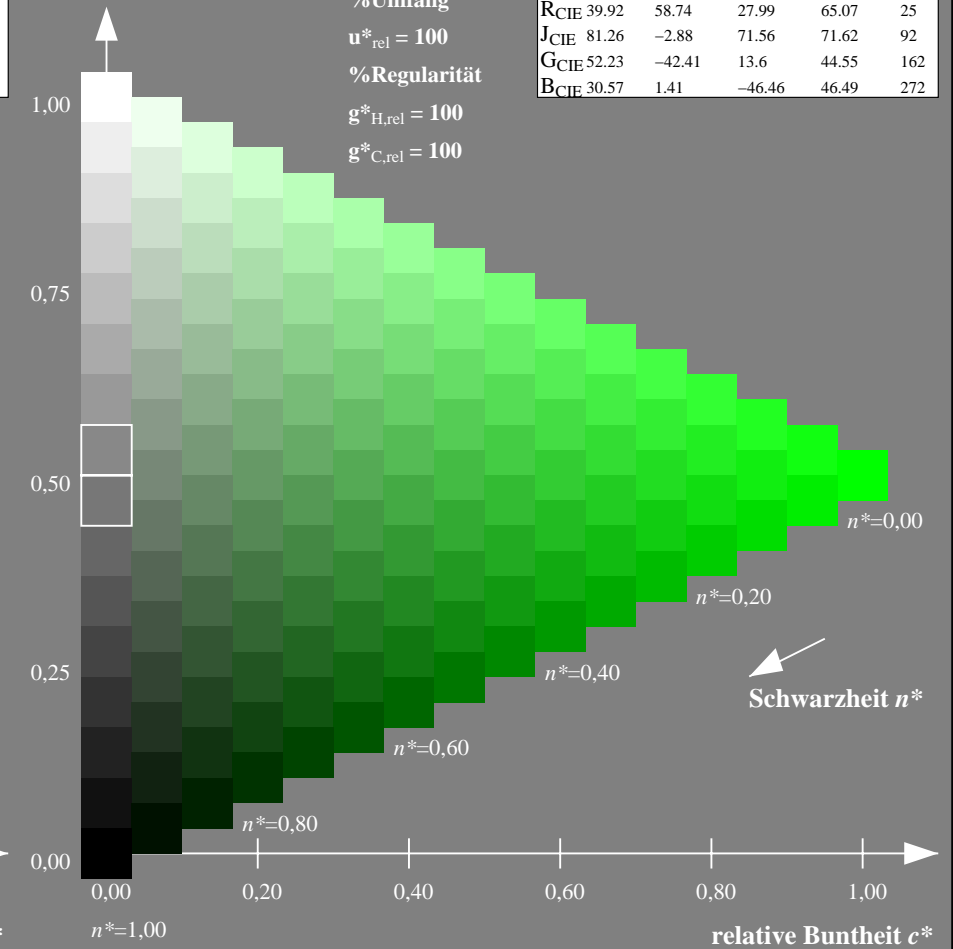
%Umfang

$u^*_{rel} = 100$

%Regularität

$g^*_{H,rel} = 100$

$g^*_{C,rel} = 100$



NG900-7, 9stufige Reihen für konstanten CIELAB Buntton $151/360 = 0.419$ (links)

16stufige Reihen für konstanten CIELAB Buntton $150/360 = 0.417$ (rechts)

Eingabe: Farbmetrisches Offset-Reflektiv-System ORS18

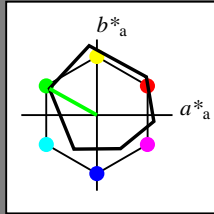
für Buntton $h^* = lab^*h = 151/360 = 0.419$

lab^*tch und lab^*nch

D65: Buntton L

LCH*Ma: 51 72 151

olv*Ma: 0.0 1.0 0.0



ORS18; adaptierte CIELAB-Daten

	$L^*=L^*_a$	a^*_a	b^*_a	$C^*_{ab,a}$	$h^*_{ab,a}$
OMa	47.94	65.39	50.52	82.63	38
YMa	90.37	-10.26	91.75	92.32	96
LMa	50.9	-62.83	34.96	71.91	151
CMa	58.62	-30.34	-45.01	54.3	236
VMa	25.72	31.1	-44.4	54.22	305
MMa	48.13	75.28	-8.36	75.74	354
NMa	18.01	0.0	0.0	0.0	0
WMa	95.41	0.0	0.0	0.0	0
RCIE	39.92	58.66	26.98	64.57	25
JCIE	81.26	-2.16	67.76	67.79	92
GCIE	52.23	-42.25	11.76	43.87	164
BCIE	30.57	1.15	-46.84	46.86	271

Dreiecks-Helligkeit t^*

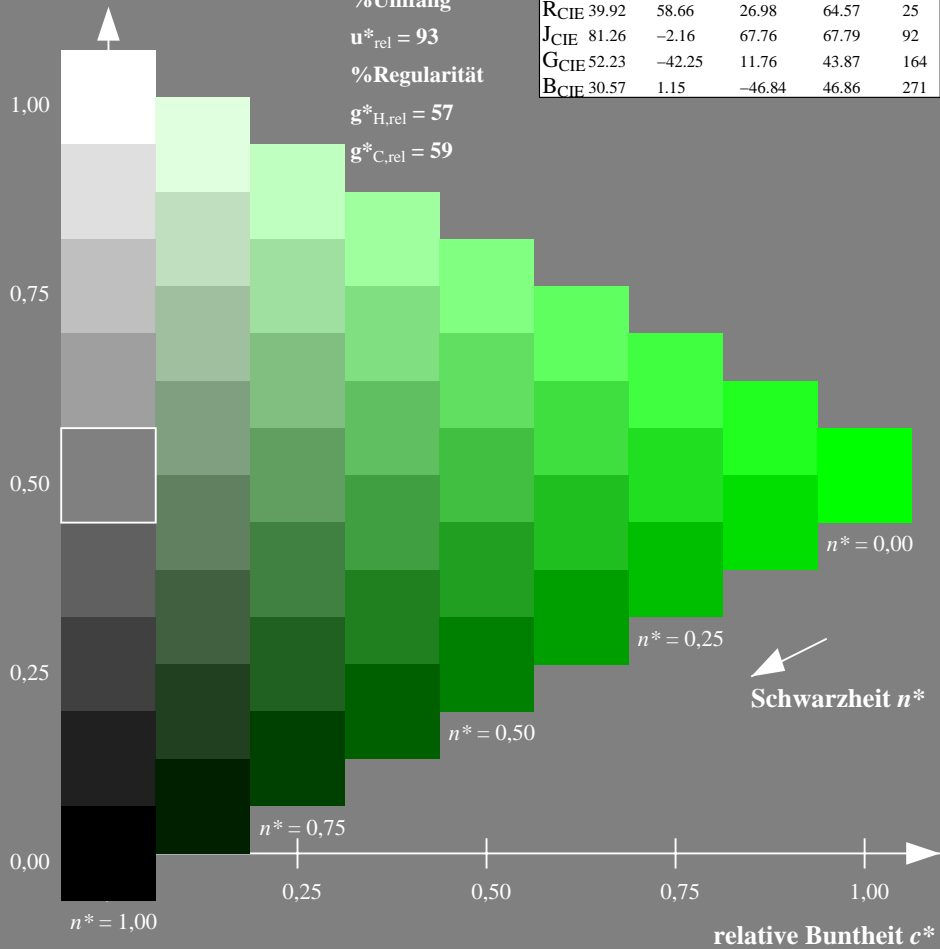
%Umfang

$u^*_{rel} = 93$

%Regularität

$g^*_{H,rel} = 57$

$g^*_{C,rel} = 59$



Ausgabe: Farbmetrisches Standard-Reflektiv-System SRS18

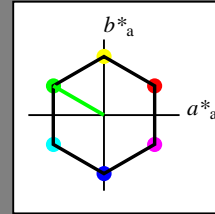
für Buntton $h^* = lab^*h = 150/360 = 0.417$

lab^*tch und lab^*nch

D65: Buntton L

LCH*Ma: 57 77 150

olv*Ma: 0.0 1.0 0.0



SRS18; adaptierte CIELAB-Daten

	$L^*=L^*_a$	a^*_a	b^*_a	$C^*_{ab,a}$	$h^*_{ab,a}$
OMa	56.71	67.03	38.7	77.4	30
YMa	56.71	0.0	77.4	77.4	90
LMa	56.71	-67.02	38.7	77.4	150
CMa	56.71	-67.02	-38.69	77.4	210
VMa	56.71	0.0	-77.39	77.4	270
MMa	56.71	67.03	-38.69	77.4	330
NMa	18.01	0.0	0.0	0.0	0
WMa	95.41	0.0	0.0	0.0	0
RCIE	39.92	58.74	27.99	65.07	25
JCIE	81.26	-2.88	71.56	71.62	92
GCIE	52.23	-42.41	13.6	44.55	162
BCIE	30.57	1.41	-46.46	46.49	272

Dreiecks-Helligkeit t^*

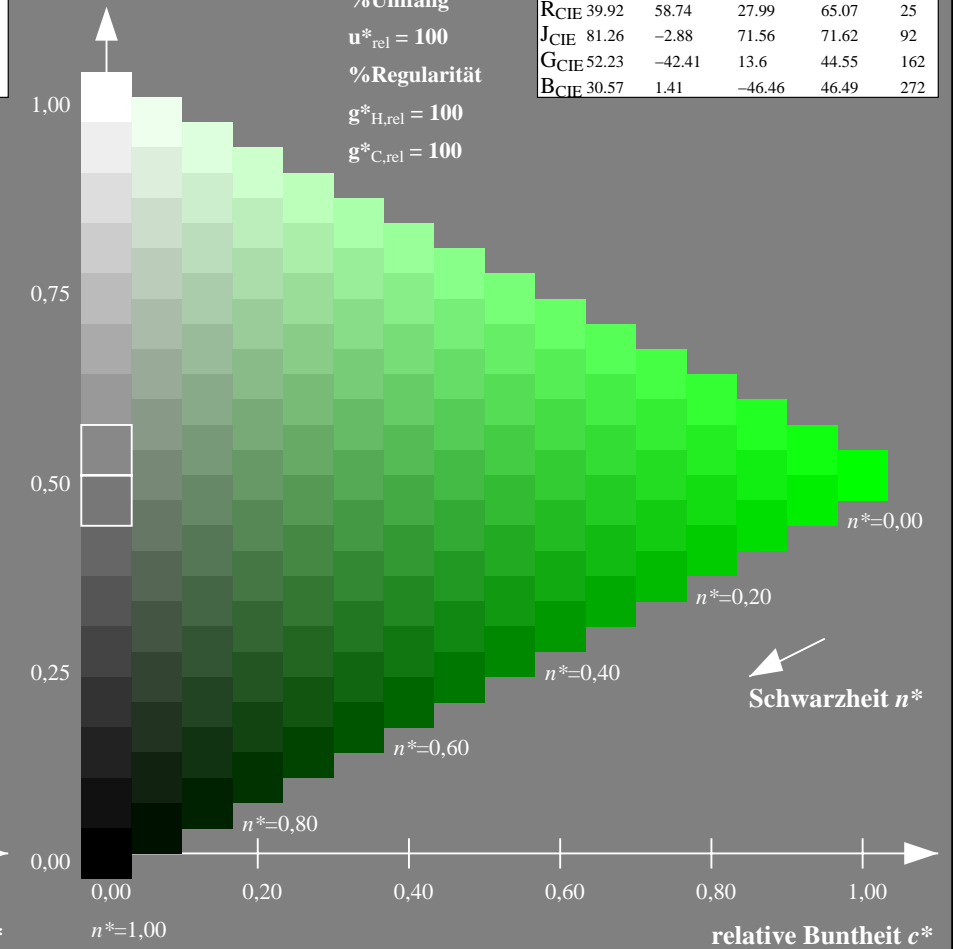
%Umfang

$u^*_{rel} = 100$

%Regularität

$g^*_{H,rel} = 100$

$g^*_{C,rel} = 100$



NG900-7, 9stufige Reihen für konstanten CIELAB Buntton $151/360 = 0.419$ (links)

16stufige Reihen für konstanten CIELAB Buntton $150/360 = 0.417$ (rechts)

Eingabe: Farbmetrisches Offset-Reflektiv-System ORS18

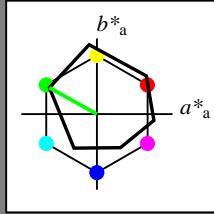
für Buntton $h^* = lab^*h = 151/360 = 0.419$

lab^*tch und lab^*nch

D65: Buntton L

LCH*Ma: 51 72 151

olv*Ma: 0.0 1.0 0.0



ORS18; adaptierte CIELAB-Daten

	$L^*=L^*_a$	a^*_a	b^*_a	$C^*_{ab,a}$	$h^*_{ab,a}$
O _{Ma}	47.94	65.39	50.52	82.63	38
Y _{Ma}	90.37	-10.26	91.75	92.32	96
L _{Ma}	50.9	-62.83	34.96	71.91	151
C _{Ma}	58.62	-30.34	-45.01	54.3	236
V _{Ma}	25.72	31.1	-44.4	54.22	305
M _{Ma}	48.13	75.28	-8.36	75.74	354
N _{Ma}	18.01	0.0	0.0	0.0	0
W _{Ma}	95.41	0.0	0.0	0.0	0
R _{CIE}	39.92	58.66	26.98	64.57	25
J _{CIE}	81.26	-2.16	67.76	67.79	92
G _{CIE}	52.23	-42.25	11.76	43.87	164
B _{CIE}	30.57	1.15	-46.84	46.86	271

Dreiecks-Helligkeit t^*

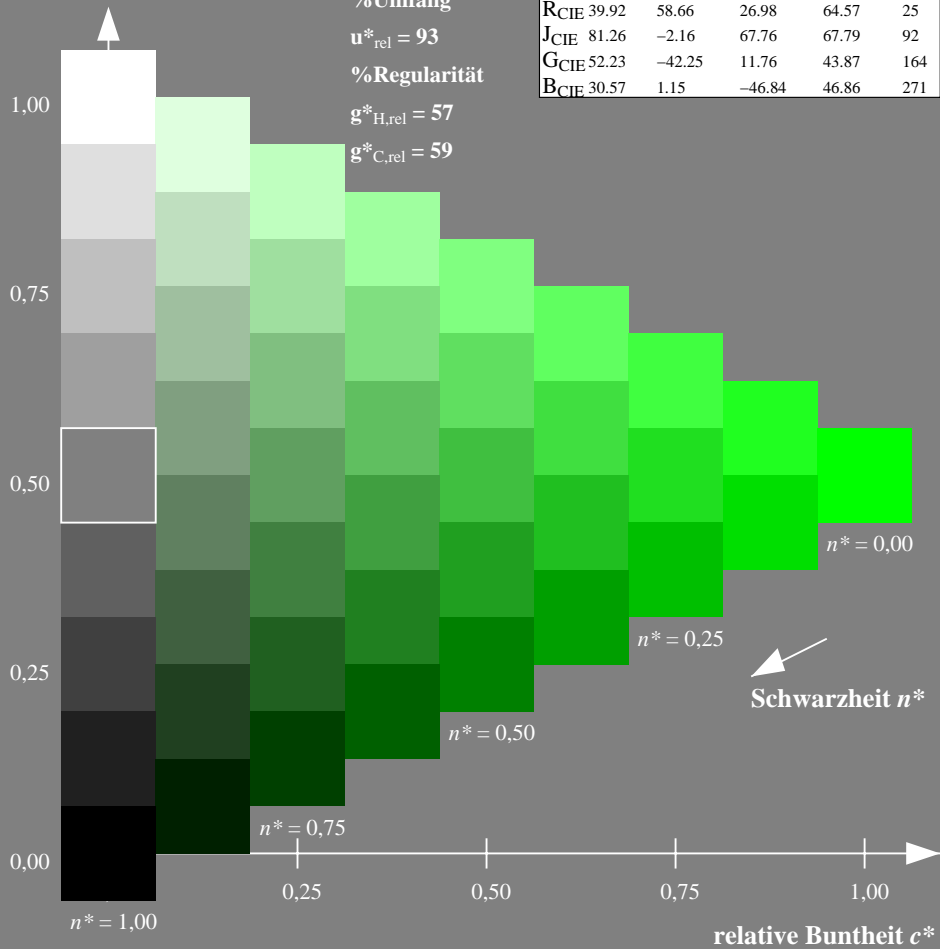
%Umfang

$u^*_{rel} = 93$

%Regularität

$g^*_{H,rel} = 57$

$g^*_{C,rel} = 59$



Ausgabe: Farbmetrisches Fernseh-Licht-System TLS70

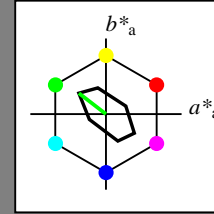
für Buntton $h^* = lab^*h = 142/360 = 0.395$

lab^*tch und lab^*nch

D65: Buntton L

LCH*Ma: 89 45 142

olv*Ma: 0.0 1.0 0.0



TLS70; adaptierte CIELAB-Daten

	$L^*=L^*_a$	a^*_a	b^*_a	$C^*_{ab,a}$	$h^*_{ab,a}$
O _{Ma}	76.43	26.27	10.57	28.32	22
Y _{Ma}	93.93	-10.76	34.63	36.27	107
L _{Ma}	89.32	-35.8	27.64	45.24	142
C _{Ma}	90.93	-21.95	-7.07	23.07	198
V _{Ma}	72.1	15.76	-35.63	38.97	294
M _{Ma}	78.5	37.52	-25.23	45.22	326
N _{Ma}	69.7	0.0	0.0	0.0	0
W _{Ma}	95.41	0.0	0.0	0.0	0
R _{CIE}	39.92	58.74	27.99	65.07	25
J _{CIE}	81.26	-2.88	71.56	71.62	92
G _{CIE}	52.23	-42.41	13.6	44.55	162
B _{CIE}	30.57	1.41	-46.46	46.49	272

Dreiecks-Helligkeit t^*

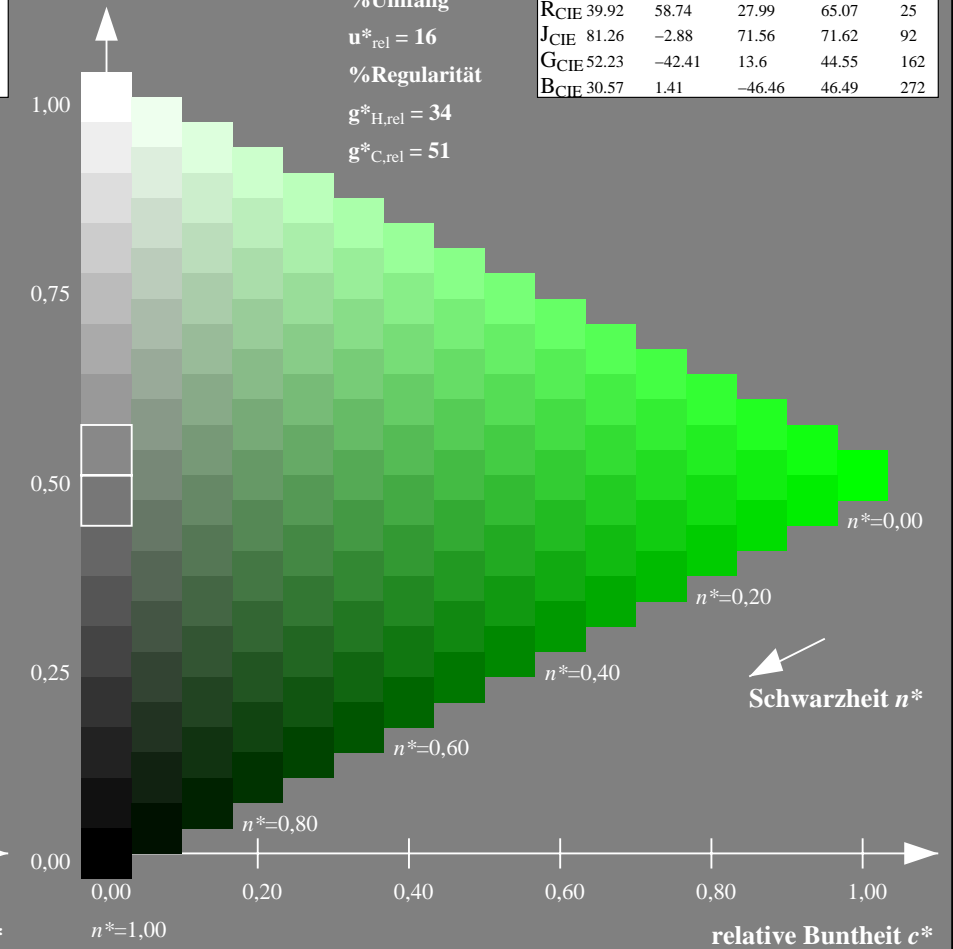
%Umfang

$u^*_{rel} = 16$

%Regularität

$g^*_{H,rel} = 34$

$g^*_{C,rel} = 51$



NG900-7, 9stufige Reihen für konstanten CIELAB Buntton $151/360 = 0.419$ (links)

16stufige Reihen für konstanten CIELAB Buntton $142/360 = 0.395$ (rechts)

Eingabe: Farbmetrisches Fernseh-Licht-System TLS00

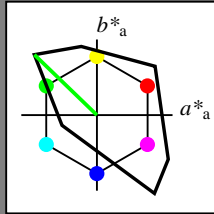
für Buntton $h^* = lab^*h = 136/360 = 0.378$

lab^*tch und lab^*nch

D65: Buntton L

LCH*Ma: 84 115 136

olv*Ma: 0.0 1.0 0.0



TLS00; adaptierte CIELAB-Daten

	$L^*=L^*_a$	a^*_a	b^*_a	$C^*_{ab,a}$	$h^*_{ab,a}$
OMa	50.5	76.92	64.55	100.42	40
YMa	92.66	-20.69	90.75	93.08	103
LMa	83.63	-82.75	79.9	115.04	136
CMa	86.88	-46.16	-13.55	48.12	196
VMa	30.39	76.06	-103.59	128.52	306
MMa	57.3	94.35	-58.41	110.97	328
NMa	0.01	0.0	0.0	0.0	0
WMa	95.41	0.0	0.0	0.0	0
RCIE	39.92	58.74	27.99	65.07	25
JCIE	81.26	-2.88	71.56	71.62	92
GCIE	52.23	-42.41	13.6	44.55	162
BCIE	30.57	1.41	-46.46	46.49	272

Dreiecks-Helligkeit t^*

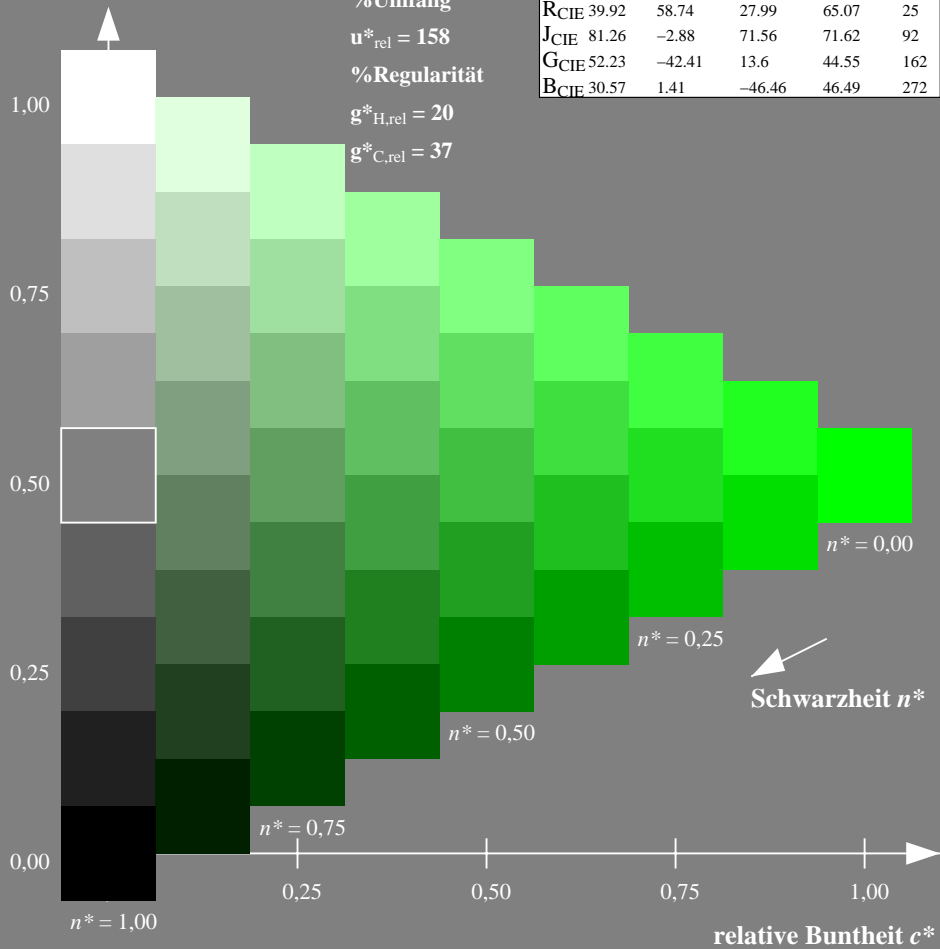
%Umfang

$u^*_{rel} = 158$

%Regularität

$g^*_{H,rel} = 20$

$g^*_{C,rel} = 37$



Schwarzheit n^*

Ausgabe: Farbmetrisches Offset-Reflektiv-System ORS18

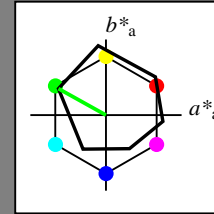
für Buntton $h^* = lab^*h = 151/360 = 0.419$

lab^*tch und lab^*nch

D65: Buntton L

LCH*Ma: 51 72 151

olv*Ma: 0.0 1.0 0.0



ORS18; adaptierte CIELAB-Daten

	$L^*=L^*_a$	a^*_a	b^*_a	$C^*_{ab,a}$	$h^*_{ab,a}$
OMa	47.94	65.39	50.52	82.63	38
YMa	90.37	-10.26	91.75	92.32	96
LMa	50.9	-62.83	34.96	71.91	151
CMa	58.62	-30.34	-45.01	54.3	236
VMa	25.72	31.1	-44.4	54.22	305
MMa	48.13	75.28	-8.36	75.74	354
NMa	18.01	0.0	0.0	0.0	0
WMa	95.41	0.0	0.0	0.0	0
RCIE	39.92	58.66	26.98	64.57	25
JCIE	81.26	-2.16	67.76	67.79	92
GCIE	52.23	-42.25	11.76	43.87	164
BCIE	30.57	1.15	-46.84	46.86	271

Dreiecks-Helligkeit t^*

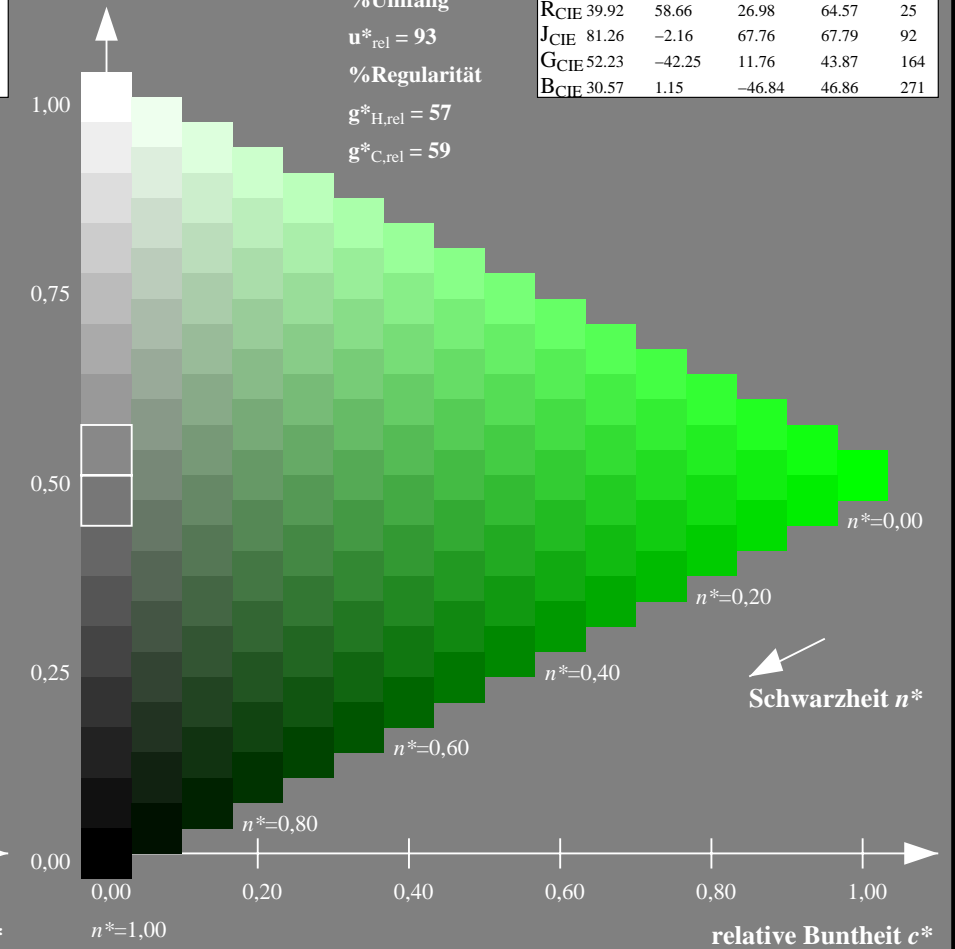
%Umfang

$u^*_{rel} = 93$

%Regularität

$g^*_{H,rel} = 57$

$g^*_{C,rel} = 59$



Schwarzheit n^*

NG900-7, 9stufige Reihen für konstanten CIELAB Buntton $136/360 = 0.378$ (links)

16stufige Reihen für konstanten CIELAB Buntton $151/360 = 0.419$ (rechts)

Eingabe: Farbmetrisches Fernseh-Licht-System TLS00

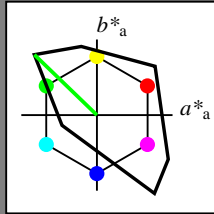
für Buntton $h^* = lab^*h = 136/360 = 0.378$

lab^*tch und lab^*nch

D65: Buntton L

LCH*Ma: 84 115 136

olv*Ma: 0.0 1.0 0.0



TLS00; adaptierte CIELAB-Daten

	$L^*=L^*_a$	a^*_a	b^*_a	$C^*_{ab,a}$	$h^*_{ab,a}$
OMa	50.5	76.92	64.55	100.42	40
YMa	92.66	-20.69	90.75	93.08	103
LMa	83.63	-82.75	79.9	115.04	136
CMa	86.88	-46.16	-13.55	48.12	196
VMa	30.39	76.06	-103.59	128.52	306
MMa	57.3	94.35	-58.41	110.97	328
NMa	0.01	0.0	0.0	0.0	0
WMa	95.41	0.0	0.0	0.0	0
RCIE	39.92	58.74	27.99	65.07	25
JCIE	81.26	-2.88	71.56	71.62	92
GCIE	52.23	-42.41	13.6	44.55	162
BCIE	30.57	1.41	-46.46	46.49	272

Dreiecks-Helligkeit t^*

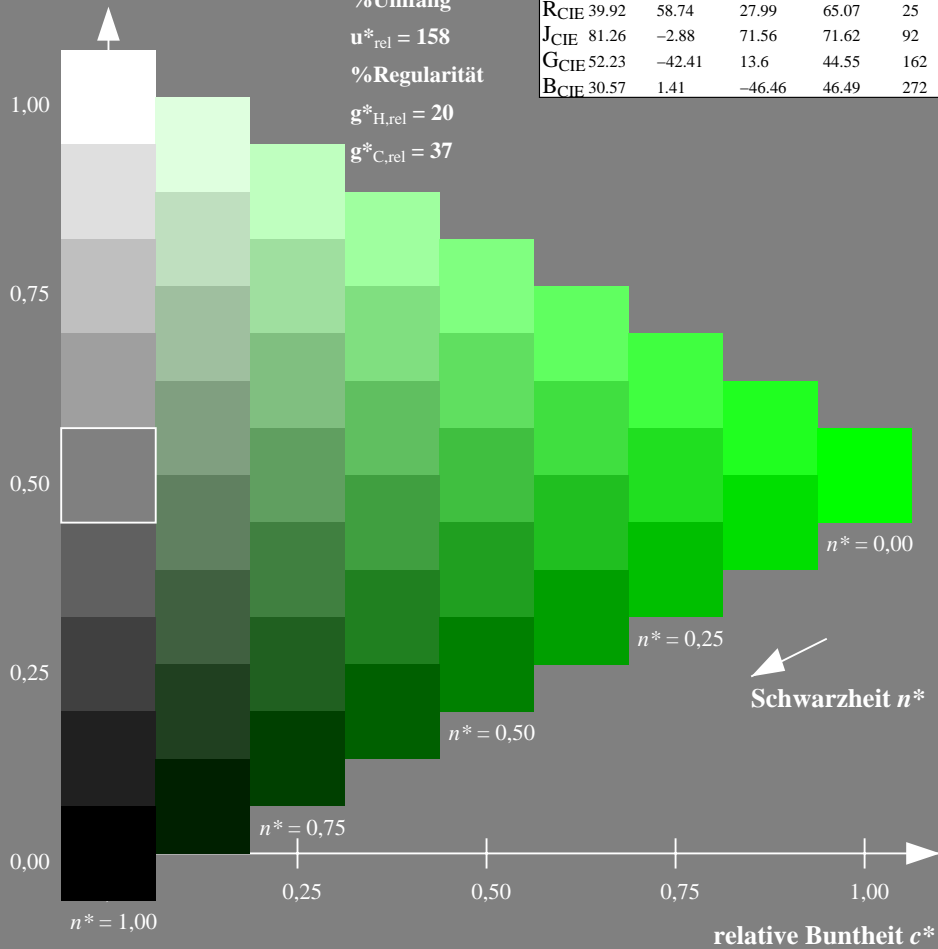
%Umfang

$u^*_{rel} = 158$

%Regularität

$g^*_{H,rel} = 20$

$g^*_{C,rel} = 37$



Schwarzheit n^*

Ausgabe: Farbmetrisches Fernseh-Licht-System TLS00

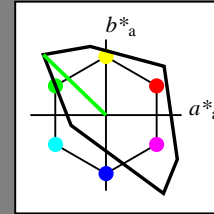
für Buntton $h^* = lab^*h = 136/360 = 0.378$

lab^*tch und lab^*nch

D65: Buntton L

LCH*Ma: 84 115 136

olv*Ma: 0.0 1.0 0.0



TLS00; adaptierte CIELAB-Daten

	$L^*=L^*_a$	a^*_a	b^*_a	$C^*_{ab,a}$	$h^*_{ab,a}$
OMa	50.5	76.92	64.55	100.42	40
YMa	92.66	-20.69	90.75	93.08	103
LMa	83.63	-82.75	79.9	115.04	136
CMa	86.88	-46.16	-13.55	48.12	196
VMa	30.39	76.06	-103.59	128.52	306
MMa	57.3	94.35	-58.41	110.97	328
NMa	0.01	0.0	0.0	0.0	0
WMa	95.41	0.0	0.0	0.0	0
RCIE	39.92	58.74	27.99	65.07	25
JCIE	81.26	-2.88	71.56	71.62	92
GCIE	52.23	-42.41	13.6	44.55	162
BCIE	30.57	1.41	-46.46	46.49	272

Dreiecks-Helligkeit t^*

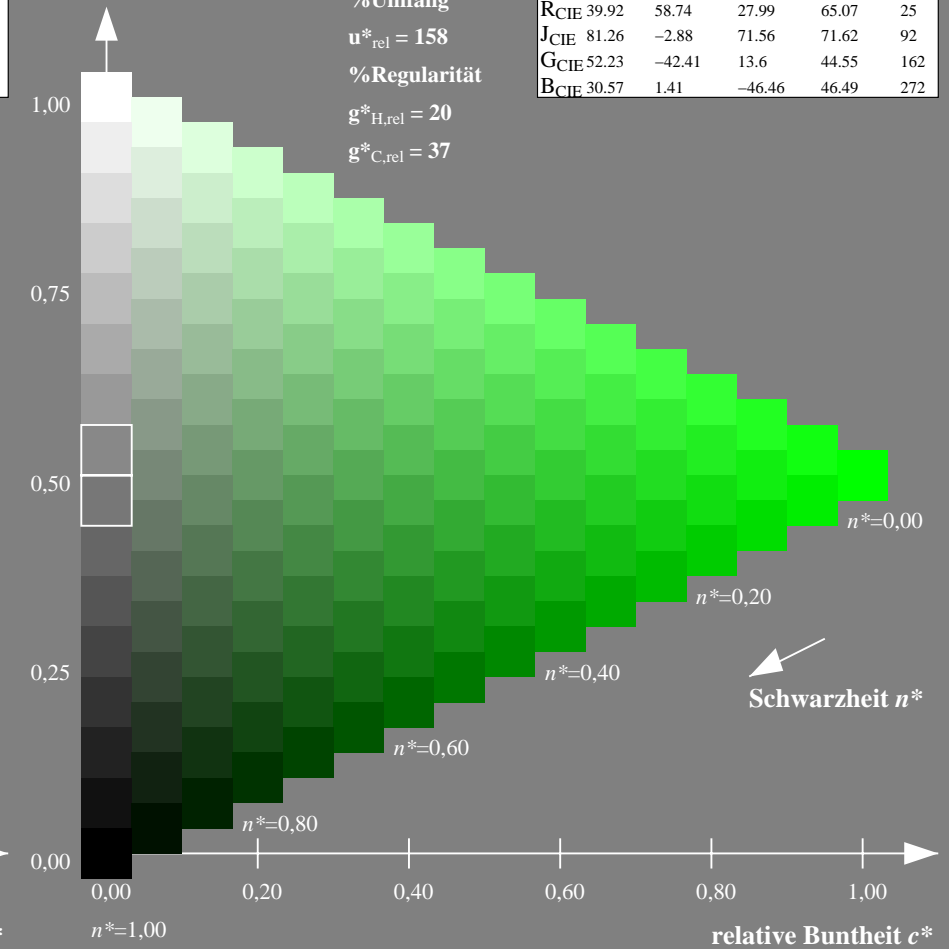
%Umfang

$u^*_{rel} = 158$

%Regularität

$g^*_{H,rel} = 20$

$g^*_{C,rel} = 37$



Schwarzheit n^*

NG900-7, 9stufige Reihen für konstanten CIELAB Buntton 136/360 = 0.378 (links)

16stufige Reihen für konstanten CIELAB Buntton 136/360 = 0.378 (rechts)

Eingabe: Farbmetrisches Fernseh-Licht-System TLS00

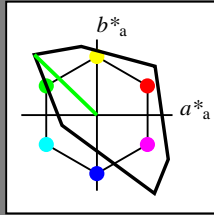
für Buntton $h^* = lab^*h = 136/360 = 0.378$

lab^*tch und lab^*nch

D65: Buntton L

LCH*Ma: 84 115 136

olv*Ma: 0.0 1.0 0.0



TLS00; adaptierte CIELAB-Daten

	$L^*=L^*_a$	a^*_a	b^*_a	$C^*_{ab,a}$	$h^*_{ab,a}$
OMa	50.5	76.92	64.55	100.42	40
YMa	92.66	-20.69	90.75	93.08	103
LMa	83.63	-82.75	79.9	115.04	136
CMa	86.88	-46.16	-13.55	48.12	196
VMa	30.39	76.06	-103.59	128.52	306
MMa	57.3	94.35	-58.41	110.97	328
NMa	0.01	0.0	0.0	0.0	0
WMa	95.41	0.0	0.0	0.0	0
RCIE	39.92	58.74	27.99	65.07	25
JCIE	81.26	-2.88	71.56	71.62	92
GCIE	52.23	-42.41	13.6	44.55	162
BCIE	30.57	1.41	-46.46	46.49	272

Dreiecks-Helligkeit t^*

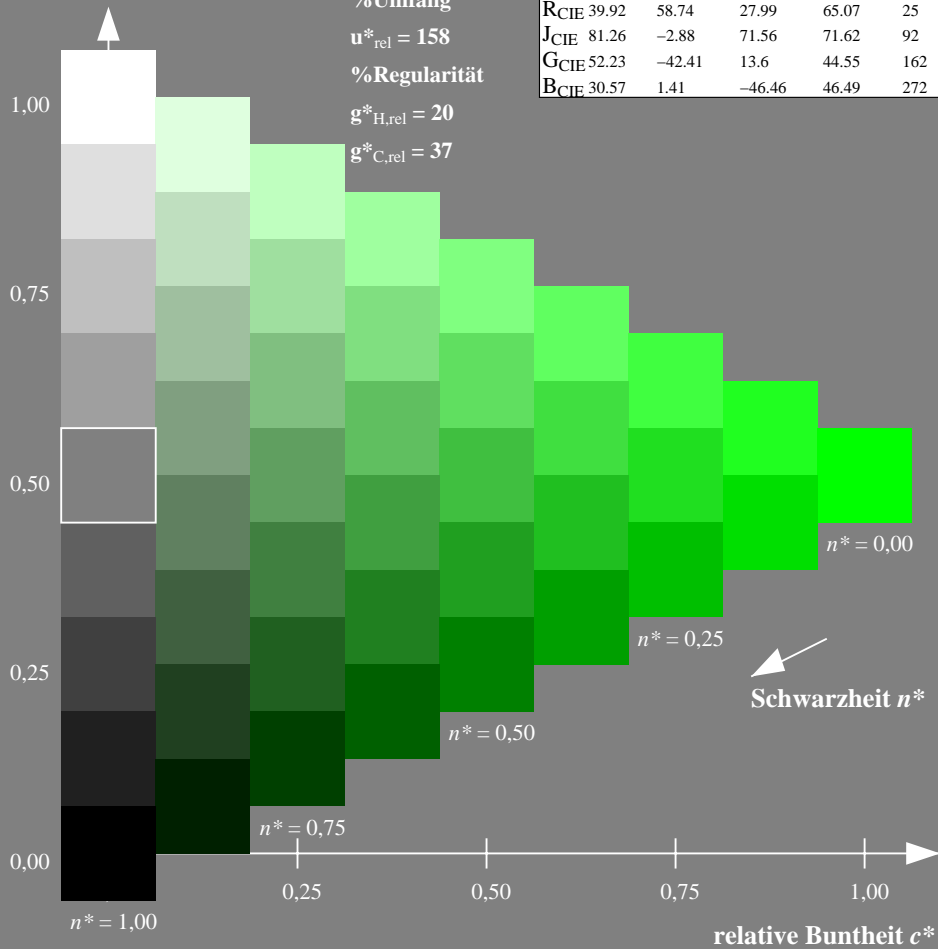
%Umfang

$u^*_{rel} = 158$

%Regularität

$g^*_{H,rel} = 20$

$g^*_{C,rel} = 37$



Ausgabe: Farbmetrisches Drucker-Reflektiv-System DRSXX

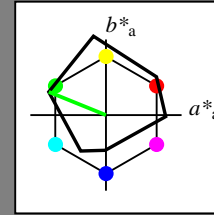
für Buntton $h^* = lab^*h = 158/360 = 0.439$

lab^*tch und lab^*nch

D65: Buntton L

LCH*Ma: 48 82 158

olv*Ma: 0.0 1.0 0.0



DRSXX; adaptierte CIELAB-Daten

	$L^*=L^*_a$	a^*_a	b^*_a	$C^*_{ab,a}$	$h^*_{ab,a}$
OMa	42.21	66.82	50.6	83.82	37
YMa	90.32	-16.51	104.33	105.63	99
LMa	48.21	-75.63	30.65	81.61	158
CMa	53.44	-33.33	-47.49	58.03	235
VMa	34.16	-0.92	-46.56	46.58	269
MMa	42.71	79.0	-1.95	79.03	359
NMa	16.56	0.0	0.0	0.0	0
WMa	96.31	0.0	0.0	0.0	0
RCIE	39.92	59.78	25.77	65.1	23
JCIE	81.26	-2.51	69.07	69.11	92
GCIE	52.23	-41.57	11.3	43.09	165
BCIE	30.57	2.6	-48.62	48.7	273

Dreiecks-Helligkeit t^*

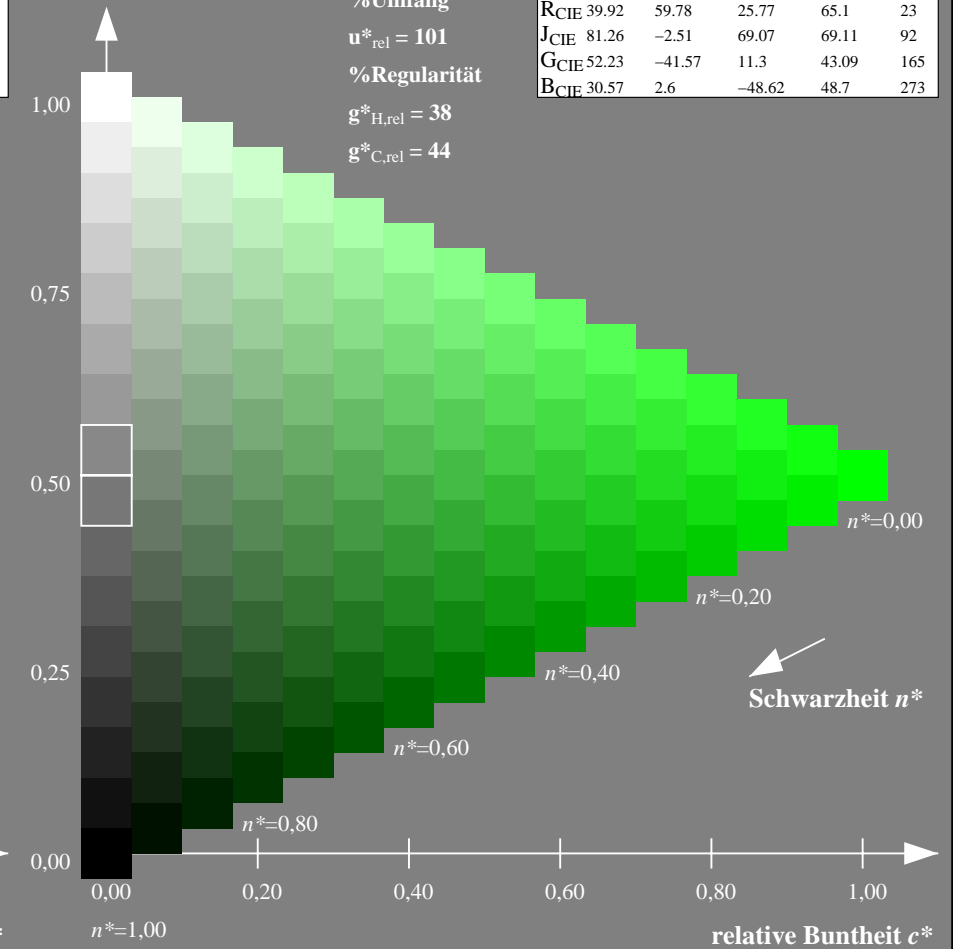
%Umfang

$u^*_{rel} = 101$

%Regularität

$g^*_{H,rel} = 38$

$g^*_{C,rel} = 44$



NG900-7, 9stufige Reihen für konstanten CIELAB Buntton $136/360 = 0.378$ (links)

16stufige Reihen für konstanten CIELAB Buntton $158/360 = 0.439$ (rechts)

Eingabe: Farbmetrisches Fernseh-Licht-System TLS00

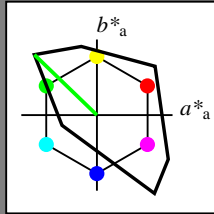
für Buntton $h^* = lab^*h = 136/360 = 0.378$

lab^*tch und lab^*nch

D65: Buntton L

LCH*Ma: 84 115 136

olv*Ma: 0.0 1.0 0.0



TLS00; adaptierte CIELAB-Daten

	$L^*=L^*_a$	a^*_a	b^*_a	$C^*_{ab,a}$	$h^*_{ab,a}$
O _{Ma}	50.5	76.92	64.55	100.42	40
Y _{Ma}	92.66	-20.69	90.75	93.08	103
L _{Ma}	83.63	-82.75	79.9	115.04	136
C _{Ma}	86.88	-46.16	-13.55	48.12	196
V _{Ma}	30.39	76.06	-103.59	128.52	306
M _{Ma}	57.3	94.35	-58.41	110.97	328
N _{Ma}	0.01	0.0	0.0	0.0	0
W _{Ma}	95.41	0.0	0.0	0.0	0
R _{CIE}	39.92	58.74	27.99	65.07	25
J _{CIE}	81.26	-2.88	71.56	71.62	92
G _{CIE}	52.23	-42.41	13.6	44.55	162
B _{CIE}	30.57	1.41	-46.46	46.49	272

Dreiecks-Helligkeit t^*

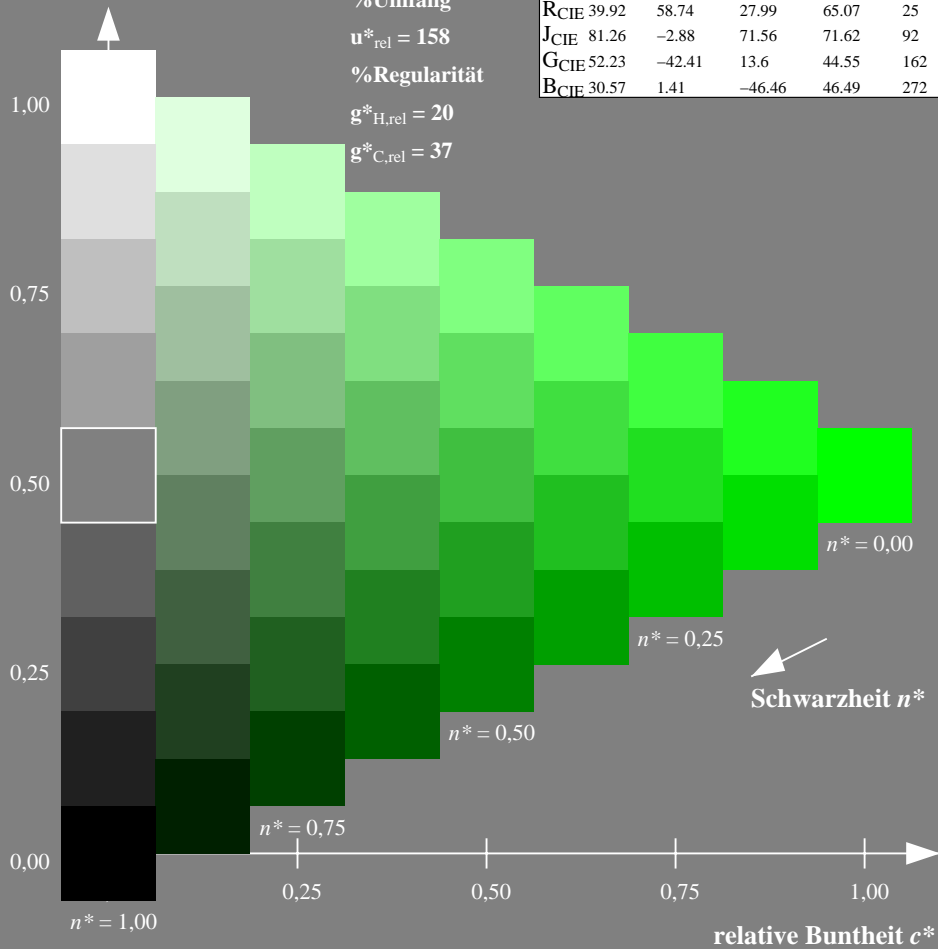
%Umfang

$u^*_{rel} = 158$

%Regularität

$g^*_{H,rel} = 20$

$g^*_{C,rel} = 37$



Ausgabe: Farbmetrisches Fernseh-Licht-System TLS18

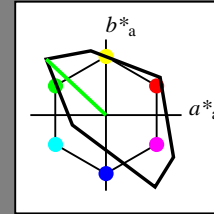
für Buntton $h^* = lab^*h = 137/360 = 0.38$

lab^*tch und lab^*nch

D65: Buntton L

LCH*Ma: 84 108 137

olv*Ma: 0.0 1.0 0.0



TLS18; adaptierte CIELAB-Daten

	$L^*=L^*_a$	a^*_a	b^*_a	$C^*_{ab,a}$	$h^*_{ab,a}$
O _{Ma}	52.76	71.63	49.88	87.29	35
Y _{Ma}	92.74	-20.02	84.97	87.3	103
L _{Ma}	84.0	-78.98	73.94	108.2	137
C _{Ma}	87.14	-44.41	-13.11	46.32	196
V _{Ma}	35.47	64.92	-95.06	115.12	304
M _{Ma}	59.01	89.33	-55.67	105.26	328
N _{Ma}	18.01	0.0	0.0	0.0	0
W _{Ma}	95.41	0.0	0.0	0.0	0
R _{CIE}	39.92	58.74	27.99	65.07	25
J _{CIE}	81.26	-2.88	71.56	71.62	92
G _{CIE}	52.23	-42.41	13.6	44.55	162
B _{CIE}	30.57	1.41	-46.46	46.49	272

Dreiecks-Helligkeit t^*

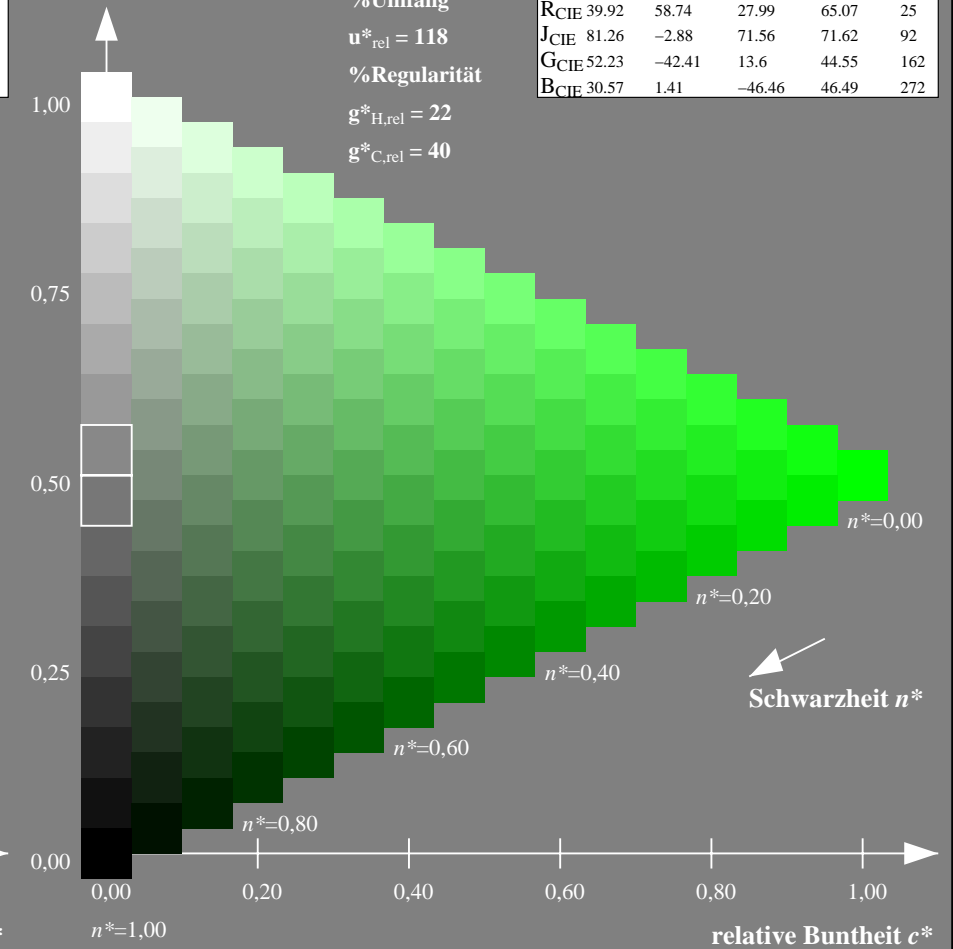
%Umfang

$u^*_{rel} = 118$

%Regularität

$g^*_{H,rel} = 22$

$g^*_{C,rel} = 40$



NG900-7, 9stufige Reihen für konstanten CIELAB Buntton $136/360 = 0.378$ (links)

16stufige Reihen für konstanten CIELAB Buntton $137/360 = 0.38$ (rechts)

Eingabe: Farbmetrisches Fernseh-Licht-System TLS00

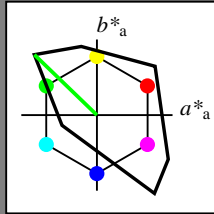
für Buntton $h^* = lab^*h = 136/360 = 0.378$

lab^*tch und lab^*nch

D65: Buntton L

LCH*Ma: 84 115 136

olv*Ma: 0.0 1.0 0.0



TLS00; adaptierte CIELAB-Daten

	$L^*=L^*_a$	a^*_a	b^*_a	$C^*_{ab,a}$	$h^*_{ab,a}$
OMa	50.5	76.92	64.55	100.42	40
YMa	92.66	-20.69	90.75	93.08	103
LMa	83.63	-82.75	79.9	115.04	136
CMa	86.88	-46.16	-13.55	48.12	196
VMa	30.39	76.06	-103.59	128.52	306
MMa	57.3	94.35	-58.41	110.97	328
NMa	0.01	0.0	0.0	0.0	0
WMa	95.41	0.0	0.0	0.0	0
RCIE	39.92	58.74	27.99	65.07	25
JCIE	81.26	-2.88	71.56	71.62	92
GCIE	52.23	-42.41	13.6	44.55	162
BCIE	30.57	1.41	-46.46	46.49	272

Dreiecks-Helligkeit t^*

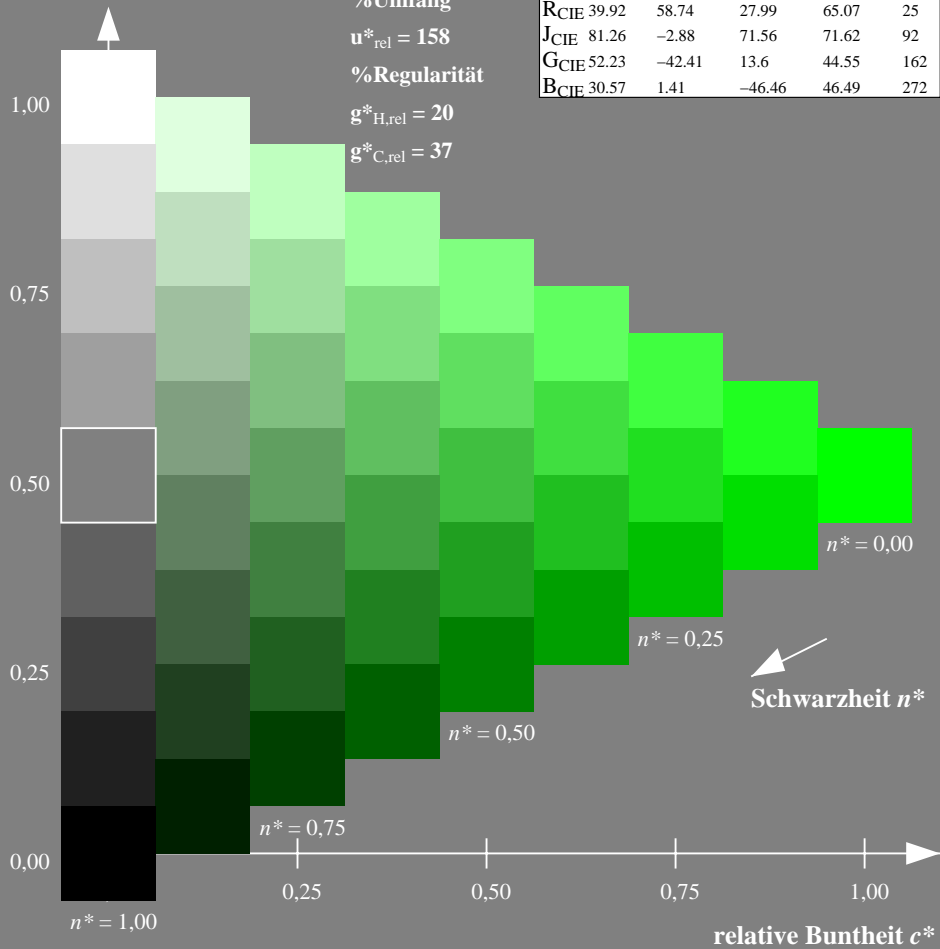
%Umfang

$u^*_{rel} = 158$

%Regularität

$g^*_{H,rel} = 20$

$g^*_{C,rel} = 37$



Ausgabe: Farbmetrisches Natürliches-Licht-System NLS00

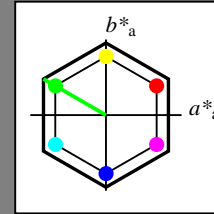
für Buntton $h^* = lab^*h = 150/360 = 0.417$

lab^*tch und lab^*nch

D65: Buntton L

LCH*Ma: 32 95 150

olv*Ma: 0.0 1.0 0.0



NLS00; adaptierte CIELAB-Daten

	$L^*=L^*_a$	a^*_a	b^*_a	$C^*_{ab,a}$	$h^*_{ab,a}$
OMa	31.81	82.62	47.7	95.4	30
YMa	63.61	0.0	95.4	95.4	90
LMa	31.81	-82.61	47.7	95.4	150
CMa	63.61	-82.61	-47.69	95.4	210
VMa	31.81	0.0	-95.39	95.4	270
MMa	63.61	82.62	-47.69	95.4	330
NMa	0.01	0.0	0.0	0.0	0
WMa	95.41	0.0	0.0	0.0	0
RCIE	39.92	58.74	27.99	65.07	25
JCIE	81.26	-2.88	71.56	71.62	92
GCIE	52.23	-42.41	13.6	44.55	162
BCIE	30.57	1.41	-46.46	46.49	272

Dreiecks-Helligkeit t^*

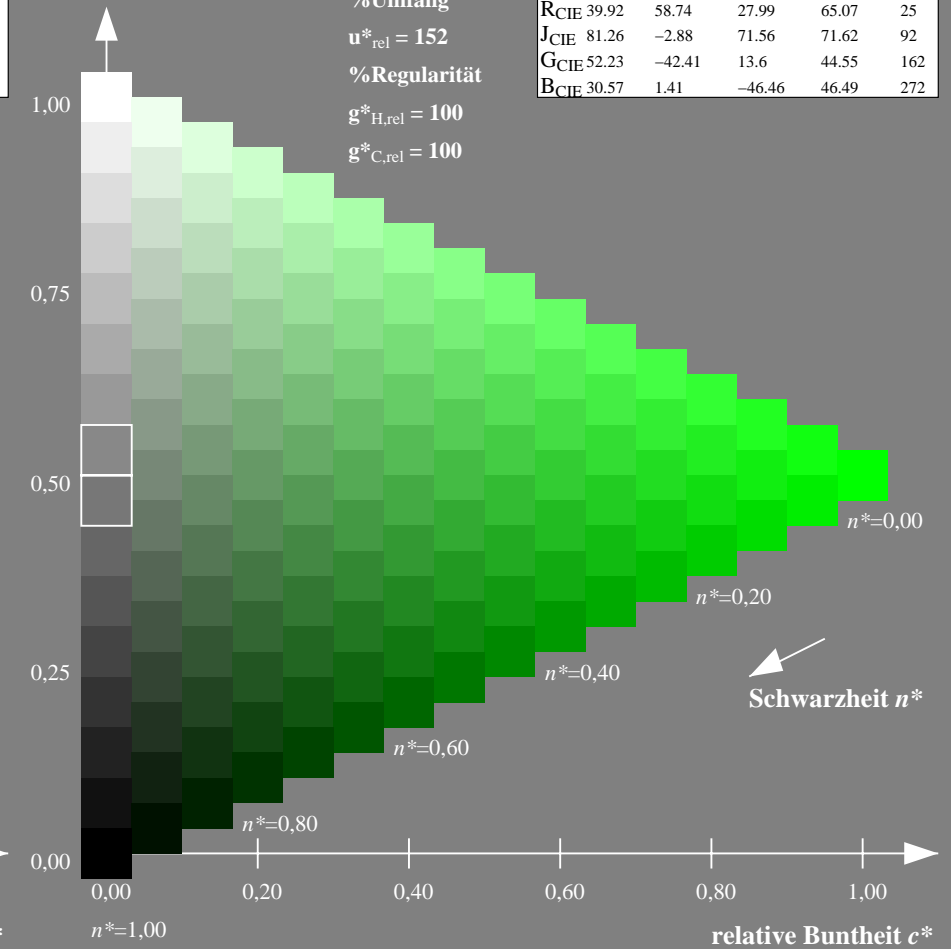
%Umfang

$u^*_{rel} = 152$

%Regularität

$g^*_{H,rel} = 100$

$g^*_{C,rel} = 100$



NG900-7, 9stufige Reihen für konstanten CIELAB Buntton $136/360 = 0.378$ (links)

16stufige Reihen für konstanten CIELAB Buntton $150/360 = 0.417$ (rechts)

Eingabe: Farbmetrisches Fernseh-Licht-System TLS00

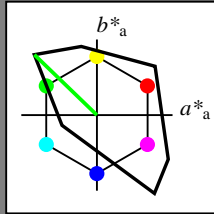
für Buntton $h^* = lab^*h = 136/360 = 0.378$

lab^*tch und lab^*nch

D65: Buntton L

LCH*Ma: 84 115 136

olv*Ma: 0.0 1.0 0.0



TLS00; adaptierte CIELAB-Daten

	$L^*=L^*_a$	a^*_a	b^*_a	$C^*_{ab,a}$	$h^*_{ab,a}$
OMa	50.5	76.92	64.55	100.42	40
YMa	92.66	-20.69	90.75	93.08	103
LMa	83.63	-82.75	79.9	115.04	136
CMa	86.88	-46.16	-13.55	48.12	196
VMa	30.39	76.06	-103.59	128.52	306
MMa	57.3	94.35	-58.41	110.97	328
NMa	0.01	0.0	0.0	0.0	0
WMa	95.41	0.0	0.0	0.0	0
RCIE	39.92	58.74	27.99	65.07	25
JCIE	81.26	-2.88	71.56	71.62	92
GCIE	52.23	-42.41	13.6	44.55	162
BCIE	30.57	1.41	-46.46	46.49	272

Dreiecks-Helligkeit t^*

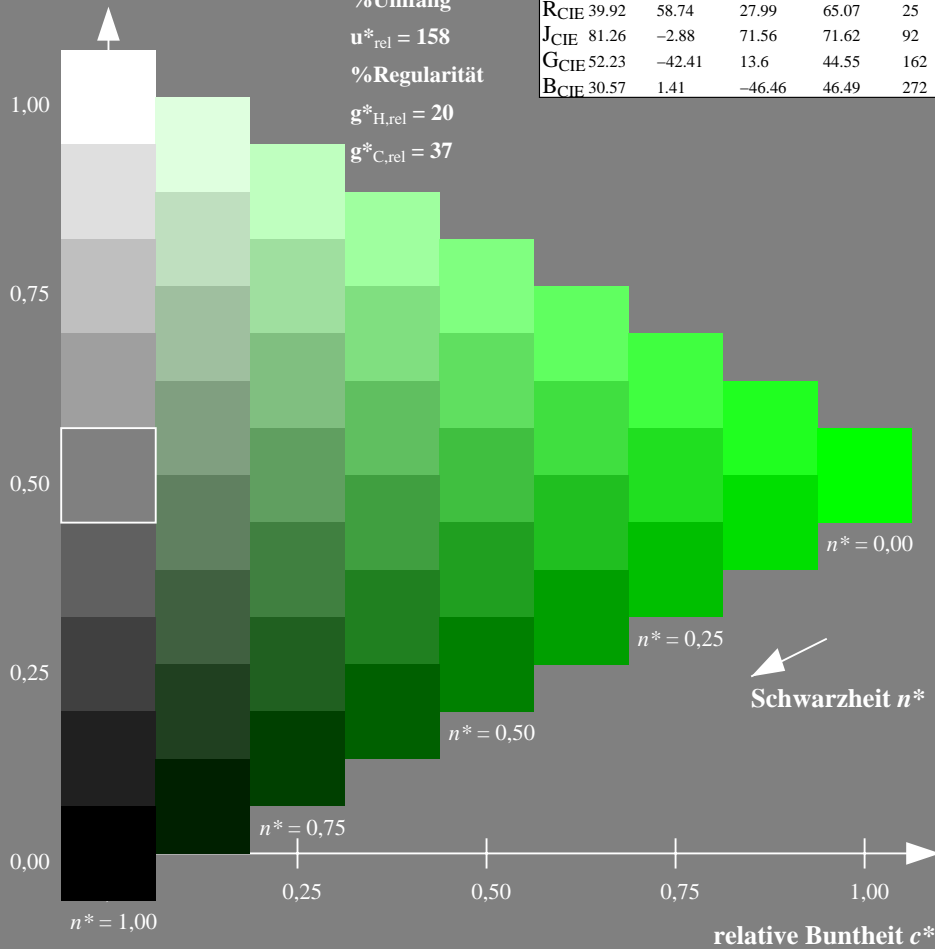
%Umfang

$u^*_{rel} = 158$

%Regularität

$g^*_{H,rel} = 20$

$g^*_{C,rel} = 37$



Schwarzheit n^*

Ausgabe: Farbmetrisches Natürliches-Reflektiv-System NRS18

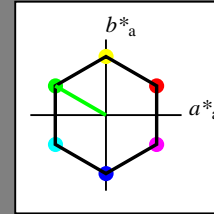
für Buntton $h^* = lab^*h = 150/360 = 0.417$

lab^*tch und lab^*nch

D65: Buntton L

LCH*Ma: 44 77 150

olv*Ma: 0.0 1.0 0.0



NRS18; adaptierte CIELAB-Daten

	$L^*=L^*_a$	a^*_a	b^*_a	$C^*_{ab,a}$	$h^*_{ab,a}$
OMa	43.81	67.03	38.7	77.4	30
YMa	69.61	0.0	77.4	77.4	90
LMa	43.81	-67.02	38.7	77.4	150
CMa	69.61	-67.02	-38.69	77.4	210
VMa	43.81	0.0	-77.39	77.4	270
MMa	69.61	67.03	-38.69	77.4	330
NMa	18.01	0.0	0.0	0.0	0
WMa	95.41	0.0	0.0	0.0	0
RCIE	39.92	58.74	27.99	65.07	25
JCIE	81.26	-2.88	71.56	71.62	92
GCIE	52.23	-42.41	13.6	44.55	162
BCIE	30.57	1.41	-46.46	46.49	272

Dreiecks-Helligkeit t^*

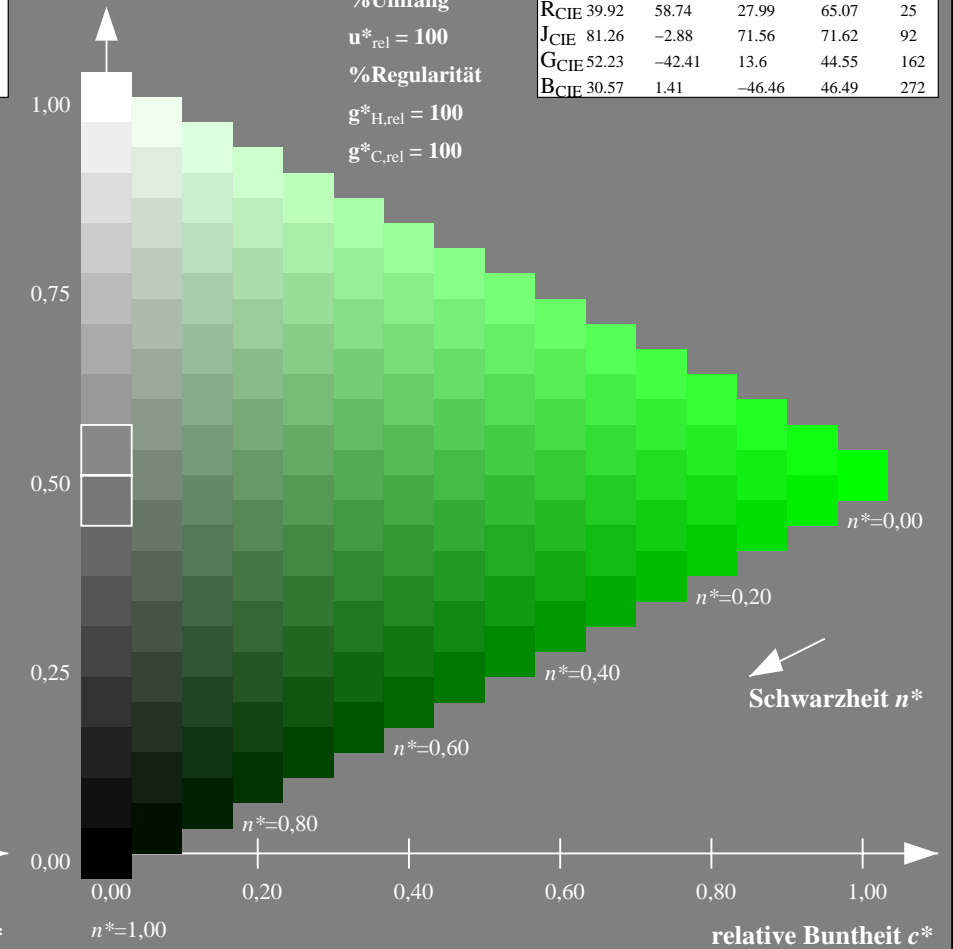
%Umfang

$u^*_{rel} = 100$

%Regularität

$g^*_{H,rel} = 100$

$g^*_{C,rel} = 100$



Schwarzheit n^*

NG900-7, 9stufige Reihen für konstanten CIELAB Buntton $136/360 = 0.378$ (links)

16stufige Reihen für konstanten CIELAB Buntton $150/360 = 0.417$ (rechts)

Eingabe: Farbmetrisches Fernseh-Licht-System TLS00

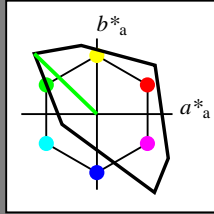
für Buntton $h^* = lab^*h = 136/360 = 0.378$

lab^*tch und lab^*nch

D65: Buntton L

LCH*Ma: 84 115 136

olv*Ma: 0.0 1.0 0.0



TLS00; adaptierte CIELAB-Daten

	$L^*=L^*_a$	a^*_a	b^*_a	$C^*_{ab,a}$	$h^*_{ab,a}$
OMa	50.5	76.92	64.55	100.42	40
YMa	92.66	-20.69	90.75	93.08	103
LMa	83.63	-82.75	79.9	115.04	136
CMa	86.88	-46.16	-13.55	48.12	196
VMa	30.39	76.06	-103.59	128.52	306
MMa	57.3	94.35	-58.41	110.97	328
NMa	0.01	0.0	0.0	0.0	0
WMa	95.41	0.0	0.0	0.0	0
RCIE	39.92	58.74	27.99	65.07	25
JCIE	81.26	-2.88	71.56	71.62	92
GCIE	52.23	-42.41	13.6	44.55	162
BCIE	30.57	1.41	-46.46	46.49	272

Dreiecks-Helligkeit t^*

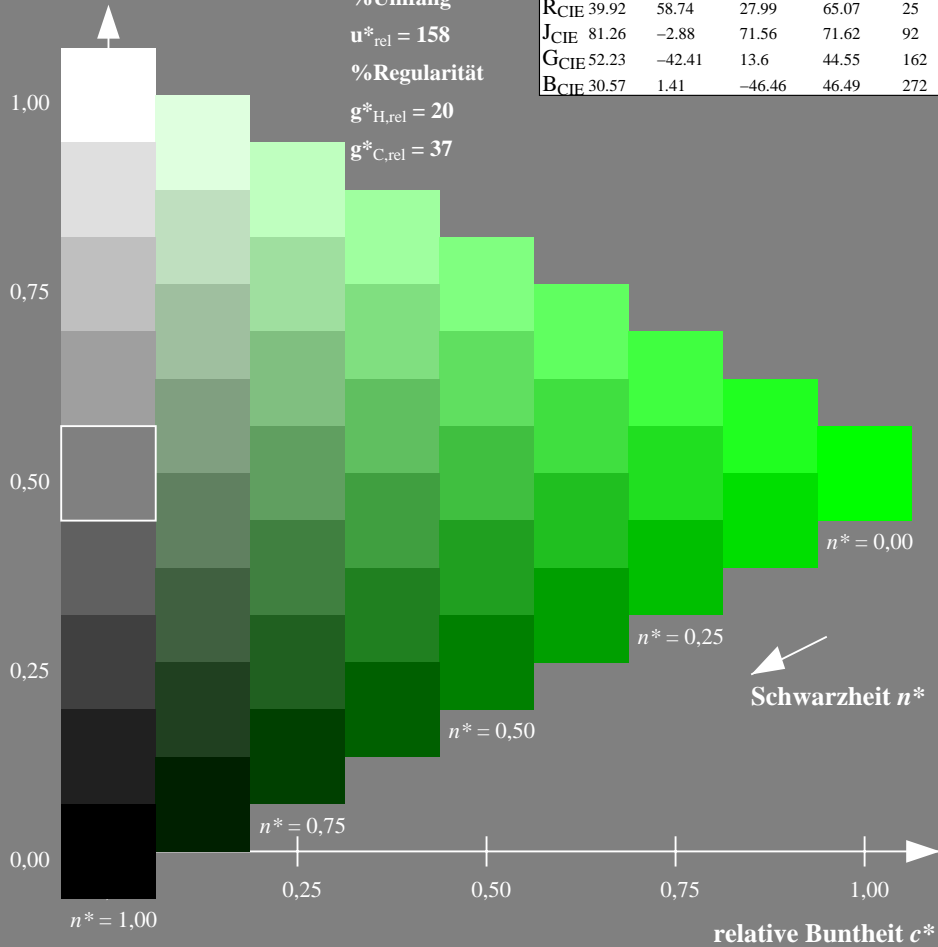
%Umfang

$u^*_{rel} = 158$

%Regularität

$g^*_{H,rel} = 20$

$g^*_{C,rel} = 37$



Ausgabe: Farbmetrisches Standard-Reflektiv-System SRS18

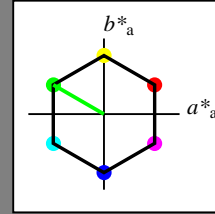
für Buntton $h^* = lab^*h = 150/360 = 0.417$

lab^*tch und lab^*nch

D65: Buntton L

LCH*Ma: 57 77 150

olv*Ma: 0.0 1.0 0.0



SRS18; adaptierte CIELAB-Daten

	$L^*=L^*_a$	a^*_a	b^*_a	$C^*_{ab,a}$	$h^*_{ab,a}$
OMa	56.71	67.03	38.7	77.4	30
YMa	56.71	0.0	77.4	77.4	90
LMa	56.71	-67.02	38.7	77.4	150
CMa	56.71	-67.02	-38.69	77.4	210
VMa	56.71	0.0	-77.39	77.4	270
MMa	56.71	67.03	-38.69	77.4	330
NMa	18.01	0.0	0.0	0.0	0
WMa	95.41	0.0	0.0	0.0	0
RCIE	39.92	58.74	27.99	65.07	25
JCIE	81.26	-2.88	71.56	71.62	92
GCIE	52.23	-42.41	13.6	44.55	162
BCIE	30.57	1.41	-46.46	46.49	272

Dreiecks-Helligkeit t^*

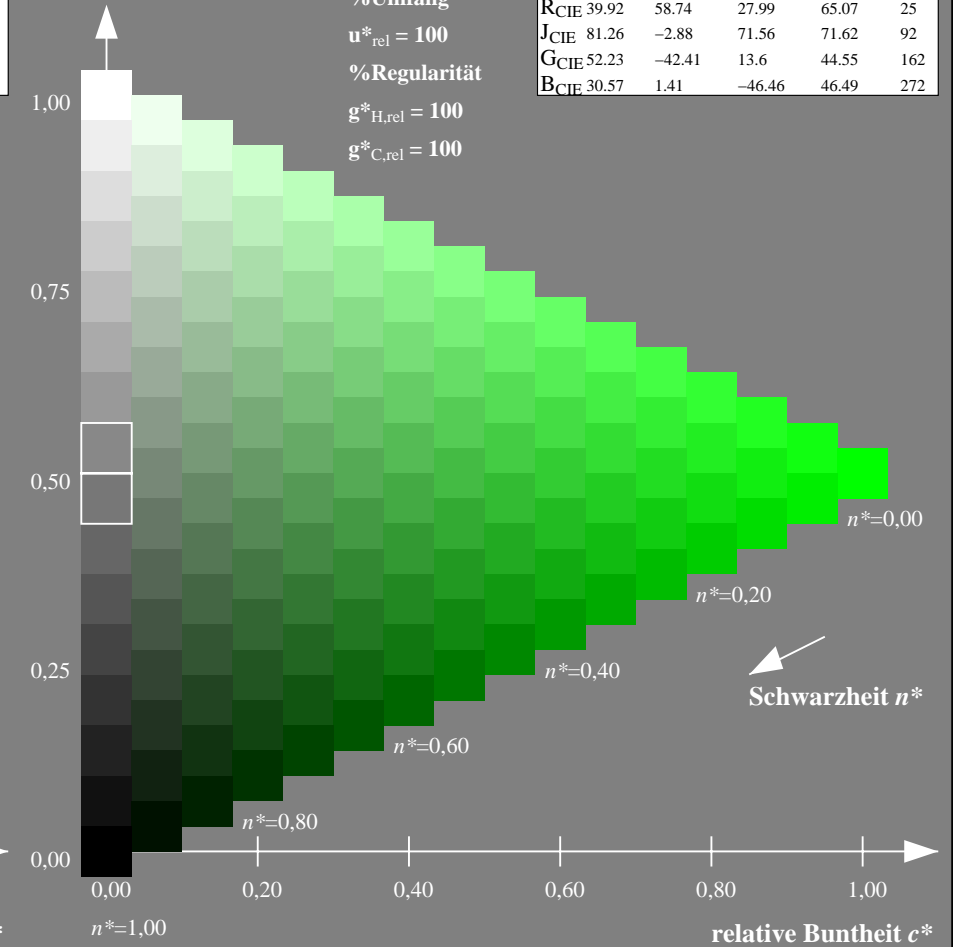
%Umfang

$u^*_{rel} = 100$

%Regularität

$g^*_{H,rel} = 100$

$g^*_{C,rel} = 100$



NG900-7, 9stufige Reihen für konstanten CIELAB Buntton $136/360 = 0.378$ (links)

16stufige Reihen für konstanten CIELAB Buntton $150/360 = 0.417$ (rechts)

Eingabe: Farbmetrisches Fernseh-Licht-System TLS00

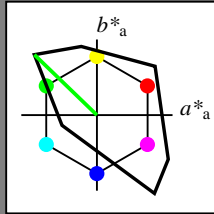
für Buntton $h^* = lab^*h = 136/360 = 0.378$

lab^*tch und lab^*nch

D65: Buntton L

LCH*Ma: 84 115 136

olv*Ma: 0.0 1.0 0.0



TLS00; adaptierte CIELAB-Daten

	$L^*=L^*_a$	a^*_a	b^*_a	$C^*_{ab,a}$	$h^*_{ab,a}$
OMa	50.5	76.92	64.55	100.42	40
YMa	92.66	-20.69	90.75	93.08	103
LMa	83.63	-82.75	79.9	115.04	136
CMa	86.88	-46.16	-13.55	48.12	196
VMa	30.39	76.06	-103.59	128.52	306
MMa	57.3	94.35	-58.41	110.97	328
NMa	0.01	0.0	0.0	0.0	0
WMa	95.41	0.0	0.0	0.0	0
RCIE	39.92	58.74	27.99	65.07	25
JCIE	81.26	-2.88	71.56	71.62	92
GCIE	52.23	-42.41	13.6	44.55	162
BCIE	30.57	1.41	-46.46	46.49	272

Dreiecks-Helligkeit t^*

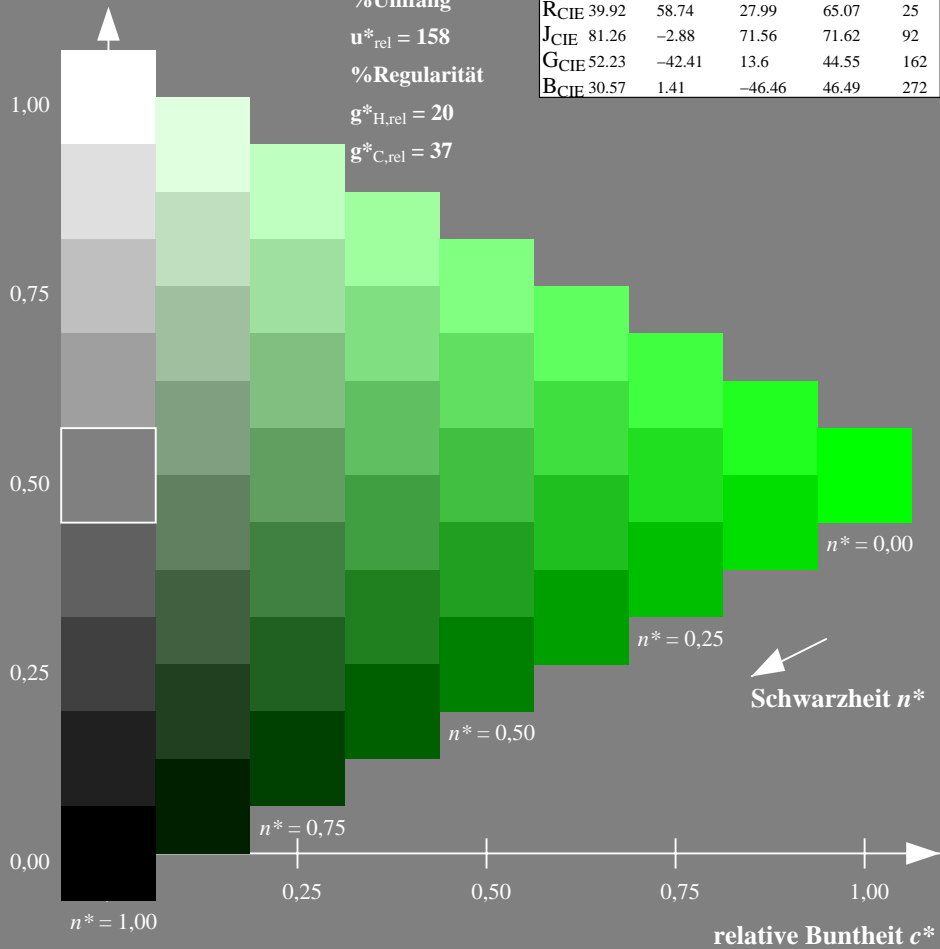
%Umfang

$u^*_{rel} = 158$

%Regularität

$g^*_{H,rel} = 20$

$g^*_{C,rel} = 37$



Ausgabe: Farbmetrisches Fernseh-Licht-System TLS70

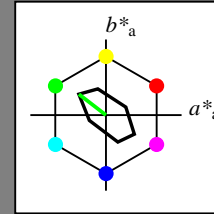
für Buntton $h^* = lab^*h = 142/360 = 0.395$

lab^*tch und lab^*nch

D65: Buntton L

LCH*Ma: 89 45 142

olv*Ma: 0.0 1.0 0.0



TLS70; adaptierte CIELAB-Daten

	$L^*=L^*_a$	a^*_a	b^*_a	$C^*_{ab,a}$	$h^*_{ab,a}$
OMa	76.43	26.27	10.57	28.32	22
YMa	93.93	-10.76	34.63	36.27	107
LMa	89.32	-35.8	27.64	45.24	142
CMa	90.93	-21.95	-7.07	23.07	198
VMa	72.1	15.76	-35.63	38.97	294
MMa	78.5	37.52	-25.23	45.22	326
NMa	69.7	0.0	0.0	0.0	0
WMa	95.41	0.0	0.0	0.0	0
RCIE	39.92	58.74	27.99	65.07	25
JCIE	81.26	-2.88	71.56	71.62	92
GCIE	52.23	-42.41	13.6	44.55	162
BCIE	30.57	1.41	-46.46	46.49	272

Dreiecks-Helligkeit t^*

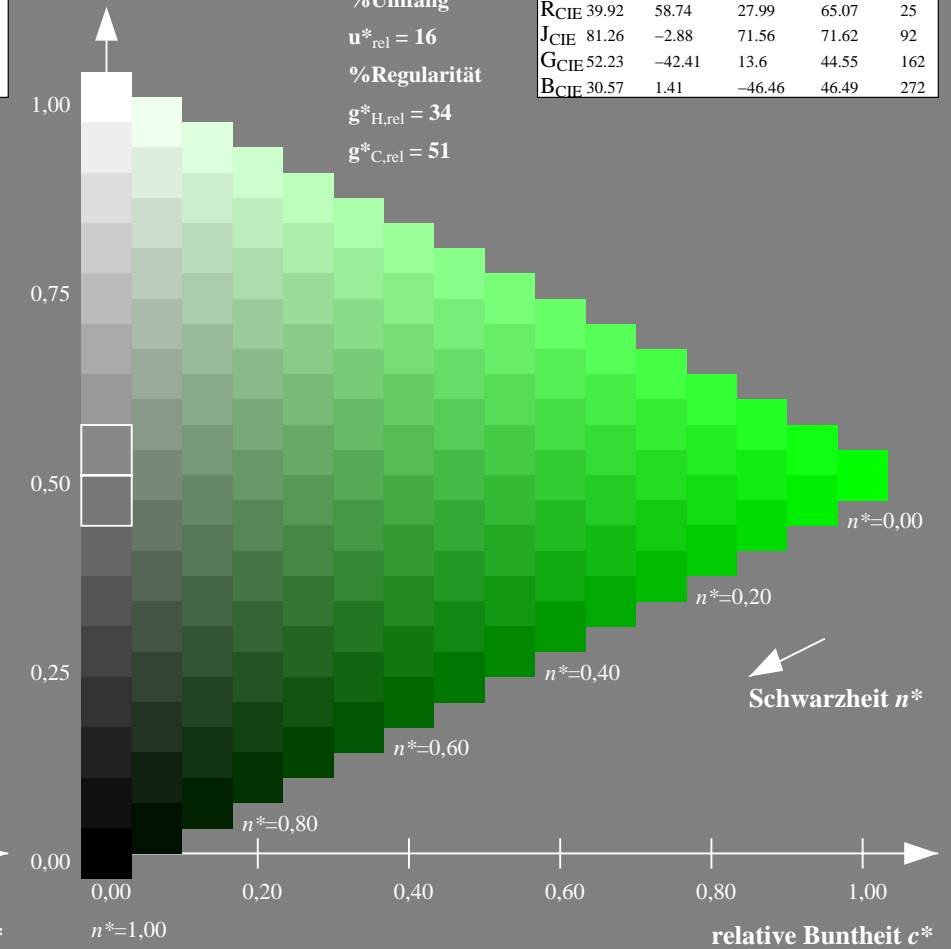
%Umfang

$u^*_{rel} = 16$

%Regularität

$g^*_{H,rel} = 34$

$g^*_{C,rel} = 51$



NG900-7, 9stufige Reihen für konstanten CIELAB Buntton $136/360 = 0.378$ (links)

16stufige Reihen für konstanten CIELAB Buntton $142/360 = 0.395$ (rechts)

Eingabe: Farbmetrisches Drucker-Reflektiv-System DRSXX

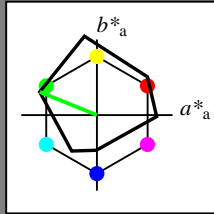
für Buntton $h^* = lab^*h = 158/360 = 0.439$

lab^*tch und lab^*nch

D65: Buntton L

LCH*Ma: 48 82 158

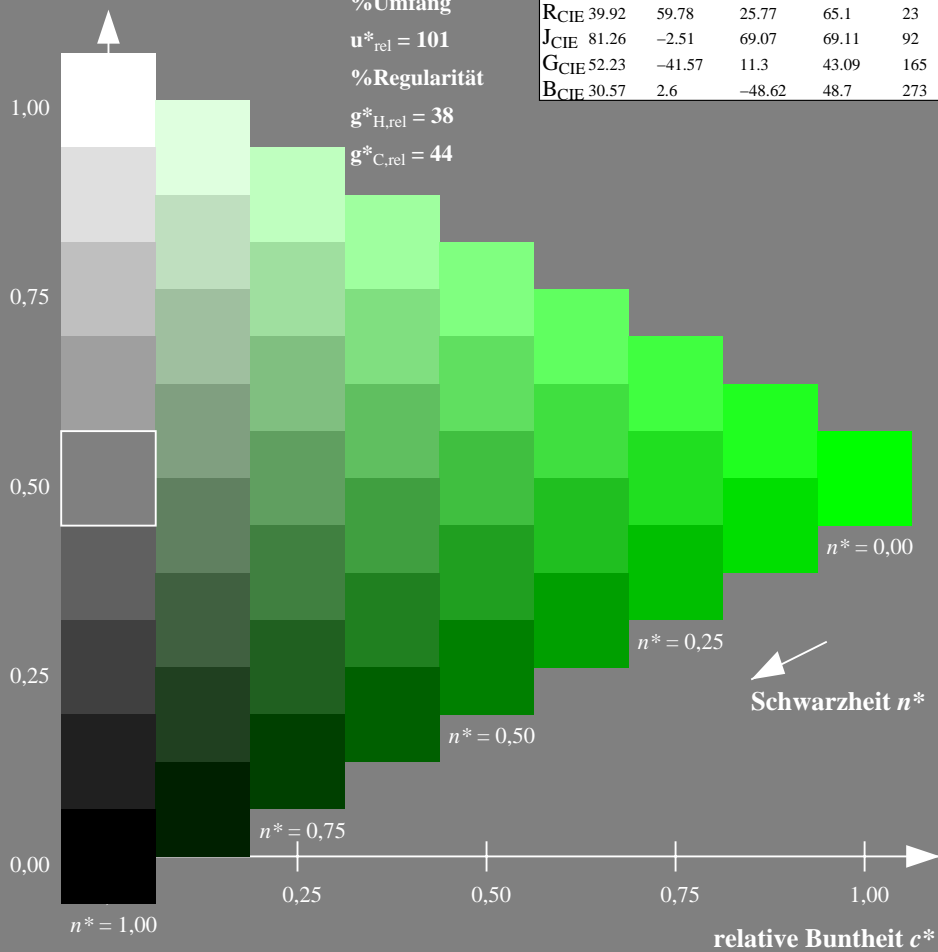
olv*Ma: 0.0 1.0 0.0



DRSXX; adaptierte CIELAB-Daten

	$L^*=L^*_a$	a^*_a	b^*_a	$C^*_{ab,a}$	$h^*_{ab,a}$
O _{Ma}	42.21	66.82	50.6	83.82	37
Y _{Ma}	90.32	-16.51	104.33	105.63	99
L _{Ma}	48.21	-75.63	30.65	81.61	158
C _{Ma}	53.44	-33.33	-47.49	58.03	235
V _{Ma}	34.16	-0.92	-46.56	46.58	269
M _{Ma}	42.71	79.0	-1.95	79.03	359
N _{Ma}	16.56	0.0	0.0	0.0	0
W _{Ma}	96.31	0.0	0.0	0.0	0
R _{CIE}	39.92	59.78	25.77	65.1	23
J _{CIE}	81.26	-2.51	69.07	69.11	92
G _{CIE}	52.23	-41.57	11.3	43.09	165
B _{CIE}	30.57	2.6	-48.62	48.7	273

Dreiecks-Helligkeit t^*



Ausgabe: Farbmetrisches Offset-Reflektiv-System ORS18

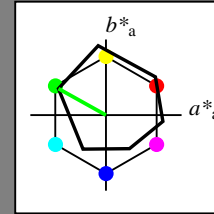
für Buntton $h^* = lab^*h = 151/360 = 0.419$

lab^*tch und lab^*nch

D65: Buntton L

LCH*Ma: 51 72 151

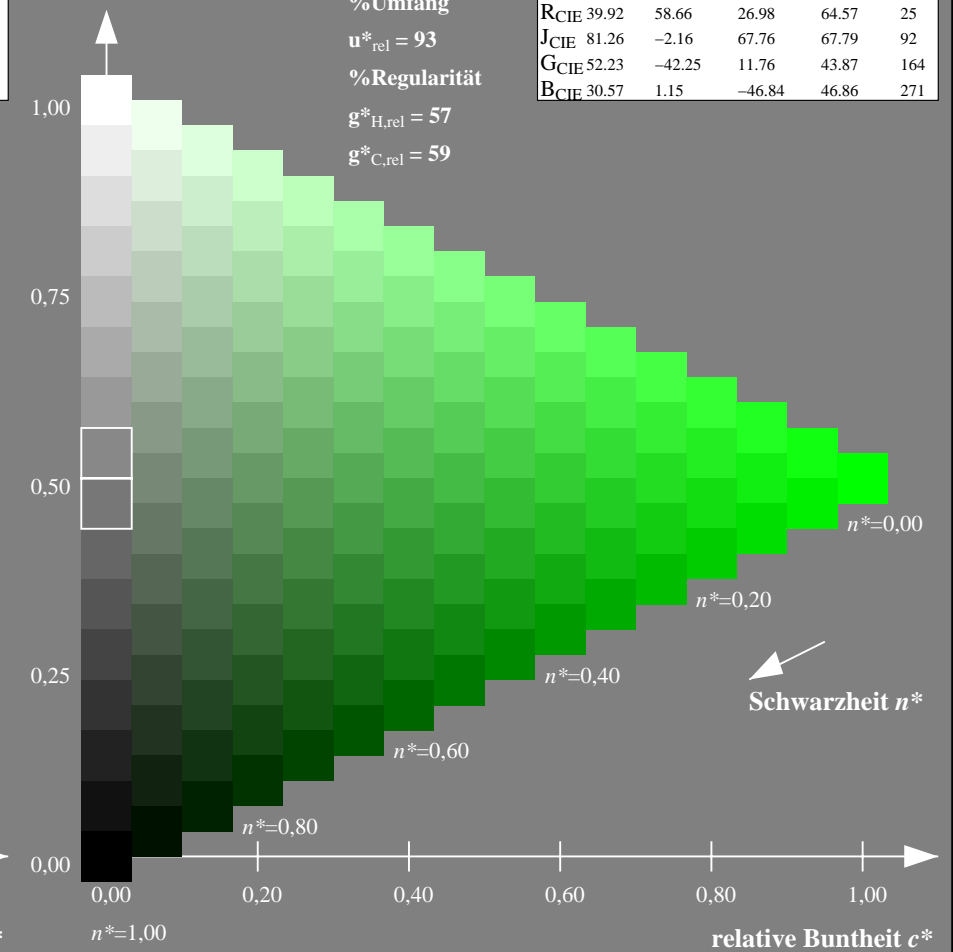
olv*Ma: 0.0 1.0 0.0



ORS18; adaptierte CIELAB-Daten

	$L^*=L^*_a$	a^*_a	b^*_a	$C^*_{ab,a}$	$h^*_{ab,a}$
O _{Ma}	47.94	65.39	50.52	82.63	38
Y _{Ma}	90.37	-10.26	91.75	92.32	96
L _{Ma}	50.9	-62.83	34.96	71.91	151
C _{Ma}	58.62	-30.34	-45.01	54.3	236
V _{Ma}	25.72	31.1	-44.4	54.22	305
M _{Ma}	48.13	75.28	-8.36	75.74	354
N _{Ma}	18.01	0.0	0.0	0.0	0
W _{Ma}	95.41	0.0	0.0	0.0	0
R _{CIE}	39.92	58.66	26.98	64.57	25
J _{CIE}	81.26	-2.16	67.76	67.79	92
G _{CIE}	52.23	-42.25	11.76	43.87	164
B _{CIE}	30.57	1.15	-46.84	46.86	271

Dreiecks-Helligkeit t^*



NG900-7, 9stufige Reihen für konstanten CIELAB Buntton $158/360 = 0.439$ (links)

16stufige Reihen für konstanten CIELAB Buntton $151/360 = 0.419$ (rechts)

Eingabe: Farbmetrisches Drucker-Reflektiv-System DRSXX

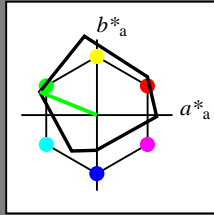
für Buntton $h^* = lab^*h = 158/360 = 0.439$

lab^*tch und lab^*nch

D65: Buntton L

LCH*Ma: 48 82 158

olv*Ma: 0.0 1.0 0.0



DRSXX; adaptierte CIELAB-Daten

	$L^*=L^*_a$	a^*_a	b^*_a	$C^*_{ab,a}$	$h^*_{ab,a}$
O _{Ma}	42.21	66.82	50.6	83.82	37
Y _{Ma}	90.32	-16.51	104.33	105.63	99
L _{Ma}	48.21	-75.63	30.65	81.61	158
C _{Ma}	53.44	-33.33	-47.49	58.03	235
V _{Ma}	34.16	-0.92	-46.56	46.58	269
M _{Ma}	42.71	79.0	-1.95	79.03	359
N _{Ma}	16.56	0.0	0.0	0.0	0
W _{Ma}	96.31	0.0	0.0	0.0	0
R _{CIE}	39.92	59.78	25.77	65.1	23
J _{CIE}	81.26	-2.51	69.07	69.11	92
G _{CIE}	52.23	-41.57	11.3	43.09	165
B _{CIE}	30.57	2.6	-48.62	48.7	273

Dreiecks-Helligkeit t^*

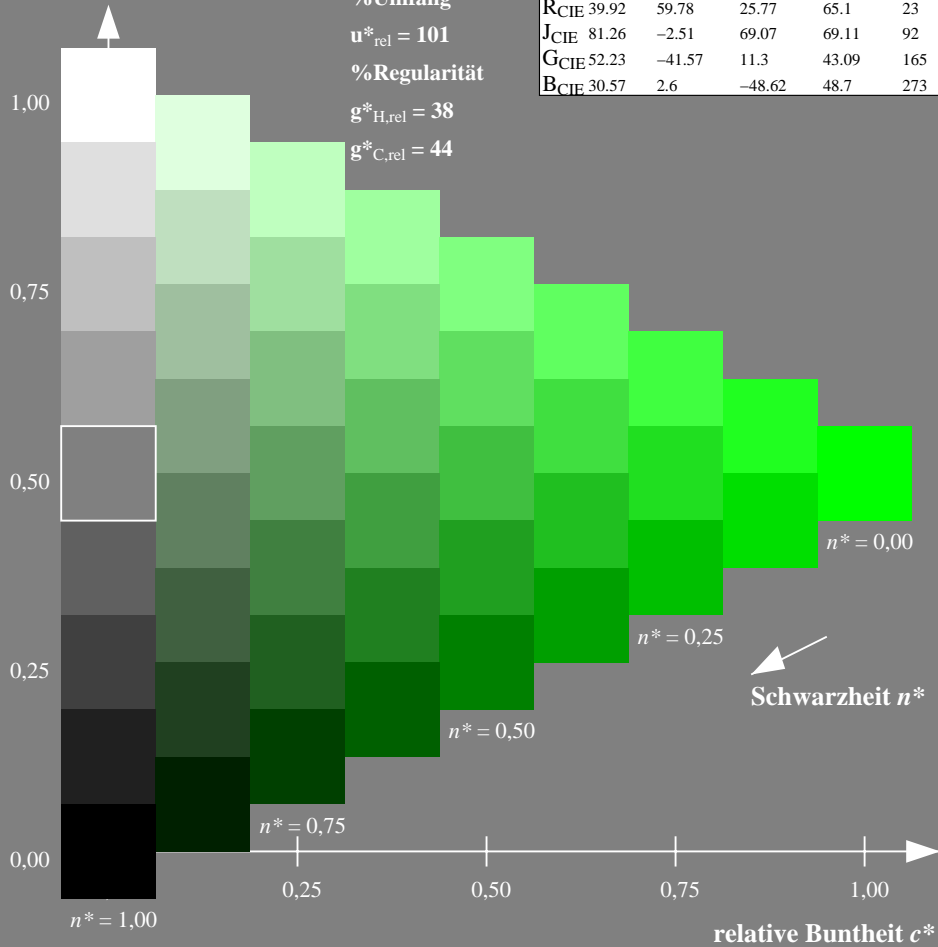
%Umfang

$u^*_{rel} = 101$

%Regularität

$g^*_{H,rel} = 38$

$g^*_{C,rel} = 44$



Ausgabe: Farbmetrisches Fernseh-Licht-System TLS00

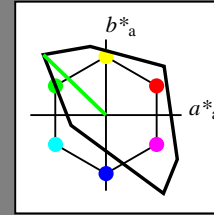
für Buntton $h^* = lab^*h = 136/360 = 0.378$

lab^*tch und lab^*nch

D65: Buntton L

LCH*Ma: 84 115 136

olv*Ma: 0.0 1.0 0.0



TLS00; adaptierte CIELAB-Daten

	$L^*=L^*_a$	a^*_a	b^*_a	$C^*_{ab,a}$	$h^*_{ab,a}$
O _{Ma}	50.5	76.92	64.55	100.42	40
Y _{Ma}	92.66	-20.69	90.75	93.08	103
L _{Ma}	83.63	-82.75	79.9	115.04	136
C _{Ma}	86.88	-46.16	-13.55	48.12	196
V _{Ma}	30.39	76.06	-103.59	128.52	306
M _{Ma}	57.3	94.35	-58.41	110.97	328
N _{Ma}	0.01	0.0	0.0	0.0	0
W _{Ma}	95.41	0.0	0.0	0.0	0
R _{CIE}	39.92	58.74	27.99	65.07	25
J _{CIE}	81.26	-2.88	71.56	71.62	92
G _{CIE}	52.23	-42.41	13.6	44.55	162
B _{CIE}	30.57	1.41	-46.46	46.49	272

Dreiecks-Helligkeit t^*

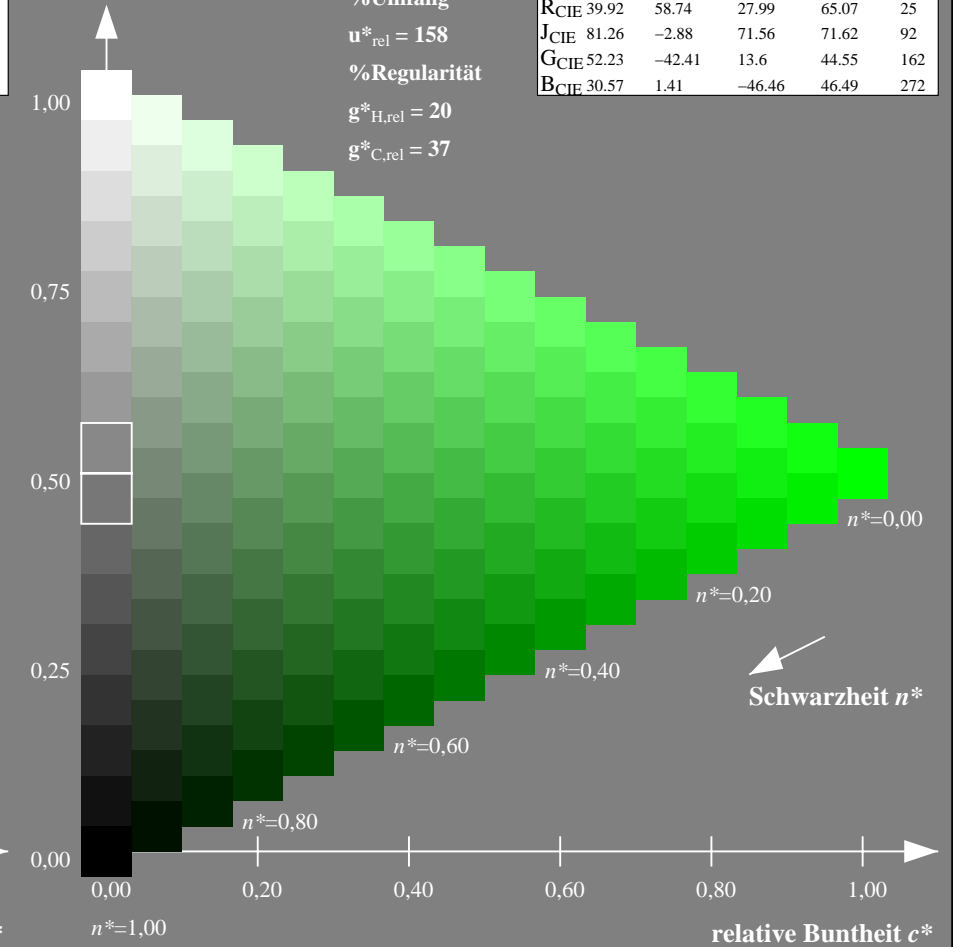
%Umfang

$u^*_{rel} = 158$

%Regularität

$g^*_{H,rel} = 20$

$g^*_{C,rel} = 37$



NG900-7, 9stufige Reihen für konstanten CIELAB Buntton $158/360 = 0.439$ (links)

16stufige Reihen für konstanten CIELAB Buntton $136/360 = 0.378$ (rechts)

Eingabe: Farbmetrisches Drucker-Reflektiv-System DRSXX

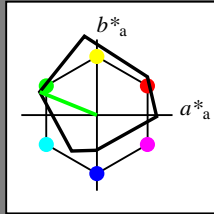
für Buntton $h^* = lab^*h = 158/360 = 0.439$

lab^*tch und lab^*nch

D65: Buntton L

LCH*Ma: 48 82 158

olv*Ma: 0.0 1.0 0.0



DRSXX; adaptierte CIELAB-Daten

	$L^*=L^*_a$	a^*_a	b^*_a	$C^*_{ab,a}$	$h^*_{ab,a}$
O _{Ma}	42.21	66.82	50.6	83.82	37
Y _{Ma}	90.32	-16.51	104.33	105.63	99
L _{Ma}	48.21	-75.63	30.65	81.61	158
C _{Ma}	53.44	-33.33	-47.49	58.03	235
V _{Ma}	34.16	-0.92	-46.56	46.58	269
M _{Ma}	42.71	79.0	-1.95	79.03	359
N _{Ma}	16.56	0.0	0.0	0.0	0
W _{Ma}	96.31	0.0	0.0	0.0	0
R _{CIE}	39.92	59.78	25.77	65.1	23
J _{CIE}	81.26	-2.51	69.07	69.11	92
G _{CIE}	52.23	-41.57	11.3	43.09	165
B _{CIE}	30.57	2.6	-48.62	48.7	273

Dreiecks-Helligkeit t^*

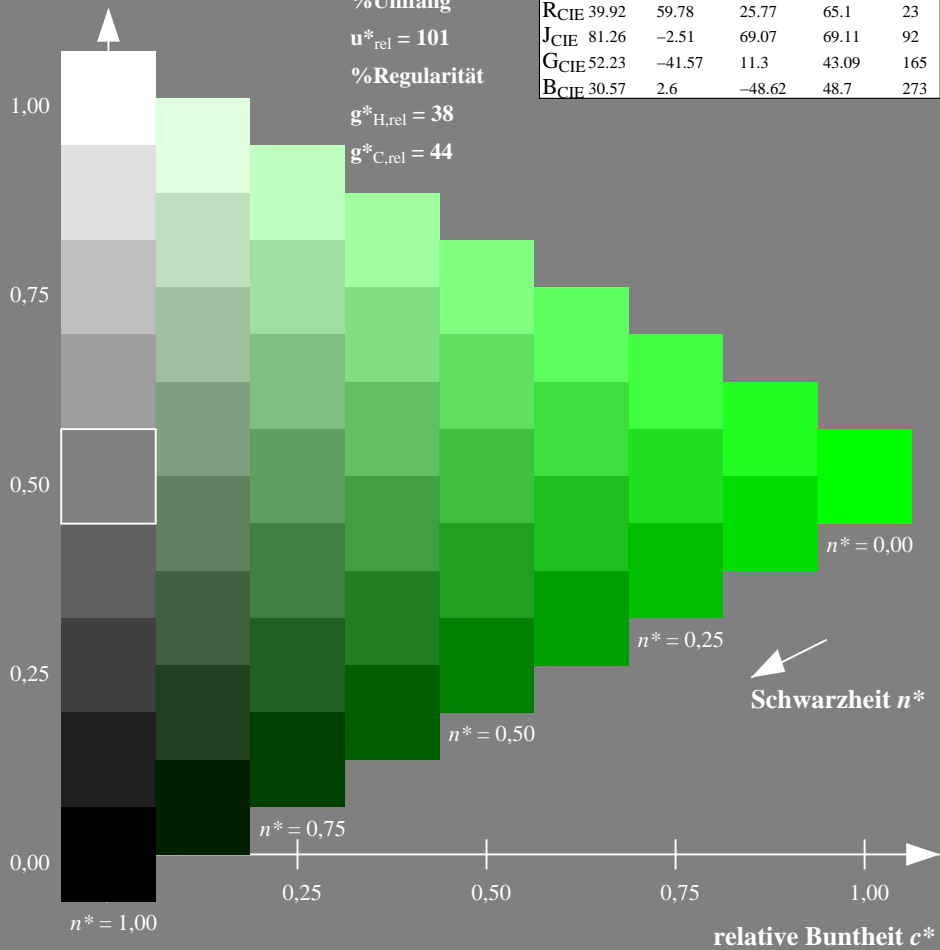
%Umfang

$u^*_{rel} = 101$

%Regularität

$g^*_{H,rel} = 38$

$g^*_{C,rel} = 44$



Ausgabe: Farbmetrisches Drucker-Reflektiv-System DRSXX

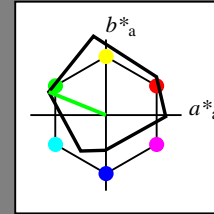
für Buntton $h^* = lab^*h = 158/360 = 0.439$

lab^*tch und lab^*nch

D65: Buntton L

LCH*Ma: 48 82 158

olv*Ma: 0.0 1.0 0.0



DRSXX; adaptierte CIELAB-Daten

	$L^*=L^*_a$	a^*_a	b^*_a	$C^*_{ab,a}$	$h^*_{ab,a}$
O _{Ma}	42.21	66.82	50.6	83.82	37
Y _{Ma}	90.32	-16.51	104.33	105.63	99
L _{Ma}	48.21	-75.63	30.65	81.61	158
C _{Ma}	53.44	-33.33	-47.49	58.03	235
V _{Ma}	34.16	-0.92	-46.56	46.58	269
M _{Ma}	42.71	79.0	-1.95	79.03	359
N _{Ma}	16.56	0.0	0.0	0.0	0
W _{Ma}	96.31	0.0	0.0	0.0	0
R _{CIE}	39.92	59.78	25.77	65.1	23
J _{CIE}	81.26	-2.51	69.07	69.11	92
G _{CIE}	52.23	-41.57	11.3	43.09	165
B _{CIE}	30.57	2.6	-48.62	48.7	273

Dreiecks-Helligkeit t^*

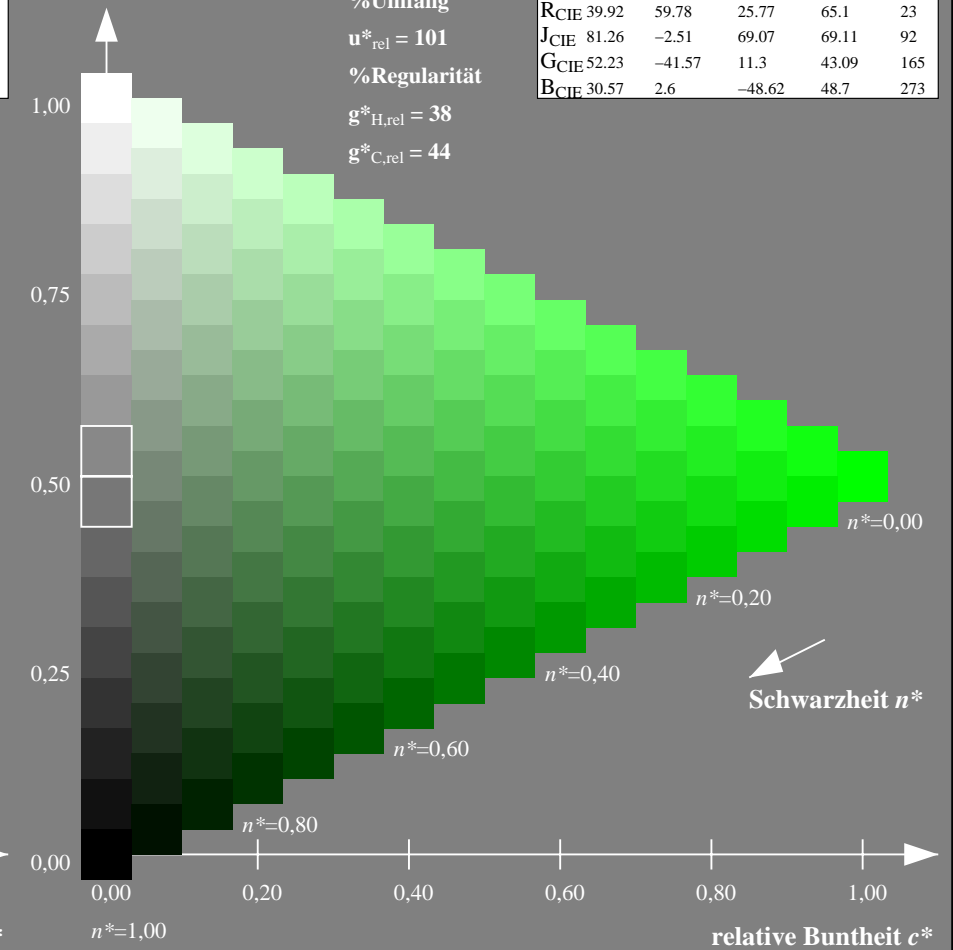
%Umfang

$u^*_{rel} = 101$

%Regularität

$g^*_{H,rel} = 38$

$g^*_{C,rel} = 44$



NG900-7, 9stufige Reihen für konstanten CIELAB Buntton $158/360 = 0.439$ (links)

16stufige Reihen für konstanten CIELAB Buntton $158/360 = 0.439$ (rechts)

Eingabe: Farbmetrisches Drucker-Reflektiv-System DRSXX

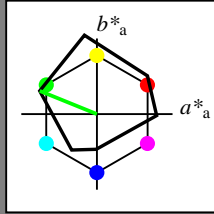
für Buntton $h^* = lab^*h = 158/360 = 0.439$

lab^*tch und lab^*nch

D65: Buntton L

LCH*Ma: 48 82 158

olv*Ma: 0.0 1.0 0.0



DRSXX; adaptierte CIELAB-Daten

	$L^*=L^*_a$	a^*_a	b^*_a	$C^*_{ab,a}$	$h^*_{ab,a}$
O _{Ma}	42.21	66.82	50.6	83.82	37
Y _{Ma}	90.32	-16.51	104.33	105.63	99
L _{Ma}	48.21	-75.63	30.65	81.61	158
C _{Ma}	53.44	-33.33	-47.49	58.03	235
V _{Ma}	34.16	-0.92	-46.56	46.58	269
M _{Ma}	42.71	79.0	-1.95	79.03	359
N _{Ma}	16.56	0.0	0.0	0.0	0
W _{Ma}	96.31	0.0	0.0	0.0	0
R _{CIE}	39.92	59.78	25.77	65.1	23
J _{CIE}	81.26	-2.51	69.07	69.11	92
G _{CIE}	52.23	-41.57	11.3	43.09	165
B _{CIE}	30.57	2.6	-48.62	48.7	273

Dreiecks-Helligkeit t^*

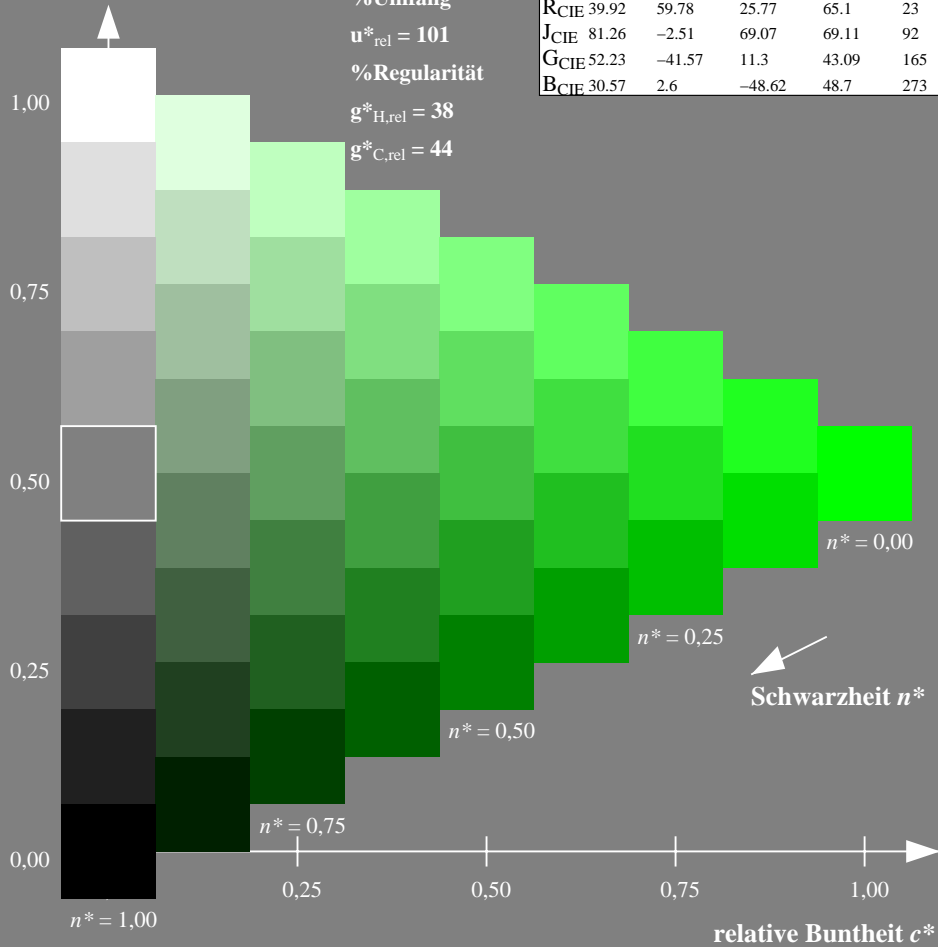
%Umfang

$u^*_{rel} = 101$

%Regularität

$g^*_{H,rel} = 38$

$g^*_{C,rel} = 44$



Ausgabe: Farbmetrisches Fernseh-Licht-System TLS18

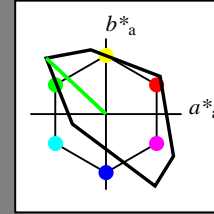
für Buntton $h^* = lab^*h = 137/360 = 0.38$

lab^*tch und lab^*nch

D65: Buntton L

LCH*Ma: 84 108 137

olv*Ma: 0.0 1.0 0.0



TLS18; adaptierte CIELAB-Daten

	$L^*=L^*_a$	a^*_a	b^*_a	$C^*_{ab,a}$	$h^*_{ab,a}$
O _{Ma}	52.76	71.63	49.88	87.29	35
Y _{Ma}	92.74	-20.02	84.97	87.3	103
L _{Ma}	84.0	-78.98	73.94	108.2	137
C _{Ma}	87.14	-44.41	-13.11	46.32	196
V _{Ma}	35.47	64.92	-95.06	115.12	304
M _{Ma}	59.01	89.33	-55.67	105.26	328
N _{Ma}	18.01	0.0	0.0	0.0	0
W _{Ma}	95.41	0.0	0.0	0.0	0
R _{CIE}	39.92	58.74	27.99	65.07	25
J _{CIE}	81.26	-2.88	71.56	71.62	92
G _{CIE}	52.23	-42.41	13.6	44.55	162
B _{CIE}	30.57	1.41	-46.46	46.49	272

Dreiecks-Helligkeit t^*

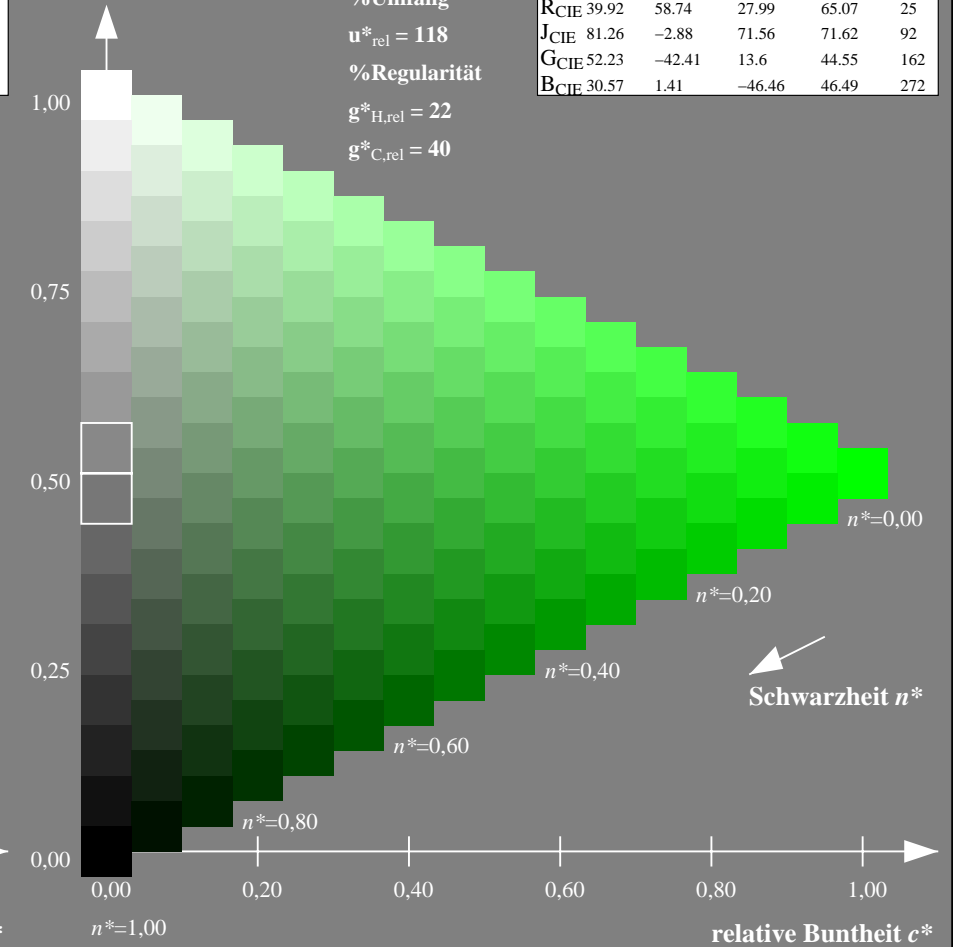
%Umfang

$u^*_{rel} = 118$

%Regularität

$g^*_{H,rel} = 22$

$g^*_{C,rel} = 40$



NG900-7, 9stufige Reihen für konstanten CIELAB Buntton $158/360 = 0.439$ (links)

16stufige Reihen für konstanten CIELAB Buntton $137/360 = 0.38$ (rechts)

Eingabe: Farbmetrisches Drucker-Reflektiv-System DRSXX

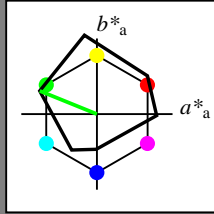
für Buntton $h^* = lab^*h = 158/360 = 0.439$

lab^*tch und lab^*nch

D65: Buntton L

LCH*Ma: 48 82 158

olv*Ma: 0.0 1.0 0.0



DRSXX; adaptierte CIELAB-Daten

	$L^*=L^*_a$	a^*_a	b^*_a	$C^*_{ab,a}$	$h^*_{ab,a}$
OMa	42.21	66.82	50.6	83.82	37
YMa	90.32	-16.51	104.33	105.63	99
LMa	48.21	-75.63	30.65	81.61	158
CMa	53.44	-33.33	-47.49	58.03	235
VMa	34.16	-0.92	-46.56	46.58	269
MMa	42.71	79.0	-1.95	79.03	359
NMa	16.56	0.0	0.0	0.0	0
WMa	96.31	0.0	0.0	0.0	0
RCIE	39.92	59.78	25.77	65.1	23
JCIE	81.26	-2.51	69.07	69.11	92
GCIE	52.23	-41.57	11.3	43.09	165
BCIE	30.57	2.6	-48.62	48.7	273

Dreiecks-Helligkeit t^*

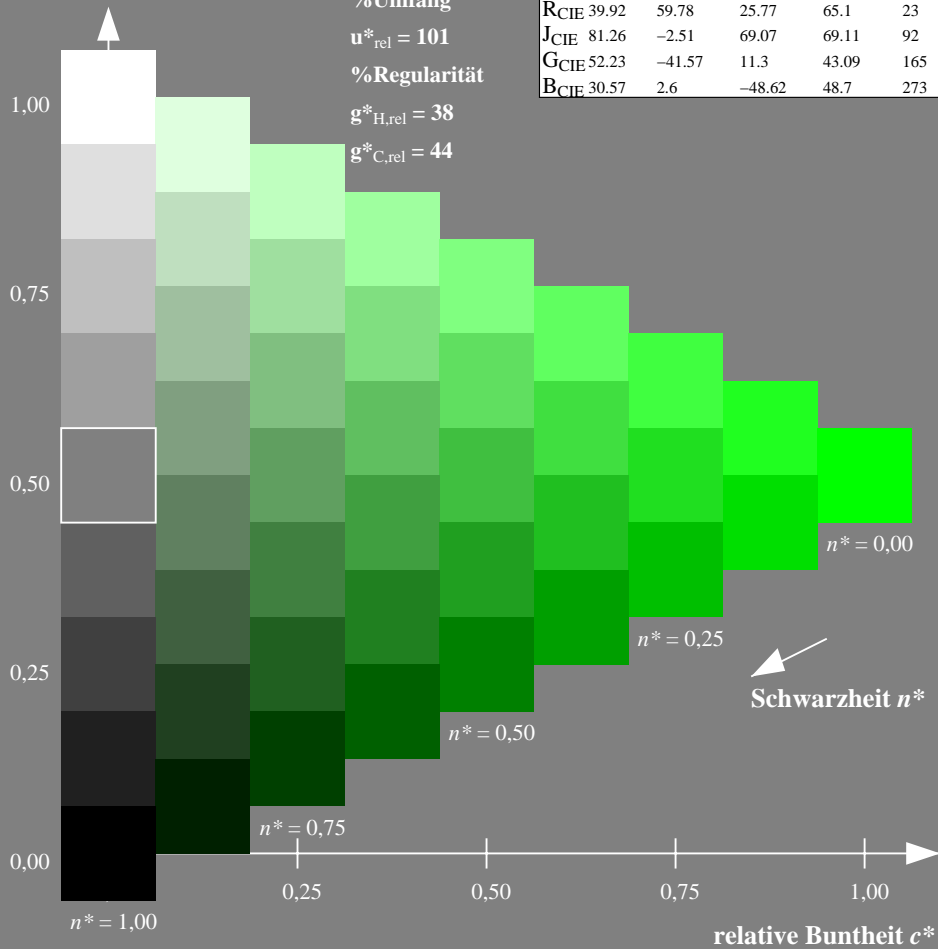
%Umfang

$u^*_{rel} = 101$

%Regularität

$g^*_{H,rel} = 38$

$g^*_{C,rel} = 44$



Ausgabe: Farbmetrisches Natürliches-Licht-System NLS00

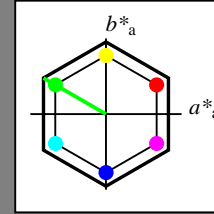
für Buntton $h^* = lab^*h = 150/360 = 0.417$

lab^*tch und lab^*nch

D65: Buntton L

LCH*Ma: 32 95 150

olv*Ma: 0.0 1.0 0.0



NLS00; adaptierte CIELAB-Daten

	$L^*=L^*_a$	a^*_a	b^*_a	$C^*_{ab,a}$	$h^*_{ab,a}$
OMa	31.81	82.62	47.7	95.4	30
YMa	63.61	0.0	95.4	95.4	90
LMa	31.81	-82.61	47.7	95.4	150
CMa	63.61	-82.61	-47.69	95.4	210
VMa	31.81	0.0	-95.39	95.4	270
MMa	63.61	82.62	-47.69	95.4	330
NMa	0.01	0.0	0.0	0.0	0
WMa	95.41	0.0	0.0	0.0	0
RCIE	39.92	58.74	27.99	65.07	25
JCIE	81.26	-2.88	71.56	71.62	92
GCIE	52.23	-42.41	13.6	44.55	162
BCIE	30.57	1.41	-46.46	46.49	272

Dreiecks-Helligkeit t^*

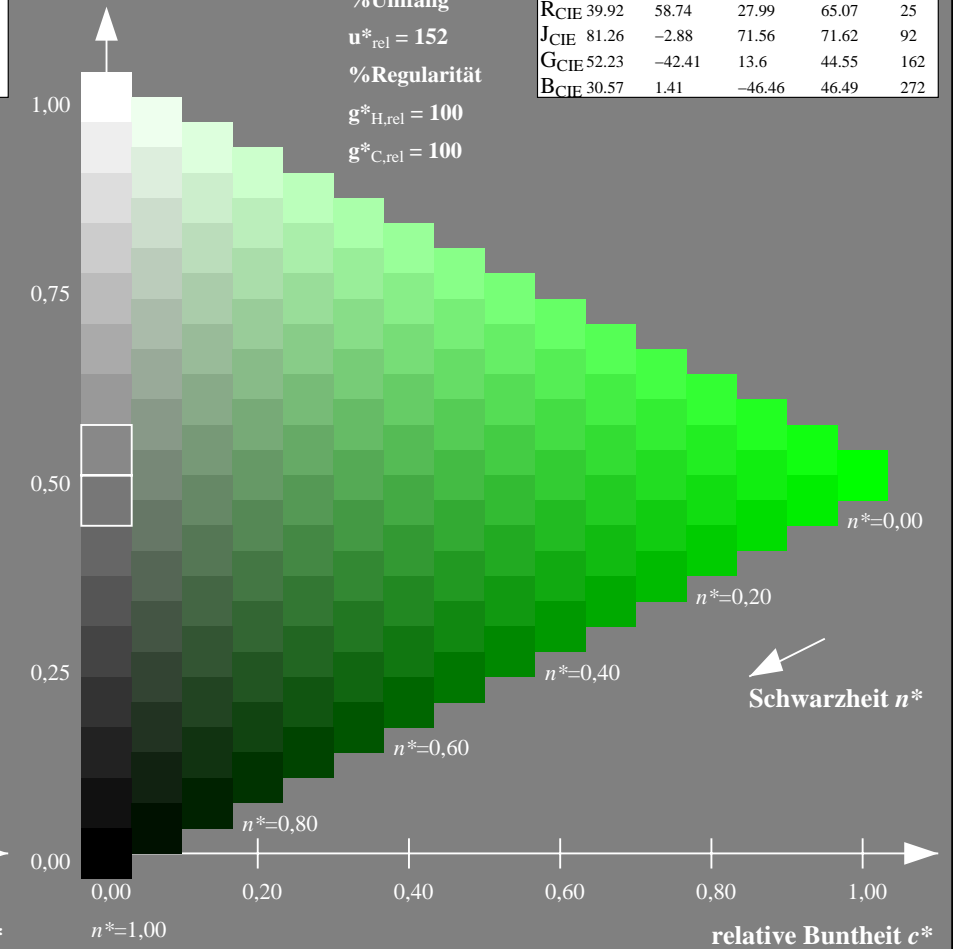
%Umfang

$u^*_{rel} = 152$

%Regularität

$g^*_{H,rel} = 100$

$g^*_{C,rel} = 100$



NG900-7, 9stufige Reihen für konstanten CIELAB Buntton $158/360 = 0.439$ (links)

16stufige Reihen für konstanten CIELAB Buntton $150/360 = 0.417$ (rechts)

Eingabe: Farbmetrisches Drucker-Reflektiv-System DRSXX

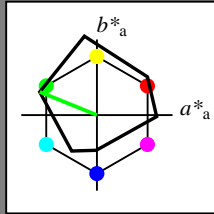
für Buntton $h^* = lab^*h = 158/360 = 0.439$

lab^*tch und lab^*nch

D65: Buntton L

LCH*Ma: 48 82 158

olv*Ma: 0.0 1.0 0.0



DRSXX; adaptierte CIELAB-Daten

	$L^*=L^*_a$	a^*_a	b^*_a	$C^*_{ab,a}$	$h^*_{ab,a}$
OMa	42.21	66.82	50.6	83.82	37
YMa	90.32	-16.51	104.33	105.63	99
LMa	48.21	-75.63	30.65	81.61	158
CMa	53.44	-33.33	-47.49	58.03	235
VMa	34.16	-0.92	-46.56	46.58	269
MMa	42.71	79.0	-1.95	79.03	359
NMa	16.56	0.0	0.0	0.0	0
WMa	96.31	0.0	0.0	0.0	0
RCIE	39.92	59.78	25.77	65.1	23
JCIE	81.26	-2.51	69.07	69.11	92
GCIE	52.23	-41.57	11.3	43.09	165
BCIE	30.57	2.6	-48.62	48.7	273

Dreiecks-Helligkeit t^*

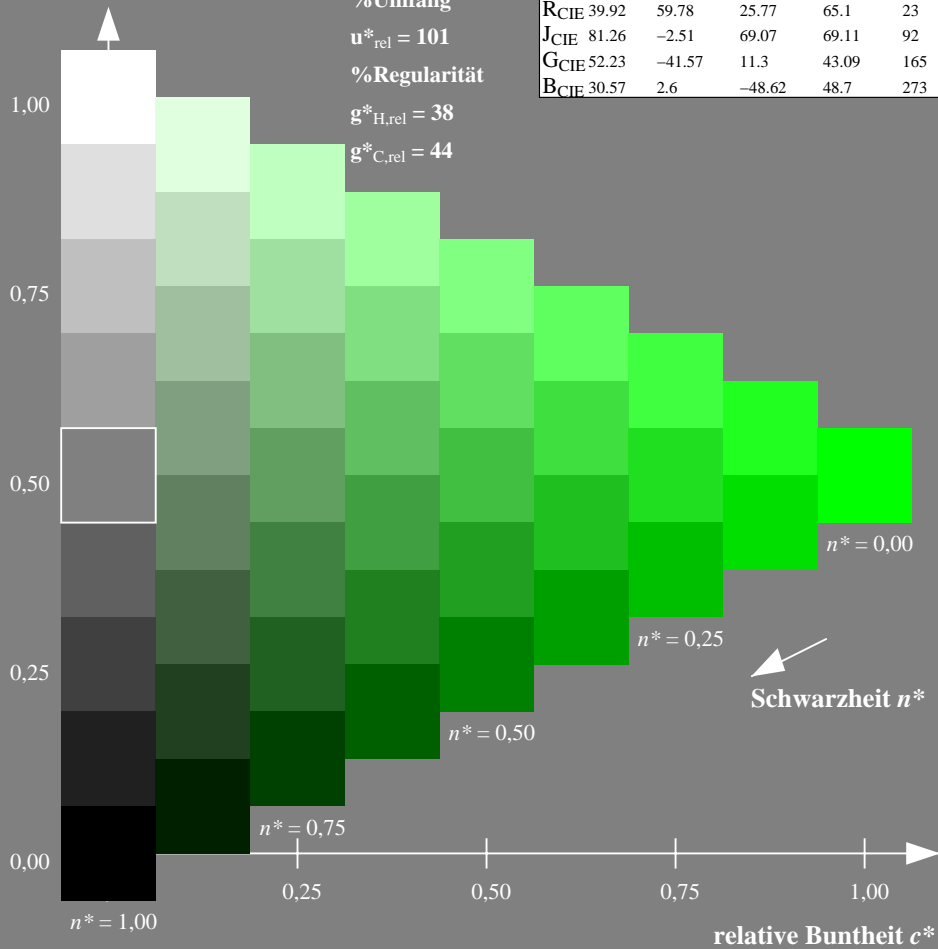
%Umfang

$u^*_{rel} = 101$

%Regularität

$g^*_{H,rel} = 38$

$g^*_{C,rel} = 44$



Ausgabe: Farbmetrisches Natürliches-Reflektiv-System NRS18

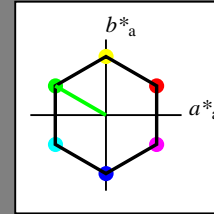
für Buntton $h^* = lab^*h = 150/360 = 0.417$

lab^*tch und lab^*nch

D65: Buntton L

LCH*Ma: 44 77 150

olv*Ma: 0.0 1.0 0.0



NRS18; adaptierte CIELAB-Daten

	$L^*=L^*_a$	a^*_a	b^*_a	$C^*_{ab,a}$	$h^*_{ab,a}$
OMa	43.81	67.03	38.7	77.4	30
YMa	69.61	0.0	77.4	77.4	90
LMa	43.81	-67.02	38.7	77.4	150
CMa	69.61	-67.02	-38.69	77.4	210
VMa	43.81	0.0	-77.39	77.4	270
MMa	69.61	67.03	-38.69	77.4	330
NMa	18.01	0.0	0.0	0.0	0
WMa	95.41	0.0	0.0	0.0	0
RCIE	39.92	58.74	27.99	65.07	25
JCIE	81.26	-2.88	71.56	71.62	92
GCIE	52.23	-42.41	13.6	44.55	162
BCIE	30.57	1.41	-46.46	46.49	272

Dreiecks-Helligkeit t^*

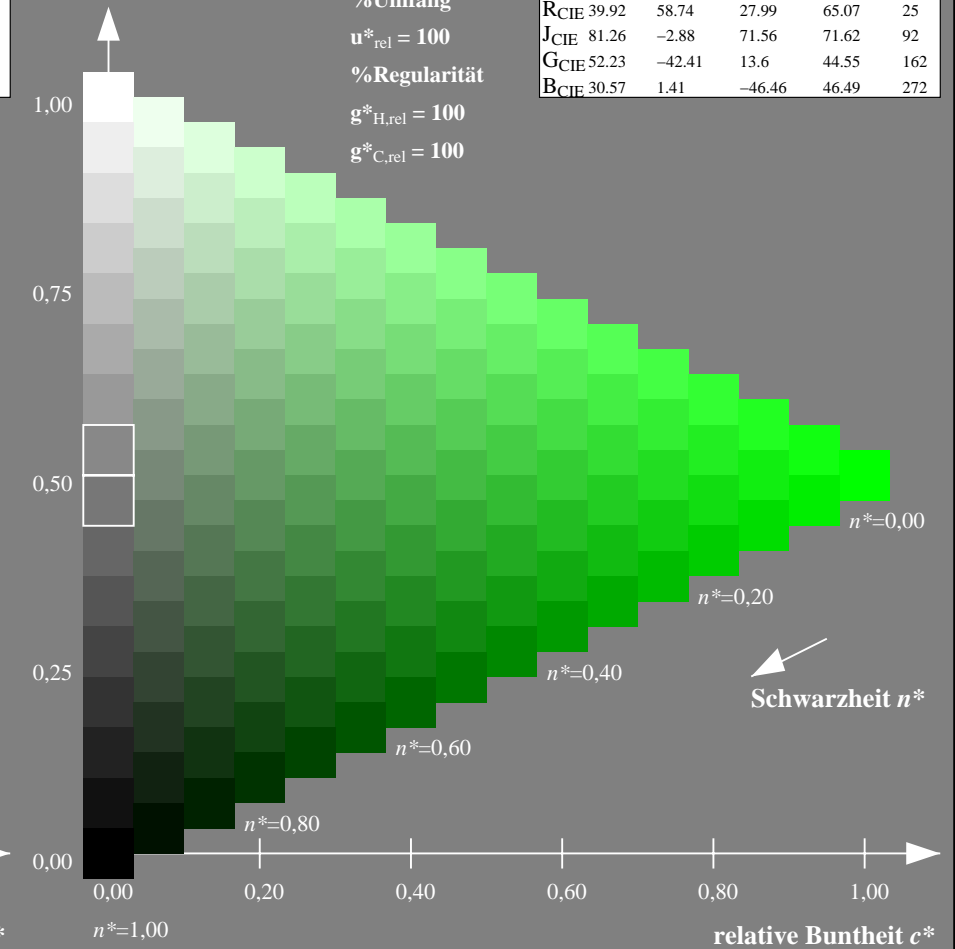
%Umfang

$u^*_{rel} = 100$

%Regularität

$g^*_{H,rel} = 100$

$g^*_{C,rel} = 100$



NG900-7, 9stufige Reihen für konstanten CIELAB Buntton $158/360 = 0.439$ (links)

16stufige Reihen für konstanten CIELAB Buntton $150/360 = 0.417$ (rechts)

Eingabe: Farbmetrisches Drucker-Reflektiv-System DRSXX

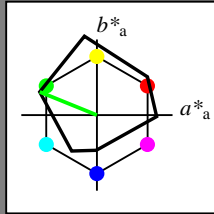
für Buntton $h^* = lab^*h = 158/360 = 0.439$

lab^*tch und lab^*nch

D65: Buntton L

LCH*Ma: 48 82 158

olv*Ma: 0.0 1.0 0.0



DRSXX; adaptierte CIELAB-Daten

	$L^*=L^*_a$	a^*_a	b^*_a	$C^*_{ab,a}$	$h^*_{ab,a}$
OMa	42.21	66.82	50.6	83.82	37
YMa	90.32	-16.51	104.33	105.63	99
LMa	48.21	-75.63	30.65	81.61	158
CMa	53.44	-33.33	-47.49	58.03	235
VMa	34.16	-0.92	-46.56	46.58	269
MMa	42.71	79.0	-1.95	79.03	359
NMa	16.56	0.0	0.0	0.0	0
WMa	96.31	0.0	0.0	0.0	0
RCIE	39.92	59.78	25.77	65.1	23
JCIE	81.26	-2.51	69.07	69.11	92
GCIE	52.23	-41.57	11.3	43.09	165
BCIE	30.57	2.6	-48.62	48.7	273

Dreiecks-Helligkeit t^*

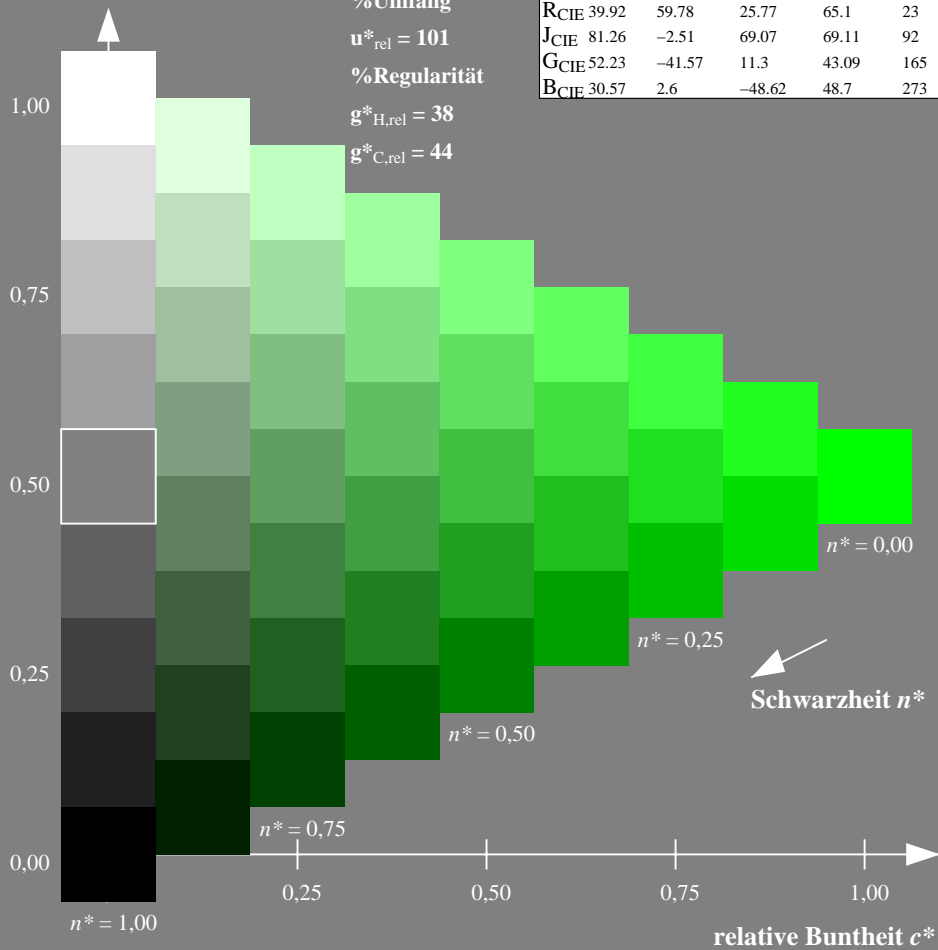
%Umfang

$u^*_{rel} = 101$

%Regularität

$g^*_{H,rel} = 38$

$g^*_{C,rel} = 44$



Ausgabe: Farbmetrisches Standard-Reflektiv-System SRS18

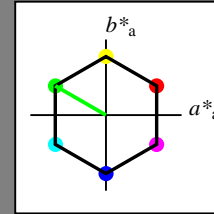
für Buntton $h^* = lab^*h = 150/360 = 0.417$

lab^*tch und lab^*nch

D65: Buntton L

LCH*Ma: 57 77 150

olv*Ma: 0.0 1.0 0.0



SRS18; adaptierte CIELAB-Daten

	$L^*=L^*_a$	a^*_a	b^*_a	$C^*_{ab,a}$	$h^*_{ab,a}$
OMa	56.71	67.03	38.7	77.4	30
YMa	56.71	0.0	77.4	77.4	90
LMa	56.71	-67.02	38.7	77.4	150
CMa	56.71	-67.02	-38.69	77.4	210
VMa	56.71	0.0	-77.39	77.4	270
MMa	56.71	67.03	-38.69	77.4	330
NMa	18.01	0.0	0.0	0.0	0
WMa	95.41	0.0	0.0	0.0	0
RCIE	39.92	58.74	27.99	65.07	25
JCIE	81.26	-2.88	71.56	71.62	92
GCIE	52.23	-42.41	13.6	44.55	162
BCIE	30.57	1.41	-46.46	46.49	272

Dreiecks-Helligkeit t^*

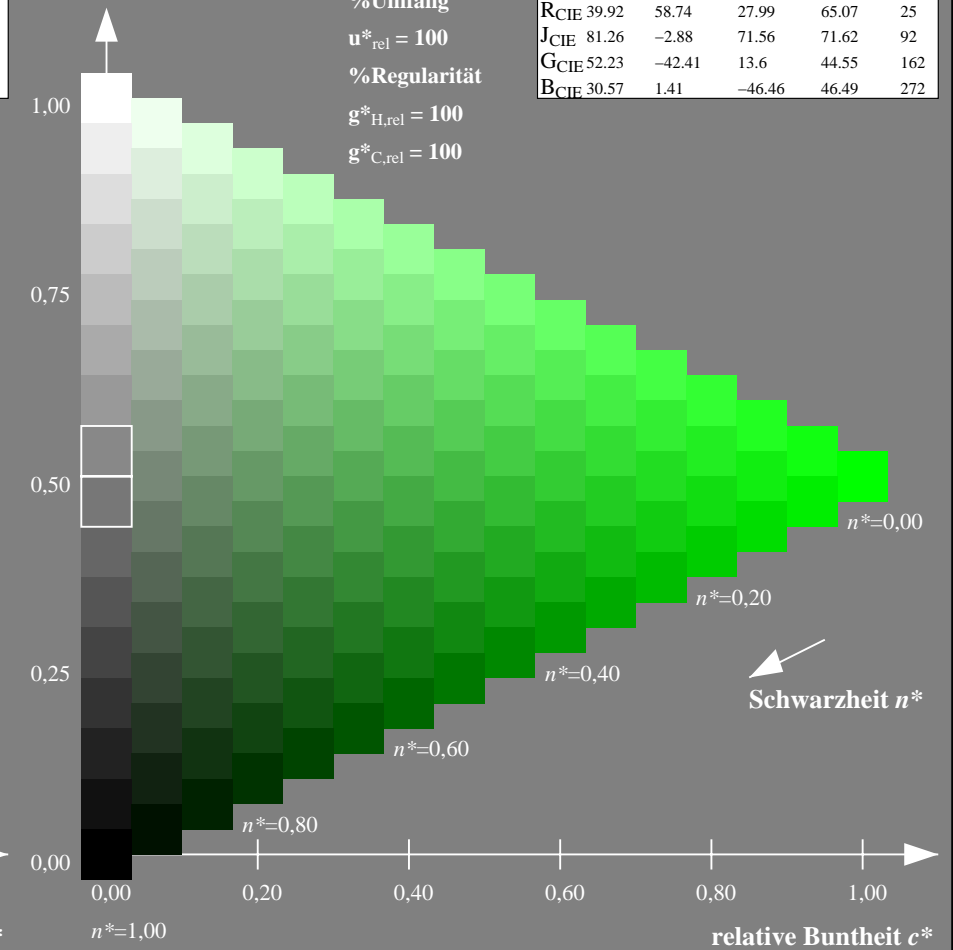
%Umfang

$u^*_{rel} = 100$

%Regularität

$g^*_{H,rel} = 100$

$g^*_{C,rel} = 100$



NG900-7, 9stufige Reihen für konstanten CIELAB Buntton $158/360 = 0.439$ (links)

16stufige Reihen für konstanten CIELAB Buntton $150/360 = 0.417$ (rechts)

Eingabe: Farbmetrisches Drucker-Reflektiv-System DRSXX

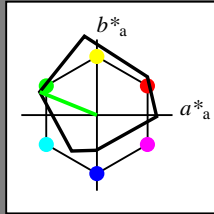
für Buntton $h^* = lab^*h = 158/360 = 0.439$

lab^*tch und lab^*nch

D65: Buntton L

LCH*Ma: 48 82 158

olv*Ma: 0.0 1.0 0.0



DRSXX; adaptierte CIELAB-Daten

	$L^*=L^*_a$	a^*_a	b^*_a	$C^*_{ab,a}$	$h^*_{ab,a}$
O _{Ma}	42.21	66.82	50.6	83.82	37
Y _{Ma}	90.32	-16.51	104.33	105.63	99
L _{Ma}	48.21	-75.63	30.65	81.61	158
C _{Ma}	53.44	-33.33	-47.49	58.03	235
V _{Ma}	34.16	-0.92	-46.56	46.58	269
M _{Ma}	42.71	79.0	-1.95	79.03	359
N _{Ma}	16.56	0.0	0.0	0.0	0
W _{Ma}	96.31	0.0	0.0	0.0	0
R _{CIE}	39.92	59.78	25.77	65.1	23
J _{CIE}	81.26	-2.51	69.07	69.11	92
G _{CIE}	52.23	-41.57	11.3	43.09	165
B _{CIE}	30.57	2.6	-48.62	48.7	273

Dreiecks-Helligkeit t^*

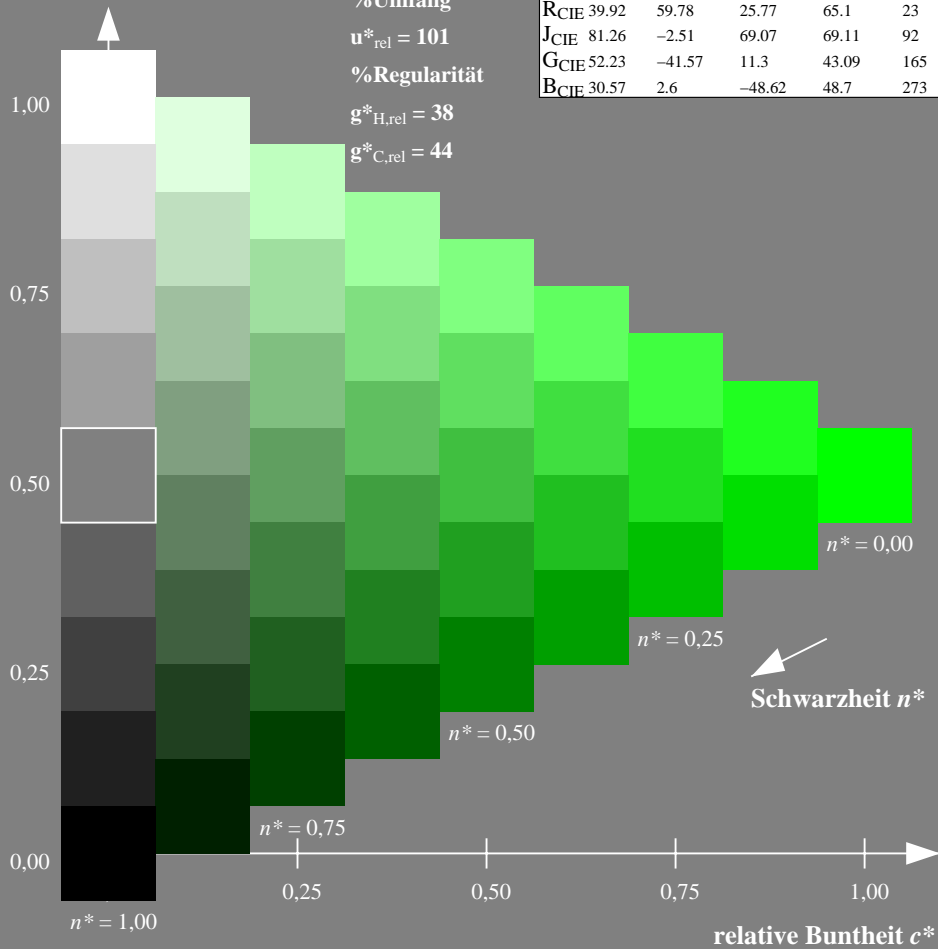
%Umfang

$u^*_{rel} = 101$

%Regularität

$g^*_{H,rel} = 38$

$g^*_{C,rel} = 44$



Ausgabe: Farbmetrisches Fernseh-Licht-System TLS70

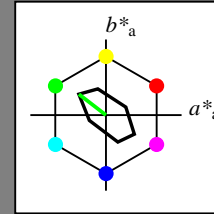
für Buntton $h^* = lab^*h = 142/360 = 0.395$

lab^*tch und lab^*nch

D65: Buntton L

LCH*Ma: 89 45 142

olv*Ma: 0.0 1.0 0.0



TLS70; adaptierte CIELAB-Daten

	$L^*=L^*_a$	a^*_a	b^*_a	$C^*_{ab,a}$	$h^*_{ab,a}$
O _{Ma}	76.43	26.27	10.57	28.32	22
Y _{Ma}	93.93	-10.76	34.63	36.27	107
L _{Ma}	89.32	-35.8	27.64	45.24	142
C _{Ma}	90.93	-21.95	-7.07	23.07	198
V _{Ma}	72.1	15.76	-35.63	38.97	294
M _{Ma}	78.5	37.52	-25.23	45.22	326
N _{Ma}	69.7	0.0	0.0	0.0	0
W _{Ma}	95.41	0.0	0.0	0.0	0
R _{CIE}	39.92	58.74	27.99	65.07	25
J _{CIE}	81.26	-2.88	71.56	71.62	92
G _{CIE}	52.23	-42.41	13.6	44.55	162
B _{CIE}	30.57	1.41	-46.46	46.49	272

Dreiecks-Helligkeit t^*

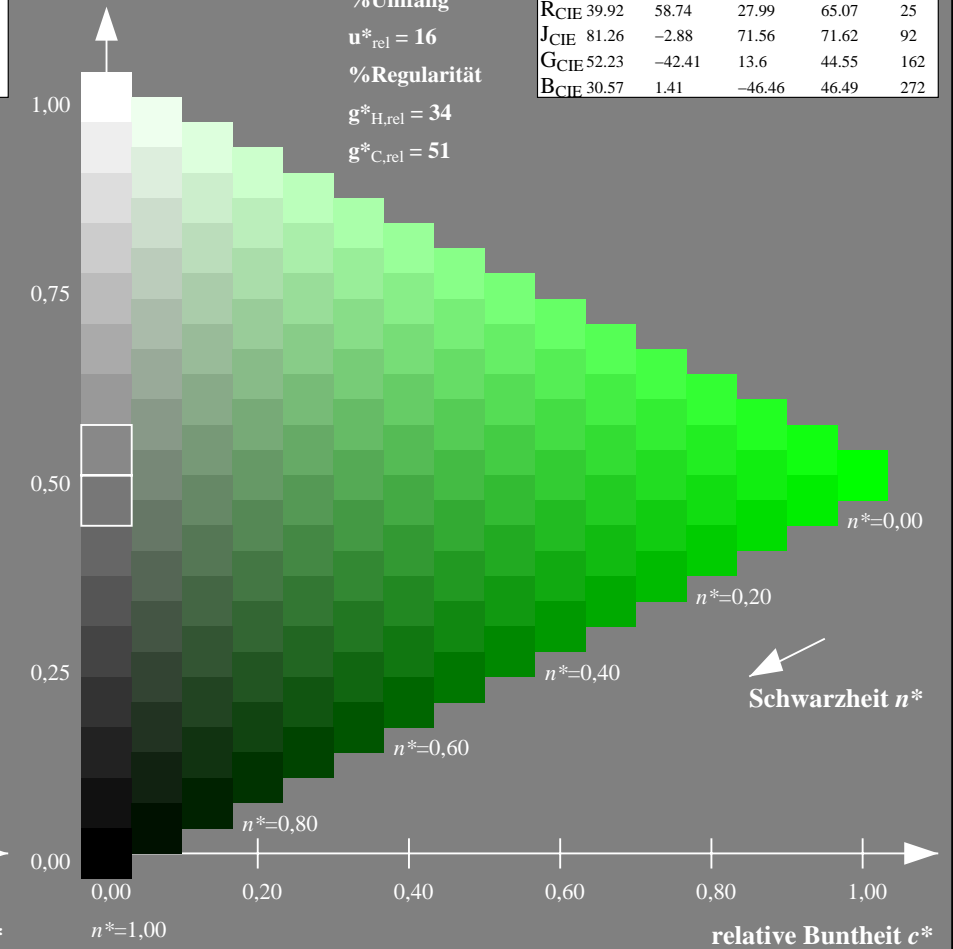
%Umfang

$u^*_{rel} = 16$

%Regularität

$g^*_{H,rel} = 34$

$g^*_{C,rel} = 51$



NG900-7, 9stufige Reihen für konstanten CIELAB Buntton $158/360 = 0.439$ (links)

16stufige Reihen für konstanten CIELAB Buntton $142/360 = 0.395$ (rechts)

Eingabe: Farbmetrisches Fernseh-Licht-System TLS18

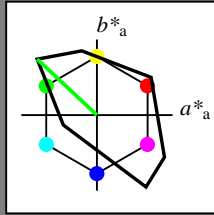
für Buntton $h^* = lab^*h = 137/360 = 0.38$

lab^*tch und lab^*nch

D65: Buntton L

LCH*Ma: 84 108 137

olv*Ma: 0.0 1.0 0.0



TLS18; adaptierte CIELAB-Daten

	$L^*=L^*_a$	a^*_a	b^*_a	$C^*_{ab,a}$	$h^*_{ab,a}$
OMa	52.76	71.63	49.88	87.29	35
YMa	92.74	-20.02	84.97	87.3	103
LMa	84.0	-78.98	73.94	108.2	137
CMa	87.14	-44.41	-13.11	46.32	196
VMa	35.47	64.92	-95.06	115.12	304
MMa	59.01	89.33	-55.67	105.26	328
NMa	18.01	0.0	0.0	0.0	0
WMa	95.41	0.0	0.0	0.0	0
RCIE	39.92	58.74	27.99	65.07	25
JCIE	81.26	-2.88	71.56	71.62	92
GCIE	52.23	-42.41	13.6	44.55	162
BCIE	30.57	1.41	-46.46	46.49	272

Dreiecks-Helligkeit t^*

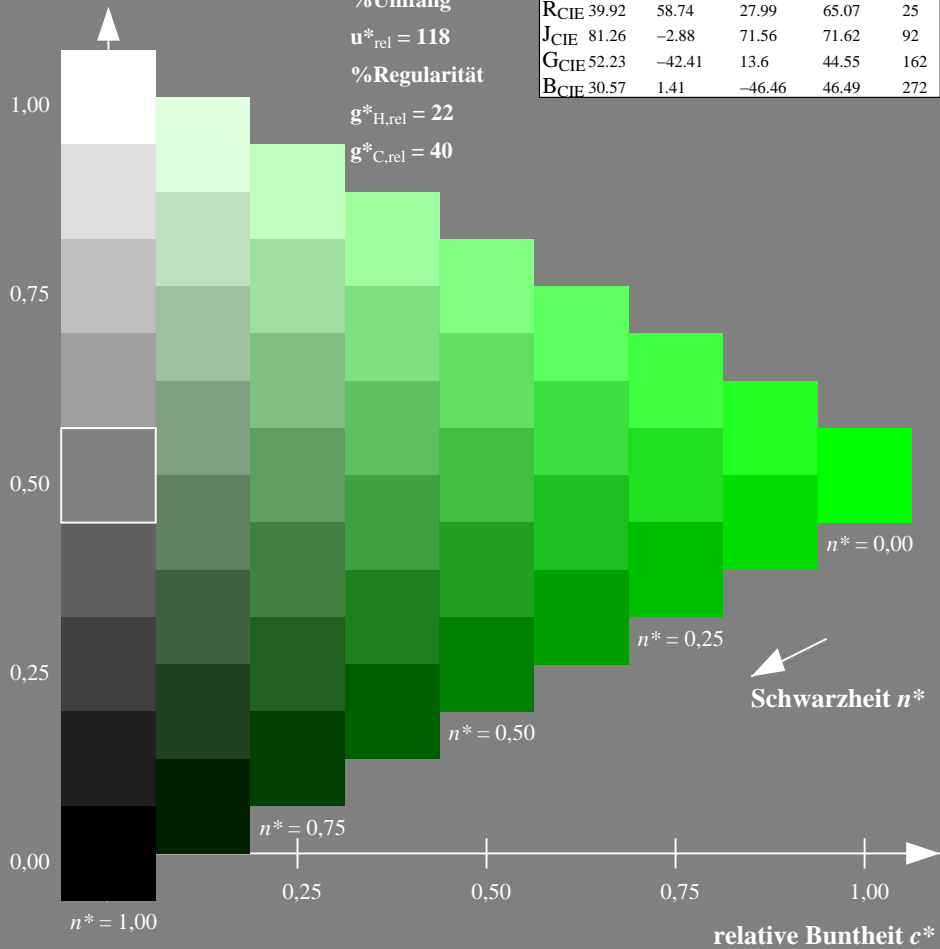
%Umfang

$u^*_{rel} = 118$

%Regularität

$g^*_{H,rel} = 22$

$g^*_{C,rel} = 40$



Ausgabe: Farbmetrisches Offset-Reflektiv-System ORS18

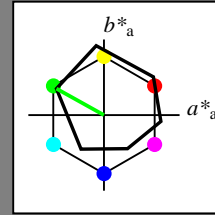
für Buntton $h^* = lab^*h = 151/360 = 0.419$

lab^*tch und lab^*nch

D65: Buntton L

LCH*Ma: 51 72 151

olv*Ma: 0.0 1.0 0.0



ORS18; adaptierte CIELAB-Daten

	$L^*=L^*_a$	a^*_a	b^*_a	$C^*_{ab,a}$	$h^*_{ab,a}$
OMa	47.94	65.39	50.52	82.63	38
YMa	90.37	-10.26	91.75	92.32	96
LMa	50.9	-62.83	34.96	71.91	151
CMa	58.62	-30.34	-45.01	54.3	236
VMa	25.72	31.1	-44.4	54.22	305
MMa	48.13	75.28	-8.36	75.74	354
NMa	18.01	0.0	0.0	0.0	0
WMa	95.41	0.0	0.0	0.0	0
RCIE	39.92	58.66	26.98	64.57	25
JCIE	81.26	-2.16	67.76	67.79	92
GCIE	52.23	-42.25	11.76	43.87	164
BCIE	30.57	1.15	-46.84	46.86	271

Dreiecks-Helligkeit t^*

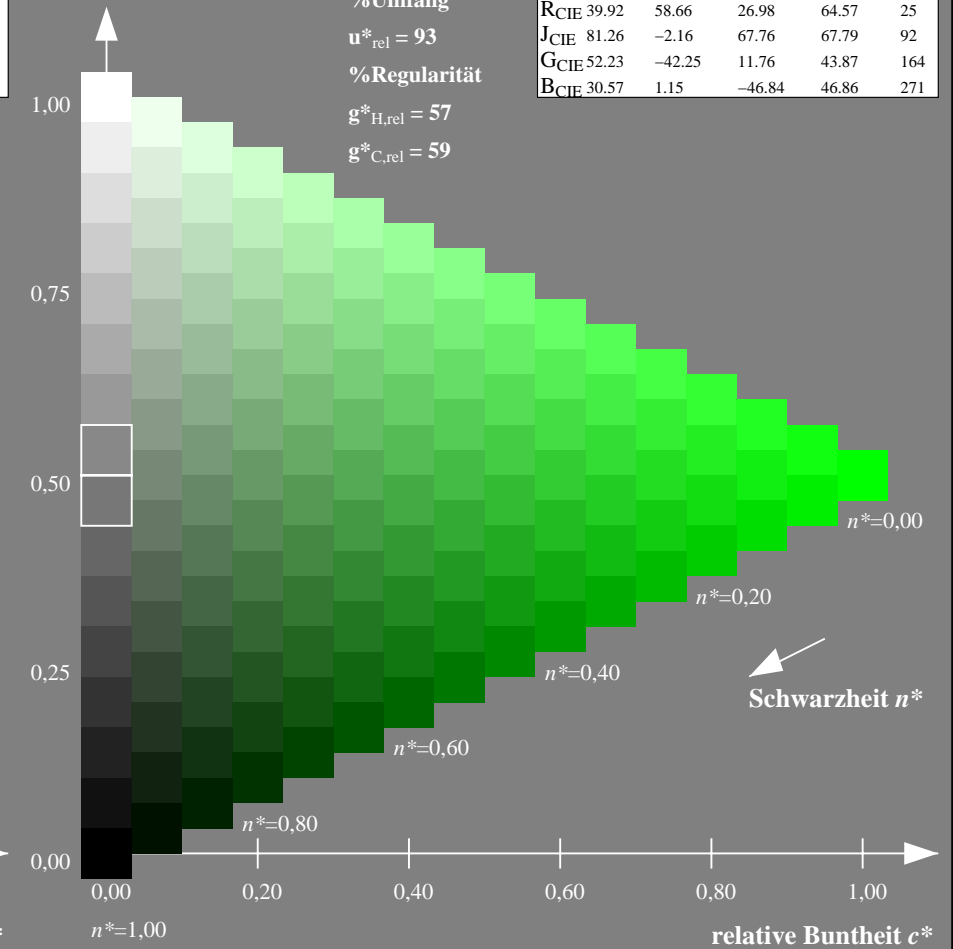
%Umfang

$u^*_{rel} = 93$

%Regularität

$g^*_{H,rel} = 57$

$g^*_{C,rel} = 59$



NG900-7, 9stufige Reihen für konstanten CIELAB Buntton $137/360 = 0.38$ (links)

16stufige Reihen für konstanten CIELAB Buntton $151/360 = 0.419$ (rechts)

Eingabe: Farbmetrisches Fernseh-Licht-System TLS18

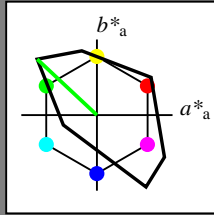
für Buntton $h^* = lab^*h = 137/360 = 0.38$

lab^*tch und lab^*nch

D65: Buntton L

LCH*Ma: 84 108 137

olv*Ma: 0.0 1.0 0.0



TLS18; adaptierte CIELAB-Daten

	$L^*=L^*_a$	a^*_a	b^*_a	$C^*_{ab,a}$	$h^*_{ab,a}$
OMa	52.76	71.63	49.88	87.29	35
YMa	92.74	-20.02	84.97	87.3	103
LMa	84.0	-78.98	73.94	108.2	137
CMa	87.14	-44.41	-13.11	46.32	196
VMa	35.47	64.92	-95.06	115.12	304
MMa	59.01	89.33	-55.67	105.26	328
NMa	18.01	0.0	0.0	0.0	0
WMa	95.41	0.0	0.0	0.0	0
RCIE	39.92	58.74	27.99	65.07	25
JCIE	81.26	-2.88	71.56	71.62	92
GCIE	52.23	-42.41	13.6	44.55	162
BCIE	30.57	1.41	-46.46	46.49	272

Dreiecks-Helligkeit t^*

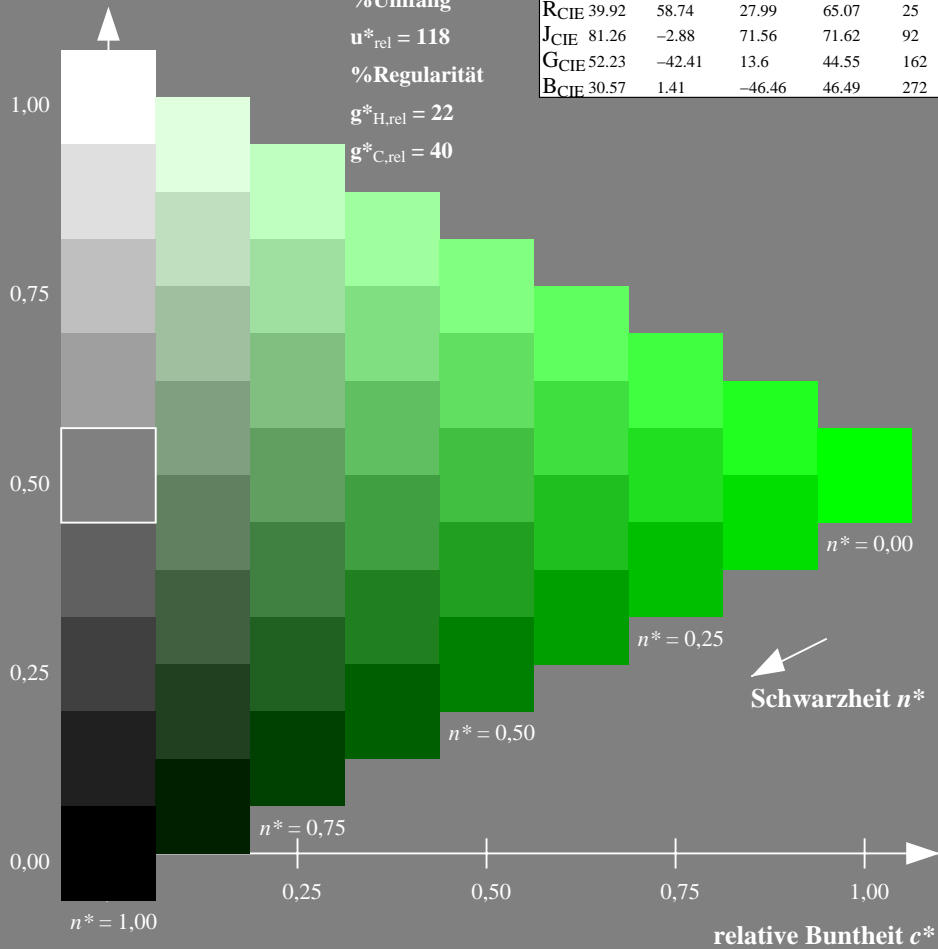
%Umfang

$u^*_{rel} = 118$

%Regularität

$g^*_{H,rel} = 22$

$g^*_{C,rel} = 40$



Ausgabe: Farbmetrisches Fernseh-Licht-System TLS00

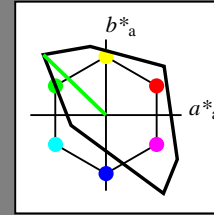
für Buntton $h^* = lab^*h = 136/360 = 0.378$

lab^*tch und lab^*nch

D65: Buntton L

LCH*Ma: 84 115 136

olv*Ma: 0.0 1.0 0.0



TLS00; adaptierte CIELAB-Daten

	$L^*=L^*_a$	a^*_a	b^*_a	$C^*_{ab,a}$	$h^*_{ab,a}$
OMa	50.5	76.92	64.55	100.42	40
YMa	92.66	-20.69	90.75	93.08	103
LMa	83.63	-82.75	79.9	115.04	136
CMa	86.88	-46.16	-13.55	48.12	196
VMa	30.39	76.06	-103.59	128.52	306
MMa	57.3	94.35	-58.41	110.97	328
NMa	0.01	0.0	0.0	0.0	0
WMa	95.41	0.0	0.0	0.0	0
RCIE	39.92	58.74	27.99	65.07	25
JCIE	81.26	-2.88	71.56	71.62	92
GCIE	52.23	-42.41	13.6	44.55	162
BCIE	30.57	1.41	-46.46	46.49	272

Dreiecks-Helligkeit t^*

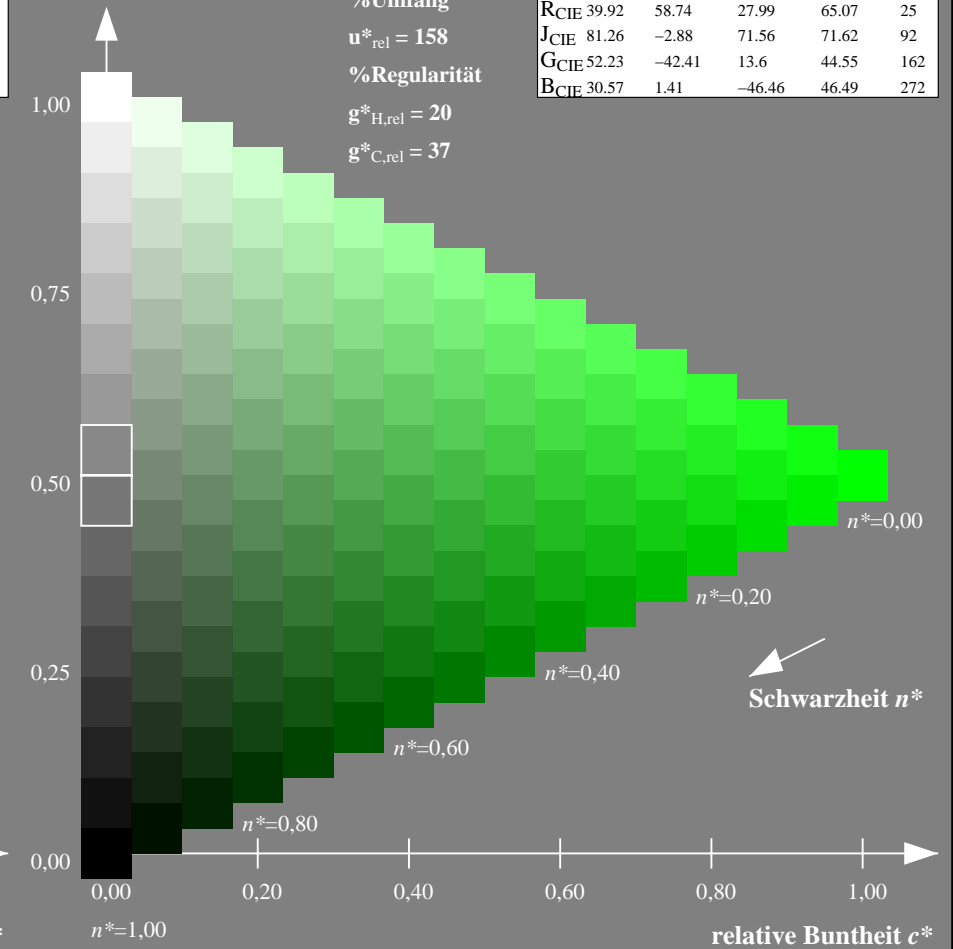
%Umfang

$u^*_{rel} = 158$

%Regularität

$g^*_{H,rel} = 20$

$g^*_{C,rel} = 37$



NG900-7, 9stufige Reihen für konstanten CIELAB Buntton $137/360 = 0.38$ (links)

16stufige Reihen für konstanten CIELAB Buntton $136/360 = 0.378$ (rechts)

Eingabe: Farbmetrisches Fernseh-Licht-System TLS18

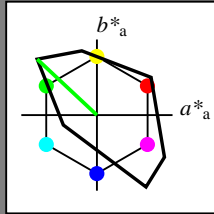
für Buntton $h^* = lab^*h = 137/360 = 0.38$

lab^*tch und lab^*nch

D65: Buntton L

LCH*Ma: 84 108 137

olv*Ma: 0.0 1.0 0.0



TLS18; adaptierte CIELAB-Daten

	$L^*=L^*_a$	a^*_a	b^*_a	$C^*_{ab,a}$	$h^*_{ab,a}$
OMa	52.76	71.63	49.88	87.29	35
YMa	92.74	-20.02	84.97	87.3	103
LMa	84.0	-78.98	73.94	108.2	137
CMa	87.14	-44.41	-13.11	46.32	196
VMa	35.47	64.92	-95.06	115.12	304
MMa	59.01	89.33	-55.67	105.26	328
NMa	18.01	0.0	0.0	0.0	0
WMa	95.41	0.0	0.0	0.0	0
RCIE	39.92	58.74	27.99	65.07	25
JCIE	81.26	-2.88	71.56	71.62	92
GCIE	52.23	-42.41	13.6	44.55	162
BCIE	30.57	1.41	-46.46	46.49	272

Dreiecks-Helligkeit t^*

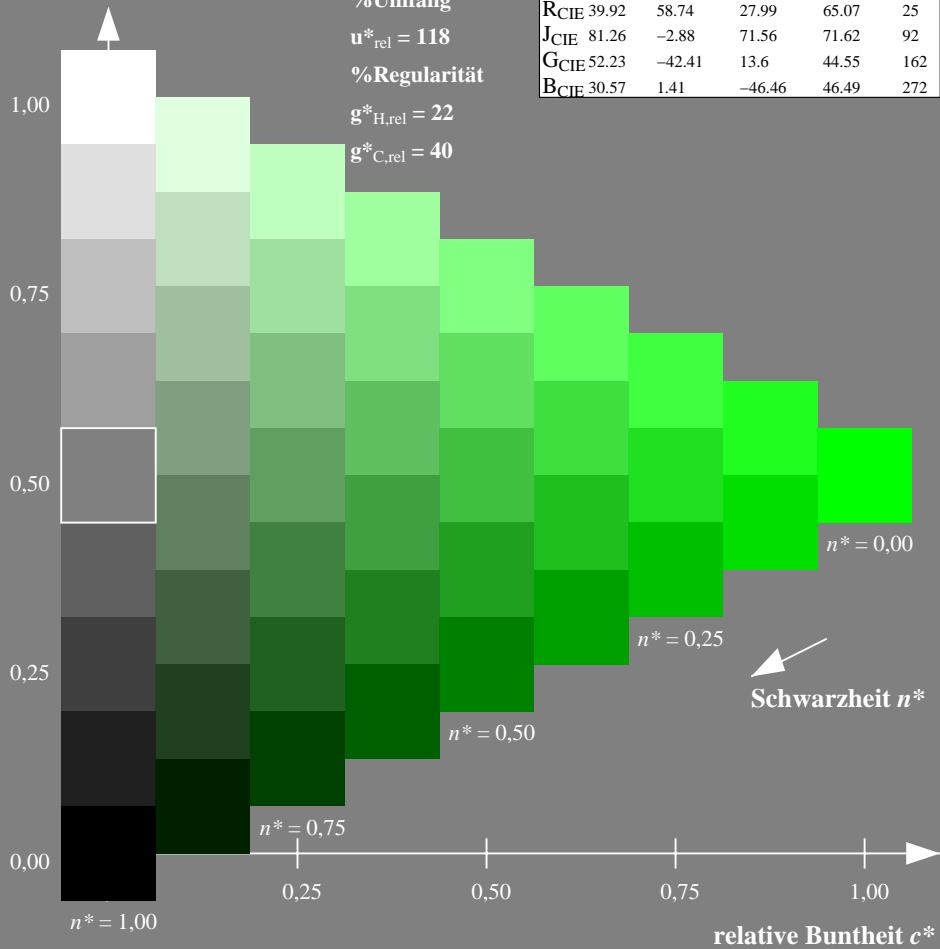
%Umfang

$u^*_{rel} = 118$

%Regularität

$g^*_{H,rel} = 22$

$g^*_{C,rel} = 40$



Ausgabe: Farbmetrisches Drucker-Reflektiv-System DRSXX

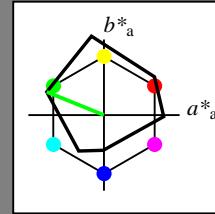
für Buntton $h^* = lab^*h = 158/360 = 0.439$

lab^*tch und lab^*nch

D65: Buntton L

LCH*Ma: 48 82 158

olv*Ma: 0.0 1.0 0.0



DRSXX; adaptierte CIELAB-Daten

	$L^*=L^*_a$	a^*_a	b^*_a	$C^*_{ab,a}$	$h^*_{ab,a}$
OMa	42.21	66.82	50.6	83.82	37
YMa	90.32	-16.51	104.33	105.63	99
LMa	48.21	-75.63	30.65	81.61	158
CMa	53.44	-33.33	-47.49	58.03	235
VMa	34.16	-0.92	-46.56	46.58	269
MMa	42.71	79.0	-1.95	79.03	359
NMa	16.56	0.0	0.0	0.0	0
WMa	96.31	0.0	0.0	0.0	0
RCIE	39.92	59.78	25.77	65.1	23
JCIE	81.26	-2.51	69.07	69.11	92
GCIE	52.23	-41.57	11.3	43.09	165
BCIE	30.57	2.6	-48.62	48.7	273

Dreiecks-Helligkeit t^*

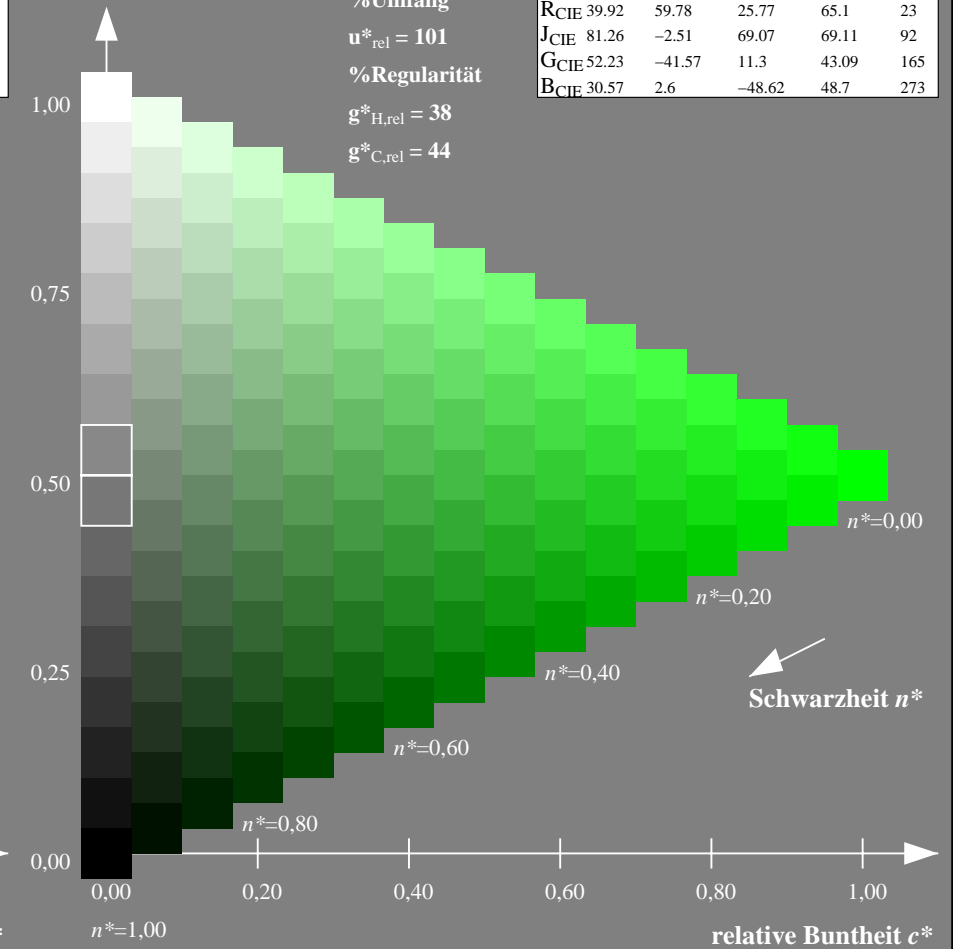
%Umfang

$u^*_{rel} = 101$

%Regularität

$g^*_{H,rel} = 38$

$g^*_{C,rel} = 44$



NG900-7, 9stufige Reihen für konstanten CIELAB Buntton $137/360 = 0.38$ (links)

16stufige Reihen für konstanten CIELAB Buntton $158/360 = 0.439$ (rechts)

Eingabe: Farbmetrisches Fernseh-Licht-System TLS18

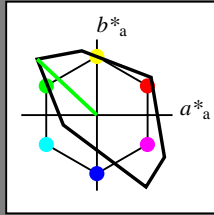
für Buntton $h^* = lab^*h = 137/360 = 0.38$

lab^*tch und lab^*nch

D65: Buntton L

LCH*Ma: 84 108 137

olv*Ma: 0.0 1.0 0.0



TLS18; adaptierte CIELAB-Daten

	$L^*=L^*_a$	a^*_a	b^*_a	$C^*_{ab,a}$	$h^*_{ab,a}$
OMa	52.76	71.63	49.88	87.29	35
YMa	92.74	-20.02	84.97	87.3	103
LMa	84.0	-78.98	73.94	108.2	137
CMa	87.14	-44.41	-13.11	46.32	196
VMa	35.47	64.92	-95.06	115.12	304
MMa	59.01	89.33	-55.67	105.26	328
NMa	18.01	0.0	0.0	0.0	0
WMa	95.41	0.0	0.0	0.0	0
RCIE	39.92	58.74	27.99	65.07	25
JCIE	81.26	-2.88	71.56	71.62	92
GCIE	52.23	-42.41	13.6	44.55	162
BCIE	30.57	1.41	-46.46	46.49	272

Dreiecks-Helligkeit t^*

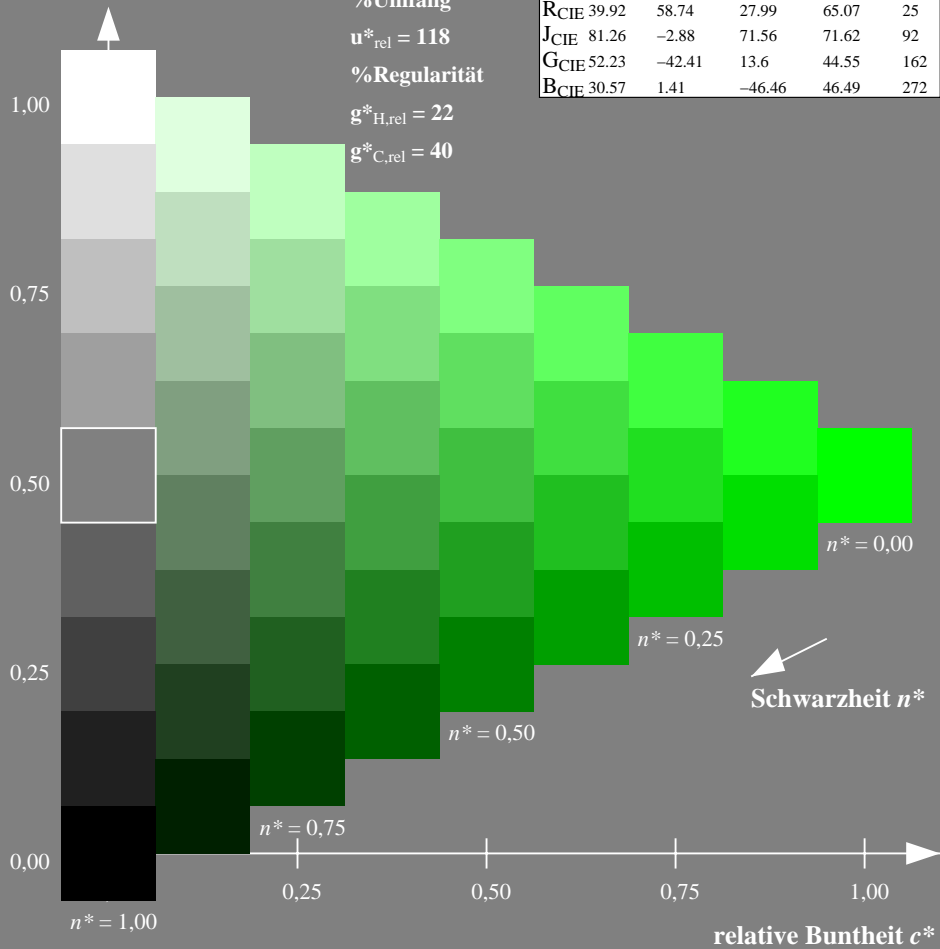
%Umfang

$u^*_{rel} = 118$

%Regularität

$g^*_{H,rel} = 22$

$g^*_{C,rel} = 40$



Ausgabe: Farbmetrisches Fernseh-Licht-System TLS18

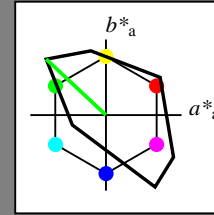
für Buntton $h^* = lab^*h = 137/360 = 0.38$

lab^*tch und lab^*nch

D65: Buntton L

LCH*Ma: 84 108 137

olv*Ma: 0.0 1.0 0.0



TLS18; adaptierte CIELAB-Daten

	$L^*=L^*_a$	a^*_a	b^*_a	$C^*_{ab,a}$	$h^*_{ab,a}$
OMa	52.76	71.63	49.88	87.29	35
YMa	92.74	-20.02	84.97	87.3	103
LMa	84.0	-78.98	73.94	108.2	137
CMa	87.14	-44.41	-13.11	46.32	196
VMa	35.47	64.92	-95.06	115.12	304
MMa	59.01	89.33	-55.67	105.26	328
NMa	18.01	0.0	0.0	0.0	0
WMa	95.41	0.0	0.0	0.0	0
RCIE	39.92	58.74	27.99	65.07	25
JCIE	81.26	-2.88	71.56	71.62	92
GCIE	52.23	-42.41	13.6	44.55	162
BCIE	30.57	1.41	-46.46	46.49	272

Dreiecks-Helligkeit t^*

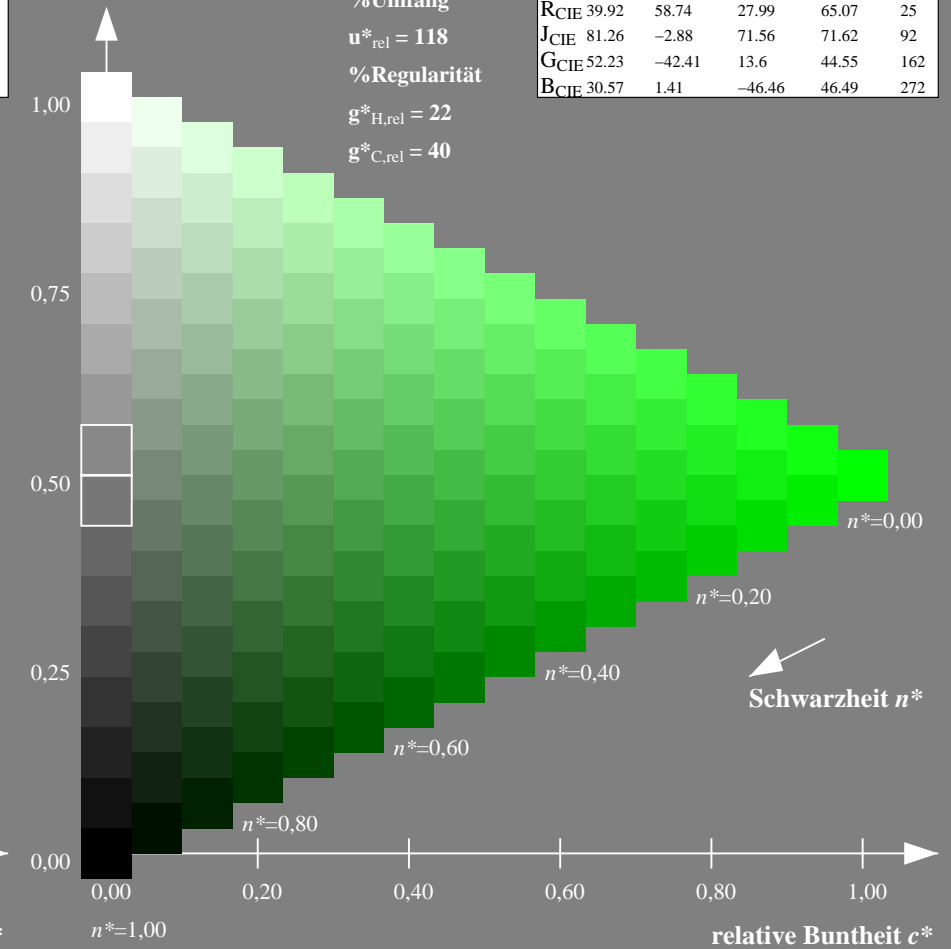
%Umfang

$u^*_{rel} = 118$

%Regularität

$g^*_{H,rel} = 22$

$g^*_{C,rel} = 40$



NG900-7, 9stufige Reihen für konstanten CIELAB Buntton $137/360 = 0.38$ (links)

16stufige Reihen für konstanten CIELAB Buntton $137/360 = 0.38$ (rechts)

Eingabe: Farbmetrisches Fernseh-Licht-System TLS18

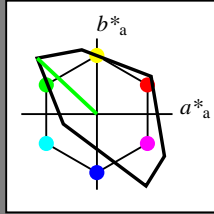
für Buntton $h^* = lab^*h = 137/360 = 0.38$

lab^*tch und lab^*nch

D65: Buntton L

LCH*Ma: 84 108 137

olv*Ma: 0.0 1.0 0.0



TLS18; adaptierte CIELAB-Daten

	$L^*=L^*_a$	a^*_a	b^*_a	$C^*_{ab,a}$	$h^*_{ab,a}$
OMa	52.76	71.63	49.88	87.29	35
YMa	92.74	-20.02	84.97	87.3	103
LMa	84.0	-78.98	73.94	108.2	137
CMa	87.14	-44.41	-13.11	46.32	196
VMa	35.47	64.92	-95.06	115.12	304
MMa	59.01	89.33	-55.67	105.26	328
NMa	18.01	0.0	0.0	0.0	0
WMa	95.41	0.0	0.0	0.0	0
RCIE	39.92	58.74	27.99	65.07	25
JCIE	81.26	-2.88	71.56	71.62	92
GCIE	52.23	-42.41	13.6	44.55	162
BCIE	30.57	1.41	-46.46	46.49	272

Dreiecks-Helligkeit t^*

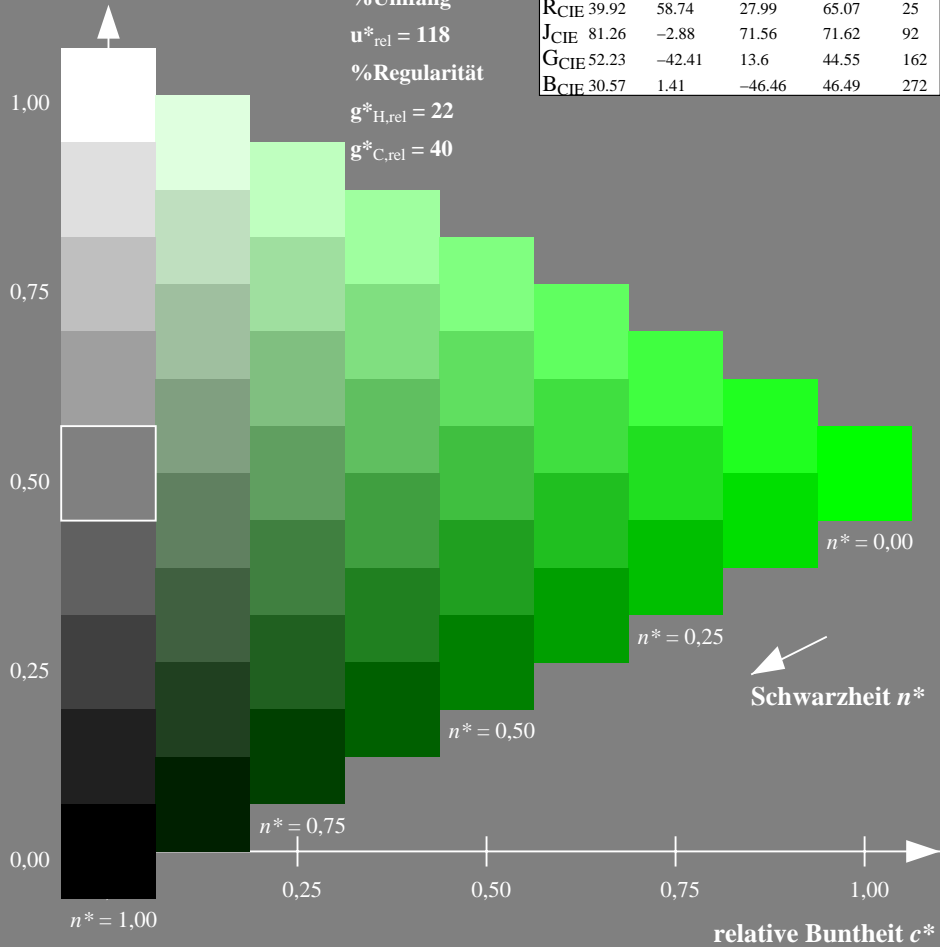
%Umfang

$u^*_{rel} = 118$

%Regularität

$g^*_{H,rel} = 22$

$g^*_{C,rel} = 40$



Ausgabe: Farbmetrisches Natürliches-Licht-System NLS00

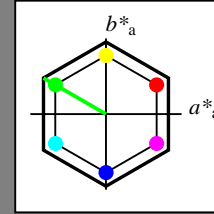
für Buntton $h^* = lab^*h = 150/360 = 0.417$

lab^*tch und lab^*nch

D65: Buntton L

LCH*Ma: 32 95 150

olv*Ma: 0.0 1.0 0.0



NLS00; adaptierte CIELAB-Daten

	$L^*=L^*_a$	a^*_a	b^*_a	$C^*_{ab,a}$	$h^*_{ab,a}$
OMa	31.81	82.62	47.7	95.4	30
YMa	63.61	0.0	95.4	95.4	90
LMa	31.81	-82.61	47.7	95.4	150
CMa	63.61	-82.61	-47.69	95.4	210
VMa	31.81	0.0	-95.39	95.4	270
MMa	63.61	82.62	-47.69	95.4	330
NMa	0.01	0.0	0.0	0.0	0
WMa	95.41	0.0	0.0	0.0	0
RCIE	39.92	58.74	27.99	65.07	25
JCIE	81.26	-2.88	71.56	71.62	92
GCIE	52.23	-42.41	13.6	44.55	162
BCIE	30.57	1.41	-46.46	46.49	272

Dreiecks-Helligkeit t^*

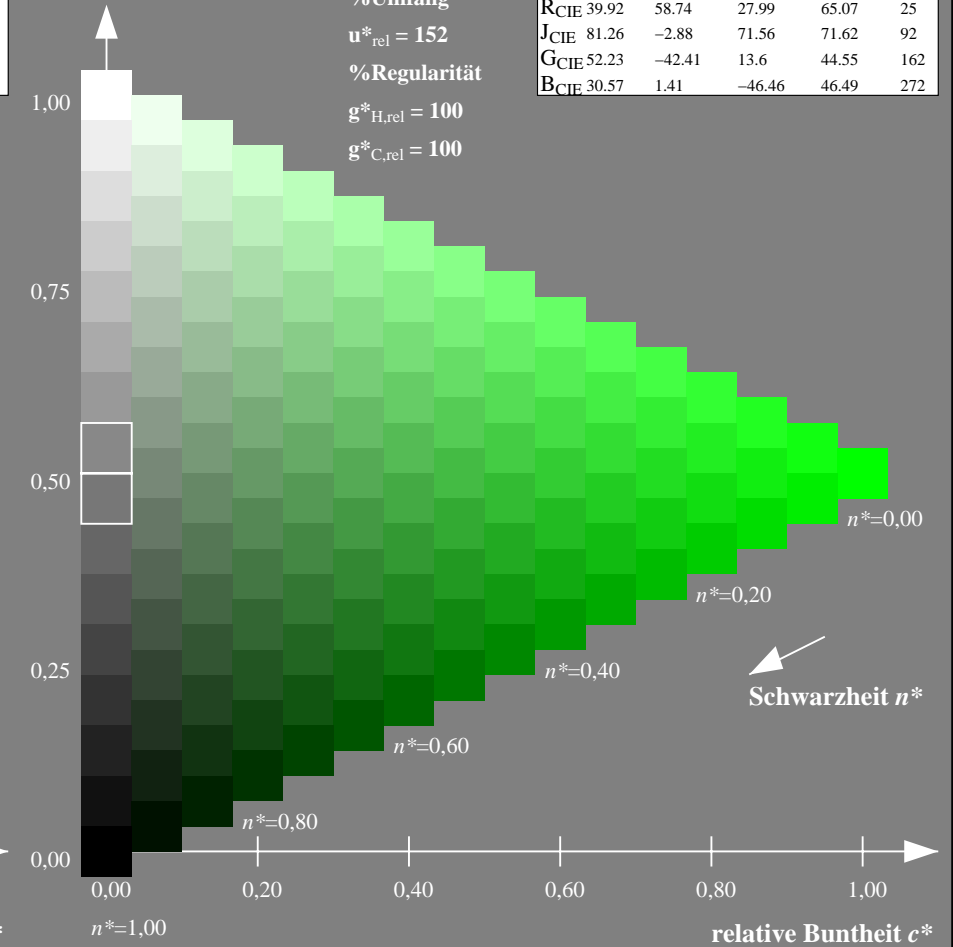
%Umfang

$u^*_{rel} = 152$

%Regularität

$g^*_{H,rel} = 100$

$g^*_{C,rel} = 100$



NG900-7, 9stufige Reihen für konstanten CIELAB Buntton 137/360 = 0.38 (links)

16stufige Reihen für konstanten CIELAB Buntton 150/360 = 0.417 (rechts)

Eingabe: Farbmetrisches Fernseh-Licht-System TLS18

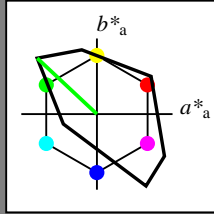
für Buntton $h^* = lab^*h = 137/360 = 0.38$

lab^*tch und lab^*nch

D65: Buntton L

LCH*Ma: 84 108 137

olv*Ma: 0.0 1.0 0.0



TLS18; adaptierte CIELAB-Daten

	$L^*=L^*_a$	a^*_a	b^*_a	$C^*_{ab,a}$	$h^*_{ab,a}$
OMa	52.76	71.63	49.88	87.29	35
YMa	92.74	-20.02	84.97	87.3	103
LMa	84.0	-78.98	73.94	108.2	137
CMa	87.14	-44.41	-13.11	46.32	196
VMa	35.47	64.92	-95.06	115.12	304
MMa	59.01	89.33	-55.67	105.26	328
NMa	18.01	0.0	0.0	0.0	0
WMa	95.41	0.0	0.0	0.0	0
RCIE	39.92	58.74	27.99	65.07	25
JCIE	81.26	-2.88	71.56	71.62	92
GCIE	52.23	-42.41	13.6	44.55	162
BCIE	30.57	1.41	-46.46	46.49	272

Dreiecks-Helligkeit t^*

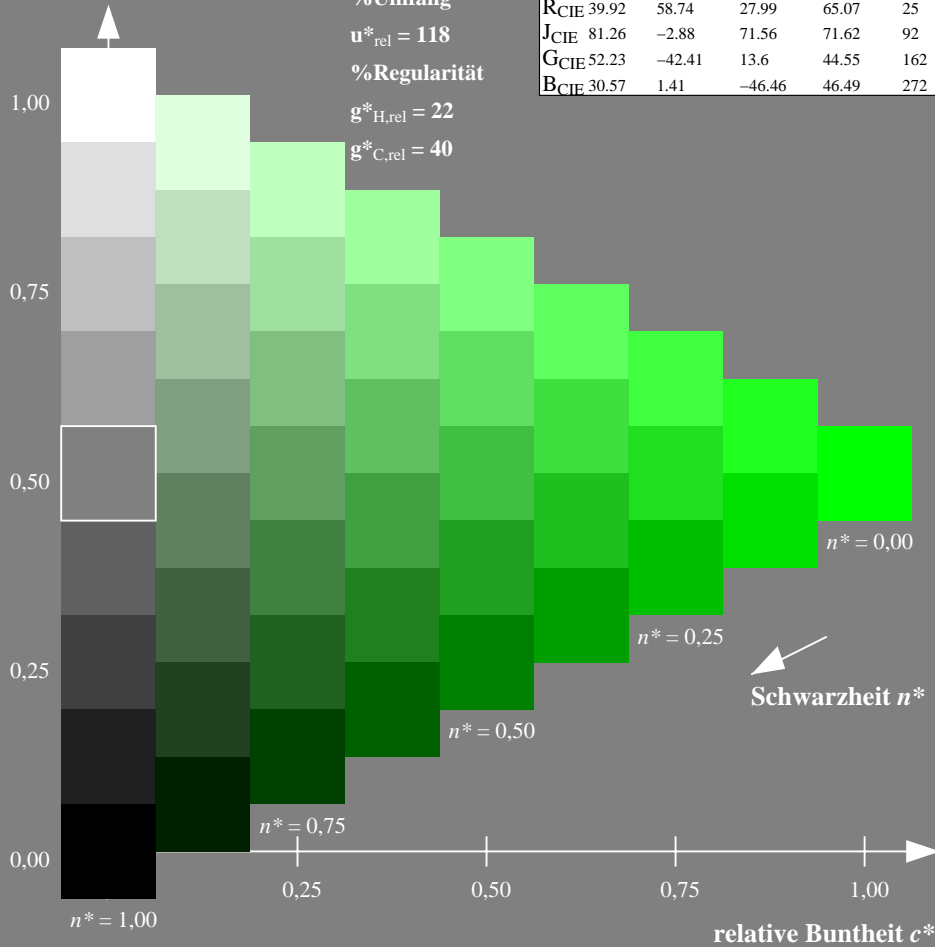
%Umfang

$u^*_{rel} = 118$

%Regularität

$g^*_{H,rel} = 22$

$g^*_{C,rel} = 40$



Ausgabe: Farbmetrisches Natürliches-Reflektiv-System NRS18

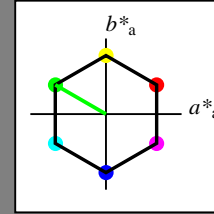
für Buntton $h^* = lab^*h = 150/360 = 0.417$

lab^*tch und lab^*nch

D65: Buntton L

LCH*Ma: 44 77 150

olv*Ma: 0.0 1.0 0.0



NRS18; adaptierte CIELAB-Daten

	$L^*=L^*_a$	a^*_a	b^*_a	$C^*_{ab,a}$	$h^*_{ab,a}$
OMa	43.81	67.03	38.7	77.4	30
YMa	69.61	0.0	77.4	77.4	90
LMa	43.81	-67.02	38.7	77.4	150
CMa	69.61	-67.02	-38.69	77.4	210
VMa	43.81	0.0	-77.39	77.4	270
MMa	69.61	67.03	-38.69	77.4	330
NMa	18.01	0.0	0.0	0.0	0
WMa	95.41	0.0	0.0	0.0	0
RCIE	39.92	58.74	27.99	65.07	25
JCIE	81.26	-2.88	71.56	71.62	92
GCIE	52.23	-42.41	13.6	44.55	162
BCIE	30.57	1.41	-46.46	46.49	272

Dreiecks-Helligkeit t^*

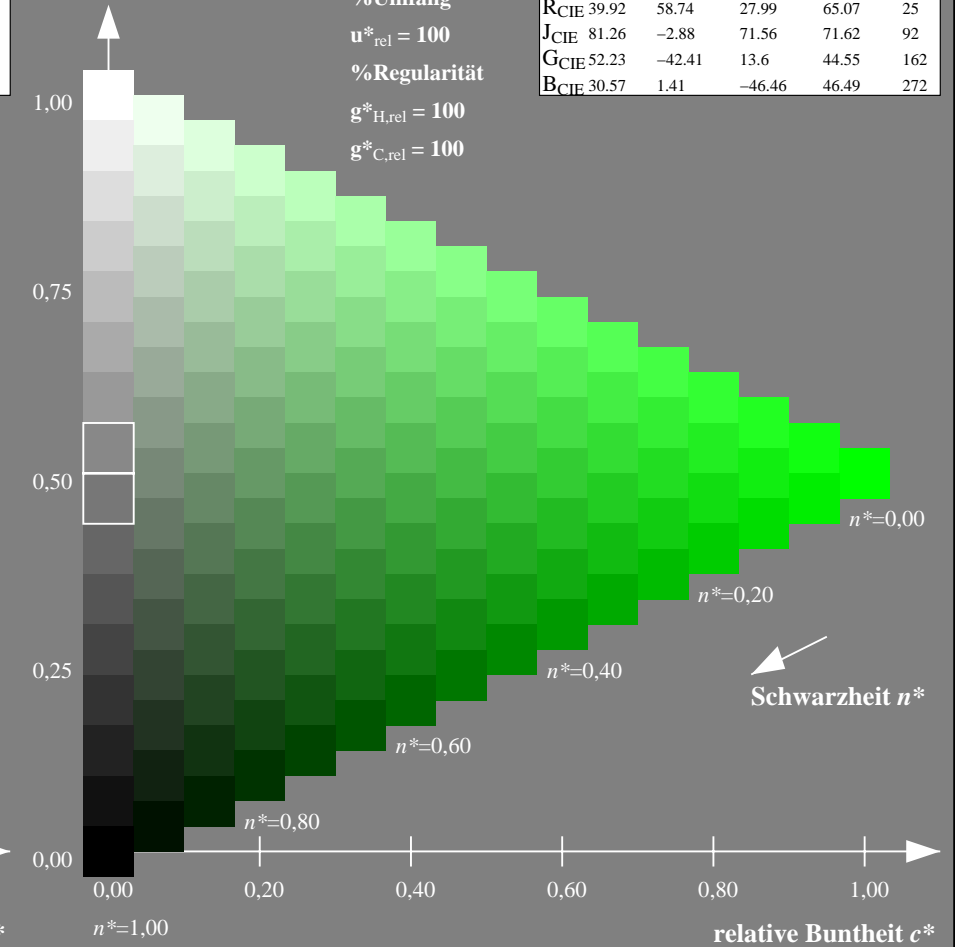
%Umfang

$u^*_{rel} = 100$

%Regularität

$g^*_{H,rel} = 100$

$g^*_{C,rel} = 100$



NG900-7, 9stufige Reihen für konstanten CIELAB Buntton $137/360 = 0.38$ (links)

16stufige Reihen für konstanten CIELAB Buntton $150/360 = 0.417$ (rechts)

Eingabe: Farbmetrisches Fernseh-Licht-System TLS18

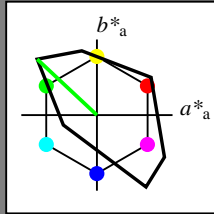
für Buntton $h^* = lab^*h = 137/360 = 0.38$

lab^*tch und lab^*nch

D65: Buntton L

LCH*Ma: 84 108 137

olv*Ma: 0.0 1.0 0.0



TLS18; adaptierte CIELAB-Daten

	$L^*=L^*_a$	a^*_a	b^*_a	$C^*_{ab,a}$	$h^*_{ab,a}$
OMa	52.76	71.63	49.88	87.29	35
YMa	92.74	-20.02	84.97	87.3	103
LMa	84.0	-78.98	73.94	108.2	137
CMa	87.14	-44.41	-13.11	46.32	196
VMa	35.47	64.92	-95.06	115.12	304
MMa	59.01	89.33	-55.67	105.26	328
NMa	18.01	0.0	0.0	0.0	0
WMa	95.41	0.0	0.0	0.0	0
RCIE	39.92	58.74	27.99	65.07	25
JCIE	81.26	-2.88	71.56	71.62	92
GCIE	52.23	-42.41	13.6	44.55	162
BCIE	30.57	1.41	-46.46	46.49	272

Dreiecks-Helligkeit t^*

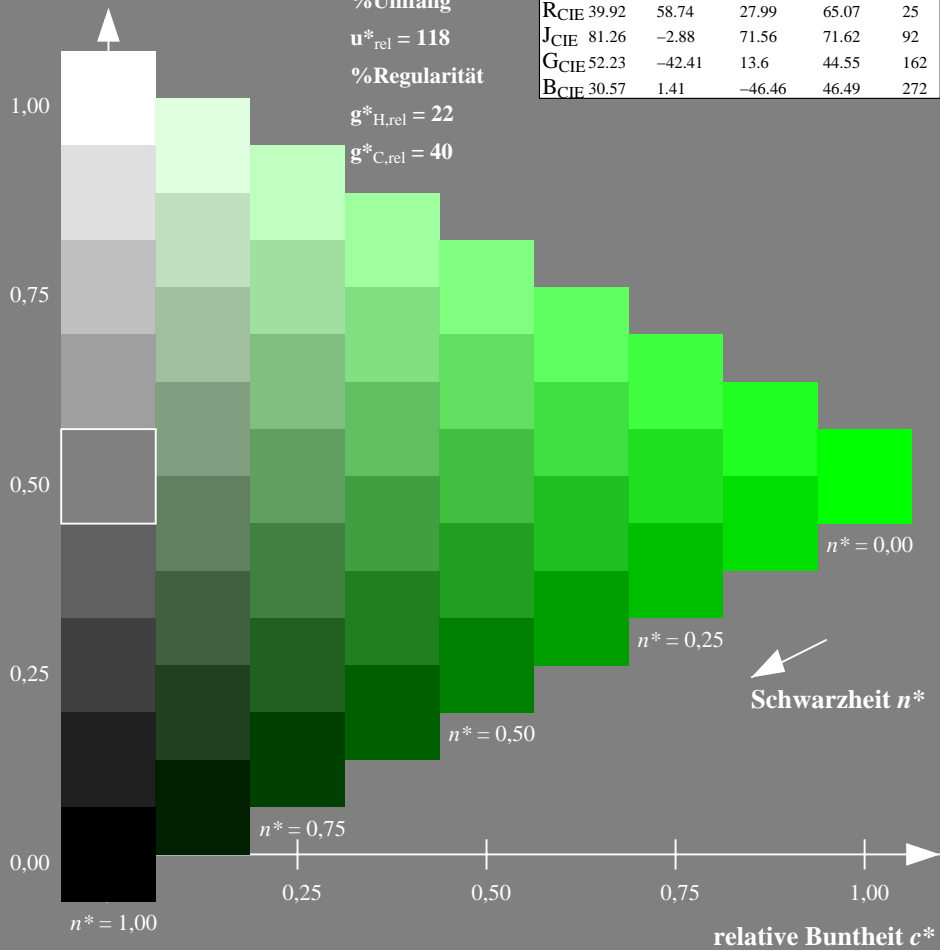
%Umfang

$u^*_{rel} = 118$

%Regularität

$g^*_{H,rel} = 22$

$g^*_{C,rel} = 40$



Ausgabe: Farbmetrisches Standard-Reflektiv-System SRS18

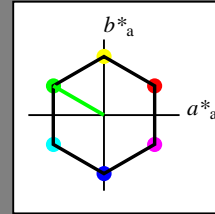
für Buntton $h^* = lab^*h = 150/360 = 0.417$

lab^*tch und lab^*nch

D65: Buntton L

LCH*Ma: 57 77 150

olv*Ma: 0.0 1.0 0.0



SRS18; adaptierte CIELAB-Daten

	$L^*=L^*_a$	a^*_a	b^*_a	$C^*_{ab,a}$	$h^*_{ab,a}$
OMa	56.71	67.03	38.7	77.4	30
YMa	56.71	0.0	77.4	77.4	90
LMa	56.71	-67.02	38.7	77.4	150
CMa	56.71	-67.02	-38.69	77.4	210
VMa	56.71	0.0	-77.39	77.4	270
MMa	56.71	67.03	-38.69	77.4	330
NMa	18.01	0.0	0.0	0.0	0
WMa	95.41	0.0	0.0	0.0	0
RCIE	39.92	58.74	27.99	65.07	25
JCIE	81.26	-2.88	71.56	71.62	92
GCIE	52.23	-42.41	13.6	44.55	162
BCIE	30.57	1.41	-46.46	46.49	272

Dreiecks-Helligkeit t^*

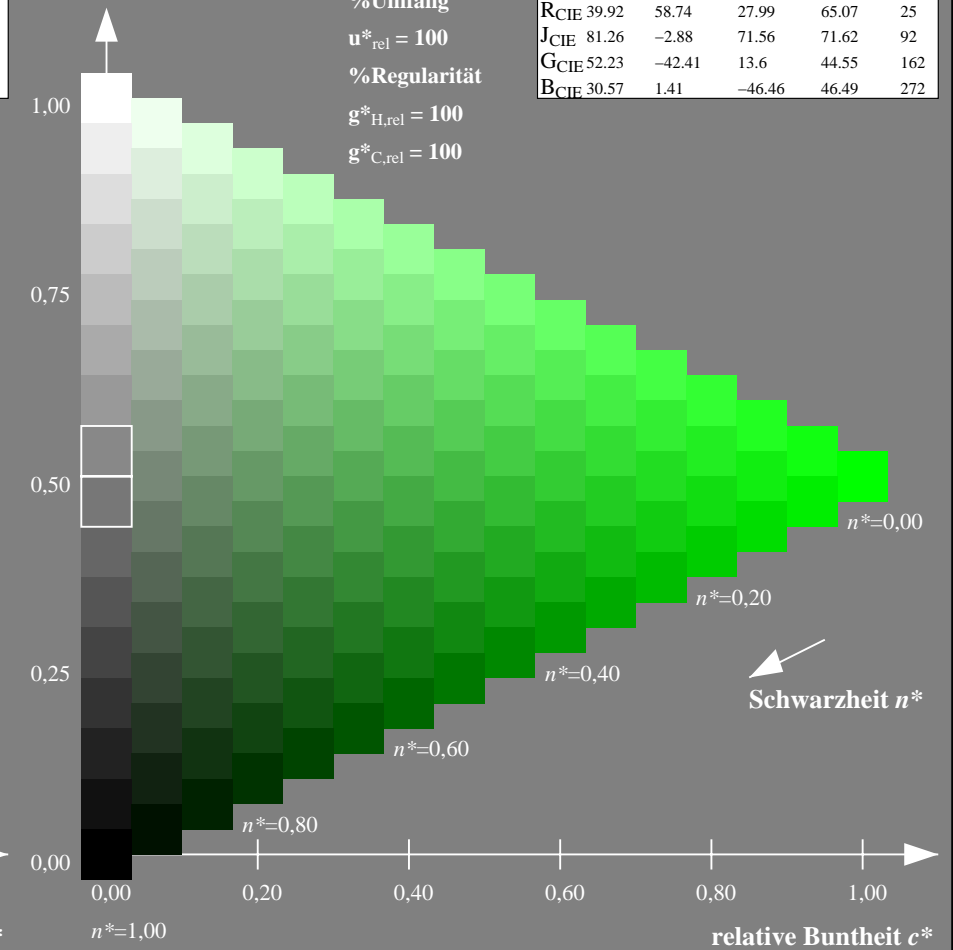
%Umfang

$u^*_{rel} = 100$

%Regularität

$g^*_{H,rel} = 100$

$g^*_{C,rel} = 100$



NG900-7, 9stufige Reihen für konstanten CIELAB Buntton $137/360 = 0.38$ (links)

16stufige Reihen für konstanten CIELAB Buntton $150/360 = 0.417$ (rechts)

Eingabe: Farbmetrisches Fernseh-Licht-System TLS18

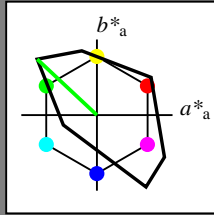
für Buntton $h^* = lab^*h = 137/360 = 0.38$

lab^*tch und lab^*nch

D65: Buntton L

LCH*Ma: 84 108 137

olv*Ma: 0.0 1.0 0.0



TLS18; adaptierte CIELAB-Daten

	$L^*=L^*_a$	a^*_a	b^*_a	$C^*_{ab,a}$	$h^*_{ab,a}$
OMa	52.76	71.63	49.88	87.29	35
YMa	92.74	-20.02	84.97	87.3	103
LMa	84.0	-78.98	73.94	108.2	137
CMa	87.14	-44.41	-13.11	46.32	196
VMa	35.47	64.92	-95.06	115.12	304
MMa	59.01	89.33	-55.67	105.26	328
NMa	18.01	0.0	0.0	0.0	0
WMa	95.41	0.0	0.0	0.0	0
RCIE	39.92	58.74	27.99	65.07	25
JCIE	81.26	-2.88	71.56	71.62	92
GCIE	52.23	-42.41	13.6	44.55	162
BCIE	30.57	1.41	-46.46	46.49	272

Dreiecks-Helligkeit t^*

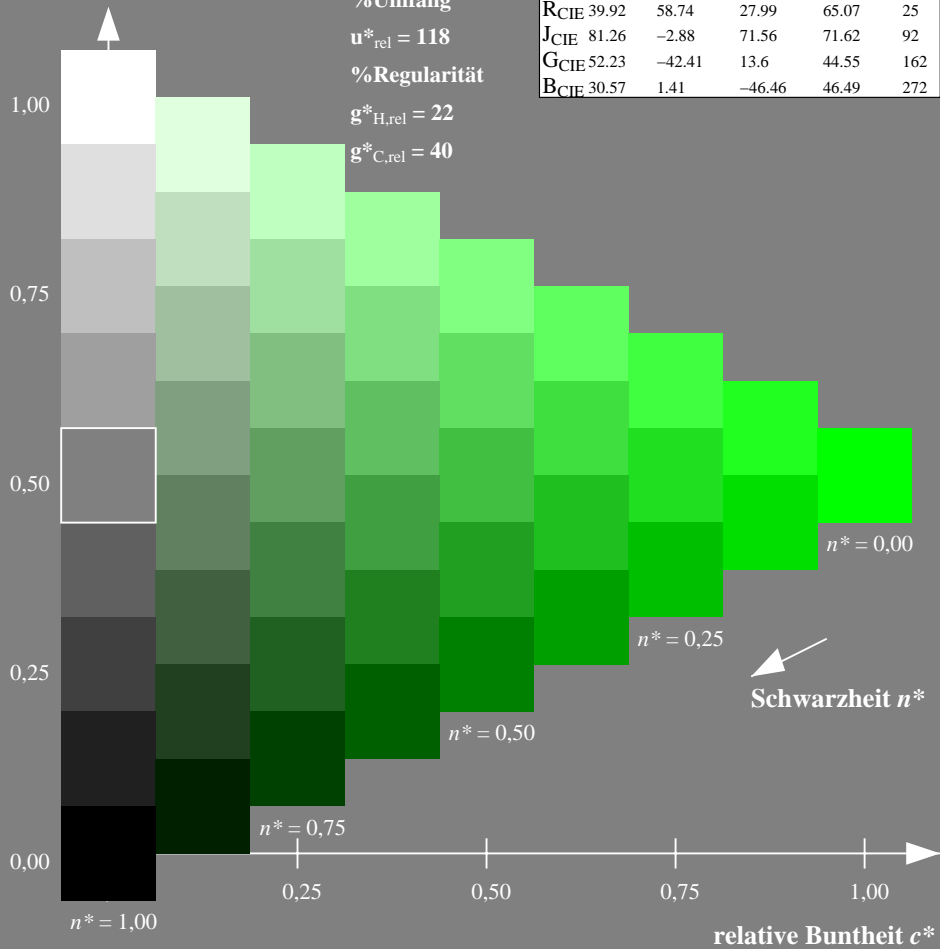
%Umfang

$u^*_{rel} = 118$

%Regularität

$g^*_{H,rel} = 22$

$g^*_{C,rel} = 40$



Ausgabe: Farbmetrisches Fernseh-Licht-System TLS70

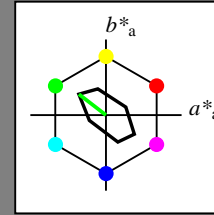
für Buntton $h^* = lab^*h = 142/360 = 0.395$

lab^*tch und lab^*nch

D65: Buntton L

LCH*Ma: 89 45 142

olv*Ma: 0.0 1.0 0.0



TLS70; adaptierte CIELAB-Daten

	$L^*=L^*_a$	a^*_a	b^*_a	$C^*_{ab,a}$	$h^*_{ab,a}$
OMa	76.43	26.27	10.57	28.32	22
YMa	93.93	-10.76	34.63	36.27	107
LMa	89.32	-35.8	27.64	45.24	142
CMa	90.93	-21.95	-7.07	23.07	198
VMa	72.1	15.76	-35.63	38.97	294
MMa	78.5	37.52	-25.23	45.22	326
NMa	69.7	0.0	0.0	0.0	0
WMa	95.41	0.0	0.0	0.0	0
RCIE	39.92	58.74	27.99	65.07	25
JCIE	81.26	-2.88	71.56	71.62	92
GCIE	52.23	-42.41	13.6	44.55	162
BCIE	30.57	1.41	-46.46	46.49	272

Dreiecks-Helligkeit t^*

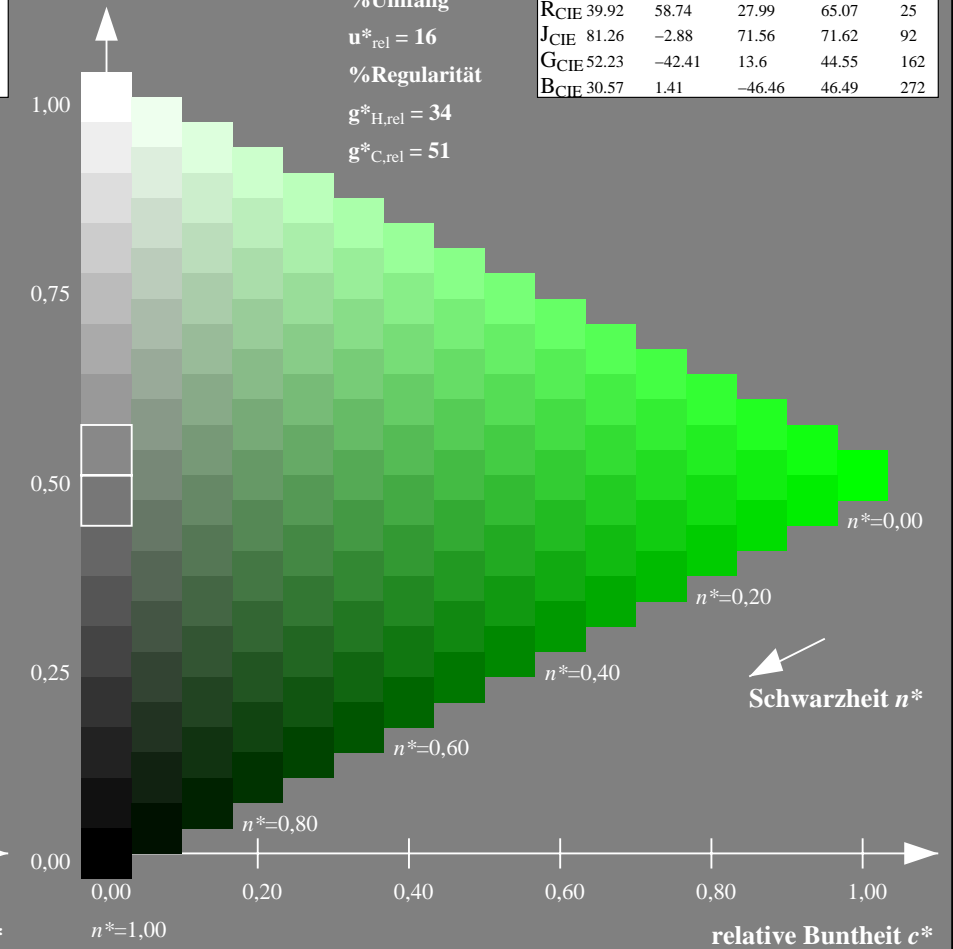
%Umfang

$u^*_{rel} = 16$

%Regularität

$g^*_{H,rel} = 34$

$g^*_{C,rel} = 51$



NG900-7, 9stufige Reihen für konstanten CIELAB Buntton $137/360 = 0.38$ (links)

16stufige Reihen für konstanten CIELAB Buntton $142/360 = 0.395$ (rechts)

Eingabe: Farbmetrisches Natürliches-Licht-System NLS00

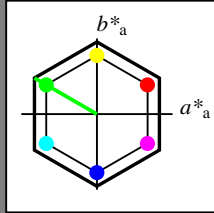
für Buntton $h^* = lab^*h = 150/360 = 0.417$

lab^*tch und lab^*nch

D65: Buntton L

LCH*Ma: 32 95 150

olv*Ma: 0.0 1.0 0.0



NLS00; adaptierte CIELAB-Daten

	$L^*=L^*_a$	a^*_a	b^*_a	$C^*_{ab,a}$	$h^*_{ab,a}$
O _{Ma}	31.81	82.62	47.7	95.4	30
Y _{Ma}	63.61	0.0	95.4	95.4	90
L _{Ma}	31.81	-82.61	47.7	95.4	150
C _{Ma}	63.61	-82.61	-47.69	95.4	210
V _{Ma}	31.81	0.0	-95.39	95.4	270
M _{Ma}	63.61	82.62	-47.69	95.4	330
N _{Ma}	0.01	0.0	0.0	0.0	0
W _{Ma}	95.41	0.0	0.0	0.0	0
R _{CIE}	39.92	58.74	27.99	65.07	25
J _{CIE}	81.26	-2.88	71.56	71.62	92
G _{CIE}	52.23	-42.41	13.6	44.55	162
B _{CIE}	30.57	1.41	-46.46	46.49	272

Dreiecks-Helligkeit t^*

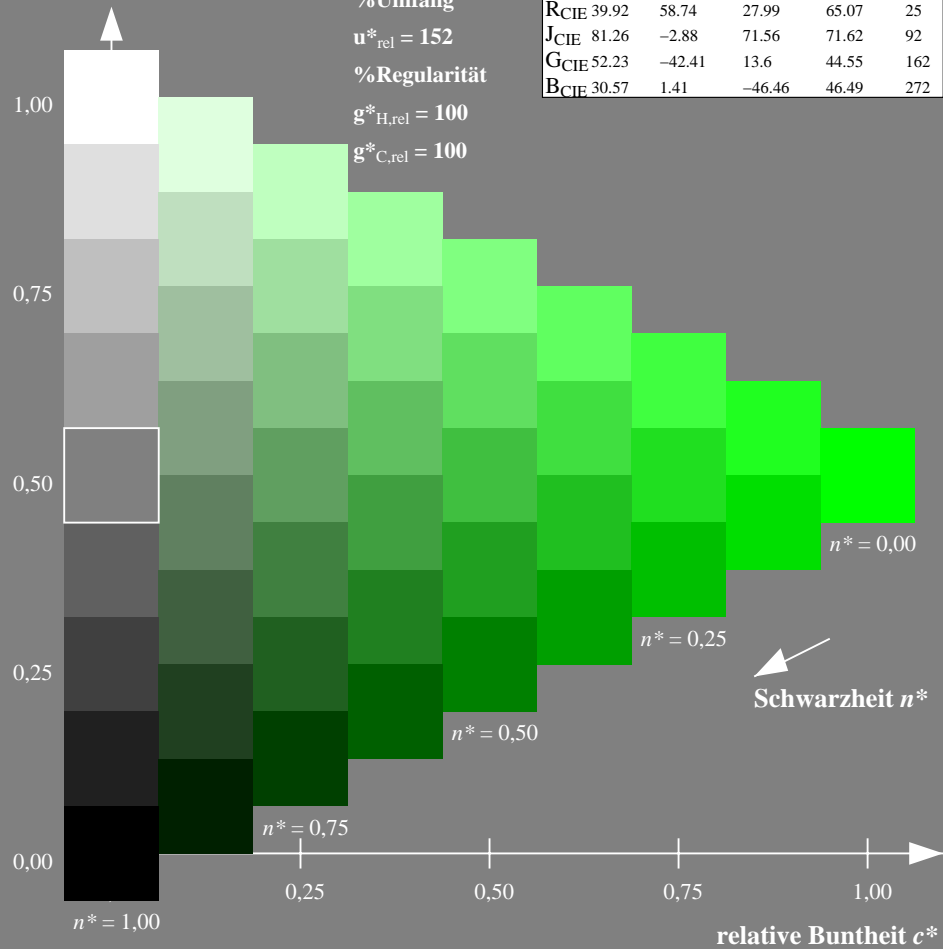
%Umfang

$u^*_{rel} = 152$

%Regularität

$g^*_{H,rel} = 100$

$g^*_{C,rel} = 100$



Ausgabe: Farbmetrisches Offset-Reflektiv-System ORS18

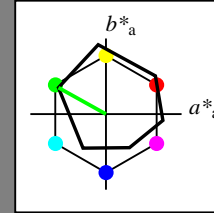
für Buntton $h^* = lab^*h = 151/360 = 0.419$

lab^*tch und lab^*nch

D65: Buntton L

LCH*Ma: 51 72 151

olv*Ma: 0.0 1.0 0.0



ORS18; adaptierte CIELAB-Daten

	$L^*=L^*_a$	a^*_a	b^*_a	$C^*_{ab,a}$	$h^*_{ab,a}$
O _{Ma}	47.94	65.39	50.52	82.63	38
Y _{Ma}	90.37	-10.26	91.75	92.32	96
L _{Ma}	50.9	-62.83	34.96	71.91	151
C _{Ma}	58.62	-30.34	-45.01	54.3	236
V _{Ma}	25.72	31.1	-44.4	54.22	305
M _{Ma}	48.13	75.28	-8.36	75.74	354
N _{Ma}	18.01	0.0	0.0	0.0	0
W _{Ma}	95.41	0.0	0.0	0.0	0
R _{CIE}	39.92	58.66	26.98	64.57	25
J _{CIE}	81.26	-2.16	67.76	67.79	92
G _{CIE}	52.23	-42.25	11.76	43.87	164
B _{CIE}	30.57	1.15	-46.84	46.86	271

Dreiecks-Helligkeit t^*

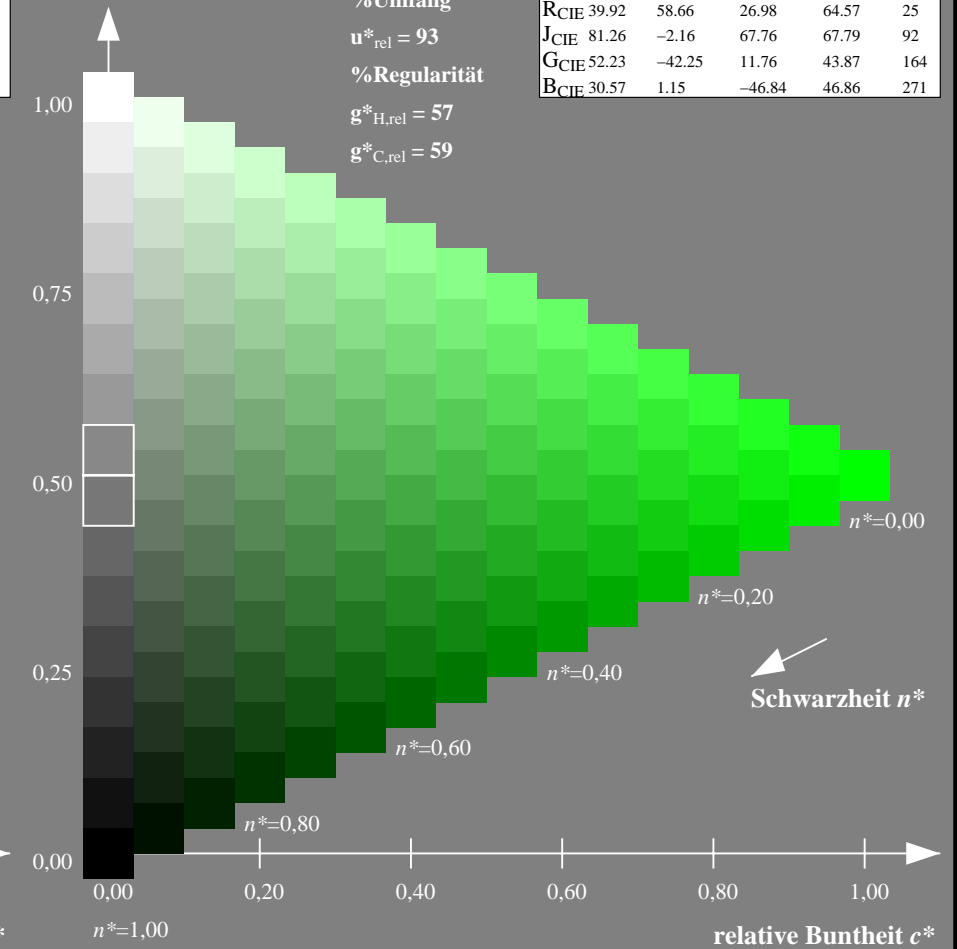
%Umfang

$u^*_{rel} = 93$

%Regularität

$g^*_{H,rel} = 57$

$g^*_{C,rel} = 59$



NG900-7, 9stufige Reihen für konstanten CIELAB Buntton 150/360 = 0.417 (links)

16stufige Reihen für konstanten CIELAB Buntton 151/360 = 0.419 (rechts)

Eingabe: Farbmetrisches Natürliches-Licht-System NLS00

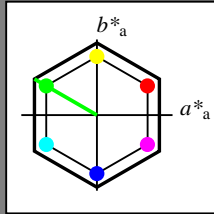
für Buntton $h^* = lab^*h = 150/360 = 0.417$

lab^*tch und lab^*nch

D65: Buntton L

LCH*Ma: 32 95 150

olv*Ma: 0.0 1.0 0.0



NLS00; adaptierte CIELAB-Daten

	$L^*=L^*_a$	a^*_a	b^*_a	$C^*_{ab,a}$	$h^*_{ab,a}$
O _{Ma}	31.81	82.62	47.7	95.4	30
Y _{Ma}	63.61	0.0	95.4	95.4	90
L _{Ma}	31.81	-82.61	47.7	95.4	150
C _{Ma}	63.61	-82.61	-47.69	95.4	210
V _{Ma}	31.81	0.0	-95.39	95.4	270
M _{Ma}	63.61	82.62	-47.69	95.4	330
N _{Ma}	0.01	0.0	0.0	0.0	0
W _{Ma}	95.41	0.0	0.0	0.0	0
R _{CIE}	39.92	58.74	27.99	65.07	25
J _{CIE}	81.26	-2.88	71.56	71.62	92
G _{CIE}	52.23	-42.41	13.6	44.55	162
B _{CIE}	30.57	1.41	-46.46	46.49	272

Dreiecks-Helligkeit t^*

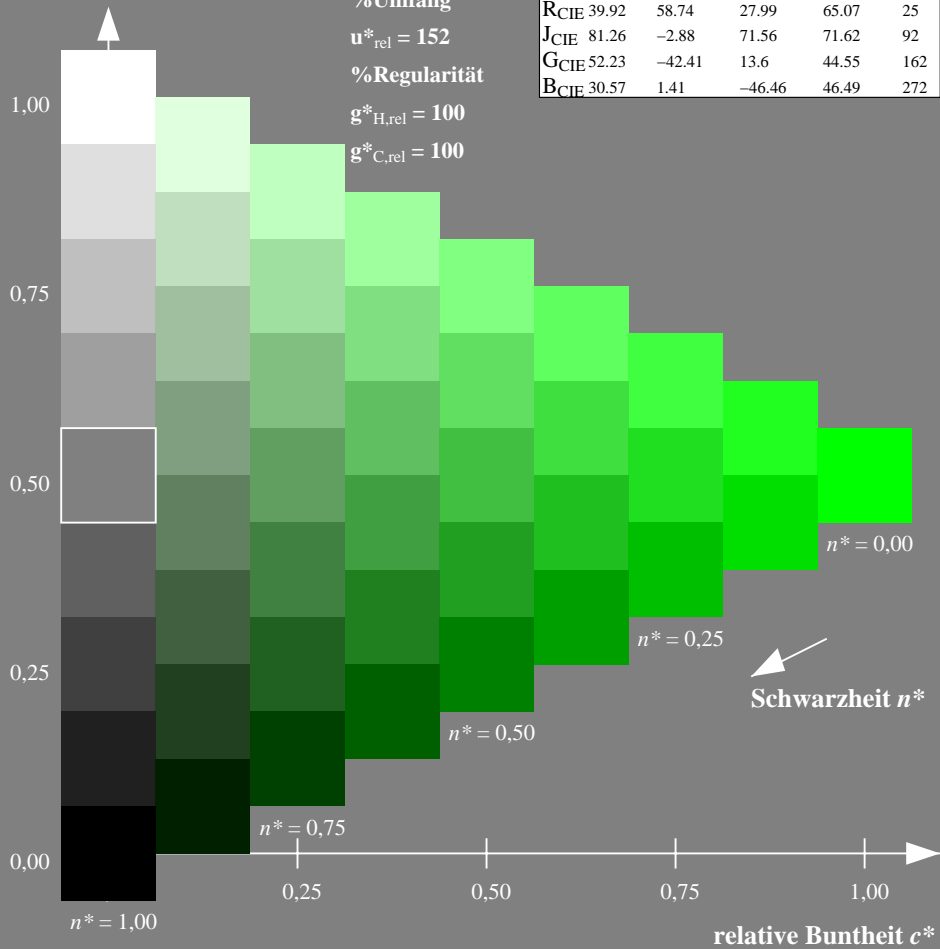
%Umfang

$u^*_{rel} = 152$

%Regularität

$g^*_{H,rel} = 100$

$g^*_{C,rel} = 100$



Ausgabe: Farbmetrisches Fernseh-Licht-System TLS00

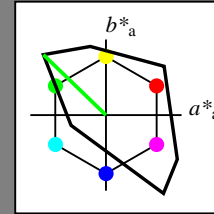
für Buntton $h^* = lab^*h = 136/360 = 0.378$

lab^*tch und lab^*nch

D65: Buntton L

LCH*Ma: 84 115 136

olv*Ma: 0.0 1.0 0.0



TLS00; adaptierte CIELAB-Daten

	$L^*=L^*_a$	a^*_a	b^*_a	$C^*_{ab,a}$	$h^*_{ab,a}$
O _{Ma}	50.5	76.92	64.55	100.42	40
Y _{Ma}	92.66	-20.69	90.75	93.08	103
L _{Ma}	83.63	-82.75	79.9	115.04	136
C _{Ma}	86.88	-46.16	-13.55	48.12	196
V _{Ma}	30.39	76.06	-103.59	128.52	306
M _{Ma}	57.3	94.35	-58.41	110.97	328
N _{Ma}	0.01	0.0	0.0	0.0	0
W _{Ma}	95.41	0.0	0.0	0.0	0
R _{CIE}	39.92	58.74	27.99	65.07	25
J _{CIE}	81.26	-2.88	71.56	71.62	92
G _{CIE}	52.23	-42.41	13.6	44.55	162
B _{CIE}	30.57	1.41	-46.46	46.49	272

Dreiecks-Helligkeit t^*

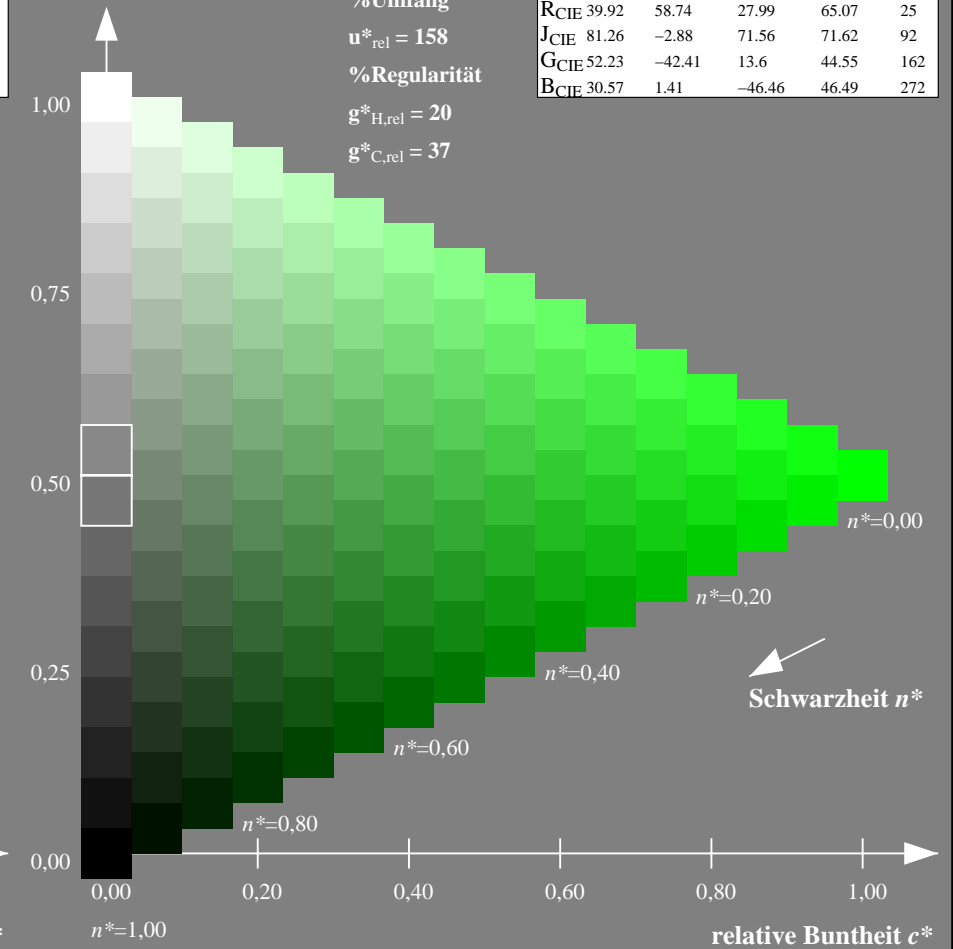
%Umfang

$u^*_{rel} = 158$

%Regularität

$g^*_{H,rel} = 20$

$g^*_{C,rel} = 37$



NG900-7, 9stufige Reihen für konstanten CIELAB Buntton $150/360 = 0.417$ (links)

16stufige Reihen für konstanten CIELAB Buntton $136/360 = 0.378$ (rechts)

Eingabe: Farbmetrisches Natürliches-Licht-System NLS00

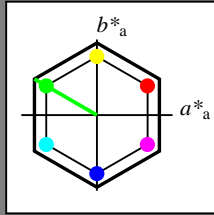
für Buntton $h^* = lab^*h = 150/360 = 0.417$

lab^*tch und lab^*nch

D65: Buntton L

LCH*Ma: 32 95 150

olv*Ma: 0.0 1.0 0.0



NLS00; adaptierte CIELAB-Daten

	$L^*=L^*_a$	a^*_a	b^*_a	$C^*_{ab,a}$	$h^*_{ab,a}$
OMa	31.81	82.62	47.7	95.4	30
YMa	63.61	0.0	95.4	95.4	90
LMa	31.81	-82.61	47.7	95.4	150
CMa	63.61	-82.61	-47.69	95.4	210
VMa	31.81	0.0	-95.39	95.4	270
MMa	63.61	82.62	-47.69	95.4	330
NMa	0.01	0.0	0.0	0.0	0
WMa	95.41	0.0	0.0	0.0	0
RCIE	39.92	58.74	27.99	65.07	25
JCIE	81.26	-2.88	71.56	71.62	92
GCIE	52.23	-42.41	13.6	44.55	162
BCIE	30.57	1.41	-46.46	46.49	272

Dreiecks-Helligkeit t^*

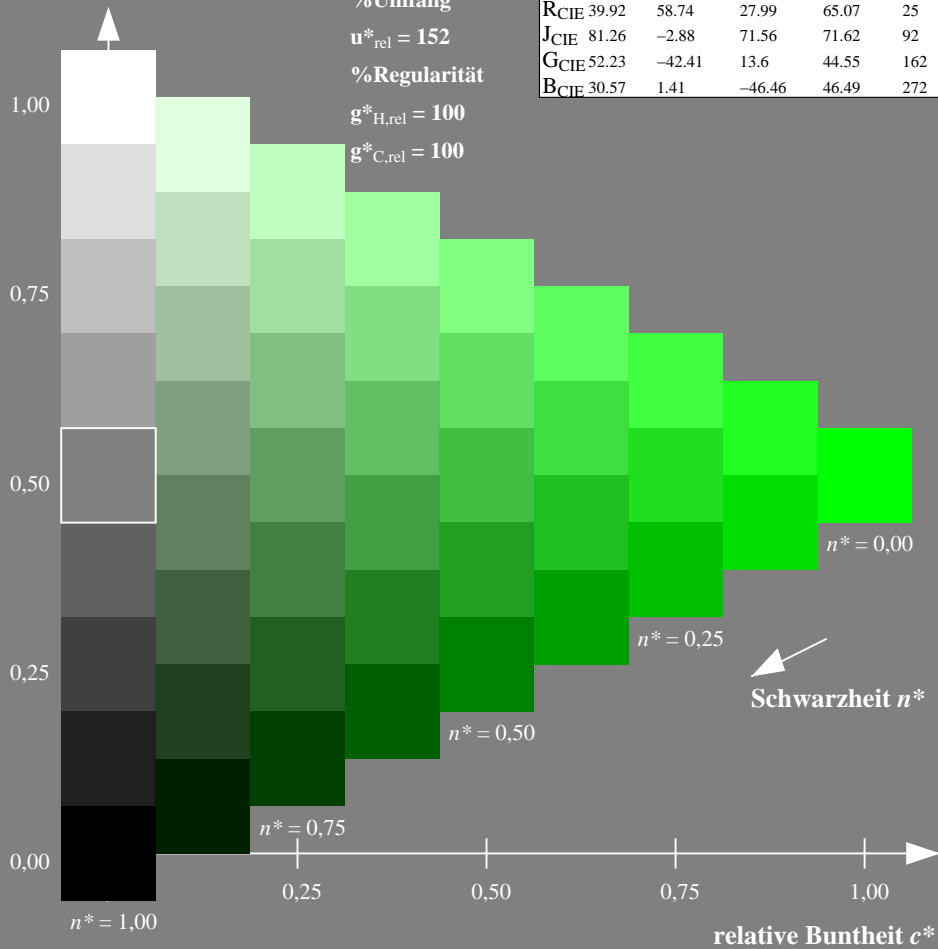
%Umfang

$u^*_{rel} = 152$

%Regularität

$g^*_{H,rel} = 100$

$g^*_{C,rel} = 100$



Ausgabe: Farbmetrisches Drucker-Reflektiv-System DRSXX

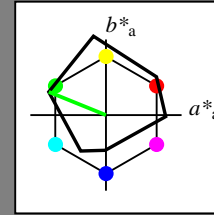
für Buntton $h^* = lab^*h = 158/360 = 0.439$

lab^*tch und lab^*nch

D65: Buntton L

LCH*Ma: 48 82 158

olv*Ma: 0.0 1.0 0.0



DRSXX; adaptierte CIELAB-Daten

	$L^*=L^*_a$	a^*_a	b^*_a	$C^*_{ab,a}$	$h^*_{ab,a}$
OMa	42.21	66.82	50.6	83.82	37
YMa	90.32	-16.51	104.33	105.63	99
LMa	48.21	-75.63	30.65	81.61	158
CMa	53.44	-33.33	-47.49	58.03	235
VMa	34.16	-0.92	-46.56	46.58	269
MMa	42.71	79.0	-1.95	79.03	359
NMa	16.56	0.0	0.0	0.0	0
WMa	96.31	0.0	0.0	0.0	0
RCIE	39.92	59.78	25.77	65.1	23
JCIE	81.26	-2.51	69.07	69.11	92
GCIE	52.23	-41.57	11.3	43.09	165
BCIE	30.57	2.6	-48.62	48.7	273

Dreiecks-Helligkeit t^*

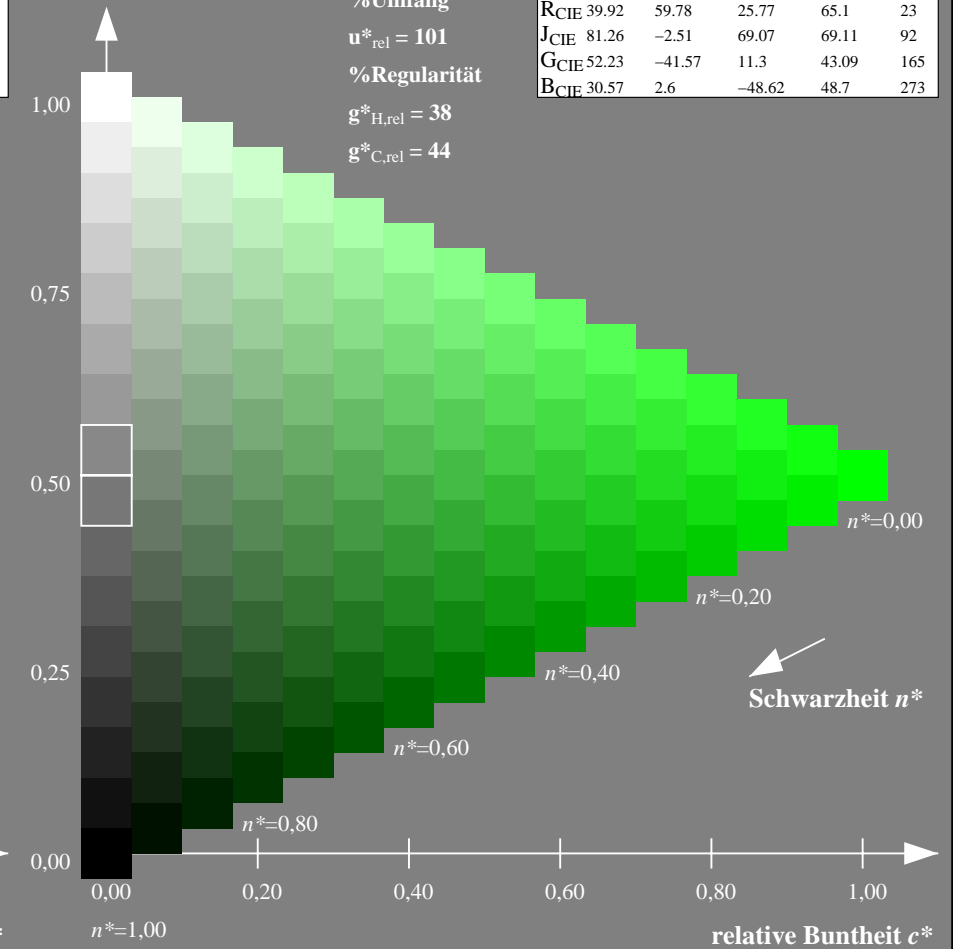
%Umfang

$u^*_{rel} = 101$

%Regularität

$g^*_{H,rel} = 38$

$g^*_{C,rel} = 44$



NG900-7, 9stufige Reihen für konstanten CIELAB Buntton $150/360 = 0.417$ (links)

16stufige Reihen für konstanten CIELAB Buntton $158/360 = 0.439$ (rechts)

Eingabe: Farbmetrisches Natürliches-Licht-System NLS00

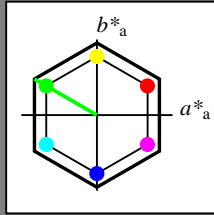
für Buntton $h^* = lab^*h = 150/360 = 0.417$

lab^*tch und lab^*nch

D65: Buntton L

LCH*Ma: 32 95 150

olv*Ma: 0.0 1.0 0.0



NLS00; adaptierte CIELAB-Daten

	$L^*=L^*_a$	a^*_a	b^*_a	$C^*_{ab,a}$	$h^*_{ab,a}$
OMa	31.81	82.62	47.7	95.4	30
YMa	63.61	0.0	95.4	95.4	90
LMa	31.81	-82.61	47.7	95.4	150
CMa	63.61	-82.61	-47.69	95.4	210
VMa	31.81	0.0	-95.39	95.4	270
MMa	63.61	82.62	-47.69	95.4	330
NMa	0.01	0.0	0.0	0.0	0
WMa	95.41	0.0	0.0	0.0	0
RCIE	39.92	58.74	27.99	65.07	25
JCIE	81.26	-2.88	71.56	71.62	92
GCIE	52.23	-42.41	13.6	44.55	162
BCIE	30.57	1.41	-46.46	46.49	272

Dreiecks-Helligkeit t^*

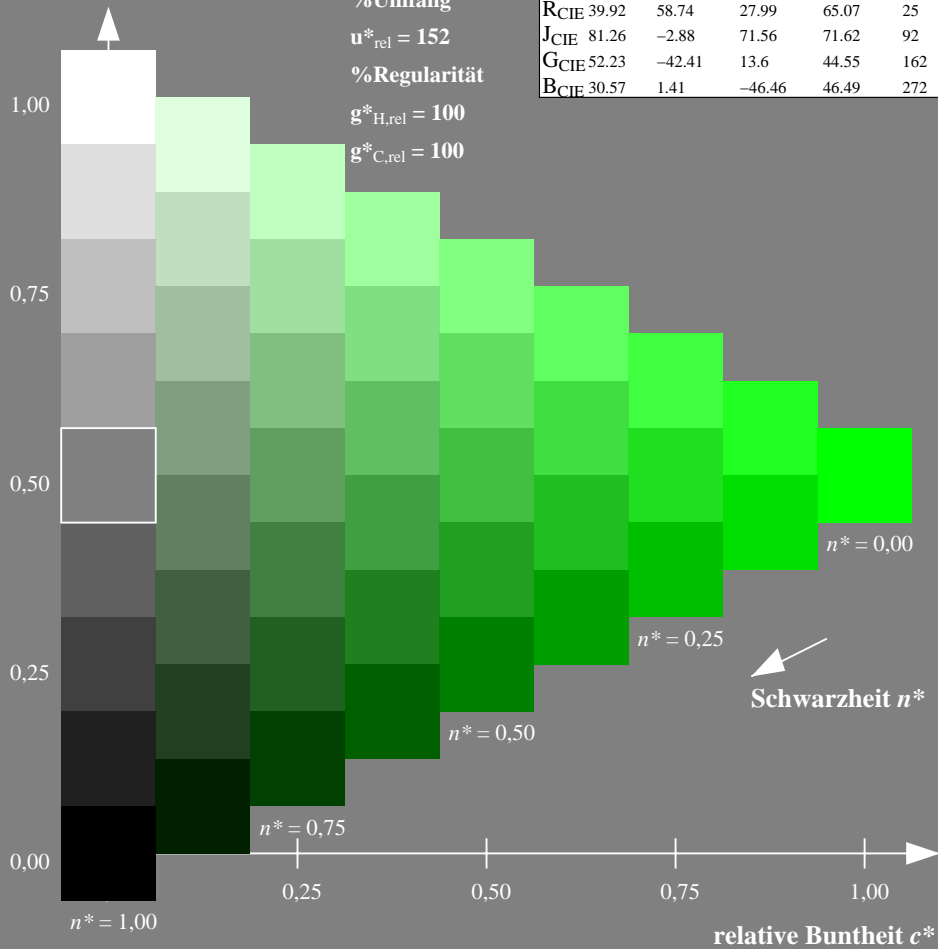
%Umfang

$u^*_{rel} = 152$

%Regularität

$g^*_{H,rel} = 100$

$g^*_{C,rel} = 100$



Ausgabe: Farbmetrisches Fernseh-Licht-System TLS18

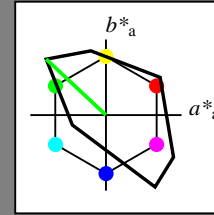
für Buntton $h^* = lab^*h = 137/360 = 0.38$

lab^*tch und lab^*nch

D65: Buntton L

LCH*Ma: 84 108 137

olv*Ma: 0.0 1.0 0.0



TLS18; adaptierte CIELAB-Daten

	$L^*=L^*_a$	a^*_a	b^*_a	$C^*_{ab,a}$	$h^*_{ab,a}$
OMa	52.76	71.63	49.88	87.29	35
YMa	92.74	-20.02	84.97	87.3	103
LMa	84.0	-78.98	73.94	108.2	137
CMa	87.14	-44.41	-13.11	46.32	196
VMa	35.47	64.92	-95.06	115.12	304
MMa	59.01	89.33	-55.67	105.26	328
NMa	18.01	0.0	0.0	0.0	0
WMa	95.41	0.0	0.0	0.0	0
RCIE	39.92	58.74	27.99	65.07	25
JCIE	81.26	-2.88	71.56	71.62	92
GCIE	52.23	-42.41	13.6	44.55	162
BCIE	30.57	1.41	-46.46	46.49	272

Dreiecks-Helligkeit t^*

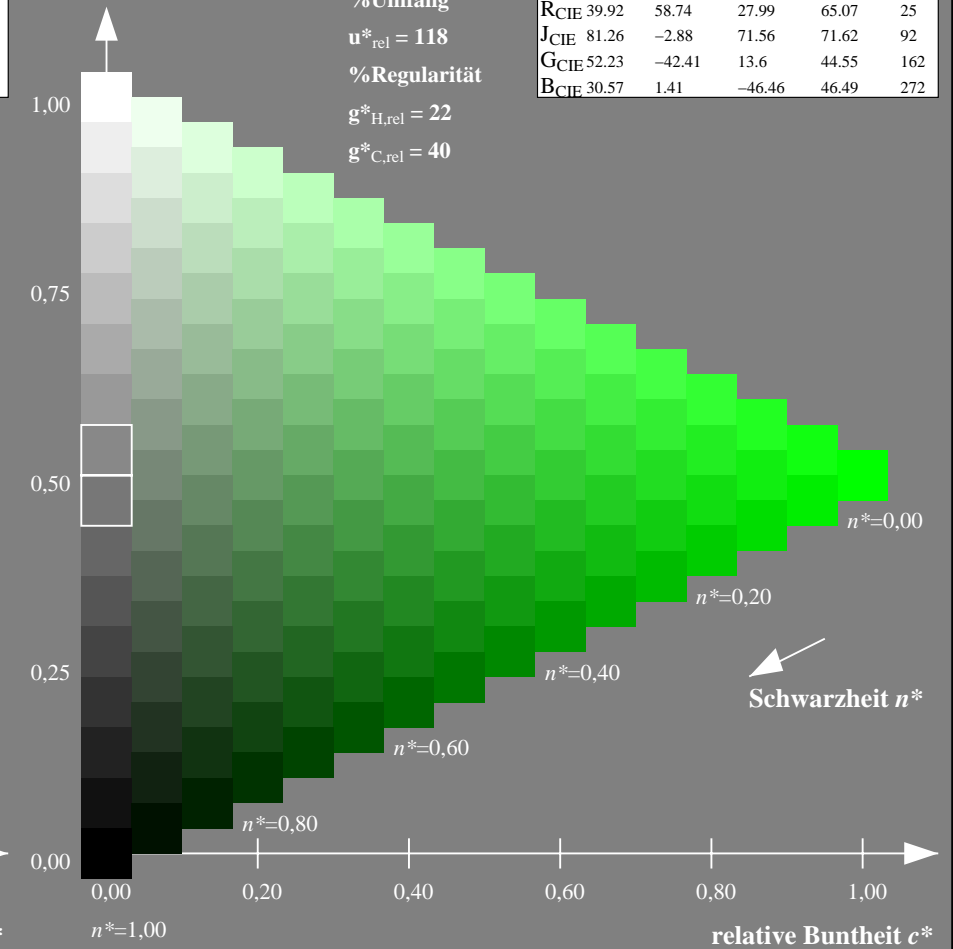
%Umfang

$u^*_{rel} = 118$

%Regularität

$g^*_{H,rel} = 22$

$g^*_{C,rel} = 40$



NG900-7, 9stufige Reihen für konstanten CIELAB Buntton 150/360 = 0.417 (links)

16stufige Reihen für konstanten CIELAB Buntton 137/360 = 0.38 (rechts)

Eingabe: Farbmetrisches Natürliches-Licht-System NLS00

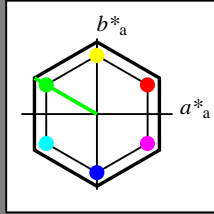
für Buntton $h^* = lab^*h = 150/360 = 0.417$

lab^*tch und lab^*nch

D65: Buntton L

LCH*Ma: 32 95 150

olv*Ma: 0.0 1.0 0.0



NLS00; adaptierte CIELAB-Daten

	$L^*=L^*_a$	a^*_a	b^*_a	$C^*_{ab,a}$	$h^*_{ab,a}$
O _{Ma}	31.81	82.62	47.7	95.4	30
Y _{Ma}	63.61	0.0	95.4	95.4	90
L _{Ma}	31.81	-82.61	47.7	95.4	150
C _{Ma}	63.61	-82.61	-47.69	95.4	210
V _{Ma}	31.81	0.0	-95.39	95.4	270
M _{Ma}	63.61	82.62	-47.69	95.4	330
N _{Ma}	0.01	0.0	0.0	0.0	0
W _{Ma}	95.41	0.0	0.0	0.0	0
R _{CIE}	39.92	58.74	27.99	65.07	25
J _{CIE}	81.26	-2.88	71.56	71.62	92
G _{CIE}	52.23	-42.41	13.6	44.55	162
B _{CIE}	30.57	1.41	-46.46	46.49	272

Dreiecks-Helligkeit t^*

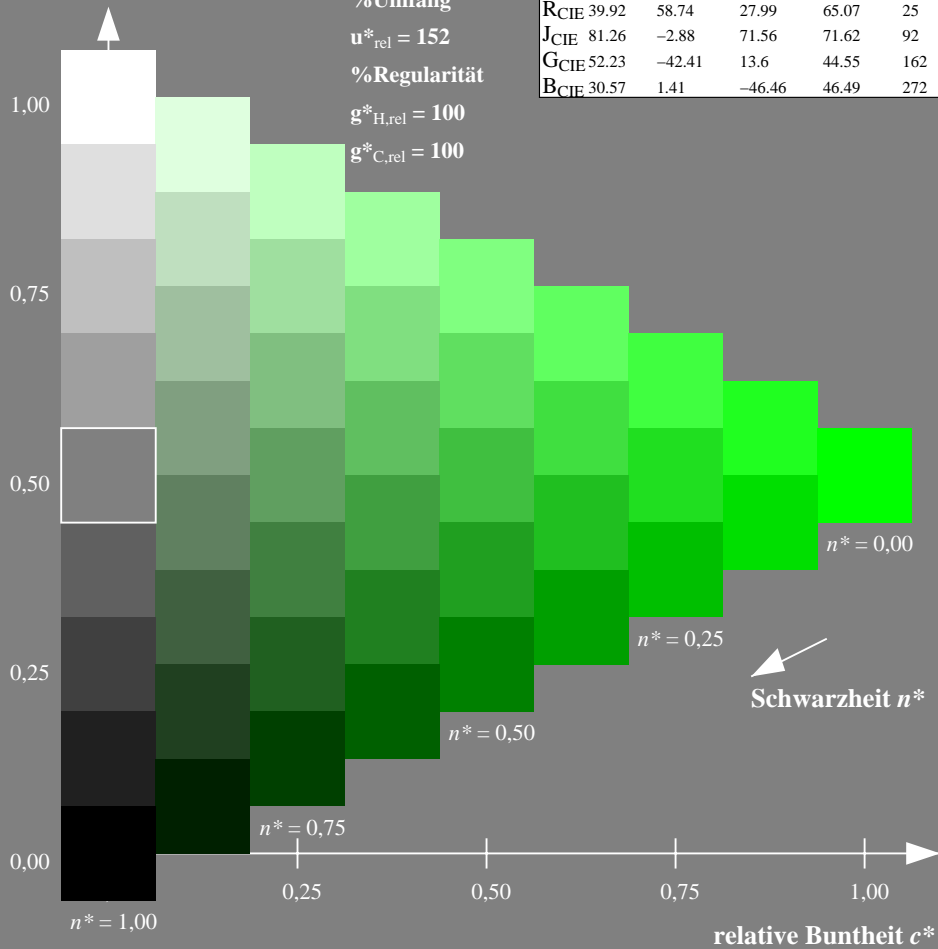
%Umfang

$u^*_{rel} = 152$

%Regularität

$g^*_{H,rel} = 100$

$g^*_{C,rel} = 100$



Schwarzheit n^*

Ausgabe: Farbmetrisches Natürliches-Licht-System NLS00

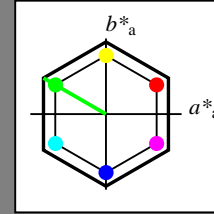
für Buntton $h^* = lab^*h = 150/360 = 0.417$

lab^*tch und lab^*nch

D65: Buntton L

LCH*Ma: 32 95 150

olv*Ma: 0.0 1.0 0.0



NLS00; adaptierte CIELAB-Daten

	$L^*=L^*_a$	a^*_a	b^*_a	$C^*_{ab,a}$	$h^*_{ab,a}$
O _{Ma}	31.81	82.62	47.7	95.4	30
Y _{Ma}	63.61	0.0	95.4	95.4	90
L _{Ma}	31.81	-82.61	47.7	95.4	150
C _{Ma}	63.61	-82.61	-47.69	95.4	210
V _{Ma}	31.81	0.0	-95.39	95.4	270
M _{Ma}	63.61	82.62	-47.69	95.4	330
N _{Ma}	0.01	0.0	0.0	0.0	0
W _{Ma}	95.41	0.0	0.0	0.0	0
R _{CIE}	39.92	58.74	27.99	65.07	25
J _{CIE}	81.26	-2.88	71.56	71.62	92
G _{CIE}	52.23	-42.41	13.6	44.55	162
B _{CIE}	30.57	1.41	-46.46	46.49	272

Dreiecks-Helligkeit t^*

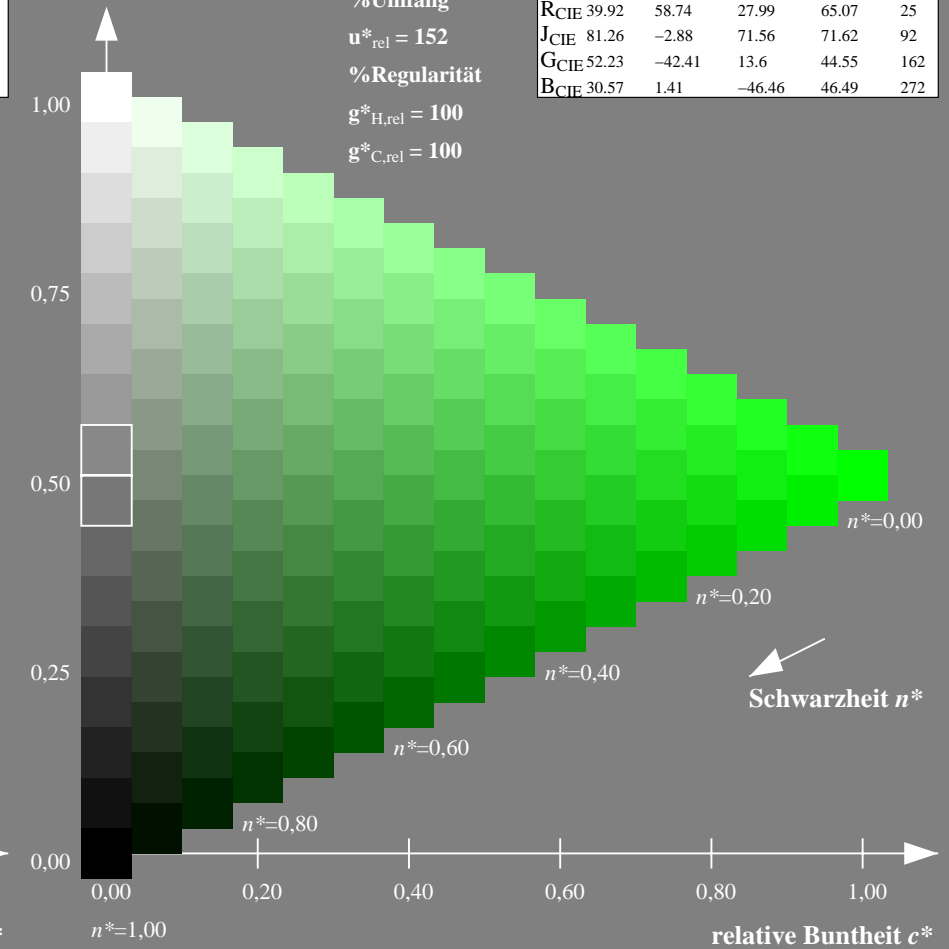
%Umfang

$u^*_{rel} = 152$

%Regularität

$g^*_{H,rel} = 100$

$g^*_{C,rel} = 100$



Schwarzheit n^*

NG900-7, 9stufige Reihen für konstanten CIELAB Buntton 150/360 = 0.417 (links)

16stufige Reihen für konstanten CIELAB Buntton 150/360 = 0.417 (rechts)

Eingabe: Farbmetrisches Natürliches-Licht-System NLS00

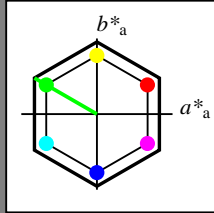
für Buntton $h^* = lab^*h = 150/360 = 0.417$

lab^*tch und lab^*nch

D65: Buntton L

LCH*Ma: 32 95 150

olv*Ma: 0.0 1.0 0.0



NLS00; adaptierte CIELAB-Daten

	$L^*=L^*_a$	a^*_a	b^*_a	$C^*_{ab,a}$	$h^*_{ab,a}$
O _{Ma}	31.81	82.62	47.7	95.4	30
Y _{Ma}	63.61	0.0	95.4	95.4	90
L _{Ma}	31.81	-82.61	47.7	95.4	150
C _{Ma}	63.61	-82.61	-47.69	95.4	210
V _{Ma}	31.81	0.0	-95.39	95.4	270
M _{Ma}	63.61	82.62	-47.69	95.4	330
N _{Ma}	0.01	0.0	0.0	0.0	0
W _{Ma}	95.41	0.0	0.0	0.0	0
R _{CIE}	39.92	58.74	27.99	65.07	25
J _{CIE}	81.26	-2.88	71.56	71.62	92
G _{CIE}	52.23	-42.41	13.6	44.55	162
B _{CIE}	30.57	1.41	-46.46	46.49	272

Dreiecks-Helligkeit t^*

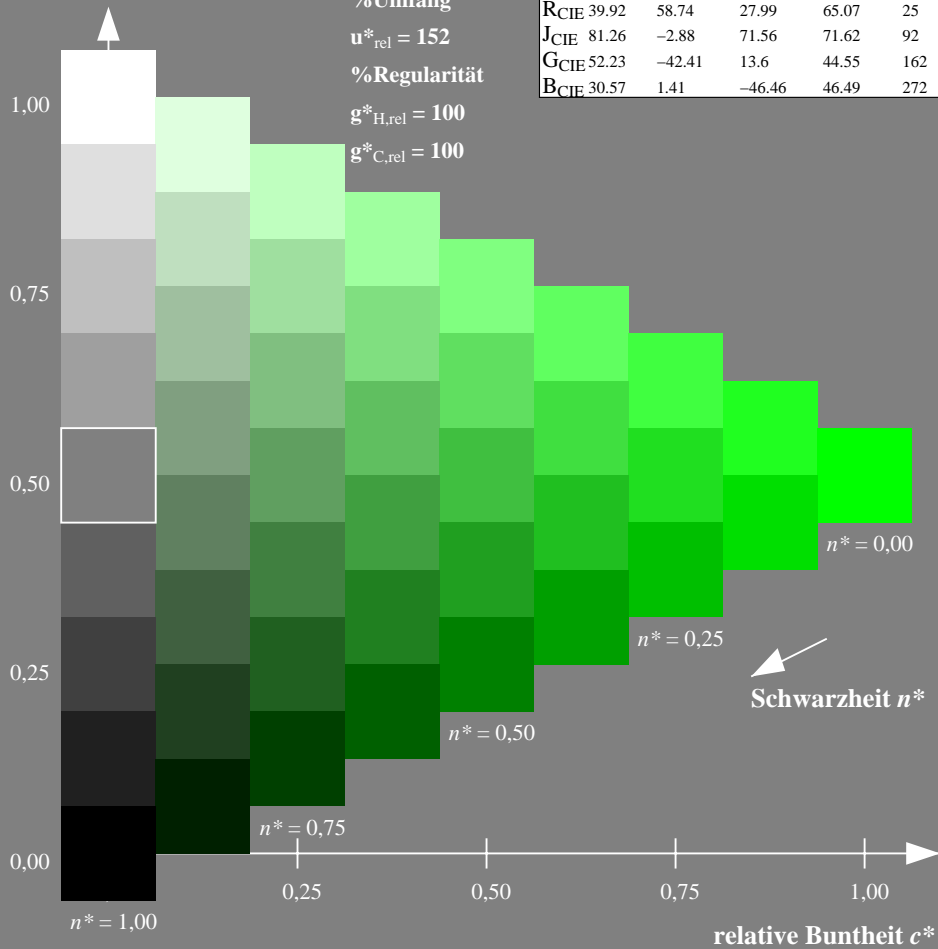
%Umfang

$u^*_{rel} = 152$

%Regularität

$g^*_{H,rel} = 100$

$g^*_{C,rel} = 100$



Ausgabe: Farbmetrisches Natürliches-Reflektiv-System NRS18

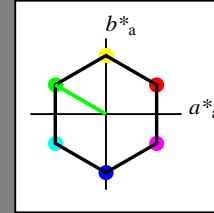
für Buntton $h^* = lab^*h = 150/360 = 0.417$

lab^*tch und lab^*nch

D65: Buntton L

LCH*Ma: 44 77 150

olv*Ma: 0.0 1.0 0.0



NRS18; adaptierte CIELAB-Daten

	$L^*=L^*_a$	a^*_a	b^*_a	$C^*_{ab,a}$	$h^*_{ab,a}$
O _{Ma}	43.81	67.03	38.7	77.4	30
Y _{Ma}	69.61	0.0	77.4	77.4	90
L _{Ma}	43.81	-67.02	38.7	77.4	150
C _{Ma}	69.61	-67.02	-38.69	77.4	210
V _{Ma}	43.81	0.0	-77.39	77.4	270
M _{Ma}	69.61	67.03	-38.69	77.4	330
N _{Ma}	18.01	0.0	0.0	0.0	0
W _{Ma}	95.41	0.0	0.0	0.0	0
R _{CIE}	39.92	58.74	27.99	65.07	25
J _{CIE}	81.26	-2.88	71.56	71.62	92
G _{CIE}	52.23	-42.41	13.6	44.55	162
B _{CIE}	30.57	1.41	-46.46	46.49	272

Dreiecks-Helligkeit t^*

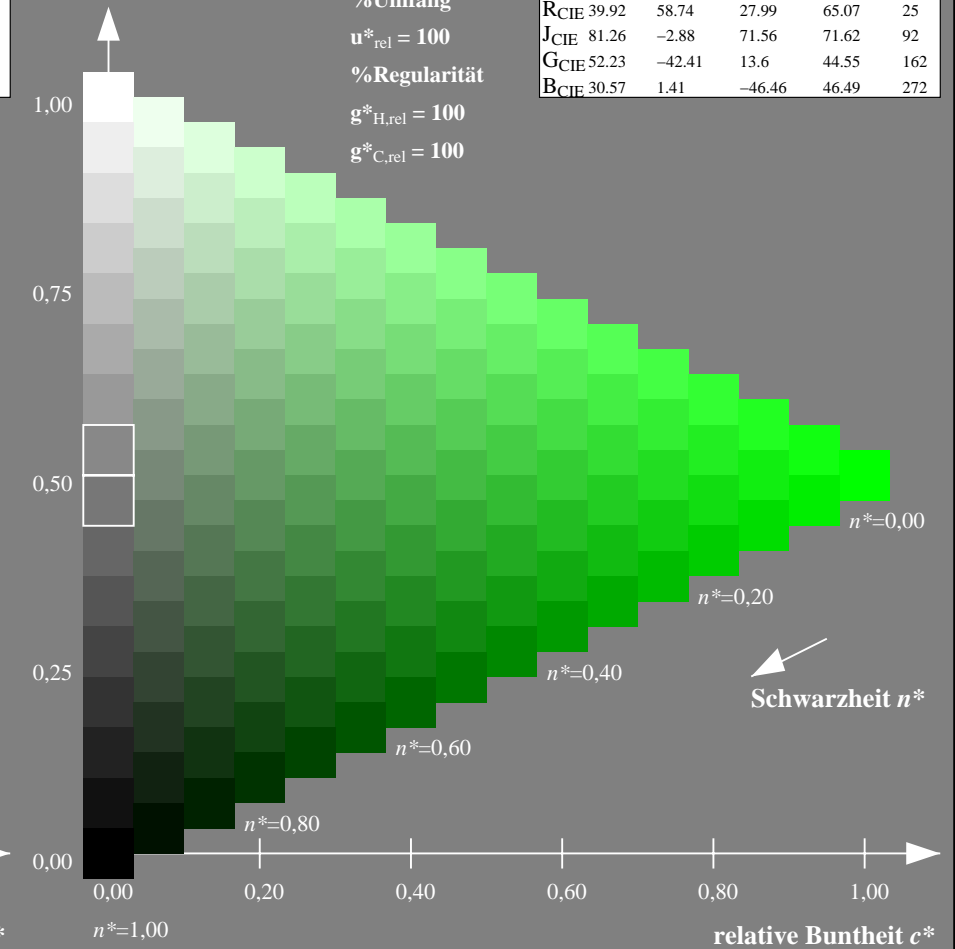
%Umfang

$u^*_{rel} = 100$

%Regularität

$g^*_{H,rel} = 100$

$g^*_{C,rel} = 100$



NG900-7, 9stufige Reihen für konstanten CIELAB Buntton $150/360 = 0.417$ (links)

16stufige Reihen für konstanten CIELAB Buntton $150/360 = 0.417$ (rechts)

Eingabe: Farbmetrisches Natürliches-Licht-System NLS00

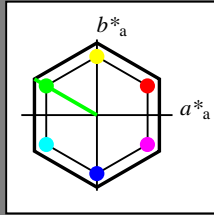
für Buntton $h^* = lab^*h = 150/360 = 0.417$

lab^*tch und lab^*nch

D65: Buntton L

LCH*Ma: 32 95 150

olv*Ma: 0.0 1.0 0.0



NLS00; adaptierte CIELAB-Daten

	$L^*=L^*_a$	a^*_a	b^*_a	$C^*_{ab,a}$	$h^*_{ab,a}$
OMa	31.81	82.62	47.7	95.4	30
YMa	63.61	0.0	95.4	95.4	90
LMa	31.81	-82.61	47.7	95.4	150
CMa	63.61	-82.61	-47.69	95.4	210
VMa	31.81	0.0	-95.39	95.4	270
MMa	63.61	82.62	-47.69	95.4	330
NMa	0.01	0.0	0.0	0.0	0
WMa	95.41	0.0	0.0	0.0	0
RCIE	39.92	58.74	27.99	65.07	25
JCIE	81.26	-2.88	71.56	71.62	92
GCIE	52.23	-42.41	13.6	44.55	162
BCIE	30.57	1.41	-46.46	46.49	272

Dreiecks-Helligkeit t^*

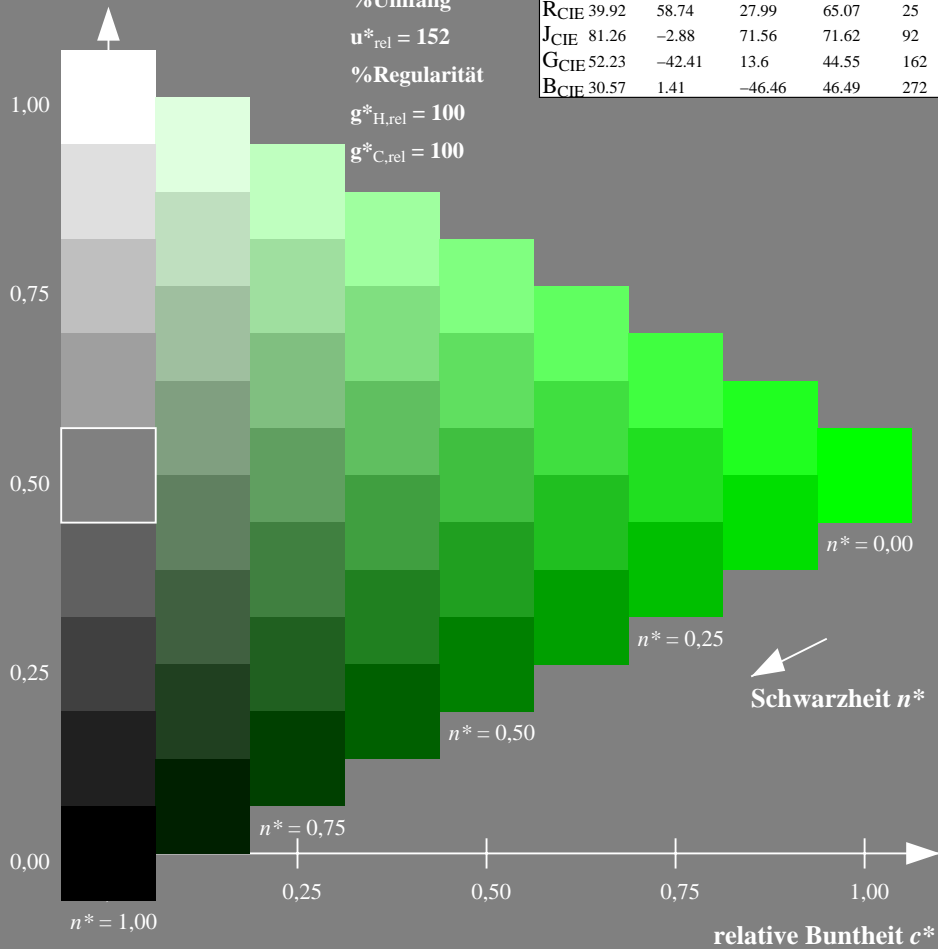
%Umfang

$u^*_{rel} = 152$

%Regularität

$g^*_{H,rel} = 100$

$g^*_{C,rel} = 100$



Ausgabe: Farbmetrisches Standard-Reflektiv-System SRS18

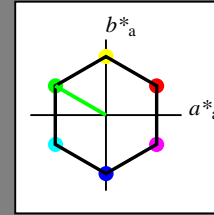
für Buntton $h^* = lab^*h = 150/360 = 0.417$

lab^*tch und lab^*nch

D65: Buntton L

LCH*Ma: 57 77 150

olv*Ma: 0.0 1.0 0.0



SRS18; adaptierte CIELAB-Daten

	$L^*=L^*_a$	a^*_a	b^*_a	$C^*_{ab,a}$	$h^*_{ab,a}$
OMa	56.71	67.03	38.7	77.4	30
YMa	56.71	0.0	77.4	77.4	90
LMa	56.71	-67.02	38.7	77.4	150
CMa	56.71	-67.02	-38.69	77.4	210
VMa	56.71	0.0	-77.39	77.4	270
MMa	56.71	67.03	-38.69	77.4	330
NMa	18.01	0.0	0.0	0.0	0
WMa	95.41	0.0	0.0	0.0	0
RCIE	39.92	58.74	27.99	65.07	25
JCIE	81.26	-2.88	71.56	71.62	92
GCIE	52.23	-42.41	13.6	44.55	162
BCIE	30.57	1.41	-46.46	46.49	272

Dreiecks-Helligkeit t^*

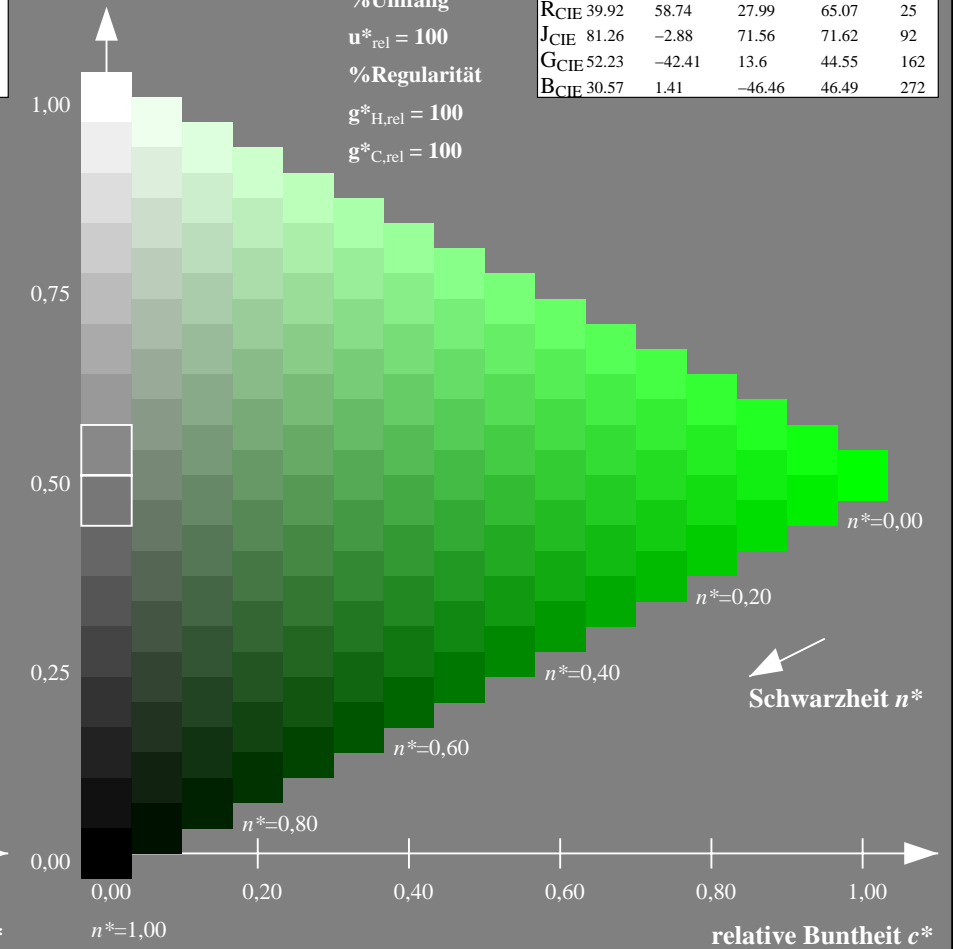
%Umfang

$u^*_{rel} = 100$

%Regularität

$g^*_{H,rel} = 100$

$g^*_{C,rel} = 100$



NG900-7, 9stufige Reihen für konstanten CIELAB Buntton $150/360 = 0.417$ (links)

16stufige Reihen für konstanten CIELAB Buntton $150/360 = 0.417$ (rechts)

Eingabe: Farbmetrisches Natürliches-Licht-System NLS00

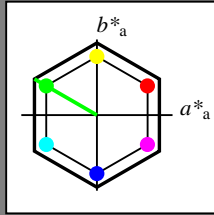
für Buntton $h^* = lab^*h = 150/360 = 0.417$

lab^*tch und lab^*nch

D65: Buntton L

LCH*Ma: 32 95 150

olv*Ma: 0.0 1.0 0.0



NLS00; adaptierte CIELAB-Daten

	$L^*=L^*_a$	a^*_a	b^*_a	$C^*_{ab,a}$	$h^*_{ab,a}$
O _{Ma}	31.81	82.62	47.7	95.4	30
Y _{Ma}	63.61	0.0	95.4	95.4	90
L _{Ma}	31.81	-82.61	47.7	95.4	150
C _{Ma}	63.61	-82.61	-47.69	95.4	210
V _{Ma}	31.81	0.0	-95.39	95.4	270
M _{Ma}	63.61	82.62	-47.69	95.4	330
N _{Ma}	0.01	0.0	0.0	0.0	0
W _{Ma}	95.41	0.0	0.0	0.0	0
R _{CIE}	39.92	58.74	27.99	65.07	25
J _{CIE}	81.26	-2.88	71.56	71.62	92
G _{CIE}	52.23	-42.41	13.6	44.55	162
B _{CIE}	30.57	1.41	-46.46	46.49	272

Dreiecks-Helligkeit t^*

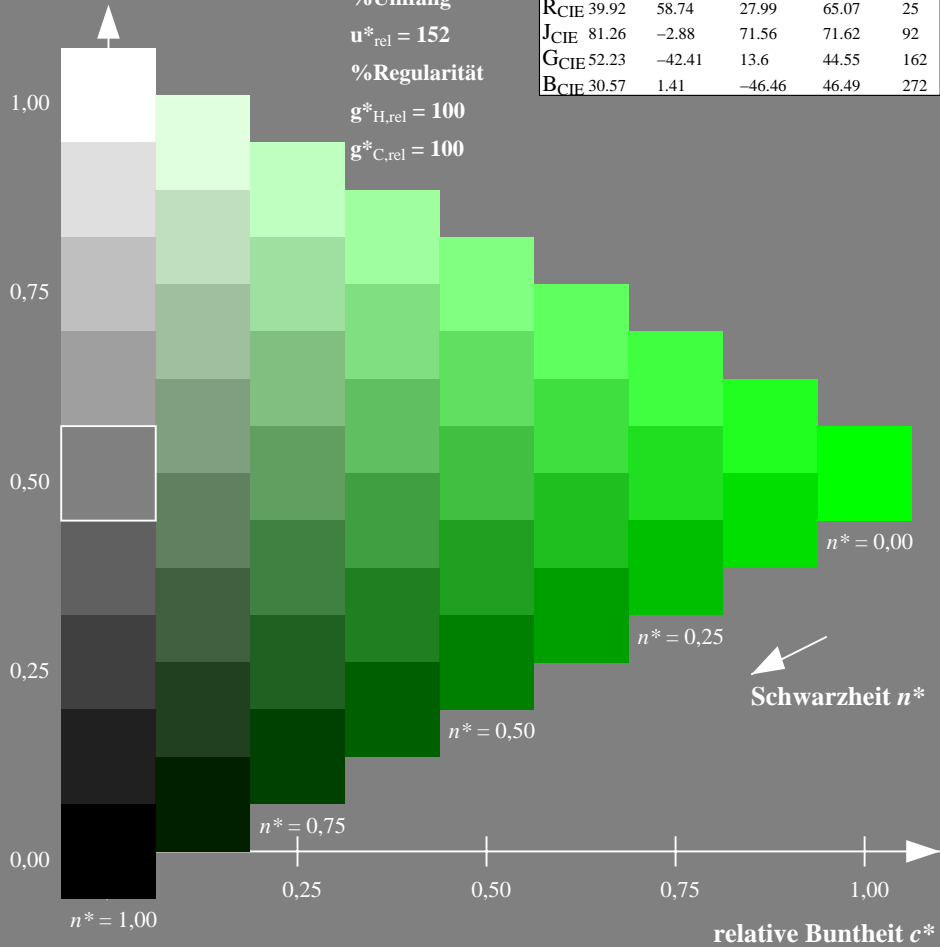
%Umfang

$u^*_{rel} = 152$

%Regularität

$g^*_{H,rel} = 100$

$g^*_{C,rel} = 100$



Ausgabe: Farbmetrisches Fernseh-Licht-System TLS70

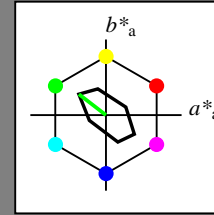
für Buntton $h^* = lab^*h = 142/360 = 0.395$

lab^*tch und lab^*nch

D65: Buntton L

LCH*Ma: 89 45 142

olv*Ma: 0.0 1.0 0.0



TLS70; adaptierte CIELAB-Daten

	$L^*=L^*_a$	a^*_a	b^*_a	$C^*_{ab,a}$	$h^*_{ab,a}$
O _{Ma}	76.43	26.27	10.57	28.32	22
Y _{Ma}	93.93	-10.76	34.63	36.27	107
L _{Ma}	89.32	-35.8	27.64	45.24	142
C _{Ma}	90.93	-21.95	-7.07	23.07	198
V _{Ma}	72.1	15.76	-35.63	38.97	294
M _{Ma}	78.5	37.52	-25.23	45.22	326
N _{Ma}	69.7	0.0	0.0	0.0	0
W _{Ma}	95.41	0.0	0.0	0.0	0
R _{CIE}	39.92	58.74	27.99	65.07	25
J _{CIE}	81.26	-2.88	71.56	71.62	92
G _{CIE}	52.23	-42.41	13.6	44.55	162
B _{CIE}	30.57	1.41	-46.46	46.49	272

Dreiecks-Helligkeit t^*

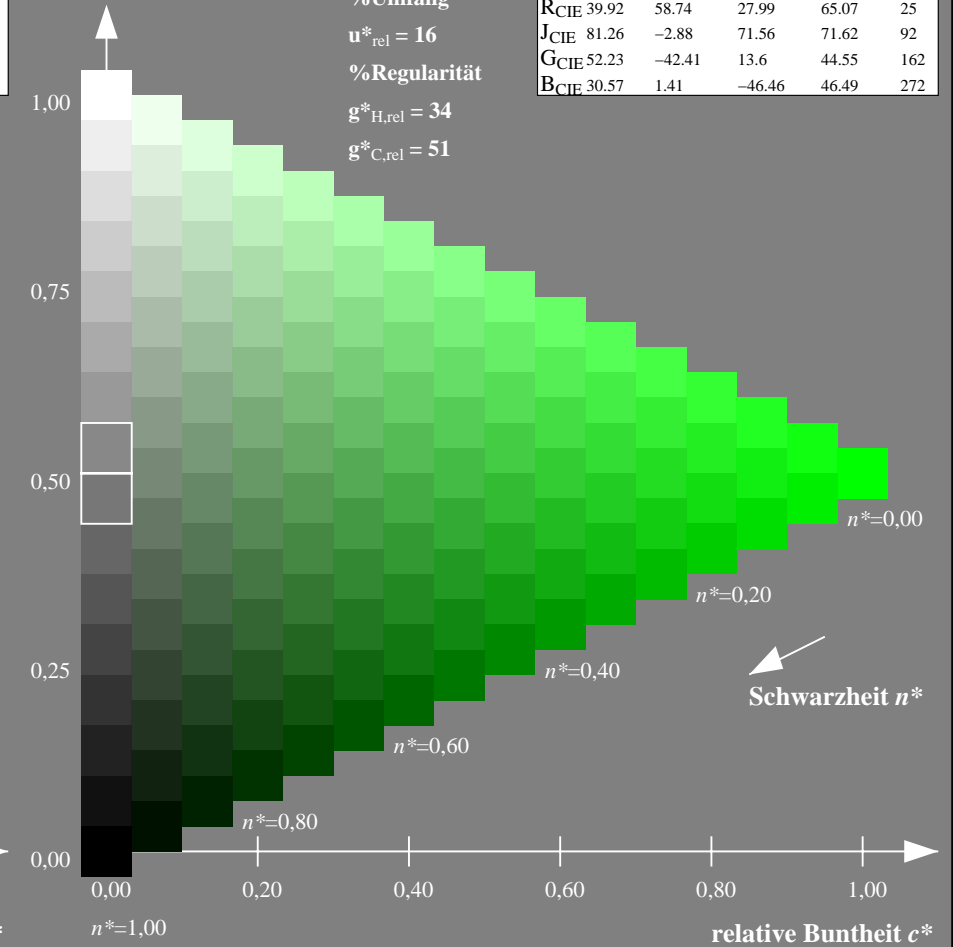
%Umfang

$u^*_{rel} = 16$

%Regularität

$g^*_{H,rel} = 34$

$g^*_{C,rel} = 51$



NG900-7, 9stufige Reihen für konstanten CIELAB Buntton 150/360 = 0.417 (links)

16stufige Reihen für konstanten CIELAB Buntton 142/360 = 0.395 (rechts)

Eingabe: Farbmetrisches Natürliches-Reflektiv-System NRS18

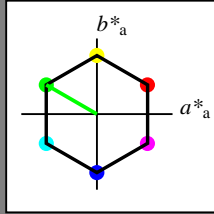
für Buntton $h^* = lab^*h = 150/360 = 0.417$

lab^*tch und lab^*nch

D65: Buntton L

LCH*Ma: 44 77 150

olv*Ma: 0.0 1.0 0.0



NRS18; adaptierte CIELAB-Daten

	$L^*=L^*_a$	a^*_a	b^*_a	$C^*_{ab,a}$	$h^*_{ab,a}$
OMa	43.81	67.03	38.7	77.4	30
YMa	69.61	0.0	77.4	77.4	90
LMa	43.81	-67.02	38.7	77.4	150
CMa	69.61	-67.02	-38.69	77.4	210
VMa	43.81	0.0	-77.39	77.4	270
MMa	69.61	67.03	-38.69	77.4	330
NMa	18.01	0.0	0.0	0.0	0
WMa	95.41	0.0	0.0	0.0	0
RCIE	39.92	58.74	27.99	65.07	25
JCIE	81.26	-2.88	71.56	71.62	92
GCIE	52.23	-42.41	13.6	44.55	162
BCIE	30.57	1.41	-46.46	46.49	272

Dreiecks-Helligkeit t^*

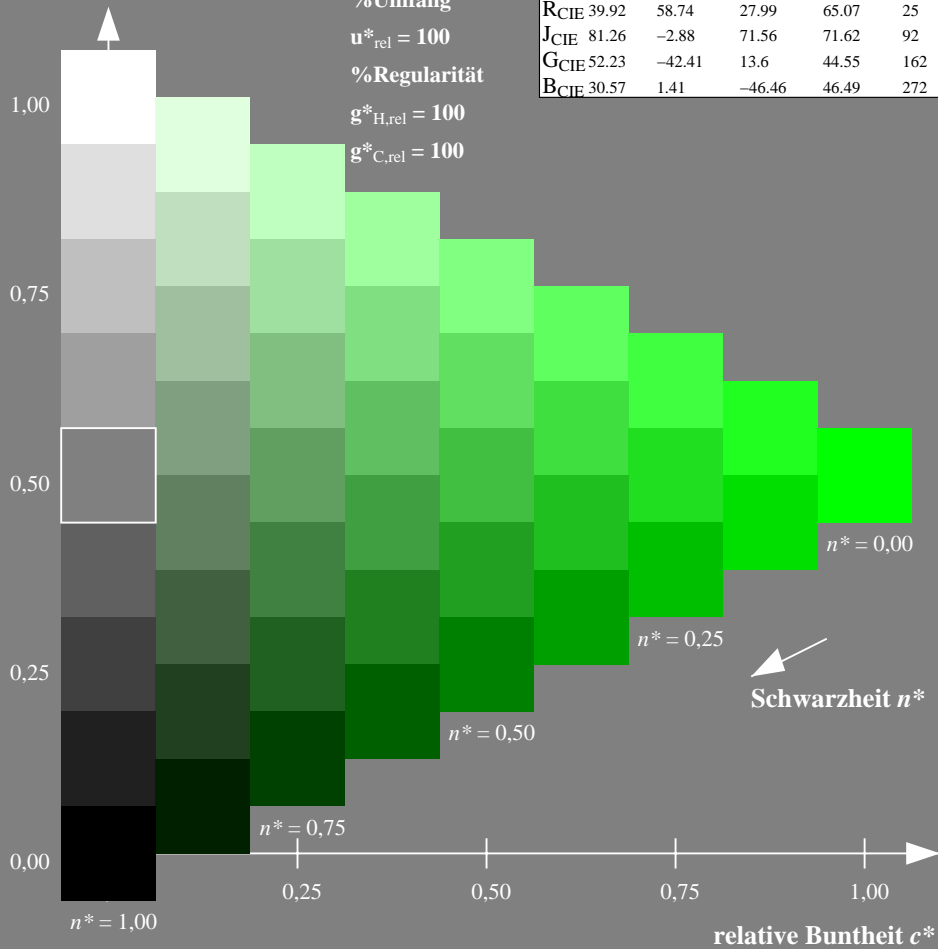
%Umfang

$u^*_{rel} = 100$

%Regularität

$g^*_{H,rel} = 100$

$g^*_{C,rel} = 100$



Ausgabe: Farbmetrisches Offset-Reflektiv-System ORS18

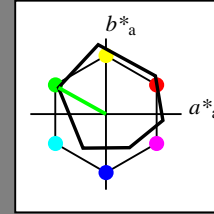
für Buntton $h^* = lab^*h = 151/360 = 0.419$

lab^*tch und lab^*nch

D65: Buntton L

LCH*Ma: 51 72 151

olv*Ma: 0.0 1.0 0.0



ORS18; adaptierte CIELAB-Daten

	$L^*=L^*_a$	a^*_a	b^*_a	$C^*_{ab,a}$	$h^*_{ab,a}$
OMa	47.94	65.39	50.52	82.63	38
YMa	90.37	-10.26	91.75	92.32	96
LMa	50.9	-62.83	34.96	71.91	151
CMa	58.62	-30.34	-45.01	54.3	236
VMa	25.72	31.1	-44.4	54.22	305
MMa	48.13	75.28	-8.36	75.74	354
NMa	18.01	0.0	0.0	0.0	0
WMa	95.41	0.0	0.0	0.0	0
RCIE	39.92	58.66	26.98	64.57	25
JCIE	81.26	-2.16	67.76	67.79	92
GCIE	52.23	-42.25	11.76	43.87	164
BCIE	30.57	1.15	-46.84	46.86	271

Dreiecks-Helligkeit t^*

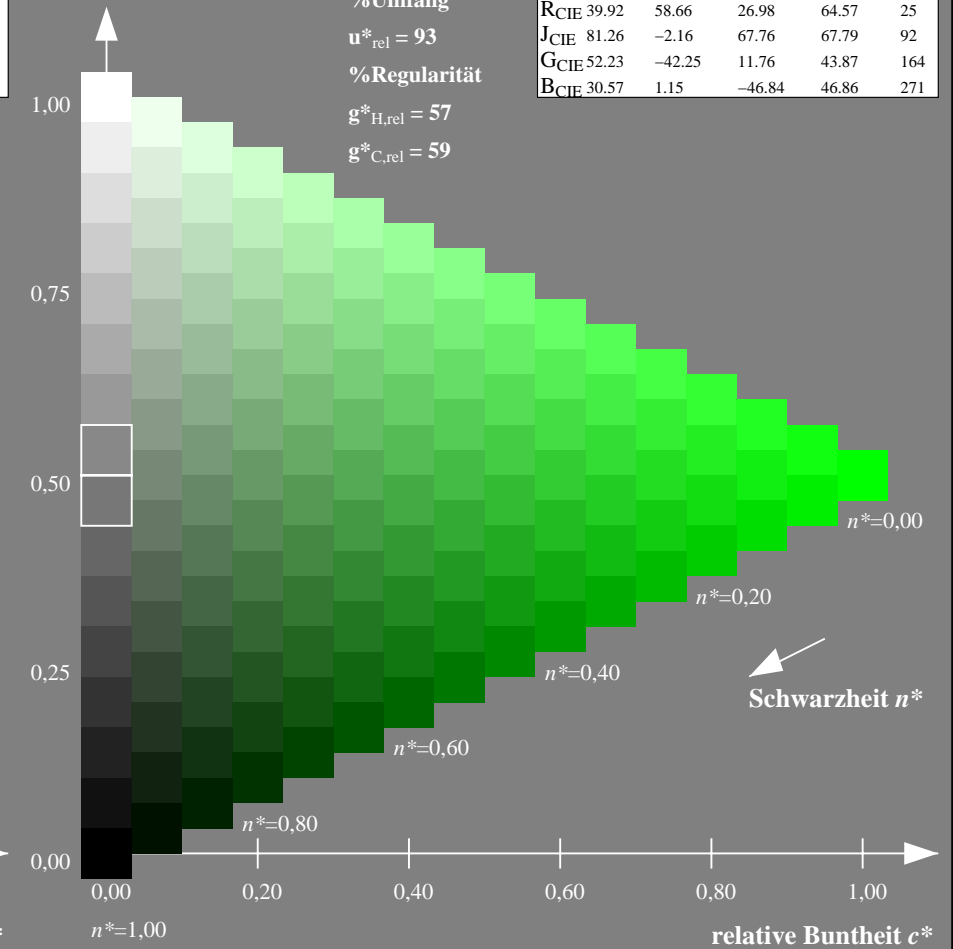
%Umfang

$u^*_{rel} = 93$

%Regularität

$g^*_{H,rel} = 57$

$g^*_{C,rel} = 59$



NG900-7, 9stufige Reihen für konstanten CIELAB Buntton $150/360 = 0.417$ (links)

16stufige Reihen für konstanten CIELAB Buntton $151/360 = 0.419$ (rechts)

Eingabe: Farbmetrisches Natürliches-Reflektiv-System NRS18

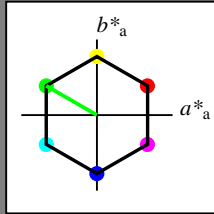
für Buntton $h^* = lab^*h = 150/360 = 0.417$

lab^*tch und lab^*nch

D65: Buntton L

LCH*Ma: 44 77 150

olv*Ma: 0.0 1.0 0.0



NRS18; adaptierte CIELAB-Daten

	$L^*=L^*_a$	a^*_a	b^*_a	$C^*_{ab,a}$	$h^*_{ab,a}$
OMa	43.81	67.03	38.7	77.4	30
YMa	69.61	0.0	77.4	77.4	90
LMa	43.81	-67.02	38.7	77.4	150
CMa	69.61	-67.02	-38.69	77.4	210
VMa	43.81	0.0	-77.39	77.4	270
MMa	69.61	67.03	-38.69	77.4	330
NMa	18.01	0.0	0.0	0.0	0
WMa	95.41	0.0	0.0	0.0	0
RCIE	39.92	58.74	27.99	65.07	25
JCIE	81.26	-2.88	71.56	71.62	92
GCIE	52.23	-42.41	13.6	44.55	162
BCIE	30.57	1.41	-46.46	46.49	272

Dreiecks-Helligkeit t^*

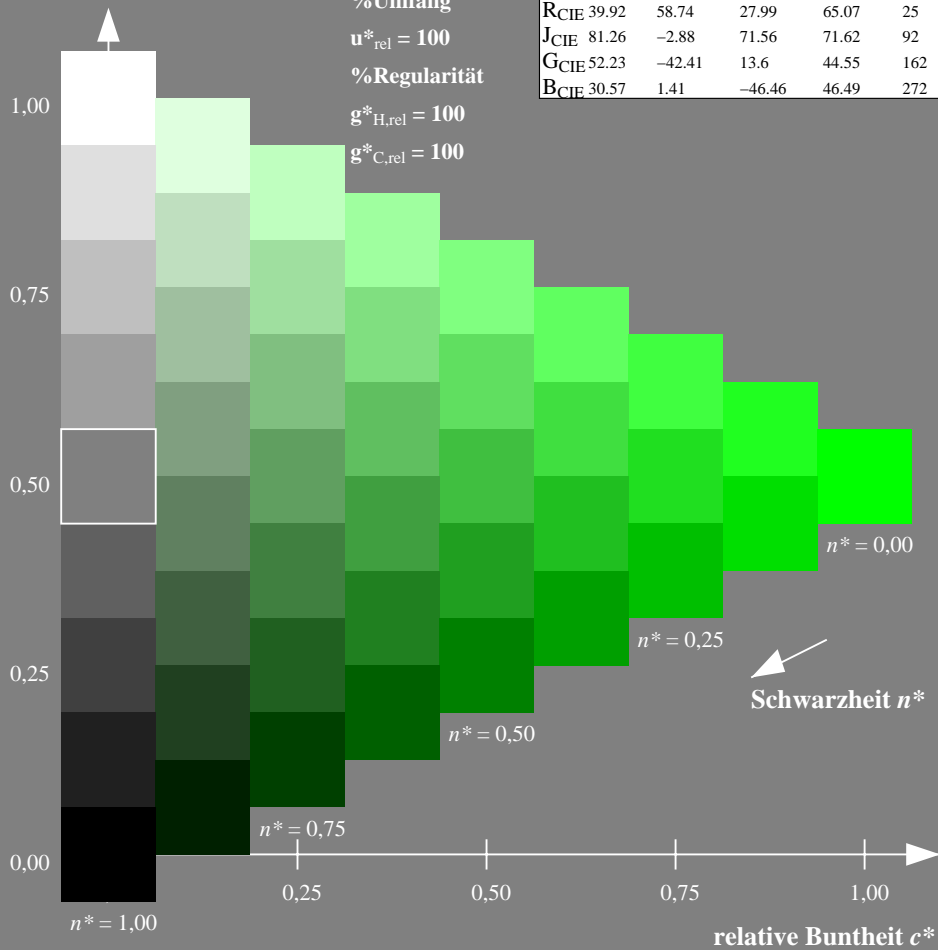
%Umfang

$u^*_{rel} = 100$

%Regularität

$g^*_{H,rel} = 100$

$g^*_{C,rel} = 100$



Schwarzheit n^*

Ausgabe: Farbmetrisches Fernseh-Licht-System TLS00

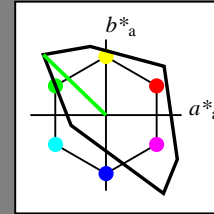
für Buntton $h^* = lab^*h = 136/360 = 0.378$

lab^*tch und lab^*nch

D65: Buntton L

LCH*Ma: 84 115 136

olv*Ma: 0.0 1.0 0.0



TLS00; adaptierte CIELAB-Daten

	$L^*=L^*_a$	a^*_a	b^*_a	$C^*_{ab,a}$	$h^*_{ab,a}$
OMa	50.5	76.92	64.55	100.42	40
YMa	92.66	-20.69	90.75	93.08	103
LMa	83.63	-82.75	79.9	115.04	136
CMa	86.88	-46.16	-13.55	48.12	196
VMa	30.39	76.06	-103.59	128.52	306
MMa	57.3	94.35	-58.41	110.97	328
NMa	0.01	0.0	0.0	0.0	0
WMa	95.41	0.0	0.0	0.0	0
RCIE	39.92	58.74	27.99	65.07	25
JCIE	81.26	-2.88	71.56	71.62	92
GCIE	52.23	-42.41	13.6	44.55	162
BCIE	30.57	1.41	-46.46	46.49	272

Dreiecks-Helligkeit t^*

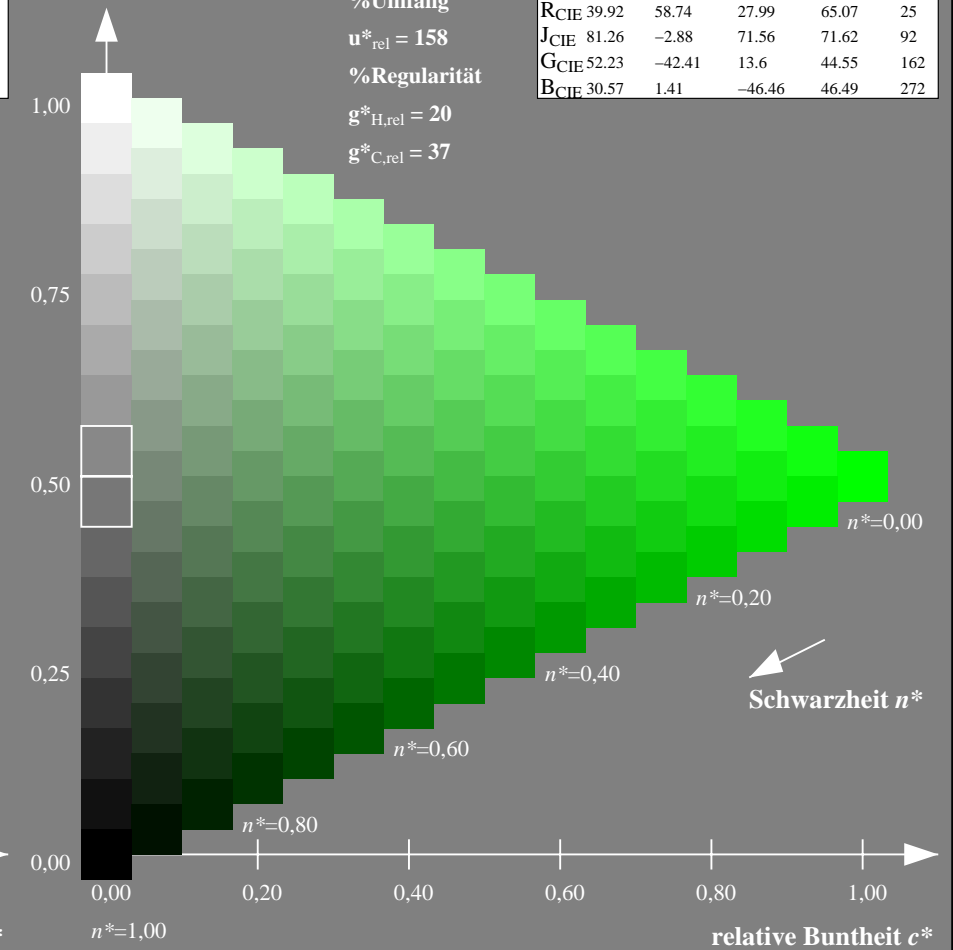
%Umfang

$u^*_{rel} = 158$

%Regularität

$g^*_{H,rel} = 20$

$g^*_{C,rel} = 37$



Schwarzheit n^*

NG900-7, 9stufige Reihen für konstanten CIELAB Buntton $150/360 = 0.417$ (links)

16stufige Reihen für konstanten CIELAB Buntton $136/360 = 0.378$ (rechts)

Eingabe: Farbmetrisches Natürliches-Reflektiv-System NRS18

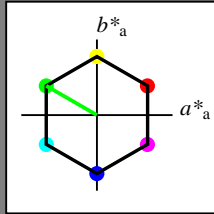
für Buntton $h^* = lab^*h = 150/360 = 0.417$

lab^*tch und lab^*nch

D65: Buntton L

LCH*Ma: 44 77 150

olv*Ma: 0.0 1.0 0.0



NRS18; adaptierte CIELAB-Daten

	$L^*=L^*_a$	a^*_a	b^*_a	$C^*_{ab,a}$	$h^*_{ab,a}$
OMa	43.81	67.03	38.7	77.4	30
YMa	69.61	0.0	77.4	77.4	90
LMa	43.81	-67.02	38.7	77.4	150
CMa	69.61	-67.02	-38.69	77.4	210
VMa	43.81	0.0	-77.39	77.4	270
MMa	69.61	67.03	-38.69	77.4	330
NMa	18.01	0.0	0.0	0.0	0
WMa	95.41	0.0	0.0	0.0	0
RCIE	39.92	58.74	27.99	65.07	25
JCIE	81.26	-2.88	71.56	71.62	92
GCIE	52.23	-42.41	13.6	44.55	162
BCIE	30.57	1.41	-46.46	46.49	272

Dreiecks-Helligkeit t^*

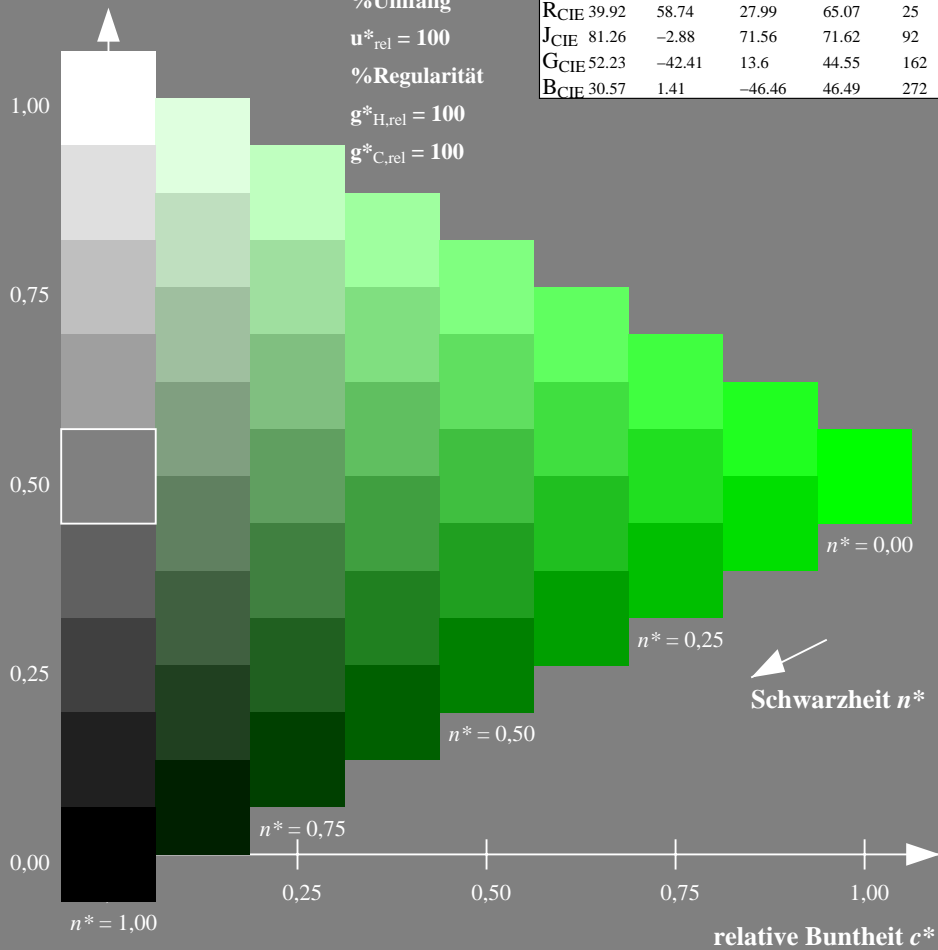
%Umfang

$u^*_{rel} = 100$

%Regularität

$g^*_{H,rel} = 100$

$g^*_{C,rel} = 100$



Ausgabe: Farbmetrisches Drucker-Reflektiv-System DRSXX

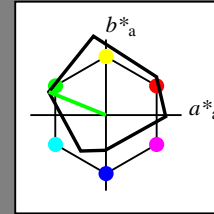
für Buntton $h^* = lab^*h = 158/360 = 0.439$

lab^*tch und lab^*nch

D65: Buntton L

LCH*Ma: 48 82 158

olv*Ma: 0.0 1.0 0.0



DRSXX; adaptierte CIELAB-Daten

	$L^*=L^*_a$	a^*_a	b^*_a	$C^*_{ab,a}$	$h^*_{ab,a}$
OMa	42.21	66.82	50.6	83.82	37
YMa	90.32	-16.51	104.33	105.63	99
LMa	48.21	-75.63	30.65	81.61	158
CMa	53.44	-33.33	-47.49	58.03	235
VMa	34.16	-0.92	-46.56	46.58	269
MMa	42.71	79.0	-1.95	79.03	359
NMa	16.56	0.0	0.0	0.0	0
WMa	96.31	0.0	0.0	0.0	0
RCIE	39.92	59.78	25.77	65.1	23
JCIE	81.26	-2.51	69.07	69.11	92
GCIE	52.23	-41.57	11.3	43.09	165
BCIE	30.57	2.6	-48.62	48.7	273

Dreiecks-Helligkeit t^*

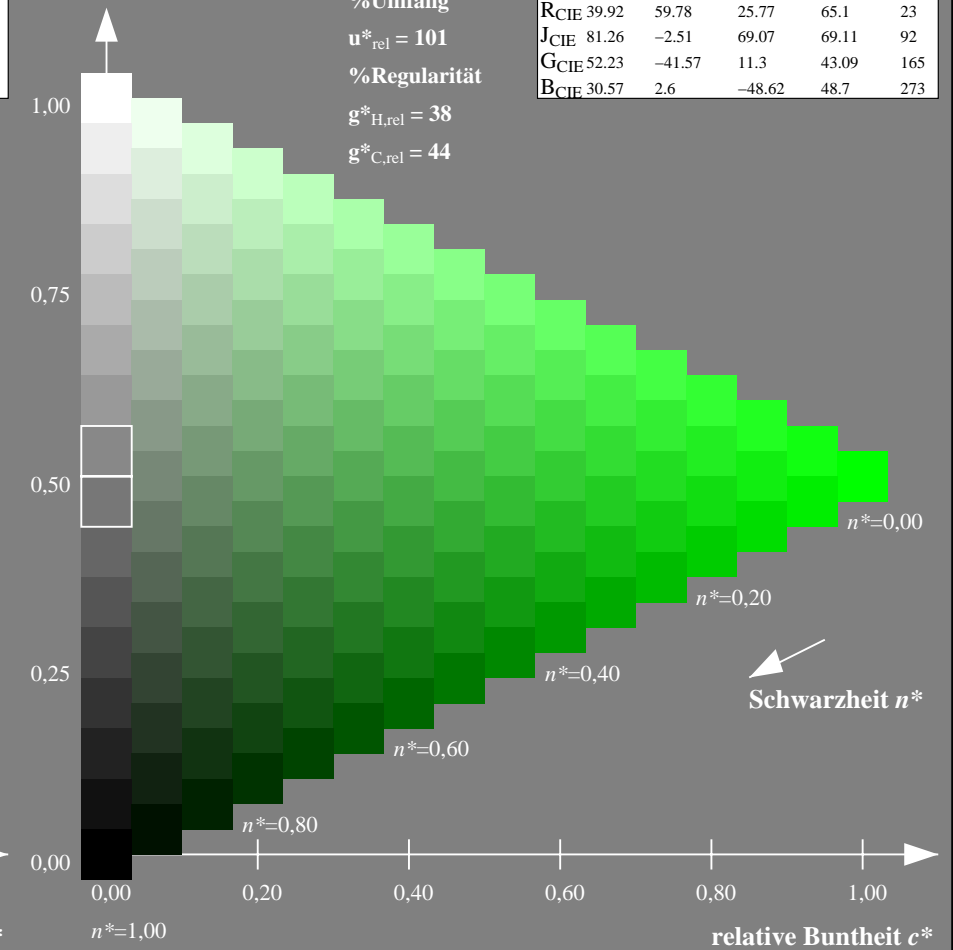
%Umfang

$u^*_{rel} = 101$

%Regularität

$g^*_{H,rel} = 38$

$g^*_{C,rel} = 44$



NG900-7, 9stufige Reihen für konstanten CIELAB Buntton $150/360 = 0.417$ (links)

16stufige Reihen für konstanten CIELAB Buntton $158/360 = 0.439$ (rechts)

Eingabe: Farbmetrisches Natürliches-Reflektiv-System NRS18

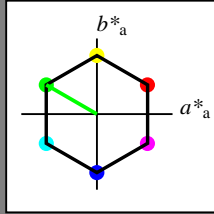
für Buntton $h^* = lab^*h = 150/360 = 0.417$

lab^*tch und lab^*nch

D65: Buntton L

LCH*Ma: 44 77 150

olv*Ma: 0.0 1.0 0.0



NRS18; adaptierte CIELAB-Daten

	$L^*=L^*_a$	a^*_a	b^*_a	$C^*_{ab,a}$	$h^*_{ab,a}$
OMa	43.81	67.03	38.7	77.4	30
YMa	69.61	0.0	77.4	77.4	90
LMa	43.81	-67.02	38.7	77.4	150
CMa	69.61	-67.02	-38.69	77.4	210
VMa	43.81	0.0	-77.39	77.4	270
MMa	69.61	67.03	-38.69	77.4	330
NMa	18.01	0.0	0.0	0.0	0
WMa	95.41	0.0	0.0	0.0	0
RCIE	39.92	58.74	27.99	65.07	25
JCIE	81.26	-2.88	71.56	71.62	92
GCIE	52.23	-42.41	13.6	44.55	162
BCIE	30.57	1.41	-46.46	46.49	272

Dreiecks-Helligkeit t^*

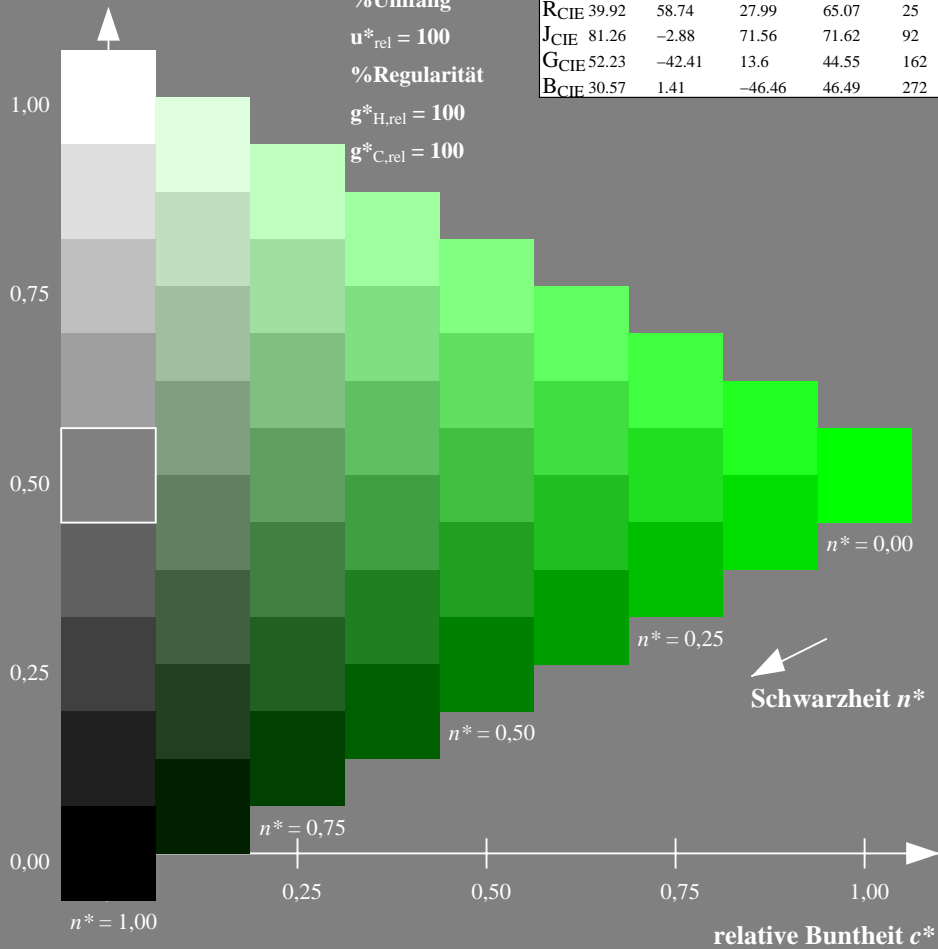
%Umfang

$u^*_{rel} = 100$

%Regularität

$g^*_{H,rel} = 100$

$g^*_{C,rel} = 100$



Ausgabe: Farbmetrisches Fernseh-Licht-System TLS18

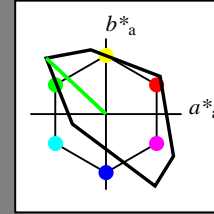
für Buntton $h^* = lab^*h = 137/360 = 0.38$

lab^*tch und lab^*nch

D65: Buntton L

LCH*Ma: 84 108 137

olv*Ma: 0.0 1.0 0.0



TLS18; adaptierte CIELAB-Daten

	$L^*=L^*_a$	a^*_a	b^*_a	$C^*_{ab,a}$	$h^*_{ab,a}$
OMa	52.76	71.63	49.88	87.29	35
YMa	92.74	-20.02	84.97	87.3	103
LMa	84.0	-78.98	73.94	108.2	137
CMa	87.14	-44.41	-13.11	46.32	196
VMa	35.47	64.92	-95.06	115.12	304
MMa	59.01	89.33	-55.67	105.26	328
NMa	18.01	0.0	0.0	0.0	0
WMa	95.41	0.0	0.0	0.0	0
RCIE	39.92	58.74	27.99	65.07	25
JCIE	81.26	-2.88	71.56	71.62	92
GCIE	52.23	-42.41	13.6	44.55	162
BCIE	30.57	1.41	-46.46	46.49	272

Dreiecks-Helligkeit t^*

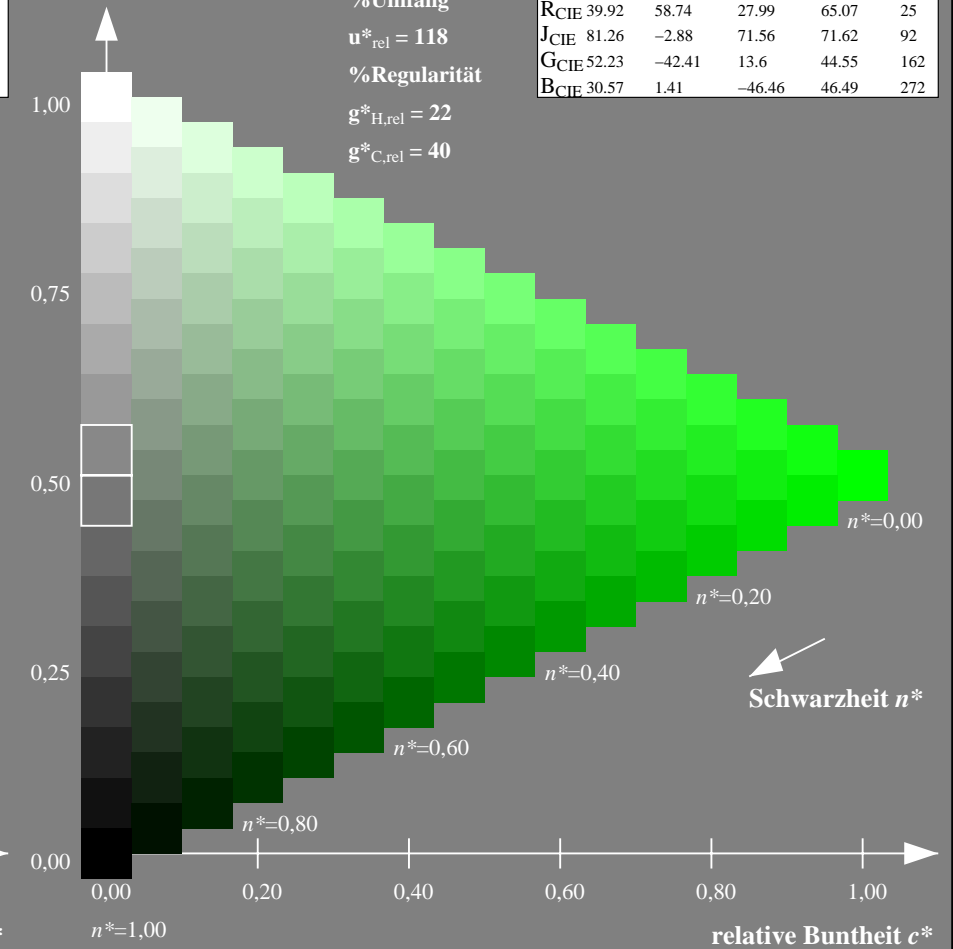
%Umfang

$u^*_{rel} = 118$

%Regularität

$g^*_{H,rel} = 22$

$g^*_{C,rel} = 40$



NG900-7, 9stufige Reihen für konstanten CIELAB Buntton $150/360 = 0.417$ (links)

16stufige Reihen für konstanten CIELAB Buntton $137/360 = 0.38$ (rechts)

Eingabe: Farbmetrisches Natürliches-Reflektiv-System NRS18

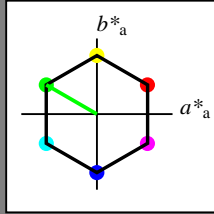
für Buntton $h^* = lab^*h = 150/360 = 0.417$

lab^*tch und lab^*nch

D65: Buntton L

LCH*Ma: 44 77 150

olv*Ma: 0.0 1.0 0.0



NRS18; adaptierte CIELAB-Daten

	$L^*=L^*_a$	a^*_a	b^*_a	$C^*_{ab,a}$	$h^*_{ab,a}$
OMa	43.81	67.03	38.7	77.4	30
YMa	69.61	0.0	77.4	77.4	90
LMa	43.81	-67.02	38.7	77.4	150
CMa	69.61	-67.02	-38.69	77.4	210
VMa	43.81	0.0	-77.39	77.4	270
MMa	69.61	67.03	-38.69	77.4	330
NMa	18.01	0.0	0.0	0.0	0
WMa	95.41	0.0	0.0	0.0	0
RCIE	39.92	58.74	27.99	65.07	25
JCIE	81.26	-2.88	71.56	71.62	92
GCIE	52.23	-42.41	13.6	44.55	162
BCIE	30.57	1.41	-46.46	46.49	272

Dreiecks-Helligkeit t^*

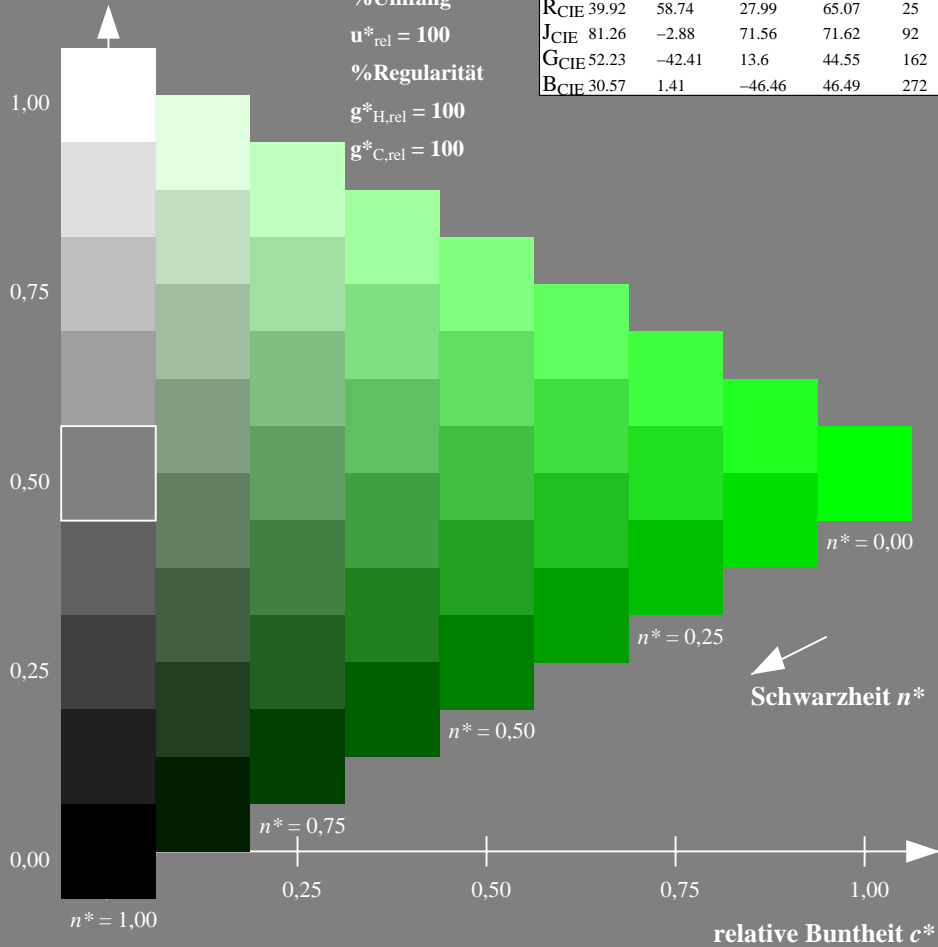
%Umfang

$u^*_{rel} = 100$

%Regularität

$g^*_{H,rel} = 100$

$g^*_{C,rel} = 100$



Ausgabe: Farbmetrisches Natürliches-Licht-System NLS00

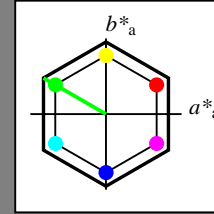
für Buntton $h^* = lab^*h = 150/360 = 0.417$

lab^*tch und lab^*nch

D65: Buntton L

LCH*Ma: 32 95 150

olv*Ma: 0.0 1.0 0.0



NLS00; adaptierte CIELAB-Daten

	$L^*=L^*_a$	a^*_a	b^*_a	$C^*_{ab,a}$	$h^*_{ab,a}$
OMa	31.81	82.62	47.7	95.4	30
YMa	63.61	0.0	95.4	95.4	90
LMa	31.81	-82.61	47.7	95.4	150
CMa	63.61	-82.61	-47.69	95.4	210
VMa	31.81	0.0	-95.39	95.4	270
MMa	63.61	82.62	-47.69	95.4	330
NMa	0.01	0.0	0.0	0.0	0
WMa	95.41	0.0	0.0	0.0	0
RCIE	39.92	58.74	27.99	65.07	25
JCIE	81.26	-2.88	71.56	71.62	92
GCIE	52.23	-42.41	13.6	44.55	162
BCIE	30.57	1.41	-46.46	46.49	272

Dreiecks-Helligkeit t^*

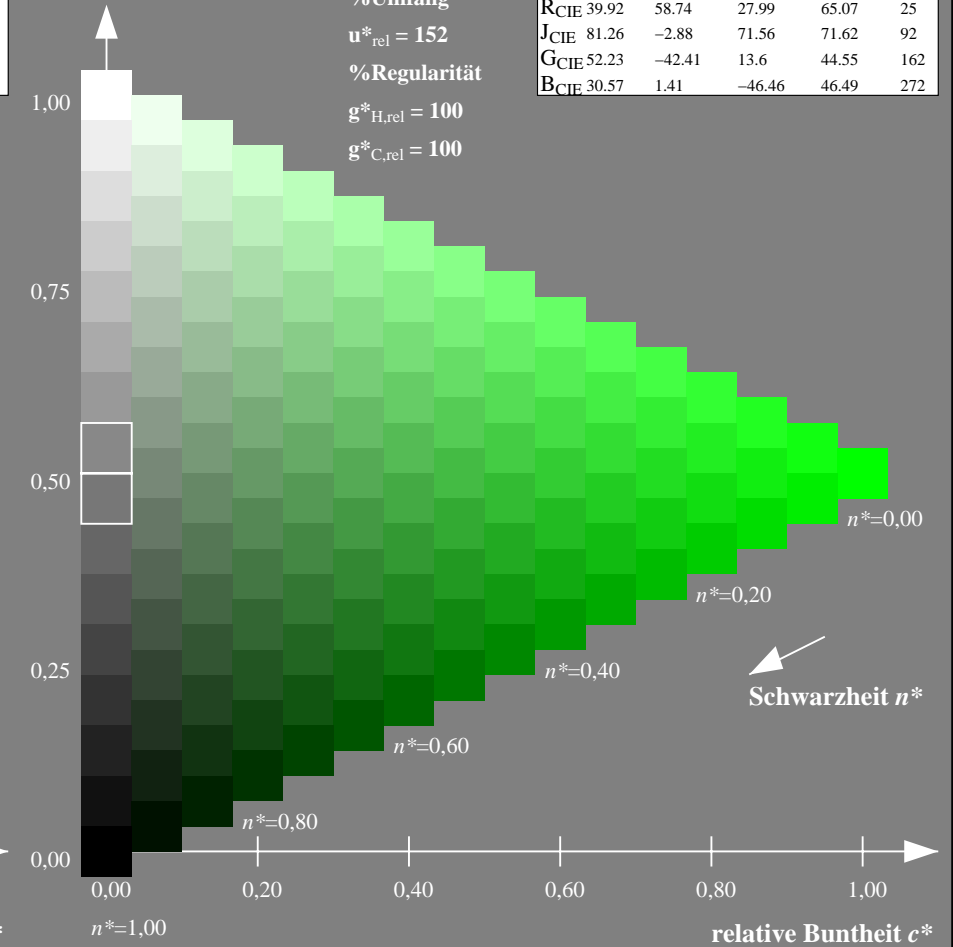
%Umfang

$u^*_{rel} = 152$

%Regularität

$g^*_{H,rel} = 100$

$g^*_{C,rel} = 100$



NG900-7, 9stufige Reihen für konstanten CIELAB Buntton $150/360 = 0.417$ (links)

16stufige Reihen für konstanten CIELAB Buntton $150/360 = 0.417$ (rechts)

Eingabe: Farbmetrisches Natürliches-Reflektiv-System NRS18

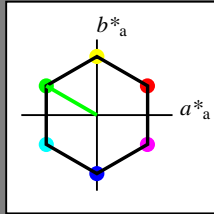
für Buntton $h^* = lab^*h = 150/360 = 0.417$

lab^*tch und lab^*nch

D65: Buntton L

LCH*Ma: 44 77 150

olv*Ma: 0.0 1.0 0.0



NRS18; adaptierte CIELAB-Daten

	$L^*=L^*_a$	a^*_a	b^*_a	$C^*_{ab,a}$	$h^*_{ab,a}$
OMa	43.81	67.03	38.7	77.4	30
YMa	69.61	0.0	77.4	77.4	90
LMa	43.81	-67.02	38.7	77.4	150
CMa	69.61	-67.02	-38.69	77.4	210
VMa	43.81	0.0	-77.39	77.4	270
MMa	69.61	67.03	-38.69	77.4	330
NMa	18.01	0.0	0.0	0.0	0
WMa	95.41	0.0	0.0	0.0	0
RCIE	39.92	58.74	27.99	65.07	25
JCIE	81.26	-2.88	71.56	71.62	92
GCIE	52.23	-42.41	13.6	44.55	162
BCIE	30.57	1.41	-46.46	46.49	272

Dreiecks-Helligkeit t^*

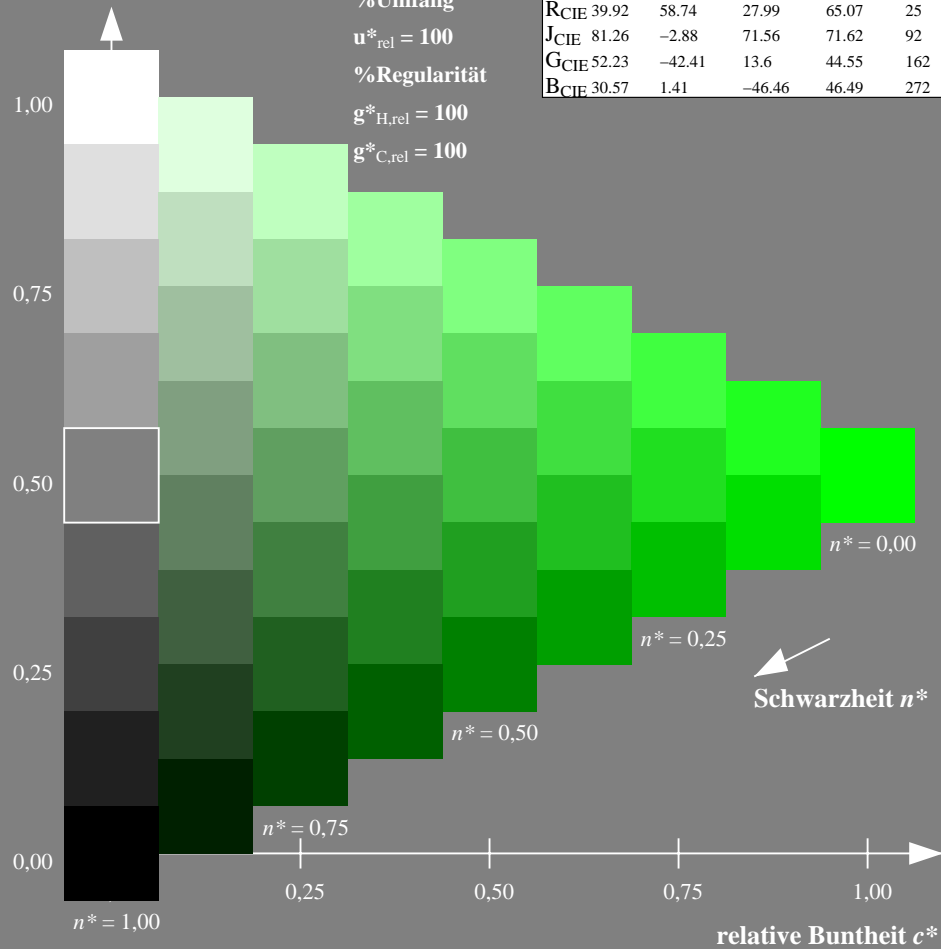
%Umfang

$u^*_{rel} = 100$

%Regularität

$g^*_{H,rel} = 100$

$g^*_{C,rel} = 100$



Schwarzheit n^*

Ausgabe: Farbmetrisches Natürliches-Reflektiv-System NRS18

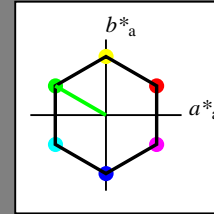
für Buntton $h^* = lab^*h = 150/360 = 0.417$

lab^*tch und lab^*nch

D65: Buntton L

LCH*Ma: 44 77 150

olv*Ma: 0.0 1.0 0.0



NRS18; adaptierte CIELAB-Daten

	$L^*=L^*_a$	a^*_a	b^*_a	$C^*_{ab,a}$	$h^*_{ab,a}$
OMa	43.81	67.03	38.7	77.4	30
YMa	69.61	0.0	77.4	77.4	90
LMa	43.81	-67.02	38.7	77.4	150
CMa	69.61	-67.02	-38.69	77.4	210
VMa	43.81	0.0	-77.39	77.4	270
MMa	69.61	67.03	-38.69	77.4	330
NMa	18.01	0.0	0.0	0.0	0
WMa	95.41	0.0	0.0	0.0	0
RCIE	39.92	58.74	27.99	65.07	25
JCIE	81.26	-2.88	71.56	71.62	92
GCIE	52.23	-42.41	13.6	44.55	162
BCIE	30.57	1.41	-46.46	46.49	272

Dreiecks-Helligkeit t^*

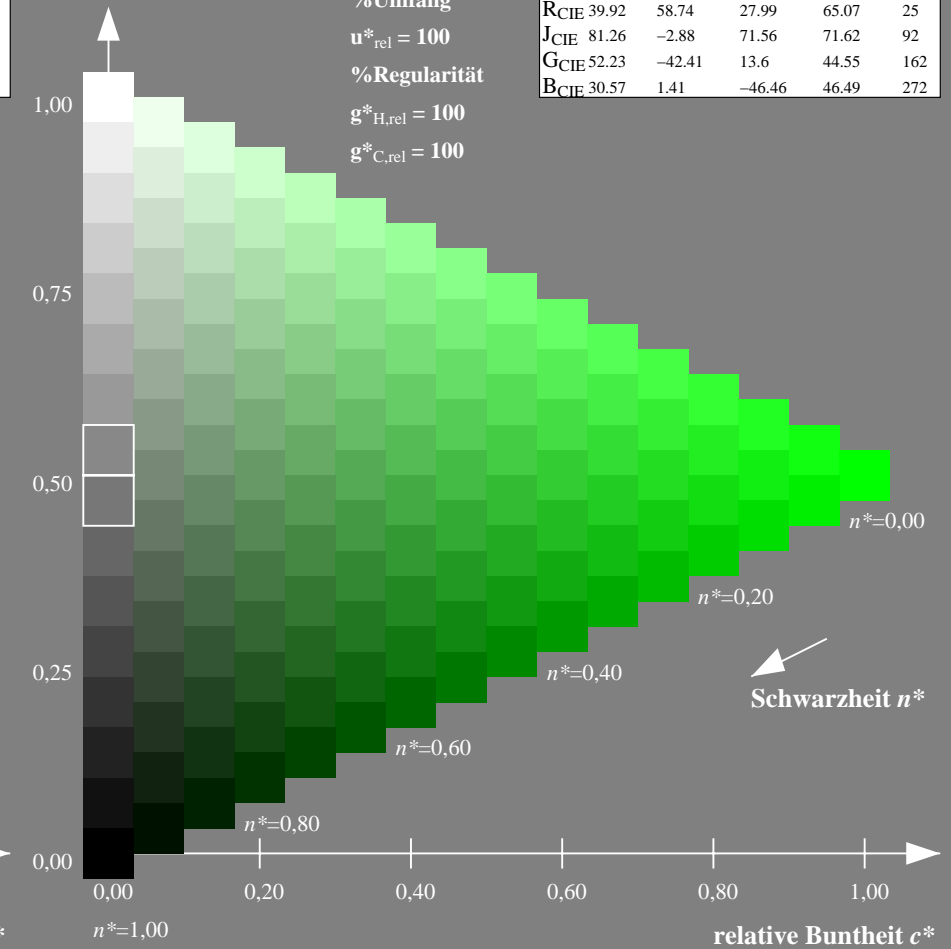
%Umfang

$u^*_{rel} = 100$

%Regularität

$g^*_{H,rel} = 100$

$g^*_{C,rel} = 100$



Schwarzheit n^*

NG900-7, 9stufige Reihen für konstanten CIELAB Buntton $150/360 = 0.417$ (links)

16stufige Reihen für konstanten CIELAB Buntton $150/360 = 0.417$ (rechts)

Eingabe: Farbmetrisches Natürliches-Reflektiv-System NRS18

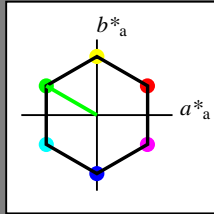
für Buntton $h^* = lab^*h = 150/360 = 0.417$

lab^*tch und lab^*nch

D65: Buntton L

LCH*Ma: 44 77 150

olv*Ma: 0.0 1.0 0.0



NRS18; adaptierte CIELAB-Daten

	$L^*=L^*_a$	a^*_a	b^*_a	$C^*_{ab,a}$	$h^*_{ab,a}$
OMa	43.81	67.03	38.7	77.4	30
YMa	69.61	0.0	77.4	77.4	90
LMa	43.81	-67.02	38.7	77.4	150
CMa	69.61	-67.02	-38.69	77.4	210
VMa	43.81	0.0	-77.39	77.4	270
MMa	69.61	67.03	-38.69	77.4	330
NMa	18.01	0.0	0.0	0.0	0
WMa	95.41	0.0	0.0	0.0	0
RCIE	39.92	58.74	27.99	65.07	25
JCIE	81.26	-2.88	71.56	71.62	92
GCIE	52.23	-42.41	13.6	44.55	162
BCIE	30.57	1.41	-46.46	46.49	272

Dreiecks-Helligkeit t^*

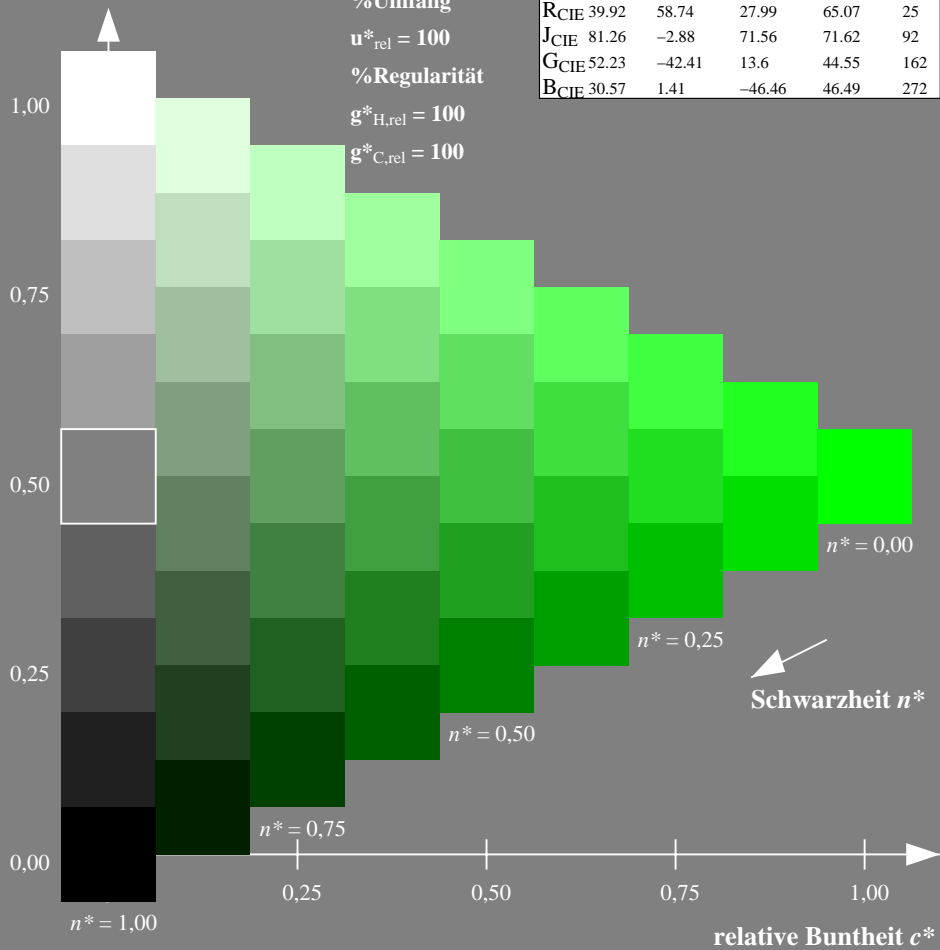
%Umfang

$u^*_{rel} = 100$

%Regularität

$g^*_{H,rel} = 100$

$g^*_{C,rel} = 100$



Ausgabe: Farbmetrisches Standard-Reflektiv-System SRS18

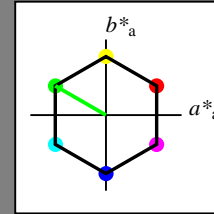
für Buntton $h^* = lab^*h = 150/360 = 0.417$

lab^*tch und lab^*nch

D65: Buntton L

LCH*Ma: 57 77 150

olv*Ma: 0.0 1.0 0.0



SRS18; adaptierte CIELAB-Daten

	$L^*=L^*_a$	a^*_a	b^*_a	$C^*_{ab,a}$	$h^*_{ab,a}$
OMa	56.71	67.03	38.7	77.4	30
YMa	56.71	0.0	77.4	77.4	90
LMa	56.71	-67.02	38.7	77.4	150
CMa	56.71	-67.02	-38.69	77.4	210
VMa	56.71	0.0	-77.39	77.4	270
MMa	56.71	67.03	-38.69	77.4	330
NMa	18.01	0.0	0.0	0.0	0
WMa	95.41	0.0	0.0	0.0	0
RCIE	39.92	58.74	27.99	65.07	25
JCIE	81.26	-2.88	71.56	71.62	92
GCIE	52.23	-42.41	13.6	44.55	162
BCIE	30.57	1.41	-46.46	46.49	272

Dreiecks-Helligkeit t^*

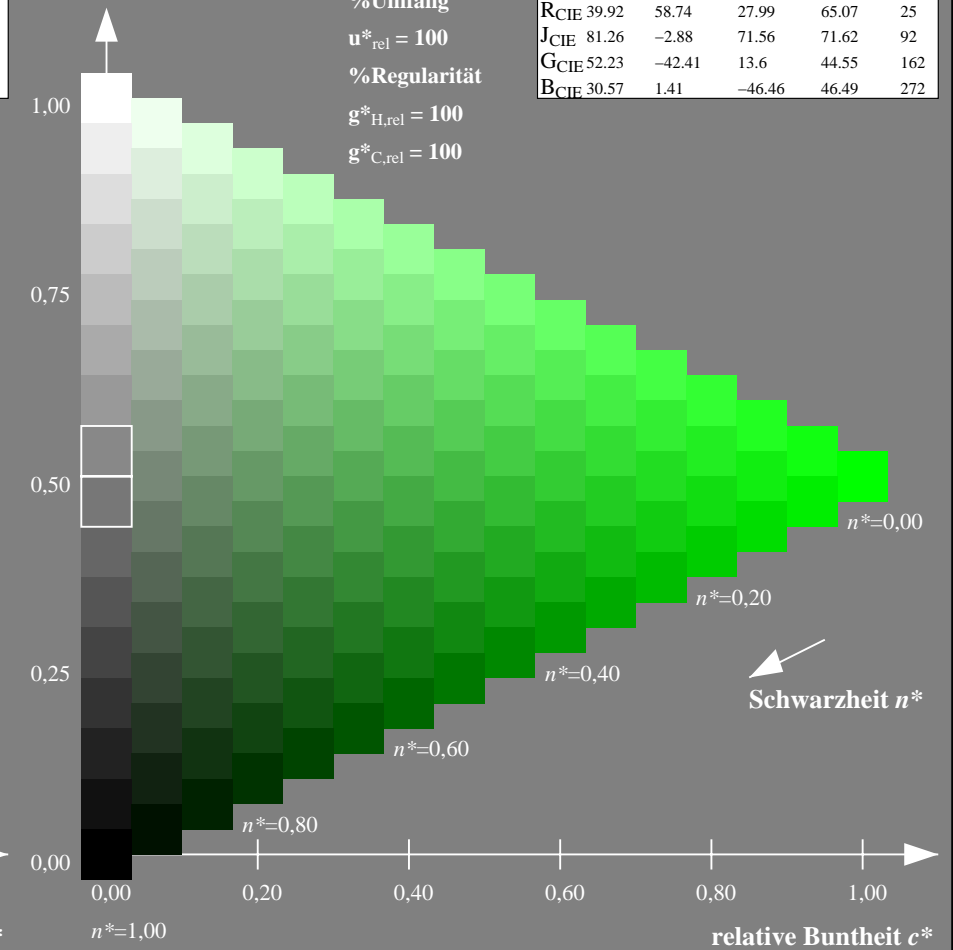
%Umfang

$u^*_{rel} = 100$

%Regularität

$g^*_{H,rel} = 100$

$g^*_{C,rel} = 100$



NG900-7, 9stufige Reihen für konstanten CIELAB Buntton 150/360 = 0.417 (links)

16stufige Reihen für konstanten CIELAB Buntton 150/360 = 0.417 (rechts)

Eingabe: Farbmetrisches Natürliches-Reflektiv-System NRS18

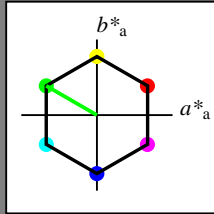
für Buntton $h^* = lab^*h = 150/360 = 0.417$

lab^*tch und lab^*nch

D65: Buntton L

LCH*Ma: 44 77 150

olv*Ma: 0.0 1.0 0.0



NRS18; adaptierte CIELAB-Daten

	$L^*=L^*_a$	a^*_a	b^*_a	$C^*_{ab,a}$	$h^*_{ab,a}$
O _{Ma}	43.81	67.03	38.7	77.4	30
Y _{Ma}	69.61	0.0	77.4	77.4	90
L _{Ma}	43.81	-67.02	38.7	77.4	150
C _{Ma}	69.61	-67.02	-38.69	77.4	210
V _{Ma}	43.81	0.0	-77.39	77.4	270
M _{Ma}	69.61	67.03	-38.69	77.4	330
N _{Ma}	18.01	0.0	0.0	0.0	0
W _{Ma}	95.41	0.0	0.0	0.0	0
R _{CIE}	39.92	58.74	27.99	65.07	25
J _{CIE}	81.26	-2.88	71.56	71.62	92
G _{CIE}	52.23	-42.41	13.6	44.55	162
B _{CIE}	30.57	1.41	-46.46	46.49	272

Dreiecks-Helligkeit t^*

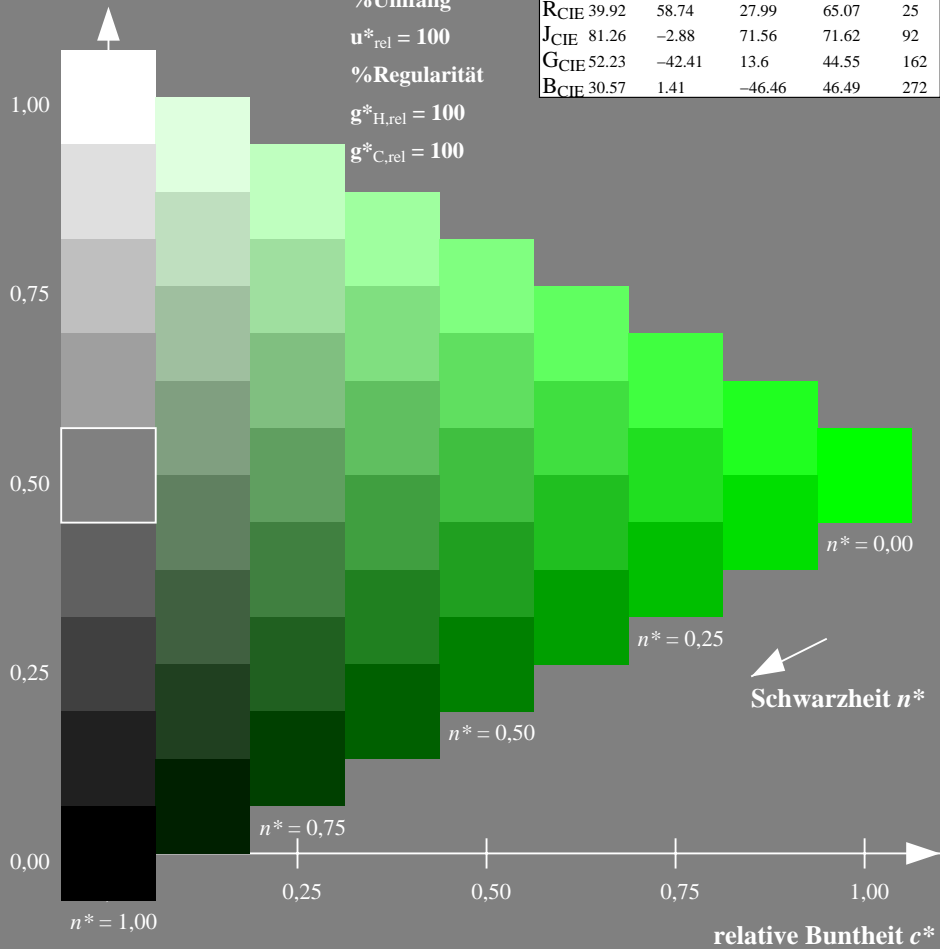
%Umfang

$u^*_{rel} = 100$

%Regularität

$g^*_{H,rel} = 100$

$g^*_{C,rel} = 100$



Ausgabe: Farbmetrisches Fernseh-Licht-System TLS70

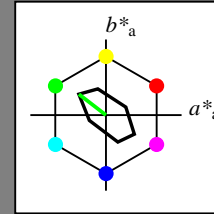
für Buntton $h^* = lab^*h = 142/360 = 0.395$

lab^*tch und lab^*nch

D65: Buntton L

LCH*Ma: 89 45 142

olv*Ma: 0.0 1.0 0.0



TLS70; adaptierte CIELAB-Daten

	$L^*=L^*_a$	a^*_a	b^*_a	$C^*_{ab,a}$	$h^*_{ab,a}$
O _{Ma}	76.43	26.27	10.57	28.32	22
Y _{Ma}	93.93	-10.76	34.63	36.27	107
L _{Ma}	89.32	-35.8	27.64	45.24	142
C _{Ma}	90.93	-21.95	-7.07	23.07	198
V _{Ma}	72.1	15.76	-35.63	38.97	294
M _{Ma}	78.5	37.52	-25.23	45.22	326
N _{Ma}	69.7	0.0	0.0	0.0	0
W _{Ma}	95.41	0.0	0.0	0.0	0
R _{CIE}	39.92	58.74	27.99	65.07	25
J _{CIE}	81.26	-2.88	71.56	71.62	92
G _{CIE}	52.23	-42.41	13.6	44.55	162
B _{CIE}	30.57	1.41	-46.46	46.49	272

Dreiecks-Helligkeit t^*

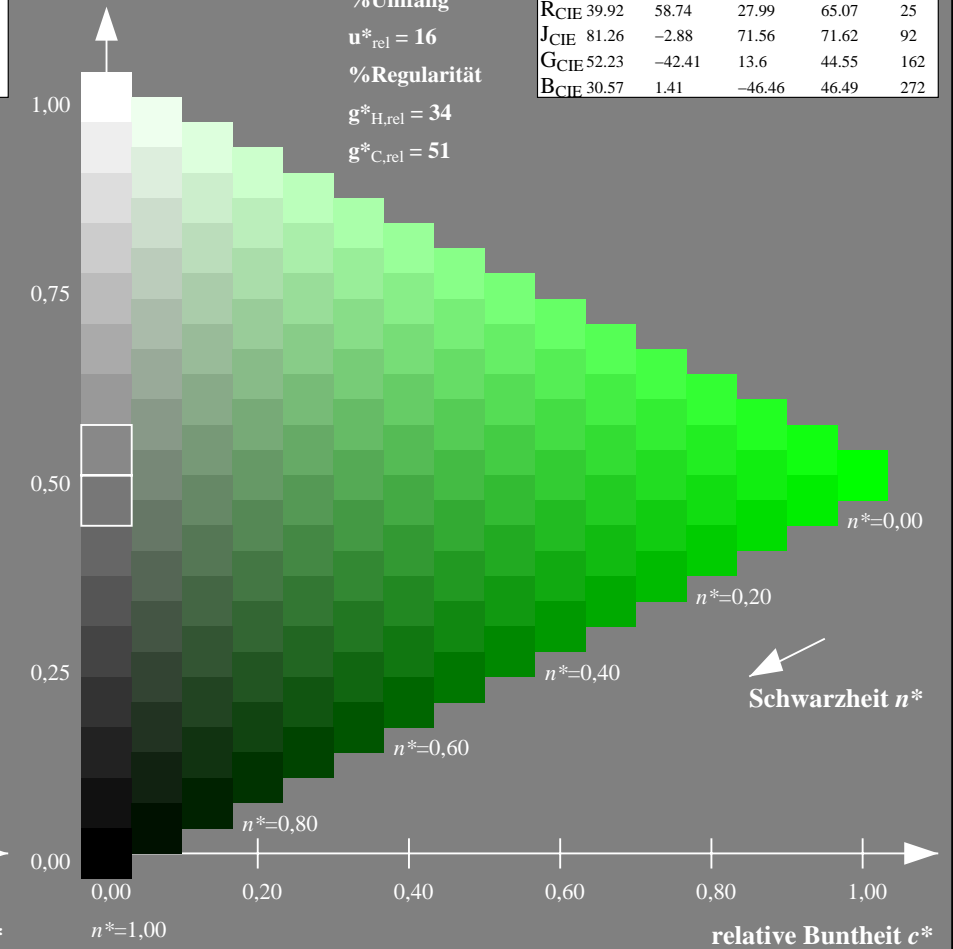
%Umfang

$u^*_{rel} = 16$

%Regularität

$g^*_{H,rel} = 34$

$g^*_{C,rel} = 51$



NG900-7, 9stufige Reihen für konstanten CIELAB Buntton $150/360 = 0.417$ (links)

16stufige Reihen für konstanten CIELAB Buntton $142/360 = 0.395$ (rechts)

Eingabe: Farbmetrisches Standard-Reflektiv-System SRS18

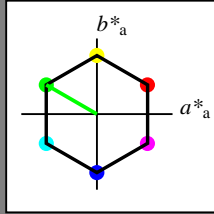
für Buntton $h^* = lab^*h = 150/360 = 0.417$

lab^*tch und lab^*nch

D65: Buntton L

LCH*Ma: 57 77 150

olv*Ma: 0.0 1.0 0.0



SRS18; adaptierte CIELAB-Daten

	$L^*=L^*_a$	a^*_a	b^*_a	$C^*_{ab,a}$	$h^*_{ab,a}$
O _{Ma}	56.71	67.03	38.7	77.4	30
Y _{Ma}	56.71	0.0	77.4	77.4	90
L _{Ma}	56.71	-67.02	38.7	77.4	150
C _{Ma}	56.71	-67.02	-38.69	77.4	210
V _{Ma}	56.71	0.0	-77.39	77.4	270
M _{Ma}	56.71	67.03	-38.69	77.4	330
N _{Ma}	18.01	0.0	0.0	0.0	0
W _{Ma}	95.41	0.0	0.0	0.0	0
R _{CIE}	39.92	58.74	27.99	65.07	25
J _{CIE}	81.26	-2.88	71.56	71.62	92
G _{CIE}	52.23	-42.41	13.6	44.55	162
B _{CIE}	30.57	1.41	-46.46	46.49	272

Dreiecks-Helligkeit t^*

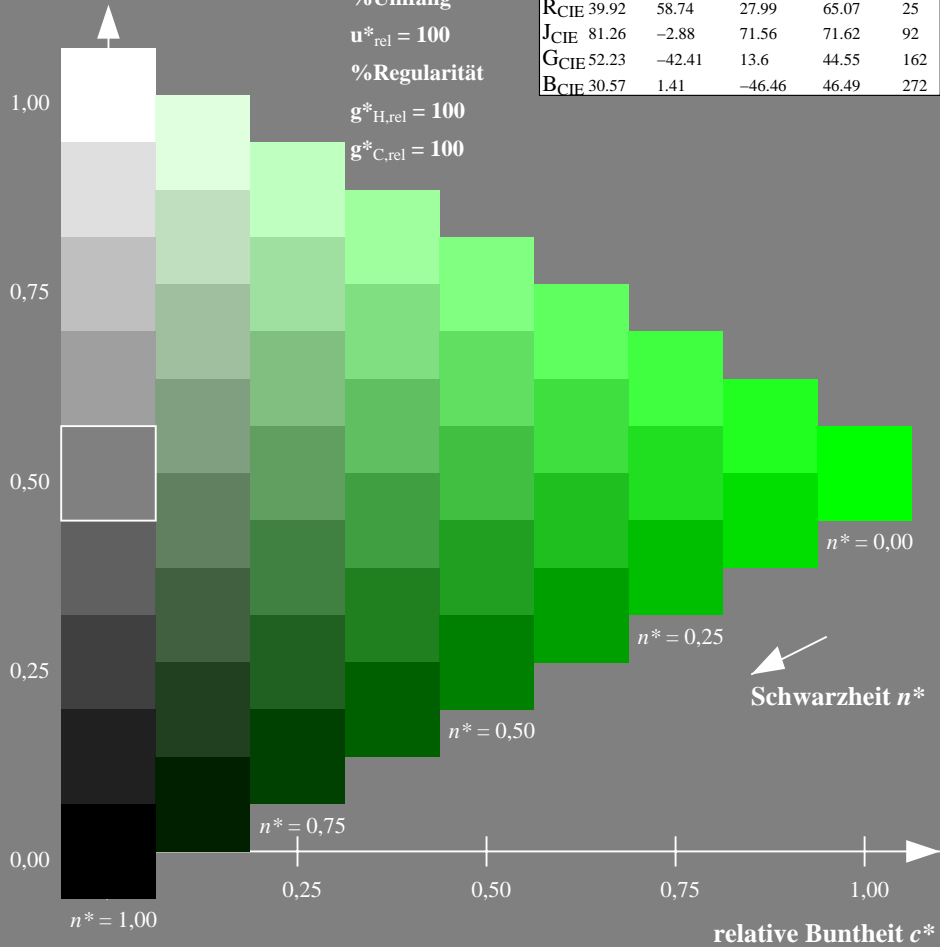
%Umfang

$u^*_{rel} = 100$

%Regularität

$g^*_{H,rel} = 100$

$g^*_{C,rel} = 100$



Ausgabe: Farbmetrisches Offset-Reflektiv-System ORS18

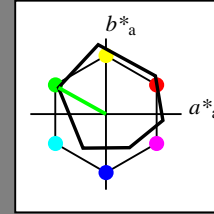
für Buntton $h^* = lab^*h = 151/360 = 0.419$

lab^*tch und lab^*nch

D65: Buntton L

LCH*Ma: 51 72 151

olv*Ma: 0.0 1.0 0.0



ORS18; adaptierte CIELAB-Daten

	$L^*=L^*_a$	a^*_a	b^*_a	$C^*_{ab,a}$	$h^*_{ab,a}$
O _{Ma}	47.94	65.39	50.52	82.63	38
Y _{Ma}	90.37	-10.26	91.75	92.32	96
L _{Ma}	50.9	-62.83	34.96	71.91	151
C _{Ma}	58.62	-30.34	-45.01	54.3	236
V _{Ma}	25.72	31.1	-44.4	54.22	305
M _{Ma}	48.13	75.28	-8.36	75.74	354
N _{Ma}	18.01	0.0	0.0	0.0	0
W _{Ma}	95.41	0.0	0.0	0.0	0
R _{CIE}	39.92	58.66	26.98	64.57	25
J _{CIE}	81.26	-2.16	67.76	67.79	92
G _{CIE}	52.23	-42.25	11.76	43.87	164
B _{CIE}	30.57	1.15	-46.84	46.86	271

Dreiecks-Helligkeit t^*

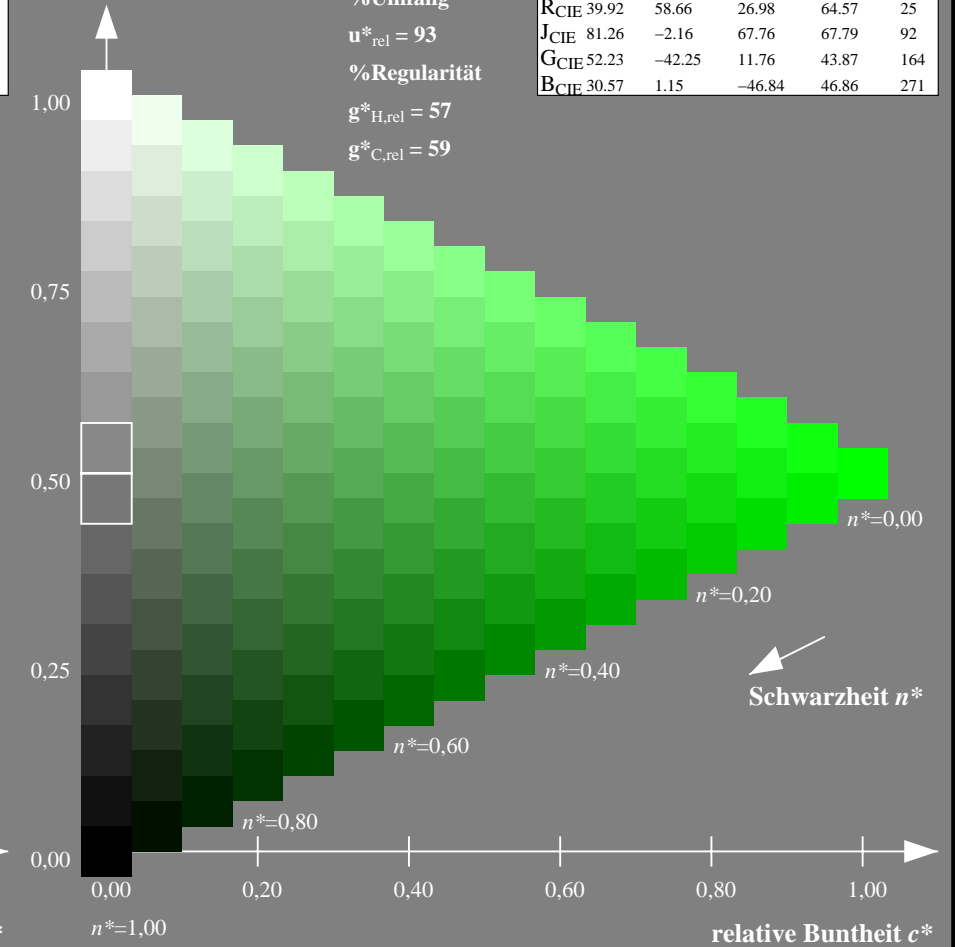
%Umfang

$u^*_{rel} = 93$

%Regularität

$g^*_{H,rel} = 57$

$g^*_{C,rel} = 59$



NG900-7, 9stufige Reihen für konstanten CIELAB Buntton 150/360 = 0.417 (links)

16stufige Reihen für konstanten CIELAB Buntton 151/360 = 0.419 (rechts)

Eingabe: Farbmetrisches Standard-Reflektiv-System SRS18

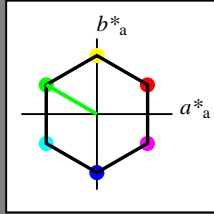
für Buntton $h^* = lab^*h = 150/360 = 0.417$

lab^*tch und lab^*nch

D65: Buntton L

LCH*Ma: 57 77 150

olv*Ma: 0.0 1.0 0.0



SRS18; adaptierte CIELAB-Daten

	$L^*=L^*_a$	a^*_a	b^*_a	$C^*_{ab,a}$	$h^*_{ab,a}$
O _{Ma}	56.71	67.03	38.7	77.4	30
Y _{Ma}	56.71	0.0	77.4	77.4	90
L _{Ma}	56.71	-67.02	38.7	77.4	150
C _{Ma}	56.71	-67.02	-38.69	77.4	210
V _{Ma}	56.71	0.0	-77.39	77.4	270
M _{Ma}	56.71	67.03	-38.69	77.4	330
N _{Ma}	18.01	0.0	0.0	0.0	0
W _{Ma}	95.41	0.0	0.0	0.0	0
R _{CIE}	39.92	58.74	27.99	65.07	25
J _{CIE}	81.26	-2.88	71.56	71.62	92
G _{CIE}	52.23	-42.41	13.6	44.55	162
B _{CIE}	30.57	1.41	-46.46	46.49	272

Dreiecks-Helligkeit t^*

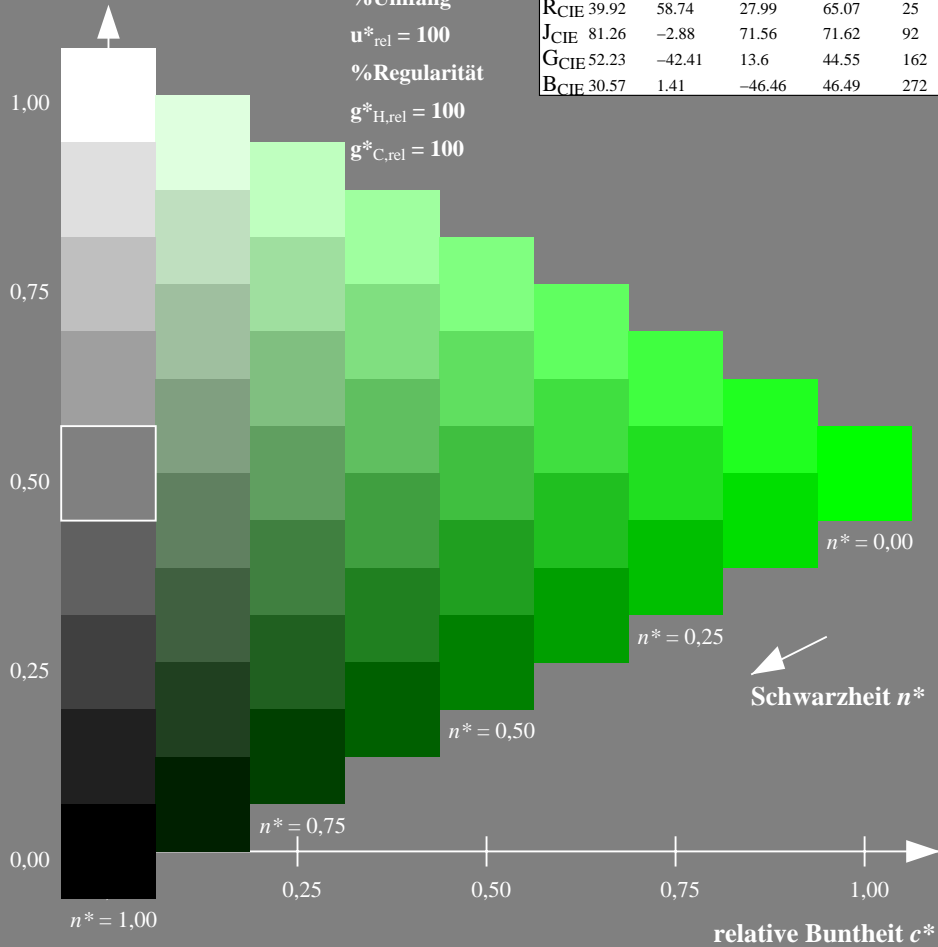
%Umfang

$u^*_{rel} = 100$

%Regularität

$g^*_{H,rel} = 100$

$g^*_{C,rel} = 100$



Ausgabe: Farbmetrisches Fernseh-Licht-System TLS00

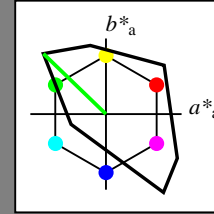
für Buntton $h^* = lab^*h = 136/360 = 0.378$

lab^*tch und lab^*nch

D65: Buntton L

LCH*Ma: 84 115 136

olv*Ma: 0.0 1.0 0.0



TLS00; adaptierte CIELAB-Daten

	$L^*=L^*_a$	a^*_a	b^*_a	$C^*_{ab,a}$	$h^*_{ab,a}$
O _{Ma}	50.5	76.92	64.55	100.42	40
Y _{Ma}	92.66	-20.69	90.75	93.08	103
L _{Ma}	83.63	-82.75	79.9	115.04	136
C _{Ma}	86.88	-46.16	-13.55	48.12	196
V _{Ma}	30.39	76.06	-103.59	128.52	306
M _{Ma}	57.3	94.35	-58.41	110.97	328
N _{Ma}	0.01	0.0	0.0	0.0	0
W _{Ma}	95.41	0.0	0.0	0.0	0
R _{CIE}	39.92	58.74	27.99	65.07	25
J _{CIE}	81.26	-2.88	71.56	71.62	92
G _{CIE}	52.23	-42.41	13.6	44.55	162
B _{CIE}	30.57	1.41	-46.46	46.49	272

Dreiecks-Helligkeit t^*

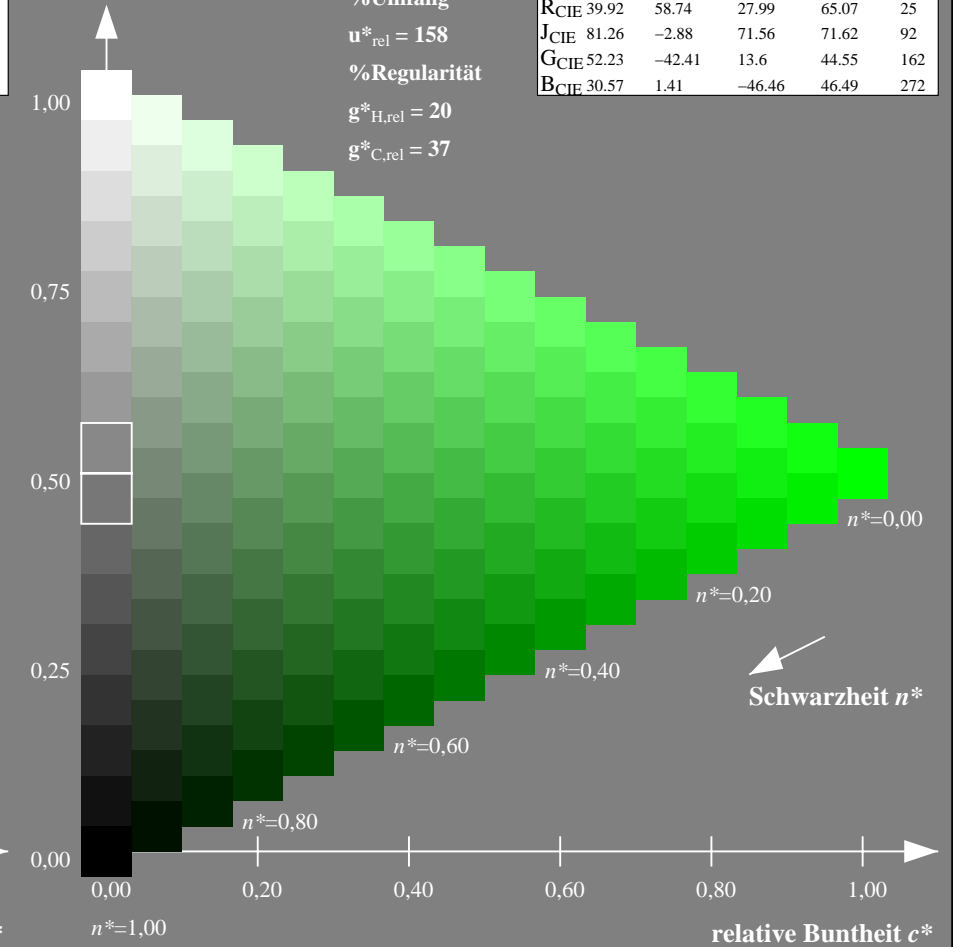
%Umfang

$u^*_{rel} = 158$

%Regularität

$g^*_{H,rel} = 20$

$g^*_{C,rel} = 37$



NG900-7, 9stufige Reihen für konstanten CIELAB Buntton $150/360 = 0.417$ (links)

16stufige Reihen für konstanten CIELAB Buntton $136/360 = 0.378$ (rechts)

Eingabe: Farbmetrisches Standard-Reflektiv-System SRS18

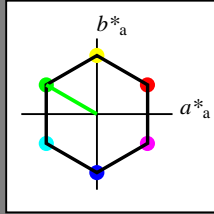
für Buntton $h^* = lab^*h = 150/360 = 0.417$

lab^*tch und lab^*nch

D65: Buntton L

LCH*Ma: 57 77 150

olv*Ma: 0.0 1.0 0.0



SRS18; adaptierte CIELAB-Daten

	$L^*=L^*_a$	a^*_a	b^*_a	$C^*_{ab,a}$	$h^*_{ab,a}$
OMa	56.71	67.03	38.7	77.4	30
YMa	56.71	0.0	77.4	77.4	90
LMa	56.71	-67.02	38.7	77.4	150
CMa	56.71	-67.02	-38.69	77.4	210
VMa	56.71	0.0	-77.39	77.4	270
MMa	56.71	67.03	-38.69	77.4	330
NMa	18.01	0.0	0.0	0.0	0
WMa	95.41	0.0	0.0	0.0	0
RCIE	39.92	58.74	27.99	65.07	25
JCIE	81.26	-2.88	71.56	71.62	92
GCIE	52.23	-42.41	13.6	44.55	162
BCIE	30.57	1.41	-46.46	46.49	272

Dreiecks-Helligkeit t^*

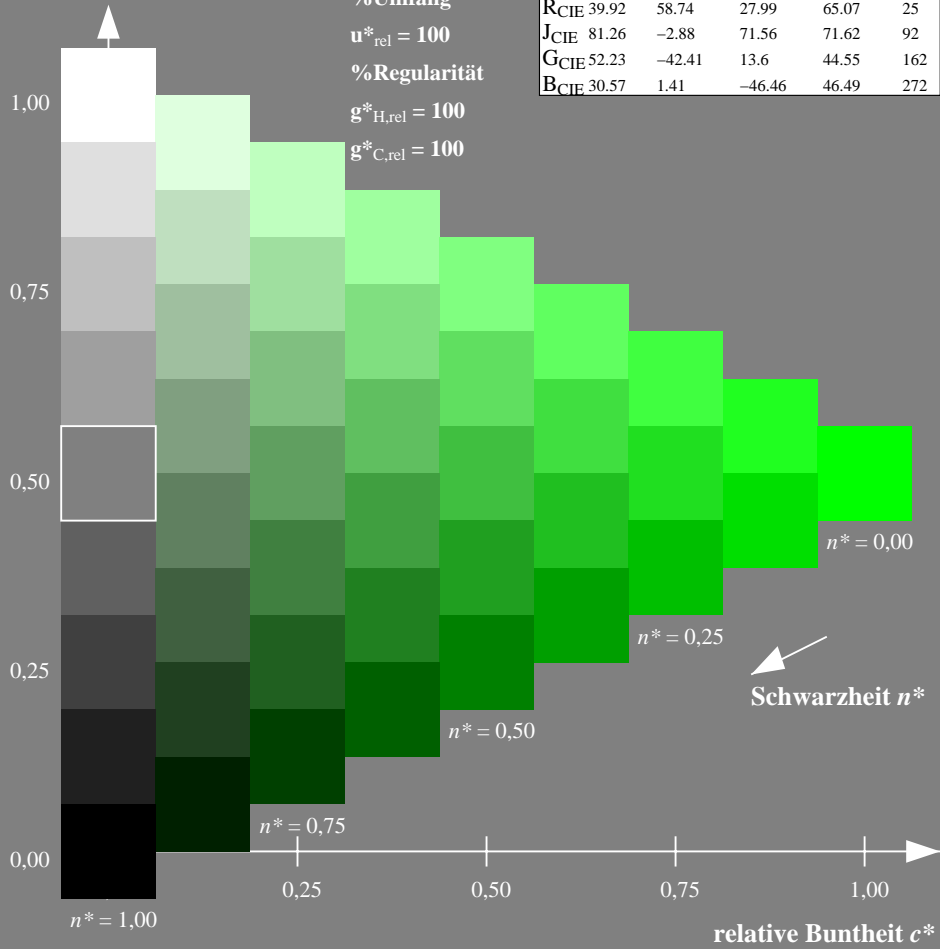
%Umfang

$u^*_{rel} = 100$

%Regularität

$g^*_{H,rel} = 100$

$g^*_{C,rel} = 100$



Ausgabe: Farbmetrisches Drucker-Reflektiv-System DRSXX

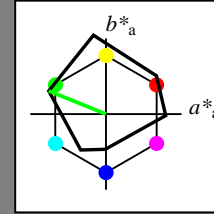
für Buntton $h^* = lab^*h = 158/360 = 0.439$

lab^*tch und lab^*nch

D65: Buntton L

LCH*Ma: 48 82 158

olv*Ma: 0.0 1.0 0.0



DRSXX; adaptierte CIELAB-Daten

	$L^*=L^*_a$	a^*_a	b^*_a	$C^*_{ab,a}$	$h^*_{ab,a}$
OMa	42.21	66.82	50.6	83.82	37
YMa	90.32	-16.51	104.33	105.63	99
LMa	48.21	-75.63	30.65	81.61	158
CMa	53.44	-33.33	-47.49	58.03	235
VMa	34.16	-0.92	-46.56	46.58	269
MMa	42.71	79.0	-1.95	79.03	359
NMa	16.56	0.0	0.0	0.0	0
WMa	96.31	0.0	0.0	0.0	0
RCIE	39.92	59.78	25.77	65.1	23
JCIE	81.26	-2.51	69.07	69.11	92
GCIE	52.23	-41.57	11.3	43.09	165
BCIE	30.57	2.6	-48.62	48.7	273

Dreiecks-Helligkeit t^*

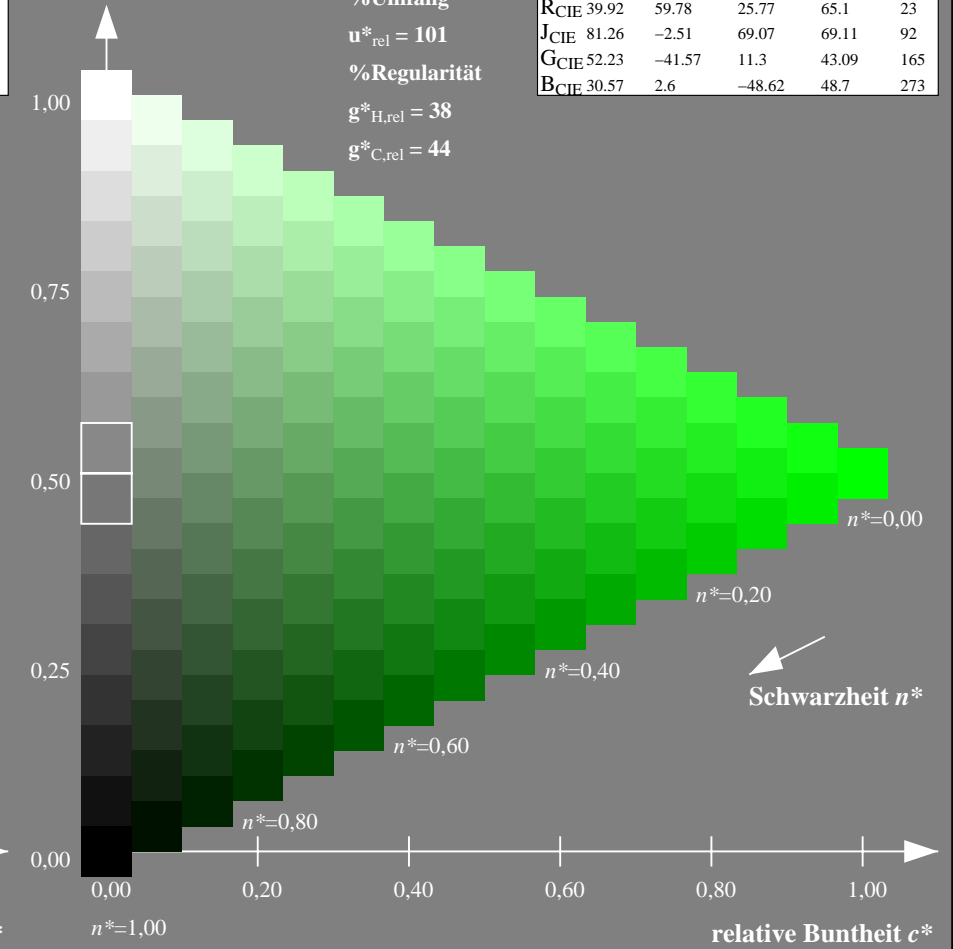
%Umfang

$u^*_{rel} = 101$

%Regularität

$g^*_{H,rel} = 38$

$g^*_{C,rel} = 44$



NG900-7, 9stufige Reihen für konstanten CIELAB Buntton $150/360 = 0.417$ (links)

16stufige Reihen für konstanten CIELAB Buntton $158/360 = 0.439$ (rechts)

Eingabe: Farbmetrisches Standard-Reflektiv-System SRS18

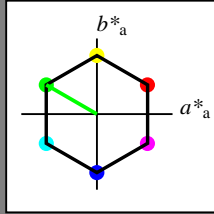
für Buntton $h^* = lab^*h = 150/360 = 0.417$

lab^*tch und lab^*nch

D65: Buntton L

LCH*Ma: 57 77 150

olv*Ma: 0.0 1.0 0.0



SRS18; adaptierte CIELAB-Daten

	$L^*=L^*_a$	a^*_a	b^*_a	$C^*_{ab,a}$	$h^*_{ab,a}$
OMa	56.71	67.03	38.7	77.4	30
YMa	56.71	0.0	77.4	77.4	90
LMa	56.71	-67.02	38.7	77.4	150
CMa	56.71	-67.02	-38.69	77.4	210
VMa	56.71	0.0	-77.39	77.4	270
MMa	56.71	67.03	-38.69	77.4	330
NMa	18.01	0.0	0.0	0.0	0
WMa	95.41	0.0	0.0	0.0	0
RCIE	39.92	58.74	27.99	65.07	25
JCIE	81.26	-2.88	71.56	71.62	92
GCIE	52.23	-42.41	13.6	44.55	162
BCIE	30.57	1.41	-46.46	46.49	272

Dreiecks-Helligkeit t^*

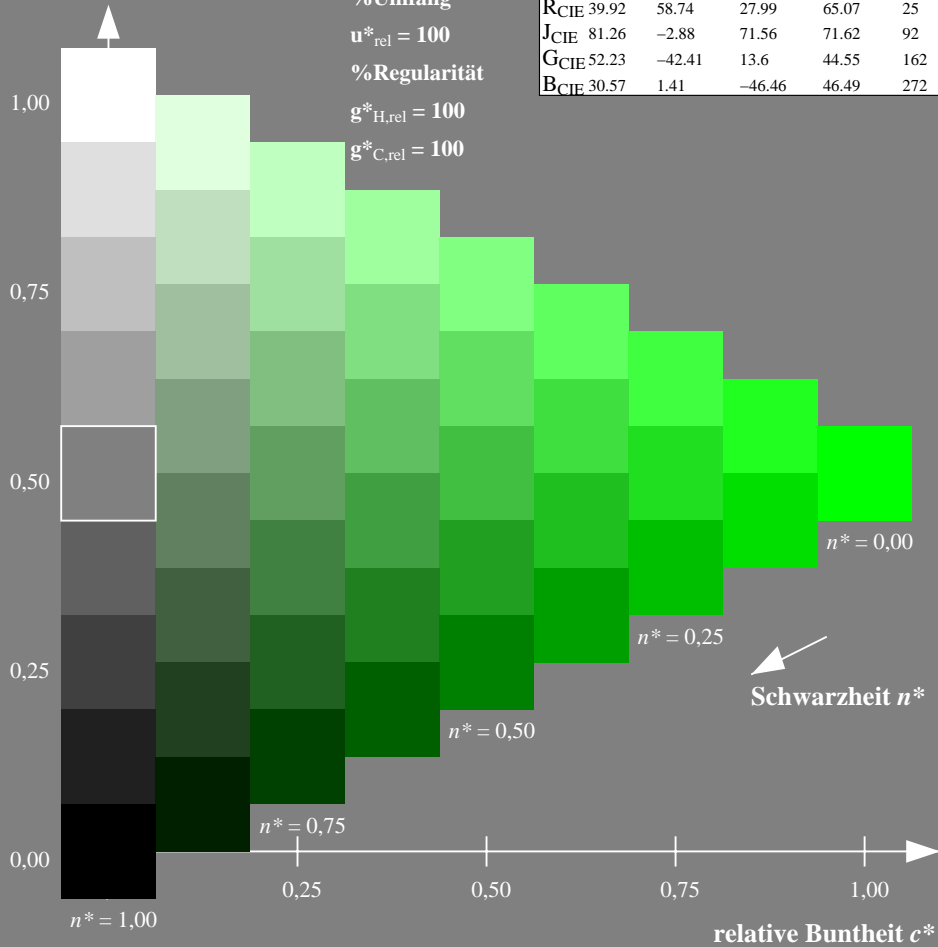
%Umfang

$u^*_{rel} = 100$

%Regularität

$g^*_{H,rel} = 100$

$g^*_{C,rel} = 100$



Ausgabe: Farbmetrisches Fernseh-Licht-System TLS18

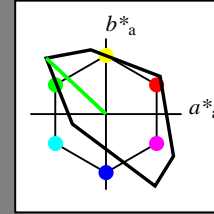
für Buntton $h^* = lab^*h = 137/360 = 0.38$

lab^*tch und lab^*nch

D65: Buntton L

LCH*Ma: 84 108 137

olv*Ma: 0.0 1.0 0.0



TLS18; adaptierte CIELAB-Daten

	$L^*=L^*_a$	a^*_a	b^*_a	$C^*_{ab,a}$	$h^*_{ab,a}$
OMa	52.76	71.63	49.88	87.29	35
YMa	92.74	-20.02	84.97	87.3	103
LMa	84.0	-78.98	73.94	108.2	137
CMa	87.14	-44.41	-13.11	46.32	196
VMa	35.47	64.92	-95.06	115.12	304
MMa	59.01	89.33	-55.67	105.26	328
NMa	18.01	0.0	0.0	0.0	0
WMa	95.41	0.0	0.0	0.0	0
RCIE	39.92	58.74	27.99	65.07	25
JCIE	81.26	-2.88	71.56	71.62	92
GCIE	52.23	-42.41	13.6	44.55	162
BCIE	30.57	1.41	-46.46	46.49	272

Dreiecks-Helligkeit t^*

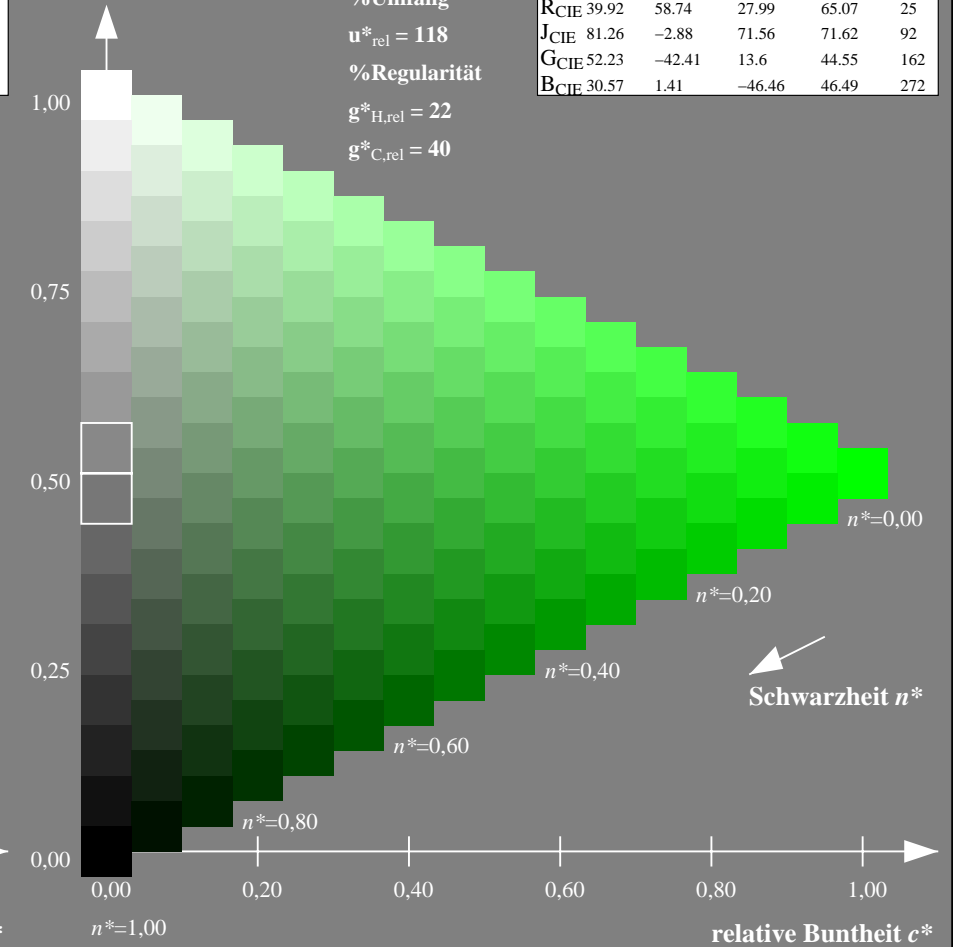
%Umfang

$u^*_{rel} = 118$

%Regularität

$g^*_{H,rel} = 22$

$g^*_{C,rel} = 40$



NG900-7, 9stufige Reihen für konstanten CIELAB Buntton $150/360 = 0.417$ (links)

16stufige Reihen für konstanten CIELAB Buntton $137/360 = 0.38$ (rechts)

Eingabe: Farbmetrisches Standard-Reflektiv-System SRS18

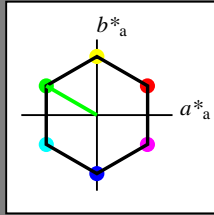
für Buntton $h^* = lab^*h = 150/360 = 0.417$

lab^*tch und lab^*nch

D65: Buntton L

LCH*Ma: 57 77 150

olv*Ma: 0.0 1.0 0.0



SRS18; adaptierte CIELAB-Daten

	$L^*=L^*_a$	a^*_a	b^*_a	$C^*_{ab,a}$	$h^*_{ab,a}$
OMa	56.71	67.03	38.7	77.4	30
YMa	56.71	0.0	77.4	77.4	90
LMa	56.71	-67.02	38.7	77.4	150
CMa	56.71	-67.02	-38.69	77.4	210
VMa	56.71	0.0	-77.39	77.4	270
MMa	56.71	67.03	-38.69	77.4	330
NMa	18.01	0.0	0.0	0.0	0
WMa	95.41	0.0	0.0	0.0	0
RCIE	39.92	58.74	27.99	65.07	25
JCIE	81.26	-2.88	71.56	71.62	92
GCIE	52.23	-42.41	13.6	44.55	162
BCIE	30.57	1.41	-46.46	46.49	272

Dreiecks-Helligkeit t^*

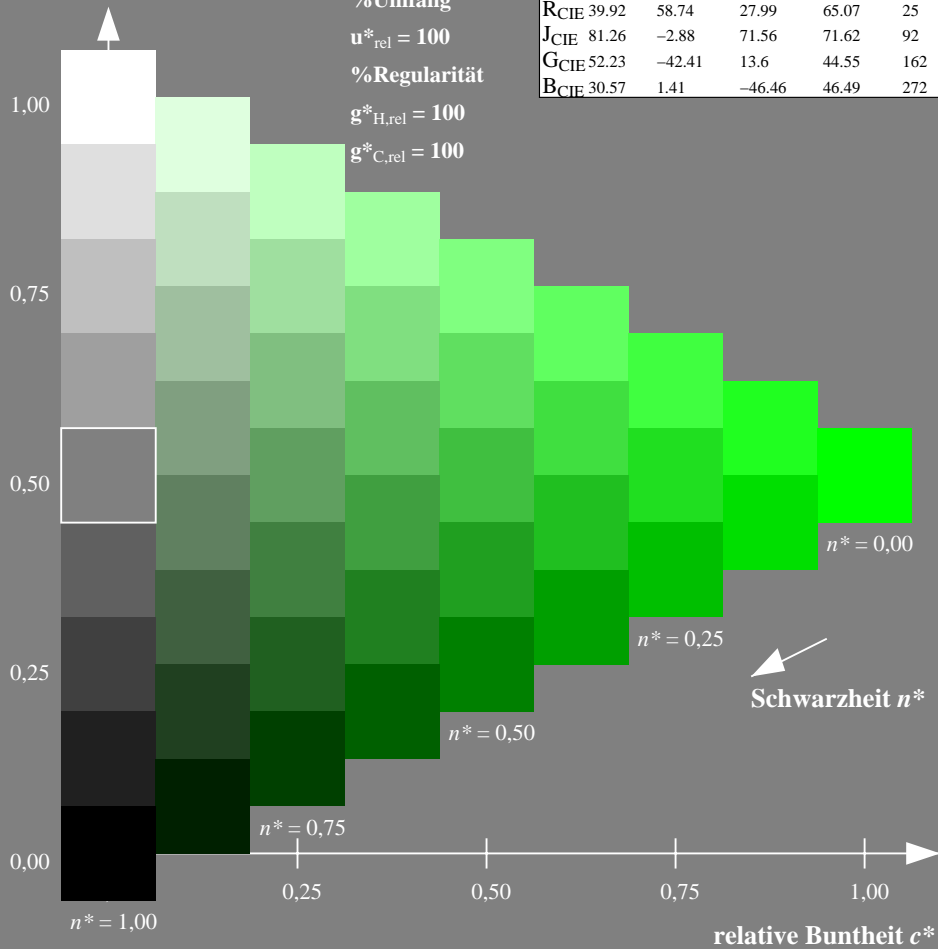
%Umfang

$u^*_{rel} = 100$

%Regularität

$g^*_{H,rel} = 100$

$g^*_{C,rel} = 100$



Ausgabe: Farbmetrisches Natürliches-Licht-System NLS00

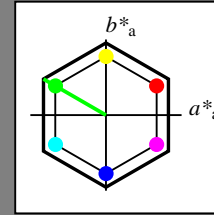
für Buntton $h^* = lab^*h = 150/360 = 0.417$

lab^*tch und lab^*nch

D65: Buntton L

LCH*Ma: 32 95 150

olv*Ma: 0.0 1.0 0.0



NLS00; adaptierte CIELAB-Daten

	$L^*=L^*_a$	a^*_a	b^*_a	$C^*_{ab,a}$	$h^*_{ab,a}$
OMa	31.81	82.62	47.7	95.4	30
YMa	63.61	0.0	95.4	95.4	90
LMa	31.81	-82.61	47.7	95.4	150
CMa	63.61	-82.61	-47.69	95.4	210
VMa	31.81	0.0	-95.39	95.4	270
MMa	63.61	82.62	-47.69	95.4	330
NMa	0.01	0.0	0.0	0.0	0
WMa	95.41	0.0	0.0	0.0	0
RCIE	39.92	58.74	27.99	65.07	25
JCIE	81.26	-2.88	71.56	71.62	92
GCIE	52.23	-42.41	13.6	44.55	162
BCIE	30.57	1.41	-46.46	46.49	272

Dreiecks-Helligkeit t^*

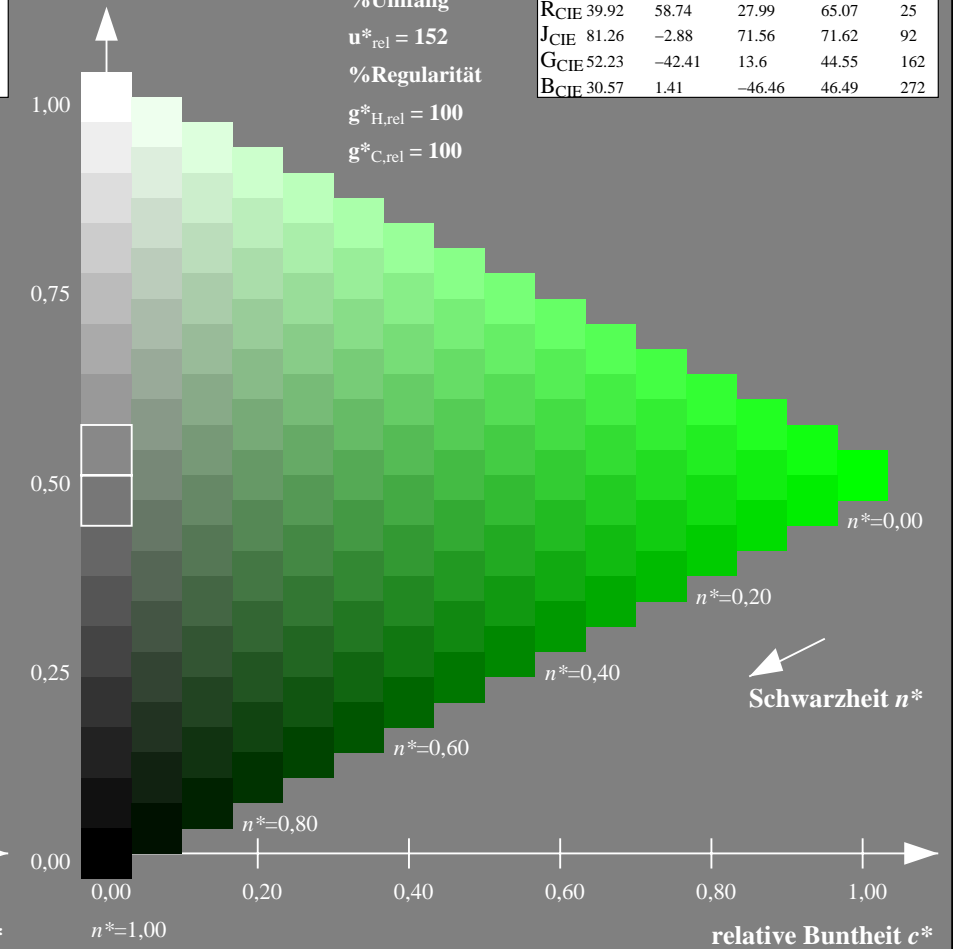
%Umfang

$u^*_{rel} = 152$

%Regularität

$g^*_{H,rel} = 100$

$g^*_{C,rel} = 100$



NG900-7, 9stufige Reihen für konstanten CIELAB Buntton $150/360 = 0.417$ (links)

16stufige Reihen für konstanten CIELAB Buntton $150/360 = 0.417$ (rechts)

Eingabe: Farbmetrisches Standard-Reflektiv-System SRS18

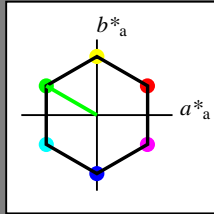
für Buntton $h^* = lab^*h = 150/360 = 0.417$

lab^*tch und lab^*nch

D65: Buntton L

LCH*Ma: 57 77 150

olv*Ma: 0.0 1.0 0.0



SRS18; adaptierte CIELAB-Daten

	$L^*=L^*_a$	a^*_a	b^*_a	$C^*_{ab,a}$	$h^*_{ab,a}$
O _{Ma}	56.71	67.03	38.7	77.4	30
Y _{Ma}	56.71	0.0	77.4	77.4	90
L _{Ma}	56.71	-67.02	38.7	77.4	150
C _{Ma}	56.71	-67.02	-38.69	77.4	210
V _{Ma}	56.71	0.0	-77.39	77.4	270
M _{Ma}	56.71	67.03	-38.69	77.4	330
N _{Ma}	18.01	0.0	0.0	0.0	0
W _{Ma}	95.41	0.0	0.0	0.0	0
R _{CIE}	39.92	58.74	27.99	65.07	25
J _{CIE}	81.26	-2.88	71.56	71.62	92
G _{CIE}	52.23	-42.41	13.6	44.55	162
B _{CIE}	30.57	1.41	-46.46	46.49	272

Dreiecks-Helligkeit t^*

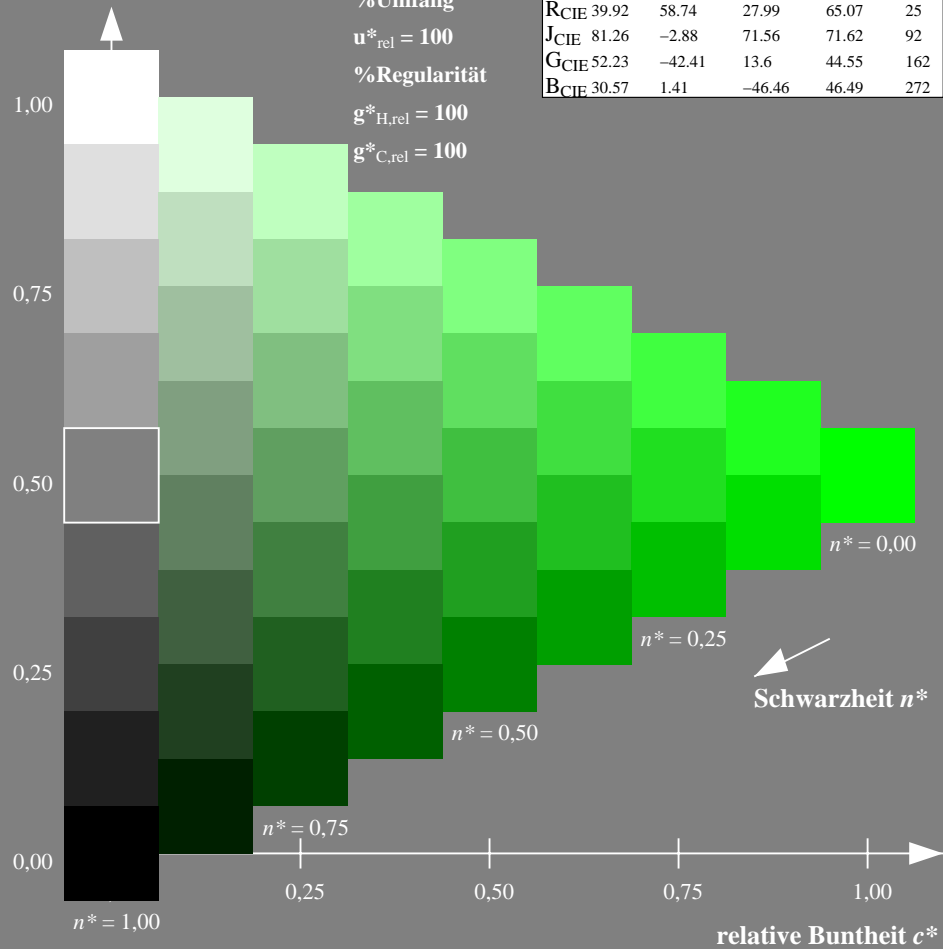
%Umfang

$u^*_{rel} = 100$

%Regularität

$g^*_{H,rel} = 100$

$g^*_{C,rel} = 100$



Ausgabe: Farbmetrisches Natürliches-Reflektiv-System NRS18

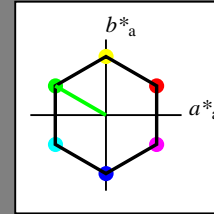
für Buntton $h^* = lab^*h = 150/360 = 0.417$

lab^*tch und lab^*nch

D65: Buntton L

LCH*Ma: 44 77 150

olv*Ma: 0.0 1.0 0.0



NRS18; adaptierte CIELAB-Daten

	$L^*=L^*_a$	a^*_a	b^*_a	$C^*_{ab,a}$	$h^*_{ab,a}$
O _{Ma}	43.81	67.03	38.7	77.4	30
Y _{Ma}	69.61	0.0	77.4	77.4	90
L _{Ma}	43.81	-67.02	38.7	77.4	150
C _{Ma}	69.61	-67.02	-38.69	77.4	210
V _{Ma}	43.81	0.0	-77.39	77.4	270
M _{Ma}	69.61	67.03	-38.69	77.4	330
N _{Ma}	18.01	0.0	0.0	0.0	0
W _{Ma}	95.41	0.0	0.0	0.0	0
R _{CIE}	39.92	58.74	27.99	65.07	25
J _{CIE}	81.26	-2.88	71.56	71.62	92
G _{CIE}	52.23	-42.41	13.6	44.55	162
B _{CIE}	30.57	1.41	-46.46	46.49	272

Dreiecks-Helligkeit t^*

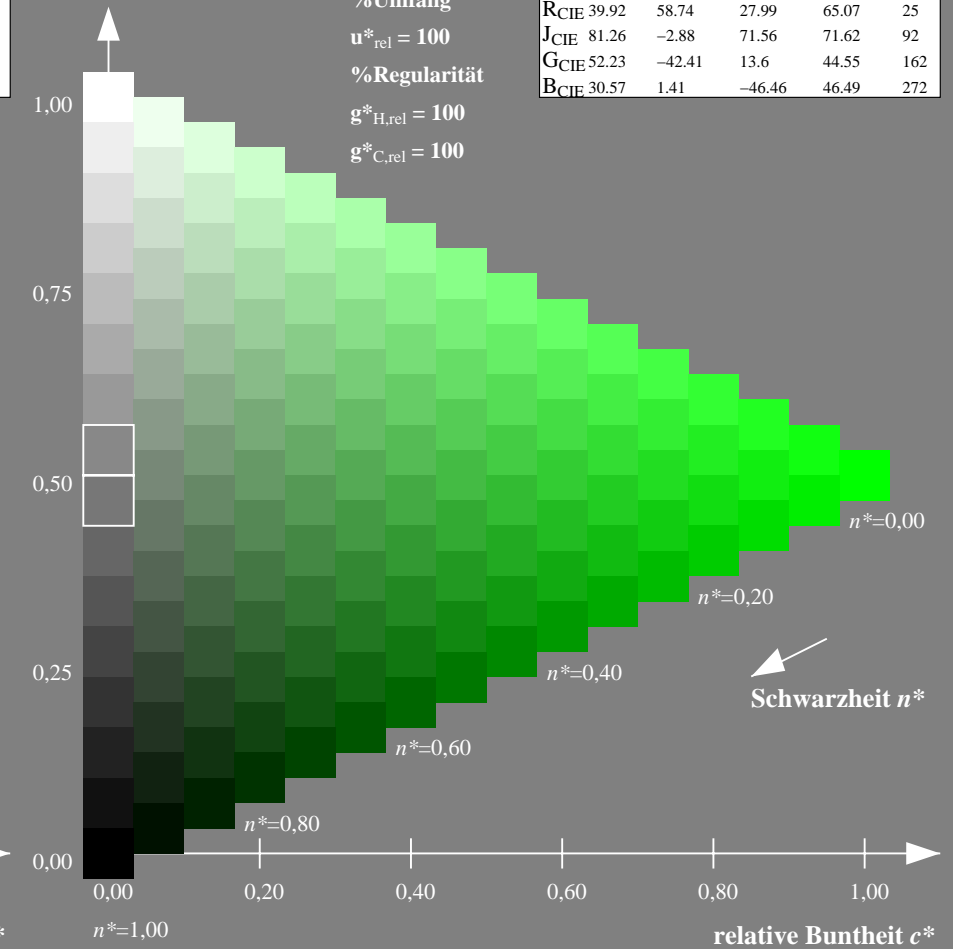
%Umfang

$u^*_{rel} = 100$

%Regularität

$g^*_{H,rel} = 100$

$g^*_{C,rel} = 100$



NG900-7, 9stufige Reihen für konstanten CIELAB Buntton 150/360 = 0.417 (links)

16stufige Reihen für konstanten CIELAB Buntton 150/360 = 0.417 (rechts)

Eingabe: Farbmétrisches Standard-Reflektiv-System SRS18

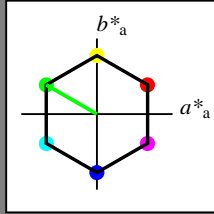
für Buntton $h^* = lab^*h = 150/360 = 0.417$

lab^*tch und lab^*nch

D65: Buntton L

LCH*Ma: 57 77 150

olv*Ma: 0.0 1.0 0.0



SRS18; adaptierte CIELAB-Daten

	$L^*=L^*_a$	a^*_a	b^*_a	$C^*_{ab,a}$	$h^*_{ab,a}$
OMa	56.71	67.03	38.7	77.4	30
YMa	56.71	0.0	77.4	77.4	90
LMa	56.71	-67.02	38.7	77.4	150
CMa	56.71	-67.02	-38.69	77.4	210
VMa	56.71	0.0	-77.39	77.4	270
MMa	56.71	67.03	-38.69	77.4	330
NMa	18.01	0.0	0.0	0.0	0
WMa	95.41	0.0	0.0	0.0	0
RCIE	39.92	58.74	27.99	65.07	25
JCIE	81.26	-2.88	71.56	71.62	92
GCIE	52.23	-42.41	13.6	44.55	162
BCIE	30.57	1.41	-46.46	46.49	272

Dreiecks-Helligkeit t^*

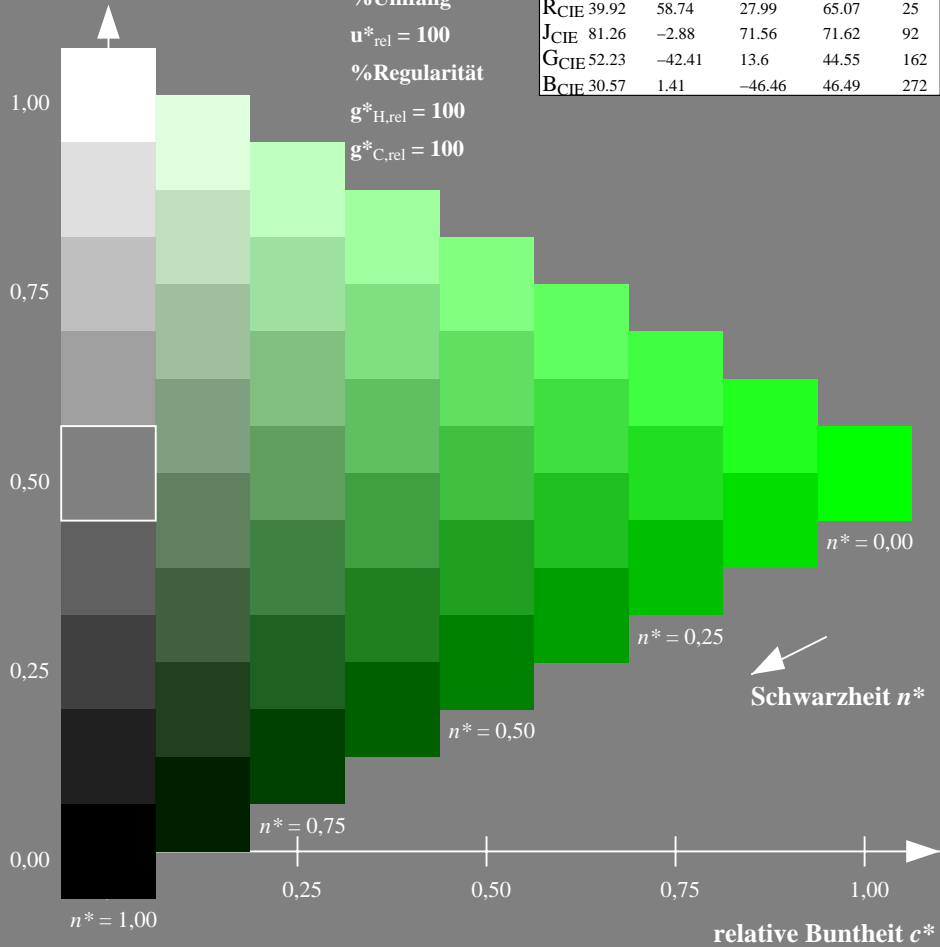
%Umfang

$u^*_{rel} = 100$

%Regularität

$g^*_{H,rel} = 100$

$g^*_{C,rel} = 100$



Ausgabe: Farbmétrisches Standard-Reflektiv-System SRS18

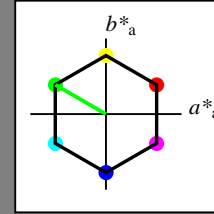
für Buntton $h^* = lab^*h = 150/360 = 0.417$

lab^*tch und lab^*nch

D65: Buntton L

LCH*Ma: 57 77 150

olv*Ma: 0.0 1.0 0.0



SRS18; adaptierte CIELAB-Daten

	$L^*=L^*_a$	a^*_a	b^*_a	$C^*_{ab,a}$	$h^*_{ab,a}$
OMa	56.71	67.03	38.7	77.4	30
YMa	56.71	0.0	77.4	77.4	90
LMa	56.71	-67.02	38.7	77.4	150
CMa	56.71	-67.02	-38.69	77.4	210
VMa	56.71	0.0	-77.39	77.4	270
MMa	56.71	67.03	-38.69	77.4	330
NMa	18.01	0.0	0.0	0.0	0
WMa	95.41	0.0	0.0	0.0	0
RCIE	39.92	58.74	27.99	65.07	25
JCIE	81.26	-2.88	71.56	71.62	92
GCIE	52.23	-42.41	13.6	44.55	162
BCIE	30.57	1.41	-46.46	46.49	272

Dreiecks-Helligkeit t^*

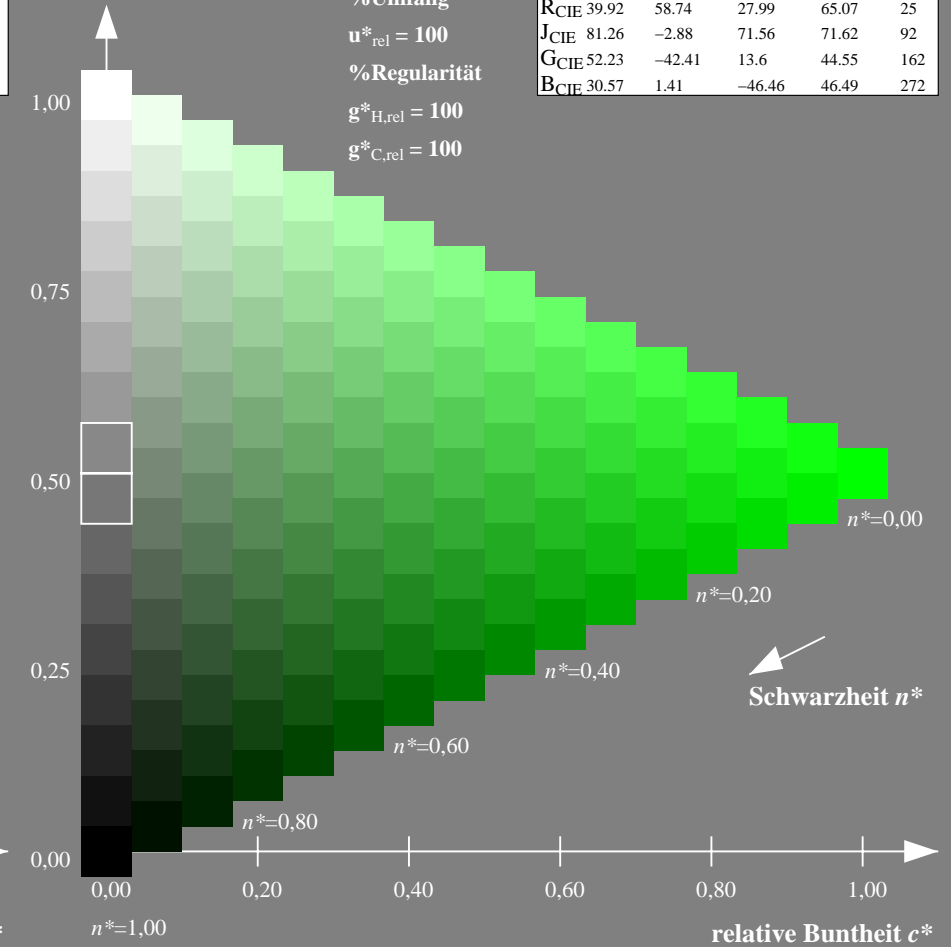
%Umfang

$u^*_{rel} = 100$

%Regularität

$g^*_{H,rel} = 100$

$g^*_{C,rel} = 100$



NG900-7, 9stufige Reihen für konstanten CIELAB Buntton $150/360 = 0.417$ (links)

16stufige Reihen für konstanten CIELAB Buntton $150/360 = 0.417$ (rechts)

Eingabe: Farbmetrisches Standard-Reflektiv-System SRS18

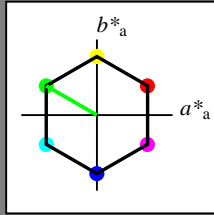
für Buntton $h^* = lab^*h = 150/360 = 0.417$

lab^*tch und lab^*nch

D65: Buntton L

LCH*Ma: 57 77 150

olv*Ma: 0.0 1.0 0.0



SRS18; adaptierte CIELAB-Daten

	$L^*=L^*_a$	a^*_a	b^*_a	$C^*_{ab,a}$	$h^*_{ab,a}$
OMa	56.71	67.03	38.7	77.4	30
YMa	56.71	0.0	77.4	77.4	90
LMa	56.71	-67.02	38.7	77.4	150
CMa	56.71	-67.02	-38.69	77.4	210
VMa	56.71	0.0	-77.39	77.4	270
MMa	56.71	67.03	-38.69	77.4	330
NMa	18.01	0.0	0.0	0.0	0
WMa	95.41	0.0	0.0	0.0	0
RCIE	39.92	58.74	27.99	65.07	25
JCIE	81.26	-2.88	71.56	71.62	92
GCIE	52.23	-42.41	13.6	44.55	162
BCIE	30.57	1.41	-46.46	46.49	272

Dreiecks-Helligkeit t^*

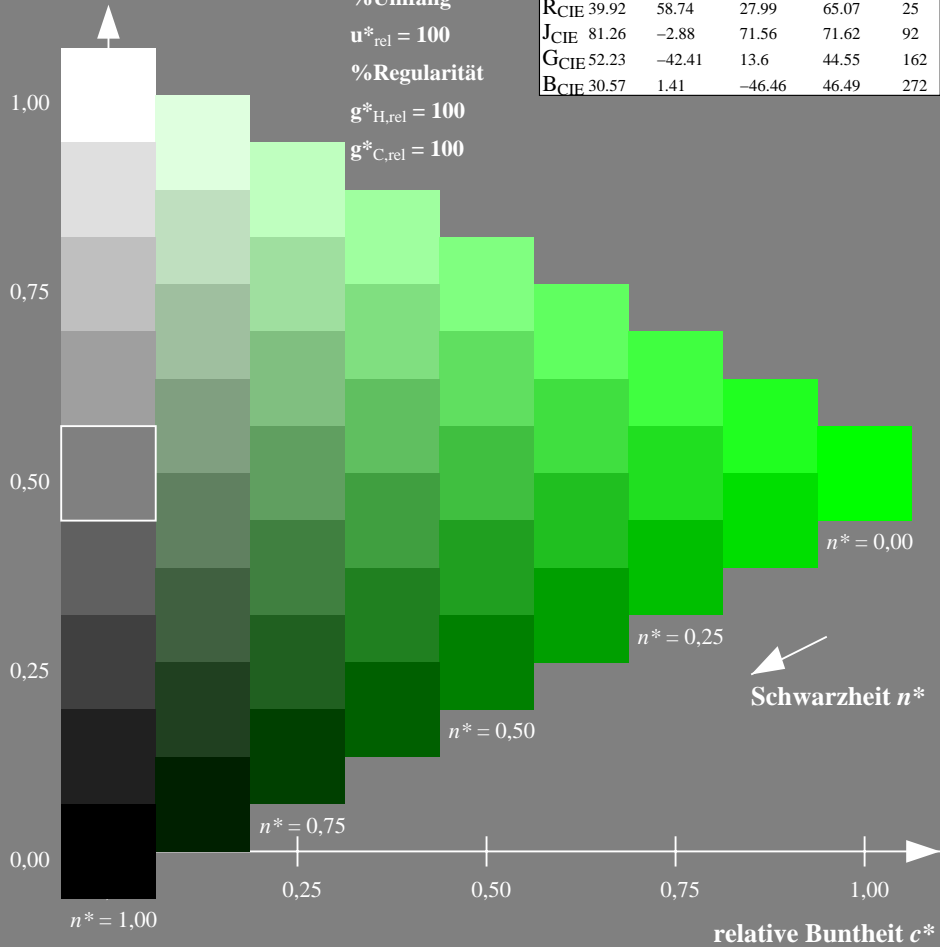
%Umfang

$u^*_{rel} = 100$

%Regularität

$g^*_{H,rel} = 100$

$g^*_{C,rel} = 100$



Ausgabe: Farbmetrisches Fernseh-Licht-System TLS70

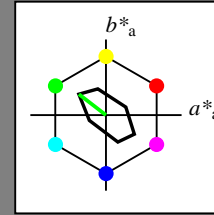
für Buntton $h^* = lab^*h = 142/360 = 0.395$

lab^*tch und lab^*nch

D65: Buntton L

LCH*Ma: 89 45 142

olv*Ma: 0.0 1.0 0.0



TLS70; adaptierte CIELAB-Daten

	$L^*=L^*_a$	a^*_a	b^*_a	$C^*_{ab,a}$	$h^*_{ab,a}$
OMa	76.43	26.27	10.57	28.32	22
YMa	93.93	-10.76	34.63	36.27	107
LMa	89.32	-35.8	27.64	45.24	142
CMa	90.93	-21.95	-7.07	23.07	198
VMa	72.1	15.76	-35.63	38.97	294
MMa	78.5	37.52	-25.23	45.22	326
NMa	69.7	0.0	0.0	0.0	0
WMa	95.41	0.0	0.0	0.0	0
RCIE	39.92	58.74	27.99	65.07	25
JCIE	81.26	-2.88	71.56	71.62	92
GCIE	52.23	-42.41	13.6	44.55	162
BCIE	30.57	1.41	-46.46	46.49	272

Dreiecks-Helligkeit t^*

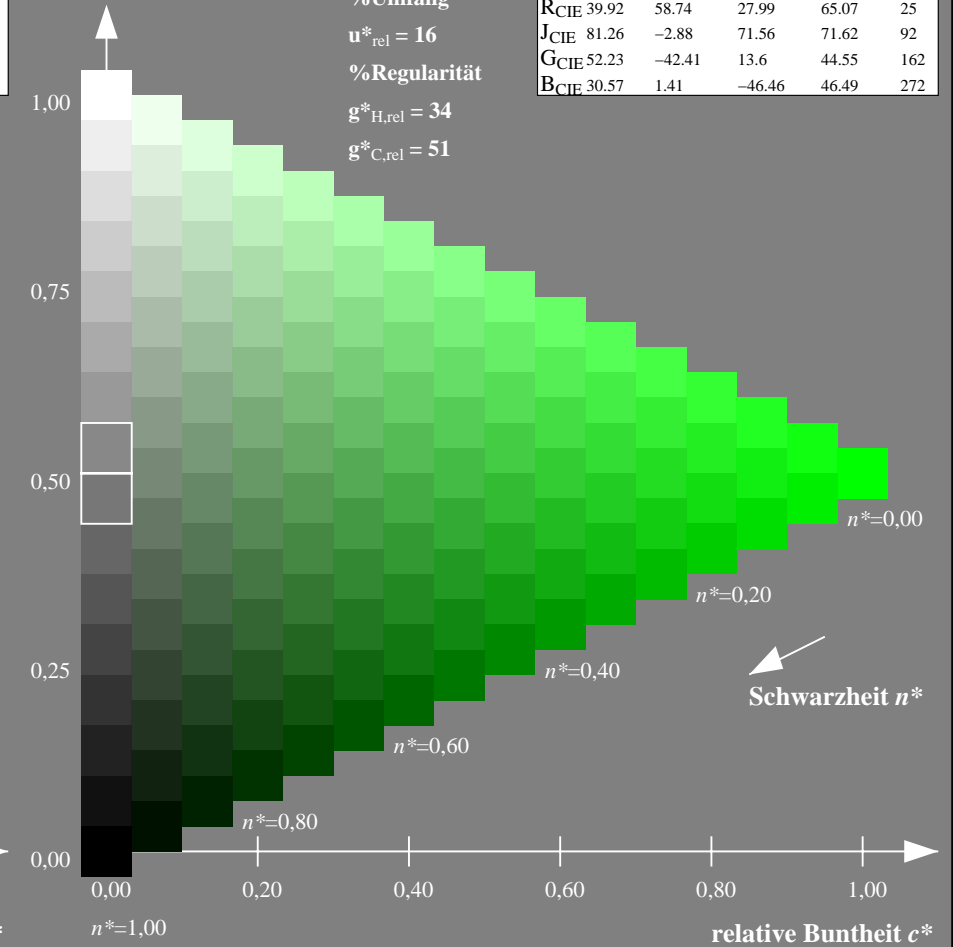
%Umfang

$u^*_{rel} = 16$

%Regularität

$g^*_{H,rel} = 34$

$g^*_{C,rel} = 51$



NG900-7, 9stufige Reihen für konstanten CIELAB Buntton $150/360 = 0.417$ (links)

16stufige Reihen für konstanten CIELAB Buntton $142/360 = 0.395$ (rechts)

Eingabe: Farbmetrisches Fernseh-Licht-System TLS70

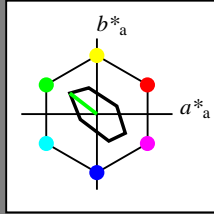
für Buntton $h^* = lab^*h = 142/360 = 0.395$

lab^*tch und lab^*nch

D65: Buntton L

LCH*Ma: 89 45 142

olv*Ma: 0.0 1.0 0.0



TLS70; adaptierte CIELAB-Daten

	$L^*=L^*_a$	a^*_a	b^*_a	$C^*_{ab,a}$	$h^*_{ab,a}$
O _{Ma}	76.43	26.27	10.57	28.32	22
Y _{Ma}	93.93	-10.76	34.63	36.27	107
L _{Ma}	89.32	-35.8	27.64	45.24	142
C _{Ma}	90.93	-21.95	-7.07	23.07	198
V _{Ma}	72.1	15.76	-35.63	38.97	294
M _{Ma}	78.5	37.52	-25.23	45.22	326
N _{Ma}	69.7	0.0	0.0	0.0	0
W _{Ma}	95.41	0.0	0.0	0.0	0
R _{CIE}	39.92	58.74	27.99	65.07	25
J _{CIE}	81.26	-2.88	71.56	71.62	92
G _{CIE}	52.23	-42.41	13.6	44.55	162
B _{CIE}	30.57	1.41	-46.46	46.49	272

Dreiecks-Helligkeit t^*

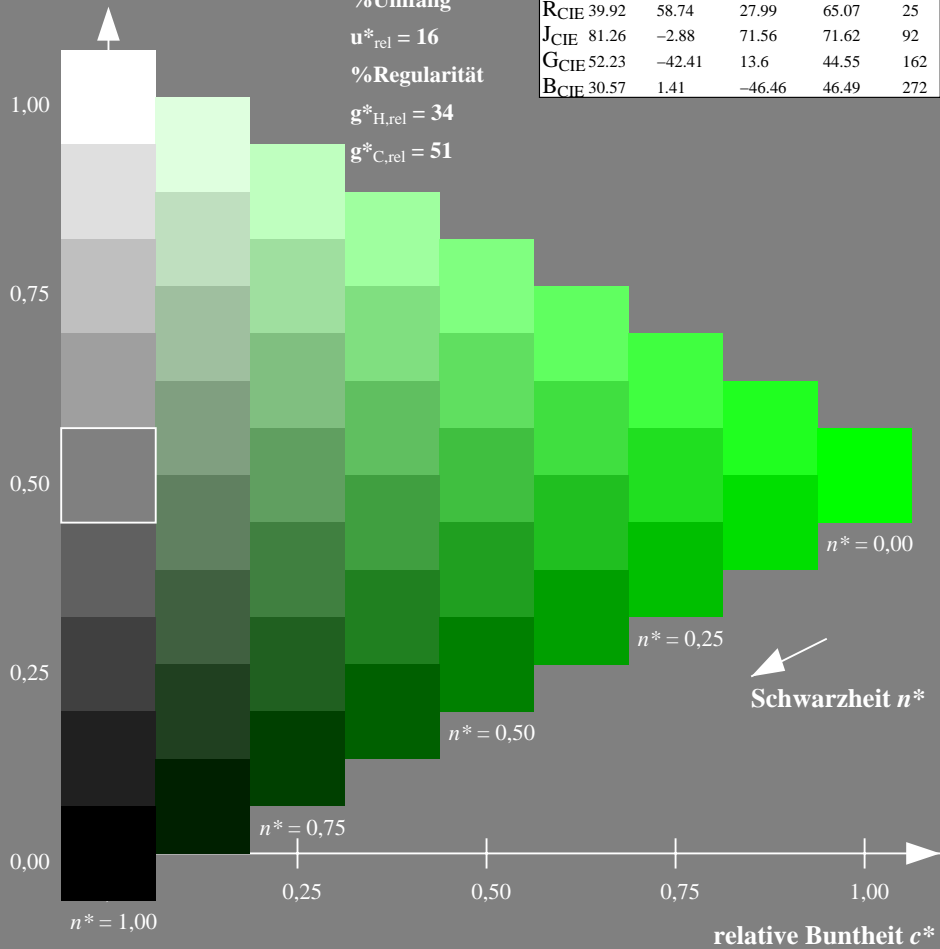
%Umfang

$u^*_{rel} = 16$

%Regularität

$g^*_{H,rel} = 34$

$g^*_{C,rel} = 51$



Ausgabe: Farbmetrisches Offset-Reflektiv-System ORS18

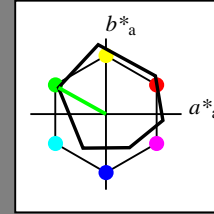
für Buntton $h^* = lab^*h = 151/360 = 0.419$

lab^*tch und lab^*nch

D65: Buntton L

LCH*Ma: 51 72 151

olv*Ma: 0.0 1.0 0.0



ORS18; adaptierte CIELAB-Daten

	$L^*=L^*_a$	a^*_a	b^*_a	$C^*_{ab,a}$	$h^*_{ab,a}$
O _{Ma}	47.94	65.39	50.52	82.63	38
Y _{Ma}	90.37	-10.26	91.75	92.32	96
L _{Ma}	50.9	-62.83	34.96	71.91	151
C _{Ma}	58.62	-30.34	-45.01	54.3	236
V _{Ma}	25.72	31.1	-44.4	54.22	305
M _{Ma}	48.13	75.28	-8.36	75.74	354
N _{Ma}	18.01	0.0	0.0	0.0	0
W _{Ma}	95.41	0.0	0.0	0.0	0
R _{CIE}	39.92	58.66	26.98	64.57	25
J _{CIE}	81.26	-2.16	67.76	67.79	92
G _{CIE}	52.23	-42.25	11.76	43.87	164
B _{CIE}	30.57	1.15	-46.84	46.86	271

Dreiecks-Helligkeit t^*

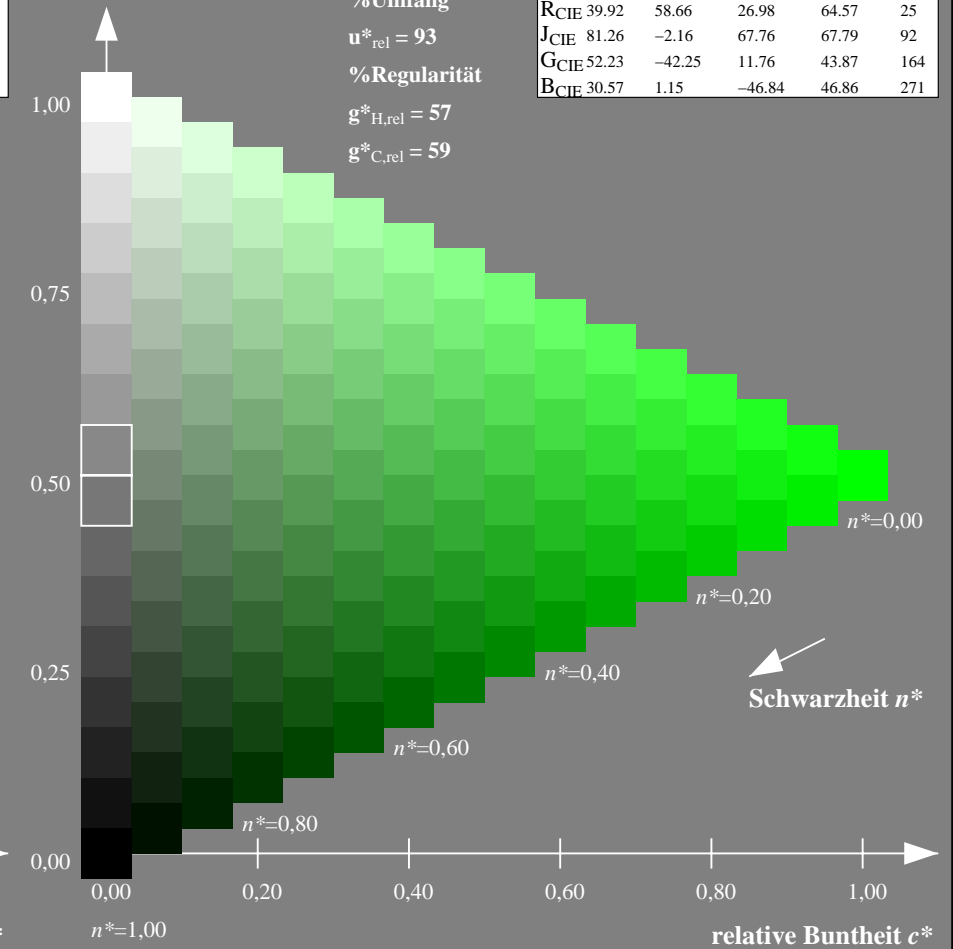
%Umfang

$u^*_{rel} = 93$

%Regularität

$g^*_{H,rel} = 57$

$g^*_{C,rel} = 59$



NG900-7, 9stufige Reihen für konstanten CIELAB Buntton $142/360 = 0.395$ (links)

16stufige Reihen für konstanten CIELAB Buntton $151/360 = 0.419$ (rechts)

Eingabe: Farbmetrisches Fernseh-Licht-System TLS70

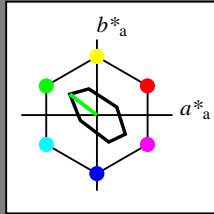
für Buntton $h^* = lab^*h = 142/360 = 0.395$

lab^*tch und lab^*nch

D65: Buntton L

LCH*Ma: 89 45 142

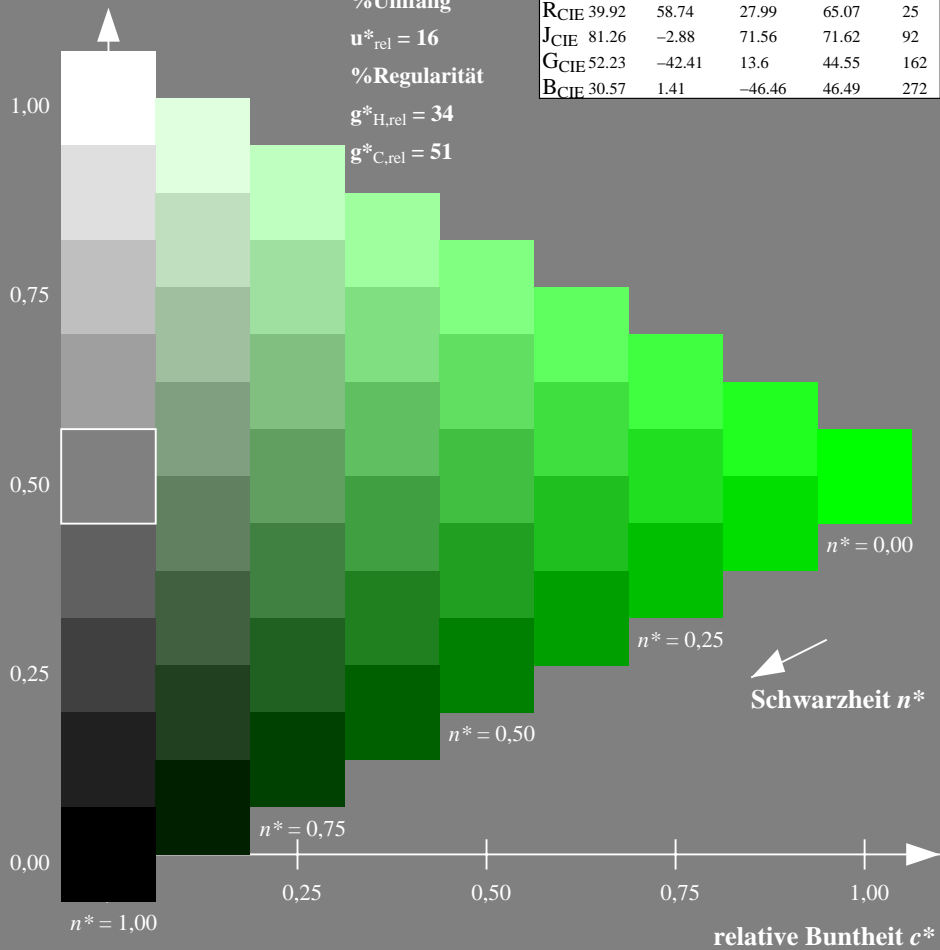
olv*Ma: 0.0 1.0 0.0



TLS70; adaptierte CIELAB-Daten

	$L^*=L^*_a$	a^*_a	b^*_a	$C^*_{ab,a}$	$h^*_{ab,a}$
O _{Ma}	76.43	26.27	10.57	28.32	22
Y _{Ma}	93.93	-10.76	34.63	36.27	107
L _{Ma}	89.32	-35.8	27.64	45.24	142
C _{Ma}	90.93	-21.95	-7.07	23.07	198
V _{Ma}	72.1	15.76	-35.63	38.97	294
M _{Ma}	78.5	37.52	-25.23	45.22	326
N _{Ma}	69.7	0.0	0.0	0.0	0
W _{Ma}	95.41	0.0	0.0	0.0	0
R _{CIE}	39.92	58.74	27.99	65.07	25
J _{CIE}	81.26	-2.88	71.56	71.62	92
G _{CIE}	52.23	-42.41	13.6	44.55	162
B _{CIE}	30.57	1.41	-46.46	46.49	272

Dreiecks-Helligkeit t^*



Ausgabe: Farbmetrisches Fernseh-Licht-System TLS00

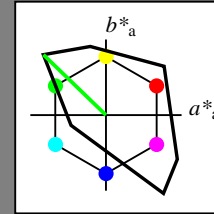
für Buntton $h^* = lab^*h = 136/360 = 0.378$

lab^*tch und lab^*nch

D65: Buntton L

LCH*Ma: 84 115 136

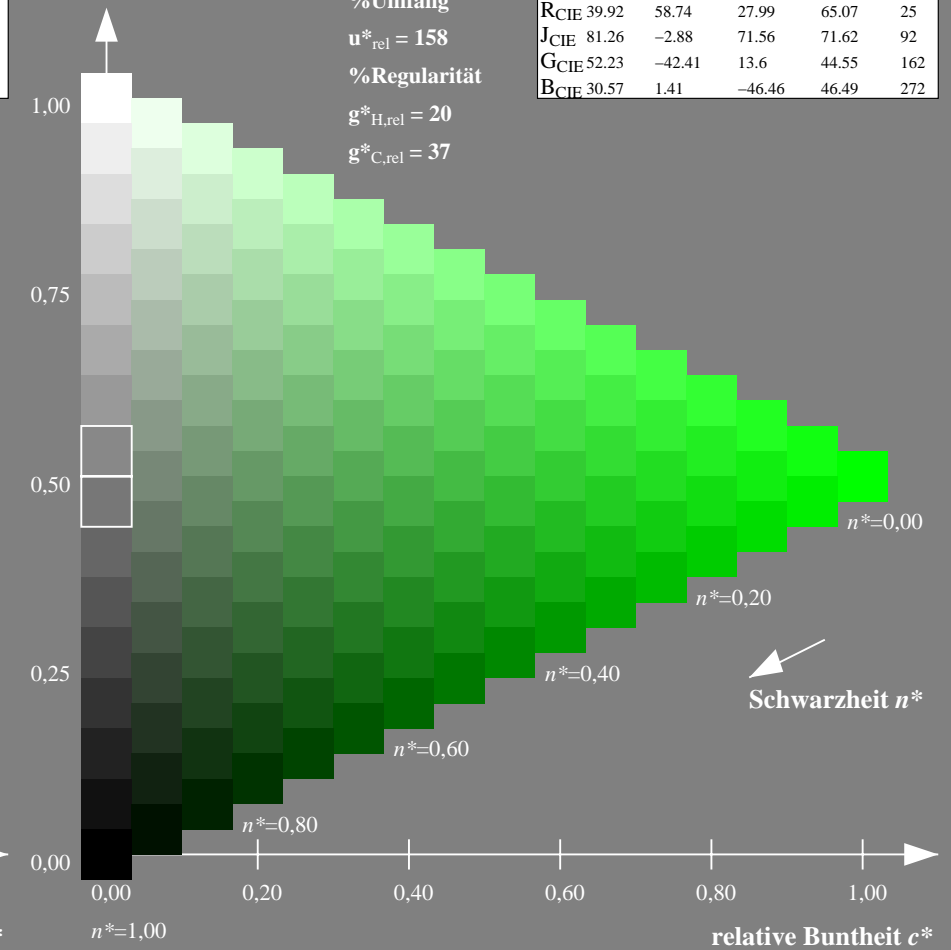
olv*Ma: 0.0 1.0 0.0



TLS00; adaptierte CIELAB-Daten

	$L^*=L^*_a$	a^*_a	b^*_a	$C^*_{ab,a}$	$h^*_{ab,a}$
O _{Ma}	50.5	76.92	64.55	100.42	40
Y _{Ma}	92.66	-20.69	90.75	93.08	103
L _{Ma}	83.63	-82.75	79.9	115.04	136
C _{Ma}	86.88	-46.16	-13.55	48.12	196
V _{Ma}	30.39	76.06	-103.59	128.52	306
M _{Ma}	57.3	94.35	-58.41	110.97	328
N _{Ma}	0.01	0.0	0.0	0.0	0
W _{Ma}	95.41	0.0	0.0	0.0	0
R _{CIE}	39.92	58.74	27.99	65.07	25
J _{CIE}	81.26	-2.88	71.56	71.62	92
G _{CIE}	52.23	-42.41	13.6	44.55	162
B _{CIE}	30.57	1.41	-46.46	46.49	272

Dreiecks-Helligkeit t^*



NG900-7, 9stufige Reihen für konstanten CIELAB Buntton $142/360 = 0.395$ (links)

16stufige Reihen für konstanten CIELAB Buntton $136/360 = 0.378$ (rechts)

Eingabe: Farbmetrisches Fernseh-Licht-System TLS70

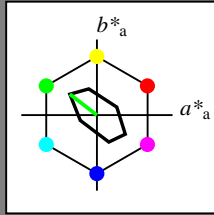
für Buntton $h^* = lab^*h = 142/360 = 0.395$

lab^*tch und lab^*nch

D65: Buntton L

LCH*Ma: 89 45 142

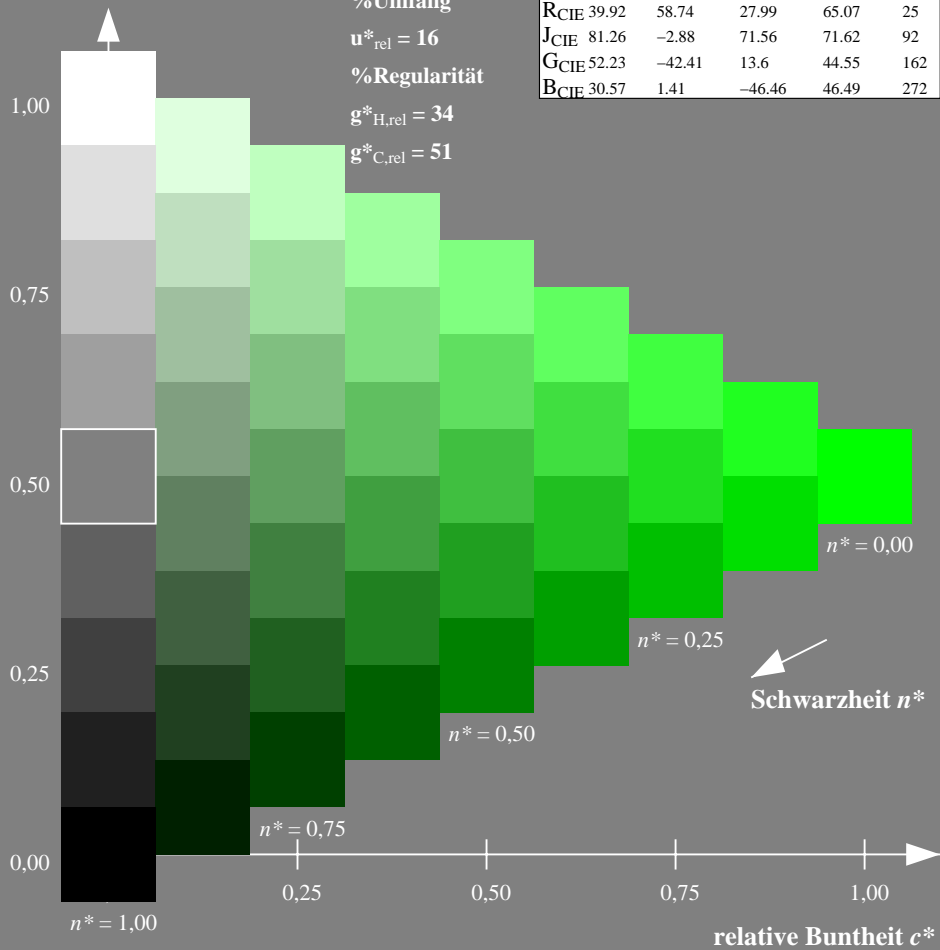
olv*Ma: 0.0 1.0 0.0



TLS70; adaptierte CIELAB-Daten

	$L^*=L^*_a$	a^*_a	b^*_a	$C^*_{ab,a}$	$h^*_{ab,a}$
OMa	76.43	26.27	10.57	28.32	22
YMa	93.93	-10.76	34.63	36.27	107
LMa	89.32	-35.8	27.64	45.24	142
CMa	90.93	-21.95	-7.07	23.07	198
VMa	72.1	15.76	-35.63	38.97	294
MMa	78.5	37.52	-25.23	45.22	326
NMa	69.7	0.0	0.0	0.0	0
WMa	95.41	0.0	0.0	0.0	0
RCIE	39.92	58.74	27.99	65.07	25
JCIE	81.26	-2.88	71.56	71.62	92
GCIE	52.23	-42.41	13.6	44.55	162
BCIE	30.57	1.41	-46.46	46.49	272

Dreiecks-Helligkeit t^*



Ausgabe: Farbmetrisches Drucker-Reflektiv-System DRSXX

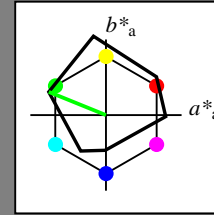
für Buntton $h^* = lab^*h = 158/360 = 0.439$

lab^*tch und lab^*nch

D65: Buntton L

LCH*Ma: 48 82 158

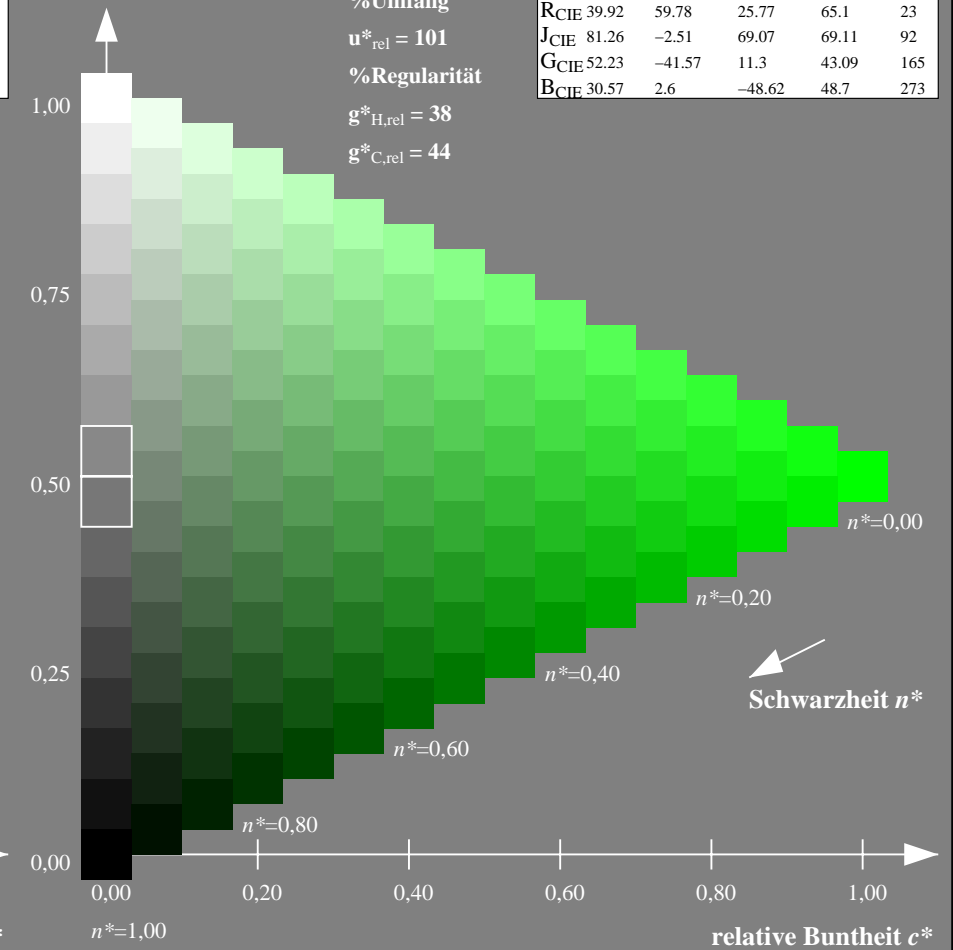
olv*Ma: 0.0 1.0 0.0



DRSXX; adaptierte CIELAB-Daten

	$L^*=L^*_a$	a^*_a	b^*_a	$C^*_{ab,a}$	$h^*_{ab,a}$
OMa	42.21	66.82	50.6	83.82	37
YMa	90.32	-16.51	104.33	105.63	99
LMa	48.21	-75.63	30.65	81.61	158
CMa	53.44	-33.33	-47.49	58.03	235
VMa	34.16	-0.92	-46.56	46.58	269
MMa	42.71	79.0	-1.95	79.03	359
NMa	16.56	0.0	0.0	0.0	0
WMa	96.31	0.0	0.0	0.0	0
RCIE	39.92	59.78	25.77	65.1	23
JCIE	81.26	-2.51	69.07	69.11	92
GCIE	52.23	-41.57	11.3	43.09	165
BCIE	30.57	2.6	-48.62	48.7	273

Dreiecks-Helligkeit t^*



NG900-7, 9stufige Reihen für konstanten CIELAB Buntton $142/360 = 0.395$ (links)

16stufige Reihen für konstanten CIELAB Buntton $158/360 = 0.439$ (rechts)

Eingabe: Farbmetrisches Fernseh-Licht-System TLS70

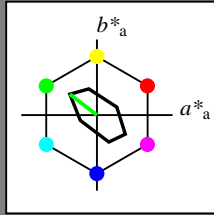
für Buntton $h^* = lab^*h = 142/360 = 0.395$

lab^*tch und lab^*nch

D65: Buntton L

LCH*Ma: 89 45 142

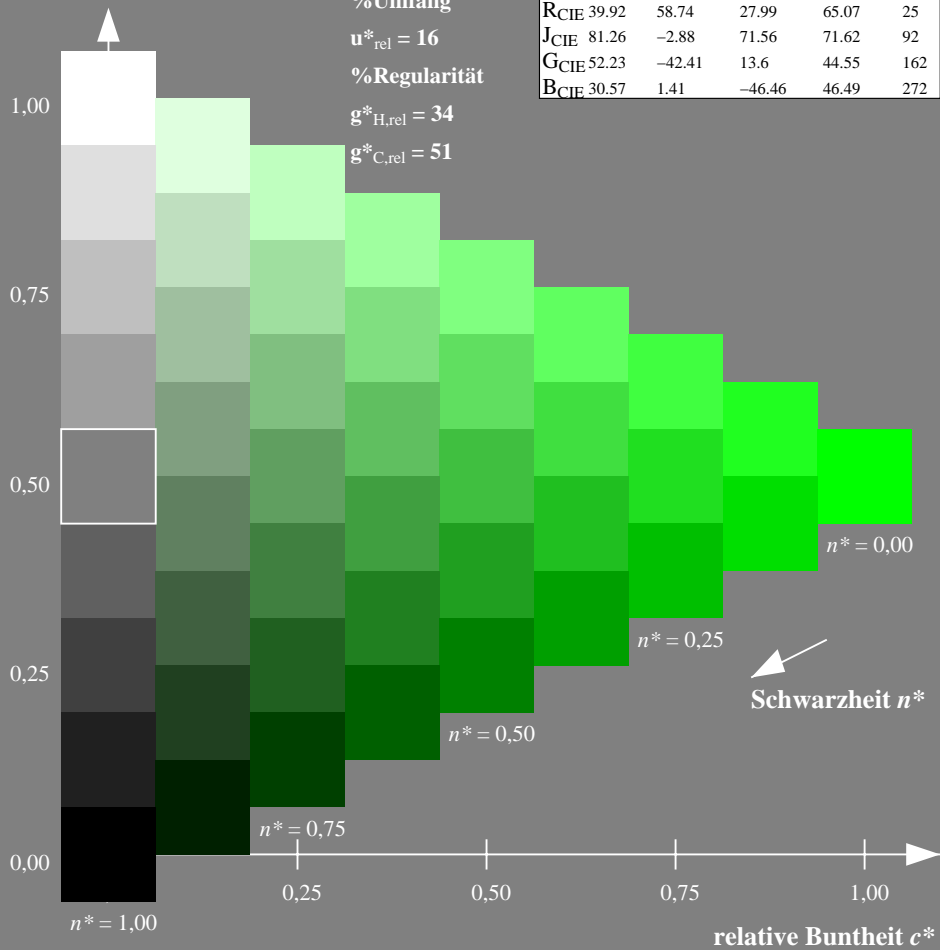
olv*Ma: 0.0 1.0 0.0



TLS70; adaptierte CIELAB-Daten

	$L^*=L^*_a$	a^*_a	b^*_a	$C^*_{ab,a}$	$h^*_{ab,a}$
OMa	76.43	26.27	10.57	28.32	22
YMa	93.93	-10.76	34.63	36.27	107
LMa	89.32	-35.8	27.64	45.24	142
CMa	90.93	-21.95	-7.07	23.07	198
VMa	72.1	15.76	-35.63	38.97	294
MMa	78.5	37.52	-25.23	45.22	326
NMa	69.7	0.0	0.0	0.0	0
WMa	95.41	0.0	0.0	0.0	0
RCIE	39.92	58.74	27.99	65.07	25
JCIE	81.26	-2.88	71.56	71.62	92
GCIE	52.23	-42.41	13.6	44.55	162
BCIE	30.57	1.41	-46.46	46.49	272

Dreiecks-Helligkeit t^*



Ausgabe: Farbmetrisches Fernseh-Licht-System TLS18

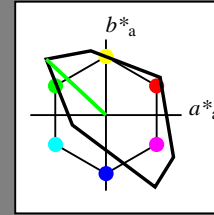
für Buntton $h^* = lab^*h = 137/360 = 0.38$

lab^*tch und lab^*nch

D65: Buntton L

LCH*Ma: 84 108 137

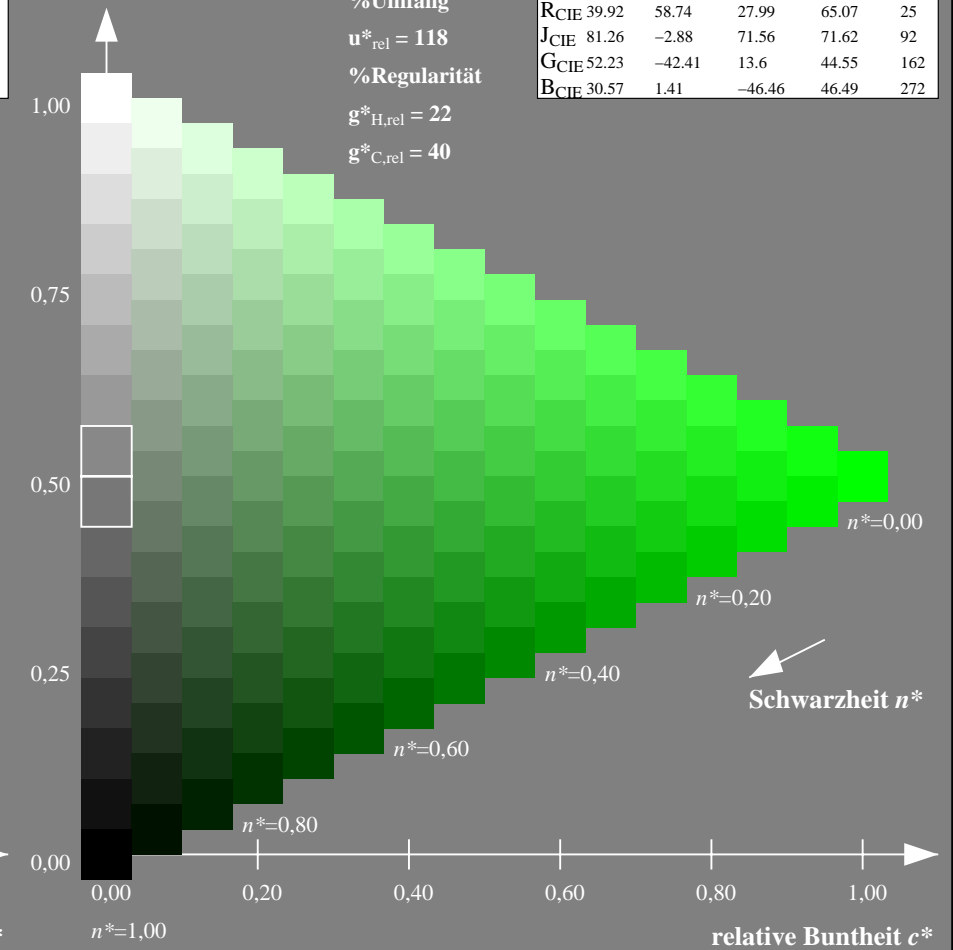
olv*Ma: 0.0 1.0 0.0



TLS18; adaptierte CIELAB-Daten

	$L^*=L^*_a$	a^*_a	b^*_a	$C^*_{ab,a}$	$h^*_{ab,a}$
OMa	52.76	71.63	49.88	87.29	35
YMa	92.74	-20.02	84.97	87.3	103
LMa	84.0	-78.98	73.94	108.2	137
CMa	87.14	-44.41	-13.11	46.32	196
VMa	35.47	64.92	-95.06	115.12	304
MMa	59.01	89.33	-55.67	105.26	328
NMa	18.01	0.0	0.0	0.0	0
WMa	95.41	0.0	0.0	0.0	0
RCIE	39.92	58.74	27.99	65.07	25
JCIE	81.26	-2.88	71.56	71.62	92
GCIE	52.23	-42.41	13.6	44.55	162
BCIE	30.57	1.41	-46.46	46.49	272

Dreiecks-Helligkeit t^*



NG900-7, 9stufige Reihen für konstanten CIELAB Buntton $142/360 = 0.395$ (links)

16stufige Reihen für konstanten CIELAB Buntton $137/360 = 0.38$ (rechts)

Eingabe: Farbmetrisches Fernseh-Licht-System TLS70

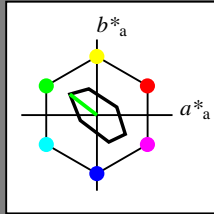
für Buntton $h^* = lab^*h = 142/360 = 0.395$

lab^*tch und lab^*nch

D65: Buntton L

LCH*Ma: 89 45 142

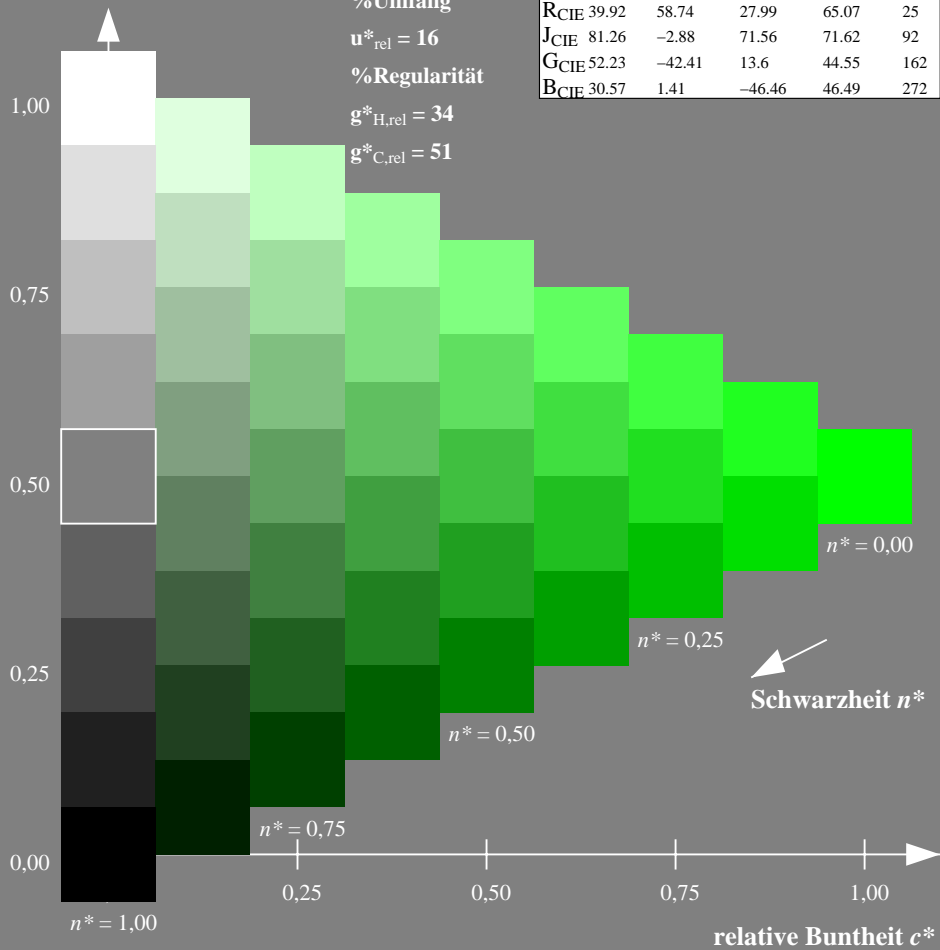
olv*Ma: 0.0 1.0 0.0



TLS70; adaptierte CIELAB-Daten

	$L^*=L^*_a$	a^*_a	b^*_a	$C^*_{ab,a}$	$h^*_{ab,a}$
O _{Ma}	76.43	26.27	10.57	28.32	22
Y _{Ma}	93.93	-10.76	34.63	36.27	107
L _{Ma}	89.32	-35.8	27.64	45.24	142
C _{Ma}	90.93	-21.95	-7.07	23.07	198
V _{Ma}	72.1	15.76	-35.63	38.97	294
M _{Ma}	78.5	37.52	-25.23	45.22	326
N _{Ma}	69.7	0.0	0.0	0.0	0
W _{Ma}	95.41	0.0	0.0	0.0	0
R _{CIE}	39.92	58.74	27.99	65.07	25
J _{CIE}	81.26	-2.88	71.56	71.62	92
G _{CIE}	52.23	-42.41	13.6	44.55	162
B _{CIE}	30.57	1.41	-46.46	46.49	272

Dreiecks-Helligkeit t^*



Ausgabe: Farbmetrisches Natürliches-Licht-System NLS00

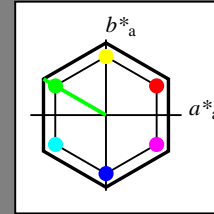
für Buntton $h^* = lab^*h = 150/360 = 0.417$

lab^*tch und lab^*nch

D65: Buntton L

LCH*Ma: 32 95 150

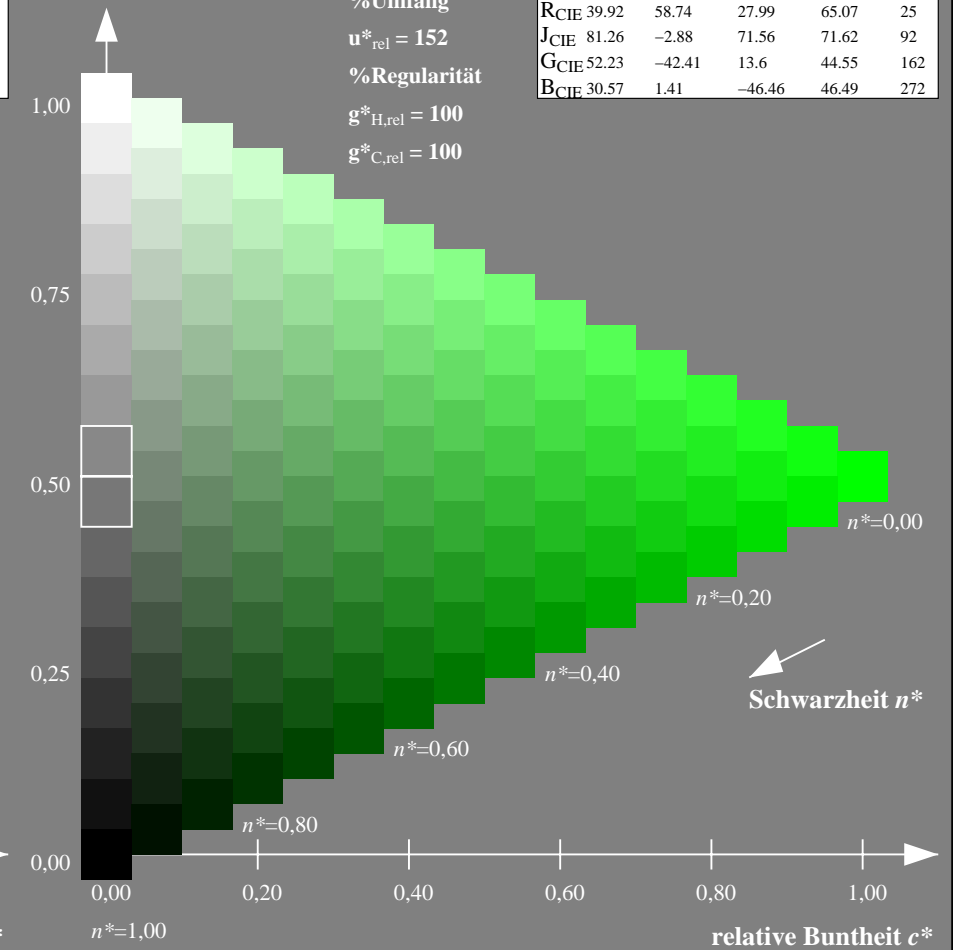
olv*Ma: 0.0 1.0 0.0



NLS00; adaptierte CIELAB-Daten

	$L^*=L^*_a$	a^*_a	b^*_a	$C^*_{ab,a}$	$h^*_{ab,a}$
O _{Ma}	31.81	82.62	47.7	95.4	30
Y _{Ma}	63.61	0.0	95.4	95.4	90
L _{Ma}	31.81	-82.61	47.7	95.4	150
C _{Ma}	63.61	-82.61	-47.69	95.4	210
V _{Ma}	31.81	0.0	-95.39	95.4	270
M _{Ma}	63.61	82.62	-47.69	95.4	330
N _{Ma}	0.01	0.0	0.0	0.0	0
W _{Ma}	95.41	0.0	0.0	0.0	0
R _{CIE}	39.92	58.74	27.99	65.07	25
J _{CIE}	81.26	-2.88	71.56	71.62	92
G _{CIE}	52.23	-42.41	13.6	44.55	162
B _{CIE}	30.57	1.41	-46.46	46.49	272

Dreiecks-Helligkeit t^*



NG900-7, 9stufige Reihen für konstanten CIELAB Buntton $142/360 = 0.395$ (links)

16stufige Reihen für konstanten CIELAB Buntton $150/360 = 0.417$ (rechts)

Eingabe: Farbmetrisches Fernseh-Licht-System TLS70

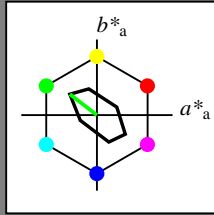
für Buntton $h^* = lab^*h = 142/360 = 0.395$

lab^*tch und lab^*nch

D65: Buntton L

LCH*Ma: 89 45 142

olv*Ma: 0.0 1.0 0.0



TLS70; adaptierte CIELAB-Daten

	$L^*=L^*_a$	a^*_a	b^*_a	$C^*_{ab,a}$	$h^*_{ab,a}$
O _{Ma}	76.43	26.27	10.57	28.32	22
Y _{Ma}	93.93	-10.76	34.63	36.27	107
L _{Ma}	89.32	-35.8	27.64	45.24	142
C _{Ma}	90.93	-21.95	-7.07	23.07	198
V _{Ma}	72.1	15.76	-35.63	38.97	294
M _{Ma}	78.5	37.52	-25.23	45.22	326
N _{Ma}	69.7	0.0	0.0	0.0	0
W _{Ma}	95.41	0.0	0.0	0.0	0
R _{CIE}	39.92	58.74	27.99	65.07	25
J _{CIE}	81.26	-2.88	71.56	71.62	92
G _{CIE}	52.23	-42.41	13.6	44.55	162
B _{CIE}	30.57	1.41	-46.46	46.49	272

Dreiecks-Helligkeit t^*

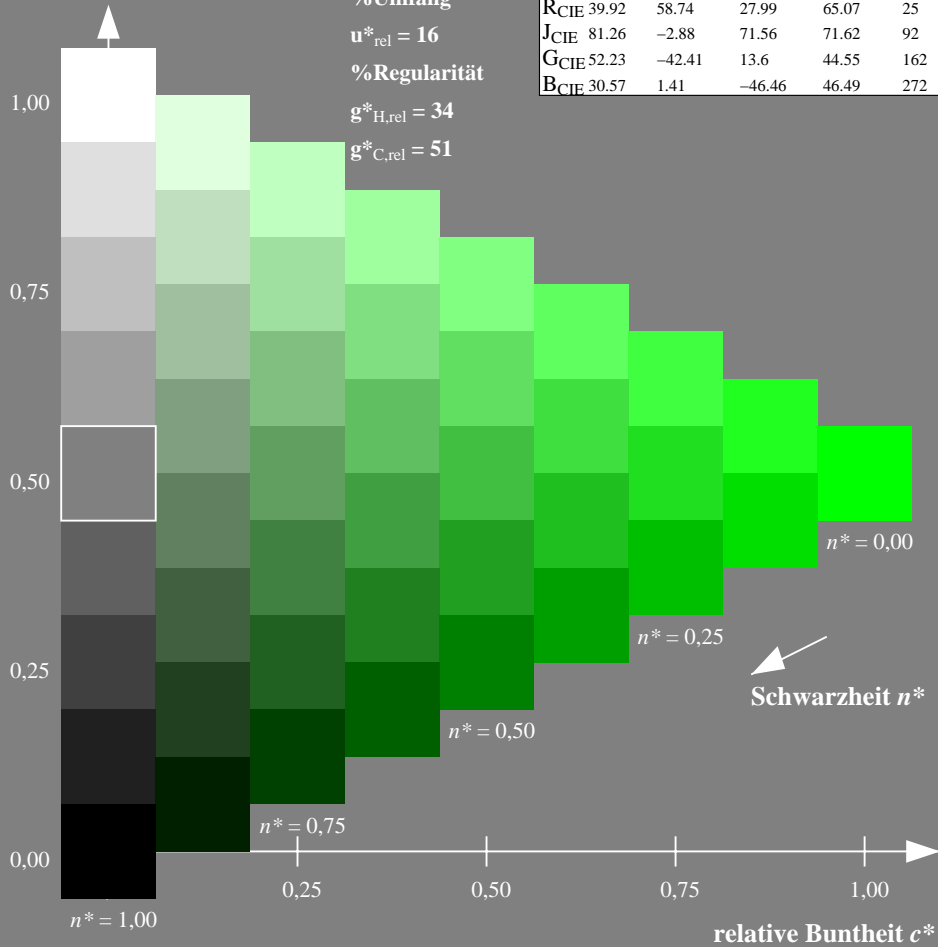
%Umfang

$u^*_{rel} = 16$

%Regularität

$g^*_{H,rel} = 34$

$g^*_{C,rel} = 51$



Ausgabe: Farbmetrisches Natürliches-Reflektiv-System NRS18

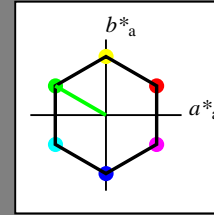
für Buntton $h^* = lab^*h = 150/360 = 0.417$

lab^*tch und lab^*nch

D65: Buntton L

LCH*Ma: 44 77 150

olv*Ma: 0.0 1.0 0.0



NRS18; adaptierte CIELAB-Daten

	$L^*=L^*_a$	a^*_a	b^*_a	$C^*_{ab,a}$	$h^*_{ab,a}$
O _{Ma}	43.81	67.03	38.7	77.4	30
Y _{Ma}	69.61	0.0	77.4	77.4	90
L _{Ma}	43.81	-67.02	38.7	77.4	150
C _{Ma}	69.61	-67.02	-38.69	77.4	210
V _{Ma}	43.81	0.0	-77.39	77.4	270
M _{Ma}	69.61	67.03	-38.69	77.4	330
N _{Ma}	18.01	0.0	0.0	0.0	0
W _{Ma}	95.41	0.0	0.0	0.0	0
R _{CIE}	39.92	58.74	27.99	65.07	25
J _{CIE}	81.26	-2.88	71.56	71.62	92
G _{CIE}	52.23	-42.41	13.6	44.55	162
B _{CIE}	30.57	1.41	-46.46	46.49	272

Dreiecks-Helligkeit t^*

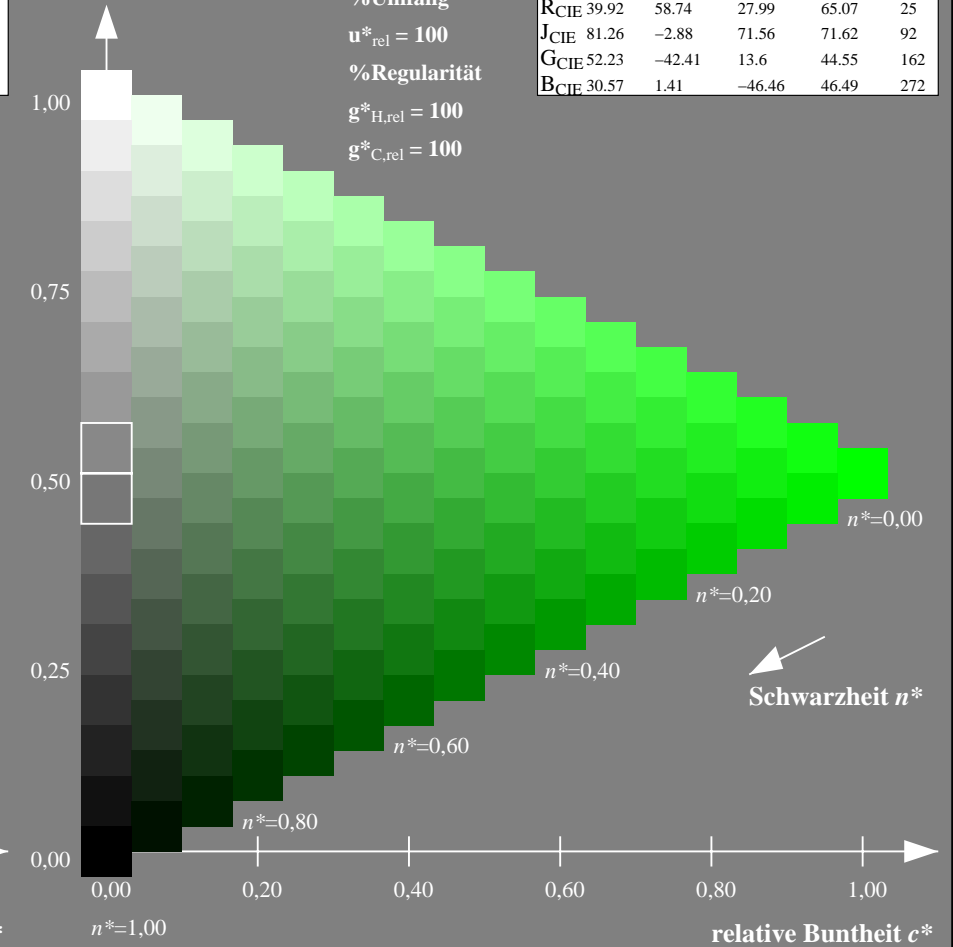
%Umfang

$u^*_{rel} = 100$

%Regularität

$g^*_{H,rel} = 100$

$g^*_{C,rel} = 100$



NG900-7, 9stufige Reihen für konstanten CIELAB Buntton $142/360 = 0.395$ (links)

16stufige Reihen für konstanten CIELAB Buntton $150/360 = 0.417$ (rechts)

Eingabe: Farbmetrisches Fernseh-Licht-System TLS70

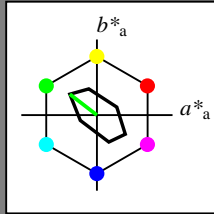
für Buntton $h^* = lab^*h = 142/360 = 0.395$

lab^*tch und lab^*nch

D65: Buntton L

LCH*Ma: 89 45 142

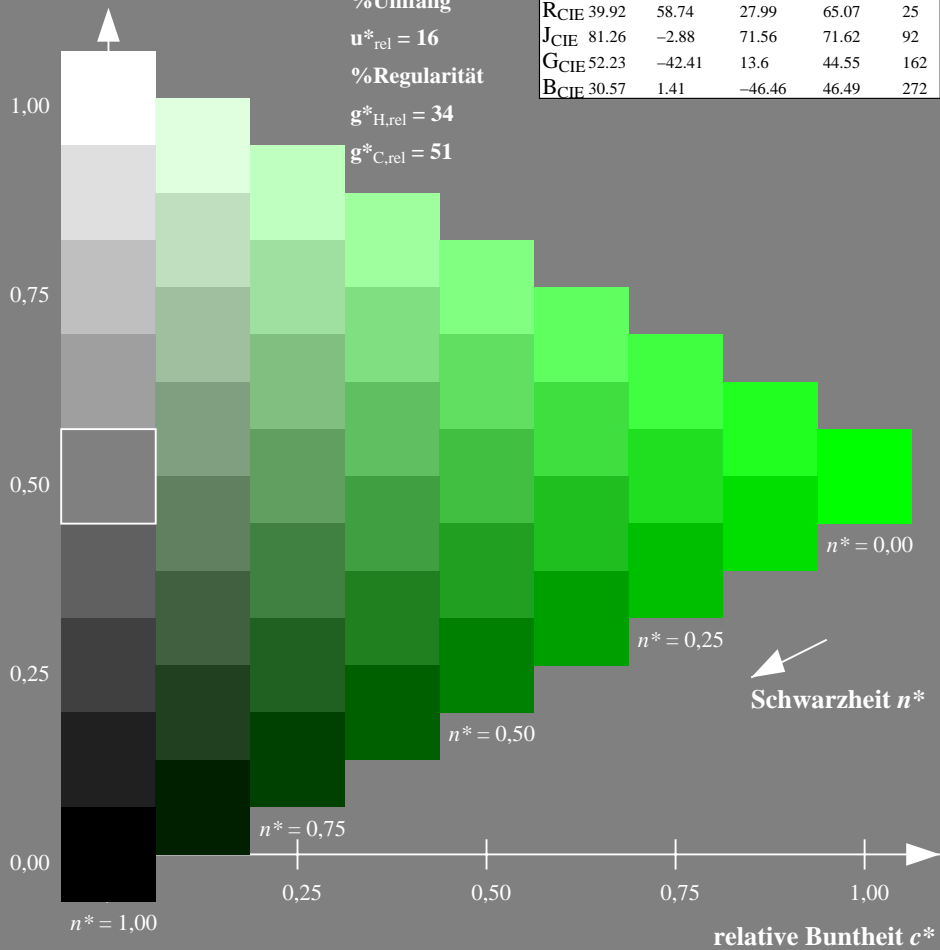
olv*Ma: 0.0 1.0 0.0



TLS70; adaptierte CIELAB-Daten

	$L^*=L^*_a$	a^*_a	b^*_a	$C^*_{ab,a}$	$h^*_{ab,a}$
OMa	76.43	26.27	10.57	28.32	22
YMa	93.93	-10.76	34.63	36.27	107
LMa	89.32	-35.8	27.64	45.24	142
CMa	90.93	-21.95	-7.07	23.07	198
VMa	72.1	15.76	-35.63	38.97	294
MMa	78.5	37.52	-25.23	45.22	326
NMa	69.7	0.0	0.0	0.0	0
WMa	95.41	0.0	0.0	0.0	0
RCIE	39.92	58.74	27.99	65.07	25
JCIE	81.26	-2.88	71.56	71.62	92
GCIE	52.23	-42.41	13.6	44.55	162
BCIE	30.57	1.41	-46.46	46.49	272

Dreiecks-Helligkeit t^*



Ausgabe: Farbmetrisches Standard-Reflektiv-System SRS18

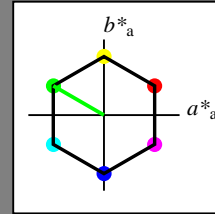
für Buntton $h^* = lab^*h = 150/360 = 0.417$

lab^*tch und lab^*nch

D65: Buntton L

LCH*Ma: 57 77 150

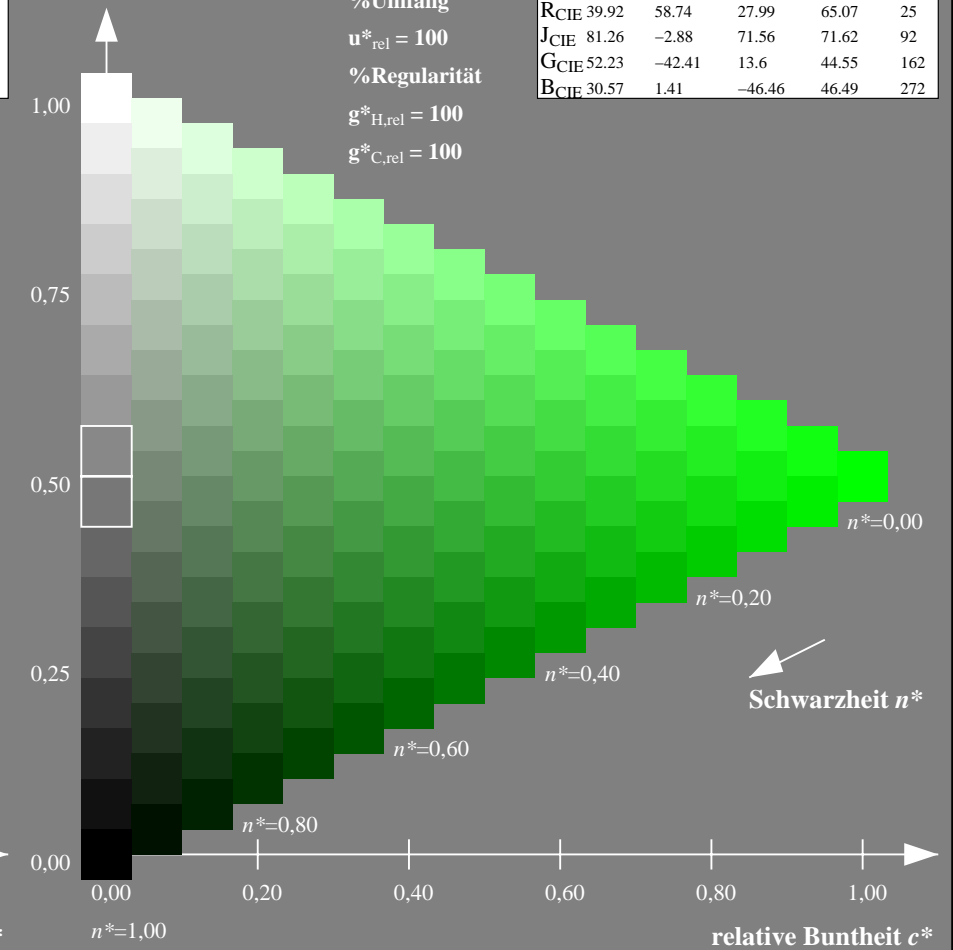
olv*Ma: 0.0 1.0 0.0



SRS18; adaptierte CIELAB-Daten

	$L^*=L^*_a$	a^*_a	b^*_a	$C^*_{ab,a}$	$h^*_{ab,a}$
OMa	56.71	67.03	38.7	77.4	30
YMa	56.71	0.0	77.4	77.4	90
LMa	56.71	-67.02	38.7	77.4	150
CMa	56.71	-67.02	-38.69	77.4	210
VMa	56.71	0.0	-77.39	77.4	270
MMa	56.71	67.03	-38.69	77.4	330
NMa	18.01	0.0	0.0	0.0	0
WMa	95.41	0.0	0.0	0.0	0
RCIE	39.92	58.74	27.99	65.07	25
JCIE	81.26	-2.88	71.56	71.62	92
GCIE	52.23	-42.41	13.6	44.55	162
BCIE	30.57	1.41	-46.46	46.49	272

Dreiecks-Helligkeit t^*



NG900-7, 9stufige Reihen für konstanten CIELAB Buntton $142/360 = 0.395$ (links)

16stufige Reihen für konstanten CIELAB Buntton $150/360 = 0.417$ (rechts)

Eingabe: Farbmetrisches Fernseh-Licht-System TLS70

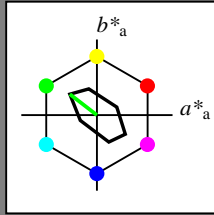
für Buntton $h^* = lab^*h = 142/360 = 0.395$

lab^*tch und lab^*nch

D65: Buntton L

LCH*Ma: 89 45 142

olv*Ma: 0.0 1.0 0.0



TLS70; adaptierte CIELAB-Daten

	$L^*=L^*_a$	a^*_a	b^*_a	$C^*_{ab,a}$	$h^*_{ab,a}$
O _{Ma}	76.43	26.27	10.57	28.32	22
Y _{Ma}	93.93	-10.76	34.63	36.27	107
L _{Ma}	89.32	-35.8	27.64	45.24	142
C _{Ma}	90.93	-21.95	-7.07	23.07	198
V _{Ma}	72.1	15.76	-35.63	38.97	294
M _{Ma}	78.5	37.52	-25.23	45.22	326
N _{Ma}	69.7	0.0	0.0	0.0	0
W _{Ma}	95.41	0.0	0.0	0.0	0
R _{CIE}	39.92	58.74	27.99	65.07	25
J _{CIE}	81.26	-2.88	71.56	71.62	92
G _{CIE}	52.23	-42.41	13.6	44.55	162
B _{CIE}	30.57	1.41	-46.46	46.49	272

Dreiecks-Helligkeit t^*

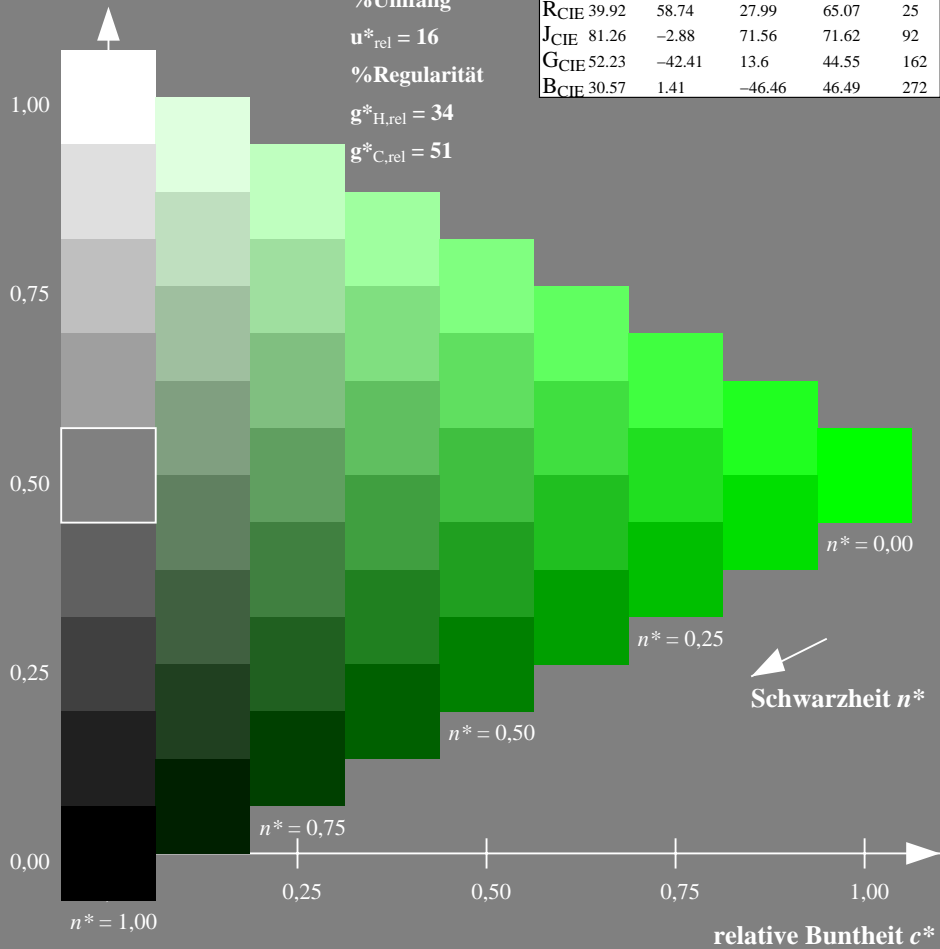
%Umfang

$u^*_{rel} = 16$

%Regularität

$g^*_{H,rel} = 34$

$g^*_{C,rel} = 51$



Ausgabe: Farbmetrisches Fernseh-Licht-System TLS70

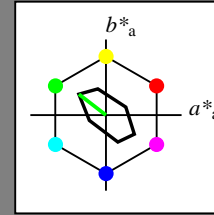
für Buntton $h^* = lab^*h = 142/360 = 0.395$

lab^*tch und lab^*nch

D65: Buntton L

LCH*Ma: 89 45 142

olv*Ma: 0.0 1.0 0.0



TLS70; adaptierte CIELAB-Daten

	$L^*=L^*_a$	a^*_a	b^*_a	$C^*_{ab,a}$	$h^*_{ab,a}$
O _{Ma}	76.43	26.27	10.57	28.32	22
Y _{Ma}	93.93	-10.76	34.63	36.27	107
L _{Ma}	89.32	-35.8	27.64	45.24	142
C _{Ma}	90.93	-21.95	-7.07	23.07	198
V _{Ma}	72.1	15.76	-35.63	38.97	294
M _{Ma}	78.5	37.52	-25.23	45.22	326
N _{Ma}	69.7	0.0	0.0	0.0	0
W _{Ma}	95.41	0.0	0.0	0.0	0
R _{CIE}	39.92	58.74	27.99	65.07	25
J _{CIE}	81.26	-2.88	71.56	71.62	92
G _{CIE}	52.23	-42.41	13.6	44.55	162
B _{CIE}	30.57	1.41	-46.46	46.49	272

Dreiecks-Helligkeit t^*

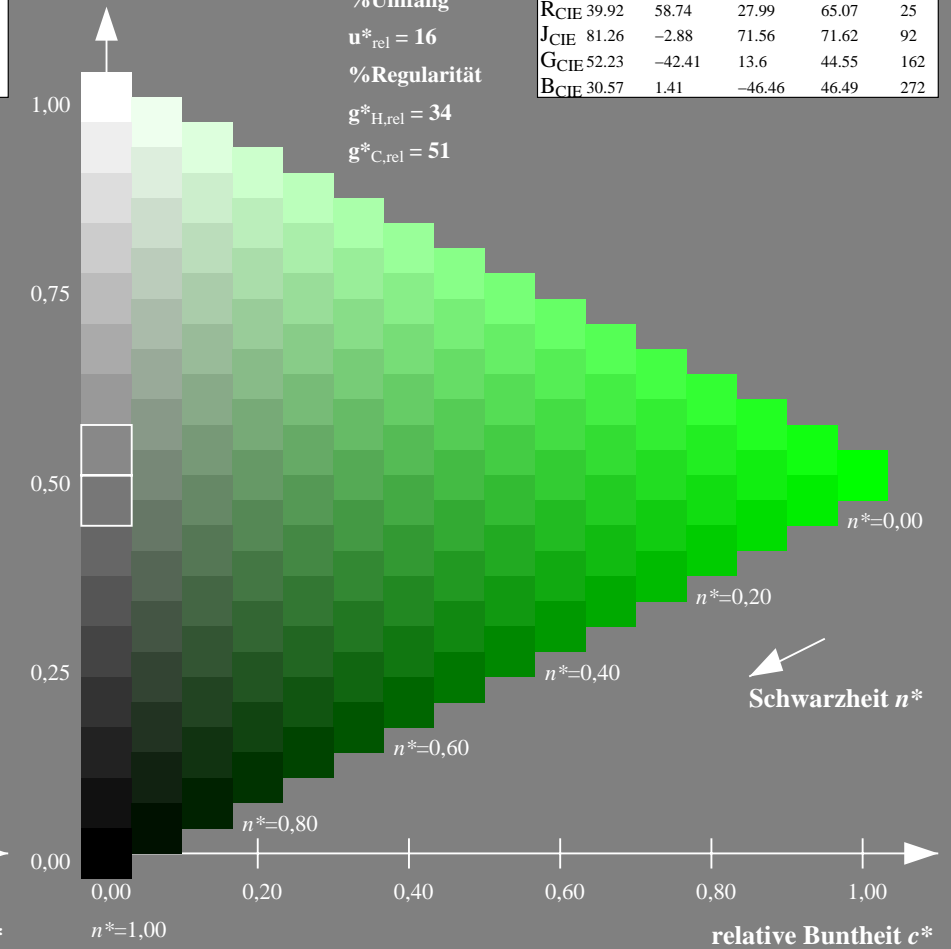
%Umfang

$u^*_{rel} = 16$

%Regularität

$g^*_{H,rel} = 34$

$g^*_{C,rel} = 51$



NG900-7, 9stufige Reihen für konstanten CIELAB Buntton $142/360 = 0.395$ (links)

16stufige Reihen für konstanten CIELAB Buntton $142/360 = 0.395$ (rechts)

Eingabe: Farbmetrisches Offset-Reflektiv-System ORS18

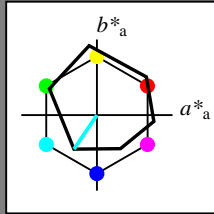
für Buntton $h^* = lab^*h = 236/360 = 0.656$

lab^*tch und lab^*nch

D65: Buntton C

LCH*Ma: 59 54 236

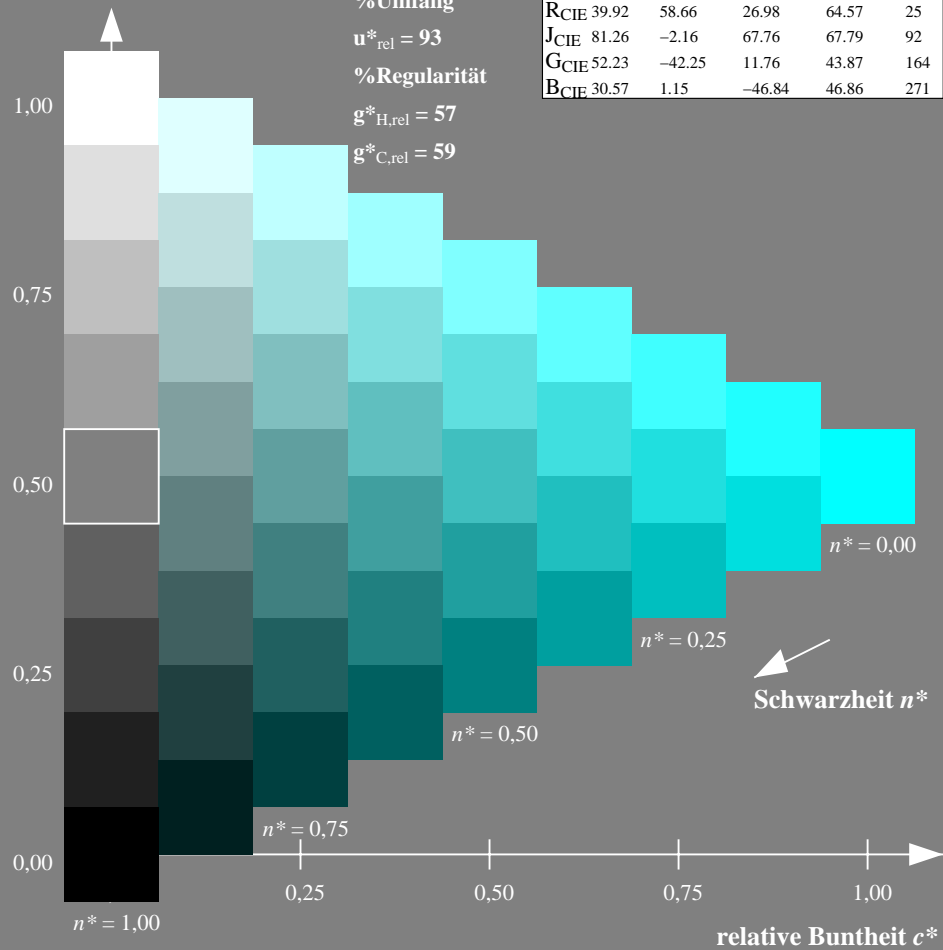
olv*Ma: 0.0 1.0 1.0



ORS18; adaptierte CIELAB-Daten

	$L^*=L^*_a$	a^*_a	b^*_a	$C^*_{ab,a}$	$h^*_{ab,a}$
O _{Ma}	47.94	65.39	50.52	82.63	38
Y _{Ma}	90.37	-10.26	91.75	92.32	96
L _{Ma}	50.9	-62.83	34.96	71.91	151
C _{Ma}	58.62	-30.34	-45.01	54.3	236
V _{Ma}	25.72	31.1	-44.4	54.22	305
M _{Ma}	48.13	75.28	-8.36	75.74	354
N _{Ma}	18.01	0.0	0.0	0.0	0
W _{Ma}	95.41	0.0	0.0	0.0	0
R _{CIE}	39.92	58.66	26.98	64.57	25
J _{CIE}	81.26	-2.16	67.76	67.79	92
G _{CIE}	52.23	-42.25	11.76	43.87	164
B _{CIE}	30.57	1.15	-46.84	46.86	271

Dreiecks-Helligkeit t^*



Ausgabe: Farbmetrisches Offset-Reflektiv-System ORS18

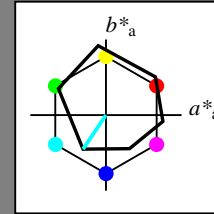
für Buntton $h^* = lab^*h = 236/360 = 0.656$

lab^*tch und lab^*nch

D65: Buntton C

LCH*Ma: 59 54 236

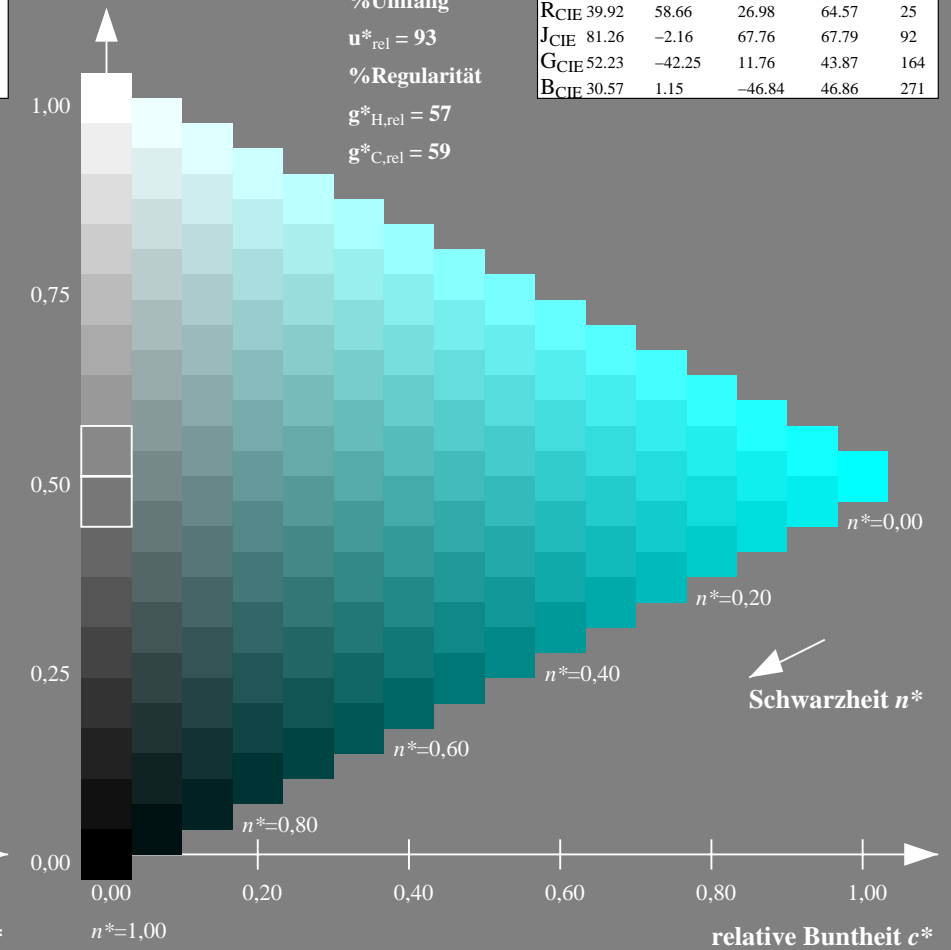
olv*Ma: 0.0 1.0 1.0



ORS18; adaptierte CIELAB-Daten

	$L^*=L^*_a$	a^*_a	b^*_a	$C^*_{ab,a}$	$h^*_{ab,a}$
O _{Ma}	47.94	65.39	50.52	82.63	38
Y _{Ma}	90.37	-10.26	91.75	92.32	96
L _{Ma}	50.9	-62.83	34.96	71.91	151
C _{Ma}	58.62	-30.34	-45.01	54.3	236
V _{Ma}	25.72	31.1	-44.4	54.22	305
M _{Ma}	48.13	75.28	-8.36	75.74	354
N _{Ma}	18.01	0.0	0.0	0.0	0
W _{Ma}	95.41	0.0	0.0	0.0	0
R _{CIE}	39.92	58.66	26.98	64.57	25
J _{CIE}	81.26	-2.16	67.76	67.79	92
G _{CIE}	52.23	-42.25	11.76	43.87	164
B _{CIE}	30.57	1.15	-46.84	46.86	271

Dreiecks-Helligkeit t^*



NG900-7, 9stufige Reihen für konstanten CIELAB Buntton 236/360 = 0.656 (links)

16stufige Reihen für konstanten CIELAB Buntton 236/360 = 0.656 (rechts)

Eingabe: Farbmetrisches Offset-Reflektiv-System ORS18

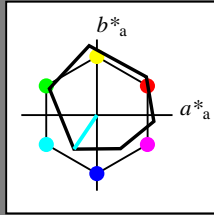
für Buntton $h^* = lab^*h = 236/360 = 0.656$

lab^*tch und lab^*nch

D65: Buntton C

LCH*Ma: 59 54 236

olv*Ma: 0.0 1.0 1.0



ORS18; adaptierte CIELAB-Daten

	$L^*=L^*_a$	a^*_a	b^*_a	$C^*_{ab,a}$	$h^*_{ab,a}$
OMa	47.94	65.39	50.52	82.63	38
YMa	90.37	-10.26	91.75	92.32	96
LMa	50.9	-62.83	34.96	71.91	151
CMa	58.62	-30.34	-45.01	54.3	236
VMa	25.72	31.1	-44.4	54.22	305
MMa	48.13	75.28	-8.36	75.74	354
NMa	18.01	0.0	0.0	0.0	0
WMa	95.41	0.0	0.0	0.0	0
RCIE	39.92	58.66	26.98	64.57	25
JCIE	81.26	-2.16	67.76	67.79	92
GCIE	52.23	-42.25	11.76	43.87	164
BCIE	30.57	1.15	-46.84	46.86	271

Dreiecks-Helligkeit t^*

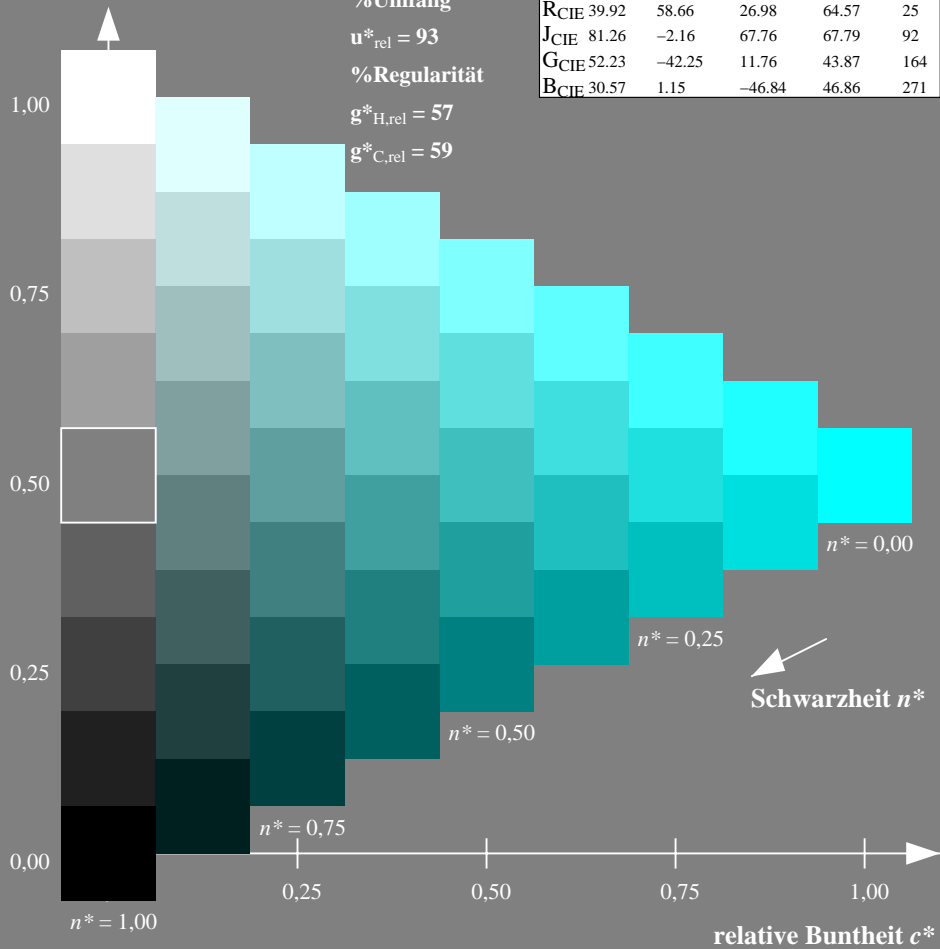
%Umfang

$u^*_{rel} = 93$

%Regularität

$g^*_{H,rel} = 57$

$g^*_{C,rel} = 59$



Ausgabe: Farbmetrisches Fernseh-Licht-System TLS00

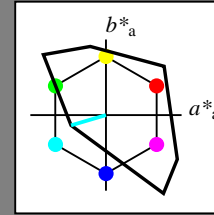
für Buntton $h^* = lab^*h = 196/360 = 0.545$

lab^*tch und lab^*nch

D65: Buntton C

LCH*Ma: 87 48 196

olv*Ma: 0.0 1.0 1.0



TLS00; adaptierte CIELAB-Daten

	$L^*=L^*_a$	a^*_a	b^*_a	$C^*_{ab,a}$	$h^*_{ab,a}$
OMa	50.5	76.92	64.55	100.42	40
YMa	92.66	-20.69	90.75	93.08	103
LMa	83.63	-82.75	79.9	115.04	136
CMa	86.88	-46.16	-13.55	48.12	196
VMa	30.39	76.06	-103.59	128.52	306
MMa	57.3	94.35	-58.41	110.97	328
NMa	0.01	0.0	0.0	0.0	0
WMa	95.41	0.0	0.0	0.0	0
RCIE	39.92	58.74	27.99	65.07	25
JCIE	81.26	-2.88	71.56	71.62	92
GCIE	52.23	-42.41	13.6	44.55	162
BCIE	30.57	1.41	-46.46	46.49	272

Dreiecks-Helligkeit t^*

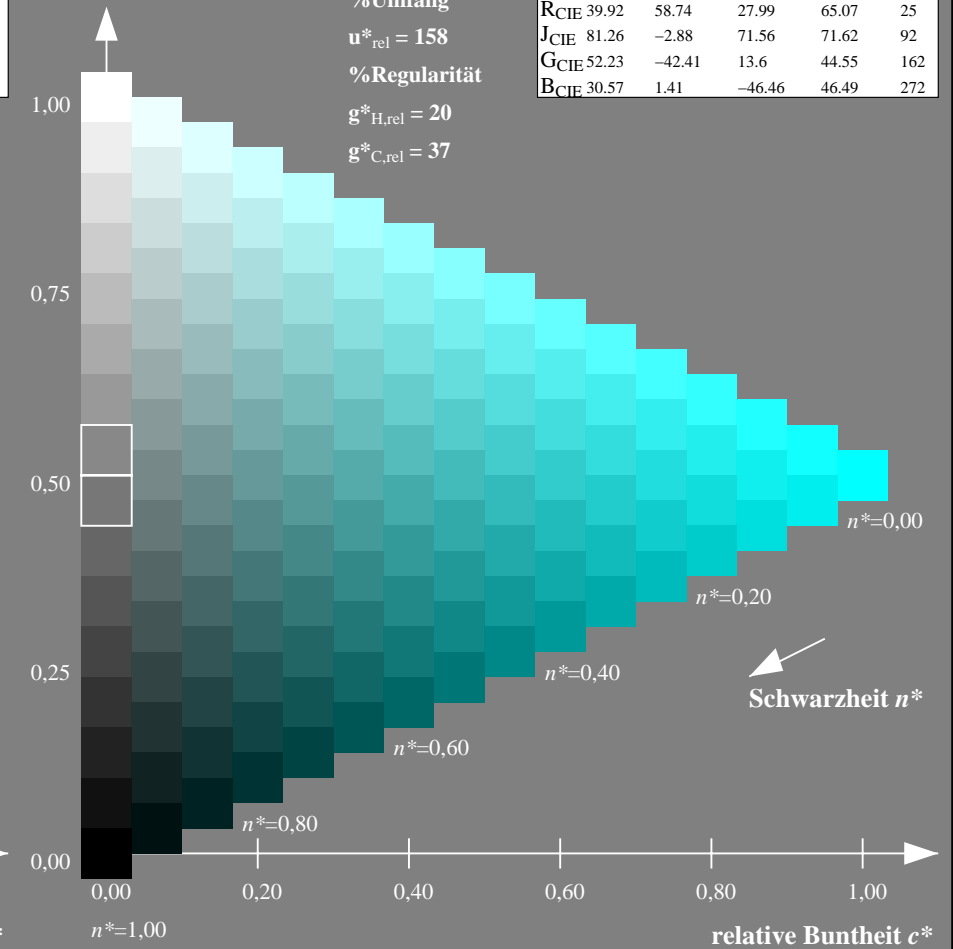
%Umfang

$u^*_{rel} = 158$

%Regularität

$g^*_{H,rel} = 20$

$g^*_{C,rel} = 37$



NG900-7, 9stufige Reihen für konstanten CIELAB Buntton 236/360 = 0.656 (links)

16stufige Reihen für konstanten CIELAB Buntton 196/360 = 0.545 (rechts)

Eingabe: Farbmetrisches Offset-Reflektiv-System ORS18

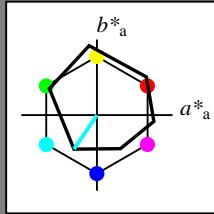
für Buntton $h^* = lab^*h = 236/360 = 0.656$

lab^*tch und lab^*nch

D65: Buntton C

LCH*Ma: 59 54 236

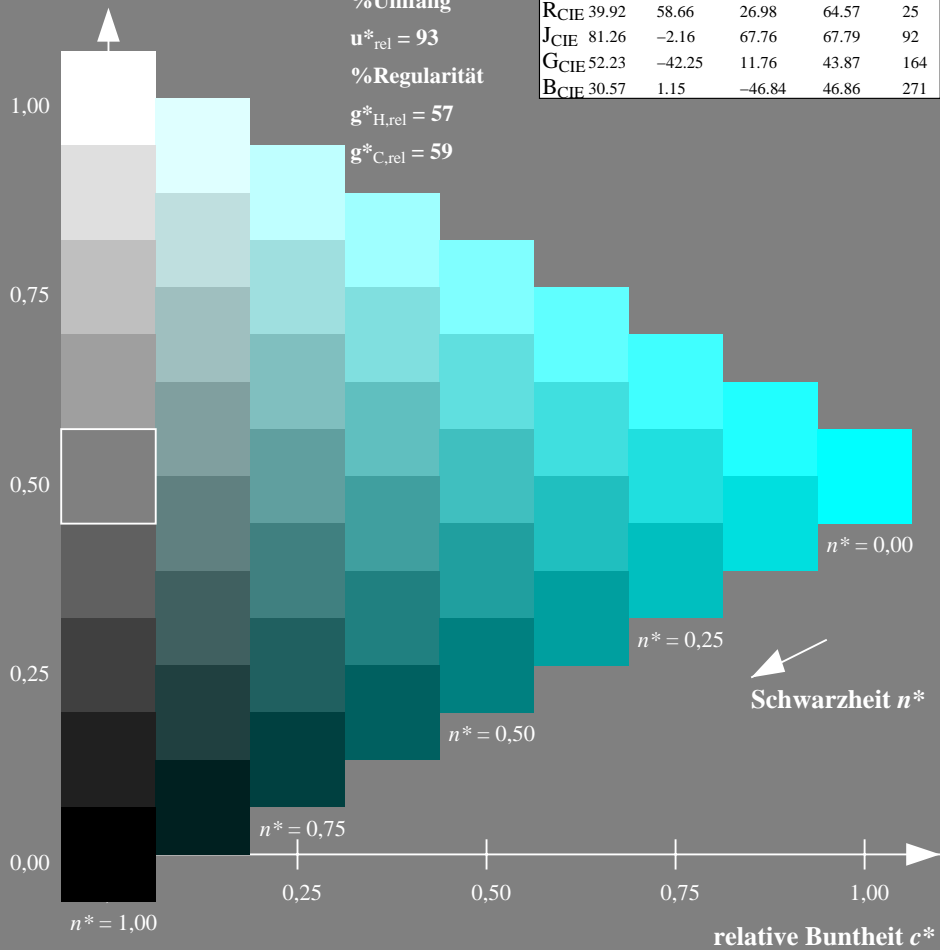
olv*Ma: 0.0 1.0 1.0



ORS18; adaptierte CIELAB-Daten

	$L^*=L^*_a$	a^*_a	b^*_a	$C^*_{ab,a}$	$h^*_{ab,a}$
OMa	47.94	65.39	50.52	82.63	38
YMa	90.37	-10.26	91.75	92.32	96
LMa	50.9	-62.83	34.96	71.91	151
CMa	58.62	-30.34	-45.01	54.3	236
VMa	25.72	31.1	-44.4	54.22	305
MMa	48.13	75.28	-8.36	75.74	354
NMa	18.01	0.0	0.0	0.0	0
WMa	95.41	0.0	0.0	0.0	0
RCIE	39.92	58.66	26.98	64.57	25
JCIE	81.26	-2.16	67.76	67.79	92
GCIE	52.23	-42.25	11.76	43.87	164
BCIE	30.57	1.15	-46.84	46.86	271

Dreiecks-Helligkeit t^*



Ausgabe: Farbmetrisches Drucker-Reflektiv-System DRSXX

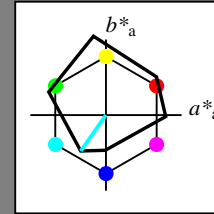
für Buntton $h^* = lab^*h = 235/360 = 0.653$

lab^*tch und lab^*nch

D65: Buntton C

LCH*Ma: 53 58 235

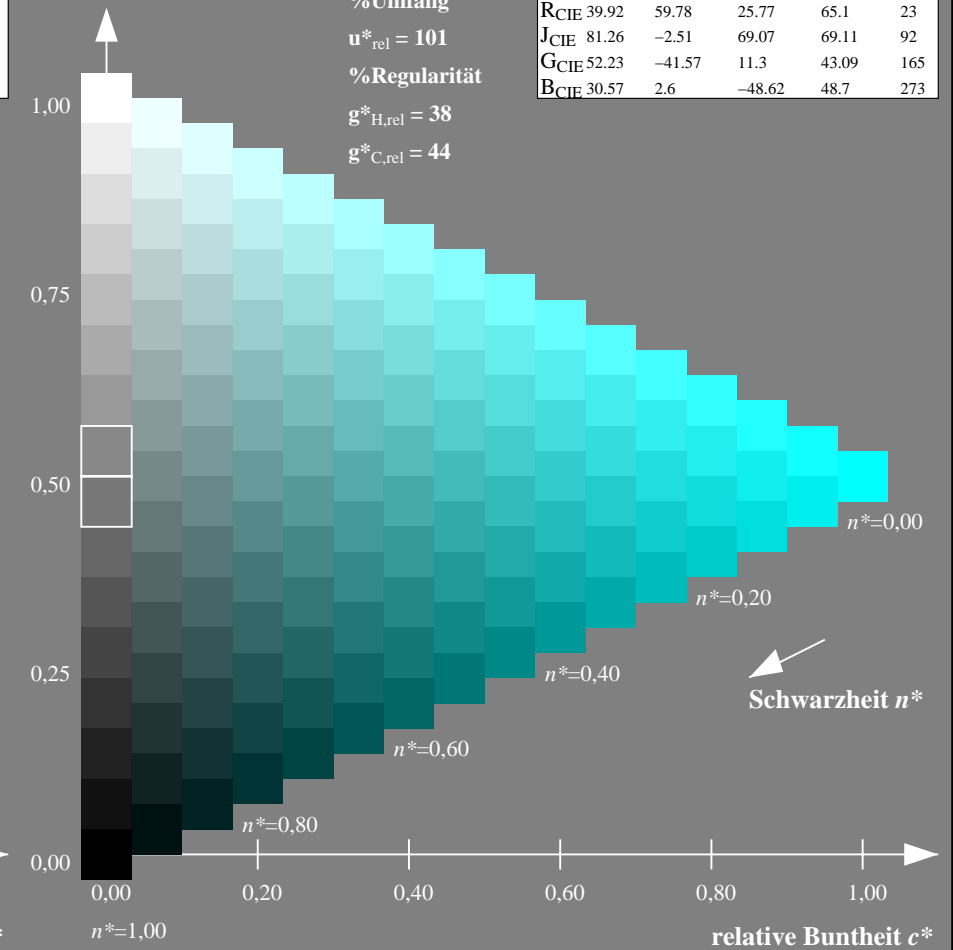
olv*Ma: 0.0 1.0 1.0



DRSXX; adaptierte CIELAB-Daten

	$L^*=L^*_a$	a^*_a	b^*_a	$C^*_{ab,a}$	$h^*_{ab,a}$
OMa	42.21	66.82	50.6	83.82	37
YMa	90.32	-16.51	104.33	105.63	99
LMa	48.21	-75.63	30.65	81.61	158
CMa	53.44	-33.33	-47.49	58.03	235
VMa	34.16	-0.92	-46.56	46.58	269
MMa	42.71	79.0	-1.95	79.03	359
NMa	16.56	0.0	0.0	0.0	0
WMa	96.31	0.0	0.0	0.0	0
RCIE	39.92	59.78	25.77	65.1	23
JCIE	81.26	-2.51	69.07	69.11	92
GCIE	52.23	-41.57	11.3	43.09	165
BCIE	30.57	2.6	-48.62	48.7	273

Dreiecks-Helligkeit t^*



NG900-7, 9stufige Reihen für konstanten CIELAB Buntton 236/360 = 0.656 (links)

16stufige Reihen für konstanten CIELAB Buntton 235/360 = 0.653 (rechts)

Eingabe: Farbmetrisches Offset-Reflektiv-System ORS18

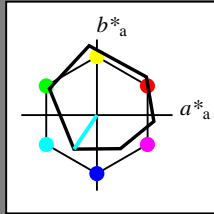
für Buntton $h^* = lab^*h = 236/360 = 0.656$

lab^*tch und lab^*nch

D65: Buntton C

LCH*Ma: 59 54 236

olv*Ma: 0.0 1.0 1.0



ORS18; adaptierte CIELAB-Daten

	$L^*=L^*_a$	a^*_a	b^*_a	$C^*_{ab,a}$	$h^*_{ab,a}$
OMa	47.94	65.39	50.52	82.63	38
YMa	90.37	-10.26	91.75	92.32	96
LMa	50.9	-62.83	34.96	71.91	151
CMa	58.62	-30.34	-45.01	54.3	236
VMa	25.72	31.1	-44.4	54.22	305
MMa	48.13	75.28	-8.36	75.74	354
NMa	18.01	0.0	0.0	0.0	0
WMa	95.41	0.0	0.0	0.0	0
RCIE	39.92	58.66	26.98	64.57	25
JCIE	81.26	-2.16	67.76	67.79	92
GCIE	52.23	-42.25	11.76	43.87	164
BCIE	30.57	1.15	-46.84	46.86	271

Dreiecks-Helligkeit t^*

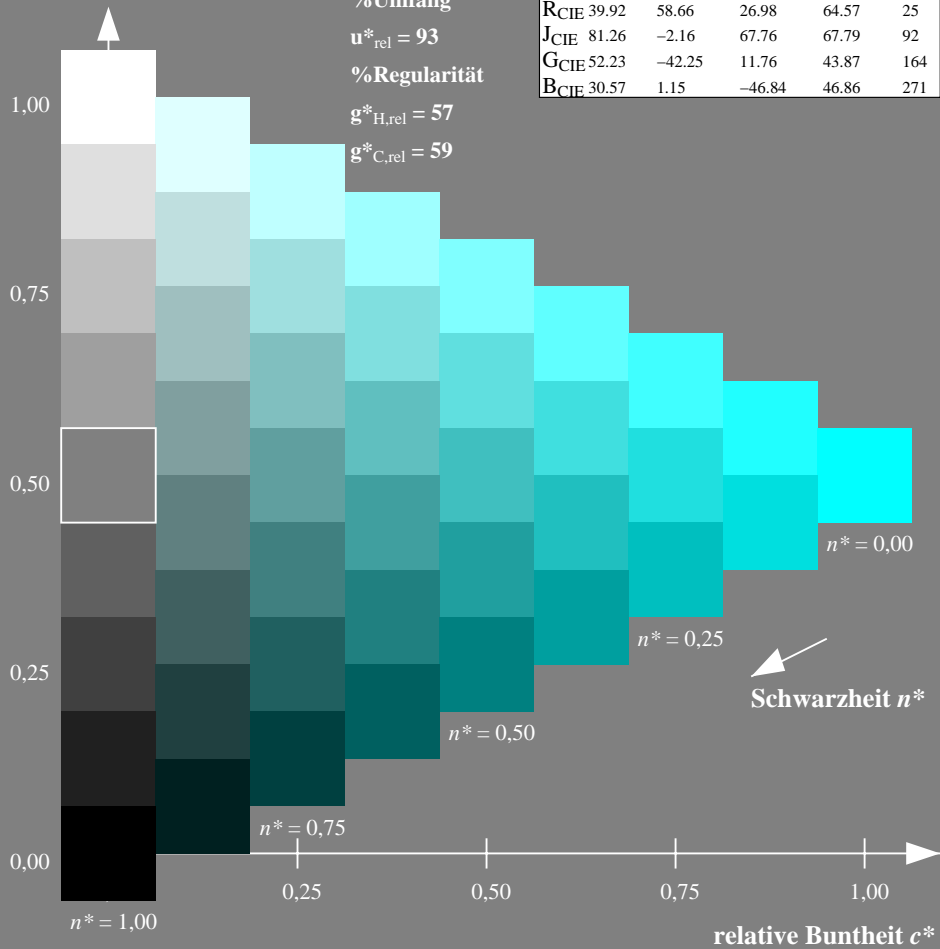
%Umfang

$u^*_{rel} = 93$

%Regularität

$g^*_{H,rel} = 57$

$g^*_{C,rel} = 59$



Ausgabe: Farbmetrisches Fernseh-Licht-System TLS18

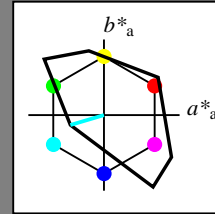
für Buntton $h^* = lab^*h = 196/360 = 0.546$

lab^*tch und lab^*nch

D65: Buntton C

LCH*Ma: 87 46 196

olv*Ma: 0.0 1.0 1.0



TLS18; adaptierte CIELAB-Daten

	$L^*=L^*_a$	a^*_a	b^*_a	$C^*_{ab,a}$	$h^*_{ab,a}$
OMa	52.76	71.63	49.88	87.29	35
YMa	92.74	-20.02	84.97	87.3	103
LMa	84.0	-78.98	73.94	108.2	137
CMa	87.14	-44.41	-13.11	46.32	196
VMa	35.47	64.92	-95.06	115.12	304
MMa	59.01	89.33	-55.67	105.26	328
NMa	18.01	0.0	0.0	0.0	0
WMa	95.41	0.0	0.0	0.0	0
RCIE	39.92	58.74	27.99	65.07	25
JCIE	81.26	-2.88	71.56	71.62	92
GCIE	52.23	-42.41	13.6	44.55	162
BCIE	30.57	1.41	-46.46	46.49	272

Dreiecks-Helligkeit t^*

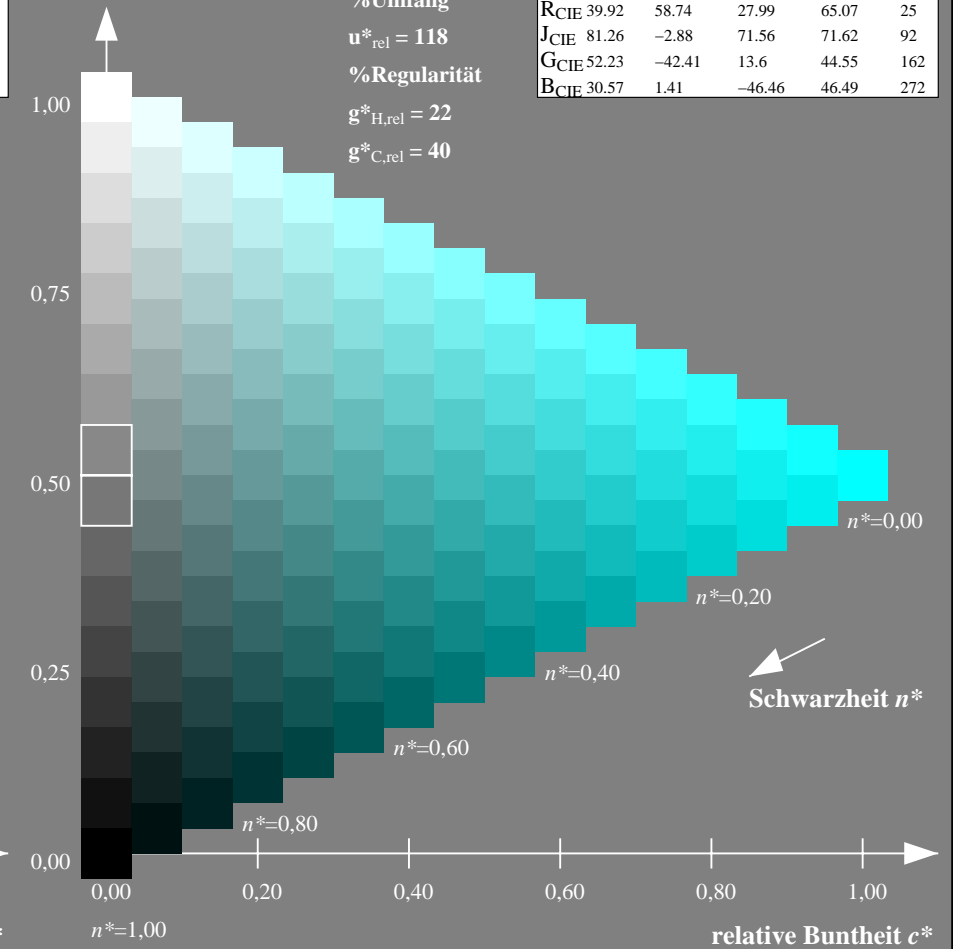
%Umfang

$u^*_{rel} = 118$

%Regularität

$g^*_{H,rel} = 22$

$g^*_{C,rel} = 40$



NG900-7, 9stufige Reihen für konstanten CIELAB Buntton $236/360 = 0.656$ (links)

16stufige Reihen für konstanten CIELAB Buntton $196/360 = 0.546$ (rechts)

Eingabe: Farbmatisches Offset-Reflektiv-System ORS18

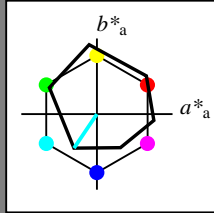
für Buntton $h^* = lab^*h = 236/360 = 0.656$

lab^*tch und lab^*nch

D65: Buntton C

LCH*Ma: 59 54 236

olv*Ma: 0.0 1.0 1.0



ORS18; adaptierte CIELAB-Daten

	$L^*=L^*_a$	a^*_a	b^*_a	$C^*_{ab,a}$	$h^*_{ab,a}$
OMa	47.94	65.39	50.52	82.63	38
YMa	90.37	-10.26	91.75	92.32	96
LMa	50.9	-62.83	34.96	71.91	151
CMa	58.62	-30.34	-45.01	54.3	236
VMa	25.72	31.1	-44.4	54.22	305
MMa	48.13	75.28	-8.36	75.74	354
NMa	18.01	0.0	0.0	0.0	0
WMa	95.41	0.0	0.0	0.0	0
RCIE	39.92	58.66	26.98	64.57	25
JCIE	81.26	-2.16	67.76	67.79	92
GCIE	52.23	-42.25	11.76	43.87	164
BCIE	30.57	1.15	-46.84	46.86	271

Dreiecks-Helligkeit t^*

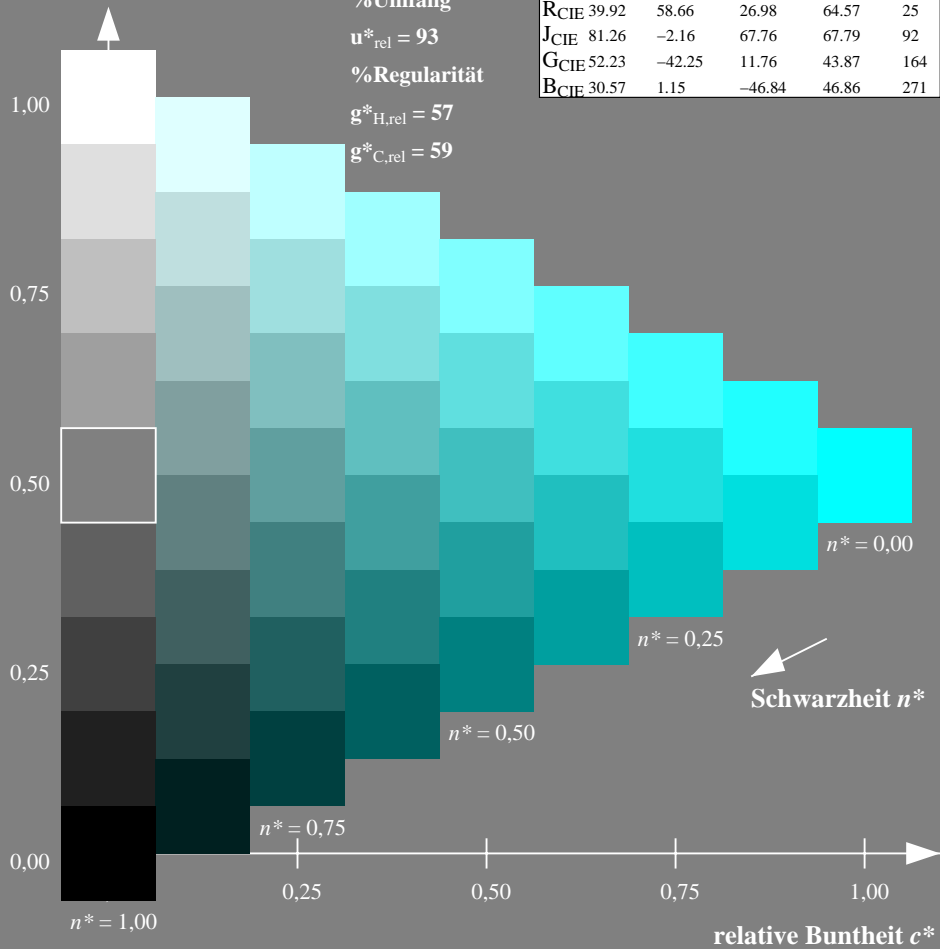
%Umfang

$u^*_{rel} = 93$

%Regularität

$g^*_{H,rel} = 57$

$g^*_{C,rel} = 59$



Ausgabe: Farbmatisches Natürliches-Licht-System NLS00

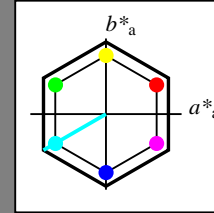
für Buntton $h^* = lab^*h = 210/360 = 0.583$

lab^*tch und lab^*nch

D65: Buntton C

LCH*Ma: 64 95 210

olv*Ma: 0.0 1.0 1.0



NLS00; adaptierte CIELAB-Daten

	$L^*=L^*_a$	a^*_a	b^*_a	$C^*_{ab,a}$	$h^*_{ab,a}$
OMa	31.81	82.62	47.7	95.4	30
YMa	63.61	0.0	95.4	95.4	90
LMa	31.81	-82.61	47.7	95.4	150
CMa	63.61	-82.61	-47.69	95.4	210
VMa	31.81	0.0	-95.39	95.4	270
MMa	63.61	82.62	-47.69	95.4	330
NMa	0.01	0.0	0.0	0.0	0
WMa	95.41	0.0	0.0	0.0	0
RCIE	39.92	58.74	27.99	65.07	25
JCIE	81.26	-2.88	71.56	71.62	92
GCIE	52.23	-42.41	13.6	44.55	162
BCIE	30.57	1.41	-46.46	46.49	272

Dreiecks-Helligkeit t^*

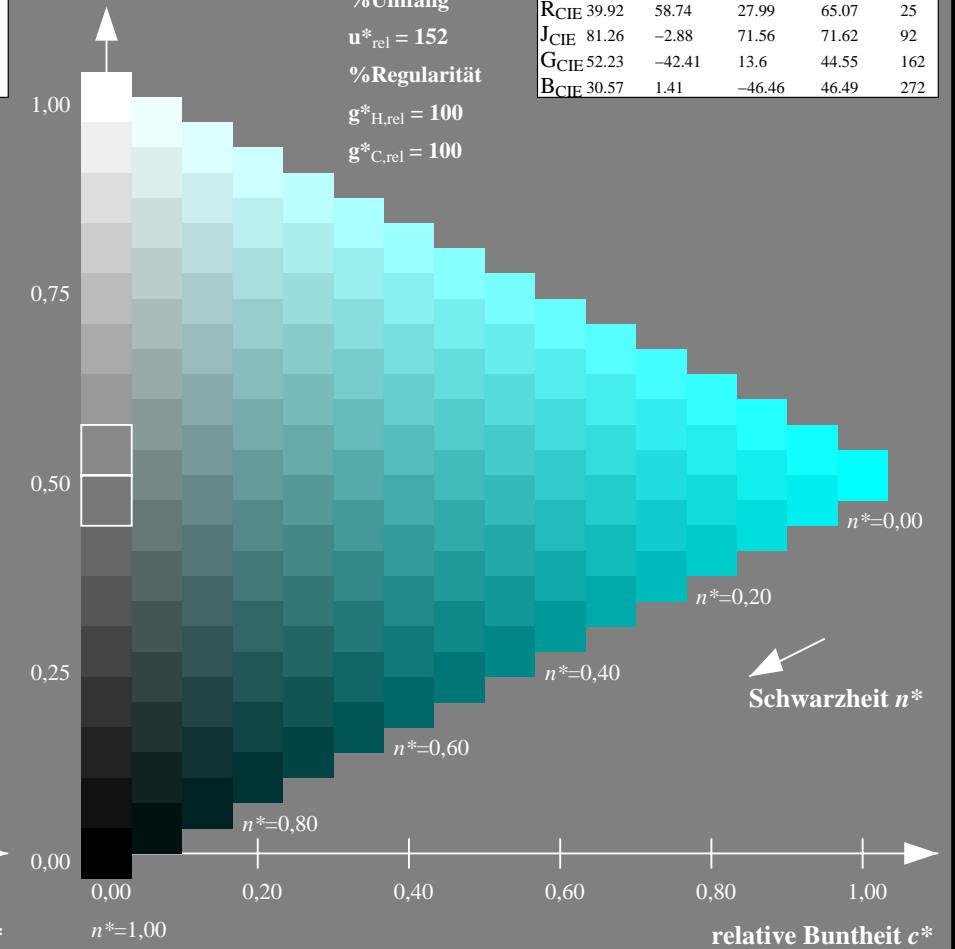
%Umfang

$u^*_{rel} = 152$

%Regularität

$g^*_{H,rel} = 100$

$g^*_{C,rel} = 100$



NG900-7, 9stufige Reihen für konstanten CIELAB Buntton 236/360 = 0.656 (links)

16stufige Reihen für konstanten CIELAB Buntton 210/360 = 0.583 (rechts)

Eingabe: Farbmatisches Offset-Reflektiv-System ORS18

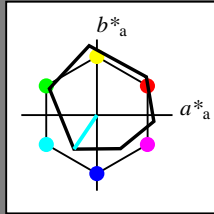
für Buntton $h^* = lab^*h = 236/360 = 0.656$

lab^*tch und lab^*nch

D65: Buntton C

LCH*Ma: 59 54 236

olv*Ma: 0.0 1.0 1.0



ORS18; adaptierte CIELAB-Daten

	$L^*=L^*_a$	a^*_a	b^*_a	$C^*_{ab,a}$	$h^*_{ab,a}$
OMa	47.94	65.39	50.52	82.63	38
YMa	90.37	-10.26	91.75	92.32	96
LMa	50.9	-62.83	34.96	71.91	151
CMa	58.62	-30.34	-45.01	54.3	236
VMa	25.72	31.1	-44.4	54.22	305
MMa	48.13	75.28	-8.36	75.74	354
NMa	18.01	0.0	0.0	0.0	0
WMa	95.41	0.0	0.0	0.0	0
RCIE	39.92	58.66	26.98	64.57	25
JCIE	81.26	-2.16	67.76	67.79	92
GCIE	52.23	-42.25	11.76	43.87	164
BCIE	30.57	1.15	-46.84	46.86	271

Dreiecks-Helligkeit t^*

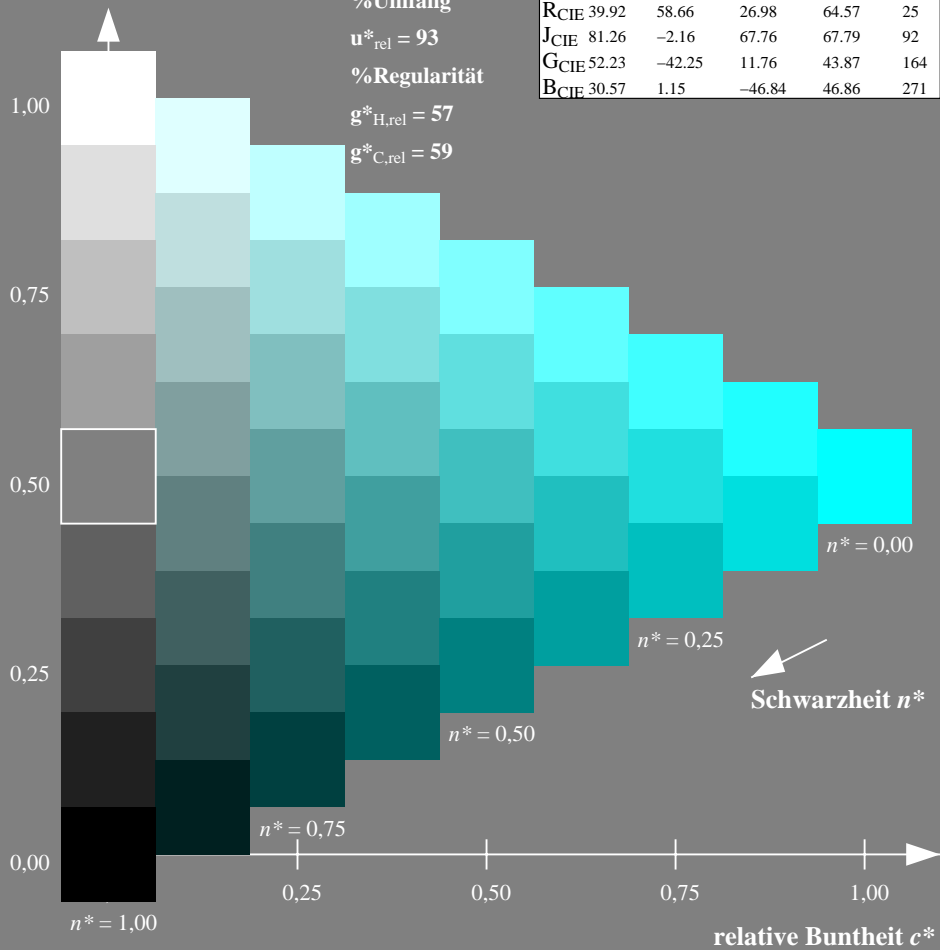
%Umfang

$u^*_{rel} = 93$

%Regularität

$g^*_{H,rel} = 57$

$g^*_{C,rel} = 59$



Ausgabe: Farbmatisches Natürliches-Reflektiv-System NRS18

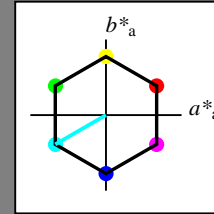
für Buntton $h^* = lab^*h = 210/360 = 0.583$

lab^*tch und lab^*nch

D65: Buntton C

LCH*Ma: 70 77 210

olv*Ma: 0.0 1.0 1.0



NRS18; adaptierte CIELAB-Daten

	$L^*=L^*_a$	a^*_a	b^*_a	$C^*_{ab,a}$	$h^*_{ab,a}$
OMa	43.81	67.03	38.7	77.4	30
YMa	69.61	0.0	77.4	77.4	90
LMa	43.81	-67.02	38.7	77.4	150
CMa	69.61	-67.02	-38.69	77.4	210
VMa	43.81	0.0	-77.39	77.4	270
MMa	69.61	67.03	-38.69	77.4	330
NMa	18.01	0.0	0.0	0.0	0
WMa	95.41	0.0	0.0	0.0	0
RCIE	39.92	58.74	27.99	65.07	25
JCIE	81.26	-2.88	71.56	71.62	92
GCIE	52.23	-42.41	13.6	44.55	162
BCIE	30.57	1.41	-46.46	46.49	272

Dreiecks-Helligkeit t^*

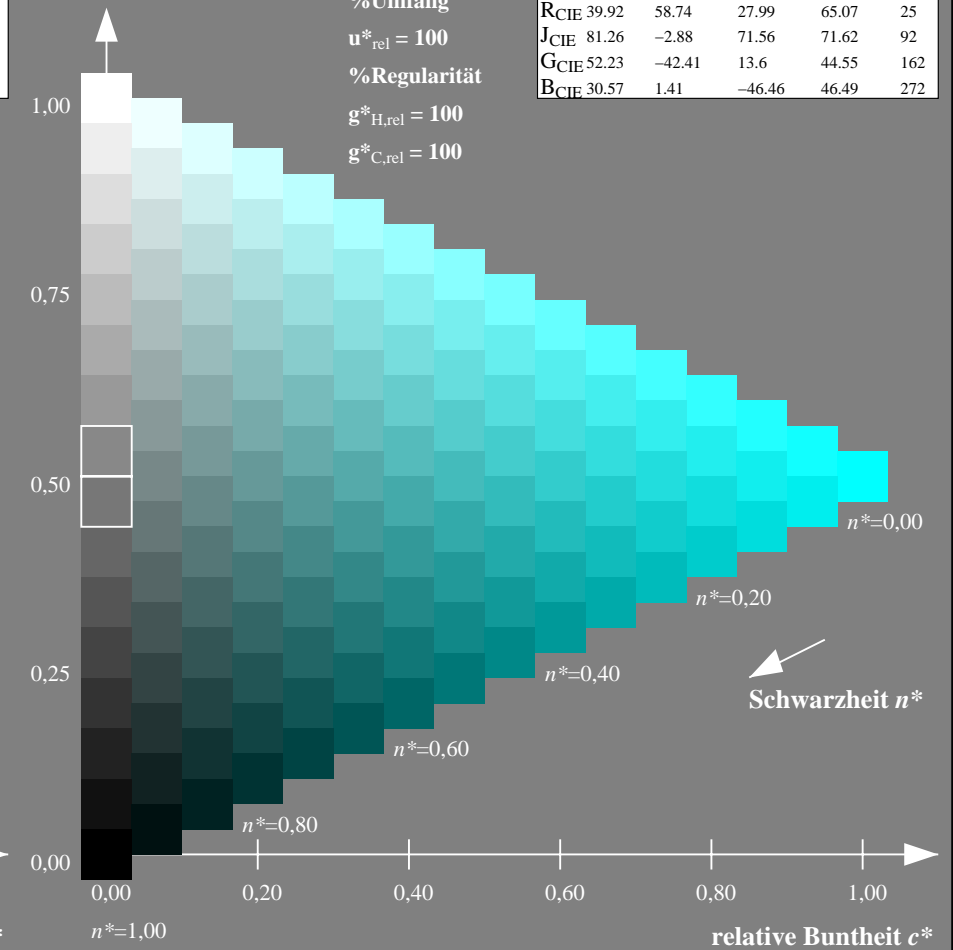
%Umfang

$u^*_{rel} = 100$

%Regularität

$g^*_{H,rel} = 100$

$g^*_{C,rel} = 100$



NG900-7, 9stufige Reihen für konstanten CIELAB Buntton $236/360 = 0.656$ (links)

16stufige Reihen für konstanten CIELAB Buntton $210/360 = 0.583$ (rechts)

Eingabe: Farbmatisches Offset-Reflektiv-System ORS18

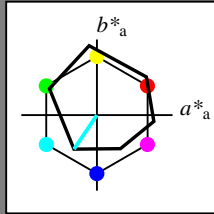
für Buntton $h^* = lab^*h = 236/360 = 0.656$

lab^*tch und lab^*nch

D65: Buntton C

LCH*Ma: 59 54 236

olv*Ma: 0.0 1.0 1.0



ORS18; adaptierte CIELAB-Daten

	$L^*=L^*_a$	a^*_a	b^*_a	$C^*_{ab,a}$	$h^*_{ab,a}$
OMa	47.94	65.39	50.52	82.63	38
YMa	90.37	-10.26	91.75	92.32	96
LMa	50.9	-62.83	34.96	71.91	151
CMa	58.62	-30.34	-45.01	54.3	236
VMa	25.72	31.1	-44.4	54.22	305
MMa	48.13	75.28	-8.36	75.74	354
NMa	18.01	0.0	0.0	0.0	0
WMa	95.41	0.0	0.0	0.0	0
RCIE	39.92	58.66	26.98	64.57	25
JCIE	81.26	-2.16	67.76	67.79	92
GCIE	52.23	-42.25	11.76	43.87	164
BCIE	30.57	1.15	-46.84	46.86	271

Dreiecks-Helligkeit t^*

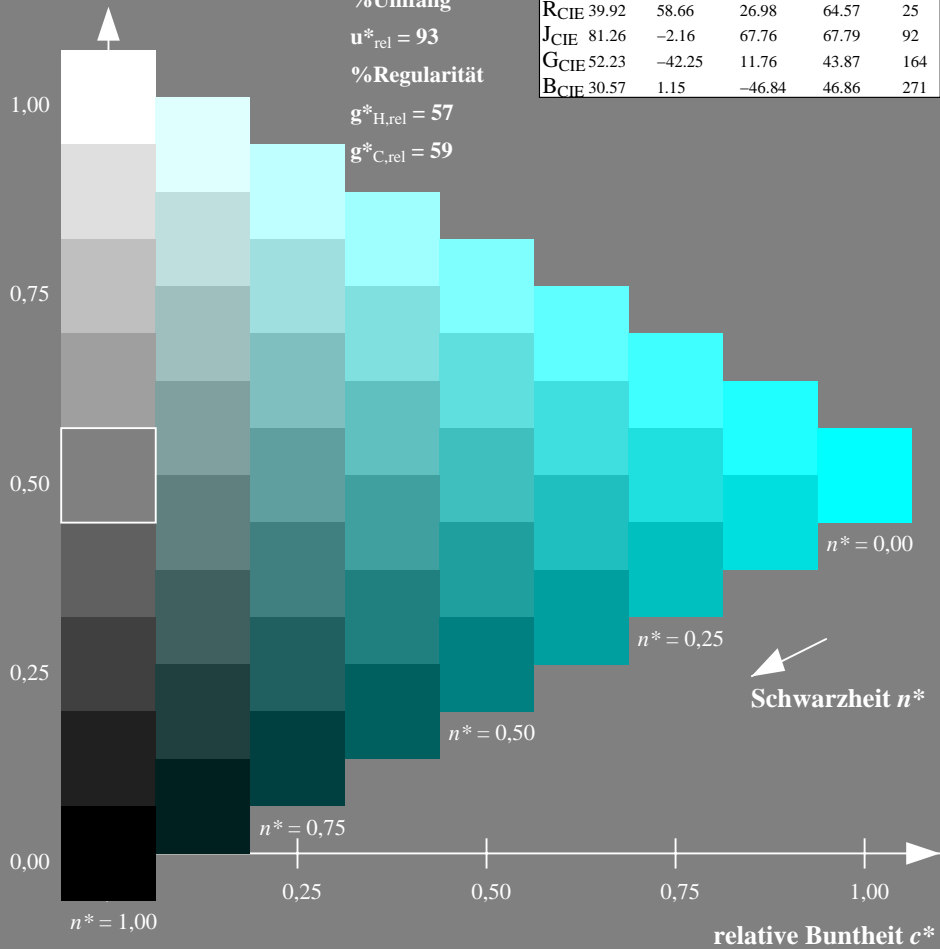
%Umfang

$u^*_{rel} = 93$

%Regularität

$g^*_{H,rel} = 57$

$g^*_{C,rel} = 59$



Ausgabe: Farbmatisches Standard-Reflektiv-System SRS18

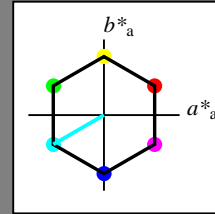
für Buntton $h^* = lab^*h = 210/360 = 0.583$

lab^*tch und lab^*nch

D65: Buntton C

LCH*Ma: 57 77 210

olv*Ma: 0.0 1.0 1.0



SRS18; adaptierte CIELAB-Daten

	$L^*=L^*_a$	a^*_a	b^*_a	$C^*_{ab,a}$	$h^*_{ab,a}$
OMa	56.71	67.03	38.7	77.4	30
YMa	56.71	0.0	77.4	77.4	90
LMa	56.71	-67.02	38.7	77.4	150
CMa	56.71	-67.02	-38.69	77.4	210
VMa	56.71	0.0	-77.39	77.4	270
MMa	56.71	67.03	-38.69	77.4	330
NMa	18.01	0.0	0.0	0.0	0
WMa	95.41	0.0	0.0	0.0	0
RCIE	39.92	58.74	27.99	65.07	25
JCIE	81.26	-2.88	71.56	71.62	92
GCIE	52.23	-42.41	13.6	44.55	162
BCIE	30.57	1.41	-46.46	46.49	272

Dreiecks-Helligkeit t^*

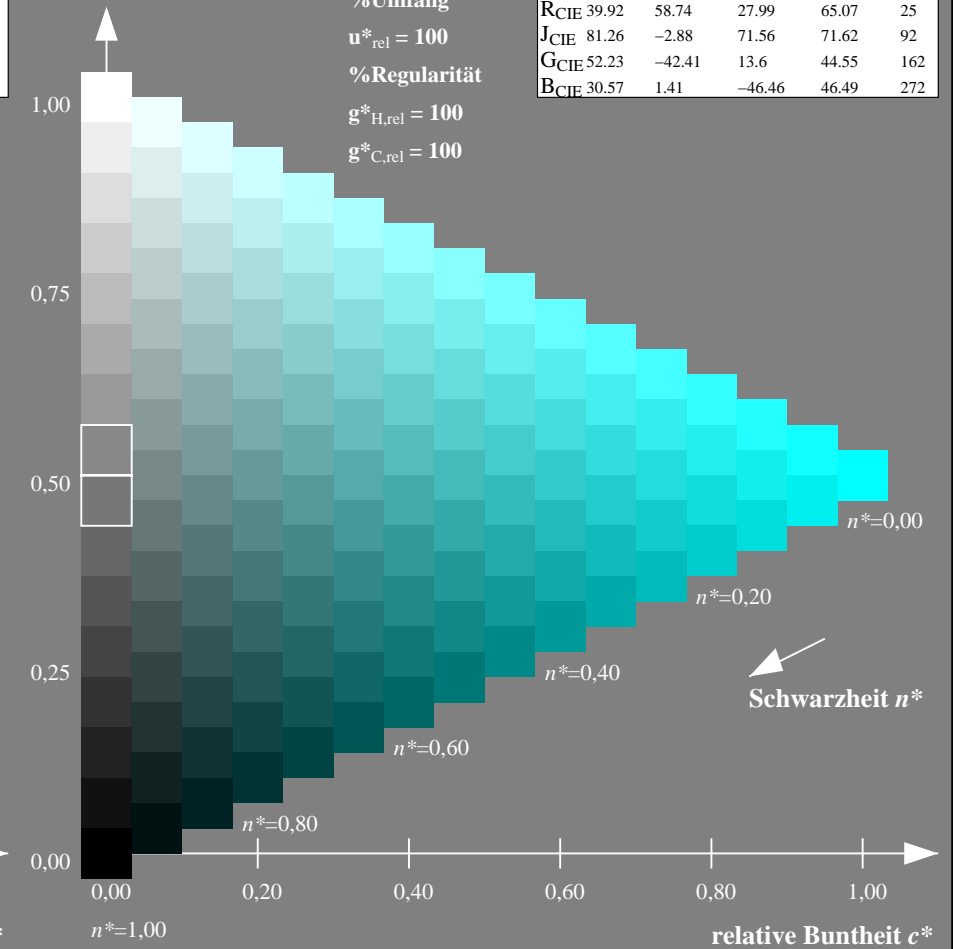
%Umfang

$u^*_{rel} = 100$

%Regularität

$g^*_{H,rel} = 100$

$g^*_{C,rel} = 100$



NG900-7, 9stufige Reihen für konstanten CIELAB Buntton 236/360 = 0.656 (links)

16stufige Reihen für konstanten CIELAB Buntton 210/360 = 0.583 (rechts)

Eingabe: Farbmetrisches Offset-Reflektiv-System ORS18

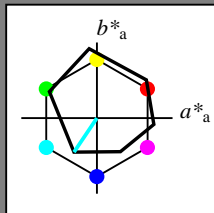
für Buntton $h^* = lab^*h = 236/360 = 0.656$

lab^*tch und lab^*nch

D65: Buntton C

LCH*Ma: 59 54 236

olv*Ma: 0.0 1.0 1.0

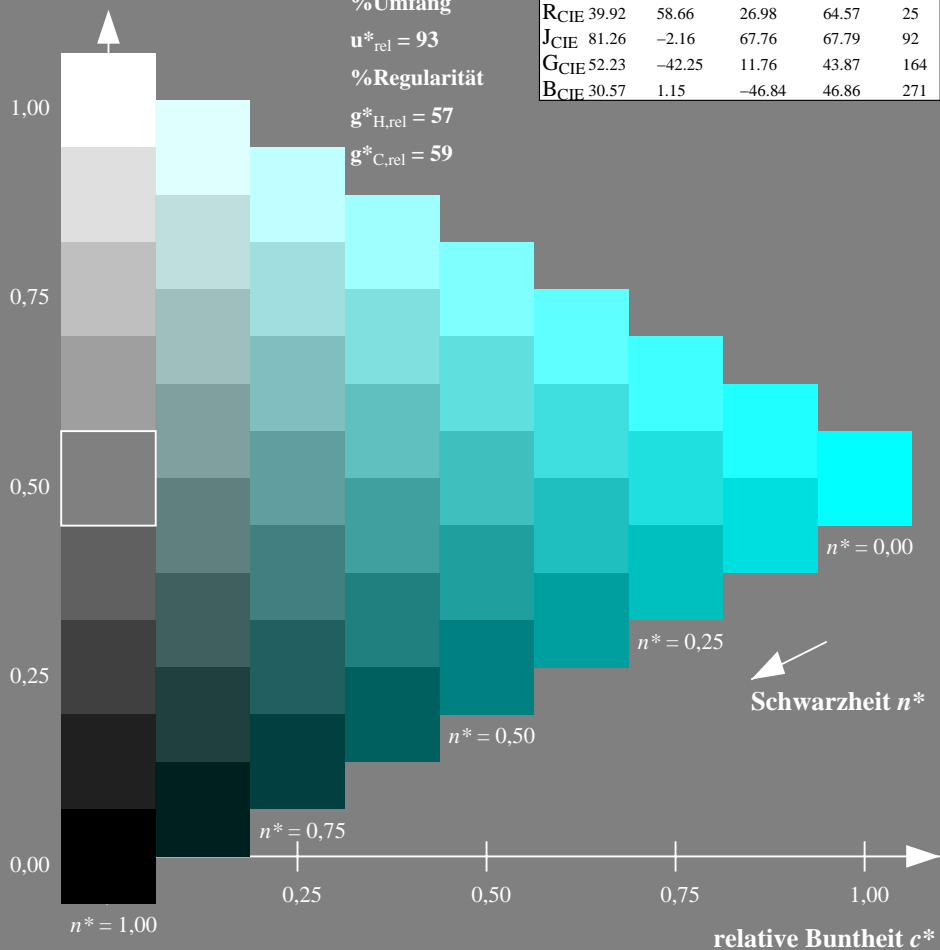


ORS18; adaptierte CIELAB-Daten

	$L^*=L^*_a$	a^*_a	b^*_a	$C^*_{ab,a}$	$h^*_{ab,a}$
O _{Ma}	47.94	65.39	50.52	82.63	38
Y _{Ma}	90.37	-10.26	91.75	92.32	96
L _{Ma}	50.9	-62.83	34.96	71.91	151
C _{Ma}	58.62	-30.34	-45.01	54.3	236
V _{Ma}	25.72	31.1	-44.4	54.22	305
M _{Ma}	48.13	75.28	-8.36	75.74	354
N _{Ma}	18.01	0.0	0.0	0.0	0
W _{Ma}	95.41	0.0	0.0	0.0	0
R _{CIE}	39.92	58.66	26.98	64.57	25
J _{CIE}	81.26	-2.16	67.76	67.79	92
G _{CIE}	52.23	-42.25	11.76	43.87	164
B _{CIE}	30.57	1.15	-46.84	46.86	271

Dreiecks-Helligkeit t^*

%Umfang
 $u^*_{rel} = 93$
%Regularität
 $g^*_{H,rel} = 57$
 $g^*_{C,rel} = 59$



Ausgabe: Farbmetrisches Fernseh-Licht-System TLS70

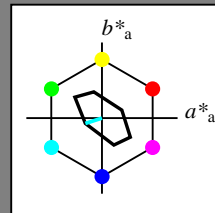
für Buntton $h^* = lab^*h = 198/360 = 0.55$

lab^*tch und lab^*nch

D65: Buntton C

LCH*Ma: 91 23 198

olv*Ma: 0.0 1.0 1.0

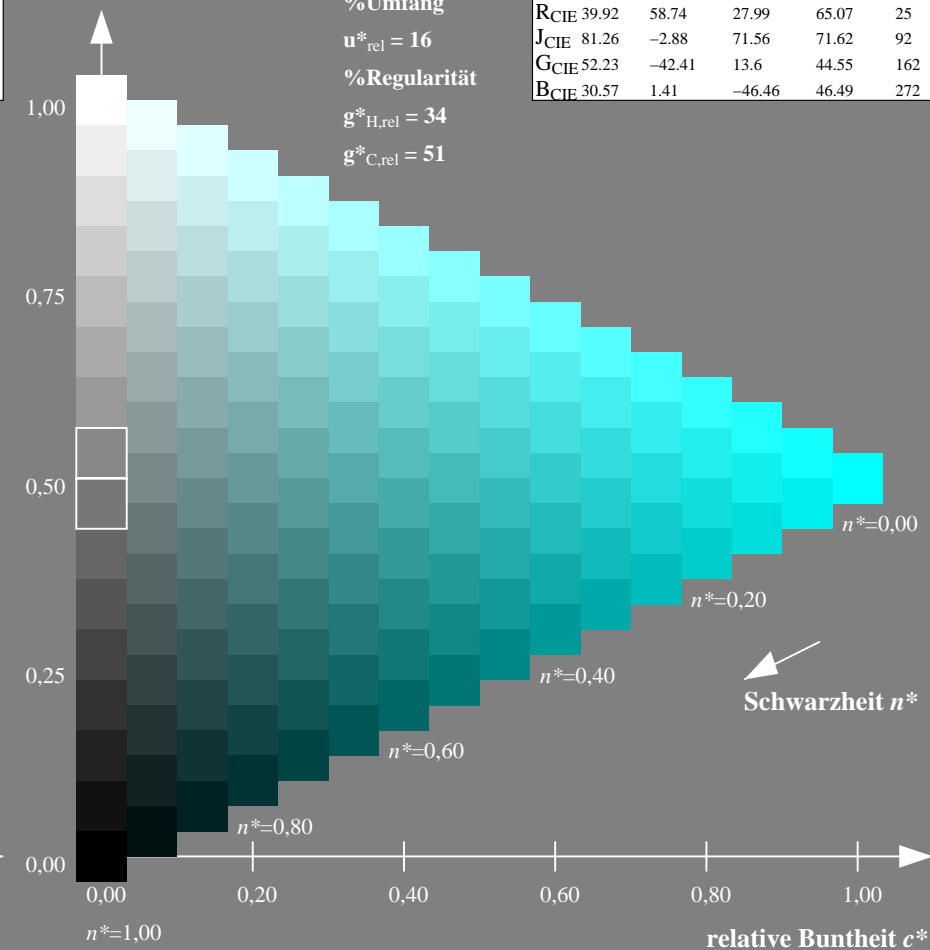


TLS70; adaptierte CIELAB-Daten

	$L^*=L^*_a$	a^*_a	b^*_a	$C^*_{ab,a}$	$h^*_{ab,a}$
O _{Ma}	76.43	26.27	10.57	28.32	22
Y _{Ma}	93.93	-10.76	34.63	36.27	107
L _{Ma}	89.32	-35.8	27.64	45.24	142
C _{Ma}	90.93	-21.95	-7.07	23.07	198
V _{Ma}	72.1	15.76	-35.63	38.97	294
M _{Ma}	78.5	37.52	-25.23	45.22	326
N _{Ma}	69.7	0.0	0.0	0.0	0
W _{Ma}	95.41	0.0	0.0	0.0	0
R _{CIE}	39.92	58.74	27.99	65.07	25
J _{CIE}	81.26	-2.88	71.56	71.62	92
G _{CIE}	52.23	-42.41	13.6	44.55	162
B _{CIE}	30.57	1.41	-46.46	46.49	272

Dreiecks-Helligkeit t^*

%Umfang
 $u^*_{rel} = 16$
%Regularität
 $g^*_{H,rel} = 34$
 $g^*_{C,rel} = 51$



NG900-7, 9stufige Reihen für konstanten CIELAB Buntton $236/360 = 0.656$ (links)

16stufige Reihen für konstanten CIELAB Buntton $198/360 = 0.55$ (rechts)

Eingabe: Farbmetrisches Fernseh-Licht-System TLS00

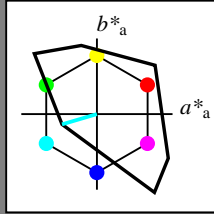
für Buntton $h^* = lab^*h = 196/360 = 0.545$

lab^*tch und lab^*nch

D65: Buntton C

LCH*Ma: 87 48 196

olv*Ma: 0.0 1.0 1.0



TLS00; adaptierte CIELAB-Daten

	$L^*=L^*_a$	a^*_a	b^*_a	$C^*_{ab,a}$	$h^*_{ab,a}$
OMa	50.5	76.92	64.55	100.42	40
YMa	92.66	-20.69	90.75	93.08	103
LMa	83.63	-82.75	79.9	115.04	136
CMa	86.88	-46.16	-13.55	48.12	196
VMa	30.39	76.06	-103.59	128.52	306
MMa	57.3	94.35	-58.41	110.97	328
NMa	0.01	0.0	0.0	0.0	0
WMa	95.41	0.0	0.0	0.0	0
RCIE	39.92	58.74	27.99	65.07	25
JCIE	81.26	-2.88	71.56	71.62	92
GCIE	52.23	-42.41	13.6	44.55	162
BCIE	30.57	1.41	-46.46	46.49	272

Dreiecks-Helligkeit t^*

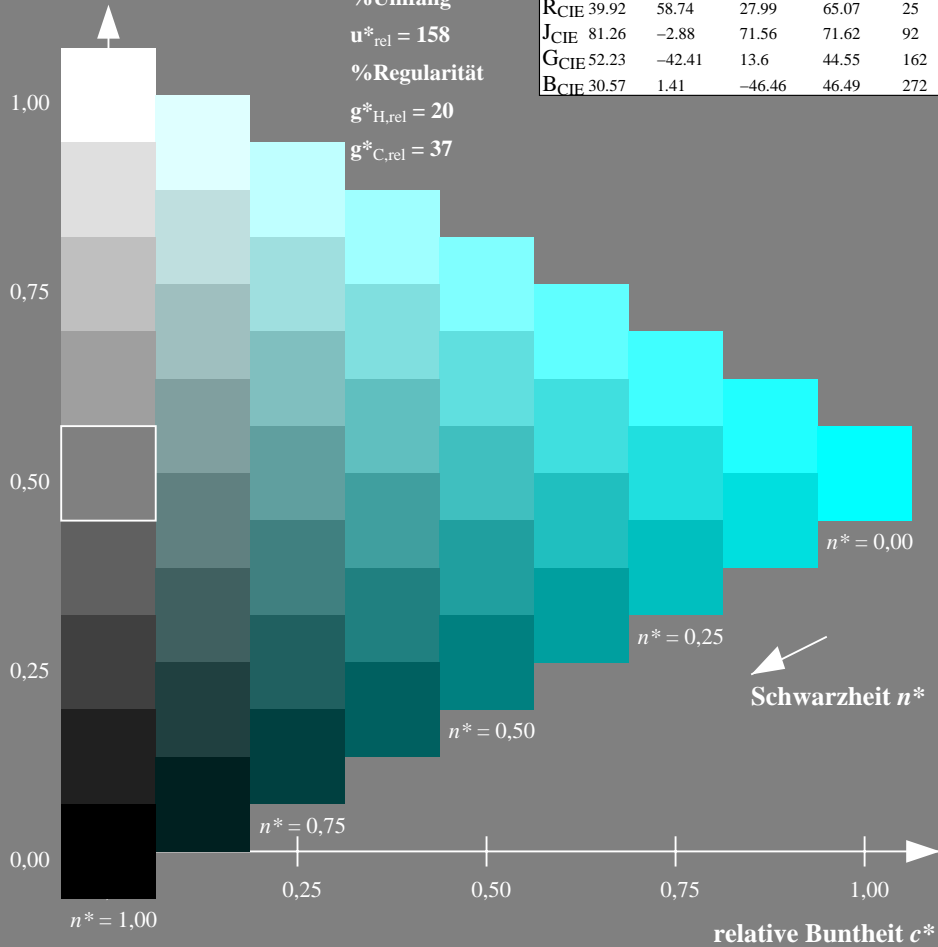
%Umfang

$u^*_{rel} = 158$

%Regularität

$g^*_{H,rel} = 20$

$g^*_{C,rel} = 37$



Ausgabe: Farbmetrisches Offset-Reflektiv-System ORS18

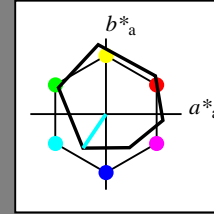
für Buntton $h^* = lab^*h = 236/360 = 0.656$

lab^*tch und lab^*nch

D65: Buntton C

LCH*Ma: 59 54 236

olv*Ma: 0.0 1.0 1.0



ORS18; adaptierte CIELAB-Daten

	$L^*=L^*_a$	a^*_a	b^*_a	$C^*_{ab,a}$	$h^*_{ab,a}$
OMa	47.94	65.39	50.52	82.63	38
YMa	90.37	-10.26	91.75	92.32	96
LMa	50.9	-62.83	34.96	71.91	151
CMa	58.62	-30.34	-45.01	54.3	236
VMa	25.72	31.1	-44.4	54.22	305
MMa	48.13	75.28	-8.36	75.74	354
NMa	18.01	0.0	0.0	0.0	0
WMa	95.41	0.0	0.0	0.0	0
RCIE	39.92	58.66	26.98	64.57	25
JCIE	81.26	-2.16	67.76	67.79	92
GCIE	52.23	-42.25	11.76	43.87	164
BCIE	30.57	1.15	-46.84	46.86	271

Dreiecks-Helligkeit t^*

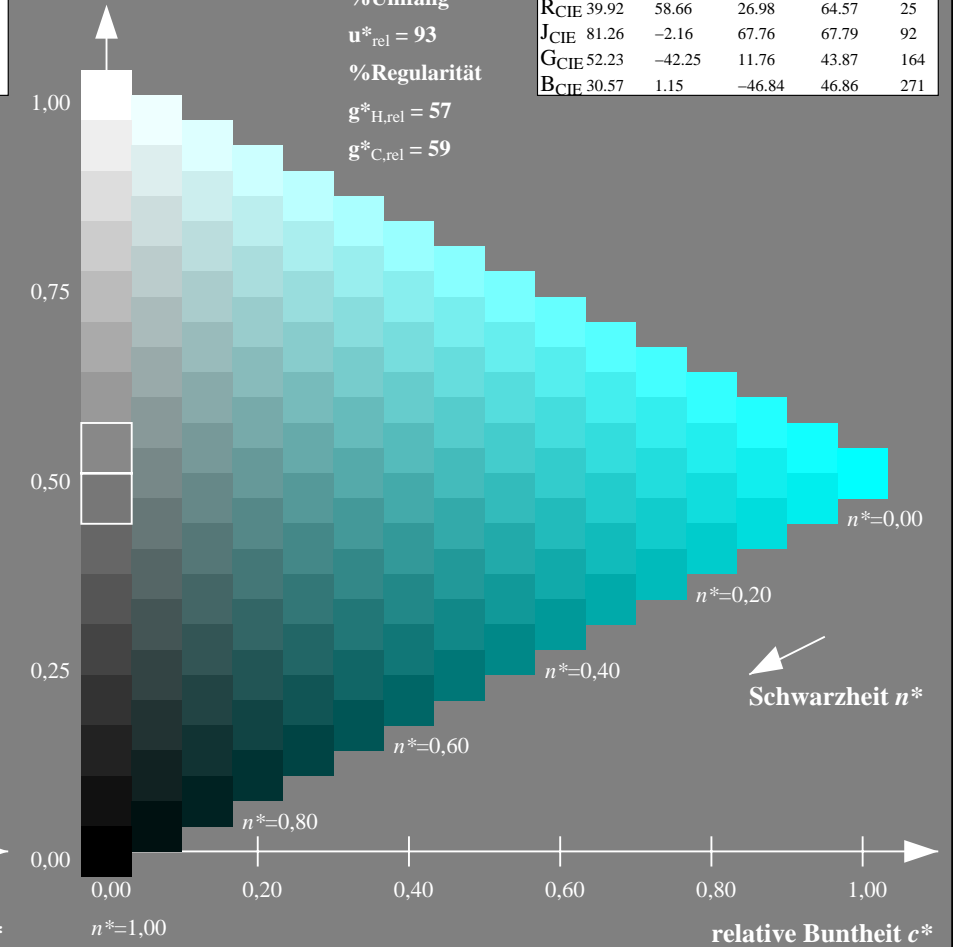
%Umfang

$u^*_{rel} = 93$

%Regularität

$g^*_{H,rel} = 57$

$g^*_{C,rel} = 59$



NG900-7, 9stufige Reihen für konstanten CIELAB Buntton 196/360 = 0.545 (links)

16stufige Reihen für konstanten CIELAB Buntton 236/360 = 0.656 (rechts)

Eingabe: Farbmetrisches Fernseh-Licht-System TLS00

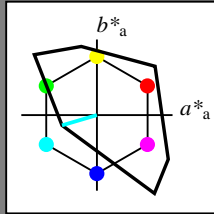
für Buntton $h^* = lab^*h = 196/360 = 0.545$

lab^*tch und lab^*nch

D65: Buntton C

LCH*Ma: 87 48 196

olv*Ma: 0.0 1.0 1.0



TLS00; adaptierte CIELAB-Daten

	$L^*=L^*_a$	a^*_a	b^*_a	$C^*_{ab,a}$	$h^*_{ab,a}$
OMa	50.5	76.92	64.55	100.42	40
YMa	92.66	-20.69	90.75	93.08	103
LMa	83.63	-82.75	79.9	115.04	136
CMa	86.88	-46.16	-13.55	48.12	196
VMa	30.39	76.06	-103.59	128.52	306
MMa	57.3	94.35	-58.41	110.97	328
NMa	0.01	0.0	0.0	0.0	0
WMa	95.41	0.0	0.0	0.0	0
RCIE	39.92	58.74	27.99	65.07	25
JCIE	81.26	-2.88	71.56	71.62	92
GCIE	52.23	-42.41	13.6	44.55	162
BCIE	30.57	1.41	-46.46	46.49	272

Dreiecks-Helligkeit t^*

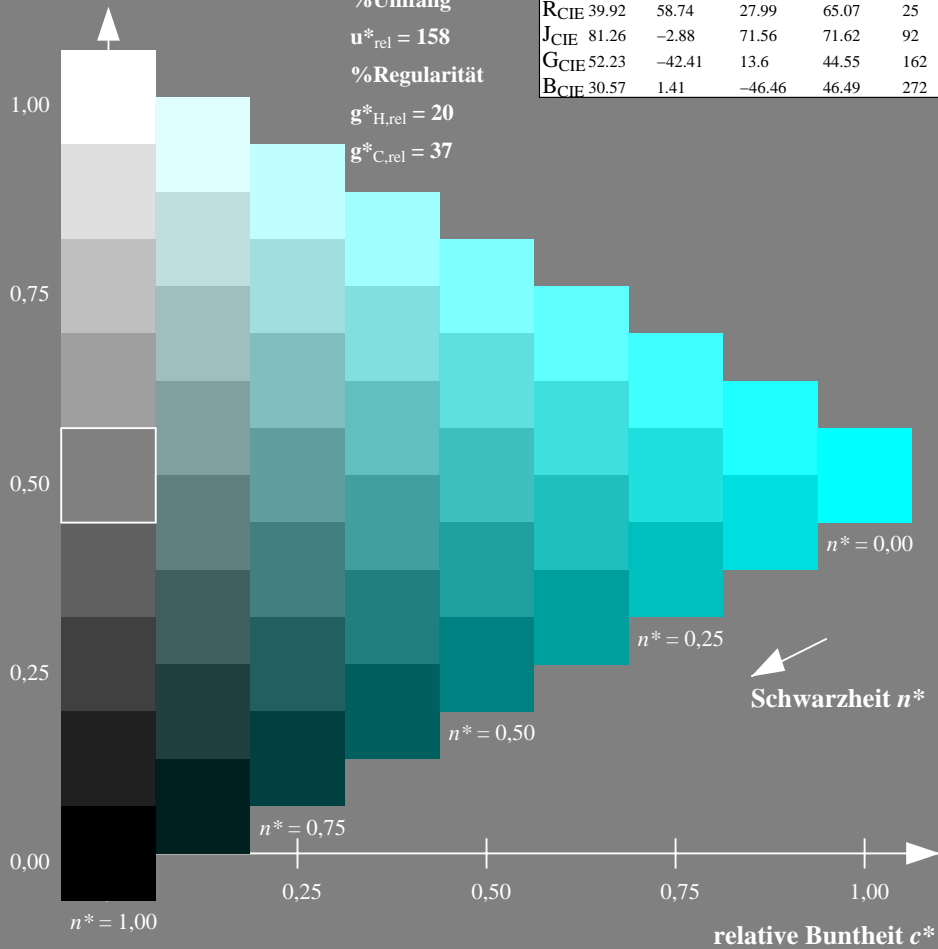
%Umfang

$u^*_{rel} = 158$

%Regularität

$g^*_{H,rel} = 20$

$g^*_{C,rel} = 37$



Ausgabe: Farbmetrisches Fernseh-Licht-System TLS00

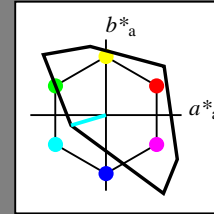
für Buntton $h^* = lab^*h = 196/360 = 0.545$

lab^*tch und lab^*nch

D65: Buntton C

LCH*Ma: 87 48 196

olv*Ma: 0.0 1.0 1.0



TLS00; adaptierte CIELAB-Daten

	$L^*=L^*_a$	a^*_a	b^*_a	$C^*_{ab,a}$	$h^*_{ab,a}$
OMa	50.5	76.92	64.55	100.42	40
YMa	92.66	-20.69	90.75	93.08	103
LMa	83.63	-82.75	79.9	115.04	136
CMa	86.88	-46.16	-13.55	48.12	196
VMa	30.39	76.06	-103.59	128.52	306
MMa	57.3	94.35	-58.41	110.97	328
NMa	0.01	0.0	0.0	0.0	0
WMa	95.41	0.0	0.0	0.0	0
RCIE	39.92	58.74	27.99	65.07	25
JCIE	81.26	-2.88	71.56	71.62	92
GCIE	52.23	-42.41	13.6	44.55	162
BCIE	30.57	1.41	-46.46	46.49	272

Dreiecks-Helligkeit t^*

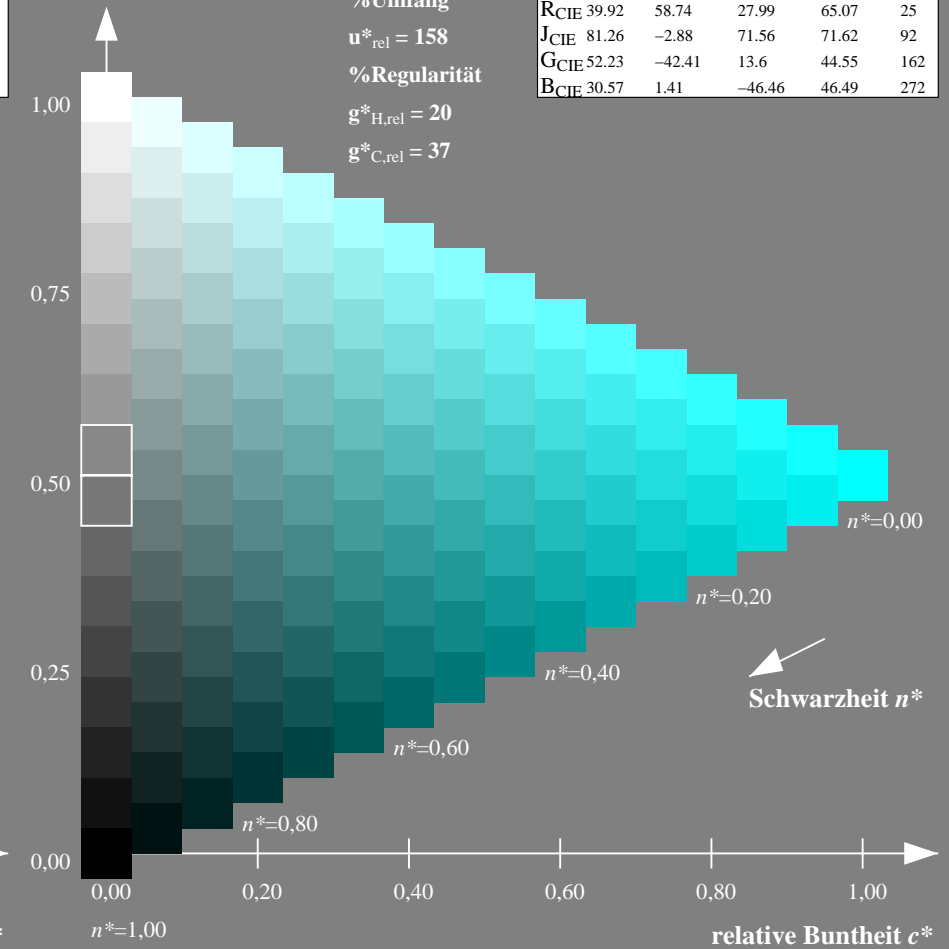
%Umfang

$u^*_{rel} = 158$

%Regularität

$g^*_{H,rel} = 20$

$g^*_{C,rel} = 37$



NG900-7, 9stufige Reihen für konstanten CIELAB Buntton 196/360 = 0.545 (links)

16stufige Reihen für konstanten CIELAB Buntton 196/360 = 0.545 (rechts)

Eingabe: Farbmetrisches Fernseh-Licht-System TLS00

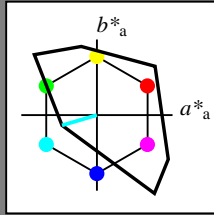
für Buntton $h^* = lab^*h = 196/360 = 0.545$

lab^*tch und lab^*nch

D65: Buntton C

LCH*Ma: 87 48 196

olv*Ma: 0.0 1.0 1.0



TLS00; adaptierte CIELAB-Daten

	$L^*=L^*_a$	a^*_a	b^*_a	$C^*_{ab,a}$	$h^*_{ab,a}$
OMa	50.5	76.92	64.55	100.42	40
YMa	92.66	-20.69	90.75	93.08	103
LMa	83.63	-82.75	79.9	115.04	136
CMa	86.88	-46.16	-13.55	48.12	196
VMa	30.39	76.06	-103.59	128.52	306
MMa	57.3	94.35	-58.41	110.97	328
NMa	0.01	0.0	0.0	0.0	0
WMa	95.41	0.0	0.0	0.0	0
RCIE	39.92	58.74	27.99	65.07	25
JCIE	81.26	-2.88	71.56	71.62	92
GCIE	52.23	-42.41	13.6	44.55	162
BCIE	30.57	1.41	-46.46	46.49	272

Dreiecks-Helligkeit t^*

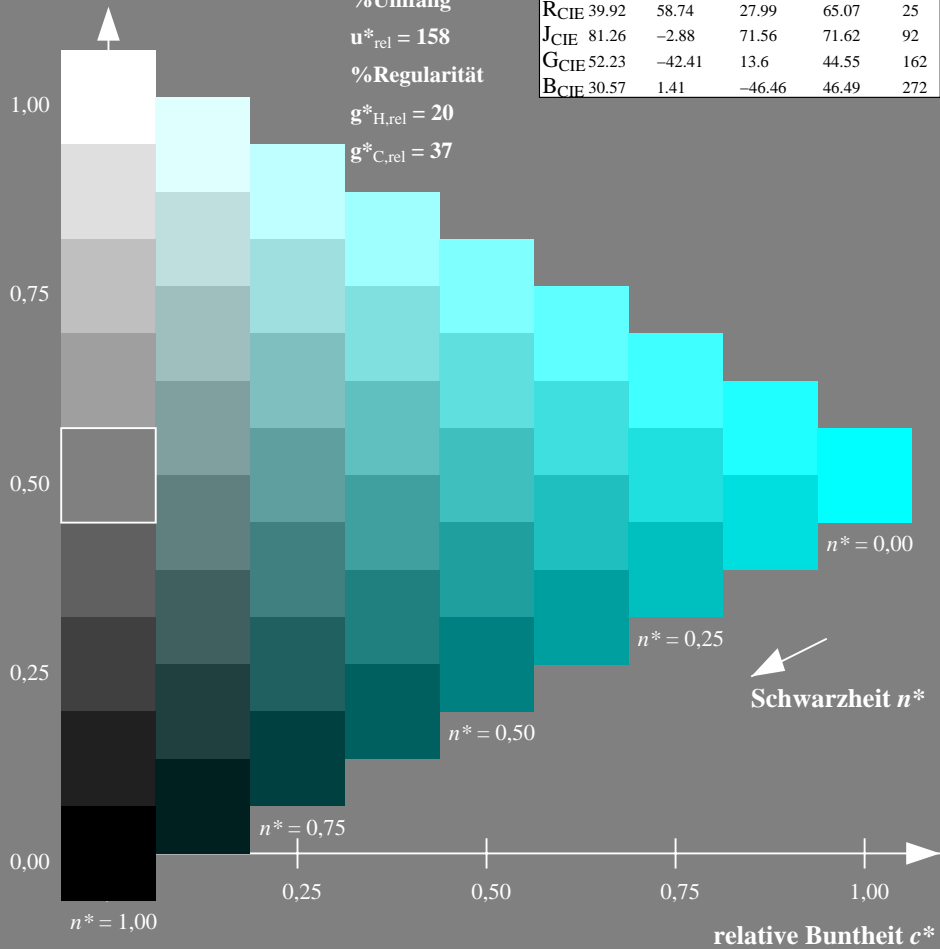
%Umfang

$u^*_{rel} = 158$

%Regularität

$g^*_{H,rel} = 20$

$g^*_{C,rel} = 37$



Ausgabe: Farbmetrisches Drucker-Reflektiv-System DRSXX

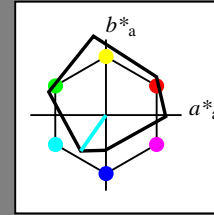
für Buntton $h^* = lab^*h = 235/360 = 0.653$

lab^*tch und lab^*nch

D65: Buntton C

LCH*Ma: 53 58 235

olv*Ma: 0.0 1.0 1.0



DRSXX; adaptierte CIELAB-Daten

	$L^*=L^*_a$	a^*_a	b^*_a	$C^*_{ab,a}$	$h^*_{ab,a}$
OMa	42.21	66.82	50.6	83.82	37
YMa	90.32	-16.51	104.33	105.63	99
LMa	48.21	-75.63	30.65	81.61	158
CMa	53.44	-33.33	-47.49	58.03	235
VMa	34.16	-0.92	-46.56	46.58	269
MMa	42.71	79.0	-1.95	79.03	359
NMa	16.56	0.0	0.0	0.0	0
WMa	96.31	0.0	0.0	0.0	0
RCIE	39.92	59.78	25.77	65.1	23
JCIE	81.26	-2.51	69.07	69.11	92
GCIE	52.23	-41.57	11.3	43.09	165
BCIE	30.57	2.6	-48.62	48.7	273

Dreiecks-Helligkeit t^*

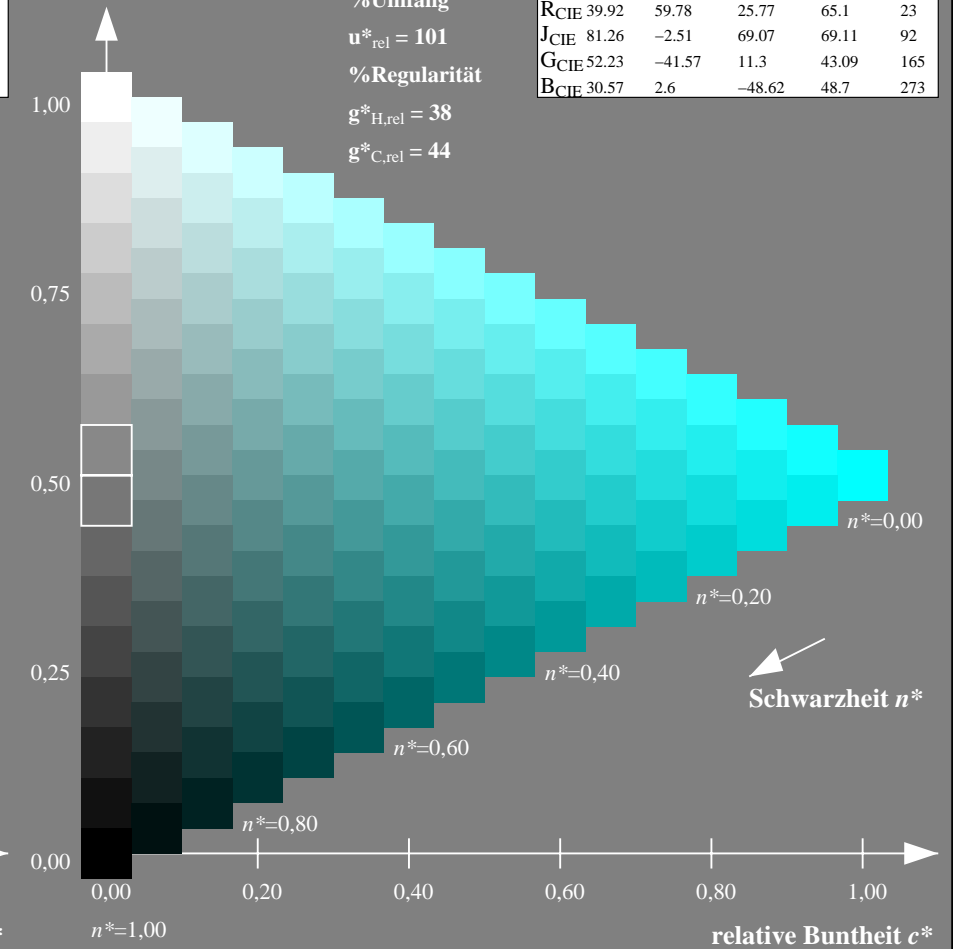
%Umfang

$u^*_{rel} = 101$

%Regularität

$g^*_{H,rel} = 38$

$g^*_{C,rel} = 44$



NG900-7, 9stufige Reihen für konstanten CIELAB Buntton 196/360 = 0.545 (links)

16stufige Reihen für konstanten CIELAB Buntton 235/360 = 0.653 (rechts)

Eingabe: Farbmetrisches Fernseh-Licht-System TLS00

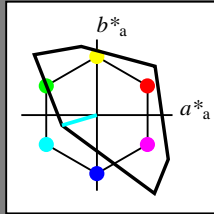
für Buntton $h^* = lab^*h = 196/360 = 0.545$

lab^*tch und lab^*nch

D65: Buntton C

LCH*Ma: 87 48 196

olv*Ma: 0.0 1.0 1.0



TLS00; adaptierte CIELAB-Daten

	$L^*=L^*_a$	a^*_a	b^*_a	$C^*_{ab,a}$	$h^*_{ab,a}$
OMa	50.5	76.92	64.55	100.42	40
YMa	92.66	-20.69	90.75	93.08	103
LMa	83.63	-82.75	79.9	115.04	136
CMa	86.88	-46.16	-13.55	48.12	196
VMa	30.39	76.06	-103.59	128.52	306
MMa	57.3	94.35	-58.41	110.97	328
NMa	0.01	0.0	0.0	0.0	0
WMa	95.41	0.0	0.0	0.0	0
RCIE	39.92	58.74	27.99	65.07	25
JCIE	81.26	-2.88	71.56	71.62	92
GCIE	52.23	-42.41	13.6	44.55	162
BCIE	30.57	1.41	-46.46	46.49	272

Dreiecks-Helligkeit t^*

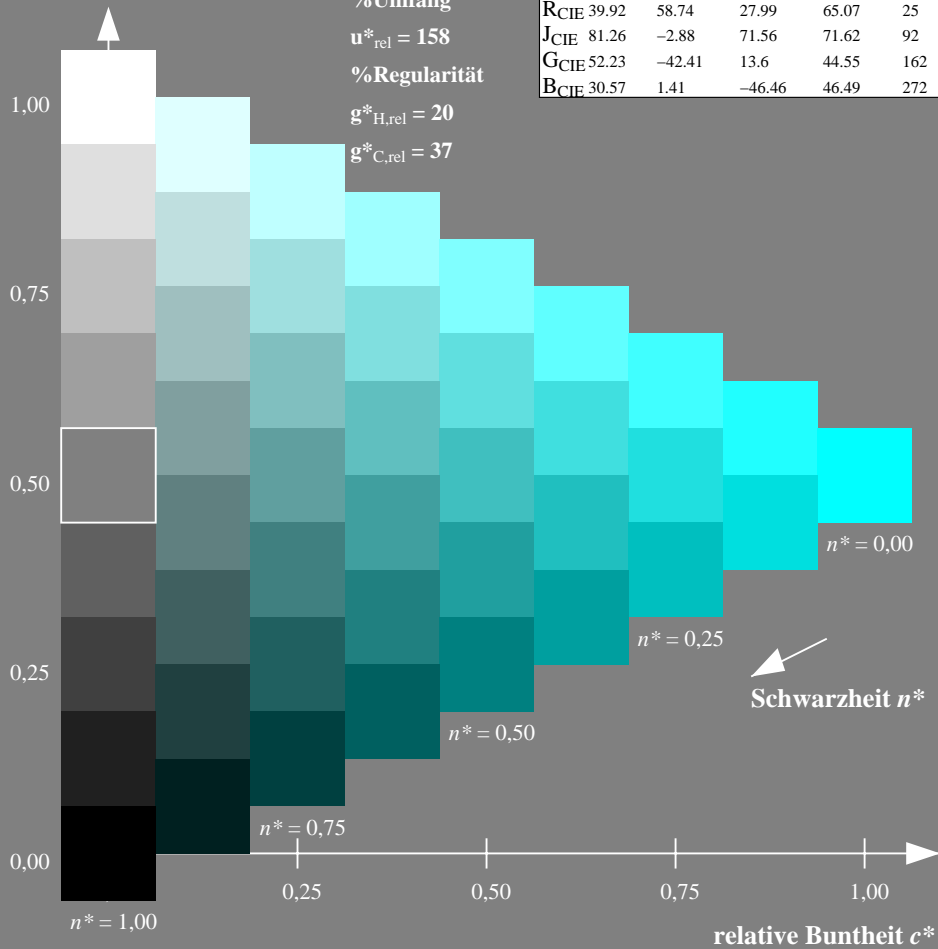
%Umfang

$u^*_{rel} = 158$

%Regularität

$g^*_{H,rel} = 20$

$g^*_{C,rel} = 37$



Ausgabe: Farbmetrisches Fernseh-Licht-System TLS18

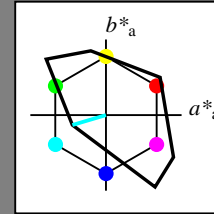
für Buntton $h^* = lab^*h = 196/360 = 0.546$

lab^*tch und lab^*nch

D65: Buntton C

LCH*Ma: 87 46 196

olv*Ma: 0.0 1.0 1.0



TLS18; adaptierte CIELAB-Daten

	$L^*=L^*_a$	a^*_a	b^*_a	$C^*_{ab,a}$	$h^*_{ab,a}$
OMa	52.76	71.63	49.88	87.29	35
YMa	92.74	-20.02	84.97	87.3	103
LMa	84.0	-78.98	73.94	108.2	137
CMa	87.14	-44.41	-13.11	46.32	196
VMa	35.47	64.92	-95.06	115.12	304
MMa	59.01	89.33	-55.67	105.26	328
NMa	18.01	0.0	0.0	0.0	0
WMa	95.41	0.0	0.0	0.0	0
RCIE	39.92	58.74	27.99	65.07	25
JCIE	81.26	-2.88	71.56	71.62	92
GCIE	52.23	-42.41	13.6	44.55	162
BCIE	30.57	1.41	-46.46	46.49	272

Dreiecks-Helligkeit t^*

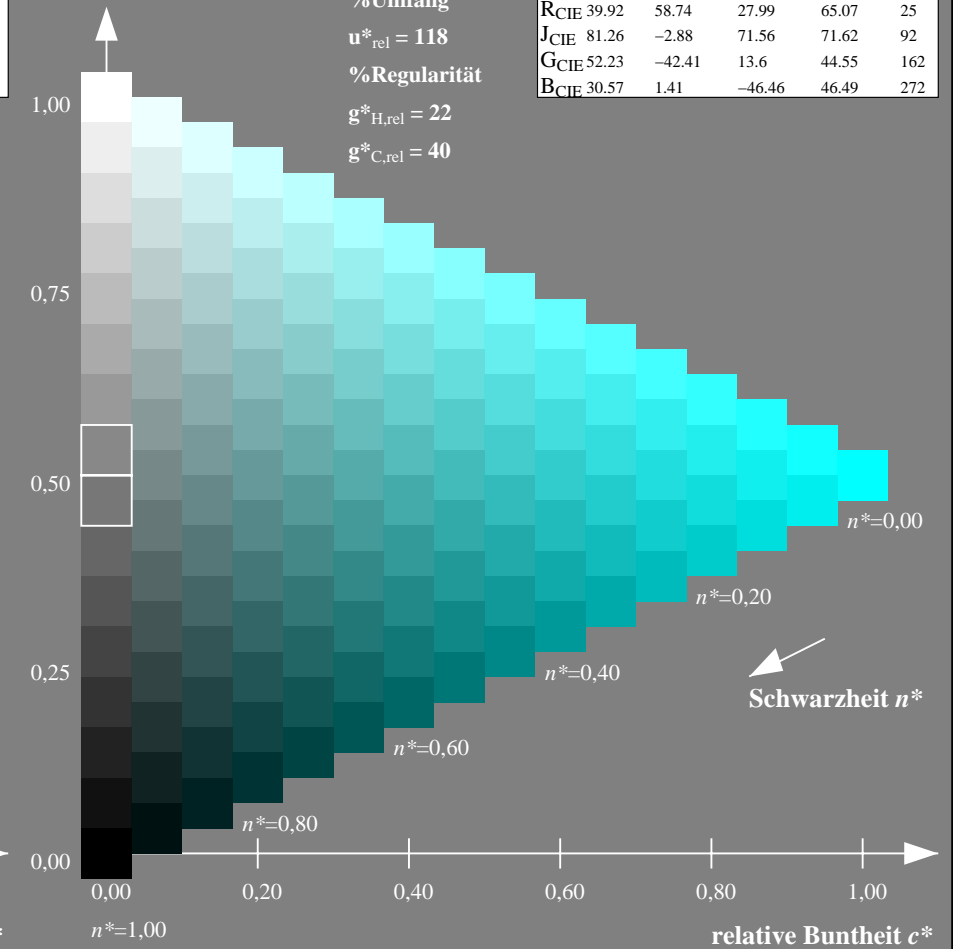
%Umfang

$u^*_{rel} = 118$

%Regularität

$g^*_{H,rel} = 22$

$g^*_{C,rel} = 40$



NG900-7, 9stufige Reihen für konstanten CIELAB Buntton 196/360 = 0.545 (links)

16stufige Reihen für konstanten CIELAB Buntton 196/360 = 0.546 (rechts)

Eingabe: Farbmetrisches Fernseh-Licht-System TLS00

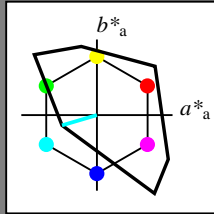
für Buntton $h^* = lab^*h = 196/360 = 0.545$

lab^*tch und lab^*nch

D65: Buntton C

LCH*Ma: 87 48 196

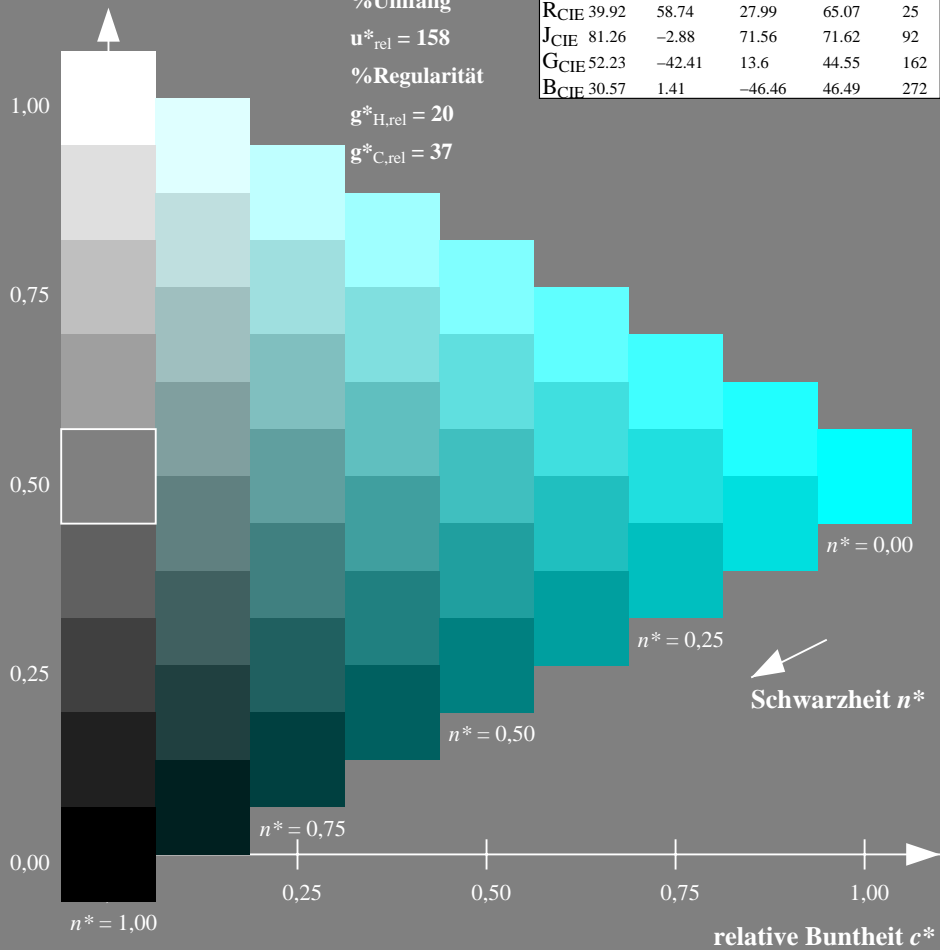
olv*Ma: 0.0 1.0 1.0



TLS00; adaptierte CIELAB-Daten

	$L^*=L^*_a$	a^*_a	b^*_a	$C^*_{ab,a}$	$h^*_{ab,a}$
OMa	50.5	76.92	64.55	100.42	40
YMa	92.66	-20.69	90.75	93.08	103
LMa	83.63	-82.75	79.9	115.04	136
CMa	86.88	-46.16	-13.55	48.12	196
VMa	30.39	76.06	-103.59	128.52	306
MMa	57.3	94.35	-58.41	110.97	328
NMa	0.01	0.0	0.0	0.0	0
WMa	95.41	0.0	0.0	0.0	0
RCIE	39.92	58.74	27.99	65.07	25
JCIE	81.26	-2.88	71.56	71.62	92
GCIE	52.23	-42.41	13.6	44.55	162
BCIE	30.57	1.41	-46.46	46.49	272

Dreiecks-Helligkeit t^*



Ausgabe: Farbmetrisches Natürliches-Licht-System NLS00

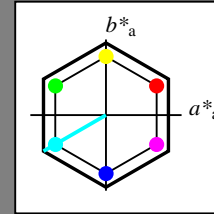
für Buntton $h^* = lab^*h = 210/360 = 0.583$

lab^*tch und lab^*nch

D65: Buntton C

LCH*Ma: 64 95 210

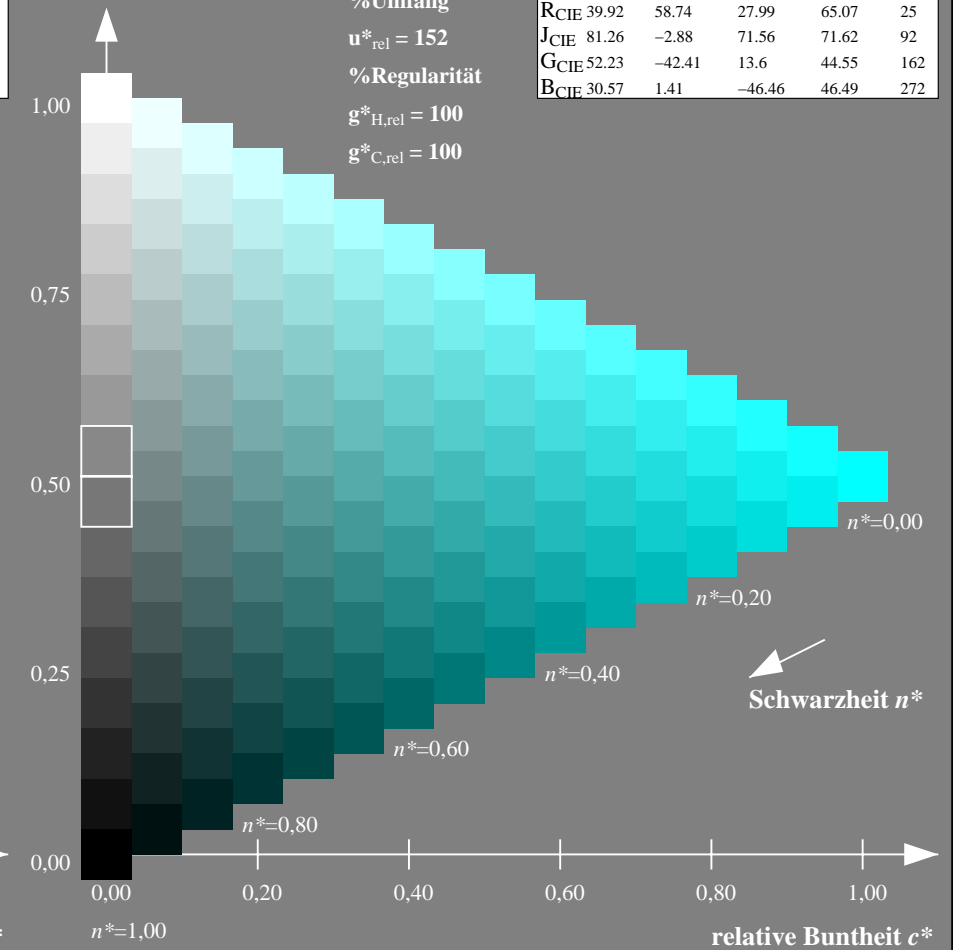
olv*Ma: 0.0 1.0 1.0



NLS00; adaptierte CIELAB-Daten

	$L^*=L^*_a$	a^*_a	b^*_a	$C^*_{ab,a}$	$h^*_{ab,a}$
OMa	31.81	82.62	47.7	95.4	30
YMa	63.61	0.0	95.4	95.4	90
LMa	31.81	-82.61	47.7	95.4	150
CMa	63.61	-82.61	-47.69	95.4	210
VMa	31.81	0.0	-95.39	95.4	270
MMa	63.61	82.62	-47.69	95.4	330
NMa	0.01	0.0	0.0	0.0	0
WMa	95.41	0.0	0.0	0.0	0
RCIE	39.92	58.74	27.99	65.07	25
JCIE	81.26	-2.88	71.56	71.62	92
GCIE	52.23	-42.41	13.6	44.55	162
BCIE	30.57	1.41	-46.46	46.49	272

Dreiecks-Helligkeit t^*



NG900-7, 9stufige Reihen für konstanten CIELAB Buntton $196/360 = 0.545$ (links)

16stufige Reihen für konstanten CIELAB Buntton $210/360 = 0.583$ (rechts)

Eingabe: Farbmetrisches Fernseh-Licht-System TLS00

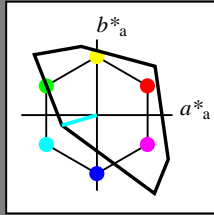
für Buntton $h^* = lab^*h = 196/360 = 0.545$

lab^*tch und lab^*nch

D65: Buntton C

LCH*Ma: 87 48 196

olv*Ma: 0.0 1.0 1.0



TLS00; adaptierte CIELAB-Daten

	$L^*=L^*_a$	a^*_a	b^*_a	$C^*_{ab,a}$	$h^*_{ab,a}$
OMa	50.5	76.92	64.55	100.42	40
YMa	92.66	-20.69	90.75	93.08	103
LMa	83.63	-82.75	79.9	115.04	136
CMa	86.88	-46.16	-13.55	48.12	196
VMa	30.39	76.06	-103.59	128.52	306
MMa	57.3	94.35	-58.41	110.97	328
NMa	0.01	0.0	0.0	0.0	0
WMa	95.41	0.0	0.0	0.0	0
RCIE	39.92	58.74	27.99	65.07	25
JCIE	81.26	-2.88	71.56	71.62	92
GCIE	52.23	-42.41	13.6	44.55	162
BCIE	30.57	1.41	-46.46	46.49	272

Dreiecks-Helligkeit t^*

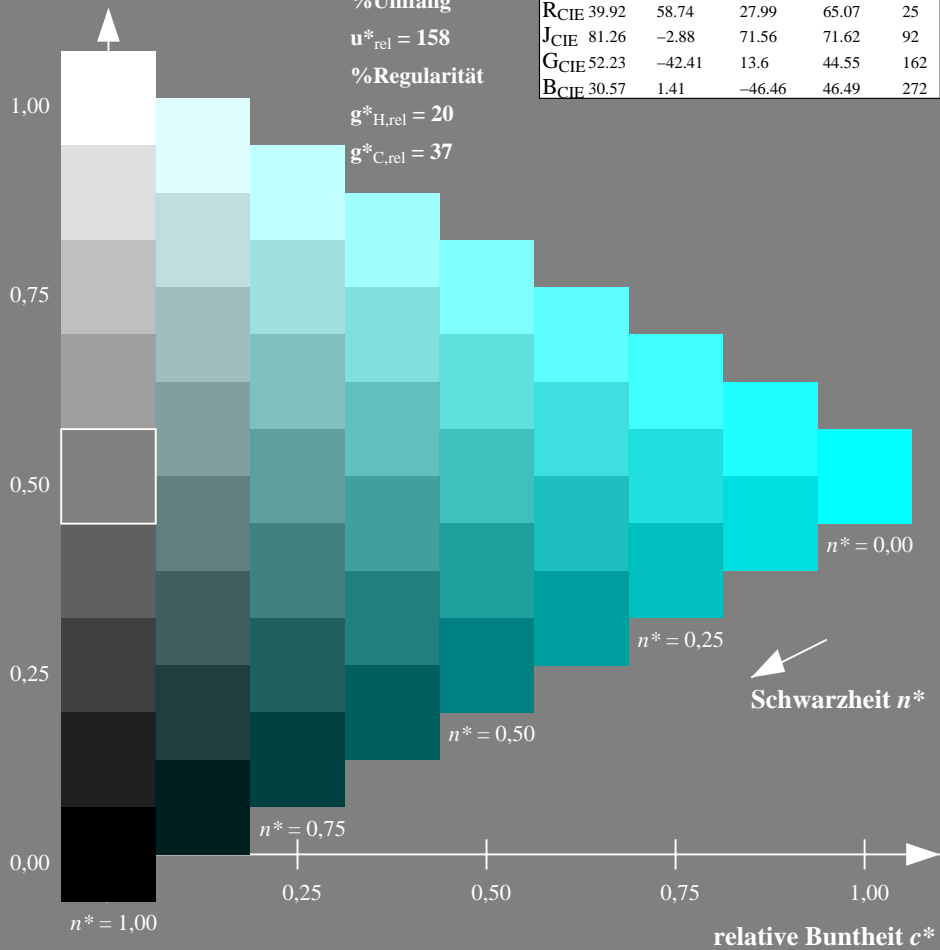
%Umfang

$u^*_{rel} = 158$

%Regularität

$g^*_{H,rel} = 20$

$g^*_{C,rel} = 37$



Ausgabe: Farbmetrisches Natürliches-Reflektiv-System NRS18

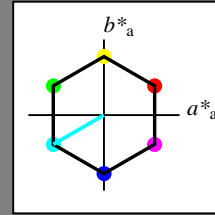
für Buntton $h^* = lab^*h = 210/360 = 0.583$

lab^*tch und lab^*nch

D65: Buntton C

LCH*Ma: 70 77 210

olv*Ma: 0.0 1.0 1.0



NRS18; adaptierte CIELAB-Daten

	$L^*=L^*_a$	a^*_a	b^*_a	$C^*_{ab,a}$	$h^*_{ab,a}$
OMa	43.81	67.03	38.7	77.4	30
YMa	69.61	0.0	77.4	77.4	90
LMa	43.81	-67.02	38.7	77.4	150
CMa	69.61	-67.02	-38.69	77.4	210
VMa	43.81	0.0	-77.39	77.4	270
MMa	69.61	67.03	-38.69	77.4	330
NMa	18.01	0.0	0.0	0.0	0
WMa	95.41	0.0	0.0	0.0	0
RCIE	39.92	58.74	27.99	65.07	25
JCIE	81.26	-2.88	71.56	71.62	92
GCIE	52.23	-42.41	13.6	44.55	162
BCIE	30.57	1.41	-46.46	46.49	272

Dreiecks-Helligkeit t^*

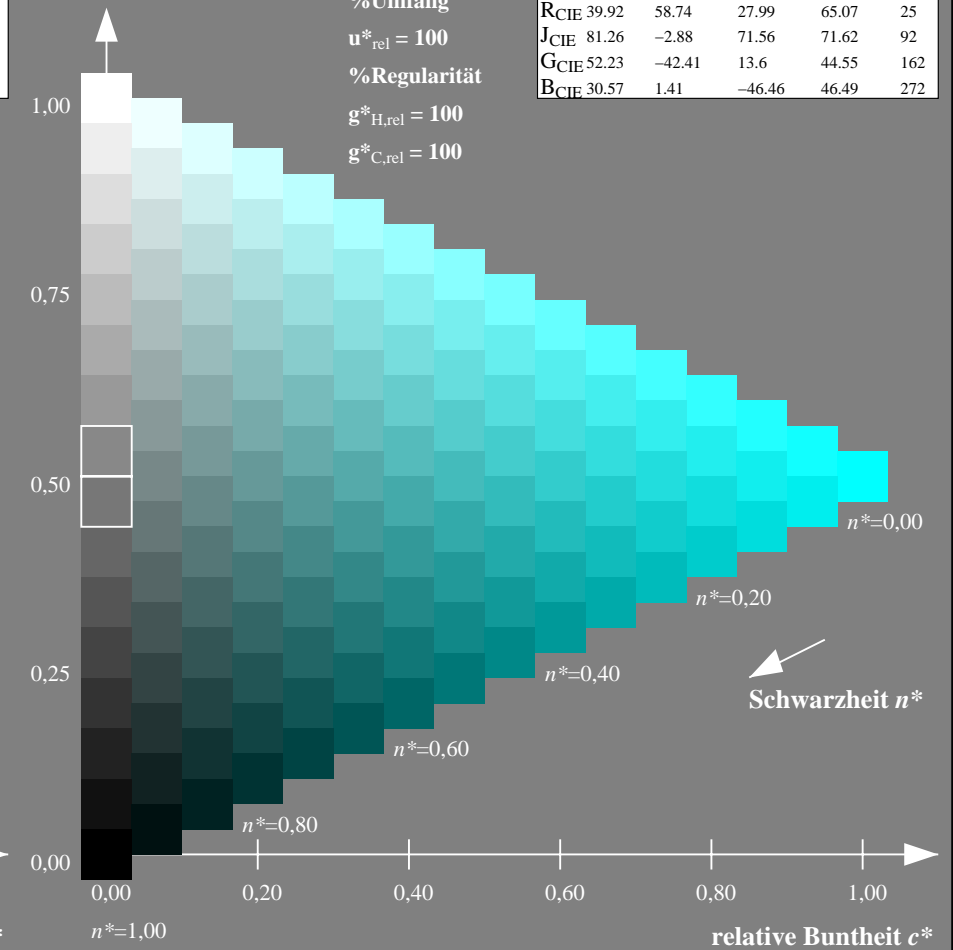
%Umfang

$u^*_{rel} = 100$

%Regularität

$g^*_{H,rel} = 100$

$g^*_{C,rel} = 100$



NG900-7, 9stufige Reihen für konstanten CIELAB Buntton $196/360 = 0.545$ (links)

16stufige Reihen für konstanten CIELAB Buntton $210/360 = 0.583$ (rechts)

Eingabe: Farbmetrisches Fernseh-Licht-System TLS00

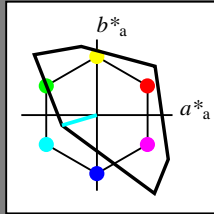
für Buntton $h^* = lab^*h = 196/360 = 0.545$

lab^*tch und lab^*nch

D65: Buntton C

LCH*Ma: 87 48 196

olv*Ma: 0.0 1.0 1.0



TLS00; adaptierte CIELAB-Daten

	$L^*=L^*_a$	a^*_a	b^*_a	$C^*_{ab,a}$	$h^*_{ab,a}$
OMa	50.5	76.92	64.55	100.42	40
YMa	92.66	-20.69	90.75	93.08	103
LMa	83.63	-82.75	79.9	115.04	136
CMa	86.88	-46.16	-13.55	48.12	196
VMa	30.39	76.06	-103.59	128.52	306
MMa	57.3	94.35	-58.41	110.97	328
NMa	0.01	0.0	0.0	0.0	0
WMa	95.41	0.0	0.0	0.0	0
RCIE	39.92	58.74	27.99	65.07	25
JCIE	81.26	-2.88	71.56	71.62	92
GCIE	52.23	-42.41	13.6	44.55	162
BCIE	30.57	1.41	-46.46	46.49	272

Dreiecks-Helligkeit t^*

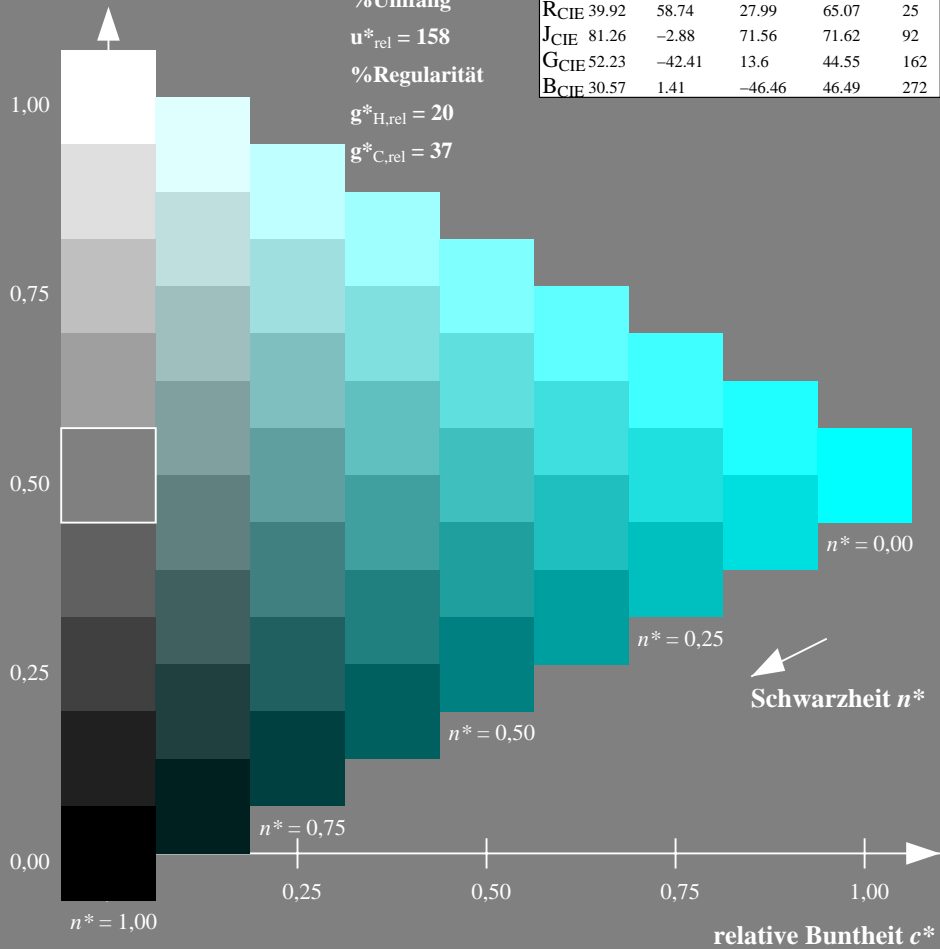
%Umfang

$u^*_{rel} = 158$

%Regularität

$g^*_{H,rel} = 20$

$g^*_{C,rel} = 37$



Ausgabe: Farbmetrisches Standard-Reflektiv-System SRS18

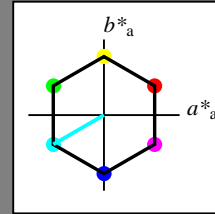
für Buntton $h^* = lab^*h = 210/360 = 0.583$

lab^*tch und lab^*nch

D65: Buntton C

LCH*Ma: 57 77 210

olv*Ma: 0.0 1.0 1.0



SRS18; adaptierte CIELAB-Daten

	$L^*=L^*_a$	a^*_a	b^*_a	$C^*_{ab,a}$	$h^*_{ab,a}$
OMa	56.71	67.03	38.7	77.4	30
YMa	56.71	0.0	77.4	77.4	90
LMa	56.71	-67.02	38.7	77.4	150
CMa	56.71	-67.02	-38.69	77.4	210
VMa	56.71	0.0	-77.39	77.4	270
MMa	56.71	67.03	-38.69	77.4	330
NMa	18.01	0.0	0.0	0.0	0
WMa	95.41	0.0	0.0	0.0	0
RCIE	39.92	58.74	27.99	65.07	25
JCIE	81.26	-2.88	71.56	71.62	92
GCIE	52.23	-42.41	13.6	44.55	162
BCIE	30.57	1.41	-46.46	46.49	272

Dreiecks-Helligkeit t^*

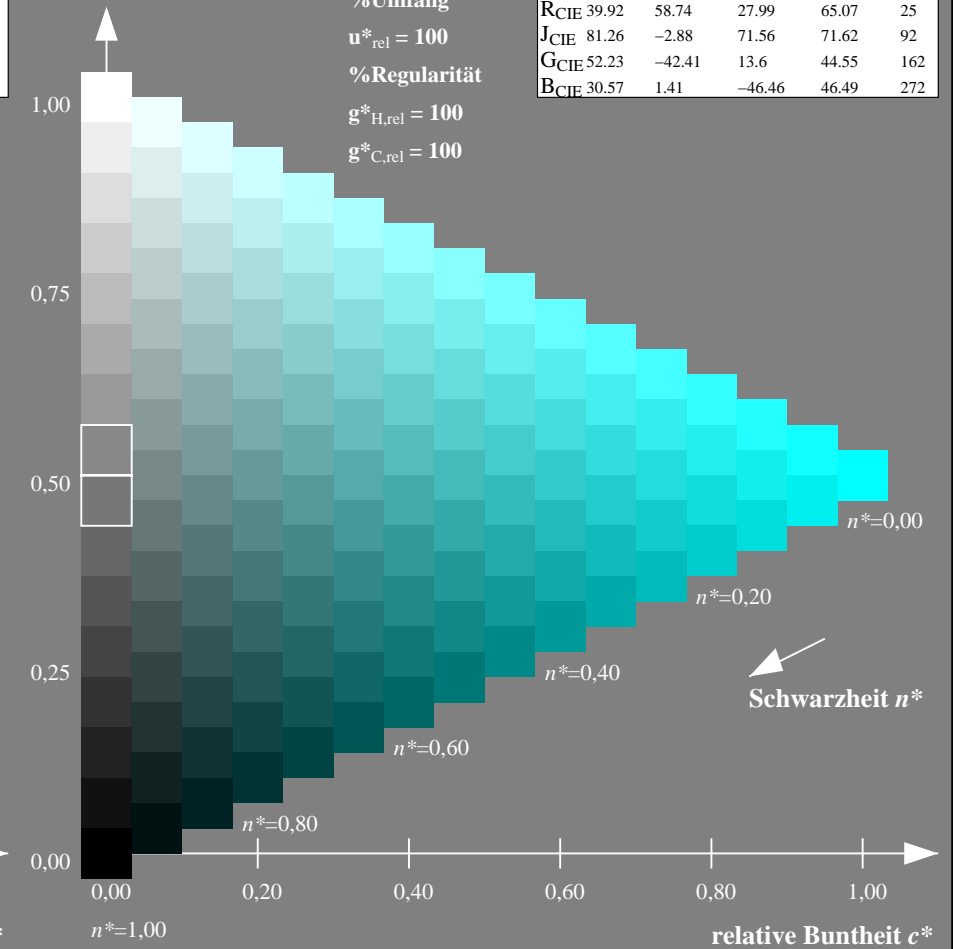
%Umfang

$u^*_{rel} = 100$

%Regularität

$g^*_{H,rel} = 100$

$g^*_{C,rel} = 100$



NG900-7, 9stufige Reihen für konstanten CIELAB Buntton $196/360 = 0.545$ (links)

16stufige Reihen für konstanten CIELAB Buntton $210/360 = 0.583$ (rechts)

Eingabe: Farbmetrisches Fernseh-Licht-System TLS00

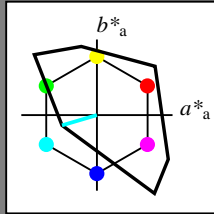
für Buntton $h^* = lab^*h = 196/360 = 0.545$

lab^*tch und lab^*nch

D65: Buntton C

LCH*Ma: 87 48 196

olv*Ma: 0.0 1.0 1.0



TLS00; adaptierte CIELAB-Daten

	$L^*=L^*_a$	a^*_a	b^*_a	$C^*_{ab,a}$	$h^*_{ab,a}$
OMa	50.5	76.92	64.55	100.42	40
YMa	92.66	-20.69	90.75	93.08	103
LMa	83.63	-82.75	79.9	115.04	136
CMa	86.88	-46.16	-13.55	48.12	196
VMa	30.39	76.06	-103.59	128.52	306
MMa	57.3	94.35	-58.41	110.97	328
NMa	0.01	0.0	0.0	0.0	0
WMa	95.41	0.0	0.0	0.0	0
RCIE	39.92	58.74	27.99	65.07	25
JCIE	81.26	-2.88	71.56	71.62	92
GCIE	52.23	-42.41	13.6	44.55	162
BCIE	30.57	1.41	-46.46	46.49	272

Dreiecks-Helligkeit t^*

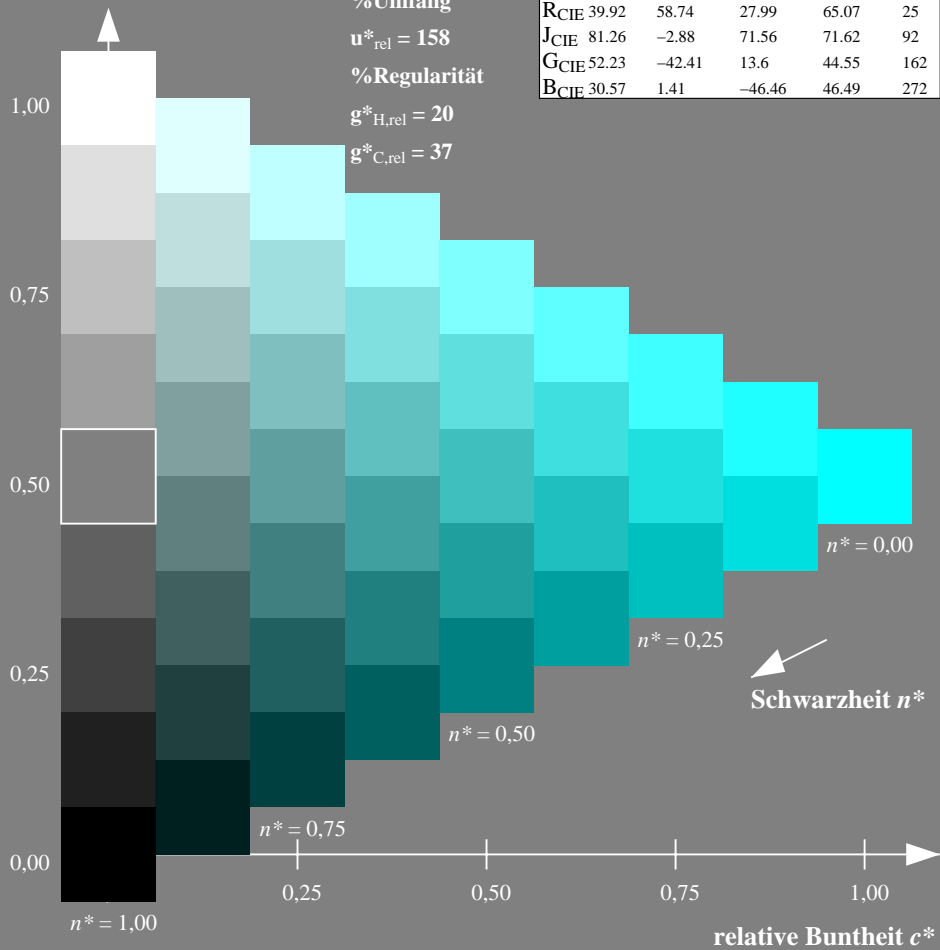
%Umfang

$u^*_{rel} = 158$

%Regularität

$g^*_{H,rel} = 20$

$g^*_{C,rel} = 37$



Ausgabe: Farbmetrisches Fernseh-Licht-System TLS70

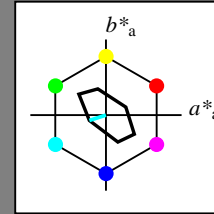
für Buntton $h^* = lab^*h = 198/360 = 0.55$

lab^*tch und lab^*nch

D65: Buntton C

LCH*Ma: 91 23 198

olv*Ma: 0.0 1.0 1.0



TLS70; adaptierte CIELAB-Daten

	$L^*=L^*_a$	a^*_a	b^*_a	$C^*_{ab,a}$	$h^*_{ab,a}$
OMa	76.43	26.27	10.57	28.32	22
YMa	93.93	-10.76	34.63	36.27	107
LMa	89.32	-35.8	27.64	45.24	142
CMa	90.93	-21.95	-7.07	23.07	198
VMa	72.1	15.76	-35.63	38.97	294
MMa	78.5	37.52	-25.23	45.22	326
NMa	69.7	0.0	0.0	0.0	0
WMa	95.41	0.0	0.0	0.0	0
RCIE	39.92	58.74	27.99	65.07	25
JCIE	81.26	-2.88	71.56	71.62	92
GCIE	52.23	-42.41	13.6	44.55	162
BCIE	30.57	1.41	-46.46	46.49	272

Dreiecks-Helligkeit t^*

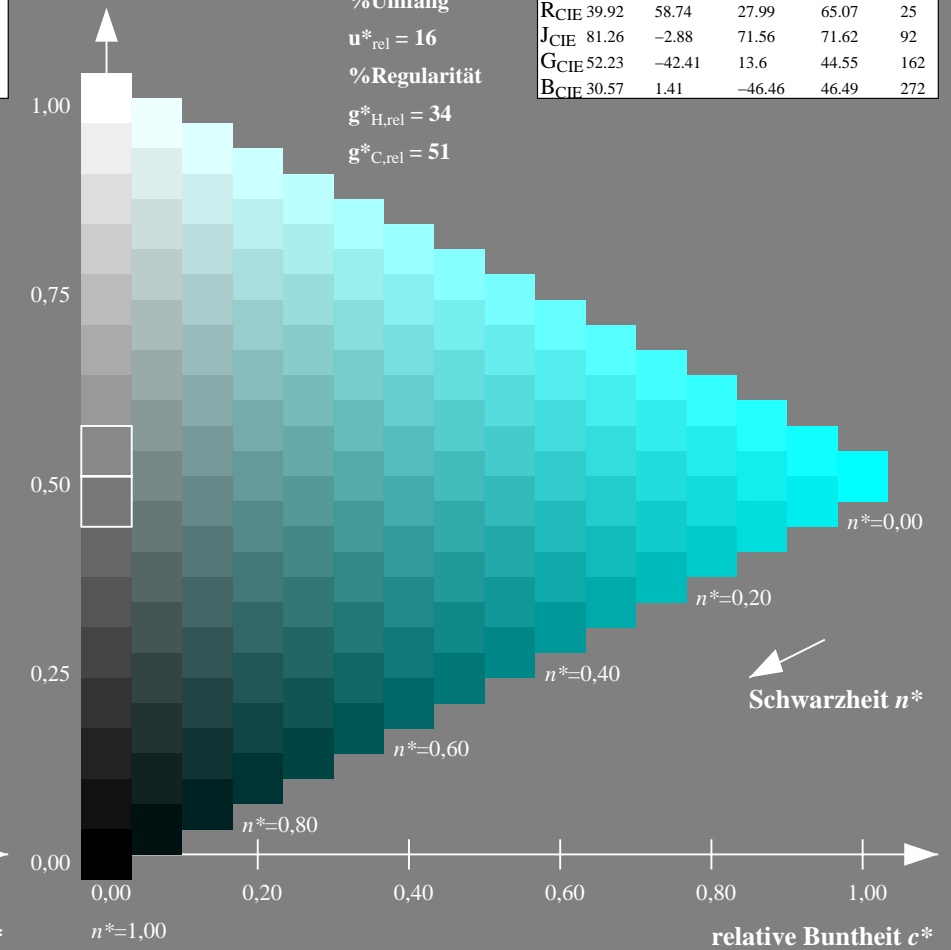
%Umfang

$u^*_{rel} = 16$

%Regularität

$g^*_{H,rel} = 34$

$g^*_{C,rel} = 51$



NG900-7, 9stufige Reihen für konstanten CIELAB Buntton 196/360 = 0.545 (links)

16stufige Reihen für konstanten CIELAB Buntton 198/360 = 0.55 (rechts)

Eingabe: Farbmetrisches Drucker-Reflektiv-System DRSXX

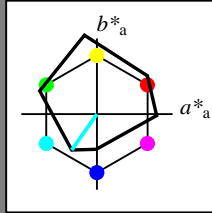
für Buntton $h^* = lab^*h = 235/360 = 0.653$

lab^*tch und lab^*nch

D65: Buntton C

LCH*Ma: 53 58 235

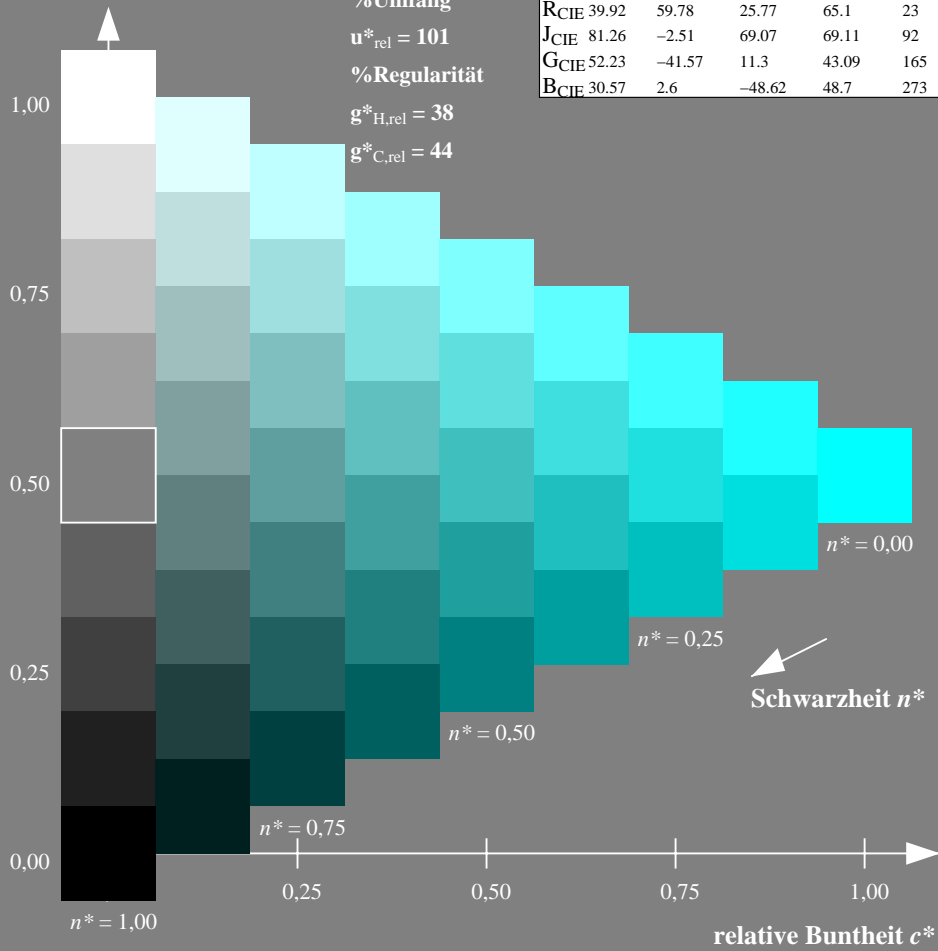
olv*Ma: 0.0 1.0 1.0



DRSXX; adaptierte CIELAB-Daten

	$L^*=L^*_a$	a^*_a	b^*_a	$C^*_{ab,a}$	$h^*_{ab,a}$
OMa	42.21	66.82	50.6	83.82	37
YMa	90.32	-16.51	104.33	105.63	99
LMa	48.21	-75.63	30.65	81.61	158
CMa	53.44	-33.33	-47.49	58.03	235
VMa	34.16	-0.92	-46.56	46.58	269
MMa	42.71	79.0	-1.95	79.03	359
NMa	16.56	0.0	0.0	0.0	0
WMa	96.31	0.0	0.0	0.0	0
RCIE	39.92	59.78	25.77	65.1	23
JCIE	81.26	-2.51	69.07	69.11	92
GCIE	52.23	-41.57	11.3	43.09	165
BCIE	30.57	2.6	-48.62	48.7	273

Dreiecks-Helligkeit t^*



Ausgabe: Farbmetrisches Offset-Reflektiv-System ORS18

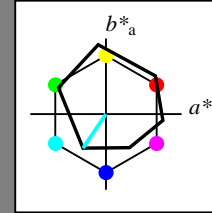
für Buntton $h^* = lab^*h = 236/360 = 0.656$

lab^*tch und lab^*nch

D65: Buntton C

LCH*Ma: 59 54 236

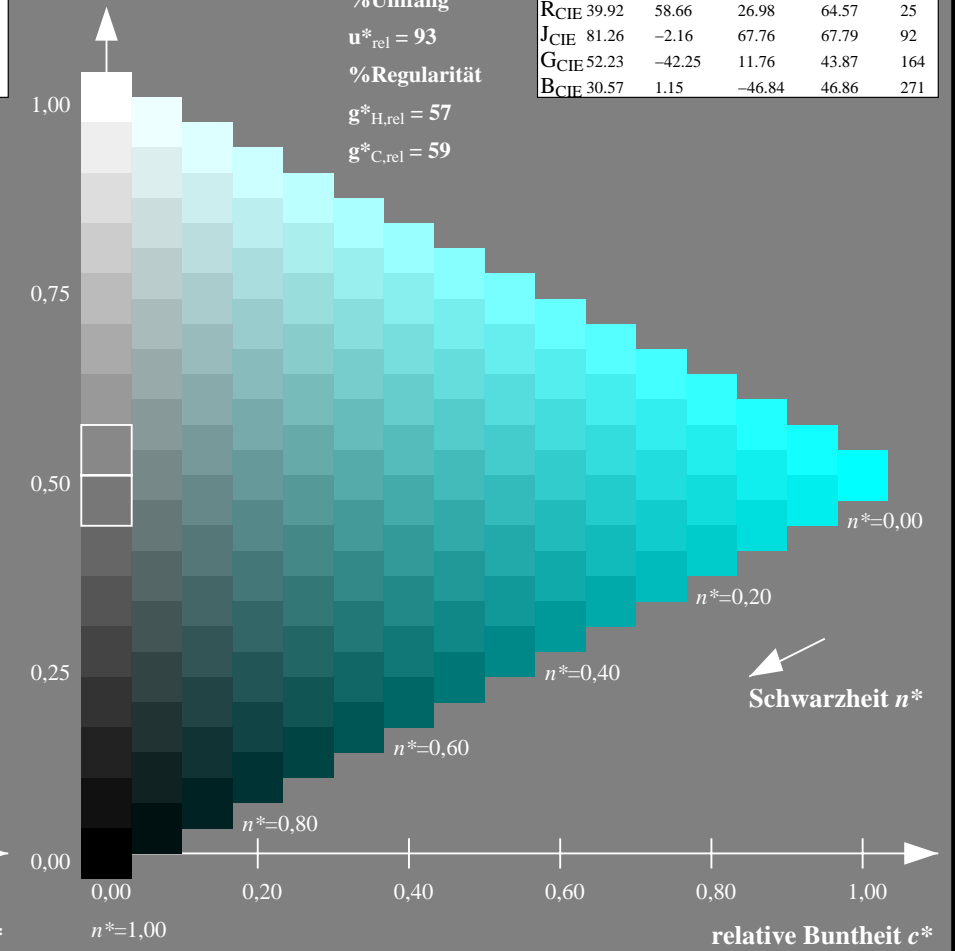
olv*Ma: 0.0 1.0 1.0



ORS18; adaptierte CIELAB-Daten

	$L^*=L^*_a$	a^*_a	b^*_a	$C^*_{ab,a}$	$h^*_{ab,a}$
OMa	47.94	65.39	50.52	82.63	38
YMa	90.37	-10.26	91.75	92.32	96
LMa	50.9	-62.83	34.96	71.91	151
CMa	58.62	-30.34	-45.01	54.3	236
VMa	25.72	31.1	-44.4	54.22	305
MMa	48.13	75.28	-8.36	75.74	354
NMa	18.01	0.0	0.0	0.0	0
WMa	95.41	0.0	0.0	0.0	0
RCIE	39.92	58.66	26.98	64.57	25
JCIE	81.26	-2.16	67.76	67.79	92
GCIE	52.23	-42.25	11.76	43.87	164
BCIE	30.57	1.15	-46.84	46.86	271

Dreiecks-Helligkeit t^*



NG900-7, 9stufige Reihen für konstanten CIELAB Buntton $235/360 = 0.653$ (links)

16stufige Reihen für konstanten CIELAB Buntton $236/360 = 0.656$ (rechts)

Eingabe: Farbmetrisches Drucker-Reflektiv-System DRSXX

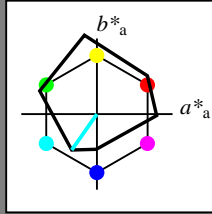
für Buntton $h^* = lab^*h = 235/360 = 0.653$

lab^*tch und lab^*nch

D65: Buntton C

LCH*Ma: 53 58 235

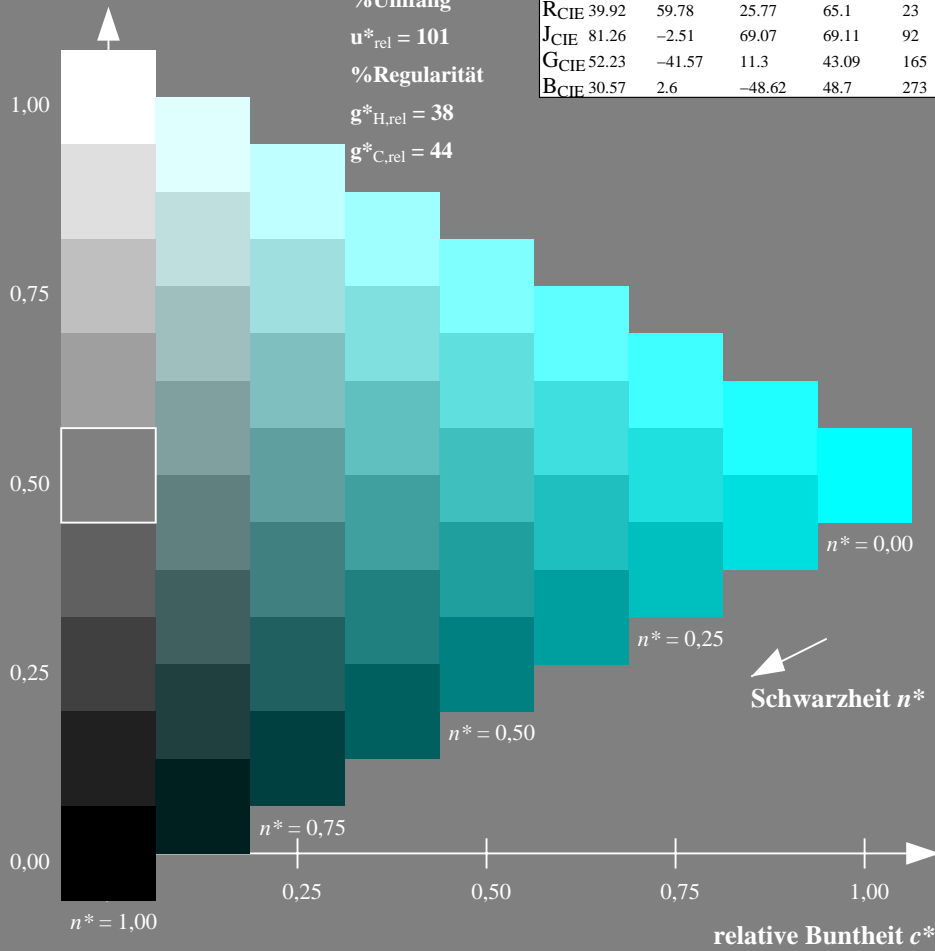
olv*Ma: 0.0 1.0 1.0



DRSXX; adaptierte CIELAB-Daten

	$L^*=L^*_a$	a^*_a	b^*_a	$C^*_{ab,a}$	$h^*_{ab,a}$
OMa	42.21	66.82	50.6	83.82	37
YMa	90.32	-16.51	104.33	105.63	99
LMa	48.21	-75.63	30.65	81.61	158
CMa	53.44	-33.33	-47.49	58.03	235
VMa	34.16	-0.92	-46.56	46.58	269
MMa	42.71	79.0	-1.95	79.03	359
NMa	16.56	0.0	0.0	0.0	0
WMa	96.31	0.0	0.0	0.0	0
RCIE	39.92	59.78	25.77	65.1	23
JCIE	81.26	-2.51	69.07	69.11	92
GCIE	52.23	-41.57	11.3	43.09	165
BCIE	30.57	2.6	-48.62	48.7	273

Dreiecks-Helligkeit t^*



Ausgabe: Farbmetrisches Fernseh-Licht-System TLS00

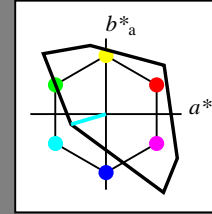
für Buntton $h^* = lab^*h = 196/360 = 0.545$

lab^*tch und lab^*nch

D65: Buntton C

LCH*Ma: 87 48 196

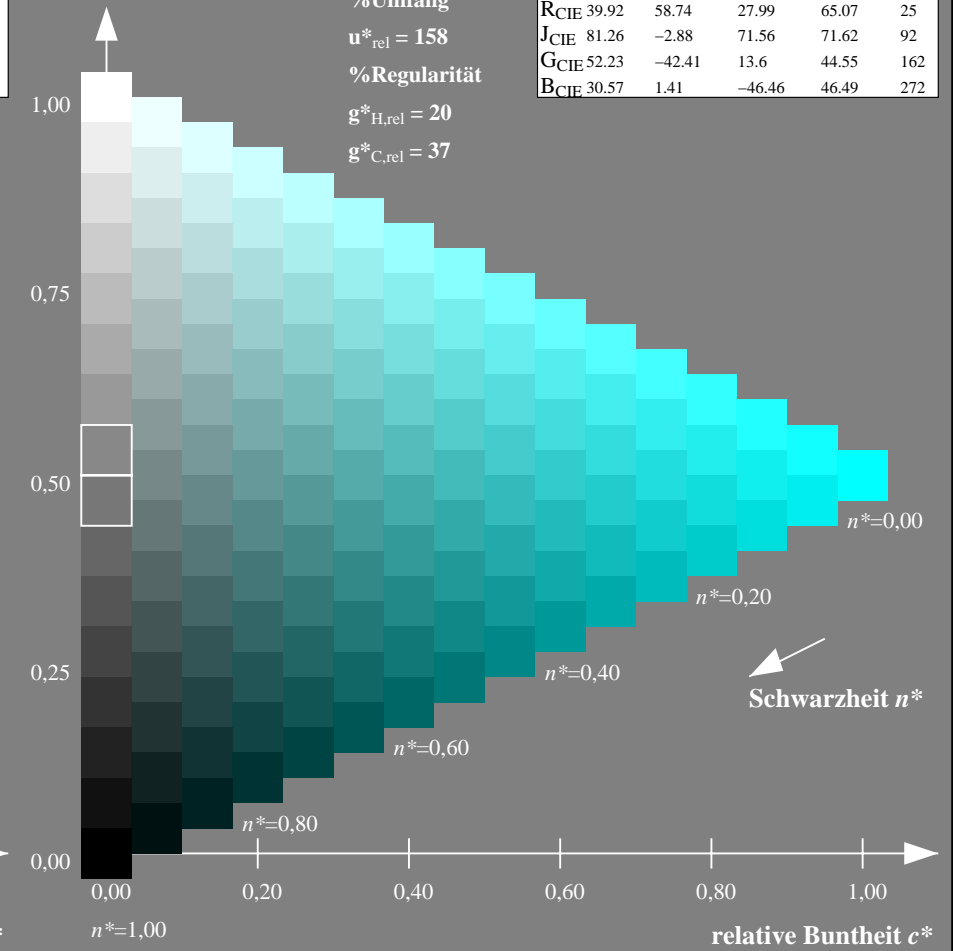
olv*Ma: 0.0 1.0 1.0



TLS00; adaptierte CIELAB-Daten

	$L^*=L^*_a$	a^*_a	b^*_a	$C^*_{ab,a}$	$h^*_{ab,a}$
OMa	50.5	76.92	64.55	100.42	40
YMa	92.66	-20.69	90.75	93.08	103
LMa	83.63	-82.75	79.9	115.04	136
CMa	86.88	-46.16	-13.55	48.12	196
VMa	30.39	76.06	-103.59	128.52	306
MMa	57.3	94.35	-58.41	110.97	328
NMa	0.01	0.0	0.0	0.0	0
WMa	95.41	0.0	0.0	0.0	0
RCIE	39.92	58.74	27.99	65.07	25
JCIE	81.26	-2.88	71.56	71.62	92
GCIE	52.23	-42.41	13.6	44.55	162
BCIE	30.57	1.41	-46.46	46.49	272

Dreiecks-Helligkeit t^*



NG900-7, 9stufige Reihen für konstanten CIELAB Buntton $235/360 = 0.653$ (links)

16stufige Reihen für konstanten CIELAB Buntton $196/360 = 0.545$ (rechts)

Eingabe: Farbmetrisches Drucker-Reflektiv-System DRSXX

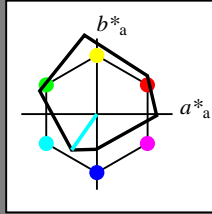
für Buntton $h^* = lab^*h = 235/360 = 0.653$

lab^*tch und lab^*nch

D65: Buntton C

LCH*Ma: 53 58 235

olv*Ma: 0.0 1.0 1.0



DRSXX; adaptierte CIELAB-Daten

	$L^*=L^*_a$	a^*_a	b^*_a	$C^*_{ab,a}$	$h^*_{ab,a}$
OMa	42.21	66.82	50.6	83.82	37
YMa	90.32	-16.51	104.33	105.63	99
LMa	48.21	-75.63	30.65	81.61	158
CMa	53.44	-33.33	-47.49	58.03	235
VMa	34.16	-0.92	-46.56	46.58	269
MMa	42.71	79.0	-1.95	79.03	359
NMa	16.56	0.0	0.0	0.0	0
WMa	96.31	0.0	0.0	0.0	0
RCIE	39.92	59.78	25.77	65.1	23
JCIE	81.26	-2.51	69.07	69.11	92
GCIE	52.23	-41.57	11.3	43.09	165
BCIE	30.57	2.6	-48.62	48.7	273

Dreiecks-Helligkeit t^*

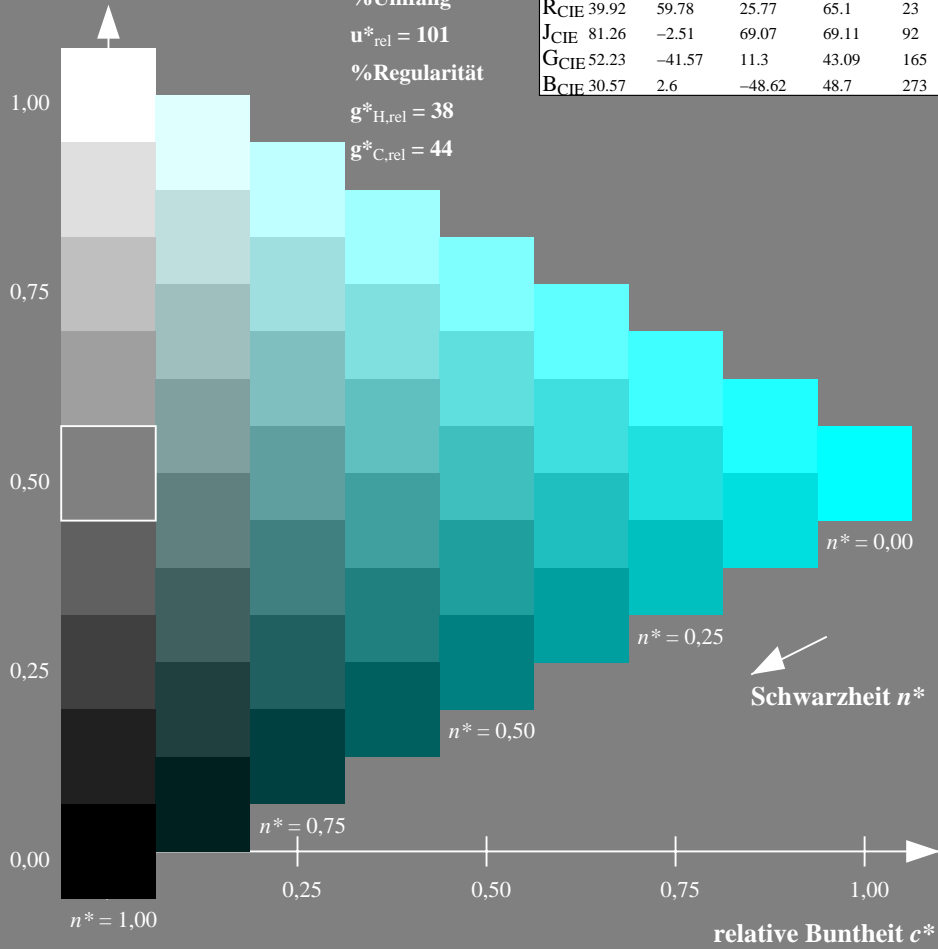
%Umfang

$u^*_{rel} = 101$

%Regularität

$g^*_{H,rel} = 38$

$g^*_{C,rel} = 44$



Ausgabe: Farbmetrisches Drucker-Reflektiv-System DRSXX

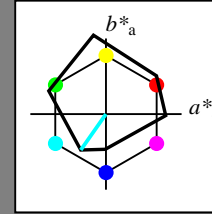
für Buntton $h^* = lab^*h = 235/360 = 0.653$

lab^*tch und lab^*nch

D65: Buntton C

LCH*Ma: 53 58 235

olv*Ma: 0.0 1.0 1.0



DRSXX; adaptierte CIELAB-Daten

	$L^*=L^*_a$	a^*_a	b^*_a	$C^*_{ab,a}$	$h^*_{ab,a}$
OMa	42.21	66.82	50.6	83.82	37
YMa	90.32	-16.51	104.33	105.63	99
LMa	48.21	-75.63	30.65	81.61	158
CMa	53.44	-33.33	-47.49	58.03	235
VMa	34.16	-0.92	-46.56	46.58	269
MMa	42.71	79.0	-1.95	79.03	359
NMa	16.56	0.0	0.0	0.0	0
WMa	96.31	0.0	0.0	0.0	0
RCIE	39.92	59.78	25.77	65.1	23
JCIE	81.26	-2.51	69.07	69.11	92
GCIE	52.23	-41.57	11.3	43.09	165
BCIE	30.57	2.6	-48.62	48.7	273

Dreiecks-Helligkeit t^*

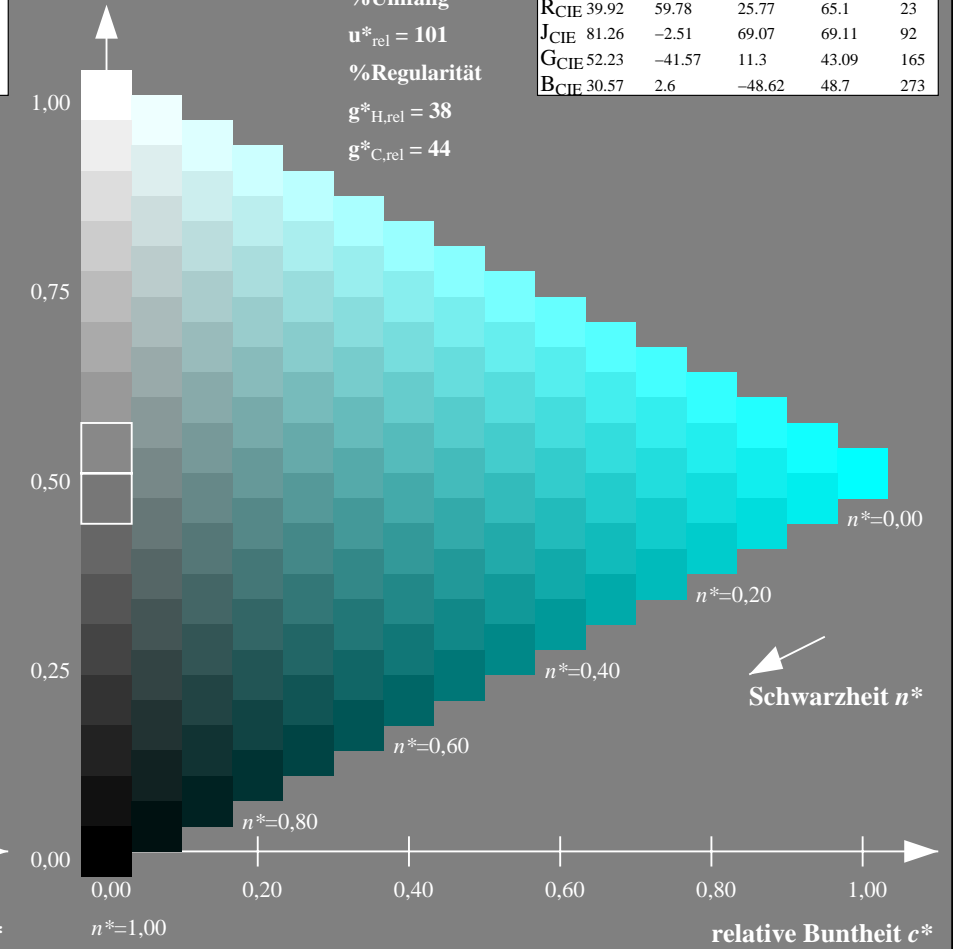
%Umfang

$u^*_{rel} = 101$

%Regularität

$g^*_{H,rel} = 38$

$g^*_{C,rel} = 44$



NG900-7, 9stufige Reihen für konstanten CIELAB Buntton 235/360 = 0.653 (links)

16stufige Reihen für konstanten CIELAB Buntton 235/360 = 0.653 (rechts)

Eingabe: Farbmetrisches Drucker-Reflektiv-System DRSXX

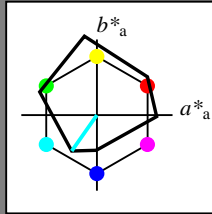
für Buntton $h^* = lab^*h = 235/360 = 0.653$

lab^*tch und lab^*nch

D65: Buntton C

LCH*Ma: 53 58 235

olv*Ma: 0.0 1.0 1.0



DRSXX; adaptierte CIELAB-Daten

	$L^*=L^*_a$	a^*_a	b^*_a	$C^*_{ab,a}$	$h^*_{ab,a}$
OMa	42.21	66.82	50.6	83.82	37
YMa	90.32	-16.51	104.33	105.63	99
LMa	48.21	-75.63	30.65	81.61	158
CMa	53.44	-33.33	-47.49	58.03	235
VMa	34.16	-0.92	-46.56	46.58	269
MMa	42.71	79.0	-1.95	79.03	359
NMa	16.56	0.0	0.0	0.0	0
WMa	96.31	0.0	0.0	0.0	0
RCIE	39.92	59.78	25.77	65.1	23
JCIE	81.26	-2.51	69.07	69.11	92
GCIE	52.23	-41.57	11.3	43.09	165
BCIE	30.57	2.6	-48.62	48.7	273

Dreiecks-Helligkeit t^*

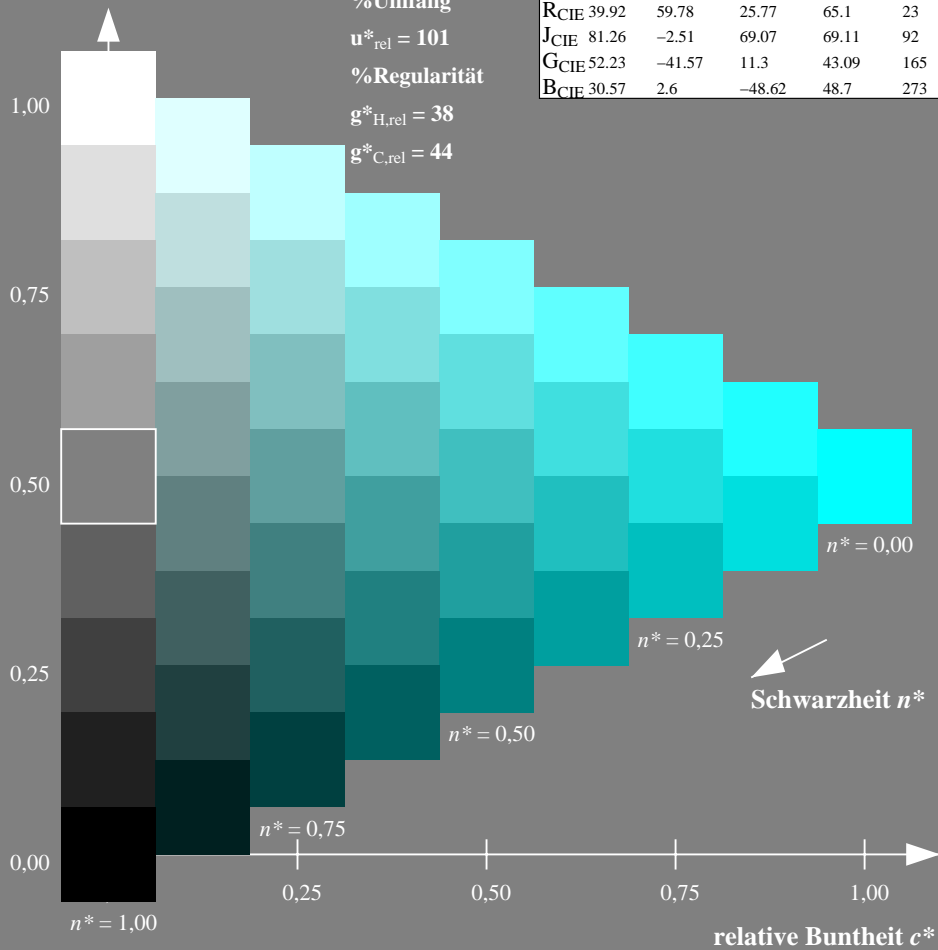
%Umfang

$u^*_{rel} = 101$

%Regularität

$g^*_{H,rel} = 38$

$g^*_{C,rel} = 44$



Ausgabe: Farbmetrisches Fernseh-Licht-System TLS18

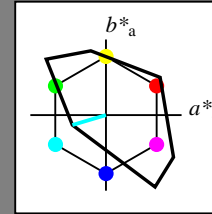
für Buntton $h^* = lab^*h = 196/360 = 0.546$

lab^*tch und lab^*nch

D65: Buntton C

LCH*Ma: 87 46 196

olv*Ma: 0.0 1.0 1.0



TLS18; adaptierte CIELAB-Daten

	$L^*=L^*_a$	a^*_a	b^*_a	$C^*_{ab,a}$	$h^*_{ab,a}$
OMa	52.76	71.63	49.88	87.29	35
YMa	92.74	-20.02	84.97	87.3	103
LMa	84.0	-78.98	73.94	108.2	137
CMa	87.14	-44.41	-13.11	46.32	196
VMa	35.47	64.92	-95.06	115.12	304
MMa	59.01	89.33	-55.67	105.26	328
NMa	18.01	0.0	0.0	0.0	0
WMa	95.41	0.0	0.0	0.0	0
RCIE	39.92	58.74	27.99	65.07	25
JCIE	81.26	-2.88	71.56	71.62	92
GCIE	52.23	-42.41	13.6	44.55	162
BCIE	30.57	1.41	-46.46	46.49	272

Dreiecks-Helligkeit t^*

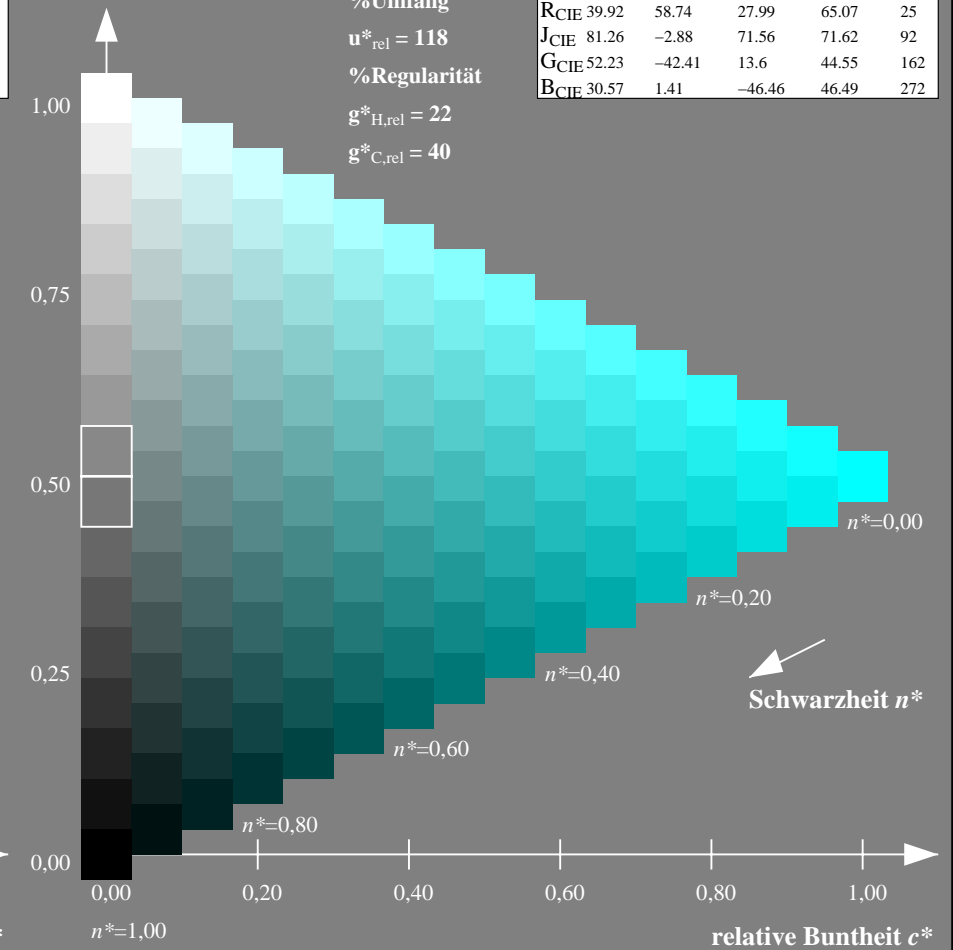
%Umfang

$u^*_{rel} = 118$

%Regularität

$g^*_{H,rel} = 22$

$g^*_{C,rel} = 40$



NG900-7, 9stufige Reihen für konstanten CIELAB Buntton 235/360 = 0.653 (links)

16stufige Reihen für konstanten CIELAB Buntton 196/360 = 0.546 (rechts)

Eingabe: Farbmetrisches Drucker-Reflektiv-System DRSXX

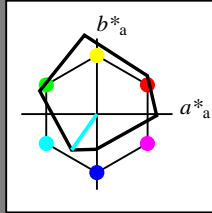
für Buntton $h^* = lab^*h = 235/360 = 0.653$

lab^*tch und lab^*nch

D65: Buntton C

LCH*Ma: 53 58 235

olv*Ma: 0.0 1.0 1.0



DRSXX; adaptierte CIELAB-Daten

	$L^*=L^*_a$	a^*_a	b^*_a	$C^*_{ab,a}$	$h^*_{ab,a}$
OMa	42.21	66.82	50.6	83.82	37
YMa	90.32	-16.51	104.33	105.63	99
LMa	48.21	-75.63	30.65	81.61	158
CMa	53.44	-33.33	-47.49	58.03	235
VMa	34.16	-0.92	-46.56	46.58	269
MMa	42.71	79.0	-1.95	79.03	359
NMa	16.56	0.0	0.0	0.0	0
WMa	96.31	0.0	0.0	0.0	0
RCIE	39.92	59.78	25.77	65.1	23
JCIE	81.26	-2.51	69.07	69.11	92
GCIE	52.23	-41.57	11.3	43.09	165
BCIE	30.57	2.6	-48.62	48.7	273

Dreiecks-Helligkeit t^*

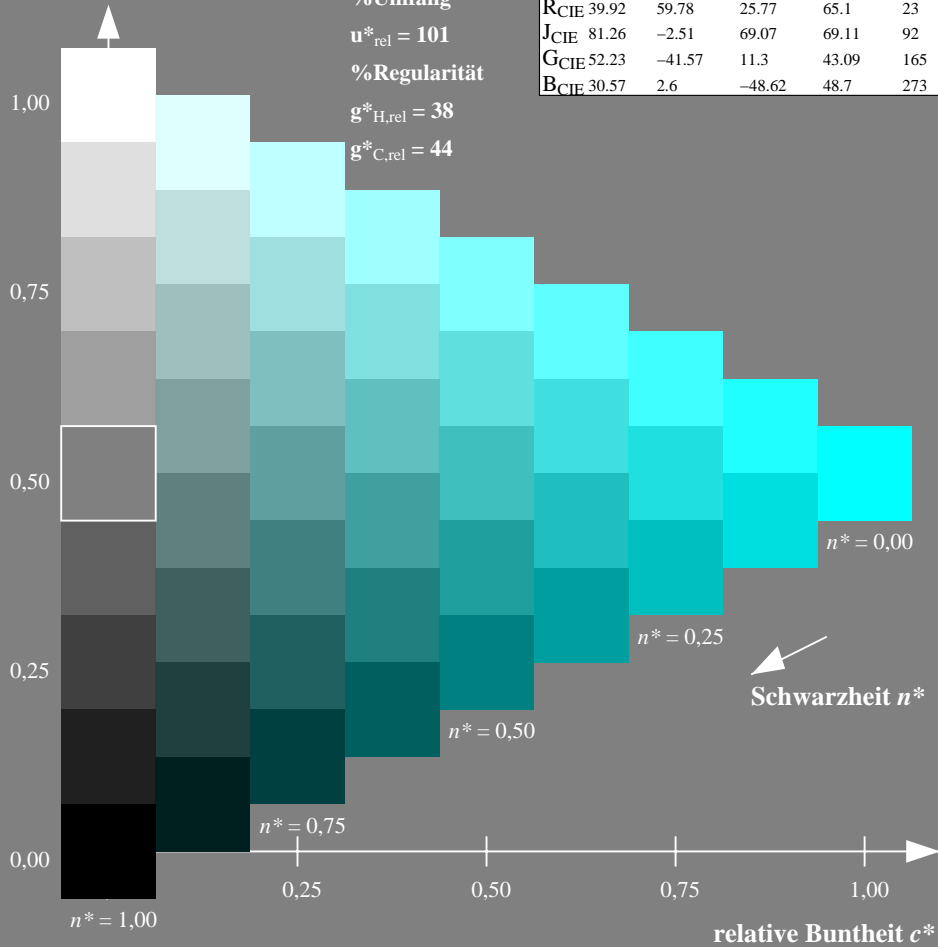
%Umfang

$u^*_{rel} = 101$

%Regularität

$g^*_{H,rel} = 38$

$g^*_{C,rel} = 44$



Ausgabe: Farbmetrisches Natürliches-Licht-System NLS00

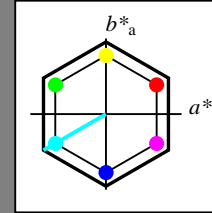
für Buntton $h^* = lab^*h = 210/360 = 0.583$

lab^*tch und lab^*nch

D65: Buntton C

LCH*Ma: 64 95 210

olv*Ma: 0.0 1.0 1.0



NLS00; adaptierte CIELAB-Daten

	$L^*=L^*_a$	a^*_a	b^*_a	$C^*_{ab,a}$	$h^*_{ab,a}$
OMa	31.81	82.62	47.7	95.4	30
YMa	63.61	0.0	95.4	95.4	90
LMa	31.81	-82.61	47.7	95.4	150
CMa	63.61	-82.61	-47.69	95.4	210
VMa	31.81	0.0	-95.39	95.4	270
MMa	63.61	82.62	-47.69	95.4	330
NMa	0.01	0.0	0.0	0.0	0
WMa	95.41	0.0	0.0	0.0	0
RCIE	39.92	58.74	27.99	65.07	25
JCIE	81.26	-2.88	71.56	71.62	92
GCIE	52.23	-42.41	13.6	44.55	162
BCIE	30.57	1.41	-46.46	46.49	272

Dreiecks-Helligkeit t^*

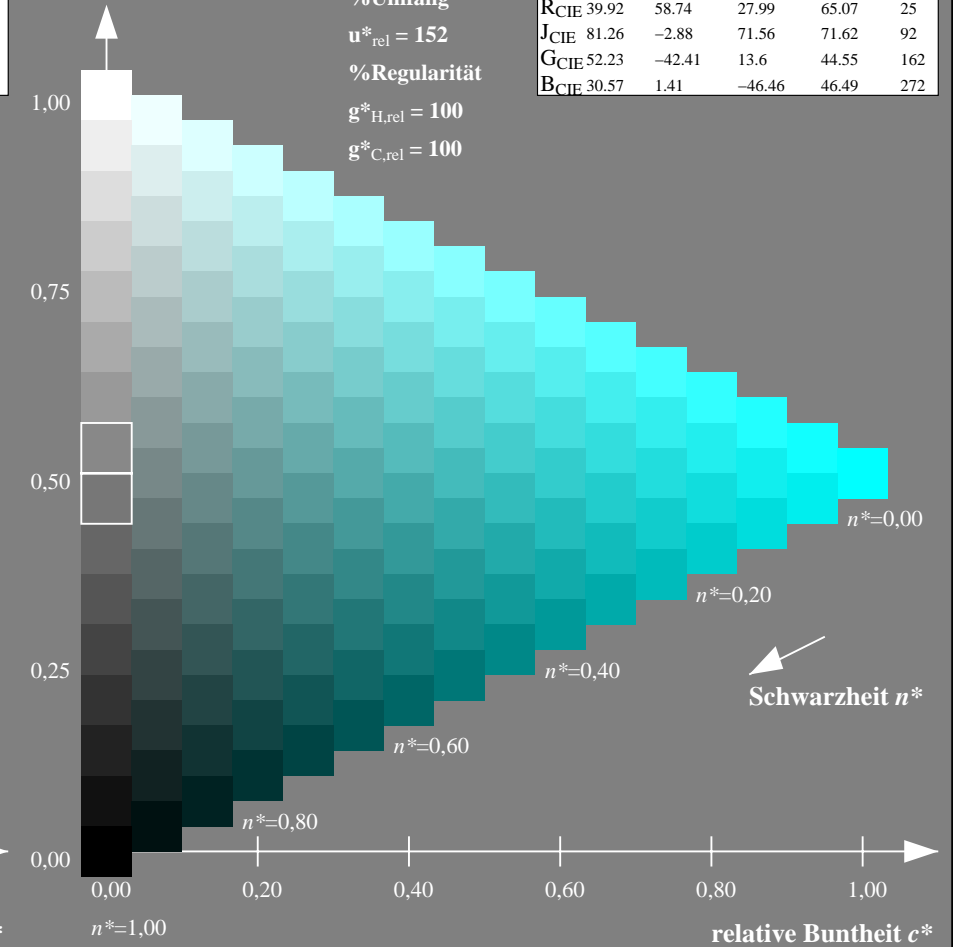
%Umfang

$u^*_{rel} = 152$

%Regularität

$g^*_{H,rel} = 100$

$g^*_{C,rel} = 100$



NG900-7, 9stufige Reihen für konstanten CIELAB Buntton $235/360 = 0.653$ (links)

16stufige Reihen für konstanten CIELAB Buntton $210/360 = 0.583$ (rechts)

Eingabe: Farbmetrisches Drucker-Reflektiv-System DRSXX

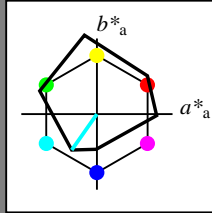
für Buntton $h^* = lab^*h = 235/360 = 0.653$

lab^*tch und lab^*nch

D65: Buntton C

LCH*Ma: 53 58 235

olv*Ma: 0.0 1.0 1.0



DRSXX; adaptierte CIELAB-Daten

	$L^*=L^*_a$	a^*_a	b^*_a	$C^*_{ab,a}$	$h^*_{ab,a}$
O _{Ma}	42.21	66.82	50.6	83.82	37
Y _{Ma}	90.32	-16.51	104.33	105.63	99
L _{Ma}	48.21	-75.63	30.65	81.61	158
C _{Ma}	53.44	-33.33	-47.49	58.03	235
V _{Ma}	34.16	-0.92	-46.56	46.58	269
M _{Ma}	42.71	79.0	-1.95	79.03	359
N _{Ma}	16.56	0.0	0.0	0.0	0
W _{Ma}	96.31	0.0	0.0	0.0	0
R _{CIE}	39.92	59.78	25.77	65.1	23
J _{CIE}	81.26	-2.51	69.07	69.11	92
G _{CIE}	52.23	-41.57	11.3	43.09	165
B _{CIE}	30.57	2.6	-48.62	48.7	273

Dreiecks-Helligkeit t^*

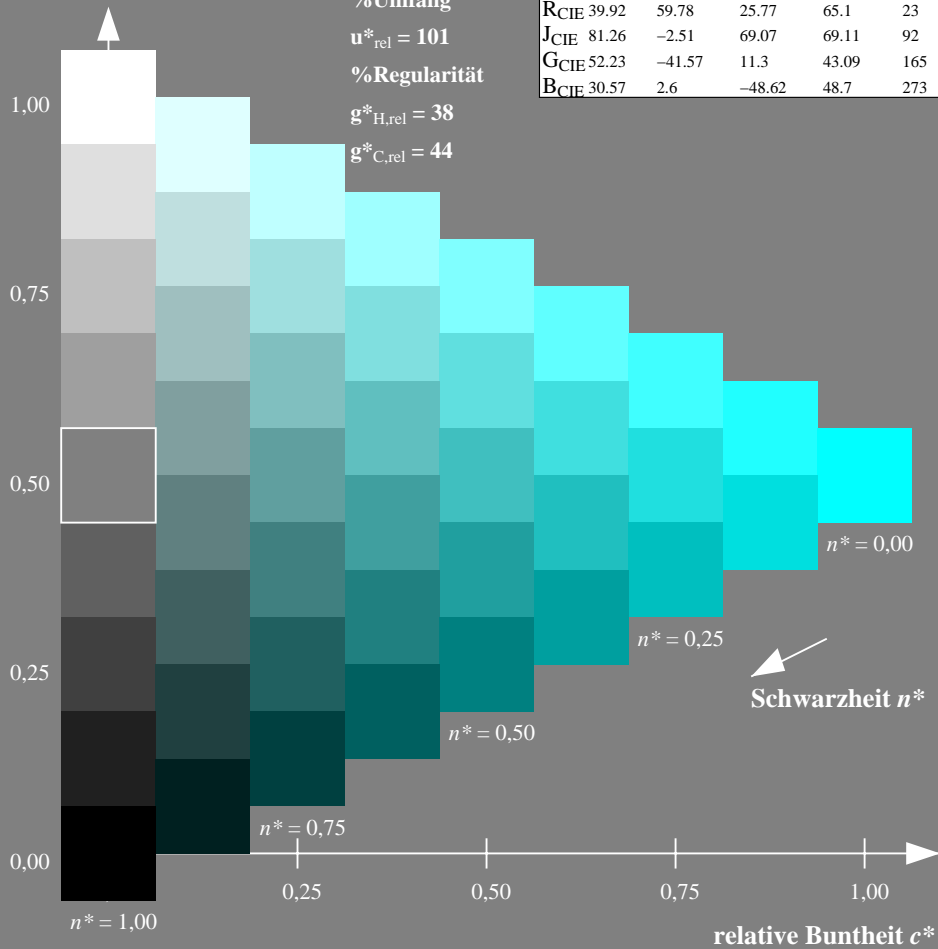
%Umfang

$u^*_{rel} = 101$

%Regularität

$g^*_{H,rel} = 38$

$g^*_{C,rel} = 44$



Ausgabe: Farbmetrisches Natürliches-Reflektiv-System NRS18

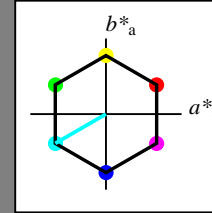
für Buntton $h^* = lab^*h = 210/360 = 0.583$

lab^*tch und lab^*nch

D65: Buntton C

LCH*Ma: 70 77 210

olv*Ma: 0.0 1.0 1.0



NRS18; adaptierte CIELAB-Daten

	$L^*=L^*_a$	a^*_a	b^*_a	$C^*_{ab,a}$	$h^*_{ab,a}$
O _{Ma}	43.81	67.03	38.7	77.4	30
Y _{Ma}	69.61	0.0	77.4	77.4	90
L _{Ma}	43.81	-67.02	38.7	77.4	150
C _{Ma}	69.61	-67.02	-38.69	77.4	210
V _{Ma}	43.81	0.0	-77.39	77.4	270
M _{Ma}	69.61	67.03	-38.69	77.4	330
N _{Ma}	18.01	0.0	0.0	0.0	0
W _{Ma}	95.41	0.0	0.0	0.0	0
R _{CIE}	39.92	58.74	27.99	65.07	25
J _{CIE}	81.26	-2.88	71.56	71.62	92
G _{CIE}	52.23	-42.41	13.6	44.55	162
B _{CIE}	30.57	1.41	-46.46	46.49	272

Dreiecks-Helligkeit t^*

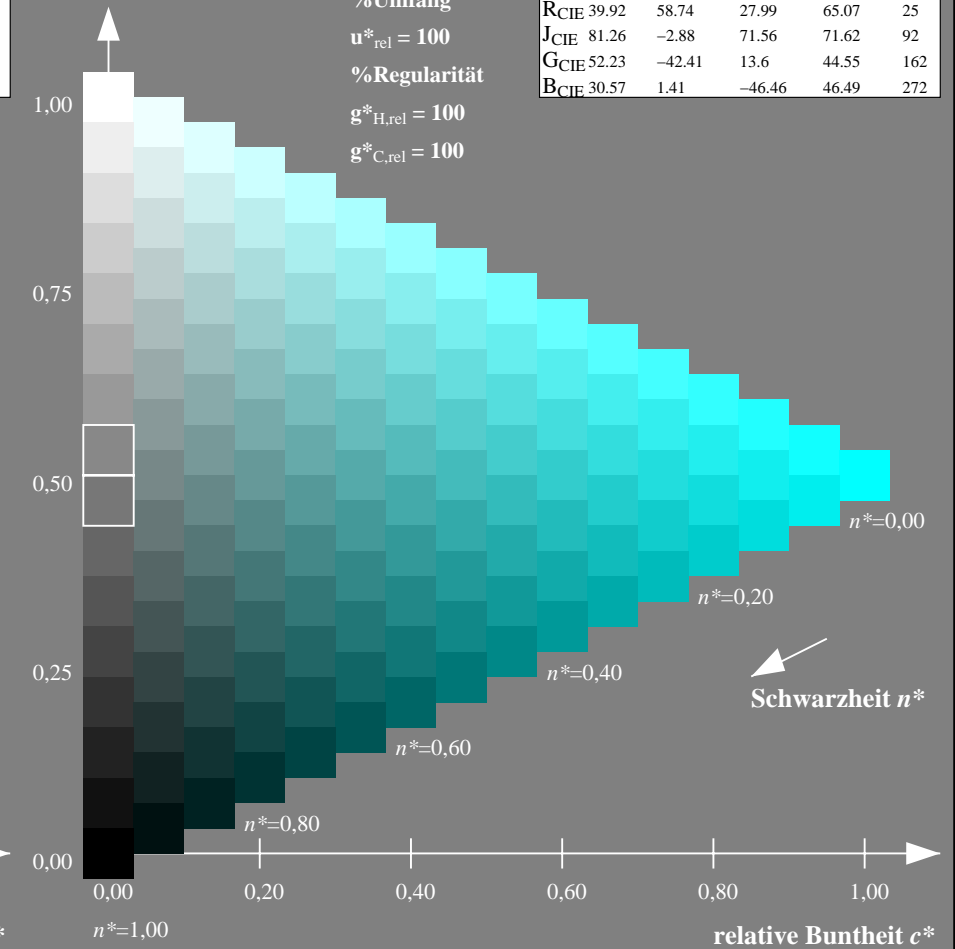
%Umfang

$u^*_{rel} = 100$

%Regularität

$g^*_{H,rel} = 100$

$g^*_{C,rel} = 100$



NG900-7, 9stufige Reihen für konstanten CIELAB Buntton $235/360 = 0.653$ (links)

16stufige Reihen für konstanten CIELAB Buntton $210/360 = 0.583$ (rechts)

Eingabe: Farbmetrisches Drucker-Reflektiv-System DRSXX

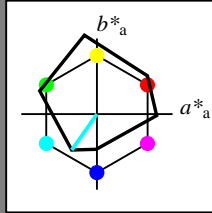
für Buntton $h^* = lab^*h = 235/360 = 0.653$

lab^*tch und lab^*nch

D65: Buntton C

LCH*Ma: 53 58 235

olv*Ma: 0.0 1.0 1.0



DRSXX; adaptierte CIELAB-Daten

	$L^*=L^*_a$	a^*_a	b^*_a	$C^*_{ab,a}$	$h^*_{ab,a}$
OMa	42.21	66.82	50.6	83.82	37
YMa	90.32	-16.51	104.33	105.63	99
LMa	48.21	-75.63	30.65	81.61	158
CMa	53.44	-33.33	-47.49	58.03	235
VMa	34.16	-0.92	-46.56	46.58	269
MMa	42.71	79.0	-1.95	79.03	359
NMa	16.56	0.0	0.0	0.0	0
WMa	96.31	0.0	0.0	0.0	0
RCIE	39.92	59.78	25.77	65.1	23
JCIE	81.26	-2.51	69.07	69.11	92
GCIE	52.23	-41.57	11.3	43.09	165
BCIE	30.57	2.6	-48.62	48.7	273

Dreiecks-Helligkeit t^*

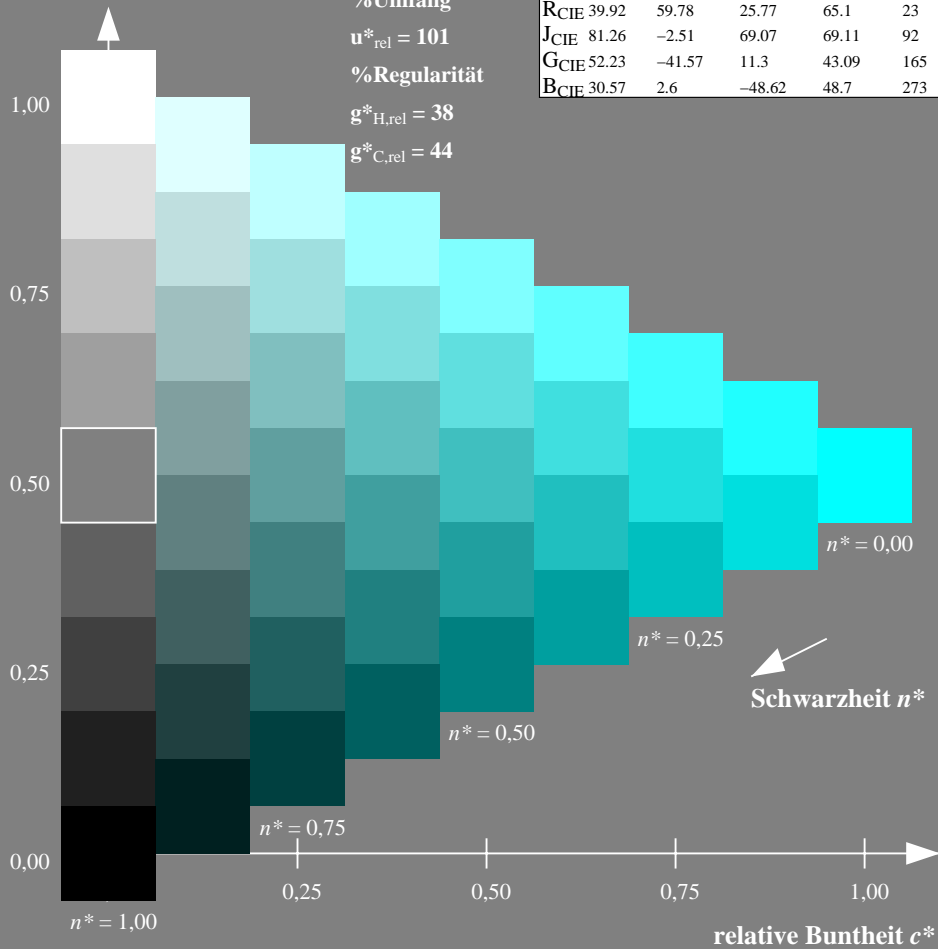
%Umfang

$u^*_{rel} = 101$

%Regularität

$g^*_{H,rel} = 38$

$g^*_{C,rel} = 44$



Ausgabe: Farbmetrisches Standard-Reflektiv-System SRS18

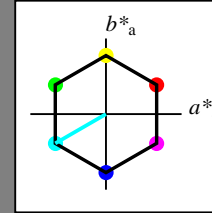
für Buntton $h^* = lab^*h = 210/360 = 0.583$

lab^*tch und lab^*nch

D65: Buntton C

LCH*Ma: 57 77 210

olv*Ma: 0.0 1.0 1.0



SRS18; adaptierte CIELAB-Daten

	$L^*=L^*_a$	a^*_a	b^*_a	$C^*_{ab,a}$	$h^*_{ab,a}$
OMa	56.71	67.03	38.7	77.4	30
YMa	56.71	0.0	77.4	77.4	90
LMa	56.71	-67.02	38.7	77.4	150
CMa	56.71	-67.02	-38.69	77.4	210
VMa	56.71	0.0	-77.39	77.4	270
MMa	56.71	67.03	-38.69	77.4	330
NMa	18.01	0.0	0.0	0.0	0
WMa	95.41	0.0	0.0	0.0	0
RCIE	39.92	58.74	27.99	65.07	25
JCIE	81.26	-2.88	71.56	71.62	92
GCIE	52.23	-42.41	13.6	44.55	162
BCIE	30.57	1.41	-46.46	46.49	272

Dreiecks-Helligkeit t^*

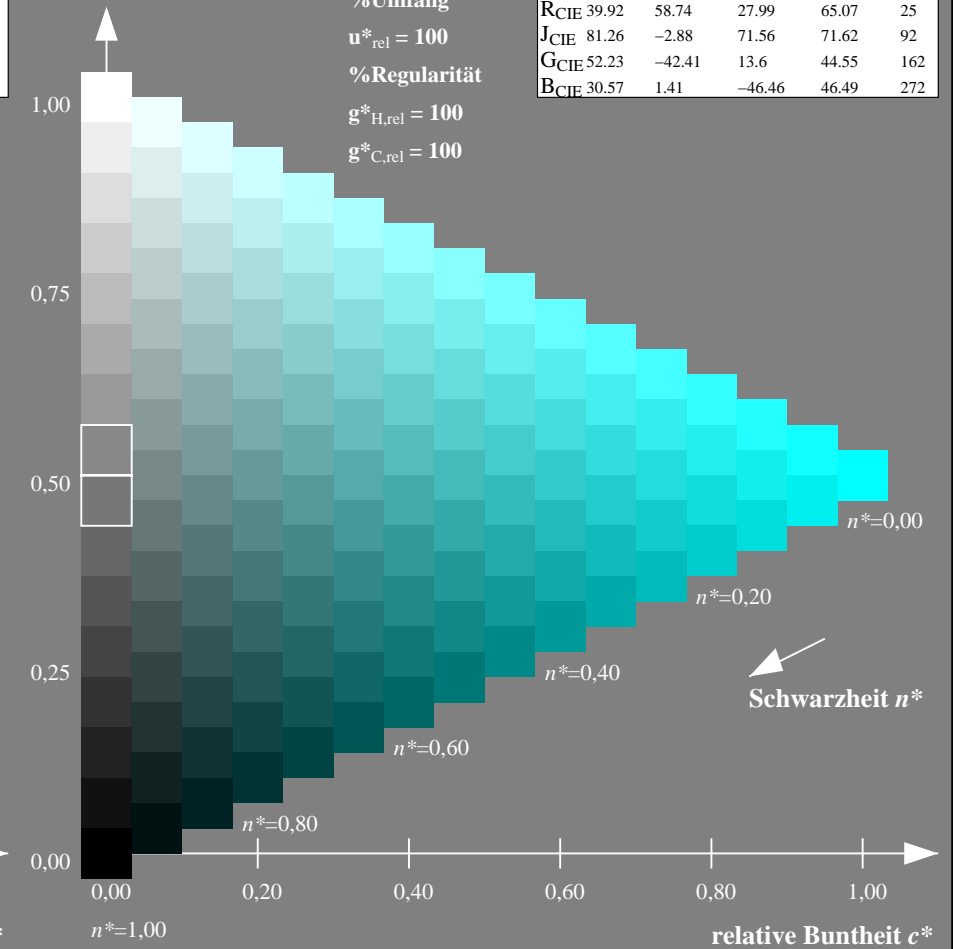
%Umfang

$u^*_{rel} = 100$

%Regularität

$g^*_{H,rel} = 100$

$g^*_{C,rel} = 100$



NG900-7, 9stufige Reihen für konstanten CIELAB Buntton $235/360 = 0.653$ (links)

16stufige Reihen für konstanten CIELAB Buntton $210/360 = 0.583$ (rechts)

Eingabe: Farbmetrisches Drucker-Reflektiv-System DRSXX

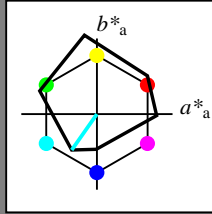
für Buntton $h^* = lab^*h = 235/360 = 0.653$

lab^*tch und lab^*nch

D65: Buntton C

LCH*Ma: 53 58 235

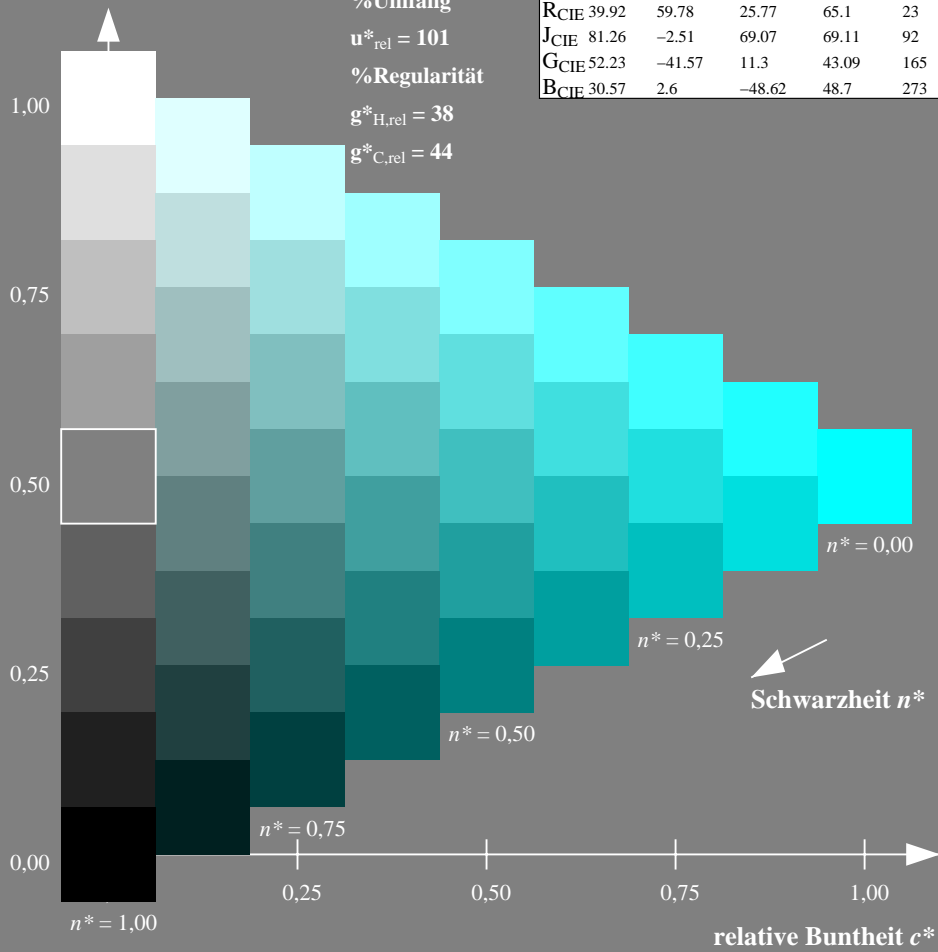
olv*Ma: 0.0 1.0 1.0



DRSXX; adaptierte CIELAB-Daten

	$L^*=L^*_a$	a^*_a	b^*_a	$C^*_{ab,a}$	$h^*_{ab,a}$
O _{Ma}	42.21	66.82	50.6	83.82	37
Y _{Ma}	90.32	-16.51	104.33	105.63	99
L _{Ma}	48.21	-75.63	30.65	81.61	158
C _{Ma}	53.44	-33.33	-47.49	58.03	235
V _{Ma}	34.16	-0.92	-46.56	46.58	269
M _{Ma}	42.71	79.0	-1.95	79.03	359
N _{Ma}	16.56	0.0	0.0	0.0	0
W _{Ma}	96.31	0.0	0.0	0.0	0
R _{CIE}	39.92	59.78	25.77	65.1	23
J _{CIE}	81.26	-2.51	69.07	69.11	92
G _{CIE}	52.23	-41.57	11.3	43.09	165
B _{CIE}	30.57	2.6	-48.62	48.7	273

Dreiecks-Helligkeit t^*



Ausgabe: Farbmetrisches Fernseh-Licht-System TLS70

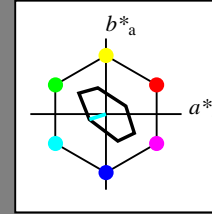
für Buntton $h^* = lab^*h = 198/360 = 0.55$

lab^*tch und lab^*nch

D65: Buntton C

LCH*Ma: 91 23 198

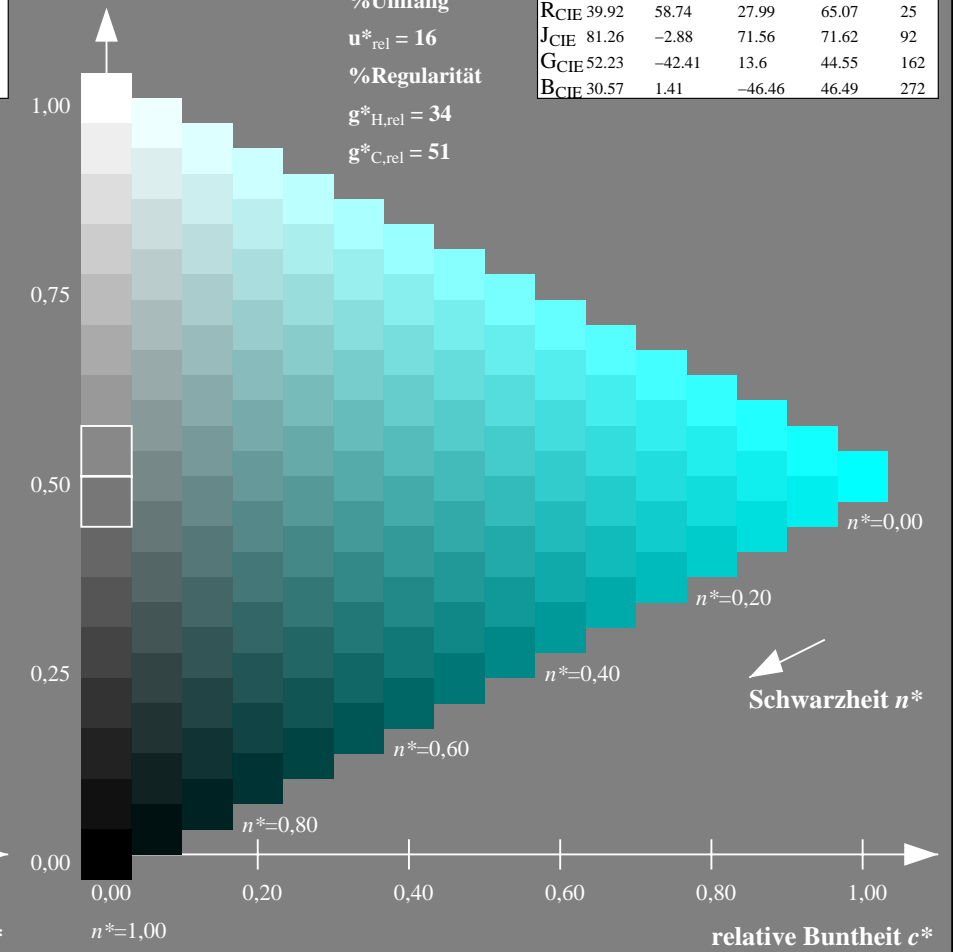
olv*Ma: 0.0 1.0 1.0



TLS70; adaptierte CIELAB-Daten

	$L^*=L^*_a$	a^*_a	b^*_a	$C^*_{ab,a}$	$h^*_{ab,a}$
O _{Ma}	76.43	26.27	10.57	28.32	22
Y _{Ma}	93.93	-10.76	34.63	36.27	107
L _{Ma}	89.32	-35.8	27.64	45.24	142
C _{Ma}	90.93	-21.95	-7.07	23.07	198
V _{Ma}	72.1	15.76	-35.63	38.97	294
M _{Ma}	78.5	37.52	-25.23	45.22	326
N _{Ma}	69.7	0.0	0.0	0.0	0
W _{Ma}	95.41	0.0	0.0	0.0	0
R _{CIE}	39.92	58.74	27.99	65.07	25
J _{CIE}	81.26	-2.88	71.56	71.62	92
G _{CIE}	52.23	-42.41	13.6	44.55	162
B _{CIE}	30.57	1.41	-46.46	46.49	272

Dreiecks-Helligkeit t^*



NG900-7, 9stufige Reihen für konstanten CIELAB Buntton $235/360 = 0.653$ (links)

16stufige Reihen für konstanten CIELAB Buntton $198/360 = 0.55$ (rechts)

Eingabe: Farbmetrisches Fernseh-Licht-System TLS18

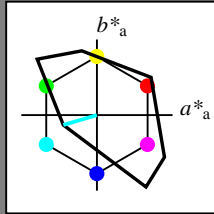
für Buntton $h^* = lab^*h = 196/360 = 0.546$

lab^*tch und lab^*nch

D65: Buntton C

LCH*Ma: 87 46 196

olv*Ma: 0.0 1.0 1.0



TLS18; adaptierte CIELAB-Daten

	$L^*=L^*_a$	a^*_a	b^*_a	$C^*_{ab,a}$	$h^*_{ab,a}$
OMa	52.76	71.63	49.88	87.29	35
YMa	92.74	-20.02	84.97	87.3	103
LMa	84.0	-78.98	73.94	108.2	137
CMa	87.14	-44.41	-13.11	46.32	196
VMa	35.47	64.92	-95.06	115.12	304
MMa	59.01	89.33	-55.67	105.26	328
NMa	18.01	0.0	0.0	0.0	0
WMa	95.41	0.0	0.0	0.0	0
RCIE	39.92	58.74	27.99	65.07	25
JCIE	81.26	-2.88	71.56	71.62	92
GCIE	52.23	-42.41	13.6	44.55	162
BCIE	30.57	1.41	-46.46	46.49	272

Dreiecks-Helligkeit t^*

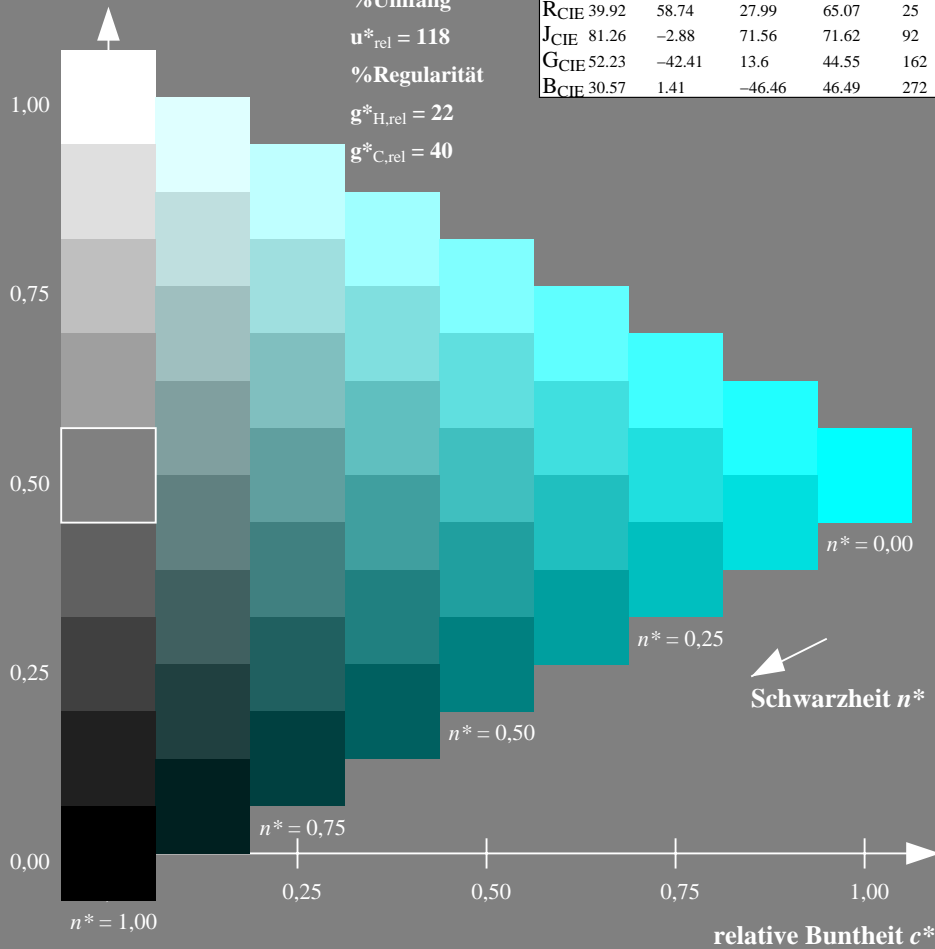
%Umfang

$u^*_{rel} = 118$

%Regularität

$g^*_{H,rel} = 22$

$g^*_{C,rel} = 40$



Ausgabe: Farbmetrisches Offset-Reflektiv-System ORS18

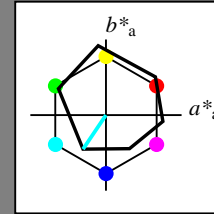
für Buntton $h^* = lab^*h = 236/360 = 0.656$

lab^*tch und lab^*nch

D65: Buntton C

LCH*Ma: 59 54 236

olv*Ma: 0.0 1.0 1.0



ORS18; adaptierte CIELAB-Daten

	$L^*=L^*_a$	a^*_a	b^*_a	$C^*_{ab,a}$	$h^*_{ab,a}$
OMa	47.94	65.39	50.52	82.63	38
YMa	90.37	-10.26	91.75	92.32	96
LMa	50.9	-62.83	34.96	71.91	151
CMa	58.62	-30.34	-45.01	54.3	236
VMa	25.72	31.1	-44.4	54.22	305
MMa	48.13	75.28	-8.36	75.74	354
NMa	18.01	0.0	0.0	0.0	0
WMa	95.41	0.0	0.0	0.0	0
RCIE	39.92	58.66	26.98	64.57	25
JCIE	81.26	-2.16	67.76	67.79	92
GCIE	52.23	-42.25	11.76	43.87	164
BCIE	30.57	1.15	-46.84	46.86	271

Dreiecks-Helligkeit t^*

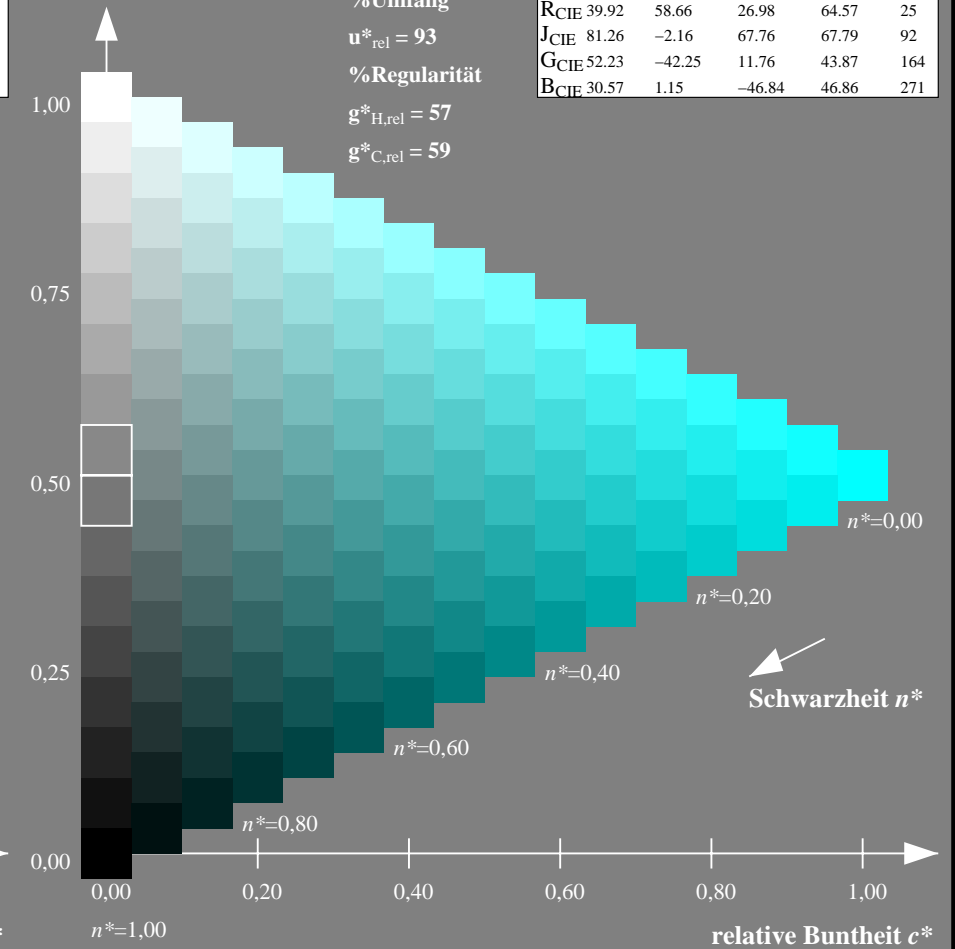
%Umfang

$u^*_{rel} = 93$

%Regularität

$g^*_{H,rel} = 57$

$g^*_{C,rel} = 59$



NG900-7, 9stufige Reihen für konstanten CIELAB Buntton $196/360 = 0.546$ (links)

16stufige Reihen für konstanten CIELAB Buntton $236/360 = 0.656$ (rechts)

Eingabe: Farbmetrisches Fernseh-Licht-System TLS18

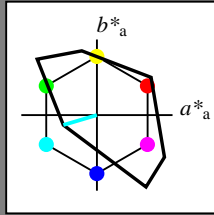
für Buntton $h^* = lab^*h = 196/360 = 0.546$

lab^*tch und lab^*nch

D65: Buntton C

LCH*Ma: 87 46 196

olv*Ma: 0.0 1.0 1.0



TLS18; adaptierte CIELAB-Daten

	$L^*=L^*_a$	a^*_a	b^*_a	$C^*_{ab,a}$	$h^*_{ab,a}$
OMa	52.76	71.63	49.88	87.29	35
YMa	92.74	-20.02	84.97	87.3	103
LMa	84.0	-78.98	73.94	108.2	137
CMa	87.14	-44.41	-13.11	46.32	196
VMa	35.47	64.92	-95.06	115.12	304
MMa	59.01	89.33	-55.67	105.26	328
NMa	18.01	0.0	0.0	0.0	0
WMa	95.41	0.0	0.0	0.0	0
RCIE	39.92	58.74	27.99	65.07	25
JCIE	81.26	-2.88	71.56	71.62	92
GCIE	52.23	-42.41	13.6	44.55	162
BCIE	30.57	1.41	-46.46	46.49	272

Dreiecks-Helligkeit t^*

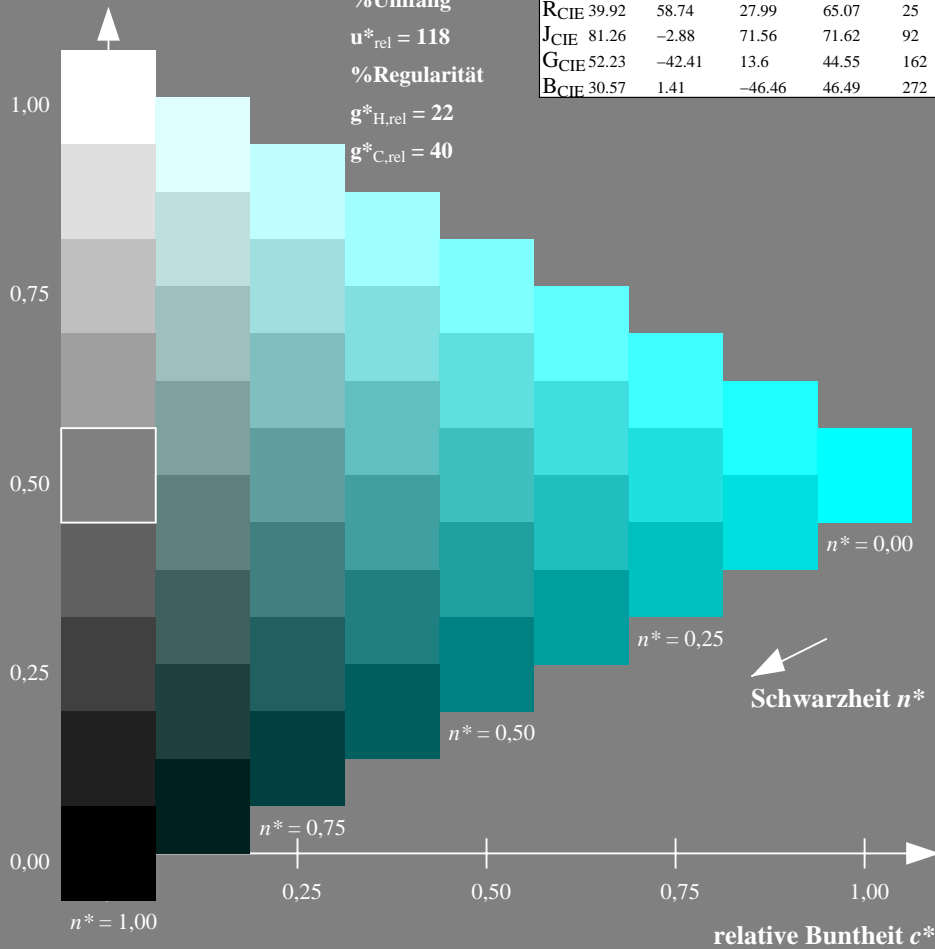
%Umfang

$u^*_{rel} = 118$

%Regularität

$g^*_{H,rel} = 22$

$g^*_{C,rel} = 40$



Ausgabe: Farbmetrisches Fernseh-Licht-System TLS00

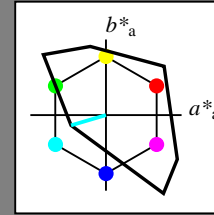
für Buntton $h^* = lab^*h = 196/360 = 0.545$

lab^*tch und lab^*nch

D65: Buntton C

LCH*Ma: 87 48 196

olv*Ma: 0.0 1.0 1.0



TLS00; adaptierte CIELAB-Daten

	$L^*=L^*_a$	a^*_a	b^*_a	$C^*_{ab,a}$	$h^*_{ab,a}$
OMa	50.5	76.92	64.55	100.42	40
YMa	92.66	-20.69	90.75	93.08	103
LMa	83.63	-82.75	79.9	115.04	136
CMa	86.88	-46.16	-13.55	48.12	196
VMa	30.39	76.06	-103.59	128.52	306
MMa	57.3	94.35	-58.41	110.97	328
NMa	0.01	0.0	0.0	0.0	0
WMa	95.41	0.0	0.0	0.0	0
RCIE	39.92	58.74	27.99	65.07	25
JCIE	81.26	-2.88	71.56	71.62	92
GCIE	52.23	-42.41	13.6	44.55	162
BCIE	30.57	1.41	-46.46	46.49	272

Dreiecks-Helligkeit t^*

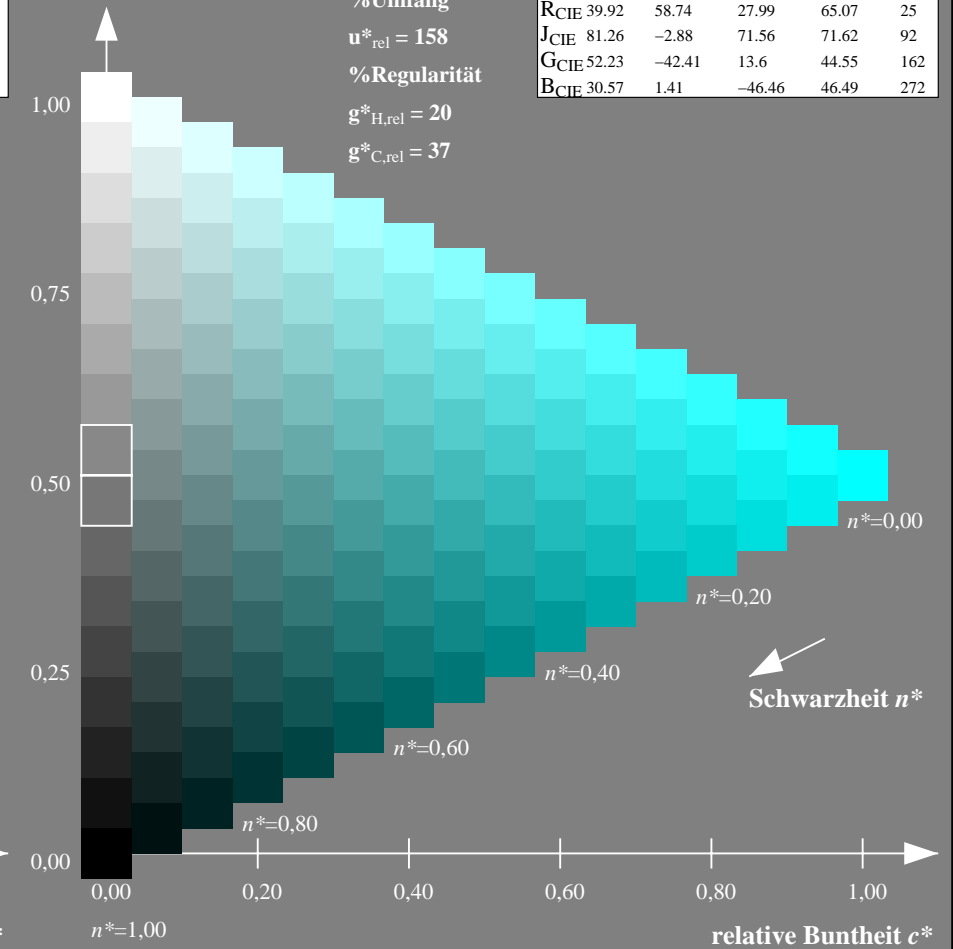
%Umfang

$u^*_{rel} = 158$

%Regularität

$g^*_{H,rel} = 20$

$g^*_{C,rel} = 37$



NG900-7, 9stufige Reihen für konstanten CIELAB Buntton 196/360 = 0.546 (links)

16stufige Reihen für konstanten CIELAB Buntton 196/360 = 0.545 (rechts)

Eingabe: Farbmetrisches Fernseh-Licht-System TLS18

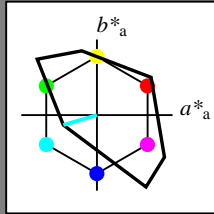
für Buntton $h^* = lab^*h = 196/360 = 0.546$

lab^*tch und lab^*nch

D65: Buntton C

LCH*Ma: 87 46 196

olv*Ma: 0.0 1.0 1.0



TLS18; adaptierte CIELAB-Daten

	$L^*=L^*_a$	a^*_a	b^*_a	$C^*_{ab,a}$	$h^*_{ab,a}$
OMa	52.76	71.63	49.88	87.29	35
YMa	92.74	-20.02	84.97	87.3	103
LMa	84.0	-78.98	73.94	108.2	137
CMa	87.14	-44.41	-13.11	46.32	196
VMa	35.47	64.92	-95.06	115.12	304
MMa	59.01	89.33	-55.67	105.26	328
NMa	18.01	0.0	0.0	0.0	0
WMa	95.41	0.0	0.0	0.0	0
RCIE	39.92	58.74	27.99	65.07	25
JCIE	81.26	-2.88	71.56	71.62	92
GCIE	52.23	-42.41	13.6	44.55	162
BCIE	30.57	1.41	-46.46	46.49	272

Dreiecks-Helligkeit t^*

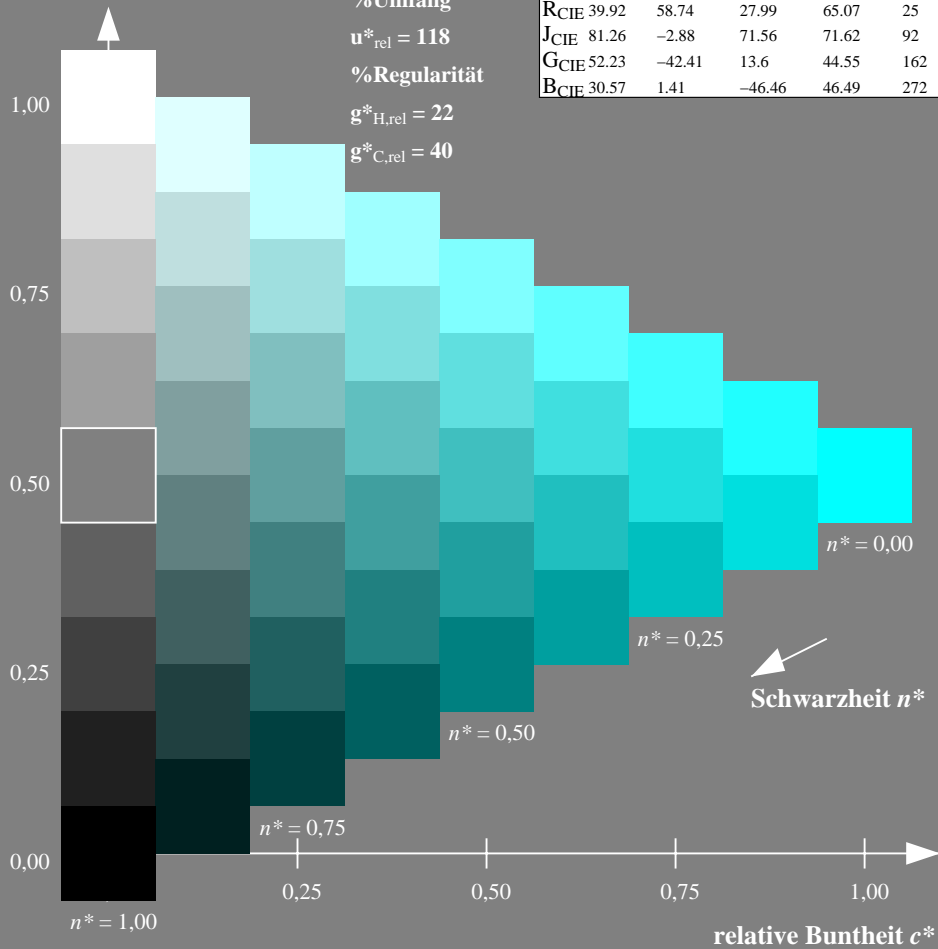
%Umfang

$u^*_{rel} = 118$

%Regularität

$g^*_{H,rel} = 22$

$g^*_{C,rel} = 40$



Ausgabe: Farbmetrisches Drucker-Reflektiv-System DRSXX

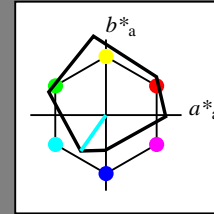
für Buntton $h^* = lab^*h = 235/360 = 0.653$

lab^*tch und lab^*nch

D65: Buntton C

LCH*Ma: 53 58 235

olv*Ma: 0.0 1.0 1.0



DRSXX; adaptierte CIELAB-Daten

	$L^*=L^*_a$	a^*_a	b^*_a	$C^*_{ab,a}$	$h^*_{ab,a}$
OMa	42.21	66.82	50.6	83.82	37
YMa	90.32	-16.51	104.33	105.63	99
LMa	48.21	-75.63	30.65	81.61	158
CMa	53.44	-33.33	-47.49	58.03	235
VMa	34.16	-0.92	-46.56	46.58	269
MMa	42.71	79.0	-1.95	79.03	359
NMa	16.56	0.0	0.0	0.0	0
WMa	96.31	0.0	0.0	0.0	0
RCIE	39.92	59.78	25.77	65.1	23
JCIE	81.26	-2.51	69.07	69.11	92
GCIE	52.23	-41.57	11.3	43.09	165
BCIE	30.57	2.6	-48.62	48.7	273

Dreiecks-Helligkeit t^*

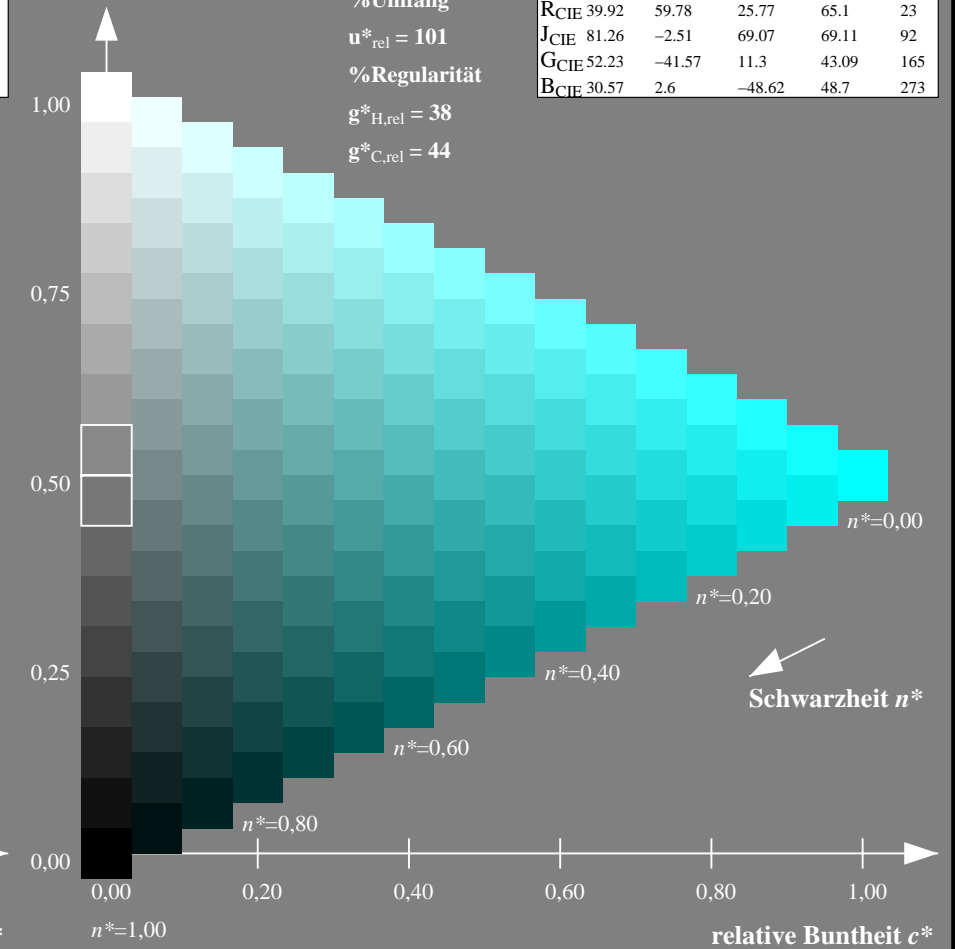
%Umfang

$u^*_{rel} = 101$

%Regularität

$g^*_{H,rel} = 38$

$g^*_{C,rel} = 44$



NG900-7, 9stufige Reihen für konstanten CIELAB Buntton 196/360 = 0.546 (links)

16stufige Reihen für konstanten CIELAB Buntton 235/360 = 0.653 (rechts)

Eingabe: Farbmetrisches Fernseh-Licht-System TLS18

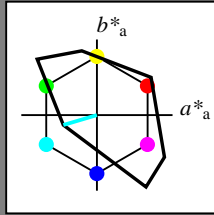
für Buntton $h^* = lab^*h = 196/360 = 0.546$

lab^*tch und lab^*nch

D65: Buntton C

LCH*Ma: 87 46 196

olv*Ma: 0.0 1.0 1.0



TLS18; adaptierte CIELAB-Daten

	$L^*=L^*_a$	a^*_a	b^*_a	$C^*_{ab,a}$	$h^*_{ab,a}$
OMa	52.76	71.63	49.88	87.29	35
YMa	92.74	-20.02	84.97	87.3	103
LMa	84.0	-78.98	73.94	108.2	137
CMa	87.14	-44.41	-13.11	46.32	196
VMa	35.47	64.92	-95.06	115.12	304
MMa	59.01	89.33	-55.67	105.26	328
NMa	18.01	0.0	0.0	0.0	0
WMa	95.41	0.0	0.0	0.0	0
RCIE	39.92	58.74	27.99	65.07	25
JCIE	81.26	-2.88	71.56	71.62	92
GCIE	52.23	-42.41	13.6	44.55	162
BCIE	30.57	1.41	-46.46	46.49	272

Dreiecks-Helligkeit t^*

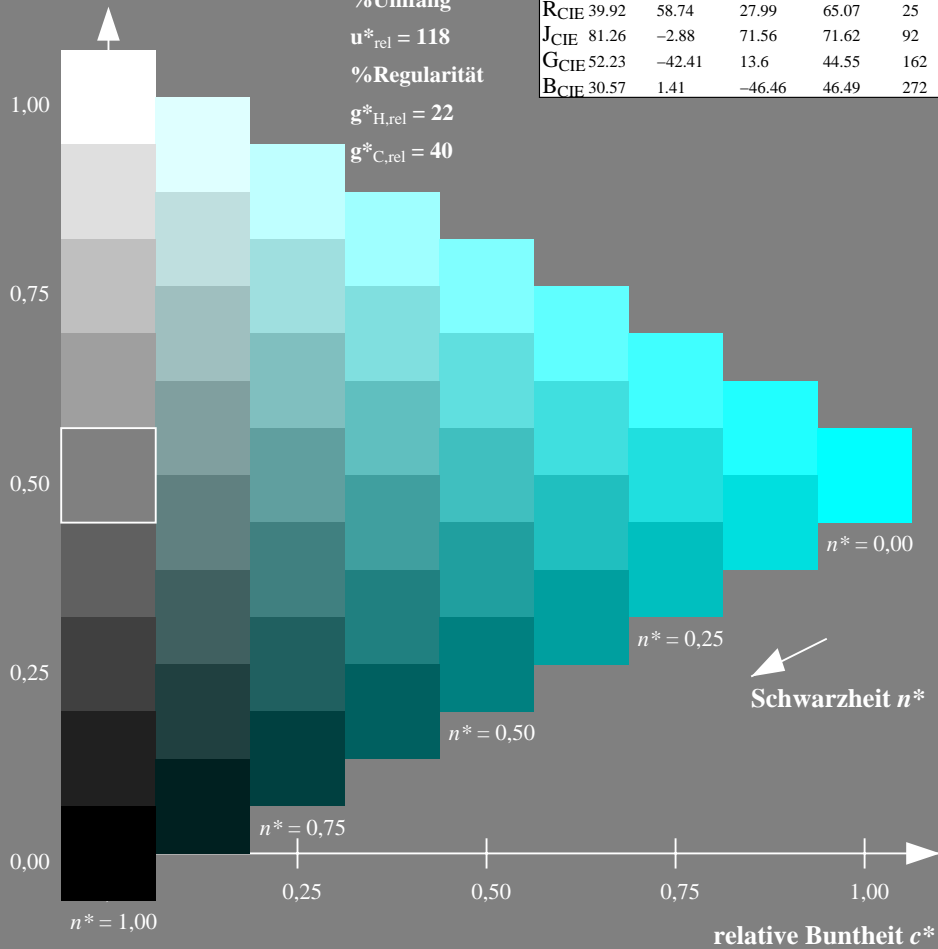
%Umfang

$u^*_{rel} = 118$

%Regularität

$g^*_{H,rel} = 22$

$g^*_{C,rel} = 40$



Ausgabe: Farbmetrisches Fernseh-Licht-System TLS18

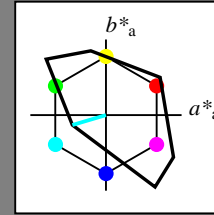
für Buntton $h^* = lab^*h = 196/360 = 0.546$

lab^*tch und lab^*nch

D65: Buntton C

LCH*Ma: 87 46 196

olv*Ma: 0.0 1.0 1.0



TLS18; adaptierte CIELAB-Daten

	$L^*=L^*_a$	a^*_a	b^*_a	$C^*_{ab,a}$	$h^*_{ab,a}$
OMa	52.76	71.63	49.88	87.29	35
YMa	92.74	-20.02	84.97	87.3	103
LMa	84.0	-78.98	73.94	108.2	137
CMa	87.14	-44.41	-13.11	46.32	196
VMa	35.47	64.92	-95.06	115.12	304
MMa	59.01	89.33	-55.67	105.26	328
NMa	18.01	0.0	0.0	0.0	0
WMa	95.41	0.0	0.0	0.0	0
RCIE	39.92	58.74	27.99	65.07	25
JCIE	81.26	-2.88	71.56	71.62	92
GCIE	52.23	-42.41	13.6	44.55	162
BCIE	30.57	1.41	-46.46	46.49	272

Dreiecks-Helligkeit t^*

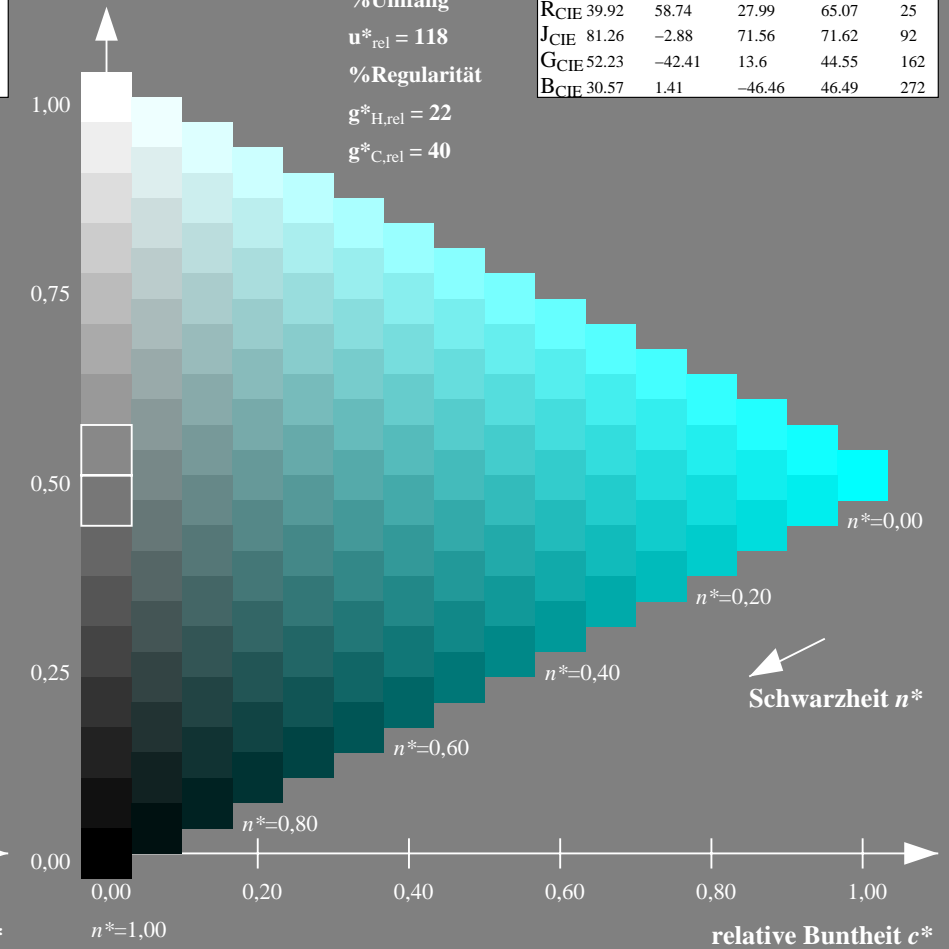
%Umfang

$u^*_{rel} = 118$

%Regularität

$g^*_{H,rel} = 22$

$g^*_{C,rel} = 40$



NG900-7, 9stufige Reihen für konstanten CIELAB Buntton $196/360 = 0.546$ (links)

16stufige Reihen für konstanten CIELAB Buntton $196/360 = 0.546$ (rechts)

Eingabe: Farbmetrisches Fernseh-Licht-System TLS18

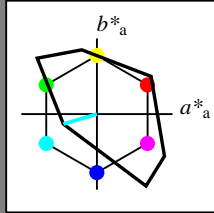
für Buntton $h^* = lab^*h = 196/360 = 0.546$

lab^*tch und lab^*nch

D65: Buntton C

LCH*Ma: 87 46 196

olv*Ma: 0.0 1.0 1.0



TLS18; adaptierte CIELAB-Daten

	$L^*=L^*_a$	a^*_a	b^*_a	$C^*_{ab,a}$	$h^*_{ab,a}$
OMa	52.76	71.63	49.88	87.29	35
YMa	92.74	-20.02	84.97	87.3	103
LMa	84.0	-78.98	73.94	108.2	137
CMa	87.14	-44.41	-13.11	46.32	196
VMa	35.47	64.92	-95.06	115.12	304
MMa	59.01	89.33	-55.67	105.26	328
NMa	18.01	0.0	0.0	0.0	0
WMa	95.41	0.0	0.0	0.0	0
RCIE	39.92	58.74	27.99	65.07	25
JCIE	81.26	-2.88	71.56	71.62	92
GCIE	52.23	-42.41	13.6	44.55	162
BCIE	30.57	1.41	-46.46	46.49	272

Dreiecks-Helligkeit t^*

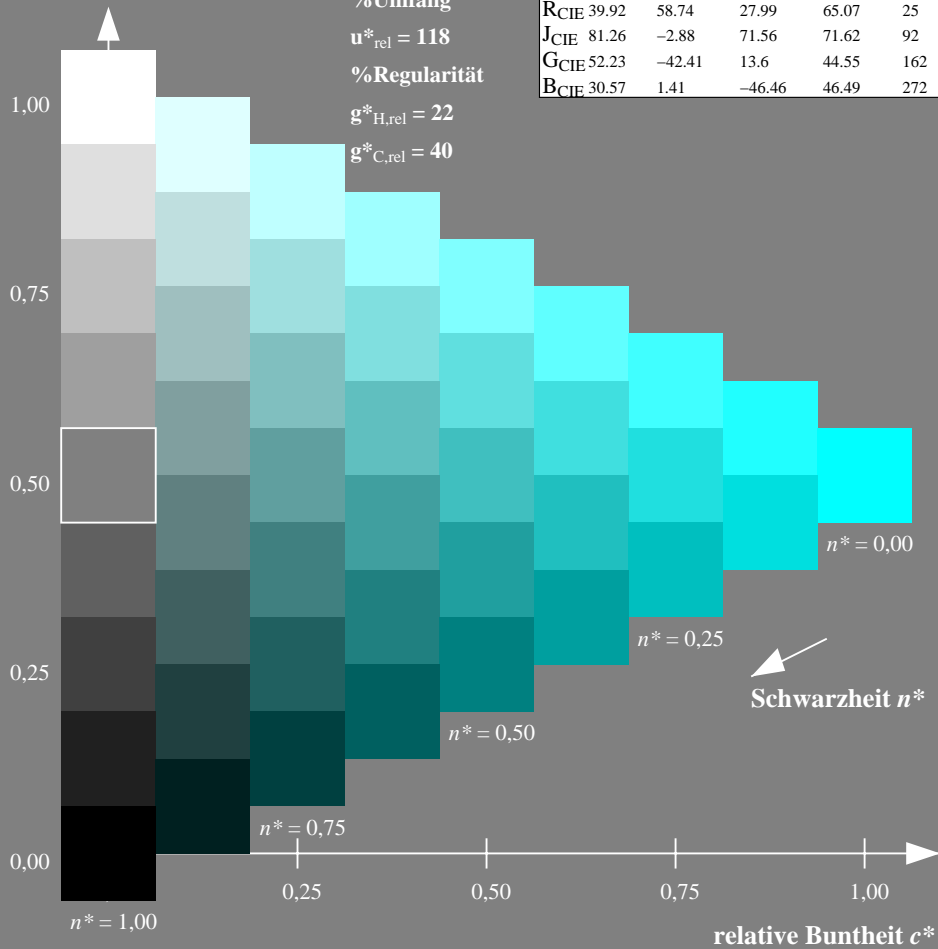
%Umfang

$u^*_{rel} = 118$

%Regularität

$g^*_{H,rel} = 22$

$g^*_{C,rel} = 40$



Ausgabe: Farbmetrisches Natürliches-Licht-System NLS00

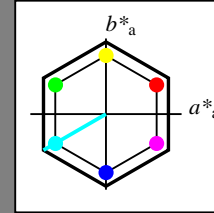
für Buntton $h^* = lab^*h = 210/360 = 0.583$

lab^*tch und lab^*nch

D65: Buntton C

LCH*Ma: 64 95 210

olv*Ma: 0.0 1.0 1.0



NLS00; adaptierte CIELAB-Daten

	$L^*=L^*_a$	a^*_a	b^*_a	$C^*_{ab,a}$	$h^*_{ab,a}$
OMa	31.81	82.62	47.7	95.4	30
YMa	63.61	0.0	95.4	95.4	90
LMa	31.81	-82.61	47.7	95.4	150
CMa	63.61	-82.61	-47.69	95.4	210
VMa	31.81	0.0	-95.39	95.4	270
MMa	63.61	82.62	-47.69	95.4	330
NMa	0.01	0.0	0.0	0.0	0
WMa	95.41	0.0	0.0	0.0	0
RCIE	39.92	58.74	27.99	65.07	25
JCIE	81.26	-2.88	71.56	71.62	92
GCIE	52.23	-42.41	13.6	44.55	162
BCIE	30.57	1.41	-46.46	46.49	272

Dreiecks-Helligkeit t^*

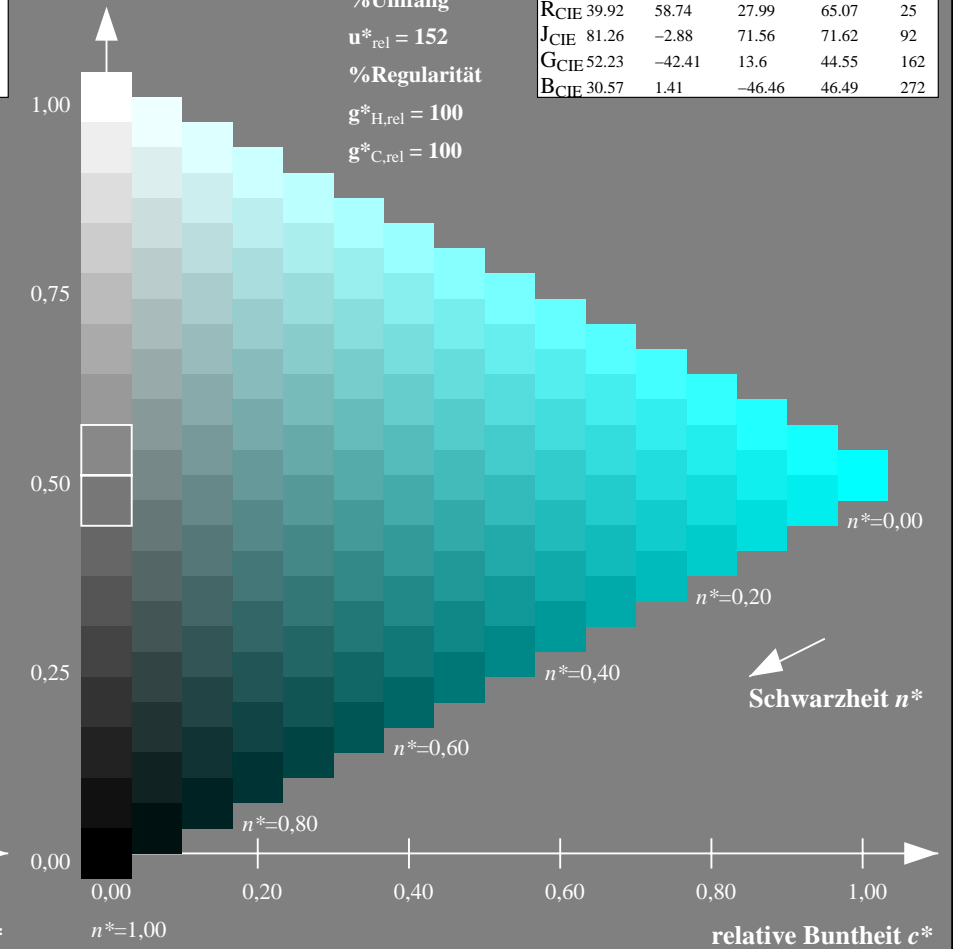
%Umfang

$u^*_{rel} = 152$

%Regularität

$g^*_{H,rel} = 100$

$g^*_{C,rel} = 100$



NG900-7, 9stufige Reihen für konstanten CIELAB Buntton 196/360 = 0.546 (links)

16stufige Reihen für konstanten CIELAB Buntton 210/360 = 0.583 (rechts)

Eingabe: Farbmetrisches Fernseh-Licht-System TLS18

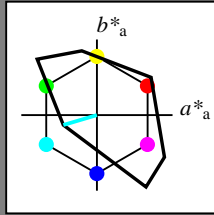
für Buntton $h^* = lab^*h = 196/360 = 0.546$

lab^*tch und lab^*nch

D65: Buntton C

LCH*Ma: 87 46 196

olv*Ma: 0.0 1.0 1.0



TLS18; adaptierte CIELAB-Daten

	$L^*=L^*_a$	a^*_a	b^*_a	$C^*_{ab,a}$	$h^*_{ab,a}$
OMa	52.76	71.63	49.88	87.29	35
YMa	92.74	-20.02	84.97	87.3	103
LMa	84.0	-78.98	73.94	108.2	137
CMa	87.14	-44.41	-13.11	46.32	196
VMa	35.47	64.92	-95.06	115.12	304
MMa	59.01	89.33	-55.67	105.26	328
NMa	18.01	0.0	0.0	0.0	0
WMa	95.41	0.0	0.0	0.0	0
RCIE	39.92	58.74	27.99	65.07	25
JCIE	81.26	-2.88	71.56	71.62	92
GCIE	52.23	-42.41	13.6	44.55	162
BCIE	30.57	1.41	-46.46	46.49	272

Dreiecks-Helligkeit t^*

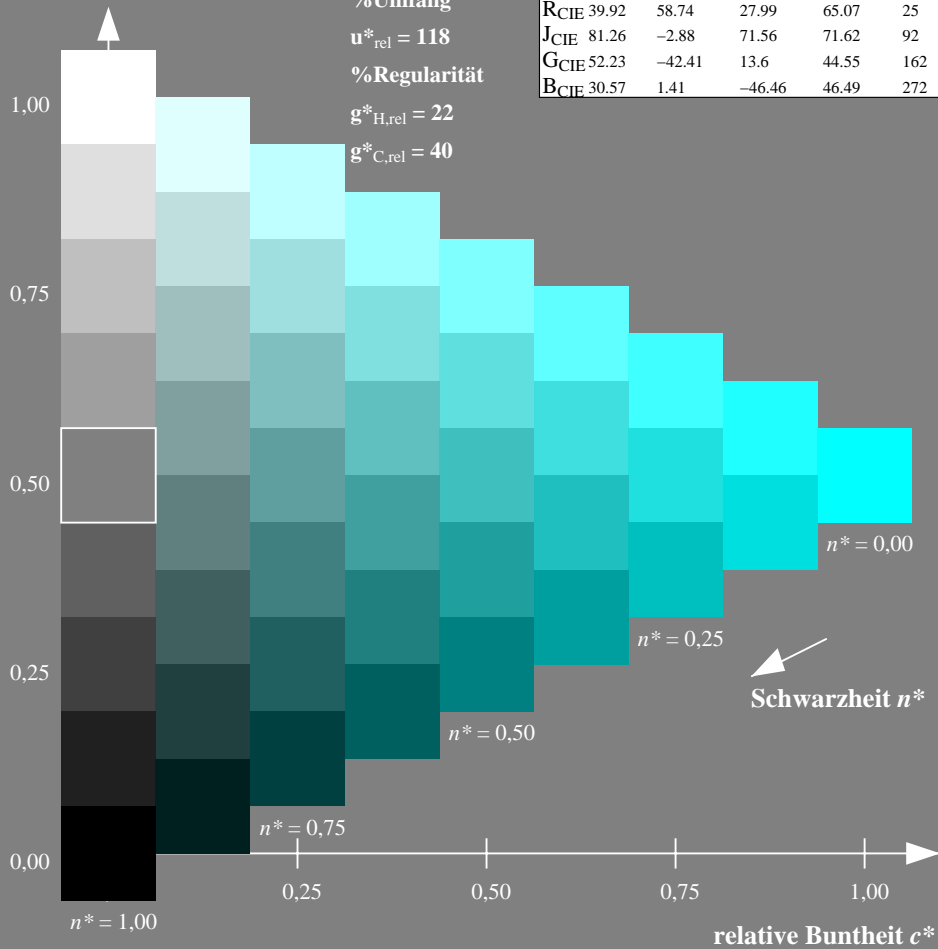
%Umfang

$u^*_{rel} = 118$

%Regularität

$g^*_{H,rel} = 22$

$g^*_{C,rel} = 40$



Ausgabe: Farbmetrisches Natürliches-Reflektiv-System NRS18

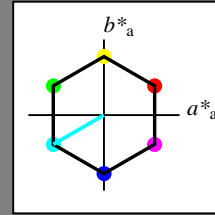
für Buntton $h^* = lab^*h = 210/360 = 0.583$

lab^*tch und lab^*nch

D65: Buntton C

LCH*Ma: 70 77 210

olv*Ma: 0.0 1.0 1.0



NRS18; adaptierte CIELAB-Daten

	$L^*=L^*_a$	a^*_a	b^*_a	$C^*_{ab,a}$	$h^*_{ab,a}$
OMa	43.81	67.03	38.7	77.4	30
YMa	69.61	0.0	77.4	77.4	90
LMa	43.81	-67.02	38.7	77.4	150
CMa	69.61	-67.02	-38.69	77.4	210
VMa	43.81	0.0	-77.39	77.4	270
MMa	69.61	67.03	-38.69	77.4	330
NMa	18.01	0.0	0.0	0.0	0
WMa	95.41	0.0	0.0	0.0	0
RCIE	39.92	58.74	27.99	65.07	25
JCIE	81.26	-2.88	71.56	71.62	92
GCIE	52.23	-42.41	13.6	44.55	162
BCIE	30.57	1.41	-46.46	46.49	272

Dreiecks-Helligkeit t^*

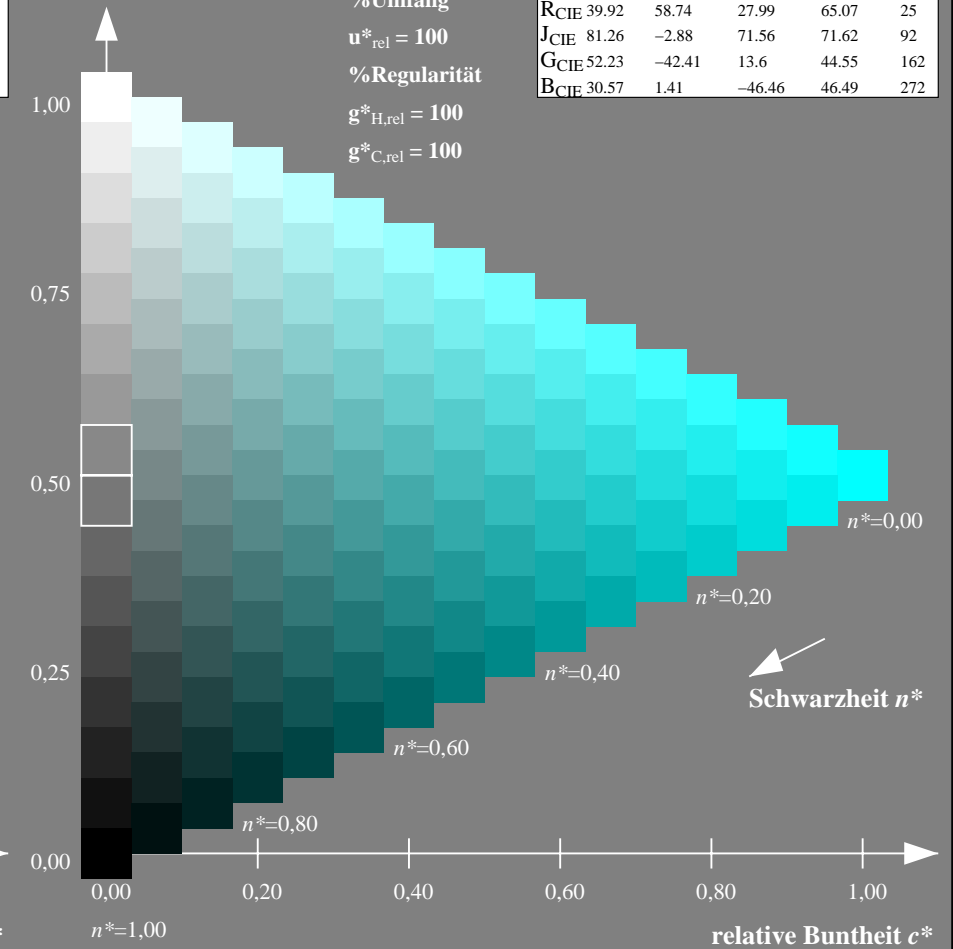
%Umfang

$u^*_{rel} = 100$

%Regularität

$g^*_{H,rel} = 100$

$g^*_{C,rel} = 100$



NG900-7, 9stufige Reihen für konstanten CIELAB Buntton 196/360 = 0.546 (links)

16stufige Reihen für konstanten CIELAB Buntton 210/360 = 0.583 (rechts)

Eingabe: Farbmetrisches Fernseh-Licht-System TLS18

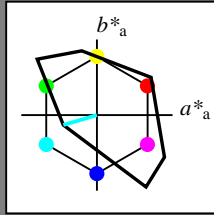
für Buntton $h^* = lab^*h = 196/360 = 0.546$

lab^*tch und lab^*nch

D65: Buntton C

LCH*Ma: 87 46 196

olv*Ma: 0.0 1.0 1.0



TLS18; adaptierte CIELAB-Daten

	$L^*=L^*_a$	a^*_a	b^*_a	$C^*_{ab,a}$	$h^*_{ab,a}$
OMa	52.76	71.63	49.88	87.29	35
YMa	92.74	-20.02	84.97	87.3	103
LMa	84.0	-78.98	73.94	108.2	137
CMa	87.14	-44.41	-13.11	46.32	196
VMa	35.47	64.92	-95.06	115.12	304
MMa	59.01	89.33	-55.67	105.26	328
NMa	18.01	0.0	0.0	0.0	0
WMa	95.41	0.0	0.0	0.0	0
RCIE	39.92	58.74	27.99	65.07	25
JCIE	81.26	-2.88	71.56	71.62	92
GCIE	52.23	-42.41	13.6	44.55	162
BCIE	30.57	1.41	-46.46	46.49	272

Dreiecks-Helligkeit t^*

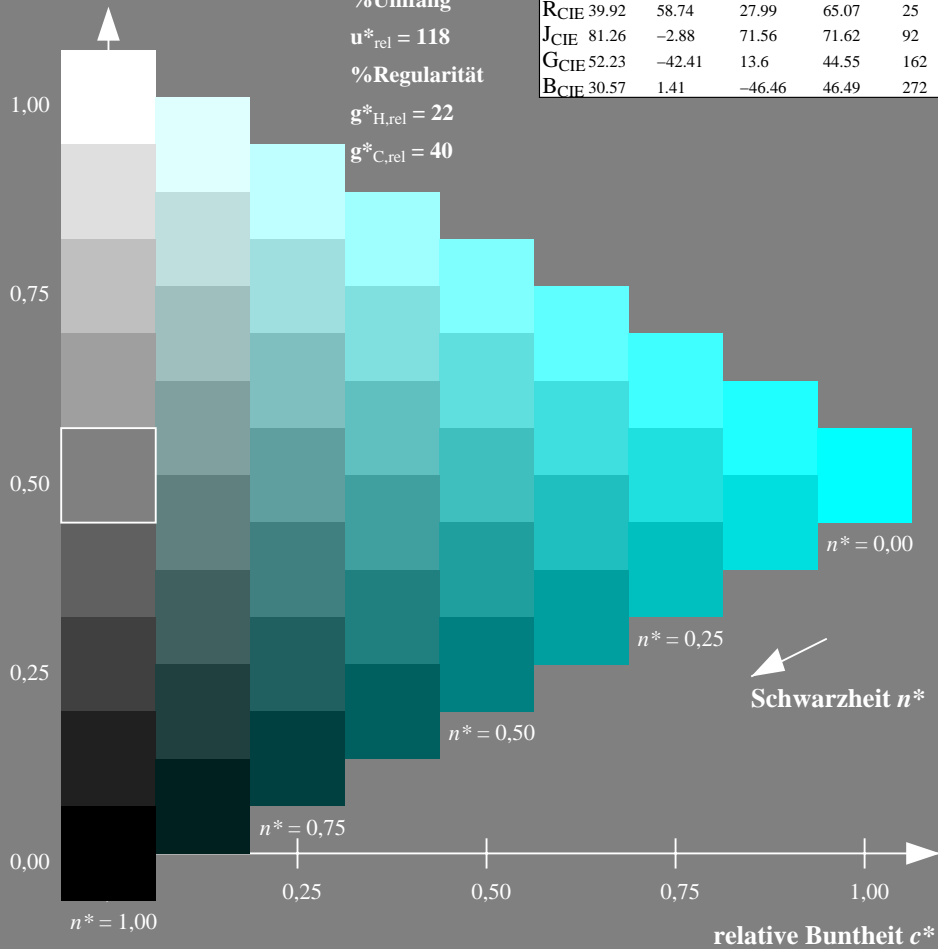
%Umfang

$u^*_{rel} = 118$

%Regularität

$g^*_{H,rel} = 22$

$g^*_{C,rel} = 40$



Ausgabe: Farbmetrisches Standard-Reflektiv-System SRS18

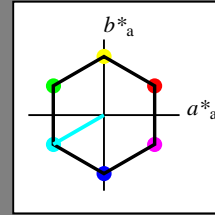
für Buntton $h^* = lab^*h = 210/360 = 0.583$

lab^*tch und lab^*nch

D65: Buntton C

LCH*Ma: 57 77 210

olv*Ma: 0.0 1.0 1.0



SRS18; adaptierte CIELAB-Daten

	$L^*=L^*_a$	a^*_a	b^*_a	$C^*_{ab,a}$	$h^*_{ab,a}$
OMa	56.71	67.03	38.7	77.4	30
YMa	56.71	0.0	77.4	77.4	90
LMa	56.71	-67.02	38.7	77.4	150
CMa	56.71	-67.02	-38.69	77.4	210
VMa	56.71	0.0	-77.39	77.4	270
MMa	56.71	67.03	-38.69	77.4	330
NMa	18.01	0.0	0.0	0.0	0
WMa	95.41	0.0	0.0	0.0	0
RCIE	39.92	58.74	27.99	65.07	25
JCIE	81.26	-2.88	71.56	71.62	92
GCIE	52.23	-42.41	13.6	44.55	162
BCIE	30.57	1.41	-46.46	46.49	272

Dreiecks-Helligkeit t^*

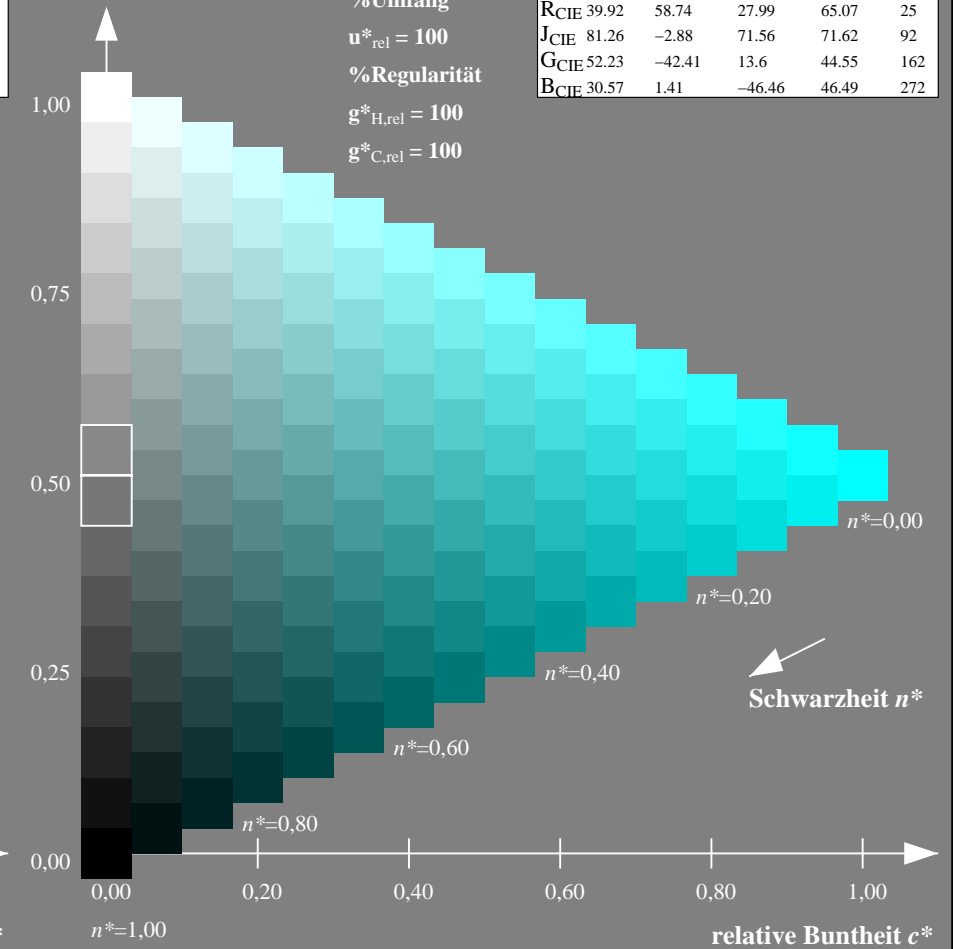
%Umfang

$u^*_{rel} = 100$

%Regularität

$g^*_{H,rel} = 100$

$g^*_{C,rel} = 100$



NG900-7, 9stufige Reihen für konstanten CIELAB Buntton $196/360 = 0.546$ (links)

16stufige Reihen für konstanten CIELAB Buntton $210/360 = 0.583$ (rechts)

Eingabe: Farbmetrisches Fernseh-Licht-System TLS18

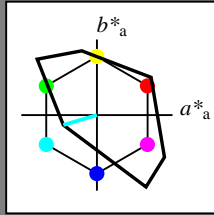
für Buntton $h^* = lab^*h = 196/360 = 0.546$

lab^*tch und lab^*nch

D65: Buntton C

LCH*Ma: 87 46 196

olv*Ma: 0.0 1.0 1.0



TLS18; adaptierte CIELAB-Daten

	$L^*=L^*_a$	a^*_a	b^*_a	$C^*_{ab,a}$	$h^*_{ab,a}$
OMa	52.76	71.63	49.88	87.29	35
YMa	92.74	-20.02	84.97	87.3	103
LMa	84.0	-78.98	73.94	108.2	137
CMa	87.14	-44.41	-13.11	46.32	196
VMa	35.47	64.92	-95.06	115.12	304
MMa	59.01	89.33	-55.67	105.26	328
NMa	18.01	0.0	0.0	0.0	0
WMa	95.41	0.0	0.0	0.0	0
RCIE	39.92	58.74	27.99	65.07	25
JCIE	81.26	-2.88	71.56	71.62	92
GCIE	52.23	-42.41	13.6	44.55	162
BCIE	30.57	1.41	-46.46	46.49	272

Dreiecks-Helligkeit t^*

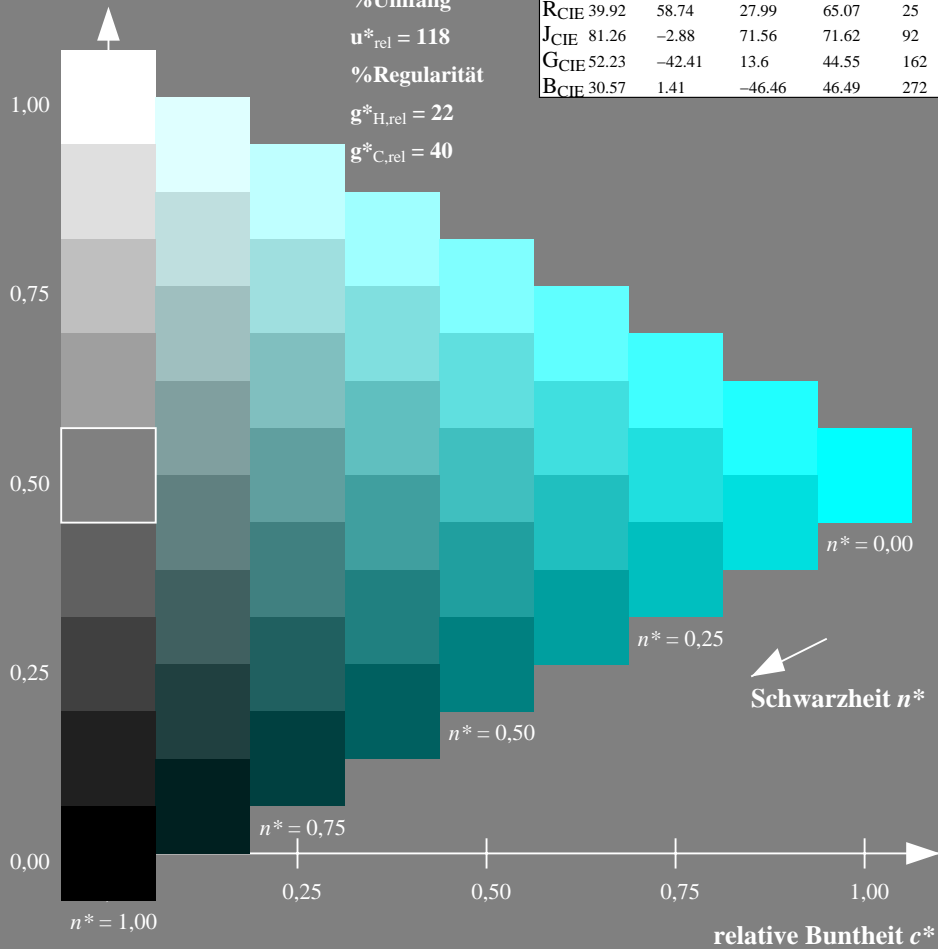
%Umfang

$u^*_{rel} = 118$

%Regularität

$g^*_{H,rel} = 22$

$g^*_{C,rel} = 40$



Ausgabe: Farbmetrisches Fernseh-Licht-System TLS70

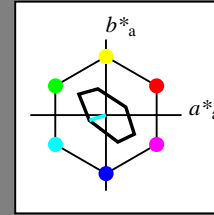
für Buntton $h^* = lab^*h = 198/360 = 0.55$

lab^*tch und lab^*nch

D65: Buntton C

LCH*Ma: 91 23 198

olv*Ma: 0.0 1.0 1.0



TLS70; adaptierte CIELAB-Daten

	$L^*=L^*_a$	a^*_a	b^*_a	$C^*_{ab,a}$	$h^*_{ab,a}$
OMa	76.43	26.27	10.57	28.32	22
YMa	93.93	-10.76	34.63	36.27	107
LMa	89.32	-35.8	27.64	45.24	142
CMa	90.93	-21.95	-7.07	23.07	198
VMa	72.1	15.76	-35.63	38.97	294
MMa	78.5	37.52	-25.23	45.22	326
NMa	69.7	0.0	0.0	0.0	0
WMa	95.41	0.0	0.0	0.0	0
RCIE	39.92	58.74	27.99	65.07	25
JCIE	81.26	-2.88	71.56	71.62	92
GCIE	52.23	-42.41	13.6	44.55	162
BCIE	30.57	1.41	-46.46	46.49	272

Dreiecks-Helligkeit t^*

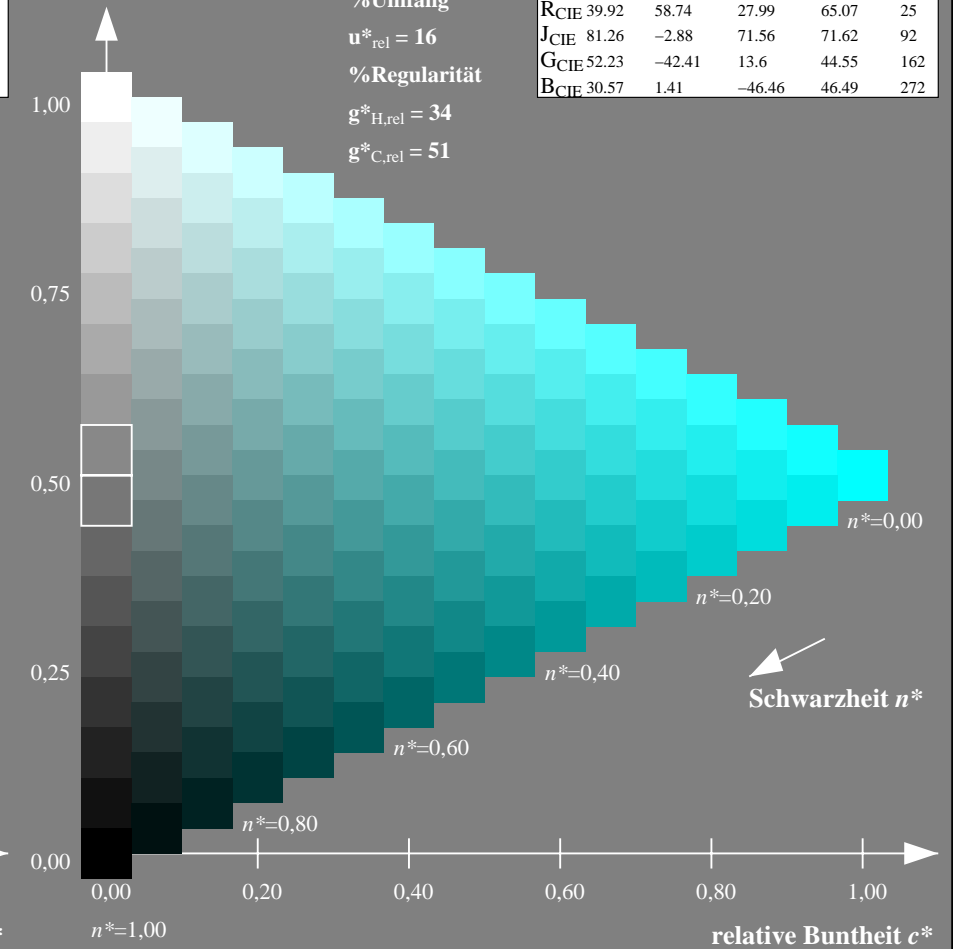
%Umfang

$u^*_{rel} = 16$

%Regularität

$g^*_{H,rel} = 34$

$g^*_{C,rel} = 51$



NG900-7, 9stufige Reihen für konstanten CIELAB Buntton $196/360 = 0.546$ (links)

16stufige Reihen für konstanten CIELAB Buntton $198/360 = 0.55$ (rechts)

Eingabe: Farbmetrisches Natürliches-Licht-System NLS00

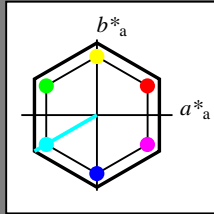
für Buntton $h^* = lab^*h = 210/360 = 0.583$

lab^*tch und lab^*nch

D65: Buntton C

LCH*Ma: 64 95 210

olv*Ma: 0.0 1.0 1.0



NLS00; adaptierte CIELAB-Daten

	$L^*=L^*_a$	a^*_a	b^*_a	$C^*_{ab,a}$	$h^*_{ab,a}$
O _{Ma}	31.81	82.62	47.7	95.4	30
Y _{Ma}	63.61	0.0	95.4	95.4	90
L _{Ma}	31.81	-82.61	47.7	95.4	150
C _{Ma}	63.61	-82.61	-47.69	95.4	210
V _{Ma}	31.81	0.0	-95.39	95.4	270
M _{Ma}	63.61	82.62	-47.69	95.4	330
N _{Ma}	0.01	0.0	0.0	0.0	0
W _{Ma}	95.41	0.0	0.0	0.0	0
R _{CIE}	39.92	58.74	27.99	65.07	25
J _{CIE}	81.26	-2.88	71.56	71.62	92
G _{CIE}	52.23	-42.41	13.6	44.55	162
B _{CIE}	30.57	1.41	-46.46	46.49	272

Dreiecks-Helligkeit t^*

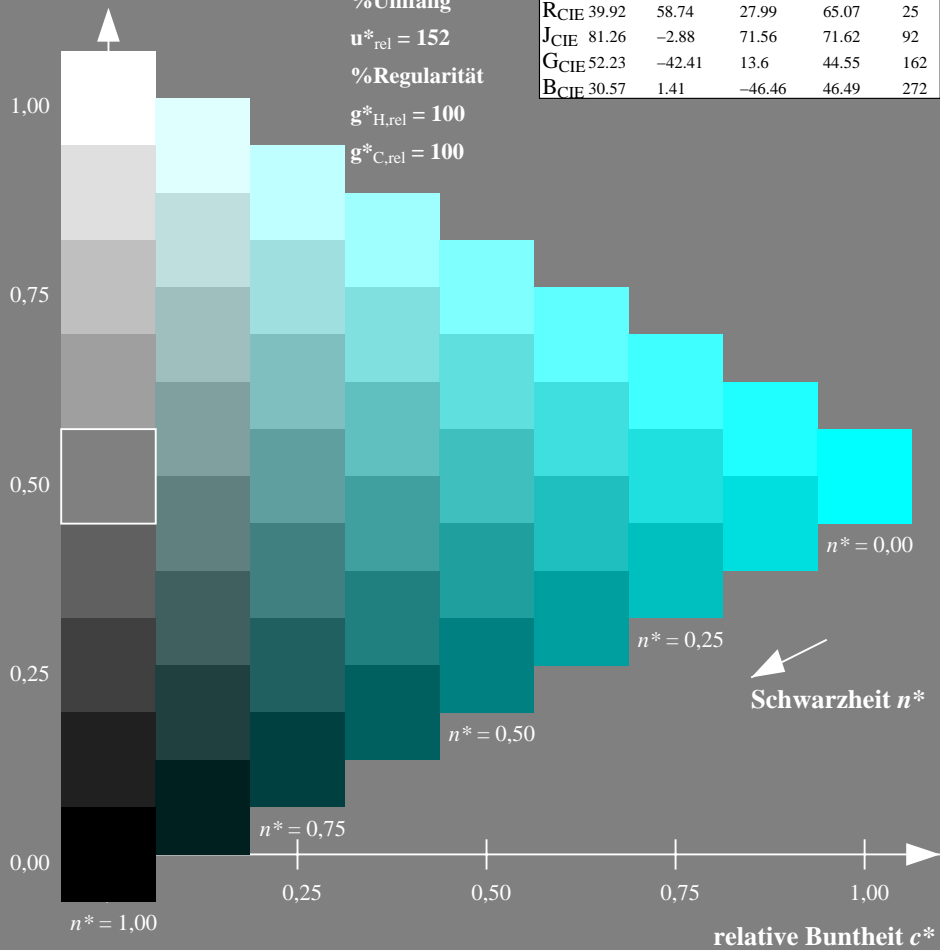
%Umfang

$u^*_{rel} = 152$

%Regularität

$g^*_{H,rel} = 100$

$g^*_{C,rel} = 100$



Ausgabe: Farbmetrisches Offset-Reflektiv-System ORS18

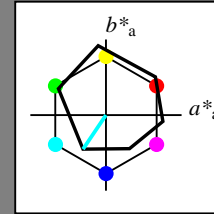
für Buntton $h^* = lab^*h = 236/360 = 0.656$

lab^*tch und lab^*nch

D65: Buntton C

LCH*Ma: 59 54 236

olv*Ma: 0.0 1.0 1.0



ORS18; adaptierte CIELAB-Daten

	$L^*=L^*_a$	a^*_a	b^*_a	$C^*_{ab,a}$	$h^*_{ab,a}$
O _{Ma}	47.94	65.39	50.52	82.63	38
Y _{Ma}	90.37	-10.26	91.75	92.32	96
L _{Ma}	50.9	-62.83	34.96	71.91	151
C _{Ma}	58.62	-30.34	-45.01	54.3	236
V _{Ma}	25.72	31.1	-44.4	54.22	305
M _{Ma}	48.13	75.28	-8.36	75.74	354
N _{Ma}	18.01	0.0	0.0	0.0	0
W _{Ma}	95.41	0.0	0.0	0.0	0
R _{CIE}	39.92	58.66	26.98	64.57	25
J _{CIE}	81.26	-2.16	67.76	67.79	92
G _{CIE}	52.23	-42.25	11.76	43.87	164
B _{CIE}	30.57	1.15	-46.84	46.86	271

Dreiecks-Helligkeit t^*

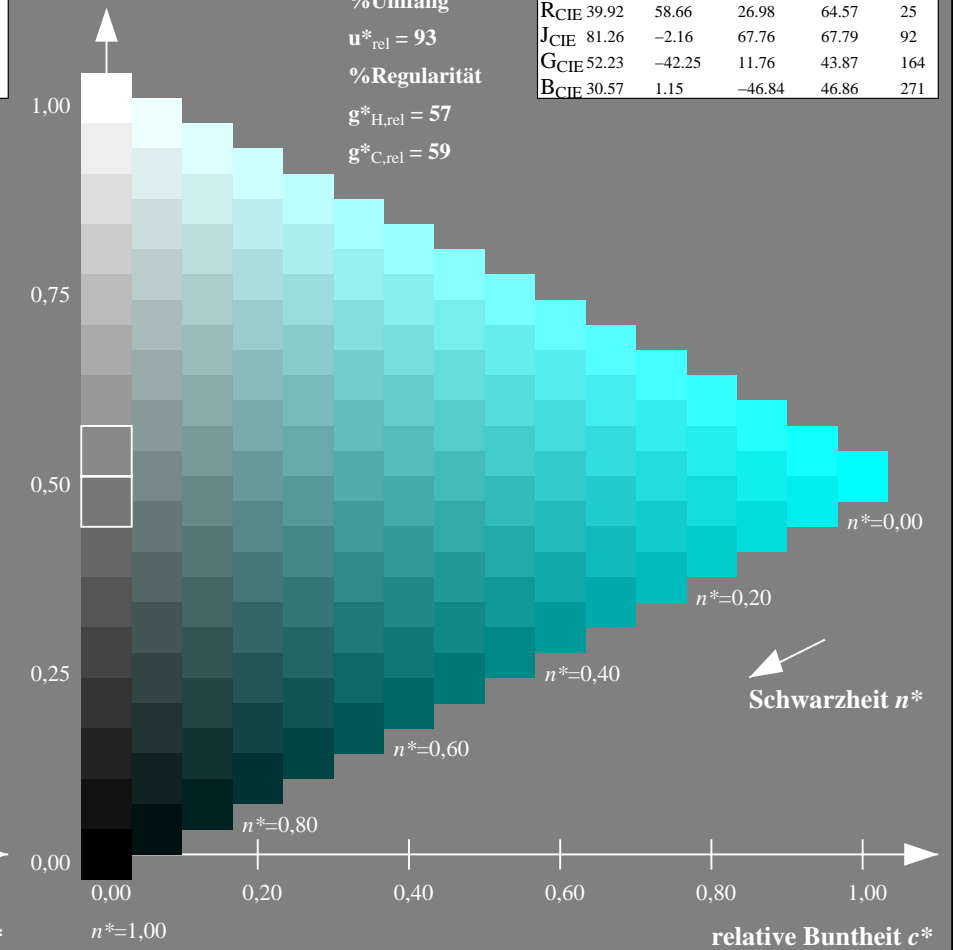
%Umfang

$u^*_{rel} = 93$

%Regularität

$g^*_{H,rel} = 57$

$g^*_{C,rel} = 59$



NG900-7, 9stufige Reihen für konstanten CIELAB Buntton 210/360 = 0.583 (links)

16stufige Reihen für konstanten CIELAB Buntton 236/360 = 0.656 (rechts)

Eingabe: Farbmetrisches Natürliches-Licht-System NLS00

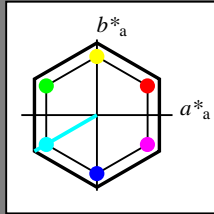
für Buntton $h^* = lab^*h = 210/360 = 0.583$

lab^*tch und lab^*nch

D65: Buntton C

LCH*Ma: 64 95 210

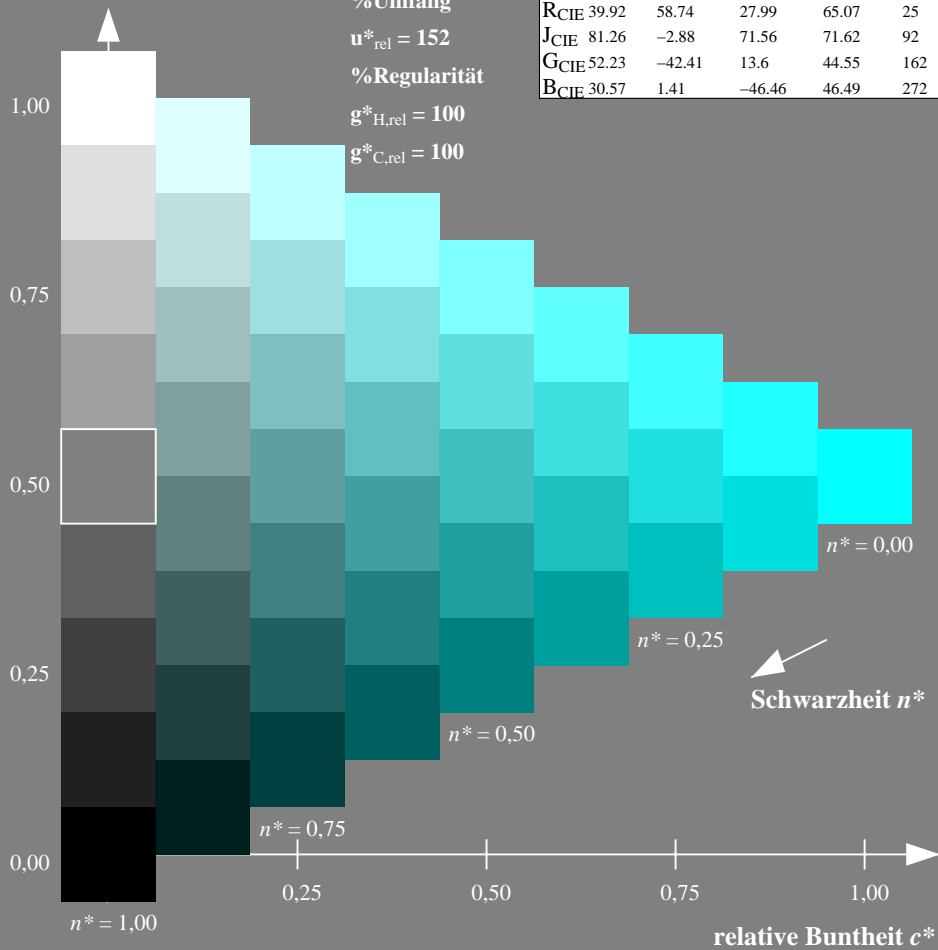
olv*Ma: 0.0 1.0 1.0



NLS00; adaptierte CIELAB-Daten

	$L^*=L^*_a$	a^*_a	b^*_a	$C^*_{ab,a}$	$h^*_{ab,a}$
O _{Ma}	31.81	82.62	47.7	95.4	30
Y _{Ma}	63.61	0.0	95.4	95.4	90
L _{Ma}	31.81	-82.61	47.7	95.4	150
C _{Ma}	63.61	-82.61	-47.69	95.4	210
V _{Ma}	31.81	0.0	-95.39	95.4	270
M _{Ma}	63.61	82.62	-47.69	95.4	330
N _{Ma}	0.01	0.0	0.0	0.0	0
W _{Ma}	95.41	0.0	0.0	0.0	0
R _{CIE}	39.92	58.74	27.99	65.07	25
J _{CIE}	81.26	-2.88	71.56	71.62	92
G _{CIE}	52.23	-42.41	13.6	44.55	162
B _{CIE}	30.57	1.41	-46.46	46.49	272

Dreiecks-Helligkeit t^*



%Umfang

$u^*_{rel} = 152$

%Regularität

$g^*_{H,rel} = 100$

$g^*_{C,rel} = 100$

Ausgabe: Farbmetrisches Fernseh-Licht-System TLS00

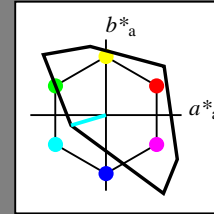
für Buntton $h^* = lab^*h = 196/360 = 0.545$

lab^*tch und lab^*nch

D65: Buntton C

LCH*Ma: 87 48 196

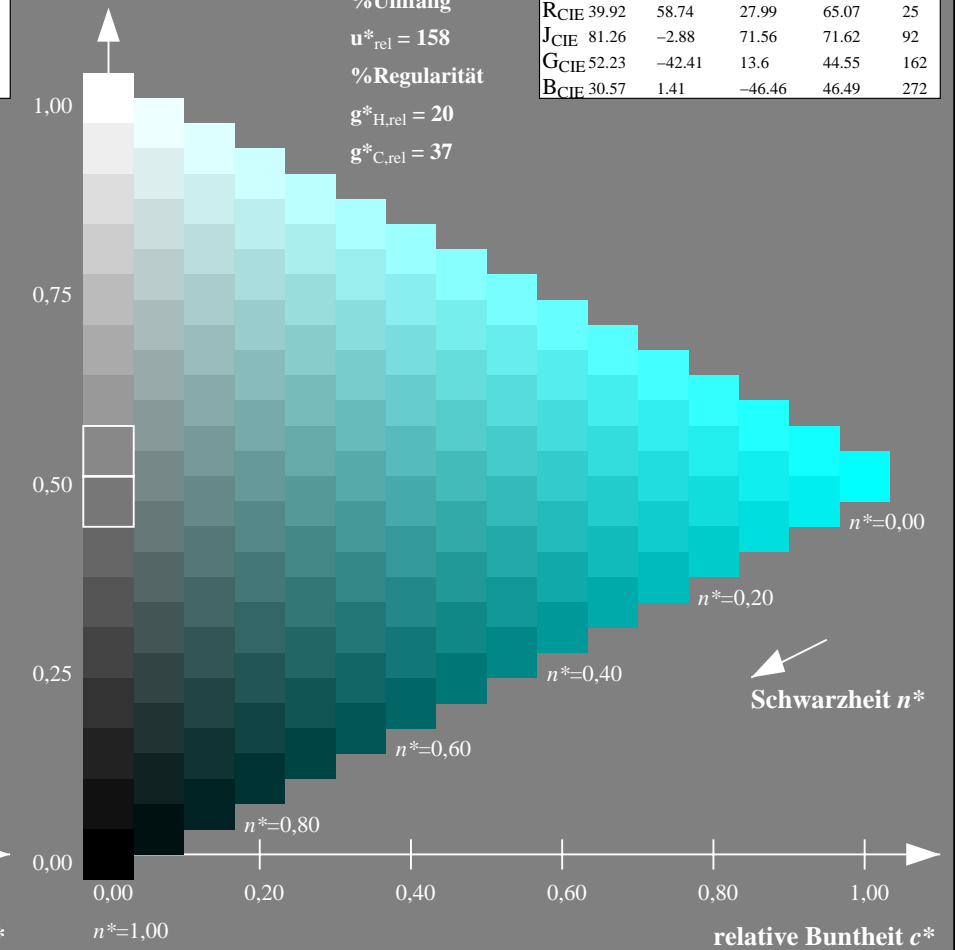
olv*Ma: 0.0 1.0 1.0



TLS00; adaptierte CIELAB-Daten

	$L^*=L^*_a$	a^*_a	b^*_a	$C^*_{ab,a}$	$h^*_{ab,a}$
O _{Ma}	50.5	76.92	64.55	100.42	40
Y _{Ma}	92.66	-20.69	90.75	93.08	103
L _{Ma}	83.63	-82.75	79.9	115.04	136
C _{Ma}	86.88	-46.16	-13.55	48.12	196
V _{Ma}	30.39	76.06	-103.59	128.52	306
M _{Ma}	57.3	94.35	-58.41	110.97	328
N _{Ma}	0.01	0.0	0.0	0.0	0
W _{Ma}	95.41	0.0	0.0	0.0	0
R _{CIE}	39.92	58.74	27.99	65.07	25
J _{CIE}	81.26	-2.88	71.56	71.62	92
G _{CIE}	52.23	-42.41	13.6	44.55	162
B _{CIE}	30.57	1.41	-46.46	46.49	272

Dreiecks-Helligkeit t^*



%Umfang

$u^*_{rel} = 158$

%Regularität

$g^*_{H,rel} = 20$

$g^*_{C,rel} = 37$

NG900-7, 9stufige Reihen für konstanten CIELAB Buntton $210/360 = 0.583$ (links)

16stufige Reihen für konstanten CIELAB Buntton $196/360 = 0.545$ (rechts)

Eingabe: Farbmetrisches Natürliches-Licht-System NLS00

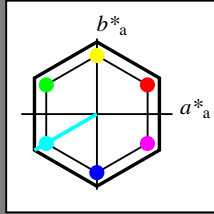
für Buntton $h^* = lab^*h = 210/360 = 0.583$

lab^*tch und lab^*nch

D65: Buntton C

LCH*Ma: 64 95 210

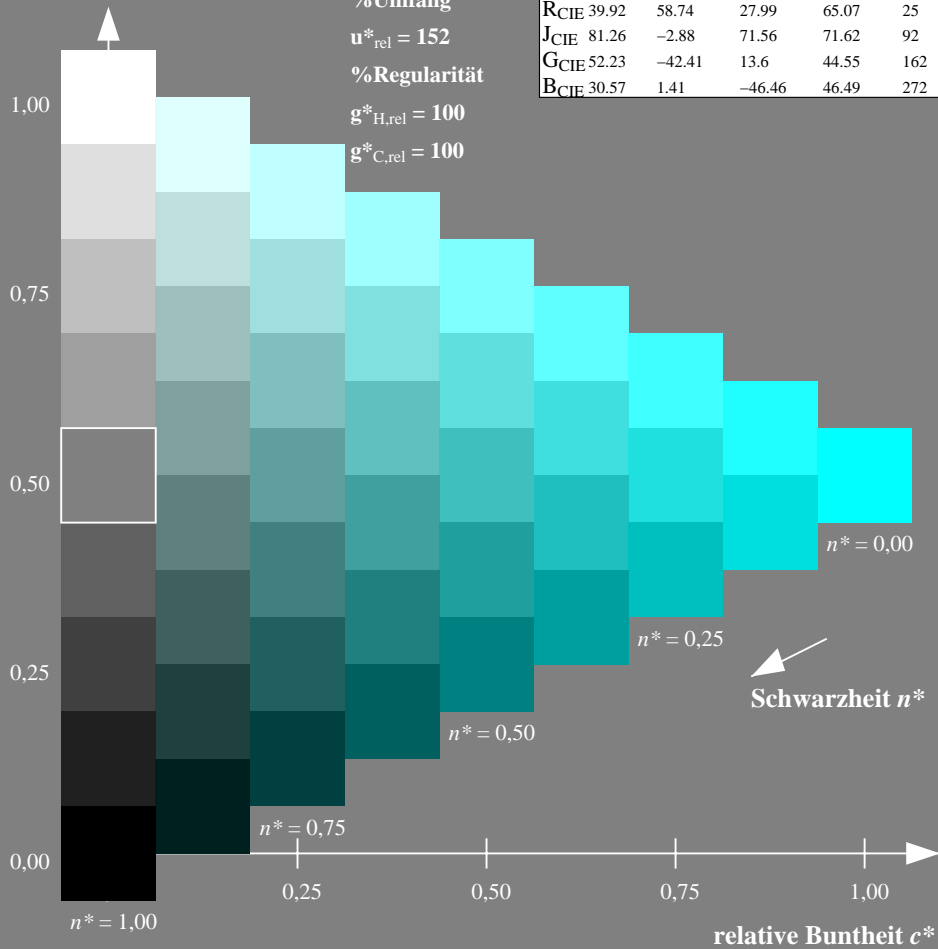
olv*Ma: 0.0 1.0 1.0



NLS00; adaptierte CIELAB-Daten

	$L^*=L^*_a$	a^*_a	b^*_a	$C^*_{ab,a}$	$h^*_{ab,a}$
OMa	31.81	82.62	47.7	95.4	30
YMa	63.61	0.0	95.4	95.4	90
LMa	31.81	-82.61	47.7	95.4	150
CMa	63.61	-82.61	-47.69	95.4	210
VMa	31.81	0.0	-95.39	95.4	270
MMa	63.61	82.62	-47.69	95.4	330
NMa	0.01	0.0	0.0	0.0	0
WMa	95.41	0.0	0.0	0.0	0
RCIE	39.92	58.74	27.99	65.07	25
JCIE	81.26	-2.88	71.56	71.62	92
GCIE	52.23	-42.41	13.6	44.55	162
BCIE	30.57	1.41	-46.46	46.49	272

Dreiecks-Helligkeit t^*



Ausgabe: Farbmetrisches Drucker-Reflektiv-System DRSXX

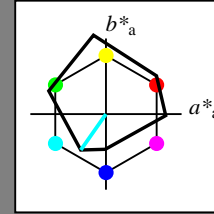
für Buntton $h^* = lab^*h = 235/360 = 0.653$

lab^*tch und lab^*nch

D65: Buntton C

LCH*Ma: 53 58 235

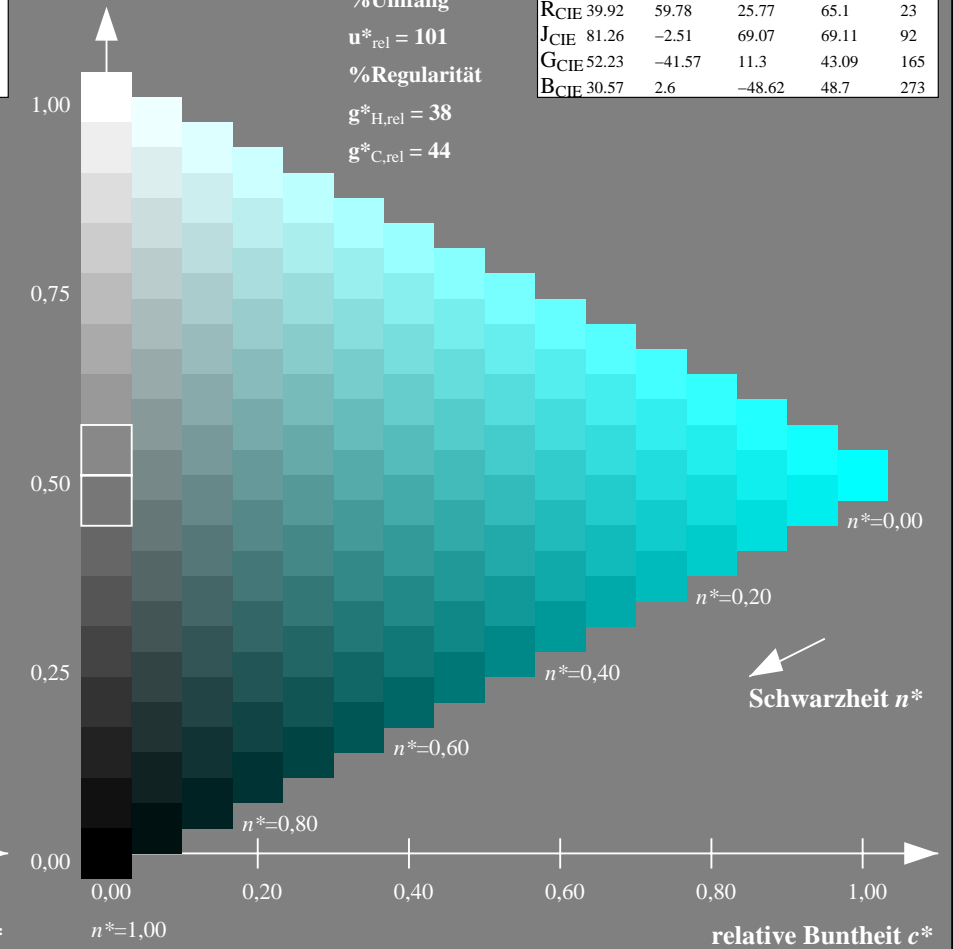
olv*Ma: 0.0 1.0 1.0



DRSXX; adaptierte CIELAB-Daten

	$L^*=L^*_a$	a^*_a	b^*_a	$C^*_{ab,a}$	$h^*_{ab,a}$
OMa	42.21	66.82	50.6	83.82	37
YMa	90.32	-16.51	104.33	105.63	99
LMa	48.21	-75.63	30.65	81.61	158
CMa	53.44	-33.33	-47.49	58.03	235
VMa	34.16	-0.92	-46.56	46.58	269
MMa	42.71	79.0	-1.95	79.03	359
NMa	16.56	0.0	0.0	0.0	0
WMa	96.31	0.0	0.0	0.0	0
RCIE	39.92	59.78	25.77	65.1	23
JCIE	81.26	-2.51	69.07	69.11	92
GCIE	52.23	-41.57	11.3	43.09	165
BCIE	30.57	2.6	-48.62	48.7	273

Dreiecks-Helligkeit t^*



NG900-7, 9stufige Reihen für konstanten CIELAB Buntton $210/360 = 0.583$ (links)

16stufige Reihen für konstanten CIELAB Buntton $235/360 = 0.653$ (rechts)

Eingabe: Farbmetrisches Natürliches-Licht-System NLS00

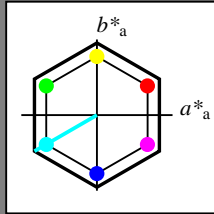
für Buntton $h^* = lab^*h = 210/360 = 0.583$

lab^*tch und lab^*nch

D65: Buntton C

LCH*Ma: 64 95 210

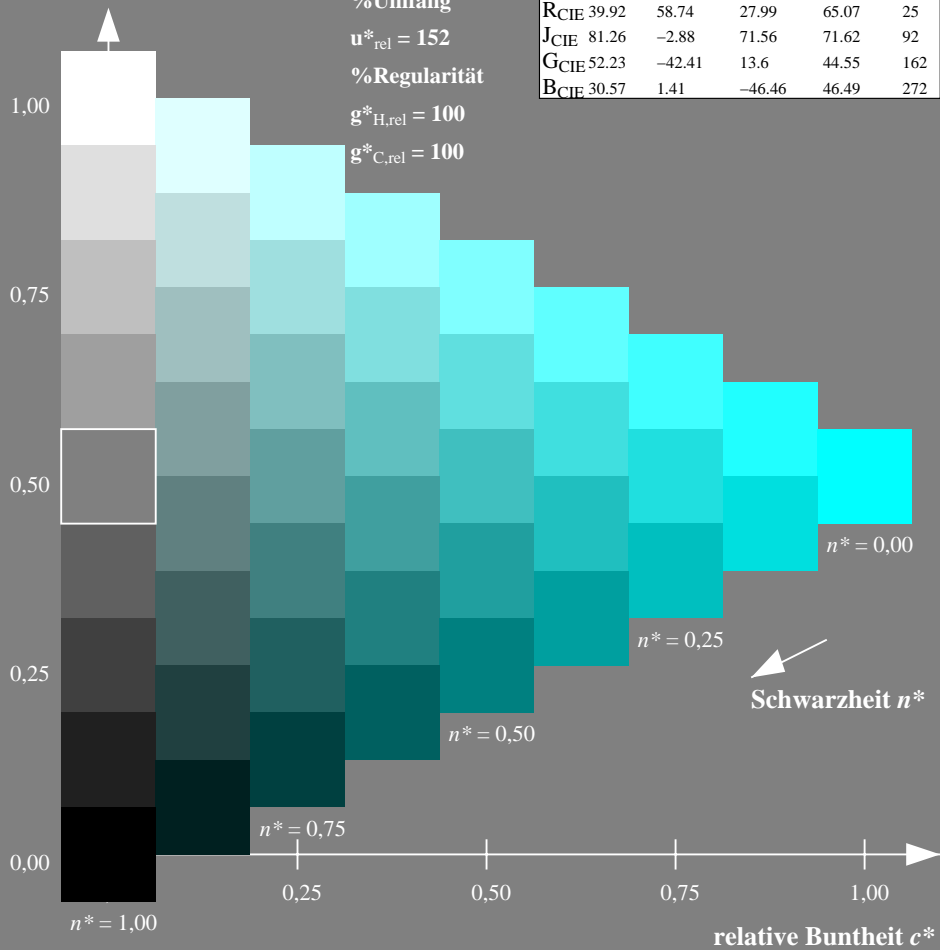
olv*Ma: 0.0 1.0 1.0



NLS00; adaptierte CIELAB-Daten

	$L^*=L^*_a$	a^*_a	b^*_a	$C^*_{ab,a}$	$h^*_{ab,a}$
O _{Ma}	31.81	82.62	47.7	95.4	30
Y _{Ma}	63.61	0.0	95.4	95.4	90
L _{Ma}	31.81	-82.61	47.7	95.4	150
C _{Ma}	63.61	-82.61	-47.69	95.4	210
V _{Ma}	31.81	0.0	-95.39	95.4	270
M _{Ma}	63.61	82.62	-47.69	95.4	330
N _{Ma}	0.01	0.0	0.0	0.0	0
W _{Ma}	95.41	0.0	0.0	0.0	0
R _{CIE}	39.92	58.74	27.99	65.07	25
J _{CIE}	81.26	-2.88	71.56	71.62	92
G _{CIE}	52.23	-42.41	13.6	44.55	162
B _{CIE}	30.57	1.41	-46.46	46.49	272

Dreiecks-Helligkeit t^*



Ausgabe: Farbmetrisches Fernseh-Licht-System TLS18

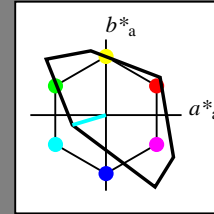
für Buntton $h^* = lab^*h = 196/360 = 0.546$

lab^*tch und lab^*nch

D65: Buntton C

LCH*Ma: 87 46 196

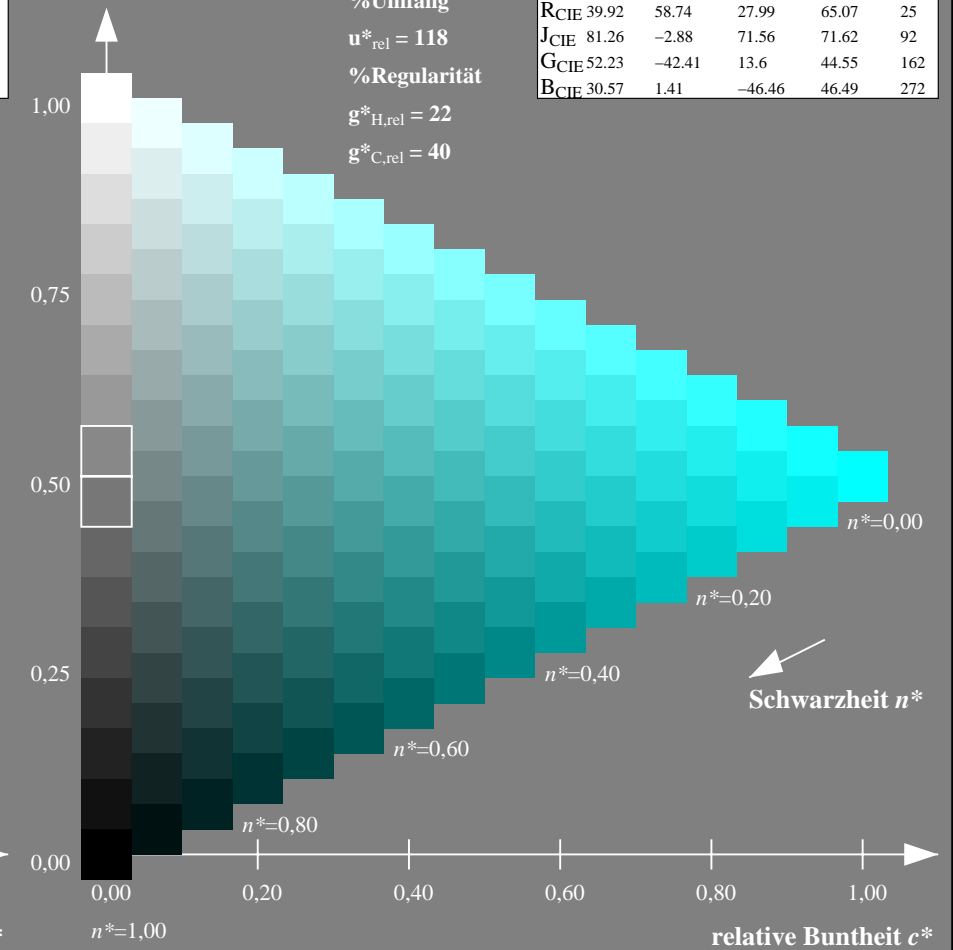
olv*Ma: 0.0 1.0 1.0



TLS18; adaptierte CIELAB-Daten

	$L^*=L^*_a$	a^*_a	b^*_a	$C^*_{ab,a}$	$h^*_{ab,a}$
O _{Ma}	52.76	71.63	49.88	87.29	35
Y _{Ma}	92.74	-20.02	84.97	87.3	103
L _{Ma}	84.0	-78.98	73.94	108.2	137
C _{Ma}	87.14	-44.41	-13.11	46.32	196
V _{Ma}	35.47	64.92	-95.06	115.12	304
M _{Ma}	59.01	89.33	-55.67	105.26	328
N _{Ma}	18.01	0.0	0.0	0.0	0
W _{Ma}	95.41	0.0	0.0	0.0	0
R _{CIE}	39.92	58.74	27.99	65.07	25
J _{CIE}	81.26	-2.88	71.56	71.62	92
G _{CIE}	52.23	-42.41	13.6	44.55	162
B _{CIE}	30.57	1.41	-46.46	46.49	272

Dreiecks-Helligkeit t^*



NG900-7, 9stufige Reihen für konstanten CIELAB Buntton $210/360 = 0.583$ (links)

16stufige Reihen für konstanten CIELAB Buntton $196/360 = 0.546$ (rechts)

Eingabe: Farbmetrisches Natürliches-Licht-System NLS00

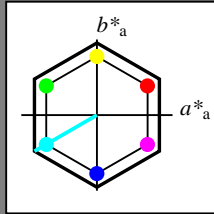
für Buntton $h^* = lab^*h = 210/360 = 0.583$

lab^*tch und lab^*nch

D65: Buntton C

LCH*Ma: 64 95 210

olv*Ma: 0.0 1.0 1.0



NLS00; adaptierte CIELAB-Daten

	$L^*=L^*_a$	a^*_a	b^*_a	$C^*_{ab,a}$	$h^*_{ab,a}$
O _{Ma}	31.81	82.62	47.7	95.4	30
Y _{Ma}	63.61	0.0	95.4	95.4	90
L _{Ma}	31.81	-82.61	47.7	95.4	150
C _{Ma}	63.61	-82.61	-47.69	95.4	210
V _{Ma}	31.81	0.0	-95.39	95.4	270
M _{Ma}	63.61	82.62	-47.69	95.4	330
N _{Ma}	0.01	0.0	0.0	0.0	0
W _{Ma}	95.41	0.0	0.0	0.0	0
R _{CIE}	39.92	58.74	27.99	65.07	25
J _{CIE}	81.26	-2.88	71.56	71.62	92
G _{CIE}	52.23	-42.41	13.6	44.55	162
B _{CIE}	30.57	1.41	-46.46	46.49	272

Dreiecks-Helligkeit t^*

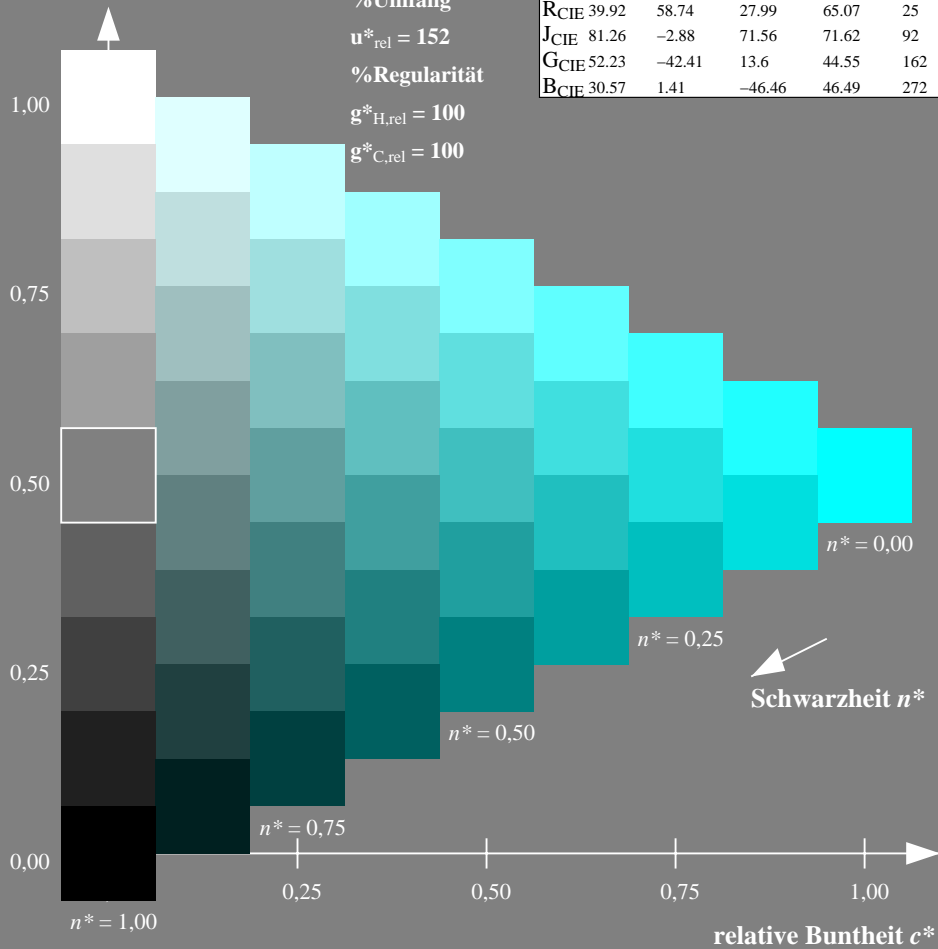
%Umfang

$u^*_{rel} = 152$

%Regularität

$g^*_{H,rel} = 100$

$g^*_{C,rel} = 100$



Ausgabe: Farbmetrisches Natürliches-Licht-System NLS00

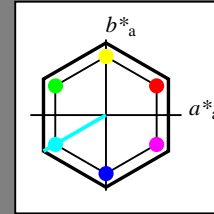
für Buntton $h^* = lab^*h = 210/360 = 0.583$

lab^*tch und lab^*nch

D65: Buntton C

LCH*Ma: 64 95 210

olv*Ma: 0.0 1.0 1.0



NLS00; adaptierte CIELAB-Daten

	$L^*=L^*_a$	a^*_a	b^*_a	$C^*_{ab,a}$	$h^*_{ab,a}$
O _{Ma}	31.81	82.62	47.7	95.4	30
Y _{Ma}	63.61	0.0	95.4	95.4	90
L _{Ma}	31.81	-82.61	47.7	95.4	150
C _{Ma}	63.61	-82.61	-47.69	95.4	210
V _{Ma}	31.81	0.0	-95.39	95.4	270
M _{Ma}	63.61	82.62	-47.69	95.4	330
N _{Ma}	0.01	0.0	0.0	0.0	0
W _{Ma}	95.41	0.0	0.0	0.0	0
R _{CIE}	39.92	58.74	27.99	65.07	25
J _{CIE}	81.26	-2.88	71.56	71.62	92
G _{CIE}	52.23	-42.41	13.6	44.55	162
B _{CIE}	30.57	1.41	-46.46	46.49	272

Dreiecks-Helligkeit t^*

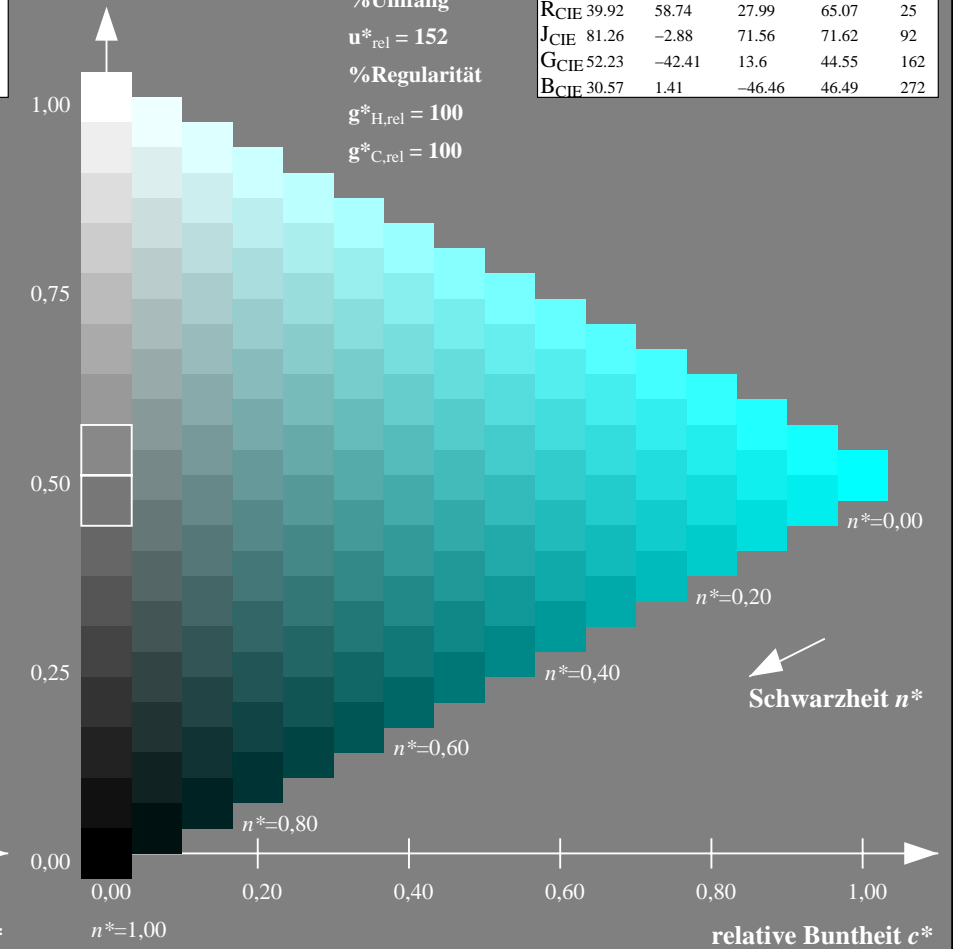
%Umfang

$u^*_{rel} = 152$

%Regularität

$g^*_{H,rel} = 100$

$g^*_{C,rel} = 100$



NG900-7, 9stufige Reihen für konstanten CIELAB Buntton $210/360 = 0.583$ (links)

16stufige Reihen für konstanten CIELAB Buntton $210/360 = 0.583$ (rechts)

Eingabe: Farbmetrisches Natürliches-Licht-System NLS00

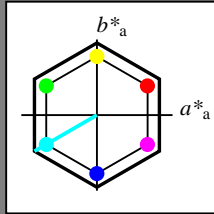
für Buntton $h^* = lab^*h = 210/360 = 0.583$

lab^*tch und lab^*nch

D65: Buntton C

LCH*Ma: 64 95 210

olv*Ma: 0.0 1.0 1.0



NLS00; adaptierte CIELAB-Daten

	$L^*=L^*_a$	a^*_a	b^*_a	$C^*_{ab,a}$	$h^*_{ab,a}$
O _{Ma}	31.81	82.62	47.7	95.4	30
Y _{Ma}	63.61	0.0	95.4	95.4	90
L _{Ma}	31.81	-82.61	47.7	95.4	150
C _{Ma}	63.61	-82.61	-47.69	95.4	210
V _{Ma}	31.81	0.0	-95.39	95.4	270
M _{Ma}	63.61	82.62	-47.69	95.4	330
N _{Ma}	0.01	0.0	0.0	0.0	0
W _{Ma}	95.41	0.0	0.0	0.0	0
R _{CIE}	39.92	58.74	27.99	65.07	25
J _{CIE}	81.26	-2.88	71.56	71.62	92
G _{CIE}	52.23	-42.41	13.6	44.55	162
B _{CIE}	30.57	1.41	-46.46	46.49	272

Dreiecks-Helligkeit t^*

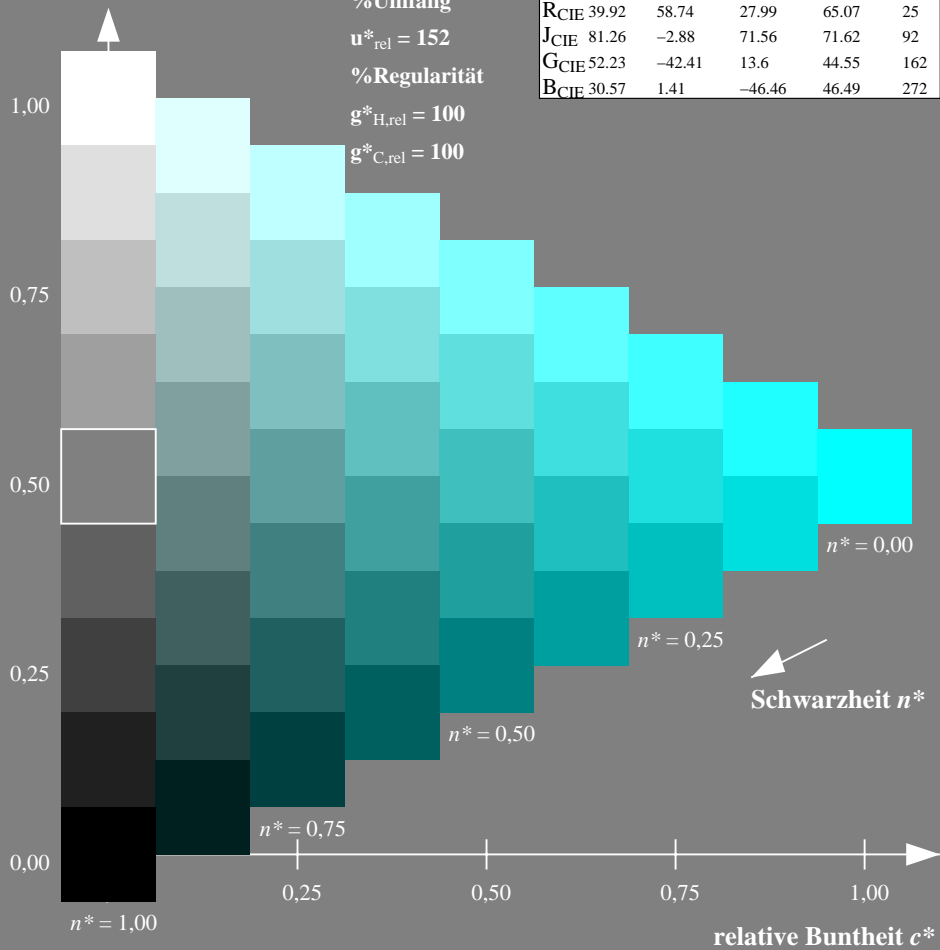
%Umfang

$u^*_{rel} = 152$

%Regularität

$g^*_{H,rel} = 100$

$g^*_{C,rel} = 100$



Ausgabe: Farbmetrisches Natürliches-Reflektiv-System NRS18

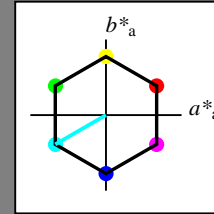
für Buntton $h^* = lab^*h = 210/360 = 0.583$

lab^*tch und lab^*nch

D65: Buntton C

LCH*Ma: 70 77 210

olv*Ma: 0.0 1.0 1.0



NRS18; adaptierte CIELAB-Daten

	$L^*=L^*_a$	a^*_a	b^*_a	$C^*_{ab,a}$	$h^*_{ab,a}$
O _{Ma}	43.81	67.03	38.7	77.4	30
Y _{Ma}	69.61	0.0	77.4	77.4	90
L _{Ma}	43.81	-67.02	38.7	77.4	150
C _{Ma}	69.61	-67.02	-38.69	77.4	210
V _{Ma}	43.81	0.0	-77.39	77.4	270
M _{Ma}	69.61	67.03	-38.69	77.4	330
N _{Ma}	18.01	0.0	0.0	0.0	0
W _{Ma}	95.41	0.0	0.0	0.0	0
R _{CIE}	39.92	58.74	27.99	65.07	25
J _{CIE}	81.26	-2.88	71.56	71.62	92
G _{CIE}	52.23	-42.41	13.6	44.55	162
B _{CIE}	30.57	1.41	-46.46	46.49	272

Dreiecks-Helligkeit t^*

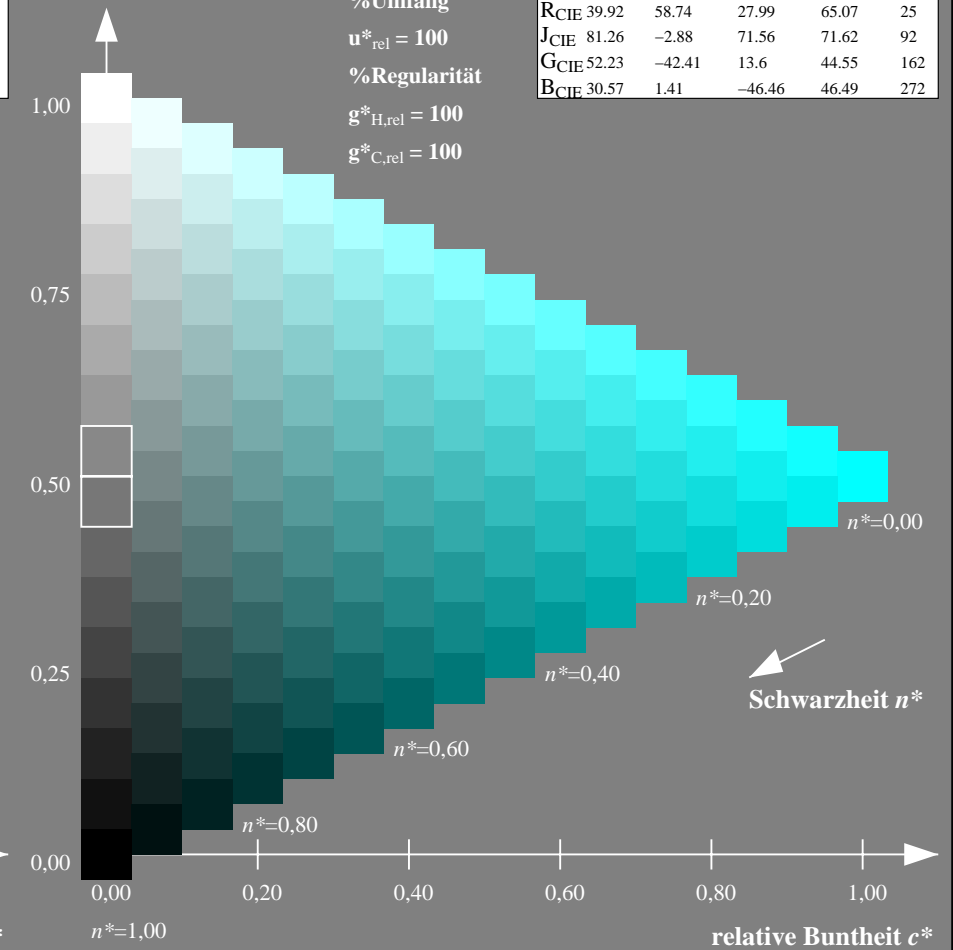
%Umfang

$u^*_{rel} = 100$

%Regularität

$g^*_{H,rel} = 100$

$g^*_{C,rel} = 100$



NG900-7, 9stufige Reihen für konstanten CIELAB Buntton 210/360 = 0.583 (links)

16stufige Reihen für konstanten CIELAB Buntton 210/360 = 0.583 (rechts)

Eingabe: Farbmetrisches Natürliches-Licht-System NLS00

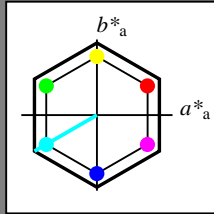
für Buntton $h^* = lab^*h = 210/360 = 0.583$

lab^*tch und lab^*nch

D65: Buntton C

LCH*Ma: 64 95 210

olv*Ma: 0.0 1.0 1.0



NLS00; adaptierte CIELAB-Daten

	$L^*=L^*_a$	a^*_a	b^*_a	$C^*_{ab,a}$	$h^*_{ab,a}$
O _{Ma}	31.81	82.62	47.7	95.4	30
Y _{Ma}	63.61	0.0	95.4	95.4	90
L _{Ma}	31.81	-82.61	47.7	95.4	150
C _{Ma}	63.61	-82.61	-47.69	95.4	210
V _{Ma}	31.81	0.0	-95.39	95.4	270
M _{Ma}	63.61	82.62	-47.69	95.4	330
N _{Ma}	0.01	0.0	0.0	0.0	0
W _{Ma}	95.41	0.0	0.0	0.0	0
R _{CIE}	39.92	58.74	27.99	65.07	25
J _{CIE}	81.26	-2.88	71.56	71.62	92
G _{CIE}	52.23	-42.41	13.6	44.55	162
B _{CIE}	30.57	1.41	-46.46	46.49	272

Dreiecks-Helligkeit t^*

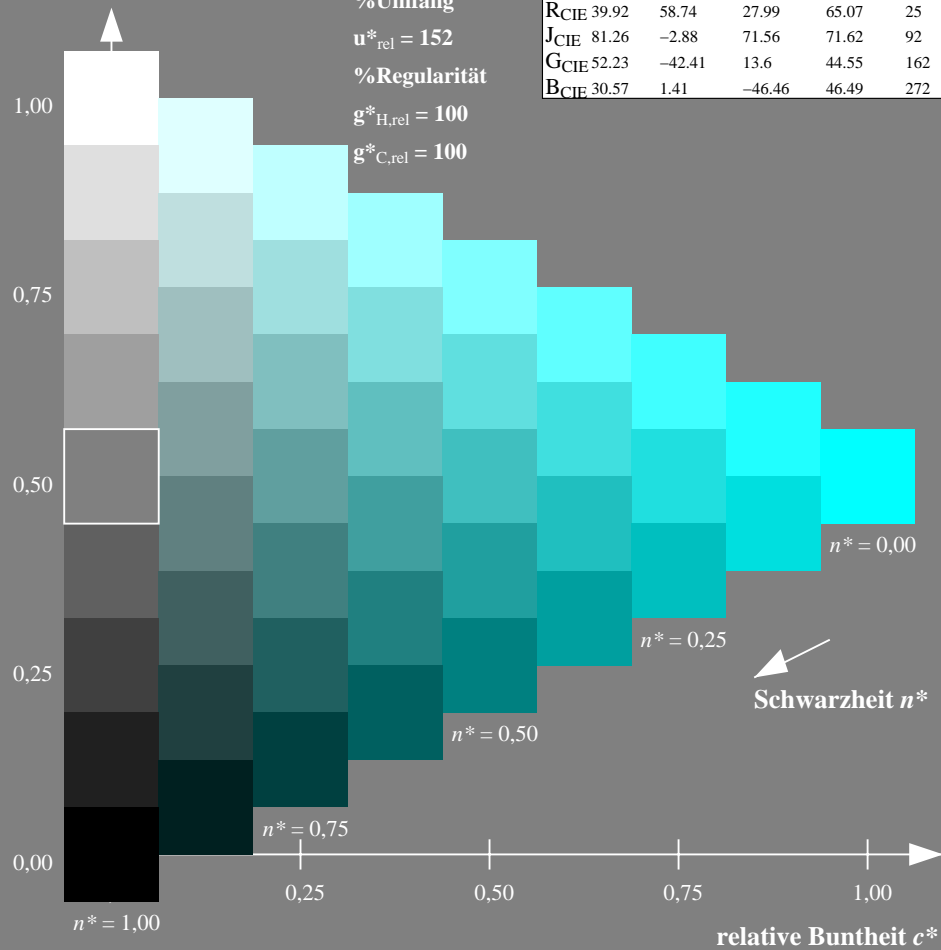
%Umfang

$u^*_{rel} = 152$

%Regularität

$g^*_{H,rel} = 100$

$g^*_{C,rel} = 100$



Ausgabe: Farbmetrisches Standard-Reflektiv-System SRS18

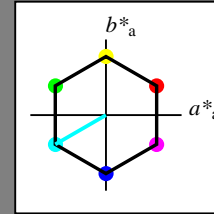
für Buntton $h^* = lab^*h = 210/360 = 0.583$

lab^*tch und lab^*nch

D65: Buntton C

LCH*Ma: 57 77 210

olv*Ma: 0.0 1.0 1.0



SRS18; adaptierte CIELAB-Daten

	$L^*=L^*_a$	a^*_a	b^*_a	$C^*_{ab,a}$	$h^*_{ab,a}$
O _{Ma}	56.71	67.03	38.7	77.4	30
Y _{Ma}	56.71	0.0	77.4	77.4	90
L _{Ma}	56.71	-67.02	38.7	77.4	150
C _{Ma}	56.71	-67.02	-38.69	77.4	210
V _{Ma}	56.71	0.0	-77.39	77.4	270
M _{Ma}	56.71	67.03	-38.69	77.4	330
N _{Ma}	18.01	0.0	0.0	0.0	0
W _{Ma}	95.41	0.0	0.0	0.0	0
R _{CIE}	39.92	58.74	27.99	65.07	25
J _{CIE}	81.26	-2.88	71.56	71.62	92
G _{CIE}	52.23	-42.41	13.6	44.55	162
B _{CIE}	30.57	1.41	-46.46	46.49	272

Dreiecks-Helligkeit t^*

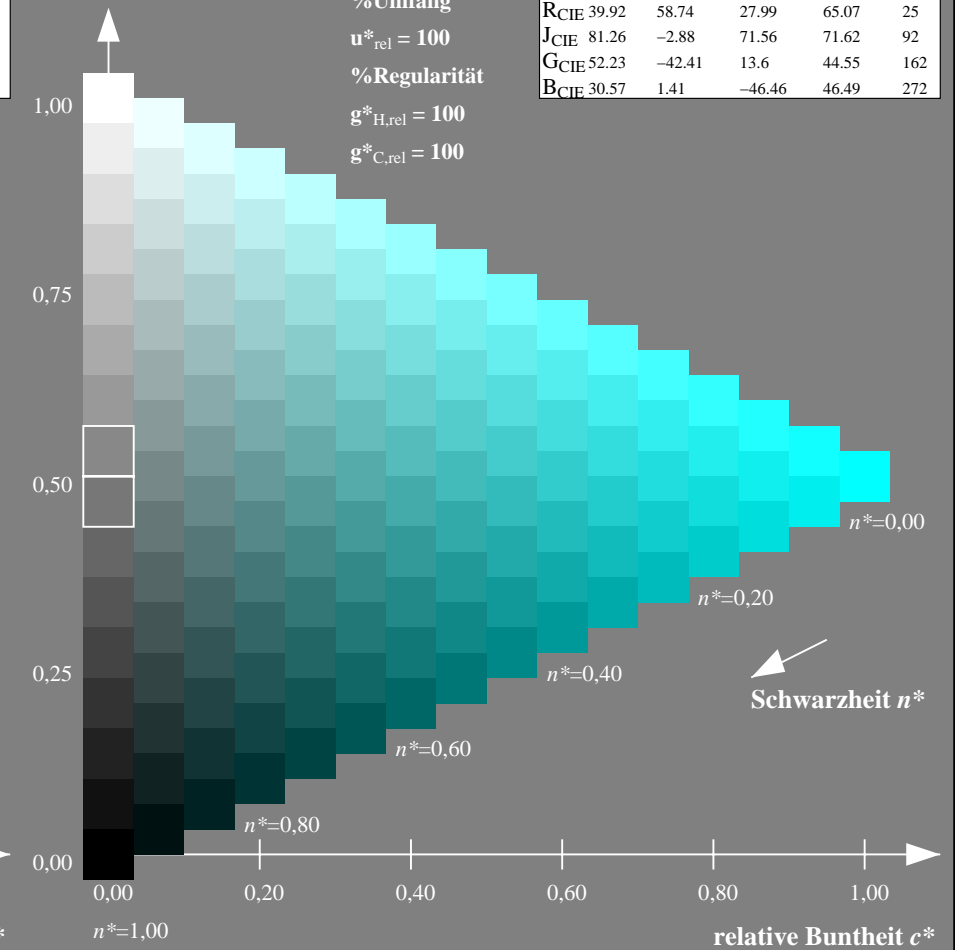
%Umfang

$u^*_{rel} = 100$

%Regularität

$g^*_{H,rel} = 100$

$g^*_{C,rel} = 100$



NG900-7, 9stufige Reihen für konstanten CIELAB Buntton $210/360 = 0.583$ (links)

16stufige Reihen für konstanten CIELAB Buntton $210/360 = 0.583$ (rechts)

Eingabe: Farbmetrisches Natürliches-Licht-System NLS00

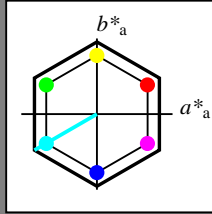
für Buntton $h^* = lab^*h = 210/360 = 0.583$

lab^*tch und lab^*nch

D65: Buntton C

LCH*Ma: 64 95 210

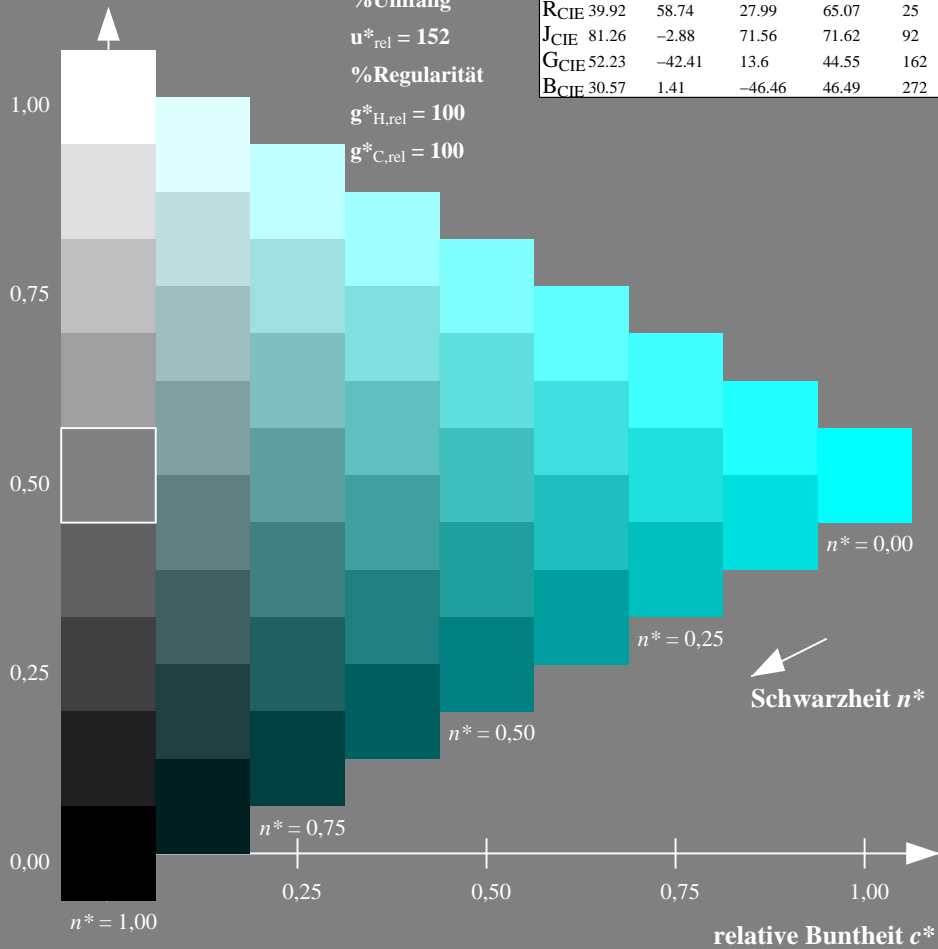
olv*Ma: 0.0 1.0 1.0



NLS00; adaptierte CIELAB-Daten

	$L^*=L^*_a$	a^*_a	b^*_a	$C^*_{ab,a}$	$h^*_{ab,a}$
O _{Ma}	31.81	82.62	47.7	95.4	30
Y _{Ma}	63.61	0.0	95.4	95.4	90
L _{Ma}	31.81	-82.61	47.7	95.4	150
C _{Ma}	63.61	-82.61	-47.69	95.4	210
V _{Ma}	31.81	0.0	-95.39	95.4	270
M _{Ma}	63.61	82.62	-47.69	95.4	330
N _{Ma}	0.01	0.0	0.0	0.0	0
W _{Ma}	95.41	0.0	0.0	0.0	0
R _{CIE}	39.92	58.74	27.99	65.07	25
J _{CIE}	81.26	-2.88	71.56	71.62	92
G _{CIE}	52.23	-42.41	13.6	44.55	162
B _{CIE}	30.57	1.41	-46.46	46.49	272

Dreiecks-Helligkeit t^*



Ausgabe: Farbmetrisches Fernseh-Licht-System TLS70

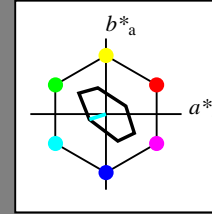
für Buntton $h^* = lab^*h = 198/360 = 0.55$

lab^*tch und lab^*nch

D65: Buntton C

LCH*Ma: 91 23 198

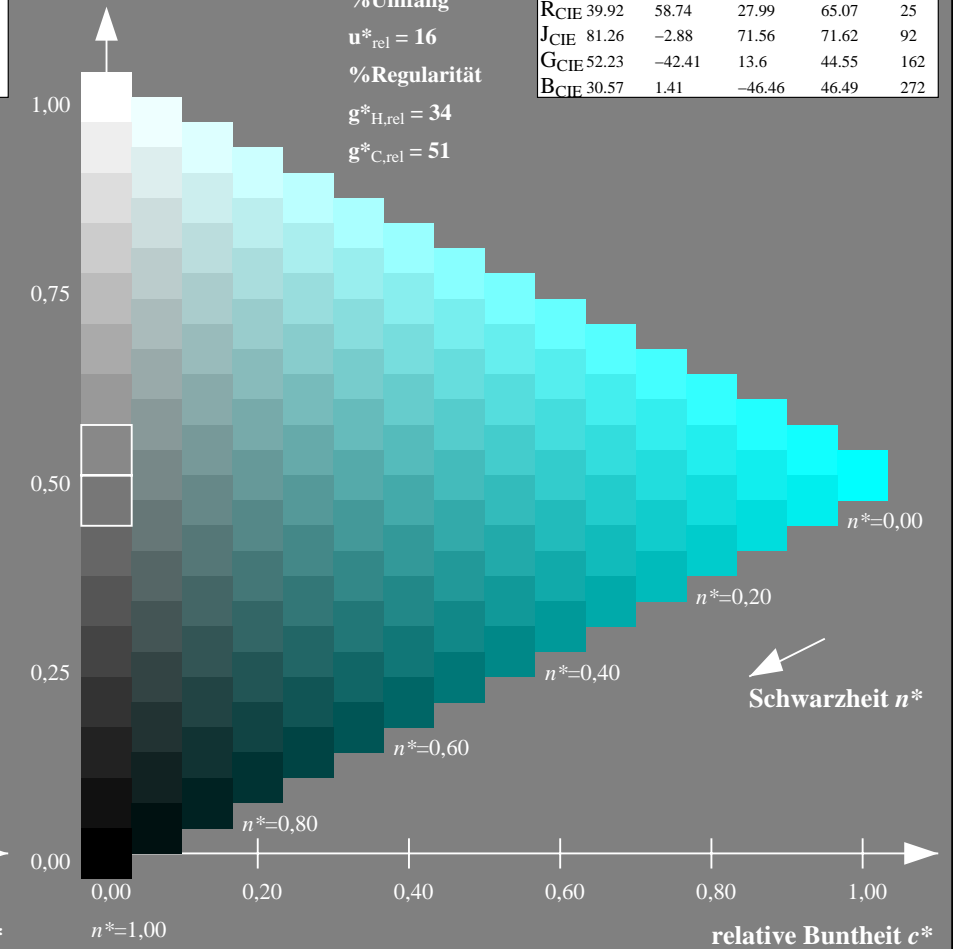
olv*Ma: 0.0 1.0 1.0



TLS70; adaptierte CIELAB-Daten

	$L^*=L^*_a$	a^*_a	b^*_a	$C^*_{ab,a}$	$h^*_{ab,a}$
O _{Ma}	76.43	26.27	10.57	28.32	22
Y _{Ma}	93.93	-10.76	34.63	36.27	107
L _{Ma}	89.32	-35.8	27.64	45.24	142
C _{Ma}	90.93	-21.95	-7.07	23.07	198
V _{Ma}	72.1	15.76	-35.63	38.97	294
M _{Ma}	78.5	37.52	-25.23	45.22	326
N _{Ma}	69.7	0.0	0.0	0.0	0
W _{Ma}	95.41	0.0	0.0	0.0	0
R _{CIE}	39.92	58.74	27.99	65.07	25
J _{CIE}	81.26	-2.88	71.56	71.62	92
G _{CIE}	52.23	-42.41	13.6	44.55	162
B _{CIE}	30.57	1.41	-46.46	46.49	272

Dreiecks-Helligkeit t^*



NG900-7, 9stufige Reihen für konstanten CIELAB Buntton $210/360 = 0.583$ (links)

16stufige Reihen für konstanten CIELAB Buntton $198/360 = 0.55$ (rechts)

Eingabe: Farbmetrisches Natürliches-Reflektiv-System NRS18

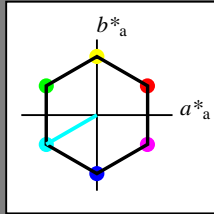
für Buntton $h^* = lab^*h = 210/360 = 0.583$

lab^*tch und lab^*nch

D65: Buntton C

LCH*Ma: 70 77 210

olv*Ma: 0.0 1.0 1.0



NRS18; adaptierte CIELAB-Daten

	$L^*=L^*_a$	a^*_a	b^*_a	$C^*_{ab,a}$	$h^*_{ab,a}$
OMa	43.81	67.03	38.7	77.4	30
YMa	69.61	0.0	77.4	77.4	90
LMa	43.81	-67.02	38.7	77.4	150
CMa	69.61	-67.02	-38.69	77.4	210
VMa	43.81	0.0	-77.39	77.4	270
MMa	69.61	67.03	-38.69	77.4	330
NMa	18.01	0.0	0.0	0.0	0
WMa	95.41	0.0	0.0	0.0	0
RCIE	39.92	58.74	27.99	65.07	25
JCIE	81.26	-2.88	71.56	71.62	92
GCIE	52.23	-42.41	13.6	44.55	162
BCIE	30.57	1.41	-46.46	46.49	272

Dreiecks-Helligkeit t^*

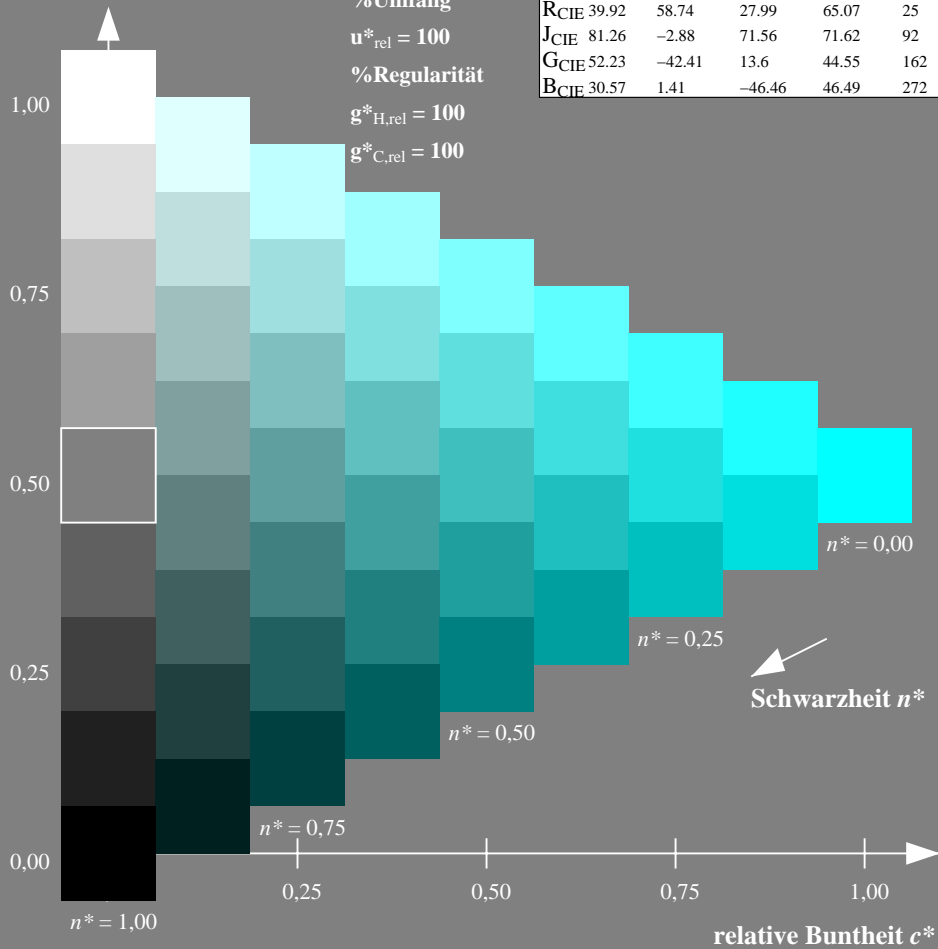
%Umfang

$u^*_{rel} = 100$

%Regularität

$g^*_{H,rel} = 100$

$g^*_{C,rel} = 100$



Ausgabe: Farbmetrisches Offset-Reflektiv-System ORS18

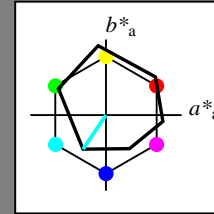
für Buntton $h^* = lab^*h = 236/360 = 0.656$

lab^*tch und lab^*nch

D65: Buntton C

LCH*Ma: 59 54 236

olv*Ma: 0.0 1.0 1.0



ORS18; adaptierte CIELAB-Daten

	$L^*=L^*_a$	a^*_a	b^*_a	$C^*_{ab,a}$	$h^*_{ab,a}$
OMa	47.94	65.39	50.52	82.63	38
YMa	90.37	-10.26	91.75	92.32	96
LMa	50.9	-62.83	34.96	71.91	151
CMa	58.62	-30.34	-45.01	54.3	236
VMa	25.72	31.1	-44.4	54.22	305
MMa	48.13	75.28	-8.36	75.74	354
NMa	18.01	0.0	0.0	0.0	0
WMa	95.41	0.0	0.0	0.0	0
RCIE	39.92	58.66	26.98	64.57	25
JCIE	81.26	-2.16	67.76	67.79	92
GCIE	52.23	-42.25	11.76	43.87	164
BCIE	30.57	1.15	-46.84	46.86	271

Dreiecks-Helligkeit t^*

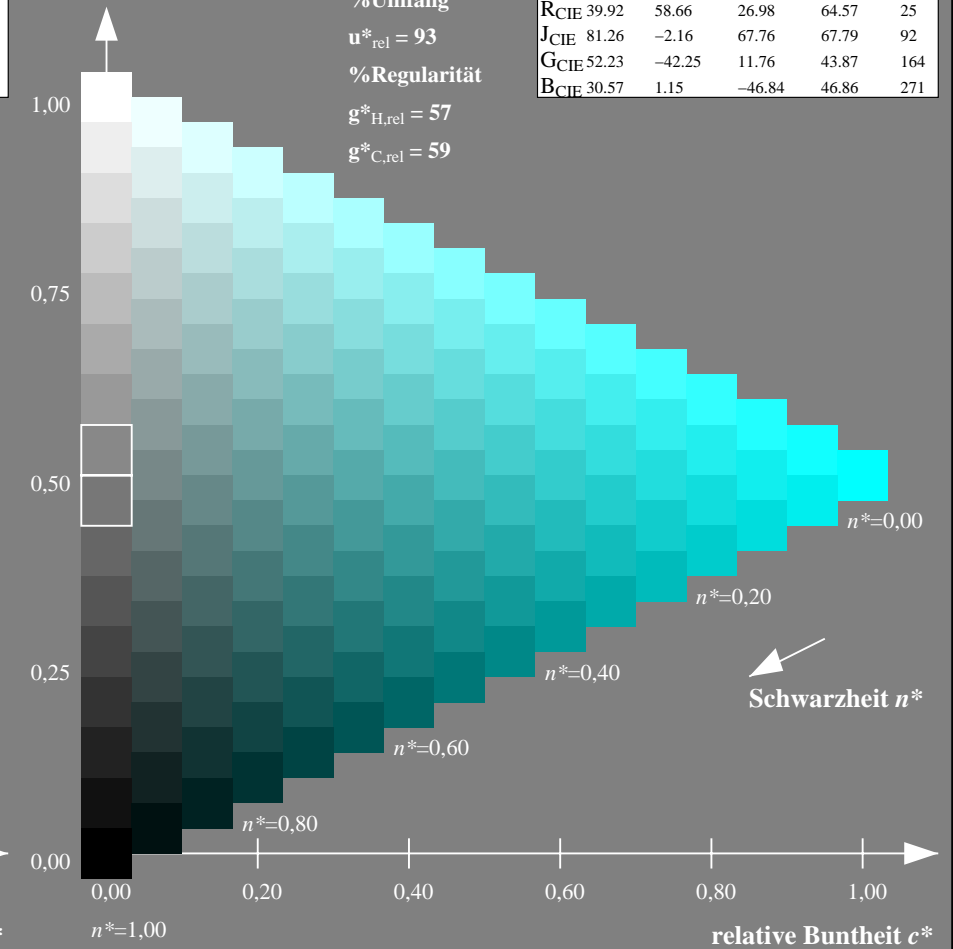
%Umfang

$u^*_{rel} = 93$

%Regularität

$g^*_{H,rel} = 57$

$g^*_{C,rel} = 59$



NG900-7, 9stufige Reihen für konstanten CIELAB Buntton 210/360 = 0.583 (links)

16stufige Reihen für konstanten CIELAB Buntton 236/360 = 0.656 (rechts)

Eingabe: Farbmetrisches Natürliches-Reflektiv-System NRS18

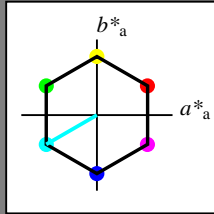
für Buntton $h^* = lab^*h = 210/360 = 0.583$

lab^*tch und lab^*nch

D65: Buntton C

LCH*Ma: 70 77 210

olv*Ma: 0.0 1.0 1.0



NRS18; adaptierte CIELAB-Daten

	$L^*=L^*_a$	a^*_a	b^*_a	$C^*_{ab,a}$	$h^*_{ab,a}$
OMa	43.81	67.03	38.7	77.4	30
YMa	69.61	0.0	77.4	77.4	90
LMa	43.81	-67.02	38.7	77.4	150
CMa	69.61	-67.02	-38.69	77.4	210
VMa	43.81	0.0	-77.39	77.4	270
MMa	69.61	67.03	-38.69	77.4	330
NMa	18.01	0.0	0.0	0.0	0
WMa	95.41	0.0	0.0	0.0	0
RCIE	39.92	58.74	27.99	65.07	25
JCIE	81.26	-2.88	71.56	71.62	92
GCIE	52.23	-42.41	13.6	44.55	162
BCIE	30.57	1.41	-46.46	46.49	272

Dreiecks-Helligkeit t^*

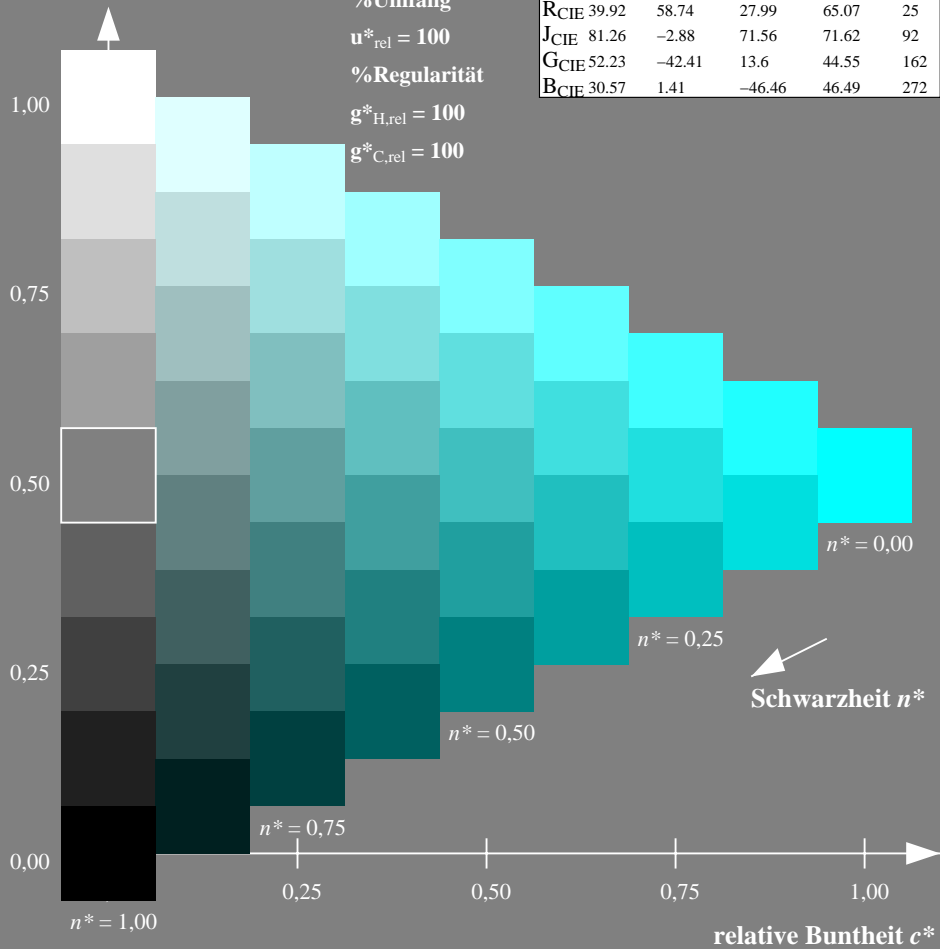
%Umfang

$u^*_{rel} = 100$

%Regularität

$g^*_{H,rel} = 100$

$g^*_{C,rel} = 100$



Ausgabe: Farbmetrisches Fernseh-Licht-System TLS00

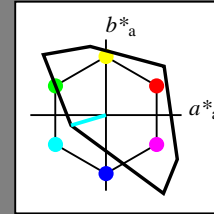
für Buntton $h^* = lab^*h = 196/360 = 0.545$

lab^*tch und lab^*nch

D65: Buntton C

LCH*Ma: 87 48 196

olv*Ma: 0.0 1.0 1.0



TLS00; adaptierte CIELAB-Daten

	$L^*=L^*_a$	a^*_a	b^*_a	$C^*_{ab,a}$	$h^*_{ab,a}$
OMa	50.5	76.92	64.55	100.42	40
YMa	92.66	-20.69	90.75	93.08	103
LMa	83.63	-82.75	79.9	115.04	136
CMa	86.88	-46.16	-13.55	48.12	196
VMa	30.39	76.06	-103.59	128.52	306
MMa	57.3	94.35	-58.41	110.97	328
NMa	0.01	0.0	0.0	0.0	0
WMa	95.41	0.0	0.0	0.0	0
RCIE	39.92	58.74	27.99	65.07	25
JCIE	81.26	-2.88	71.56	71.62	92
GCIE	52.23	-42.41	13.6	44.55	162
BCIE	30.57	1.41	-46.46	46.49	272

Dreiecks-Helligkeit t^*

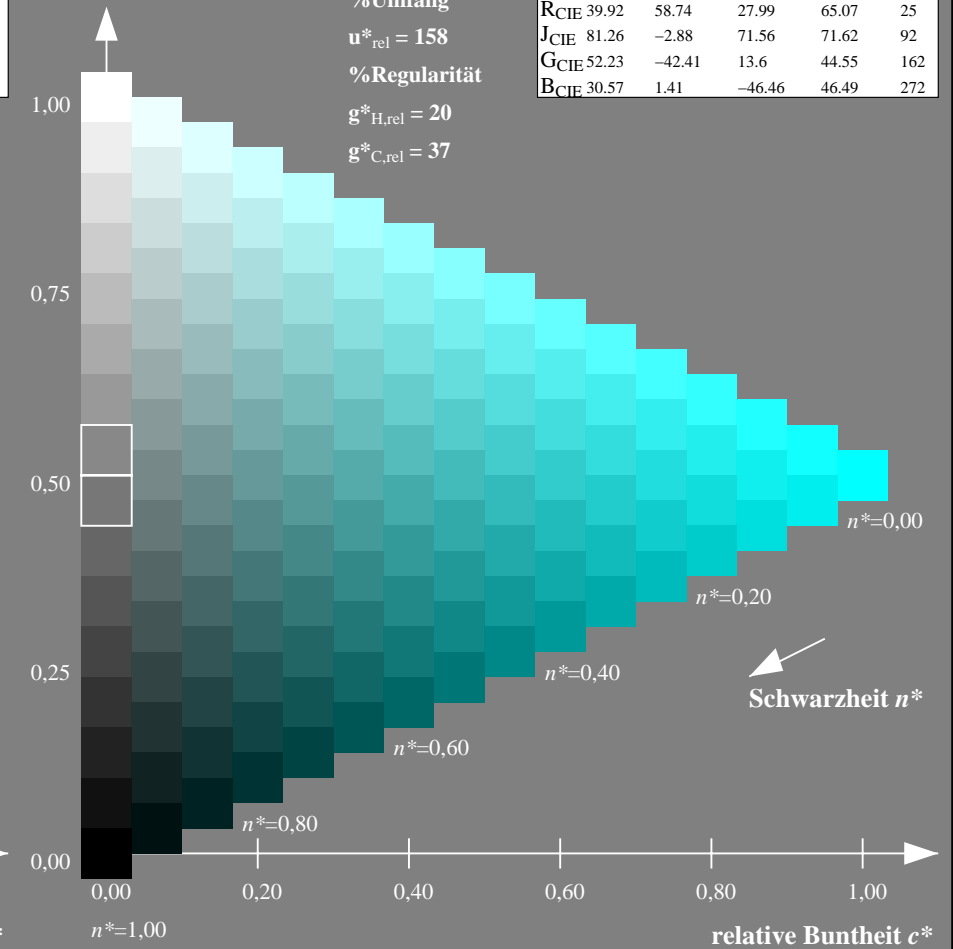
%Umfang

$u^*_{rel} = 158$

%Regularität

$g^*_{H,rel} = 20$

$g^*_{C,rel} = 37$



NG900-7, 9stufige Reihen für konstanten CIELAB Buntton 210/360 = 0.583 (links)

16stufige Reihen für konstanten CIELAB Buntton 196/360 = 0.545 (rechts)

Eingabe: Farbmetrisches Natürliches-Reflektiv-System NRS18

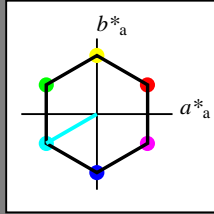
für Buntton $h^* = lab^*h = 210/360 = 0.583$

lab^*tch und lab^*nch

D65: Buntton C

LCH*Ma: 70 77 210

olv*Ma: 0.0 1.0 1.0



NRS18; adaptierte CIELAB-Daten

	$L^*=L^*_a$	a^*_a	b^*_a	$C^*_{ab,a}$	$h^*_{ab,a}$
OMa	43.81	67.03	38.7	77.4	30
YMa	69.61	0.0	77.4	77.4	90
LMa	43.81	-67.02	38.7	77.4	150
CMa	69.61	-67.02	-38.69	77.4	210
VMa	43.81	0.0	-77.39	77.4	270
MMa	69.61	67.03	-38.69	77.4	330
NMa	18.01	0.0	0.0	0.0	0
WMa	95.41	0.0	0.0	0.0	0
RCIE	39.92	58.74	27.99	65.07	25
JCIE	81.26	-2.88	71.56	71.62	92
GCIE	52.23	-42.41	13.6	44.55	162
BCIE	30.57	1.41	-46.46	46.49	272

Dreiecks-Helligkeit t^*

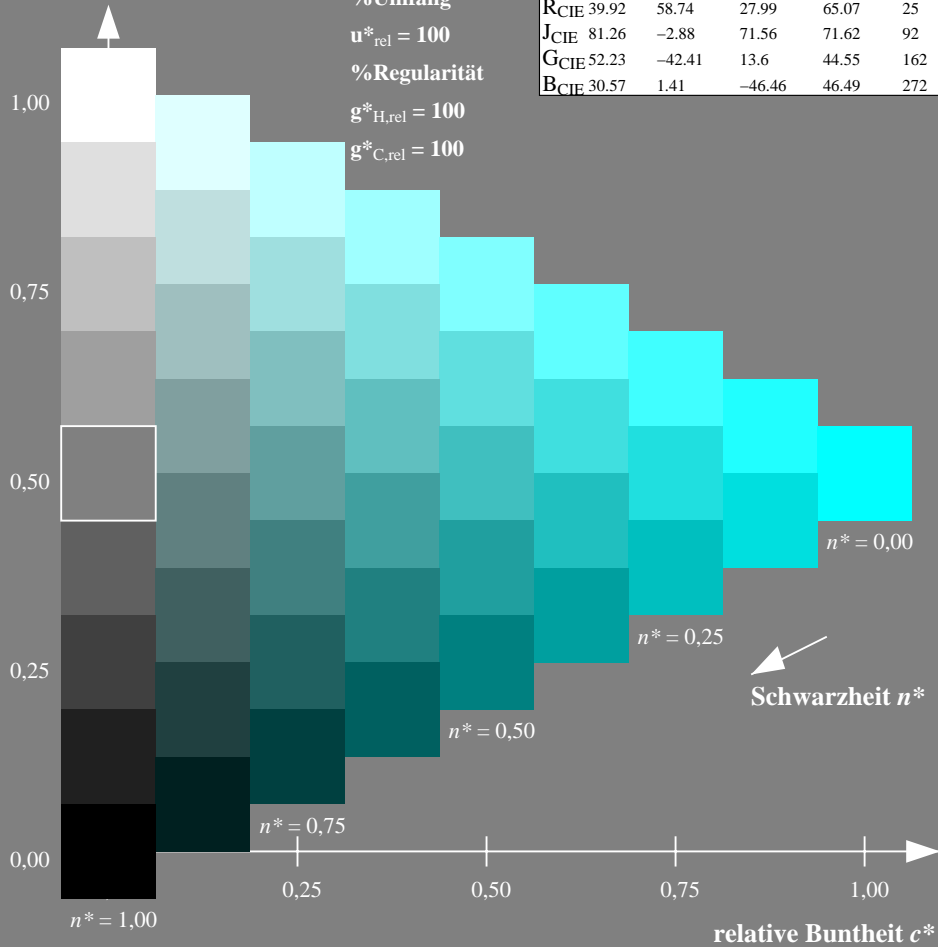
%Umfang

$u^*_{rel} = 100$

%Regularität

$g^*_{H,rel} = 100$

$g^*_{C,rel} = 100$



Ausgabe: Farbmetrisches Drucker-Reflektiv-System DRSXX

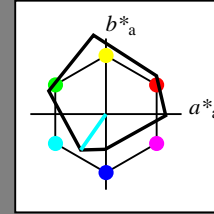
für Buntton $h^* = lab^*h = 235/360 = 0.653$

lab^*tch und lab^*nch

D65: Buntton C

LCH*Ma: 53 58 235

olv*Ma: 0.0 1.0 1.0



DRSXX; adaptierte CIELAB-Daten

	$L^*=L^*_a$	a^*_a	b^*_a	$C^*_{ab,a}$	$h^*_{ab,a}$
OMa	42.21	66.82	50.6	83.82	37
YMa	90.32	-16.51	104.33	105.63	99
LMa	48.21	-75.63	30.65	81.61	158
CMa	53.44	-33.33	-47.49	58.03	235
VMa	34.16	-0.92	-46.56	46.58	269
MMa	42.71	79.0	-1.95	79.03	359
NMa	16.56	0.0	0.0	0.0	0
WMa	96.31	0.0	0.0	0.0	0
RCIE	39.92	59.78	25.77	65.1	23
JCIE	81.26	-2.51	69.07	69.11	92
GCIE	52.23	-41.57	11.3	43.09	165
BCIE	30.57	2.6	-48.62	48.7	273

Dreiecks-Helligkeit t^*

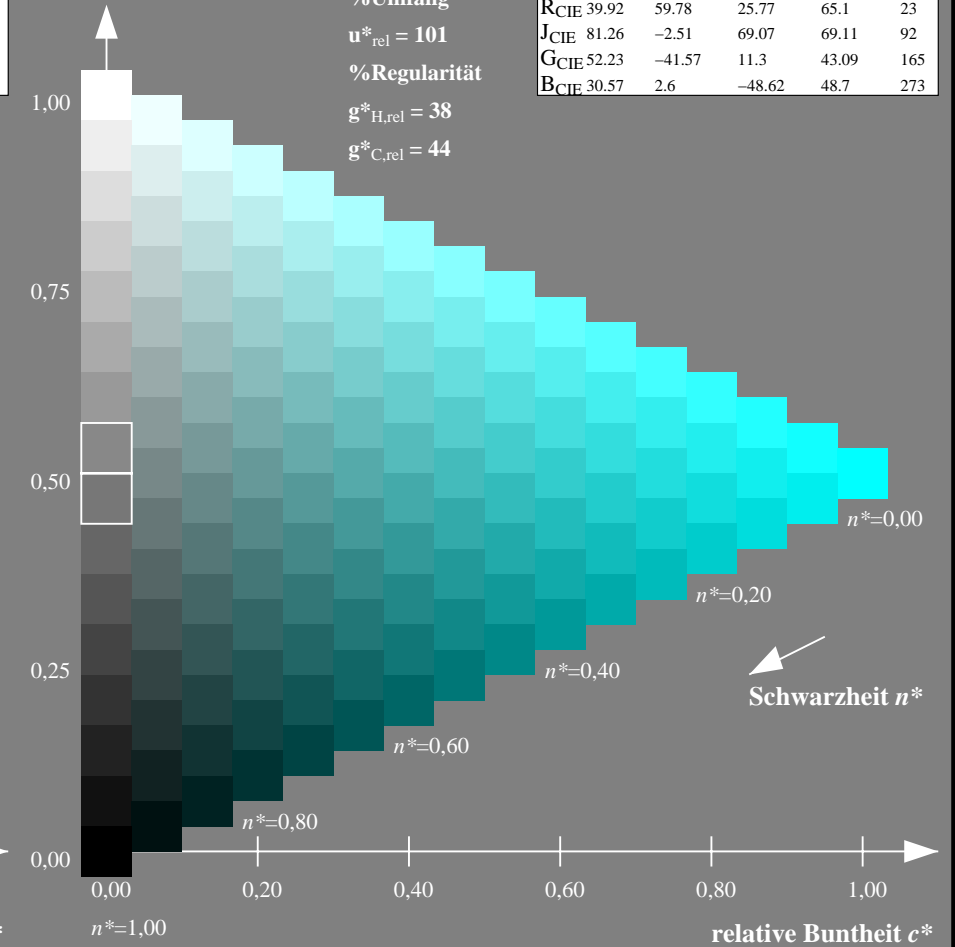
%Umfang

$u^*_{rel} = 101$

%Regularität

$g^*_{H,rel} = 38$

$g^*_{C,rel} = 44$



NG900-7, 9stufige Reihen für konstanten CIELAB Buntton 210/360 = 0.583 (links)

16stufige Reihen für konstanten CIELAB Buntton 235/360 = 0.653 (rechts)

Eingabe: Farbmetrisches Natürliches-Reflektiv-System NRS18

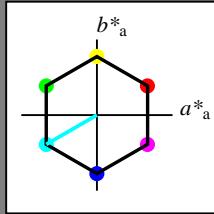
für Buntton $h^* = lab^*h = 210/360 = 0.583$

lab^*tch und lab^*nch

D65: Buntton C

LCH*Ma: 70 77 210

olv*Ma: 0.0 1.0 1.0



NRS18; adaptierte CIELAB-Daten

	$L^*=L^*_a$	a^*_a	b^*_a	$C^*_{ab,a}$	$h^*_{ab,a}$
OMa	43.81	67.03	38.7	77.4	30
YMa	69.61	0.0	77.4	77.4	90
LMa	43.81	-67.02	38.7	77.4	150
CMa	69.61	-67.02	-38.69	77.4	210
VMa	43.81	0.0	-77.39	77.4	270
MMa	69.61	67.03	-38.69	77.4	330
NMa	18.01	0.0	0.0	0.0	0
WMa	95.41	0.0	0.0	0.0	0
RCIE	39.92	58.74	27.99	65.07	25
JCIE	81.26	-2.88	71.56	71.62	92
GCIE	52.23	-42.41	13.6	44.55	162
BCIE	30.57	1.41	-46.46	46.49	272

Dreiecks-Helligkeit t^*

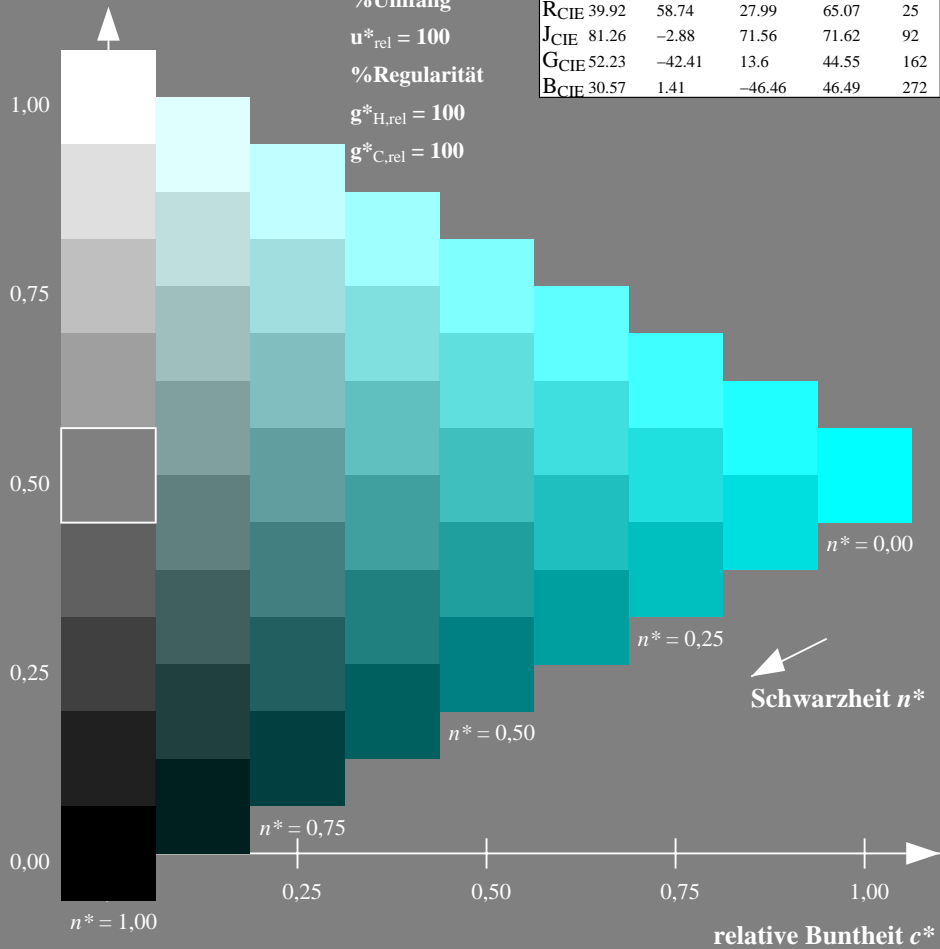
%Umfang

$u^*_{rel} = 100$

%Regularität

$g^*_{H,rel} = 100$

$g^*_{C,rel} = 100$



Ausgabe: Farbmetrisches Fernseh-Licht-System TLS18

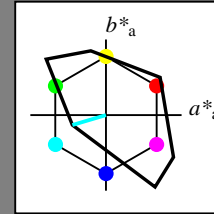
für Buntton $h^* = lab^*h = 196/360 = 0.546$

lab^*tch und lab^*nch

D65: Buntton C

LCH*Ma: 87 46 196

olv*Ma: 0.0 1.0 1.0



TLS18; adaptierte CIELAB-Daten

	$L^*=L^*_a$	a^*_a	b^*_a	$C^*_{ab,a}$	$h^*_{ab,a}$
OMa	52.76	71.63	49.88	87.29	35
YMa	92.74	-20.02	84.97	87.3	103
LMa	84.0	-78.98	73.94	108.2	137
CMa	87.14	-44.41	-13.11	46.32	196
VMa	35.47	64.92	-95.06	115.12	304
MMa	59.01	89.33	-55.67	105.26	328
NMa	18.01	0.0	0.0	0.0	0
WMa	95.41	0.0	0.0	0.0	0
RCIE	39.92	58.74	27.99	65.07	25
JCIE	81.26	-2.88	71.56	71.62	92
GCIE	52.23	-42.41	13.6	44.55	162
BCIE	30.57	1.41	-46.46	46.49	272

Dreiecks-Helligkeit t^*

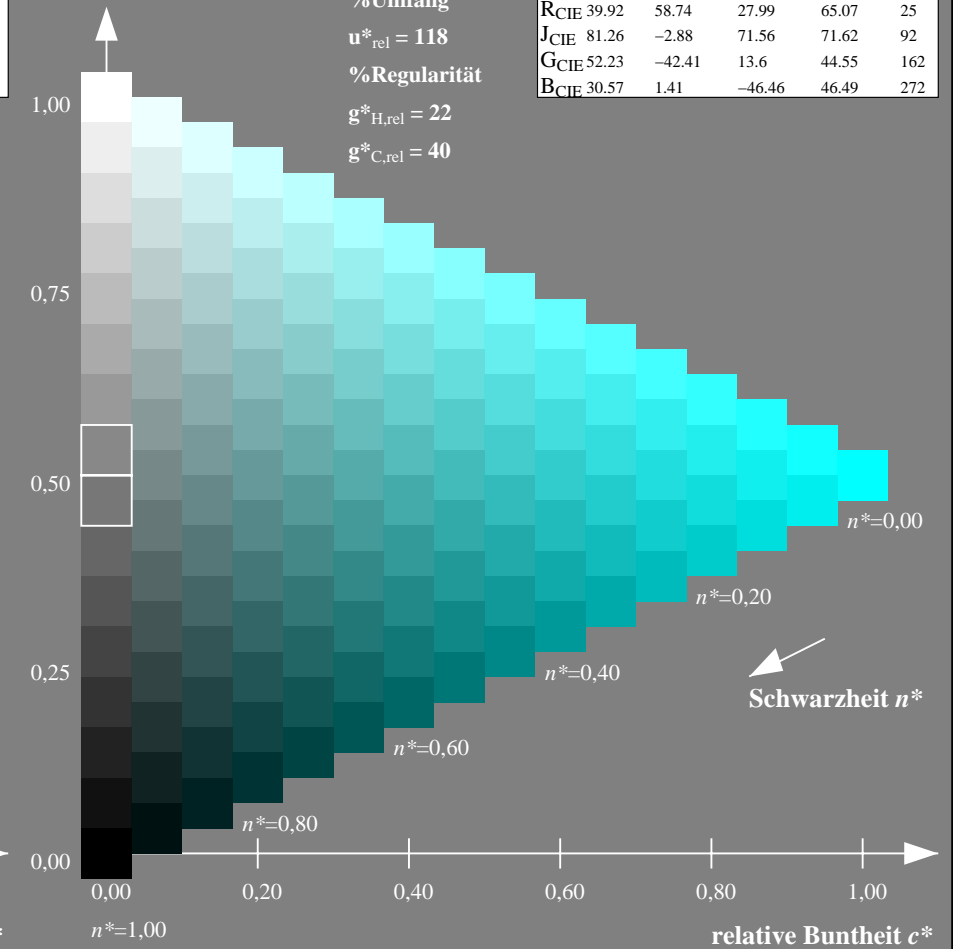
%Umfang

$u^*_{rel} = 118$

%Regularität

$g^*_{H,rel} = 22$

$g^*_{C,rel} = 40$



NG900-7, 9stufige Reihen für konstanten CIELAB Buntton $210/360 = 0.583$ (links)

16stufige Reihen für konstanten CIELAB Buntton $196/360 = 0.546$ (rechts)

Eingabe: Farbmetrisches Natürliches-Reflektiv-System NRS18

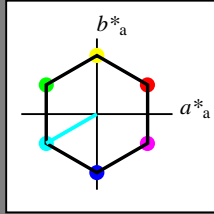
für Buntton $h^* = lab^*h = 210/360 = 0.583$

lab^*tch und lab^*nch

D65: Buntton C

LCH*Ma: 70 77 210

olv*Ma: 0.0 1.0 1.0



NRS18; adaptierte CIELAB-Daten

	$L^*=L^*_a$	a^*_a	b^*_a	$C^*_{ab,a}$	$h^*_{ab,a}$
O _{Ma}	43.81	67.03	38.7	77.4	30
Y _{Ma}	69.61	0.0	77.4	77.4	90
L _{Ma}	43.81	-67.02	38.7	77.4	150
C _{Ma}	69.61	-67.02	-38.69	77.4	210
V _{Ma}	43.81	0.0	-77.39	77.4	270
M _{Ma}	69.61	67.03	-38.69	77.4	330
N _{Ma}	18.01	0.0	0.0	0.0	0
W _{Ma}	95.41	0.0	0.0	0.0	0
R _{CIE}	39.92	58.74	27.99	65.07	25
J _{CIE}	81.26	-2.88	71.56	71.62	92
G _{CIE}	52.23	-42.41	13.6	44.55	162
B _{CIE}	30.57	1.41	-46.46	46.49	272

Dreiecks-Helligkeit t^*

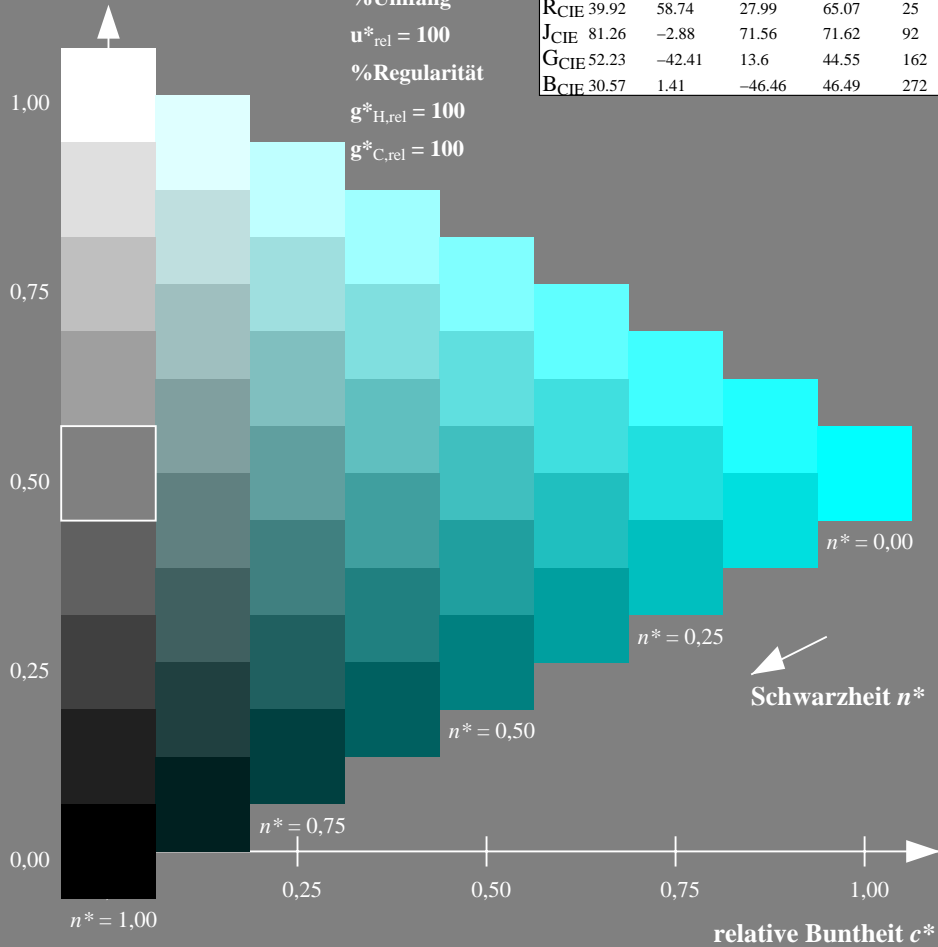
%Umfang

$u^*_{rel} = 100$

%Regularität

$g^*_{H,rel} = 100$

$g^*_{C,rel} = 100$



Ausgabe: Farbmetrisches Natürliches-Licht-System NLS00

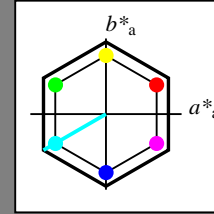
für Buntton $h^* = lab^*h = 210/360 = 0.583$

lab^*tch und lab^*nch

D65: Buntton C

LCH*Ma: 64 95 210

olv*Ma: 0.0 1.0 1.0



NLS00; adaptierte CIELAB-Daten

	$L^*=L^*_a$	a^*_a	b^*_a	$C^*_{ab,a}$	$h^*_{ab,a}$
O _{Ma}	31.81	82.62	47.7	95.4	30
Y _{Ma}	63.61	0.0	95.4	95.4	90
L _{Ma}	31.81	-82.61	47.7	95.4	150
C _{Ma}	63.61	-82.61	-47.69	95.4	210
V _{Ma}	31.81	0.0	-95.39	95.4	270
M _{Ma}	63.61	82.62	-47.69	95.4	330
N _{Ma}	0.01	0.0	0.0	0.0	0
W _{Ma}	95.41	0.0	0.0	0.0	0
R _{CIE}	39.92	58.74	27.99	65.07	25
J _{CIE}	81.26	-2.88	71.56	71.62	92
G _{CIE}	52.23	-42.41	13.6	44.55	162
B _{CIE}	30.57	1.41	-46.46	46.49	272

Dreiecks-Helligkeit t^*

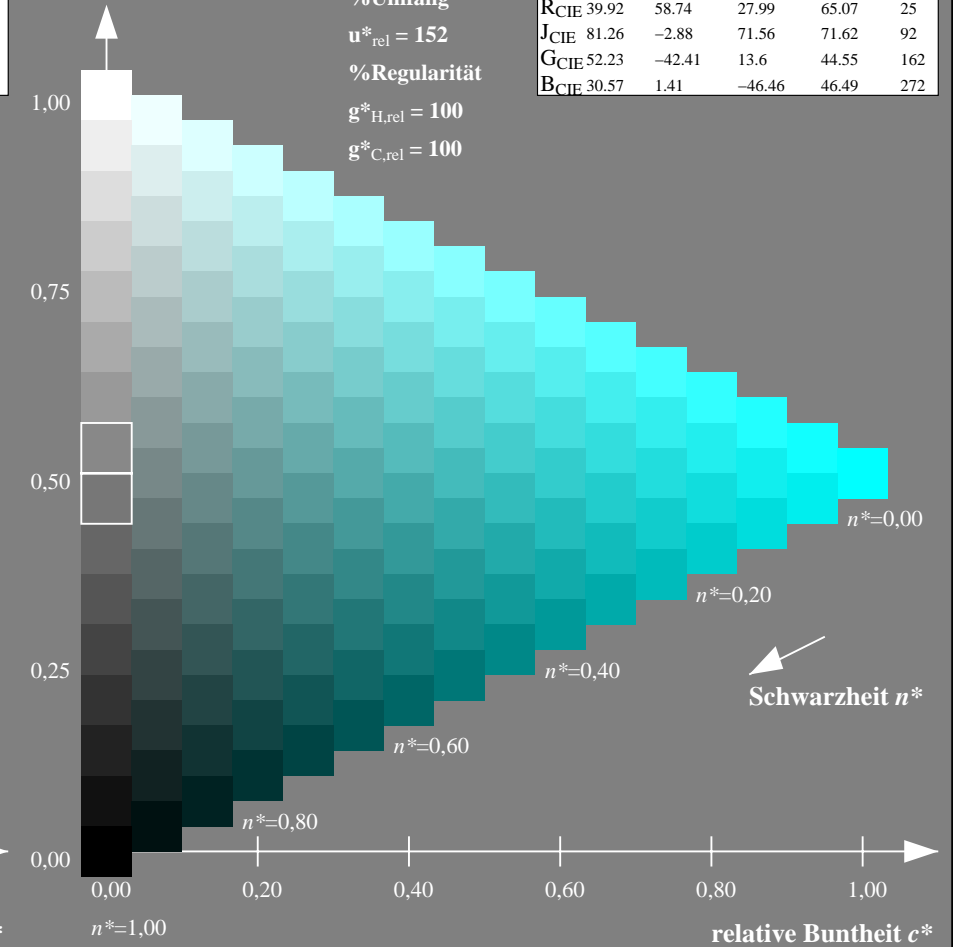
%Umfang

$u^*_{rel} = 152$

%Regularität

$g^*_{H,rel} = 100$

$g^*_{C,rel} = 100$



NG900-7, 9stufige Reihen für konstanten CIELAB Buntton $210/360 = 0.583$ (links)

16stufige Reihen für konstanten CIELAB Buntton $210/360 = 0.583$ (rechts)

Eingabe: Farbmetrisches Natürliches-Reflektiv-System NRS18

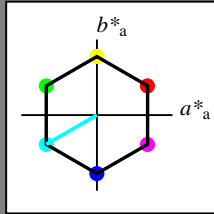
für Buntton $h^* = lab^*h = 210/360 = 0.583$

lab^*tch und lab^*nch

D65: Buntton C

LCH*Ma: 70 77 210

olv*Ma: 0.0 1.0 1.0



NRS18; adaptierte CIELAB-Daten

	$L^*=L^*_a$	a^*_a	b^*_a	$C^*_{ab,a}$	$h^*_{ab,a}$
OMa	43.81	67.03	38.7	77.4	30
YMa	69.61	0.0	77.4	77.4	90
LMa	43.81	-67.02	38.7	77.4	150
CMa	69.61	-67.02	-38.69	77.4	210
VMa	43.81	0.0	-77.39	77.4	270
MMa	69.61	67.03	-38.69	77.4	330
NMa	18.01	0.0	0.0	0.0	0
WMa	95.41	0.0	0.0	0.0	0
RCIE	39.92	58.74	27.99	65.07	25
JCIE	81.26	-2.88	71.56	71.62	92
GCIE	52.23	-42.41	13.6	44.55	162
BCIE	30.57	1.41	-46.46	46.49	272

Dreiecks-Helligkeit t^*

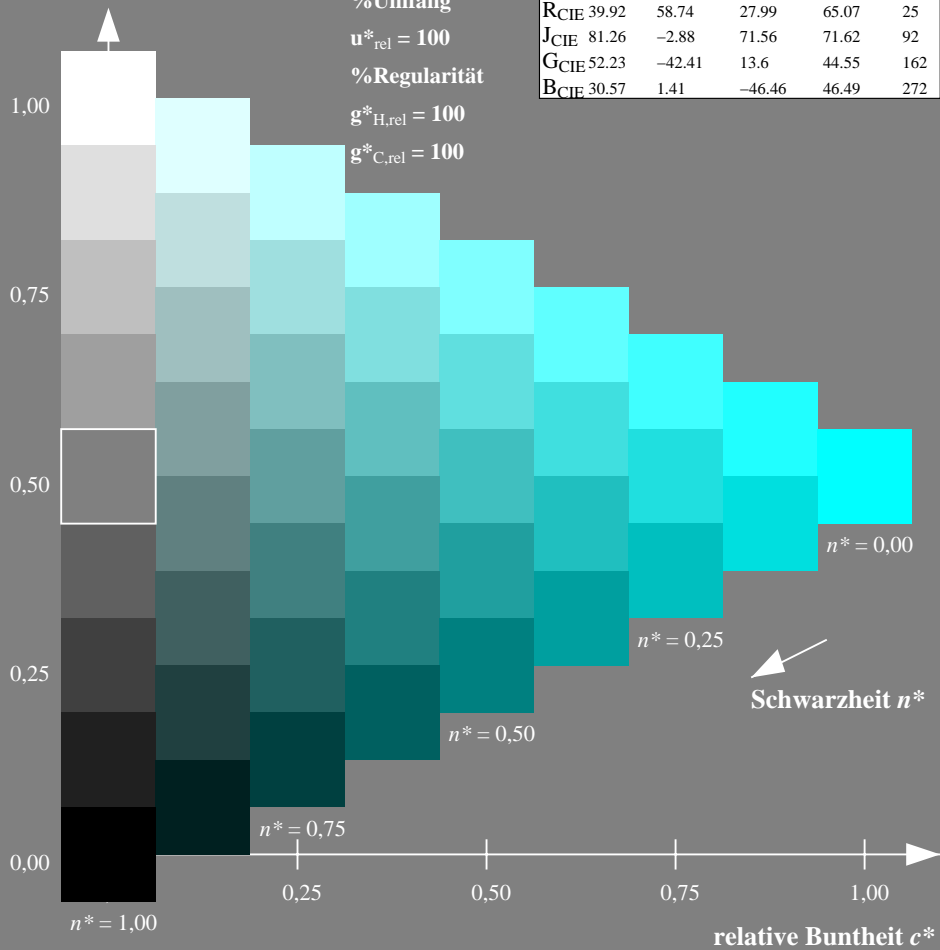
%Umfang

$u^*_{rel} = 100$

%Regularität

$g^*_{H,rel} = 100$

$g^*_{C,rel} = 100$



Ausgabe: Farbmetrisches Natürliches-Reflektiv-System NRS18

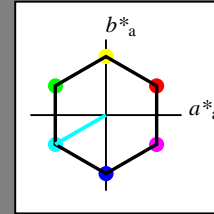
für Buntton $h^* = lab^*h = 210/360 = 0.583$

lab^*tch und lab^*nch

D65: Buntton C

LCH*Ma: 70 77 210

olv*Ma: 0.0 1.0 1.0



NRS18; adaptierte CIELAB-Daten

	$L^*=L^*_a$	a^*_a	b^*_a	$C^*_{ab,a}$	$h^*_{ab,a}$
OMa	43.81	67.03	38.7	77.4	30
YMa	69.61	0.0	77.4	77.4	90
LMa	43.81	-67.02	38.7	77.4	150
CMa	69.61	-67.02	-38.69	77.4	210
VMa	43.81	0.0	-77.39	77.4	270
MMa	69.61	67.03	-38.69	77.4	330
NMa	18.01	0.0	0.0	0.0	0
WMa	95.41	0.0	0.0	0.0	0
RCIE	39.92	58.74	27.99	65.07	25
JCIE	81.26	-2.88	71.56	71.62	92
GCIE	52.23	-42.41	13.6	44.55	162
BCIE	30.57	1.41	-46.46	46.49	272

Dreiecks-Helligkeit t^*

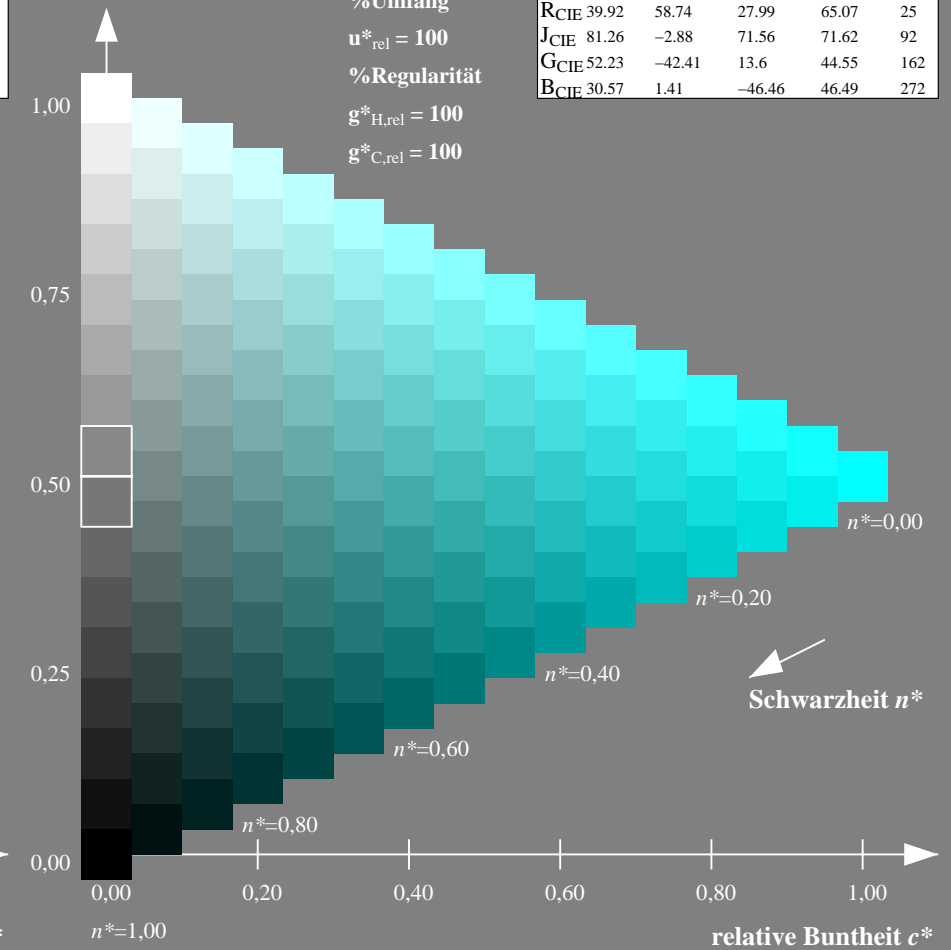
%Umfang

$u^*_{rel} = 100$

%Regularität

$g^*_{H,rel} = 100$

$g^*_{C,rel} = 100$



NG900-7, 9stufige Reihen für konstanten CIELAB Buntton $210/360 = 0.583$ (links)

16stufige Reihen für konstanten CIELAB Buntton $210/360 = 0.583$ (rechts)

Eingabe: Farbmatisches Natürliches-Reflektiv-System NRS18

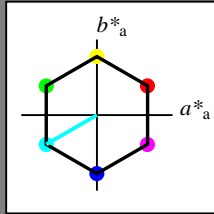
für Buntton $h^* = lab^*h = 210/360 = 0.583$

lab^*tch und lab^*nch

D65: Buntton C

LCH*Ma: 70 77 210

olv*Ma: 0.0 1.0 1.0



NRS18; adaptierte CIELAB-Daten

	$L^*=L^*_a$	a^*_a	b^*_a	$C^*_{ab,a}$	$h^*_{ab,a}$
OMa	43.81	67.03	38.7	77.4	30
YMa	69.61	0.0	77.4	77.4	90
LMa	43.81	-67.02	38.7	77.4	150
CMa	69.61	-67.02	-38.69	77.4	210
VMa	43.81	0.0	-77.39	77.4	270
MMa	69.61	67.03	-38.69	77.4	330
NMa	18.01	0.0	0.0	0.0	0
WMa	95.41	0.0	0.0	0.0	0
RCIE	39.92	58.74	27.99	65.07	25
JCIE	81.26	-2.88	71.56	71.62	92
GCIE	52.23	-42.41	13.6	44.55	162
BCIE	30.57	1.41	-46.46	46.49	272

Dreiecks-Helligkeit t^*

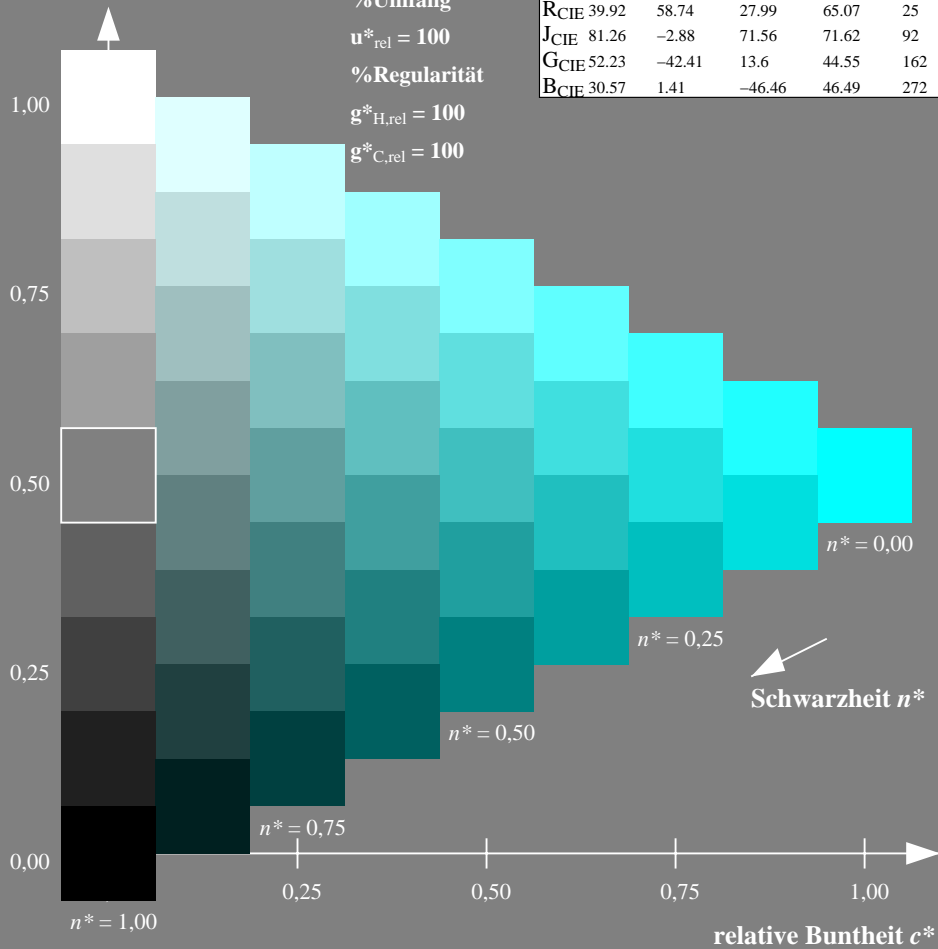
%Umfang

$u^*_{rel} = 100$

%Regularität

$g^*_{H,rel} = 100$

$g^*_{C,rel} = 100$



Ausgabe: Farbmatisches Standard-Reflektiv-System SRS18

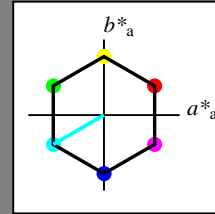
für Buntton $h^* = lab^*h = 210/360 = 0.583$

lab^*tch und lab^*nch

D65: Buntton C

LCH*Ma: 57 77 210

olv*Ma: 0.0 1.0 1.0



SRS18; adaptierte CIELAB-Daten

	$L^*=L^*_a$	a^*_a	b^*_a	$C^*_{ab,a}$	$h^*_{ab,a}$
OMa	56.71	67.03	38.7	77.4	30
YMa	56.71	0.0	77.4	77.4	90
LMa	56.71	-67.02	38.7	77.4	150
CMa	56.71	-67.02	-38.69	77.4	210
VMa	56.71	0.0	-77.39	77.4	270
MMa	56.71	67.03	-38.69	77.4	330
NMa	18.01	0.0	0.0	0.0	0
WMa	95.41	0.0	0.0	0.0	0
RCIE	39.92	58.74	27.99	65.07	25
JCIE	81.26	-2.88	71.56	71.62	92
GCIE	52.23	-42.41	13.6	44.55	162
BCIE	30.57	1.41	-46.46	46.49	272

Dreiecks-Helligkeit t^*

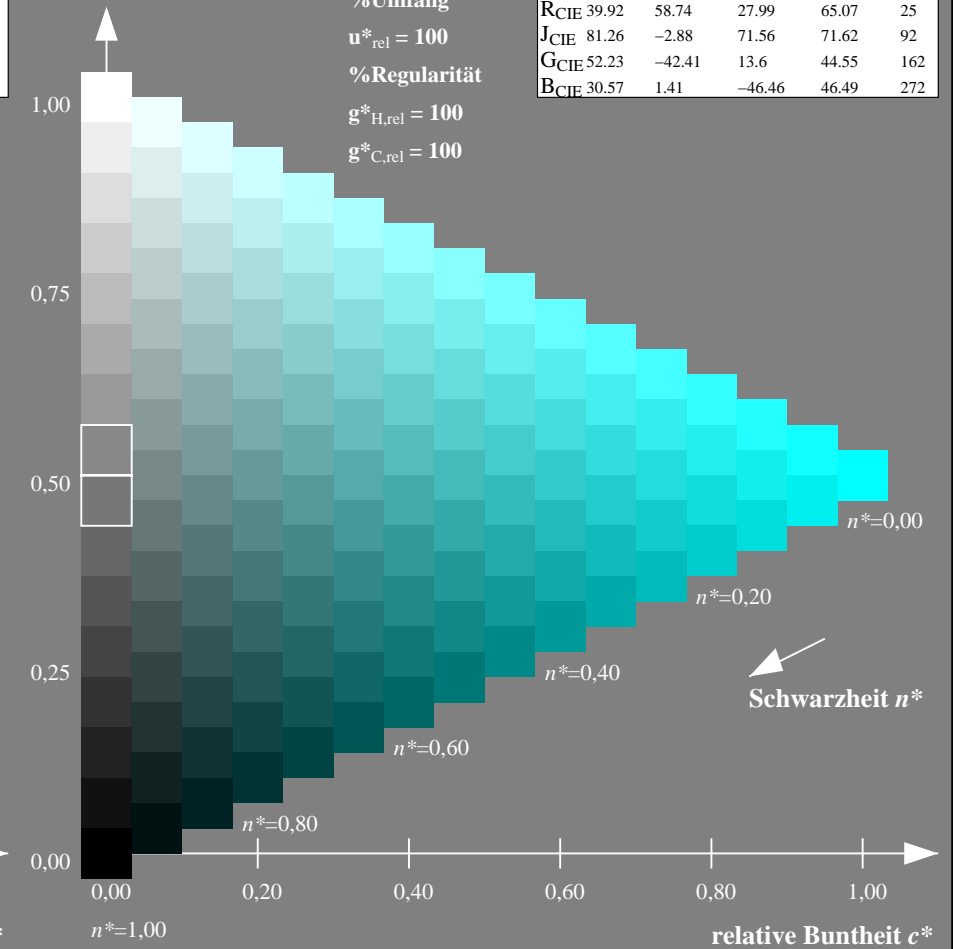
%Umfang

$u^*_{rel} = 100$

%Regularität

$g^*_{H,rel} = 100$

$g^*_{C,rel} = 100$



NG900-7, 9stufige Reihen für konstanten CIELAB Buntton $210/360 = 0.583$ (links)

16stufige Reihen für konstanten CIELAB Buntton $210/360 = 0.583$ (rechts)

Eingabe: Farbmetrisches Natürliches-Reflektiv-System NRS18

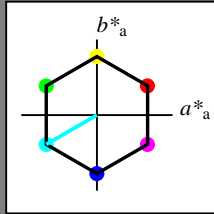
für Buntton $h^* = lab^*h = 210/360 = 0.583$

lab^*tch und lab^*nch

D65: Buntton C

LCH*Ma: 70 77 210

olv*Ma: 0.0 1.0 1.0



NRS18; adaptierte CIELAB-Daten

	$L^*=L^*_a$	a^*_a	b^*_a	$C^*_{ab,a}$	$h^*_{ab,a}$
O _{Ma}	43.81	67.03	38.7	77.4	30
Y _{Ma}	69.61	0.0	77.4	77.4	90
L _{Ma}	43.81	-67.02	38.7	77.4	150
C _{Ma}	69.61	-67.02	-38.69	77.4	210
V _{Ma}	43.81	0.0	-77.39	77.4	270
M _{Ma}	69.61	67.03	-38.69	77.4	330
N _{Ma}	18.01	0.0	0.0	0.0	0
W _{Ma}	95.41	0.0	0.0	0.0	0
R _{CIE}	39.92	58.74	27.99	65.07	25
J _{CIE}	81.26	-2.88	71.56	71.62	92
G _{CIE}	52.23	-42.41	13.6	44.55	162
B _{CIE}	30.57	1.41	-46.46	46.49	272

Dreiecks-Helligkeit t^*

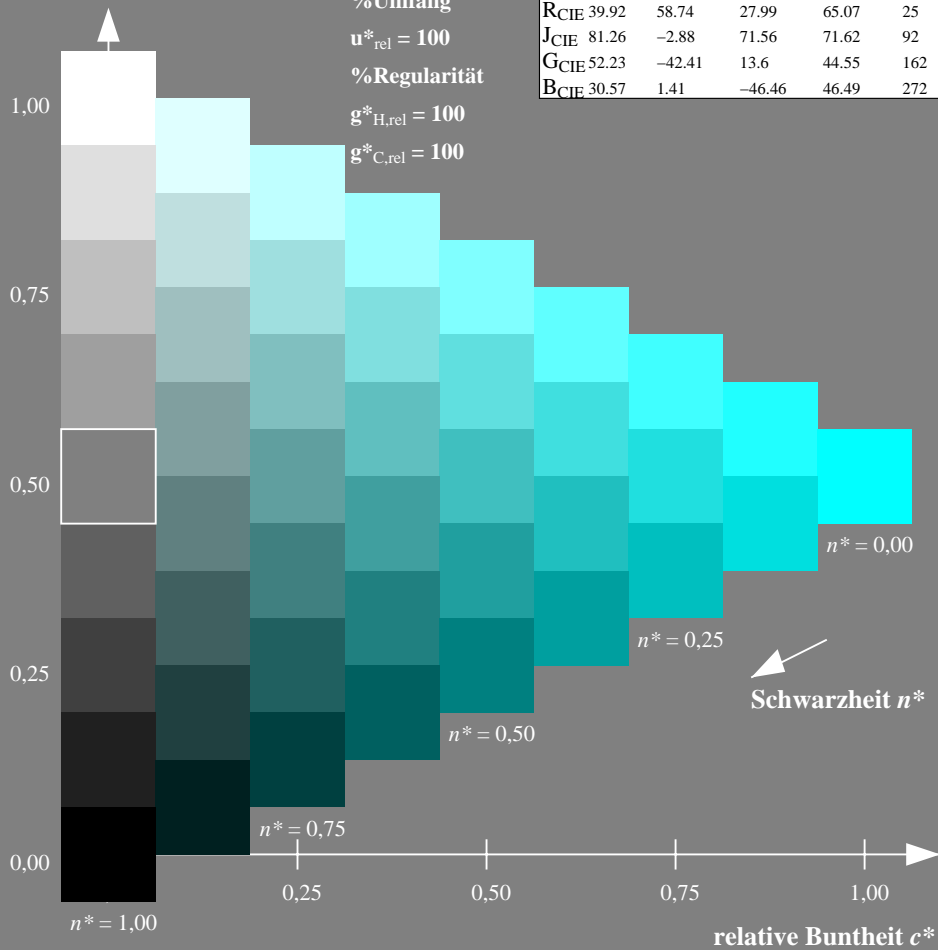
%Umfang

$u^*_{rel} = 100$

%Regularität

$g^*_{H,rel} = 100$

$g^*_{C,rel} = 100$



Ausgabe: Farbmetrisches Fernseh-Licht-System TLS70

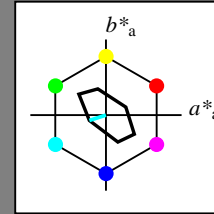
für Buntton $h^* = lab^*h = 198/360 = 0.55$

lab^*tch und lab^*nch

D65: Buntton C

LCH*Ma: 91 23 198

olv*Ma: 0.0 1.0 1.0



TLS70; adaptierte CIELAB-Daten

	$L^*=L^*_a$	a^*_a	b^*_a	$C^*_{ab,a}$	$h^*_{ab,a}$
O _{Ma}	76.43	26.27	10.57	28.32	22
Y _{Ma}	93.93	-10.76	34.63	36.27	107
L _{Ma}	89.32	-35.8	27.64	45.24	142
C _{Ma}	90.93	-21.95	-7.07	23.07	198
V _{Ma}	72.1	15.76	-35.63	38.97	294
M _{Ma}	78.5	37.52	-25.23	45.22	326
N _{Ma}	69.7	0.0	0.0	0.0	0
W _{Ma}	95.41	0.0	0.0	0.0	0
R _{CIE}	39.92	58.74	27.99	65.07	25
J _{CIE}	81.26	-2.88	71.56	71.62	92
G _{CIE}	52.23	-42.41	13.6	44.55	162
B _{CIE}	30.57	1.41	-46.46	46.49	272

Dreiecks-Helligkeit t^*

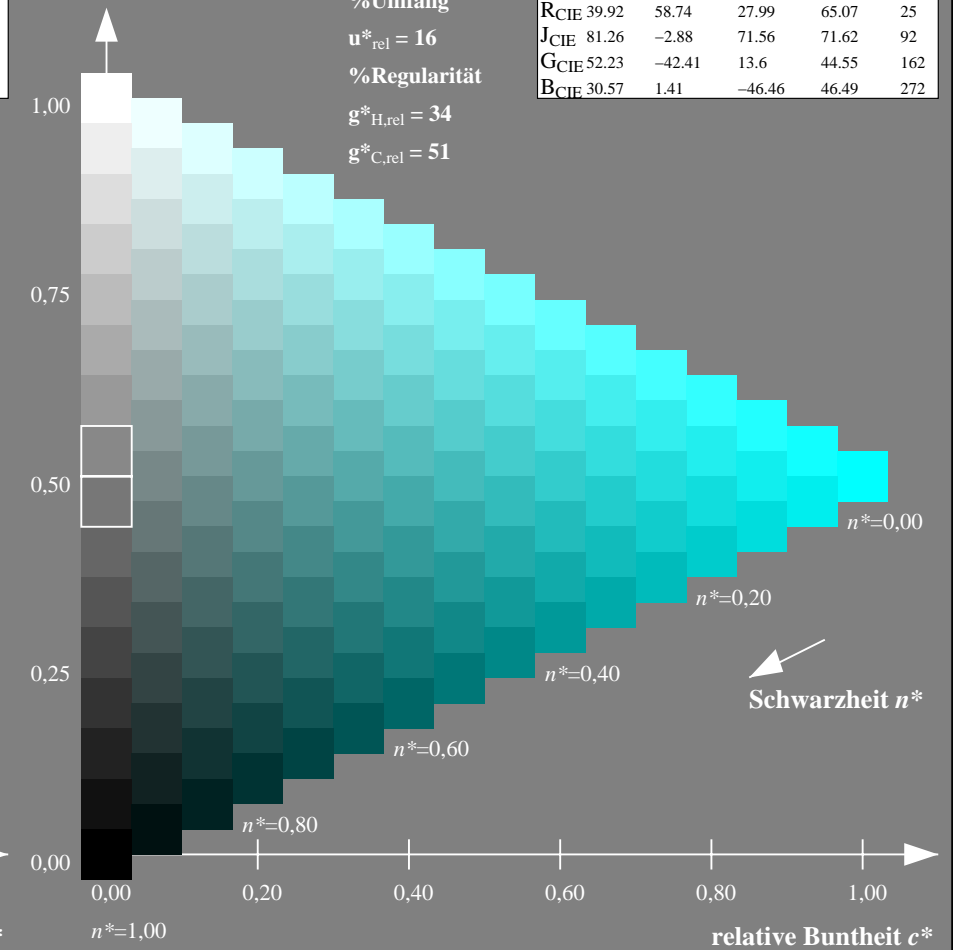
%Umfang

$u^*_{rel} = 16$

%Regularität

$g^*_{H,rel} = 34$

$g^*_{C,rel} = 51$



NG900-7, 9stufige Reihen für konstanten CIELAB Buntton $210/360 = 0.583$ (links)

16stufige Reihen für konstanten CIELAB Buntton $198/360 = 0.55$ (rechts)

Eingabe: Farbmetrisches Standard-Reflektiv-System SRS18

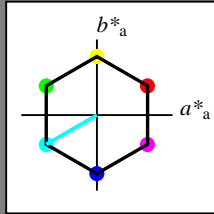
für Buntton $h^* = lab^*h = 210/360 = 0.583$

lab^*tch und lab^*nch

D65: Buntton C

LCH*Ma: 57 77 210

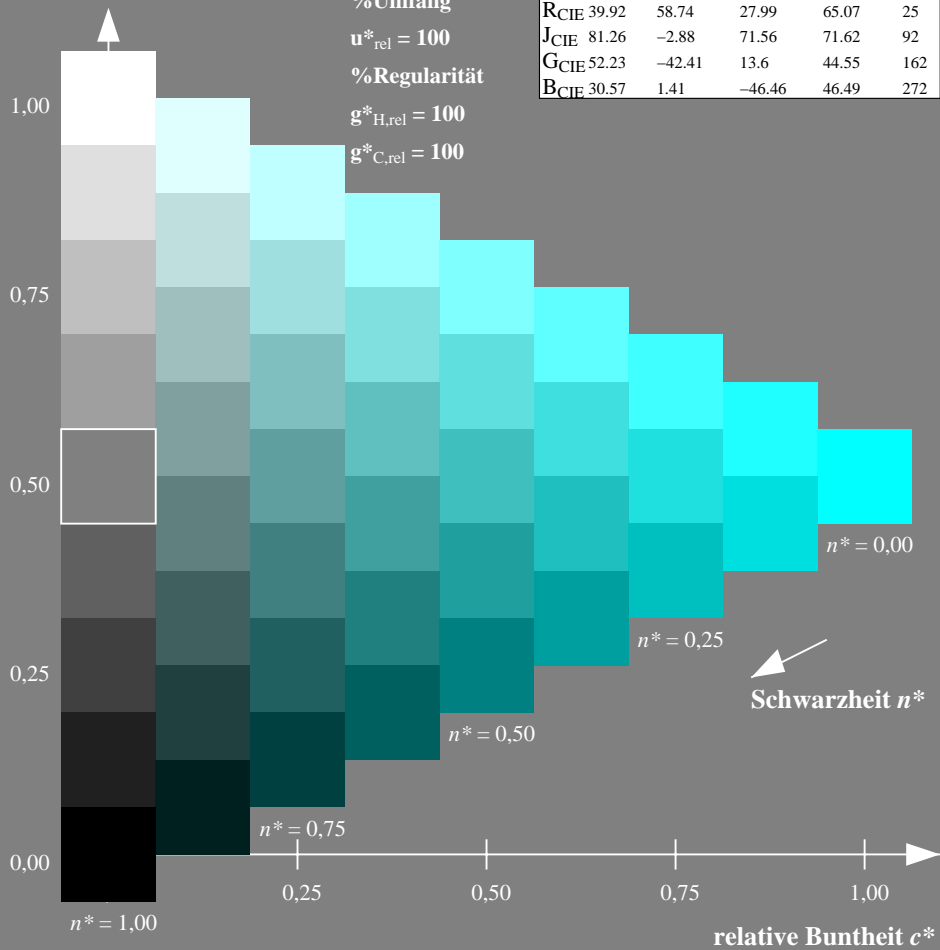
olv*Ma: 0.0 1.0 1.0



SRS18; adaptierte CIELAB-Daten

	$L^*=L^*_a$	a^*_a	b^*_a	$C^*_{ab,a}$	$h^*_{ab,a}$
OMa	56.71	67.03	38.7	77.4	30
YMa	56.71	0.0	77.4	77.4	90
LMa	56.71	-67.02	38.7	77.4	150
CMa	56.71	-67.02	-38.69	77.4	210
VMa	56.71	0.0	-77.39	77.4	270
MMa	56.71	67.03	-38.69	77.4	330
NMa	18.01	0.0	0.0	0.0	0
WMa	95.41	0.0	0.0	0.0	0
RCIE	39.92	58.74	27.99	65.07	25
JCIE	81.26	-2.88	71.56	71.62	92
GCIE	52.23	-42.41	13.6	44.55	162
BCIE	30.57	1.41	-46.46	46.49	272

Dreiecks-Helligkeit t^*



Ausgabe: Farbmetrisches Offset-Reflektiv-System ORS18

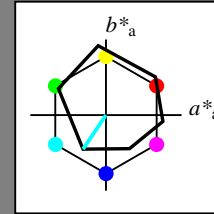
für Buntton $h^* = lab^*h = 236/360 = 0.656$

lab^*tch und lab^*nch

D65: Buntton C

LCH*Ma: 59 54 236

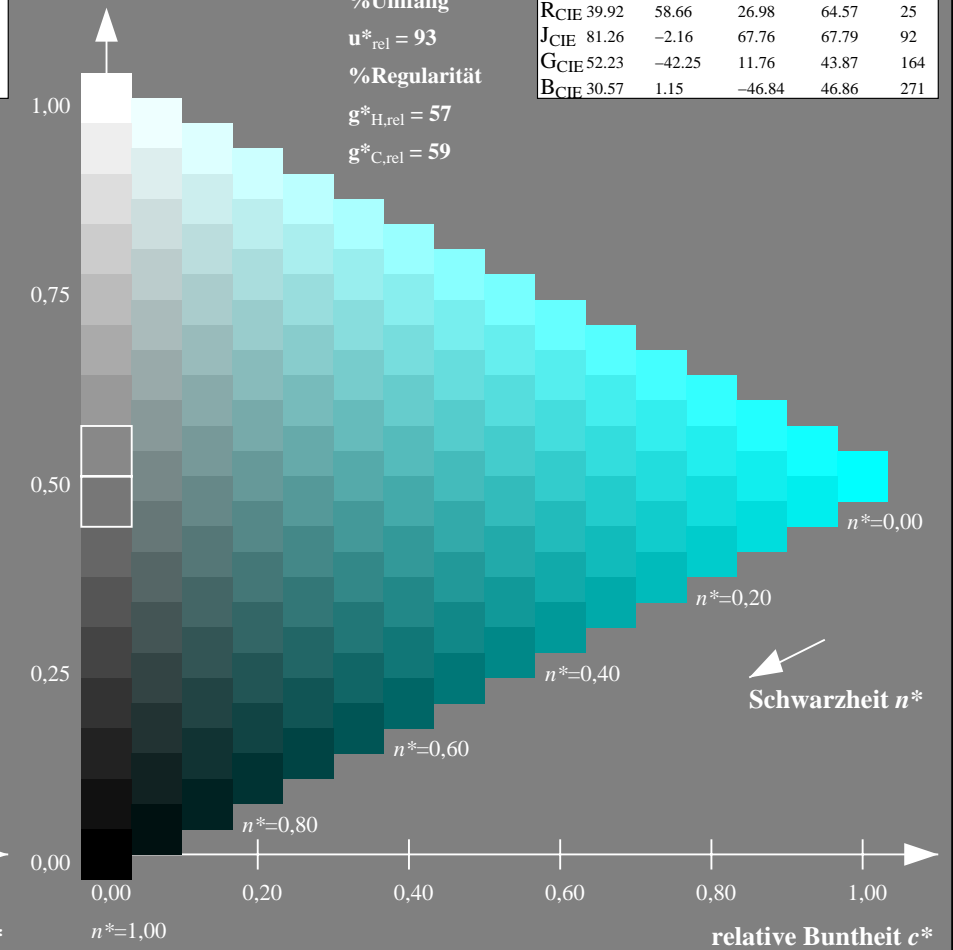
olv*Ma: 0.0 1.0 1.0



ORS18; adaptierte CIELAB-Daten

	$L^*=L^*_a$	a^*_a	b^*_a	$C^*_{ab,a}$	$h^*_{ab,a}$
OMa	47.94	65.39	50.52	82.63	38
YMa	90.37	-10.26	91.75	92.32	96
LMa	50.9	-62.83	34.96	71.91	151
CMa	58.62	-30.34	-45.01	54.3	236
VMa	25.72	31.1	-44.4	54.22	305
MMa	48.13	75.28	-8.36	75.74	354
NMa	18.01	0.0	0.0	0.0	0
WMa	95.41	0.0	0.0	0.0	0
RCIE	39.92	58.66	26.98	64.57	25
JCIE	81.26	-2.16	67.76	67.79	92
GCIE	52.23	-42.25	11.76	43.87	164
BCIE	30.57	1.15	-46.84	46.86	271

Dreiecks-Helligkeit t^*



NG900-7, 9stufige Reihen für konstanten CIELAB Buntton $210/360 = 0.583$ (links)

16stufige Reihen für konstanten CIELAB Buntton $236/360 = 0.656$ (rechts)

Eingabe: Farbmetrisches Standard-Reflektiv-System SRS18

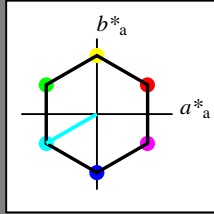
für Buntton $h^* = lab^*h = 210/360 = 0.583$

lab^*tch und lab^*nch

D65: Buntton C

LCH*Ma: 57 77 210

olv*Ma: 0.0 1.0 1.0



SRS18; adaptierte CIELAB-Daten

	$L^*=L^*_a$	a^*_a	b^*_a	$C^*_{ab,a}$	$h^*_{ab,a}$
OMa	56.71	67.03	38.7	77.4	30
YMa	56.71	0.0	77.4	77.4	90
LMa	56.71	-67.02	38.7	77.4	150
CMa	56.71	-67.02	-38.69	77.4	210
VMa	56.71	0.0	-77.39	77.4	270
MMa	56.71	67.03	-38.69	77.4	330
NMa	18.01	0.0	0.0	0.0	0
WMa	95.41	0.0	0.0	0.0	0
RCIE	39.92	58.74	27.99	65.07	25
JCIE	81.26	-2.88	71.56	71.62	92
GCIE	52.23	-42.41	13.6	44.55	162
BCIE	30.57	1.41	-46.46	46.49	272

Dreiecks-Helligkeit t^*

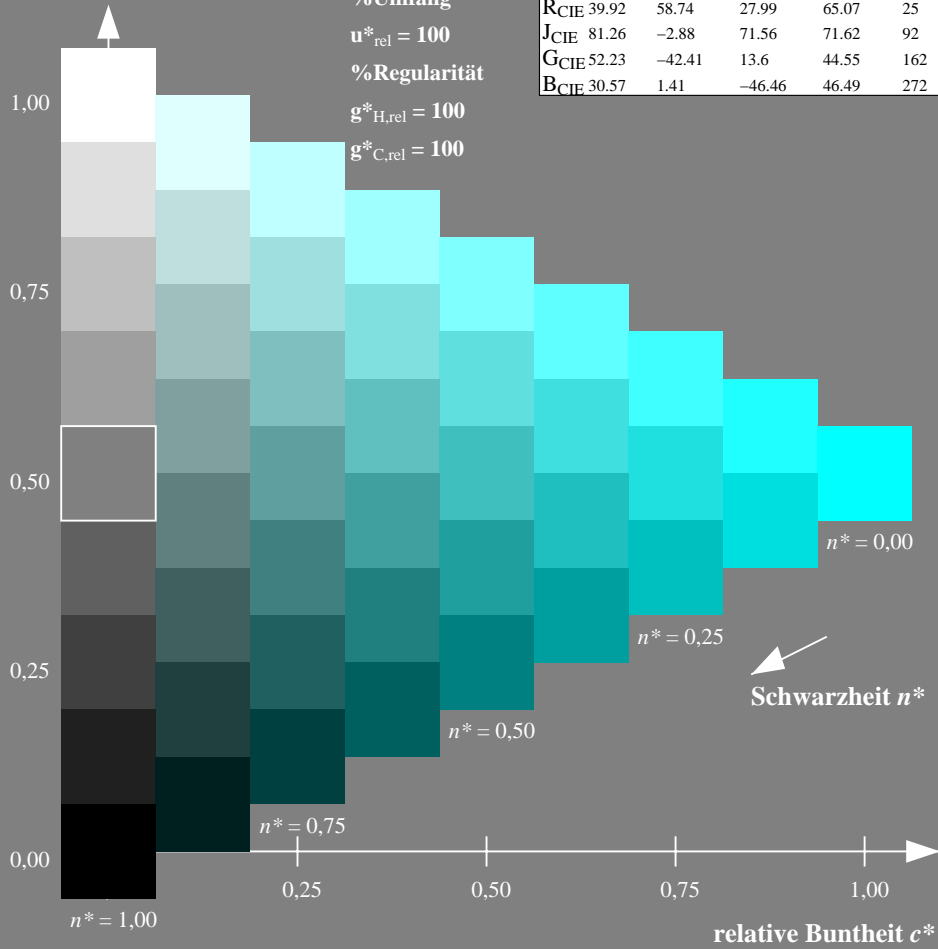
%Umfang

$u^*_{rel} = 100$

%Regularität

$g^*_{H,rel} = 100$

$g^*_{C,rel} = 100$



Ausgabe: Farbmetrisches Fernseh-Licht-System TLS00

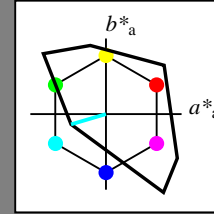
für Buntton $h^* = lab^*h = 196/360 = 0.545$

lab^*tch und lab^*nch

D65: Buntton C

LCH*Ma: 87 48 196

olv*Ma: 0.0 1.0 1.0



TLS00; adaptierte CIELAB-Daten

	$L^*=L^*_a$	a^*_a	b^*_a	$C^*_{ab,a}$	$h^*_{ab,a}$
OMa	50.5	76.92	64.55	100.42	40
YMa	92.66	-20.69	90.75	93.08	103
LMa	83.63	-82.75	79.9	115.04	136
CMa	86.88	-46.16	-13.55	48.12	196
VMa	30.39	76.06	-103.59	128.52	306
MMa	57.3	94.35	-58.41	110.97	328
NMa	0.01	0.0	0.0	0.0	0
WMa	95.41	0.0	0.0	0.0	0
RCIE	39.92	58.74	27.99	65.07	25
JCIE	81.26	-2.88	71.56	71.62	92
GCIE	52.23	-42.41	13.6	44.55	162
BCIE	30.57	1.41	-46.46	46.49	272

Dreiecks-Helligkeit t^*

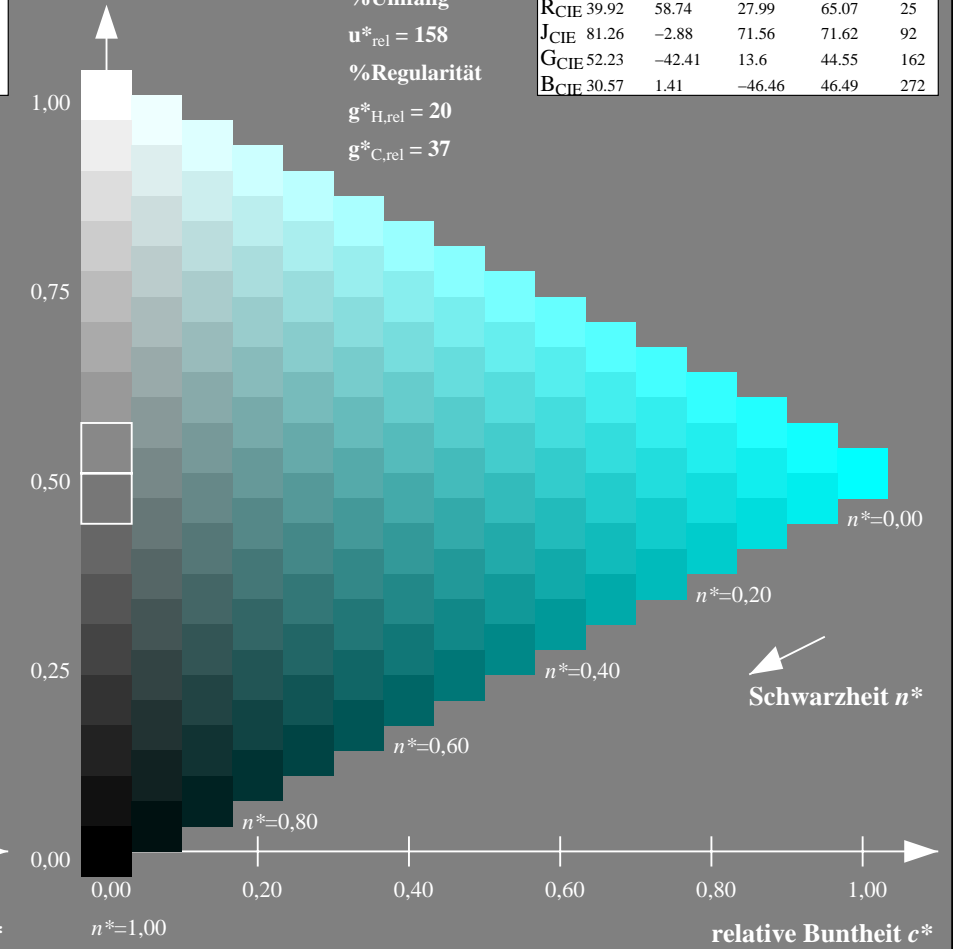
%Umfang

$u^*_{rel} = 158$

%Regularität

$g^*_{H,rel} = 20$

$g^*_{C,rel} = 37$



NG900-7, 9stufige Reihen für konstanten CIELAB Buntton $210/360 = 0.583$ (links)

16stufige Reihen für konstanten CIELAB Buntton $196/360 = 0.545$ (rechts)

Eingabe: Farbmetrisches Standard-Reflektiv-System SRS18

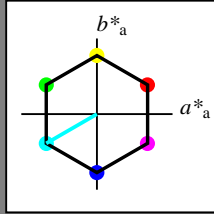
für Buntton $h^* = lab^*h = 210/360 = 0.583$

lab^*tch und lab^*nch

D65: Buntton C

LCH*Ma: 57 77 210

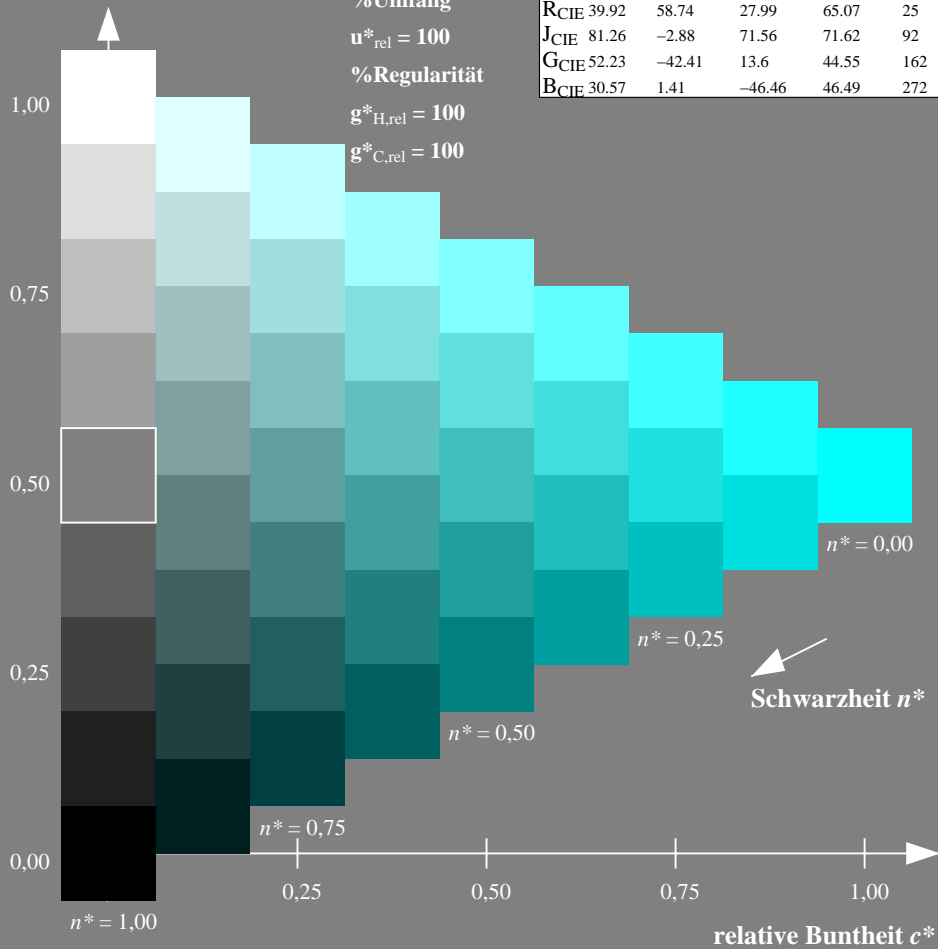
olv*Ma: 0.0 1.0 1.0



SRS18; adaptierte CIELAB-Daten

	$L^*=L^*_a$	a^*_a	b^*_a	$C^*_{ab,a}$	$h^*_{ab,a}$
OMa	56.71	67.03	38.7	77.4	30
YMa	56.71	0.0	77.4	77.4	90
LMa	56.71	-67.02	38.7	77.4	150
CMa	56.71	-67.02	-38.69	77.4	210
VMa	56.71	0.0	-77.39	77.4	270
MMa	56.71	67.03	-38.69	77.4	330
NMa	18.01	0.0	0.0	0.0	0
WMa	95.41	0.0	0.0	0.0	0
RCIE	39.92	58.74	27.99	65.07	25
JCIE	81.26	-2.88	71.56	71.62	92
GCIE	52.23	-42.41	13.6	44.55	162
BCIE	30.57	1.41	-46.46	46.49	272

Dreiecks-Helligkeit t^*



Ausgabe: Farbmetrisches Drucker-Reflektiv-System DRSXX

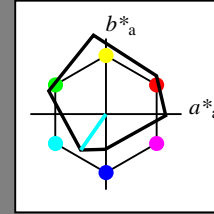
für Buntton $h^* = lab^*h = 235/360 = 0.653$

lab^*tch und lab^*nch

D65: Buntton C

LCH*Ma: 53 58 235

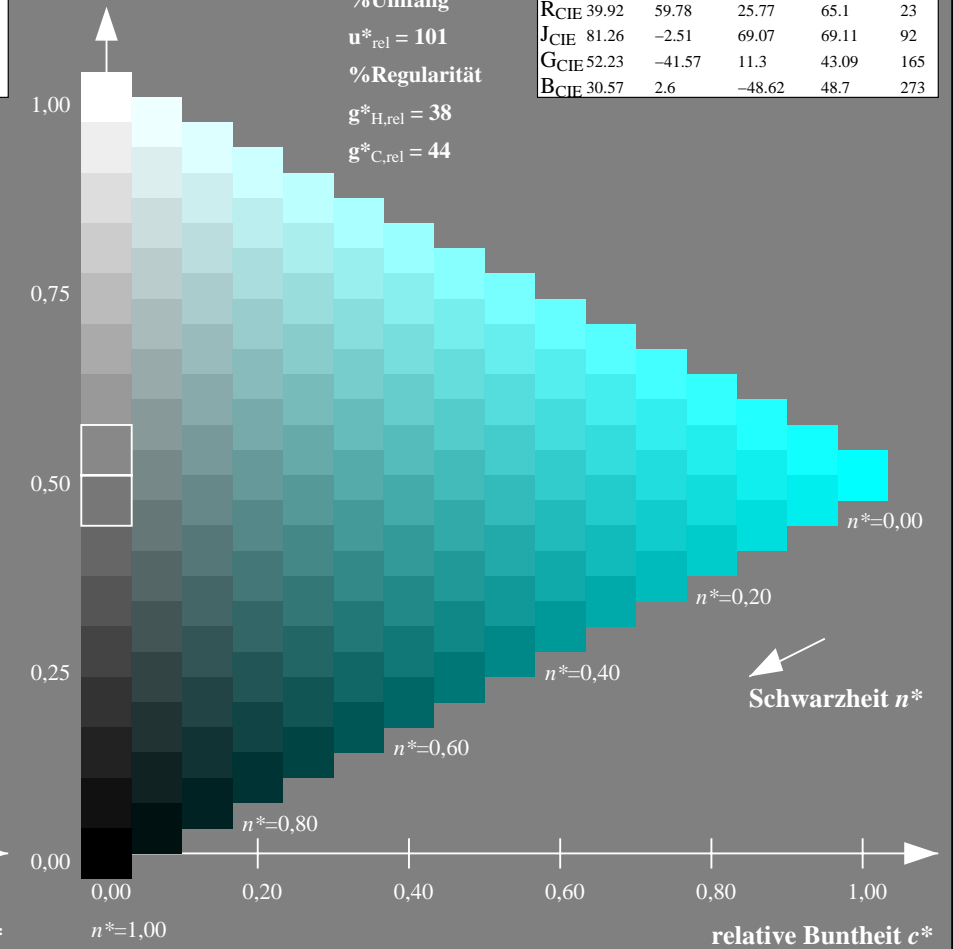
olv*Ma: 0.0 1.0 1.0



DRSXX; adaptierte CIELAB-Daten

	$L^*=L^*_a$	a^*_a	b^*_a	$C^*_{ab,a}$	$h^*_{ab,a}$
OMa	42.21	66.82	50.6	83.82	37
YMa	90.32	-16.51	104.33	105.63	99
LMa	48.21	-75.63	30.65	81.61	158
CMa	53.44	-33.33	-47.49	58.03	235
VMa	34.16	-0.92	-46.56	46.58	269
MMa	42.71	79.0	-1.95	79.03	359
NMa	16.56	0.0	0.0	0.0	0
WMa	96.31	0.0	0.0	0.0	0
RCIE	39.92	59.78	25.77	65.1	23
JCIE	81.26	-2.51	69.07	69.11	92
GCIE	52.23	-41.57	11.3	43.09	165
BCIE	30.57	2.6	-48.62	48.7	273

Dreiecks-Helligkeit t^*



NG900-7, 9stufige Reihen für konstanten CIELAB Buntton 210/360 = 0.583 (links)

16stufige Reihen für konstanten CIELAB Buntton 235/360 = 0.653 (rechts)

Eingabe: Farbmetrisches Standard-Reflektiv-System SRS18

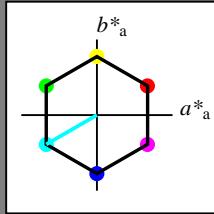
für Buntton $h^* = lab^*h = 210/360 = 0.583$

lab^*tch und lab^*nch

D65: Buntton C

LCH*Ma: 57 77 210

olv*Ma: 0.0 1.0 1.0



SRS18; adaptierte CIELAB-Daten

	$L^*=L^*_a$	a^*_a	b^*_a	$C^*_{ab,a}$	$h^*_{ab,a}$
OMa	56.71	67.03	38.7	77.4	30
YMa	56.71	0.0	77.4	77.4	90
LMa	56.71	-67.02	38.7	77.4	150
CMa	56.71	-67.02	-38.69	77.4	210
VMa	56.71	0.0	-77.39	77.4	270
MMa	56.71	67.03	-38.69	77.4	330
NMa	18.01	0.0	0.0	0.0	0
WMa	95.41	0.0	0.0	0.0	0
RCIE	39.92	58.74	27.99	65.07	25
JCIE	81.26	-2.88	71.56	71.62	92
GCIE	52.23	-42.41	13.6	44.55	162
BCIE	30.57	1.41	-46.46	46.49	272

Dreiecks-Helligkeit t^*

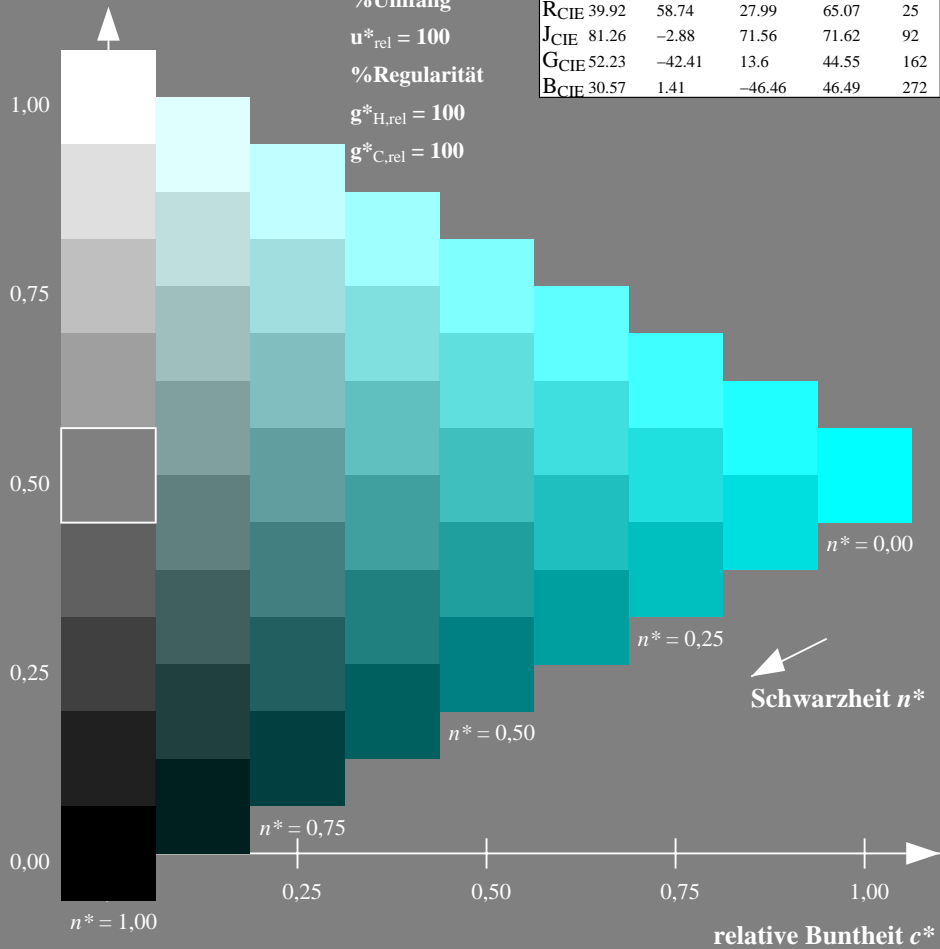
%Umfang

$u^*_{rel} = 100$

%Regularität

$g^*_{H,rel} = 100$

$g^*_{C,rel} = 100$



Ausgabe: Farbmetrisches Fernseh-Licht-System TLS18

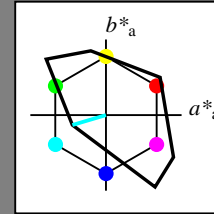
für Buntton $h^* = lab^*h = 196/360 = 0.546$

lab^*tch und lab^*nch

D65: Buntton C

LCH*Ma: 87 46 196

olv*Ma: 0.0 1.0 1.0



TLS18; adaptierte CIELAB-Daten

	$L^*=L^*_a$	a^*_a	b^*_a	$C^*_{ab,a}$	$h^*_{ab,a}$
OMa	52.76	71.63	49.88	87.29	35
YMa	92.74	-20.02	84.97	87.3	103
LMa	84.0	-78.98	73.94	108.2	137
CMa	87.14	-44.41	-13.11	46.32	196
VMa	35.47	64.92	-95.06	115.12	304
MMa	59.01	89.33	-55.67	105.26	328
NMa	18.01	0.0	0.0	0.0	0
WMa	95.41	0.0	0.0	0.0	0
RCIE	39.92	58.74	27.99	65.07	25
JCIE	81.26	-2.88	71.56	71.62	92
GCIE	52.23	-42.41	13.6	44.55	162
BCIE	30.57	1.41	-46.46	46.49	272

Dreiecks-Helligkeit t^*

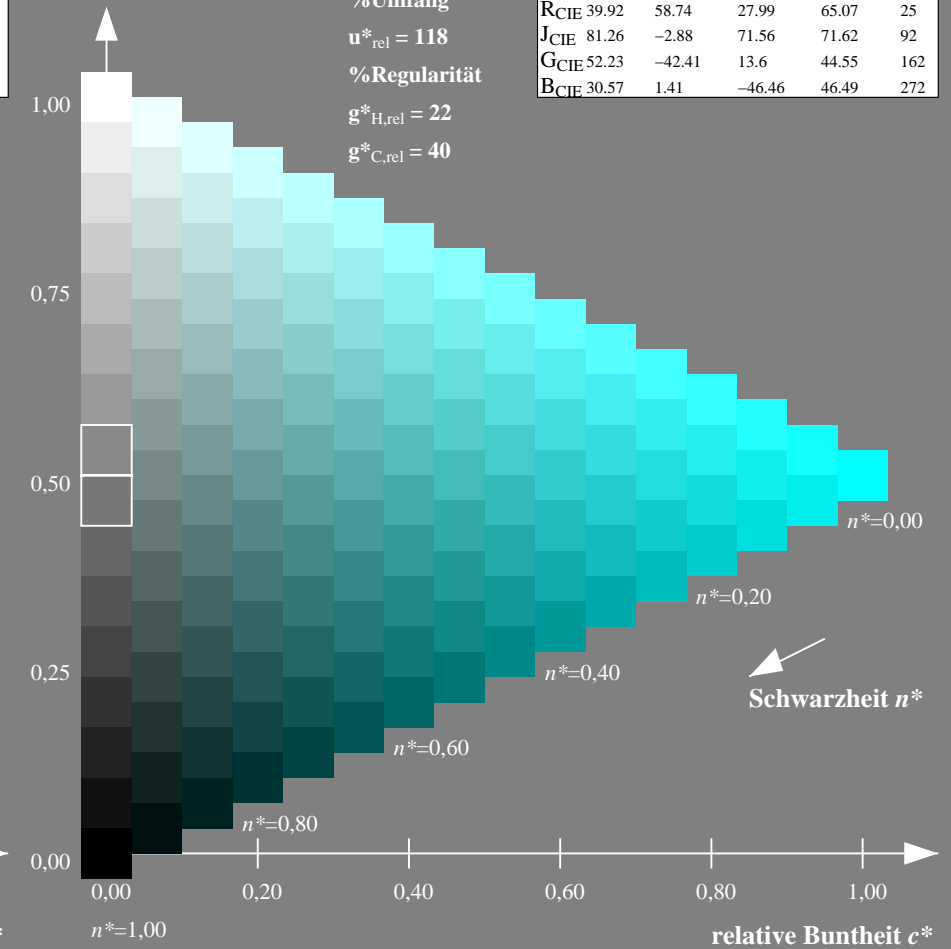
%Umfang

$u^*_{rel} = 118$

%Regularität

$g^*_{H,rel} = 22$

$g^*_{C,rel} = 40$



NG900-7, 9stufige Reihen für konstanten CIELAB Buntton $210/360 = 0.583$ (links)

16stufige Reihen für konstanten CIELAB Buntton $196/360 = 0.546$ (rechts)

Eingabe: Farbmetrisches Standard-Reflektiv-System SRS18

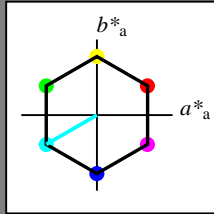
für Buntton $h^* = lab^*h = 210/360 = 0.583$

lab^*tch und lab^*nch

D65: Buntton C

LCH*Ma: 57 77 210

olv*Ma: 0.0 1.0 1.0



SRS18; adaptierte CIELAB-Daten

	$L^*=L^*_a$	a^*_a	b^*_a	$C^*_{ab,a}$	$h^*_{ab,a}$
OMa	56.71	67.03	38.7	77.4	30
YMa	56.71	0.0	77.4	77.4	90
LMa	56.71	-67.02	38.7	77.4	150
CMa	56.71	-67.02	-38.69	77.4	210
VMa	56.71	0.0	-77.39	77.4	270
MMa	56.71	67.03	-38.69	77.4	330
NMa	18.01	0.0	0.0	0.0	0
WMa	95.41	0.0	0.0	0.0	0
RCIE	39.92	58.74	27.99	65.07	25
JCIE	81.26	-2.88	71.56	71.62	92
GCIE	52.23	-42.41	13.6	44.55	162
BCIE	30.57	1.41	-46.46	46.49	272

Dreiecks-Helligkeit t^*

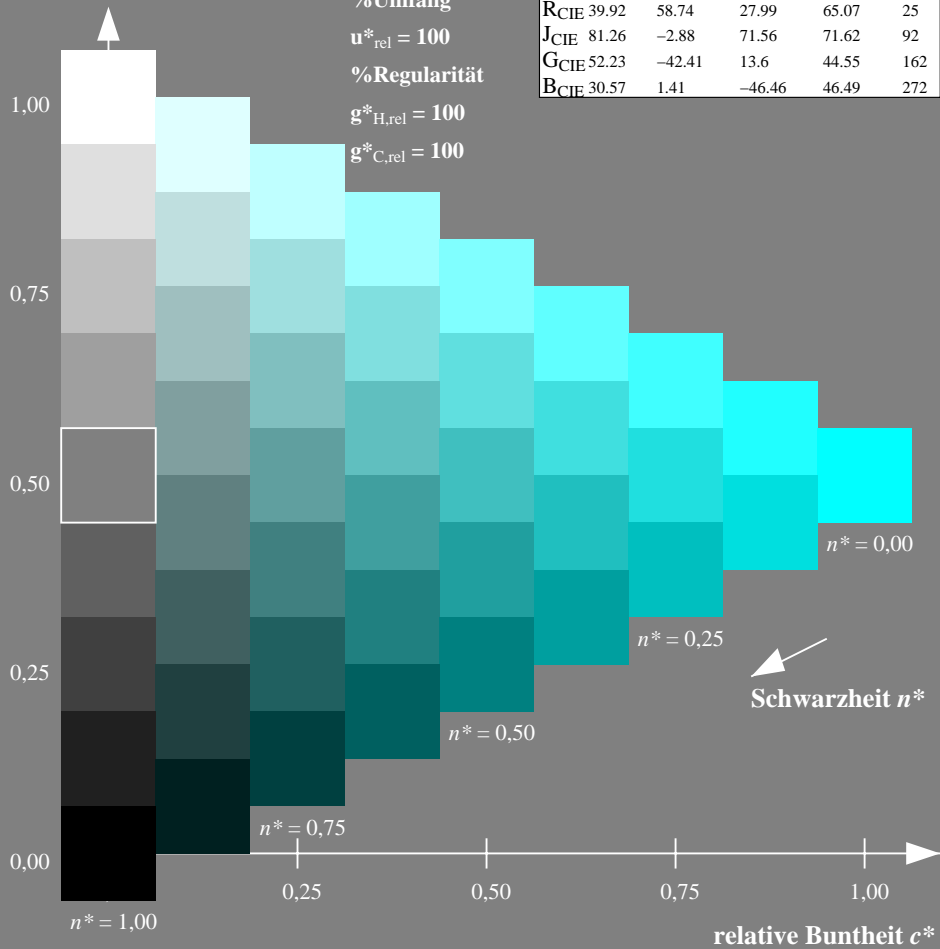
%Umfang

$u^*_{rel} = 100$

%Regularität

$g^*_{H,rel} = 100$

$g^*_{C,rel} = 100$



Ausgabe: Farbmetrisches Natürliches-Licht-System NLS00

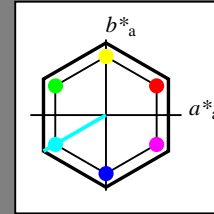
für Buntton $h^* = lab^*h = 210/360 = 0.583$

lab^*tch und lab^*nch

D65: Buntton C

LCH*Ma: 64 95 210

olv*Ma: 0.0 1.0 1.0



NLS00; adaptierte CIELAB-Daten

	$L^*=L^*_a$	a^*_a	b^*_a	$C^*_{ab,a}$	$h^*_{ab,a}$
OMa	31.81	82.62	47.7	95.4	30
YMa	63.61	0.0	95.4	95.4	90
LMa	31.81	-82.61	47.7	95.4	150
CMa	63.61	-82.61	-47.69	95.4	210
VMa	31.81	0.0	-95.39	95.4	270
MMa	63.61	82.62	-47.69	95.4	330
NMa	0.01	0.0	0.0	0.0	0
WMa	95.41	0.0	0.0	0.0	0
RCIE	39.92	58.74	27.99	65.07	25
JCIE	81.26	-2.88	71.56	71.62	92
GCIE	52.23	-42.41	13.6	44.55	162
BCIE	30.57	1.41	-46.46	46.49	272

Dreiecks-Helligkeit t^*

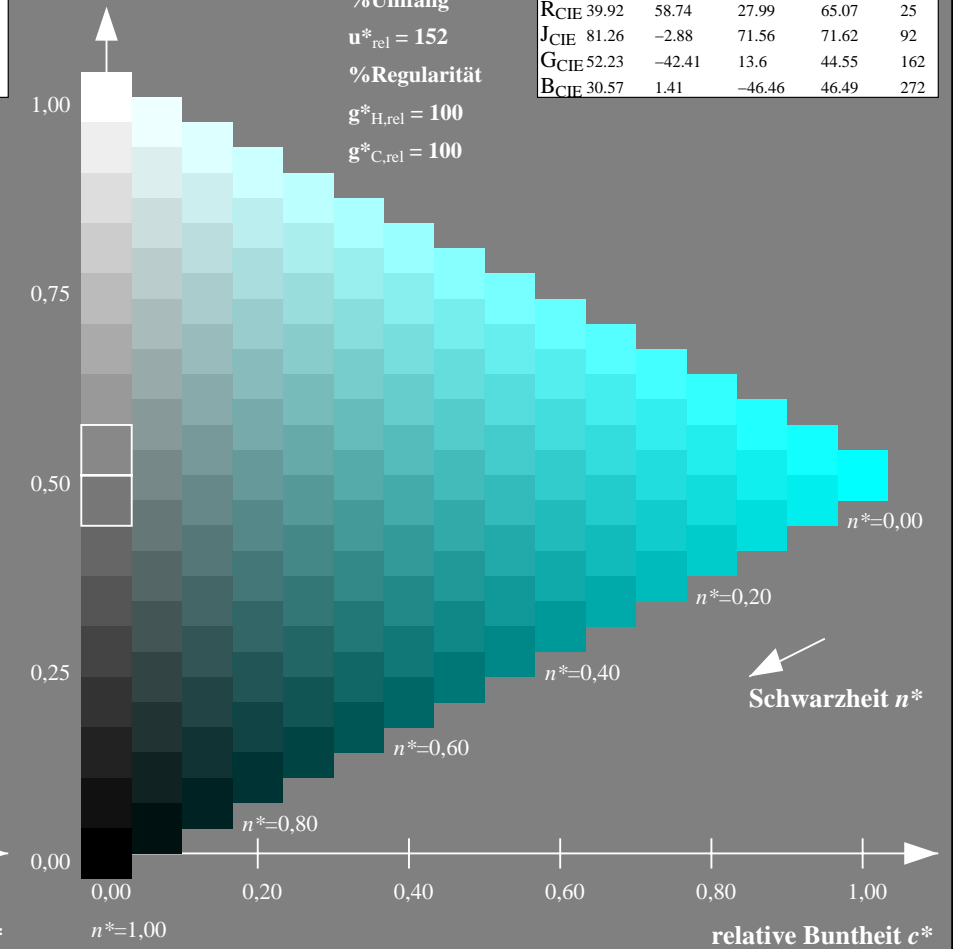
%Umfang

$u^*_{rel} = 152$

%Regularität

$g^*_{H,rel} = 100$

$g^*_{C,rel} = 100$



NG900-7, 9stufige Reihen für konstanten CIELAB Buntton $210/360 = 0.583$ (links)

16stufige Reihen für konstanten CIELAB Buntton $210/360 = 0.583$ (rechts)

Eingabe: Farbmetrisches Standard-Reflektiv-System SRS18

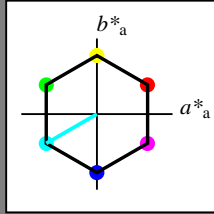
für Buntton $h^* = lab^*h = 210/360 = 0.583$

lab^*tch und lab^*nch

D65: Buntton C

LCH*Ma: 57 77 210

olv*Ma: 0.0 1.0 1.0



SRS18; adaptierte CIELAB-Daten

	$L^*=L^*_a$	a^*_a	b^*_a	$C^*_{ab,a}$	$h^*_{ab,a}$
OMa	56.71	67.03	38.7	77.4	30
YMa	56.71	0.0	77.4	77.4	90
LMa	56.71	-67.02	38.7	77.4	150
CMa	56.71	-67.02	-38.69	77.4	210
VMa	56.71	0.0	-77.39	77.4	270
MMa	56.71	67.03	-38.69	77.4	330
NMa	18.01	0.0	0.0	0.0	0
WMa	95.41	0.0	0.0	0.0	0
RCIE	39.92	58.74	27.99	65.07	25
JCIE	81.26	-2.88	71.56	71.62	92
GCIE	52.23	-42.41	13.6	44.55	162
BCIE	30.57	1.41	-46.46	46.49	272

Dreiecks-Helligkeit t^*

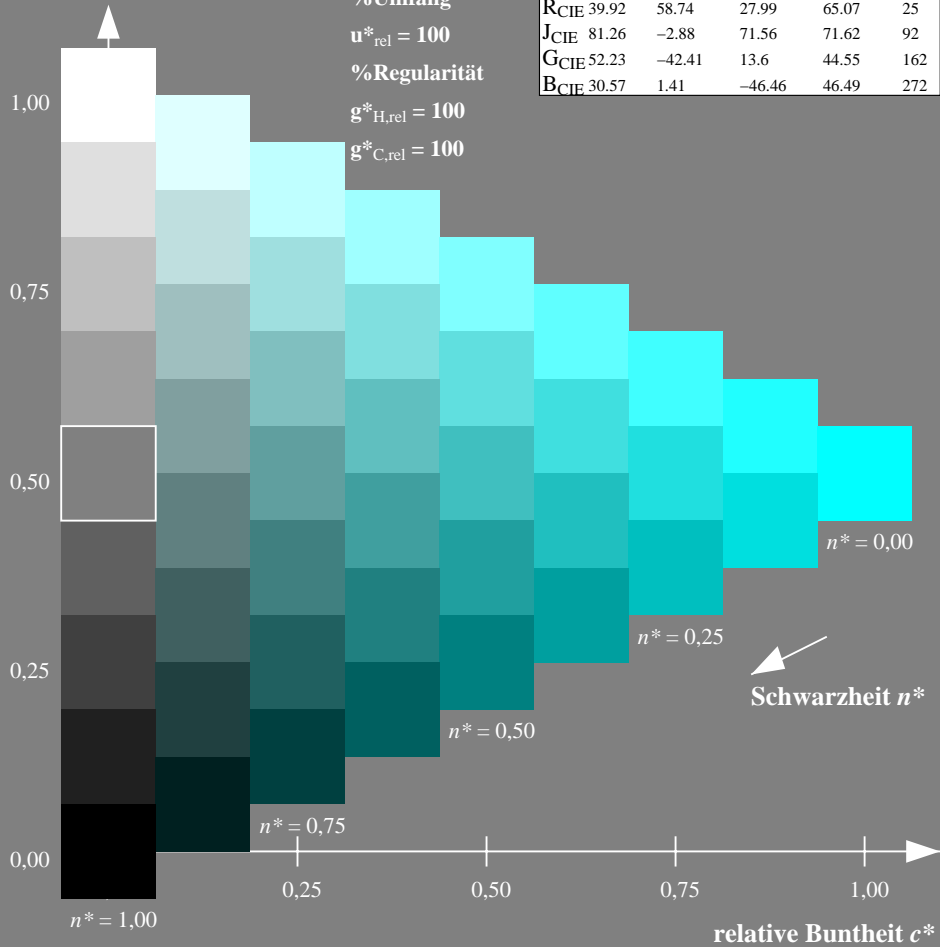
%Umfang

$u^*_{rel} = 100$

%Regularität

$g^*_{H,rel} = 100$

$g^*_{C,rel} = 100$



Ausgabe: Farbmetrisches Natürliches-Reflektiv-System NRS18

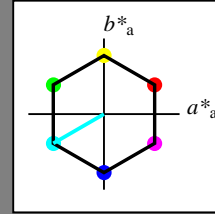
für Buntton $h^* = lab^*h = 210/360 = 0.583$

lab^*tch und lab^*nch

D65: Buntton C

LCH*Ma: 70 77 210

olv*Ma: 0.0 1.0 1.0



NRS18; adaptierte CIELAB-Daten

	$L^*=L^*_a$	a^*_a	b^*_a	$C^*_{ab,a}$	$h^*_{ab,a}$
OMa	43.81	67.03	38.7	77.4	30
YMa	69.61	0.0	77.4	77.4	90
LMa	43.81	-67.02	38.7	77.4	150
CMa	69.61	-67.02	-38.69	77.4	210
VMa	43.81	0.0	-77.39	77.4	270
MMa	69.61	67.03	-38.69	77.4	330
NMa	18.01	0.0	0.0	0.0	0
WMa	95.41	0.0	0.0	0.0	0
RCIE	39.92	58.74	27.99	65.07	25
JCIE	81.26	-2.88	71.56	71.62	92
GCIE	52.23	-42.41	13.6	44.55	162
BCIE	30.57	1.41	-46.46	46.49	272

Dreiecks-Helligkeit t^*

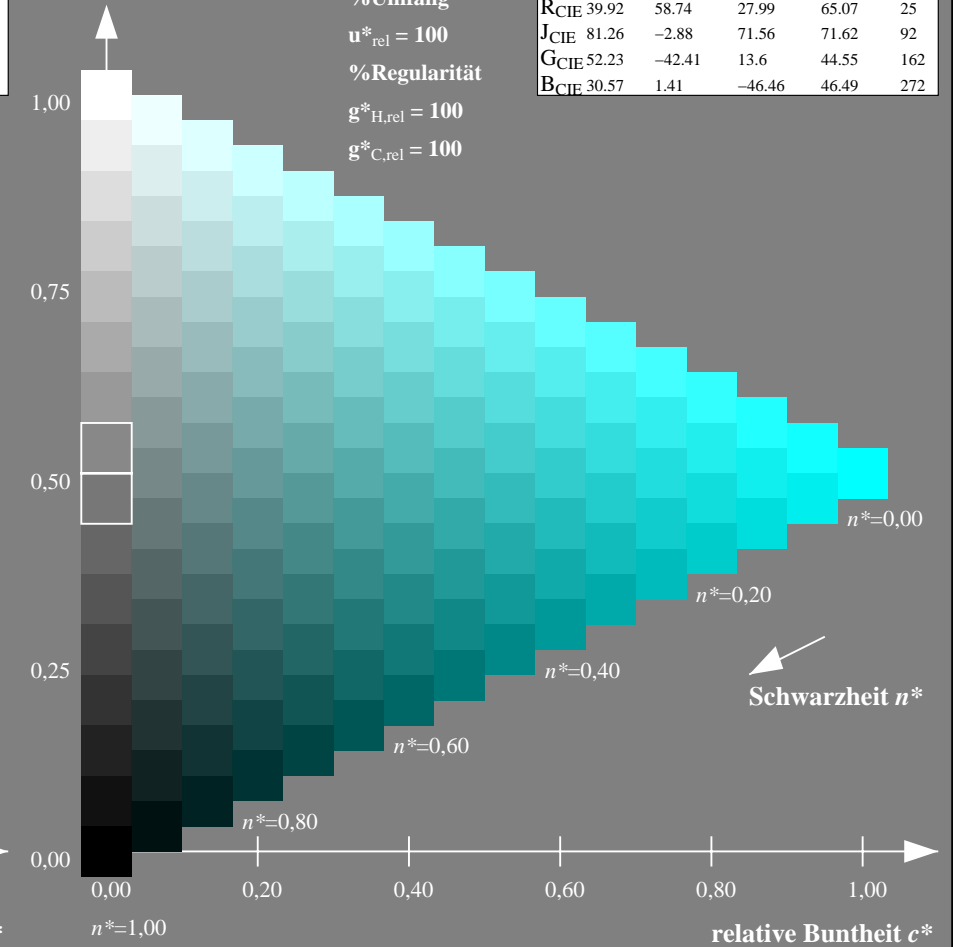
%Umfang

$u^*_{rel} = 100$

%Regularität

$g^*_{H,rel} = 100$

$g^*_{C,rel} = 100$



NG900-7, 9stufige Reihen für konstanten CIELAB Buntton $210/360 = 0.583$ (links)

16stufige Reihen für konstanten CIELAB Buntton $210/360 = 0.583$ (rechts)

Eingabe: Farbmétrisches Standard-Reflektiv-System SRS18

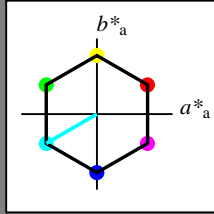
für Buntton $h^* = lab^*h = 210/360 = 0.583$

lab^*tch und lab^*nch

D65: Buntton C

LCH*Ma: 57 77 210

olv*Ma: 0.0 1.0 1.0



SRS18; adaptierte CIELAB-Daten

	$L^*=L^*_a$	a^*_a	b^*_a	$C^*_{ab,a}$	$h^*_{ab,a}$
OMa	56.71	67.03	38.7	77.4	30
YMa	56.71	0.0	77.4	77.4	90
LMa	56.71	-67.02	38.7	77.4	150
CMa	56.71	-67.02	-38.69	77.4	210
VMa	56.71	0.0	-77.39	77.4	270
MMa	56.71	67.03	-38.69	77.4	330
NMa	18.01	0.0	0.0	0.0	0
WMa	95.41	0.0	0.0	0.0	0
RCIE	39.92	58.74	27.99	65.07	25
JCIE	81.26	-2.88	71.56	71.62	92
GCIE	52.23	-42.41	13.6	44.55	162
BCIE	30.57	1.41	-46.46	46.49	272

Dreiecks-Helligkeit t^*

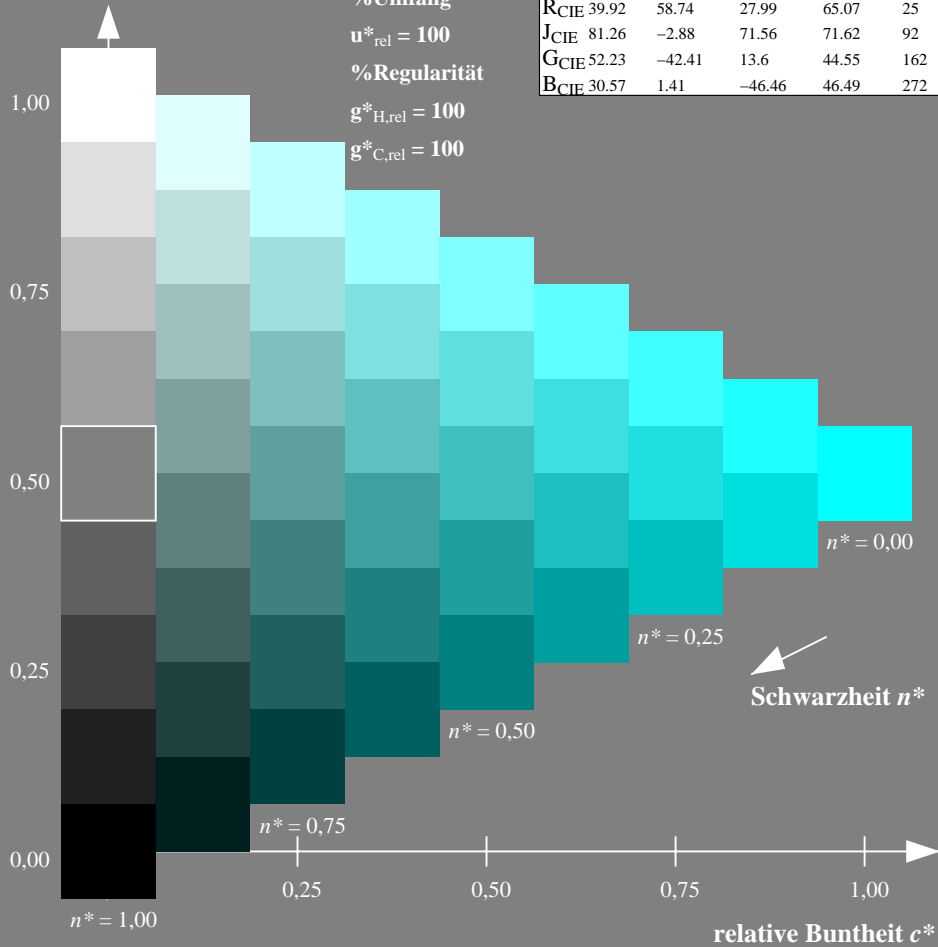
%Umfang

$u^*_{rel} = 100$

%Regularität

$g^*_{H,rel} = 100$

$g^*_{C,rel} = 100$



Ausgabe: Farbmétrisches Standard-Reflektiv-System SRS18

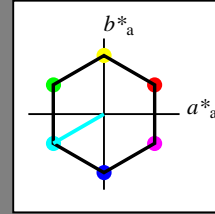
für Buntton $h^* = lab^*h = 210/360 = 0.583$

lab^*tch und lab^*nch

D65: Buntton C

LCH*Ma: 57 77 210

olv*Ma: 0.0 1.0 1.0



SRS18; adaptierte CIELAB-Daten

	$L^*=L^*_a$	a^*_a	b^*_a	$C^*_{ab,a}$	$h^*_{ab,a}$
OMa	56.71	67.03	38.7	77.4	30
YMa	56.71	0.0	77.4	77.4	90
LMa	56.71	-67.02	38.7	77.4	150
CMa	56.71	-67.02	-38.69	77.4	210
VMa	56.71	0.0	-77.39	77.4	270
MMa	56.71	67.03	-38.69	77.4	330
NMa	18.01	0.0	0.0	0.0	0
WMa	95.41	0.0	0.0	0.0	0
RCIE	39.92	58.74	27.99	65.07	25
JCIE	81.26	-2.88	71.56	71.62	92
GCIE	52.23	-42.41	13.6	44.55	162
BCIE	30.57	1.41	-46.46	46.49	272

Dreiecks-Helligkeit t^*

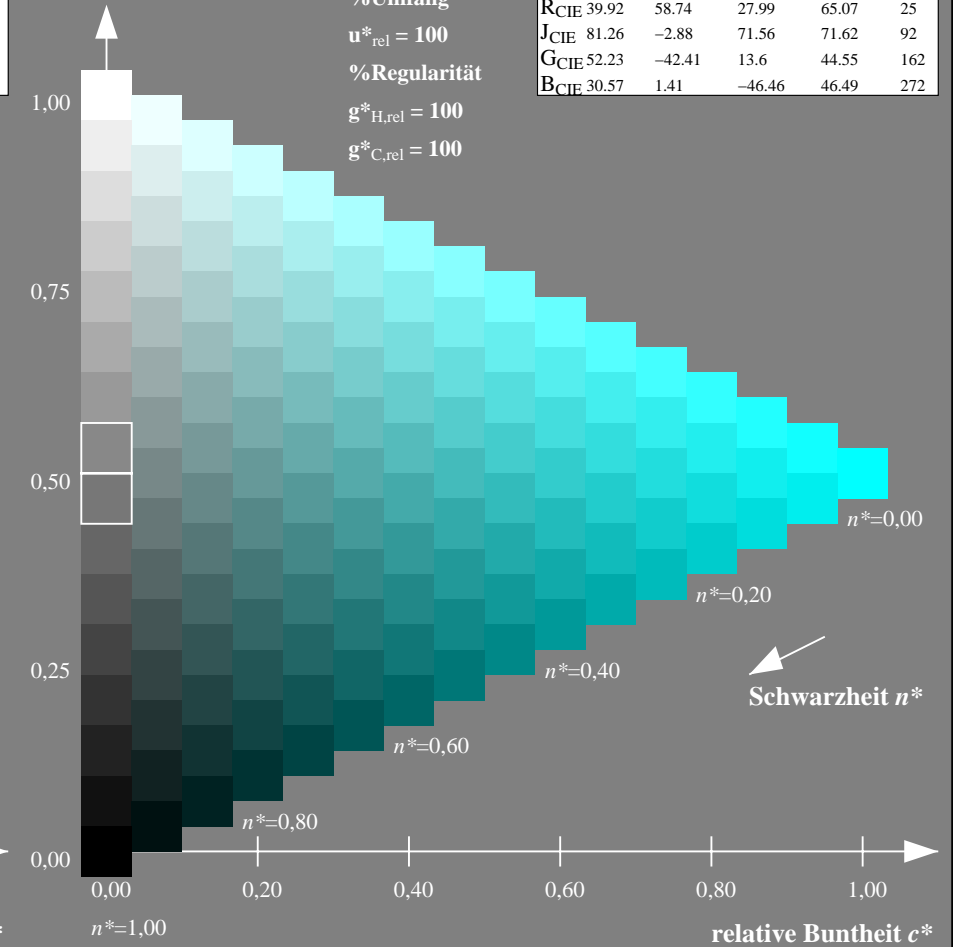
%Umfang

$u^*_{rel} = 100$

%Regularität

$g^*_{H,rel} = 100$

$g^*_{C,rel} = 100$



NG900-7, 9stufige Reihen für konstanten CIELAB Buntton 210/360 = 0.583 (links)

16stufige Reihen für konstanten CIELAB Buntton 210/360 = 0.583 (rechts)

Eingabe: Farbmetrisches Standard-Reflektiv-System SRS18

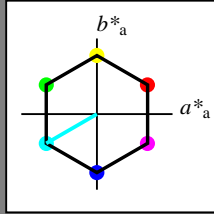
für Buntton $h^* = lab^*h = 210/360 = 0.583$

lab^*tch und lab^*nch

D65: Buntton C

LCH*Ma: 57 77 210

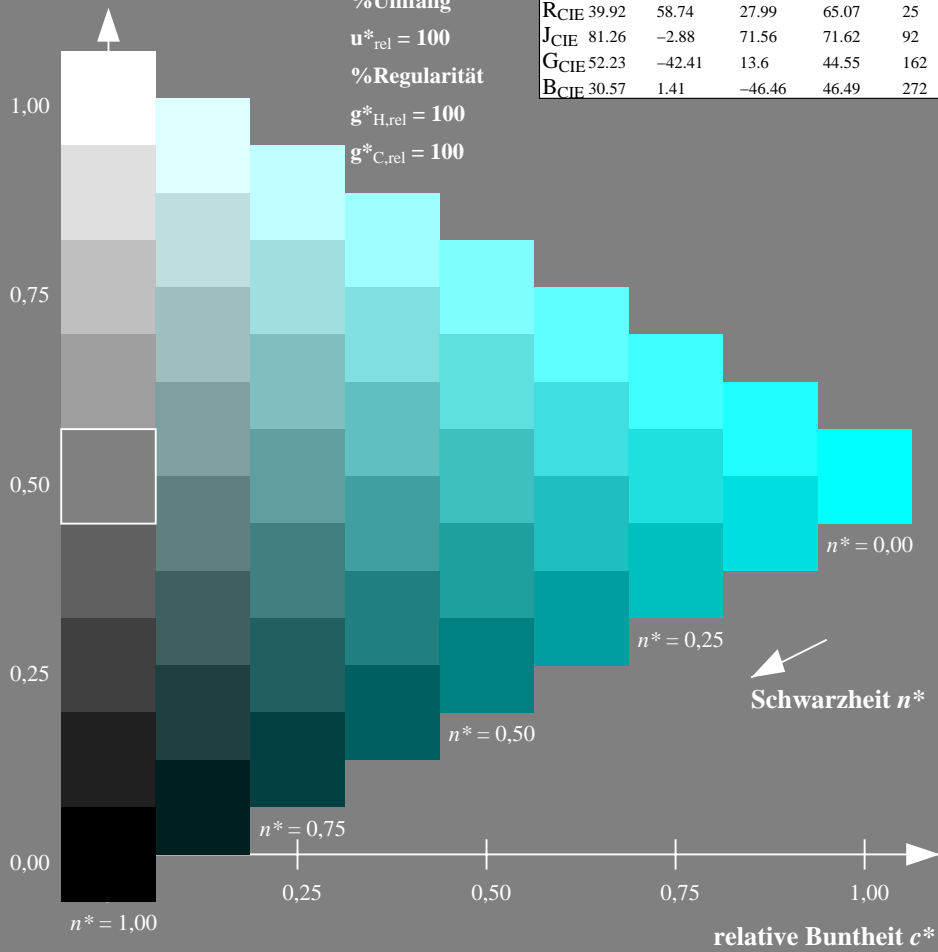
olv*Ma: 0.0 1.0 1.0



SRS18; adaptierte CIELAB-Daten

	$L^*=L^*_a$	a^*_a	b^*_a	$C^*_{ab,a}$	$h^*_{ab,a}$
O _{Ma}	56.71	67.03	38.7	77.4	30
Y _{Ma}	56.71	0.0	77.4	77.4	90
L _{Ma}	56.71	-67.02	38.7	77.4	150
C _{Ma}	56.71	-67.02	-38.69	77.4	210
V _{Ma}	56.71	0.0	-77.39	77.4	270
M _{Ma}	56.71	67.03	-38.69	77.4	330
N _{Ma}	18.01	0.0	0.0	0.0	0
W _{Ma}	95.41	0.0	0.0	0.0	0
R _{CIE}	39.92	58.74	27.99	65.07	25
J _{CIE}	81.26	-2.88	71.56	71.62	92
G _{CIE}	52.23	-42.41	13.6	44.55	162
B _{CIE}	30.57	1.41	-46.46	46.49	272

Dreiecks-Helligkeit t^*



Ausgabe: Farbmetrisches Fernseh-Licht-System TLS70

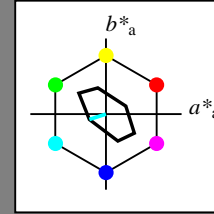
für Buntton $h^* = lab^*h = 198/360 = 0.55$

lab^*tch und lab^*nch

D65: Buntton C

LCH*Ma: 91 23 198

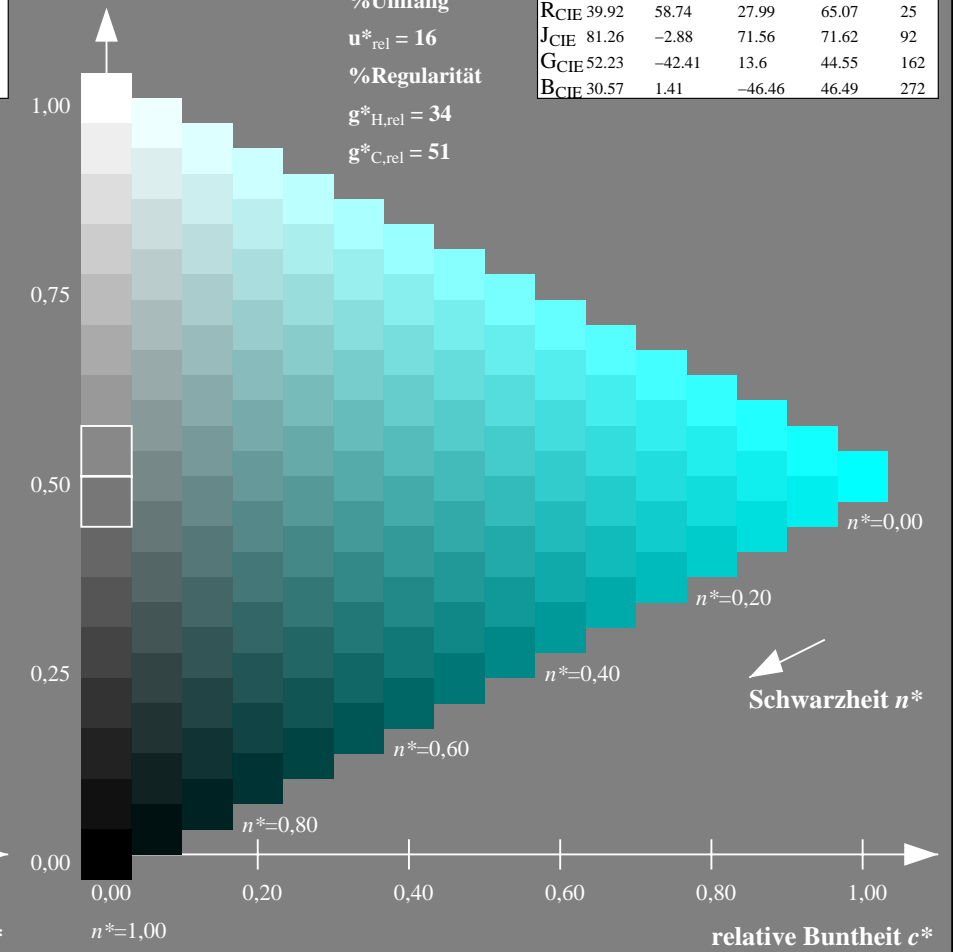
olv*Ma: 0.0 1.0 1.0



TLS70; adaptierte CIELAB-Daten

	$L^*=L^*_a$	a^*_a	b^*_a	$C^*_{ab,a}$	$h^*_{ab,a}$
O _{Ma}	76.43	26.27	10.57	28.32	22
Y _{Ma}	93.93	-10.76	34.63	36.27	107
L _{Ma}	89.32	-35.8	27.64	45.24	142
C _{Ma}	90.93	-21.95	-7.07	23.07	198
V _{Ma}	72.1	15.76	-35.63	38.97	294
M _{Ma}	78.5	37.52	-25.23	45.22	326
N _{Ma}	69.7	0.0	0.0	0.0	0
W _{Ma}	95.41	0.0	0.0	0.0	0
R _{CIE}	39.92	58.74	27.99	65.07	25
J _{CIE}	81.26	-2.88	71.56	71.62	92
G _{CIE}	52.23	-42.41	13.6	44.55	162
B _{CIE}	30.57	1.41	-46.46	46.49	272

Dreiecks-Helligkeit t^*



NG900-7, 9stufige Reihen für konstanten CIELAB Buntton $210/360 = 0.583$ (links)

16stufige Reihen für konstanten CIELAB Buntton $198/360 = 0.55$ (rechts)

Eingabe: Farbmetrisches Fernseh-Licht-System TLS70

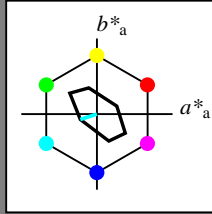
für Buntton $h^* = lab^*h = 198/360 = 0.55$

lab^*tch und lab^*nch

D65: Buntton C

LCH*Ma: 91 23 198

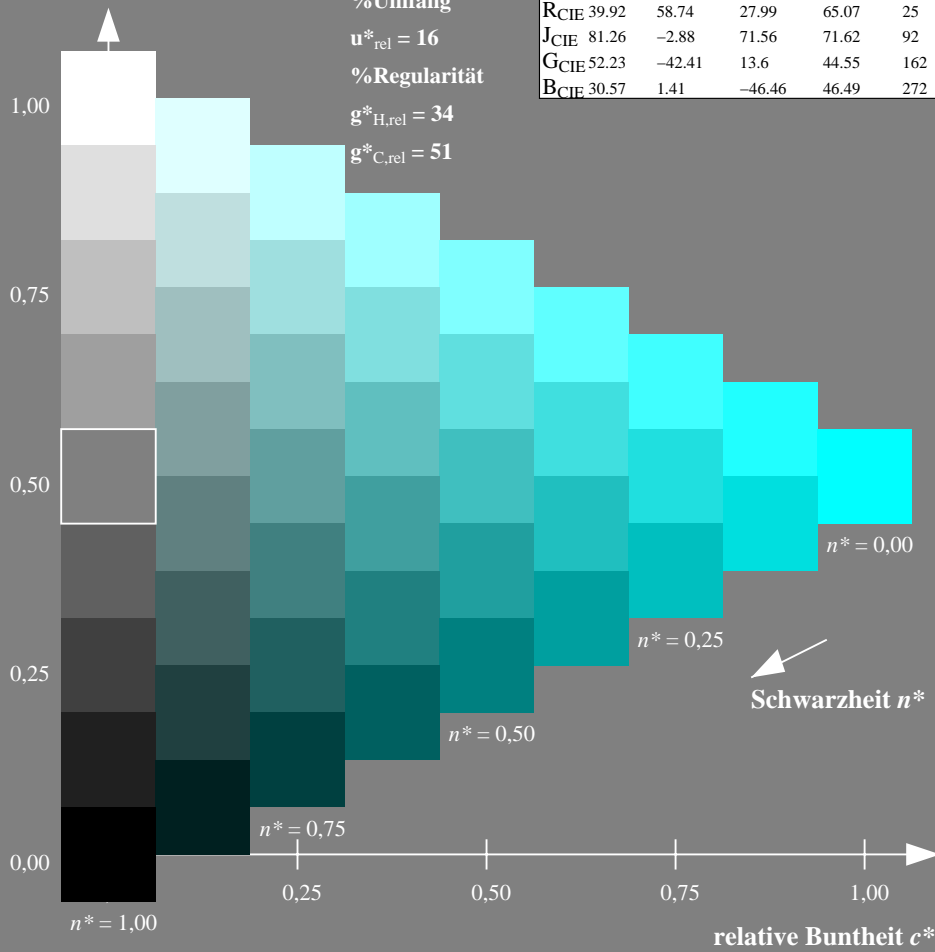
olv*Ma: 0.0 1.0 1.0



TLS70; adaptierte CIELAB-Daten

	$L^*=L^*_a$	a^*_a	b^*_a	$C^*_{ab,a}$	$h^*_{ab,a}$
O _{Ma}	76.43	26.27	10.57	28.32	22
Y _{Ma}	93.93	-10.76	34.63	36.27	107
L _{Ma}	89.32	-35.8	27.64	45.24	142
C _{Ma}	90.93	-21.95	-7.07	23.07	198
V _{Ma}	72.1	15.76	-35.63	38.97	294
M _{Ma}	78.5	37.52	-25.23	45.22	326
N _{Ma}	69.7	0.0	0.0	0.0	0
W _{Ma}	95.41	0.0	0.0	0.0	0
R _{CIE}	39.92	58.74	27.99	65.07	25
J _{CIE}	81.26	-2.88	71.56	71.62	92
G _{CIE}	52.23	-42.41	13.6	44.55	162
B _{CIE}	30.57	1.41	-46.46	46.49	272

Dreiecks-Helligkeit t^*



NG900-7, 9stufige Reihen für konstanten CIELAB Buntton 198/360 = 0.55 (links)

Ausgabe: Farbmetrisches Offset-Reflektiv-System ORS18

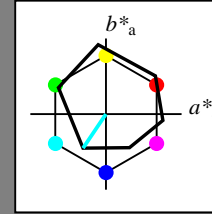
für Buntton $h^* = lab^*h = 236/360 = 0.656$

lab^*tch und lab^*nch

D65: Buntton C

LCH*Ma: 59 54 236

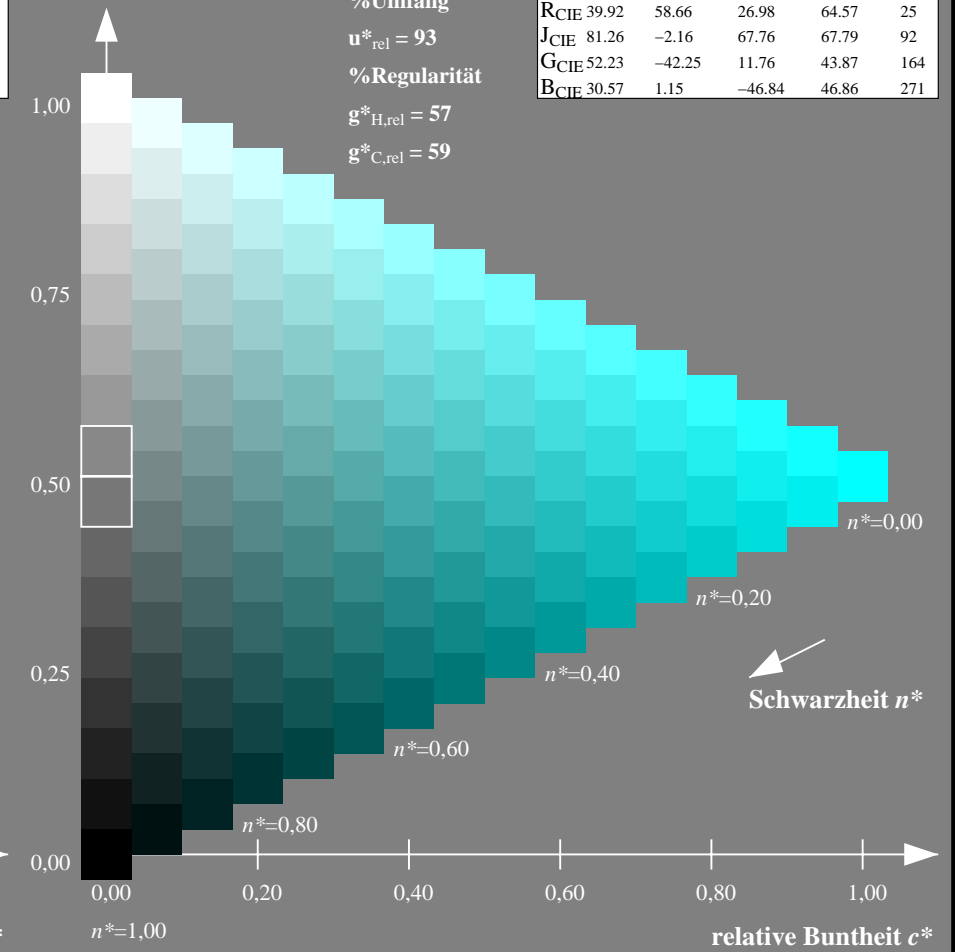
olv*Ma: 0.0 1.0 1.0



ORS18; adaptierte CIELAB-Daten

	$L^*=L^*_a$	a^*_a	b^*_a	$C^*_{ab,a}$	$h^*_{ab,a}$
O _{Ma}	47.94	65.39	50.52	82.63	38
Y _{Ma}	90.37	-10.26	91.75	92.32	96
L _{Ma}	50.9	-62.83	34.96	71.91	151
C _{Ma}	58.62	-30.34	-45.01	54.3	236
V _{Ma}	25.72	31.1	-44.4	54.22	305
M _{Ma}	48.13	75.28	-8.36	75.74	354
N _{Ma}	18.01	0.0	0.0	0.0	0
W _{Ma}	95.41	0.0	0.0	0.0	0
R _{CIE}	39.92	58.66	26.98	64.57	25
J _{CIE}	81.26	-2.16	67.76	67.79	92
G _{CIE}	52.23	-42.25	11.76	43.87	164
B _{CIE}	30.57	1.15	-46.84	46.86	271

Dreiecks-Helligkeit t^*



16stufige Reihen für konstanten CIELAB Buntton 236/360 = 0.656 (rechts)

Eingabe: Farbmetrisches Fernseh-Licht-System TLS70

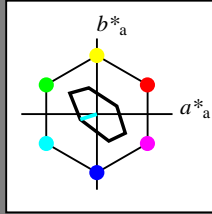
für Buntton $h^* = lab^*h = 198/360 = 0.55$

lab^*tch und lab^*nch

D65: Buntton C

LCH*Ma: 91 23 198

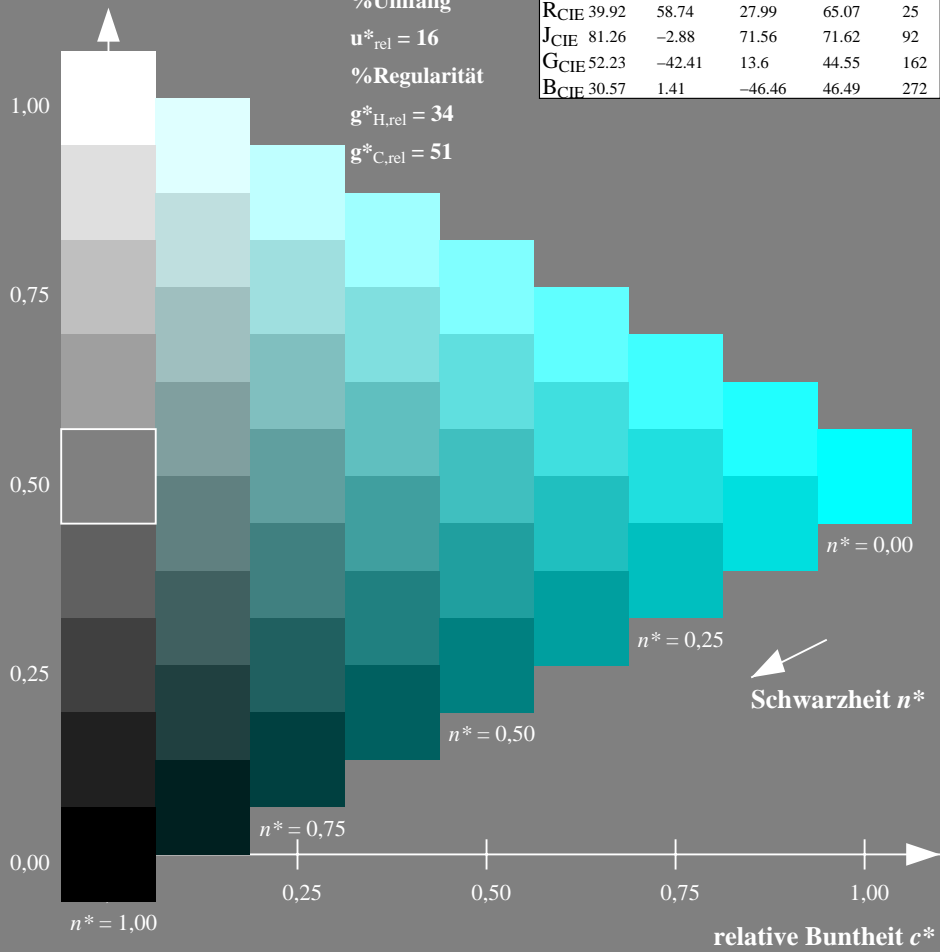
olv*Ma: 0.0 1.0 1.0



TLS70; adaptierte CIELAB-Daten

	$L^*=L^*_a$	a^*_a	b^*_a	$C^*_{ab,a}$	$h^*_{ab,a}$
OMa	76.43	26.27	10.57	28.32	22
YMa	93.93	-10.76	34.63	36.27	107
LMa	89.32	-35.8	27.64	45.24	142
CMa	90.93	-21.95	-7.07	23.07	198
VMa	72.1	15.76	-35.63	38.97	294
MMa	78.5	37.52	-25.23	45.22	326
NMa	69.7	0.0	0.0	0.0	0
WMa	95.41	0.0	0.0	0.0	0
RCIE	39.92	58.74	27.99	65.07	25
JCIE	81.26	-2.88	71.56	71.62	92
GCIE	52.23	-42.41	13.6	44.55	162
BCIE	30.57	1.41	-46.46	46.49	272

Dreiecks-Helligkeit t^*



Ausgabe: Farbmetrisches Fernseh-Licht-System TLS00

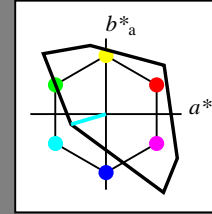
für Buntton $h^* = lab^*h = 196/360 = 0.545$

lab^*tch und lab^*nch

D65: Buntton C

LCH*Ma: 87 48 196

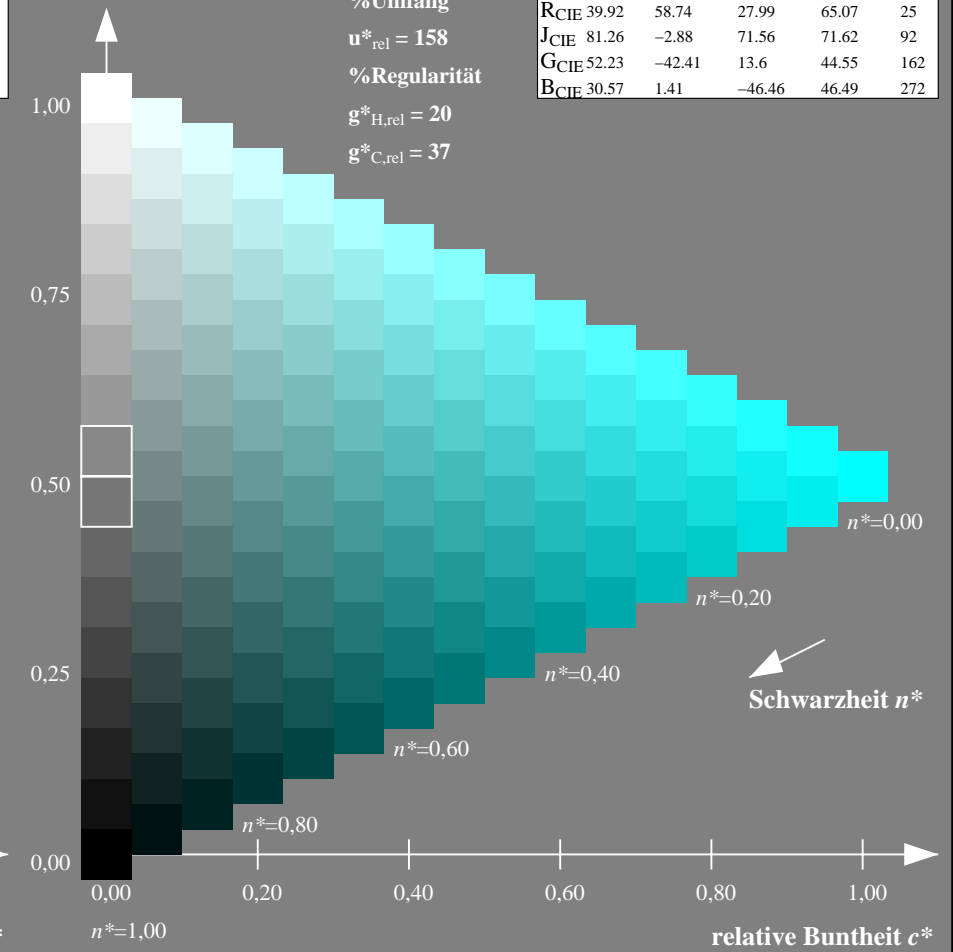
olv*Ma: 0.0 1.0 1.0



TLS00; adaptierte CIELAB-Daten

	$L^*=L^*_a$	a^*_a	b^*_a	$C^*_{ab,a}$	$h^*_{ab,a}$
OMa	50.5	76.92	64.55	100.42	40
YMa	92.66	-20.69	90.75	93.08	103
LMa	83.63	-82.75	79.9	115.04	136
CMa	86.88	-46.16	-13.55	48.12	196
VMa	30.39	76.06	-103.59	128.52	306
MMa	57.3	94.35	-58.41	110.97	328
NMa	0.01	0.0	0.0	0.0	0
WMa	95.41	0.0	0.0	0.0	0
RCIE	39.92	58.74	27.99	65.07	25
JCIE	81.26	-2.88	71.56	71.62	92
GCIE	52.23	-42.41	13.6	44.55	162
BCIE	30.57	1.41	-46.46	46.49	272

Dreiecks-Helligkeit t^*



NG900-7, 9stufige Reihen für konstanten CIELAB Buntton 198/360 = 0.55 (links)

16stufige Reihen für konstanten CIELAB Buntton 196/360 = 0.545 (rechts)

Eingabe: Farbmetrisches Fernseh-Licht-System TLS70

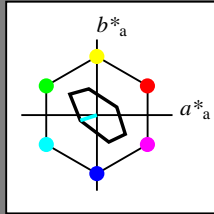
für Buntton $h^* = lab^*h = 198/360 = 0.55$

lab^*tch und lab^*nch

D65: Buntton C

LCH*Ma: 91 23 198

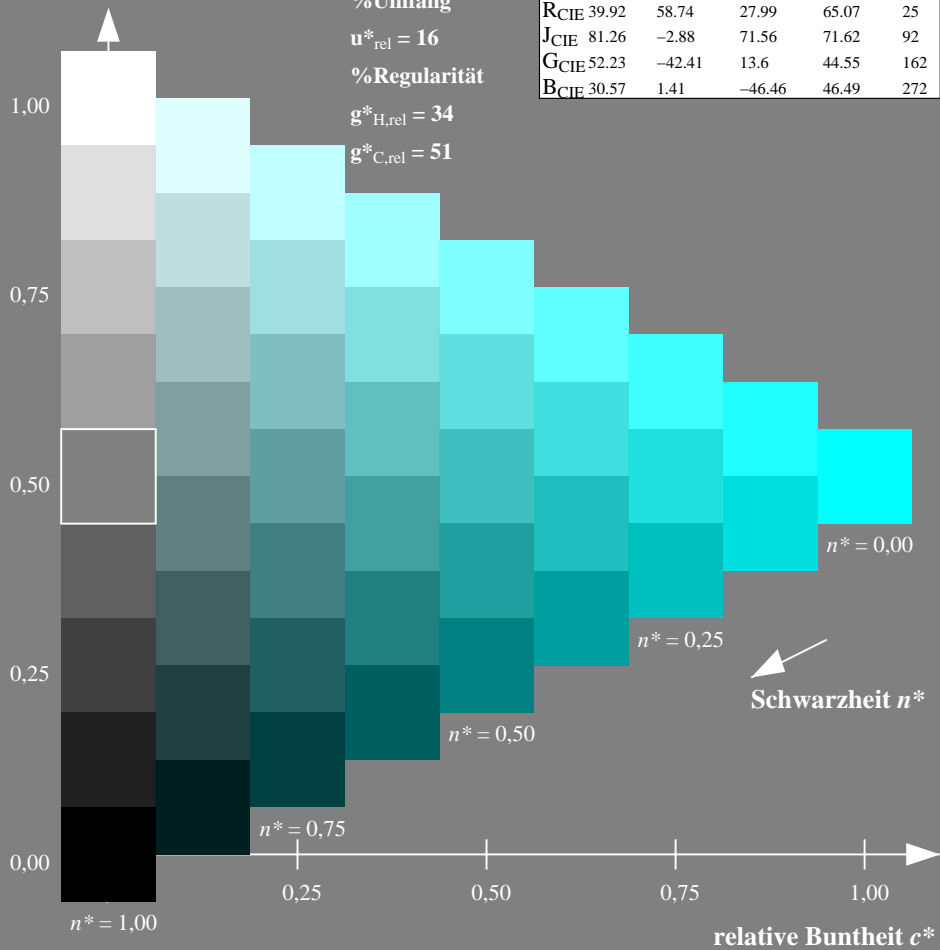
olv*Ma: 0.0 1.0 1.0



TLS70; adaptierte CIELAB-Daten

	$L^*=L^*_a$	a^*_a	b^*_a	$C^*_{ab,a}$	$h^*_{ab,a}$
OMa	76.43	26.27	10.57	28.32	22
YMa	93.93	-10.76	34.63	36.27	107
LMa	89.32	-35.8	27.64	45.24	142
CMa	90.93	-21.95	-7.07	23.07	198
VMa	72.1	15.76	-35.63	38.97	294
MMa	78.5	37.52	-25.23	45.22	326
NMa	69.7	0.0	0.0	0.0	0
WMa	95.41	0.0	0.0	0.0	0
RCIE	39.92	58.74	27.99	65.07	25
JCIE	81.26	-2.88	71.56	71.62	92
GCIE	52.23	-42.41	13.6	44.55	162
BCIE	30.57	1.41	-46.46	46.49	272

Dreiecks-Helligkeit t^*



Ausgabe: Farbmetrisches Drucker-Reflektiv-System DRSXX

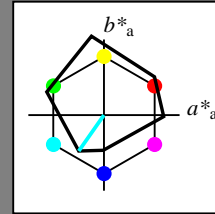
für Buntton $h^* = lab^*h = 235/360 = 0.653$

lab^*tch und lab^*nch

D65: Buntton C

LCH*Ma: 53 58 235

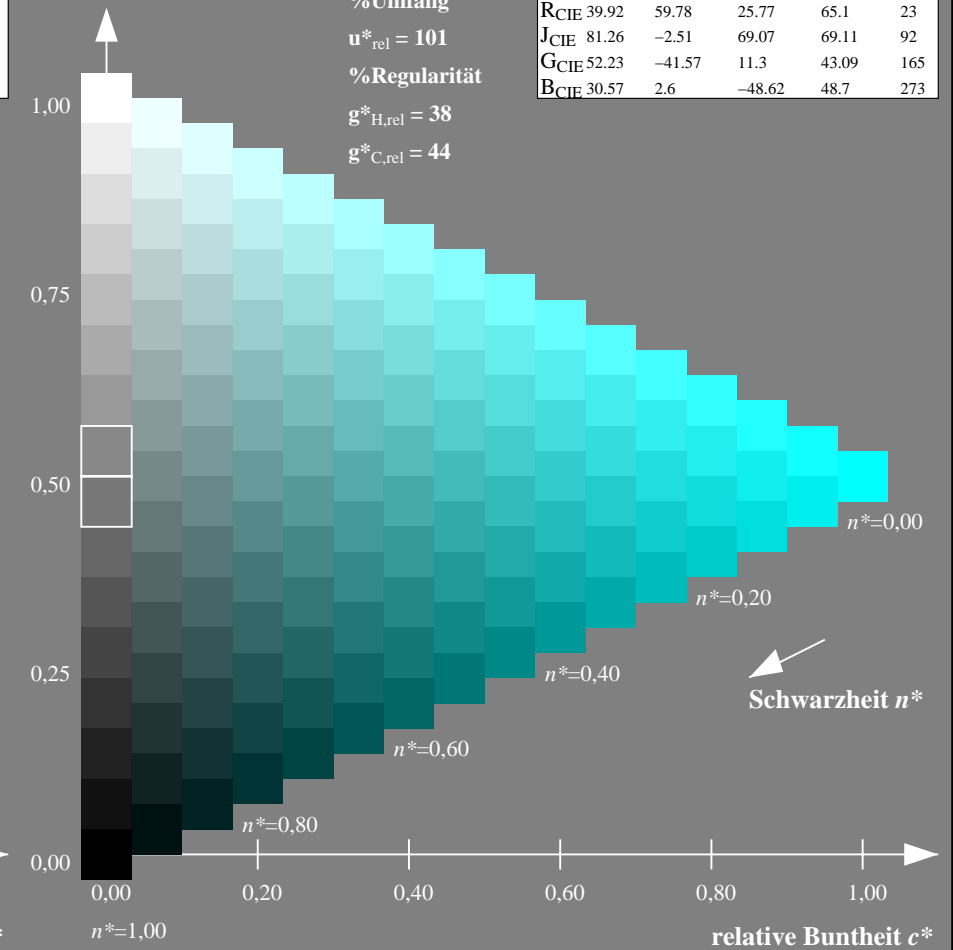
olv*Ma: 0.0 1.0 1.0



DRSXX; adaptierte CIELAB-Daten

	$L^*=L^*_a$	a^*_a	b^*_a	$C^*_{ab,a}$	$h^*_{ab,a}$
OMa	42.21	66.82	50.6	83.82	37
YMa	90.32	-16.51	104.33	105.63	99
LMa	48.21	-75.63	30.65	81.61	158
CMa	53.44	-33.33	-47.49	58.03	235
VMa	34.16	-0.92	-46.56	46.58	269
MMa	42.71	79.0	-1.95	79.03	359
NMa	16.56	0.0	0.0	0.0	0
WMa	96.31	0.0	0.0	0.0	0
RCIE	39.92	59.78	25.77	65.1	23
JCIE	81.26	-2.51	69.07	69.11	92
GCIE	52.23	-41.57	11.3	43.09	165
BCIE	30.57	2.6	-48.62	48.7	273

Dreiecks-Helligkeit t^*



NG900-7, 9stufige Reihen für konstanten CIELAB Buntton 198/360 = 0.55 (links)

16stufige Reihen für konstanten CIELAB Buntton 235/360 = 0.653 (rechts)

Eingabe: Farbmetrisches Fernseh-Licht-System TLS70

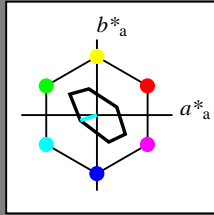
für Buntton $h^* = lab^*h = 198/360 = 0.55$

lab^*tch und lab^*nch

D65: Buntton C

LCH*Ma: 91 23 198

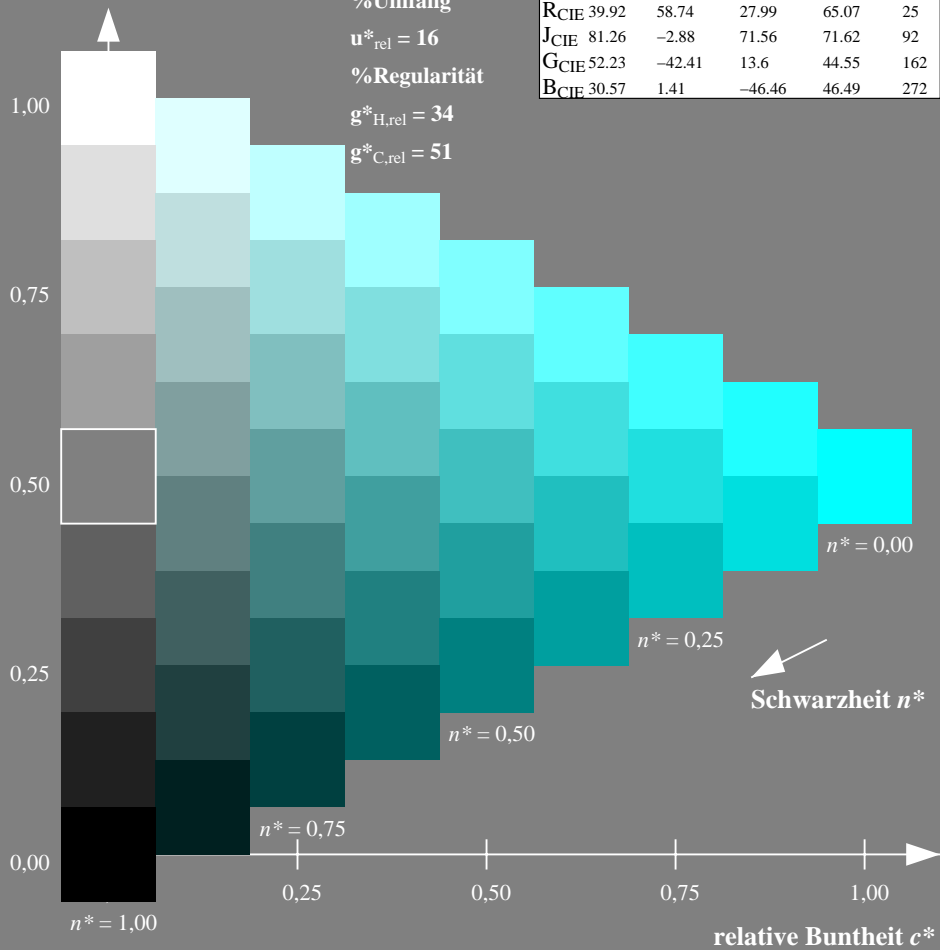
olv*Ma: 0.0 1.0 1.0



TLS70; adaptierte CIELAB-Daten

	$L^*=L^*_a$	a^*_a	b^*_a	$C^*_{ab,a}$	$h^*_{ab,a}$
O _{Ma}	76.43	26.27	10.57	28.32	22
Y _{Ma}	93.93	-10.76	34.63	36.27	107
L _{Ma}	89.32	-35.8	27.64	45.24	142
C _{Ma}	90.93	-21.95	-7.07	23.07	198
V _{Ma}	72.1	15.76	-35.63	38.97	294
M _{Ma}	78.5	37.52	-25.23	45.22	326
N _{Ma}	69.7	0.0	0.0	0.0	0
W _{Ma}	95.41	0.0	0.0	0.0	0
R _{CIE}	39.92	58.74	27.99	65.07	25
J _{CIE}	81.26	-2.88	71.56	71.62	92
G _{CIE}	52.23	-42.41	13.6	44.55	162
B _{CIE}	30.57	1.41	-46.46	46.49	272

Dreiecks-Helligkeit t^*



Ausgabe: Farbmetrisches Fernseh-Licht-System TLS18

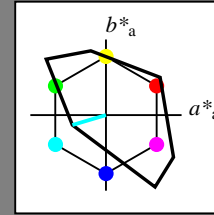
für Buntton $h^* = lab^*h = 196/360 = 0.546$

lab^*tch und lab^*nch

D65: Buntton C

LCH*Ma: 87 46 196

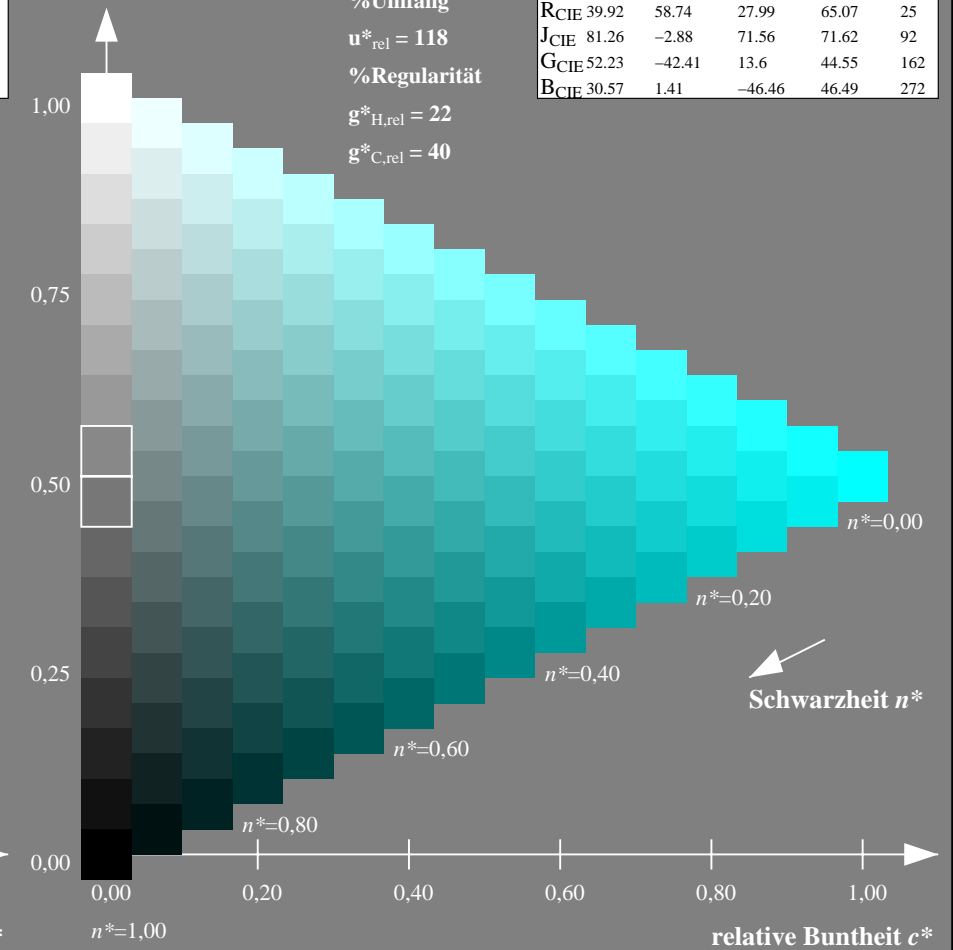
olv*Ma: 0.0 1.0 1.0



TLS18; adaptierte CIELAB-Daten

	$L^*=L^*_a$	a^*_a	b^*_a	$C^*_{ab,a}$	$h^*_{ab,a}$
O _{Ma}	52.76	71.63	49.88	87.29	35
Y _{Ma}	92.74	-20.02	84.97	87.3	103
L _{Ma}	84.0	-78.98	73.94	108.2	137
C _{Ma}	87.14	-44.41	-13.11	46.32	196
V _{Ma}	35.47	64.92	-95.06	115.12	304
M _{Ma}	59.01	89.33	-55.67	105.26	328
N _{Ma}	18.01	0.0	0.0	0.0	0
W _{Ma}	95.41	0.0	0.0	0.0	0
R _{CIE}	39.92	58.74	27.99	65.07	25
J _{CIE}	81.26	-2.88	71.56	71.62	92
G _{CIE}	52.23	-42.41	13.6	44.55	162
B _{CIE}	30.57	1.41	-46.46	46.49	272

Dreiecks-Helligkeit t^*



NG900-7, 9stufige Reihen für konstanten CIELAB Buntton 198/360 = 0.55 (links)

16stufige Reihen für konstanten CIELAB Buntton 196/360 = 0.546 (rechts)

Eingabe: Farbmetrisches Fernseh-Licht-System TLS70

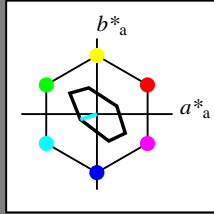
für Buntton $h^* = lab^*h = 198/360 = 0.55$

lab^*tch und lab^*nch

D65: Buntton C

LCH*Ma: 91 23 198

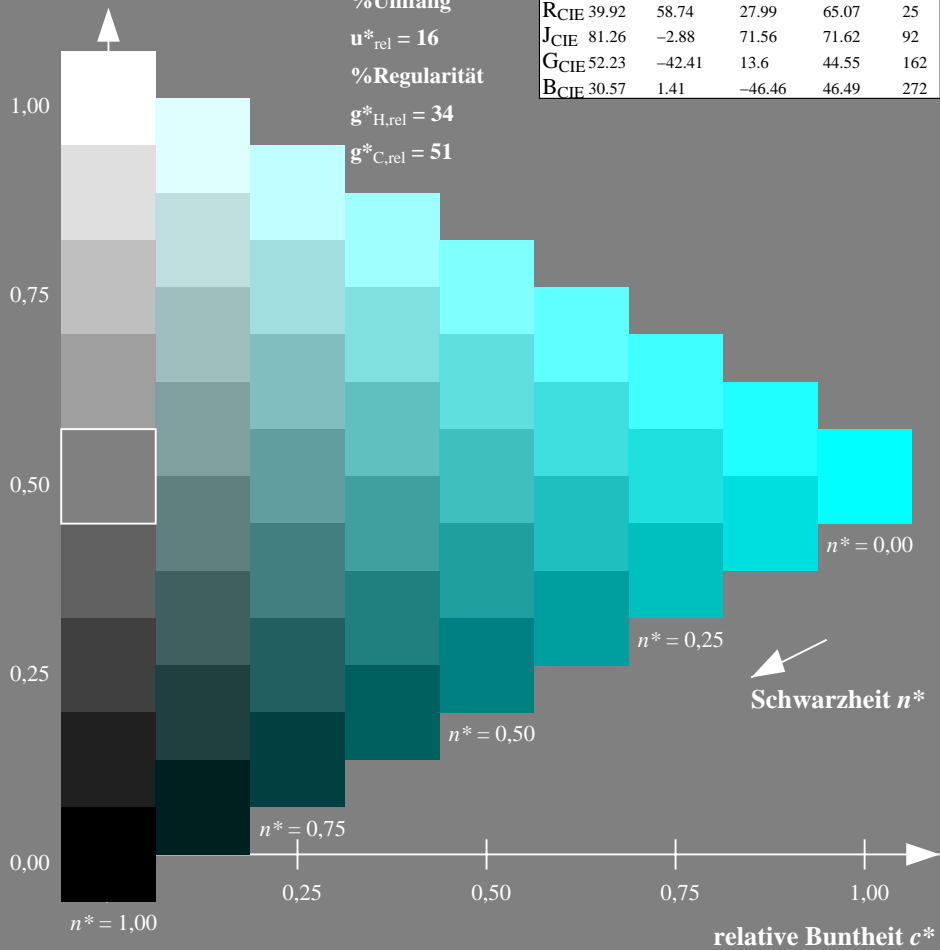
olv*Ma: 0.0 1.0 1.0



TLS70; adaptierte CIELAB-Daten

	$L^*=L^*_a$	a^*_a	b^*_a	$C^*_{ab,a}$	$h^*_{ab,a}$
O _{Ma}	76.43	26.27	10.57	28.32	22
Y _{Ma}	93.93	-10.76	34.63	36.27	107
L _{Ma}	89.32	-35.8	27.64	45.24	142
C _{Ma}	90.93	-21.95	-7.07	23.07	198
V _{Ma}	72.1	15.76	-35.63	38.97	294
M _{Ma}	78.5	37.52	-25.23	45.22	326
N _{Ma}	69.7	0.0	0.0	0.0	0
W _{Ma}	95.41	0.0	0.0	0.0	0
R _{CIE}	39.92	58.74	27.99	65.07	25
J _{CIE}	81.26	-2.88	71.56	71.62	92
G _{CIE}	52.23	-42.41	13.6	44.55	162
B _{CIE}	30.57	1.41	-46.46	46.49	272

Dreiecks-Helligkeit t^*



Ausgabe: Farbmetrisches Natürliches-Licht-System NLS00

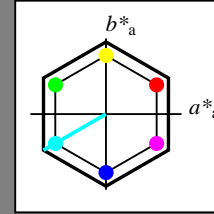
für Buntton $h^* = lab^*h = 210/360 = 0.583$

lab^*tch und lab^*nch

D65: Buntton C

LCH*Ma: 64 95 210

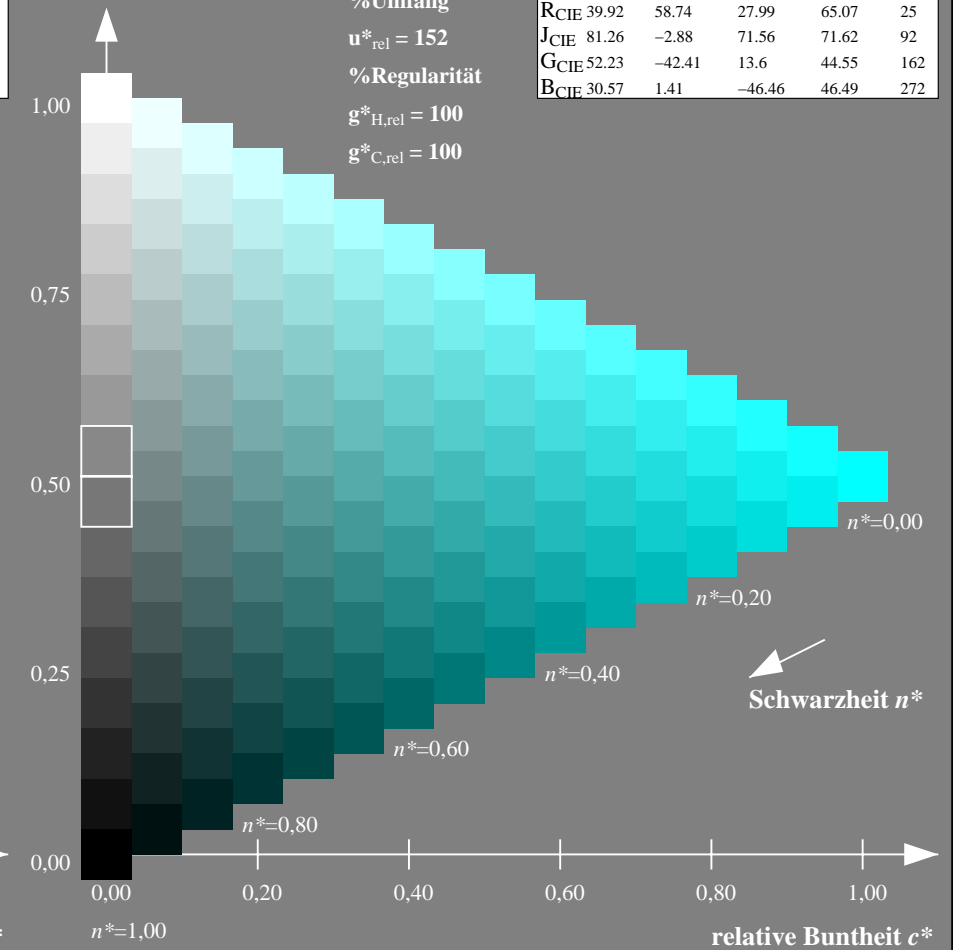
olv*Ma: 0.0 1.0 1.0



NLS00; adaptierte CIELAB-Daten

	$L^*=L^*_a$	a^*_a	b^*_a	$C^*_{ab,a}$	$h^*_{ab,a}$
O _{Ma}	31.81	82.62	47.7	95.4	30
Y _{Ma}	63.61	0.0	95.4	95.4	90
L _{Ma}	31.81	-82.61	47.7	95.4	150
C _{Ma}	63.61	-82.61	-47.69	95.4	210
V _{Ma}	31.81	0.0	-95.39	95.4	270
M _{Ma}	63.61	82.62	-47.69	95.4	330
N _{Ma}	0.01	0.0	0.0	0.0	0
W _{Ma}	95.41	0.0	0.0	0.0	0
R _{CIE}	39.92	58.74	27.99	65.07	25
J _{CIE}	81.26	-2.88	71.56	71.62	92
G _{CIE}	52.23	-42.41	13.6	44.55	162
B _{CIE}	30.57	1.41	-46.46	46.49	272

Dreiecks-Helligkeit t^*



NG900-7, 9stufige Reihen für konstanten CIELAB Buntton 198/360 = 0.55 (links)

16stufige Reihen für konstanten CIELAB Buntton 210/360 = 0.583 (rechts)

Eingabe: Farbmetrisches Fernseh-Licht-System TLS70

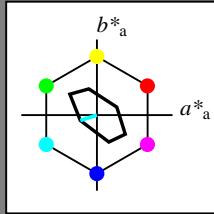
für Buntton $h^* = lab^*h = 198/360 = 0.55$

lab^*tch und lab^*nch

D65: Buntton C

LCH*Ma: 91 23 198

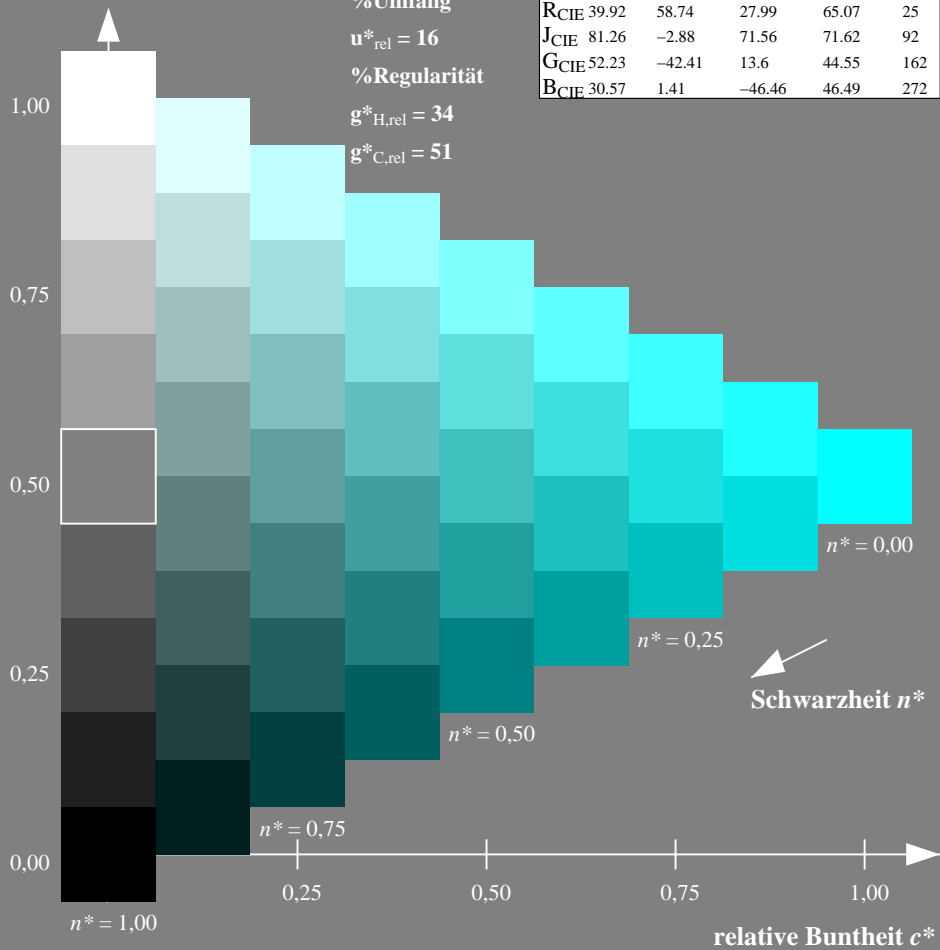
olv*Ma: 0.0 1.0 1.0



TLS70; adaptierte CIELAB-Daten

	$L^*=L^*_a$	a^*_a	b^*_a	$C^*_{ab,a}$	$h^*_{ab,a}$
O _{Ma}	76.43	26.27	10.57	28.32	22
Y _{Ma}	93.93	-10.76	34.63	36.27	107
L _{Ma}	89.32	-35.8	27.64	45.24	142
C _{Ma}	90.93	-21.95	-7.07	23.07	198
V _{Ma}	72.1	15.76	-35.63	38.97	294
M _{Ma}	78.5	37.52	-25.23	45.22	326
N _{Ma}	69.7	0.0	0.0	0.0	0
W _{Ma}	95.41	0.0	0.0	0.0	0
R _{CIE}	39.92	58.74	27.99	65.07	25
J _{CIE}	81.26	-2.88	71.56	71.62	92
G _{CIE}	52.23	-42.41	13.6	44.55	162
B _{CIE}	30.57	1.41	-46.46	46.49	272

Dreiecks-Helligkeit t^*



Ausgabe: Farbmetrisches Natürliches-Reflektiv-System NRS18

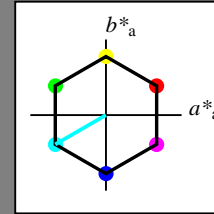
für Buntton $h^* = lab^*h = 210/360 = 0.583$

lab^*tch und lab^*nch

D65: Buntton C

LCH*Ma: 70 77 210

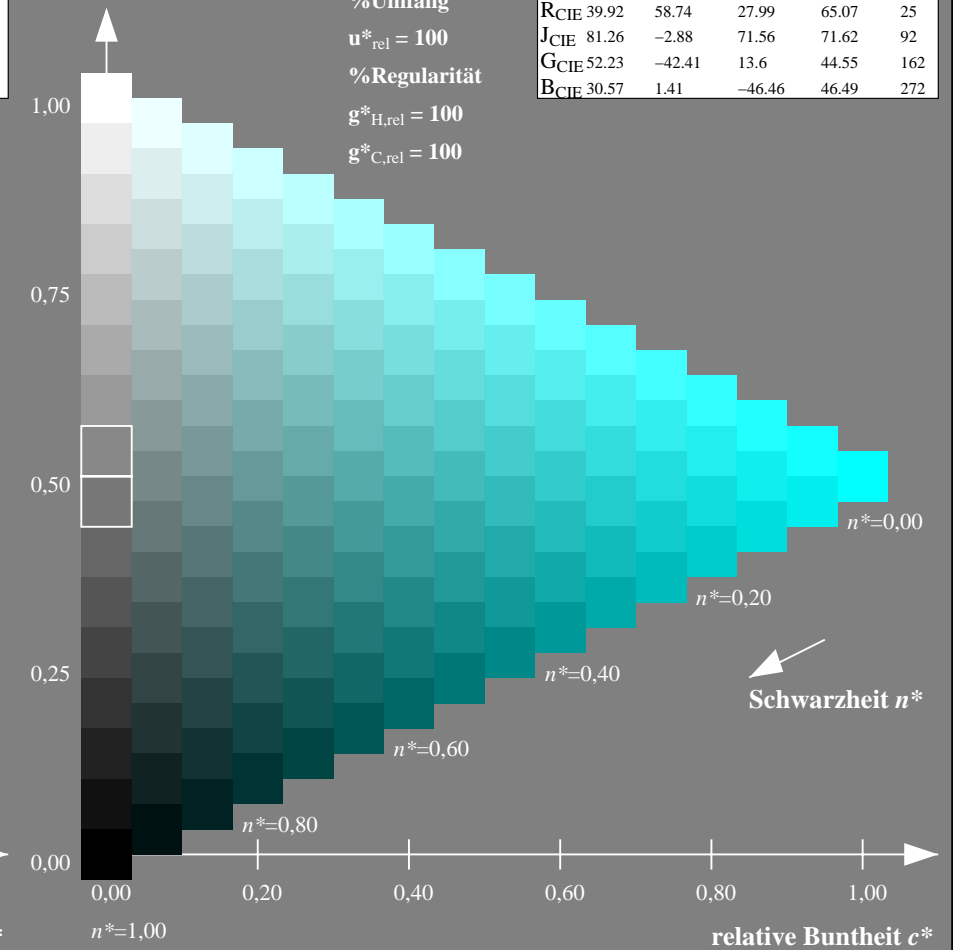
olv*Ma: 0.0 1.0 1.0



NRS18; adaptierte CIELAB-Daten

	$L^*=L^*_a$	a^*_a	b^*_a	$C^*_{ab,a}$	$h^*_{ab,a}$
O _{Ma}	43.81	67.03	38.7	77.4	30
Y _{Ma}	69.61	0.0	77.4	77.4	90
L _{Ma}	43.81	-67.02	38.7	77.4	150
C _{Ma}	69.61	-67.02	-38.69	77.4	210
V _{Ma}	43.81	0.0	-77.39	77.4	270
M _{Ma}	69.61	67.03	-38.69	77.4	330
N _{Ma}	18.01	0.0	0.0	0.0	0
W _{Ma}	95.41	0.0	0.0	0.0	0
R _{CIE}	39.92	58.74	27.99	65.07	25
J _{CIE}	81.26	-2.88	71.56	71.62	92
G _{CIE}	52.23	-42.41	13.6	44.55	162
B _{CIE}	30.57	1.41	-46.46	46.49	272

Dreiecks-Helligkeit t^*



NG900-7, 9stufige Reihen für konstanten CIELAB Buntton 198/360 = 0.55 (links)

16stufige Reihen für konstanten CIELAB Buntton 210/360 = 0.583 (rechts)

Eingabe: Farbmetrisches Fernseh-Licht-System TLS70

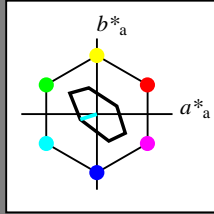
für Buntton $h^* = lab^*h = 198/360 = 0.55$

lab^*tch und lab^*nch

D65: Buntton C

LCH*Ma: 91 23 198

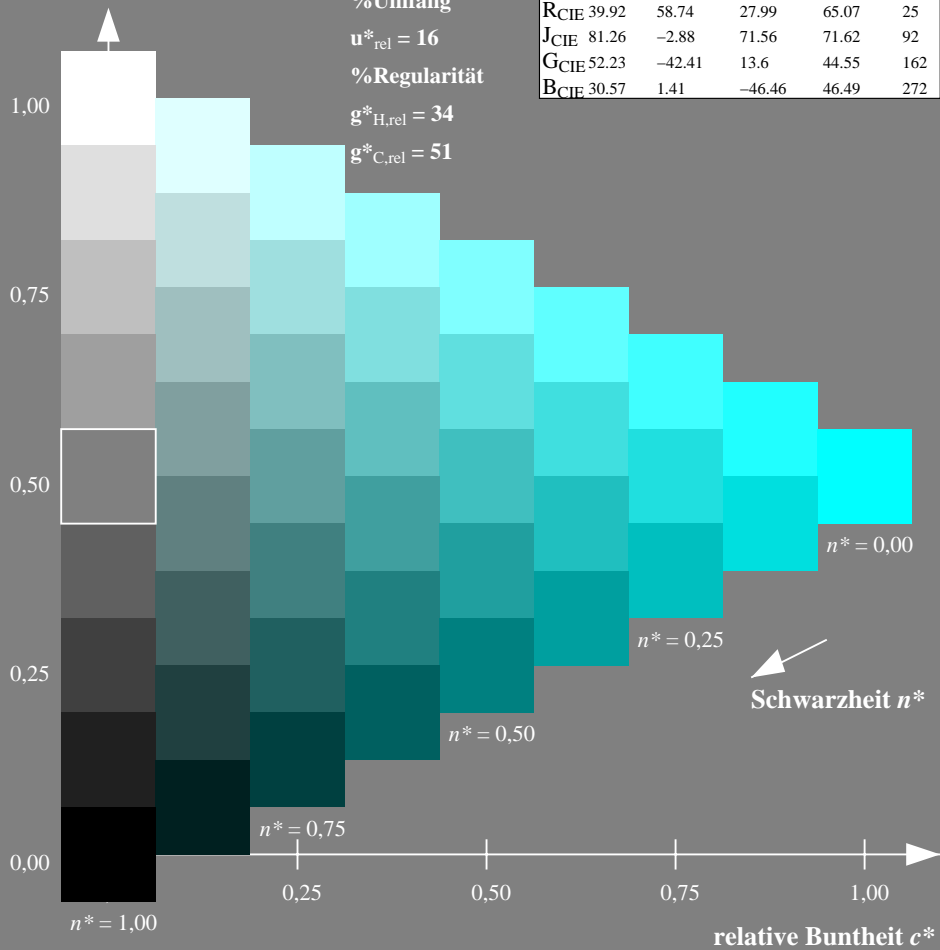
olv*Ma: 0.0 1.0 1.0



TLS70; adaptierte CIELAB-Daten

	$L^*=L^*_a$	a^*_a	b^*_a	$C^*_{ab,a}$	$h^*_{ab,a}$
OMa	76.43	26.27	10.57	28.32	22
YMa	93.93	-10.76	34.63	36.27	107
LMa	89.32	-35.8	27.64	45.24	142
CMa	90.93	-21.95	-7.07	23.07	198
VMa	72.1	15.76	-35.63	38.97	294
MMa	78.5	37.52	-25.23	45.22	326
NMa	69.7	0.0	0.0	0.0	0
WMa	95.41	0.0	0.0	0.0	0
RCIE	39.92	58.74	27.99	65.07	25
JCIE	81.26	-2.88	71.56	71.62	92
GCIE	52.23	-42.41	13.6	44.55	162
BCIE	30.57	1.41	-46.46	46.49	272

Dreiecks-Helligkeit t^*



Ausgabe: Farbmetrisches Standard-Reflektiv-System SRS18

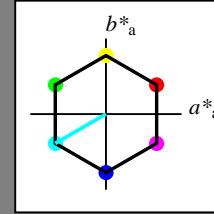
für Buntton $h^* = lab^*h = 210/360 = 0.583$

lab^*tch und lab^*nch

D65: Buntton C

LCH*Ma: 57 77 210

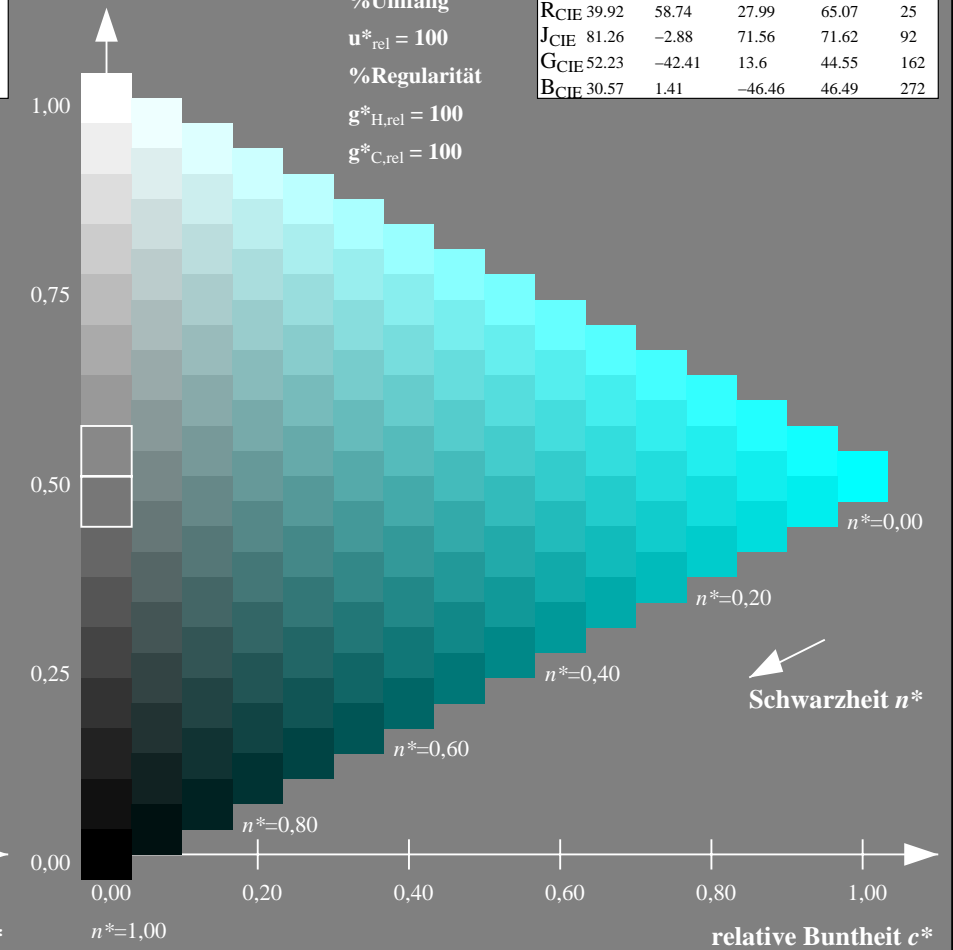
olv*Ma: 0.0 1.0 1.0



SRS18; adaptierte CIELAB-Daten

	$L^*=L^*_a$	a^*_a	b^*_a	$C^*_{ab,a}$	$h^*_{ab,a}$
OMa	56.71	67.03	38.7	77.4	30
YMa	56.71	0.0	77.4	77.4	90
LMa	56.71	-67.02	38.7	77.4	150
CMa	56.71	-67.02	-38.69	77.4	210
VMa	56.71	0.0	-77.39	77.4	270
MMa	56.71	67.03	-38.69	77.4	330
NMa	18.01	0.0	0.0	0.0	0
WMa	95.41	0.0	0.0	0.0	0
RCIE	39.92	58.74	27.99	65.07	25
JCIE	81.26	-2.88	71.56	71.62	92
GCIE	52.23	-42.41	13.6	44.55	162
BCIE	30.57	1.41	-46.46	46.49	272

Dreiecks-Helligkeit t^*



NG900-7, 9stufige Reihen für konstanten CIELAB Buntton $198/360 = 0.55$ (links)

16stufige Reihen für konstanten CIELAB Buntton $210/360 = 0.583$ (rechts)

Eingabe: Farbmetrisches Fernseh-Licht-System TLS70

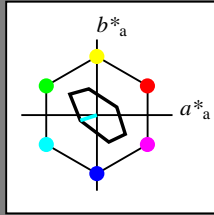
für Buntton $h^* = lab^*h = 198/360 = 0.55$

lab^*tch und lab^*nch

D65: Buntton C

LCH*Ma: 91 23 198

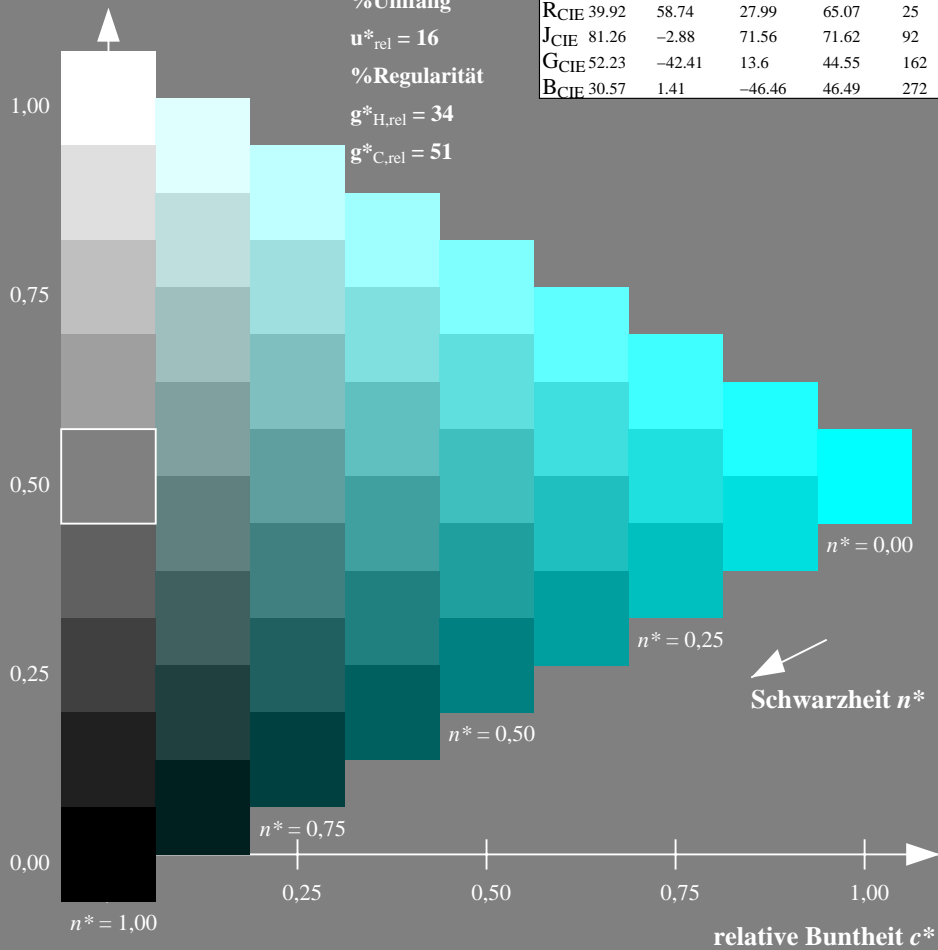
olv*Ma: 0.0 1.0 1.0



TLS70; adaptierte CIELAB-Daten

	$L^*=L^*_a$	a^*_a	b^*_a	$C^*_{ab,a}$	$h^*_{ab,a}$
O _{Ma}	76.43	26.27	10.57	28.32	22
Y _{Ma}	93.93	-10.76	34.63	36.27	107
L _{Ma}	89.32	-35.8	27.64	45.24	142
C _{Ma}	90.93	-21.95	-7.07	23.07	198
V _{Ma}	72.1	15.76	-35.63	38.97	294
M _{Ma}	78.5	37.52	-25.23	45.22	326
N _{Ma}	69.7	0.0	0.0	0.0	0
W _{Ma}	95.41	0.0	0.0	0.0	0
R _{CIE}	39.92	58.74	27.99	65.07	25
J _{CIE}	81.26	-2.88	71.56	71.62	92
G _{CIE}	52.23	-42.41	13.6	44.55	162
B _{CIE}	30.57	1.41	-46.46	46.49	272

Dreiecks-Helligkeit t^*



Ausgabe: Farbmetrisches Fernseh-Licht-System TLS70

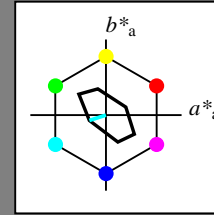
für Buntton $h^* = lab^*h = 198/360 = 0.55$

lab^*tch und lab^*nch

D65: Buntton C

LCH*Ma: 91 23 198

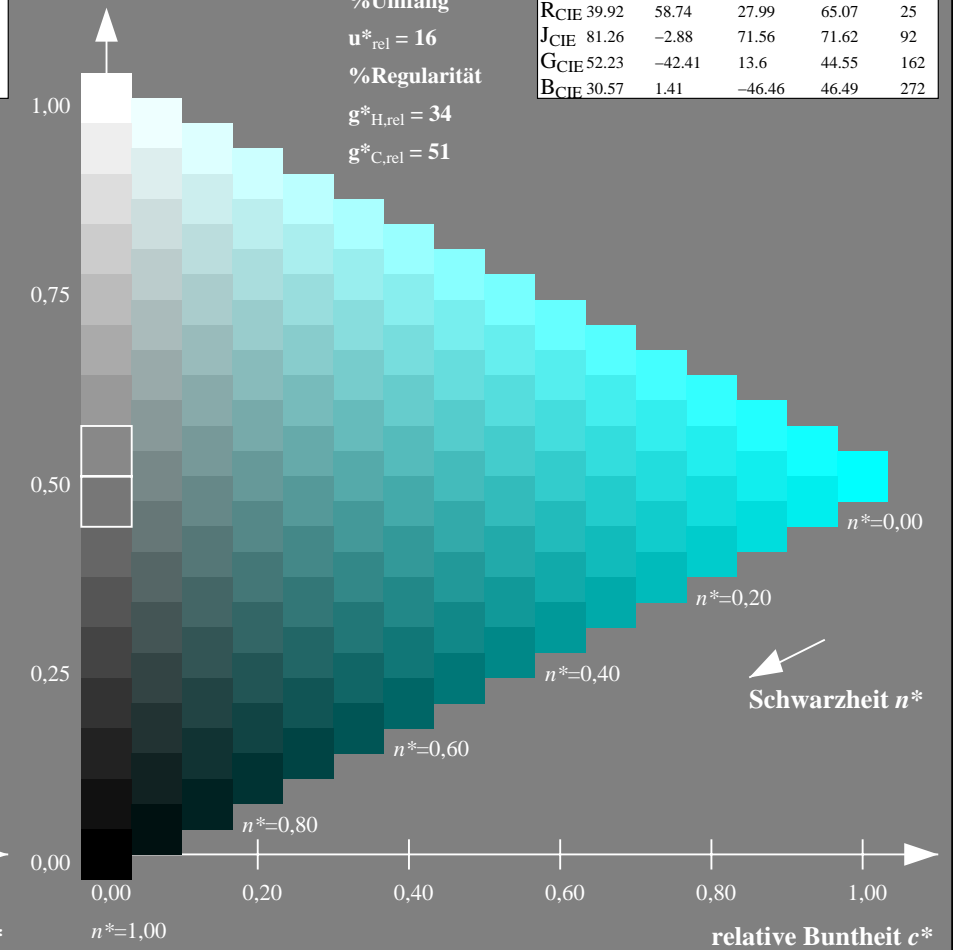
olv*Ma: 0.0 1.0 1.0



TLS70; adaptierte CIELAB-Daten

	$L^*=L^*_a$	a^*_a	b^*_a	$C^*_{ab,a}$	$h^*_{ab,a}$
O _{Ma}	76.43	26.27	10.57	28.32	22
Y _{Ma}	93.93	-10.76	34.63	36.27	107
L _{Ma}	89.32	-35.8	27.64	45.24	142
C _{Ma}	90.93	-21.95	-7.07	23.07	198
V _{Ma}	72.1	15.76	-35.63	38.97	294
M _{Ma}	78.5	37.52	-25.23	45.22	326
N _{Ma}	69.7	0.0	0.0	0.0	0
W _{Ma}	95.41	0.0	0.0	0.0	0
R _{CIE}	39.92	58.74	27.99	65.07	25
J _{CIE}	81.26	-2.88	71.56	71.62	92
G _{CIE}	52.23	-42.41	13.6	44.55	162
B _{CIE}	30.57	1.41	-46.46	46.49	272

Dreiecks-Helligkeit t^*



NG900-7, 9stufige Reihen für konstanten CIELAB Buntton 198/360 = 0.55 (links)

16stufige Reihen für konstanten CIELAB Buntton 198/360 = 0.55 (rechts)

Eingabe: Farbmetrisches Offset-Reflektiv-System ORS18

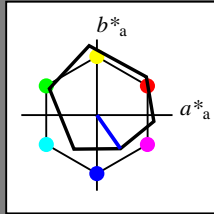
für Buntton $h^* = lab^*h = 305/360 = 0.847$

lab^*tch und lab^*nch

D65: Buntton V

LCH*Ma: 26 54 305

olv*Ma: 0.0 0.0 1.0



ORS18; adaptierte CIELAB-Daten

	$L^*=L^*_a$	a^*_a	b^*_a	$C^*_{ab,a}$	$h^*_{ab,a}$
O _{Ma}	47.94	65.39	50.52	82.63	38
Y _{Ma}	90.37	-10.26	91.75	92.32	96
L _{Ma}	50.9	-62.83	34.96	71.91	151
C _{Ma}	58.62	-30.34	-45.01	54.3	236
V _{Ma}	25.72	31.1	-44.4	54.22	305
M _{Ma}	48.13	75.28	-8.36	75.74	354
N _{Ma}	18.01	0.0	0.0	0.0	0
W _{Ma}	95.41	0.0	0.0	0.0	0
R _{CIE}	39.92	58.66	26.98	64.57	25
J _{CIE}	81.26	-2.16	67.76	67.79	92
G _{CIE}	52.23	-42.25	11.76	43.87	164
B _{CIE}	30.57	1.15	-46.84	46.86	271

Dreiecks-Helligkeit t^*

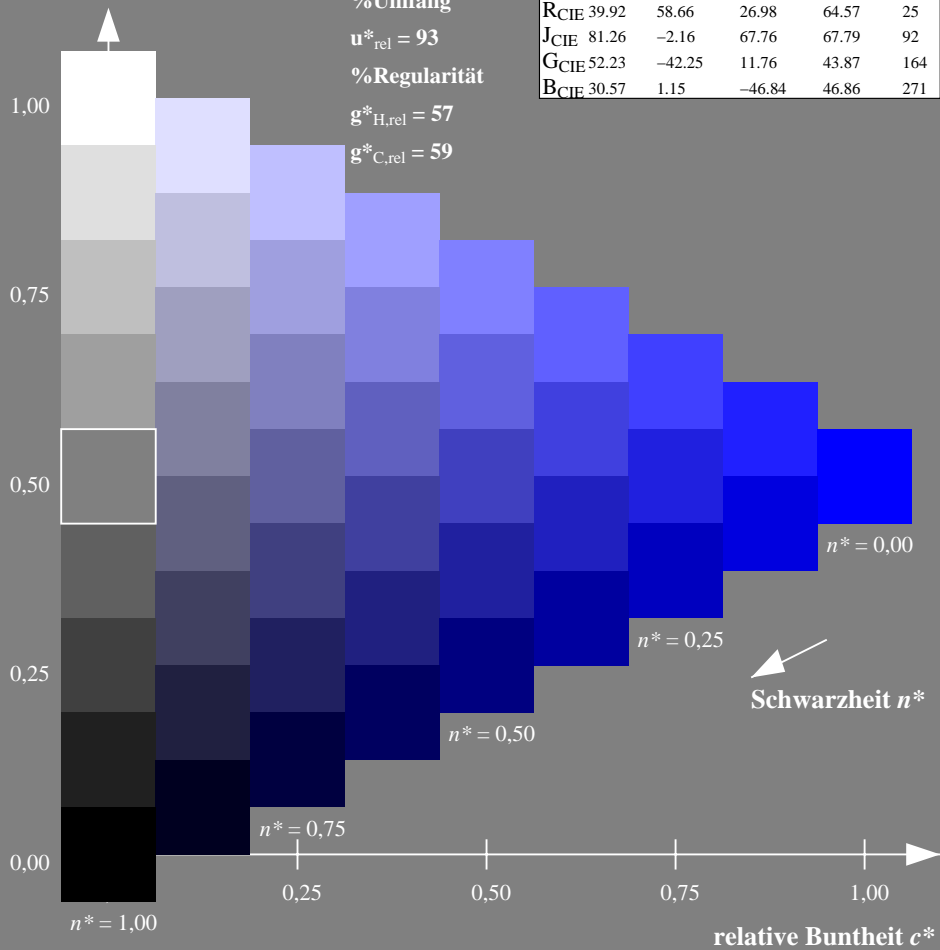
%Umfang

$u^*_{rel} = 93$

%Regularität

$g^*_{H,rel} = 57$

$g^*_{C,rel} = 59$



Ausgabe: Farbmetrisches Offset-Reflektiv-System ORS18

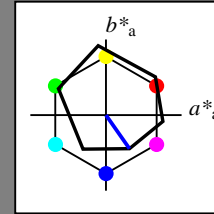
für Buntton $h^* = lab^*h = 305/360 = 0.847$

lab^*tch und lab^*nch

D65: Buntton V

LCH*Ma: 26 54 305

olv*Ma: 0.0 0.0 1.0



ORS18; adaptierte CIELAB-Daten

	$L^*=L^*_a$	a^*_a	b^*_a	$C^*_{ab,a}$	$h^*_{ab,a}$
O _{Ma}	47.94	65.39	50.52	82.63	38
Y _{Ma}	90.37	-10.26	91.75	92.32	96
L _{Ma}	50.9	-62.83	34.96	71.91	151
C _{Ma}	58.62	-30.34	-45.01	54.3	236
V _{Ma}	25.72	31.1	-44.4	54.22	305
M _{Ma}	48.13	75.28	-8.36	75.74	354
N _{Ma}	18.01	0.0	0.0	0.0	0
W _{Ma}	95.41	0.0	0.0	0.0	0
R _{CIE}	39.92	58.66	26.98	64.57	25
J _{CIE}	81.26	-2.16	67.76	67.79	92
G _{CIE}	52.23	-42.25	11.76	43.87	164
B _{CIE}	30.57	1.15	-46.84	46.86	271

Dreiecks-Helligkeit t^*

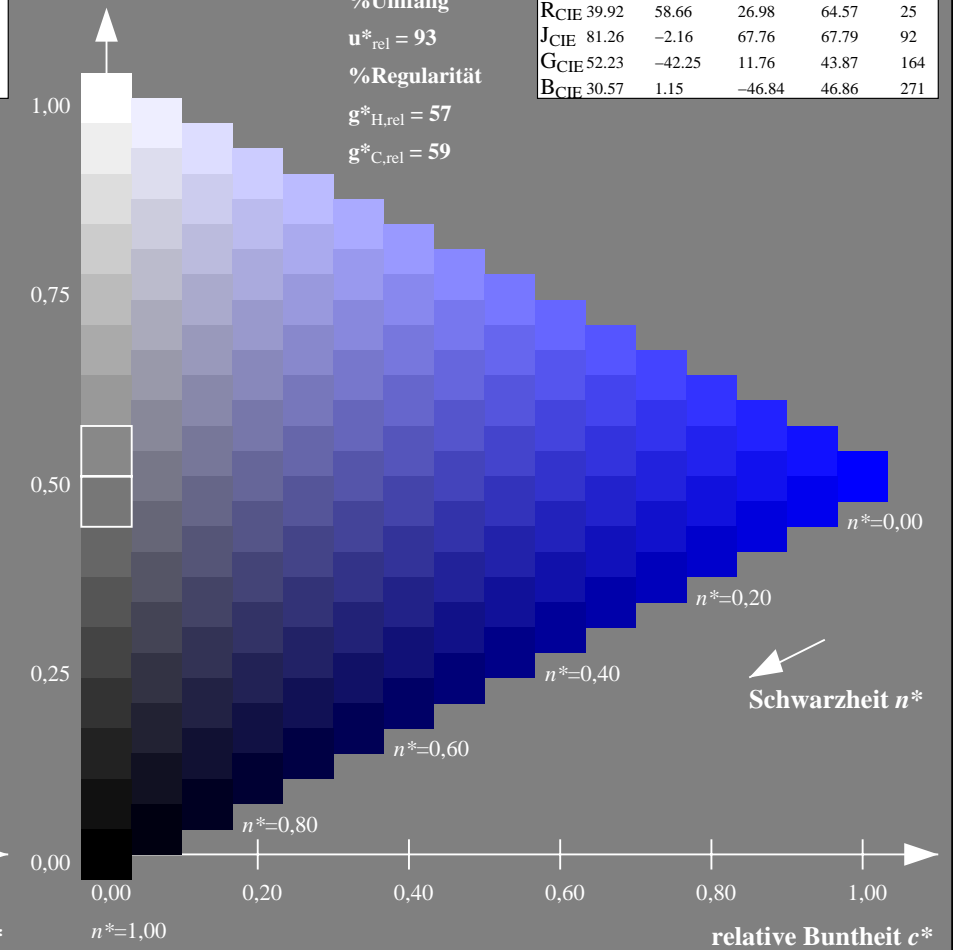
%Umfang

$u^*_{rel} = 93$

%Regularität

$g^*_{H,rel} = 57$

$g^*_{C,rel} = 59$



NG900-7, 9stufige Reihen für konstanten CIELAB Buntton $305/360 = 0.847$ (links)

16stufige Reihen für konstanten CIELAB Buntton $305/360 = 0.847$ (rechts)

Eingabe: Farbmetrisches Offset-Reflektiv-System ORS18

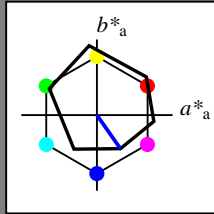
für Buntton $h^* = lab^*h = 305/360 = 0.847$

lab^*tch und lab^*nch

D65: Buntton V

LCH*Ma: 26 54 305

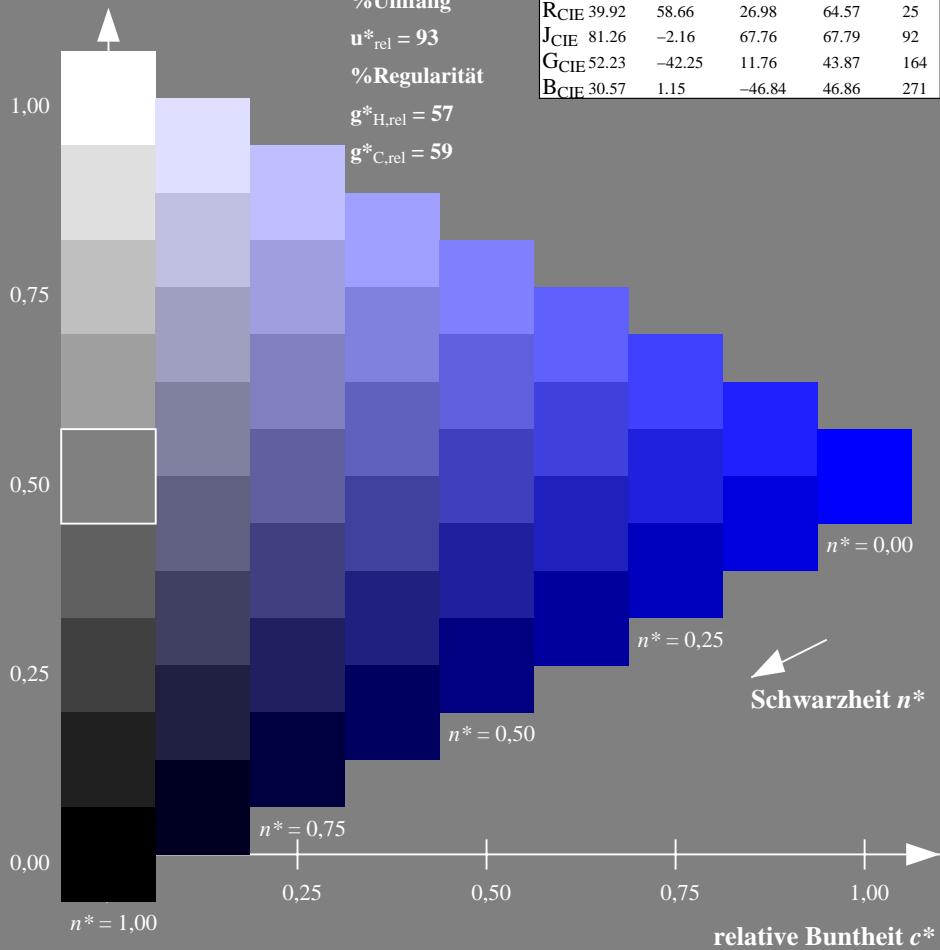
olv*Ma: 0.0 0.0 1.0



ORS18; adaptierte CIELAB-Daten

	$L^*=L^*_a$	a^*_a	b^*_a	$C^*_{ab,a}$	$h^*_{ab,a}$
O _{Ma}	47.94	65.39	50.52	82.63	38
Y _{Ma}	90.37	-10.26	91.75	92.32	96
L _{Ma}	50.9	-62.83	34.96	71.91	151
C _{Ma}	58.62	-30.34	-45.01	54.3	236
V _{Ma}	25.72	31.1	-44.4	54.22	305
M _{Ma}	48.13	75.28	-8.36	75.74	354
N _{Ma}	18.01	0.0	0.0	0.0	0
W _{Ma}	95.41	0.0	0.0	0.0	0
R _{CIE}	39.92	58.66	26.98	64.57	25
J _{CIE}	81.26	-2.16	67.76	67.79	92
G _{CIE}	52.23	-42.25	11.76	43.87	164
B _{CIE}	30.57	1.15	-46.84	46.86	271

Dreiecks-Helligkeit t^*



Ausgabe: Farbmetrisches Fernseh-Licht-System TLS00

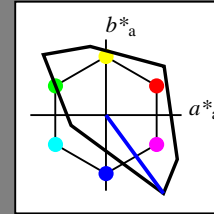
für Buntton $h^* = lab^*h = 306/360 = 0.851$

lab^*tch und lab^*nch

D65: Buntton V

LCH*Ma: 30 129 306

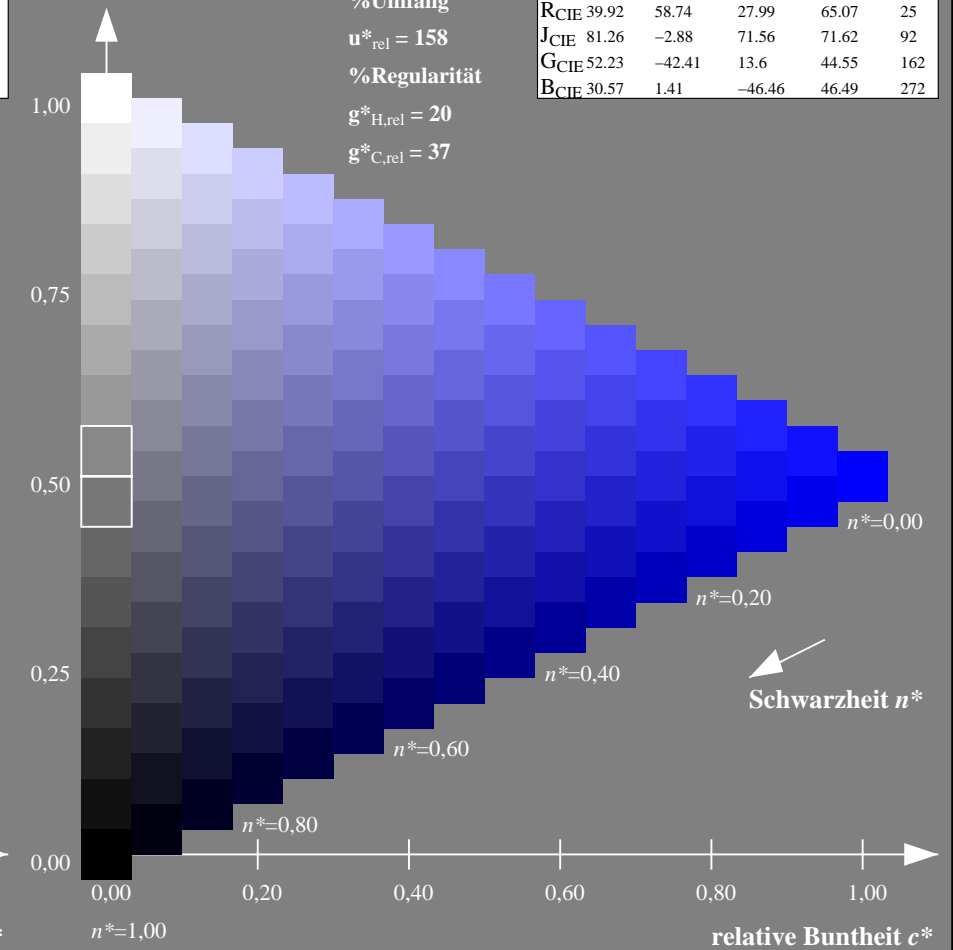
olv*Ma: 0.0 0.0 1.0



TLS00; adaptierte CIELAB-Daten

	$L^*=L^*_a$	a^*_a	b^*_a	$C^*_{ab,a}$	$h^*_{ab,a}$
O _{Ma}	50.5	76.92	64.55	100.42	40
Y _{Ma}	92.66	-20.69	90.75	93.08	103
L _{Ma}	83.63	-82.75	79.9	115.04	136
C _{Ma}	86.88	-46.16	-13.55	48.12	196
V _{Ma}	30.39	76.06	-103.59	128.52	306
M _{Ma}	57.3	94.35	-58.41	110.97	328
N _{Ma}	0.01	0.0	0.0	0.0	0
W _{Ma}	95.41	0.0	0.0	0.0	0
R _{CIE}	39.92	58.74	27.99	65.07	25
J _{CIE}	81.26	-2.88	71.56	71.62	92
G _{CIE}	52.23	-42.41	13.6	44.55	162
B _{CIE}	30.57	1.41	-46.46	46.49	272

Dreiecks-Helligkeit t^*



NG900-7, 9stufige Reihen für konstanten CIELAB Buntton $305/360 = 0.847$ (links)

16stufige Reihen für konstanten CIELAB Buntton $306/360 = 0.851$ (rechts)

Eingabe: Farbmetrisches Offset-Reflektiv-System ORS18

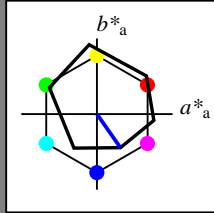
für Buntton $h^* = lab^*h = 305/360 = 0.847$

lab^*tch und lab^*nch

D65: Buntton V

LCH*Ma: 26 54 305

olv*Ma: 0.0 0.0 1.0



ORS18; adaptierte CIELAB-Daten

	$L^*=L^*_a$	a^*_a	b^*_a	$C^*_{ab,a}$	$h^*_{ab,a}$
OMa	47.94	65.39	50.52	82.63	38
YMa	90.37	-10.26	91.75	92.32	96
LMa	50.9	-62.83	34.96	71.91	151
CMa	58.62	-30.34	-45.01	54.3	236
VMa	25.72	31.1	-44.4	54.22	305
MMa	48.13	75.28	-8.36	75.74	354
NMa	18.01	0.0	0.0	0.0	0
WMa	95.41	0.0	0.0	0.0	0
RCIE	39.92	58.66	26.98	64.57	25
JCIE	81.26	-2.16	67.76	67.79	92
GCIE	52.23	-42.25	11.76	43.87	164
BCIE	30.57	1.15	-46.84	46.86	271

Dreiecks-Helligkeit t^*

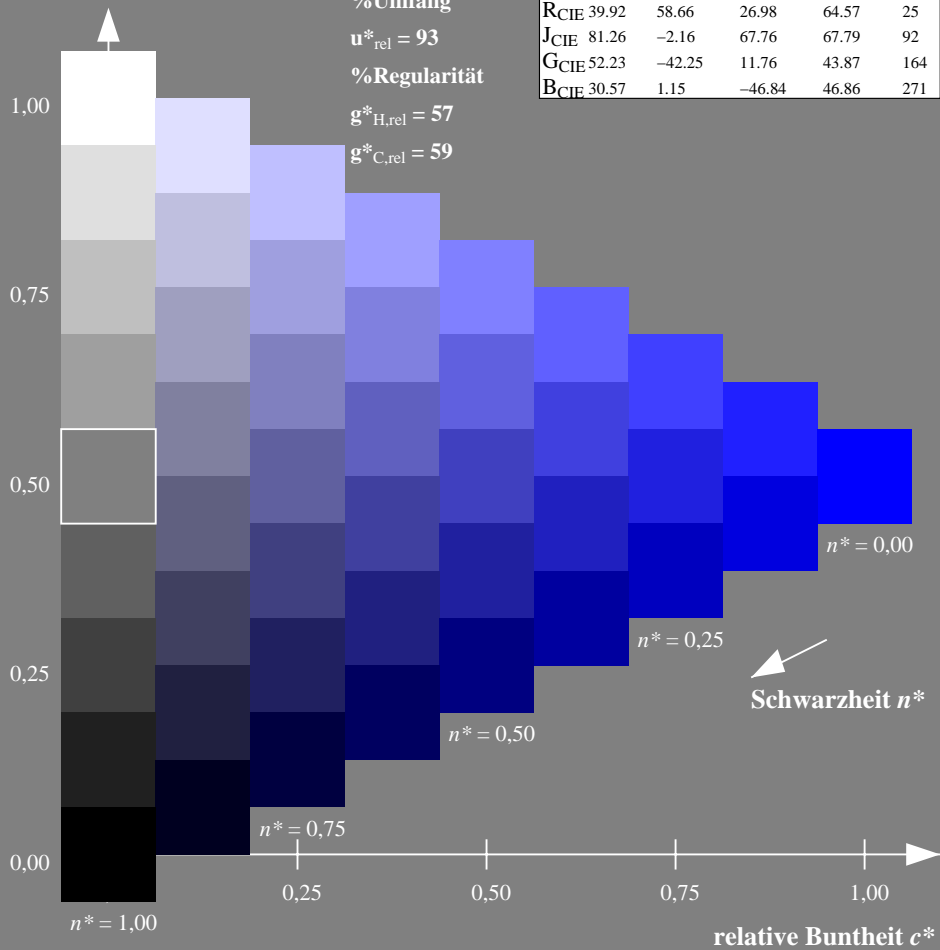
%Umfang

$u^*_{rel} = 93$

%Regularität

$g^*_{H,rel} = 57$

$g^*_{C,rel} = 59$



Ausgabe: Farbmetrisches Drucker-Reflektiv-System DRSXX

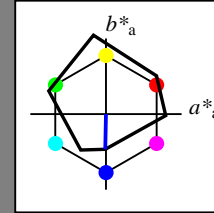
für Buntton $h^* = lab^*h = 269/360 = 0.747$

lab^*tch und lab^*nch

D65: Buntton V

LCH*Ma: 34 47 269

olv*Ma: 0.0 0.0 1.0



DRSXX; adaptierte CIELAB-Daten

	$L^*=L^*_a$	a^*_a	b^*_a	$C^*_{ab,a}$	$h^*_{ab,a}$
OMa	42.21	66.82	50.6	83.82	37
YMa	90.32	-16.51	104.33	105.63	99
LMa	48.21	-75.63	30.65	81.61	158
CMa	53.44	-33.33	-47.49	58.03	235
VMa	34.16	-0.92	-46.56	46.58	269
MMa	42.71	79.0	-1.95	79.03	359
NMa	16.56	0.0	0.0	0.0	0
WMa	96.31	0.0	0.0	0.0	0
RCIE	39.92	59.78	25.77	65.1	23
JCIE	81.26	-2.51	69.07	69.11	92
GCIE	52.23	-41.57	11.3	43.09	165
BCIE	30.57	2.6	-48.62	48.7	273

Dreiecks-Helligkeit t^*

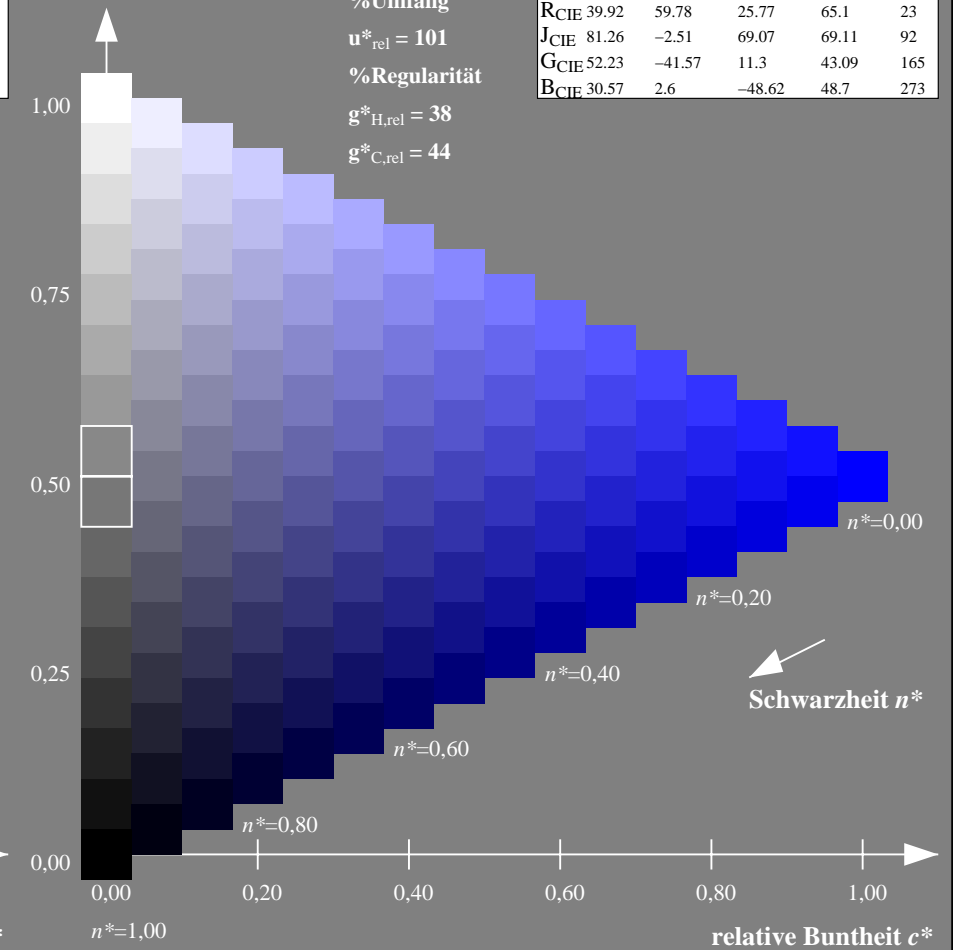
%Umfang

$u^*_{rel} = 101$

%Regularität

$g^*_{H,rel} = 38$

$g^*_{C,rel} = 44$



NG900-7, 9stufige Reihen für konstanten CIELAB Buntton 305/360 = 0.847 (links)

16stufige Reihen für konstanten CIELAB Buntton 269/360 = 0.747 (rechts)

Eingabe: Farbmetrisches Offset-Reflektiv-System ORS18

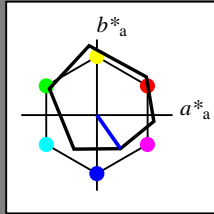
für Buntton $h^* = lab^*h = 305/360 = 0.847$

lab^*tch und lab^*nch

D65: Buntton V

LCH*Ma: 26 54 305

olv*Ma: 0.0 0.0 1.0



ORS18; adaptierte CIELAB-Daten

	$L^*=L^*_a$	a^*_a	b^*_a	$C^*_{ab,a}$	$h^*_{ab,a}$
O _{Ma}	47.94	65.39	50.52	82.63	38
Y _{Ma}	90.37	-10.26	91.75	92.32	96
L _{Ma}	50.9	-62.83	34.96	71.91	151
C _{Ma}	58.62	-30.34	-45.01	54.3	236
V _{Ma}	25.72	31.1	-44.4	54.22	305
M _{Ma}	48.13	75.28	-8.36	75.74	354
N _{Ma}	18.01	0.0	0.0	0.0	0
W _{Ma}	95.41	0.0	0.0	0.0	0
R _{CIE}	39.92	58.66	26.98	64.57	25
J _{CIE}	81.26	-2.16	67.76	67.79	92
G _{CIE}	52.23	-42.25	11.76	43.87	164
B _{CIE}	30.57	1.15	-46.84	46.86	271

Dreiecks-Helligkeit t^*

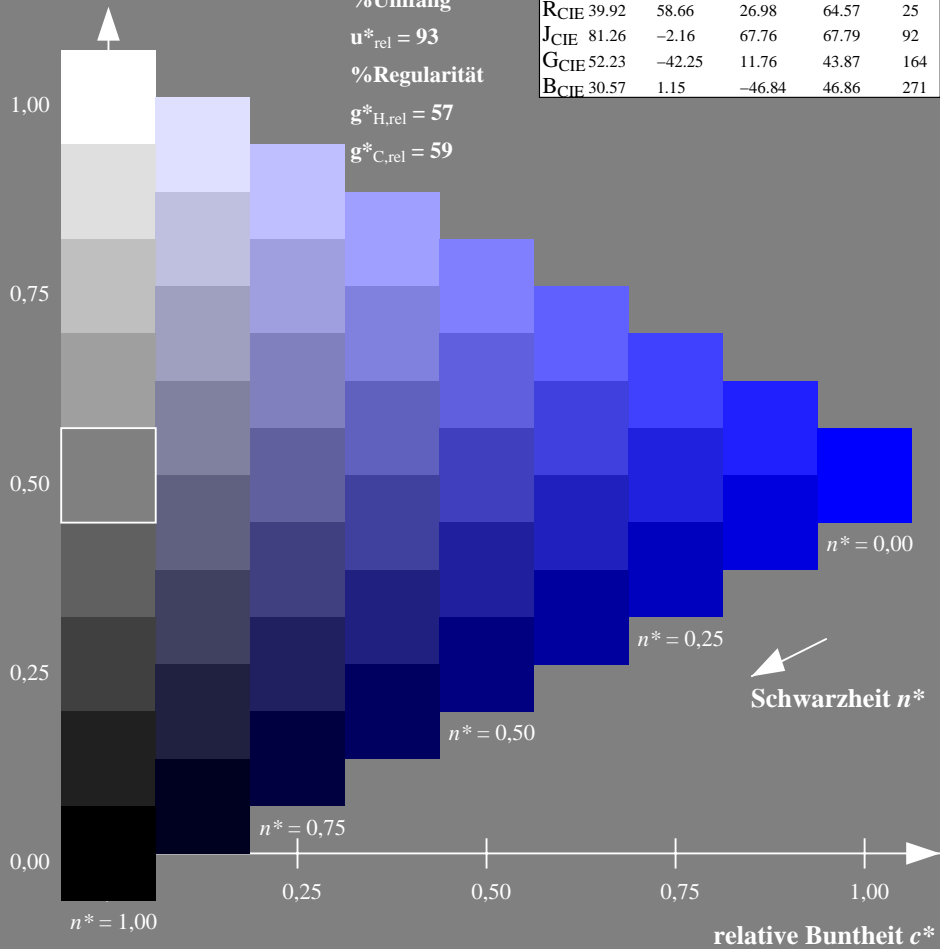
%Umfang

$u^*_{rel} = 93$

%Regularität

$g^*_{H,rel} = 57$

$g^*_{C,rel} = 59$



Ausgabe: Farbmetrisches Fernseh-Licht-System TLS18

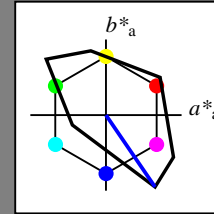
für Buntton $h^* = lab^*h = 304/360 = 0.845$

lab^*tch und lab^*nch

D65: Buntton V

LCH*Ma: 35 115 304

olv*Ma: 0.0 0.0 1.0



TLS18; adaptierte CIELAB-Daten

	$L^*=L^*_a$	a^*_a	b^*_a	$C^*_{ab,a}$	$h^*_{ab,a}$
O _{Ma}	52.76	71.63	49.88	87.29	35
Y _{Ma}	92.74	-20.02	84.97	87.3	103
L _{Ma}	84.0	-78.98	73.94	108.2	137
C _{Ma}	87.14	-44.41	-13.11	46.32	196
V _{Ma}	35.47	64.92	-95.06	115.12	304
M _{Ma}	59.01	89.33	-55.67	105.26	328
N _{Ma}	18.01	0.0	0.0	0.0	0
W _{Ma}	95.41	0.0	0.0	0.0	0
R _{CIE}	39.92	58.74	27.99	65.07	25
J _{CIE}	81.26	-2.88	71.56	71.62	92
G _{CIE}	52.23	-42.41	13.6	44.55	162
B _{CIE}	30.57	1.41	-46.46	46.49	272

Dreiecks-Helligkeit t^*

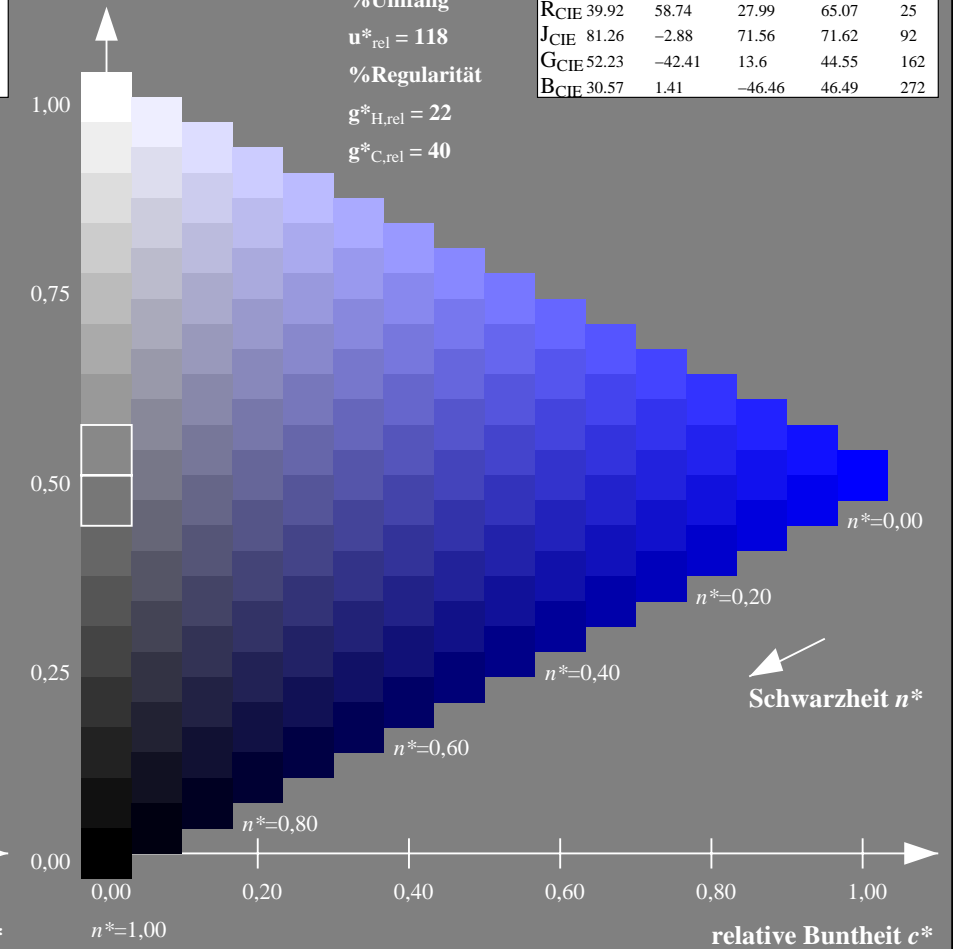
%Umfang

$u^*_{rel} = 118$

%Regularität

$g^*_{H,rel} = 22$

$g^*_{C,rel} = 40$



NG900-7, 9stufige Reihen für konstanten CIELAB Buntton $305/360 = 0.847$ (links)

16stufige Reihen für konstanten CIELAB Buntton $304/360 = 0.845$ (rechts)

Eingabe: Farbmetrisches Offset-Reflektiv-System ORS18

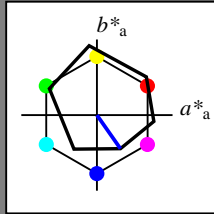
für Buntton $h^* = lab^*h = 305/360 = 0.847$

lab^*tch und lab^*nch

D65: Buntton V

LCH*Ma: 26 54 305

olv*Ma: 0.0 0.0 1.0



ORS18; adaptierte CIELAB-Daten

	$L^*=L^*_a$	a^*_a	b^*_a	$C^*_{ab,a}$	$h^*_{ab,a}$
OMa	47.94	65.39	50.52	82.63	38
YMa	90.37	-10.26	91.75	92.32	96
LMa	50.9	-62.83	34.96	71.91	151
CMa	58.62	-30.34	-45.01	54.3	236
VMa	25.72	31.1	-44.4	54.22	305
MMa	48.13	75.28	-8.36	75.74	354
NMa	18.01	0.0	0.0	0.0	0
WMa	95.41	0.0	0.0	0.0	0
RCIE	39.92	58.66	26.98	64.57	25
JCIE	81.26	-2.16	67.76	67.79	92
GCIE	52.23	-42.25	11.76	43.87	164
BCIE	30.57	1.15	-46.84	46.86	271

Dreiecks-Helligkeit t^*

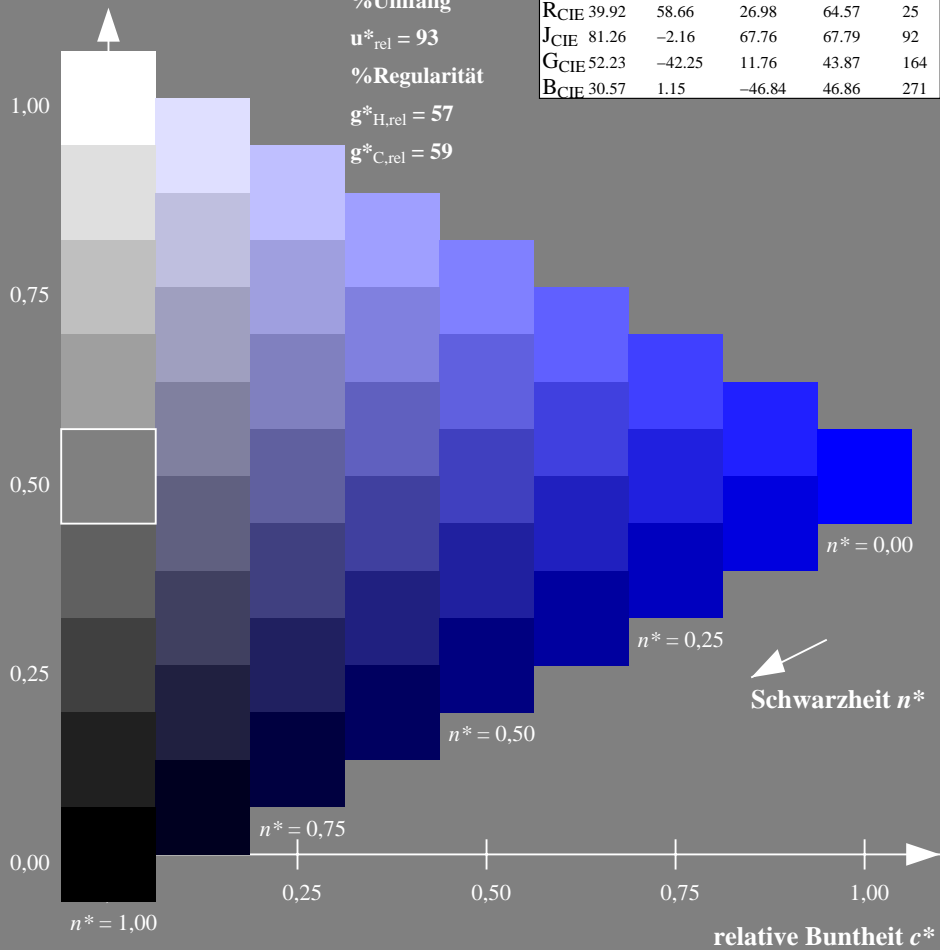
%Umfang

$u^*_{rel} = 93$

%Regularität

$g^*_{H,rel} = 57$

$g^*_{C,rel} = 59$



Ausgabe: Farbmetrisches Natürliches-Licht-System NLS00

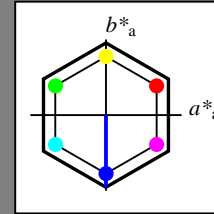
für Buntton $h^* = lab^*h = 270/360 = 0.75$

lab^*tch und lab^*nch

D65: Buntton V

LCH*Ma: 32 95 270

olv*Ma: 0.0 0.0 1.0



NLS00; adaptierte CIELAB-Daten

	$L^*=L^*_a$	a^*_a	b^*_a	$C^*_{ab,a}$	$h^*_{ab,a}$
OMa	31.81	82.62	47.7	95.4	30
YMa	63.61	0.0	95.4	95.4	90
LMa	31.81	-82.61	47.7	95.4	150
CMa	63.61	-82.61	-47.69	95.4	210
VMa	31.81	0.0	-95.39	95.4	270
MMa	63.61	82.62	-47.69	95.4	330
NMa	0.01	0.0	0.0	0.0	0
WMa	95.41	0.0	0.0	0.0	0
RCIE	39.92	58.74	27.99	65.07	25
JCIE	81.26	-2.88	71.56	71.62	92
GCIE	52.23	-42.41	13.6	44.55	162
BCIE	30.57	1.41	-46.46	46.49	272

Dreiecks-Helligkeit t^*

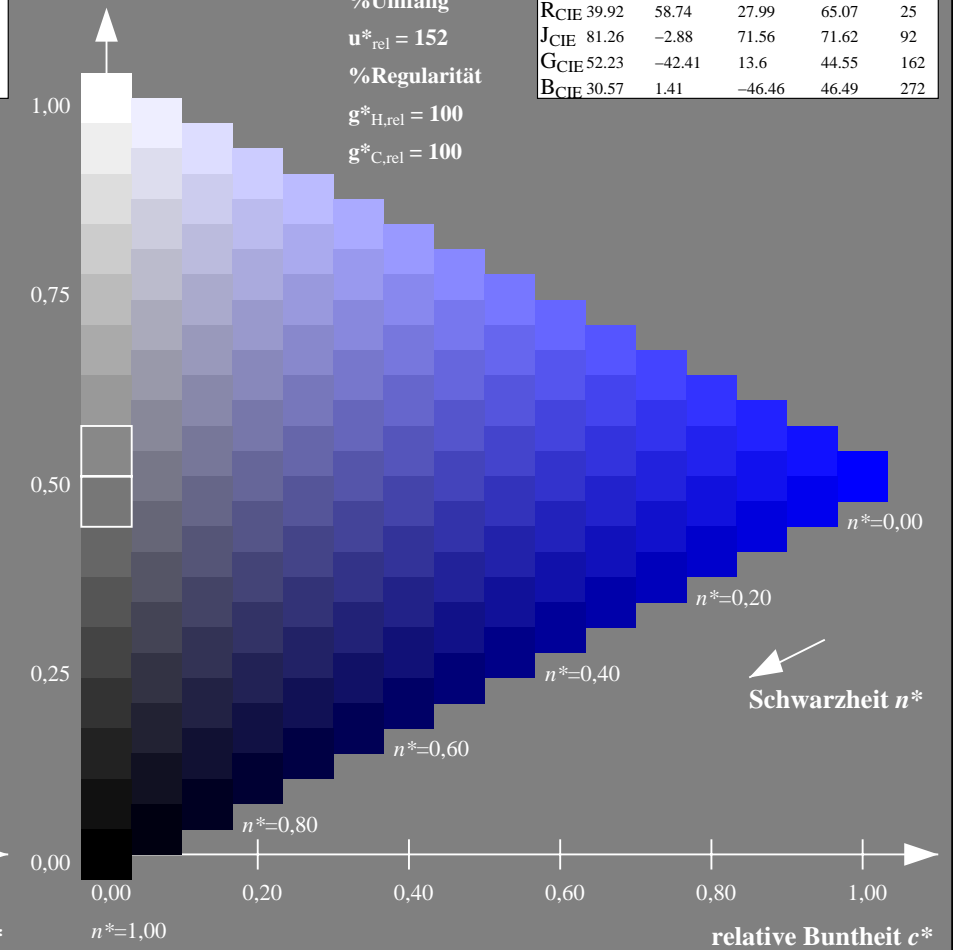
%Umfang

$u^*_{rel} = 152$

%Regularität

$g^*_{H,rel} = 100$

$g^*_{C,rel} = 100$



NG900-7, 9stufige Reihen für konstanten CIELAB Buntton $305/360 = 0.847$ (links)

16stufige Reihen für konstanten CIELAB Buntton $270/360 = 0.75$ (rechts)

Eingabe: Farbmétrisches Offset-Reflektiv-System ORS18

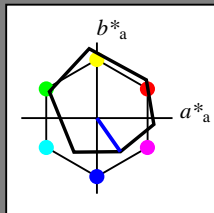
für Buntton $h^* = lab^*h = 305/360 = 0.847$

lab^*tch und lab^*nch

D65: Buntton V

LCH*Ma: 26 54 305

olv*Ma: 0.0 0.0 1.0



ORS18; adaptierte CIELAB-Daten

	$L^*=L^*_a$	a^*_a	b^*_a	$C^*_{ab,a}$	$h^*_{ab,a}$
OMa	47.94	65.39	50.52	82.63	38
YMa	90.37	-10.26	91.75	92.32	96
LMa	50.9	-62.83	34.96	71.91	151
CMa	58.62	-30.34	-45.01	54.3	236
VMa	25.72	31.1	-44.4	54.22	305
MMa	48.13	75.28	-8.36	75.74	354
NMa	18.01	0.0	0.0	0.0	0
WMa	95.41	0.0	0.0	0.0	0
RCIE	39.92	58.66	26.98	64.57	25
JCIE	81.26	-2.16	67.76	67.79	92
GCIE	52.23	-42.25	11.76	43.87	164
BCIE	30.57	1.15	-46.84	46.86	271

Dreiecks-Helligkeit t^*

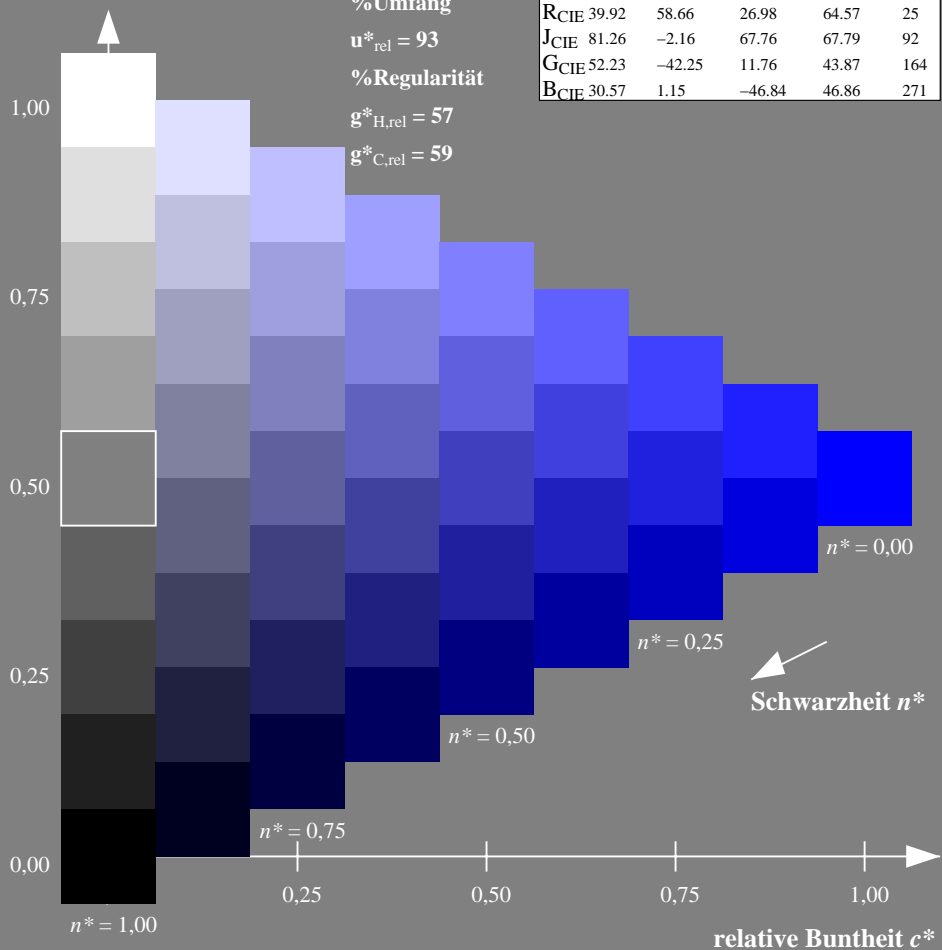
%Umfang

$u^*_{rel} = 93$

%Regularität

$g^*_{H,rel} = 57$

$g^*_{C,rel} = 59$



Ausgabe: Farbmétrisches Natürliches-Reflektiv-System NRS18

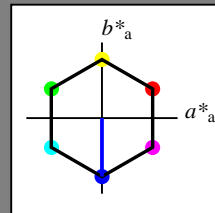
für Buntton $h^* = lab^*h = 270/360 = 0.75$

lab^*tch und lab^*nch

D65: Buntton V

LCH*Ma: 44 77 270

olv*Ma: 0.0 0.0 1.0



NRS18; adaptierte CIELAB-Daten

	$L^*=L^*_a$	a^*_a	b^*_a	$C^*_{ab,a}$	$h^*_{ab,a}$
OMa	43.81	67.03	38.7	77.4	30
YMa	69.61	0.0	77.4	77.4	90
LMa	43.81	-67.02	38.7	77.4	150
CMa	69.61	-67.02	-38.69	77.4	210
VMa	43.81	0.0	-77.39	77.4	270
MMa	69.61	67.03	-38.69	77.4	330
NMa	18.01	0.0	0.0	0.0	0
WMa	95.41	0.0	0.0	0.0	0
RCIE	39.92	58.74	27.99	65.07	25
JCIE	81.26	-2.88	71.56	71.62	92
GCIE	52.23	-42.41	13.6	44.55	162
BCIE	30.57	1.41	-46.46	46.49	272

Dreiecks-Helligkeit t^*

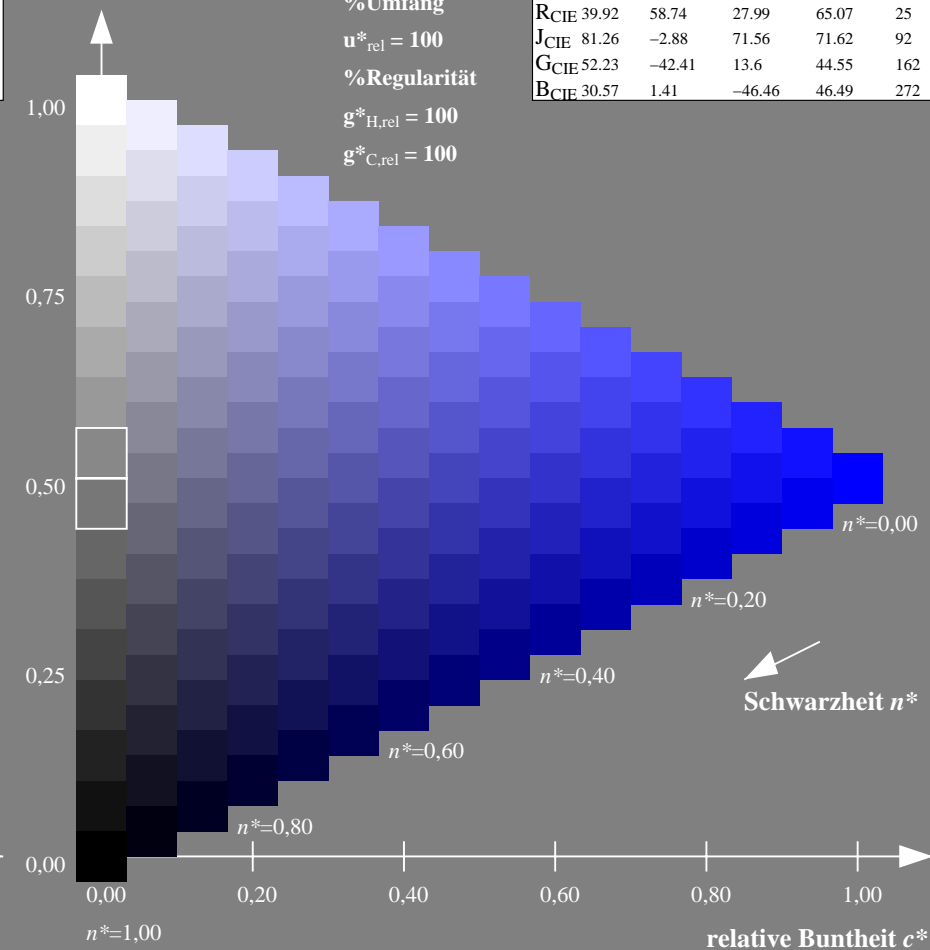
%Umfang

$u^*_{rel} = 100$

%Regularität

$g^*_{H,rel} = 100$

$g^*_{C,rel} = 100$



NG900-7, 9stufige Reihen für konstanten CIELAB Buntton 305/360 = 0.847 (links)

16stufige Reihen für konstanten CIELAB Buntton 270/360 = 0.75 (rechts)

Eingabe: Farbmimetrisches Offset-Reflektiv-System ORS18

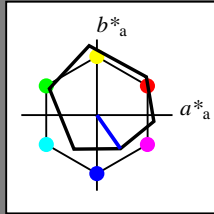
für Buntton $h^* = lab^*h = 305/360 = 0.847$

lab^*tch und lab^*nch

D65: Buntton V

LCH*Ma: 26 54 305

olv*Ma: 0.0 0.0 1.0



ORS18; adaptierte CIELAB-Daten

	$L^*=L^*_a$	a^*_a	b^*_a	$C^*_{ab,a}$	$h^*_{ab,a}$
OMa	47.94	65.39	50.52	82.63	38
YMa	90.37	-10.26	91.75	92.32	96
LMa	50.9	-62.83	34.96	71.91	151
CMa	58.62	-30.34	-45.01	54.3	236
VMa	25.72	31.1	-44.4	54.22	305
MMa	48.13	75.28	-8.36	75.74	354
NMa	18.01	0.0	0.0	0.0	0
WMa	95.41	0.0	0.0	0.0	0
RCIE	39.92	58.66	26.98	64.57	25
JCIE	81.26	-2.16	67.76	67.79	92
GCIE	52.23	-42.25	11.76	43.87	164
BCIE	30.57	1.15	-46.84	46.86	271

Dreiecks-Helligkeit t^*

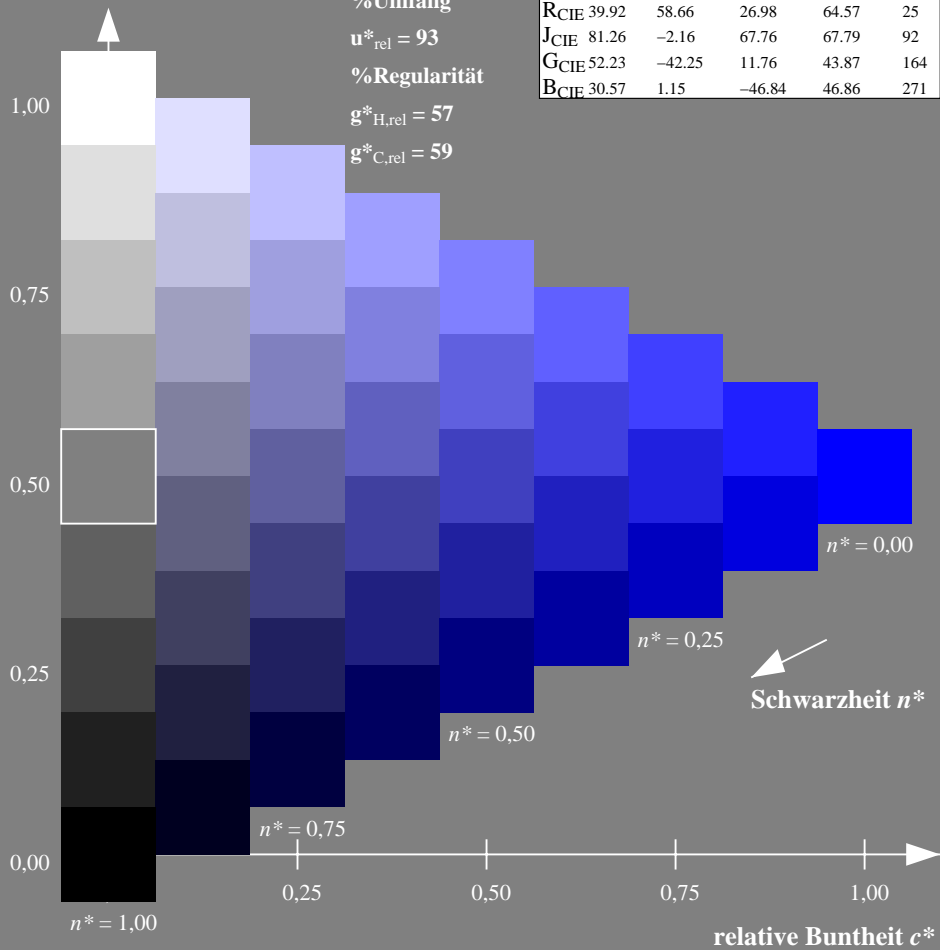
%Umfang

$u^*_{rel} = 93$

%Regularität

$g^*_{H,rel} = 57$

$g^*_{C,rel} = 59$



Ausgabe: Farbmimetrisches Standard-Reflektiv-System SRS18

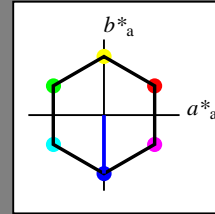
für Buntton $h^* = lab^*h = 270/360 = 0.75$

lab^*tch und lab^*nch

D65: Buntton V

LCH*Ma: 57 77 270

olv*Ma: 0.0 0.0 1.0



SRS18; adaptierte CIELAB-Daten

	$L^*=L^*_a$	a^*_a	b^*_a	$C^*_{ab,a}$	$h^*_{ab,a}$
OMa	56.71	67.03	38.7	77.4	30
YMa	56.71	0.0	77.4	77.4	90
LMa	56.71	-67.02	38.7	77.4	150
CMa	56.71	-67.02	-38.69	77.4	210
VMa	56.71	0.0	-77.39	77.4	270
MMa	56.71	67.03	-38.69	77.4	330
NMa	18.01	0.0	0.0	0.0	0
WMa	95.41	0.0	0.0	0.0	0
RCIE	39.92	58.74	27.99	65.07	25
JCIE	81.26	-2.88	71.56	71.62	92
GCIE	52.23	-42.41	13.6	44.55	162
BCIE	30.57	1.41	-46.46	46.49	272

Dreiecks-Helligkeit t^*

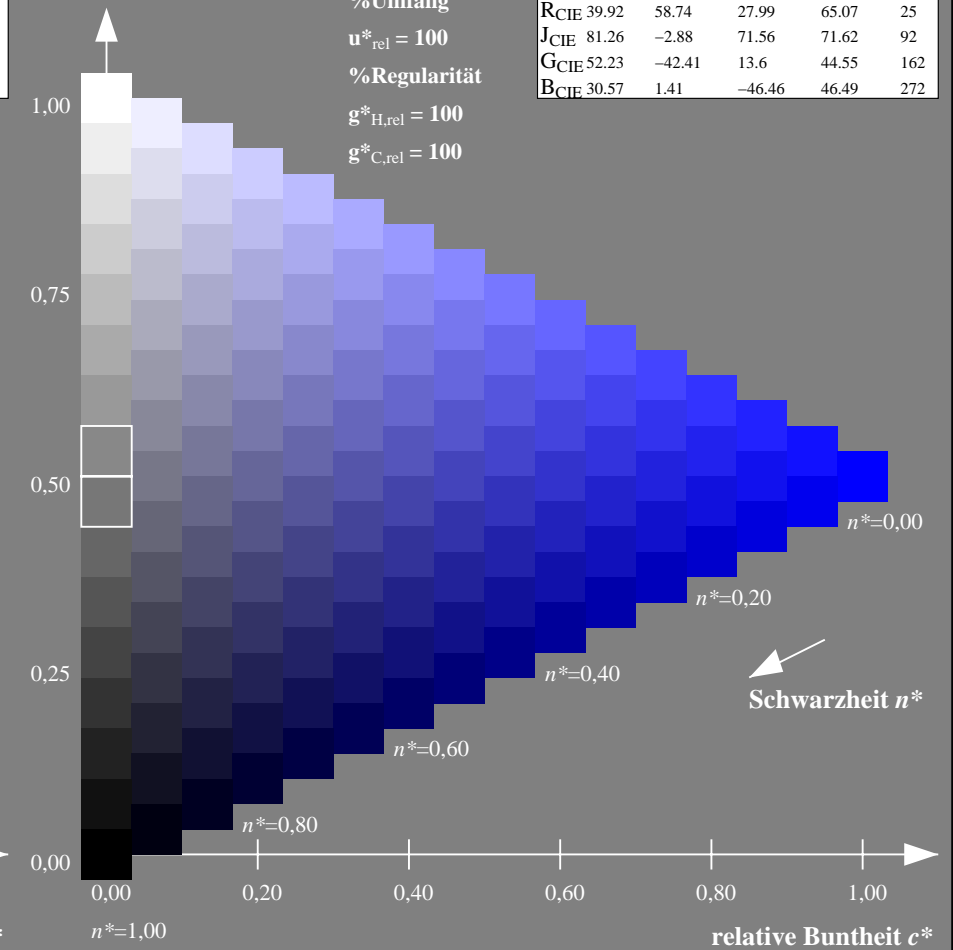
%Umfang

$u^*_{rel} = 100$

%Regularität

$g^*_{H,rel} = 100$

$g^*_{C,rel} = 100$



NG900-7, 9stufige Reihen für konstanten CIELAB Buntton $305/360 = 0.847$ (links)

16stufige Reihen für konstanten CIELAB Buntton $270/360 = 0.75$ (rechts)

Eingabe: Farbmetrisches Offset-Reflektiv-System ORS18

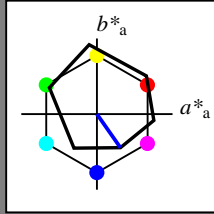
für Buntton $h^* = lab^*h = 305/360 = 0.847$

lab^*tch und lab^*nch

D65: Buntton V

LCH*Ma: 26 54 305

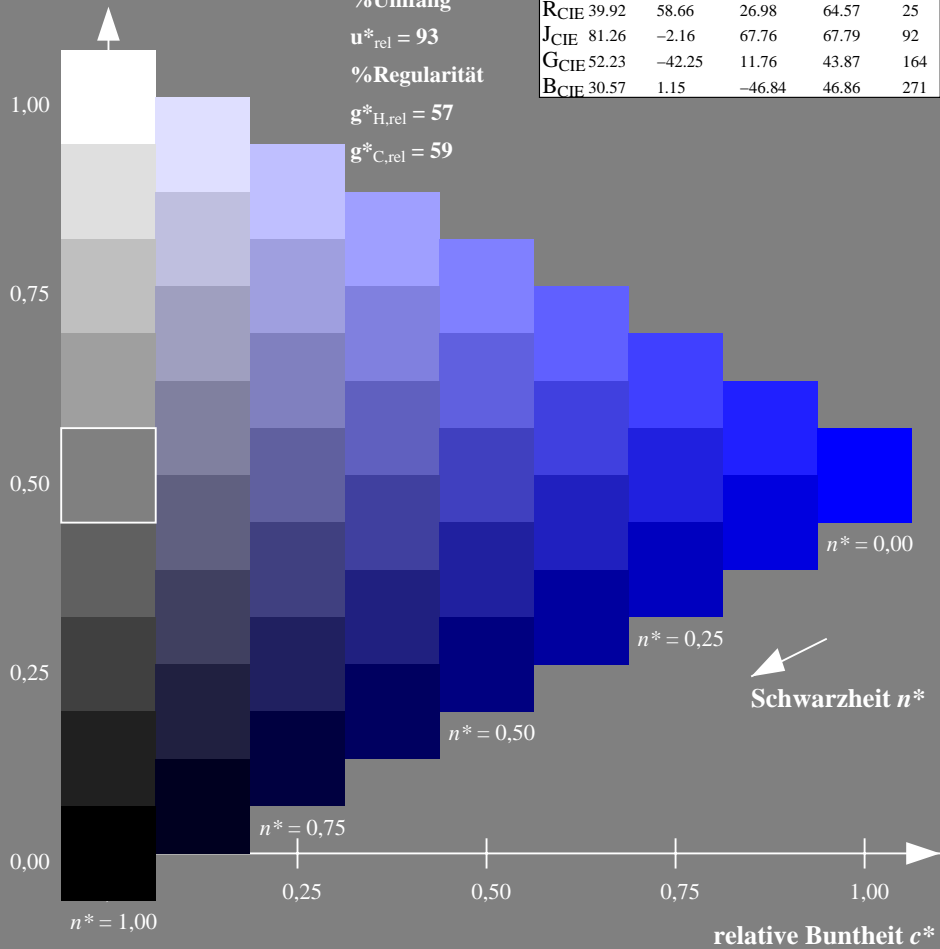
olv*Ma: 0.0 0.0 1.0



ORS18; adaptierte CIELAB-Daten

	$L^*=L^*_a$	a^*_a	b^*_a	$C^*_{ab,a}$	$h^*_{ab,a}$
O _{Ma}	47.94	65.39	50.52	82.63	38
Y _{Ma}	90.37	-10.26	91.75	92.32	96
L _{Ma}	50.9	-62.83	34.96	71.91	151
C _{Ma}	58.62	-30.34	-45.01	54.3	236
V _{Ma}	25.72	31.1	-44.4	54.22	305
M _{Ma}	48.13	75.28	-8.36	75.74	354
N _{Ma}	18.01	0.0	0.0	0.0	0
W _{Ma}	95.41	0.0	0.0	0.0	0
R _{CIE}	39.92	58.66	26.98	64.57	25
J _{CIE}	81.26	-2.16	67.76	67.79	92
G _{CIE}	52.23	-42.25	11.76	43.87	164
B _{CIE}	30.57	1.15	-46.84	46.86	271

Dreiecks-Helligkeit t^*



Ausgabe: Farbmetrisches Fernseh-Licht-System TLS70

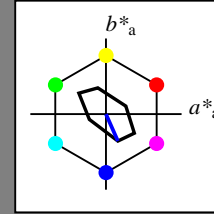
für Buntton $h^* = lab^*h = 294/360 = 0.816$

lab^*tch und lab^*nch

D65: Buntton V

LCH*Ma: 72 39 294

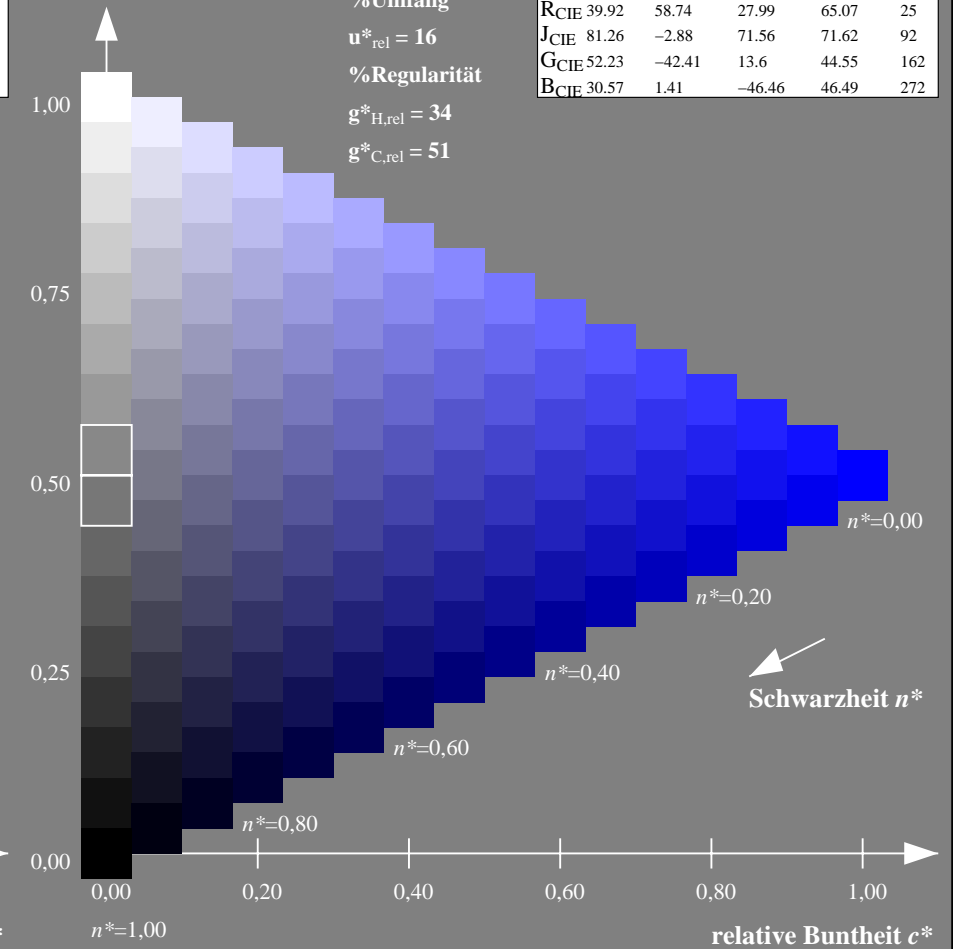
olv*Ma: 0.0 0.0 1.0



TLS70; adaptierte CIELAB-Daten

	$L^*=L^*_a$	a^*_a	b^*_a	$C^*_{ab,a}$	$h^*_{ab,a}$
O _{Ma}	76.43	26.27	10.57	28.32	22
Y _{Ma}	93.93	-10.76	34.63	36.27	107
L _{Ma}	89.32	-35.8	27.64	45.24	142
C _{Ma}	90.93	-21.95	-7.07	23.07	198
V _{Ma}	72.1	15.76	-35.63	38.97	294
M _{Ma}	78.5	37.52	-25.23	45.22	326
N _{Ma}	69.7	0.0	0.0	0.0	0
W _{Ma}	95.41	0.0	0.0	0.0	0
R _{CIE}	39.92	58.74	27.99	65.07	25
J _{CIE}	81.26	-2.88	71.56	71.62	92
G _{CIE}	52.23	-42.41	13.6	44.55	162
B _{CIE}	30.57	1.41	-46.46	46.49	272

Dreiecks-Helligkeit t^*



NG900-7, 9stufige Reihen für konstanten CIELAB Buntton 305/360 = 0.847 (links)

16stufige Reihen für konstanten CIELAB Buntton 294/360 = 0.816 (rechts)

Eingabe: Farbmetrisches Fernseh-Licht-System TLS00

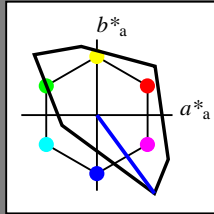
für Buntton $h^* = lab^*h = 306/360 = 0.851$

lab^*tch und lab^*nch

D65: Buntton V

LCH*Ma: 30 129 306

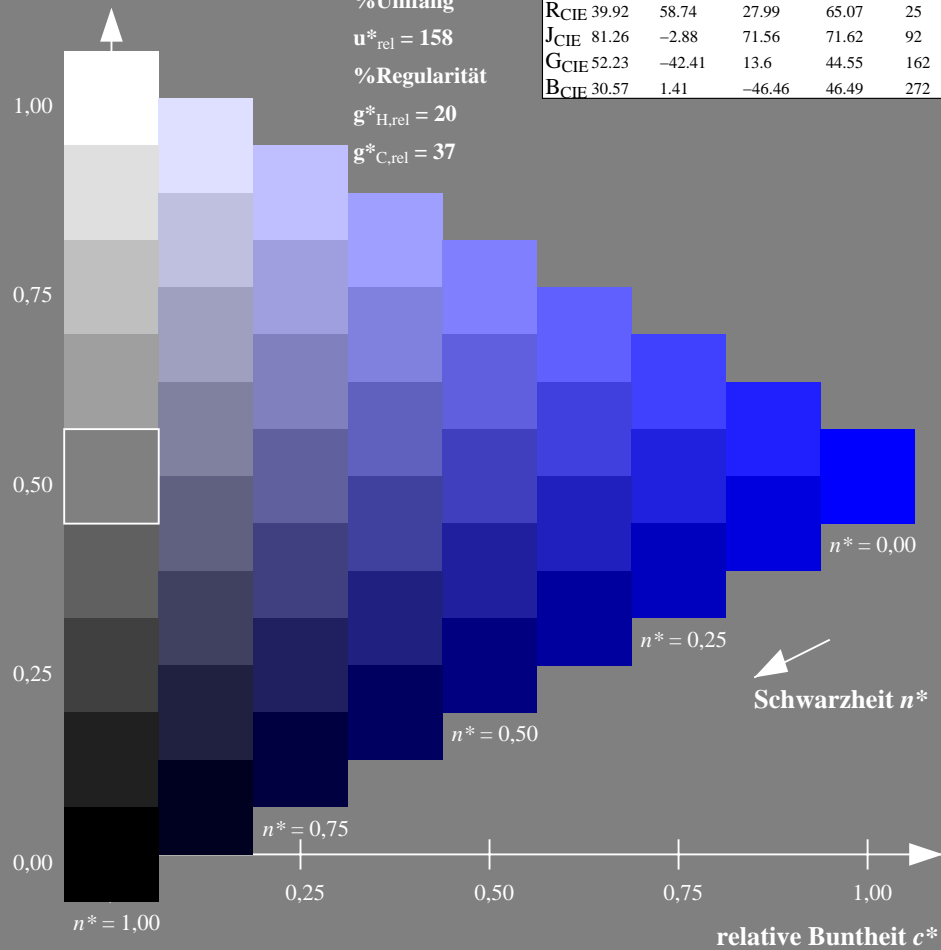
olv*Ma: 0.0 0.0 1.0



TLS00; adaptierte CIELAB-Daten

	$L^*=L^*_a$	a^*_a	b^*_a	$C^*_{ab,a}$	$h^*_{ab,a}$
OMa	50.5	76.92	64.55	100.42	40
YMa	92.66	-20.69	90.75	93.08	103
LMa	83.63	-82.75	79.9	115.04	136
CMa	86.88	-46.16	-13.55	48.12	196
VMa	30.39	76.06	-103.59	128.52	306
MMa	57.3	94.35	-58.41	110.97	328
NMa	0.01	0.0	0.0	0.0	0
WMa	95.41	0.0	0.0	0.0	0
RCIE	39.92	58.74	27.99	65.07	25
JCIE	81.26	-2.88	71.56	71.62	92
GCIE	52.23	-42.41	13.6	44.55	162
BCIE	30.57	1.41	-46.46	46.49	272

Dreiecks-Helligkeit t^*



Ausgabe: Farbmetrisches Offset-Reflektiv-System ORS18

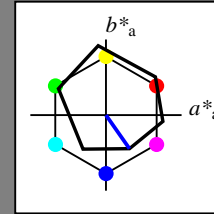
für Buntton $h^* = lab^*h = 305/360 = 0.847$

lab^*tch und lab^*nch

D65: Buntton V

LCH*Ma: 26 54 305

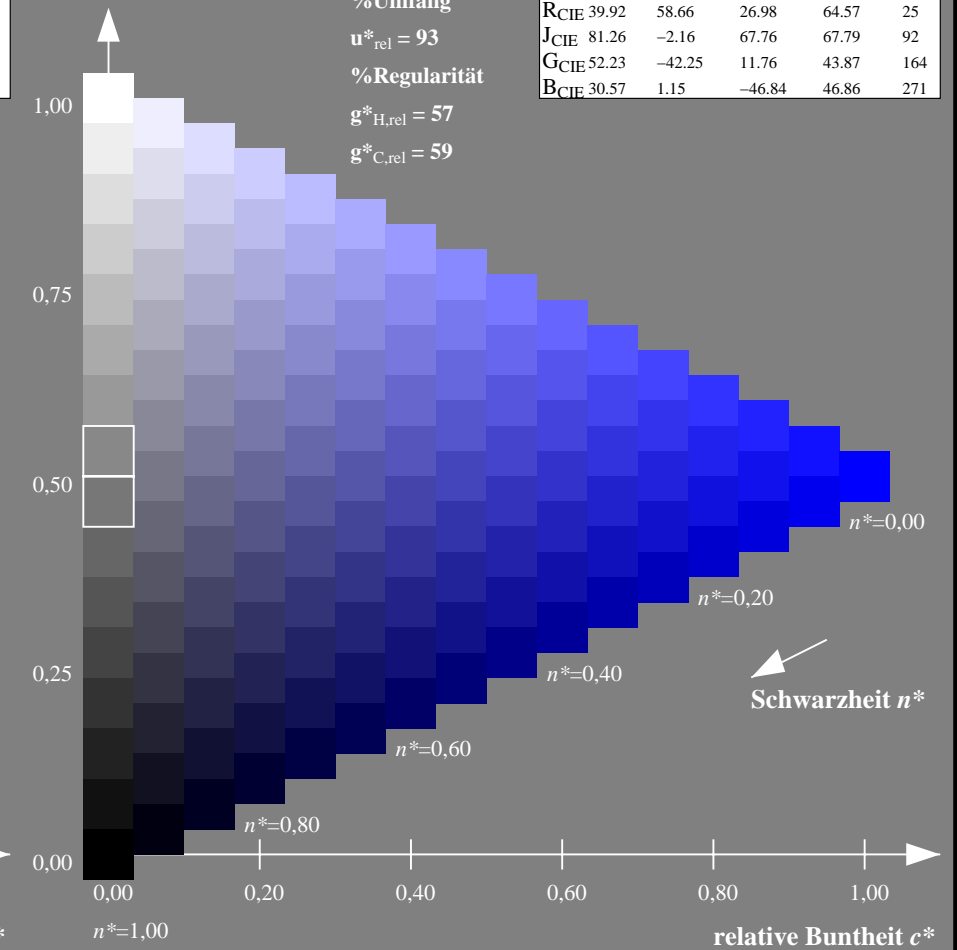
olv*Ma: 0.0 0.0 1.0



ORS18; adaptierte CIELAB-Daten

	$L^*=L^*_a$	a^*_a	b^*_a	$C^*_{ab,a}$	$h^*_{ab,a}$
OMa	47.94	65.39	50.52	82.63	38
YMa	90.37	-10.26	91.75	92.32	96
LMa	50.9	-62.83	34.96	71.91	151
CMa	58.62	-30.34	-45.01	54.3	236
VMa	25.72	31.1	-44.4	54.22	305
MMa	48.13	75.28	-8.36	75.74	354
NMa	18.01	0.0	0.0	0.0	0
WMa	95.41	0.0	0.0	0.0	0
RCIE	39.92	58.66	26.98	64.57	25
JCIE	81.26	-2.16	67.76	67.79	92
GCIE	52.23	-42.25	11.76	43.87	164
BCIE	30.57	1.15	-46.84	46.86	271

Dreiecks-Helligkeit t^*



NG900-7, 9stufige Reihen für konstanten CIELAB Buntton $306/360 = 0.851$ (links)

16stufige Reihen für konstanten CIELAB Buntton $305/360 = 0.847$ (rechts)

Eingabe: Farbmetrisches Fernseh-Licht-System TLS00

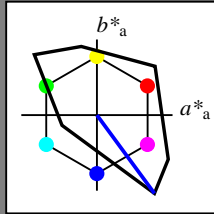
für Buntton $h^* = lab^*h = 306/360 = 0.851$

lab^*tch und lab^*nch

D65: Buntton V

LCH*Ma: 30 129 306

olv*Ma: 0.0 0.0 1.0



TLS00; adaptierte CIELAB-Daten

	$L^*=L^*_a$	a^*_a	b^*_a	$C^*_{ab,a}$	$h^*_{ab,a}$
O _{Ma}	50.5	76.92	64.55	100.42	40
Y _{Ma}	92.66	-20.69	90.75	93.08	103
L _{Ma}	83.63	-82.75	79.9	115.04	136
C _{Ma}	86.88	-46.16	-13.55	48.12	196
V _{Ma}	30.39	76.06	-103.59	128.52	306
M _{Ma}	57.3	94.35	-58.41	110.97	328
N _{Ma}	0.01	0.0	0.0	0.0	0
W _{Ma}	95.41	0.0	0.0	0.0	0
R _{CIE}	39.92	58.74	27.99	65.07	25
J _{CIE}	81.26	-2.88	71.56	71.62	92
G _{CIE}	52.23	-42.41	13.6	44.55	162
B _{CIE}	30.57	1.41	-46.46	46.49	272

Dreiecks-Helligkeit t^*

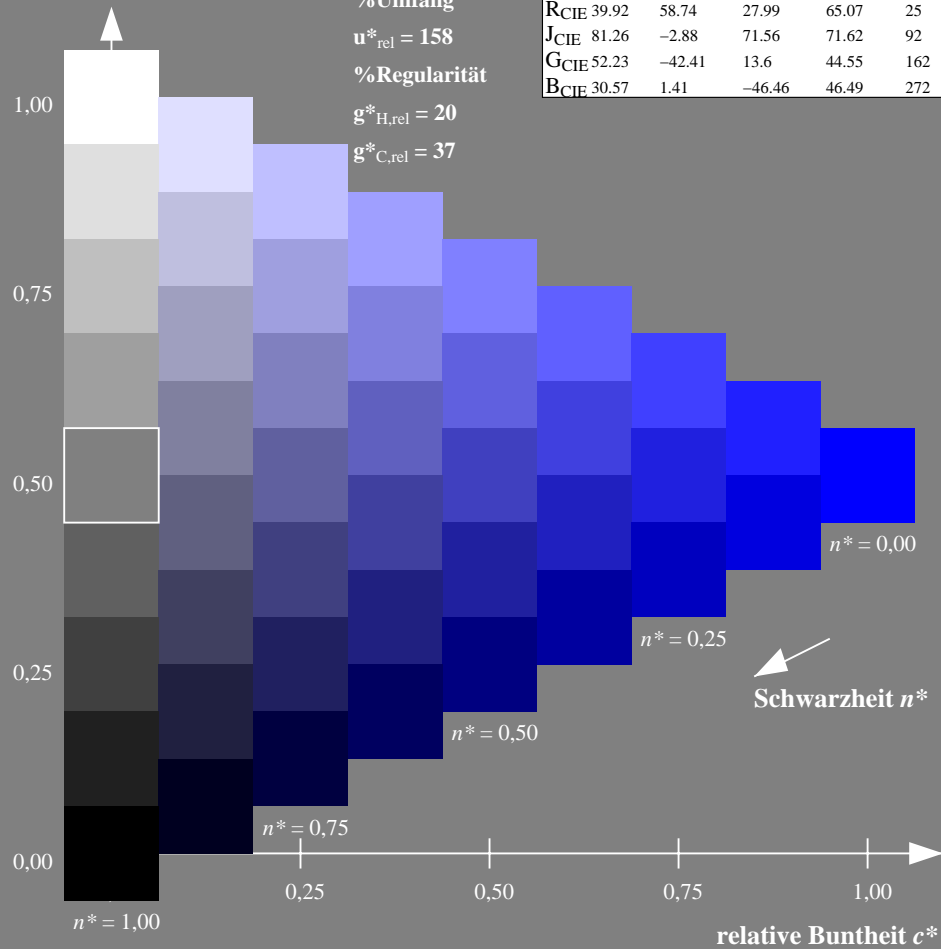
%Umfang

$u^*_{rel} = 158$

%Regularität

$g^*_{H,rel} = 20$

$g^*_{C,rel} = 37$



Ausgabe: Farbmetrisches Fernseh-Licht-System TLS00

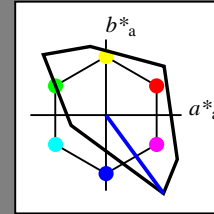
für Buntton $h^* = lab^*h = 306/360 = 0.851$

lab^*tch und lab^*nch

D65: Buntton V

LCH*Ma: 30 129 306

olv*Ma: 0.0 0.0 1.0



TLS00; adaptierte CIELAB-Daten

	$L^*=L^*_a$	a^*_a	b^*_a	$C^*_{ab,a}$	$h^*_{ab,a}$
O _{Ma}	50.5	76.92	64.55	100.42	40
Y _{Ma}	92.66	-20.69	90.75	93.08	103
L _{Ma}	83.63	-82.75	79.9	115.04	136
C _{Ma}	86.88	-46.16	-13.55	48.12	196
V _{Ma}	30.39	76.06	-103.59	128.52	306
M _{Ma}	57.3	94.35	-58.41	110.97	328
N _{Ma}	0.01	0.0	0.0	0.0	0
W _{Ma}	95.41	0.0	0.0	0.0	0
R _{CIE}	39.92	58.74	27.99	65.07	25
J _{CIE}	81.26	-2.88	71.56	71.62	92
G _{CIE}	52.23	-42.41	13.6	44.55	162
B _{CIE}	30.57	1.41	-46.46	46.49	272

Dreiecks-Helligkeit t^*

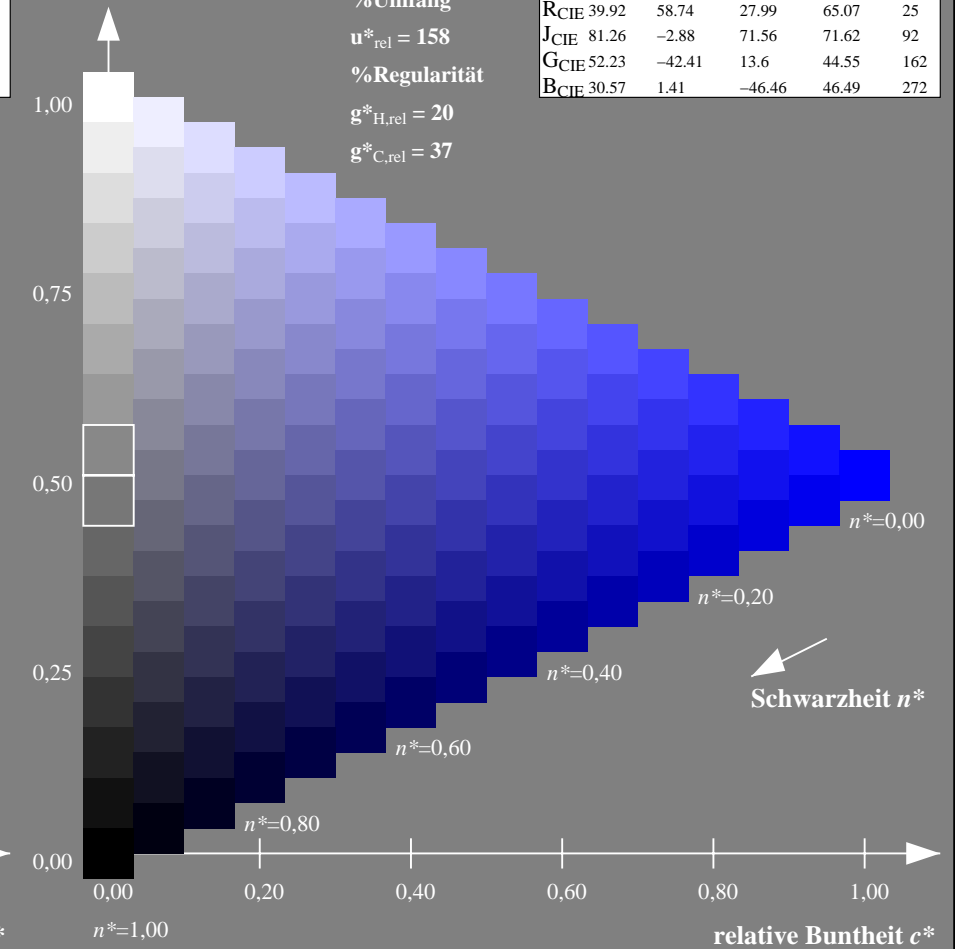
%Umfang

$u^*_{rel} = 158$

%Regularität

$g^*_{H,rel} = 20$

$g^*_{C,rel} = 37$



NG900-7, 9stufige Reihen für konstanten CIELAB Buntton 306/360 = 0.851 (links)

16stufige Reihen für konstanten CIELAB Buntton 306/360 = 0.851 (rechts)

Eingabe: Farbmetrisches Fernseh-Licht-System TLS00

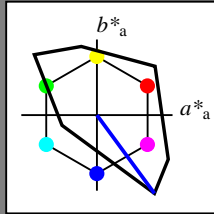
für Buntton $h^* = lab^*h = 306/360 = 0.851$

lab^*tch und lab^*nch

D65: Buntton V

LCH*Ma: 30 129 306

olv*Ma: 0.0 0.0 1.0



TLS00; adaptierte CIELAB-Daten

	$L^*=L^*_a$	a^*_a	b^*_a	$C^*_{ab,a}$	$h^*_{ab,a}$
O _{Ma}	50.5	76.92	64.55	100.42	40
Y _{Ma}	92.66	-20.69	90.75	93.08	103
L _{Ma}	83.63	-82.75	79.9	115.04	136
C _{Ma}	86.88	-46.16	-13.55	48.12	196
V _{Ma}	30.39	76.06	-103.59	128.52	306
M _{Ma}	57.3	94.35	-58.41	110.97	328
N _{Ma}	0.01	0.0	0.0	0.0	0
W _{Ma}	95.41	0.0	0.0	0.0	0
R _{CIE}	39.92	58.74	27.99	65.07	25
J _{CIE}	81.26	-2.88	71.56	71.62	92
G _{CIE}	52.23	-42.41	13.6	44.55	162
B _{CIE}	30.57	1.41	-46.46	46.49	272

Dreiecks-Helligkeit t^*

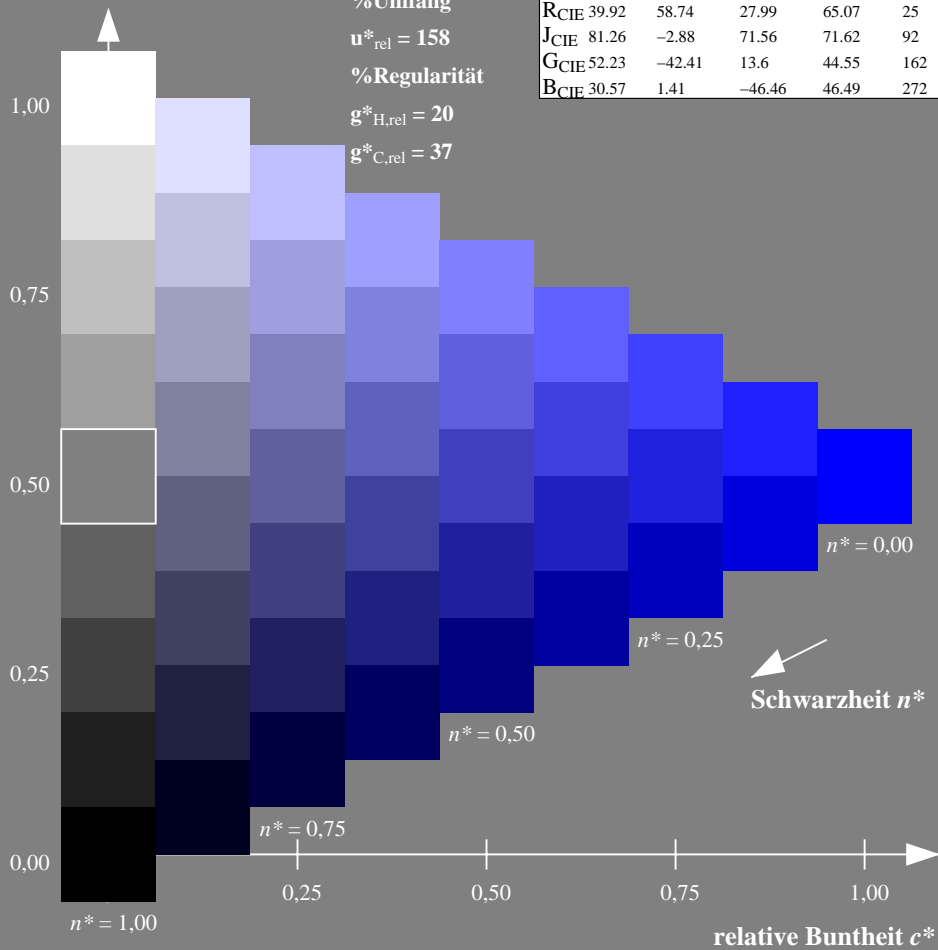
%Umfang

$u^*_{rel} = 158$

%Regularität

$g^*_{H,rel} = 20$

$g^*_{C,rel} = 37$



Ausgabe: Farbmetrisches Drucker-Reflektiv-System DRSXX

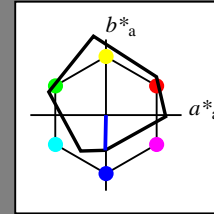
für Buntton $h^* = lab^*h = 269/360 = 0.747$

lab^*tch und lab^*nch

D65: Buntton V

LCH*Ma: 34 47 269

olv*Ma: 0.0 0.0 1.0



DRSXX; adaptierte CIELAB-Daten

	$L^*=L^*_a$	a^*_a	b^*_a	$C^*_{ab,a}$	$h^*_{ab,a}$
O _{Ma}	42.21	66.82	50.6	83.82	37
Y _{Ma}	90.32	-16.51	104.33	105.63	99
L _{Ma}	48.21	-75.63	30.65	81.61	158
C _{Ma}	53.44	-33.33	-47.49	58.03	235
V _{Ma}	34.16	-0.92	-46.56	46.58	269
M _{Ma}	42.71	79.0	-1.95	79.03	359
N _{Ma}	16.56	0.0	0.0	0.0	0
W _{Ma}	96.31	0.0	0.0	0.0	0
R _{CIE}	39.92	59.78	25.77	65.1	23
J _{CIE}	81.26	-2.51	69.07	69.11	92
G _{CIE}	52.23	-41.57	11.3	43.09	165
B _{CIE}	30.57	2.6	-48.62	48.7	273

Dreiecks-Helligkeit t^*

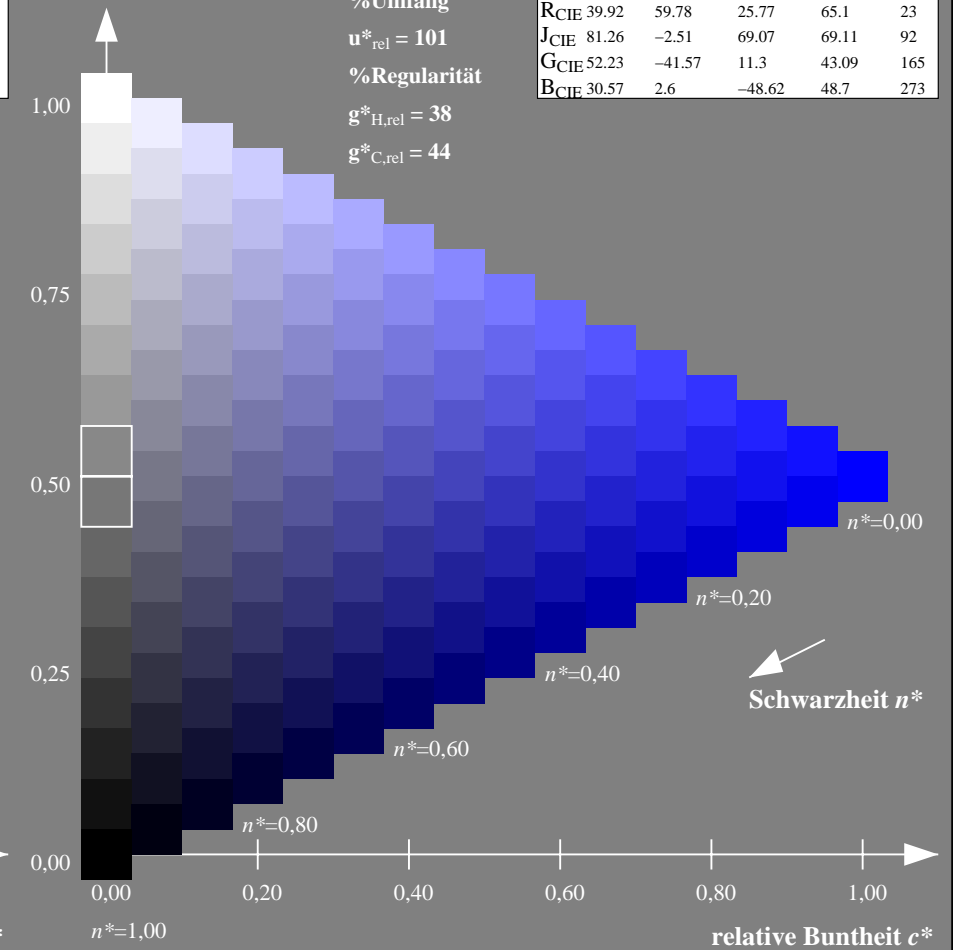
%Umfang

$u^*_{rel} = 101$

%Regularität

$g^*_{H,rel} = 38$

$g^*_{C,rel} = 44$



NG900-7, 9stufige Reihen für konstanten CIELAB Buntton 306/360 = 0.851 (links)

16stufige Reihen für konstanten CIELAB Buntton 269/360 = 0.747 (rechts)

Eingabe: Farbmetrisches Fernseh-Licht-System TLS00

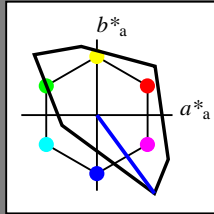
für Buntton $h^* = lab^*h = 306/360 = 0.851$

lab^*tch und lab^*nch

D65: Buntton V

LCH*Ma: 30 129 306

olv*Ma: 0.0 0.0 1.0



TLS00; adaptierte CIELAB-Daten

	$L^*=L^*_a$	a^*_a	b^*_a	$C^*_{ab,a}$	$h^*_{ab,a}$
OMa	50.5	76.92	64.55	100.42	40
YMa	92.66	-20.69	90.75	93.08	103
LMa	83.63	-82.75	79.9	115.04	136
CMa	86.88	-46.16	-13.55	48.12	196
VMa	30.39	76.06	-103.59	128.52	306
MMa	57.3	94.35	-58.41	110.97	328
NMa	0.01	0.0	0.0	0.0	0
WMa	95.41	0.0	0.0	0.0	0
RCIE	39.92	58.74	27.99	65.07	25
JCIE	81.26	-2.88	71.56	71.62	92
GCIE	52.23	-42.41	13.6	44.55	162
BCIE	30.57	1.41	-46.46	46.49	272

Dreiecks-Helligkeit t^*

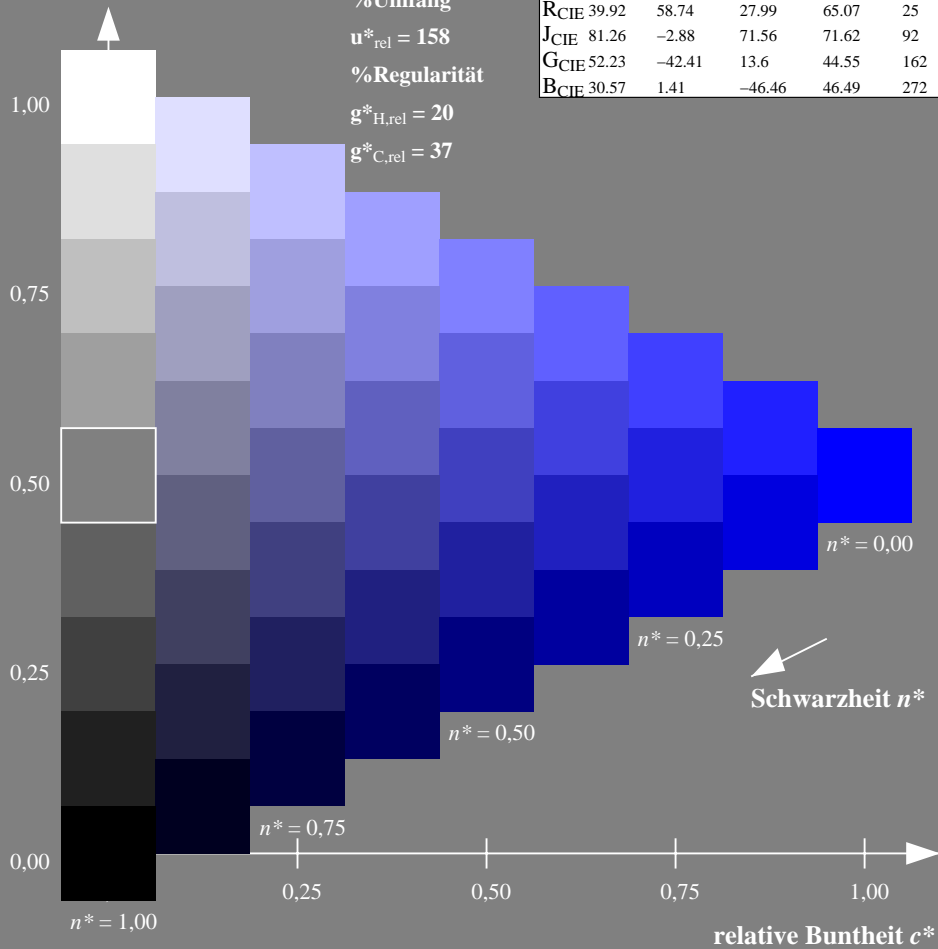
%Umfang

$u^*_{rel} = 158$

%Regularität

$g^*_{H,rel} = 20$

$g^*_{C,rel} = 37$



Ausgabe: Farbmetrisches Fernseh-Licht-System TLS18

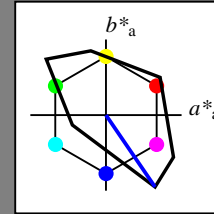
für Buntton $h^* = lab^*h = 304/360 = 0.845$

lab^*tch und lab^*nch

D65: Buntton V

LCH*Ma: 35 115 304

olv*Ma: 0.0 0.0 1.0



TLS18; adaptierte CIELAB-Daten

	$L^*=L^*_a$	a^*_a	b^*_a	$C^*_{ab,a}$	$h^*_{ab,a}$
OMa	52.76	71.63	49.88	87.29	35
YMa	92.74	-20.02	84.97	87.3	103
LMa	84.0	-78.98	73.94	108.2	137
CMa	87.14	-44.41	-13.11	46.32	196
VMa	35.47	64.92	-95.06	115.12	304
MMa	59.01	89.33	-55.67	105.26	328
NMa	18.01	0.0	0.0	0.0	0
WMa	95.41	0.0	0.0	0.0	0
RCIE	39.92	58.74	27.99	65.07	25
JCIE	81.26	-2.88	71.56	71.62	92
GCIE	52.23	-42.41	13.6	44.55	162
BCIE	30.57	1.41	-46.46	46.49	272

Dreiecks-Helligkeit t^*

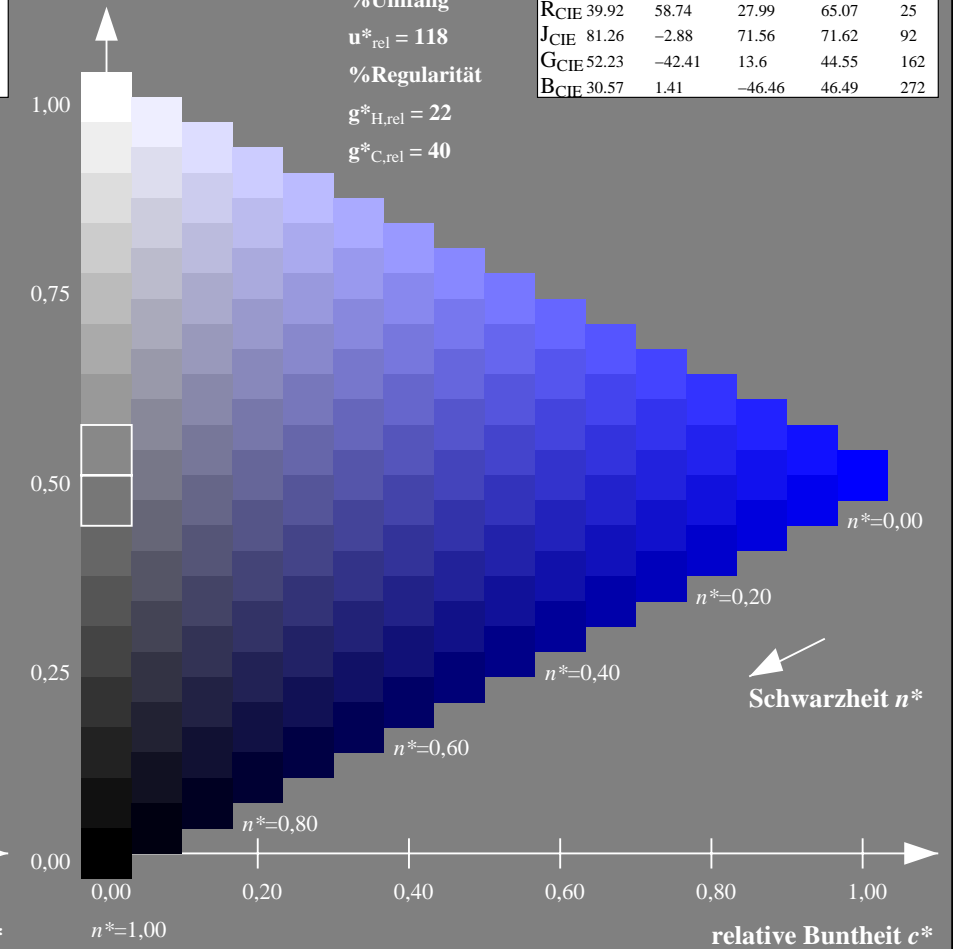
%Umfang

$u^*_{rel} = 118$

%Regularität

$g^*_{H,rel} = 22$

$g^*_{C,rel} = 40$



NG900-7, 9stufige Reihen für konstanten CIELAB Buntton $306/360 = 0.851$ (links)

16stufige Reihen für konstanten CIELAB Buntton $304/360 = 0.845$ (rechts)

Eingabe: Farbmetrisches Fernseh-Licht-System TLS00

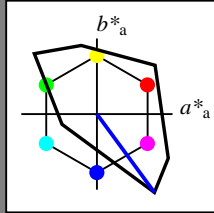
für Buntton $h^* = lab^*h = 306/360 = 0.851$

lab^*tch und lab^*nch

D65: Buntton V

LCH*Ma: 30 129 306

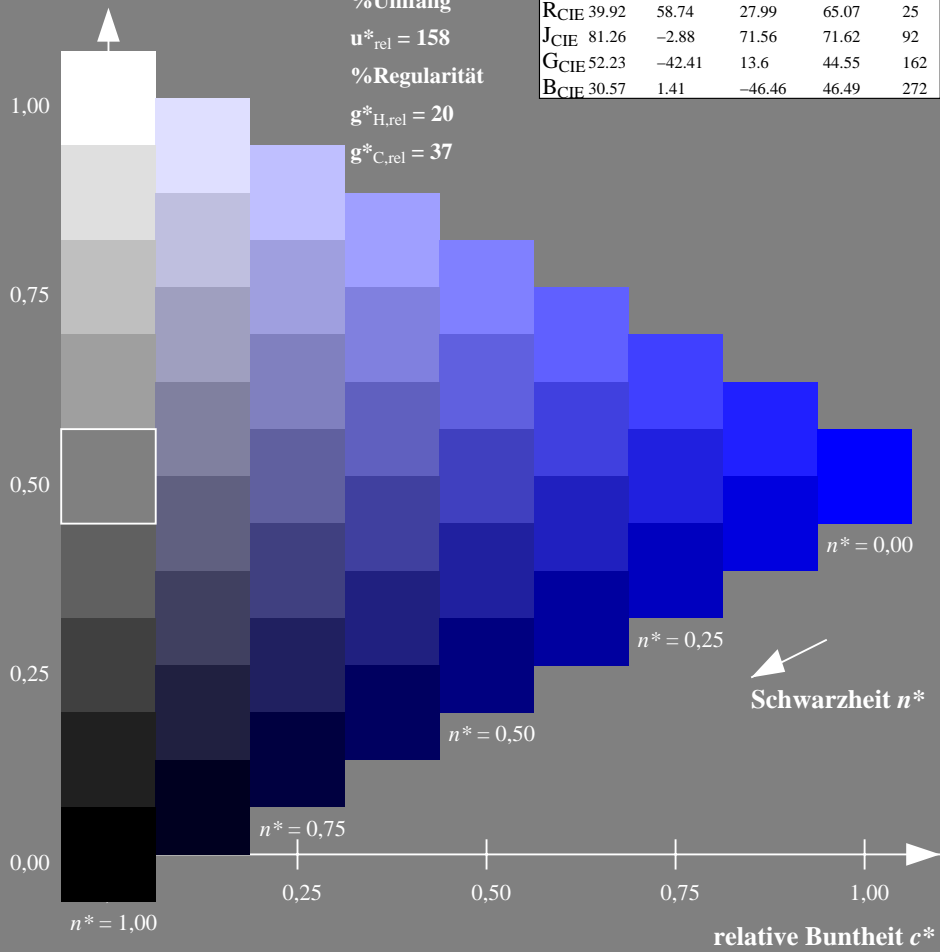
olv*Ma: 0.0 0.0 1.0



TLS00; adaptierte CIELAB-Daten

	$L^*=L^*_a$	a^*_a	b^*_a	$C^*_{ab,a}$	$h^*_{ab,a}$
O _{Ma}	50.5	76.92	64.55	100.42	40
Y _{Ma}	92.66	-20.69	90.75	93.08	103
L _{Ma}	83.63	-82.75	79.9	115.04	136
C _{Ma}	86.88	-46.16	-13.55	48.12	196
V _{Ma}	30.39	76.06	-103.59	128.52	306
M _{Ma}	57.3	94.35	-58.41	110.97	328
N _{Ma}	0.01	0.0	0.0	0.0	0
W _{Ma}	95.41	0.0	0.0	0.0	0
R _{CIE}	39.92	58.74	27.99	65.07	25
J _{CIE}	81.26	-2.88	71.56	71.62	92
G _{CIE}	52.23	-42.41	13.6	44.55	162
B _{CIE}	30.57	1.41	-46.46	46.49	272

Dreiecks-Helligkeit t^*



Ausgabe: Farbmetrisches Natürliches-Licht-System NLS00

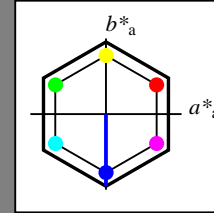
für Buntton $h^* = lab^*h = 270/360 = 0.75$

lab^*tch und lab^*nch

D65: Buntton V

LCH*Ma: 32 95 270

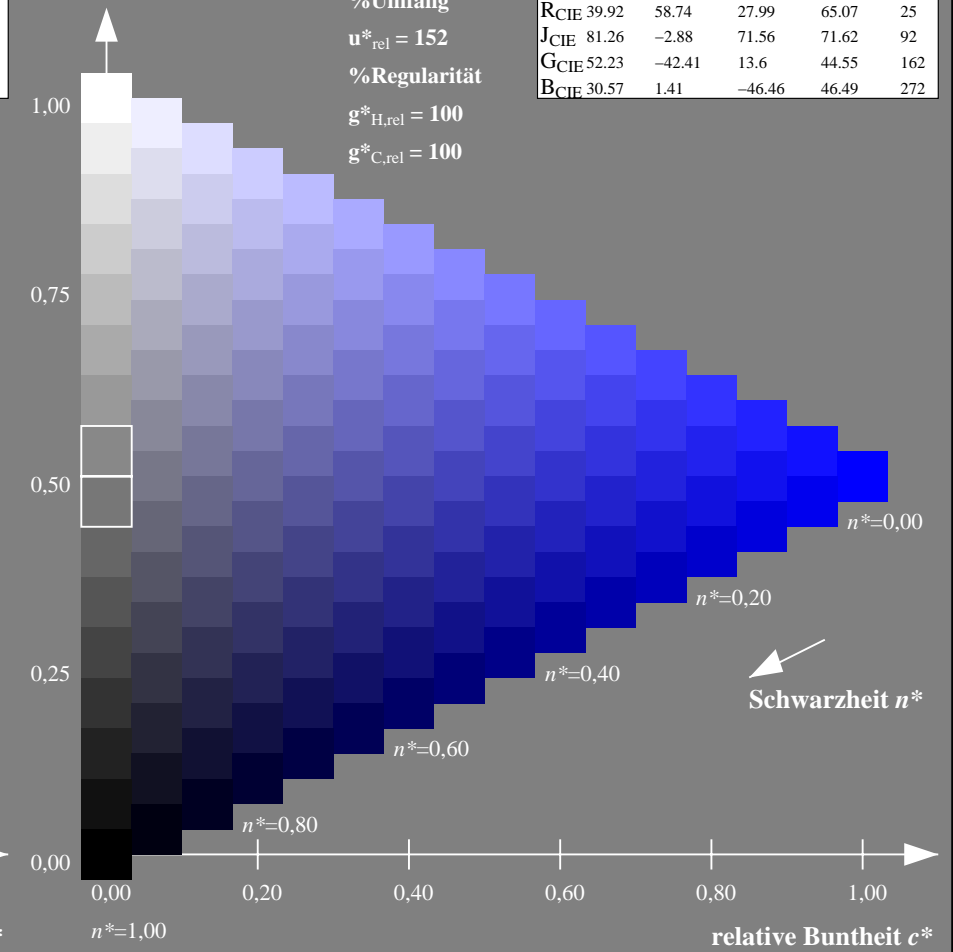
olv*Ma: 0.0 0.0 1.0



NLS00; adaptierte CIELAB-Daten

	$L^*=L^*_a$	a^*_a	b^*_a	$C^*_{ab,a}$	$h^*_{ab,a}$
O _{Ma}	31.81	82.62	47.7	95.4	30
Y _{Ma}	63.61	0.0	95.4	95.4	90
L _{Ma}	31.81	-82.61	47.7	95.4	150
C _{Ma}	63.61	-82.61	-47.69	95.4	210
V _{Ma}	31.81	0.0	-95.39	95.4	270
M _{Ma}	63.61	82.62	-47.69	95.4	330
N _{Ma}	0.01	0.0	0.0	0.0	0
W _{Ma}	95.41	0.0	0.0	0.0	0
R _{CIE}	39.92	58.74	27.99	65.07	25
J _{CIE}	81.26	-2.88	71.56	71.62	92
G _{CIE}	52.23	-42.41	13.6	44.55	162
B _{CIE}	30.57	1.41	-46.46	46.49	272

Dreiecks-Helligkeit t^*



NG900-7, 9stufige Reihen für konstanten CIELAB Buntton 306/360 = 0.851 (links)

16stufige Reihen für konstanten CIELAB Buntton 270/360 = 0.75 (rechts)

Eingabe: Farbmetrisches Fernseh-Licht-System TLS00

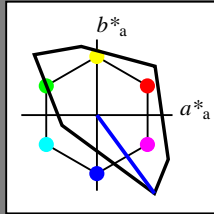
für Buntton $h^* = lab^*h = 306/360 = 0.851$

lab^*tch und lab^*nch

D65: Buntton V

LCH*Ma: 30 129 306

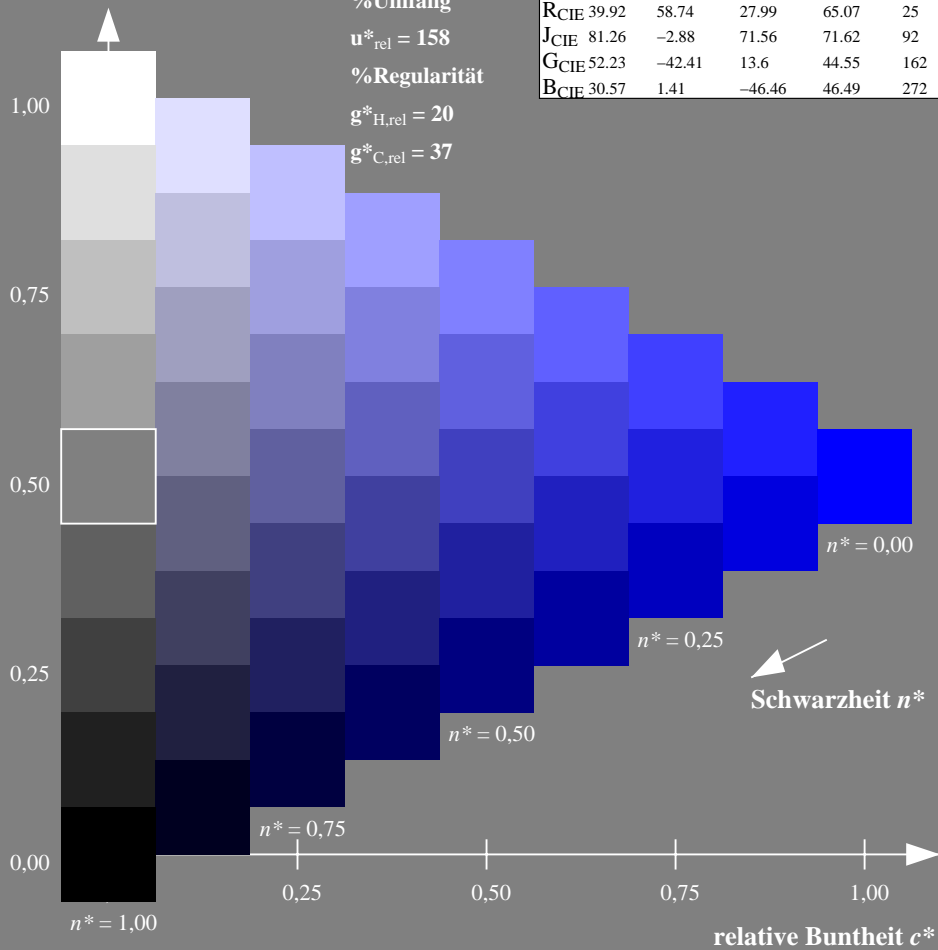
olv*Ma: 0.0 0.0 1.0



TLS00; adaptierte CIELAB-Daten

	$L^*=L^*_a$	a^*_a	b^*_a	$C^*_{ab,a}$	$h^*_{ab,a}$
O _{Ma}	50.5	76.92	64.55	100.42	40
Y _{Ma}	92.66	-20.69	90.75	93.08	103
L _{Ma}	83.63	-82.75	79.9	115.04	136
C _{Ma}	86.88	-46.16	-13.55	48.12	196
V _{Ma}	30.39	76.06	-103.59	128.52	306
M _{Ma}	57.3	94.35	-58.41	110.97	328
N _{Ma}	0.01	0.0	0.0	0.0	0
W _{Ma}	95.41	0.0	0.0	0.0	0
R _{CIE}	39.92	58.74	27.99	65.07	25
J _{CIE}	81.26	-2.88	71.56	71.62	92
G _{CIE}	52.23	-42.41	13.6	44.55	162
B _{CIE}	30.57	1.41	-46.46	46.49	272

Dreiecks-Helligkeit t^*



Ausgabe: Farbmetrisches Natürliches-Reflektiv-System NRS18

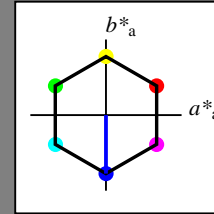
für Buntton $h^* = lab^*h = 270/360 = 0.75$

lab^*tch und lab^*nch

D65: Buntton V

LCH*Ma: 44 77 270

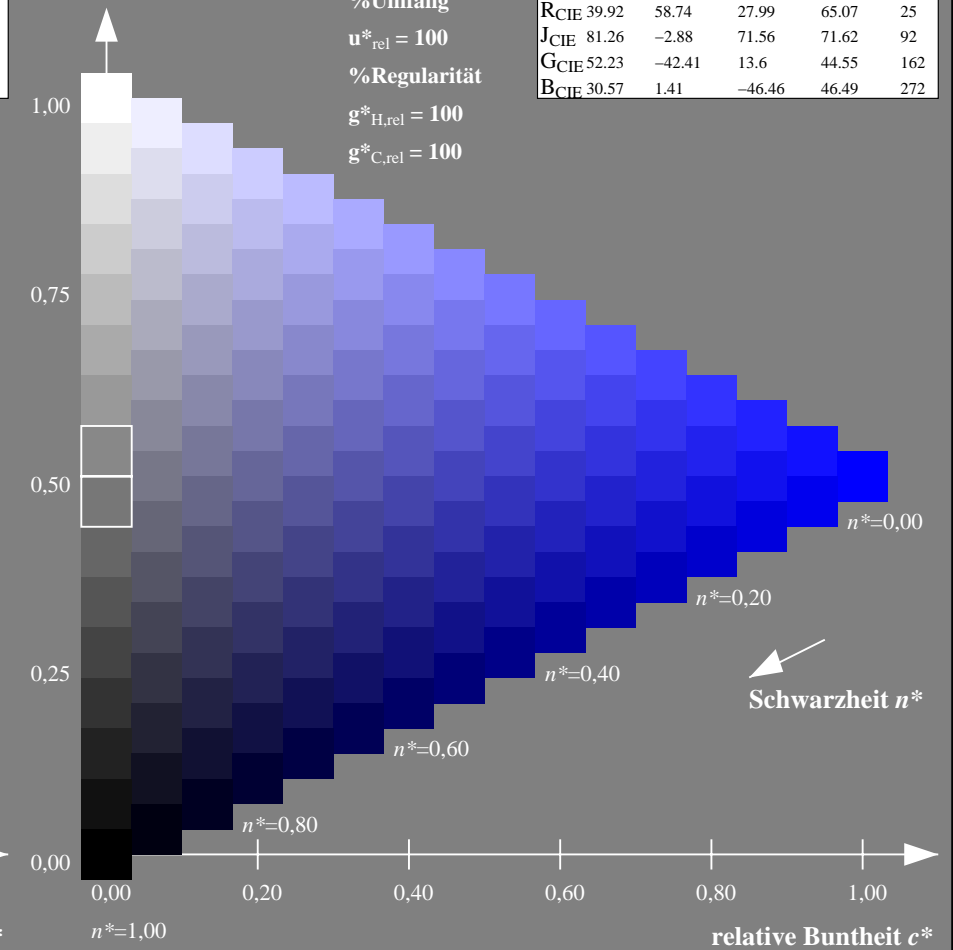
olv*Ma: 0.0 0.0 1.0



NRS18; adaptierte CIELAB-Daten

	$L^*=L^*_a$	a^*_a	b^*_a	$C^*_{ab,a}$	$h^*_{ab,a}$
O _{Ma}	43.81	67.03	38.7	77.4	30
Y _{Ma}	69.61	0.0	77.4	77.4	90
L _{Ma}	43.81	-67.02	38.7	77.4	150
C _{Ma}	69.61	-67.02	-38.69	77.4	210
V _{Ma}	43.81	0.0	-77.39	77.4	270
M _{Ma}	69.61	67.03	-38.69	77.4	330
N _{Ma}	18.01	0.0	0.0	0.0	0
W _{Ma}	95.41	0.0	0.0	0.0	0
R _{CIE}	39.92	58.74	27.99	65.07	25
J _{CIE}	81.26	-2.88	71.56	71.62	92
G _{CIE}	52.23	-42.41	13.6	44.55	162
B _{CIE}	30.57	1.41	-46.46	46.49	272

Dreiecks-Helligkeit t^*



NG900-7, 9stufige Reihen für konstanten CIELAB Buntton $306/360 = 0.851$ (links)

16stufige Reihen für konstanten CIELAB Buntton $270/360 = 0.75$ (rechts)

Eingabe: Farbmetrisches Fernseh-Licht-System TLS00

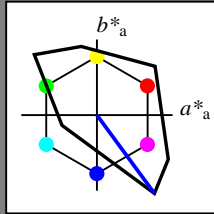
für Buntton $h^* = lab^*h = 306/360 = 0.851$

lab^*tch und lab^*nch

D65: Buntton V

LCH*Ma: 30 129 306

olv*Ma: 0.0 0.0 1.0



TLS00; adaptierte CIELAB-Daten

	$L^*=L^*_a$	a^*_a	b^*_a	$C^*_{ab,a}$	$h^*_{ab,a}$
OMa	50.5	76.92	64.55	100.42	40
YMa	92.66	-20.69	90.75	93.08	103
LMa	83.63	-82.75	79.9	115.04	136
CMa	86.88	-46.16	-13.55	48.12	196
VMa	30.39	76.06	-103.59	128.52	306
MMa	57.3	94.35	-58.41	110.97	328
NMa	0.01	0.0	0.0	0.0	0
WMa	95.41	0.0	0.0	0.0	0
RCIE	39.92	58.74	27.99	65.07	25
JCIE	81.26	-2.88	71.56	71.62	92
GCIE	52.23	-42.41	13.6	44.55	162
BCIE	30.57	1.41	-46.46	46.49	272

Dreiecks-Helligkeit t^*

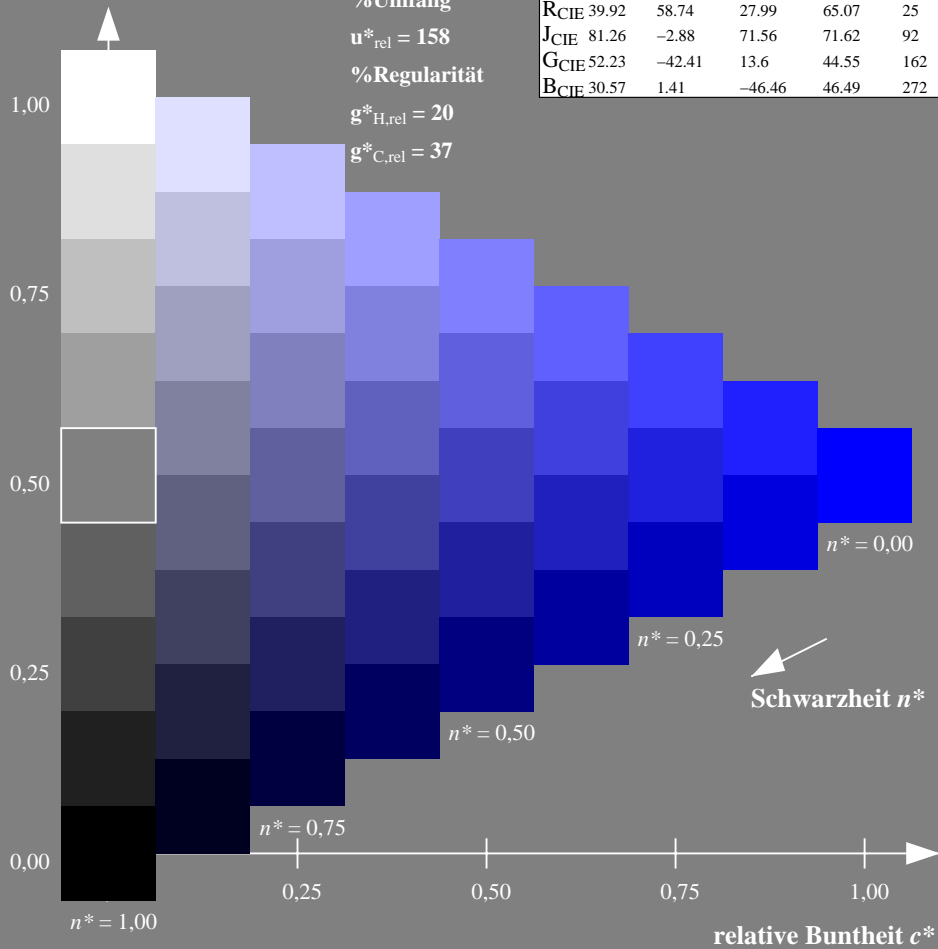
%Umfang

$u^*_{rel} = 158$

%Regularität

$g^*_{H,rel} = 20$

$g^*_{C,rel} = 37$



Ausgabe: Farbmetrisches Standard-Reflektiv-System SRS18

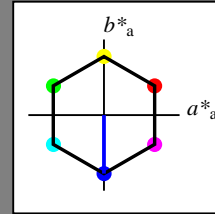
für Buntton $h^* = lab^*h = 270/360 = 0.75$

lab^*tch und lab^*nch

D65: Buntton V

LCH*Ma: 57 77 270

olv*Ma: 0.0 0.0 1.0



SRS18; adaptierte CIELAB-Daten

	$L^*=L^*_a$	a^*_a	b^*_a	$C^*_{ab,a}$	$h^*_{ab,a}$
OMa	56.71	67.03	38.7	77.4	30
YMa	56.71	0.0	77.4	77.4	90
LMa	56.71	-67.02	38.7	77.4	150
CMa	56.71	-67.02	-38.69	77.4	210
VMa	56.71	0.0	-77.39	77.4	270
MMa	56.71	67.03	-38.69	77.4	330
NMa	18.01	0.0	0.0	0.0	0
WMa	95.41	0.0	0.0	0.0	0
RCIE	39.92	58.74	27.99	65.07	25
JCIE	81.26	-2.88	71.56	71.62	92
GCIE	52.23	-42.41	13.6	44.55	162
BCIE	30.57	1.41	-46.46	46.49	272

Dreiecks-Helligkeit t^*

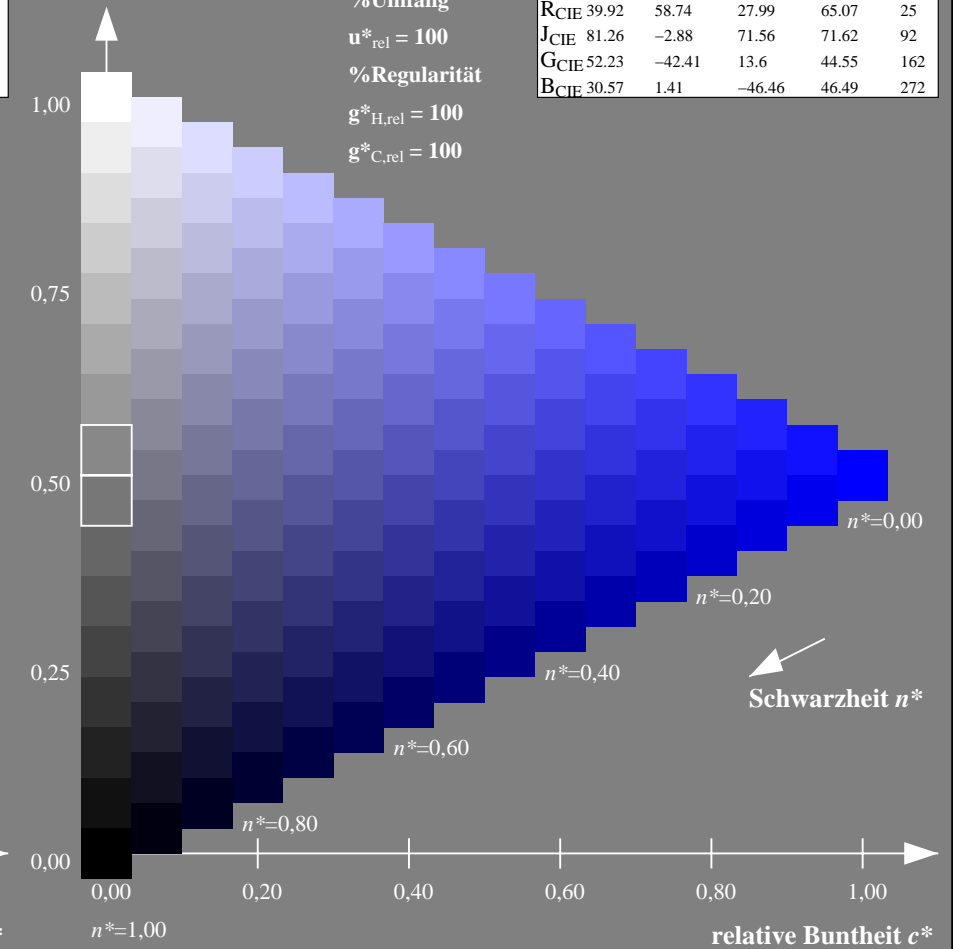
%Umfang

$u^*_{rel} = 100$

%Regularität

$g^*_{H,rel} = 100$

$g^*_{C,rel} = 100$



NG900-7, 9stufige Reihen für konstanten CIELAB Buntton $306/360 = 0.851$ (links)

16stufige Reihen für konstanten CIELAB Buntton $270/360 = 0.75$ (rechts)

Eingabe: Farbmetrisches Fernseh-Licht-System TLS00

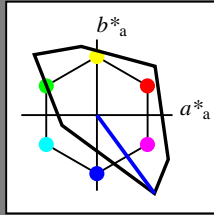
für Buntton $h^* = lab^*h = 306/360 = 0.851$

lab^*tch und lab^*nch

D65: Buntton V

LCH*Ma: 30 129 306

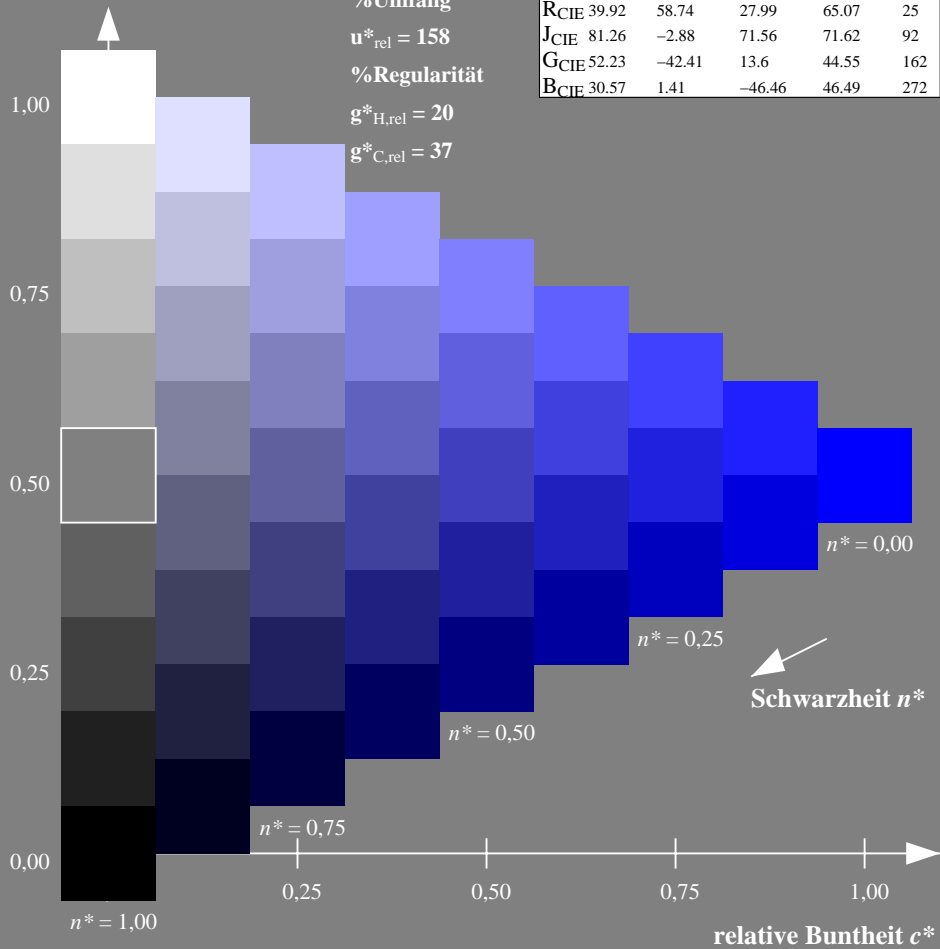
olv*Ma: 0.0 0.0 1.0



TLS00; adaptierte CIELAB-Daten

	$L^*=L^*_a$	a^*_a	b^*_a	$C^*_{ab,a}$	$h^*_{ab,a}$
O _{Ma}	50.5	76.92	64.55	100.42	40
Y _{Ma}	92.66	-20.69	90.75	93.08	103
L _{Ma}	83.63	-82.75	79.9	115.04	136
C _{Ma}	86.88	-46.16	-13.55	48.12	196
V _{Ma}	30.39	76.06	-103.59	128.52	306
M _{Ma}	57.3	94.35	-58.41	110.97	328
N _{Ma}	0.01	0.0	0.0	0.0	0
W _{Ma}	95.41	0.0	0.0	0.0	0
RCIE	39.92	58.74	27.99	65.07	25
J _{CIE}	81.26	-2.88	71.56	71.62	92
G _{CIE}	52.23	-42.41	13.6	44.55	162
B _{CIE}	30.57	1.41	-46.46	46.49	272

Dreiecks-Helligkeit t^*



Ausgabe: Farbmetrisches Fernseh-Licht-System TLS70

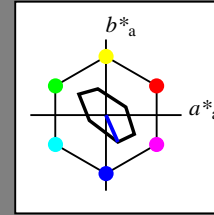
für Buntton $h^* = lab^*h = 294/360 = 0.816$

lab^*tch und lab^*nch

D65: Buntton V

LCH*Ma: 72 39 294

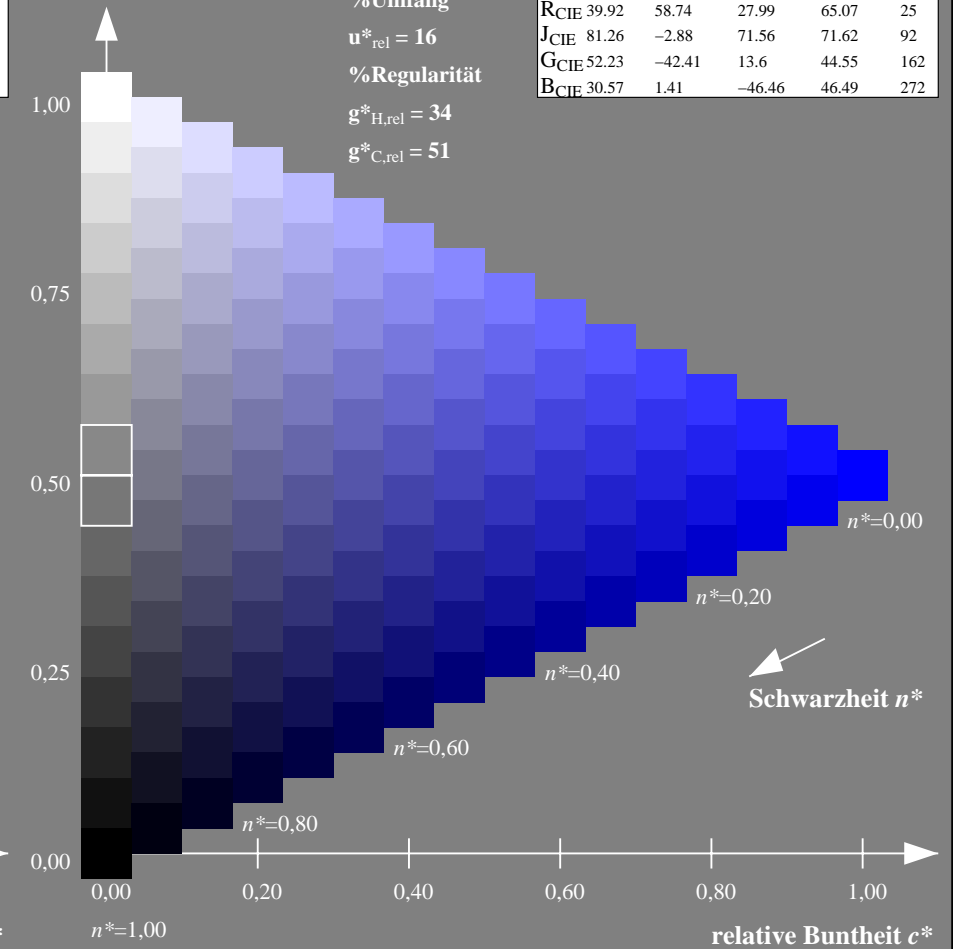
olv*Ma: 0.0 0.0 1.0



TLS70; adaptierte CIELAB-Daten

	$L^*=L^*_a$	a^*_a	b^*_a	$C^*_{ab,a}$	$h^*_{ab,a}$
O _{Ma}	76.43	26.27	10.57	28.32	22
Y _{Ma}	93.93	-10.76	34.63	36.27	107
L _{Ma}	89.32	-35.8	27.64	45.24	142
C _{Ma}	90.93	-21.95	-7.07	23.07	198
V _{Ma}	72.1	15.76	-35.63	38.97	294
M _{Ma}	78.5	37.52	-25.23	45.22	326
N _{Ma}	69.7	0.0	0.0	0.0	0
W _{Ma}	95.41	0.0	0.0	0.0	0
RCIE	39.92	58.74	27.99	65.07	25
J _{CIE}	81.26	-2.88	71.56	71.62	92
G _{CIE}	52.23	-42.41	13.6	44.55	162
B _{CIE}	30.57	1.41	-46.46	46.49	272

Dreiecks-Helligkeit t^*



NG900-7, 9stufige Reihen für konstanten CIELAB Buntton $306/360 = 0.851$ (links)

16stufige Reihen für konstanten CIELAB Buntton $294/360 = 0.816$ (rechts)

Eingabe: Farbmetrisches Drucker-Reflektiv-System DRSXX

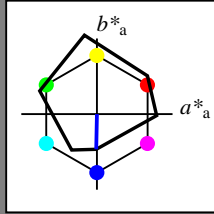
für Buntton $h^* = lab^*h = 269/360 = 0.747$

lab^*tch und lab^*nch

D65: Buntton V

LCH*Ma: 34 47 269

olv*Ma: 0.0 0.0 1.0



DRSXX; adaptierte CIELAB-Daten

	$L^*=L^*_a$	a^*_a	b^*_a	$C^*_{ab,a}$	$h^*_{ab,a}$
OMa	42.21	66.82	50.6	83.82	37
YMa	90.32	-16.51	104.33	105.63	99
LMa	48.21	-75.63	30.65	81.61	158
CMa	53.44	-33.33	-47.49	58.03	235
VMa	34.16	-0.92	-46.56	46.58	269
MMa	42.71	79.0	-1.95	79.03	359
NMa	16.56	0.0	0.0	0.0	0
WMa	96.31	0.0	0.0	0.0	0
RCIE	39.92	59.78	25.77	65.1	23
JCIE	81.26	-2.51	69.07	69.11	92
GCIE	52.23	-41.57	11.3	43.09	165
BCIE	30.57	2.6	-48.62	48.7	273

Dreiecks-Helligkeit t^*

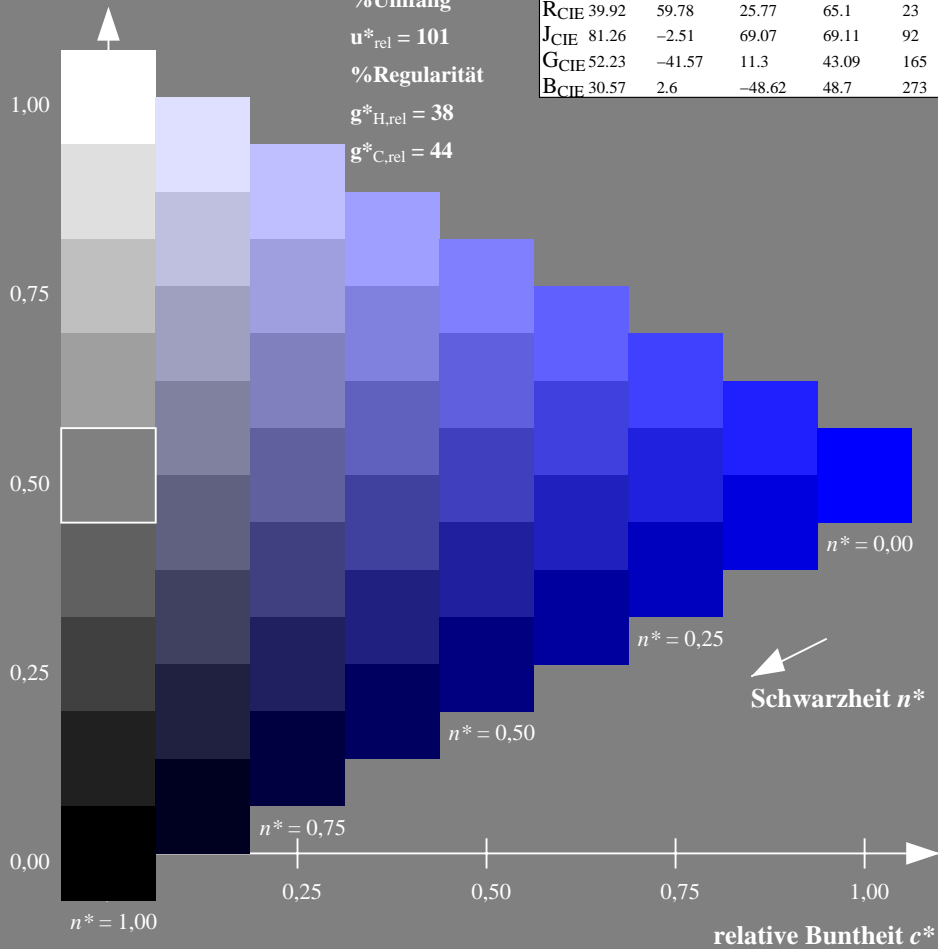
%Umfang

$u^*_{rel} = 101$

%Regularität

$g^*_{H,rel} = 38$

$g^*_{C,rel} = 44$



Ausgabe: Farbmetrisches Offset-Reflektiv-System ORS18

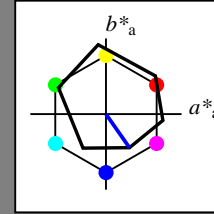
für Buntton $h^* = lab^*h = 305/360 = 0.847$

lab^*tch und lab^*nch

D65: Buntton V

LCH*Ma: 26 54 305

olv*Ma: 0.0 0.0 1.0



ORS18; adaptierte CIELAB-Daten

	$L^*=L^*_a$	a^*_a	b^*_a	$C^*_{ab,a}$	$h^*_{ab,a}$
OMa	47.94	65.39	50.52	82.63	38
YMa	90.37	-10.26	91.75	92.32	96
LMa	50.9	-62.83	34.96	71.91	151
CMa	58.62	-30.34	-45.01	54.3	236
VMa	25.72	31.1	-44.4	54.22	305
MMa	48.13	75.28	-8.36	75.74	354
NMa	18.01	0.0	0.0	0.0	0
WMa	95.41	0.0	0.0	0.0	0
RCIE	39.92	58.66	26.98	64.57	25
JCIE	81.26	-2.16	67.76	67.79	92
GCIE	52.23	-42.25	11.76	43.87	164
BCIE	30.57	1.15	-46.84	46.86	271

Dreiecks-Helligkeit t^*

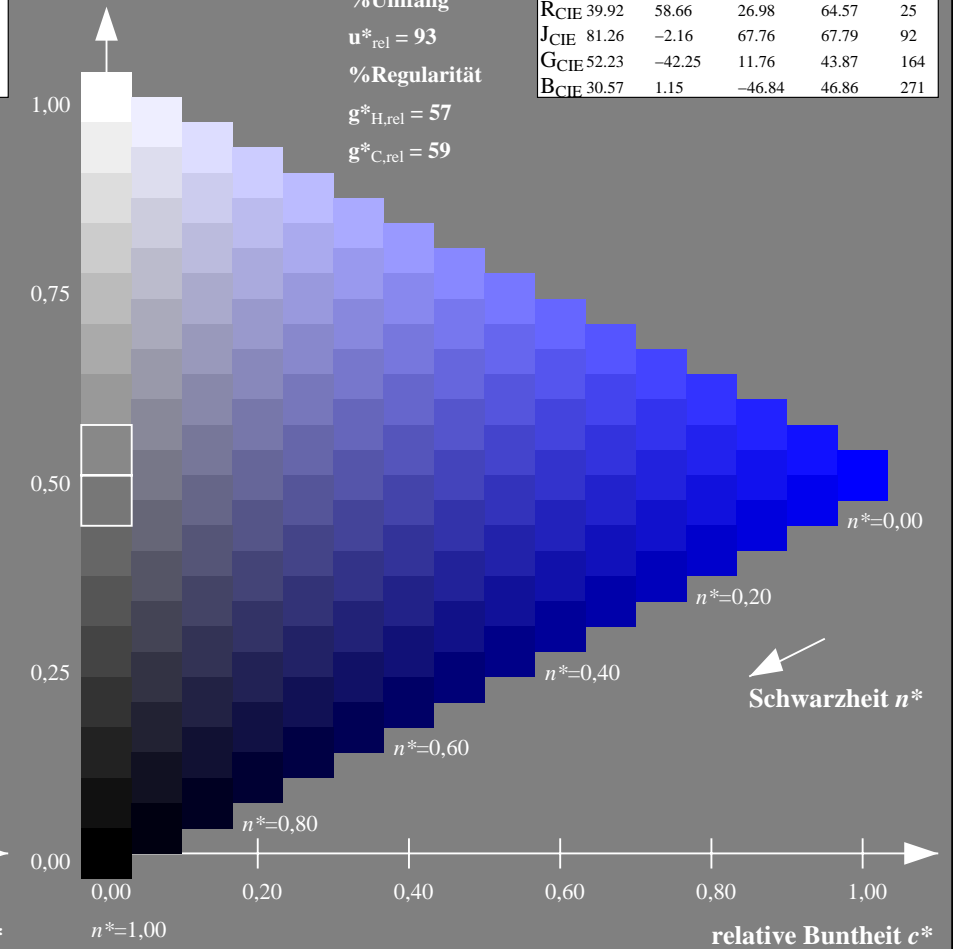
%Umfang

$u^*_{rel} = 93$

%Regularität

$g^*_{H,rel} = 57$

$g^*_{C,rel} = 59$



NG900-7, 9stufige Reihen für konstanten CIELAB Buntton $269/360 = 0.747$ (links)

16stufige Reihen für konstanten CIELAB Buntton $305/360 = 0.847$ (rechts)

Eingabe: Farbmetrisches Drucker-Reflektiv-System DRSXX

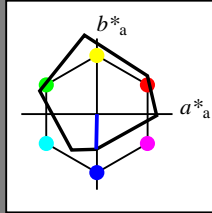
für Buntton $h^* = lab^*h = 269/360 = 0.747$

lab^*tch und lab^*nch

D65: Buntton V

LCH*Ma: 34 47 269

olv*Ma: 0.0 0.0 1.0



DRSXX; adaptierte CIELAB-Daten

	$L^*=L^*_a$	a^*_a	b^*_a	$C^*_{ab,a}$	$h^*_{ab,a}$
OMa	42.21	66.82	50.6	83.82	37
YMa	90.32	-16.51	104.33	105.63	99
LMa	48.21	-75.63	30.65	81.61	158
CMa	53.44	-33.33	-47.49	58.03	235
VMa	34.16	-0.92	-46.56	46.58	269
MMa	42.71	79.0	-1.95	79.03	359
NMa	16.56	0.0	0.0	0.0	0
WMa	96.31	0.0	0.0	0.0	0
RCIE	39.92	59.78	25.77	65.1	23
JCIE	81.26	-2.51	69.07	69.11	92
GCIE	52.23	-41.57	11.3	43.09	165
BCIE	30.57	2.6	-48.62	48.7	273

Dreiecks-Helligkeit t^*

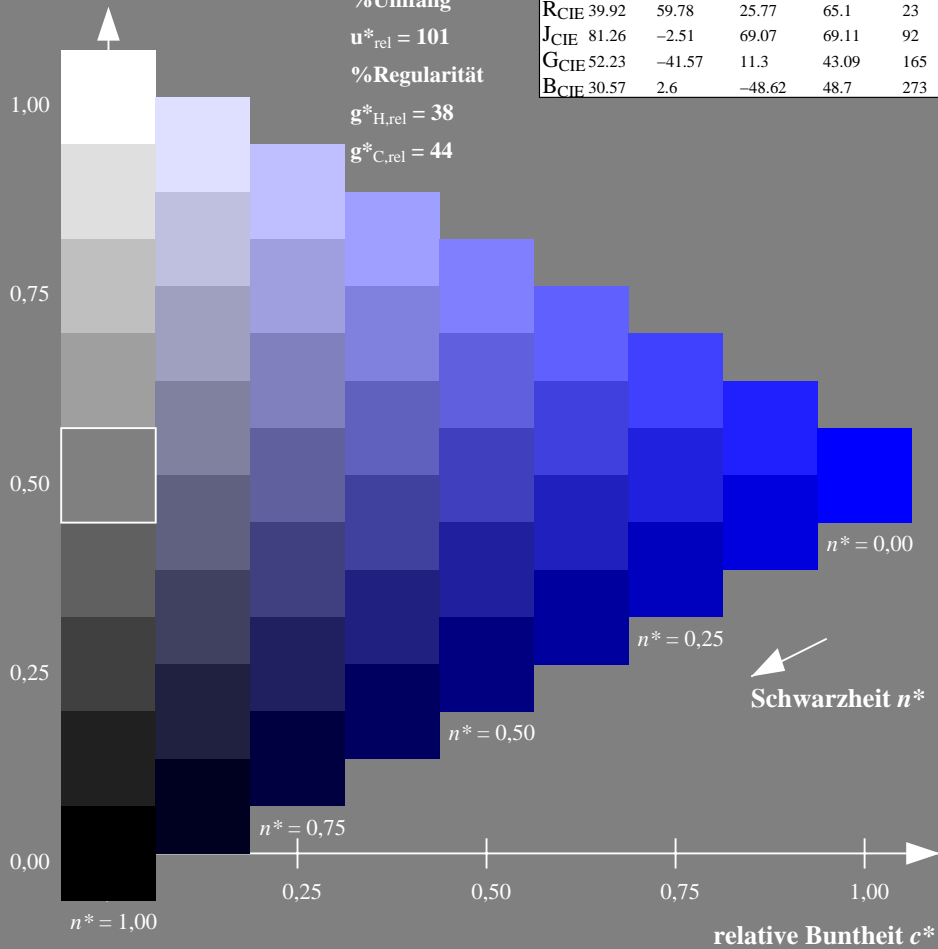
%Umfang

$u^*_{rel} = 101$

%Regularität

$g^*_{H,rel} = 38$

$g^*_{C,rel} = 44$



Ausgabe: Farbmetrisches Fernseh-Licht-System TLS00

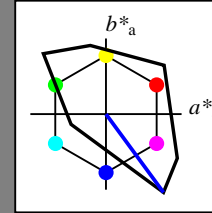
für Buntton $h^* = lab^*h = 306/360 = 0.851$

lab^*tch und lab^*nch

D65: Buntton V

LCH*Ma: 30 129 306

olv*Ma: 0.0 0.0 1.0



TLS00; adaptierte CIELAB-Daten

	$L^*=L^*_a$	a^*_a	b^*_a	$C^*_{ab,a}$	$h^*_{ab,a}$
OMa	50.5	76.92	64.55	100.42	40
YMa	92.66	-20.69	90.75	93.08	103
LMa	83.63	-82.75	79.9	115.04	136
CMa	86.88	-46.16	-13.55	48.12	196
VMa	30.39	76.06	-103.59	128.52	306
MMa	57.3	94.35	-58.41	110.97	328
NMa	0.01	0.0	0.0	0.0	0
WMa	95.41	0.0	0.0	0.0	0
RCIE	39.92	58.74	27.99	65.07	25
JCIE	81.26	-2.88	71.56	71.62	92
GCIE	52.23	-42.41	13.6	44.55	162
BCIE	30.57	1.41	-46.46	46.49	272

Dreiecks-Helligkeit t^*

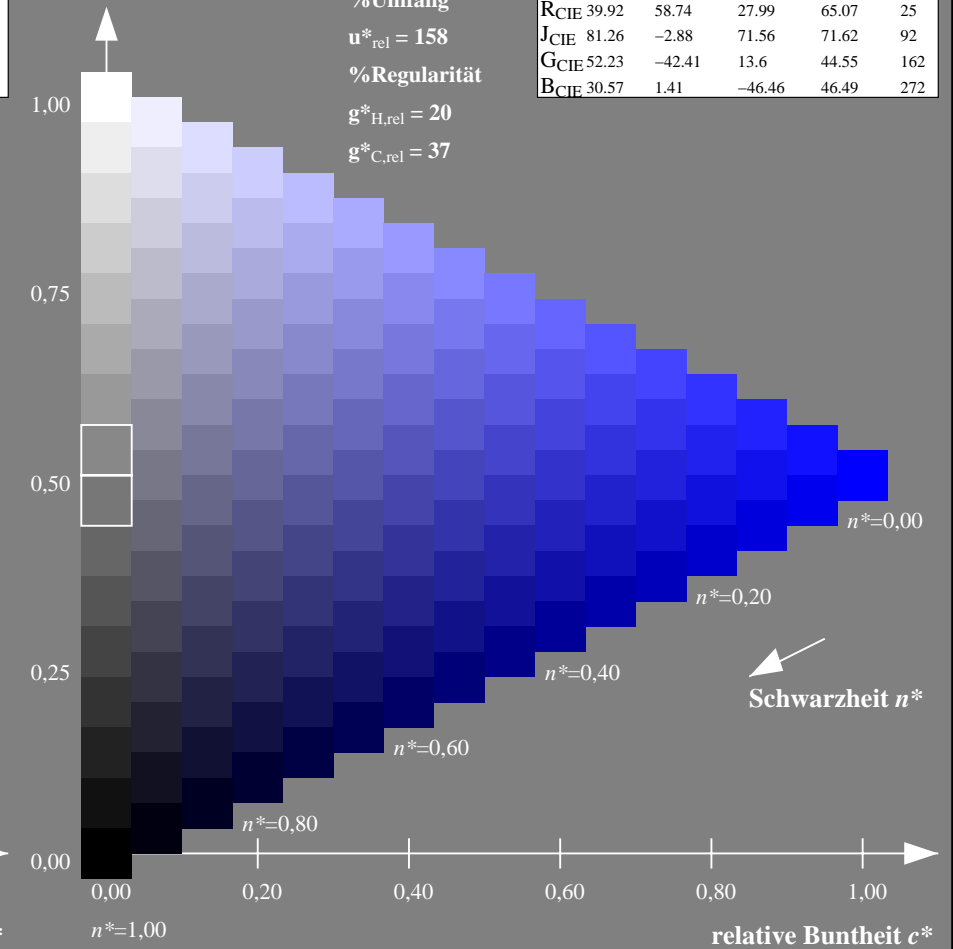
%Umfang

$u^*_{rel} = 158$

%Regularität

$g^*_{H,rel} = 20$

$g^*_{C,rel} = 37$



NG900-7, 9stufige Reihen für konstanten CIELAB Buntton $269/360 = 0.747$ (links)

16stufige Reihen für konstanten CIELAB Buntton $306/360 = 0.851$ (rechts)

Eingabe: Farbmetrisches Drucker-Reflektiv-System DRSXX

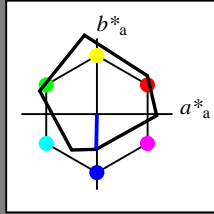
für Buntton $h^* = lab^*h = 269/360 = 0.747$

lab^*tch und lab^*nch

D65: Buntton V

LCH*Ma: 34 47 269

olv*Ma: 0.0 0.0 1.0



DRSXX; adaptierte CIELAB-Daten

	$L^*=L^*_a$	a^*_a	b^*_a	$C^*_{ab,a}$	$h^*_{ab,a}$
O _{Ma}	42.21	66.82	50.6	83.82	37
Y _{Ma}	90.32	-16.51	104.33	105.63	99
L _{Ma}	48.21	-75.63	30.65	81.61	158
C _{Ma}	53.44	-33.33	-47.49	58.03	235
V _{Ma}	34.16	-0.92	-46.56	46.58	269
M _{Ma}	42.71	79.0	-1.95	79.03	359
N _{Ma}	16.56	0.0	0.0	0.0	0
W _{Ma}	96.31	0.0	0.0	0.0	0
R _{CIE}	39.92	59.78	25.77	65.1	23
J _{CIE}	81.26	-2.51	69.07	69.11	92
G _{CIE}	52.23	-41.57	11.3	43.09	165
B _{CIE}	30.57	2.6	-48.62	48.7	273

Dreiecks-Helligkeit t^*

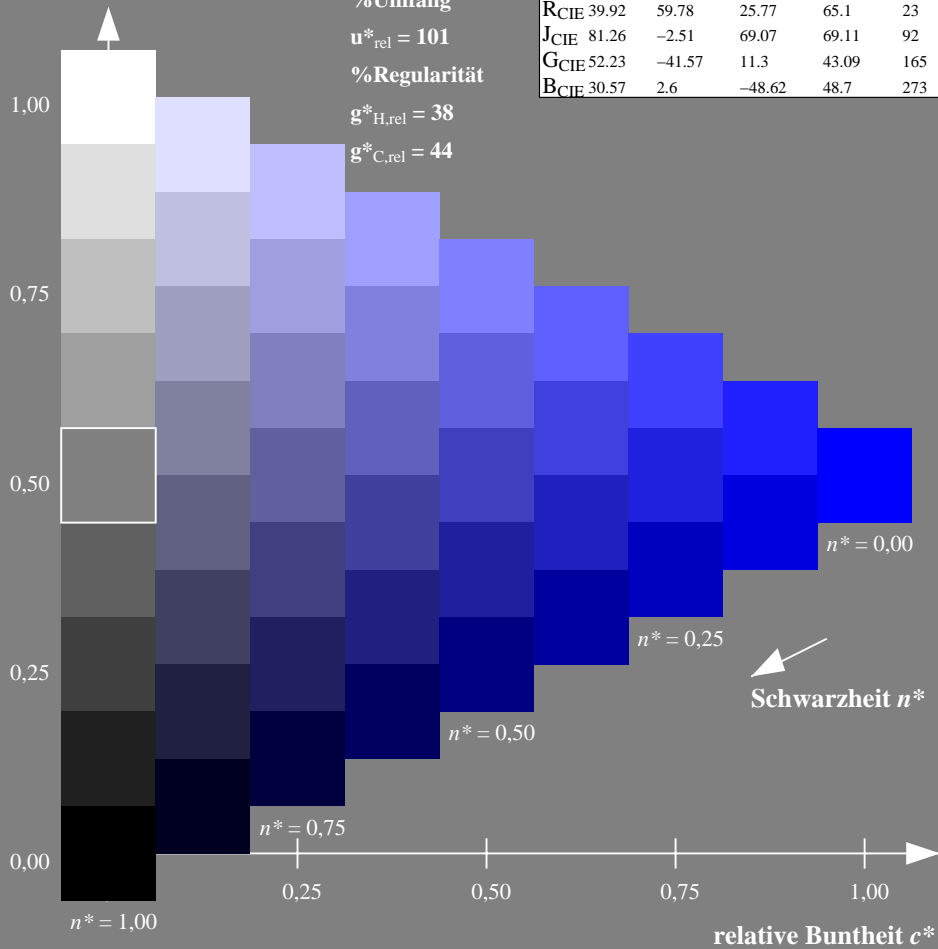
%Umfang

$u^*_{rel} = 101$

%Regularität

$g^*_{H,rel} = 38$

$g^*_{C,rel} = 44$



NG900-7, 9stufige Reihen für konstanten CIELAB Buntton 269/360 = 0.747 (links)

Ausgabe: Farbmetrisches Drucker-Reflektiv-System DRSXX

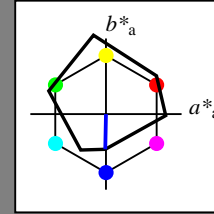
für Buntton $h^* = lab^*h = 269/360 = 0.747$

lab^*tch und lab^*nch

D65: Buntton V

LCH*Ma: 34 47 269

olv*Ma: 0.0 0.0 1.0



DRSXX; adaptierte CIELAB-Daten

	$L^*=L^*_a$	a^*_a	b^*_a	$C^*_{ab,a}$	$h^*_{ab,a}$
O _{Ma}	42.21	66.82	50.6	83.82	37
Y _{Ma}	90.32	-16.51	104.33	105.63	99
L _{Ma}	48.21	-75.63	30.65	81.61	158
C _{Ma}	53.44	-33.33	-47.49	58.03	235
V _{Ma}	34.16	-0.92	-46.56	46.58	269
M _{Ma}	42.71	79.0	-1.95	79.03	359
N _{Ma}	16.56	0.0	0.0	0.0	0
W _{Ma}	96.31	0.0	0.0	0.0	0
R _{CIE}	39.92	59.78	25.77	65.1	23
J _{CIE}	81.26	-2.51	69.07	69.11	92
G _{CIE}	52.23	-41.57	11.3	43.09	165
B _{CIE}	30.57	2.6	-48.62	48.7	273

Dreiecks-Helligkeit t^*

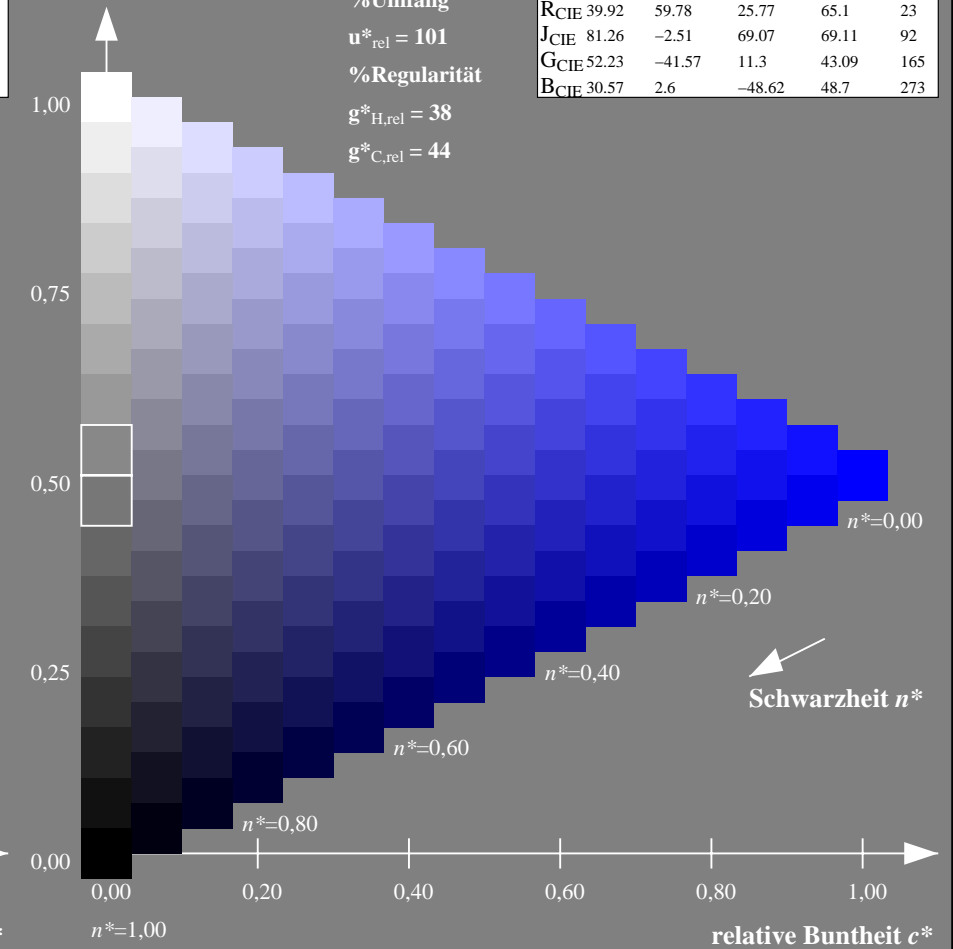
%Umfang

$u^*_{rel} = 101$

%Regularität

$g^*_{H,rel} = 38$

$g^*_{C,rel} = 44$



16stufige Reihen für konstanten CIELAB Buntton 269/360 = 0.747 (rechts)

Eingabe: Farbmetrisches Drucker-Reflektiv-System DRSXX

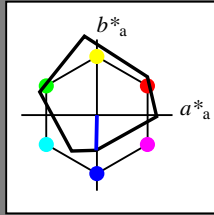
für Buntton $h^* = lab^*h = 269/360 = 0.747$

lab^*tch und lab^*nch

D65: Buntton V

LCH*Ma: 34 47 269

olv*Ma: 0.0 0.0 1.0



DRSXX; adaptierte CIELAB-Daten

	$L^*=L^*_a$	a^*_a	b^*_a	$C^*_{ab,a}$	$h^*_{ab,a}$
OMa	42.21	66.82	50.6	83.82	37
YMa	90.32	-16.51	104.33	105.63	99
LMa	48.21	-75.63	30.65	81.61	158
CMa	53.44	-33.33	-47.49	58.03	235
VMa	34.16	-0.92	-46.56	46.58	269
MMa	42.71	79.0	-1.95	79.03	359
NMa	16.56	0.0	0.0	0.0	0
WMa	96.31	0.0	0.0	0.0	0
RCIE	39.92	59.78	25.77	65.1	23
JCIE	81.26	-2.51	69.07	69.11	92
GCIE	52.23	-41.57	11.3	43.09	165
BCIE	30.57	2.6	-48.62	48.7	273

Dreiecks-Helligkeit t^*

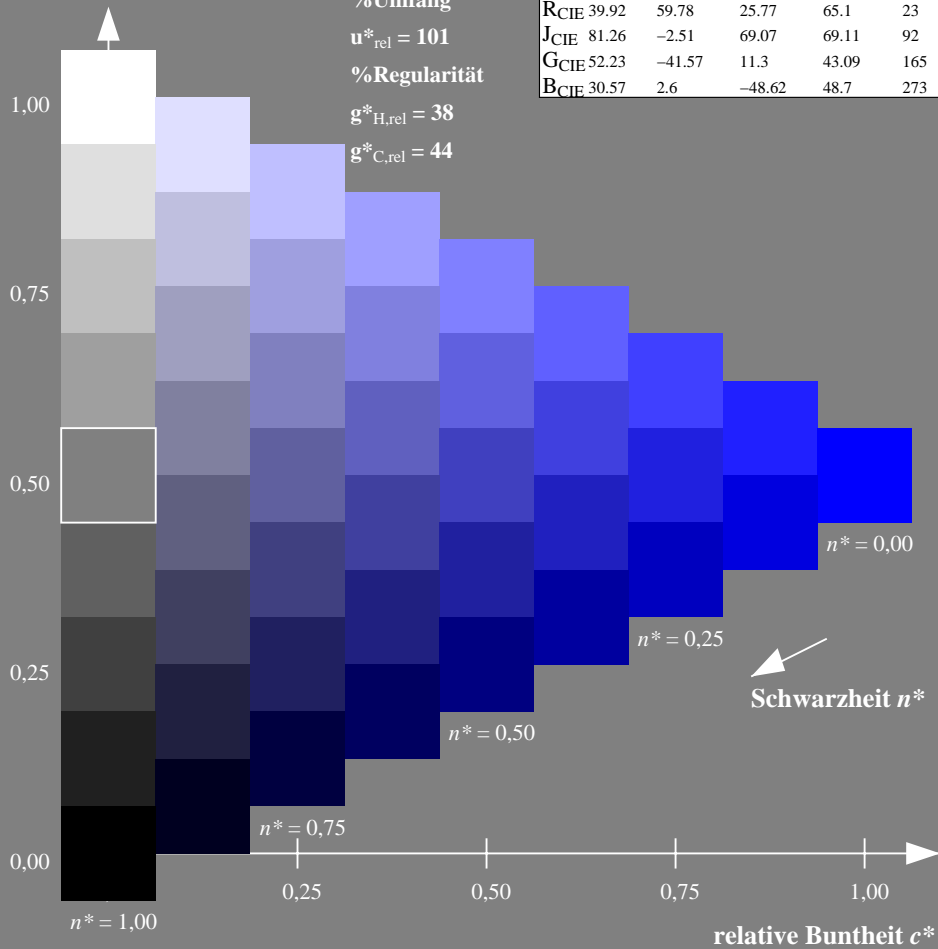
%Umfang

$u^*_{rel} = 101$

%Regularität

$g^*_{H,rel} = 38$

$g^*_{C,rel} = 44$



Ausgabe: Farbmetrisches Fernseh-Licht-System TLS18

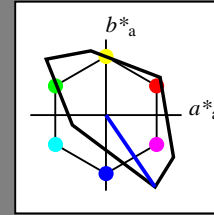
für Buntton $h^* = lab^*h = 304/360 = 0.845$

lab^*tch und lab^*nch

D65: Buntton V

LCH*Ma: 35 115 304

olv*Ma: 0.0 0.0 1.0



TLS18; adaptierte CIELAB-Daten

	$L^*=L^*_a$	a^*_a	b^*_a	$C^*_{ab,a}$	$h^*_{ab,a}$
OMa	52.76	71.63	49.88	87.29	35
YMa	92.74	-20.02	84.97	87.3	103
LMa	84.0	-78.98	73.94	108.2	137
CMa	87.14	-44.41	-13.11	46.32	196
VMa	35.47	64.92	-95.06	115.12	304
MMa	59.01	89.33	-55.67	105.26	328
NMa	18.01	0.0	0.0	0.0	0
WMa	95.41	0.0	0.0	0.0	0
RCIE	39.92	58.74	27.99	65.07	25
JCIE	81.26	-2.88	71.56	71.62	92
GCIE	52.23	-42.41	13.6	44.55	162
BCIE	30.57	1.41	-46.46	46.49	272

Dreiecks-Helligkeit t^*

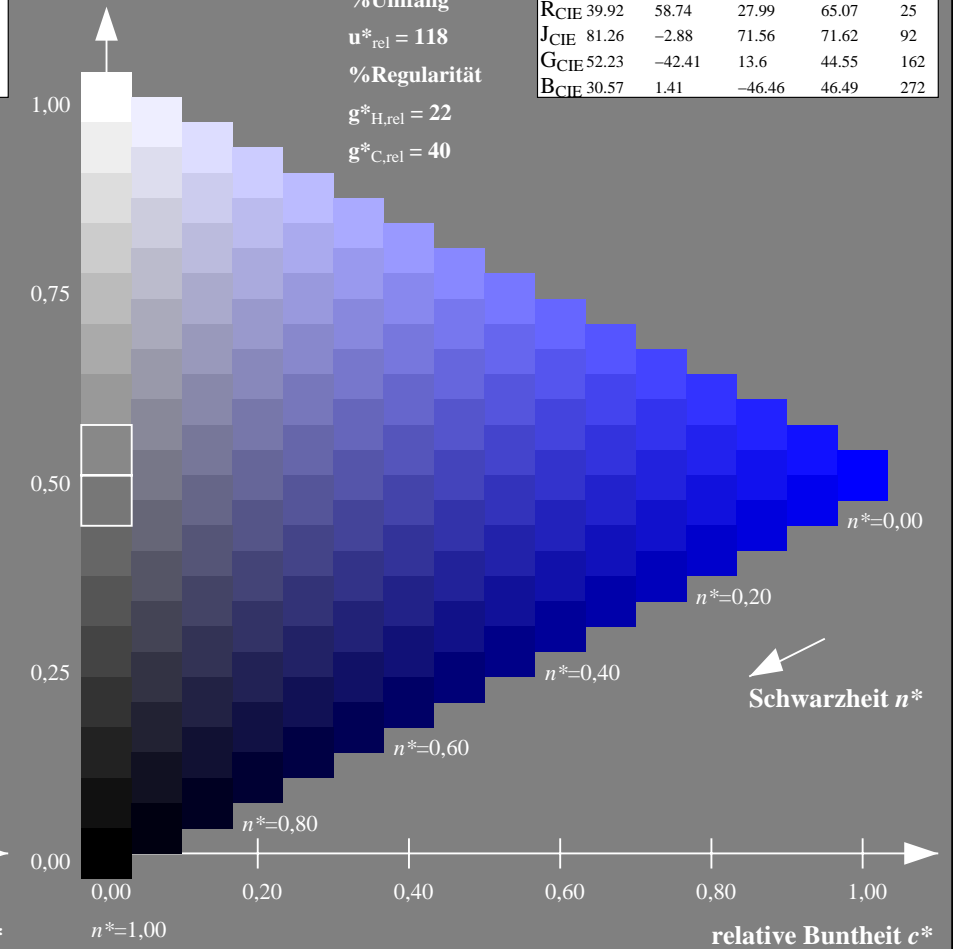
%Umfang

$u^*_{rel} = 118$

%Regularität

$g^*_{H,rel} = 22$

$g^*_{C,rel} = 40$



NG900-7, 9stufige Reihen für konstanten CIELAB Buntton $269/360 = 0.747$ (links)

16stufige Reihen für konstanten CIELAB Buntton $304/360 = 0.845$ (rechts)

Eingabe: Farbmetrisches Drucker-Reflektiv-System DRSXX

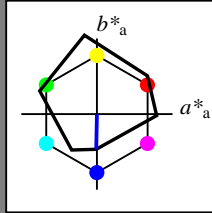
für Buntton $h^* = lab^*h = 269/360 = 0.747$

lab^*tch und lab^*nch

D65: Buntton V

LCH*Ma: 34 47 269

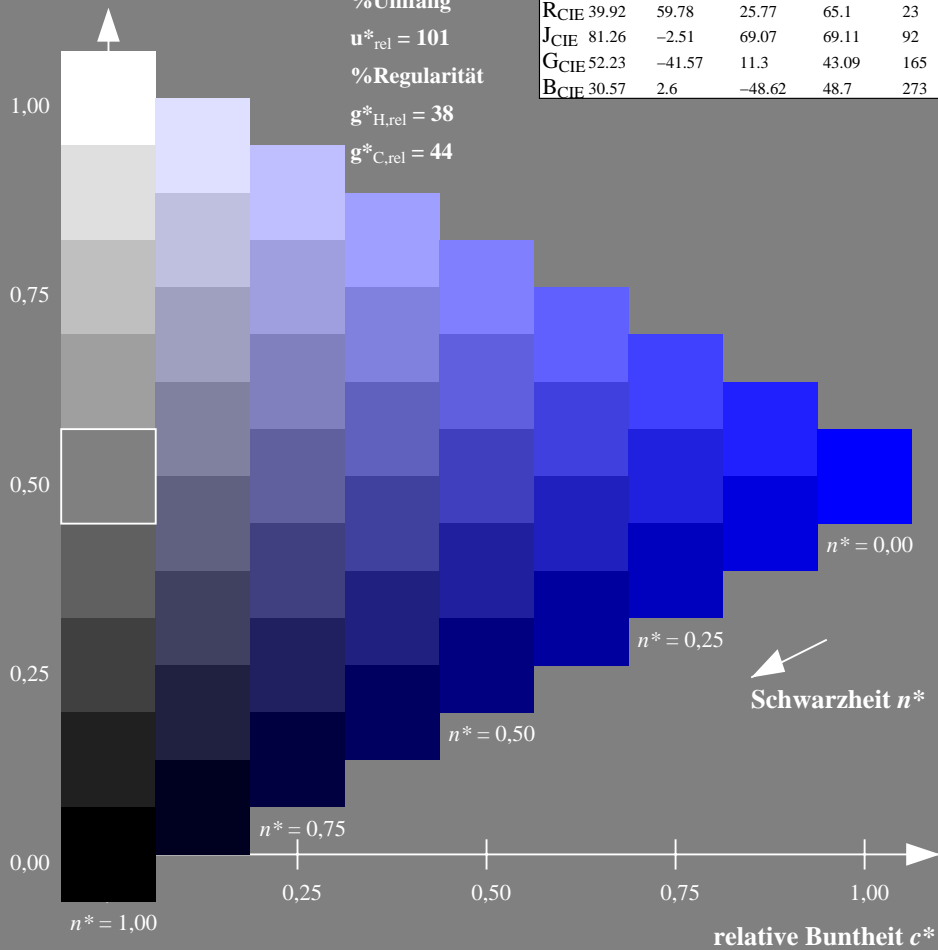
olv*Ma: 0.0 0.0 1.0



DRSXX; adaptierte CIELAB-Daten

	$L^*=L^*_a$	a^*_a	b^*_a	$C^*_{ab,a}$	$h^*_{ab,a}$
O _{Ma}	42.21	66.82	50.6	83.82	37
Y _{Ma}	90.32	-16.51	104.33	105.63	99
L _{Ma}	48.21	-75.63	30.65	81.61	158
C _{Ma}	53.44	-33.33	-47.49	58.03	235
V _{Ma}	34.16	-0.92	-46.56	46.58	269
M _{Ma}	42.71	79.0	-1.95	79.03	359
N _{Ma}	16.56	0.0	0.0	0.0	0
W _{Ma}	96.31	0.0	0.0	0.0	0
R _{CIE}	39.92	59.78	25.77	65.1	23
J _{CIE}	81.26	-2.51	69.07	69.11	92
G _{CIE}	52.23	-41.57	11.3	43.09	165
B _{CIE}	30.57	2.6	-48.62	48.7	273

Dreiecks-Helligkeit t^*



Ausgabe: Farbmetrisches Natürliches-Licht-System NLS00

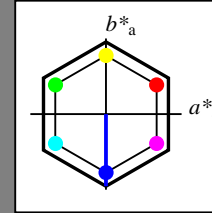
für Buntton $h^* = lab^*h = 270/360 = 0.75$

lab^*tch und lab^*nch

D65: Buntton V

LCH*Ma: 32 95 270

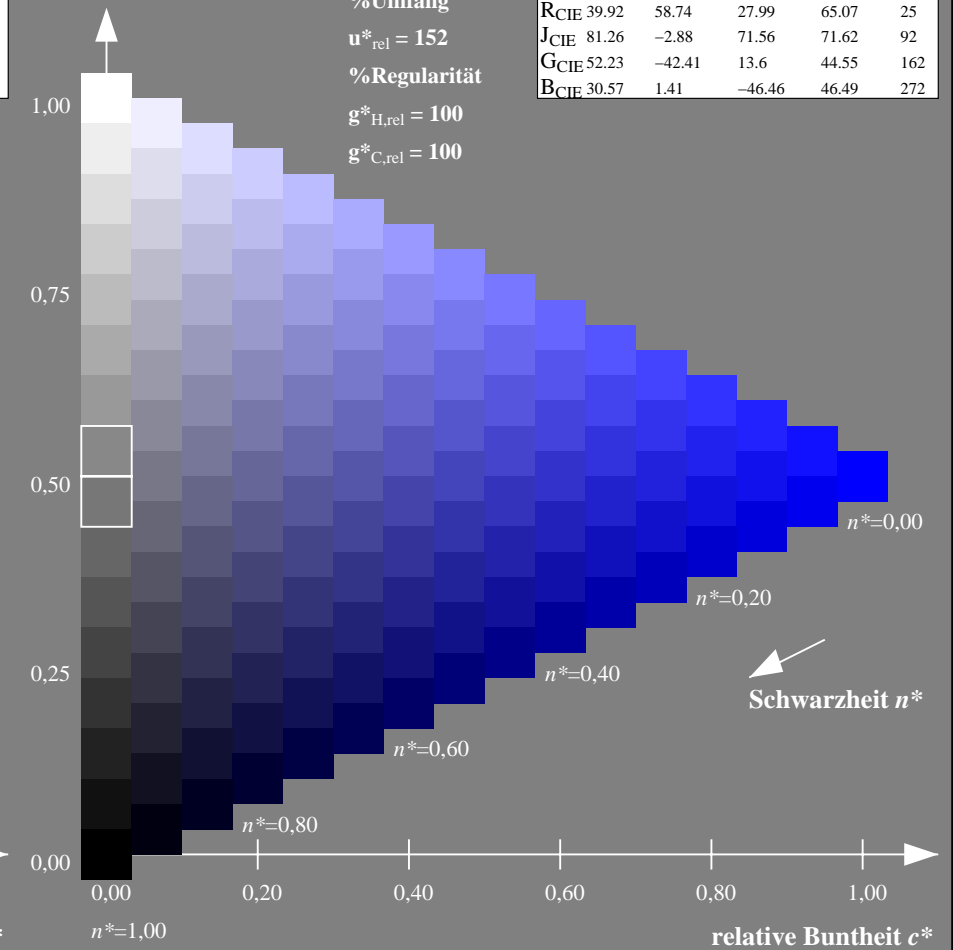
olv*Ma: 0.0 0.0 1.0



NLS00; adaptierte CIELAB-Daten

	$L^*=L^*_a$	a^*_a	b^*_a	$C^*_{ab,a}$	$h^*_{ab,a}$
O _{Ma}	31.81	82.62	47.7	95.4	30
Y _{Ma}	63.61	0.0	95.4	95.4	90
L _{Ma}	31.81	-82.61	47.7	95.4	150
C _{Ma}	63.61	-82.61	-47.69	95.4	210
V _{Ma}	31.81	0.0	-95.39	95.4	270
M _{Ma}	63.61	82.62	-47.69	95.4	330
N _{Ma}	0.01	0.0	0.0	0.0	0
W _{Ma}	95.41	0.0	0.0	0.0	0
R _{CIE}	39.92	58.74	27.99	65.07	25
J _{CIE}	81.26	-2.88	71.56	71.62	92
G _{CIE}	52.23	-42.41	13.6	44.55	162
B _{CIE}	30.57	1.41	-46.46	46.49	272

Dreiecks-Helligkeit t^*



NG900-7, 9stufige Reihen für konstanten CIELAB Buntton $269/360 = 0.747$ (links)

16stufige Reihen für konstanten CIELAB Buntton $270/360 = 0.75$ (rechts)

Eingabe: Farbmetrisches Drucker-Reflektiv-System DRSXX

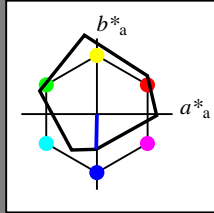
für Buntton $h^* = lab^*h = 269/360 = 0.747$

lab^*tch und lab^*nch

D65: Buntton V

LCH*Ma: 34 47 269

olv*Ma: 0.0 0.0 1.0



DRSXX; adaptierte CIELAB-Daten

	$L^*=L^*_a$	a^*_a	b^*_a	$C^*_{ab,a}$	$h^*_{ab,a}$
OMa	42.21	66.82	50.6	83.82	37
YMa	90.32	-16.51	104.33	105.63	99
LMa	48.21	-75.63	30.65	81.61	158
CMa	53.44	-33.33	-47.49	58.03	235
VMa	34.16	-0.92	-46.56	46.58	269
MMa	42.71	79.0	-1.95	79.03	359
NMa	16.56	0.0	0.0	0.0	0
WMa	96.31	0.0	0.0	0.0	0
RCIE	39.92	59.78	25.77	65.1	23
JCIE	81.26	-2.51	69.07	69.11	92
GCIE	52.23	-41.57	11.3	43.09	165
BCIE	30.57	2.6	-48.62	48.7	273

Dreiecks-Helligkeit t^*

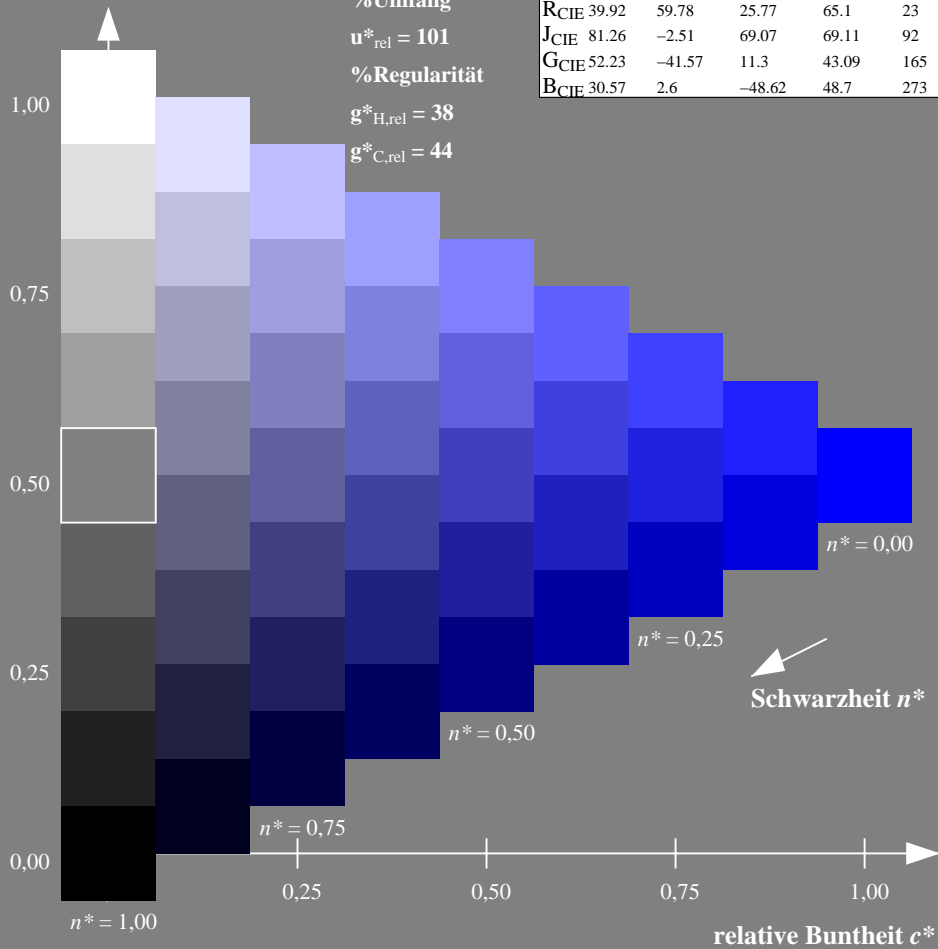
%Umfang

$u^*_{rel} = 101$

%Regularität

$g^*_{H,rel} = 38$

$g^*_{C,rel} = 44$



Ausgabe: Farbmetrisches Natürliches-Reflektiv-System NRS18

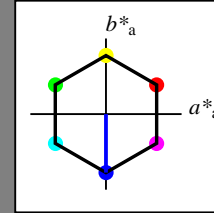
für Buntton $h^* = lab^*h = 270/360 = 0.75$

lab^*tch und lab^*nch

D65: Buntton V

LCH*Ma: 44 77 270

olv*Ma: 0.0 0.0 1.0



NRS18; adaptierte CIELAB-Daten

	$L^*=L^*_a$	a^*_a	b^*_a	$C^*_{ab,a}$	$h^*_{ab,a}$
OMa	43.81	67.03	38.7	77.4	30
YMa	69.61	0.0	77.4	77.4	90
LMa	43.81	-67.02	38.7	77.4	150
CMa	69.61	-67.02	-38.69	77.4	210
VMa	43.81	0.0	-77.39	77.4	270
MMa	69.61	67.03	-38.69	77.4	330
NMa	18.01	0.0	0.0	0.0	0
WMa	95.41	0.0	0.0	0.0	0
RCIE	39.92	58.74	27.99	65.07	25
JCIE	81.26	-2.88	71.56	71.62	92
GCIE	52.23	-42.41	13.6	44.55	162
BCIE	30.57	1.41	-46.46	46.49	272

Dreiecks-Helligkeit t^*

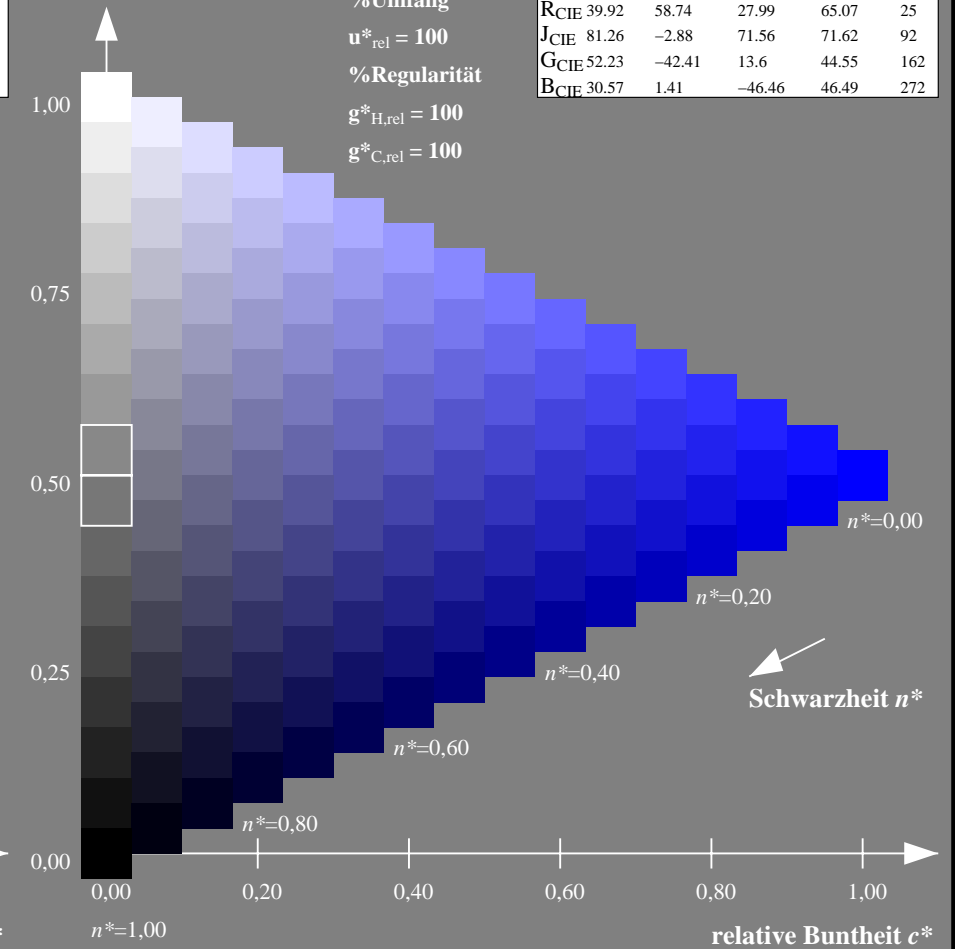
%Umfang

$u^*_{rel} = 100$

%Regularität

$g^*_{H,rel} = 100$

$g^*_{C,rel} = 100$



NG900-7, 9stufige Reihen für konstanten CIELAB Buntton $269/360 = 0.747$ (links)

16stufige Reihen für konstanten CIELAB Buntton $270/360 = 0.75$ (rechts)

Eingabe: Farbmetrisches Drucker-Reflektiv-System DRSXX

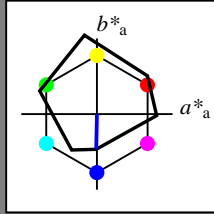
für Buntton $h^* = lab^*h = 269/360 = 0.747$

lab^*tch und lab^*nch

D65: Buntton V

LCH*Ma: 34 47 269

olv*Ma: 0.0 0.0 1.0



DRSXX; adaptierte CIELAB-Daten

	$L^*=L^*_a$	a^*_a	b^*_a	$C^*_{ab,a}$	$h^*_{ab,a}$
OMa	42.21	66.82	50.6	83.82	37
YMa	90.32	-16.51	104.33	105.63	99
LMa	48.21	-75.63	30.65	81.61	158
CMa	53.44	-33.33	-47.49	58.03	235
VMa	34.16	-0.92	-46.56	46.58	269
MMa	42.71	79.0	-1.95	79.03	359
NMa	16.56	0.0	0.0	0.0	0
WMa	96.31	0.0	0.0	0.0	0
RCIE	39.92	59.78	25.77	65.1	23
JCIE	81.26	-2.51	69.07	69.11	92
GCIE	52.23	-41.57	11.3	43.09	165
BCIE	30.57	2.6	-48.62	48.7	273

Dreiecks-Helligkeit t^*

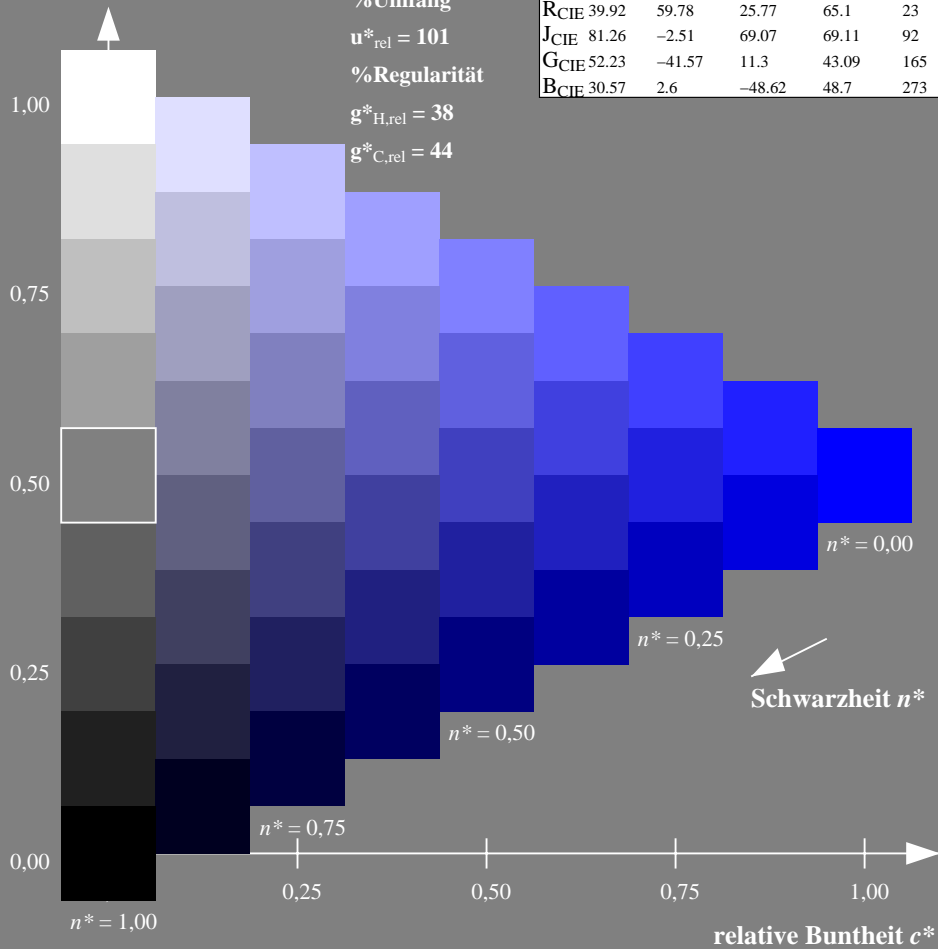
%Umfang

$u^*_{rel} = 101$

%Regularität

$g^*_{H,rel} = 38$

$g^*_{C,rel} = 44$



Ausgabe: Farbmetrisches Standard-Reflektiv-System SRS18

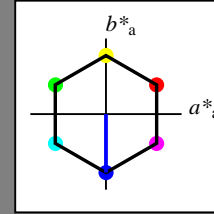
für Buntton $h^* = lab^*h = 270/360 = 0.75$

lab^*tch und lab^*nch

D65: Buntton V

LCH*Ma: 57 77 270

olv*Ma: 0.0 0.0 1.0



SRS18; adaptierte CIELAB-Daten

	$L^*=L^*_a$	a^*_a	b^*_a	$C^*_{ab,a}$	$h^*_{ab,a}$
OMa	56.71	67.03	38.7	77.4	30
YMa	56.71	0.0	77.4	77.4	90
LMa	56.71	-67.02	38.7	77.4	150
CMa	56.71	-67.02	-38.69	77.4	210
VMa	56.71	0.0	-77.39	77.4	270
MMa	56.71	67.03	-38.69	77.4	330
NMa	18.01	0.0	0.0	0.0	0
WMa	95.41	0.0	0.0	0.0	0
RCIE	39.92	58.74	27.99	65.07	25
JCIE	81.26	-2.88	71.56	71.62	92
GCIE	52.23	-42.41	13.6	44.55	162
BCIE	30.57	1.41	-46.46	46.49	272

Dreiecks-Helligkeit t^*

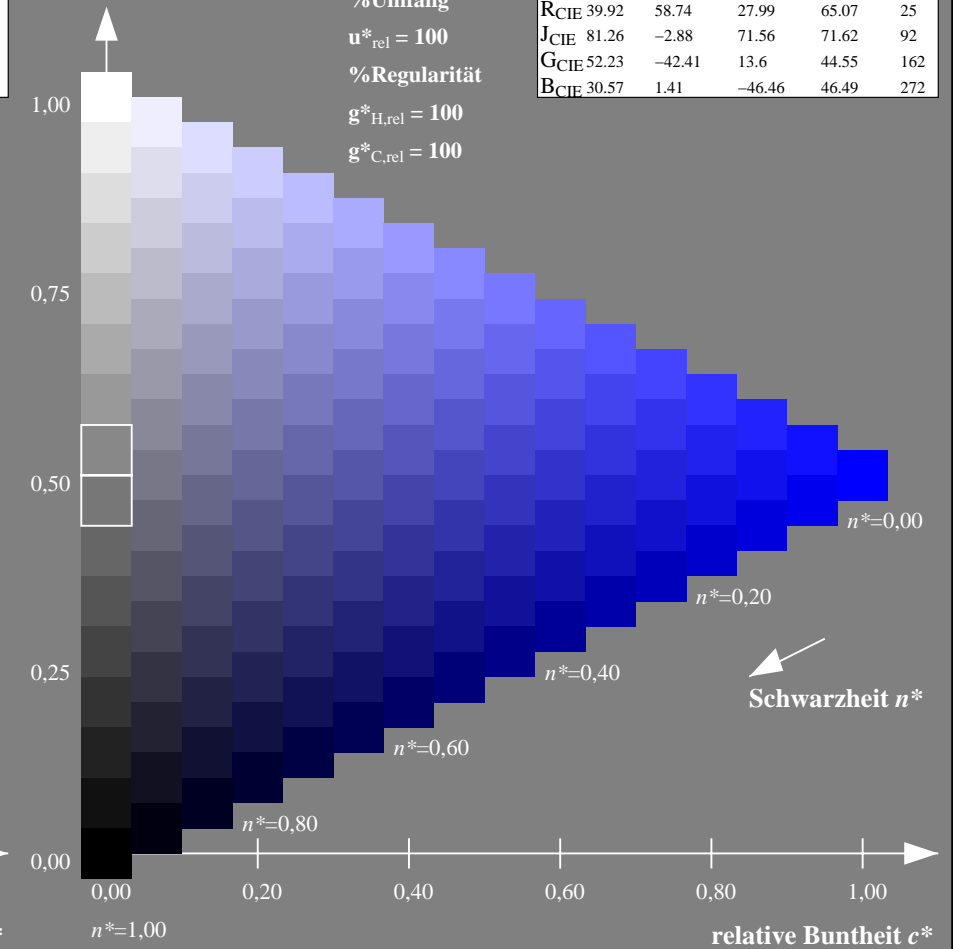
%Umfang

$u^*_{rel} = 100$

%Regularität

$g^*_{H,rel} = 100$

$g^*_{C,rel} = 100$



NG900-7, 9stufige Reihen für konstanten CIELAB Buntton $269/360 = 0.747$ (links)

16stufige Reihen für konstanten CIELAB Buntton $270/360 = 0.75$ (rechts)

Eingabe: Farbmetrisches Drucker-Reflektiv-System DRSXX

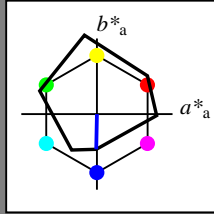
für Buntton $h^* = lab^*h = 269/360 = 0.747$

lab^*tch und lab^*nch

D65: Buntton V

LCH*Ma: 34 47 269

olv*Ma: 0.0 0.0 1.0



DRSXX; adaptierte CIELAB-Daten

	$L^*=L^*_a$	a^*_a	b^*_a	$C^*_{ab,a}$	$h^*_{ab,a}$
O _{Ma}	42.21	66.82	50.6	83.82	37
Y _{Ma}	90.32	-16.51	104.33	105.63	99
L _{Ma}	48.21	-75.63	30.65	81.61	158
C _{Ma}	53.44	-33.33	-47.49	58.03	235
V _{Ma}	34.16	-0.92	-46.56	46.58	269
M _{Ma}	42.71	79.0	-1.95	79.03	359
N _{Ma}	16.56	0.0	0.0	0.0	0
W _{Ma}	96.31	0.0	0.0	0.0	0
R _{CIE}	39.92	59.78	25.77	65.1	23
J _{CIE}	81.26	-2.51	69.07	69.11	92
G _{CIE}	52.23	-41.57	11.3	43.09	165
B _{CIE}	30.57	2.6	-48.62	48.7	273

Dreiecks-Helligkeit t^*

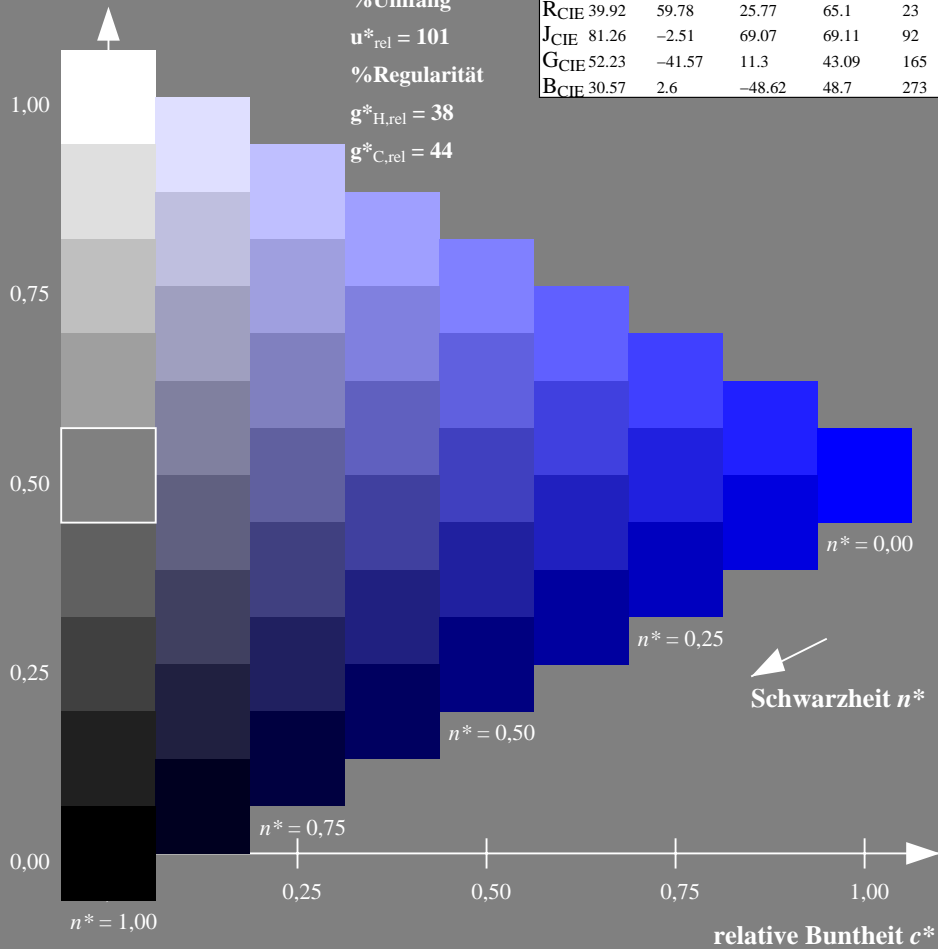
%Umfang

$u^*_{rel} = 101$

%Regularität

$g^*_{H,rel} = 38$

$g^*_{C,rel} = 44$



Ausgabe: Farbmetrisches Fernseh-Licht-System TLS70

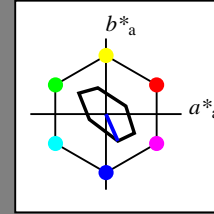
für Buntton $h^* = lab^*h = 294/360 = 0.816$

lab^*tch und lab^*nch

D65: Buntton V

LCH*Ma: 72 39 294

olv*Ma: 0.0 0.0 1.0



TLS70; adaptierte CIELAB-Daten

	$L^*=L^*_a$	a^*_a	b^*_a	$C^*_{ab,a}$	$h^*_{ab,a}$
O _{Ma}	76.43	26.27	10.57	28.32	22
Y _{Ma}	93.93	-10.76	34.63	36.27	107
L _{Ma}	89.32	-35.8	27.64	45.24	142
C _{Ma}	90.93	-21.95	-7.07	23.07	198
V _{Ma}	72.1	15.76	-35.63	38.97	294
M _{Ma}	78.5	37.52	-25.23	45.22	326
N _{Ma}	69.7	0.0	0.0	0.0	0
W _{Ma}	95.41	0.0	0.0	0.0	0
R _{CIE}	39.92	58.74	27.99	65.07	25
J _{CIE}	81.26	-2.88	71.56	71.62	92
G _{CIE}	52.23	-42.41	13.6	44.55	162
B _{CIE}	30.57	1.41	-46.46	46.49	272

Dreiecks-Helligkeit t^*

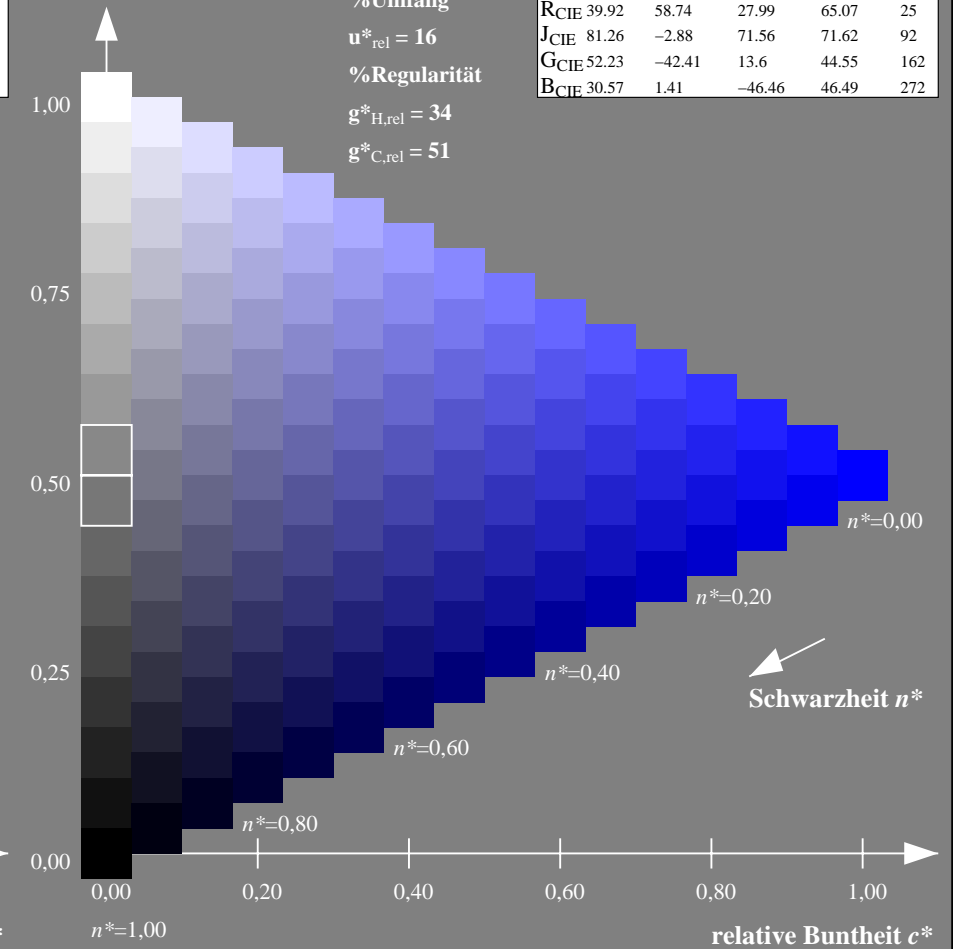
%Umfang

$u^*_{rel} = 16$

%Regularität

$g^*_{H,rel} = 34$

$g^*_{C,rel} = 51$



NG900-7, 9stufige Reihen für konstanten CIELAB Buntton $269/360 = 0.747$ (links)

16stufige Reihen für konstanten CIELAB Buntton $294/360 = 0.816$ (rechts)

Eingabe: Farbmetrisches Fernseh-Licht-System TLS18

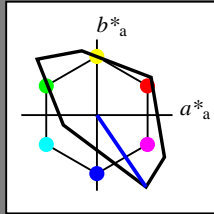
für Buntton $h^* = lab^*h = 304/360 = 0.845$

lab^*tch und lab^*nch

D65: Buntton V

LCH*Ma: 35 115 304

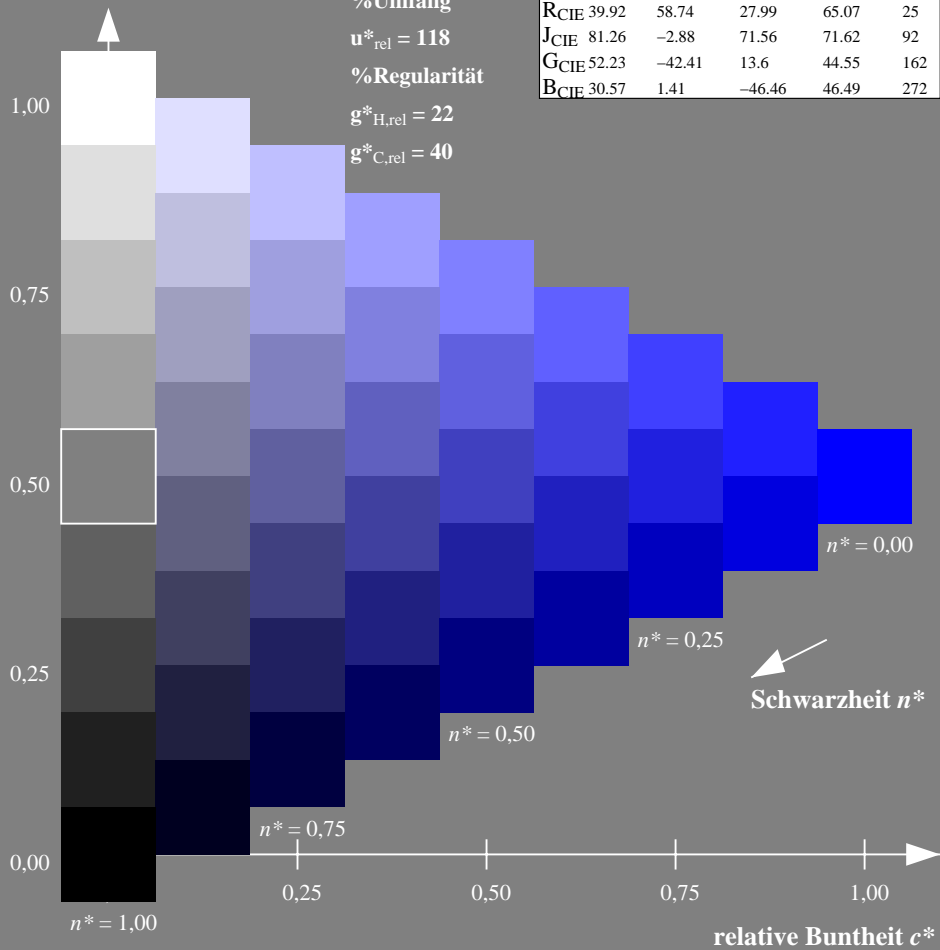
olv*Ma: 0.0 0.0 1.0



TLS18; adaptierte CIELAB-Daten

	$L^*=L^*_a$	a^*_a	b^*_a	$C^*_{ab,a}$	$h^*_{ab,a}$
O _{Ma}	52.76	71.63	49.88	87.29	35
Y _{Ma}	92.74	-20.02	84.97	87.3	103
L _{Ma}	84.0	-78.98	73.94	108.2	137
C _{Ma}	87.14	-44.41	-13.11	46.32	196
V _{Ma}	35.47	64.92	-95.06	115.12	304
M _{Ma}	59.01	89.33	-55.67	105.26	328
N _{Ma}	18.01	0.0	0.0	0.0	0
W _{Ma}	95.41	0.0	0.0	0.0	0
R _{CIE}	39.92	58.74	27.99	65.07	25
J _{CIE}	81.26	-2.88	71.56	71.62	92
G _{CIE}	52.23	-42.41	13.6	44.55	162
B _{CIE}	30.57	1.41	-46.46	46.49	272

Dreiecks-Helligkeit t^*



Ausgabe: Farbmetrisches Offset-Reflektiv-System ORS18

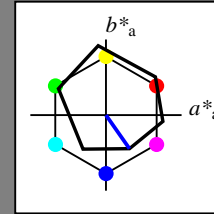
für Buntton $h^* = lab^*h = 305/360 = 0.847$

lab^*tch und lab^*nch

D65: Buntton V

LCH*Ma: 26 54 305

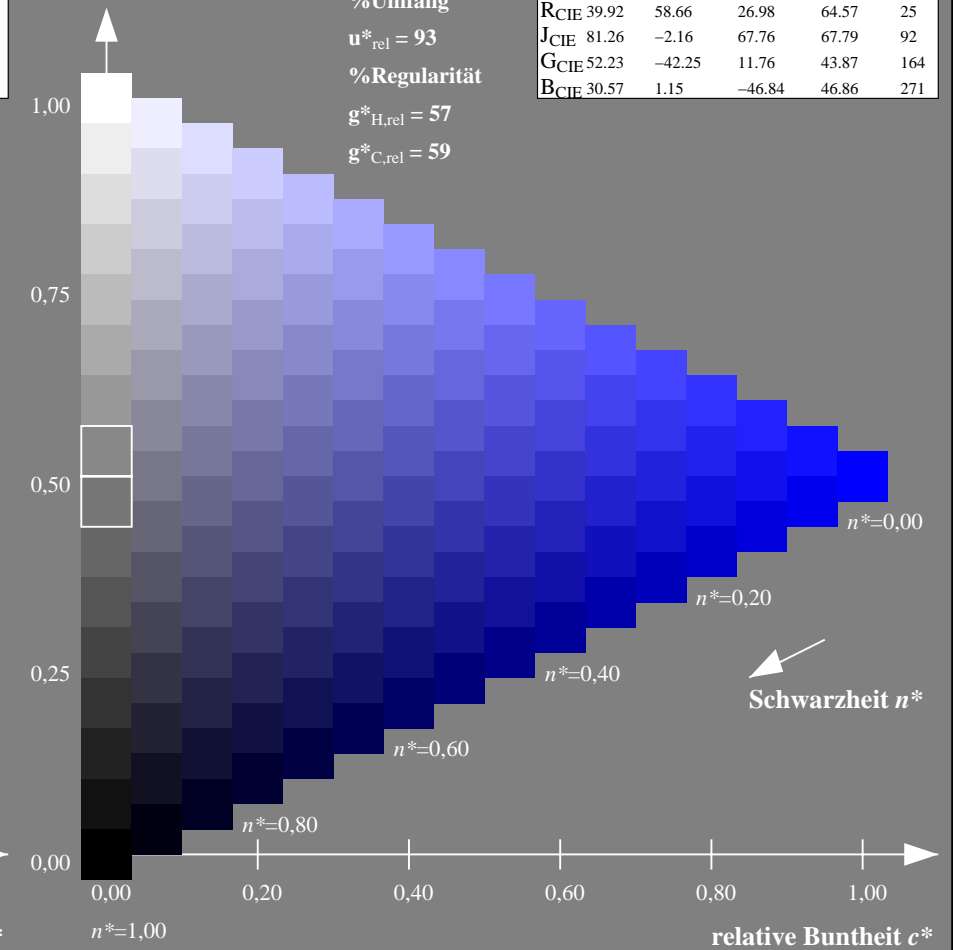
olv*Ma: 0.0 0.0 1.0



ORS18; adaptierte CIELAB-Daten

	$L^*=L^*_a$	a^*_a	b^*_a	$C^*_{ab,a}$	$h^*_{ab,a}$
O _{Ma}	47.94	65.39	50.52	82.63	38
Y _{Ma}	90.37	-10.26	91.75	92.32	96
L _{Ma}	50.9	-62.83	34.96	71.91	151
C _{Ma}	58.62	-30.34	-45.01	54.3	236
V _{Ma}	25.72	31.1	-44.4	54.22	305
M _{Ma}	48.13	75.28	-8.36	75.74	354
N _{Ma}	18.01	0.0	0.0	0.0	0
W _{Ma}	95.41	0.0	0.0	0.0	0
R _{CIE}	39.92	58.66	26.98	64.57	25
J _{CIE}	81.26	-2.16	67.76	67.79	92
G _{CIE}	52.23	-42.25	11.76	43.87	164
B _{CIE}	30.57	1.15	-46.84	46.86	271

Dreiecks-Helligkeit t^*



NG900-7, 9stufige Reihen für konstanten CIELAB Buntton 304/360 = 0.845 (links)

16stufige Reihen für konstanten CIELAB Buntton 305/360 = 0.847 (rechts)

Eingabe: Farbmetrisches Fernseh-Licht-System TLS18

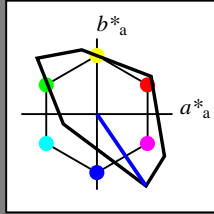
für Buntton $h^* = lab^*h = 304/360 = 0.845$

lab^*tch und lab^*nch

D65: Buntton V

LCH*Ma: 35 115 304

olv*Ma: 0.0 0.0 1.0



TLS18; adaptierte CIELAB-Daten

	$L^*=L^*_a$	a^*_a	b^*_a	$C^*_{ab,a}$	$h^*_{ab,a}$
O _{Ma}	52.76	71.63	49.88	87.29	35
Y _{Ma}	92.74	-20.02	84.97	87.3	103
L _{Ma}	84.0	-78.98	73.94	108.2	137
C _{Ma}	87.14	-44.41	-13.11	46.32	196
V _{Ma}	35.47	64.92	-95.06	115.12	304
M _{Ma}	59.01	89.33	-55.67	105.26	328
N _{Ma}	18.01	0.0	0.0	0.0	0
W _{Ma}	95.41	0.0	0.0	0.0	0
R _{CIE}	39.92	58.74	27.99	65.07	25
J _{CIE}	81.26	-2.88	71.56	71.62	92
G _{CIE}	52.23	-42.41	13.6	44.55	162
B _{CIE}	30.57	1.41	-46.46	46.49	272

Dreiecks-Helligkeit t^*

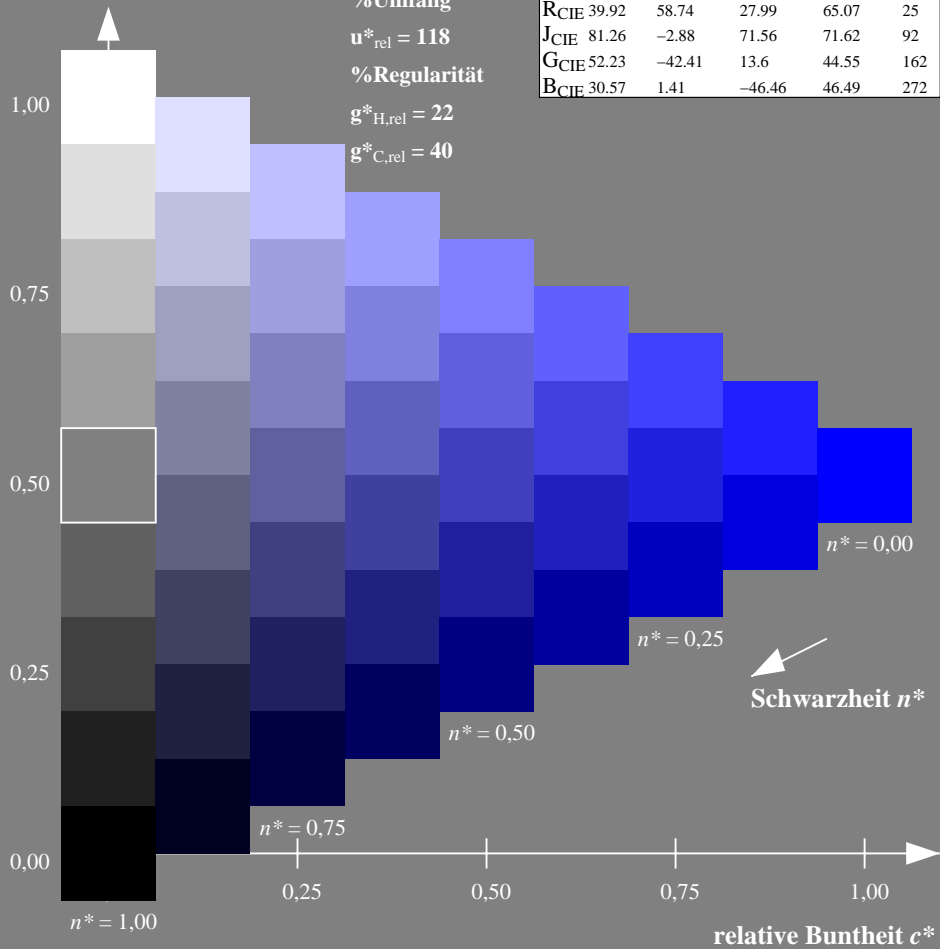
%Umfang

$u^*_{rel} = 118$

%Regularität

$g^*_{H,rel} = 22$

$g^*_{C,rel} = 40$



Ausgabe: Farbmetrisches Fernseh-Licht-System TLS00

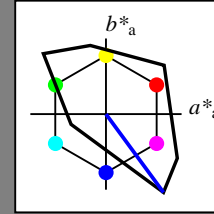
für Buntton $h^* = lab^*h = 306/360 = 0.851$

lab^*tch und lab^*nch

D65: Buntton V

LCH*Ma: 30 129 306

olv*Ma: 0.0 0.0 1.0



TLS00; adaptierte CIELAB-Daten

	$L^*=L^*_a$	a^*_a	b^*_a	$C^*_{ab,a}$	$h^*_{ab,a}$
O _{Ma}	50.5	76.92	64.55	100.42	40
Y _{Ma}	92.66	-20.69	90.75	93.08	103
L _{Ma}	83.63	-82.75	79.9	115.04	136
C _{Ma}	86.88	-46.16	-13.55	48.12	196
V _{Ma}	30.39	76.06	-103.59	128.52	306
M _{Ma}	57.3	94.35	-58.41	110.97	328
N _{Ma}	0.01	0.0	0.0	0.0	0
W _{Ma}	95.41	0.0	0.0	0.0	0
R _{CIE}	39.92	58.74	27.99	65.07	25
J _{CIE}	81.26	-2.88	71.56	71.62	92
G _{CIE}	52.23	-42.41	13.6	44.55	162
B _{CIE}	30.57	1.41	-46.46	46.49	272

Dreiecks-Helligkeit t^*

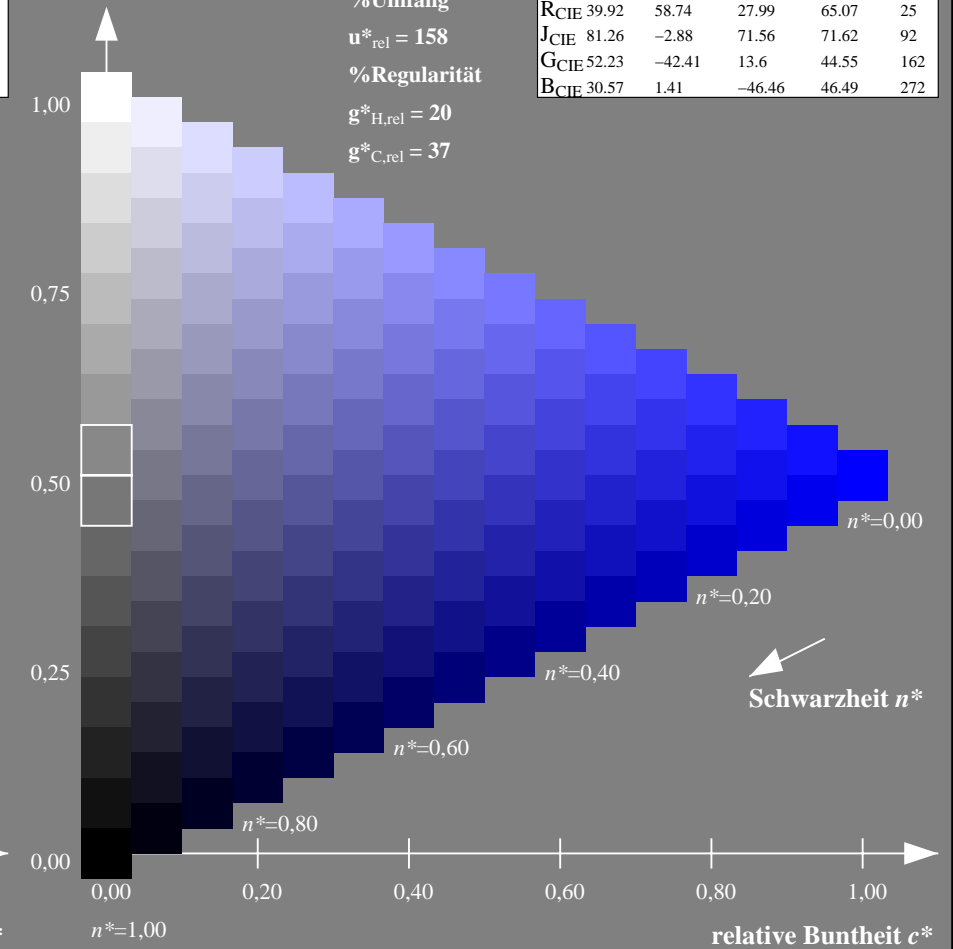
%Umfang

$u^*_{rel} = 158$

%Regularität

$g^*_{H,rel} = 20$

$g^*_{C,rel} = 37$



NG900-7, 9stufige Reihen für konstanten CIELAB Buntton $304/360 = 0.845$ (links)

16stufige Reihen für konstanten CIELAB Buntton $306/360 = 0.851$ (rechts)

Eingabe: Farbmetrisches Fernseh-Licht-System TLS18

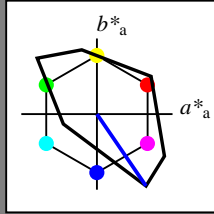
für Buntton $h^* = lab^*h = 304/360 = 0.845$

lab^*tch und lab^*nch

D65: Buntton V

LCH*Ma: 35 115 304

olv*Ma: 0.0 0.0 1.0



TLS18; adaptierte CIELAB-Daten

	$L^*=L^*_a$	a^*_a	b^*_a	$C^*_{ab,a}$	$h^*_{ab,a}$
OMa	52.76	71.63	49.88	87.29	35
YMa	92.74	-20.02	84.97	87.3	103
LMa	84.0	-78.98	73.94	108.2	137
CMa	87.14	-44.41	-13.11	46.32	196
VMa	35.47	64.92	-95.06	115.12	304
MMa	59.01	89.33	-55.67	105.26	328
NMa	18.01	0.0	0.0	0.0	0
WMa	95.41	0.0	0.0	0.0	0
RCIE	39.92	58.74	27.99	65.07	25
JCIE	81.26	-2.88	71.56	71.62	92
GCIE	52.23	-42.41	13.6	44.55	162
BCIE	30.57	1.41	-46.46	46.49	272

Dreiecks-Helligkeit t^*

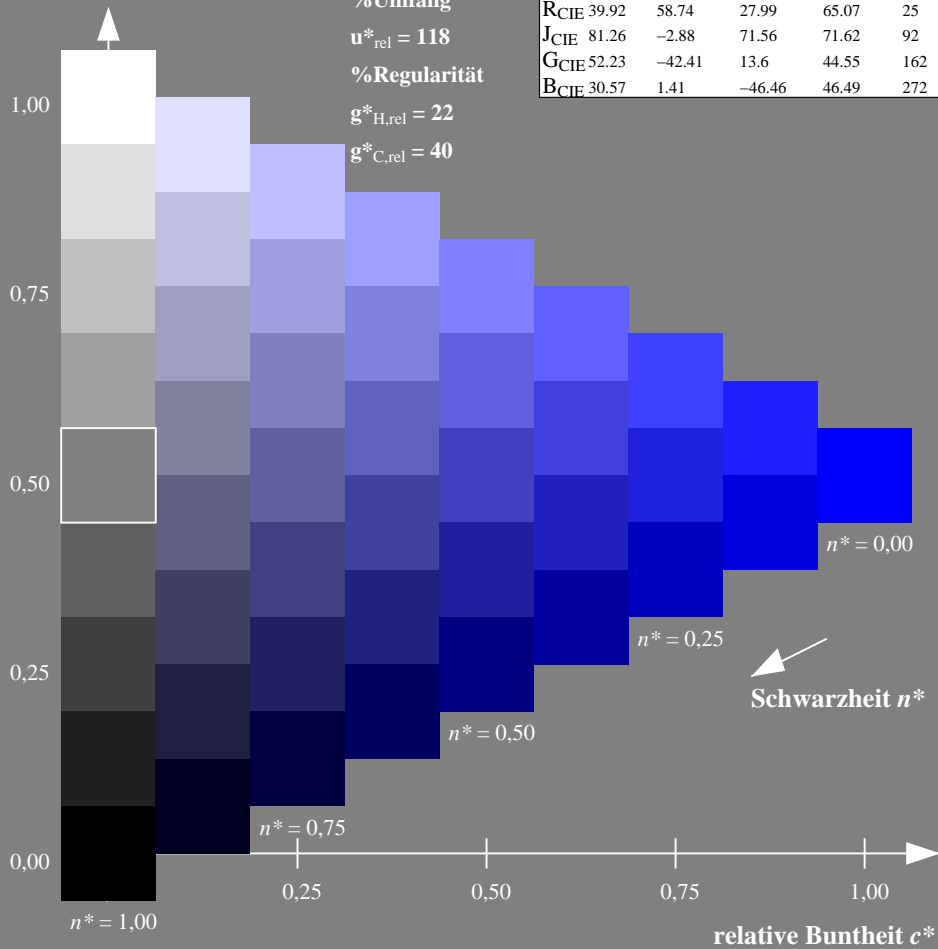
%Umfang

$u^*_{rel} = 118$

%Regularität

$g^*_{H,rel} = 22$

$g^*_{C,rel} = 40$



Ausgabe: Farbmetrisches Drucker-Reflektiv-System DRSXX

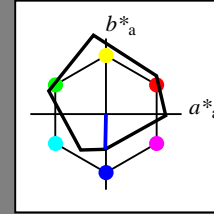
für Buntton $h^* = lab^*h = 269/360 = 0.747$

lab^*tch und lab^*nch

D65: Buntton V

LCH*Ma: 34 47 269

olv*Ma: 0.0 0.0 1.0



DRSXX; adaptierte CIELAB-Daten

	$L^*=L^*_a$	a^*_a	b^*_a	$C^*_{ab,a}$	$h^*_{ab,a}$
OMa	42.21	66.82	50.6	83.82	37
YMa	90.32	-16.51	104.33	105.63	99
LMa	48.21	-75.63	30.65	81.61	158
CMa	53.44	-33.33	-47.49	58.03	235
VMa	34.16	-0.92	-46.56	46.58	269
MMa	42.71	79.0	-1.95	79.03	359
NMa	16.56	0.0	0.0	0.0	0
WMa	96.31	0.0	0.0	0.0	0
RCIE	39.92	59.78	25.77	65.1	23
JCIE	81.26	-2.51	69.07	69.11	92
GCIE	52.23	-41.57	11.3	43.09	165
BCIE	30.57	2.6	-48.62	48.7	273

Dreiecks-Helligkeit t^*

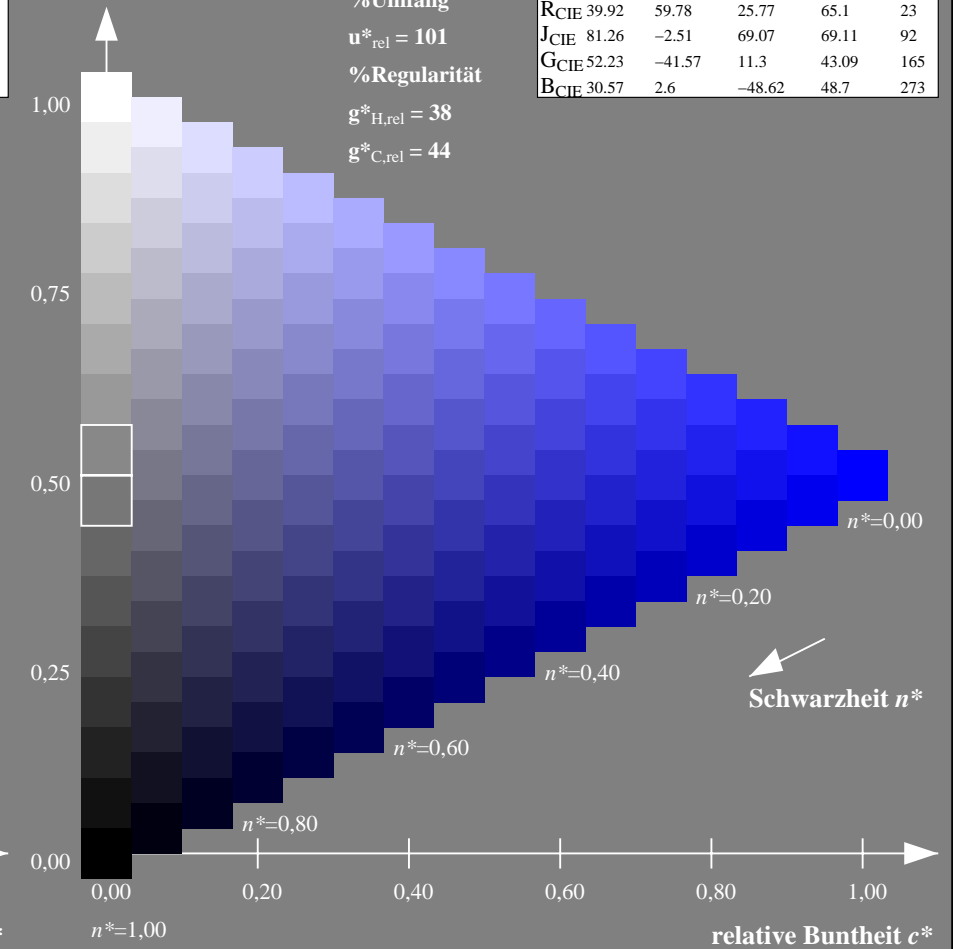
%Umfang

$u^*_{rel} = 101$

%Regularität

$g^*_{H,rel} = 38$

$g^*_{C,rel} = 44$



NG900-7, 9stufige Reihen für konstanten CIELAB Buntton $304/360 = 0.845$ (links)

16stufige Reihen für konstanten CIELAB Buntton $269/360 = 0.747$ (rechts)

Eingabe: Farbmetrisches Fernseh-Licht-System TLS18

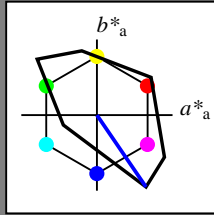
für Buntton $h^* = lab^*h = 304/360 = 0.845$

lab^*tch und lab^*nch

D65: Buntton V

LCH*Ma: 35 115 304

olv*Ma: 0.0 0.0 1.0



TLS18; adaptierte CIELAB-Daten

	$L^*=L^*_a$	a^*_a	b^*_a	$C^*_{ab,a}$	$h^*_{ab,a}$
OMa	52.76	71.63	49.88	87.29	35
YMa	92.74	-20.02	84.97	87.3	103
LMa	84.0	-78.98	73.94	108.2	137
CMa	87.14	-44.41	-13.11	46.32	196
VMa	35.47	64.92	-95.06	115.12	304
MMa	59.01	89.33	-55.67	105.26	328
NMa	18.01	0.0	0.0	0.0	0
WMa	95.41	0.0	0.0	0.0	0
RCIE	39.92	58.74	27.99	65.07	25
JCIE	81.26	-2.88	71.56	71.62	92
GCIE	52.23	-42.41	13.6	44.55	162
BCIE	30.57	1.41	-46.46	46.49	272

Dreiecks-Helligkeit t^*

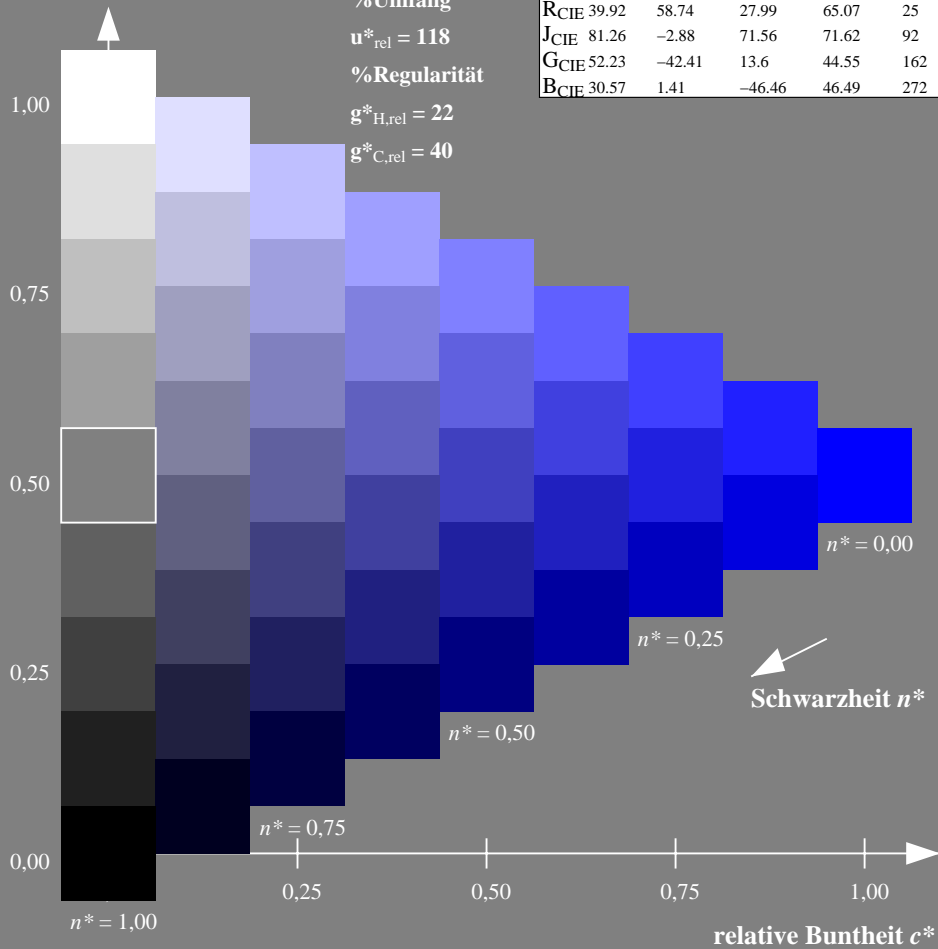
%Umfang

$u^*_{rel} = 118$

%Regularität

$g^*_{H,rel} = 22$

$g^*_{C,rel} = 40$



Ausgabe: Farbmetrisches Fernseh-Licht-System TLS18

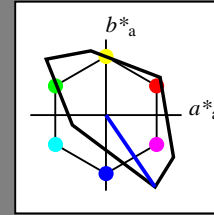
für Buntton $h^* = lab^*h = 304/360 = 0.845$

lab^*tch und lab^*nch

D65: Buntton V

LCH*Ma: 35 115 304

olv*Ma: 0.0 0.0 1.0



TLS18; adaptierte CIELAB-Daten

	$L^*=L^*_a$	a^*_a	b^*_a	$C^*_{ab,a}$	$h^*_{ab,a}$
OMa	52.76	71.63	49.88	87.29	35
YMa	92.74	-20.02	84.97	87.3	103
LMa	84.0	-78.98	73.94	108.2	137
CMa	87.14	-44.41	-13.11	46.32	196
VMa	35.47	64.92	-95.06	115.12	304
MMa	59.01	89.33	-55.67	105.26	328
NMa	18.01	0.0	0.0	0.0	0
WMa	95.41	0.0	0.0	0.0	0
RCIE	39.92	58.74	27.99	65.07	25
JCIE	81.26	-2.88	71.56	71.62	92
GCIE	52.23	-42.41	13.6	44.55	162
BCIE	30.57	1.41	-46.46	46.49	272

Dreiecks-Helligkeit t^*

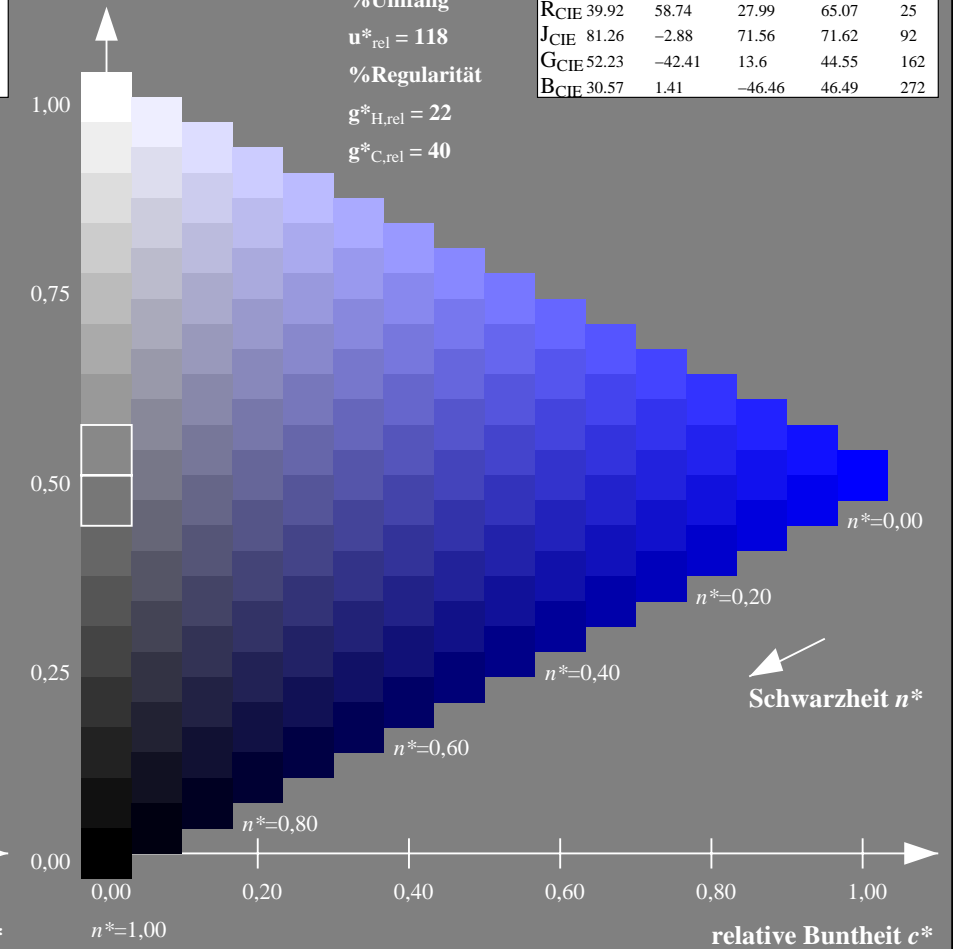
%Umfang

$u^*_{rel} = 118$

%Regularität

$g^*_{H,rel} = 22$

$g^*_{C,rel} = 40$



NG900-7, 9stufige Reihen für konstanten CIELAB Buntton 304/360 = 0.845 (links)

16stufige Reihen für konstanten CIELAB Buntton 304/360 = 0.845 (rechts)

Eingabe: Farbmetrisches Fernseh-Licht-System TLS18

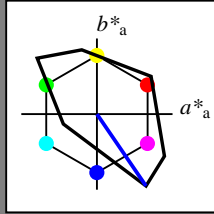
für Buntton $h^* = lab^*h = 304/360 = 0.845$

lab^*tch und lab^*nch

D65: Buntton V

LCH*Ma: 35 115 304

olv*Ma: 0.0 0.0 1.0



TLS18; adaptierte CIELAB-Daten

	$L^*=L^*_a$	a^*_a	b^*_a	$C^*_{ab,a}$	$h^*_{ab,a}$
O _{Ma}	52.76	71.63	49.88	87.29	35
Y _{Ma}	92.74	-20.02	84.97	87.3	103
L _{Ma}	84.0	-78.98	73.94	108.2	137
C _{Ma}	87.14	-44.41	-13.11	46.32	196
V _{Ma}	35.47	64.92	-95.06	115.12	304
M _{Ma}	59.01	89.33	-55.67	105.26	328
N _{Ma}	18.01	0.0	0.0	0.0	0
W _{Ma}	95.41	0.0	0.0	0.0	0
R _{CIE}	39.92	58.74	27.99	65.07	25
J _{CIE}	81.26	-2.88	71.56	71.62	92
G _{CIE}	52.23	-42.41	13.6	44.55	162
B _{CIE}	30.57	1.41	-46.46	46.49	272

Dreiecks-Helligkeit t^*

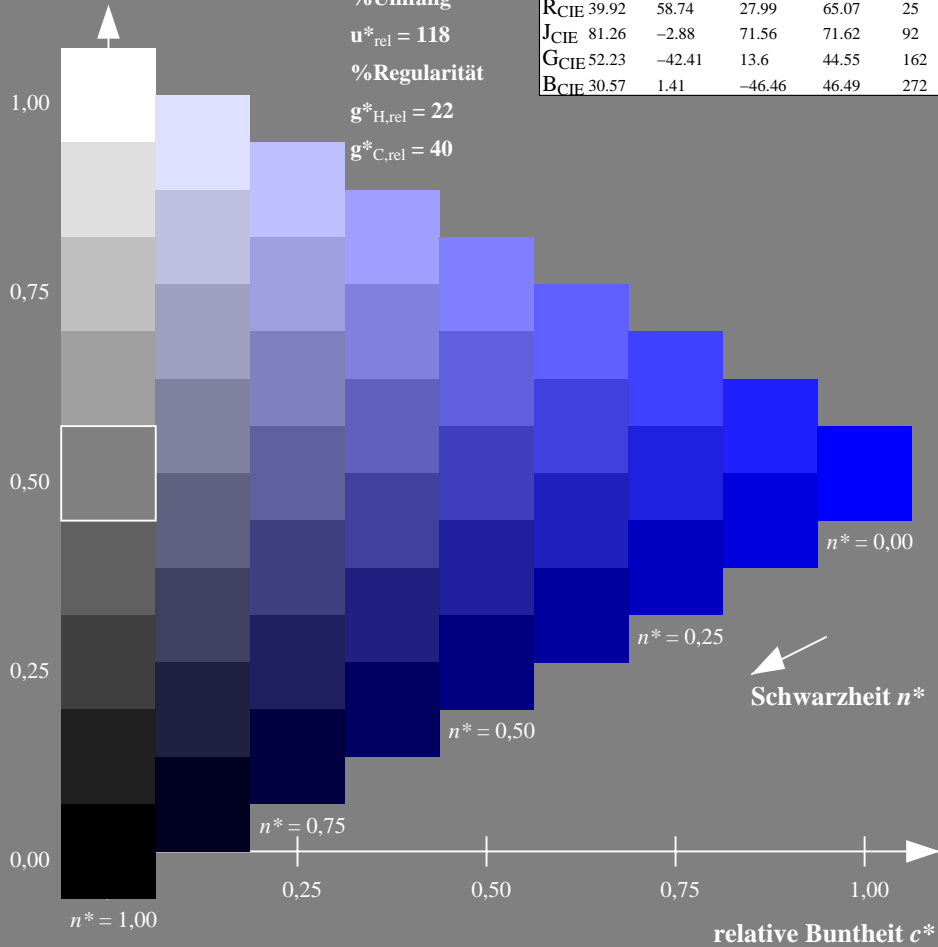
%Umfang

$u^*_{rel} = 118$

%Regularität

$g^*_{H,rel} = 22$

$g^*_{C,rel} = 40$



Ausgabe: Farbmetrisches Natürliches-Licht-System NLS00

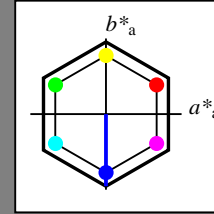
für Buntton $h^* = lab^*h = 270/360 = 0.75$

lab^*tch und lab^*nch

D65: Buntton V

LCH*Ma: 32 95 270

olv*Ma: 0.0 0.0 1.0



NLS00; adaptierte CIELAB-Daten

	$L^*=L^*_a$	a^*_a	b^*_a	$C^*_{ab,a}$	$h^*_{ab,a}$
O _{Ma}	31.81	82.62	47.7	95.4	30
Y _{Ma}	63.61	0.0	95.4	95.4	90
L _{Ma}	31.81	-82.61	47.7	95.4	150
C _{Ma}	63.61	-82.61	-47.69	95.4	210
V _{Ma}	31.81	0.0	-95.39	95.4	270
M _{Ma}	63.61	82.62	-47.69	95.4	330
N _{Ma}	0.01	0.0	0.0	0.0	0
W _{Ma}	95.41	0.0	0.0	0.0	0
R _{CIE}	39.92	58.74	27.99	65.07	25
J _{CIE}	81.26	-2.88	71.56	71.62	92
G _{CIE}	52.23	-42.41	13.6	44.55	162
B _{CIE}	30.57	1.41	-46.46	46.49	272

Dreiecks-Helligkeit t^*

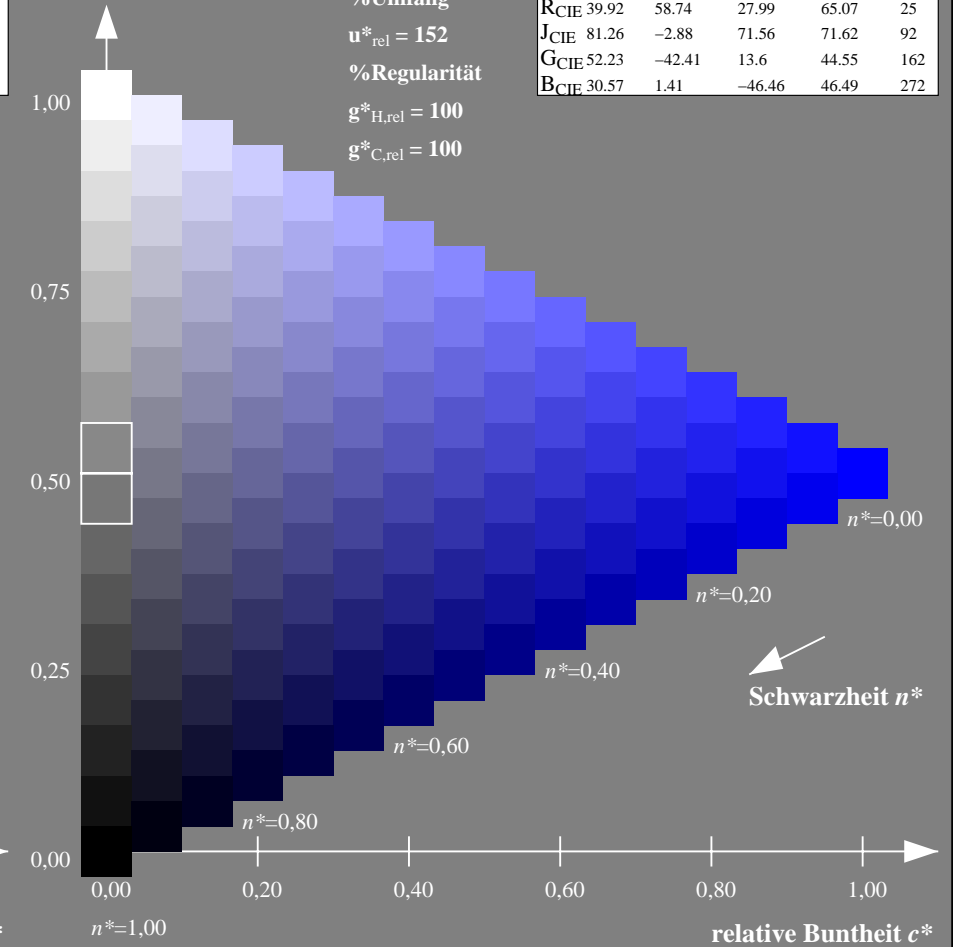
%Umfang

$u^*_{rel} = 152$

%Regularität

$g^*_{H,rel} = 100$

$g^*_{C,rel} = 100$



NG900-7, 9stufige Reihen für konstanten CIELAB Buntton $304/360 = 0.845$ (links)

16stufige Reihen für konstanten CIELAB Buntton $270/360 = 0.75$ (rechts)

Eingabe: Farbmetrisches Fernseh-Licht-System TLS18

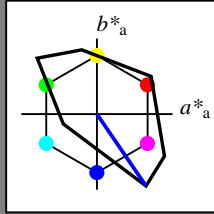
für Buntton $h^* = lab^*h = 304/360 = 0.845$

lab^*tch und lab^*nch

D65: Buntton V

LCH*Ma: 35 115 304

olv*Ma: 0.0 0.0 1.0



TLS18; adaptierte CIELAB-Daten

	$L^*=L^*_a$	a^*_a	b^*_a	$C^*_{ab,a}$	$h^*_{ab,a}$
OMa	52.76	71.63	49.88	87.29	35
YMa	92.74	-20.02	84.97	87.3	103
LMa	84.0	-78.98	73.94	108.2	137
CMa	87.14	-44.41	-13.11	46.32	196
VMa	35.47	64.92	-95.06	115.12	304
MMa	59.01	89.33	-55.67	105.26	328
NMa	18.01	0.0	0.0	0.0	0
WMa	95.41	0.0	0.0	0.0	0
RCIE	39.92	58.74	27.99	65.07	25
JCIE	81.26	-2.88	71.56	71.62	92
GCIE	52.23	-42.41	13.6	44.55	162
BCIE	30.57	1.41	-46.46	46.49	272

Dreiecks-Helligkeit t^*

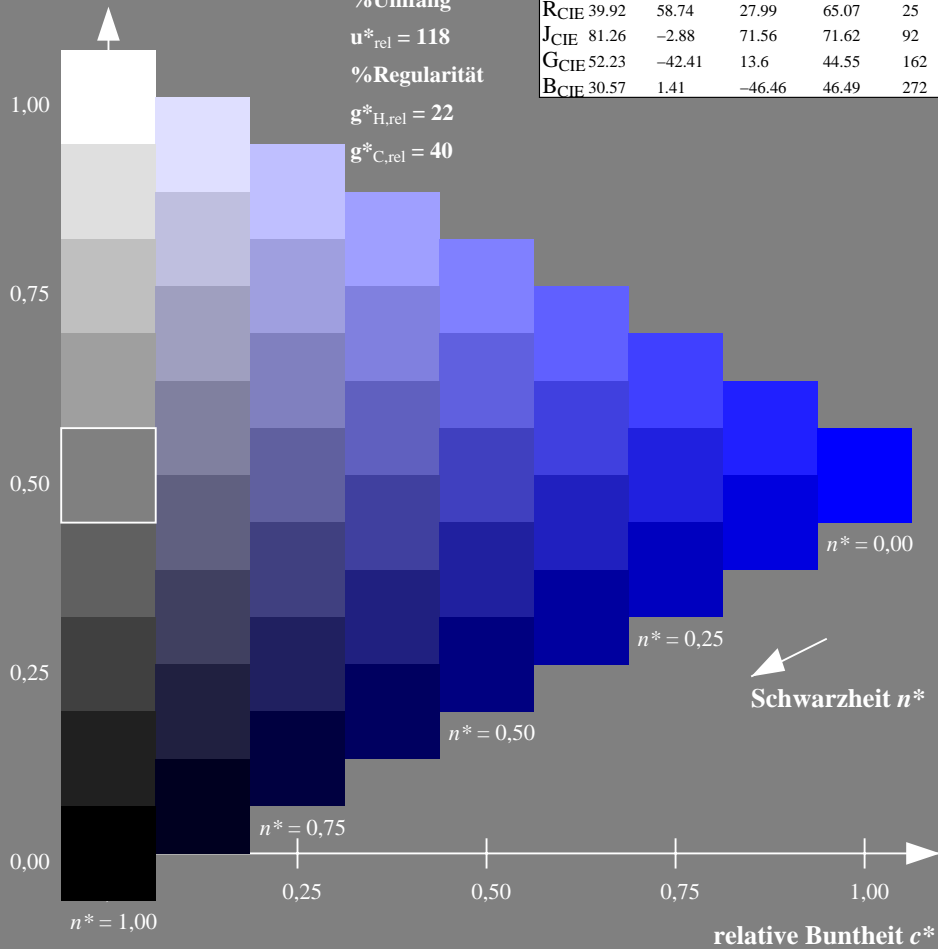
%Umfang

$u^*_{rel} = 118$

%Regularität

$g^*_{H,rel} = 22$

$g^*_{C,rel} = 40$



Ausgabe: Farbmetrisches Natürliches-Reflektiv-System NRS18

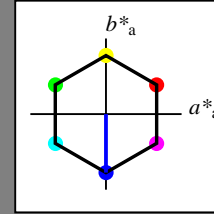
für Buntton $h^* = lab^*h = 270/360 = 0.75$

lab^*tch und lab^*nch

D65: Buntton V

LCH*Ma: 44 77 270

olv*Ma: 0.0 0.0 1.0



NRS18; adaptierte CIELAB-Daten

	$L^*=L^*_a$	a^*_a	b^*_a	$C^*_{ab,a}$	$h^*_{ab,a}$
OMa	43.81	67.03	38.7	77.4	30
YMa	69.61	0.0	77.4	77.4	90
LMa	43.81	-67.02	38.7	77.4	150
CMa	69.61	-67.02	-38.69	77.4	210
VMa	43.81	0.0	-77.39	77.4	270
MMa	69.61	67.03	-38.69	77.4	330
NMa	18.01	0.0	0.0	0.0	0
WMa	95.41	0.0	0.0	0.0	0
RCIE	39.92	58.74	27.99	65.07	25
JCIE	81.26	-2.88	71.56	71.62	92
GCIE	52.23	-42.41	13.6	44.55	162
BCIE	30.57	1.41	-46.46	46.49	272

Dreiecks-Helligkeit t^*

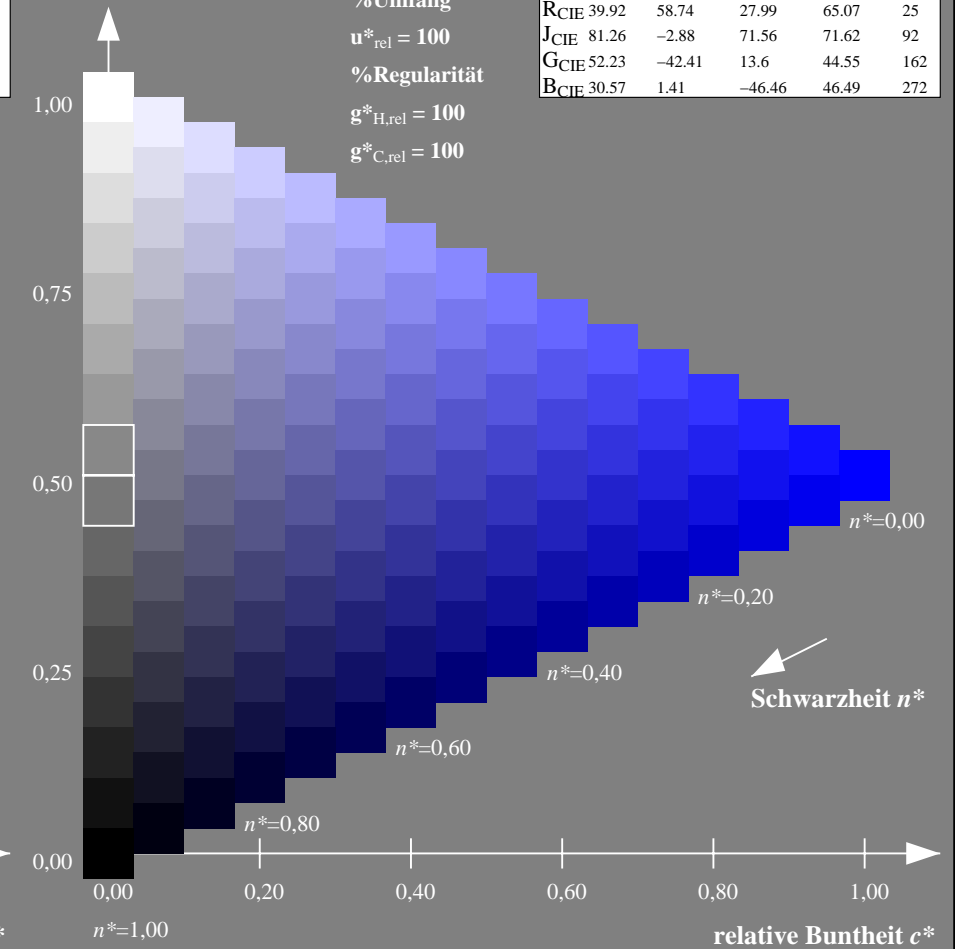
%Umfang

$u^*_{rel} = 100$

%Regularität

$g^*_{H,rel} = 100$

$g^*_{C,rel} = 100$



NG900-7, 9stufige Reihen für konstanten CIELAB Buntton 304/360 = 0.845 (links)

16stufige Reihen für konstanten CIELAB Buntton 270/360 = 0.75 (rechts)

Eingabe: Farbmetrisches Fernseh-Licht-System TLS18

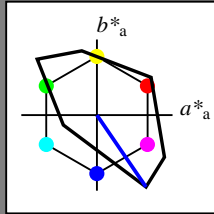
für Buntton $h^* = lab^*h = 304/360 = 0.845$

lab^*tch und lab^*nch

D65: Buntton V

LCH*Ma: 35 115 304

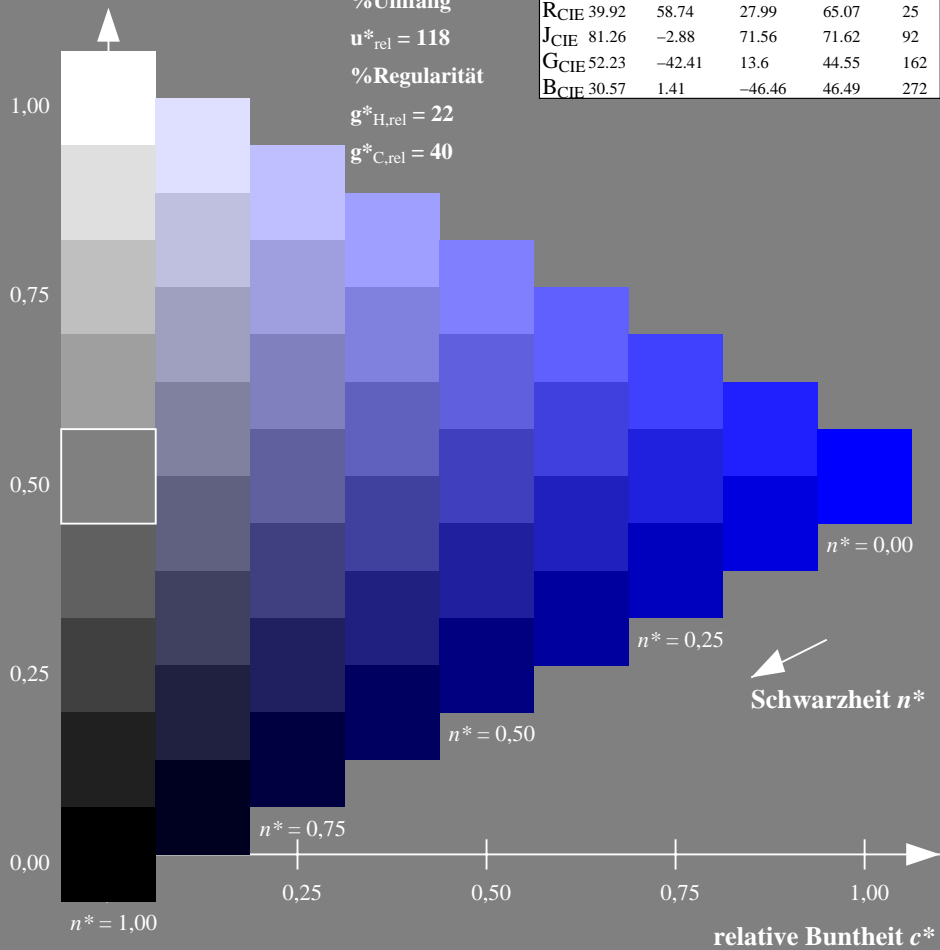
olv*Ma: 0.0 0.0 1.0



TLS18; adaptierte CIELAB-Daten

	$L^*=L^*_a$	a^*_a	b^*_a	$C^*_{ab,a}$	$h^*_{ab,a}$
OMa	52.76	71.63	49.88	87.29	35
YMa	92.74	-20.02	84.97	87.3	103
LMa	84.0	-78.98	73.94	108.2	137
CMa	87.14	-44.41	-13.11	46.32	196
VMa	35.47	64.92	-95.06	115.12	304
MMa	59.01	89.33	-55.67	105.26	328
NMa	18.01	0.0	0.0	0.0	0
WMa	95.41	0.0	0.0	0.0	0
RCIE	39.92	58.74	27.99	65.07	25
JCIE	81.26	-2.88	71.56	71.62	92
GCIE	52.23	-42.41	13.6	44.55	162
BCIE	30.57	1.41	-46.46	46.49	272

Dreiecks-Helligkeit t^*



Ausgabe: Farbmetrisches Standard-Reflektiv-System SRS18

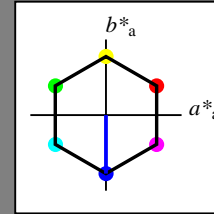
für Buntton $h^* = lab^*h = 270/360 = 0.75$

lab^*tch und lab^*nch

D65: Buntton V

LCH*Ma: 57 77 270

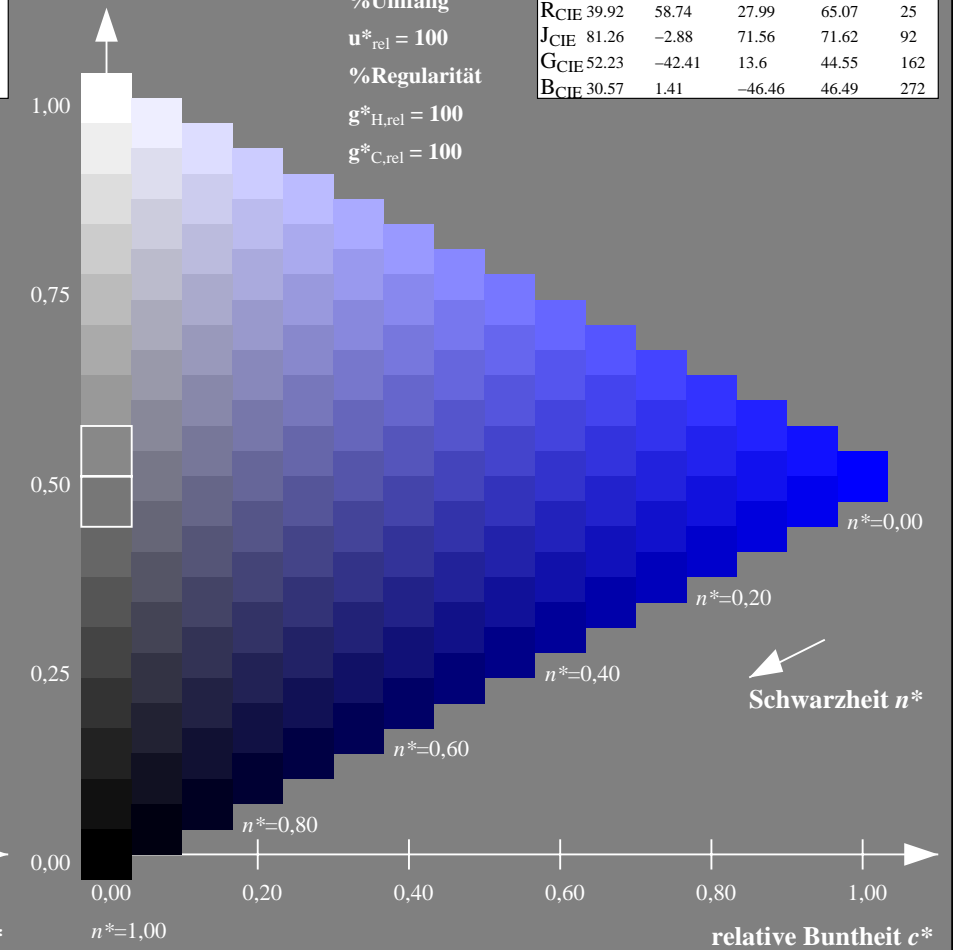
olv*Ma: 0.0 0.0 1.0



SRS18; adaptierte CIELAB-Daten

	$L^*=L^*_a$	a^*_a	b^*_a	$C^*_{ab,a}$	$h^*_{ab,a}$
OMa	56.71	67.03	38.7	77.4	30
YMa	56.71	0.0	77.4	77.4	90
LMa	56.71	-67.02	38.7	77.4	150
CMa	56.71	-67.02	-38.69	77.4	210
VMa	56.71	0.0	-77.39	77.4	270
MMa	56.71	67.03	-38.69	77.4	330
NMa	18.01	0.0	0.0	0.0	0
WMa	95.41	0.0	0.0	0.0	0
RCIE	39.92	58.74	27.99	65.07	25
JCIE	81.26	-2.88	71.56	71.62	92
GCIE	52.23	-42.41	13.6	44.55	162
BCIE	30.57	1.41	-46.46	46.49	272

Dreiecks-Helligkeit t^*



NG900-7, 9stufige Reihen für konstanten CIELAB Buntton 304/360 = 0.845 (links)

16stufige Reihen für konstanten CIELAB Buntton 270/360 = 0.75 (rechts)

Eingabe: Farbmetrisches Fernseh-Licht-System TLS18

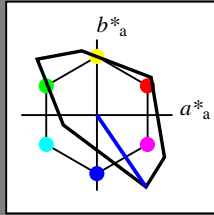
für Buntton $h^* = lab^*h = 304/360 = 0.845$

lab^*tch und lab^*nch

D65: Buntton V

LCH*Ma: 35 115 304

olv*Ma: 0.0 0.0 1.0



TLS18; adaptierte CIELAB-Daten

	$L^*=L^*_a$	a^*_a	b^*_a	$C^*_{ab,a}$	$h^*_{ab,a}$
OMa	52.76	71.63	49.88	87.29	35
YMa	92.74	-20.02	84.97	87.3	103
LMa	84.0	-78.98	73.94	108.2	137
CMa	87.14	-44.41	-13.11	46.32	196
VMa	35.47	64.92	-95.06	115.12	304
MMa	59.01	89.33	-55.67	105.26	328
NMa	18.01	0.0	0.0	0.0	0
WMa	95.41	0.0	0.0	0.0	0
RCIE	39.92	58.74	27.99	65.07	25
JCIE	81.26	-2.88	71.56	71.62	92
GCIE	52.23	-42.41	13.6	44.55	162
BCIE	30.57	1.41	-46.46	46.49	272

Dreiecks-Helligkeit t^*

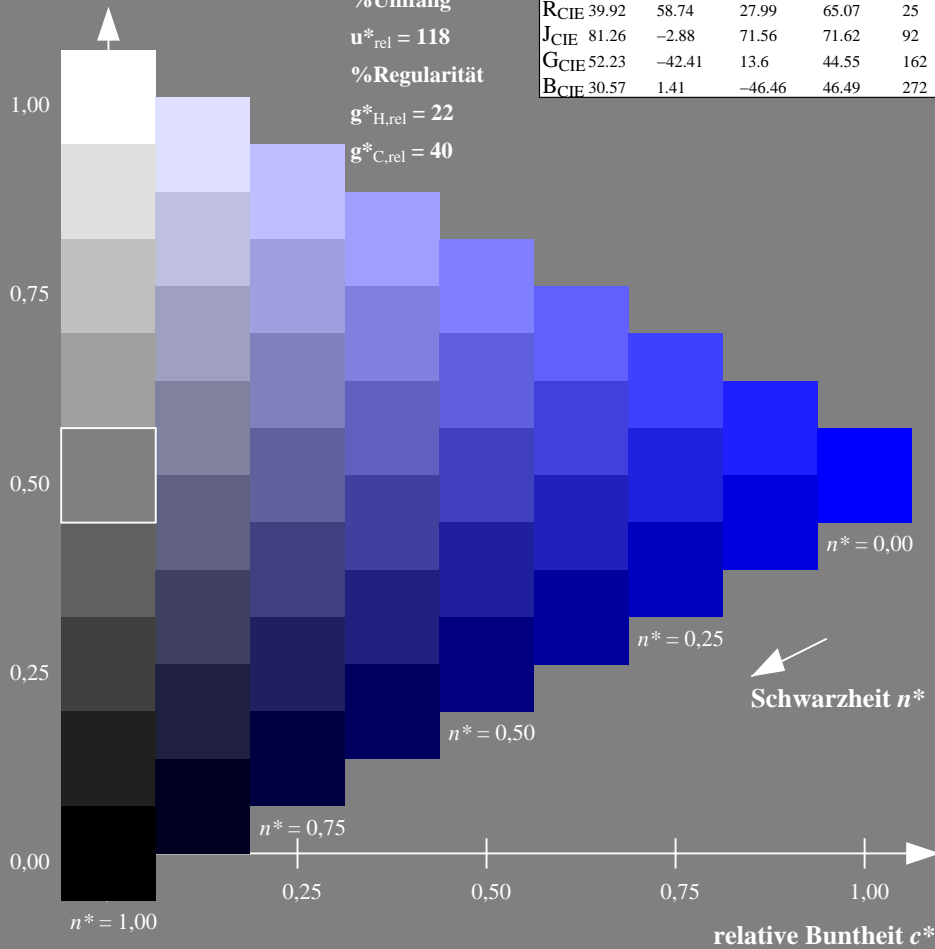
%Umfang

$u^*_{rel} = 118$

%Regularität

$g^*_{H,rel} = 22$

$g^*_{C,rel} = 40$



Ausgabe: Farbmetrisches Fernseh-Licht-System TLS70

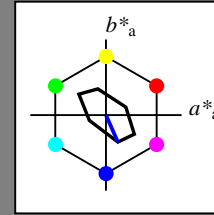
für Buntton $h^* = lab^*h = 294/360 = 0.816$

lab^*tch und lab^*nch

D65: Buntton V

LCH*Ma: 72 39 294

olv*Ma: 0.0 0.0 1.0



TLS70; adaptierte CIELAB-Daten

	$L^*=L^*_a$	a^*_a	b^*_a	$C^*_{ab,a}$	$h^*_{ab,a}$
OMa	76.43	26.27	10.57	28.32	22
YMa	93.93	-10.76	34.63	36.27	107
LMa	89.32	-35.8	27.64	45.24	142
CMa	90.93	-21.95	-7.07	23.07	198
VMa	72.1	15.76	-35.63	38.97	294
MMa	78.5	37.52	-25.23	45.22	326
NMa	69.7	0.0	0.0	0.0	0
WMa	95.41	0.0	0.0	0.0	0
RCIE	39.92	58.74	27.99	65.07	25
JCIE	81.26	-2.88	71.56	71.62	92
GCIE	52.23	-42.41	13.6	44.55	162
BCIE	30.57	1.41	-46.46	46.49	272

Dreiecks-Helligkeit t^*

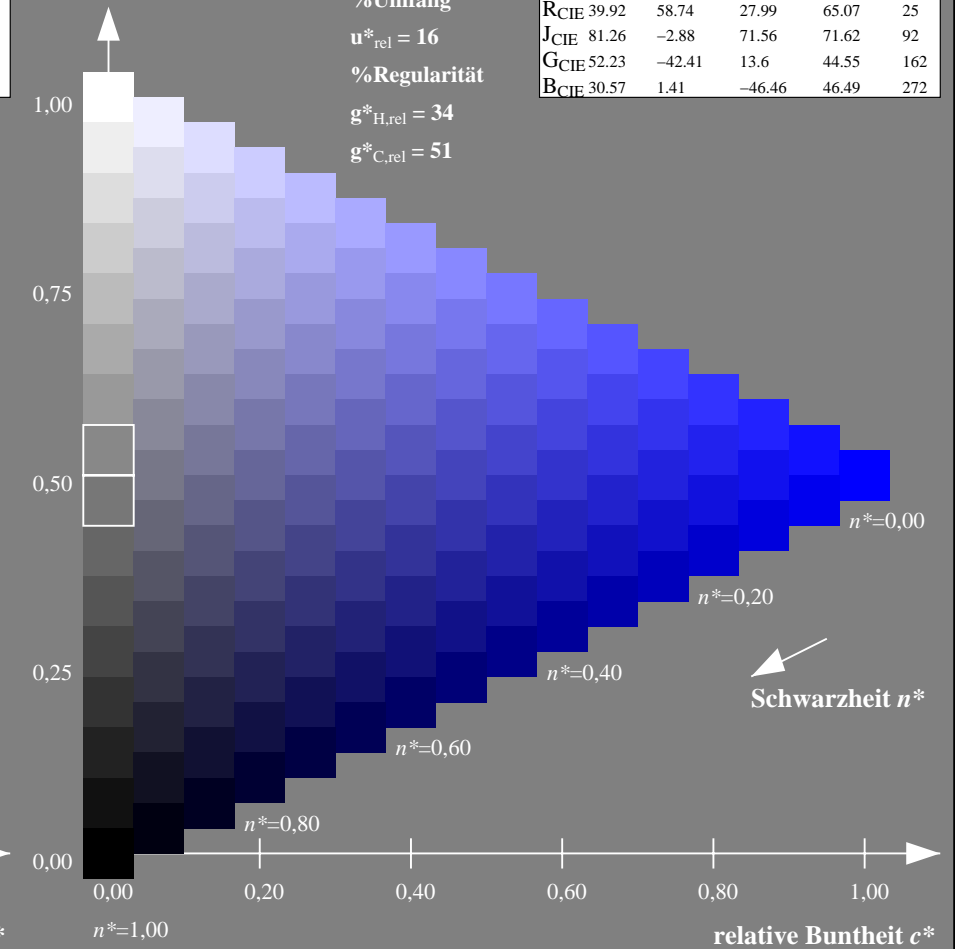
%Umfang

$u^*_{rel} = 16$

%Regularität

$g^*_{H,rel} = 34$

$g^*_{C,rel} = 51$



NG900-7, 9stufige Reihen für konstanten CIELAB Buntton $304/360 = 0.845$ (links)

16stufige Reihen für konstanten CIELAB Buntton $294/360 = 0.816$ (rechts)

Eingabe: Farbmetrisches Natürliches-Licht-System NLS00

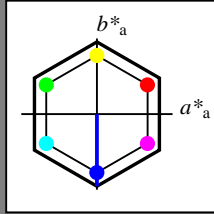
für Buntton $h^* = lab^*h = 270/360 = 0.75$

lab^*tch und lab^*nch

D65: Buntton V

LCH*Ma: 32 95 270

olv*Ma: 0.0 0.0 1.0



NLS00; adaptierte CIELAB-Daten

	$L^*=L^*_a$	a^*_a	b^*_a	$C^*_{ab,a}$	$h^*_{ab,a}$
O _{Ma}	31.81	82.62	47.7	95.4	30
Y _{Ma}	63.61	0.0	95.4	95.4	90
L _{Ma}	31.81	-82.61	47.7	95.4	150
C _{Ma}	63.61	-82.61	-47.69	95.4	210
V _{Ma}	31.81	0.0	-95.39	95.4	270
M _{Ma}	63.61	82.62	-47.69	95.4	330
N _{Ma}	0.01	0.0	0.0	0.0	0
W _{Ma}	95.41	0.0	0.0	0.0	0
R _{CIE}	39.92	58.74	27.99	65.07	25
J _{CIE}	81.26	-2.88	71.56	71.62	92
G _{CIE}	52.23	-42.41	13.6	44.55	162
B _{CIE}	30.57	1.41	-46.46	46.49	272

Dreiecks-Helligkeit t^*

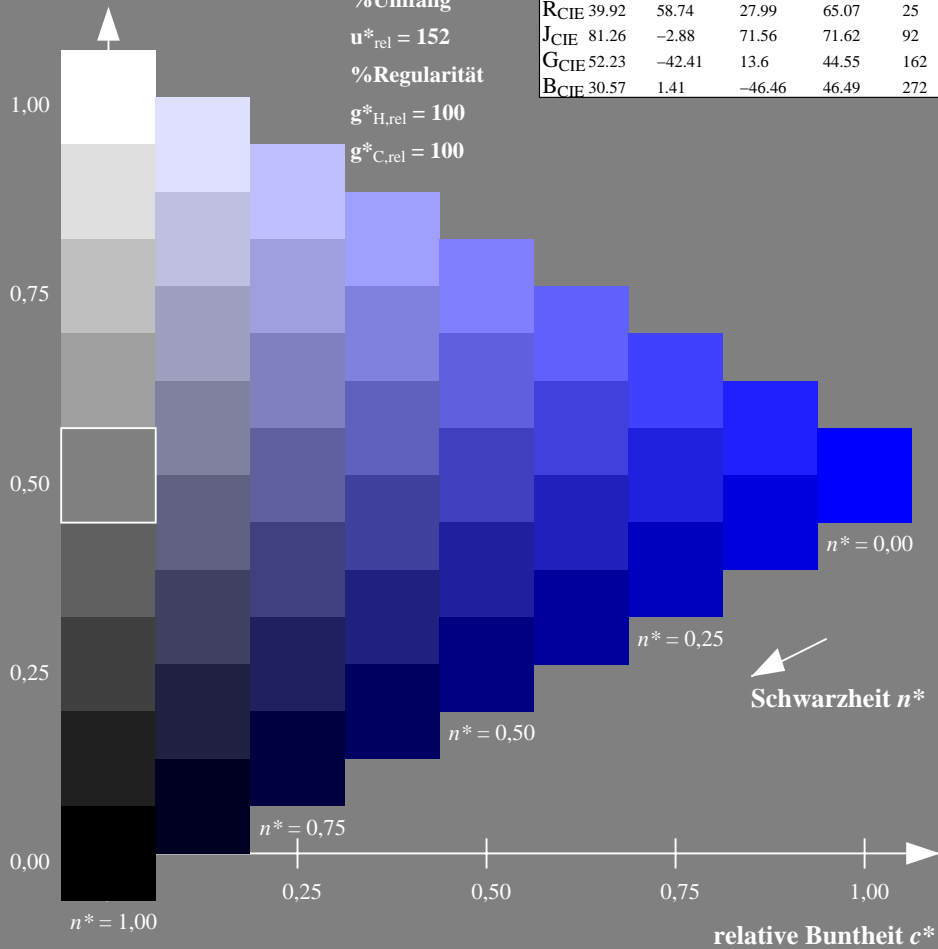
%Umfang

$u^*_{rel} = 152$

%Regularität

$g^*_{H,rel} = 100$

$g^*_{C,rel} = 100$



Ausgabe: Farbmetrisches Offset-Reflektiv-System ORS18

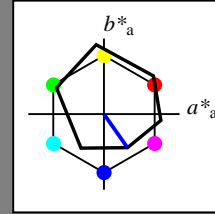
für Buntton $h^* = lab^*h = 305/360 = 0.847$

lab^*tch und lab^*nch

D65: Buntton V

LCH*Ma: 26 54 305

olv*Ma: 0.0 0.0 1.0



ORS18; adaptierte CIELAB-Daten

	$L^*=L^*_a$	a^*_a	b^*_a	$C^*_{ab,a}$	$h^*_{ab,a}$
O _{Ma}	47.94	65.39	50.52	82.63	38
Y _{Ma}	90.37	-10.26	91.75	92.32	96
L _{Ma}	50.9	-62.83	34.96	71.91	151
C _{Ma}	58.62	-30.34	-45.01	54.3	236
V _{Ma}	25.72	31.1	-44.4	54.22	305
M _{Ma}	48.13	75.28	-8.36	75.74	354
N _{Ma}	18.01	0.0	0.0	0.0	0
W _{Ma}	95.41	0.0	0.0	0.0	0
R _{CIE}	39.92	58.66	26.98	64.57	25
J _{CIE}	81.26	-2.16	67.76	67.79	92
G _{CIE}	52.23	-42.25	11.76	43.87	164
B _{CIE}	30.57	1.15	-46.84	46.86	271

Dreiecks-Helligkeit t^*

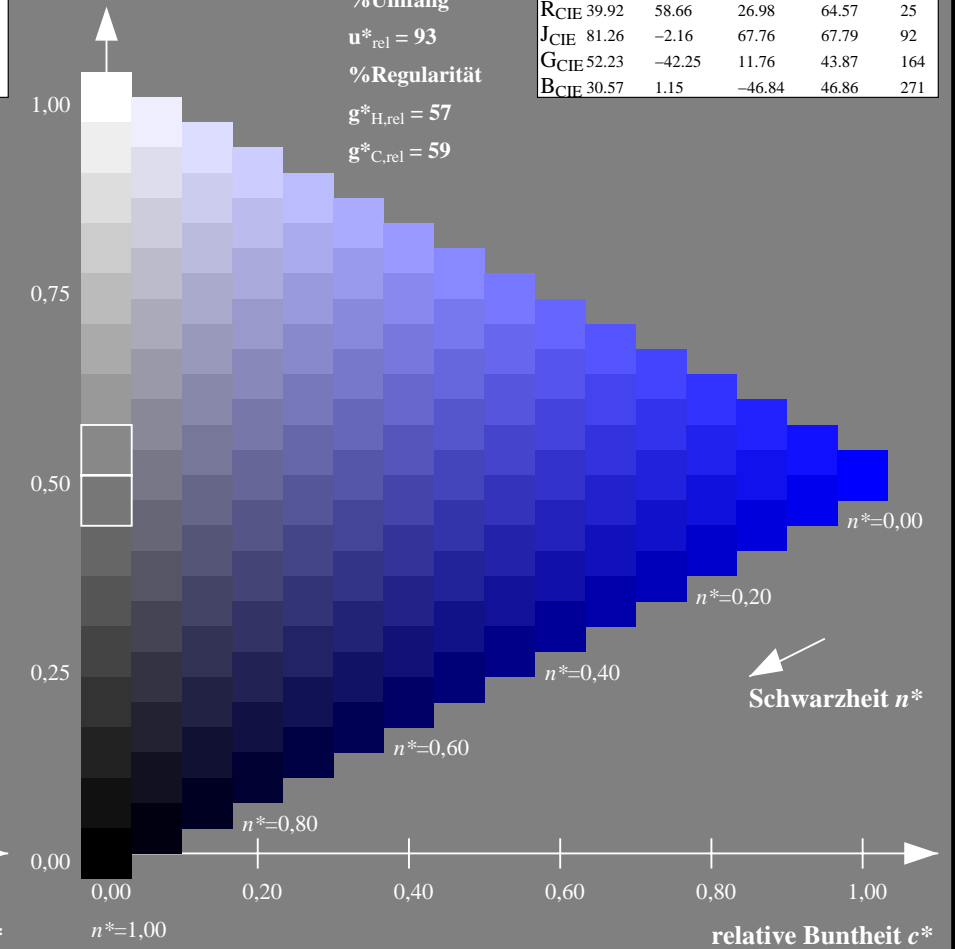
%Umfang

$u^*_{rel} = 93$

%Regularität

$g^*_{H,rel} = 57$

$g^*_{C,rel} = 59$



NG900-7, 9stufige Reihen für konstanten CIELAB Buntton $270/360 = 0.75$ (links)

16stufige Reihen für konstanten CIELAB Buntton $305/360 = 0.847$ (rechts)

Eingabe: Farbmetrisches Natürliches-Licht-System NLS00

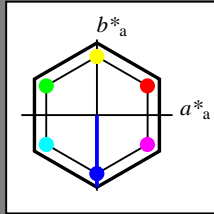
für Buntton $h^* = lab^*h = 270/360 = 0.75$

lab^*tch und lab^*nch

D65: Buntton V

LCH*Ma: 32 95 270

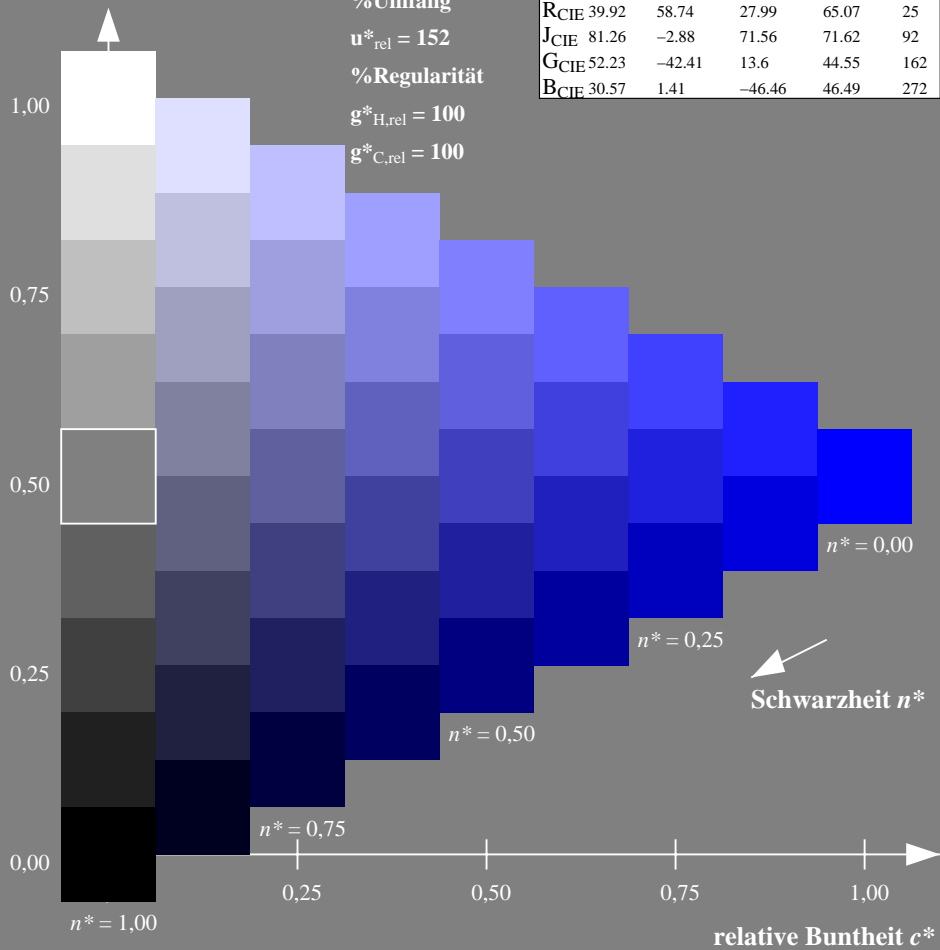
olv*Ma: 0.0 0.0 1.0



NLS00; adaptierte CIELAB-Daten

	$L^*=L^*_a$	a^*_a	b^*_a	$C^*_{ab,a}$	$h^*_{ab,a}$
O _{Ma}	31.81	82.62	47.7	95.4	30
Y _{Ma}	63.61	0.0	95.4	95.4	90
L _{Ma}	31.81	-82.61	47.7	95.4	150
C _{Ma}	63.61	-82.61	-47.69	95.4	210
V _{Ma}	31.81	0.0	-95.39	95.4	270
M _{Ma}	63.61	82.62	-47.69	95.4	330
N _{Ma}	0.01	0.0	0.0	0.0	0
W _{Ma}	95.41	0.0	0.0	0.0	0
R _{CIE}	39.92	58.74	27.99	65.07	25
J _{CIE}	81.26	-2.88	71.56	71.62	92
G _{CIE}	52.23	-42.41	13.6	44.55	162
B _{CIE}	30.57	1.41	-46.46	46.49	272

Dreiecks-Helligkeit t^*



Ausgabe: Farbmetrisches Fernseh-Licht-System TLS00

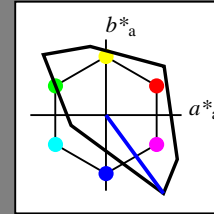
für Buntton $h^* = lab^*h = 306/360 = 0.851$

lab^*tch und lab^*nch

D65: Buntton V

LCH*Ma: 30 129 306

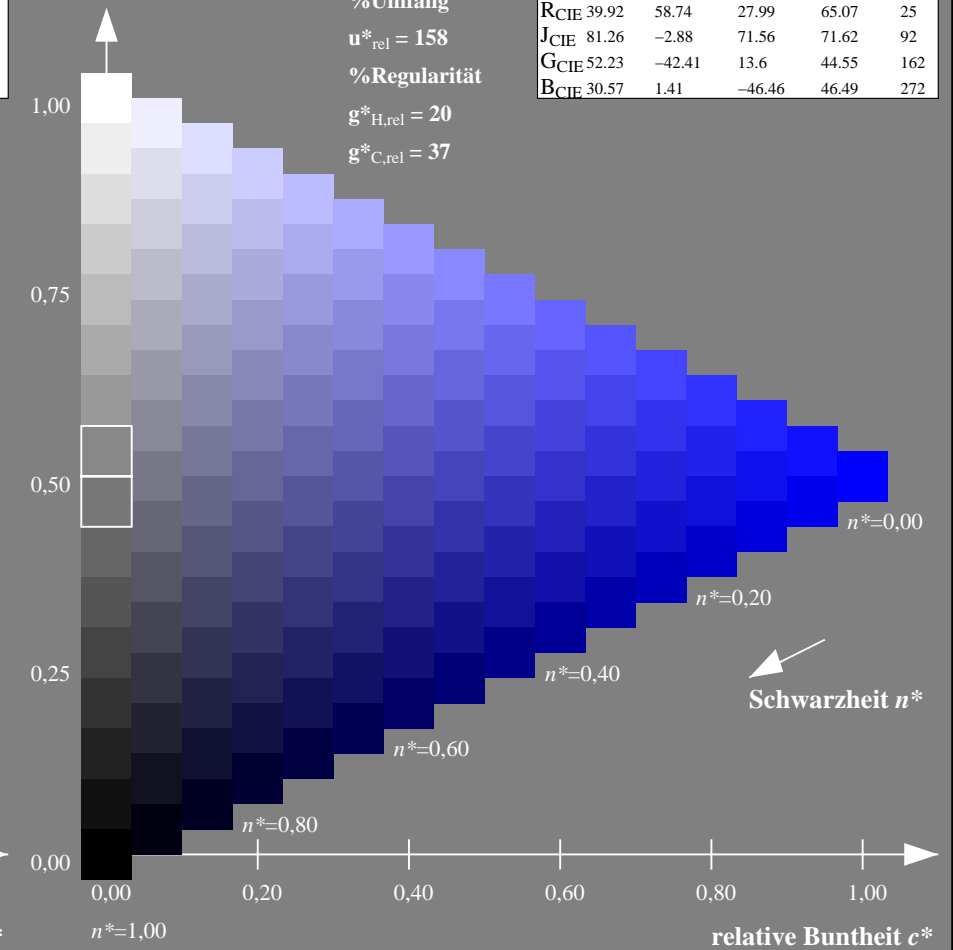
olv*Ma: 0.0 0.0 1.0



TLS00; adaptierte CIELAB-Daten

	$L^*=L^*_a$	a^*_a	b^*_a	$C^*_{ab,a}$	$h^*_{ab,a}$
O _{Ma}	50.5	76.92	64.55	100.42	40
Y _{Ma}	92.66	-20.69	90.75	93.08	103
L _{Ma}	83.63	-82.75	79.9	115.04	136
C _{Ma}	86.88	-46.16	-13.55	48.12	196
V _{Ma}	30.39	76.06	-103.59	128.52	306
M _{Ma}	57.3	94.35	-58.41	110.97	328
N _{Ma}	0.01	0.0	0.0	0.0	0
W _{Ma}	95.41	0.0	0.0	0.0	0
R _{CIE}	39.92	58.74	27.99	65.07	25
J _{CIE}	81.26	-2.88	71.56	71.62	92
G _{CIE}	52.23	-42.41	13.6	44.55	162
B _{CIE}	30.57	1.41	-46.46	46.49	272

Dreiecks-Helligkeit t^*



NG900-7, 9stufige Reihen für konstanten CIELAB Buntton $270/360 = 0.75$ (links)

16stufige Reihen für konstanten CIELAB Buntton $306/360 = 0.851$ (rechts)

Eingabe: Farbmetrisches Natürliches-Licht-System NLS00

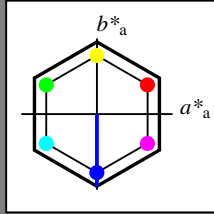
für Buntton $h^* = lab^*h = 270/360 = 0.75$

lab^*tch und lab^*nch

D65: Buntton V

LCH*Ma: 32 95 270

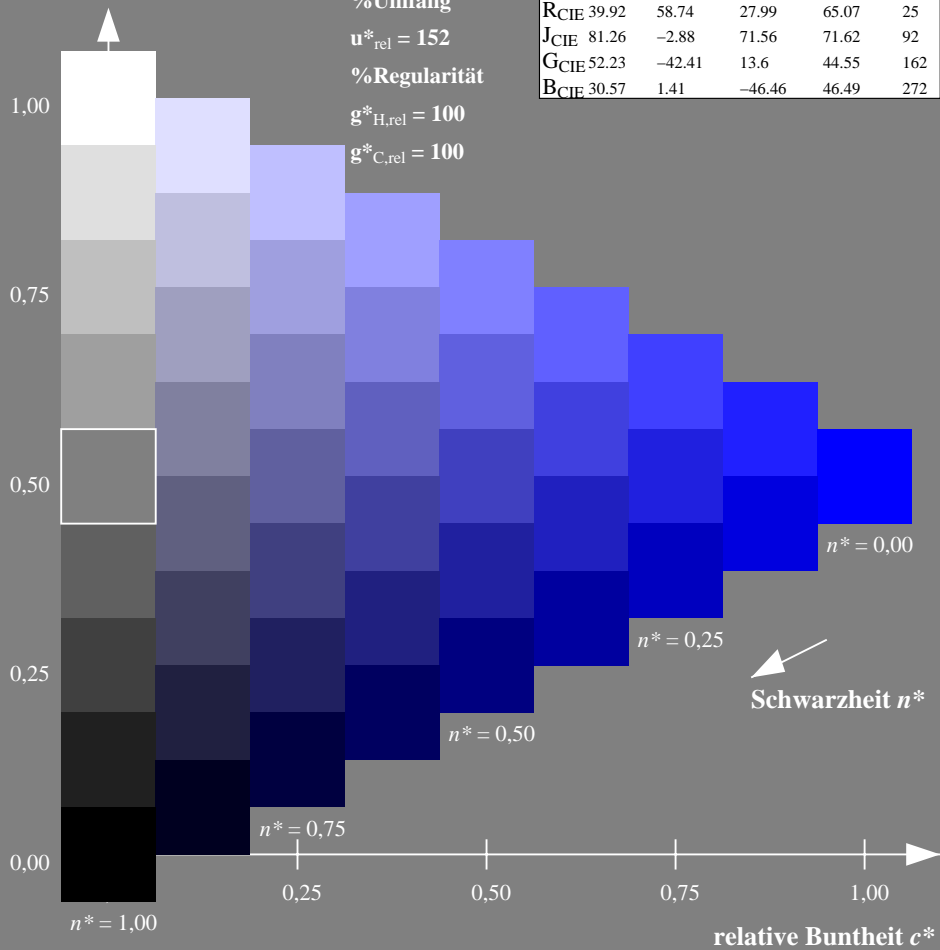
olv*Ma: 0.0 0.0 1.0



NLS00; adaptierte CIELAB-Daten

	$L^*=L^*_a$	a^*_a	b^*_a	$C^*_{ab,a}$	$h^*_{ab,a}$
O _{Ma}	31.81	82.62	47.7	95.4	30
Y _{Ma}	63.61	0.0	95.4	95.4	90
L _{Ma}	31.81	-82.61	47.7	95.4	150
C _{Ma}	63.61	-82.61	-47.69	95.4	210
V _{Ma}	31.81	0.0	-95.39	95.4	270
M _{Ma}	63.61	82.62	-47.69	95.4	330
N _{Ma}	0.01	0.0	0.0	0.0	0
W _{Ma}	95.41	0.0	0.0	0.0	0
R _{CIE}	39.92	58.74	27.99	65.07	25
J _{CIE}	81.26	-2.88	71.56	71.62	92
G _{CIE}	52.23	-42.41	13.6	44.55	162
B _{CIE}	30.57	1.41	-46.46	46.49	272

Dreiecks-Helligkeit t^*



Ausgabe: Farbmetrisches Drucker-Reflektiv-System DRSXX

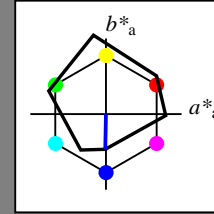
für Buntton $h^* = lab^*h = 269/360 = 0.747$

lab^*tch und lab^*nch

D65: Buntton V

LCH*Ma: 34 47 269

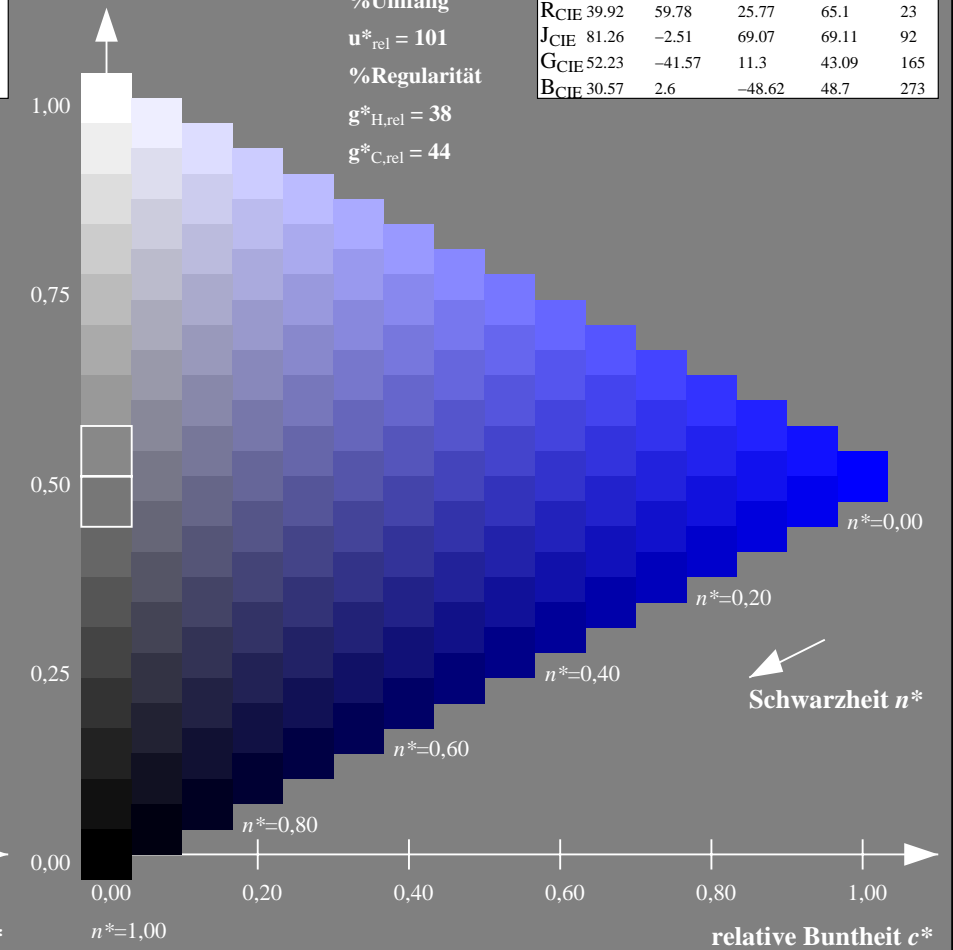
olv*Ma: 0.0 0.0 1.0



DRSXX; adaptierte CIELAB-Daten

	$L^*=L^*_a$	a^*_a	b^*_a	$C^*_{ab,a}$	$h^*_{ab,a}$
O _{Ma}	42.21	66.82	50.6	83.82	37
Y _{Ma}	90.32	-16.51	104.33	105.63	99
L _{Ma}	48.21	-75.63	30.65	81.61	158
C _{Ma}	53.44	-33.33	-47.49	58.03	235
V _{Ma}	34.16	-0.92	-46.56	46.58	269
M _{Ma}	42.71	79.0	-1.95	79.03	359
N _{Ma}	16.56	0.0	0.0	0.0	0
W _{Ma}	96.31	0.0	0.0	0.0	0
R _{CIE}	39.92	59.78	25.77	65.1	23
J _{CIE}	81.26	-2.51	69.07	69.11	92
G _{CIE}	52.23	-41.57	11.3	43.09	165
B _{CIE}	30.57	2.6	-48.62	48.7	273

Dreiecks-Helligkeit t^*



NG900-7, 9stufige Reihen für konstanten CIELAB Buntton $270/360 = 0.75$ (links)

16stufige Reihen für konstanten CIELAB Buntton $269/360 = 0.747$ (rechts)

Eingabe: Farbmetrisches Natürliches-Licht-System NLS00

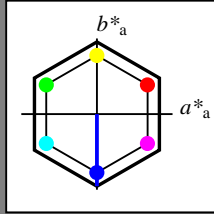
für Buntton $h^* = lab^*h = 270/360 = 0.75$

lab^*tch und lab^*nch

D65: Buntton V

LCH*Ma: 32 95 270

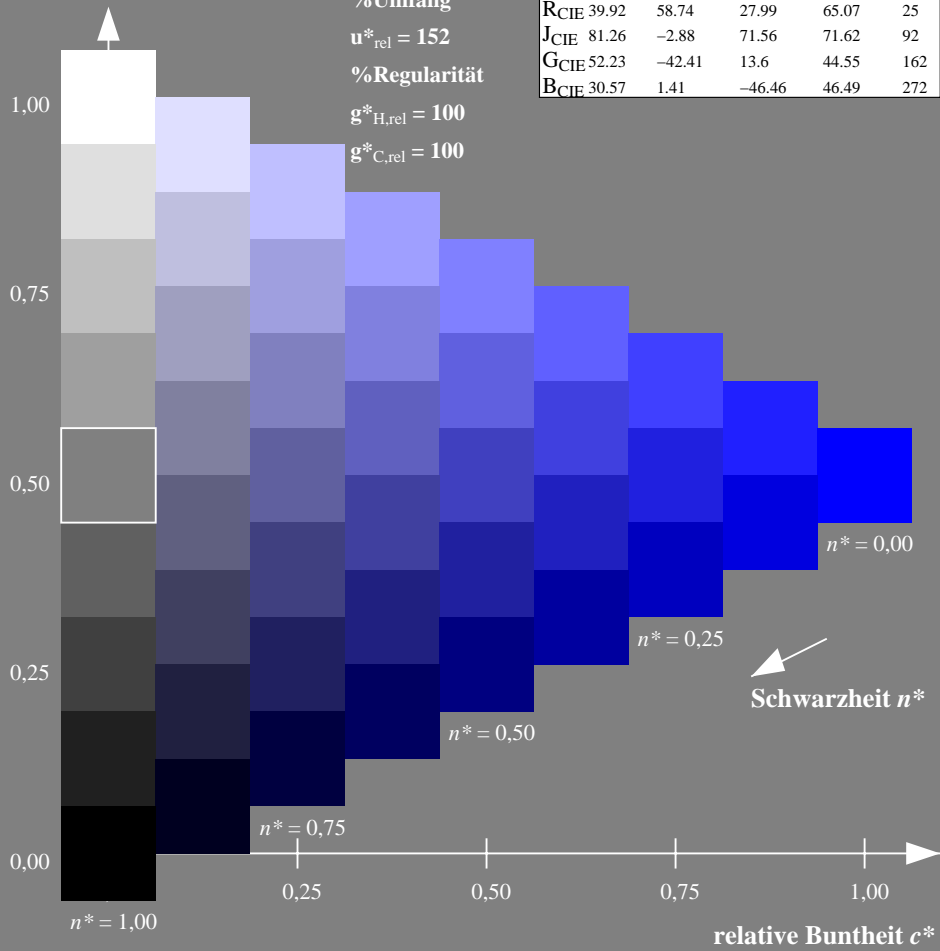
olv*Ma: 0.0 0.0 1.0



NLS00; adaptierte CIELAB-Daten

	$L^*=L^*_a$	a^*_a	b^*_a	$C^*_{ab,a}$	$h^*_{ab,a}$
OMa	31.81	82.62	47.7	95.4	30
YMa	63.61	0.0	95.4	95.4	90
LMa	31.81	-82.61	47.7	95.4	150
CMa	63.61	-82.61	-47.69	95.4	210
VMa	31.81	0.0	-95.39	95.4	270
MMa	63.61	82.62	-47.69	95.4	330
NMa	0.01	0.0	0.0	0.0	0
WMa	95.41	0.0	0.0	0.0	0
RCIE	39.92	58.74	27.99	65.07	25
JCIE	81.26	-2.88	71.56	71.62	92
GCIE	52.23	-42.41	13.6	44.55	162
BCIE	30.57	1.41	-46.46	46.49	272

Dreiecks-Helligkeit t^*



Ausgabe: Farbmetrisches Fernseh-Licht-System TLS18

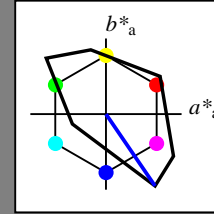
für Buntton $h^* = lab^*h = 304/360 = 0.845$

lab^*tch und lab^*nch

D65: Buntton V

LCH*Ma: 35 115 304

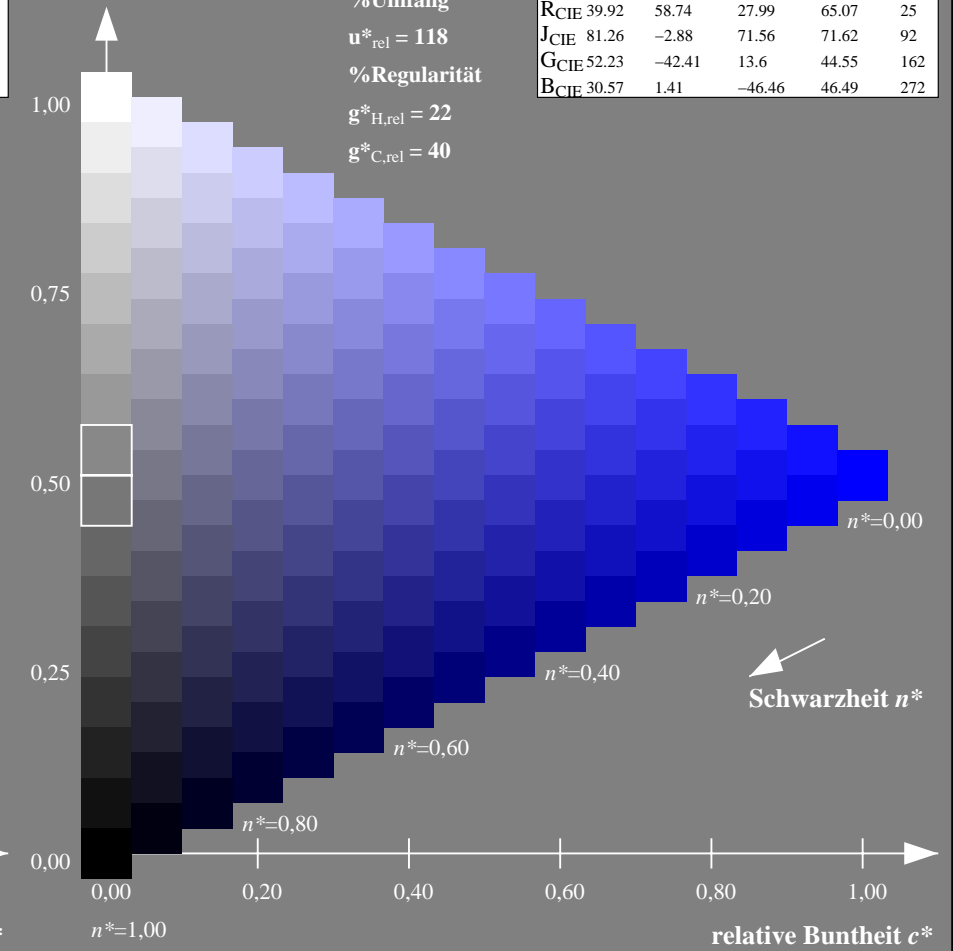
olv*Ma: 0.0 0.0 1.0



TLS18; adaptierte CIELAB-Daten

	$L^*=L^*_a$	a^*_a	b^*_a	$C^*_{ab,a}$	$h^*_{ab,a}$
OMa	52.76	71.63	49.88	87.29	35
YMa	92.74	-20.02	84.97	87.3	103
LMa	84.0	-78.98	73.94	108.2	137
CMa	87.14	-44.41	-13.11	46.32	196
VMa	35.47	64.92	-95.06	115.12	304
MMa	59.01	89.33	-55.67	105.26	328
NMa	18.01	0.0	0.0	0.0	0
WMa	95.41	0.0	0.0	0.0	0
RCIE	39.92	58.74	27.99	65.07	25
JCIE	81.26	-2.88	71.56	71.62	92
GCIE	52.23	-42.41	13.6	44.55	162
BCIE	30.57	1.41	-46.46	46.49	272

Dreiecks-Helligkeit t^*



NG900-7, 9stufige Reihen für konstanten CIELAB Buntton $270/360 = 0.75$ (links)

16stufige Reihen für konstanten CIELAB Buntton $304/360 = 0.845$ (rechts)

Eingabe: Farbmetrisches Natürliches-Licht-System NLS00

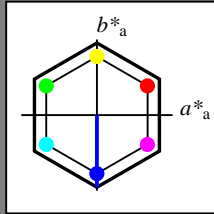
für Buntton $h^* = lab^*h = 270/360 = 0.75$

lab^*tch und lab^*nch

D65: Buntton V

LCH*Ma: 32 95 270

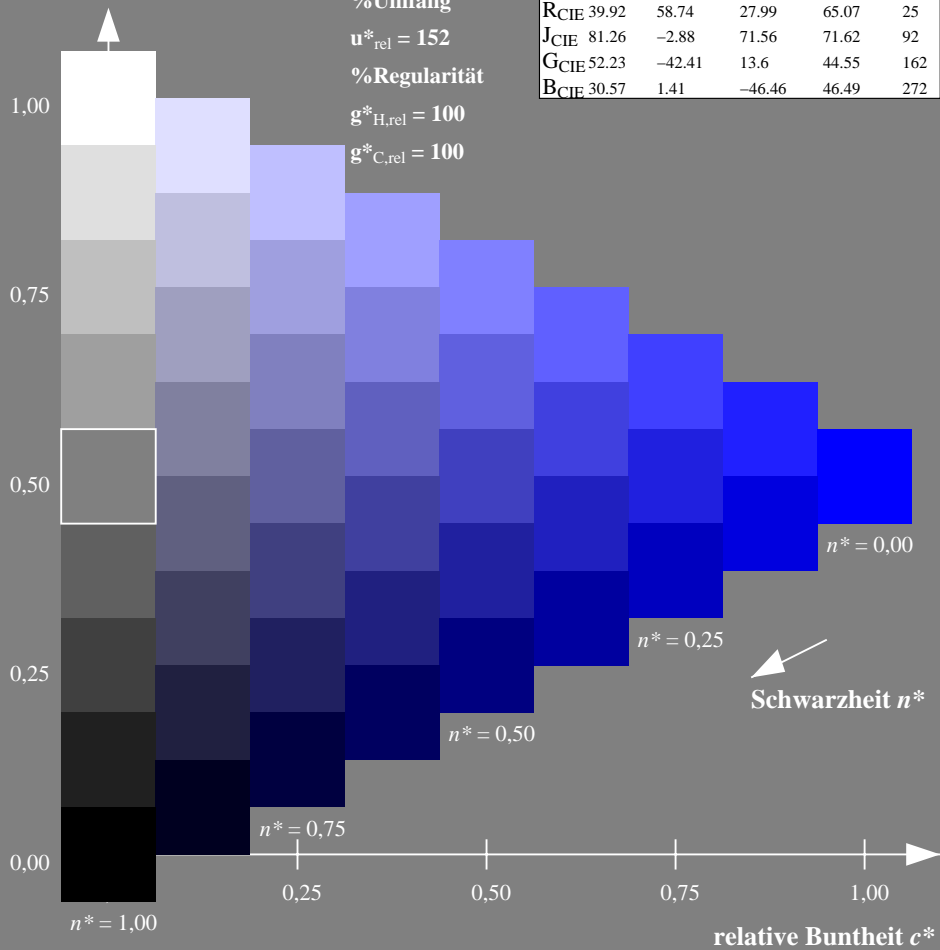
olv*Ma: 0.0 0.0 1.0



NLS00; adaptierte CIELAB-Daten

	$L^*=L^*_a$	a^*_a	b^*_a	$C^*_{ab,a}$	$h^*_{ab,a}$
O _{Ma}	31.81	82.62	47.7	95.4	30
Y _{Ma}	63.61	0.0	95.4	95.4	90
L _{Ma}	31.81	-82.61	47.7	95.4	150
C _{Ma}	63.61	-82.61	-47.69	95.4	210
V _{Ma}	31.81	0.0	-95.39	95.4	270
M _{Ma}	63.61	82.62	-47.69	95.4	330
N _{Ma}	0.01	0.0	0.0	0.0	0
W _{Ma}	95.41	0.0	0.0	0.0	0
R _{CIE}	39.92	58.74	27.99	65.07	25
J _{CIE}	81.26	-2.88	71.56	71.62	92
G _{CIE}	52.23	-42.41	13.6	44.55	162
B _{CIE}	30.57	1.41	-46.46	46.49	272

Dreiecks-Helligkeit t^*



Ausgabe: Farbmetrisches Natürliches-Licht-System NLS00

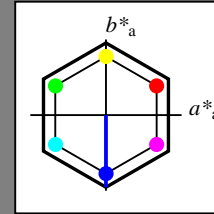
für Buntton $h^* = lab^*h = 270/360 = 0.75$

lab^*tch und lab^*nch

D65: Buntton V

LCH*Ma: 32 95 270

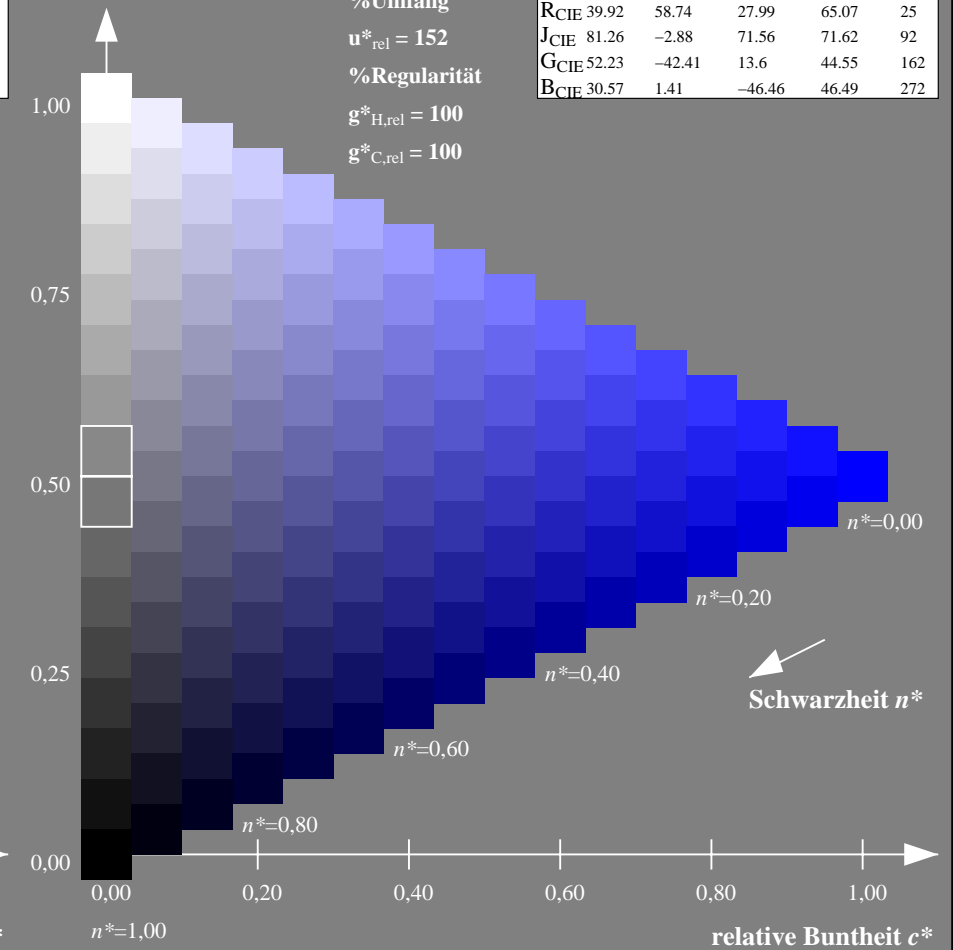
olv*Ma: 0.0 0.0 1.0



NLS00; adaptierte CIELAB-Daten

	$L^*=L^*_a$	a^*_a	b^*_a	$C^*_{ab,a}$	$h^*_{ab,a}$
O _{Ma}	31.81	82.62	47.7	95.4	30
Y _{Ma}	63.61	0.0	95.4	95.4	90
L _{Ma}	31.81	-82.61	47.7	95.4	150
C _{Ma}	63.61	-82.61	-47.69	95.4	210
V _{Ma}	31.81	0.0	-95.39	95.4	270
M _{Ma}	63.61	82.62	-47.69	95.4	330
N _{Ma}	0.01	0.0	0.0	0.0	0
W _{Ma}	95.41	0.0	0.0	0.0	0
R _{CIE}	39.92	58.74	27.99	65.07	25
J _{CIE}	81.26	-2.88	71.56	71.62	92
G _{CIE}	52.23	-42.41	13.6	44.55	162
B _{CIE}	30.57	1.41	-46.46	46.49	272

Dreiecks-Helligkeit t^*



NG900-7, 9stufige Reihen für konstanten CIELAB Buntton $270/360 = 0.75$ (links)

16stufige Reihen für konstanten CIELAB Buntton $270/360 = 0.75$ (rechts)

Eingabe: Farbmetrisches Natürliches-Licht-System NLS00

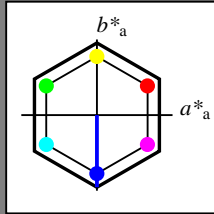
für Buntton $h^* = lab^*h = 270/360 = 0.75$

lab^*tch und lab^*nch

D65: Buntton V

LCH*Ma: 32 95 270

olv*Ma: 0.0 0.0 1.0



NLS00; adaptierte CIELAB-Daten

	$L^*=L^*_a$	a^*_a	b^*_a	$C^*_{ab,a}$	$h^*_{ab,a}$
O _{Ma}	31.81	82.62	47.7	95.4	30
Y _{Ma}	63.61	0.0	95.4	95.4	90
L _{Ma}	31.81	-82.61	47.7	95.4	150
C _{Ma}	63.61	-82.61	-47.69	95.4	210
V _{Ma}	31.81	0.0	-95.39	95.4	270
M _{Ma}	63.61	82.62	-47.69	95.4	330
N _{Ma}	0.01	0.0	0.0	0.0	0
W _{Ma}	95.41	0.0	0.0	0.0	0
R _{CIE}	39.92	58.74	27.99	65.07	25
J _{CIE}	81.26	-2.88	71.56	71.62	92
G _{CIE}	52.23	-42.41	13.6	44.55	162
B _{CIE}	30.57	1.41	-46.46	46.49	272

Dreiecks-Helligkeit t^*

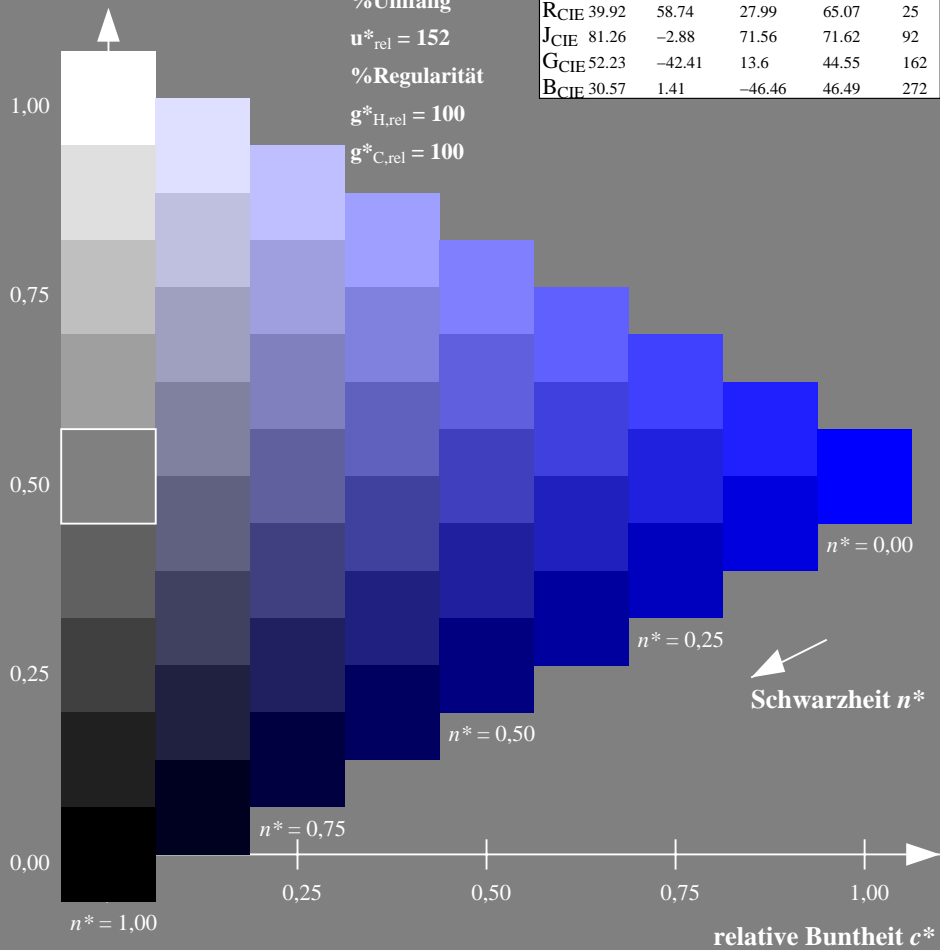
%Umfang

$u^*_{rel} = 152$

%Regularität

$g^*_{H,rel} = 100$

$g^*_{C,rel} = 100$



Ausgabe: Farbmetrisches Natürliches-Reflektiv-System NRS18

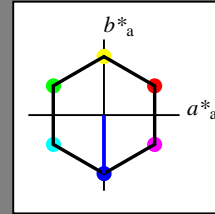
für Buntton $h^* = lab^*h = 270/360 = 0.75$

lab^*tch und lab^*nch

D65: Buntton V

LCH*Ma: 44 77 270

olv*Ma: 0.0 0.0 1.0



NRS18; adaptierte CIELAB-Daten

	$L^*=L^*_a$	a^*_a	b^*_a	$C^*_{ab,a}$	$h^*_{ab,a}$
O _{Ma}	43.81	67.03	38.7	77.4	30
Y _{Ma}	69.61	0.0	77.4	77.4	90
L _{Ma}	43.81	-67.02	38.7	77.4	150
C _{Ma}	69.61	-67.02	-38.69	77.4	210
V _{Ma}	43.81	0.0	-77.39	77.4	270
M _{Ma}	69.61	67.03	-38.69	77.4	330
N _{Ma}	18.01	0.0	0.0	0.0	0
W _{Ma}	95.41	0.0	0.0	0.0	0
R _{CIE}	39.92	58.74	27.99	65.07	25
J _{CIE}	81.26	-2.88	71.56	71.62	92
G _{CIE}	52.23	-42.41	13.6	44.55	162
B _{CIE}	30.57	1.41	-46.46	46.49	272

Dreiecks-Helligkeit t^*

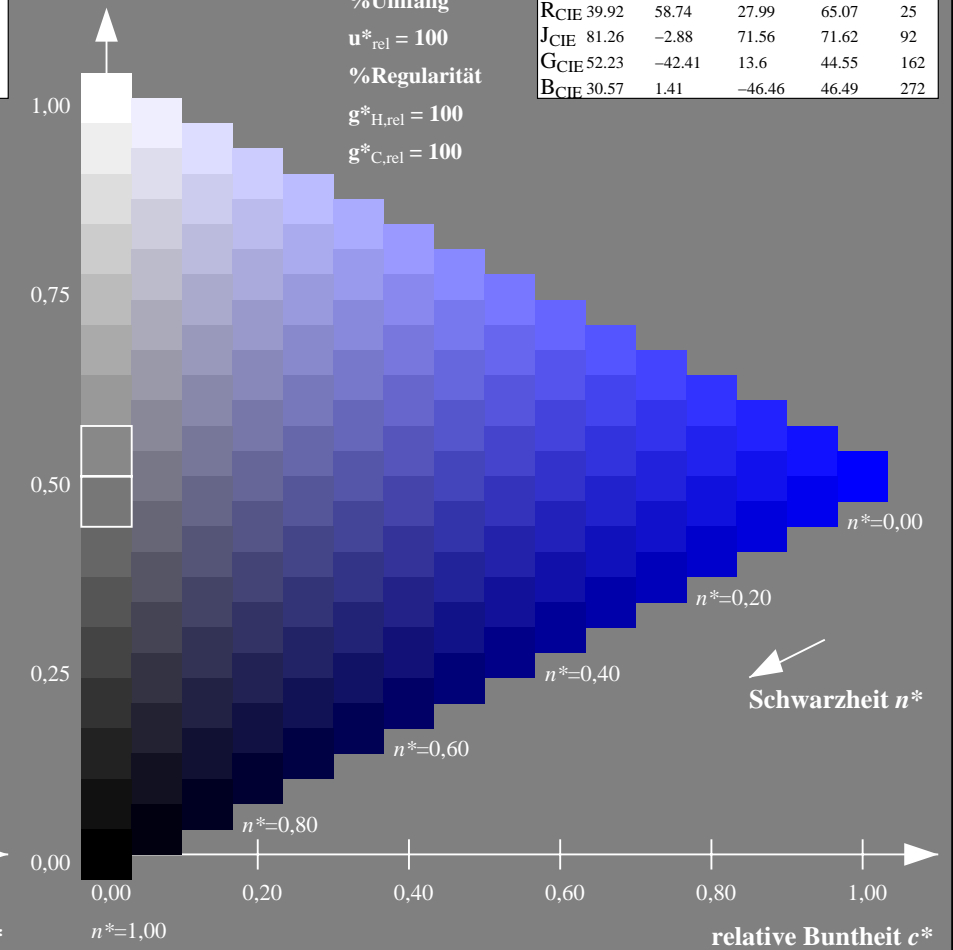
%Umfang

$u^*_{rel} = 100$

%Regularität

$g^*_{H,rel} = 100$

$g^*_{C,rel} = 100$



NG900-7, 9stufige Reihen für konstanten CIELAB Buntton $270/360 = 0.75$ (links)

16stufige Reihen für konstanten CIELAB Buntton $270/360 = 0.75$ (rechts)

Eingabe: Farbmetrisches Natürliches-Licht-System NLS00

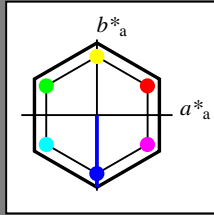
für Buntton $h^* = lab^*h = 270/360 = 0.75$

lab^*tch und lab^*nch

D65: Buntton V

LCH*Ma: 32 95 270

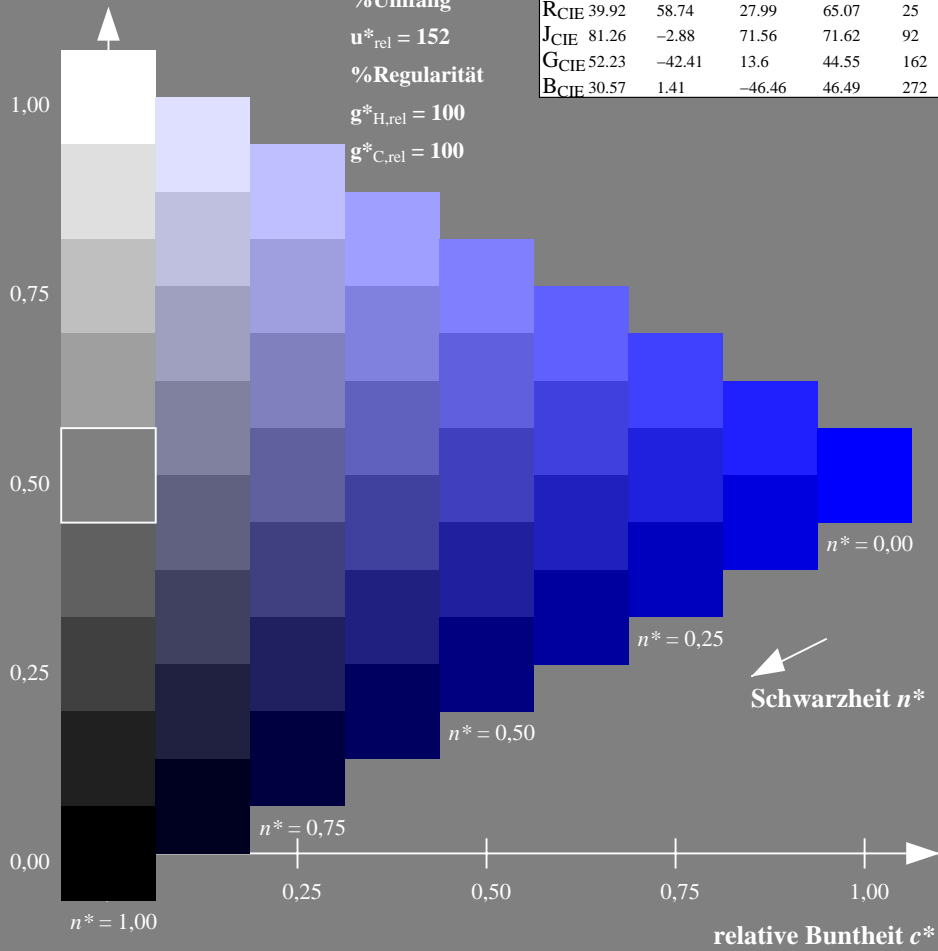
olv*Ma: 0.0 0.0 1.0



NLS00; adaptierte CIELAB-Daten

	$L^*=L^*_a$	a^*_a	b^*_a	$C^*_{ab,a}$	$h^*_{ab,a}$
O _{Ma}	31.81	82.62	47.7	95.4	30
Y _{Ma}	63.61	0.0	95.4	95.4	90
L _{Ma}	31.81	-82.61	47.7	95.4	150
C _{Ma}	63.61	-82.61	-47.69	95.4	210
V _{Ma}	31.81	0.0	-95.39	95.4	270
M _{Ma}	63.61	82.62	-47.69	95.4	330
N _{Ma}	0.01	0.0	0.0	0.0	0
W _{Ma}	95.41	0.0	0.0	0.0	0
R _{CIE}	39.92	58.74	27.99	65.07	25
J _{CIE}	81.26	-2.88	71.56	71.62	92
G _{CIE}	52.23	-42.41	13.6	44.55	162
B _{CIE}	30.57	1.41	-46.46	46.49	272

Dreiecks-Helligkeit t^*



Ausgabe: Farbmetrisches Standard-Reflektiv-System SRS18

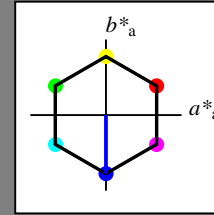
für Buntton $h^* = lab^*h = 270/360 = 0.75$

lab^*tch und lab^*nch

D65: Buntton V

LCH*Ma: 57 77 270

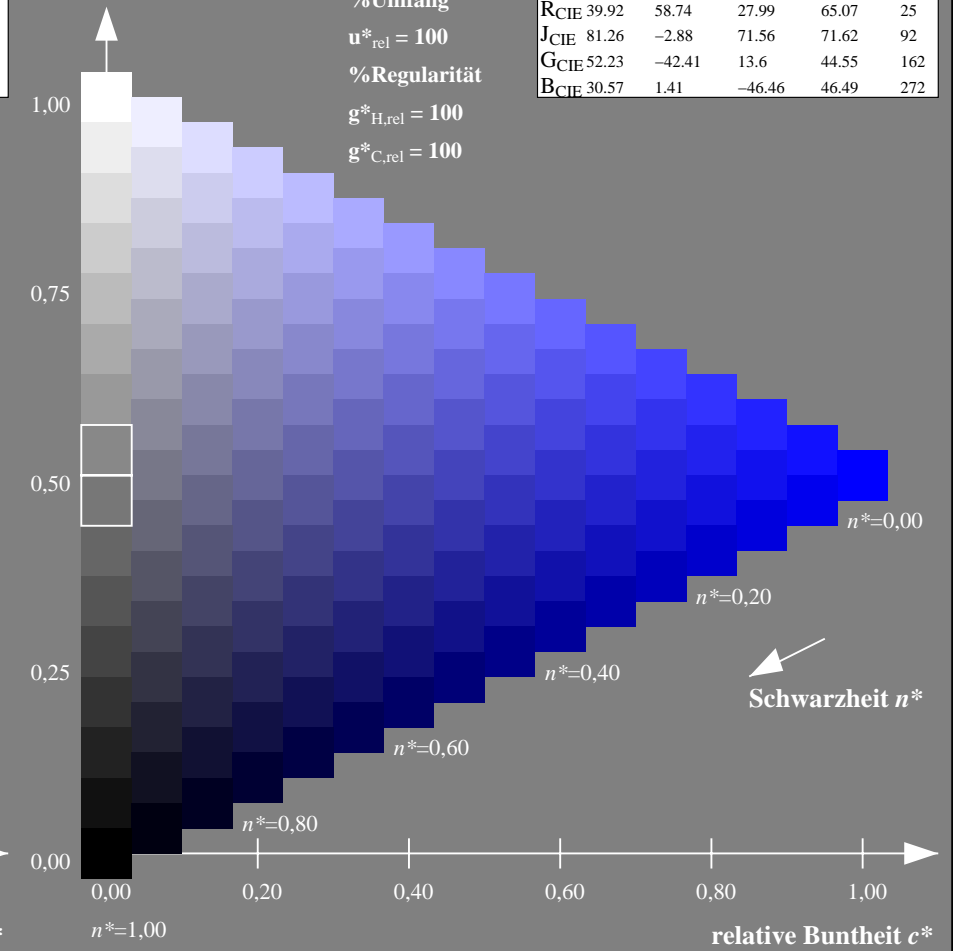
olv*Ma: 0.0 0.0 1.0



SRS18; adaptierte CIELAB-Daten

	$L^*=L^*_a$	a^*_a	b^*_a	$C^*_{ab,a}$	$h^*_{ab,a}$
O _{Ma}	56.71	67.03	38.7	77.4	30
Y _{Ma}	56.71	0.0	77.4	77.4	90
L _{Ma}	56.71	-67.02	38.7	77.4	150
C _{Ma}	56.71	-67.02	-38.69	77.4	210
V _{Ma}	56.71	0.0	-77.39	77.4	270
M _{Ma}	56.71	67.03	-38.69	77.4	330
N _{Ma}	18.01	0.0	0.0	0.0	0
W _{Ma}	95.41	0.0	0.0	0.0	0
R _{CIE}	39.92	58.74	27.99	65.07	25
J _{CIE}	81.26	-2.88	71.56	71.62	92
G _{CIE}	52.23	-42.41	13.6	44.55	162
B _{CIE}	30.57	1.41	-46.46	46.49	272

Dreiecks-Helligkeit t^*



NG900-7, 9stufige Reihen für konstanten CIELAB Buntton $270/360 = 0.75$ (links)

16stufige Reihen für konstanten CIELAB Buntton $270/360 = 0.75$ (rechts)

Eingabe: Farbmetrisches Natürliches-Licht-System NLS00

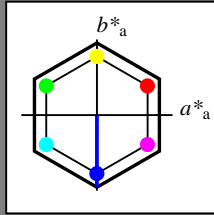
für Buntton $h^* = lab^*h = 270/360 = 0.75$

lab^*tch und lab^*nch

D65: Buntton V

LCH*Ma: 32 95 270

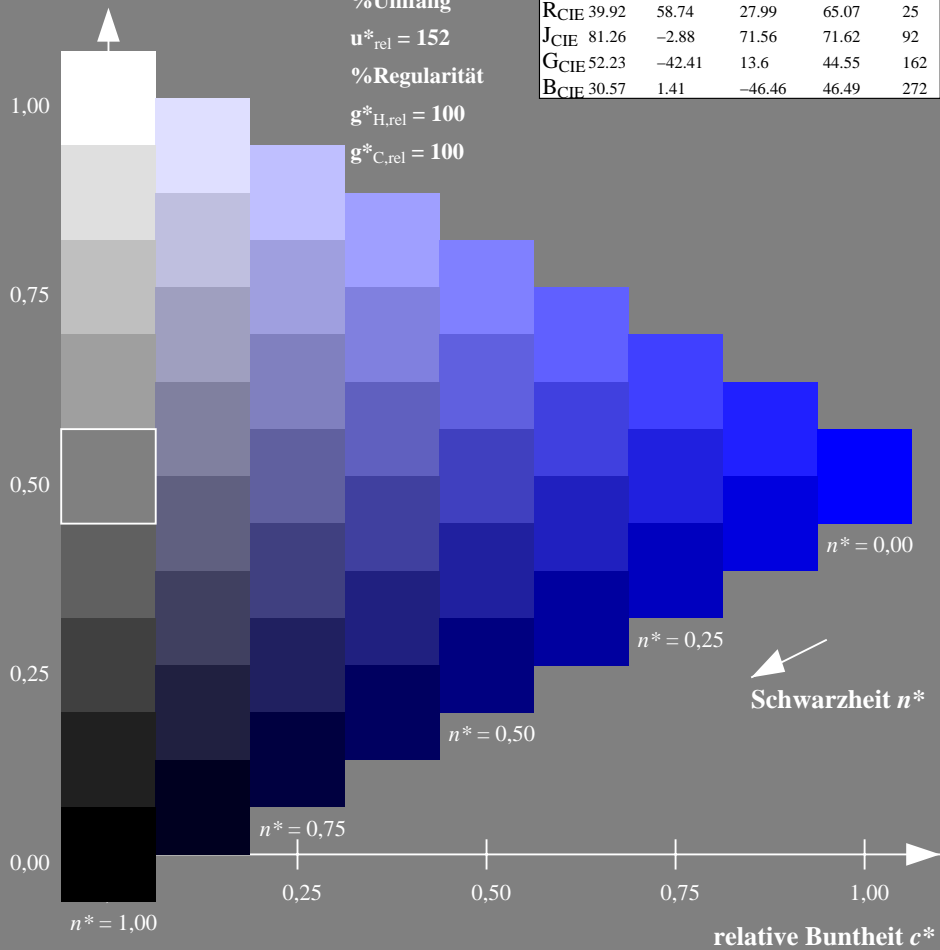
olv*Ma: 0.0 0.0 1.0



NLS00; adaptierte CIELAB-Daten

	$L^*=L^*_a$	a^*_a	b^*_a	$C^*_{ab,a}$	$h^*_{ab,a}$
O _{Ma}	31.81	82.62	47.7	95.4	30
Y _{Ma}	63.61	0.0	95.4	95.4	90
L _{Ma}	31.81	-82.61	47.7	95.4	150
C _{Ma}	63.61	-82.61	-47.69	95.4	210
V _{Ma}	31.81	0.0	-95.39	95.4	270
M _{Ma}	63.61	82.62	-47.69	95.4	330
N _{Ma}	0.01	0.0	0.0	0.0	0
W _{Ma}	95.41	0.0	0.0	0.0	0
R _{CIE}	39.92	58.74	27.99	65.07	25
J _{CIE}	81.26	-2.88	71.56	71.62	92
G _{CIE}	52.23	-42.41	13.6	44.55	162
B _{CIE}	30.57	1.41	-46.46	46.49	272

Dreiecks-Helligkeit t^*



Ausgabe: Farbmetrisches Fernseh-Licht-System TLS70

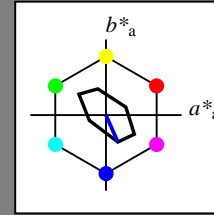
für Buntton $h^* = lab^*h = 294/360 = 0.816$

lab^*tch und lab^*nch

D65: Buntton V

LCH*Ma: 72 39 294

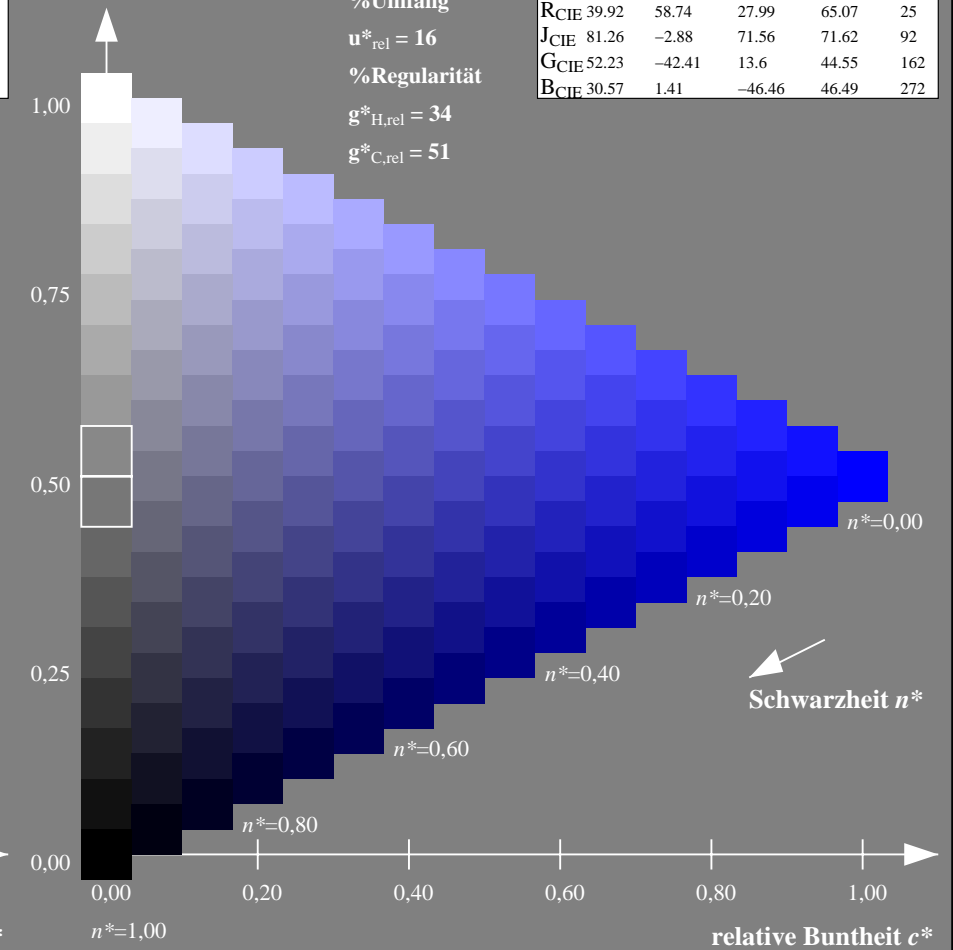
olv*Ma: 0.0 0.0 1.0



TLS70; adaptierte CIELAB-Daten

	$L^*=L^*_a$	a^*_a	b^*_a	$C^*_{ab,a}$	$h^*_{ab,a}$
O _{Ma}	76.43	26.27	10.57	28.32	22
Y _{Ma}	93.93	-10.76	34.63	36.27	107
L _{Ma}	89.32	-35.8	27.64	45.24	142
C _{Ma}	90.93	-21.95	-7.07	23.07	198
V _{Ma}	72.1	15.76	-35.63	38.97	294
M _{Ma}	78.5	37.52	-25.23	45.22	326
N _{Ma}	69.7	0.0	0.0	0.0	0
W _{Ma}	95.41	0.0	0.0	0.0	0
R _{CIE}	39.92	58.74	27.99	65.07	25
J _{CIE}	81.26	-2.88	71.56	71.62	92
G _{CIE}	52.23	-42.41	13.6	44.55	162
B _{CIE}	30.57	1.41	-46.46	46.49	272

Dreiecks-Helligkeit t^*



NG900-7, 9stufige Reihen für konstanten CIELAB Buntton $270/360 = 0.75$ (links)

16stufige Reihen für konstanten CIELAB Buntton $294/360 = 0.816$ (rechts)

Eingabe: Farbmetrisches Natürliches-Reflektiv-System NRS18

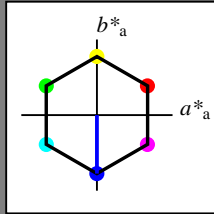
für Buntton $h^* = lab^*h = 270/360 = 0.75$

lab^*tch und lab^*nch

D65: Buntton V

LCH*Ma: 44 77 270

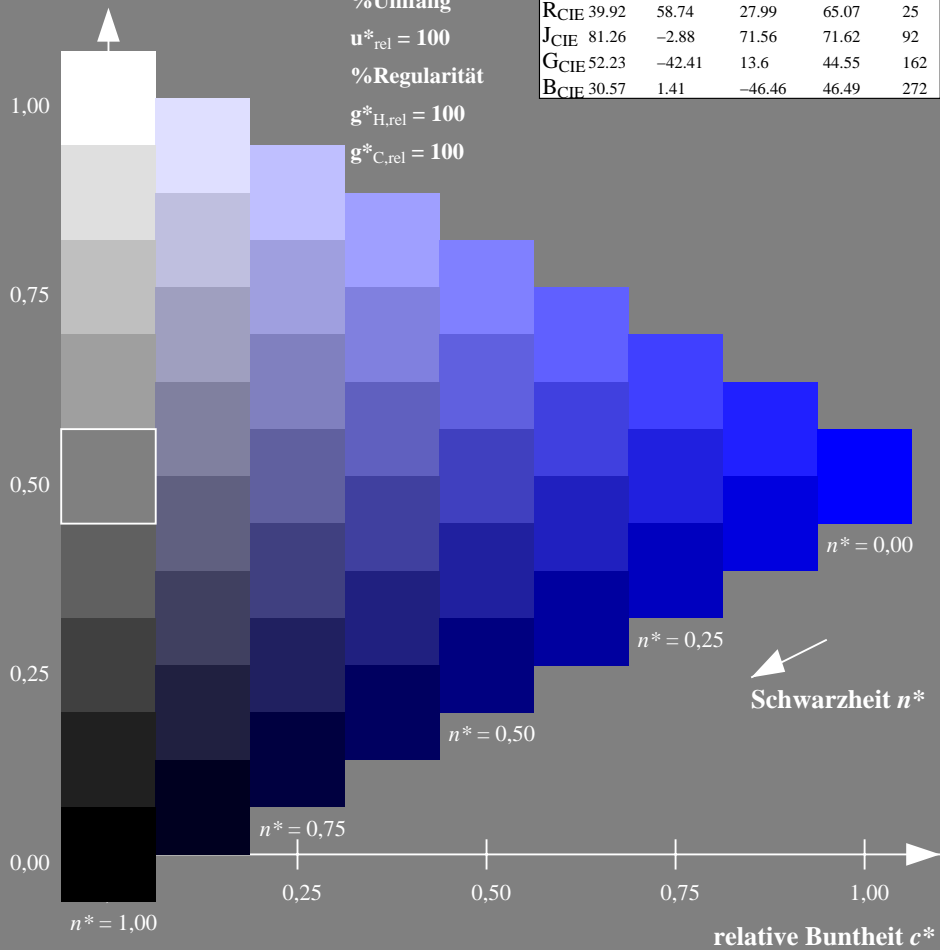
olv*Ma: 0.0 0.0 1.0



NRS18; adaptierte CIELAB-Daten

	$L^*=L^*_a$	a^*_a	b^*_a	$C^*_{ab,a}$	$h^*_{ab,a}$
OMa	43.81	67.03	38.7	77.4	30
YMa	69.61	0.0	77.4	77.4	90
LMa	43.81	-67.02	38.7	77.4	150
CMa	69.61	-67.02	-38.69	77.4	210
VMa	43.81	0.0	-77.39	77.4	270
MMa	69.61	67.03	-38.69	77.4	330
NMa	18.01	0.0	0.0	0.0	0
WMa	95.41	0.0	0.0	0.0	0
RCIE	39.92	58.74	27.99	65.07	25
JCIE	81.26	-2.88	71.56	71.62	92
GCIE	52.23	-42.41	13.6	44.55	162
BCIE	30.57	1.41	-46.46	46.49	272

Dreiecks-Helligkeit t^*



Ausgabe: Farbmetrisches Offset-Reflektiv-System ORS18

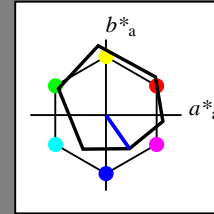
für Buntton $h^* = lab^*h = 305/360 = 0.847$

lab^*tch und lab^*nch

D65: Buntton V

LCH*Ma: 26 54 305

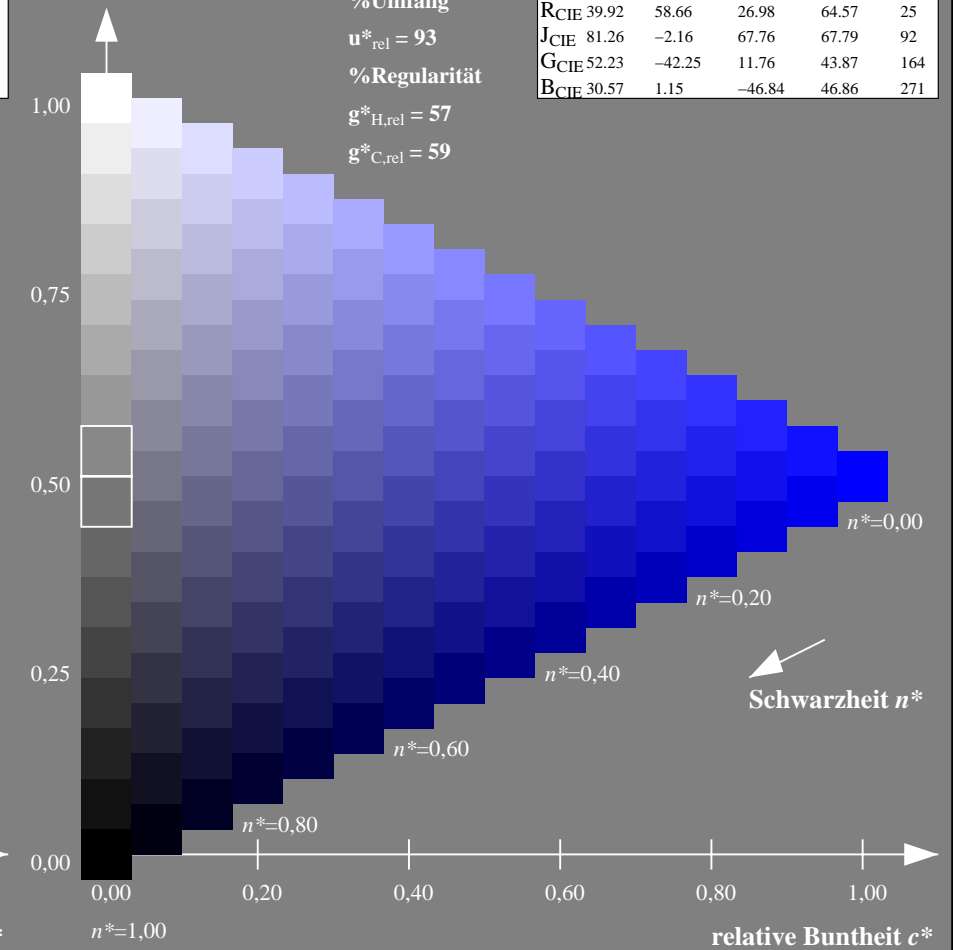
olv*Ma: 0.0 0.0 1.0



ORS18; adaptierte CIELAB-Daten

	$L^*=L^*_a$	a^*_a	b^*_a	$C^*_{ab,a}$	$h^*_{ab,a}$
OMa	47.94	65.39	50.52	82.63	38
YMa	90.37	-10.26	91.75	92.32	96
LMa	50.9	-62.83	34.96	71.91	151
CMa	58.62	-30.34	-45.01	54.3	236
VMa	25.72	31.1	-44.4	54.22	305
MMa	48.13	75.28	-8.36	75.74	354
NMa	18.01	0.0	0.0	0.0	0
WMa	95.41	0.0	0.0	0.0	0
RCIE	39.92	58.66	26.98	64.57	25
JCIE	81.26	-2.16	67.76	67.79	92
GCIE	52.23	-42.25	11.76	43.87	164
BCIE	30.57	1.15	-46.84	46.86	271

Dreiecks-Helligkeit t^*



NG900-7, 9stufige Reihen für konstanten CIELAB Buntton $270/360 = 0.75$ (links)

16stufige Reihen für konstanten CIELAB Buntton $305/360 = 0.847$ (rechts)

Eingabe: Farbmetrisches Natürliches-Reflektiv-System NRS18

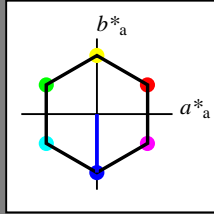
für Buntton $h^* = lab^*h = 270/360 = 0.75$

lab^*tch und lab^*nch

D65: Buntton V

LCH*Ma: 44 77 270

olv*Ma: 0.0 0.0 1.0



NRS18; adaptierte CIELAB-Daten

	$L^*=L^*_a$	a^*_a	b^*_a	$C^*_{ab,a}$	$h^*_{ab,a}$
OMa	43.81	67.03	38.7	77.4	30
YMa	69.61	0.0	77.4	77.4	90
LMa	43.81	-67.02	38.7	77.4	150
CMa	69.61	-67.02	-38.69	77.4	210
VMa	43.81	0.0	-77.39	77.4	270
MMa	69.61	67.03	-38.69	77.4	330
NMa	18.01	0.0	0.0	0.0	0
WMa	95.41	0.0	0.0	0.0	0
RCIE	39.92	58.74	27.99	65.07	25
JCIE	81.26	-2.88	71.56	71.62	92
GCIE	52.23	-42.41	13.6	44.55	162
BCIE	30.57	1.41	-46.46	46.49	272

Dreiecks-Helligkeit t^*

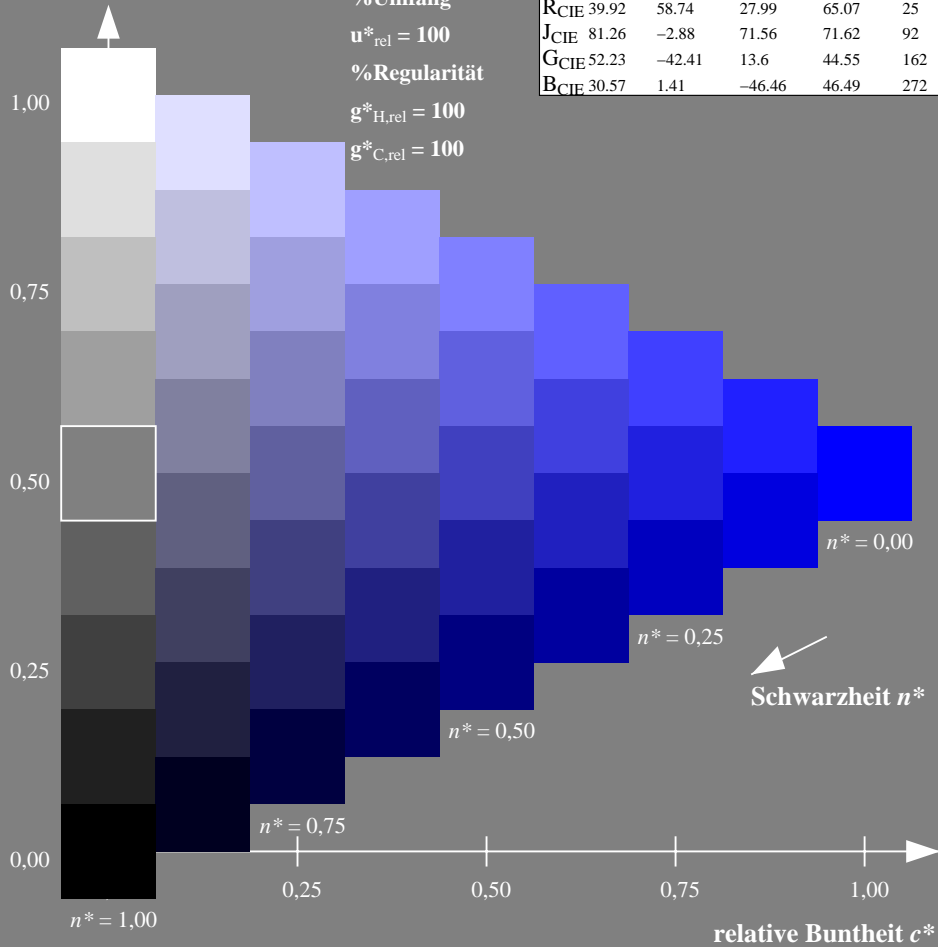
%Umfang

$u^*_{rel} = 100$

%Regularität

$g^*_{H,rel} = 100$

$g^*_{C,rel} = 100$



Ausgabe: Farbmetrisches Fernseh-Licht-System TLS00

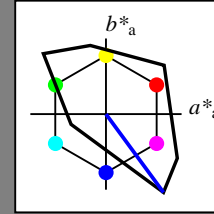
für Buntton $h^* = lab^*h = 306/360 = 0.851$

lab^*tch und lab^*nch

D65: Buntton V

LCH*Ma: 30 129 306

olv*Ma: 0.0 0.0 1.0



TLS00; adaptierte CIELAB-Daten

	$L^*=L^*_a$	a^*_a	b^*_a	$C^*_{ab,a}$	$h^*_{ab,a}$
OMa	50.5	76.92	64.55	100.42	40
YMa	92.66	-20.69	90.75	93.08	103
LMa	83.63	-82.75	79.9	115.04	136
CMa	86.88	-46.16	-13.55	48.12	196
VMa	30.39	76.06	-103.59	128.52	306
MMa	57.3	94.35	-58.41	110.97	328
NMa	0.01	0.0	0.0	0.0	0
WMa	95.41	0.0	0.0	0.0	0
RCIE	39.92	58.74	27.99	65.07	25
JCIE	81.26	-2.88	71.56	71.62	92
GCIE	52.23	-42.41	13.6	44.55	162
BCIE	30.57	1.41	-46.46	46.49	272

Dreiecks-Helligkeit t^*

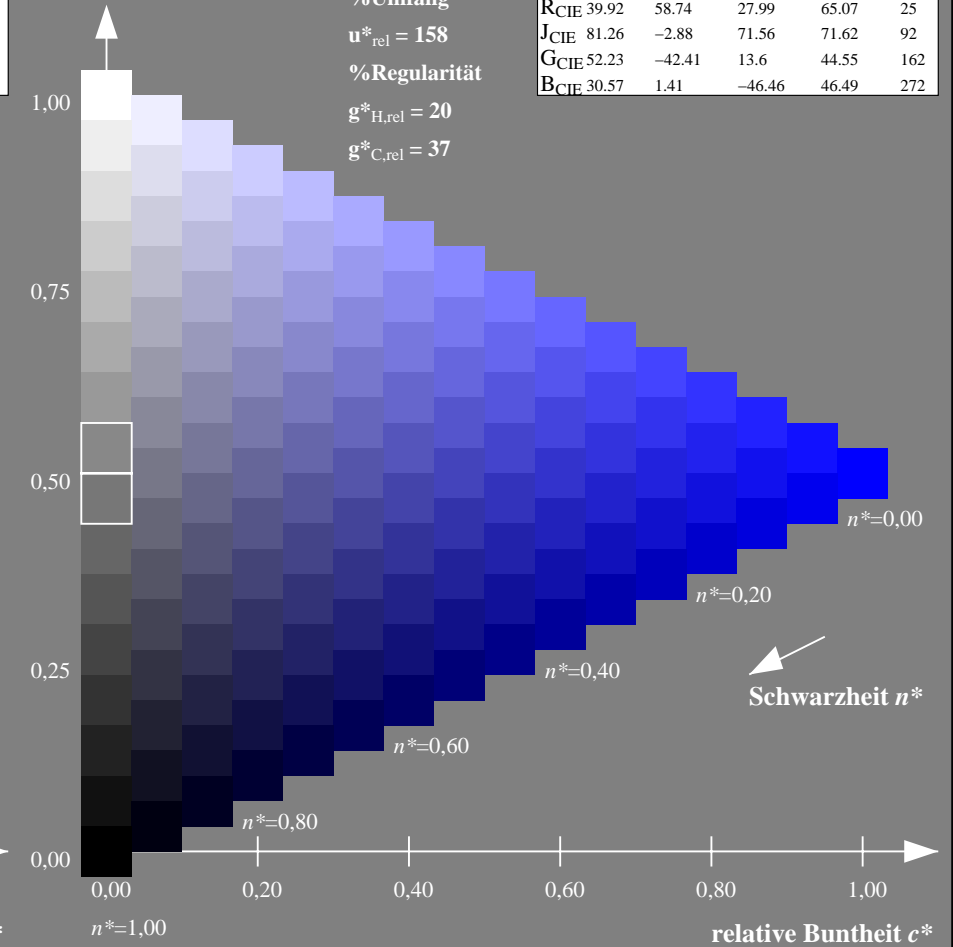
%Umfang

$u^*_{rel} = 158$

%Regularität

$g^*_{H,rel} = 20$

$g^*_{C,rel} = 37$



NG900-7, 9stufige Reihen für konstanten CIELAB Buntton $270/360 = 0.75$ (links)

16stufige Reihen für konstanten CIELAB Buntton $306/360 = 0.851$ (rechts)

Eingabe: Farbmetrisches Natürliches-Reflektiv-System NRS18

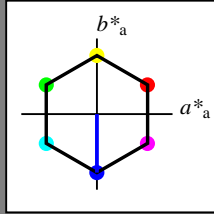
für Buntton $h^* = lab^*h = 270/360 = 0.75$

lab^*tch und lab^*nch

D65: Buntton V

LCH*Ma: 44 77 270

olv*Ma: 0.0 0.0 1.0



NRS18; adaptierte CIELAB-Daten

	$L^*=L^*_a$	a^*_a	b^*_a	$C^*_{ab,a}$	$h^*_{ab,a}$
O _{Ma}	43.81	67.03	38.7	77.4	30
Y _{Ma}	69.61	0.0	77.4	77.4	90
L _{Ma}	43.81	-67.02	38.7	77.4	150
C _{Ma}	69.61	-67.02	-38.69	77.4	210
V _{Ma}	43.81	0.0	-77.39	77.4	270
M _{Ma}	69.61	67.03	-38.69	77.4	330
N _{Ma}	18.01	0.0	0.0	0.0	0
W _{Ma}	95.41	0.0	0.0	0.0	0
R _{CIE}	39.92	58.74	27.99	65.07	25
J _{CIE}	81.26	-2.88	71.56	71.62	92
G _{CIE}	52.23	-42.41	13.6	44.55	162
B _{CIE}	30.57	1.41	-46.46	46.49	272

Dreiecks-Helligkeit t^*

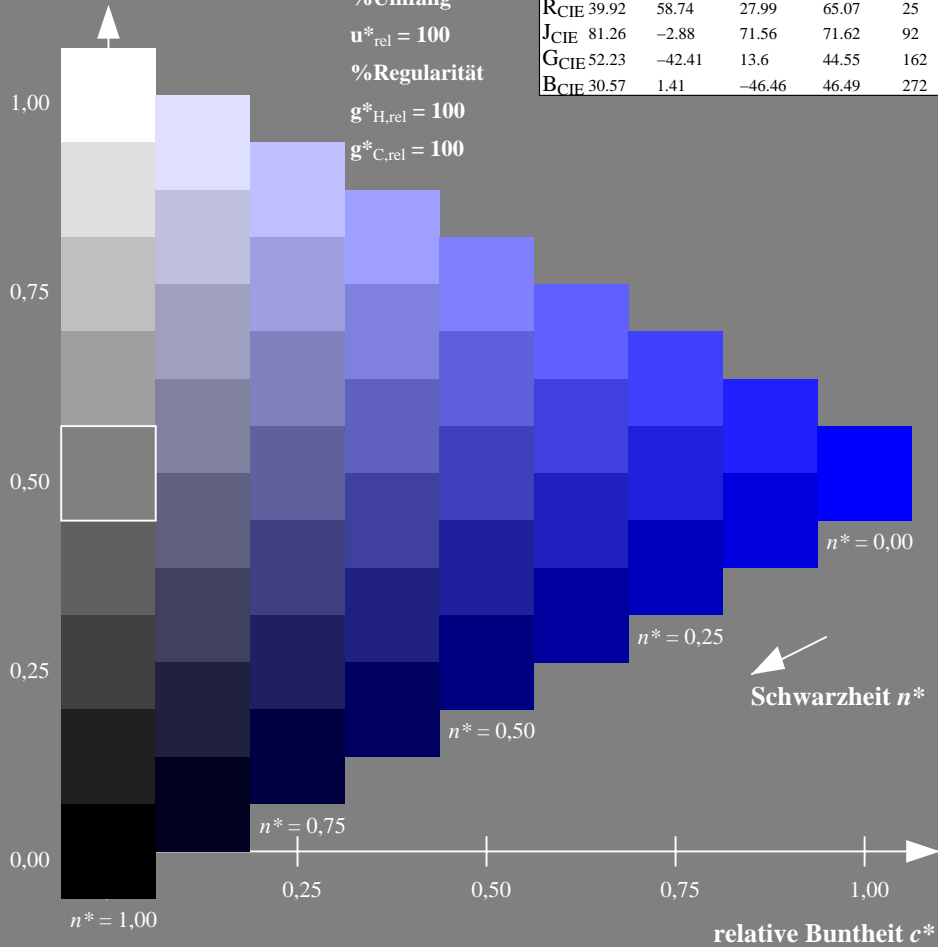
%Umfang

$u^*_{rel} = 100$

%Regularität

$g^*_{H,rel} = 100$

$g^*_{C,rel} = 100$



Ausgabe: Farbmetrisches Drucker-Reflektiv-System DRSXX

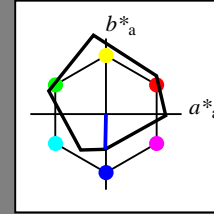
für Buntton $h^* = lab^*h = 269/360 = 0.747$

lab^*tch und lab^*nch

D65: Buntton V

LCH*Ma: 34 47 269

olv*Ma: 0.0 0.0 1.0



DRSXX; adaptierte CIELAB-Daten

	$L^*=L^*_a$	a^*_a	b^*_a	$C^*_{ab,a}$	$h^*_{ab,a}$
O _{Ma}	42.21	66.82	50.6	83.82	37
Y _{Ma}	90.32	-16.51	104.33	105.63	99
L _{Ma}	48.21	-75.63	30.65	81.61	158
C _{Ma}	53.44	-33.33	-47.49	58.03	235
V _{Ma}	34.16	-0.92	-46.56	46.58	269
M _{Ma}	42.71	79.0	-1.95	79.03	359
N _{Ma}	16.56	0.0	0.0	0.0	0
W _{Ma}	96.31	0.0	0.0	0.0	0
R _{CIE}	39.92	59.78	25.77	65.1	23
J _{CIE}	81.26	-2.51	69.07	69.11	92
G _{CIE}	52.23	-41.57	11.3	43.09	165
B _{CIE}	30.57	2.6	-48.62	48.7	273

Dreiecks-Helligkeit t^*

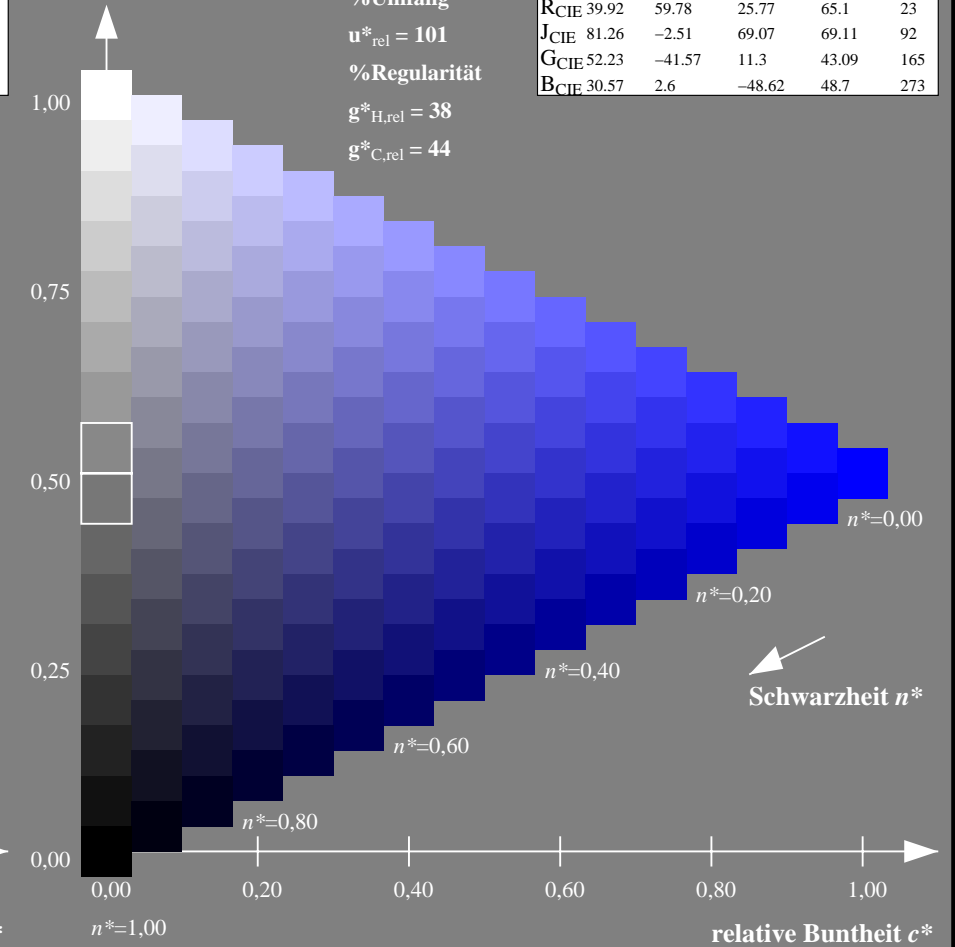
%Umfang

$u^*_{rel} = 101$

%Regularität

$g^*_{H,rel} = 38$

$g^*_{C,rel} = 44$



NG900-7, 9stufige Reihen für konstanten CIELAB Buntton $270/360 = 0.75$ (links)

16stufige Reihen für konstanten CIELAB Buntton $269/360 = 0.747$ (rechts)

Eingabe: Farbmetrisches Natürliches-Reflektiv-System NRS18

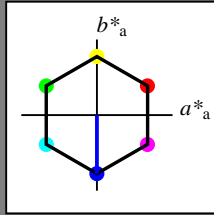
für Buntton $h^* = lab^*h = 270/360 = 0.75$

lab^*tch und lab^*nch

D65: Buntton V

LCH*Ma: 44 77 270

olv*Ma: 0.0 0.0 1.0



NRS18; adaptierte CIELAB-Daten

	$L^*=L^*_a$	a^*_a	b^*_a	$C^*_{ab,a}$	$h^*_{ab,a}$
O _{Ma}	43.81	67.03	38.7	77.4	30
Y _{Ma}	69.61	0.0	77.4	77.4	90
L _{Ma}	43.81	-67.02	38.7	77.4	150
C _{Ma}	69.61	-67.02	-38.69	77.4	210
V _{Ma}	43.81	0.0	-77.39	77.4	270
M _{Ma}	69.61	67.03	-38.69	77.4	330
N _{Ma}	18.01	0.0	0.0	0.0	0
W _{Ma}	95.41	0.0	0.0	0.0	0
R _{CIE}	39.92	58.74	27.99	65.07	25
J _{CIE}	81.26	-2.88	71.56	71.62	92
G _{CIE}	52.23	-42.41	13.6	44.55	162
B _{CIE}	30.57	1.41	-46.46	46.49	272

Dreiecks-Helligkeit t^*

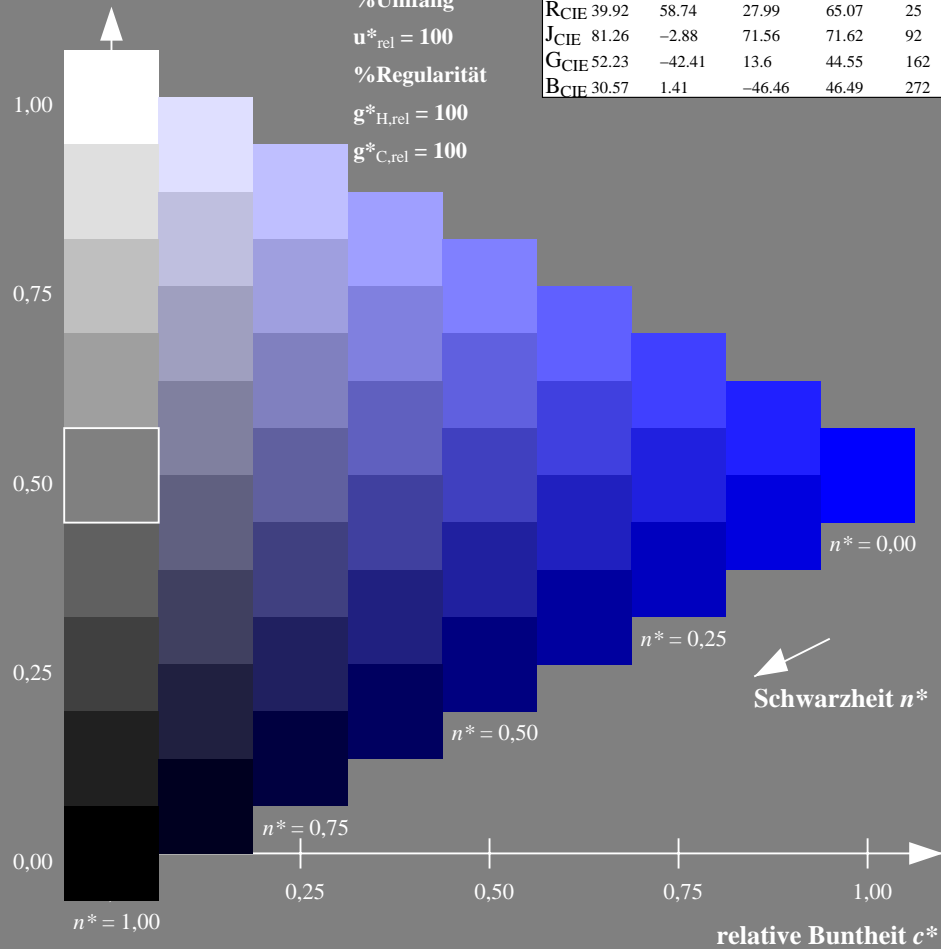
%Umfang

$u^*_{rel} = 100$

%Regularität

$g^*_{H,rel} = 100$

$g^*_{C,rel} = 100$



Ausgabe: Farbmetrisches Fernseh-Licht-System TLS18

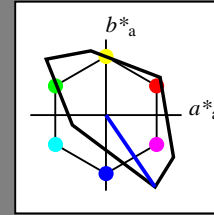
für Buntton $h^* = lab^*h = 304/360 = 0.845$

lab^*tch und lab^*nch

D65: Buntton V

LCH*Ma: 35 115 304

olv*Ma: 0.0 0.0 1.0



TLS18; adaptierte CIELAB-Daten

	$L^*=L^*_a$	a^*_a	b^*_a	$C^*_{ab,a}$	$h^*_{ab,a}$
O _{Ma}	52.76	71.63	49.88	87.29	35
Y _{Ma}	92.74	-20.02	84.97	87.3	103
L _{Ma}	84.0	-78.98	73.94	108.2	137
C _{Ma}	87.14	-44.41	-13.11	46.32	196
V _{Ma}	35.47	64.92	-95.06	115.12	304
M _{Ma}	59.01	89.33	-55.67	105.26	328
N _{Ma}	18.01	0.0	0.0	0.0	0
W _{Ma}	95.41	0.0	0.0	0.0	0
R _{CIE}	39.92	58.74	27.99	65.07	25
J _{CIE}	81.26	-2.88	71.56	71.62	92
G _{CIE}	52.23	-42.41	13.6	44.55	162
B _{CIE}	30.57	1.41	-46.46	46.49	272

Dreiecks-Helligkeit t^*

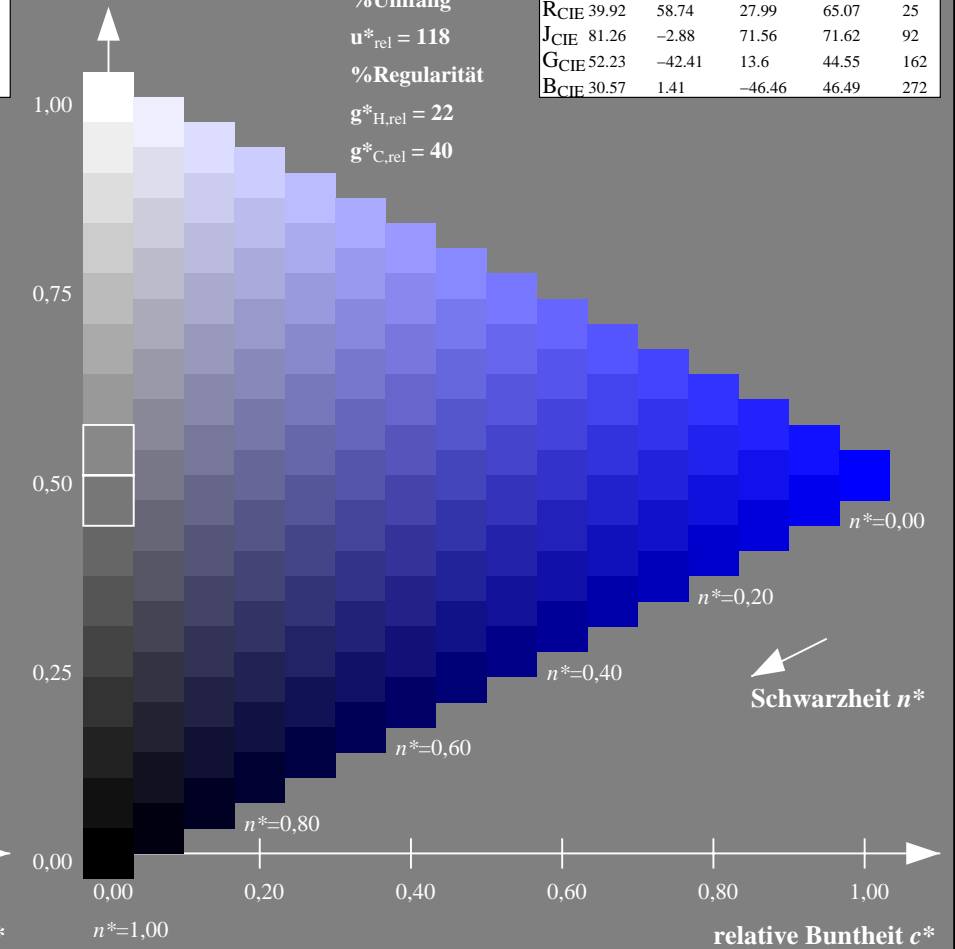
%Umfang

$u^*_{rel} = 118$

%Regularität

$g^*_{H,rel} = 22$

$g^*_{C,rel} = 40$



NG900-7, 9stufige Reihen für konstanten CIELAB Buntton 270/360 = 0.75 (links)

16stufige Reihen für konstanten CIELAB Buntton 304/360 = 0.845 (rechts)

Eingabe: Farbmetrisches Natürliches-Reflektiv-System NRS18

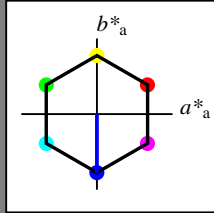
für Buntton $h^* = lab^*h = 270/360 = 0.75$

lab^*tch und lab^*nch

D65: Buntton V

LCH*Ma: 44 77 270

olv*Ma: 0.0 0.0 1.0



NRS18; adaptierte CIELAB-Daten

	$L^*=L^*_a$	a^*_a	b^*_a	$C^*_{ab,a}$	$h^*_{ab,a}$
OMa	43.81	67.03	38.7	77.4	30
YMa	69.61	0.0	77.4	77.4	90
LMa	43.81	-67.02	38.7	77.4	150
CMa	69.61	-67.02	-38.69	77.4	210
VMa	43.81	0.0	-77.39	77.4	270
MMa	69.61	67.03	-38.69	77.4	330
NMa	18.01	0.0	0.0	0.0	0
WMa	95.41	0.0	0.0	0.0	0
RCIE	39.92	58.74	27.99	65.07	25
JCIE	81.26	-2.88	71.56	71.62	92
GCIE	52.23	-42.41	13.6	44.55	162
BCIE	30.57	1.41	-46.46	46.49	272

Dreiecks-Helligkeit t^*

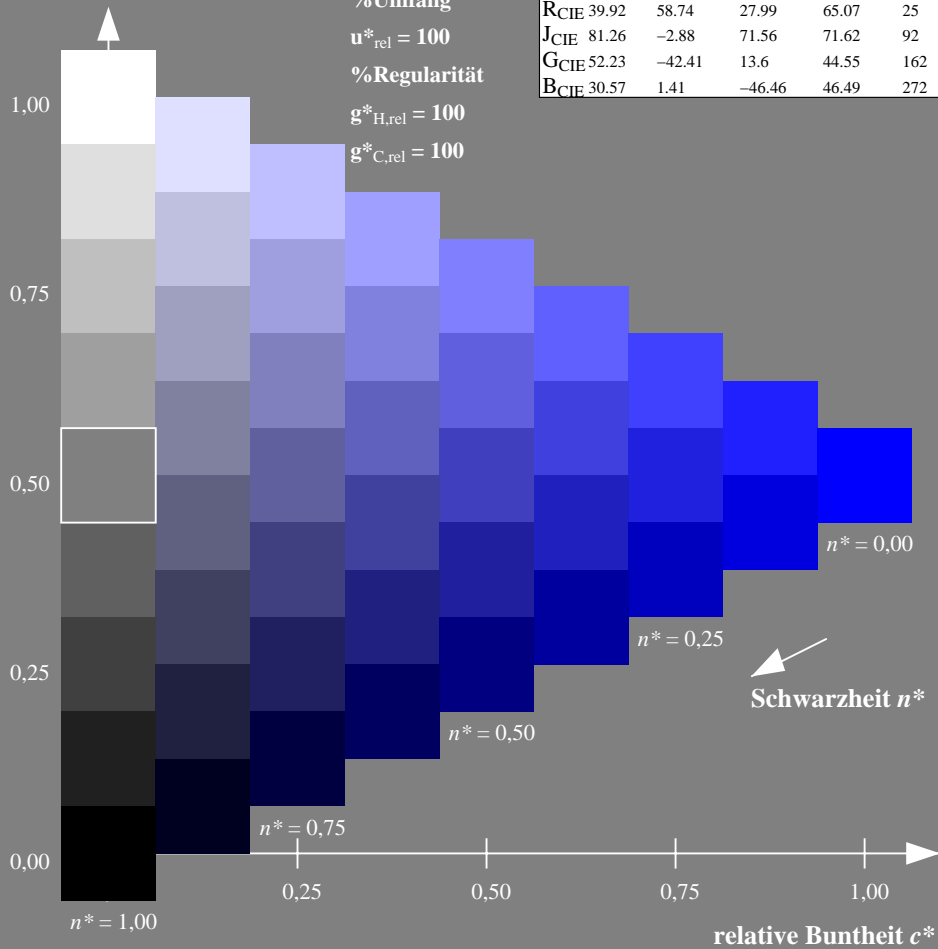
%Umfang

$u^*_{rel} = 100$

%Regularität

$g^*_{H,rel} = 100$

$g^*_{C,rel} = 100$



Ausgabe: Farbmetrisches Natürliches-Licht-System NLS00

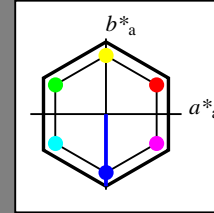
für Buntton $h^* = lab^*h = 270/360 = 0.75$

lab^*tch und lab^*nch

D65: Buntton V

LCH*Ma: 32 95 270

olv*Ma: 0.0 0.0 1.0



NLS00; adaptierte CIELAB-Daten

	$L^*=L^*_a$	a^*_a	b^*_a	$C^*_{ab,a}$	$h^*_{ab,a}$
OMa	31.81	82.62	47.7	95.4	30
YMa	63.61	0.0	95.4	95.4	90
LMa	31.81	-82.61	47.7	95.4	150
CMa	63.61	-82.61	-47.69	95.4	210
VMa	31.81	0.0	-95.39	95.4	270
MMa	63.61	82.62	-47.69	95.4	330
NMa	0.01	0.0	0.0	0.0	0
WMa	95.41	0.0	0.0	0.0	0
RCIE	39.92	58.74	27.99	65.07	25
JCIE	81.26	-2.88	71.56	71.62	92
GCIE	52.23	-42.41	13.6	44.55	162
BCIE	30.57	1.41	-46.46	46.49	272

Dreiecks-Helligkeit t^*

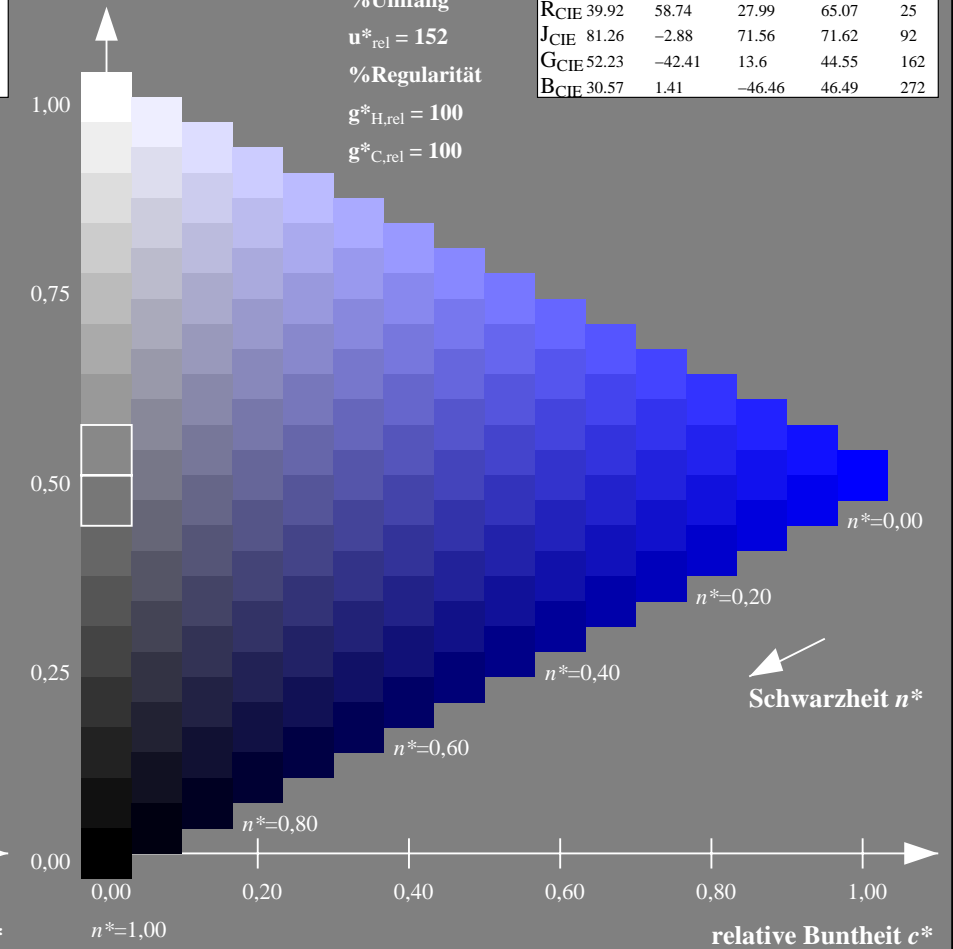
%Umfang

$u^*_{rel} = 152$

%Regularität

$g^*_{H,rel} = 100$

$g^*_{C,rel} = 100$



NG900-7, 9stufige Reihen für konstanten CIELAB Buntton $270/360 = 0.75$ (links)

16stufige Reihen für konstanten CIELAB Buntton $270/360 = 0.75$ (rechts)

Eingabe: Farbmétrisches Natürliches-Reflektiv-System NRS18

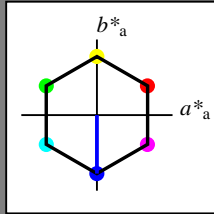
für Buntton $h^* = lab^*h = 270/360 = 0.75$

lab^*tch und lab^*nch

D65: Buntton V

LCH*Ma: 44 77 270

olv*Ma: 0.0 0.0 1.0



NRS18; adaptierte CIELAB-Daten

	$L^*=L^*_a$	a^*_a	b^*_a	$C^*_{ab,a}$	$h^*_{ab,a}$
OMa	43.81	67.03	38.7	77.4	30
YMa	69.61	0.0	77.4	77.4	90
LMa	43.81	-67.02	38.7	77.4	150
CMa	69.61	-67.02	-38.69	77.4	210
VMa	43.81	0.0	-77.39	77.4	270
MMa	69.61	67.03	-38.69	77.4	330
NMa	18.01	0.0	0.0	0.0	0
WMa	95.41	0.0	0.0	0.0	0
RCIE	39.92	58.74	27.99	65.07	25
JCIE	81.26	-2.88	71.56	71.62	92
GCIE	52.23	-42.41	13.6	44.55	162
BCIE	30.57	1.41	-46.46	46.49	272

Dreiecks-Helligkeit t^*

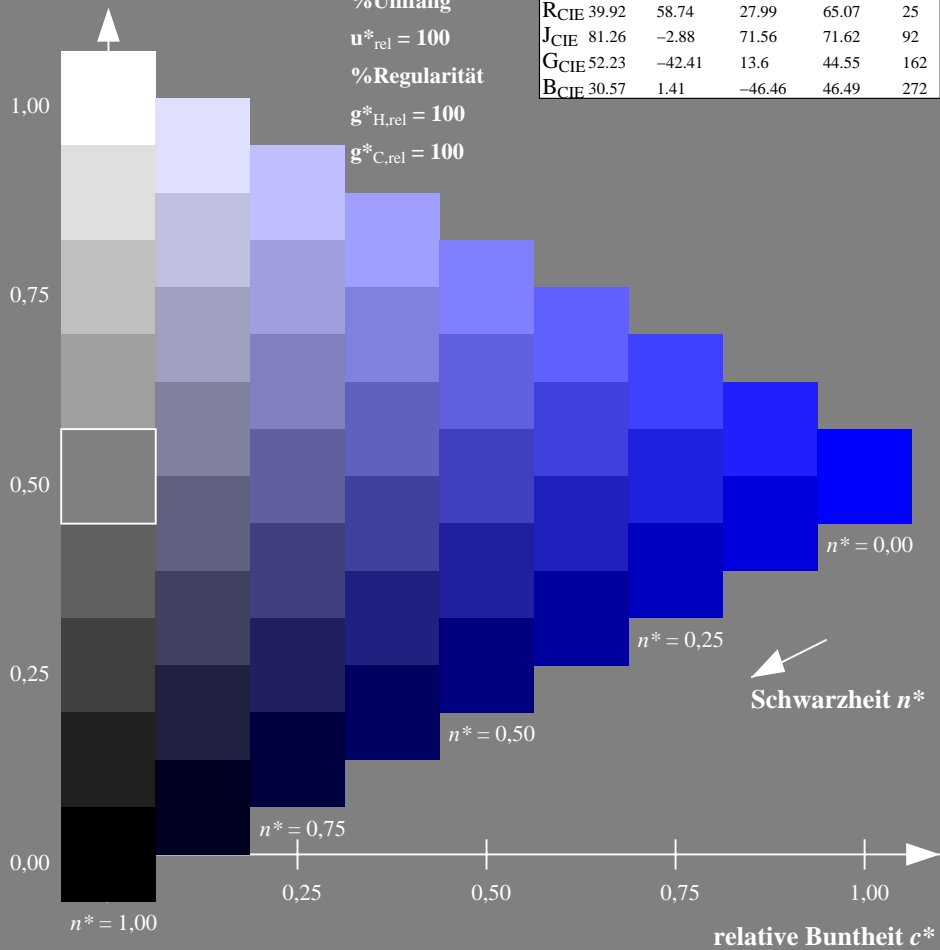
%Umfang

$u^*_{rel} = 100$

%Regularität

$g^*_{H,rel} = 100$

$g^*_{C,rel} = 100$



Ausgabe: Farbmétrisches Natürliches-Reflektiv-System NRS18

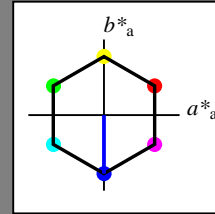
für Buntton $h^* = lab^*h = 270/360 = 0.75$

lab^*tch und lab^*nch

D65: Buntton V

LCH*Ma: 44 77 270

olv*Ma: 0.0 0.0 1.0



NRS18; adaptierte CIELAB-Daten

	$L^*=L^*_a$	a^*_a	b^*_a	$C^*_{ab,a}$	$h^*_{ab,a}$
OMa	43.81	67.03	38.7	77.4	30
YMa	69.61	0.0	77.4	77.4	90
LMa	43.81	-67.02	38.7	77.4	150
CMa	69.61	-67.02	-38.69	77.4	210
VMa	43.81	0.0	-77.39	77.4	270
MMa	69.61	67.03	-38.69	77.4	330
NMa	18.01	0.0	0.0	0.0	0
WMa	95.41	0.0	0.0	0.0	0
RCIE	39.92	58.74	27.99	65.07	25
JCIE	81.26	-2.88	71.56	71.62	92
GCIE	52.23	-42.41	13.6	44.55	162
BCIE	30.57	1.41	-46.46	46.49	272

Dreiecks-Helligkeit t^*

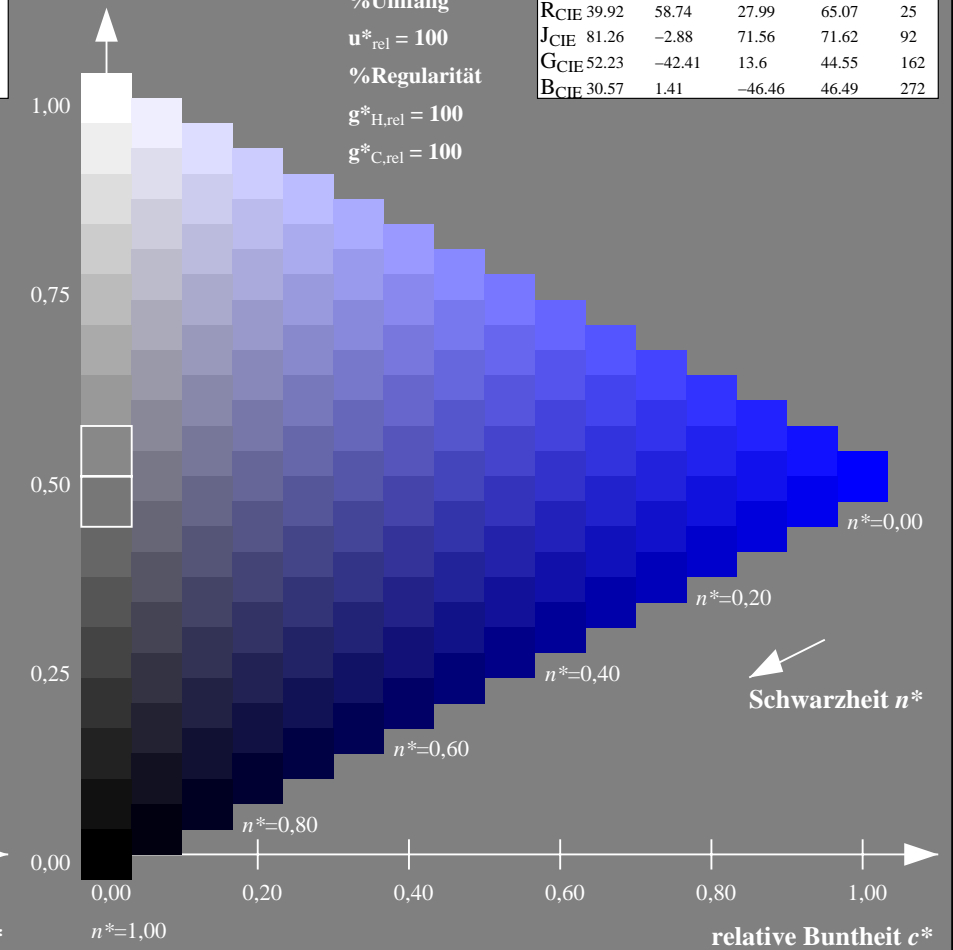
%Umfang

$u^*_{rel} = 100$

%Regularität

$g^*_{H,rel} = 100$

$g^*_{C,rel} = 100$



NG900-7, 9stufige Reihen für konstanten CIELAB Buntton $270/360 = 0.75$ (links)

16stufige Reihen für konstanten CIELAB Buntton $270/360 = 0.75$ (rechts)

Eingabe: Farbmetrisches Natürliches-Reflektiv-System NRS18

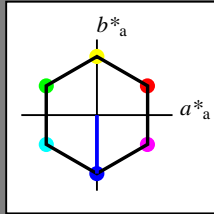
für Buntton $h^* = lab^*h = 270/360 = 0.75$

lab^*tch und lab^*nch

D65: Buntton V

LCH*Ma: 44 77 270

olv*Ma: 0.0 0.0 1.0



NRS18; adaptierte CIELAB-Daten

	$L^*=L^*_a$	a^*_a	b^*_a	$C^*_{ab,a}$	$h^*_{ab,a}$
OMa	43.81	67.03	38.7	77.4	30
YMa	69.61	0.0	77.4	77.4	90
LMa	43.81	-67.02	38.7	77.4	150
CMa	69.61	-67.02	-38.69	77.4	210
VMa	43.81	0.0	-77.39	77.4	270
MMa	69.61	67.03	-38.69	77.4	330
NMa	18.01	0.0	0.0	0.0	0
WMa	95.41	0.0	0.0	0.0	0
RCIE	39.92	58.74	27.99	65.07	25
JCIE	81.26	-2.88	71.56	71.62	92
GCIE	52.23	-42.41	13.6	44.55	162
BCIE	30.57	1.41	-46.46	46.49	272

Dreiecks-Helligkeit t^*

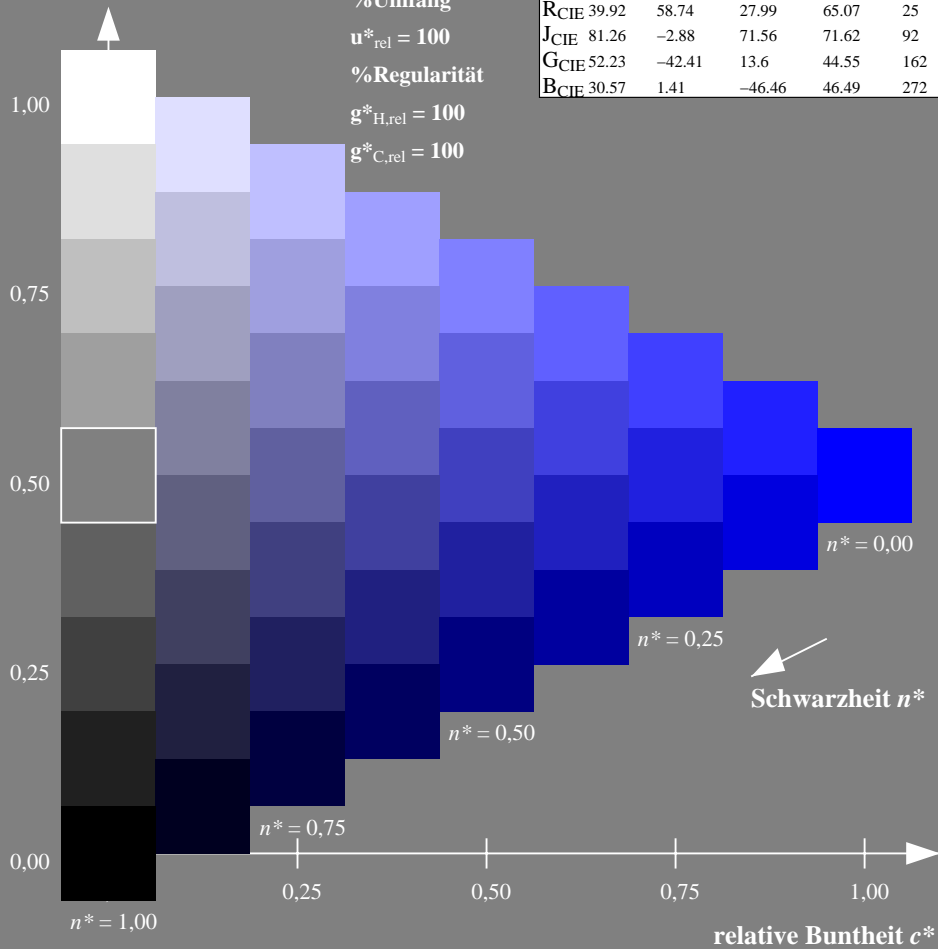
%Umfang

$u^*_{rel} = 100$

%Regularität

$g^*_{H,rel} = 100$

$g^*_{C,rel} = 100$



Ausgabe: Farbmetrisches Standard-Reflektiv-System SRS18

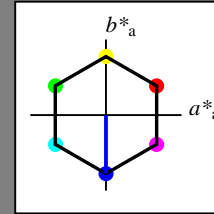
für Buntton $h^* = lab^*h = 270/360 = 0.75$

lab^*tch und lab^*nch

D65: Buntton V

LCH*Ma: 57 77 270

olv*Ma: 0.0 0.0 1.0



SRS18; adaptierte CIELAB-Daten

	$L^*=L^*_a$	a^*_a	b^*_a	$C^*_{ab,a}$	$h^*_{ab,a}$
OMa	56.71	67.03	38.7	77.4	30
YMa	56.71	0.0	77.4	77.4	90
LMa	56.71	-67.02	38.7	77.4	150
CMa	56.71	-67.02	-38.69	77.4	210
VMa	56.71	0.0	-77.39	77.4	270
MMa	56.71	67.03	-38.69	77.4	330
NMa	18.01	0.0	0.0	0.0	0
WMa	95.41	0.0	0.0	0.0	0
RCIE	39.92	58.74	27.99	65.07	25
JCIE	81.26	-2.88	71.56	71.62	92
GCIE	52.23	-42.41	13.6	44.55	162
BCIE	30.57	1.41	-46.46	46.49	272

Dreiecks-Helligkeit t^*

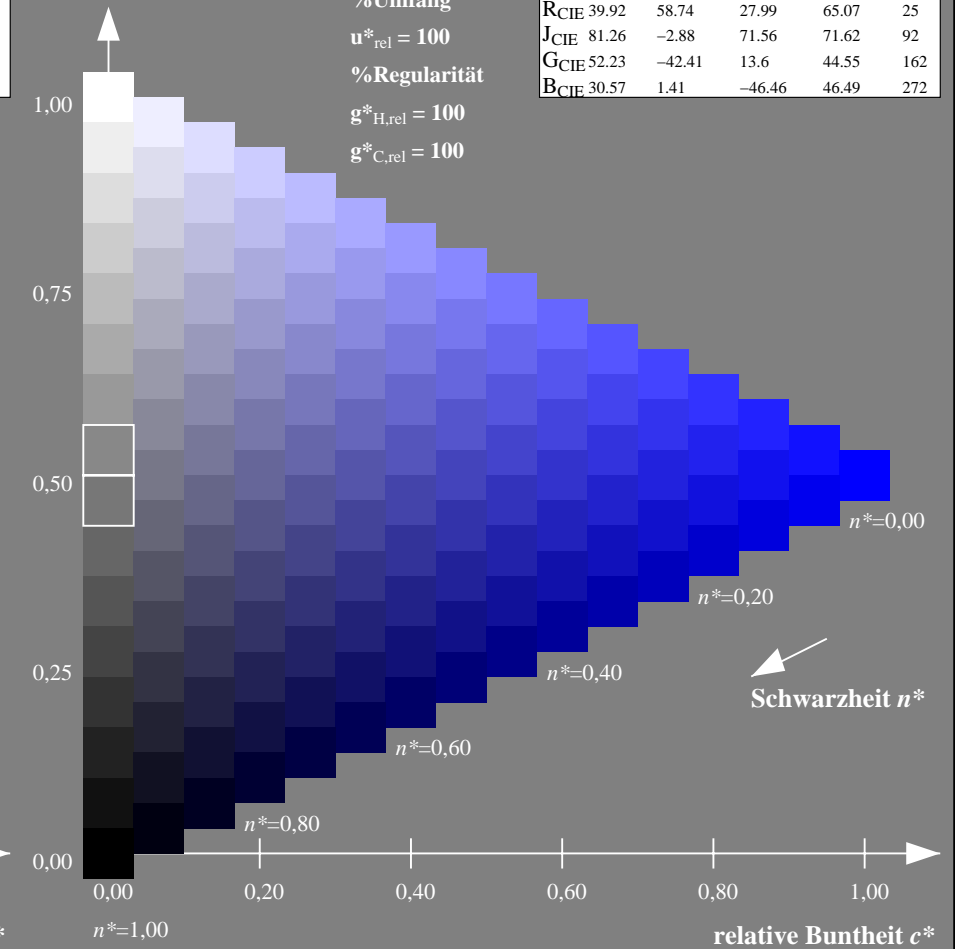
%Umfang

$u^*_{rel} = 100$

%Regularität

$g^*_{H,rel} = 100$

$g^*_{C,rel} = 100$



NG900-7, 9stufige Reihen für konstanten CIELAB Buntton 270/360 = 0.75 (links)

16stufige Reihen für konstanten CIELAB Buntton 270/360 = 0.75 (rechts)

Eingabe: Farbmetrisches Natürliches-Reflektiv-System NRS18

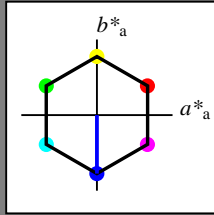
für Buntton $h^* = lab^*h = 270/360 = 0.75$

lab^*tch und lab^*nch

D65: Buntton V

LCH*Ma: 44 77 270

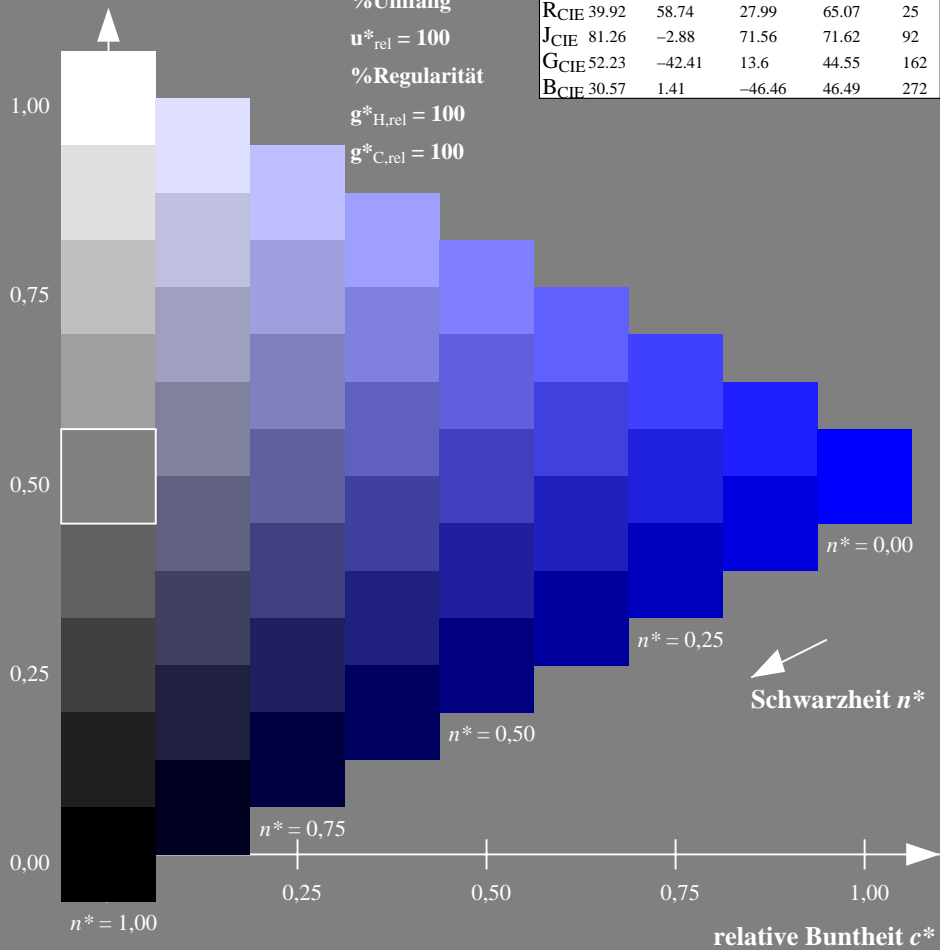
olv*Ma: 0.0 0.0 1.0



NRS18; adaptierte CIELAB-Daten

	$L^*=L^*_a$	a^*_a	b^*_a	$C^*_{ab,a}$	$h^*_{ab,a}$
O _{Ma}	43.81	67.03	38.7	77.4	30
Y _{Ma}	69.61	0.0	77.4	77.4	90
L _{Ma}	43.81	-67.02	38.7	77.4	150
C _{Ma}	69.61	-67.02	-38.69	77.4	210
V _{Ma}	43.81	0.0	-77.39	77.4	270
M _{Ma}	69.61	67.03	-38.69	77.4	330
N _{Ma}	18.01	0.0	0.0	0.0	0
W _{Ma}	95.41	0.0	0.0	0.0	0
R _{CIE}	39.92	58.74	27.99	65.07	25
J _{CIE}	81.26	-2.88	71.56	71.62	92
G _{CIE}	52.23	-42.41	13.6	44.55	162
B _{CIE}	30.57	1.41	-46.46	46.49	272

Dreiecks-Helligkeit t^*



Ausgabe: Farbmetrisches Fernseh-Licht-System TLS70

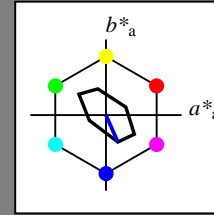
für Buntton $h^* = lab^*h = 294/360 = 0.816$

lab^*tch und lab^*nch

D65: Buntton V

LCH*Ma: 72 39 294

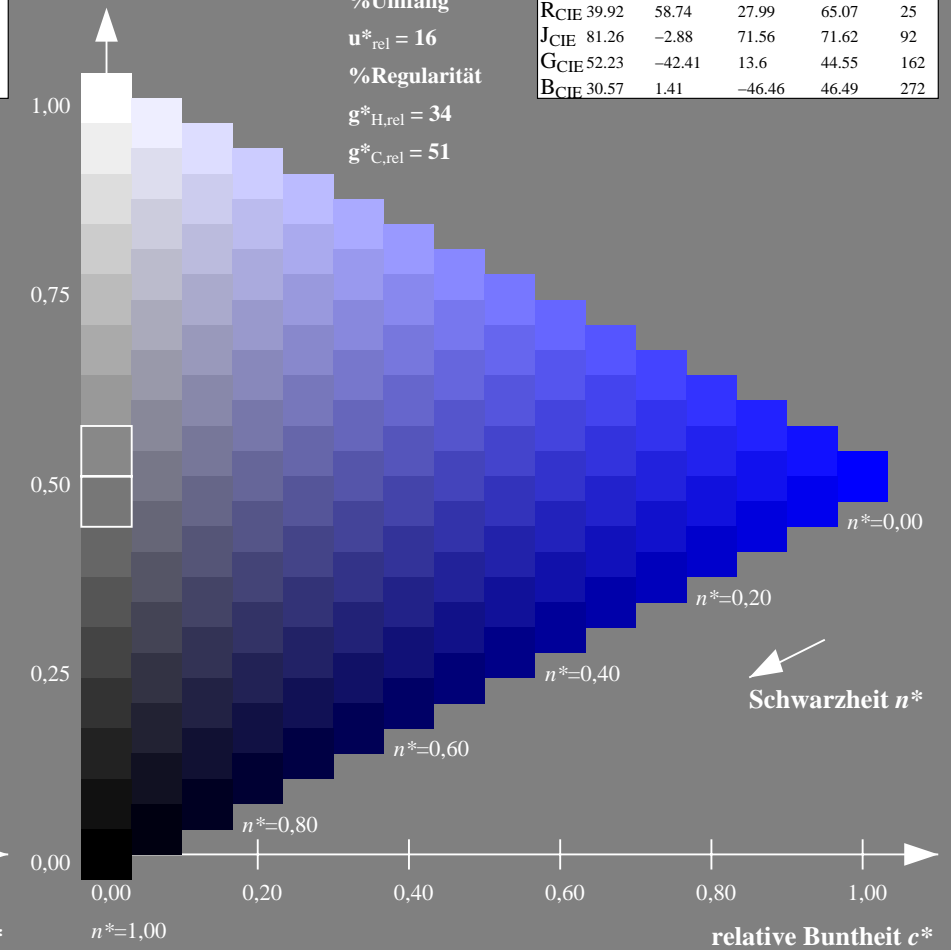
olv*Ma: 0.0 0.0 1.0



TLS70; adaptierte CIELAB-Daten

	$L^*=L^*_a$	a^*_a	b^*_a	$C^*_{ab,a}$	$h^*_{ab,a}$
O _{Ma}	76.43	26.27	10.57	28.32	22
Y _{Ma}	93.93	-10.76	34.63	36.27	107
L _{Ma}	89.32	-35.8	27.64	45.24	142
C _{Ma}	90.93	-21.95	-7.07	23.07	198
V _{Ma}	72.1	15.76	-35.63	38.97	294
M _{Ma}	78.5	37.52	-25.23	45.22	326
N _{Ma}	69.7	0.0	0.0	0.0	0
W _{Ma}	95.41	0.0	0.0	0.0	0
R _{CIE}	39.92	58.74	27.99	65.07	25
J _{CIE}	81.26	-2.88	71.56	71.62	92
G _{CIE}	52.23	-42.41	13.6	44.55	162
B _{CIE}	30.57	1.41	-46.46	46.49	272

Dreiecks-Helligkeit t^*



NG900-7, 9stufige Reihen für konstanten CIELAB Buntton $270/360 = 0.75$ (links)

16stufige Reihen für konstanten CIELAB Buntton $294/360 = 0.816$ (rechts)

Eingabe: Farbmetrisches Standard-Reflektiv-System SRS18

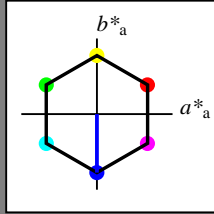
für Buntton $h^* = lab^*h = 270/360 = 0.75$

lab^*tch und lab^*nch

D65: Buntton V

LCH*Ma: 57 77 270

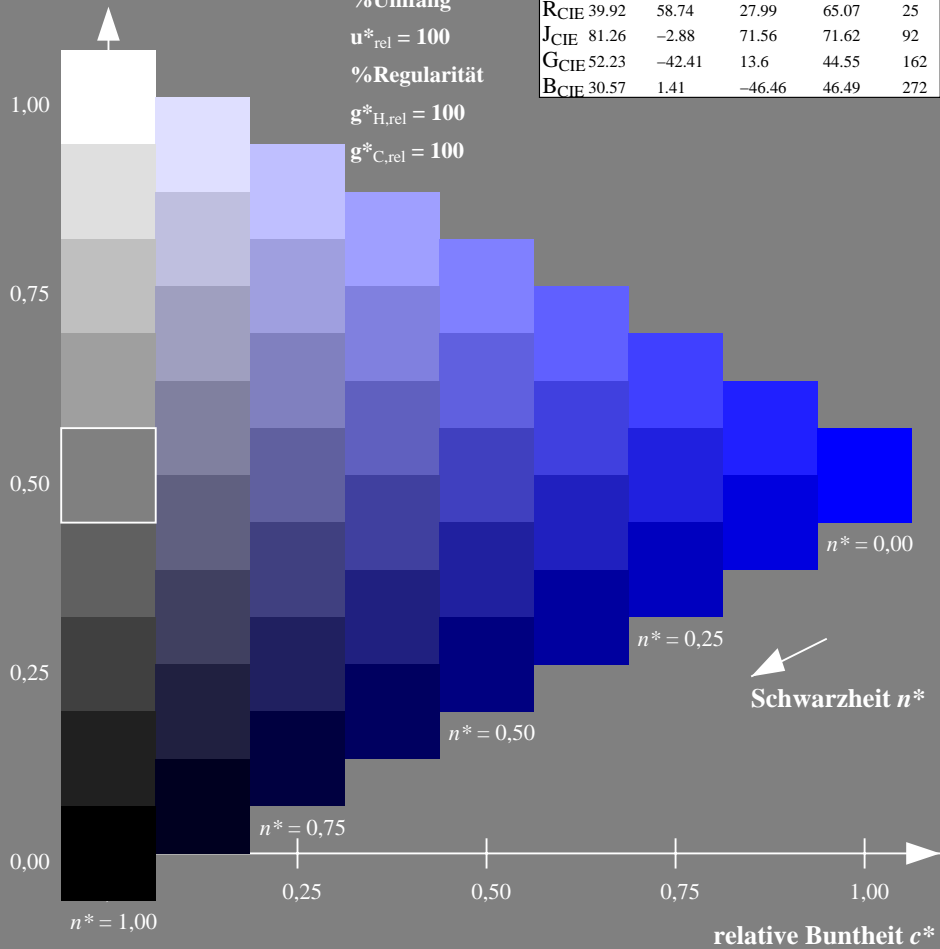
olv*Ma: 0.0 0.0 1.0



SRS18; adaptierte CIELAB-Daten

	$L^*=L^*_a$	a^*_a	b^*_a	$C^*_{ab,a}$	$h^*_{ab,a}$
O _{Ma}	56.71	67.03	38.7	77.4	30
Y _{Ma}	56.71	0.0	77.4	77.4	90
L _{Ma}	56.71	-67.02	38.7	77.4	150
C _{Ma}	56.71	-67.02	-38.69	77.4	210
V _{Ma}	56.71	0.0	-77.39	77.4	270
M _{Ma}	56.71	67.03	-38.69	77.4	330
N _{Ma}	18.01	0.0	0.0	0.0	0
W _{Ma}	95.41	0.0	0.0	0.0	0
R _{CIE}	39.92	58.74	27.99	65.07	25
J _{CIE}	81.26	-2.88	71.56	71.62	92
G _{CIE}	52.23	-42.41	13.6	44.55	162
B _{CIE}	30.57	1.41	-46.46	46.49	272

Dreiecks-Helligkeit t^*



Ausgabe: Farbmetrisches Offset-Reflektiv-System ORS18

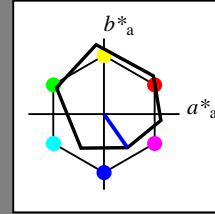
für Buntton $h^* = lab^*h = 305/360 = 0.847$

lab^*tch und lab^*nch

D65: Buntton V

LCH*Ma: 26 54 305

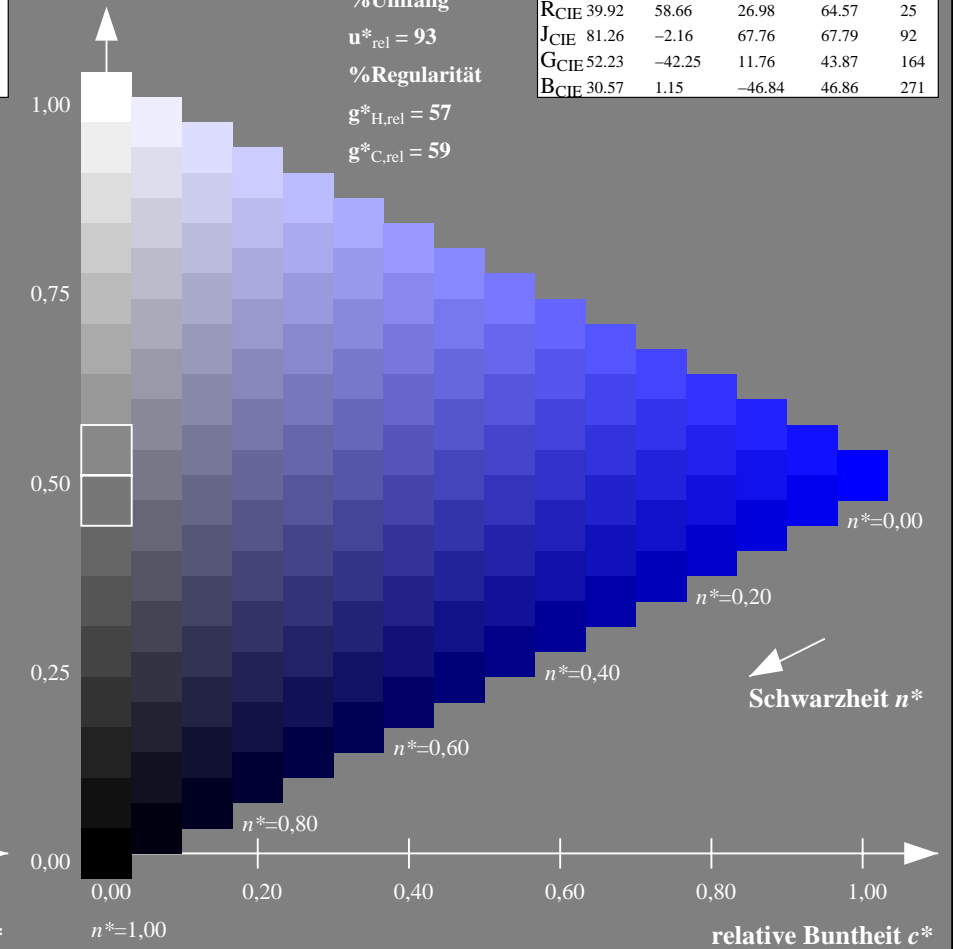
olv*Ma: 0.0 0.0 1.0



ORS18; adaptierte CIELAB-Daten

	$L^*=L^*_a$	a^*_a	b^*_a	$C^*_{ab,a}$	$h^*_{ab,a}$
O _{Ma}	47.94	65.39	50.52	82.63	38
Y _{Ma}	90.37	-10.26	91.75	92.32	96
L _{Ma}	50.9	-62.83	34.96	71.91	151
C _{Ma}	58.62	-30.34	-45.01	54.3	236
V _{Ma}	25.72	31.1	-44.4	54.22	305
M _{Ma}	48.13	75.28	-8.36	75.74	354
N _{Ma}	18.01	0.0	0.0	0.0	0
W _{Ma}	95.41	0.0	0.0	0.0	0
R _{CIE}	39.92	58.66	26.98	64.57	25
J _{CIE}	81.26	-2.16	67.76	67.79	92
G _{CIE}	52.23	-42.25	11.76	43.87	164
B _{CIE}	30.57	1.15	-46.84	46.86	271

Dreiecks-Helligkeit t^*



NG900-7, 9stufige Reihen für konstanten CIELAB Buntton $270/360 = 0.75$ (links)

16stufige Reihen für konstanten CIELAB Buntton $305/360 = 0.847$ (rechts)

Eingabe: Farbmetrisches Standard-Reflektiv-System SRS18

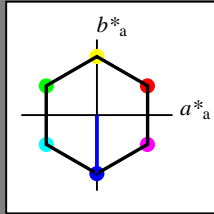
für Buntton $h^* = lab^*h = 270/360 = 0.75$

lab^*tch und lab^*nch

D65: Buntton V

LCH*Ma: 57 77 270

olv*Ma: 0.0 0.0 1.0



SRS18; adaptierte CIELAB-Daten

	$L^*=L^*_a$	a^*_a	b^*_a	$C^*_{ab,a}$	$h^*_{ab,a}$
O _{Ma}	56.71	67.03	38.7	77.4	30
Y _{Ma}	56.71	0.0	77.4	77.4	90
L _{Ma}	56.71	-67.02	38.7	77.4	150
C _{Ma}	56.71	-67.02	-38.69	77.4	210
V _{Ma}	56.71	0.0	-77.39	77.4	270
M _{Ma}	56.71	67.03	-38.69	77.4	330
N _{Ma}	18.01	0.0	0.0	0.0	0
W _{Ma}	95.41	0.0	0.0	0.0	0
R _{CIE}	39.92	58.74	27.99	65.07	25
J _{CIE}	81.26	-2.88	71.56	71.62	92
G _{CIE}	52.23	-42.41	13.6	44.55	162
B _{CIE}	30.57	1.41	-46.46	46.49	272

Dreiecks-Helligkeit t^*

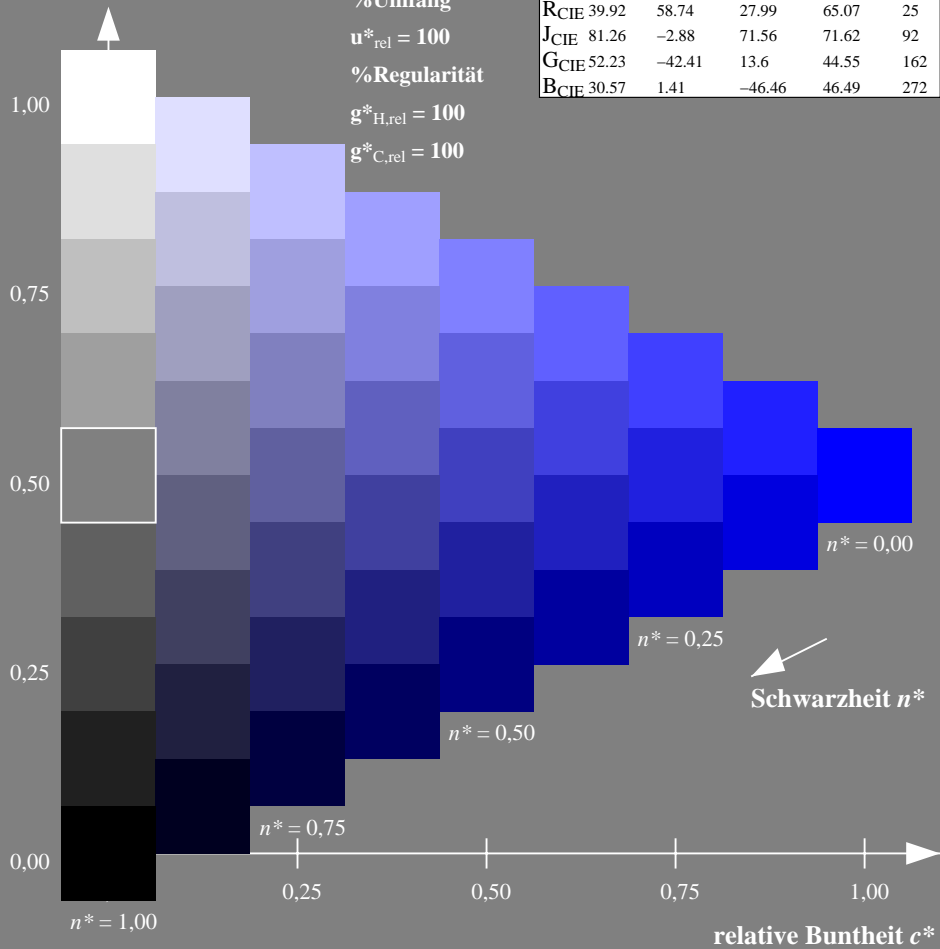
%Umfang

$u^*_{rel} = 100$

%Regularität

$g^*_{H,rel} = 100$

$g^*_{C,rel} = 100$



Ausgabe: Farbmetrisches Fernseh-Licht-System TLS00

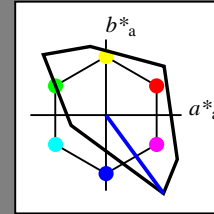
für Buntton $h^* = lab^*h = 306/360 = 0.851$

lab^*tch und lab^*nch

D65: Buntton V

LCH*Ma: 30 129 306

olv*Ma: 0.0 0.0 1.0



TLS00; adaptierte CIELAB-Daten

	$L^*=L^*_a$	a^*_a	b^*_a	$C^*_{ab,a}$	$h^*_{ab,a}$
O _{Ma}	50.5	76.92	64.55	100.42	40
Y _{Ma}	92.66	-20.69	90.75	93.08	103
L _{Ma}	83.63	-82.75	79.9	115.04	136
C _{Ma}	86.88	-46.16	-13.55	48.12	196
V _{Ma}	30.39	76.06	-103.59	128.52	306
M _{Ma}	57.3	94.35	-58.41	110.97	328
N _{Ma}	0.01	0.0	0.0	0.0	0
W _{Ma}	95.41	0.0	0.0	0.0	0
R _{CIE}	39.92	58.74	27.99	65.07	25
J _{CIE}	81.26	-2.88	71.56	71.62	92
G _{CIE}	52.23	-42.41	13.6	44.55	162
B _{CIE}	30.57	1.41	-46.46	46.49	272

Dreiecks-Helligkeit t^*

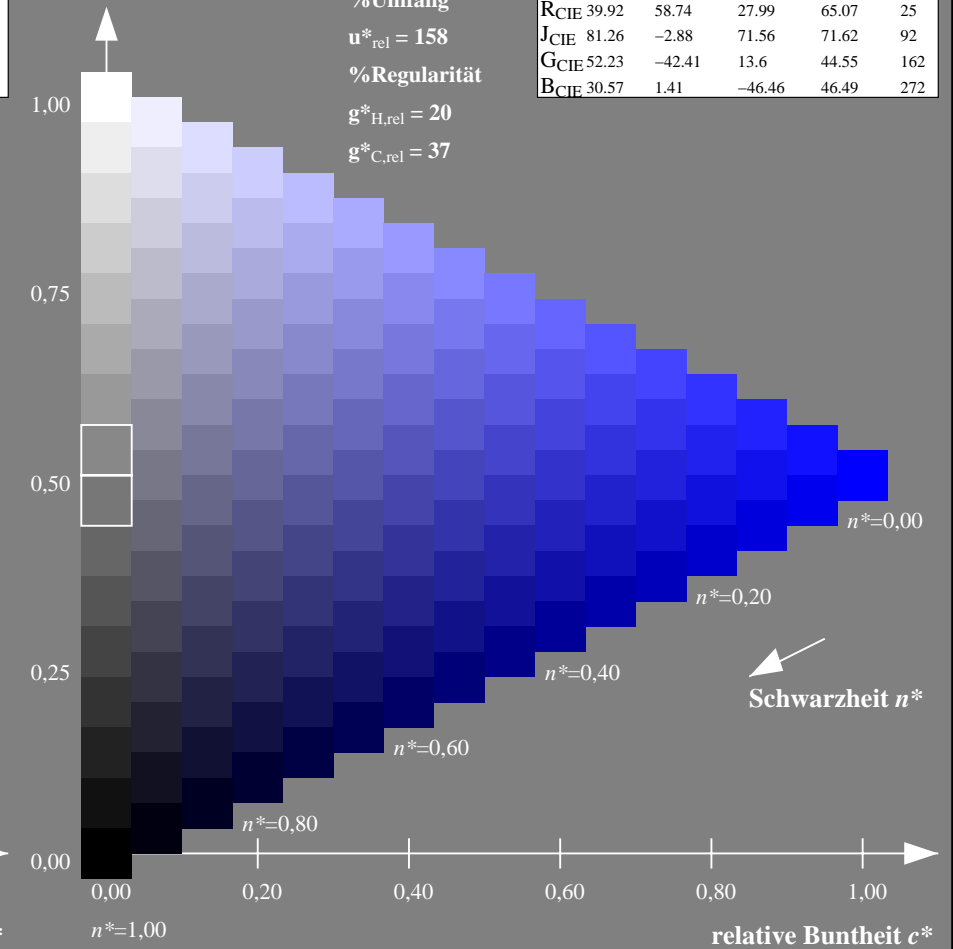
%Umfang

$u^*_{rel} = 158$

%Regularität

$g^*_{H,rel} = 20$

$g^*_{C,rel} = 37$



NG900-7, 9stufige Reihen für konstanten CIELAB Buntton $270/360 = 0.75$ (links)

16stufige Reihen für konstanten CIELAB Buntton $306/360 = 0.851$ (rechts)

Eingabe: Farbmetrisches Standard-Reflektiv-System SRS18

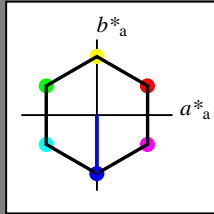
für Buntton $h^* = lab^*h = 270/360 = 0.75$

lab^*tch und lab^*nch

D65: Buntton V

LCH*Ma: 57 77 270

olv*Ma: 0.0 0.0 1.0



SRS18; adaptierte CIELAB-Daten

	$L^*=L^*_a$	a^*_a	b^*_a	$C^*_{ab,a}$	$h^*_{ab,a}$
OMa	56.71	67.03	38.7	77.4	30
YMa	56.71	0.0	77.4	77.4	90
LMa	56.71	-67.02	38.7	77.4	150
CMa	56.71	-67.02	-38.69	77.4	210
VMa	56.71	0.0	-77.39	77.4	270
MMa	56.71	67.03	-38.69	77.4	330
NMa	18.01	0.0	0.0	0.0	0
WMa	95.41	0.0	0.0	0.0	0
RCIE	39.92	58.74	27.99	65.07	25
JCIE	81.26	-2.88	71.56	71.62	92
GCIE	52.23	-42.41	13.6	44.55	162
BCIE	30.57	1.41	-46.46	46.49	272

Dreiecks-Helligkeit t^*

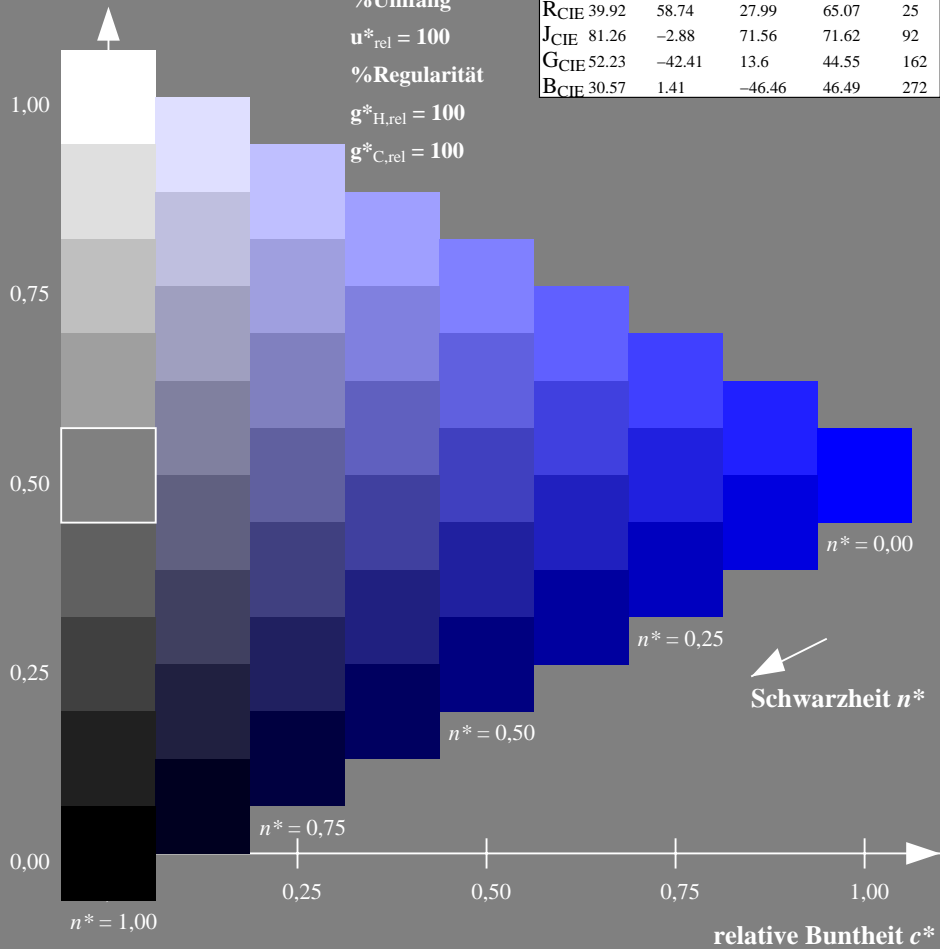
%Umfang

$u^*_{rel} = 100$

%Regularität

$g^*_{H,rel} = 100$

$g^*_{C,rel} = 100$



Ausgabe: Farbmetrisches Drucker-Reflektiv-System DRSXX

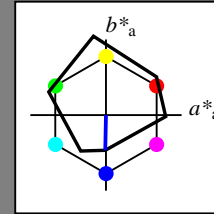
für Buntton $h^* = lab^*h = 269/360 = 0.747$

lab^*tch und lab^*nch

D65: Buntton V

LCH*Ma: 34 47 269

olv*Ma: 0.0 0.0 1.0



DRSXX; adaptierte CIELAB-Daten

	$L^*=L^*_a$	a^*_a	b^*_a	$C^*_{ab,a}$	$h^*_{ab,a}$
OMa	42.21	66.82	50.6	83.82	37
YMa	90.32	-16.51	104.33	105.63	99
LMa	48.21	-75.63	30.65	81.61	158
CMa	53.44	-33.33	-47.49	58.03	235
VMa	34.16	-0.92	-46.56	46.58	269
MMa	42.71	79.0	-1.95	79.03	359
NMa	16.56	0.0	0.0	0.0	0
WMa	96.31	0.0	0.0	0.0	0
RCIE	39.92	59.78	25.77	65.1	23
JCIE	81.26	-2.51	69.07	69.11	92
GCIE	52.23	-41.57	11.3	43.09	165
BCIE	30.57	2.6	-48.62	48.7	273

Dreiecks-Helligkeit t^*

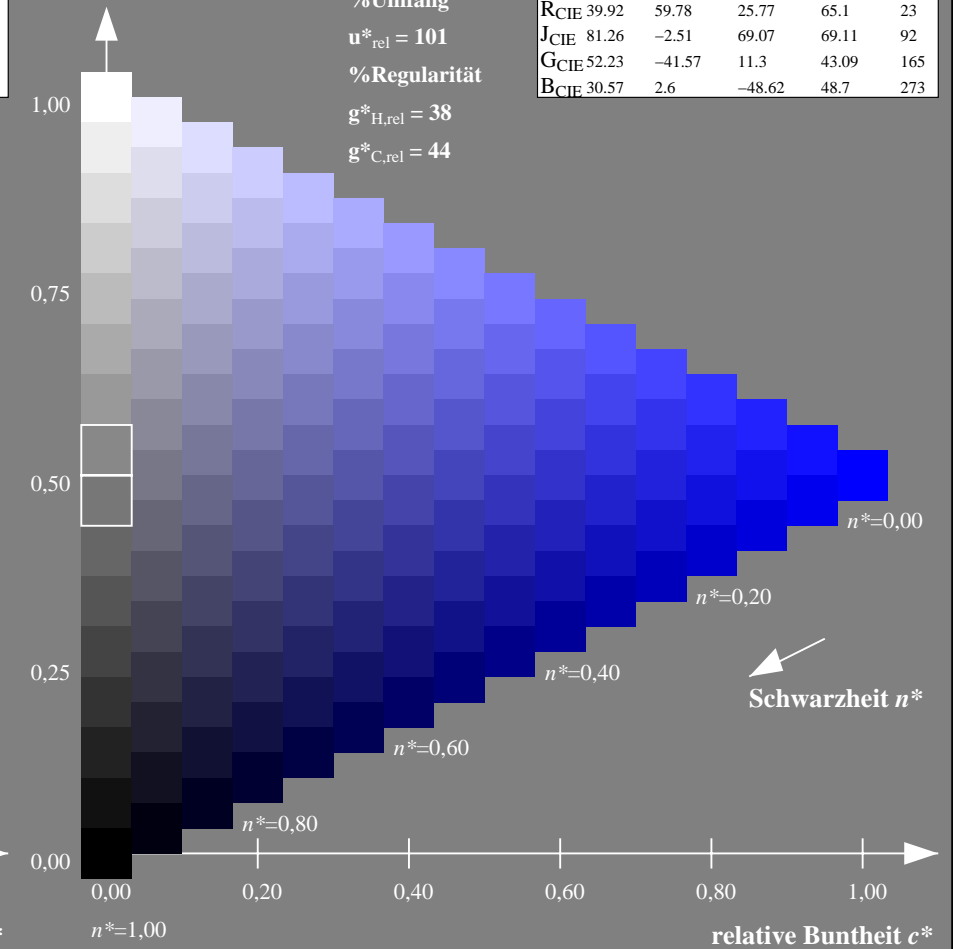
%Umfang

$u^*_{rel} = 101$

%Regularität

$g^*_{H,rel} = 38$

$g^*_{C,rel} = 44$



NG900-7, 9stufige Reihen für konstanten CIELAB Buntton 270/360 = 0.75 (links)

16stufige Reihen für konstanten CIELAB Buntton 269/360 = 0.747 (rechts)

Eingabe: Farbmetrisches Standard-Reflektiv-System SRS18

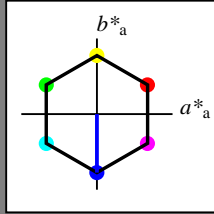
für Buntton $h^* = lab^*h = 270/360 = 0.75$

lab^*tch und lab^*nch

D65: Buntton V

LCH*Ma: 57 77 270

olv*Ma: 0.0 0.0 1.0



SRS18; adaptierte CIELAB-Daten

	$L^*=L^*_a$	a^*_a	b^*_a	$C^*_{ab,a}$	$h^*_{ab,a}$
O _{Ma}	56.71	67.03	38.7	77.4	30
Y _{Ma}	56.71	0.0	77.4	77.4	90
L _{Ma}	56.71	-67.02	38.7	77.4	150
C _{Ma}	56.71	-67.02	-38.69	77.4	210
V _{Ma}	56.71	0.0	-77.39	77.4	270
M _{Ma}	56.71	67.03	-38.69	77.4	330
N _{Ma}	18.01	0.0	0.0	0.0	0
W _{Ma}	95.41	0.0	0.0	0.0	0
R _{CIE}	39.92	58.74	27.99	65.07	25
J _{CIE}	81.26	-2.88	71.56	71.62	92
G _{CIE}	52.23	-42.41	13.6	44.55	162
B _{CIE}	30.57	1.41	-46.46	46.49	272

Dreiecks-Helligkeit t^*

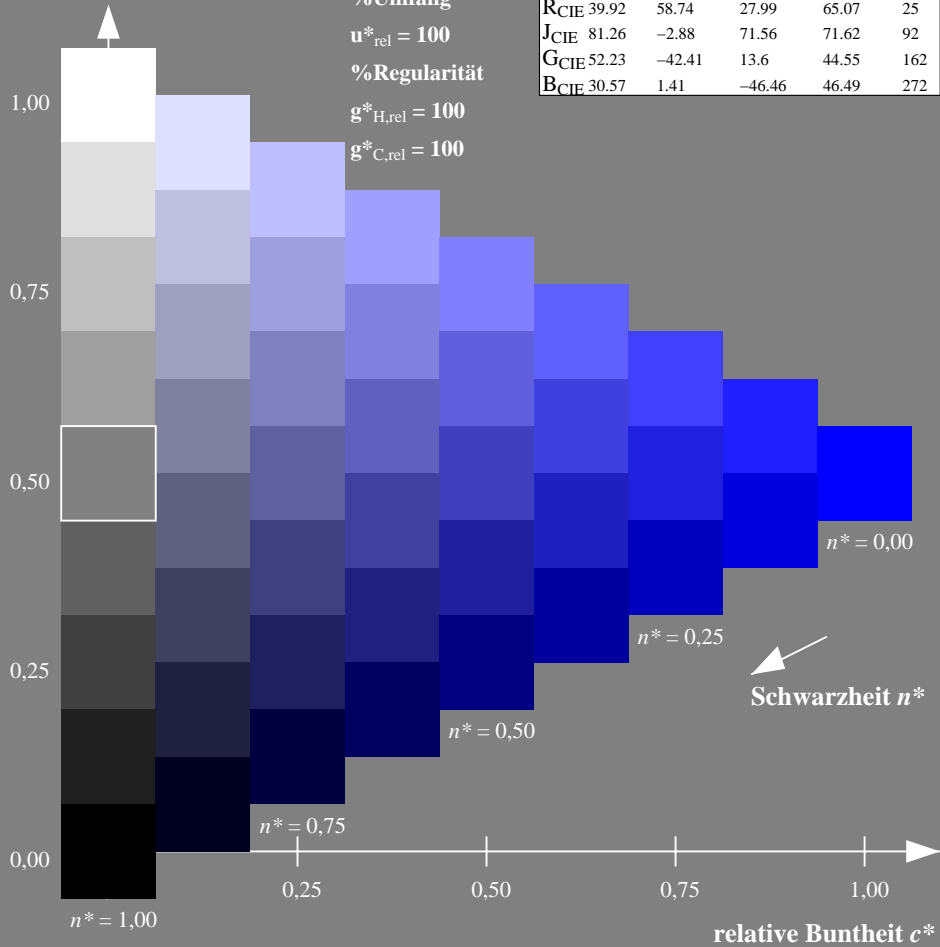
%Umfang

$u^*_{rel} = 100$

%Regularität

$g^*_{H,rel} = 100$

$g^*_{C,rel} = 100$



Ausgabe: Farbmetrisches Fernseh-Licht-System TLS18

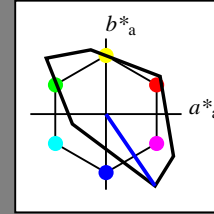
für Buntton $h^* = lab^*h = 304/360 = 0.845$

lab^*tch und lab^*nch

D65: Buntton V

LCH*Ma: 35 115 304

olv*Ma: 0.0 0.0 1.0



TLS18; adaptierte CIELAB-Daten

	$L^*=L^*_a$	a^*_a	b^*_a	$C^*_{ab,a}$	$h^*_{ab,a}$
O _{Ma}	52.76	71.63	49.88	87.29	35
Y _{Ma}	92.74	-20.02	84.97	87.3	103
L _{Ma}	84.0	-78.98	73.94	108.2	137
C _{Ma}	87.14	-44.41	-13.11	46.32	196
V _{Ma}	35.47	64.92	-95.06	115.12	304
M _{Ma}	59.01	89.33	-55.67	105.26	328
N _{Ma}	18.01	0.0	0.0	0.0	0
W _{Ma}	95.41	0.0	0.0	0.0	0
R _{CIE}	39.92	58.74	27.99	65.07	25
J _{CIE}	81.26	-2.88	71.56	71.62	92
G _{CIE}	52.23	-42.41	13.6	44.55	162
B _{CIE}	30.57	1.41	-46.46	46.49	272

Dreiecks-Helligkeit t^*

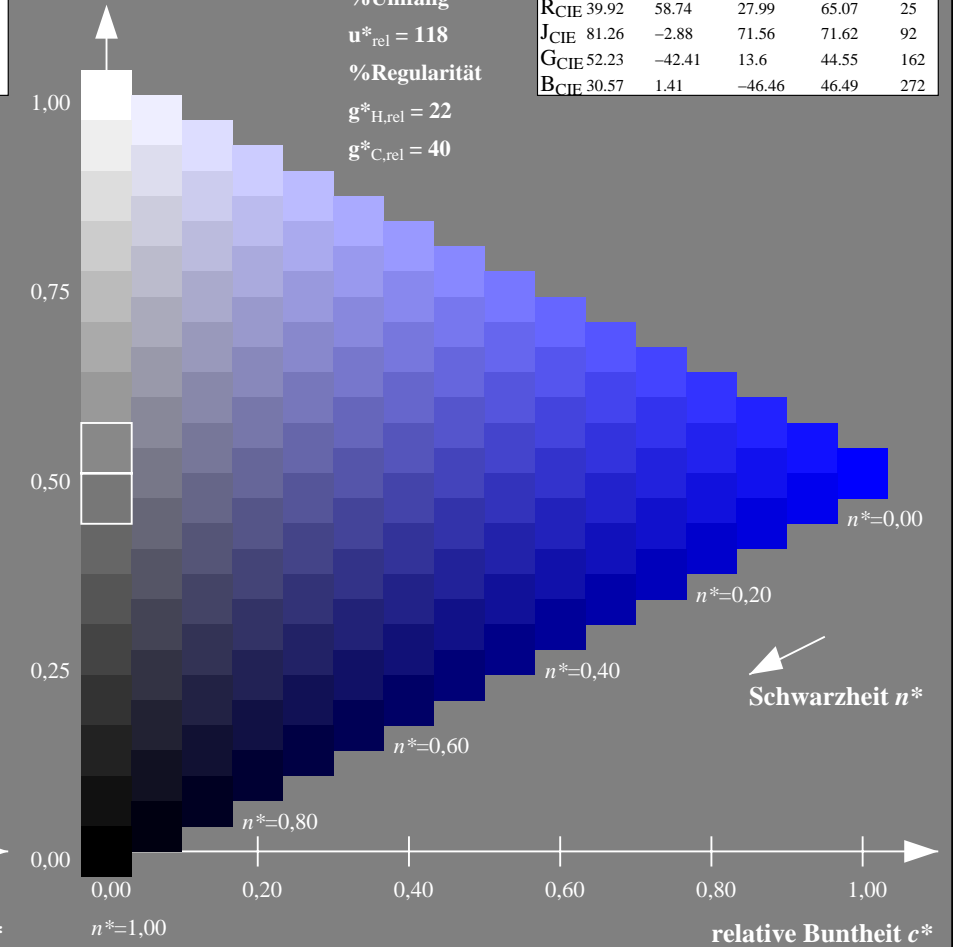
%Umfang

$u^*_{rel} = 118$

%Regularität

$g^*_{H,rel} = 22$

$g^*_{C,rel} = 40$



NG900-7, 9stufige Reihen für konstanten CIELAB Buntton $270/360 = 0.75$ (links)

16stufige Reihen für konstanten CIELAB Buntton $304/360 = 0.845$ (rechts)

Eingabe: Farbmetrisches Standard-Reflektiv-System SRS18

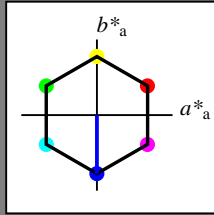
für Buntton $h^* = lab^*h = 270/360 = 0.75$

lab^*tch und lab^*nch

D65: Buntton V

LCH*Ma: 57 77 270

olv*Ma: 0.0 0.0 1.0



SRS18; adaptierte CIELAB-Daten

	$L^*=L^*_a$	a^*_a	b^*_a	$C^*_{ab,a}$	$h^*_{ab,a}$
O _{Ma}	56.71	67.03	38.7	77.4	30
Y _{Ma}	56.71	0.0	77.4	77.4	90
L _{Ma}	56.71	-67.02	38.7	77.4	150
C _{Ma}	56.71	-67.02	-38.69	77.4	210
V _{Ma}	56.71	0.0	-77.39	77.4	270
M _{Ma}	56.71	67.03	-38.69	77.4	330
N _{Ma}	18.01	0.0	0.0	0.0	0
W _{Ma}	95.41	0.0	0.0	0.0	0
R _{CIE}	39.92	58.74	27.99	65.07	25
J _{CIE}	81.26	-2.88	71.56	71.62	92
G _{CIE}	52.23	-42.41	13.6	44.55	162
B _{CIE}	30.57	1.41	-46.46	46.49	272

Dreiecks-Helligkeit t^*

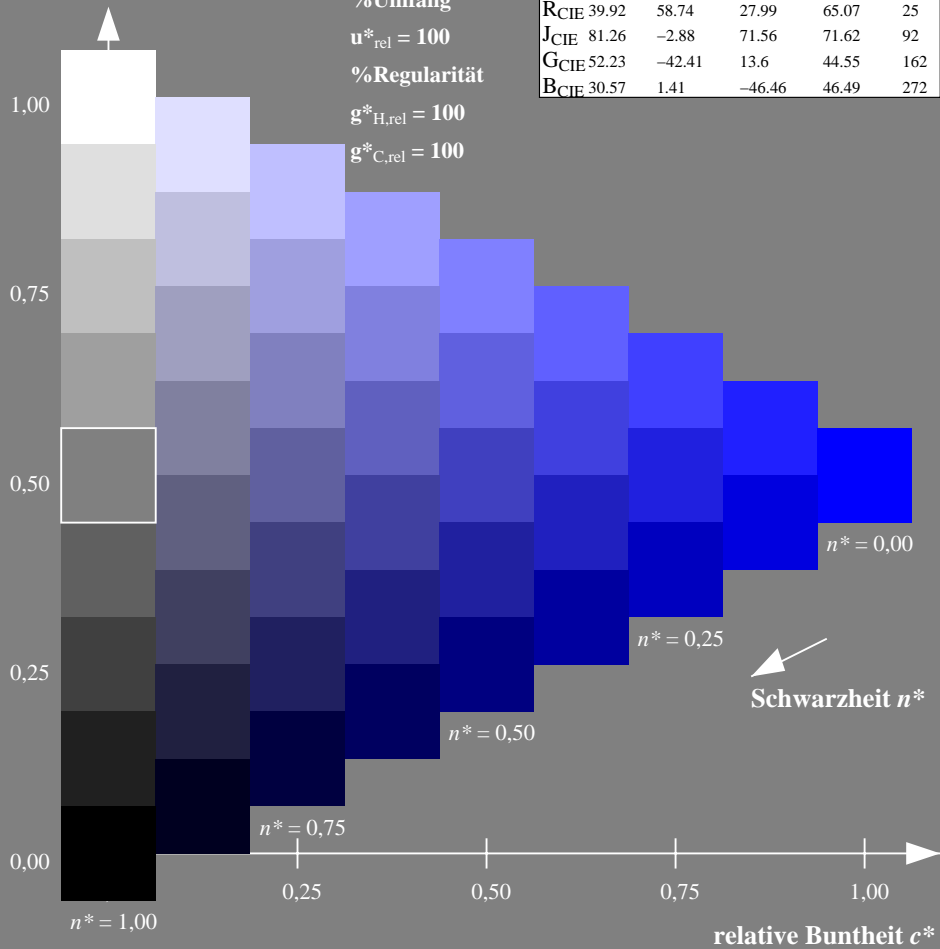
%Umfang

$u^*_{rel} = 100$

%Regularität

$g^*_{H,rel} = 100$

$g^*_{C,rel} = 100$



Ausgabe: Farbmetrisches Natürliches-Licht-System NLS00

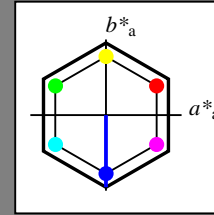
für Buntton $h^* = lab^*h = 270/360 = 0.75$

lab^*tch und lab^*nch

D65: Buntton V

LCH*Ma: 32 95 270

olv*Ma: 0.0 0.0 1.0



NLS00; adaptierte CIELAB-Daten

	$L^*=L^*_a$	a^*_a	b^*_a	$C^*_{ab,a}$	$h^*_{ab,a}$
O _{Ma}	31.81	82.62	47.7	95.4	30
Y _{Ma}	63.61	0.0	95.4	95.4	90
L _{Ma}	31.81	-82.61	47.7	95.4	150
C _{Ma}	63.61	-82.61	-47.69	95.4	210
V _{Ma}	31.81	0.0	-95.39	95.4	270
M _{Ma}	63.61	82.62	-47.69	95.4	330
N _{Ma}	0.01	0.0	0.0	0.0	0
W _{Ma}	95.41	0.0	0.0	0.0	0
R _{CIE}	39.92	58.74	27.99	65.07	25
J _{CIE}	81.26	-2.88	71.56	71.62	92
G _{CIE}	52.23	-42.41	13.6	44.55	162
B _{CIE}	30.57	1.41	-46.46	46.49	272

Dreiecks-Helligkeit t^*

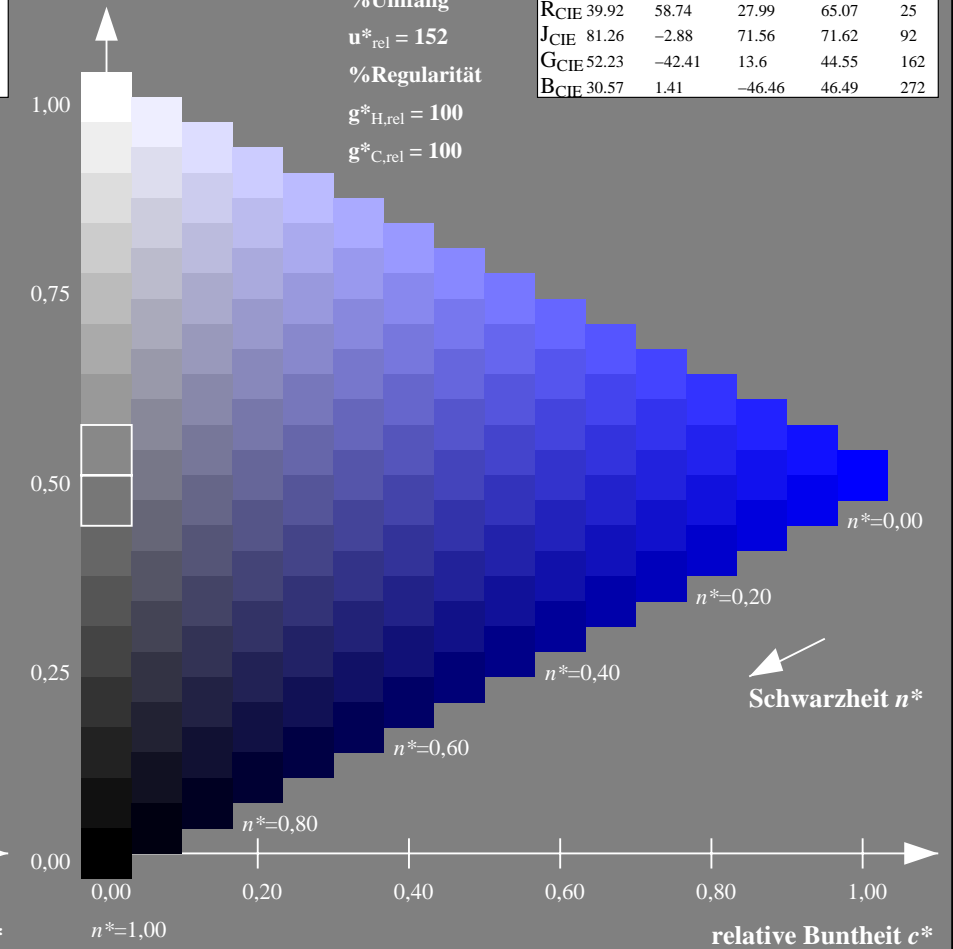
%Umfang

$u^*_{rel} = 152$

%Regularität

$g^*_{H,rel} = 100$

$g^*_{C,rel} = 100$



NG900-7, 9stufige Reihen für konstanten CIELAB Buntton $270/360 = 0.75$ (links)

16stufige Reihen für konstanten CIELAB Buntton $270/360 = 0.75$ (rechts)

Eingabe: Farbmetrisches Standard-Reflektiv-System SRS18

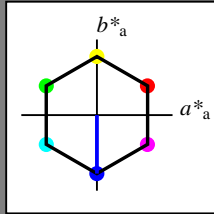
für Buntton $h^* = lab^*h = 270/360 = 0.75$

lab^*tch und lab^*nch

D65: Buntton V

LCH*Ma: 57 77 270

olv*Ma: 0.0 0.0 1.0



SRS18; adaptierte CIELAB-Daten

	$L^*=L^*_a$	a^*_a	b^*_a	$C^*_{ab,a}$	$h^*_{ab,a}$
OMa	56.71	67.03	38.7	77.4	30
YMa	56.71	0.0	77.4	77.4	90
LMa	56.71	-67.02	38.7	77.4	150
CMa	56.71	-67.02	-38.69	77.4	210
VMa	56.71	0.0	-77.39	77.4	270
MMa	56.71	67.03	-38.69	77.4	330
NMa	18.01	0.0	0.0	0.0	0
WMa	95.41	0.0	0.0	0.0	0
RCIE	39.92	58.74	27.99	65.07	25
JCIE	81.26	-2.88	71.56	71.62	92
GCIE	52.23	-42.41	13.6	44.55	162
BCIE	30.57	1.41	-46.46	46.49	272

Dreiecks-Helligkeit t^*

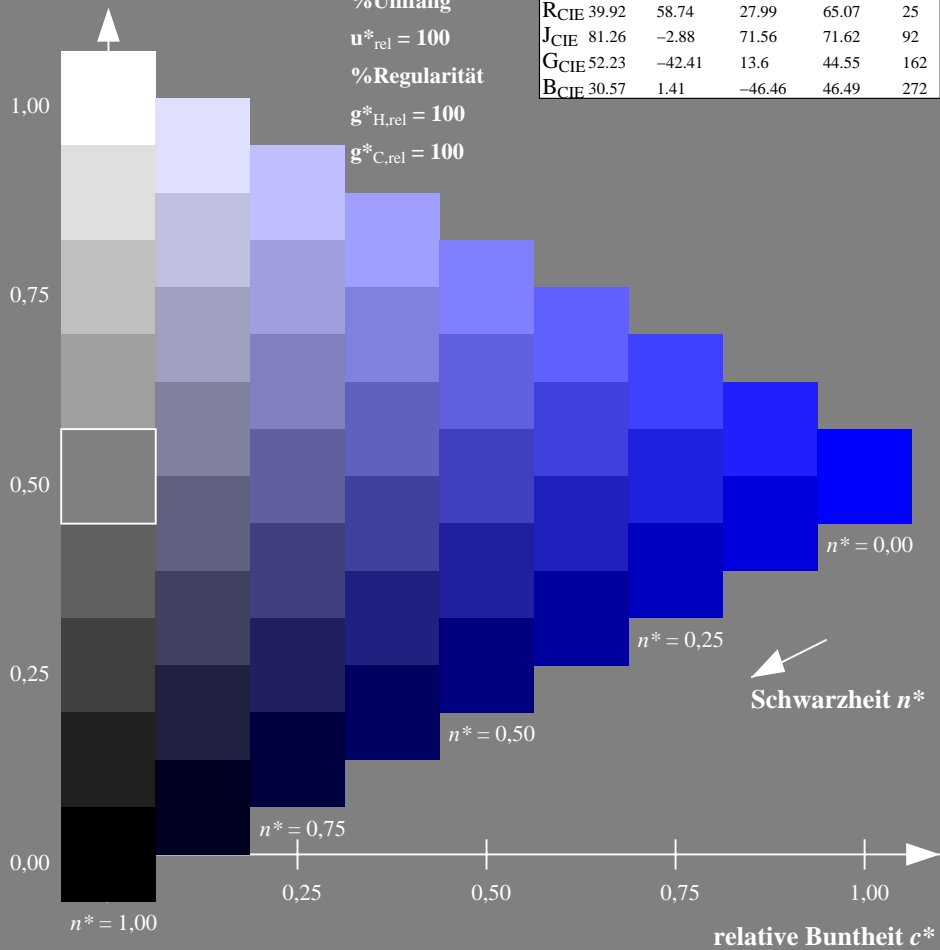
%Umfang

$u^*_{rel} = 100$

%Regularität

$g^*_{H,rel} = 100$

$g^*_{C,rel} = 100$



Ausgabe: Farbmetrisches Natürliches-Reflektiv-System NRS18

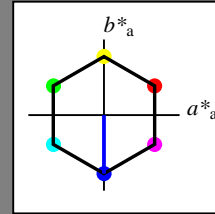
für Buntton $h^* = lab^*h = 270/360 = 0.75$

lab^*tch und lab^*nch

D65: Buntton V

LCH*Ma: 44 77 270

olv*Ma: 0.0 0.0 1.0



NRS18; adaptierte CIELAB-Daten

	$L^*=L^*_a$	a^*_a	b^*_a	$C^*_{ab,a}$	$h^*_{ab,a}$
OMa	43.81	67.03	38.7	77.4	30
YMa	69.61	0.0	77.4	77.4	90
LMa	43.81	-67.02	38.7	77.4	150
CMa	69.61	-67.02	-38.69	77.4	210
VMa	43.81	0.0	-77.39	77.4	270
MMa	69.61	67.03	-38.69	77.4	330
NMa	18.01	0.0	0.0	0.0	0
WMa	95.41	0.0	0.0	0.0	0
RCIE	39.92	58.74	27.99	65.07	25
JCIE	81.26	-2.88	71.56	71.62	92
GCIE	52.23	-42.41	13.6	44.55	162
BCIE	30.57	1.41	-46.46	46.49	272

Dreiecks-Helligkeit t^*

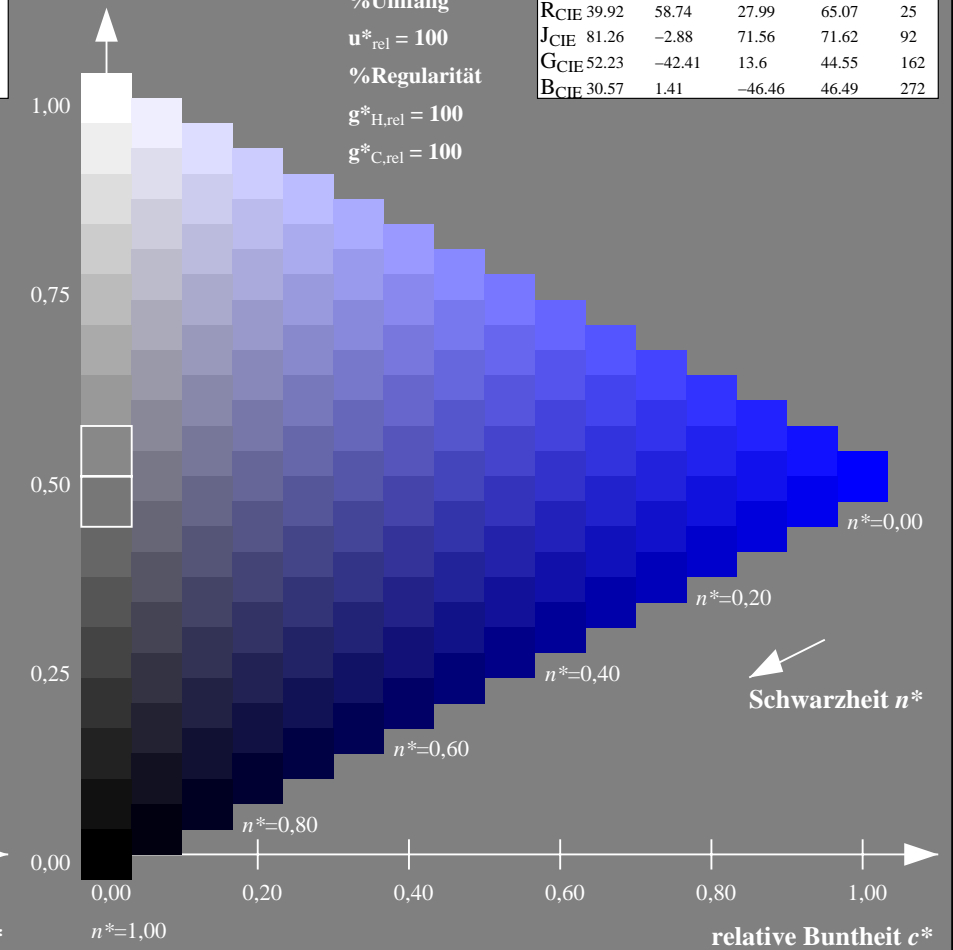
%Umfang

$u^*_{rel} = 100$

%Regularität

$g^*_{H,rel} = 100$

$g^*_{C,rel} = 100$



NG900-7, 9stufige Reihen für konstanten CIELAB Buntton $270/360 = 0.75$ (links)

16stufige Reihen für konstanten CIELAB Buntton $270/360 = 0.75$ (rechts)

Eingabe: Farbmétrisches Standard-Reflektiv-System SRS18

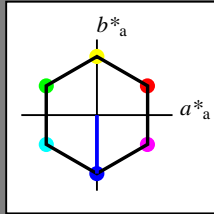
für Buntton $h^* = lab^*h = 270/360 = 0.75$

lab^*tch und lab^*nch

D65: Buntton V

LCH*Ma: 57 77 270

olv*Ma: 0.0 0.0 1.0



SRS18; adaptierte CIELAB-Daten

	$L^*=L^*_a$	a^*_a	b^*_a	$C^*_{ab,a}$	$h^*_{ab,a}$
O _{Ma}	56.71	67.03	38.7	77.4	30
Y _{Ma}	56.71	0.0	77.4	77.4	90
L _{Ma}	56.71	-67.02	38.7	77.4	150
C _{Ma}	56.71	-67.02	-38.69	77.4	210
V _{Ma}	56.71	0.0	-77.39	77.4	270
M _{Ma}	56.71	67.03	-38.69	77.4	330
N _{Ma}	18.01	0.0	0.0	0.0	0
W _{Ma}	95.41	0.0	0.0	0.0	0
R _{CIE}	39.92	58.74	27.99	65.07	25
J _{CIE}	81.26	-2.88	71.56	71.62	92
G _{CIE}	52.23	-42.41	13.6	44.55	162
B _{CIE}	30.57	1.41	-46.46	46.49	272

Dreiecks-Helligkeit t^*

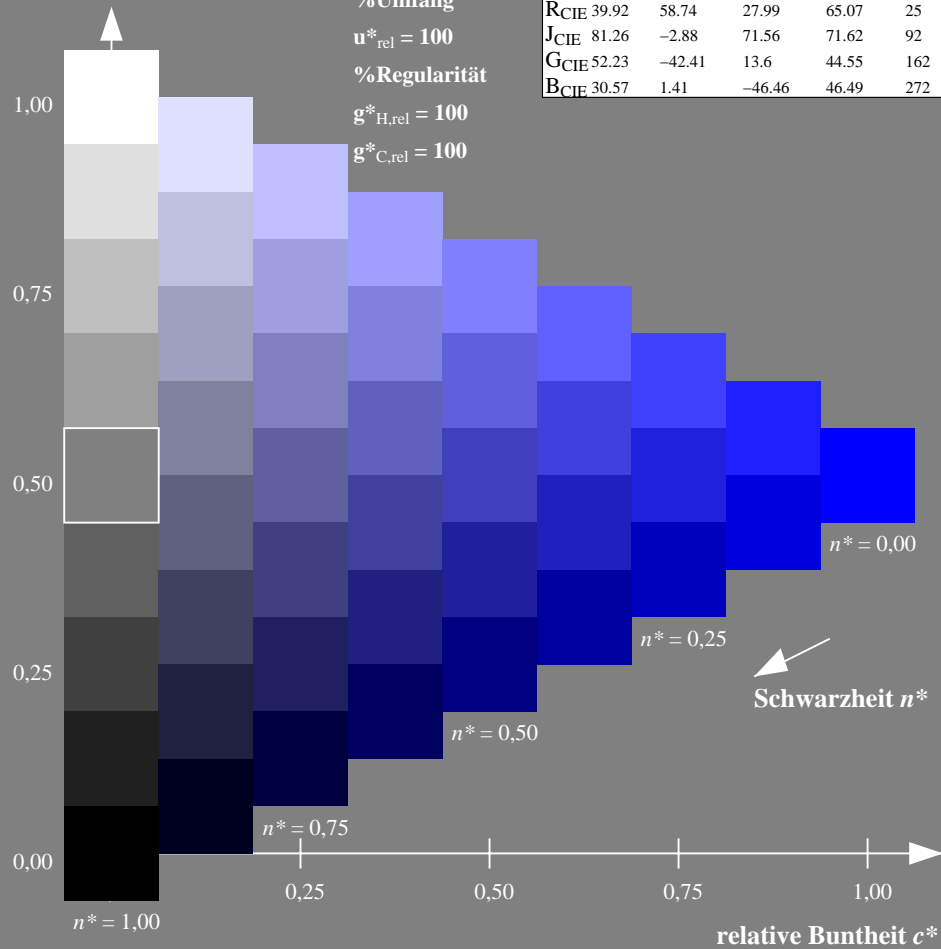
%Umfang

$u^*_{rel} = 100$

%Regularität

$g^*_{H,rel} = 100$

$g^*_{C,rel} = 100$



Ausgabe: Farbmétrisches Standard-Reflektiv-System SRS18

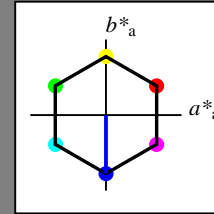
für Buntton $h^* = lab^*h = 270/360 = 0.75$

lab^*tch und lab^*nch

D65: Buntton V

LCH*Ma: 57 77 270

olv*Ma: 0.0 0.0 1.0



SRS18; adaptierte CIELAB-Daten

	$L^*=L^*_a$	a^*_a	b^*_a	$C^*_{ab,a}$	$h^*_{ab,a}$
O _{Ma}	56.71	67.03	38.7	77.4	30
Y _{Ma}	56.71	0.0	77.4	77.4	90
L _{Ma}	56.71	-67.02	38.7	77.4	150
C _{Ma}	56.71	-67.02	-38.69	77.4	210
V _{Ma}	56.71	0.0	-77.39	77.4	270
M _{Ma}	56.71	67.03	-38.69	77.4	330
N _{Ma}	18.01	0.0	0.0	0.0	0
W _{Ma}	95.41	0.0	0.0	0.0	0
R _{CIE}	39.92	58.74	27.99	65.07	25
J _{CIE}	81.26	-2.88	71.56	71.62	92
G _{CIE}	52.23	-42.41	13.6	44.55	162
B _{CIE}	30.57	1.41	-46.46	46.49	272

Dreiecks-Helligkeit t^*

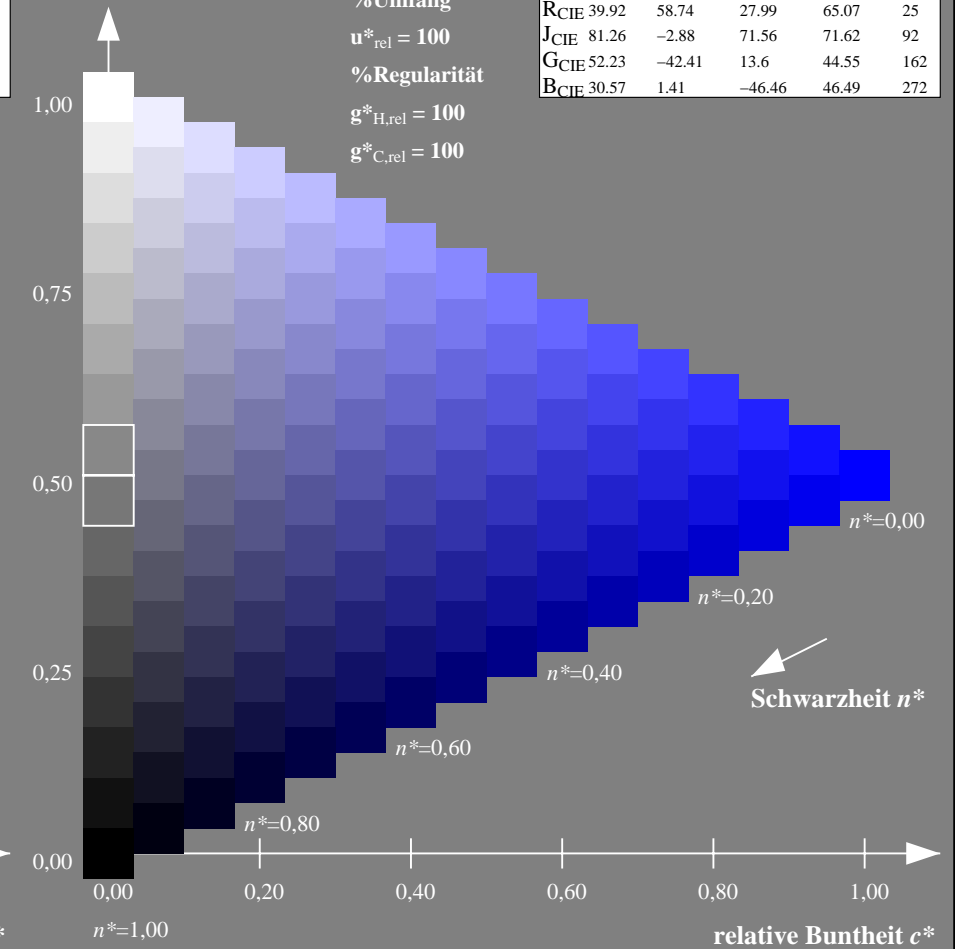
%Umfang

$u^*_{rel} = 100$

%Regularität

$g^*_{H,rel} = 100$

$g^*_{C,rel} = 100$



NG900-7, 9stufige Reihen für konstanten CIELAB Buntton 270/360 = 0.75 (links)

16stufige Reihen für konstanten CIELAB Buntton 270/360 = 0.75 (rechts)

Eingabe: Farbmetrisches Standard-Reflektiv-System SRS18

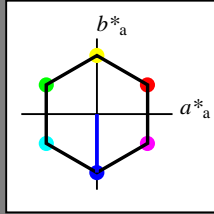
für Buntton $h^* = lab^*h = 270/360 = 0.75$

lab^*tch und lab^*nch

D65: Buntton V

LCH*Ma: 57 77 270

olv*Ma: 0.0 0.0 1.0



SRS18; adaptierte CIELAB-Daten

	$L^*=L^*_a$	a^*_a	b^*_a	$C^*_{ab,a}$	$h^*_{ab,a}$
O _{Ma}	56.71	67.03	38.7	77.4	30
Y _{Ma}	56.71	0.0	77.4	77.4	90
L _{Ma}	56.71	-67.02	38.7	77.4	150
C _{Ma}	56.71	-67.02	-38.69	77.4	210
V _{Ma}	56.71	0.0	-77.39	77.4	270
M _{Ma}	56.71	67.03	-38.69	77.4	330
N _{Ma}	18.01	0.0	0.0	0.0	0
W _{Ma}	95.41	0.0	0.0	0.0	0
R _{CIE}	39.92	58.74	27.99	65.07	25
J _{CIE}	81.26	-2.88	71.56	71.62	92
G _{CIE}	52.23	-42.41	13.6	44.55	162
B _{CIE}	30.57	1.41	-46.46	46.49	272

Dreiecks-Helligkeit t^*

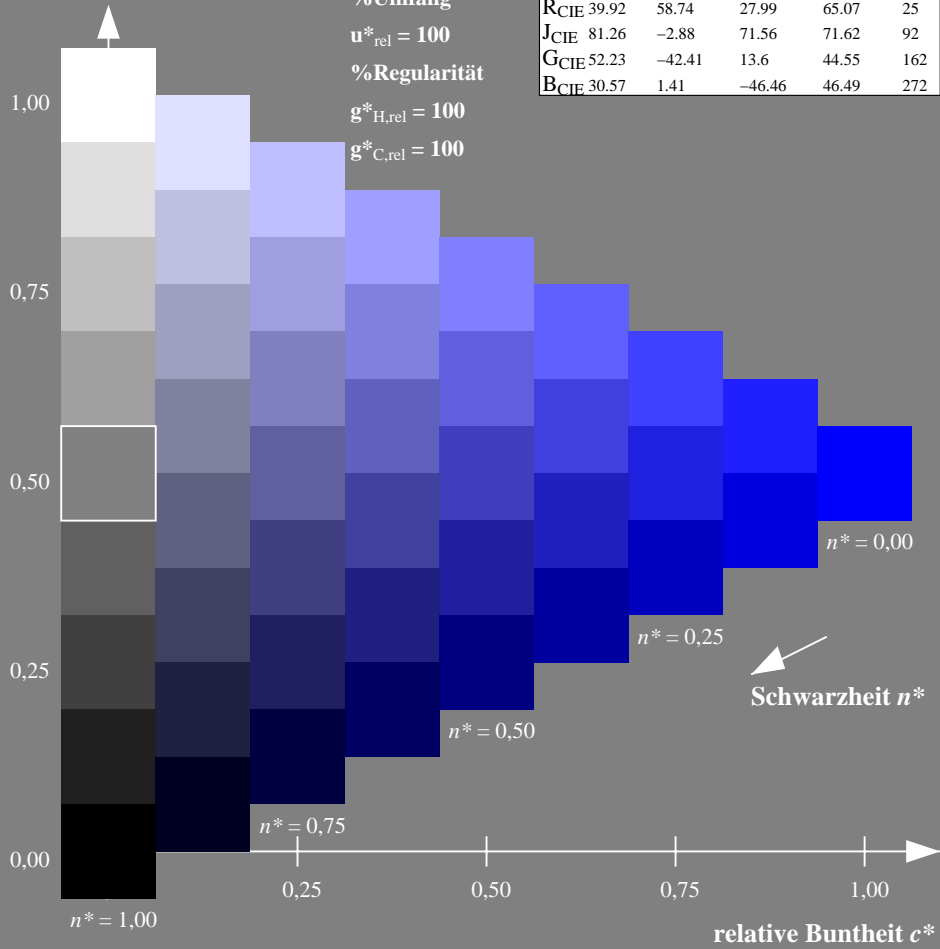
%Umfang

$u^*_{rel} = 100$

%Regularität

$g^*_{H,rel} = 100$

$g^*_{C,rel} = 100$



Ausgabe: Farbmetrisches Fernseh-Licht-System TLS70

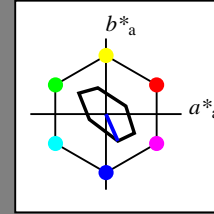
für Buntton $h^* = lab^*h = 294/360 = 0.816$

lab^*tch und lab^*nch

D65: Buntton V

LCH*Ma: 72 39 294

olv*Ma: 0.0 0.0 1.0



TLS70; adaptierte CIELAB-Daten

	$L^*=L^*_a$	a^*_a	b^*_a	$C^*_{ab,a}$	$h^*_{ab,a}$
O _{Ma}	76.43	26.27	10.57	28.32	22
Y _{Ma}	93.93	-10.76	34.63	36.27	107
L _{Ma}	89.32	-35.8	27.64	45.24	142
C _{Ma}	90.93	-21.95	-7.07	23.07	198
V _{Ma}	72.1	15.76	-35.63	38.97	294
M _{Ma}	78.5	37.52	-25.23	45.22	326
N _{Ma}	69.7	0.0	0.0	0.0	0
W _{Ma}	95.41	0.0	0.0	0.0	0
R _{CIE}	39.92	58.74	27.99	65.07	25
J _{CIE}	81.26	-2.88	71.56	71.62	92
G _{CIE}	52.23	-42.41	13.6	44.55	162
B _{CIE}	30.57	1.41	-46.46	46.49	272

Dreiecks-Helligkeit t^*

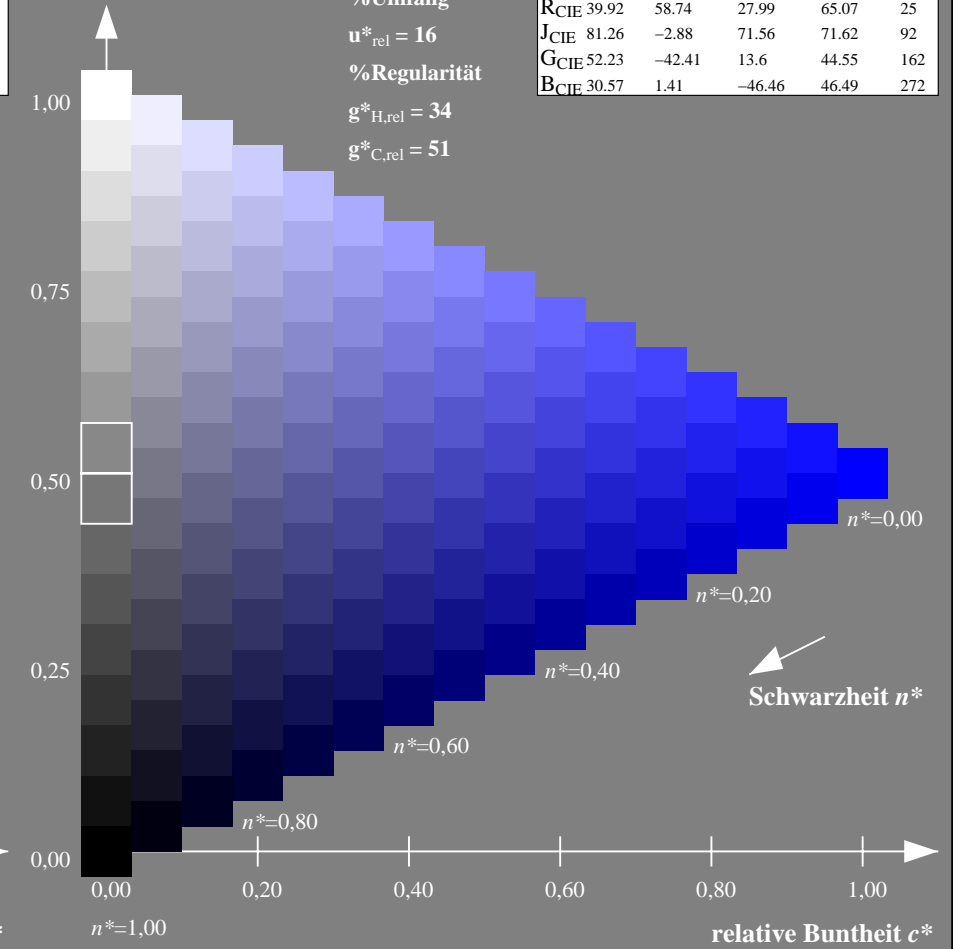
%Umfang

$u^*_{rel} = 16$

%Regularität

$g^*_{H,rel} = 34$

$g^*_{C,rel} = 51$



NG900-7, 9stufige Reihen für konstanten CIELAB Buntton 270/360 = 0.75 (links)

16stufige Reihen für konstanten CIELAB Buntton 294/360 = 0.816 (rechts)

Eingabe: Farbmetrisches Fernseh-Licht-System TLS70

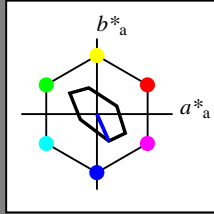
für Buntton $h^* = lab^*h = 294/360 = 0.816$

lab^*tch und lab^*nch

D65: Buntton V

LCH*Ma: 72 39 294

olv*Ma: 0.0 0.0 1.0



TLS70; adaptierte CIELAB-Daten

	$L^*=L^*_a$	a^*_a	b^*_a	$C^*_{ab,a}$	$h^*_{ab,a}$
O _{Ma}	76.43	26.27	10.57	28.32	22
Y _{Ma}	93.93	-10.76	34.63	36.27	107
L _{Ma}	89.32	-35.8	27.64	45.24	142
C _{Ma}	90.93	-21.95	-7.07	23.07	198
V _{Ma}	72.1	15.76	-35.63	38.97	294
M _{Ma}	78.5	37.52	-25.23	45.22	326
N _{Ma}	69.7	0.0	0.0	0.0	0
W _{Ma}	95.41	0.0	0.0	0.0	0
R _{CIE}	39.92	58.74	27.99	65.07	25
J _{CIE}	81.26	-2.88	71.56	71.62	92
G _{CIE}	52.23	-42.41	13.6	44.55	162
B _{CIE}	30.57	1.41	-46.46	46.49	272

Dreiecks-Helligkeit t^*

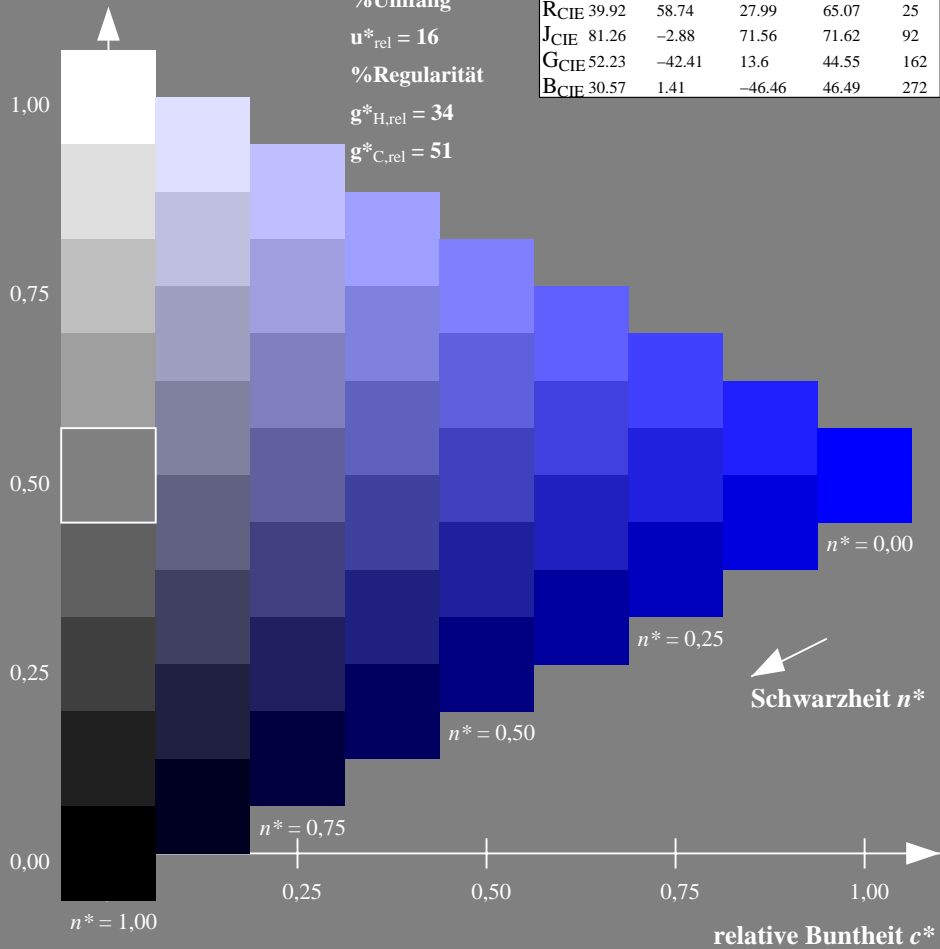
%Umfang

$u^*_{rel} = 16$

%Regularität

$g^*_{H,rel} = 34$

$g^*_{C,rel} = 51$



Ausgabe: Farbmetrisches Offset-Reflektiv-System ORS18

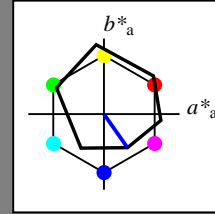
für Buntton $h^* = lab^*h = 305/360 = 0.847$

lab^*tch und lab^*nch

D65: Buntton V

LCH*Ma: 26 54 305

olv*Ma: 0.0 0.0 1.0



ORS18; adaptierte CIELAB-Daten

	$L^*=L^*_a$	a^*_a	b^*_a	$C^*_{ab,a}$	$h^*_{ab,a}$
O _{Ma}	47.94	65.39	50.52	82.63	38
Y _{Ma}	90.37	-10.26	91.75	92.32	96
L _{Ma}	50.9	-62.83	34.96	71.91	151
C _{Ma}	58.62	-30.34	-45.01	54.3	236
V _{Ma}	25.72	31.1	-44.4	54.22	305
M _{Ma}	48.13	75.28	-8.36	75.74	354
N _{Ma}	18.01	0.0	0.0	0.0	0
W _{Ma}	95.41	0.0	0.0	0.0	0
R _{CIE}	39.92	58.66	26.98	64.57	25
J _{CIE}	81.26	-2.16	67.76	67.79	92
G _{CIE}	52.23	-42.25	11.76	43.87	164
B _{CIE}	30.57	1.15	-46.84	46.86	271

Dreiecks-Helligkeit t^*

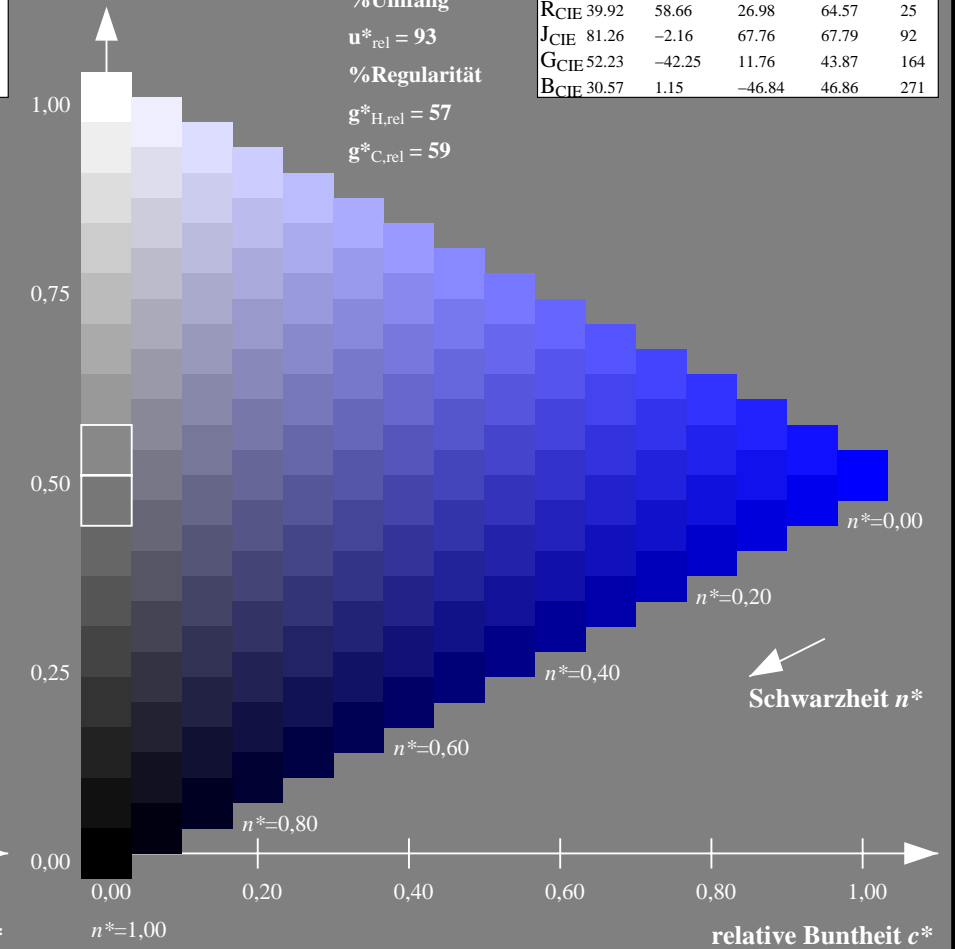
%Umfang

$u^*_{rel} = 93$

%Regularität

$g^*_{H,rel} = 57$

$g^*_{C,rel} = 59$



NG900-7, 9stufige Reihen für konstanten CIELAB Buntton $294/360 = 0.816$ (links)

16stufige Reihen für konstanten CIELAB Buntton $305/360 = 0.847$ (rechts)

Eingabe: Farbmetrisches Fernseh-Licht-System TLS70

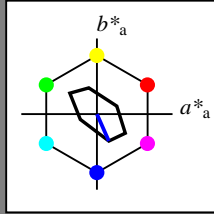
für Buntton $h^* = lab^*h = 294/360 = 0.816$

lab^*tch und lab^*nch

D65: Buntton V

LCH*Ma: 72 39 294

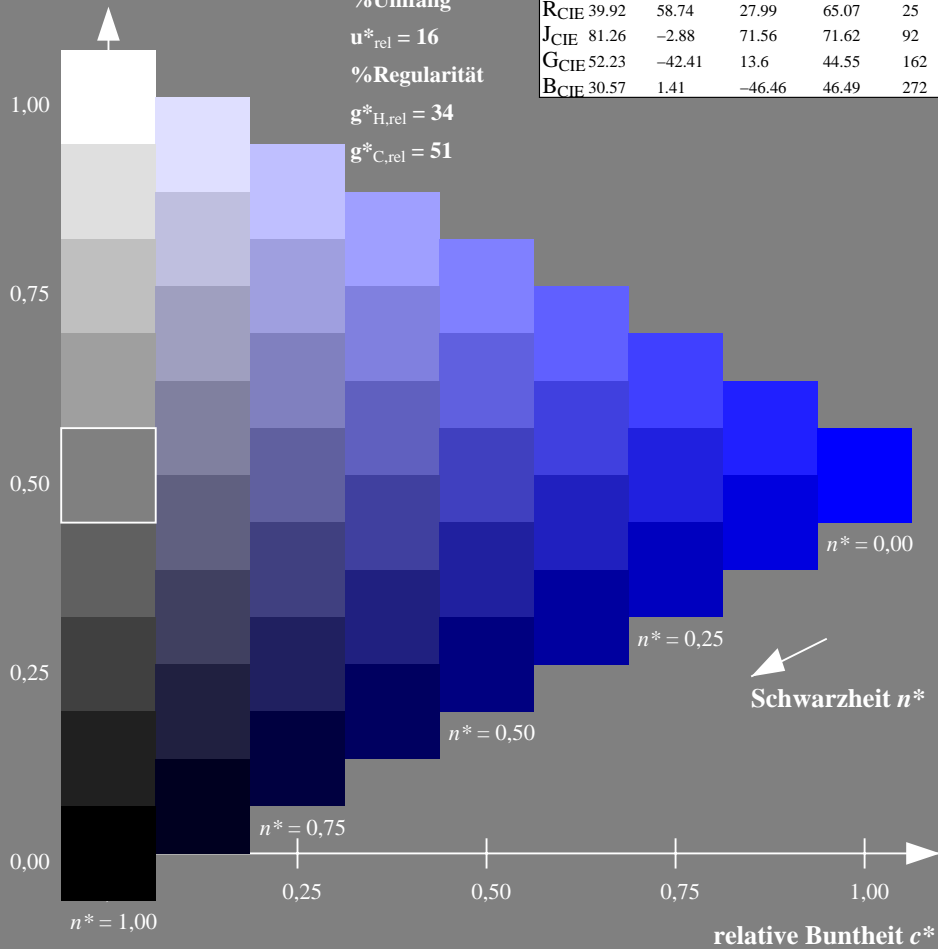
olv*Ma: 0.0 0.0 1.0



TLS70; adaptierte CIELAB-Daten

	$L^*=L^*_a$	a^*_a	b^*_a	$C^*_{ab,a}$	$h^*_{ab,a}$
O _{Ma}	76.43	26.27	10.57	28.32	22
Y _{Ma}	93.93	-10.76	34.63	36.27	107
L _{Ma}	89.32	-35.8	27.64	45.24	142
C _{Ma}	90.93	-21.95	-7.07	23.07	198
V _{Ma}	72.1	15.76	-35.63	38.97	294
M _{Ma}	78.5	37.52	-25.23	45.22	326
N _{Ma}	69.7	0.0	0.0	0.0	0
W _{Ma}	95.41	0.0	0.0	0.0	0
R _{CIE}	39.92	58.74	27.99	65.07	25
J _{CIE}	81.26	-2.88	71.56	71.62	92
G _{CIE}	52.23	-42.41	13.6	44.55	162
B _{CIE}	30.57	1.41	-46.46	46.49	272

Dreiecks-Helligkeit t^*



Ausgabe: Farbmetrisches Fernseh-Licht-System TLS00

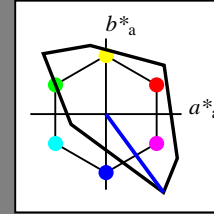
für Buntton $h^* = lab^*h = 306/360 = 0.851$

lab^*tch und lab^*nch

D65: Buntton V

LCH*Ma: 30 129 306

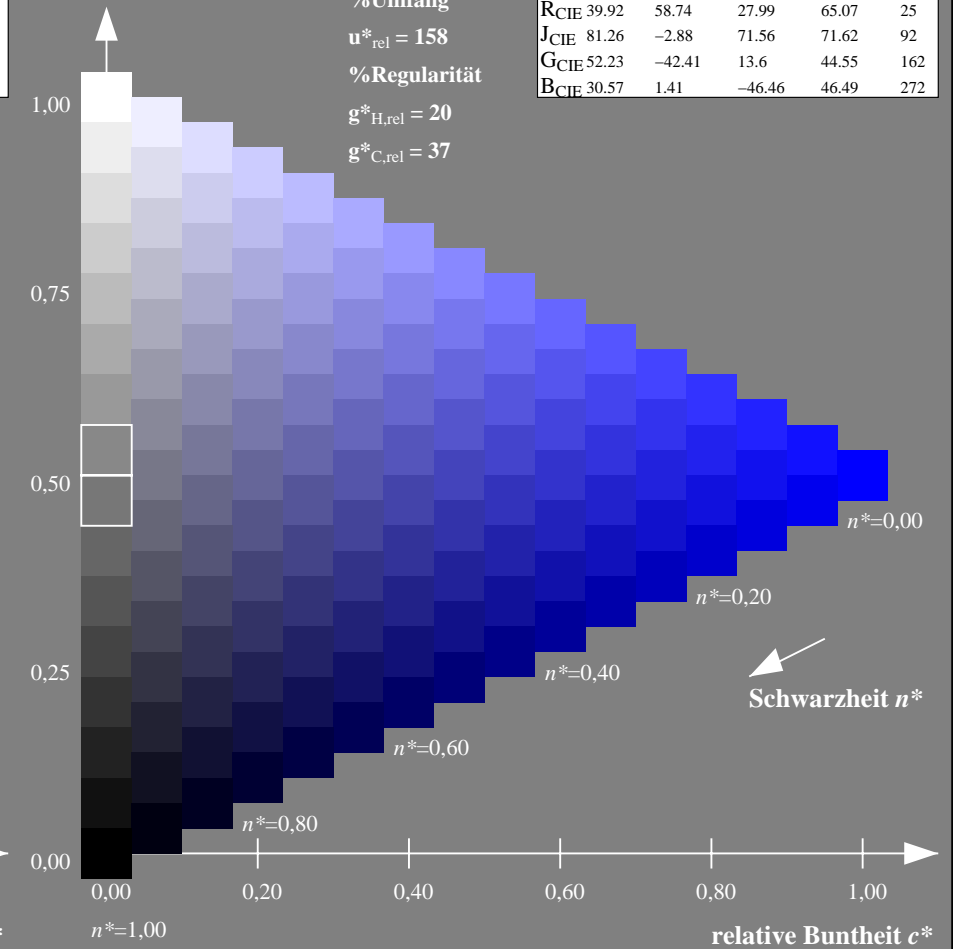
olv*Ma: 0.0 0.0 1.0



TLS00; adaptierte CIELAB-Daten

	$L^*=L^*_a$	a^*_a	b^*_a	$C^*_{ab,a}$	$h^*_{ab,a}$
O _{Ma}	50.5	76.92	64.55	100.42	40
Y _{Ma}	92.66	-20.69	90.75	93.08	103
L _{Ma}	83.63	-82.75	79.9	115.04	136
C _{Ma}	86.88	-46.16	-13.55	48.12	196
V _{Ma}	30.39	76.06	-103.59	128.52	306
M _{Ma}	57.3	94.35	-58.41	110.97	328
N _{Ma}	0.01	0.0	0.0	0.0	0
W _{Ma}	95.41	0.0	0.0	0.0	0
R _{CIE}	39.92	58.74	27.99	65.07	25
J _{CIE}	81.26	-2.88	71.56	71.62	92
G _{CIE}	52.23	-42.41	13.6	44.55	162
B _{CIE}	30.57	1.41	-46.46	46.49	272

Dreiecks-Helligkeit t^*



NG900-7, 9stufige Reihen für konstanten CIELAB Buntton $294/360 = 0.816$ (links)

16stufige Reihen für konstanten CIELAB Buntton $306/360 = 0.851$ (rechts)

Eingabe: Farbmetrisches Fernseh-Licht-System TLS70

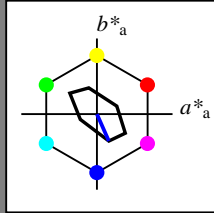
für Buntton $h^* = lab^*h = 294/360 = 0.816$

lab^*tch und lab^*nch

D65: Buntton V

LCH*Ma: 72 39 294

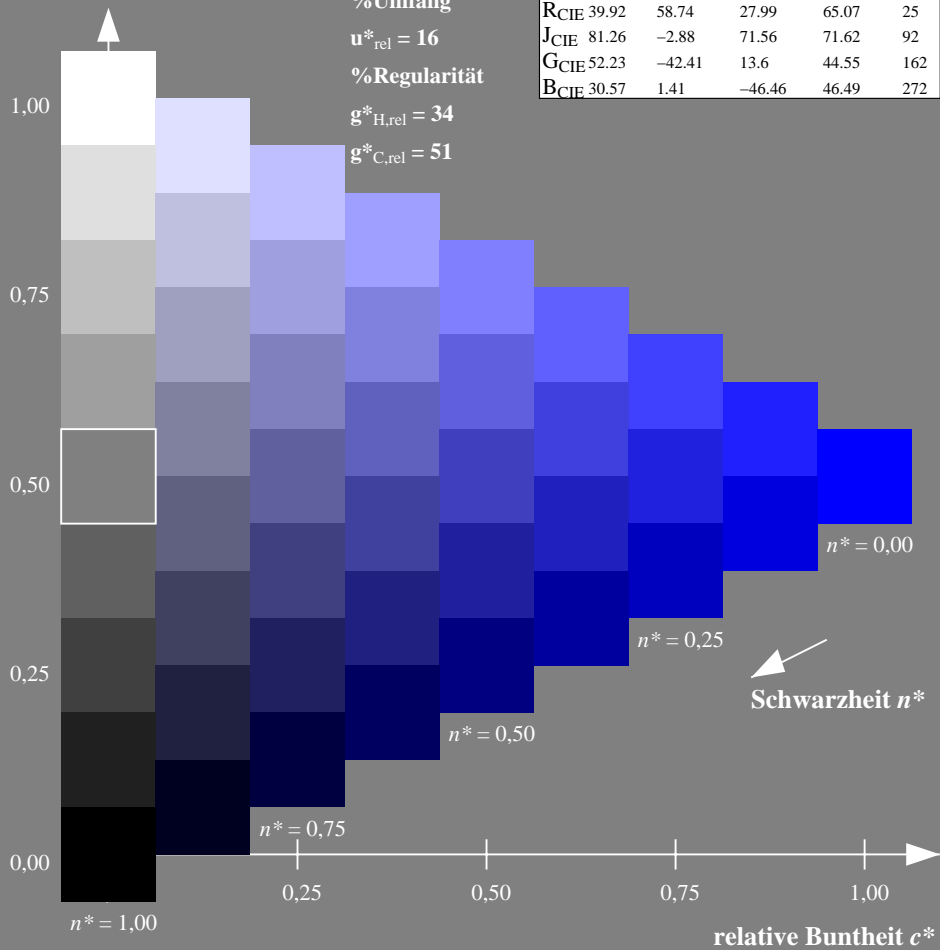
olv*Ma: 0.0 0.0 1.0



TLS70; adaptierte CIELAB-Daten

	$L^*=L^*_a$	a^*_a	b^*_a	$C^*_{ab,a}$	$h^*_{ab,a}$
OMa	76.43	26.27	10.57	28.32	22
YMa	93.93	-10.76	34.63	36.27	107
LMa	89.32	-35.8	27.64	45.24	142
CMa	90.93	-21.95	-7.07	23.07	198
VMa	72.1	15.76	-35.63	38.97	294
MMa	78.5	37.52	-25.23	45.22	326
NMa	69.7	0.0	0.0	0.0	0
WMa	95.41	0.0	0.0	0.0	0
RCIE	39.92	58.74	27.99	65.07	25
JCIE	81.26	-2.88	71.56	71.62	92
GCIE	52.23	-42.41	13.6	44.55	162
BCIE	30.57	1.41	-46.46	46.49	272

Dreiecks-Helligkeit t^*



NG900-7, 9stufige Reihen für konstanten CIELAB Buntton $294/360 = 0.816$ (links)

Ausgabe: Farbmetrisches Drucker-Reflektiv-System DRSXX

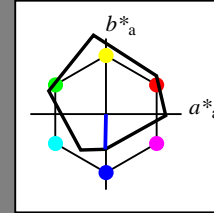
für Buntton $h^* = lab^*h = 269/360 = 0.747$

lab^*tch und lab^*nch

D65: Buntton V

LCH*Ma: 34 47 269

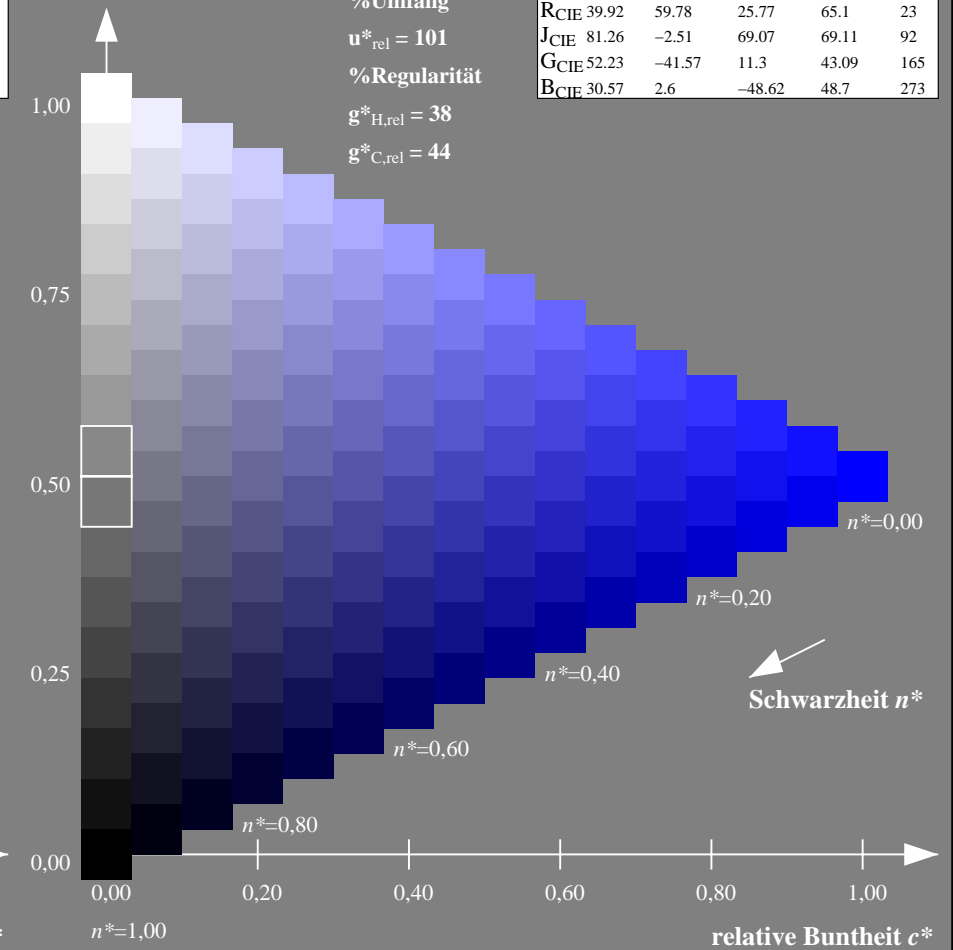
olv*Ma: 0.0 0.0 1.0



DRSXX; adaptierte CIELAB-Daten

	$L^*=L^*_a$	a^*_a	b^*_a	$C^*_{ab,a}$	$h^*_{ab,a}$
OMa	42.21	66.82	50.6	83.82	37
YMa	90.32	-16.51	104.33	105.63	99
LMa	48.21	-75.63	30.65	81.61	158
CMa	53.44	-33.33	-47.49	58.03	235
VMa	34.16	-0.92	-46.56	46.58	269
MMa	42.71	79.0	-1.95	79.03	359
NMa	16.56	0.0	0.0	0.0	0
WMa	96.31	0.0	0.0	0.0	0
RCIE	39.92	59.78	25.77	65.1	23
JCIE	81.26	-2.51	69.07	69.11	92
GCIE	52.23	-41.57	11.3	43.09	165
BCIE	30.57	2.6	-48.62	48.7	273

Dreiecks-Helligkeit t^*



16stufige Reihen für konstanten CIELAB Buntton $269/360 = 0.747$ (rechts)

Eingabe: Farbmetrisches Fernseh-Licht-System TLS70

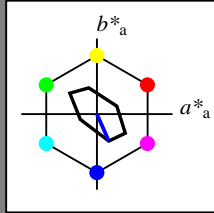
für Buntton $h^* = lab^*h = 294/360 = 0.816$

lab^*tch und lab^*nch

D65: Buntton V

LCH*Ma: 72 39 294

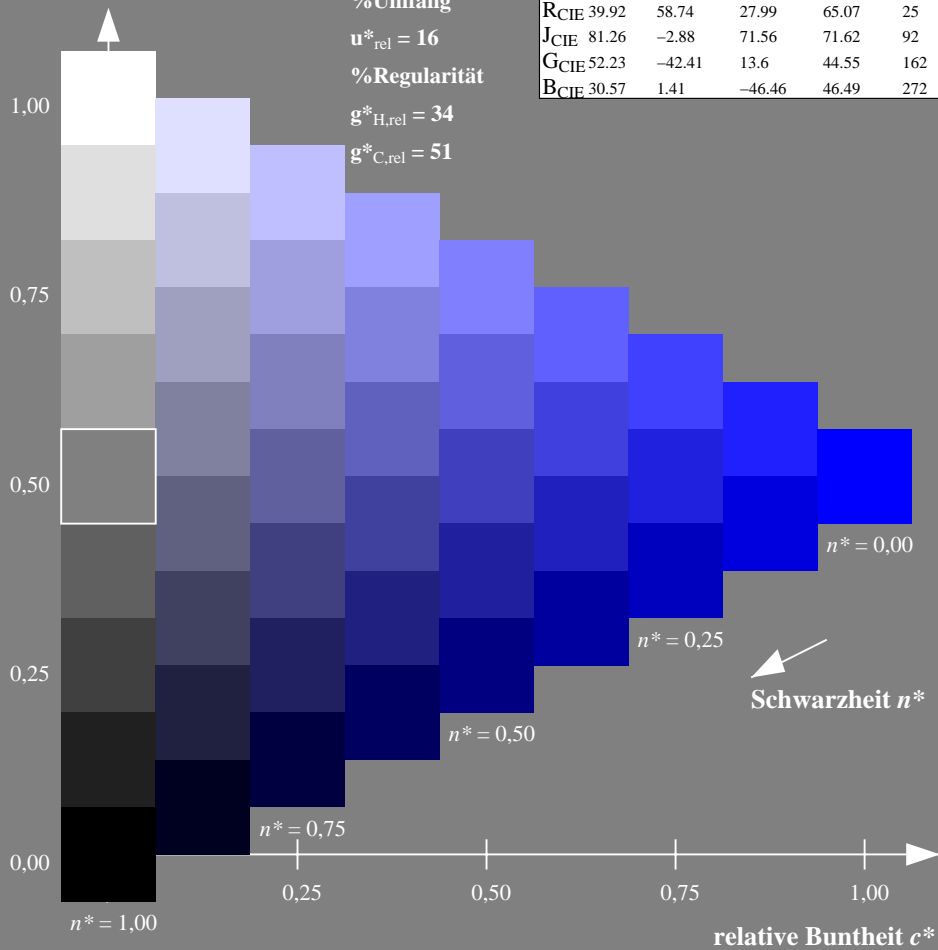
olv*Ma: 0.0 0.0 1.0



TLS70; adaptierte CIELAB-Daten

	$L^*=L^*_a$	a^*_a	b^*_a	$C^*_{ab,a}$	$h^*_{ab,a}$
O _{Ma}	76.43	26.27	10.57	28.32	22
Y _{Ma}	93.93	-10.76	34.63	36.27	107
L _{Ma}	89.32	-35.8	27.64	45.24	142
C _{Ma}	90.93	-21.95	-7.07	23.07	198
V _{Ma}	72.1	15.76	-35.63	38.97	294
M _{Ma}	78.5	37.52	-25.23	45.22	326
N _{Ma}	69.7	0.0	0.0	0.0	0
W _{Ma}	95.41	0.0	0.0	0.0	0
R _{CIE}	39.92	58.74	27.99	65.07	25
J _{CIE}	81.26	-2.88	71.56	71.62	92
G _{CIE}	52.23	-42.41	13.6	44.55	162
B _{CIE}	30.57	1.41	-46.46	46.49	272

Dreiecks-Helligkeit t^*



Ausgabe: Farbmetrisches Fernseh-Licht-System TLS18

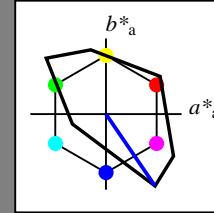
für Buntton $h^* = lab^*h = 304/360 = 0.845$

lab^*tch und lab^*nch

D65: Buntton V

LCH*Ma: 35 115 304

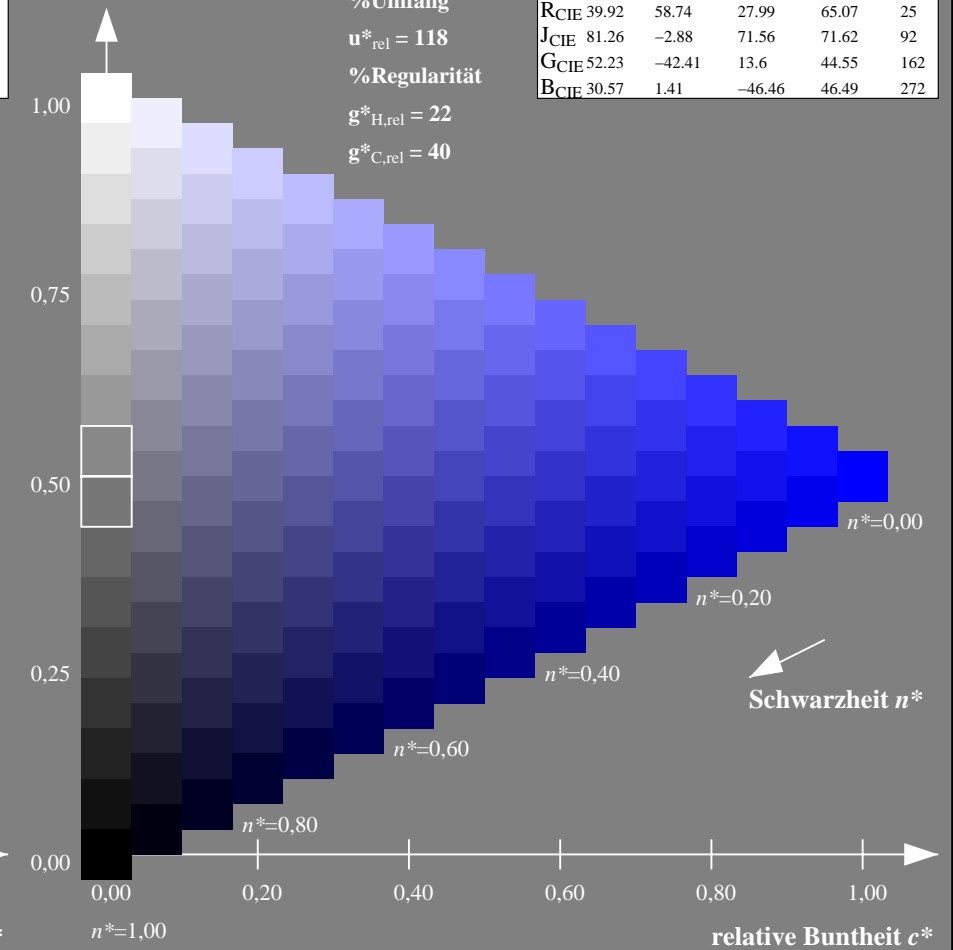
olv*Ma: 0.0 0.0 1.0



TLS18; adaptierte CIELAB-Daten

	$L^*=L^*_a$	a^*_a	b^*_a	$C^*_{ab,a}$	$h^*_{ab,a}$
O _{Ma}	52.76	71.63	49.88	87.29	35
Y _{Ma}	92.74	-20.02	84.97	87.3	103
L _{Ma}	84.0	-78.98	73.94	108.2	137
C _{Ma}	87.14	-44.41	-13.11	46.32	196
V _{Ma}	35.47	64.92	-95.06	115.12	304
M _{Ma}	59.01	89.33	-55.67	105.26	328
N _{Ma}	18.01	0.0	0.0	0.0	0
W _{Ma}	95.41	0.0	0.0	0.0	0
R _{CIE}	39.92	58.74	27.99	65.07	25
J _{CIE}	81.26	-2.88	71.56	71.62	92
G _{CIE}	52.23	-42.41	13.6	44.55	162
B _{CIE}	30.57	1.41	-46.46	46.49	272

Dreiecks-Helligkeit t^*



NG900-7, 9stufige Reihen für konstanten CIELAB Buntton $294/360 = 0.816$ (links)

16stufige Reihen für konstanten CIELAB Buntton $304/360 = 0.845$ (rechts)

Eingabe: Farbmetrisches Fernseh-Licht-System TLS70

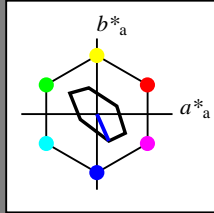
für Buntton $h^* = lab^*h = 294/360 = 0.816$

lab^*tch und lab^*nch

D65: Buntton V

LCH*Ma: 72 39 294

olv*Ma: 0.0 0.0 1.0



TLS70; adaptierte CIELAB-Daten

	$L^*=L^*_a$	a^*_a	b^*_a	$C^*_{ab,a}$	$h^*_{ab,a}$
O _{Ma}	76.43	26.27	10.57	28.32	22
Y _{Ma}	93.93	-10.76	34.63	36.27	107
L _{Ma}	89.32	-35.8	27.64	45.24	142
C _{Ma}	90.93	-21.95	-7.07	23.07	198
V _{Ma}	72.1	15.76	-35.63	38.97	294
M _{Ma}	78.5	37.52	-25.23	45.22	326
N _{Ma}	69.7	0.0	0.0	0.0	0
W _{Ma}	95.41	0.0	0.0	0.0	0
R _{CIE}	39.92	58.74	27.99	65.07	25
J _{CIE}	81.26	-2.88	71.56	71.62	92
G _{CIE}	52.23	-42.41	13.6	44.55	162
B _{CIE}	30.57	1.41	-46.46	46.49	272

Dreiecks-Helligkeit t^*

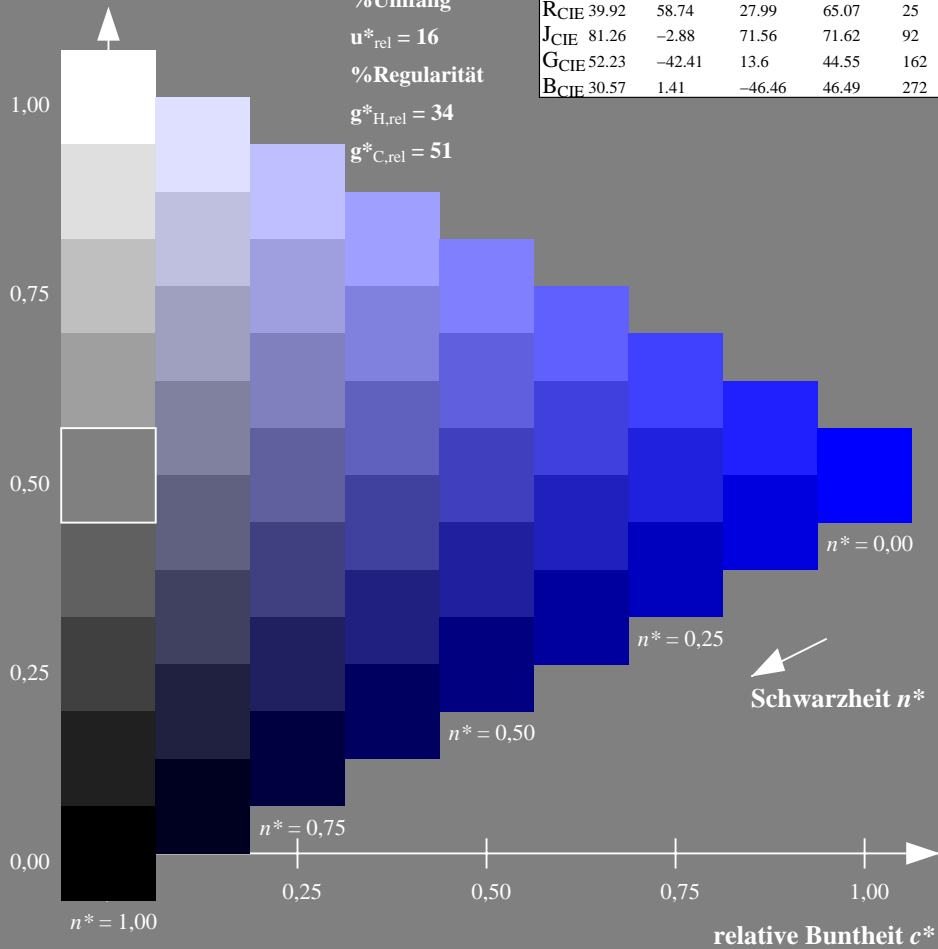
%Umfang

$u^*_{rel} = 16$

%Regularität

$g^*_{H,rel} = 34$

$g^*_{C,rel} = 51$



Ausgabe: Farbmetrisches Natürliches-Licht-System NLS00

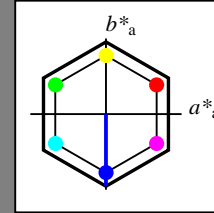
für Buntton $h^* = lab^*h = 270/360 = 0.75$

lab^*tch und lab^*nch

D65: Buntton V

LCH*Ma: 32 95 270

olv*Ma: 0.0 0.0 1.0



NLS00; adaptierte CIELAB-Daten

	$L^*=L^*_a$	a^*_a	b^*_a	$C^*_{ab,a}$	$h^*_{ab,a}$
O _{Ma}	31.81	82.62	47.7	95.4	30
Y _{Ma}	63.61	0.0	95.4	95.4	90
L _{Ma}	31.81	-82.61	47.7	95.4	150
C _{Ma}	63.61	-82.61	-47.69	95.4	210
V _{Ma}	31.81	0.0	-95.39	95.4	270
M _{Ma}	63.61	82.62	-47.69	95.4	330
N _{Ma}	0.01	0.0	0.0	0.0	0
W _{Ma}	95.41	0.0	0.0	0.0	0
R _{CIE}	39.92	58.74	27.99	65.07	25
J _{CIE}	81.26	-2.88	71.56	71.62	92
G _{CIE}	52.23	-42.41	13.6	44.55	162
B _{CIE}	30.57	1.41	-46.46	46.49	272

Dreiecks-Helligkeit t^*

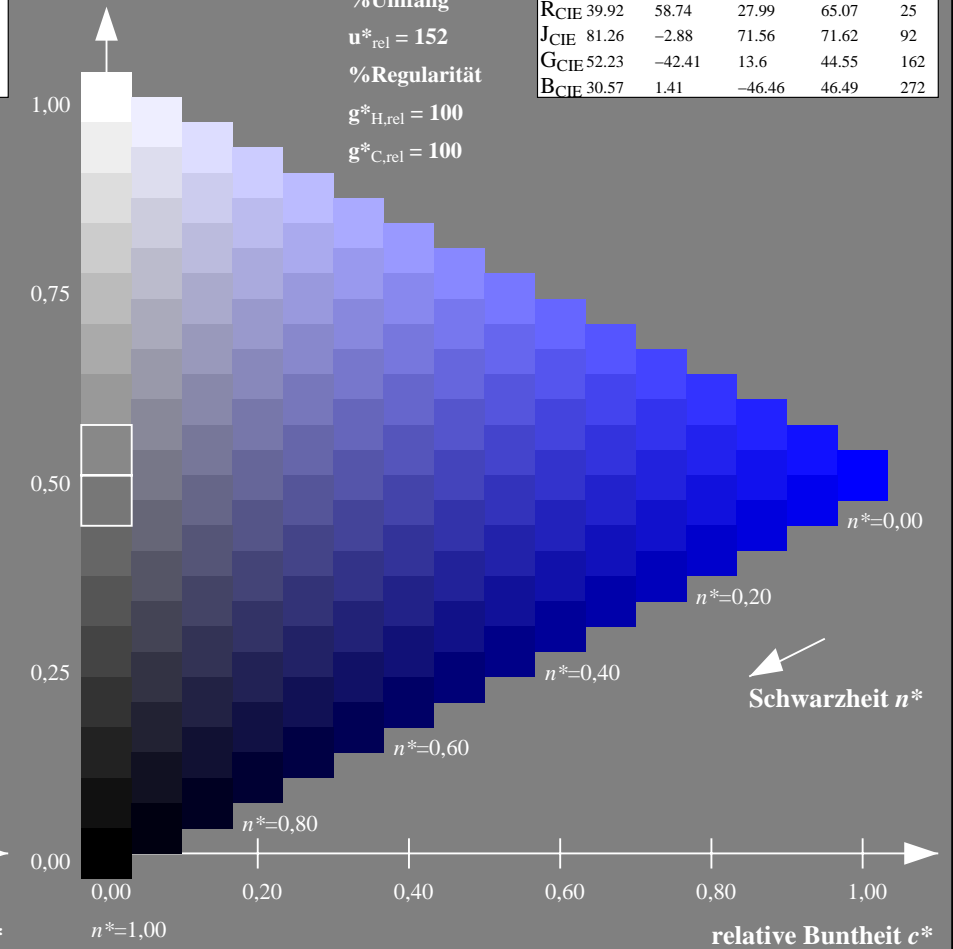
%Umfang

$u^*_{rel} = 152$

%Regularität

$g^*_{H,rel} = 100$

$g^*_{C,rel} = 100$



NG900-7, 9stufige Reihen für konstanten CIELAB Buntton $294/360 = 0.816$ (links)

16stufige Reihen für konstanten CIELAB Buntton $270/360 = 0.75$ (rechts)

Eingabe: Farbmetrisches Fernseh-Licht-System TLS70

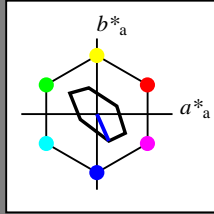
für Buntton $h^* = lab^*h = 294/360 = 0.816$

lab^*tch und lab^*nch

D65: Buntton V

LCH*Ma: 72 39 294

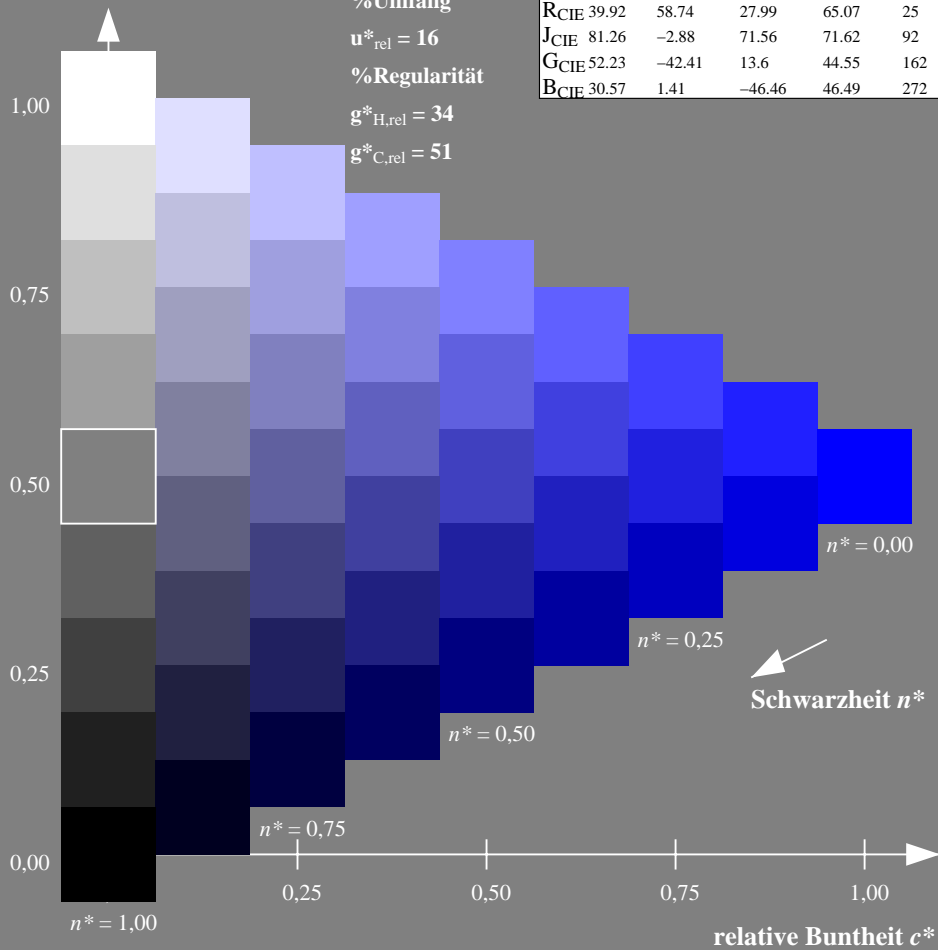
olv*Ma: 0.0 0.0 1.0



TLS70; adaptierte CIELAB-Daten

	$L^*=L^*_a$	a^*_a	b^*_a	$C^*_{ab,a}$	$h^*_{ab,a}$
OMa	76.43	26.27	10.57	28.32	22
YMa	93.93	-10.76	34.63	36.27	107
LMa	89.32	-35.8	27.64	45.24	142
CMa	90.93	-21.95	-7.07	23.07	198
VMa	72.1	15.76	-35.63	38.97	294
MMa	78.5	37.52	-25.23	45.22	326
NMa	69.7	0.0	0.0	0.0	0
WMa	95.41	0.0	0.0	0.0	0
RCIE	39.92	58.74	27.99	65.07	25
JCIE	81.26	-2.88	71.56	71.62	92
GCIE	52.23	-42.41	13.6	44.55	162
BCIE	30.57	1.41	-46.46	46.49	272

Dreiecks-Helligkeit t^*



NG900-7, 9stufige Reihen für konstanten CIELAB Buntton $294/360 = 0.816$ (links)

Ausgabe: Farbmetrisches Natürliches-Reflektiv-System NRS18

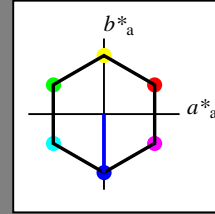
für Buntton $h^* = lab^*h = 270/360 = 0.75$

lab^*tch und lab^*nch

D65: Buntton V

LCH*Ma: 44 77 270

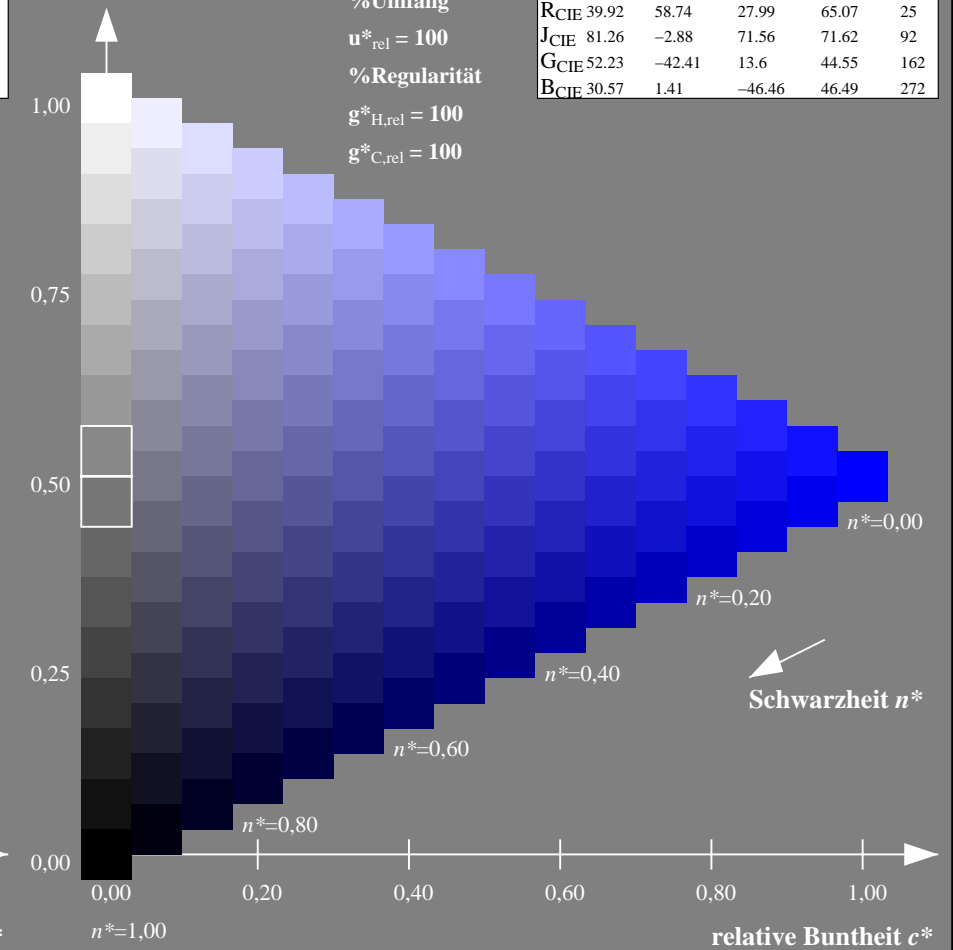
olv*Ma: 0.0 0.0 1.0



NRS18; adaptierte CIELAB-Daten

	$L^*=L^*_a$	a^*_a	b^*_a	$C^*_{ab,a}$	$h^*_{ab,a}$
OMa	43.81	67.03	38.7	77.4	30
YMa	69.61	0.0	77.4	77.4	90
LMa	43.81	-67.02	38.7	77.4	150
CMa	69.61	-67.02	-38.69	77.4	210
VMa	43.81	0.0	-77.39	77.4	270
MMa	69.61	67.03	-38.69	77.4	330
NMa	18.01	0.0	0.0	0.0	0
WMa	95.41	0.0	0.0	0.0	0
RCIE	39.92	58.74	27.99	65.07	25
JCIE	81.26	-2.88	71.56	71.62	92
GCIE	52.23	-42.41	13.6	44.55	162
BCIE	30.57	1.41	-46.46	46.49	272

Dreiecks-Helligkeit t^*



16stufige Reihen für konstanten CIELAB Buntton $270/360 = 0.75$ (rechts)

Eingabe: Farbmetrisches Fernseh-Licht-System TLS70

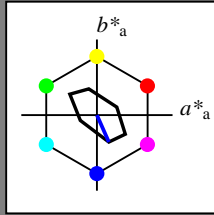
für Buntton $h^* = lab^*h = 294/360 = 0.816$

lab^*tch und lab^*nch

D65: Buntton V

LCH*Ma: 72 39 294

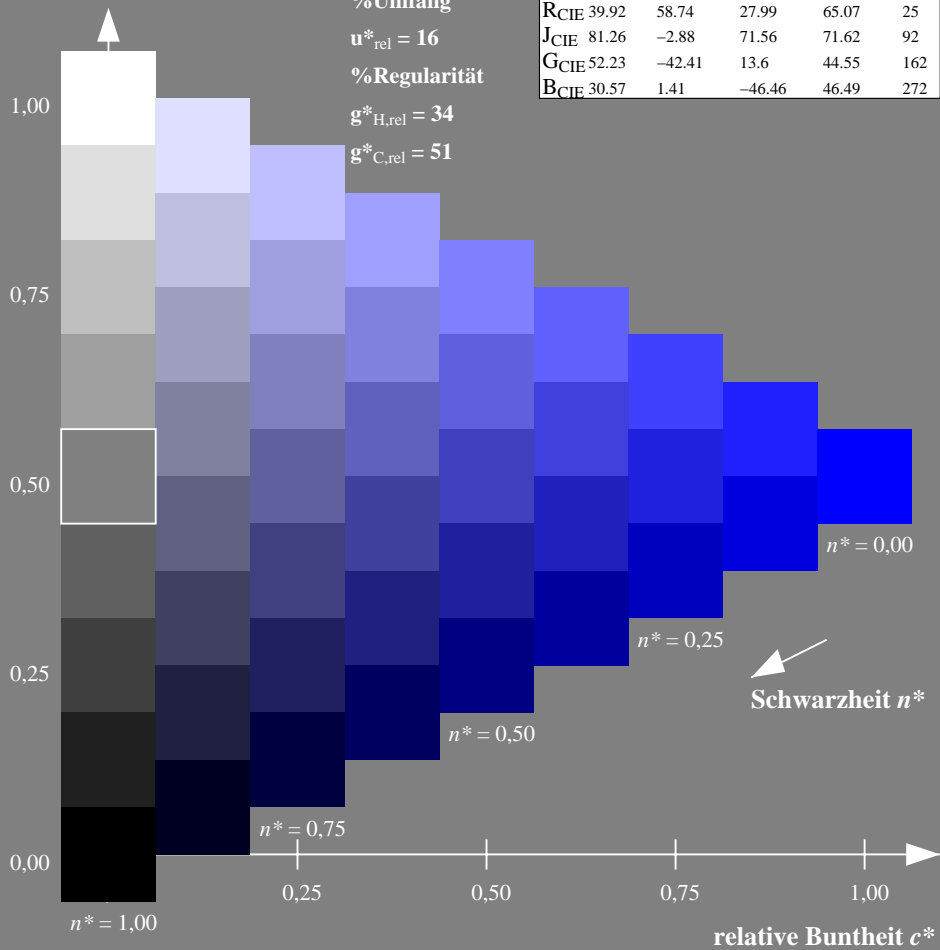
olv*Ma: 0.0 0.0 1.0



TLS70; adaptierte CIELAB-Daten

	$L^*=L^*_a$	a^*_a	b^*_a	$C^*_{ab,a}$	$h^*_{ab,a}$
OMa	76.43	26.27	10.57	28.32	22
YMa	93.93	-10.76	34.63	36.27	107
LMa	89.32	-35.8	27.64	45.24	142
CMa	90.93	-21.95	-7.07	23.07	198
VMa	72.1	15.76	-35.63	38.97	294
MMa	78.5	37.52	-25.23	45.22	326
NMa	69.7	0.0	0.0	0.0	0
WMa	95.41	0.0	0.0	0.0	0
RCIE	39.92	58.74	27.99	65.07	25
JCIE	81.26	-2.88	71.56	71.62	92
GCIE	52.23	-42.41	13.6	44.55	162
BCIE	30.57	1.41	-46.46	46.49	272

Dreiecks-Helligkeit t^*



NG900-7, 9stufige Reihen für konstanten CIELAB Buntton $294/360 = 0.816$ (links)

Ausgabe: Farbmetrisches Standard-Reflektiv-System SRS18

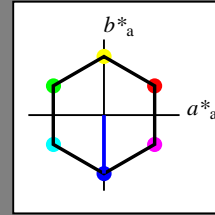
für Buntton $h^* = lab^*h = 270/360 = 0.75$

lab^*tch und lab^*nch

D65: Buntton V

LCH*Ma: 57 77 270

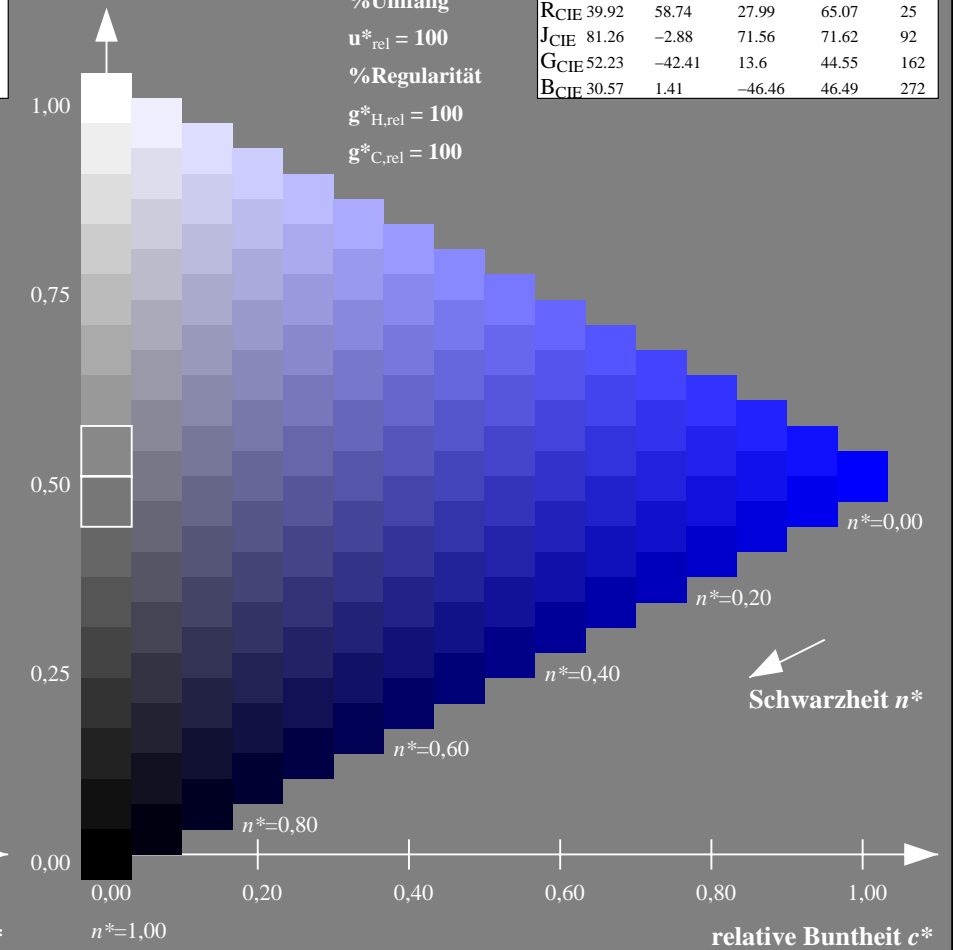
olv*Ma: 0.0 0.0 1.0



SRS18; adaptierte CIELAB-Daten

	$L^*=L^*_a$	a^*_a	b^*_a	$C^*_{ab,a}$	$h^*_{ab,a}$
OMa	56.71	67.03	38.7	77.4	30
YMa	56.71	0.0	77.4	77.4	90
LMa	56.71	-67.02	38.7	77.4	150
CMa	56.71	-67.02	-38.69	77.4	210
VMa	56.71	0.0	-77.39	77.4	270
MMa	56.71	67.03	-38.69	77.4	330
NMa	18.01	0.0	0.0	0.0	0
WMa	95.41	0.0	0.0	0.0	0
RCIE	39.92	58.74	27.99	65.07	25
JCIE	81.26	-2.88	71.56	71.62	92
GCIE	52.23	-42.41	13.6	44.55	162
BCIE	30.57	1.41	-46.46	46.49	272

Dreiecks-Helligkeit t^*



16stufige Reihen für konstanten CIELAB Buntton $270/360 = 0.75$ (rechts)

Eingabe: Farbmetrisches Fernseh-Licht-System TLS70

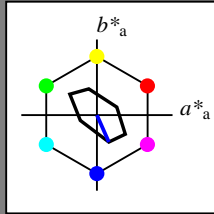
für Buntton $h^* = lab^*h = 294/360 = 0.816$

lab^*tch und lab^*nch

D65: Buntton V

LCH*Ma: 72 39 294

olv*Ma: 0.0 0.0 1.0



TLS70; adaptierte CIELAB-Daten

	$L^*=L^*_a$	a^*_a	b^*_a	$C^*_{ab,a}$	$h^*_{ab,a}$
O _{Ma}	76.43	26.27	10.57	28.32	22
Y _{Ma}	93.93	-10.76	34.63	36.27	107
L _{Ma}	89.32	-35.8	27.64	45.24	142
C _{Ma}	90.93	-21.95	-7.07	23.07	198
V _{Ma}	72.1	15.76	-35.63	38.97	294
M _{Ma}	78.5	37.52	-25.23	45.22	326
N _{Ma}	69.7	0.0	0.0	0.0	0
W _{Ma}	95.41	0.0	0.0	0.0	0
R _{CIE}	39.92	58.74	27.99	65.07	25
J _{CIE}	81.26	-2.88	71.56	71.62	92
G _{CIE}	52.23	-42.41	13.6	44.55	162
B _{CIE}	30.57	1.41	-46.46	46.49	272

Dreiecks-Helligkeit t^*

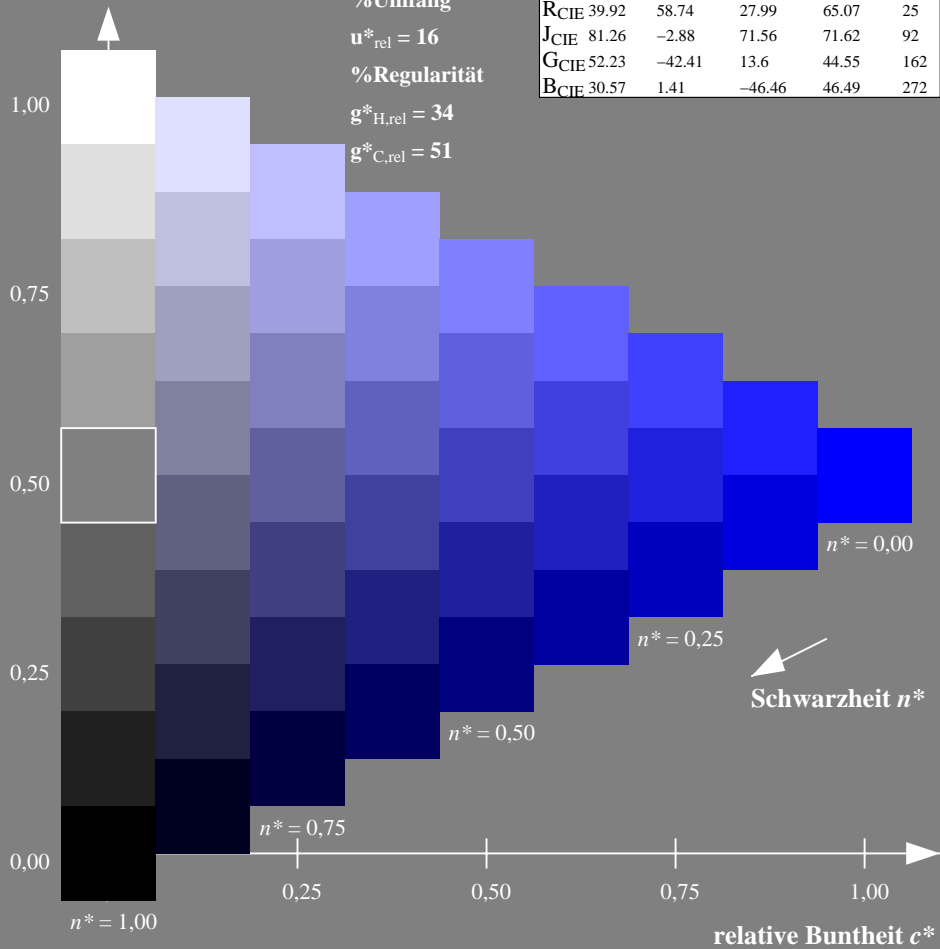
%Umfang

$u^*_{rel} = 16$

%Regularität

$g^*_{H,rel} = 34$

$g^*_{C,rel} = 51$



Ausgabe: Farbmetrisches Fernseh-Licht-System TLS70

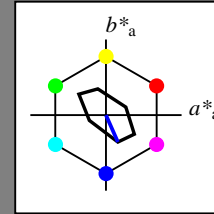
für Buntton $h^* = lab^*h = 294/360 = 0.816$

lab^*tch und lab^*nch

D65: Buntton V

LCH*Ma: 72 39 294

olv*Ma: 0.0 0.0 1.0



TLS70; adaptierte CIELAB-Daten

	$L^*=L^*_a$	a^*_a	b^*_a	$C^*_{ab,a}$	$h^*_{ab,a}$
O _{Ma}	76.43	26.27	10.57	28.32	22
Y _{Ma}	93.93	-10.76	34.63	36.27	107
L _{Ma}	89.32	-35.8	27.64	45.24	142
C _{Ma}	90.93	-21.95	-7.07	23.07	198
V _{Ma}	72.1	15.76	-35.63	38.97	294
M _{Ma}	78.5	37.52	-25.23	45.22	326
N _{Ma}	69.7	0.0	0.0	0.0	0
W _{Ma}	95.41	0.0	0.0	0.0	0
R _{CIE}	39.92	58.74	27.99	65.07	25
J _{CIE}	81.26	-2.88	71.56	71.62	92
G _{CIE}	52.23	-42.41	13.6	44.55	162
B _{CIE}	30.57	1.41	-46.46	46.49	272

Dreiecks-Helligkeit t^*

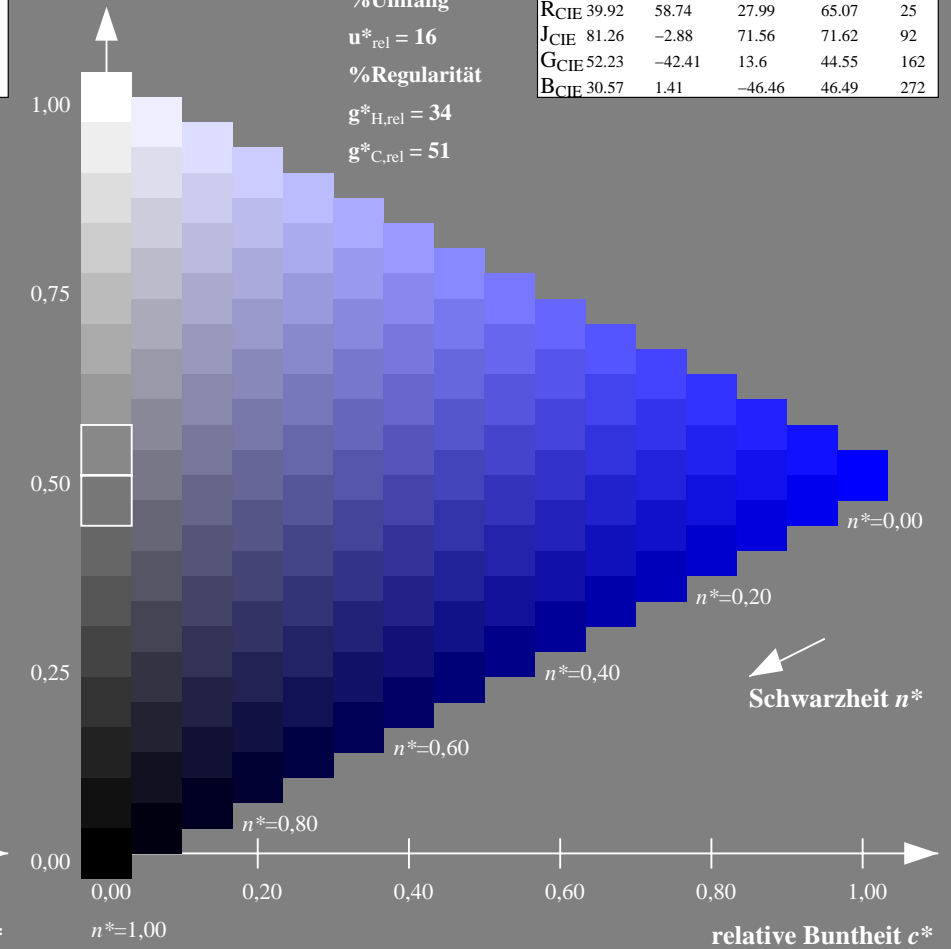
%Umfang

$u^*_{rel} = 16$

%Regularität

$g^*_{H,rel} = 34$

$g^*_{C,rel} = 51$



NG900-7, 9stufige Reihen für konstanten CIELAB Buntton $294/360 = 0.816$ (links)

16stufige Reihen für konstanten CIELAB Buntton $294/360 = 0.816$ (rechts)

Eingabe: Farbmetrisches Offset-Reflektiv-System ORS18

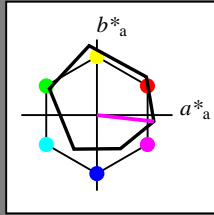
für Buntton $h^* = lab^*h = 354/360 = 0.982$

lab^*tch und lab^*nch

D65: Buntton M

LCH*Ma: 48 76 354

olv*Ma: 1.0 0.0 1.0



ORS18; adaptierte CIELAB-Daten

	$L^*=L^*_a$	a^*_a	b^*_a	$C^*_{ab,a}$	$h^*_{ab,a}$
O _{Ma}	47.94	65.39	50.52	82.63	38
Y _{Ma}	90.37	-10.26	91.75	92.32	96
L _{Ma}	50.9	-62.83	34.96	71.91	151
C _{Ma}	58.62	-30.34	-45.01	54.3	236
V _{Ma}	25.72	31.1	-44.4	54.22	305
M _{Ma}	48.13	75.28	-8.36	75.74	354
N _{Ma}	18.01	0.0	0.0	0.0	0
W _{Ma}	95.41	0.0	0.0	0.0	0
R _{CIE}	39.92	58.66	26.98	64.57	25
J _{CIE}	81.26	-2.16	67.76	67.79	92
G _{CIE}	52.23	-42.25	11.76	43.87	164
B _{CIE}	30.57	1.15	-46.84	46.86	271

Dreiecks-Helligkeit t^*

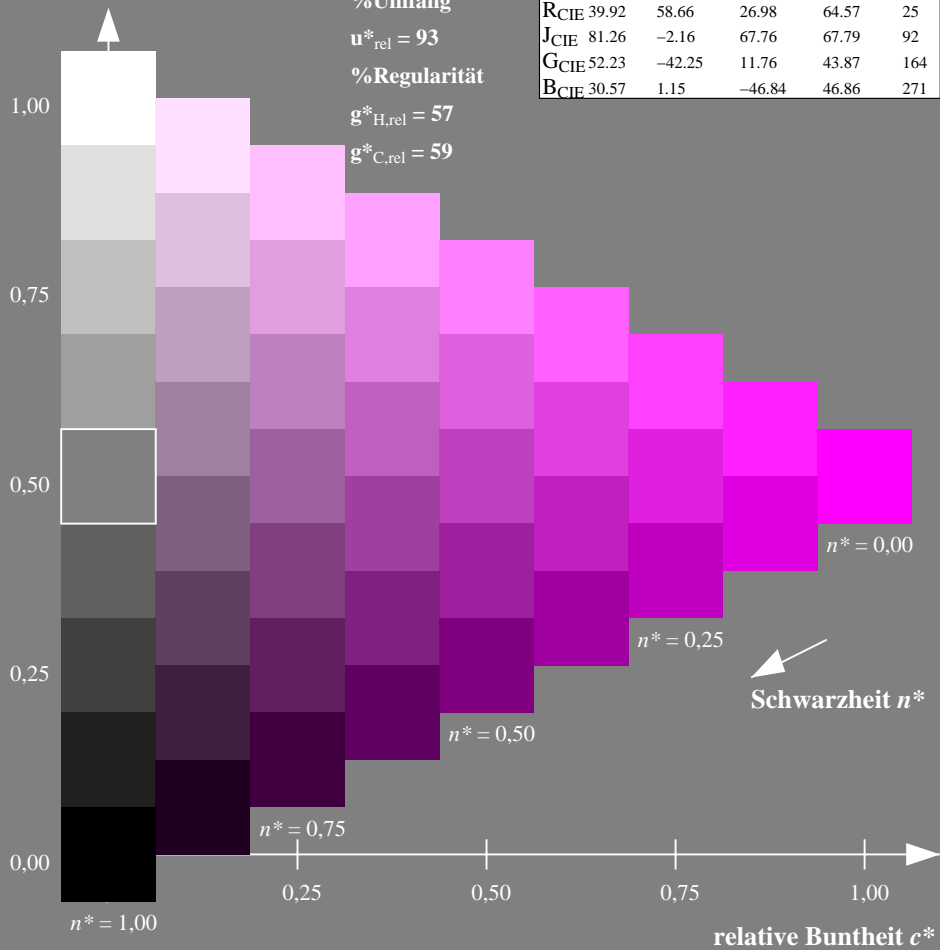
%Umfang

$u^*_{rel} = 93$

%Regularität

$g^*_{H,rel} = 57$

$g^*_{C,rel} = 59$



Ausgabe: Farbmetrisches Offset-Reflektiv-System ORS18

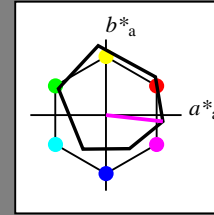
für Buntton $h^* = lab^*h = 354/360 = 0.982$

lab^*tch und lab^*nch

D65: Buntton M

LCH*Ma: 48 76 354

olv*Ma: 1.0 0.0 1.0



ORS18; adaptierte CIELAB-Daten

	$L^*=L^*_a$	a^*_a	b^*_a	$C^*_{ab,a}$	$h^*_{ab,a}$
O _{Ma}	47.94	65.39	50.52	82.63	38
Y _{Ma}	90.37	-10.26	91.75	92.32	96
L _{Ma}	50.9	-62.83	34.96	71.91	151
C _{Ma}	58.62	-30.34	-45.01	54.3	236
V _{Ma}	25.72	31.1	-44.4	54.22	305
M _{Ma}	48.13	75.28	-8.36	75.74	354
N _{Ma}	18.01	0.0	0.0	0.0	0
W _{Ma}	95.41	0.0	0.0	0.0	0
R _{CIE}	39.92	58.66	26.98	64.57	25
J _{CIE}	81.26	-2.16	67.76	67.79	92
G _{CIE}	52.23	-42.25	11.76	43.87	164
B _{CIE}	30.57	1.15	-46.84	46.86	271

Dreiecks-Helligkeit t^*

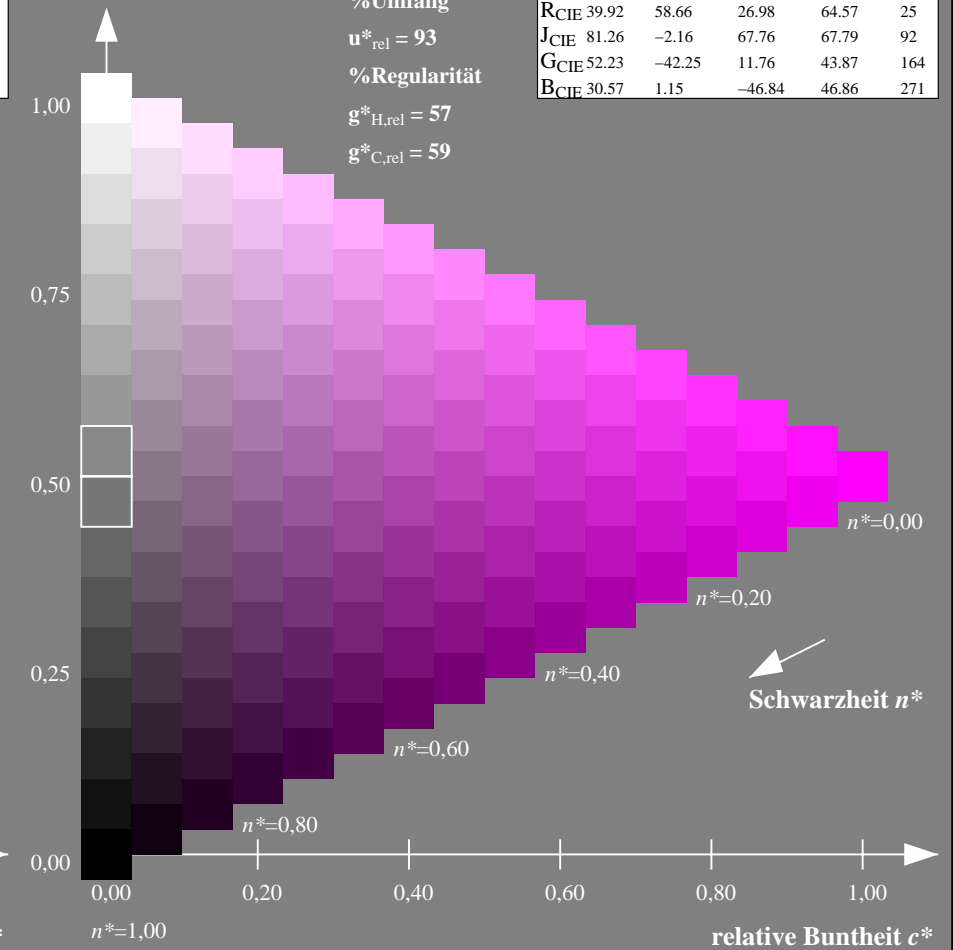
%Umfang

$u^*_{rel} = 93$

%Regularität

$g^*_{H,rel} = 57$

$g^*_{C,rel} = 59$



NG900-7, 9stufige Reihen für konstanten CIELAB Buntton 354/360 = 0.982 (links)

16stufige Reihen für konstanten CIELAB Buntton 354/360 = 0.982 (rechts)

Eingabe: Farbmetrisches Offset-Reflektiv-System ORS18

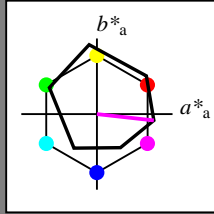
für Buntton $h^* = lab^*h = 354/360 = 0.982$

lab^*tch und lab^*nch

D65: Buntton M

LCH*Ma: 48 76 354

olv*Ma: 1.0 0.0 1.0



ORS18; adaptierte CIELAB-Daten

	$L^*=L^*_a$	a^*_a	b^*_a	$C^*_{ab,a}$	$h^*_{ab,a}$
OMa	47.94	65.39	50.52	82.63	38
YMa	90.37	-10.26	91.75	92.32	96
LMa	50.9	-62.83	34.96	71.91	151
CMa	58.62	-30.34	-45.01	54.3	236
VMa	25.72	31.1	-44.4	54.22	305
MMa	48.13	75.28	-8.36	75.74	354
NMa	18.01	0.0	0.0	0.0	0
WMa	95.41	0.0	0.0	0.0	0
RCIE	39.92	58.66	26.98	64.57	25
JCIE	81.26	-2.16	67.76	67.79	92
GCIE	52.23	-42.25	11.76	43.87	164
BCIE	30.57	1.15	-46.84	46.86	271

Dreiecks-Helligkeit t^*

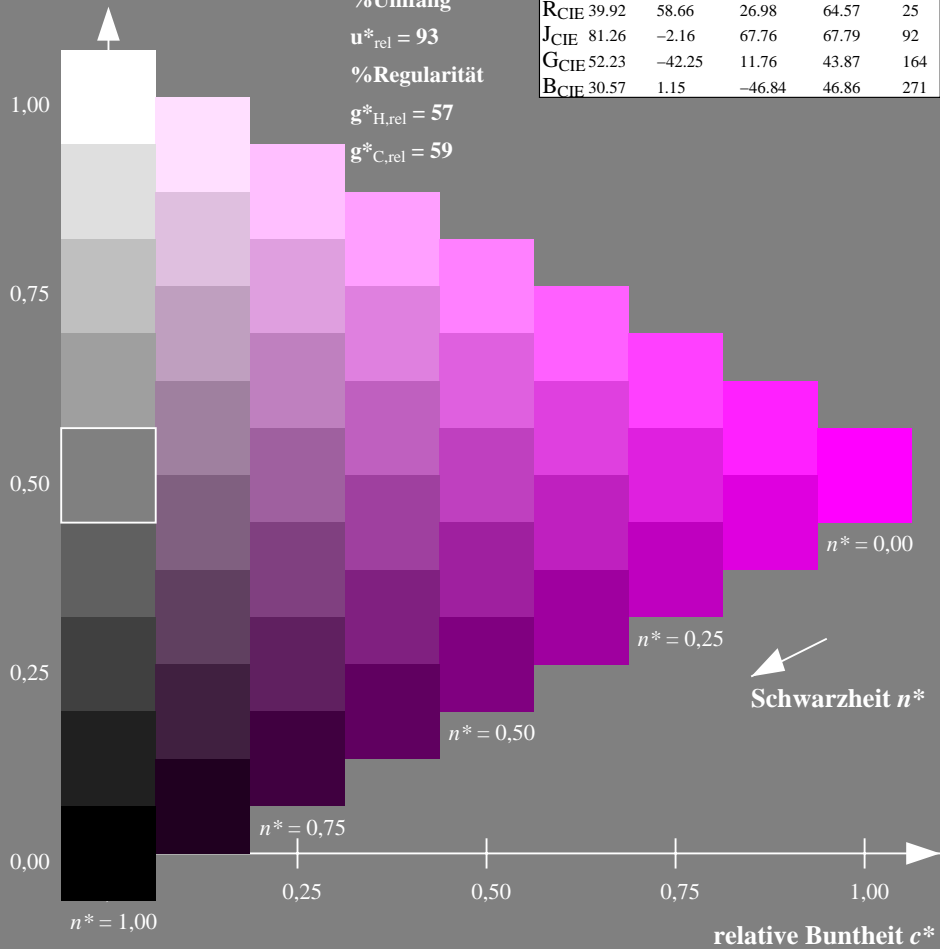
%Umfang

$u^*_{rel} = 93$

%Regularität

$g^*_{H,rel} = 57$

$g^*_{C,rel} = 59$



Ausgabe: Farbmetrisches Fernseh-Licht-System TLS00

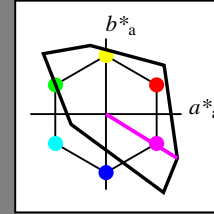
für Buntton $h^* = lab^*h = 328/360 = 0.912$

lab^*tch und lab^*nch

D65: Buntton M

LCH*Ma: 57 111 328

olv*Ma: 1.0 0.0 1.0



TLS00; adaptierte CIELAB-Daten

	$L^*=L^*_a$	a^*_a	b^*_a	$C^*_{ab,a}$	$h^*_{ab,a}$
OMa	50.5	76.92	64.55	100.42	40
YMa	92.66	-20.69	90.75	93.08	103
LMa	83.63	-82.75	79.9	115.04	136
CMa	86.88	-46.16	-13.55	48.12	196
VMa	30.39	76.06	-103.59	128.52	306
MMa	57.3	94.35	-58.41	110.97	328
NMa	0.01	0.0	0.0	0.0	0
WMa	95.41	0.0	0.0	0.0	0
RCIE	39.92	58.74	27.99	65.07	25
JCIE	81.26	-2.88	71.56	71.62	92
GCIE	52.23	-42.41	13.6	44.55	162
BCIE	30.57	1.41	-46.46	46.49	272

Dreiecks-Helligkeit t^*

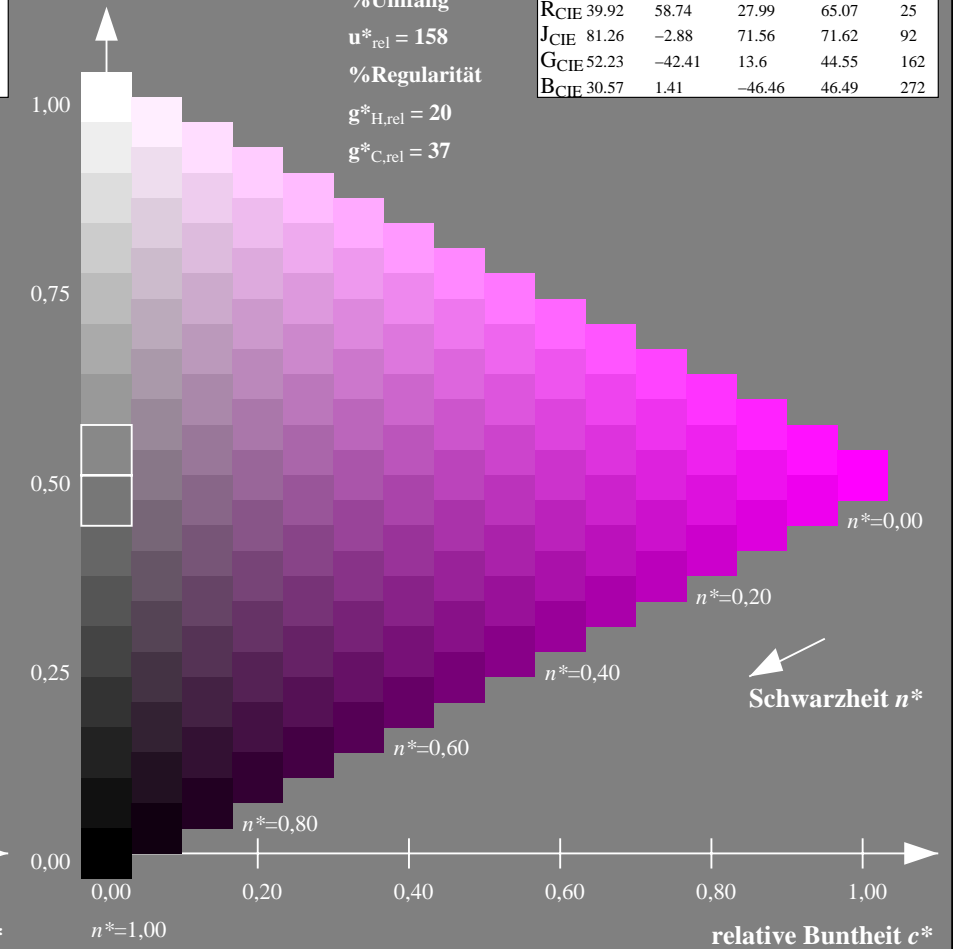
%Umfang

$u^*_{rel} = 158$

%Regularität

$g^*_{H,rel} = 20$

$g^*_{C,rel} = 37$



NG900-7, 9stufige Reihen für konstanten CIELAB Buntton $354/360 = 0.982$ (links)

16stufige Reihen für konstanten CIELAB Buntton $328/360 = 0.912$ (rechts)

Eingabe: Farbmetrisches Offset-Reflektiv-System ORS18

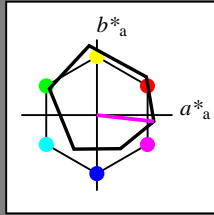
für Buntton $h^* = lab^*h = 354/360 = 0.982$

lab^*tch und lab^*nch

D65: Buntton M

LCH*Ma: 48 76 354

olv*Ma: 1.0 0.0 1.0



ORS18; adaptierte CIELAB-Daten

	$L^*=L^*_a$	a^*_a	b^*_a	$C^*_{ab,a}$	$h^*_{ab,a}$
OMa	47.94	65.39	50.52	82.63	38
YMa	90.37	-10.26	91.75	92.32	96
LMa	50.9	-62.83	34.96	71.91	151
CMa	58.62	-30.34	-45.01	54.3	236
VMa	25.72	31.1	-44.4	54.22	305
MMa	48.13	75.28	-8.36	75.74	354
NMa	18.01	0.0	0.0	0.0	0
WMa	95.41	0.0	0.0	0.0	0
RCIE	39.92	58.66	26.98	64.57	25
JCIE	81.26	-2.16	67.76	67.79	92
GCIE	52.23	-42.25	11.76	43.87	164
BCIE	30.57	1.15	-46.84	46.86	271

Dreiecks-Helligkeit t^*

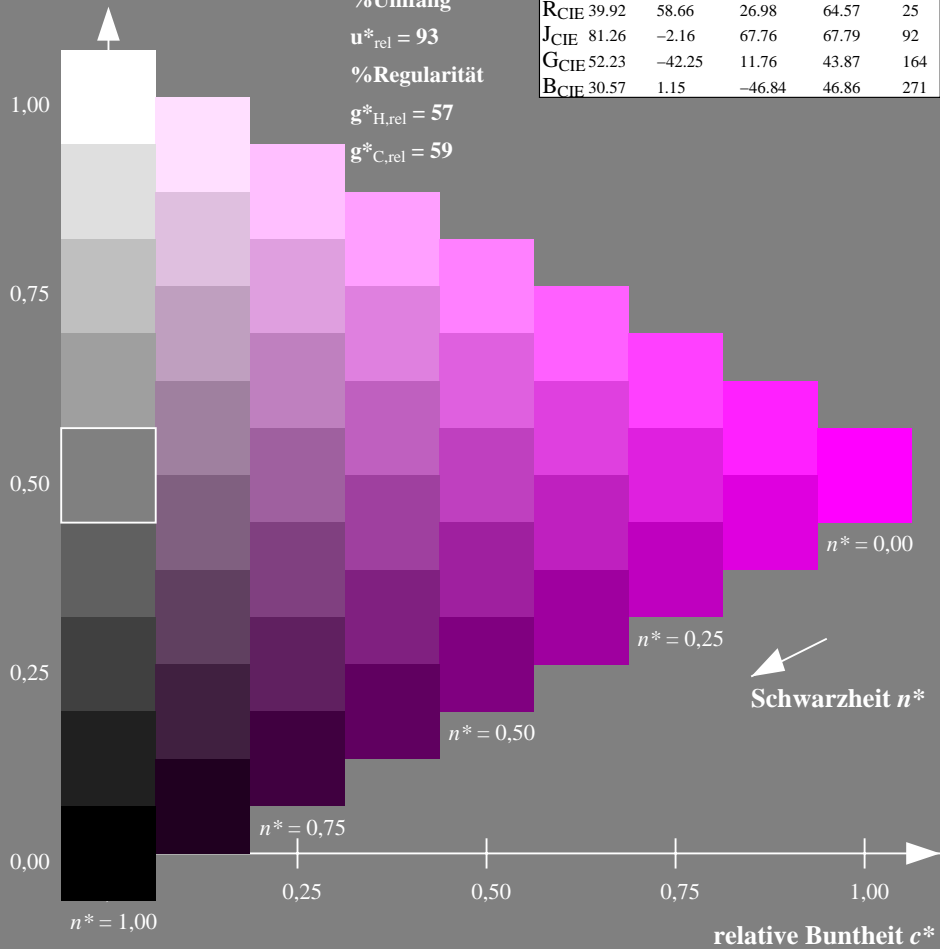
%Umfang

$u^*_{rel} = 93$

%Regularität

$g^*_{H,rel} = 57$

$g^*_{C,rel} = 59$



Ausgabe: Farbmetrisches Drucker-Reflektiv-System DRSXX

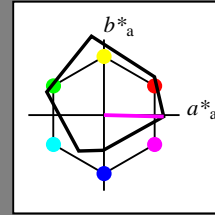
für Buntton $h^* = lab^*h = 359/360 = 0.996$

lab^*tch und lab^*nch

D65: Buntton M

LCH*Ma: 43 79 359

olv*Ma: 1.0 0.0 1.0



DRSXX; adaptierte CIELAB-Daten

	$L^*=L^*_a$	a^*_a	b^*_a	$C^*_{ab,a}$	$h^*_{ab,a}$
OMa	42.21	66.82	50.6	83.82	37
YMa	90.32	-16.51	104.33	105.63	99
LMa	48.21	-75.63	30.65	81.61	158
CMa	53.44	-33.33	-47.49	58.03	235
VMa	34.16	-0.92	-46.56	46.58	269
MMa	42.71	79.0	-1.95	79.03	359
NMa	16.56	0.0	0.0	0.0	0
WMa	96.31	0.0	0.0	0.0	0
RCIE	39.92	59.78	25.77	65.1	23
JCIE	81.26	-2.51	69.07	69.11	92
GCIE	52.23	-41.57	11.3	43.09	165
BCIE	30.57	2.6	-48.62	48.7	273

Dreiecks-Helligkeit t^*

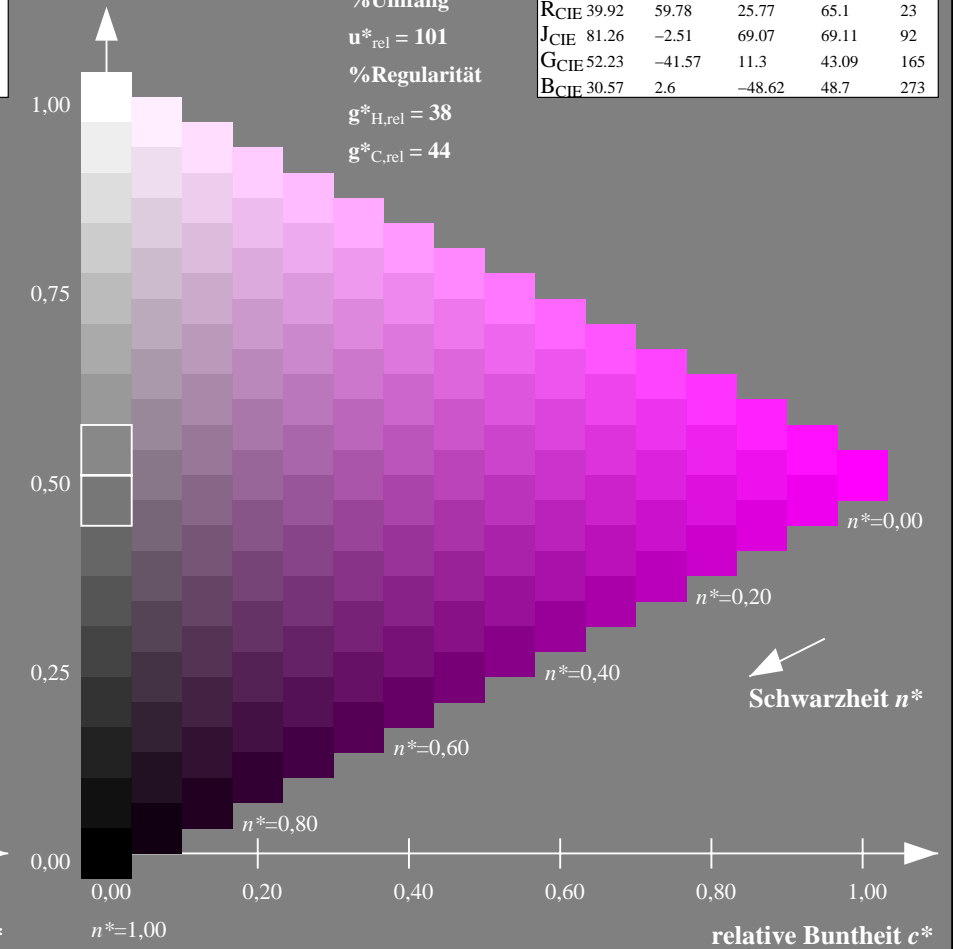
%Umfang

$u^*_{rel} = 101$

%Regularität

$g^*_{H,rel} = 38$

$g^*_{C,rel} = 44$



NG900-7, 9stufige Reihen für konstanten CIELAB Buntton $354/360 = 0.982$ (links)

16stufige Reihen für konstanten CIELAB Buntton $359/360 = 0.996$ (rechts)

Eingabe: Farbmetrisches Offset-Reflektiv-System ORS18

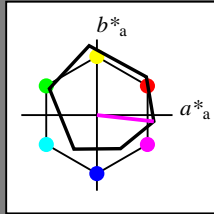
für Buntton $h^* = lab^*h = 354/360 = 0.982$

lab^*tch und lab^*nch

D65: Buntton M

LCH*Ma: 48 76 354

olv*Ma: 1.0 0.0 1.0



ORS18; adaptierte CIELAB-Daten

	$L^*=L^*_a$	a^*_a	b^*_a	$C^*_{ab,a}$	$h^*_{ab,a}$
OMa	47.94	65.39	50.52	82.63	38
YMa	90.37	-10.26	91.75	92.32	96
LMa	50.9	-62.83	34.96	71.91	151
CMa	58.62	-30.34	-45.01	54.3	236
VMa	25.72	31.1	-44.4	54.22	305
MMa	48.13	75.28	-8.36	75.74	354
NMa	18.01	0.0	0.0	0.0	0
WMa	95.41	0.0	0.0	0.0	0
RCIE	39.92	58.66	26.98	64.57	25
JCIE	81.26	-2.16	67.76	67.79	92
GCIE	52.23	-42.25	11.76	43.87	164
BCIE	30.57	1.15	-46.84	46.86	271

Dreiecks-Helligkeit t^*

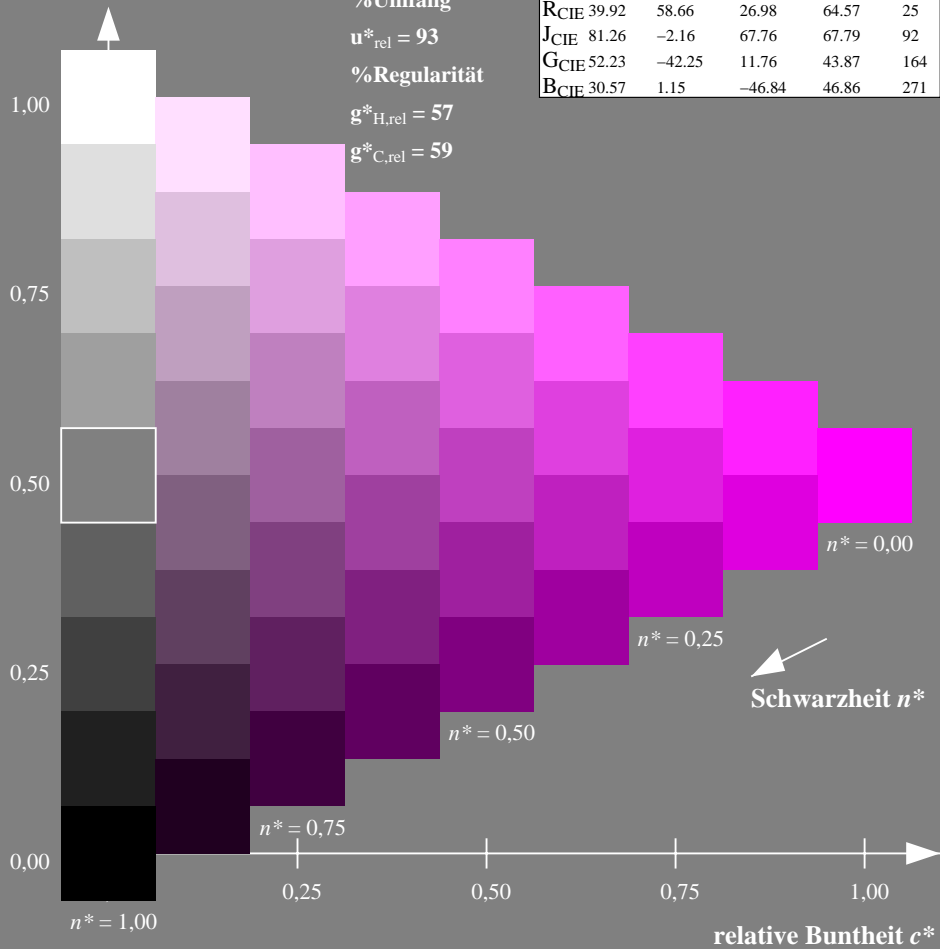
%Umfang

$u^*_{rel} = 93$

%Regularität

$g^*_{H,rel} = 57$

$g^*_{C,rel} = 59$



Ausgabe: Farbmetrisches Fernseh-Licht-System TLS18

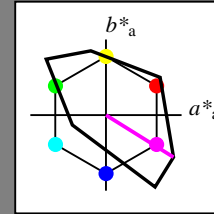
für Buntton $h^* = lab^*h = 328/360 = 0.911$

lab^*tch und lab^*nch

D65: Buntton M

LCH*Ma: 59 105 328

olv*Ma: 1.0 0.0 1.0



TLS18; adaptierte CIELAB-Daten

	$L^*=L^*_a$	a^*_a	b^*_a	$C^*_{ab,a}$	$h^*_{ab,a}$
OMa	52.76	71.63	49.88	87.29	35
YMa	92.74	-20.02	84.97	87.3	103
LMa	84.0	-78.98	73.94	108.2	137
CMa	87.14	-44.41	-13.11	46.32	196
VMa	35.47	64.92	-95.06	115.12	304
MMa	59.01	89.33	-55.67	105.26	328
NMa	18.01	0.0	0.0	0.0	0
WMa	95.41	0.0	0.0	0.0	0
RCIE	39.92	58.74	27.99	65.07	25
JCIE	81.26	-2.88	71.56	71.62	92
GCIE	52.23	-42.41	13.6	44.55	162
BCIE	30.57	1.41	-46.46	46.49	272

Dreiecks-Helligkeit t^*

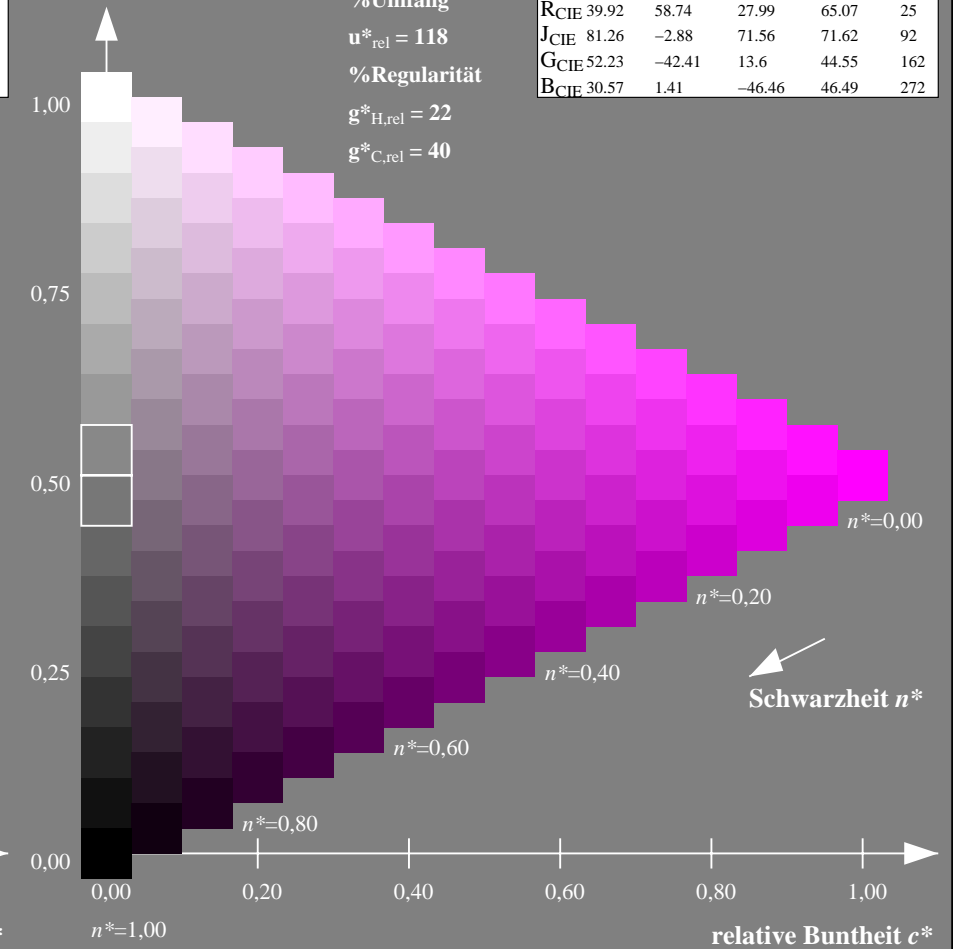
%Umfang

$u^*_{rel} = 118$

%Regularität

$g^*_{H,rel} = 22$

$g^*_{C,rel} = 40$



NG900-7, 9stufige Reihen für konstanten CIELAB Buntton $354/360 = 0.982$ (links)

16stufige Reihen für konstanten CIELAB Buntton $328/360 = 0.911$ (rechts)

Eingabe: Farbmetrisches Offset-Reflektiv-System ORS18

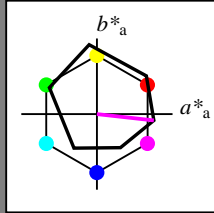
für Buntton $h^* = lab^*h = 354/360 = 0.982$

lab^*tch und lab^*nch

D65: Buntton M

LCH*Ma: 48 76 354

olv*Ma: 1.0 0.0 1.0



ORS18; adaptierte CIELAB-Daten

	$L^*=L^*_a$	a^*_a	b^*_a	$C^*_{ab,a}$	$h^*_{ab,a}$
OMa	47.94	65.39	50.52	82.63	38
YMa	90.37	-10.26	91.75	92.32	96
LMa	50.9	-62.83	34.96	71.91	151
CMa	58.62	-30.34	-45.01	54.3	236
VMa	25.72	31.1	-44.4	54.22	305
MMa	48.13	75.28	-8.36	75.74	354
NMa	18.01	0.0	0.0	0.0	0
WMa	95.41	0.0	0.0	0.0	0
RCIE	39.92	58.66	26.98	64.57	25
JCIE	81.26	-2.16	67.76	67.79	92
GCIE	52.23	-42.25	11.76	43.87	164
BCIE	30.57	1.15	-46.84	46.86	271

Dreiecks-Helligkeit t^*

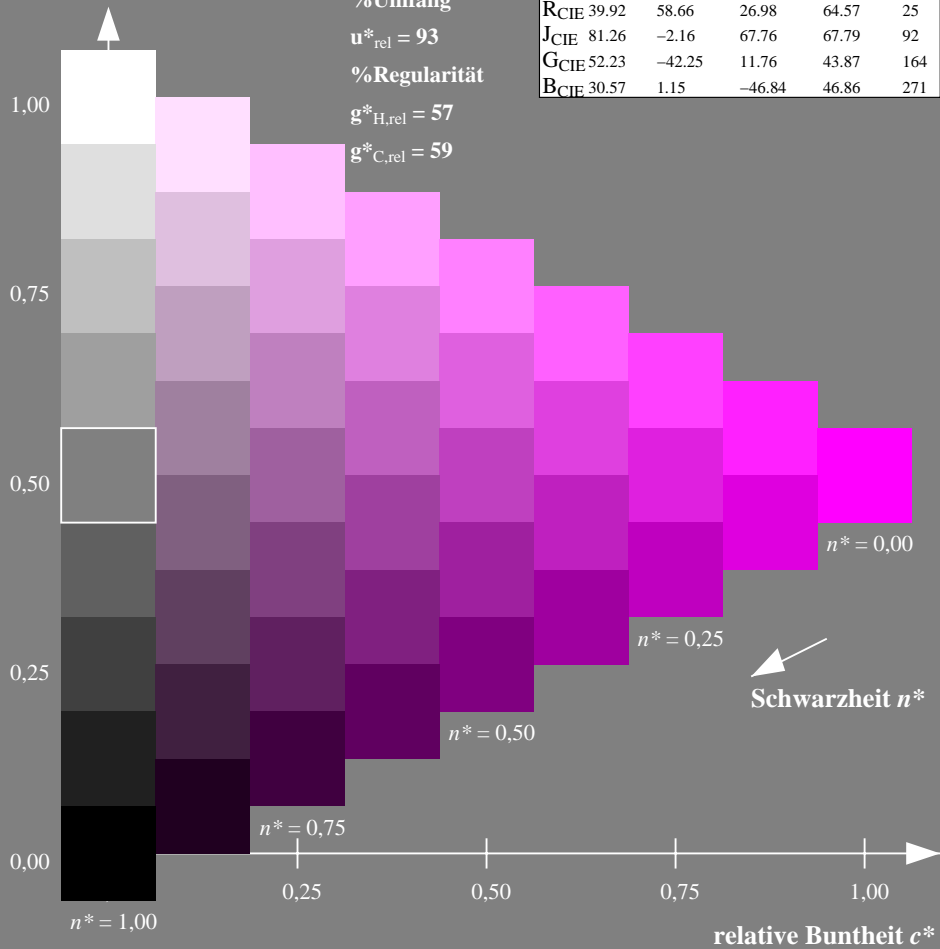
%Umfang

$u^*_{rel} = 93$

%Regularität

$g^*_{H,rel} = 57$

$g^*_{C,rel} = 59$



Ausgabe: Farbmetrisches Natürliches-Licht-System NLS00

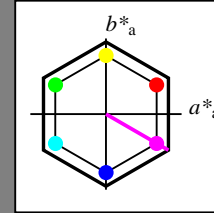
für Buntton $h^* = lab^*h = 330/360 = 0.917$

lab^*tch und lab^*nch

D65: Buntton M

LCH*Ma: 64 95 330

olv*Ma: 1.0 0.0 1.0



NLS00; adaptierte CIELAB-Daten

	$L^*=L^*_a$	a^*_a	b^*_a	$C^*_{ab,a}$	$h^*_{ab,a}$
OMa	31.81	82.62	47.7	95.4	30
YMa	63.61	0.0	95.4	95.4	90
LMa	31.81	-82.61	47.7	95.4	150
CMa	63.61	-82.61	-47.69	95.4	210
VMa	31.81	0.0	-95.39	95.4	270
MMa	63.61	82.62	-47.69	95.4	330
NMa	0.01	0.0	0.0	0.0	0
WMa	95.41	0.0	0.0	0.0	0
RCIE	39.92	58.74	27.99	65.07	25
JCIE	81.26	-2.88	71.56	71.62	92
GCIE	52.23	-42.41	13.6	44.55	162
BCIE	30.57	1.41	-46.46	46.49	272

Dreiecks-Helligkeit t^*

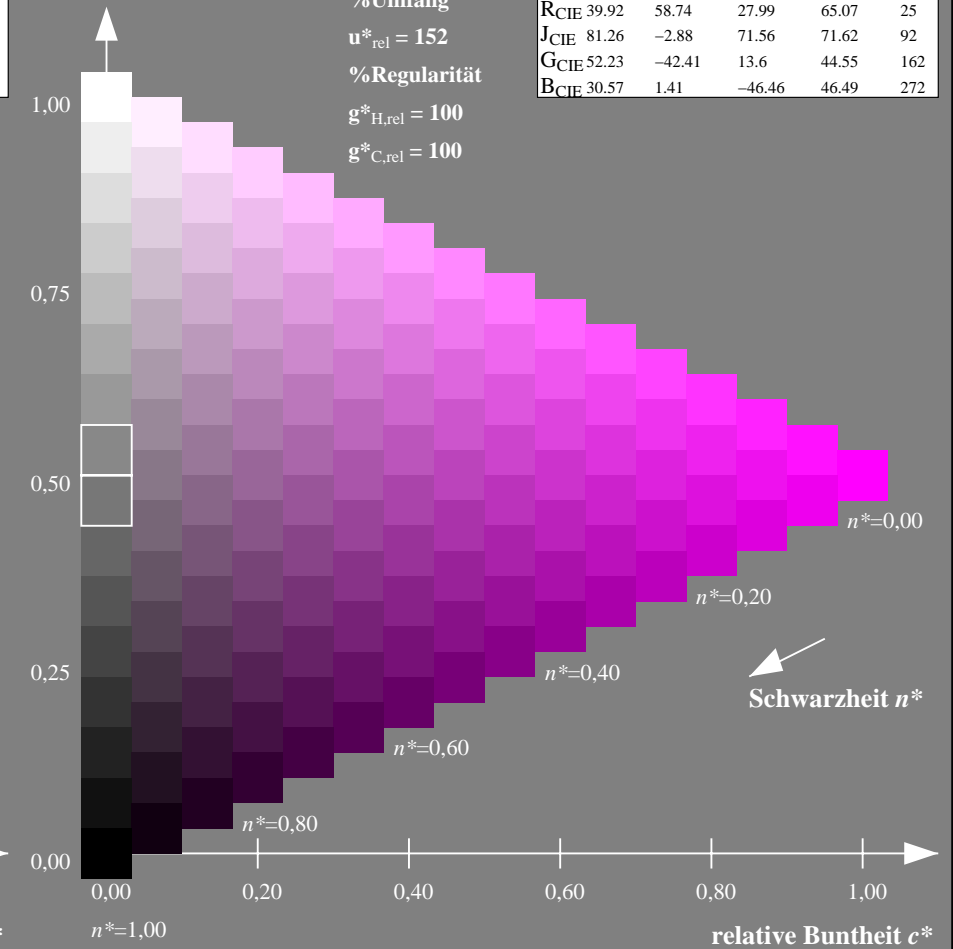
%Umfang

$u^*_{rel} = 152$

%Regularität

$g^*_{H,rel} = 100$

$g^*_{C,rel} = 100$



NG900-7, 9stufige Reihen für konstanten CIELAB Buntton $354/360 = 0.982$ (links)

16stufige Reihen für konstanten CIELAB Buntton $330/360 = 0.917$ (rechts)

Eingabe: Farbmetrisches Offset-Reflektiv-System ORS18

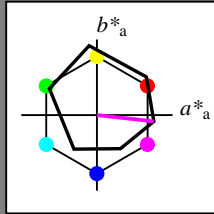
für Buntton $h^* = lab^*h = 354/360 = 0.982$

lab^*tch und lab^*nch

D65: Buntton M

LCH*Ma: 48 76 354

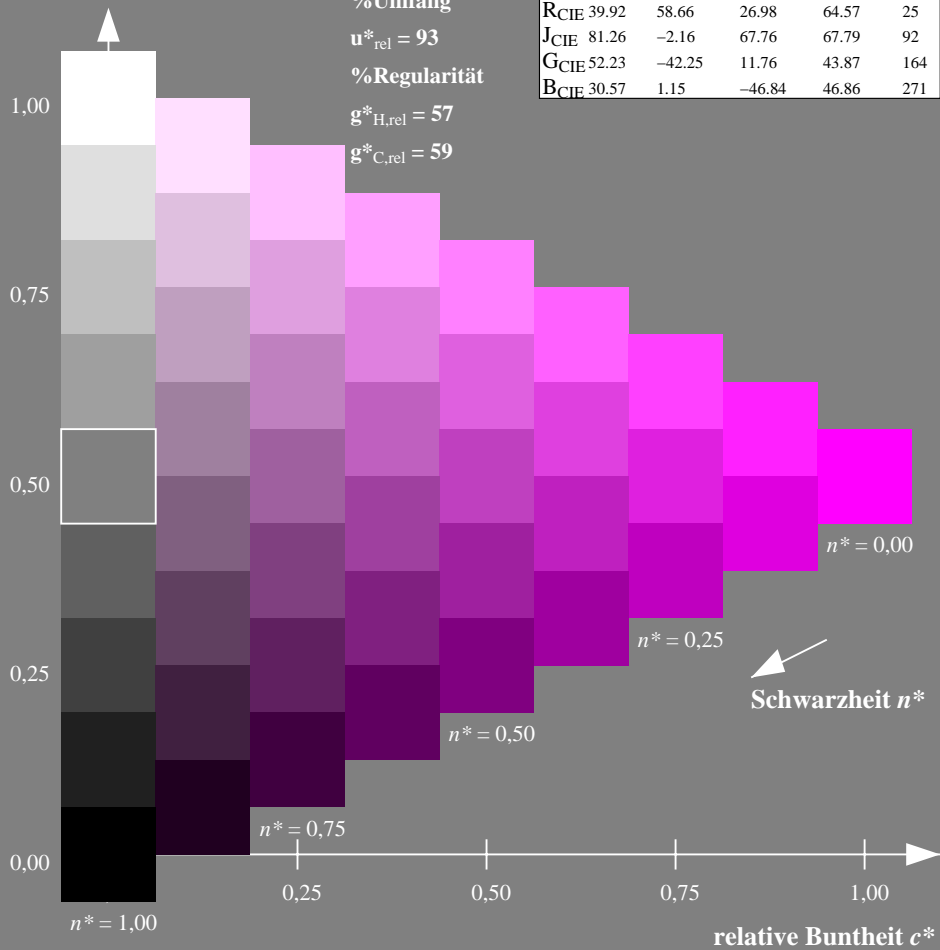
olv*Ma: 1.0 0.0 1.0



ORS18; adaptierte CIELAB-Daten

	$L^*=L^*_a$	a^*_a	b^*_a	$C^*_{ab,a}$	$h^*_{ab,a}$
O _{Ma}	47.94	65.39	50.52	82.63	38
Y _{Ma}	90.37	-10.26	91.75	92.32	96
L _{Ma}	50.9	-62.83	34.96	71.91	151
C _{Ma}	58.62	-30.34	-45.01	54.3	236
V _{Ma}	25.72	31.1	-44.4	54.22	305
M _{Ma}	48.13	75.28	-8.36	75.74	354
N _{Ma}	18.01	0.0	0.0	0.0	0
W _{Ma}	95.41	0.0	0.0	0.0	0
R _{CIE}	39.92	58.66	26.98	64.57	25
J _{CIE}	81.26	-2.16	67.76	67.79	92
G _{CIE}	52.23	-42.25	11.76	43.87	164
B _{CIE}	30.57	1.15	-46.84	46.86	271

Dreiecks-Helligkeit t^*



Ausgabe: Farbmetrisches Natürliches-Reflektiv-System NRS18

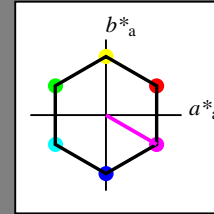
für Buntton $h^* = lab^*h = 330/360 = 0.917$

lab^*tch und lab^*nch

D65: Buntton M

LCH*Ma: 70 77 330

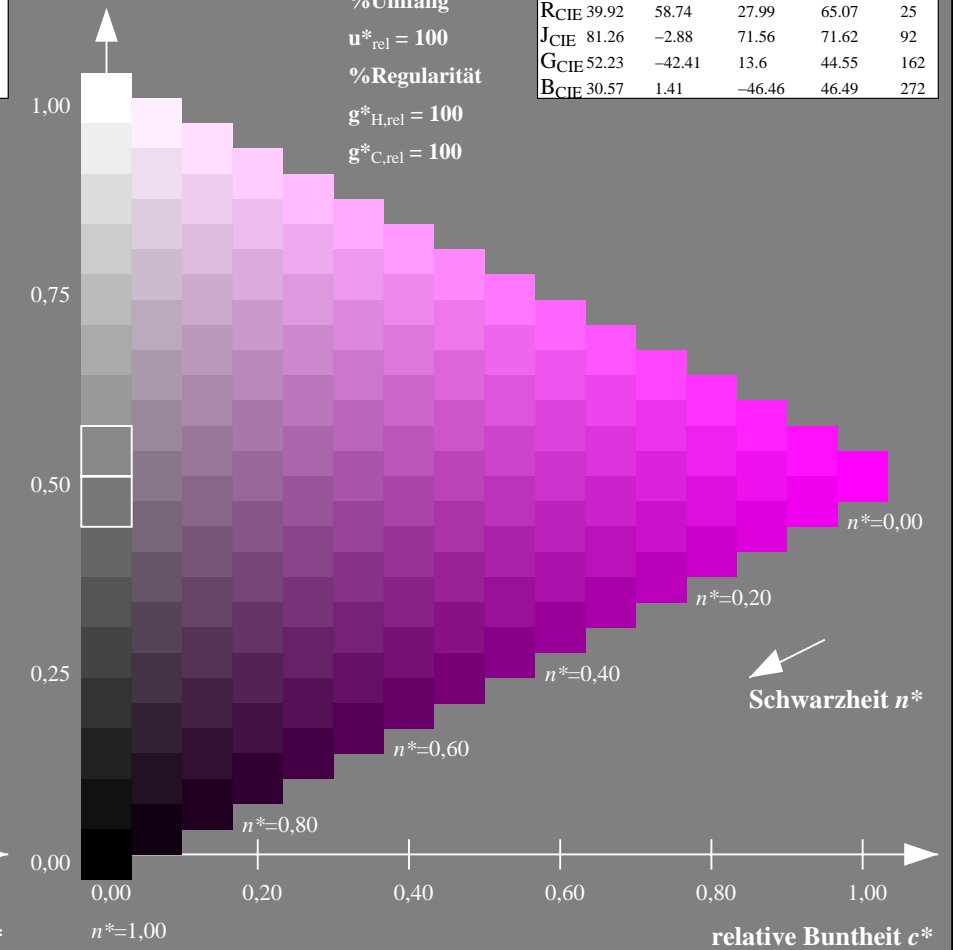
olv*Ma: 1.0 0.0 1.0



NRS18; adaptierte CIELAB-Daten

	$L^*=L^*_a$	a^*_a	b^*_a	$C^*_{ab,a}$	$h^*_{ab,a}$
O _{Ma}	43.81	67.03	38.7	77.4	30
Y _{Ma}	69.61	0.0	77.4	77.4	90
L _{Ma}	43.81	-67.02	38.7	77.4	150
C _{Ma}	69.61	-67.02	-38.69	77.4	210
V _{Ma}	43.81	0.0	-77.39	77.4	270
M _{Ma}	69.61	67.03	-38.69	77.4	330
N _{Ma}	18.01	0.0	0.0	0.0	0
W _{Ma}	95.41	0.0	0.0	0.0	0
R _{CIE}	39.92	58.74	27.99	65.07	25
J _{CIE}	81.26	-2.88	71.56	71.62	92
G _{CIE}	52.23	-42.41	13.6	44.55	162
B _{CIE}	30.57	1.41	-46.46	46.49	272

Dreiecks-Helligkeit t^*



NG900-7, 9stufige Reihen für konstanten CIELAB Buntton $354/360 = 0.982$ (links)

16stufige Reihen für konstanten CIELAB Buntton $330/360 = 0.917$ (rechts)

Eingabe: Farbmetrisches Offset-Reflektiv-System ORS18

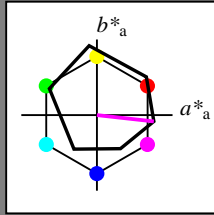
für Buntton $h^* = lab^*h = 354/360 = 0.982$

lab^*tch und lab^*nch

D65: Buntton M

LCH*Ma: 48 76 354

olv*Ma: 1.0 0.0 1.0



ORS18; adaptierte CIELAB-Daten

	$L^*=L^*_a$	a^*_a	b^*_a	$C^*_{ab,a}$	$h^*_{ab,a}$
OMa	47.94	65.39	50.52	82.63	38
YMa	90.37	-10.26	91.75	92.32	96
LMa	50.9	-62.83	34.96	71.91	151
CMa	58.62	-30.34	-45.01	54.3	236
VMa	25.72	31.1	-44.4	54.22	305
MMa	48.13	75.28	-8.36	75.74	354
NMa	18.01	0.0	0.0	0.0	0
WMa	95.41	0.0	0.0	0.0	0
RCIE	39.92	58.66	26.98	64.57	25
JCIE	81.26	-2.16	67.76	67.79	92
GCIE	52.23	-42.25	11.76	43.87	164
BCIE	30.57	1.15	-46.84	46.86	271

Dreiecks-Helligkeit t^*

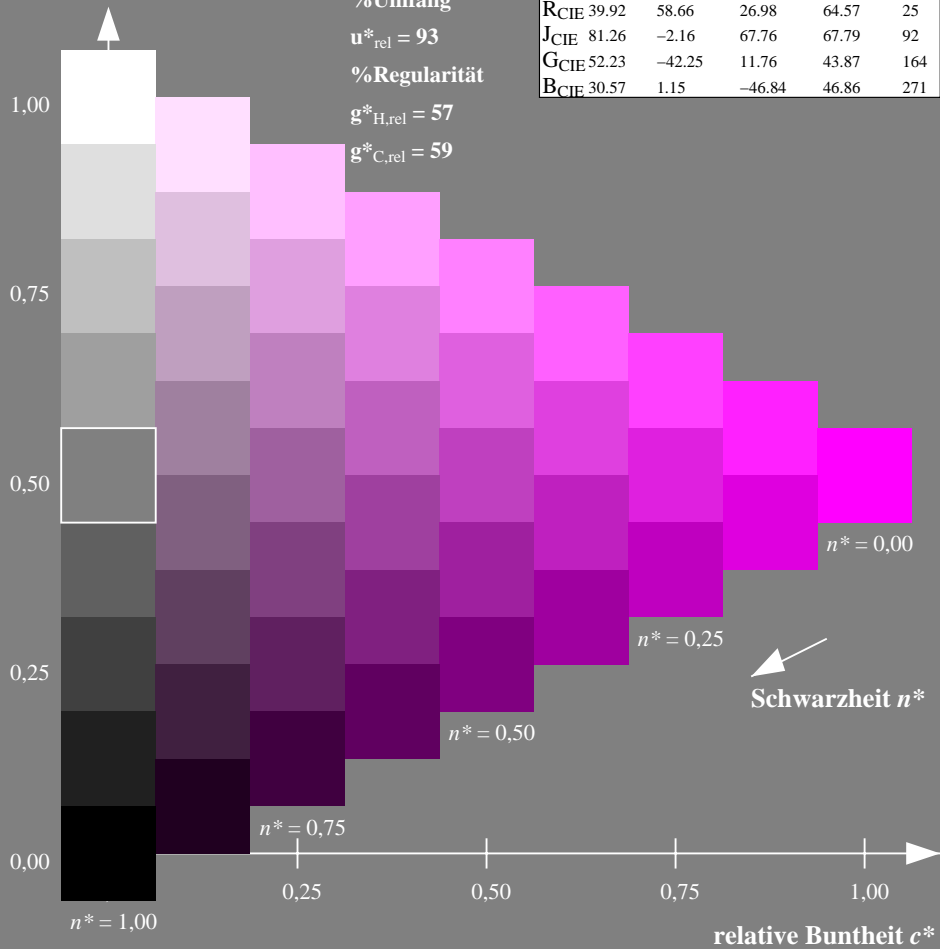
%Umfang

$u^*_{rel} = 93$

%Regularität

$g^*_{H,rel} = 57$

$g^*_{C,rel} = 59$



Ausgabe: Farbmetrisches Standard-Reflektiv-System SRS18

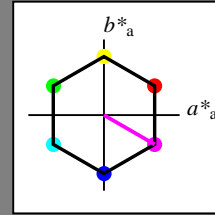
für Buntton $h^* = lab^*h = 330/360 = 0.917$

lab^*tch und lab^*nch

D65: Buntton M

LCH*Ma: 57 77 330

olv*Ma: 1.0 0.0 1.0



SRS18; adaptierte CIELAB-Daten

	$L^*=L^*_a$	a^*_a	b^*_a	$C^*_{ab,a}$	$h^*_{ab,a}$
OMa	56.71	67.03	38.7	77.4	30
YMa	56.71	0.0	77.4	77.4	90
LMa	56.71	-67.02	38.7	77.4	150
CMa	56.71	-67.02	-38.69	77.4	210
VMa	56.71	0.0	-77.39	77.4	270
MMa	56.71	67.03	-38.69	77.4	330
NMa	18.01	0.0	0.0	0.0	0
WMa	95.41	0.0	0.0	0.0	0
RCIE	39.92	58.74	27.99	65.07	25
JCIE	81.26	-2.88	71.56	71.62	92
GCIE	52.23	-42.41	13.6	44.55	162
BCIE	30.57	1.41	-46.46	46.49	272

Dreiecks-Helligkeit t^*

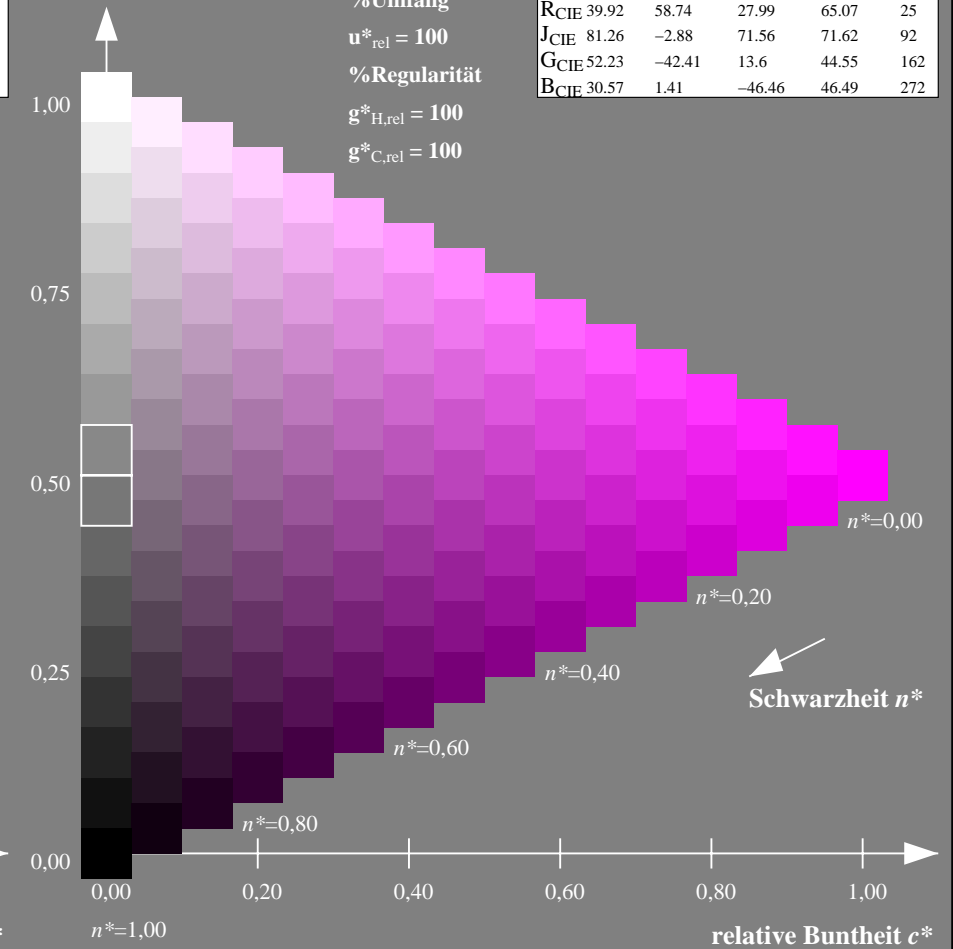
%Umfang

$u^*_{rel} = 100$

%Regularität

$g^*_{H,rel} = 100$

$g^*_{C,rel} = 100$



NG900-7, 9stufige Reihen für konstanten CIELAB Buntton $354/360 = 0.982$ (links)

16stufige Reihen für konstanten CIELAB Buntton $330/360 = 0.917$ (rechts)

Eingabe: Farbmetrisches Offset-Reflektiv-System ORS18

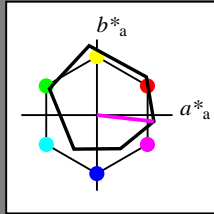
für Buntton $h^* = lab^*h = 354/360 = 0.982$

lab^*tch und lab^*nch

D65: Buntton M

LCH*Ma: 48 76 354

olv*Ma: 1.0 0.0 1.0



ORS18; adaptierte CIELAB-Daten

	$L^*=L^*_a$	a^*_a	b^*_a	$C^*_{ab,a}$	$h^*_{ab,a}$
OMa	47.94	65.39	50.52	82.63	38
YMa	90.37	-10.26	91.75	92.32	96
LMa	50.9	-62.83	34.96	71.91	151
CMa	58.62	-30.34	-45.01	54.3	236
VMa	25.72	31.1	-44.4	54.22	305
MMa	48.13	75.28	-8.36	75.74	354
NMa	18.01	0.0	0.0	0.0	0
WMa	95.41	0.0	0.0	0.0	0
RCIE	39.92	58.66	26.98	64.57	25
JCIE	81.26	-2.16	67.76	67.79	92
GCIE	52.23	-42.25	11.76	43.87	164
BCIE	30.57	1.15	-46.84	46.86	271

Dreiecks-Helligkeit t^*

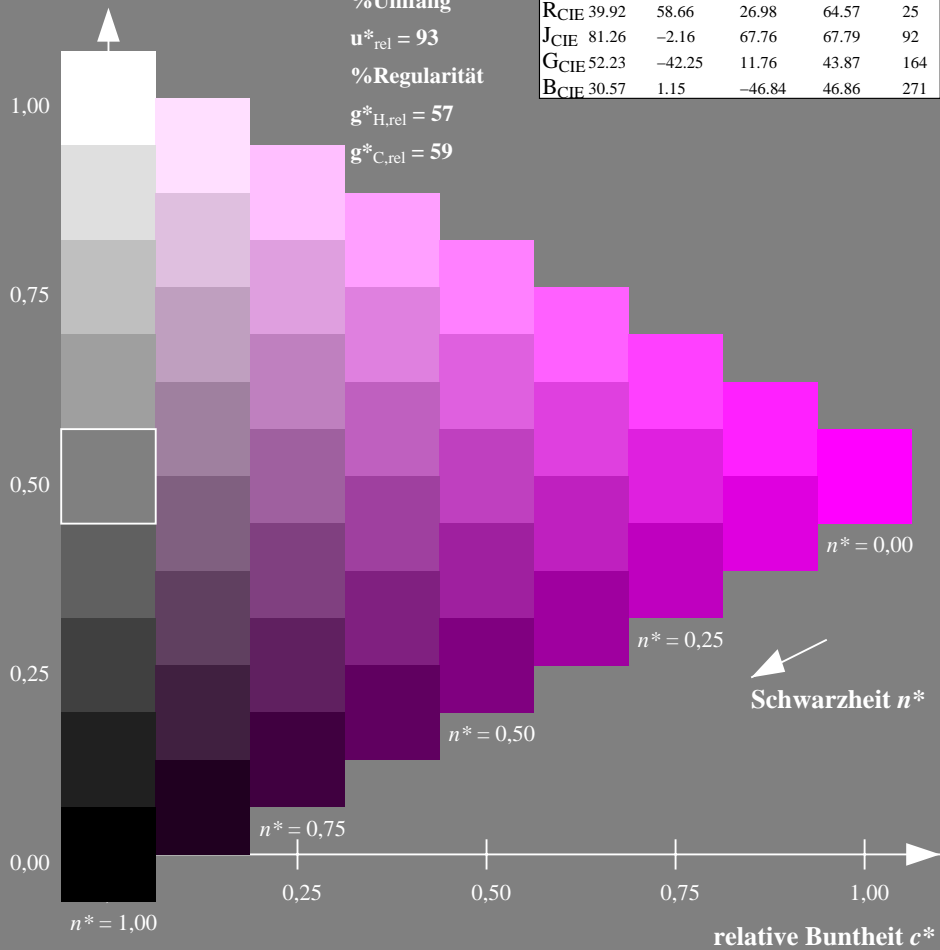
%Umfang

$u^*_{rel} = 93$

%Regularität

$g^*_{H,rel} = 57$

$g^*_{C,rel} = 59$



Ausgabe: Farbmetrisches Fernseh-Licht-System TLS70

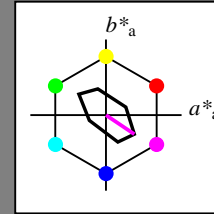
für Buntton $h^* = lab^*h = 326/360 = 0.906$

lab^*tch und lab^*nch

D65: Buntton M

LCH*Ma: 79 45 326

olv*Ma: 1.0 0.0 1.0



TLS70; adaptierte CIELAB-Daten

	$L^*=L^*_a$	a^*_a	b^*_a	$C^*_{ab,a}$	$h^*_{ab,a}$
OMa	76.43	26.27	10.57	28.32	22
YMa	93.93	-10.76	34.63	36.27	107
LMa	89.32	-35.8	27.64	45.24	142
CMa	90.93	-21.95	-7.07	23.07	198
VMa	72.1	15.76	-35.63	38.97	294
MMa	78.5	37.52	-25.23	45.22	326
NMa	69.7	0.0	0.0	0.0	0
WMa	95.41	0.0	0.0	0.0	0
RCIE	39.92	58.74	27.99	65.07	25
JCIE	81.26	-2.88	71.56	71.62	92
GCIE	52.23	-42.41	13.6	44.55	162
BCIE	30.57	1.41	-46.46	46.49	272

Dreiecks-Helligkeit t^*

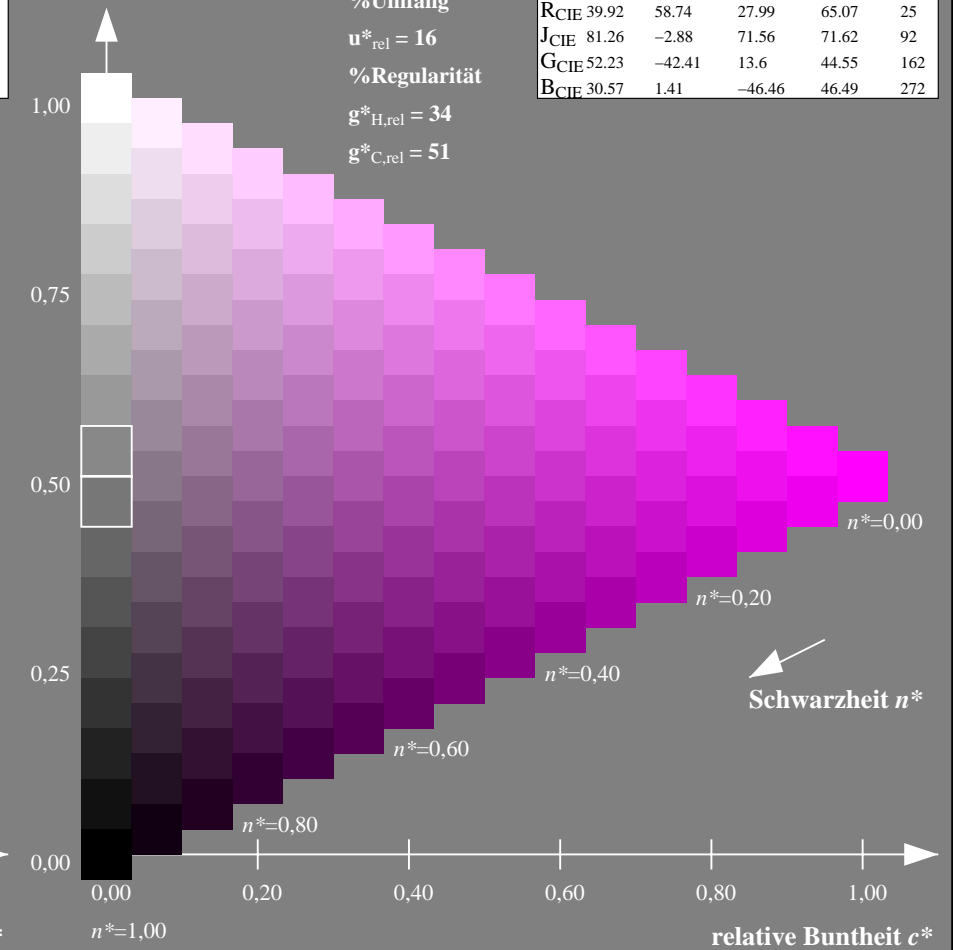
%Umfang

$u^*_{rel} = 16$

%Regularität

$g^*_{H,rel} = 34$

$g^*_{C,rel} = 51$



NG900-7, 9stufige Reihen für konstanten CIELAB Buntton $354/360 = 0.982$ (links)

16stufige Reihen für konstanten CIELAB Buntton $326/360 = 0.906$ (rechts)

Eingabe: Farbmetrisches Fernseh-Licht-System TLS00

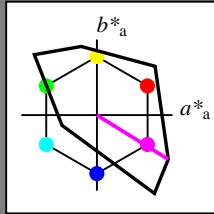
für Buntton $h^* = lab^*h = 328/360 = 0.912$

lab^*tch und lab^*nch

D65: Buntton M

LCH*Ma: 57 111 328

olv*Ma: 1.0 0.0 1.0



TLS00; adaptierte CIELAB-Daten

	$L^*=L^*_a$	a^*_a	b^*_a	$C^*_{ab,a}$	$h^*_{ab,a}$
OMa	50.5	76.92	64.55	100.42	40
YMa	92.66	-20.69	90.75	93.08	103
LMa	83.63	-82.75	79.9	115.04	136
CMa	86.88	-46.16	-13.55	48.12	196
VMa	30.39	76.06	-103.59	128.52	306
MMa	57.3	94.35	-58.41	110.97	328
NMa	0.01	0.0	0.0	0.0	0
WMa	95.41	0.0	0.0	0.0	0
RCIE	39.92	58.74	27.99	65.07	25
JCIE	81.26	-2.88	71.56	71.62	92
GCIE	52.23	-42.41	13.6	44.55	162
BCIE	30.57	1.41	-46.46	46.49	272

Dreiecks-Helligkeit t^*

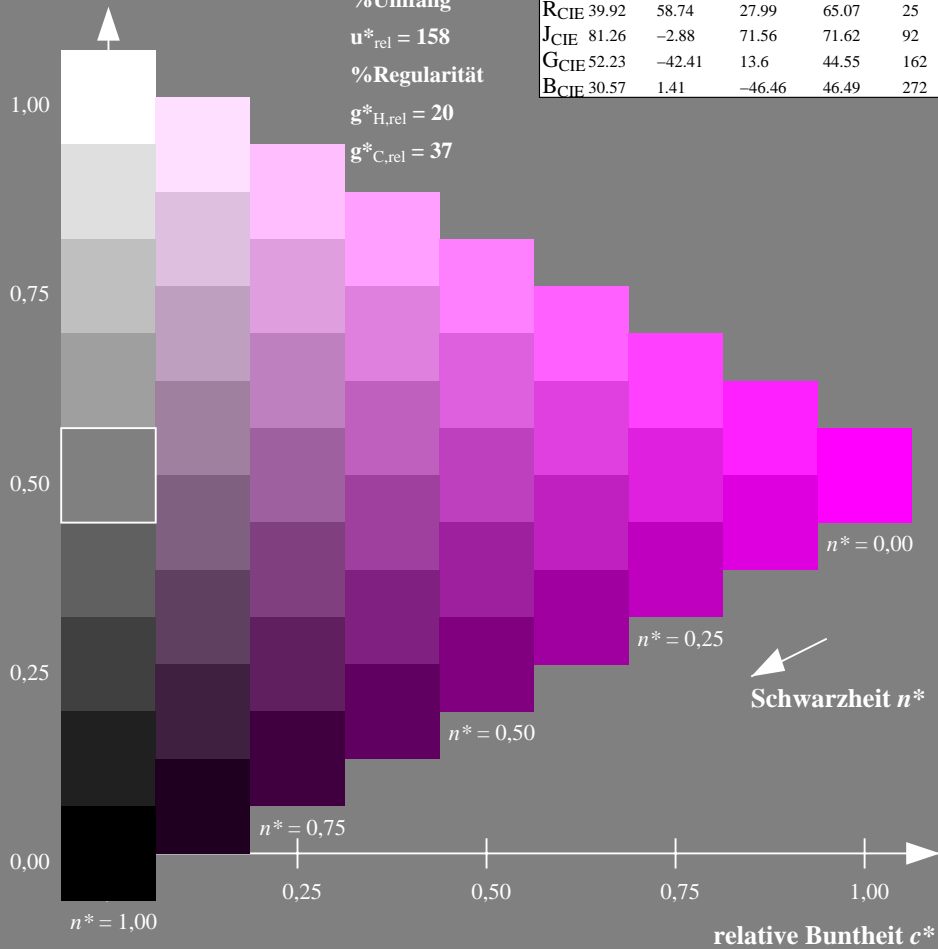
%Umfang

$u^*_{rel} = 158$

%Regularität

$g^*_{H,rel} = 20$

$g^*_{C,rel} = 37$



Ausgabe: Farbmetrisches Offset-Reflektiv-System ORS18

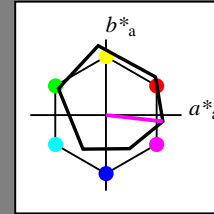
für Buntton $h^* = lab^*h = 354/360 = 0.982$

lab^*tch und lab^*nch

D65: Buntton M

LCH*Ma: 48 76 354

olv*Ma: 1.0 0.0 1.0



ORS18; adaptierte CIELAB-Daten

	$L^*=L^*_a$	a^*_a	b^*_a	$C^*_{ab,a}$	$h^*_{ab,a}$
OMa	47.94	65.39	50.52	82.63	38
YMa	90.37	-10.26	91.75	92.32	96
LMa	50.9	-62.83	34.96	71.91	151
CMa	58.62	-30.34	-45.01	54.3	236
VMa	25.72	31.1	-44.4	54.22	305
MMa	48.13	75.28	-8.36	75.74	354
NMa	18.01	0.0	0.0	0.0	0
WMa	95.41	0.0	0.0	0.0	0
RCIE	39.92	58.66	26.98	64.57	25
JCIE	81.26	-2.16	67.76	67.79	92
GCIE	52.23	-42.25	11.76	43.87	164
BCIE	30.57	1.15	-46.84	46.86	271

Dreiecks-Helligkeit t^*

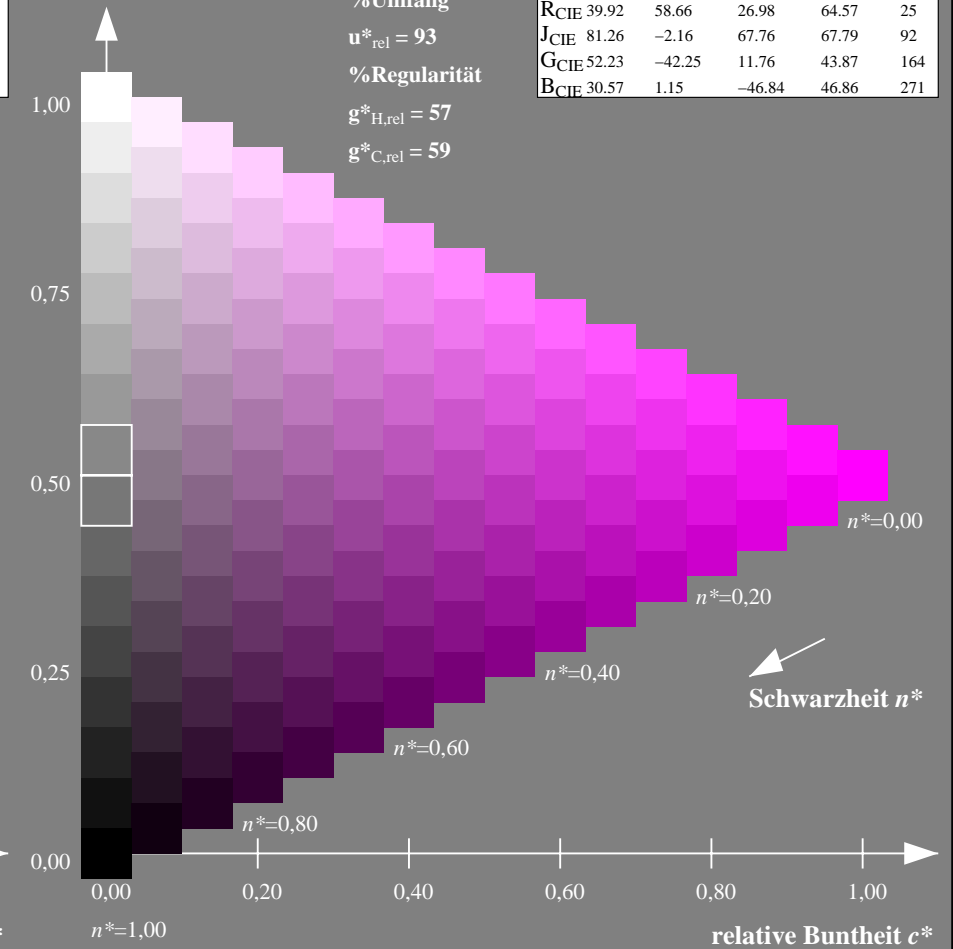
%Umfang

$u^*_{rel} = 93$

%Regularität

$g^*_{H,rel} = 57$

$g^*_{C,rel} = 59$



NG900-7, 9stufige Reihen für konstanten CIELAB Buntton $328/360 = 0.912$ (links)

16stufige Reihen für konstanten CIELAB Buntton $354/360 = 0.982$ (rechts)

Eingabe: Farbmetrisches Fernseh-Licht-System TLS00

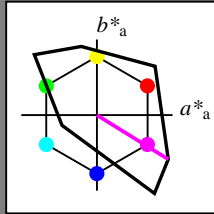
für Buntton $h^* = lab^*h = 328/360 = 0.912$

lab^*tch und lab^*nch

D65: Buntton M

LCH*Ma: 57 111 328

olv*Ma: 1.0 0.0 1.0



TLS00; adaptierte CIELAB-Daten

	$L^*=L^*_a$	a^*_a	b^*_a	$C^*_{ab,a}$	$h^*_{ab,a}$
OMa	50.5	76.92	64.55	100.42	40
YMa	92.66	-20.69	90.75	93.08	103
LMa	83.63	-82.75	79.9	115.04	136
CMa	86.88	-46.16	-13.55	48.12	196
VMa	30.39	76.06	-103.59	128.52	306
MMa	57.3	94.35	-58.41	110.97	328
NMa	0.01	0.0	0.0	0.0	0
WMa	95.41	0.0	0.0	0.0	0
RCIE	39.92	58.74	27.99	65.07	25
JCIE	81.26	-2.88	71.56	71.62	92
GCIE	52.23	-42.41	13.6	44.55	162
BCIE	30.57	1.41	-46.46	46.49	272

Dreiecks-Helligkeit t^*

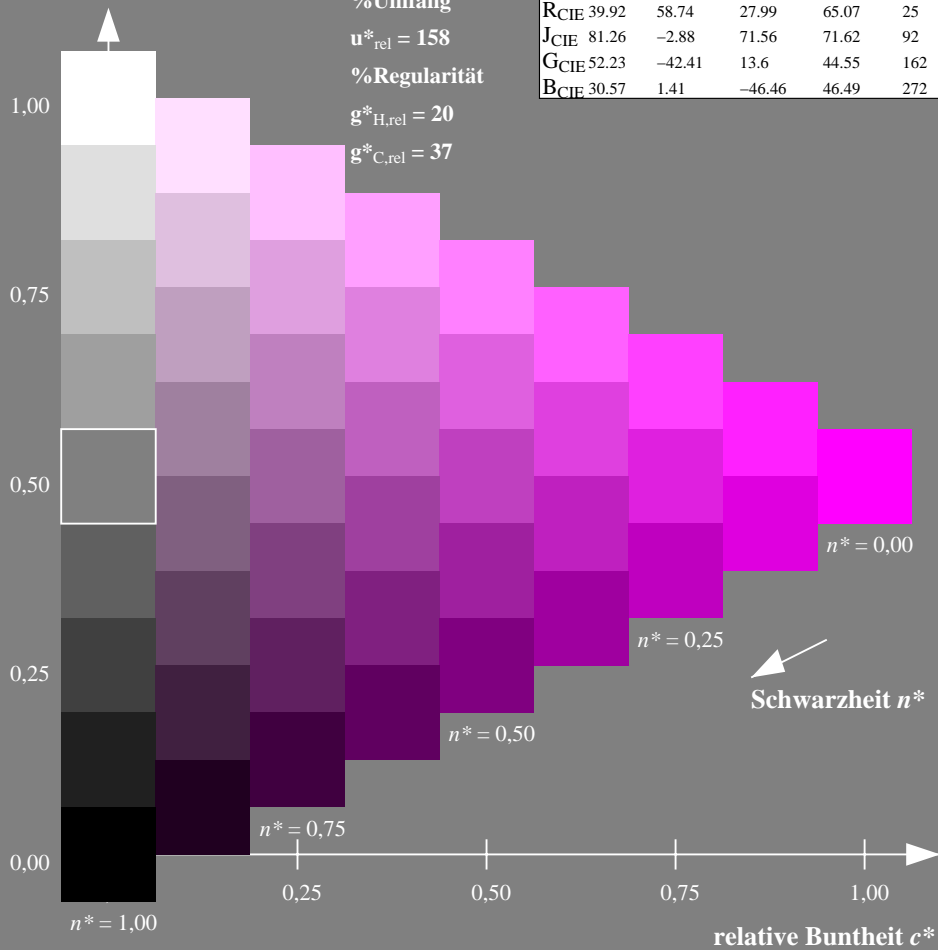
%Umfang

$u^*_{rel} = 158$

%Regularität

$g^*_{H,rel} = 20$

$g^*_{C,rel} = 37$



Ausgabe: Farbmetrisches Fernseh-Licht-System TLS00

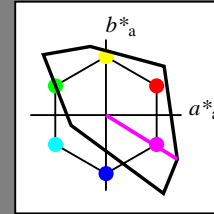
für Buntton $h^* = lab^*h = 328/360 = 0.912$

lab^*tch und lab^*nch

D65: Buntton M

LCH*Ma: 57 111 328

olv*Ma: 1.0 0.0 1.0



TLS00; adaptierte CIELAB-Daten

	$L^*=L^*_a$	a^*_a	b^*_a	$C^*_{ab,a}$	$h^*_{ab,a}$
OMa	50.5	76.92	64.55	100.42	40
YMa	92.66	-20.69	90.75	93.08	103
LMa	83.63	-82.75	79.9	115.04	136
CMa	86.88	-46.16	-13.55	48.12	196
VMa	30.39	76.06	-103.59	128.52	306
MMa	57.3	94.35	-58.41	110.97	328
NMa	0.01	0.0	0.0	0.0	0
WMa	95.41	0.0	0.0	0.0	0
RCIE	39.92	58.74	27.99	65.07	25
JCIE	81.26	-2.88	71.56	71.62	92
GCIE	52.23	-42.41	13.6	44.55	162
BCIE	30.57	1.41	-46.46	46.49	272

Dreiecks-Helligkeit t^*

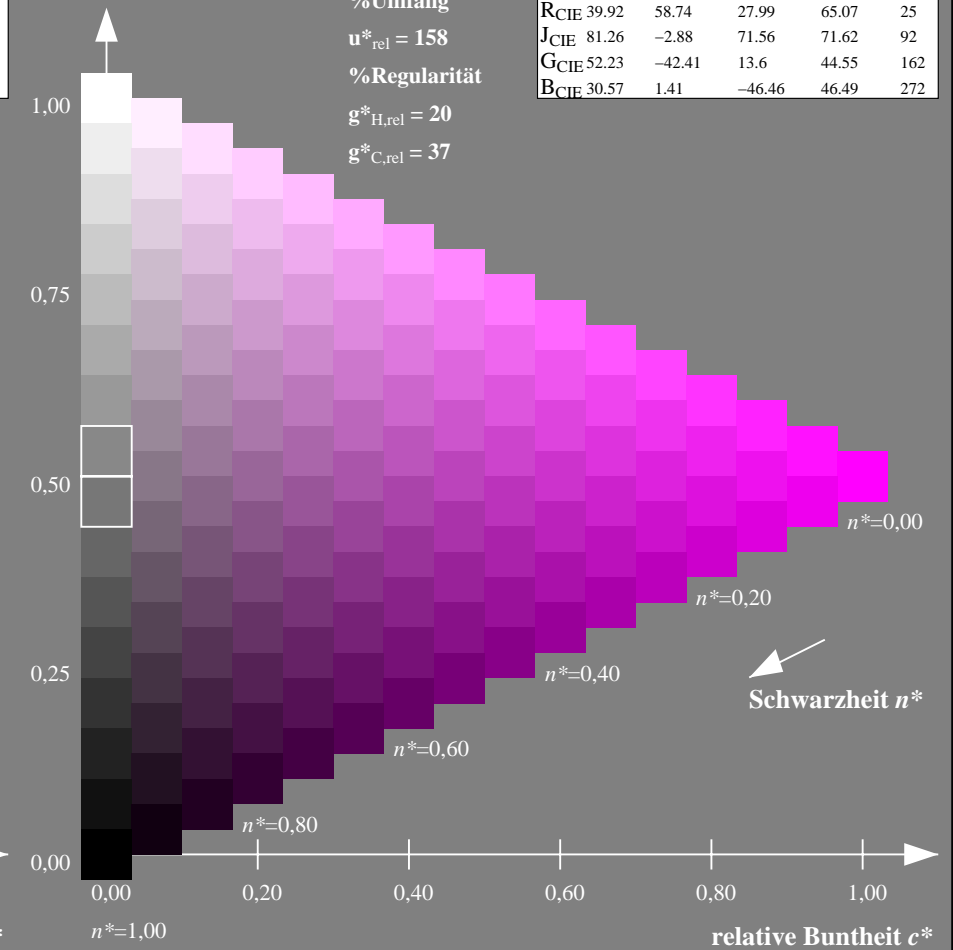
%Umfang

$u^*_{rel} = 158$

%Regularität

$g^*_{H,rel} = 20$

$g^*_{C,rel} = 37$



NG900-7, 9stufige Reihen für konstanten CIELAB Buntton 328/360 = 0.912 (links)

16stufige Reihen für konstanten CIELAB Buntton 328/360 = 0.912 (rechts)

Eingabe: Farbmetrisches Fernseh-Licht-System TLS00

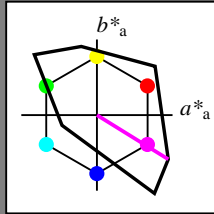
für Buntton $h^* = lab^*h = 328/360 = 0.912$

lab^*tch und lab^*nch

D65: Buntton M

LCH*Ma: 57 111 328

olv*Ma: 1.0 0.0 1.0



TLS00; adaptierte CIELAB-Daten

	$L^*=L^*_a$	a^*_a	b^*_a	$C^*_{ab,a}$	$h^*_{ab,a}$
OMa	50.5	76.92	64.55	100.42	40
YMa	92.66	-20.69	90.75	93.08	103
LMa	83.63	-82.75	79.9	115.04	136
CMa	86.88	-46.16	-13.55	48.12	196
VMa	30.39	76.06	-103.59	128.52	306
MMa	57.3	94.35	-58.41	110.97	328
NMa	0.01	0.0	0.0	0.0	0
WMa	95.41	0.0	0.0	0.0	0
RCIE	39.92	58.74	27.99	65.07	25
JCIE	81.26	-2.88	71.56	71.62	92
GCIE	52.23	-42.41	13.6	44.55	162
BCIE	30.57	1.41	-46.46	46.49	272

Dreiecks-Helligkeit t^*

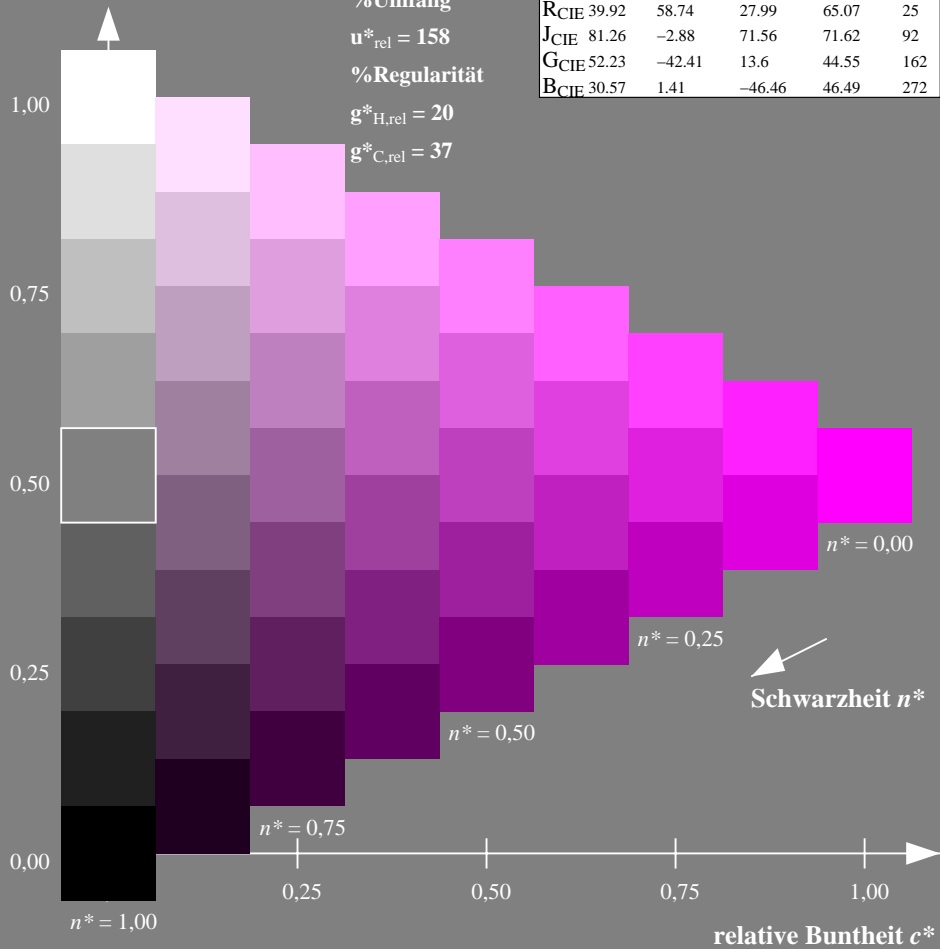
%Umfang

$u^*_{rel} = 158$

%Regularität

$g^*_{H,rel} = 20$

$g^*_{C,rel} = 37$



Ausgabe: Farbmetrisches Drucker-Reflektiv-System DRSXX

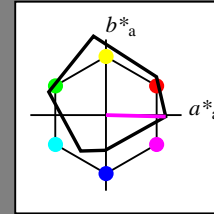
für Buntton $h^* = lab^*h = 359/360 = 0.996$

lab^*tch und lab^*nch

D65: Buntton M

LCH*Ma: 43 79 359

olv*Ma: 1.0 0.0 1.0



DRSXX; adaptierte CIELAB-Daten

	$L^*=L^*_a$	a^*_a	b^*_a	$C^*_{ab,a}$	$h^*_{ab,a}$
OMa	42.21	66.82	50.6	83.82	37
YMa	90.32	-16.51	104.33	105.63	99
LMa	48.21	-75.63	30.65	81.61	158
CMa	53.44	-33.33	-47.49	58.03	235
VMa	34.16	-0.92	-46.56	46.58	269
MMa	42.71	79.0	-1.95	79.03	359
NMa	16.56	0.0	0.0	0.0	0
WMa	96.31	0.0	0.0	0.0	0
RCIE	39.92	59.78	25.77	65.1	23
JCIE	81.26	-2.51	69.07	69.11	92
GCIE	52.23	-41.57	11.3	43.09	165
BCIE	30.57	2.6	-48.62	48.7	273

Dreiecks-Helligkeit t^*

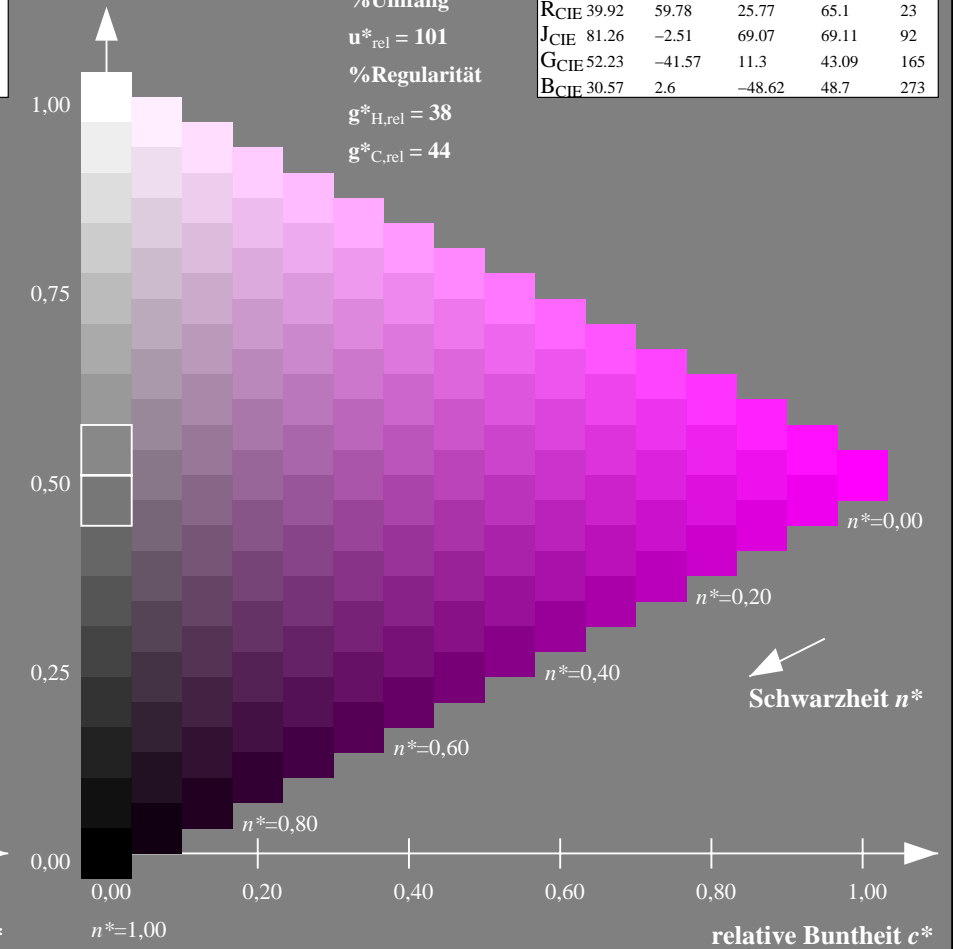
%Umfang

$u^*_{rel} = 101$

%Regularität

$g^*_{H,rel} = 38$

$g^*_{C,rel} = 44$



NG900-7, 9stufige Reihen für konstanten CIELAB Buntton $328/360 = 0.912$ (links)

16stufige Reihen für konstanten CIELAB Buntton $359/360 = 0.996$ (rechts)

Eingabe: Farbmetrisches Fernseh-Licht-System TLS00

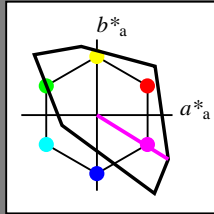
für Buntton $h^* = lab^*h = 328/360 = 0.912$

lab^*tch und lab^*nch

D65: Buntton M

LCH*Ma: 57 111 328

olv*Ma: 1.0 0.0 1.0



TLS00; adaptierte CIELAB-Daten

	$L^*=L^*_a$	a^*_a	b^*_a	$C^*_{ab,a}$	$h^*_{ab,a}$
OMa	50.5	76.92	64.55	100.42	40
YMa	92.66	-20.69	90.75	93.08	103
LMa	83.63	-82.75	79.9	115.04	136
CMa	86.88	-46.16	-13.55	48.12	196
VMa	30.39	76.06	-103.59	128.52	306
MMa	57.3	94.35	-58.41	110.97	328
NMa	0.01	0.0	0.0	0.0	0
WMa	95.41	0.0	0.0	0.0	0
RCIE	39.92	58.74	27.99	65.07	25
JCIE	81.26	-2.88	71.56	71.62	92
GCIE	52.23	-42.41	13.6	44.55	162
BCIE	30.57	1.41	-46.46	46.49	272

Dreiecks-Helligkeit t^*

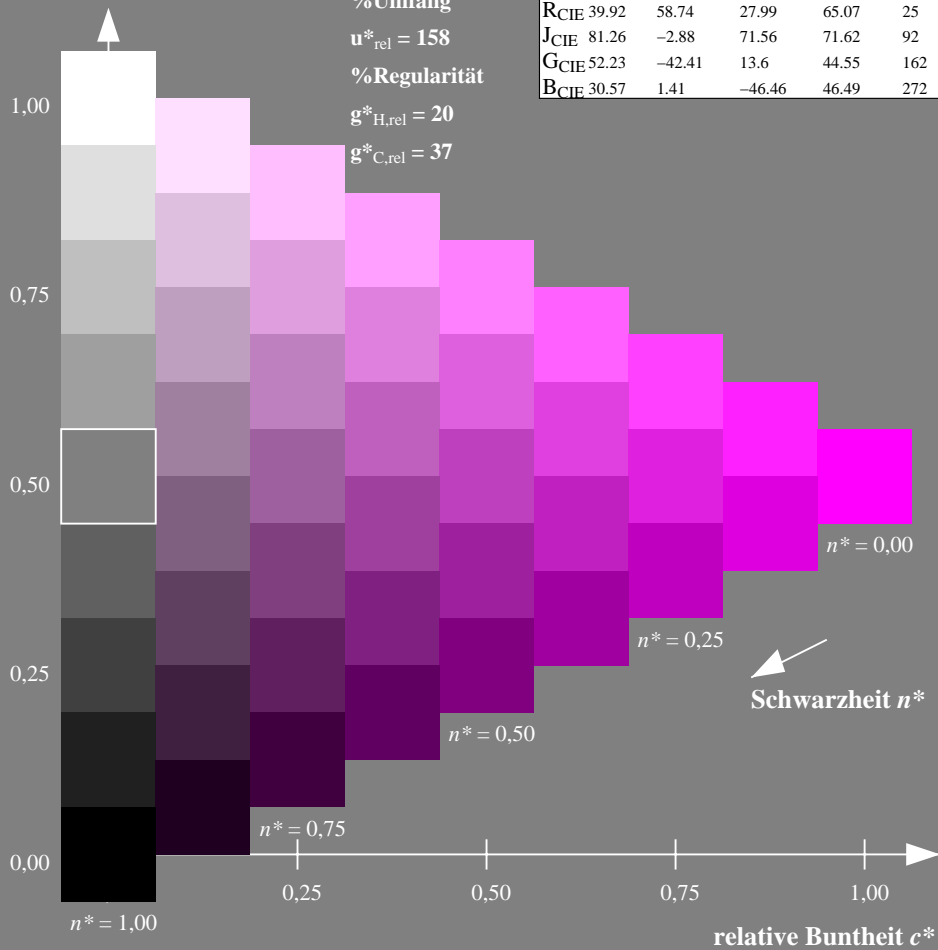
%Umfang

$u^*_{rel} = 158$

%Regularität

$g^*_{H,rel} = 20$

$g^*_{C,rel} = 37$



Ausgabe: Farbmetrisches Fernseh-Licht-System TLS18

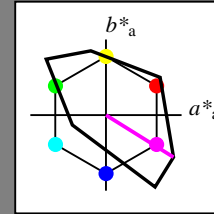
für Buntton $h^* = lab^*h = 328/360 = 0.911$

lab^*tch und lab^*nch

D65: Buntton M

LCH*Ma: 59 105 328

olv*Ma: 1.0 0.0 1.0



TLS18; adaptierte CIELAB-Daten

	$L^*=L^*_a$	a^*_a	b^*_a	$C^*_{ab,a}$	$h^*_{ab,a}$
OMa	52.76	71.63	49.88	87.29	35
YMa	92.74	-20.02	84.97	87.3	103
LMa	84.0	-78.98	73.94	108.2	137
CMa	87.14	-44.41	-13.11	46.32	196
VMa	35.47	64.92	-95.06	115.12	304
MMa	59.01	89.33	-55.67	105.26	328
NMa	18.01	0.0	0.0	0.0	0
WMa	95.41	0.0	0.0	0.0	0
RCIE	39.92	58.74	27.99	65.07	25
JCIE	81.26	-2.88	71.56	71.62	92
GCIE	52.23	-42.41	13.6	44.55	162
BCIE	30.57	1.41	-46.46	46.49	272

Dreiecks-Helligkeit t^*

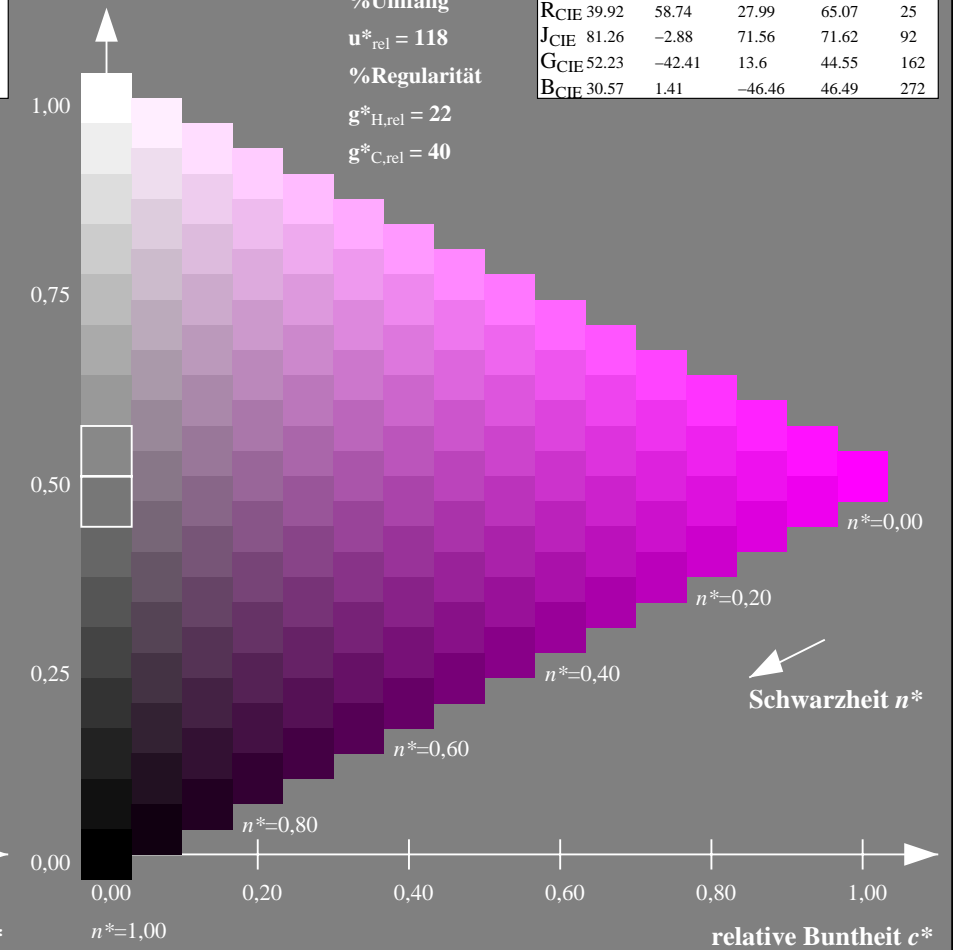
%Umfang

$u^*_{rel} = 118$

%Regularität

$g^*_{H,rel} = 22$

$g^*_{C,rel} = 40$



NG900-7, 9stufige Reihen für konstanten CIELAB Buntton $328/360 = 0.912$ (links)

16stufige Reihen für konstanten CIELAB Buntton $328/360 = 0.911$ (rechts)

Eingabe: Farbmetrisches Fernseh-Licht-System TLS00

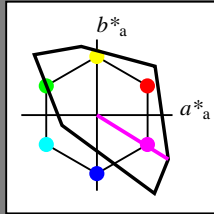
für Buntton $h^* = lab^*h = 328/360 = 0.912$

lab^*tch und lab^*nch

D65: Buntton M

LCH*Ma: 57 111 328

olv*Ma: 1.0 0.0 1.0



TLS00; adaptierte CIELAB-Daten

	$L^*=L^*_a$	a^*_a	b^*_a	$C^*_{ab,a}$	$h^*_{ab,a}$
OMa	50.5	76.92	64.55	100.42	40
YMa	92.66	-20.69	90.75	93.08	103
LMa	83.63	-82.75	79.9	115.04	136
CMa	86.88	-46.16	-13.55	48.12	196
VMa	30.39	76.06	-103.59	128.52	306
MMa	57.3	94.35	-58.41	110.97	328
NMa	0.01	0.0	0.0	0.0	0
WMa	95.41	0.0	0.0	0.0	0
RCIE	39.92	58.74	27.99	65.07	25
JCIE	81.26	-2.88	71.56	71.62	92
GCIE	52.23	-42.41	13.6	44.55	162
BCIE	30.57	1.41	-46.46	46.49	272

Dreiecks-Helligkeit t^*

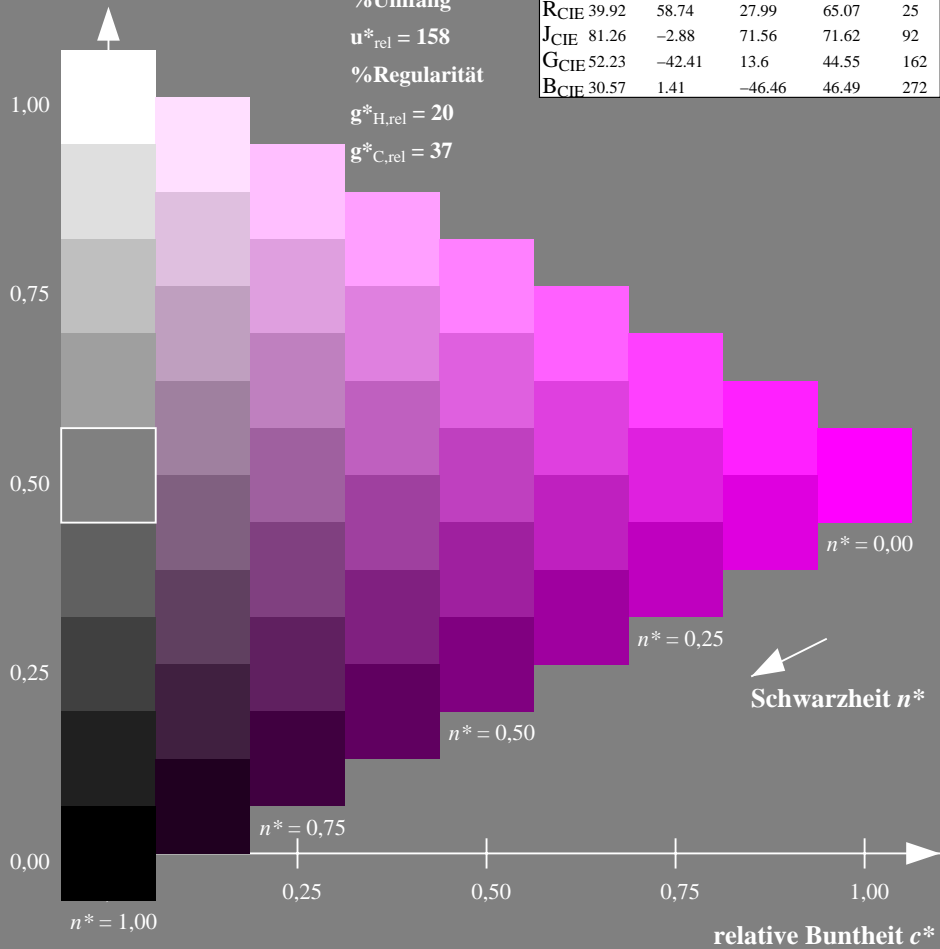
%Umfang

$u^*_{rel} = 158$

%Regularität

$g^*_{H,rel} = 20$

$g^*_{C,rel} = 37$



Ausgabe: Farbmetrisches Natürliches-Licht-System NLS00

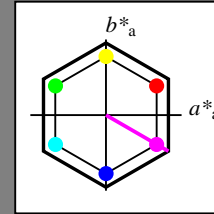
für Buntton $h^* = lab^*h = 330/360 = 0.917$

lab^*tch und lab^*nch

D65: Buntton M

LCH*Ma: 64 95 330

olv*Ma: 1.0 0.0 1.0



NLS00; adaptierte CIELAB-Daten

	$L^*=L^*_a$	a^*_a	b^*_a	$C^*_{ab,a}$	$h^*_{ab,a}$
OMa	31.81	82.62	47.7	95.4	30
YMa	63.61	0.0	95.4	95.4	90
LMa	31.81	-82.61	47.7	95.4	150
CMa	63.61	-82.61	-47.69	95.4	210
VMa	31.81	0.0	-95.39	95.4	270
MMa	63.61	82.62	-47.69	95.4	330
NMa	0.01	0.0	0.0	0.0	0
WMa	95.41	0.0	0.0	0.0	0
RCIE	39.92	58.74	27.99	65.07	25
JCIE	81.26	-2.88	71.56	71.62	92
GCIE	52.23	-42.41	13.6	44.55	162
BCIE	30.57	1.41	-46.46	46.49	272

Dreiecks-Helligkeit t^*

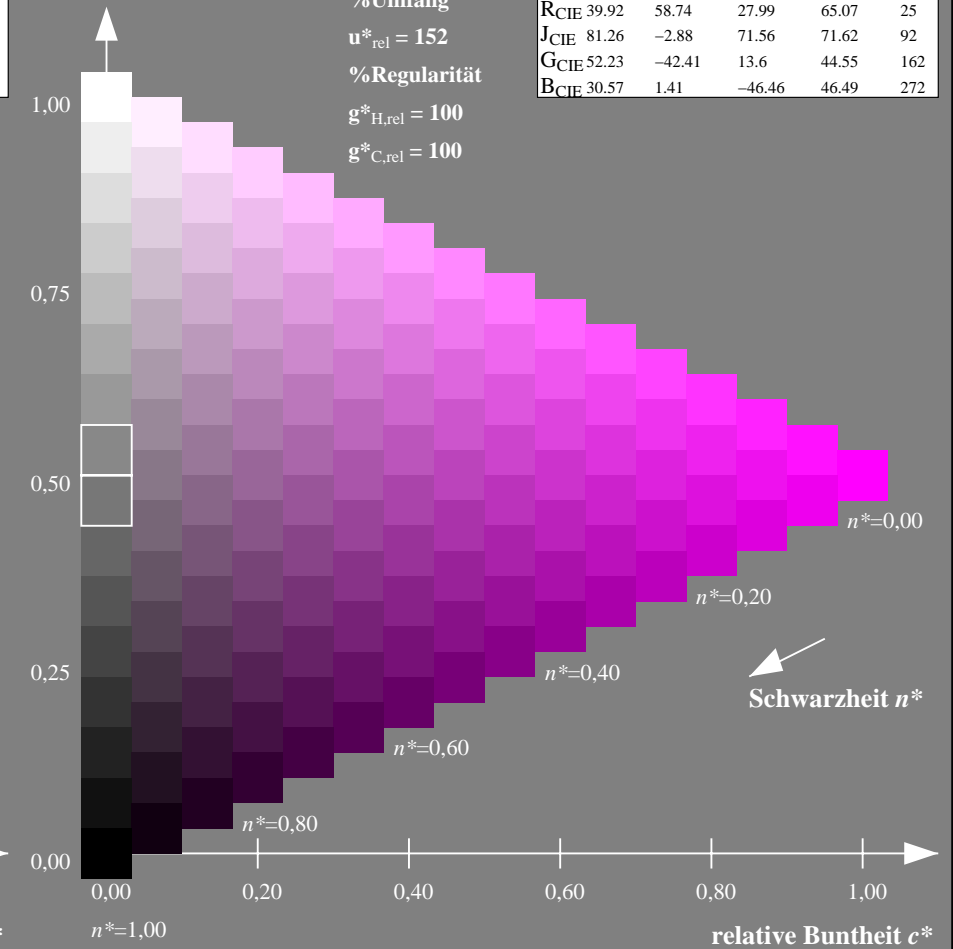
%Umfang

$u^*_{rel} = 152$

%Regularität

$g^*_{H,rel} = 100$

$g^*_{C,rel} = 100$



NG900-7, 9stufige Reihen für konstanten CIELAB Buntton $328/360 = 0.912$ (links)

16stufige Reihen für konstanten CIELAB Buntton $330/360 = 0.917$ (rechts)

Eingabe: Farbmetrisches Fernseh-Licht-System TLS00

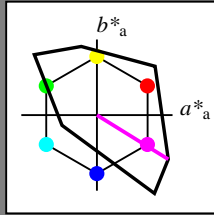
für Buntton $h^* = lab^*h = 328/360 = 0.912$

lab^*tch und lab^*nch

D65: Buntton M

LCH*Ma: 57 111 328

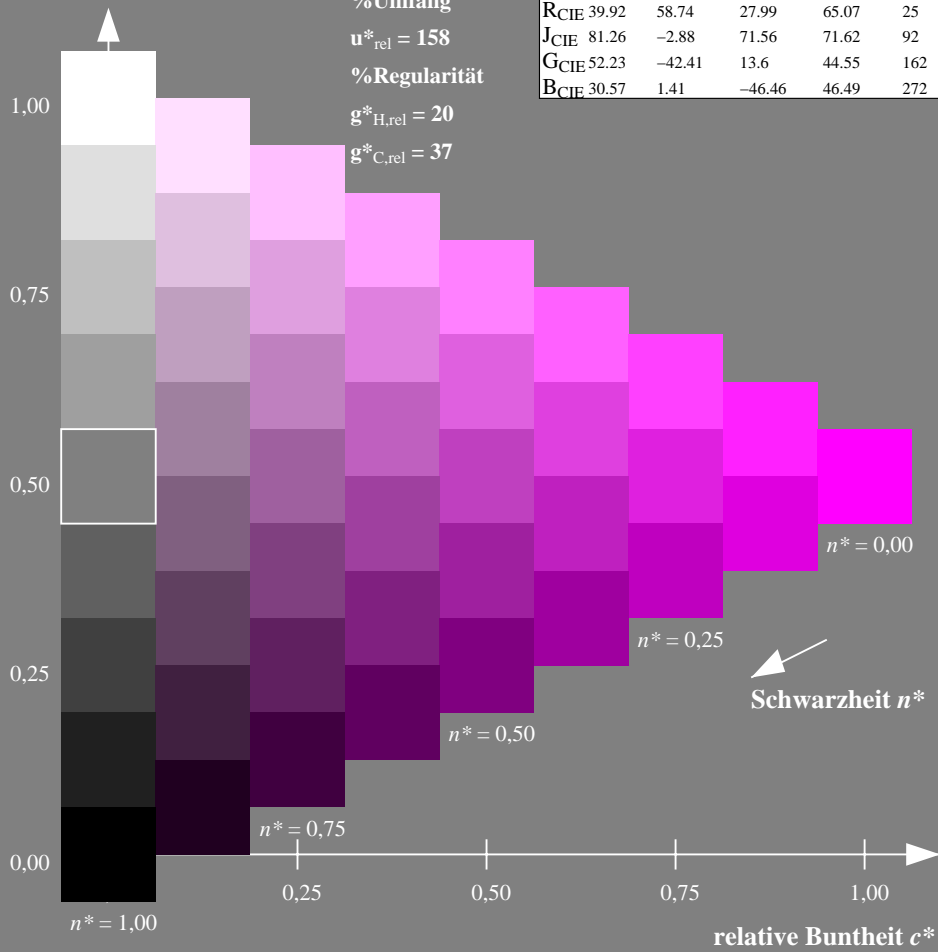
olv*Ma: 1.0 0.0 1.0



TLS00; adaptierte CIELAB-Daten

	$L^*=L^*_a$	a^*_a	b^*_a	$C^*_{ab,a}$	$h^*_{ab,a}$
O _{Ma}	50.5	76.92	64.55	100.42	40
Y _{Ma}	92.66	-20.69	90.75	93.08	103
L _{Ma}	83.63	-82.75	79.9	115.04	136
C _{Ma}	86.88	-46.16	-13.55	48.12	196
V _{Ma}	30.39	76.06	-103.59	128.52	306
M _{Ma}	57.3	94.35	-58.41	110.97	328
N _{Ma}	0.01	0.0	0.0	0.0	0
W _{Ma}	95.41	0.0	0.0	0.0	0
R _{CIE}	39.92	58.74	27.99	65.07	25
J _{CIE}	81.26	-2.88	71.56	71.62	92
G _{CIE}	52.23	-42.41	13.6	44.55	162
B _{CIE}	30.57	1.41	-46.46	46.49	272

Dreiecks-Helligkeit t^*



Ausgabe: Farbmetrisches Natürliches-Reflektiv-System NRS18

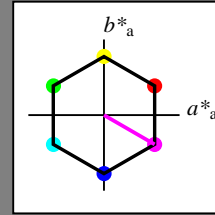
für Buntton $h^* = lab^*h = 330/360 = 0.917$

lab^*tch und lab^*nch

D65: Buntton M

LCH*Ma: 70 77 330

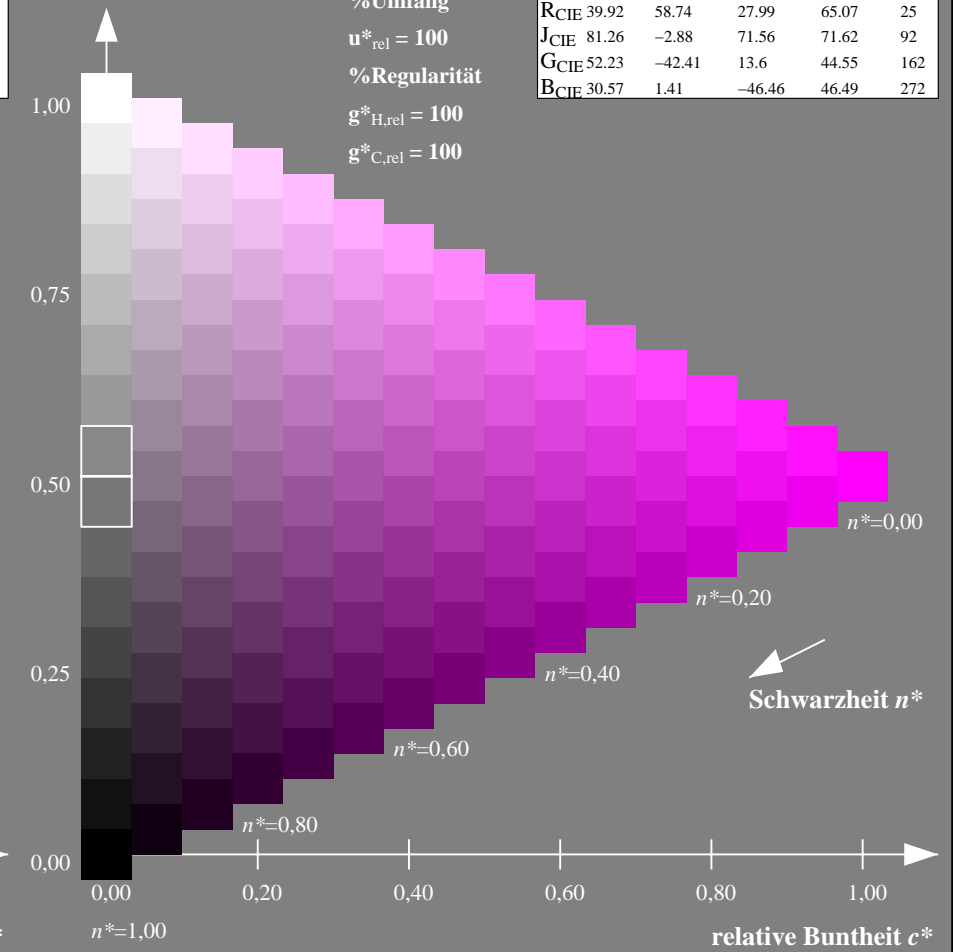
olv*Ma: 1.0 0.0 1.0



NRS18; adaptierte CIELAB-Daten

	$L^*=L^*_a$	a^*_a	b^*_a	$C^*_{ab,a}$	$h^*_{ab,a}$
O _{Ma}	43.81	67.03	38.7	77.4	30
Y _{Ma}	69.61	0.0	77.4	77.4	90
L _{Ma}	43.81	-67.02	38.7	77.4	150
C _{Ma}	69.61	-67.02	-38.69	77.4	210
V _{Ma}	43.81	0.0	-77.39	77.4	270
M _{Ma}	69.61	67.03	-38.69	77.4	330
N _{Ma}	18.01	0.0	0.0	0.0	0
W _{Ma}	95.41	0.0	0.0	0.0	0
R _{CIE}	39.92	58.74	27.99	65.07	25
J _{CIE}	81.26	-2.88	71.56	71.62	92
G _{CIE}	52.23	-42.41	13.6	44.55	162
B _{CIE}	30.57	1.41	-46.46	46.49	272

Dreiecks-Helligkeit t^*



NG900-7, 9stufige Reihen für konstanten CIELAB Buntton $328/360 = 0.912$ (links)

16stufige Reihen für konstanten CIELAB Buntton $330/360 = 0.917$ (rechts)

Eingabe: Farbmetrisches Fernseh-Licht-System TLS00

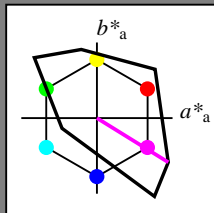
für Buntton $h^* = lab^*h = 328/360 = 0.912$

lab^*tch und lab^*nch

D65: Buntton M

LCH*Ma: 57 111 328

olv*Ma: 1.0 0.0 1.0

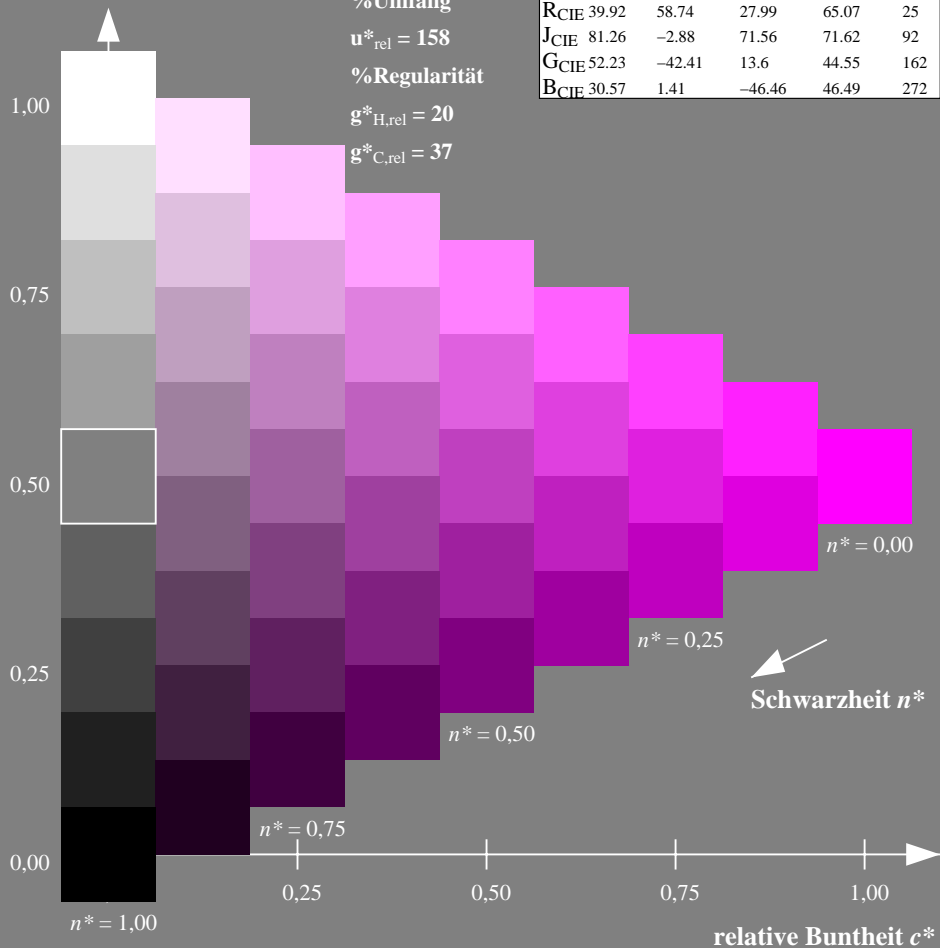


TLS00; adaptierte CIELAB-Daten

	$L^*=L^*_a$	a^*_a	b^*_a	$C^*_{ab,a}$	$h^*_{ab,a}$
OMa	50.5	76.92	64.55	100.42	40
YMa	92.66	-20.69	90.75	93.08	103
LMa	83.63	-82.75	79.9	115.04	136
CMa	86.88	-46.16	-13.55	48.12	196
VMa	30.39	76.06	-103.59	128.52	306
MMa	57.3	94.35	-58.41	110.97	328
NMa	0.01	0.0	0.0	0.0	0
WMa	95.41	0.0	0.0	0.0	0
RCIE	39.92	58.74	27.99	65.07	25
JCIE	81.26	-2.88	71.56	71.62	92
GCIE	52.23	-42.41	13.6	44.55	162
BCIE	30.57	1.41	-46.46	46.49	272

Dreiecks-Helligkeit t^*

%Umfang
 $u^*_{rel} = 158$
 %Regularität
 $g^*_{H,rel} = 20$
 $g^*_{C,rel} = 37$



Ausgabe: Farbmetrisches Standard-Reflektiv-System SRS18

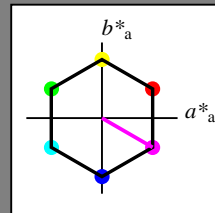
für Buntton $h^* = lab^*h = 330/360 = 0.917$

lab^*tch und lab^*nch

D65: Buntton M

LCH*Ma: 57 77 330

olv*Ma: 1.0 0.0 1.0

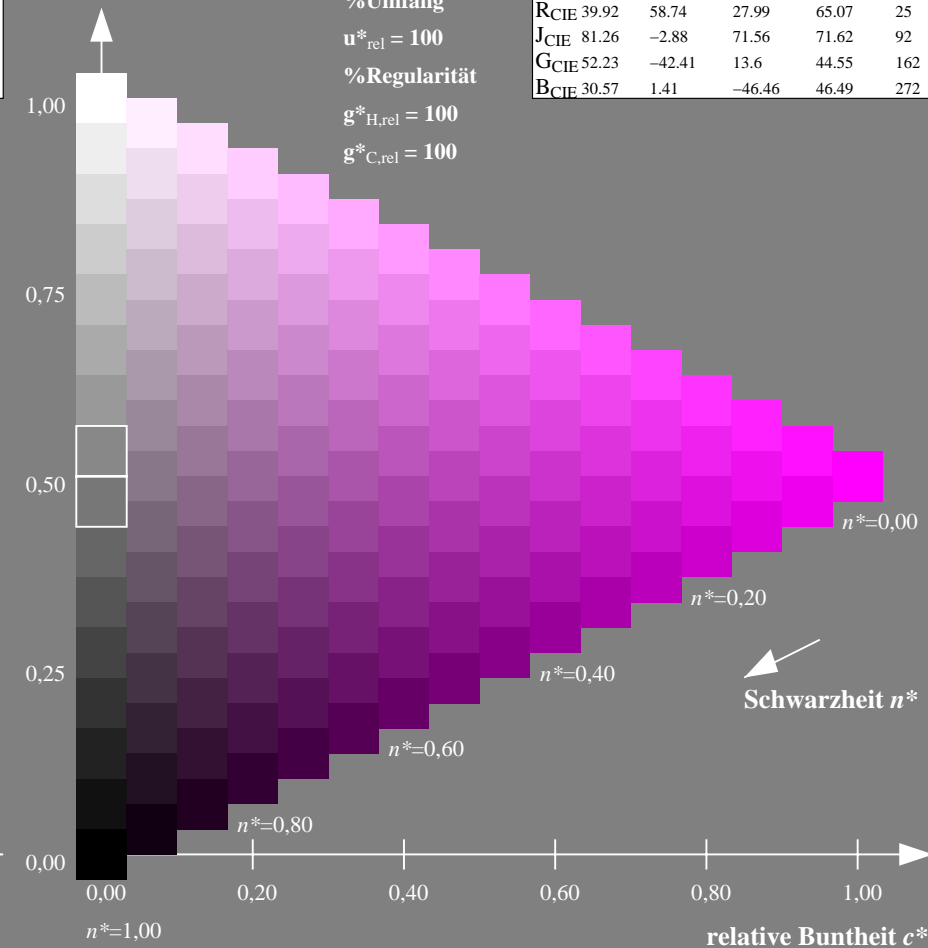


SRS18; adaptierte CIELAB-Daten

	$L^*=L^*_a$	a^*_a	b^*_a	$C^*_{ab,a}$	$h^*_{ab,a}$
OMa	56.71	67.03	38.7	77.4	30
YMa	56.71	0.0	77.4	77.4	90
LMa	56.71	-67.02	38.7	77.4	150
CMa	56.71	-67.02	-38.69	77.4	210
VMa	56.71	0.0	-77.39	77.4	270
MMa	56.71	67.03	-38.69	77.4	330
NMa	18.01	0.0	0.0	0.0	0
WMa	95.41	0.0	0.0	0.0	0
RCIE	39.92	58.74	27.99	65.07	25
JCIE	81.26	-2.88	71.56	71.62	92
GCIE	52.23	-42.41	13.6	44.55	162
BCIE	30.57	1.41	-46.46	46.49	272

Dreiecks-Helligkeit t^*

%Umfang
 $u^*_{rel} = 100$
 %Regularität
 $g^*_{H,rel} = 100$
 $g^*_{C,rel} = 100$



NG900-7, 9stufige Reihen für konstanten CIELAB Buntton $328/360 = 0.912$ (links)

16stufige Reihen für konstanten CIELAB Buntton $330/360 = 0.917$ (rechts)

Eingabe: Farbmetrisches Fernseh-Licht-System TLS00

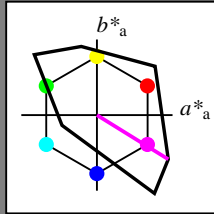
für Buntton $h^* = lab^*h = 328/360 = 0.912$

lab^*tch und lab^*nch

D65: Buntton M

LCH*Ma: 57 111 328

olv*Ma: 1.0 0.0 1.0



TLS00; adaptierte CIELAB-Daten

	$L^*=L^*_a$	a^*_a	b^*_a	$C^*_{ab,a}$	$h^*_{ab,a}$
OMa	50.5	76.92	64.55	100.42	40
YMa	92.66	-20.69	90.75	93.08	103
LMa	83.63	-82.75	79.9	115.04	136
CMa	86.88	-46.16	-13.55	48.12	196
VMa	30.39	76.06	-103.59	128.52	306
MMa	57.3	94.35	-58.41	110.97	328
NMa	0.01	0.0	0.0	0.0	0
WMa	95.41	0.0	0.0	0.0	0
RCIE	39.92	58.74	27.99	65.07	25
JCIE	81.26	-2.88	71.56	71.62	92
GCIE	52.23	-42.41	13.6	44.55	162
BCIE	30.57	1.41	-46.46	46.49	272

Dreiecks-Helligkeit t^*

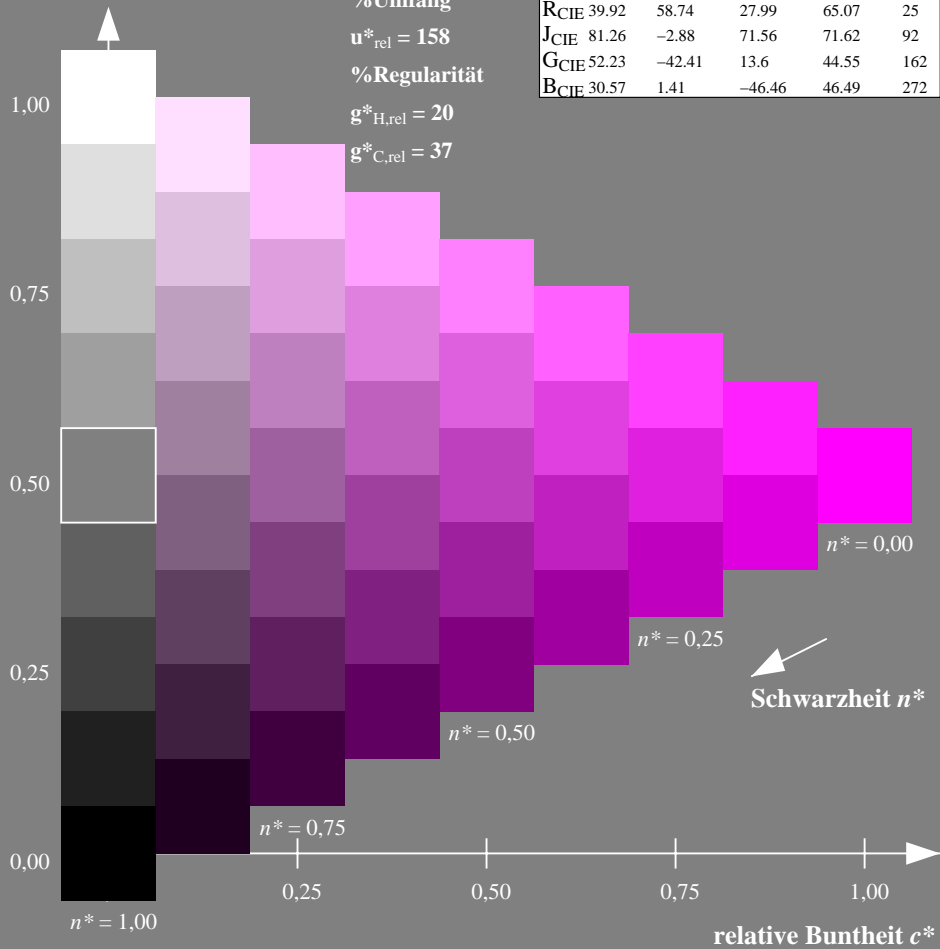
%Umfang

$u^*_{rel} = 158$

%Regularität

$g^*_{H,rel} = 20$

$g^*_{C,rel} = 37$



Ausgabe: Farbmetrisches Fernseh-Licht-System TLS70

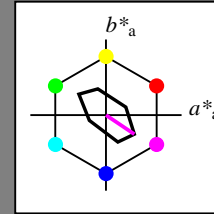
für Buntton $h^* = lab^*h = 326/360 = 0.906$

lab^*tch und lab^*nch

D65: Buntton M

LCH*Ma: 79 45 326

olv*Ma: 1.0 0.0 1.0



TLS70; adaptierte CIELAB-Daten

	$L^*=L^*_a$	a^*_a	b^*_a	$C^*_{ab,a}$	$h^*_{ab,a}$
OMa	76.43	26.27	10.57	28.32	22
YMa	93.93	-10.76	34.63	36.27	107
LMa	89.32	-35.8	27.64	45.24	142
CMa	90.93	-21.95	-7.07	23.07	198
VMa	72.1	15.76	-35.63	38.97	294
MMa	78.5	37.52	-25.23	45.22	326
NMa	69.7	0.0	0.0	0.0	0
WMa	95.41	0.0	0.0	0.0	0
RCIE	39.92	58.74	27.99	65.07	25
JCIE	81.26	-2.88	71.56	71.62	92
GCIE	52.23	-42.41	13.6	44.55	162
BCIE	30.57	1.41	-46.46	46.49	272

Dreiecks-Helligkeit t^*

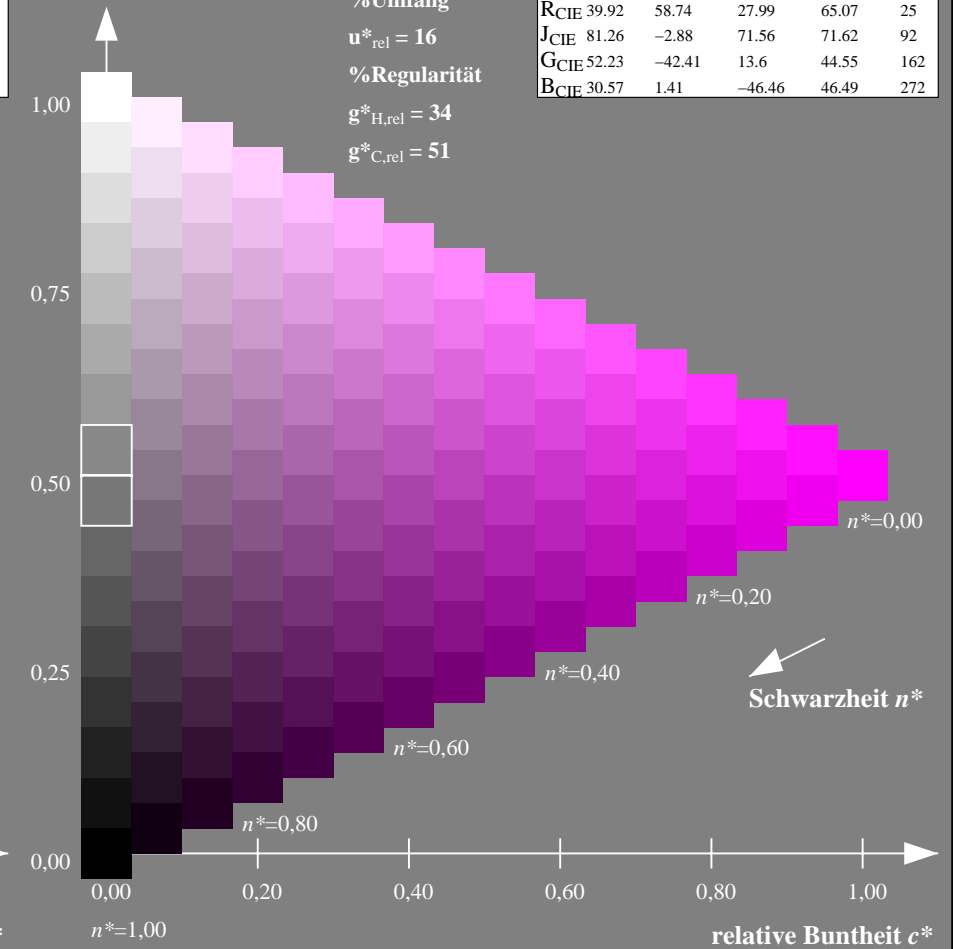
%Umfang

$u^*_{rel} = 16$

%Regularität

$g^*_{H,rel} = 34$

$g^*_{C,rel} = 51$



NG900-7, 9stufige Reihen für konstanten CIELAB Buntton $328/360 = 0.912$ (links)

16stufige Reihen für konstanten CIELAB Buntton $326/360 = 0.906$ (rechts)

Eingabe: Farbmetrisches Drucker-Reflektiv-System DRSXX

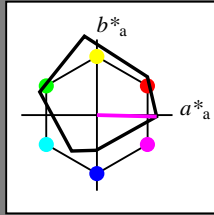
für Buntton $h^* = lab^*h = 359/360 = 0.996$

lab^*tch und lab^*nch

D65: Buntton M

LCH*Ma: 43 79 359

olv*Ma: 1.0 0.0 1.0



DRSXX; adaptierte CIELAB-Daten

	$L^*=L^*_a$	a^*_a	b^*_a	$C^*_{ab,a}$	$h^*_{ab,a}$
OMa	42.21	66.82	50.6	83.82	37
YMa	90.32	-16.51	104.33	105.63	99
LMa	48.21	-75.63	30.65	81.61	158
CMa	53.44	-33.33	-47.49	58.03	235
VMa	34.16	-0.92	-46.56	46.58	269
MMa	42.71	79.0	-1.95	79.03	359
NMa	16.56	0.0	0.0	0.0	0
WMa	96.31	0.0	0.0	0.0	0
RCIE	39.92	59.78	25.77	65.1	23
JCIE	81.26	-2.51	69.07	69.11	92
GCIE	52.23	-41.57	11.3	43.09	165
BCIE	30.57	2.6	-48.62	48.7	273

Dreiecks-Helligkeit t^*

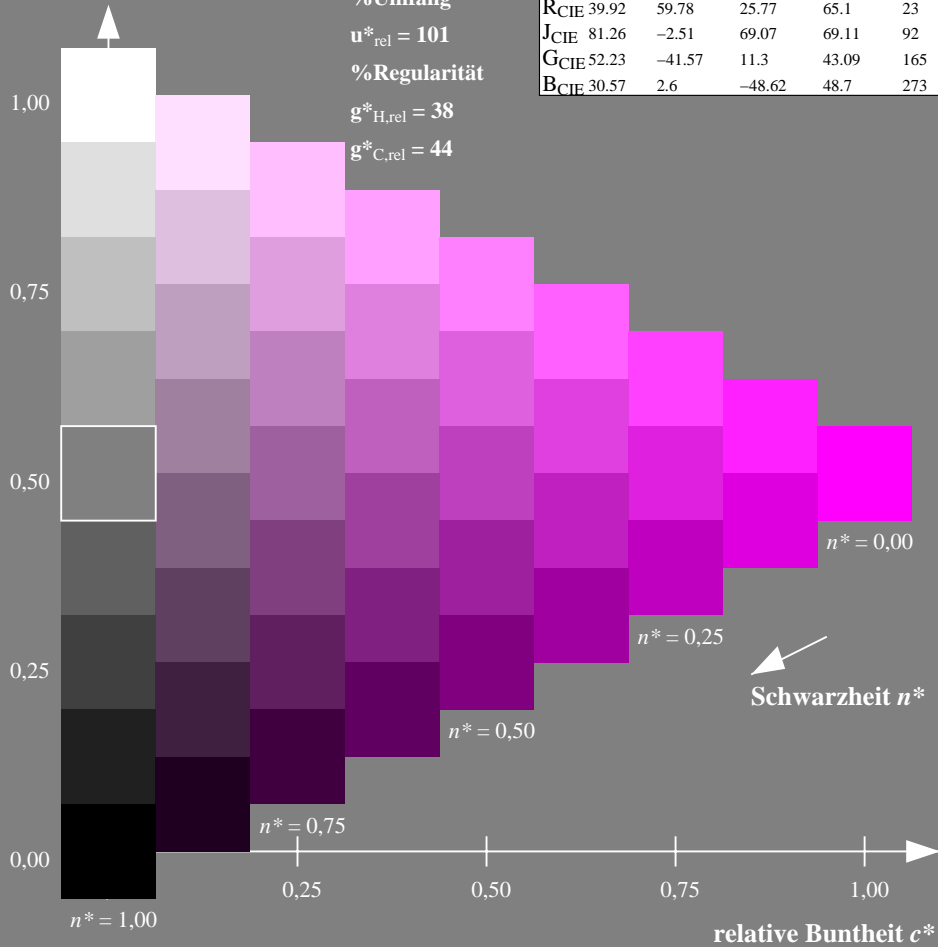
%Umfang

$u^*_{rel} = 101$

%Regularität

$g^*_{H,rel} = 38$

$g^*_{C,rel} = 44$



Ausgabe: Farbmetrisches Offset-Reflektiv-System ORS18

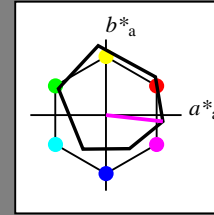
für Buntton $h^* = lab^*h = 354/360 = 0.982$

lab^*tch und lab^*nch

D65: Buntton M

LCH*Ma: 48 76 354

olv*Ma: 1.0 0.0 1.0



ORS18; adaptierte CIELAB-Daten

	$L^*=L^*_a$	a^*_a	b^*_a	$C^*_{ab,a}$	$h^*_{ab,a}$
OMa	47.94	65.39	50.52	82.63	38
YMa	90.37	-10.26	91.75	92.32	96
LMa	50.9	-62.83	34.96	71.91	151
CMa	58.62	-30.34	-45.01	54.3	236
VMa	25.72	31.1	-44.4	54.22	305
MMa	48.13	75.28	-8.36	75.74	354
NMa	18.01	0.0	0.0	0.0	0
WMa	95.41	0.0	0.0	0.0	0
RCIE	39.92	58.66	26.98	64.57	25
JCIE	81.26	-2.16	67.76	67.79	92
GCIE	52.23	-42.25	11.76	43.87	164
BCIE	30.57	1.15	-46.84	46.86	271

Dreiecks-Helligkeit t^*

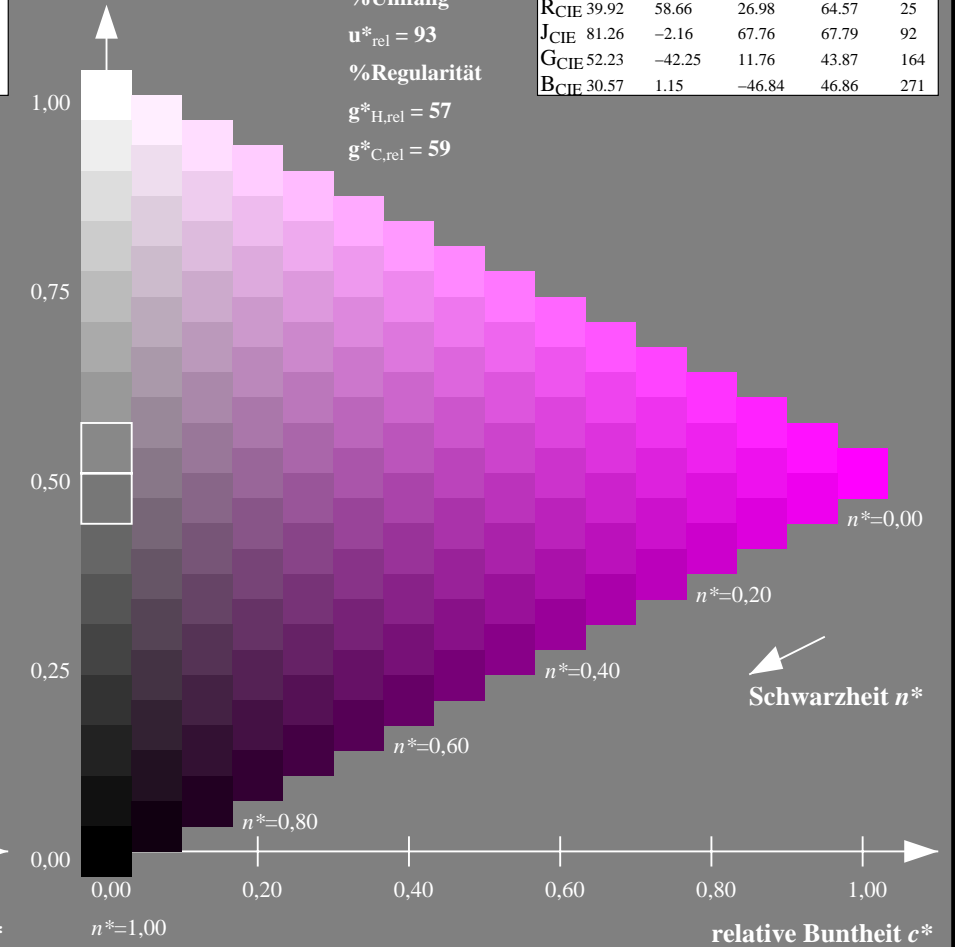
%Umfang

$u^*_{rel} = 93$

%Regularität

$g^*_{H,rel} = 57$

$g^*_{C,rel} = 59$



NG900-7, 9stufige Reihen für konstanten CIELAB Buntton 359/360 = 0.996 (links)

16stufige Reihen für konstanten CIELAB Buntton 354/360 = 0.982 (rechts)

Eingabe: Farbmetrisches Drucker-Reflektiv-System DRSXX

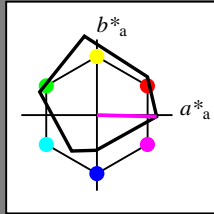
für Buntton $h^* = lab^*h = 359/360 = 0.996$

lab^*tch und lab^*nch

D65: Buntton M

LCH*Ma: 43 79 359

olv*Ma: 1.0 0.0 1.0



DRSXX; adaptierte CIELAB-Daten

	$L^*=L^*_a$	a^*_a	b^*_a	$C^*_{ab,a}$	$h^*_{ab,a}$
OMa	42.21	66.82	50.6	83.82	37
YMa	90.32	-16.51	104.33	105.63	99
LMa	48.21	-75.63	30.65	81.61	158
CMa	53.44	-33.33	-47.49	58.03	235
VMa	34.16	-0.92	-46.56	46.58	269
MMa	42.71	79.0	-1.95	79.03	359
NMa	16.56	0.0	0.0	0.0	0
WMa	96.31	0.0	0.0	0.0	0
RCIE	39.92	59.78	25.77	65.1	23
JCIE	81.26	-2.51	69.07	69.11	92
GCIE	52.23	-41.57	11.3	43.09	165
BCIE	30.57	2.6	-48.62	48.7	273

Dreiecks-Helligkeit t^*

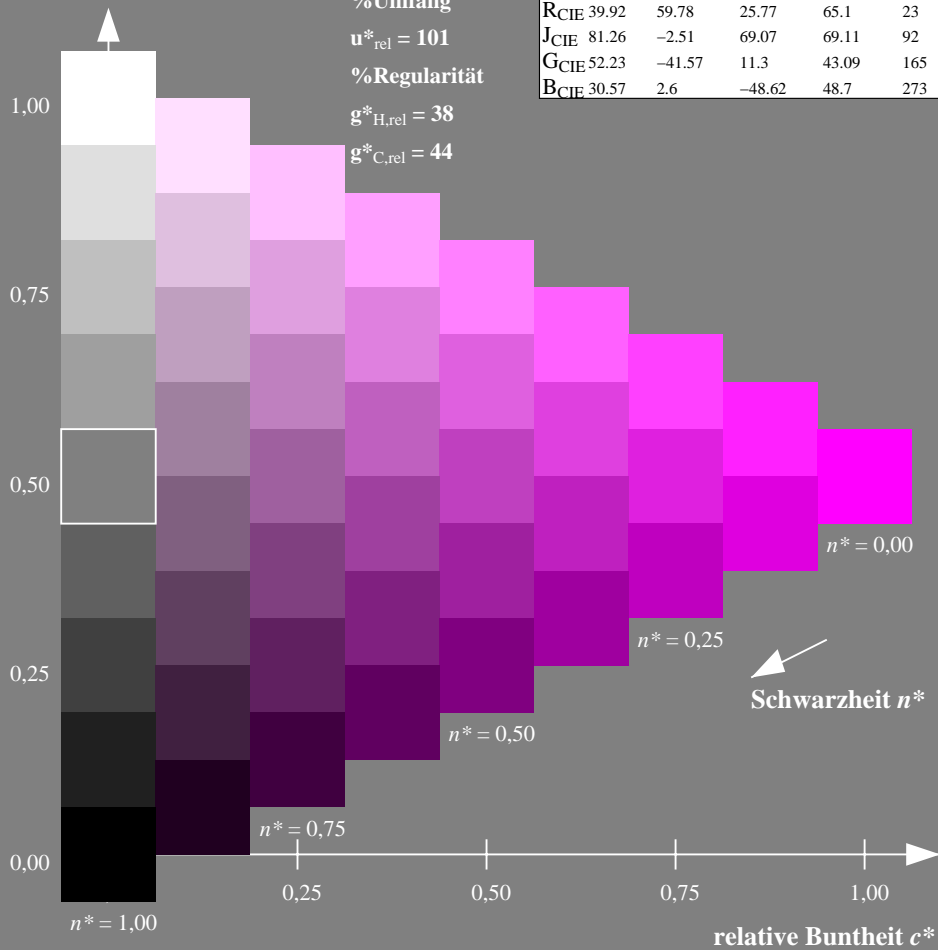
%Umfang

$u^*_{rel} = 101$

%Regularität

$g^*_{H,rel} = 38$

$g^*_{C,rel} = 44$



Ausgabe: Farbmetrisches Fernseh-Licht-System TLS00

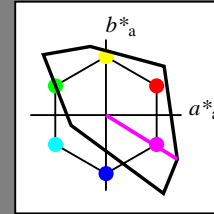
für Buntton $h^* = lab^*h = 328/360 = 0.912$

lab^*tch und lab^*nch

D65: Buntton M

LCH*Ma: 57 111 328

olv*Ma: 1.0 0.0 1.0



TLS00; adaptierte CIELAB-Daten

	$L^*=L^*_a$	a^*_a	b^*_a	$C^*_{ab,a}$	$h^*_{ab,a}$
OMa	50.5	76.92	64.55	100.42	40
YMa	92.66	-20.69	90.75	93.08	103
LMa	83.63	-82.75	79.9	115.04	136
CMa	86.88	-46.16	-13.55	48.12	196
VMa	30.39	76.06	-103.59	128.52	306
MMa	57.3	94.35	-58.41	110.97	328
NMa	0.01	0.0	0.0	0.0	0
WMa	95.41	0.0	0.0	0.0	0
RCIE	39.92	58.74	27.99	65.07	25
JCIE	81.26	-2.88	71.56	71.62	92
GCIE	52.23	-42.41	13.6	44.55	162
BCIE	30.57	1.41	-46.46	46.49	272

Dreiecks-Helligkeit t^*

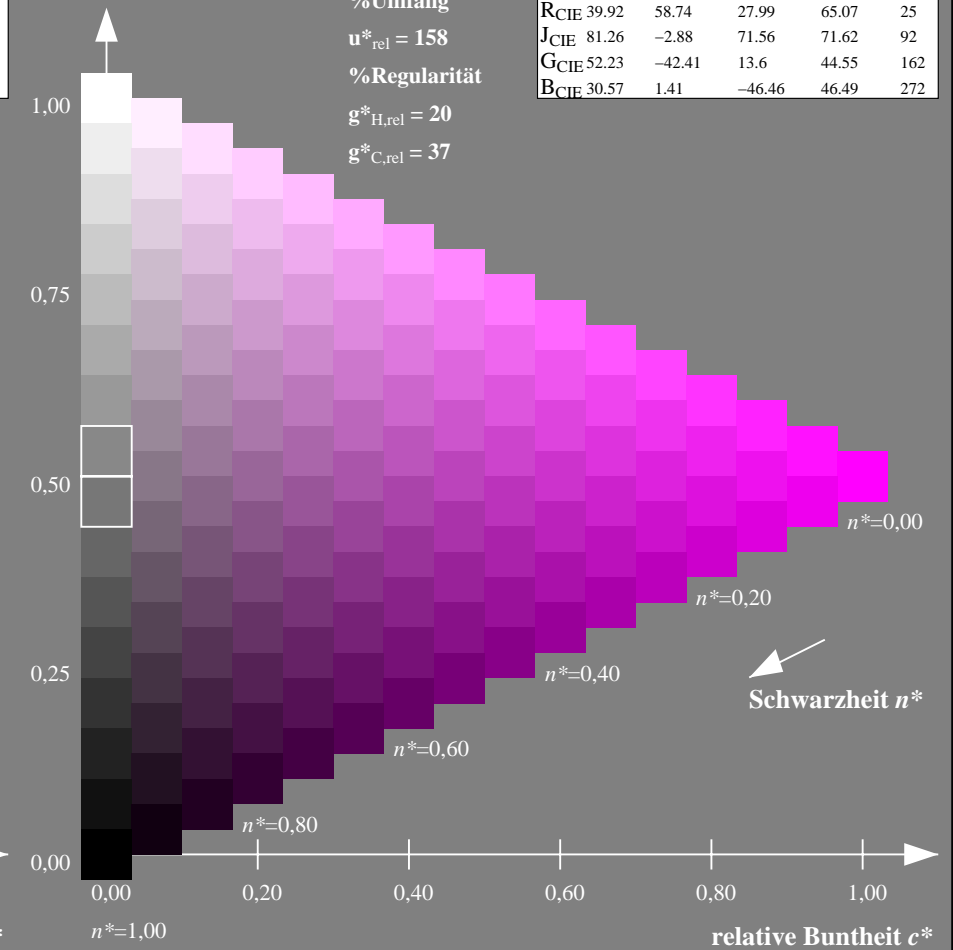
%Umfang

$u^*_{rel} = 158$

%Regularität

$g^*_{H,rel} = 20$

$g^*_{C,rel} = 37$



NG900-7, 9stufige Reihen für konstanten CIELAB Buntton $359/360 = 0.996$ (links)

16stufige Reihen für konstanten CIELAB Buntton $328/360 = 0.912$ (rechts)

Eingabe: Farbmetrisches Drucker-Reflektiv-System DRSXX

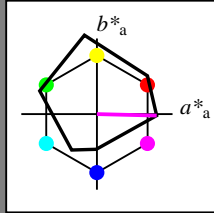
für Buntton $h^* = lab^*h = 359/360 = 0.996$

lab^*tch und lab^*nch

D65: Buntton M

LCH*Ma: 43 79 359

olv*Ma: 1.0 0.0 1.0



DRSXX; adaptierte CIELAB-Daten

	$L^*=L^*_a$	a^*_a	b^*_a	$C^*_{ab,a}$	$h^*_{ab,a}$
OMa	42.21	66.82	50.6	83.82	37
YMa	90.32	-16.51	104.33	105.63	99
LMa	48.21	-75.63	30.65	81.61	158
CMa	53.44	-33.33	-47.49	58.03	235
VMa	34.16	-0.92	-46.56	46.58	269
MMa	42.71	79.0	-1.95	79.03	359
NMa	16.56	0.0	0.0	0.0	0
WMa	96.31	0.0	0.0	0.0	0
RCIE	39.92	59.78	25.77	65.1	23
JCIE	81.26	-2.51	69.07	69.11	92
GCIE	52.23	-41.57	11.3	43.09	165
BCIE	30.57	2.6	-48.62	48.7	273

Dreiecks-Helligkeit t^*

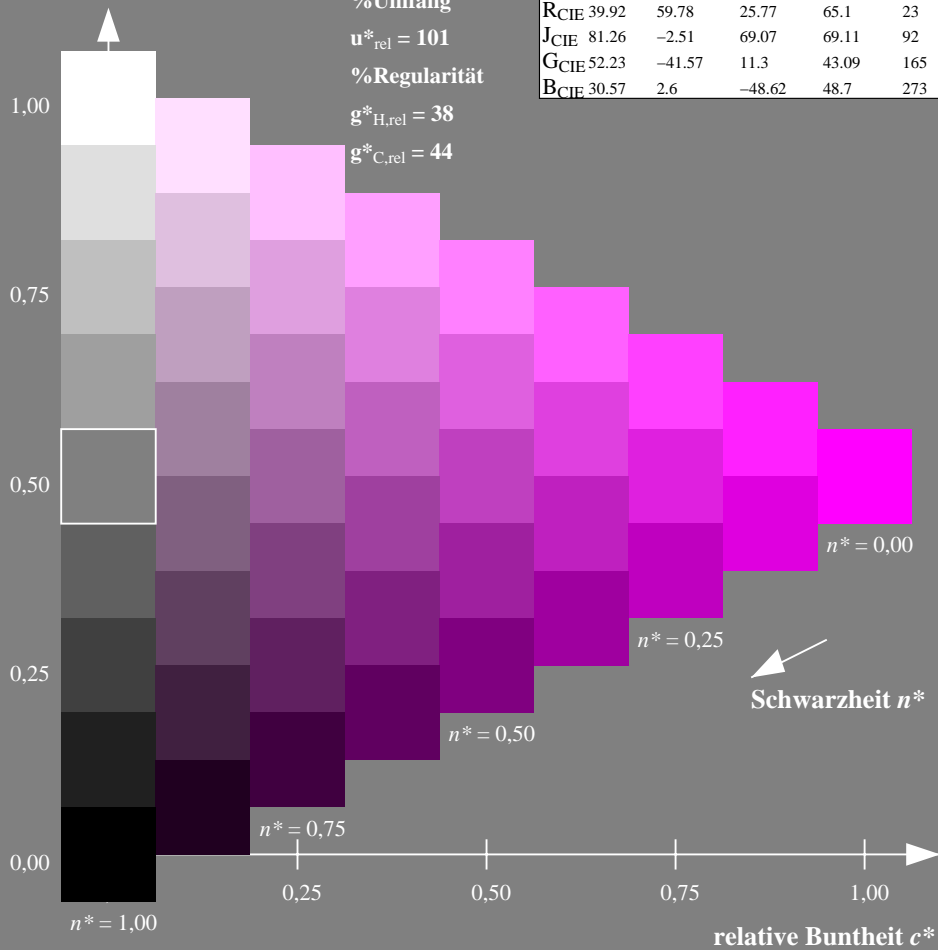
%Umfang

$u^*_{rel} = 101$

%Regularität

$g^*_{H,rel} = 38$

$g^*_{C,rel} = 44$



Ausgabe: Farbmetrisches Drucker-Reflektiv-System DRSXX

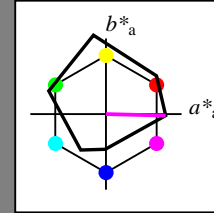
für Buntton $h^* = lab^*h = 359/360 = 0.996$

lab^*tch und lab^*nch

D65: Buntton M

LCH*Ma: 43 79 359

olv*Ma: 1.0 0.0 1.0



DRSXX; adaptierte CIELAB-Daten

	$L^*=L^*_a$	a^*_a	b^*_a	$C^*_{ab,a}$	$h^*_{ab,a}$
OMa	42.21	66.82	50.6	83.82	37
YMa	90.32	-16.51	104.33	105.63	99
LMa	48.21	-75.63	30.65	81.61	158
CMa	53.44	-33.33	-47.49	58.03	235
VMa	34.16	-0.92	-46.56	46.58	269
MMa	42.71	79.0	-1.95	79.03	359
NMa	16.56	0.0	0.0	0.0	0
WMa	96.31	0.0	0.0	0.0	0
RCIE	39.92	59.78	25.77	65.1	23
JCIE	81.26	-2.51	69.07	69.11	92
GCIE	52.23	-41.57	11.3	43.09	165
BCIE	30.57	2.6	-48.62	48.7	273

Dreiecks-Helligkeit t^*

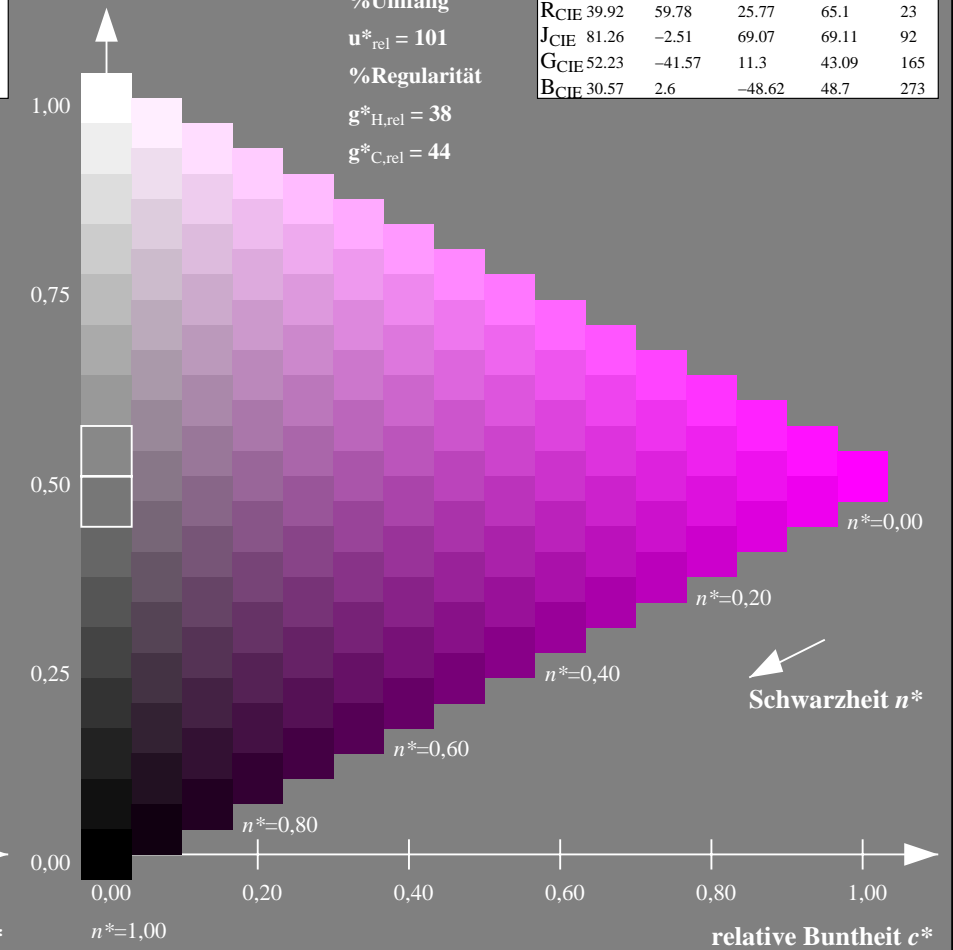
%Umfang

$u^*_{rel} = 101$

%Regularität

$g^*_{H,rel} = 38$

$g^*_{C,rel} = 44$



NG900-7, 9stufige Reihen für konstanten CIELAB Buntton 359/360 = 0.996 (links)

16stufige Reihen für konstanten CIELAB Buntton 359/360 = 0.996 (rechts)

Eingabe: Farbmetrisches Drucker-Reflektiv-System DRSXX

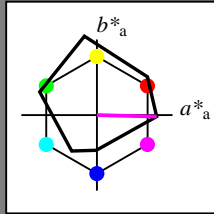
für Buntton $h^* = lab^*h = 359/360 = 0.996$

lab^*tch und lab^*nch

D65: Buntton M

LCH*Ma: 43 79 359

olv*Ma: 1.0 0.0 1.0



DRSXX; adaptierte CIELAB-Daten

	$L^*=L^*_a$	a^*_a	b^*_a	$C^*_{ab,a}$	$h^*_{ab,a}$
OMa	42.21	66.82	50.6	83.82	37
YMa	90.32	-16.51	104.33	105.63	99
LMa	48.21	-75.63	30.65	81.61	158
CMa	53.44	-33.33	-47.49	58.03	235
VMa	34.16	-0.92	-46.56	46.58	269
MMa	42.71	79.0	-1.95	79.03	359
NMa	16.56	0.0	0.0	0.0	0
WMa	96.31	0.0	0.0	0.0	0
RCIE	39.92	59.78	25.77	65.1	23
JCIE	81.26	-2.51	69.07	69.11	92
GCIE	52.23	-41.57	11.3	43.09	165
BCIE	30.57	2.6	-48.62	48.7	273

Dreiecks-Helligkeit t^*

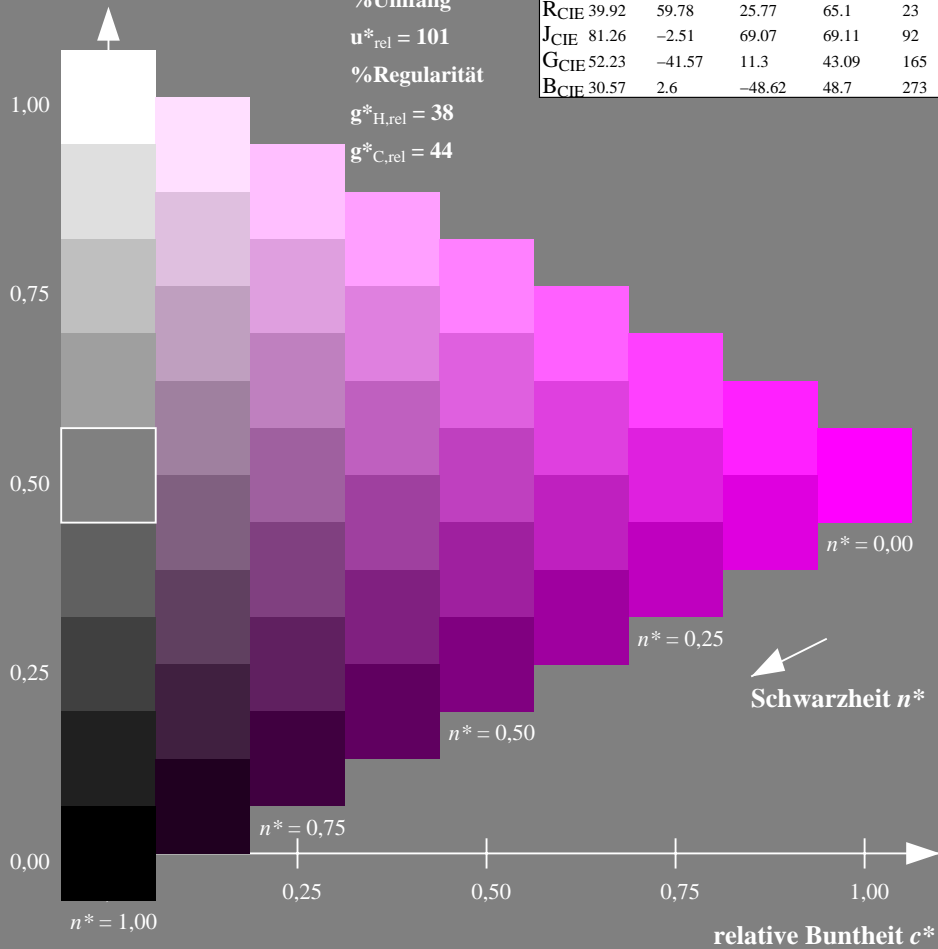
%Umfang

$u^*_{rel} = 101$

%Regularität

$g^*_{H,rel} = 38$

$g^*_{C,rel} = 44$



Ausgabe: Farbmetrisches Fernseh-Licht-System TLS18

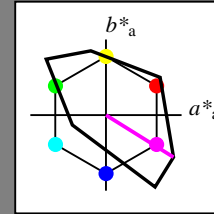
für Buntton $h^* = lab^*h = 328/360 = 0.911$

lab^*tch und lab^*nch

D65: Buntton M

LCH*Ma: 59 105 328

olv*Ma: 1.0 0.0 1.0



TLS18; adaptierte CIELAB-Daten

	$L^*=L^*_a$	a^*_a	b^*_a	$C^*_{ab,a}$	$h^*_{ab,a}$
OMa	52.76	71.63	49.88	87.29	35
YMa	92.74	-20.02	84.97	87.3	103
LMa	84.0	-78.98	73.94	108.2	137
CMa	87.14	-44.41	-13.11	46.32	196
VMa	35.47	64.92	-95.06	115.12	304
MMa	59.01	89.33	-55.67	105.26	328
NMa	18.01	0.0	0.0	0.0	0
WMa	95.41	0.0	0.0	0.0	0
RCIE	39.92	58.74	27.99	65.07	25
JCIE	81.26	-2.88	71.56	71.62	92
GCIE	52.23	-42.41	13.6	44.55	162
BCIE	30.57	1.41	-46.46	46.49	272

Dreiecks-Helligkeit t^*

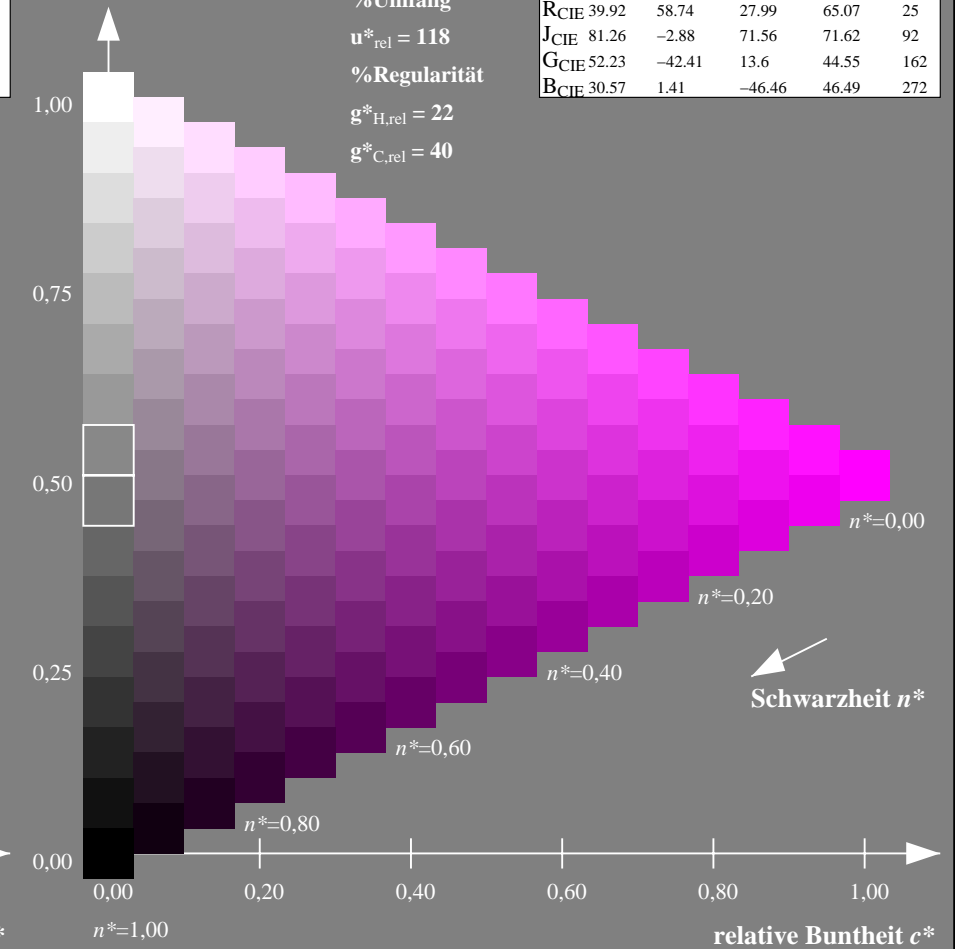
%Umfang

$u^*_{rel} = 118$

%Regularität

$g^*_{H,rel} = 22$

$g^*_{C,rel} = 40$



NG900-7, 9stufige Reihen für konstanten CIELAB Buntton $359/360 = 0.996$ (links)

16stufige Reihen für konstanten CIELAB Buntton $328/360 = 0.911$ (rechts)

Eingabe: Farbmetrisches Drucker-Reflektiv-System DRSXX

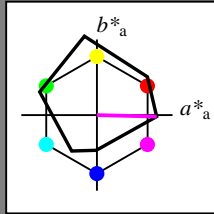
für Buntton $h^* = lab^*h = 359/360 = 0.996$

lab^*tch und lab^*nch

D65: Buntton M

LCH*Ma: 43 79 359

olv*Ma: 1.0 0.0 1.0



DRSXX; adaptierte CIELAB-Daten

	$L^*=L^*_a$	a^*_a	b^*_a	$C^*_{ab,a}$	$h^*_{ab,a}$
OMa	42.21	66.82	50.6	83.82	37
YMa	90.32	-16.51	104.33	105.63	99
LMa	48.21	-75.63	30.65	81.61	158
CMa	53.44	-33.33	-47.49	58.03	235
VMa	34.16	-0.92	-46.56	46.58	269
MMa	42.71	79.0	-1.95	79.03	359
NMa	16.56	0.0	0.0	0.0	0
WMa	96.31	0.0	0.0	0.0	0
RCIE	39.92	59.78	25.77	65.1	23
JCIE	81.26	-2.51	69.07	69.11	92
GCIE	52.23	-41.57	11.3	43.09	165
BCIE	30.57	2.6	-48.62	48.7	273

Dreiecks-Helligkeit t^*

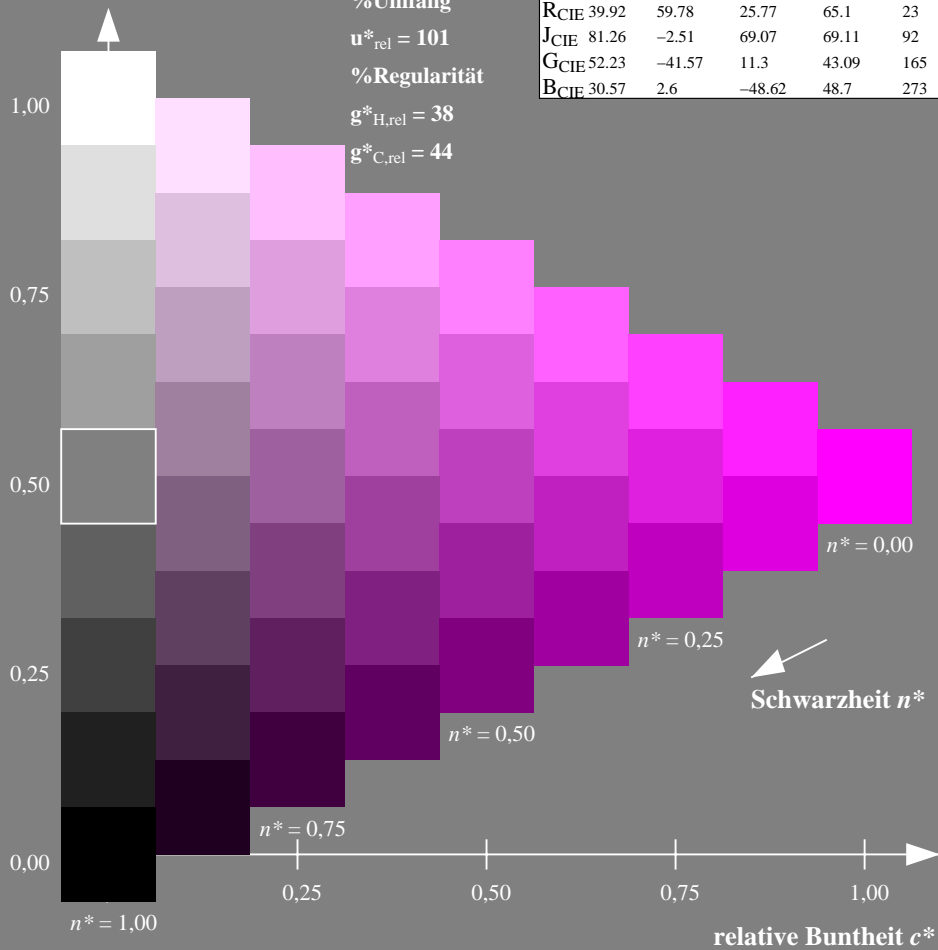
%Umfang

$u^*_{rel} = 101$

%Regularität

$g^*_{H,rel} = 38$

$g^*_{C,rel} = 44$



Ausgabe: Farbmetrisches Natürliches-Licht-System NLS00

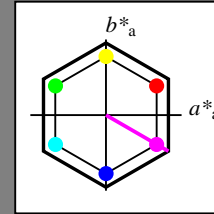
für Buntton $h^* = lab^*h = 330/360 = 0.917$

lab^*tch und lab^*nch

D65: Buntton M

LCH*Ma: 64 95 330

olv*Ma: 1.0 0.0 1.0



NLS00; adaptierte CIELAB-Daten

	$L^*=L^*_a$	a^*_a	b^*_a	$C^*_{ab,a}$	$h^*_{ab,a}$
OMa	31.81	82.62	47.7	95.4	30
YMa	63.61	0.0	95.4	95.4	90
LMa	31.81	-82.61	47.7	95.4	150
CMa	63.61	-82.61	-47.69	95.4	210
VMa	31.81	0.0	-95.39	95.4	270
MMa	63.61	82.62	-47.69	95.4	330
NMa	0.01	0.0	0.0	0.0	0
WMa	95.41	0.0	0.0	0.0	0
RCIE	39.92	58.74	27.99	65.07	25
JCIE	81.26	-2.88	71.56	71.62	92
GCIE	52.23	-42.41	13.6	44.55	162
BCIE	30.57	1.41	-46.46	46.49	272

Dreiecks-Helligkeit t^*

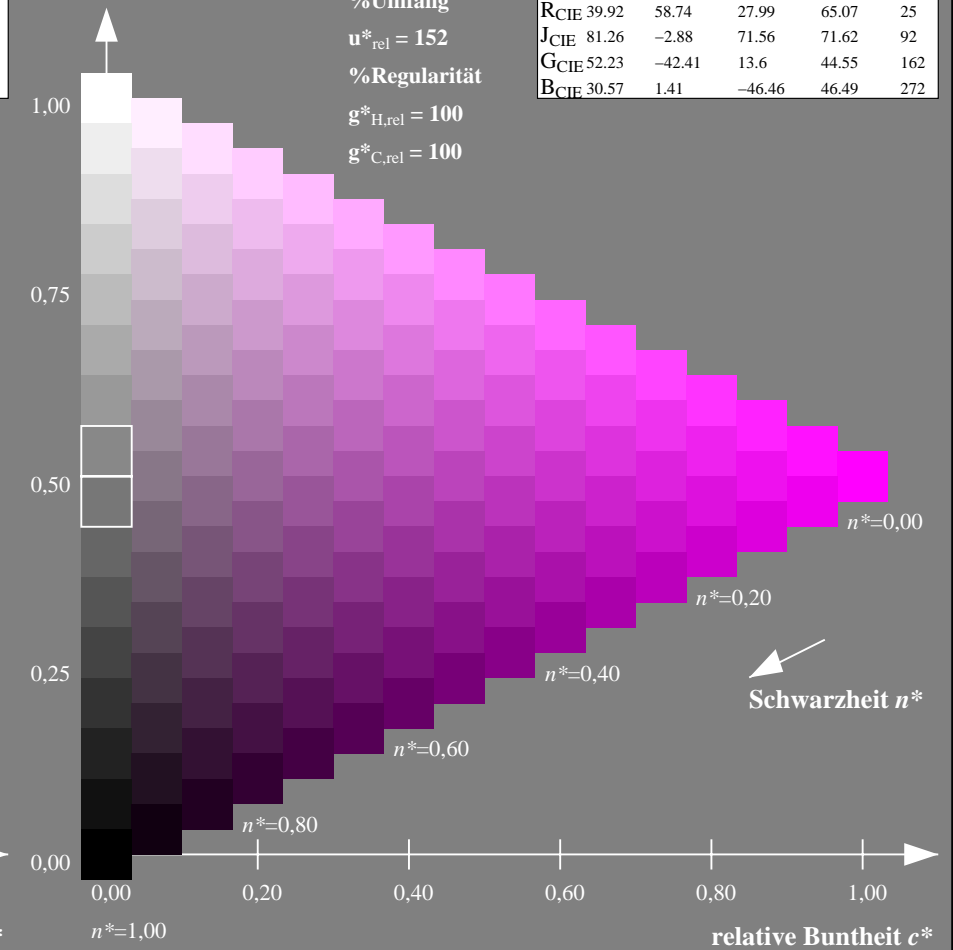
%Umfang

$u^*_{rel} = 152$

%Regularität

$g^*_{H,rel} = 100$

$g^*_{C,rel} = 100$



NG900-7, 9stufige Reihen für konstanten CIELAB Buntton $359/360 = 0.996$ (links)

16stufige Reihen für konstanten CIELAB Buntton $330/360 = 0.917$ (rechts)

Eingabe: Farbmetrisches Drucker-Reflektiv-System DRSXX

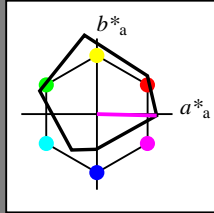
für Buntton $h^* = lab^*h = 359/360 = 0.996$

lab^*tch und lab^*nch

D65: Buntton M

LCH*Ma: 43 79 359

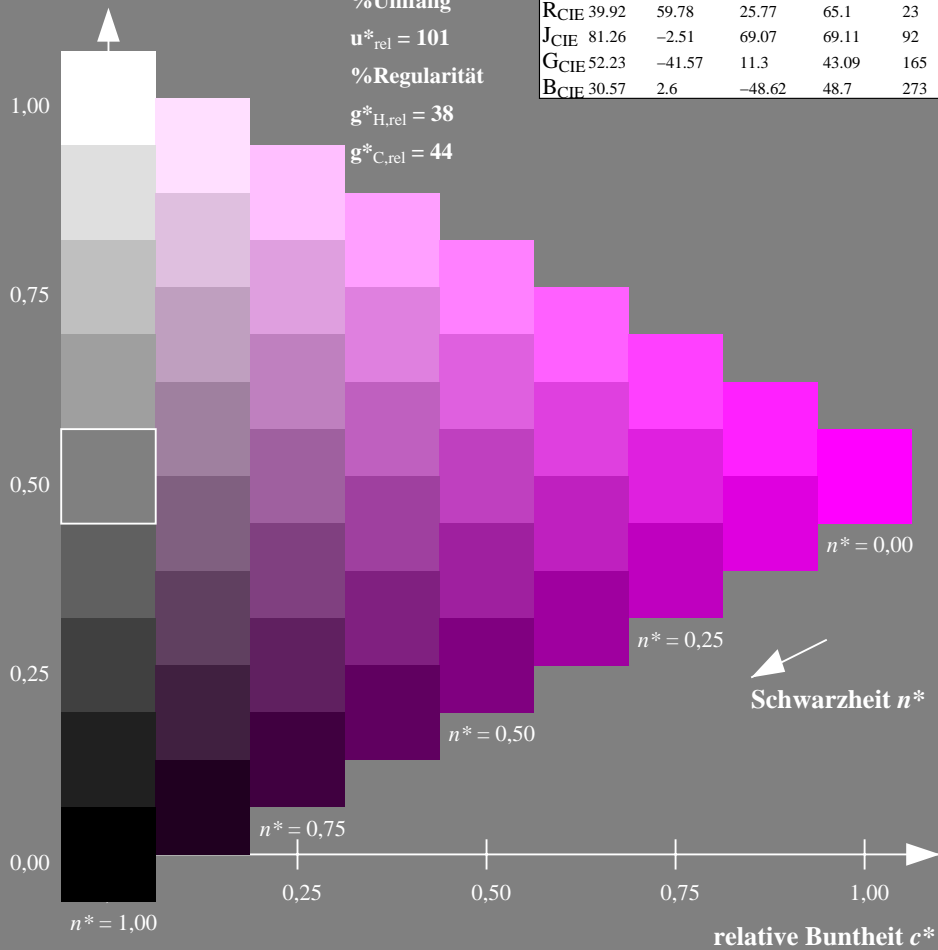
olv*Ma: 1.0 0.0 1.0



DRSXX; adaptierte CIELAB-Daten

	$L^*=L^*_a$	a^*_a	b^*_a	$C^*_{ab,a}$	$h^*_{ab,a}$
O _{Ma}	42.21	66.82	50.6	83.82	37
Y _{Ma}	90.32	-16.51	104.33	105.63	99
L _{Ma}	48.21	-75.63	30.65	81.61	158
C _{Ma}	53.44	-33.33	-47.49	58.03	235
V _{Ma}	34.16	-0.92	-46.56	46.58	269
M _{Ma}	42.71	79.0	-1.95	79.03	359
N _{Ma}	16.56	0.0	0.0	0.0	0
W _{Ma}	96.31	0.0	0.0	0.0	0
R _{CIE}	39.92	59.78	25.77	65.1	23
J _{CIE}	81.26	-2.51	69.07	69.11	92
G _{CIE}	52.23	-41.57	11.3	43.09	165
B _{CIE}	30.57	2.6	-48.62	48.7	273

Dreiecks-Helligkeit t^*



Ausgabe: Farbmetrisches Natürliches-Reflektiv-System NRS18

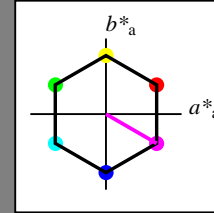
für Buntton $h^* = lab^*h = 330/360 = 0.917$

lab^*tch und lab^*nch

D65: Buntton M

LCH*Ma: 70 77 330

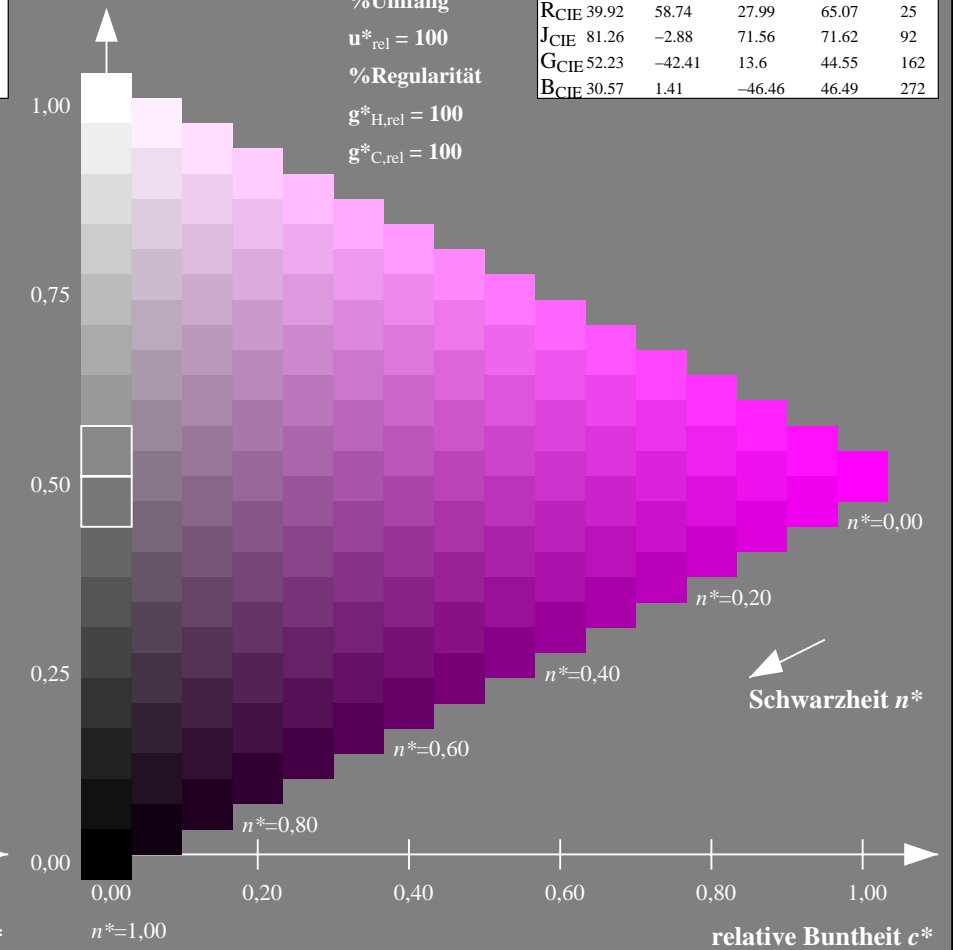
olv*Ma: 1.0 0.0 1.0



NRS18; adaptierte CIELAB-Daten

	$L^*=L^*_a$	a^*_a	b^*_a	$C^*_{ab,a}$	$h^*_{ab,a}$
O _{Ma}	43.81	67.03	38.7	77.4	30
Y _{Ma}	69.61	0.0	77.4	77.4	90
L _{Ma}	43.81	-67.02	38.7	77.4	150
C _{Ma}	69.61	-67.02	-38.69	77.4	210
V _{Ma}	43.81	0.0	-77.39	77.4	270
M _{Ma}	69.61	67.03	-38.69	77.4	330
N _{Ma}	18.01	0.0	0.0	0.0	0
W _{Ma}	95.41	0.0	0.0	0.0	0
R _{CIE}	39.92	58.74	27.99	65.07	25
J _{CIE}	81.26	-2.88	71.56	71.62	92
G _{CIE}	52.23	-42.41	13.6	44.55	162
B _{CIE}	30.57	1.41	-46.46	46.49	272

Dreiecks-Helligkeit t^*



NG900-7, 9stufige Reihen für konstanten CIELAB Buntton $359/360 = 0.996$ (links)

16stufige Reihen für konstanten CIELAB Buntton $330/360 = 0.917$ (rechts)

Eingabe: Farbmetrisches Drucker-Reflektiv-System DRSXX

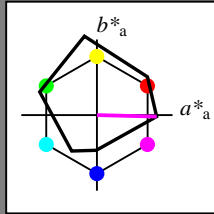
für Buntton $h^* = lab^*h = 359/360 = 0.996$

lab^*tch und lab^*nch

D65: Buntton M

LCH*Ma: 43 79 359

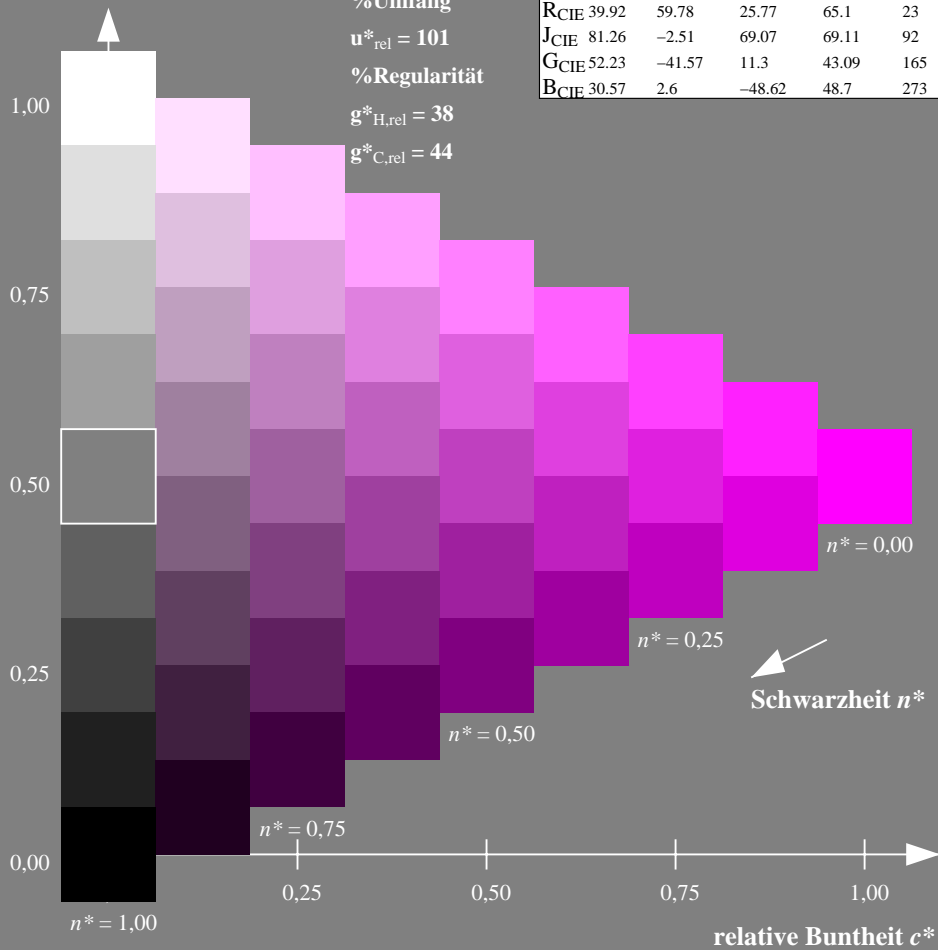
olv*Ma: 1.0 0.0 1.0



DRSXX; adaptierte CIELAB-Daten

	$L^*=L^*_a$	a^*_a	b^*_a	$C^*_{ab,a}$	$h^*_{ab,a}$
OMa	42.21	66.82	50.6	83.82	37
YMa	90.32	-16.51	104.33	105.63	99
LMa	48.21	-75.63	30.65	81.61	158
CMa	53.44	-33.33	-47.49	58.03	235
VMa	34.16	-0.92	-46.56	46.58	269
MMa	42.71	79.0	-1.95	79.03	359
NMa	16.56	0.0	0.0	0.0	0
WMa	96.31	0.0	0.0	0.0	0
RCIE	39.92	59.78	25.77	65.1	23
JCIE	81.26	-2.51	69.07	69.11	92
GCIE	52.23	-41.57	11.3	43.09	165
BCIE	30.57	2.6	-48.62	48.7	273

Dreiecks-Helligkeit t^*



Ausgabe: Farbmetrisches Standard-Reflektiv-System SRS18

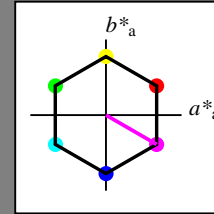
für Buntton $h^* = lab^*h = 330/360 = 0.917$

lab^*tch und lab^*nch

D65: Buntton M

LCH*Ma: 57 77 330

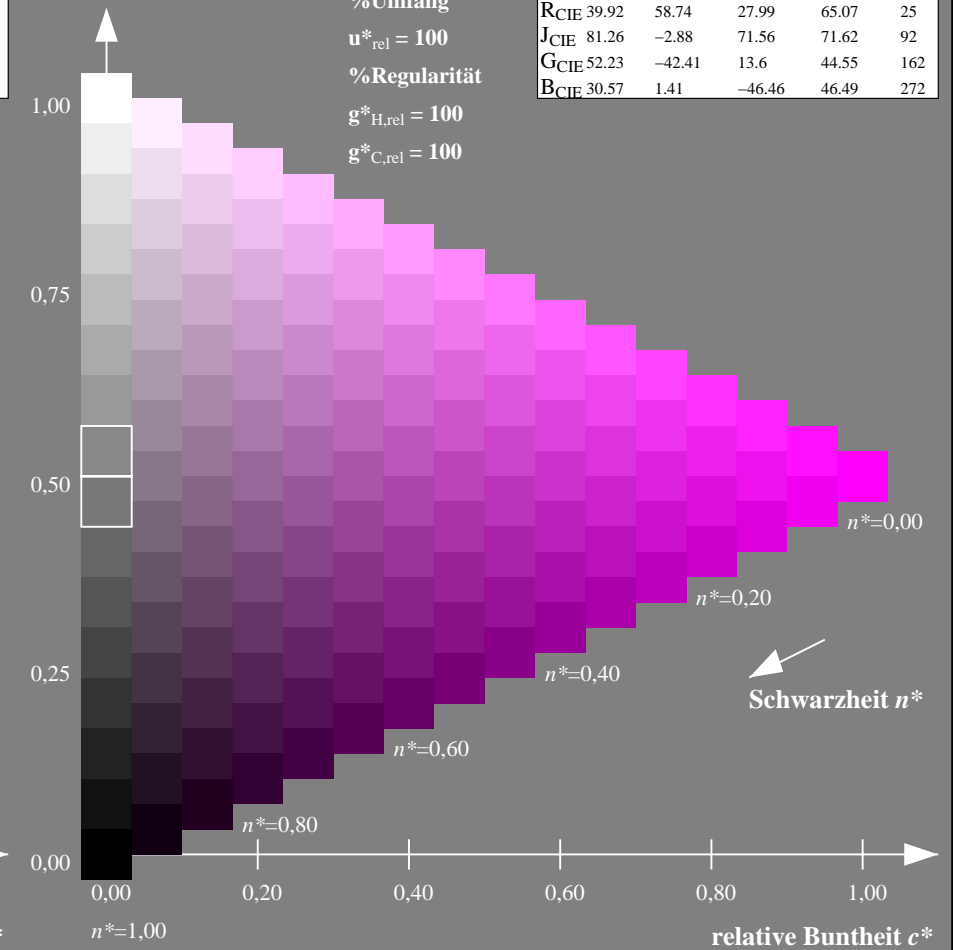
olv*Ma: 1.0 0.0 1.0



SRS18; adaptierte CIELAB-Daten

	$L^*=L^*_a$	a^*_a	b^*_a	$C^*_{ab,a}$	$h^*_{ab,a}$
OMa	56.71	67.03	38.7	77.4	30
YMa	56.71	0.0	77.4	77.4	90
LMa	56.71	-67.02	38.7	77.4	150
CMa	56.71	-67.02	-38.69	77.4	210
VMa	56.71	0.0	-77.39	77.4	270
MMa	56.71	67.03	-38.69	77.4	330
NMa	18.01	0.0	0.0	0.0	0
WMa	95.41	0.0	0.0	0.0	0
RCIE	39.92	58.74	27.99	65.07	25
JCIE	81.26	-2.88	71.56	71.62	92
GCIE	52.23	-42.41	13.6	44.55	162
BCIE	30.57	1.41	-46.46	46.49	272

Dreiecks-Helligkeit t^*



NG900-7, 9stufige Reihen für konstanten CIELAB Buntton $359/360 = 0.996$ (links)

16stufige Reihen für konstanten CIELAB Buntton $330/360 = 0.917$ (rechts)

Eingabe: Farbmetrisches Drucker-Reflektiv-System DRSXX

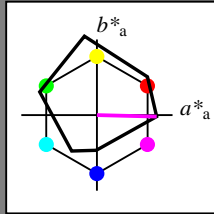
für Buntton $h^* = lab^*h = 359/360 = 0.996$

lab^*tch und lab^*nch

D65: Buntton M

LCH*Ma: 43 79 359

olv*Ma: 1.0 0.0 1.0



DRSXX; adaptierte CIELAB-Daten

	$L^*=L^*_a$	a^*_a	b^*_a	$C^*_{ab,a}$	$h^*_{ab,a}$
O _{Ma}	42.21	66.82	50.6	83.82	37
Y _{Ma}	90.32	-16.51	104.33	105.63	99
L _{Ma}	48.21	-75.63	30.65	81.61	158
C _{Ma}	53.44	-33.33	-47.49	58.03	235
V _{Ma}	34.16	-0.92	-46.56	46.58	269
M _{Ma}	42.71	79.0	-1.95	79.03	359
N _{Ma}	16.56	0.0	0.0	0.0	0
W _{Ma}	96.31	0.0	0.0	0.0	0
R _{CIE}	39.92	59.78	25.77	65.1	23
J _{CIE}	81.26	-2.51	69.07	69.11	92
G _{CIE}	52.23	-41.57	11.3	43.09	165
B _{CIE}	30.57	2.6	-48.62	48.7	273

Dreiecks-Helligkeit t^*

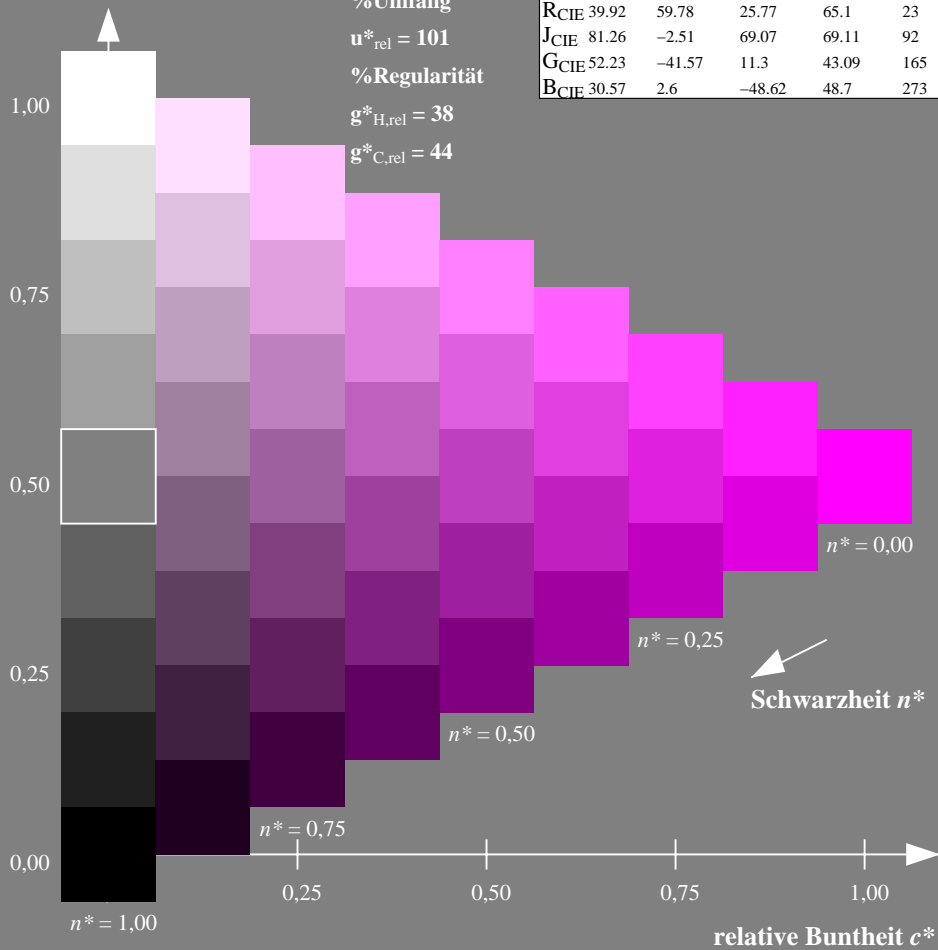
%Umfang

$u^*_{rel} = 101$

%Regularität

$g^*_{H,rel} = 38$

$g^*_{C,rel} = 44$



Ausgabe: Farbmetrisches Fernseh-Licht-System TLS70

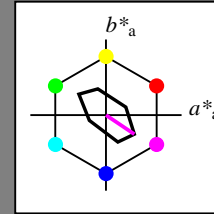
für Buntton $h^* = lab^*h = 326/360 = 0.906$

lab^*tch und lab^*nch

D65: Buntton M

LCH*Ma: 79 45 326

olv*Ma: 1.0 0.0 1.0



TLS70; adaptierte CIELAB-Daten

	$L^*=L^*_a$	a^*_a	b^*_a	$C^*_{ab,a}$	$h^*_{ab,a}$
O _{Ma}	76.43	26.27	10.57	28.32	22
Y _{Ma}	93.93	-10.76	34.63	36.27	107
L _{Ma}	89.32	-35.8	27.64	45.24	142
C _{Ma}	90.93	-21.95	-7.07	23.07	198
V _{Ma}	72.1	15.76	-35.63	38.97	294
M _{Ma}	78.5	37.52	-25.23	45.22	326
N _{Ma}	69.7	0.0	0.0	0.0	0
W _{Ma}	95.41	0.0	0.0	0.0	0
R _{CIE}	39.92	58.74	27.99	65.07	25
J _{CIE}	81.26	-2.88	71.56	71.62	92
G _{CIE}	52.23	-42.41	13.6	44.55	162
B _{CIE}	30.57	1.41	-46.46	46.49	272

Dreiecks-Helligkeit t^*

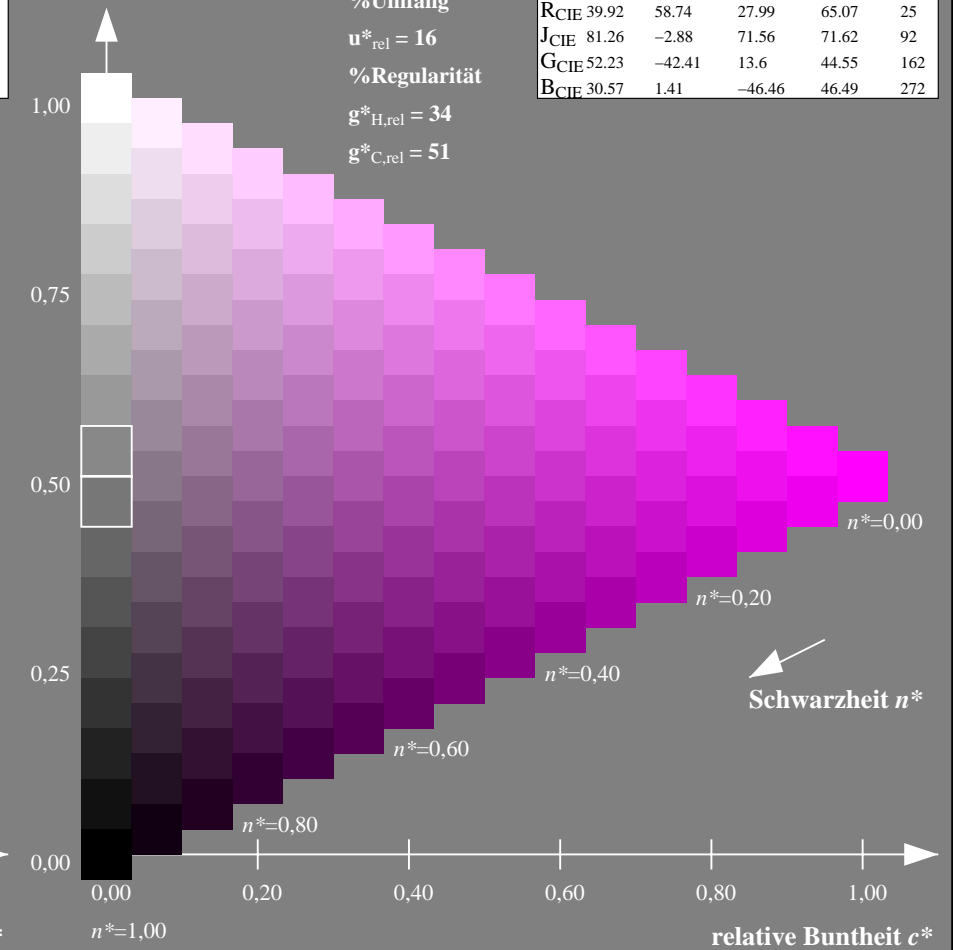
%Umfang

$u^*_{rel} = 16$

%Regularität

$g^*_{H,rel} = 34$

$g^*_{C,rel} = 51$



NG900-7, 9stufige Reihen für konstanten CIELAB Buntton $359/360 = 0.996$ (links)

16stufige Reihen für konstanten CIELAB Buntton $326/360 = 0.906$ (rechts)

Eingabe: Farbmetrisches Fernseh-Licht-System TLS18

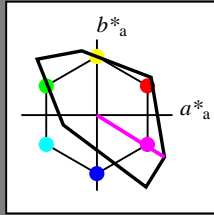
für Buntton $h^* = lab^*h = 328/360 = 0.911$

lab^*tch und lab^*nch

D65: Buntton M

LCH*Ma: 59 105 328

olv*Ma: 1.0 0.0 1.0



TLS18; adaptierte CIELAB-Daten

	$L^*=L^*_a$	a^*_a	b^*_a	$C^*_{ab,a}$	$h^*_{ab,a}$
OMa	52.76	71.63	49.88	87.29	35
YMa	92.74	-20.02	84.97	87.3	103
LMa	84.0	-78.98	73.94	108.2	137
CMa	87.14	-44.41	-13.11	46.32	196
VMa	35.47	64.92	-95.06	115.12	304
MMa	59.01	89.33	-55.67	105.26	328
NMa	18.01	0.0	0.0	0.0	0
WMa	95.41	0.0	0.0	0.0	0
RCIE	39.92	58.74	27.99	65.07	25
JCIE	81.26	-2.88	71.56	71.62	92
GCIE	52.23	-42.41	13.6	44.55	162
BCIE	30.57	1.41	-46.46	46.49	272

Dreiecks-Helligkeit t^*

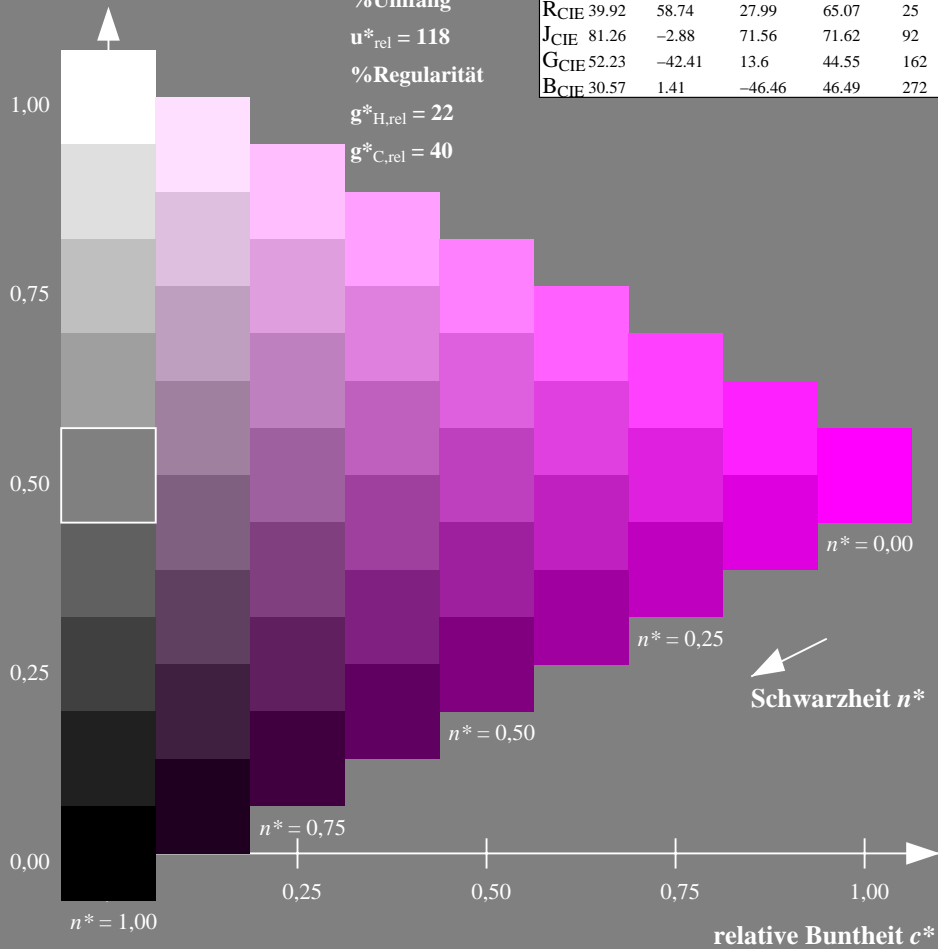
%Umfang

$u^*_{rel} = 118$

%Regularität

$g^*_{H,rel} = 22$

$g^*_{C,rel} = 40$



Ausgabe: Farbmetrisches Offset-Reflektiv-System ORS18

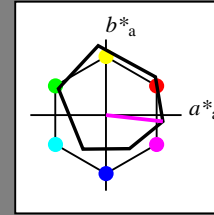
für Buntton $h^* = lab^*h = 354/360 = 0.982$

lab^*tch und lab^*nch

D65: Buntton M

LCH*Ma: 48 76 354

olv*Ma: 1.0 0.0 1.0



ORS18; adaptierte CIELAB-Daten

	$L^*=L^*_a$	a^*_a	b^*_a	$C^*_{ab,a}$	$h^*_{ab,a}$
OMa	47.94	65.39	50.52	82.63	38
YMa	90.37	-10.26	91.75	92.32	96
LMa	50.9	-62.83	34.96	71.91	151
CMa	58.62	-30.34	-45.01	54.3	236
VMa	25.72	31.1	-44.4	54.22	305
MMa	48.13	75.28	-8.36	75.74	354
NMa	18.01	0.0	0.0	0.0	0
WMa	95.41	0.0	0.0	0.0	0
RCIE	39.92	58.66	26.98	64.57	25
JCIE	81.26	-2.16	67.76	67.79	92
GCIE	52.23	-42.25	11.76	43.87	164
BCIE	30.57	1.15	-46.84	46.86	271

Dreiecks-Helligkeit t^*

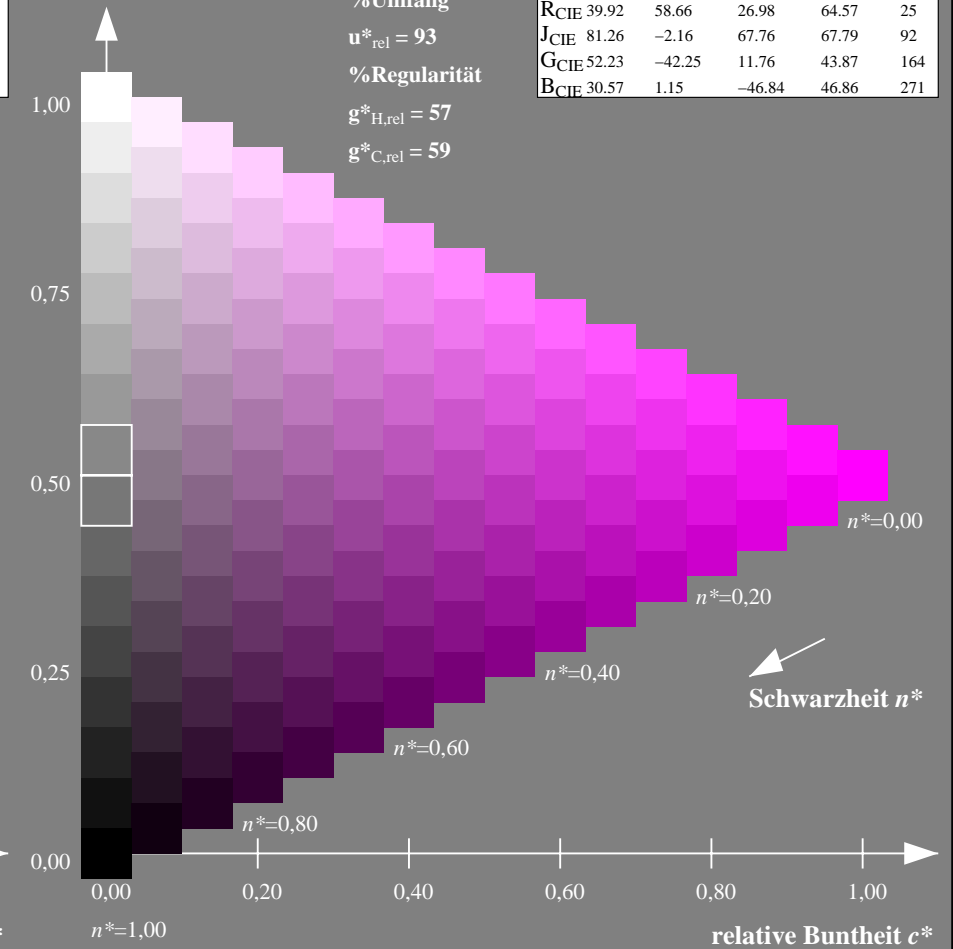
%Umfang

$u^*_{rel} = 93$

%Regularität

$g^*_{H,rel} = 57$

$g^*_{C,rel} = 59$



NG900-7, 9stufige Reihen für konstanten CIELAB Buntton $328/360 = 0.911$ (links)

16stufige Reihen für konstanten CIELAB Buntton $354/360 = 0.982$ (rechts)

Eingabe: Farbmetrisches Fernseh-Licht-System TLS18

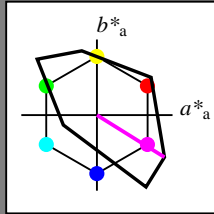
für Buntton $h^* = lab^*h = 328/360 = 0.911$

lab^*tch und lab^*nch

D65: Buntton M

LCH*Ma: 59 105 328

olv*Ma: 1.0 0.0 1.0



TLS18; adaptierte CIELAB-Daten

	$L^*=L^*_a$	a^*_a	b^*_a	$C^*_{ab,a}$	$h^*_{ab,a}$
OMa	52.76	71.63	49.88	87.29	35
YMa	92.74	-20.02	84.97	87.3	103
LMa	84.0	-78.98	73.94	108.2	137
CMa	87.14	-44.41	-13.11	46.32	196
VMa	35.47	64.92	-95.06	115.12	304
MMa	59.01	89.33	-55.67	105.26	328
NMa	18.01	0.0	0.0	0.0	0
WMa	95.41	0.0	0.0	0.0	0
RCIE	39.92	58.74	27.99	65.07	25
JCIE	81.26	-2.88	71.56	71.62	92
GCIE	52.23	-42.41	13.6	44.55	162
BCIE	30.57	1.41	-46.46	46.49	272

Dreiecks-Helligkeit t^*

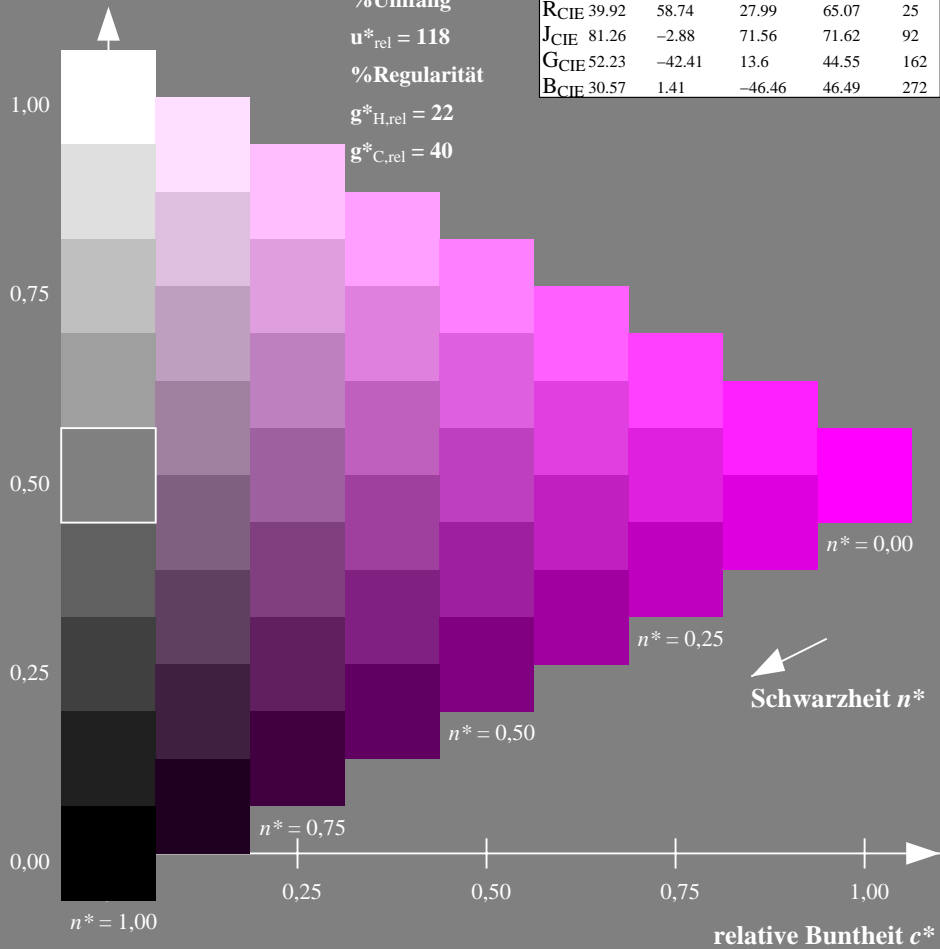
%Umfang

$u^*_{rel} = 118$

%Regularität

$g^*_{H,rel} = 22$

$g^*_{C,rel} = 40$



Ausgabe: Farbmetrisches Fernseh-Licht-System TLS00

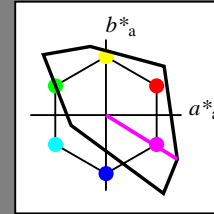
für Buntton $h^* = lab^*h = 328/360 = 0.912$

lab^*tch und lab^*nch

D65: Buntton M

LCH*Ma: 57 111 328

olv*Ma: 1.0 0.0 1.0



TLS00; adaptierte CIELAB-Daten

	$L^*=L^*_a$	a^*_a	b^*_a	$C^*_{ab,a}$	$h^*_{ab,a}$
OMa	50.5	76.92	64.55	100.42	40
YMa	92.66	-20.69	90.75	93.08	103
LMa	83.63	-82.75	79.9	115.04	136
CMa	86.88	-46.16	-13.55	48.12	196
VMa	30.39	76.06	-103.59	128.52	306
MMa	57.3	94.35	-58.41	110.97	328
NMa	0.01	0.0	0.0	0.0	0
WMa	95.41	0.0	0.0	0.0	0
RCIE	39.92	58.74	27.99	65.07	25
JCIE	81.26	-2.88	71.56	71.62	92
GCIE	52.23	-42.41	13.6	44.55	162
BCIE	30.57	1.41	-46.46	46.49	272

Dreiecks-Helligkeit t^*

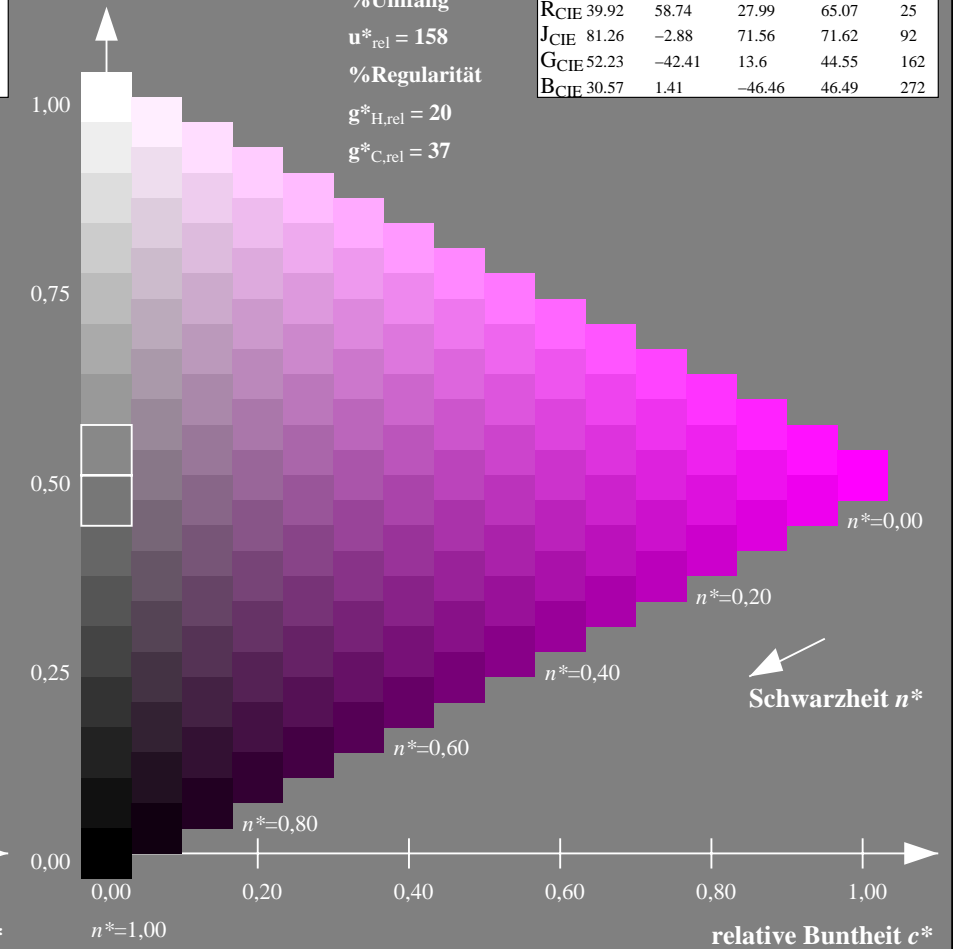
%Umfang

$u^*_{rel} = 158$

%Regularität

$g^*_{H,rel} = 20$

$g^*_{C,rel} = 37$



NG900-7, 9stufige Reihen für konstanten CIELAB Buntton $328/360 = 0.911$ (links)

16stufige Reihen für konstanten CIELAB Buntton $328/360 = 0.912$ (rechts)

Eingabe: Farbmetrisches Fernseh-Licht-System TLS18

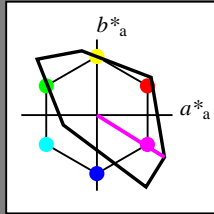
für Buntton $h^* = lab^*h = 328/360 = 0.911$

lab^*tch und lab^*nch

D65: Buntton M

LCH*Ma: 59 105 328

olv*Ma: 1.0 0.0 1.0



TLS18; adaptierte CIELAB-Daten

	$L^*=L^*_a$	a^*_a	b^*_a	$C^*_{ab,a}$	$h^*_{ab,a}$
O _{Ma}	52.76	71.63	49.88	87.29	35
Y _{Ma}	92.74	-20.02	84.97	87.3	103
L _{Ma}	84.0	-78.98	73.94	108.2	137
C _{Ma}	87.14	-44.41	-13.11	46.32	196
V _{Ma}	35.47	64.92	-95.06	115.12	304
M _{Ma}	59.01	89.33	-55.67	105.26	328
N _{Ma}	18.01	0.0	0.0	0.0	0
W _{Ma}	95.41	0.0	0.0	0.0	0
R _{CIE}	39.92	58.74	27.99	65.07	25
J _{CIE}	81.26	-2.88	71.56	71.62	92
G _{CIE}	52.23	-42.41	13.6	44.55	162
B _{CIE}	30.57	1.41	-46.46	46.49	272

Dreiecks-Helligkeit t^*

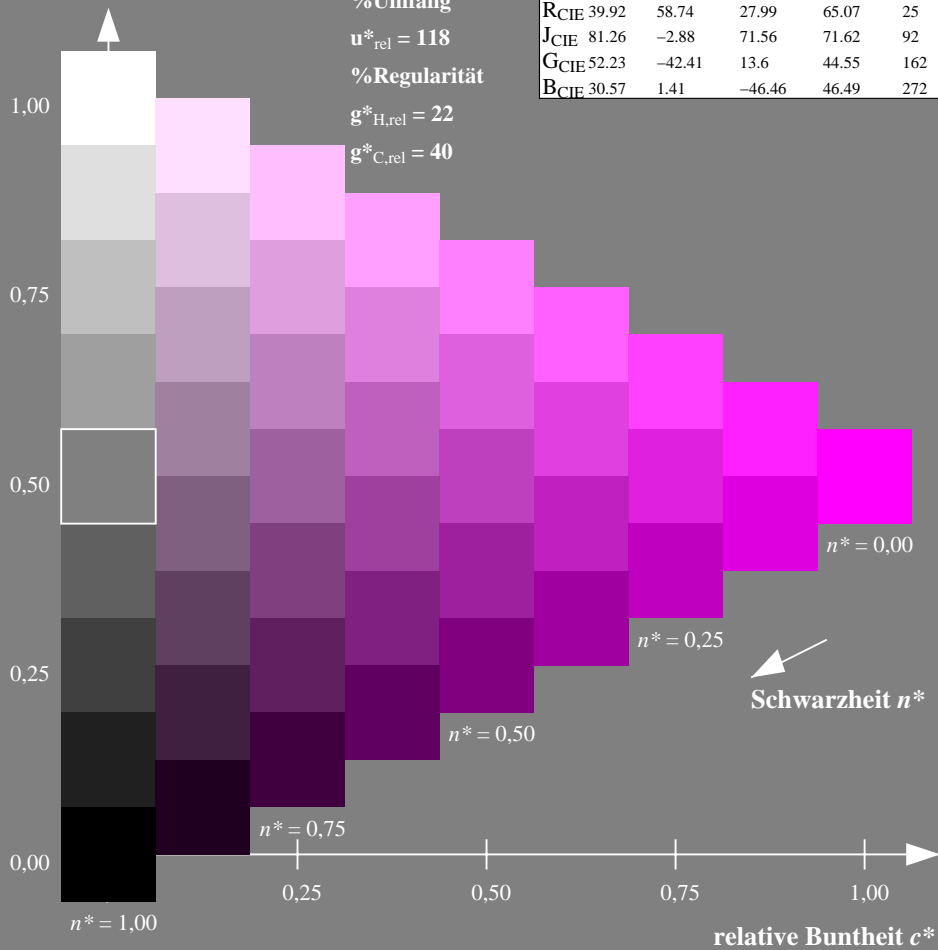
%Umfang

$u^*_{rel} = 118$

%Regularität

$g^*_{H,rel} = 22$

$g^*_{C,rel} = 40$



Ausgabe: Farbmetrisches Drucker-Reflektiv-System DRSXX

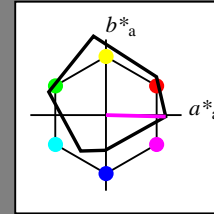
für Buntton $h^* = lab^*h = 359/360 = 0.996$

lab^*tch und lab^*nch

D65: Buntton M

LCH*Ma: 43 79 359

olv*Ma: 1.0 0.0 1.0



DRSXX; adaptierte CIELAB-Daten

	$L^*=L^*_a$	a^*_a	b^*_a	$C^*_{ab,a}$	$h^*_{ab,a}$
O _{Ma}	42.21	66.82	50.6	83.82	37
Y _{Ma}	90.32	-16.51	104.33	105.63	99
L _{Ma}	48.21	-75.63	30.65	81.61	158
C _{Ma}	53.44	-33.33	-47.49	58.03	235
V _{Ma}	34.16	-0.92	-46.56	46.58	269
M _{Ma}	42.71	79.0	-1.95	79.03	359
N _{Ma}	16.56	0.0	0.0	0.0	0
W _{Ma}	96.31	0.0	0.0	0.0	0
R _{CIE}	39.92	59.78	25.77	65.1	23
J _{CIE}	81.26	-2.51	69.07	69.11	92
G _{CIE}	52.23	-41.57	11.3	43.09	165
B _{CIE}	30.57	2.6	-48.62	48.7	273

Dreiecks-Helligkeit t^*

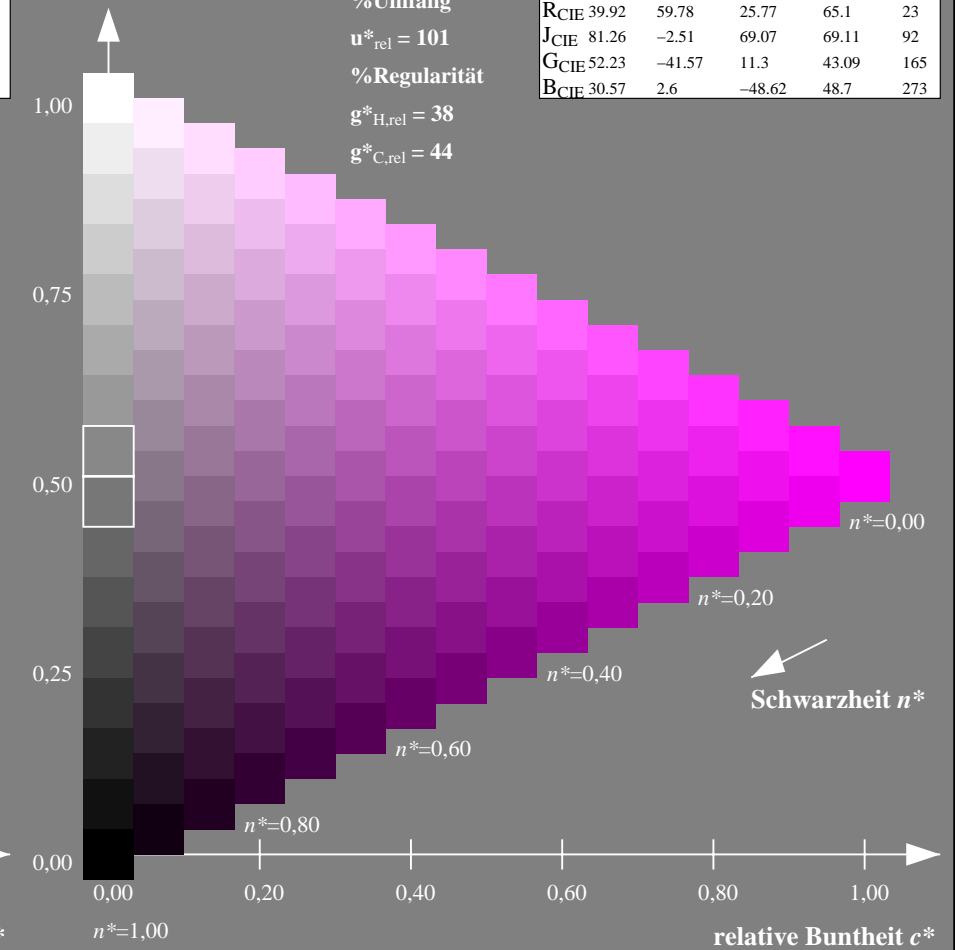
%Umfang

$u^*_{rel} = 101$

%Regularität

$g^*_{H,rel} = 38$

$g^*_{C,rel} = 44$



NG900-7, 9stufige Reihen für konstanten CIELAB Buntton $328/360 = 0.911$ (links)

16stufige Reihen für konstanten CIELAB Buntton $359/360 = 0.996$ (rechts)

Eingabe: Farbmetrisches Fernseh-Licht-System TLS18

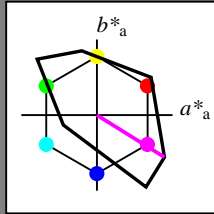
für Buntton $h^* = lab^*h = 328/360 = 0.911$

lab^*tch und lab^*nch

D65: Buntton M

LCH*Ma: 59 105 328

olv*Ma: 1.0 0.0 1.0



TLS18; adaptierte CIELAB-Daten

	$L^*=L^*_a$	a^*_a	b^*_a	$C^*_{ab,a}$	$h^*_{ab,a}$
OMa	52.76	71.63	49.88	87.29	35
YMa	92.74	-20.02	84.97	87.3	103
LMa	84.0	-78.98	73.94	108.2	137
CMa	87.14	-44.41	-13.11	46.32	196
VMa	35.47	64.92	-95.06	115.12	304
MMa	59.01	89.33	-55.67	105.26	328
NMa	18.01	0.0	0.0	0.0	0
WMa	95.41	0.0	0.0	0.0	0
RCIE	39.92	58.74	27.99	65.07	25
JCIE	81.26	-2.88	71.56	71.62	92
GCIE	52.23	-42.41	13.6	44.55	162
BCIE	30.57	1.41	-46.46	46.49	272

Dreiecks-Helligkeit t^*

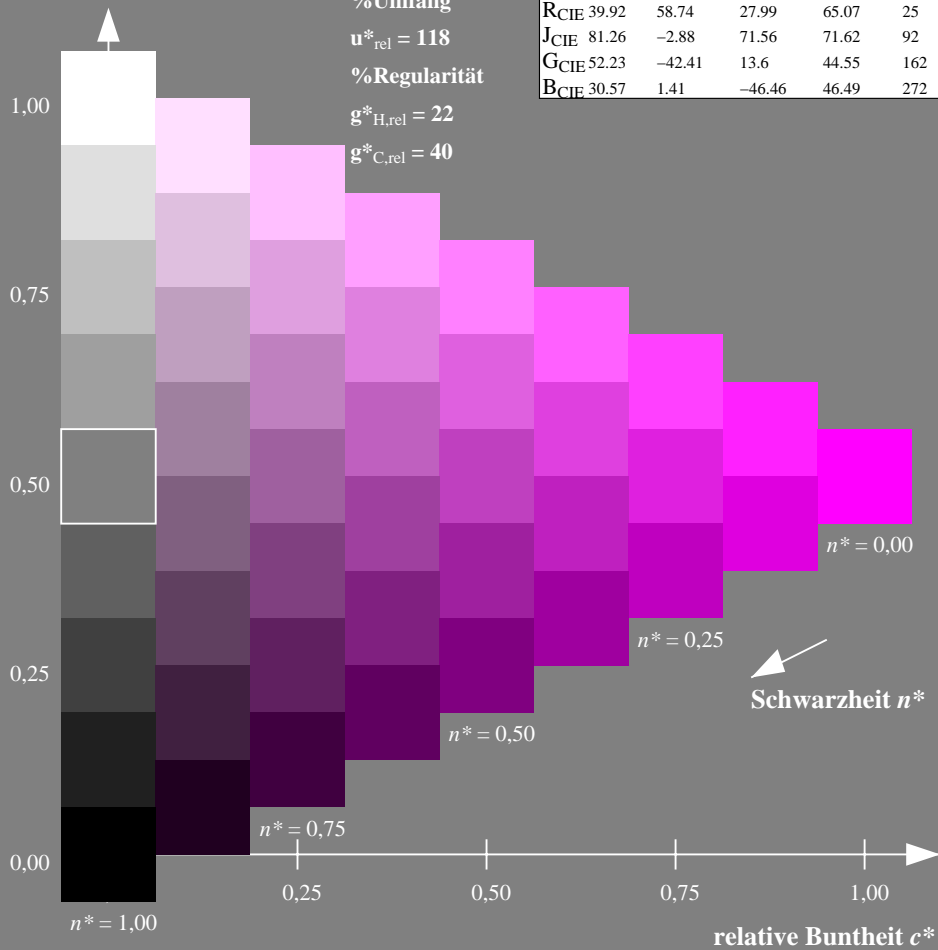
%Umfang

$u^*_{rel} = 118$

%Regularität

$g^*_{H,rel} = 22$

$g^*_{C,rel} = 40$



Ausgabe: Farbmetrisches Fernseh-Licht-System TLS18

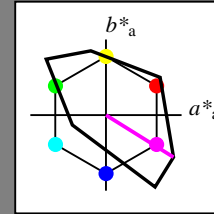
für Buntton $h^* = lab^*h = 328/360 = 0.911$

lab^*tch und lab^*nch

D65: Buntton M

LCH*Ma: 59 105 328

olv*Ma: 1.0 0.0 1.0



TLS18; adaptierte CIELAB-Daten

	$L^*=L^*_a$	a^*_a	b^*_a	$C^*_{ab,a}$	$h^*_{ab,a}$
OMa	52.76	71.63	49.88	87.29	35
YMa	92.74	-20.02	84.97	87.3	103
LMa	84.0	-78.98	73.94	108.2	137
CMa	87.14	-44.41	-13.11	46.32	196
VMa	35.47	64.92	-95.06	115.12	304
MMa	59.01	89.33	-55.67	105.26	328
NMa	18.01	0.0	0.0	0.0	0
WMa	95.41	0.0	0.0	0.0	0
RCIE	39.92	58.74	27.99	65.07	25
JCIE	81.26	-2.88	71.56	71.62	92
GCIE	52.23	-42.41	13.6	44.55	162
BCIE	30.57	1.41	-46.46	46.49	272

Dreiecks-Helligkeit t^*

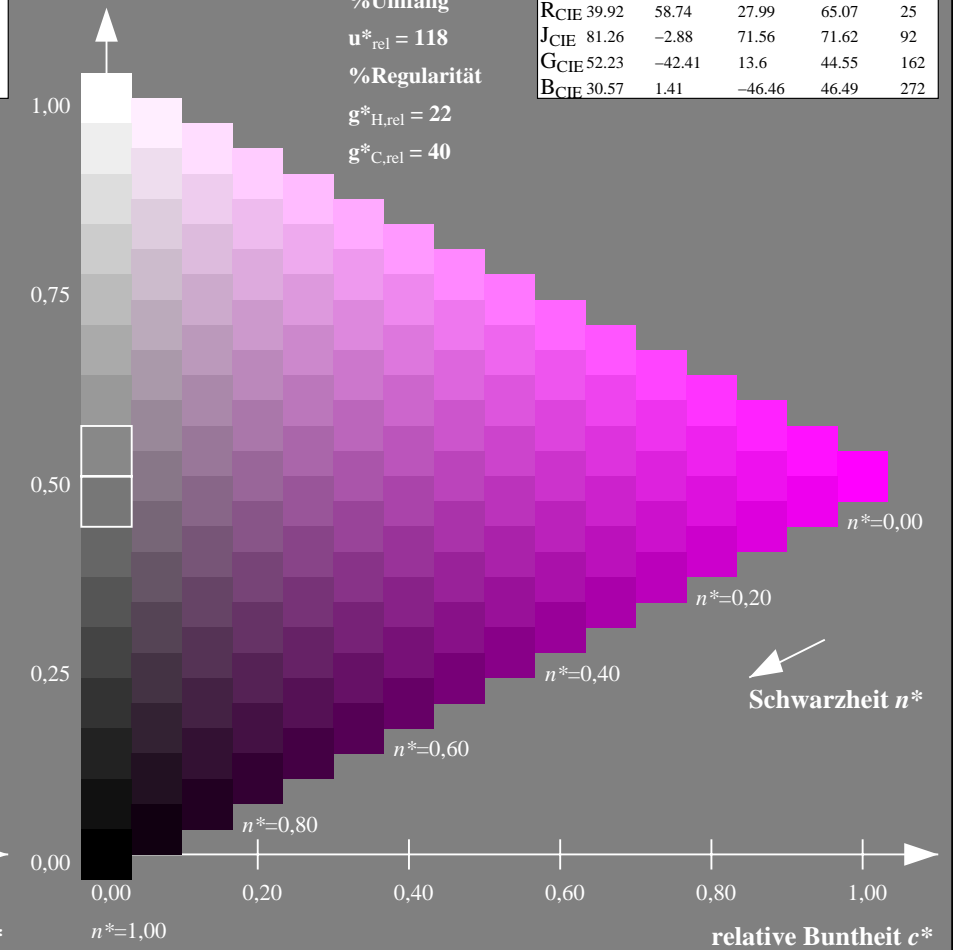
%Umfang

$u^*_{rel} = 118$

%Regularität

$g^*_{H,rel} = 22$

$g^*_{C,rel} = 40$



NG900-7, 9stufige Reihen für konstanten CIELAB Buntton 328/360 = 0.911 (links)

16stufige Reihen für konstanten CIELAB Buntton 328/360 = 0.911 (rechts)

Eingabe: Farbmetrisches Fernseh-Licht-System TLS18

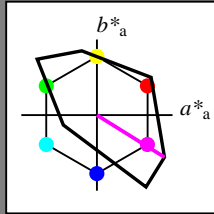
für Buntton $h^* = lab^*h = 328/360 = 0.911$

lab^*tch und lab^*nch

D65: Buntton M

LCH*Ma: 59 105 328

olv*Ma: 1.0 0.0 1.0



TLS18; adaptierte CIELAB-Daten

	$L^*=L^*_a$	a^*_a	b^*_a	$C^*_{ab,a}$	$h^*_{ab,a}$
OMa	52.76	71.63	49.88	87.29	35
YMa	92.74	-20.02	84.97	87.3	103
LMa	84.0	-78.98	73.94	108.2	137
CMa	87.14	-44.41	-13.11	46.32	196
VMa	35.47	64.92	-95.06	115.12	304
MMa	59.01	89.33	-55.67	105.26	328
NMa	18.01	0.0	0.0	0.0	0
WMa	95.41	0.0	0.0	0.0	0
RCIE	39.92	58.74	27.99	65.07	25
JCIE	81.26	-2.88	71.56	71.62	92
GCIE	52.23	-42.41	13.6	44.55	162
BCIE	30.57	1.41	-46.46	46.49	272

Dreiecks-Helligkeit t^*

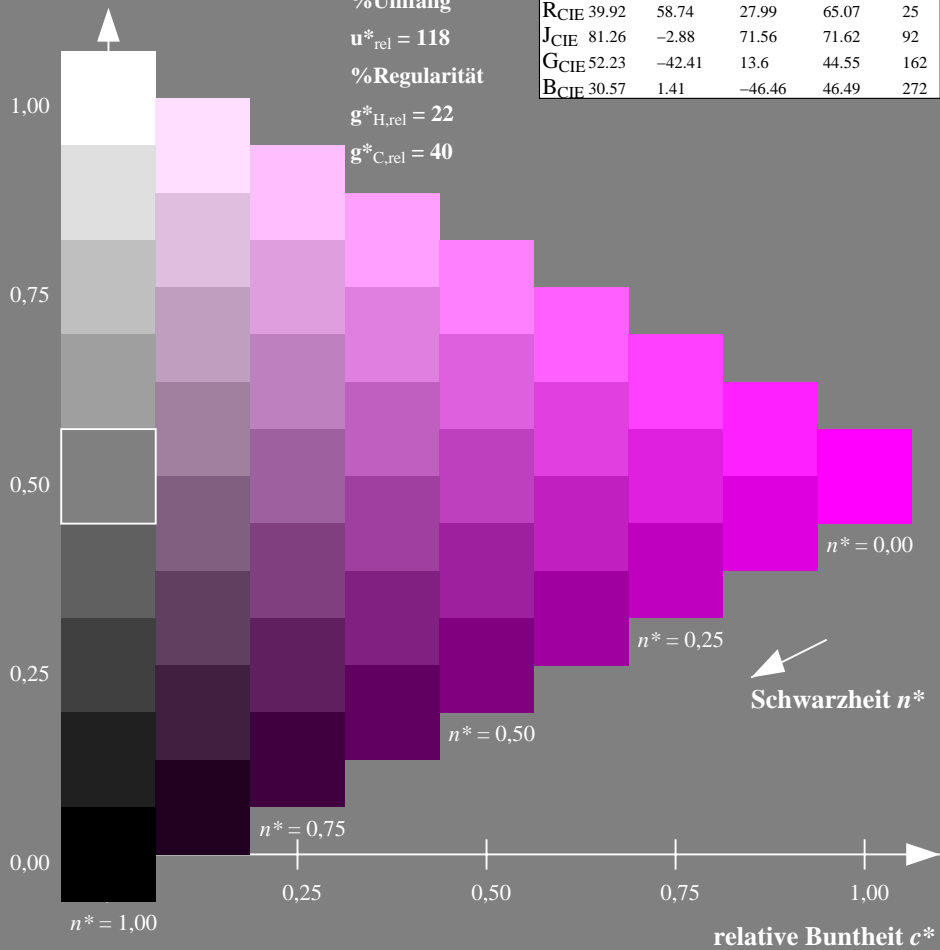
%Umfang

$u^*_{rel} = 118$

%Regularität

$g^*_{H,rel} = 22$

$g^*_{C,rel} = 40$



Ausgabe: Farbmetrisches Natürliches-Licht-System NLS00

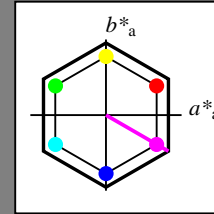
für Buntton $h^* = lab^*h = 330/360 = 0.917$

lab^*tch und lab^*nch

D65: Buntton M

LCH*Ma: 64 95 330

olv*Ma: 1.0 0.0 1.0



NLS00; adaptierte CIELAB-Daten

	$L^*=L^*_a$	a^*_a	b^*_a	$C^*_{ab,a}$	$h^*_{ab,a}$
OMa	31.81	82.62	47.7	95.4	30
YMa	63.61	0.0	95.4	95.4	90
LMa	31.81	-82.61	47.7	95.4	150
CMa	63.61	-82.61	-47.69	95.4	210
VMa	31.81	0.0	-95.39	95.4	270
MMa	63.61	82.62	-47.69	95.4	330
NMa	0.01	0.0	0.0	0.0	0
WMa	95.41	0.0	0.0	0.0	0
RCIE	39.92	58.74	27.99	65.07	25
JCIE	81.26	-2.88	71.56	71.62	92
GCIE	52.23	-42.41	13.6	44.55	162
BCIE	30.57	1.41	-46.46	46.49	272

Dreiecks-Helligkeit t^*

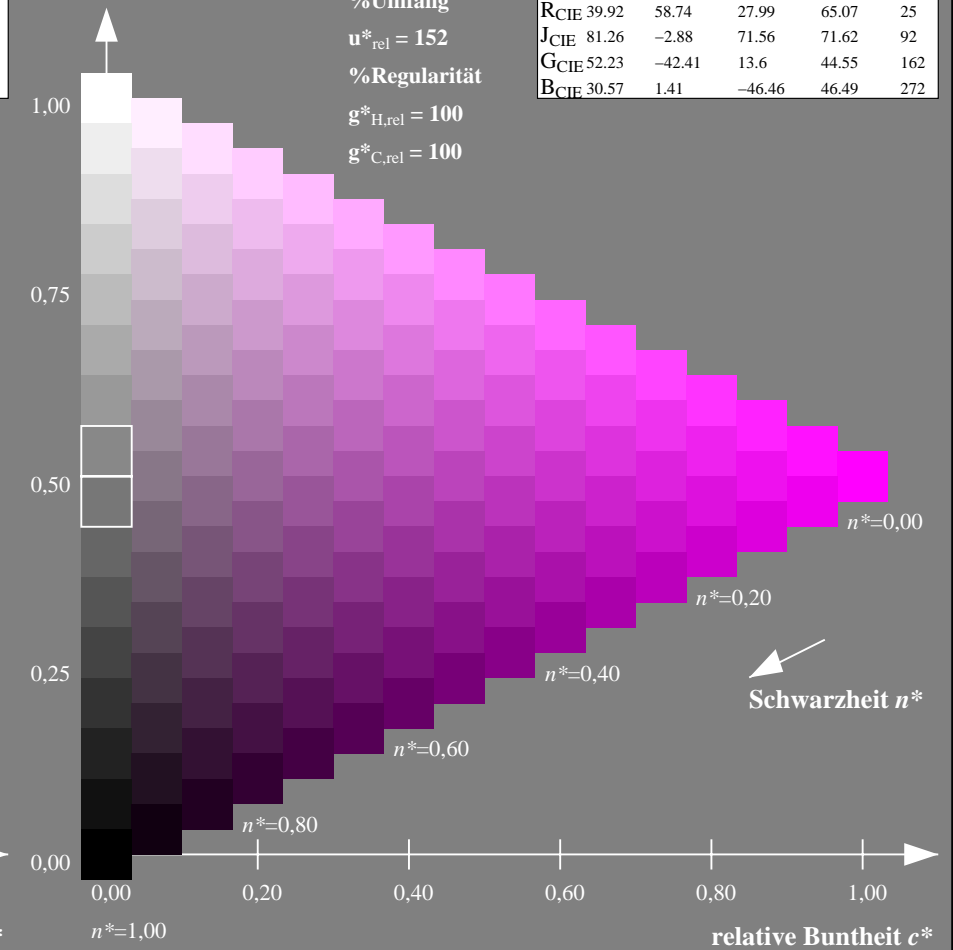
%Umfang

$u^*_{rel} = 152$

%Regularität

$g^*_{H,rel} = 100$

$g^*_{C,rel} = 100$



NG900-7, 9stufige Reihen für konstanten CIELAB Buntton $328/360 = 0.911$ (links)

16stufige Reihen für konstanten CIELAB Buntton $330/360 = 0.917$ (rechts)

Eingabe: Farbmetrisches Fernseh-Licht-System TLS18

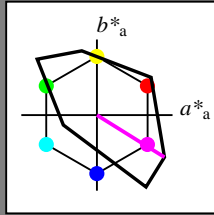
für Buntton $h^* = lab^*h = 328/360 = 0.911$

lab^*tch und lab^*nch

D65: Buntton M

LCH*Ma: 59 105 328

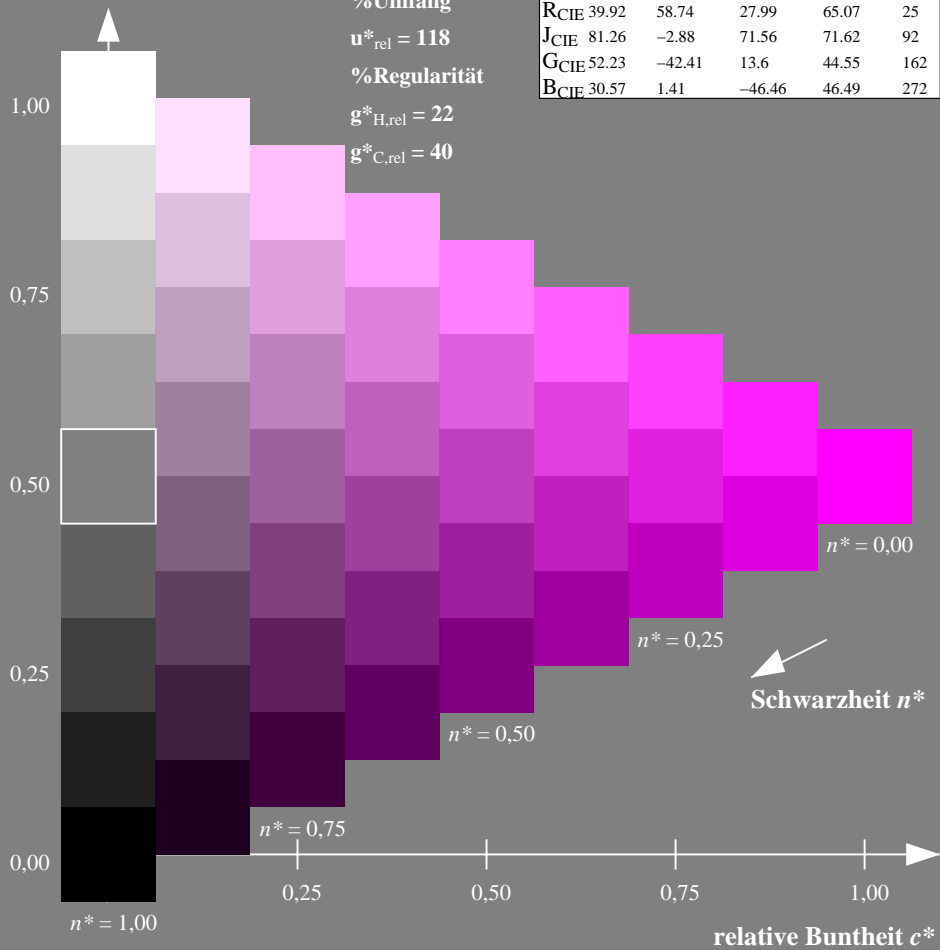
olv*Ma: 1.0 0.0 1.0



TLS18; adaptierte CIELAB-Daten

	$L^*=L^*_a$	a^*_a	b^*_a	$C^*_{ab,a}$	$h^*_{ab,a}$
OMa	52.76	71.63	49.88	87.29	35
YMa	92.74	-20.02	84.97	87.3	103
LMa	84.0	-78.98	73.94	108.2	137
CMa	87.14	-44.41	-13.11	46.32	196
VMa	35.47	64.92	-95.06	115.12	304
MMa	59.01	89.33	-55.67	105.26	328
NMa	18.01	0.0	0.0	0.0	0
WMa	95.41	0.0	0.0	0.0	0
RCIE	39.92	58.74	27.99	65.07	25
JCIE	81.26	-2.88	71.56	71.62	92
GCIE	52.23	-42.41	13.6	44.55	162
BCIE	30.57	1.41	-46.46	46.49	272

Dreiecks-Helligkeit t^*



Ausgabe: Farbmetrisches Natürliches-Reflektiv-System NRS18

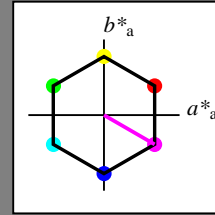
für Buntton $h^* = lab^*h = 330/360 = 0.917$

lab^*tch und lab^*nch

D65: Buntton M

LCH*Ma: 70 77 330

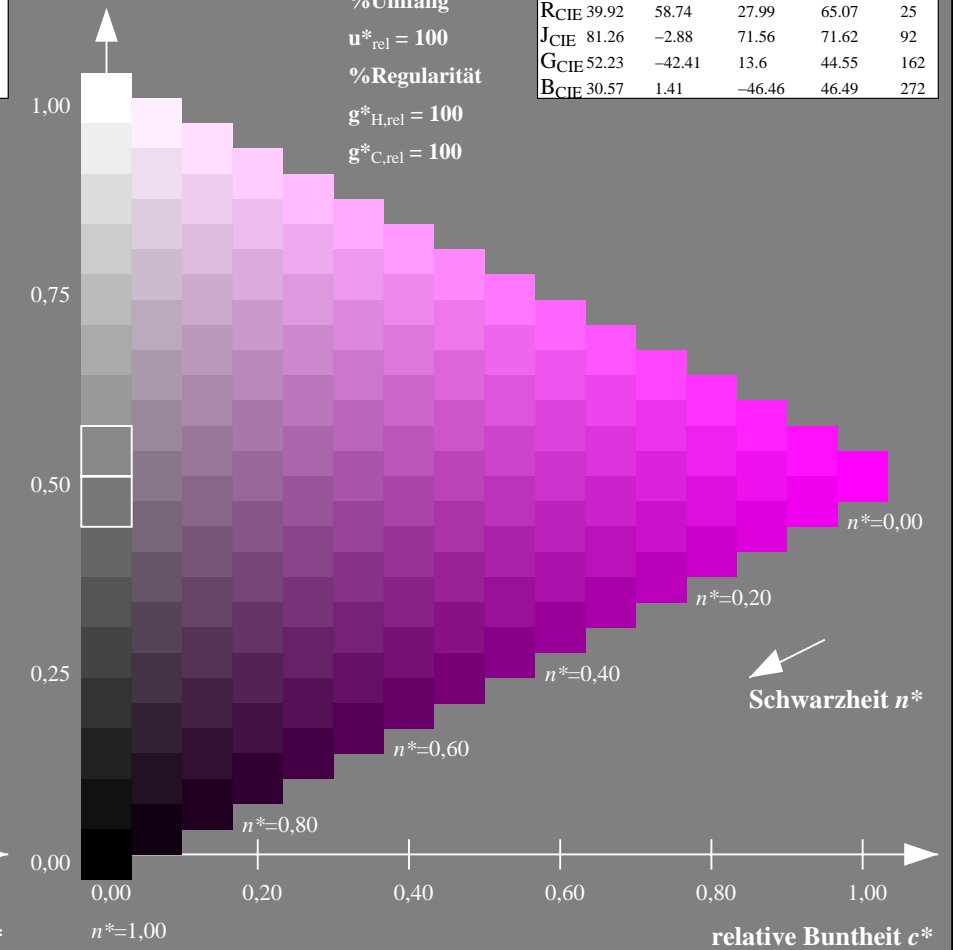
olv*Ma: 1.0 0.0 1.0



NRS18; adaptierte CIELAB-Daten

	$L^*=L^*_a$	a^*_a	b^*_a	$C^*_{ab,a}$	$h^*_{ab,a}$
OMa	43.81	67.03	38.7	77.4	30
YMa	69.61	0.0	77.4	77.4	90
LMa	43.81	-67.02	38.7	77.4	150
CMa	69.61	-67.02	-38.69	77.4	210
VMa	43.81	0.0	-77.39	77.4	270
MMa	69.61	67.03	-38.69	77.4	330
NMa	18.01	0.0	0.0	0.0	0
WMa	95.41	0.0	0.0	0.0	0
RCIE	39.92	58.74	27.99	65.07	25
JCIE	81.26	-2.88	71.56	71.62	92
GCIE	52.23	-42.41	13.6	44.55	162
BCIE	30.57	1.41	-46.46	46.49	272

Dreiecks-Helligkeit t^*



NG900-7, 9stufige Reihen für konstanten CIELAB Buntton $328/360 = 0.911$ (links)

16stufige Reihen für konstanten CIELAB Buntton $330/360 = 0.917$ (rechts)

Eingabe: Farbmetrisches Fernseh-Licht-System TLS18

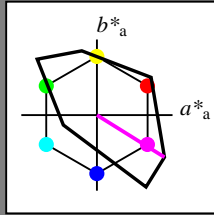
für Buntton $h^* = lab^*h = 328/360 = 0.911$

lab^*tch und lab^*nch

D65: Buntton M

LCH*Ma: 59 105 328

olv*Ma: 1.0 0.0 1.0



TLS18; adaptierte CIELAB-Daten

	$L^*=L^*_a$	a^*_a	b^*_a	$C^*_{ab,a}$	$h^*_{ab,a}$
OMa	52.76	71.63	49.88	87.29	35
YMa	92.74	-20.02	84.97	87.3	103
LMa	84.0	-78.98	73.94	108.2	137
CMa	87.14	-44.41	-13.11	46.32	196
VMa	35.47	64.92	-95.06	115.12	304
MMa	59.01	89.33	-55.67	105.26	328
NMa	18.01	0.0	0.0	0.0	0
WMa	95.41	0.0	0.0	0.0	0
RCIE	39.92	58.74	27.99	65.07	25
JCIE	81.26	-2.88	71.56	71.62	92
GCIE	52.23	-42.41	13.6	44.55	162
BCIE	30.57	1.41	-46.46	46.49	272

Dreiecks-Helligkeit t^*

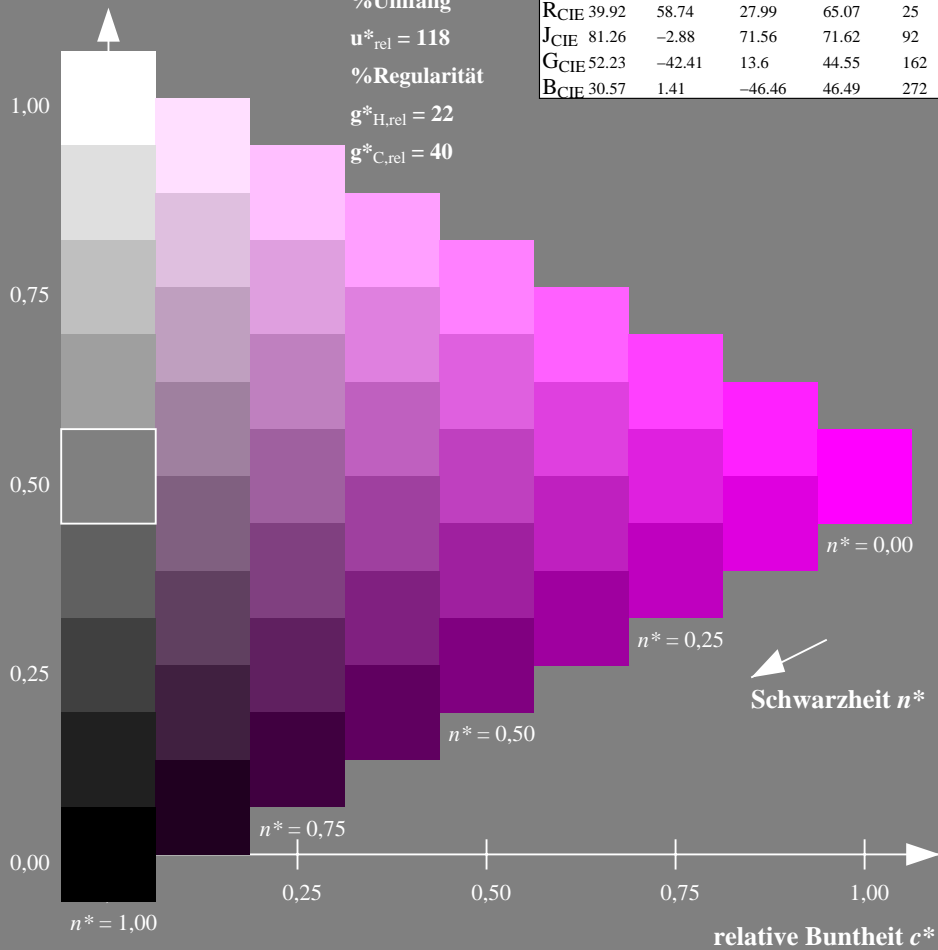
%Umfang

$u^*_{rel} = 118$

%Regularität

$g^*_{H,rel} = 22$

$g^*_{C,rel} = 40$



Ausgabe: Farbmetrisches Standard-Reflektiv-System SRS18

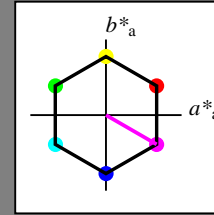
für Buntton $h^* = lab^*h = 330/360 = 0.917$

lab^*tch und lab^*nch

D65: Buntton M

LCH*Ma: 57 77 330

olv*Ma: 1.0 0.0 1.0



SRS18; adaptierte CIELAB-Daten

	$L^*=L^*_a$	a^*_a	b^*_a	$C^*_{ab,a}$	$h^*_{ab,a}$
OMa	56.71	67.03	38.7	77.4	30
YMa	56.71	0.0	77.4	77.4	90
LMa	56.71	-67.02	38.7	77.4	150
CMa	56.71	-67.02	-38.69	77.4	210
VMa	56.71	0.0	-77.39	77.4	270
MMa	56.71	67.03	-38.69	77.4	330
NMa	18.01	0.0	0.0	0.0	0
WMa	95.41	0.0	0.0	0.0	0
RCIE	39.92	58.74	27.99	65.07	25
JCIE	81.26	-2.88	71.56	71.62	92
GCIE	52.23	-42.41	13.6	44.55	162
BCIE	30.57	1.41	-46.46	46.49	272

Dreiecks-Helligkeit t^*

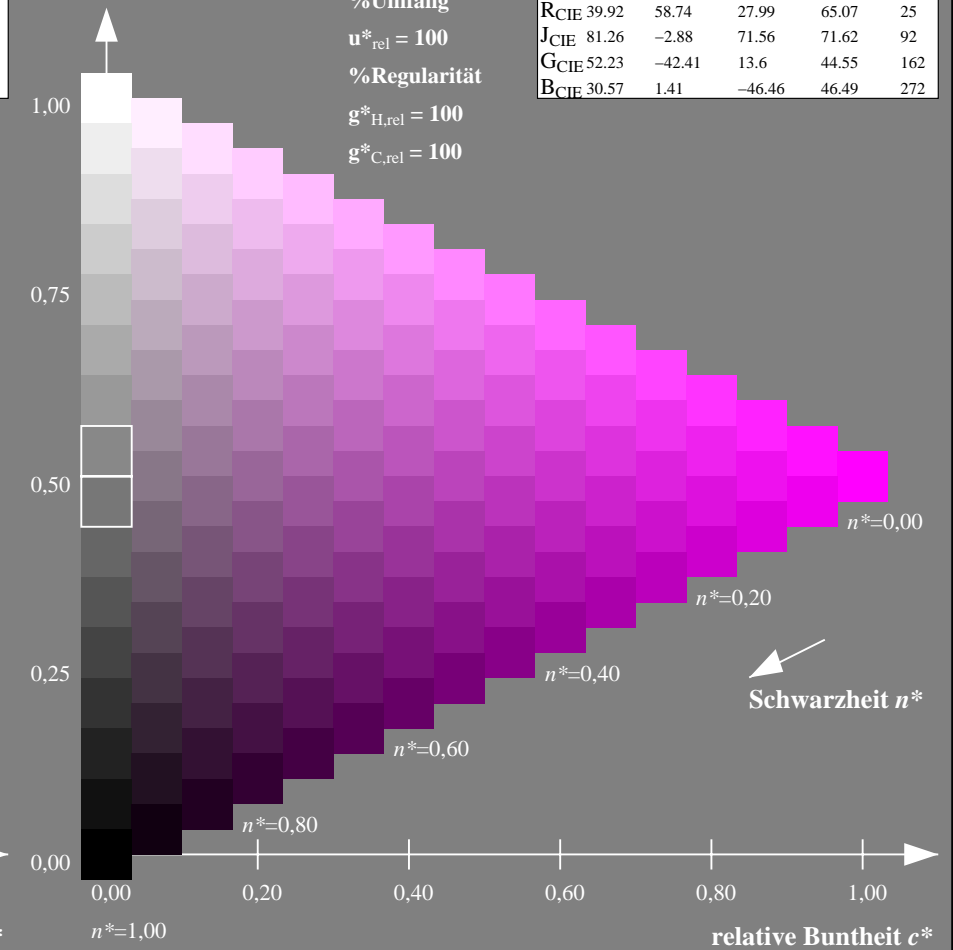
%Umfang

$u^*_{rel} = 100$

%Regularität

$g^*_{H,rel} = 100$

$g^*_{C,rel} = 100$



NG900-7, 9stufige Reihen für konstanten CIELAB Buntton $328/360 = 0.911$ (links)

16stufige Reihen für konstanten CIELAB Buntton $330/360 = 0.917$ (rechts)

Eingabe: Farbmetrisches Fernseh-Licht-System TLS18

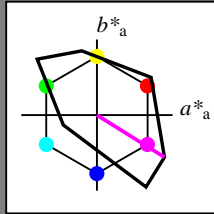
für Buntton $h^* = lab^*h = 328/360 = 0.911$

lab^*tch und lab^*nch

D65: Buntton M

LCH*Ma: 59 105 328

olv*Ma: 1.0 0.0 1.0



TLS18; adaptierte CIELAB-Daten

	$L^*=L^*_a$	a^*_a	b^*_a	$C^*_{ab,a}$	$h^*_{ab,a}$
OMa	52.76	71.63	49.88	87.29	35
YMa	92.74	-20.02	84.97	87.3	103
LMa	84.0	-78.98	73.94	108.2	137
CMa	87.14	-44.41	-13.11	46.32	196
VMa	35.47	64.92	-95.06	115.12	304
MMa	59.01	89.33	-55.67	105.26	328
NMa	18.01	0.0	0.0	0.0	0
WMa	95.41	0.0	0.0	0.0	0
RCIE	39.92	58.74	27.99	65.07	25
JCIE	81.26	-2.88	71.56	71.62	92
GCIE	52.23	-42.41	13.6	44.55	162
BCIE	30.57	1.41	-46.46	46.49	272

Dreiecks-Helligkeit t^*

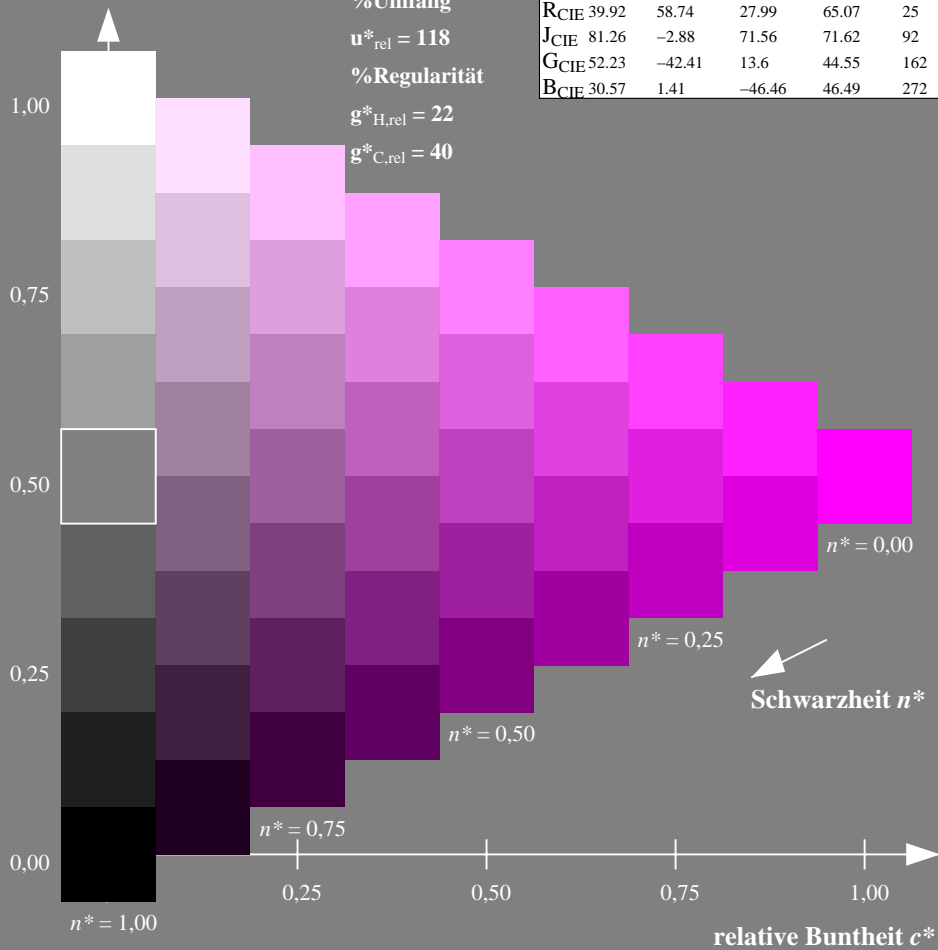
%Umfang

$u^*_{rel} = 118$

%Regularität

$g^*_{H,rel} = 22$

$g^*_{C,rel} = 40$



Ausgabe: Farbmetrisches Fernseh-Licht-System TLS70

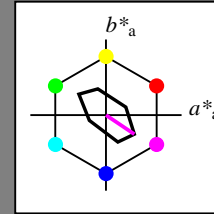
für Buntton $h^* = lab^*h = 326/360 = 0.906$

lab^*tch und lab^*nch

D65: Buntton M

LCH*Ma: 79 45 326

olv*Ma: 1.0 0.0 1.0



TLS70; adaptierte CIELAB-Daten

	$L^*=L^*_a$	a^*_a	b^*_a	$C^*_{ab,a}$	$h^*_{ab,a}$
OMa	76.43	26.27	10.57	28.32	22
YMa	93.93	-10.76	34.63	36.27	107
LMa	89.32	-35.8	27.64	45.24	142
CMa	90.93	-21.95	-7.07	23.07	198
VMa	72.1	15.76	-35.63	38.97	294
MMa	78.5	37.52	-25.23	45.22	326
NMa	69.7	0.0	0.0	0.0	0
WMa	95.41	0.0	0.0	0.0	0
RCIE	39.92	58.74	27.99	65.07	25
JCIE	81.26	-2.88	71.56	71.62	92
GCIE	52.23	-42.41	13.6	44.55	162
BCIE	30.57	1.41	-46.46	46.49	272

Dreiecks-Helligkeit t^*

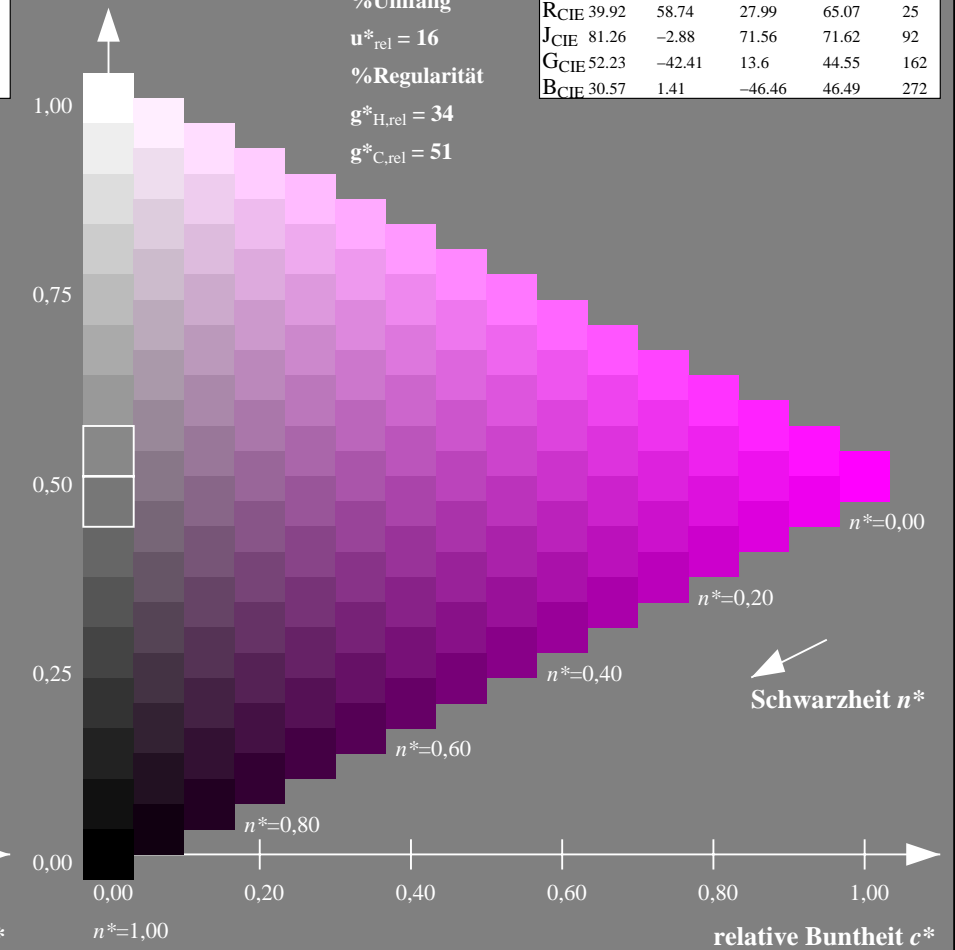
%Umfang

$u^*_{rel} = 16$

%Regularität

$g^*_{H,rel} = 34$

$g^*_{C,rel} = 51$



NG900-7, 9stufige Reihen für konstanten CIELAB Buntton $328/360 = 0.911$ (links)

16stufige Reihen für konstanten CIELAB Buntton $326/360 = 0.906$ (rechts)

Eingabe: Farbmetrisches Natürliches-Licht-System NLS00

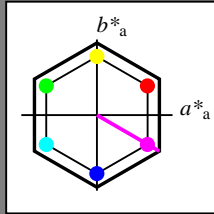
für Buntton $h^* = lab^*h = 330/360 = 0.917$

lab^*tch und lab^*nch

D65: Buntton M

LCH*Ma: 64 95 330

olv*Ma: 1.0 0.0 1.0



NLS00; adaptierte CIELAB-Daten

	$L^*=L^*_a$	a^*_a	b^*_a	$C^*_{ab,a}$	$h^*_{ab,a}$
OMa	31.81	82.62	47.7	95.4	30
YMa	63.61	0.0	95.4	95.4	90
LMa	31.81	-82.61	47.7	95.4	150
CMa	63.61	-82.61	-47.69	95.4	210
VMa	31.81	0.0	-95.39	95.4	270
MMa	63.61	82.62	-47.69	95.4	330
NMa	0.01	0.0	0.0	0.0	0
WMa	95.41	0.0	0.0	0.0	0
RCIE	39.92	58.74	27.99	65.07	25
JCIE	81.26	-2.88	71.56	71.62	92
GCIE	52.23	-42.41	13.6	44.55	162
BCIE	30.57	1.41	-46.46	46.49	272

Dreiecks-Helligkeit t^*

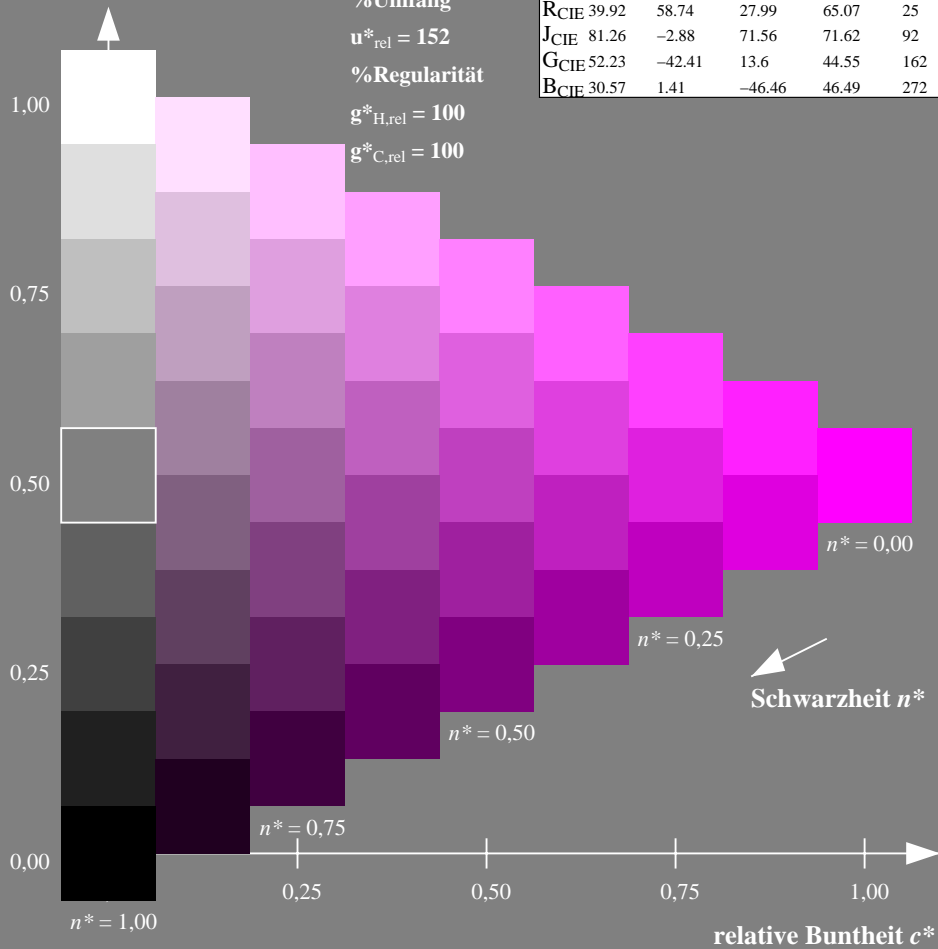
%Umfang

$u^*_{rel} = 152$

%Regularität

$g^*_{H,rel} = 100$

$g^*_{C,rel} = 100$



Ausgabe: Farbmetrisches Offset-Reflektiv-System ORS18

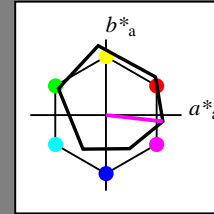
für Buntton $h^* = lab^*h = 354/360 = 0.982$

lab^*tch und lab^*nch

D65: Buntton M

LCH*Ma: 48 76 354

olv*Ma: 1.0 0.0 1.0



ORS18; adaptierte CIELAB-Daten

	$L^*=L^*_a$	a^*_a	b^*_a	$C^*_{ab,a}$	$h^*_{ab,a}$
OMa	47.94	65.39	50.52	82.63	38
YMa	90.37	-10.26	91.75	92.32	96
LMa	50.9	-62.83	34.96	71.91	151
CMa	58.62	-30.34	-45.01	54.3	236
VMa	25.72	31.1	-44.4	54.22	305
MMa	48.13	75.28	-8.36	75.74	354
NMa	18.01	0.0	0.0	0.0	0
WMa	95.41	0.0	0.0	0.0	0
RCIE	39.92	58.66	26.98	64.57	25
JCIE	81.26	-2.16	67.76	67.79	92
GCIE	52.23	-42.25	11.76	43.87	164
BCIE	30.57	1.15	-46.84	46.86	271

Dreiecks-Helligkeit t^*

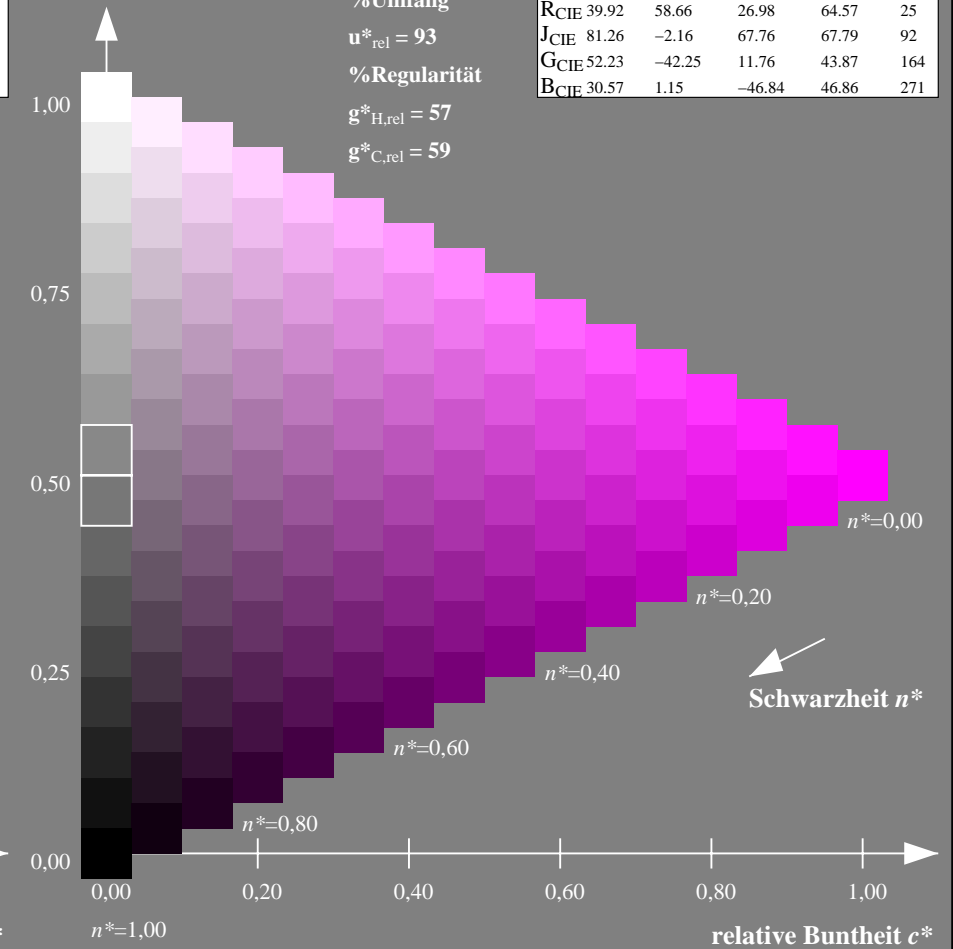
%Umfang

$u^*_{rel} = 93$

%Regularität

$g^*_{H,rel} = 57$

$g^*_{C,rel} = 59$



NG900-7, 9stufige Reihen für konstanten CIELAB Buntton $330/360 = 0.917$ (links)

16stufige Reihen für konstanten CIELAB Buntton $354/360 = 0.982$ (rechts)

Eingabe: Farbmetrisches Natürliches-Licht-System NLS00

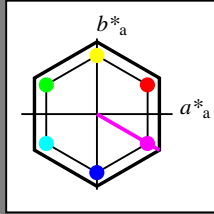
für Buntton $h^* = lab^*h = 330/360 = 0.917$

lab^*tch und lab^*nch

D65: Buntton M

LCH*Ma: 64 95 330

olv*Ma: 1.0 0.0 1.0



NLS00; adaptierte CIELAB-Daten

	$L^*=L^*_a$	a^*_a	b^*_a	$C^*_{ab,a}$	$h^*_{ab,a}$
OMa	31.81	82.62	47.7	95.4	30
YMa	63.61	0.0	95.4	95.4	90
LMa	31.81	-82.61	47.7	95.4	150
CMa	63.61	-82.61	-47.69	95.4	210
VMa	31.81	0.0	-95.39	95.4	270
MMa	63.61	82.62	-47.69	95.4	330
NMa	0.01	0.0	0.0	0.0	0
WMa	95.41	0.0	0.0	0.0	0
RCIE	39.92	58.74	27.99	65.07	25
JCIE	81.26	-2.88	71.56	71.62	92
GCIE	52.23	-42.41	13.6	44.55	162
BCIE	30.57	1.41	-46.46	46.49	272

Dreiecks-Helligkeit t^*

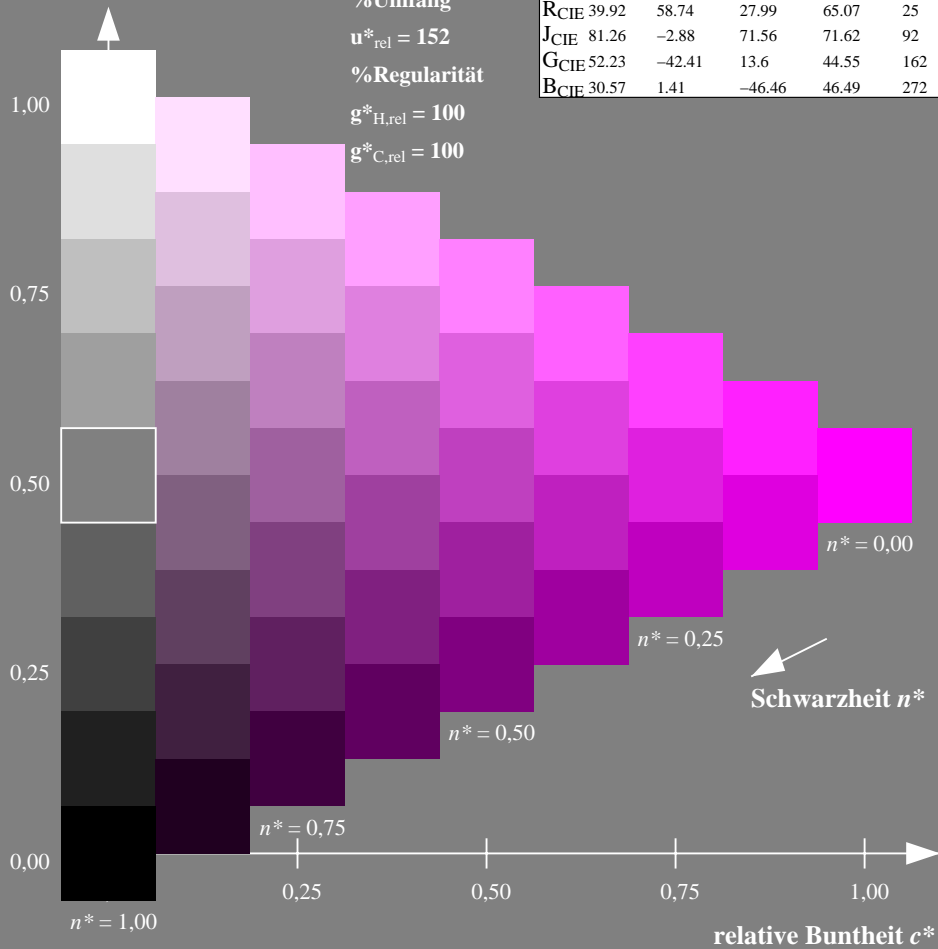
%Umfang

$u^*_{rel} = 152$

%Regularität

$g^*_{H,rel} = 100$

$g^*_{C,rel} = 100$



Ausgabe: Farbmetrisches Fernseh-Licht-System TLS00

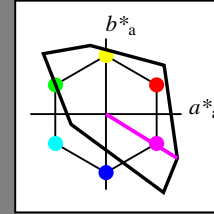
für Buntton $h^* = lab^*h = 328/360 = 0.912$

lab^*tch und lab^*nch

D65: Buntton M

LCH*Ma: 57 111 328

olv*Ma: 1.0 0.0 1.0



TLS00; adaptierte CIELAB-Daten

	$L^*=L^*_a$	a^*_a	b^*_a	$C^*_{ab,a}$	$h^*_{ab,a}$
OMa	50.5	76.92	64.55	100.42	40
YMa	92.66	-20.69	90.75	93.08	103
LMa	83.63	-82.75	79.9	115.04	136
CMa	86.88	-46.16	-13.55	48.12	196
VMa	30.39	76.06	-103.59	128.52	306
MMa	57.3	94.35	-58.41	110.97	328
NMa	0.01	0.0	0.0	0.0	0
WMa	95.41	0.0	0.0	0.0	0
RCIE	39.92	58.74	27.99	65.07	25
JCIE	81.26	-2.88	71.56	71.62	92
GCIE	52.23	-42.41	13.6	44.55	162
BCIE	30.57	1.41	-46.46	46.49	272

Dreiecks-Helligkeit t^*

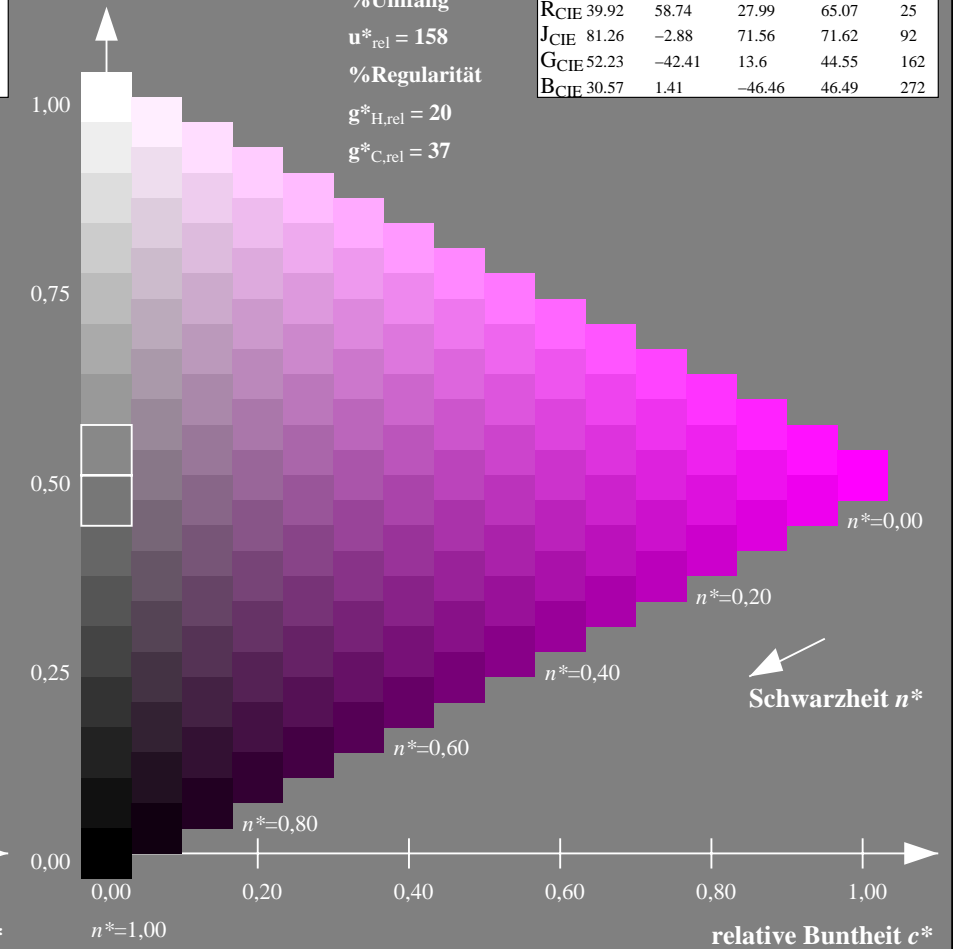
%Umfang

$u^*_{rel} = 158$

%Regularität

$g^*_{H,rel} = 20$

$g^*_{C,rel} = 37$



NG900-7, 9stufige Reihen für konstanten CIELAB Buntton 330/360 = 0.917 (links)

16stufige Reihen für konstanten CIELAB Buntton 328/360 = 0.912 (rechts)

Eingabe: Farbmetrisches Natürliches-Licht-System NLS00

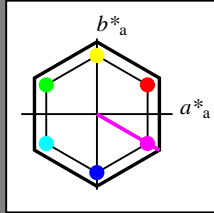
für Buntton $h^* = lab^*h = 330/360 = 0.917$

lab^*tch und lab^*nch

D65: Buntton M

LCH*Ma: 64 95 330

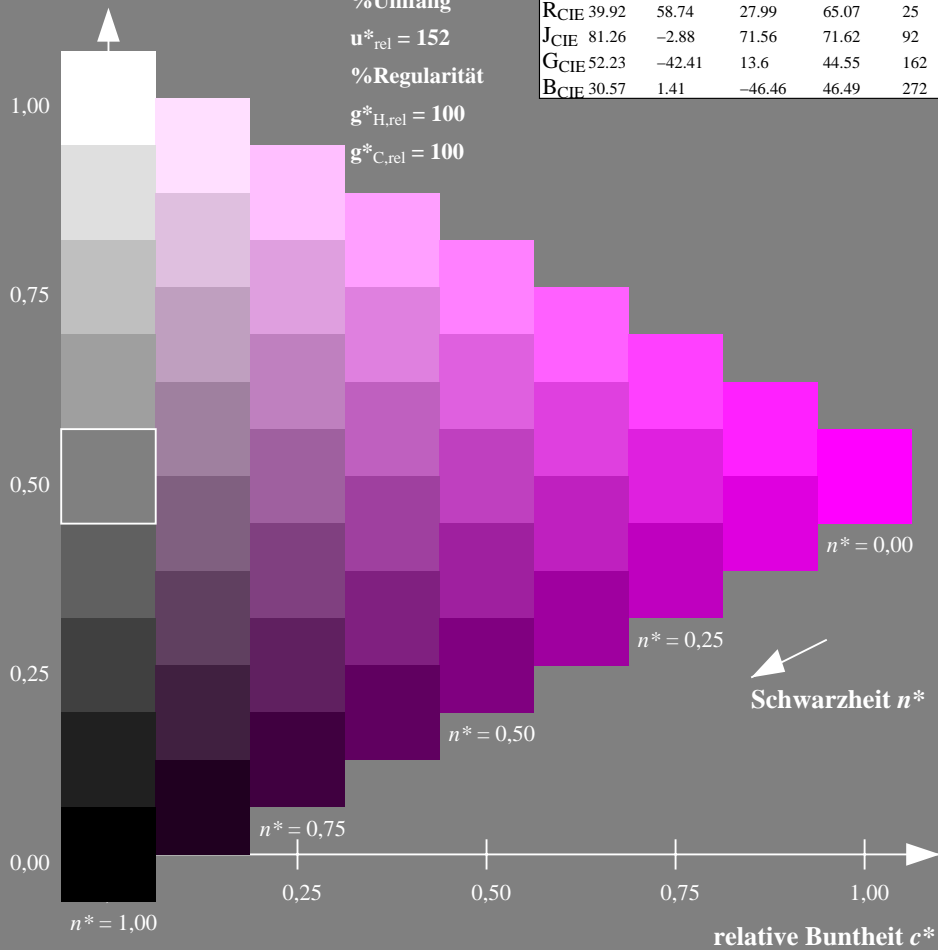
olv*Ma: 1.0 0.0 1.0



NLS00; adaptierte CIELAB-Daten

	$L^*=L^*_a$	a^*_a	b^*_a	$C^*_{ab,a}$	$h^*_{ab,a}$
OMa	31.81	82.62	47.7	95.4	30
YMa	63.61	0.0	95.4	95.4	90
LMa	31.81	-82.61	47.7	95.4	150
CMa	63.61	-82.61	-47.69	95.4	210
VMa	31.81	0.0	-95.39	95.4	270
MMa	63.61	82.62	-47.69	95.4	330
NMa	0.01	0.0	0.0	0.0	0
WMa	95.41	0.0	0.0	0.0	0
RCIE	39.92	58.74	27.99	65.07	25
JCIE	81.26	-2.88	71.56	71.62	92
GCIE	52.23	-42.41	13.6	44.55	162
BCIE	30.57	1.41	-46.46	46.49	272

Dreiecks-Helligkeit t^*



Ausgabe: Farbmetrisches Drucker-Reflektiv-System DRSXX

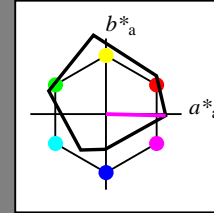
für Buntton $h^* = lab^*h = 359/360 = 0.996$

lab^*tch und lab^*nch

D65: Buntton M

LCH*Ma: 43 79 359

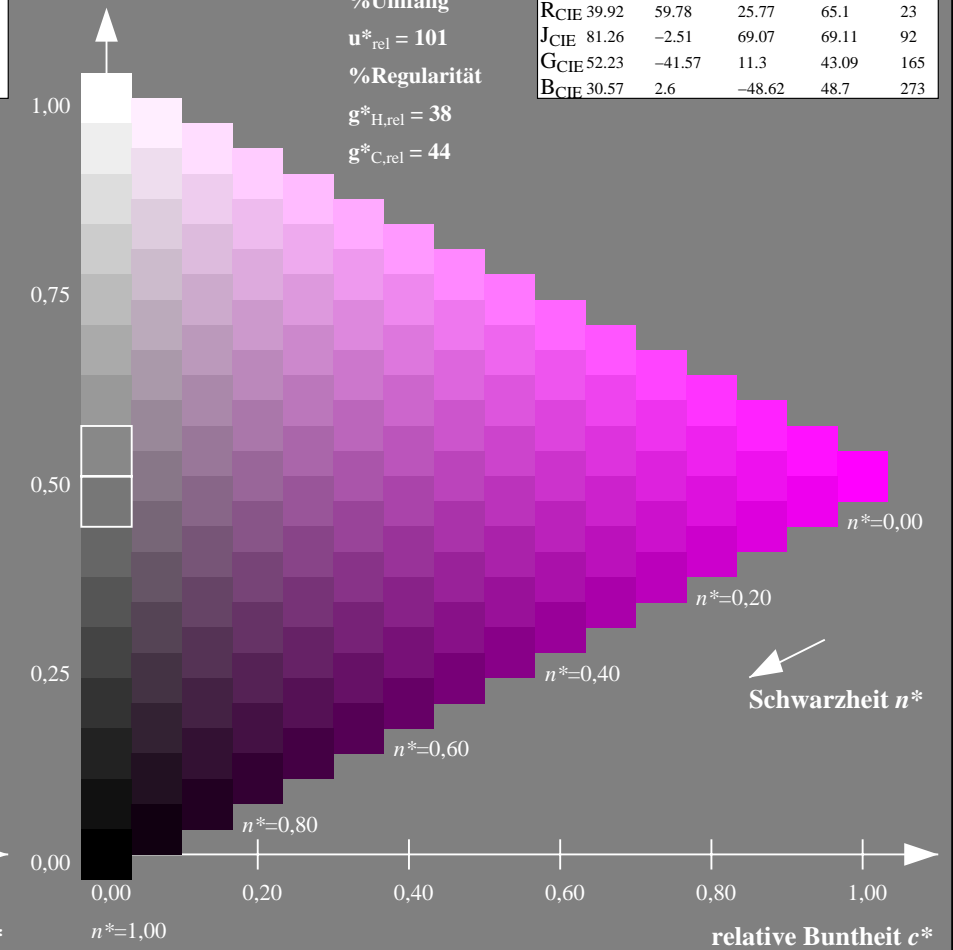
olv*Ma: 1.0 0.0 1.0



DRSXX; adaptierte CIELAB-Daten

	$L^*=L^*_a$	a^*_a	b^*_a	$C^*_{ab,a}$	$h^*_{ab,a}$
OMa	42.21	66.82	50.6	83.82	37
YMa	90.32	-16.51	104.33	105.63	99
LMa	48.21	-75.63	30.65	81.61	158
CMa	53.44	-33.33	-47.49	58.03	235
VMa	34.16	-0.92	-46.56	46.58	269
MMa	42.71	79.0	-1.95	79.03	359
NMa	16.56	0.0	0.0	0.0	0
WMa	96.31	0.0	0.0	0.0	0
RCIE	39.92	59.78	25.77	65.1	23
JCIE	81.26	-2.51	69.07	69.11	92
GCIE	52.23	-41.57	11.3	43.09	165
BCIE	30.57	2.6	-48.62	48.7	273

Dreiecks-Helligkeit t^*



NG900-7, 9stufige Reihen für konstanten CIELAB Buntton $330/360 = 0.917$ (links)

16stufige Reihen für konstanten CIELAB Buntton $359/360 = 0.996$ (rechts)

Eingabe: Farbmetrisches Natürliches-Licht-System NLS00

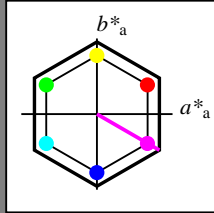
für Buntton $h^* = lab^*h = 330/360 = 0.917$

lab*tch und lab*nch

D65: Buntton M

LCH*Ma: 64 95 330

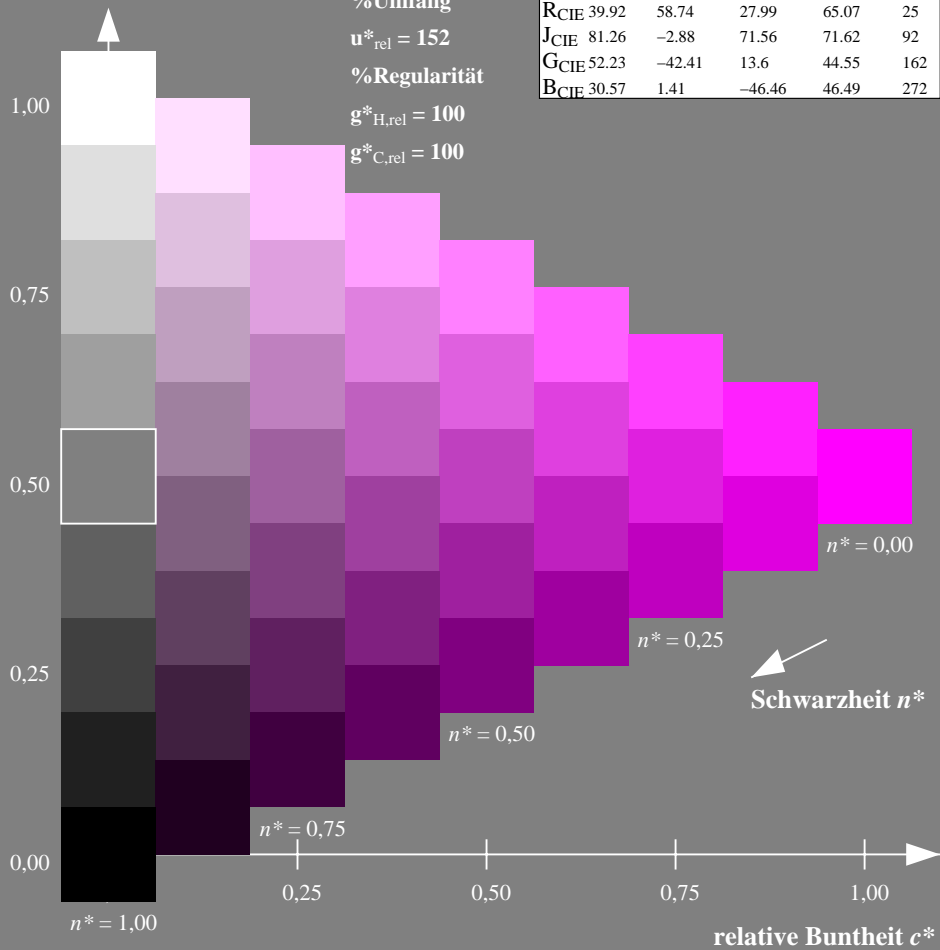
olv*Ma: 1.0 0.0 1.0



NLS00; adaptierte CIELAB-Daten

	$L^*=L^*_a$	a^*_a	b^*_a	$C^*_{ab,a}$	$h^*_{ab,a}$
OMa	31.81	82.62	47.7	95.4	30
YMa	63.61	0.0	95.4	95.4	90
LMa	31.81	-82.61	47.7	95.4	150
CMa	63.61	-82.61	-47.69	95.4	210
VMa	31.81	0.0	-95.39	95.4	270
MMa	63.61	82.62	-47.69	95.4	330
NMa	0.01	0.0	0.0	0.0	0
WMa	95.41	0.0	0.0	0.0	0
RCIE	39.92	58.74	27.99	65.07	25
JCIE	81.26	-2.88	71.56	71.62	92
GCIE	52.23	-42.41	13.6	44.55	162
BCIE	30.57	1.41	-46.46	46.49	272

Dreiecks-Helligkeit t^*



Ausgabe: Farbmetrisches Fernseh-Licht-System TLS18

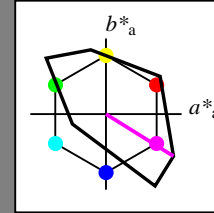
für Buntton $h^* = lab^*h = 328/360 = 0.911$

lab*tch und lab*nch

D65: Buntton M

LCH*Ma: 59 105 328

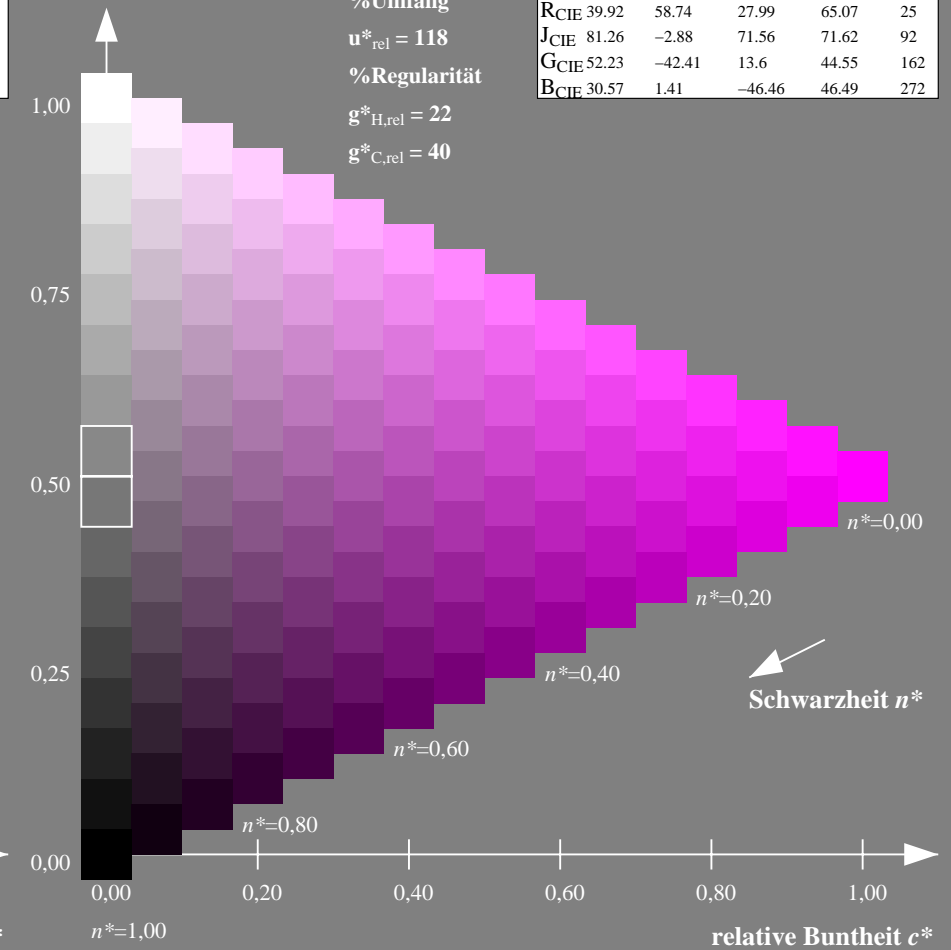
olv*Ma: 1.0 0.0 1.0



TLS18; adaptierte CIELAB-Daten

	$L^*=L^*_a$	a^*_a	b^*_a	$C^*_{ab,a}$	$h^*_{ab,a}$
OMa	52.76	71.63	49.88	87.29	35
YMa	92.74	-20.02	84.97	87.3	103
LMa	84.0	-78.98	73.94	108.2	137
CMa	87.14	-44.41	-13.11	46.32	196
VMa	35.47	64.92	-95.06	115.12	304
MMa	59.01	89.33	-55.67	105.26	328
NMa	18.01	0.0	0.0	0.0	0
WMa	95.41	0.0	0.0	0.0	0
RCIE	39.92	58.74	27.99	65.07	25
JCIE	81.26	-2.88	71.56	71.62	92
GCIE	52.23	-42.41	13.6	44.55	162
BCIE	30.57	1.41	-46.46	46.49	272

Dreiecks-Helligkeit t^*



NG900-7, 9stufige Reihen für konstanten CIELAB Buntton $330/360 = 0.917$ (links)

16stufige Reihen für konstanten CIELAB Buntton $328/360 = 0.911$ (rechts)

Eingabe: Farbmetrisches Natürliches-Licht-System NLS00

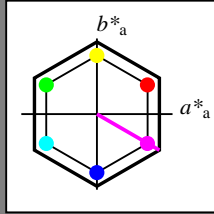
für Buntton $h^* = lab^*h = 330/360 = 0.917$

lab^*tch und lab^*nch

D65: Buntton M

LCH*Ma: 64 95 330

olv*Ma: 1.0 0.0 1.0



NLS00; adaptierte CIELAB-Daten

	$L^*=L^*_a$	a^*_a	b^*_a	$C^*_{ab,a}$	$h^*_{ab,a}$
OMa	31.81	82.62	47.7	95.4	30
YMa	63.61	0.0	95.4	95.4	90
LMa	31.81	-82.61	47.7	95.4	150
CMa	63.61	-82.61	-47.69	95.4	210
VMa	31.81	0.0	-95.39	95.4	270
MMa	63.61	82.62	-47.69	95.4	330
NMa	0.01	0.0	0.0	0.0	0
WMa	95.41	0.0	0.0	0.0	0
RCIE	39.92	58.74	27.99	65.07	25
JCIE	81.26	-2.88	71.56	71.62	92
GCIE	52.23	-42.41	13.6	44.55	162
BCIE	30.57	1.41	-46.46	46.49	272

Dreiecks-Helligkeit t^*

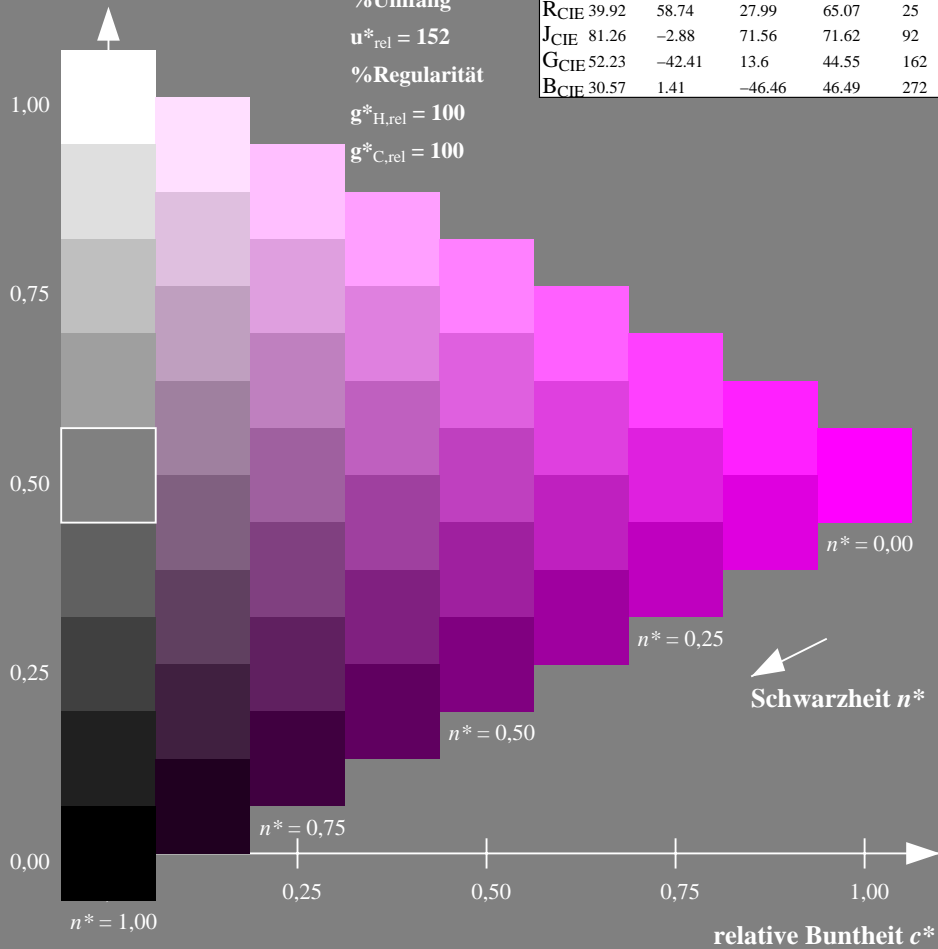
%Umfang

$u^*_{rel} = 152$

%Regularität

$g^*_{H,rel} = 100$

$g^*_{C,rel} = 100$



Ausgabe: Farbmetrisches Natürliches-Licht-System NLS00

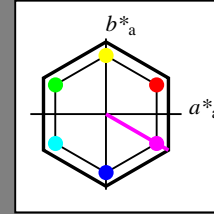
für Buntton $h^* = lab^*h = 330/360 = 0.917$

lab^*tch und lab^*nch

D65: Buntton M

LCH*Ma: 64 95 330

olv*Ma: 1.0 0.0 1.0



NLS00; adaptierte CIELAB-Daten

	$L^*=L^*_a$	a^*_a	b^*_a	$C^*_{ab,a}$	$h^*_{ab,a}$
OMa	31.81	82.62	47.7	95.4	30
YMa	63.61	0.0	95.4	95.4	90
LMa	31.81	-82.61	47.7	95.4	150
CMa	63.61	-82.61	-47.69	95.4	210
VMa	31.81	0.0	-95.39	95.4	270
MMa	63.61	82.62	-47.69	95.4	330
NMa	0.01	0.0	0.0	0.0	0
WMa	95.41	0.0	0.0	0.0	0
RCIE	39.92	58.74	27.99	65.07	25
JCIE	81.26	-2.88	71.56	71.62	92
GCIE	52.23	-42.41	13.6	44.55	162
BCIE	30.57	1.41	-46.46	46.49	272

Dreiecks-Helligkeit t^*

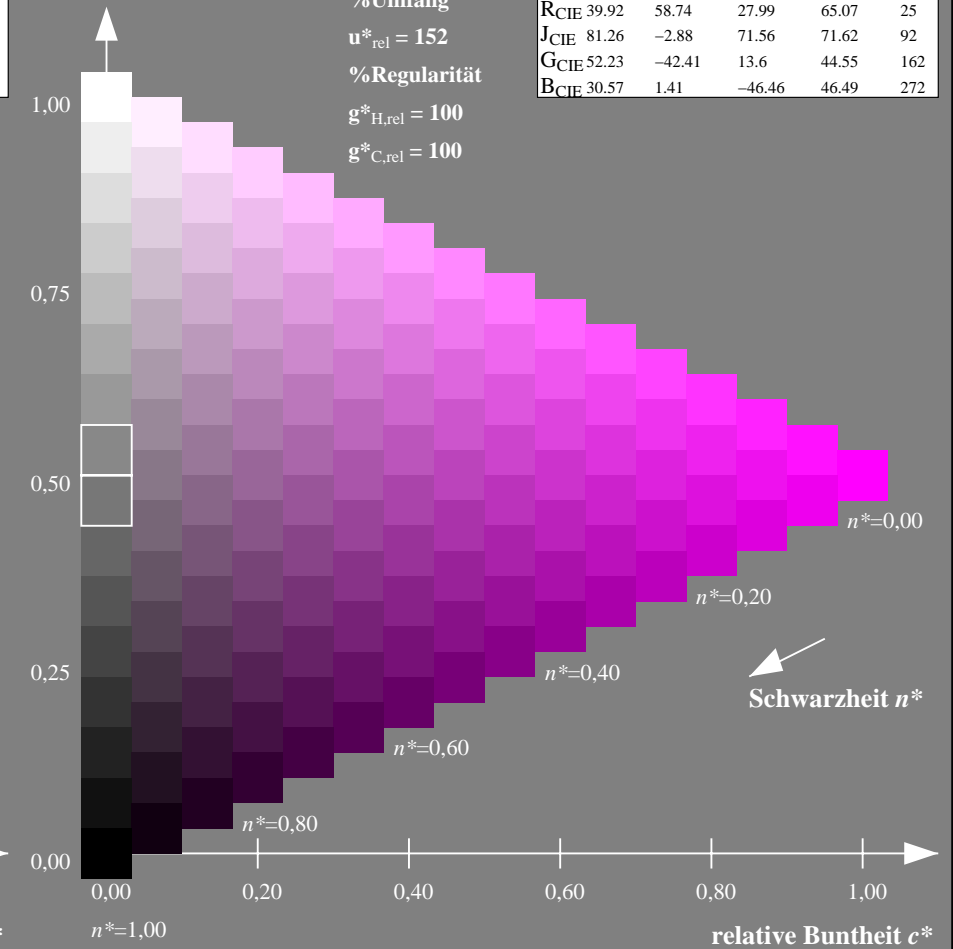
%Umfang

$u^*_{rel} = 152$

%Regularität

$g^*_{H,rel} = 100$

$g^*_{C,rel} = 100$



NG900-7, 9stufige Reihen für konstanten CIELAB Buntton 330/360 = 0.917 (links)

16stufige Reihen für konstanten CIELAB Buntton 330/360 = 0.917 (rechts)

Eingabe: Farbmetrisches Natürliches-Licht-System NLS00

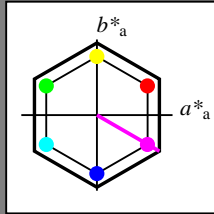
für Buntton $h^* = lab^*h = 330/360 = 0.917$

lab^*tch und lab^*nch

D65: Buntton M

LCH*Ma: 64 95 330

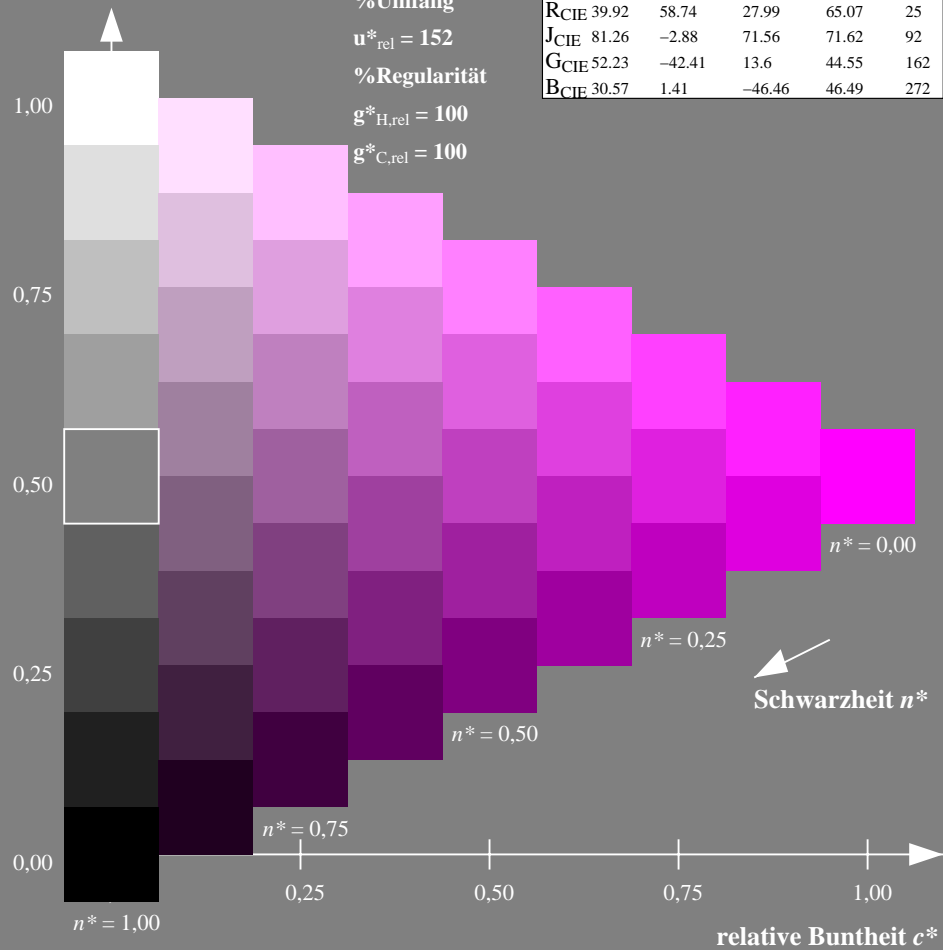
olv*Ma: 1.0 0.0 1.0



NLS00; adaptierte CIELAB-Daten

	$L^*=L^*_a$	a^*_a	b^*_a	$C^*_{ab,a}$	$h^*_{ab,a}$
OMa	31.81	82.62	47.7	95.4	30
YMa	63.61	0.0	95.4	95.4	90
LMa	31.81	-82.61	47.7	95.4	150
CMa	63.61	-82.61	-47.69	95.4	210
VMa	31.81	0.0	-95.39	95.4	270
MMa	63.61	82.62	-47.69	95.4	330
NMa	0.01	0.0	0.0	0.0	0
WMa	95.41	0.0	0.0	0.0	0
RCIE	39.92	58.74	27.99	65.07	25
JCIE	81.26	-2.88	71.56	71.62	92
GCIE	52.23	-42.41	13.6	44.55	162
BCIE	30.57	1.41	-46.46	46.49	272

Dreiecks-Helligkeit t^*



Ausgabe: Farbmetrisches Natürliches-Reflektiv-System NRS18

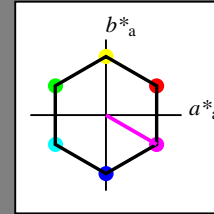
für Buntton $h^* = lab^*h = 330/360 = 0.917$

lab^*tch und lab^*nch

D65: Buntton M

LCH*Ma: 70 77 330

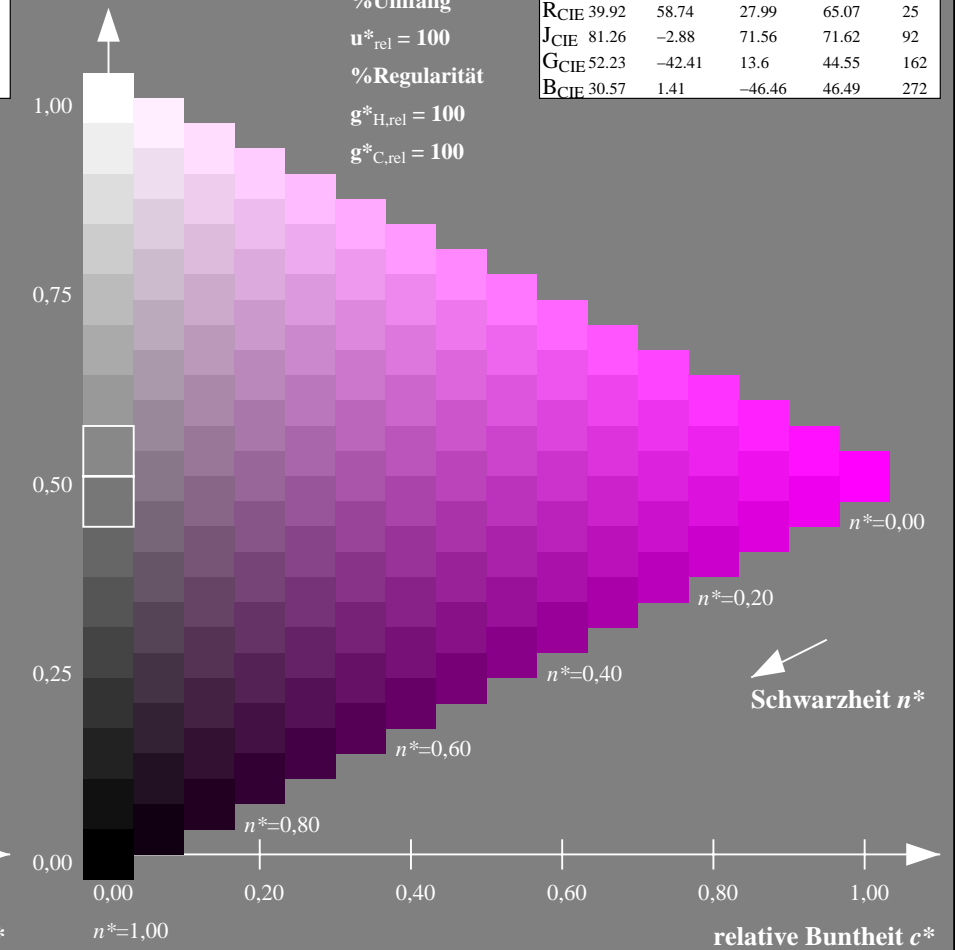
olv*Ma: 1.0 0.0 1.0



NRS18; adaptierte CIELAB-Daten

	$L^*=L^*_a$	a^*_a	b^*_a	$C^*_{ab,a}$	$h^*_{ab,a}$
OMa	43.81	67.03	38.7	77.4	30
YMa	69.61	0.0	77.4	77.4	90
LMa	43.81	-67.02	38.7	77.4	150
CMa	69.61	-67.02	-38.69	77.4	210
VMa	43.81	0.0	-77.39	77.4	270
MMa	69.61	67.03	-38.69	77.4	330
NMa	18.01	0.0	0.0	0.0	0
WMa	95.41	0.0	0.0	0.0	0
RCIE	39.92	58.74	27.99	65.07	25
JCIE	81.26	-2.88	71.56	71.62	92
GCIE	52.23	-42.41	13.6	44.55	162
BCIE	30.57	1.41	-46.46	46.49	272

Dreiecks-Helligkeit t^*



NG900-7, 9stufige Reihen für konstanten CIELAB Buntton 330/360 = 0.917 (links)

16stufige Reihen für konstanten CIELAB Buntton 330/360 = 0.917 (rechts)

Eingabe: Farbmetrisches Natürliches-Licht-System NLS00

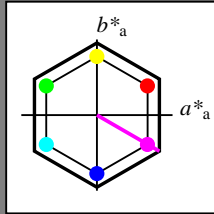
für Buntton $h^* = lab^*h = 330/360 = 0.917$

lab^*tch und lab^*nch

D65: Buntton M

LCH*Ma: 64 95 330

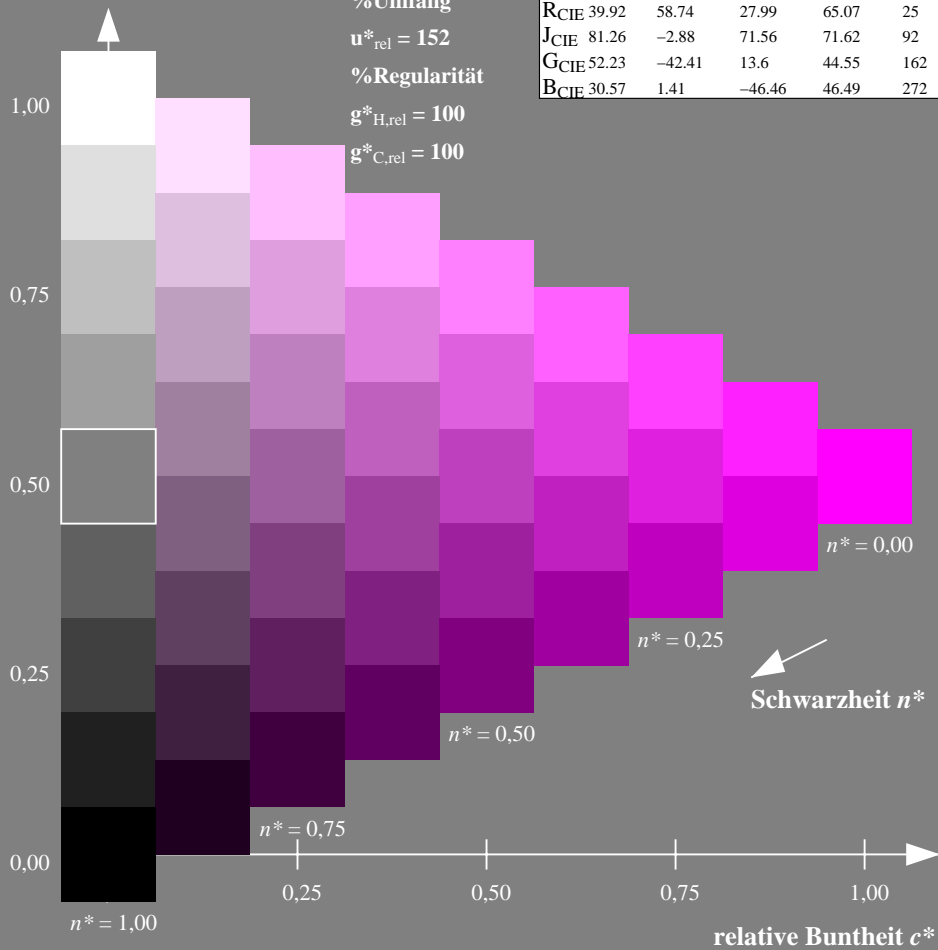
olv*Ma: 1.0 0.0 1.0



NLS00; adaptierte CIELAB-Daten

	$L^*=L^*_a$	a^*_a	b^*_a	$C^*_{ab,a}$	$h^*_{ab,a}$
OMa	31.81	82.62	47.7	95.4	30
YMa	63.61	0.0	95.4	95.4	90
LMa	31.81	-82.61	47.7	95.4	150
CMa	63.61	-82.61	-47.69	95.4	210
VMa	31.81	0.0	-95.39	95.4	270
MMa	63.61	82.62	-47.69	95.4	330
NMa	0.01	0.0	0.0	0.0	0
WMa	95.41	0.0	0.0	0.0	0
RCIE	39.92	58.74	27.99	65.07	25
JCIE	81.26	-2.88	71.56	71.62	92
GCIE	52.23	-42.41	13.6	44.55	162
BCIE	30.57	1.41	-46.46	46.49	272

Dreiecks-Helligkeit t^*



Ausgabe: Farbmetrisches Standard-Reflektiv-System SRS18

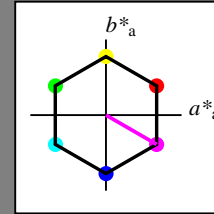
für Buntton $h^* = lab^*h = 330/360 = 0.917$

lab^*tch und lab^*nch

D65: Buntton M

LCH*Ma: 57 77 330

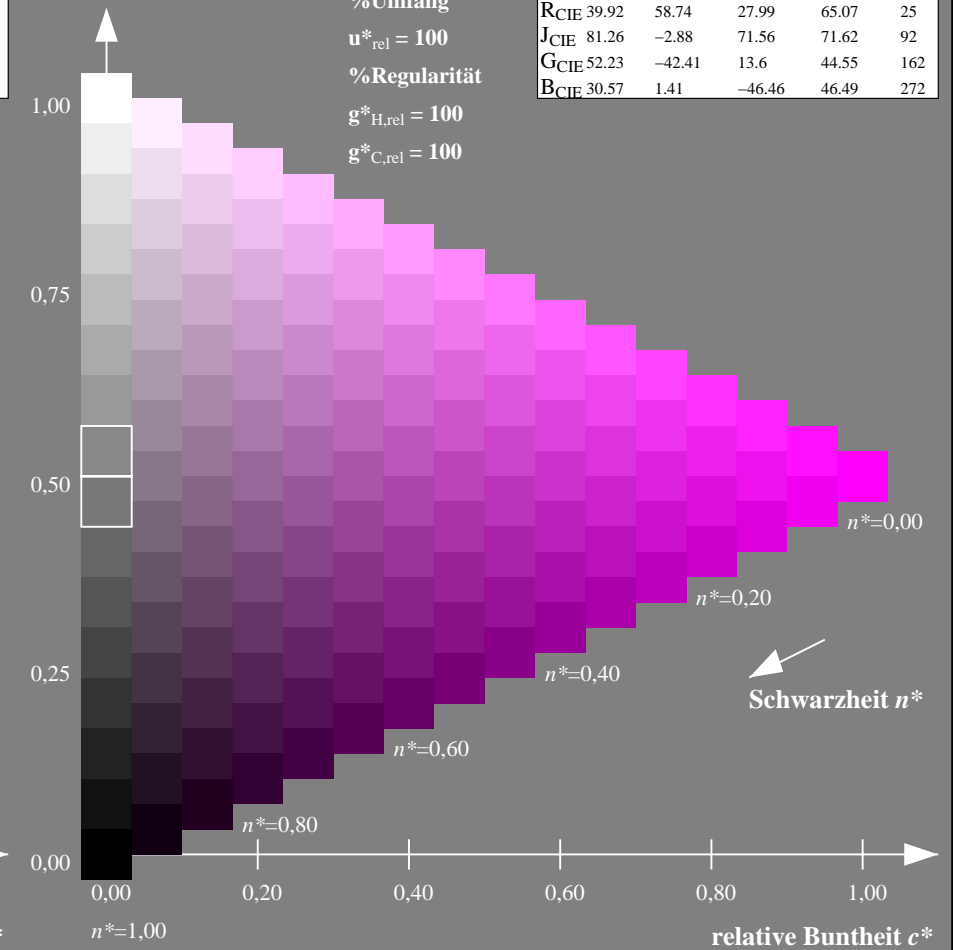
olv*Ma: 1.0 0.0 1.0



SRS18; adaptierte CIELAB-Daten

	$L^*=L^*_a$	a^*_a	b^*_a	$C^*_{ab,a}$	$h^*_{ab,a}$
OMa	56.71	67.03	38.7	77.4	30
YMa	56.71	0.0	77.4	77.4	90
LMa	56.71	-67.02	38.7	77.4	150
CMa	56.71	-67.02	-38.69	77.4	210
VMa	56.71	0.0	-77.39	77.4	270
MMa	56.71	67.03	-38.69	77.4	330
NMa	18.01	0.0	0.0	0.0	0
WMa	95.41	0.0	0.0	0.0	0
RCIE	39.92	58.74	27.99	65.07	25
JCIE	81.26	-2.88	71.56	71.62	92
GCIE	52.23	-42.41	13.6	44.55	162
BCIE	30.57	1.41	-46.46	46.49	272

Dreiecks-Helligkeit t^*



NG900-7, 9stufige Reihen für konstanten CIELAB Buntton $330/360 = 0.917$ (links)

16stufige Reihen für konstanten CIELAB Buntton $330/360 = 0.917$ (rechts)

Eingabe: Farbmetrisches Natürliches-Licht-System NLS00

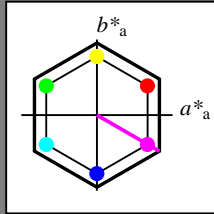
für Buntton $h^* = lab^*h = 330/360 = 0.917$

lab^*tch und lab^*nch

D65: Buntton M

LCH*Ma: 64 95 330

olv*Ma: 1.0 0.0 1.0



NLS00; adaptierte CIELAB-Daten

	$L^*=L^*_a$	a^*_a	b^*_a	$C^*_{ab,a}$	$h^*_{ab,a}$
O _{Ma}	31.81	82.62	47.7	95.4	30
Y _{Ma}	63.61	0.0	95.4	95.4	90
L _{Ma}	31.81	-82.61	47.7	95.4	150
C _{Ma}	63.61	-82.61	-47.69	95.4	210
V _{Ma}	31.81	0.0	-95.39	95.4	270
M _{Ma}	63.61	82.62	-47.69	95.4	330
N _{Ma}	0.01	0.0	0.0	0.0	0
W _{Ma}	95.41	0.0	0.0	0.0	0
R _{CIE}	39.92	58.74	27.99	65.07	25
J _{CIE}	81.26	-2.88	71.56	71.62	92
G _{CIE}	52.23	-42.41	13.6	44.55	162
B _{CIE}	30.57	1.41	-46.46	46.49	272

Dreiecks-Helligkeit t^*

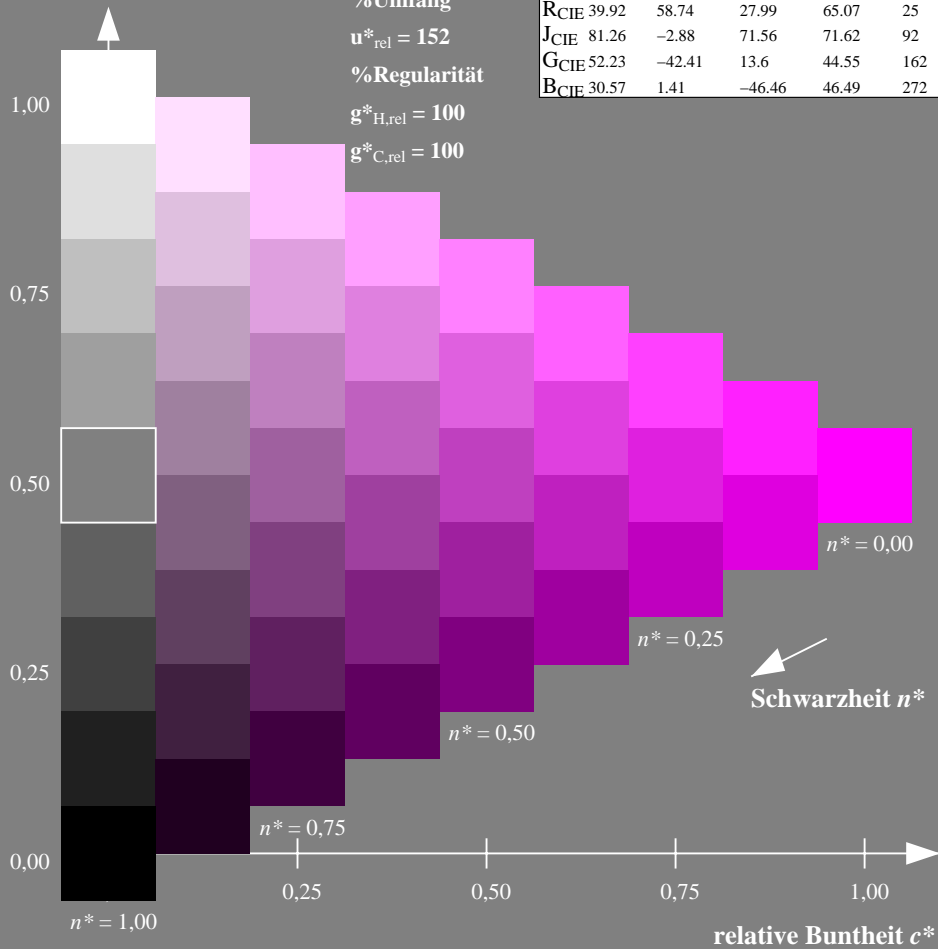
%Umfang

$u^*_{rel} = 152$

%Regularität

$g^*_{H,rel} = 100$

$g^*_{C,rel} = 100$



Ausgabe: Farbmetrisches Fernseh-Licht-System TLS70

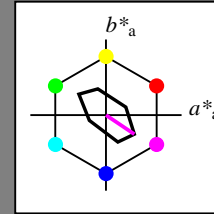
für Buntton $h^* = lab^*h = 326/360 = 0.906$

lab^*tch und lab^*nch

D65: Buntton M

LCH*Ma: 79 45 326

olv*Ma: 1.0 0.0 1.0



TLS70; adaptierte CIELAB-Daten

	$L^*=L^*_a$	a^*_a	b^*_a	$C^*_{ab,a}$	$h^*_{ab,a}$
O _{Ma}	76.43	26.27	10.57	28.32	22
Y _{Ma}	93.93	-10.76	34.63	36.27	107
L _{Ma}	89.32	-35.8	27.64	45.24	142
C _{Ma}	90.93	-21.95	-7.07	23.07	198
V _{Ma}	72.1	15.76	-35.63	38.97	294
M _{Ma}	78.5	37.52	-25.23	45.22	326
N _{Ma}	69.7	0.0	0.0	0.0	0
W _{Ma}	95.41	0.0	0.0	0.0	0
R _{CIE}	39.92	58.74	27.99	65.07	25
J _{CIE}	81.26	-2.88	71.56	71.62	92
G _{CIE}	52.23	-42.41	13.6	44.55	162
B _{CIE}	30.57	1.41	-46.46	46.49	272

Dreiecks-Helligkeit t^*

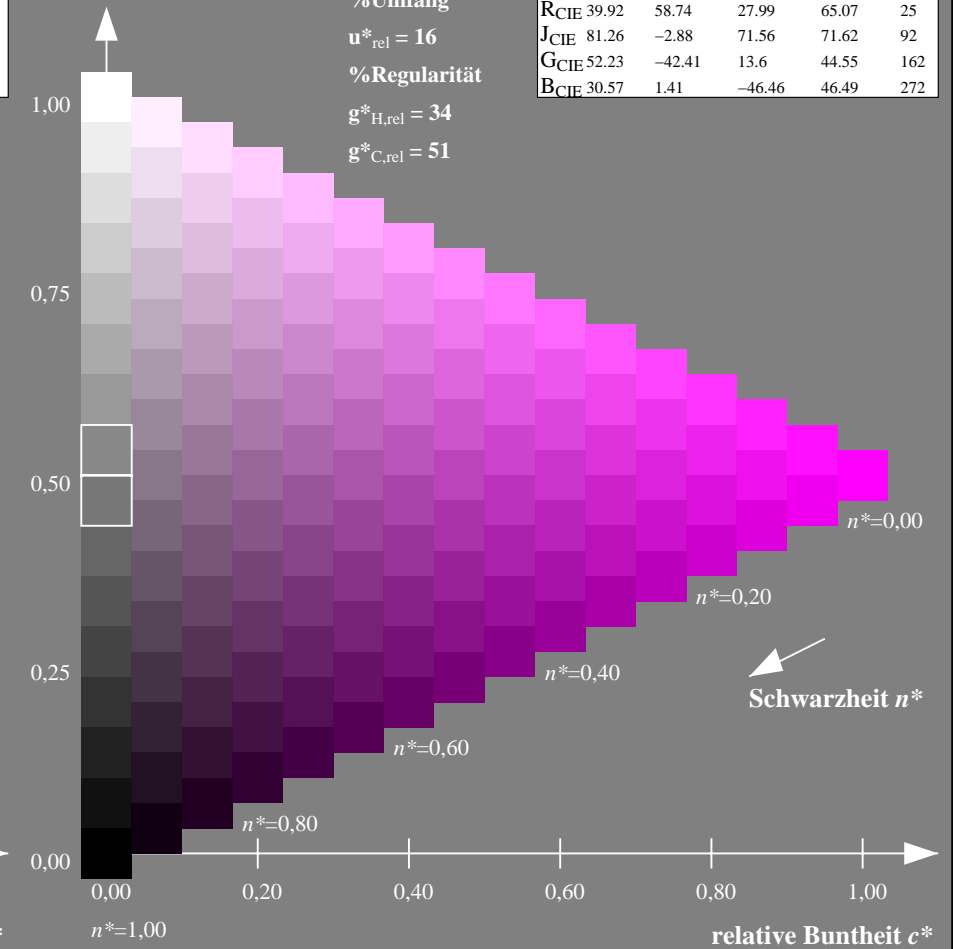
%Umfang

$u^*_{rel} = 16$

%Regularität

$g^*_{H,rel} = 34$

$g^*_{C,rel} = 51$



NG900-7, 9stufige Reihen für konstanten CIELAB Buntton $330/360 = 0.917$ (links)

16stufige Reihen für konstanten CIELAB Buntton $326/360 = 0.906$ (rechts)

Eingabe: Farbmetrisches Natürliches-Reflektiv-System NRS18

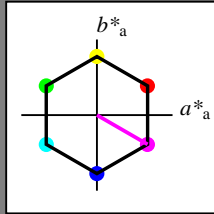
für Buntton $h^* = lab^*h = 330/360 = 0.917$

lab^*tch und lab^*nch

D65: Buntton M

LCH*Ma: 70 77 330

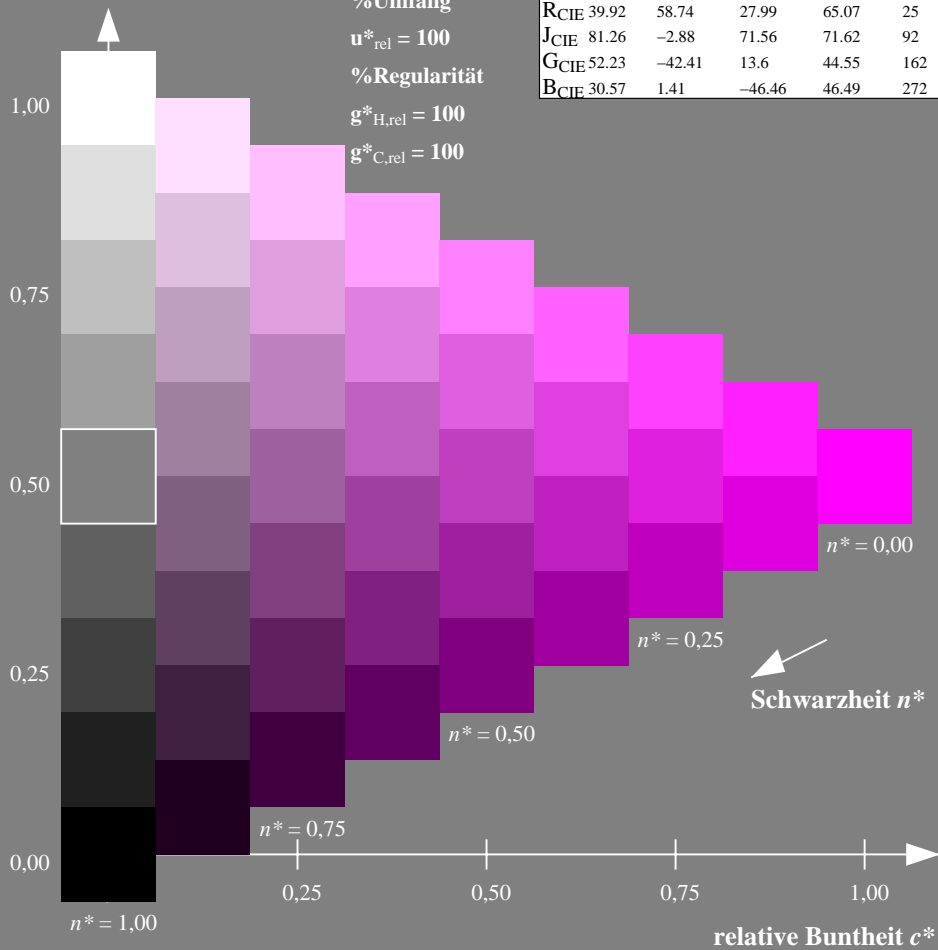
olv*Ma: 1.0 0.0 1.0



NRS18; adaptierte CIELAB-Daten

	$L^*=L^*_a$	a^*_a	b^*_a	$C^*_{ab,a}$	$h^*_{ab,a}$
OMa	43.81	67.03	38.7	77.4	30
YMa	69.61	0.0	77.4	77.4	90
LMa	43.81	-67.02	38.7	77.4	150
CMa	69.61	-67.02	-38.69	77.4	210
VMa	43.81	0.0	-77.39	77.4	270
MMa	69.61	67.03	-38.69	77.4	330
NMa	18.01	0.0	0.0	0.0	0
WMa	95.41	0.0	0.0	0.0	0
RCIE	39.92	58.74	27.99	65.07	25
JCIE	81.26	-2.88	71.56	71.62	92
GCIE	52.23	-42.41	13.6	44.55	162
BCIE	30.57	1.41	-46.46	46.49	272

Dreiecks-Helligkeit t^*



Ausgabe: Farbmetrisches Offset-Reflektiv-System ORS18

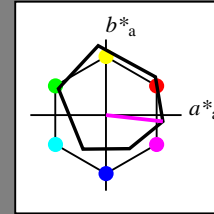
für Buntton $h^* = lab^*h = 354/360 = 0.982$

lab^*tch und lab^*nch

D65: Buntton M

LCH*Ma: 48 76 354

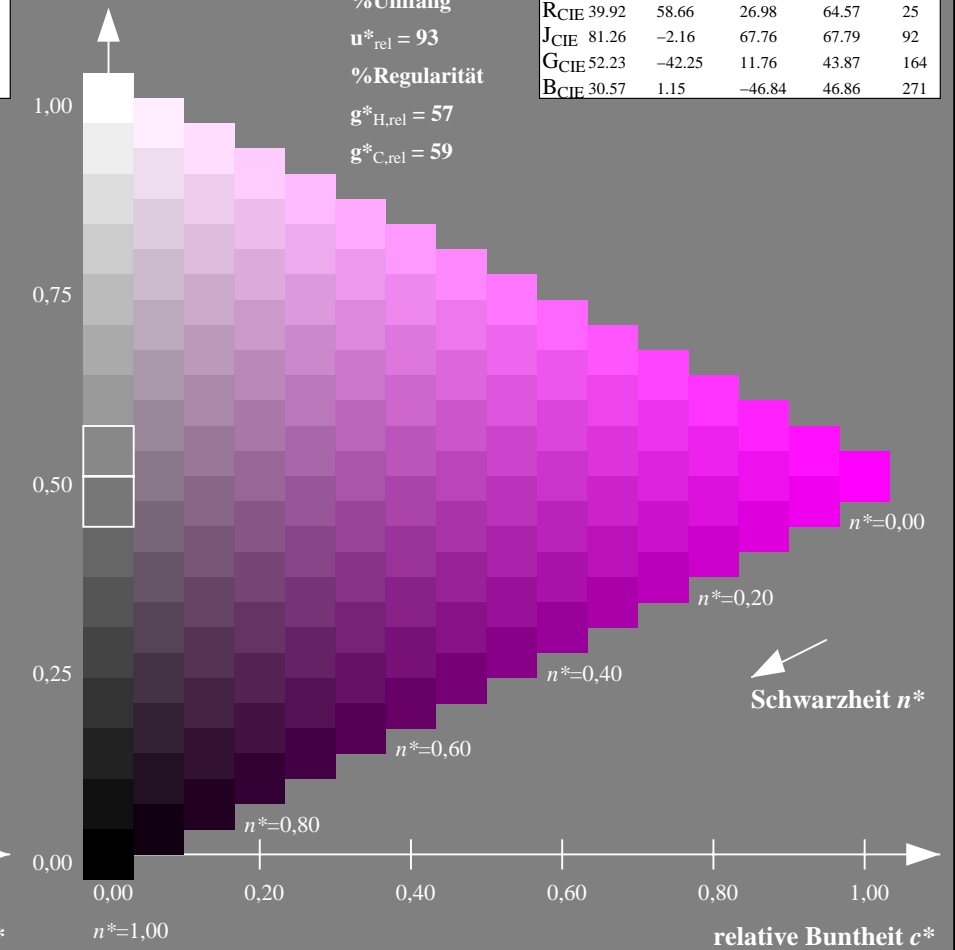
olv*Ma: 1.0 0.0 1.0



ORS18; adaptierte CIELAB-Daten

	$L^*=L^*_a$	a^*_a	b^*_a	$C^*_{ab,a}$	$h^*_{ab,a}$
OMa	47.94	65.39	50.52	82.63	38
YMa	90.37	-10.26	91.75	92.32	96
LMa	50.9	-62.83	34.96	71.91	151
CMa	58.62	-30.34	-45.01	54.3	236
VMa	25.72	31.1	-44.4	54.22	305
MMa	48.13	75.28	-8.36	75.74	354
NMa	18.01	0.0	0.0	0.0	0
WMa	95.41	0.0	0.0	0.0	0
RCIE	39.92	58.66	26.98	64.57	25
JCIE	81.26	-2.16	67.76	67.79	92
GCIE	52.23	-42.25	11.76	43.87	164
BCIE	30.57	1.15	-46.84	46.86	271

Dreiecks-Helligkeit t^*



NG900-7, 9stufige Reihen für konstanten CIELAB Buntton $330/360 = 0.917$ (links)

16stufige Reihen für konstanten CIELAB Buntton $354/360 = 0.982$ (rechts)

Eingabe: Farbmetrisches Natürliches-Reflektiv-System NRS18

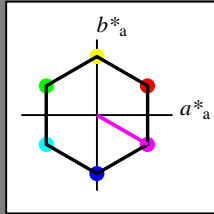
für Buntton $h^* = lab^*h = 330/360 = 0.917$

lab^*tch und lab^*nch

D65: Buntton M

LCH*Ma: 70 77 330

olv*Ma: 1.0 0.0 1.0



NRS18; adaptierte CIELAB-Daten

	$L^*=L^*_a$	a^*_a	b^*_a	$C^*_{ab,a}$	$h^*_{ab,a}$
OMa	43.81	67.03	38.7	77.4	30
YMa	69.61	0.0	77.4	77.4	90
LMa	43.81	-67.02	38.7	77.4	150
CMa	69.61	-67.02	-38.69	77.4	210
VMa	43.81	0.0	-77.39	77.4	270
MMa	69.61	67.03	-38.69	77.4	330
NMa	18.01	0.0	0.0	0.0	0
WMa	95.41	0.0	0.0	0.0	0
RCIE	39.92	58.74	27.99	65.07	25
JCIE	81.26	-2.88	71.56	71.62	92
GCIE	52.23	-42.41	13.6	44.55	162
BCIE	30.57	1.41	-46.46	46.49	272

Dreiecks-Helligkeit t^*

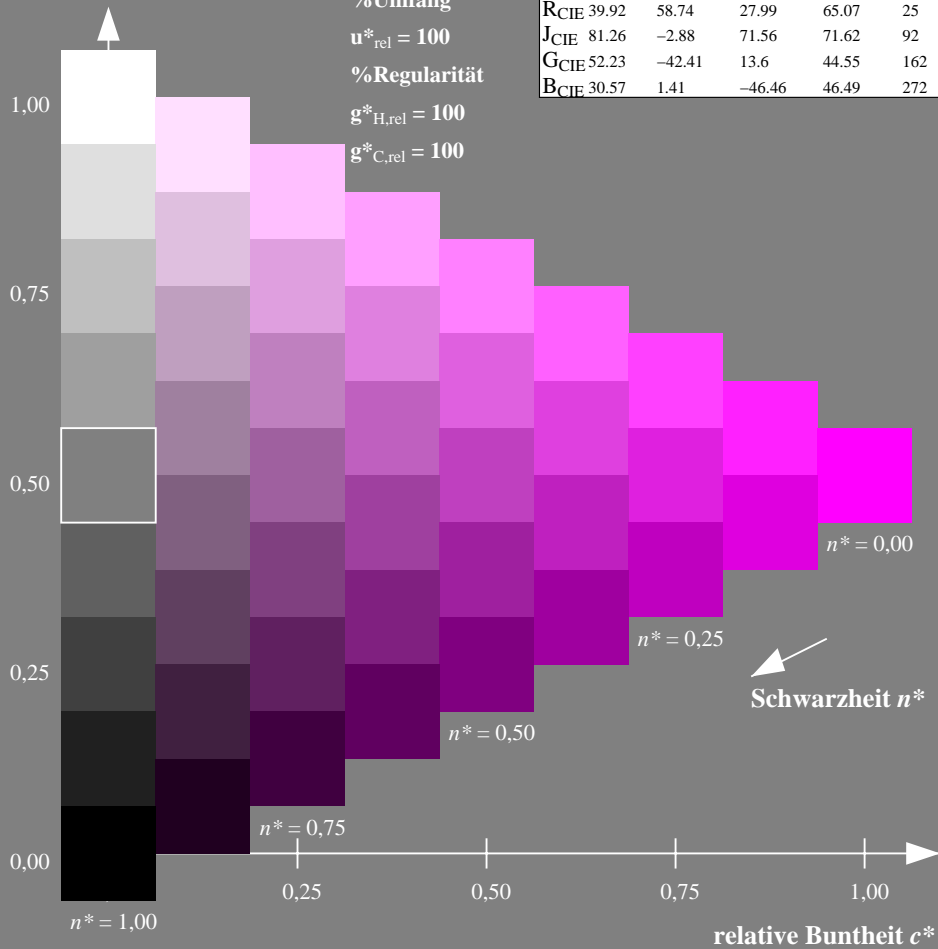
%Umfang

$u^*_{rel} = 100$

%Regularität

$g^*_{H,rel} = 100$

$g^*_{C,rel} = 100$



Ausgabe: Farbmetrisches Fernseh-Licht-System TLS00

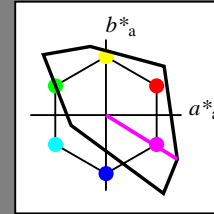
für Buntton $h^* = lab^*h = 328/360 = 0.912$

lab^*tch und lab^*nch

D65: Buntton M

LCH*Ma: 57 111 328

olv*Ma: 1.0 0.0 1.0



TLS00; adaptierte CIELAB-Daten

	$L^*=L^*_a$	a^*_a	b^*_a	$C^*_{ab,a}$	$h^*_{ab,a}$
OMa	50.5	76.92	64.55	100.42	40
YMa	92.66	-20.69	90.75	93.08	103
LMa	83.63	-82.75	79.9	115.04	136
CMa	86.88	-46.16	-13.55	48.12	196
VMa	30.39	76.06	-103.59	128.52	306
MMa	57.3	94.35	-58.41	110.97	328
NMa	0.01	0.0	0.0	0.0	0
WMa	95.41	0.0	0.0	0.0	0
RCIE	39.92	58.74	27.99	65.07	25
JCIE	81.26	-2.88	71.56	71.62	92
GCIE	52.23	-42.41	13.6	44.55	162
BCIE	30.57	1.41	-46.46	46.49	272

Dreiecks-Helligkeit t^*

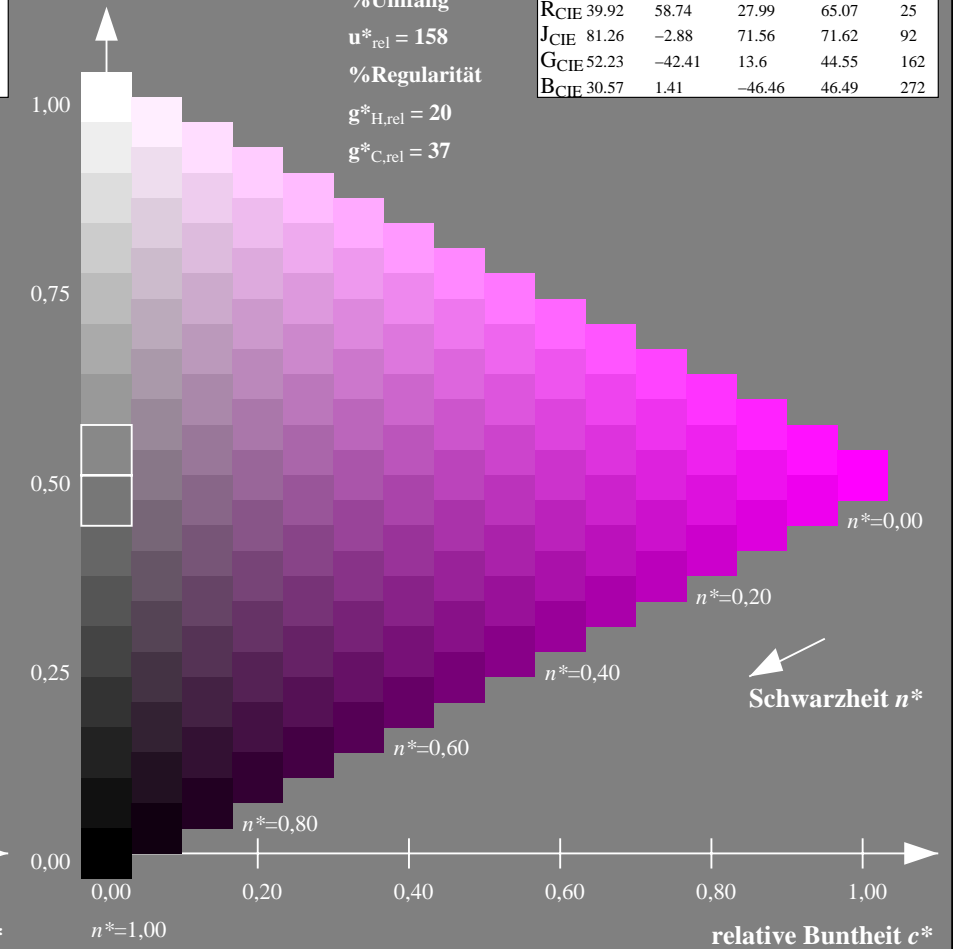
%Umfang

$u^*_{rel} = 158$

%Regularität

$g^*_{H,rel} = 20$

$g^*_{C,rel} = 37$



NG900-7, 9stufige Reihen für konstanten CIELAB Buntton $330/360 = 0.917$ (links)

16stufige Reihen für konstanten CIELAB Buntton $328/360 = 0.912$ (rechts)

Eingabe: Farbmetrisches Natürliches-Reflektiv-System NRS18

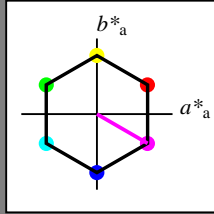
für Buntton $h^* = lab^*h = 330/360 = 0.917$

lab^*tch und lab^*nch

D65: Buntton M

LCH*Ma: 70 77 330

olv*Ma: 1.0 0.0 1.0



NRS18; adaptierte CIELAB-Daten

	$L^*=L^*_a$	a^*_a	b^*_a	$C^*_{ab,a}$	$h^*_{ab,a}$
OMa	43.81	67.03	38.7	77.4	30
YMa	69.61	0.0	77.4	77.4	90
LMa	43.81	-67.02	38.7	77.4	150
CMa	69.61	-67.02	-38.69	77.4	210
VMa	43.81	0.0	-77.39	77.4	270
MMa	69.61	67.03	-38.69	77.4	330
NMa	18.01	0.0	0.0	0.0	0
WMa	95.41	0.0	0.0	0.0	0
RCIE	39.92	58.74	27.99	65.07	25
JCIE	81.26	-2.88	71.56	71.62	92
GCIE	52.23	-42.41	13.6	44.55	162
BCIE	30.57	1.41	-46.46	46.49	272

Dreiecks-Helligkeit t^*

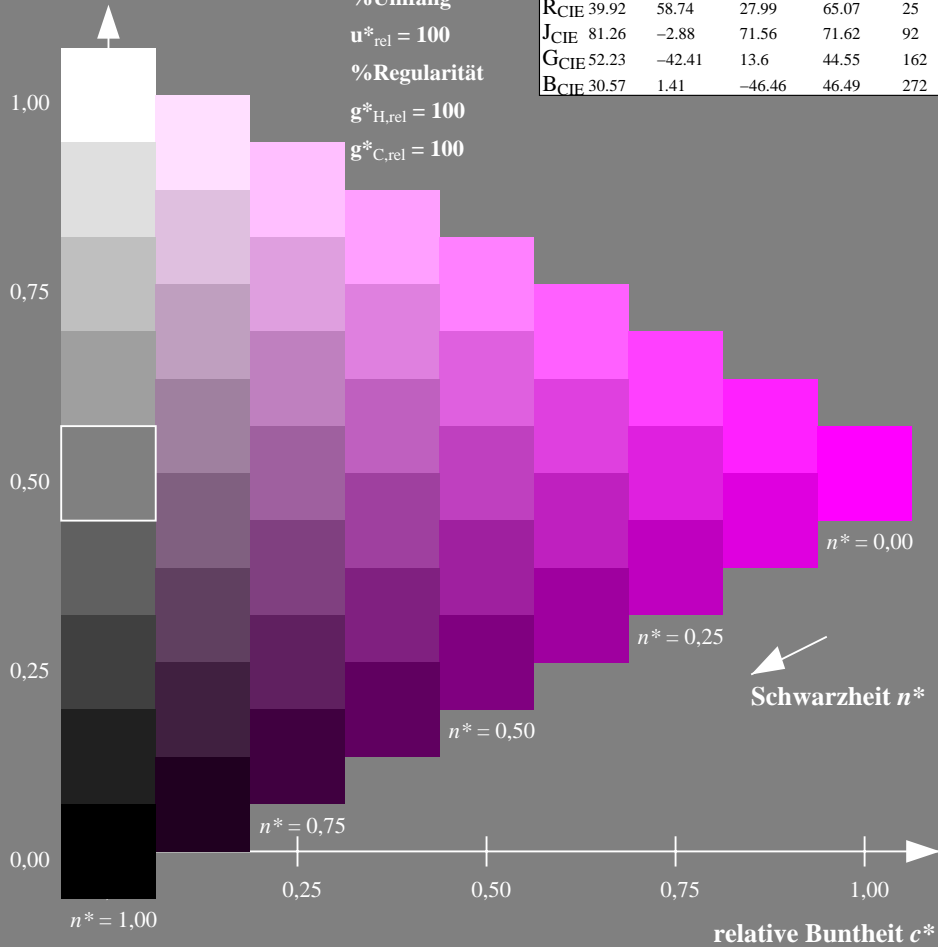
%Umfang

$u^*_{rel} = 100$

%Regularität

$g^*_{H,rel} = 100$

$g^*_{C,rel} = 100$



Ausgabe: Farbmetrisches Drucker-Reflektiv-System DRSXX

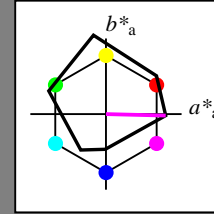
für Buntton $h^* = lab^*h = 359/360 = 0.996$

lab^*tch und lab^*nch

D65: Buntton M

LCH*Ma: 43 79 359

olv*Ma: 1.0 0.0 1.0



DRSXX; adaptierte CIELAB-Daten

	$L^*=L^*_a$	a^*_a	b^*_a	$C^*_{ab,a}$	$h^*_{ab,a}$
OMa	42.21	66.82	50.6	83.82	37
YMa	90.32	-16.51	104.33	105.63	99
LMa	48.21	-75.63	30.65	81.61	158
CMa	53.44	-33.33	-47.49	58.03	235
VMa	34.16	-0.92	-46.56	46.58	269
MMa	42.71	79.0	-1.95	79.03	359
NMa	16.56	0.0	0.0	0.0	0
WMa	96.31	0.0	0.0	0.0	0
RCIE	39.92	59.78	25.77	65.1	23
JCIE	81.26	-2.51	69.07	69.11	92
GCIE	52.23	-41.57	11.3	43.09	165
BCIE	30.57	2.6	-48.62	48.7	273

Dreiecks-Helligkeit t^*

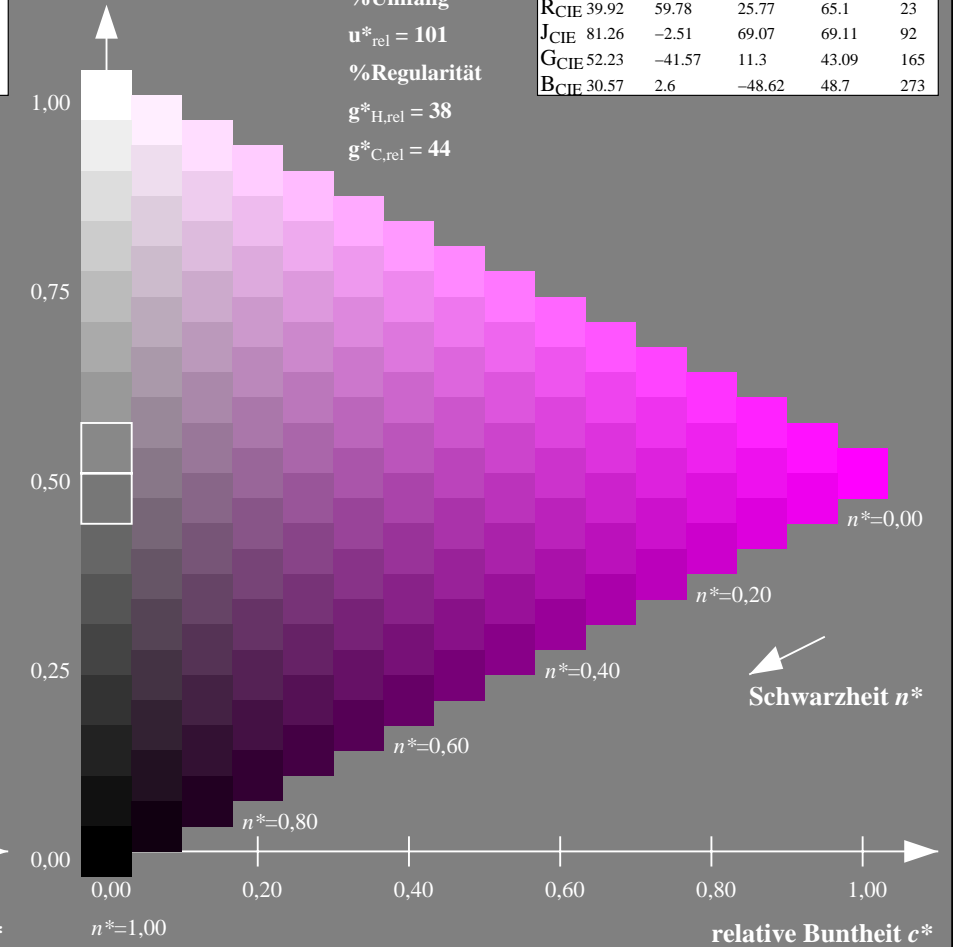
%Umfang

$u^*_{rel} = 101$

%Regularität

$g^*_{H,rel} = 38$

$g^*_{C,rel} = 44$



NG900-7, 9stufige Reihen für konstanten CIELAB Buntton 330/360 = 0.917 (links)

16stufige Reihen für konstanten CIELAB Buntton 359/360 = 0.996 (rechts)

Eingabe: Farbmetrisches Natürliches-Reflektiv-System NRS18

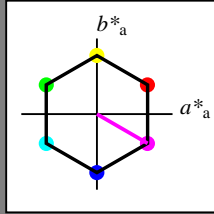
für Buntton $h^* = lab^*h = 330/360 = 0.917$

lab^*tch und lab^*nch

D65: Buntton M

LCH*Ma: 70 77 330

olv*Ma: 1.0 0.0 1.0



NRS18; adaptierte CIELAB-Daten

	$L^*=L^*_a$	a^*_a	b^*_a	$C^*_{ab,a}$	$h^*_{ab,a}$
OMa	43.81	67.03	38.7	77.4	30
YMa	69.61	0.0	77.4	77.4	90
LMa	43.81	-67.02	38.7	77.4	150
CMa	69.61	-67.02	-38.69	77.4	210
VMa	43.81	0.0	-77.39	77.4	270
MMa	69.61	67.03	-38.69	77.4	330
NMa	18.01	0.0	0.0	0.0	0
WMa	95.41	0.0	0.0	0.0	0
RCIE	39.92	58.74	27.99	65.07	25
JCIE	81.26	-2.88	71.56	71.62	92
GCIE	52.23	-42.41	13.6	44.55	162
BCIE	30.57	1.41	-46.46	46.49	272

Dreiecks-Helligkeit t^*

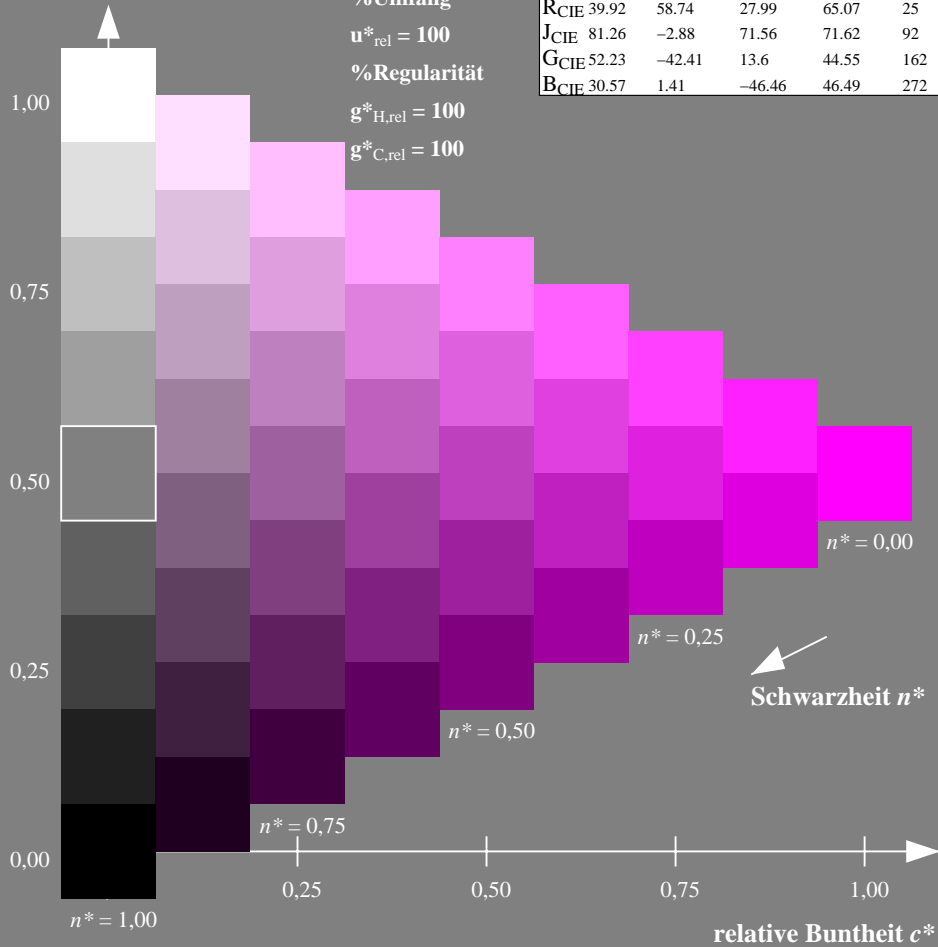
%Umfang

$u^*_{rel} = 100$

%Regularität

$g^*_{H,rel} = 100$

$g^*_{C,rel} = 100$



Ausgabe: Farbmetrisches Fernseh-Licht-System TLS18

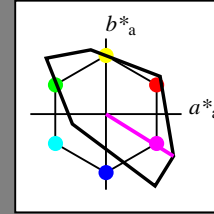
für Buntton $h^* = lab^*h = 328/360 = 0.911$

lab^*tch und lab^*nch

D65: Buntton M

LCH*Ma: 59 105 328

olv*Ma: 1.0 0.0 1.0



TLS18; adaptierte CIELAB-Daten

	$L^*=L^*_a$	a^*_a	b^*_a	$C^*_{ab,a}$	$h^*_{ab,a}$
OMa	52.76	71.63	49.88	87.29	35
YMa	92.74	-20.02	84.97	87.3	103
LMa	84.0	-78.98	73.94	108.2	137
CMa	87.14	-44.41	-13.11	46.32	196
VMa	35.47	64.92	-95.06	115.12	304
MMa	59.01	89.33	-55.67	105.26	328
NMa	18.01	0.0	0.0	0.0	0
WMa	95.41	0.0	0.0	0.0	0
RCIE	39.92	58.74	27.99	65.07	25
JCIE	81.26	-2.88	71.56	71.62	92
GCIE	52.23	-42.41	13.6	44.55	162
BCIE	30.57	1.41	-46.46	46.49	272

Dreiecks-Helligkeit t^*

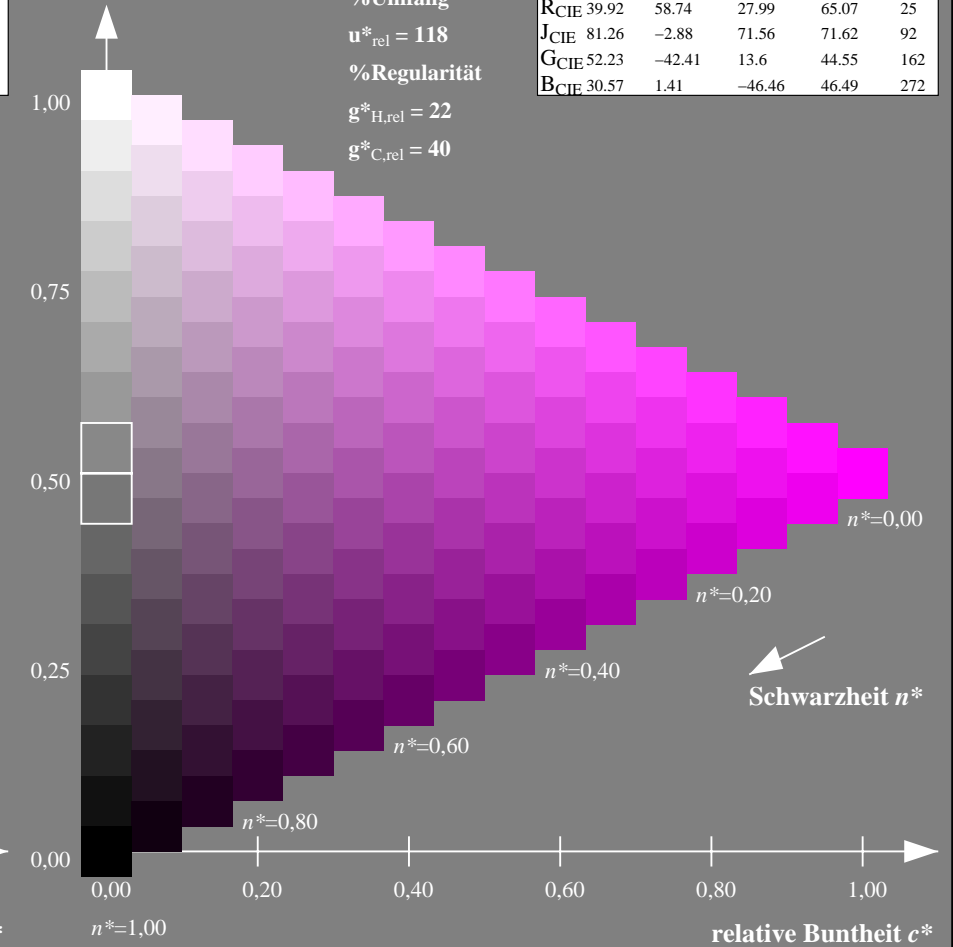
%Umfang

$u^*_{rel} = 118$

%Regularität

$g^*_{H,rel} = 22$

$g^*_{C,rel} = 40$



NG900-7, 9stufige Reihen für konstanten CIELAB Buntton $330/360 = 0.917$ (links)

16stufige Reihen für konstanten CIELAB Buntton $328/360 = 0.911$ (rechts)

Eingabe: Farbmetrisches Natürliches-Reflektiv-System NRS18

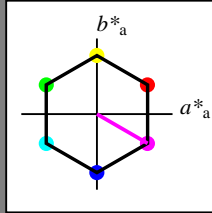
für Buntton $h^* = lab^*h = 330/360 = 0.917$

lab^*tch und lab^*nch

D65: Buntton M

LCH*Ma: 70 77 330

olv*Ma: 1.0 0.0 1.0



NRS18; adaptierte CIELAB-Daten

	$L^*=L^*_a$	a^*_a	b^*_a	$C^*_{ab,a}$	$h^*_{ab,a}$
OMa	43.81	67.03	38.7	77.4	30
YMa	69.61	0.0	77.4	77.4	90
LMa	43.81	-67.02	38.7	77.4	150
CMa	69.61	-67.02	-38.69	77.4	210
VMa	43.81	0.0	-77.39	77.4	270
MMa	69.61	67.03	-38.69	77.4	330
NMa	18.01	0.0	0.0	0.0	0
WMa	95.41	0.0	0.0	0.0	0
RCIE	39.92	58.74	27.99	65.07	25
JCIE	81.26	-2.88	71.56	71.62	92
GCIE	52.23	-42.41	13.6	44.55	162
BCIE	30.57	1.41	-46.46	46.49	272

Dreiecks-Helligkeit t^*

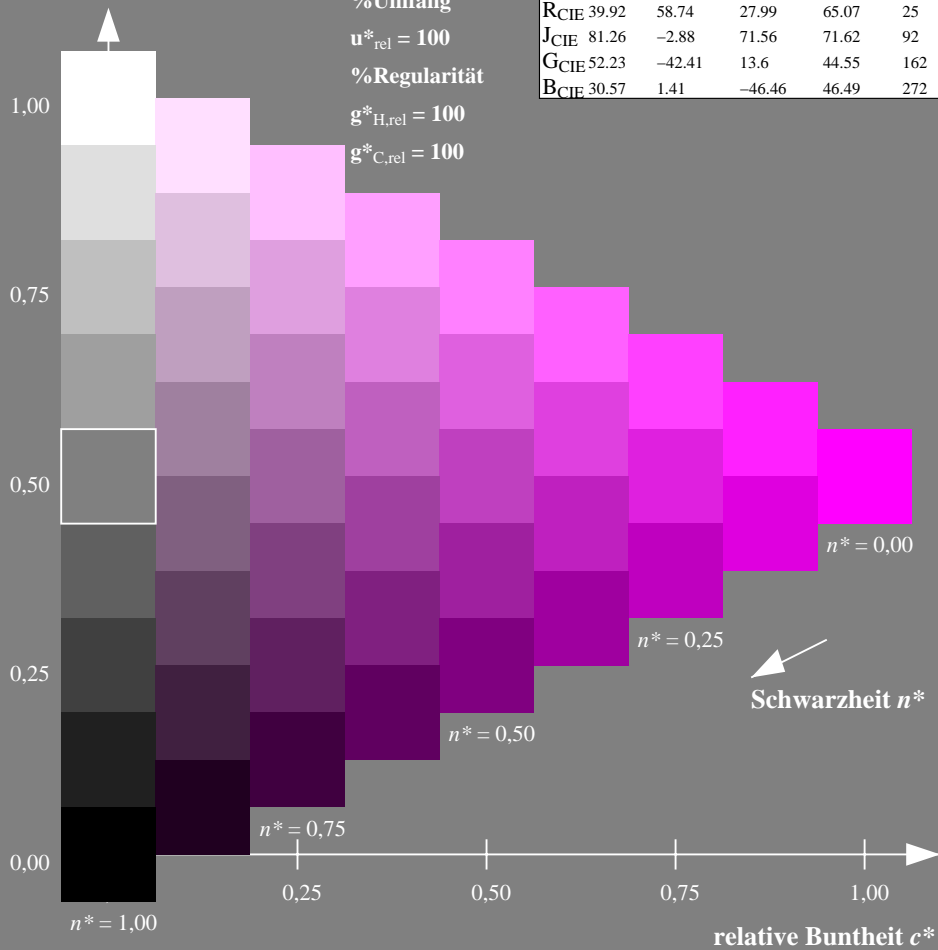
%Umfang

$u^*_{rel} = 100$

%Regularität

$g^*_{H,rel} = 100$

$g^*_{C,rel} = 100$



Ausgabe: Farbmetrisches Natürliches-Licht-System NLS00

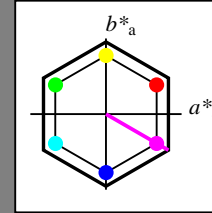
für Buntton $h^* = lab^*h = 330/360 = 0.917$

lab^*tch und lab^*nch

D65: Buntton M

LCH*Ma: 64 95 330

olv*Ma: 1.0 0.0 1.0



NLS00; adaptierte CIELAB-Daten

	$L^*=L^*_a$	a^*_a	b^*_a	$C^*_{ab,a}$	$h^*_{ab,a}$
OMa	31.81	82.62	47.7	95.4	30
YMa	63.61	0.0	95.4	95.4	90
LMa	31.81	-82.61	47.7	95.4	150
CMa	63.61	-82.61	-47.69	95.4	210
VMa	31.81	0.0	-95.39	95.4	270
MMa	63.61	82.62	-47.69	95.4	330
NMa	0.01	0.0	0.0	0.0	0
WMa	95.41	0.0	0.0	0.0	0
RCIE	39.92	58.74	27.99	65.07	25
JCIE	81.26	-2.88	71.56	71.62	92
GCIE	52.23	-42.41	13.6	44.55	162
BCIE	30.57	1.41	-46.46	46.49	272

Dreiecks-Helligkeit t^*

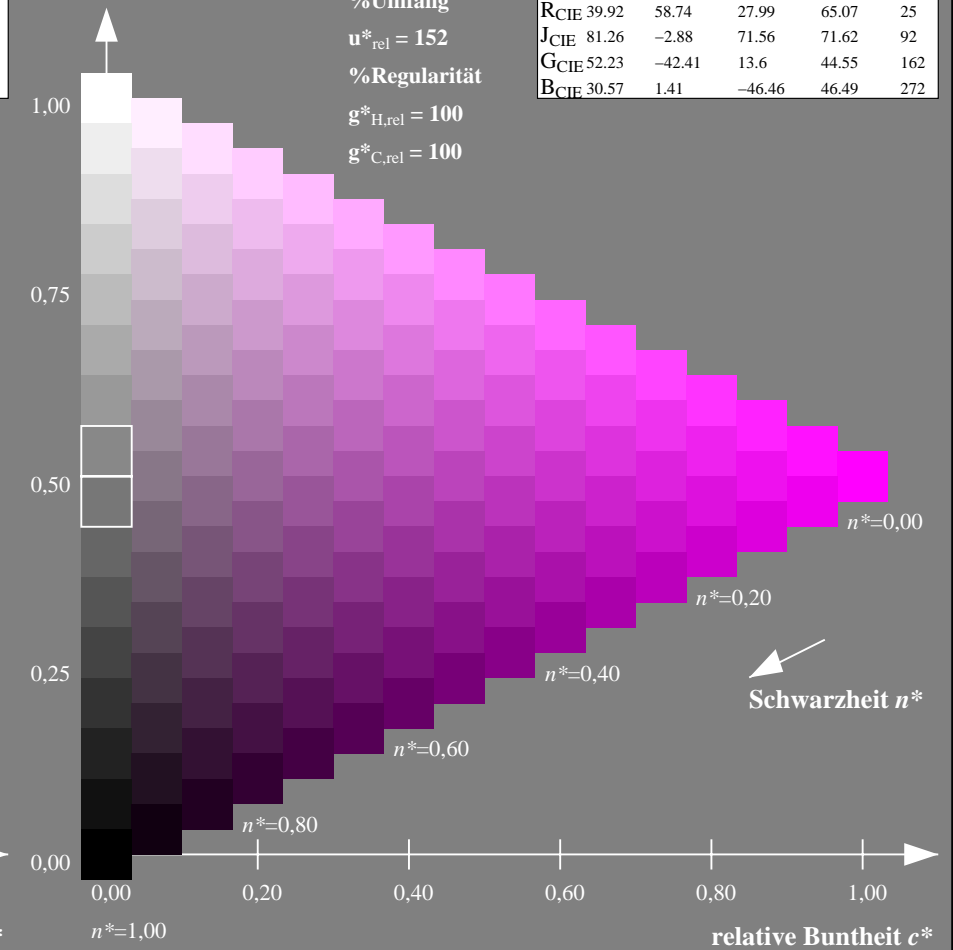
%Umfang

$u^*_{rel} = 152$

%Regularität

$g^*_{H,rel} = 100$

$g^*_{C,rel} = 100$



NG900-7, 9stufige Reihen für konstanten CIELAB Buntton $330/360 = 0.917$ (links)

16stufige Reihen für konstanten CIELAB Buntton $330/360 = 0.917$ (rechts)

Eingabe: Farbmetrisches Natürliches-Reflektiv-System NRS18

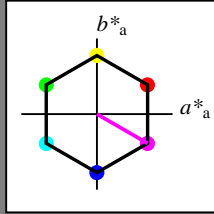
für Buntton $h^* = lab^*h = 330/360 = 0.917$

lab^*tch und lab^*nch

D65: Buntton M

LCH*Ma: 70 77 330

olv*Ma: 1.0 0.0 1.0



NRS18; adaptierte CIELAB-Daten

	$L^*=L^*_a$	a^*_a	b^*_a	$C^*_{ab,a}$	$h^*_{ab,a}$
OMa	43.81	67.03	38.7	77.4	30
YMa	69.61	0.0	77.4	77.4	90
LMa	43.81	-67.02	38.7	77.4	150
CMa	69.61	-67.02	-38.69	77.4	210
VMa	43.81	0.0	-77.39	77.4	270
MMa	69.61	67.03	-38.69	77.4	330
NMa	18.01	0.0	0.0	0.0	0
WMa	95.41	0.0	0.0	0.0	0
RCIE	39.92	58.74	27.99	65.07	25
JCIE	81.26	-2.88	71.56	71.62	92
GCIE	52.23	-42.41	13.6	44.55	162
BCIE	30.57	1.41	-46.46	46.49	272

Dreiecks-Helligkeit t^*

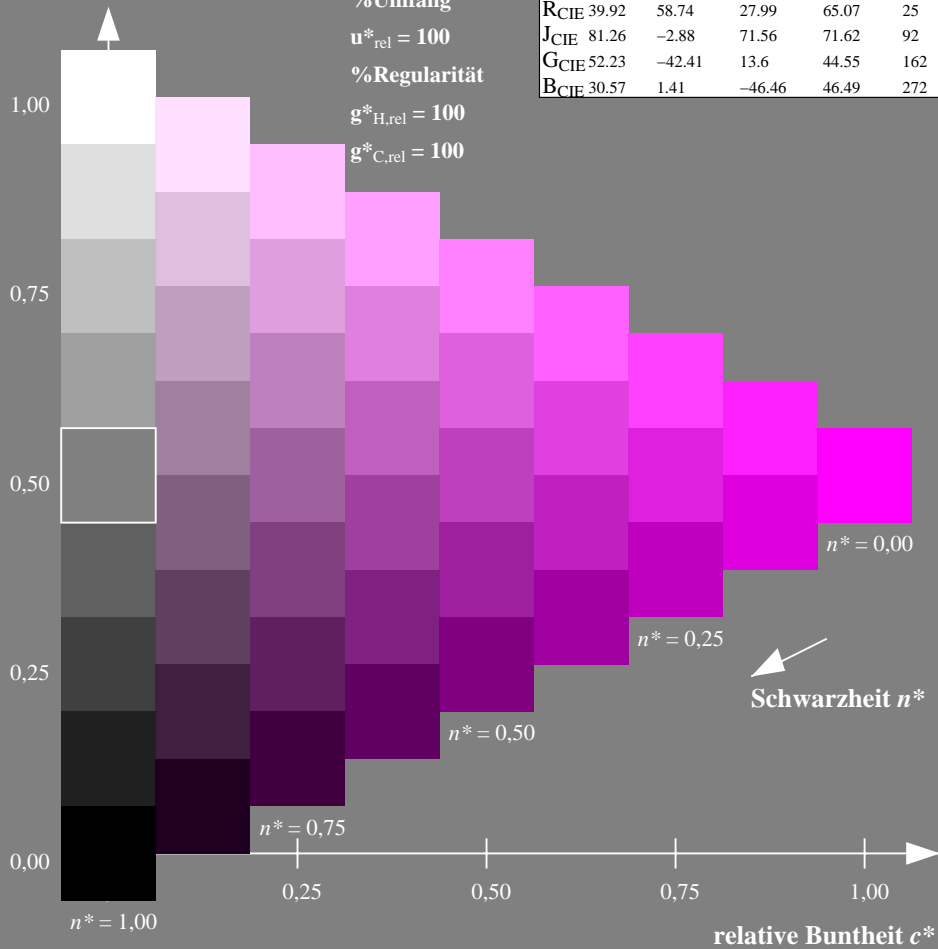
%Umfang

$u^*_{rel} = 100$

%Regularität

$g^*_{H,rel} = 100$

$g^*_{C,rel} = 100$



Ausgabe: Farbmetrisches Natürliches-Reflektiv-System NRS18

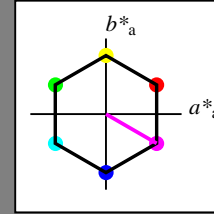
für Buntton $h^* = lab^*h = 330/360 = 0.917$

lab^*tch und lab^*nch

D65: Buntton M

LCH*Ma: 70 77 330

olv*Ma: 1.0 0.0 1.0



NRS18; adaptierte CIELAB-Daten

	$L^*=L^*_a$	a^*_a	b^*_a	$C^*_{ab,a}$	$h^*_{ab,a}$
OMa	43.81	67.03	38.7	77.4	30
YMa	69.61	0.0	77.4	77.4	90
LMa	43.81	-67.02	38.7	77.4	150
CMa	69.61	-67.02	-38.69	77.4	210
VMa	43.81	0.0	-77.39	77.4	270
MMa	69.61	67.03	-38.69	77.4	330
NMa	18.01	0.0	0.0	0.0	0
WMa	95.41	0.0	0.0	0.0	0
RCIE	39.92	58.74	27.99	65.07	25
JCIE	81.26	-2.88	71.56	71.62	92
GCIE	52.23	-42.41	13.6	44.55	162
BCIE	30.57	1.41	-46.46	46.49	272

Dreiecks-Helligkeit t^*

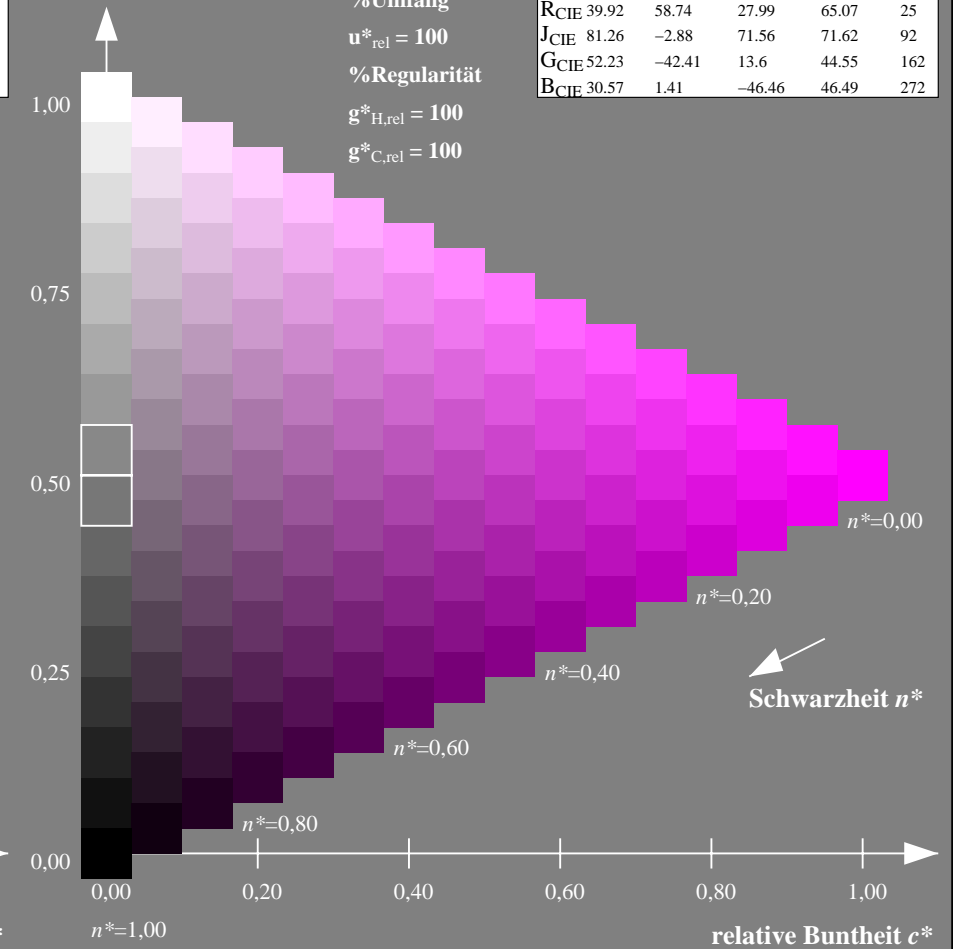
%Umfang

$u^*_{rel} = 100$

%Regularität

$g^*_{H,rel} = 100$

$g^*_{C,rel} = 100$



NG900-7, 9stufige Reihen für konstanten CIELAB Buntton $330/360 = 0.917$ (links)

16stufige Reihen für konstanten CIELAB Buntton $330/360 = 0.917$ (rechts)

Eingabe: Farbmetrisches Natürliches-Reflektiv-System NRS18

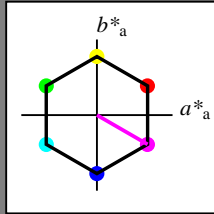
für Buntton $h^* = lab^*h = 330/360 = 0.917$

lab^*tch und lab^*nch

D65: Buntton M

LCH*Ma: 70 77 330

olv*Ma: 1.0 0.0 1.0

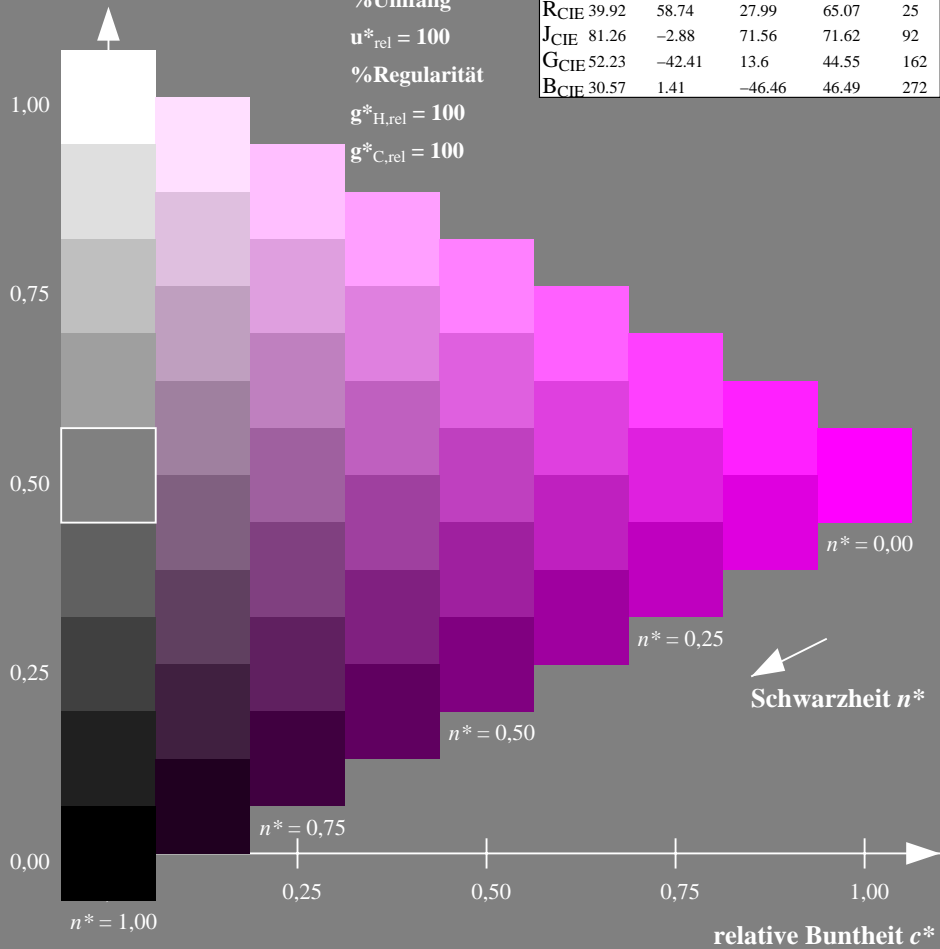


NRS18; adaptierte CIELAB-Daten

	$L^*=L^*_a$	a^*_a	b^*_a	$C^*_{ab,a}$	$h^*_{ab,a}$
OMa	43.81	67.03	38.7	77.4	30
YMa	69.61	0.0	77.4	77.4	90
LMa	43.81	-67.02	38.7	77.4	150
CMa	69.61	-67.02	-38.69	77.4	210
VMa	43.81	0.0	-77.39	77.4	270
MMa	69.61	67.03	-38.69	77.4	330
NMa	18.01	0.0	0.0	0.0	0
WMa	95.41	0.0	0.0	0.0	0
RCIE	39.92	58.74	27.99	65.07	25
JCIE	81.26	-2.88	71.56	71.62	92
GCIE	52.23	-42.41	13.6	44.55	162
BCIE	30.57	1.41	-46.46	46.49	272

Dreiecks-Helligkeit t^*

%Umfang
 $u^*_{rel} = 100$
 %Regularität
 $g^*_{H,rel} = 100$
 $g^*_{C,rel} = 100$



Ausgabe: Farbmetrisches Standard-Reflektiv-System SRS18

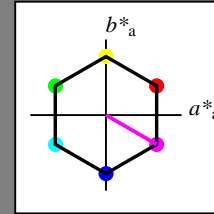
für Buntton $h^* = lab^*h = 330/360 = 0.917$

lab^*tch und lab^*nch

D65: Buntton M

LCH*Ma: 57 77 330

olv*Ma: 1.0 0.0 1.0

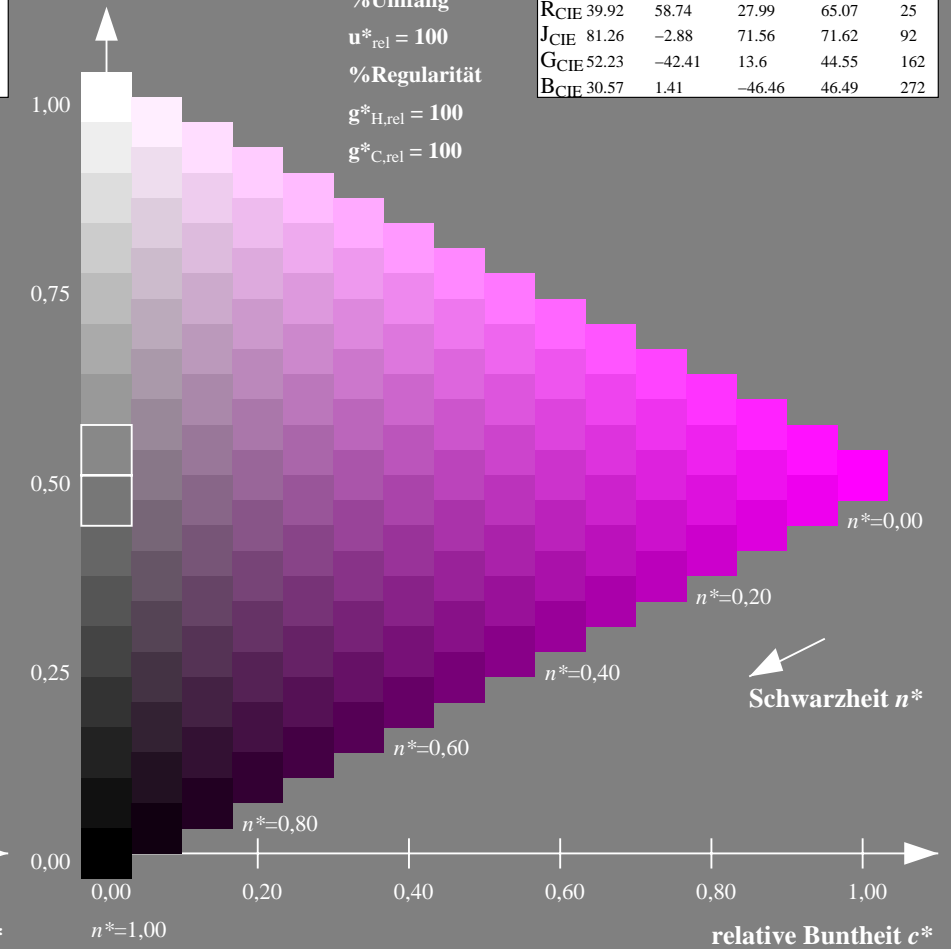


SRS18; adaptierte CIELAB-Daten

	$L^*=L^*_a$	a^*_a	b^*_a	$C^*_{ab,a}$	$h^*_{ab,a}$
OMa	56.71	67.03	38.7	77.4	30
YMa	56.71	0.0	77.4	77.4	90
LMa	56.71	-67.02	38.7	77.4	150
CMa	56.71	-67.02	-38.69	77.4	210
VMa	56.71	0.0	-77.39	77.4	270
MMa	56.71	67.03	-38.69	77.4	330
NMa	18.01	0.0	0.0	0.0	0
WMa	95.41	0.0	0.0	0.0	0
RCIE	39.92	58.74	27.99	65.07	25
JCIE	81.26	-2.88	71.56	71.62	92
GCIE	52.23	-42.41	13.6	44.55	162
BCIE	30.57	1.41	-46.46	46.49	272

Dreiecks-Helligkeit t^*

%Umfang
 $u^*_{rel} = 100$
 %Regularität
 $g^*_{H,rel} = 100$
 $g^*_{C,rel} = 100$



NG900-7, 9stufige Reihen für konstanten CIELAB Buntton 330/360 = 0.917 (links)

16stufige Reihen für konstanten CIELAB Buntton 330/360 = 0.917 (rechts)

Eingabe: Farbmetrisches Natürliches-Reflektiv-System NRS18

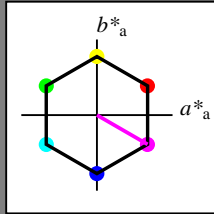
für Buntton $h^* = lab^*h = 330/360 = 0.917$

lab^*tch und lab^*nch

D65: Buntton M

LCH*Ma: 70 77 330

olv*Ma: 1.0 0.0 1.0



NRS18; adaptierte CIELAB-Daten

	$L^*=L^*_a$	a^*_a	b^*_a	$C^*_{ab,a}$	$h^*_{ab,a}$
OMa	43.81	67.03	38.7	77.4	30
YMa	69.61	0.0	77.4	77.4	90
LMa	43.81	-67.02	38.7	77.4	150
CMa	69.61	-67.02	-38.69	77.4	210
VMa	43.81	0.0	-77.39	77.4	270
MMa	69.61	67.03	-38.69	77.4	330
NMa	18.01	0.0	0.0	0.0	0
WMa	95.41	0.0	0.0	0.0	0
RCIE	39.92	58.74	27.99	65.07	25
JCIE	81.26	-2.88	71.56	71.62	92
GCIE	52.23	-42.41	13.6	44.55	162
BCIE	30.57	1.41	-46.46	46.49	272

Dreiecks-Helligkeit t^*

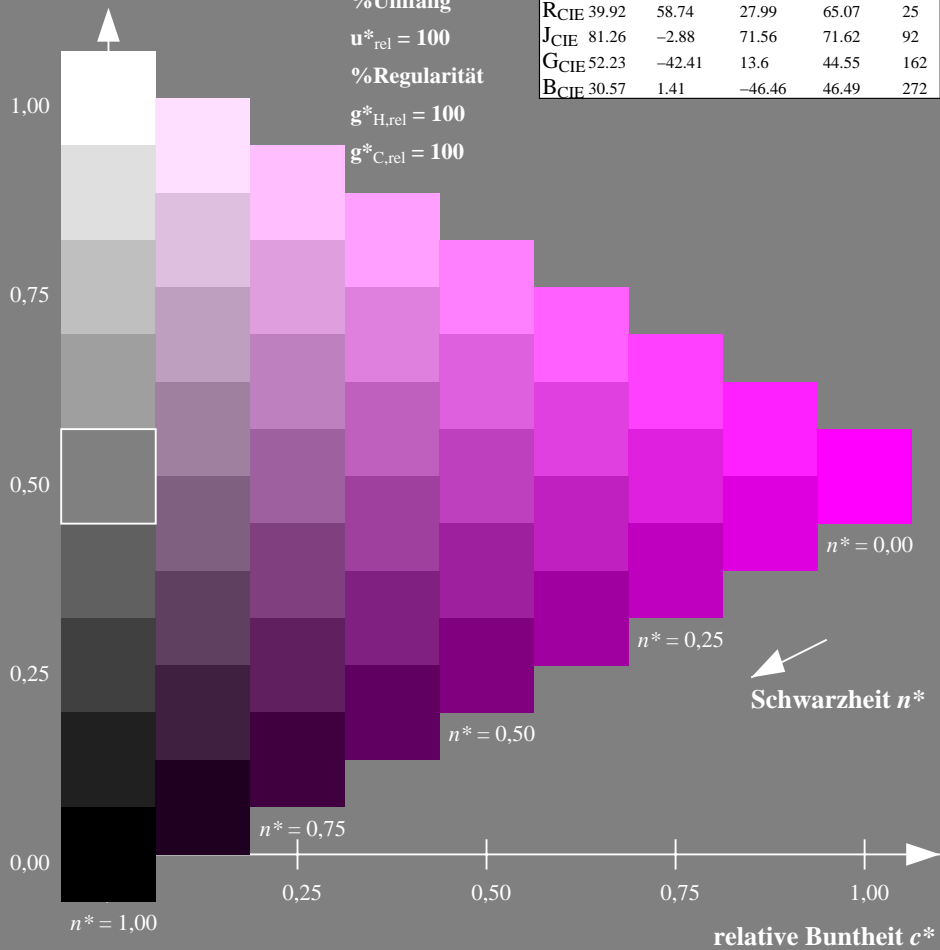
%Umfang

$u^*_{rel} = 100$

%Regularität

$g^*_{H,rel} = 100$

$g^*_{C,rel} = 100$



Ausgabe: Farbmetrisches Fernseh-Licht-System TLS70

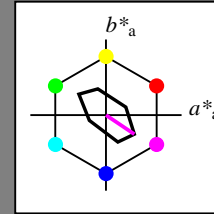
für Buntton $h^* = lab^*h = 326/360 = 0.906$

lab^*tch und lab^*nch

D65: Buntton M

LCH*Ma: 79 45 326

olv*Ma: 1.0 0.0 1.0



TLS70; adaptierte CIELAB-Daten

	$L^*=L^*_a$	a^*_a	b^*_a	$C^*_{ab,a}$	$h^*_{ab,a}$
OMa	76.43	26.27	10.57	28.32	22
YMa	93.93	-10.76	34.63	36.27	107
LMa	89.32	-35.8	27.64	45.24	142
CMa	90.93	-21.95	-7.07	23.07	198
VMa	72.1	15.76	-35.63	38.97	294
MMa	78.5	37.52	-25.23	45.22	326
NMa	69.7	0.0	0.0	0.0	0
WMa	95.41	0.0	0.0	0.0	0
RCIE	39.92	58.74	27.99	65.07	25
JCIE	81.26	-2.88	71.56	71.62	92
GCIE	52.23	-42.41	13.6	44.55	162
BCIE	30.57	1.41	-46.46	46.49	272

Dreiecks-Helligkeit t^*

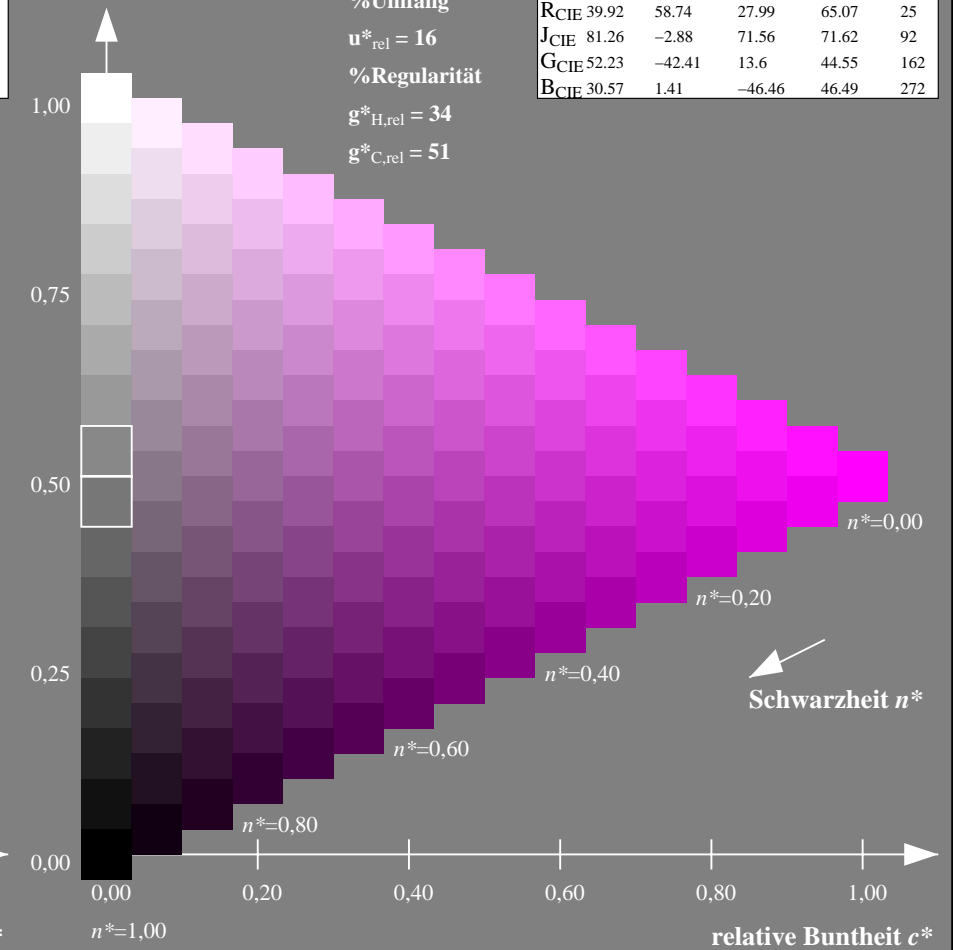
%Umfang

$u^*_{rel} = 16$

%Regularität

$g^*_{H,rel} = 34$

$g^*_{C,rel} = 51$



NG900-7, 9stufige Reihen für konstanten CIELAB Buntton 330/360 = 0.917 (links)

16stufige Reihen für konstanten CIELAB Buntton 326/360 = 0.906 (rechts)

Eingabe: Farbmetrisches Standard-Reflektiv-System SRS18

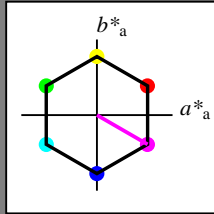
für Buntton $h^* = lab^*h = 330/360 = 0.917$

lab^*tch und lab^*nch

D65: Buntton M

LCH*Ma: 57 77 330

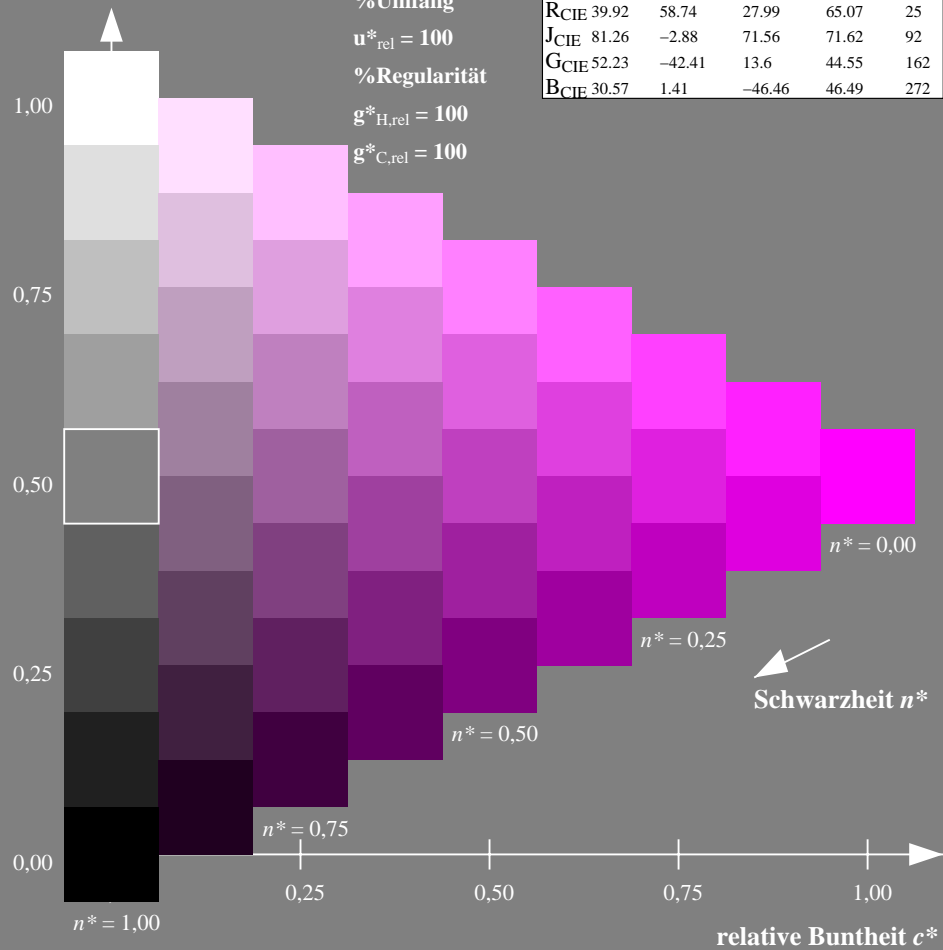
olv*Ma: 1.0 0.0 1.0



SRS18; adaptierte CIELAB-Daten

	$L^*=L^*_a$	a^*_a	b^*_a	$C^*_{ab,a}$	$h^*_{ab,a}$
OMa	56.71	67.03	38.7	77.4	30
YMa	56.71	0.0	77.4	77.4	90
LMa	56.71	-67.02	38.7	77.4	150
CMa	56.71	-67.02	-38.69	77.4	210
VMa	56.71	0.0	-77.39	77.4	270
MMa	56.71	67.03	-38.69	77.4	330
NMa	18.01	0.0	0.0	0.0	0
WMa	95.41	0.0	0.0	0.0	0
RCIE	39.92	58.74	27.99	65.07	25
JCIE	81.26	-2.88	71.56	71.62	92
GCIE	52.23	-42.41	13.6	44.55	162
BCIE	30.57	1.41	-46.46	46.49	272

Dreiecks-Helligkeit t^*



Ausgabe: Farbmetrisches Offset-Reflektiv-System ORS18

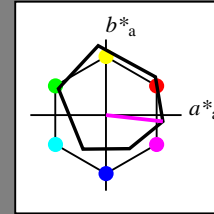
für Buntton $h^* = lab^*h = 354/360 = 0.982$

lab^*tch und lab^*nch

D65: Buntton M

LCH*Ma: 48 76 354

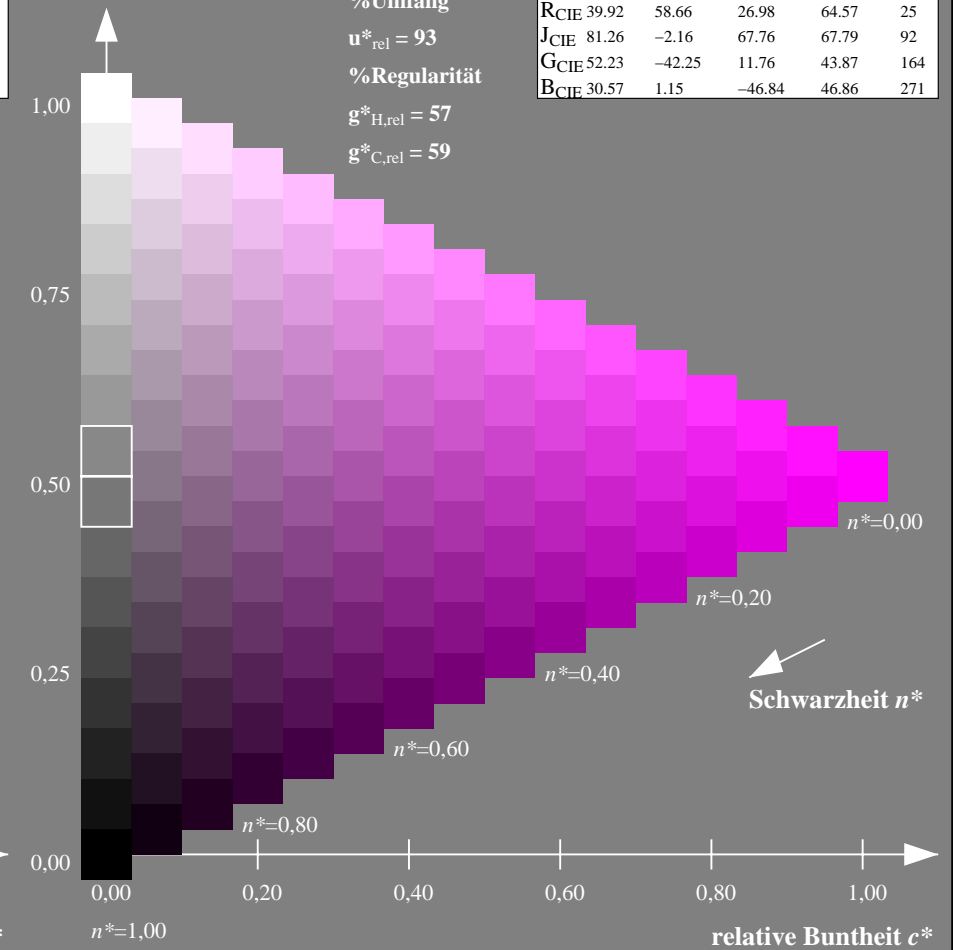
olv*Ma: 1.0 0.0 1.0



ORS18; adaptierte CIELAB-Daten

	$L^*=L^*_a$	a^*_a	b^*_a	$C^*_{ab,a}$	$h^*_{ab,a}$
OMa	47.94	65.39	50.52	82.63	38
YMa	90.37	-10.26	91.75	92.32	96
LMa	50.9	-62.83	34.96	71.91	151
CMa	58.62	-30.34	-45.01	54.3	236
VMa	25.72	31.1	-44.4	54.22	305
MMa	48.13	75.28	-8.36	75.74	354
NMa	18.01	0.0	0.0	0.0	0
WMa	95.41	0.0	0.0	0.0	0
RCIE	39.92	58.66	26.98	64.57	25
JCIE	81.26	-2.16	67.76	67.79	92
GCIE	52.23	-42.25	11.76	43.87	164
BCIE	30.57	1.15	-46.84	46.86	271

Dreiecks-Helligkeit t^*



NG900-7, 9stufige Reihen für konstanten CIELAB Buntton $330/360 = 0.917$ (links)

16stufige Reihen für konstanten CIELAB Buntton $354/360 = 0.982$ (rechts)

Eingabe: Farbmatisches Standard-Reflektiv-System SRS18

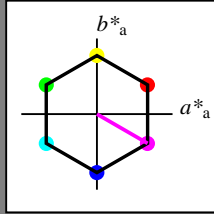
für Buntton $h^* = lab^*h = 330/360 = 0.917$

lab^*tch und lab^*nch

D65: Buntton M

LCH*Ma: 57 77 330

olv*Ma: 1.0 0.0 1.0



SRS18; adaptierte CIELAB-Daten

	$L^*=L^*_a$	a^*_a	b^*_a	$C^*_{ab,a}$	$h^*_{ab,a}$
OMa	56.71	67.03	38.7	77.4	30
YMa	56.71	0.0	77.4	77.4	90
LMa	56.71	-67.02	38.7	77.4	150
CMa	56.71	-67.02	-38.69	77.4	210
VMa	56.71	0.0	-77.39	77.4	270
MMa	56.71	67.03	-38.69	77.4	330
NMa	18.01	0.0	0.0	0.0	0
WMa	95.41	0.0	0.0	0.0	0
RCIE	39.92	58.74	27.99	65.07	25
JCIE	81.26	-2.88	71.56	71.62	92
GCIE	52.23	-42.41	13.6	44.55	162
BCIE	30.57	1.41	-46.46	46.49	272

Dreiecks-Helligkeit t^*

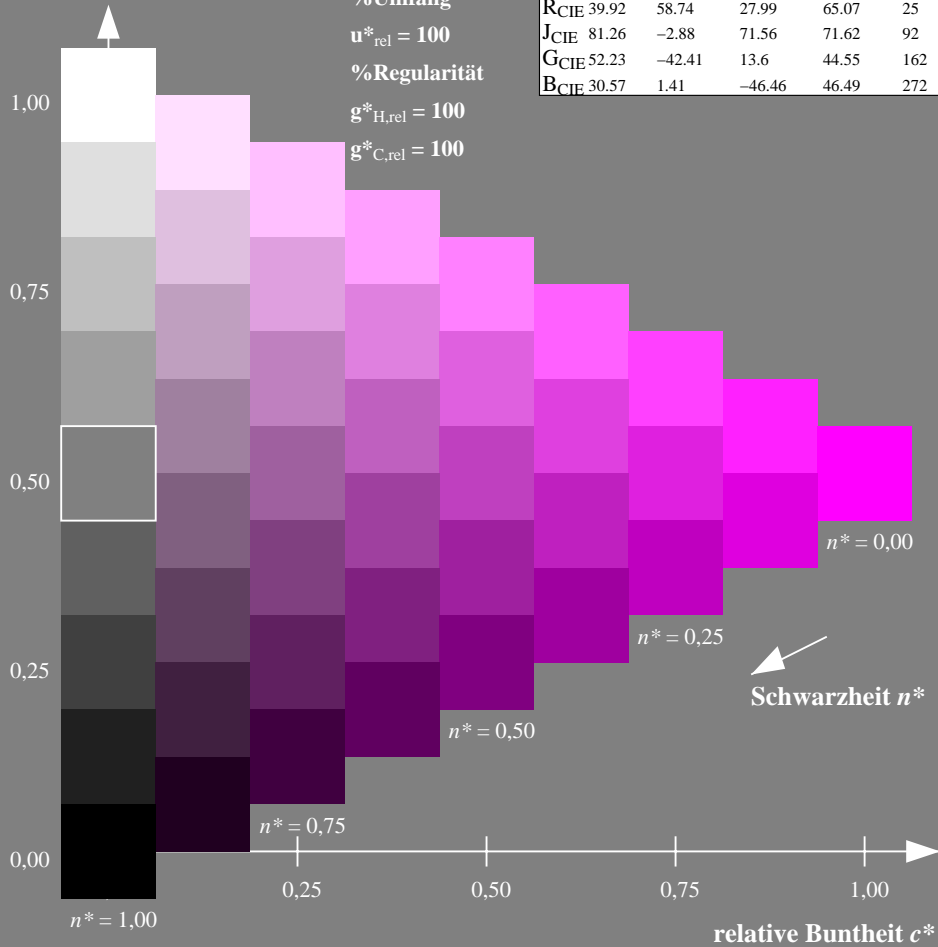
%Umfang

$u^*_{rel} = 100$

%Regularität

$g^*_{H,rel} = 100$

$g^*_{C,rel} = 100$



Schwarzheit n^*

Ausgabe: Farbmatisches Fernseh-Licht-System TLS00

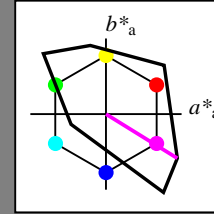
für Buntton $h^* = lab^*h = 328/360 = 0.912$

lab^*tch und lab^*nch

D65: Buntton M

LCH*Ma: 57 111 328

olv*Ma: 1.0 0.0 1.0



TLS00; adaptierte CIELAB-Daten

	$L^*=L^*_a$	a^*_a	b^*_a	$C^*_{ab,a}$	$h^*_{ab,a}$
OMa	50.5	76.92	64.55	100.42	40
YMa	92.66	-20.69	90.75	93.08	103
LMa	83.63	-82.75	79.9	115.04	136
CMa	86.88	-46.16	-13.55	48.12	196
VMa	30.39	76.06	-103.59	128.52	306
MMa	57.3	94.35	-58.41	110.97	328
NMa	0.01	0.0	0.0	0.0	0
WMa	95.41	0.0	0.0	0.0	0
RCIE	39.92	58.74	27.99	65.07	25
JCIE	81.26	-2.88	71.56	71.62	92
GCIE	52.23	-42.41	13.6	44.55	162
BCIE	30.57	1.41	-46.46	46.49	272

Dreiecks-Helligkeit t^*

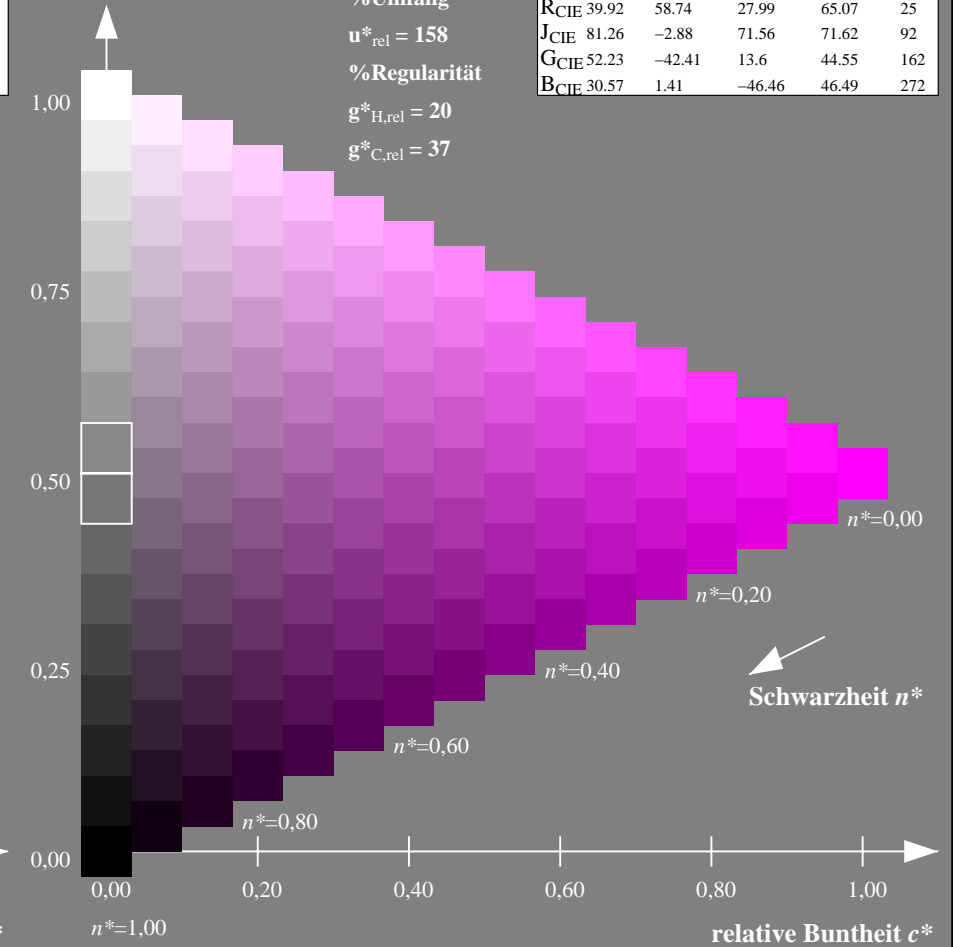
%Umfang

$u^*_{rel} = 158$

%Regularität

$g^*_{H,rel} = 20$

$g^*_{C,rel} = 37$



Schwarzheit n^*

NG900-7, 9stufige Reihen für konstanten CIELAB Buntton $330/360 = 0.917$ (links)

16stufige Reihen für konstanten CIELAB Buntton $328/360 = 0.912$ (rechts)

Eingabe: Farbmetrisches Standard-Reflektiv-System SRS18

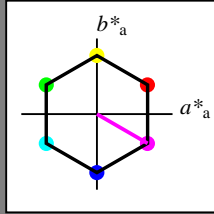
für Buntton $h^* = lab^*h = 330/360 = 0.917$

lab^*tch und lab^*nch

D65: Buntton M

LCH*Ma: 57 77 330

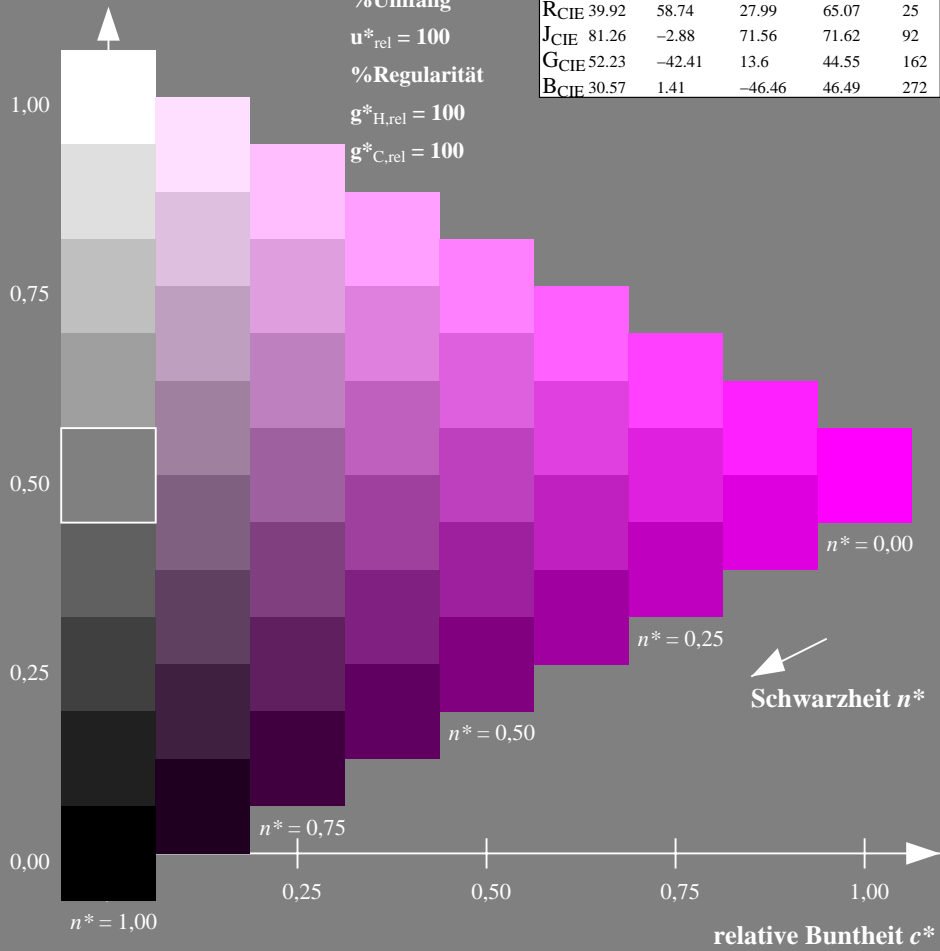
olv*Ma: 1.0 0.0 1.0



SRS18; adaptierte CIELAB-Daten

	$L^*=L^*_a$	a^*_a	b^*_a	$C^*_{ab,a}$	$h^*_{ab,a}$
OMa	56.71	67.03	38.7	77.4	30
YMa	56.71	0.0	77.4	77.4	90
LMa	56.71	-67.02	38.7	77.4	150
CMa	56.71	-67.02	-38.69	77.4	210
VMa	56.71	0.0	-77.39	77.4	270
MMa	56.71	67.03	-38.69	77.4	330
NMa	18.01	0.0	0.0	0.0	0
WMa	95.41	0.0	0.0	0.0	0
RCIE	39.92	58.74	27.99	65.07	25
JCIE	81.26	-2.88	71.56	71.62	92
GCIE	52.23	-42.41	13.6	44.55	162
BCIE	30.57	1.41	-46.46	46.49	272

Dreiecks-Helligkeit t^*



Ausgabe: Farbmetrisches Drucker-Reflektiv-System DRSXX

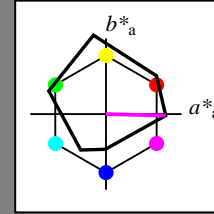
für Buntton $h^* = lab^*h = 359/360 = 0.996$

lab^*tch und lab^*nch

D65: Buntton M

LCH*Ma: 43 79 359

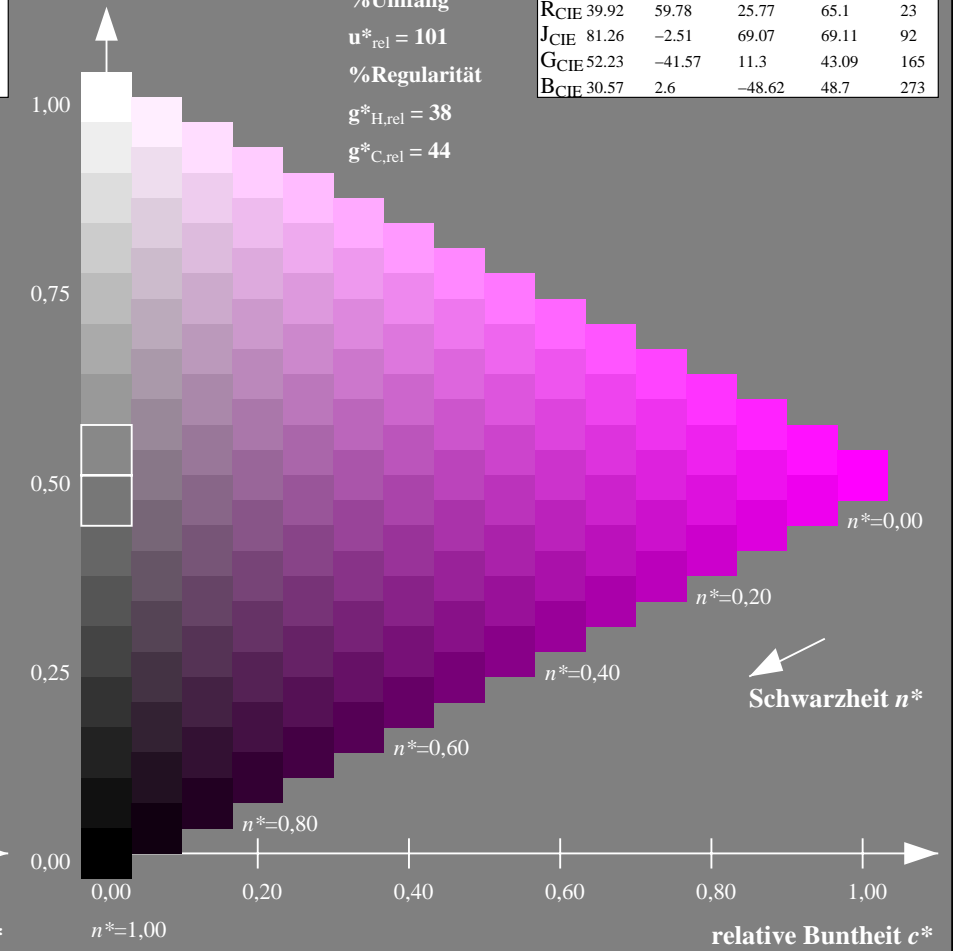
olv*Ma: 1.0 0.0 1.0



DRSXX; adaptierte CIELAB-Daten

	$L^*=L^*_a$	a^*_a	b^*_a	$C^*_{ab,a}$	$h^*_{ab,a}$
OMa	42.21	66.82	50.6	83.82	37
YMa	90.32	-16.51	104.33	105.63	99
LMa	48.21	-75.63	30.65	81.61	158
CMa	53.44	-33.33	-47.49	58.03	235
VMa	34.16	-0.92	-46.56	46.58	269
MMa	42.71	79.0	-1.95	79.03	359
NMa	16.56	0.0	0.0	0.0	0
WMa	96.31	0.0	0.0	0.0	0
RCIE	39.92	59.78	25.77	65.1	23
JCIE	81.26	-2.51	69.07	69.11	92
GCIE	52.23	-41.57	11.3	43.09	165
BCIE	30.57	2.6	-48.62	48.7	273

Dreiecks-Helligkeit t^*



NG900-7, 9stufige Reihen für konstanten CIELAB Buntton $330/360 = 0.917$ (links)

16stufige Reihen für konstanten CIELAB Buntton $359/360 = 0.996$ (rechts)

Eingabe: Farbmetrisches Standard-Reflektiv-System SRS18

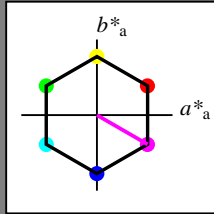
für Buntton $h^* = lab^*h = 330/360 = 0.917$

lab^*tch und lab^*nch

D65: Buntton M

LCH*Ma: 57 77 330

olv*Ma: 1.0 0.0 1.0



SRS18; adaptierte CIELAB-Daten

	$L^*=L^*_a$	a^*_a	b^*_a	$C^*_{ab,a}$	$h^*_{ab,a}$
OMa	56.71	67.03	38.7	77.4	30
YMa	56.71	0.0	77.4	77.4	90
LMa	56.71	-67.02	38.7	77.4	150
CMa	56.71	-67.02	-38.69	77.4	210
VMa	56.71	0.0	-77.39	77.4	270
MMa	56.71	67.03	-38.69	77.4	330
NMa	18.01	0.0	0.0	0.0	0
WMa	95.41	0.0	0.0	0.0	0
RCIE	39.92	58.74	27.99	65.07	25
JCIE	81.26	-2.88	71.56	71.62	92
GCIE	52.23	-42.41	13.6	44.55	162
BCIE	30.57	1.41	-46.46	46.49	272

Dreiecks-Helligkeit t^*

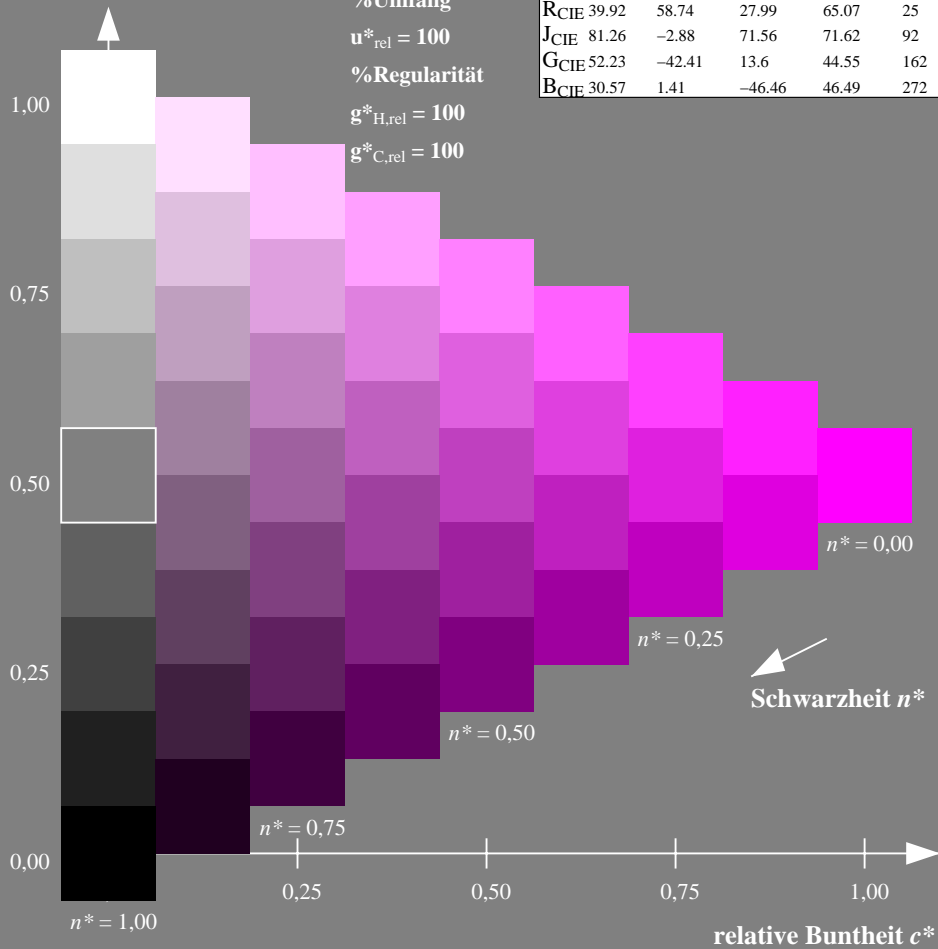
%Umfang

$u^*_{rel} = 100$

%Regularität

$g^*_{H,rel} = 100$

$g^*_{C,rel} = 100$



Ausgabe: Farbmetrisches Fernseh-Licht-System TLS18

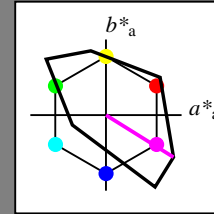
für Buntton $h^* = lab^*h = 328/360 = 0.911$

lab^*tch und lab^*nch

D65: Buntton M

LCH*Ma: 59 105 328

olv*Ma: 1.0 0.0 1.0



TLS18; adaptierte CIELAB-Daten

	$L^*=L^*_a$	a^*_a	b^*_a	$C^*_{ab,a}$	$h^*_{ab,a}$
OMa	52.76	71.63	49.88	87.29	35
YMa	92.74	-20.02	84.97	87.3	103
LMa	84.0	-78.98	73.94	108.2	137
CMa	87.14	-44.41	-13.11	46.32	196
VMa	35.47	64.92	-95.06	115.12	304
MMa	59.01	89.33	-55.67	105.26	328
NMa	18.01	0.0	0.0	0.0	0
WMa	95.41	0.0	0.0	0.0	0
RCIE	39.92	58.74	27.99	65.07	25
JCIE	81.26	-2.88	71.56	71.62	92
GCIE	52.23	-42.41	13.6	44.55	162
BCIE	30.57	1.41	-46.46	46.49	272

Dreiecks-Helligkeit t^*

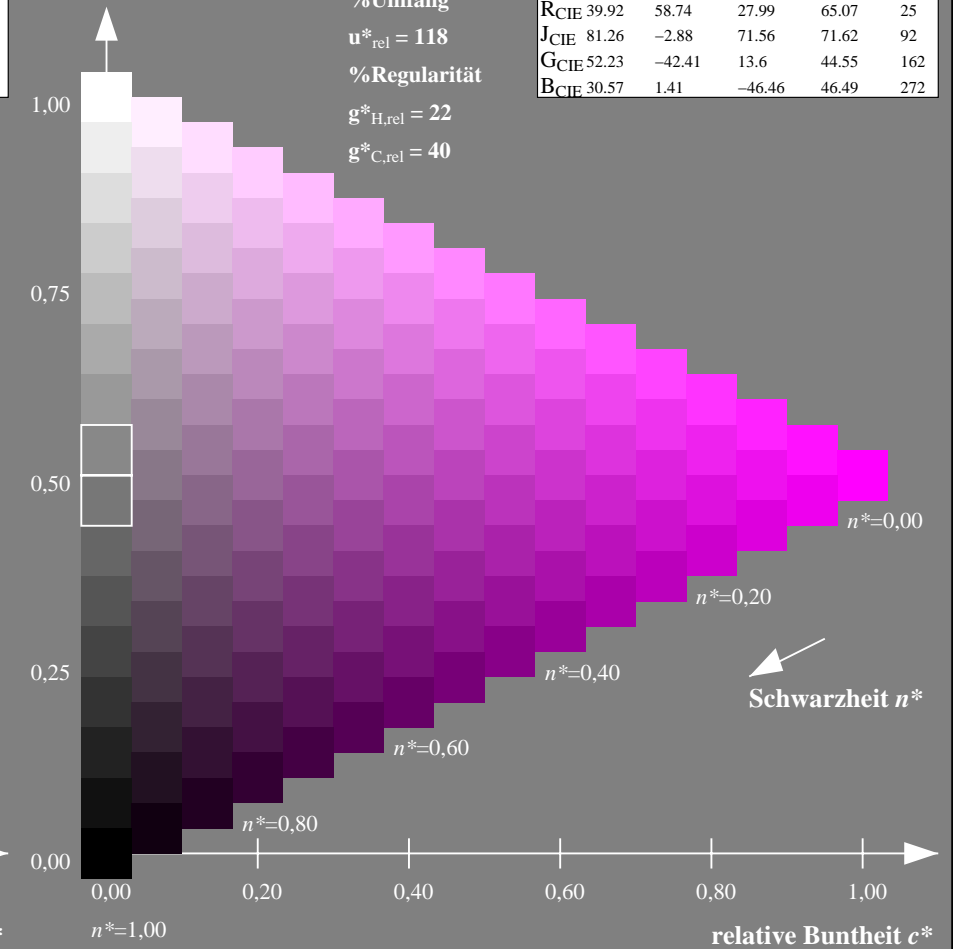
%Umfang

$u^*_{rel} = 118$

%Regularität

$g^*_{H,rel} = 22$

$g^*_{C,rel} = 40$



NG900-7, 9stufige Reihen für konstanten CIELAB Buntton $330/360 = 0.917$ (links)

16stufige Reihen für konstanten CIELAB Buntton $328/360 = 0.911$ (rechts)

Eingabe: Farbmetrisches Standard-Reflektiv-System SRS18

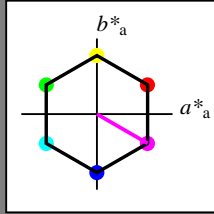
für Buntton $h^* = lab^*h = 330/360 = 0.917$

lab^*tch und lab^*nch

D65: Buntton M

LCH*Ma: 57 77 330

olv*Ma: 1.0 0.0 1.0



SRS18; adaptierte CIELAB-Daten

	$L^*=L^*_a$	a^*_a	b^*_a	$C^*_{ab,a}$	$h^*_{ab,a}$
OMa	56.71	67.03	38.7	77.4	30
YMa	56.71	0.0	77.4	77.4	90
LMa	56.71	-67.02	38.7	77.4	150
CMa	56.71	-67.02	-38.69	77.4	210
VMa	56.71	0.0	-77.39	77.4	270
MMa	56.71	67.03	-38.69	77.4	330
NMa	18.01	0.0	0.0	0.0	0
WMa	95.41	0.0	0.0	0.0	0
RCIE	39.92	58.74	27.99	65.07	25
JCIE	81.26	-2.88	71.56	71.62	92
GCIE	52.23	-42.41	13.6	44.55	162
BCIE	30.57	1.41	-46.46	46.49	272

Dreiecks-Helligkeit t^*

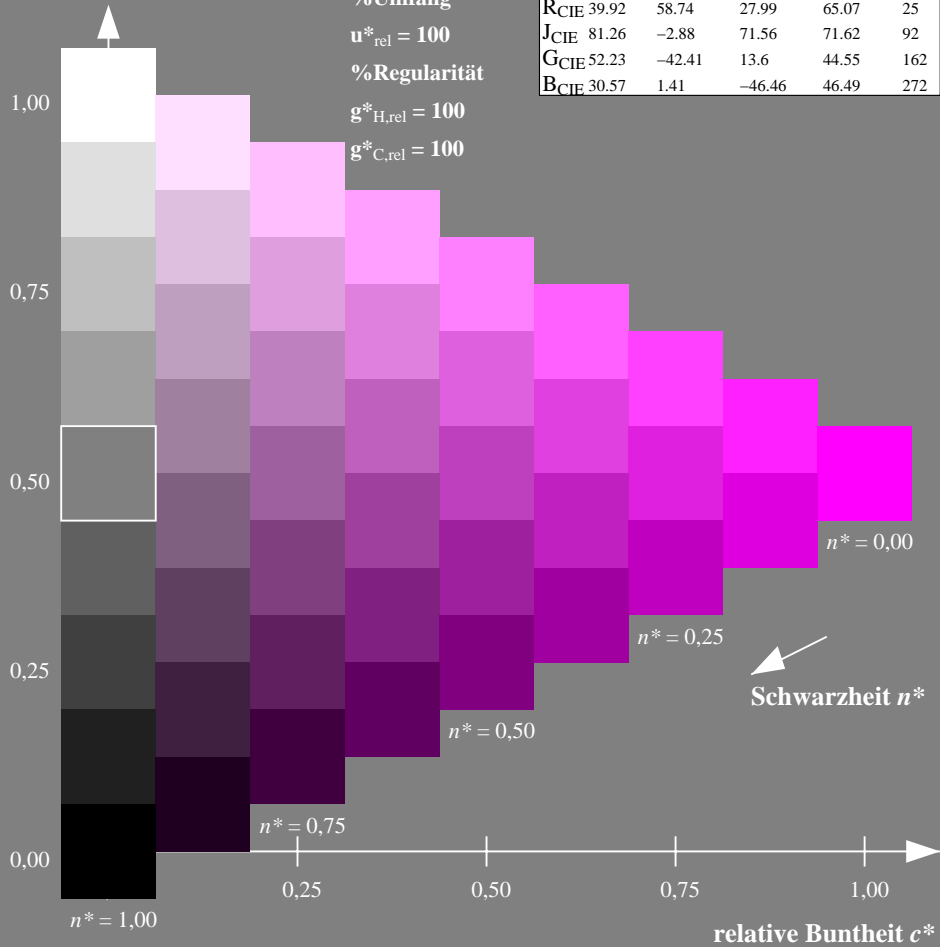
%Umfang

$u^*_{rel} = 100$

%Regularität

$g^*_{H,rel} = 100$

$g^*_{C,rel} = 100$



Ausgabe: Farbmetrisches Natürliches-Licht-System NLS00

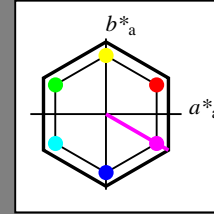
für Buntton $h^* = lab^*h = 330/360 = 0.917$

lab^*tch und lab^*nch

D65: Buntton M

LCH*Ma: 64 95 330

olv*Ma: 1.0 0.0 1.0



NLS00; adaptierte CIELAB-Daten

	$L^*=L^*_a$	a^*_a	b^*_a	$C^*_{ab,a}$	$h^*_{ab,a}$
OMa	31.81	82.62	47.7	95.4	30
YMa	63.61	0.0	95.4	95.4	90
LMa	31.81	-82.61	47.7	95.4	150
CMa	63.61	-82.61	-47.69	95.4	210
VMa	31.81	0.0	-95.39	95.4	270
MMa	63.61	82.62	-47.69	95.4	330
NMa	0.01	0.0	0.0	0.0	0
WMa	95.41	0.0	0.0	0.0	0
RCIE	39.92	58.74	27.99	65.07	25
JCIE	81.26	-2.88	71.56	71.62	92
GCIE	52.23	-42.41	13.6	44.55	162
BCIE	30.57	1.41	-46.46	46.49	272

Dreiecks-Helligkeit t^*

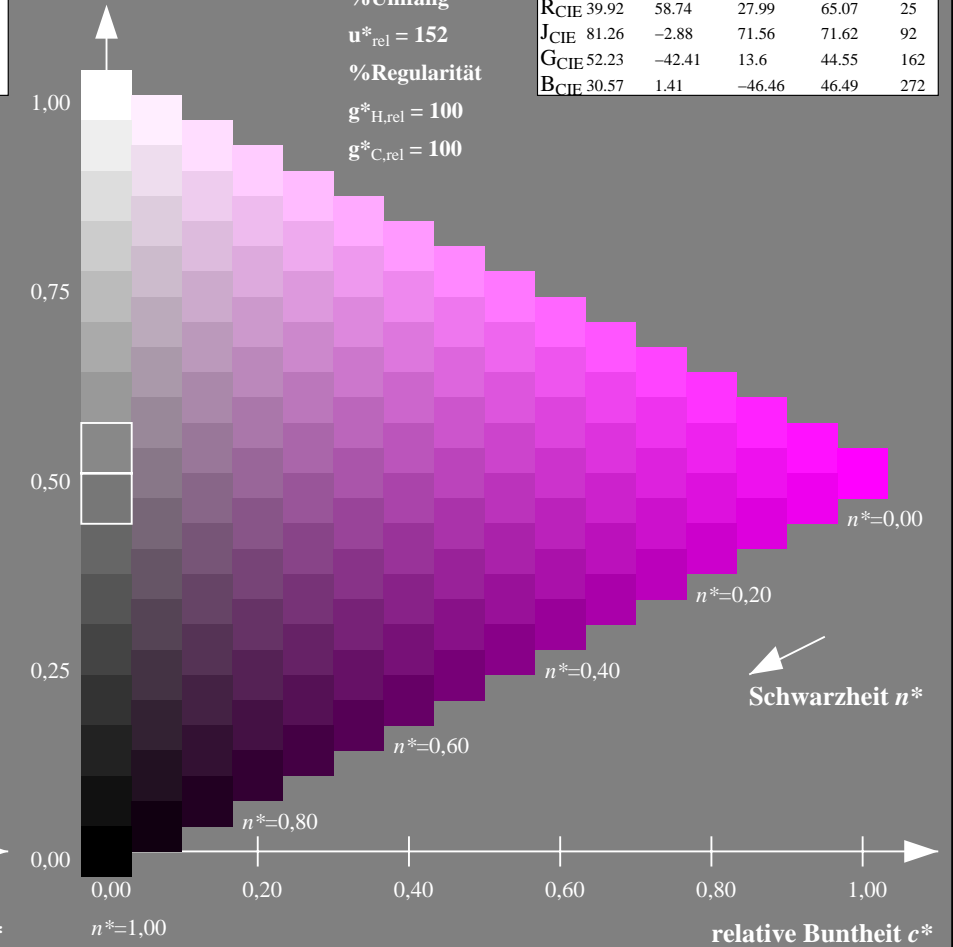
%Umfang

$u^*_{rel} = 152$

%Regularität

$g^*_{H,rel} = 100$

$g^*_{C,rel} = 100$



NG900-7, 9stufige Reihen für konstanten CIELAB Buntton $330/360 = 0.917$ (links)

16stufige Reihen für konstanten CIELAB Buntton $330/360 = 0.917$ (rechts)

Eingabe: Farbmetrisches Standard-Reflektiv-System SRS18

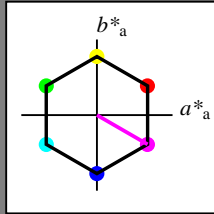
für Buntton $h^* = lab^*h = 330/360 = 0.917$

lab^*tch und lab^*nch

D65: Buntton M

LCH*Ma: 57 77 330

olv*Ma: 1.0 0.0 1.0



SRS18; adaptierte CIELAB-Daten

	$L^*=L^*_a$	a^*_a	b^*_a	$C^*_{ab,a}$	$h^*_{ab,a}$
OMa	56.71	67.03	38.7	77.4	30
YMa	56.71	0.0	77.4	77.4	90
LMa	56.71	-67.02	38.7	77.4	150
CMa	56.71	-67.02	-38.69	77.4	210
VMa	56.71	0.0	-77.39	77.4	270
MMa	56.71	67.03	-38.69	77.4	330
NMa	18.01	0.0	0.0	0.0	0
WMa	95.41	0.0	0.0	0.0	0
RCIE	39.92	58.74	27.99	65.07	25
JCIE	81.26	-2.88	71.56	71.62	92
GCIE	52.23	-42.41	13.6	44.55	162
BCIE	30.57	1.41	-46.46	46.49	272

Dreiecks-Helligkeit t^*

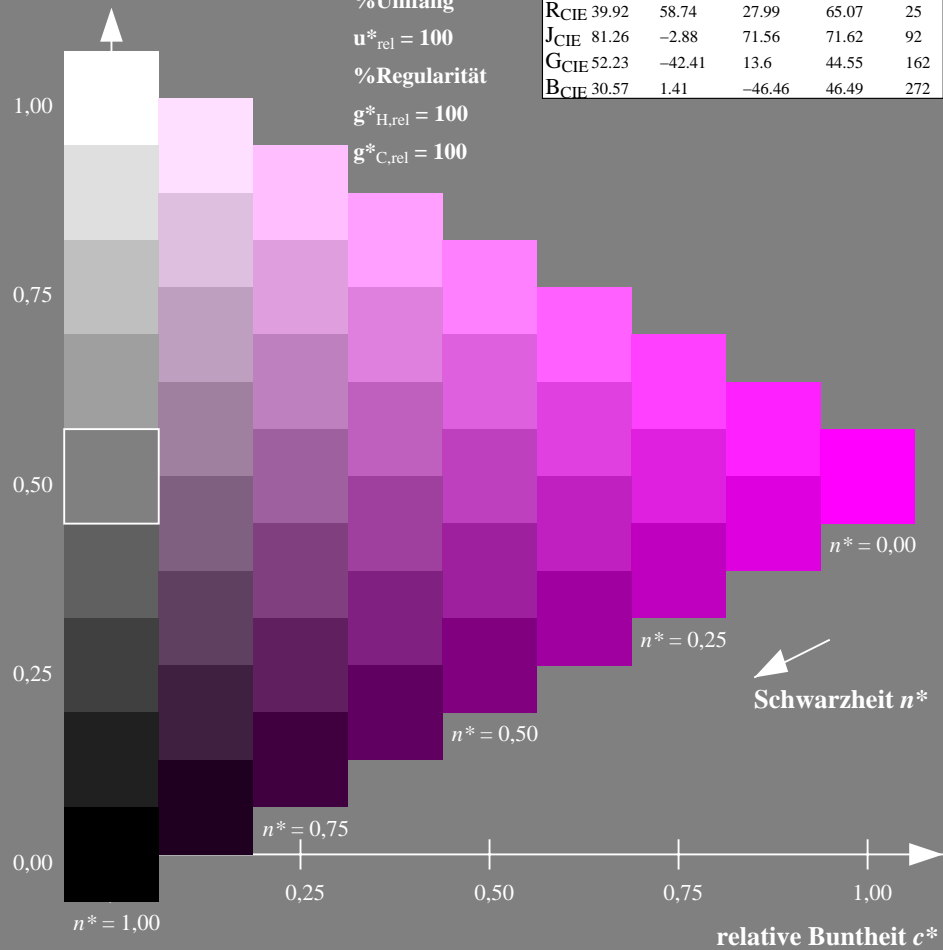
%Umfang

$u^*_{rel} = 100$

%Regularität

$g^*_{H,rel} = 100$

$g^*_{C,rel} = 100$



Ausgabe: Farbmetrisches Natürliches-Reflektiv-System NRS18

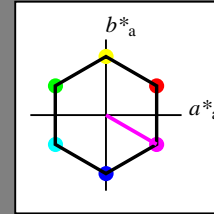
für Buntton $h^* = lab^*h = 330/360 = 0.917$

lab^*tch und lab^*nch

D65: Buntton M

LCH*Ma: 70 77 330

olv*Ma: 1.0 0.0 1.0



NRS18; adaptierte CIELAB-Daten

	$L^*=L^*_a$	a^*_a	b^*_a	$C^*_{ab,a}$	$h^*_{ab,a}$
OMa	43.81	67.03	38.7	77.4	30
YMa	69.61	0.0	77.4	77.4	90
LMa	43.81	-67.02	38.7	77.4	150
CMa	69.61	-67.02	-38.69	77.4	210
VMa	43.81	0.0	-77.39	77.4	270
MMa	69.61	67.03	-38.69	77.4	330
NMa	18.01	0.0	0.0	0.0	0
WMa	95.41	0.0	0.0	0.0	0
RCIE	39.92	58.74	27.99	65.07	25
JCIE	81.26	-2.88	71.56	71.62	92
GCIE	52.23	-42.41	13.6	44.55	162
BCIE	30.57	1.41	-46.46	46.49	272

Dreiecks-Helligkeit t^*

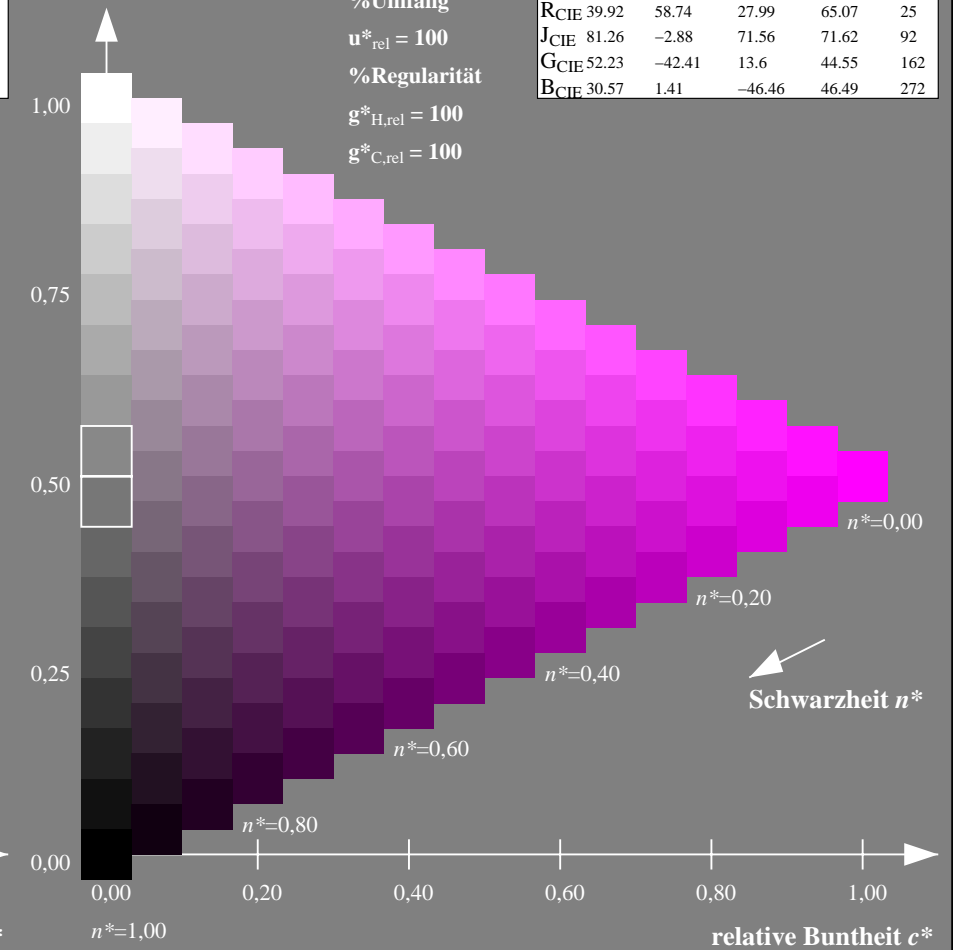
%Umfang

$u^*_{rel} = 100$

%Regularität

$g^*_{H,rel} = 100$

$g^*_{C,rel} = 100$



NG900-7, 9stufige Reihen für konstanten CIELAB Buntton 330/360 = 0.917 (links)

16stufige Reihen für konstanten CIELAB Buntton 330/360 = 0.917 (rechts)

Eingabe: Farbmétrisches Standard-Reflektiv-System SRS18

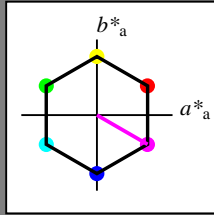
für Buntton $h^* = lab^*h = 330/360 = 0.917$

lab^*tch und lab^*nch

D65: Buntton M

LCH*Ma: 57 77 330

olv*Ma: 1.0 0.0 1.0



SRS18; adaptierte CIELAB-Daten

	$L^*=L^*_a$	a^*_a	b^*_a	$C^*_{ab,a}$	$h^*_{ab,a}$
OMa	56.71	67.03	38.7	77.4	30
YMa	56.71	0.0	77.4	77.4	90
LMa	56.71	-67.02	38.7	77.4	150
CMa	56.71	-67.02	-38.69	77.4	210
VMa	56.71	0.0	-77.39	77.4	270
MMa	56.71	67.03	-38.69	77.4	330
NMa	18.01	0.0	0.0	0.0	0
WMa	95.41	0.0	0.0	0.0	0
RCIE	39.92	58.74	27.99	65.07	25
JCIE	81.26	-2.88	71.56	71.62	92
GCIE	52.23	-42.41	13.6	44.55	162
BCIE	30.57	1.41	-46.46	46.49	272

Dreiecks-Helligkeit t^*

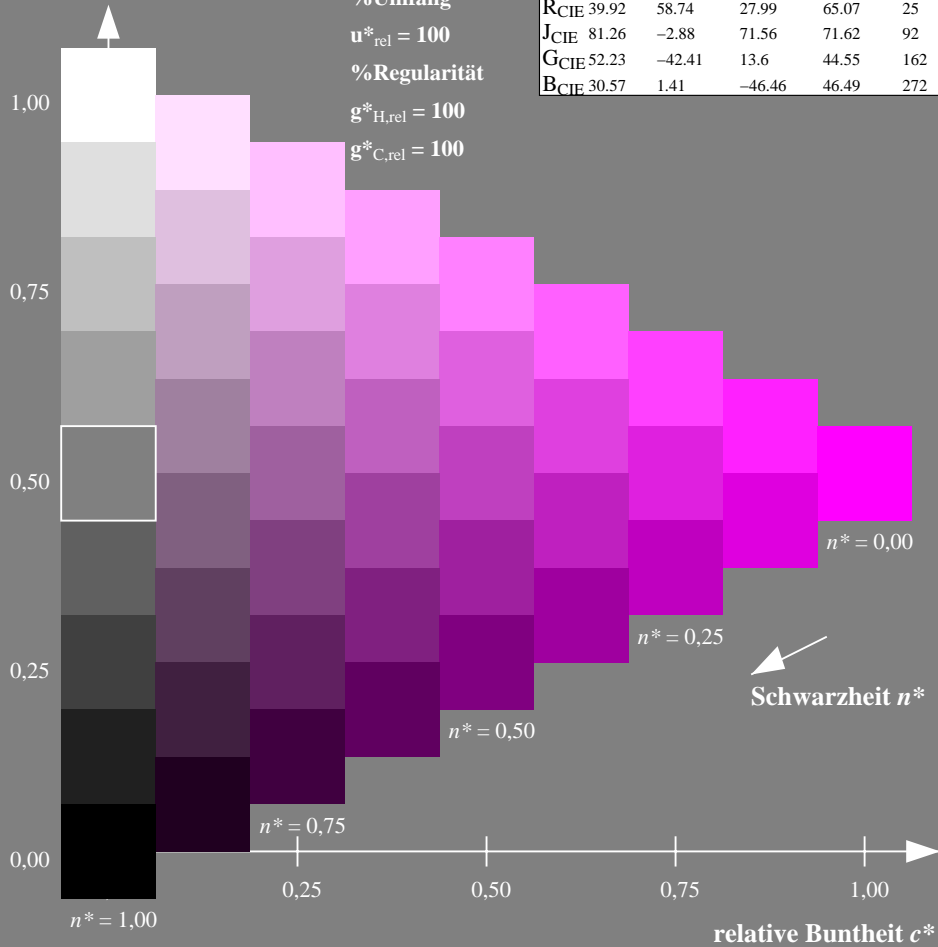
%Umfang

$u^*_{rel} = 100$

%Regularität

$g^*_{H,rel} = 100$

$g^*_{C,rel} = 100$



Ausgabe: Farbmétrisches Standard-Reflektiv-System SRS18

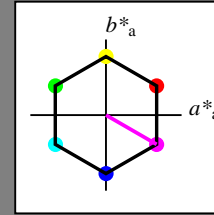
für Buntton $h^* = lab^*h = 330/360 = 0.917$

lab^*tch und lab^*nch

D65: Buntton M

LCH*Ma: 57 77 330

olv*Ma: 1.0 0.0 1.0



SRS18; adaptierte CIELAB-Daten

	$L^*=L^*_a$	a^*_a	b^*_a	$C^*_{ab,a}$	$h^*_{ab,a}$
OMa	56.71	67.03	38.7	77.4	30
YMa	56.71	0.0	77.4	77.4	90
LMa	56.71	-67.02	38.7	77.4	150
CMa	56.71	-67.02	-38.69	77.4	210
VMa	56.71	0.0	-77.39	77.4	270
MMa	56.71	67.03	-38.69	77.4	330
NMa	18.01	0.0	0.0	0.0	0
WMa	95.41	0.0	0.0	0.0	0
RCIE	39.92	58.74	27.99	65.07	25
JCIE	81.26	-2.88	71.56	71.62	92
GCIE	52.23	-42.41	13.6	44.55	162
BCIE	30.57	1.41	-46.46	46.49	272

Dreiecks-Helligkeit t^*

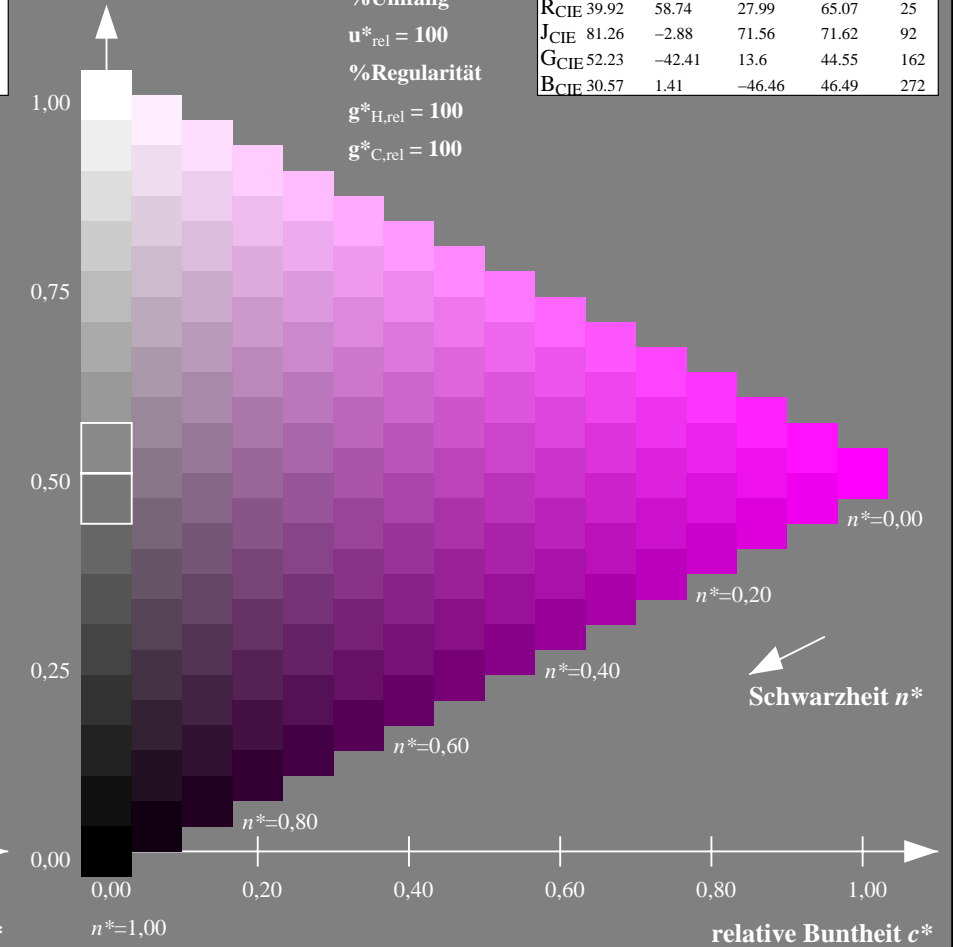
%Umfang

$u^*_{rel} = 100$

%Regularität

$g^*_{H,rel} = 100$

$g^*_{C,rel} = 100$



NG900-7, 9stufige Reihen für konstanten CIELAB Buntton 330/360 = 0.917 (links)

16stufige Reihen für konstanten CIELAB Buntton 330/360 = 0.917 (rechts)

Eingabe: Farbmetrisches Standard-Reflektiv-System SRS18

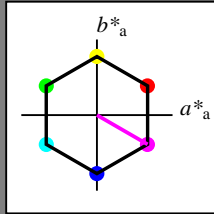
für Buntton $h^* = lab^*h = 330/360 = 0.917$

lab^*tch und lab^*nch

D65: Buntton M

LCH*Ma: 57 77 330

olv*Ma: 1.0 0.0 1.0



SRS18; adaptierte CIELAB-Daten

	$L^*=L^*_a$	a^*_a	b^*_a	$C^*_{ab,a}$	$h^*_{ab,a}$
OMa	56.71	67.03	38.7	77.4	30
YMa	56.71	0.0	77.4	77.4	90
LMa	56.71	-67.02	38.7	77.4	150
CMa	56.71	-67.02	-38.69	77.4	210
VMa	56.71	0.0	-77.39	77.4	270
MMa	56.71	67.03	-38.69	77.4	330
NMa	18.01	0.0	0.0	0.0	0
WMa	95.41	0.0	0.0	0.0	0
RCIE	39.92	58.74	27.99	65.07	25
JCIE	81.26	-2.88	71.56	71.62	92
GCIE	52.23	-42.41	13.6	44.55	162
BCIE	30.57	1.41	-46.46	46.49	272

Dreiecks-Helligkeit t^*

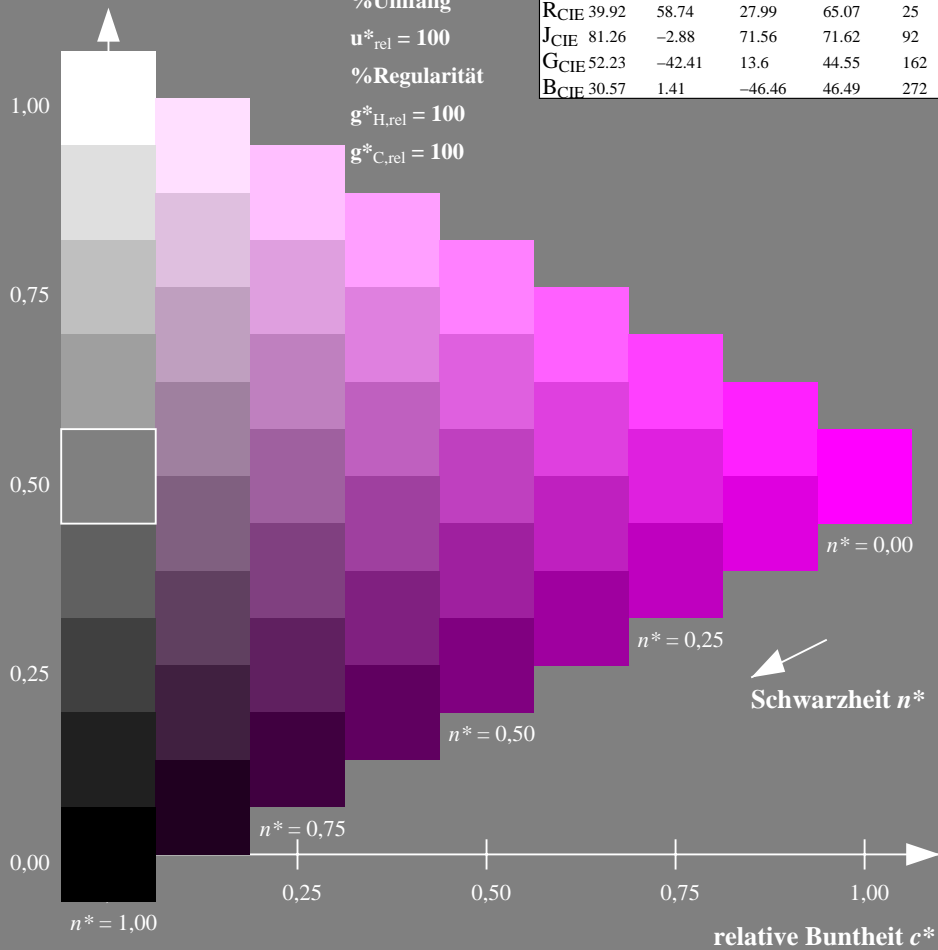
%Umfang

$u^*_{rel} = 100$

%Regularität

$g^*_{H,rel} = 100$

$g^*_{C,rel} = 100$



Ausgabe: Farbmetrisches Fernseh-Licht-System TLS70

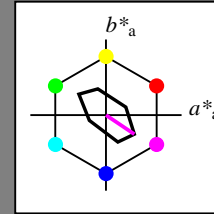
für Buntton $h^* = lab^*h = 326/360 = 0.906$

lab^*tch und lab^*nch

D65: Buntton M

LCH*Ma: 79 45 326

olv*Ma: 1.0 0.0 1.0



TLS70; adaptierte CIELAB-Daten

	$L^*=L^*_a$	a^*_a	b^*_a	$C^*_{ab,a}$	$h^*_{ab,a}$
OMa	76.43	26.27	10.57	28.32	22
YMa	93.93	-10.76	34.63	36.27	107
LMa	89.32	-35.8	27.64	45.24	142
CMa	90.93	-21.95	-7.07	23.07	198
VMa	72.1	15.76	-35.63	38.97	294
MMa	78.5	37.52	-25.23	45.22	326
NMa	69.7	0.0	0.0	0.0	0
WMa	95.41	0.0	0.0	0.0	0
RCIE	39.92	58.74	27.99	65.07	25
JCIE	81.26	-2.88	71.56	71.62	92
GCIE	52.23	-42.41	13.6	44.55	162
BCIE	30.57	1.41	-46.46	46.49	272

Dreiecks-Helligkeit t^*

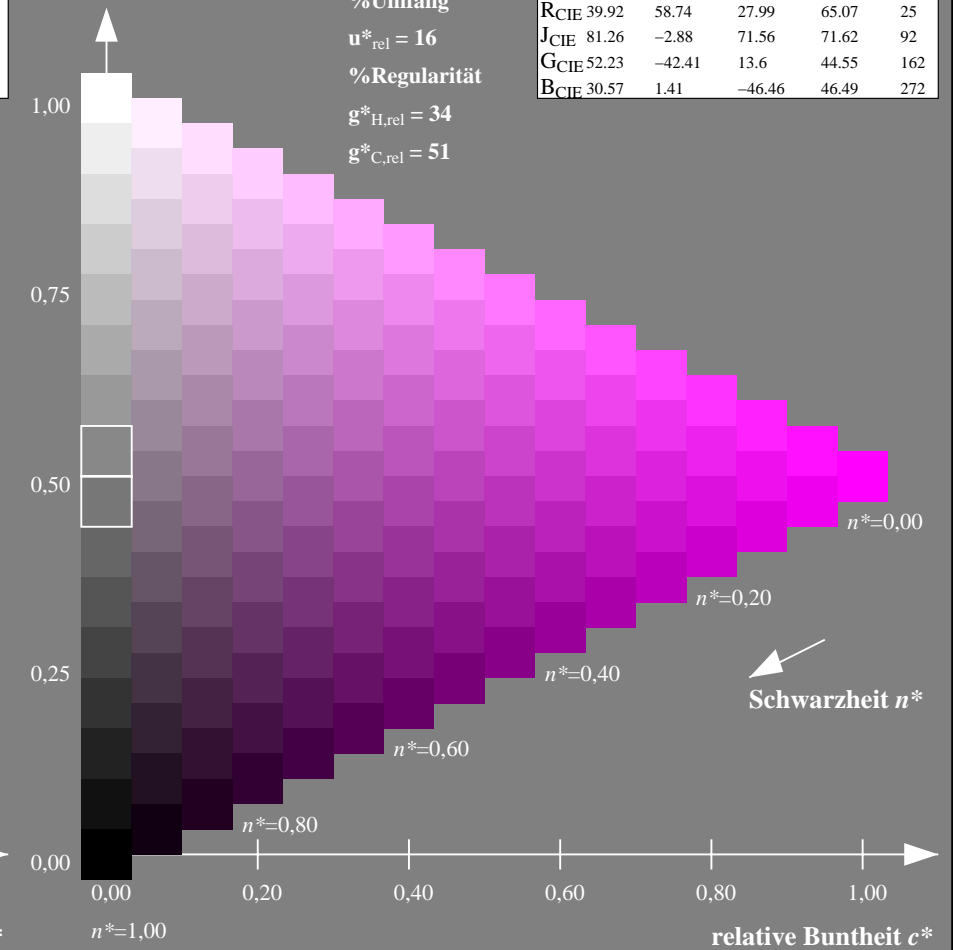
%Umfang

$u^*_{rel} = 16$

%Regularität

$g^*_{H,rel} = 34$

$g^*_{C,rel} = 51$



NG900-7, 9stufige Reihen für konstanten CIELAB Buntton 330/360 = 0.917 (links)

16stufige Reihen für konstanten CIELAB Buntton 326/360 = 0.906 (rechts)

Eingabe: Farbmetrisches Fernseh-Licht-System TLS70

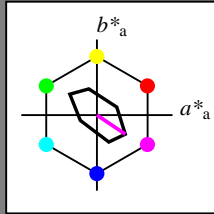
für Buntton $h^* = lab^*h = 326/360 = 0.906$

lab^*tch und lab^*nch

D65: Buntton M

LCH*Ma: 79 45 326

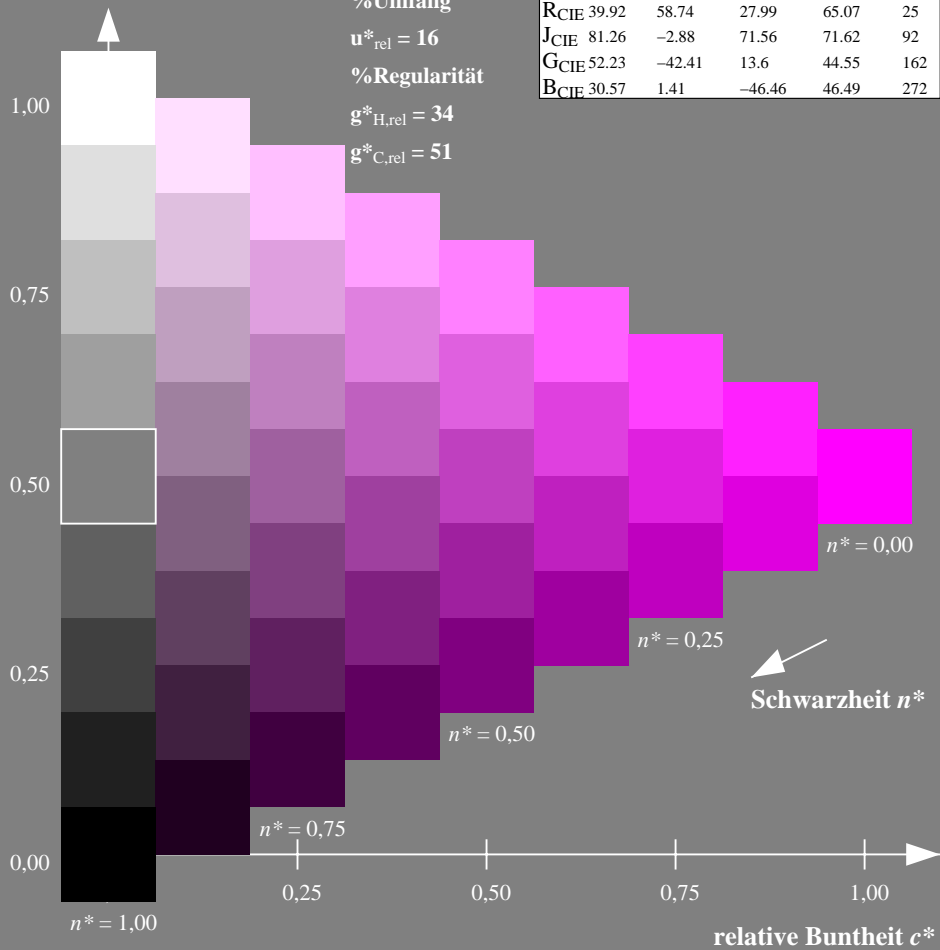
olv*Ma: 1.0 0.0 1.0



TLS70; adaptierte CIELAB-Daten

	$L^*=L^*_a$	a^*_a	b^*_a	$C^*_{ab,a}$	$h^*_{ab,a}$
OMa	76.43	26.27	10.57	28.32	22
YMa	93.93	-10.76	34.63	36.27	107
LMa	89.32	-35.8	27.64	45.24	142
CMa	90.93	-21.95	-7.07	23.07	198
VMa	72.1	15.76	-35.63	38.97	294
MMa	78.5	37.52	-25.23	45.22	326
NMa	69.7	0.0	0.0	0.0	0
WMa	95.41	0.0	0.0	0.0	0
RCIE	39.92	58.74	27.99	65.07	25
JCIE	81.26	-2.88	71.56	71.62	92
GCIE	52.23	-42.41	13.6	44.55	162
BCIE	30.57	1.41	-46.46	46.49	272

Dreiecks-Helligkeit t^*



Ausgabe: Farbmetrisches Offset-Reflektiv-System ORS18

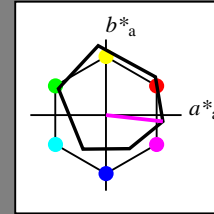
für Buntton $h^* = lab^*h = 354/360 = 0.982$

lab^*tch und lab^*nch

D65: Buntton M

LCH*Ma: 48 76 354

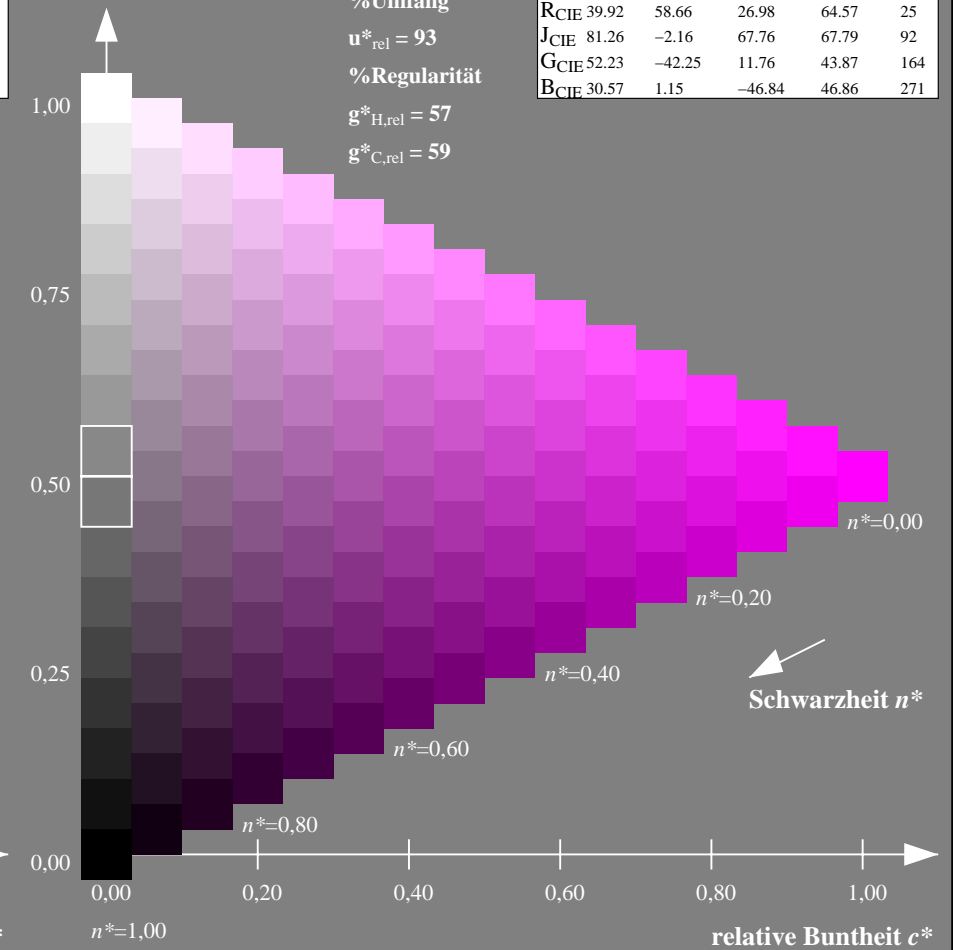
olv*Ma: 1.0 0.0 1.0



ORS18; adaptierte CIELAB-Daten

	$L^*=L^*_a$	a^*_a	b^*_a	$C^*_{ab,a}$	$h^*_{ab,a}$
OMa	47.94	65.39	50.52	82.63	38
YMa	90.37	-10.26	91.75	92.32	96
LMa	50.9	-62.83	34.96	71.91	151
CMa	58.62	-30.34	-45.01	54.3	236
VMa	25.72	31.1	-44.4	54.22	305
MMa	48.13	75.28	-8.36	75.74	354
NMa	18.01	0.0	0.0	0.0	0
WMa	95.41	0.0	0.0	0.0	0
RCIE	39.92	58.66	26.98	64.57	25
JCIE	81.26	-2.16	67.76	67.79	92
GCIE	52.23	-42.25	11.76	43.87	164
BCIE	30.57	1.15	-46.84	46.86	271

Dreiecks-Helligkeit t^*



NG900-7, 9stufige Reihen für konstanten CIELAB Buntton $326/360 = 0.906$ (links)

16stufige Reihen für konstanten CIELAB Buntton $354/360 = 0.982$ (rechts)

Eingabe: Farbmetrisches Fernseh-Licht-System TLS70

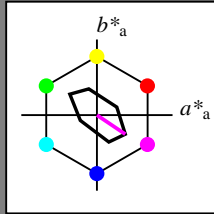
für Buntton $h^* = lab^*h = 326/360 = 0.906$

lab^*tch und lab^*nch

D65: Buntton M

LCH*Ma: 79 45 326

olv*Ma: 1.0 0.0 1.0



TLS70; adaptierte CIELAB-Daten

	$L^*=L^*_a$	a^*_a	b^*_a	$C^*_{ab,a}$	$h^*_{ab,a}$
OMa	76.43	26.27	10.57	28.32	22
YMa	93.93	-10.76	34.63	36.27	107
LMa	89.32	-35.8	27.64	45.24	142
CMa	90.93	-21.95	-7.07	23.07	198
VMa	72.1	15.76	-35.63	38.97	294
MMa	78.5	37.52	-25.23	45.22	326
NMa	69.7	0.0	0.0	0.0	0
WMa	95.41	0.0	0.0	0.0	0
RCIE	39.92	58.74	27.99	65.07	25
JCIE	81.26	-2.88	71.56	71.62	92
GCIE	52.23	-42.41	13.6	44.55	162
BCIE	30.57	1.41	-46.46	46.49	272

Dreiecks-Helligkeit t^*

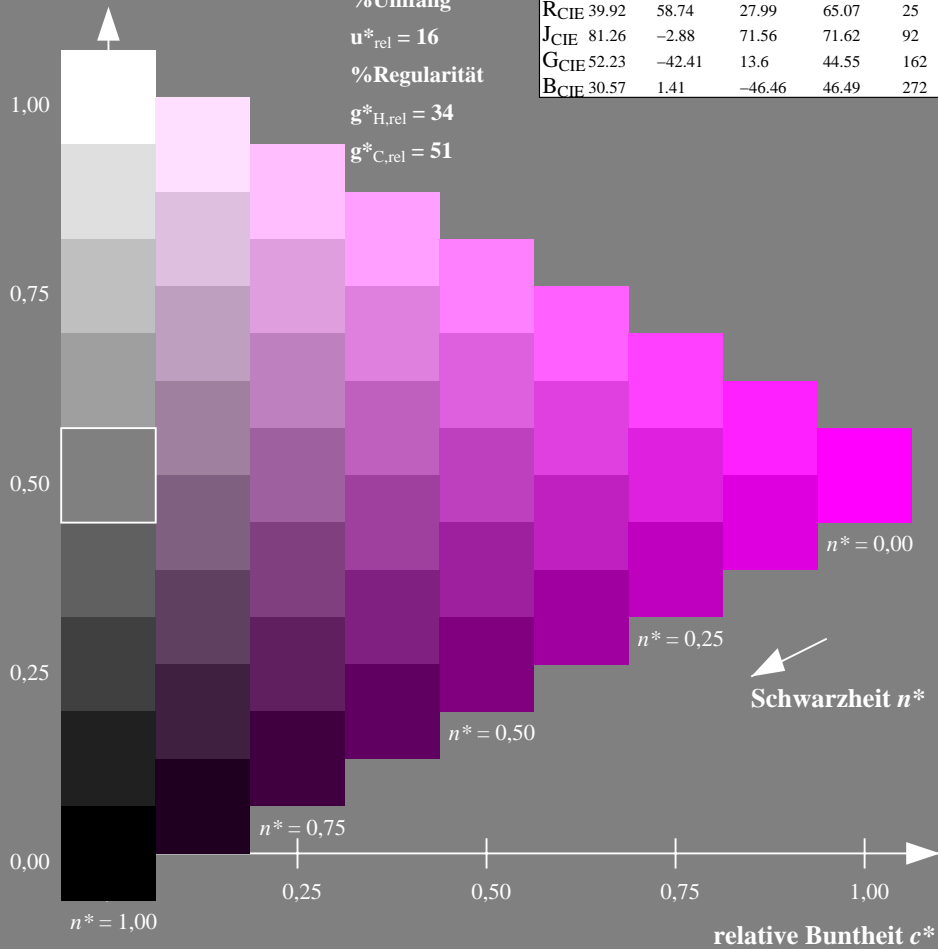
%Umfang

$u^*_{rel} = 16$

%Regularität

$g^*_{H,rel} = 34$

$g^*_{C,rel} = 51$



Ausgabe: Farbmetrisches Fernseh-Licht-System TLS00

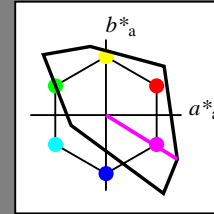
für Buntton $h^* = lab^*h = 328/360 = 0.912$

lab^*tch und lab^*nch

D65: Buntton M

LCH*Ma: 57 111 328

olv*Ma: 1.0 0.0 1.0



TLS00; adaptierte CIELAB-Daten

	$L^*=L^*_a$	a^*_a	b^*_a	$C^*_{ab,a}$	$h^*_{ab,a}$
OMa	50.5	76.92	64.55	100.42	40
YMa	92.66	-20.69	90.75	93.08	103
LMa	83.63	-82.75	79.9	115.04	136
CMa	86.88	-46.16	-13.55	48.12	196
VMa	30.39	76.06	-103.59	128.52	306
MMa	57.3	94.35	-58.41	110.97	328
NMa	0.01	0.0	0.0	0.0	0
WMa	95.41	0.0	0.0	0.0	0
RCIE	39.92	58.74	27.99	65.07	25
JCIE	81.26	-2.88	71.56	71.62	92
GCIE	52.23	-42.41	13.6	44.55	162
BCIE	30.57	1.41	-46.46	46.49	272

Dreiecks-Helligkeit t^*

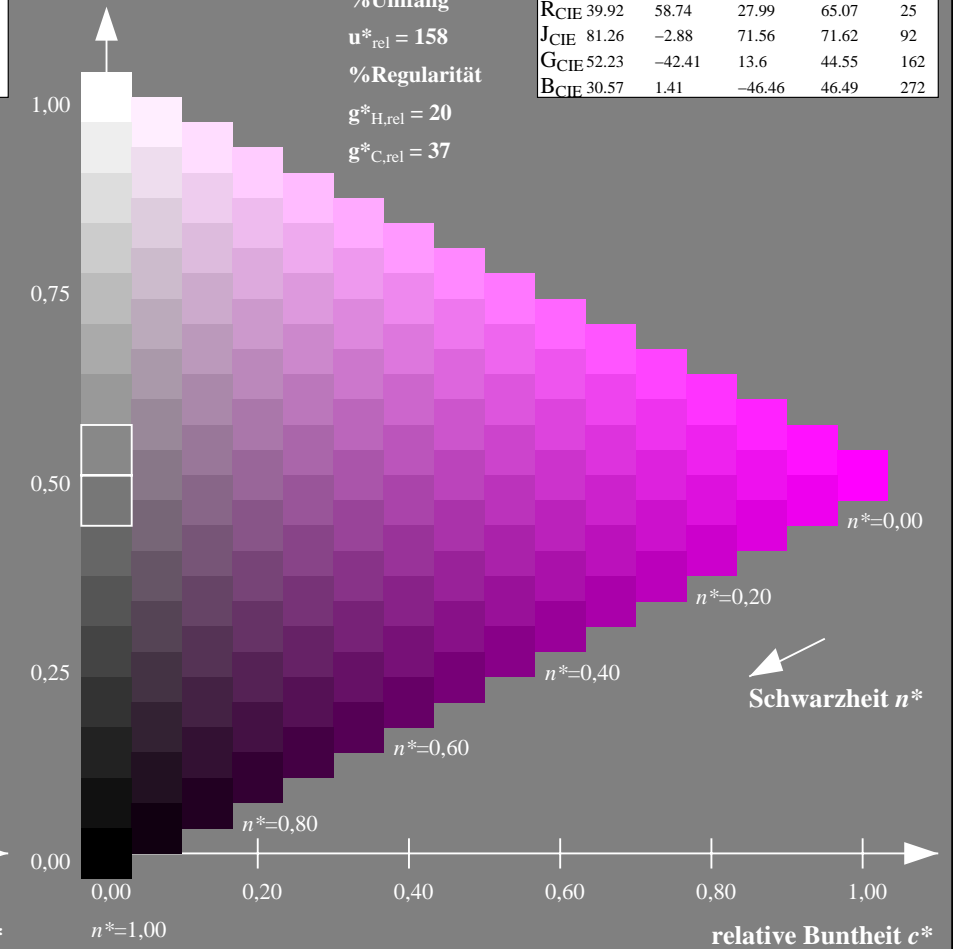
%Umfang

$u^*_{rel} = 158$

%Regularität

$g^*_{H,rel} = 20$

$g^*_{C,rel} = 37$



NG900-7, 9stufige Reihen für konstanten CIELAB Buntton $326/360 = 0.906$ (links)

16stufige Reihen für konstanten CIELAB Buntton $328/360 = 0.912$ (rechts)

Eingabe: Farbmetrisches Fernseh-Licht-System TLS70

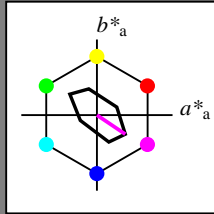
für Buntton $h^* = lab^*h = 326/360 = 0.906$

lab^*tch und lab^*nch

D65: Buntton M

LCH*Ma: 79 45 326

olv*Ma: 1.0 0.0 1.0



TLS70; adaptierte CIELAB-Daten

	$L^*=L^*_a$	a^*_a	b^*_a	$C^*_{ab,a}$	$h^*_{ab,a}$
OMa	76.43	26.27	10.57	28.32	22
YMa	93.93	-10.76	34.63	36.27	107
LMa	89.32	-35.8	27.64	45.24	142
CMa	90.93	-21.95	-7.07	23.07	198
VMa	72.1	15.76	-35.63	38.97	294
MMa	78.5	37.52	-25.23	45.22	326
NMa	69.7	0.0	0.0	0.0	0
WMa	95.41	0.0	0.0	0.0	0
RCIE	39.92	58.74	27.99	65.07	25
JCIE	81.26	-2.88	71.56	71.62	92
GCIE	52.23	-42.41	13.6	44.55	162
BCIE	30.57	1.41	-46.46	46.49	272

Dreiecks-Helligkeit t^*

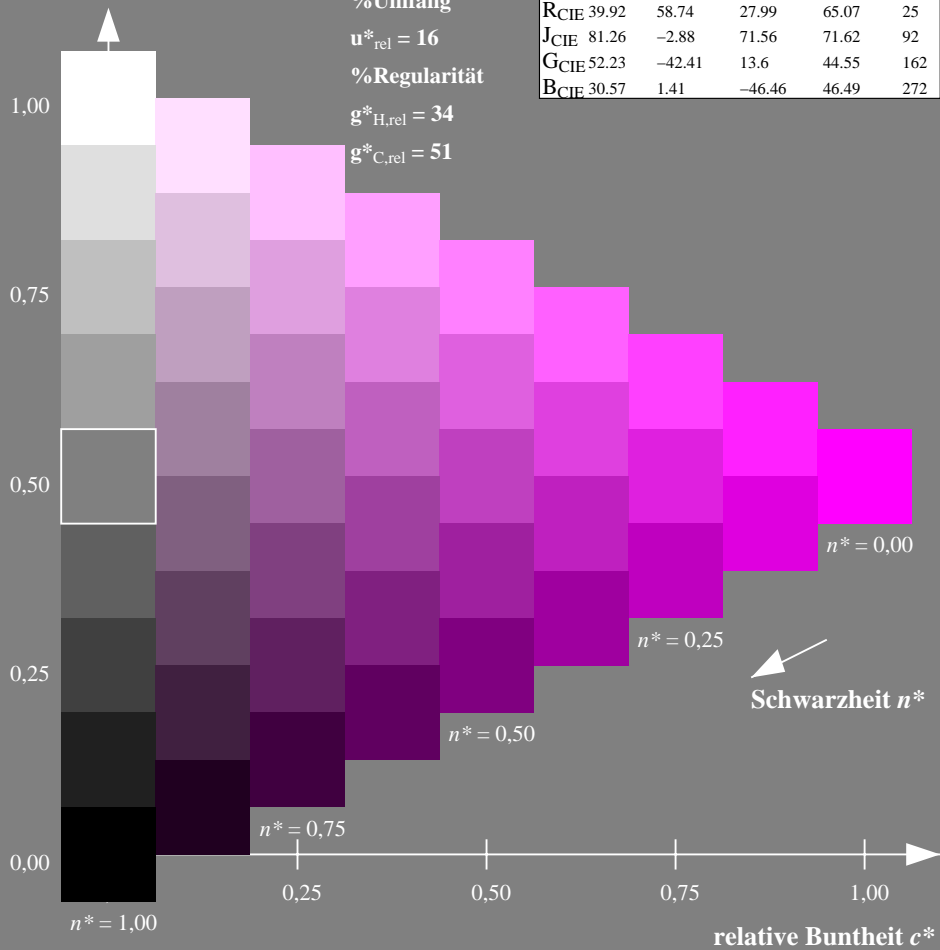
%Umfang

$u^*_{rel} = 16$

%Regularität

$g^*_{H,rel} = 34$

$g^*_{C,rel} = 51$



Ausgabe: Farbmetrisches Drucker-Reflektiv-System DRSXX

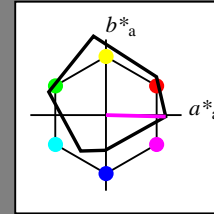
für Buntton $h^* = lab^*h = 359/360 = 0.996$

lab^*tch und lab^*nch

D65: Buntton M

LCH*Ma: 43 79 359

olv*Ma: 1.0 0.0 1.0



DRSXX; adaptierte CIELAB-Daten

	$L^*=L^*_a$	a^*_a	b^*_a	$C^*_{ab,a}$	$h^*_{ab,a}$
OMa	42.21	66.82	50.6	83.82	37
YMa	90.32	-16.51	104.33	105.63	99
LMa	48.21	-75.63	30.65	81.61	158
CMa	53.44	-33.33	-47.49	58.03	235
VMa	34.16	-0.92	-46.56	46.58	269
MMa	42.71	79.0	-1.95	79.03	359
NMa	16.56	0.0	0.0	0.0	0
WMa	96.31	0.0	0.0	0.0	0
RCIE	39.92	59.78	25.77	65.1	23
JCIE	81.26	-2.51	69.07	69.11	92
GCIE	52.23	-41.57	11.3	43.09	165
BCIE	30.57	2.6	-48.62	48.7	273

Dreiecks-Helligkeit t^*

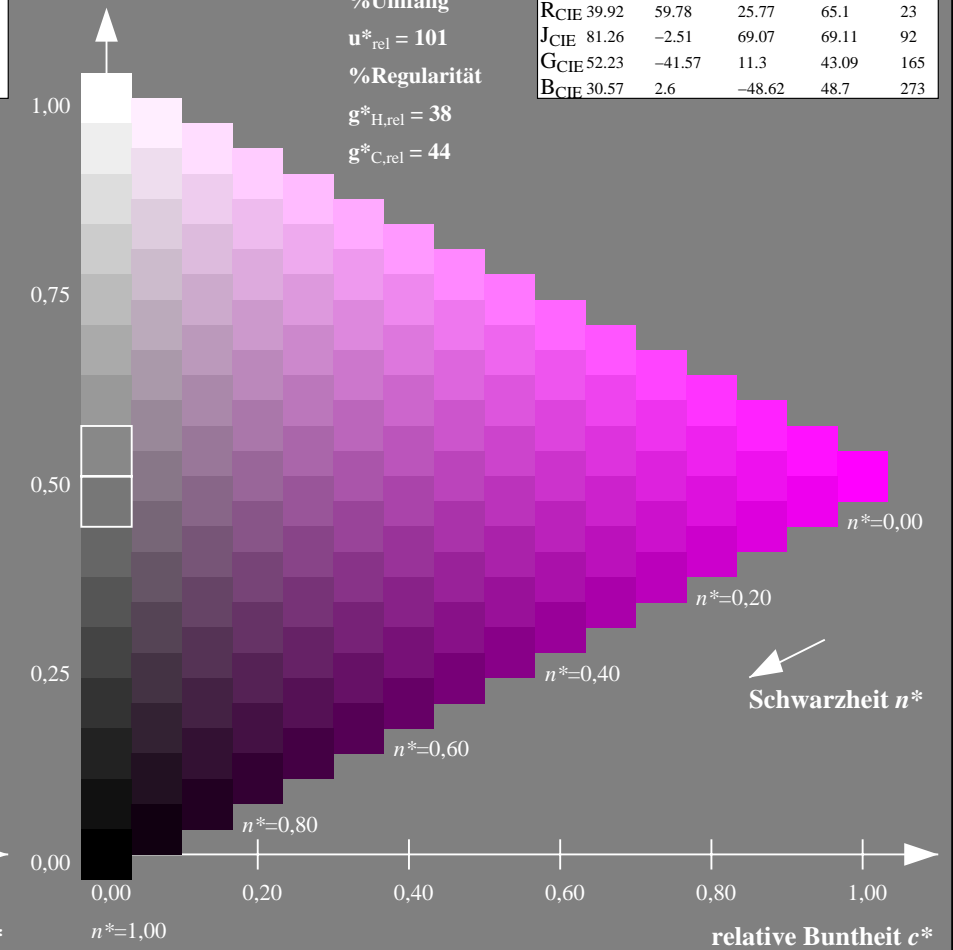
%Umfang

$u^*_{rel} = 101$

%Regularität

$g^*_{H,rel} = 38$

$g^*_{C,rel} = 44$



NG900-7, 9stufige Reihen für konstanten CIELAB Buntton 326/360 = 0.906 (links)

16stufige Reihen für konstanten CIELAB Buntton 359/360 = 0.996 (rechts)

Eingabe: Farbmetrisches Fernseh-Licht-System TLS70

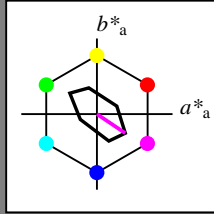
für Buntton $h^* = lab^*h = 326/360 = 0.906$

lab^*tch und lab^*nch

D65: Buntton M

LCH*Ma: 79 45 326

olv*Ma: 1.0 0.0 1.0



TLS70; adaptierte CIELAB-Daten

	$L^*=L^*_a$	a^*_a	b^*_a	$C^*_{ab,a}$	$h^*_{ab,a}$
OMa	76.43	26.27	10.57	28.32	22
YMa	93.93	-10.76	34.63	36.27	107
LMa	89.32	-35.8	27.64	45.24	142
CMa	90.93	-21.95	-7.07	23.07	198
VMa	72.1	15.76	-35.63	38.97	294
MMa	78.5	37.52	-25.23	45.22	326
NMa	69.7	0.0	0.0	0.0	0
WMa	95.41	0.0	0.0	0.0	0
RCIE	39.92	58.74	27.99	65.07	25
JCIE	81.26	-2.88	71.56	71.62	92
GCIE	52.23	-42.41	13.6	44.55	162
BCIE	30.57	1.41	-46.46	46.49	272

Dreiecks-Helligkeit t^*

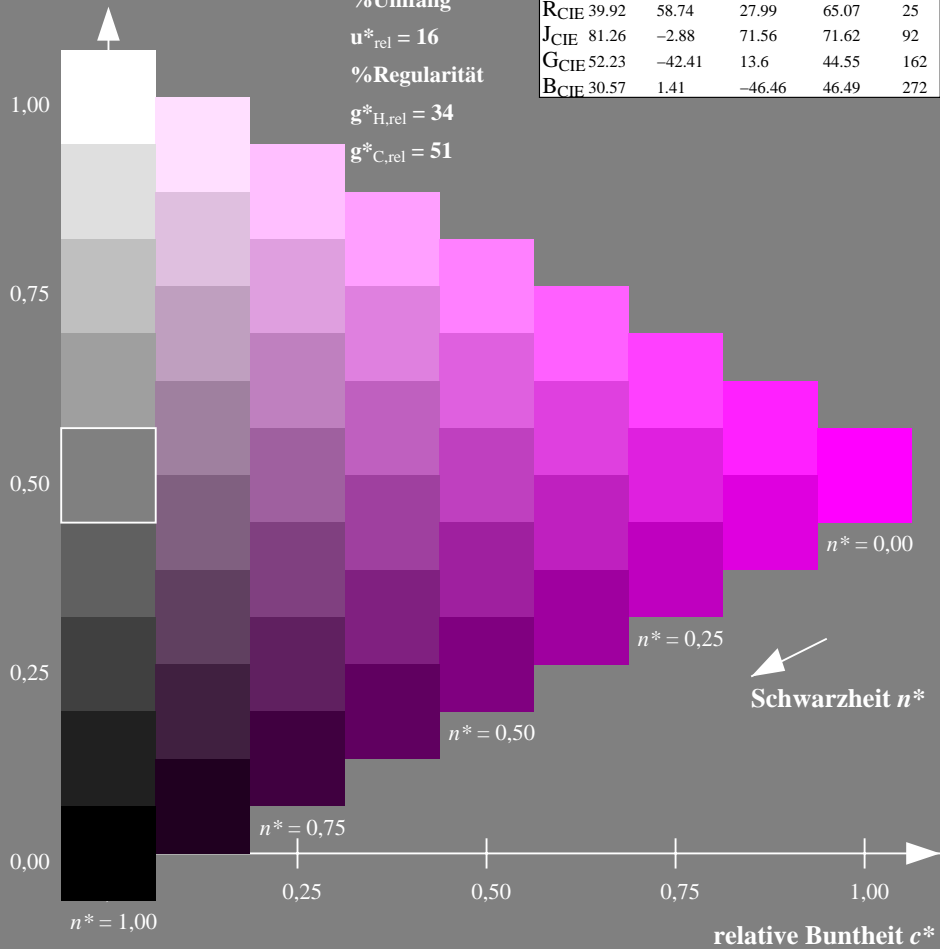
%Umfang

$u^*_{rel} = 16$

%Regularität

$g^*_{H,rel} = 34$

$g^*_{C,rel} = 51$



Ausgabe: Farbmetrisches Fernseh-Licht-System TLS18

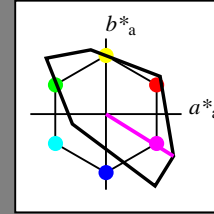
für Buntton $h^* = lab^*h = 328/360 = 0.911$

lab^*tch und lab^*nch

D65: Buntton M

LCH*Ma: 59 105 328

olv*Ma: 1.0 0.0 1.0



TLS18; adaptierte CIELAB-Daten

	$L^*=L^*_a$	a^*_a	b^*_a	$C^*_{ab,a}$	$h^*_{ab,a}$
OMa	52.76	71.63	49.88	87.29	35
YMa	92.74	-20.02	84.97	87.3	103
LMa	84.0	-78.98	73.94	108.2	137
CMa	87.14	-44.41	-13.11	46.32	196
VMa	35.47	64.92	-95.06	115.12	304
MMa	59.01	89.33	-55.67	105.26	328
NMa	18.01	0.0	0.0	0.0	0
WMa	95.41	0.0	0.0	0.0	0
RCIE	39.92	58.74	27.99	65.07	25
JCIE	81.26	-2.88	71.56	71.62	92
GCIE	52.23	-42.41	13.6	44.55	162
BCIE	30.57	1.41	-46.46	46.49	272

Dreiecks-Helligkeit t^*

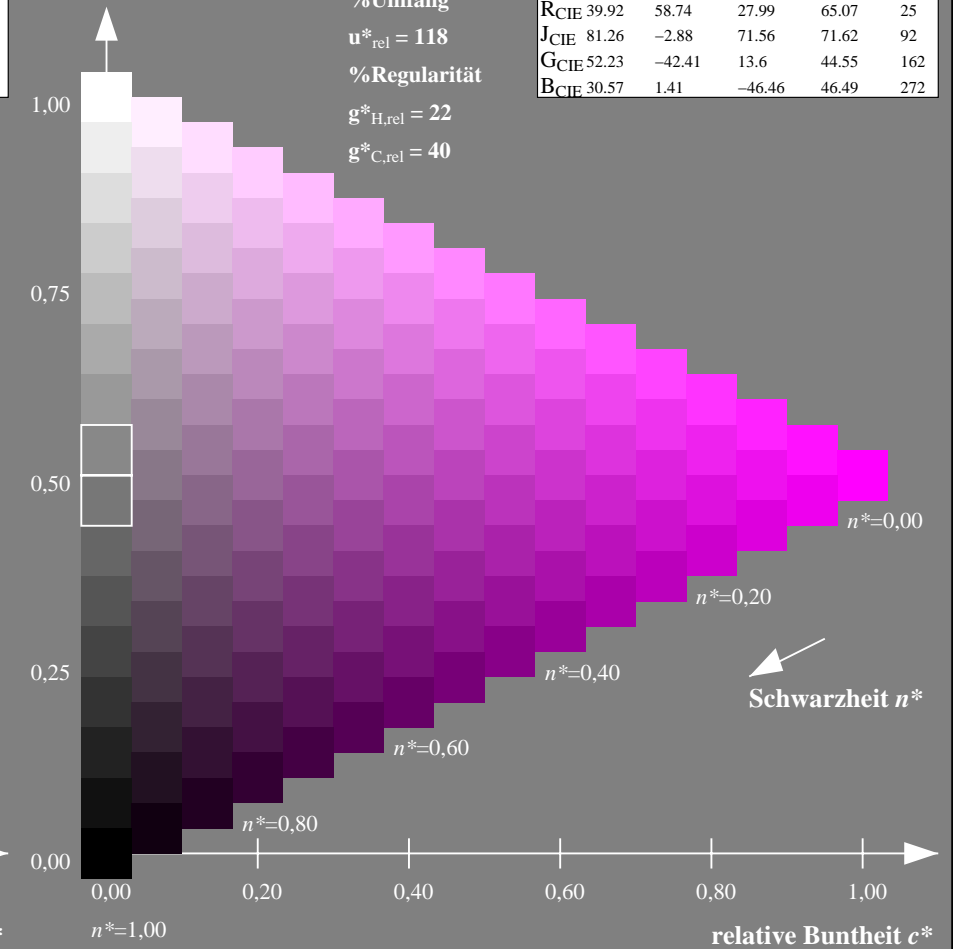
%Umfang

$u^*_{rel} = 118$

%Regularität

$g^*_{H,rel} = 22$

$g^*_{C,rel} = 40$



NG900-7, 9stufige Reihen für konstanten CIELAB Buntton $326/360 = 0.906$ (links)

16stufige Reihen für konstanten CIELAB Buntton $328/360 = 0.911$ (rechts)

Eingabe: Farbmetrisches Fernseh-Licht-System TLS70

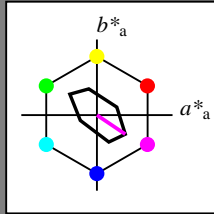
für Buntton $h^* = lab^*h = 326/360 = 0.906$

lab^*tch und lab^*nch

D65: Buntton M

LCH*Ma: 79 45 326

olv*Ma: 1.0 0.0 1.0



TLS70; adaptierte CIELAB-Daten

	$L^*=L^*_a$	a^*_a	b^*_a	$C^*_{ab,a}$	$h^*_{ab,a}$
OMa	76.43	26.27	10.57	28.32	22
YMa	93.93	-10.76	34.63	36.27	107
LMa	89.32	-35.8	27.64	45.24	142
CMa	90.93	-21.95	-7.07	23.07	198
VMa	72.1	15.76	-35.63	38.97	294
MMa	78.5	37.52	-25.23	45.22	326
NMa	69.7	0.0	0.0	0.0	0
WMa	95.41	0.0	0.0	0.0	0
RCIE	39.92	58.74	27.99	65.07	25
JCIE	81.26	-2.88	71.56	71.62	92
GCIE	52.23	-42.41	13.6	44.55	162
BCIE	30.57	1.41	-46.46	46.49	272

Dreiecks-Helligkeit t^*

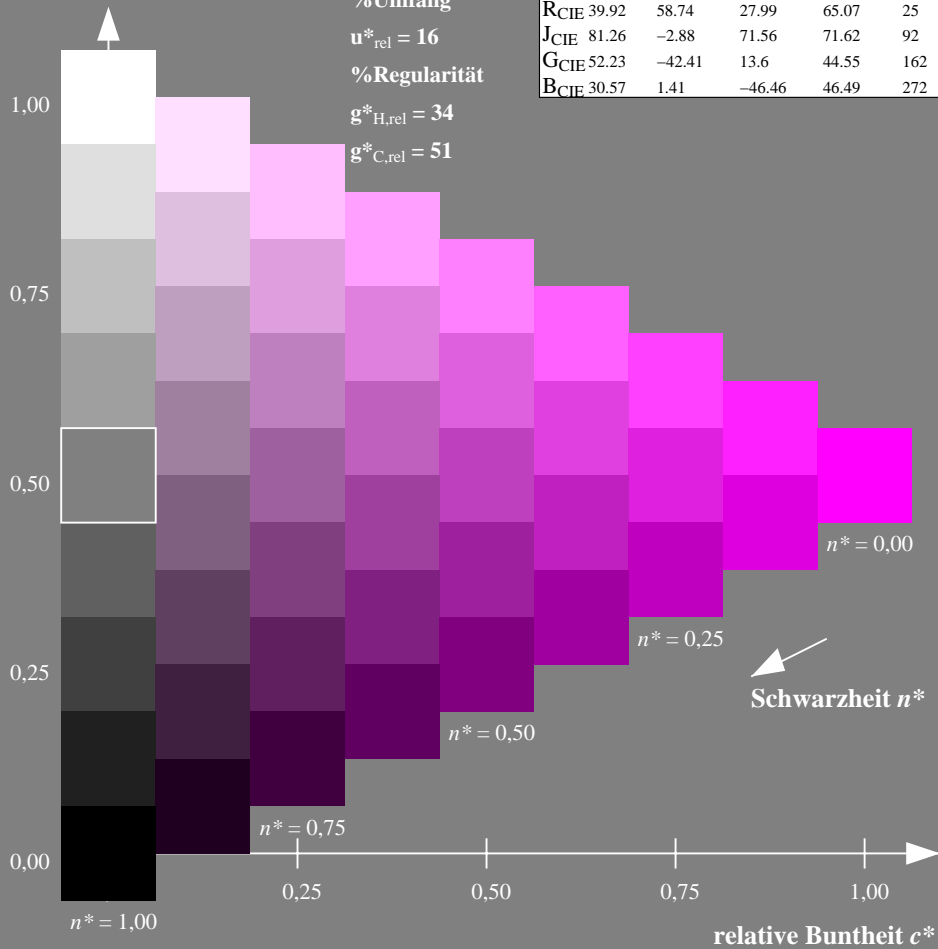
%Umfang

$u^*_{rel} = 16$

%Regularität

$g^*_{H,rel} = 34$

$g^*_{C,rel} = 51$



Ausgabe: Farbmetrisches Natürliches-Licht-System NLS00

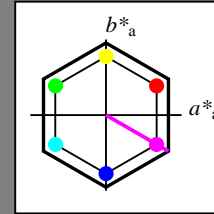
für Buntton $h^* = lab^*h = 330/360 = 0.917$

lab^*tch und lab^*nch

D65: Buntton M

LCH*Ma: 64 95 330

olv*Ma: 1.0 0.0 1.0



NLS00; adaptierte CIELAB-Daten

	$L^*=L^*_a$	a^*_a	b^*_a	$C^*_{ab,a}$	$h^*_{ab,a}$
OMa	31.81	82.62	47.7	95.4	30
YMa	63.61	0.0	95.4	95.4	90
LMa	31.81	-82.61	47.7	95.4	150
CMa	63.61	-82.61	-47.69	95.4	210
VMa	31.81	0.0	-95.39	95.4	270
MMa	63.61	82.62	-47.69	95.4	330
NMa	0.01	0.0	0.0	0.0	0
WMa	95.41	0.0	0.0	0.0	0
RCIE	39.92	58.74	27.99	65.07	25
JCIE	81.26	-2.88	71.56	71.62	92
GCIE	52.23	-42.41	13.6	44.55	162
BCIE	30.57	1.41	-46.46	46.49	272

Dreiecks-Helligkeit t^*

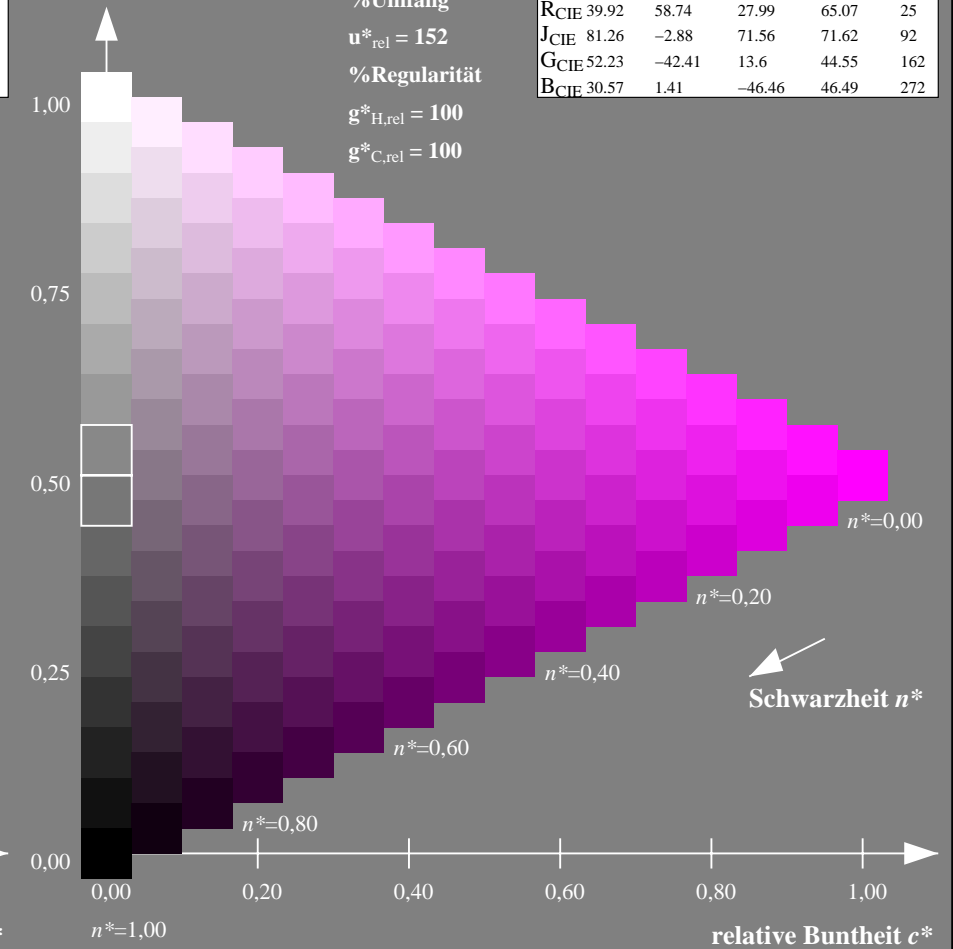
%Umfang

$u^*_{rel} = 152$

%Regularität

$g^*_{H,rel} = 100$

$g^*_{C,rel} = 100$



NG900-7, 9stufige Reihen für konstanten CIELAB Buntton $326/360 = 0.906$ (links)

16stufige Reihen für konstanten CIELAB Buntton $330/360 = 0.917$ (rechts)

Eingabe: Farbmetrisches Fernseh-Licht-System TLS70

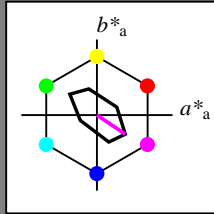
für Buntton $h^* = lab^*h = 326/360 = 0.906$

lab^*tch und lab^*nch

D65: Buntton M

LCH*Ma: 79 45 326

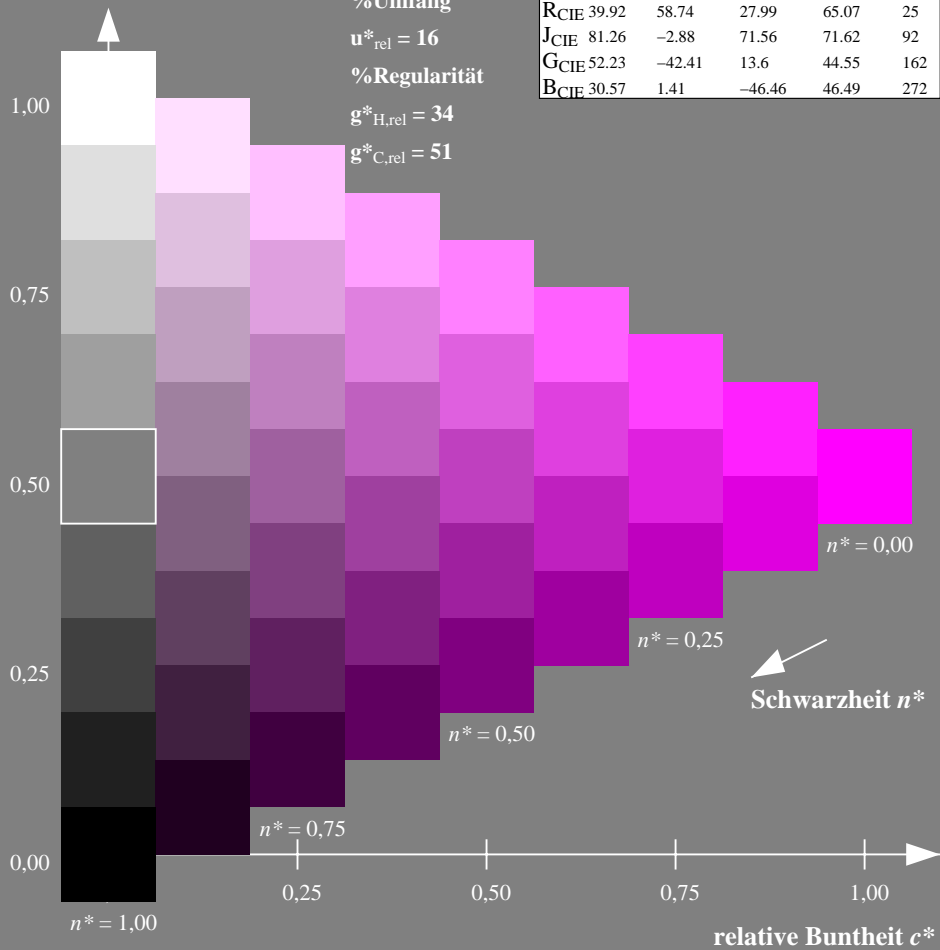
olv*Ma: 1.0 0.0 1.0



TLS70; adaptierte CIELAB-Daten

	$L^*=L^*_a$	a^*_a	b^*_a	$C^*_{ab,a}$	$h^*_{ab,a}$
OMa	76.43	26.27	10.57	28.32	22
YMa	93.93	-10.76	34.63	36.27	107
LMa	89.32	-35.8	27.64	45.24	142
CMa	90.93	-21.95	-7.07	23.07	198
VMa	72.1	15.76	-35.63	38.97	294
MMa	78.5	37.52	-25.23	45.22	326
NMa	69.7	0.0	0.0	0.0	0
WMa	95.41	0.0	0.0	0.0	0
RCIE	39.92	58.74	27.99	65.07	25
JCIE	81.26	-2.88	71.56	71.62	92
GCIE	52.23	-42.41	13.6	44.55	162
BCIE	30.57	1.41	-46.46	46.49	272

Dreiecks-Helligkeit t^*



Ausgabe: Farbmetrisches Natürliches-Reflektiv-System NRS18

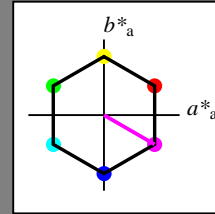
für Buntton $h^* = lab^*h = 330/360 = 0.917$

lab^*tch und lab^*nch

D65: Buntton M

LCH*Ma: 70 77 330

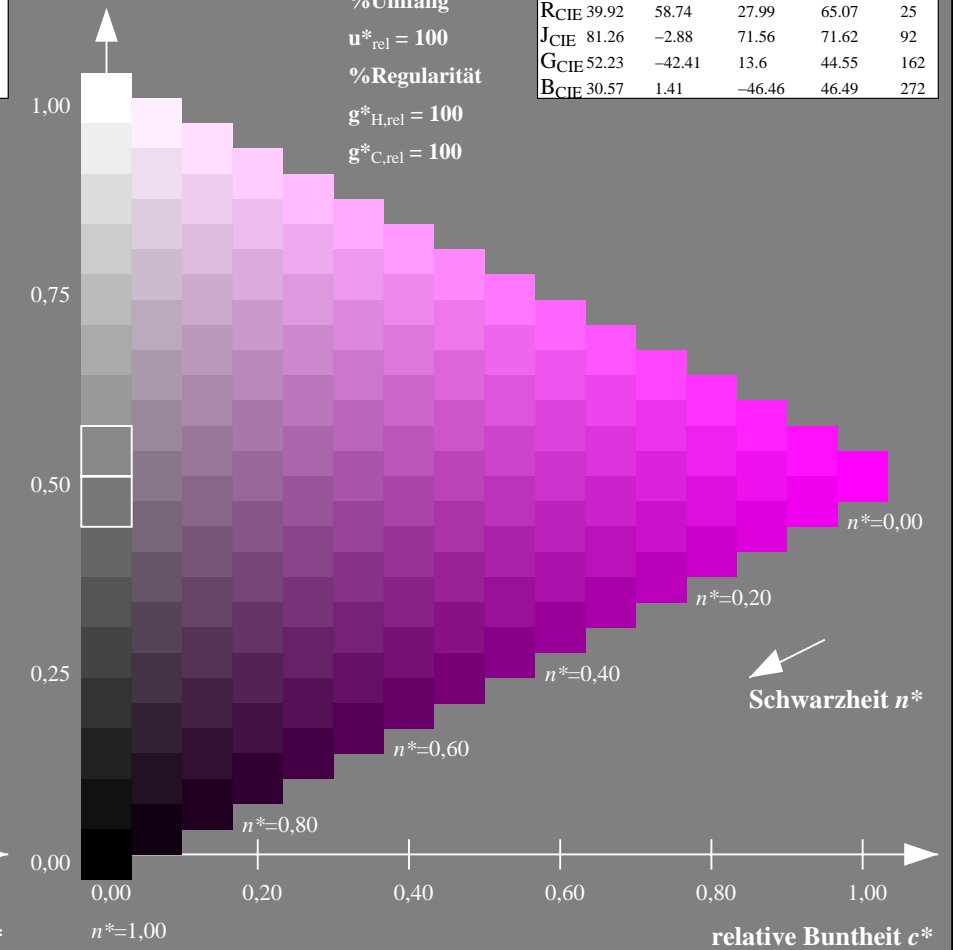
olv*Ma: 1.0 0.0 1.0



NRS18; adaptierte CIELAB-Daten

	$L^*=L^*_a$	a^*_a	b^*_a	$C^*_{ab,a}$	$h^*_{ab,a}$
OMa	43.81	67.03	38.7	77.4	30
YMa	69.61	0.0	77.4	77.4	90
LMa	43.81	-67.02	38.7	77.4	150
CMa	69.61	-67.02	-38.69	77.4	210
VMa	43.81	0.0	-77.39	77.4	270
MMa	69.61	67.03	-38.69	77.4	330
NMa	18.01	0.0	0.0	0.0	0
WMa	95.41	0.0	0.0	0.0	0
RCIE	39.92	58.74	27.99	65.07	25
JCIE	81.26	-2.88	71.56	71.62	92
GCIE	52.23	-42.41	13.6	44.55	162
BCIE	30.57	1.41	-46.46	46.49	272

Dreiecks-Helligkeit t^*



NG900-7, 9stufige Reihen für konstanten CIELAB Buntton $326/360 = 0.906$ (links)

16stufige Reihen für konstanten CIELAB Buntton $330/360 = 0.917$ (rechts)

Eingabe: Farbmetrisches Fernseh-Licht-System TLS70

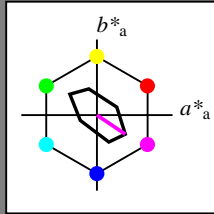
für Buntton $h^* = lab^*h = 326/360 = 0.906$

lab^*tch und lab^*nch

D65: Buntton M

LCH*Ma: 79 45 326

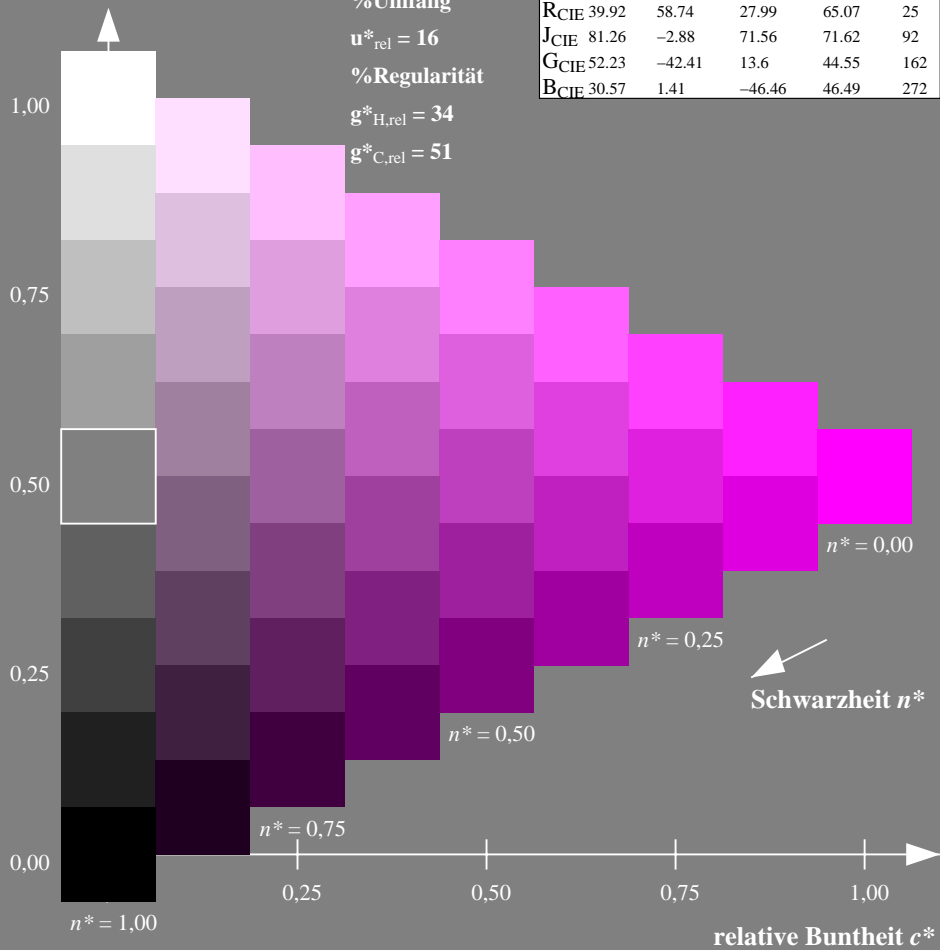
olv*Ma: 1.0 0.0 1.0



TLS70; adaptierte CIELAB-Daten

	$L^*=L^*_a$	a^*_a	b^*_a	$C^*_{ab,a}$	$h^*_{ab,a}$
OMa	76.43	26.27	10.57	28.32	22
YMa	93.93	-10.76	34.63	36.27	107
LMa	89.32	-35.8	27.64	45.24	142
CMa	90.93	-21.95	-7.07	23.07	198
VMa	72.1	15.76	-35.63	38.97	294
MMa	78.5	37.52	-25.23	45.22	326
NMa	69.7	0.0	0.0	0.0	0
WMa	95.41	0.0	0.0	0.0	0
RCIE	39.92	58.74	27.99	65.07	25
JCIE	81.26	-2.88	71.56	71.62	92
GCIE	52.23	-42.41	13.6	44.55	162
BCIE	30.57	1.41	-46.46	46.49	272

Dreiecks-Helligkeit t^*



Ausgabe: Farbmetrisches Standard-Reflektiv-System SRS18

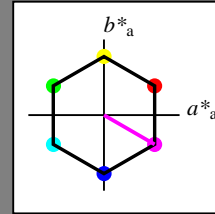
für Buntton $h^* = lab^*h = 330/360 = 0.917$

lab^*tch und lab^*nch

D65: Buntton M

LCH*Ma: 57 77 330

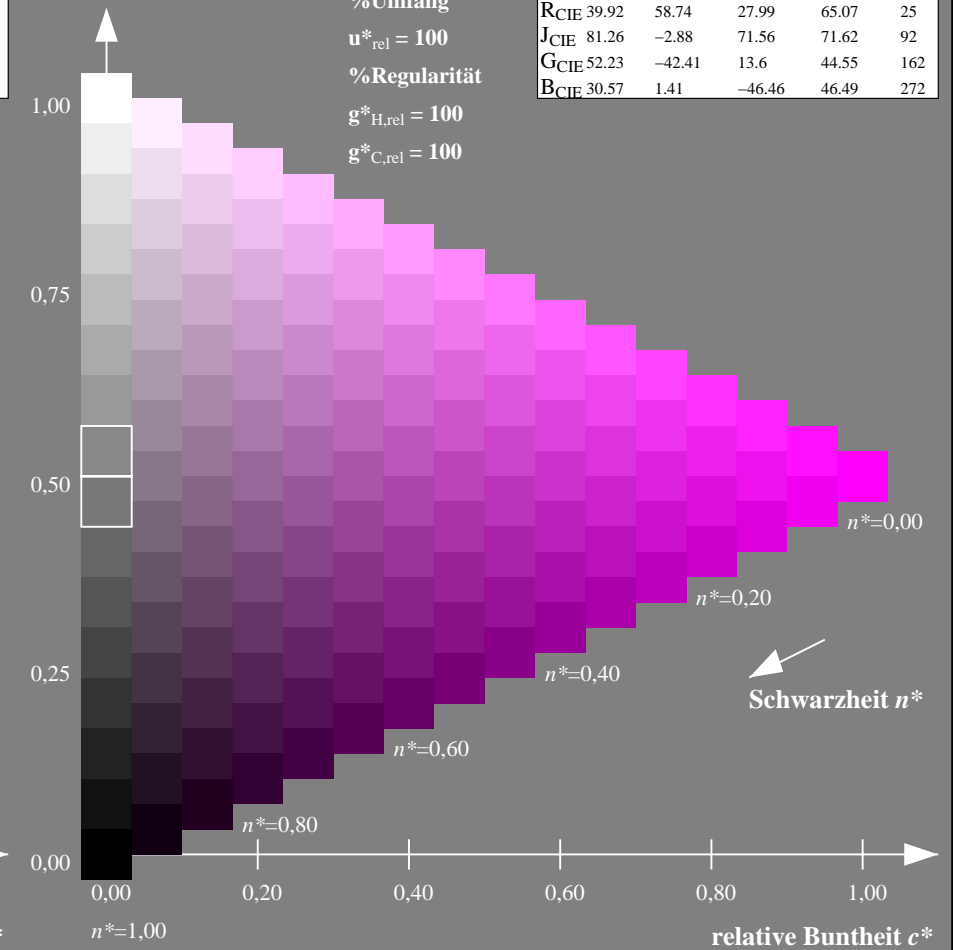
olv*Ma: 1.0 0.0 1.0



SRS18; adaptierte CIELAB-Daten

	$L^*=L^*_a$	a^*_a	b^*_a	$C^*_{ab,a}$	$h^*_{ab,a}$
OMa	56.71	67.03	38.7	77.4	30
YMa	56.71	0.0	77.4	77.4	90
LMa	56.71	-67.02	38.7	77.4	150
CMa	56.71	-67.02	-38.69	77.4	210
VMa	56.71	0.0	-77.39	77.4	270
MMa	56.71	67.03	-38.69	77.4	330
NMa	18.01	0.0	0.0	0.0	0
WMa	95.41	0.0	0.0	0.0	0
RCIE	39.92	58.74	27.99	65.07	25
JCIE	81.26	-2.88	71.56	71.62	92
GCIE	52.23	-42.41	13.6	44.55	162
BCIE	30.57	1.41	-46.46	46.49	272

Dreiecks-Helligkeit t^*



NG900-7, 9stufige Reihen für konstanten CIELAB Buntton $326/360 = 0.906$ (links)

16stufige Reihen für konstanten CIELAB Buntton $330/360 = 0.917$ (rechts)

Eingabe: Farbmetrisches Fernseh-Licht-System TLS70

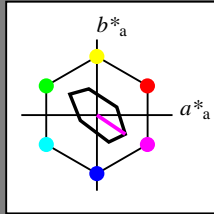
für Buntton $h^* = lab^*h = 326/360 = 0.906$

lab^*tch und lab^*nch

D65: Buntton M

LCH*Ma: 79 45 326

olv*Ma: 1.0 0.0 1.0



TLS70; adaptierte CIELAB-Daten

	$L^*=L^*_a$	a^*_a	b^*_a	$C^*_{ab,a}$	$h^*_{ab,a}$
O _{Ma}	76.43	26.27	10.57	28.32	22
Y _{Ma}	93.93	-10.76	34.63	36.27	107
L _{Ma}	89.32	-35.8	27.64	45.24	142
C _{Ma}	90.93	-21.95	-7.07	23.07	198
V _{Ma}	72.1	15.76	-35.63	38.97	294
M _{Ma}	78.5	37.52	-25.23	45.22	326
N _{Ma}	69.7	0.0	0.0	0.0	0
W _{Ma}	95.41	0.0	0.0	0.0	0
R _{CIE}	39.92	58.74	27.99	65.07	25
J _{CIE}	81.26	-2.88	71.56	71.62	92
G _{CIE}	52.23	-42.41	13.6	44.55	162
B _{CIE}	30.57	1.41	-46.46	46.49	272

Dreiecks-Helligkeit t^*

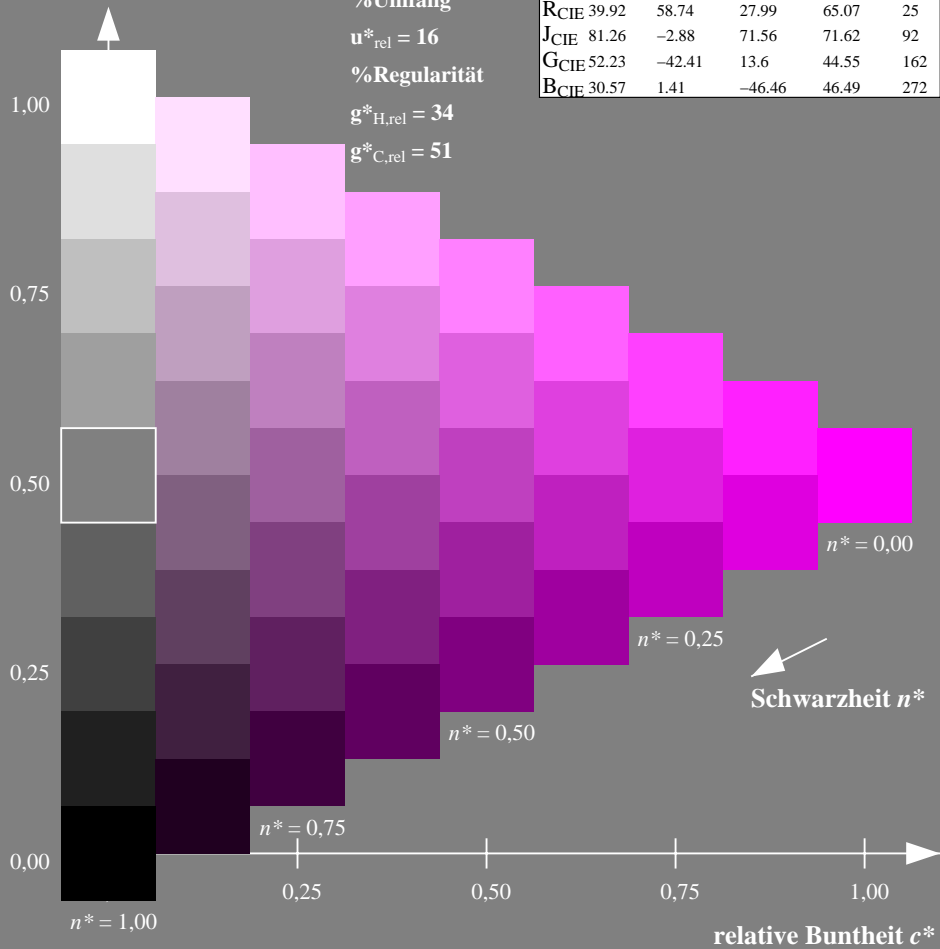
%Umfang

$u^*_{rel} = 16$

%Regularität

$g^*_{H,rel} = 34$

$g^*_{C,rel} = 51$



Ausgabe: Farbmetrisches Fernseh-Licht-System TLS70

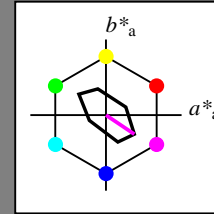
für Buntton $h^* = lab^*h = 326/360 = 0.906$

lab^*tch und lab^*nch

D65: Buntton M

LCH*Ma: 79 45 326

olv*Ma: 1.0 0.0 1.0



TLS70; adaptierte CIELAB-Daten

	$L^*=L^*_a$	a^*_a	b^*_a	$C^*_{ab,a}$	$h^*_{ab,a}$
O _{Ma}	76.43	26.27	10.57	28.32	22
Y _{Ma}	93.93	-10.76	34.63	36.27	107
L _{Ma}	89.32	-35.8	27.64	45.24	142
C _{Ma}	90.93	-21.95	-7.07	23.07	198
V _{Ma}	72.1	15.76	-35.63	38.97	294
M _{Ma}	78.5	37.52	-25.23	45.22	326
N _{Ma}	69.7	0.0	0.0	0.0	0
W _{Ma}	95.41	0.0	0.0	0.0	0
R _{CIE}	39.92	58.74	27.99	65.07	25
J _{CIE}	81.26	-2.88	71.56	71.62	92
G _{CIE}	52.23	-42.41	13.6	44.55	162
B _{CIE}	30.57	1.41	-46.46	46.49	272

Dreiecks-Helligkeit t^*

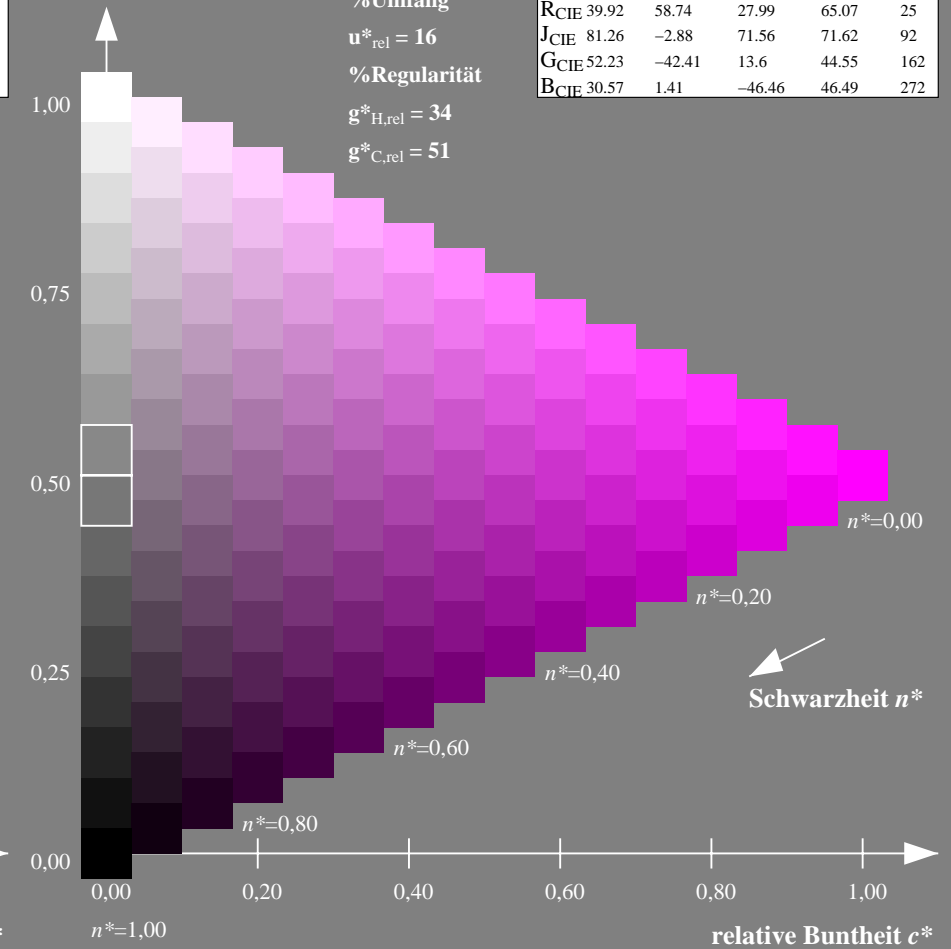
%Umfang

$u^*_{rel} = 16$

%Regularität

$g^*_{H,rel} = 34$

$g^*_{C,rel} = 51$



NG900-7, 9stufige Reihen für konstanten CIELAB Buntton 326/360 = 0.906 (links)

16stufige Reihen für konstanten CIELAB Buntton 326/360 = 0.906 (rechts)

Eingabe: Farbmetrisches Offset-Reflektiv-System ORS18

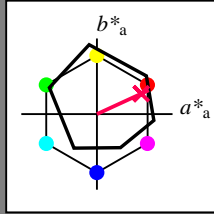
für Buntton $h^* = lab^*h = 25/360 = 0.069$

lab^*tch und lab^*nch

D65: Buntton R

LCH*Ma: 48 75 25

olv*Ma: 1.0 0.0 0.32



ORS18; adaptierte CIELAB-Daten

	$L^*=L^*_a$	a^*_a	b^*_a	$C^*_{ab,a}$	$h^*_{ab,a}$
O _{Ma}	47.94	65.39	50.52	82.63	38
Y _{Ma}	90.37	-10.26	91.75	92.32	96
L _{Ma}	50.9	-62.83	34.96	71.91	151
C _{Ma}	58.62	-30.34	-45.01	54.3	236
V _{Ma}	25.72	31.1	-44.4	54.22	305
M _{Ma}	48.13	75.28	-8.36	75.74	354
N _{Ma}	18.01	0.0	0.0	0.0	0
W _{Ma}	95.41	0.0	0.0	0.0	0
R _{CIE}	39.92	58.66	26.98	64.57	25
J _{CIE}	81.26	-2.16	67.76	67.79	92
G _{CIE}	52.23	-42.25	11.76	43.87	164
B _{CIE}	30.57	1.15	-46.84	46.86	271

Dreiecks-Helligkeit t^*

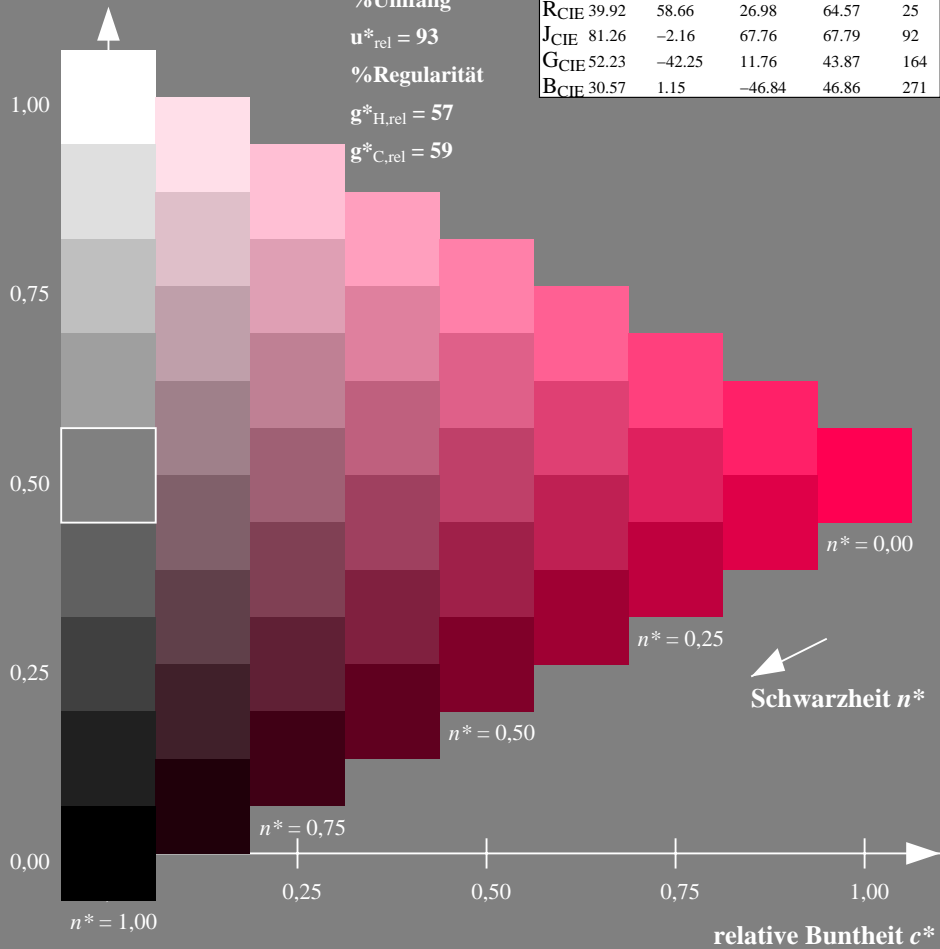
%Umfang

$u^*_{rel} = 93$

%Regularität

$g^*_{H,rel} = 57$

$g^*_{C,rel} = 59$



Ausgabe: Farbmetrisches Offset-Reflektiv-System ORS18

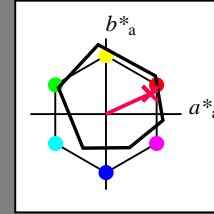
für Buntton $h^* = lab^*h = 25/360 = 0.069$

lab^*tch und lab^*nch

D65: Buntton R

LCH*Ma: 48 75 25

olv*Ma: 1.0 0.0 0.32



ORS18; adaptierte CIELAB-Daten

	$L^*=L^*_a$	a^*_a	b^*_a	$C^*_{ab,a}$	$h^*_{ab,a}$
O _{Ma}	47.94	65.39	50.52	82.63	38
Y _{Ma}	90.37	-10.26	91.75	92.32	96
L _{Ma}	50.9	-62.83	34.96	71.91	151
C _{Ma}	58.62	-30.34	-45.01	54.3	236
V _{Ma}	25.72	31.1	-44.4	54.22	305
M _{Ma}	48.13	75.28	-8.36	75.74	354
N _{Ma}	18.01	0.0	0.0	0.0	0
W _{Ma}	95.41	0.0	0.0	0.0	0
R _{CIE}	39.92	58.66	26.98	64.57	25
J _{CIE}	81.26	-2.16	67.76	67.79	92
G _{CIE}	52.23	-42.25	11.76	43.87	164
B _{CIE}	30.57	1.15	-46.84	46.86	271

Dreiecks-Helligkeit t^*

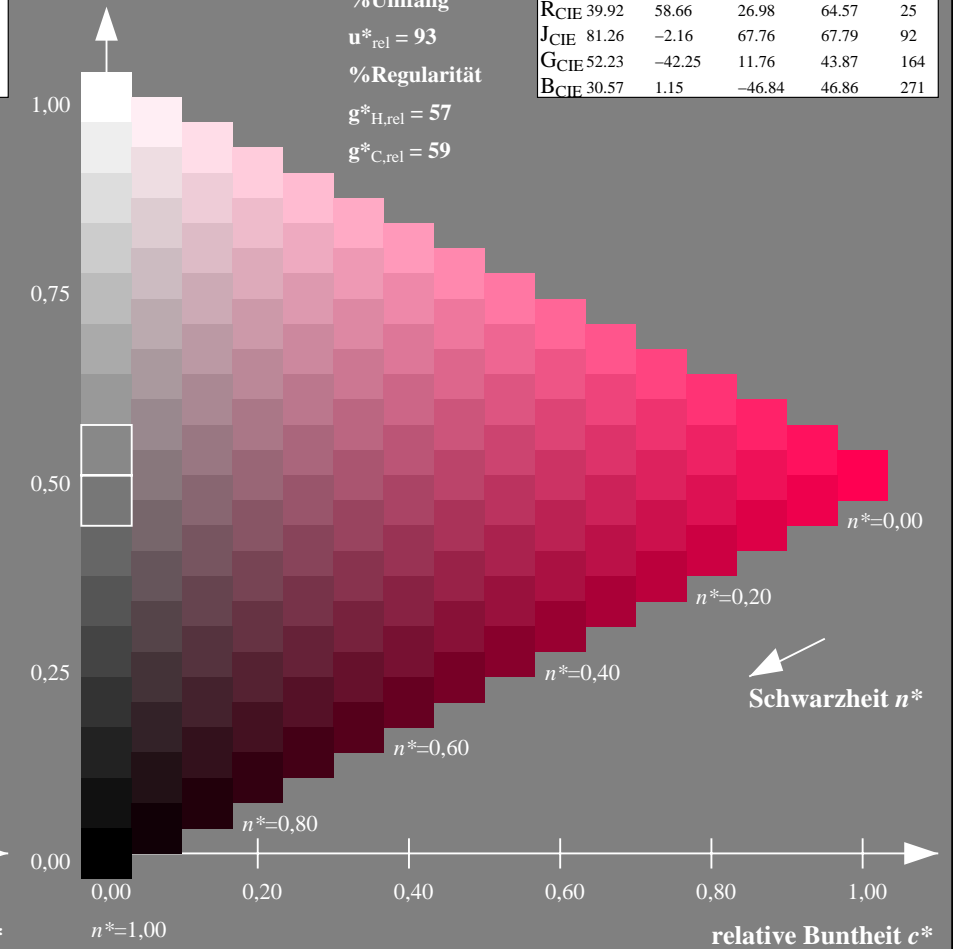
%Umfang

$u^*_{rel} = 93$

%Regularität

$g^*_{H,rel} = 57$

$g^*_{C,rel} = 59$



NG900-7, 9stufige Reihen für konstanten CIELAB Buntton 25/360 = 0.069 (links)

16stufige Reihen für konstanten CIELAB Buntton 25/360 = 0.069 (rechts)

Eingabe: Farbmetrisches Offset-Reflektiv-System ORS18

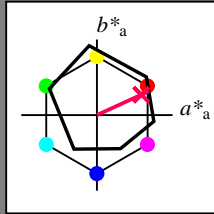
für Buntton $h^* = lab^*h = 25/360 = 0.069$

lab^*tch und lab^*nch

D65: Buntton R

LCH*Ma: 48 75 25

olv*Ma: 1.0 0.0 0.32



ORS18; adaptierte CIELAB-Daten

	$L^*=L^*_a$	a^*_a	b^*_a	$C^*_{ab,a}$	$h^*_{ab,a}$
OMa	47.94	65.39	50.52	82.63	38
YMa	90.37	-10.26	91.75	92.32	96
LMa	50.9	-62.83	34.96	71.91	151
CMa	58.62	-30.34	-45.01	54.3	236
VMa	25.72	31.1	-44.4	54.22	305
MMa	48.13	75.28	-8.36	75.74	354
NMa	18.01	0.0	0.0	0.0	0
WMa	95.41	0.0	0.0	0.0	0
RCIE	39.92	58.66	26.98	64.57	25
JCIE	81.26	-2.16	67.76	67.79	92
GCIE	52.23	-42.25	11.76	43.87	164
BCIE	30.57	1.15	-46.84	46.86	271

Dreiecks-Helligkeit t^*

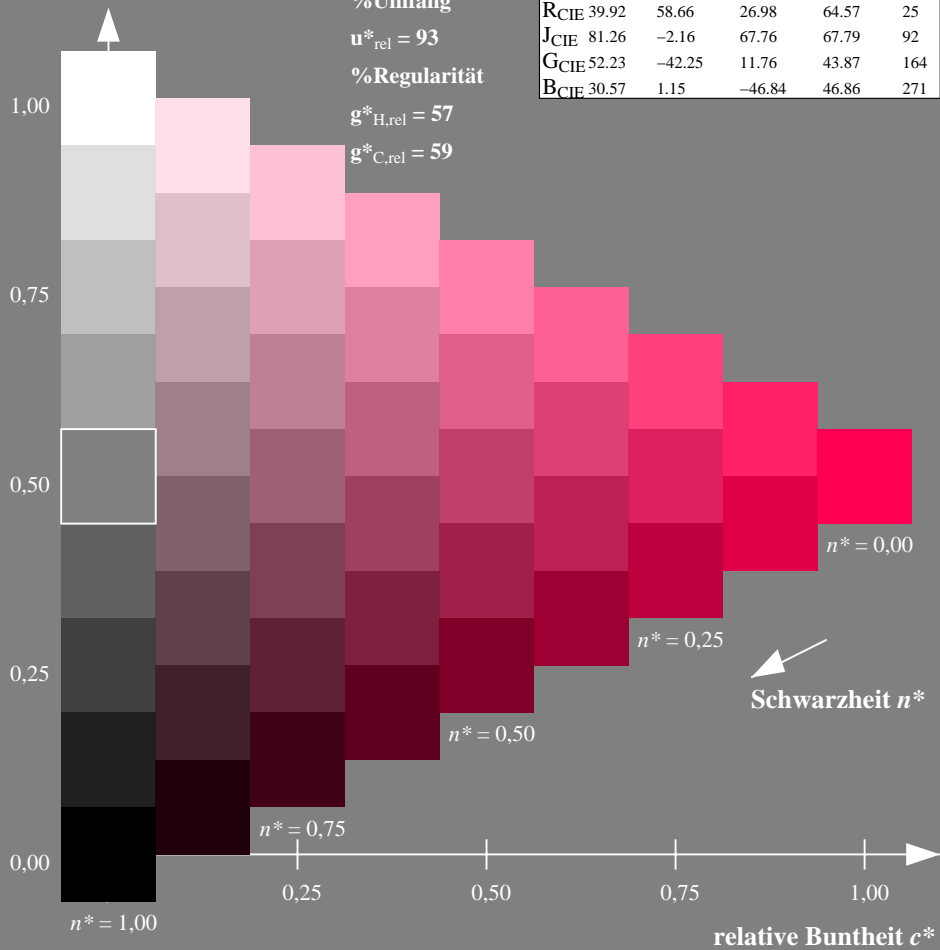
%Umfang

$u^*_{rel} = 93$

%Regularität

$g^*_{H,rel} = 57$

$g^*_{C,rel} = 59$



Ausgabe: Farbmetrisches Fernseh-Licht-System TLS00

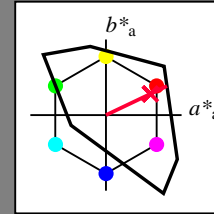
für Buntton $h^* = lab^*h = 25/360 = 0.071$

lab^*tch und lab^*nch

D65: Buntton R

LCH*Ma: 52 89 25

olv*Ma: 1.0 0.0 0.21



TLS00; adaptierte CIELAB-Daten

	$L^*=L^*_a$	a^*_a	b^*_a	$C^*_{ab,a}$	$h^*_{ab,a}$
OMa	50.5	76.92	64.55	100.42	40
YMa	92.66	-20.69	90.75	93.08	103
LMa	83.63	-82.75	79.9	115.04	136
CMa	86.88	-46.16	-13.55	48.12	196
VMa	30.39	76.06	-103.59	128.52	306
MMa	57.3	94.35	-58.41	110.97	328
NMa	0.01	0.0	0.0	0.0	0
WMa	95.41	0.0	0.0	0.0	0
RCIE	39.92	58.74	27.99	65.07	25
JCIE	81.26	-2.88	71.56	71.62	92
GCIE	52.23	-42.41	13.6	44.55	162
BCIE	30.57	1.41	-46.46	46.49	272

Dreiecks-Helligkeit t^*

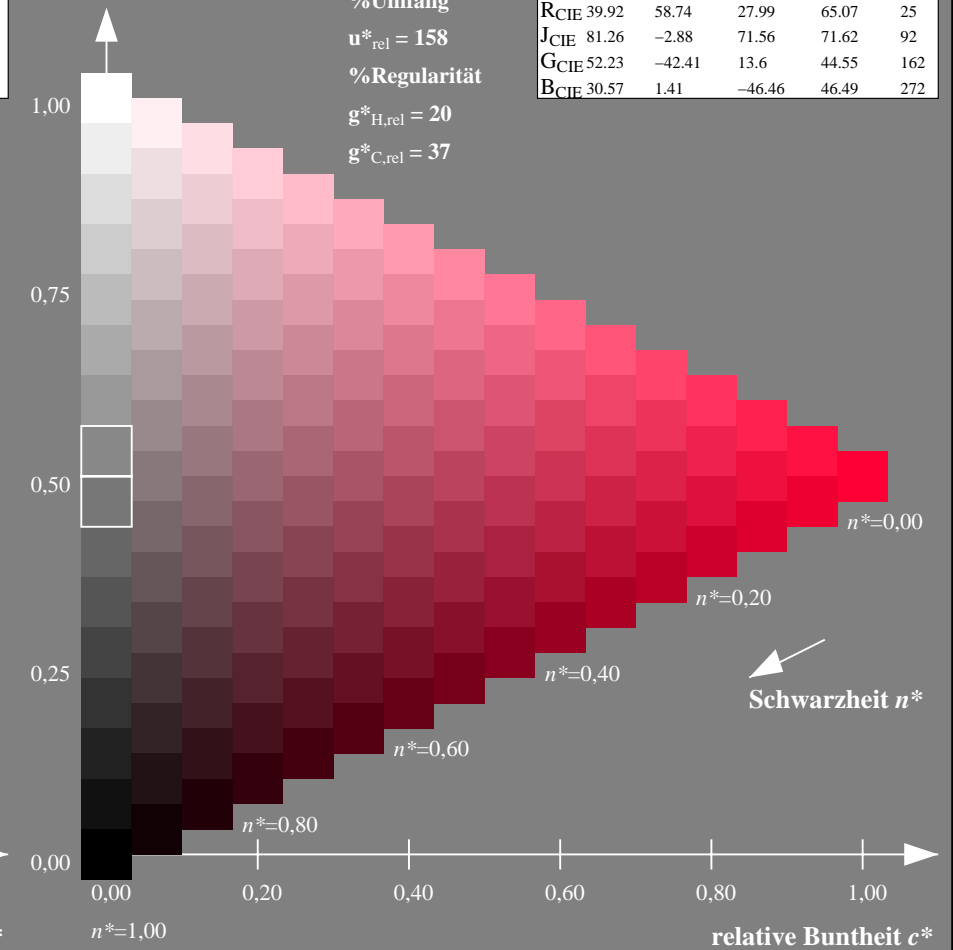
%Umfang

$u^*_{rel} = 158$

%Regularität

$g^*_{H,rel} = 20$

$g^*_{C,rel} = 37$



NG900-7, 9stufige Reihen für konstanten CIELAB Buntton $25/360 = 0.069$ (links)

16stufige Reihen für konstanten CIELAB Buntton $25/360 = 0.071$ (rechts)

Eingabe: Farbmetrisches Offset-Reflektiv-System ORS18

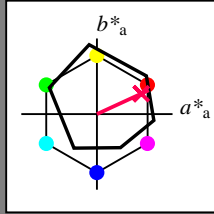
für Buntton $h^* = lab^*h = 25/360 = 0.069$

lab^*tch und lab^*nch

D65: Buntton R

LCH*Ma: 48 75 25

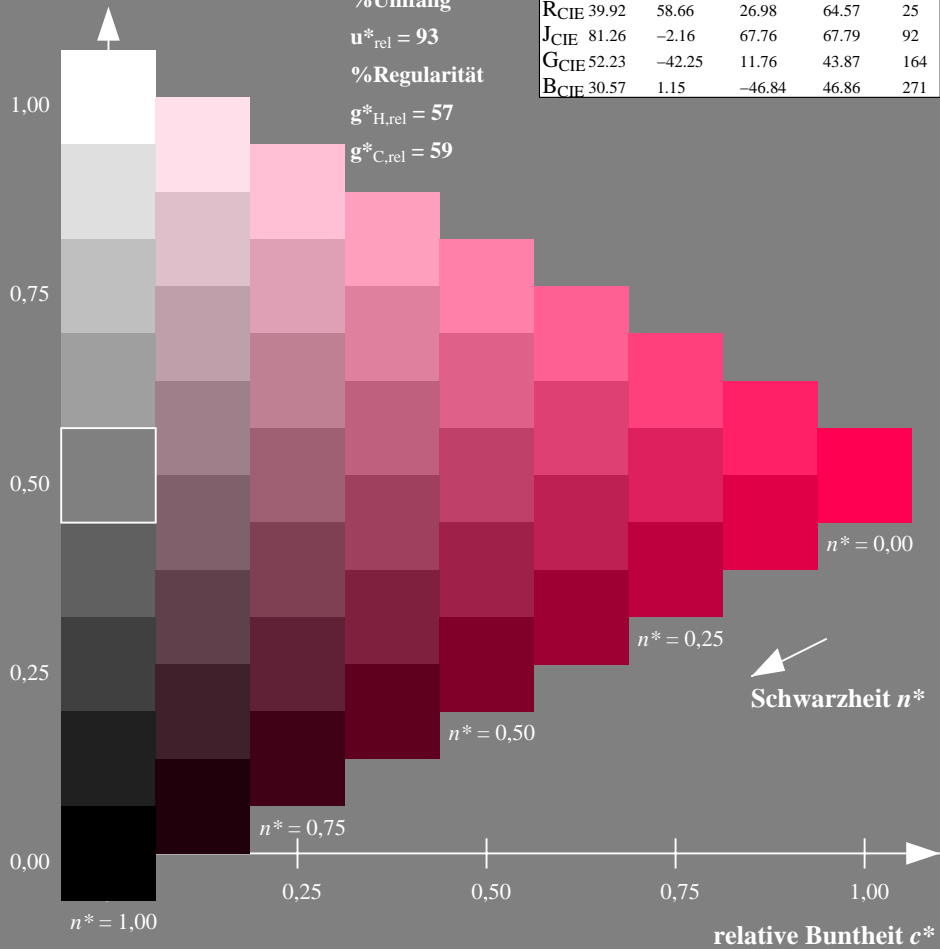
olv*Ma: 1.0 0.0 0.32



ORS18; adaptierte CIELAB-Daten

	$L^*=L^*_a$	a^*_a	b^*_a	$C^*_{ab,a}$	$h^*_{ab,a}$
OMa	47.94	65.39	50.52	82.63	38
YMa	90.37	-10.26	91.75	92.32	96
LMa	50.9	-62.83	34.96	71.91	151
CMa	58.62	-30.34	-45.01	54.3	236
VMa	25.72	31.1	-44.4	54.22	305
MMa	48.13	75.28	-8.36	75.74	354
NMa	18.01	0.0	0.0	0.0	0
WMa	95.41	0.0	0.0	0.0	0
RCIE	39.92	58.66	26.98	64.57	25
JCIE	81.26	-2.16	67.76	67.79	92
GCIE	52.23	-42.25	11.76	43.87	164
BCIE	30.57	1.15	-46.84	46.86	271

Dreiecks-Helligkeit t^*



NG900-7, 9stufige Reihen für konstanten CIELAB Buntton 25/360 = 0.069 (links)

Ausgabe: Farbmetrisches Drucker-Reflektiv-System DRSXX

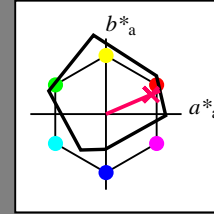
für Buntton $h^* = lab^*h = 23/360 = 0.065$

lab^*tch und lab^*nch

D65: Buntton R

LCH*Ma: 42 78 23

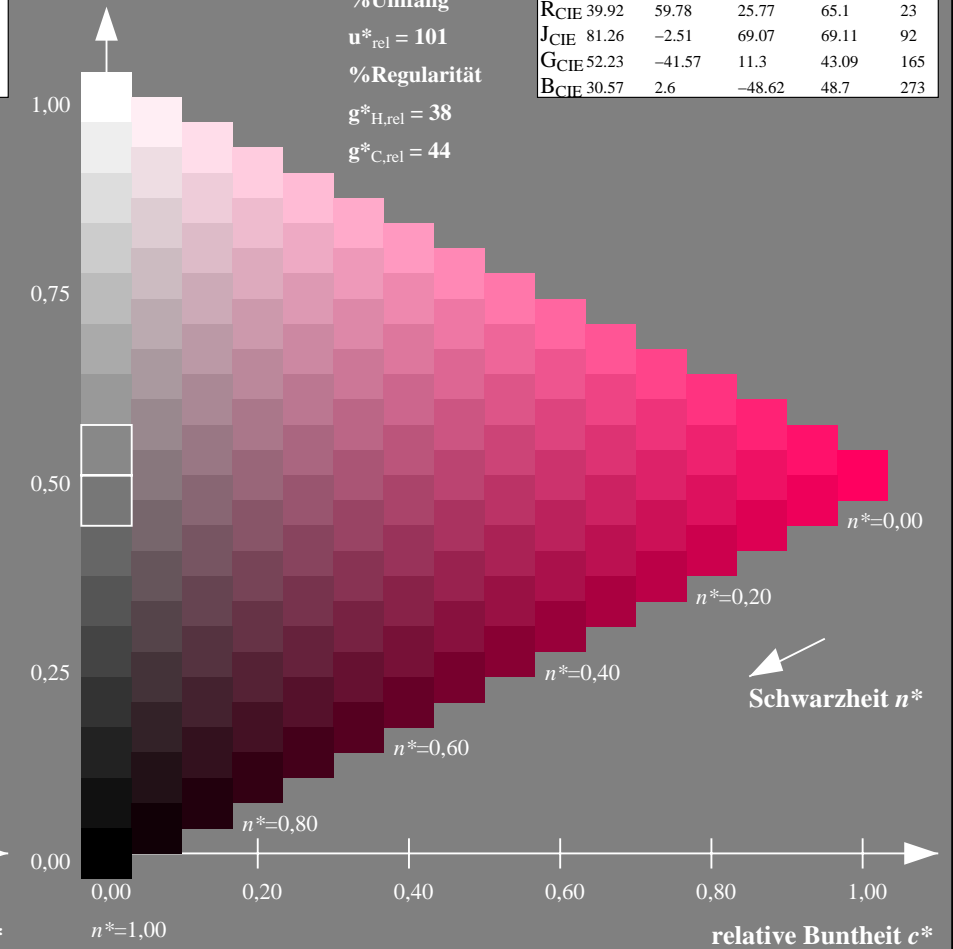
olv*Ma: 1.0 0.0 0.38



DRSXX; adaptierte CIELAB-Daten

	$L^*=L^*_a$	a^*_a	b^*_a	$C^*_{ab,a}$	$h^*_{ab,a}$
OMa	42.21	66.82	50.6	83.82	37
YMa	90.32	-16.51	104.33	105.63	99
LMa	48.21	-75.63	30.65	81.61	158
CMa	53.44	-33.33	-47.49	58.03	235
VMa	34.16	-0.92	-46.56	46.58	269
MMa	42.71	79.0	-1.95	79.03	359
NMa	16.56	0.0	0.0	0.0	0
WMa	96.31	0.0	0.0	0.0	0
RCIE	39.92	59.78	25.77	65.1	23
JCIE	81.26	-2.51	69.07	69.11	92
GCIE	52.23	-41.57	11.3	43.09	165
BCIE	30.57	2.6	-48.62	48.7	273

Dreiecks-Helligkeit t^*



16stufige Reihen für konstanten CIELAB Buntton 23/360 = 0.065 (rechts)

Eingabe: Farbmetrisches Offset-Reflektiv-System ORS18

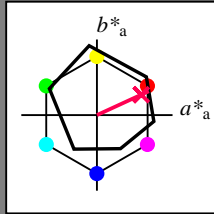
für Buntton $h^* = lab^*h = 25/360 = 0.069$

lab^*tch und lab^*nch

D65: Buntton R

LCH*Ma: 48 75 25

olv*Ma: 1.0 0.0 0.32



ORS18; adaptierte CIELAB-Daten

	$L^*=L^*_a$	a^*_a	b^*_a	$C^*_{ab,a}$	$h^*_{ab,a}$
OMa	47.94	65.39	50.52	82.63	38
YMa	90.37	-10.26	91.75	92.32	96
LMa	50.9	-62.83	34.96	71.91	151
CMa	58.62	-30.34	-45.01	54.3	236
VMa	25.72	31.1	-44.4	54.22	305
MMa	48.13	75.28	-8.36	75.74	354
NMa	18.01	0.0	0.0	0.0	0
WMa	95.41	0.0	0.0	0.0	0
RCIE	39.92	58.66	26.98	64.57	25
JCIE	81.26	-2.16	67.76	67.79	92
GCIE	52.23	-42.25	11.76	43.87	164
BCIE	30.57	1.15	-46.84	46.86	271

Dreiecks-Helligkeit t^*

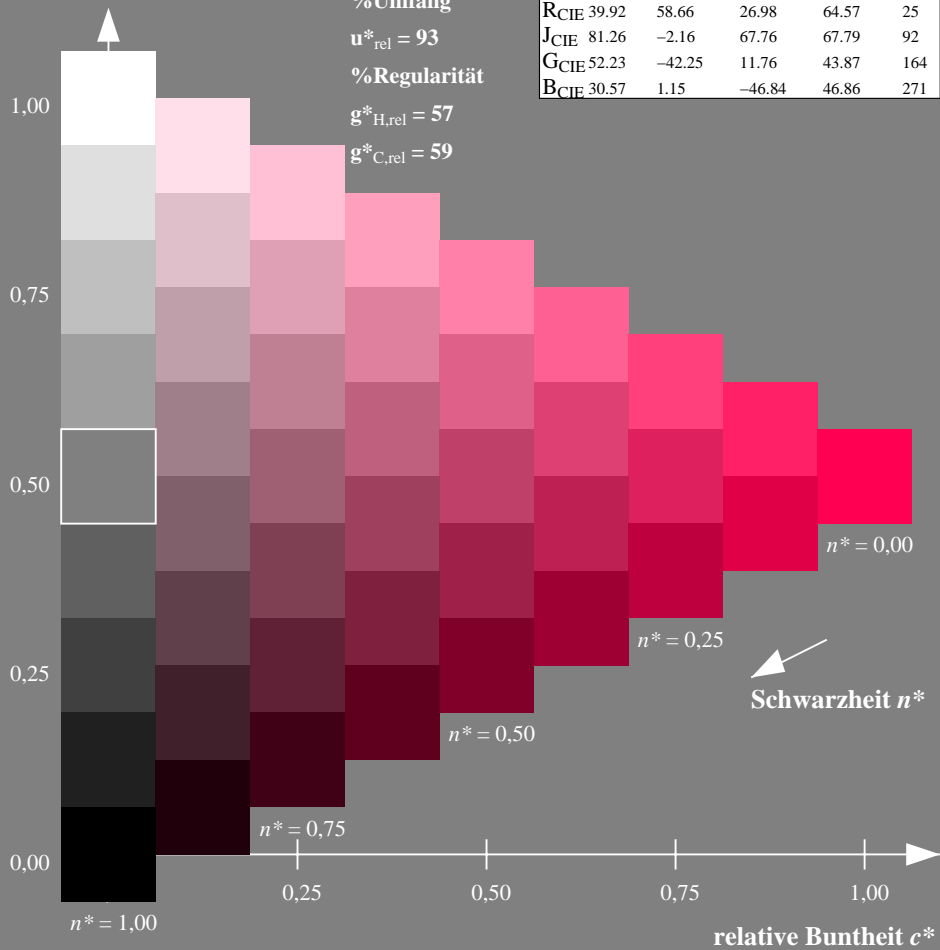
%Umfang

$u^*_{rel} = 93$

%Regularität

$g^*_{H,rel} = 57$

$g^*_{C,rel} = 59$



Ausgabe: Farbmetrisches Fernseh-Licht-System TLS18

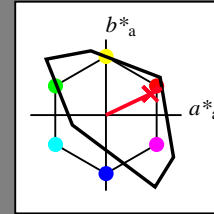
für Buntton $h^* = lab^*h = 25/360 = 0.071$

lab^*tch und lab^*nch

D65: Buntton R

LCH*Ma: 54 82 25

olv*Ma: 1.0 0.0 0.14



TLS18; adaptierte CIELAB-Daten

	$L^*=L^*_a$	a^*_a	b^*_a	$C^*_{ab,a}$	$h^*_{ab,a}$
OMa	52.76	71.63	49.88	87.29	35
YMa	92.74	-20.02	84.97	87.3	103
LMa	84.0	-78.98	73.94	108.2	137
CMa	87.14	-44.41	-13.11	46.32	196
VMa	35.47	64.92	-95.06	115.12	304
MMa	59.01	89.33	-55.67	105.26	328
NMa	18.01	0.0	0.0	0.0	0
WMa	95.41	0.0	0.0	0.0	0
RCIE	39.92	58.74	27.99	65.07	25
JCIE	81.26	-2.88	71.56	71.62	92
GCIE	52.23	-42.41	13.6	44.55	162
BCIE	30.57	1.41	-46.46	46.49	272

Dreiecks-Helligkeit t^*

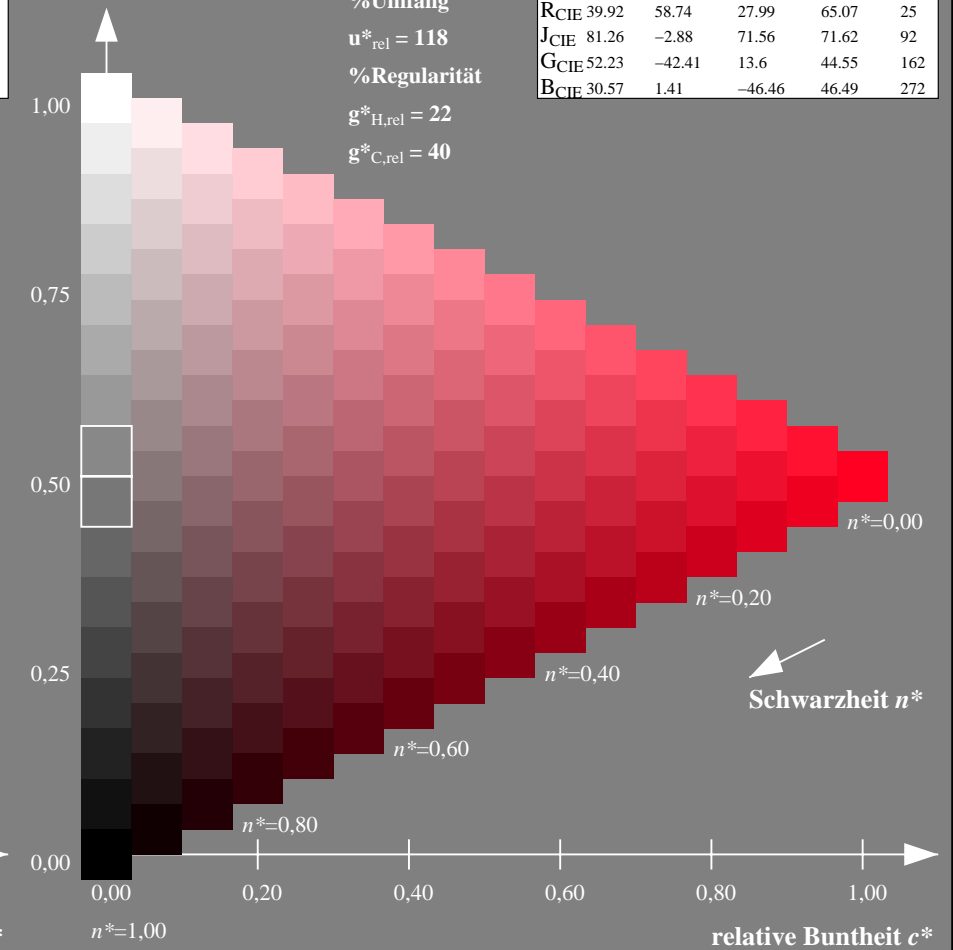
%Umfang

$u^*_{rel} = 118$

%Regularität

$g^*_{H,rel} = 22$

$g^*_{C,rel} = 40$



NG900-7, 9stufige Reihen für konstanten CIELAB Buntton $25/360 = 0.069$ (links)

16stufige Reihen für konstanten CIELAB Buntton $25/360 = 0.071$ (rechts)

Eingabe: Farbmetrisches Offset-Reflektiv-System ORS18

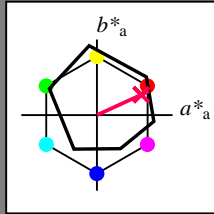
für Buntton $h^* = lab^*h = 25/360 = 0.069$

lab^*tch und lab^*nch

D65: Buntton R

LCH*Ma: 48 75 25

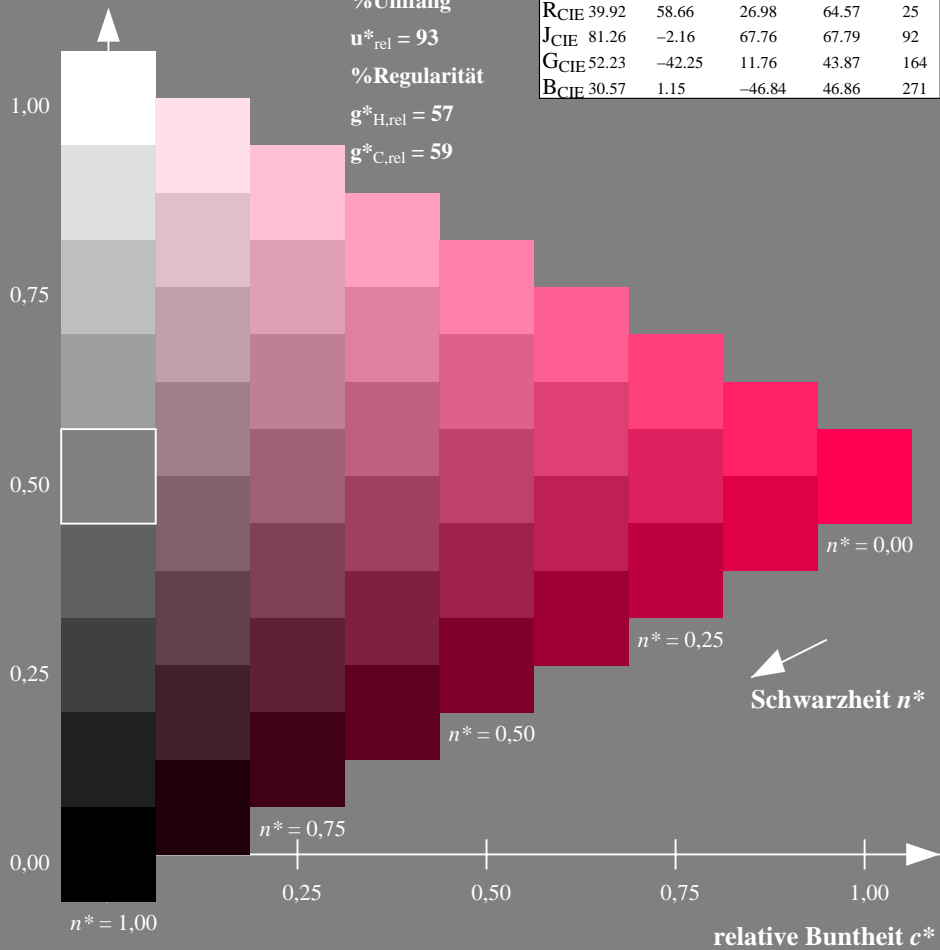
olv*Ma: 1.0 0.0 0.32



ORS18; adaptierte CIELAB-Daten

	$L^*=L^*_a$	a^*_a	b^*_a	$C^*_{ab,a}$	$h^*_{ab,a}$
OMa	47.94	65.39	50.52	82.63	38
YMa	90.37	-10.26	91.75	92.32	96
LMa	50.9	-62.83	34.96	71.91	151
CMa	58.62	-30.34	-45.01	54.3	236
VMa	25.72	31.1	-44.4	54.22	305
MMa	48.13	75.28	-8.36	75.74	354
NMa	18.01	0.0	0.0	0.0	0
WMa	95.41	0.0	0.0	0.0	0
RCIE	39.92	58.66	26.98	64.57	25
JCIE	81.26	-2.16	67.76	67.79	92
GCIE	52.23	-42.25	11.76	43.87	164
BCIE	30.57	1.15	-46.84	46.86	271

Dreiecks-Helligkeit t^*



Ausgabe: Farbmetrisches Natürliches-Licht-System NLS00

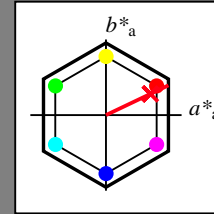
für Buntton $h^* = lab^*h = 25/360 = 0.071$

lab^*tch und lab^*nch

D65: Buntton R

LCH*Ma: 35 92 25

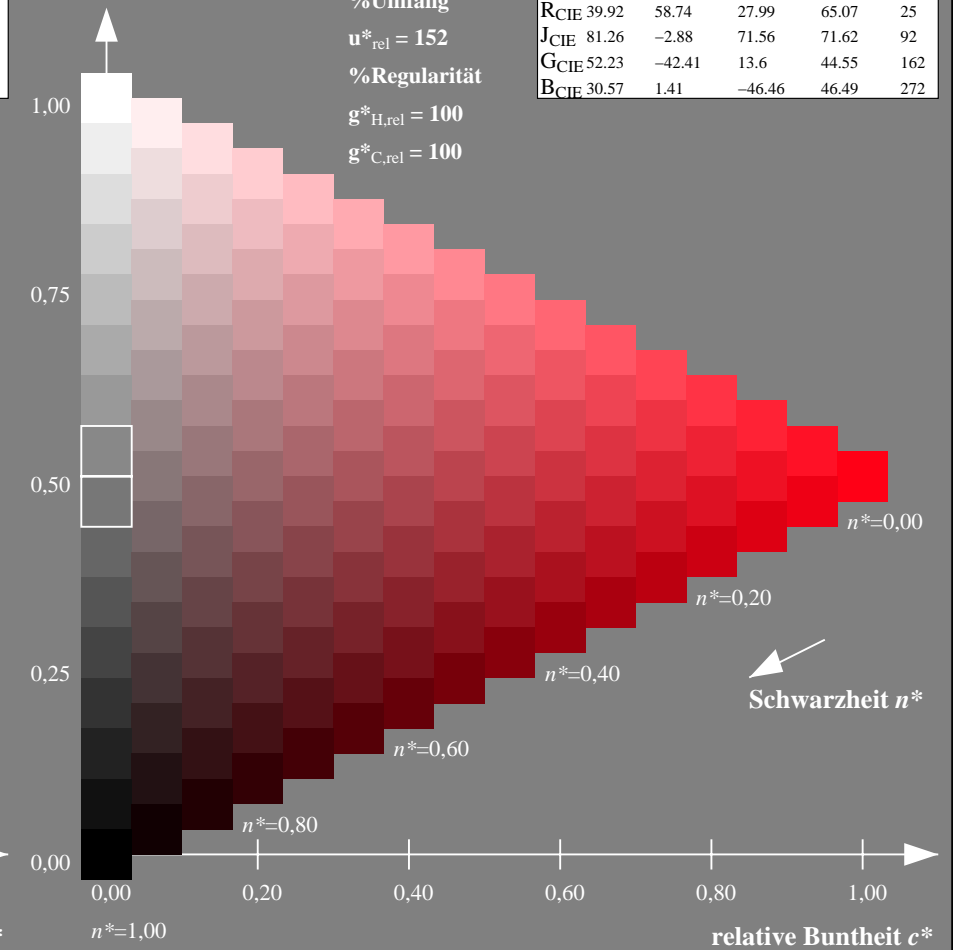
olv*Ma: 1.0 0.0 0.09



NLS00; adaptierte CIELAB-Daten

	$L^*=L^*_a$	a^*_a	b^*_a	$C^*_{ab,a}$	$h^*_{ab,a}$
OMa	31.81	82.62	47.7	95.4	30
YMa	63.61	0.0	95.4	95.4	90
LMa	31.81	-82.61	47.7	95.4	150
CMa	63.61	-82.61	-47.69	95.4	210
VMa	31.81	0.0	-95.39	95.4	270
MMa	63.61	82.62	-47.69	95.4	330
NMa	0.01	0.0	0.0	0.0	0
WMa	95.41	0.0	0.0	0.0	0
RCIE	39.92	58.74	27.99	65.07	25
JCIE	81.26	-2.88	71.56	71.62	92
GCIE	52.23	-42.41	13.6	44.55	162
BCIE	30.57	1.41	-46.46	46.49	272

Dreiecks-Helligkeit t^*



NG900-7, 9stufige Reihen für konstanten CIELAB Buntton $25/360 = 0.069$ (links)

16stufige Reihen für konstanten CIELAB Buntton $25/360 = 0.071$ (rechts)

Eingabe: Farbmetrisches Offset-Reflektiv-System ORS18

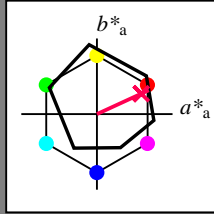
für Buntton $h^* = lab^*h = 25/360 = 0.069$

lab^*tch und lab^*nch

D65: Buntton R

LCH*Ma: 48 75 25

olv*Ma: 1.0 0.0 0.32



ORS18; adaptierte CIELAB-Daten

	$L^*=L^*_a$	a^*_a	b^*_a	$C^*_{ab,a}$	$h^*_{ab,a}$
OMa	47.94	65.39	50.52	82.63	38
YMa	90.37	-10.26	91.75	92.32	96
LMa	50.9	-62.83	34.96	71.91	151
CMa	58.62	-30.34	-45.01	54.3	236
VMa	25.72	31.1	-44.4	54.22	305
MMa	48.13	75.28	-8.36	75.74	354
NMa	18.01	0.0	0.0	0.0	0
WMa	95.41	0.0	0.0	0.0	0
RCIE	39.92	58.66	26.98	64.57	25
JCIE	81.26	-2.16	67.76	67.79	92
GCIE	52.23	-42.25	11.76	43.87	164
BCIE	30.57	1.15	-46.84	46.86	271

Dreiecks-Helligkeit t^*

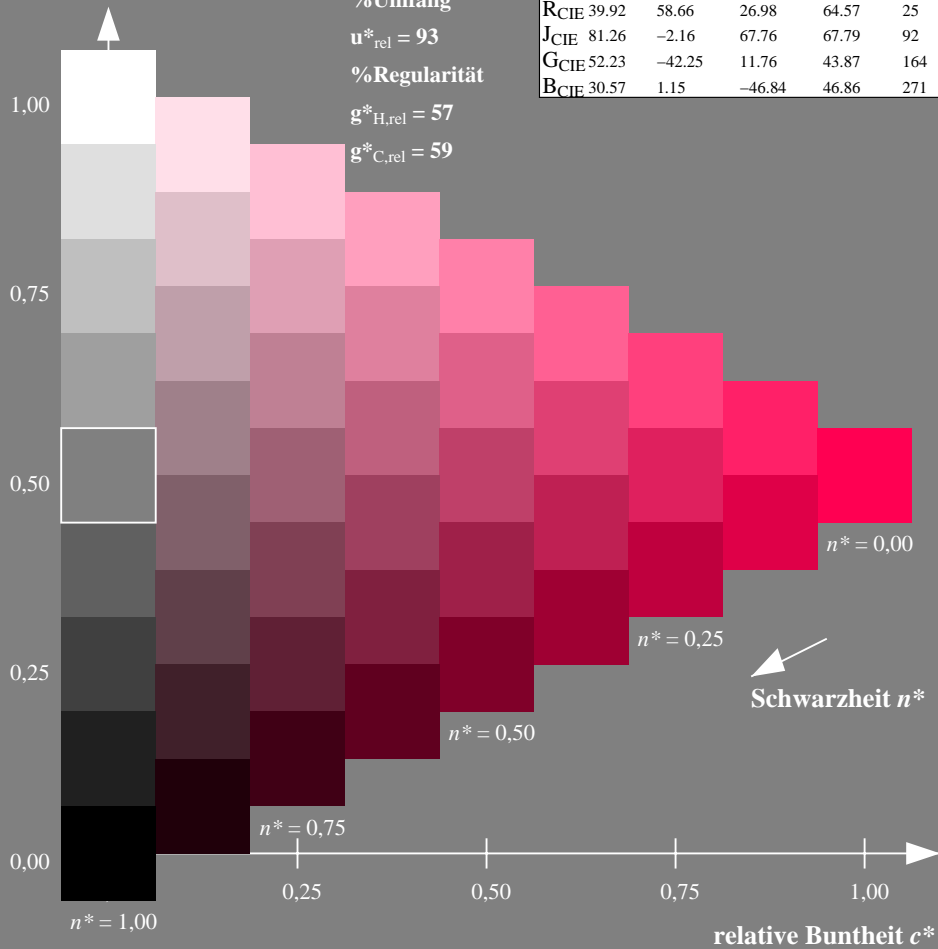
%Umfang

$u^*_{rel} = 93$

%Regularität

$g^*_{H,rel} = 57$

$g^*_{C,rel} = 59$



Ausgabe: Farbmetrisches Natürliches-Reflektiv-System NRS18

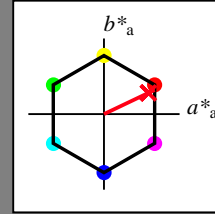
für Buntton $h^* = lab^*h = 25/360 = 0.071$

lab^*tch und lab^*nch

D65: Buntton R

LCH*Ma: 46 74 25

olv*Ma: 1.0 0.0 0.09



NRS18; adaptierte CIELAB-Daten

	$L^*=L^*_a$	a^*_a	b^*_a	$C^*_{ab,a}$	$h^*_{ab,a}$
OMa	43.81	67.03	38.7	77.4	30
YMa	69.61	0.0	77.4	77.4	90
LMa	43.81	-67.02	38.7	77.4	150
CMa	69.61	-67.02	-38.69	77.4	210
VMa	43.81	0.0	-77.39	77.4	270
MMa	69.61	67.03	-38.69	77.4	330
NMa	18.01	0.0	0.0	0.0	0
WMa	95.41	0.0	0.0	0.0	0
RCIE	39.92	58.74	27.99	65.07	25
JCIE	81.26	-2.88	71.56	71.62	92
GCIE	52.23	-42.41	13.6	44.55	162
BCIE	30.57	1.41	-46.46	46.49	272

Dreiecks-Helligkeit t^*

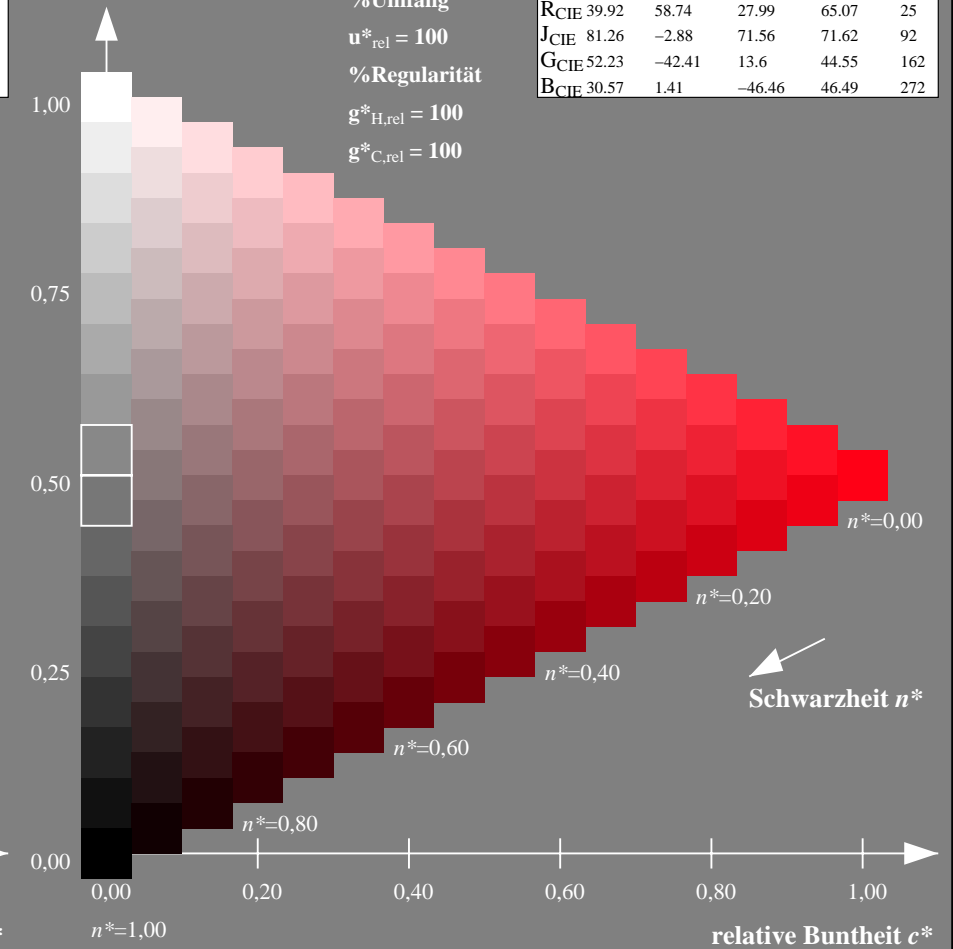
%Umfang

$u^*_{rel} = 100$

%Regularität

$g^*_{H,rel} = 100$

$g^*_{C,rel} = 100$



NG900-7, 9stufige Reihen für konstanten CIELAB Buntton $25/360 = 0.069$ (links)

16stufige Reihen für konstanten CIELAB Buntton $25/360 = 0.071$ (rechts)

Eingabe: Farbmetrisches Offset-Reflektiv-System ORS18

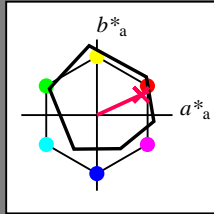
für Buntton $h^* = lab^*h = 25/360 = 0.069$

lab^*tch und lab^*nch

D65: Buntton R

LCH*Ma: 48 75 25

olv*Ma: 1.0 0.0 0.32



ORS18; adaptierte CIELAB-Daten

	$L^*=L^*_a$	a^*_a	b^*_a	$C^*_{ab,a}$	$h^*_{ab,a}$
OMa	47.94	65.39	50.52	82.63	38
YMa	90.37	-10.26	91.75	92.32	96
LMa	50.9	-62.83	34.96	71.91	151
CMa	58.62	-30.34	-45.01	54.3	236
VMa	25.72	31.1	-44.4	54.22	305
MMa	48.13	75.28	-8.36	75.74	354
NMa	18.01	0.0	0.0	0.0	0
WMa	95.41	0.0	0.0	0.0	0
RCIE	39.92	58.66	26.98	64.57	25
JCIE	81.26	-2.16	67.76	67.79	92
GCIE	52.23	-42.25	11.76	43.87	164
BCIE	30.57	1.15	-46.84	46.86	271

Dreiecks-Helligkeit t^*

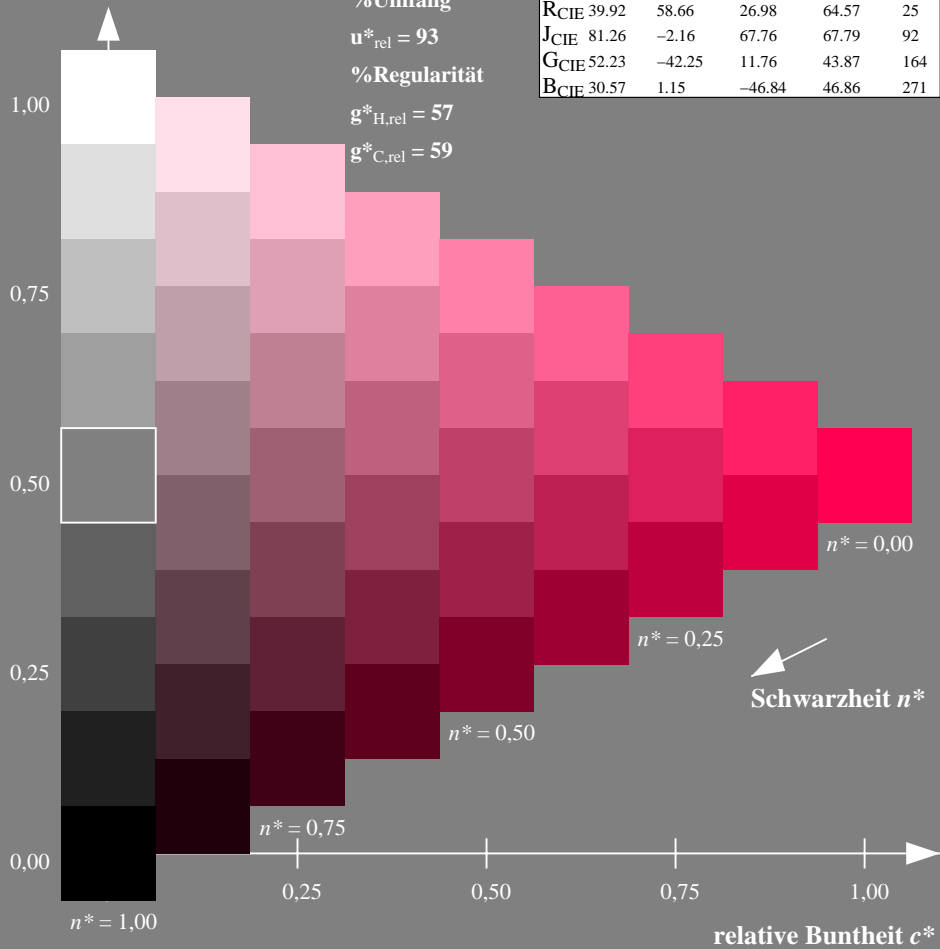
%Umfang

$u^*_{rel} = 93$

%Regularität

$g^*_{H,rel} = 57$

$g^*_{C,rel} = 59$



Ausgabe: Farbmetrisches Standard-Reflektiv-System SRS18

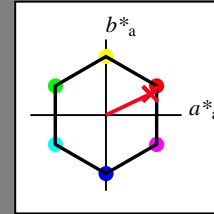
für Buntton $h^* = lab^*h = 25/360 = 0.071$

lab^*tch und lab^*nch

D65: Buntton R

LCH*Ma: 57 74 25

olv*Ma: 1.0 0.0 0.09



SRS18; adaptierte CIELAB-Daten

	$L^*=L^*_a$	a^*_a	b^*_a	$C^*_{ab,a}$	$h^*_{ab,a}$
OMa	56.71	67.03	38.7	77.4	30
YMa	56.71	0.0	77.4	77.4	90
LMa	56.71	-67.02	38.7	77.4	150
CMa	56.71	-67.02	-38.69	77.4	210
VMa	56.71	0.0	-77.39	77.4	270
MMa	56.71	67.03	-38.69	77.4	330
NMa	18.01	0.0	0.0	0.0	0
WMa	95.41	0.0	0.0	0.0	0
RCIE	39.92	58.74	27.99	65.07	25
JCIE	81.26	-2.88	71.56	71.62	92
GCIE	52.23	-42.41	13.6	44.55	162
BCIE	30.57	1.41	-46.46	46.49	272

Dreiecks-Helligkeit t^*

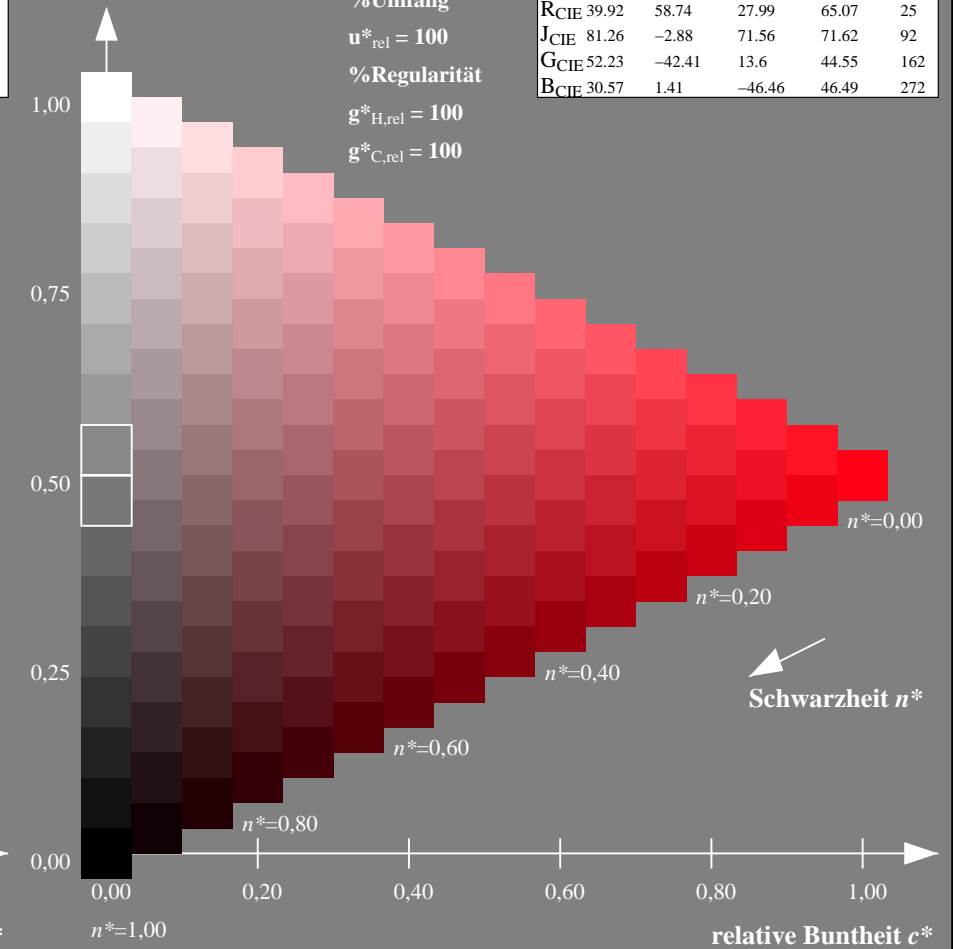
%Umfang

$u^*_{rel} = 100$

%Regularität

$g^*_{H,rel} = 100$

$g^*_{C,rel} = 100$



NG900-7, 9stufige Reihen für konstanten CIELAB Buntton $25/360 = 0.069$ (links)

16stufige Reihen für konstanten CIELAB Buntton $25/360 = 0.071$ (rechts)

Eingabe: Farbmetrisches Offset-Reflektiv-System ORS18

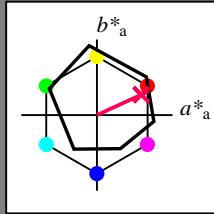
für Buntton $h^* = lab^*h = 25/360 = 0.069$

lab^*tch und lab^*nch

D65: Buntton R

LCH*Ma: 48 75 25

olv*Ma: 1.0 0.0 0.32



ORS18; adaptierte CIELAB-Daten

	$L^*=L^*_a$	a^*_a	b^*_a	$C^*_{ab,a}$	$h^*_{ab,a}$
OMa	47.94	65.39	50.52	82.63	38
YMa	90.37	-10.26	91.75	92.32	96
LMa	50.9	-62.83	34.96	71.91	151
CMa	58.62	-30.34	-45.01	54.3	236
VMa	25.72	31.1	-44.4	54.22	305
MMa	48.13	75.28	-8.36	75.74	354
NMa	18.01	0.0	0.0	0.0	0
WMa	95.41	0.0	0.0	0.0	0
RCIE	39.92	58.66	26.98	64.57	25
JCIE	81.26	-2.16	67.76	67.79	92
GCIE	52.23	-42.25	11.76	43.87	164
BCIE	30.57	1.15	-46.84	46.86	271

Dreiecks-Helligkeit t^*

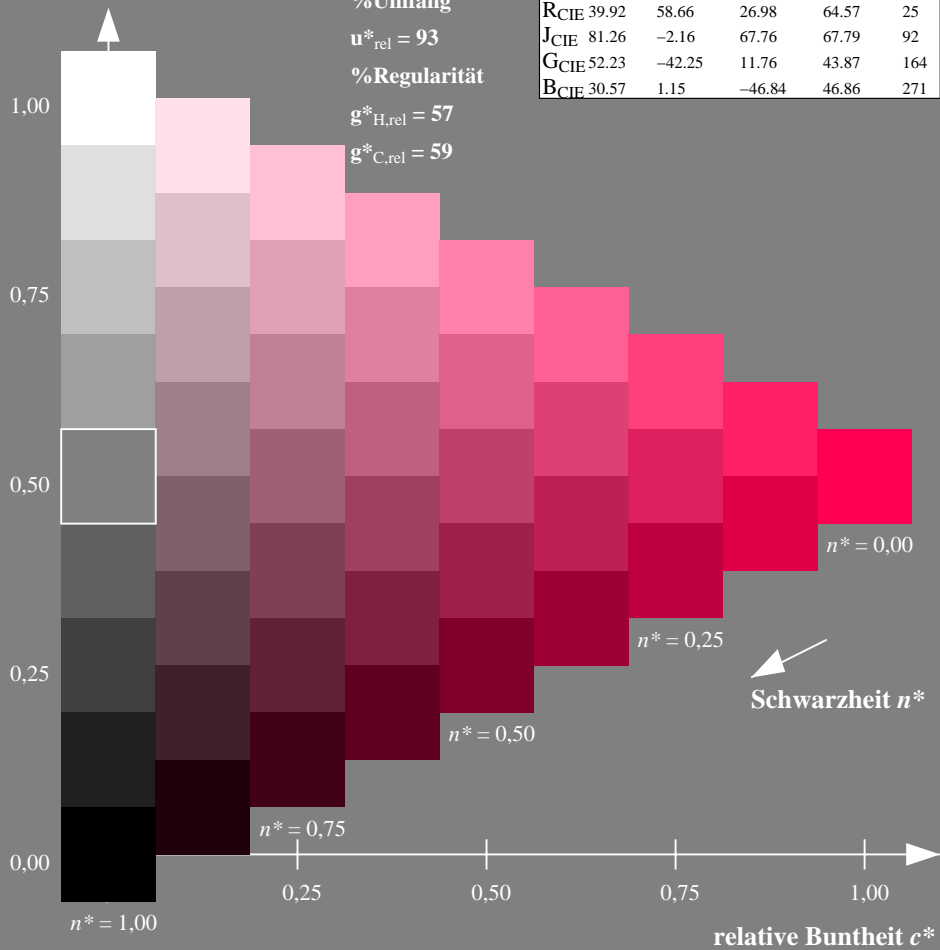
%Umfang

$u^*_{rel} = 93$

%Regularität

$g^*_{H,rel} = 57$

$g^*_{C,rel} = 59$



Ausgabe: Farbmetrisches Fernseh-Licht-System TLS70

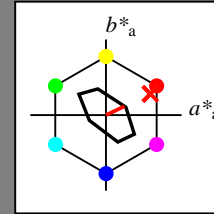
für Buntton $h^* = lab^*h = 25/360 = 0.071$

lab^*tch und lab^*nch

D65: Buntton R

LCH*Ma: 77 27 25

olv*Ma: 1.0 0.05 0.0



TLS70; adaptierte CIELAB-Daten

	$L^*=L^*_a$	a^*_a	b^*_a	$C^*_{ab,a}$	$h^*_{ab,a}$
OMa	76.43	26.27	10.57	28.32	22
YMa	93.93	-10.76	34.63	36.27	107
LMa	89.32	-35.8	27.64	45.24	142
CMa	90.93	-21.95	-7.07	23.07	198
VMa	72.1	15.76	-35.63	38.97	294
MMa	78.5	37.52	-25.23	45.22	326
NMa	69.7	0.0	0.0	0.0	0
WMa	95.41	0.0	0.0	0.0	0
RCIE	39.92	58.74	27.99	65.07	25
JCIE	81.26	-2.88	71.56	71.62	92
GCIE	52.23	-42.41	13.6	44.55	162
BCIE	30.57	1.41	-46.46	46.49	272

Dreiecks-Helligkeit t^*

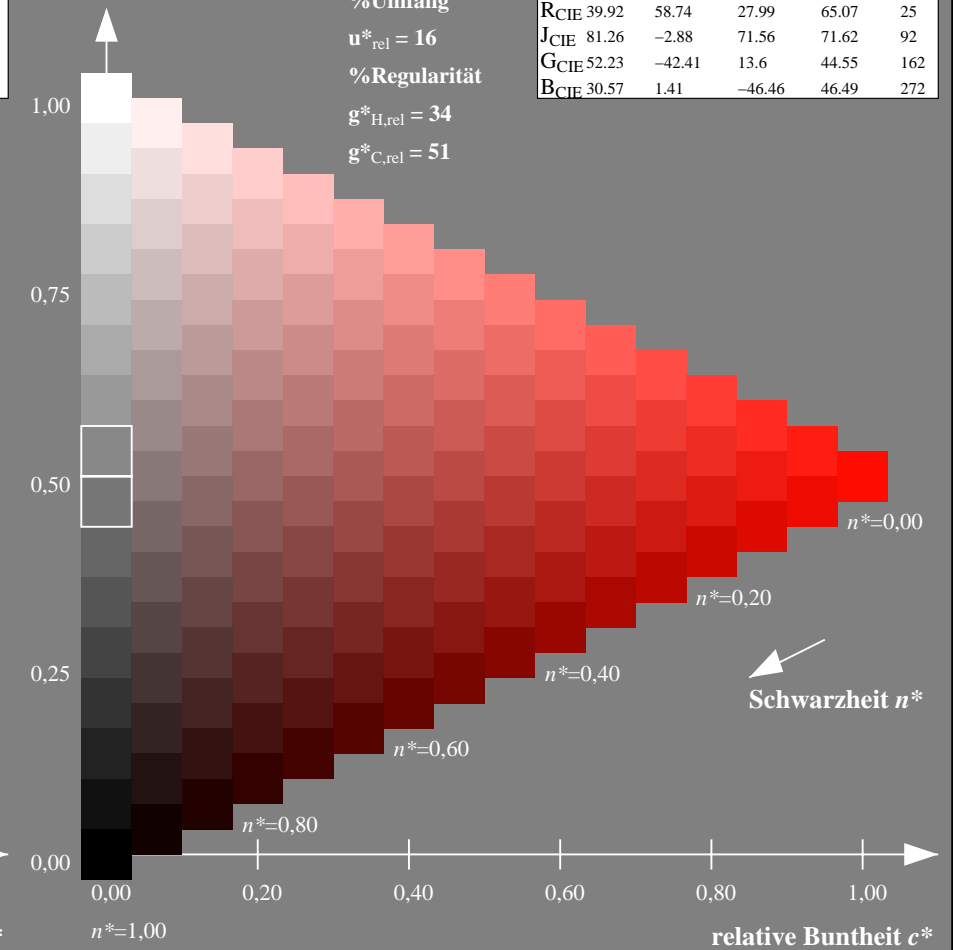
%Umfang

$u^*_{rel} = 16$

%Regularität

$g^*_{H,rel} = 34$

$g^*_{C,rel} = 51$



NG900-7, 9stufige Reihen für konstanten CIELAB Buntton $25/360 = 0.069$ (links)

16stufige Reihen für konstanten CIELAB Buntton $25/360 = 0.071$ (rechts)

Eingabe: Farbmetrisches Fernseh-Licht-System TLS00

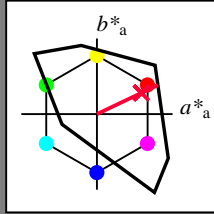
für Buntton $h^* = lab^*h = 25/360 = 0.071$

lab^*tch und lab^*nch

D65: Buntton R

LCH*Ma: 52 89 25

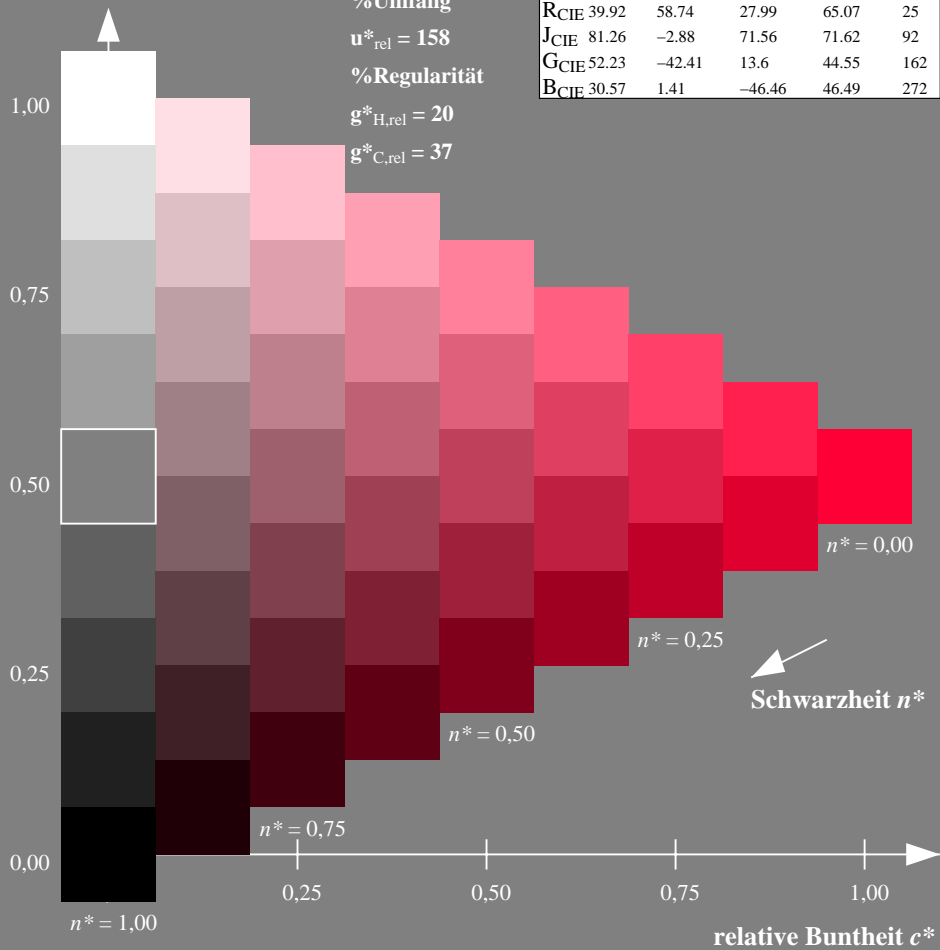
olv*Ma: 1.0 0.0 0.21



TLS00; adaptierte CIELAB-Daten

	$L^*=L^*_a$	a^*_a	b^*_a	$C^*_{ab,a}$	$h^*_{ab,a}$
OMa	50.5	76.92	64.55	100.42	40
YMa	92.66	-20.69	90.75	93.08	103
LMa	83.63	-82.75	79.9	115.04	136
CMa	86.88	-46.16	-13.55	48.12	196
VMa	30.39	76.06	-103.59	128.52	306
MMa	57.3	94.35	-58.41	110.97	328
NMa	0.01	0.0	0.0	0.0	0
WMa	95.41	0.0	0.0	0.0	0
RCIE	39.92	58.74	27.99	65.07	25
JCIE	81.26	-2.88	71.56	71.62	92
GCIE	52.23	-42.41	13.6	44.55	162
BCIE	30.57	1.41	-46.46	46.49	272

Dreiecks-Helligkeit t^*



Ausgabe: Farbmetrisches Offset-Reflektiv-System ORS18

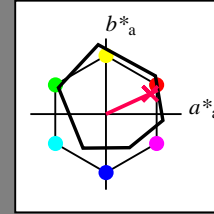
für Buntton $h^* = lab^*h = 25/360 = 0.069$

lab^*tch und lab^*nch

D65: Buntton R

LCH*Ma: 48 75 25

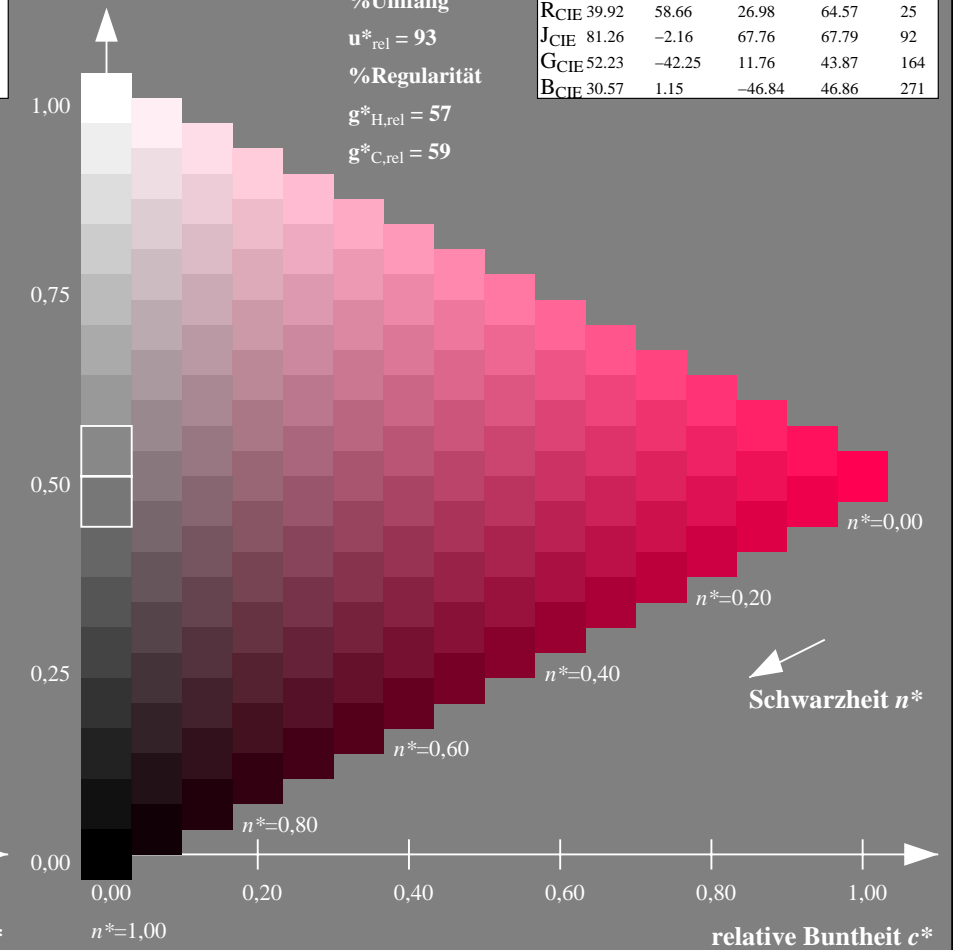
olv*Ma: 1.0 0.0 0.32



ORS18; adaptierte CIELAB-Daten

	$L^*=L^*_a$	a^*_a	b^*_a	$C^*_{ab,a}$	$h^*_{ab,a}$
OMa	47.94	65.39	50.52	82.63	38
YMa	90.37	-10.26	91.75	92.32	96
LMa	50.9	-62.83	34.96	71.91	151
CMa	58.62	-30.34	-45.01	54.3	236
VMa	25.72	31.1	-44.4	54.22	305
MMa	48.13	75.28	-8.36	75.74	354
NMa	18.01	0.0	0.0	0.0	0
WMa	95.41	0.0	0.0	0.0	0
RCIE	39.92	58.66	26.98	64.57	25
JCIE	81.26	-2.16	67.76	67.79	92
GCIE	52.23	-42.25	11.76	43.87	164
BCIE	30.57	1.15	-46.84	46.86	271

Dreiecks-Helligkeit t^*



NG900-7, 9stufige Reihen für konstanten CIELAB Buntton $25/360 = 0.071$ (links)

16stufige Reihen für konstanten CIELAB Buntton $25/360 = 0.069$ (rechts)

Eingabe: Farbmetrisches Fernseh-Licht-System TLS00

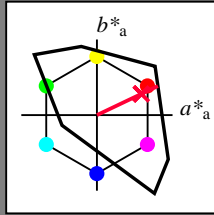
für Buntton $h^* = lab^*h = 25/360 = 0.071$

lab^*tch und lab^*nch

D65: Buntton R

LCH*Ma: 52 89 25

olv*Ma: 1.0 0.0 0.21



TLS00; adaptierte CIELAB-Daten

	$L^*=L^*_a$	a^*_a	b^*_a	$C^*_{ab,a}$	$h^*_{ab,a}$
OMa	50.5	76.92	64.55	100.42	40
YMa	92.66	-20.69	90.75	93.08	103
LMa	83.63	-82.75	79.9	115.04	136
CMa	86.88	-46.16	-13.55	48.12	196
VMa	30.39	76.06	-103.59	128.52	306
MMa	57.3	94.35	-58.41	110.97	328
NMa	0.01	0.0	0.0	0.0	0
WMa	95.41	0.0	0.0	0.0	0
RCIE	39.92	58.74	27.99	65.07	25
JCIE	81.26	-2.88	71.56	71.62	92
GCIE	52.23	-42.41	13.6	44.55	162
BCIE	30.57	1.41	-46.46	46.49	272

Dreiecks-Helligkeit t^*

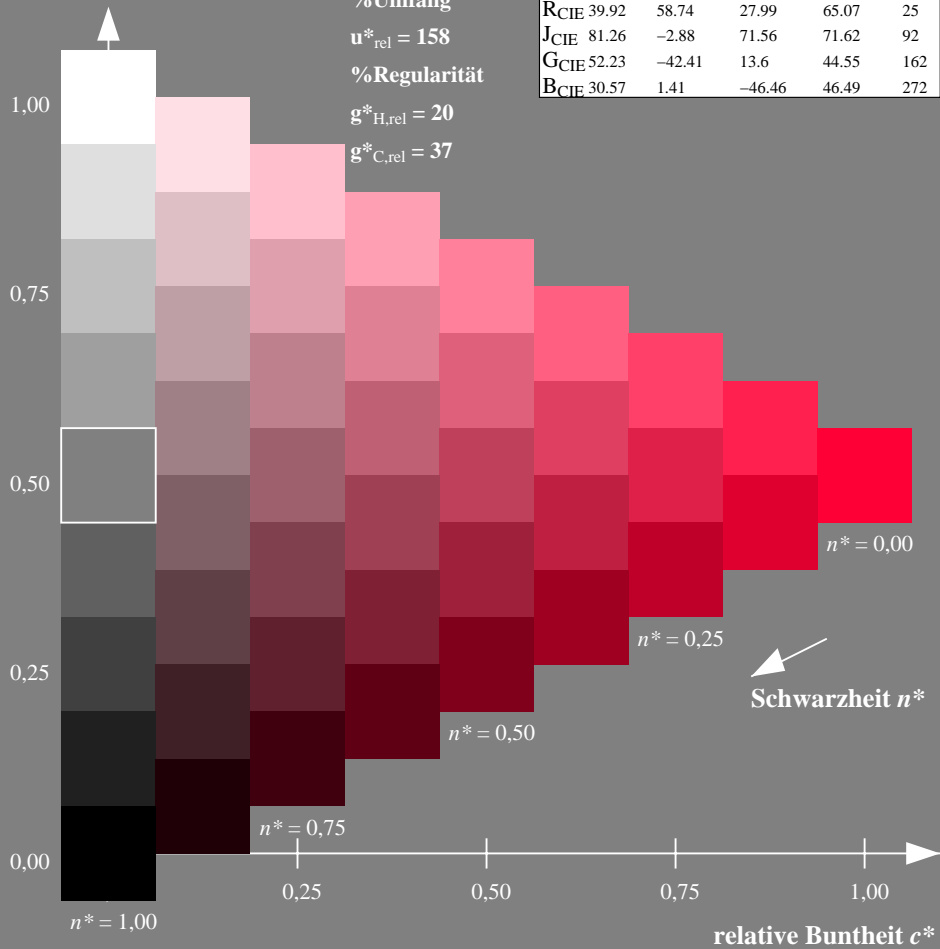
%Umfang

$u^*_{rel} = 158$

%Regularität

$g^*_{H,rel} = 20$

$g^*_{C,rel} = 37$



Ausgabe: Farbmetrisches Fernseh-Licht-System TLS00

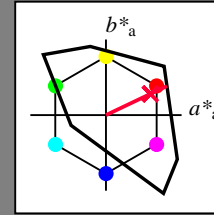
für Buntton $h^* = lab^*h = 25/360 = 0.071$

lab^*tch und lab^*nch

D65: Buntton R

LCH*Ma: 52 89 25

olv*Ma: 1.0 0.0 0.21



TLS00; adaptierte CIELAB-Daten

	$L^*=L^*_a$	a^*_a	b^*_a	$C^*_{ab,a}$	$h^*_{ab,a}$
OMa	50.5	76.92	64.55	100.42	40
YMa	92.66	-20.69	90.75	93.08	103
LMa	83.63	-82.75	79.9	115.04	136
CMa	86.88	-46.16	-13.55	48.12	196
VMa	30.39	76.06	-103.59	128.52	306
MMa	57.3	94.35	-58.41	110.97	328
NMa	0.01	0.0	0.0	0.0	0
WMa	95.41	0.0	0.0	0.0	0
RCIE	39.92	58.74	27.99	65.07	25
JCIE	81.26	-2.88	71.56	71.62	92
GCIE	52.23	-42.41	13.6	44.55	162
BCIE	30.57	1.41	-46.46	46.49	272

Dreiecks-Helligkeit t^*

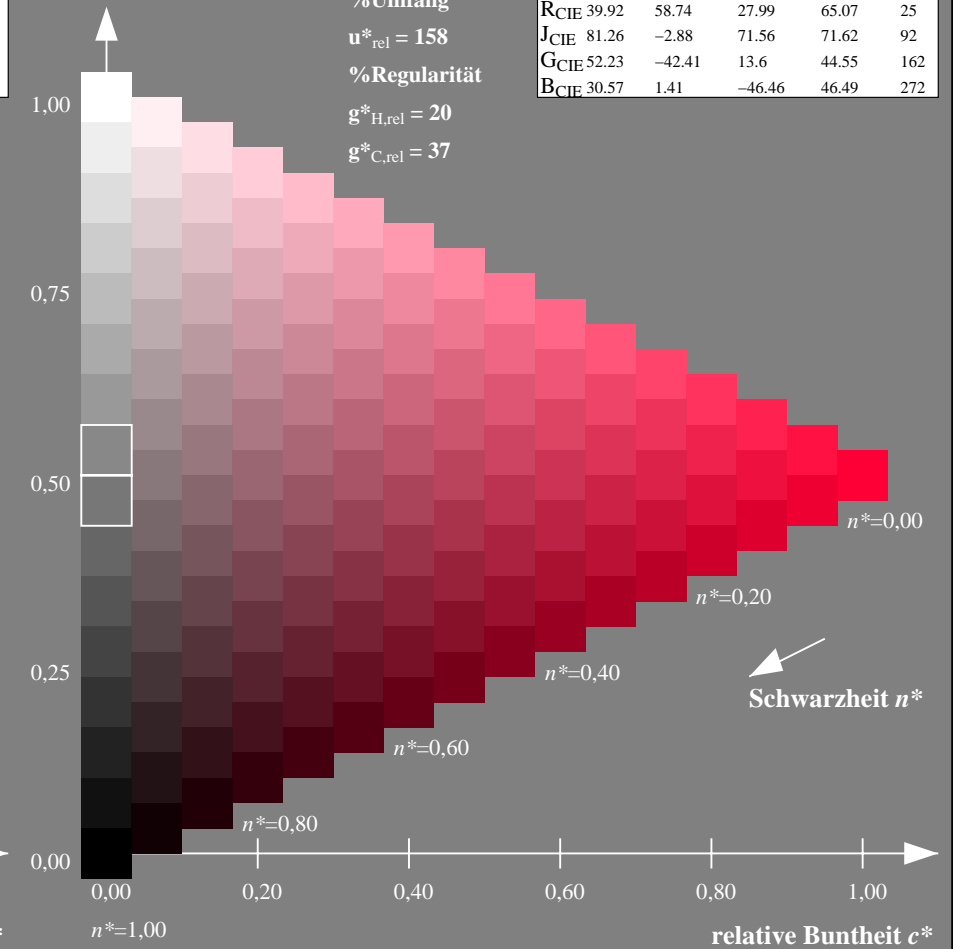
%Umfang

$u^*_{rel} = 158$

%Regularität

$g^*_{H,rel} = 20$

$g^*_{C,rel} = 37$



NG900-7, 9stufige Reihen für konstanten CIELAB Buntton $25/360 = 0.071$ (links)

16stufige Reihen für konstanten CIELAB Buntton $25/360 = 0.071$ (rechts)

Eingabe: Farbmetrisches Fernseh-Licht-System TLS00

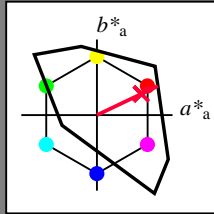
für Buntton $h^* = lab^*h = 25/360 = 0.071$

lab^*tch und lab^*nch

D65: Buntton R

LCH*Ma: 52 89 25

olv*Ma: 1.0 0.0 0.21



TLS00; adaptierte CIELAB-Daten

	$L^*=L^*_a$	a^*_a	b^*_a	$C^*_{ab,a}$	$h^*_{ab,a}$
OMa	50.5	76.92	64.55	100.42	40
YMa	92.66	-20.69	90.75	93.08	103
LMa	83.63	-82.75	79.9	115.04	136
CMa	86.88	-46.16	-13.55	48.12	196
VMa	30.39	76.06	-103.59	128.52	306
MMa	57.3	94.35	-58.41	110.97	328
NMa	0.01	0.0	0.0	0.0	0
WMa	95.41	0.0	0.0	0.0	0
RCIE	39.92	58.74	27.99	65.07	25
JCIE	81.26	-2.88	71.56	71.62	92
GCIE	52.23	-42.41	13.6	44.55	162
BCIE	30.57	1.41	-46.46	46.49	272

Dreiecks-Helligkeit t^*

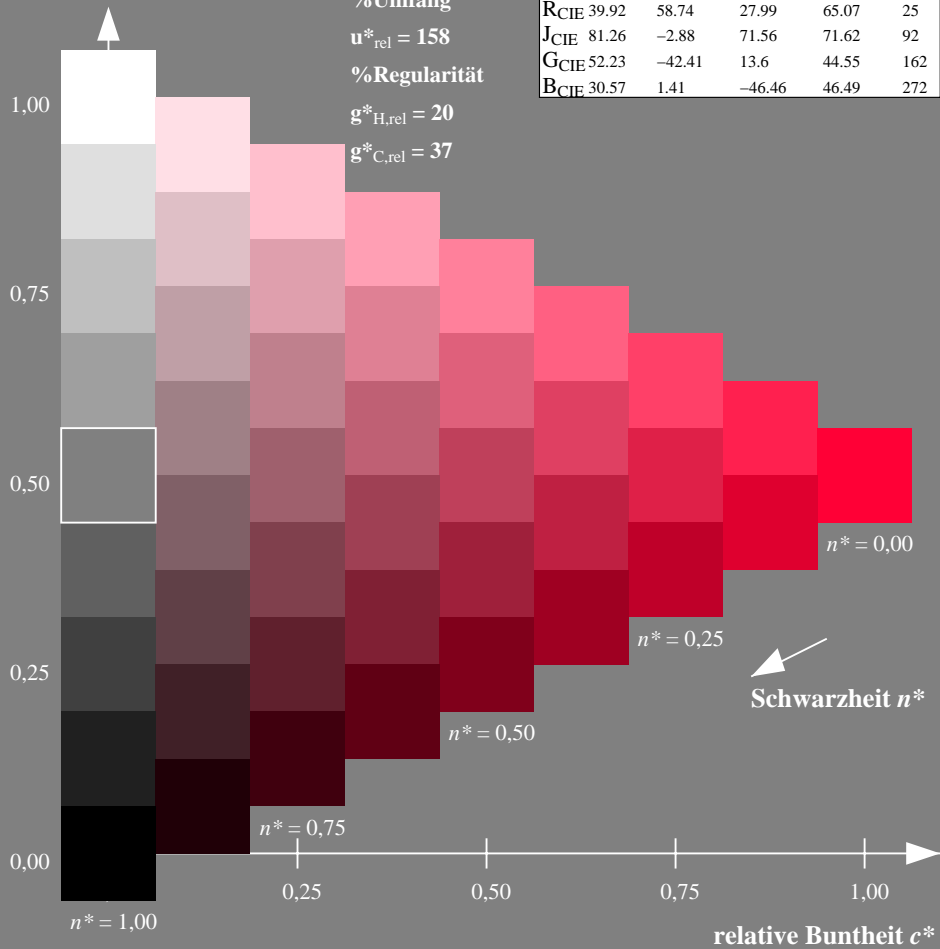
%Umfang

$u^*_{rel} = 158$

%Regularität

$g^*_{H,rel} = 20$

$g^*_{C,rel} = 37$



Ausgabe: Farbmetrisches Drucker-Reflektiv-System DRSXX

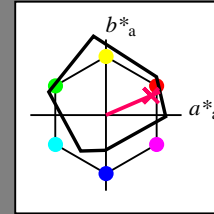
für Buntton $h^* = lab^*h = 23/360 = 0.065$

lab^*tch und lab^*nch

D65: Buntton R

LCH*Ma: 42 78 23

olv*Ma: 1.0 0.0 0.38



DRSXX; adaptierte CIELAB-Daten

	$L^*=L^*_a$	a^*_a	b^*_a	$C^*_{ab,a}$	$h^*_{ab,a}$
OMa	42.21	66.82	50.6	83.82	37
YMa	90.32	-16.51	104.33	105.63	99
LMa	48.21	-75.63	30.65	81.61	158
CMa	53.44	-33.33	-47.49	58.03	235
VMa	34.16	-0.92	-46.56	46.58	269
MMa	42.71	79.0	-1.95	79.03	359
NMa	16.56	0.0	0.0	0.0	0
WMa	96.31	0.0	0.0	0.0	0
RCIE	39.92	59.78	25.77	65.1	23
JCIE	81.26	-2.51	69.07	69.11	92
GCIE	52.23	-41.57	11.3	43.09	165
BCIE	30.57	2.6	-48.62	48.7	273

Dreiecks-Helligkeit t^*

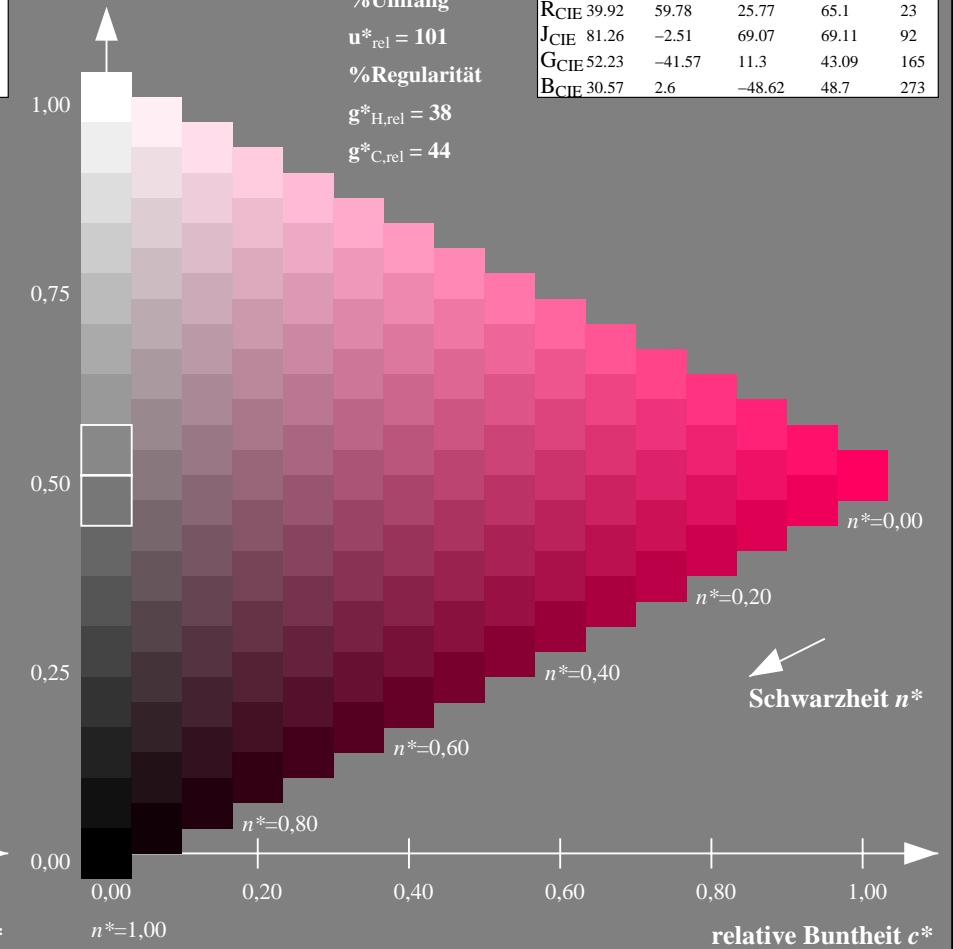
%Umfang

$u^*_{rel} = 101$

%Regularität

$g^*_{H,rel} = 38$

$g^*_{C,rel} = 44$



NG900-7, 9stufige Reihen für konstanten CIELAB Buntton $25/360 = 0.071$ (links)

16stufige Reihen für konstanten CIELAB Buntton $23/360 = 0.065$ (rechts)

Eingabe: Farbmetrisches Fernseh-Licht-System TLS00

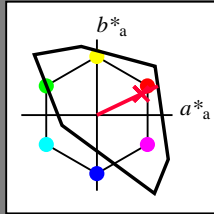
für Buntton $h^* = lab^*h = 25/360 = 0.071$

lab^*tch und lab^*nch

D65: Buntton R

LCH*Ma: 52 89 25

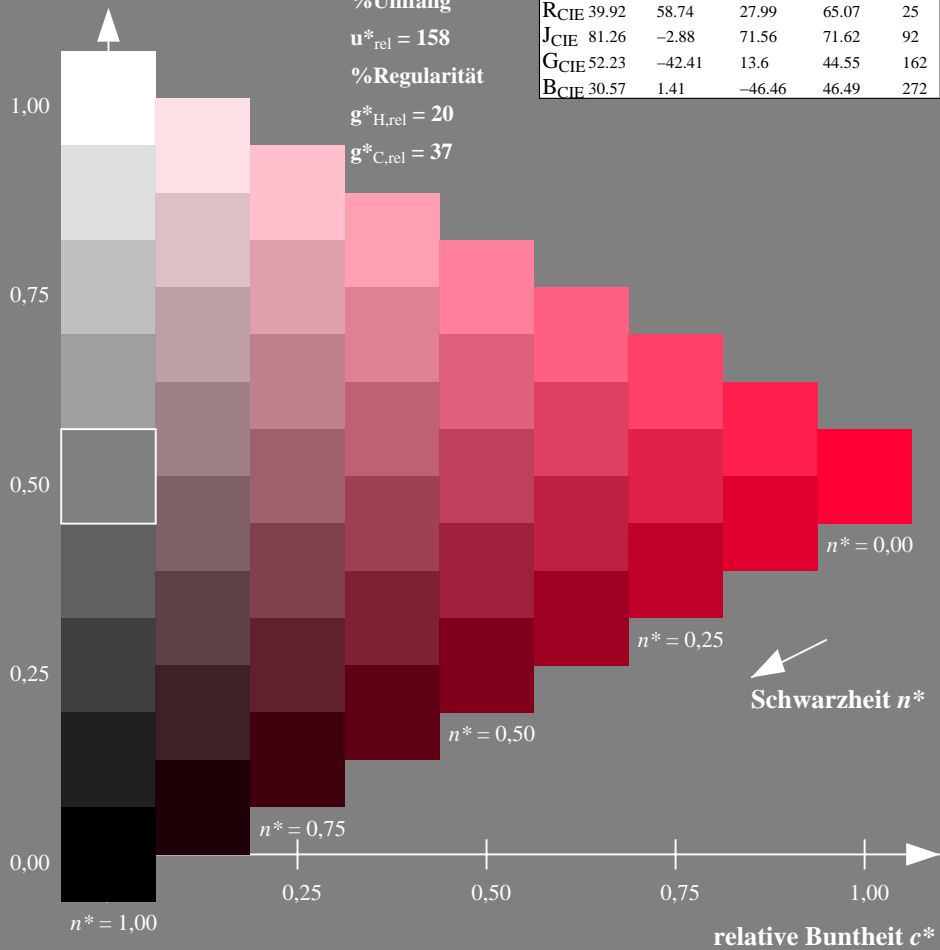
olv*Ma: 1.0 0.0 0.21



TLS00; adaptierte CIELAB-Daten

	$L^*=L^*_a$	a^*_a	b^*_a	$C^*_{ab,a}$	$h^*_{ab,a}$
OMa	50.5	76.92	64.55	100.42	40
YMa	92.66	-20.69	90.75	93.08	103
LMa	83.63	-82.75	79.9	115.04	136
CMa	86.88	-46.16	-13.55	48.12	196
VMa	30.39	76.06	-103.59	128.52	306
MMa	57.3	94.35	-58.41	110.97	328
NMa	0.01	0.0	0.0	0.0	0
WMa	95.41	0.0	0.0	0.0	0
RCIE	39.92	58.74	27.99	65.07	25
JCIE	81.26	-2.88	71.56	71.62	92
GCIE	52.23	-42.41	13.6	44.55	162
BCIE	30.57	1.41	-46.46	46.49	272

Dreiecks-Helligkeit t^*



Ausgabe: Farbmetrisches Fernseh-Licht-System TLS18

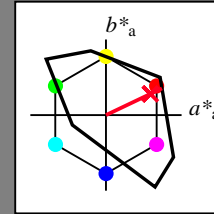
für Buntton $h^* = lab^*h = 25/360 = 0.071$

lab^*tch und lab^*nch

D65: Buntton R

LCH*Ma: 54 82 25

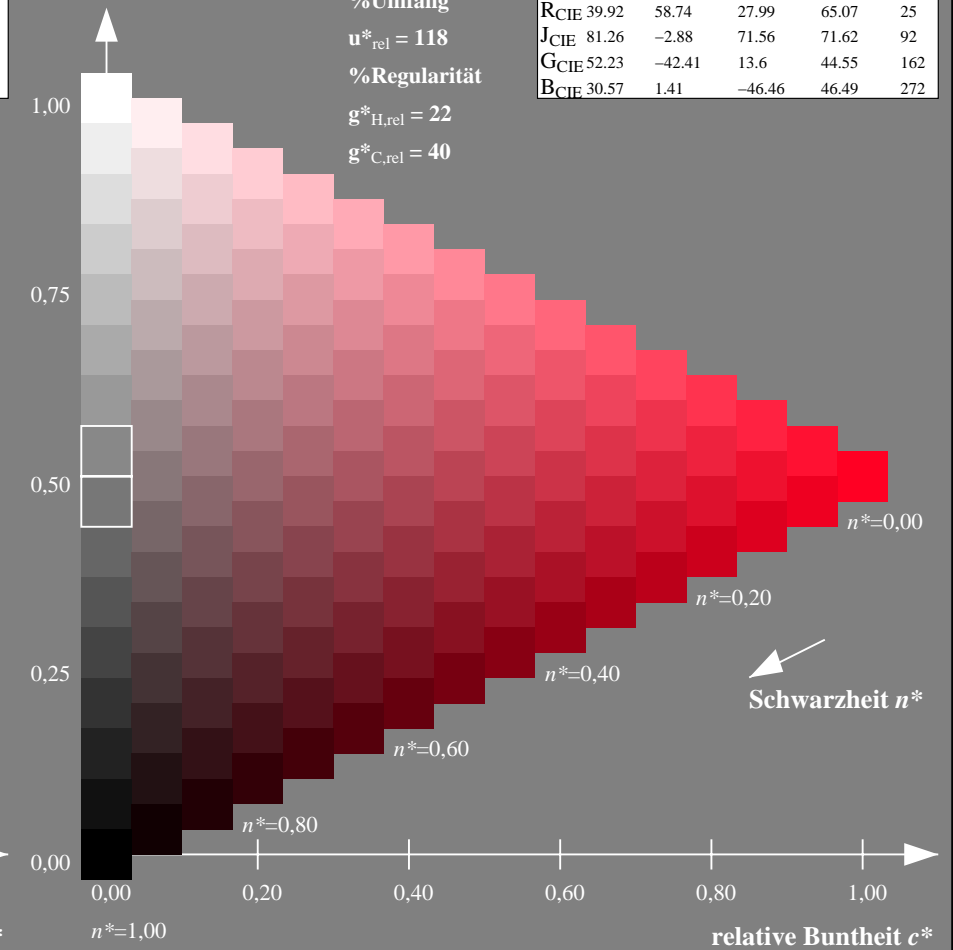
olv*Ma: 1.0 0.0 0.14



TLS18; adaptierte CIELAB-Daten

	$L^*=L^*_a$	a^*_a	b^*_a	$C^*_{ab,a}$	$h^*_{ab,a}$
OMa	52.76	71.63	49.88	87.29	35
YMa	92.74	-20.02	84.97	87.3	103
LMa	84.0	-78.98	73.94	108.2	137
CMa	87.14	-44.41	-13.11	46.32	196
VMa	35.47	64.92	-95.06	115.12	304
MMa	59.01	89.33	-55.67	105.26	328
NMa	18.01	0.0	0.0	0.0	0
WMa	95.41	0.0	0.0	0.0	0
RCIE	39.92	58.74	27.99	65.07	25
JCIE	81.26	-2.88	71.56	71.62	92
GCIE	52.23	-42.41	13.6	44.55	162
BCIE	30.57	1.41	-46.46	46.49	272

Dreiecks-Helligkeit t^*



NG900-7, 9stufige Reihen für konstanten CIELAB Buntton $25/360 = 0.071$ (links)

16stufige Reihen für konstanten CIELAB Buntton $25/360 = 0.071$ (rechts)

Eingabe: Farbmetrisches Fernseh-Licht-System TLS00

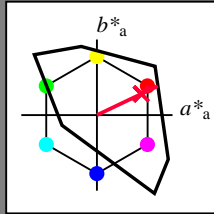
für Buntton $h^* = lab^*h = 25/360 = 0.071$

lab^*tch und lab^*nch

D65: Buntton R

LCH*Ma: 52 89 25

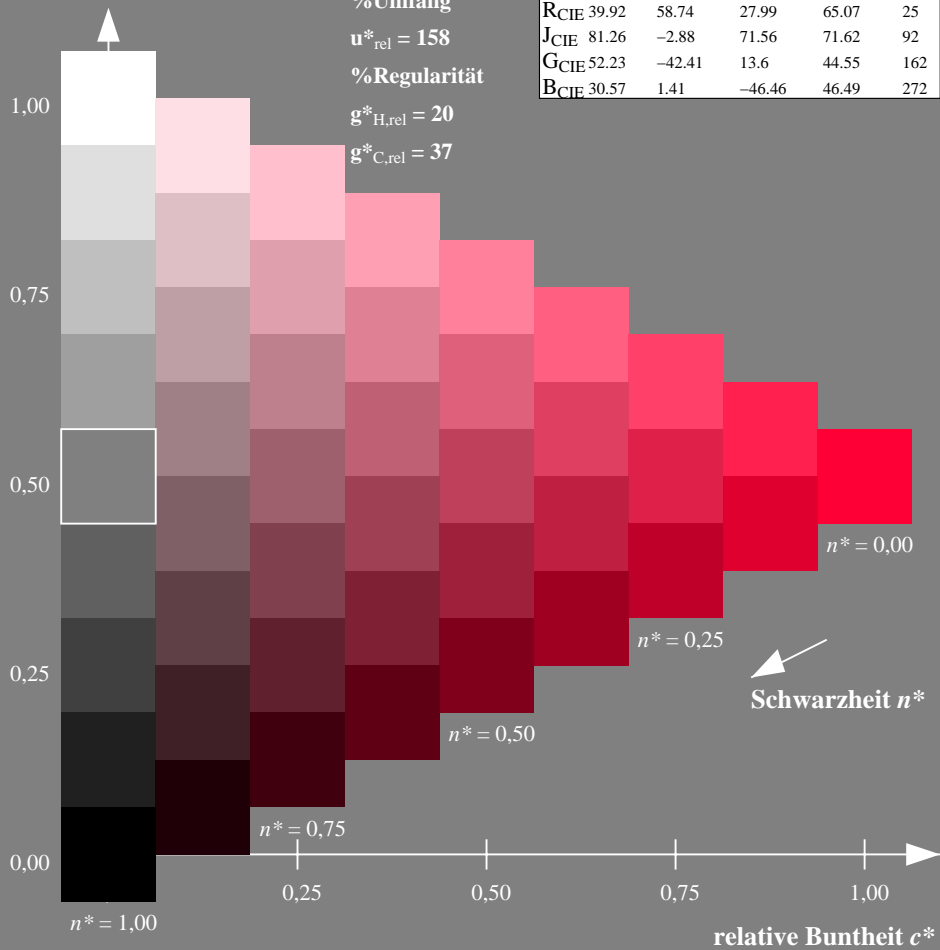
olv*Ma: 1.0 0.0 0.21



TLS00; adaptierte CIELAB-Daten

	$L^*=L^*_a$	a^*_a	b^*_a	$C^*_{ab,a}$	$h^*_{ab,a}$
OMa	50.5	76.92	64.55	100.42	40
YMa	92.66	-20.69	90.75	93.08	103
LMa	83.63	-82.75	79.9	115.04	136
CMa	86.88	-46.16	-13.55	48.12	196
VMa	30.39	76.06	-103.59	128.52	306
MMa	57.3	94.35	-58.41	110.97	328
NMa	0.01	0.0	0.0	0.0	0
WMa	95.41	0.0	0.0	0.0	0
RCIE	39.92	58.74	27.99	65.07	25
JCIE	81.26	-2.88	71.56	71.62	92
GCIE	52.23	-42.41	13.6	44.55	162
BCIE	30.57	1.41	-46.46	46.49	272

Dreiecks-Helligkeit t^*



Ausgabe: Farbmetrisches Natürliches-Licht-System NLS00

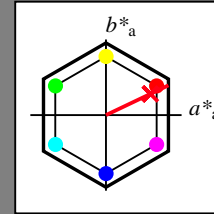
für Buntton $h^* = lab^*h = 25/360 = 0.071$

lab^*tch und lab^*nch

D65: Buntton R

LCH*Ma: 35 92 25

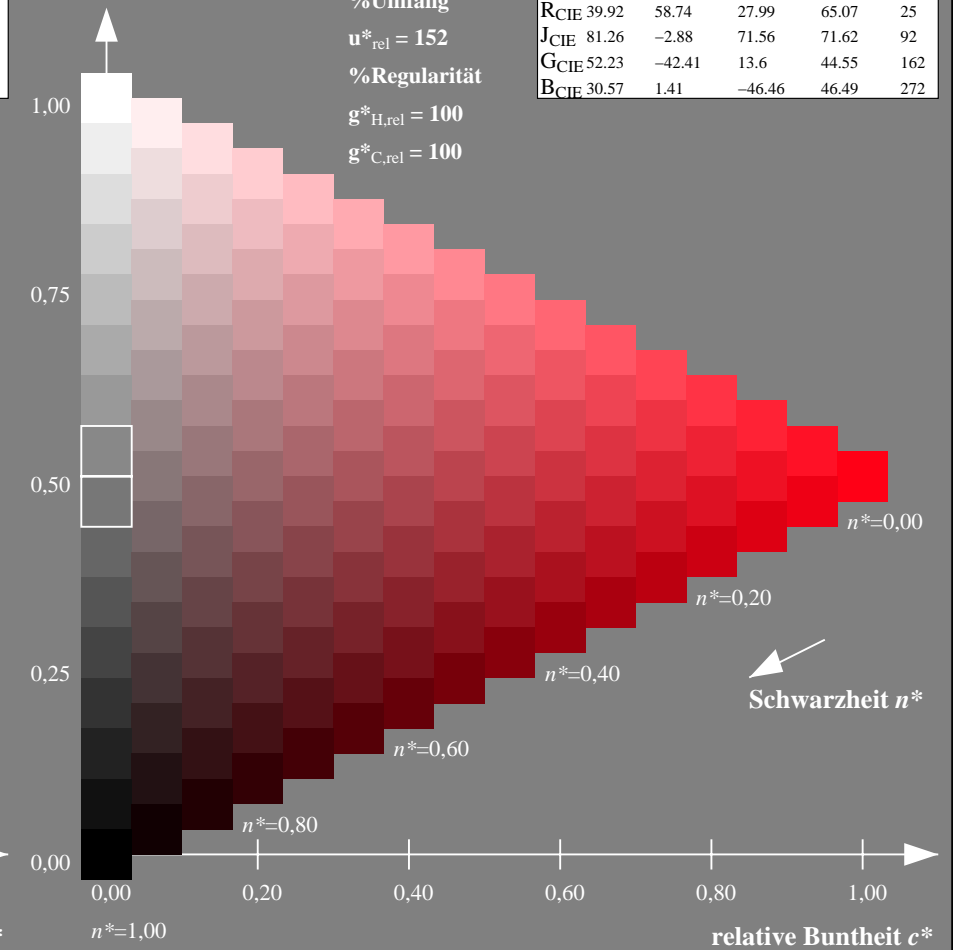
olv*Ma: 1.0 0.0 0.09



NLS00; adaptierte CIELAB-Daten

	$L^*=L^*_a$	a^*_a	b^*_a	$C^*_{ab,a}$	$h^*_{ab,a}$
OMa	31.81	82.62	47.7	95.4	30
YMa	63.61	0.0	95.4	95.4	90
LMa	31.81	-82.61	47.7	95.4	150
CMa	63.61	-82.61	-47.69	95.4	210
VMa	31.81	0.0	-95.39	95.4	270
MMa	63.61	82.62	-47.69	95.4	330
NMa	0.01	0.0	0.0	0.0	0
WMa	95.41	0.0	0.0	0.0	0
RCIE	39.92	58.74	27.99	65.07	25
JCIE	81.26	-2.88	71.56	71.62	92
GCIE	52.23	-42.41	13.6	44.55	162
BCIE	30.57	1.41	-46.46	46.49	272

Dreiecks-Helligkeit t^*



NG900-7, 9stufige Reihen für konstanten CIELAB Buntton $25/360 = 0.071$ (links)

16stufige Reihen für konstanten CIELAB Buntton $25/360 = 0.071$ (rechts)

Eingabe: Farbmetrisches Fernseh-Licht-System TLS00

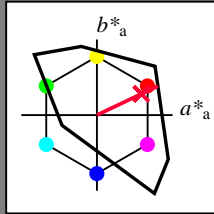
für Buntton $h^* = lab^*h = 25/360 = 0.071$

lab^*tch und lab^*nch

D65: Buntton R

LCH*Ma: 52 89 25

olv*Ma: 1.0 0.0 0.21



TLS00; adaptierte CIELAB-Daten

	$L^*=L^*_a$	a^*_a	b^*_a	$C^*_{ab,a}$	$h^*_{ab,a}$
OMa	50.5	76.92	64.55	100.42	40
YMa	92.66	-20.69	90.75	93.08	103
LMa	83.63	-82.75	79.9	115.04	136
CMa	86.88	-46.16	-13.55	48.12	196
VMa	30.39	76.06	-103.59	128.52	306
MMa	57.3	94.35	-58.41	110.97	328
NMa	0.01	0.0	0.0	0.0	0
WMa	95.41	0.0	0.0	0.0	0
RCIE	39.92	58.74	27.99	65.07	25
JCIE	81.26	-2.88	71.56	71.62	92
GCIE	52.23	-42.41	13.6	44.55	162
BCIE	30.57	1.41	-46.46	46.49	272

Dreiecks-Helligkeit t^*

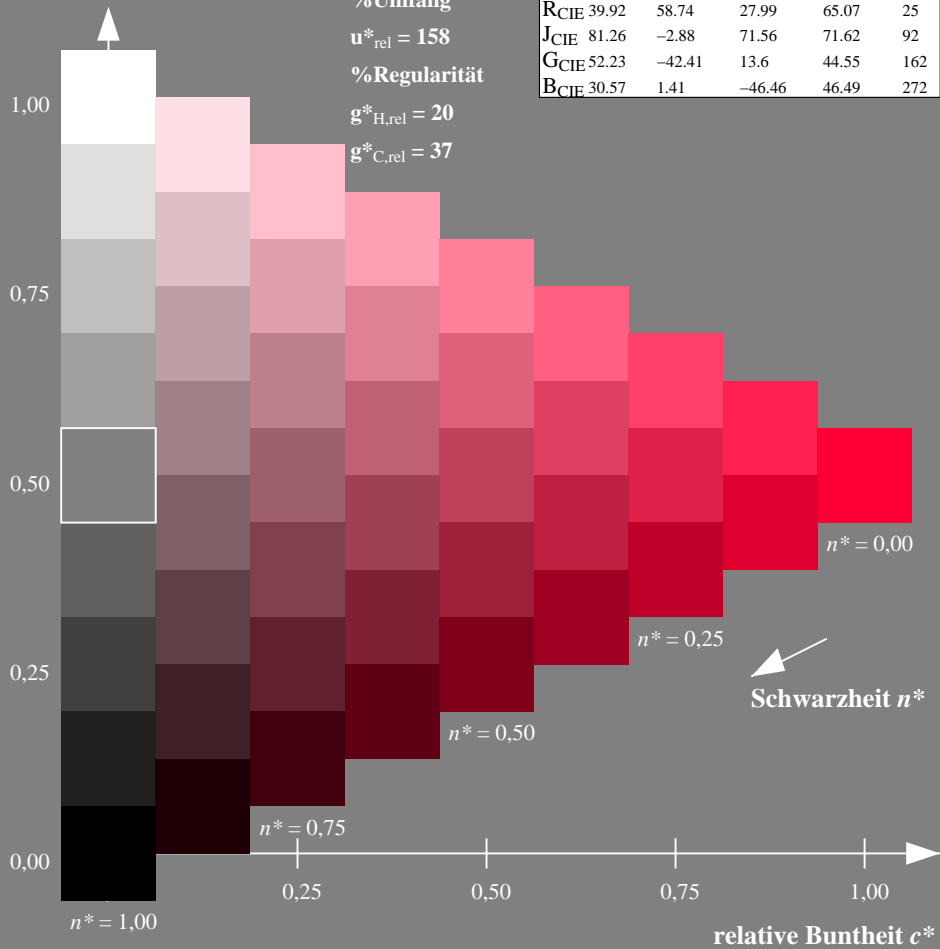
%Umfang

$u^*_{rel} = 158$

%Regularität

$g^*_{H,rel} = 20$

$g^*_{C,rel} = 37$



Ausgabe: Farbmetrisches Natürliches-Reflektiv-System NRS18

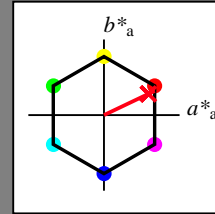
für Buntton $h^* = lab^*h = 25/360 = 0.071$

lab^*tch und lab^*nch

D65: Buntton R

LCH*Ma: 46 74 25

olv*Ma: 1.0 0.0 0.09



NRS18; adaptierte CIELAB-Daten

	$L^*=L^*_a$	a^*_a	b^*_a	$C^*_{ab,a}$	$h^*_{ab,a}$
OMa	43.81	67.03	38.7	77.4	30
YMa	69.61	0.0	77.4	77.4	90
LMa	43.81	-67.02	38.7	77.4	150
CMa	69.61	-67.02	-38.69	77.4	210
VMa	43.81	0.0	-77.39	77.4	270
MMa	69.61	67.03	-38.69	77.4	330
NMa	18.01	0.0	0.0	0.0	0
WMa	95.41	0.0	0.0	0.0	0
RCIE	39.92	58.74	27.99	65.07	25
JCIE	81.26	-2.88	71.56	71.62	92
GCIE	52.23	-42.41	13.6	44.55	162
BCIE	30.57	1.41	-46.46	46.49	272

Dreiecks-Helligkeit t^*

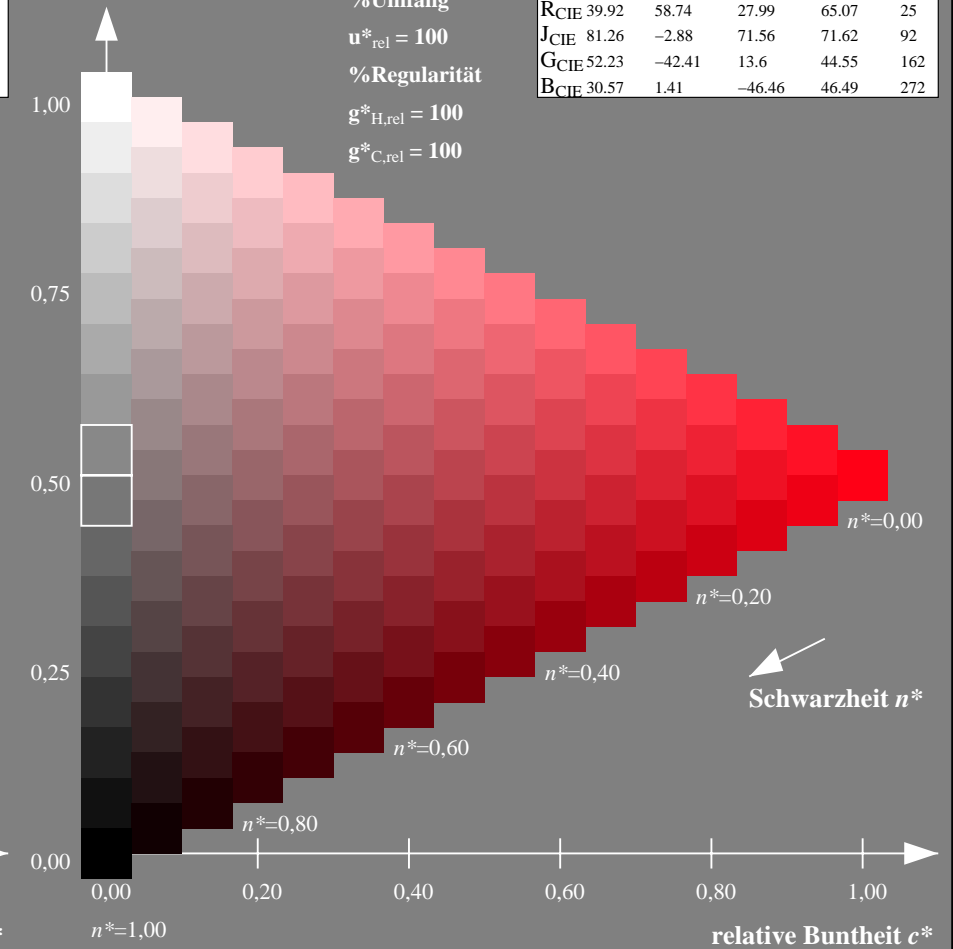
%Umfang

$u^*_{rel} = 100$

%Regularität

$g^*_{H,rel} = 100$

$g^*_{C,rel} = 100$



NG900-7, 9stufige Reihen für konstanten CIELAB Buntton $25/360 = 0.071$ (links)

16stufige Reihen für konstanten CIELAB Buntton $25/360 = 0.071$ (rechts)

Eingabe: Farbmetrisches Fernseh-Licht-System TLS00

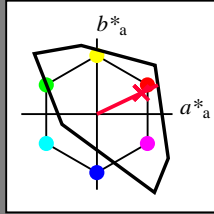
für Buntton $h^* = lab^*h = 25/360 = 0.071$

lab^*tch und lab^*nch

D65: Buntton R

LCH*Ma: 52 89 25

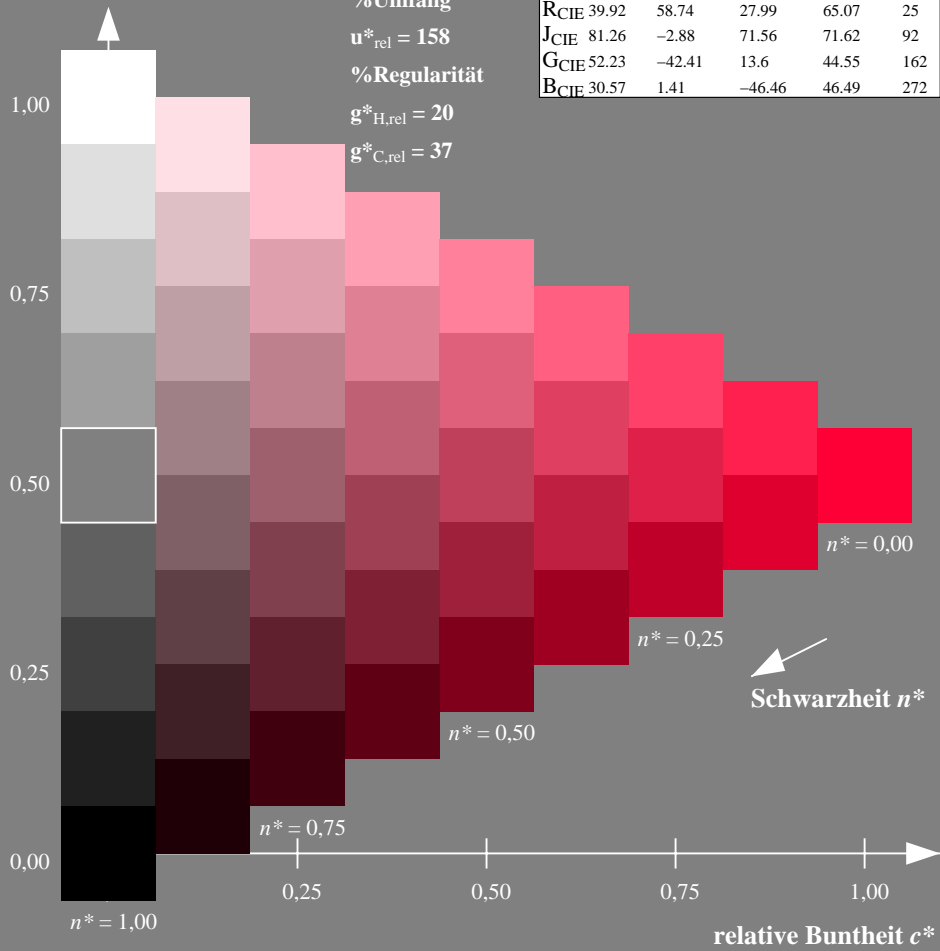
olv*Ma: 1.0 0.0 0.21



TLS00; adaptierte CIELAB-Daten

	$L^*=L^*_a$	a^*_a	b^*_a	$C^*_{ab,a}$	$h^*_{ab,a}$
OMa	50.5	76.92	64.55	100.42	40
YMa	92.66	-20.69	90.75	93.08	103
LMa	83.63	-82.75	79.9	115.04	136
CMa	86.88	-46.16	-13.55	48.12	196
VMa	30.39	76.06	-103.59	128.52	306
MMa	57.3	94.35	-58.41	110.97	328
NMa	0.01	0.0	0.0	0.0	0
WMa	95.41	0.0	0.0	0.0	0
RCIE	39.92	58.74	27.99	65.07	25
JCIE	81.26	-2.88	71.56	71.62	92
GCIE	52.23	-42.41	13.6	44.55	162
BCIE	30.57	1.41	-46.46	46.49	272

Dreiecks-Helligkeit t^*



Ausgabe: Farbmetrisches Standard-Reflektiv-System SRS18

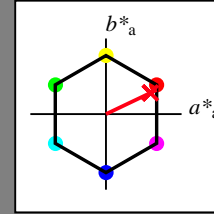
für Buntton $h^* = lab^*h = 25/360 = 0.071$

lab^*tch und lab^*nch

D65: Buntton R

LCH*Ma: 57 74 25

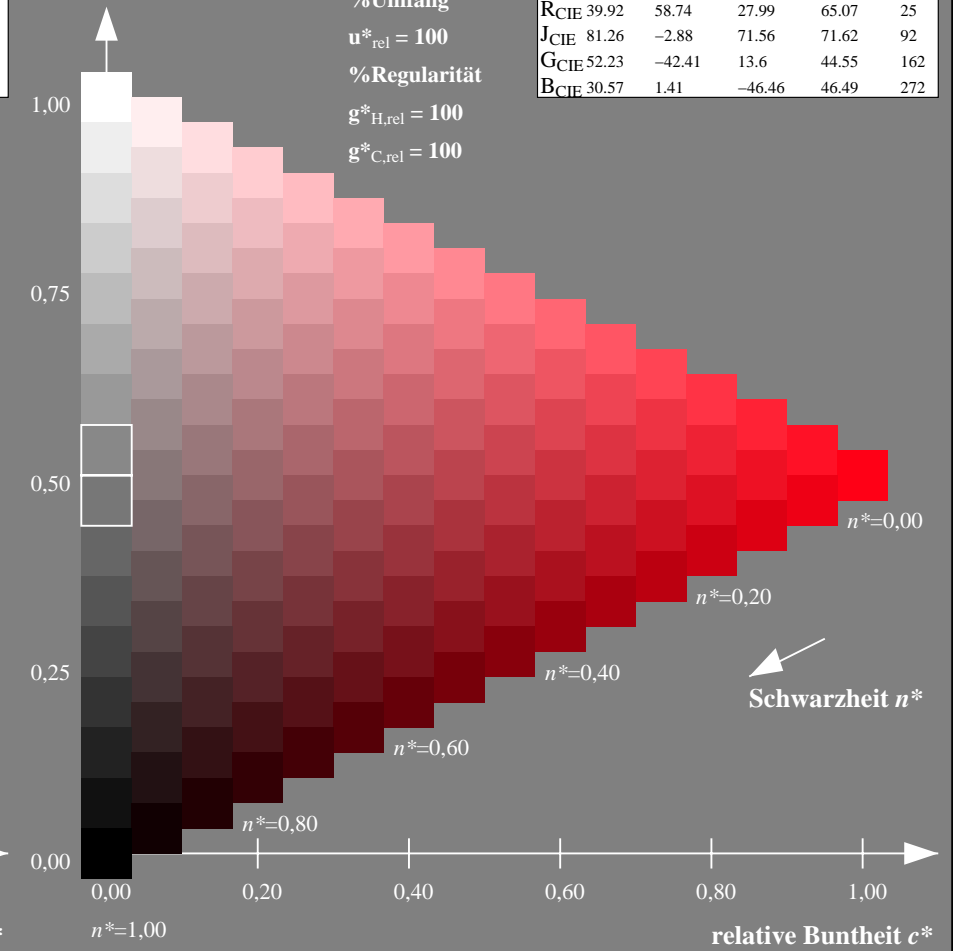
olv*Ma: 1.0 0.0 0.09



SRS18; adaptierte CIELAB-Daten

	$L^*=L^*_a$	a^*_a	b^*_a	$C^*_{ab,a}$	$h^*_{ab,a}$
OMa	56.71	67.03	38.7	77.4	30
YMa	56.71	0.0	77.4	77.4	90
LMa	56.71	-67.02	38.7	77.4	150
CMa	56.71	-67.02	-38.69	77.4	210
VMa	56.71	0.0	-77.39	77.4	270
MMa	56.71	67.03	-38.69	77.4	330
NMa	18.01	0.0	0.0	0.0	0
WMa	95.41	0.0	0.0	0.0	0
RCIE	39.92	58.74	27.99	65.07	25
JCIE	81.26	-2.88	71.56	71.62	92
GCIE	52.23	-42.41	13.6	44.55	162
BCIE	30.57	1.41	-46.46	46.49	272

Dreiecks-Helligkeit t^*



NG900-7, 9stufige Reihen für konstanten CIELAB Buntton $25/360 = 0.071$ (links)

16stufige Reihen für konstanten CIELAB Buntton $25/360 = 0.071$ (rechts)

Eingabe: Farbmetrisches Fernseh-Licht-System TLS00

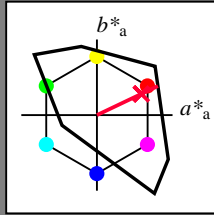
für Buntton $h^* = lab^*h = 25/360 = 0.071$

lab^*tch und lab^*nch

D65: Buntton R

LCH*Ma: 52 89 25

olv*Ma: 1.0 0.0 0.21



TLS00; adaptierte CIELAB-Daten

	$L^*=L^*_a$	a^*_a	b^*_a	$C^*_{ab,a}$	$h^*_{ab,a}$
OMa	50.5	76.92	64.55	100.42	40
YMa	92.66	-20.69	90.75	93.08	103
LMa	83.63	-82.75	79.9	115.04	136
CMa	86.88	-46.16	-13.55	48.12	196
VMa	30.39	76.06	-103.59	128.52	306
MMa	57.3	94.35	-58.41	110.97	328
NMa	0.01	0.0	0.0	0.0	0
WMa	95.41	0.0	0.0	0.0	0
RCIE	39.92	58.74	27.99	65.07	25
JCIE	81.26	-2.88	71.56	71.62	92
GCIE	52.23	-42.41	13.6	44.55	162
BCIE	30.57	1.41	-46.46	46.49	272

Dreiecks-Helligkeit t^*

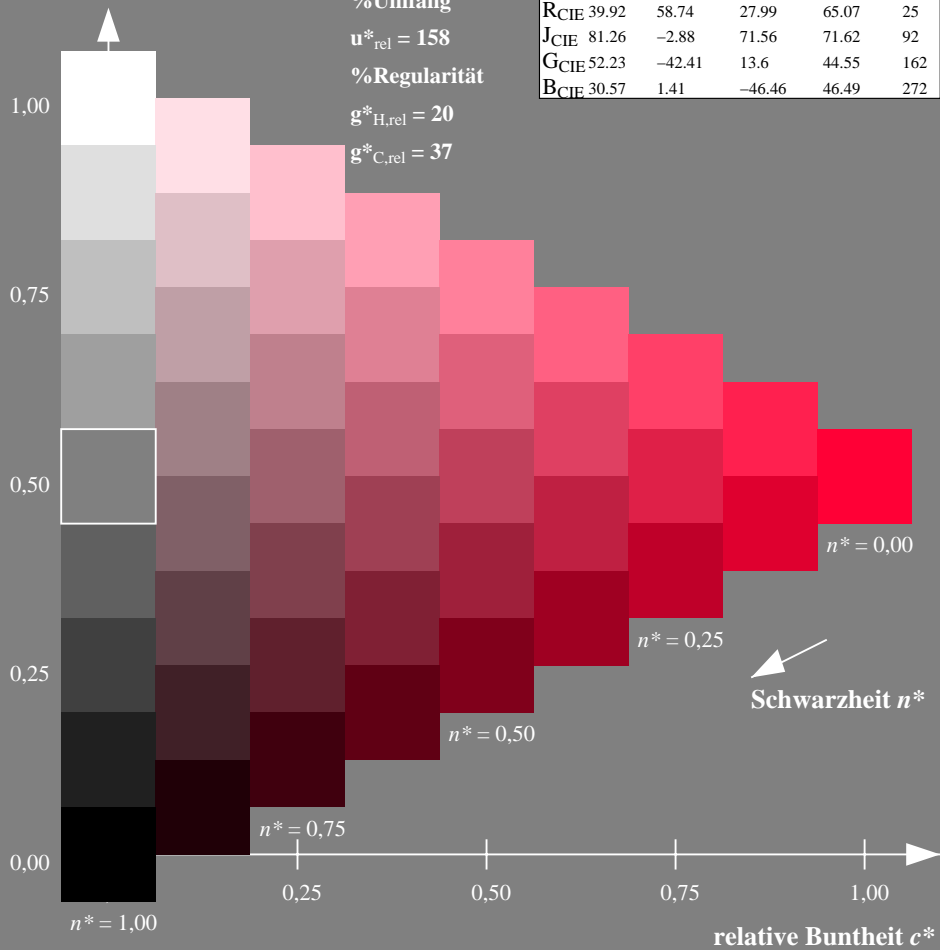
%Umfang

$u^*_{rel} = 158$

%Regularität

$g^*_{H,rel} = 20$

$g^*_{C,rel} = 37$



Ausgabe: Farbmetrisches Fernseh-Licht-System TLS70

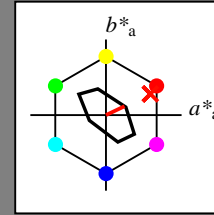
für Buntton $h^* = lab^*h = 25/360 = 0.071$

lab^*tch und lab^*nch

D65: Buntton R

LCH*Ma: 77 27 25

olv*Ma: 1.0 0.05 0.0



TLS70; adaptierte CIELAB-Daten

	$L^*=L^*_a$	a^*_a	b^*_a	$C^*_{ab,a}$	$h^*_{ab,a}$
OMa	76.43	26.27	10.57	28.32	22
YMa	93.93	-10.76	34.63	36.27	107
LMa	89.32	-35.8	27.64	45.24	142
CMa	90.93	-21.95	-7.07	23.07	198
VMa	72.1	15.76	-35.63	38.97	294
MMa	78.5	37.52	-25.23	45.22	326
NMa	69.7	0.0	0.0	0.0	0
WMa	95.41	0.0	0.0	0.0	0
RCIE	39.92	58.74	27.99	65.07	25
JCIE	81.26	-2.88	71.56	71.62	92
GCIE	52.23	-42.41	13.6	44.55	162
BCIE	30.57	1.41	-46.46	46.49	272

Dreiecks-Helligkeit t^*

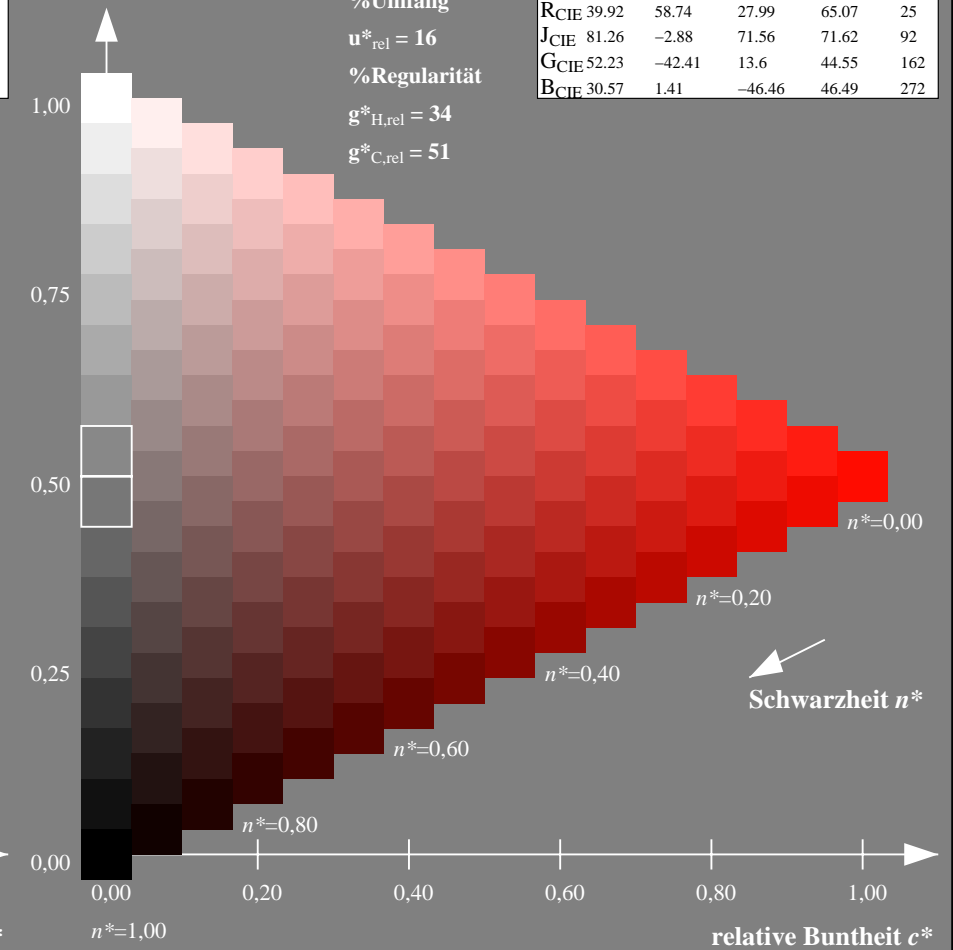
%Umfang

$u^*_{rel} = 16$

%Regularität

$g^*_{H,rel} = 34$

$g^*_{C,rel} = 51$



NG900-7, 9stufige Reihen für konstanten CIELAB Buntton 25/360 = 0.071 (links)

16stufige Reihen für konstanten CIELAB Buntton 25/360 = 0.071 (rechts)

Eingabe: Farbmetrisches Drucker-Reflektiv-System DRSXX

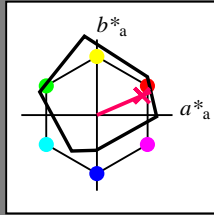
für Buntton $h^* = lab^*h = 23/360 = 0.065$

lab^*tch und lab^*nch

D65: Buntton R

LCH*Ma: 42 78 23

olv*Ma: 1.0 0.0 0.38



DRSXX; adaptierte CIELAB-Daten

	$L^*=L^*_a$	a^*_a	b^*_a	$C^*_{ab,a}$	$h^*_{ab,a}$
OMa	42.21	66.82	50.6	83.82	37
YMa	90.32	-16.51	104.33	105.63	99
LMa	48.21	-75.63	30.65	81.61	158
CMa	53.44	-33.33	-47.49	58.03	235
VMa	34.16	-0.92	-46.56	46.58	269
MMa	42.71	79.0	-1.95	79.03	359
NMa	16.56	0.0	0.0	0.0	0
WMa	96.31	0.0	0.0	0.0	0
RCIE	39.92	59.78	25.77	65.1	23
JCIE	81.26	-2.51	69.07	69.11	92
GCIE	52.23	-41.57	11.3	43.09	165
BCIE	30.57	2.6	-48.62	48.7	273

Dreiecks-Helligkeit t^*

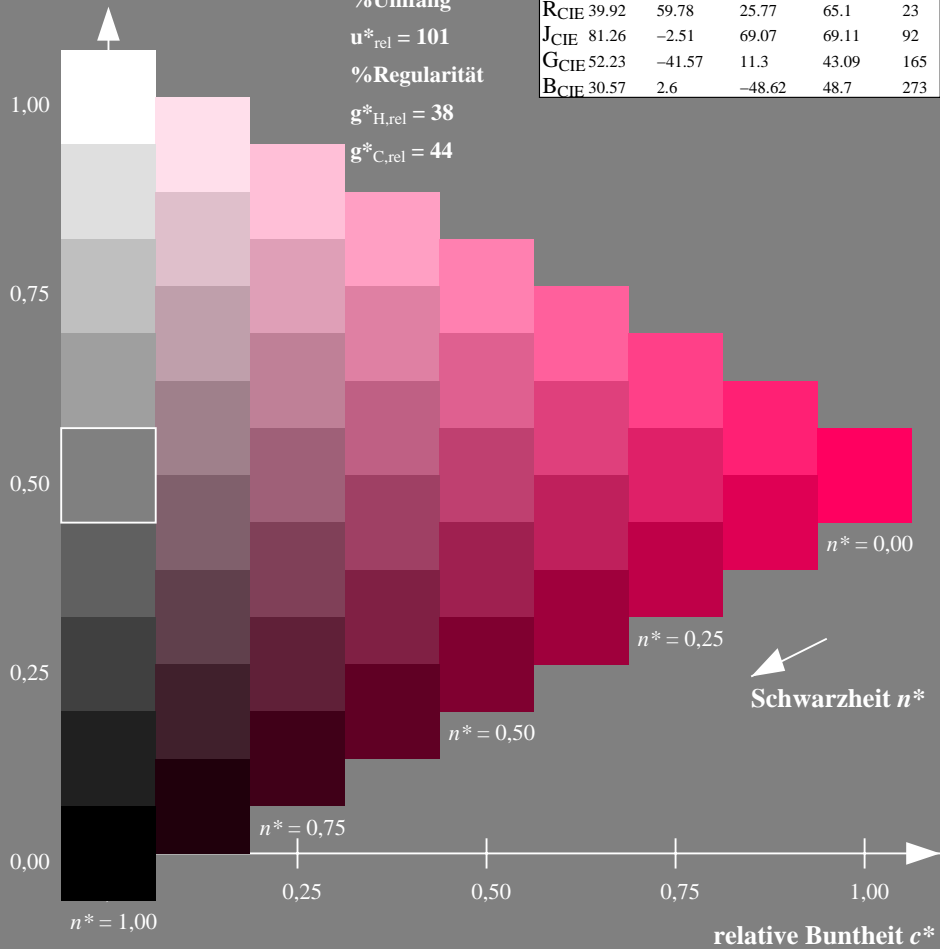
%Umfang

$u^*_{rel} = 101$

%Regularität

$g^*_{H,rel} = 38$

$g^*_{C,rel} = 44$



Ausgabe: Farbmetrisches Offset-Reflektiv-System ORS18

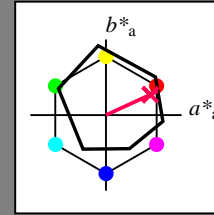
für Buntton $h^* = lab^*h = 25/360 = 0.069$

lab^*tch und lab^*nch

D65: Buntton R

LCH*Ma: 48 75 25

olv*Ma: 1.0 0.0 0.32



ORS18; adaptierte CIELAB-Daten

	$L^*=L^*_a$	a^*_a	b^*_a	$C^*_{ab,a}$	$h^*_{ab,a}$
OMa	47.94	65.39	50.52	82.63	38
YMa	90.37	-10.26	91.75	92.32	96
LMa	50.9	-62.83	34.96	71.91	151
CMa	58.62	-30.34	-45.01	54.3	236
VMa	25.72	31.1	-44.4	54.22	305
MMa	48.13	75.28	-8.36	75.74	354
NMa	18.01	0.0	0.0	0.0	0
WMa	95.41	0.0	0.0	0.0	0
RCIE	39.92	58.66	26.98	64.57	25
JCIE	81.26	-2.16	67.76	67.79	92
GCIE	52.23	-42.25	11.76	43.87	164
BCIE	30.57	1.15	-46.84	46.86	271

Dreiecks-Helligkeit t^*

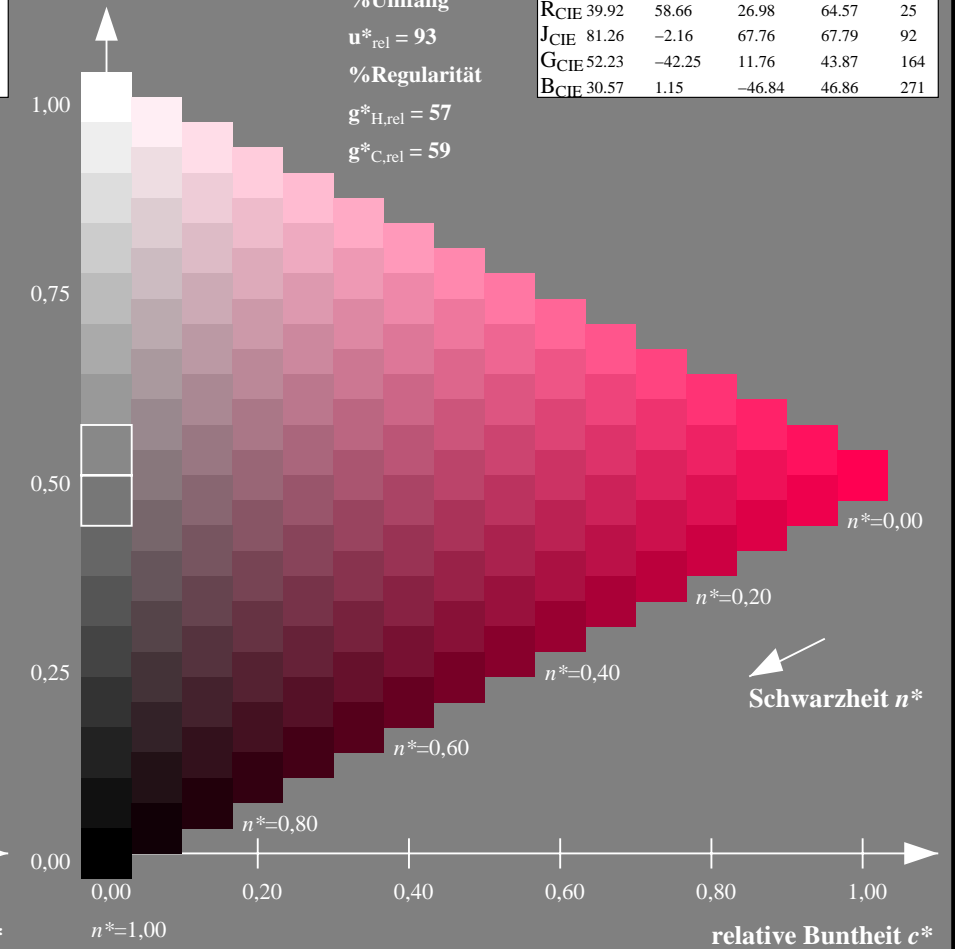
%Umfang

$u^*_{rel} = 93$

%Regularität

$g^*_{H,rel} = 57$

$g^*_{C,rel} = 59$



NG900-7, 9stufige Reihen für konstanten CIELAB Buntton 23/360 = 0.065 (links)

16stufige Reihen für konstanten CIELAB Buntton 25/360 = 0.069 (rechts)

Eingabe: Farbmetrisches Drucker-Reflektiv-System DRSXX

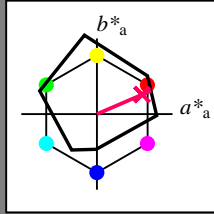
für Buntton $h^* = lab^*h = 23/360 = 0.065$

lab^*tch und lab^*nch

D65: Buntton R

LCH*Ma: 42 78 23

olv*Ma: 1.0 0.0 0.38



DRSXX; adaptierte CIELAB-Daten

	$L^*=L^*_a$	a^*_a	b^*_a	$C^*_{ab,a}$	$h^*_{ab,a}$
O _{Ma}	42.21	66.82	50.6	83.82	37
Y _{Ma}	90.32	-16.51	104.33	105.63	99
L _{Ma}	48.21	-75.63	30.65	81.61	158
C _{Ma}	53.44	-33.33	-47.49	58.03	235
V _{Ma}	34.16	-0.92	-46.56	46.58	269
M _{Ma}	42.71	79.0	-1.95	79.03	359
N _{Ma}	16.56	0.0	0.0	0.0	0
W _{Ma}	96.31	0.0	0.0	0.0	0
R _{CIE}	39.92	59.78	25.77	65.1	23
J _{CIE}	81.26	-2.51	69.07	69.11	92
G _{CIE}	52.23	-41.57	11.3	43.09	165
B _{CIE}	30.57	2.6	-48.62	48.7	273

Dreiecks-Helligkeit t^*

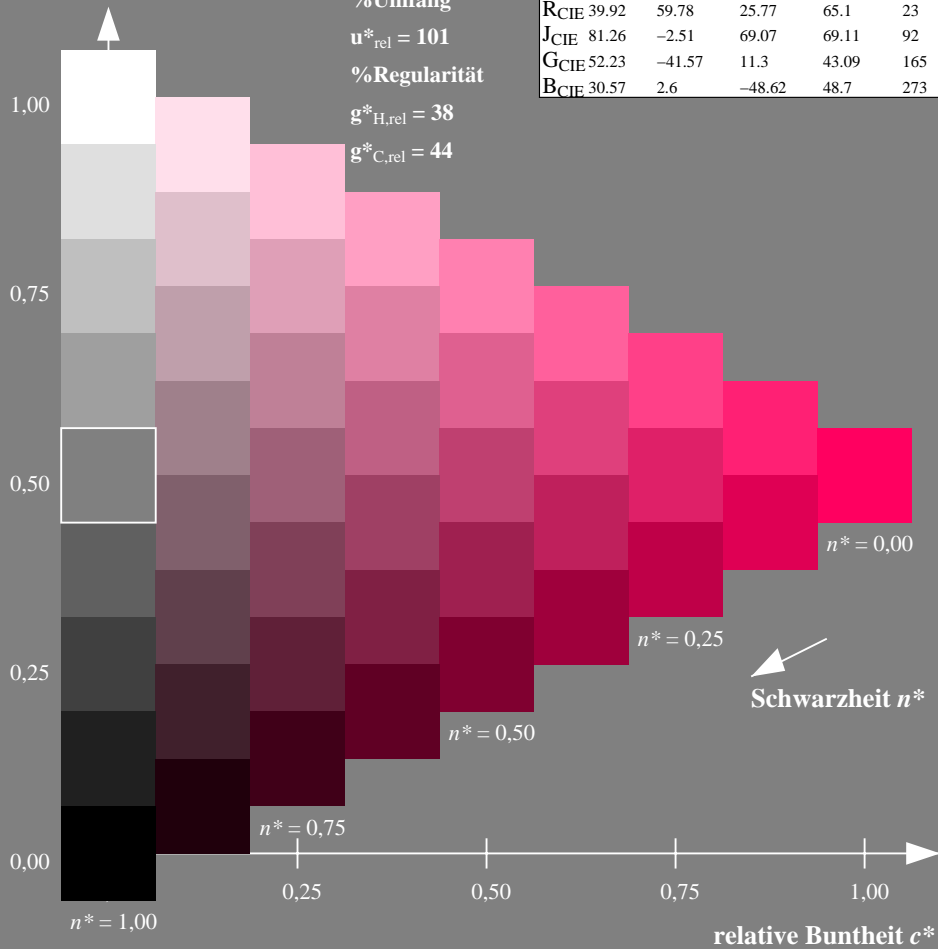
%Umfang

$u^*_{rel} = 101$

%Regularität

$g^*_{H,rel} = 38$

$g^*_{C,rel} = 44$



Ausgabe: Farbmetrisches Fernseh-Licht-System TLS00

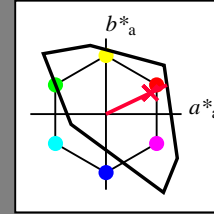
für Buntton $h^* = lab^*h = 25/360 = 0.071$

lab^*tch und lab^*nch

D65: Buntton R

LCH*Ma: 52 89 25

olv*Ma: 1.0 0.0 0.21



TLS00; adaptierte CIELAB-Daten

	$L^*=L^*_a$	a^*_a	b^*_a	$C^*_{ab,a}$	$h^*_{ab,a}$
O _{Ma}	50.5	76.92	64.55	100.42	40
Y _{Ma}	92.66	-20.69	90.75	93.08	103
L _{Ma}	83.63	-82.75	79.9	115.04	136
C _{Ma}	86.88	-46.16	-13.55	48.12	196
V _{Ma}	30.39	76.06	-103.59	128.52	306
M _{Ma}	57.3	94.35	-58.41	110.97	328
N _{Ma}	0.01	0.0	0.0	0.0	0
W _{Ma}	95.41	0.0	0.0	0.0	0
R _{CIE}	39.92	58.74	27.99	65.07	25
J _{CIE}	81.26	-2.88	71.56	71.62	92
G _{CIE}	52.23	-42.41	13.6	44.55	162
B _{CIE}	30.57	1.41	-46.46	46.49	272

Dreiecks-Helligkeit t^*

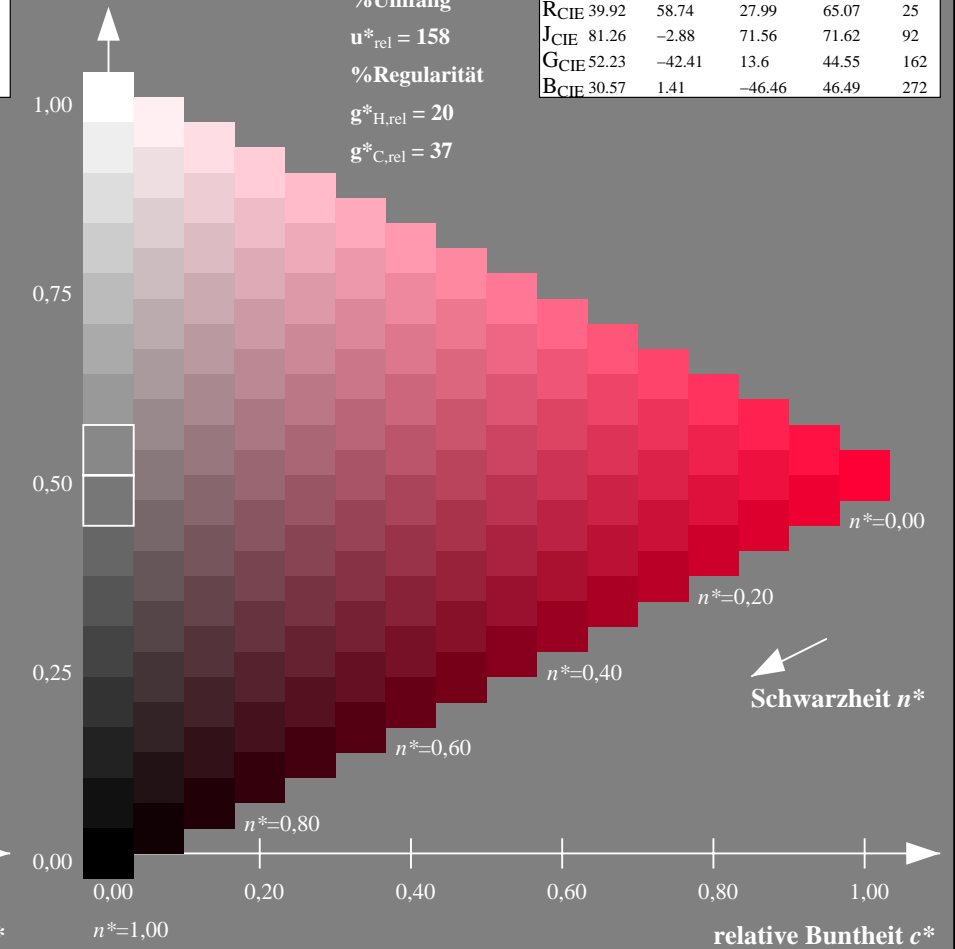
%Umfang

$u^*_{rel} = 158$

%Regularität

$g^*_{H,rel} = 20$

$g^*_{C,rel} = 37$



NG900-7, 9stufige Reihen für konstanten CIELAB Buntton $23/360 = 0.065$ (links)

16stufige Reihen für konstanten CIELAB Buntton $25/360 = 0.071$ (rechts)

Eingabe: Farbmetrisches Drucker-Reflektiv-System DRSXX

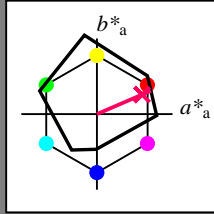
für Buntton $h^* = lab^*h = 23/360 = 0.065$

lab^*tch und lab^*nch

D65: Buntton R

LCH*Ma: 42 78 23

olv*Ma: 1.0 0.0 0.38



DRSXX; adaptierte CIELAB-Daten

	$L^*=L^*_a$	a^*_a	b^*_a	$C^*_{ab,a}$	$h^*_{ab,a}$
OMa	42.21	66.82	50.6	83.82	37
YMa	90.32	-16.51	104.33	105.63	99
LMa	48.21	-75.63	30.65	81.61	158
CMa	53.44	-33.33	-47.49	58.03	235
VMa	34.16	-0.92	-46.56	46.58	269
MMa	42.71	79.0	-1.95	79.03	359
NMa	16.56	0.0	0.0	0.0	0
WMa	96.31	0.0	0.0	0.0	0
RCIE	39.92	59.78	25.77	65.1	23
JCIE	81.26	-2.51	69.07	69.11	92
GCIE	52.23	-41.57	11.3	43.09	165
BCIE	30.57	2.6	-48.62	48.7	273

Dreiecks-Helligkeit t^*

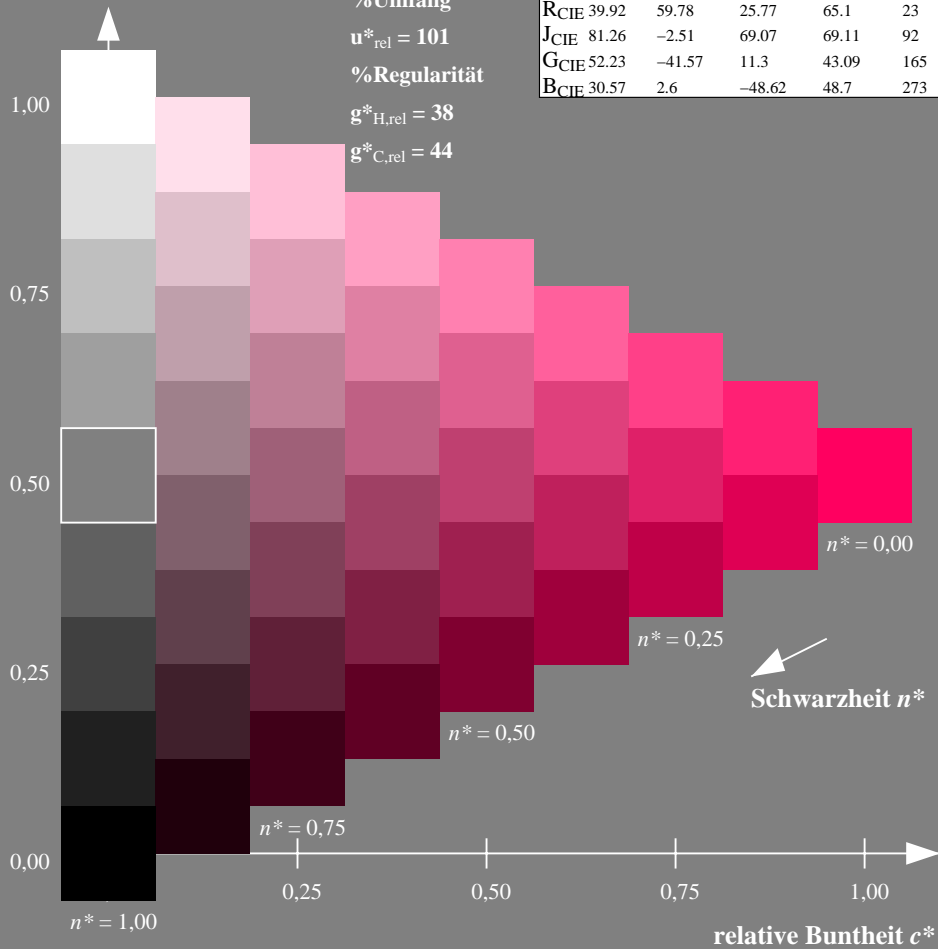
%Umfang

$u^*_{rel} = 101$

%Regularität

$g^*_{H,rel} = 38$

$g^*_{C,rel} = 44$



Ausgabe: Farbmetrisches Drucker-Reflektiv-System DRSXX

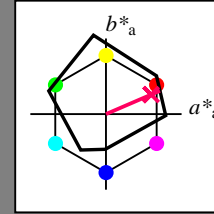
für Buntton $h^* = lab^*h = 23/360 = 0.065$

lab^*tch und lab^*nch

D65: Buntton R

LCH*Ma: 42 78 23

olv*Ma: 1.0 0.0 0.38



DRSXX; adaptierte CIELAB-Daten

	$L^*=L^*_a$	a^*_a	b^*_a	$C^*_{ab,a}$	$h^*_{ab,a}$
OMa	42.21	66.82	50.6	83.82	37
YMa	90.32	-16.51	104.33	105.63	99
LMa	48.21	-75.63	30.65	81.61	158
CMa	53.44	-33.33	-47.49	58.03	235
VMa	34.16	-0.92	-46.56	46.58	269
MMa	42.71	79.0	-1.95	79.03	359
NMa	16.56	0.0	0.0	0.0	0
WMa	96.31	0.0	0.0	0.0	0
RCIE	39.92	59.78	25.77	65.1	23
JCIE	81.26	-2.51	69.07	69.11	92
GCIE	52.23	-41.57	11.3	43.09	165
BCIE	30.57	2.6	-48.62	48.7	273

Dreiecks-Helligkeit t^*

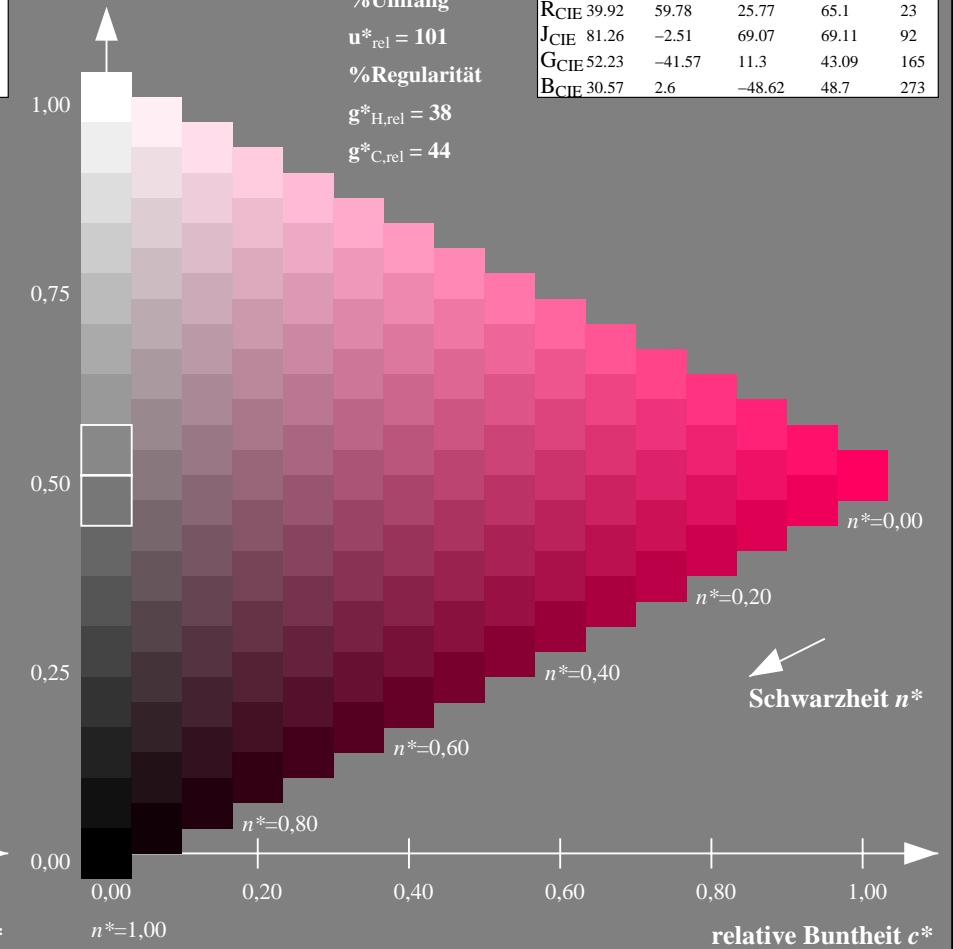
%Umfang

$u^*_{rel} = 101$

%Regularität

$g^*_{H,rel} = 38$

$g^*_{C,rel} = 44$



NG900-7, 9stufige Reihen für konstanten CIELAB Buntton 23/360 = 0.065 (links)

16stufige Reihen für konstanten CIELAB Buntton 23/360 = 0.065 (rechts)

Eingabe: Farbmetrisches Drucker-Reflektiv-System DRSXX

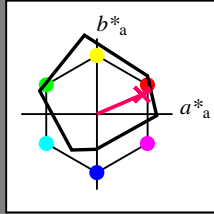
für Buntton $h^* = lab^*h = 23/360 = 0.065$

lab^*tch und lab^*nch

D65: Buntton R

LCH*Ma: 42 78 23

olv*Ma: 1.0 0.0 0.38



DRSXX; adaptierte CIELAB-Daten

	$L^*=L^*_a$	a^*_a	b^*_a	$C^*_{ab,a}$	$h^*_{ab,a}$
O _{Ma}	42.21	66.82	50.6	83.82	37
Y _{Ma}	90.32	-16.51	104.33	105.63	99
L _{Ma}	48.21	-75.63	30.65	81.61	158
C _{Ma}	53.44	-33.33	-47.49	58.03	235
V _{Ma}	34.16	-0.92	-46.56	46.58	269
M _{Ma}	42.71	79.0	-1.95	79.03	359
N _{Ma}	16.56	0.0	0.0	0.0	0
W _{Ma}	96.31	0.0	0.0	0.0	0
R _{CIE}	39.92	59.78	25.77	65.1	23
J _{CIE}	81.26	-2.51	69.07	69.11	92
G _{CIE}	52.23	-41.57	11.3	43.09	165
B _{CIE}	30.57	2.6	-48.62	48.7	273

Dreiecks-Helligkeit t^*

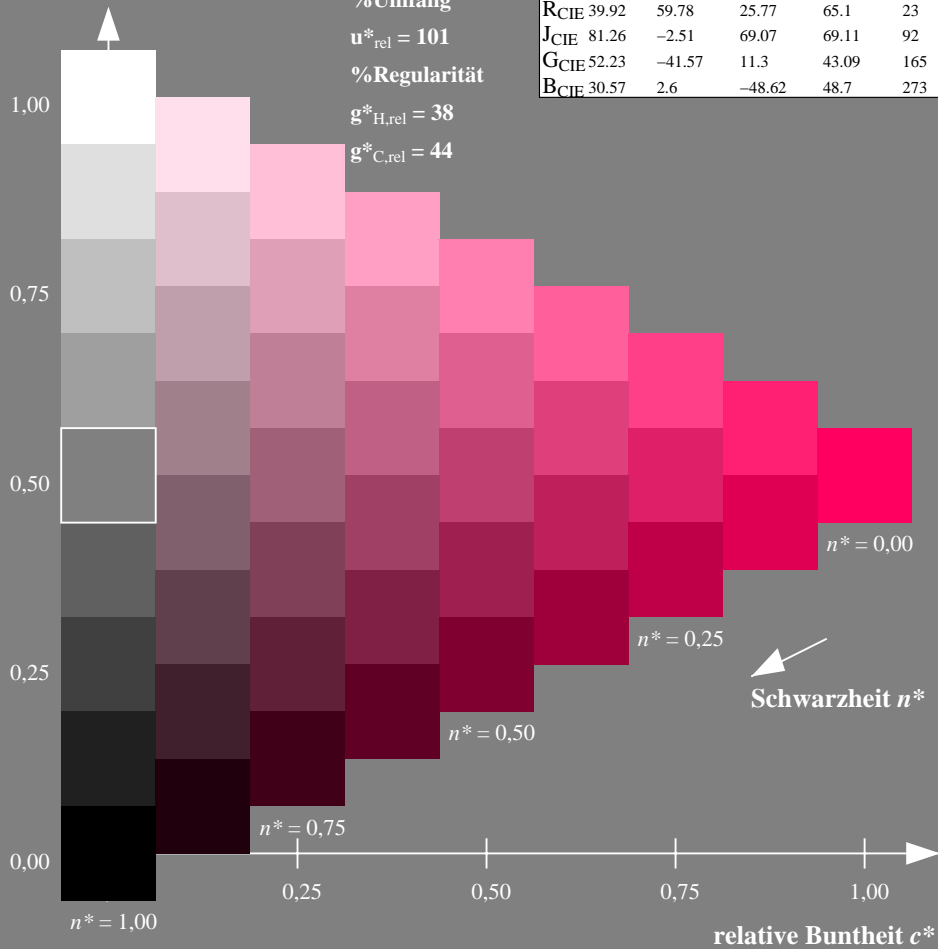
%Umfang

$u^*_{rel} = 101$

%Regularität

$g^*_{H,rel} = 38$

$g^*_{C,rel} = 44$



Ausgabe: Farbmetrisches Fernseh-Licht-System TLS18

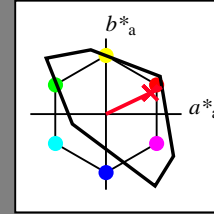
für Buntton $h^* = lab^*h = 25/360 = 0.071$

lab^*tch und lab^*nch

D65: Buntton R

LCH*Ma: 54 82 25

olv*Ma: 1.0 0.0 0.14



TLS18; adaptierte CIELAB-Daten

	$L^*=L^*_a$	a^*_a	b^*_a	$C^*_{ab,a}$	$h^*_{ab,a}$
O _{Ma}	52.76	71.63	49.88	87.29	35
Y _{Ma}	92.74	-20.02	84.97	87.3	103
L _{Ma}	84.0	-78.98	73.94	108.2	137
C _{Ma}	87.14	-44.41	-13.11	46.32	196
V _{Ma}	35.47	64.92	-95.06	115.12	304
M _{Ma}	59.01	89.33	-55.67	105.26	328
N _{Ma}	18.01	0.0	0.0	0.0	0
W _{Ma}	95.41	0.0	0.0	0.0	0
R _{CIE}	39.92	58.74	27.99	65.07	25
J _{CIE}	81.26	-2.88	71.56	71.62	92
G _{CIE}	52.23	-42.41	13.6	44.55	162
B _{CIE}	30.57	1.41	-46.46	46.49	272

Dreiecks-Helligkeit t^*

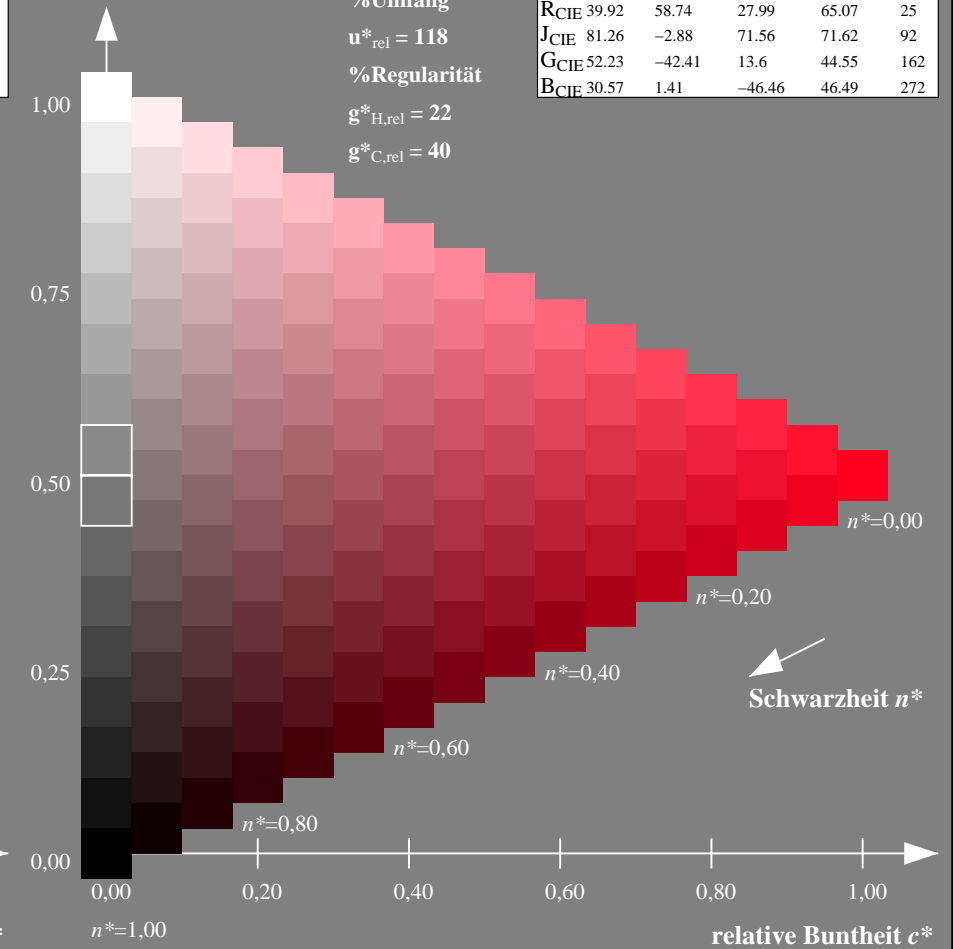
%Umfang

$u^*_{rel} = 118$

%Regularität

$g^*_{H,rel} = 22$

$g^*_{C,rel} = 40$



NG900-7, 9stufige Reihen für konstanten CIELAB Buntton $23/360 = 0.065$ (links)

16stufige Reihen für konstanten CIELAB Buntton $25/360 = 0.071$ (rechts)

Eingabe: Farbmetrisches Drucker-Reflektiv-System DRSXX

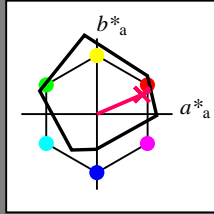
für Buntton $h^* = lab^*h = 23/360 = 0.065$

lab^*tch und lab^*nch

D65: Buntton R

LCH*Ma: 42 78 23

olv*Ma: 1.0 0.0 0.38



DRSXX; adaptierte CIELAB-Daten

	$L^*=L^*_a$	a^*_a	b^*_a	$C^*_{ab,a}$	$h^*_{ab,a}$
O _{Ma}	42.21	66.82	50.6	83.82	37
Y _{Ma}	90.32	-16.51	104.33	105.63	99
L _{Ma}	48.21	-75.63	30.65	81.61	158
C _{Ma}	53.44	-33.33	-47.49	58.03	235
V _{Ma}	34.16	-0.92	-46.56	46.58	269
M _{Ma}	42.71	79.0	-1.95	79.03	359
N _{Ma}	16.56	0.0	0.0	0.0	0
W _{Ma}	96.31	0.0	0.0	0.0	0
R _{CIE}	39.92	59.78	25.77	65.1	23
J _{CIE}	81.26	-2.51	69.07	69.11	92
G _{CIE}	52.23	-41.57	11.3	43.09	165
B _{CIE}	30.57	2.6	-48.62	48.7	273

Dreiecks-Helligkeit t^*

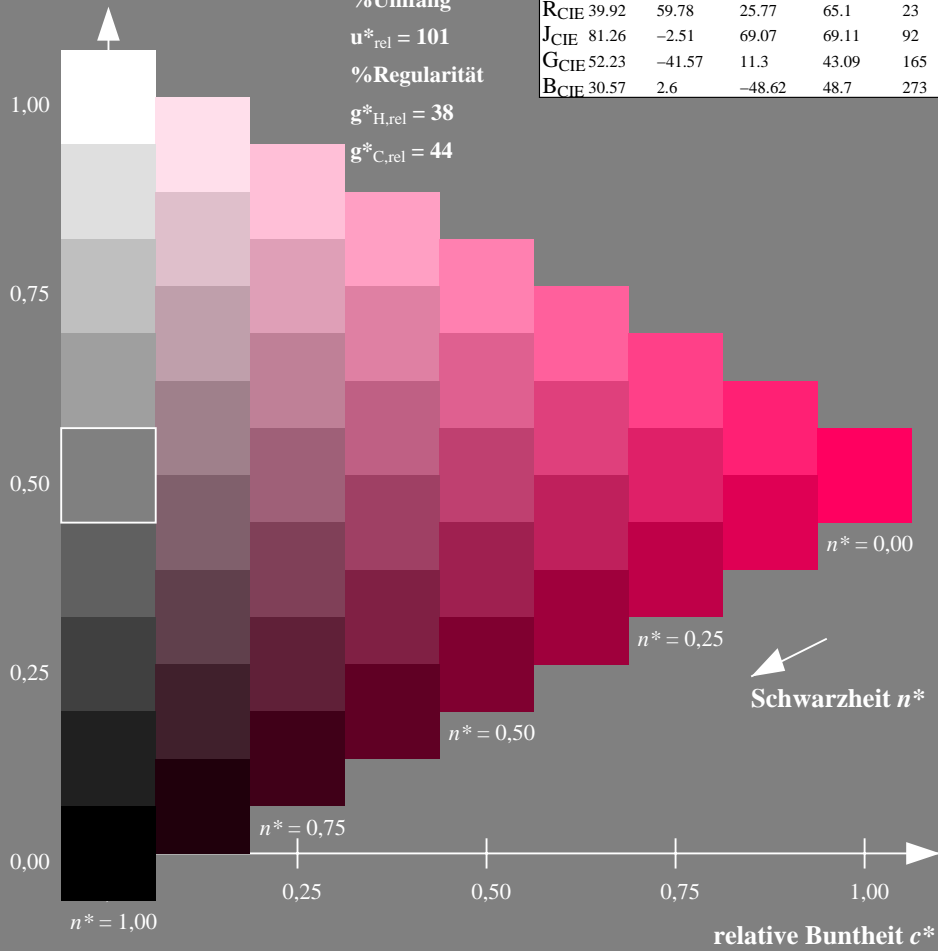
%Umfang

$u^*_{rel} = 101$

%Regularität

$g^*_{H,rel} = 38$

$g^*_{C,rel} = 44$



Ausgabe: Farbmetrisches Natürliches-Licht-System NLS00

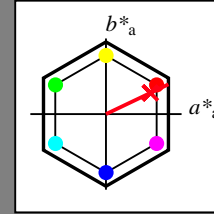
für Buntton $h^* = lab^*h = 25/360 = 0.071$

lab^*tch und lab^*nch

D65: Buntton R

LCH*Ma: 35 92 25

olv*Ma: 1.0 0.0 0.09



NLS00; adaptierte CIELAB-Daten

	$L^*=L^*_a$	a^*_a	b^*_a	$C^*_{ab,a}$	$h^*_{ab,a}$
O _{Ma}	31.81	82.62	47.7	95.4	30
Y _{Ma}	63.61	0.0	95.4	95.4	90
L _{Ma}	31.81	-82.61	47.7	95.4	150
C _{Ma}	63.61	-82.61	-47.69	95.4	210
V _{Ma}	31.81	0.0	-95.39	95.4	270
M _{Ma}	63.61	82.62	-47.69	95.4	330
N _{Ma}	0.01	0.0	0.0	0.0	0
W _{Ma}	95.41	0.0	0.0	0.0	0
R _{CIE}	39.92	58.74	27.99	65.07	25
J _{CIE}	81.26	-2.88	71.56	71.62	92
G _{CIE}	52.23	-42.41	13.6	44.55	162
B _{CIE}	30.57	1.41	-46.46	46.49	272

Dreiecks-Helligkeit t^*

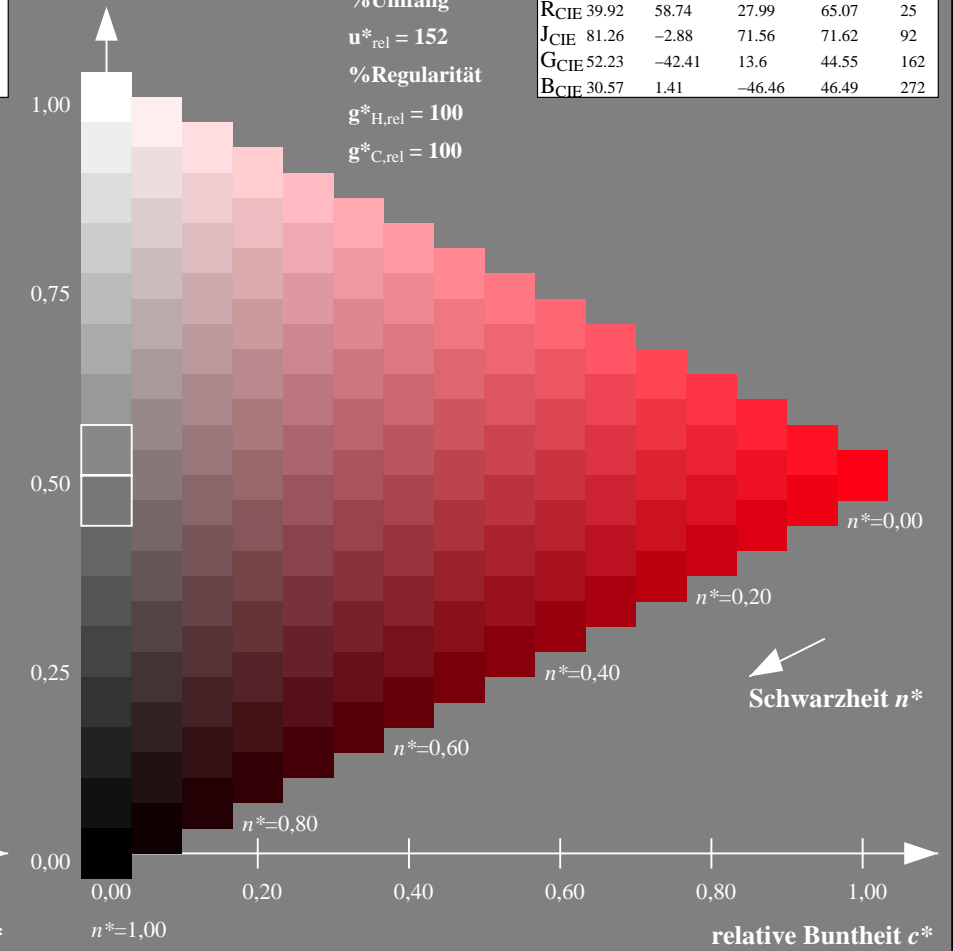
%Umfang

$u^*_{rel} = 152$

%Regularität

$g^*_{H,rel} = 100$

$g^*_{C,rel} = 100$



NG900-7, 9stufige Reihen für konstanten CIELAB Buntton $23/360 = 0.065$ (links)

16stufige Reihen für konstanten CIELAB Buntton $25/360 = 0.071$ (rechts)

Eingabe: Farbmetrisches Drucker-Reflektiv-System DRSXX

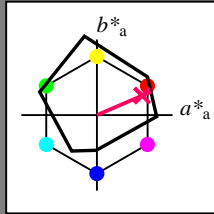
für Buntton $h^* = lab^*h = 23/360 = 0.065$

lab^*tch und lab^*nch

D65: Buntton R

LCH*Ma: 42 78 23

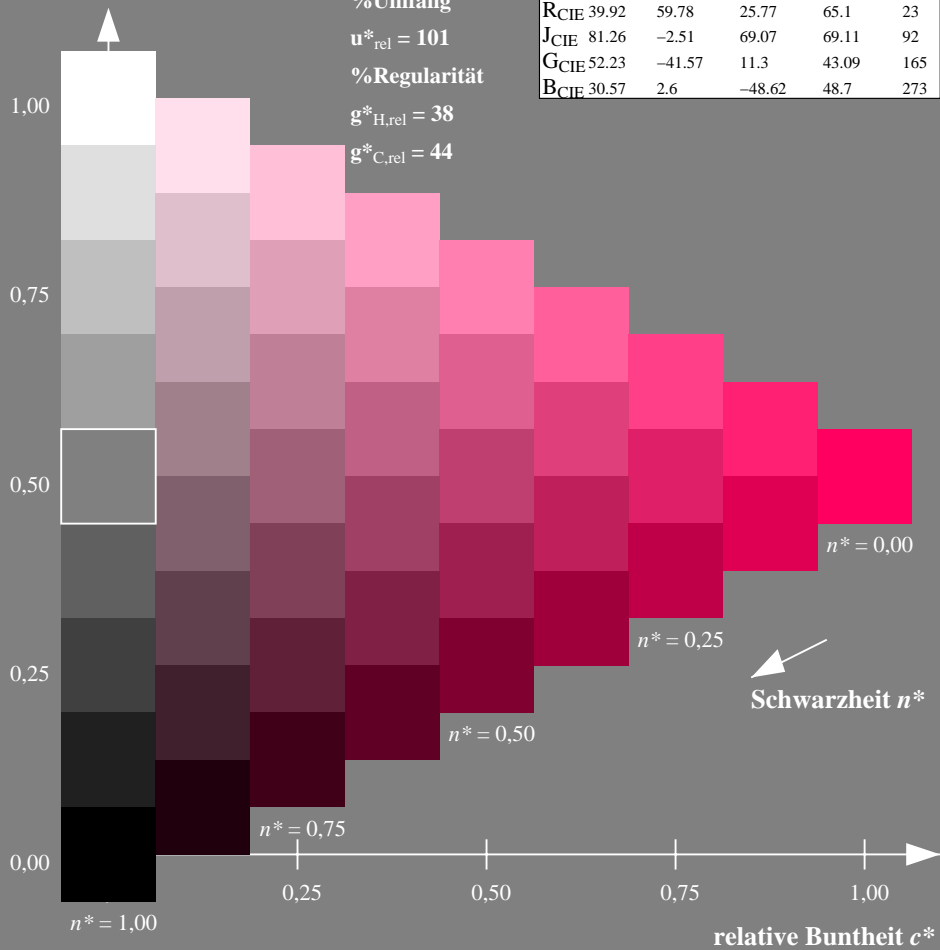
olv*Ma: 1.0 0.0 0.38



DRSXX; adaptierte CIELAB-Daten

	$L^*=L^*_a$	a^*_a	b^*_a	$C^*_{ab,a}$	$h^*_{ab,a}$
O _{Ma}	42.21	66.82	50.6	83.82	37
Y _{Ma}	90.32	-16.51	104.33	105.63	99
L _{Ma}	48.21	-75.63	30.65	81.61	158
C _{Ma}	53.44	-33.33	-47.49	58.03	235
V _{Ma}	34.16	-0.92	-46.56	46.58	269
M _{Ma}	42.71	79.0	-1.95	79.03	359
N _{Ma}	16.56	0.0	0.0	0.0	0
W _{Ma}	96.31	0.0	0.0	0.0	0
R _{CIE}	39.92	59.78	25.77	65.1	23
J _{CIE}	81.26	-2.51	69.07	69.11	92
G _{CIE}	52.23	-41.57	11.3	43.09	165
B _{CIE}	30.57	2.6	-48.62	48.7	273

Dreiecks-Helligkeit t^*



Ausgabe: Farbmetrisches Natürliches-Reflektiv-System NRS18

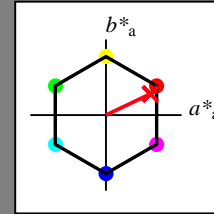
für Buntton $h^* = lab^*h = 25/360 = 0.071$

lab^*tch und lab^*nch

D65: Buntton R

LCH*Ma: 46 74 25

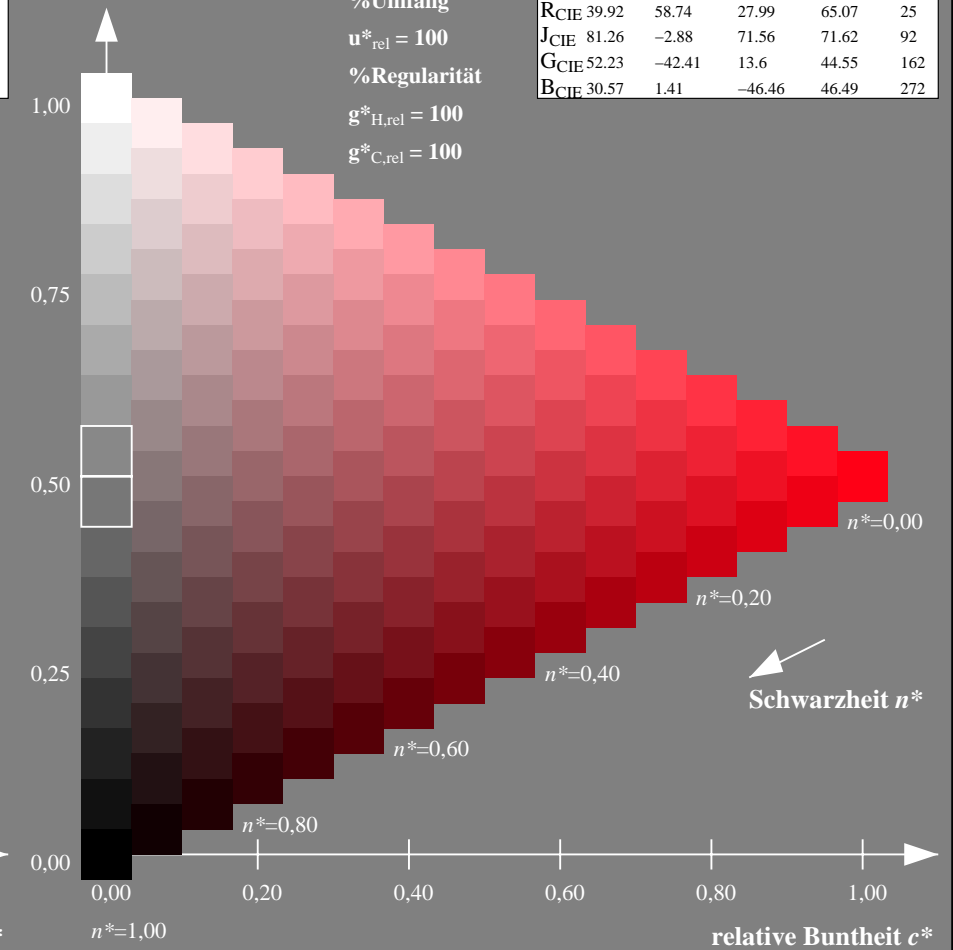
olv*Ma: 1.0 0.0 0.09



NRS18; adaptierte CIELAB-Daten

	$L^*=L^*_a$	a^*_a	b^*_a	$C^*_{ab,a}$	$h^*_{ab,a}$
O _{Ma}	43.81	67.03	38.7	77.4	30
Y _{Ma}	69.61	0.0	77.4	77.4	90
L _{Ma}	43.81	-67.02	38.7	77.4	150
C _{Ma}	69.61	-67.02	-38.69	77.4	210
V _{Ma}	43.81	0.0	-77.39	77.4	270
M _{Ma}	69.61	67.03	-38.69	77.4	330
N _{Ma}	18.01	0.0	0.0	0.0	0
W _{Ma}	95.41	0.0	0.0	0.0	0
R _{CIE}	39.92	58.74	27.99	65.07	25
J _{CIE}	81.26	-2.88	71.56	71.62	92
G _{CIE}	52.23	-42.41	13.6	44.55	162
B _{CIE}	30.57	1.41	-46.46	46.49	272

Dreiecks-Helligkeit t^*



NG900-7, 9stufige Reihen für konstanten CIELAB Buntton $23/360 = 0.065$ (links)

16stufige Reihen für konstanten CIELAB Buntton $25/360 = 0.071$ (rechts)

Eingabe: Farbmetrisches Drucker-Reflektiv-System DRSXX

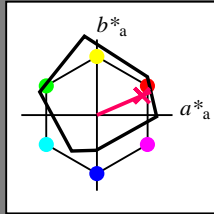
für Buntton $h^* = lab^*h = 23/360 = 0.065$

lab^*tch und lab^*nch

D65: Buntton R

LCH*Ma: 42 78 23

olv*Ma: 1.0 0.0 0.38



DRSXX; adaptierte CIELAB-Daten

	$L^*=L^*_a$	a^*_a	b^*_a	$C^*_{ab,a}$	$h^*_{ab,a}$
OMa	42.21	66.82	50.6	83.82	37
YMa	90.32	-16.51	104.33	105.63	99
LMa	48.21	-75.63	30.65	81.61	158
CMa	53.44	-33.33	-47.49	58.03	235
VMa	34.16	-0.92	-46.56	46.58	269
MMa	42.71	79.0	-1.95	79.03	359
NMa	16.56	0.0	0.0	0.0	0
WMa	96.31	0.0	0.0	0.0	0
RCIE	39.92	59.78	25.77	65.1	23
JCIE	81.26	-2.51	69.07	69.11	92
GCIE	52.23	-41.57	11.3	43.09	165
BCIE	30.57	2.6	-48.62	48.7	273

Dreiecks-Helligkeit t^*

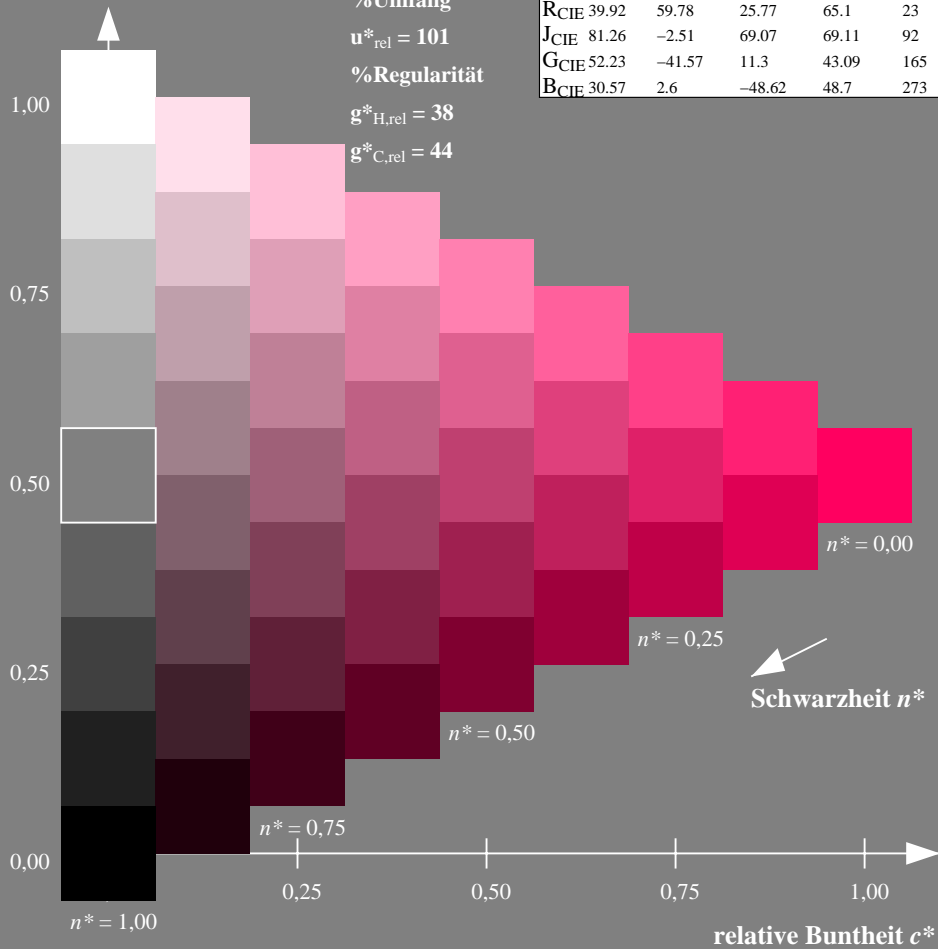
%Umfang

$u^*_{rel} = 101$

%Regularität

$g^*_{H,rel} = 38$

$g^*_{C,rel} = 44$



Ausgabe: Farbmetrisches Standard-Reflektiv-System SRS18

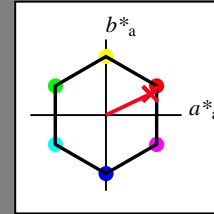
für Buntton $h^* = lab^*h = 25/360 = 0.071$

lab^*tch und lab^*nch

D65: Buntton R

LCH*Ma: 57 74 25

olv*Ma: 1.0 0.0 0.09



SRS18; adaptierte CIELAB-Daten

	$L^*=L^*_a$	a^*_a	b^*_a	$C^*_{ab,a}$	$h^*_{ab,a}$
OMa	56.71	67.03	38.7	77.4	30
YMa	56.71	0.0	77.4	77.4	90
LMa	56.71	-67.02	38.7	77.4	150
CMa	56.71	-67.02	-38.69	77.4	210
VMa	56.71	0.0	-77.39	77.4	270
MMa	56.71	67.03	-38.69	77.4	330
NMa	18.01	0.0	0.0	0.0	0
WMa	95.41	0.0	0.0	0.0	0
RCIE	39.92	58.74	27.99	65.07	25
JCIE	81.26	-2.88	71.56	71.62	92
GCIE	52.23	-42.41	13.6	44.55	162
BCIE	30.57	1.41	-46.46	46.49	272

Dreiecks-Helligkeit t^*

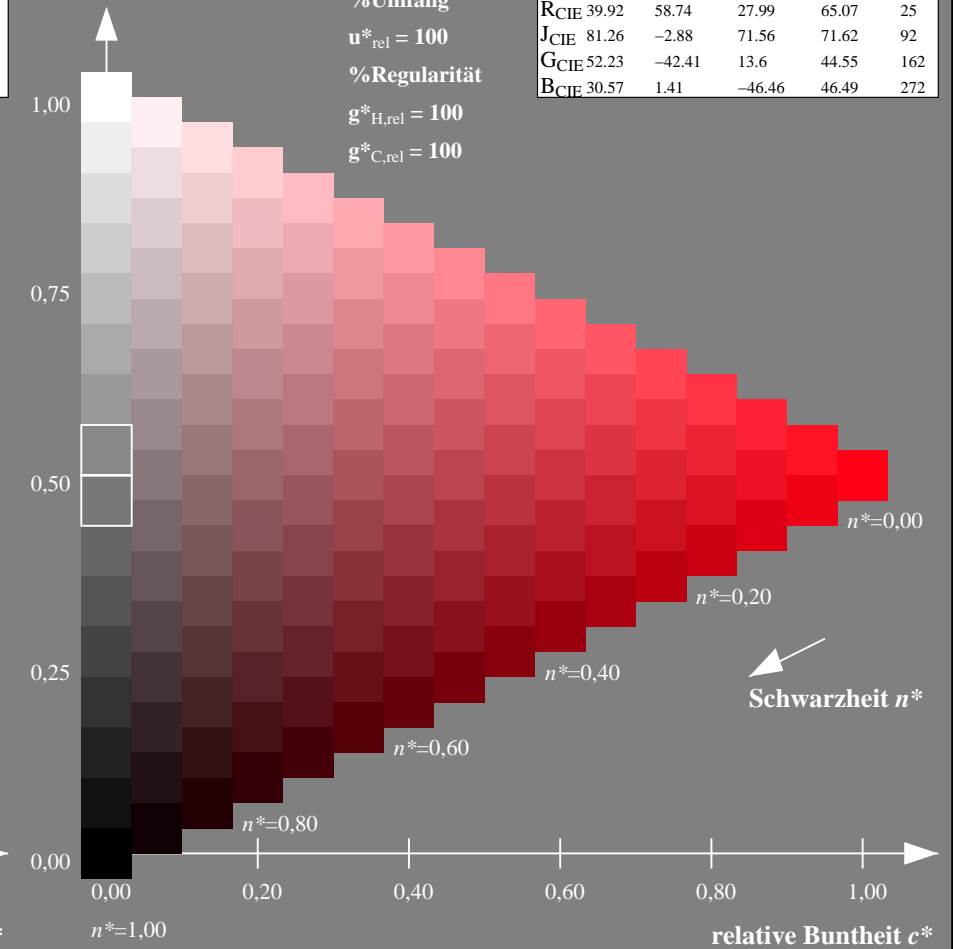
%Umfang

$u^*_{rel} = 100$

%Regularität

$g^*_{H,rel} = 100$

$g^*_{C,rel} = 100$



NG900-7, 9stufige Reihen für konstanten CIELAB Buntton $23/360 = 0.065$ (links)

16stufige Reihen für konstanten CIELAB Buntton $25/360 = 0.071$ (rechts)

Eingabe: Farbmetrisches Drucker-Reflektiv-System DRSXX

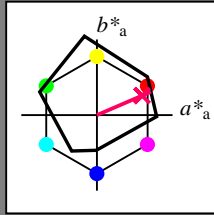
für Buntton $h^* = lab^*h = 23/360 = 0.065$

lab^*tch und lab^*nch

D65: Buntton R

LCH*Ma: 42 78 23

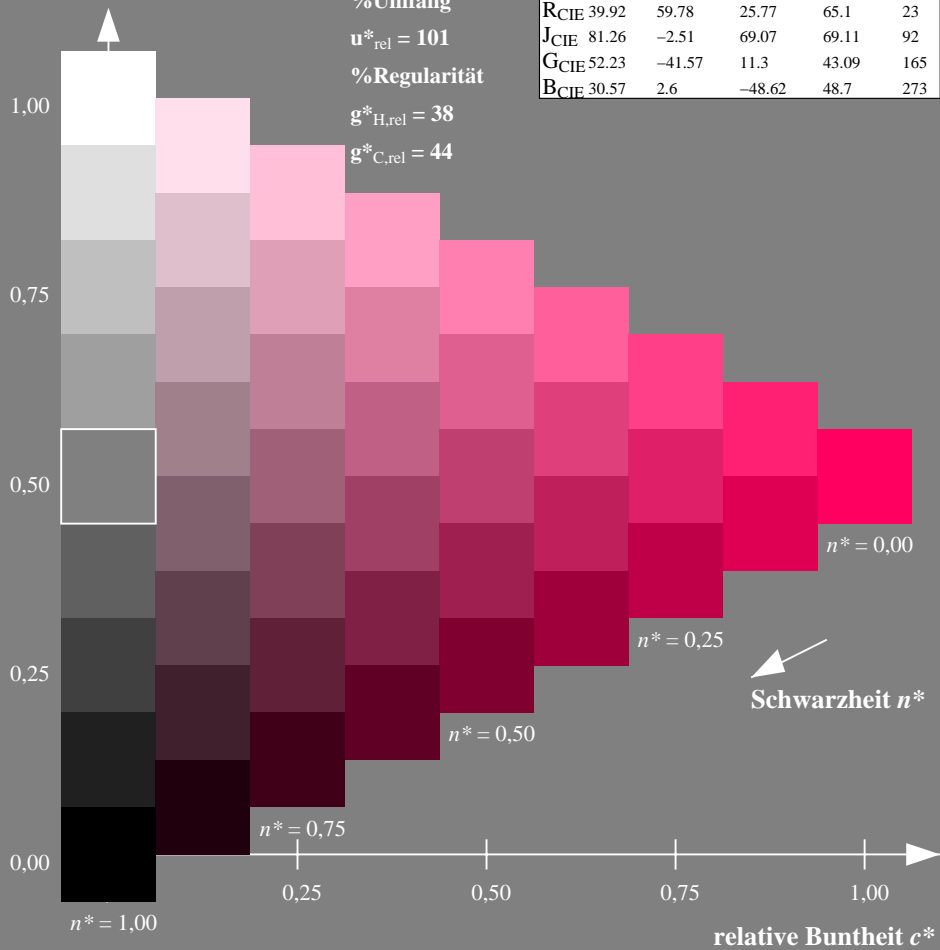
olv*Ma: 1.0 0.0 0.38



DRSXX; adaptierte CIELAB-Daten

	$L^*=L^*_a$	a^*_a	b^*_a	$C^*_{ab,a}$	$h^*_{ab,a}$
O _{Ma}	42.21	66.82	50.6	83.82	37
Y _{Ma}	90.32	-16.51	104.33	105.63	99
L _{Ma}	48.21	-75.63	30.65	81.61	158
C _{Ma}	53.44	-33.33	-47.49	58.03	235
V _{Ma}	34.16	-0.92	-46.56	46.58	269
M _{Ma}	42.71	79.0	-1.95	79.03	359
N _{Ma}	16.56	0.0	0.0	0.0	0
W _{Ma}	96.31	0.0	0.0	0.0	0
R _{CIE}	39.92	59.78	25.77	65.1	23
J _{CIE}	81.26	-2.51	69.07	69.11	92
G _{CIE}	52.23	-41.57	11.3	43.09	165
B _{CIE}	30.57	2.6	-48.62	48.7	273

Dreiecks-Helligkeit t^*



Ausgabe: Farbmetrisches Fernseh-Licht-System TLS70

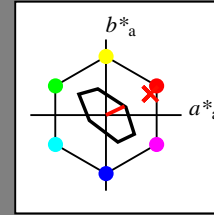
für Buntton $h^* = lab^*h = 25/360 = 0.071$

lab^*tch und lab^*nch

D65: Buntton R

LCH*Ma: 77 27 25

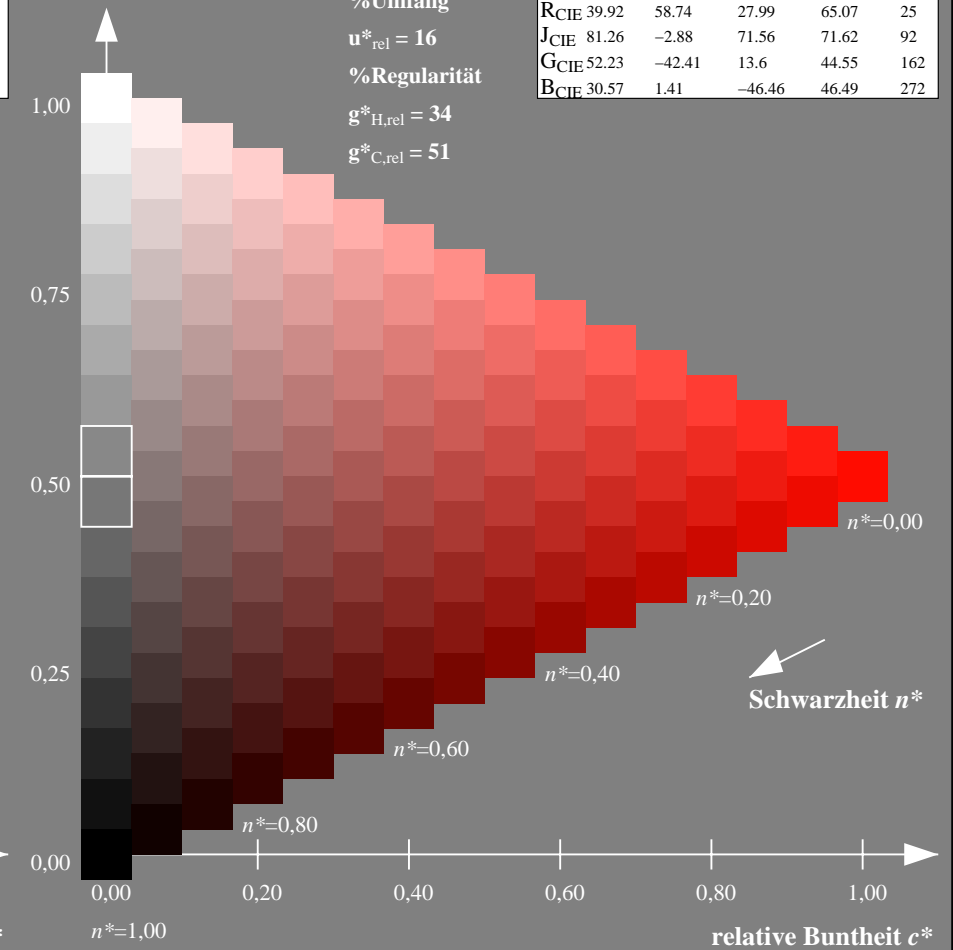
olv*Ma: 1.0 0.05 0.0



TLS70; adaptierte CIELAB-Daten

	$L^*=L^*_a$	a^*_a	b^*_a	$C^*_{ab,a}$	$h^*_{ab,a}$
O _{Ma}	76.43	26.27	10.57	28.32	22
Y _{Ma}	93.93	-10.76	34.63	36.27	107
L _{Ma}	89.32	-35.8	27.64	45.24	142
C _{Ma}	90.93	-21.95	-7.07	23.07	198
V _{Ma}	72.1	15.76	-35.63	38.97	294
M _{Ma}	78.5	37.52	-25.23	45.22	326
N _{Ma}	69.7	0.0	0.0	0.0	0
W _{Ma}	95.41	0.0	0.0	0.0	0
R _{CIE}	39.92	58.74	27.99	65.07	25
J _{CIE}	81.26	-2.88	71.56	71.62	92
G _{CIE}	52.23	-42.41	13.6	44.55	162
B _{CIE}	30.57	1.41	-46.46	46.49	272

Dreiecks-Helligkeit t^*



NG900-7, 9stufige Reihen für konstanten CIELAB Buntton $23/360 = 0.065$ (links)

16stufige Reihen für konstanten CIELAB Buntton $25/360 = 0.071$ (rechts)

Eingabe: Farbmetrisches Fernseh-Licht-System TLS18

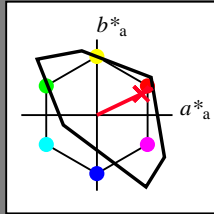
für Buntton $h^* = lab^*h = 25/360 = 0.071$

lab^*tch und lab^*nch

D65: Buntton R

LCH*Ma: 54 82 25

olv*Ma: 1.0 0.0 0.14



TLS18; adaptierte CIELAB-Daten

	$L^*=L^*_a$	a^*_a	b^*_a	$C^*_{ab,a}$	$h^*_{ab,a}$
OMa	52.76	71.63	49.88	87.29	35
YMa	92.74	-20.02	84.97	87.3	103
LMa	84.0	-78.98	73.94	108.2	137
CMa	87.14	-44.41	-13.11	46.32	196
VMa	35.47	64.92	-95.06	115.12	304
MMa	59.01	89.33	-55.67	105.26	328
NMa	18.01	0.0	0.0	0.0	0
WMa	95.41	0.0	0.0	0.0	0
RCIE	39.92	58.74	27.99	65.07	25
JCIE	81.26	-2.88	71.56	71.62	92
GCIE	52.23	-42.41	13.6	44.55	162
BCIE	30.57	1.41	-46.46	46.49	272

Dreiecks-Helligkeit t^*

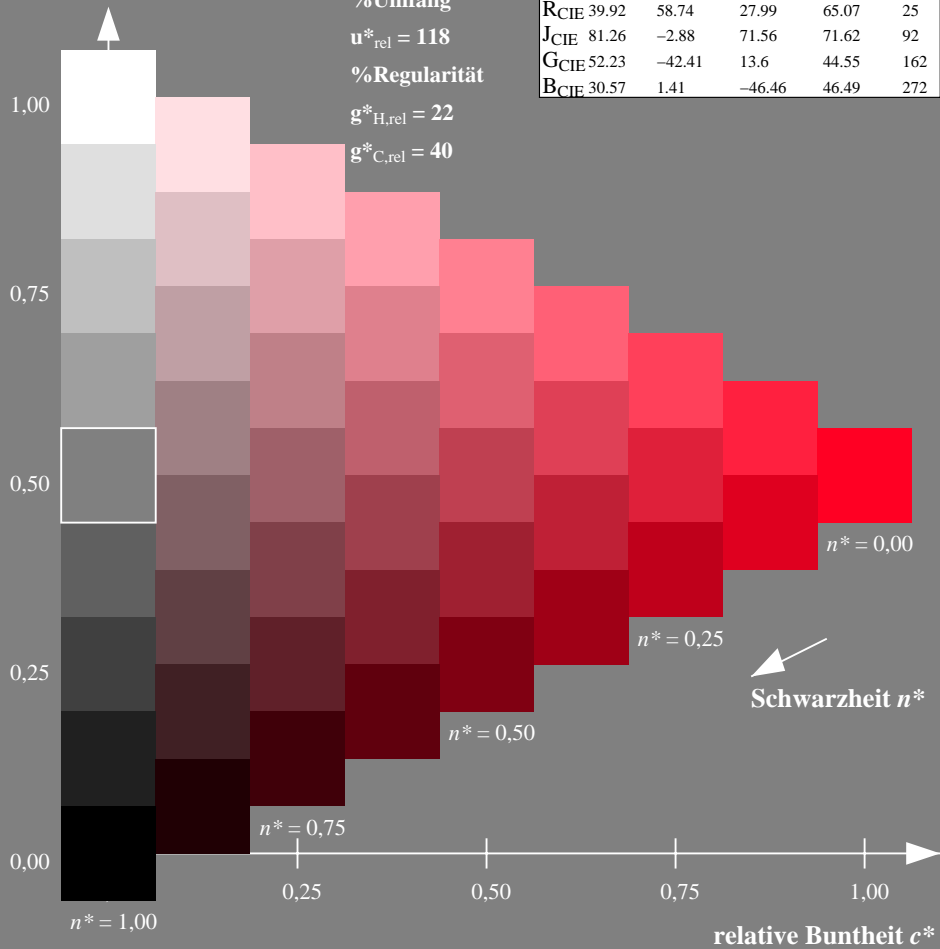
%Umfang

$u^*_{rel} = 118$

%Regularität

$g^*_{H,rel} = 22$

$g^*_{C,rel} = 40$



Schwarzheit n^*

Ausgabe: Farbmetrisches Offset-Reflektiv-System ORS18

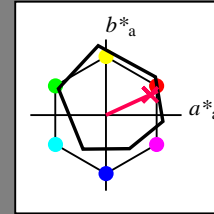
für Buntton $h^* = lab^*h = 25/360 = 0.069$

lab^*tch und lab^*nch

D65: Buntton R

LCH*Ma: 48 75 25

olv*Ma: 1.0 0.0 0.32



ORS18; adaptierte CIELAB-Daten

	$L^*=L^*_a$	a^*_a	b^*_a	$C^*_{ab,a}$	$h^*_{ab,a}$
OMa	47.94	65.39	50.52	82.63	38
YMa	90.37	-10.26	91.75	92.32	96
LMa	50.9	-62.83	34.96	71.91	151
CMa	58.62	-30.34	-45.01	54.3	236
VMa	25.72	31.1	-44.4	54.22	305
MMa	48.13	75.28	-8.36	75.74	354
NMa	18.01	0.0	0.0	0.0	0
WMa	95.41	0.0	0.0	0.0	0
RCIE	39.92	58.66	26.98	64.57	25
JCIE	81.26	-2.16	67.76	67.79	92
GCIE	52.23	-42.25	11.76	43.87	164
BCIE	30.57	1.15	-46.84	46.86	271

Dreiecks-Helligkeit t^*

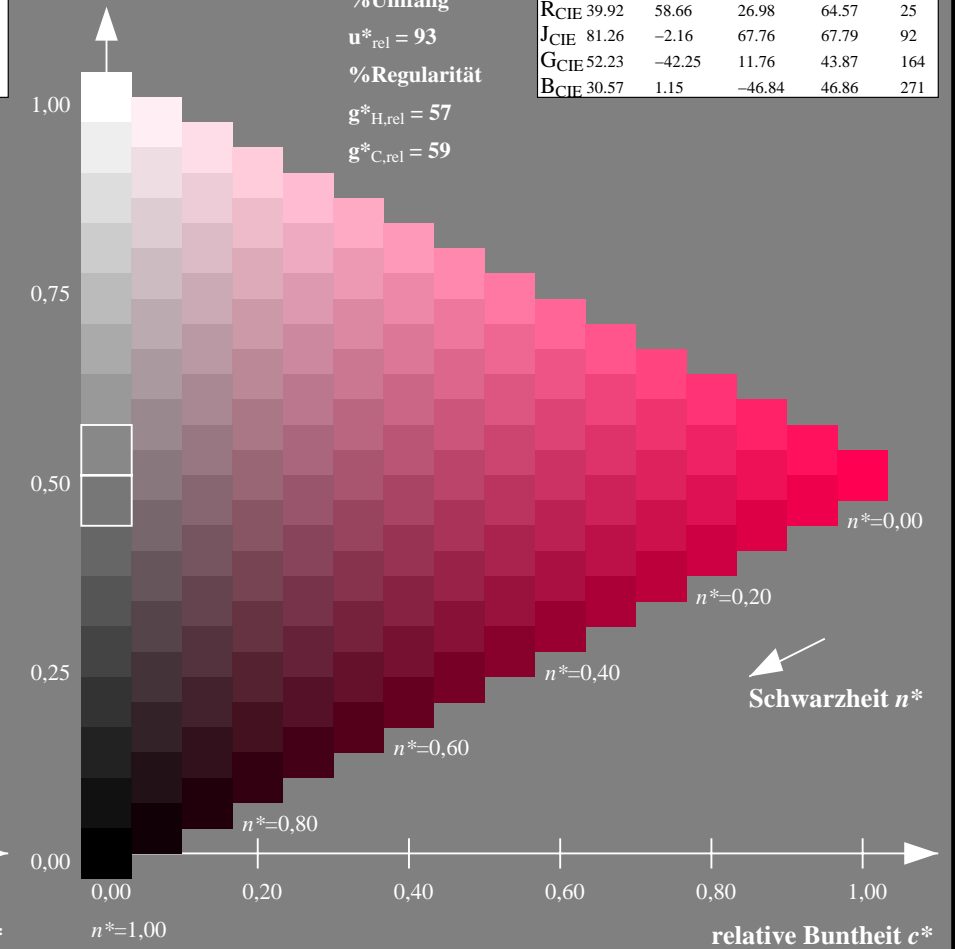
%Umfang

$u^*_{rel} = 93$

%Regularität

$g^*_{H,rel} = 57$

$g^*_{C,rel} = 59$



Schwarzheit n^*

NG900-7, 9stufige Reihen für konstanten CIELAB Buntton $25/360 = 0.071$ (links)

16stufige Reihen für konstanten CIELAB Buntton $25/360 = 0.069$ (rechts)

Eingabe: Farbmetrisches Fernseh-Licht-System TLS18

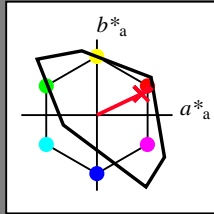
für Buntton $h^* = lab^*h = 25/360 = 0.071$

lab^*tch und lab^*nch

D65: Buntton R

LCH*Ma: 54 82 25

olv*Ma: 1.0 0.0 0.14



TLS18; adaptierte CIELAB-Daten

	$L^*=L^*_a$	a^*_a	b^*_a	$C^*_{ab,a}$	$h^*_{ab,a}$
OMa	52.76	71.63	49.88	87.29	35
YMa	92.74	-20.02	84.97	87.3	103
LMa	84.0	-78.98	73.94	108.2	137
CMa	87.14	-44.41	-13.11	46.32	196
VMa	35.47	64.92	-95.06	115.12	304
MMa	59.01	89.33	-55.67	105.26	328
NMa	18.01	0.0	0.0	0.0	0
WMa	95.41	0.0	0.0	0.0	0
RCIE	39.92	58.74	27.99	65.07	25
JCIE	81.26	-2.88	71.56	71.62	92
GCIE	52.23	-42.41	13.6	44.55	162
BCIE	30.57	1.41	-46.46	46.49	272

Dreiecks-Helligkeit t^*

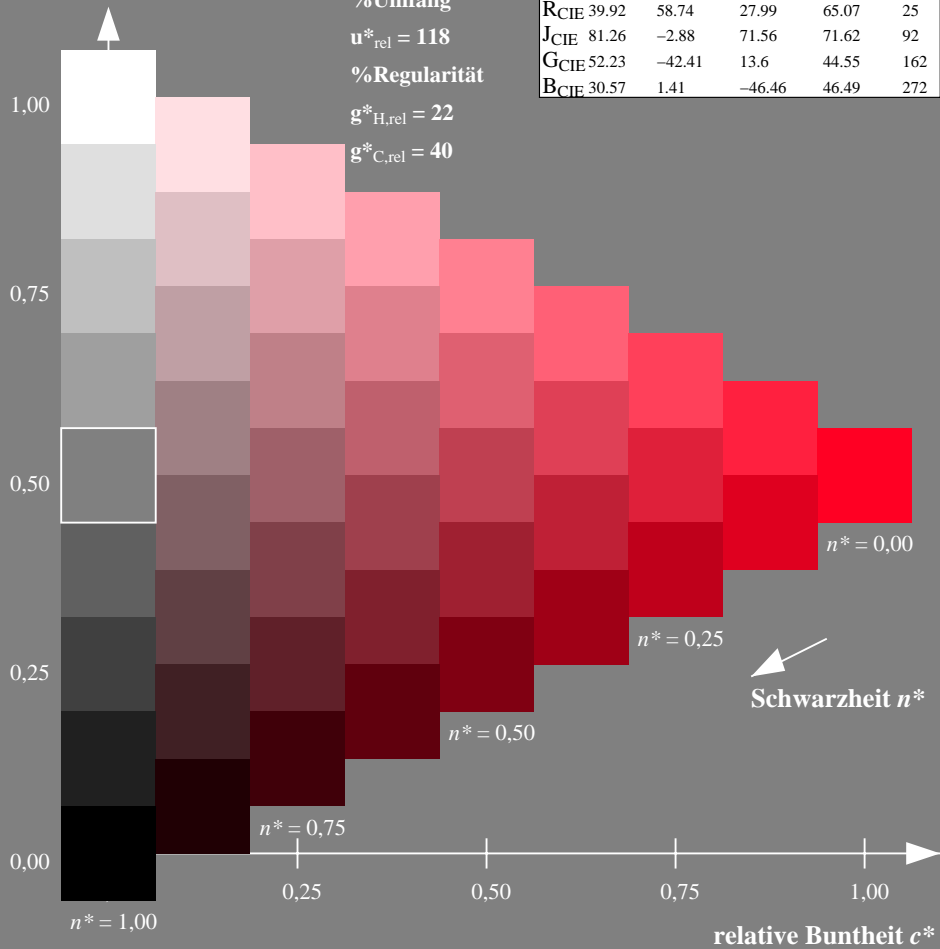
%Umfang

$u^*_{rel} = 118$

%Regularität

$g^*_{H,rel} = 22$

$g^*_{C,rel} = 40$



Ausgabe: Farbmetrisches Fernseh-Licht-System TLS00

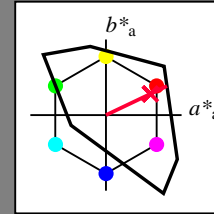
für Buntton $h^* = lab^*h = 25/360 = 0.071$

lab^*tch und lab^*nch

D65: Buntton R

LCH*Ma: 52 89 25

olv*Ma: 1.0 0.0 0.21



TLS00; adaptierte CIELAB-Daten

	$L^*=L^*_a$	a^*_a	b^*_a	$C^*_{ab,a}$	$h^*_{ab,a}$
OMa	50.5	76.92	64.55	100.42	40
YMa	92.66	-20.69	90.75	93.08	103
LMa	83.63	-82.75	79.9	115.04	136
CMa	86.88	-46.16	-13.55	48.12	196
VMa	30.39	76.06	-103.59	128.52	306
MMa	57.3	94.35	-58.41	110.97	328
NMa	0.01	0.0	0.0	0.0	0
WMa	95.41	0.0	0.0	0.0	0
RCIE	39.92	58.74	27.99	65.07	25
JCIE	81.26	-2.88	71.56	71.62	92
GCIE	52.23	-42.41	13.6	44.55	162
BCIE	30.57	1.41	-46.46	46.49	272

Dreiecks-Helligkeit t^*

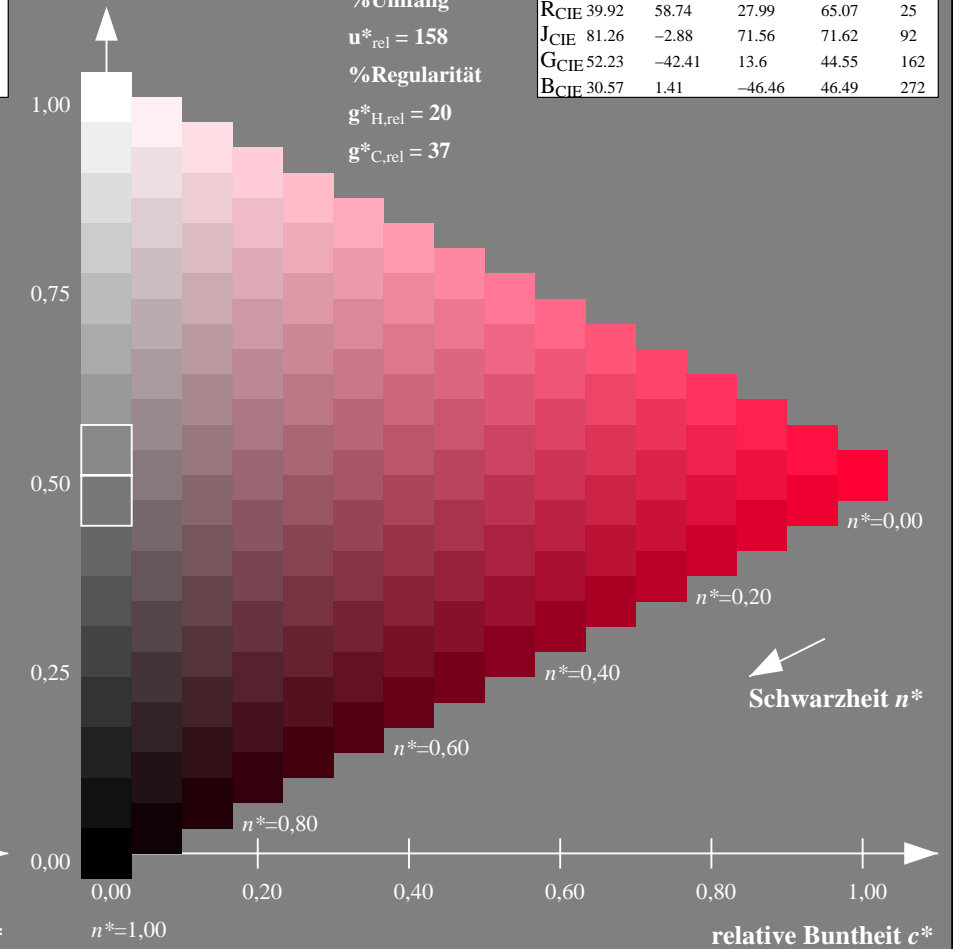
%Umfang

$u^*_{rel} = 158$

%Regularität

$g^*_{H,rel} = 20$

$g^*_{C,rel} = 37$



NG900-7, 9stufige Reihen für konstanten CIELAB Buntton $25/360 = 0.071$ (links)

16stufige Reihen für konstanten CIELAB Buntton $25/360 = 0.071$ (rechts)

Eingabe: Farbmetrisches Fernseh-Licht-System TLS18

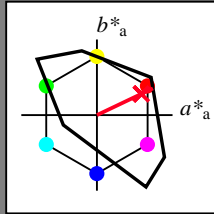
für Buntton $h^* = lab^*h = 25/360 = 0.071$

lab^*tch und lab^*nch

D65: Buntton R

LCH*Ma: 54 82 25

olv*Ma: 1.0 0.0 0.14



TLS18; adaptierte CIELAB-Daten

	$L^*=L^*_a$	a^*_a	b^*_a	$C^*_{ab,a}$	$h^*_{ab,a}$
OMa	52.76	71.63	49.88	87.29	35
YMa	92.74	-20.02	84.97	87.3	103
LMa	84.0	-78.98	73.94	108.2	137
CMa	87.14	-44.41	-13.11	46.32	196
VMa	35.47	64.92	-95.06	115.12	304
MMa	59.01	89.33	-55.67	105.26	328
NMa	18.01	0.0	0.0	0.0	0
WMa	95.41	0.0	0.0	0.0	0
RCIE	39.92	58.74	27.99	65.07	25
JCIE	81.26	-2.88	71.56	71.62	92
GCIE	52.23	-42.41	13.6	44.55	162
BCIE	30.57	1.41	-46.46	46.49	272

Dreiecks-Helligkeit t^*

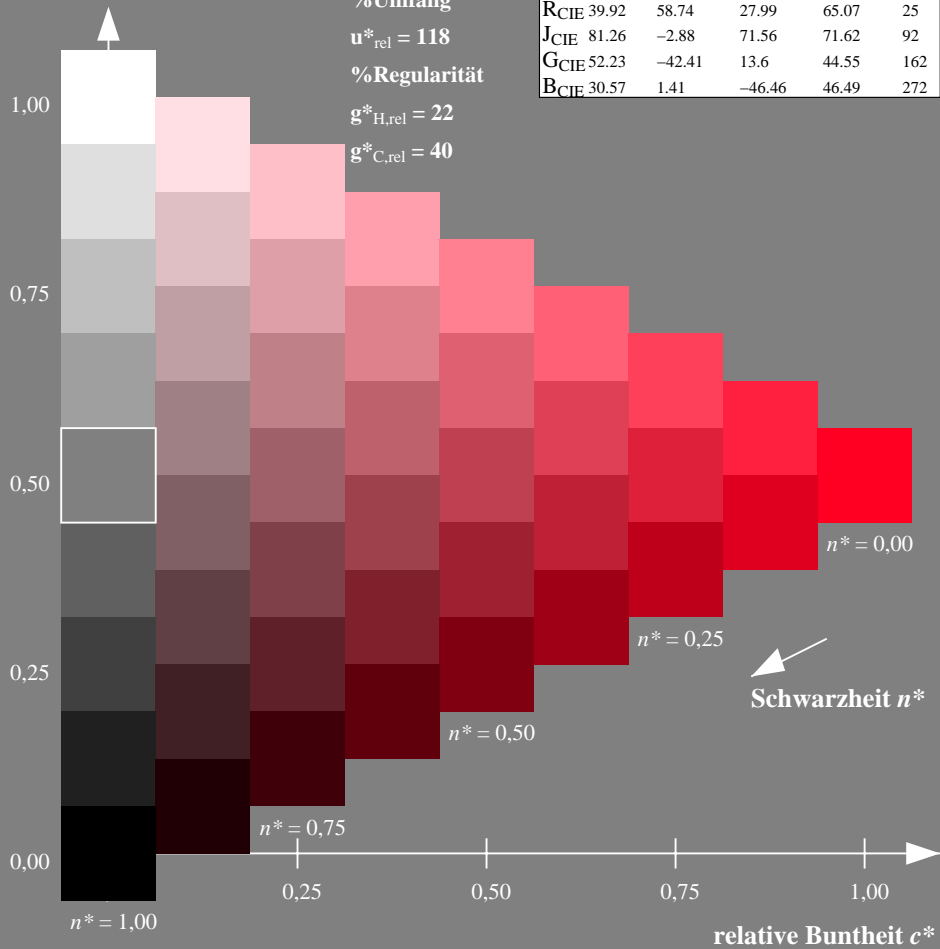
%Umfang

$u^*_{rel} = 118$

%Regularität

$g^*_{H,rel} = 22$

$g^*_{C,rel} = 40$



Ausgabe: Farbmetrisches Drucker-Reflektiv-System DRSXX

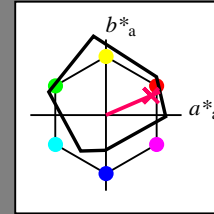
für Buntton $h^* = lab^*h = 23/360 = 0.065$

lab^*tch und lab^*nch

D65: Buntton R

LCH*Ma: 42 78 23

olv*Ma: 1.0 0.0 0.38



DRSXX; adaptierte CIELAB-Daten

	$L^*=L^*_a$	a^*_a	b^*_a	$C^*_{ab,a}$	$h^*_{ab,a}$
OMa	42.21	66.82	50.6	83.82	37
YMa	90.32	-16.51	104.33	105.63	99
LMa	48.21	-75.63	30.65	81.61	158
CMa	53.44	-33.33	-47.49	58.03	235
VMa	34.16	-0.92	-46.56	46.58	269
MMa	42.71	79.0	-1.95	79.03	359
NMa	16.56	0.0	0.0	0.0	0
WMa	96.31	0.0	0.0	0.0	0
RCIE	39.92	59.78	25.77	65.1	23
JCIE	81.26	-2.51	69.07	69.11	92
GCIE	52.23	-41.57	11.3	43.09	165
BCIE	30.57	2.6	-48.62	48.7	273

Dreiecks-Helligkeit t^*

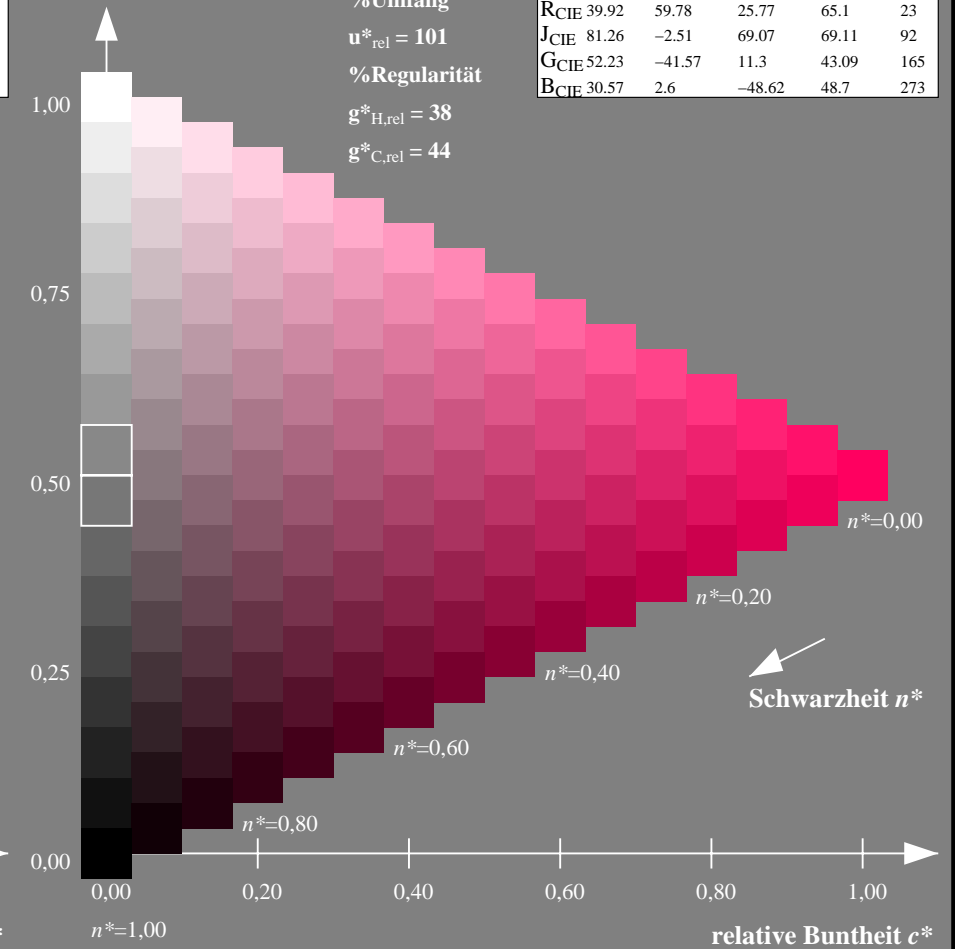
%Umfang

$u^*_{rel} = 101$

%Regularität

$g^*_{H,rel} = 38$

$g^*_{C,rel} = 44$



NG900-7, 9stufige Reihen für konstanten CIELAB Buntton $25/360 = 0.071$ (links)

16stufige Reihen für konstanten CIELAB Buntton $23/360 = 0.065$ (rechts)

Eingabe: Farbmetrisches Fernseh-Licht-System TLS18

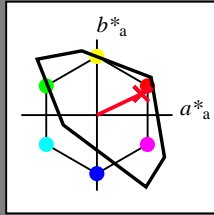
für Buntton $h^* = lab^*h = 25/360 = 0.071$

lab^*tch und lab^*nch

D65: Buntton R

LCH*Ma: 54 82 25

olv*Ma: 1.0 0.0 0.14



TLS18; adaptierte CIELAB-Daten

	$L^*=L^*_a$	a^*_a	b^*_a	$C^*_{ab,a}$	$h^*_{ab,a}$
OMa	52.76	71.63	49.88	87.29	35
YMa	92.74	-20.02	84.97	87.3	103
LMa	84.0	-78.98	73.94	108.2	137
CMa	87.14	-44.41	-13.11	46.32	196
VMa	35.47	64.92	-95.06	115.12	304
MMa	59.01	89.33	-55.67	105.26	328
NMa	18.01	0.0	0.0	0.0	0
WMa	95.41	0.0	0.0	0.0	0
RCIE	39.92	58.74	27.99	65.07	25
JCIE	81.26	-2.88	71.56	71.62	92
GCIE	52.23	-42.41	13.6	44.55	162
BCIE	30.57	1.41	-46.46	46.49	272

Dreiecks-Helligkeit t^*

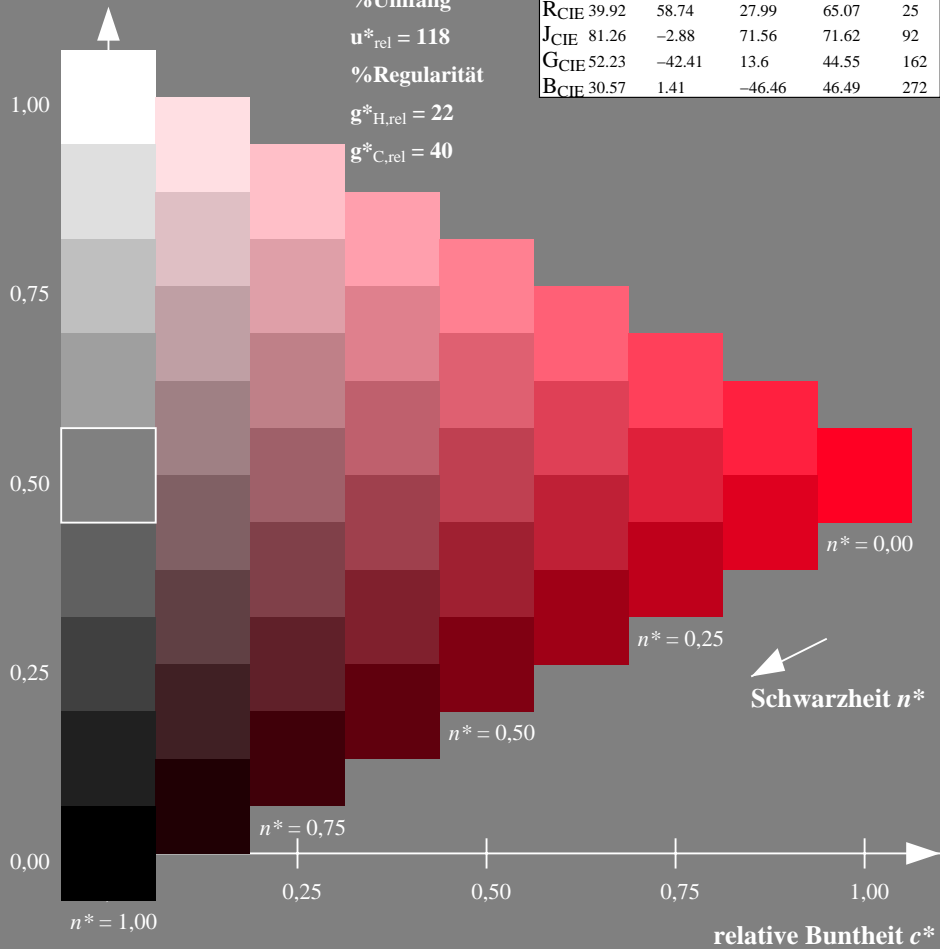
%Umfang

$u^*_{rel} = 118$

%Regularität

$g^*_{H,rel} = 22$

$g^*_{C,rel} = 40$



Ausgabe: Farbmetrisches Fernseh-Licht-System TLS18

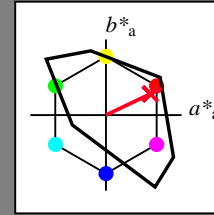
für Buntton $h^* = lab^*h = 25/360 = 0.071$

lab^*tch und lab^*nch

D65: Buntton R

LCH*Ma: 54 82 25

olv*Ma: 1.0 0.0 0.14



TLS18; adaptierte CIELAB-Daten

	$L^*=L^*_a$	a^*_a	b^*_a	$C^*_{ab,a}$	$h^*_{ab,a}$
OMa	52.76	71.63	49.88	87.29	35
YMa	92.74	-20.02	84.97	87.3	103
LMa	84.0	-78.98	73.94	108.2	137
CMa	87.14	-44.41	-13.11	46.32	196
VMa	35.47	64.92	-95.06	115.12	304
MMa	59.01	89.33	-55.67	105.26	328
NMa	18.01	0.0	0.0	0.0	0
WMa	95.41	0.0	0.0	0.0	0
RCIE	39.92	58.74	27.99	65.07	25
JCIE	81.26	-2.88	71.56	71.62	92
GCIE	52.23	-42.41	13.6	44.55	162
BCIE	30.57	1.41	-46.46	46.49	272

Dreiecks-Helligkeit t^*

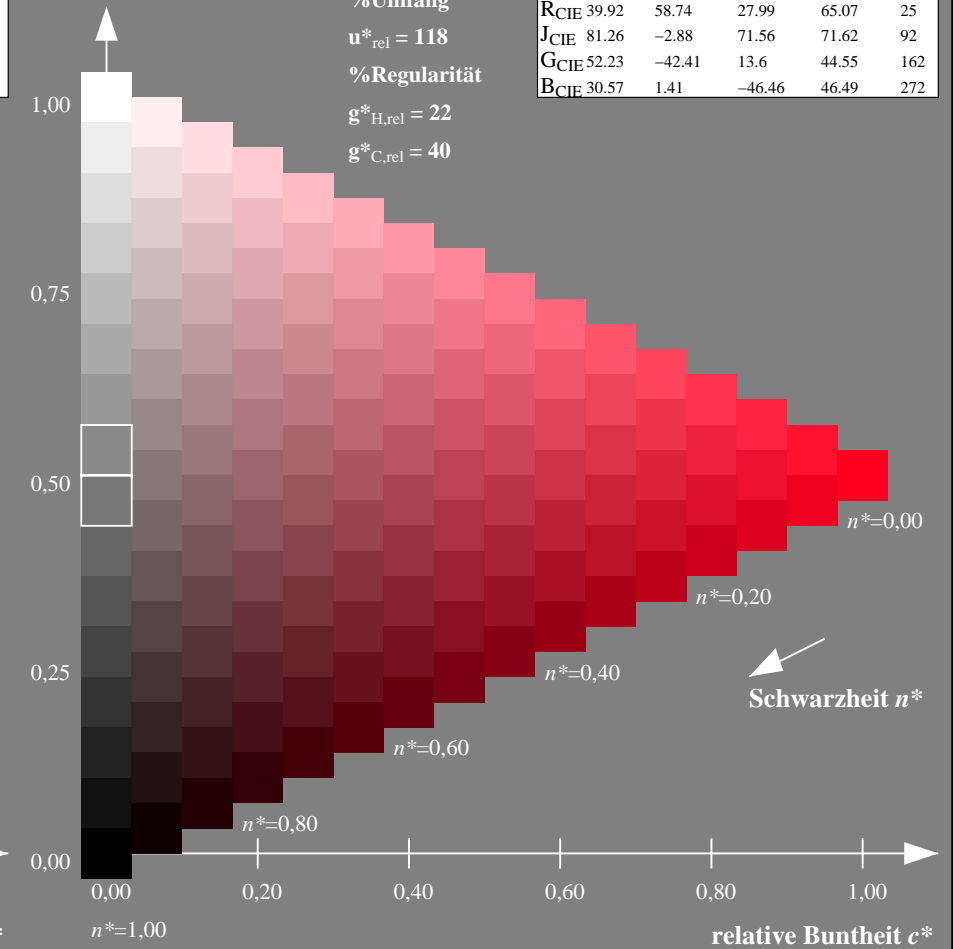
%Umfang

$u^*_{rel} = 118$

%Regularität

$g^*_{H,rel} = 22$

$g^*_{C,rel} = 40$



NG900-7, 9stufige Reihen für konstanten CIELAB Buntton $25/360 = 0.071$ (links)

16stufige Reihen für konstanten CIELAB Buntton $25/360 = 0.071$ (rechts)

Eingabe: Farbmetrisches Fernseh-Licht-System TLS18

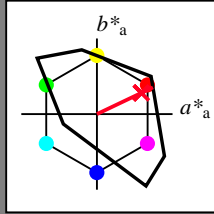
für Buntton $h^* = lab^*h = 25/360 = 0.071$

lab^*tch und lab^*nch

D65: Buntton R

LCH*Ma: 54 82 25

olv*Ma: 1.0 0.0 0.14



TLS18; adaptierte CIELAB-Daten

	$L^*=L^*_a$	a^*_a	b^*_a	$C^*_{ab,a}$	$h^*_{ab,a}$
OMa	52.76	71.63	49.88	87.29	35
YMa	92.74	-20.02	84.97	87.3	103
LMa	84.0	-78.98	73.94	108.2	137
CMa	87.14	-44.41	-13.11	46.32	196
VMa	35.47	64.92	-95.06	115.12	304
MMa	59.01	89.33	-55.67	105.26	328
NMa	18.01	0.0	0.0	0.0	0
WMa	95.41	0.0	0.0	0.0	0
RCIE	39.92	58.74	27.99	65.07	25
JCIE	81.26	-2.88	71.56	71.62	92
GCIE	52.23	-42.41	13.6	44.55	162
BCIE	30.57	1.41	-46.46	46.49	272

Dreiecks-Helligkeit t^*

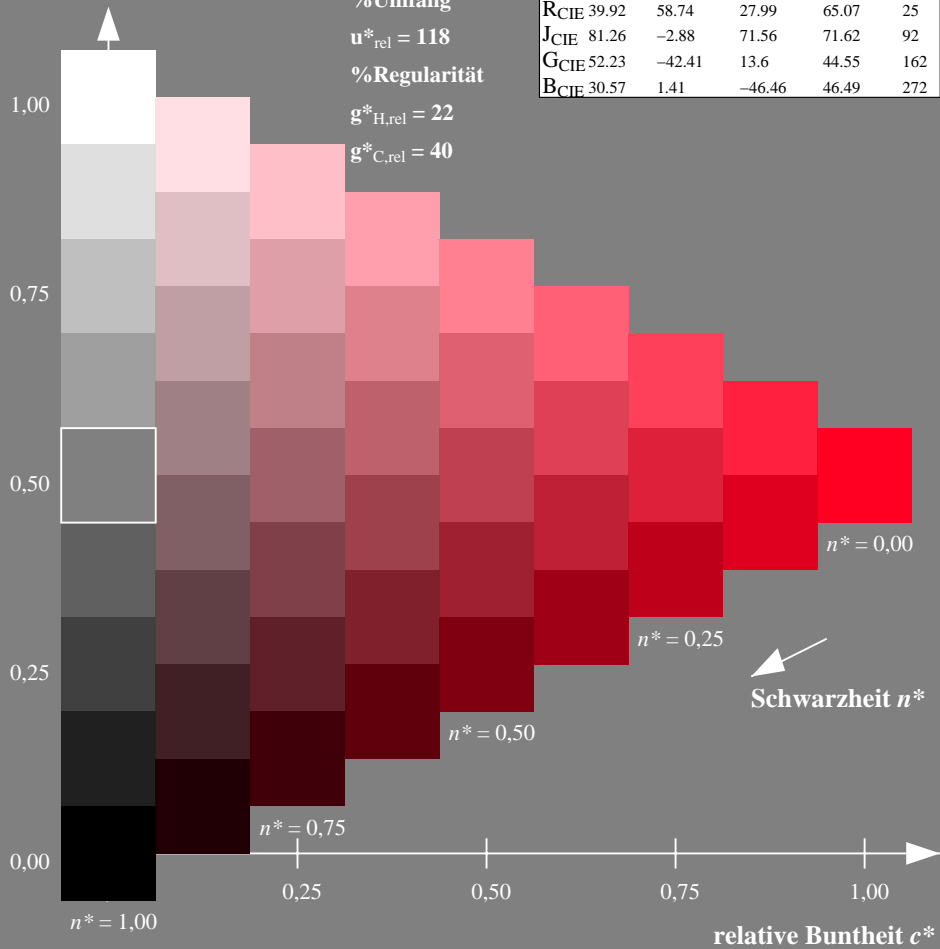
%Umfang

$u^*_{rel} = 118$

%Regularität

$g^*_{H,rel} = 22$

$g^*_{C,rel} = 40$



Ausgabe: Farbmetrisches Natürliches-Licht-System NLS00

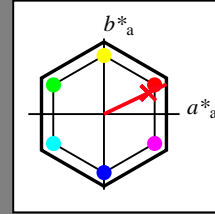
für Buntton $h^* = lab^*h = 25/360 = 0.071$

lab^*tch und lab^*nch

D65: Buntton R

LCH*Ma: 35 92 25

olv*Ma: 1.0 0.0 0.09



NLS00; adaptierte CIELAB-Daten

	$L^*=L^*_a$	a^*_a	b^*_a	$C^*_{ab,a}$	$h^*_{ab,a}$
OMa	31.81	82.62	47.7	95.4	30
YMa	63.61	0.0	95.4	95.4	90
LMa	31.81	-82.61	47.7	95.4	150
CMa	63.61	-82.61	-47.69	95.4	210
VMa	31.81	0.0	-95.39	95.4	270
MMa	63.61	82.62	-47.69	95.4	330
NMa	0.01	0.0	0.0	0.0	0
WMa	95.41	0.0	0.0	0.0	0
RCIE	39.92	58.74	27.99	65.07	25
JCIE	81.26	-2.88	71.56	71.62	92
GCIE	52.23	-42.41	13.6	44.55	162
BCIE	30.57	1.41	-46.46	46.49	272

Dreiecks-Helligkeit t^*

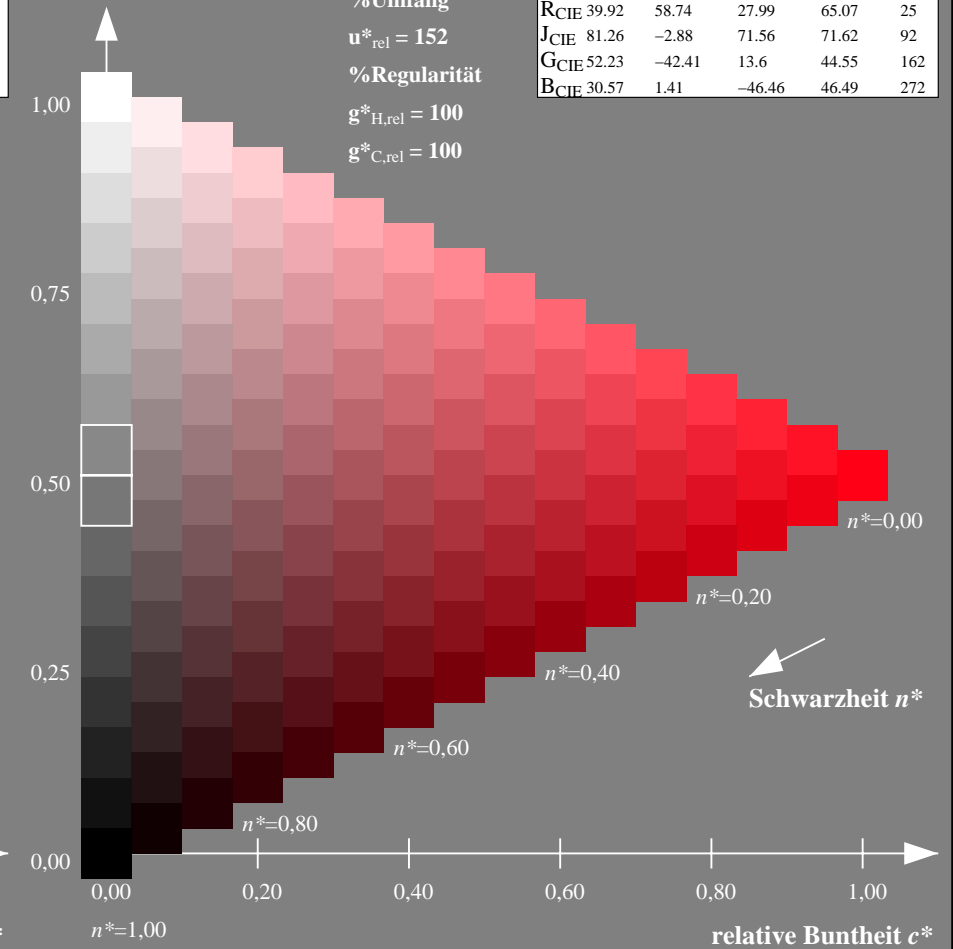
%Umfang

$u^*_{rel} = 152$

%Regularität

$g^*_{H,rel} = 100$

$g^*_{C,rel} = 100$



NG900-7, 9stufige Reihen für konstanten CIELAB Buntton $25/360 = 0.071$ (links)

16stufige Reihen für konstanten CIELAB Buntton $25/360 = 0.071$ (rechts)

Eingabe: Farbmetrisches Fernseh-Licht-System TLS18

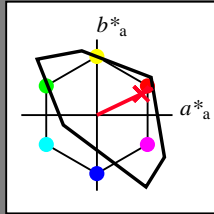
für Buntton $h^* = lab^*h = 25/360 = 0.071$

lab^*tch und lab^*nch

D65: Buntton R

LCH*Ma: 54 82 25

olv*Ma: 1.0 0.0 0.14



TLS18; adaptierte CIELAB-Daten

	$L^*=L^*_a$	a^*_a	b^*_a	$C^*_{ab,a}$	$h^*_{ab,a}$
O _{Ma}	52.76	71.63	49.88	87.29	35
Y _{Ma}	92.74	-20.02	84.97	87.3	103
L _{Ma}	84.0	-78.98	73.94	108.2	137
C _{Ma}	87.14	-44.41	-13.11	46.32	196
V _{Ma}	35.47	64.92	-95.06	115.12	304
M _{Ma}	59.01	89.33	-55.67	105.26	328
N _{Ma}	18.01	0.0	0.0	0.0	0
W _{Ma}	95.41	0.0	0.0	0.0	0
R _{CIE}	39.92	58.74	27.99	65.07	25
J _{CIE}	81.26	-2.88	71.56	71.62	92
G _{CIE}	52.23	-42.41	13.6	44.55	162
B _{CIE}	30.57	1.41	-46.46	46.49	272

Dreiecks-Helligkeit t^*

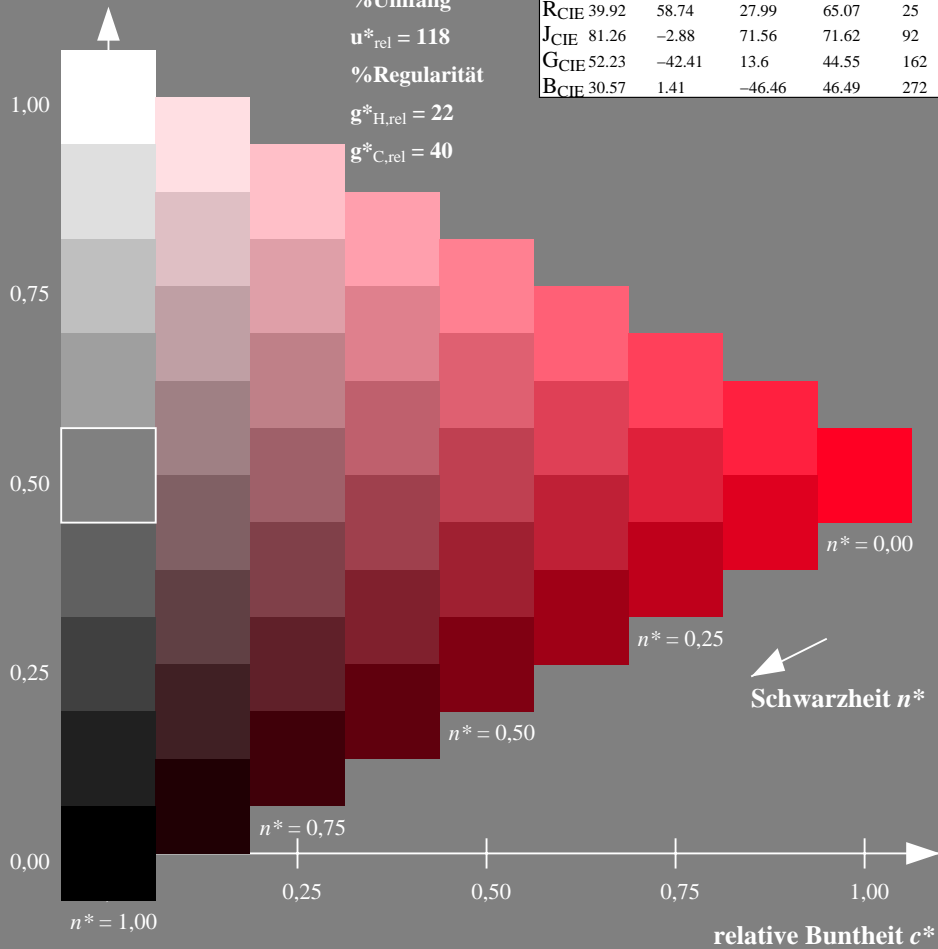
%Umfang

$u^*_{rel} = 118$

%Regularität

$g^*_{H,rel} = 22$

$g^*_{C,rel} = 40$



Ausgabe: Farbmetrisches Natürliches-Reflektiv-System NRS18

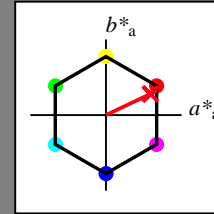
für Buntton $h^* = lab^*h = 25/360 = 0.071$

lab^*tch und lab^*nch

D65: Buntton R

LCH*Ma: 46 74 25

olv*Ma: 1.0 0.0 0.09



NRS18; adaptierte CIELAB-Daten

	$L^*=L^*_a$	a^*_a	b^*_a	$C^*_{ab,a}$	$h^*_{ab,a}$
O _{Ma}	43.81	67.03	38.7	77.4	30
Y _{Ma}	69.61	0.0	77.4	77.4	90
L _{Ma}	43.81	-67.02	38.7	77.4	150
C _{Ma}	69.61	-67.02	-38.69	77.4	210
V _{Ma}	43.81	0.0	-77.39	77.4	270
M _{Ma}	69.61	67.03	-38.69	77.4	330
N _{Ma}	18.01	0.0	0.0	0.0	0
W _{Ma}	95.41	0.0	0.0	0.0	0
R _{CIE}	39.92	58.74	27.99	65.07	25
J _{CIE}	81.26	-2.88	71.56	71.62	92
G _{CIE}	52.23	-42.41	13.6	44.55	162
B _{CIE}	30.57	1.41	-46.46	46.49	272

Dreiecks-Helligkeit t^*

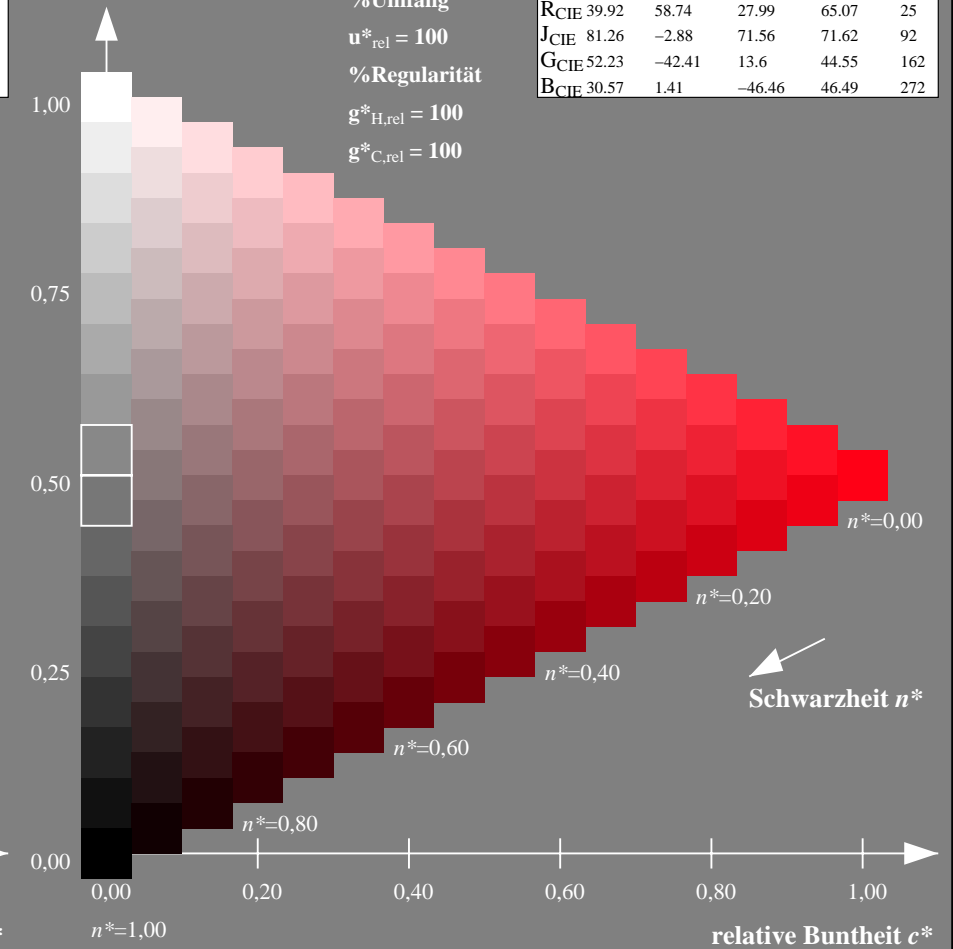
%Umfang

$u^*_{rel} = 100$

%Regularität

$g^*_{H,rel} = 100$

$g^*_{C,rel} = 100$



NG900-7, 9stufige Reihen für konstanten CIELAB Buntton 25/360 = 0.071 (links)

16stufige Reihen für konstanten CIELAB Buntton 25/360 = 0.071 (rechts)

Eingabe: Farbmetrisches Fernseh-Licht-System TLS18

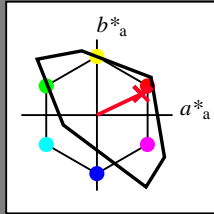
für Buntton $h^* = lab^*h = 25/360 = 0.071$

lab^*tch und lab^*nch

D65: Buntton R

LCH*Ma: 54 82 25

olv*Ma: 1.0 0.0 0.14



TLS18; adaptierte CIELAB-Daten

	$L^*=L^*_a$	a^*_a	b^*_a	$C^*_{ab,a}$	$h^*_{ab,a}$
OMa	52.76	71.63	49.88	87.29	35
YMa	92.74	-20.02	84.97	87.3	103
LMa	84.0	-78.98	73.94	108.2	137
CMa	87.14	-44.41	-13.11	46.32	196
VMa	35.47	64.92	-95.06	115.12	304
MMa	59.01	89.33	-55.67	105.26	328
NMa	18.01	0.0	0.0	0.0	0
WMa	95.41	0.0	0.0	0.0	0
RCIE	39.92	58.74	27.99	65.07	25
JCIE	81.26	-2.88	71.56	71.62	92
GCIE	52.23	-42.41	13.6	44.55	162
BCIE	30.57	1.41	-46.46	46.49	272

Dreiecks-Helligkeit t^*

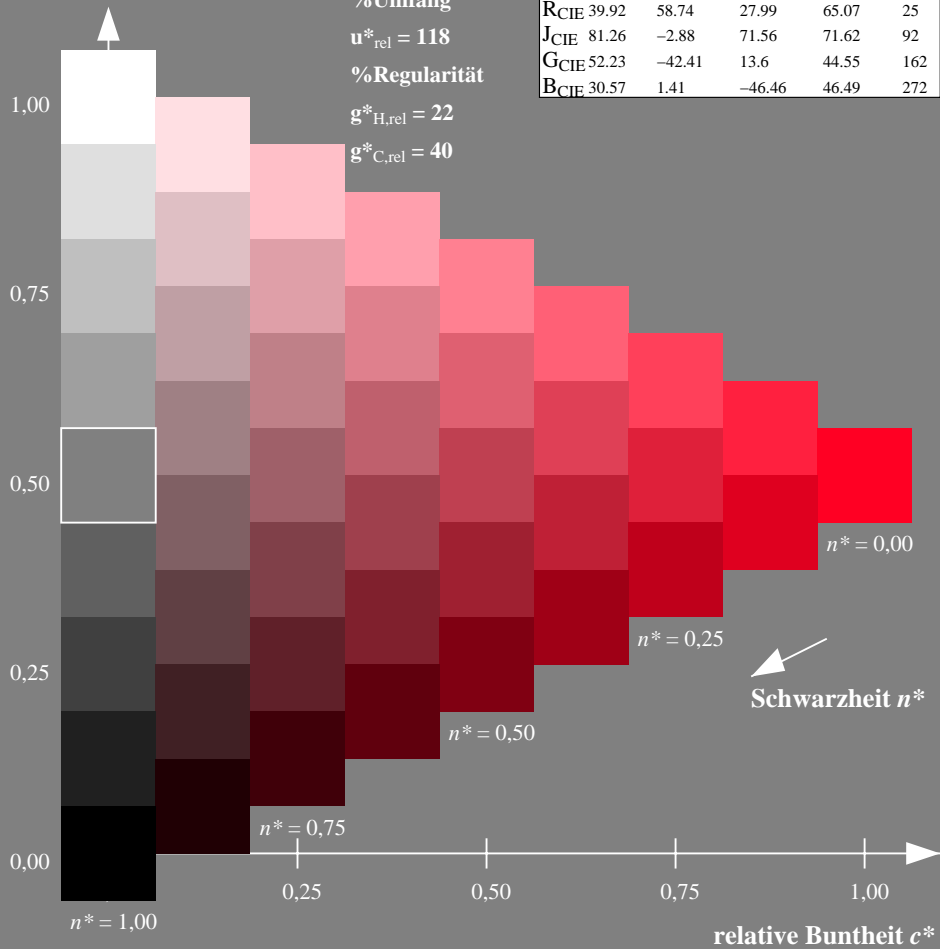
%Umfang

$u^*_{rel} = 118$

%Regularität

$g^*_{H,rel} = 22$

$g^*_{C,rel} = 40$



Ausgabe: Farbmetrisches Standard-Reflektiv-System SRS18

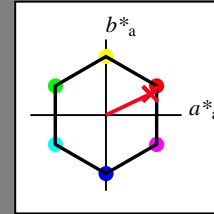
für Buntton $h^* = lab^*h = 25/360 = 0.071$

lab^*tch und lab^*nch

D65: Buntton R

LCH*Ma: 57 74 25

olv*Ma: 1.0 0.0 0.09



SRS18; adaptierte CIELAB-Daten

	$L^*=L^*_a$	a^*_a	b^*_a	$C^*_{ab,a}$	$h^*_{ab,a}$
OMa	56.71	67.03	38.7	77.4	30
YMa	56.71	0.0	77.4	77.4	90
LMa	56.71	-67.02	38.7	77.4	150
CMa	56.71	-67.02	-38.69	77.4	210
VMa	56.71	0.0	-77.39	77.4	270
MMa	56.71	67.03	-38.69	77.4	330
NMa	18.01	0.0	0.0	0.0	0
WMa	95.41	0.0	0.0	0.0	0
RCIE	39.92	58.74	27.99	65.07	25
JCIE	81.26	-2.88	71.56	71.62	92
GCIE	52.23	-42.41	13.6	44.55	162
BCIE	30.57	1.41	-46.46	46.49	272

Dreiecks-Helligkeit t^*

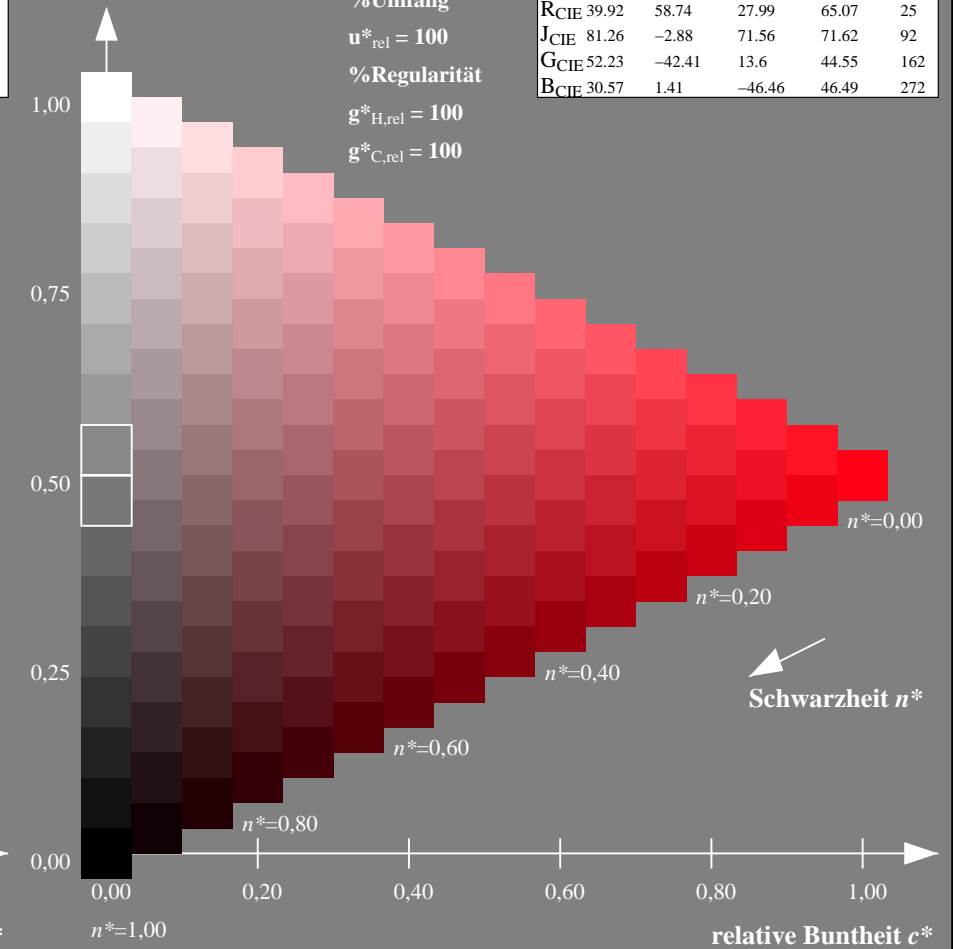
%Umfang

$u^*_{rel} = 100$

%Regularität

$g^*_{H,rel} = 100$

$g^*_{C,rel} = 100$



NG900-7, 9stufige Reihen für konstanten CIELAB Buntton $25/360 = 0.071$ (links)

16stufige Reihen für konstanten CIELAB Buntton $25/360 = 0.071$ (rechts)

Eingabe: Farbmetrisches Fernseh-Licht-System TLS18

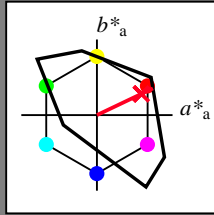
für Buntton $h^* = lab^*h = 25/360 = 0.071$

lab^*tch und lab^*nch

D65: Buntton R

LCH*Ma: 54 82 25

olv*Ma: 1.0 0.0 0.14



TLS18; adaptierte CIELAB-Daten

	$L^*=L^*_a$	a^*_a	b^*_a	$C^*_{ab,a}$	$h^*_{ab,a}$
OMa	52.76	71.63	49.88	87.29	35
YMa	92.74	-20.02	84.97	87.3	103
LMa	84.0	-78.98	73.94	108.2	137
CMa	87.14	-44.41	-13.11	46.32	196
VMa	35.47	64.92	-95.06	115.12	304
MMa	59.01	89.33	-55.67	105.26	328
NMa	18.01	0.0	0.0	0.0	0
WMa	95.41	0.0	0.0	0.0	0
RCIE	39.92	58.74	27.99	65.07	25
JCIE	81.26	-2.88	71.56	71.62	92
GCIE	52.23	-42.41	13.6	44.55	162
BCIE	30.57	1.41	-46.46	46.49	272

Dreiecks-Helligkeit t^*

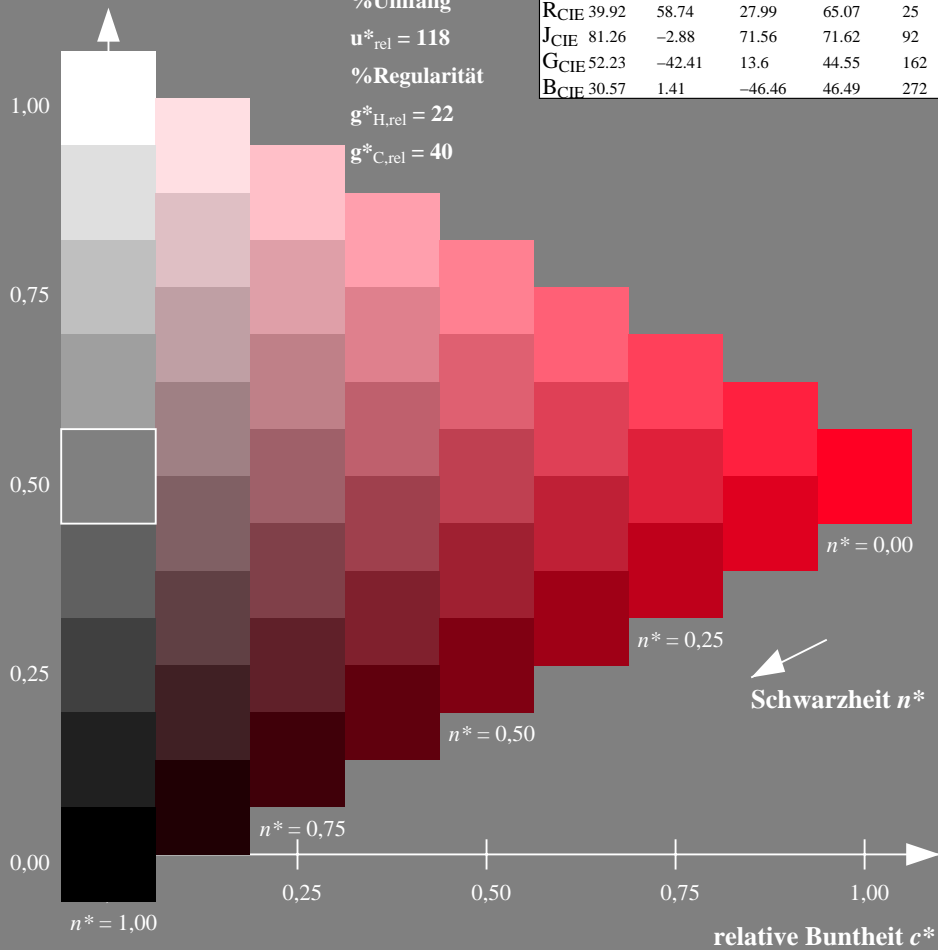
%Umfang

$u^*_{rel} = 118$

%Regularität

$g^*_{H,rel} = 22$

$g^*_{C,rel} = 40$



Ausgabe: Farbmetrisches Fernseh-Licht-System TLS70

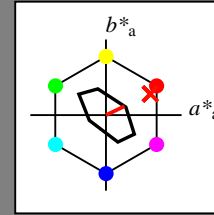
für Buntton $h^* = lab^*h = 25/360 = 0.071$

lab^*tch und lab^*nch

D65: Buntton R

LCH*Ma: 77 27 25

olv*Ma: 1.0 0.05 0.0



TLS70; adaptierte CIELAB-Daten

	$L^*=L^*_a$	a^*_a	b^*_a	$C^*_{ab,a}$	$h^*_{ab,a}$
OMa	76.43	26.27	10.57	28.32	22
YMa	93.93	-10.76	34.63	36.27	107
LMa	89.32	-35.8	27.64	45.24	142
CMa	90.93	-21.95	-7.07	23.07	198
VMa	72.1	15.76	-35.63	38.97	294
MMa	78.5	37.52	-25.23	45.22	326
NMa	69.7	0.0	0.0	0.0	0
WMa	95.41	0.0	0.0	0.0	0
RCIE	39.92	58.74	27.99	65.07	25
JCIE	81.26	-2.88	71.56	71.62	92
GCIE	52.23	-42.41	13.6	44.55	162
BCIE	30.57	1.41	-46.46	46.49	272

Dreiecks-Helligkeit t^*

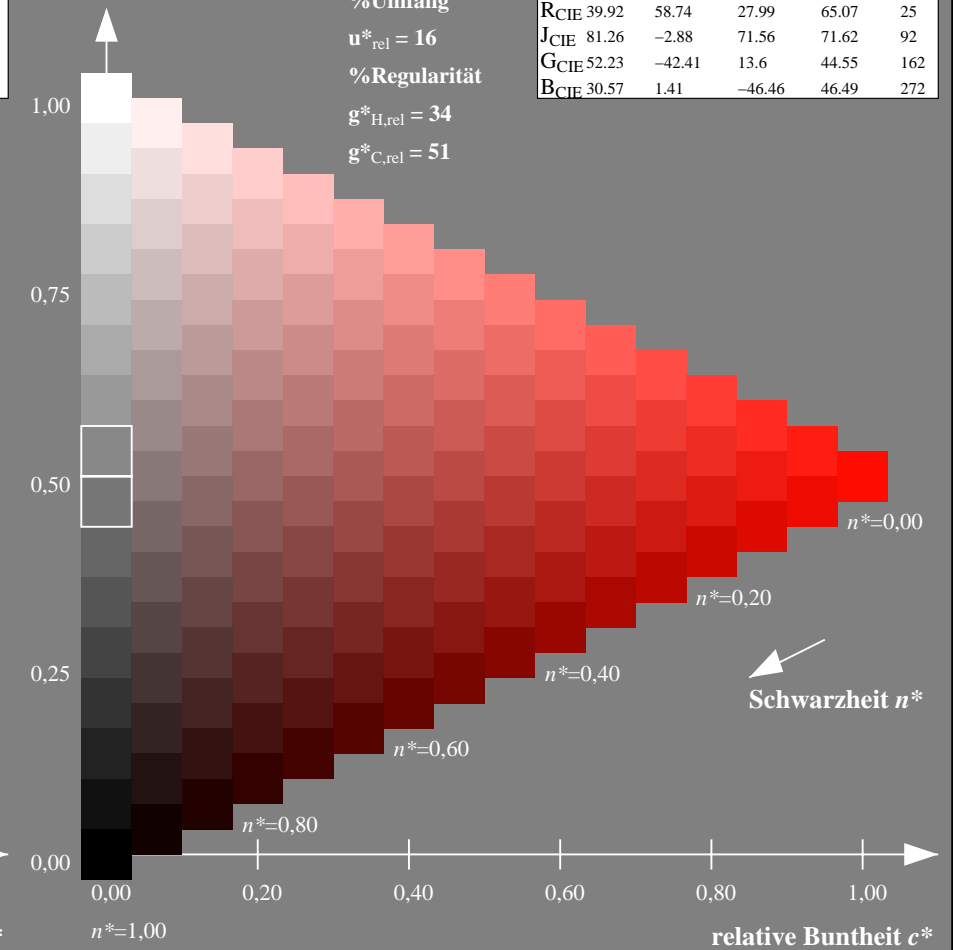
%Umfang

$u^*_{rel} = 16$

%Regularität

$g^*_{H,rel} = 34$

$g^*_{C,rel} = 51$



NG900-7, 9stufige Reihen für konstanten CIELAB Buntton $25/360 = 0.071$ (links)

16stufige Reihen für konstanten CIELAB Buntton $25/360 = 0.071$ (rechts)

Eingabe: Farbmetrisches Natürliches-Licht-System NLS00

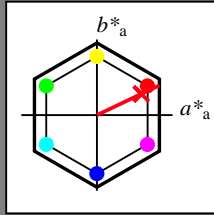
für Buntton $h^* = lab^*h = 25/360 = 0.071$

lab^*tch und lab^*nch

D65: Buntton R

LCH*Ma: 35 92 25

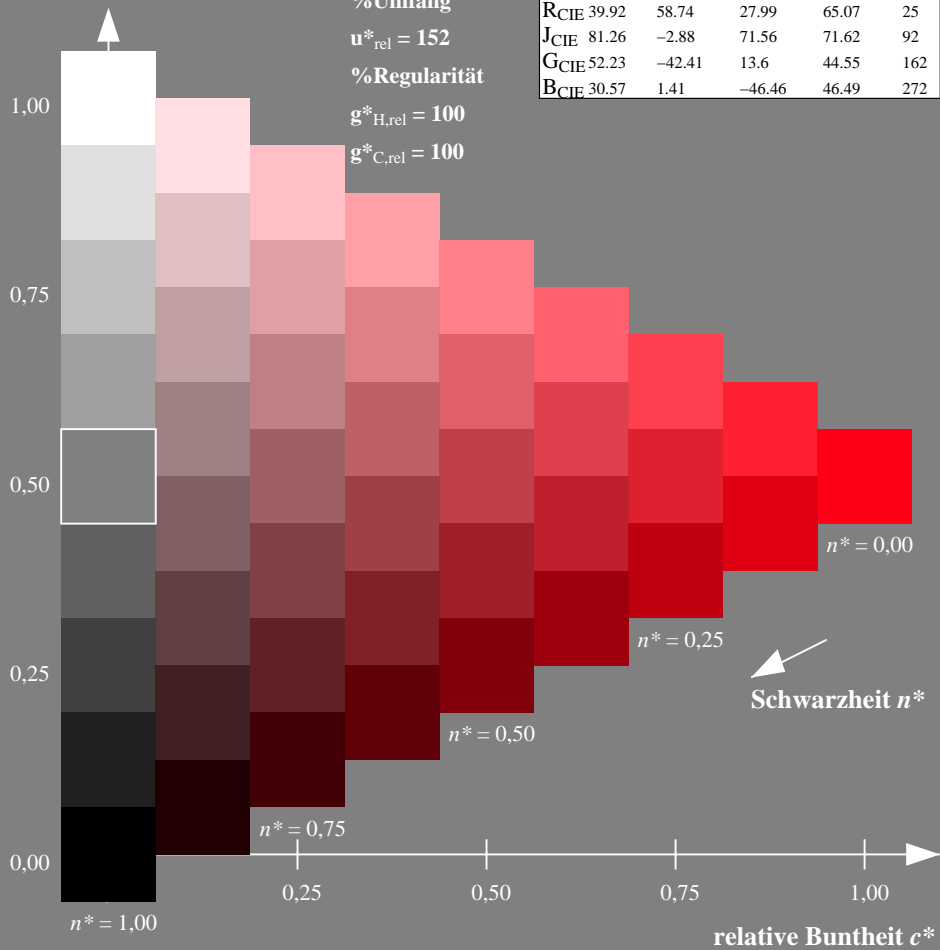
olv*Ma: 1.0 0.0 0.09



NLS00; adaptierte CIELAB-Daten

	$L^*=L^*_a$	a^*_a	b^*_a	$C^*_{ab,a}$	$h^*_{ab,a}$
OMa	31.81	82.62	47.7	95.4	30
YMa	63.61	0.0	95.4	95.4	90
LMa	31.81	-82.61	47.7	95.4	150
CMa	63.61	-82.61	-47.69	95.4	210
VMa	31.81	0.0	-95.39	95.4	270
MMa	63.61	82.62	-47.69	95.4	330
NMa	0.01	0.0	0.0	0.0	0
WMa	95.41	0.0	0.0	0.0	0
RCIE	39.92	58.74	27.99	65.07	25
JCIE	81.26	-2.88	71.56	71.62	92
GCIE	52.23	-42.41	13.6	44.55	162
BCIE	30.57	1.41	-46.46	46.49	272

Dreiecks-Helligkeit t^*



Ausgabe: Farbmetrisches Offset-Reflektiv-System ORS18

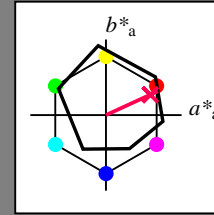
für Buntton $h^* = lab^*h = 25/360 = 0.069$

lab^*tch und lab^*nch

D65: Buntton R

LCH*Ma: 48 75 25

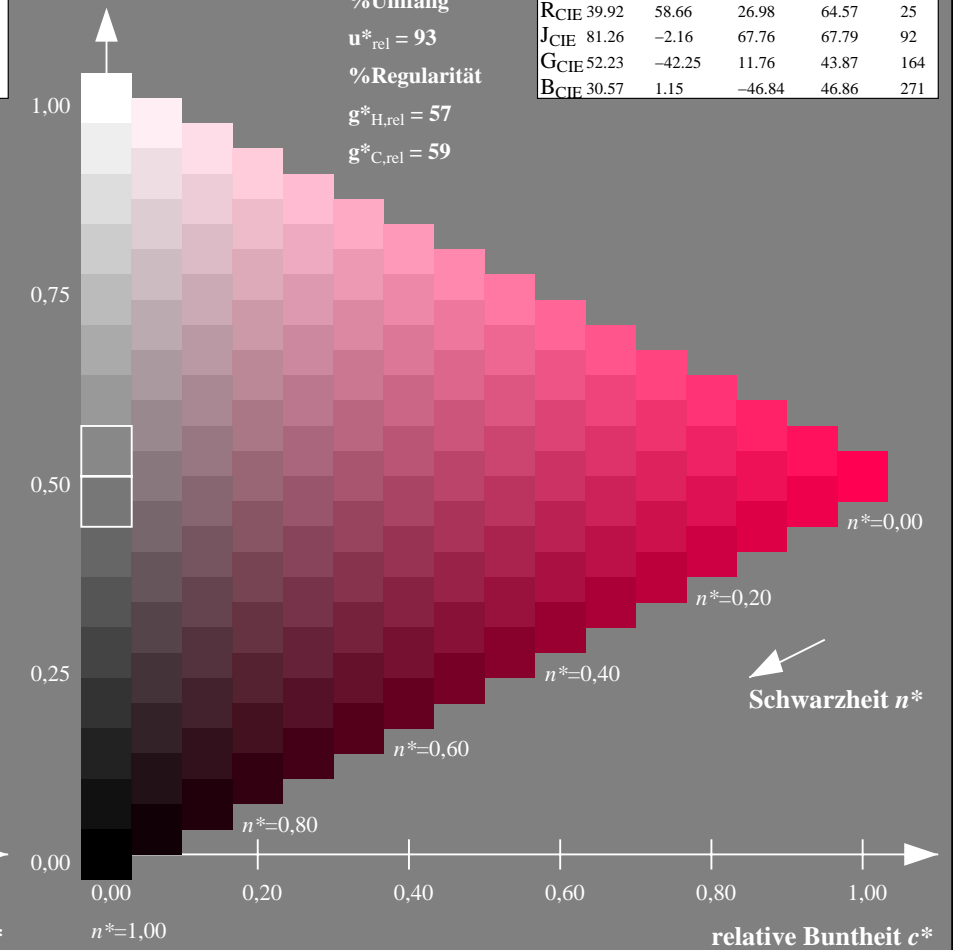
olv*Ma: 1.0 0.0 0.32



ORS18; adaptierte CIELAB-Daten

	$L^*=L^*_a$	a^*_a	b^*_a	$C^*_{ab,a}$	$h^*_{ab,a}$
OMa	47.94	65.39	50.52	82.63	38
YMa	90.37	-10.26	91.75	92.32	96
LMa	50.9	-62.83	34.96	71.91	151
CMa	58.62	-30.34	-45.01	54.3	236
VMa	25.72	31.1	-44.4	54.22	305
MMa	48.13	75.28	-8.36	75.74	354
NMa	18.01	0.0	0.0	0.0	0
WMa	95.41	0.0	0.0	0.0	0
RCIE	39.92	58.66	26.98	64.57	25
JCIE	81.26	-2.16	67.76	67.79	92
GCIE	52.23	-42.25	11.76	43.87	164
BCIE	30.57	1.15	-46.84	46.86	271

Dreiecks-Helligkeit t^*



NG900-7, 9stufige Reihen für konstanten CIELAB Buntton $25/360 = 0.071$ (links)

16stufige Reihen für konstanten CIELAB Buntton $25/360 = 0.069$ (rechts)

Eingabe: Farbmetrisches Natürliches-Licht-System NLS00

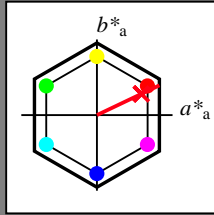
für Buntton $h^* = lab^*h = 25/360 = 0.071$

lab^*tch und lab^*nch

D65: Buntton R

LCH*Ma: 35 92 25

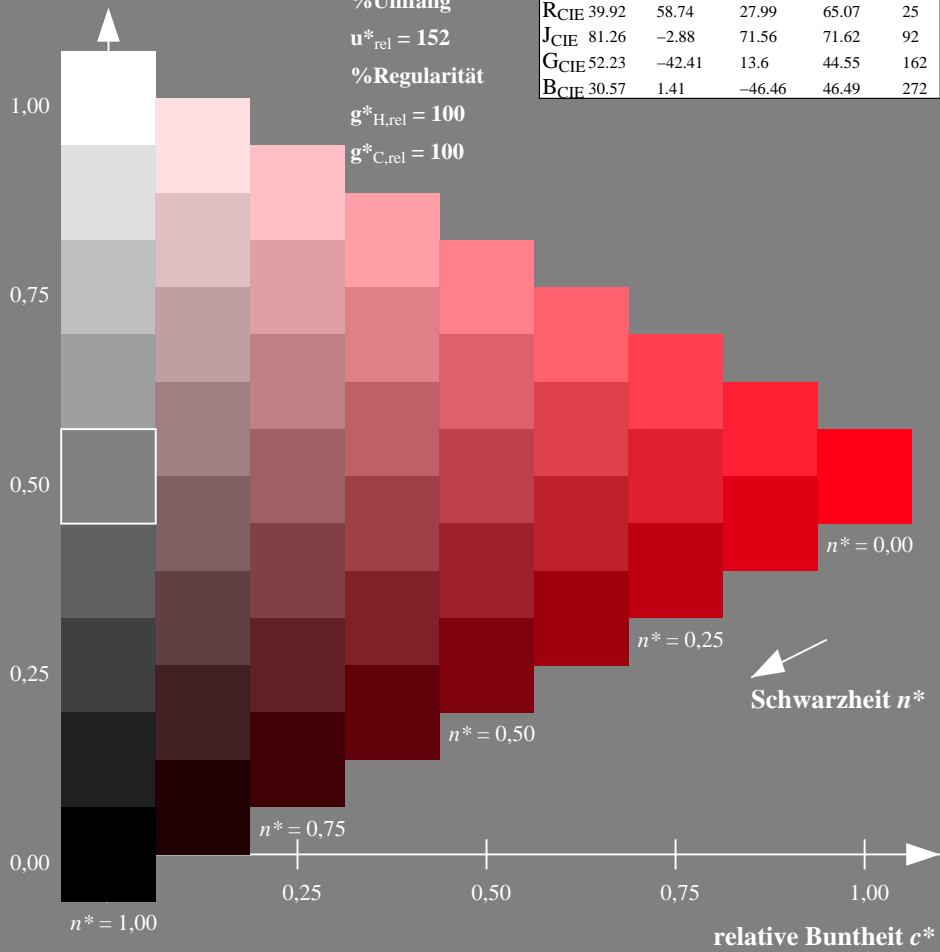
olv*Ma: 1.0 0.0 0.09



NLS00; adaptierte CIELAB-Daten

	$L^*=L^*_a$	a^*_a	b^*_a	$C^*_{ab,a}$	$h^*_{ab,a}$
O _{Ma}	31.81	82.62	47.7	95.4	30
Y _{Ma}	63.61	0.0	95.4	95.4	90
L _{Ma}	31.81	-82.61	47.7	95.4	150
C _{Ma}	63.61	-82.61	-47.69	95.4	210
V _{Ma}	31.81	0.0	-95.39	95.4	270
M _{Ma}	63.61	82.62	-47.69	95.4	330
N _{Ma}	0.01	0.0	0.0	0.0	0
W _{Ma}	95.41	0.0	0.0	0.0	0
R _{CIE}	39.92	58.74	27.99	65.07	25
J _{CIE}	81.26	-2.88	71.56	71.62	92
G _{CIE}	52.23	-42.41	13.6	44.55	162
B _{CIE}	30.57	1.41	-46.46	46.49	272

Dreiecks-Helligkeit t^*



Ausgabe: Farbmetrisches Fernseh-Licht-System TLS00

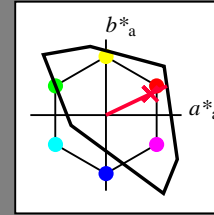
für Buntton $h^* = lab^*h = 25/360 = 0.071$

lab^*tch und lab^*nch

D65: Buntton R

LCH*Ma: 52 89 25

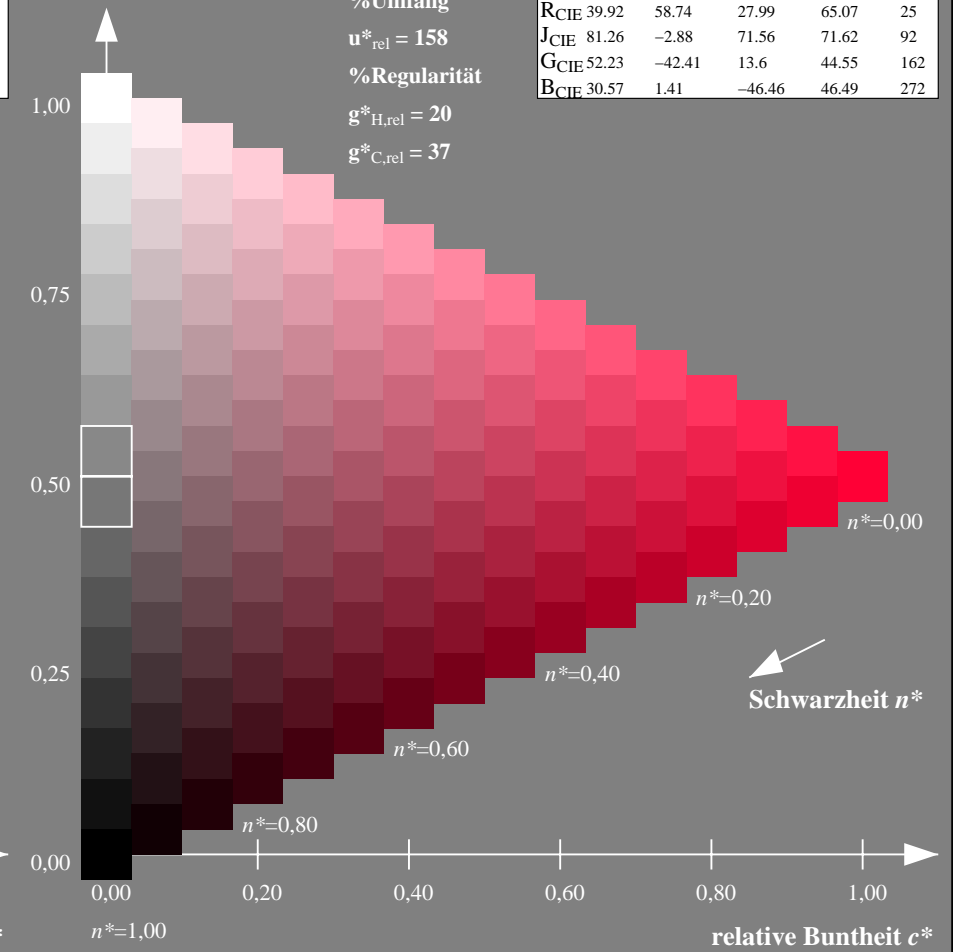
olv*Ma: 1.0 0.0 0.21



TLS00; adaptierte CIELAB-Daten

	$L^*=L^*_a$	a^*_a	b^*_a	$C^*_{ab,a}$	$h^*_{ab,a}$
O _{Ma}	50.5	76.92	64.55	100.42	40
Y _{Ma}	92.66	-20.69	90.75	93.08	103
L _{Ma}	83.63	-82.75	79.9	115.04	136
C _{Ma}	86.88	-46.16	-13.55	48.12	196
V _{Ma}	30.39	76.06	-103.59	128.52	306
M _{Ma}	57.3	94.35	-58.41	110.97	328
N _{Ma}	0.01	0.0	0.0	0.0	0
W _{Ma}	95.41	0.0	0.0	0.0	0
R _{CIE}	39.92	58.74	27.99	65.07	25
J _{CIE}	81.26	-2.88	71.56	71.62	92
G _{CIE}	52.23	-42.41	13.6	44.55	162
B _{CIE}	30.57	1.41	-46.46	46.49	272

Dreiecks-Helligkeit t^*



NG900-7, 9stufige Reihen für konstanten CIELAB Buntton 25/360 = 0.071 (links)

16stufige Reihen für konstanten CIELAB Buntton 25/360 = 0.071 (rechts)

Eingabe: Farbmetrisches Natürliches-Licht-System NLS00

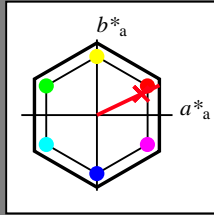
für Buntton $h^* = lab^*h = 25/360 = 0.071$

lab^*tch und lab^*nch

D65: Buntton R

LCH*Ma: 35 92 25

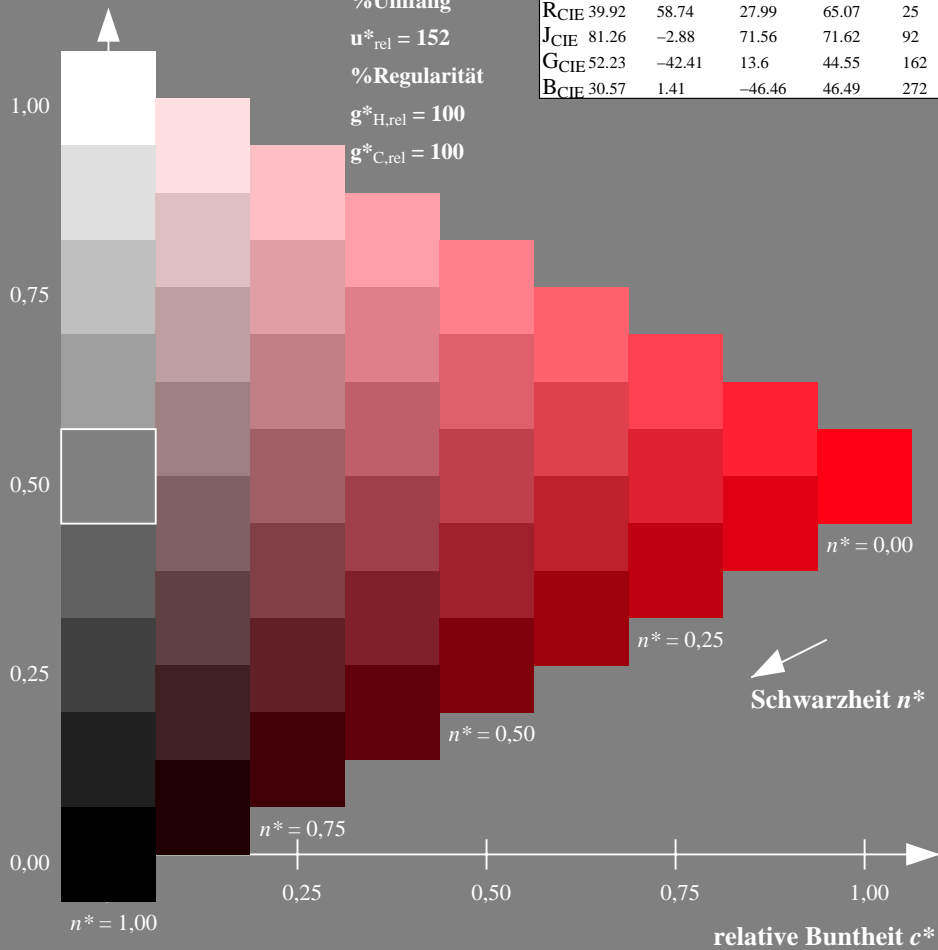
olv*Ma: 1.0 0.0 0.09



NLS00; adaptierte CIELAB-Daten

	$L^*=L^*_a$	a^*_a	b^*_a	$C^*_{ab,a}$	$h^*_{ab,a}$
OMa	31.81	82.62	47.7	95.4	30
YMa	63.61	0.0	95.4	95.4	90
LMa	31.81	-82.61	47.7	95.4	150
CMa	63.61	-82.61	-47.69	95.4	210
VMa	31.81	0.0	-95.39	95.4	270
MMa	63.61	82.62	-47.69	95.4	330
NMa	0.01	0.0	0.0	0.0	0
WMa	95.41	0.0	0.0	0.0	0
RCIE	39.92	58.74	27.99	65.07	25
JCIE	81.26	-2.88	71.56	71.62	92
GCIE	52.23	-42.41	13.6	44.55	162
BCIE	30.57	1.41	-46.46	46.49	272

Dreiecks-Helligkeit t^*



Ausgabe: Farbmetrisches Drucker-Reflektiv-System DRSXX

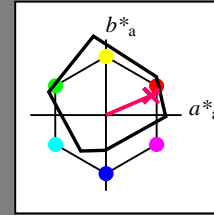
für Buntton $h^* = lab^*h = 23/360 = 0.065$

lab^*tch und lab^*nch

D65: Buntton R

LCH*Ma: 42 78 23

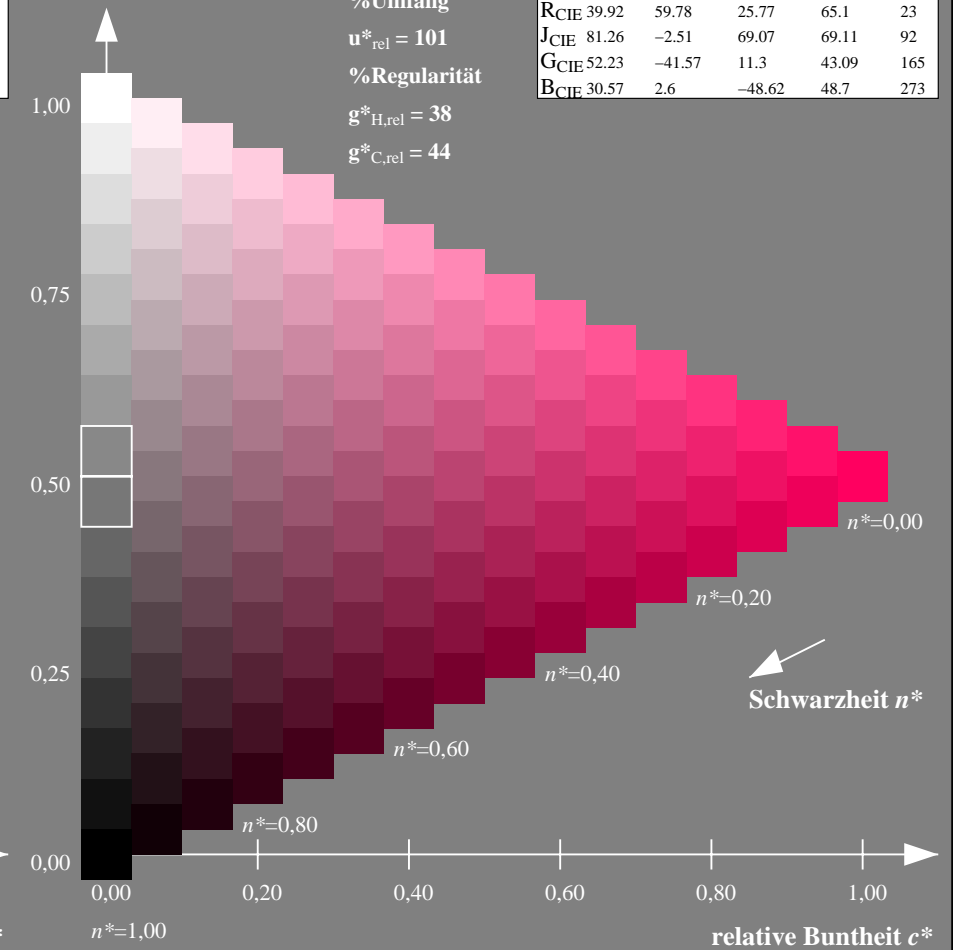
olv*Ma: 1.0 0.0 0.38



DRSXX; adaptierte CIELAB-Daten

	$L^*=L^*_a$	a^*_a	b^*_a	$C^*_{ab,a}$	$h^*_{ab,a}$
OMa	42.21	66.82	50.6	83.82	37
YMa	90.32	-16.51	104.33	105.63	99
LMa	48.21	-75.63	30.65	81.61	158
CMa	53.44	-33.33	-47.49	58.03	235
VMa	34.16	-0.92	-46.56	46.58	269
MMa	42.71	79.0	-1.95	79.03	359
NMa	16.56	0.0	0.0	0.0	0
WMa	96.31	0.0	0.0	0.0	0
RCIE	39.92	59.78	25.77	65.1	23
JCIE	81.26	-2.51	69.07	69.11	92
GCIE	52.23	-41.57	11.3	43.09	165
BCIE	30.57	2.6	-48.62	48.7	273

Dreiecks-Helligkeit t^*



NG900-7, 9stufige Reihen für konstanten CIELAB Buntton $25/360 = 0.071$ (links)

16stufige Reihen für konstanten CIELAB Buntton $23/360 = 0.065$ (rechts)

Eingabe: Farbmetrisches Natürliches-Licht-System NLS00

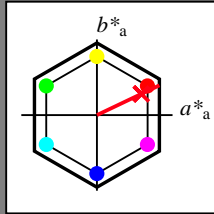
für Buntton $h^* = lab^*h = 25/360 = 0.071$

lab^*tch und lab^*nch

D65: Buntton R

LCH*Ma: 35 92 25

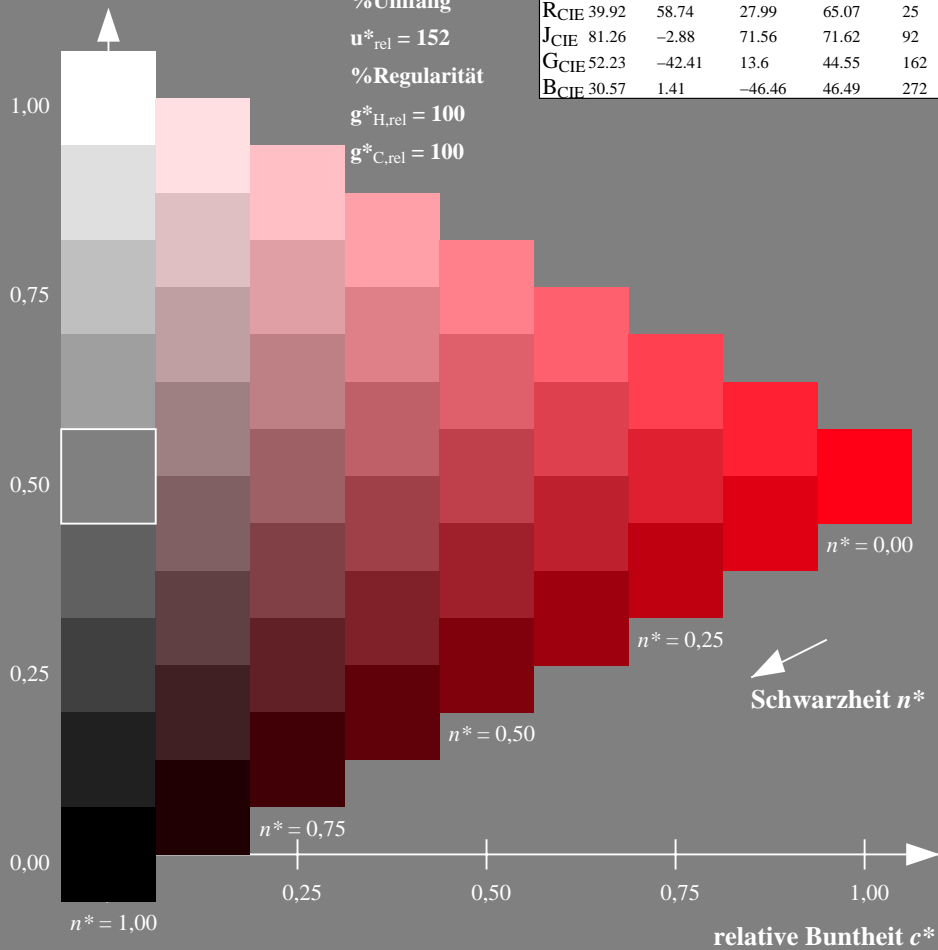
olv*Ma: 1.0 0.0 0.09



NLS00; adaptierte CIELAB-Daten

	$L^*=L^*_a$	a^*_a	b^*_a	$C^*_{ab,a}$	$h^*_{ab,a}$
OMa	31.81	82.62	47.7	95.4	30
YMa	63.61	0.0	95.4	95.4	90
LMa	31.81	-82.61	47.7	95.4	150
CMa	63.61	-82.61	-47.69	95.4	210
VMa	31.81	0.0	-95.39	95.4	270
MMa	63.61	82.62	-47.69	95.4	330
NMa	0.01	0.0	0.0	0.0	0
WMa	95.41	0.0	0.0	0.0	0
RCIE	39.92	58.74	27.99	65.07	25
JCIE	81.26	-2.88	71.56	71.62	92
GCIE	52.23	-42.41	13.6	44.55	162
BCIE	30.57	1.41	-46.46	46.49	272

Dreiecks-Helligkeit t^*



Ausgabe: Farbmetrisches Fernseh-Licht-System TLS18

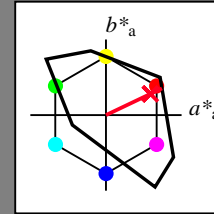
für Buntton $h^* = lab^*h = 25/360 = 0.071$

lab^*tch und lab^*nch

D65: Buntton R

LCH*Ma: 54 82 25

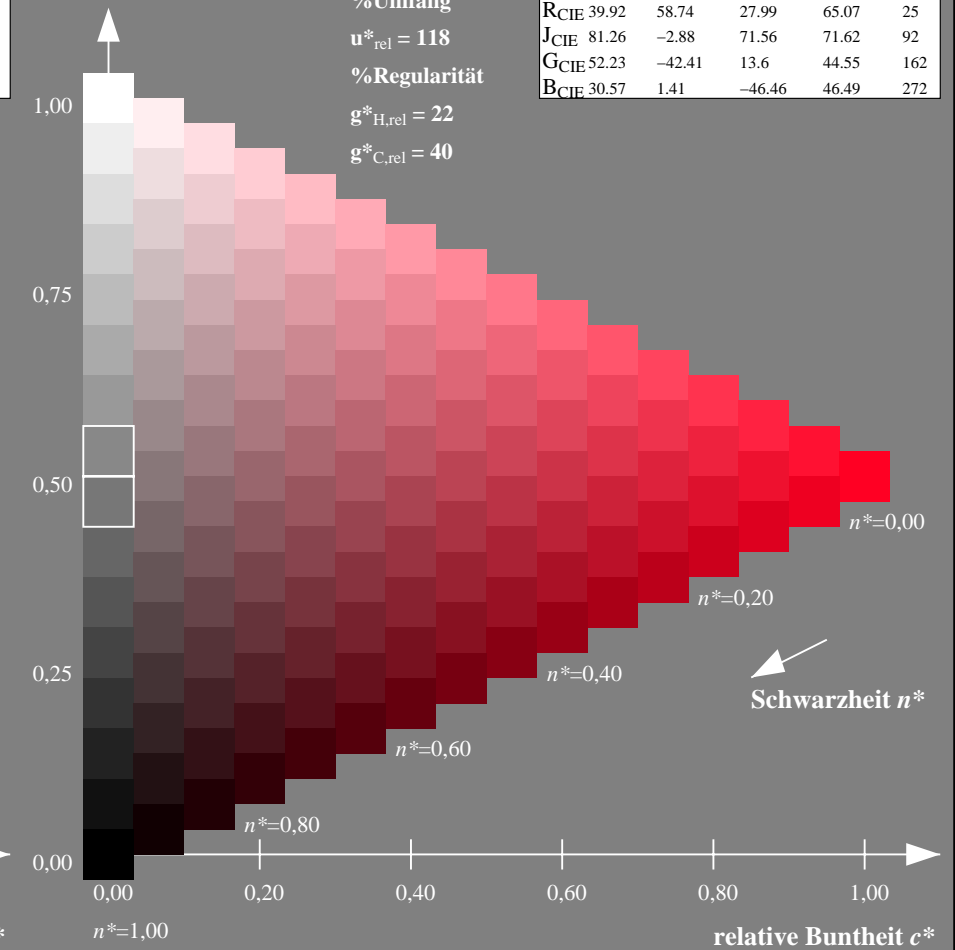
olv*Ma: 1.0 0.0 0.14



TLS18; adaptierte CIELAB-Daten

	$L^*=L^*_a$	a^*_a	b^*_a	$C^*_{ab,a}$	$h^*_{ab,a}$
OMa	52.76	71.63	49.88	87.29	35
YMa	92.74	-20.02	84.97	87.3	103
LMa	84.0	-78.98	73.94	108.2	137
CMa	87.14	-44.41	-13.11	46.32	196
VMa	35.47	64.92	-95.06	115.12	304
MMa	59.01	89.33	-55.67	105.26	328
NMa	18.01	0.0	0.0	0.0	0
WMa	95.41	0.0	0.0	0.0	0
RCIE	39.92	58.74	27.99	65.07	25
JCIE	81.26	-2.88	71.56	71.62	92
GCIE	52.23	-42.41	13.6	44.55	162
BCIE	30.57	1.41	-46.46	46.49	272

Dreiecks-Helligkeit t^*



NG900-7, 9stufige Reihen für konstanten CIELAB Buntton $25/360 = 0.071$ (links)

16stufige Reihen für konstanten CIELAB Buntton $25/360 = 0.071$ (rechts)

Eingabe: Farbmetrisches Natürliches-Licht-System NLS00

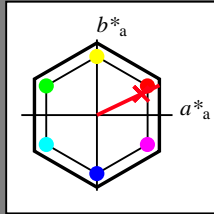
für Buntton $h^* = lab^*h = 25/360 = 0.071$

lab^*tch und lab^*nch

D65: Buntton R

LCH*Ma: 35 92 25

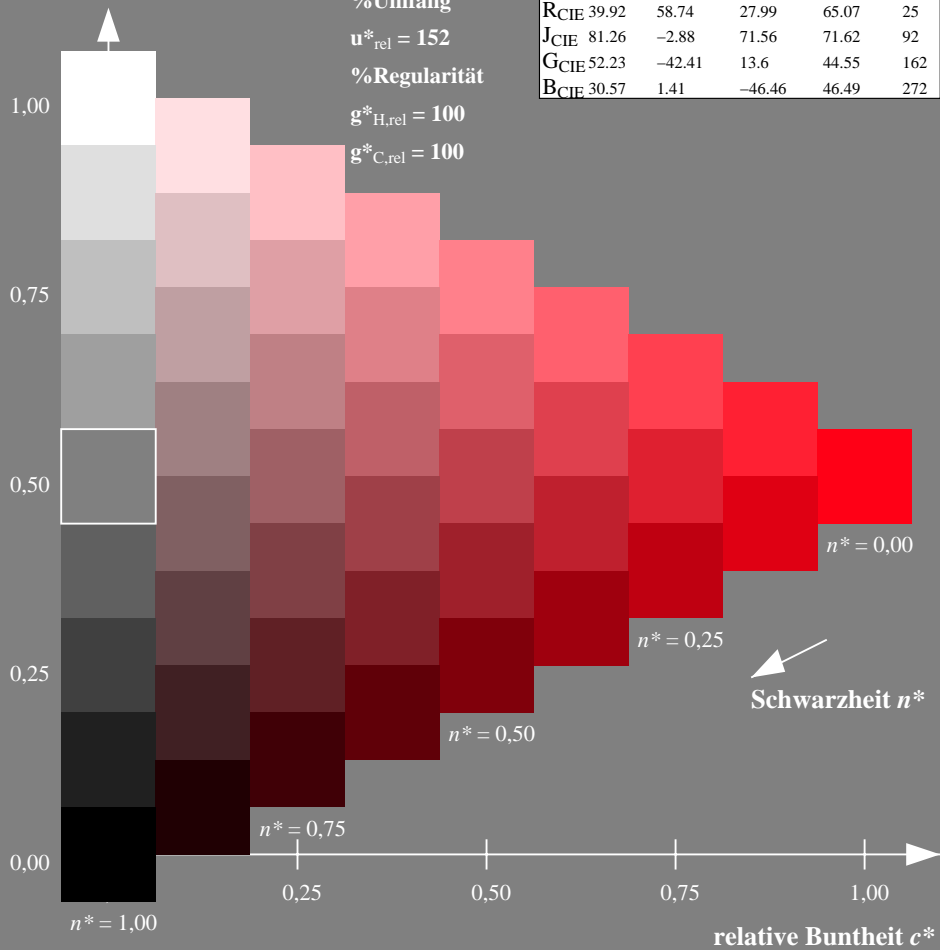
olv*Ma: 1.0 0.0 0.09



NLS00; adaptierte CIELAB-Daten

	$L^*=L^*_a$	a^*_a	b^*_a	$C^*_{ab,a}$	$h^*_{ab,a}$
O _{Ma}	31.81	82.62	47.7	95.4	30
Y _{Ma}	63.61	0.0	95.4	95.4	90
L _{Ma}	31.81	-82.61	47.7	95.4	150
C _{Ma}	63.61	-82.61	-47.69	95.4	210
V _{Ma}	31.81	0.0	-95.39	95.4	270
M _{Ma}	63.61	82.62	-47.69	95.4	330
N _{Ma}	0.01	0.0	0.0	0.0	0
W _{Ma}	95.41	0.0	0.0	0.0	0
R _{CIE}	39.92	58.74	27.99	65.07	25
J _{CIE}	81.26	-2.88	71.56	71.62	92
G _{CIE}	52.23	-42.41	13.6	44.55	162
B _{CIE}	30.57	1.41	-46.46	46.49	272

Dreiecks-Helligkeit t^*



Ausgabe: Farbmetrisches Natürliches-Licht-System NLS00

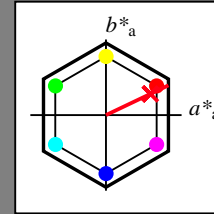
für Buntton $h^* = lab^*h = 25/360 = 0.071$

lab^*tch und lab^*nch

D65: Buntton R

LCH*Ma: 35 92 25

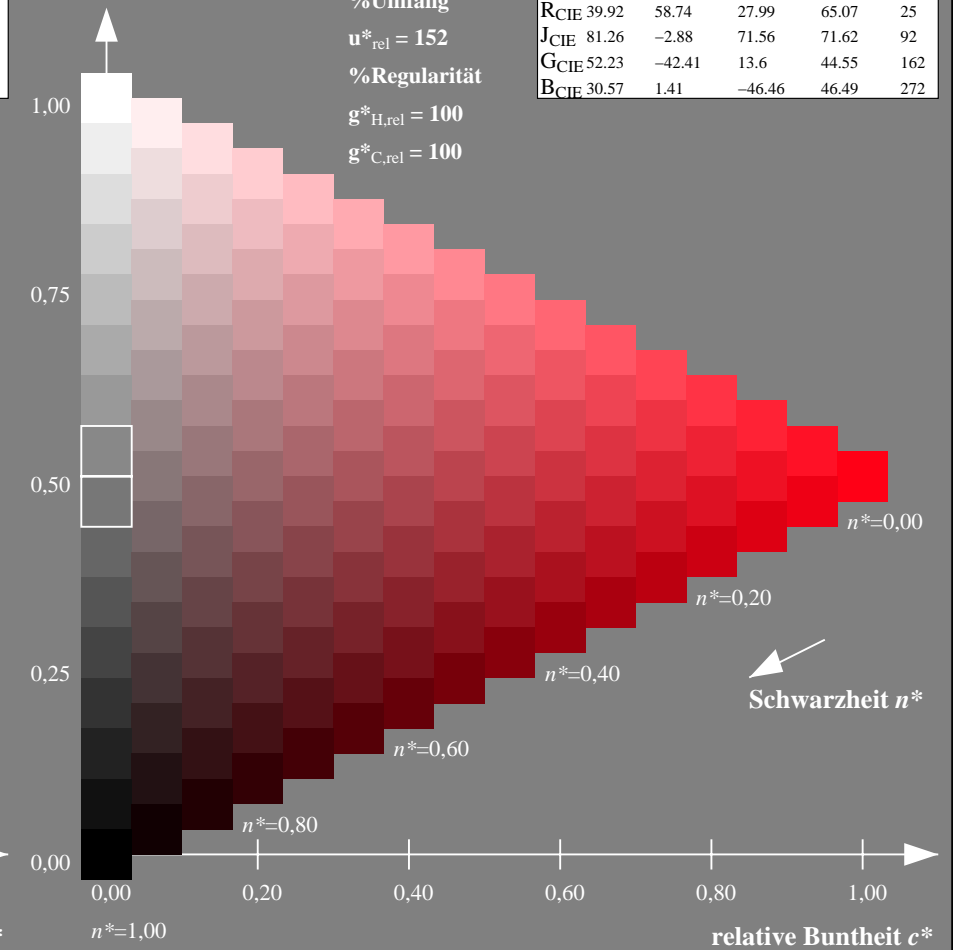
olv*Ma: 1.0 0.0 0.09



NLS00; adaptierte CIELAB-Daten

	$L^*=L^*_a$	a^*_a	b^*_a	$C^*_{ab,a}$	$h^*_{ab,a}$
O _{Ma}	31.81	82.62	47.7	95.4	30
Y _{Ma}	63.61	0.0	95.4	95.4	90
L _{Ma}	31.81	-82.61	47.7	95.4	150
C _{Ma}	63.61	-82.61	-47.69	95.4	210
V _{Ma}	31.81	0.0	-95.39	95.4	270
M _{Ma}	63.61	82.62	-47.69	95.4	330
N _{Ma}	0.01	0.0	0.0	0.0	0
W _{Ma}	95.41	0.0	0.0	0.0	0
R _{CIE}	39.92	58.74	27.99	65.07	25
J _{CIE}	81.26	-2.88	71.56	71.62	92
G _{CIE}	52.23	-42.41	13.6	44.55	162
B _{CIE}	30.57	1.41	-46.46	46.49	272

Dreiecks-Helligkeit t^*



NG900-7, 9stufige Reihen für konstanten CIELAB Buntton $25/360 = 0.071$ (links)

16stufige Reihen für konstanten CIELAB Buntton $25/360 = 0.071$ (rechts)

Eingabe: Farbmetrisches Natürliches-Licht-System NLS00

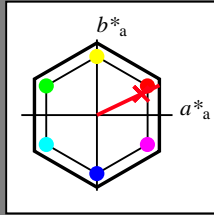
für Buntton $h^* = lab^*h = 25/360 = 0.071$

lab^*tch und lab^*nch

D65: Buntton R

LCH*Ma: 35 92 25

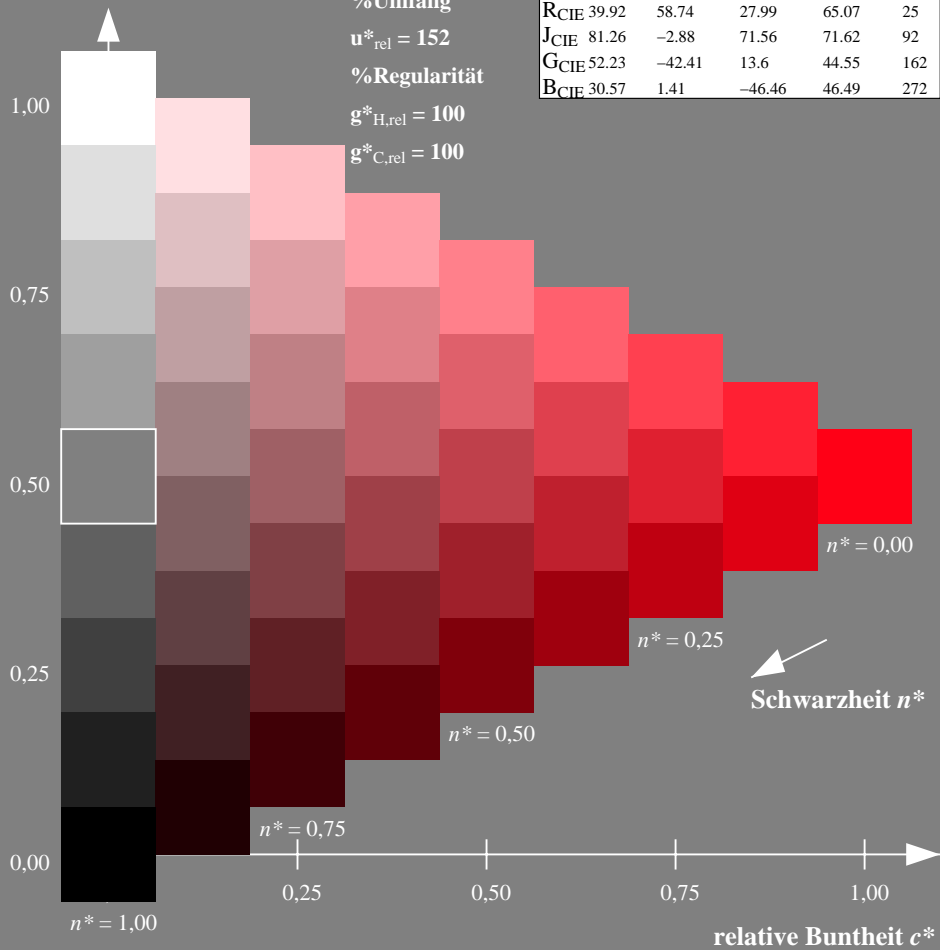
olv*Ma: 1.0 0.0 0.09



NLS00; adaptierte CIELAB-Daten

	$L^*=L^*_a$	a^*_a	b^*_a	$C^*_{ab,a}$	$h^*_{ab,a}$
OMa	31.81	82.62	47.7	95.4	30
YMa	63.61	0.0	95.4	95.4	90
LMa	31.81	-82.61	47.7	95.4	150
CMa	63.61	-82.61	-47.69	95.4	210
VMa	31.81	0.0	-95.39	95.4	270
MMa	63.61	82.62	-47.69	95.4	330
NMa	0.01	0.0	0.0	0.0	0
WMa	95.41	0.0	0.0	0.0	0
RCIE	39.92	58.74	27.99	65.07	25
JCIE	81.26	-2.88	71.56	71.62	92
GCIE	52.23	-42.41	13.6	44.55	162
BCIE	30.57	1.41	-46.46	46.49	272

Dreiecks-Helligkeit t^*



Ausgabe: Farbmetrisches Natürliches-Reflektiv-System NRS18

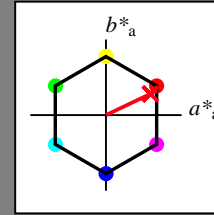
für Buntton $h^* = lab^*h = 25/360 = 0.071$

lab^*tch und lab^*nch

D65: Buntton R

LCH*Ma: 46 74 25

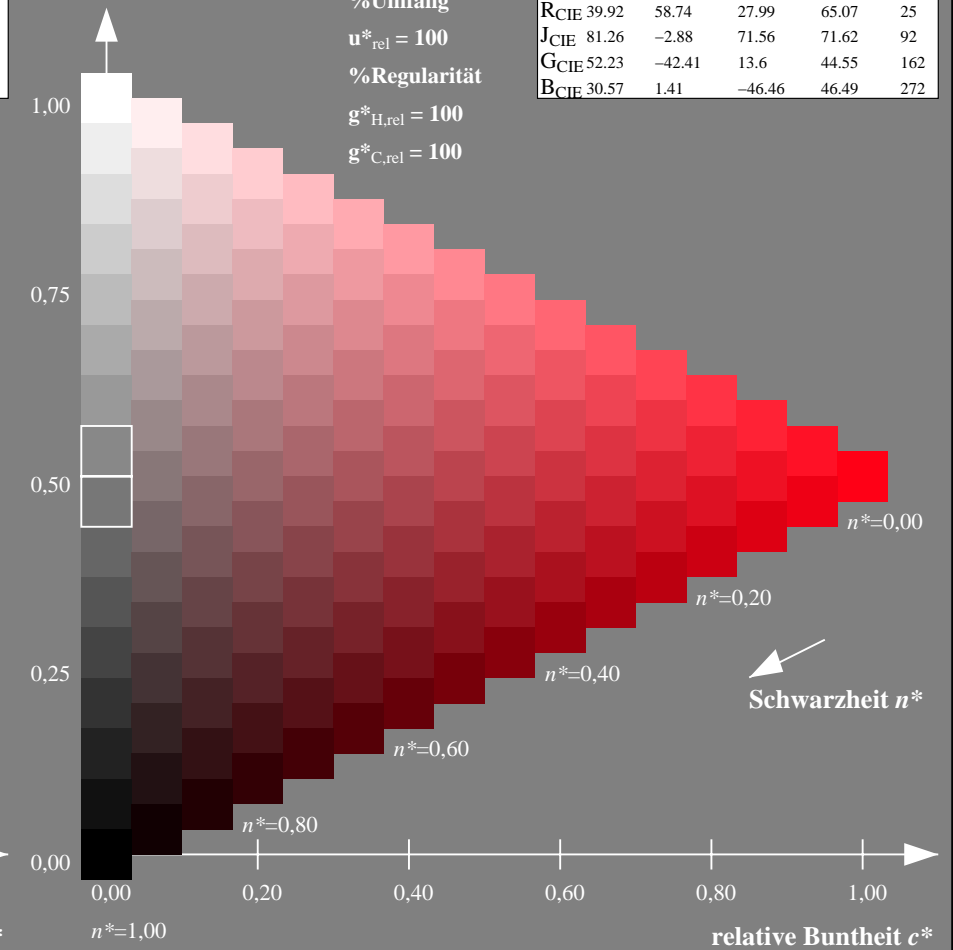
olv*Ma: 1.0 0.0 0.09



NRS18; adaptierte CIELAB-Daten

	$L^*=L^*_a$	a^*_a	b^*_a	$C^*_{ab,a}$	$h^*_{ab,a}$
OMa	43.81	67.03	38.7	77.4	30
YMa	69.61	0.0	77.4	77.4	90
LMa	43.81	-67.02	38.7	77.4	150
CMa	69.61	-67.02	-38.69	77.4	210
VMa	43.81	0.0	-77.39	77.4	270
MMa	69.61	67.03	-38.69	77.4	330
NMa	18.01	0.0	0.0	0.0	0
WMa	95.41	0.0	0.0	0.0	0
RCIE	39.92	58.74	27.99	65.07	25
JCIE	81.26	-2.88	71.56	71.62	92
GCIE	52.23	-42.41	13.6	44.55	162
BCIE	30.57	1.41	-46.46	46.49	272

Dreiecks-Helligkeit t^*



NG900-7, 9stufige Reihen für konstanten CIELAB Buntton $25/360 = 0.071$ (links)

16stufige Reihen für konstanten CIELAB Buntton $25/360 = 0.071$ (rechts)

Eingabe: Farbmétrisches Natürliches-Licht-System NLS00

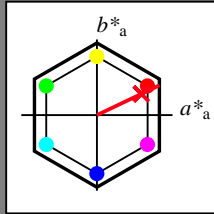
für Buntton $h^* = lab^*h = 25/360 = 0.071$

lab^*tch und lab^*nch

D65: Buntton R

LCH*Ma: 35 92 25

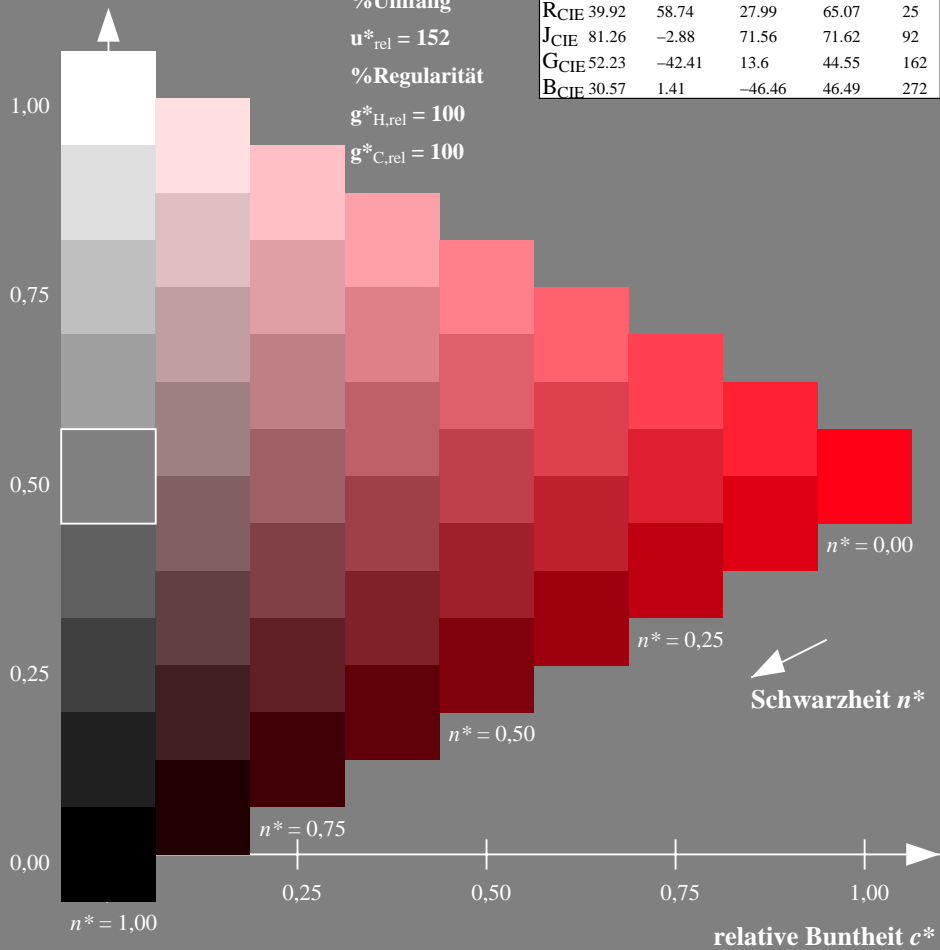
olv*Ma: 1.0 0.0 0.09



NLS00; adaptierte CIELAB-Daten

	$L^*=L^*_a$	a^*_a	b^*_a	$C^*_{ab,a}$	$h^*_{ab,a}$
OMa	31.81	82.62	47.7	95.4	30
YMa	63.61	0.0	95.4	95.4	90
LMa	31.81	-82.61	47.7	95.4	150
CMa	63.61	-82.61	-47.69	95.4	210
VMa	31.81	0.0	-95.39	95.4	270
MMa	63.61	82.62	-47.69	95.4	330
NMa	0.01	0.0	0.0	0.0	0
WMa	95.41	0.0	0.0	0.0	0
RCIE	39.92	58.74	27.99	65.07	25
JCIE	81.26	-2.88	71.56	71.62	92
GCIE	52.23	-42.41	13.6	44.55	162
BCIE	30.57	1.41	-46.46	46.49	272

Dreiecks-Helligkeit t^*



Ausgabe: Farbmétrisches Standard-Reflektiv-System SRS18

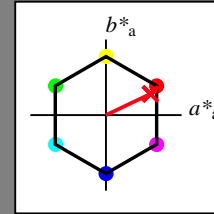
für Buntton $h^* = lab^*h = 25/360 = 0.071$

lab^*tch und lab^*nch

D65: Buntton R

LCH*Ma: 57 74 25

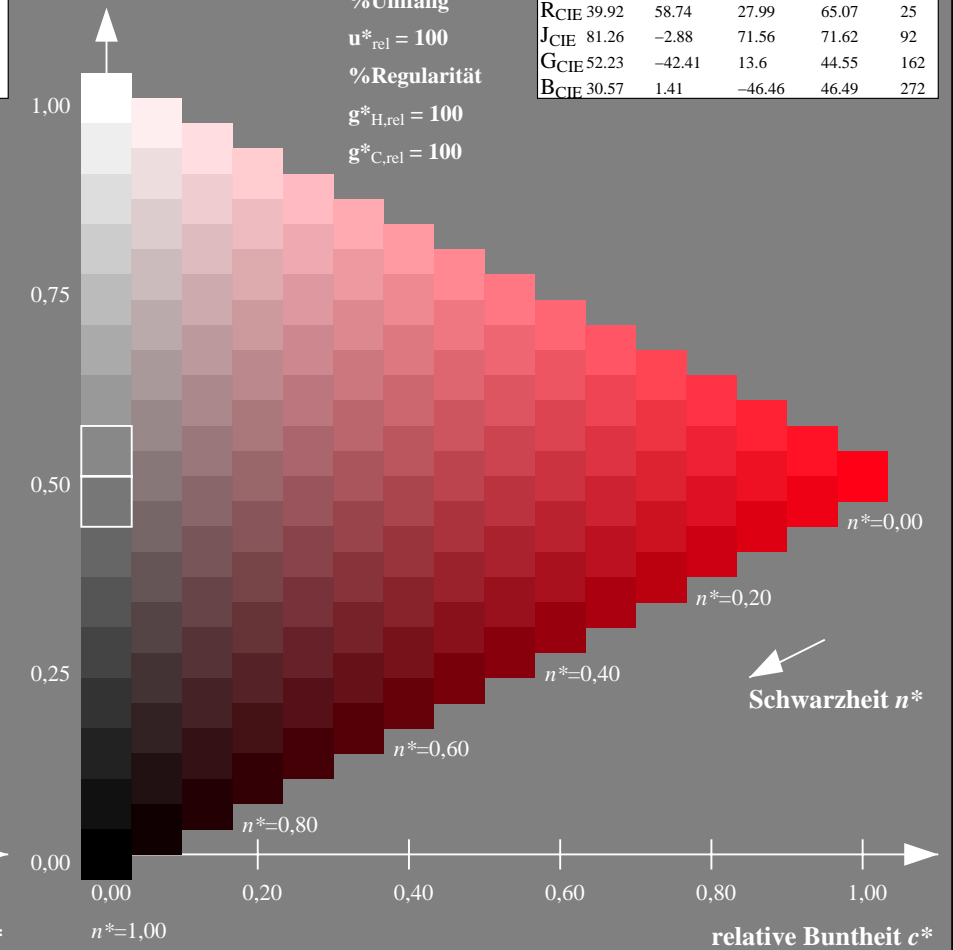
olv*Ma: 1.0 0.0 0.09



SRS18; adaptierte CIELAB-Daten

	$L^*=L^*_a$	a^*_a	b^*_a	$C^*_{ab,a}$	$h^*_{ab,a}$
OMa	56.71	67.03	38.7	77.4	30
YMa	56.71	0.0	77.4	77.4	90
LMa	56.71	-67.02	38.7	77.4	150
CMa	56.71	-67.02	-38.69	77.4	210
VMa	56.71	0.0	-77.39	77.4	270
MMa	56.71	67.03	-38.69	77.4	330
NMa	18.01	0.0	0.0	0.0	0
WMa	95.41	0.0	0.0	0.0	0
RCIE	39.92	58.74	27.99	65.07	25
JCIE	81.26	-2.88	71.56	71.62	92
GCIE	52.23	-42.41	13.6	44.55	162
BCIE	30.57	1.41	-46.46	46.49	272

Dreiecks-Helligkeit t^*



NG900-7, 9stufige Reihen für konstanten CIELAB Buntton $25/360 = 0.071$ (links)

16stufige Reihen für konstanten CIELAB Buntton $25/360 = 0.071$ (rechts)

Eingabe: Farbmetrisches Natürliches-Licht-System NLS00

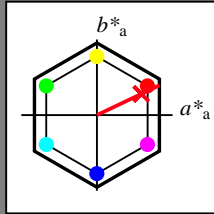
für Buntton $h^* = lab^*h = 25/360 = 0.071$

lab^*tch und lab^*nch

D65: Buntton R

LCH*Ma: 35 92 25

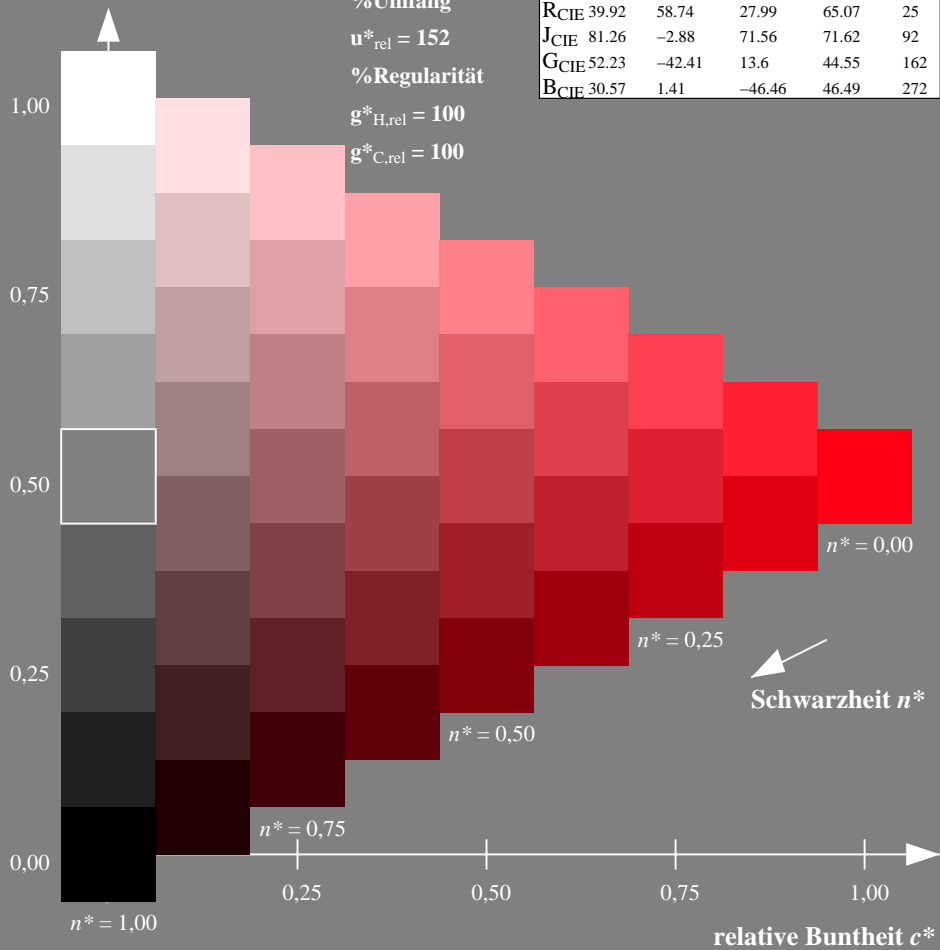
olv*Ma: 1.0 0.0 0.09



NLS00; adaptierte CIELAB-Daten

	$L^*=L^*_a$	a^*_a	b^*_a	$C^*_{ab,a}$	$h^*_{ab,a}$
O _{Ma}	31.81	82.62	47.7	95.4	30
Y _{Ma}	63.61	0.0	95.4	95.4	90
L _{Ma}	31.81	-82.61	47.7	95.4	150
C _{Ma}	63.61	-82.61	-47.69	95.4	210
V _{Ma}	31.81	0.0	-95.39	95.4	270
M _{Ma}	63.61	82.62	-47.69	95.4	330
N _{Ma}	0.01	0.0	0.0	0.0	0
W _{Ma}	95.41	0.0	0.0	0.0	0
R _{CIE}	39.92	58.74	27.99	65.07	25
J _{CIE}	81.26	-2.88	71.56	71.62	92
G _{CIE}	52.23	-42.41	13.6	44.55	162
B _{CIE}	30.57	1.41	-46.46	46.49	272

Dreiecks-Helligkeit t^*



Ausgabe: Farbmetrisches Fernseh-Licht-System TLS70

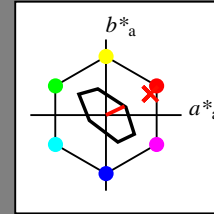
für Buntton $h^* = lab^*h = 25/360 = 0.071$

lab^*tch und lab^*nch

D65: Buntton R

LCH*Ma: 77 27 25

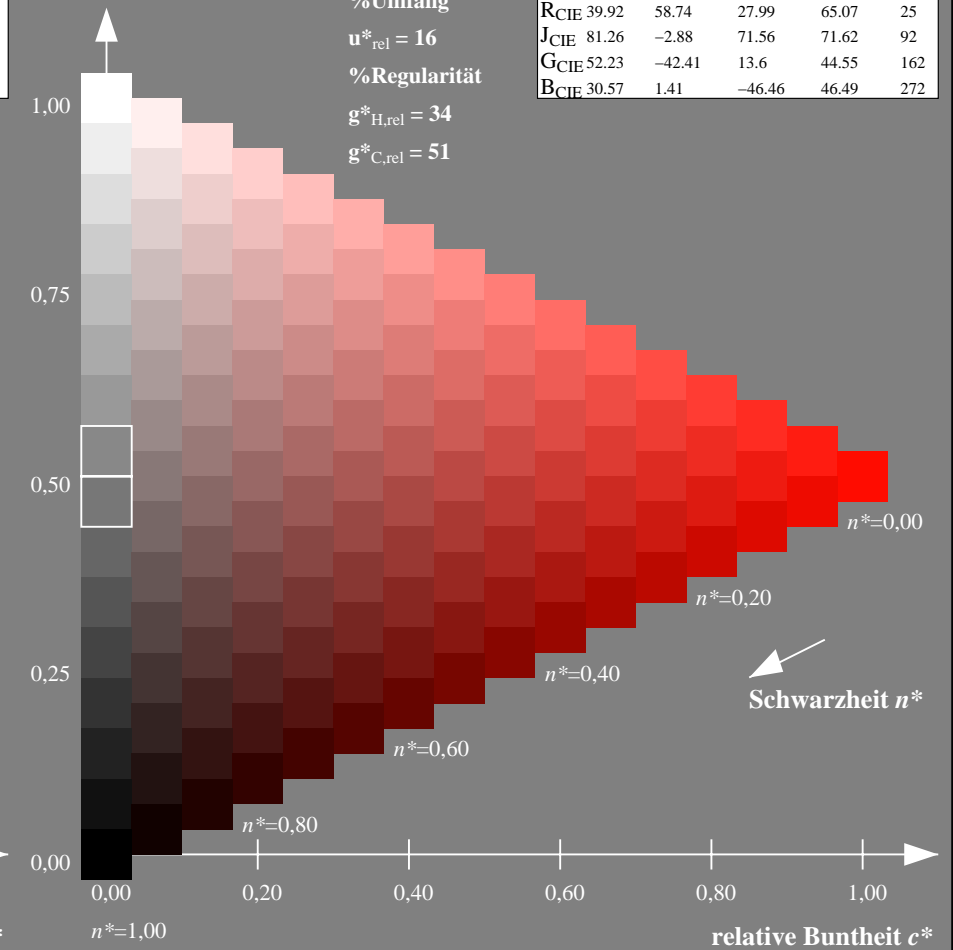
olv*Ma: 1.0 0.05 0.0



TLS70; adaptierte CIELAB-Daten

	$L^*=L^*_a$	a^*_a	b^*_a	$C^*_{ab,a}$	$h^*_{ab,a}$
O _{Ma}	76.43	26.27	10.57	28.32	22
Y _{Ma}	93.93	-10.76	34.63	36.27	107
L _{Ma}	89.32	-35.8	27.64	45.24	142
C _{Ma}	90.93	-21.95	-7.07	23.07	198
V _{Ma}	72.1	15.76	-35.63	38.97	294
M _{Ma}	78.5	37.52	-25.23	45.22	326
N _{Ma}	69.7	0.0	0.0	0.0	0
W _{Ma}	95.41	0.0	0.0	0.0	0
R _{CIE}	39.92	58.74	27.99	65.07	25
J _{CIE}	81.26	-2.88	71.56	71.62	92
G _{CIE}	52.23	-42.41	13.6	44.55	162
B _{CIE}	30.57	1.41	-46.46	46.49	272

Dreiecks-Helligkeit t^*



NG900-7, 9stufige Reihen für konstanten CIELAB Buntton 25/360 = 0.071 (links)

16stufige Reihen für konstanten CIELAB Buntton 25/360 = 0.071 (rechts)

Eingabe: Farbmetrisches Natürliches-Reflektiv-System NRS18

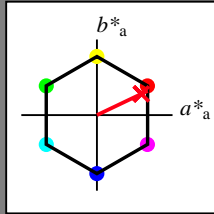
für Buntton $h^* = lab^*h = 25/360 = 0.071$

lab^*tch und lab^*nch

D65: Buntton R

LCH*Ma: 46 74 25

olv*Ma: 1.0 0.0 0.09



NRS18; adaptierte CIELAB-Daten

	$L^*=L^*_a$	a^*_a	b^*_a	$C^*_{ab,a}$	$h^*_{ab,a}$
OMa	43.81	67.03	38.7	77.4	30
YMa	69.61	0.0	77.4	77.4	90
LMa	43.81	-67.02	38.7	77.4	150
CMa	69.61	-67.02	-38.69	77.4	210
VMa	43.81	0.0	-77.39	77.4	270
MMa	69.61	67.03	-38.69	77.4	330
NMa	18.01	0.0	0.0	0.0	0
WMa	95.41	0.0	0.0	0.0	0
RCIE	39.92	58.74	27.99	65.07	25
JCIE	81.26	-2.88	71.56	71.62	92
GCIE	52.23	-42.41	13.6	44.55	162
BCIE	30.57	1.41	-46.46	46.49	272

Dreiecks-Helligkeit t^*

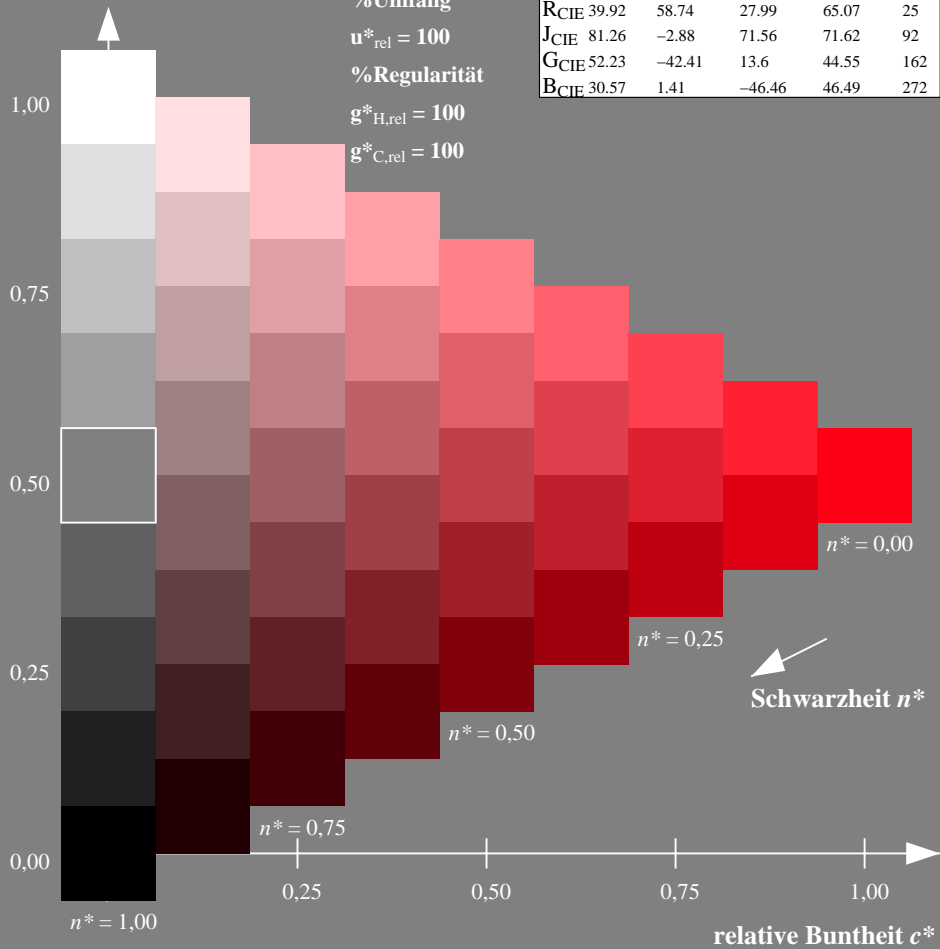
%Umfang

$u^*_{rel} = 100$

%Regularität

$g^*_{H,rel} = 100$

$g^*_{C,rel} = 100$



Ausgabe: Farbmetrisches Offset-Reflektiv-System ORS18

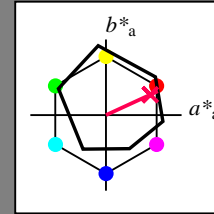
für Buntton $h^* = lab^*h = 25/360 = 0.069$

lab^*tch und lab^*nch

D65: Buntton R

LCH*Ma: 48 75 25

olv*Ma: 1.0 0.0 0.32



ORS18; adaptierte CIELAB-Daten

	$L^*=L^*_a$	a^*_a	b^*_a	$C^*_{ab,a}$	$h^*_{ab,a}$
OMa	47.94	65.39	50.52	82.63	38
YMa	90.37	-10.26	91.75	92.32	96
LMa	50.9	-62.83	34.96	71.91	151
CMa	58.62	-30.34	-45.01	54.3	236
VMa	25.72	31.1	-44.4	54.22	305
MMa	48.13	75.28	-8.36	75.74	354
NMa	18.01	0.0	0.0	0.0	0
WMa	95.41	0.0	0.0	0.0	0
RCIE	39.92	58.66	26.98	64.57	25
JCIE	81.26	-2.16	67.76	67.79	92
GCIE	52.23	-42.25	11.76	43.87	164
BCIE	30.57	1.15	-46.84	46.86	271

Dreiecks-Helligkeit t^*

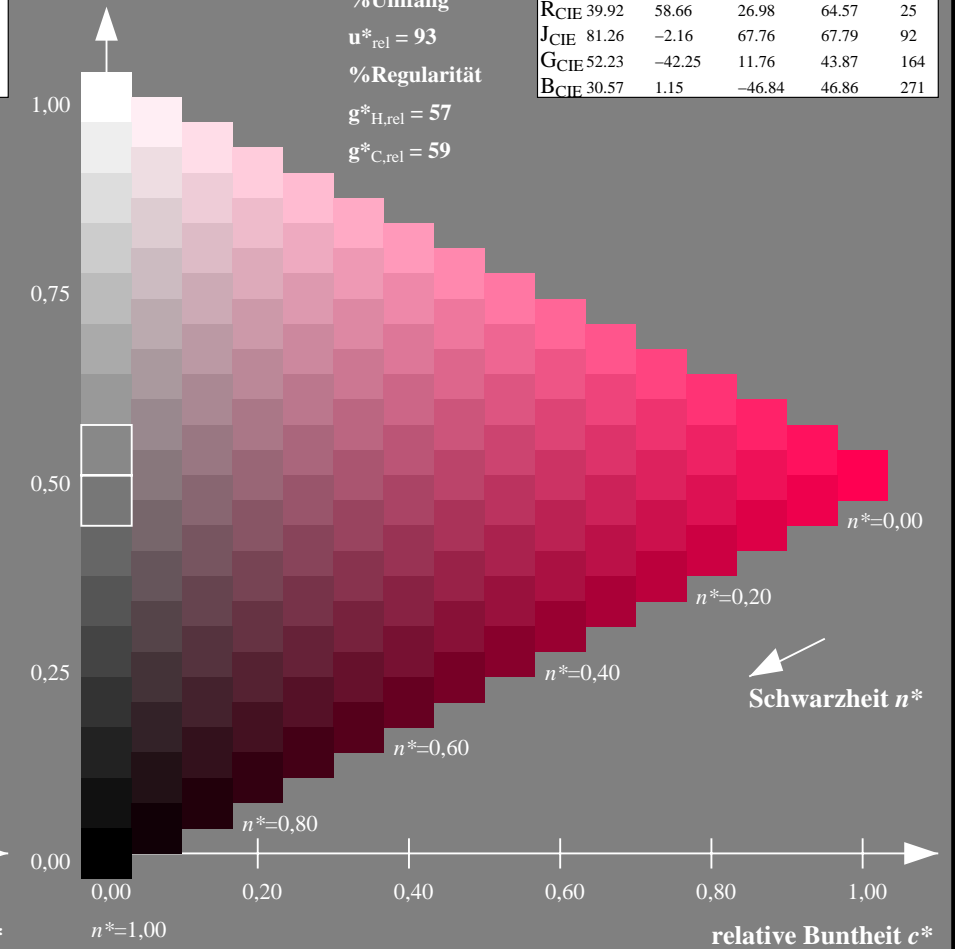
%Umfang

$u^*_{rel} = 93$

%Regularität

$g^*_{H,rel} = 57$

$g^*_{C,rel} = 59$



NG900-7, 9stufige Reihen für konstanten CIELAB Buntton 25/360 = 0.071 (links)

16stufige Reihen für konstanten CIELAB Buntton 25/360 = 0.069 (rechts)

Eingabe: Farbmetrisches Natürliches-Reflektiv-System NRS18

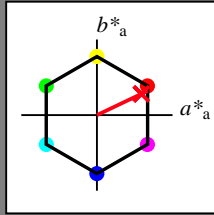
für Buntton $h^* = lab^*h = 25/360 = 0.071$

lab^*tch und lab^*nch

D65: Buntton R

LCH*Ma: 46 74 25

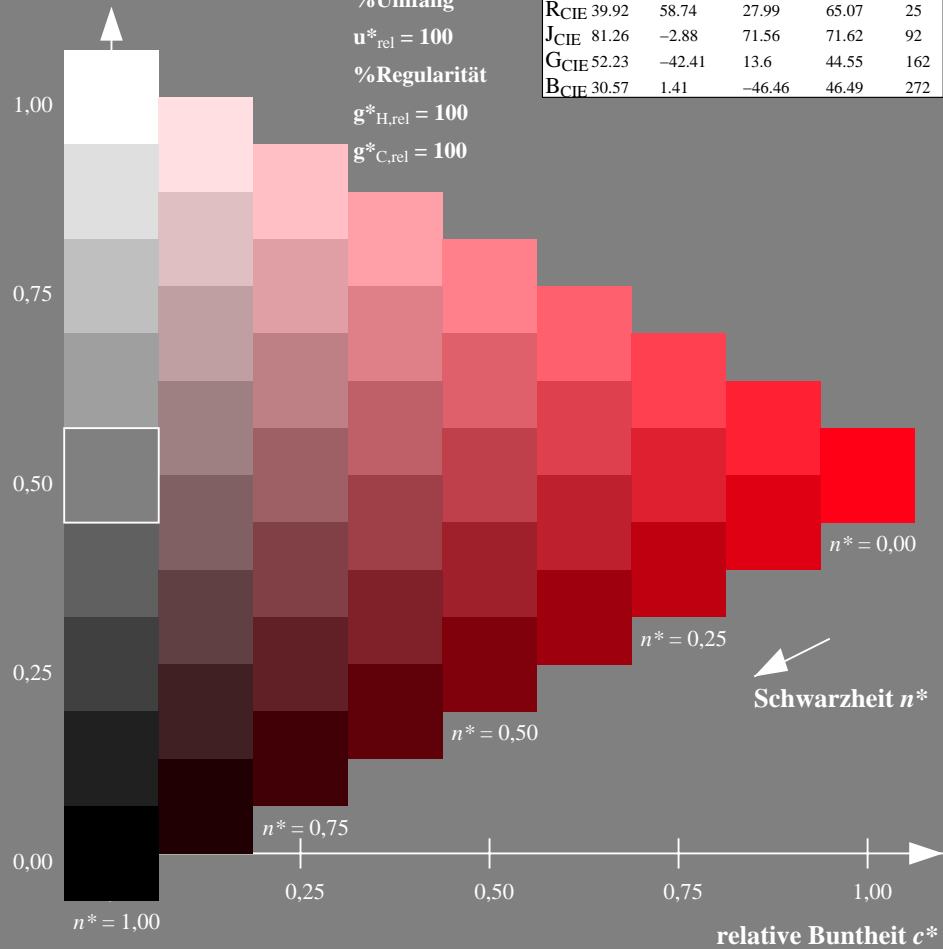
olv*Ma: 1.0 0.0 0.09



NRS18; adaptierte CIELAB-Daten

	$L^*=L^*_a$	a^*_a	b^*_a	$C^*_{ab,a}$	$h^*_{ab,a}$
O _{Ma}	43.81	67.03	38.7	77.4	30
Y _{Ma}	69.61	0.0	77.4	77.4	90
L _{Ma}	43.81	-67.02	38.7	77.4	150
C _{Ma}	69.61	-67.02	-38.69	77.4	210
V _{Ma}	43.81	0.0	-77.39	77.4	270
M _{Ma}	69.61	67.03	-38.69	77.4	330
N _{Ma}	18.01	0.0	0.0	0.0	0
W _{Ma}	95.41	0.0	0.0	0.0	0
R _{CIE}	39.92	58.74	27.99	65.07	25
J _{CIE}	81.26	-2.88	71.56	71.62	92
G _{CIE}	52.23	-42.41	13.6	44.55	162
B _{CIE}	30.57	1.41	-46.46	46.49	272

Dreiecks-Helligkeit t^*



Ausgabe: Farbmetrisches Fernseh-Licht-System TLS00

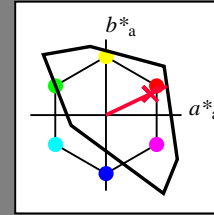
für Buntton $h^* = lab^*h = 25/360 = 0.071$

lab^*tch und lab^*nch

D65: Buntton R

LCH*Ma: 52 89 25

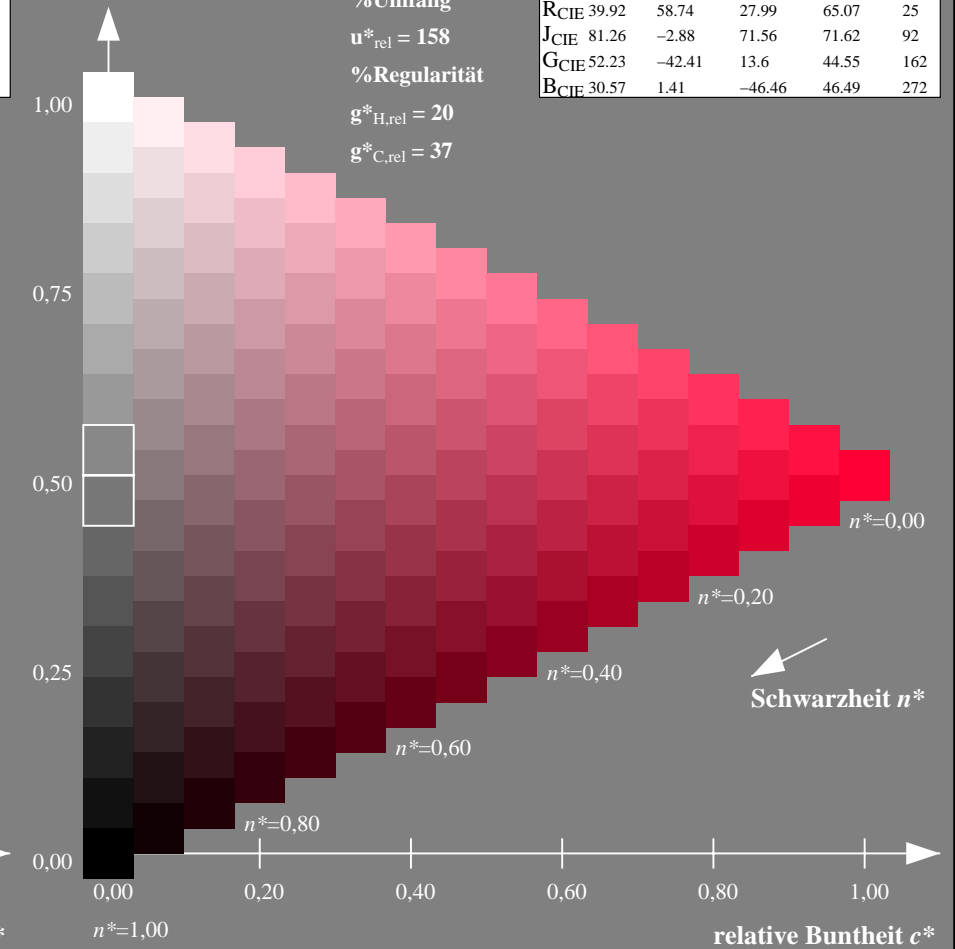
olv*Ma: 1.0 0.0 0.21



TLS00; adaptierte CIELAB-Daten

	$L^*=L^*_a$	a^*_a	b^*_a	$C^*_{ab,a}$	$h^*_{ab,a}$
O _{Ma}	50.5	76.92	64.55	100.42	40
Y _{Ma}	92.66	-20.69	90.75	93.08	103
L _{Ma}	83.63	-82.75	79.9	115.04	136
C _{Ma}	86.88	-46.16	-13.55	48.12	196
V _{Ma}	30.39	76.06	-103.59	128.52	306
M _{Ma}	57.3	94.35	-58.41	110.97	328
N _{Ma}	0.01	0.0	0.0	0.0	0
W _{Ma}	95.41	0.0	0.0	0.0	0
R _{CIE}	39.92	58.74	27.99	65.07	25
J _{CIE}	81.26	-2.88	71.56	71.62	92
G _{CIE}	52.23	-42.41	13.6	44.55	162
B _{CIE}	30.57	1.41	-46.46	46.49	272

Dreiecks-Helligkeit t^*



NG900-7, 9stufige Reihen für konstanten CIELAB Buntton 25/360 = 0.071 (links)

16stufige Reihen für konstanten CIELAB Buntton 25/360 = 0.071 (rechts)

Eingabe: Farbmétrisches Natürliches-Reflektiv-System NRS18

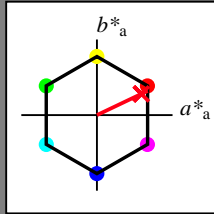
für Buntton $h^* = lab^*h = 25/360 = 0.071$

lab^*tch und lab^*nch

D65: Buntton R

LCH*Ma: 46 74 25

olv*Ma: 1.0 0.0 0.09



NRS18; adaptierte CIELAB-Daten

	$L^*=L^*_a$	a^*_a	b^*_a	$C^*_{ab,a}$	$h^*_{ab,a}$
OMa	43.81	67.03	38.7	77.4	30
YMa	69.61	0.0	77.4	77.4	90
LMa	43.81	-67.02	38.7	77.4	150
CMa	69.61	-67.02	-38.69	77.4	210
VMa	43.81	0.0	-77.39	77.4	270
MMa	69.61	67.03	-38.69	77.4	330
NMa	18.01	0.0	0.0	0.0	0
WMa	95.41	0.0	0.0	0.0	0
RCIE	39.92	58.74	27.99	65.07	25
JCIE	81.26	-2.88	71.56	71.62	92
GCIE	52.23	-42.41	13.6	44.55	162
BCIE	30.57	1.41	-46.46	46.49	272

Dreiecks-Helligkeit t^*

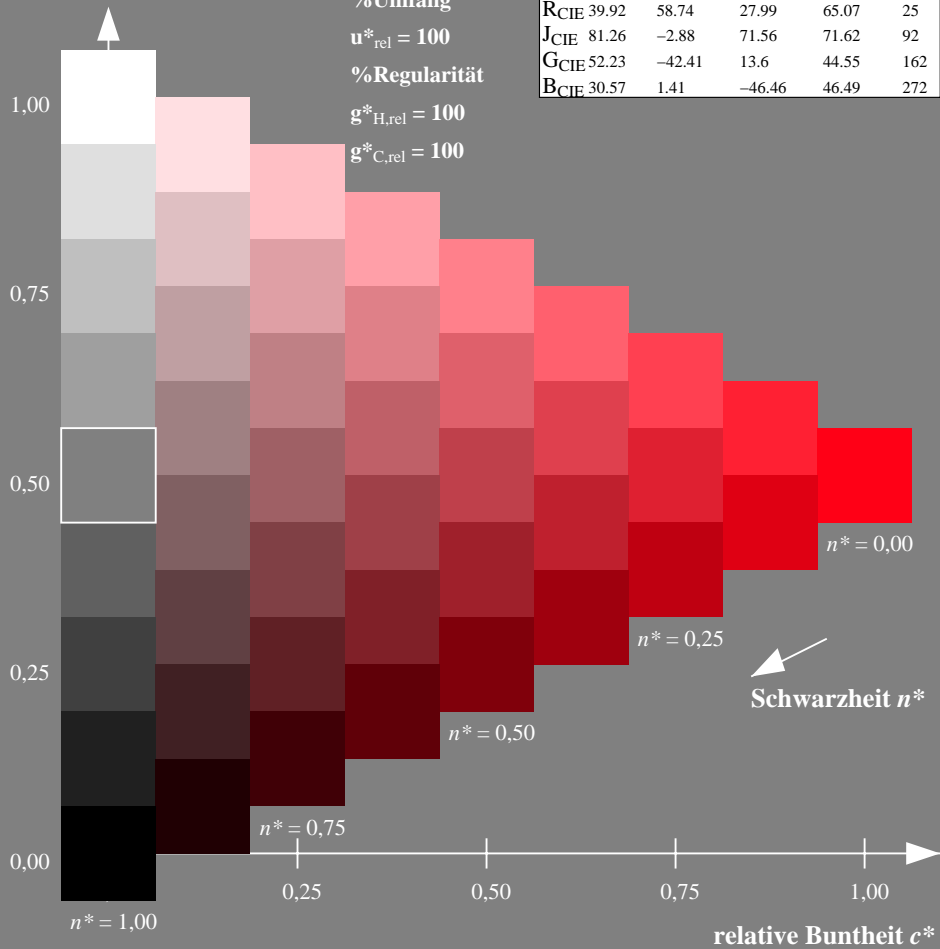
%Umfang

$u^*_{rel} = 100$

%Regularität

$g^*_{H,rel} = 100$

$g^*_{C,rel} = 100$



Ausgabe: Farbmétrisches Drucker-Reflektiv-System DRSXX

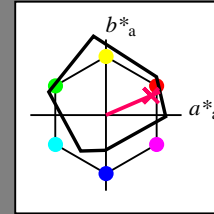
für Buntton $h^* = lab^*h = 23/360 = 0.065$

lab^*tch und lab^*nch

D65: Buntton R

LCH*Ma: 42 78 23

olv*Ma: 1.0 0.0 0.38



DRSXX; adaptierte CIELAB-Daten

	$L^*=L^*_a$	a^*_a	b^*_a	$C^*_{ab,a}$	$h^*_{ab,a}$
OMa	42.21	66.82	50.6	83.82	37
YMa	90.32	-16.51	104.33	105.63	99
LMa	48.21	-75.63	30.65	81.61	158
CMa	53.44	-33.33	-47.49	58.03	235
VMa	34.16	-0.92	-46.56	46.58	269
MMa	42.71	79.0	-1.95	79.03	359
NMa	16.56	0.0	0.0	0.0	0
WMa	96.31	0.0	0.0	0.0	0
RCIE	39.92	59.78	25.77	65.1	23
JCIE	81.26	-2.51	69.07	69.11	92
GCIE	52.23	-41.57	11.3	43.09	165
BCIE	30.57	2.6	-48.62	48.7	273

Dreiecks-Helligkeit t^*

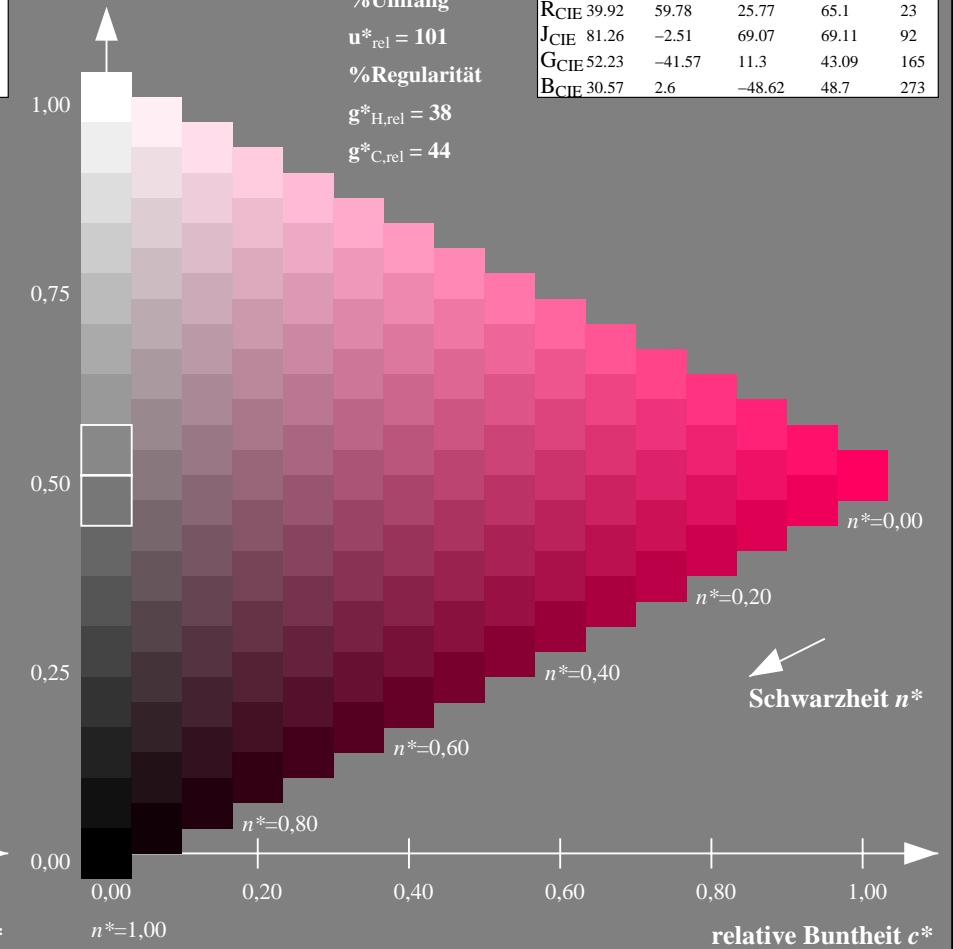
%Umfang

$u^*_{rel} = 101$

%Regularität

$g^*_{H,rel} = 38$

$g^*_{C,rel} = 44$



NG900-7, 9stufige Reihen für konstanten CIELAB Buntton $25/360 = 0.071$ (links)

16stufige Reihen für konstanten CIELAB Buntton $23/360 = 0.065$ (rechts)

Eingabe: Farbmetrisches Natürliches-Reflektiv-System NRS18

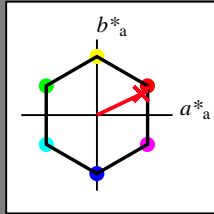
für Buntton $h^* = lab^*h = 25/360 = 0.071$

lab^*tch und lab^*nch

D65: Buntton R

LCH*Ma: 46 74 25

olv*Ma: 1.0 0.0 0.09



NRS18; adaptierte CIELAB-Daten

	$L^*=L^*_a$	a^*_a	b^*_a	$C^*_{ab,a}$	$h^*_{ab,a}$
OMa	43.81	67.03	38.7	77.4	30
YMa	69.61	0.0	77.4	77.4	90
LMa	43.81	-67.02	38.7	77.4	150
CMa	69.61	-67.02	-38.69	77.4	210
VMa	43.81	0.0	-77.39	77.4	270
MMa	69.61	67.03	-38.69	77.4	330
NMa	18.01	0.0	0.0	0.0	0
WMa	95.41	0.0	0.0	0.0	0
RCIE	39.92	58.74	27.99	65.07	25
JCIE	81.26	-2.88	71.56	71.62	92
GCIE	52.23	-42.41	13.6	44.55	162
BCIE	30.57	1.41	-46.46	46.49	272

Dreiecks-Helligkeit t^*

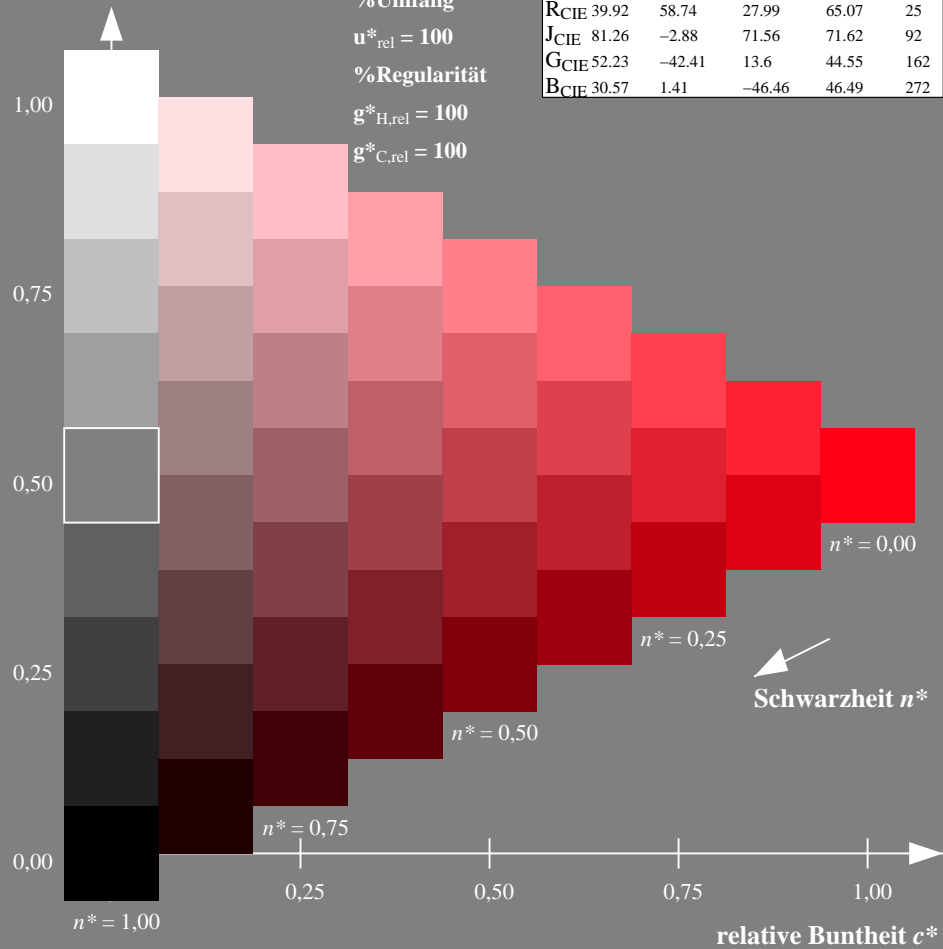
%Umfang

$u^*_{rel} = 100$

%Regularität

$g^*_{H,rel} = 100$

$g^*_{C,rel} = 100$



Ausgabe: Farbmetrisches Fernseh-Licht-System TLS18

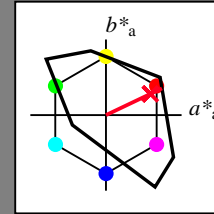
für Buntton $h^* = lab^*h = 25/360 = 0.071$

lab^*tch und lab^*nch

D65: Buntton R

LCH*Ma: 54 82 25

olv*Ma: 1.0 0.0 0.14



TLS18; adaptierte CIELAB-Daten

	$L^*=L^*_a$	a^*_a	b^*_a	$C^*_{ab,a}$	$h^*_{ab,a}$
OMa	52.76	71.63	49.88	87.29	35
YMa	92.74	-20.02	84.97	87.3	103
LMa	84.0	-78.98	73.94	108.2	137
CMa	87.14	-44.41	-13.11	46.32	196
VMa	35.47	64.92	-95.06	115.12	304
MMa	59.01	89.33	-55.67	105.26	328
NMa	18.01	0.0	0.0	0.0	0
WMa	95.41	0.0	0.0	0.0	0
RCIE	39.92	58.74	27.99	65.07	25
JCIE	81.26	-2.88	71.56	71.62	92
GCIE	52.23	-42.41	13.6	44.55	162
BCIE	30.57	1.41	-46.46	46.49	272

Dreiecks-Helligkeit t^*

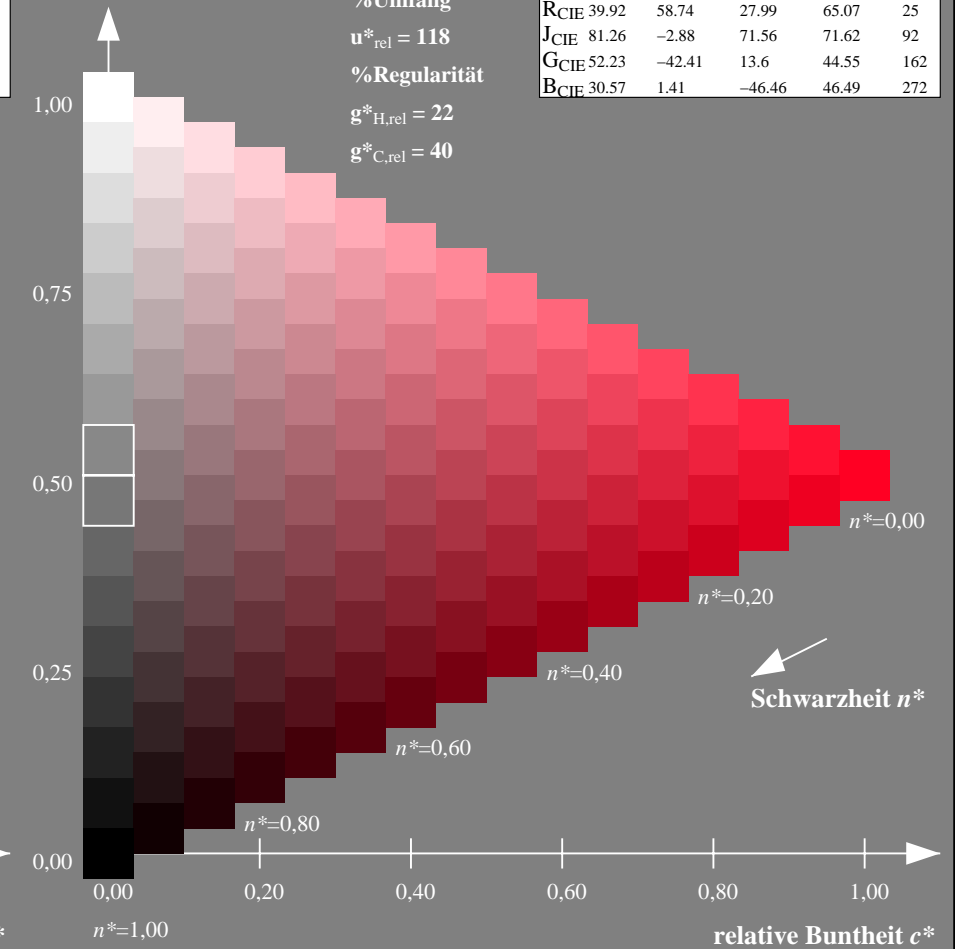
%Umfang

$u^*_{rel} = 118$

%Regularität

$g^*_{H,rel} = 22$

$g^*_{C,rel} = 40$



NG900-7, 9stufige Reihen für konstanten CIELAB Buntton $25/360 = 0.071$ (links)

16stufige Reihen für konstanten CIELAB Buntton $25/360 = 0.071$ (rechts)

Eingabe: Farbmetrisches Natürliches-Reflektiv-System NRS18

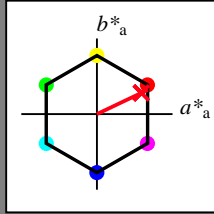
für Buntton $h^* = lab^*h = 25/360 = 0.071$

lab^*tch und lab^*nch

D65: Buntton R

LCH*Ma: 46 74 25

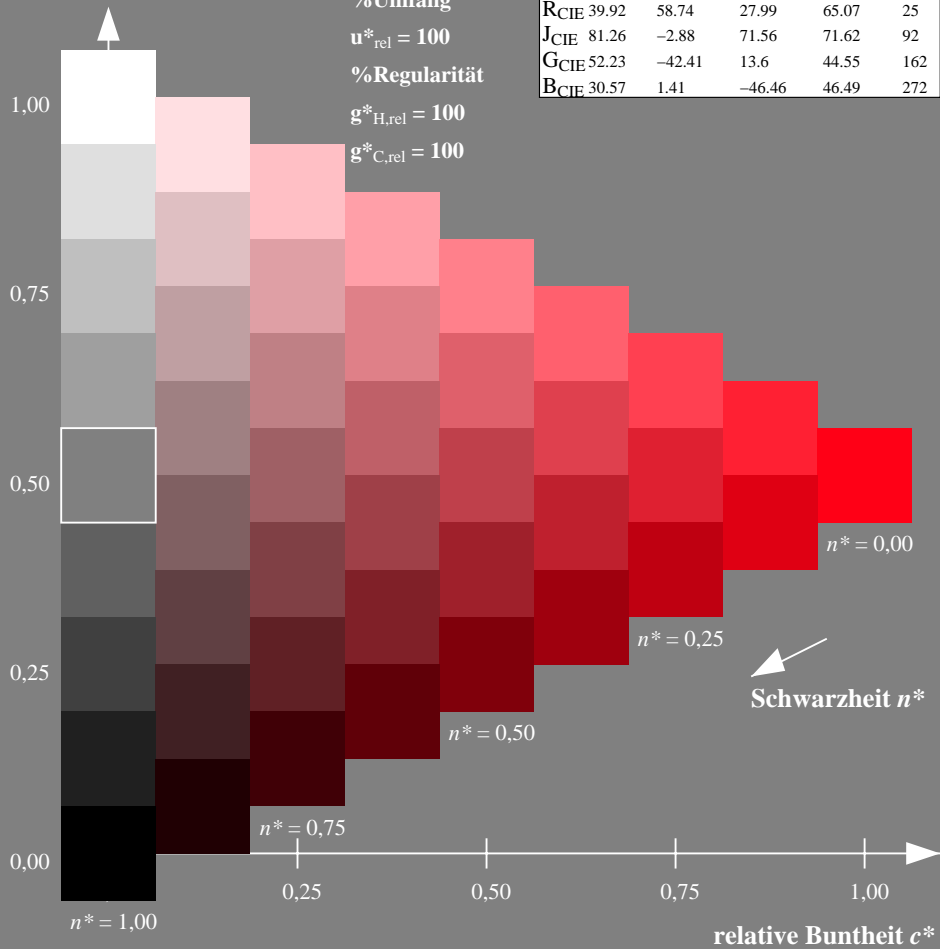
olv*Ma: 1.0 0.0 0.09



NRS18; adaptierte CIELAB-Daten

	$L^*=L^*_a$	a^*_a	b^*_a	$C^*_{ab,a}$	$h^*_{ab,a}$
OMa	43.81	67.03	38.7	77.4	30
YMa	69.61	0.0	77.4	77.4	90
LMa	43.81	-67.02	38.7	77.4	150
CMa	69.61	-67.02	-38.69	77.4	210
VMa	43.81	0.0	-77.39	77.4	270
MMa	69.61	67.03	-38.69	77.4	330
NMa	18.01	0.0	0.0	0.0	0
WMa	95.41	0.0	0.0	0.0	0
RCIE	39.92	58.74	27.99	65.07	25
JCIE	81.26	-2.88	71.56	71.62	92
GCIE	52.23	-42.41	13.6	44.55	162
BCIE	30.57	1.41	-46.46	46.49	272

Dreiecks-Helligkeit t^*



Ausgabe: Farbmetrisches Natürliches-Licht-System NLS00

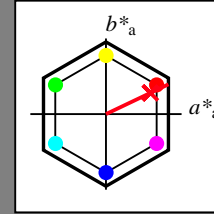
für Buntton $h^* = lab^*h = 25/360 = 0.071$

lab^*tch und lab^*nch

D65: Buntton R

LCH*Ma: 35 92 25

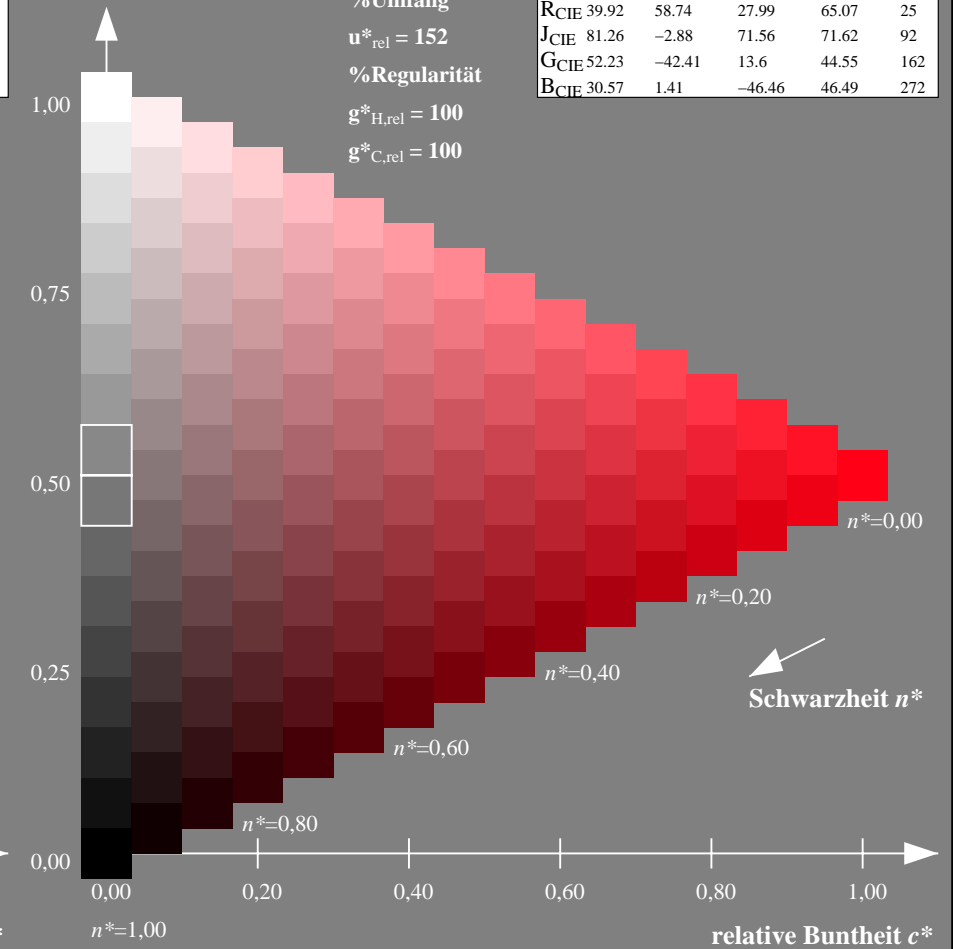
olv*Ma: 1.0 0.0 0.09



NLS00; adaptierte CIELAB-Daten

	$L^*=L^*_a$	a^*_a	b^*_a	$C^*_{ab,a}$	$h^*_{ab,a}$
OMa	31.81	82.62	47.7	95.4	30
YMa	63.61	0.0	95.4	95.4	90
LMa	31.81	-82.61	47.7	95.4	150
CMa	63.61	-82.61	-47.69	95.4	210
VMa	31.81	0.0	-95.39	95.4	270
MMa	63.61	82.62	-47.69	95.4	330
NMa	0.01	0.0	0.0	0.0	0
WMa	95.41	0.0	0.0	0.0	0
RCIE	39.92	58.74	27.99	65.07	25
JCIE	81.26	-2.88	71.56	71.62	92
GCIE	52.23	-42.41	13.6	44.55	162
BCIE	30.57	1.41	-46.46	46.49	272

Dreiecks-Helligkeit t^*



NG900-7, 9stufige Reihen für konstanten CIELAB Buntton $25/360 = 0.071$ (links)

16stufige Reihen für konstanten CIELAB Buntton $25/360 = 0.071$ (rechts)

Eingabe: Farbmétrisches Natürliches-Reflektiv-System NRS18

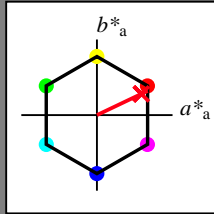
für Buntton $h^* = lab^*h = 25/360 = 0.071$

lab^*tch und lab^*nch

D65: Buntton R

LCH*Ma: 46 74 25

olv*Ma: 1.0 0.0 0.09



NRS18; adaptierte CIELAB-Daten

	$L^*=L^*_a$	a^*_a	b^*_a	$C^*_{ab,a}$	$h^*_{ab,a}$
O _{Ma}	43.81	67.03	38.7	77.4	30
Y _{Ma}	69.61	0.0	77.4	77.4	90
L _{Ma}	43.81	-67.02	38.7	77.4	150
C _{Ma}	69.61	-67.02	-38.69	77.4	210
V _{Ma}	43.81	0.0	-77.39	77.4	270
M _{Ma}	69.61	67.03	-38.69	77.4	330
N _{Ma}	18.01	0.0	0.0	0.0	0
W _{Ma}	95.41	0.0	0.0	0.0	0
R _{CIE}	39.92	58.74	27.99	65.07	25
J _{CIE}	81.26	-2.88	71.56	71.62	92
G _{CIE}	52.23	-42.41	13.6	44.55	162
B _{CIE}	30.57	1.41	-46.46	46.49	272

Dreiecks-Helligkeit t^*

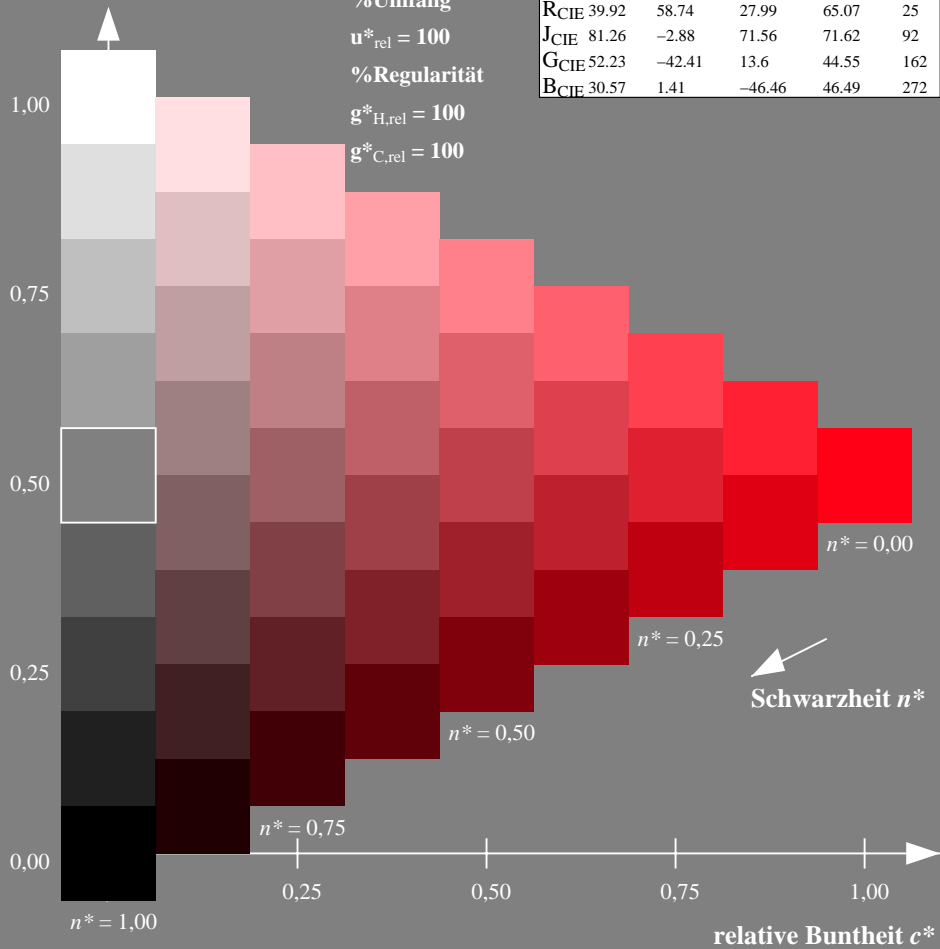
%Umfang

$u^*_{rel} = 100$

%Regularität

$g^*_{H,rel} = 100$

$g^*_{C,rel} = 100$



Ausgabe: Farbmétrisches Natürliches-Reflektiv-System NRS18

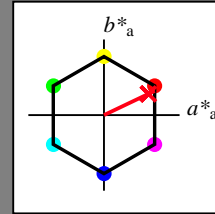
für Buntton $h^* = lab^*h = 25/360 = 0.071$

lab^*tch und lab^*nch

D65: Buntton R

LCH*Ma: 46 74 25

olv*Ma: 1.0 0.0 0.09



NRS18; adaptierte CIELAB-Daten

	$L^*=L^*_a$	a^*_a	b^*_a	$C^*_{ab,a}$	$h^*_{ab,a}$
O _{Ma}	43.81	67.03	38.7	77.4	30
Y _{Ma}	69.61	0.0	77.4	77.4	90
L _{Ma}	43.81	-67.02	38.7	77.4	150
C _{Ma}	69.61	-67.02	-38.69	77.4	210
V _{Ma}	43.81	0.0	-77.39	77.4	270
M _{Ma}	69.61	67.03	-38.69	77.4	330
N _{Ma}	18.01	0.0	0.0	0.0	0
W _{Ma}	95.41	0.0	0.0	0.0	0
R _{CIE}	39.92	58.74	27.99	65.07	25
J _{CIE}	81.26	-2.88	71.56	71.62	92
G _{CIE}	52.23	-42.41	13.6	44.55	162
B _{CIE}	30.57	1.41	-46.46	46.49	272

Dreiecks-Helligkeit t^*

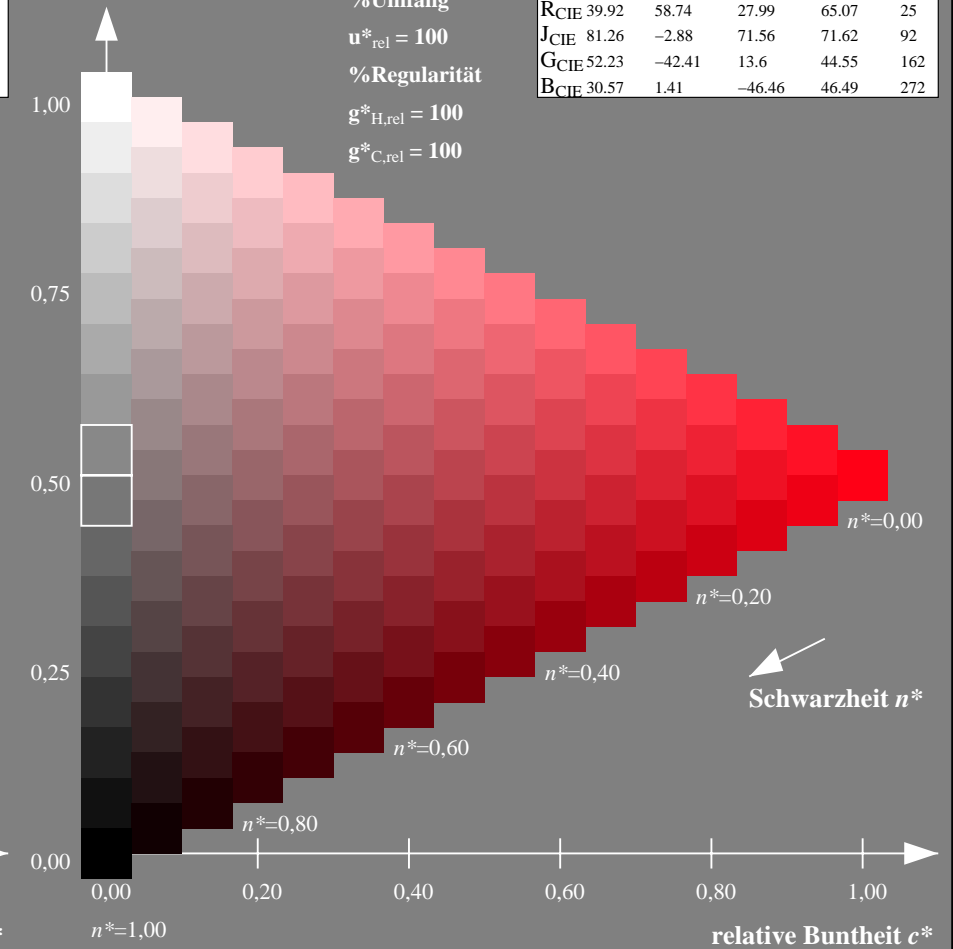
%Umfang

$u^*_{rel} = 100$

%Regularität

$g^*_{H,rel} = 100$

$g^*_{C,rel} = 100$



NG900-7, 9stufige Reihen für konstanten CIELAB Buntton $25/360 = 0.071$ (links)

16stufige Reihen für konstanten CIELAB Buntton $25/360 = 0.071$ (rechts)

Eingabe: Farbmétrisches Natürliches-Reflektiv-System NRS18

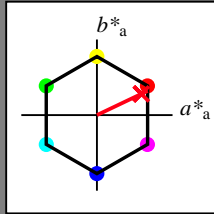
für Buntton $h^* = lab^*h = 25/360 = 0.071$

lab^*tch und lab^*nch

D65: Buntton R

LCH*Ma: 46 74 25

olv*Ma: 1.0 0.0 0.09



NRS18; adaptierte CIELAB-Daten

	$L^*=L^*_a$	a^*_a	b^*_a	$C^*_{ab,a}$	$h^*_{ab,a}$
OMa	43.81	67.03	38.7	77.4	30
YMa	69.61	0.0	77.4	77.4	90
LMa	43.81	-67.02	38.7	77.4	150
CMa	69.61	-67.02	-38.69	77.4	210
VMa	43.81	0.0	-77.39	77.4	270
MMa	69.61	67.03	-38.69	77.4	330
NMa	18.01	0.0	0.0	0.0	0
WMa	95.41	0.0	0.0	0.0	0
RCIE	39.92	58.74	27.99	65.07	25
JCIE	81.26	-2.88	71.56	71.62	92
GCIE	52.23	-42.41	13.6	44.55	162
BCIE	30.57	1.41	-46.46	46.49	272

Dreiecks-Helligkeit t^*

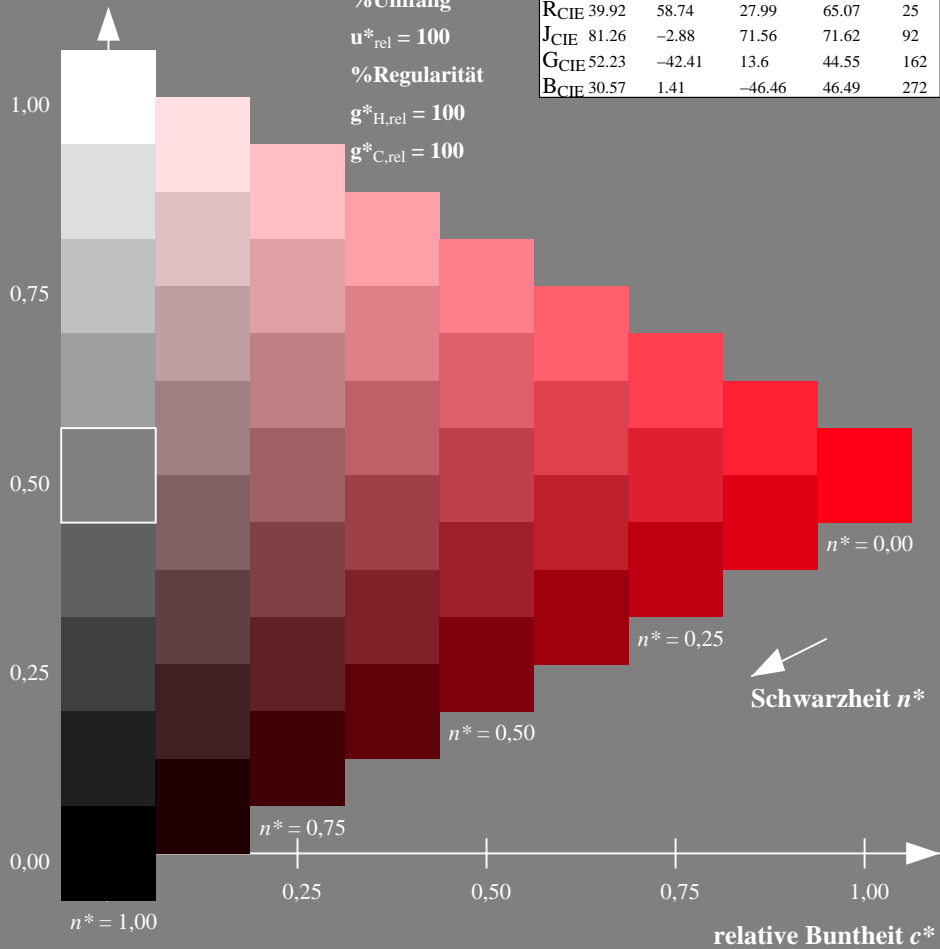
%Umfang

$u^*_{rel} = 100$

%Regularität

$g^*_{H,rel} = 100$

$g^*_{C,rel} = 100$



Ausgabe: Farbmétrisches Standard-Reflektiv-System SRS18

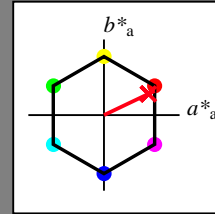
für Buntton $h^* = lab^*h = 25/360 = 0.071$

lab^*tch und lab^*nch

D65: Buntton R

LCH*Ma: 57 74 25

olv*Ma: 1.0 0.0 0.09



SRS18; adaptierte CIELAB-Daten

	$L^*=L^*_a$	a^*_a	b^*_a	$C^*_{ab,a}$	$h^*_{ab,a}$
OMa	56.71	67.03	38.7	77.4	30
YMa	56.71	0.0	77.4	77.4	90
LMa	56.71	-67.02	38.7	77.4	150
CMa	56.71	-67.02	-38.69	77.4	210
VMa	56.71	0.0	-77.39	77.4	270
MMa	56.71	67.03	-38.69	77.4	330
NMa	18.01	0.0	0.0	0.0	0
WMa	95.41	0.0	0.0	0.0	0
RCIE	39.92	58.74	27.99	65.07	25
JCIE	81.26	-2.88	71.56	71.62	92
GCIE	52.23	-42.41	13.6	44.55	162
BCIE	30.57	1.41	-46.46	46.49	272

Dreiecks-Helligkeit t^*

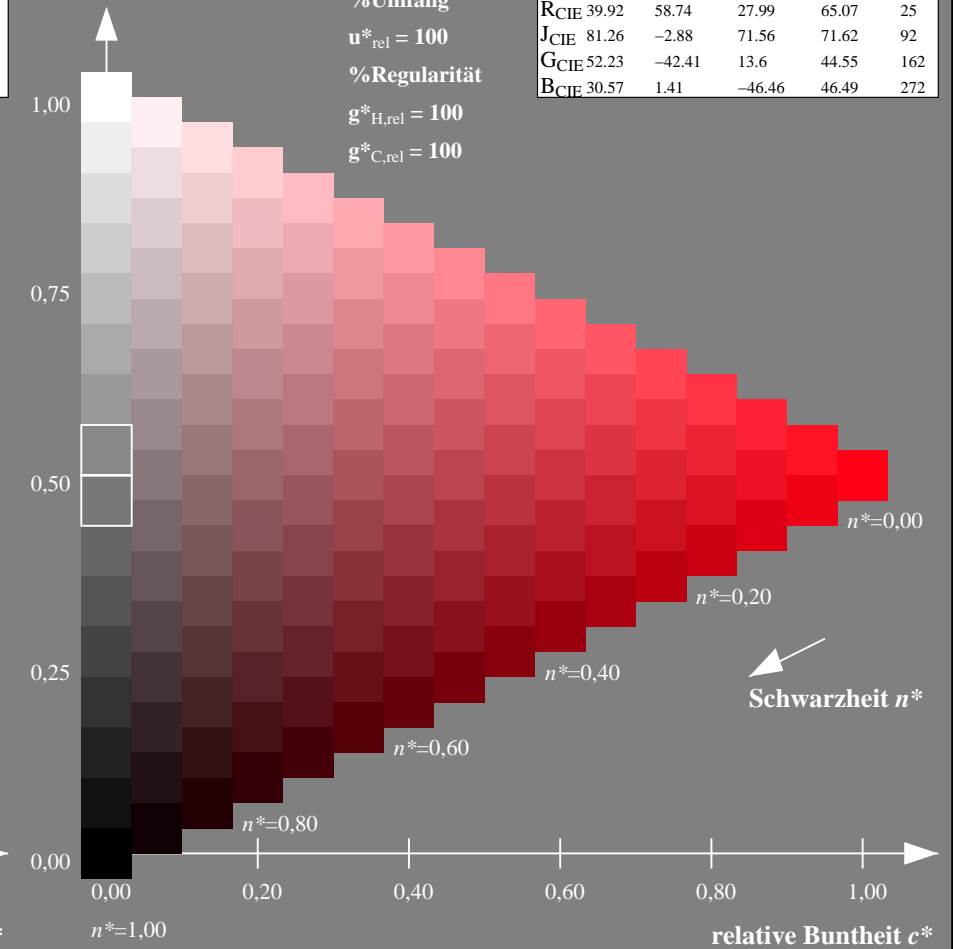
%Umfang

$u^*_{rel} = 100$

%Regularität

$g^*_{H,rel} = 100$

$g^*_{C,rel} = 100$



NG900-7, 9stufige Reihen für konstanten CIELAB Buntton 25/360 = 0.071 (links)

16stufige Reihen für konstanten CIELAB Buntton 25/360 = 0.071 (rechts)

Eingabe: Farbmetrisches Natürliches-Reflektiv-System NRS18

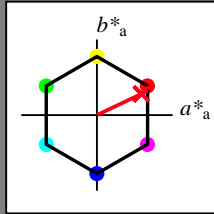
für Buntton $h^* = lab^*h = 25/360 = 0.071$

lab^*tch und lab^*nch

D65: Buntton R

LCH*Ma: 46 74 25

olv*Ma: 1.0 0.0 0.09



NRS18; adaptierte CIELAB-Daten

	$L^*=L^*_a$	a^*_a	b^*_a	$C^*_{ab,a}$	$h^*_{ab,a}$
OMa	43.81	67.03	38.7	77.4	30
YMa	69.61	0.0	77.4	77.4	90
LMa	43.81	-67.02	38.7	77.4	150
CMa	69.61	-67.02	-38.69	77.4	210
VMa	43.81	0.0	-77.39	77.4	270
MMa	69.61	67.03	-38.69	77.4	330
NMa	18.01	0.0	0.0	0.0	0
WMa	95.41	0.0	0.0	0.0	0
RCIE	39.92	58.74	27.99	65.07	25
JCIE	81.26	-2.88	71.56	71.62	92
GCIE	52.23	-42.41	13.6	44.55	162
BCIE	30.57	1.41	-46.46	46.49	272

Dreiecks-Helligkeit t^*

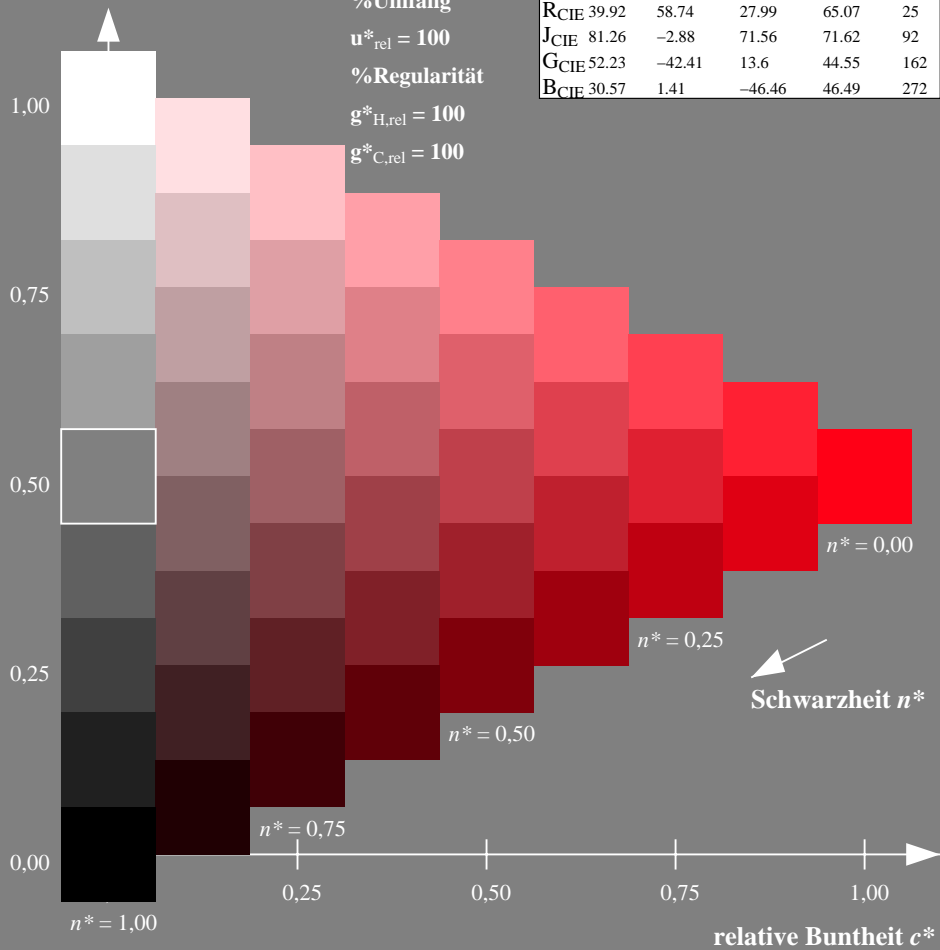
%Umfang

$u^*_{rel} = 100$

%Regularität

$g^*_{H,rel} = 100$

$g^*_{C,rel} = 100$



Ausgabe: Farbmetrisches Fernseh-Licht-System TLS70

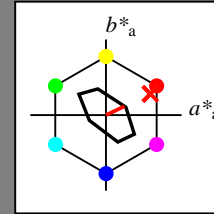
für Buntton $h^* = lab^*h = 25/360 = 0.071$

lab^*tch und lab^*nch

D65: Buntton R

LCH*Ma: 77 27 25

olv*Ma: 1.0 0.05 0.0



TLS70; adaptierte CIELAB-Daten

	$L^*=L^*_a$	a^*_a	b^*_a	$C^*_{ab,a}$	$h^*_{ab,a}$
OMa	76.43	26.27	10.57	28.32	22
YMa	93.93	-10.76	34.63	36.27	107
LMa	89.32	-35.8	27.64	45.24	142
CMa	90.93	-21.95	-7.07	23.07	198
VMa	72.1	15.76	-35.63	38.97	294
MMa	78.5	37.52	-25.23	45.22	326
NMa	69.7	0.0	0.0	0.0	0
WMa	95.41	0.0	0.0	0.0	0
RCIE	39.92	58.74	27.99	65.07	25
JCIE	81.26	-2.88	71.56	71.62	92
GCIE	52.23	-42.41	13.6	44.55	162
BCIE	30.57	1.41	-46.46	46.49	272

Dreiecks-Helligkeit t^*

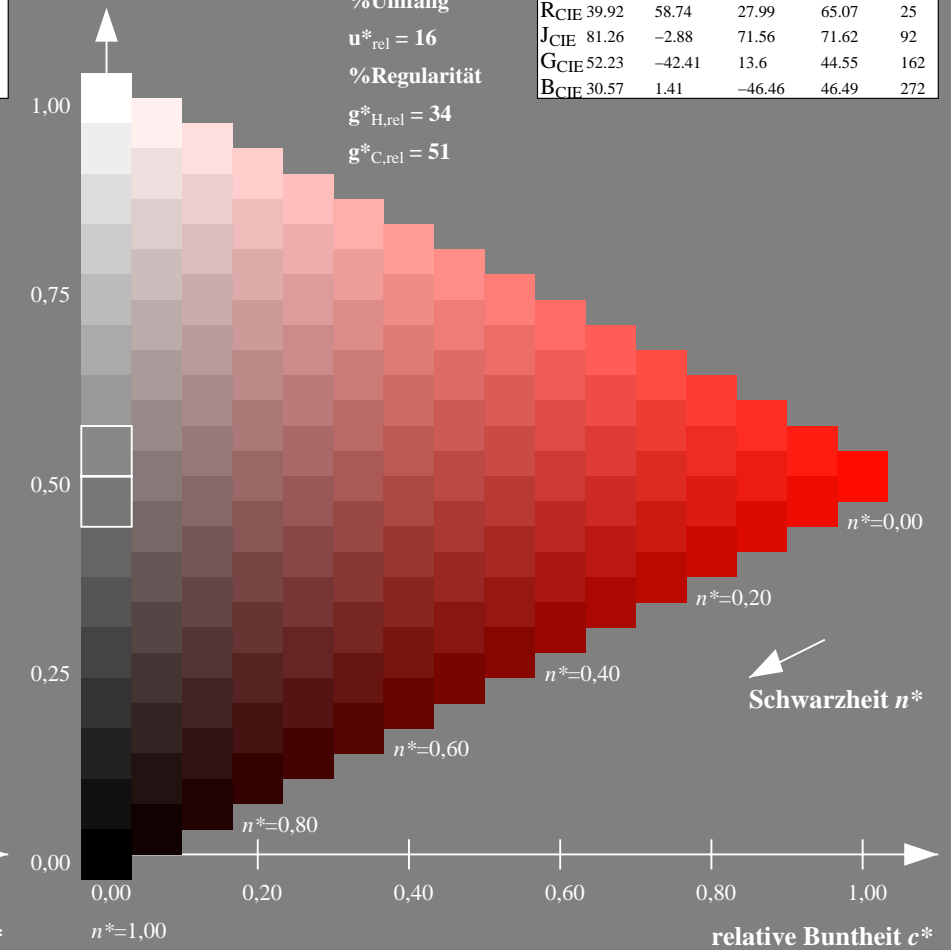
%Umfang

$u^*_{rel} = 16$

%Regularität

$g^*_{H,rel} = 34$

$g^*_{C,rel} = 51$



NG900-7, 9stufige Reihen für konstanten CIELAB Buntton $25/360 = 0.071$ (links)

16stufige Reihen für konstanten CIELAB Buntton $25/360 = 0.071$ (rechts)

Eingabe: Farbmimetrisches Standard-Reflektiv-System SRS18

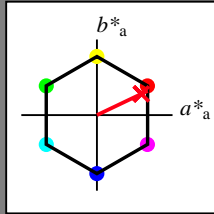
für Buntton $h^* = lab^*h = 25/360 = 0.071$

lab^*tch und lab^*nch

D65: Buntton R

LCH*Ma: 57 74 25

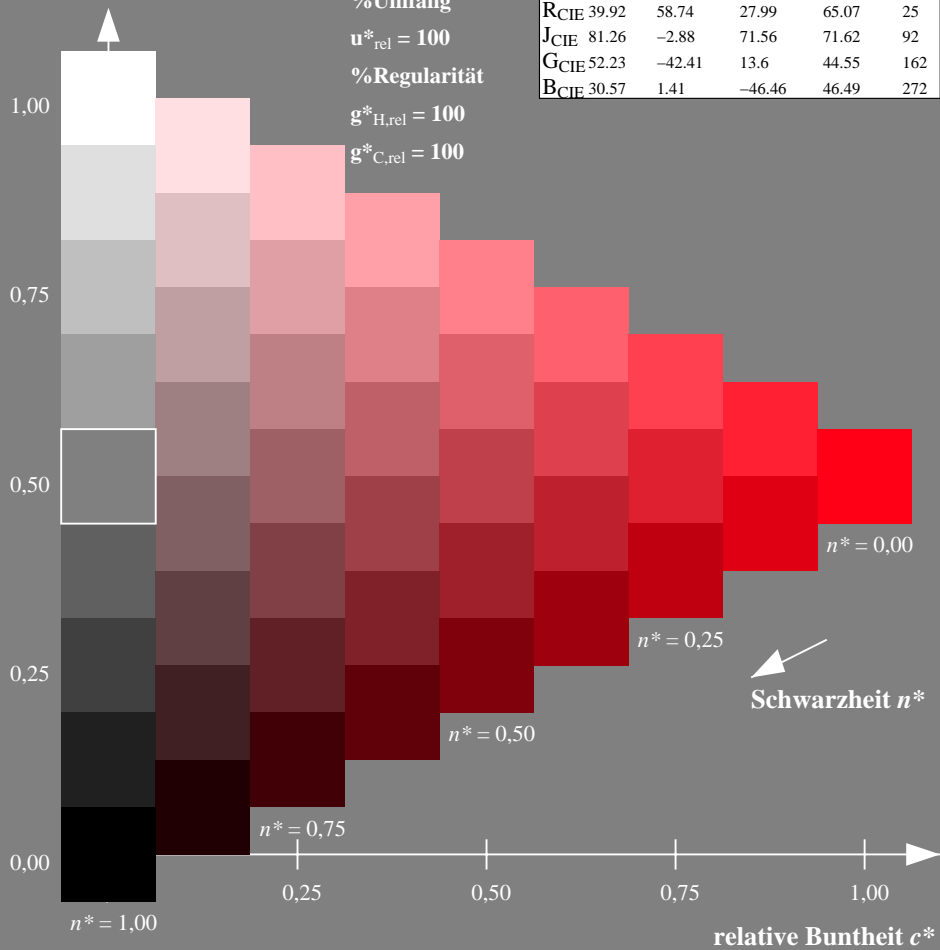
olv*Ma: 1.0 0.0 0.09



SRS18; adaptierte CIELAB-Daten

	$L^*=L^*_a$	a^*_a	b^*_a	$C^*_{ab,a}$	$h^*_{ab,a}$
OMa	56.71	67.03	38.7	77.4	30
YMa	56.71	0.0	77.4	77.4	90
LMa	56.71	-67.02	38.7	77.4	150
CMa	56.71	-67.02	-38.69	77.4	210
VMa	56.71	0.0	-77.39	77.4	270
MMa	56.71	67.03	-38.69	77.4	330
NMa	18.01	0.0	0.0	0.0	0
WMa	95.41	0.0	0.0	0.0	0
RCIE	39.92	58.74	27.99	65.07	25
JCIE	81.26	-2.88	71.56	71.62	92
GCIE	52.23	-42.41	13.6	44.55	162
BCIE	30.57	1.41	-46.46	46.49	272

Dreiecks-Helligkeit t^*



Ausgabe: Farbmimetrisches Offset-Reflektiv-System ORS18

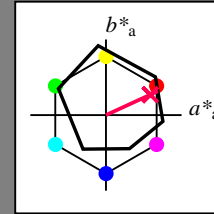
für Buntton $h^* = lab^*h = 25/360 = 0.069$

lab^*tch und lab^*nch

D65: Buntton R

LCH*Ma: 48 75 25

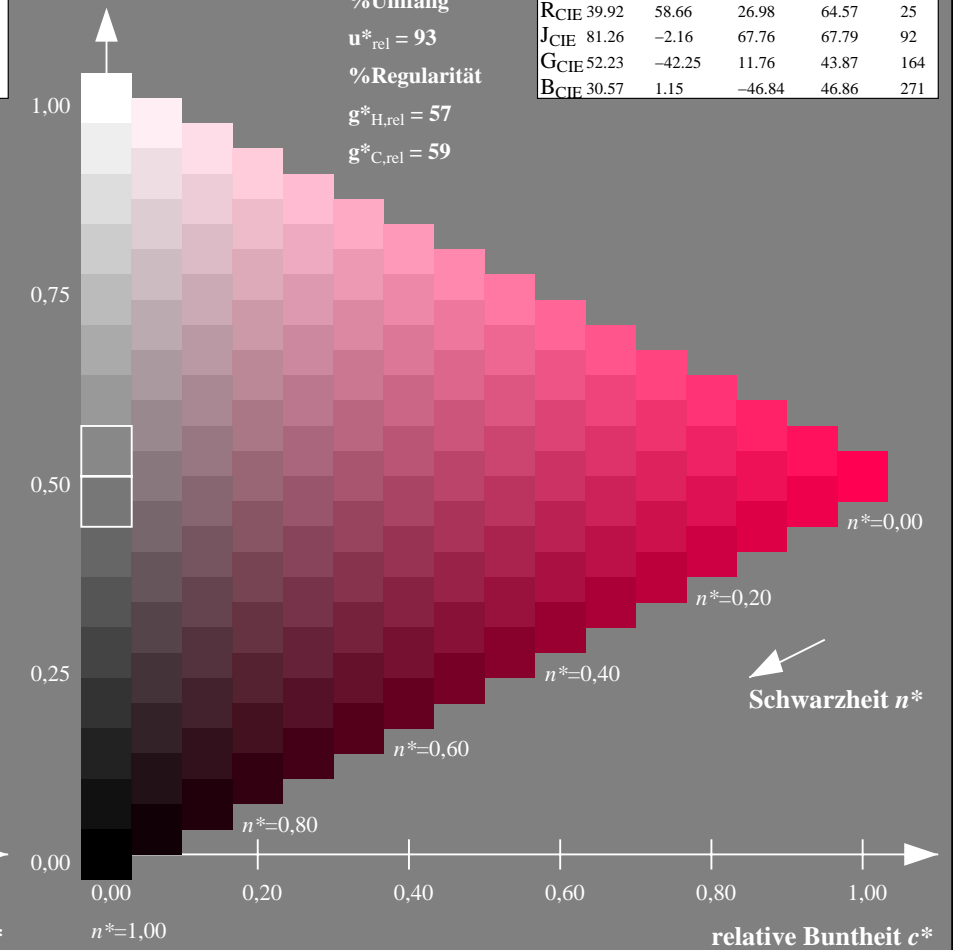
olv*Ma: 1.0 0.0 0.32



ORS18; adaptierte CIELAB-Daten

	$L^*=L^*_a$	a^*_a	b^*_a	$C^*_{ab,a}$	$h^*_{ab,a}$
OMa	47.94	65.39	50.52	82.63	38
YMa	90.37	-10.26	91.75	92.32	96
LMa	50.9	-62.83	34.96	71.91	151
CMa	58.62	-30.34	-45.01	54.3	236
VMa	25.72	31.1	-44.4	54.22	305
MMa	48.13	75.28	-8.36	75.74	354
NMa	18.01	0.0	0.0	0.0	0
WMa	95.41	0.0	0.0	0.0	0
RCIE	39.92	58.66	26.98	64.57	25
JCIE	81.26	-2.16	67.76	67.79	92
GCIE	52.23	-42.25	11.76	43.87	164
BCIE	30.57	1.15	-46.84	46.86	271

Dreiecks-Helligkeit t^*



NG900-7, 9stufige Reihen für konstanten CIELAB Buntton $25/360 = 0.071$ (links)

16stufige Reihen für konstanten CIELAB Buntton $25/360 = 0.069$ (rechts)

Eingabe: Farbmimetrisches Standard-Reflektiv-System SRS18

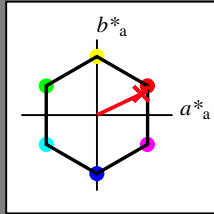
für Buntton $h^* = lab^*h = 25/360 = 0.071$

lab^*tch und lab^*nch

D65: Buntton R

LCH*Ma: 57 74 25

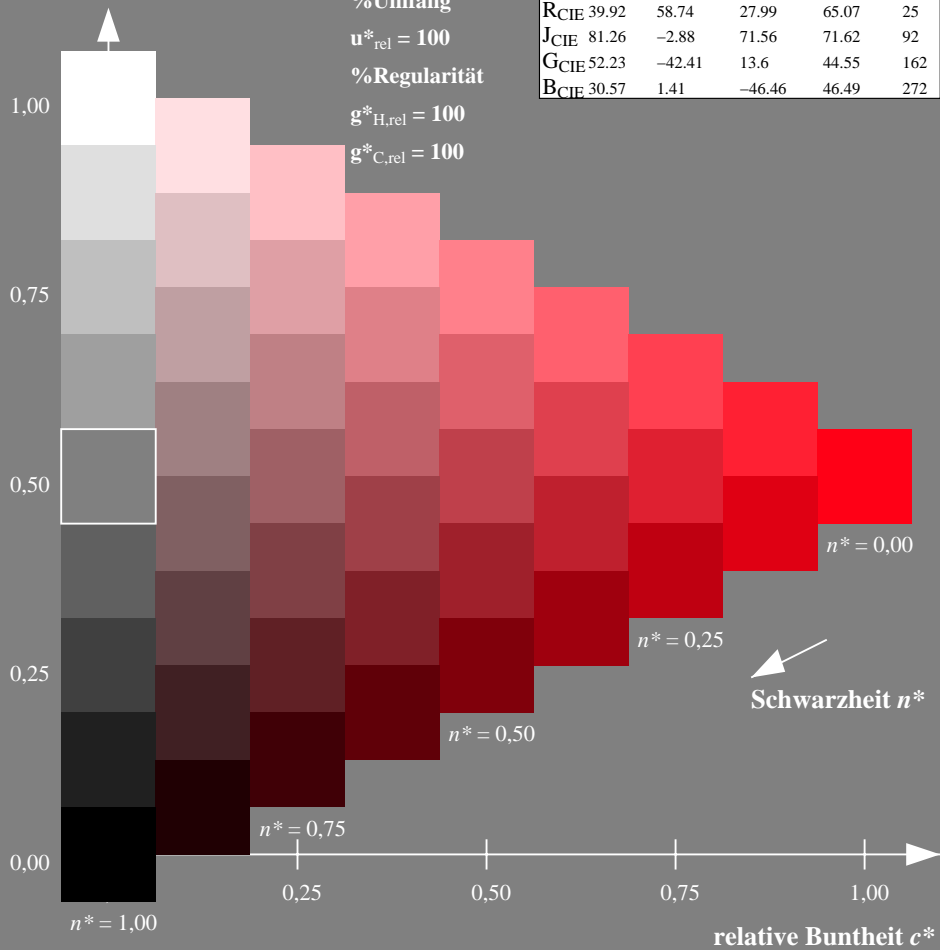
olv*Ma: 1.0 0.0 0.09



SRS18; adaptierte CIELAB-Daten

	$L^*=L^*_a$	a^*_a	b^*_a	$C^*_{ab,a}$	$h^*_{ab,a}$
O _{Ma}	56.71	67.03	38.7	77.4	30
Y _{Ma}	56.71	0.0	77.4	77.4	90
L _{Ma}	56.71	-67.02	38.7	77.4	150
C _{Ma}	56.71	-67.02	-38.69	77.4	210
V _{Ma}	56.71	0.0	-77.39	77.4	270
M _{Ma}	56.71	67.03	-38.69	77.4	330
N _{Ma}	18.01	0.0	0.0	0.0	0
W _{Ma}	95.41	0.0	0.0	0.0	0
R _{CIE}	39.92	58.74	27.99	65.07	25
J _{CIE}	81.26	-2.88	71.56	71.62	92
G _{CIE}	52.23	-42.41	13.6	44.55	162
B _{CIE}	30.57	1.41	-46.46	46.49	272

Dreiecks-Helligkeit t^*



Ausgabe: Farbmimetrisches Fernseh-Licht-System TLS00

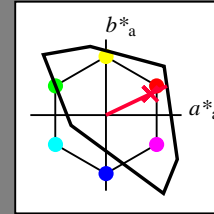
für Buntton $h^* = lab^*h = 25/360 = 0.071$

lab^*tch und lab^*nch

D65: Buntton R

LCH*Ma: 52 89 25

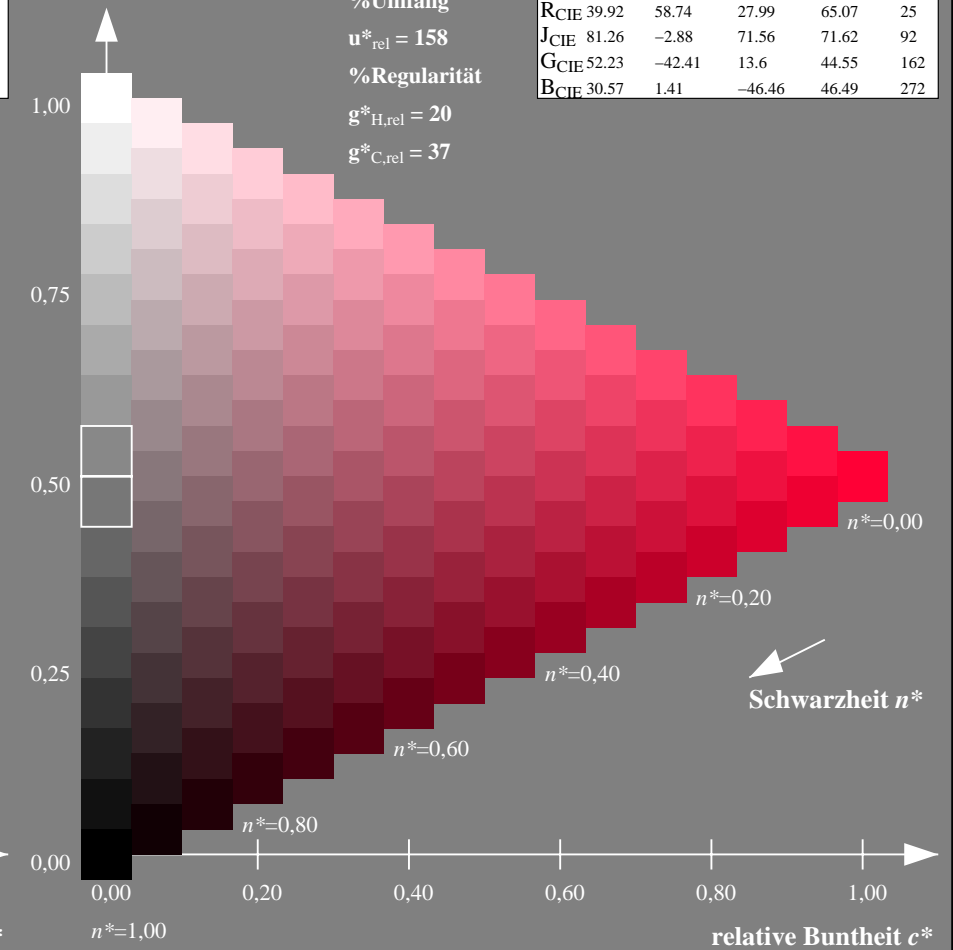
olv*Ma: 1.0 0.0 0.21



TLS00; adaptierte CIELAB-Daten

	$L^*=L^*_a$	a^*_a	b^*_a	$C^*_{ab,a}$	$h^*_{ab,a}$
O _{Ma}	50.5	76.92	64.55	100.42	40
Y _{Ma}	92.66	-20.69	90.75	93.08	103
L _{Ma}	83.63	-82.75	79.9	115.04	136
C _{Ma}	86.88	-46.16	-13.55	48.12	196
V _{Ma}	30.39	76.06	-103.59	128.52	306
M _{Ma}	57.3	94.35	-58.41	110.97	328
N _{Ma}	0.01	0.0	0.0	0.0	0
W _{Ma}	95.41	0.0	0.0	0.0	0
R _{CIE}	39.92	58.74	27.99	65.07	25
J _{CIE}	81.26	-2.88	71.56	71.62	92
G _{CIE}	52.23	-42.41	13.6	44.55	162
B _{CIE}	30.57	1.41	-46.46	46.49	272

Dreiecks-Helligkeit t^*



NG900-7, 9stufige Reihen für konstanten CIELAB Buntton 25/360 = 0.071 (links)

16stufige Reihen für konstanten CIELAB Buntton 25/360 = 0.071 (rechts)

Eingabe: Farbmatisches Standard-Reflektiv-System SRS18

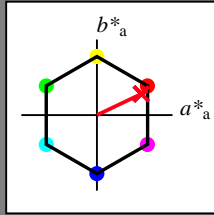
für Buntton $h^* = lab^*h = 25/360 = 0.071$

lab^*tch und lab^*nch

D65: Buntton R

LCH*Ma: 57 74 25

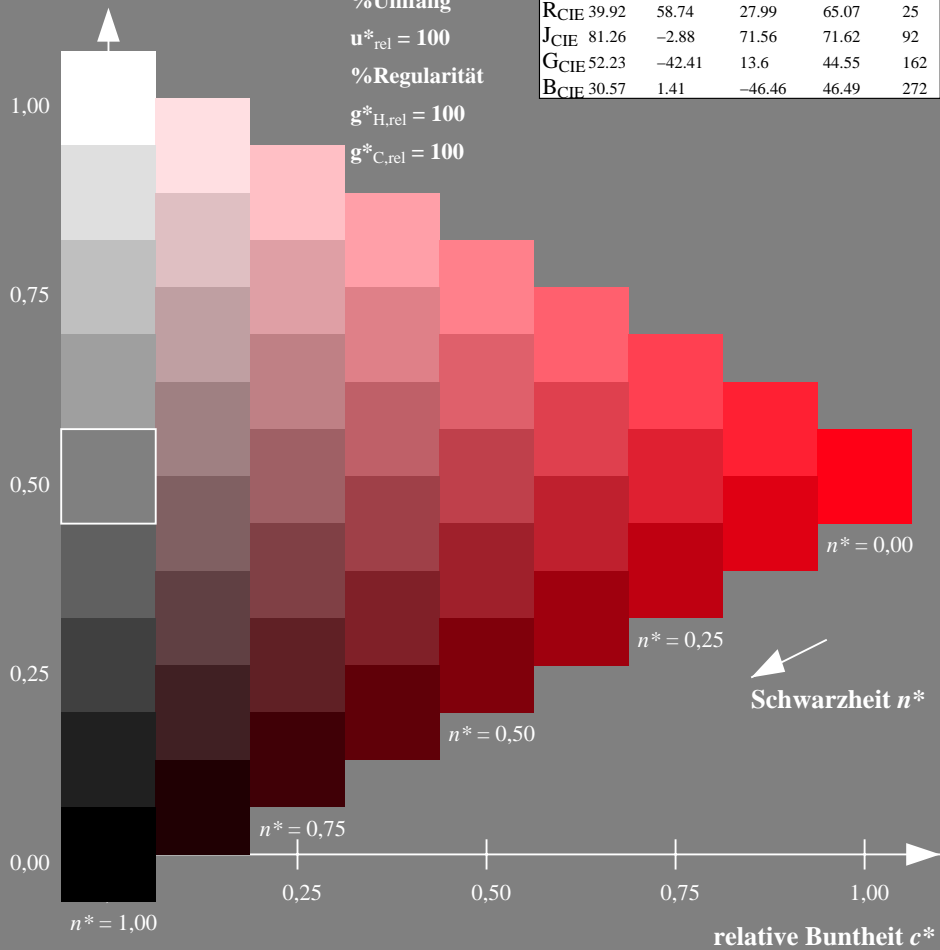
olv*Ma: 1.0 0.0 0.09



SRS18; adaptierte CIELAB-Daten

	$L^*=L^*_a$	a^*_a	b^*_a	$C^*_{ab,a}$	$h^*_{ab,a}$
OMa	56.71	67.03	38.7	77.4	30
YMa	56.71	0.0	77.4	77.4	90
LMa	56.71	-67.02	38.7	77.4	150
CMa	56.71	-67.02	-38.69	77.4	210
VMa	56.71	0.0	-77.39	77.4	270
MMa	56.71	67.03	-38.69	77.4	330
NMa	18.01	0.0	0.0	0.0	0
WMa	95.41	0.0	0.0	0.0	0
RCIE	39.92	58.74	27.99	65.07	25
JCIE	81.26	-2.88	71.56	71.62	92
GCIE	52.23	-42.41	13.6	44.55	162
BCIE	30.57	1.41	-46.46	46.49	272

Dreiecks-Helligkeit t^*



Ausgabe: Farbmatisches Drucker-Reflektiv-System DRSXX

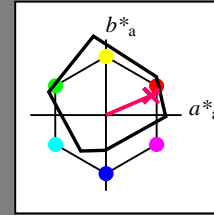
für Buntton $h^* = lab^*h = 23/360 = 0.065$

lab^*tch und lab^*nch

D65: Buntton R

LCH*Ma: 42 78 23

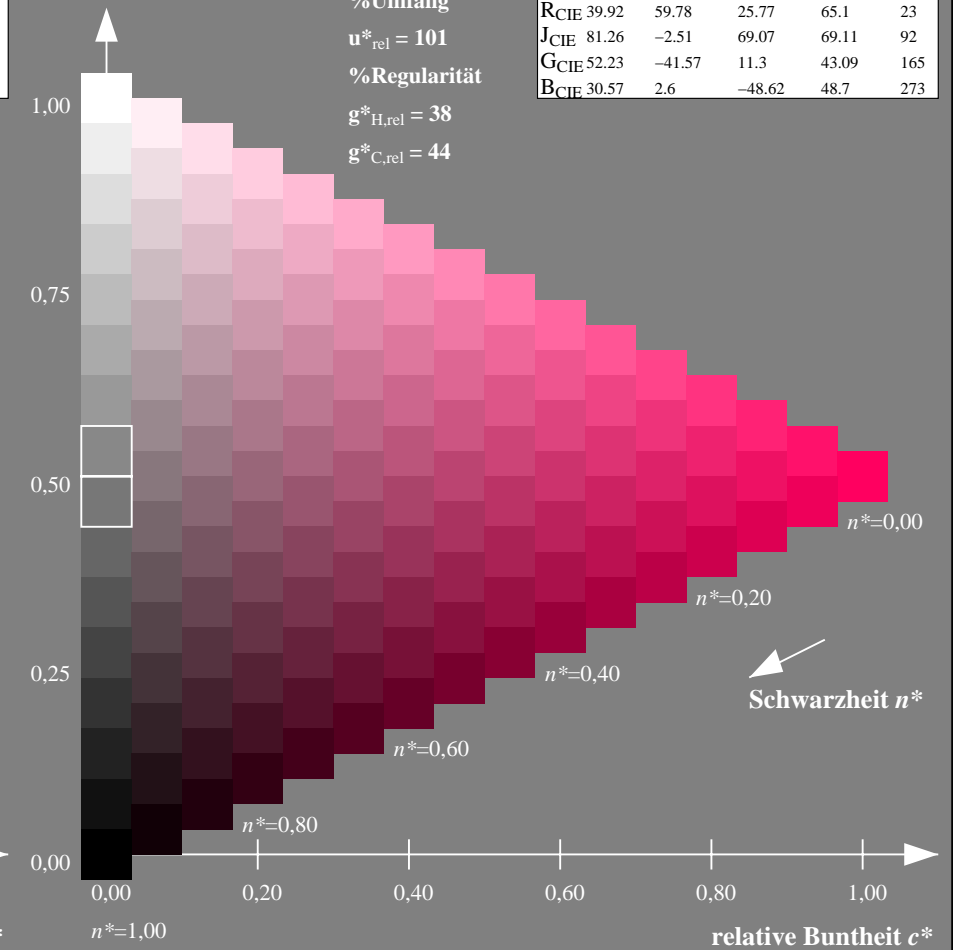
olv*Ma: 1.0 0.0 0.38



DRSXX; adaptierte CIELAB-Daten

	$L^*=L^*_a$	a^*_a	b^*_a	$C^*_{ab,a}$	$h^*_{ab,a}$
OMa	42.21	66.82	50.6	83.82	37
YMa	90.32	-16.51	104.33	105.63	99
LMa	48.21	-75.63	30.65	81.61	158
CMa	53.44	-33.33	-47.49	58.03	235
VMa	34.16	-0.92	-46.56	46.58	269
MMa	42.71	79.0	-1.95	79.03	359
NMa	16.56	0.0	0.0	0.0	0
WMa	96.31	0.0	0.0	0.0	0
RCIE	39.92	59.78	25.77	65.1	23
JCIE	81.26	-2.51	69.07	69.11	92
GCIE	52.23	-41.57	11.3	43.09	165
BCIE	30.57	2.6	-48.62	48.7	273

Dreiecks-Helligkeit t^*



NG900-7, 9stufige Reihen für konstanten CIELAB Buntton $25/360 = 0.071$ (links)

16stufige Reihen für konstanten CIELAB Buntton $23/360 = 0.065$ (rechts)

Eingabe: Farbmetrisches Standard-Reflektiv-System SRS18

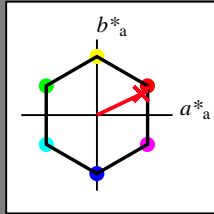
für Buntton $h^* = lab^*h = 25/360 = 0.071$

lab^*tch und lab^*nch

D65: Buntton R

LCH*Ma: 57 74 25

olv*Ma: 1.0 0.0 0.09



SRS18; adaptierte CIELAB-Daten

	$L^*=L^*_a$	a^*_a	b^*_a	$C^*_{ab,a}$	$h^*_{ab,a}$
OMa	56.71	67.03	38.7	77.4	30
YMa	56.71	0.0	77.4	77.4	90
LMa	56.71	-67.02	38.7	77.4	150
CMa	56.71	-67.02	-38.69	77.4	210
VMa	56.71	0.0	-77.39	77.4	270
MMa	56.71	67.03	-38.69	77.4	330
NMa	18.01	0.0	0.0	0.0	0
WMa	95.41	0.0	0.0	0.0	0
RCIE	39.92	58.74	27.99	65.07	25
JCIE	81.26	-2.88	71.56	71.62	92
GCIE	52.23	-42.41	13.6	44.55	162
BCIE	30.57	1.41	-46.46	46.49	272

Dreiecks-Helligkeit t^*

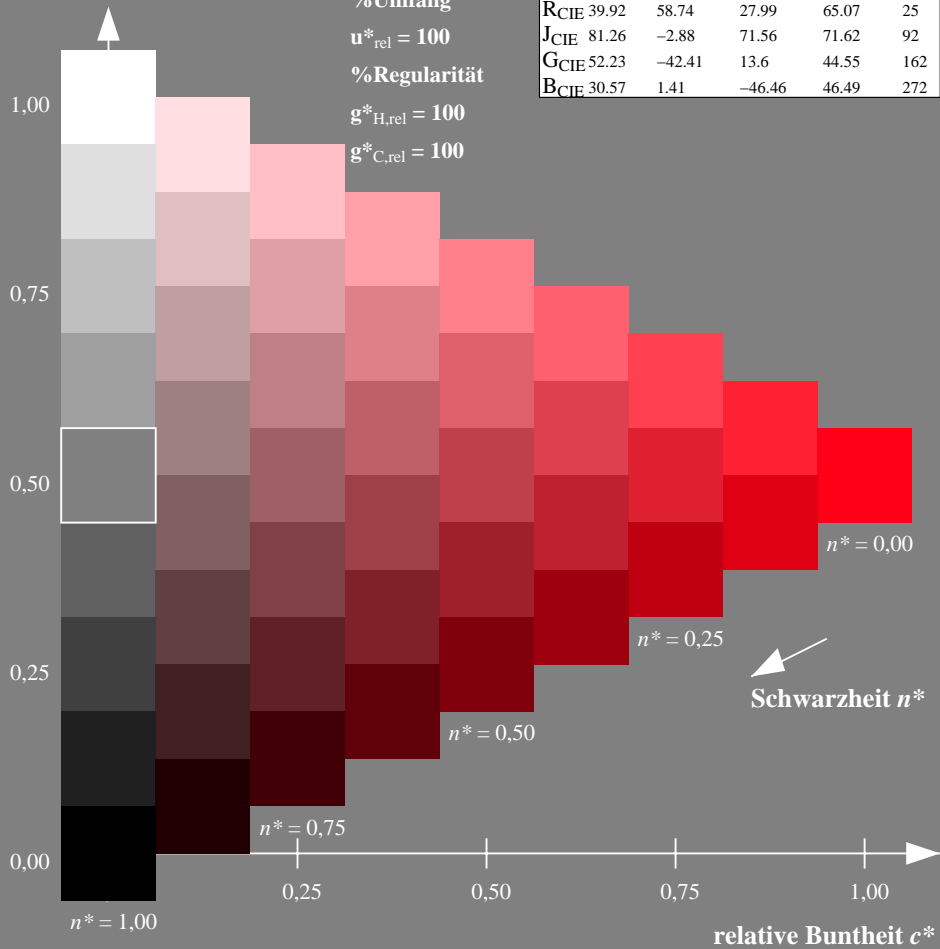
%Umfang

$u^*_{rel} = 100$

%Regularität

$g^*_{H,rel} = 100$

$g^*_{C,rel} = 100$



Ausgabe: Farbmetrisches Fernseh-Licht-System TLS18

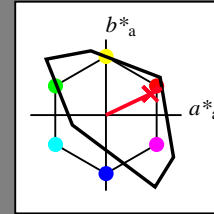
für Buntton $h^* = lab^*h = 25/360 = 0.071$

lab^*tch und lab^*nch

D65: Buntton R

LCH*Ma: 54 82 25

olv*Ma: 1.0 0.0 0.14



TLS18; adaptierte CIELAB-Daten

	$L^*=L^*_a$	a^*_a	b^*_a	$C^*_{ab,a}$	$h^*_{ab,a}$
OMa	52.76	71.63	49.88	87.29	35
YMa	92.74	-20.02	84.97	87.3	103
LMa	84.0	-78.98	73.94	108.2	137
CMa	87.14	-44.41	-13.11	46.32	196
VMa	35.47	64.92	-95.06	115.12	304
MMa	59.01	89.33	-55.67	105.26	328
NMa	18.01	0.0	0.0	0.0	0
WMa	95.41	0.0	0.0	0.0	0
RCIE	39.92	58.74	27.99	65.07	25
JCIE	81.26	-2.88	71.56	71.62	92
GCIE	52.23	-42.41	13.6	44.55	162
BCIE	30.57	1.41	-46.46	46.49	272

Dreiecks-Helligkeit t^*

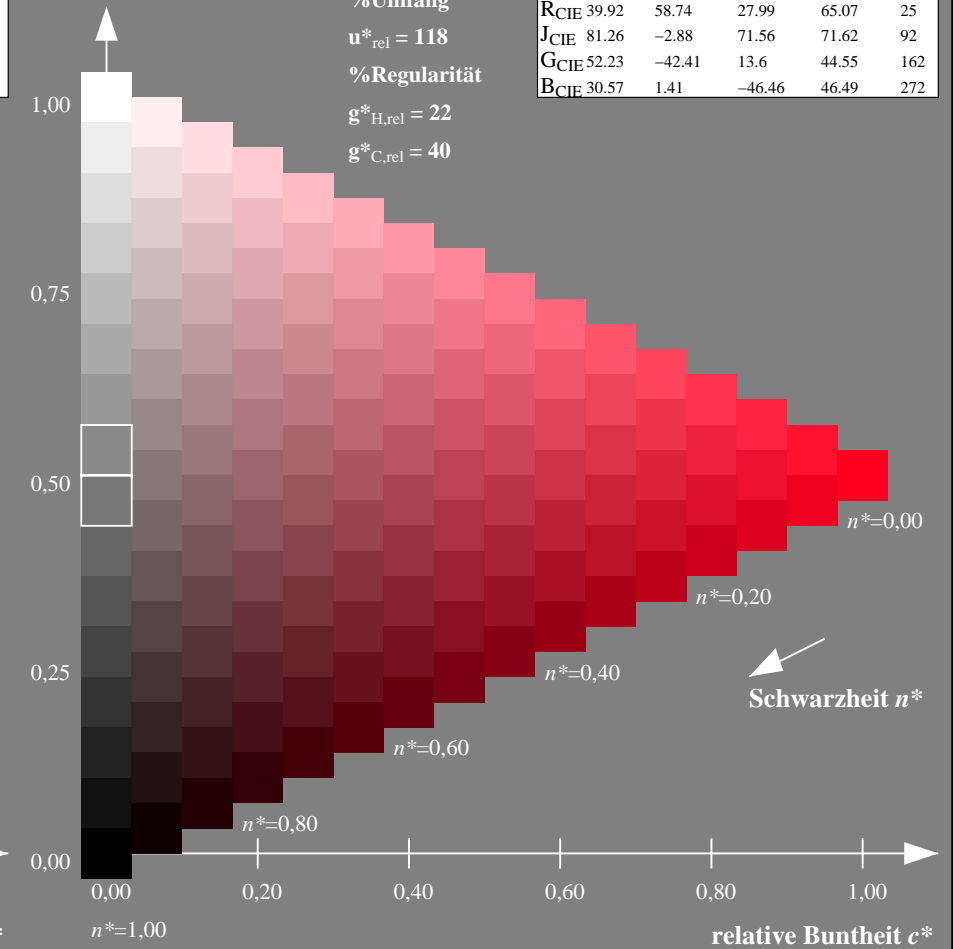
%Umfang

$u^*_{rel} = 118$

%Regularität

$g^*_{H,rel} = 22$

$g^*_{C,rel} = 40$



NG900-7, 9stufige Reihen für konstanten CIELAB Buntton 25/360 = 0.071 (links)

16stufige Reihen für konstanten CIELAB Buntton 25/360 = 0.071 (rechts)

Eingabe: Farbmétrisches Standard-Reflektiv-System SRS18

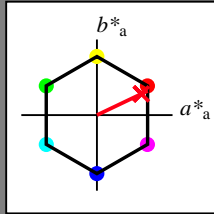
für Buntton $h^* = lab^*h = 25/360 = 0.071$

lab^*tch und lab^*nch

D65: Buntton R

LCH*Ma: 57 74 25

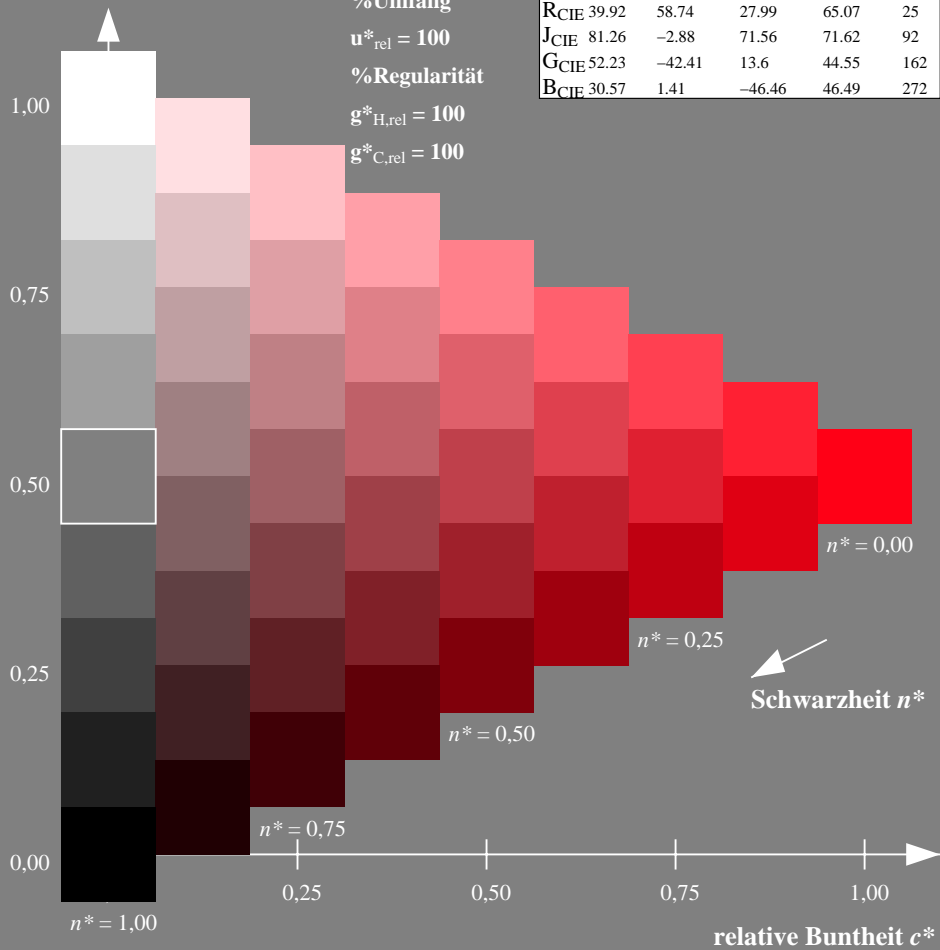
olv*Ma: 1.0 0.0 0.09



SRS18; adaptierte CIELAB-Daten

	$L^*=L^*_a$	a^*_a	b^*_a	$C^*_{ab,a}$	$h^*_{ab,a}$
OMa	56.71	67.03	38.7	77.4	30
YMa	56.71	0.0	77.4	77.4	90
LMa	56.71	-67.02	38.7	77.4	150
CMa	56.71	-67.02	-38.69	77.4	210
VMa	56.71	0.0	-77.39	77.4	270
MMa	56.71	67.03	-38.69	77.4	330
NMa	18.01	0.0	0.0	0.0	0
WMa	95.41	0.0	0.0	0.0	0
RCIE	39.92	58.74	27.99	65.07	25
JCIE	81.26	-2.88	71.56	71.62	92
GCIE	52.23	-42.41	13.6	44.55	162
BCIE	30.57	1.41	-46.46	46.49	272

Dreiecks-Helligkeit t^*



Ausgabe: Farbmétrisches Natürliches-Licht-System NLS00

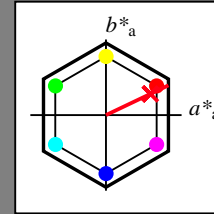
für Buntton $h^* = lab^*h = 25/360 = 0.071$

lab^*tch und lab^*nch

D65: Buntton R

LCH*Ma: 35 92 25

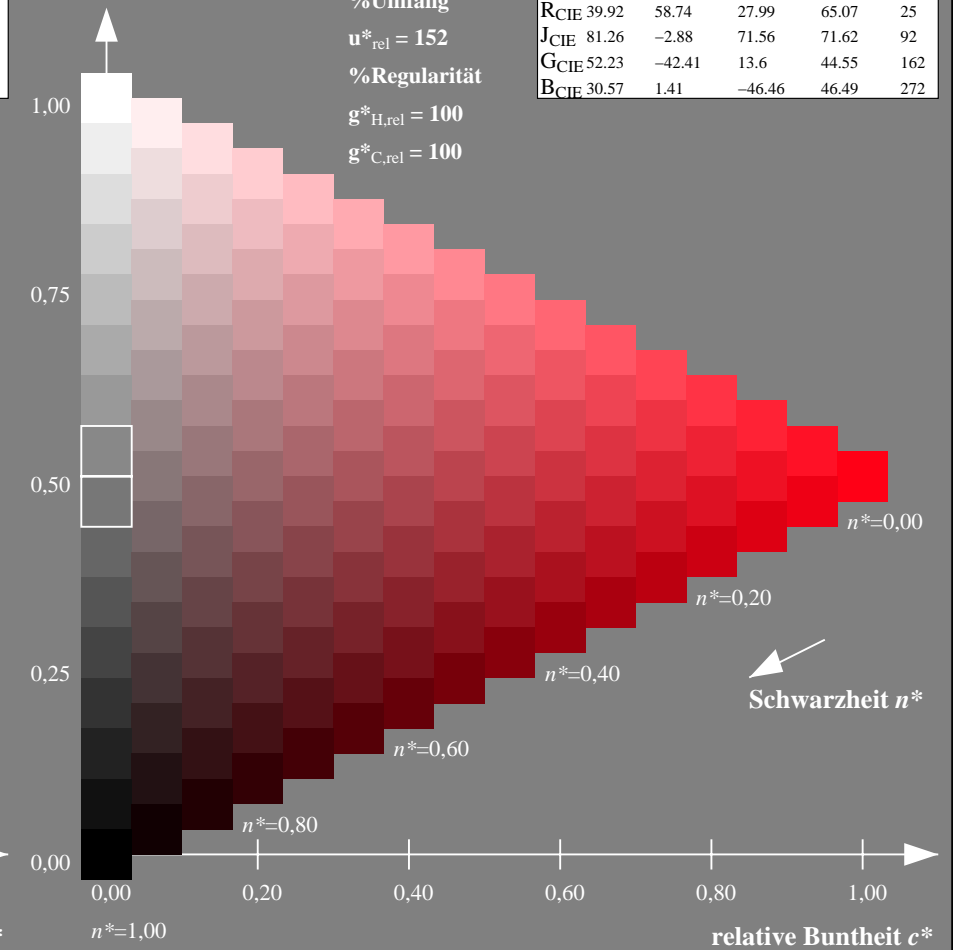
olv*Ma: 1.0 0.0 0.09



NLS00; adaptierte CIELAB-Daten

	$L^*=L^*_a$	a^*_a	b^*_a	$C^*_{ab,a}$	$h^*_{ab,a}$
OMa	31.81	82.62	47.7	95.4	30
YMa	63.61	0.0	95.4	95.4	90
LMa	31.81	-82.61	47.7	95.4	150
CMa	63.61	-82.61	-47.69	95.4	210
VMa	31.81	0.0	-95.39	95.4	270
MMa	63.61	82.62	-47.69	95.4	330
NMa	0.01	0.0	0.0	0.0	0
WMa	95.41	0.0	0.0	0.0	0
RCIE	39.92	58.74	27.99	65.07	25
JCIE	81.26	-2.88	71.56	71.62	92
GCIE	52.23	-42.41	13.6	44.55	162
BCIE	30.57	1.41	-46.46	46.49	272

Dreiecks-Helligkeit t^*



NG900-7, 9stufige Reihen für konstanten CIELAB Buntton $25/360 = 0.071$ (links)

16stufige Reihen für konstanten CIELAB Buntton $25/360 = 0.071$ (rechts)

Eingabe: Farbmatisches Standard-Reflektiv-System SRS18

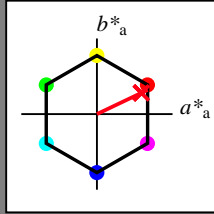
für Buntton $h^* = lab^*h = 25/360 = 0.071$

lab^*tch und lab^*nch

D65: Buntton R

LCH*Ma: 57 74 25

olv*Ma: 1.0 0.0 0.09



SRS18; adaptierte CIELAB-Daten

	$L^*=L^*_a$	a^*_a	b^*_a	$C^*_{ab,a}$	$h^*_{ab,a}$
OMa	56.71	67.03	38.7	77.4	30
YMa	56.71	0.0	77.4	77.4	90
LMa	56.71	-67.02	38.7	77.4	150
CMa	56.71	-67.02	-38.69	77.4	210
VMa	56.71	0.0	-77.39	77.4	270
MMa	56.71	67.03	-38.69	77.4	330
NMa	18.01	0.0	0.0	0.0	0
WMa	95.41	0.0	0.0	0.0	0
RCIE	39.92	58.74	27.99	65.07	25
JCIE	81.26	-2.88	71.56	71.62	92
GCIE	52.23	-42.41	13.6	44.55	162
BCIE	30.57	1.41	-46.46	46.49	272

Dreiecks-Helligkeit t^*

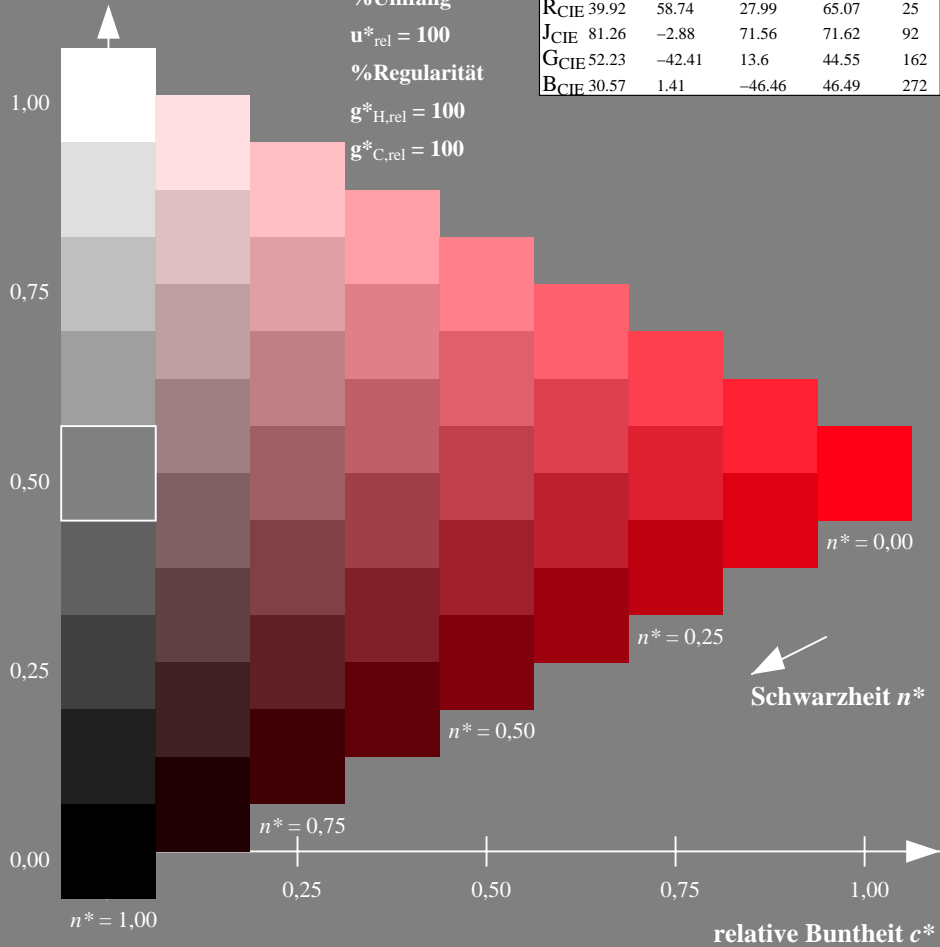
%Umfang

$u^*_{rel} = 100$

%Regularität

$g^*_{H,rel} = 100$

$g^*_{C,rel} = 100$



Ausgabe: Farbmatisches Natürliches-Reflektiv-System NRS18

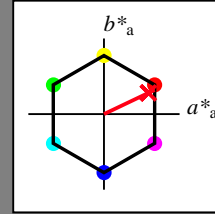
für Buntton $h^* = lab^*h = 25/360 = 0.071$

lab^*tch und lab^*nch

D65: Buntton R

LCH*Ma: 46 74 25

olv*Ma: 1.0 0.0 0.09



NRS18; adaptierte CIELAB-Daten

	$L^*=L^*_a$	a^*_a	b^*_a	$C^*_{ab,a}$	$h^*_{ab,a}$
OMa	43.81	67.03	38.7	77.4	30
YMa	69.61	0.0	77.4	77.4	90
LMa	43.81	-67.02	38.7	77.4	150
CMa	69.61	-67.02	-38.69	77.4	210
VMa	43.81	0.0	-77.39	77.4	270
MMa	69.61	67.03	-38.69	77.4	330
NMa	18.01	0.0	0.0	0.0	0
WMa	95.41	0.0	0.0	0.0	0
RCIE	39.92	58.74	27.99	65.07	25
JCIE	81.26	-2.88	71.56	71.62	92
GCIE	52.23	-42.41	13.6	44.55	162
BCIE	30.57	1.41	-46.46	46.49	272

Dreiecks-Helligkeit t^*

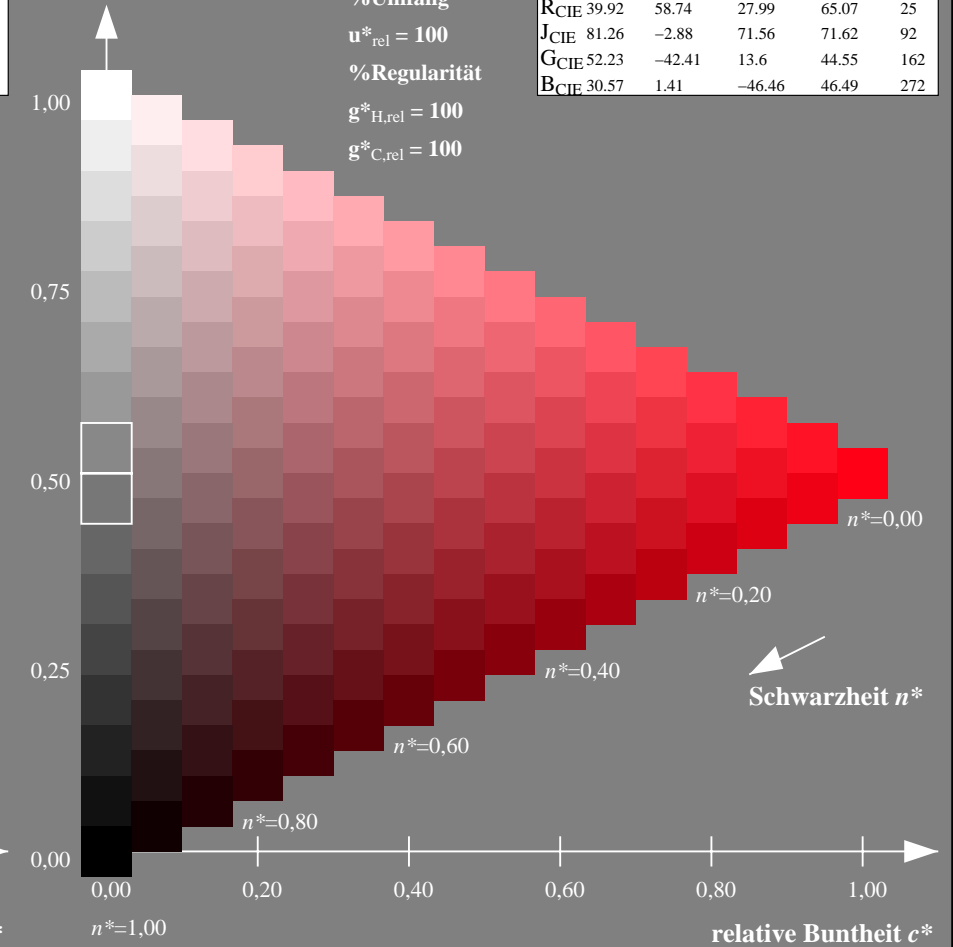
%Umfang

$u^*_{rel} = 100$

%Regularität

$g^*_{H,rel} = 100$

$g^*_{C,rel} = 100$



NG900-7, 9stufige Reihen für konstanten CIELAB Buntton 25/360 = 0.071 (links)

16stufige Reihen für konstanten CIELAB Buntton 25/360 = 0.071 (rechts)

Eingabe: Farbmetrisches Standard-Reflektiv-System SRS18

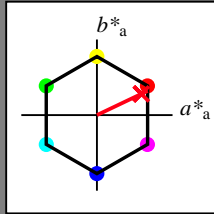
für Buntton $h^* = lab^*h = 25/360 = 0.071$

lab^*tch und lab^*nch

D65: Buntton R

LCH*Ma: 57 74 25

olv*Ma: 1.0 0.0 0.09



SRS18; adaptierte CIELAB-Daten

	$L^*=L^*_a$	a^*_a	b^*_a	$C^*_{ab,a}$	$h^*_{ab,a}$
OMa	56.71	67.03	38.7	77.4	30
YMa	56.71	0.0	77.4	77.4	90
LMa	56.71	-67.02	38.7	77.4	150
CMa	56.71	-67.02	-38.69	77.4	210
VMa	56.71	0.0	-77.39	77.4	270
MMa	56.71	67.03	-38.69	77.4	330
NMa	18.01	0.0	0.0	0.0	0
WMa	95.41	0.0	0.0	0.0	0
RCIE	39.92	58.74	27.99	65.07	25
JCIE	81.26	-2.88	71.56	71.62	92
GCIE	52.23	-42.41	13.6	44.55	162
BCIE	30.57	1.41	-46.46	46.49	272

Dreiecks-Helligkeit t^*

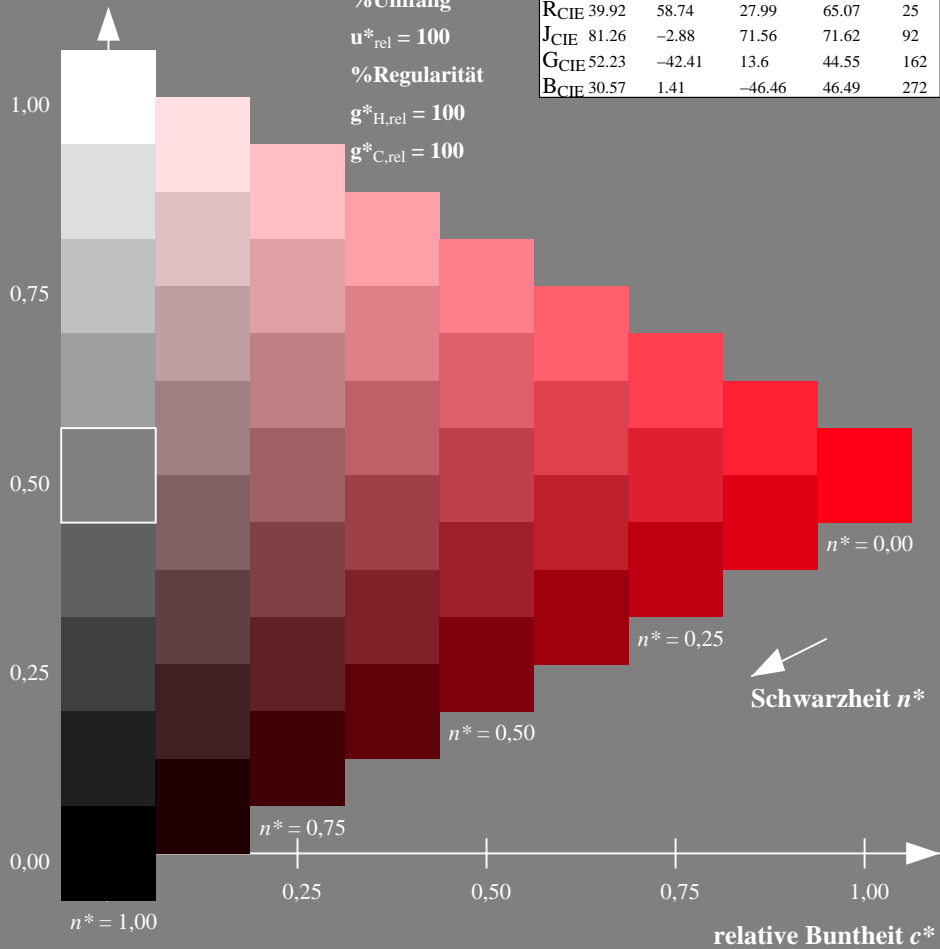
%Umfang

$u^*_{rel} = 100$

%Regularität

$g^*_{H,rel} = 100$

$g^*_{C,rel} = 100$



Ausgabe: Farbmetrisches Standard-Reflektiv-System SRS18

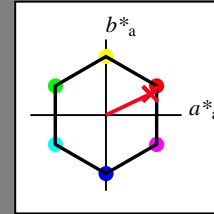
für Buntton $h^* = lab^*h = 25/360 = 0.071$

lab^*tch und lab^*nch

D65: Buntton R

LCH*Ma: 57 74 25

olv*Ma: 1.0 0.0 0.09



SRS18; adaptierte CIELAB-Daten

	$L^*=L^*_a$	a^*_a	b^*_a	$C^*_{ab,a}$	$h^*_{ab,a}$
OMa	56.71	67.03	38.7	77.4	30
YMa	56.71	0.0	77.4	77.4	90
LMa	56.71	-67.02	38.7	77.4	150
CMa	56.71	-67.02	-38.69	77.4	210
VMa	56.71	0.0	-77.39	77.4	270
MMa	56.71	67.03	-38.69	77.4	330
NMa	18.01	0.0	0.0	0.0	0
WMa	95.41	0.0	0.0	0.0	0
RCIE	39.92	58.74	27.99	65.07	25
JCIE	81.26	-2.88	71.56	71.62	92
GCIE	52.23	-42.41	13.6	44.55	162
BCIE	30.57	1.41	-46.46	46.49	272

Dreiecks-Helligkeit t^*

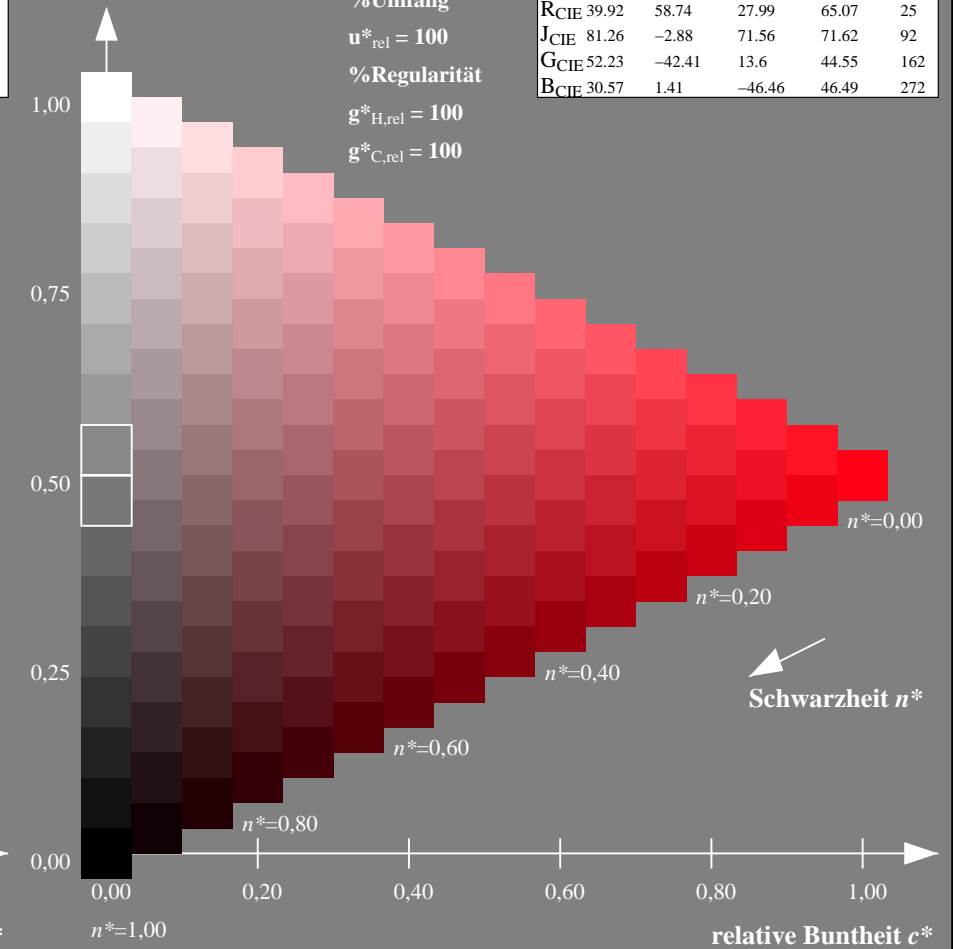
%Umfang

$u^*_{rel} = 100$

%Regularität

$g^*_{H,rel} = 100$

$g^*_{C,rel} = 100$



NG900-7, 9stufige Reihen für konstanten CIELAB Buntton $25/360 = 0.071$ (links)

16stufige Reihen für konstanten CIELAB Buntton $25/360 = 0.071$ (rechts)

Eingabe: Farbmatisches Standard-Reflektiv-System SRS18

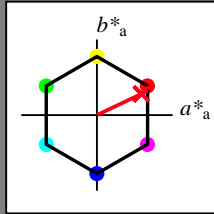
für Buntton $h^* = lab^*h = 25/360 = 0.071$

lab^*tch und lab^*nch

D65: Buntton R

LCH*Ma: 57 74 25

olv*Ma: 1.0 0.0 0.09



SRS18; adaptierte CIELAB-Daten

	$L^*=L^*_a$	a^*_a	b^*_a	$C^*_{ab,a}$	$h^*_{ab,a}$
OMa	56.71	67.03	38.7	77.4	30
YMa	56.71	0.0	77.4	77.4	90
LMa	56.71	-67.02	38.7	77.4	150
CMa	56.71	-67.02	-38.69	77.4	210
VMa	56.71	0.0	-77.39	77.4	270
MMa	56.71	67.03	-38.69	77.4	330
NMa	18.01	0.0	0.0	0.0	0
WMa	95.41	0.0	0.0	0.0	0
RCIE	39.92	58.74	27.99	65.07	25
JCIE	81.26	-2.88	71.56	71.62	92
GCIE	52.23	-42.41	13.6	44.55	162
BCIE	30.57	1.41	-46.46	46.49	272

Dreiecks-Helligkeit t^*

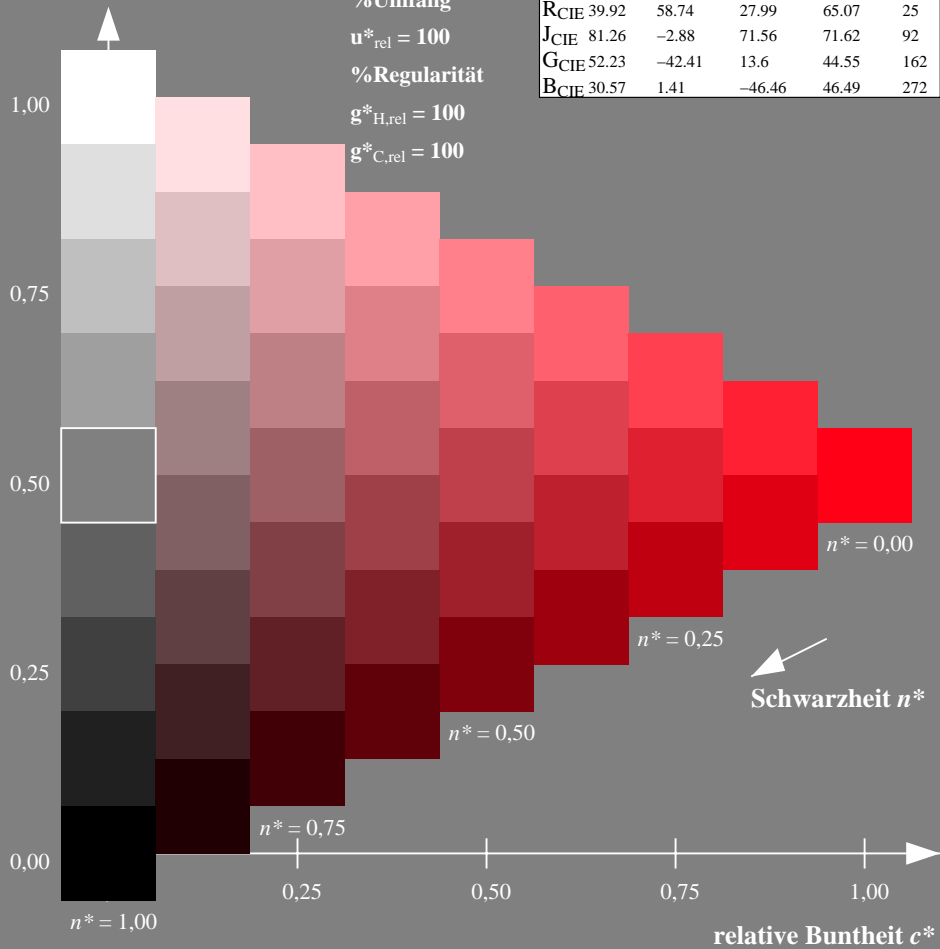
%Umfang

$u^*_{rel} = 100$

%Regularität

$g^*_{H,rel} = 100$

$g^*_{C,rel} = 100$



Ausgabe: Farbmatisches Fernseh-Licht-System TLS70

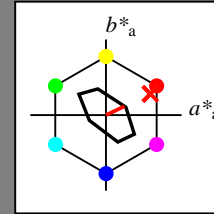
für Buntton $h^* = lab^*h = 25/360 = 0.071$

lab^*tch und lab^*nch

D65: Buntton R

LCH*Ma: 77 27 25

olv*Ma: 1.0 0.05 0.0



TLS70; adaptierte CIELAB-Daten

	$L^*=L^*_a$	a^*_a	b^*_a	$C^*_{ab,a}$	$h^*_{ab,a}$
OMa	76.43	26.27	10.57	28.32	22
YMa	93.93	-10.76	34.63	36.27	107
LMa	89.32	-35.8	27.64	45.24	142
CMa	90.93	-21.95	-7.07	23.07	198
VMa	72.1	15.76	-35.63	38.97	294
MMa	78.5	37.52	-25.23	45.22	326
NMa	69.7	0.0	0.0	0.0	0
WMa	95.41	0.0	0.0	0.0	0
RCIE	39.92	58.74	27.99	65.07	25
JCIE	81.26	-2.88	71.56	71.62	92
GCIE	52.23	-42.41	13.6	44.55	162
BCIE	30.57	1.41	-46.46	46.49	272

Dreiecks-Helligkeit t^*

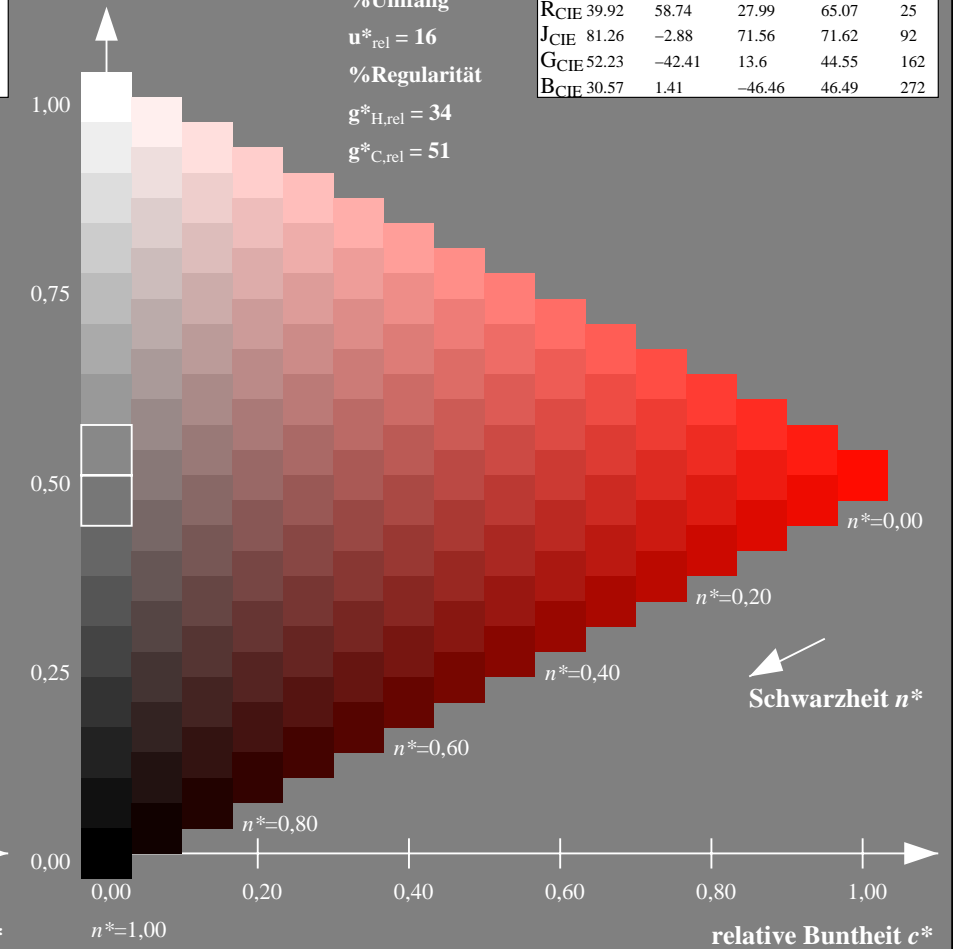
%Umfang

$u^*_{rel} = 16$

%Regularität

$g^*_{H,rel} = 34$

$g^*_{C,rel} = 51$



NG900-7, 9stufige Reihen für konstanten CIELAB Buntton $25/360 = 0.071$ (links)

16stufige Reihen für konstanten CIELAB Buntton $25/360 = 0.071$ (rechts)

Eingabe: Farbmetrisches Fernseh-Licht-System TLS70

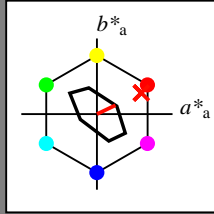
für Buntton $h^* = lab^*h = 25/360 = 0.071$

lab^*tch und lab^*nch

D65: Buntton R

LCH*Ma: 77 27 25

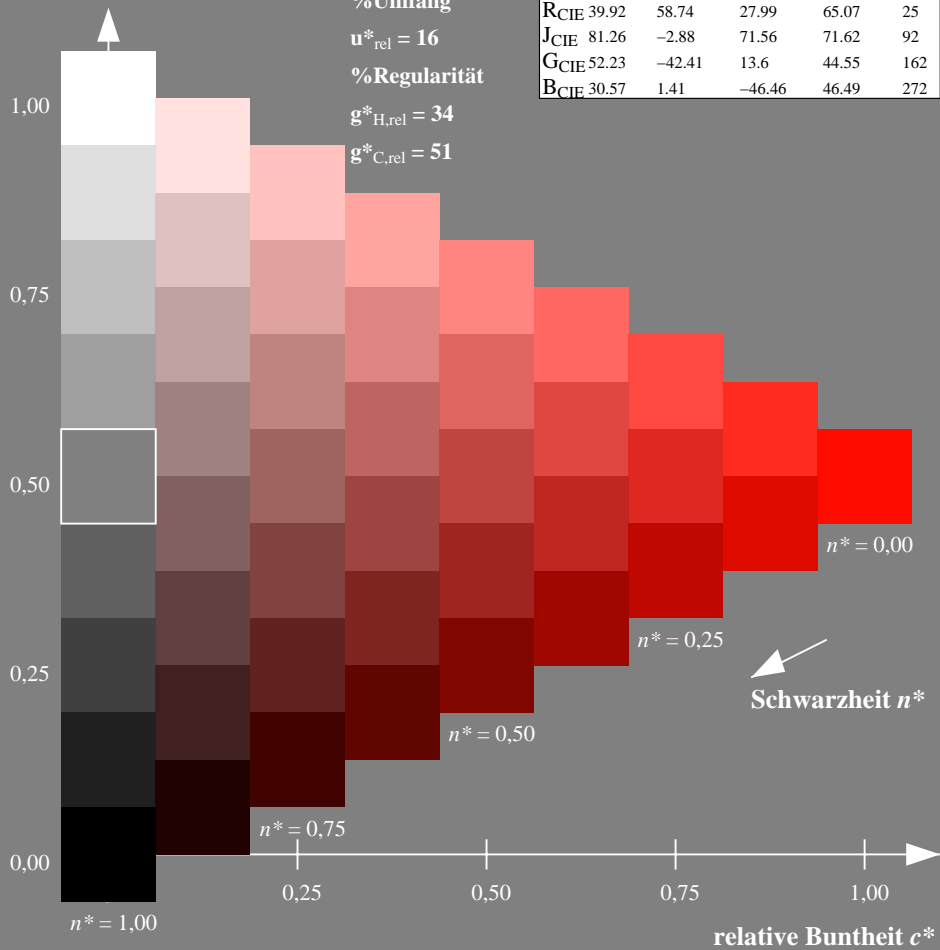
olv*Ma: 1.0 0.05 0.0



TLS70; adaptierte CIELAB-Daten

	$L^*=L^*_a$	a^*_a	b^*_a	$C^*_{ab,a}$	$h^*_{ab,a}$
O _{Ma}	76.43	26.27	10.57	28.32	22
Y _{Ma}	93.93	-10.76	34.63	36.27	107
L _{Ma}	89.32	-35.8	27.64	45.24	142
C _{Ma}	90.93	-21.95	-7.07	23.07	198
V _{Ma}	72.1	15.76	-35.63	38.97	294
M _{Ma}	78.5	37.52	-25.23	45.22	326
N _{Ma}	69.7	0.0	0.0	0.0	0
W _{Ma}	95.41	0.0	0.0	0.0	0
R _{CIE}	39.92	58.74	27.99	65.07	25
J _{CIE}	81.26	-2.88	71.56	71.62	92
G _{CIE}	52.23	-42.41	13.6	44.55	162
B _{CIE}	30.57	1.41	-46.46	46.49	272

Dreiecks-Helligkeit t^*



Ausgabe: Farbmetrisches Offset-Reflektiv-System ORS18

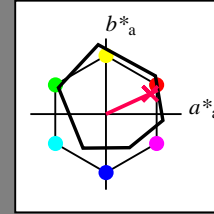
für Buntton $h^* = lab^*h = 25/360 = 0.069$

lab^*tch und lab^*nch

D65: Buntton R

LCH*Ma: 48 75 25

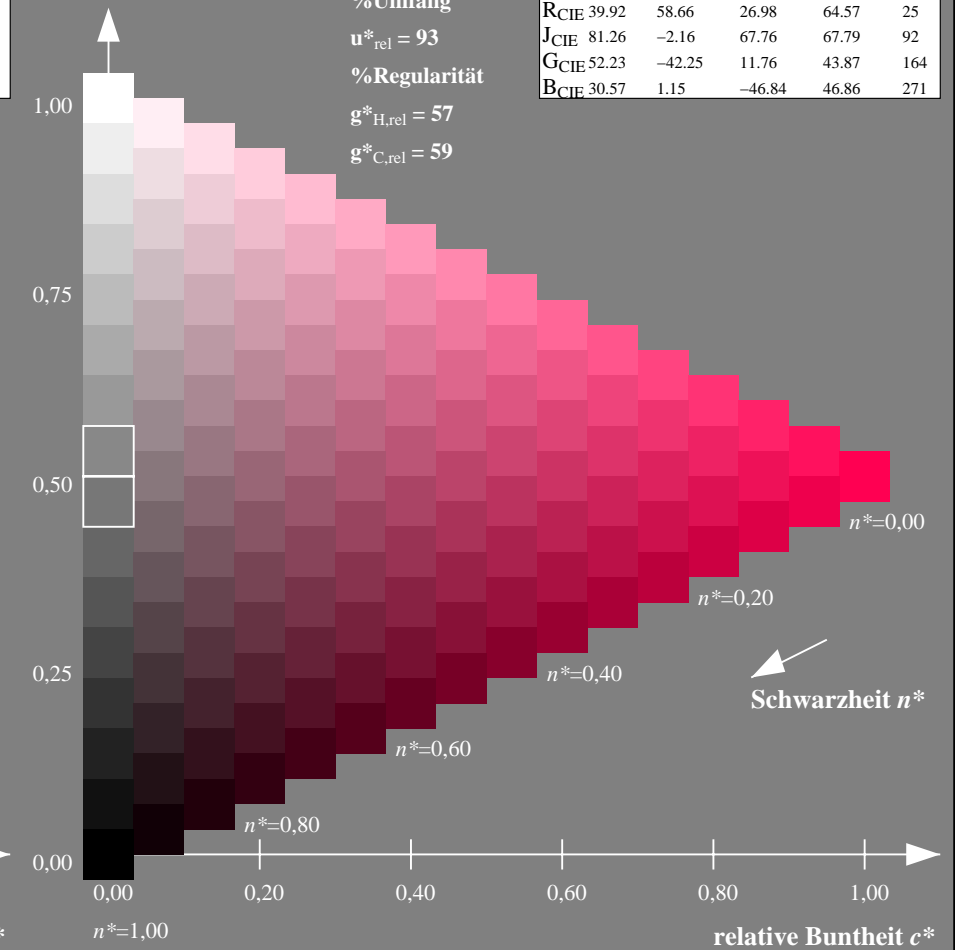
olv*Ma: 1.0 0.0 0.32



ORS18; adaptierte CIELAB-Daten

	$L^*=L^*_a$	a^*_a	b^*_a	$C^*_{ab,a}$	$h^*_{ab,a}$
O _{Ma}	47.94	65.39	50.52	82.63	38
Y _{Ma}	90.37	-10.26	91.75	92.32	96
L _{Ma}	50.9	-62.83	34.96	71.91	151
C _{Ma}	58.62	-30.34	-45.01	54.3	236
V _{Ma}	25.72	31.1	-44.4	54.22	305
M _{Ma}	48.13	75.28	-8.36	75.74	354
N _{Ma}	18.01	0.0	0.0	0.0	0
W _{Ma}	95.41	0.0	0.0	0.0	0
R _{CIE}	39.92	58.66	26.98	64.57	25
J _{CIE}	81.26	-2.16	67.76	67.79	92
G _{CIE}	52.23	-42.25	11.76	43.87	164
B _{CIE}	30.57	1.15	-46.84	46.86	271

Dreiecks-Helligkeit t^*



NG900-7, 9stufige Reihen für konstanten CIELAB Buntton 25/360 = 0.071 (links)

16stufige Reihen für konstanten CIELAB Buntton 25/360 = 0.069 (rechts)

Eingabe: Farbmetrisches Fernseh-Licht-System TLS70

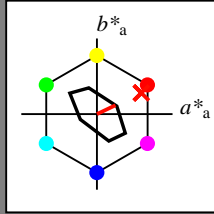
für Buntton $h^* = lab^*h = 25/360 = 0.071$

lab^*tch und lab^*nch

D65: Buntton R

LCH*Ma: 77 27 25

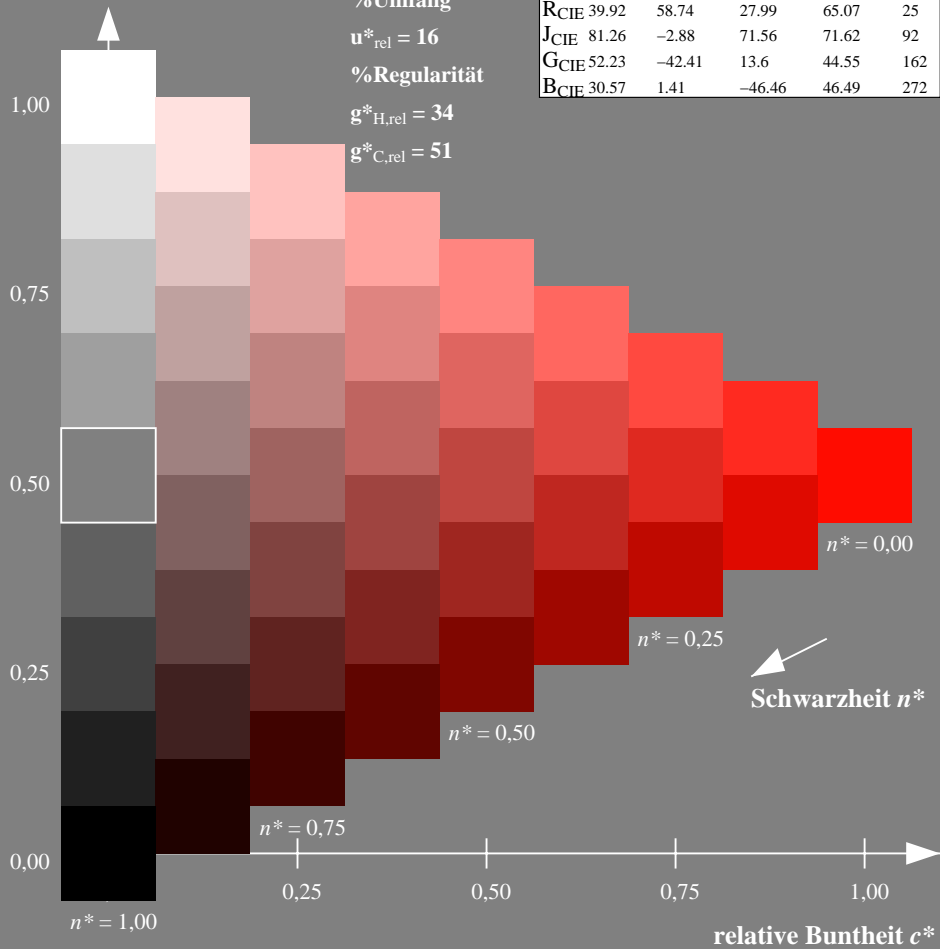
olv*Ma: 1.0 0.05 0.0



TLS70; adaptierte CIELAB-Daten

	$L^*=L^*_a$	a^*_a	b^*_a	$C^*_{ab,a}$	$h^*_{ab,a}$
O _{Ma}	76.43	26.27	10.57	28.32	22
Y _{Ma}	93.93	-10.76	34.63	36.27	107
L _{Ma}	89.32	-35.8	27.64	45.24	142
C _{Ma}	90.93	-21.95	-7.07	23.07	198
V _{Ma}	72.1	15.76	-35.63	38.97	294
M _{Ma}	78.5	37.52	-25.23	45.22	326
N _{Ma}	69.7	0.0	0.0	0.0	0
W _{Ma}	95.41	0.0	0.0	0.0	0
R _{CIE}	39.92	58.74	27.99	65.07	25
J _{CIE}	81.26	-2.88	71.56	71.62	92
G _{CIE}	52.23	-42.41	13.6	44.55	162
B _{CIE}	30.57	1.41	-46.46	46.49	272

Dreiecks-Helligkeit t^*



NG900-7, 9stufige Reihen für konstanten CIELAB Buntton $25/360 = 0.071$ (links)

Ausgabe: Farbmetrisches Fernseh-Licht-System TLS00

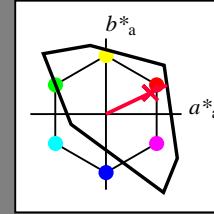
für Buntton $h^* = lab^*h = 25/360 = 0.071$

lab^*tch und lab^*nch

D65: Buntton R

LCH*Ma: 52 89 25

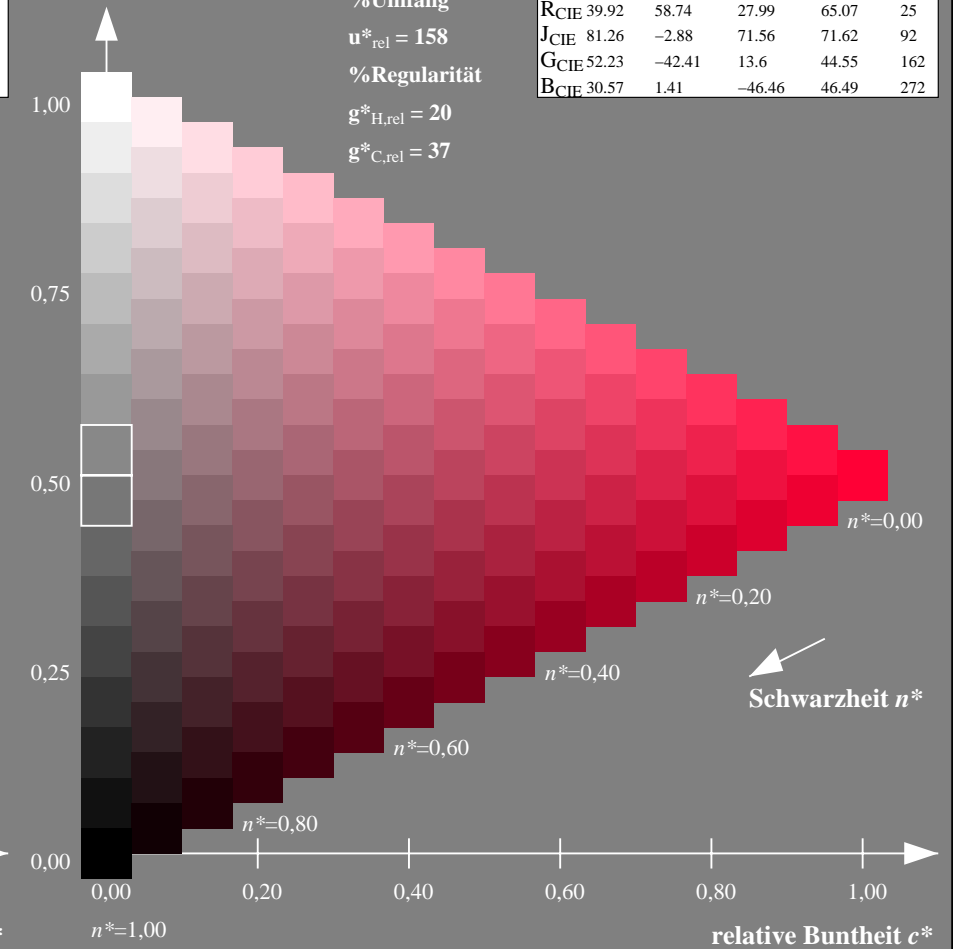
olv*Ma: 1.0 0.0 0.21



TLS00; adaptierte CIELAB-Daten

	$L^*=L^*_a$	a^*_a	b^*_a	$C^*_{ab,a}$	$h^*_{ab,a}$
O _{Ma}	50.5	76.92	64.55	100.42	40
Y _{Ma}	92.66	-20.69	90.75	93.08	103
L _{Ma}	83.63	-82.75	79.9	115.04	136
C _{Ma}	86.88	-46.16	-13.55	48.12	196
V _{Ma}	30.39	76.06	-103.59	128.52	306
M _{Ma}	57.3	94.35	-58.41	110.97	328
N _{Ma}	0.01	0.0	0.0	0.0	0
W _{Ma}	95.41	0.0	0.0	0.0	0
R _{CIE}	39.92	58.74	27.99	65.07	25
J _{CIE}	81.26	-2.88	71.56	71.62	92
G _{CIE}	52.23	-42.41	13.6	44.55	162
B _{CIE}	30.57	1.41	-46.46	46.49	272

Dreiecks-Helligkeit t^*



16stufige Reihen für konstanten CIELAB Buntton $25/360 = 0.071$ (rechts)

Eingabe: Farbmetrisches Fernseh-Licht-System TLS70

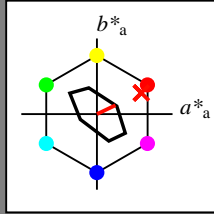
für Buntton $h^* = lab^*h = 25/360 = 0.071$

lab^*tch und lab^*nch

D65: Buntton R

LCH*Ma: 77 27 25

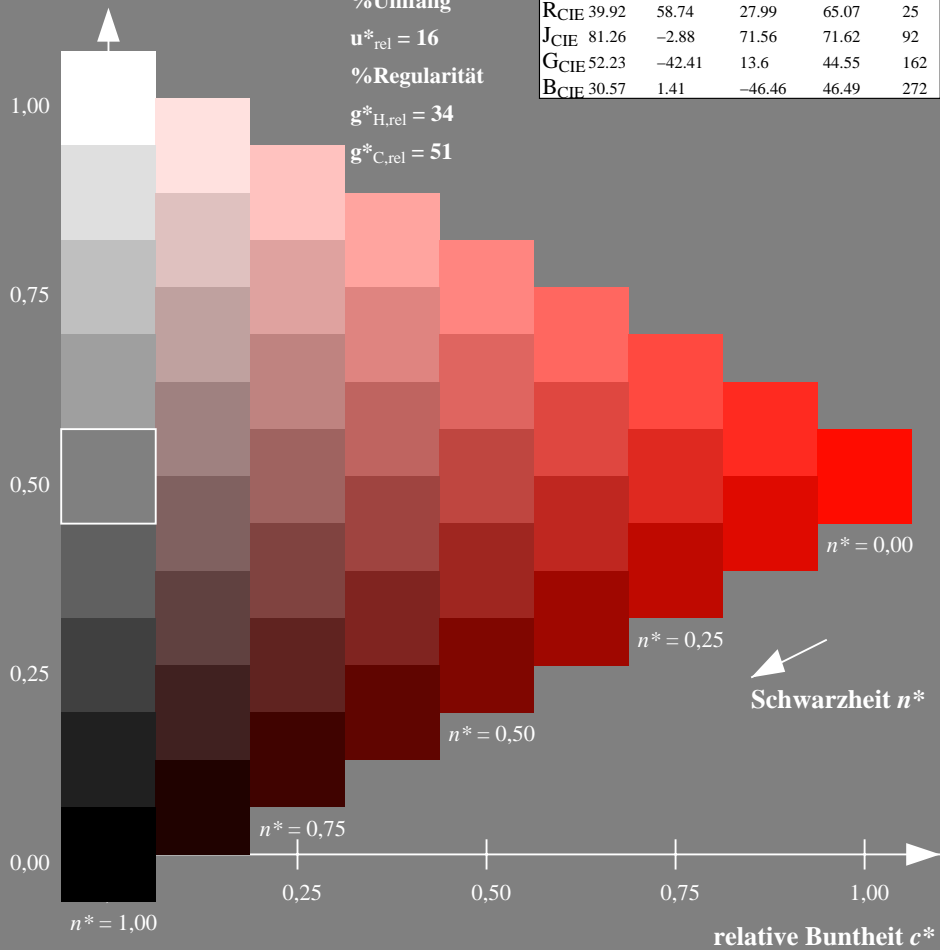
olv*Ma: 1.0 0.05 0.0



TLS70; adaptierte CIELAB-Daten

	$L^*=L^*_a$	a^*_a	b^*_a	$C^*_{ab,a}$	$h^*_{ab,a}$
OMa	76.43	26.27	10.57	28.32	22
YMa	93.93	-10.76	34.63	36.27	107
LMa	89.32	-35.8	27.64	45.24	142
CMa	90.93	-21.95	-7.07	23.07	198
VMa	72.1	15.76	-35.63	38.97	294
MMa	78.5	37.52	-25.23	45.22	326
NMa	69.7	0.0	0.0	0.0	0
WMa	95.41	0.0	0.0	0.0	0
RCIE	39.92	58.74	27.99	65.07	25
JCIE	81.26	-2.88	71.56	71.62	92
GCIE	52.23	-42.41	13.6	44.55	162
BCIE	30.57	1.41	-46.46	46.49	272

Dreiecks-Helligkeit t^*



Ausgabe: Farbmetrisches Drucker-Reflektiv-System DRSXX

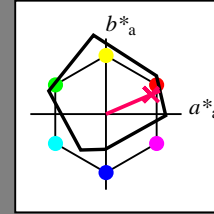
für Buntton $h^* = lab^*h = 23/360 = 0.065$

lab^*tch und lab^*nch

D65: Buntton R

LCH*Ma: 42 78 23

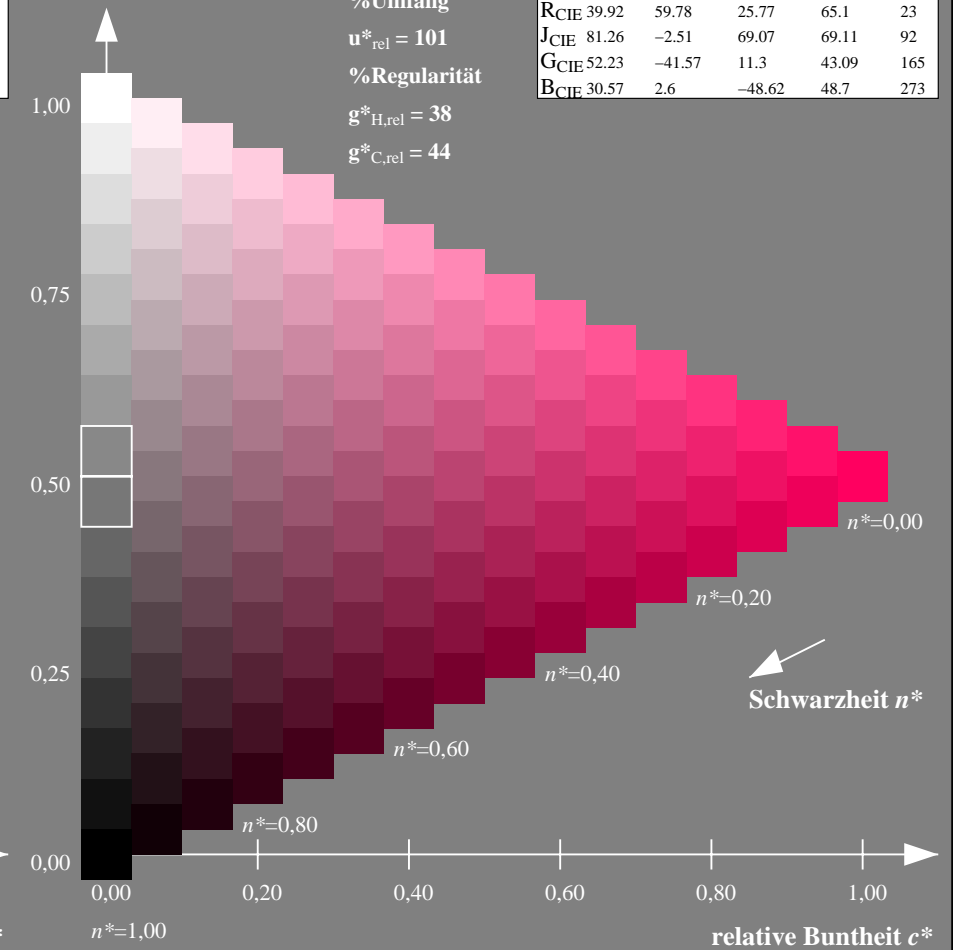
olv*Ma: 1.0 0.0 0.38



DRSXX; adaptierte CIELAB-Daten

	$L^*=L^*_a$	a^*_a	b^*_a	$C^*_{ab,a}$	$h^*_{ab,a}$
OMa	42.21	66.82	50.6	83.82	37
YMa	90.32	-16.51	104.33	105.63	99
LMa	48.21	-75.63	30.65	81.61	158
CMa	53.44	-33.33	-47.49	58.03	235
VMa	34.16	-0.92	-46.56	46.58	269
MMa	42.71	79.0	-1.95	79.03	359
NMa	16.56	0.0	0.0	0.0	0
WMa	96.31	0.0	0.0	0.0	0
RCIE	39.92	59.78	25.77	65.1	23
JCIE	81.26	-2.51	69.07	69.11	92
GCIE	52.23	-41.57	11.3	43.09	165
BCIE	30.57	2.6	-48.62	48.7	273

Dreiecks-Helligkeit t^*



NG900-7, 9stufige Reihen für konstanten CIELAB Buntton $25/360 = 0.071$ (links)

16stufige Reihen für konstanten CIELAB Buntton $23/360 = 0.065$ (rechts)

Eingabe: Farbmetrisches Fernseh-Licht-System TLS70

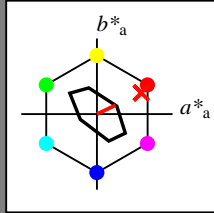
für Buntton $h^* = lab^*h = 25/360 = 0.071$

lab^*tch und lab^*nch

D65: Buntton R

LCH*Ma: 77 27 25

olv*Ma: 1.0 0.05 0.0



TLS70; adaptierte CIELAB-Daten

	$L^*=L^*_a$	a^*_a	b^*_a	$C^*_{ab,a}$	$h^*_{ab,a}$
OMa	76.43	26.27	10.57	28.32	22
YMa	93.93	-10.76	34.63	36.27	107
LMa	89.32	-35.8	27.64	45.24	142
CMa	90.93	-21.95	-7.07	23.07	198
VMa	72.1	15.76	-35.63	38.97	294
MMa	78.5	37.52	-25.23	45.22	326
NMa	69.7	0.0	0.0	0.0	0
WMa	95.41	0.0	0.0	0.0	0
RCIE	39.92	58.74	27.99	65.07	25
JCIE	81.26	-2.88	71.56	71.62	92
GCIE	52.23	-42.41	13.6	44.55	162
BCIE	30.57	1.41	-46.46	46.49	272

Dreiecks-Helligkeit t^*

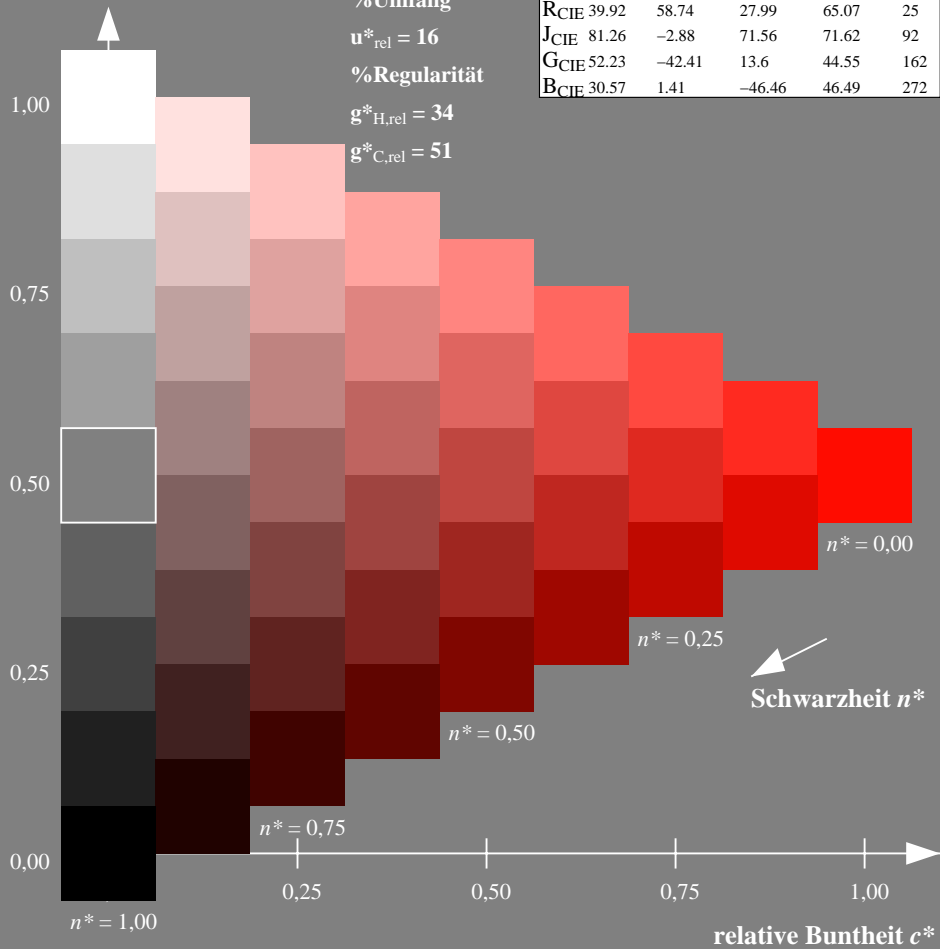
%Umfang

$u^*_{rel} = 16$

%Regularität

$g^*_{H,rel} = 34$

$g^*_{C,rel} = 51$



Ausgabe: Farbmetrisches Fernseh-Licht-System TLS18

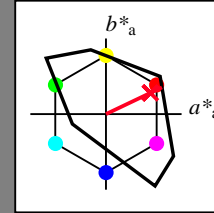
für Buntton $h^* = lab^*h = 25/360 = 0.071$

lab^*tch und lab^*nch

D65: Buntton R

LCH*Ma: 54 82 25

olv*Ma: 1.0 0.0 0.14



TLS18; adaptierte CIELAB-Daten

	$L^*=L^*_a$	a^*_a	b^*_a	$C^*_{ab,a}$	$h^*_{ab,a}$
OMa	52.76	71.63	49.88	87.29	35
YMa	92.74	-20.02	84.97	87.3	103
LMa	84.0	-78.98	73.94	108.2	137
CMa	87.14	-44.41	-13.11	46.32	196
VMa	35.47	64.92	-95.06	115.12	304
MMa	59.01	89.33	-55.67	105.26	328
NMa	18.01	0.0	0.0	0.0	0
WMa	95.41	0.0	0.0	0.0	0
RCIE	39.92	58.74	27.99	65.07	25
JCIE	81.26	-2.88	71.56	71.62	92
GCIE	52.23	-42.41	13.6	44.55	162
BCIE	30.57	1.41	-46.46	46.49	272

Dreiecks-Helligkeit t^*

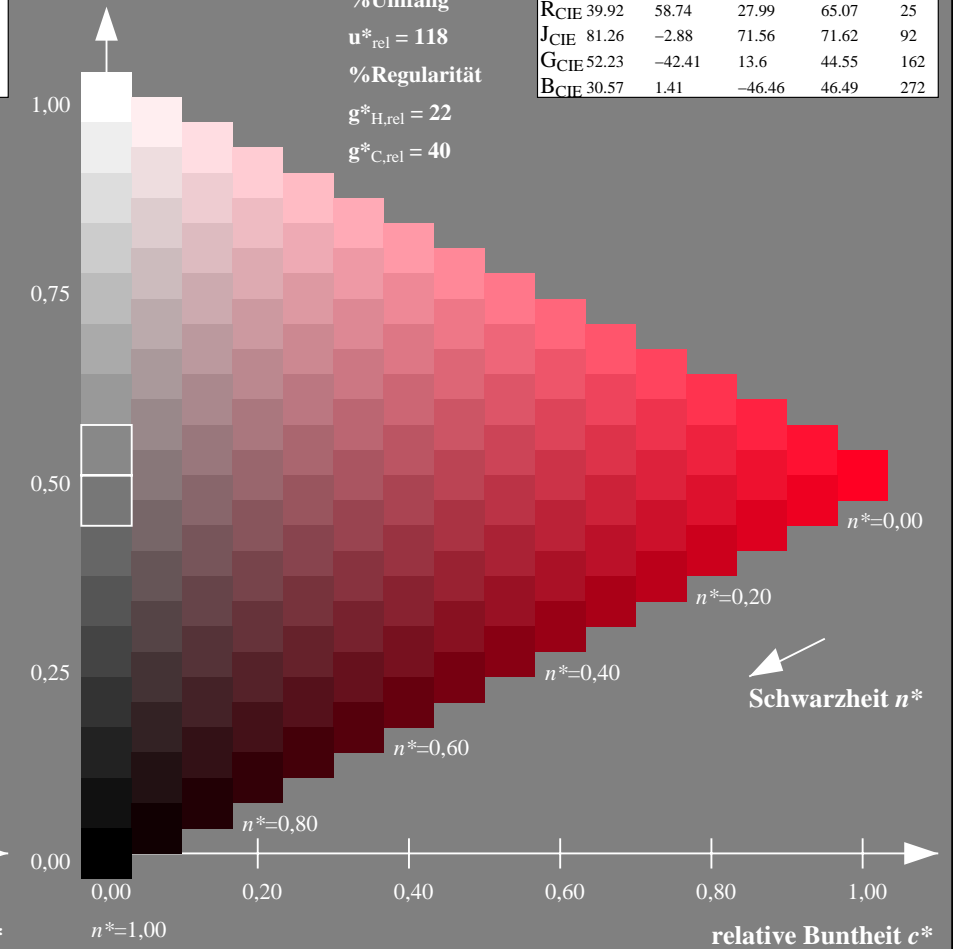
%Umfang

$u^*_{rel} = 118$

%Regularität

$g^*_{H,rel} = 22$

$g^*_{C,rel} = 40$



NG900-7, 9stufige Reihen für konstanten CIELAB Buntton $25/360 = 0.071$ (links)

16stufige Reihen für konstanten CIELAB Buntton $25/360 = 0.071$ (rechts)

Eingabe: Farbmetrisches Fernseh-Licht-System TLS70

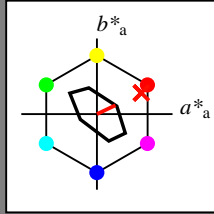
für Buntton $h^* = lab^*h = 25/360 = 0.071$

lab^*tch und lab^*nch

D65: Buntton R

LCH*Ma: 77 27 25

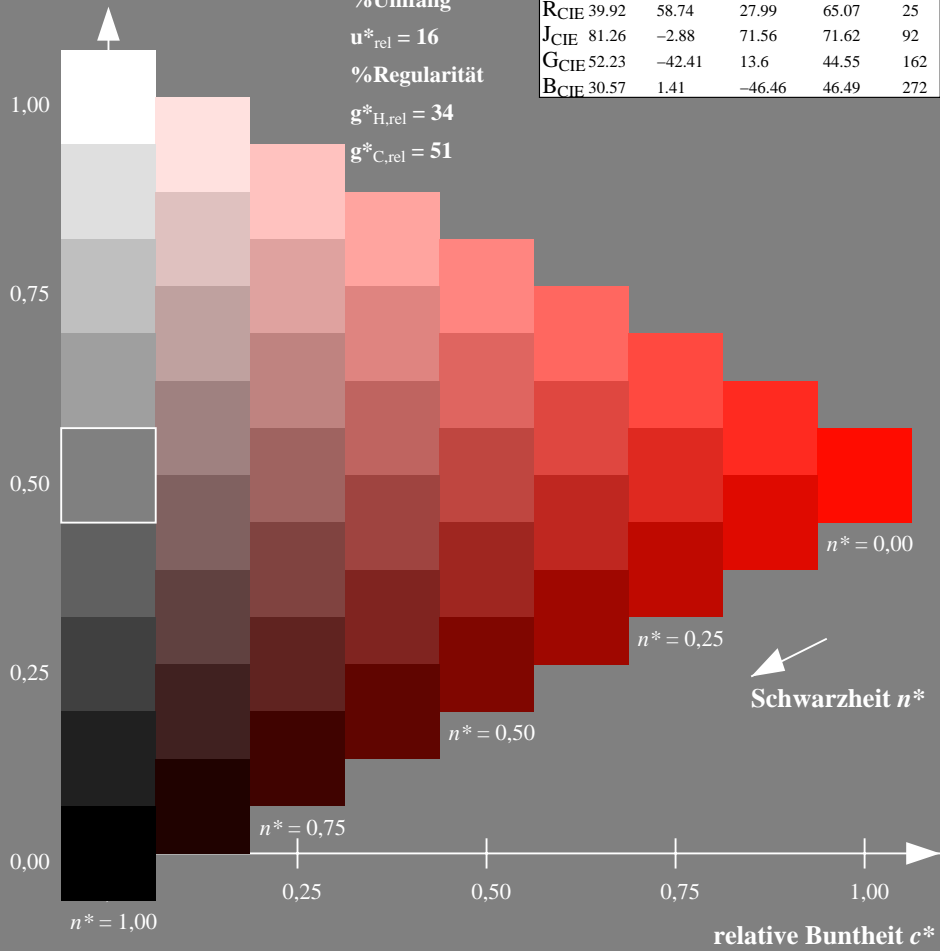
olv*Ma: 1.0 0.05 0.0



TLS70; adaptierte CIELAB-Daten

	$L^*=L^*_a$	a^*_a	b^*_a	$C^*_{ab,a}$	$h^*_{ab,a}$
OMa	76.43	26.27	10.57	28.32	22
YMa	93.93	-10.76	34.63	36.27	107
LMa	89.32	-35.8	27.64	45.24	142
CMa	90.93	-21.95	-7.07	23.07	198
VMa	72.1	15.76	-35.63	38.97	294
MMa	78.5	37.52	-25.23	45.22	326
NMa	69.7	0.0	0.0	0.0	0
WMa	95.41	0.0	0.0	0.0	0
RCIE	39.92	58.74	27.99	65.07	25
JCIE	81.26	-2.88	71.56	71.62	92
GCIE	52.23	-42.41	13.6	44.55	162
BCIE	30.57	1.41	-46.46	46.49	272

Dreiecks-Helligkeit t^*



Ausgabe: Farbmetrisches Natürliches-Licht-System NLS00

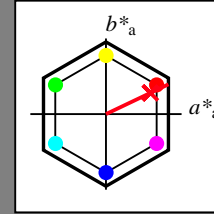
für Buntton $h^* = lab^*h = 25/360 = 0.071$

lab^*tch und lab^*nch

D65: Buntton R

LCH*Ma: 35 92 25

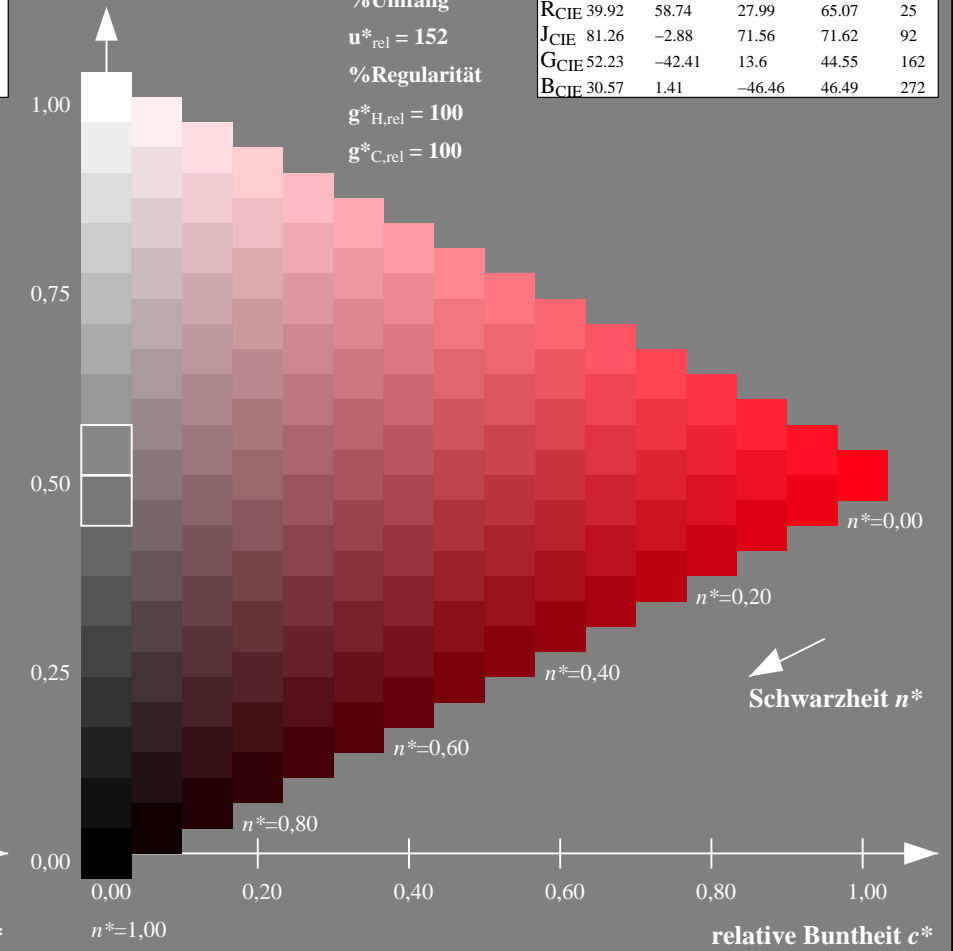
olv*Ma: 1.0 0.0 0.09



NLS00; adaptierte CIELAB-Daten

	$L^*=L^*_a$	a^*_a	b^*_a	$C^*_{ab,a}$	$h^*_{ab,a}$
OMa	31.81	82.62	47.7	95.4	30
YMa	63.61	0.0	95.4	95.4	90
LMa	31.81	-82.61	47.7	95.4	150
CMa	63.61	-82.61	-47.69	95.4	210
VMa	31.81	0.0	-95.39	95.4	270
MMa	63.61	82.62	-47.69	95.4	330
NMa	0.01	0.0	0.0	0.0	0
WMa	95.41	0.0	0.0	0.0	0
RCIE	39.92	58.74	27.99	65.07	25
JCIE	81.26	-2.88	71.56	71.62	92
GCIE	52.23	-42.41	13.6	44.55	162
BCIE	30.57	1.41	-46.46	46.49	272

Dreiecks-Helligkeit t^*



NG900-7, 9stufige Reihen für konstanten CIELAB Buntton $25/360 = 0.071$ (links)

16stufige Reihen für konstanten CIELAB Buntton $25/360 = 0.071$ (rechts)

Eingabe: Farbmetrisches Fernseh-Licht-System TLS70

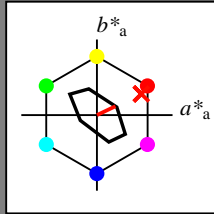
für Buntton $h^* = lab^*h = 25/360 = 0.071$

lab^*tch und lab^*nch

D65: Buntton R

LCH*Ma: 77 27 25

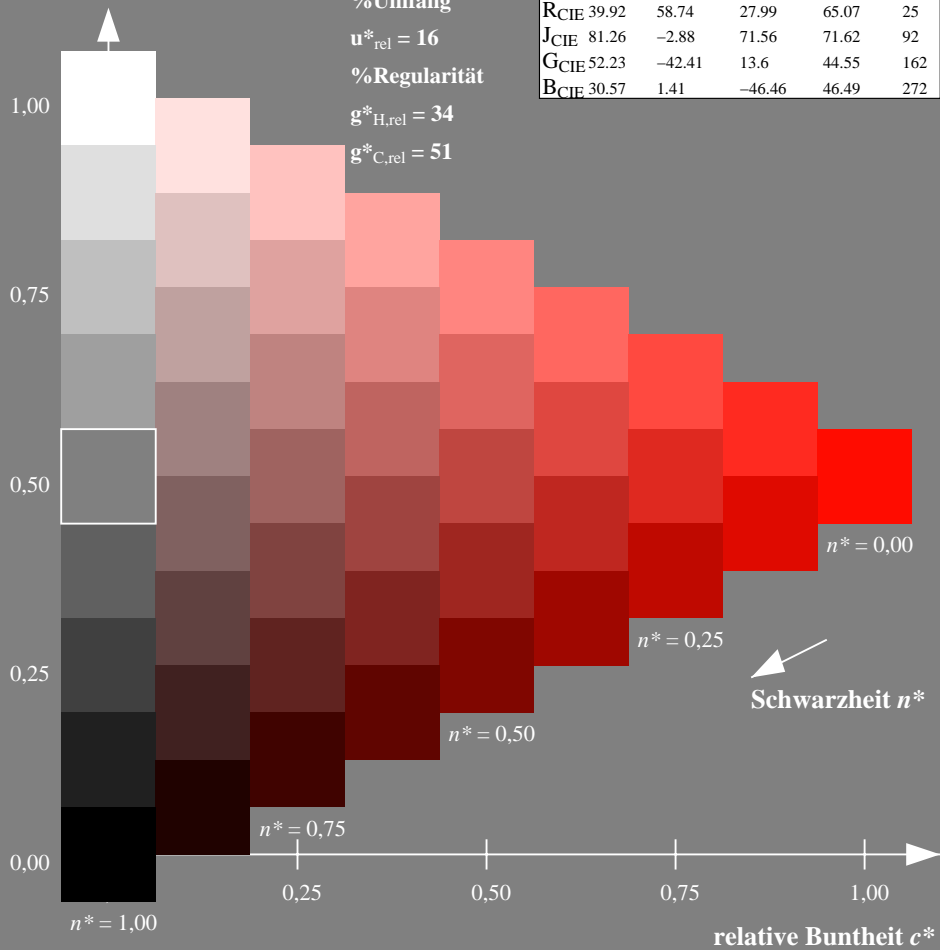
olv*Ma: 1.0 0.05 0.0



TLS70; adaptierte CIELAB-Daten

	$L^*=L^*_a$	a^*_a	b^*_a	$C^*_{ab,a}$	$h^*_{ab,a}$
OMa	76.43	26.27	10.57	28.32	22
YMa	93.93	-10.76	34.63	36.27	107
LMa	89.32	-35.8	27.64	45.24	142
CMa	90.93	-21.95	-7.07	23.07	198
VMa	72.1	15.76	-35.63	38.97	294
MMa	78.5	37.52	-25.23	45.22	326
NMa	69.7	0.0	0.0	0.0	0
WMa	95.41	0.0	0.0	0.0	0
RCIE	39.92	58.74	27.99	65.07	25
JCIE	81.26	-2.88	71.56	71.62	92
GCIE	52.23	-42.41	13.6	44.55	162
BCIE	30.57	1.41	-46.46	46.49	272

Dreiecks-Helligkeit t^*



Ausgabe: Farbmetrisches Natürliches-Reflektiv-System NRS18

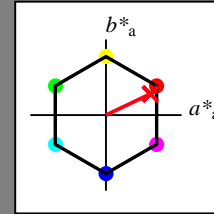
für Buntton $h^* = lab^*h = 25/360 = 0.071$

lab^*tch und lab^*nch

D65: Buntton R

LCH*Ma: 46 74 25

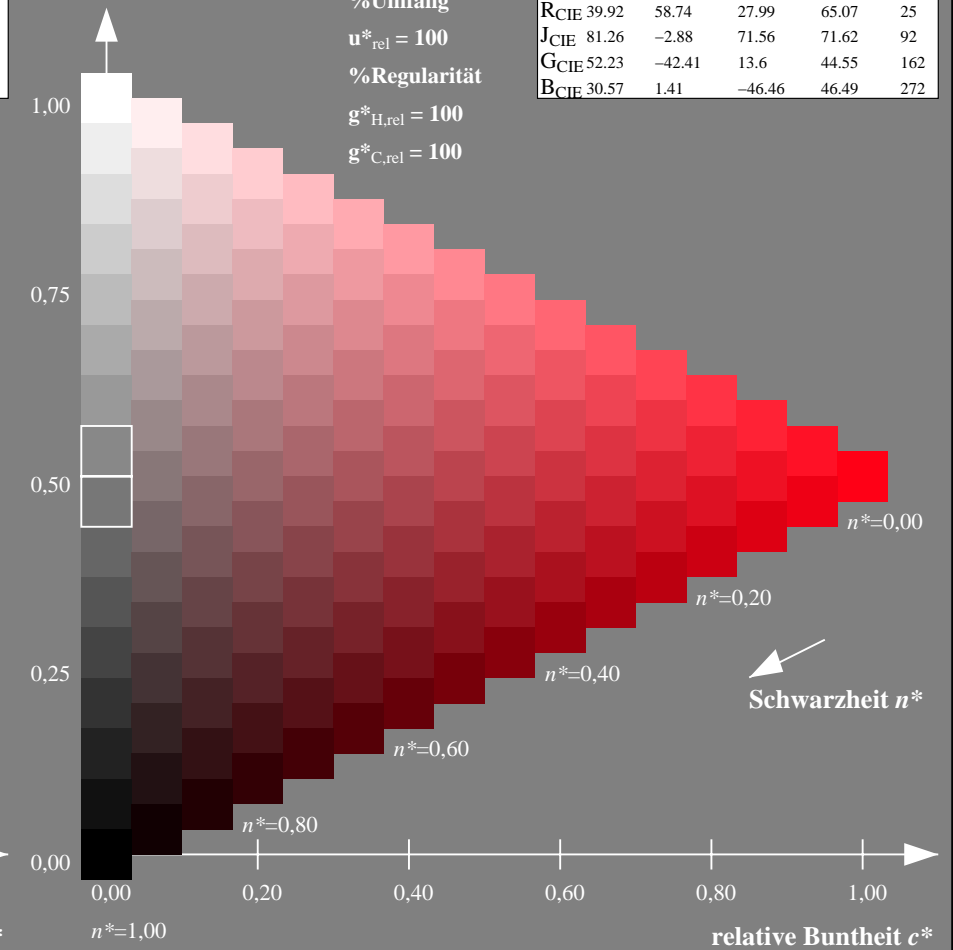
olv*Ma: 1.0 0.0 0.09



NRS18; adaptierte CIELAB-Daten

	$L^*=L^*_a$	a^*_a	b^*_a	$C^*_{ab,a}$	$h^*_{ab,a}$
OMa	43.81	67.03	38.7	77.4	30
YMa	69.61	0.0	77.4	77.4	90
LMa	43.81	-67.02	38.7	77.4	150
CMa	69.61	-67.02	-38.69	77.4	210
VMa	43.81	0.0	-77.39	77.4	270
MMa	69.61	67.03	-38.69	77.4	330
NMa	18.01	0.0	0.0	0.0	0
WMa	95.41	0.0	0.0	0.0	0
RCIE	39.92	58.74	27.99	65.07	25
JCIE	81.26	-2.88	71.56	71.62	92
GCIE	52.23	-42.41	13.6	44.55	162
BCIE	30.57	1.41	-46.46	46.49	272

Dreiecks-Helligkeit t^*



NG900-7, 9stufige Reihen für konstanten CIELAB Buntton $25/360 = 0.071$ (links)

16stufige Reihen für konstanten CIELAB Buntton $25/360 = 0.071$ (rechts)

Eingabe: Farbmetrisches Fernseh-Licht-System TLS70

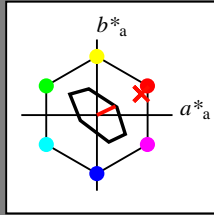
für Buntton $h^* = lab^*h = 25/360 = 0.071$

lab^*tch und lab^*nch

D65: Buntton R

LCH*Ma: 77 27 25

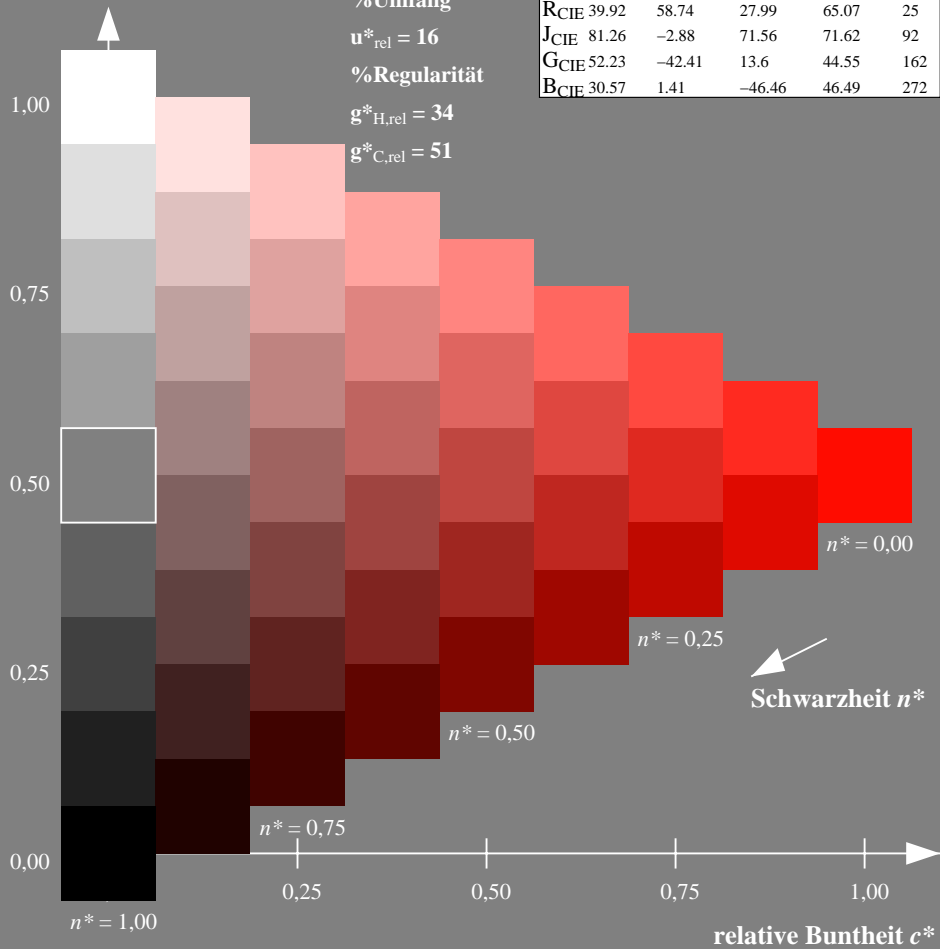
olv*Ma: 1.0 0.05 0.0



TLS70; adaptierte CIELAB-Daten

	$L^*=L^*_a$	a^*_a	b^*_a	$C^*_{ab,a}$	$h^*_{ab,a}$
OMa	76.43	26.27	10.57	28.32	22
YMa	93.93	-10.76	34.63	36.27	107
LMa	89.32	-35.8	27.64	45.24	142
CMa	90.93	-21.95	-7.07	23.07	198
VMa	72.1	15.76	-35.63	38.97	294
MMa	78.5	37.52	-25.23	45.22	326
NMa	69.7	0.0	0.0	0.0	0
WMa	95.41	0.0	0.0	0.0	0
RCIE	39.92	58.74	27.99	65.07	25
JCIE	81.26	-2.88	71.56	71.62	92
GCIE	52.23	-42.41	13.6	44.55	162
BCIE	30.57	1.41	-46.46	46.49	272

Dreiecks-Helligkeit t^*



Ausgabe: Farbmetrisches Standard-Reflektiv-System SRS18

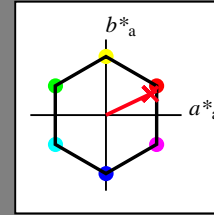
für Buntton $h^* = lab^*h = 25/360 = 0.071$

lab^*tch und lab^*nch

D65: Buntton R

LCH*Ma: 57 74 25

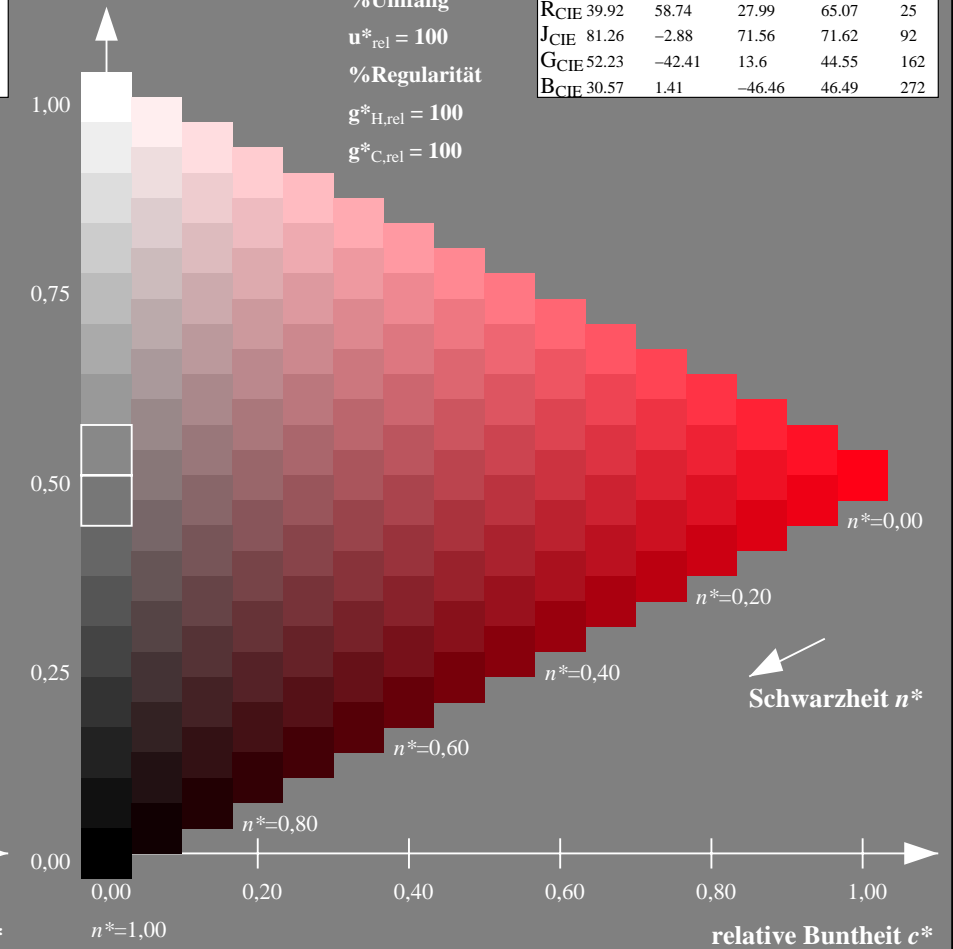
olv*Ma: 1.0 0.0 0.09



SRS18; adaptierte CIELAB-Daten

	$L^*=L^*_a$	a^*_a	b^*_a	$C^*_{ab,a}$	$h^*_{ab,a}$
OMa	56.71	67.03	38.7	77.4	30
YMa	56.71	0.0	77.4	77.4	90
LMa	56.71	-67.02	38.7	77.4	150
CMa	56.71	-67.02	-38.69	77.4	210
VMa	56.71	0.0	-77.39	77.4	270
MMa	56.71	67.03	-38.69	77.4	330
NMa	18.01	0.0	0.0	0.0	0
WMa	95.41	0.0	0.0	0.0	0
RCIE	39.92	58.74	27.99	65.07	25
JCIE	81.26	-2.88	71.56	71.62	92
GCIE	52.23	-42.41	13.6	44.55	162
BCIE	30.57	1.41	-46.46	46.49	272

Dreiecks-Helligkeit t^*



NG900-7, 9stufige Reihen für konstanten CIELAB Buntton $25/360 = 0.071$ (links)

16stufige Reihen für konstanten CIELAB Buntton $25/360 = 0.071$ (rechts)

Eingabe: Farbmetrisches Fernseh-Licht-System TLS70

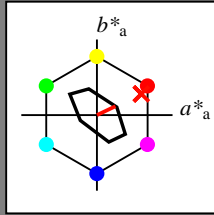
für Buntton $h^* = lab^*h = 25/360 = 0.071$

lab^*tch und lab^*nch

D65: Buntton R

LCH*Ma: 77 27 25

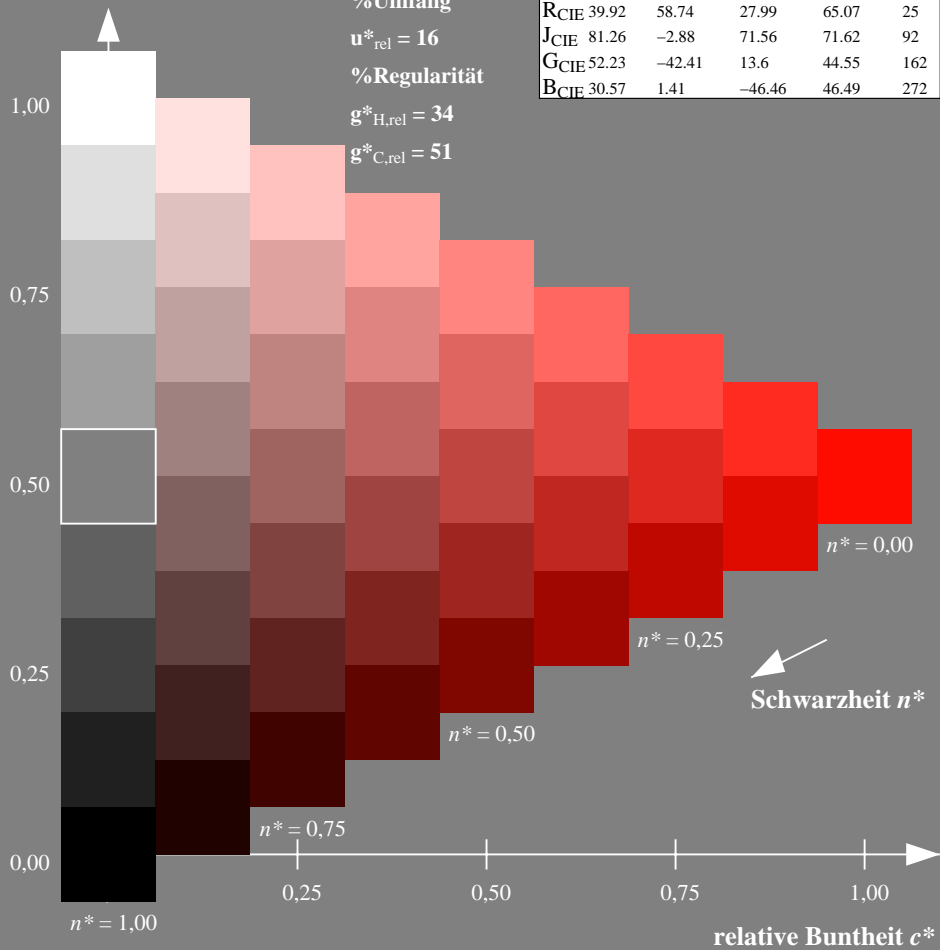
olv*Ma: 1.0 0.05 0.0



TLS70; adaptierte CIELAB-Daten

	$L^*=L^*_a$	a^*_a	b^*_a	$C^*_{ab,a}$	$h^*_{ab,a}$
O _{Ma}	76.43	26.27	10.57	28.32	22
Y _{Ma}	93.93	-10.76	34.63	36.27	107
L _{Ma}	89.32	-35.8	27.64	45.24	142
C _{Ma}	90.93	-21.95	-7.07	23.07	198
V _{Ma}	72.1	15.76	-35.63	38.97	294
M _{Ma}	78.5	37.52	-25.23	45.22	326
N _{Ma}	69.7	0.0	0.0	0.0	0
W _{Ma}	95.41	0.0	0.0	0.0	0
R _{CIE}	39.92	58.74	27.99	65.07	25
J _{CIE}	81.26	-2.88	71.56	71.62	92
G _{CIE}	52.23	-42.41	13.6	44.55	162
B _{CIE}	30.57	1.41	-46.46	46.49	272

Dreiecks-Helligkeit t^*



Ausgabe: Farbmetrisches Fernseh-Licht-System TLS70

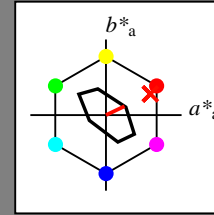
für Buntton $h^* = lab^*h = 25/360 = 0.071$

lab^*tch und lab^*nch

D65: Buntton R

LCH*Ma: 77 27 25

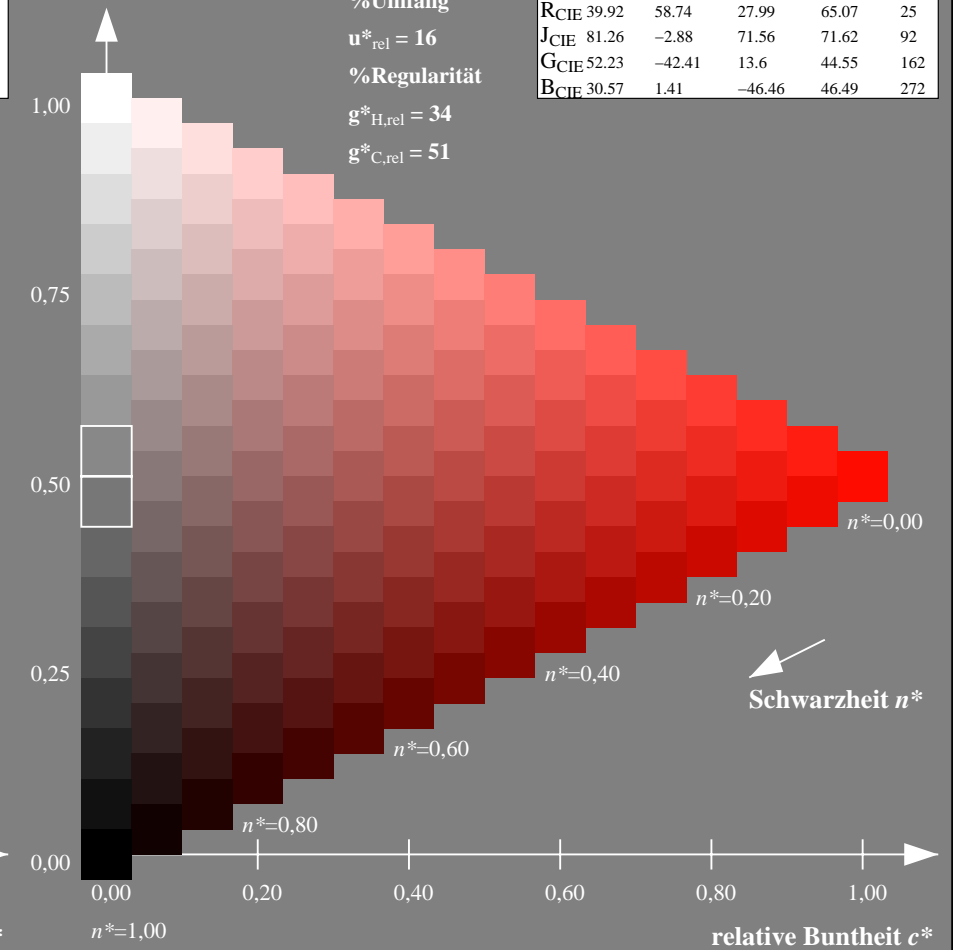
olv*Ma: 1.0 0.05 0.0



TLS70; adaptierte CIELAB-Daten

	$L^*=L^*_a$	a^*_a	b^*_a	$C^*_{ab,a}$	$h^*_{ab,a}$
O _{Ma}	76.43	26.27	10.57	28.32	22
Y _{Ma}	93.93	-10.76	34.63	36.27	107
L _{Ma}	89.32	-35.8	27.64	45.24	142
C _{Ma}	90.93	-21.95	-7.07	23.07	198
V _{Ma}	72.1	15.76	-35.63	38.97	294
M _{Ma}	78.5	37.52	-25.23	45.22	326
N _{Ma}	69.7	0.0	0.0	0.0	0
W _{Ma}	95.41	0.0	0.0	0.0	0
R _{CIE}	39.92	58.74	27.99	65.07	25
J _{CIE}	81.26	-2.88	71.56	71.62	92
G _{CIE}	52.23	-42.41	13.6	44.55	162
B _{CIE}	30.57	1.41	-46.46	46.49	272

Dreiecks-Helligkeit t^*



NG900-7, 9stufige Reihen für konstanten CIELAB Buntton 25/360 = 0.071 (links)

16stufige Reihen für konstanten CIELAB Buntton 25/360 = 0.071 (rechts)

Eingabe: Farbmetrisches Offset-Reflektiv-System ORS18

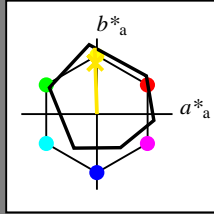
für Buntton $h^* = lab^*h = 92/360 = 0.255$

lab^*tch und lab^*nch

D65: Buntton J

LCH*Ma: 86 88 92

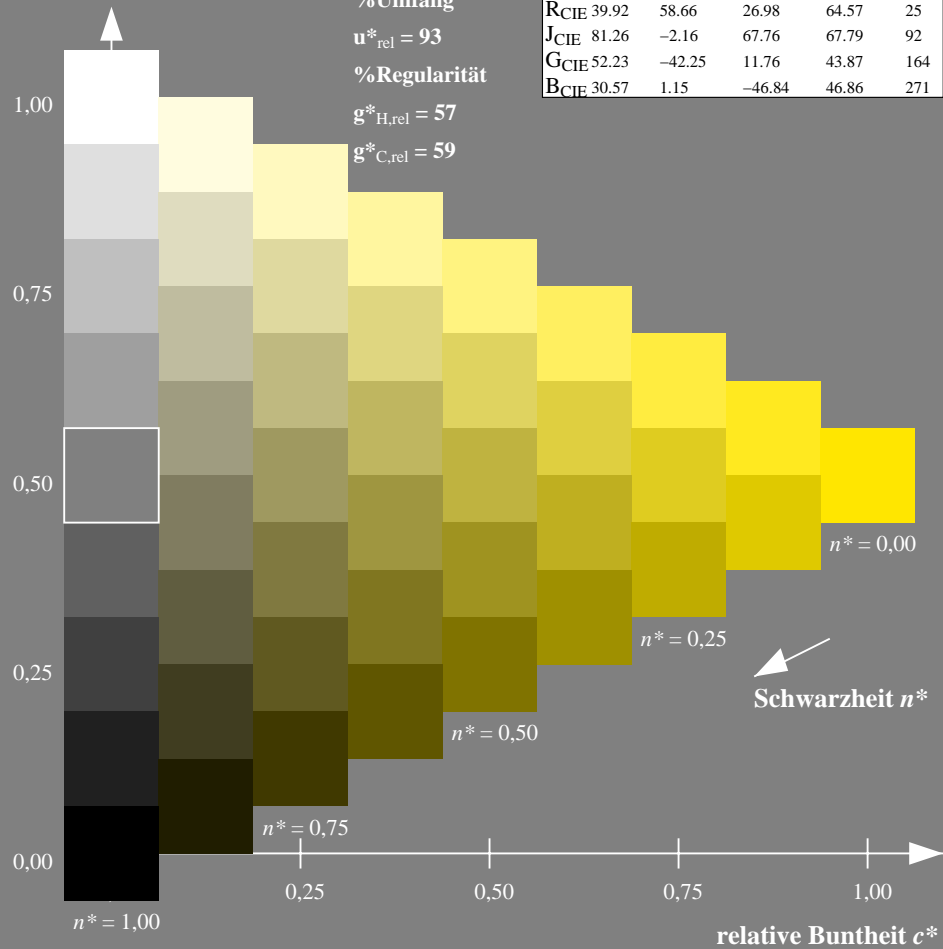
olv*Ma: 1.0 0.9 0.0



ORS18; adaptierte CIELAB-Daten

	$L^*=L^*_a$	a^*_a	b^*_a	$C^*_{ab,a}$	$h^*_{ab,a}$
O _{Ma}	47.94	65.39	50.52	82.63	38
Y _{Ma}	90.37	-10.26	91.75	92.32	96
L _{Ma}	50.9	-62.83	34.96	71.91	151
C _{Ma}	58.62	-30.34	-45.01	54.3	236
V _{Ma}	25.72	31.1	-44.4	54.22	305
M _{Ma}	48.13	75.28	-8.36	75.74	354
N _{Ma}	18.01	0.0	0.0	0.0	0
W _{Ma}	95.41	0.0	0.0	0.0	0
R _{CIE}	39.92	58.66	26.98	64.57	25
J _{CIE}	81.26	-2.16	67.76	67.79	92
G _{CIE}	52.23	-42.25	11.76	43.87	164
B _{CIE}	30.57	1.15	-46.84	46.86	271

Dreiecks-Helligkeit t^*



Ausgabe: Farbmetrisches Offset-Reflektiv-System ORS18

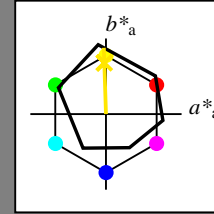
für Buntton $h^* = lab^*h = 92/360 = 0.255$

lab^*tch und lab^*nch

D65: Buntton J

LCH*Ma: 86 88 92

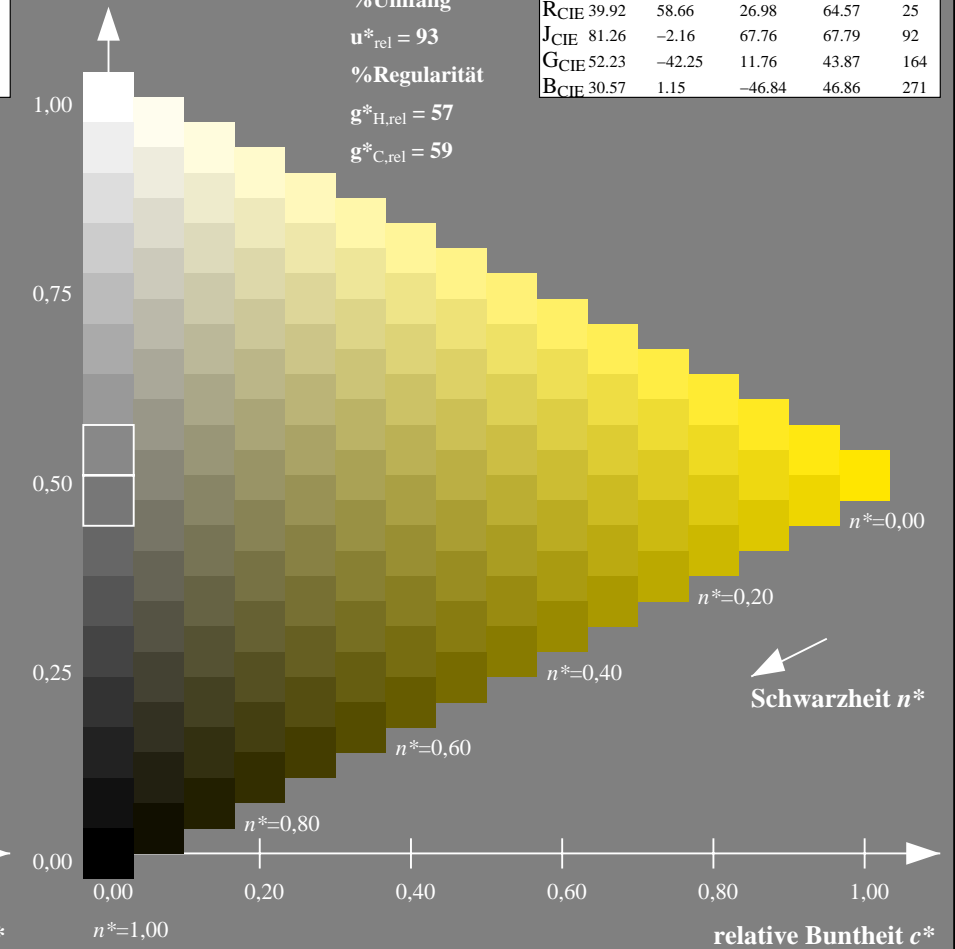
olv*Ma: 1.0 0.9 0.0



ORS18; adaptierte CIELAB-Daten

	$L^*=L^*_a$	a^*_a	b^*_a	$C^*_{ab,a}$	$h^*_{ab,a}$
O _{Ma}	47.94	65.39	50.52	82.63	38
Y _{Ma}	90.37	-10.26	91.75	92.32	96
L _{Ma}	50.9	-62.83	34.96	71.91	151
C _{Ma}	58.62	-30.34	-45.01	54.3	236
V _{Ma}	25.72	31.1	-44.4	54.22	305
M _{Ma}	48.13	75.28	-8.36	75.74	354
N _{Ma}	18.01	0.0	0.0	0.0	0
W _{Ma}	95.41	0.0	0.0	0.0	0
R _{CIE}	39.92	58.66	26.98	64.57	25
J _{CIE}	81.26	-2.16	67.76	67.79	92
G _{CIE}	52.23	-42.25	11.76	43.87	164
B _{CIE}	30.57	1.15	-46.84	46.86	271

Dreiecks-Helligkeit t^*



NG900-7, 9stufige Reihen für konstanten CIELAB Buntton $92/360 = 0.255$ (links)

16stufige Reihen für konstanten CIELAB Buntton $92/360 = 0.255$ (rechts)

Eingabe: Farbmetrisches Offset-Reflektiv-System ORS18

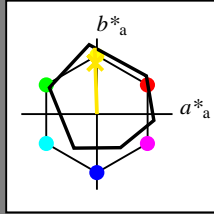
für Buntton $h^* = lab^*h = 92/360 = 0.255$

lab^*tch und lab^*nch

D65: Buntton J

LCH*Ma: 86 88 92

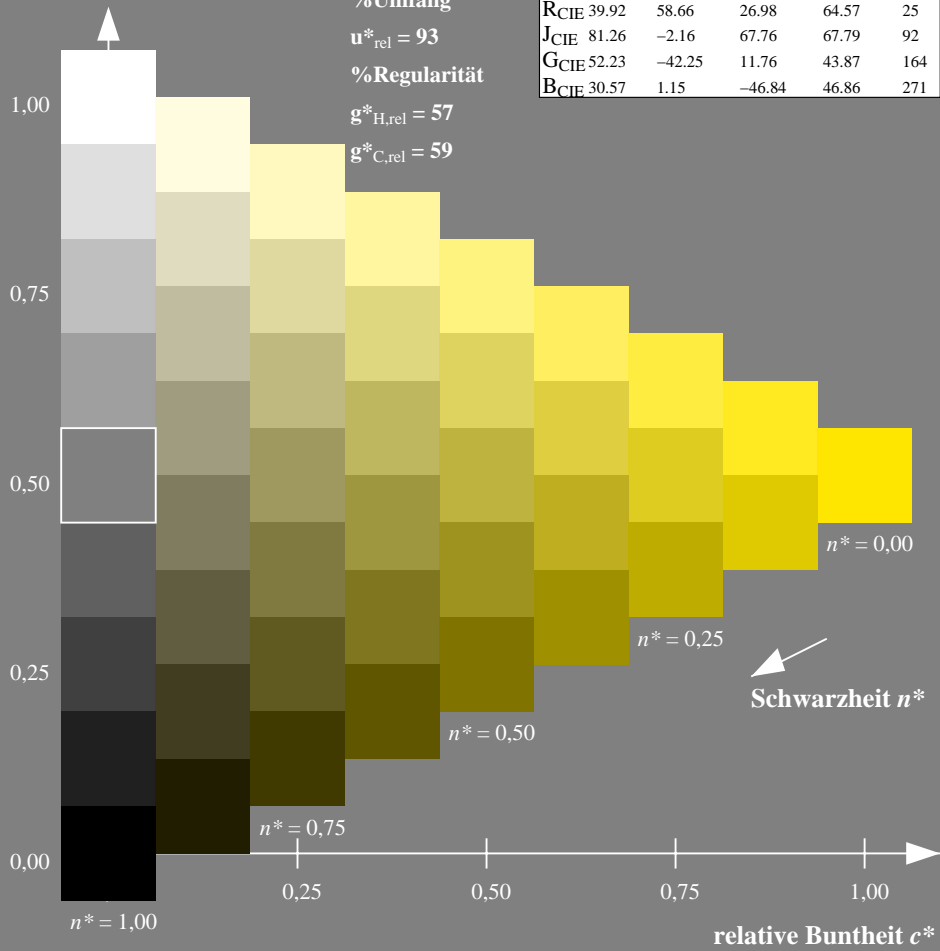
olv*Ma: 1.0 0.9 0.0



ORS18; adaptierte CIELAB-Daten

	$L^*=L^*_a$	a^*_a	b^*_a	$C^*_{ab,a}$	$h^*_{ab,a}$
O _{Ma}	47.94	65.39	50.52	82.63	38
Y _{Ma}	90.37	-10.26	91.75	92.32	96
L _{Ma}	50.9	-62.83	34.96	71.91	151
C _{Ma}	58.62	-30.34	-45.01	54.3	236
V _{Ma}	25.72	31.1	-44.4	54.22	305
M _{Ma}	48.13	75.28	-8.36	75.74	354
N _{Ma}	18.01	0.0	0.0	0.0	0
W _{Ma}	95.41	0.0	0.0	0.0	0
R _{CIE}	39.92	58.66	26.98	64.57	25
J _{CIE}	81.26	-2.16	67.76	67.79	92
G _{CIE}	52.23	-42.25	11.76	43.87	164
B _{CIE}	30.57	1.15	-46.84	46.86	271

Dreiecks-Helligkeit t^*



Ausgabe: Farbmetrisches Fernseh-Licht-System TLS00

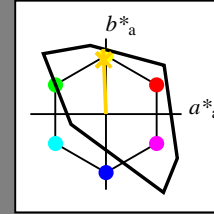
für Buntton $h^* = lab^*h = 92/360 = 0.256$

lab^*tch und lab^*nch

D65: Buntton J

LCH*Ma: 85 86 92

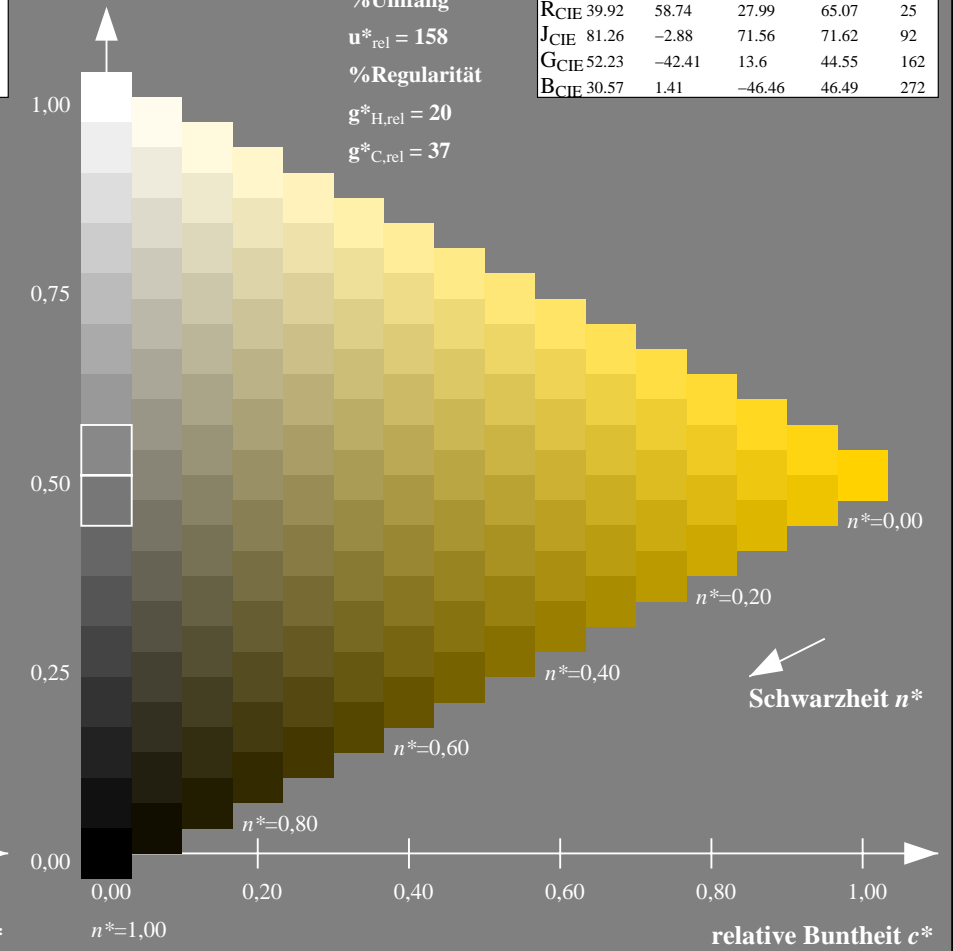
olv*Ma: 1.0 0.82 0.0



TLS00; adaptierte CIELAB-Daten

	$L^*=L^*_a$	a^*_a	b^*_a	$C^*_{ab,a}$	$h^*_{ab,a}$
O _{Ma}	50.5	76.92	64.55	100.42	40
Y _{Ma}	92.66	-20.69	90.75	93.08	103
L _{Ma}	83.63	-82.75	79.9	115.04	136
C _{Ma}	86.88	-46.16	-13.55	48.12	196
V _{Ma}	30.39	76.06	-103.59	128.52	306
M _{Ma}	57.3	94.35	-58.41	110.97	328
N _{Ma}	0.01	0.0	0.0	0.0	0
W _{Ma}	95.41	0.0	0.0	0.0	0
R _{CIE}	39.92	58.74	27.99	65.07	25
J _{CIE}	81.26	-2.88	71.56	71.62	92
G _{CIE}	52.23	-42.41	13.6	44.55	162
B _{CIE}	30.57	1.41	-46.46	46.49	272

Dreiecks-Helligkeit t^*



NG900-7, 9stufige Reihen für konstanten CIELAB Buntton 92/360 = 0.255 (links)

16stufige Reihen für konstanten CIELAB Buntton 92/360 = 0.256 (rechts)

Eingabe: Farbmetrisches Offset-Reflektiv-System ORS18

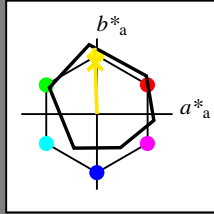
für Buntton $h^* = lab^*h = 92/360 = 0.255$

lab^*tch und lab^*nch

D65: Buntton J

LCH*Ma: 86 88 92

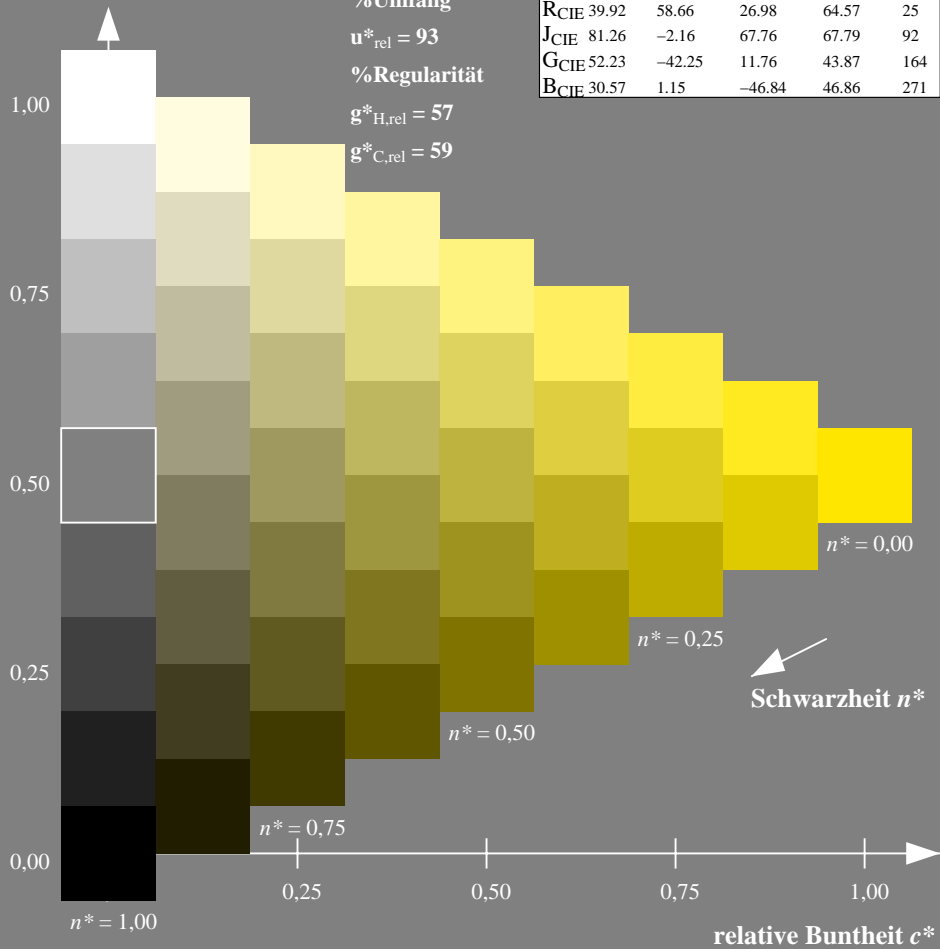
olv*Ma: 1.0 0.9 0.0



ORS18; adaptierte CIELAB-Daten

	$L^*=L^*_a$	a^*_a	b^*_a	$C^*_{ab,a}$	$h^*_{ab,a}$
O _{Ma}	47.94	65.39	50.52	82.63	38
Y _{Ma}	90.37	-10.26	91.75	92.32	96
L _{Ma}	50.9	-62.83	34.96	71.91	151
C _{Ma}	58.62	-30.34	-45.01	54.3	236
V _{Ma}	25.72	31.1	-44.4	54.22	305
M _{Ma}	48.13	75.28	-8.36	75.74	354
N _{Ma}	18.01	0.0	0.0	0.0	0
W _{Ma}	95.41	0.0	0.0	0.0	0
R _{CIE}	39.92	58.66	26.98	64.57	25
J _{CIE}	81.26	-2.16	67.76	67.79	92
G _{CIE}	52.23	-42.25	11.76	43.87	164
B _{CIE}	30.57	1.15	-46.84	46.86	271

Dreiecks-Helligkeit t^*



Ausgabe: Farbmetrisches Drucker-Reflektiv-System DRSXX

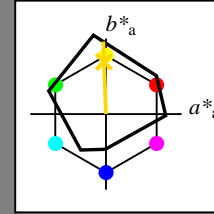
für Buntton $h^* = lab^*h = 92/360 = 0.256$

lab^*tch und lab^*nch

D65: Buntton J

LCH*Ma: 83 96 92

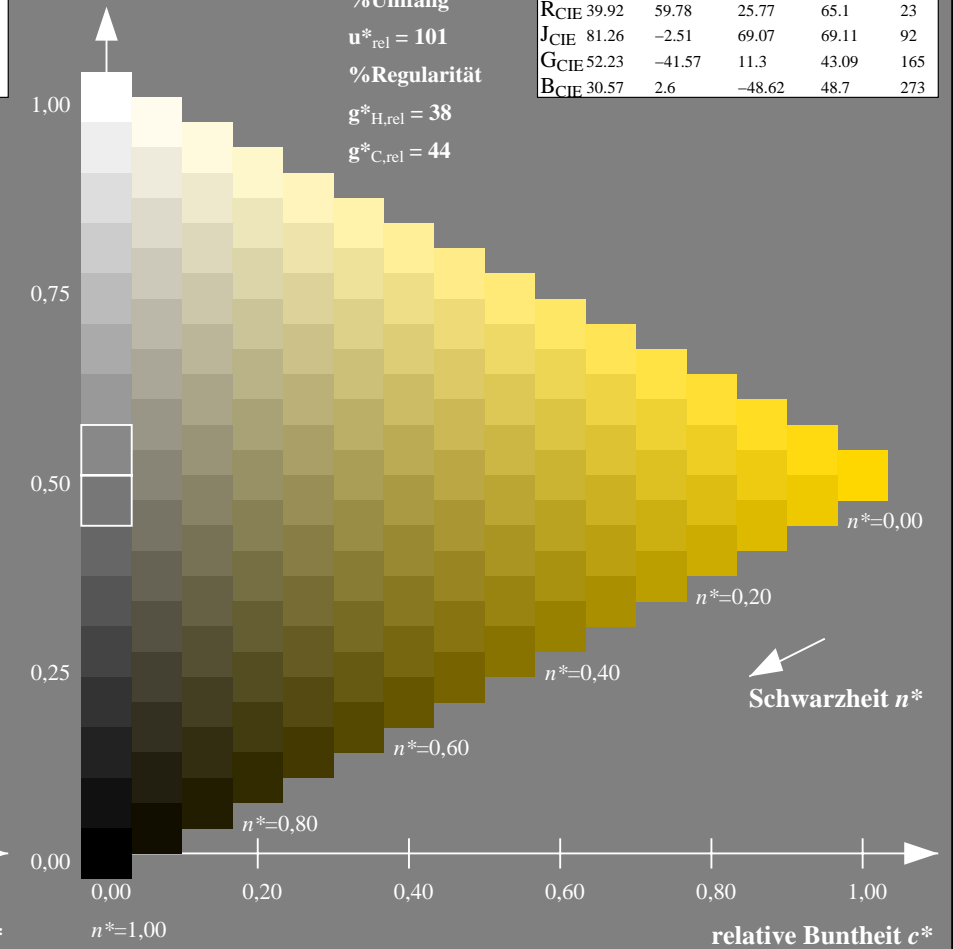
olv*Ma: 1.0 0.84 0.0



DRSXX; adaptierte CIELAB-Daten

	$L^*=L^*_a$	a^*_a	b^*_a	$C^*_{ab,a}$	$h^*_{ab,a}$
O _{Ma}	42.21	66.82	50.6	83.82	37
Y _{Ma}	90.32	-16.51	104.33	105.63	99
L _{Ma}	48.21	-75.63	30.65	81.61	158
C _{Ma}	53.44	-33.33	-47.49	58.03	235
V _{Ma}	34.16	-0.92	-46.56	46.58	269
M _{Ma}	42.71	79.0	-1.95	79.03	359
N _{Ma}	16.56	0.0	0.0	0.0	0
W _{Ma}	96.31	0.0	0.0	0.0	0
R _{CIE}	39.92	59.78	25.77	65.1	23
J _{CIE}	81.26	-2.51	69.07	69.11	92
G _{CIE}	52.23	-41.57	11.3	43.09	165
B _{CIE}	30.57	2.6	-48.62	48.7	273

Dreiecks-Helligkeit t^*



NG900-7, 9stufige Reihen für konstanten CIELAB Buntton $92/360 = 0.255$ (links)

16stufige Reihen für konstanten CIELAB Buntton $92/360 = 0.256$ (rechts)

Eingabe: Farbmetrisches Offset-Reflektiv-System ORS18

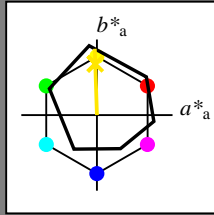
für Buntton $h^* = lab^*h = 92/360 = 0.255$

lab^*tch und lab^*nch

D65: Buntton J

LCH*Ma: 86 88 92

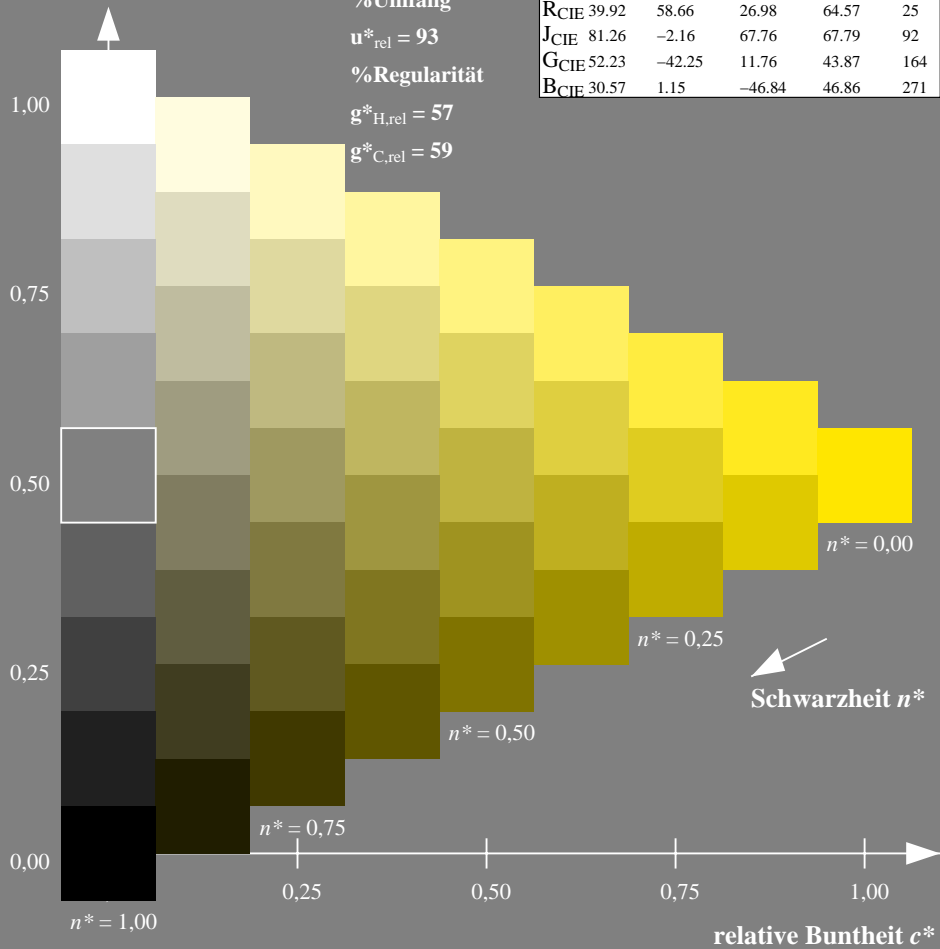
olv*Ma: 1.0 0.9 0.0



ORS18; adaptierte CIELAB-Daten

	$L^*=L^*_a$	a^*_a	b^*_a	$C^*_{ab,a}$	$h^*_{ab,a}$
O _{Ma}	47.94	65.39	50.52	82.63	38
Y _{Ma}	90.37	-10.26	91.75	92.32	96
L _{Ma}	50.9	-62.83	34.96	71.91	151
C _{Ma}	58.62	-30.34	-45.01	54.3	236
V _{Ma}	25.72	31.1	-44.4	54.22	305
M _{Ma}	48.13	75.28	-8.36	75.74	354
N _{Ma}	18.01	0.0	0.0	0.0	0
W _{Ma}	95.41	0.0	0.0	0.0	0
R _{CIE}	39.92	58.66	26.98	64.57	25
J _{CIE}	81.26	-2.16	67.76	67.79	92
G _{CIE}	52.23	-42.25	11.76	43.87	164
B _{CIE}	30.57	1.15	-46.84	46.86	271

Dreiecks-Helligkeit t^*



Ausgabe: Farbmetrisches Fernseh-Licht-System TLS18

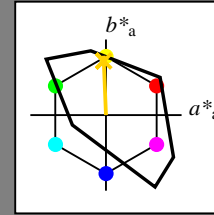
für Buntton $h^* = lab^*h = 92/360 = 0.256$

lab^*tch und lab^*nch

D65: Buntton J

LCH*Ma: 85 79 92

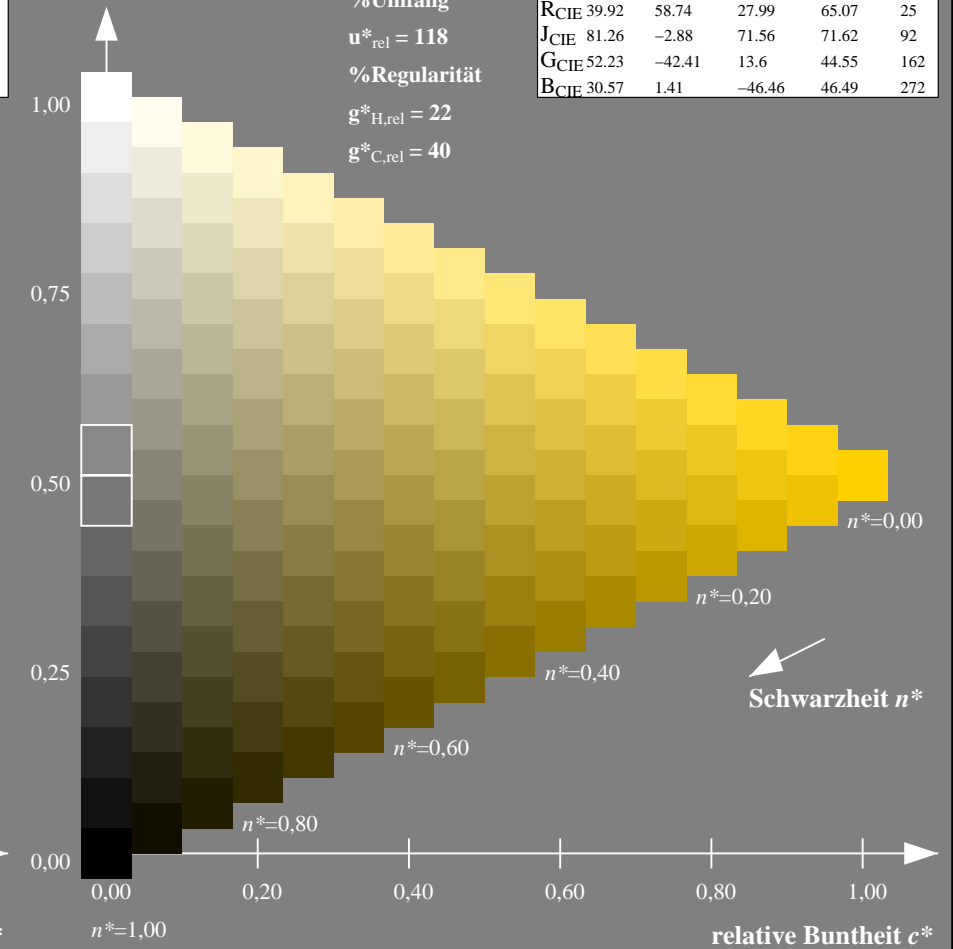
olv*Ma: 1.0 0.82 0.0



TLS18; adaptierte CIELAB-Daten

	$L^*=L^*_a$	a^*_a	b^*_a	$C^*_{ab,a}$	$h^*_{ab,a}$
O _{Ma}	52.76	71.63	49.88	87.29	35
Y _{Ma}	92.74	-20.02	84.97	87.3	103
L _{Ma}	84.0	-78.98	73.94	108.2	137
C _{Ma}	87.14	-44.41	-13.11	46.32	196
V _{Ma}	35.47	64.92	-95.06	115.12	304
M _{Ma}	59.01	89.33	-55.67	105.26	328
N _{Ma}	18.01	0.0	0.0	0.0	0
W _{Ma}	95.41	0.0	0.0	0.0	0
R _{CIE}	39.92	58.74	27.99	65.07	25
J _{CIE}	81.26	-2.88	71.56	71.62	92
G _{CIE}	52.23	-42.41	13.6	44.55	162
B _{CIE}	30.57	1.41	-46.46	46.49	272

Dreiecks-Helligkeit t^*



NG900-7, 9stufige Reihen für konstanten CIELAB Buntton $92/360 = 0.255$ (links)

16stufige Reihen für konstanten CIELAB Buntton $92/360 = 0.256$ (rechts)

Eingabe: Farbmetrisches Offset-Reflektiv-System ORS18

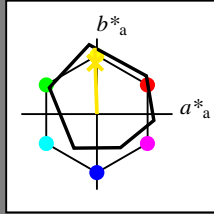
für Buntton $h^* = lab^*h = 92/360 = 0.255$

lab^*tch und lab^*nch

D65: Buntton J

LCH*Ma: 86 88 92

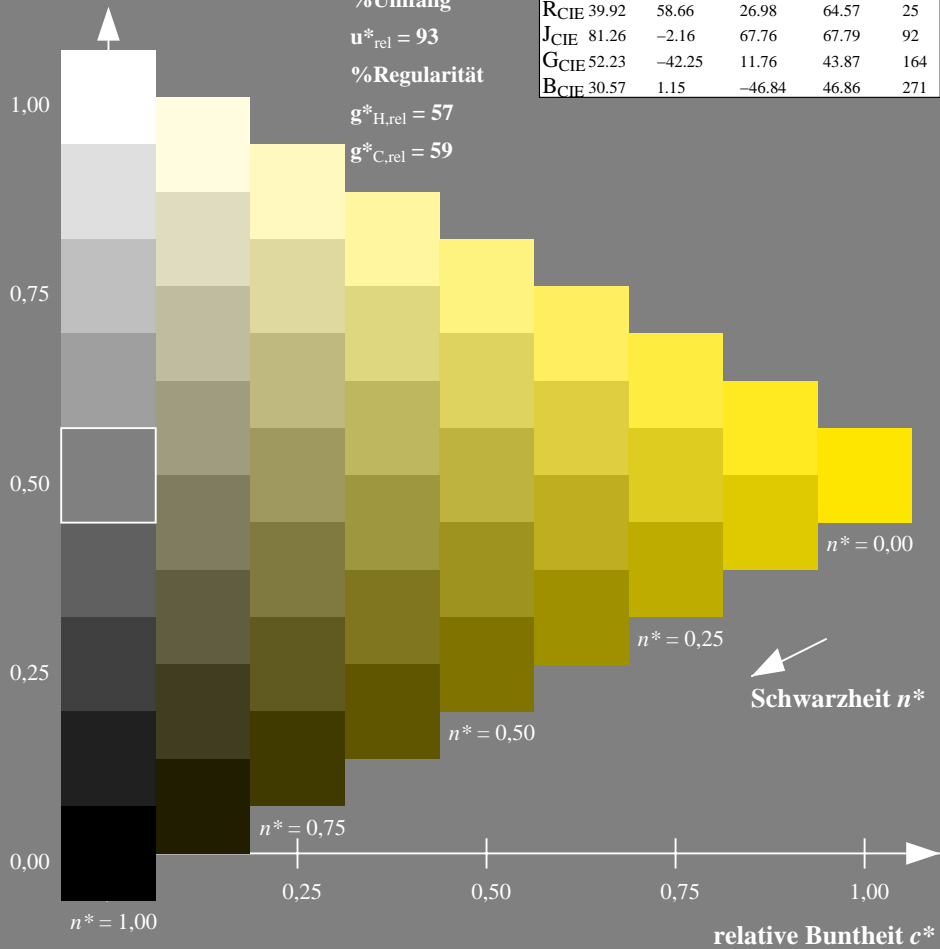
olv*Ma: 1.0 0.9 0.0



ORS18; adaptierte CIELAB-Daten

	$L^*=L^*_a$	a^*_a	b^*_a	$C^*_{ab,a}$	$h^*_{ab,a}$
O _{Ma}	47.94	65.39	50.52	82.63	38
Y _{Ma}	90.37	-10.26	91.75	92.32	96
L _{Ma}	50.9	-62.83	34.96	71.91	151
C _{Ma}	58.62	-30.34	-45.01	54.3	236
V _{Ma}	25.72	31.1	-44.4	54.22	305
M _{Ma}	48.13	75.28	-8.36	75.74	354
N _{Ma}	18.01	0.0	0.0	0.0	0
W _{Ma}	95.41	0.0	0.0	0.0	0
R _{CIE}	39.92	58.66	26.98	64.57	25
J _{CIE}	81.26	-2.16	67.76	67.79	92
G _{CIE}	52.23	-42.25	11.76	43.87	164
B _{CIE}	30.57	1.15	-46.84	46.86	271

Dreiecks-Helligkeit t^*



Ausgabe: Farbmetrisches Natürliches-Licht-System NLS00

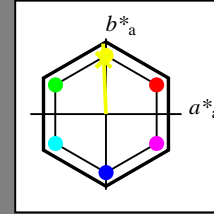
für Buntton $h^* = lab^*h = 92/360 = 0.256$

lab^*tch und lab^*nch

D65: Buntton J

LCH*Ma: 62 93 92

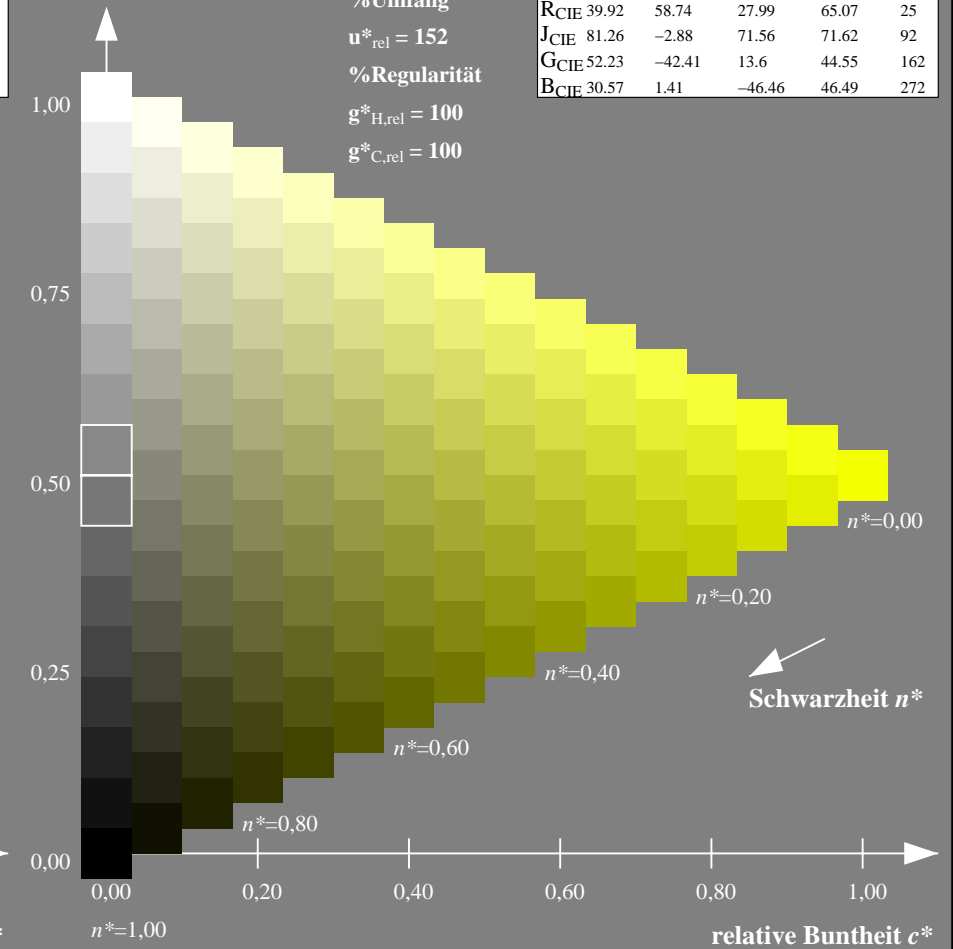
olv*Ma: 0.95 1.0 0.0



NLS00; adaptierte CIELAB-Daten

	$L^*=L^*_a$	a^*_a	b^*_a	$C^*_{ab,a}$	$h^*_{ab,a}$
O _{Ma}	31.81	82.62	47.7	95.4	30
Y _{Ma}	63.61	0.0	95.4	95.4	90
L _{Ma}	31.81	-82.61	47.7	95.4	150
C _{Ma}	63.61	-82.61	-47.69	95.4	210
V _{Ma}	31.81	0.0	-95.39	95.4	270
M _{Ma}	63.61	82.62	-47.69	95.4	330
N _{Ma}	0.01	0.0	0.0	0.0	0
W _{Ma}	95.41	0.0	0.0	0.0	0
R _{CIE}	39.92	58.74	27.99	65.07	25
J _{CIE}	81.26	-2.88	71.56	71.62	92
G _{CIE}	52.23	-42.41	13.6	44.55	162
B _{CIE}	30.57	1.41	-46.46	46.49	272

Dreiecks-Helligkeit t^*



NG900-7, 9stufige Reihen für konstanten CIELAB Buntton $92/360 = 0.255$ (links)

16stufige Reihen für konstanten CIELAB Buntton $92/360 = 0.256$ (rechts)

Eingabe: Farbmetrisches Offset-Reflektiv-System ORS18

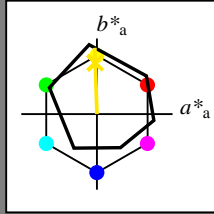
für Buntton $h^* = lab^*h = 92/360 = 0.255$

lab^*tch und lab^*nch

D65: Buntton J

LCH*Ma: 86 88 92

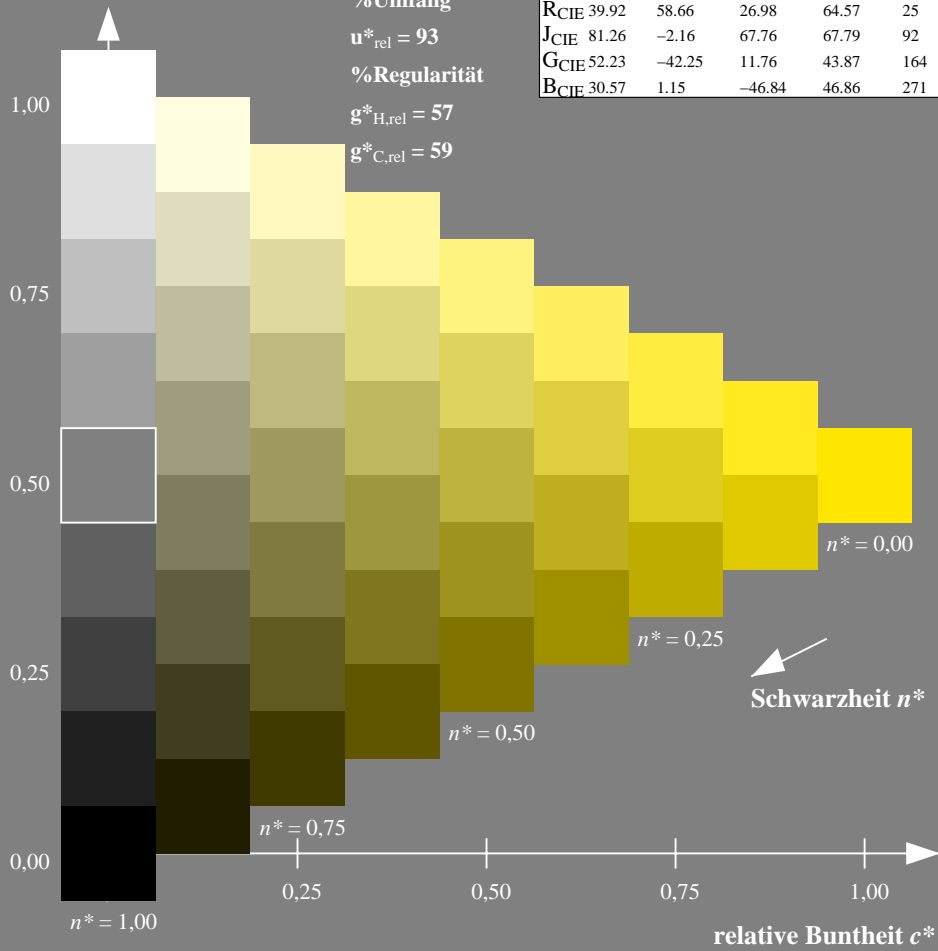
olv*Ma: 1.0 0.9 0.0



ORS18; adaptierte CIELAB-Daten

	$L^*=L^*_a$	a^*_a	b^*_a	$C^*_{ab,a}$	$h^*_{ab,a}$
OMa	47.94	65.39	50.52	82.63	38
YMa	90.37	-10.26	91.75	92.32	96
LMa	50.9	-62.83	34.96	71.91	151
CMa	58.62	-30.34	-45.01	54.3	236
VMa	25.72	31.1	-44.4	54.22	305
MMa	48.13	75.28	-8.36	75.74	354
NMa	18.01	0.0	0.0	0.0	0
WMa	95.41	0.0	0.0	0.0	0
RCIE	39.92	58.66	26.98	64.57	25
JCIE	81.26	-2.16	67.76	67.79	92
GCIE	52.23	-42.25	11.76	43.87	164
BCIE	30.57	1.15	-46.84	46.86	271

Dreiecks-Helligkeit t^*



%Umfang

$u^*_{rel} = 93$

%Regularität

$g^*_{H,rel} = 57$

$g^*_{C,rel} = 59$

Ausgabe: Farbmetrisches Natürliches-Reflektiv-System NRS18

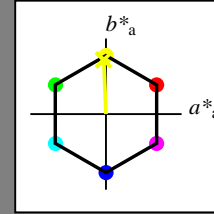
für Buntton $h^* = lab^*h = 92/360 = 0.256$

lab^*tch und lab^*nch

D65: Buntton J

LCH*Ma: 68 76 92

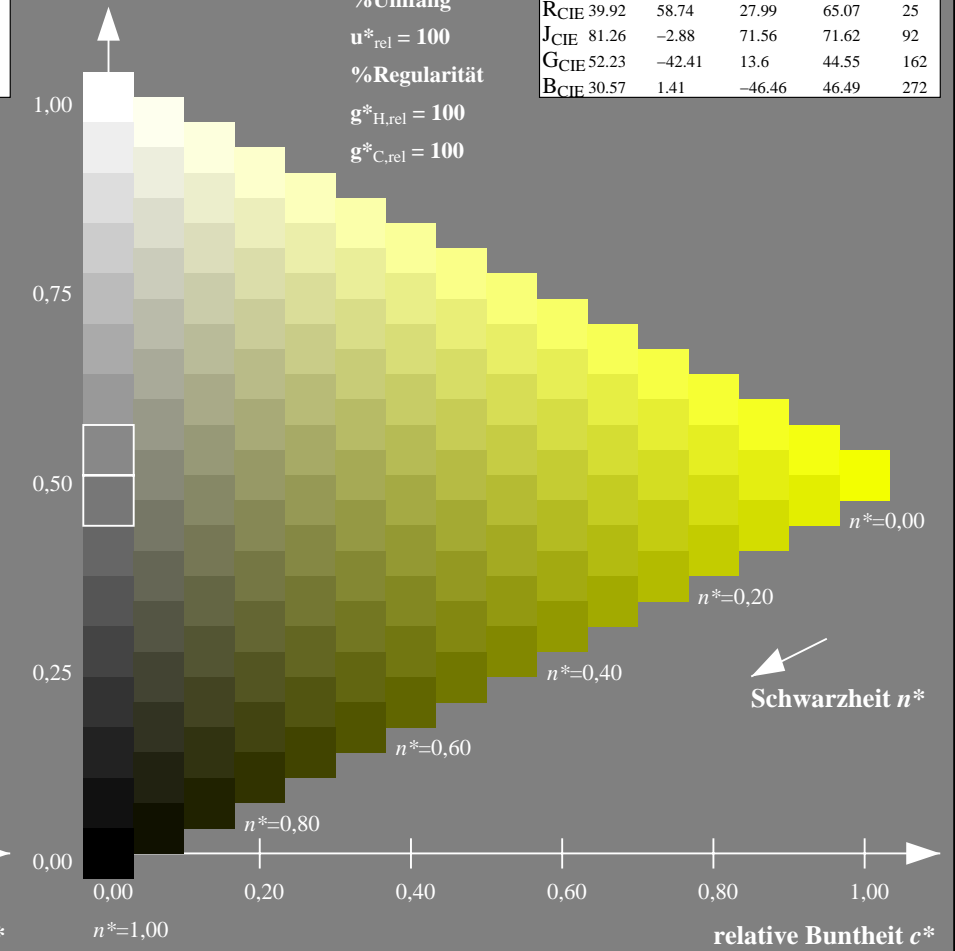
olv*Ma: 0.95 1.0 0.0



NRS18; adaptierte CIELAB-Daten

	$L^*=L^*_a$	a^*_a	b^*_a	$C^*_{ab,a}$	$h^*_{ab,a}$
OMa	43.81	67.03	38.7	77.4	30
YMa	69.61	0.0	77.4	77.4	90
LMa	43.81	-67.02	38.7	77.4	150
CMa	69.61	-67.02	-38.69	77.4	210
VMa	43.81	0.0	-77.39	77.4	270
MMa	69.61	67.03	-38.69	77.4	330
NMa	18.01	0.0	0.0	0.0	0
WMa	95.41	0.0	0.0	0.0	0
RCIE	39.92	58.74	27.99	65.07	25
JCIE	81.26	-2.88	71.56	71.62	92
GCIE	52.23	-42.41	13.6	44.55	162
BCIE	30.57	1.41	-46.46	46.49	272

Dreiecks-Helligkeit t^*



%Umfang

$u^*_{rel} = 100$

%Regularität

$g^*_{H,rel} = 100$

$g^*_{C,rel} = 100$

NG900-7, 9stufige Reihen für konstanten CIELAB Buntton $92/360 = 0.255$ (links)

16stufige Reihen für konstanten CIELAB Buntton $92/360 = 0.256$ (rechts)

Eingabe: Farbmetrisches Offset-Reflektiv-System ORS18

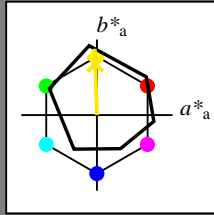
für Buntton $h^* = lab^*h = 92/360 = 0.255$

lab^*tch und lab^*nch

D65: Buntton J

LCH*Ma: 86 88 92

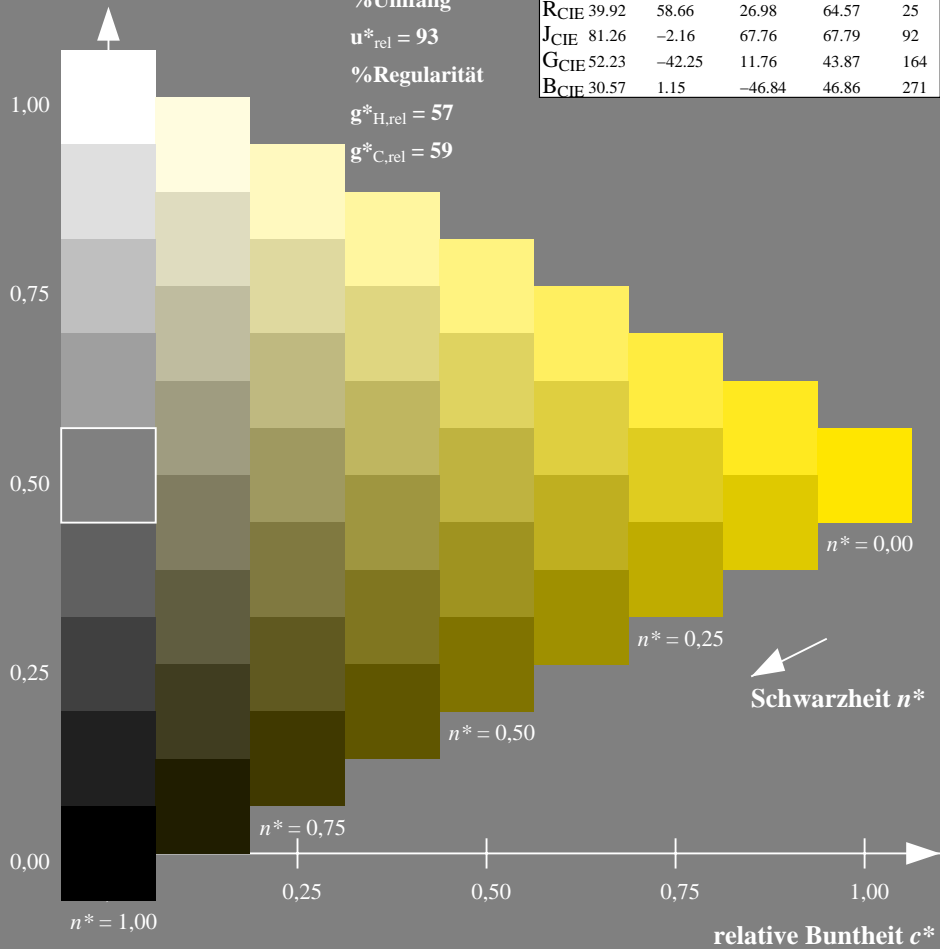
olv*Ma: 1.0 0.9 0.0



ORS18; adaptierte CIELAB-Daten

	$L^*=L^*_a$	a^*_a	b^*_a	$C^*_{ab,a}$	$h^*_{ab,a}$
OMa	47.94	65.39	50.52	82.63	38
YMa	90.37	-10.26	91.75	92.32	96
LMa	50.9	-62.83	34.96	71.91	151
CMa	58.62	-30.34	-45.01	54.3	236
VMa	25.72	31.1	-44.4	54.22	305
MMa	48.13	75.28	-8.36	75.74	354
NMa	18.01	0.0	0.0	0.0	0
WMa	95.41	0.0	0.0	0.0	0
RCIE	39.92	58.66	26.98	64.57	25
JCIE	81.26	-2.16	67.76	67.79	92
GCIE	52.23	-42.25	11.76	43.87	164
BCIE	30.57	1.15	-46.84	46.86	271

Dreiecks-Helligkeit t^*



%Umfang

$u^*_{rel} = 93$

%Regularität

$g^*_{H,rel} = 57$

$g^*_{C,rel} = 59$

Ausgabe: Farbmetrisches Standard-Reflektiv-System SRS18

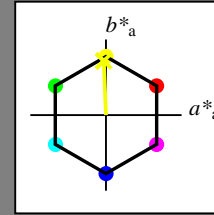
für Buntton $h^* = lab^*h = 92/360 = 0.256$

lab^*tch und lab^*nch

D65: Buntton J

LCH*Ma: 57 76 92

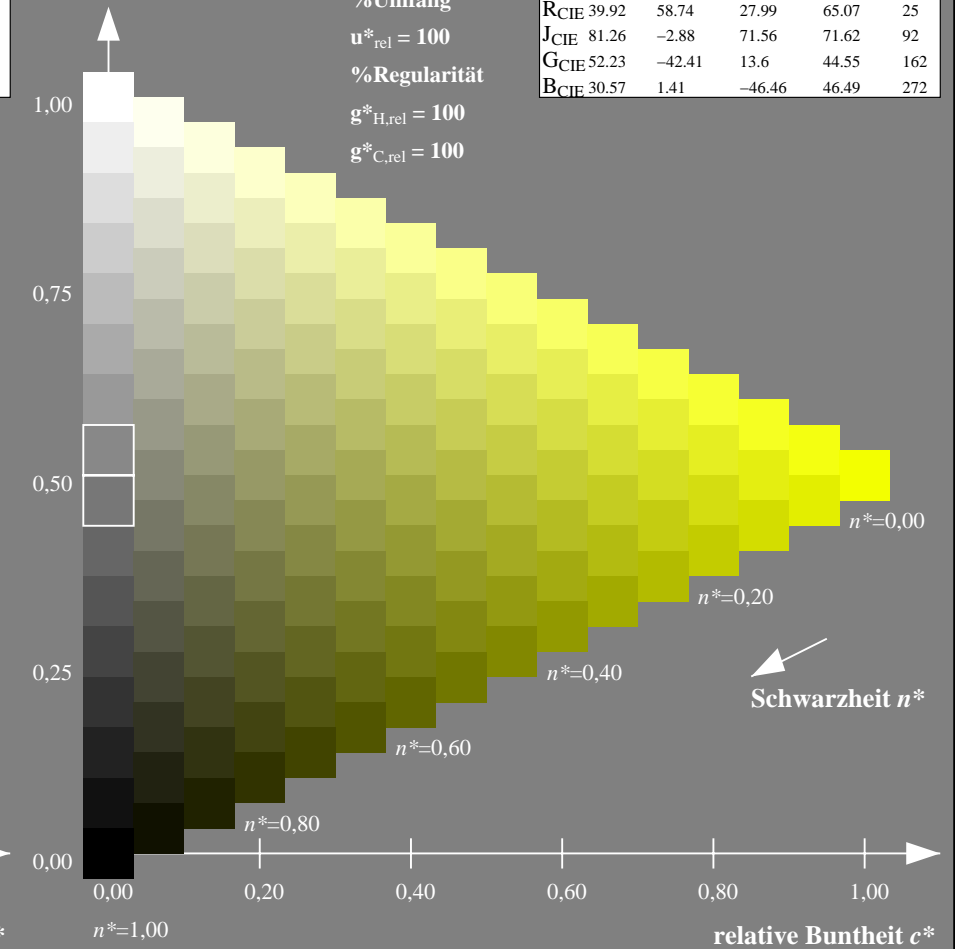
olv*Ma: 0.95 1.0 0.0



SRS18; adaptierte CIELAB-Daten

	$L^*=L^*_a$	a^*_a	b^*_a	$C^*_{ab,a}$	$h^*_{ab,a}$
OMa	56.71	67.03	38.7	77.4	30
YMa	56.71	0.0	77.4	77.4	90
LMa	56.71	-67.02	38.7	77.4	150
CMa	56.71	-67.02	-38.69	77.4	210
VMa	56.71	0.0	-77.39	77.4	270
MMa	56.71	67.03	-38.69	77.4	330
NMa	18.01	0.0	0.0	0.0	0
WMa	95.41	0.0	0.0	0.0	0
RCIE	39.92	58.74	27.99	65.07	25
JCIE	81.26	-2.88	71.56	71.62	92
GCIE	52.23	-42.41	13.6	44.55	162
BCIE	30.57	1.41	-46.46	46.49	272

Dreiecks-Helligkeit t^*



%Umfang

$u^*_{rel} = 100$

%Regularität

$g^*_{H,rel} = 100$

$g^*_{C,rel} = 100$

NG900-7, 9stufige Reihen für konstanten CIELAB Buntton $92/360 = 0.255$ (links)

16stufige Reihen für konstanten CIELAB Buntton $92/360 = 0.256$ (rechts)

Eingabe: Farbmetrisches Offset-Reflektiv-System ORS18

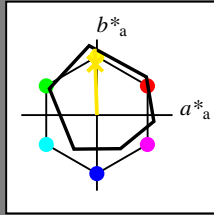
für Buntton $h^* = lab^*h = 92/360 = 0.255$

lab^*tch und lab^*nch

D65: Buntton J

LCH*Ma: 86 88 92

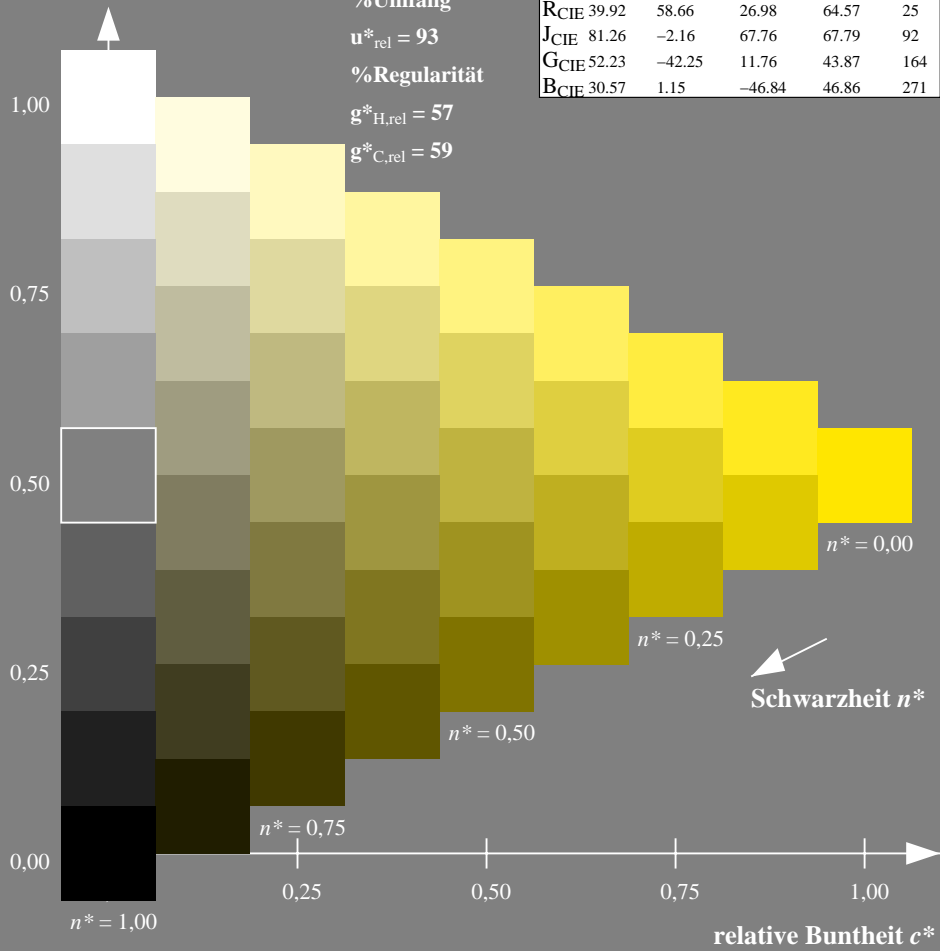
olv*Ma: 1.0 0.9 0.0



ORS18; adaptierte CIELAB-Daten

	$L^*=L^*_a$	a^*_a	b^*_a	$C^*_{ab,a}$	$h^*_{ab,a}$
OMa	47.94	65.39	50.52	82.63	38
YMa	90.37	-10.26	91.75	92.32	96
LMa	50.9	-62.83	34.96	71.91	151
CMa	58.62	-30.34	-45.01	54.3	236
VMa	25.72	31.1	-44.4	54.22	305
MMa	48.13	75.28	-8.36	75.74	354
NMa	18.01	0.0	0.0	0.0	0
WMa	95.41	0.0	0.0	0.0	0
RCIE	39.92	58.66	26.98	64.57	25
JCIE	81.26	-2.16	67.76	67.79	92
GCIE	52.23	-42.25	11.76	43.87	164
BCIE	30.57	1.15	-46.84	46.86	271

Dreiecks-Helligkeit t^*



NG900-7, 9stufige Reihen für konstanten CIELAB Buntton $92/360 = 0.255$ (links)

Ausgabe: Farbmetrisches Fernseh-Licht-System TLS70

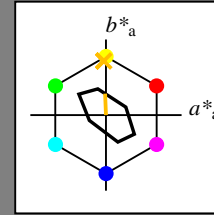
für Buntton $h^* = lab^*h = 92/360 = 0.256$

lab^*tch und lab^*nch

D65: Buntton J

LCH*Ma: 89 28 92

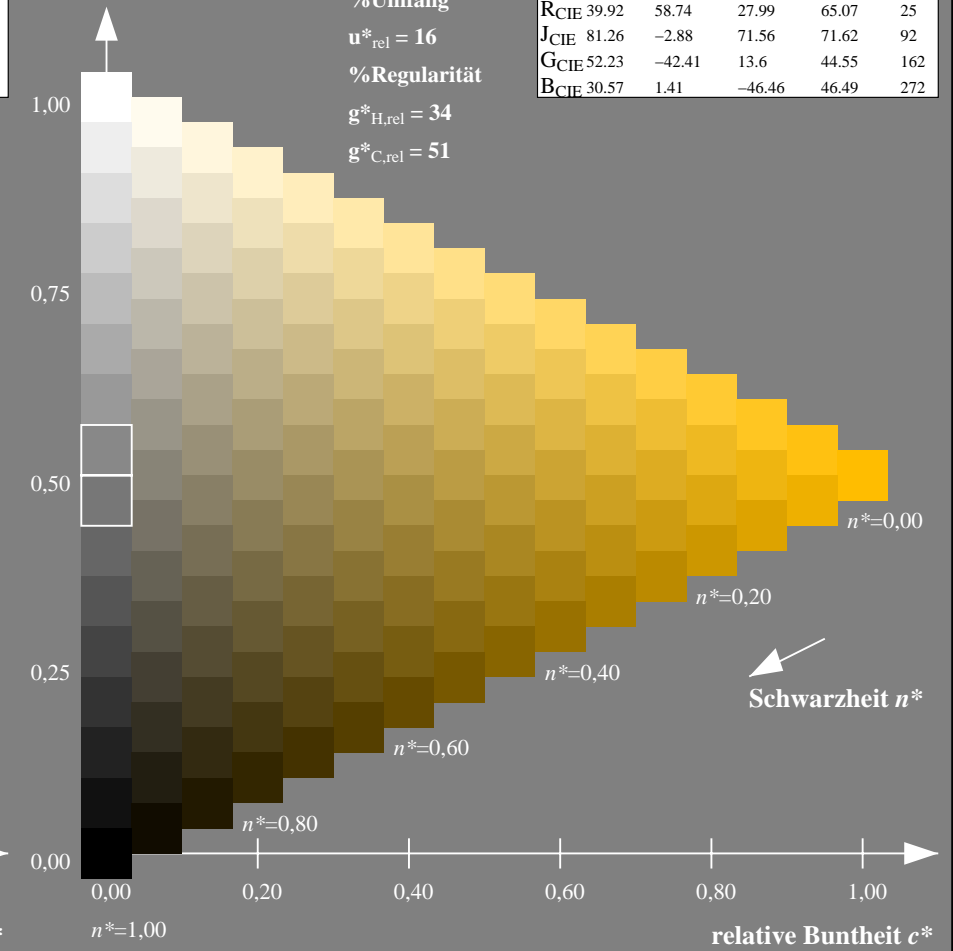
olv*Ma: 1.0 0.74 0.0



TLS70; adaptierte CIELAB-Daten

	$L^*=L^*_a$	a^*_a	b^*_a	$C^*_{ab,a}$	$h^*_{ab,a}$
OMa	76.43	26.27	10.57	28.32	22
YMa	93.93	-10.76	34.63	36.27	107
LMa	89.32	-35.8	27.64	45.24	142
CMa	90.93	-21.95	-7.07	23.07	198
VMa	72.1	15.76	-35.63	38.97	294
MMa	78.5	37.52	-25.23	45.22	326
NMa	69.7	0.0	0.0	0.0	0
WMa	95.41	0.0	0.0	0.0	0
RCIE	39.92	58.74	27.99	65.07	25
JCIE	81.26	-2.88	71.56	71.62	92
GCIE	52.23	-42.41	13.6	44.55	162
BCIE	30.57	1.41	-46.46	46.49	272

Dreiecks-Helligkeit t^*



16stufige Reihen für konstanten CIELAB Buntton $92/360 = 0.256$ (rechts)

Eingabe: Farbmetrisches Fernseh-Licht-System TLS00

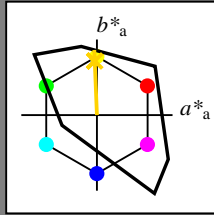
für Buntton $h^* = lab^*h = 92/360 = 0.256$

lab^*tch und lab^*nch

D65: Buntton J

LCH*Ma: 85 86 92

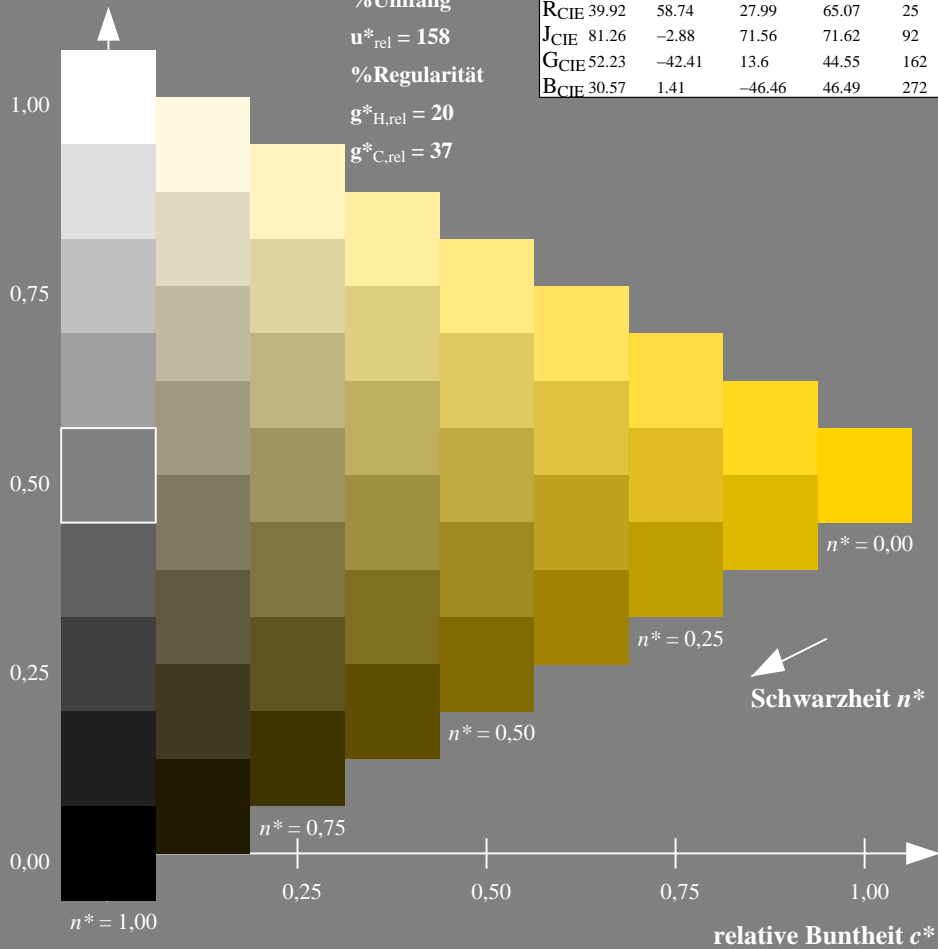
olv*Ma: 1.0 0.82 0.0



TLS00; adaptierte CIELAB-Daten

	$L^*=L^*_a$	a^*_a	b^*_a	$C^*_{ab,a}$	$h^*_{ab,a}$
OMa	50.5	76.92	64.55	100.42	40
YMa	92.66	-20.69	90.75	93.08	103
LMa	83.63	-82.75	79.9	115.04	136
CMa	86.88	-46.16	-13.55	48.12	196
VMa	30.39	76.06	-103.59	128.52	306
MMa	57.3	94.35	-58.41	110.97	328
NMa	0.01	0.0	0.0	0.0	0
WMa	95.41	0.0	0.0	0.0	0
RCIE	39.92	58.74	27.99	65.07	25
JCIE	81.26	-2.88	71.56	71.62	92
GCIE	52.23	-42.41	13.6	44.55	162
BCIE	30.57	1.41	-46.46	46.49	272

Dreiecks-Helligkeit t^*



Ausgabe: Farbmetrisches Offset-Reflektiv-System ORS18

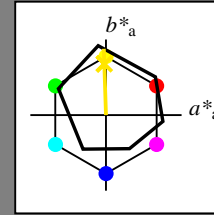
für Buntton $h^* = lab^*h = 92/360 = 0.255$

lab^*tch und lab^*nch

D65: Buntton J

LCH*Ma: 86 88 92

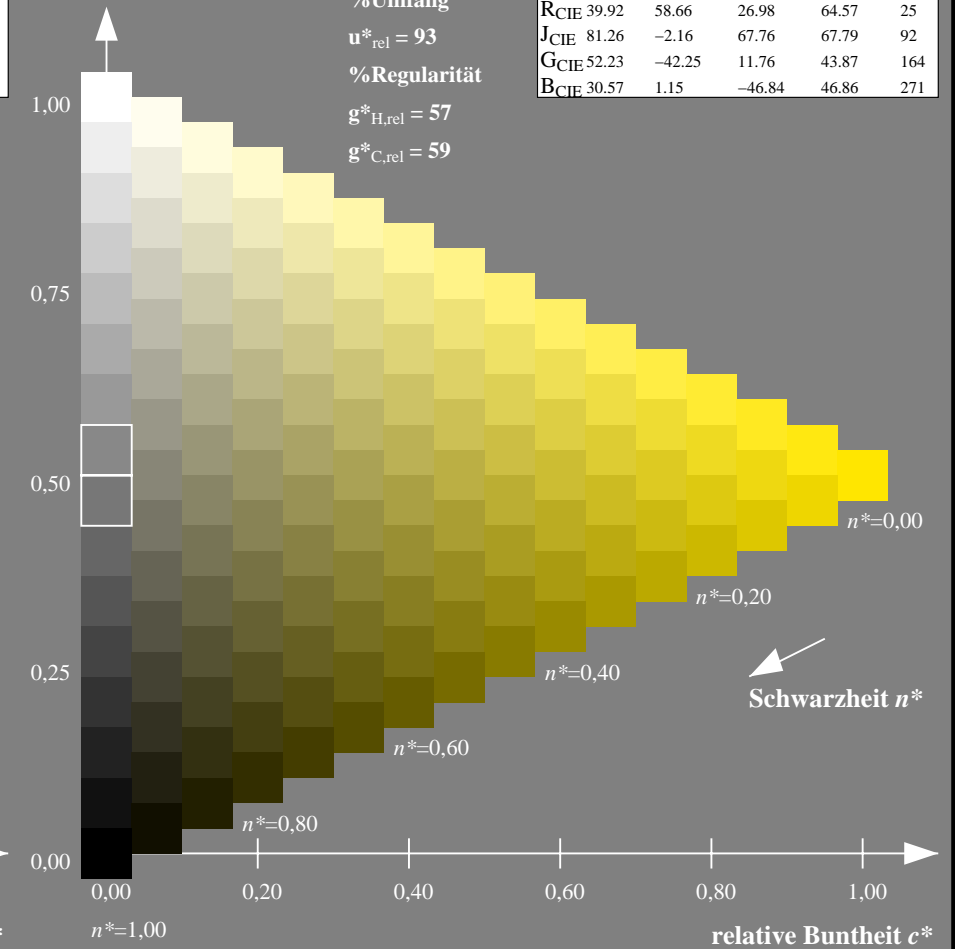
olv*Ma: 1.0 0.9 0.0



ORS18; adaptierte CIELAB-Daten

	$L^*=L^*_a$	a^*_a	b^*_a	$C^*_{ab,a}$	$h^*_{ab,a}$
OMa	47.94	65.39	50.52	82.63	38
YMa	90.37	-10.26	91.75	92.32	96
LMa	50.9	-62.83	34.96	71.91	151
CMa	58.62	-30.34	-45.01	54.3	236
VMa	25.72	31.1	-44.4	54.22	305
MMa	48.13	75.28	-8.36	75.74	354
NMa	18.01	0.0	0.0	0.0	0
WMa	95.41	0.0	0.0	0.0	0
RCIE	39.92	58.66	26.98	64.57	25
JCIE	81.26	-2.16	67.76	67.79	92
GCIE	52.23	-42.25	11.76	43.87	164
BCIE	30.57	1.15	-46.84	46.86	271

Dreiecks-Helligkeit t^*



NG900-7, 9stufige Reihen für konstanten CIELAB Buntton $92/360 = 0.256$ (links)

16stufige Reihen für konstanten CIELAB Buntton $92/360 = 0.255$ (rechts)

Eingabe: Farbmetrisches Fernseh-Licht-System TLS00

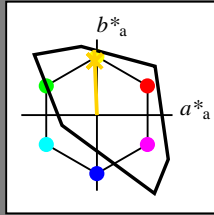
für Buntton $h^* = lab^*h = 92/360 = 0.256$

lab^*tch und lab^*nch

D65: Buntton J

LCH*Ma: 85 86 92

olv*Ma: 1.0 0.82 0.0



TLS00; adaptierte CIELAB-Daten

	$L^*=L^*_a$	a^*_a	b^*_a	$C^*_{ab,a}$	$h^*_{ab,a}$
OMa	50.5	76.92	64.55	100.42	40
YMa	92.66	-20.69	90.75	93.08	103
LMa	83.63	-82.75	79.9	115.04	136
CMa	86.88	-46.16	-13.55	48.12	196
VMa	30.39	76.06	-103.59	128.52	306
MMa	57.3	94.35	-58.41	110.97	328
NMa	0.01	0.0	0.0	0.0	0
WMa	95.41	0.0	0.0	0.0	0
RCIE	39.92	58.74	27.99	65.07	25
JCIE	81.26	-2.88	71.56	71.62	92
GCIE	52.23	-42.41	13.6	44.55	162
BCIE	30.57	1.41	-46.46	46.49	272

Dreiecks-Helligkeit t^*

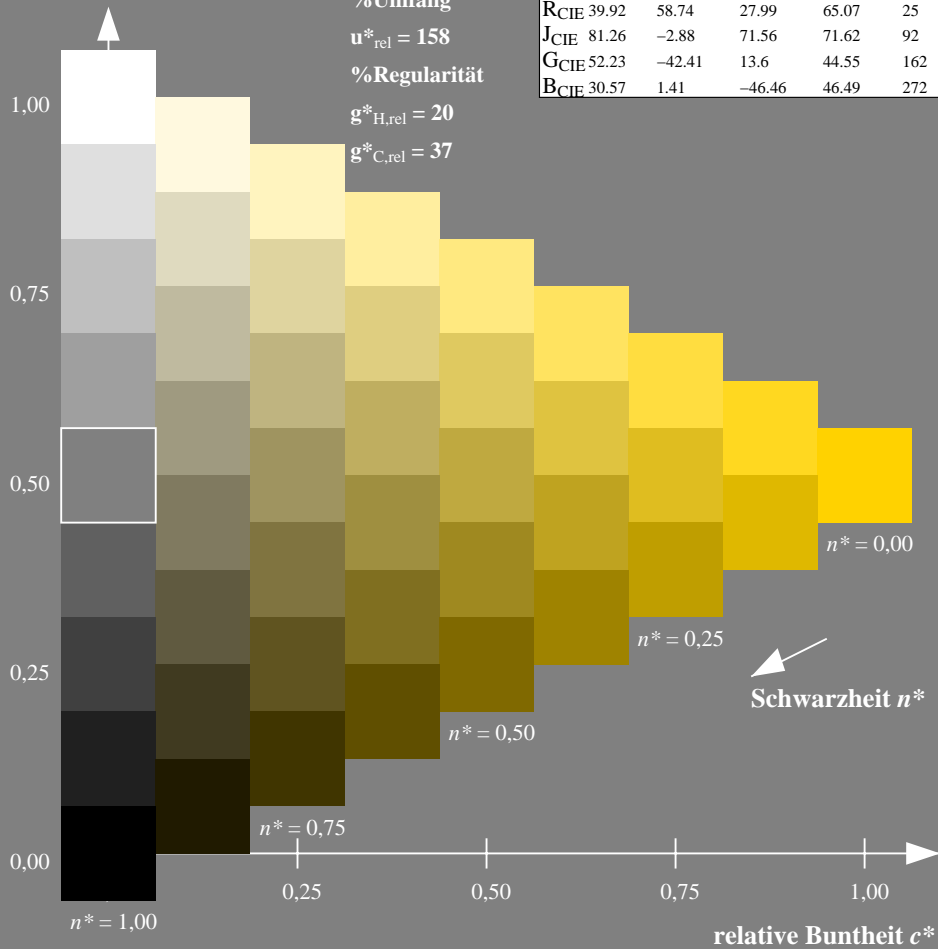
%Umfang

$u^*_{rel} = 158$

%Regularität

$g^*_{H,rel} = 20$

$g^*_{C,rel} = 37$



Ausgabe: Farbmetrisches Fernseh-Licht-System TLS00

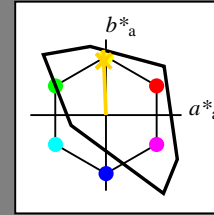
für Buntton $h^* = lab^*h = 92/360 = 0.256$

lab^*tch und lab^*nch

D65: Buntton J

LCH*Ma: 85 86 92

olv*Ma: 1.0 0.82 0.0



TLS00; adaptierte CIELAB-Daten

	$L^*=L^*_a$	a^*_a	b^*_a	$C^*_{ab,a}$	$h^*_{ab,a}$
OMa	50.5	76.92	64.55	100.42	40
YMa	92.66	-20.69	90.75	93.08	103
LMa	83.63	-82.75	79.9	115.04	136
CMa	86.88	-46.16	-13.55	48.12	196
VMa	30.39	76.06	-103.59	128.52	306
MMa	57.3	94.35	-58.41	110.97	328
NMa	0.01	0.0	0.0	0.0	0
WMa	95.41	0.0	0.0	0.0	0
RCIE	39.92	58.74	27.99	65.07	25
JCIE	81.26	-2.88	71.56	71.62	92
GCIE	52.23	-42.41	13.6	44.55	162
BCIE	30.57	1.41	-46.46	46.49	272

Dreiecks-Helligkeit t^*

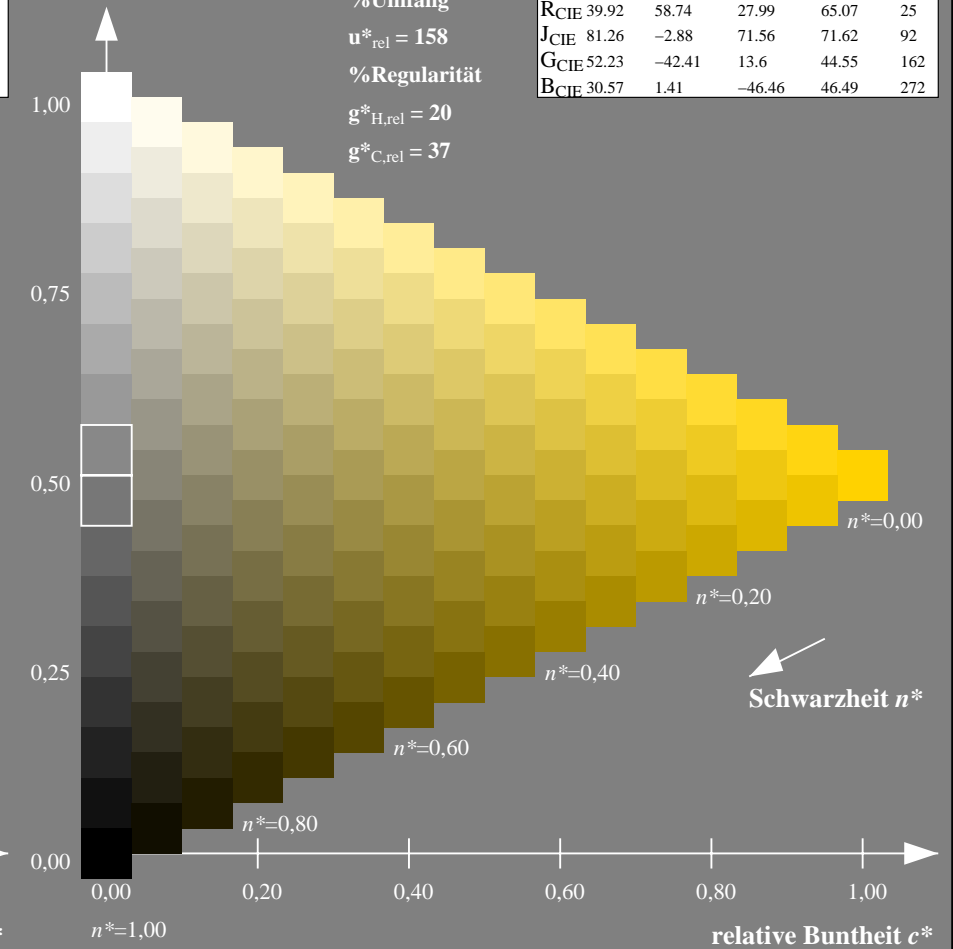
%Umfang

$u^*_{rel} = 158$

%Regularität

$g^*_{H,rel} = 20$

$g^*_{C,rel} = 37$



NG900-7, 9stufige Reihen für konstanten CIELAB Buntton $92/360 = 0.256$ (links)

16stufige Reihen für konstanten CIELAB Buntton $92/360 = 0.256$ (rechts)

Eingabe: Farbmetrisches Fernseh-Licht-System TLS00

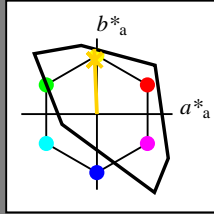
für Buntton $h^* = lab^*h = 92/360 = 0.256$

lab^*tch und lab^*nch

D65: Buntton J

LCH*Ma: 85 86 92

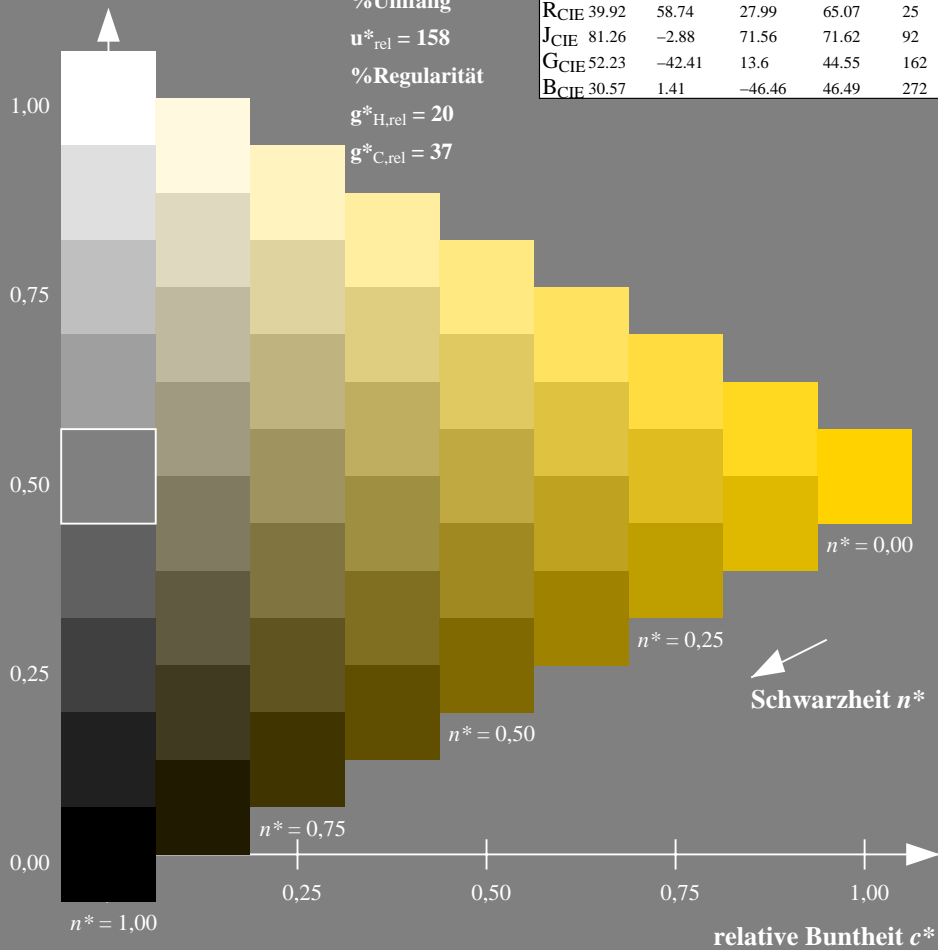
olv*Ma: 1.0 0.82 0.0



TLS00; adaptierte CIELAB-Daten

	$L^*=L^*_a$	a^*_a	b^*_a	$C^*_{ab,a}$	$h^*_{ab,a}$
OMa	50.5	76.92	64.55	100.42	40
YMa	92.66	-20.69	90.75	93.08	103
LMa	83.63	-82.75	79.9	115.04	136
CMa	86.88	-46.16	-13.55	48.12	196
VMa	30.39	76.06	-103.59	128.52	306
MMa	57.3	94.35	-58.41	110.97	328
NMa	0.01	0.0	0.0	0.0	0
WMa	95.41	0.0	0.0	0.0	0
RCIE	39.92	58.74	27.99	65.07	25
JCIE	81.26	-2.88	71.56	71.62	92
GCIE	52.23	-42.41	13.6	44.55	162
BCIE	30.57	1.41	-46.46	46.49	272

Dreiecks-Helligkeit t^*



NG900-7, 9stufige Reihen für konstanten CIELAB Buntton $92/360 = 0.256$ (links)

Ausgabe: Farbmetrisches Drucker-Reflektiv-System DRSXX

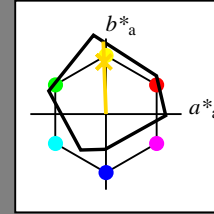
für Buntton $h^* = lab^*h = 92/360 = 0.256$

lab^*tch und lab^*nch

D65: Buntton J

LCH*Ma: 83 96 92

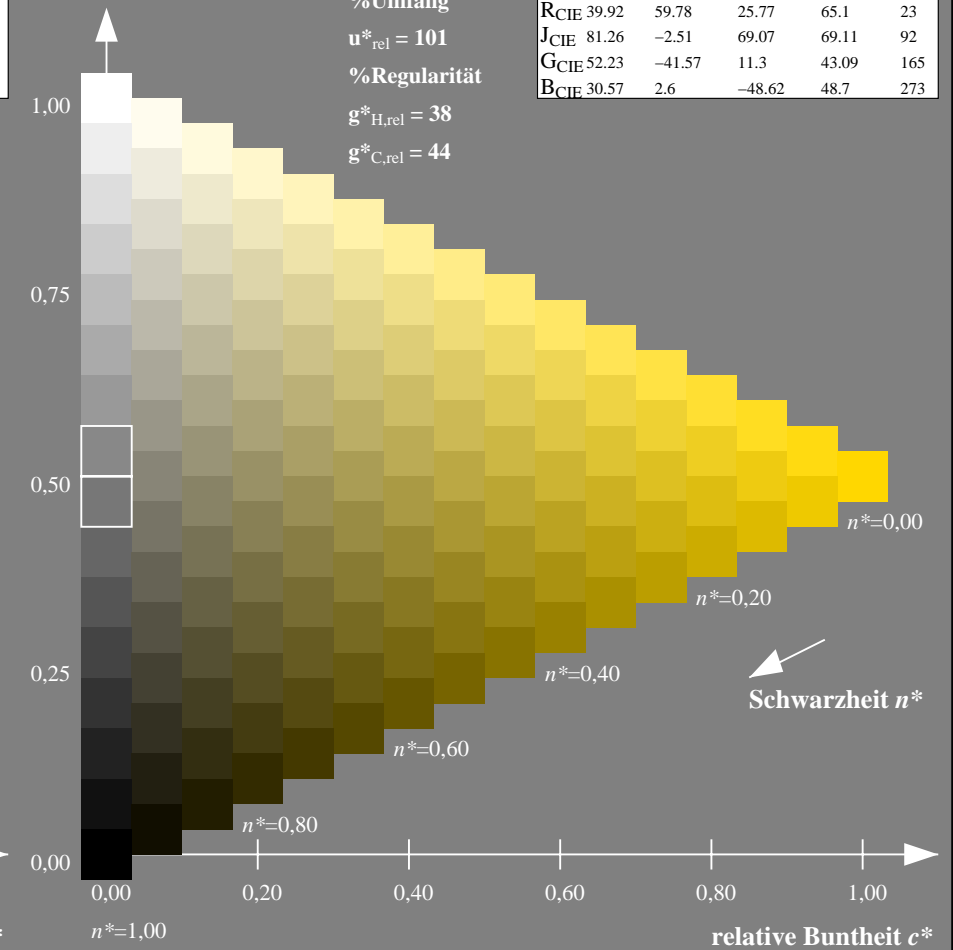
olv*Ma: 1.0 0.84 0.0



DRSXX; adaptierte CIELAB-Daten

	$L^*=L^*_a$	a^*_a	b^*_a	$C^*_{ab,a}$	$h^*_{ab,a}$
OMa	42.21	66.82	50.6	83.82	37
YMa	90.32	-16.51	104.33	105.63	99
LMa	48.21	-75.63	30.65	81.61	158
CMa	53.44	-33.33	-47.49	58.03	235
VMa	34.16	-0.92	-46.56	46.58	269
MMa	42.71	79.0	-1.95	79.03	359
NMa	16.56	0.0	0.0	0.0	0
WMa	96.31	0.0	0.0	0.0	0
RCIE	39.92	59.78	25.77	65.1	23
JCIE	81.26	-2.51	69.07	69.11	92
GCIE	52.23	-41.57	11.3	43.09	165
BCIE	30.57	2.6	-48.62	48.7	273

Dreiecks-Helligkeit t^*



16stufige Reihen für konstanten CIELAB Buntton $92/360 = 0.256$ (rechts)

Eingabe: Farbmetrisches Fernseh-Licht-System TLS00

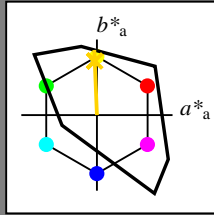
für Buntton $h^* = lab^*h = 92/360 = 0.256$

lab^*tch und lab^*nch

D65: Buntton J

LCH*Ma: 85 86 92

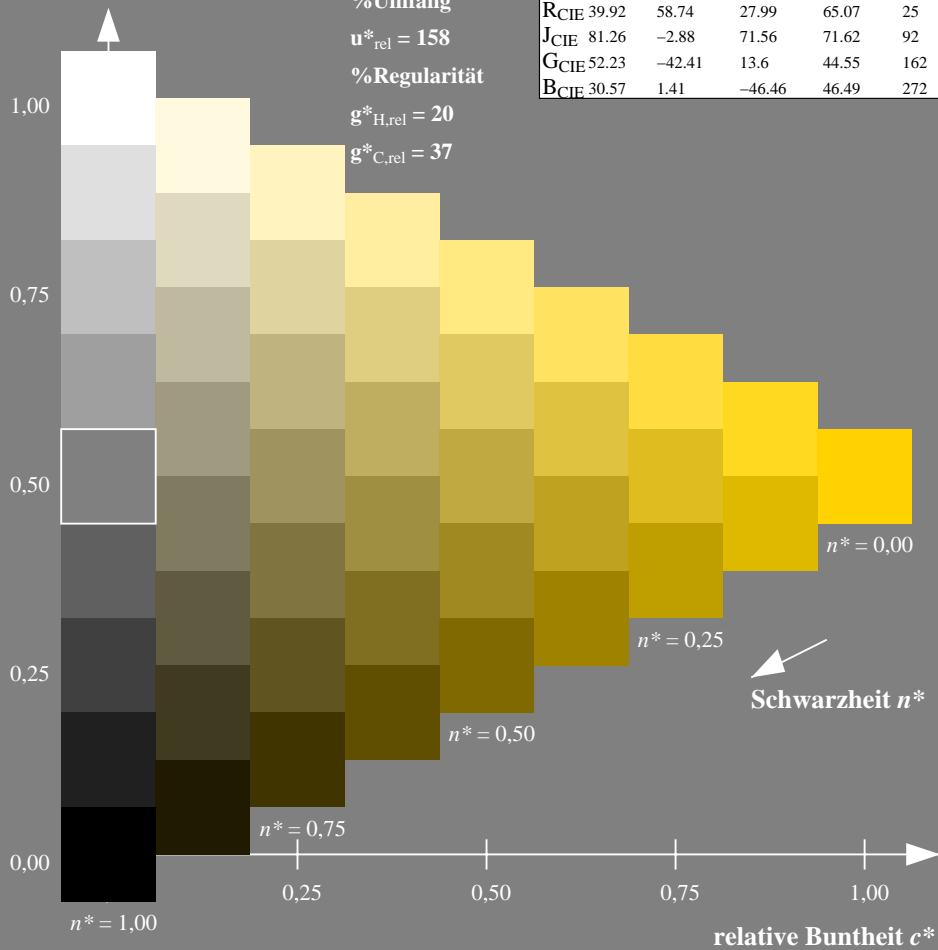
olv*Ma: 1.0 0.82 0.0



TLS00; adaptierte CIELAB-Daten

	$L^*=L^*_a$	a^*_a	b^*_a	$C^*_{ab,a}$	$h^*_{ab,a}$
OMa	50.5	76.92	64.55	100.42	40
YMa	92.66	-20.69	90.75	93.08	103
LMa	83.63	-82.75	79.9	115.04	136
CMa	86.88	-46.16	-13.55	48.12	196
VMa	30.39	76.06	-103.59	128.52	306
MMa	57.3	94.35	-58.41	110.97	328
NMa	0.01	0.0	0.0	0.0	0
WMa	95.41	0.0	0.0	0.0	0
RCIE	39.92	58.74	27.99	65.07	25
JCIE	81.26	-2.88	71.56	71.62	92
GCIE	52.23	-42.41	13.6	44.55	162
BCIE	30.57	1.41	-46.46	46.49	272

Dreiecks-Helligkeit t^*



Ausgabe: Farbmetrisches Fernseh-Licht-System TLS18

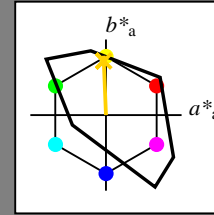
für Buntton $h^* = lab^*h = 92/360 = 0.256$

lab^*tch und lab^*nch

D65: Buntton J

LCH*Ma: 85 79 92

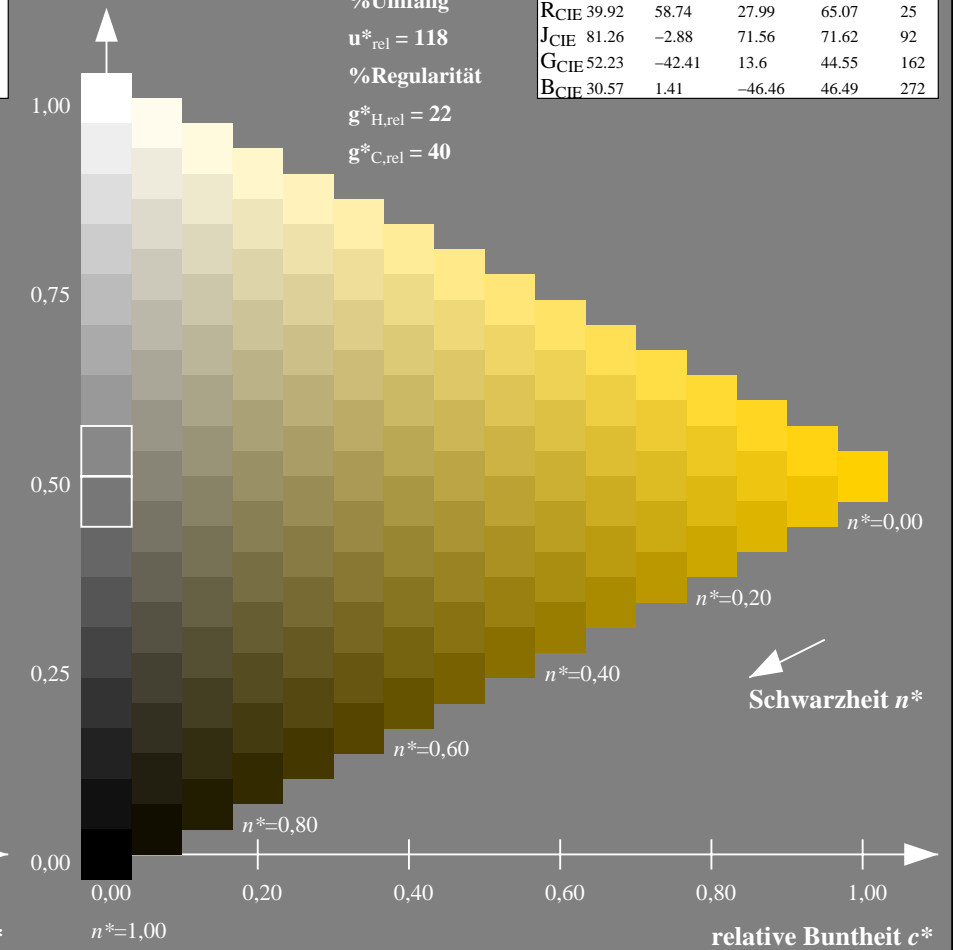
olv*Ma: 1.0 0.82 0.0



TLS18; adaptierte CIELAB-Daten

	$L^*=L^*_a$	a^*_a	b^*_a	$C^*_{ab,a}$	$h^*_{ab,a}$
OMa	52.76	71.63	49.88	87.29	35
YMa	92.74	-20.02	84.97	87.3	103
LMa	84.0	-78.98	73.94	108.2	137
CMa	87.14	-44.41	-13.11	46.32	196
VMa	35.47	64.92	-95.06	115.12	304
MMa	59.01	89.33	-55.67	105.26	328
NMa	18.01	0.0	0.0	0.0	0
WMa	95.41	0.0	0.0	0.0	0
RCIE	39.92	58.74	27.99	65.07	25
JCIE	81.26	-2.88	71.56	71.62	92
GCIE	52.23	-42.41	13.6	44.55	162
BCIE	30.57	1.41	-46.46	46.49	272

Dreiecks-Helligkeit t^*



NG900-7, 9stufige Reihen für konstanten CIELAB Buntton 92/360 = 0.256 (links)

16stufige Reihen für konstanten CIELAB Buntton 92/360 = 0.256 (rechts)

Eingabe: Farbmetrisches Fernseh-Licht-System TLS00

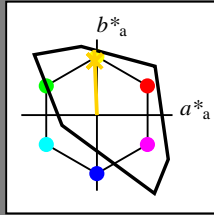
für Buntton $h^* = lab^*h = 92/360 = 0.256$

lab^*tch und lab^*nch

D65: Buntton J

LCH*Ma: 85 86 92

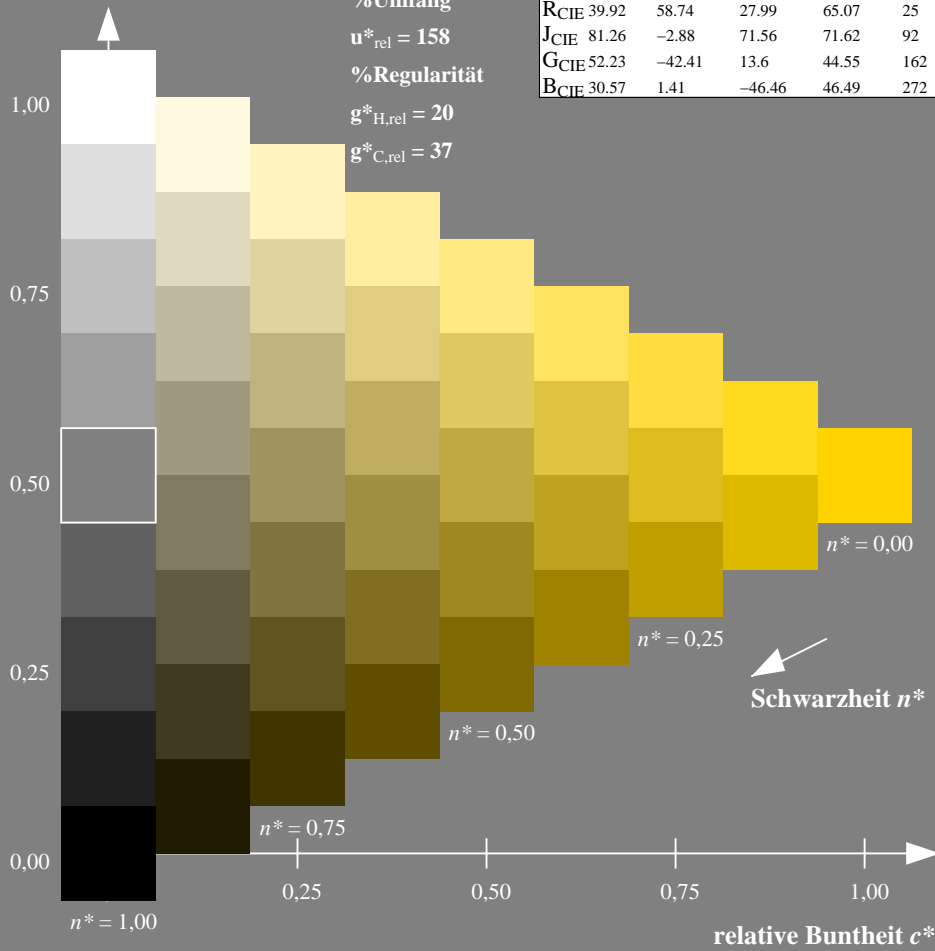
olv*Ma: 1.0 0.82 0.0



TLS00; adaptierte CIELAB-Daten

	$L^*=L^*_a$	a^*_a	b^*_a	$C^*_{ab,a}$	$h^*_{ab,a}$
OMa	50.5	76.92	64.55	100.42	40
YMa	92.66	-20.69	90.75	93.08	103
LMa	83.63	-82.75	79.9	115.04	136
CMa	86.88	-46.16	-13.55	48.12	196
VMa	30.39	76.06	-103.59	128.52	306
MMa	57.3	94.35	-58.41	110.97	328
NMa	0.01	0.0	0.0	0.0	0
WMa	95.41	0.0	0.0	0.0	0
RCIE	39.92	58.74	27.99	65.07	25
JCIE	81.26	-2.88	71.56	71.62	92
GCIE	52.23	-42.41	13.6	44.55	162
BCIE	30.57	1.41	-46.46	46.49	272

Dreiecks-Helligkeit t^*



Ausgabe: Farbmetrisches Natürliches-Licht-System NLS00

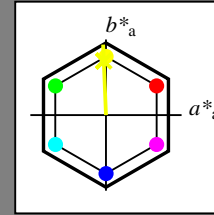
für Buntton $h^* = lab^*h = 92/360 = 0.256$

lab^*tch und lab^*nch

D65: Buntton J

LCH*Ma: 62 93 92

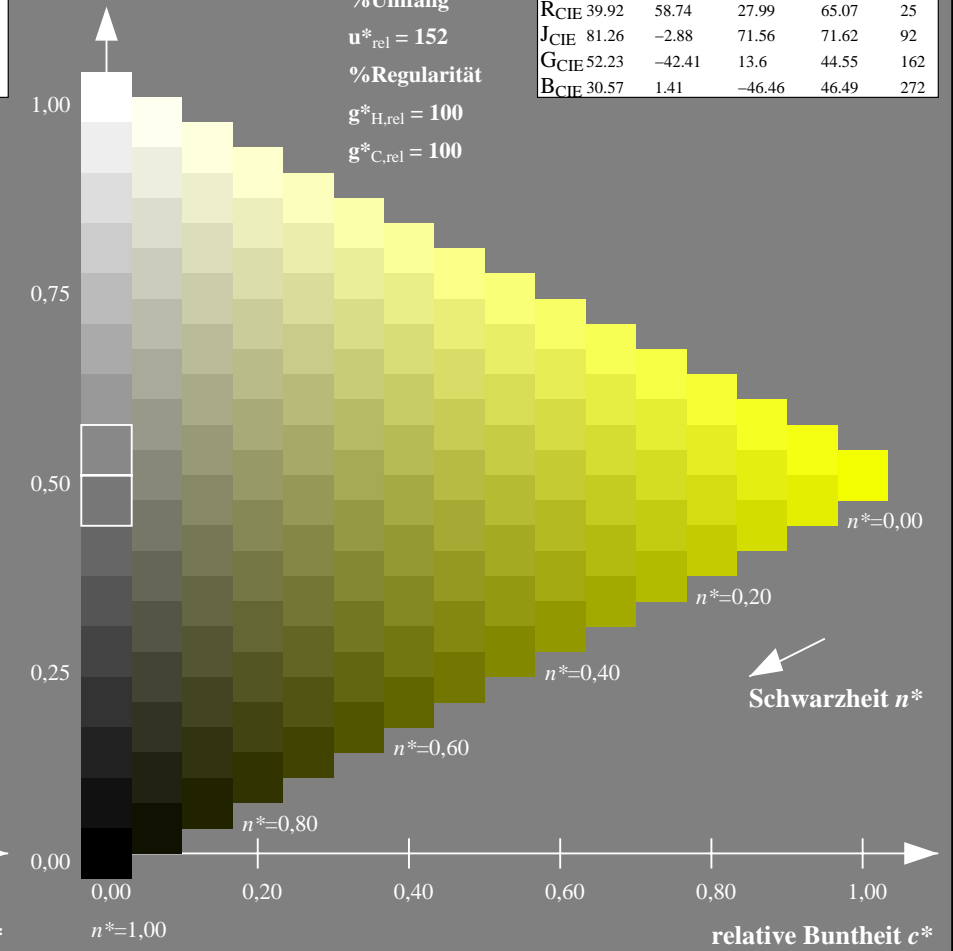
olv*Ma: 0.95 1.0 0.0



NLS00; adaptierte CIELAB-Daten

	$L^*=L^*_a$	a^*_a	b^*_a	$C^*_{ab,a}$	$h^*_{ab,a}$
OMa	31.81	82.62	47.7	95.4	30
YMa	63.61	0.0	95.4	95.4	90
LMa	31.81	-82.61	47.7	95.4	150
CMa	63.61	-82.61	-47.69	95.4	210
VMa	31.81	0.0	-95.39	95.4	270
MMa	63.61	82.62	-47.69	95.4	330
NMa	0.01	0.0	0.0	0.0	0
WMa	95.41	0.0	0.0	0.0	0
RCIE	39.92	58.74	27.99	65.07	25
JCIE	81.26	-2.88	71.56	71.62	92
GCIE	52.23	-42.41	13.6	44.55	162
BCIE	30.57	1.41	-46.46	46.49	272

Dreiecks-Helligkeit t^*



NG900-7, 9stufige Reihen für konstanten CIELAB Buntton $92/360 = 0.256$ (links)

16stufige Reihen für konstanten CIELAB Buntton $92/360 = 0.256$ (rechts)

Eingabe: Farbmetrisches Fernseh-Licht-System TLS00

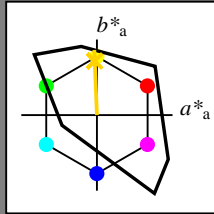
für Buntton $h^* = lab^*h = 92/360 = 0.256$

lab^*tch und lab^*nch

D65: Buntton J

LCH*Ma: 85 86 92

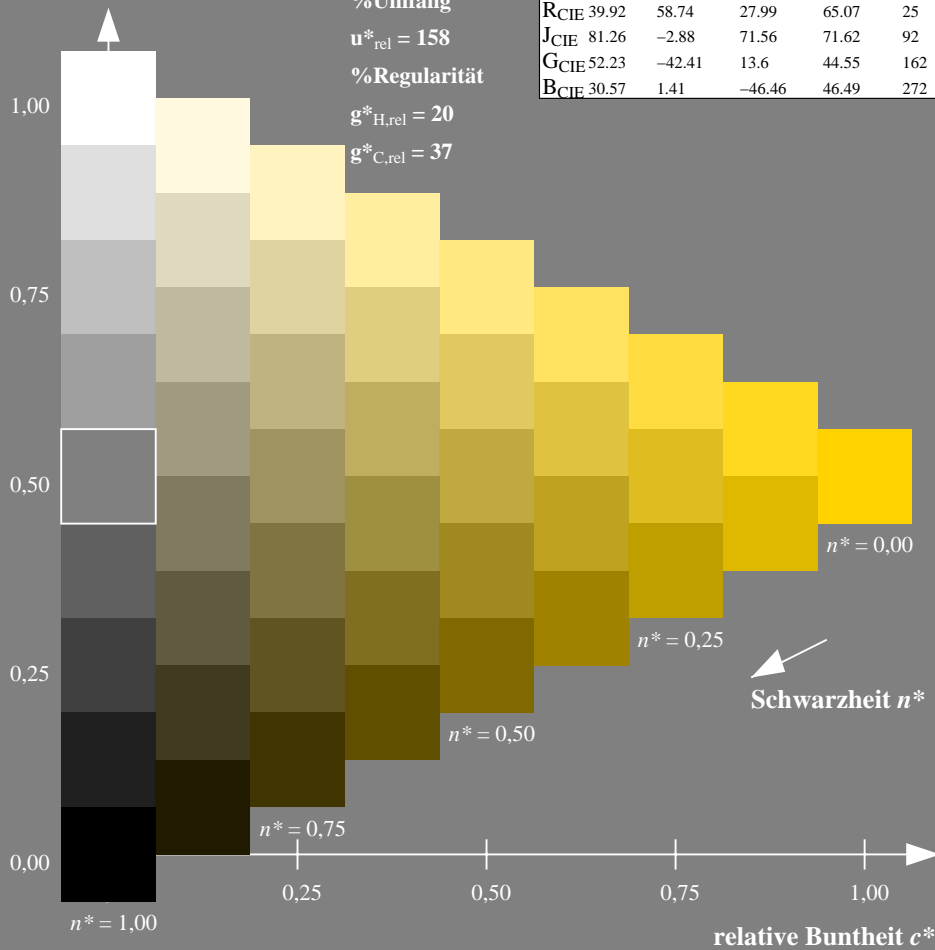
olv*Ma: 1.0 0.82 0.0



TLS00; adaptierte CIELAB-Daten

	$L^*=L^*_a$	a^*_a	b^*_a	$C^*_{ab,a}$	$h^*_{ab,a}$
OMa	50.5	76.92	64.55	100.42	40
YMa	92.66	-20.69	90.75	93.08	103
LMa	83.63	-82.75	79.9	115.04	136
CMa	86.88	-46.16	-13.55	48.12	196
VMa	30.39	76.06	-103.59	128.52	306
MMa	57.3	94.35	-58.41	110.97	328
NMa	0.01	0.0	0.0	0.0	0
WMa	95.41	0.0	0.0	0.0	0
RCIE	39.92	58.74	27.99	65.07	25
JCIE	81.26	-2.88	71.56	71.62	92
GCIE	52.23	-42.41	13.6	44.55	162
BCIE	30.57	1.41	-46.46	46.49	272

Dreiecks-Helligkeit t^*



Ausgabe: Farbmetrisches Natürliches-Reflektiv-System NRS18

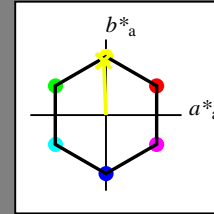
für Buntton $h^* = lab^*h = 92/360 = 0.256$

lab^*tch und lab^*nch

D65: Buntton J

LCH*Ma: 68 76 92

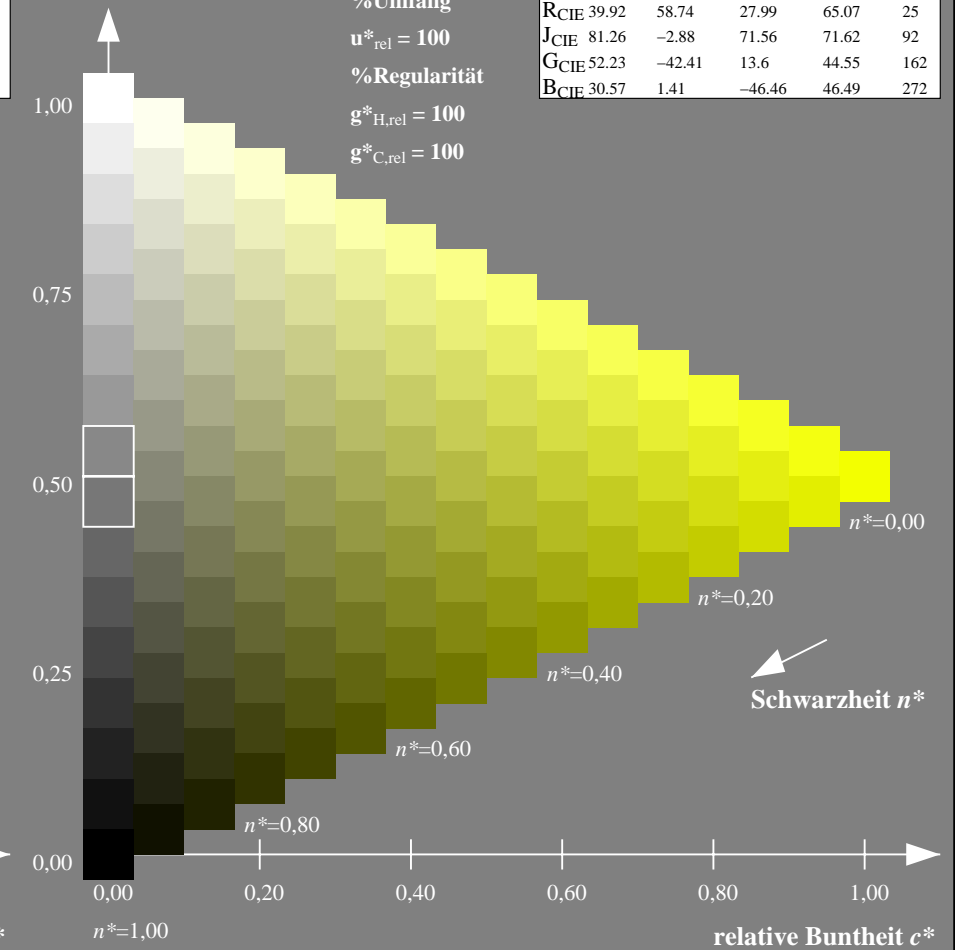
olv*Ma: 0.95 1.0 0.0



NRS18; adaptierte CIELAB-Daten

	$L^*=L^*_a$	a^*_a	b^*_a	$C^*_{ab,a}$	$h^*_{ab,a}$
OMa	43.81	67.03	38.7	77.4	30
YMa	69.61	0.0	77.4	77.4	90
LMa	43.81	-67.02	38.7	77.4	150
CMa	69.61	-67.02	-38.69	77.4	210
VMa	43.81	0.0	-77.39	77.4	270
MMa	69.61	67.03	-38.69	77.4	330
NMa	18.01	0.0	0.0	0.0	0
WMa	95.41	0.0	0.0	0.0	0
RCIE	39.92	58.74	27.99	65.07	25
JCIE	81.26	-2.88	71.56	71.62	92
GCIE	52.23	-42.41	13.6	44.55	162
BCIE	30.57	1.41	-46.46	46.49	272

Dreiecks-Helligkeit t^*



NG900-7, 9stufige Reihen für konstanten CIELAB Buntton $92/360 = 0.256$ (links)

16stufige Reihen für konstanten CIELAB Buntton $92/360 = 0.256$ (rechts)

Eingabe: Farbmetrisches Fernseh-Licht-System TLS00

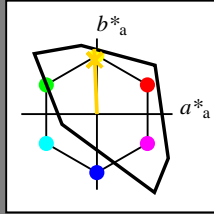
für Buntton $h^* = lab^*h = 92/360 = 0.256$

lab^*tch und lab^*nch

D65: Buntton J

LCH*Ma: 85 86 92

olv*Ma: 1.0 0.82 0.0



TLS00; adaptierte CIELAB-Daten

	$L^*=L^*_a$	a^*_a	b^*_a	$C^*_{ab,a}$	$h^*_{ab,a}$
OMa	50.5	76.92	64.55	100.42	40
YMa	92.66	-20.69	90.75	93.08	103
LMa	83.63	-82.75	79.9	115.04	136
CMa	86.88	-46.16	-13.55	48.12	196
VMa	30.39	76.06	-103.59	128.52	306
MMa	57.3	94.35	-58.41	110.97	328
NMa	0.01	0.0	0.0	0.0	0
WMa	95.41	0.0	0.0	0.0	0
RCIE	39.92	58.74	27.99	65.07	25
JCIE	81.26	-2.88	71.56	71.62	92
GCIE	52.23	-42.41	13.6	44.55	162
BCIE	30.57	1.41	-46.46	46.49	272

Dreiecks-Helligkeit t^*

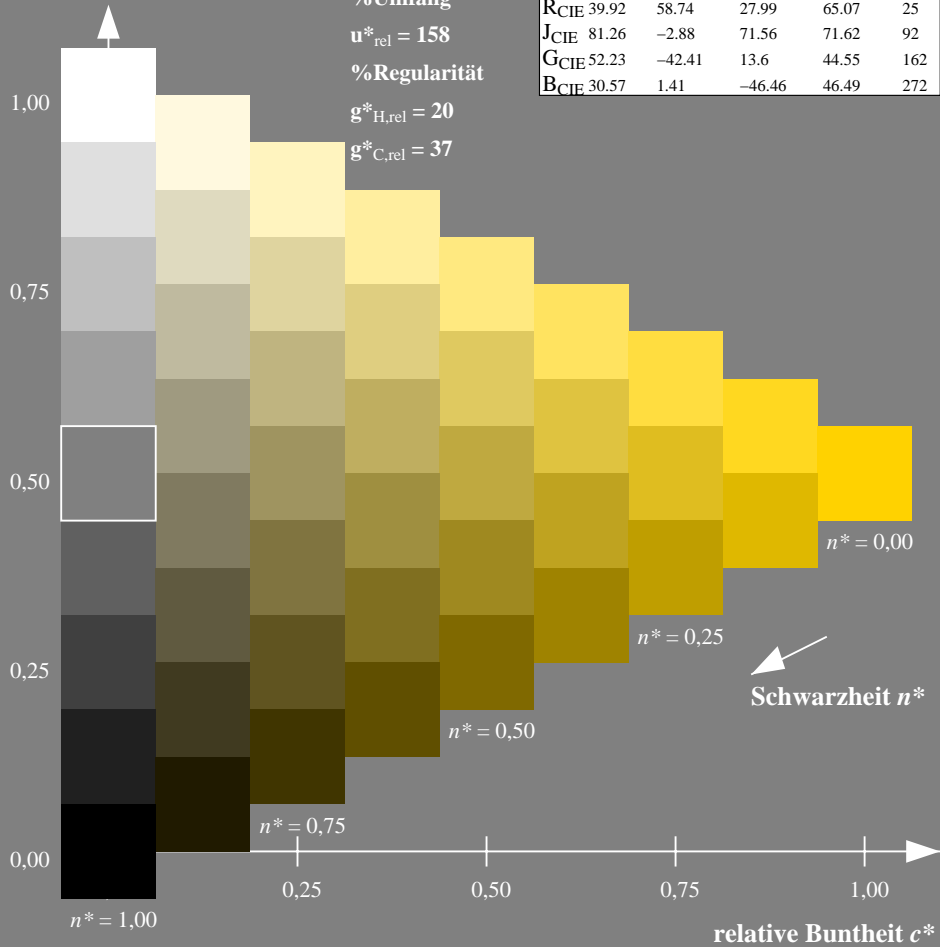
%Umfang

$u^*_{rel} = 158$

%Regularität

$g^*_{H,rel} = 20$

$g^*_{C,rel} = 37$



Ausgabe: Farbmetrisches Standard-Reflektiv-System SRS18

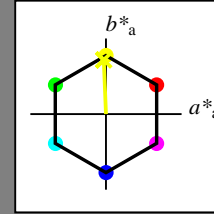
für Buntton $h^* = lab^*h = 92/360 = 0.256$

lab^*tch und lab^*nch

D65: Buntton J

LCH*Ma: 57 76 92

olv*Ma: 0.95 1.0 0.0



SRS18; adaptierte CIELAB-Daten

	$L^*=L^*_a$	a^*_a	b^*_a	$C^*_{ab,a}$	$h^*_{ab,a}$
OMa	56.71	67.03	38.7	77.4	30
YMa	56.71	0.0	77.4	77.4	90
LMa	56.71	-67.02	38.7	77.4	150
CMa	56.71	-67.02	-38.69	77.4	210
VMa	56.71	0.0	-77.39	77.4	270
MMa	56.71	67.03	-38.69	77.4	330
NMa	18.01	0.0	0.0	0.0	0
WMa	95.41	0.0	0.0	0.0	0
RCIE	39.92	58.74	27.99	65.07	25
JCIE	81.26	-2.88	71.56	71.62	92
GCIE	52.23	-42.41	13.6	44.55	162
BCIE	30.57	1.41	-46.46	46.49	272

Dreiecks-Helligkeit t^*

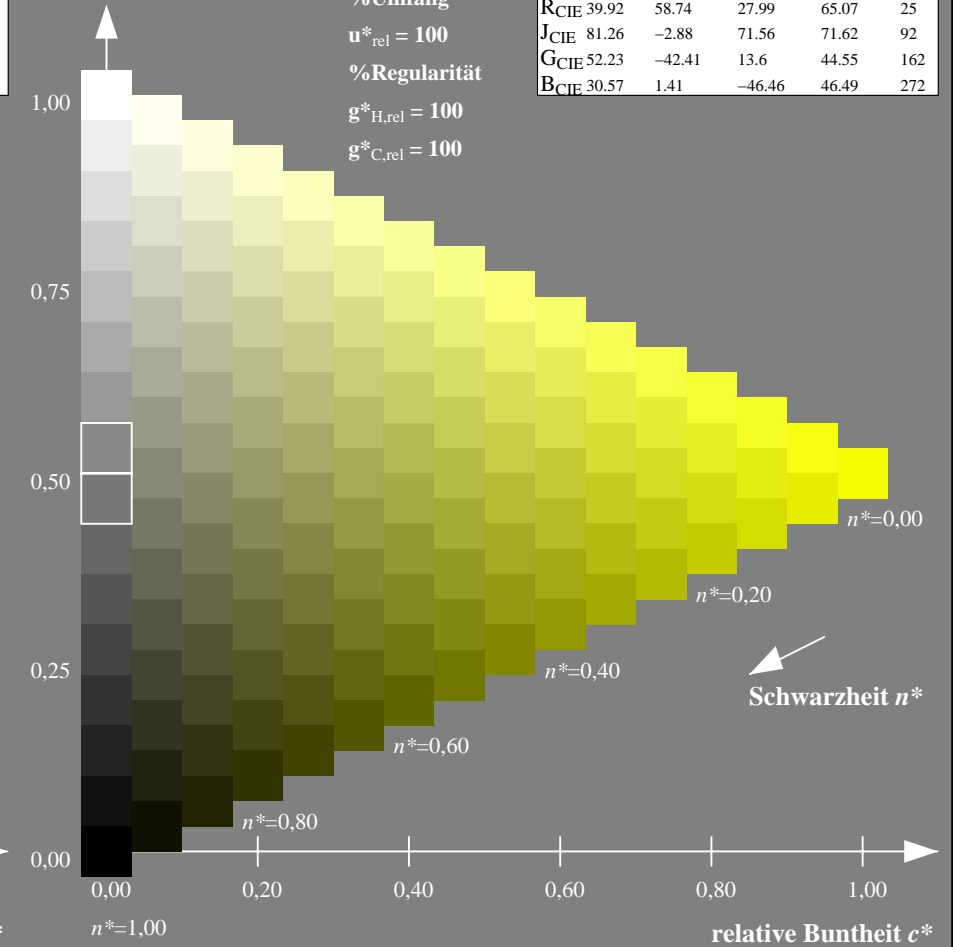
%Umfang

$u^*_{rel} = 100$

%Regularität

$g^*_{H,rel} = 100$

$g^*_{C,rel} = 100$



NG900-7, 9stufige Reihen für konstanten CIELAB Buntton $92/360 = 0.256$ (links)

16stufige Reihen für konstanten CIELAB Buntton $92/360 = 0.256$ (rechts)

Eingabe: Farbmetrisches Fernseh-Licht-System TLS00

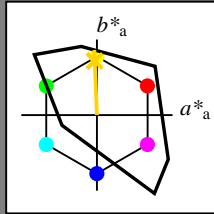
für Buntton $h^* = lab^*h = 92/360 = 0.256$

lab^*tch und lab^*nch

D65: Buntton J

LCH*Ma: 85 86 92

olv*Ma: 1.0 0.82 0.0



TLS00; adaptierte CIELAB-Daten

	$L^*=L^*_a$	a^*_a	b^*_a	$C^*_{ab,a}$	$h^*_{ab,a}$
OMa	50.5	76.92	64.55	100.42	40
YMa	92.66	-20.69	90.75	93.08	103
LMa	83.63	-82.75	79.9	115.04	136
CMa	86.88	-46.16	-13.55	48.12	196
VMa	30.39	76.06	-103.59	128.52	306
MMa	57.3	94.35	-58.41	110.97	328
NMa	0.01	0.0	0.0	0.0	0
WMa	95.41	0.0	0.0	0.0	0
RCIE	39.92	58.74	27.99	65.07	25
JCIE	81.26	-2.88	71.56	71.62	92
GCIE	52.23	-42.41	13.6	44.55	162
BCIE	30.57	1.41	-46.46	46.49	272

Dreiecks-Helligkeit t^*

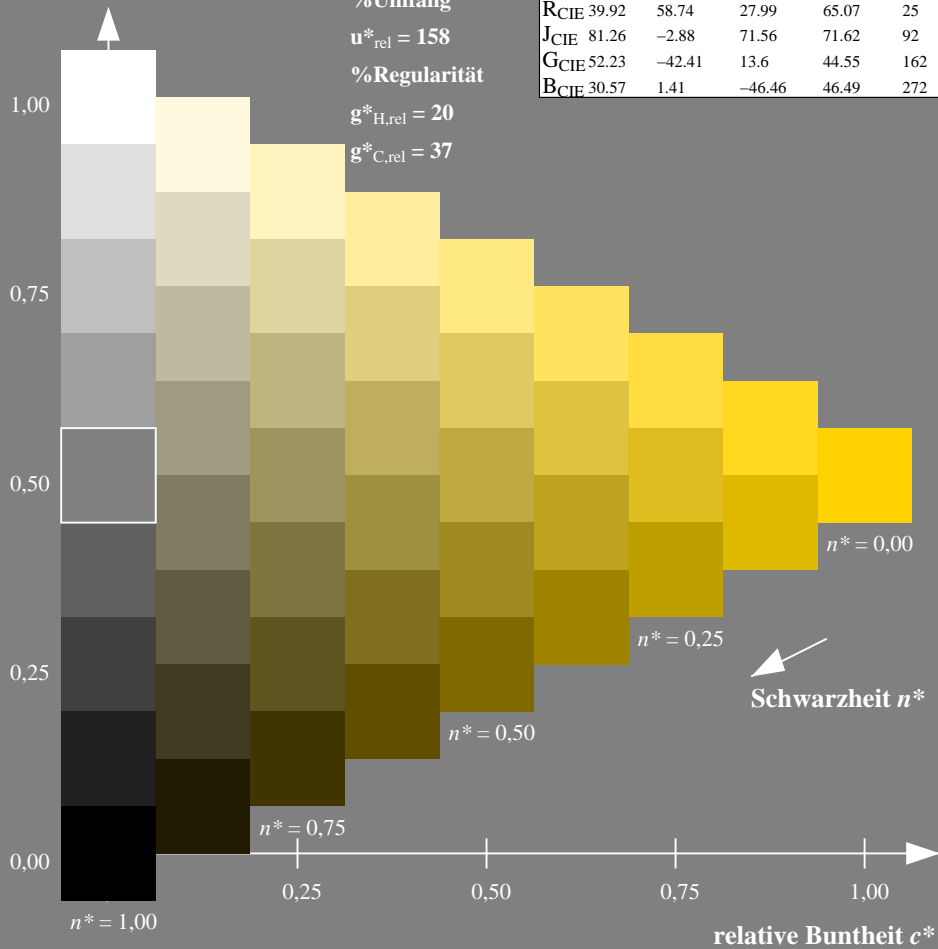
%Umfang

$u^*_{rel} = 158$

%Regularität

$g^*_{H,rel} = 20$

$g^*_{C,rel} = 37$



Ausgabe: Farbmetrisches Fernseh-Licht-System TLS70

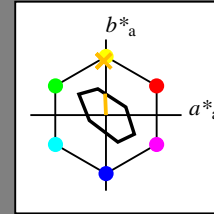
für Buntton $h^* = lab^*h = 92/360 = 0.256$

lab^*tch und lab^*nch

D65: Buntton J

LCH*Ma: 89 28 92

olv*Ma: 1.0 0.74 0.0



TLS70; adaptierte CIELAB-Daten

	$L^*=L^*_a$	a^*_a	b^*_a	$C^*_{ab,a}$	$h^*_{ab,a}$
OMa	76.43	26.27	10.57	28.32	22
YMa	93.93	-10.76	34.63	36.27	107
LMa	89.32	-35.8	27.64	45.24	142
CMa	90.93	-21.95	-7.07	23.07	198
VMa	72.1	15.76	-35.63	38.97	294
MMa	78.5	37.52	-25.23	45.22	326
NMa	69.7	0.0	0.0	0.0	0
WMa	95.41	0.0	0.0	0.0	0
RCIE	39.92	58.74	27.99	65.07	25
JCIE	81.26	-2.88	71.56	71.62	92
GCIE	52.23	-42.41	13.6	44.55	162
BCIE	30.57	1.41	-46.46	46.49	272

Dreiecks-Helligkeit t^*

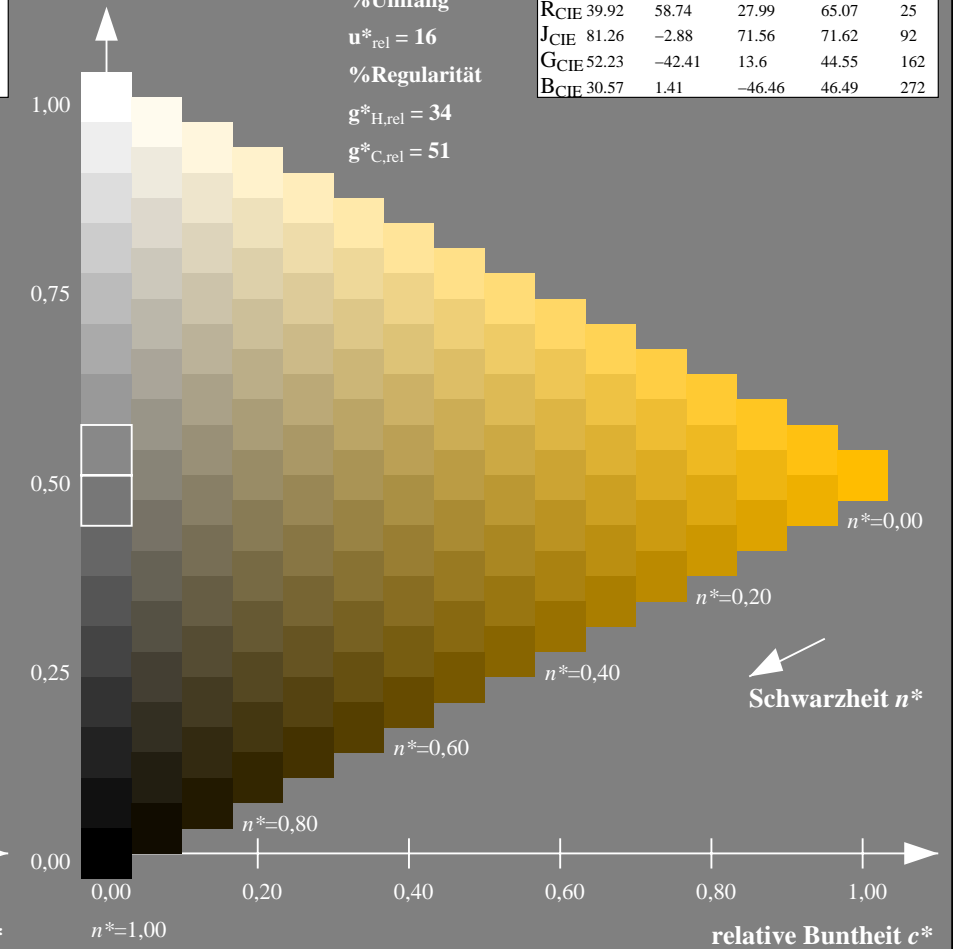
%Umfang

$u^*_{rel} = 16$

%Regularität

$g^*_{H,rel} = 34$

$g^*_{C,rel} = 51$



NG900-7, 9stufige Reihen für konstanten CIELAB Buntton 92/360 = 0.256 (links)

16stufige Reihen für konstanten CIELAB Buntton 92/360 = 0.256 (rechts)

Eingabe: Farbmetrisches Drucker-Reflektiv-System DRSXX

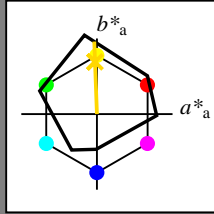
für Buntton $h^* = lab^*h = 92/360 = 0.256$

lab^*tch und lab^*nch

D65: Buntton J

LCH*Ma: 83 96 92

olv*Ma: 1.0 0.84 0.0



DRSXX; adaptierte CIELAB-Daten

	$L^*=L^*_a$	a^*_a	b^*_a	$C^*_{ab,a}$	$h^*_{ab,a}$
O _{Ma}	42.21	66.82	50.6	83.82	37
Y _{Ma}	90.32	-16.51	104.33	105.63	99
L _{Ma}	48.21	-75.63	30.65	81.61	158
C _{Ma}	53.44	-33.33	-47.49	58.03	235
V _{Ma}	34.16	-0.92	-46.56	46.58	269
M _{Ma}	42.71	79.0	-1.95	79.03	359
N _{Ma}	16.56	0.0	0.0	0.0	0
W _{Ma}	96.31	0.0	0.0	0.0	0
R _{CIE}	39.92	59.78	25.77	65.1	23
J _{CIE}	81.26	-2.51	69.07	69.11	92
G _{CIE}	52.23	-41.57	11.3	43.09	165
B _{CIE}	30.57	2.6	-48.62	48.7	273

Dreiecks-Helligkeit t^*

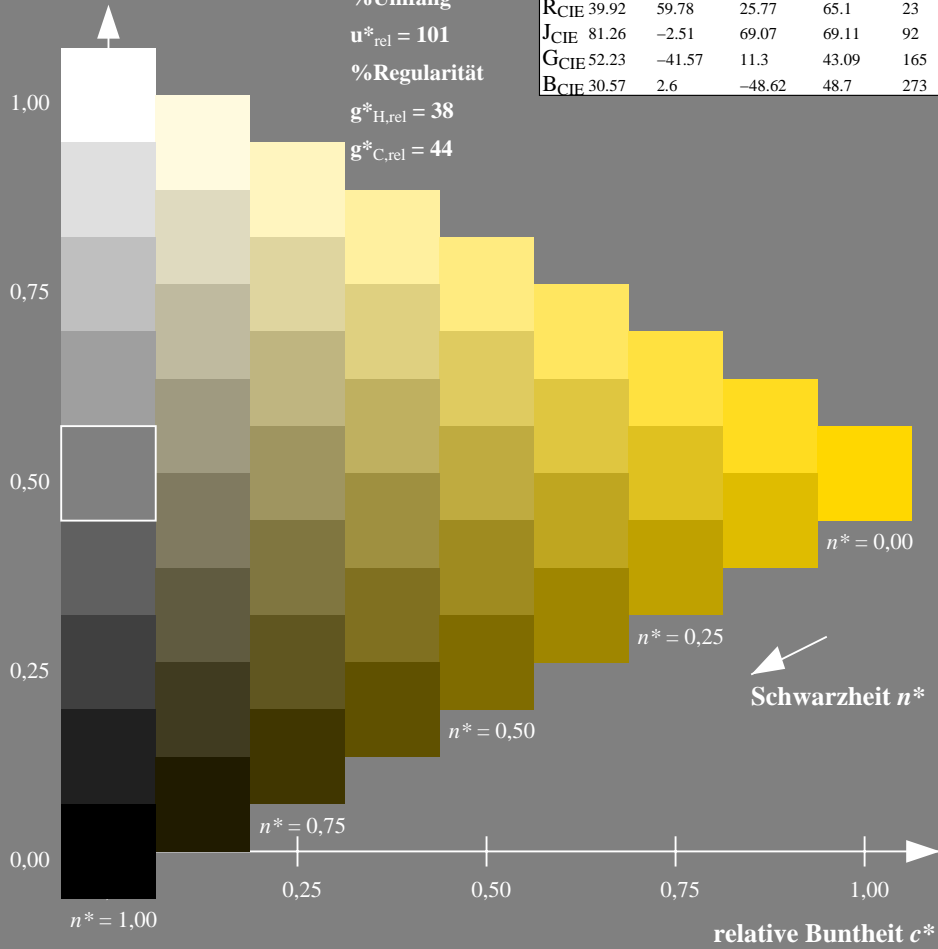
%Umfang

$u^*_{rel} = 101$

%Regularität

$g^*_{H,rel} = 38$

$g^*_{C,rel} = 44$



Ausgabe: Farbmetrisches Offset-Reflektiv-System ORS18

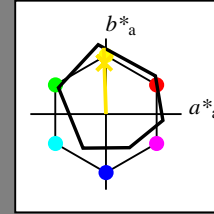
für Buntton $h^* = lab^*h = 92/360 = 0.255$

lab^*tch und lab^*nch

D65: Buntton J

LCH*Ma: 86 88 92

olv*Ma: 1.0 0.9 0.0



ORS18; adaptierte CIELAB-Daten

	$L^*=L^*_a$	a^*_a	b^*_a	$C^*_{ab,a}$	$h^*_{ab,a}$
O _{Ma}	47.94	65.39	50.52	82.63	38
Y _{Ma}	90.37	-10.26	91.75	92.32	96
L _{Ma}	50.9	-62.83	34.96	71.91	151
C _{Ma}	58.62	-30.34	-45.01	54.3	236
V _{Ma}	25.72	31.1	-44.4	54.22	305
M _{Ma}	48.13	75.28	-8.36	75.74	354
N _{Ma}	18.01	0.0	0.0	0.0	0
W _{Ma}	95.41	0.0	0.0	0.0	0
R _{CIE}	39.92	58.66	26.98	64.57	25
J _{CIE}	81.26	-2.16	67.76	67.79	92
G _{CIE}	52.23	-42.25	11.76	43.87	164
B _{CIE}	30.57	1.15	-46.84	46.86	271

Dreiecks-Helligkeit t^*

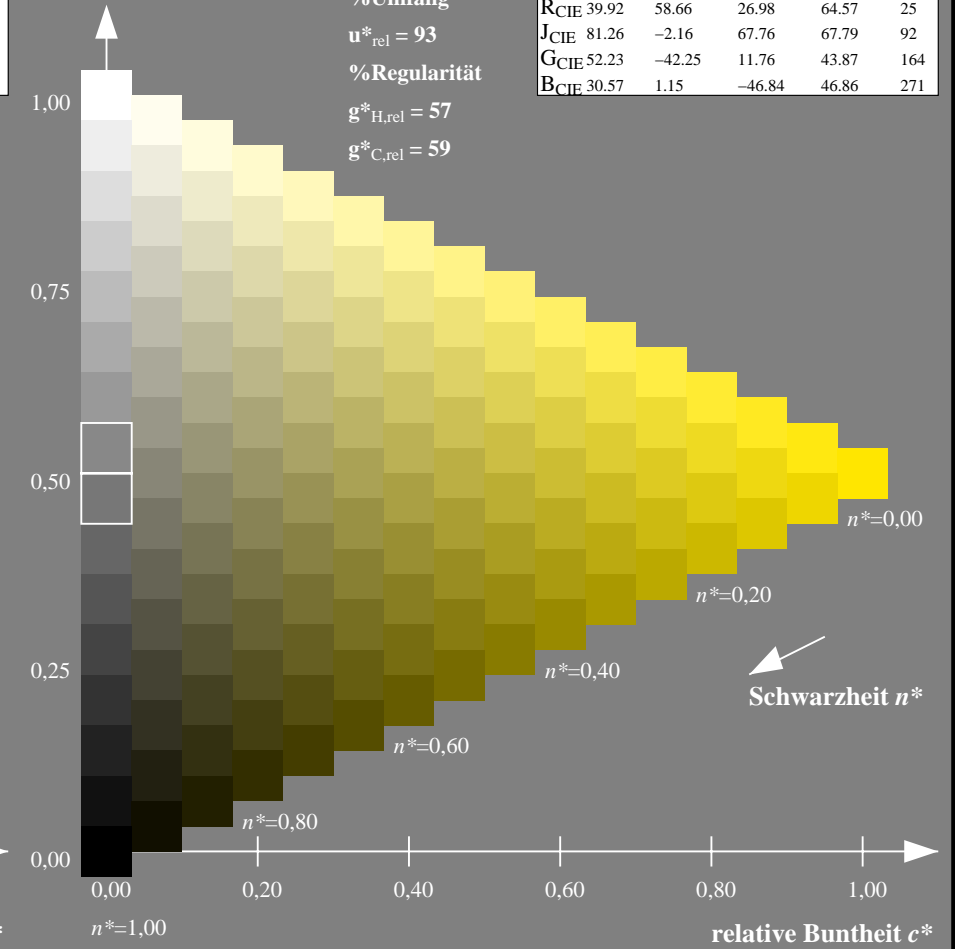
%Umfang

$u^*_{rel} = 93$

%Regularität

$g^*_{H,rel} = 57$

$g^*_{C,rel} = 59$



NG900-7, 9stufige Reihen für konstanten CIELAB Buntton 92/360 = 0.256 (links)

16stufige Reihen für konstanten CIELAB Buntton 92/360 = 0.255 (rechts)

Eingabe: Farbmetrisches Drucker-Reflektiv-System DRSXX

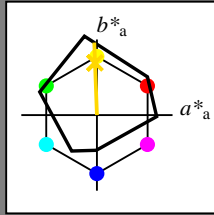
für Buntton $h^* = lab^*h = 92/360 = 0.256$

lab^*tch und lab^*nch

D65: Buntton J

LCH*Ma: 83 96 92

olv*Ma: 1.0 0.84 0.0



DRSXX; adaptierte CIELAB-Daten

	$L^*=L^*_a$	a^*_a	b^*_a	$C^*_{ab,a}$	$h^*_{ab,a}$
O _{Ma}	42.21	66.82	50.6	83.82	37
Y _{Ma}	90.32	-16.51	104.33	105.63	99
L _{Ma}	48.21	-75.63	30.65	81.61	158
C _{Ma}	53.44	-33.33	-47.49	58.03	235
V _{Ma}	34.16	-0.92	-46.56	46.58	269
M _{Ma}	42.71	79.0	-1.95	79.03	359
N _{Ma}	16.56	0.0	0.0	0.0	0
W _{Ma}	96.31	0.0	0.0	0.0	0
R _{CIE}	39.92	59.78	25.77	65.1	23
J _{CIE}	81.26	-2.51	69.07	69.11	92
G _{CIE}	52.23	-41.57	11.3	43.09	165
B _{CIE}	30.57	2.6	-48.62	48.7	273

Dreiecks-Helligkeit t^*

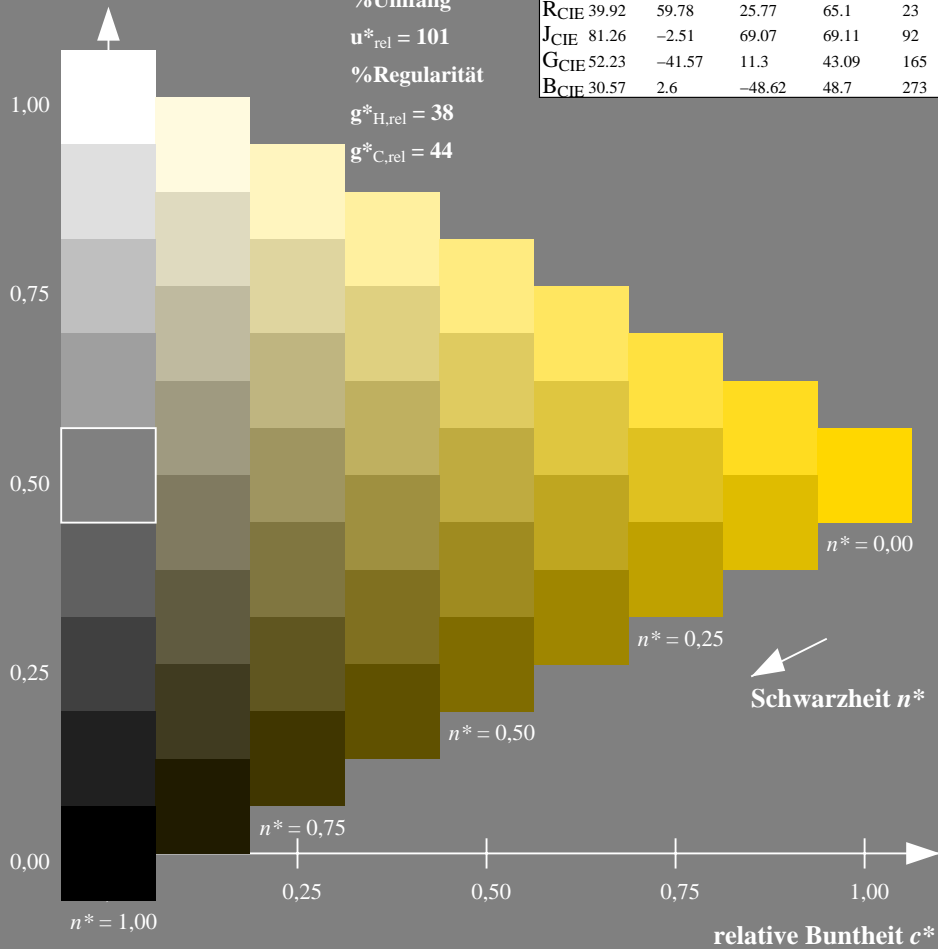
%Umfang

$u^*_{rel} = 101$

%Regularität

$g^*_{H,rel} = 38$

$g^*_{C,rel} = 44$



Ausgabe: Farbmetrisches Fernseh-Licht-System TLS00

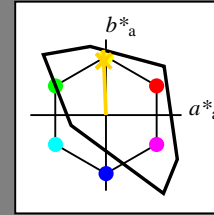
für Buntton $h^* = lab^*h = 92/360 = 0.256$

lab^*tch und lab^*nch

D65: Buntton J

LCH*Ma: 85 86 92

olv*Ma: 1.0 0.82 0.0



TLS00; adaptierte CIELAB-Daten

	$L^*=L^*_a$	a^*_a	b^*_a	$C^*_{ab,a}$	$h^*_{ab,a}$
O _{Ma}	50.5	76.92	64.55	100.42	40
Y _{Ma}	92.66	-20.69	90.75	93.08	103
L _{Ma}	83.63	-82.75	79.9	115.04	136
C _{Ma}	86.88	-46.16	-13.55	48.12	196
V _{Ma}	30.39	76.06	-103.59	128.52	306
M _{Ma}	57.3	94.35	-58.41	110.97	328
N _{Ma}	0.01	0.0	0.0	0.0	0
W _{Ma}	95.41	0.0	0.0	0.0	0
R _{CIE}	39.92	58.74	27.99	65.07	25
J _{CIE}	81.26	-2.88	71.56	71.62	92
G _{CIE}	52.23	-42.41	13.6	44.55	162
B _{CIE}	30.57	1.41	-46.46	46.49	272

Dreiecks-Helligkeit t^*

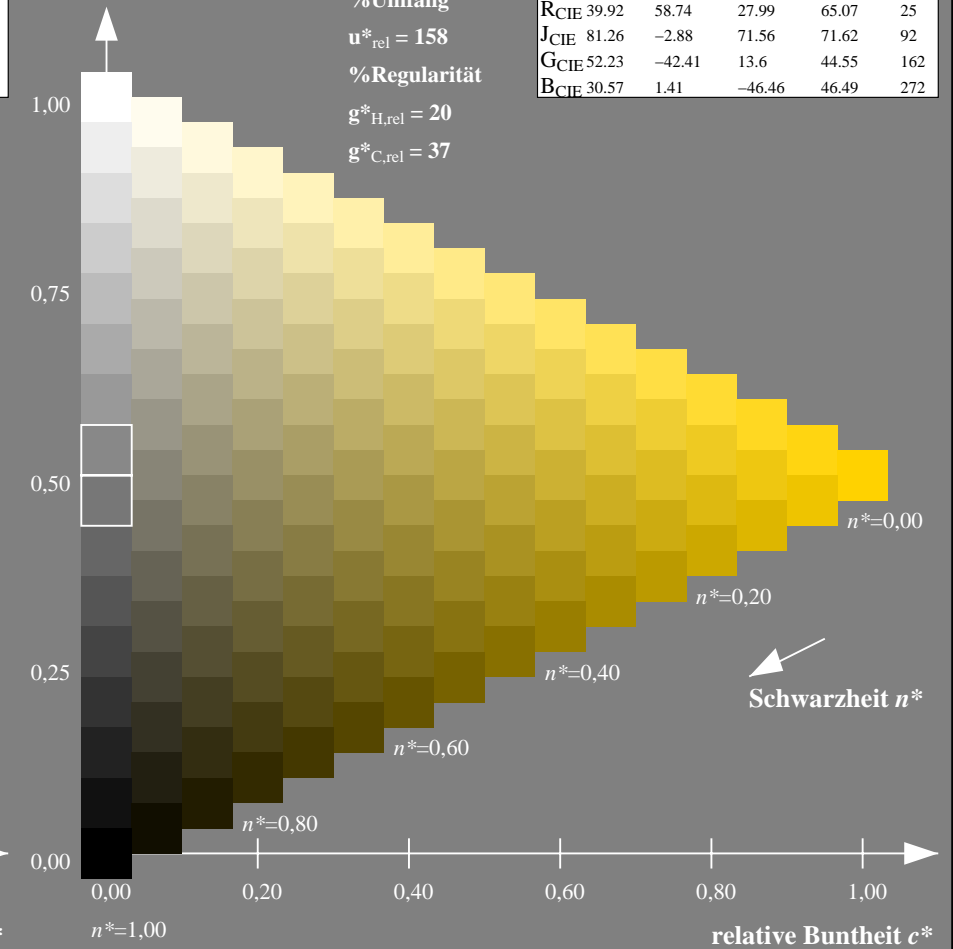
%Umfang

$u^*_{rel} = 158$

%Regularität

$g^*_{H,rel} = 20$

$g^*_{C,rel} = 37$



NG900-7, 9stufige Reihen für konstanten CIELAB Buntton $92/360 = 0.256$ (links)

16stufige Reihen für konstanten CIELAB Buntton $92/360 = 0.256$ (rechts)

Eingabe: Farbmetrisches Drucker-Reflektiv-System DRSXX

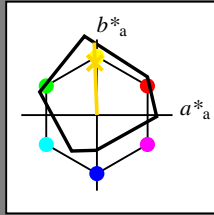
für Buntton $h^* = lab^*h = 92/360 = 0.256$

lab^*tch und lab^*nch

D65: Buntton J

LCH*Ma: 83 96 92

olv*Ma: 1.0 0.84 0.0



DRSXX; adaptierte CIELAB-Daten

	$L^*=L^*_a$	a^*_a	b^*_a	$C^*_{ab,a}$	$h^*_{ab,a}$
O _{Ma}	42.21	66.82	50.6	83.82	37
Y _{Ma}	90.32	-16.51	104.33	105.63	99
L _{Ma}	48.21	-75.63	30.65	81.61	158
C _{Ma}	53.44	-33.33	-47.49	58.03	235
V _{Ma}	34.16	-0.92	-46.56	46.58	269
M _{Ma}	42.71	79.0	-1.95	79.03	359
N _{Ma}	16.56	0.0	0.0	0.0	0
W _{Ma}	96.31	0.0	0.0	0.0	0
R _{CIE}	39.92	59.78	25.77	65.1	23
J _{CIE}	81.26	-2.51	69.07	69.11	92
G _{CIE}	52.23	-41.57	11.3	43.09	165
B _{CIE}	30.57	2.6	-48.62	48.7	273

Dreiecks-Helligkeit t^*

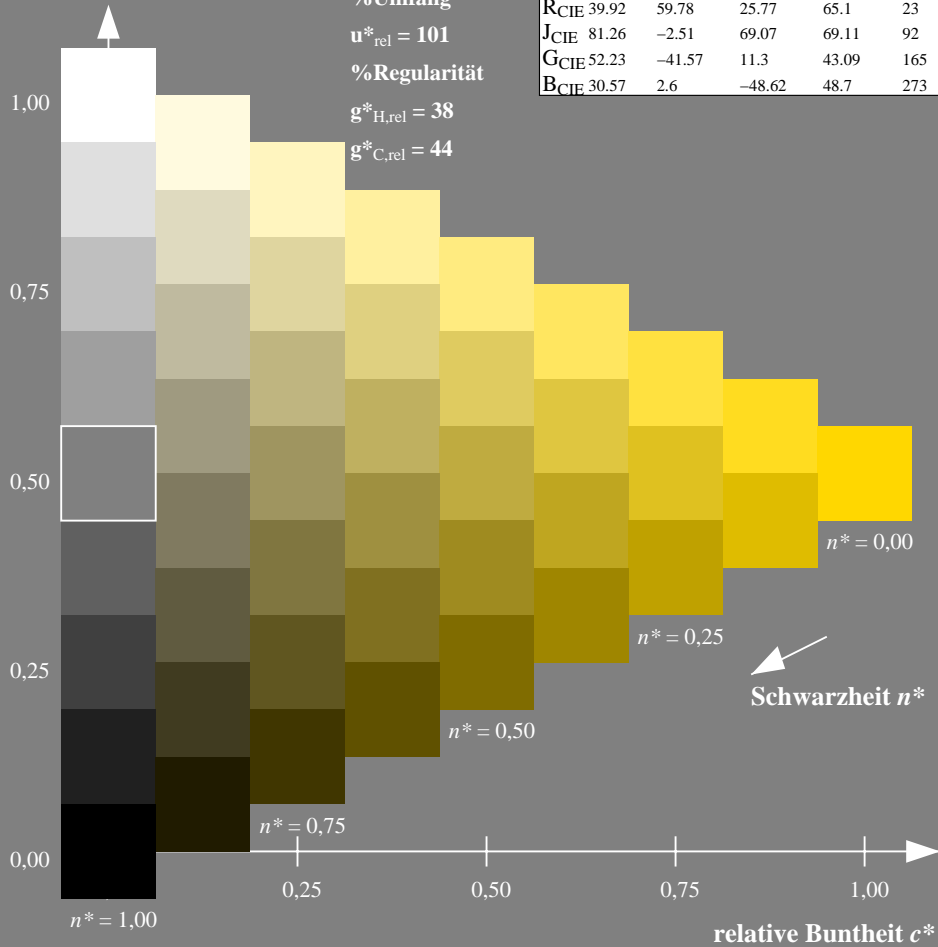
%Umfang

$u^*_{rel} = 101$

%Regularität

$g^*_{H,rel} = 38$

$g^*_{C,rel} = 44$



Ausgabe: Farbmetrisches Drucker-Reflektiv-System DRSXX

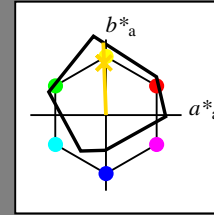
für Buntton $h^* = lab^*h = 92/360 = 0.256$

lab^*tch und lab^*nch

D65: Buntton J

LCH*Ma: 83 96 92

olv*Ma: 1.0 0.84 0.0



DRSXX; adaptierte CIELAB-Daten

	$L^*=L^*_a$	a^*_a	b^*_a	$C^*_{ab,a}$	$h^*_{ab,a}$
O _{Ma}	42.21	66.82	50.6	83.82	37
Y _{Ma}	90.32	-16.51	104.33	105.63	99
L _{Ma}	48.21	-75.63	30.65	81.61	158
C _{Ma}	53.44	-33.33	-47.49	58.03	235
V _{Ma}	34.16	-0.92	-46.56	46.58	269
M _{Ma}	42.71	79.0	-1.95	79.03	359
N _{Ma}	16.56	0.0	0.0	0.0	0
W _{Ma}	96.31	0.0	0.0	0.0	0
R _{CIE}	39.92	59.78	25.77	65.1	23
J _{CIE}	81.26	-2.51	69.07	69.11	92
G _{CIE}	52.23	-41.57	11.3	43.09	165
B _{CIE}	30.57	2.6	-48.62	48.7	273

Dreiecks-Helligkeit t^*

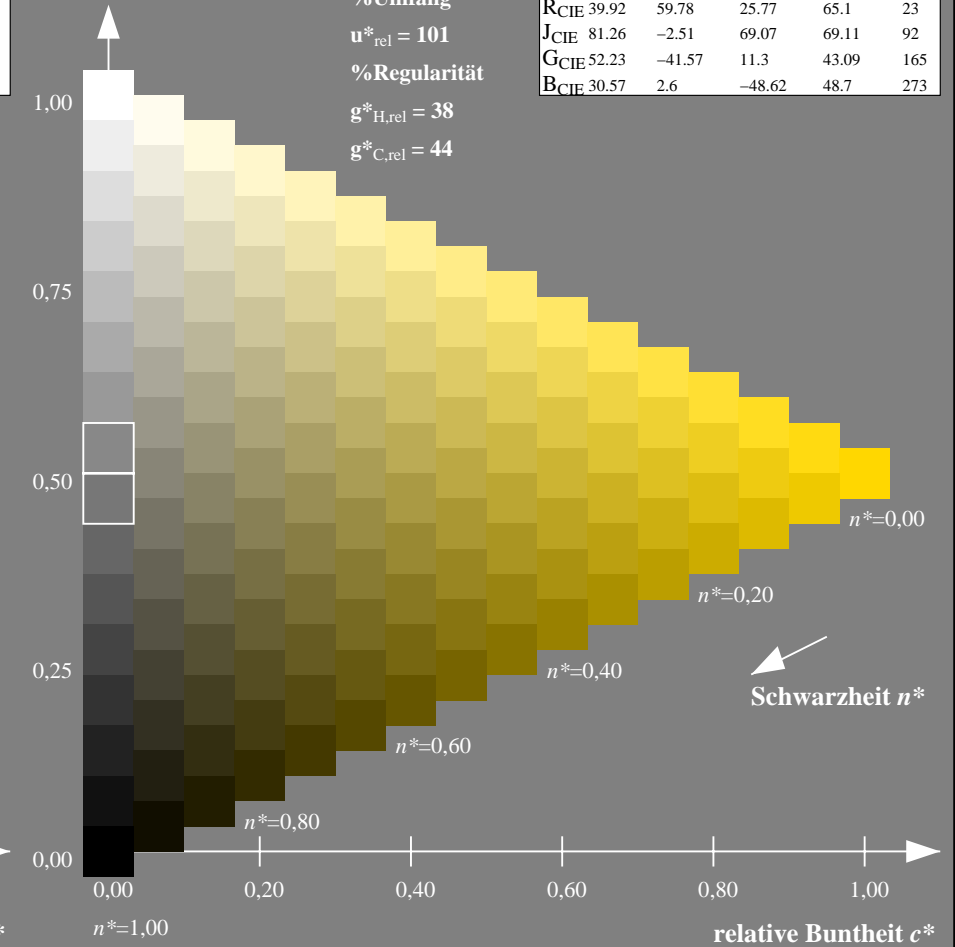
%Umfang

$u^*_{rel} = 101$

%Regularität

$g^*_{H,rel} = 38$

$g^*_{C,rel} = 44$



NG900-7, 9stufige Reihen für konstanten CIELAB Buntton 92/360 = 0.256 (links)

16stufige Reihen für konstanten CIELAB Buntton 92/360 = 0.256 (rechts)

Eingabe: Farbmetrisches Drucker-Reflektiv-System DRSXX

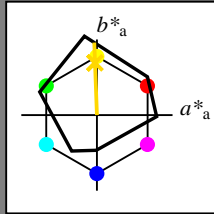
für Buntton $h^* = lab^*h = 92/360 = 0.256$

lab^*tch und lab^*nch

D65: Buntton J

LCH*Ma: 83 96 92

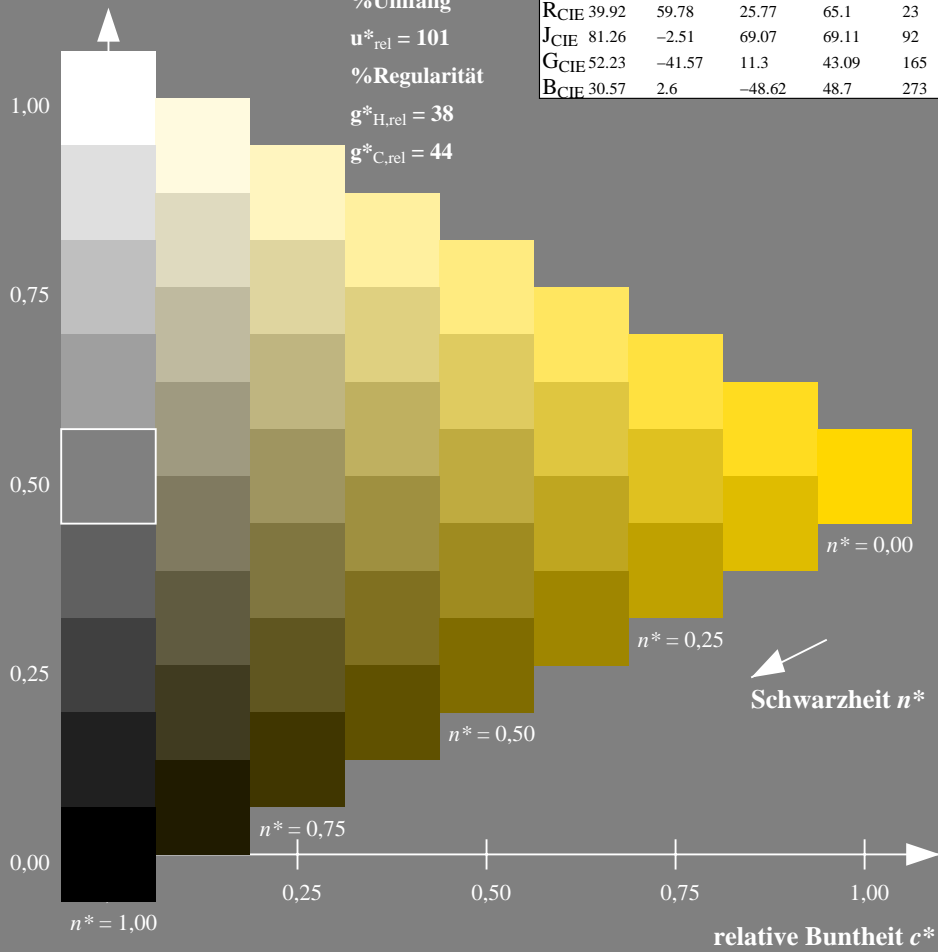
olv*Ma: 1.0 0.84 0.0



DRSXX; adaptierte CIELAB-Daten

	$L^*=L^*_a$	a^*_a	b^*_a	$C^*_{ab,a}$	$h^*_{ab,a}$
O _{Ma}	42.21	66.82	50.6	83.82	37
Y _{Ma}	90.32	-16.51	104.33	105.63	99
L _{Ma}	48.21	-75.63	30.65	81.61	158
C _{Ma}	53.44	-33.33	-47.49	58.03	235
V _{Ma}	34.16	-0.92	-46.56	46.58	269
M _{Ma}	42.71	79.0	-1.95	79.03	359
N _{Ma}	16.56	0.0	0.0	0.0	0
W _{Ma}	96.31	0.0	0.0	0.0	0
R _{CIE}	39.92	59.78	25.77	65.1	23
J _{CIE}	81.26	-2.51	69.07	69.11	92
G _{CIE}	52.23	-41.57	11.3	43.09	165
B _{CIE}	30.57	2.6	-48.62	48.7	273

Dreiecks-Helligkeit t^*



Ausgabe: Farbmetrisches Fernseh-Licht-System TLS18

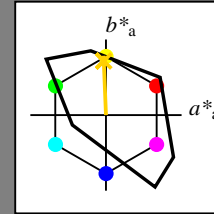
für Buntton $h^* = lab^*h = 92/360 = 0.256$

lab^*tch und lab^*nch

D65: Buntton J

LCH*Ma: 85 79 92

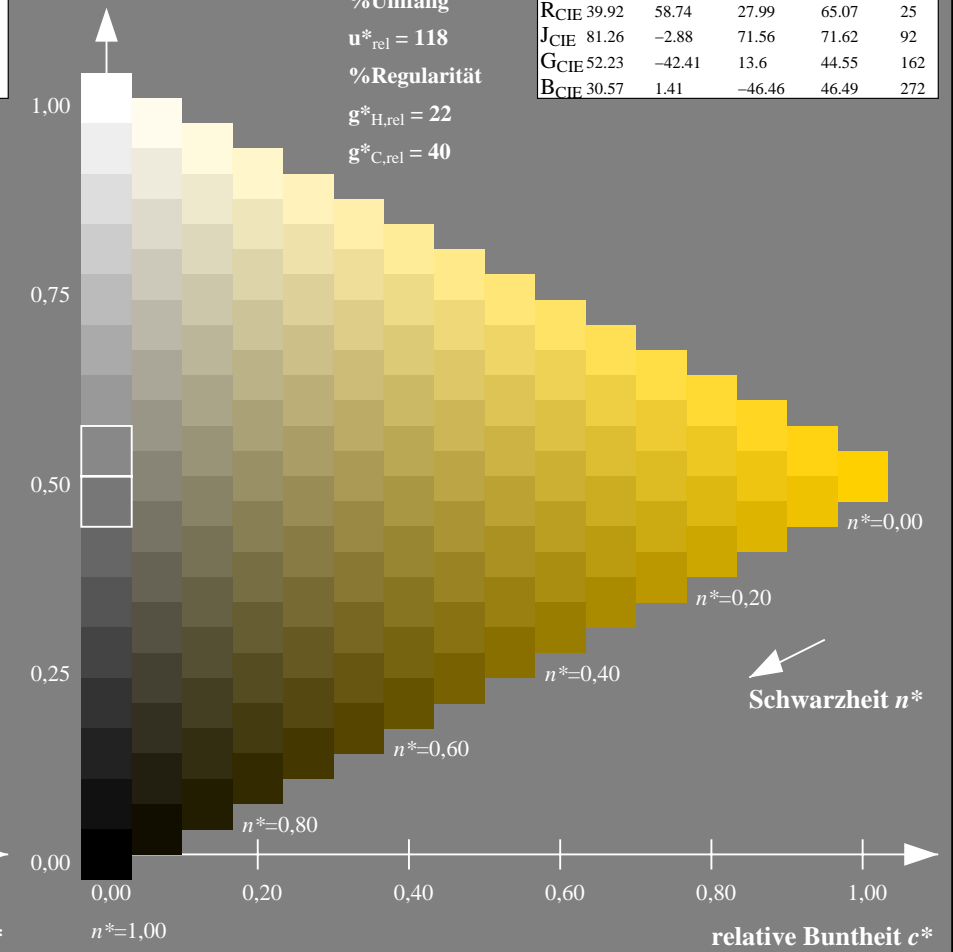
olv*Ma: 1.0 0.82 0.0



TLS18; adaptierte CIELAB-Daten

	$L^*=L^*_a$	a^*_a	b^*_a	$C^*_{ab,a}$	$h^*_{ab,a}$
O _{Ma}	52.76	71.63	49.88	87.29	35
Y _{Ma}	92.74	-20.02	84.97	87.3	103
L _{Ma}	84.0	-78.98	73.94	108.2	137
C _{Ma}	87.14	-44.41	-13.11	46.32	196
V _{Ma}	35.47	64.92	-95.06	115.12	304
M _{Ma}	59.01	89.33	-55.67	105.26	328
N _{Ma}	18.01	0.0	0.0	0.0	0
W _{Ma}	95.41	0.0	0.0	0.0	0
R _{CIE}	39.92	58.74	27.99	65.07	25
J _{CIE}	81.26	-2.88	71.56	71.62	92
G _{CIE}	52.23	-42.41	13.6	44.55	162
B _{CIE}	30.57	1.41	-46.46	46.49	272

Dreiecks-Helligkeit t^*



NG900-7, 9stufige Reihen für konstanten CIELAB Buntton $92/360 = 0.256$ (links)

16stufige Reihen für konstanten CIELAB Buntton $92/360 = 0.256$ (rechts)

Eingabe: Farbmetrisches Drucker-Reflektiv-System DRSXX

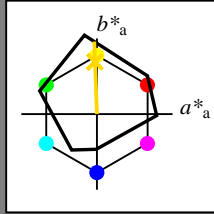
für Buntton $h^* = lab^*h = 92/360 = 0.256$

lab^*tch und lab^*nch

D65: Buntton J

LCH*Ma: 83 96 92

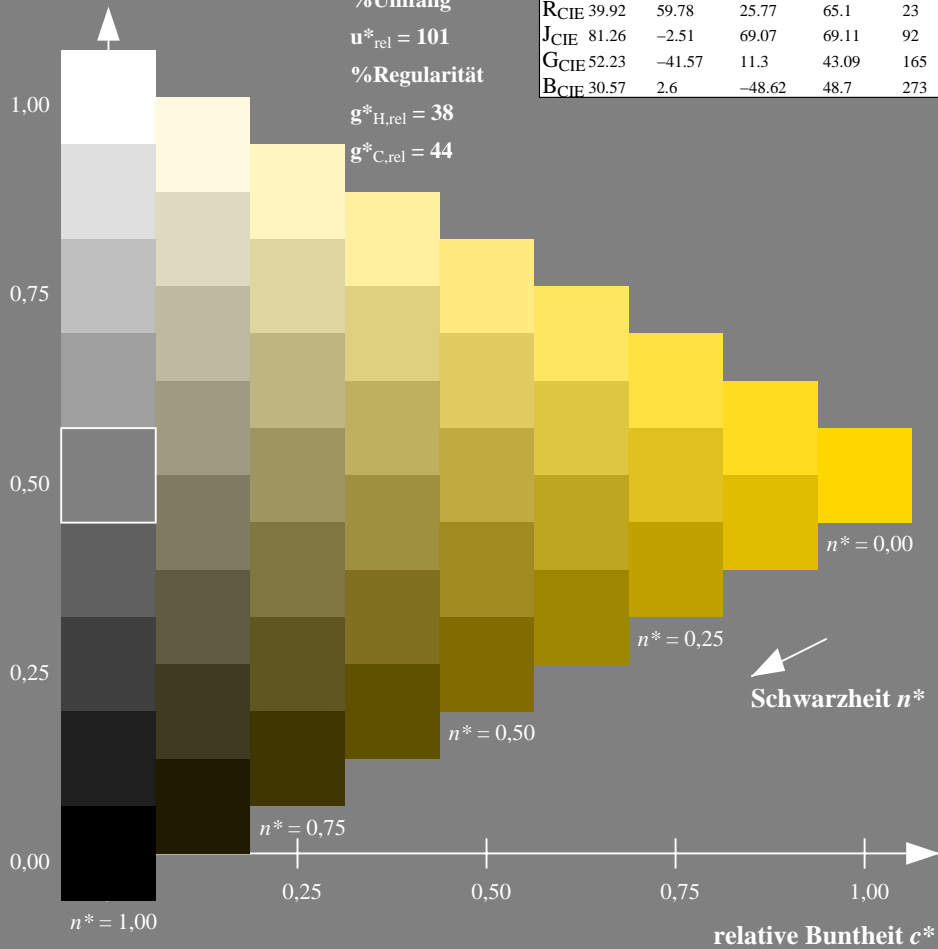
olv*Ma: 1.0 0.84 0.0



DRSXX; adaptierte CIELAB-Daten

	$L^*=L^*_a$	a^*_a	b^*_a	$C^*_{ab,a}$	$h^*_{ab,a}$
OMa	42.21	66.82	50.6	83.82	37
YMa	90.32	-16.51	104.33	105.63	99
LMa	48.21	-75.63	30.65	81.61	158
CMa	53.44	-33.33	-47.49	58.03	235
VMa	34.16	-0.92	-46.56	46.58	269
MMa	42.71	79.0	-1.95	79.03	359
NMa	16.56	0.0	0.0	0.0	0
WMa	96.31	0.0	0.0	0.0	0
RCIE	39.92	59.78	25.77	65.1	23
JCIE	81.26	-2.51	69.07	69.11	92
GCIE	52.23	-41.57	11.3	43.09	165
BCIE	30.57	2.6	-48.62	48.7	273

Dreiecks-Helligkeit t^*



Ausgabe: Farbmetrisches Natürliches-Licht-System NLS00

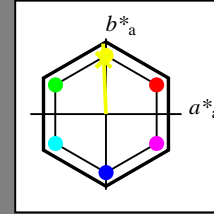
für Buntton $h^* = lab^*h = 92/360 = 0.256$

lab^*tch und lab^*nch

D65: Buntton J

LCH*Ma: 62 93 92

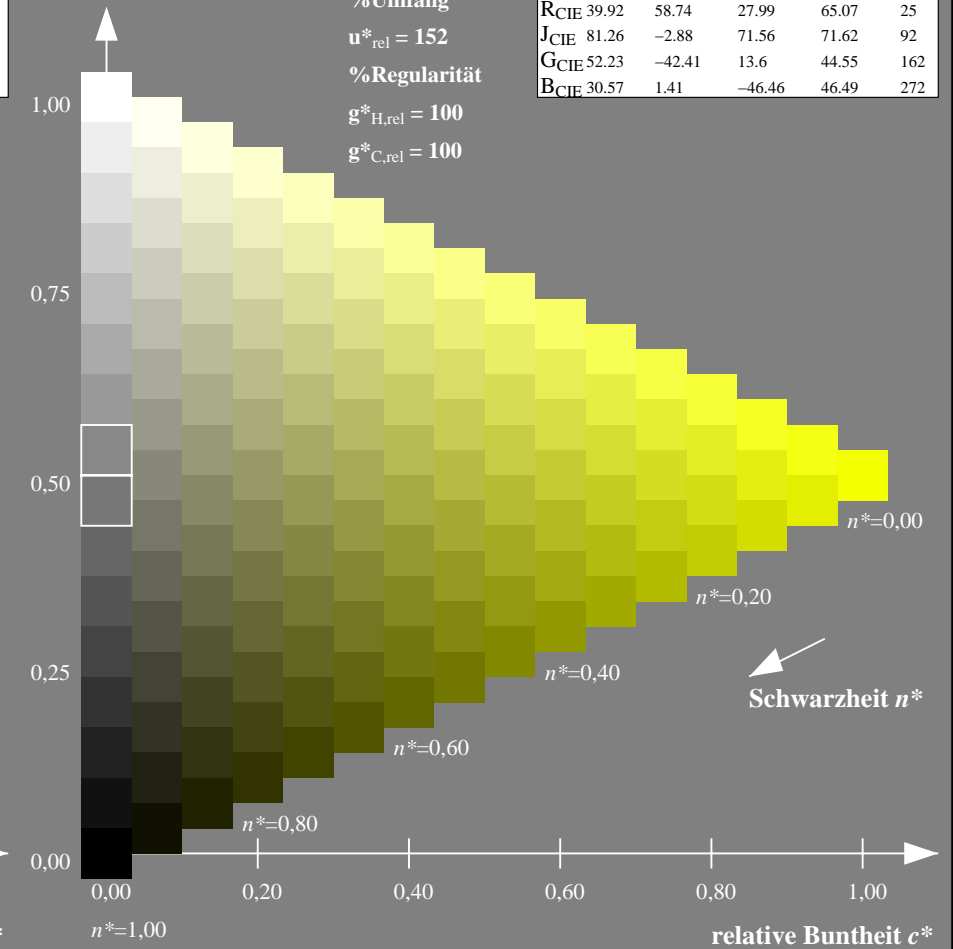
olv*Ma: 0.95 1.0 0.0



NLS00; adaptierte CIELAB-Daten

	$L^*=L^*_a$	a^*_a	b^*_a	$C^*_{ab,a}$	$h^*_{ab,a}$
OMa	31.81	82.62	47.7	95.4	30
YMa	63.61	0.0	95.4	95.4	90
LMa	31.81	-82.61	47.7	95.4	150
CMa	63.61	-82.61	-47.69	95.4	210
VMa	31.81	0.0	-95.39	95.4	270
MMa	63.61	82.62	-47.69	95.4	330
NMa	0.01	0.0	0.0	0.0	0
WMa	95.41	0.0	0.0	0.0	0
RCIE	39.92	58.74	27.99	65.07	25
JCIE	81.26	-2.88	71.56	71.62	92
GCIE	52.23	-42.41	13.6	44.55	162
BCIE	30.57	1.41	-46.46	46.49	272

Dreiecks-Helligkeit t^*



NG900-7, 9stufige Reihen für konstanten CIELAB Buntton $92/360 = 0.256$ (links)

16stufige Reihen für konstanten CIELAB Buntton $92/360 = 0.256$ (rechts)

Eingabe: Farbmetrisches Drucker-Reflektiv-System DRSXX

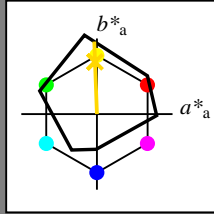
für Buntton $h^* = lab^*h = 92/360 = 0.256$

lab^*tch und lab^*nch

D65: Buntton J

LCH*Ma: 83 96 92

olv*Ma: 1.0 0.84 0.0



DRSXX; adaptierte CIELAB-Daten

	$L^*=L^*_a$	a^*_a	b^*_a	$C^*_{ab,a}$	$h^*_{ab,a}$
OMa	42.21	66.82	50.6	83.82	37
YMa	90.32	-16.51	104.33	105.63	99
LMa	48.21	-75.63	30.65	81.61	158
CMa	53.44	-33.33	-47.49	58.03	235
VMa	34.16	-0.92	-46.56	46.58	269
MMa	42.71	79.0	-1.95	79.03	359
NMa	16.56	0.0	0.0	0.0	0
WMa	96.31	0.0	0.0	0.0	0
RCIE	39.92	59.78	25.77	65.1	23
JCIE	81.26	-2.51	69.07	69.11	92
GCIE	52.23	-41.57	11.3	43.09	165
BCIE	30.57	2.6	-48.62	48.7	273

Dreiecks-Helligkeit t^*

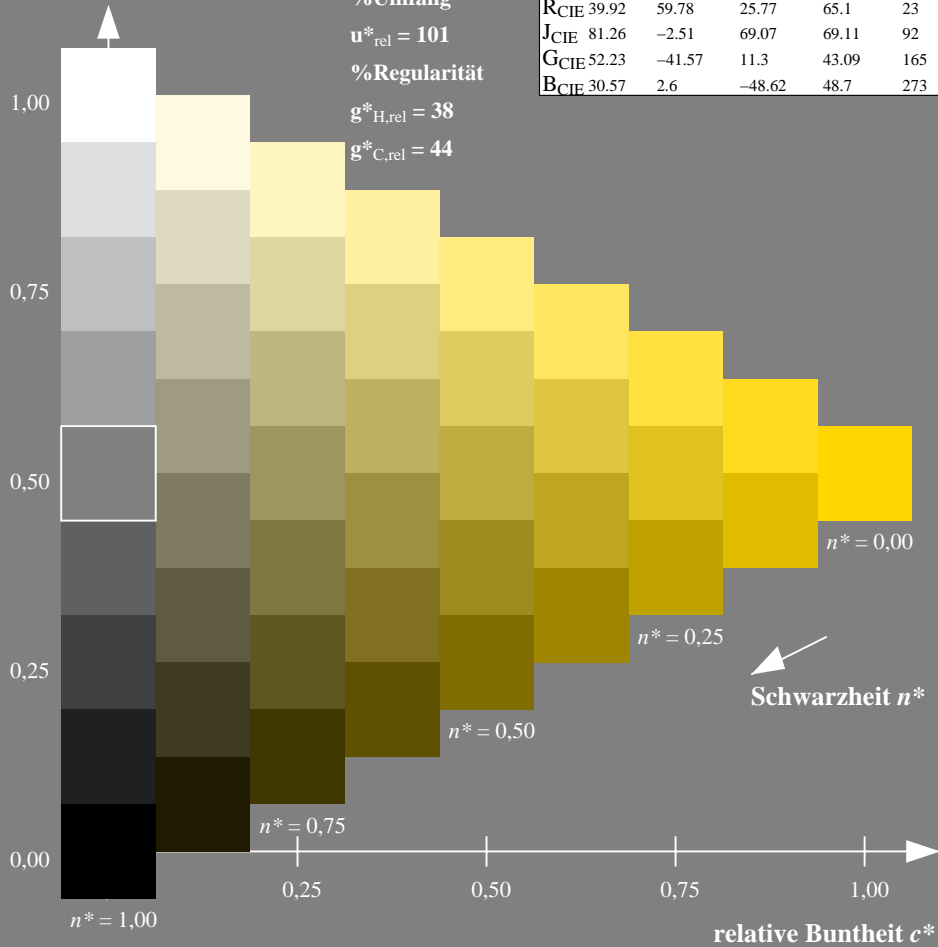
%Umfang

$u^*_{rel} = 101$

%Regularität

$g^*_{H,rel} = 38$

$g^*_{C,rel} = 44$



Ausgabe: Farbmetrisches Natürliches-Reflektiv-System NRS18

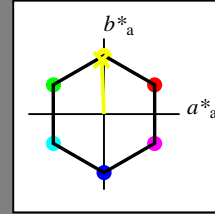
für Buntton $h^* = lab^*h = 92/360 = 0.256$

lab^*tch und lab^*nch

D65: Buntton J

LCH*Ma: 68 76 92

olv*Ma: 0.95 1.0 0.0



NRS18; adaptierte CIELAB-Daten

	$L^*=L^*_a$	a^*_a	b^*_a	$C^*_{ab,a}$	$h^*_{ab,a}$
OMa	43.81	67.03	38.7	77.4	30
YMa	69.61	0.0	77.4	77.4	90
LMa	43.81	-67.02	38.7	77.4	150
CMa	69.61	-67.02	-38.69	77.4	210
VMa	43.81	0.0	-77.39	77.4	270
MMa	69.61	67.03	-38.69	77.4	330
NMa	18.01	0.0	0.0	0.0	0
WMa	95.41	0.0	0.0	0.0	0
RCIE	39.92	58.74	27.99	65.07	25
JCIE	81.26	-2.88	71.56	71.62	92
GCIE	52.23	-42.41	13.6	44.55	162
BCIE	30.57	1.41	-46.46	46.49	272

Dreiecks-Helligkeit t^*

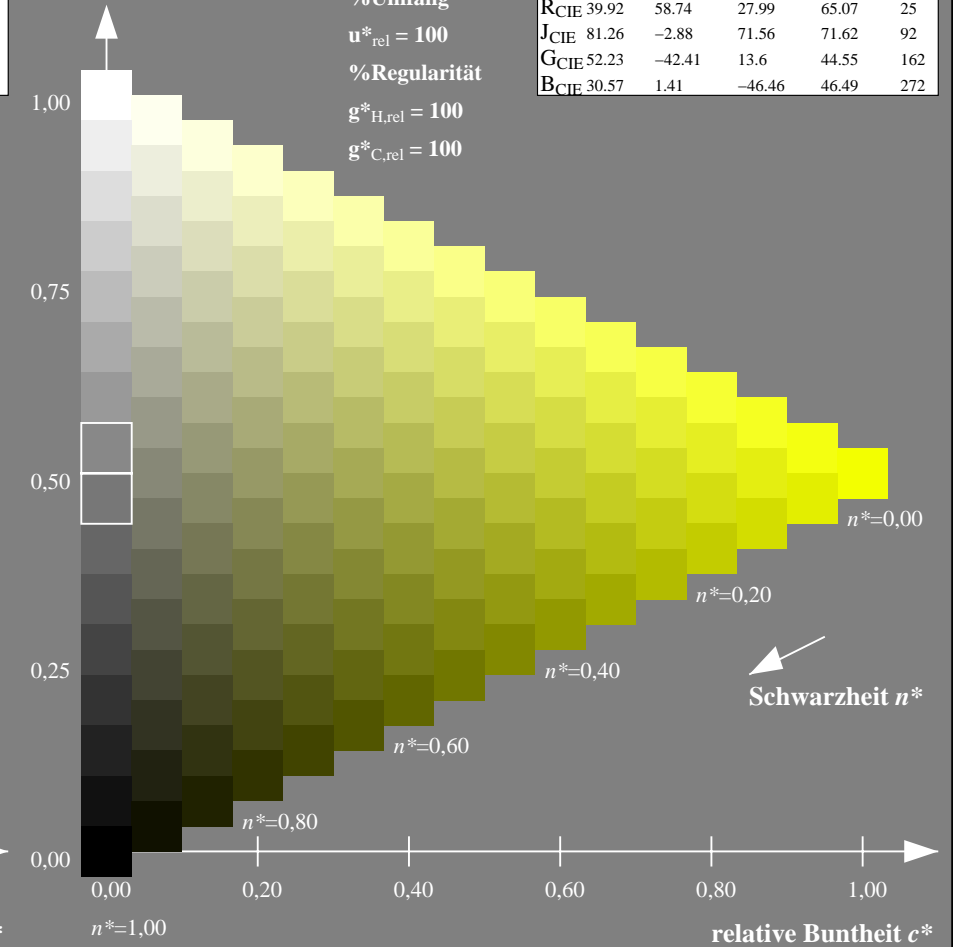
%Umfang

$u^*_{rel} = 100$

%Regularität

$g^*_{H,rel} = 100$

$g^*_{C,rel} = 100$



NG900-7, 9stufige Reihen für konstanten CIELAB Buntton 92/360 = 0.256 (links)

16stufige Reihen für konstanten CIELAB Buntton 92/360 = 0.256 (rechts)

Eingabe: Farbmetrisches Drucker-Reflektiv-System DRSXX

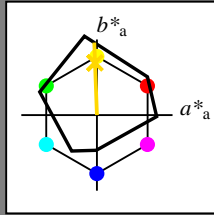
für Buntton $h^* = lab^*h = 92/360 = 0.256$

lab^*tch und lab^*nch

D65: Buntton J

LCH*Ma: 83 96 92

olv*Ma: 1.0 0.84 0.0



DRSXX; adaptierte CIELAB-Daten

	$L^*=L^*_a$	a^*_a	b^*_a	$C^*_{ab,a}$	$h^*_{ab,a}$
O _{Ma}	42.21	66.82	50.6	83.82	37
Y _{Ma}	90.32	-16.51	104.33	105.63	99
L _{Ma}	48.21	-75.63	30.65	81.61	158
C _{Ma}	53.44	-33.33	-47.49	58.03	235
V _{Ma}	34.16	-0.92	-46.56	46.58	269
M _{Ma}	42.71	79.0	-1.95	79.03	359
N _{Ma}	16.56	0.0	0.0	0.0	0
W _{Ma}	96.31	0.0	0.0	0.0	0
R _{CIE}	39.92	59.78	25.77	65.1	23
J _{CIE}	81.26	-2.51	69.07	69.11	92
G _{CIE}	52.23	-41.57	11.3	43.09	165
B _{CIE}	30.57	2.6	-48.62	48.7	273

Dreiecks-Helligkeit t^*

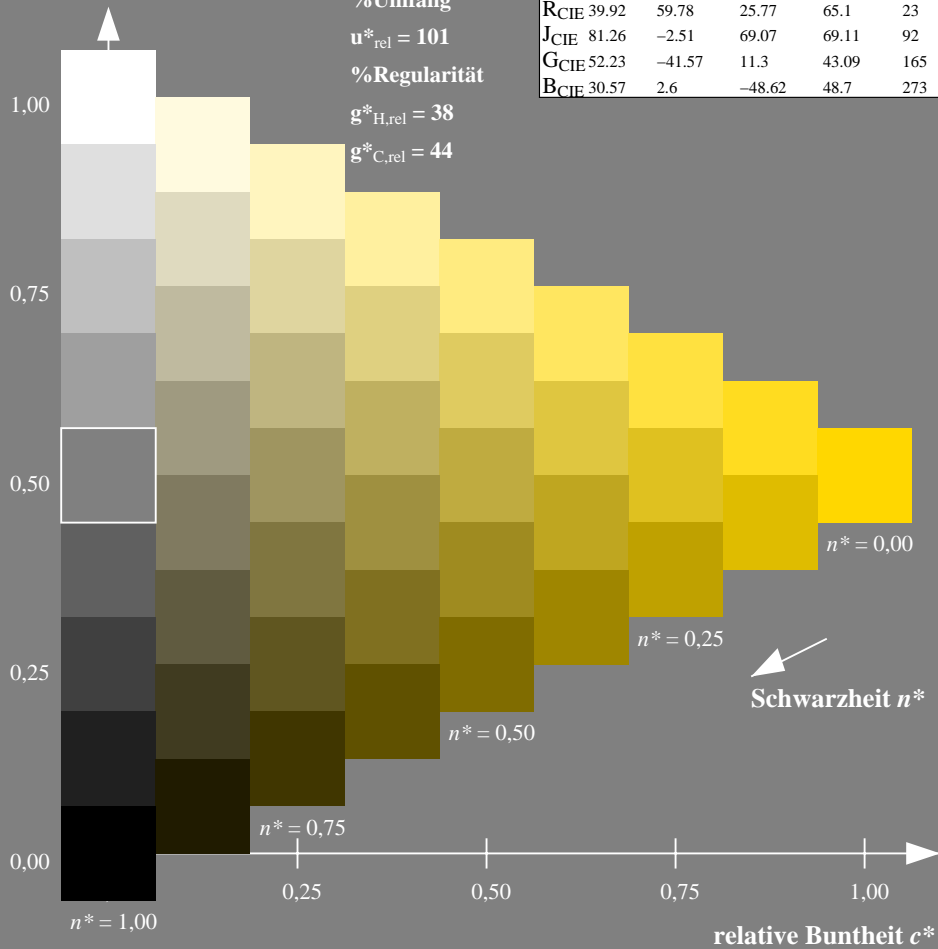
%Umfang

$u^*_{rel} = 101$

%Regularität

$g^*_{H,rel} = 38$

$g^*_{C,rel} = 44$



Ausgabe: Farbmetrisches Standard-Reflektiv-System SRS18

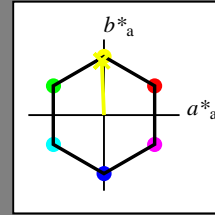
für Buntton $h^* = lab^*h = 92/360 = 0.256$

lab^*tch und lab^*nch

D65: Buntton J

LCH*Ma: 57 76 92

olv*Ma: 0.95 1.0 0.0



SRS18; adaptierte CIELAB-Daten

	$L^*=L^*_a$	a^*_a	b^*_a	$C^*_{ab,a}$	$h^*_{ab,a}$
O _{Ma}	56.71	67.03	38.7	77.4	30
Y _{Ma}	56.71	0.0	77.4	77.4	90
L _{Ma}	56.71	-67.02	38.7	77.4	150
C _{Ma}	56.71	-67.02	-38.69	77.4	210
V _{Ma}	56.71	0.0	-77.39	77.4	270
M _{Ma}	56.71	67.03	-38.69	77.4	330
N _{Ma}	18.01	0.0	0.0	0.0	0
W _{Ma}	95.41	0.0	0.0	0.0	0
R _{CIE}	39.92	58.74	27.99	65.07	25
J _{CIE}	81.26	-2.88	71.56	71.62	92
G _{CIE}	52.23	-42.41	13.6	44.55	162
B _{CIE}	30.57	1.41	-46.46	46.49	272

Dreiecks-Helligkeit t^*

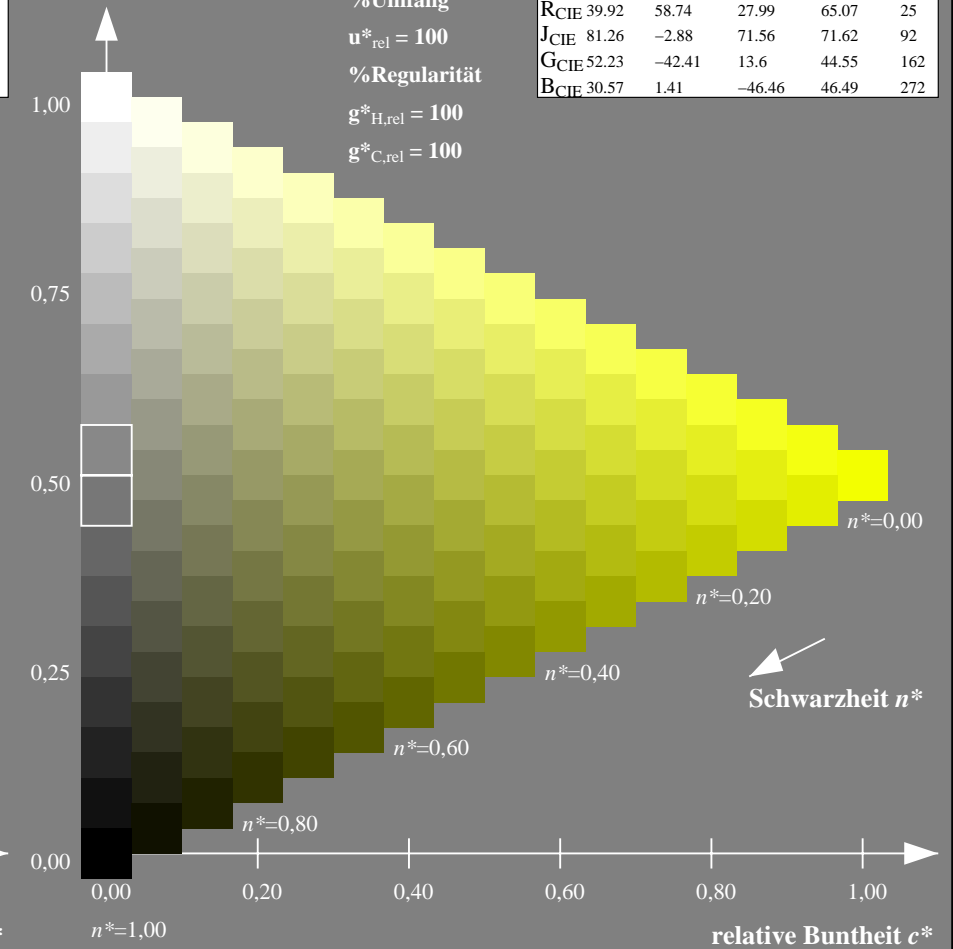
%Umfang

$u^*_{rel} = 100$

%Regularität

$g^*_{H,rel} = 100$

$g^*_{C,rel} = 100$



NG900-7, 9stufige Reihen für konstanten CIELAB Buntton 92/360 = 0.256 (links)

16stufige Reihen für konstanten CIELAB Buntton 92/360 = 0.256 (rechts)

Eingabe: Farbmetrisches Drucker-Reflektiv-System DRSXX

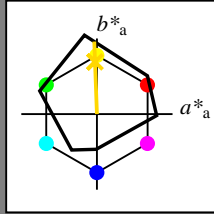
für Buntton $h^* = lab^*h = 92/360 = 0.256$

lab^*tch und lab^*nch

D65: Buntton J

LCH*Ma: 83 96 92

olv*Ma: 1.0 0.84 0.0



DRSXX; adaptierte CIELAB-Daten

	$L^*=L^*_a$	a^*_a	b^*_a	$C^*_{ab,a}$	$h^*_{ab,a}$
O _{Ma}	42.21	66.82	50.6	83.82	37
Y _{Ma}	90.32	-16.51	104.33	105.63	99
L _{Ma}	48.21	-75.63	30.65	81.61	158
C _{Ma}	53.44	-33.33	-47.49	58.03	235
V _{Ma}	34.16	-0.92	-46.56	46.58	269
M _{Ma}	42.71	79.0	-1.95	79.03	359
N _{Ma}	16.56	0.0	0.0	0.0	0
W _{Ma}	96.31	0.0	0.0	0.0	0
R _{CIE}	39.92	59.78	25.77	65.1	23
J _{CIE}	81.26	-2.51	69.07	69.11	92
G _{CIE}	52.23	-41.57	11.3	43.09	165
B _{CIE}	30.57	2.6	-48.62	48.7	273

Dreiecks-Helligkeit t^*

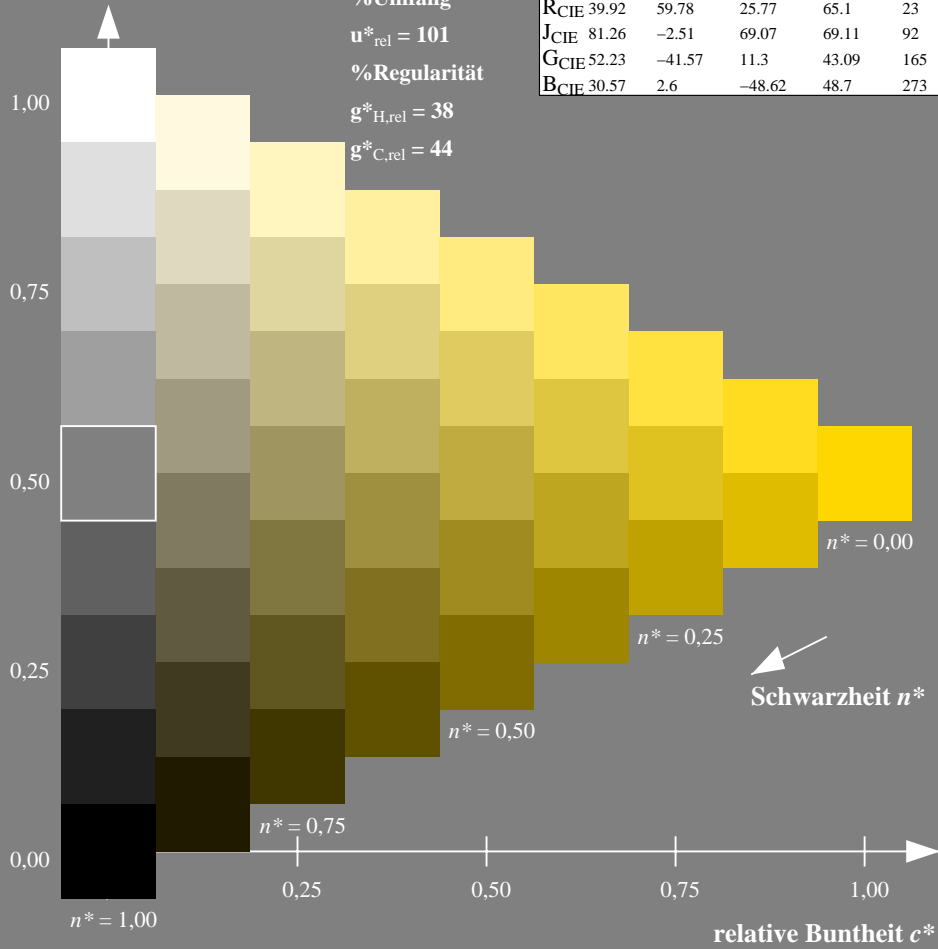
%Umfang

$u^*_{rel} = 101$

%Regularität

$g^*_{H,rel} = 38$

$g^*_{C,rel} = 44$



Ausgabe: Farbmetrisches Fernseh-Licht-System TLS70

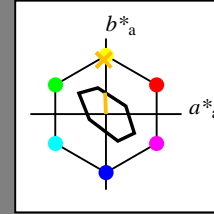
für Buntton $h^* = lab^*h = 92/360 = 0.256$

lab^*tch und lab^*nch

D65: Buntton J

LCH*Ma: 89 28 92

olv*Ma: 1.0 0.74 0.0



TLS70; adaptierte CIELAB-Daten

	$L^*=L^*_a$	a^*_a	b^*_a	$C^*_{ab,a}$	$h^*_{ab,a}$
O _{Ma}	76.43	26.27	10.57	28.32	22
Y _{Ma}	93.93	-10.76	34.63	36.27	107
L _{Ma}	89.32	-35.8	27.64	45.24	142
C _{Ma}	90.93	-21.95	-7.07	23.07	198
V _{Ma}	72.1	15.76	-35.63	38.97	294
M _{Ma}	78.5	37.52	-25.23	45.22	326
N _{Ma}	69.7	0.0	0.0	0.0	0
W _{Ma}	95.41	0.0	0.0	0.0	0
R _{CIE}	39.92	58.74	27.99	65.07	25
J _{CIE}	81.26	-2.88	71.56	71.62	92
G _{CIE}	52.23	-42.41	13.6	44.55	162
B _{CIE}	30.57	1.41	-46.46	46.49	272

Dreiecks-Helligkeit t^*

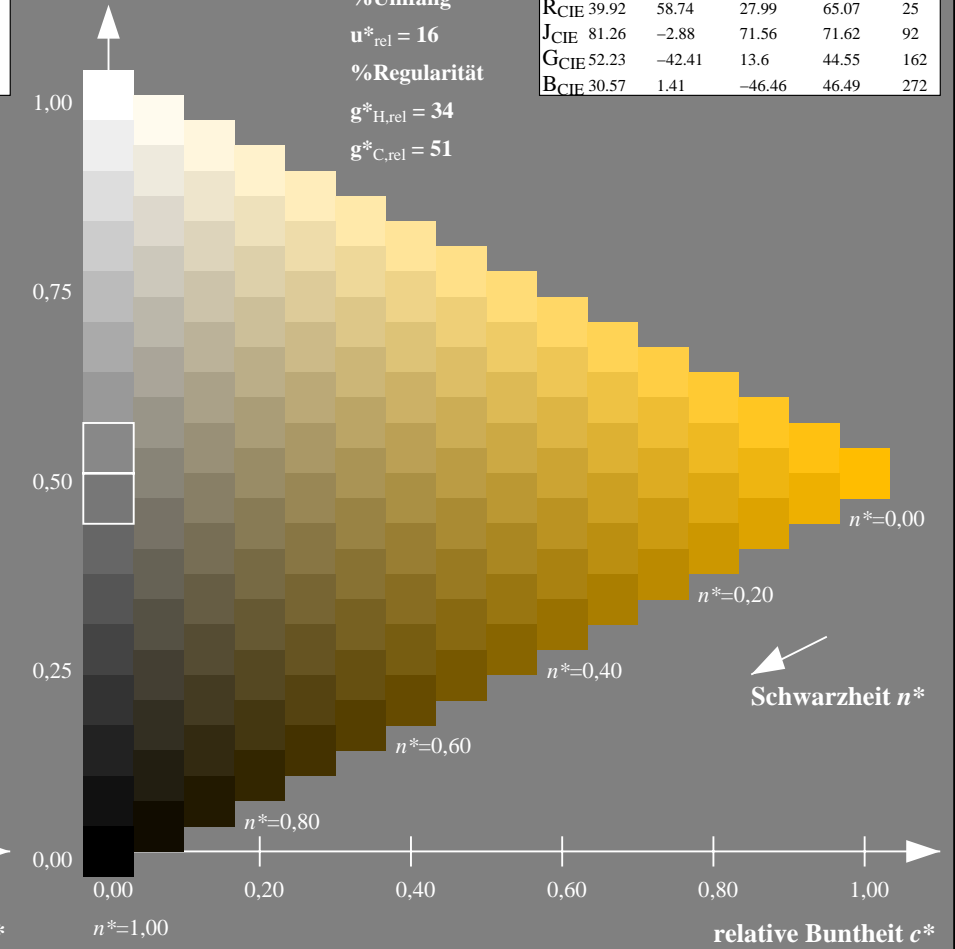
%Umfang

$u^*_{rel} = 16$

%Regularität

$g^*_{H,rel} = 34$

$g^*_{C,rel} = 51$



NG900-7, 9stufige Reihen für konstanten CIELAB Buntton $92/360 = 0.256$ (links)

16stufige Reihen für konstanten CIELAB Buntton $92/360 = 0.256$ (rechts)

Eingabe: Farbmetrisches Fernseh-Licht-System TLS18

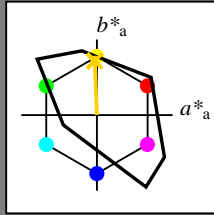
für Buntton $h^* = lab^*h = 92/360 = 0.256$

lab^*tch und lab^*nch

D65: Buntton J

LCH*Ma: 85 79 92

olv*Ma: 1.0 0.82 0.0



TLS18; adaptierte CIELAB-Daten

	$L^*=L^*_a$	a^*_a	b^*_a	$C^*_{ab,a}$	$h^*_{ab,a}$
OMa	52.76	71.63	49.88	87.29	35
YMa	92.74	-20.02	84.97	87.3	103
LMa	84.0	-78.98	73.94	108.2	137
CMa	87.14	-44.41	-13.11	46.32	196
VMa	35.47	64.92	-95.06	115.12	304
MMa	59.01	89.33	-55.67	105.26	328
NMa	18.01	0.0	0.0	0.0	0
WMa	95.41	0.0	0.0	0.0	0
RCIE	39.92	58.74	27.99	65.07	25
JCIE	81.26	-2.88	71.56	71.62	92
GCIE	52.23	-42.41	13.6	44.55	162
BCIE	30.57	1.41	-46.46	46.49	272

Dreiecks-Helligkeit t^*

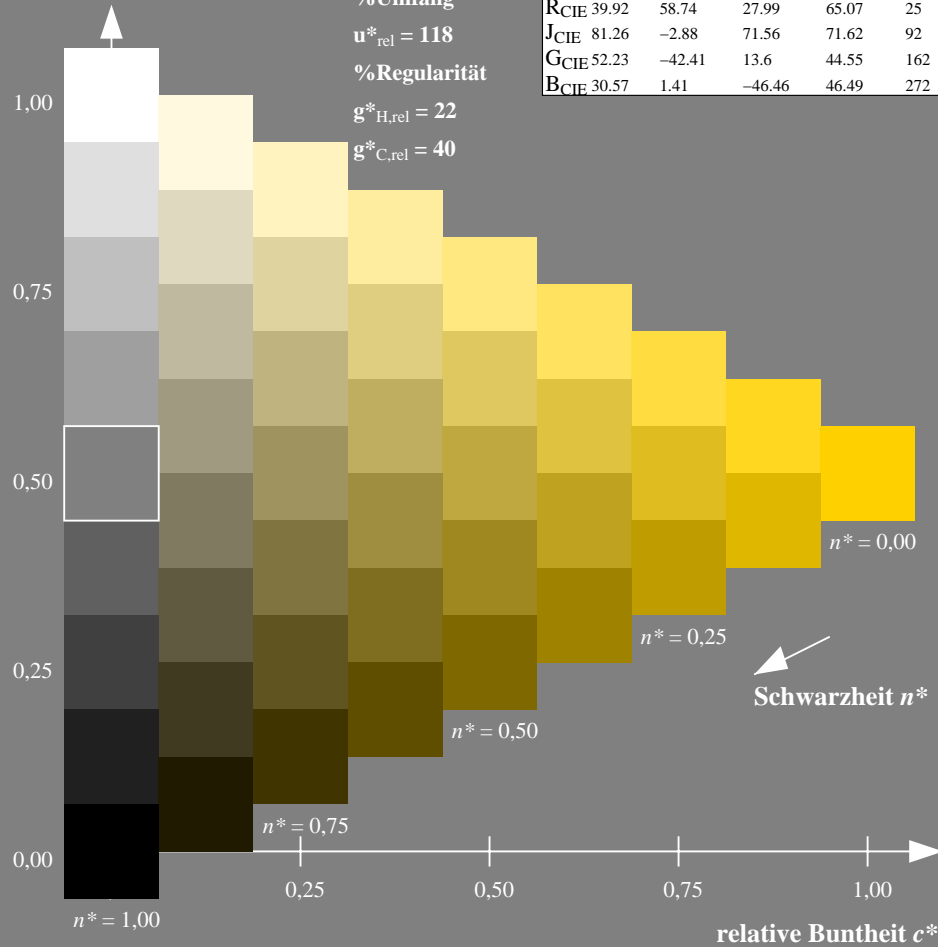
%Umfang

$u^*_{rel} = 118$

%Regularität

$g^*_{H,rel} = 22$

$g^*_{C,rel} = 40$



Ausgabe: Farbmetrisches Offset-Reflektiv-System ORS18

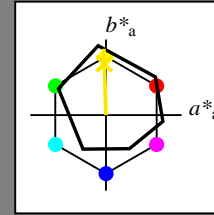
für Buntton $h^* = lab^*h = 92/360 = 0.255$

lab^*tch und lab^*nch

D65: Buntton J

LCH*Ma: 86 88 92

olv*Ma: 1.0 0.9 0.0



ORS18; adaptierte CIELAB-Daten

	$L^*=L^*_a$	a^*_a	b^*_a	$C^*_{ab,a}$	$h^*_{ab,a}$
OMa	47.94	65.39	50.52	82.63	38
YMa	90.37	-10.26	91.75	92.32	96
LMa	50.9	-62.83	34.96	71.91	151
CMa	58.62	-30.34	-45.01	54.3	236
VMa	25.72	31.1	-44.4	54.22	305
MMa	48.13	75.28	-8.36	75.74	354
NMa	18.01	0.0	0.0	0.0	0
WMa	95.41	0.0	0.0	0.0	0
RCIE	39.92	58.66	26.98	64.57	25
JCIE	81.26	-2.16	67.76	67.79	92
GCIE	52.23	-42.25	11.76	43.87	164
BCIE	30.57	1.15	-46.84	46.86	271

Dreiecks-Helligkeit t^*

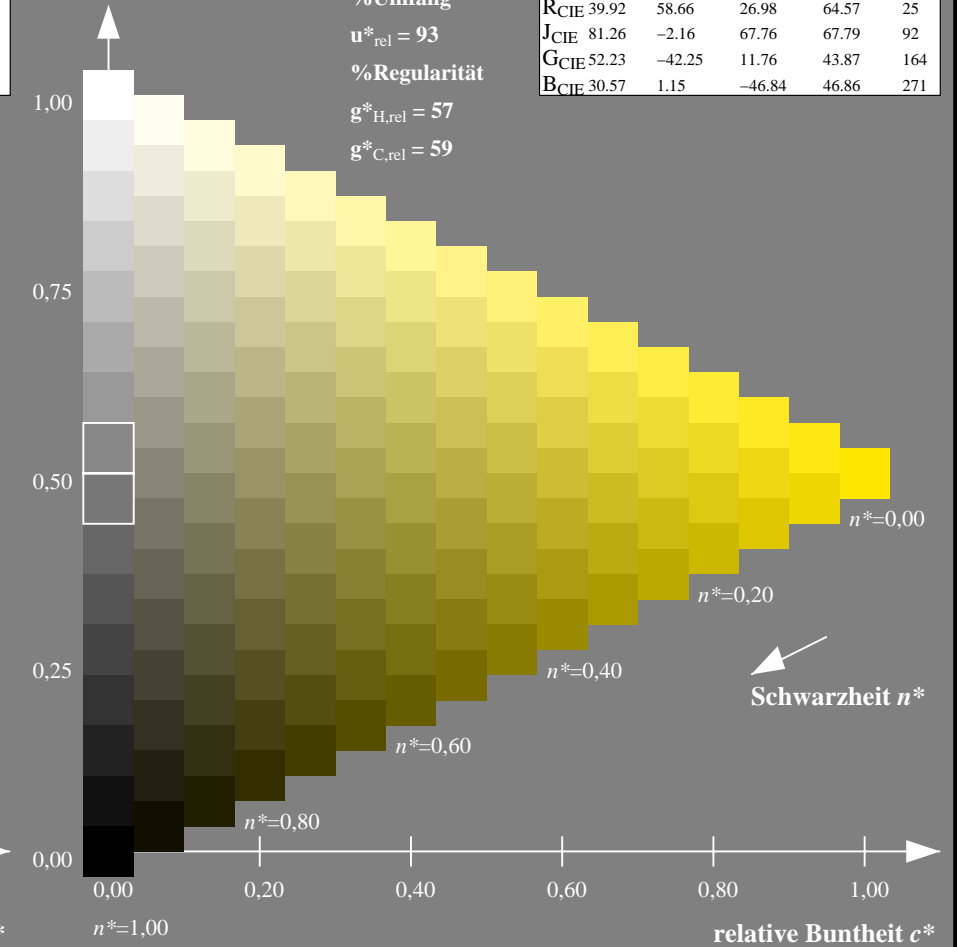
%Umfang

$u^*_{rel} = 93$

%Regularität

$g^*_{H,rel} = 57$

$g^*_{C,rel} = 59$



NG900-7, 9stufige Reihen für konstanten CIELAB Buntton $92/360 = 0.256$ (links)

16stufige Reihen für konstanten CIELAB Buntton $92/360 = 0.255$ (rechts)

Eingabe: Farbmetrisches Fernseh-Licht-System TLS18

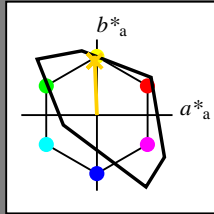
für Buntton $h^* = lab^*h = 92/360 = 0.256$

lab^*tch und lab^*nch

D65: Buntton J

LCH*Ma: 85 79 92

olv*Ma: 1.0 0.82 0.0



TLS18; adaptierte CIELAB-Daten

	$L^*=L^*_a$	a^*_a	b^*_a	$C^*_{ab,a}$	$h^*_{ab,a}$
OMa	52.76	71.63	49.88	87.29	35
YMa	92.74	-20.02	84.97	87.3	103
LMa	84.0	-78.98	73.94	108.2	137
CMa	87.14	-44.41	-13.11	46.32	196
VMa	35.47	64.92	-95.06	115.12	304
MMa	59.01	89.33	-55.67	105.26	328
NMa	18.01	0.0	0.0	0.0	0
WMa	95.41	0.0	0.0	0.0	0
RCIE	39.92	58.74	27.99	65.07	25
JCIE	81.26	-2.88	71.56	71.62	92
GCIE	52.23	-42.41	13.6	44.55	162
BCIE	30.57	1.41	-46.46	46.49	272

Dreiecks-Helligkeit t^*

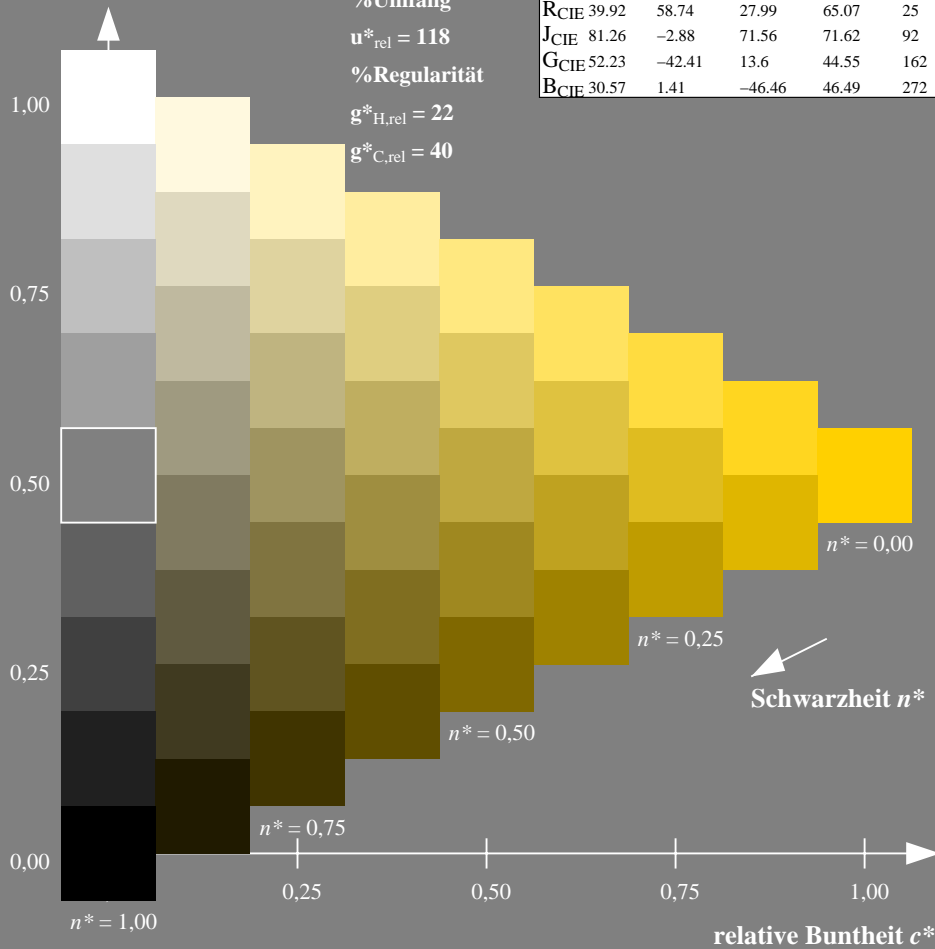
%Umfang

$u^*_{rel} = 118$

%Regularität

$g^*_{H,rel} = 22$

$g^*_{C,rel} = 40$



Ausgabe: Farbmetrisches Fernseh-Licht-System TLS00

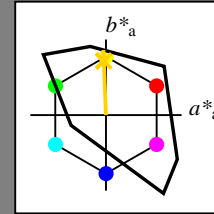
für Buntton $h^* = lab^*h = 92/360 = 0.256$

lab^*tch und lab^*nch

D65: Buntton J

LCH*Ma: 85 86 92

olv*Ma: 1.0 0.82 0.0



TLS00; adaptierte CIELAB-Daten

	$L^*=L^*_a$	a^*_a	b^*_a	$C^*_{ab,a}$	$h^*_{ab,a}$
OMa	50.5	76.92	64.55	100.42	40
YMa	92.66	-20.69	90.75	93.08	103
LMa	83.63	-82.75	79.9	115.04	136
CMa	86.88	-46.16	-13.55	48.12	196
VMa	30.39	76.06	-103.59	128.52	306
MMa	57.3	94.35	-58.41	110.97	328
NMa	0.01	0.0	0.0	0.0	0
WMa	95.41	0.0	0.0	0.0	0
RCIE	39.92	58.74	27.99	65.07	25
JCIE	81.26	-2.88	71.56	71.62	92
GCIE	52.23	-42.41	13.6	44.55	162
BCIE	30.57	1.41	-46.46	46.49	272

Dreiecks-Helligkeit t^*

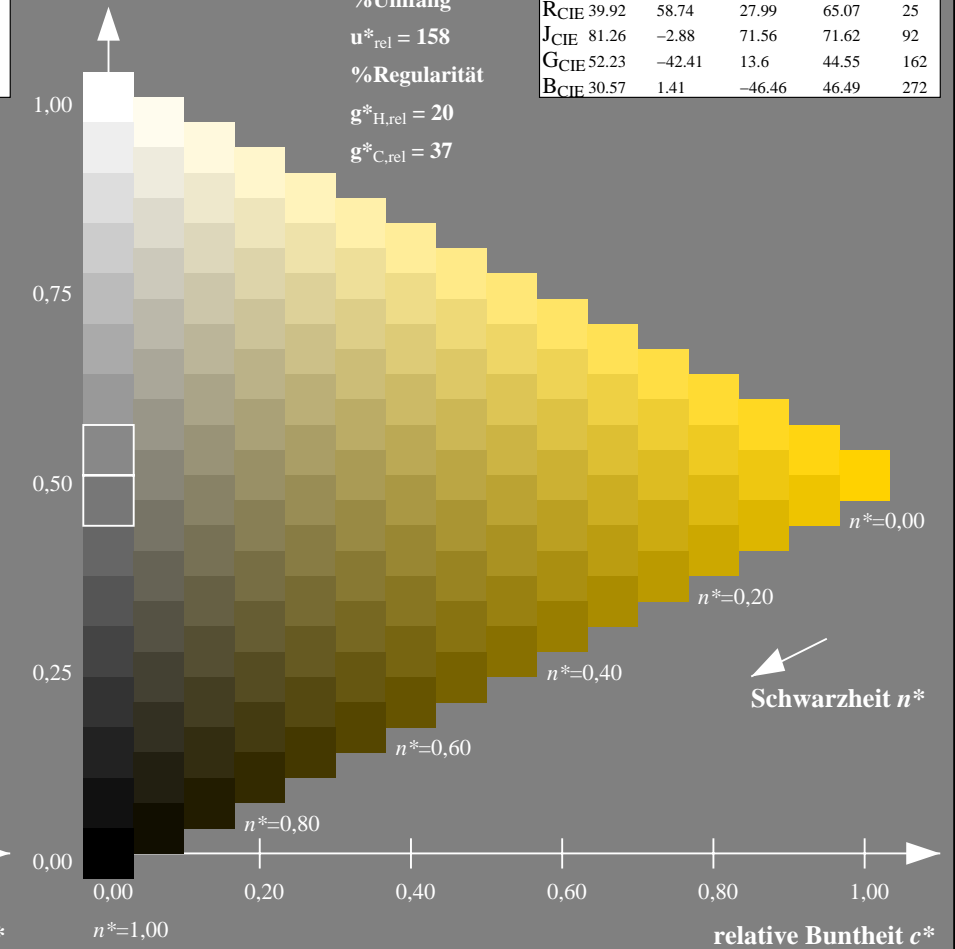
%Umfang

$u^*_{rel} = 158$

%Regularität

$g^*_{H,rel} = 20$

$g^*_{C,rel} = 37$



NG900-7, 9stufige Reihen für konstanten CIELAB Buntton $92/360 = 0.256$ (links)

16stufige Reihen für konstanten CIELAB Buntton $92/360 = 0.256$ (rechts)

Eingabe: Farbmetrisches Fernseh-Licht-System TLS18

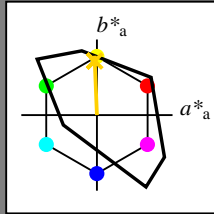
für Buntton $h^* = lab^*h = 92/360 = 0.256$

lab^*tch und lab^*nch

D65: Buntton J

LCH*Ma: 85 79 92

olv*Ma: 1.0 0.82 0.0



TLS18; adaptierte CIELAB-Daten

	$L^*=L^*_a$	a^*_a	b^*_a	$C^*_{ab,a}$	$h^*_{ab,a}$
OMa	52.76	71.63	49.88	87.29	35
YMa	92.74	-20.02	84.97	87.3	103
LMa	84.0	-78.98	73.94	108.2	137
CMa	87.14	-44.41	-13.11	46.32	196
VMa	35.47	64.92	-95.06	115.12	304
MMa	59.01	89.33	-55.67	105.26	328
NMa	18.01	0.0	0.0	0.0	0
WMa	95.41	0.0	0.0	0.0	0
RCIE	39.92	58.74	27.99	65.07	25
JCIE	81.26	-2.88	71.56	71.62	92
GCIE	52.23	-42.41	13.6	44.55	162
BCIE	30.57	1.41	-46.46	46.49	272

Dreiecks-Helligkeit t^*

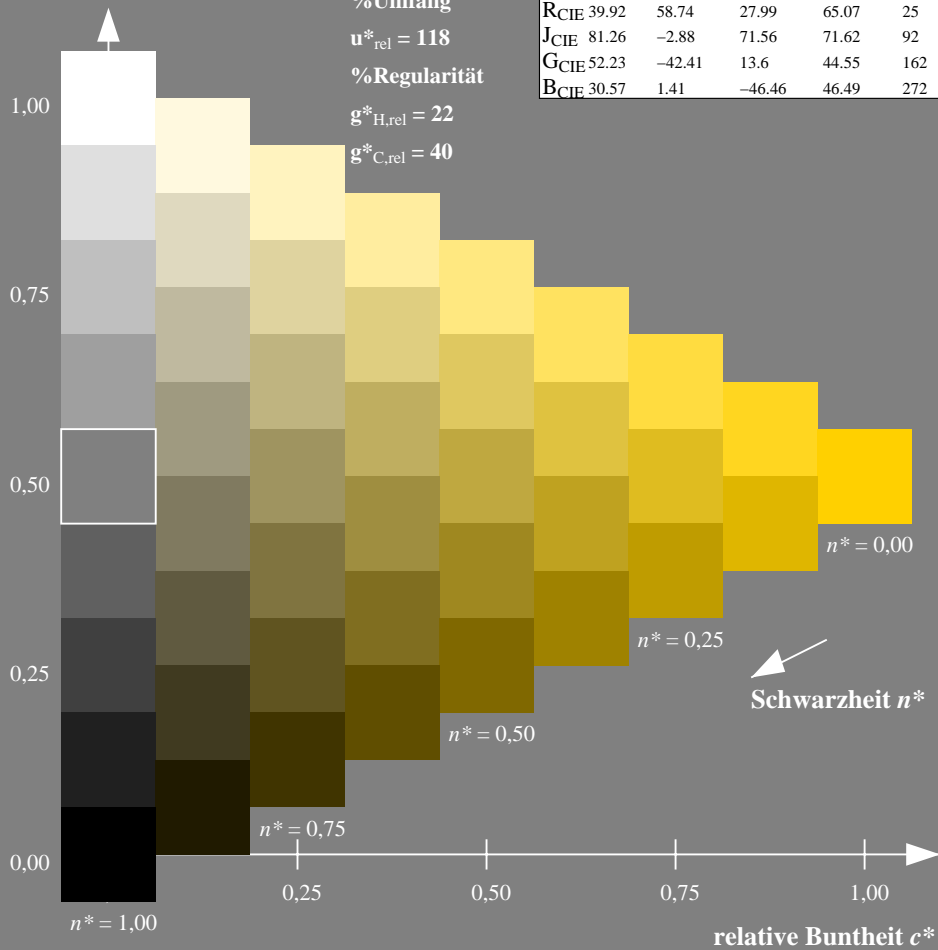
%Umfang

$u^*_{rel} = 118$

%Regularität

$g^*_{H,rel} = 22$

$g^*_{C,rel} = 40$



Schwarzheit n^*

Ausgabe: Farbmetrisches Drucker-Reflektiv-System DRSXX

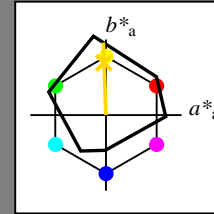
für Buntton $h^* = lab^*h = 92/360 = 0.256$

lab^*tch und lab^*nch

D65: Buntton J

LCH*Ma: 83 96 92

olv*Ma: 1.0 0.84 0.0



DRSXX; adaptierte CIELAB-Daten

	$L^*=L^*_a$	a^*_a	b^*_a	$C^*_{ab,a}$	$h^*_{ab,a}$
OMa	42.21	66.82	50.6	83.82	37
YMa	90.32	-16.51	104.33	105.63	99
LMa	48.21	-75.63	30.65	81.61	158
CMa	53.44	-33.33	-47.49	58.03	235
VMa	34.16	-0.92	-46.56	46.58	269
MMa	42.71	79.0	-1.95	79.03	359
NMa	16.56	0.0	0.0	0.0	0
WMa	96.31	0.0	0.0	0.0	0
RCIE	39.92	59.78	25.77	65.1	23
JCIE	81.26	-2.51	69.07	69.11	92
GCIE	52.23	-41.57	11.3	43.09	165
BCIE	30.57	2.6	-48.62	48.7	273

Dreiecks-Helligkeit t^*

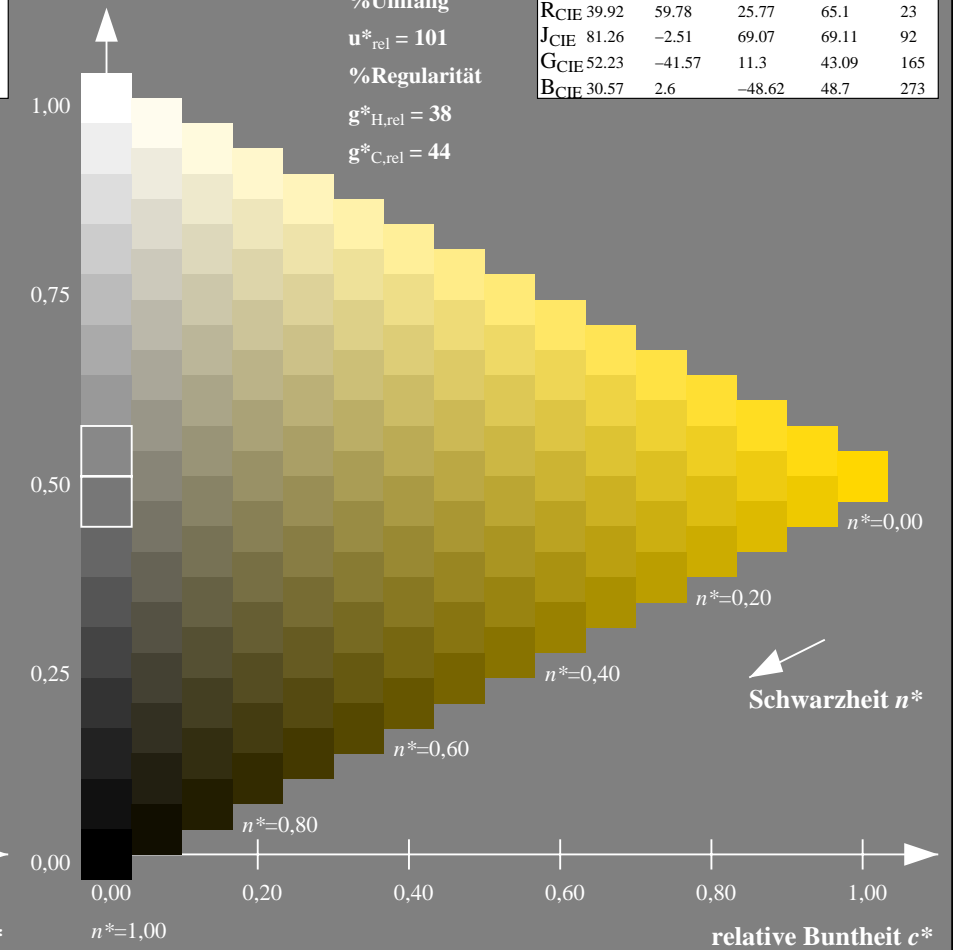
%Umfang

$u^*_{rel} = 101$

%Regularität

$g^*_{H,rel} = 38$

$g^*_{C,rel} = 44$



Schwarzheit n^*

NG900-7, 9stufige Reihen für konstanten CIELAB Buntton 92/360 = 0.256 (links)

16stufige Reihen für konstanten CIELAB Buntton 92/360 = 0.256 (rechts)

Eingabe: Farbmetrisches Fernseh-Licht-System TLS18

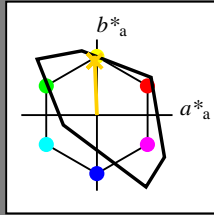
für Buntton $h^* = lab^*h = 92/360 = 0.256$

lab^*tch und lab^*nch

D65: Buntton J

LCH*Ma: 85 79 92

olv*Ma: 1.0 0.82 0.0



TLS18; adaptierte CIELAB-Daten

	$L^*=L^*_a$	a^*_a	b^*_a	$C^*_{ab,a}$	$h^*_{ab,a}$
O _{Ma}	52.76	71.63	49.88	87.29	35
Y _{Ma}	92.74	-20.02	84.97	87.3	103
L _{Ma}	84.0	-78.98	73.94	108.2	137
C _{Ma}	87.14	-44.41	-13.11	46.32	196
V _{Ma}	35.47	64.92	-95.06	115.12	304
M _{Ma}	59.01	89.33	-55.67	105.26	328
N _{Ma}	18.01	0.0	0.0	0.0	0
W _{Ma}	95.41	0.0	0.0	0.0	0
R _{CIE}	39.92	58.74	27.99	65.07	25
J _{CIE}	81.26	-2.88	71.56	71.62	92
G _{CIE}	52.23	-42.41	13.6	44.55	162
B _{CIE}	30.57	1.41	-46.46	46.49	272

Dreiecks-Helligkeit t^*

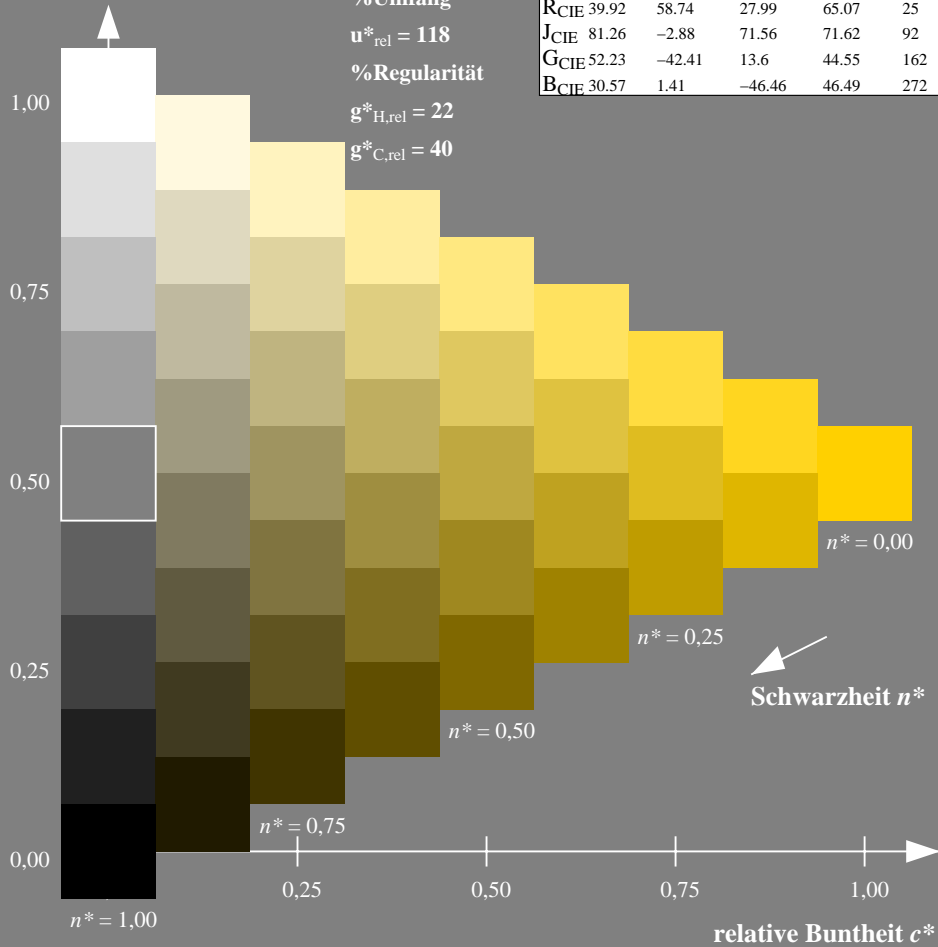
%Umfang

$u^*_{rel} = 118$

%Regularität

$g^*_{H,rel} = 22$

$g^*_{C,rel} = 40$



Ausgabe: Farbmetrisches Fernseh-Licht-System TLS18

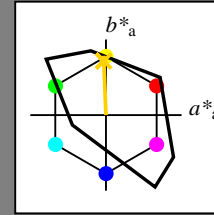
für Buntton $h^* = lab^*h = 92/360 = 0.256$

lab^*tch und lab^*nch

D65: Buntton J

LCH*Ma: 85 79 92

olv*Ma: 1.0 0.82 0.0



TLS18; adaptierte CIELAB-Daten

	$L^*=L^*_a$	a^*_a	b^*_a	$C^*_{ab,a}$	$h^*_{ab,a}$
O _{Ma}	52.76	71.63	49.88	87.29	35
Y _{Ma}	92.74	-20.02	84.97	87.3	103
L _{Ma}	84.0	-78.98	73.94	108.2	137
C _{Ma}	87.14	-44.41	-13.11	46.32	196
V _{Ma}	35.47	64.92	-95.06	115.12	304
M _{Ma}	59.01	89.33	-55.67	105.26	328
N _{Ma}	18.01	0.0	0.0	0.0	0
W _{Ma}	95.41	0.0	0.0	0.0	0
R _{CIE}	39.92	58.74	27.99	65.07	25
J _{CIE}	81.26	-2.88	71.56	71.62	92
G _{CIE}	52.23	-42.41	13.6	44.55	162
B _{CIE}	30.57	1.41	-46.46	46.49	272

Dreiecks-Helligkeit t^*

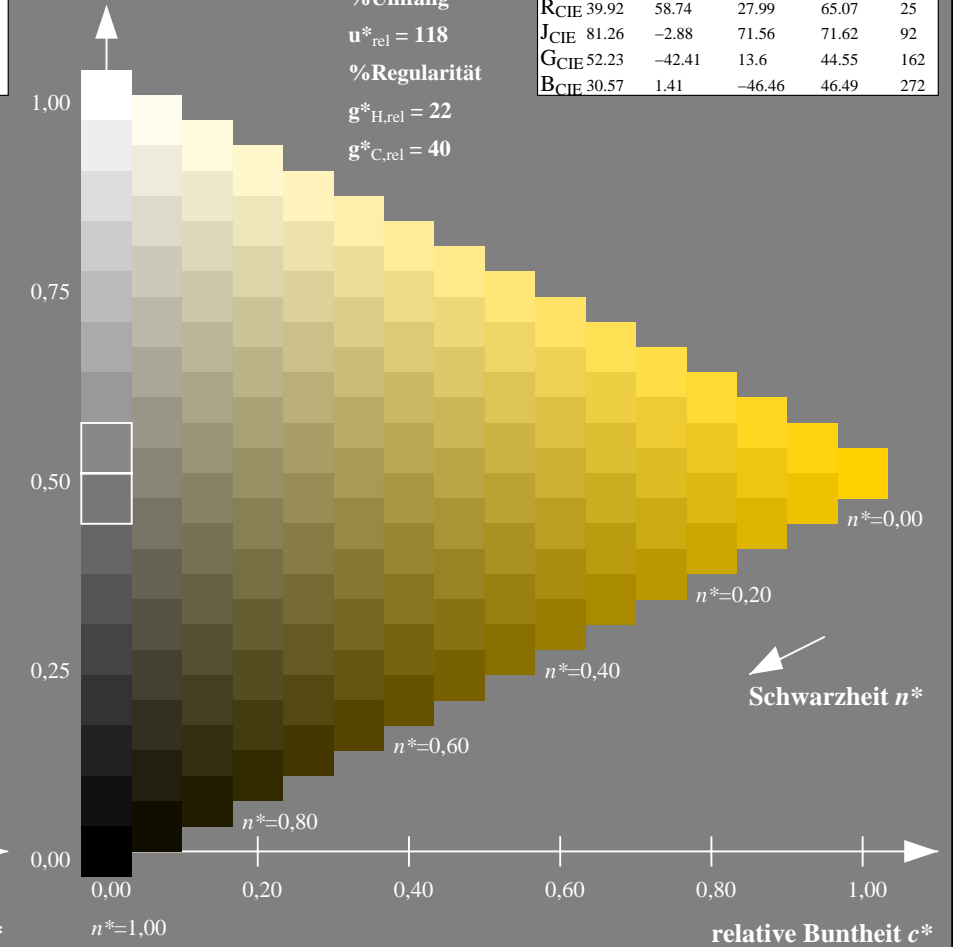
%Umfang

$u^*_{rel} = 118$

%Regularität

$g^*_{H,rel} = 22$

$g^*_{C,rel} = 40$



NG900-7, 9stufige Reihen für konstanten CIELAB Buntton $92/360 = 0.256$ (links)

16stufige Reihen für konstanten CIELAB Buntton $92/360 = 0.256$ (rechts)

Eingabe: Farbmetrisches Fernseh-Licht-System TLS18

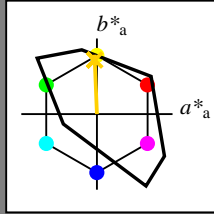
für Buntton $h^* = lab^*h = 92/360 = 0.256$

lab^*tch und lab^*nch

D65: Buntton J

LCH*Ma: 85 79 92

olv*Ma: 1.0 0.82 0.0



TLS18; adaptierte CIELAB-Daten

	$L^*=L^*_a$	a^*_a	b^*_a	$C^*_{ab,a}$	$h^*_{ab,a}$
OMa	52.76	71.63	49.88	87.29	35
YMa	92.74	-20.02	84.97	87.3	103
LMa	84.0	-78.98	73.94	108.2	137
CMa	87.14	-44.41	-13.11	46.32	196
VMa	35.47	64.92	-95.06	115.12	304
MMa	59.01	89.33	-55.67	105.26	328
NMa	18.01	0.0	0.0	0.0	0
WMa	95.41	0.0	0.0	0.0	0
RCIE	39.92	58.74	27.99	65.07	25
JCIE	81.26	-2.88	71.56	71.62	92
GCIE	52.23	-42.41	13.6	44.55	162
BCIE	30.57	1.41	-46.46	46.49	272

Dreiecks-Helligkeit t^*

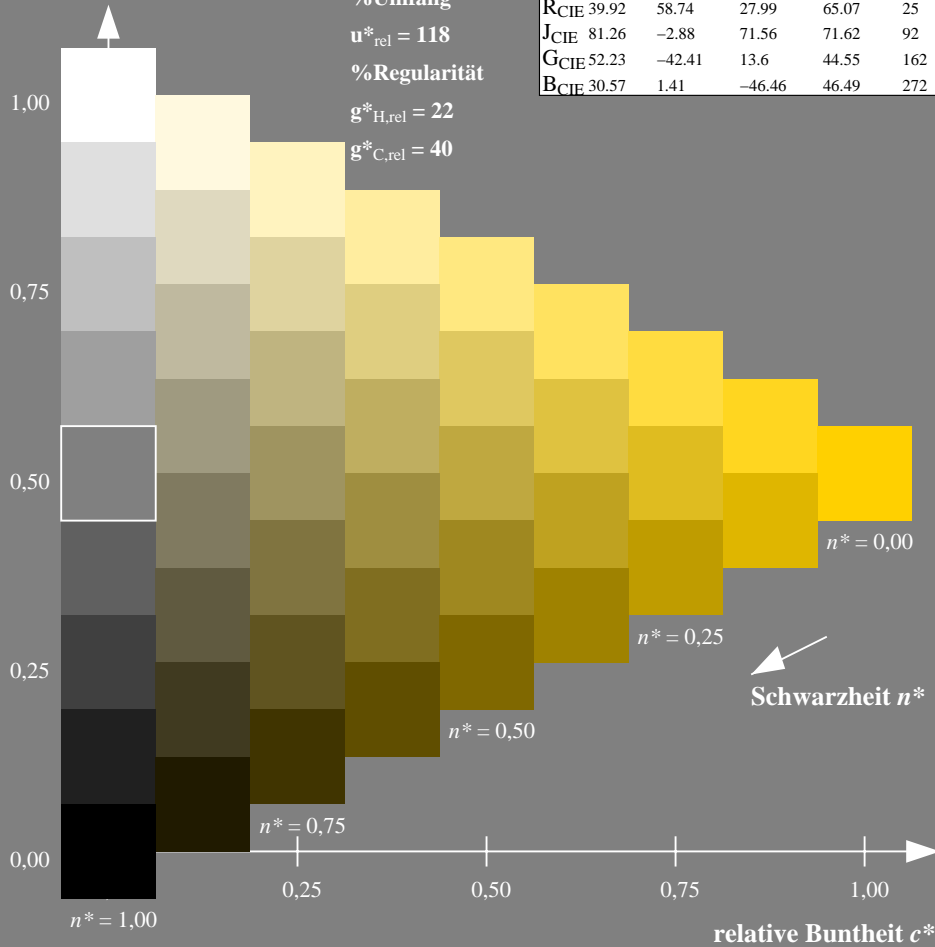
%Umfang

$u^*_{rel} = 118$

%Regularität

$g^*_{H,rel} = 22$

$g^*_{C,rel} = 40$



Ausgabe: Farbmetrisches Natürliches-Licht-System NLS00

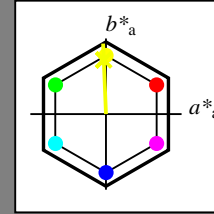
für Buntton $h^* = lab^*h = 92/360 = 0.256$

lab^*tch und lab^*nch

D65: Buntton J

LCH*Ma: 62 93 92

olv*Ma: 0.95 1.0 0.0



NLS00; adaptierte CIELAB-Daten

	$L^*=L^*_a$	a^*_a	b^*_a	$C^*_{ab,a}$	$h^*_{ab,a}$
OMa	31.81	82.62	47.7	95.4	30
YMa	63.61	0.0	95.4	95.4	90
LMa	31.81	-82.61	47.7	95.4	150
CMa	63.61	-82.61	-47.69	95.4	210
VMa	31.81	0.0	-95.39	95.4	270
MMa	63.61	82.62	-47.69	95.4	330
NMa	0.01	0.0	0.0	0.0	0
WMa	95.41	0.0	0.0	0.0	0
RCIE	39.92	58.74	27.99	65.07	25
JCIE	81.26	-2.88	71.56	71.62	92
GCIE	52.23	-42.41	13.6	44.55	162
BCIE	30.57	1.41	-46.46	46.49	272

Dreiecks-Helligkeit t^*

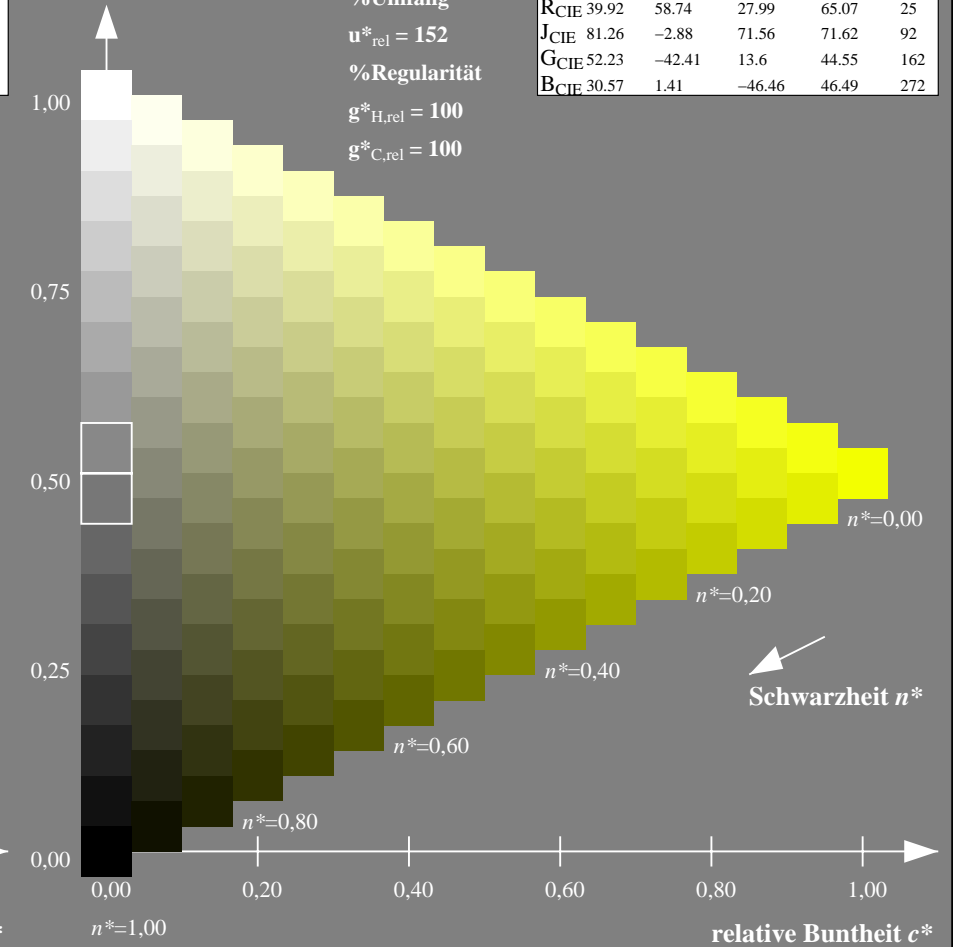
%Umfang

$u^*_{rel} = 152$

%Regularität

$g^*_{H,rel} = 100$

$g^*_{C,rel} = 100$



NG900-7, 9stufige Reihen für konstanten CIELAB Buntton $92/360 = 0.256$ (links)

16stufige Reihen für konstanten CIELAB Buntton $92/360 = 0.256$ (rechts)

Eingabe: Farbmetrisches Fernseh-Licht-System TLS18

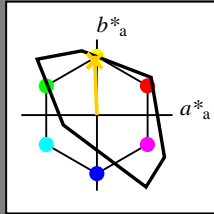
für Buntton $h^* = lab^*h = 92/360 = 0.256$

lab^*tch und lab^*nch

D65: Buntton J

LCH*Ma: 85 79 92

olv*Ma: 1.0 0.82 0.0



TLS18; adaptierte CIELAB-Daten

	$L^*=L^*_a$	a^*_a	b^*_a	$C^*_{ab,a}$	$h^*_{ab,a}$
OMa	52.76	71.63	49.88	87.29	35
YMa	92.74	-20.02	84.97	87.3	103
LMa	84.0	-78.98	73.94	108.2	137
CMa	87.14	-44.41	-13.11	46.32	196
VMa	35.47	64.92	-95.06	115.12	304
MMa	59.01	89.33	-55.67	105.26	328
NMa	18.01	0.0	0.0	0.0	0
WMa	95.41	0.0	0.0	0.0	0
RCIE	39.92	58.74	27.99	65.07	25
JCIE	81.26	-2.88	71.56	71.62	92
GCIE	52.23	-42.41	13.6	44.55	162
BCIE	30.57	1.41	-46.46	46.49	272

Dreiecks-Helligkeit t^*

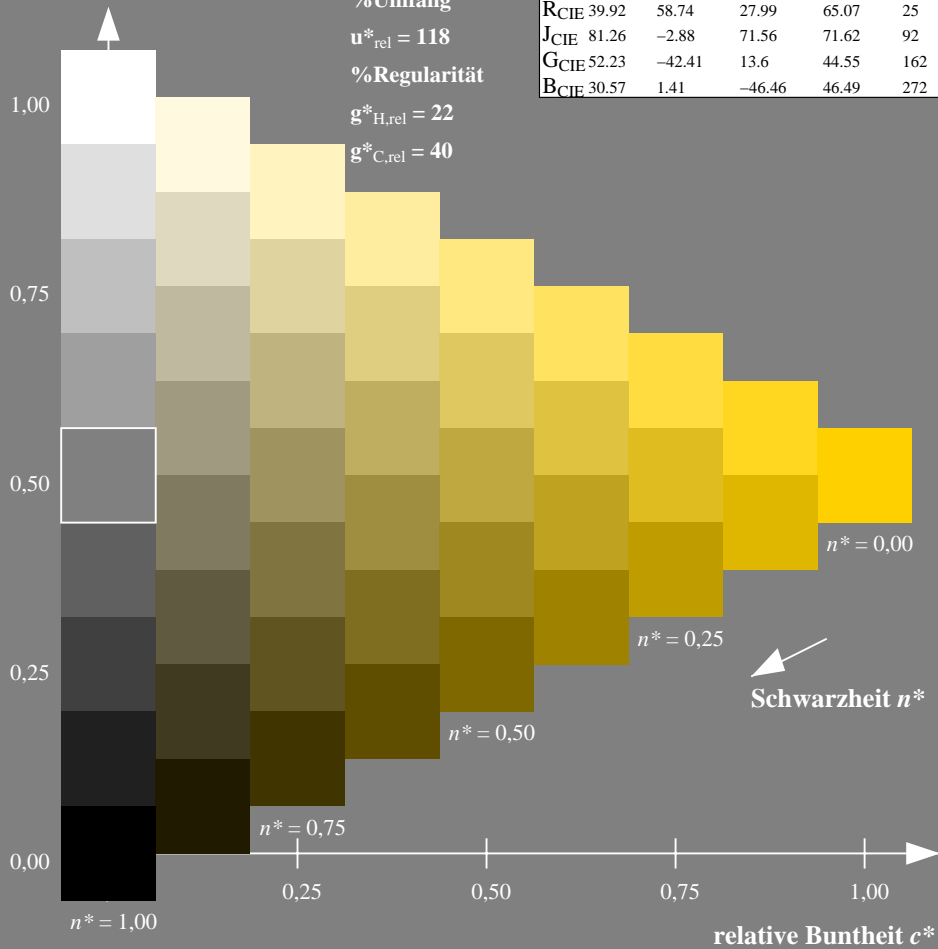
%Umfang

$u^*_{rel} = 118$

%Regularität

$g^*_{H,rel} = 22$

$g^*_{C,rel} = 40$



Ausgabe: Farbmetrisches Natürliches-Reflektiv-System NRS18

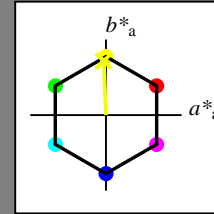
für Buntton $h^* = lab^*h = 92/360 = 0.256$

lab^*tch und lab^*nch

D65: Buntton J

LCH*Ma: 68 76 92

olv*Ma: 0.95 1.0 0.0



NRS18; adaptierte CIELAB-Daten

	$L^*=L^*_a$	a^*_a	b^*_a	$C^*_{ab,a}$	$h^*_{ab,a}$
OMa	43.81	67.03	38.7	77.4	30
YMa	69.61	0.0	77.4	77.4	90
LMa	43.81	-67.02	38.7	77.4	150
CMa	69.61	-67.02	-38.69	77.4	210
VMa	43.81	0.0	-77.39	77.4	270
MMa	69.61	67.03	-38.69	77.4	330
NMa	18.01	0.0	0.0	0.0	0
WMa	95.41	0.0	0.0	0.0	0
RCIE	39.92	58.74	27.99	65.07	25
JCIE	81.26	-2.88	71.56	71.62	92
GCIE	52.23	-42.41	13.6	44.55	162
BCIE	30.57	1.41	-46.46	46.49	272

Dreiecks-Helligkeit t^*

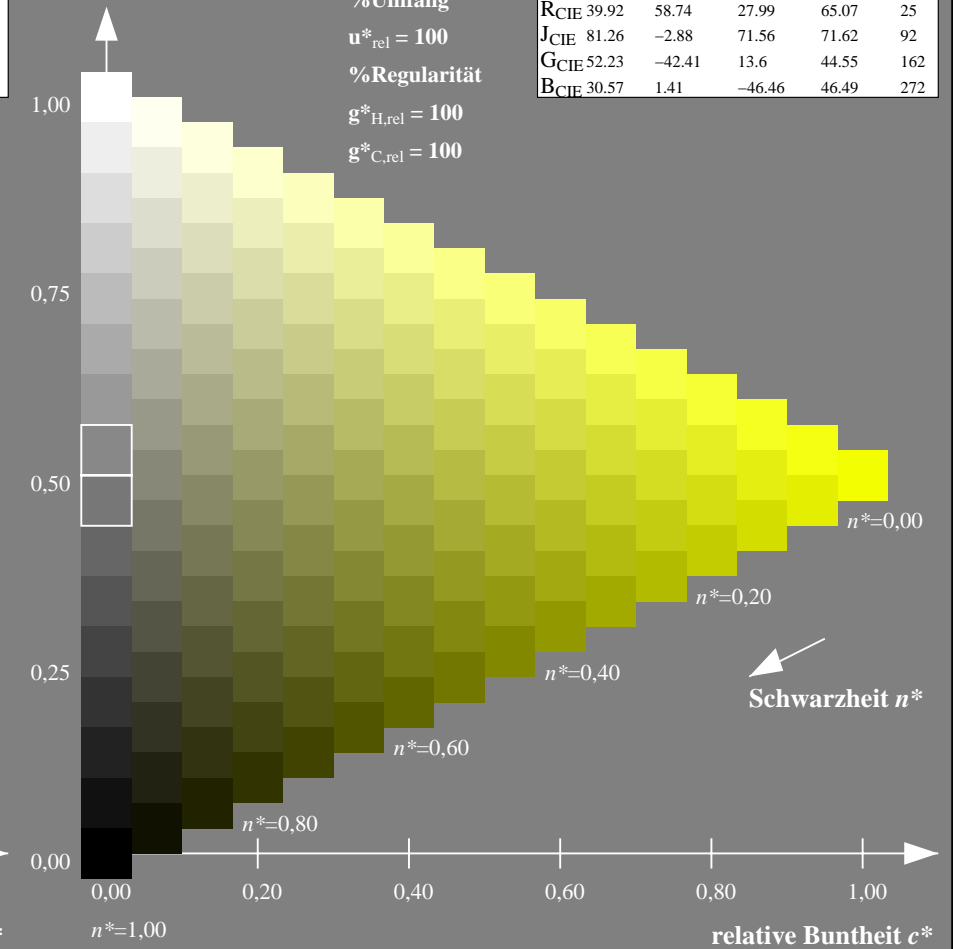
%Umfang

$u^*_{rel} = 100$

%Regularität

$g^*_{H,rel} = 100$

$g^*_{C,rel} = 100$



NG900-7, 9stufige Reihen für konstanten CIELAB Buntton $92/360 = 0.256$ (links)

16stufige Reihen für konstanten CIELAB Buntton $92/360 = 0.256$ (rechts)

Eingabe: Farbmetrisches Fernseh-Licht-System TLS18

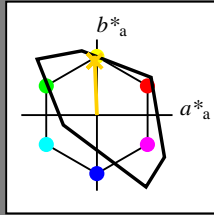
für Buntton $h^* = lab^*h = 92/360 = 0.256$

lab^*tch und lab^*nch

D65: Buntton J

LCH*Ma: 85 79 92

olv*Ma: 1.0 0.82 0.0



TLS18; adaptierte CIELAB-Daten

	$L^*=L^*_a$	a^*_a	b^*_a	$C^*_{ab,a}$	$h^*_{ab,a}$
OMa	52.76	71.63	49.88	87.29	35
YMa	92.74	-20.02	84.97	87.3	103
LMa	84.0	-78.98	73.94	108.2	137
CMa	87.14	-44.41	-13.11	46.32	196
VMa	35.47	64.92	-95.06	115.12	304
MMa	59.01	89.33	-55.67	105.26	328
NMa	18.01	0.0	0.0	0.0	0
WMa	95.41	0.0	0.0	0.0	0
RCIE	39.92	58.74	27.99	65.07	25
JCIE	81.26	-2.88	71.56	71.62	92
GCIE	52.23	-42.41	13.6	44.55	162
BCIE	30.57	1.41	-46.46	46.49	272

Dreiecks-Helligkeit t^*

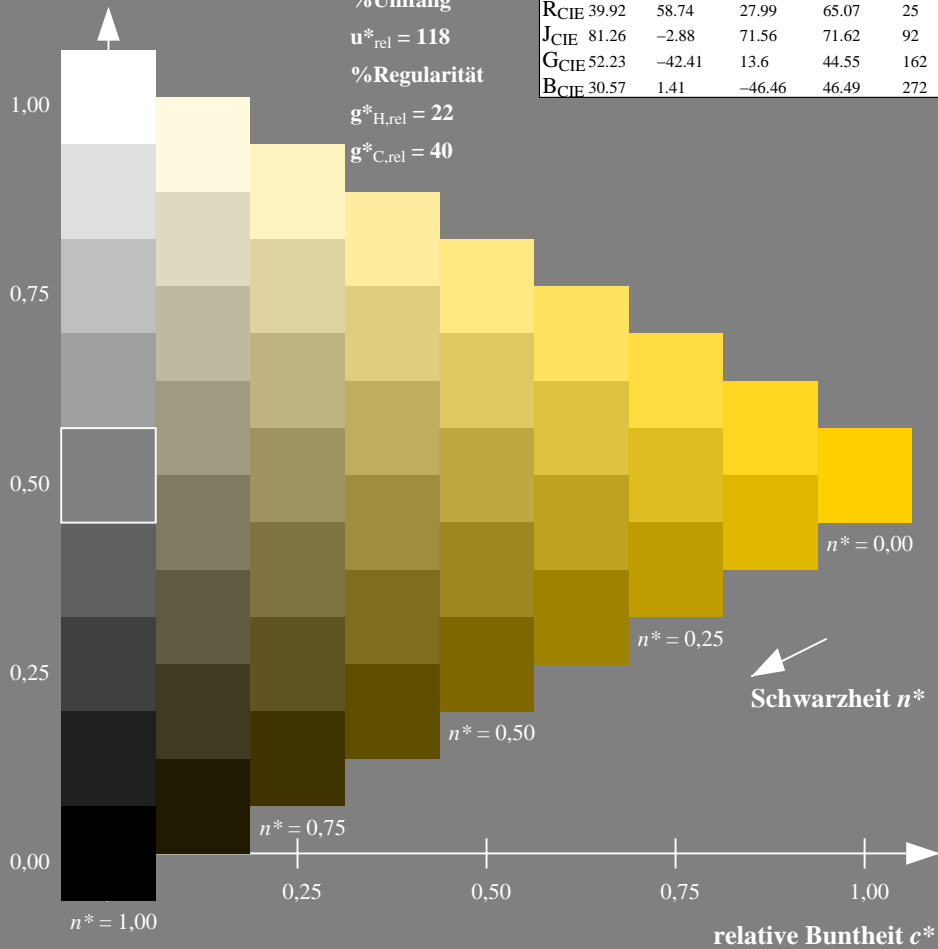
%Umfang

$u^*_{rel} = 118$

%Regularität

$g^*_{H,rel} = 22$

$g^*_{C,rel} = 40$



Ausgabe: Farbmetrisches Standard-Reflektiv-System SRS18

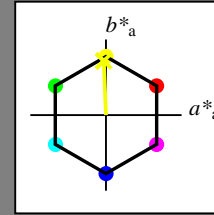
für Buntton $h^* = lab^*h = 92/360 = 0.256$

lab^*tch und lab^*nch

D65: Buntton J

LCH*Ma: 57 76 92

olv*Ma: 0.95 1.0 0.0



SRS18; adaptierte CIELAB-Daten

	$L^*=L^*_a$	a^*_a	b^*_a	$C^*_{ab,a}$	$h^*_{ab,a}$
OMa	56.71	67.03	38.7	77.4	30
YMa	56.71	0.0	77.4	77.4	90
LMa	56.71	-67.02	38.7	77.4	150
CMa	56.71	-67.02	-38.69	77.4	210
VMa	56.71	0.0	-77.39	77.4	270
MMa	56.71	67.03	-38.69	77.4	330
NMa	18.01	0.0	0.0	0.0	0
WMa	95.41	0.0	0.0	0.0	0
RCIE	39.92	58.74	27.99	65.07	25
JCIE	81.26	-2.88	71.56	71.62	92
GCIE	52.23	-42.41	13.6	44.55	162
BCIE	30.57	1.41	-46.46	46.49	272

Dreiecks-Helligkeit t^*

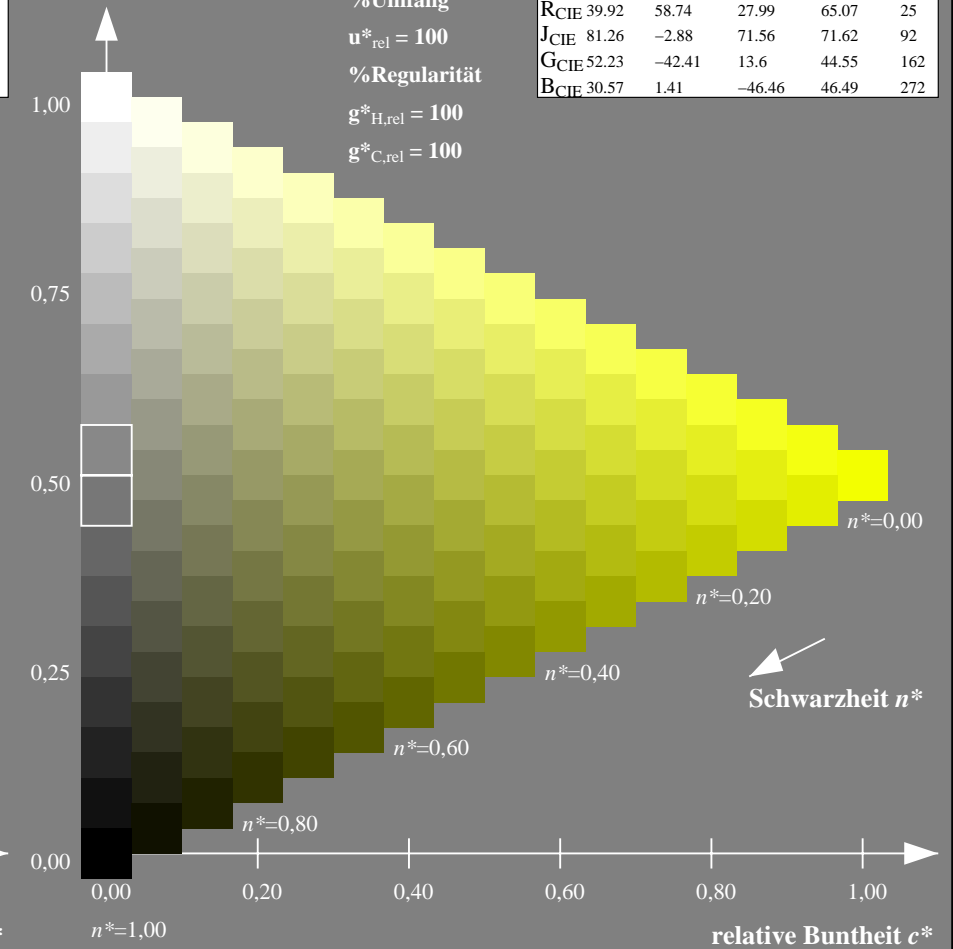
%Umfang

$u^*_{rel} = 100$

%Regularität

$g^*_{H,rel} = 100$

$g^*_{C,rel} = 100$



NG900-7, 9stufige Reihen für konstanten CIELAB Buntton $92/360 = 0.256$ (links)

16stufige Reihen für konstanten CIELAB Buntton $92/360 = 0.256$ (rechts)

Eingabe: Farbmetrisches Fernseh-Licht-System TLS18

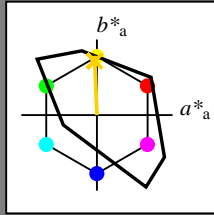
für Buntton $h^* = lab^*h = 92/360 = 0.256$

lab^*tch und lab^*nch

D65: Buntton J

LCH*Ma: 85 79 92

olv*Ma: 1.0 0.82 0.0



TLS18; adaptierte CIELAB-Daten

	$L^*=L^*_a$	a^*_a	b^*_a	$C^*_{ab,a}$	$h^*_{ab,a}$
OMa	52.76	71.63	49.88	87.29	35
YMa	92.74	-20.02	84.97	87.3	103
LMa	84.0	-78.98	73.94	108.2	137
CMa	87.14	-44.41	-13.11	46.32	196
VMa	35.47	64.92	-95.06	115.12	304
MMa	59.01	89.33	-55.67	105.26	328
NMa	18.01	0.0	0.0	0.0	0
WMa	95.41	0.0	0.0	0.0	0
RCIE	39.92	58.74	27.99	65.07	25
JCIE	81.26	-2.88	71.56	71.62	92
GCIE	52.23	-42.41	13.6	44.55	162
BCIE	30.57	1.41	-46.46	46.49	272

Dreiecks-Helligkeit t^*

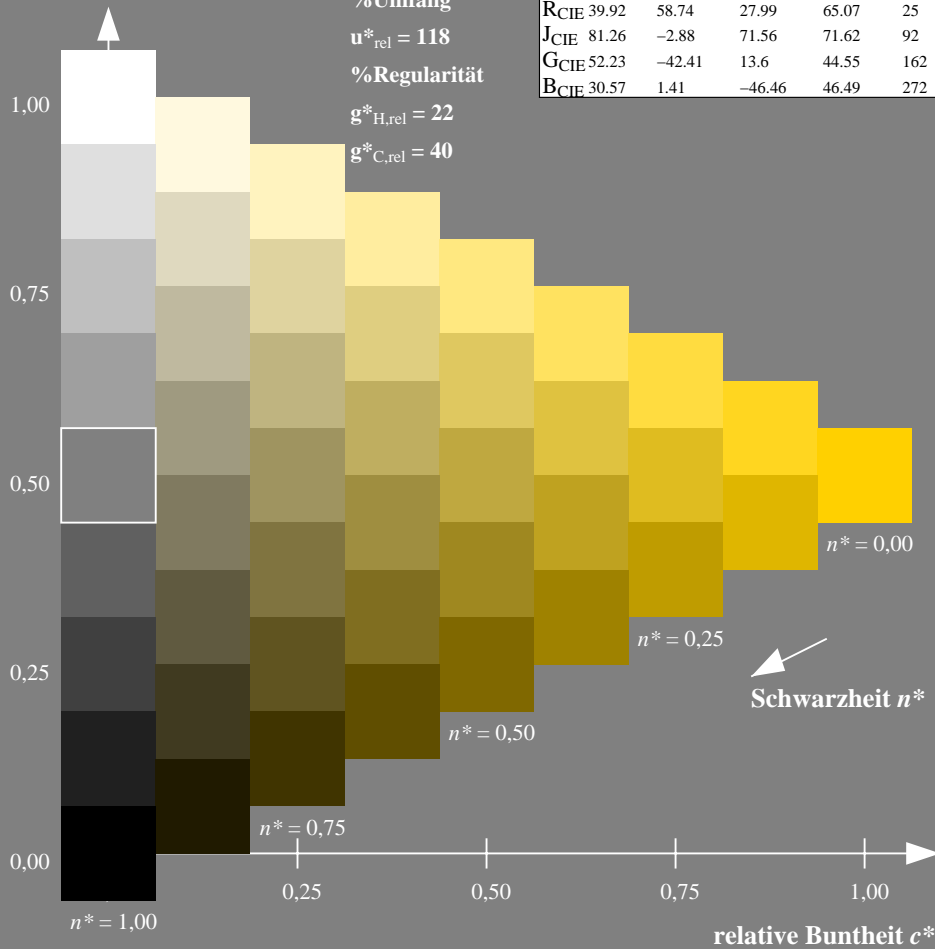
%Umfang

$u^*_{rel} = 118$

%Regularität

$g^*_{H,rel} = 22$

$g^*_{C,rel} = 40$



Ausgabe: Farbmetrisches Fernseh-Licht-System TLS70

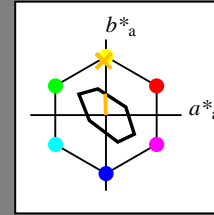
für Buntton $h^* = lab^*h = 92/360 = 0.256$

lab^*tch und lab^*nch

D65: Buntton J

LCH*Ma: 89 28 92

olv*Ma: 1.0 0.74 0.0



TLS70; adaptierte CIELAB-Daten

	$L^*=L^*_a$	a^*_a	b^*_a	$C^*_{ab,a}$	$h^*_{ab,a}$
OMa	76.43	26.27	10.57	28.32	22
YMa	93.93	-10.76	34.63	36.27	107
LMa	89.32	-35.8	27.64	45.24	142
CMa	90.93	-21.95	-7.07	23.07	198
VMa	72.1	15.76	-35.63	38.97	294
MMa	78.5	37.52	-25.23	45.22	326
NMa	69.7	0.0	0.0	0.0	0
WMa	95.41	0.0	0.0	0.0	0
RCIE	39.92	58.74	27.99	65.07	25
JCIE	81.26	-2.88	71.56	71.62	92
GCIE	52.23	-42.41	13.6	44.55	162
BCIE	30.57	1.41	-46.46	46.49	272

Dreiecks-Helligkeit t^*

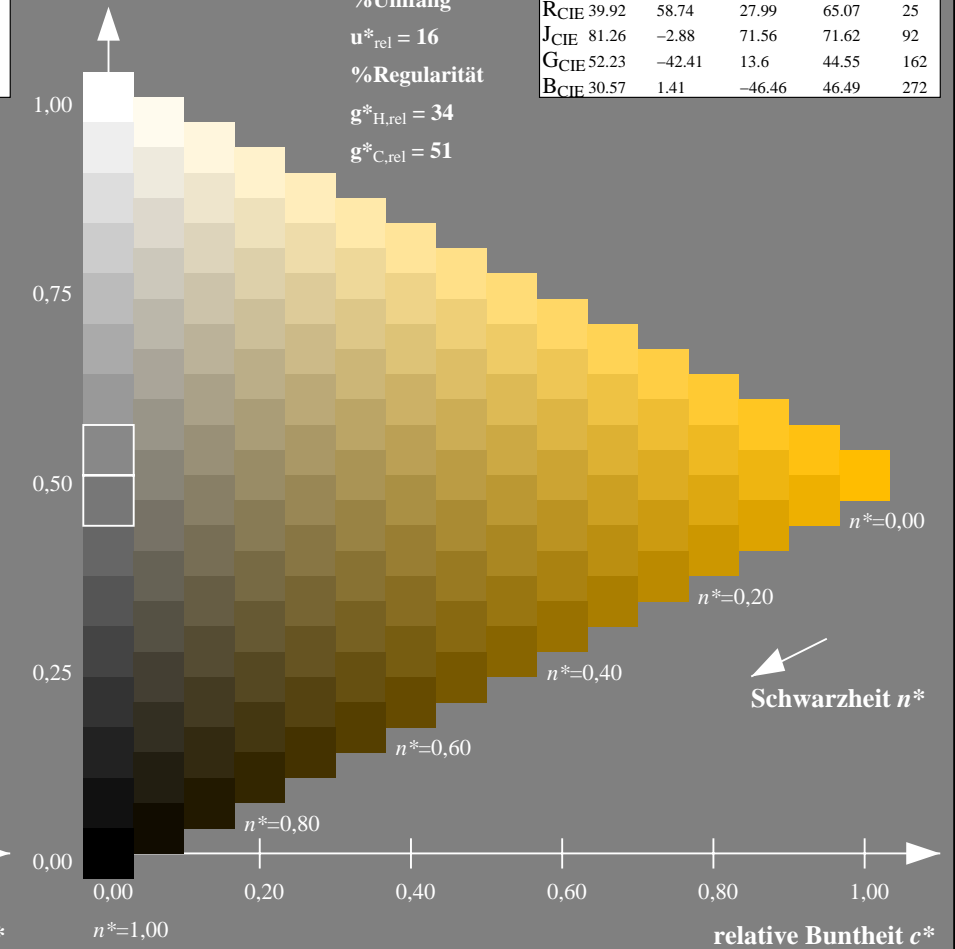
%Umfang

$u^*_{rel} = 16$

%Regularität

$g^*_{H,rel} = 34$

$g^*_{C,rel} = 51$



NG900-7, 9stufige Reihen für konstanten CIELAB Buntton $92/360 = 0.256$ (links)

16stufige Reihen für konstanten CIELAB Buntton $92/360 = 0.256$ (rechts)

Eingabe: Farbmetrisches Natürliches-Licht-System NLS00

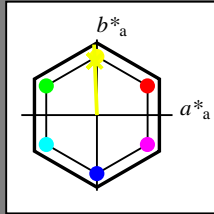
für Buntton $h^* = lab^*h = 92/360 = 0.256$

lab^*tch und lab^*nch

D65: Buntton J

LCH*Ma: 62 93 92

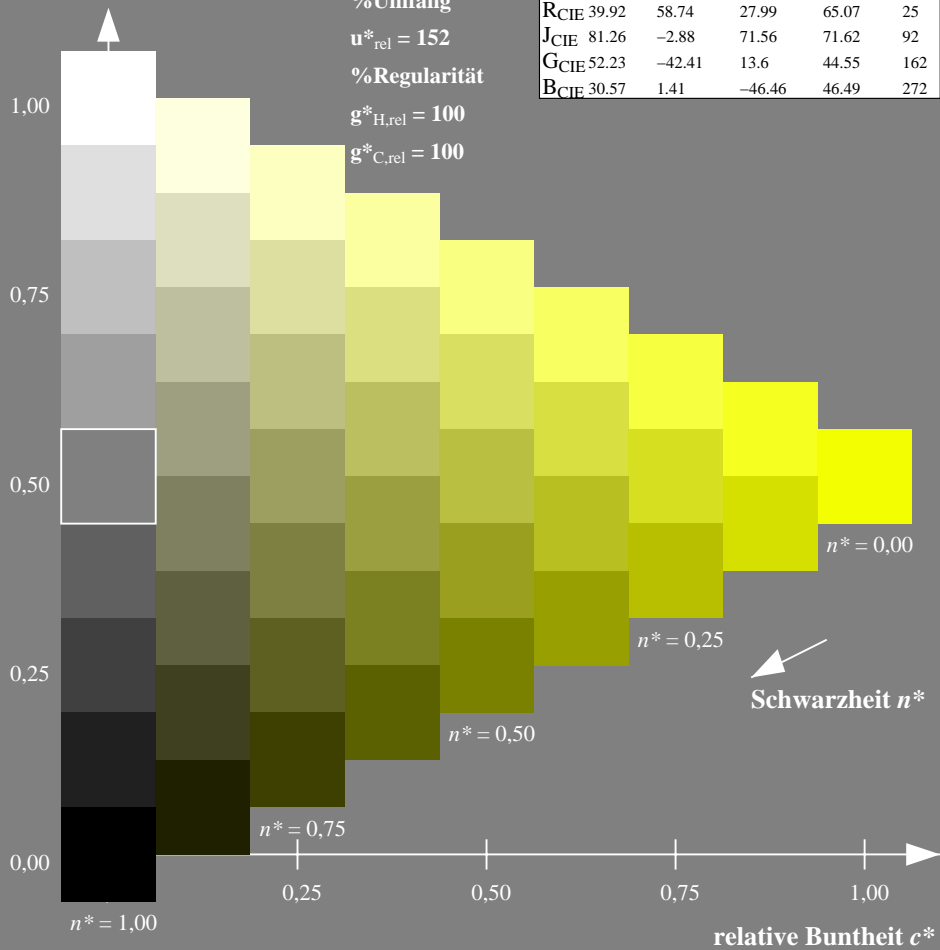
olv*Ma: 0.95 1.0 0.0



NLS00; adaptierte CIELAB-Daten

	$L^*=L^*_a$	a^*_a	b^*_a	$C^*_{ab,a}$	$h^*_{ab,a}$
OMa	31.81	82.62	47.7	95.4	30
YMa	63.61	0.0	95.4	95.4	90
LMa	31.81	-82.61	47.7	95.4	150
CMa	63.61	-82.61	-47.69	95.4	210
VMa	31.81	0.0	-95.39	95.4	270
MMa	63.61	82.62	-47.69	95.4	330
NMa	0.01	0.0	0.0	0.0	0
WMa	95.41	0.0	0.0	0.0	0
RCIE	39.92	58.74	27.99	65.07	25
JCIE	81.26	-2.88	71.56	71.62	92
GCIE	52.23	-42.41	13.6	44.55	162
BCIE	30.57	1.41	-46.46	46.49	272

Dreiecks-Helligkeit t^*



Ausgabe: Farbmetrisches Offset-Reflektiv-System ORS18

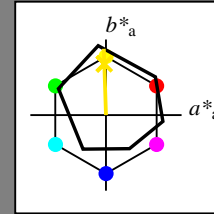
für Buntton $h^* = lab^*h = 92/360 = 0.255$

lab^*tch und lab^*nch

D65: Buntton J

LCH*Ma: 86 88 92

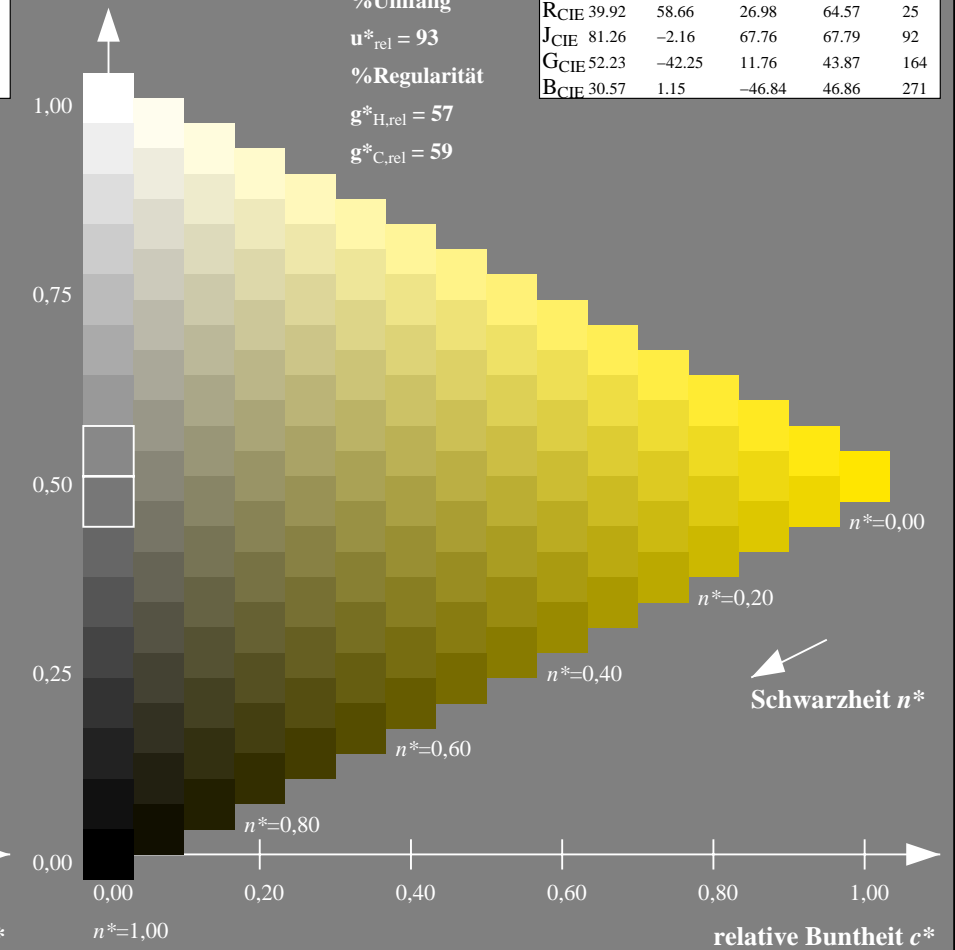
olv*Ma: 1.0 0.9 0.0



ORS18; adaptierte CIELAB-Daten

	$L^*=L^*_a$	a^*_a	b^*_a	$C^*_{ab,a}$	$h^*_{ab,a}$
OMa	47.94	65.39	50.52	82.63	38
YMa	90.37	-10.26	91.75	92.32	96
LMa	50.9	-62.83	34.96	71.91	151
CMa	58.62	-30.34	-45.01	54.3	236
VMa	25.72	31.1	-44.4	54.22	305
MMa	48.13	75.28	-8.36	75.74	354
NMa	18.01	0.0	0.0	0.0	0
WMa	95.41	0.0	0.0	0.0	0
RCIE	39.92	58.66	26.98	64.57	25
JCIE	81.26	-2.16	67.76	67.79	92
GCIE	52.23	-42.25	11.76	43.87	164
BCIE	30.57	1.15	-46.84	46.86	271

Dreiecks-Helligkeit t^*



NG900-7, 9stufige Reihen für konstanten CIELAB Buntton $92/360 = 0.256$ (links)

16stufige Reihen für konstanten CIELAB Buntton $92/360 = 0.255$ (rechts)

Eingabe: Farbmetrisches Natürliches-Licht-System NLS00

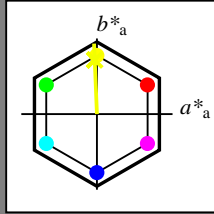
für Buntton $h^* = lab^*h = 92/360 = 0.256$

lab^*tch und lab^*nch

D65: Buntton J

LCH*Ma: 62 93 92

olv*Ma: 0.95 1.0 0.0



NLS00; adaptierte CIELAB-Daten

	$L^*=L^*_a$	a^*_a	b^*_a	$C^*_{ab,a}$	$h^*_{ab,a}$
O _{Ma}	31.81	82.62	47.7	95.4	30
Y _{Ma}	63.61	0.0	95.4	95.4	90
L _{Ma}	31.81	-82.61	47.7	95.4	150
C _{Ma}	63.61	-82.61	-47.69	95.4	210
V _{Ma}	31.81	0.0	-95.39	95.4	270
M _{Ma}	63.61	82.62	-47.69	95.4	330
N _{Ma}	0.01	0.0	0.0	0.0	0
W _{Ma}	95.41	0.0	0.0	0.0	0
R _{CIE}	39.92	58.74	27.99	65.07	25
J _{CIE}	81.26	-2.88	71.56	71.62	92
G _{CIE}	52.23	-42.41	13.6	44.55	162
B _{CIE}	30.57	1.41	-46.46	46.49	272

Dreiecks-Helligkeit t^*

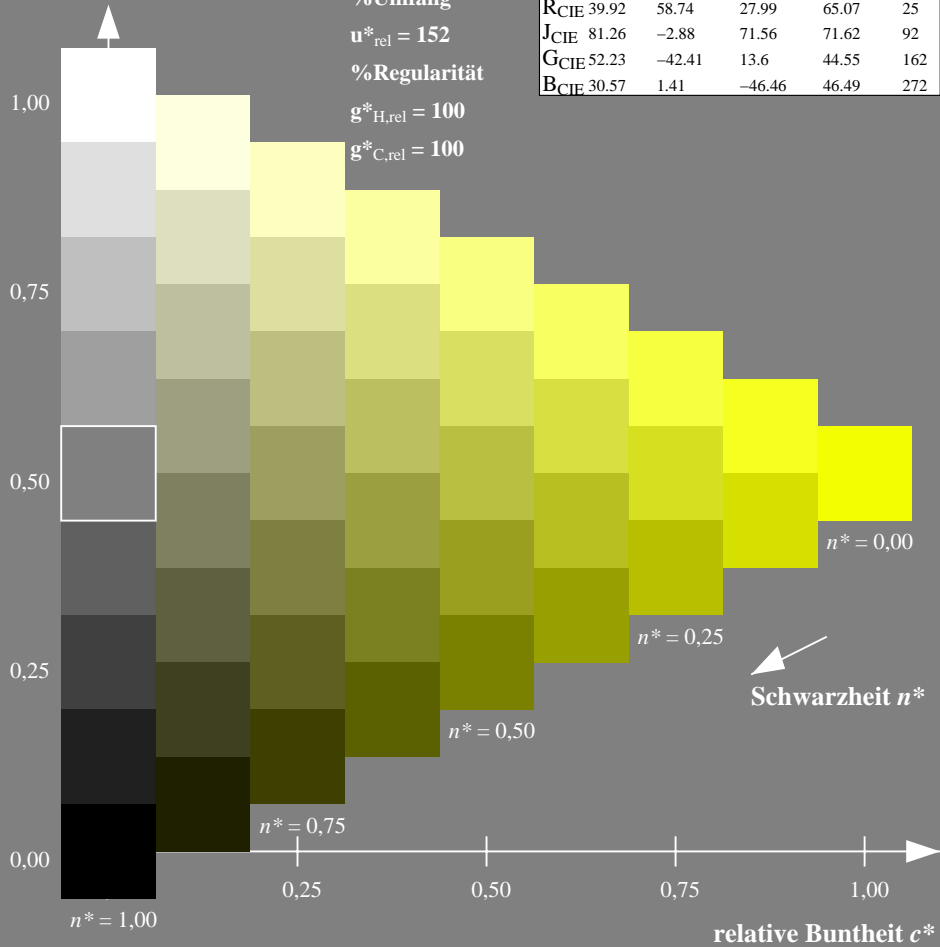
%Umfang

$u^*_{rel} = 152$

%Regularität

$g^*_{H,rel} = 100$

$g^*_{C,rel} = 100$



Ausgabe: Farbmetrisches Fernseh-Licht-System TLS00

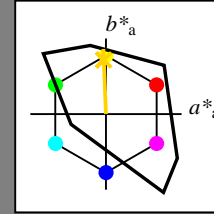
für Buntton $h^* = lab^*h = 92/360 = 0.256$

lab^*tch und lab^*nch

D65: Buntton J

LCH*Ma: 85 86 92

olv*Ma: 1.0 0.82 0.0



TLS00; adaptierte CIELAB-Daten

	$L^*=L^*_a$	a^*_a	b^*_a	$C^*_{ab,a}$	$h^*_{ab,a}$
O _{Ma}	50.5	76.92	64.55	100.42	40
Y _{Ma}	92.66	-20.69	90.75	93.08	103
L _{Ma}	83.63	-82.75	79.9	115.04	136
C _{Ma}	86.88	-46.16	-13.55	48.12	196
V _{Ma}	30.39	76.06	-103.59	128.52	306
M _{Ma}	57.3	94.35	-58.41	110.97	328
N _{Ma}	0.01	0.0	0.0	0.0	0
W _{Ma}	95.41	0.0	0.0	0.0	0
R _{CIE}	39.92	58.74	27.99	65.07	25
J _{CIE}	81.26	-2.88	71.56	71.62	92
G _{CIE}	52.23	-42.41	13.6	44.55	162
B _{CIE}	30.57	1.41	-46.46	46.49	272

Dreiecks-Helligkeit t^*

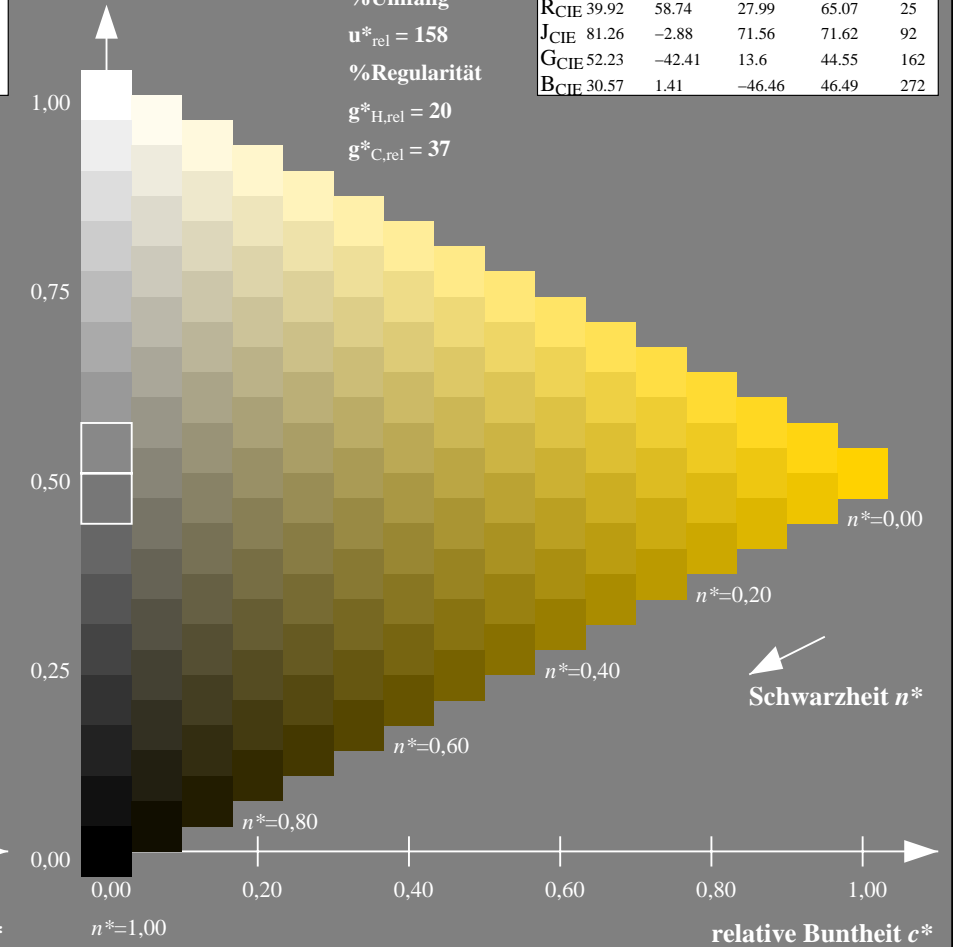
%Umfang

$u^*_{rel} = 158$

%Regularität

$g^*_{H,rel} = 20$

$g^*_{C,rel} = 37$



NG900-7, 9stufige Reihen für konstanten CIELAB Buntton $92/360 = 0.256$ (links)

16stufige Reihen für konstanten CIELAB Buntton $92/360 = 0.256$ (rechts)

Eingabe: Farbmetrisches Natürliches-Licht-System NLS00

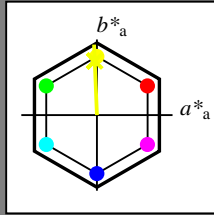
für Buntton $h^* = lab^*h = 92/360 = 0.256$

lab^*tch und lab^*nch

D65: Buntton J

LCH*Ma: 62 93 92

olv*Ma: 0.95 1.0 0.0



NLS00; adaptierte CIELAB-Daten

	$L^*=L^*_a$	a^*_a	b^*_a	$C^*_{ab,a}$	$h^*_{ab,a}$
O _{Ma}	31.81	82.62	47.7	95.4	30
Y _{Ma}	63.61	0.0	95.4	95.4	90
L _{Ma}	31.81	-82.61	47.7	95.4	150
C _{Ma}	63.61	-82.61	-47.69	95.4	210
V _{Ma}	31.81	0.0	-95.39	95.4	270
M _{Ma}	63.61	82.62	-47.69	95.4	330
N _{Ma}	0.01	0.0	0.0	0.0	0
W _{Ma}	95.41	0.0	0.0	0.0	0
R _{CIE}	39.92	58.74	27.99	65.07	25
J _{CIE}	81.26	-2.88	71.56	71.62	92
G _{CIE}	52.23	-42.41	13.6	44.55	162
B _{CIE}	30.57	1.41	-46.46	46.49	272

Dreiecks-Helligkeit t^*

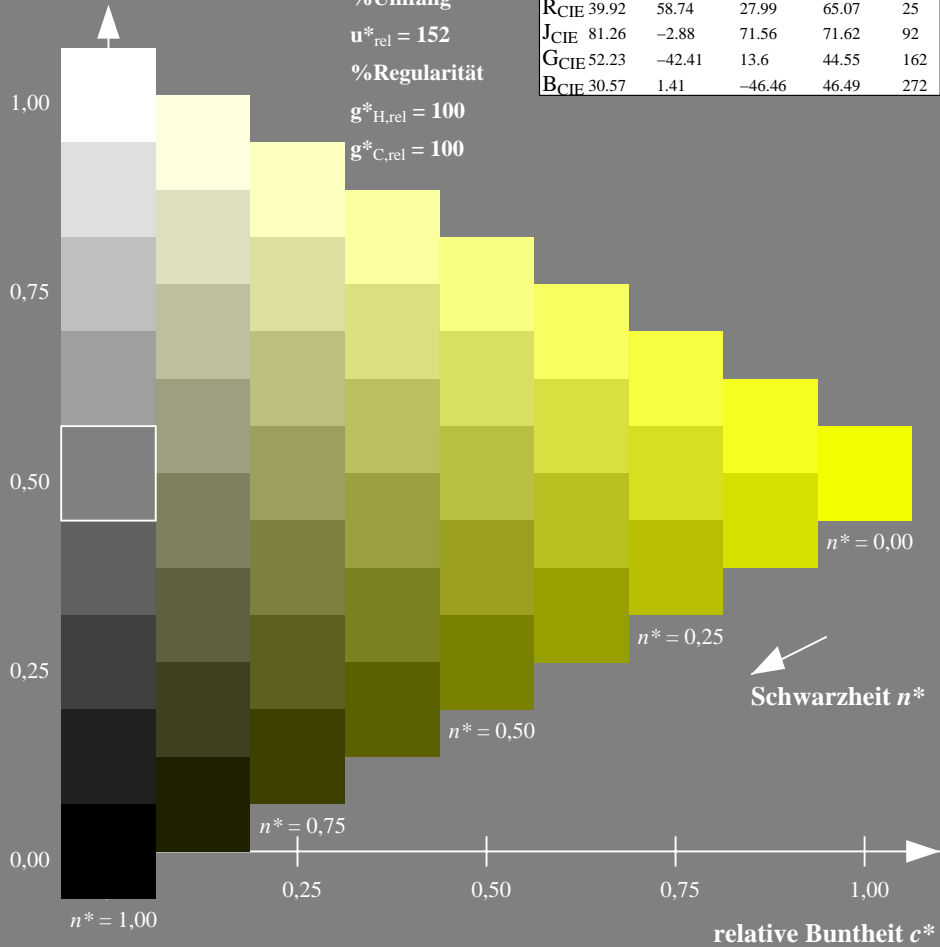
%Umfang

$u^*_{rel} = 152$

%Regularität

$g^*_{H,rel} = 100$

$g^*_{C,rel} = 100$



Ausgabe: Farbmetrisches Drucker-Reflektiv-System DRSXX

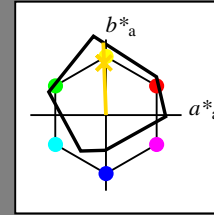
für Buntton $h^* = lab^*h = 92/360 = 0.256$

lab^*tch und lab^*nch

D65: Buntton J

LCH*Ma: 83 96 92

olv*Ma: 1.0 0.84 0.0



DRSXX; adaptierte CIELAB-Daten

	$L^*=L^*_a$	a^*_a	b^*_a	$C^*_{ab,a}$	$h^*_{ab,a}$
O _{Ma}	42.21	66.82	50.6	83.82	37
Y _{Ma}	90.32	-16.51	104.33	105.63	99
L _{Ma}	48.21	-75.63	30.65	81.61	158
C _{Ma}	53.44	-33.33	-47.49	58.03	235
V _{Ma}	34.16	-0.92	-46.56	46.58	269
M _{Ma}	42.71	79.0	-1.95	79.03	359
N _{Ma}	16.56	0.0	0.0	0.0	0
W _{Ma}	96.31	0.0	0.0	0.0	0
R _{CIE}	39.92	59.78	25.77	65.1	23
J _{CIE}	81.26	-2.51	69.07	69.11	92
G _{CIE}	52.23	-41.57	11.3	43.09	165
B _{CIE}	30.57	2.6	-48.62	48.7	273

Dreiecks-Helligkeit t^*

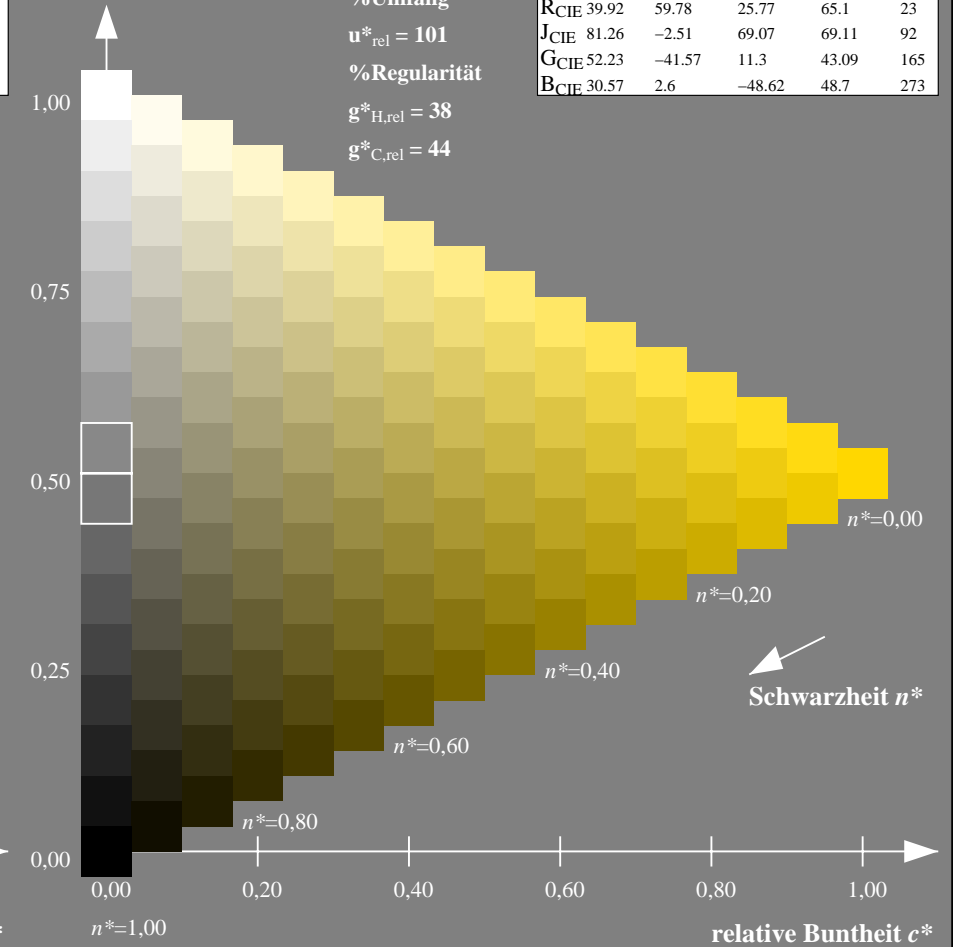
%Umfang

$u^*_{rel} = 101$

%Regularität

$g^*_{H,rel} = 38$

$g^*_{C,rel} = 44$



NG900-7, 9stufige Reihen für konstanten CIELAB Buntton $92/360 = 0.256$ (links)

16stufige Reihen für konstanten CIELAB Buntton $92/360 = 0.256$ (rechts)

Eingabe: Farbmetrisches Natürliches-Licht-System NLS00

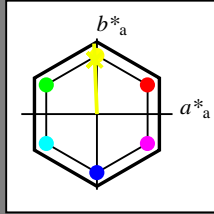
für Buntton $h^* = lab^*h = 92/360 = 0.256$

lab^*tch und lab^*nch

D65: Buntton J

LCH*Ma: 62 93 92

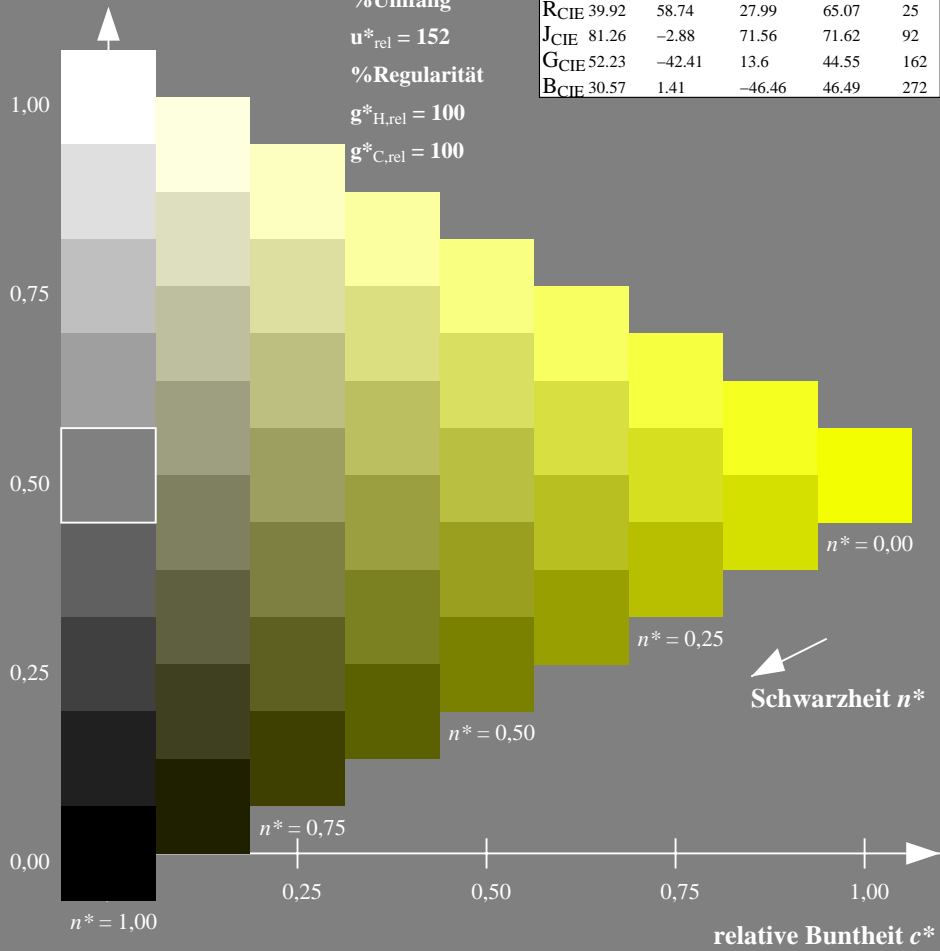
olv*Ma: 0.95 1.0 0.0



NLS00; adaptierte CIELAB-Daten

	$L^*=L^*_a$	a^*_a	b^*_a	$C^*_{ab,a}$	$h^*_{ab,a}$
O _{Ma}	31.81	82.62	47.7	95.4	30
Y _{Ma}	63.61	0.0	95.4	95.4	90
L _{Ma}	31.81	-82.61	47.7	95.4	150
C _{Ma}	63.61	-82.61	-47.69	95.4	210
V _{Ma}	31.81	0.0	-95.39	95.4	270
M _{Ma}	63.61	82.62	-47.69	95.4	330
N _{Ma}	0.01	0.0	0.0	0.0	0
W _{Ma}	95.41	0.0	0.0	0.0	0
R _{CIE}	39.92	58.74	27.99	65.07	25
J _{CIE}	81.26	-2.88	71.56	71.62	92
G _{CIE}	52.23	-42.41	13.6	44.55	162
B _{CIE}	30.57	1.41	-46.46	46.49	272

Dreiecks-Helligkeit t^*



NG900-7, 9stufige Reihen für konstanten CIELAB Buntton $92/360 = 0.256$ (links)

Ausgabe: Farbmetrisches Fernseh-Licht-System TLS18

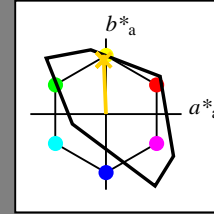
für Buntton $h^* = lab^*h = 92/360 = 0.256$

lab^*tch und lab^*nch

D65: Buntton J

LCH*Ma: 85 79 92

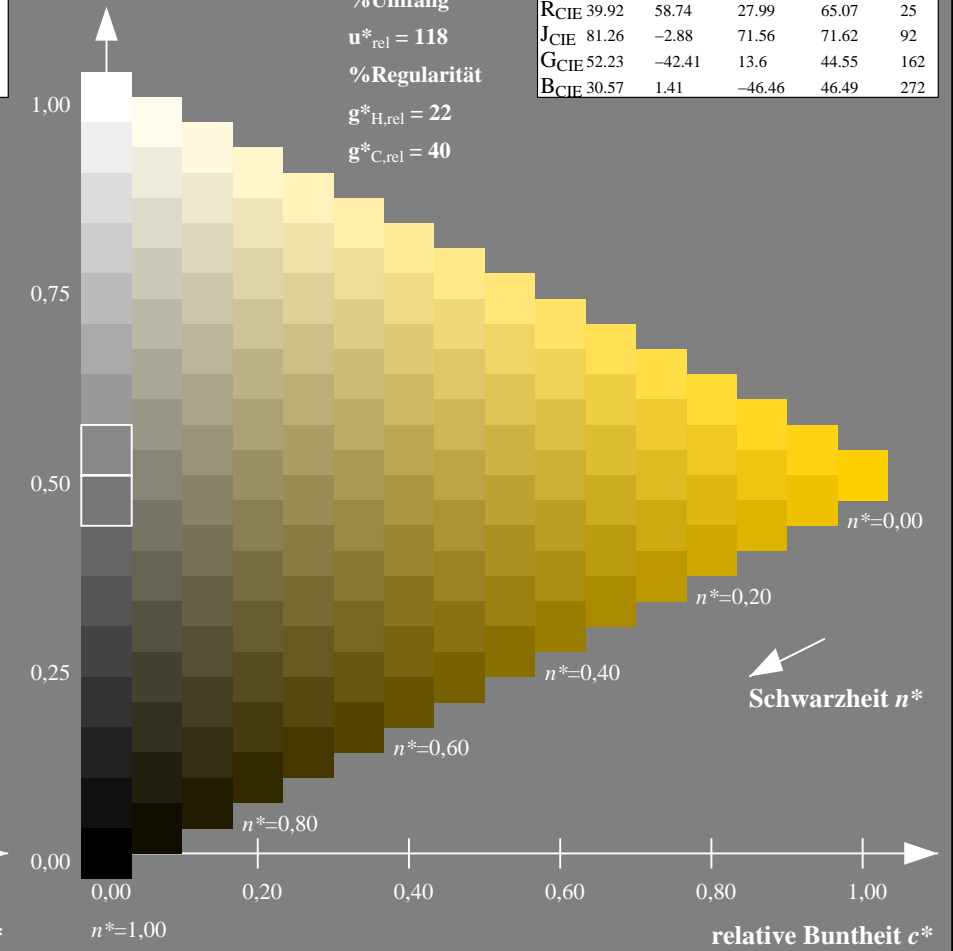
olv*Ma: 1.0 0.82 0.0



TLS18; adaptierte CIELAB-Daten

	$L^*=L^*_a$	a^*_a	b^*_a	$C^*_{ab,a}$	$h^*_{ab,a}$
O _{Ma}	52.76	71.63	49.88	87.29	35
Y _{Ma}	92.74	-20.02	84.97	87.3	103
L _{Ma}	84.0	-78.98	73.94	108.2	137
C _{Ma}	87.14	-44.41	-13.11	46.32	196
V _{Ma}	35.47	64.92	-95.06	115.12	304
M _{Ma}	59.01	89.33	-55.67	105.26	328
N _{Ma}	18.01	0.0	0.0	0.0	0
W _{Ma}	95.41	0.0	0.0	0.0	0
R _{CIE}	39.92	58.74	27.99	65.07	25
J _{CIE}	81.26	-2.88	71.56	71.62	92
G _{CIE}	52.23	-42.41	13.6	44.55	162
B _{CIE}	30.57	1.41	-46.46	46.49	272

Dreiecks-Helligkeit t^*



16stufige Reihen für konstanten CIELAB Buntton $92/360 = 0.256$ (rechts)

Eingabe: Farbmetrisches Natürliches-Licht-System NLS00

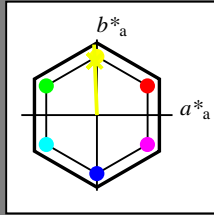
für Buntton $h^* = lab^*h = 92/360 = 0.256$

lab^*tch und lab^*nch

D65: Buntton J

LCH*Ma: 62 93 92

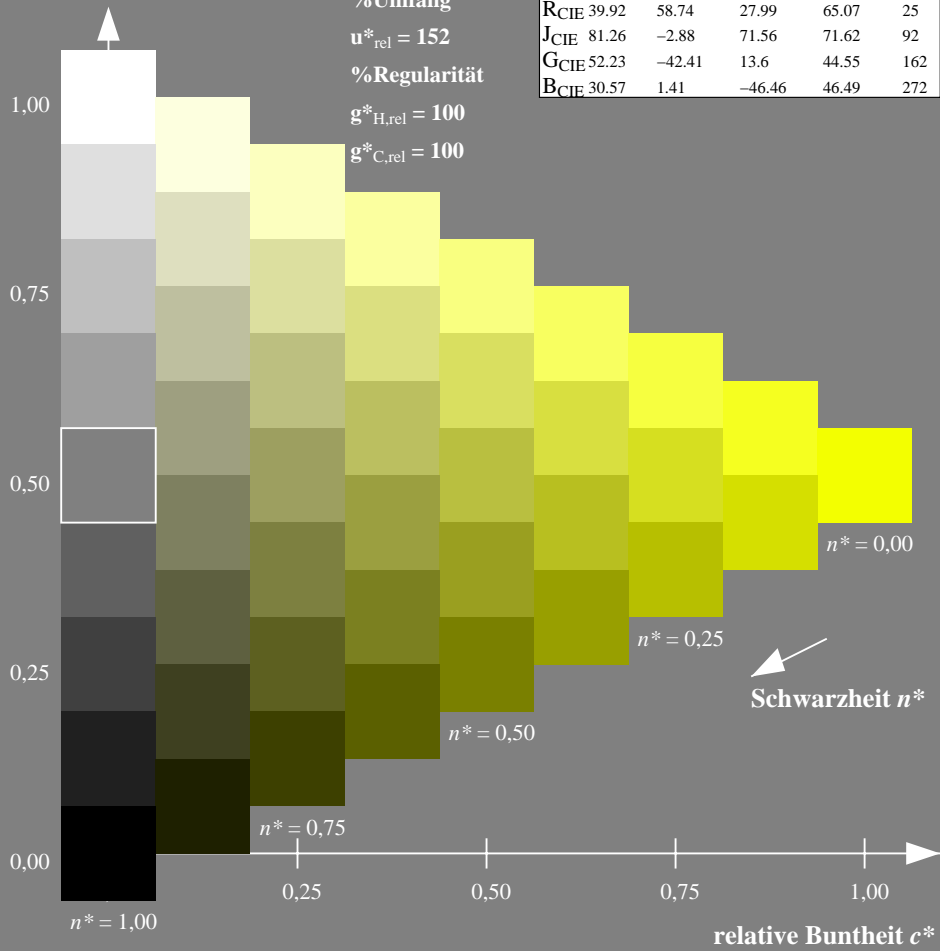
olv*Ma: 0.95 1.0 0.0



NLS00; adaptierte CIELAB-Daten

	$L^*=L^*_a$	a^*_a	b^*_a	$C^*_{ab,a}$	$h^*_{ab,a}$
O _{Ma}	31.81	82.62	47.7	95.4	30
Y _{Ma}	63.61	0.0	95.4	95.4	90
L _{Ma}	31.81	-82.61	47.7	95.4	150
C _{Ma}	63.61	-82.61	-47.69	95.4	210
V _{Ma}	31.81	0.0	-95.39	95.4	270
M _{Ma}	63.61	82.62	-47.69	95.4	330
N _{Ma}	0.01	0.0	0.0	0.0	0
W _{Ma}	95.41	0.0	0.0	0.0	0
R _{CIE}	39.92	58.74	27.99	65.07	25
J _{CIE}	81.26	-2.88	71.56	71.62	92
G _{CIE}	52.23	-42.41	13.6	44.55	162
B _{CIE}	30.57	1.41	-46.46	46.49	272

Dreiecks-Helligkeit t^*



Ausgabe: Farbmetrisches Natürliches-Licht-System NLS00

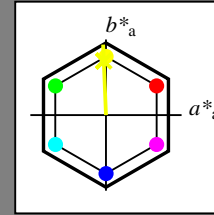
für Buntton $h^* = lab^*h = 92/360 = 0.256$

lab^*tch und lab^*nch

D65: Buntton J

LCH*Ma: 62 93 92

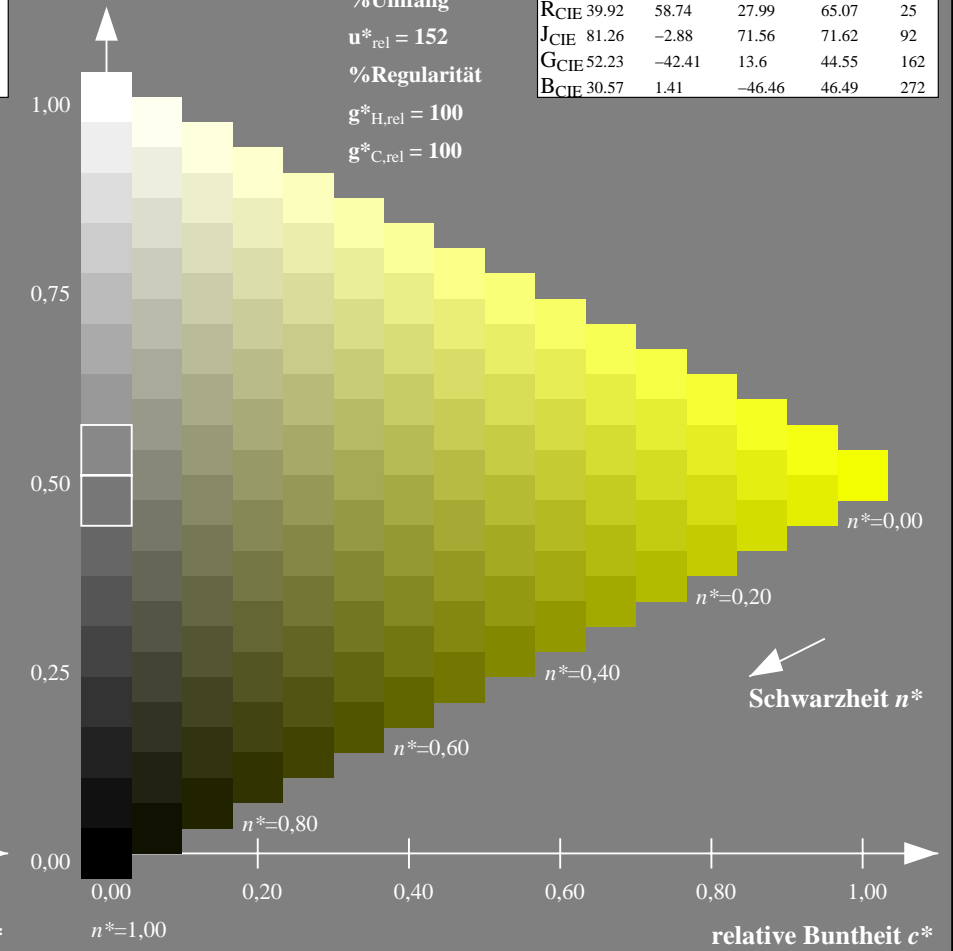
olv*Ma: 0.95 1.0 0.0



NLS00; adaptierte CIELAB-Daten

	$L^*=L^*_a$	a^*_a	b^*_a	$C^*_{ab,a}$	$h^*_{ab,a}$
O _{Ma}	31.81	82.62	47.7	95.4	30
Y _{Ma}	63.61	0.0	95.4	95.4	90
L _{Ma}	31.81	-82.61	47.7	95.4	150
C _{Ma}	63.61	-82.61	-47.69	95.4	210
V _{Ma}	31.81	0.0	-95.39	95.4	270
M _{Ma}	63.61	82.62	-47.69	95.4	330
N _{Ma}	0.01	0.0	0.0	0.0	0
W _{Ma}	95.41	0.0	0.0	0.0	0
R _{CIE}	39.92	58.74	27.99	65.07	25
J _{CIE}	81.26	-2.88	71.56	71.62	92
G _{CIE}	52.23	-42.41	13.6	44.55	162
B _{CIE}	30.57	1.41	-46.46	46.49	272

Dreiecks-Helligkeit t^*



NG900-7, 9stufige Reihen für konstanten CIELAB Buntton $92/360 = 0.256$ (links)

16stufige Reihen für konstanten CIELAB Buntton $92/360 = 0.256$ (rechts)

Eingabe: Farbmetrisches Natürliches-Licht-System NLS00

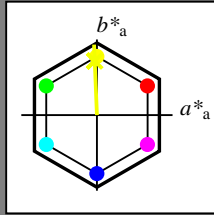
für Buntton $h^* = lab^*h = 92/360 = 0.256$

lab^*tch und lab^*nch

D65: Buntton J

LCH*Ma: 62 93 92

olv*Ma: 0.95 1.0 0.0



NLS00; adaptierte CIELAB-Daten

	$L^*=L^*_a$	a^*_a	b^*_a	$C^*_{ab,a}$	$h^*_{ab,a}$
OMa	31.81	82.62	47.7	95.4	30
YMa	63.61	0.0	95.4	95.4	90
LMa	31.81	-82.61	47.7	95.4	150
CMa	63.61	-82.61	-47.69	95.4	210
VMa	31.81	0.0	-95.39	95.4	270
MMa	63.61	82.62	-47.69	95.4	330
NMa	0.01	0.0	0.0	0.0	0
WMa	95.41	0.0	0.0	0.0	0
RCIE	39.92	58.74	27.99	65.07	25
JCIE	81.26	-2.88	71.56	71.62	92
GCIE	52.23	-42.41	13.6	44.55	162
BCIE	30.57	1.41	-46.46	46.49	272

Dreiecks-Helligkeit t^*

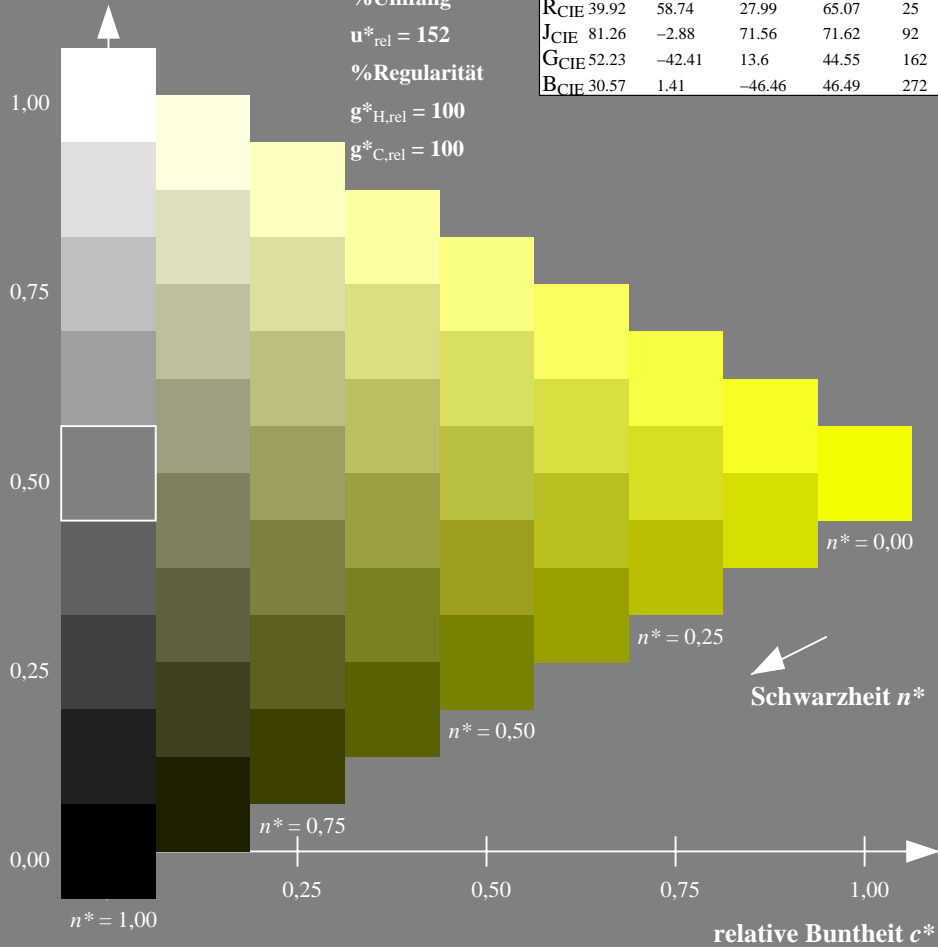
%Umfang

$u^*_{rel} = 152$

%Regularität

$g^*_{H,rel} = 100$

$g^*_{C,rel} = 100$



Ausgabe: Farbmetrisches Natürliches-Reflektiv-System NRS18

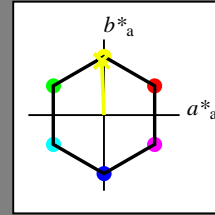
für Buntton $h^* = lab^*h = 92/360 = 0.256$

lab^*tch und lab^*nch

D65: Buntton J

LCH*Ma: 68 76 92

olv*Ma: 0.95 1.0 0.0



NRS18; adaptierte CIELAB-Daten

	$L^*=L^*_a$	a^*_a	b^*_a	$C^*_{ab,a}$	$h^*_{ab,a}$
OMa	43.81	67.03	38.7	77.4	30
YMa	69.61	0.0	77.4	77.4	90
LMa	43.81	-67.02	38.7	77.4	150
CMa	69.61	-67.02	-38.69	77.4	210
VMa	43.81	0.0	-77.39	77.4	270
MMa	69.61	67.03	-38.69	77.4	330
NMa	18.01	0.0	0.0	0.0	0
WMa	95.41	0.0	0.0	0.0	0
RCIE	39.92	58.74	27.99	65.07	25
JCIE	81.26	-2.88	71.56	71.62	92
GCIE	52.23	-42.41	13.6	44.55	162
BCIE	30.57	1.41	-46.46	46.49	272

Dreiecks-Helligkeit t^*

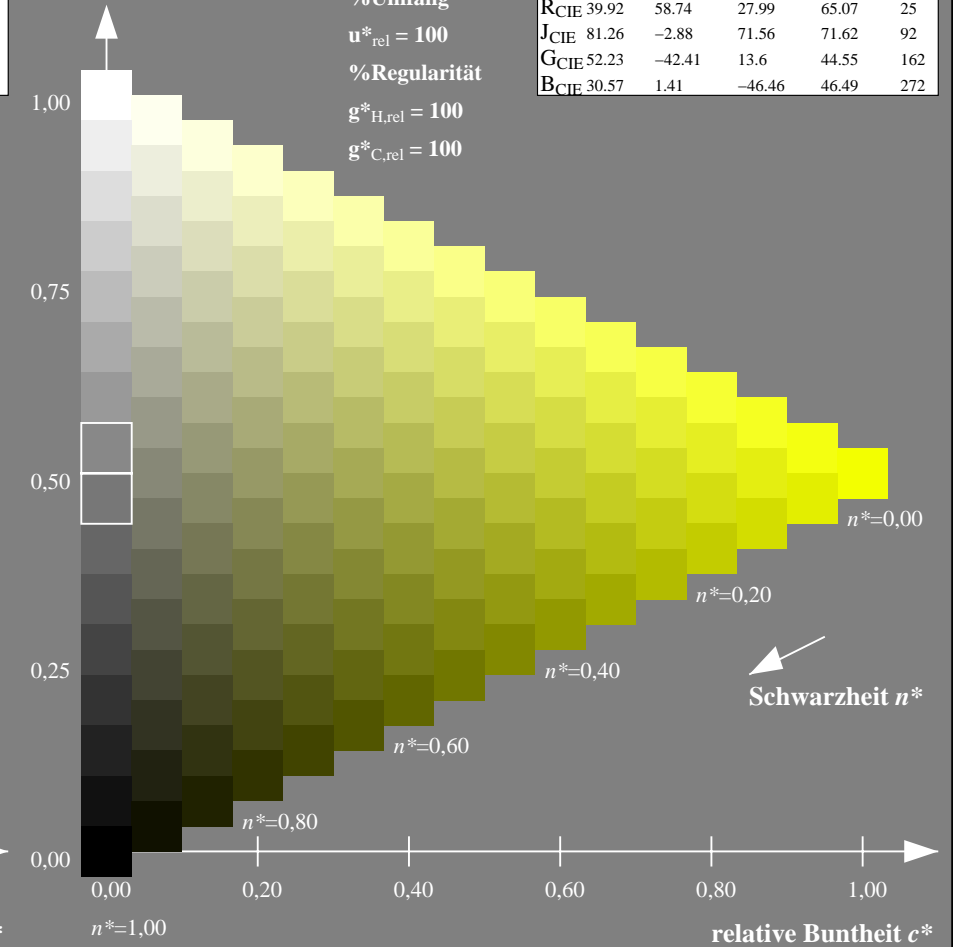
%Umfang

$u^*_{rel} = 100$

%Regularität

$g^*_{H,rel} = 100$

$g^*_{C,rel} = 100$



NG900-7, 9stufige Reihen für konstanten CIELAB Buntton $92/360 = 0.256$ (links)

16stufige Reihen für konstanten CIELAB Buntton $92/360 = 0.256$ (rechts)

Eingabe: Farbmetrisches Natürliches-Licht-System NLS00

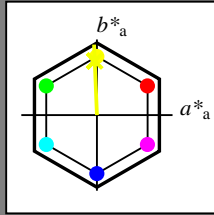
für Buntton $h^* = lab^*h = 92/360 = 0.256$

lab^*tch und lab^*nch

D65: Buntton J

LCH*Ma: 62 93 92

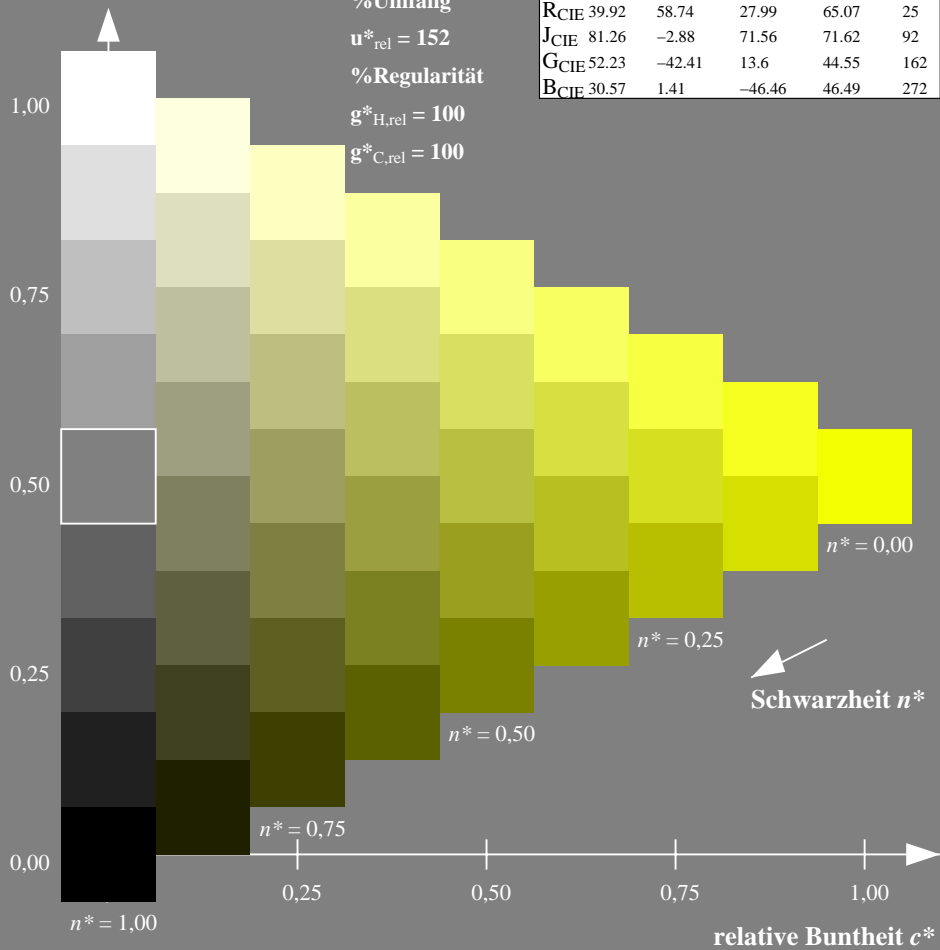
olv*Ma: 0.95 1.0 0.0



NLS00; adaptierte CIELAB-Daten

	$L^*=L^*_a$	a^*_a	b^*_a	$C^*_{ab,a}$	$h^*_{ab,a}$
O _{Ma}	31.81	82.62	47.7	95.4	30
Y _{Ma}	63.61	0.0	95.4	95.4	90
L _{Ma}	31.81	-82.61	47.7	95.4	150
C _{Ma}	63.61	-82.61	-47.69	95.4	210
V _{Ma}	31.81	0.0	-95.39	95.4	270
M _{Ma}	63.61	82.62	-47.69	95.4	330
N _{Ma}	0.01	0.0	0.0	0.0	0
W _{Ma}	95.41	0.0	0.0	0.0	0
R _{CIE}	39.92	58.74	27.99	65.07	25
J _{CIE}	81.26	-2.88	71.56	71.62	92
G _{CIE}	52.23	-42.41	13.6	44.55	162
B _{CIE}	30.57	1.41	-46.46	46.49	272

Dreiecks-Helligkeit t^*



Ausgabe: Farbmetrisches Standard-Reflektiv-System SRS18

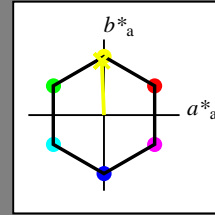
für Buntton $h^* = lab^*h = 92/360 = 0.256$

lab^*tch und lab^*nch

D65: Buntton J

LCH*Ma: 57 76 92

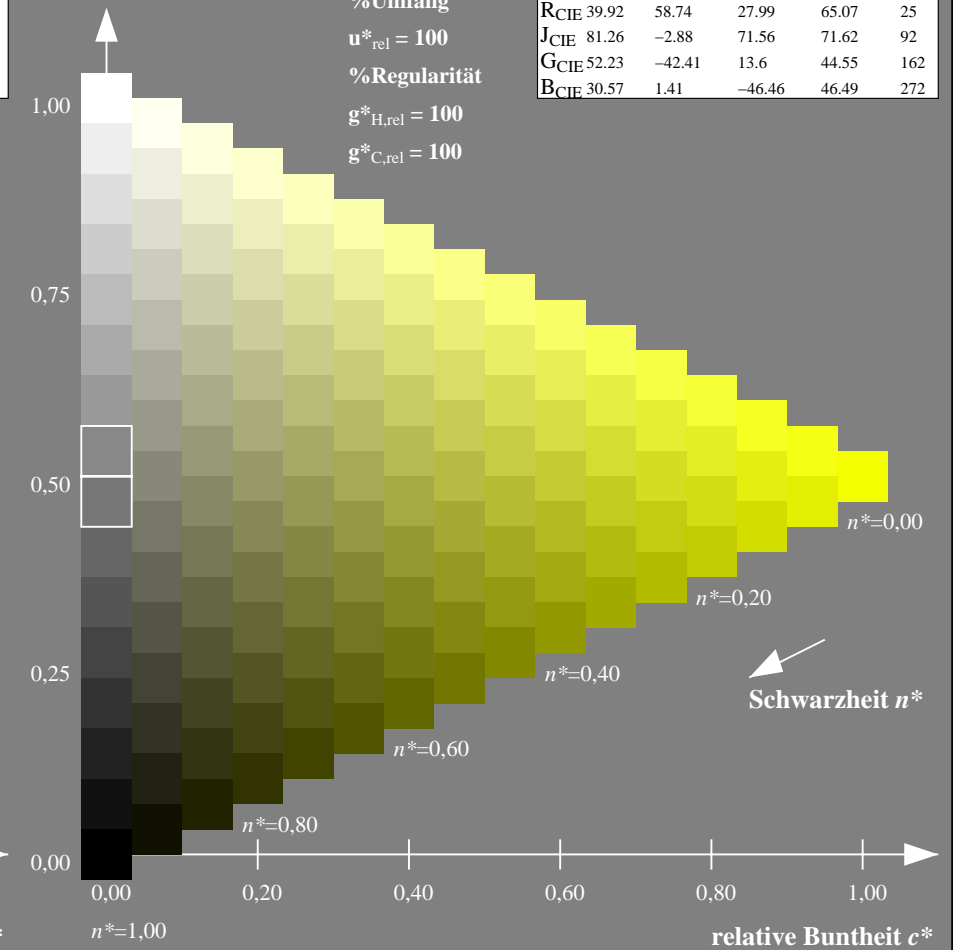
olv*Ma: 0.95 1.0 0.0



SRS18; adaptierte CIELAB-Daten

	$L^*=L^*_a$	a^*_a	b^*_a	$C^*_{ab,a}$	$h^*_{ab,a}$
O _{Ma}	56.71	67.03	38.7	77.4	30
Y _{Ma}	56.71	0.0	77.4	77.4	90
L _{Ma}	56.71	-67.02	38.7	77.4	150
C _{Ma}	56.71	-67.02	-38.69	77.4	210
V _{Ma}	56.71	0.0	-77.39	77.4	270
M _{Ma}	56.71	67.03	-38.69	77.4	330
N _{Ma}	18.01	0.0	0.0	0.0	0
W _{Ma}	95.41	0.0	0.0	0.0	0
R _{CIE}	39.92	58.74	27.99	65.07	25
J _{CIE}	81.26	-2.88	71.56	71.62	92
G _{CIE}	52.23	-42.41	13.6	44.55	162
B _{CIE}	30.57	1.41	-46.46	46.49	272

Dreiecks-Helligkeit t^*



NG900-7, 9stufige Reihen für konstanten CIELAB Buntton $92/360 = 0.256$ (links)

16stufige Reihen für konstanten CIELAB Buntton $92/360 = 0.256$ (rechts)

Eingabe: Farbmetrisches Natürliches-Licht-System NLS00

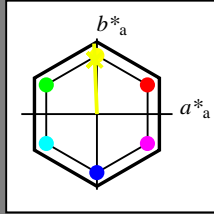
für Buntton $h^* = lab^*h = 92/360 = 0.256$

lab^*tch und lab^*nch

D65: Buntton J

LCH*Ma: 62 93 92

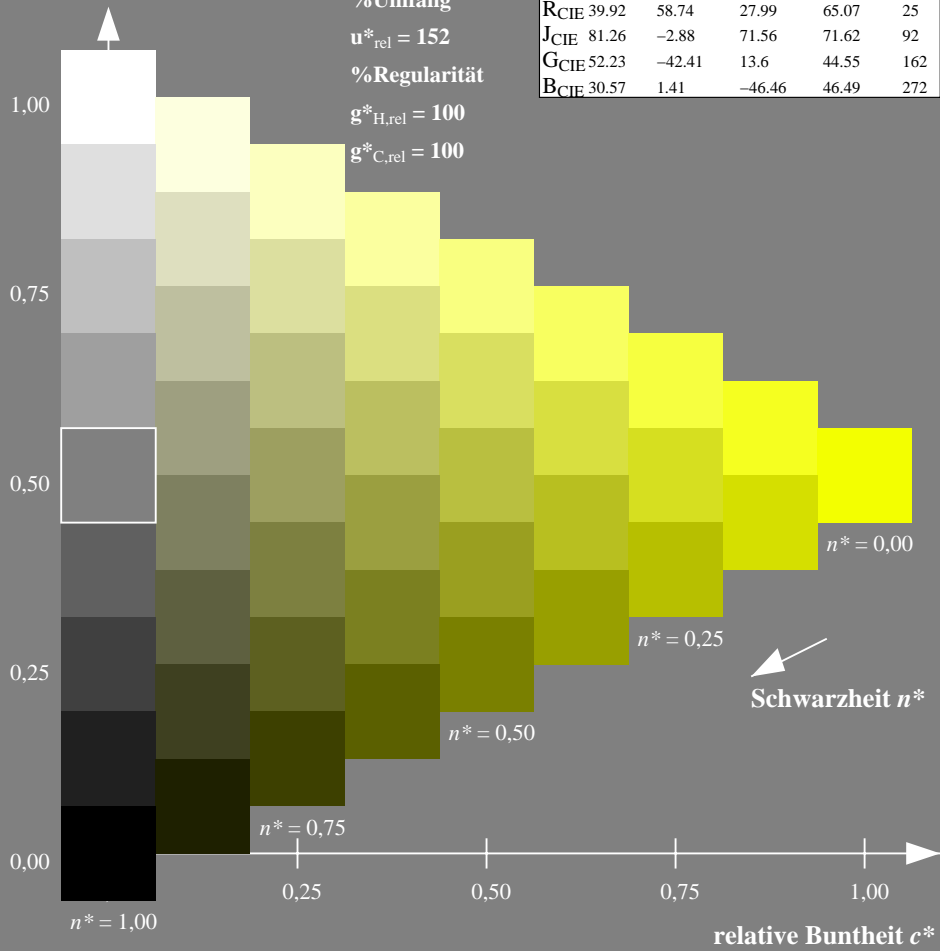
olv*Ma: 0.95 1.0 0.0



NLS00; adaptierte CIELAB-Daten

	$L^*=L^*_a$	a^*_a	b^*_a	$C^*_{ab,a}$	$h^*_{ab,a}$
O _{Ma}	31.81	82.62	47.7	95.4	30
Y _{Ma}	63.61	0.0	95.4	95.4	90
L _{Ma}	31.81	-82.61	47.7	95.4	150
C _{Ma}	63.61	-82.61	-47.69	95.4	210
V _{Ma}	31.81	0.0	-95.39	95.4	270
M _{Ma}	63.61	82.62	-47.69	95.4	330
N _{Ma}	0.01	0.0	0.0	0.0	0
W _{Ma}	95.41	0.0	0.0	0.0	0
R _{CIE}	39.92	58.74	27.99	65.07	25
J _{CIE}	81.26	-2.88	71.56	71.62	92
G _{CIE}	52.23	-42.41	13.6	44.55	162
B _{CIE}	30.57	1.41	-46.46	46.49	272

Dreiecks-Helligkeit t^*



Ausgabe: Farbmetrisches Fernseh-Licht-System TLS70

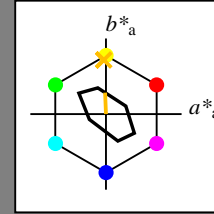
für Buntton $h^* = lab^*h = 92/360 = 0.256$

lab^*tch und lab^*nch

D65: Buntton J

LCH*Ma: 89 28 92

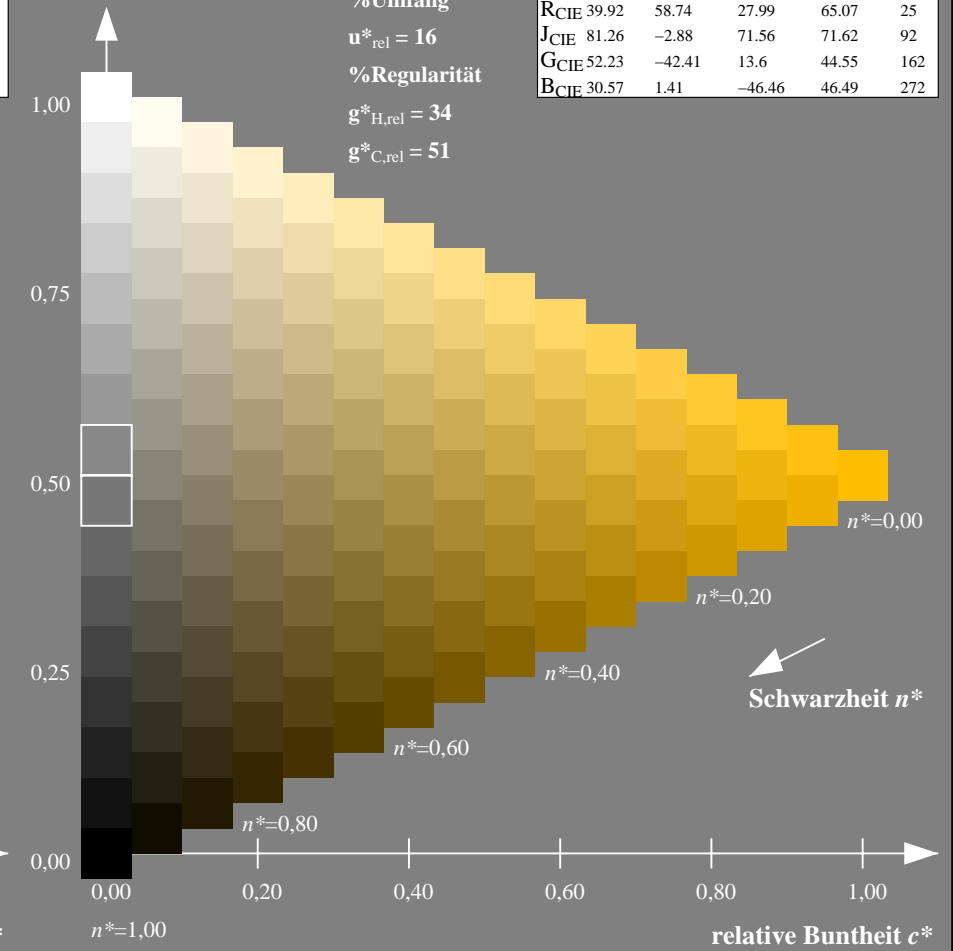
olv*Ma: 1.0 0.74 0.0



TLS70; adaptierte CIELAB-Daten

	$L^*=L^*_a$	a^*_a	b^*_a	$C^*_{ab,a}$	$h^*_{ab,a}$
O _{Ma}	76.43	26.27	10.57	28.32	22
Y _{Ma}	93.93	-10.76	34.63	36.27	107
L _{Ma}	89.32	-35.8	27.64	45.24	142
C _{Ma}	90.93	-21.95	-7.07	23.07	198
V _{Ma}	72.1	15.76	-35.63	38.97	294
M _{Ma}	78.5	37.52	-25.23	45.22	326
N _{Ma}	69.7	0.0	0.0	0.0	0
W _{Ma}	95.41	0.0	0.0	0.0	0
R _{CIE}	39.92	58.74	27.99	65.07	25
J _{CIE}	81.26	-2.88	71.56	71.62	92
G _{CIE}	52.23	-42.41	13.6	44.55	162
B _{CIE}	30.57	1.41	-46.46	46.49	272

Dreiecks-Helligkeit t^*



NG900-7, 9stufige Reihen für konstanten CIELAB Buntton $92/360 = 0.256$ (links)

16stufige Reihen für konstanten CIELAB Buntton $92/360 = 0.256$ (rechts)

Eingabe: Farbmetrisches Natürliches-Reflektiv-System NRS18

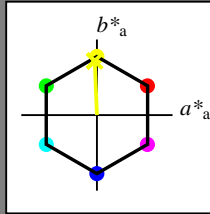
für Buntton $h^* = lab^*h = 92/360 = 0.256$

lab^*tch und lab^*nch

D65: Buntton J

LCH*Ma: 68 76 92

olv*Ma: 0.95 1.0 0.0



NRS18; adaptierte CIELAB-Daten

	$L^*=L^*_a$	a^*_a	b^*_a	$C^*_{ab,a}$	$h^*_{ab,a}$
OMa	43.81	67.03	38.7	77.4	30
YMa	69.61	0.0	77.4	77.4	90
LMa	43.81	-67.02	38.7	77.4	150
CMa	69.61	-67.02	-38.69	77.4	210
VMa	43.81	0.0	-77.39	77.4	270
MMa	69.61	67.03	-38.69	77.4	330
NMa	18.01	0.0	0.0	0.0	0
WMa	95.41	0.0	0.0	0.0	0
RCIE	39.92	58.74	27.99	65.07	25
JCIE	81.26	-2.88	71.56	71.62	92
GCIE	52.23	-42.41	13.6	44.55	162
BCIE	30.57	1.41	-46.46	46.49	272

Dreiecks-Helligkeit t^*

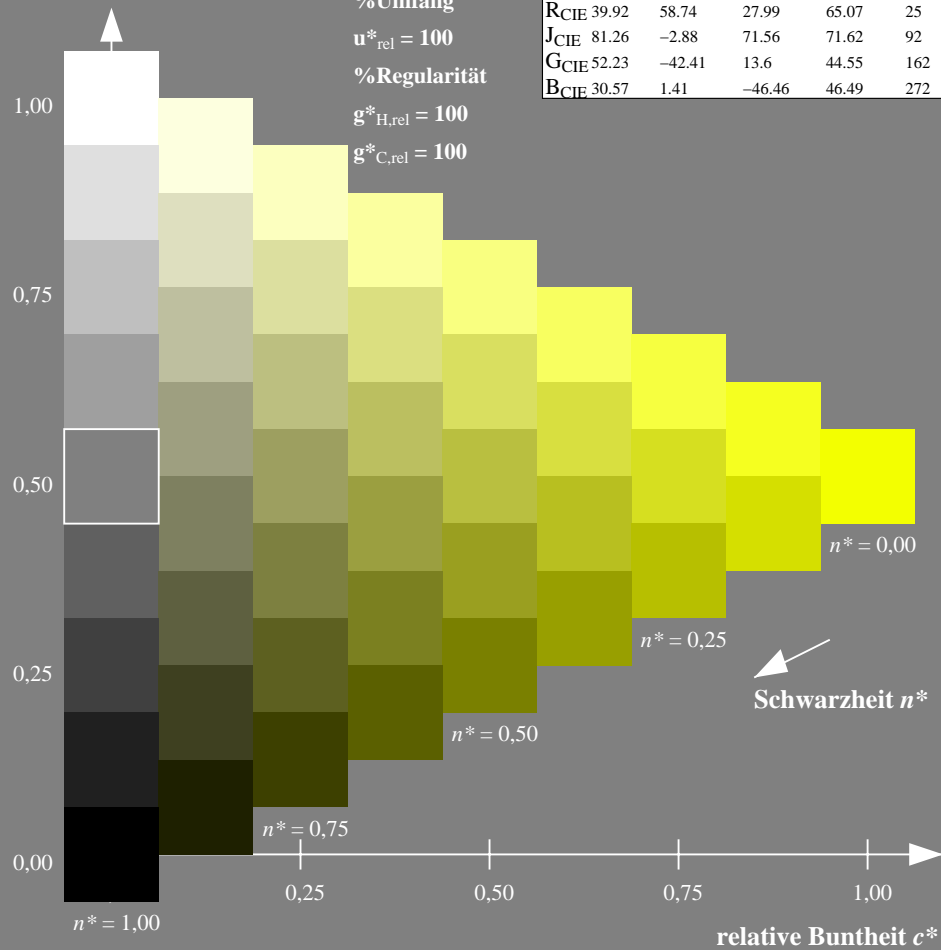
%Umfang

$u^*_{rel} = 100$

%Regularität

$g^*_{H,rel} = 100$

$g^*_{C,rel} = 100$



Ausgabe: Farbmetrisches Offset-Reflektiv-System ORS18

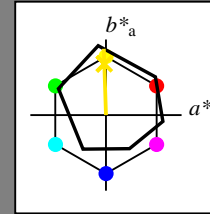
für Buntton $h^* = lab^*h = 92/360 = 0.255$

lab^*tch und lab^*nch

D65: Buntton J

LCH*Ma: 86 88 92

olv*Ma: 1.0 0.9 0.0



ORS18; adaptierte CIELAB-Daten

	$L^*=L^*_a$	a^*_a	b^*_a	$C^*_{ab,a}$	$h^*_{ab,a}$
OMa	47.94	65.39	50.52	82.63	38
YMa	90.37	-10.26	91.75	92.32	96
LMa	50.9	-62.83	34.96	71.91	151
CMa	58.62	-30.34	-45.01	54.3	236
VMa	25.72	31.1	-44.4	54.22	305
MMa	48.13	75.28	-8.36	75.74	354
NMa	18.01	0.0	0.0	0.0	0
WMa	95.41	0.0	0.0	0.0	0
RCIE	39.92	58.66	26.98	64.57	25
JCIE	81.26	-2.16	67.76	67.79	92
GCIE	52.23	-42.25	11.76	43.87	164
BCIE	30.57	1.15	-46.84	46.86	271

Dreiecks-Helligkeit t^*

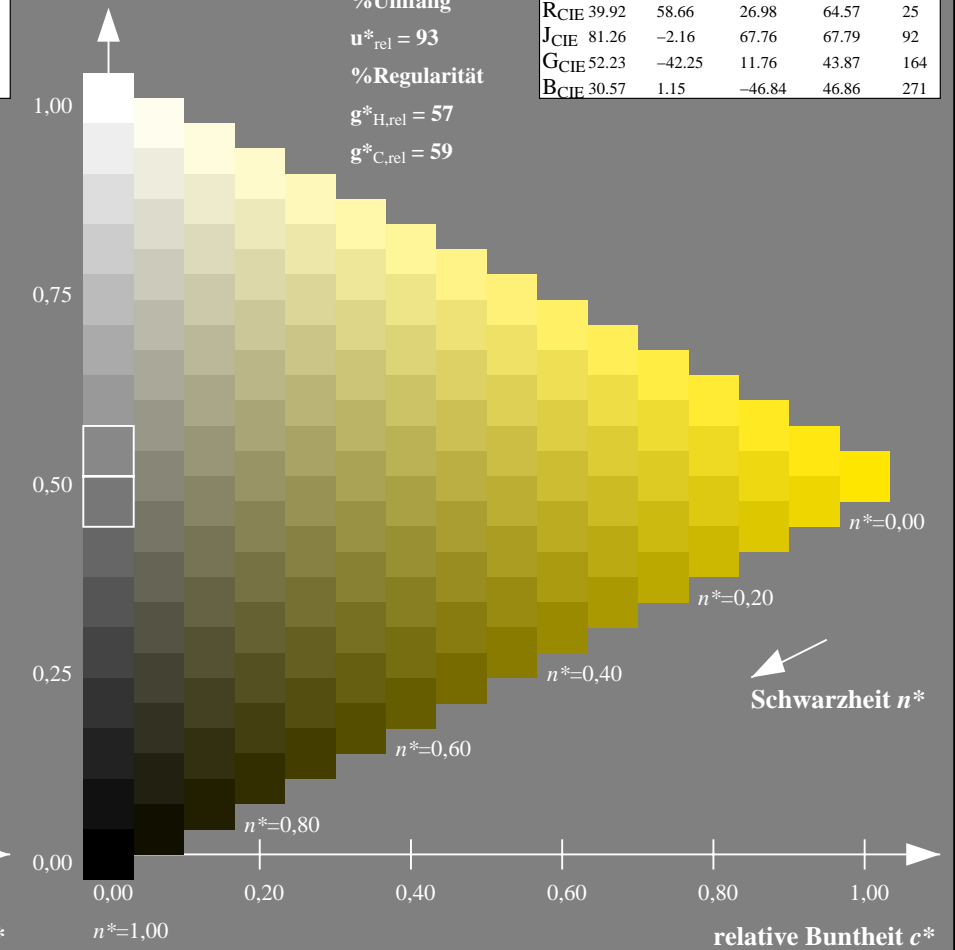
%Umfang

$u^*_{rel} = 93$

%Regularität

$g^*_{H,rel} = 57$

$g^*_{C,rel} = 59$



NG900-7, 9stufige Reihen für konstanten CIELAB Buntton $92/360 = 0.256$ (links)

16stufige Reihen für konstanten CIELAB Buntton $92/360 = 0.255$ (rechts)

Eingabe: Farbmetrisches Natürliches-Reflektiv-System NRS18

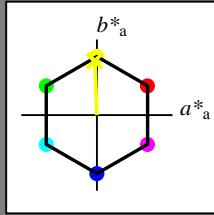
für Buntton $h^* = lab^*h = 92/360 = 0.256$

lab^*tch und lab^*nch

D65: Buntton J

LCH*Ma: 68 76 92

olv*Ma: 0.95 1.0 0.0



NRS18; adaptierte CIELAB-Daten

	$L^*=L^*_a$	a^*_a	b^*_a	$C^*_{ab,a}$	$h^*_{ab,a}$
OMa	43.81	67.03	38.7	77.4	30
YMa	69.61	0.0	77.4	77.4	90
LMa	43.81	-67.02	38.7	77.4	150
CMa	69.61	-67.02	-38.69	77.4	210
VMa	43.81	0.0	-77.39	77.4	270
MMa	69.61	67.03	-38.69	77.4	330
NMa	18.01	0.0	0.0	0.0	0
WMa	95.41	0.0	0.0	0.0	0
RCIE	39.92	58.74	27.99	65.07	25
JCIE	81.26	-2.88	71.56	71.62	92
GCIE	52.23	-42.41	13.6	44.55	162
BCIE	30.57	1.41	-46.46	46.49	272

Dreiecks-Helligkeit t^*

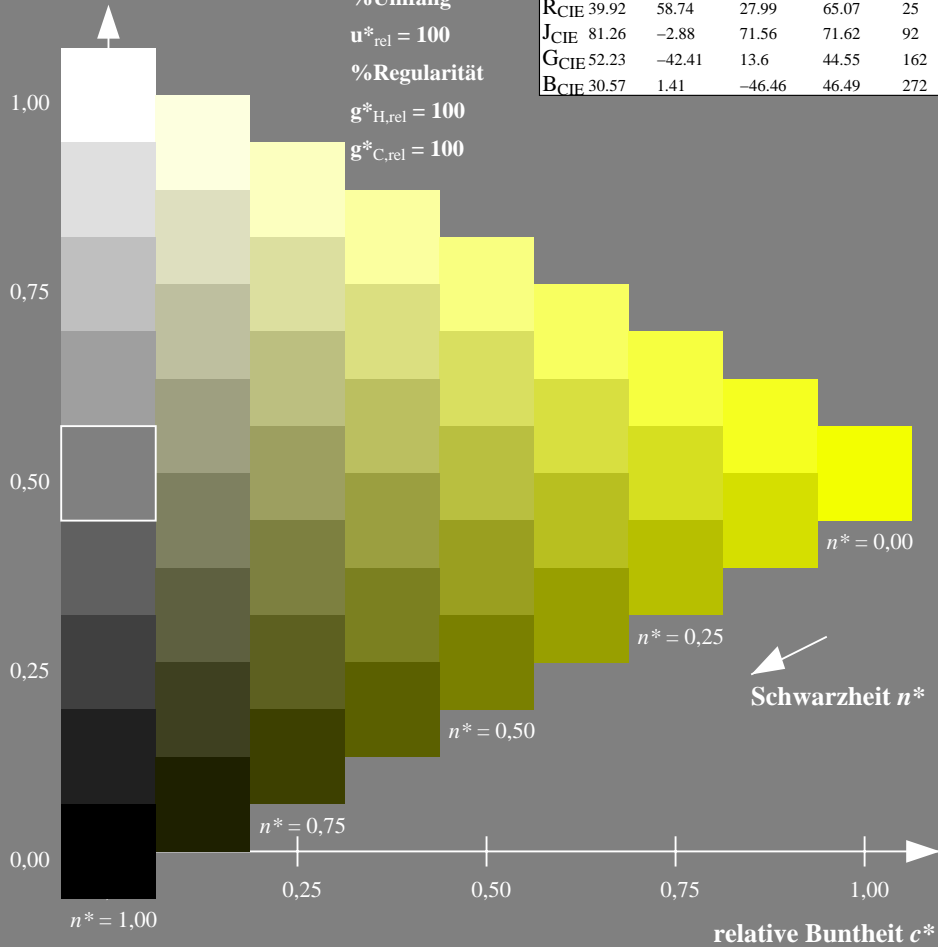
%Umfang

$u^*_{rel} = 100$

%Regularität

$g^*_{H,rel} = 100$

$g^*_{C,rel} = 100$



Ausgabe: Farbmetrisches Fernseh-Licht-System TLS00

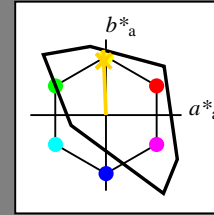
für Buntton $h^* = lab^*h = 92/360 = 0.256$

lab^*tch und lab^*nch

D65: Buntton J

LCH*Ma: 85 86 92

olv*Ma: 1.0 0.82 0.0



TLS00; adaptierte CIELAB-Daten

	$L^*=L^*_a$	a^*_a	b^*_a	$C^*_{ab,a}$	$h^*_{ab,a}$
OMa	50.5	76.92	64.55	100.42	40
YMa	92.66	-20.69	90.75	93.08	103
LMa	83.63	-82.75	79.9	115.04	136
CMa	86.88	-46.16	-13.55	48.12	196
VMa	30.39	76.06	-103.59	128.52	306
MMa	57.3	94.35	-58.41	110.97	328
NMa	0.01	0.0	0.0	0.0	0
WMa	95.41	0.0	0.0	0.0	0
RCIE	39.92	58.74	27.99	65.07	25
JCIE	81.26	-2.88	71.56	71.62	92
GCIE	52.23	-42.41	13.6	44.55	162
BCIE	30.57	1.41	-46.46	46.49	272

Dreiecks-Helligkeit t^*

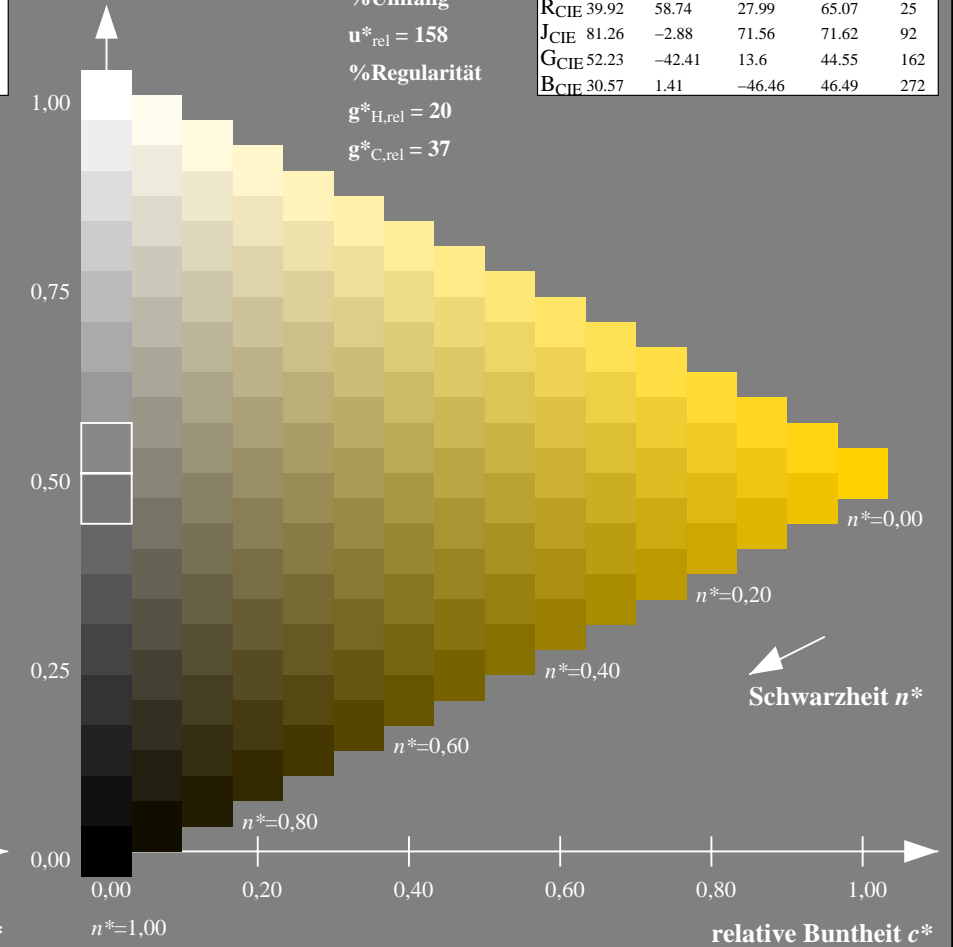
%Umfang

$u^*_{rel} = 158$

%Regularität

$g^*_{H,rel} = 20$

$g^*_{C,rel} = 37$



NG900-7, 9stufige Reihen für konstanten CIELAB Buntton $92/360 = 0.256$ (links)

16stufige Reihen für konstanten CIELAB Buntton $92/360 = 0.256$ (rechts)

Eingabe: Farbmetrisches Natürliches-Reflektiv-System NRS18

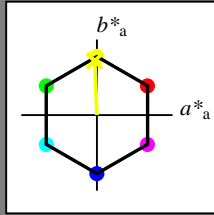
für Buntton $h^* = lab^*h = 92/360 = 0.256$

lab^*tch und lab^*nch

D65: Buntton J

LCH*Ma: 68 76 92

olv*Ma: 0.95 1.0 0.0



NRS18; adaptierte CIELAB-Daten

	$L^*=L^*_a$	a^*_a	b^*_a	$C^*_{ab,a}$	$h^*_{ab,a}$
OMa	43.81	67.03	38.7	77.4	30
YMa	69.61	0.0	77.4	77.4	90
LMa	43.81	-67.02	38.7	77.4	150
CMa	69.61	-67.02	-38.69	77.4	210
VMa	43.81	0.0	-77.39	77.4	270
MMa	69.61	67.03	-38.69	77.4	330
NMa	18.01	0.0	0.0	0.0	0
WMa	95.41	0.0	0.0	0.0	0
RCIE	39.92	58.74	27.99	65.07	25
JCIE	81.26	-2.88	71.56	71.62	92
GCIE	52.23	-42.41	13.6	44.55	162
BCIE	30.57	1.41	-46.46	46.49	272

Dreiecks-Helligkeit t^*

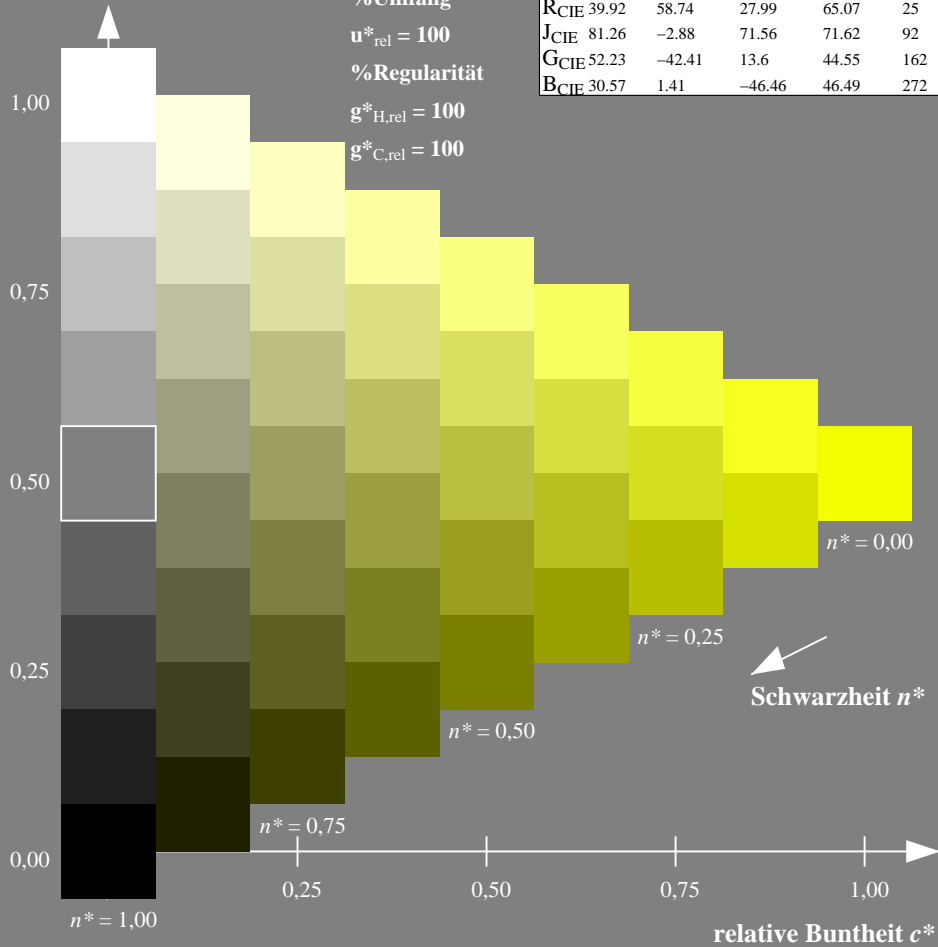
%Umfang

$u^*_{rel} = 100$

%Regularität

$g^*_{H,rel} = 100$

$g^*_{C,rel} = 100$



Ausgabe: Farbmetrisches Drucker-Reflektiv-System DRSXX

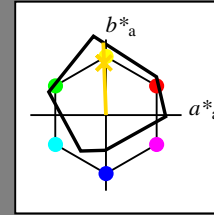
für Buntton $h^* = lab^*h = 92/360 = 0.256$

lab^*tch und lab^*nch

D65: Buntton J

LCH*Ma: 83 96 92

olv*Ma: 1.0 0.84 0.0



DRSXX; adaptierte CIELAB-Daten

	$L^*=L^*_a$	a^*_a	b^*_a	$C^*_{ab,a}$	$h^*_{ab,a}$
OMa	42.21	66.82	50.6	83.82	37
YMa	90.32	-16.51	104.33	105.63	99
LMa	48.21	-75.63	30.65	81.61	158
CMa	53.44	-33.33	-47.49	58.03	235
VMa	34.16	-0.92	-46.56	46.58	269
MMa	42.71	79.0	-1.95	79.03	359
NMa	16.56	0.0	0.0	0.0	0
WMa	96.31	0.0	0.0	0.0	0
RCIE	39.92	59.78	25.77	65.1	23
JCIE	81.26	-2.51	69.07	69.11	92
GCIE	52.23	-41.57	11.3	43.09	165
BCIE	30.57	2.6	-48.62	48.7	273

Dreiecks-Helligkeit t^*

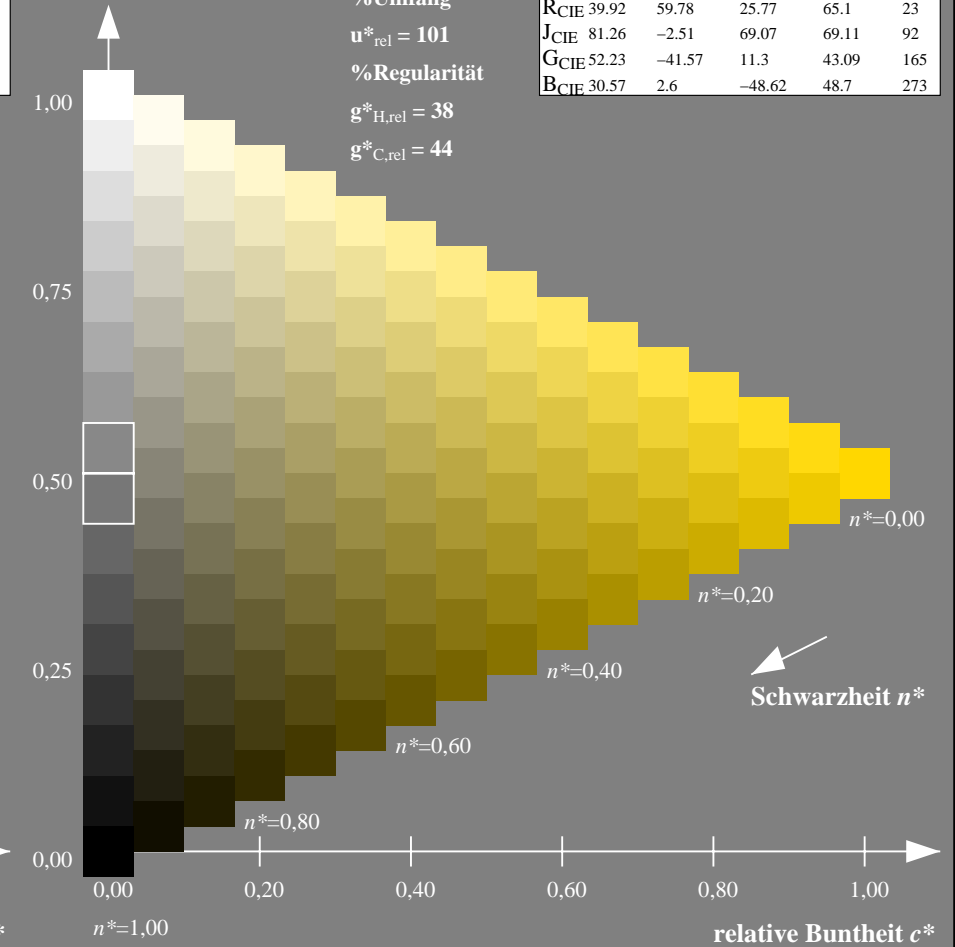
%Umfang

$u^*_{rel} = 101$

%Regularität

$g^*_{H,rel} = 38$

$g^*_{C,rel} = 44$



NG900-7, 9stufige Reihen für konstanten CIELAB Buntton $92/360 = 0.256$ (links)

16stufige Reihen für konstanten CIELAB Buntton $92/360 = 0.256$ (rechts)

Eingabe: Farbmetrisches Natürliches-Reflektiv-System NRS18

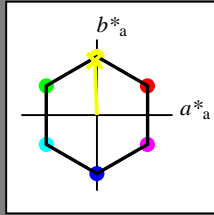
für Buntton $h^* = lab^*h = 92/360 = 0.256$

lab^*tch und lab^*nch

D65: Buntton J

LCH*Ma: 68 76 92

olv*Ma: 0.95 1.0 0.0



NRS18; adaptierte CIELAB-Daten

	$L^*=L^*_a$	a^*_a	b^*_a	$C^*_{ab,a}$	$h^*_{ab,a}$
OMa	43.81	67.03	38.7	77.4	30
YMa	69.61	0.0	77.4	77.4	90
LMa	43.81	-67.02	38.7	77.4	150
CMa	69.61	-67.02	-38.69	77.4	210
VMa	43.81	0.0	-77.39	77.4	270
MMa	69.61	67.03	-38.69	77.4	330
NMa	18.01	0.0	0.0	0.0	0
WMa	95.41	0.0	0.0	0.0	0
RCIE	39.92	58.74	27.99	65.07	25
JCIE	81.26	-2.88	71.56	71.62	92
GCIE	52.23	-42.41	13.6	44.55	162
BCIE	30.57	1.41	-46.46	46.49	272

Dreiecks-Helligkeit t^*

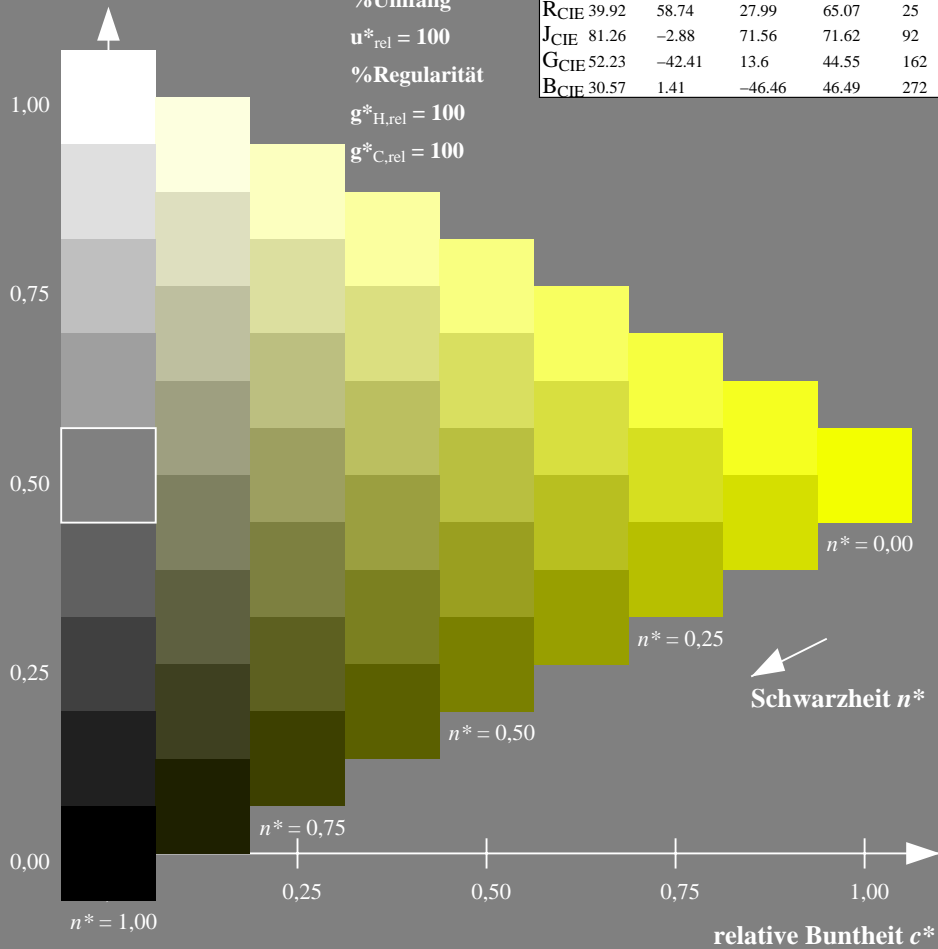
%Umfang

$u^*_{rel} = 100$

%Regularität

$g^*_{H,rel} = 100$

$g^*_{C,rel} = 100$



Ausgabe: Farbmetrisches Fernseh-Licht-System TLS18

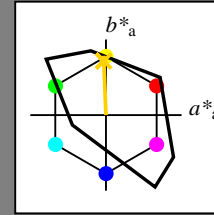
für Buntton $h^* = lab^*h = 92/360 = 0.256$

lab^*tch und lab^*nch

D65: Buntton J

LCH*Ma: 85 79 92

olv*Ma: 1.0 0.82 0.0



TLS18; adaptierte CIELAB-Daten

	$L^*=L^*_a$	a^*_a	b^*_a	$C^*_{ab,a}$	$h^*_{ab,a}$
OMa	52.76	71.63	49.88	87.29	35
YMa	92.74	-20.02	84.97	87.3	103
LMa	84.0	-78.98	73.94	108.2	137
CMa	87.14	-44.41	-13.11	46.32	196
VMa	35.47	64.92	-95.06	115.12	304
MMa	59.01	89.33	-55.67	105.26	328
NMa	18.01	0.0	0.0	0.0	0
WMa	95.41	0.0	0.0	0.0	0
RCIE	39.92	58.74	27.99	65.07	25
JCIE	81.26	-2.88	71.56	71.62	92
GCIE	52.23	-42.41	13.6	44.55	162
BCIE	30.57	1.41	-46.46	46.49	272

Dreiecks-Helligkeit t^*

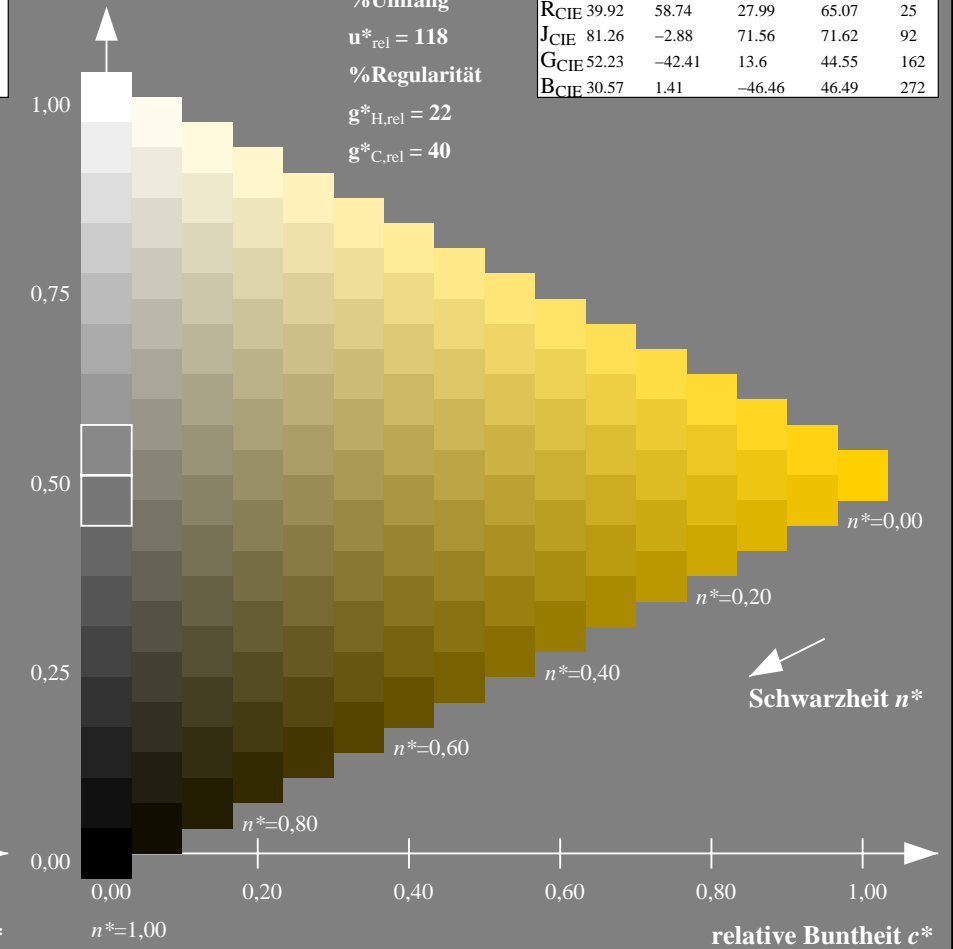
%Umfang

$u^*_{rel} = 118$

%Regularität

$g^*_{H,rel} = 22$

$g^*_{C,rel} = 40$



NG900-7, 9stufige Reihen für konstanten CIELAB Buntton 92/360 = 0.256 (links)

16stufige Reihen für konstanten CIELAB Buntton 92/360 = 0.256 (rechts)

Eingabe: Farbmetrisches Natürliches-Reflektiv-System NRS18

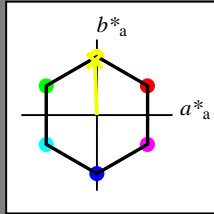
für Buntton $h^* = lab^*h = 92/360 = 0.256$

lab^*tch und lab^*nch

D65: Buntton J

LCH*Ma: 68 76 92

olv*Ma: 0.95 1.0 0.0



NRS18; adaptierte CIELAB-Daten

	$L^*=L^*_a$	a^*_a	b^*_a	$C^*_{ab,a}$	$h^*_{ab,a}$
OMa	43.81	67.03	38.7	77.4	30
YMa	69.61	0.0	77.4	77.4	90
LMa	43.81	-67.02	38.7	77.4	150
CMa	69.61	-67.02	-38.69	77.4	210
VMa	43.81	0.0	-77.39	77.4	270
MMa	69.61	67.03	-38.69	77.4	330
NMa	18.01	0.0	0.0	0.0	0
WMa	95.41	0.0	0.0	0.0	0
RCIE	39.92	58.74	27.99	65.07	25
JCIE	81.26	-2.88	71.56	71.62	92
GCIE	52.23	-42.41	13.6	44.55	162
BCIE	30.57	1.41	-46.46	46.49	272

Dreiecks-Helligkeit t^*

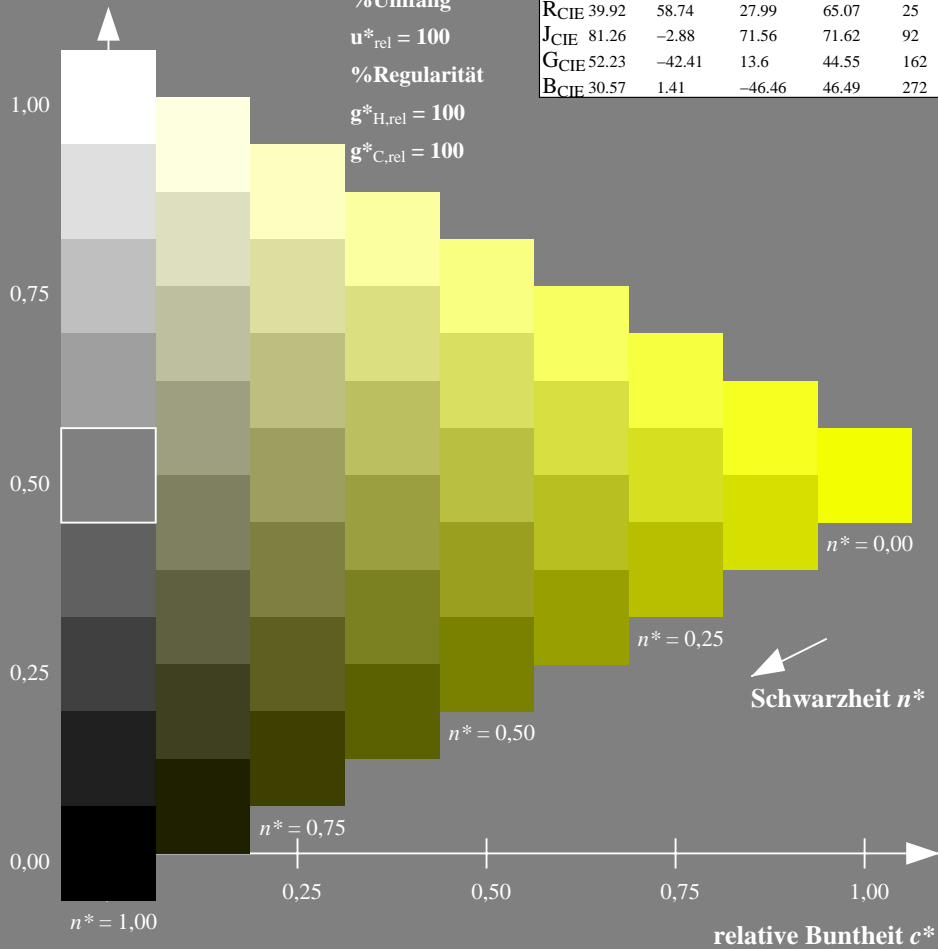
%Umfang

$u^*_{rel} = 100$

%Regularität

$g^*_{H,rel} = 100$

$g^*_{C,rel} = 100$



Ausgabe: Farbmetrisches Natürliches-Licht-System NLS00

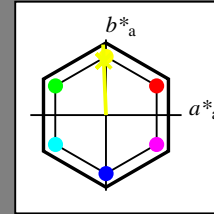
für Buntton $h^* = lab^*h = 92/360 = 0.256$

lab^*tch und lab^*nch

D65: Buntton J

LCH*Ma: 62 93 92

olv*Ma: 0.95 1.0 0.0



NLS00; adaptierte CIELAB-Daten

	$L^*=L^*_a$	a^*_a	b^*_a	$C^*_{ab,a}$	$h^*_{ab,a}$
OMa	31.81	82.62	47.7	95.4	30
YMa	63.61	0.0	95.4	95.4	90
LMa	31.81	-82.61	47.7	95.4	150
CMa	63.61	-82.61	-47.69	95.4	210
VMa	31.81	0.0	-95.39	95.4	270
MMa	63.61	82.62	-47.69	95.4	330
NMa	0.01	0.0	0.0	0.0	0
WMa	95.41	0.0	0.0	0.0	0
RCIE	39.92	58.74	27.99	65.07	25
JCIE	81.26	-2.88	71.56	71.62	92
GCIE	52.23	-42.41	13.6	44.55	162
BCIE	30.57	1.41	-46.46	46.49	272

Dreiecks-Helligkeit t^*

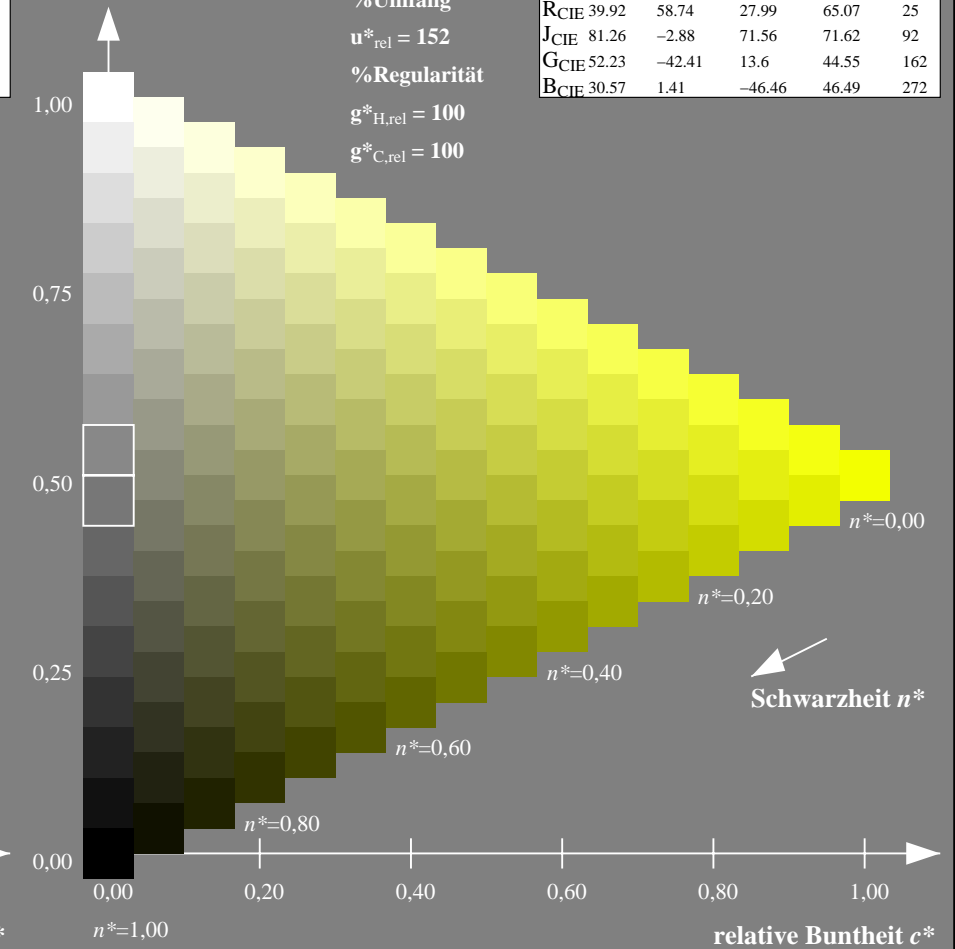
%Umfang

$u^*_{rel} = 152$

%Regularität

$g^*_{H,rel} = 100$

$g^*_{C,rel} = 100$



NG900-7, 9stufige Reihen für konstanten CIELAB Buntton $92/360 = 0.256$ (links)

16stufige Reihen für konstanten CIELAB Buntton $92/360 = 0.256$ (rechts)

Eingabe: Farbmetrisches Natürliches-Reflektiv-System NRS18

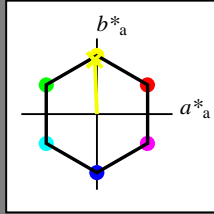
für Buntton $h^* = lab^*h = 92/360 = 0.256$

lab^*tch und lab^*nch

D65: Buntton J

LCH*Ma: 68 76 92

olv*Ma: 0.95 1.0 0.0



NRS18; adaptierte CIELAB-Daten

	$L^*=L^*_a$	a^*_a	b^*_a	$C^*_{ab,a}$	$h^*_{ab,a}$
OMa	43.81	67.03	38.7	77.4	30
YMa	69.61	0.0	77.4	77.4	90
LMa	43.81	-67.02	38.7	77.4	150
CMa	69.61	-67.02	-38.69	77.4	210
VMa	43.81	0.0	-77.39	77.4	270
MMa	69.61	67.03	-38.69	77.4	330
NMa	18.01	0.0	0.0	0.0	0
WMa	95.41	0.0	0.0	0.0	0
RCIE	39.92	58.74	27.99	65.07	25
JCIE	81.26	-2.88	71.56	71.62	92
GCIE	52.23	-42.41	13.6	44.55	162
BCIE	30.57	1.41	-46.46	46.49	272

Dreiecks-Helligkeit t^*

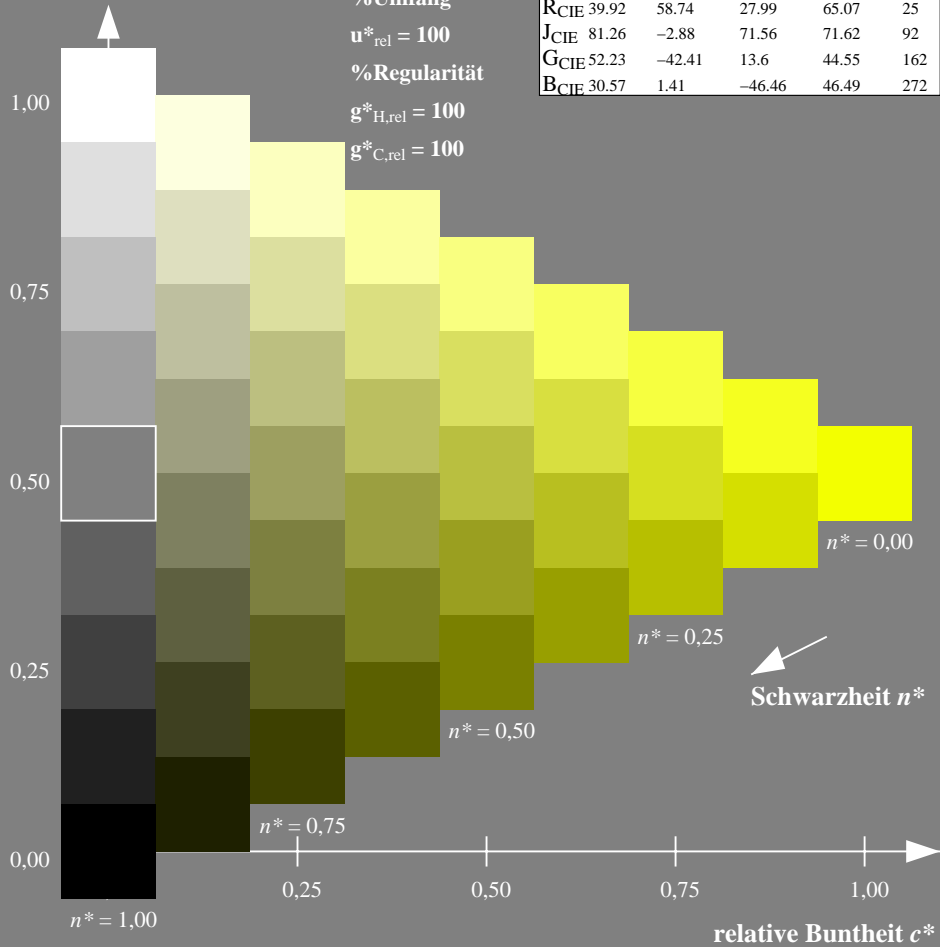
%Umfang

$u^*_{rel} = 100$

%Regularität

$g^*_{H,rel} = 100$

$g^*_{C,rel} = 100$



Schwarzheit n^*

Ausgabe: Farbmetrisches Natürliches-Reflektiv-System NRS18

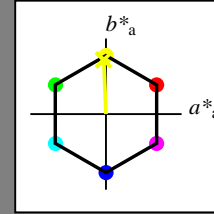
für Buntton $h^* = lab^*h = 92/360 = 0.256$

lab^*tch und lab^*nch

D65: Buntton J

LCH*Ma: 68 76 92

olv*Ma: 0.95 1.0 0.0



NRS18; adaptierte CIELAB-Daten

	$L^*=L^*_a$	a^*_a	b^*_a	$C^*_{ab,a}$	$h^*_{ab,a}$
OMa	43.81	67.03	38.7	77.4	30
YMa	69.61	0.0	77.4	77.4	90
LMa	43.81	-67.02	38.7	77.4	150
CMa	69.61	-67.02	-38.69	77.4	210
VMa	43.81	0.0	-77.39	77.4	270
MMa	69.61	67.03	-38.69	77.4	330
NMa	18.01	0.0	0.0	0.0	0
WMa	95.41	0.0	0.0	0.0	0
RCIE	39.92	58.74	27.99	65.07	25
JCIE	81.26	-2.88	71.56	71.62	92
GCIE	52.23	-42.41	13.6	44.55	162
BCIE	30.57	1.41	-46.46	46.49	272

Dreiecks-Helligkeit t^*

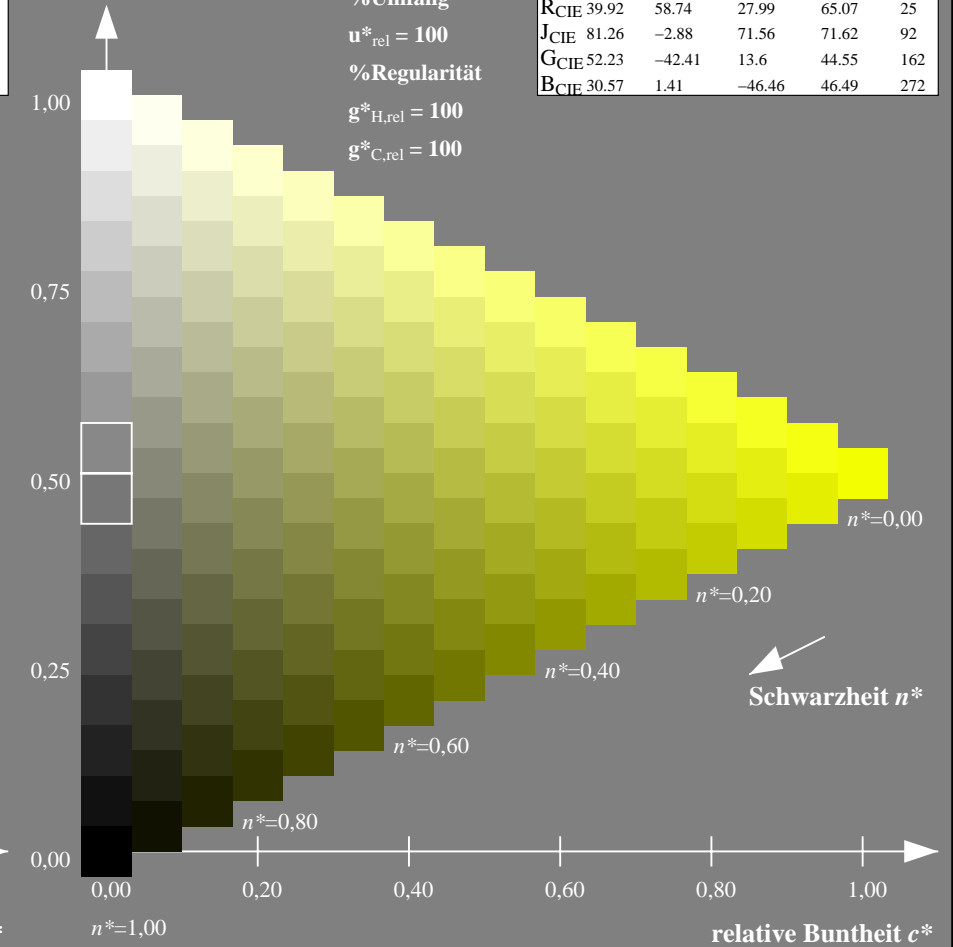
%Umfang

$u^*_{rel} = 100$

%Regularität

$g^*_{H,rel} = 100$

$g^*_{C,rel} = 100$



Schwarzheit n^*

NG900-7, 9stufige Reihen für konstanten CIELAB Buntton $92/360 = 0.256$ (links)

16stufige Reihen für konstanten CIELAB Buntton $92/360 = 0.256$ (rechts)

Eingabe: Farbmetrisches Natürliches-Reflektiv-System NRS18

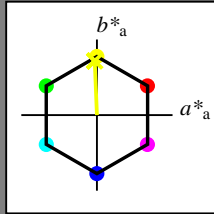
für Buntton $h^* = lab^*h = 92/360 = 0.256$

lab^*tch und lab^*nch

D65: Buntton J

LCH*Ma: 68 76 92

olv*Ma: 0.95 1.0 0.0



NRS18; adaptierte CIELAB-Daten

	$L^*=L^*_a$	a^*_a	b^*_a	$C^*_{ab,a}$	$h^*_{ab,a}$
OMa	43.81	67.03	38.7	77.4	30
YMa	69.61	0.0	77.4	77.4	90
LMa	43.81	-67.02	38.7	77.4	150
CMa	69.61	-67.02	-38.69	77.4	210
VMa	43.81	0.0	-77.39	77.4	270
MMa	69.61	67.03	-38.69	77.4	330
NMa	18.01	0.0	0.0	0.0	0
WMa	95.41	0.0	0.0	0.0	0
RCIE	39.92	58.74	27.99	65.07	25
JCIE	81.26	-2.88	71.56	71.62	92
GCIE	52.23	-42.41	13.6	44.55	162
BCIE	30.57	1.41	-46.46	46.49	272

Dreiecks-Helligkeit t^*

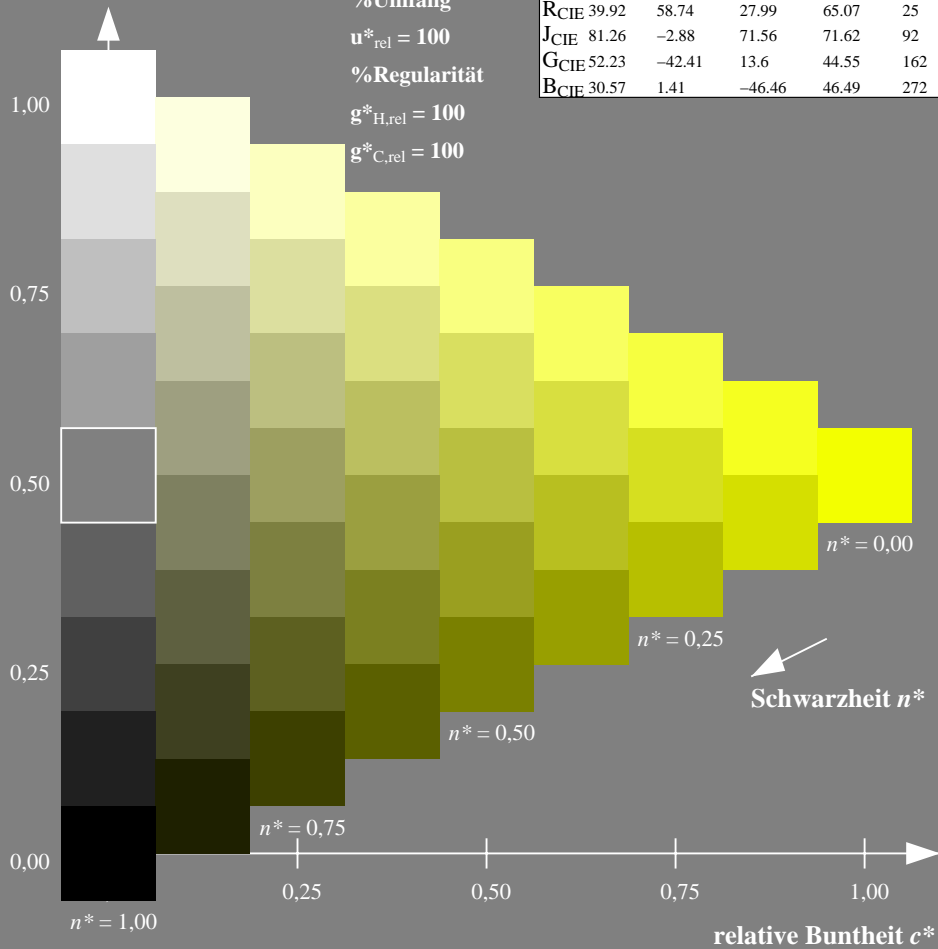
%Umfang

$u^*_{rel} = 100$

%Regularität

$g^*_{H,rel} = 100$

$g^*_{C,rel} = 100$



Ausgabe: Farbmetrisches Standard-Reflektiv-System SRS18

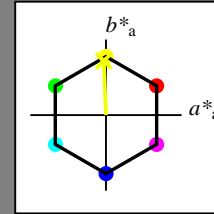
für Buntton $h^* = lab^*h = 92/360 = 0.256$

lab^*tch und lab^*nch

D65: Buntton J

LCH*Ma: 57 76 92

olv*Ma: 0.95 1.0 0.0



SRS18; adaptierte CIELAB-Daten

	$L^*=L^*_a$	a^*_a	b^*_a	$C^*_{ab,a}$	$h^*_{ab,a}$
OMa	56.71	67.03	38.7	77.4	30
YMa	56.71	0.0	77.4	77.4	90
LMa	56.71	-67.02	38.7	77.4	150
CMa	56.71	-67.02	-38.69	77.4	210
VMa	56.71	0.0	-77.39	77.4	270
MMa	56.71	67.03	-38.69	77.4	330
NMa	18.01	0.0	0.0	0.0	0
WMa	95.41	0.0	0.0	0.0	0
RCIE	39.92	58.74	27.99	65.07	25
JCIE	81.26	-2.88	71.56	71.62	92
GCIE	52.23	-42.41	13.6	44.55	162
BCIE	30.57	1.41	-46.46	46.49	272

Dreiecks-Helligkeit t^*

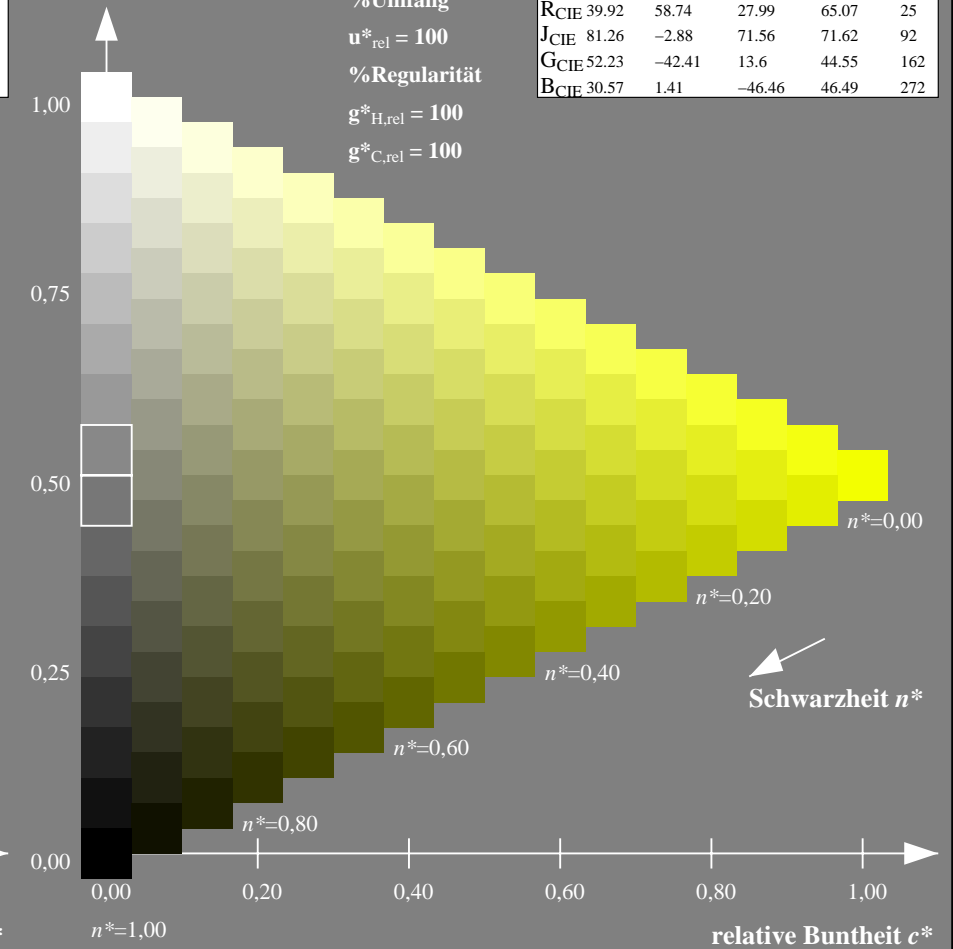
%Umfang

$u^*_{rel} = 100$

%Regularität

$g^*_{H,rel} = 100$

$g^*_{C,rel} = 100$



NG900-7, 9stufige Reihen für konstanten CIELAB Buntton $92/360 = 0.256$ (links)

16stufige Reihen für konstanten CIELAB Buntton $92/360 = 0.256$ (rechts)

Eingabe: Farbmetrisches Natürliches-Reflektiv-System NRS18

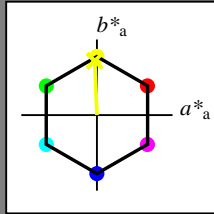
für Buntton $h^* = lab^*h = 92/360 = 0.256$

lab^*tch und lab^*nch

D65: Buntton J

LCH*Ma: 68 76 92

olv*Ma: 0.95 1.0 0.0



NRS18; adaptierte CIELAB-Daten

	$L^*=L^*_a$	a^*_a	b^*_a	$C^*_{ab,a}$	$h^*_{ab,a}$
OMa	43.81	67.03	38.7	77.4	30
YMa	69.61	0.0	77.4	77.4	90
LMa	43.81	-67.02	38.7	77.4	150
CMa	69.61	-67.02	-38.69	77.4	210
VMa	43.81	0.0	-77.39	77.4	270
MMa	69.61	67.03	-38.69	77.4	330
NMa	18.01	0.0	0.0	0.0	0
WMa	95.41	0.0	0.0	0.0	0
RCIE	39.92	58.74	27.99	65.07	25
JCIE	81.26	-2.88	71.56	71.62	92
GCIE	52.23	-42.41	13.6	44.55	162
BCIE	30.57	1.41	-46.46	46.49	272

Dreiecks-Helligkeit t^*

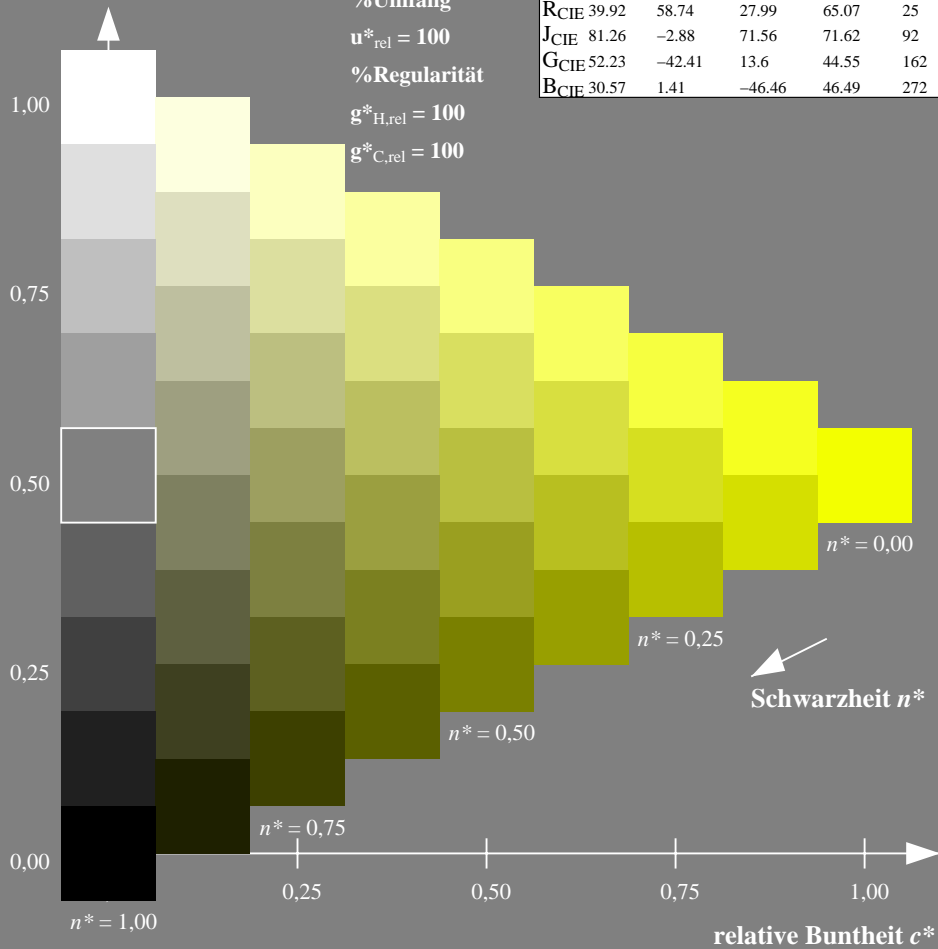
%Umfang

$u^*_{rel} = 100$

%Regularität

$g^*_{H,rel} = 100$

$g^*_{C,rel} = 100$



Ausgabe: Farbmetrisches Fernseh-Licht-System TLS70

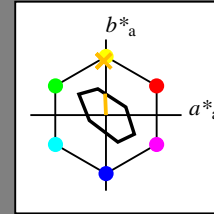
für Buntton $h^* = lab^*h = 92/360 = 0.256$

lab^*tch und lab^*nch

D65: Buntton J

LCH*Ma: 89 28 92

olv*Ma: 1.0 0.74 0.0



TLS70; adaptierte CIELAB-Daten

	$L^*=L^*_a$	a^*_a	b^*_a	$C^*_{ab,a}$	$h^*_{ab,a}$
OMa	76.43	26.27	10.57	28.32	22
YMa	93.93	-10.76	34.63	36.27	107
LMa	89.32	-35.8	27.64	45.24	142
CMa	90.93	-21.95	-7.07	23.07	198
VMa	72.1	15.76	-35.63	38.97	294
MMa	78.5	37.52	-25.23	45.22	326
NMa	69.7	0.0	0.0	0.0	0
WMa	95.41	0.0	0.0	0.0	0
RCIE	39.92	58.74	27.99	65.07	25
JCIE	81.26	-2.88	71.56	71.62	92
GCIE	52.23	-42.41	13.6	44.55	162
BCIE	30.57	1.41	-46.46	46.49	272

Dreiecks-Helligkeit t^*

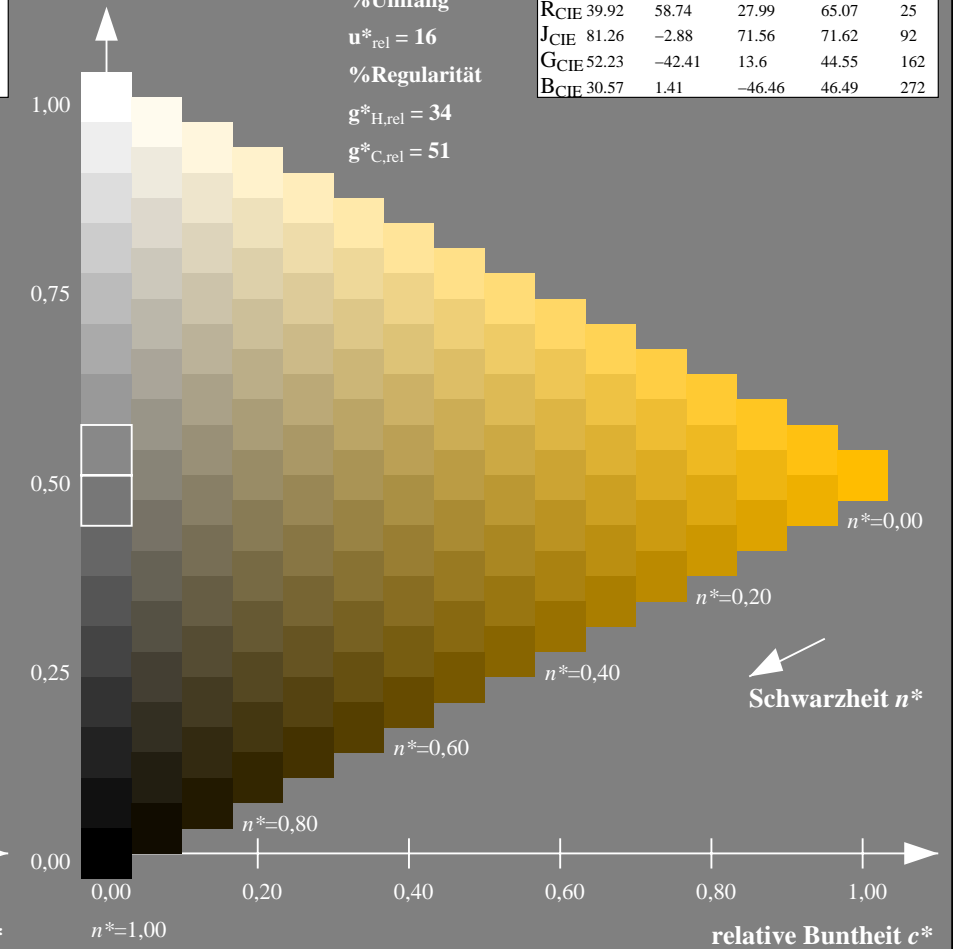
%Umfang

$u^*_{rel} = 16$

%Regularität

$g^*_{H,rel} = 34$

$g^*_{C,rel} = 51$



NG900-7, 9stufige Reihen für konstanten CIELAB Buntton $92/360 = 0.256$ (links)

16stufige Reihen für konstanten CIELAB Buntton $92/360 = 0.256$ (rechts)

Eingabe: Farbmetrisches Standard-Reflektiv-System SRS18

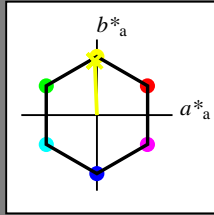
für Buntton $h^* = lab^*h = 92/360 = 0.256$

lab^*tch und lab^*nch

D65: Buntton J

LCH*Ma: 57 76 92

olv*Ma: 0.95 1.0 0.0



SRS18; adaptierte CIELAB-Daten

	$L^*=L^*_a$	a^*_a	b^*_a	$C^*_{ab,a}$	$h^*_{ab,a}$
OMa	56.71	67.03	38.7	77.4	30
YMa	56.71	0.0	77.4	77.4	90
LMa	56.71	-67.02	38.7	77.4	150
CMa	56.71	-67.02	-38.69	77.4	210
VMa	56.71	0.0	-77.39	77.4	270
MMa	56.71	67.03	-38.69	77.4	330
NMa	18.01	0.0	0.0	0.0	0
WMa	95.41	0.0	0.0	0.0	0
RCIE	39.92	58.74	27.99	65.07	25
JCIE	81.26	-2.88	71.56	71.62	92
GCIE	52.23	-42.41	13.6	44.55	162
BCIE	30.57	1.41	-46.46	46.49	272

Dreiecks-Helligkeit t^*

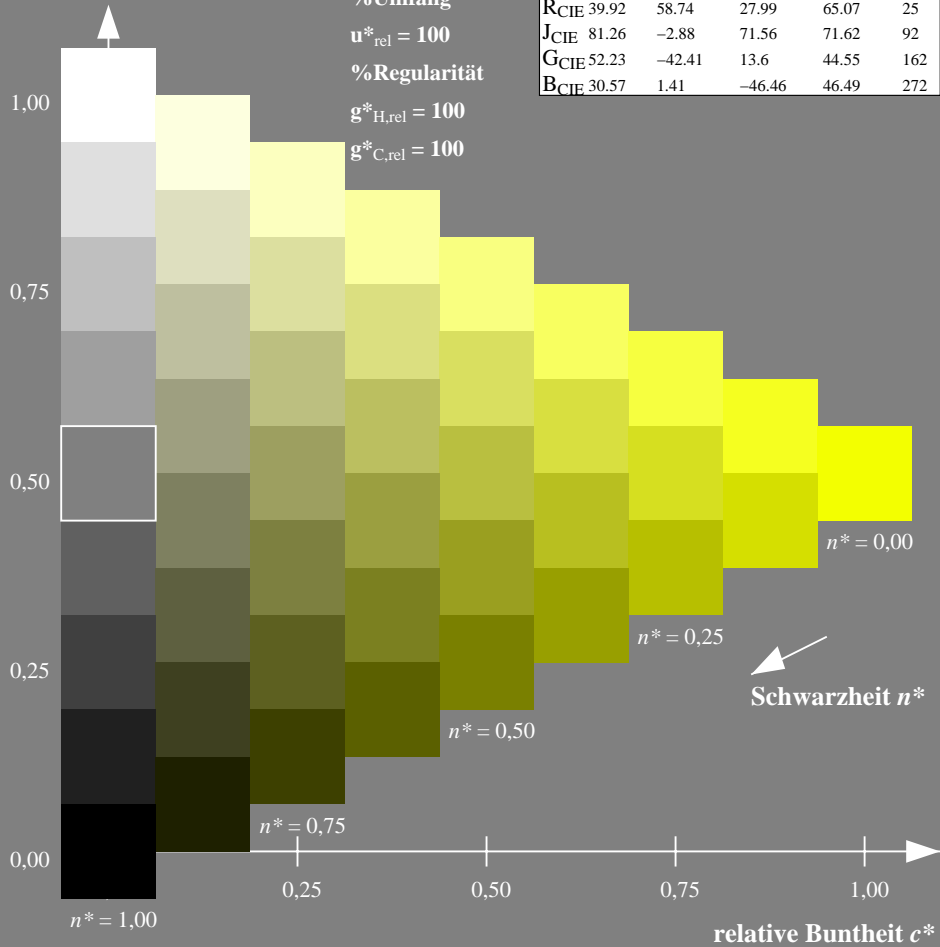
%Umfang

$u^*_{rel} = 100$

%Regularität

$g^*_{H,rel} = 100$

$g^*_{C,rel} = 100$



Ausgabe: Farbmetrisches Offset-Reflektiv-System ORS18

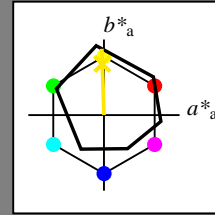
für Buntton $h^* = lab^*h = 92/360 = 0.255$

lab^*tch und lab^*nch

D65: Buntton J

LCH*Ma: 86 88 92

olv*Ma: 1.0 0.9 0.0



ORS18; adaptierte CIELAB-Daten

	$L^*=L^*_a$	a^*_a	b^*_a	$C^*_{ab,a}$	$h^*_{ab,a}$
OMa	47.94	65.39	50.52	82.63	38
YMa	90.37	-10.26	91.75	92.32	96
LMa	50.9	-62.83	34.96	71.91	151
CMa	58.62	-30.34	-45.01	54.3	236
VMa	25.72	31.1	-44.4	54.22	305
MMa	48.13	75.28	-8.36	75.74	354
NMa	18.01	0.0	0.0	0.0	0
WMa	95.41	0.0	0.0	0.0	0
RCIE	39.92	58.66	26.98	64.57	25
JCIE	81.26	-2.16	67.76	67.79	92
GCIE	52.23	-42.25	11.76	43.87	164
BCIE	30.57	1.15	-46.84	46.86	271

Dreiecks-Helligkeit t^*

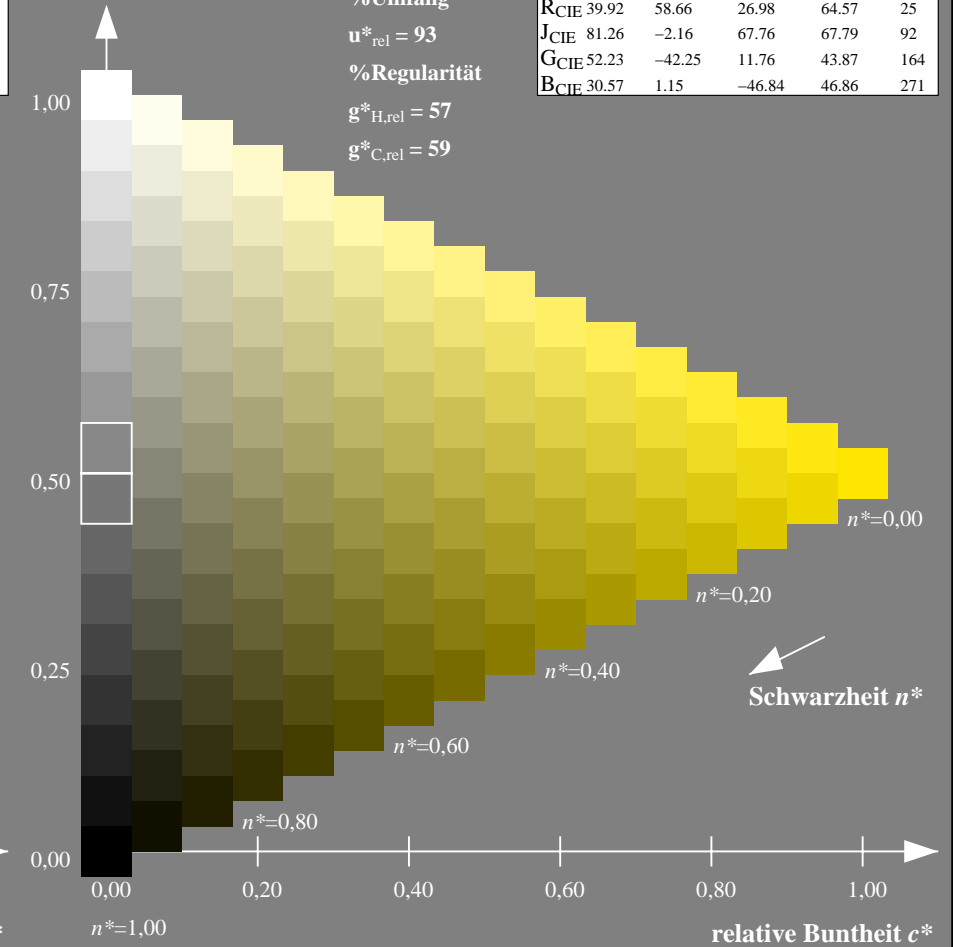
%Umfang

$u^*_{rel} = 93$

%Regularität

$g^*_{H,rel} = 57$

$g^*_{C,rel} = 59$



NG900-7, 9stufige Reihen für konstanten CIELAB Buntton $92/360 = 0.256$ (links)

16stufige Reihen für konstanten CIELAB Buntton $92/360 = 0.255$ (rechts)

Eingabe: Farbmetrisches Standard-Reflektiv-System SRS18

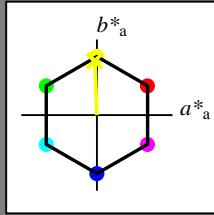
für Buntton $h^* = lab^*h = 92/360 = 0.256$

lab^*tch und lab^*nch

D65: Buntton J

LCH*Ma: 57 76 92

olv*Ma: 0.95 1.0 0.0



SRS18; adaptierte CIELAB-Daten

	$L^*=L^*_a$	a^*_a	b^*_a	$C^*_{ab,a}$	$h^*_{ab,a}$
O _{Ma}	56.71	67.03	38.7	77.4	30
Y _{Ma}	56.71	0.0	77.4	77.4	90
L _{Ma}	56.71	-67.02	38.7	77.4	150
C _{Ma}	56.71	-67.02	-38.69	77.4	210
V _{Ma}	56.71	0.0	-77.39	77.4	270
M _{Ma}	56.71	67.03	-38.69	77.4	330
N _{Ma}	18.01	0.0	0.0	0.0	0
W _{Ma}	95.41	0.0	0.0	0.0	0
R _{CIE}	39.92	58.74	27.99	65.07	25
J _{CIE}	81.26	-2.88	71.56	71.62	92
G _{CIE}	52.23	-42.41	13.6	44.55	162
B _{CIE}	30.57	1.41	-46.46	46.49	272

Dreiecks-Helligkeit t^*

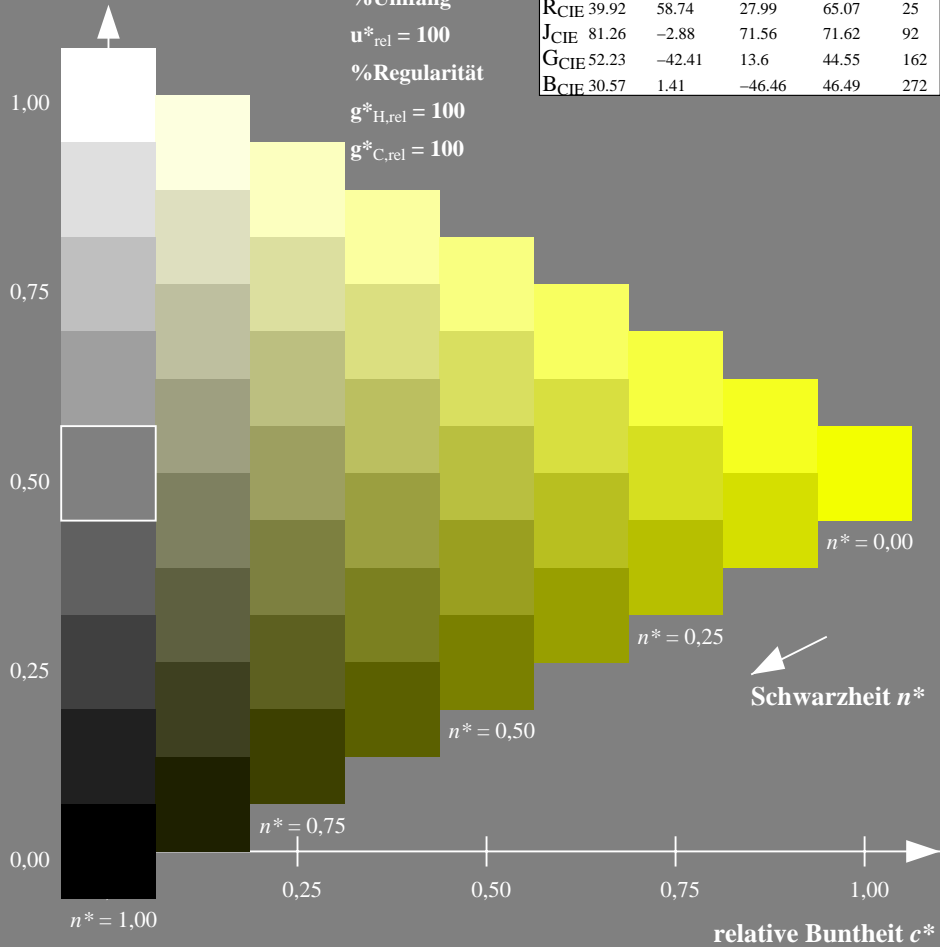
%Umfang

$u^*_{rel} = 100$

%Regularität

$g^*_{H,rel} = 100$

$g^*_{C,rel} = 100$



Ausgabe: Farbmetrisches Fernseh-Licht-System TLS00

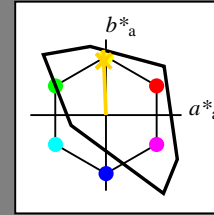
für Buntton $h^* = lab^*h = 92/360 = 0.256$

lab^*tch und lab^*nch

D65: Buntton J

LCH*Ma: 85 86 92

olv*Ma: 1.0 0.82 0.0



TLS00; adaptierte CIELAB-Daten

	$L^*=L^*_a$	a^*_a	b^*_a	$C^*_{ab,a}$	$h^*_{ab,a}$
O _{Ma}	50.5	76.92	64.55	100.42	40
Y _{Ma}	92.66	-20.69	90.75	93.08	103
L _{Ma}	83.63	-82.75	79.9	115.04	136
C _{Ma}	86.88	-46.16	-13.55	48.12	196
V _{Ma}	30.39	76.06	-103.59	128.52	306
M _{Ma}	57.3	94.35	-58.41	110.97	328
N _{Ma}	0.01	0.0	0.0	0.0	0
W _{Ma}	95.41	0.0	0.0	0.0	0
R _{CIE}	39.92	58.74	27.99	65.07	25
J _{CIE}	81.26	-2.88	71.56	71.62	92
G _{CIE}	52.23	-42.41	13.6	44.55	162
B _{CIE}	30.57	1.41	-46.46	46.49	272

Dreiecks-Helligkeit t^*

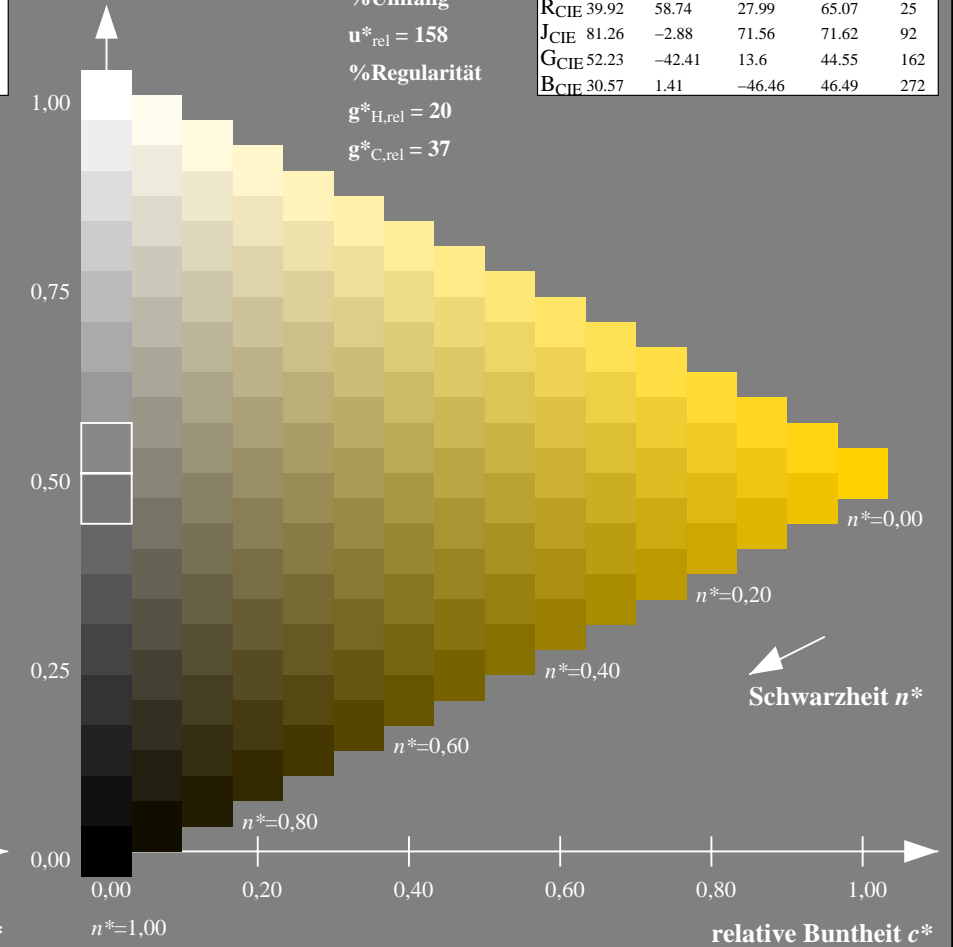
%Umfang

$u^*_{rel} = 158$

%Regularität

$g^*_{H,rel} = 20$

$g^*_{C,rel} = 37$



NG900-7, 9stufige Reihen für konstanten CIELAB Buntton $92/360 = 0.256$ (links)

16stufige Reihen für konstanten CIELAB Buntton $92/360 = 0.256$ (rechts)

Eingabe: Farbmetrisches Standard-Reflektiv-System SRS18

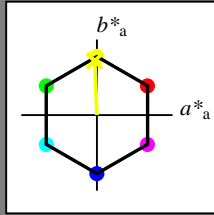
für Buntton $h^* = lab^*h = 92/360 = 0.256$

lab^*tch und lab^*nch

D65: Buntton J

LCH*Ma: 57 76 92

olv*Ma: 0.95 1.0 0.0



SRS18; adaptierte CIELAB-Daten

	$L^*=L^*_a$	a^*_a	b^*_a	$C^*_{ab,a}$	$h^*_{ab,a}$
OMa	56.71	67.03	38.7	77.4	30
YMa	56.71	0.0	77.4	77.4	90
LMa	56.71	-67.02	38.7	77.4	150
CMa	56.71	-67.02	-38.69	77.4	210
VMa	56.71	0.0	-77.39	77.4	270
MMa	56.71	67.03	-38.69	77.4	330
NMa	18.01	0.0	0.0	0.0	0
WMa	95.41	0.0	0.0	0.0	0
RCIE	39.92	58.74	27.99	65.07	25
JCIE	81.26	-2.88	71.56	71.62	92
GCIE	52.23	-42.41	13.6	44.55	162
BCIE	30.57	1.41	-46.46	46.49	272

Dreiecks-Helligkeit t^*

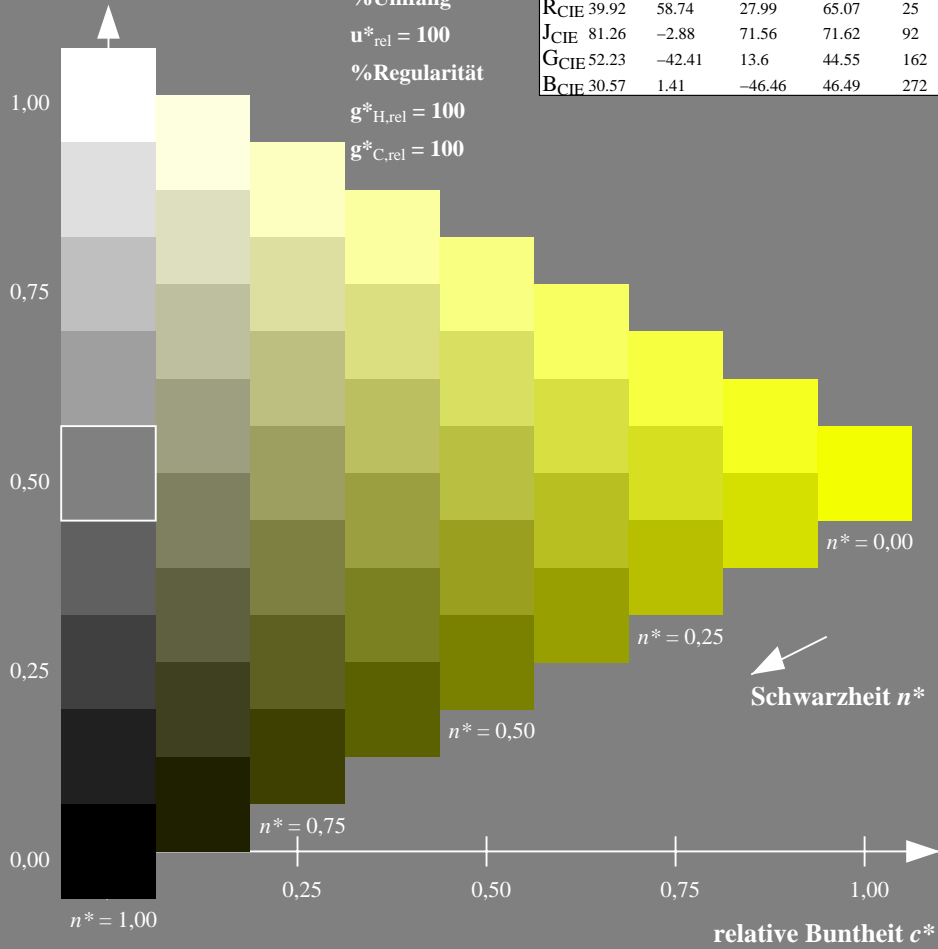
%Umfang

$u^*_{rel} = 100$

%Regularität

$g^*_{H,rel} = 100$

$g^*_{C,rel} = 100$



Ausgabe: Farbmetrisches Drucker-Reflektiv-System DRSXX

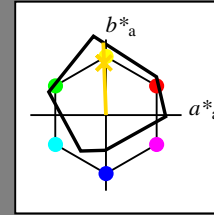
für Buntton $h^* = lab^*h = 92/360 = 0.256$

lab^*tch und lab^*nch

D65: Buntton J

LCH*Ma: 83 96 92

olv*Ma: 1.0 0.84 0.0



DRSXX; adaptierte CIELAB-Daten

	$L^*=L^*_a$	a^*_a	b^*_a	$C^*_{ab,a}$	$h^*_{ab,a}$
OMa	42.21	66.82	50.6	83.82	37
YMa	90.32	-16.51	104.33	105.63	99
LMa	48.21	-75.63	30.65	81.61	158
CMa	53.44	-33.33	-47.49	58.03	235
VMa	34.16	-0.92	-46.56	46.58	269
MMa	42.71	79.0	-1.95	79.03	359
NMa	16.56	0.0	0.0	0.0	0
WMa	96.31	0.0	0.0	0.0	0
RCIE	39.92	59.78	25.77	65.1	23
JCIE	81.26	-2.51	69.07	69.11	92
GCIE	52.23	-41.57	11.3	43.09	165
BCIE	30.57	2.6	-48.62	48.7	273

Dreiecks-Helligkeit t^*

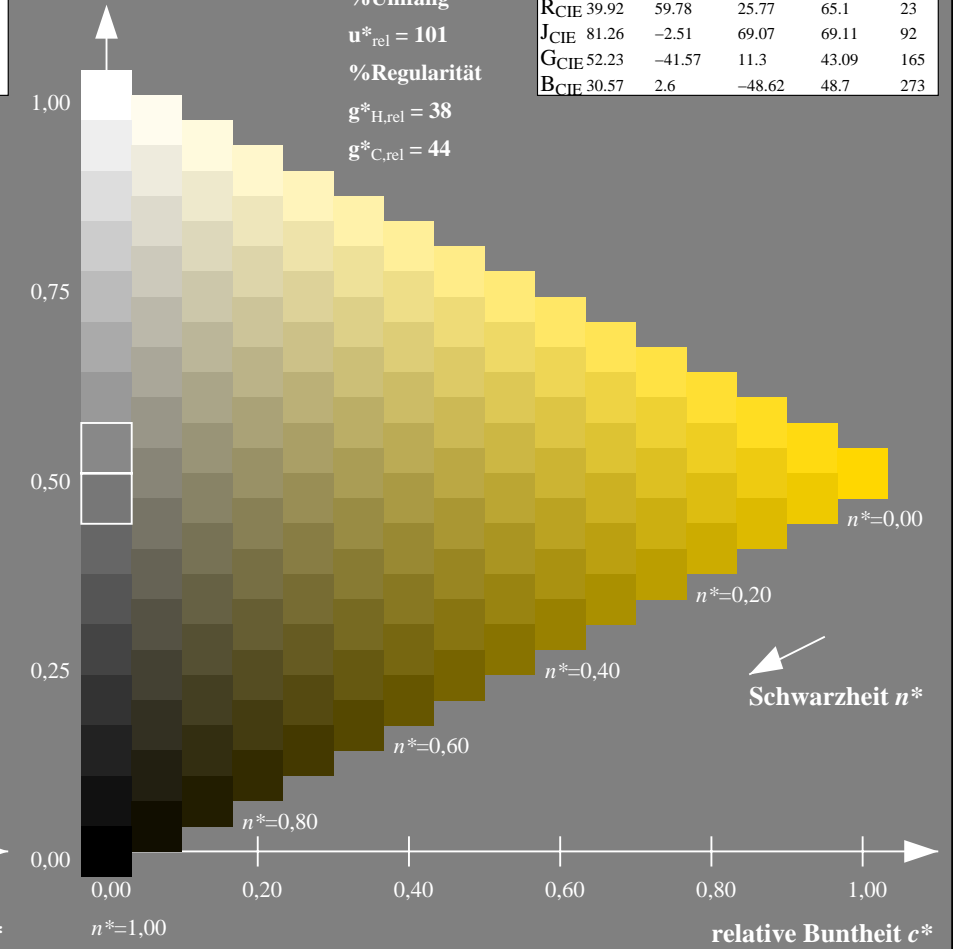
%Umfang

$u^*_{rel} = 101$

%Regularität

$g^*_{H,rel} = 38$

$g^*_{C,rel} = 44$



NG900-7, 9stufige Reihen für konstanten CIELAB Buntton $92/360 = 0.256$ (links)

16stufige Reihen für konstanten CIELAB Buntton $92/360 = 0.256$ (rechts)

Eingabe: Farbmetrisches Standard-Reflektiv-System SRS18

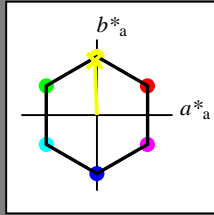
für Buntton $h^* = lab^*h = 92/360 = 0.256$

lab^*tch und lab^*nch

D65: Buntton J

LCH*Ma: 57 76 92

olv*Ma: 0.95 1.0 0.0



SRS18; adaptierte CIELAB-Daten

	$L^*=L^*_a$	a^*_a	b^*_a	$C^*_{ab,a}$	$h^*_{ab,a}$
OMa	56.71	67.03	38.7	77.4	30
YMa	56.71	0.0	77.4	77.4	90
LMa	56.71	-67.02	38.7	77.4	150
CMa	56.71	-67.02	-38.69	77.4	210
VMa	56.71	0.0	-77.39	77.4	270
MMa	56.71	67.03	-38.69	77.4	330
NMa	18.01	0.0	0.0	0.0	0
WMa	95.41	0.0	0.0	0.0	0
RCIE	39.92	58.74	27.99	65.07	25
JCIE	81.26	-2.88	71.56	71.62	92
GCIE	52.23	-42.41	13.6	44.55	162
BCIE	30.57	1.41	-46.46	46.49	272

Dreiecks-Helligkeit t^*

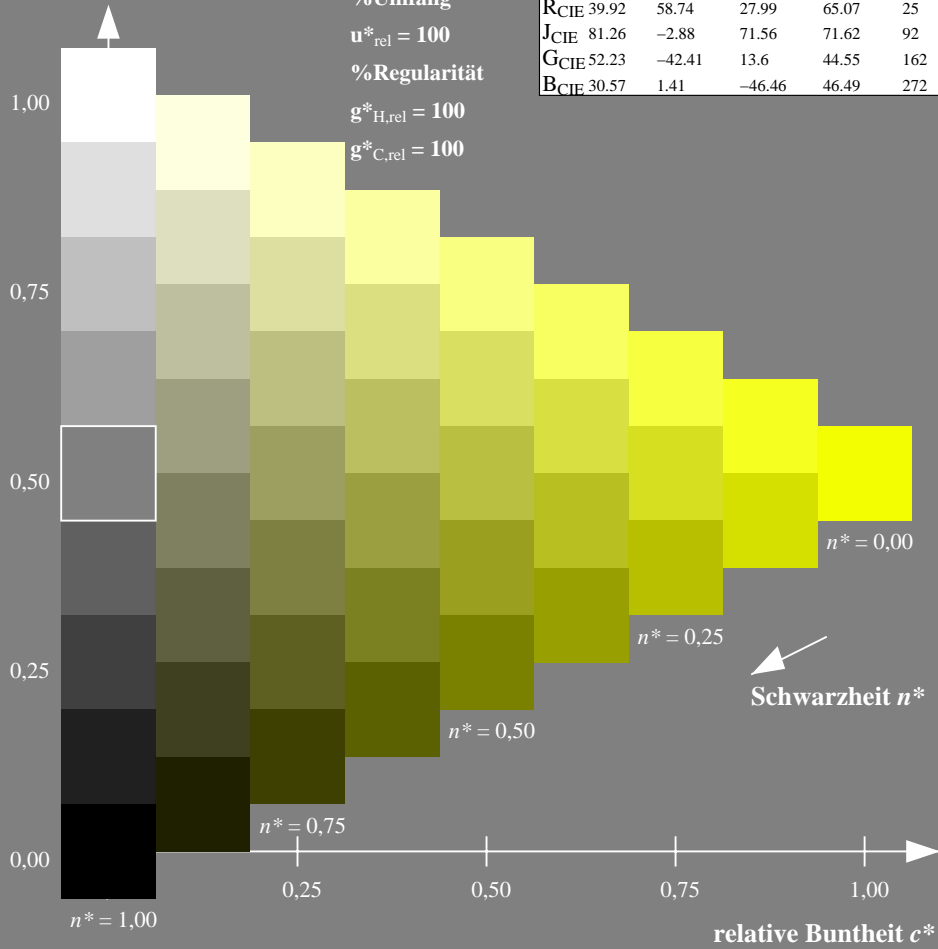
%Umfang

$u^*_{rel} = 100$

%Regularität

$g^*_{H,rel} = 100$

$g^*_{C,rel} = 100$



Ausgabe: Farbmetrisches Fernseh-Licht-System TLS18

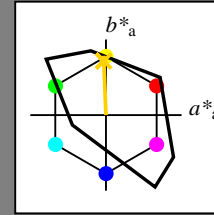
für Buntton $h^* = lab^*h = 92/360 = 0.256$

lab^*tch und lab^*nch

D65: Buntton J

LCH*Ma: 85 79 92

olv*Ma: 1.0 0.82 0.0



TLS18; adaptierte CIELAB-Daten

	$L^*=L^*_a$	a^*_a	b^*_a	$C^*_{ab,a}$	$h^*_{ab,a}$
OMa	52.76	71.63	49.88	87.29	35
YMa	92.74	-20.02	84.97	87.3	103
LMa	84.0	-78.98	73.94	108.2	137
CMa	87.14	-44.41	-13.11	46.32	196
VMa	35.47	64.92	-95.06	115.12	304
MMa	59.01	89.33	-55.67	105.26	328
NMa	18.01	0.0	0.0	0.0	0
WMa	95.41	0.0	0.0	0.0	0
RCIE	39.92	58.74	27.99	65.07	25
JCIE	81.26	-2.88	71.56	71.62	92
GCIE	52.23	-42.41	13.6	44.55	162
BCIE	30.57	1.41	-46.46	46.49	272

Dreiecks-Helligkeit t^*

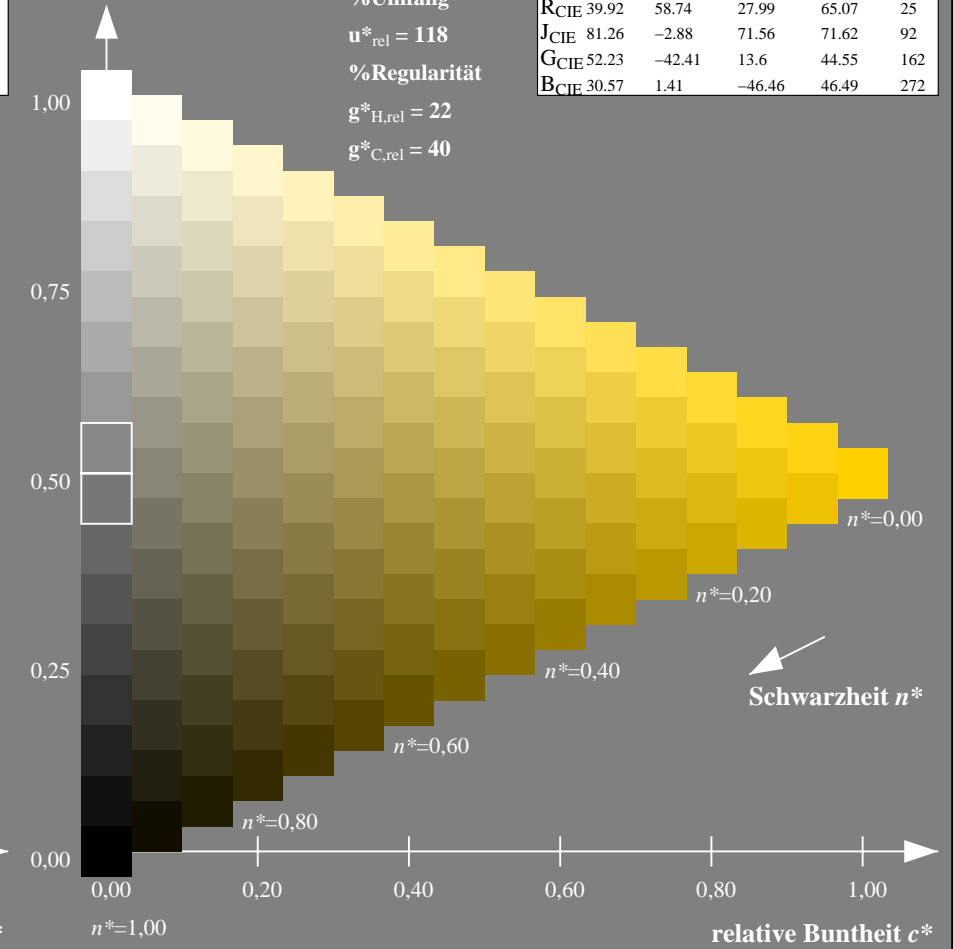
%Umfang

$u^*_{rel} = 118$

%Regularität

$g^*_{H,rel} = 22$

$g^*_{C,rel} = 40$



NG900-7, 9stufige Reihen für konstanten CIELAB Buntton $92/360 = 0.256$ (links)

16stufige Reihen für konstanten CIELAB Buntton $92/360 = 0.256$ (rechts)

Eingabe: Farbmetrisches Standard-Reflektiv-System SRS18

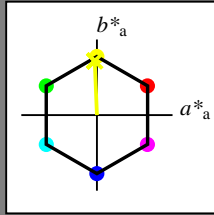
für Buntton $h^* = lab^*h = 92/360 = 0.256$

lab^*tch und lab^*nch

D65: Buntton J

LCH*Ma: 57 76 92

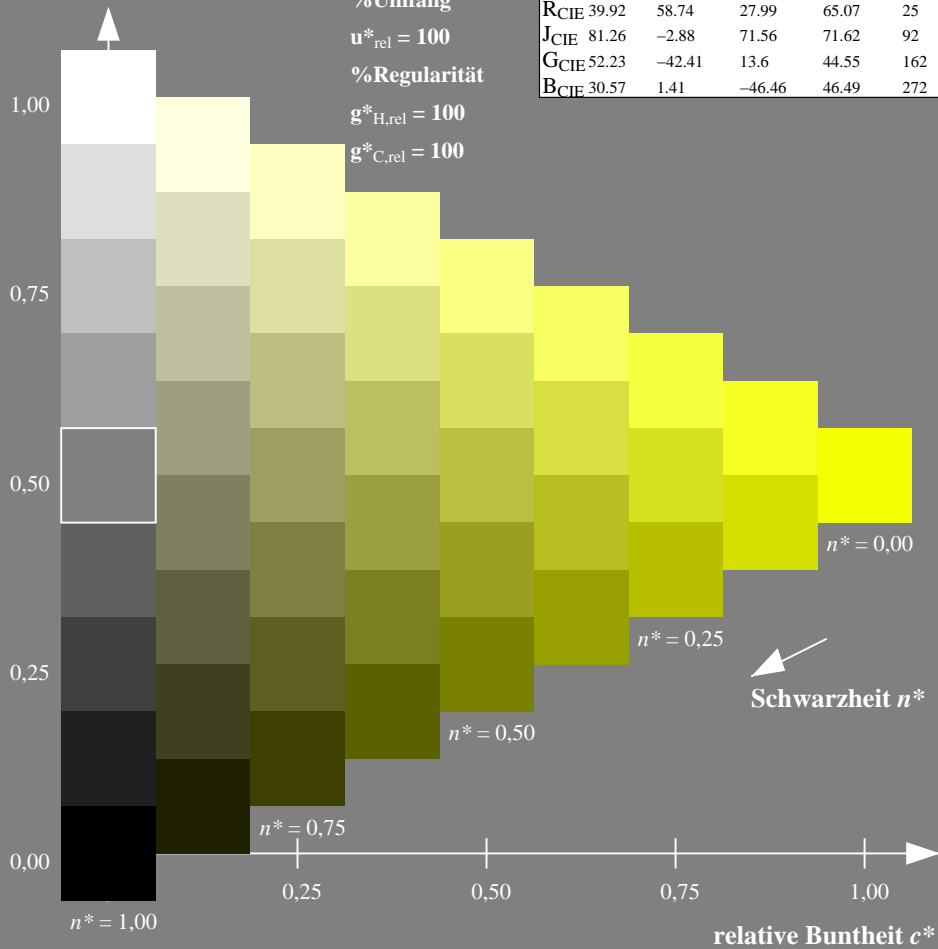
olv*Ma: 0.95 1.0 0.0



SRS18; adaptierte CIELAB-Daten

	$L^*=L^*_a$	a^*_a	b^*_a	$C^*_{ab,a}$	$h^*_{ab,a}$
O _{Ma}	56.71	67.03	38.7	77.4	30
Y _{Ma}	56.71	0.0	77.4	77.4	90
L _{Ma}	56.71	-67.02	38.7	77.4	150
C _{Ma}	56.71	-67.02	-38.69	77.4	210
V _{Ma}	56.71	0.0	-77.39	77.4	270
M _{Ma}	56.71	67.03	-38.69	77.4	330
N _{Ma}	18.01	0.0	0.0	0.0	0
W _{Ma}	95.41	0.0	0.0	0.0	0
R _{CIE}	39.92	58.74	27.99	65.07	25
J _{CIE}	81.26	-2.88	71.56	71.62	92
G _{CIE}	52.23	-42.41	13.6	44.55	162
B _{CIE}	30.57	1.41	-46.46	46.49	272

Dreiecks-Helligkeit t^*



Ausgabe: Farbmetrisches Natürliches-Licht-System NLS00

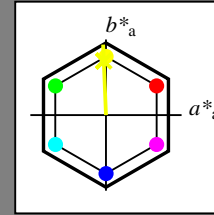
für Buntton $h^* = lab^*h = 92/360 = 0.256$

lab^*tch und lab^*nch

D65: Buntton J

LCH*Ma: 62 93 92

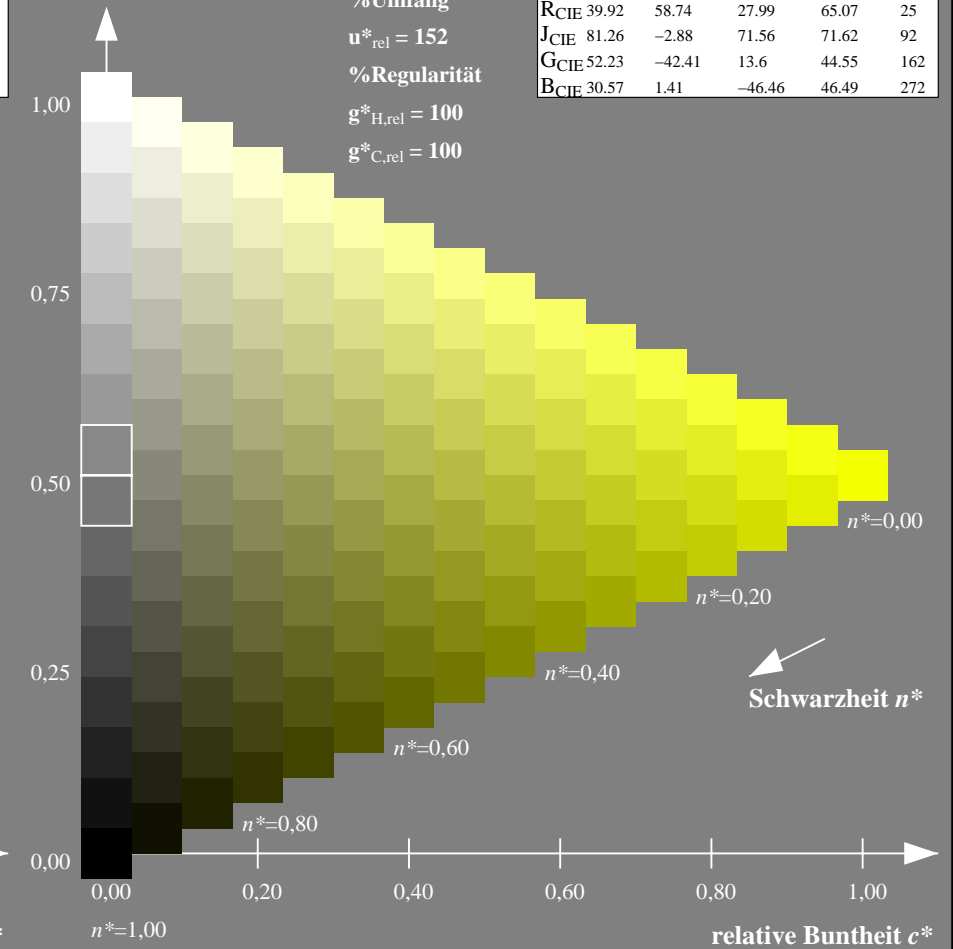
olv*Ma: 0.95 1.0 0.0



NLS00; adaptierte CIELAB-Daten

	$L^*=L^*_a$	a^*_a	b^*_a	$C^*_{ab,a}$	$h^*_{ab,a}$
O _{Ma}	31.81	82.62	47.7	95.4	30
Y _{Ma}	63.61	0.0	95.4	95.4	90
L _{Ma}	31.81	-82.61	47.7	95.4	150
C _{Ma}	63.61	-82.61	-47.69	95.4	210
V _{Ma}	31.81	0.0	-95.39	95.4	270
M _{Ma}	63.61	82.62	-47.69	95.4	330
N _{Ma}	0.01	0.0	0.0	0.0	0
W _{Ma}	95.41	0.0	0.0	0.0	0
R _{CIE}	39.92	58.74	27.99	65.07	25
J _{CIE}	81.26	-2.88	71.56	71.62	92
G _{CIE}	52.23	-42.41	13.6	44.55	162
B _{CIE}	30.57	1.41	-46.46	46.49	272

Dreiecks-Helligkeit t^*



NG900-7, 9stufige Reihen für konstanten CIELAB Buntton $92/360 = 0.256$ (links)

16stufige Reihen für konstanten CIELAB Buntton $92/360 = 0.256$ (rechts)

Eingabe: Farbmetrisches Standard-Reflektiv-System SRS18

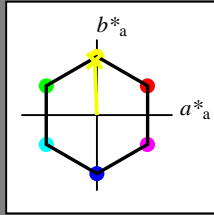
für Buntton $h^* = lab^*h = 92/360 = 0.256$

lab^*tch und lab^*nch

D65: Buntton J

LCH*Ma: 57 76 92

olv*Ma: 0.95 1.0 0.0



SRS18; adaptierte CIELAB-Daten

	$L^*=L^*_a$	a^*_a	b^*_a	$C^*_{ab,a}$	$h^*_{ab,a}$
OMa	56.71	67.03	38.7	77.4	30
YMa	56.71	0.0	77.4	77.4	90
LMa	56.71	-67.02	38.7	77.4	150
CMa	56.71	-67.02	-38.69	77.4	210
VMa	56.71	0.0	-77.39	77.4	270
MMa	56.71	67.03	-38.69	77.4	330
NMa	18.01	0.0	0.0	0.0	0
WMa	95.41	0.0	0.0	0.0	0
RCIE	39.92	58.74	27.99	65.07	25
JCIE	81.26	-2.88	71.56	71.62	92
GCIE	52.23	-42.41	13.6	44.55	162
BCIE	30.57	1.41	-46.46	46.49	272

Dreiecks-Helligkeit t^*

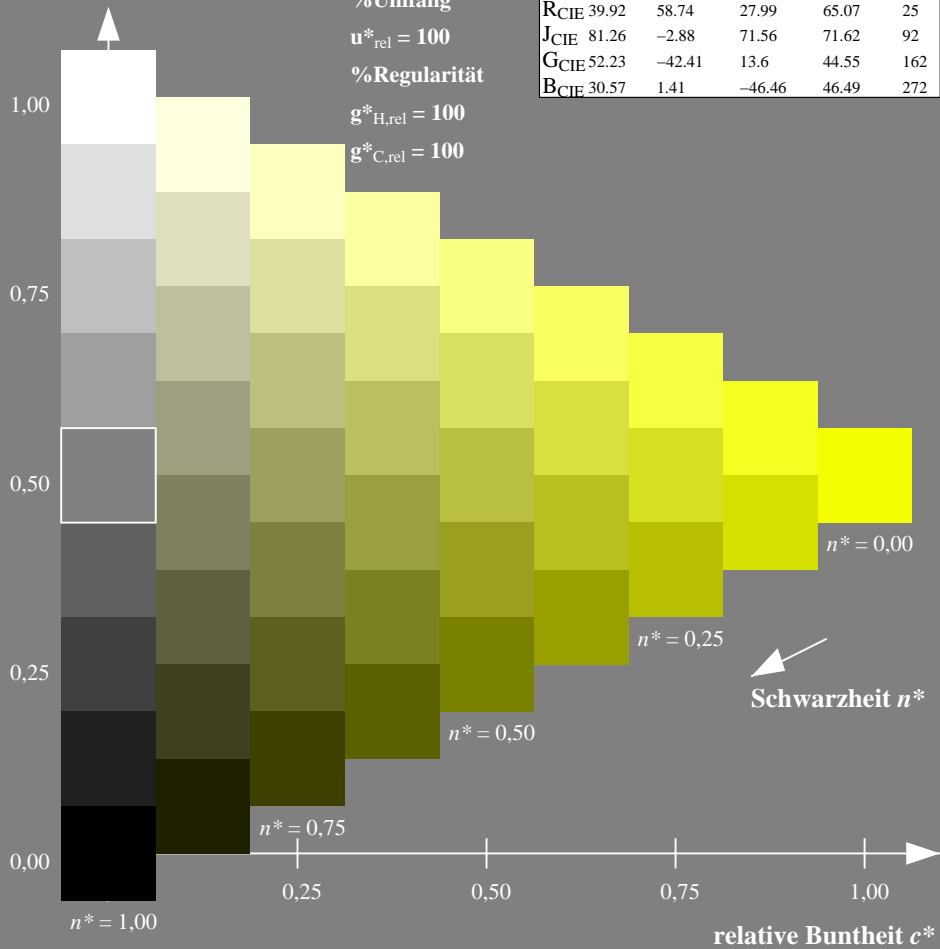
%Umfang

$u^*_{rel} = 100$

%Regularität

$g^*_{H,rel} = 100$

$g^*_{C,rel} = 100$



Ausgabe: Farbmetrisches Natürliches-Reflektiv-System NRS18

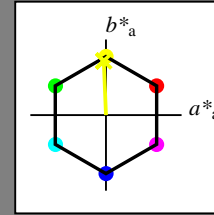
für Buntton $h^* = lab^*h = 92/360 = 0.256$

lab^*tch und lab^*nch

D65: Buntton J

LCH*Ma: 68 76 92

olv*Ma: 0.95 1.0 0.0



NRS18; adaptierte CIELAB-Daten

	$L^*=L^*_a$	a^*_a	b^*_a	$C^*_{ab,a}$	$h^*_{ab,a}$
OMa	43.81	67.03	38.7	77.4	30
YMa	69.61	0.0	77.4	77.4	90
LMa	43.81	-67.02	38.7	77.4	150
CMa	69.61	-67.02	-38.69	77.4	210
VMa	43.81	0.0	-77.39	77.4	270
MMa	69.61	67.03	-38.69	77.4	330
NMa	18.01	0.0	0.0	0.0	0
WMa	95.41	0.0	0.0	0.0	0
RCIE	39.92	58.74	27.99	65.07	25
JCIE	81.26	-2.88	71.56	71.62	92
GCIE	52.23	-42.41	13.6	44.55	162
BCIE	30.57	1.41	-46.46	46.49	272

Dreiecks-Helligkeit t^*

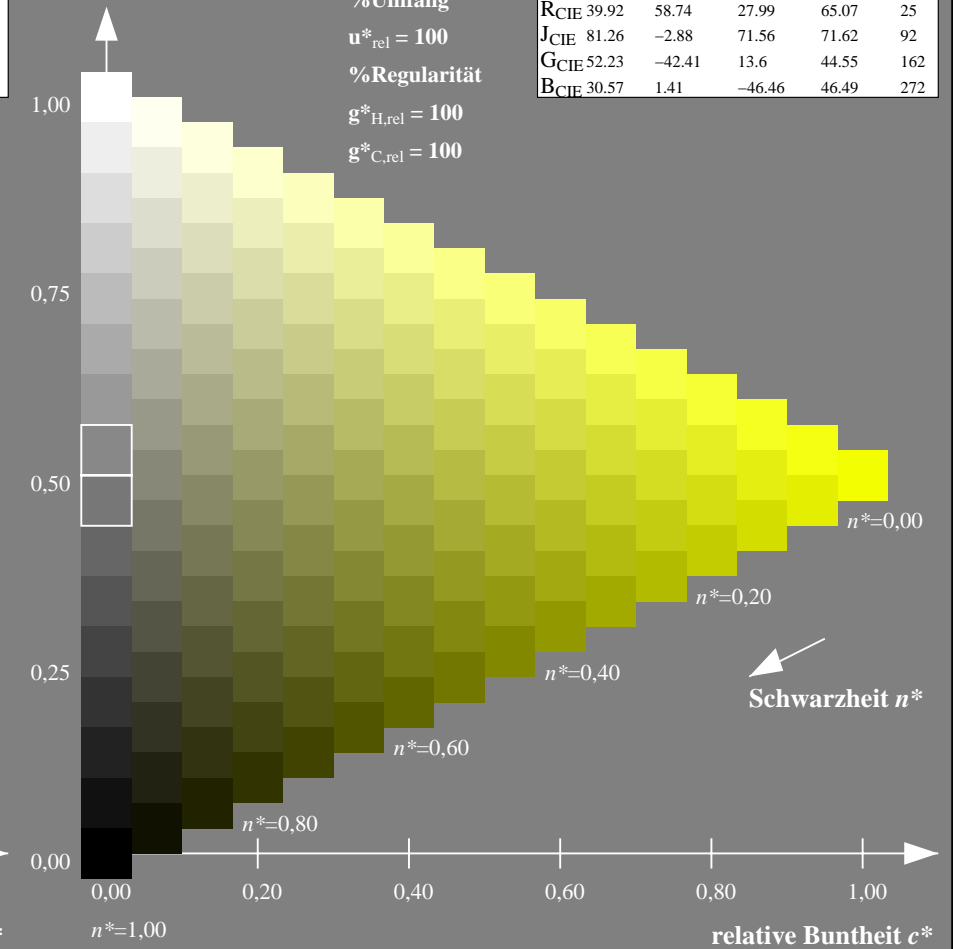
%Umfang

$u^*_{rel} = 100$

%Regularität

$g^*_{H,rel} = 100$

$g^*_{C,rel} = 100$



NG900-7, 9stufige Reihen für konstanten CIELAB Buntton 92/360 = 0.256 (links)

16stufige Reihen für konstanten CIELAB Buntton 92/360 = 0.256 (rechts)

Eingabe: Farbmétrisches Standard-Reflektiv-System SRS18

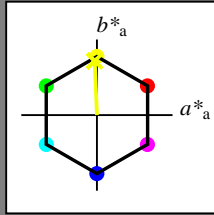
für Buntton $h^* = lab^*h = 92/360 = 0.256$

lab^*tch und lab^*nch

D65: Buntton J

LCH*Ma: 57 76 92

olv*Ma: 0.95 1.0 0.0



SRS18; adaptierte CIELAB-Daten

	$L^*=L^*_a$	a^*_a	b^*_a	$C^*_{ab,a}$	$h^*_{ab,a}$
O _{Ma}	56.71	67.03	38.7	77.4	30
Y _{Ma}	56.71	0.0	77.4	77.4	90
L _{Ma}	56.71	-67.02	38.7	77.4	150
C _{Ma}	56.71	-67.02	-38.69	77.4	210
V _{Ma}	56.71	0.0	-77.39	77.4	270
M _{Ma}	56.71	67.03	-38.69	77.4	330
N _{Ma}	18.01	0.0	0.0	0.0	0
W _{Ma}	95.41	0.0	0.0	0.0	0
R _{CIE}	39.92	58.74	27.99	65.07	25
J _{CIE}	81.26	-2.88	71.56	71.62	92
G _{CIE}	52.23	-42.41	13.6	44.55	162
B _{CIE}	30.57	1.41	-46.46	46.49	272

Dreiecks-Helligkeit t^*

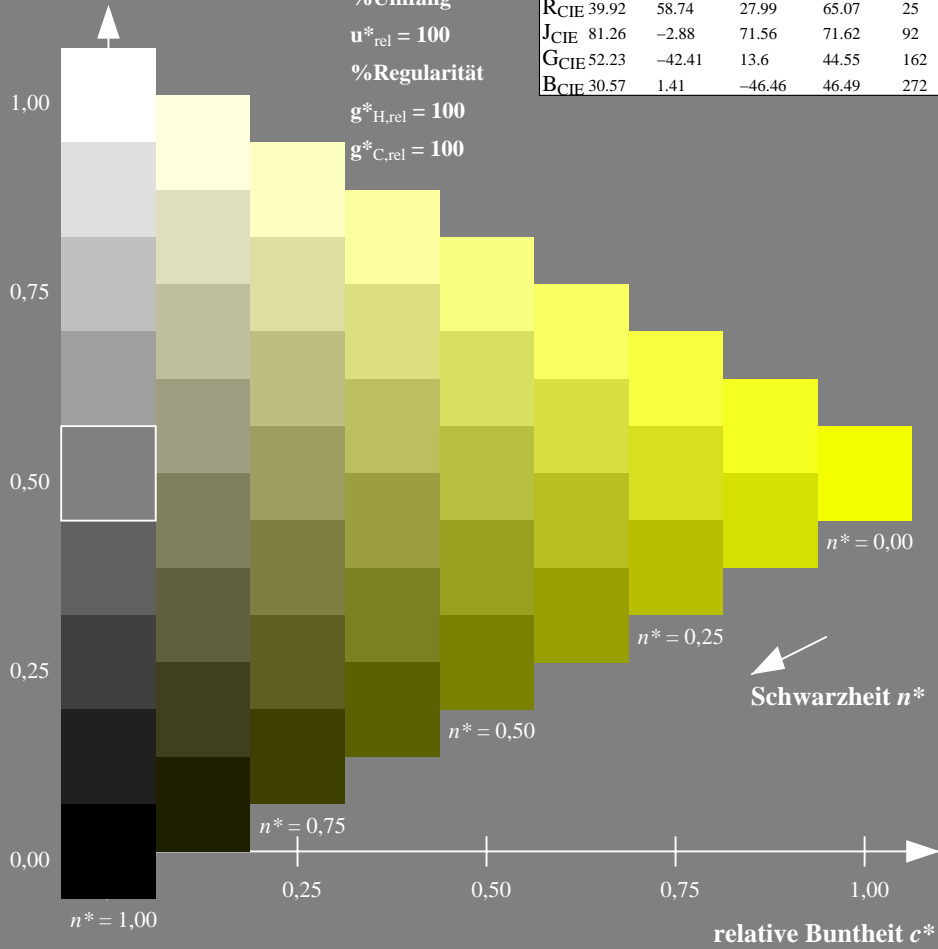
%Umfang

$u^*_{rel} = 100$

%Regularität

$g^*_{H,rel} = 100$

$g^*_{C,rel} = 100$



Ausgabe: Farbmétrisches Standard-Reflektiv-System SRS18

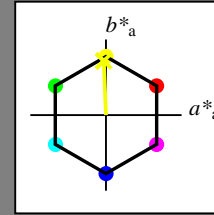
für Buntton $h^* = lab^*h = 92/360 = 0.256$

lab^*tch und lab^*nch

D65: Buntton J

LCH*Ma: 57 76 92

olv*Ma: 0.95 1.0 0.0



SRS18; adaptierte CIELAB-Daten

	$L^*=L^*_a$	a^*_a	b^*_a	$C^*_{ab,a}$	$h^*_{ab,a}$
O _{Ma}	56.71	67.03	38.7	77.4	30
Y _{Ma}	56.71	0.0	77.4	77.4	90
L _{Ma}	56.71	-67.02	38.7	77.4	150
C _{Ma}	56.71	-67.02	-38.69	77.4	210
V _{Ma}	56.71	0.0	-77.39	77.4	270
M _{Ma}	56.71	67.03	-38.69	77.4	330
N _{Ma}	18.01	0.0	0.0	0.0	0
W _{Ma}	95.41	0.0	0.0	0.0	0
R _{CIE}	39.92	58.74	27.99	65.07	25
J _{CIE}	81.26	-2.88	71.56	71.62	92
G _{CIE}	52.23	-42.41	13.6	44.55	162
B _{CIE}	30.57	1.41	-46.46	46.49	272

Dreiecks-Helligkeit t^*

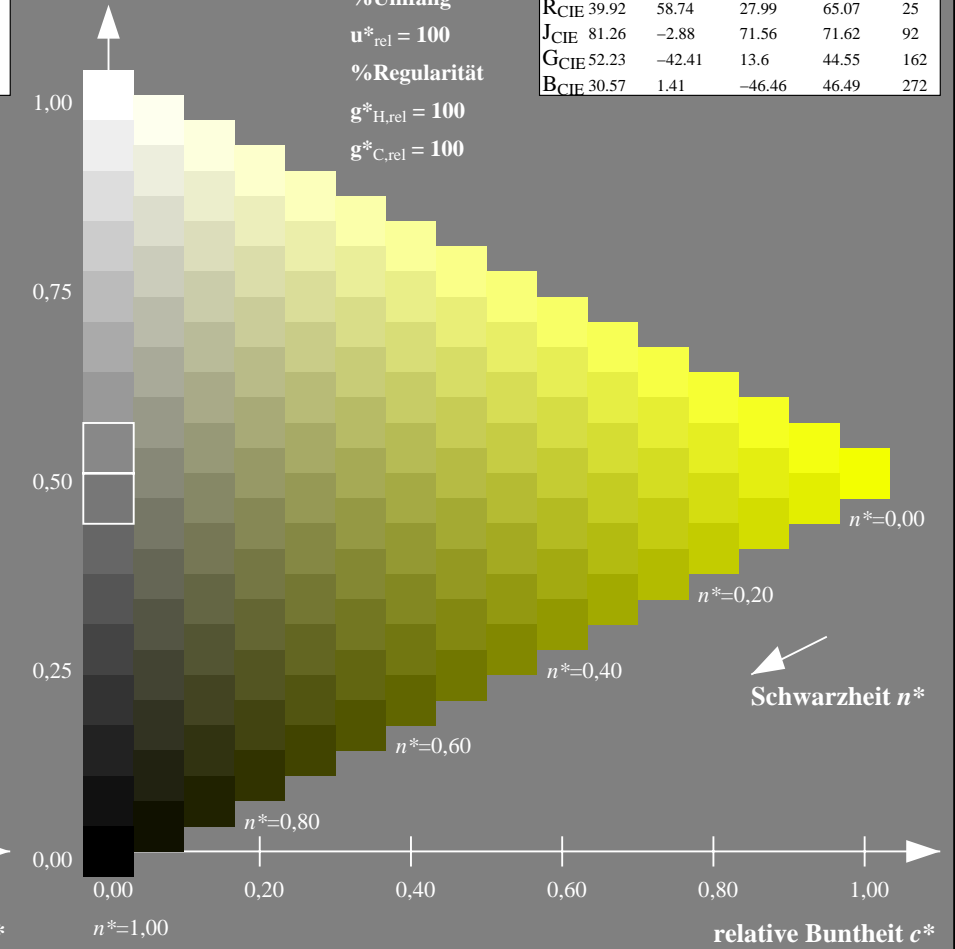
%Umfang

$u^*_{rel} = 100$

%Regularität

$g^*_{H,rel} = 100$

$g^*_{C,rel} = 100$



NG900-7, 9stufige Reihen für konstanten CIELAB Buntton 92/360 = 0.256 (links)

16stufige Reihen für konstanten CIELAB Buntton 92/360 = 0.256 (rechts)

Eingabe: Farbmetrisches Standard-Reflektiv-System SRS18

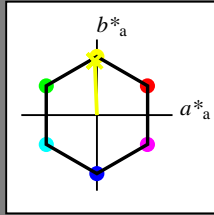
für Buntton $h^* = lab^*h = 92/360 = 0.256$

lab^*tch und lab^*nch

D65: Buntton J

LCH*Ma: 57 76 92

olv*Ma: 0.95 1.0 0.0



SRS18; adaptierte CIELAB-Daten

	$L^*=L^*_a$	a^*_a	b^*_a	$C^*_{ab,a}$	$h^*_{ab,a}$
O _{Ma}	56.71	67.03	38.7	77.4	30
Y _{Ma}	56.71	0.0	77.4	77.4	90
L _{Ma}	56.71	-67.02	38.7	77.4	150
C _{Ma}	56.71	-67.02	-38.69	77.4	210
V _{Ma}	56.71	0.0	-77.39	77.4	270
M _{Ma}	56.71	67.03	-38.69	77.4	330
N _{Ma}	18.01	0.0	0.0	0.0	0
W _{Ma}	95.41	0.0	0.0	0.0	0
R _{CIE}	39.92	58.74	27.99	65.07	25
J _{CIE}	81.26	-2.88	71.56	71.62	92
G _{CIE}	52.23	-42.41	13.6	44.55	162
B _{CIE}	30.57	1.41	-46.46	46.49	272

Dreiecks-Helligkeit t^*

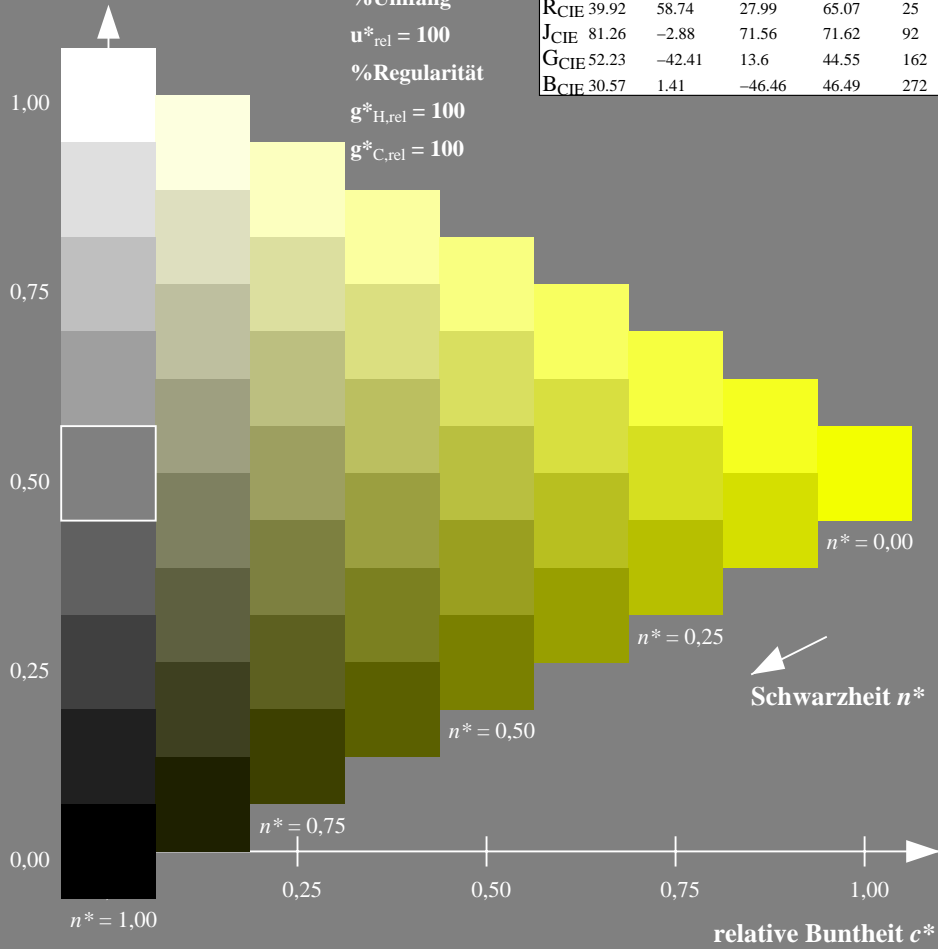
%Umfang

$u^*_{rel} = 100$

%Regularität

$g^*_{H,rel} = 100$

$g^*_{C,rel} = 100$



Ausgabe: Farbmetrisches Fernseh-Licht-System TLS70

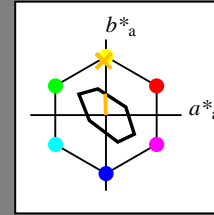
für Buntton $h^* = lab^*h = 92/360 = 0.256$

lab^*tch und lab^*nch

D65: Buntton J

LCH*Ma: 89 28 92

olv*Ma: 1.0 0.74 0.0



TLS70; adaptierte CIELAB-Daten

	$L^*=L^*_a$	a^*_a	b^*_a	$C^*_{ab,a}$	$h^*_{ab,a}$
O _{Ma}	76.43	26.27	10.57	28.32	22
Y _{Ma}	93.93	-10.76	34.63	36.27	107
L _{Ma}	89.32	-35.8	27.64	45.24	142
C _{Ma}	90.93	-21.95	-7.07	23.07	198
V _{Ma}	72.1	15.76	-35.63	38.97	294
M _{Ma}	78.5	37.52	-25.23	45.22	326
N _{Ma}	69.7	0.0	0.0	0.0	0
W _{Ma}	95.41	0.0	0.0	0.0	0
R _{CIE}	39.92	58.74	27.99	65.07	25
J _{CIE}	81.26	-2.88	71.56	71.62	92
G _{CIE}	52.23	-42.41	13.6	44.55	162
B _{CIE}	30.57	1.41	-46.46	46.49	272

Dreiecks-Helligkeit t^*

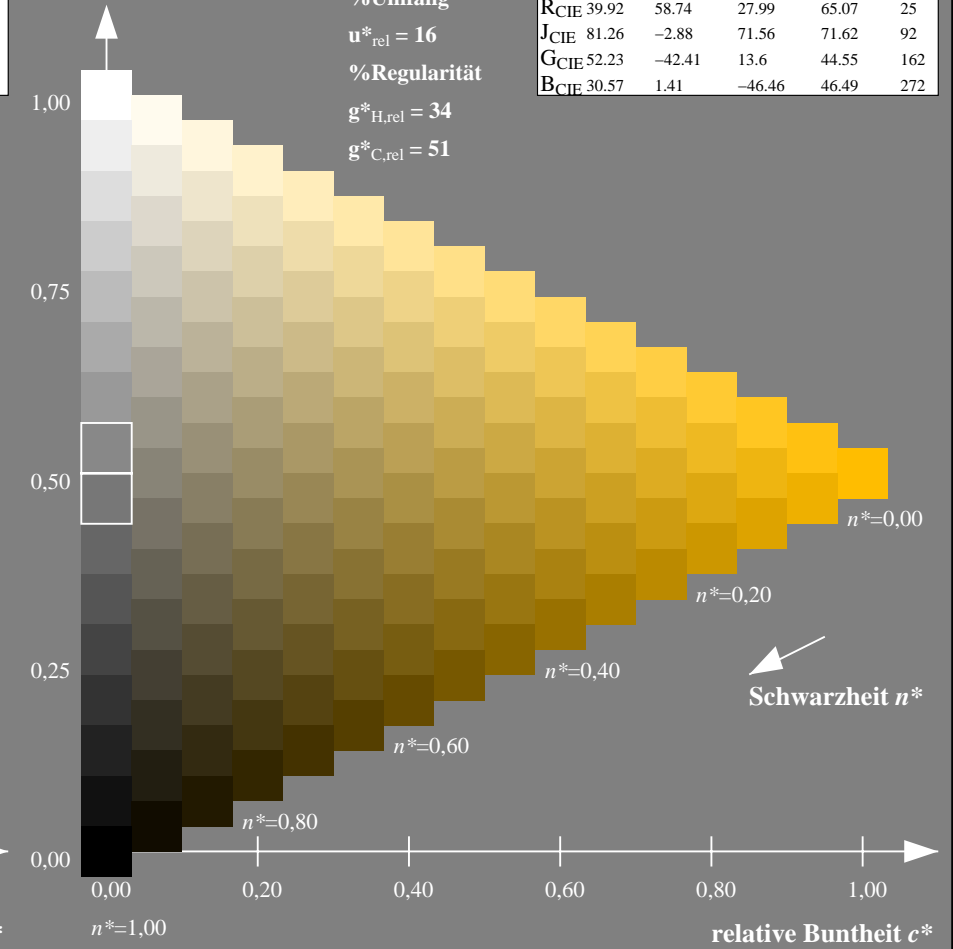
%Umfang

$u^*_{rel} = 16$

%Regularität

$g^*_{H,rel} = 34$

$g^*_{C,rel} = 51$



NG900-7, 9stufige Reihen für konstanten CIELAB Buntton 92/360 = 0.256 (links)

16stufige Reihen für konstanten CIELAB Buntton 92/360 = 0.256 (rechts)

Eingabe: Farbmetrisches Fernseh-Licht-System TLS70

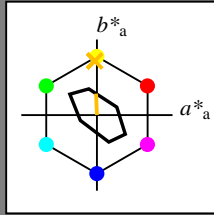
für Buntton $h^* = lab^*h = 92/360 = 0.256$

lab^*tch und lab^*nch

D65: Buntton J

LCH*Ma: 89 28 92

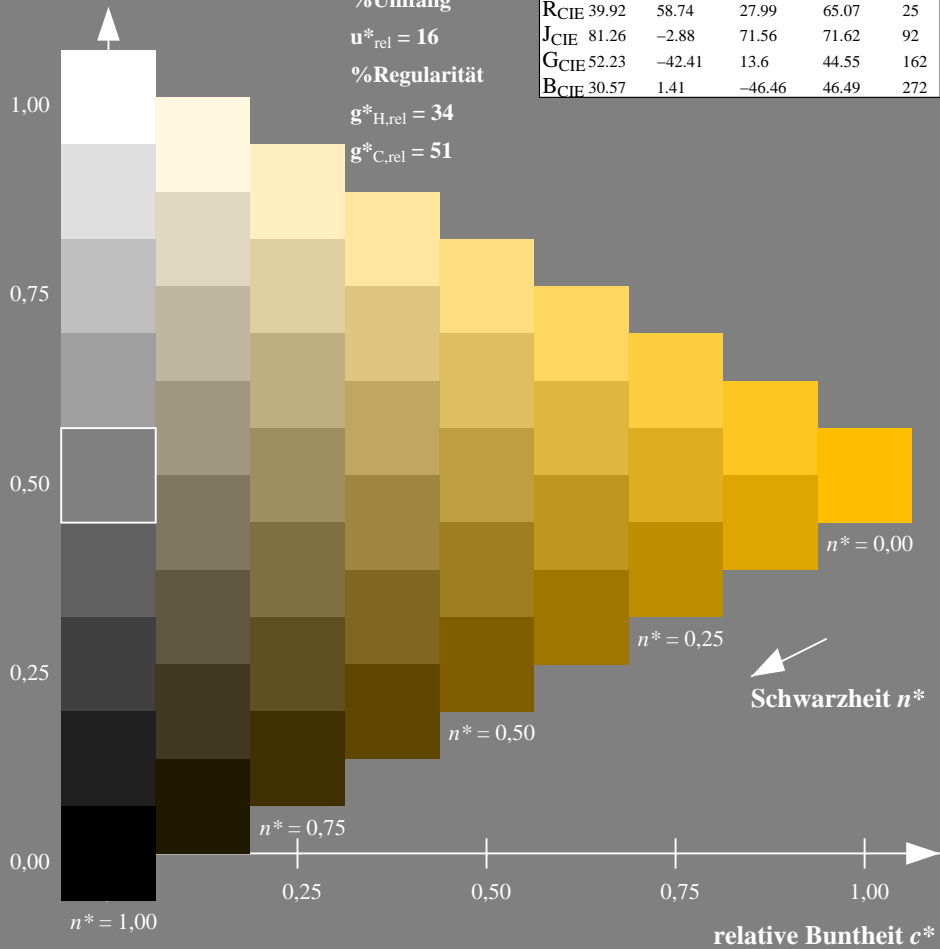
olv*Ma: 1.0 0.74 0.0



TLS70; adaptierte CIELAB-Daten

	$L^*=L^*_a$	a^*_a	b^*_a	$C^*_{ab,a}$	$h^*_{ab,a}$
O _{Ma}	76.43	26.27	10.57	28.32	22
Y _{Ma}	93.93	-10.76	34.63	36.27	107
L _{Ma}	89.32	-35.8	27.64	45.24	142
C _{Ma}	90.93	-21.95	-7.07	23.07	198
V _{Ma}	72.1	15.76	-35.63	38.97	294
M _{Ma}	78.5	37.52	-25.23	45.22	326
N _{Ma}	69.7	0.0	0.0	0.0	0
W _{Ma}	95.41	0.0	0.0	0.0	0
RCIE	39.92	58.74	27.99	65.07	25
J _{CIE}	81.26	-2.88	71.56	71.62	92
G _{CIE}	52.23	-42.41	13.6	44.55	162
B _{CIE}	30.57	1.41	-46.46	46.49	272

Dreiecks-Helligkeit t^*



Ausgabe: Farbmetrisches Offset-Reflektiv-System ORS18

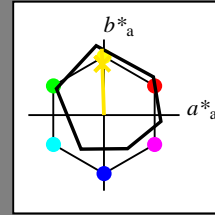
für Buntton $h^* = lab^*h = 92/360 = 0.255$

lab^*tch und lab^*nch

D65: Buntton J

LCH*Ma: 86 88 92

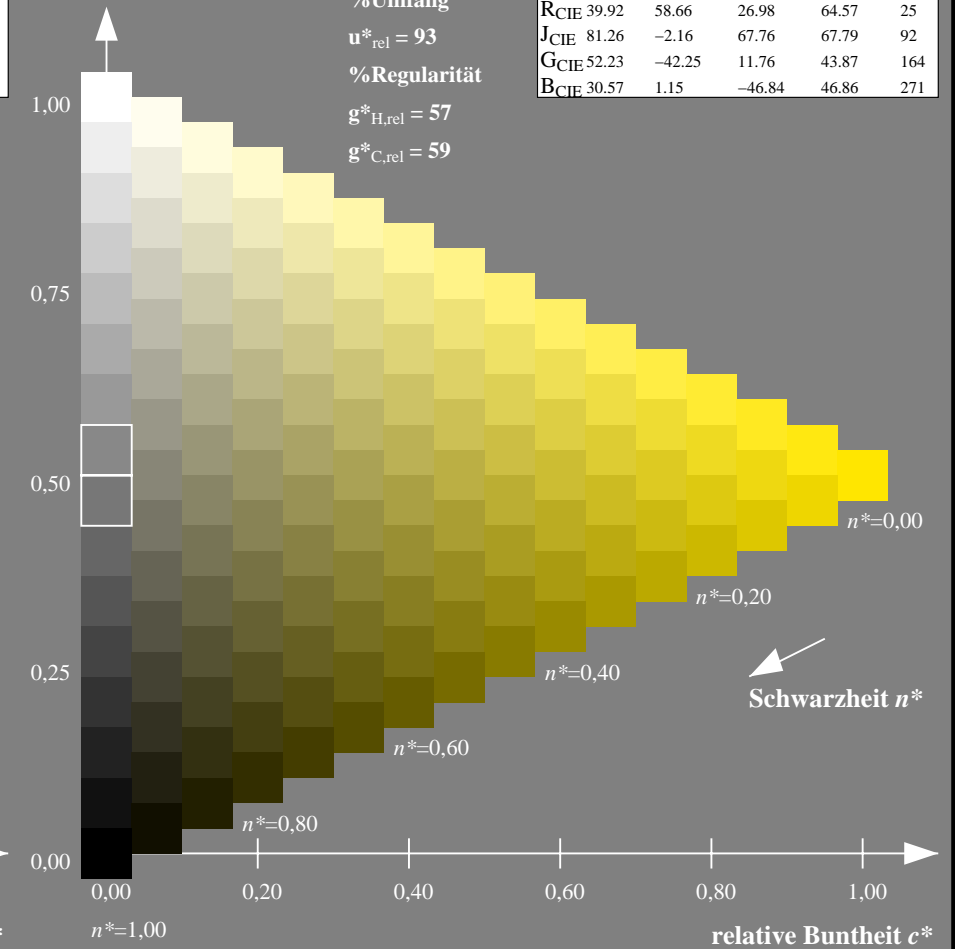
olv*Ma: 1.0 0.9 0.0



ORS18; adaptierte CIELAB-Daten

	$L^*=L^*_a$	a^*_a	b^*_a	$C^*_{ab,a}$	$h^*_{ab,a}$
O _{Ma}	47.94	65.39	50.52	82.63	38
Y _{Ma}	90.37	-10.26	91.75	92.32	96
L _{Ma}	50.9	-62.83	34.96	71.91	151
C _{Ma}	58.62	-30.34	-45.01	54.3	236
V _{Ma}	25.72	31.1	-44.4	54.22	305
M _{Ma}	48.13	75.28	-8.36	75.74	354
N _{Ma}	18.01	0.0	0.0	0.0	0
W _{Ma}	95.41	0.0	0.0	0.0	0
RCIE	39.92	58.66	26.98	64.57	25
J _{CIE}	81.26	-2.16	67.76	67.79	92
G _{CIE}	52.23	-42.25	11.76	43.87	164
B _{CIE}	30.57	1.15	-46.84	46.86	271

Dreiecks-Helligkeit t^*



NG900-7, 9stufige Reihen für konstanten CIELAB Buntton $92/360 = 0.256$ (links)

16stufige Reihen für konstanten CIELAB Buntton $92/360 = 0.255$ (rechts)

Eingabe: Farbmetrisches Fernseh-Licht-System TLS70

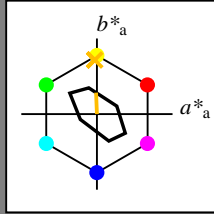
für Buntton $h^* = lab^*h = 92/360 = 0.256$

lab^*tch und lab^*nch

D65: Buntton J

LCH*Ma: 89 28 92

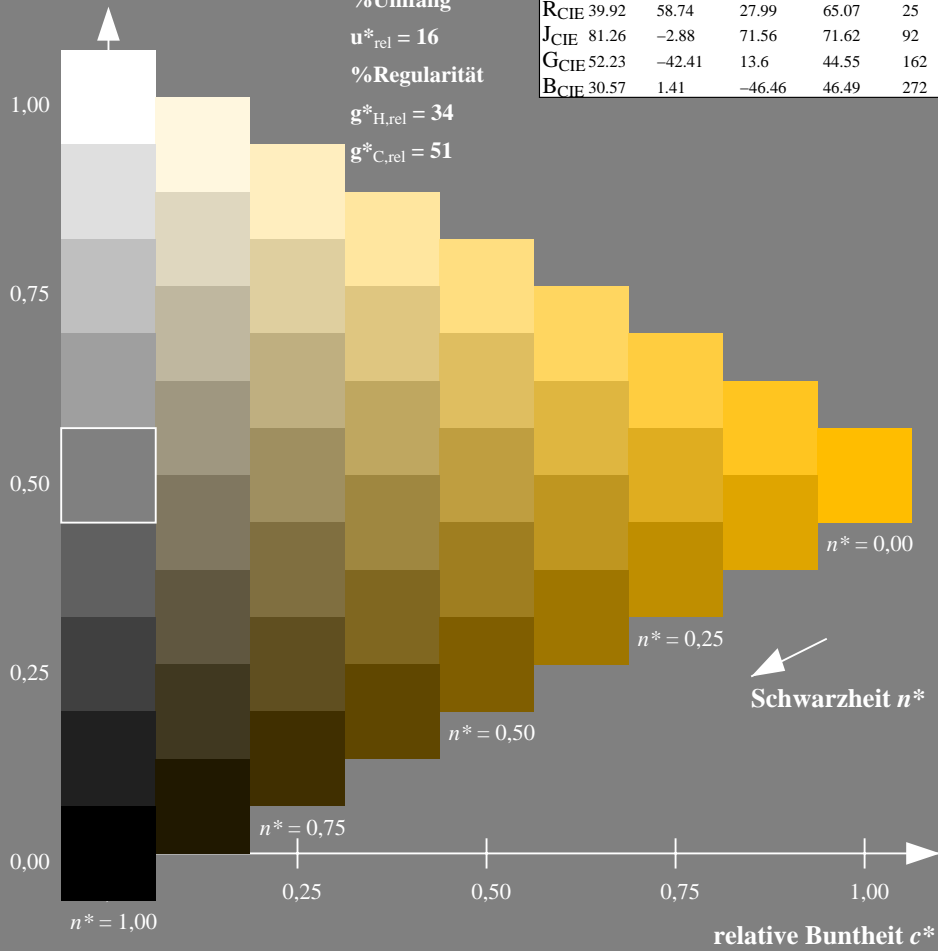
olv*Ma: 1.0 0.74 0.0



TLS70; adaptierte CIELAB-Daten

	$L^*=L^*_a$	a^*_a	b^*_a	$C^*_{ab,a}$	$h^*_{ab,a}$
O _{Ma}	76.43	26.27	10.57	28.32	22
Y _{Ma}	93.93	-10.76	34.63	36.27	107
L _{Ma}	89.32	-35.8	27.64	45.24	142
C _{Ma}	90.93	-21.95	-7.07	23.07	198
V _{Ma}	72.1	15.76	-35.63	38.97	294
M _{Ma}	78.5	37.52	-25.23	45.22	326
N _{Ma}	69.7	0.0	0.0	0.0	0
W _{Ma}	95.41	0.0	0.0	0.0	0
R _{CIE}	39.92	58.74	27.99	65.07	25
J _{CIE}	81.26	-2.88	71.56	71.62	92
G _{CIE}	52.23	-42.41	13.6	44.55	162
B _{CIE}	30.57	1.41	-46.46	46.49	272

Dreiecks-Helligkeit t^*



Ausgabe: Farbmetrisches Fernseh-Licht-System TLS00

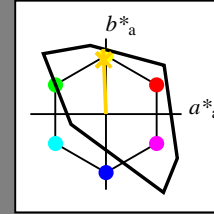
für Buntton $h^* = lab^*h = 92/360 = 0.256$

lab^*tch und lab^*nch

D65: Buntton J

LCH*Ma: 85 86 92

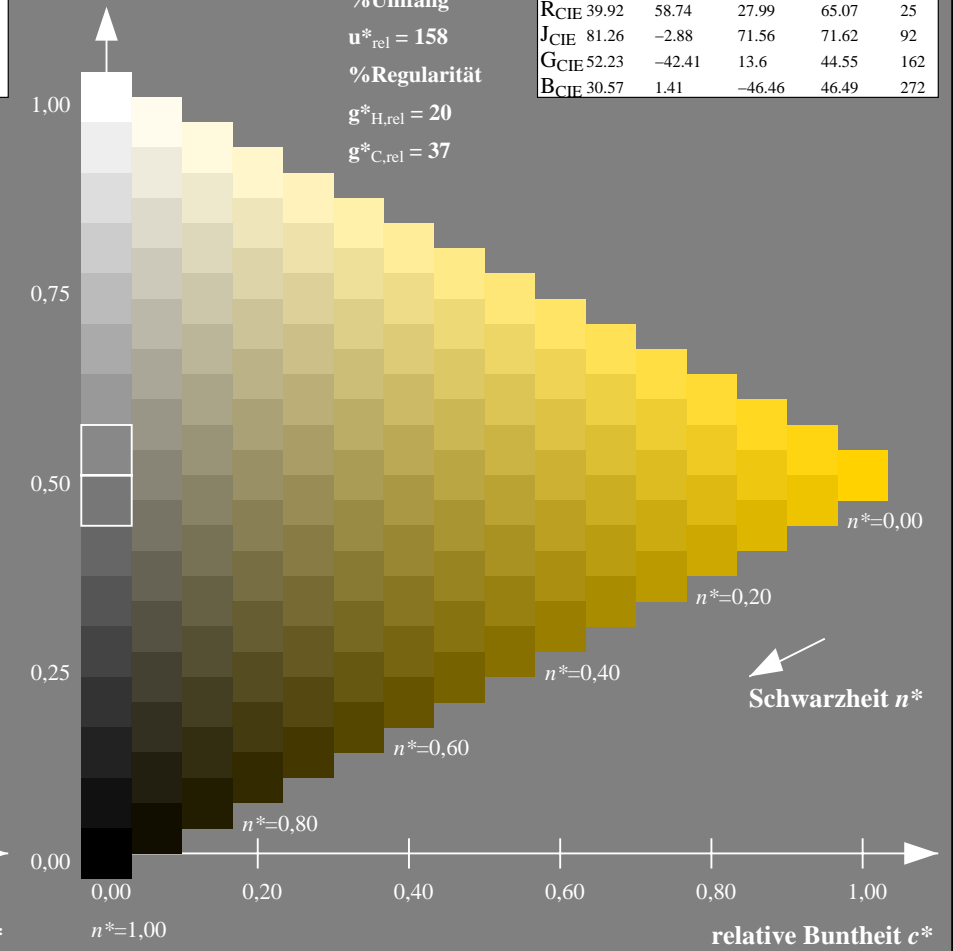
olv*Ma: 1.0 0.82 0.0



TLS00; adaptierte CIELAB-Daten

	$L^*=L^*_a$	a^*_a	b^*_a	$C^*_{ab,a}$	$h^*_{ab,a}$
O _{Ma}	50.5	76.92	64.55	100.42	40
Y _{Ma}	92.66	-20.69	90.75	93.08	103
L _{Ma}	83.63	-82.75	79.9	115.04	136
C _{Ma}	86.88	-46.16	-13.55	48.12	196
V _{Ma}	30.39	76.06	-103.59	128.52	306
M _{Ma}	57.3	94.35	-58.41	110.97	328
N _{Ma}	0.01	0.0	0.0	0.0	0
W _{Ma}	95.41	0.0	0.0	0.0	0
R _{CIE}	39.92	58.74	27.99	65.07	25
J _{CIE}	81.26	-2.88	71.56	71.62	92
G _{CIE}	52.23	-42.41	13.6	44.55	162
B _{CIE}	30.57	1.41	-46.46	46.49	272

Dreiecks-Helligkeit t^*



NG900-7, 9stufige Reihen für konstanten CIELAB Buntton $92/360 = 0.256$ (links)

16stufige Reihen für konstanten CIELAB Buntton $92/360 = 0.256$ (rechts)

Eingabe: Farbmetrisches Fernseh-Licht-System TLS70

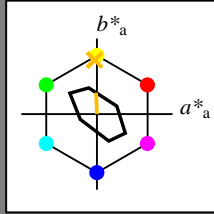
für Buntton $h^* = lab^*h = 92/360 = 0.256$

lab^*tch und lab^*nch

D65: Buntton J

LCH*Ma: 89 28 92

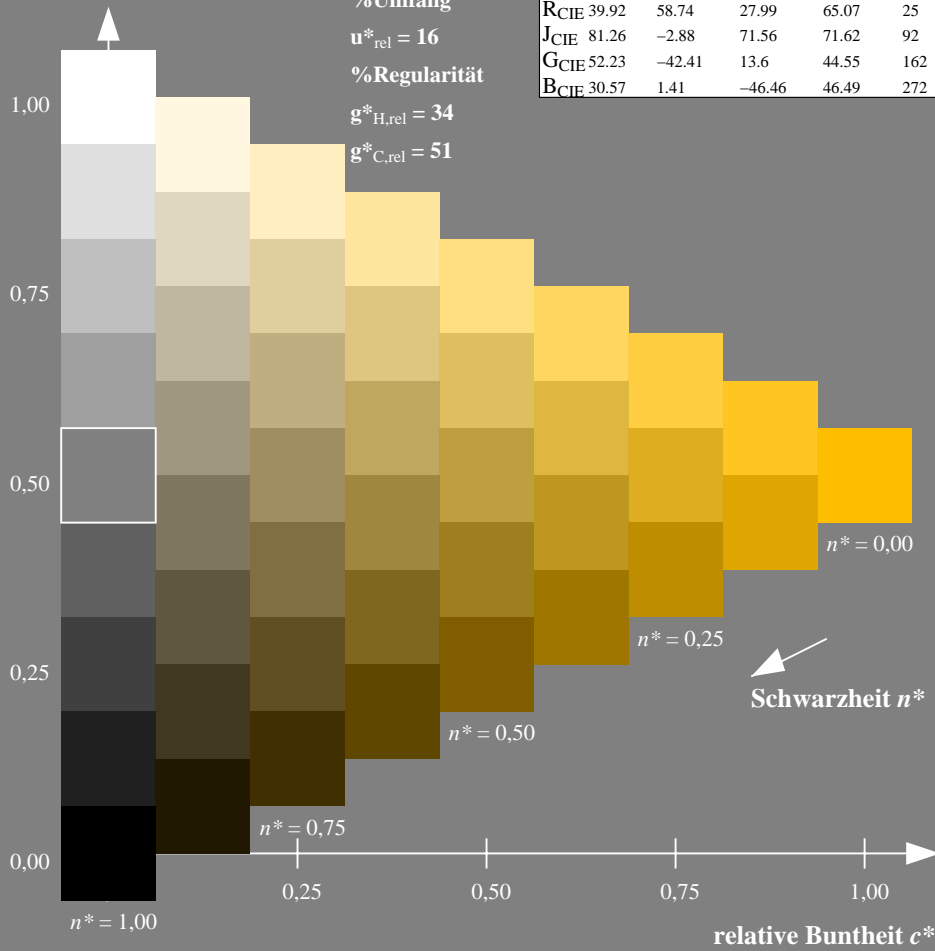
olv*Ma: 1.0 0.74 0.0



TLS70; adaptierte CIELAB-Daten

	$L^*=L^*_a$	a^*_a	b^*_a	$C^*_{ab,a}$	$h^*_{ab,a}$
O _{Ma}	76.43	26.27	10.57	28.32	22
Y _{Ma}	93.93	-10.76	34.63	36.27	107
L _{Ma}	89.32	-35.8	27.64	45.24	142
C _{Ma}	90.93	-21.95	-7.07	23.07	198
V _{Ma}	72.1	15.76	-35.63	38.97	294
M _{Ma}	78.5	37.52	-25.23	45.22	326
N _{Ma}	69.7	0.0	0.0	0.0	0
W _{Ma}	95.41	0.0	0.0	0.0	0
R _{CIE}	39.92	58.74	27.99	65.07	25
J _{CIE}	81.26	-2.88	71.56	71.62	92
G _{CIE}	52.23	-42.41	13.6	44.55	162
B _{CIE}	30.57	1.41	-46.46	46.49	272

Dreiecks-Helligkeit t^*



Ausgabe: Farbmetrisches Drucker-Reflektiv-System DRSXX

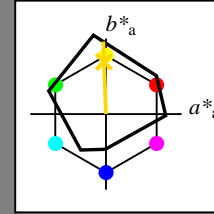
für Buntton $h^* = lab^*h = 92/360 = 0.256$

lab^*tch und lab^*nch

D65: Buntton J

LCH*Ma: 83 96 92

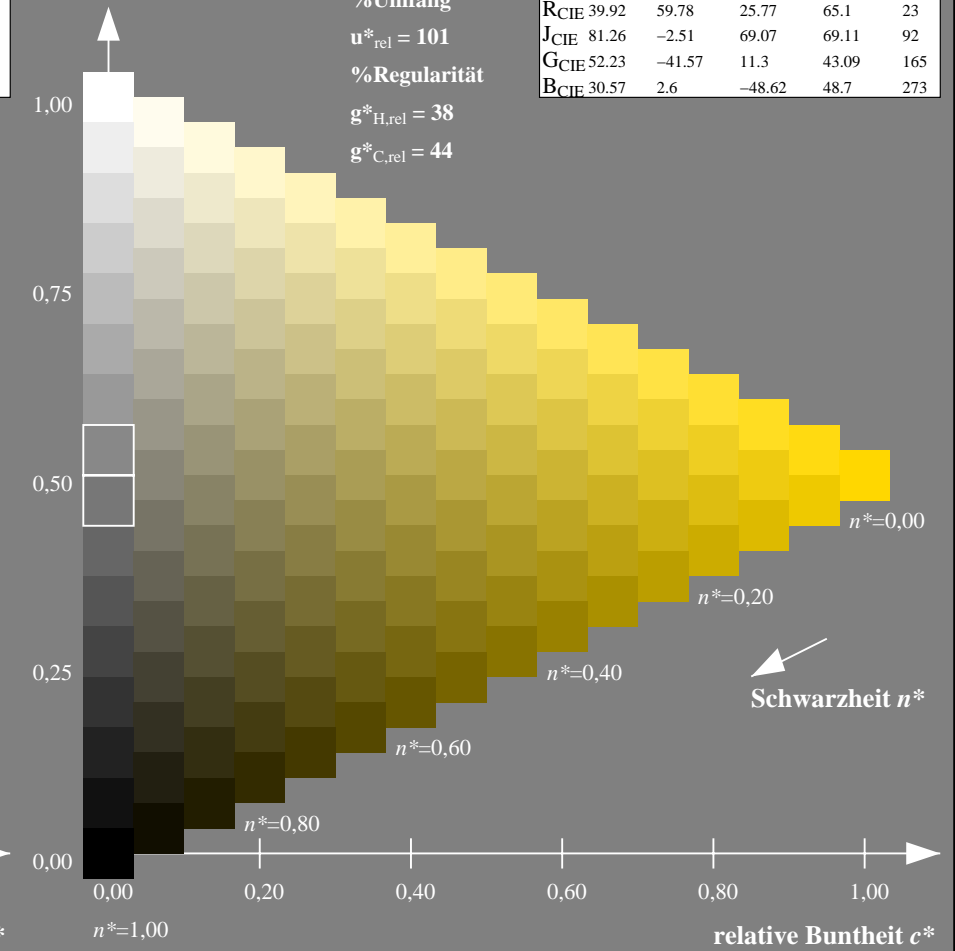
olv*Ma: 1.0 0.84 0.0



DRSXX; adaptierte CIELAB-Daten

	$L^*=L^*_a$	a^*_a	b^*_a	$C^*_{ab,a}$	$h^*_{ab,a}$
O _{Ma}	42.21	66.82	50.6	83.82	37
Y _{Ma}	90.32	-16.51	104.33	105.63	99
L _{Ma}	48.21	-75.63	30.65	81.61	158
C _{Ma}	53.44	-33.33	-47.49	58.03	235
V _{Ma}	34.16	-0.92	-46.56	46.58	269
M _{Ma}	42.71	79.0	-1.95	79.03	359
N _{Ma}	16.56	0.0	0.0	0.0	0
W _{Ma}	96.31	0.0	0.0	0.0	0
R _{CIE}	39.92	59.78	25.77	65.1	23
J _{CIE}	81.26	-2.51	69.07	69.11	92
G _{CIE}	52.23	-41.57	11.3	43.09	165
B _{CIE}	30.57	2.6	-48.62	48.7	273

Dreiecks-Helligkeit t^*



NG900-7, 9stufige Reihen für konstanten CIELAB Buntton $92/360 = 0.256$ (links)

16stufige Reihen für konstanten CIELAB Buntton $92/360 = 0.256$ (rechts)

Eingabe: Farbmetrisches Fernseh-Licht-System TLS70

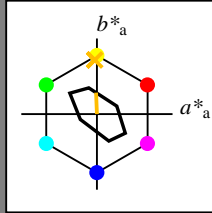
für Buntton $h^* = lab^*h = 92/360 = 0.256$

lab^*tch und lab^*nch

D65: Buntton J

LCH*Ma: 89 28 92

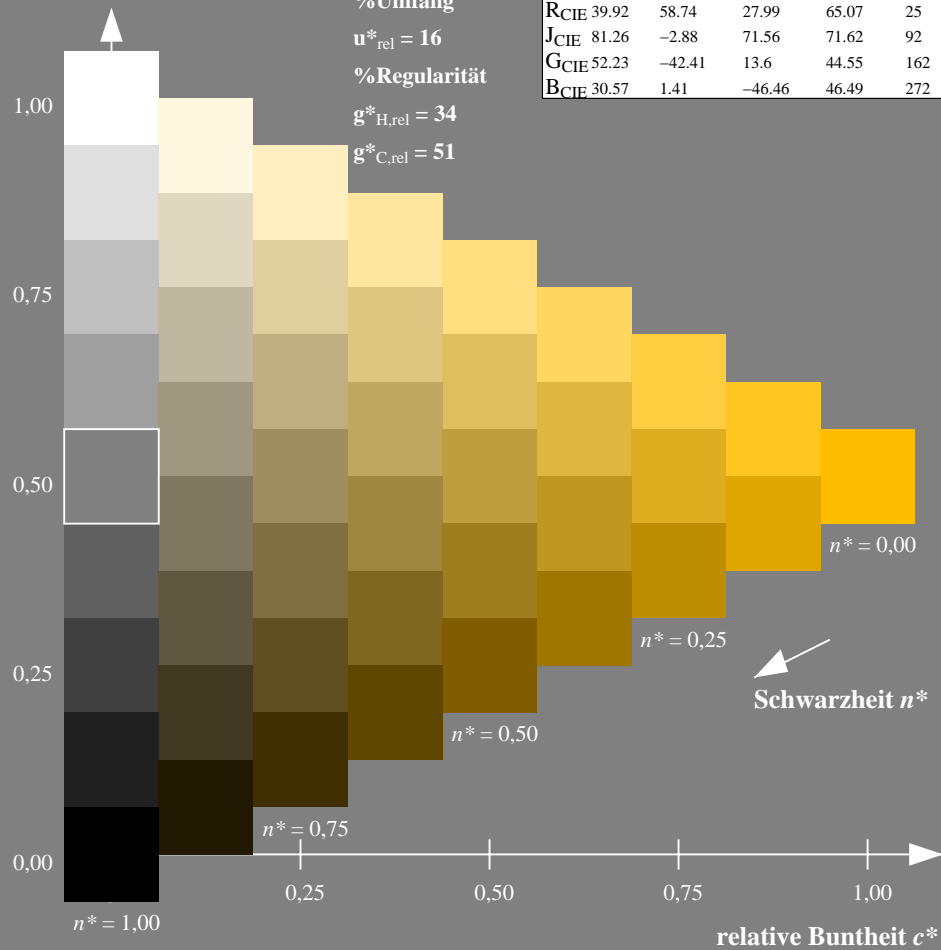
olv*Ma: 1.0 0.74 0.0



TLS70; adaptierte CIELAB-Daten

	$L^*=L^*_a$	a^*_a	b^*_a	$C^*_{ab,a}$	$h^*_{ab,a}$
OMa	76.43	26.27	10.57	28.32	22
YMa	93.93	-10.76	34.63	36.27	107
LMa	89.32	-35.8	27.64	45.24	142
CMa	90.93	-21.95	-7.07	23.07	198
VMa	72.1	15.76	-35.63	38.97	294
MMa	78.5	37.52	-25.23	45.22	326
NMa	69.7	0.0	0.0	0.0	0
WMa	95.41	0.0	0.0	0.0	0
RCIE	39.92	58.74	27.99	65.07	25
JCIE	81.26	-2.88	71.56	71.62	92
GCIE	52.23	-42.41	13.6	44.55	162
BCIE	30.57	1.41	-46.46	46.49	272

Dreiecks-Helligkeit t^*



Ausgabe: Farbmetrisches Fernseh-Licht-System TLS18

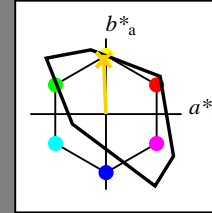
für Buntton $h^* = lab^*h = 92/360 = 0.256$

lab^*tch und lab^*nch

D65: Buntton J

LCH*Ma: 85 79 92

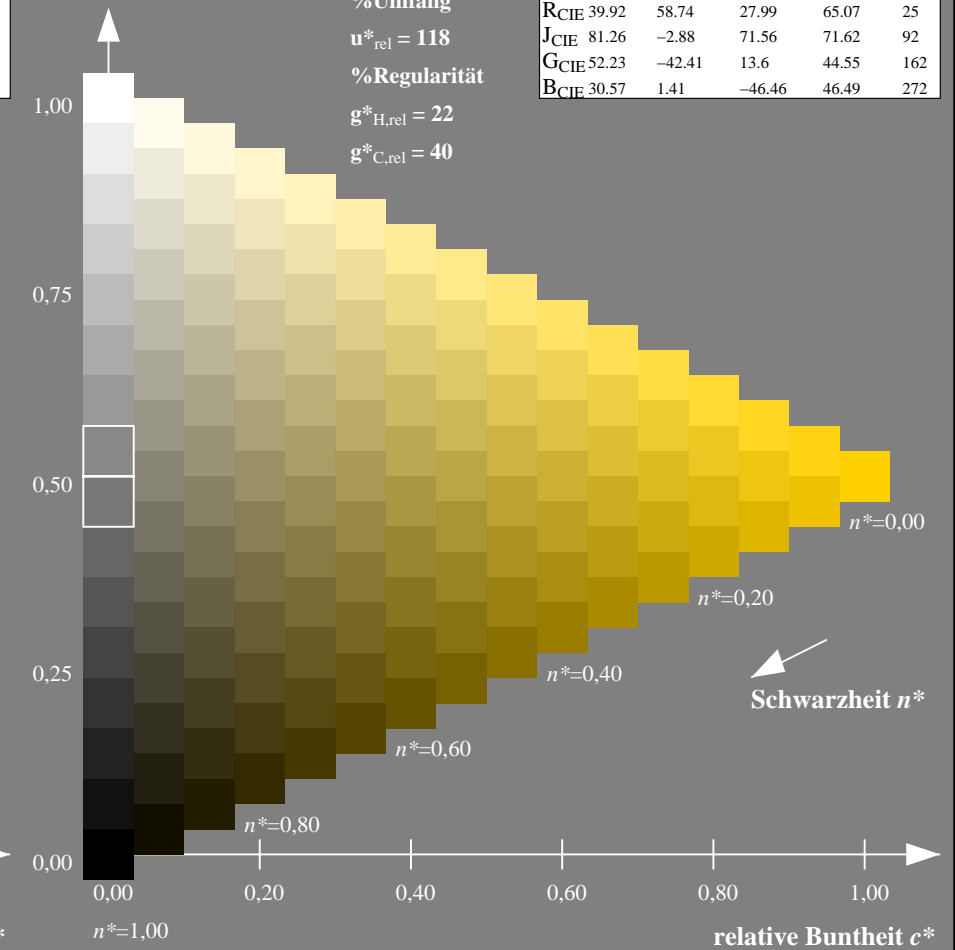
olv*Ma: 1.0 0.82 0.0



TLS18; adaptierte CIELAB-Daten

	$L^*=L^*_a$	a^*_a	b^*_a	$C^*_{ab,a}$	$h^*_{ab,a}$
OMa	52.76	71.63	49.88	87.29	35
YMa	92.74	-20.02	84.97	87.3	103
LMa	84.0	-78.98	73.94	108.2	137
CMa	87.14	-44.41	-13.11	46.32	196
VMa	35.47	64.92	-95.06	115.12	304
MMa	59.01	89.33	-55.67	105.26	328
NMa	18.01	0.0	0.0	0.0	0
WMa	95.41	0.0	0.0	0.0	0
RCIE	39.92	58.74	27.99	65.07	25
JCIE	81.26	-2.88	71.56	71.62	92
GCIE	52.23	-42.41	13.6	44.55	162
BCIE	30.57	1.41	-46.46	46.49	272

Dreiecks-Helligkeit t^*



NG900-7, 9stufige Reihen für konstanten CIELAB Buntton $92/360 = 0.256$ (links)

16stufige Reihen für konstanten CIELAB Buntton $92/360 = 0.256$ (rechts)

Eingabe: Farbmetrisches Fernseh-Licht-System TLS70

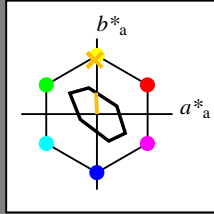
für Buntton $h^* = lab^*h = 92/360 = 0.256$

lab^*tch und lab^*nch

D65: Buntton J

LCH*Ma: 89 28 92

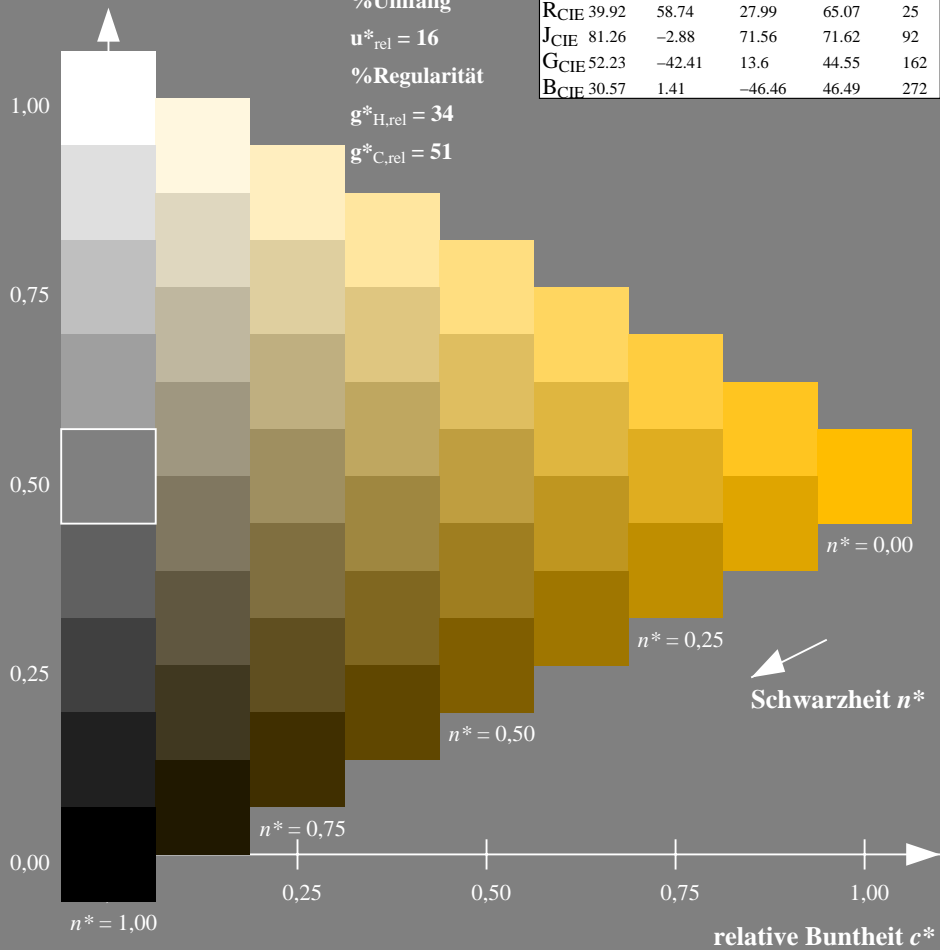
olv*Ma: 1.0 0.74 0.0



TLS70; adaptierte CIELAB-Daten

	$L^*=L^*_a$	a^*_a	b^*_a	$C^*_{ab,a}$	$h^*_{ab,a}$
O _{Ma}	76.43	26.27	10.57	28.32	22
Y _{Ma}	93.93	-10.76	34.63	36.27	107
L _{Ma}	89.32	-35.8	27.64	45.24	142
C _{Ma}	90.93	-21.95	-7.07	23.07	198
V _{Ma}	72.1	15.76	-35.63	38.97	294
M _{Ma}	78.5	37.52	-25.23	45.22	326
N _{Ma}	69.7	0.0	0.0	0.0	0
W _{Ma}	95.41	0.0	0.0	0.0	0
R _{CIE}	39.92	58.74	27.99	65.07	25
J _{CIE}	81.26	-2.88	71.56	71.62	92
G _{CIE}	52.23	-42.41	13.6	44.55	162
B _{CIE}	30.57	1.41	-46.46	46.49	272

Dreiecks-Helligkeit t^*



Ausgabe: Farbmetrisches Natürliches-Licht-System NLS00

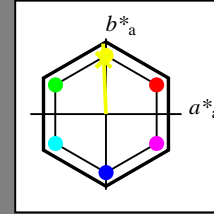
für Buntton $h^* = lab^*h = 92/360 = 0.256$

lab^*tch und lab^*nch

D65: Buntton J

LCH*Ma: 62 93 92

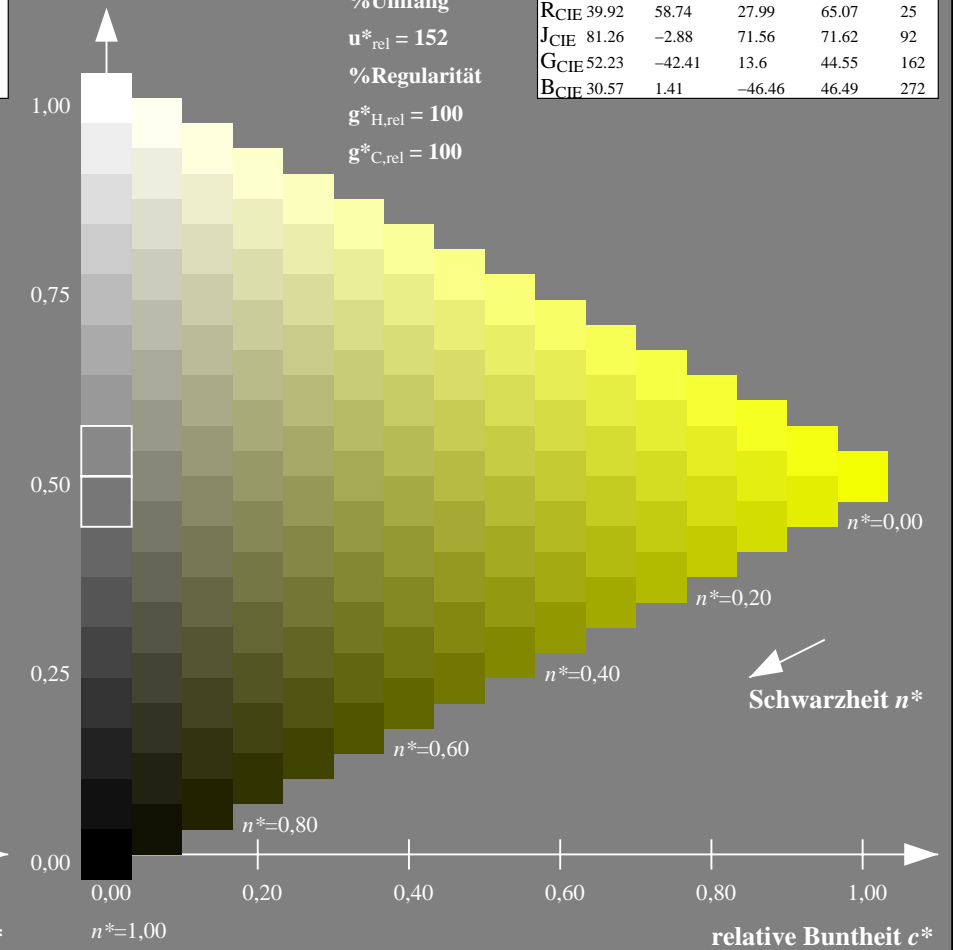
olv*Ma: 0.95 1.0 0.0



NLS00; adaptierte CIELAB-Daten

	$L^*=L^*_a$	a^*_a	b^*_a	$C^*_{ab,a}$	$h^*_{ab,a}$
O _{Ma}	31.81	82.62	47.7	95.4	30
Y _{Ma}	63.61	0.0	95.4	95.4	90
L _{Ma}	31.81	-82.61	47.7	95.4	150
C _{Ma}	63.61	-82.61	-47.69	95.4	210
V _{Ma}	31.81	0.0	-95.39	95.4	270
M _{Ma}	63.61	82.62	-47.69	95.4	330
N _{Ma}	0.01	0.0	0.0	0.0	0
W _{Ma}	95.41	0.0	0.0	0.0	0
R _{CIE}	39.92	58.74	27.99	65.07	25
J _{CIE}	81.26	-2.88	71.56	71.62	92
G _{CIE}	52.23	-42.41	13.6	44.55	162
B _{CIE}	30.57	1.41	-46.46	46.49	272

Dreiecks-Helligkeit t^*



NG900-7, 9stufige Reihen für konstanten CIELAB Buntton $92/360 = 0.256$ (links)

16stufige Reihen für konstanten CIELAB Buntton $92/360 = 0.256$ (rechts)

Eingabe: Farbmetrisches Fernseh-Licht-System TLS70

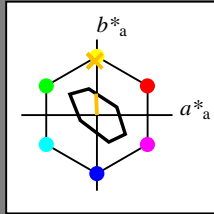
für Buntton $h^* = lab^*h = 92/360 = 0.256$

lab^*tch und lab^*nch

D65: Buntton J

LCH*Ma: 89 28 92

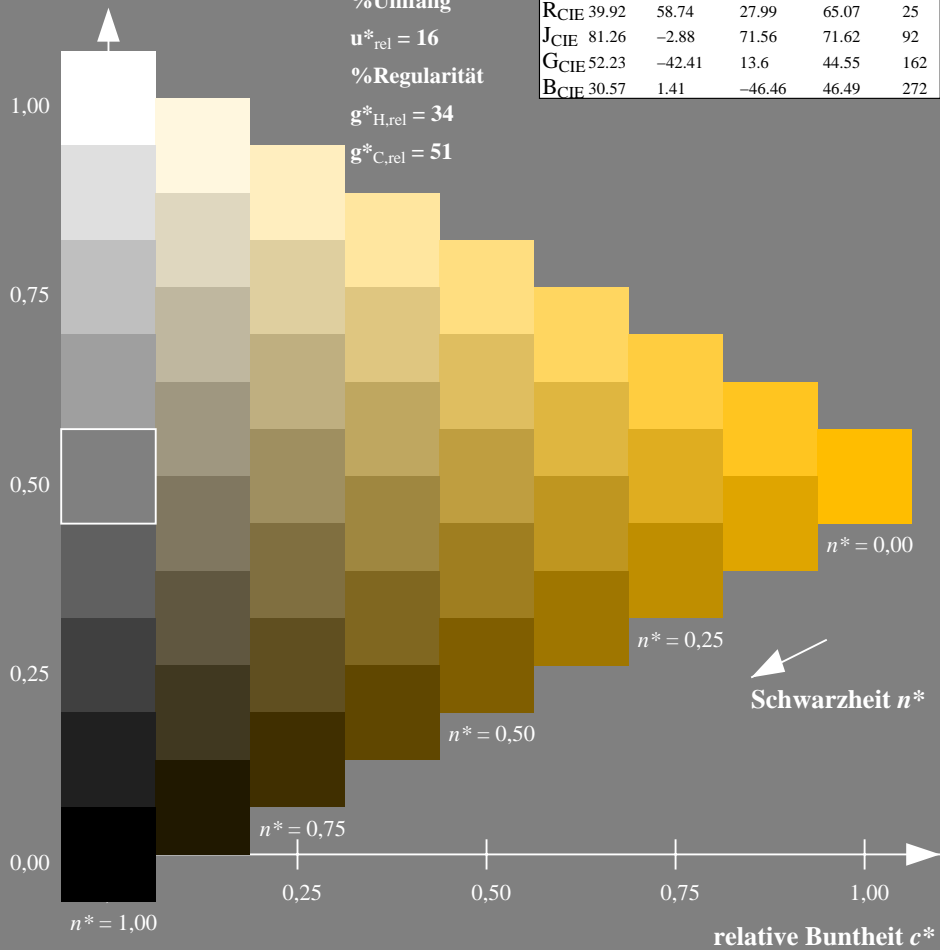
olv*Ma: 1.0 0.74 0.0



TLS70; adaptierte CIELAB-Daten

	$L^*=L^*_a$	a^*_a	b^*_a	$C^*_{ab,a}$	$h^*_{ab,a}$
OMa	76.43	26.27	10.57	28.32	22
YMa	93.93	-10.76	34.63	36.27	107
LMa	89.32	-35.8	27.64	45.24	142
CMa	90.93	-21.95	-7.07	23.07	198
VMa	72.1	15.76	-35.63	38.97	294
MMa	78.5	37.52	-25.23	45.22	326
NMa	69.7	0.0	0.0	0.0	0
WMa	95.41	0.0	0.0	0.0	0
RCIE	39.92	58.74	27.99	65.07	25
JCIE	81.26	-2.88	71.56	71.62	92
GCIE	52.23	-42.41	13.6	44.55	162
BCIE	30.57	1.41	-46.46	46.49	272

Dreiecks-Helligkeit t^*



NG900-7, 9stufige Reihen für konstanten CIELAB Buntton $92/360 = 0.256$ (links)

Ausgabe: Farbmetrisches Natürliches-Reflektiv-System NRS18

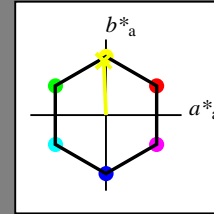
für Buntton $h^* = lab^*h = 92/360 = 0.256$

lab^*tch und lab^*nch

D65: Buntton J

LCH*Ma: 68 76 92

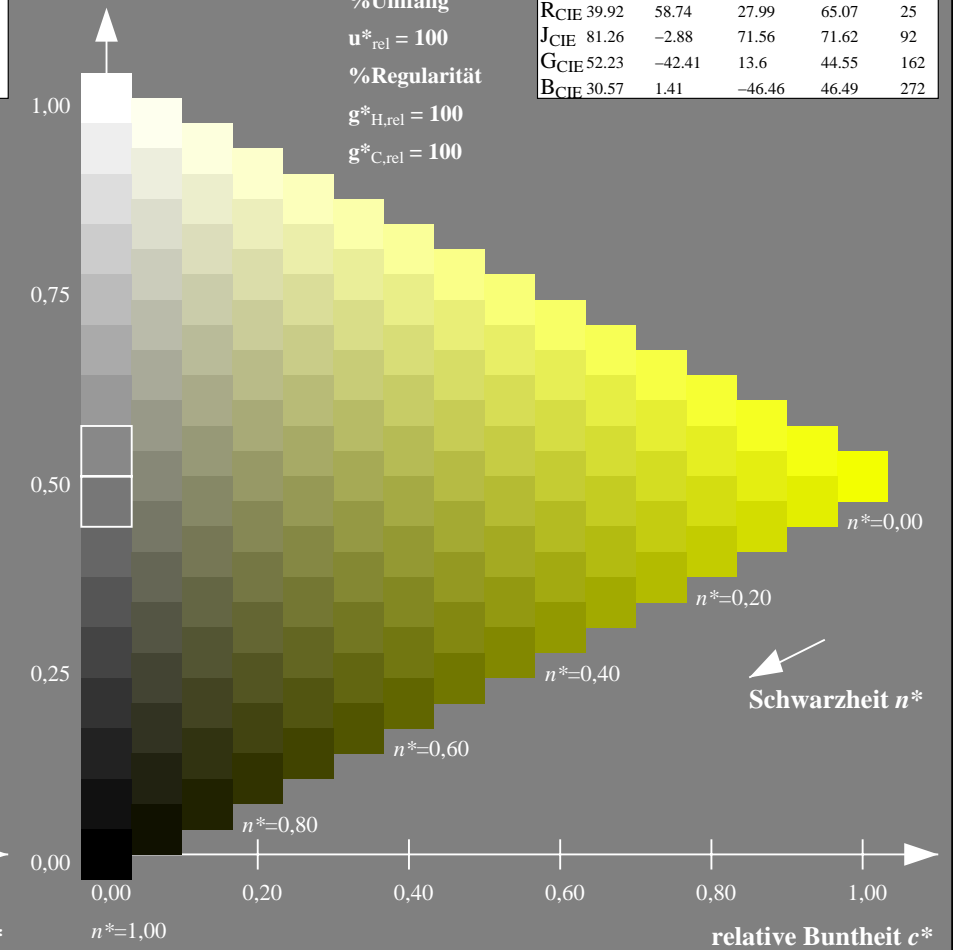
olv*Ma: 0.95 1.0 0.0



NRS18; adaptierte CIELAB-Daten

	$L^*=L^*_a$	a^*_a	b^*_a	$C^*_{ab,a}$	$h^*_{ab,a}$
OMa	43.81	67.03	38.7	77.4	30
YMa	69.61	0.0	77.4	77.4	90
LMa	43.81	-67.02	38.7	77.4	150
CMa	69.61	-67.02	-38.69	77.4	210
VMa	43.81	0.0	-77.39	77.4	270
MMa	69.61	67.03	-38.69	77.4	330
NMa	18.01	0.0	0.0	0.0	0
WMa	95.41	0.0	0.0	0.0	0
RCIE	39.92	58.74	27.99	65.07	25
JCIE	81.26	-2.88	71.56	71.62	92
GCIE	52.23	-42.41	13.6	44.55	162
BCIE	30.57	1.41	-46.46	46.49	272

Dreiecks-Helligkeit t^*



16stufige Reihen für konstanten CIELAB Buntton $92/360 = 0.256$ (rechts)

Eingabe: Farbmetrisches Fernseh-Licht-System TLS70

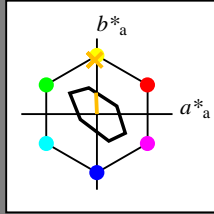
für Buntton $h^* = lab^*h = 92/360 = 0.256$

lab^*tch und lab^*nch

D65: Buntton J

LCH*Ma: 89 28 92

olv*Ma: 1.0 0.74 0.0



TLS70; adaptierte CIELAB-Daten

	$L^*=L^*_a$	a^*_a	b^*_a	$C^*_{ab,a}$	$h^*_{ab,a}$
OMa	76.43	26.27	10.57	28.32	22
YMa	93.93	-10.76	34.63	36.27	107
LMa	89.32	-35.8	27.64	45.24	142
CMa	90.93	-21.95	-7.07	23.07	198
VMa	72.1	15.76	-35.63	38.97	294
MMa	78.5	37.52	-25.23	45.22	326
NMa	69.7	0.0	0.0	0.0	0
WMa	95.41	0.0	0.0	0.0	0
RCIE	39.92	58.74	27.99	65.07	25
JCIE	81.26	-2.88	71.56	71.62	92
GCIE	52.23	-42.41	13.6	44.55	162
BCIE	30.57	1.41	-46.46	46.49	272

Dreiecks-Helligkeit t^*

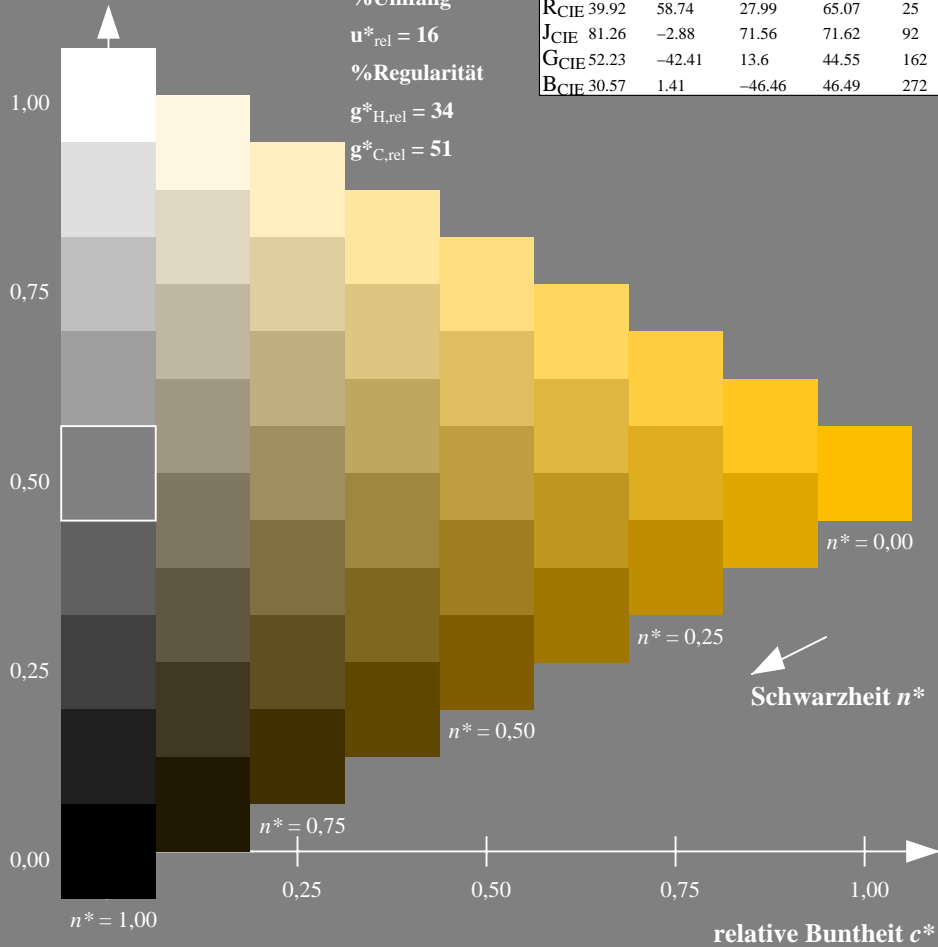
%Umfang

$u^*_{rel} = 16$

%Regularität

$g^*_{H,rel} = 34$

$g^*_{C,rel} = 51$



Ausgabe: Farbmetrisches Standard-Reflektiv-System SRS18

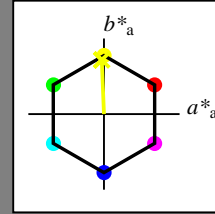
für Buntton $h^* = lab^*h = 92/360 = 0.256$

lab^*tch und lab^*nch

D65: Buntton J

LCH*Ma: 57 76 92

olv*Ma: 0.95 1.0 0.0



SRS18; adaptierte CIELAB-Daten

	$L^*=L^*_a$	a^*_a	b^*_a	$C^*_{ab,a}$	$h^*_{ab,a}$
OMa	56.71	67.03	38.7	77.4	30
YMa	56.71	0.0	77.4	77.4	90
LMa	56.71	-67.02	38.7	77.4	150
CMa	56.71	-67.02	-38.69	77.4	210
VMa	56.71	0.0	-77.39	77.4	270
MMa	56.71	67.03	-38.69	77.4	330
NMa	18.01	0.0	0.0	0.0	0
WMa	95.41	0.0	0.0	0.0	0
RCIE	39.92	58.74	27.99	65.07	25
JCIE	81.26	-2.88	71.56	71.62	92
GCIE	52.23	-42.41	13.6	44.55	162
BCIE	30.57	1.41	-46.46	46.49	272

Dreiecks-Helligkeit t^*

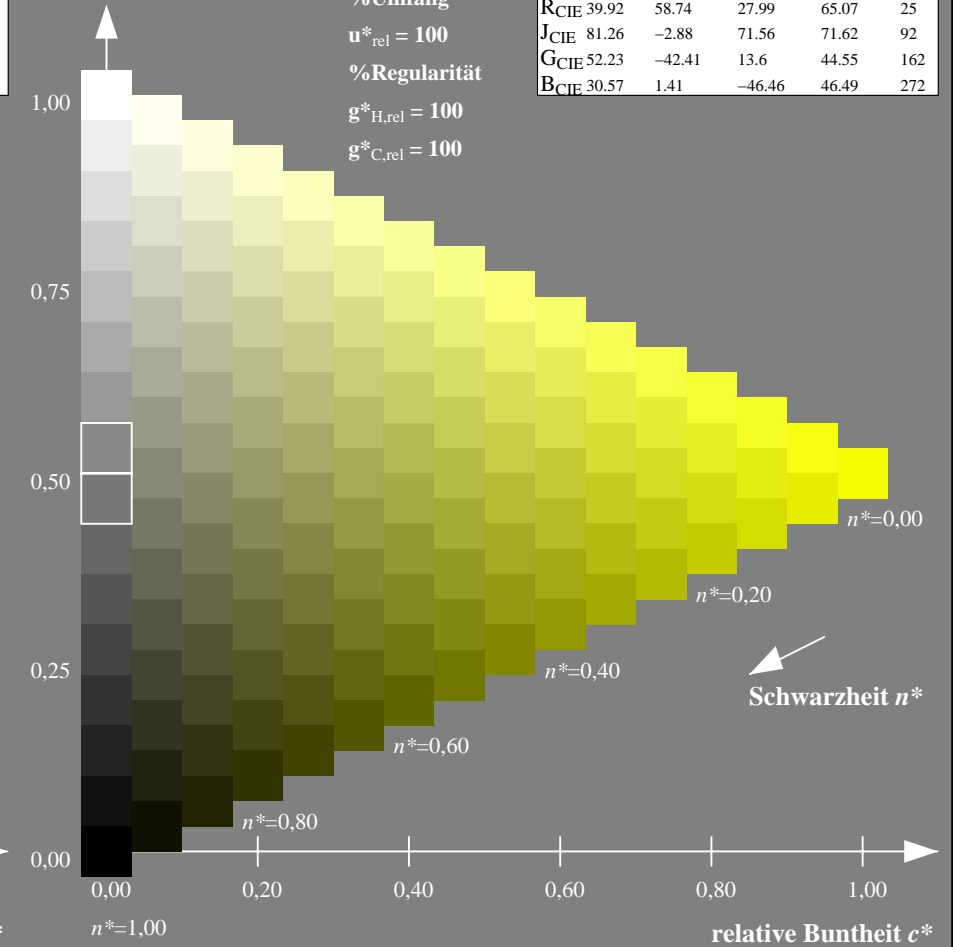
%Umfang

$u^*_{rel} = 100$

%Regularität

$g^*_{H,rel} = 100$

$g^*_{C,rel} = 100$



NG900-7, 9stufige Reihen für konstanten CIELAB Buntton $92/360 = 0.256$ (links)

16stufige Reihen für konstanten CIELAB Buntton $92/360 = 0.256$ (rechts)

Eingabe: Farbmetrisches Fernseh-Licht-System TLS70

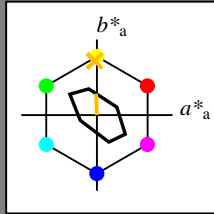
für Buntton $h^* = lab^*h = 92/360 = 0.256$

lab*tch und lab*nch

D65: Buntton J

LCH*Ma: 89 28 92

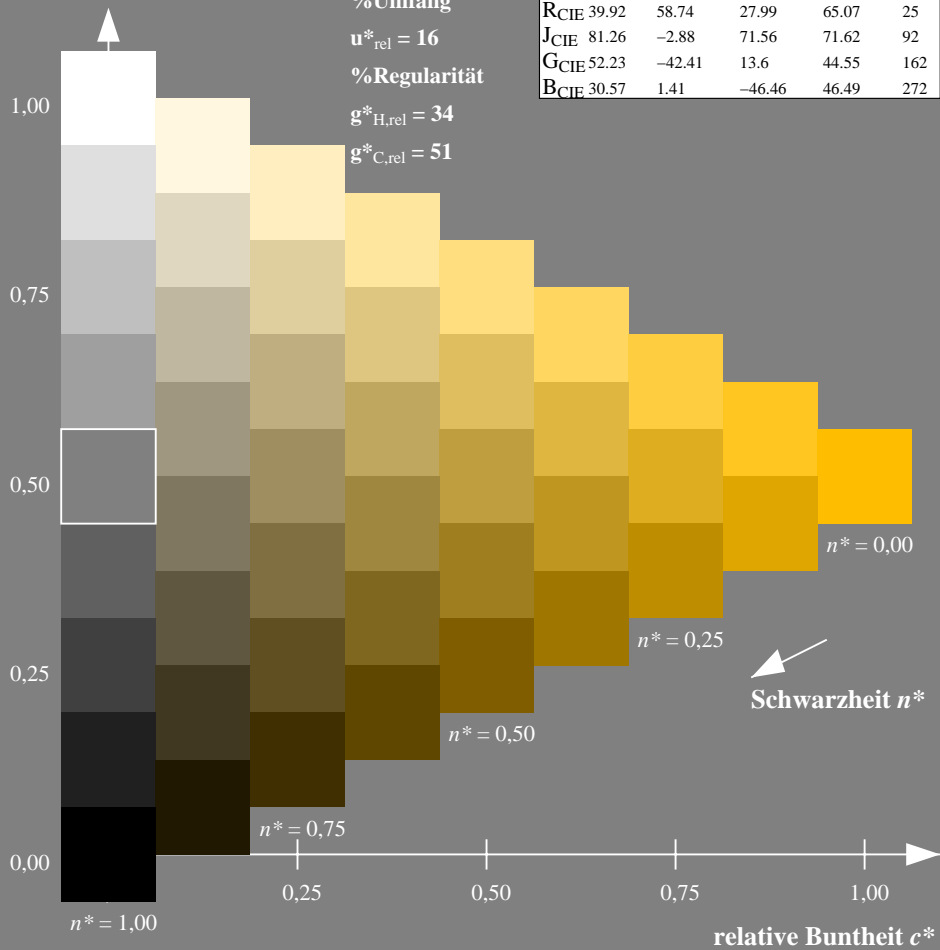
olv*Ma: 1.0 0.74 0.0



TLS70; adaptierte CIELAB-Daten

	$L^*=L^*_a$	a^*_a	b^*_a	$C^*_{ab,a}$	$h^*_{ab,a}$
O _{Ma}	76.43	26.27	10.57	28.32	22
Y _{Ma}	93.93	-10.76	34.63	36.27	107
L _{Ma}	89.32	-35.8	27.64	45.24	142
C _{Ma}	90.93	-21.95	-7.07	23.07	198
V _{Ma}	72.1	15.76	-35.63	38.97	294
M _{Ma}	78.5	37.52	-25.23	45.22	326
N _{Ma}	69.7	0.0	0.0	0.0	0
W _{Ma}	95.41	0.0	0.0	0.0	0
R _{CIE}	39.92	58.74	27.99	65.07	25
J _{CIE}	81.26	-2.88	71.56	71.62	92
G _{CIE}	52.23	-42.41	13.6	44.55	162
B _{CIE}	30.57	1.41	-46.46	46.49	272

Dreiecks-Helligkeit t^*



NG900-7, 9stufige Reihen für konstanten CIELAB Buntton 92/360 = 0.256 (links)

Ausgabe: Farbmetrisches Fernseh-Licht-System TLS70

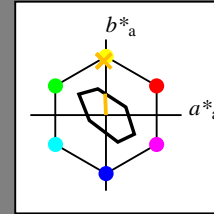
für Buntton $h^* = lab^*h = 92/360 = 0.256$

lab*tch und lab*nch

D65: Buntton J

LCH*Ma: 89 28 92

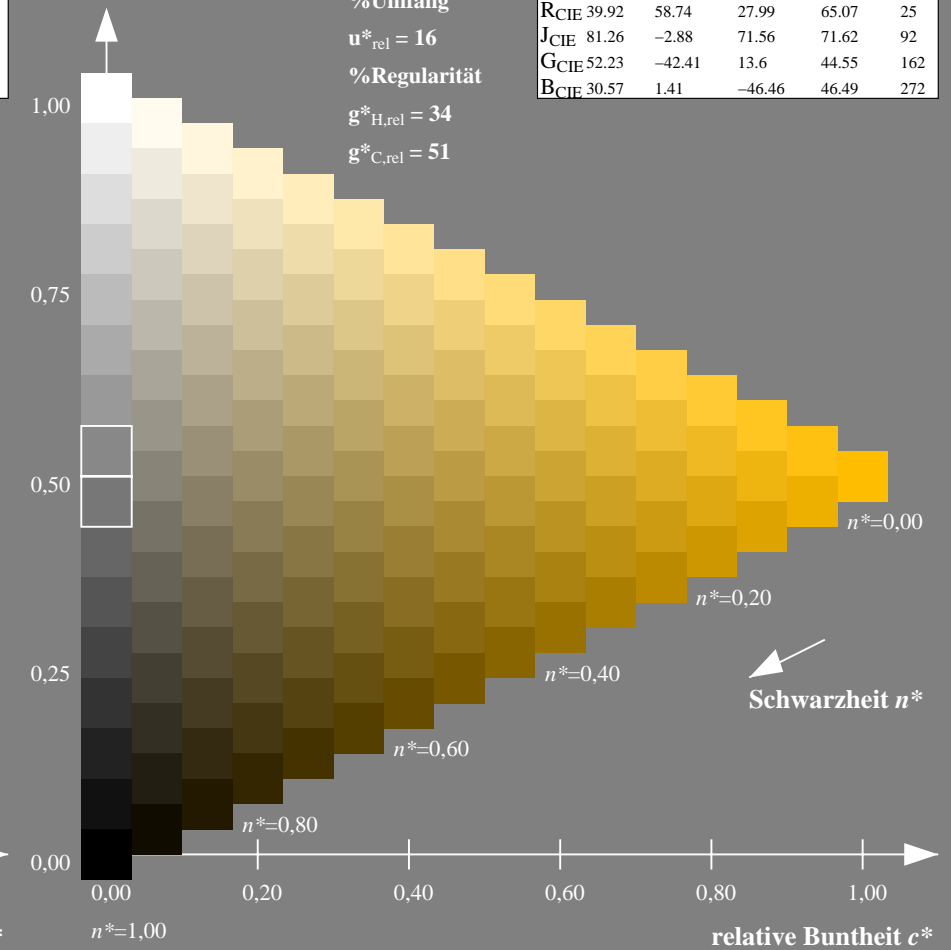
olv*Ma: 1.0 0.74 0.0



TLS70; adaptierte CIELAB-Daten

	$L^*=L^*_a$	a^*_a	b^*_a	$C^*_{ab,a}$	$h^*_{ab,a}$
O _{Ma}	76.43	26.27	10.57	28.32	22
Y _{Ma}	93.93	-10.76	34.63	36.27	107
L _{Ma}	89.32	-35.8	27.64	45.24	142
C _{Ma}	90.93	-21.95	-7.07	23.07	198
V _{Ma}	72.1	15.76	-35.63	38.97	294
M _{Ma}	78.5	37.52	-25.23	45.22	326
N _{Ma}	69.7	0.0	0.0	0.0	0
W _{Ma}	95.41	0.0	0.0	0.0	0
R _{CIE}	39.92	58.74	27.99	65.07	25
J _{CIE}	81.26	-2.88	71.56	71.62	92
G _{CIE}	52.23	-42.41	13.6	44.55	162
B _{CIE}	30.57	1.41	-46.46	46.49	272

Dreiecks-Helligkeit t^*



16stufige Reihen für konstanten CIELAB Buntton 92/360 = 0.256 (rechts)

Eingabe: Farbmetrisches Offset-Reflektiv-System ORS18

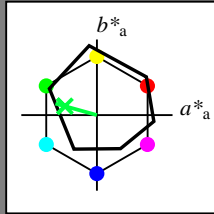
für Buntton $h^* = lab^*h = 164/360 = 0.457$

lab^*tch und lab^*nch

D65: Buntton G

LCH*Ma: 53 57 164

olv*Ma: 0.0 1.0 0.25



ORS18; adaptierte CIELAB-Daten

	$L^*=L^*_a$	a^*_a	b^*_a	$C^*_{ab,a}$	$h^*_{ab,a}$
O _{Ma}	47.94	65.39	50.52	82.63	38
Y _{Ma}	90.37	-10.26	91.75	92.32	96
L _{Ma}	50.9	-62.83	34.96	71.91	151
C _{Ma}	58.62	-30.34	-45.01	54.3	236
V _{Ma}	25.72	31.1	-44.4	54.22	305
M _{Ma}	48.13	75.28	-8.36	75.74	354
N _{Ma}	18.01	0.0	0.0	0.0	0
W _{Ma}	95.41	0.0	0.0	0.0	0
R _{CIE}	39.92	58.66	26.98	64.57	25
J _{CIE}	81.26	-2.16	67.76	67.79	92
G _{CIE}	52.23	-42.25	11.76	43.87	164
B _{CIE}	30.57	1.15	-46.84	46.86	271

Dreiecks-Helligkeit t^*

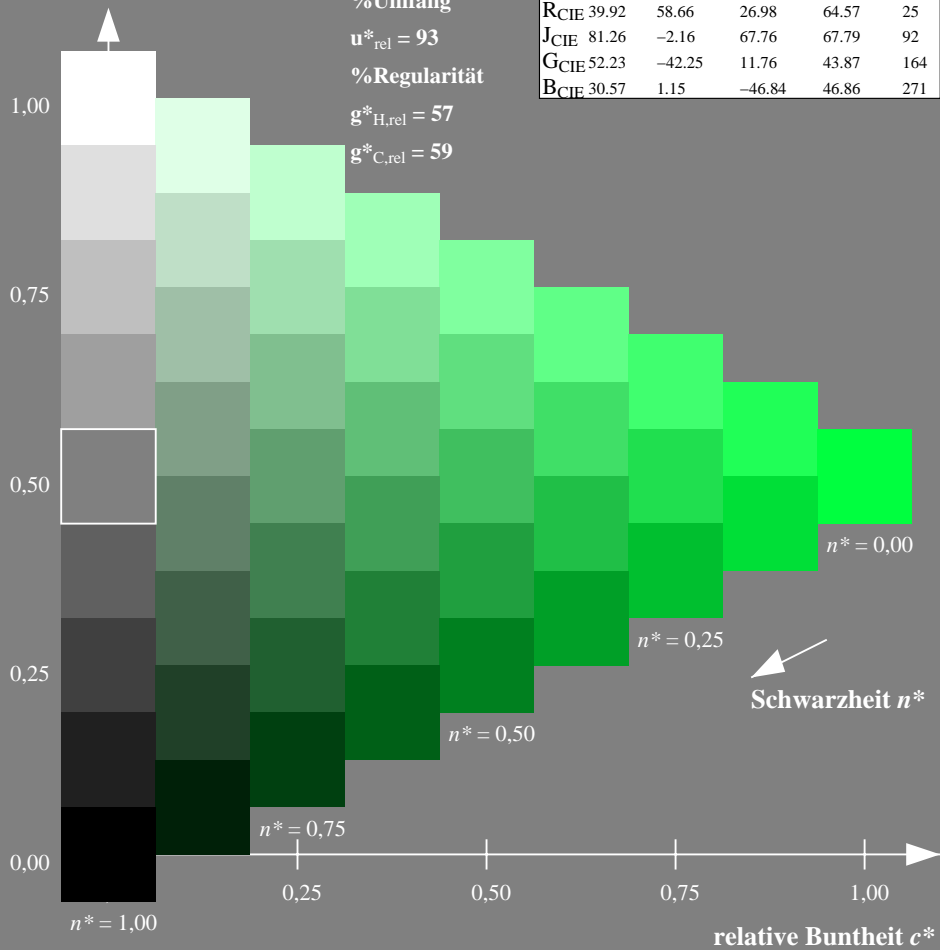
%Umfang

$u^*_{rel} = 93$

%Regularität

$g^*_{H,rel} = 57$

$g^*_{C,rel} = 59$



Ausgabe: Farbmetrisches Offset-Reflektiv-System ORS18

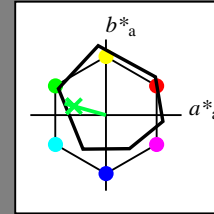
für Buntton $h^* = lab^*h = 164/360 = 0.457$

lab^*tch und lab^*nch

D65: Buntton G

LCH*Ma: 53 57 164

olv*Ma: 0.0 1.0 0.25



ORS18; adaptierte CIELAB-Daten

	$L^*=L^*_a$	a^*_a	b^*_a	$C^*_{ab,a}$	$h^*_{ab,a}$
O _{Ma}	47.94	65.39	50.52	82.63	38
Y _{Ma}	90.37	-10.26	91.75	92.32	96
L _{Ma}	50.9	-62.83	34.96	71.91	151
C _{Ma}	58.62	-30.34	-45.01	54.3	236
V _{Ma}	25.72	31.1	-44.4	54.22	305
M _{Ma}	48.13	75.28	-8.36	75.74	354
N _{Ma}	18.01	0.0	0.0	0.0	0
W _{Ma}	95.41	0.0	0.0	0.0	0
R _{CIE}	39.92	58.66	26.98	64.57	25
J _{CIE}	81.26	-2.16	67.76	67.79	92
G _{CIE}	52.23	-42.25	11.76	43.87	164
B _{CIE}	30.57	1.15	-46.84	46.86	271

Dreiecks-Helligkeit t^*

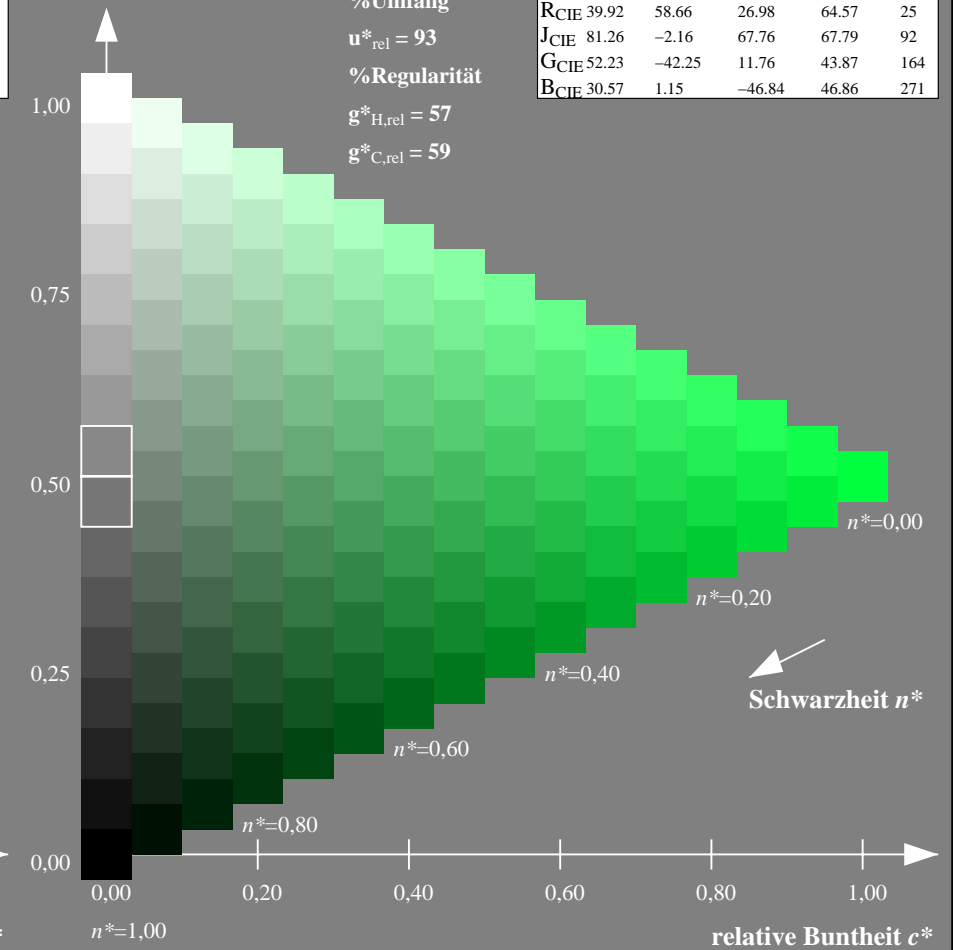
%Umfang

$u^*_{rel} = 93$

%Regularität

$g^*_{H,rel} = 57$

$g^*_{C,rel} = 59$



NG900-7, 9stufige Reihen für konstanten CIELAB Buntton $164/360 = 0.457$ (links)

16stufige Reihen für konstanten CIELAB Buntton $164/360 = 0.457$ (rechts)

Eingabe: Farbmetrisches Offset-Reflektiv-System ORS18

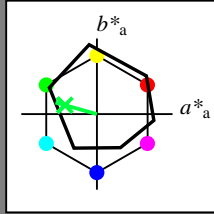
für Buntton $h^* = lab^*h = 164/360 = 0.457$

lab^*tch und lab^*nch

D65: Buntton G

LCH*Ma: 53 57 164

olv*Ma: 0.0 1.0 0.25



ORS18; adaptierte CIELAB-Daten

	$L^*=L^*_a$	a^*_a	b^*_a	$C^*_{ab,a}$	$h^*_{ab,a}$
OMa	47.94	65.39	50.52	82.63	38
YMa	90.37	-10.26	91.75	92.32	96
LMa	50.9	-62.83	34.96	71.91	151
CMa	58.62	-30.34	-45.01	54.3	236
VMa	25.72	31.1	-44.4	54.22	305
MMa	48.13	75.28	-8.36	75.74	354
NMa	18.01	0.0	0.0	0.0	0
WMa	95.41	0.0	0.0	0.0	0
RCIE	39.92	58.66	26.98	64.57	25
JCIE	81.26	-2.16	67.76	67.79	92
GCIE	52.23	-42.25	11.76	43.87	164
BCIE	30.57	1.15	-46.84	46.86	271

Dreiecks-Helligkeit t^*

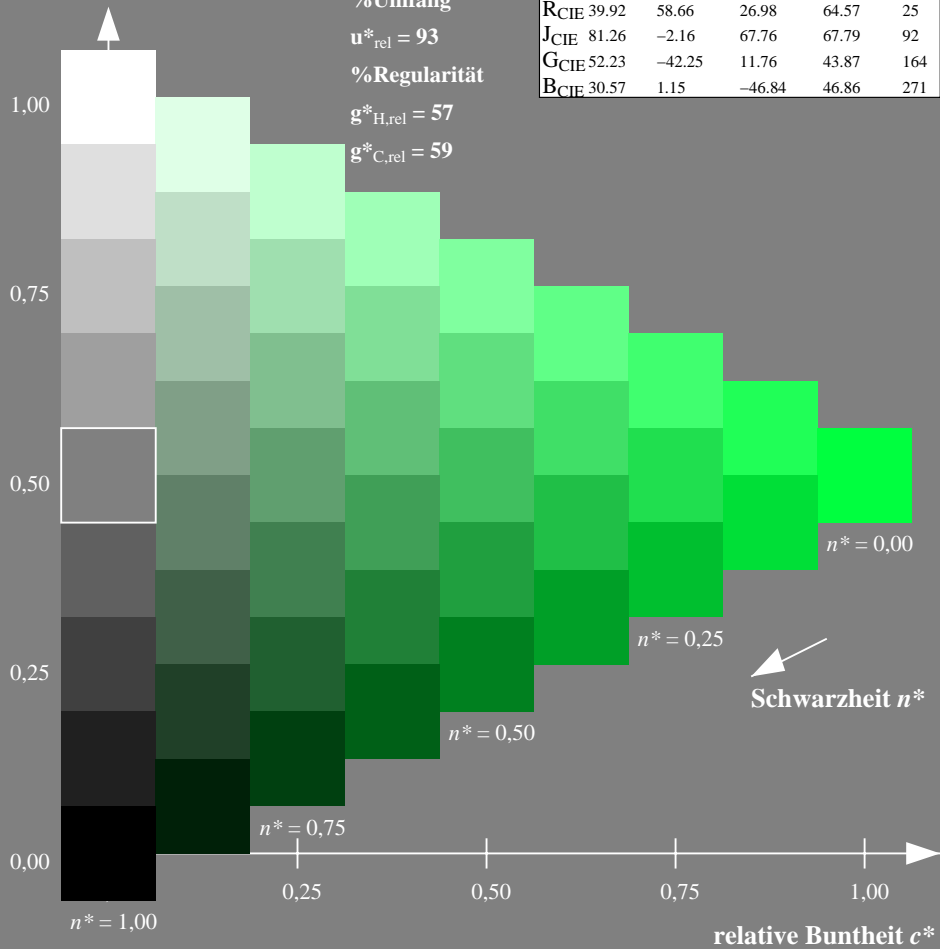
%Umfang

$u^*_{rel} = 93$

%Regularität

$g^*_{H,rel} = 57$

$g^*_{C,rel} = 59$



Ausgabe: Farbmetrisches Fernseh-Licht-System TLS00

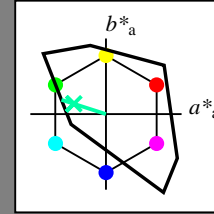
für Buntton $h^* = lab^*h = 162/360 = 0.451$

lab^*tch und lab^*nch

D65: Buntton G

LCH*Ma: 86 62 162

olv*Ma: 0.0 1.0 0.65



TLS00; adaptierte CIELAB-Daten

	$L^*=L^*_a$	a^*_a	b^*_a	$C^*_{ab,a}$	$h^*_{ab,a}$
OMa	50.5	76.92	64.55	100.42	40
YMa	92.66	-20.69	90.75	93.08	103
LMa	83.63	-82.75	79.9	115.04	136
CMa	86.88	-46.16	-13.55	48.12	196
VMa	30.39	76.06	-103.59	128.52	306
MMa	57.3	94.35	-58.41	110.97	328
NMa	0.01	0.0	0.0	0.0	0
WMa	95.41	0.0	0.0	0.0	0
RCIE	39.92	58.74	27.99	65.07	25
JCIE	81.26	-2.88	71.56	71.62	92
GCIE	52.23	-42.41	13.6	44.55	162
BCIE	30.57	1.41	-46.46	46.49	272

Dreiecks-Helligkeit t^*

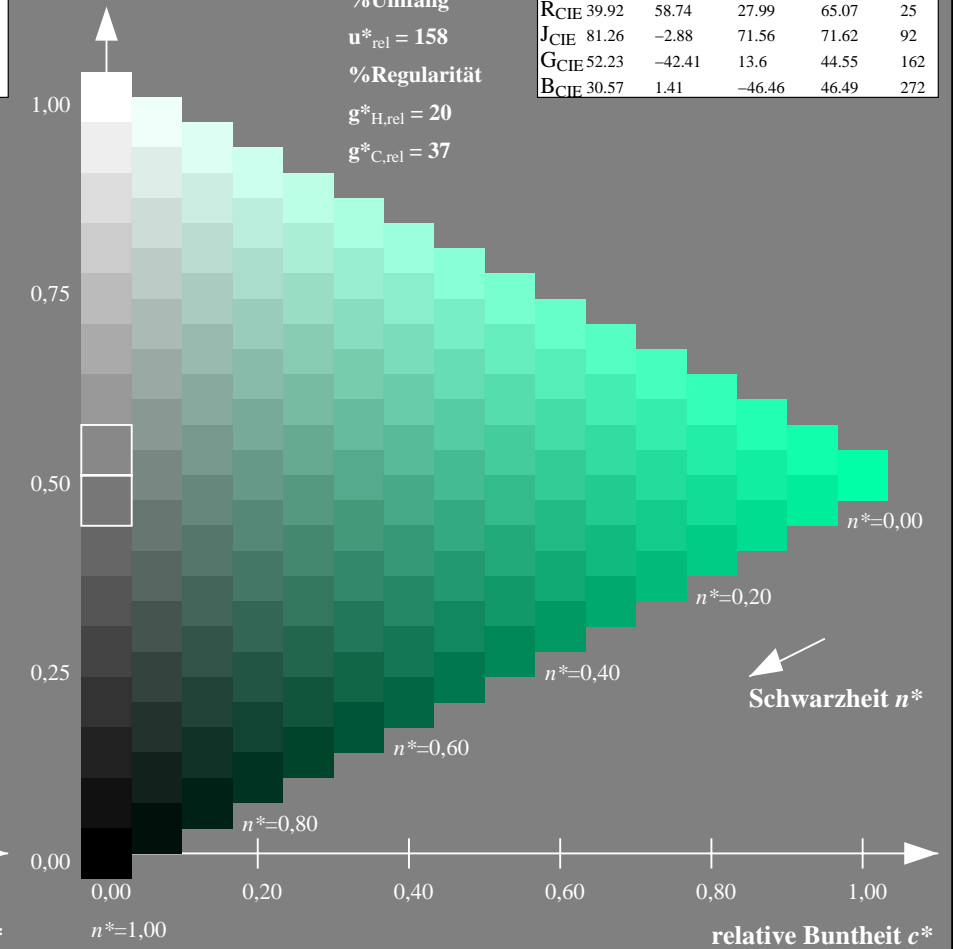
%Umfang

$u^*_{rel} = 158$

%Regularität

$g^*_{H,rel} = 20$

$g^*_{C,rel} = 37$



NG900-7, 9stufige Reihen für konstanten CIELAB Buntton $164/360 = 0.457$ (links)

16stufige Reihen für konstanten CIELAB Buntton $162/360 = 0.451$ (rechts)

Eingabe: Farbmetrisches Offset-Reflektiv-System ORS18

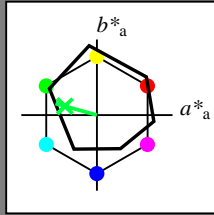
für Buntton $h^* = lab^*h = 164/360 = 0.457$

lab^*tch und lab^*nch

D65: Buntton G

LCH*Ma: 53 57 164

olv*Ma: 0.0 1.0 0.25



ORS18; adaptierte CIELAB-Daten

	$L^*=L^*_a$	a^*_a	b^*_a	$C^*_{ab,a}$	$h^*_{ab,a}$
OMa	47.94	65.39	50.52	82.63	38
YMa	90.37	-10.26	91.75	92.32	96
LMa	50.9	-62.83	34.96	71.91	151
CMa	58.62	-30.34	-45.01	54.3	236
VMa	25.72	31.1	-44.4	54.22	305
MMa	48.13	75.28	-8.36	75.74	354
NMa	18.01	0.0	0.0	0.0	0
WMa	95.41	0.0	0.0	0.0	0
RCIE	39.92	58.66	26.98	64.57	25
JCIE	81.26	-2.16	67.76	67.79	92
GCIE	52.23	-42.25	11.76	43.87	164
BCIE	30.57	1.15	-46.84	46.86	271

Dreiecks-Helligkeit t^*

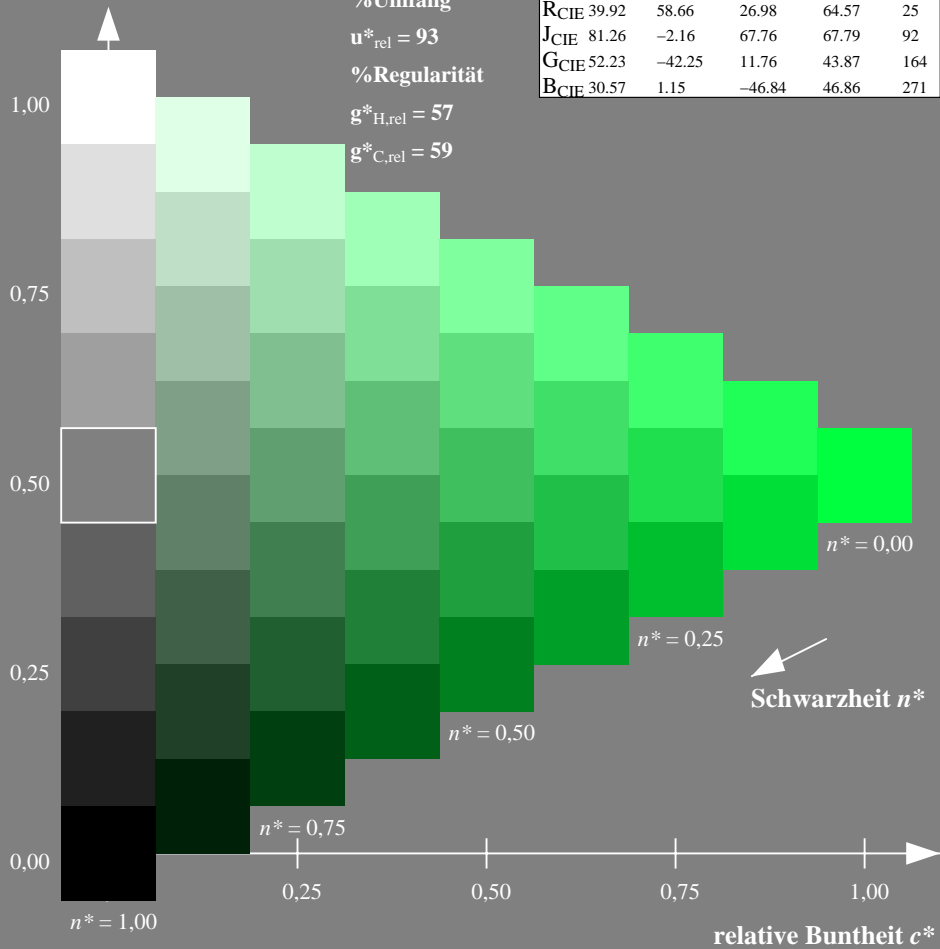
%Umfang

$u^*_{rel} = 93$

%Regularität

$g^*_{H,rel} = 57$

$g^*_{C,rel} = 59$



Ausgabe: Farbmetrisches Drucker-Reflektiv-System DRSXX

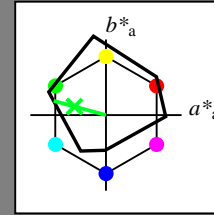
für Buntton $h^* = lab^*h = 165/360 = 0.458$

lab^*tch und lab^*nch

D65: Buntton G

LCH*Ma: 49 72 165

olv*Ma: 0.0 1.0 0.15



DRSXX; adaptierte CIELAB-Daten

	$L^*=L^*_a$	a^*_a	b^*_a	$C^*_{ab,a}$	$h^*_{ab,a}$
OMa	42.21	66.82	50.6	83.82	37
YMa	90.32	-16.51	104.33	105.63	99
LMa	48.21	-75.63	30.65	81.61	158
CMa	53.44	-33.33	-47.49	58.03	235
VMa	34.16	-0.92	-46.56	46.58	269
MMa	42.71	79.0	-1.95	79.03	359
NMa	16.56	0.0	0.0	0.0	0
WMa	96.31	0.0	0.0	0.0	0
RCIE	39.92	59.78	25.77	65.1	23
JCIE	81.26	-2.51	69.07	69.11	92
GCIE	52.23	-41.57	11.3	43.09	165
BCIE	30.57	2.6	-48.62	48.7	273

Dreiecks-Helligkeit t^*

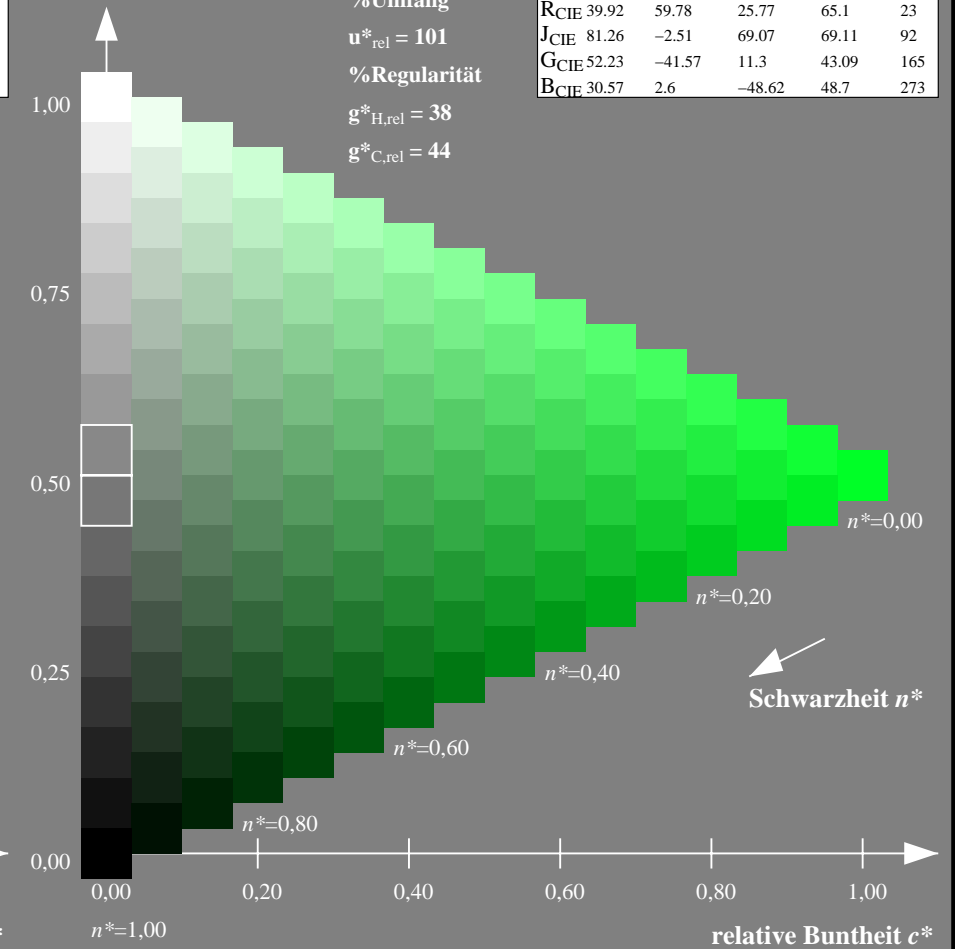
%Umfang

$u^*_{rel} = 101$

%Regularität

$g^*_{H,rel} = 38$

$g^*_{C,rel} = 44$



NG900-7, 9stufige Reihen für konstanten CIELAB Buntton 164/360 = 0.457 (links)

16stufige Reihen für konstanten CIELAB Buntton 165/360 = 0.458 (rechts)

Eingabe: Farbmetrisches Offset-Reflektiv-System ORS18

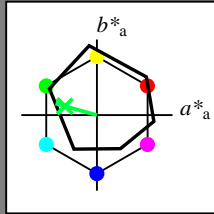
für Buntton $h^* = lab^*h = 164/360 = 0.457$

lab^*tch und lab^*nch

D65: Buntton G

LCH*Ma: 53 57 164

olv*Ma: 0.0 1.0 0.25



ORS18; adaptierte CIELAB-Daten

	$L^*=L^*_a$	a^*_a	b^*_a	$C^*_{ab,a}$	$h^*_{ab,a}$
OMa	47.94	65.39	50.52	82.63	38
YMa	90.37	-10.26	91.75	92.32	96
LMa	50.9	-62.83	34.96	71.91	151
CMa	58.62	-30.34	-45.01	54.3	236
VMa	25.72	31.1	-44.4	54.22	305
MMa	48.13	75.28	-8.36	75.74	354
NMa	18.01	0.0	0.0	0.0	0
WMa	95.41	0.0	0.0	0.0	0
RCIE	39.92	58.66	26.98	64.57	25
JCIE	81.26	-2.16	67.76	67.79	92
GCIE	52.23	-42.25	11.76	43.87	164
BCIE	30.57	1.15	-46.84	46.86	271

Dreiecks-Helligkeit t^*

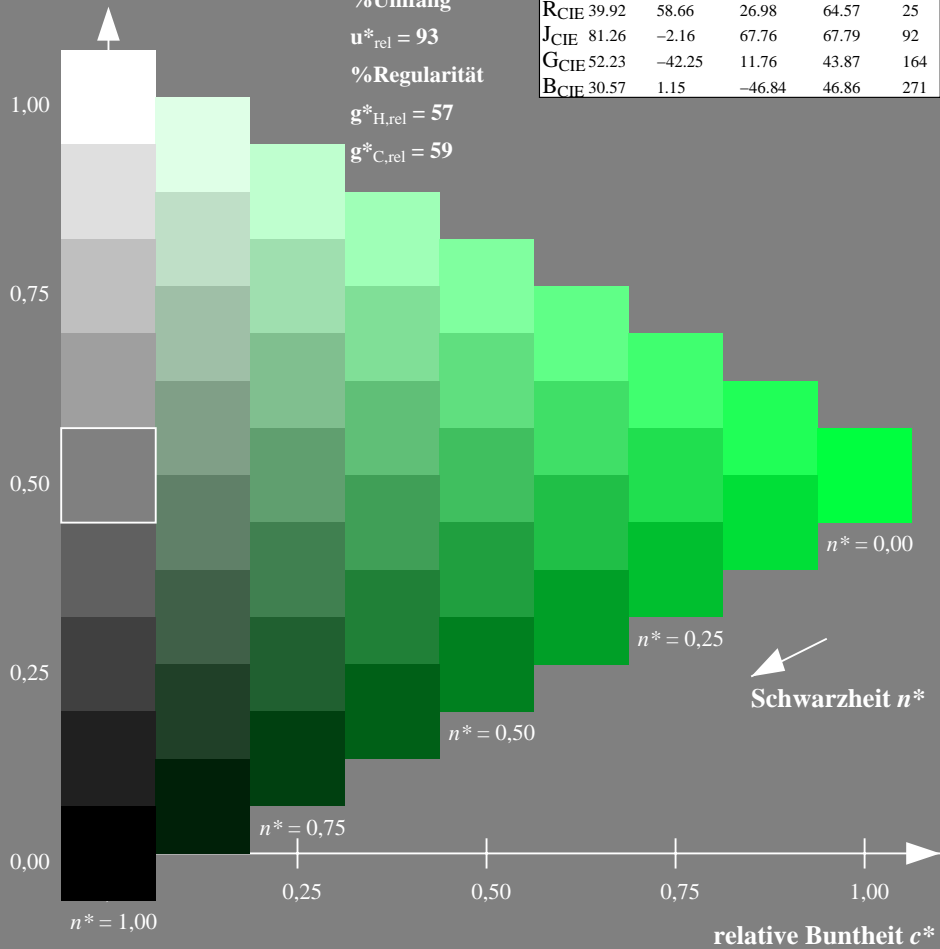
%Umfang

$u^*_{rel} = 93$

%Regularität

$g^*_{H,rel} = 57$

$g^*_{C,rel} = 59$



Ausgabe: Farbmetrisches Fernseh-Licht-System TLS18

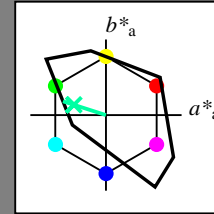
für Buntton $h^* = lab^*h = 162/360 = 0.451$

lab^*tch und lab^*nch

D65: Buntton G

LCH*Ma: 86 60 162

olv*Ma: 0.0 1.0 0.64



TLS18; adaptierte CIELAB-Daten

	$L^*=L^*_a$	a^*_a	b^*_a	$C^*_{ab,a}$	$h^*_{ab,a}$
OMa	52.76	71.63	49.88	87.29	35
YMa	92.74	-20.02	84.97	87.3	103
LMa	84.0	-78.98	73.94	108.2	137
CMa	87.14	-44.41	-13.11	46.32	196
VMa	35.47	64.92	-95.06	115.12	304
MMa	59.01	89.33	-55.67	105.26	328
NMa	18.01	0.0	0.0	0.0	0
WMa	95.41	0.0	0.0	0.0	0
RCIE	39.92	58.74	27.99	65.07	25
JCIE	81.26	-2.88	71.56	71.62	92
GCIE	52.23	-42.41	13.6	44.55	162
BCIE	30.57	1.41	-46.46	46.49	272

Dreiecks-Helligkeit t^*

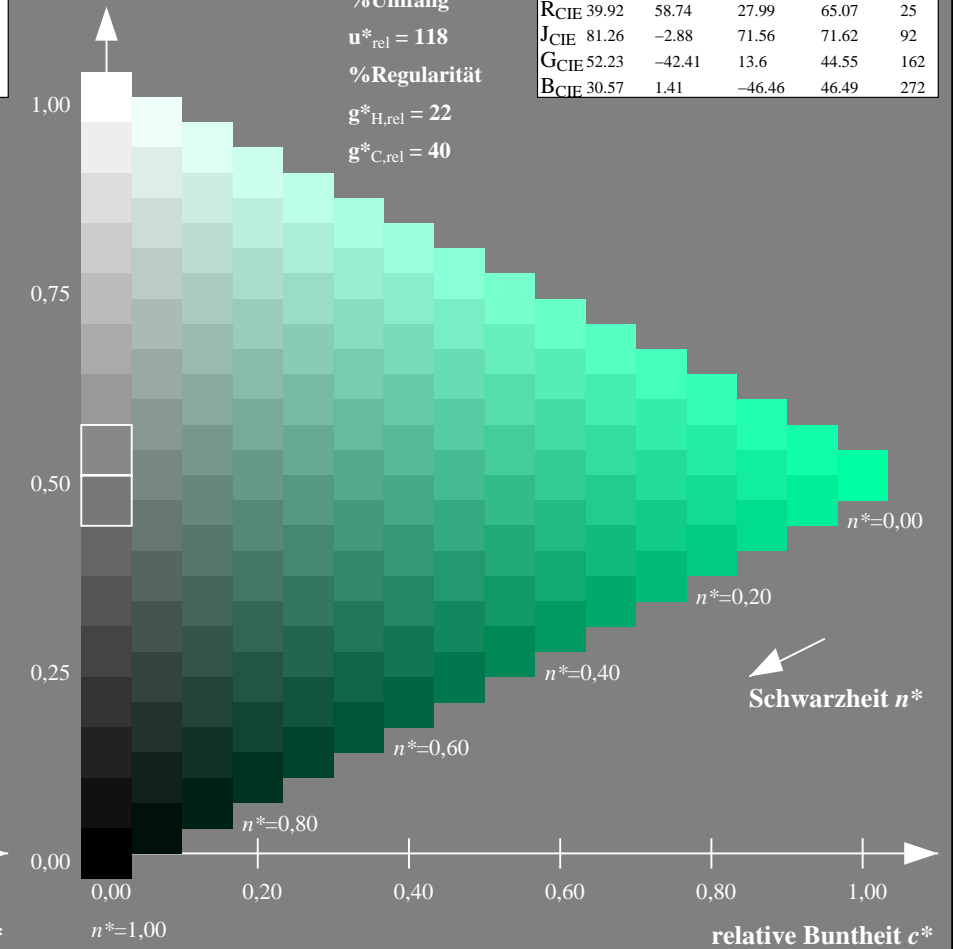
%Umfang

$u^*_{rel} = 118$

%Regularität

$g^*_{H,rel} = 22$

$g^*_{C,rel} = 40$



NG900-7, 9stufige Reihen für konstanten CIELAB Buntton $164/360 = 0.457$ (links)

16stufige Reihen für konstanten CIELAB Buntton $162/360 = 0.451$ (rechts)

Eingabe: Farbmetrisches Offset-Reflektiv-System ORS18

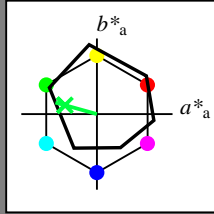
für Buntton $h^* = lab^*h = 164/360 = 0.457$

lab^*tch und lab^*nch

D65: Buntton G

LCH*Ma: 53 57 164

olv*Ma: 0.0 1.0 0.25



ORS18; adaptierte CIELAB-Daten

	$L^*=L^*_a$	a^*_a	b^*_a	$C^*_{ab,a}$	$h^*_{ab,a}$
OMa	47.94	65.39	50.52	82.63	38
YMa	90.37	-10.26	91.75	92.32	96
LMa	50.9	-62.83	34.96	71.91	151
CMa	58.62	-30.34	-45.01	54.3	236
VMa	25.72	31.1	-44.4	54.22	305
MMa	48.13	75.28	-8.36	75.74	354
NMa	18.01	0.0	0.0	0.0	0
WMa	95.41	0.0	0.0	0.0	0
RCIE	39.92	58.66	26.98	64.57	25
JCIE	81.26	-2.16	67.76	67.79	92
GCIE	52.23	-42.25	11.76	43.87	164
BCIE	30.57	1.15	-46.84	46.86	271

Dreiecks-Helligkeit t^*

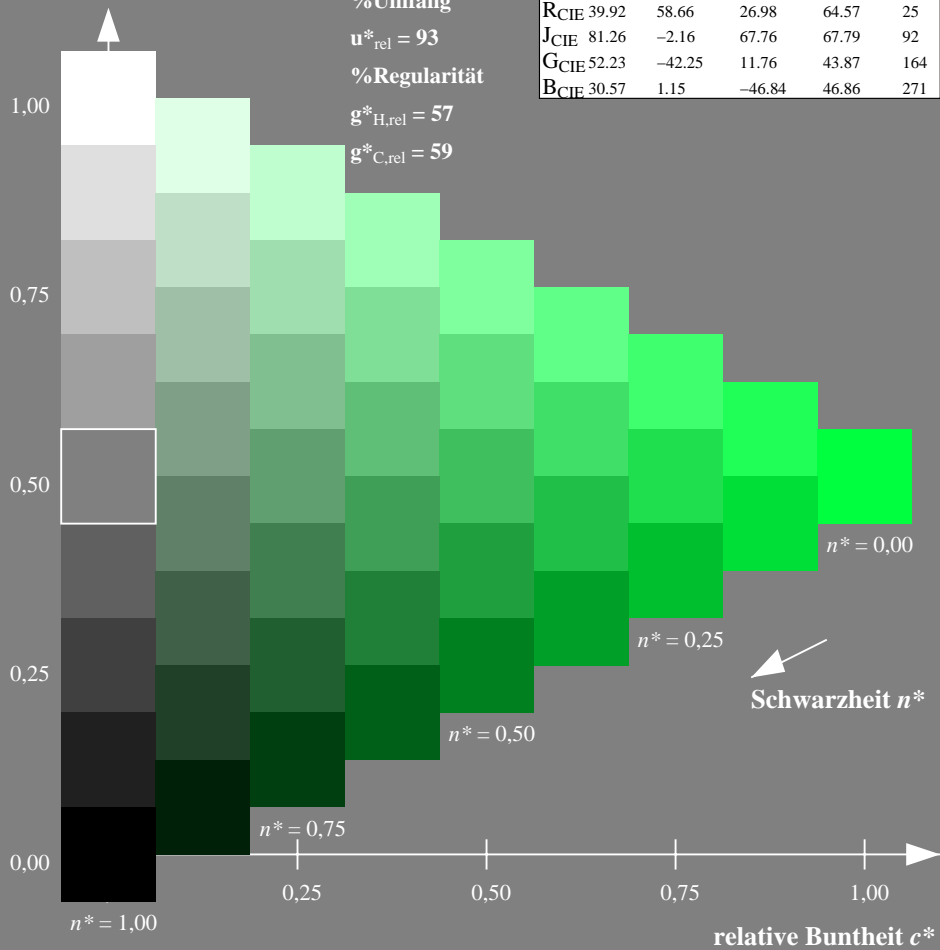
%Umfang

$u^*_{rel} = 93$

%Regularität

$g^*_{H,rel} = 57$

$g^*_{C,rel} = 59$



Ausgabe: Farbmetrisches Natürliches-Licht-System NLS00

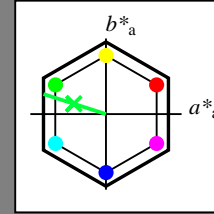
für Buntton $h^* = lab^*h = 162/360 = 0.451$

lab^*tch und lab^*nch

D65: Buntton G

LCH*Ma: 39 87 162

olv*Ma: 0.0 1.0 0.22



NLS00; adaptierte CIELAB-Daten

	$L^*=L^*_a$	a^*_a	b^*_a	$C^*_{ab,a}$	$h^*_{ab,a}$
OMa	31.81	82.62	47.7	95.4	30
YMa	63.61	0.0	95.4	95.4	90
LMa	31.81	-82.61	47.7	95.4	150
CMa	63.61	-82.61	-47.69	95.4	210
VMa	31.81	0.0	-95.39	95.4	270
MMa	63.61	82.62	-47.69	95.4	330
NMa	0.01	0.0	0.0	0.0	0
WMa	95.41	0.0	0.0	0.0	0
RCIE	39.92	58.74	27.99	65.07	25
JCIE	81.26	-2.88	71.56	71.62	92
GCIE	52.23	-42.41	13.6	44.55	162
BCIE	30.57	1.41	-46.46	46.49	272

Dreiecks-Helligkeit t^*

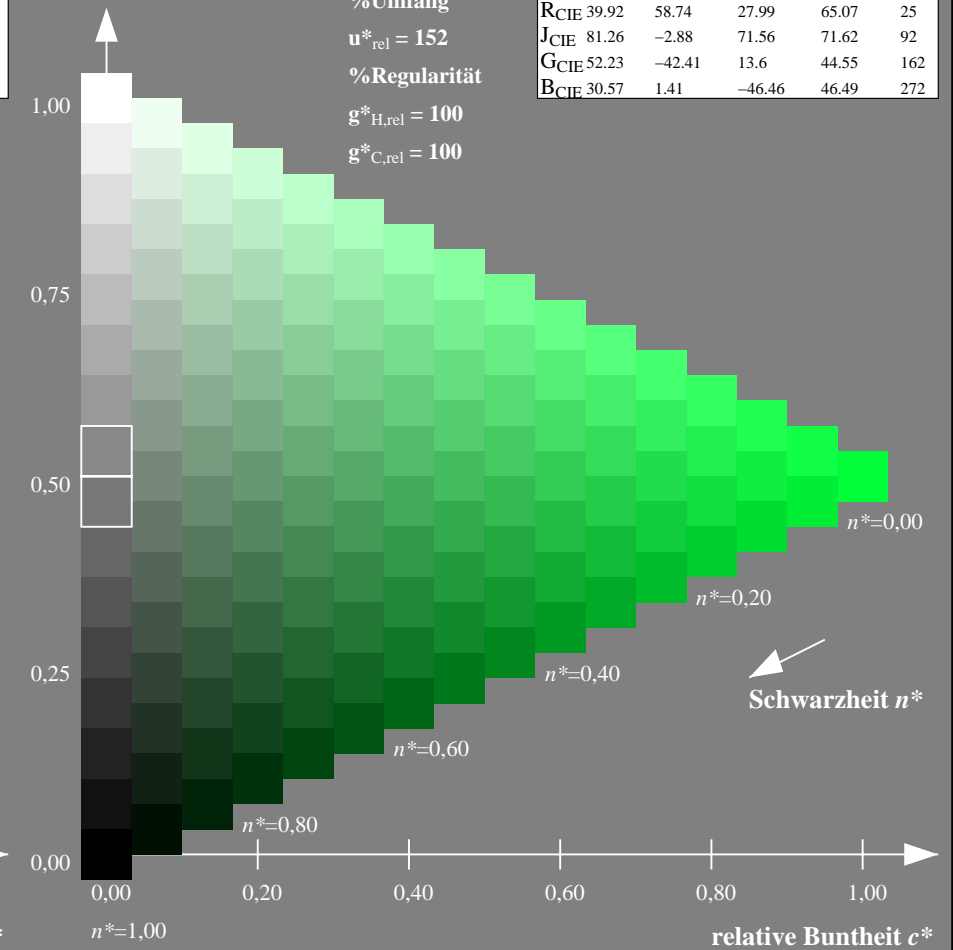
%Umfang

$u^*_{rel} = 152$

%Regularität

$g^*_{H,rel} = 100$

$g^*_{C,rel} = 100$



NG900-7, 9stufige Reihen für konstanten CIELAB Buntton $164/360 = 0.457$ (links)

16stufige Reihen für konstanten CIELAB Buntton $162/360 = 0.451$ (rechts)

Eingabe: Farbmetrisches Offset-Reflektiv-System ORS18

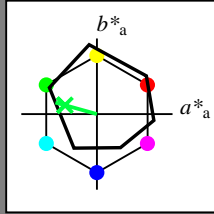
für Buntton $h^* = lab^*h = 164/360 = 0.457$

lab^*tch und lab^*nch

D65: Buntton G

LCH*Ma: 53 57 164

olv*Ma: 0.0 1.0 0.25



ORS18; adaptierte CIELAB-Daten

	$L^*=L^*_a$	a^*_a	b^*_a	$C^*_{ab,a}$	$h^*_{ab,a}$
O _{Ma}	47.94	65.39	50.52	82.63	38
Y _{Ma}	90.37	-10.26	91.75	92.32	96
L _{Ma}	50.9	-62.83	34.96	71.91	151
C _{Ma}	58.62	-30.34	-45.01	54.3	236
V _{Ma}	25.72	31.1	-44.4	54.22	305
M _{Ma}	48.13	75.28	-8.36	75.74	354
N _{Ma}	18.01	0.0	0.0	0.0	0
W _{Ma}	95.41	0.0	0.0	0.0	0
R _{CIE}	39.92	58.66	26.98	64.57	25
J _{CIE}	81.26	-2.16	67.76	67.79	92
G _{CIE}	52.23	-42.25	11.76	43.87	164
B _{CIE}	30.57	1.15	-46.84	46.86	271

Dreiecks-Helligkeit t^*

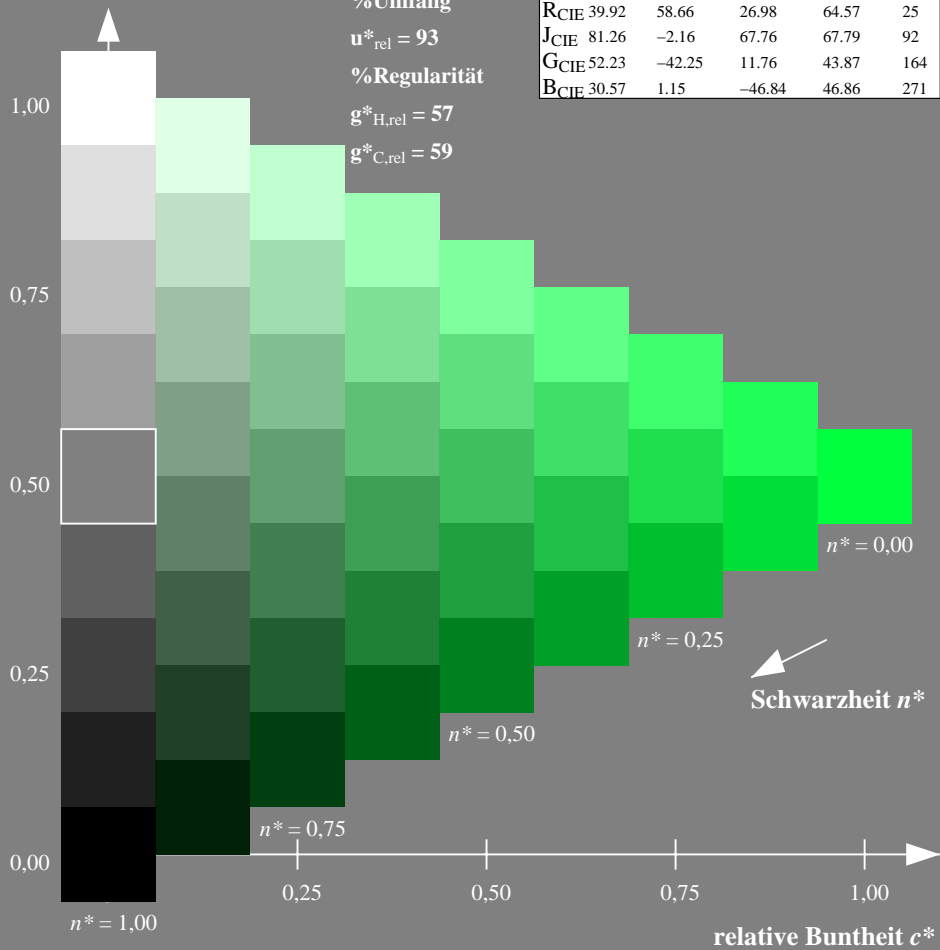
%Umfang

$u^*_{rel} = 93$

%Regularität

$g^*_{H,rel} = 57$

$g^*_{C,rel} = 59$



Ausgabe: Farbmetrisches Natürliches-Reflektiv-System NRS18

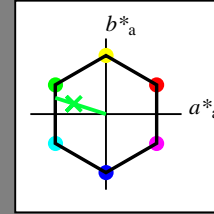
für Buntton $h^* = lab^*h = 162/360 = 0.451$

lab^*tch und lab^*nch

D65: Buntton G

LCH*Ma: 50 70 162

olv*Ma: 0.0 1.0 0.22



NRS18; adaptierte CIELAB-Daten

	$L^*=L^*_a$	a^*_a	b^*_a	$C^*_{ab,a}$	$h^*_{ab,a}$
O _{Ma}	43.81	67.03	38.7	77.4	30
Y _{Ma}	69.61	0.0	77.4	77.4	90
L _{Ma}	43.81	-67.02	38.7	77.4	150
C _{Ma}	69.61	-67.02	-38.69	77.4	210
V _{Ma}	43.81	0.0	-77.39	77.4	270
M _{Ma}	69.61	67.03	-38.69	77.4	330
N _{Ma}	18.01	0.0	0.0	0.0	0
W _{Ma}	95.41	0.0	0.0	0.0	0
R _{CIE}	39.92	58.74	27.99	65.07	25
J _{CIE}	81.26	-2.88	71.56	71.62	92
G _{CIE}	52.23	-42.41	13.6	44.55	162
B _{CIE}	30.57	1.41	-46.46	46.49	272

Dreiecks-Helligkeit t^*

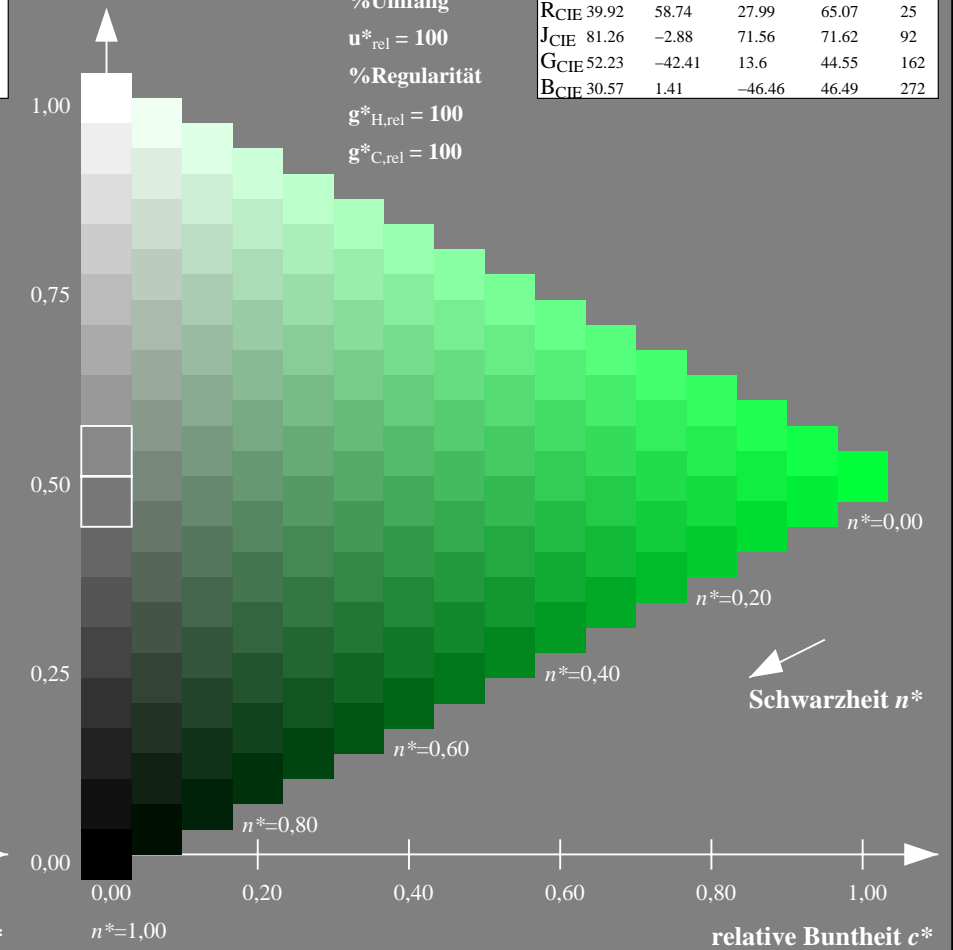
%Umfang

$u^*_{rel} = 100$

%Regularität

$g^*_{H,rel} = 100$

$g^*_{C,rel} = 100$



NG900-7, 9stufige Reihen für konstanten CIELAB Buntton $164/360 = 0.457$ (links)

16stufige Reihen für konstanten CIELAB Buntton $162/360 = 0.451$ (rechts)

Eingabe: Farbmetrisches Offset-Reflektiv-System ORS18

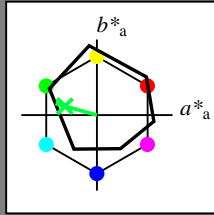
für Buntton $h^* = lab^*h = 164/360 = 0.457$

lab^*tch und lab^*nch

D65: Buntton G

LCH*Ma: 53 57 164

olv*Ma: 0.0 1.0 0.25



ORS18; adaptierte CIELAB-Daten

	$L^*=L^*_a$	a^*_a	b^*_a	$C^*_{ab,a}$	$h^*_{ab,a}$
OMa	47.94	65.39	50.52	82.63	38
YMa	90.37	-10.26	91.75	92.32	96
LMa	50.9	-62.83	34.96	71.91	151
CMa	58.62	-30.34	-45.01	54.3	236
VMa	25.72	31.1	-44.4	54.22	305
MMa	48.13	75.28	-8.36	75.74	354
NMa	18.01	0.0	0.0	0.0	0
WMa	95.41	0.0	0.0	0.0	0
RCIE	39.92	58.66	26.98	64.57	25
JCIE	81.26	-2.16	67.76	67.79	92
GCIE	52.23	-42.25	11.76	43.87	164
BCIE	30.57	1.15	-46.84	46.86	271

Dreiecks-Helligkeit t^*

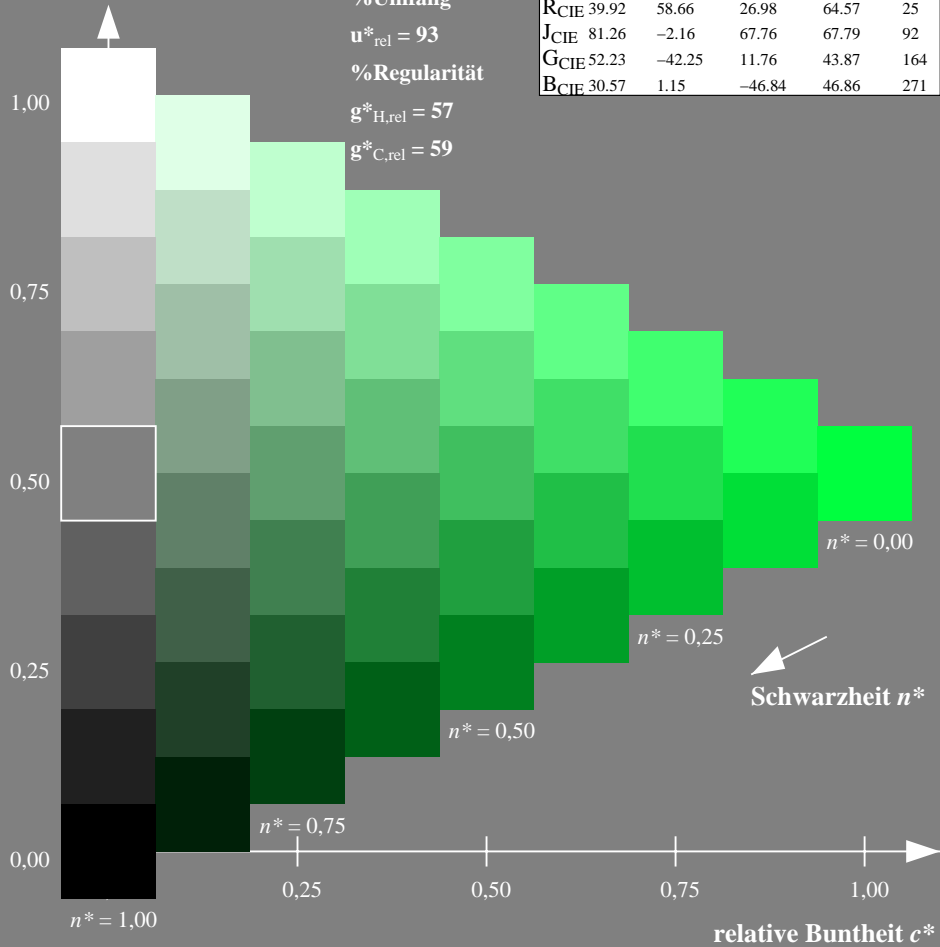
%Umfang

$u^*_{rel} = 93$

%Regularität

$g^*_{H,rel} = 57$

$g^*_{C,rel} = 59$



Ausgabe: Farbmetrisches Standard-Reflektiv-System SRS18

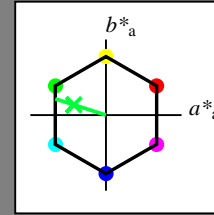
für Buntton $h^* = lab^*h = 162/360 = 0.451$

lab^*tch und lab^*nch

D65: Buntton G

LCH*Ma: 57 70 162

olv*Ma: 0.0 1.0 0.22



SRS18; adaptierte CIELAB-Daten

	$L^*=L^*_a$	a^*_a	b^*_a	$C^*_{ab,a}$	$h^*_{ab,a}$
OMa	56.71	67.03	38.7	77.4	30
YMa	56.71	0.0	77.4	77.4	90
LMa	56.71	-67.02	38.7	77.4	150
CMa	56.71	-67.02	-38.69	77.4	210
VMa	56.71	0.0	-77.39	77.4	270
MMa	56.71	67.03	-38.69	77.4	330
NMa	18.01	0.0	0.0	0.0	0
WMa	95.41	0.0	0.0	0.0	0
RCIE	39.92	58.74	27.99	65.07	25
JCIE	81.26	-2.88	71.56	71.62	92
GCIE	52.23	-42.41	13.6	44.55	162
BCIE	30.57	1.41	-46.46	46.49	272

Dreiecks-Helligkeit t^*

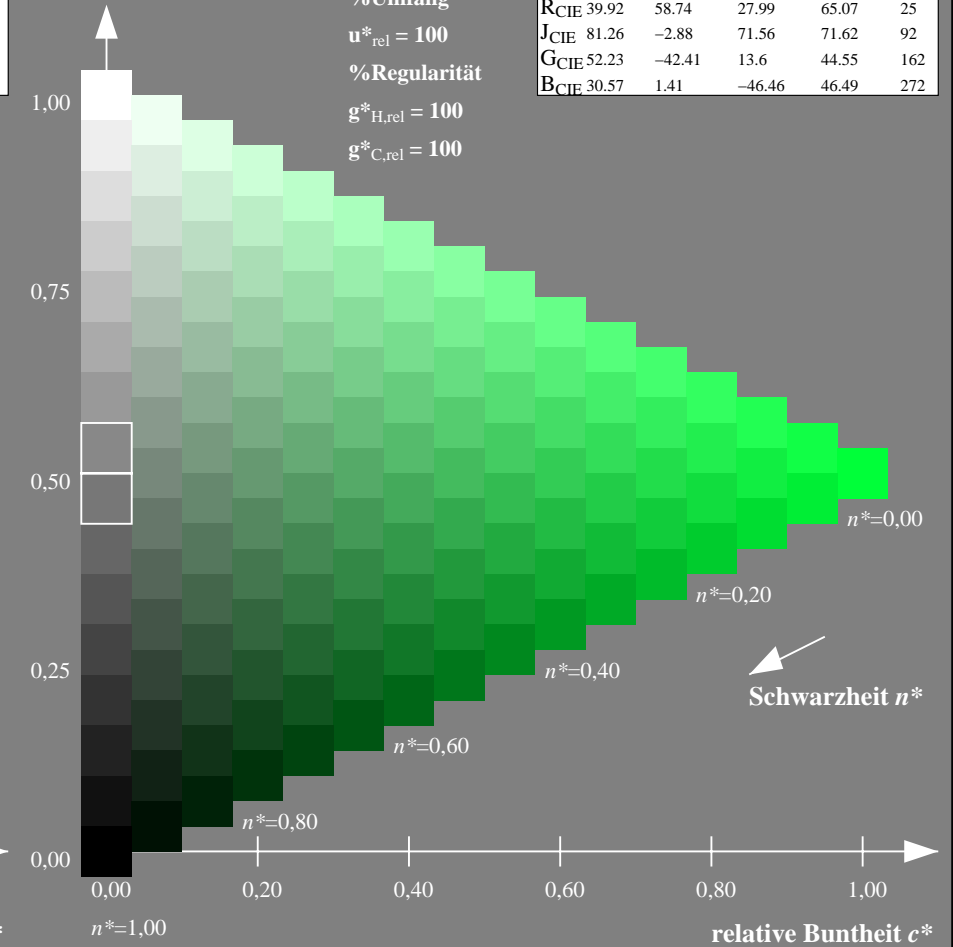
%Umfang

$u^*_{rel} = 100$

%Regularität

$g^*_{H,rel} = 100$

$g^*_{C,rel} = 100$



NG900-7, 9stufige Reihen für konstanten CIELAB Buntton $164/360 = 0.457$ (links)

16stufige Reihen für konstanten CIELAB Buntton $162/360 = 0.451$ (rechts)

Eingabe: Farbmetrisches Offset-Reflektiv-System ORS18

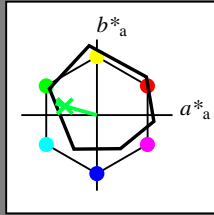
für Buntton $h^* = lab^*h = 164/360 = 0.457$

lab^*tch und lab^*nch

D65: Buntton G

LCH*Ma: 53 57 164

olv*Ma: 0.0 1.0 0.25



ORS18; adaptierte CIELAB-Daten

	$L^*=L^*_a$	a^*_a	b^*_a	$C^*_{ab,a}$	$h^*_{ab,a}$
O _{Ma}	47.94	65.39	50.52	82.63	38
Y _{Ma}	90.37	-10.26	91.75	92.32	96
L _{Ma}	50.9	-62.83	34.96	71.91	151
C _{Ma}	58.62	-30.34	-45.01	54.3	236
V _{Ma}	25.72	31.1	-44.4	54.22	305
M _{Ma}	48.13	75.28	-8.36	75.74	354
N _{Ma}	18.01	0.0	0.0	0.0	0
W _{Ma}	95.41	0.0	0.0	0.0	0
R _{CIE}	39.92	58.66	26.98	64.57	25
J _{CIE}	81.26	-2.16	67.76	67.79	92
G _{CIE}	52.23	-42.25	11.76	43.87	164
B _{CIE}	30.57	1.15	-46.84	46.86	271

Dreiecks-Helligkeit t^*

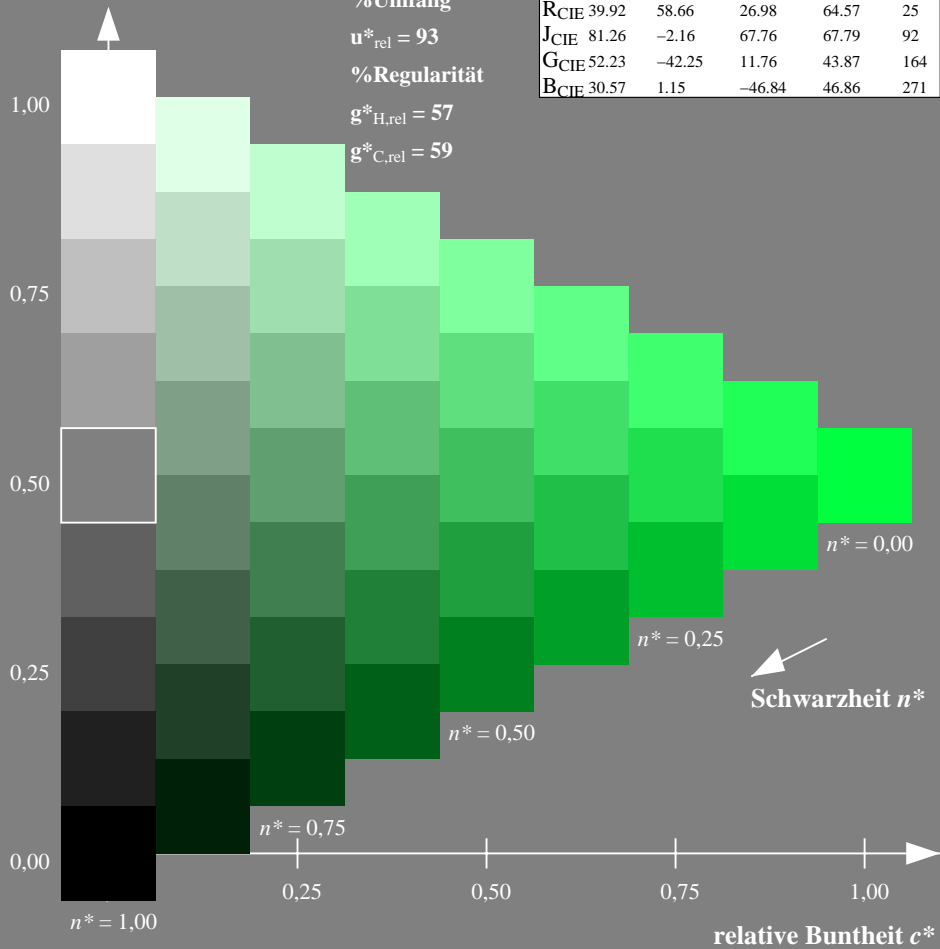
%Umfang

$u^*_{rel} = 93$

%Regularität

$g^*_{H,rel} = 57$

$g^*_{C,rel} = 59$



Ausgabe: Farbmetrisches Fernseh-Licht-System TLS70

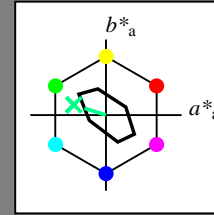
für Buntton $h^* = lab^*h = 162/360 = 0.451$

lab^*tch und lab^*nch

D65: Buntton G

LCH*Ma: 90 30 162

olv*Ma: 0.0 1.0 0.53



TLS70; adaptierte CIELAB-Daten

	$L^*=L^*_a$	a^*_a	b^*_a	$C^*_{ab,a}$	$h^*_{ab,a}$
O _{Ma}	76.43	26.27	10.57	28.32	22
Y _{Ma}	93.93	-10.76	34.63	36.27	107
L _{Ma}	89.32	-35.8	27.64	45.24	142
C _{Ma}	90.93	-21.95	-7.07	23.07	198
V _{Ma}	72.1	15.76	-35.63	38.97	294
M _{Ma}	78.5	37.52	-25.23	45.22	326
N _{Ma}	69.7	0.0	0.0	0.0	0
W _{Ma}	95.41	0.0	0.0	0.0	0
R _{CIE}	39.92	58.74	27.99	65.07	25
J _{CIE}	81.26	-2.88	71.56	71.62	92
G _{CIE}	52.23	-42.41	13.6	44.55	162
B _{CIE}	30.57	1.41	-46.46	46.49	272

Dreiecks-Helligkeit t^*

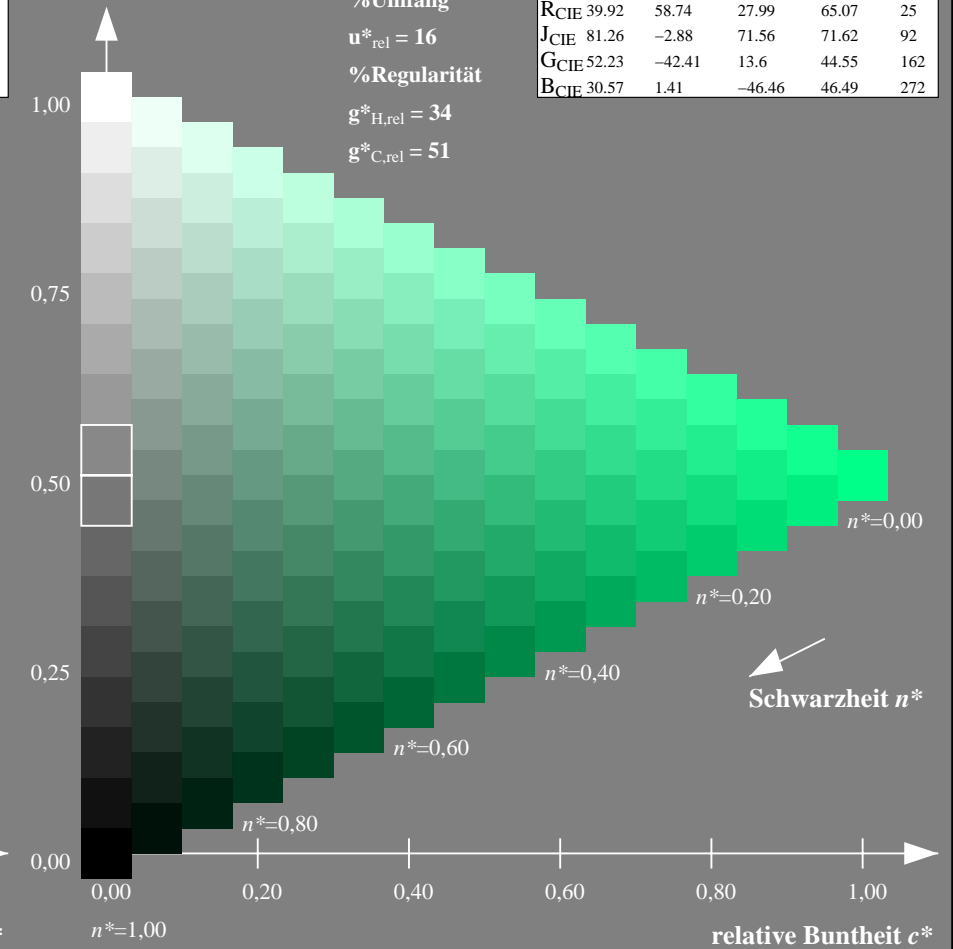
%Umfang

$u^*_{rel} = 16$

%Regularität

$g^*_{H,rel} = 34$

$g^*_{C,rel} = 51$



NG900-7, 9stufige Reihen für konstanten CIELAB Buntton $164/360 = 0.457$ (links)

16stufige Reihen für konstanten CIELAB Buntton $162/360 = 0.451$ (rechts)

Eingabe: Farbmetrisches Fernseh-Licht-System TLS00

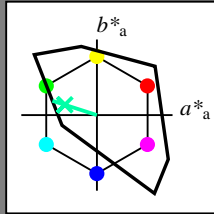
für Buntton $h^* = lab^*h = 162/360 = 0.451$

lab^*tch und lab^*nch

D65: Buntton G

LCH*Ma: 86 62 162

olv*Ma: 0.0 1.0 0.65



TLS00; adaptierte CIELAB-Daten

	$L^*=L^*_a$	a^*_a	b^*_a	$C^*_{ab,a}$	$h^*_{ab,a}$
OMa	50.5	76.92	64.55	100.42	40
YMa	92.66	-20.69	90.75	93.08	103
LMa	83.63	-82.75	79.9	115.04	136
CMa	86.88	-46.16	-13.55	48.12	196
VMa	30.39	76.06	-103.59	128.52	306
MMa	57.3	94.35	-58.41	110.97	328
NMa	0.01	0.0	0.0	0.0	0
WMa	95.41	0.0	0.0	0.0	0
RCIE	39.92	58.74	27.99	65.07	25
JCIE	81.26	-2.88	71.56	71.62	92
GCIE	52.23	-42.41	13.6	44.55	162
BCIE	30.57	1.41	-46.46	46.49	272

Dreiecks-Helligkeit t^*

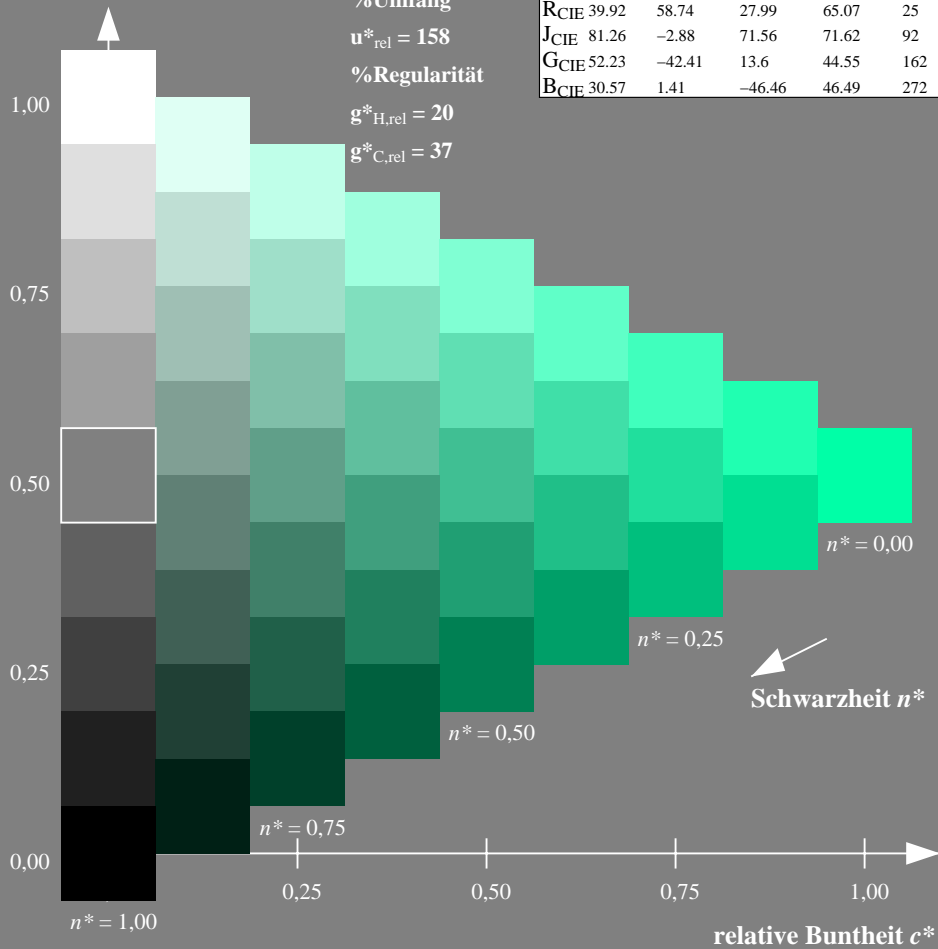
%Umfang

$u^*_{rel} = 158$

%Regularität

$g^*_{H,rel} = 20$

$g^*_{C,rel} = 37$



Ausgabe: Farbmetrisches Offset-Reflektiv-System ORS18

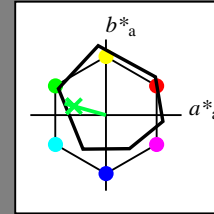
für Buntton $h^* = lab^*h = 164/360 = 0.457$

lab^*tch und lab^*nch

D65: Buntton G

LCH*Ma: 53 57 164

olv*Ma: 0.0 1.0 0.25



ORS18; adaptierte CIELAB-Daten

	$L^*=L^*_a$	a^*_a	b^*_a	$C^*_{ab,a}$	$h^*_{ab,a}$
OMa	47.94	65.39	50.52	82.63	38
YMa	90.37	-10.26	91.75	92.32	96
LMa	50.9	-62.83	34.96	71.91	151
CMa	58.62	-30.34	-45.01	54.3	236
VMa	25.72	31.1	-44.4	54.22	305
MMa	48.13	75.28	-8.36	75.74	354
NMa	18.01	0.0	0.0	0.0	0
WMa	95.41	0.0	0.0	0.0	0
RCIE	39.92	58.66	26.98	64.57	25
JCIE	81.26	-2.16	67.76	67.79	92
GCIE	52.23	-42.25	11.76	43.87	164
BCIE	30.57	1.15	-46.84	46.86	271

Dreiecks-Helligkeit t^*

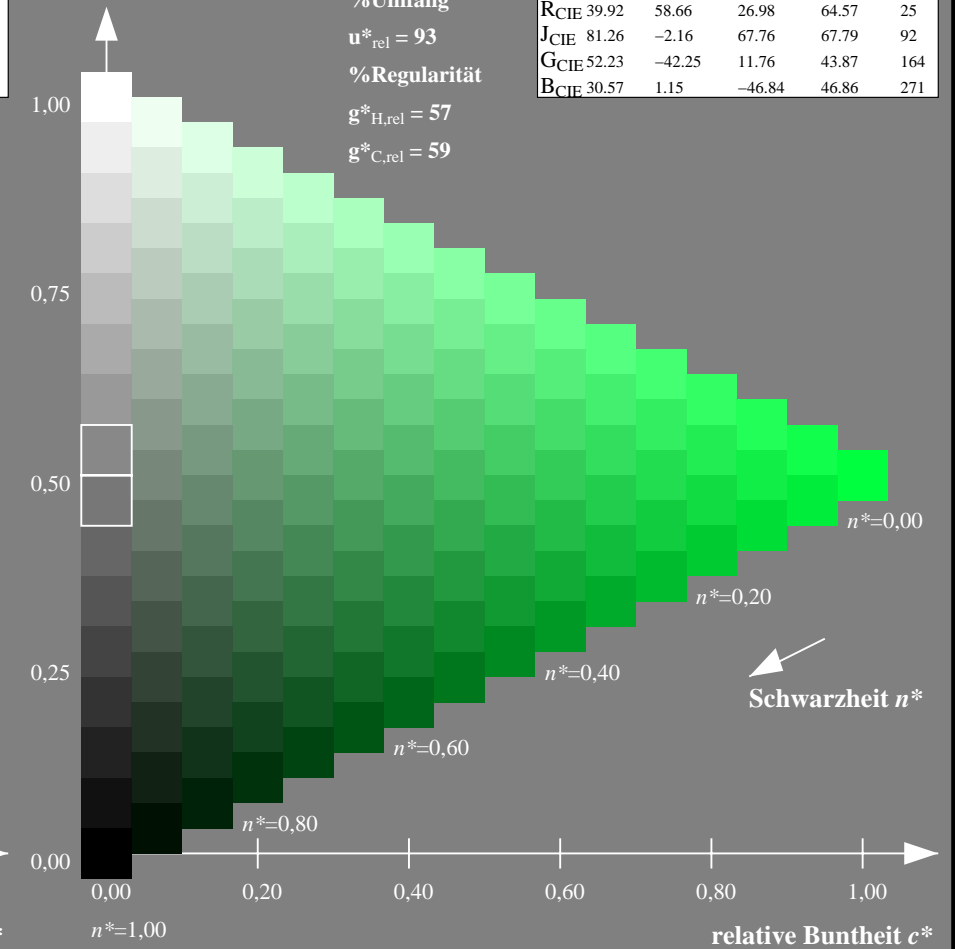
%Umfang

$u^*_{rel} = 93$

%Regularität

$g^*_{H,rel} = 57$

$g^*_{C,rel} = 59$



NG900-7, 9stufige Reihen für konstanten CIELAB Buntton $162/360 = 0.451$ (links)

16stufige Reihen für konstanten CIELAB Buntton $164/360 = 0.457$ (rechts)

Eingabe: Farbmetrisches Fernseh-Licht-System TLS00

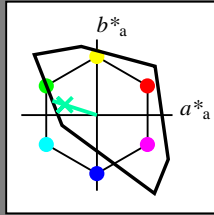
für Buntton $h^* = lab^*h = 162/360 = 0.451$

lab^*tch und lab^*nch

D65: Buntton G

LCH*Ma: 86 62 162

olv*Ma: 0.0 1.0 0.65



TLS00; adaptierte CIELAB-Daten

	$L^*=L^*_a$	a^*_a	b^*_a	$C^*_{ab,a}$	$h^*_{ab,a}$
OMa	50.5	76.92	64.55	100.42	40
YMa	92.66	-20.69	90.75	93.08	103
LMa	83.63	-82.75	79.9	115.04	136
CMa	86.88	-46.16	-13.55	48.12	196
VMa	30.39	76.06	-103.59	128.52	306
MMa	57.3	94.35	-58.41	110.97	328
NMa	0.01	0.0	0.0	0.0	0
WMa	95.41	0.0	0.0	0.0	0
RCIE	39.92	58.74	27.99	65.07	25
JCIE	81.26	-2.88	71.56	71.62	92
GCIE	52.23	-42.41	13.6	44.55	162
BCIE	30.57	1.41	-46.46	46.49	272

Dreiecks-Helligkeit t^*

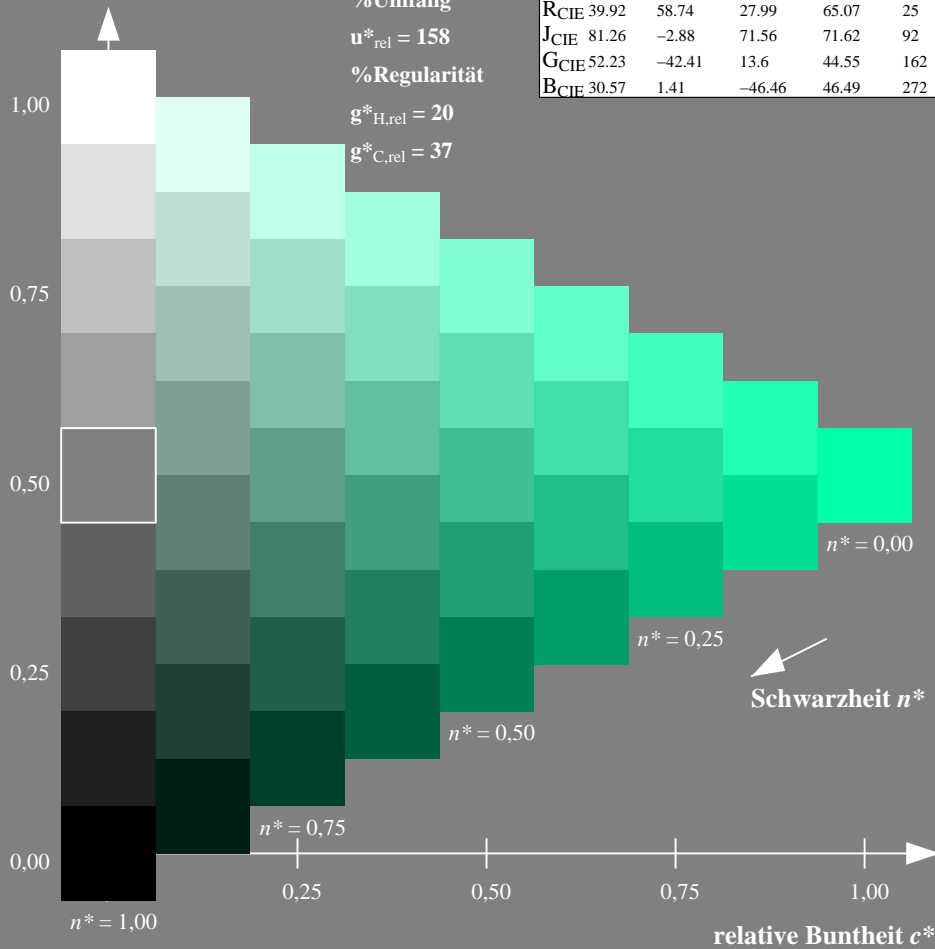
%Umfang

$u^*_{rel} = 158$

%Regularität

$g^*_{H,rel} = 20$

$g^*_{C,rel} = 37$



Ausgabe: Farbmetrisches Fernseh-Licht-System TLS00

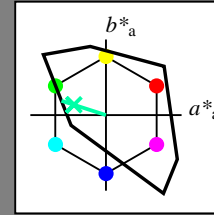
für Buntton $h^* = lab^*h = 162/360 = 0.451$

lab^*tch und lab^*nch

D65: Buntton G

LCH*Ma: 86 62 162

olv*Ma: 0.0 1.0 0.65



TLS00; adaptierte CIELAB-Daten

	$L^*=L^*_a$	a^*_a	b^*_a	$C^*_{ab,a}$	$h^*_{ab,a}$
OMa	50.5	76.92	64.55	100.42	40
YMa	92.66	-20.69	90.75	93.08	103
LMa	83.63	-82.75	79.9	115.04	136
CMa	86.88	-46.16	-13.55	48.12	196
VMa	30.39	76.06	-103.59	128.52	306
MMa	57.3	94.35	-58.41	110.97	328
NMa	0.01	0.0	0.0	0.0	0
WMa	95.41	0.0	0.0	0.0	0
RCIE	39.92	58.74	27.99	65.07	25
JCIE	81.26	-2.88	71.56	71.62	92
GCIE	52.23	-42.41	13.6	44.55	162
BCIE	30.57	1.41	-46.46	46.49	272

Dreiecks-Helligkeit t^*

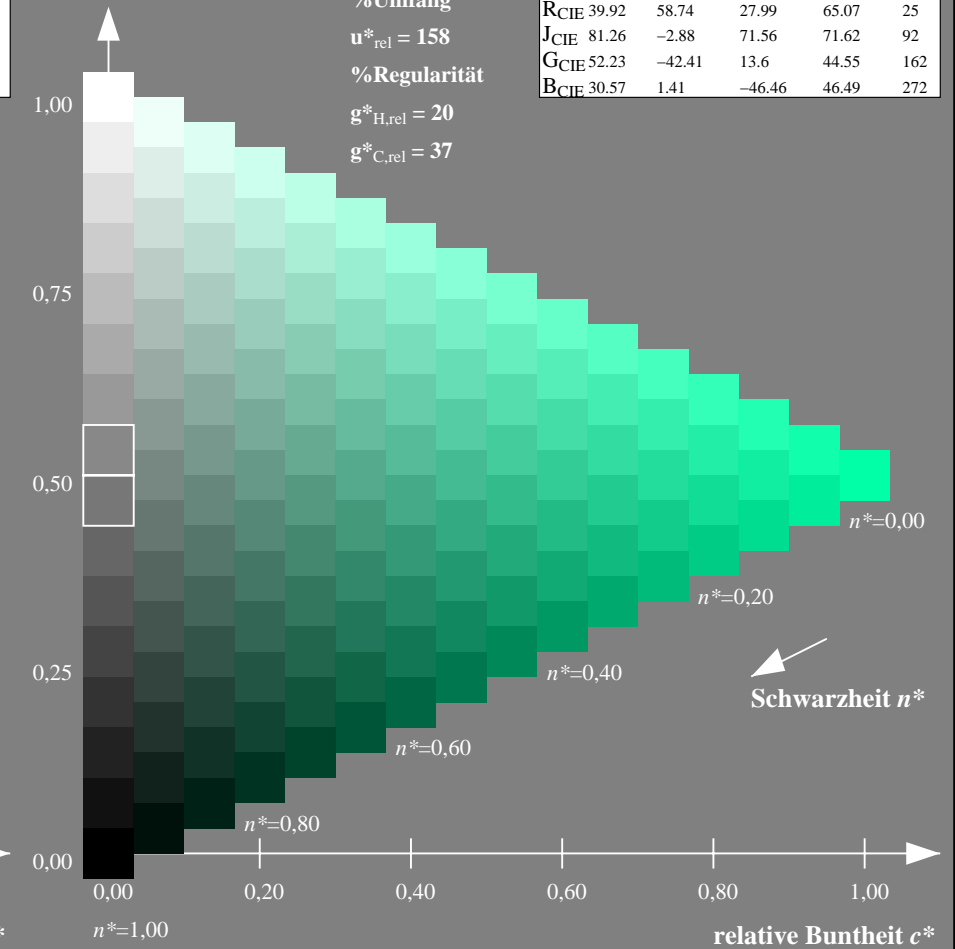
%Umfang

$u^*_{rel} = 158$

%Regularität

$g^*_{H,rel} = 20$

$g^*_{C,rel} = 37$



NG900-7, 9stufige Reihen für konstanten CIELAB Buntton 162/360 = 0.451 (links)

16stufige Reihen für konstanten CIELAB Buntton 162/360 = 0.451 (rechts)

Eingabe: Farbmetrisches Fernseh-Licht-System TLS00

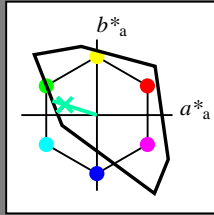
für Buntton $h^* = lab^*h = 162/360 = 0.451$

lab^*tch und lab^*nch

D65: Buntton G

LCH*Ma: 86 62 162

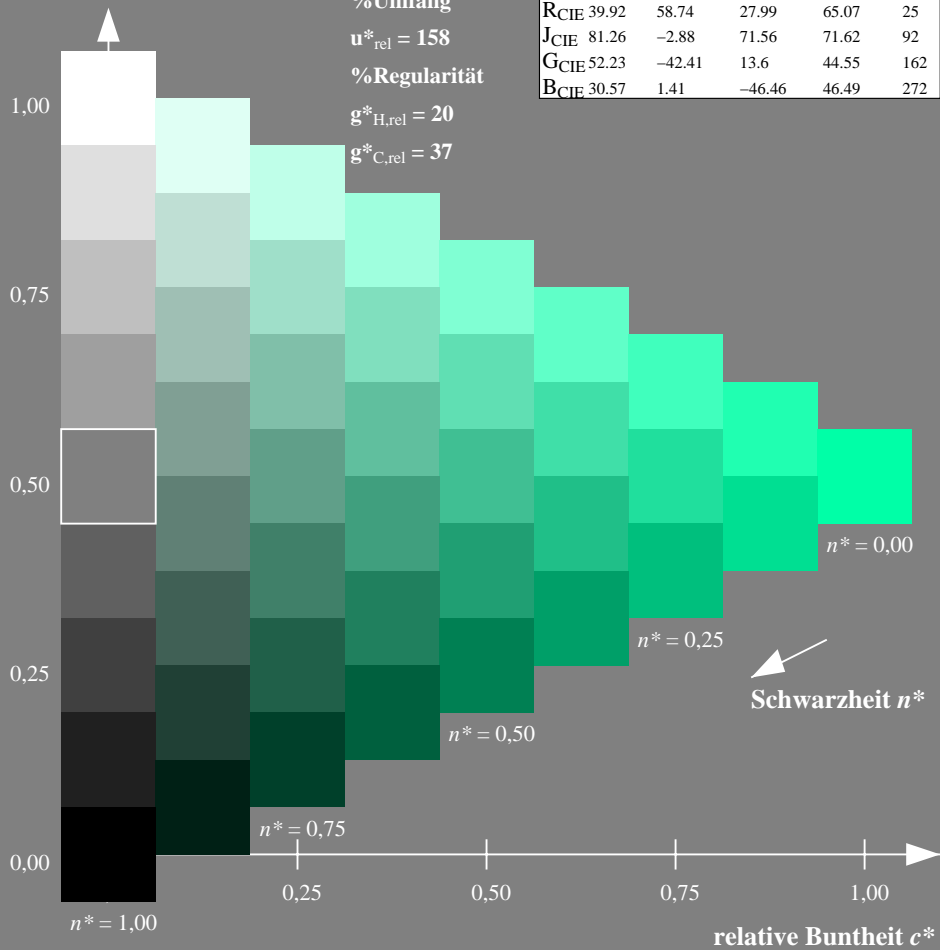
olv*Ma: 0.0 1.0 0.65



TLS00; adaptierte CIELAB-Daten

	$L^*=L^*_a$	a^*_a	b^*_a	$C^*_{ab,a}$	$h^*_{ab,a}$
OMa	50.5	76.92	64.55	100.42	40
YMa	92.66	-20.69	90.75	93.08	103
LMa	83.63	-82.75	79.9	115.04	136
CMa	86.88	-46.16	-13.55	48.12	196
VMa	30.39	76.06	-103.59	128.52	306
MMa	57.3	94.35	-58.41	110.97	328
NMa	0.01	0.0	0.0	0.0	0
WMa	95.41	0.0	0.0	0.0	0
RCIE	39.92	58.74	27.99	65.07	25
JCIE	81.26	-2.88	71.56	71.62	92
GCIE	52.23	-42.41	13.6	44.55	162
BCIE	30.57	1.41	-46.46	46.49	272

Dreiecks-Helligkeit t^*



Ausgabe: Farbmetrisches Drucker-Reflektiv-System DRSXX

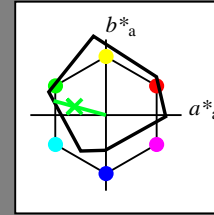
für Buntton $h^* = lab^*h = 165/360 = 0.458$

lab^*tch und lab^*nch

D65: Buntton G

LCH*Ma: 49 72 165

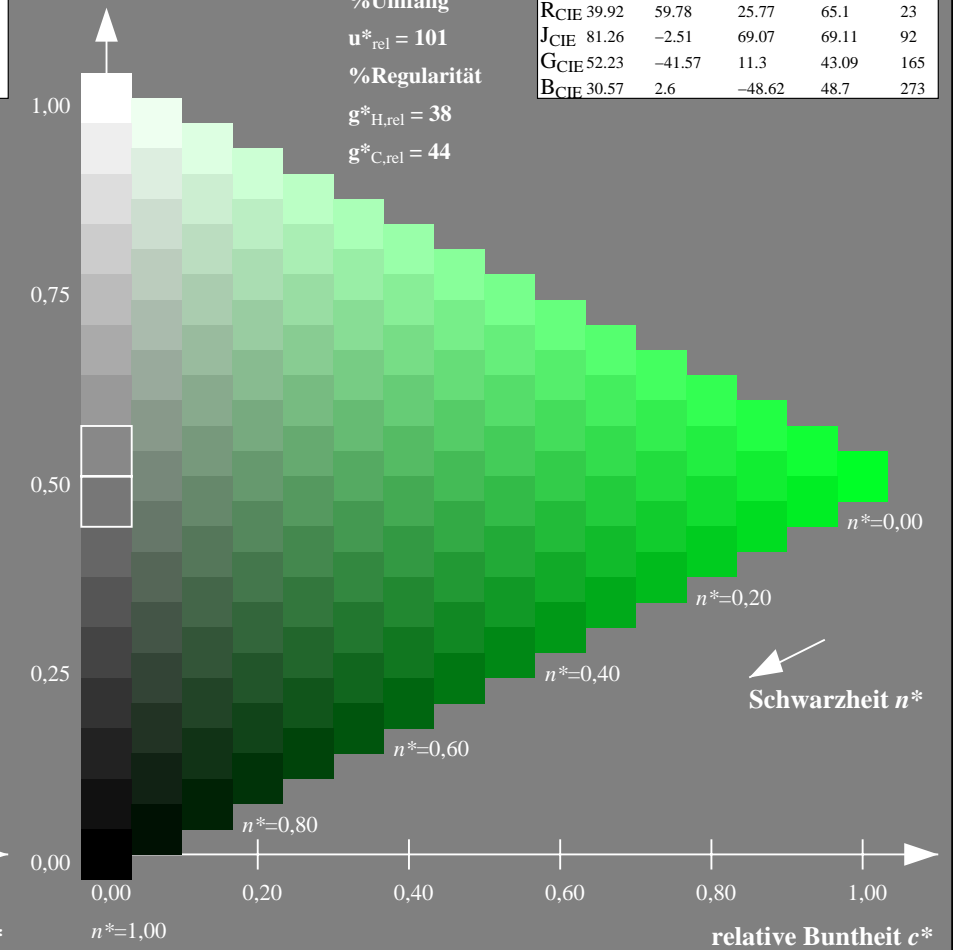
olv*Ma: 0.0 1.0 0.15



DRSXX; adaptierte CIELAB-Daten

	$L^*=L^*_a$	a^*_a	b^*_a	$C^*_{ab,a}$	$h^*_{ab,a}$
OMa	42.21	66.82	50.6	83.82	37
YMa	90.32	-16.51	104.33	105.63	99
LMa	48.21	-75.63	30.65	81.61	158
CMa	53.44	-33.33	-47.49	58.03	235
VMa	34.16	-0.92	-46.56	46.58	269
MMa	42.71	79.0	-1.95	79.03	359
NMa	16.56	0.0	0.0	0.0	0
WMa	96.31	0.0	0.0	0.0	0
RCIE	39.92	59.78	25.77	65.1	23
JCIE	81.26	-2.51	69.07	69.11	92
GCIE	52.23	-41.57	11.3	43.09	165
BCIE	30.57	2.6	-48.62	48.7	273

Dreiecks-Helligkeit t^*



NG900-7, 9stufige Reihen für konstanten CIELAB Buntton $162/360 = 0.451$ (links)

16stufige Reihen für konstanten CIELAB Buntton $165/360 = 0.458$ (rechts)

Eingabe: Farbmetrisches Fernseh-Licht-System TLS00

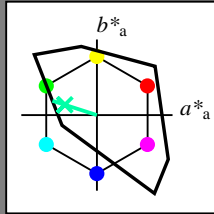
für Buntton $h^* = lab^*h = 162/360 = 0.451$

lab^*tch und lab^*nch

D65: Buntton G

LCH*Ma: 86 62 162

olv*Ma: 0.0 1.0 0.65



TLS00; adaptierte CIELAB-Daten

	$L^*=L^*_a$	a^*_a	b^*_a	$C^*_{ab,a}$	$h^*_{ab,a}$
OMa	50.5	76.92	64.55	100.42	40
YMa	92.66	-20.69	90.75	93.08	103
LMa	83.63	-82.75	79.9	115.04	136
CMa	86.88	-46.16	-13.55	48.12	196
VMa	30.39	76.06	-103.59	128.52	306
MMa	57.3	94.35	-58.41	110.97	328
NMa	0.01	0.0	0.0	0.0	0
WMa	95.41	0.0	0.0	0.0	0
RCIE	39.92	58.74	27.99	65.07	25
JCIE	81.26	-2.88	71.56	71.62	92
GCIE	52.23	-42.41	13.6	44.55	162
BCIE	30.57	1.41	-46.46	46.49	272

Dreiecks-Helligkeit t^*

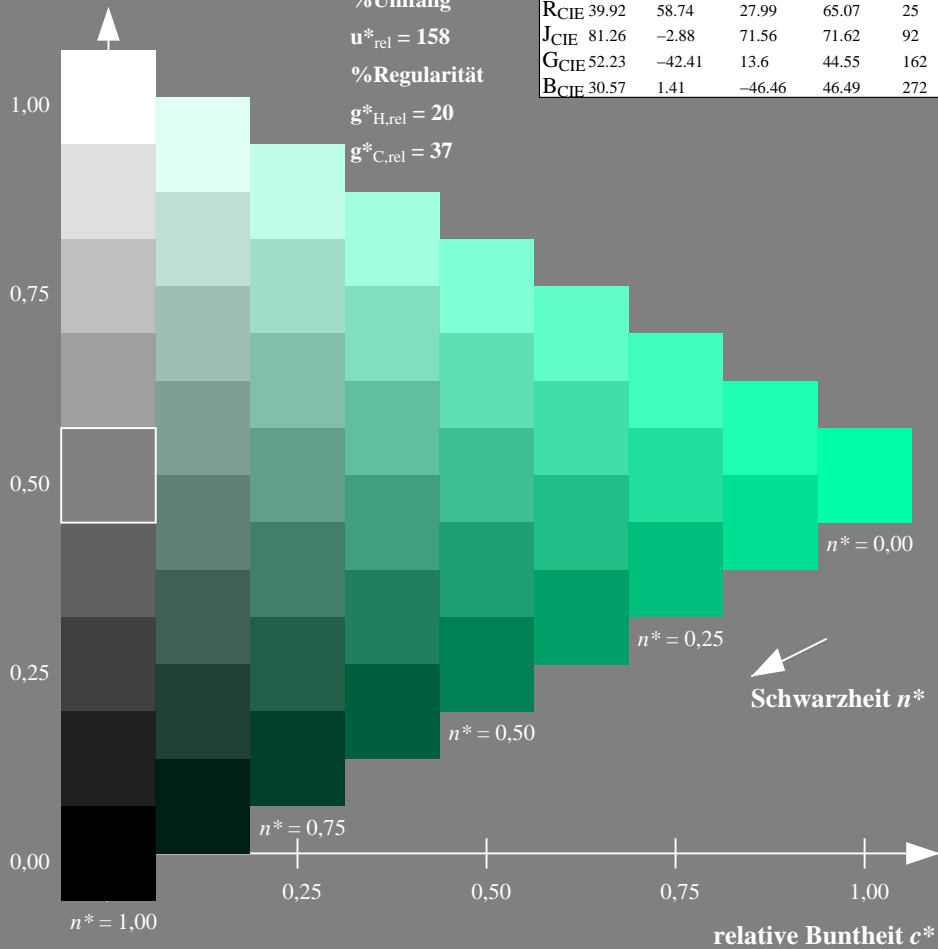
%Umfang

$u^*_{rel} = 158$

%Regularität

$g^*_{H,rel} = 20$

$g^*_{C,rel} = 37$



Ausgabe: Farbmetrisches Fernseh-Licht-System TLS18

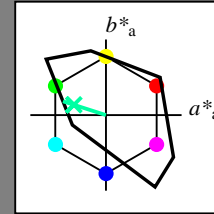
für Buntton $h^* = lab^*h = 162/360 = 0.451$

lab^*tch und lab^*nch

D65: Buntton G

LCH*Ma: 86 60 162

olv*Ma: 0.0 1.0 0.64



TLS18; adaptierte CIELAB-Daten

	$L^*=L^*_a$	a^*_a	b^*_a	$C^*_{ab,a}$	$h^*_{ab,a}$
OMa	52.76	71.63	49.88	87.29	35
YMa	92.74	-20.02	84.97	87.3	103
LMa	84.0	-78.98	73.94	108.2	137
CMa	87.14	-44.41	-13.11	46.32	196
VMa	35.47	64.92	-95.06	115.12	304
MMa	59.01	89.33	-55.67	105.26	328
NMa	18.01	0.0	0.0	0.0	0
WMa	95.41	0.0	0.0	0.0	0
RCIE	39.92	58.74	27.99	65.07	25
JCIE	81.26	-2.88	71.56	71.62	92
GCIE	52.23	-42.41	13.6	44.55	162
BCIE	30.57	1.41	-46.46	46.49	272

Dreiecks-Helligkeit t^*

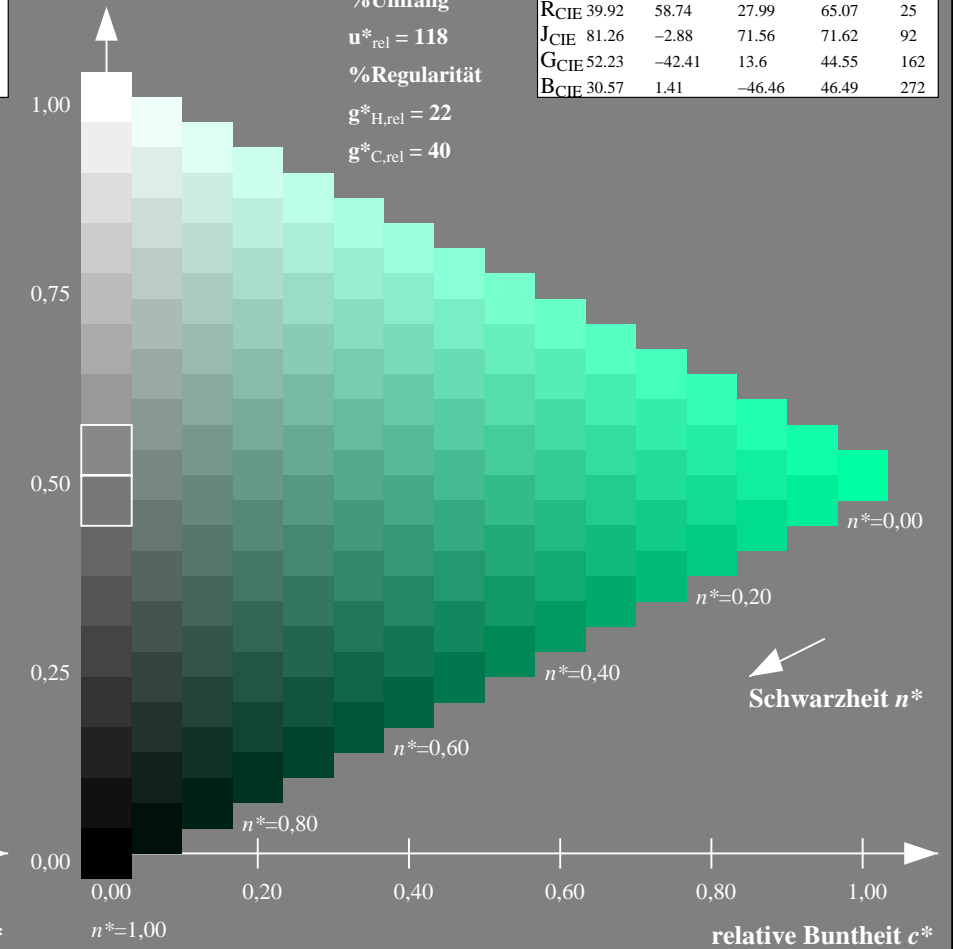
%Umfang

$u^*_{rel} = 118$

%Regularität

$g^*_{H,rel} = 22$

$g^*_{C,rel} = 40$



NG900-7, 9stufige Reihen für konstanten CIELAB Buntton $162/360 = 0.451$ (links)

16stufige Reihen für konstanten CIELAB Buntton $162/360 = 0.451$ (rechts)

Eingabe: Farbmetrisches Fernseh-Licht-System TLS00

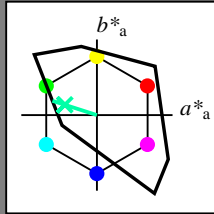
für Buntton $h^* = lab^*h = 162/360 = 0.451$

lab^*tch und lab^*nch

D65: Buntton G

LCH*Ma: 86 62 162

olv*Ma: 0.0 1.0 0.65



TLS00; adaptierte CIELAB-Daten

	$L^*=L^*_a$	a^*_a	b^*_a	$C^*_{ab,a}$	$h^*_{ab,a}$
OMa	50.5	76.92	64.55	100.42	40
YMa	92.66	-20.69	90.75	93.08	103
LMa	83.63	-82.75	79.9	115.04	136
CMa	86.88	-46.16	-13.55	48.12	196
VMa	30.39	76.06	-103.59	128.52	306
MMa	57.3	94.35	-58.41	110.97	328
NMa	0.01	0.0	0.0	0.0	0
WMa	95.41	0.0	0.0	0.0	0
RCIE	39.92	58.74	27.99	65.07	25
JCIE	81.26	-2.88	71.56	71.62	92
GCIE	52.23	-42.41	13.6	44.55	162
BCIE	30.57	1.41	-46.46	46.49	272

Dreiecks-Helligkeit t^*

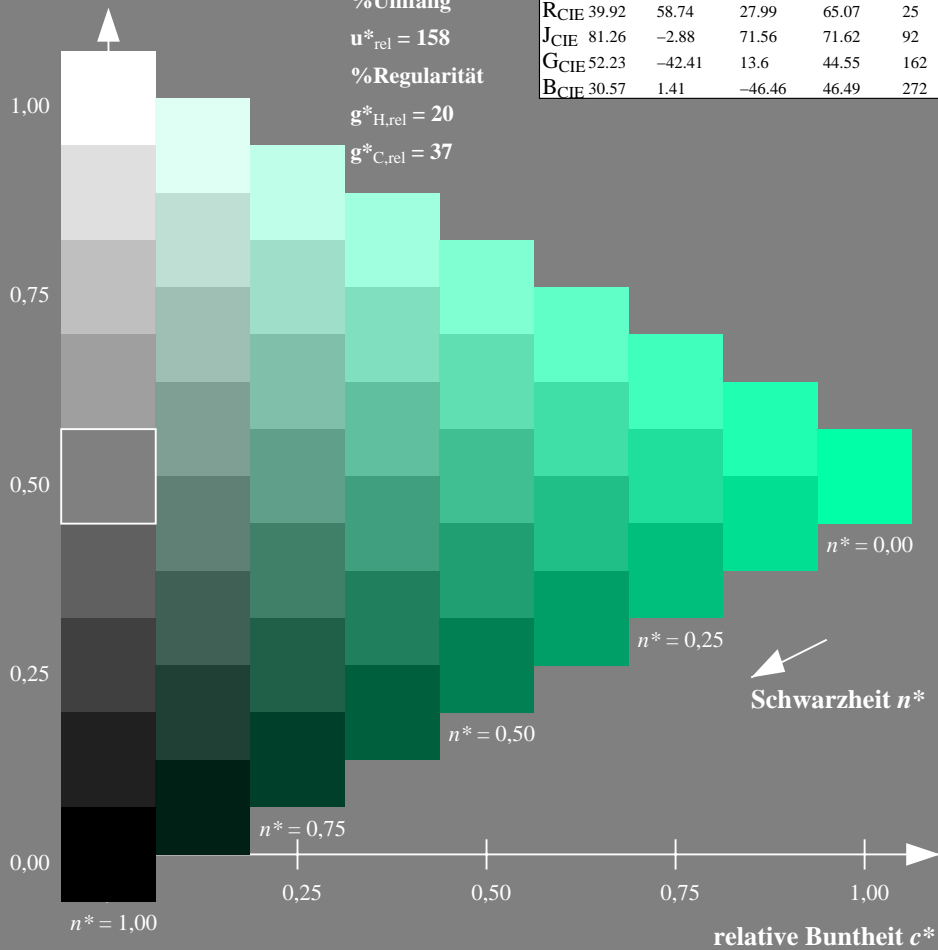
%Umfang

$u^*_{rel} = 158$

%Regularität

$g^*_{H,rel} = 20$

$g^*_{C,rel} = 37$



Ausgabe: Farbmetrisches Natürliches-Licht-System NLS00

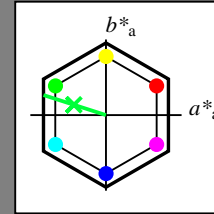
für Buntton $h^* = lab^*h = 162/360 = 0.451$

lab^*tch und lab^*nch

D65: Buntton G

LCH*Ma: 39 87 162

olv*Ma: 0.0 1.0 0.22



NLS00; adaptierte CIELAB-Daten

	$L^*=L^*_a$	a^*_a	b^*_a	$C^*_{ab,a}$	$h^*_{ab,a}$
OMa	31.81	82.62	47.7	95.4	30
YMa	63.61	0.0	95.4	95.4	90
LMa	31.81	-82.61	47.7	95.4	150
CMa	63.61	-82.61	-47.69	95.4	210
VMa	31.81	0.0	-95.39	95.4	270
MMa	63.61	82.62	-47.69	95.4	330
NMa	0.01	0.0	0.0	0.0	0
WMa	95.41	0.0	0.0	0.0	0
RCIE	39.92	58.74	27.99	65.07	25
JCIE	81.26	-2.88	71.56	71.62	92
GCIE	52.23	-42.41	13.6	44.55	162
BCIE	30.57	1.41	-46.46	46.49	272

Dreiecks-Helligkeit t^*

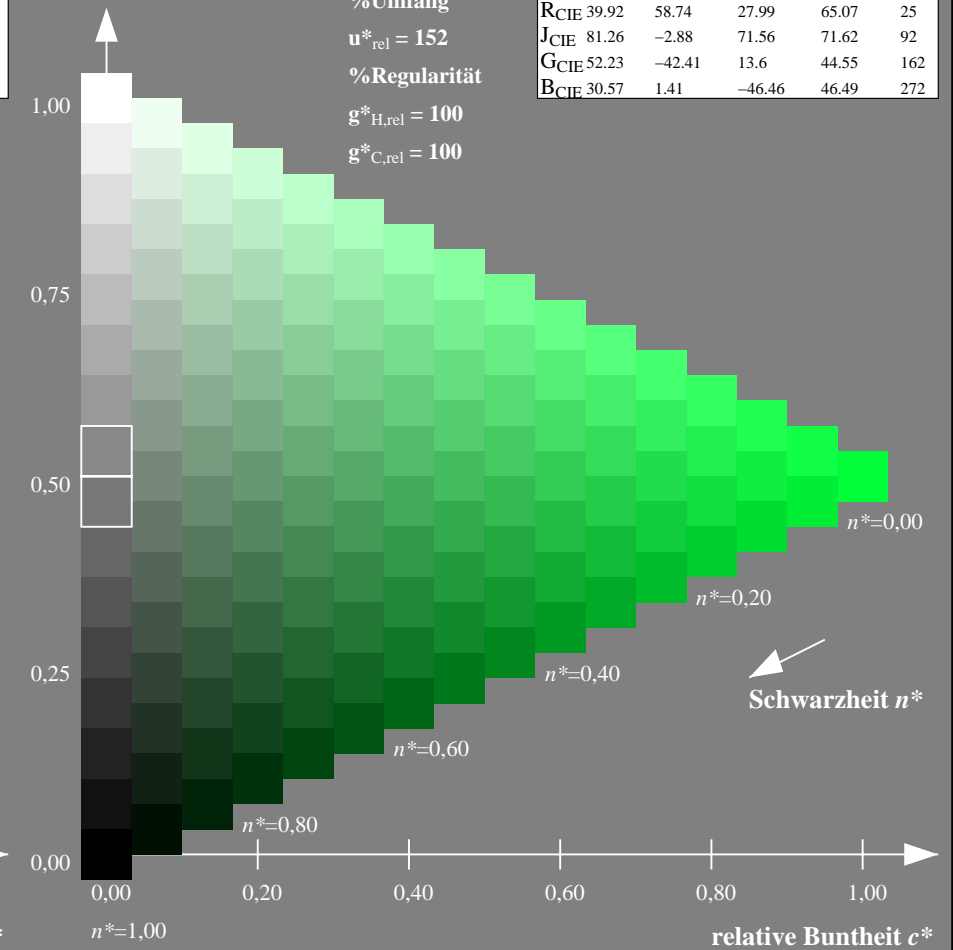
%Umfang

$u^*_{rel} = 152$

%Regularität

$g^*_{H,rel} = 100$

$g^*_{C,rel} = 100$



NG900-7, 9stufige Reihen für konstanten CIELAB Buntton $162/360 = 0.451$ (links)

16stufige Reihen für konstanten CIELAB Buntton $162/360 = 0.451$ (rechts)

Eingabe: Farbmetrisches Fernseh-Licht-System TLS00

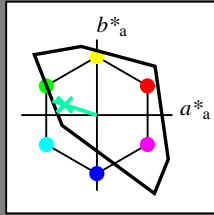
für Buntton $h^* = lab^*h = 162/360 = 0.451$

lab^*tch und lab^*nch

D65: Buntton G

LCH*Ma: 86 62 162

olv*Ma: 0.0 1.0 0.65



TLS00; adaptierte CIELAB-Daten

	$L^*=L^*_a$	a^*_a	b^*_a	$C^*_{ab,a}$	$h^*_{ab,a}$
OMa	50.5	76.92	64.55	100.42	40
YMa	92.66	-20.69	90.75	93.08	103
LMa	83.63	-82.75	79.9	115.04	136
CMa	86.88	-46.16	-13.55	48.12	196
VMa	30.39	76.06	-103.59	128.52	306
MMa	57.3	94.35	-58.41	110.97	328
NMa	0.01	0.0	0.0	0.0	0
WMa	95.41	0.0	0.0	0.0	0
RCIE	39.92	58.74	27.99	65.07	25
JCIE	81.26	-2.88	71.56	71.62	92
GCIE	52.23	-42.41	13.6	44.55	162
BCIE	30.57	1.41	-46.46	46.49	272

Dreiecks-Helligkeit t^*

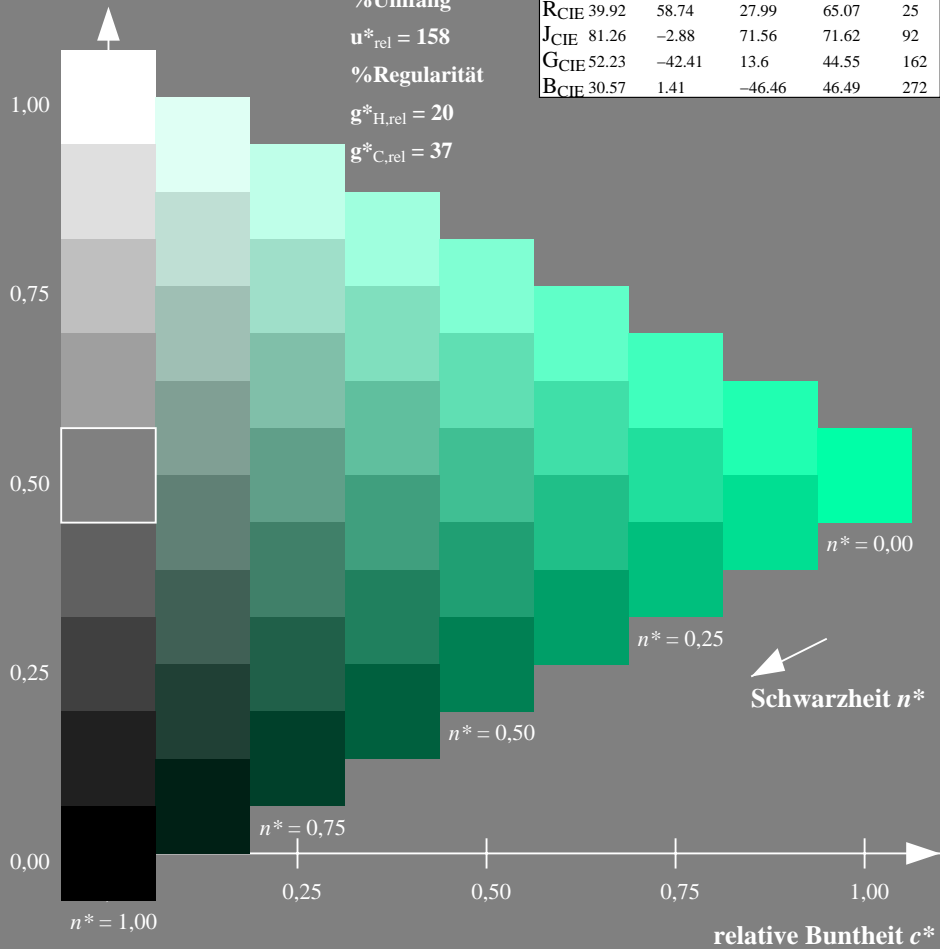
%Umfang

$u^*_{rel} = 158$

%Regularität

$g^*_{H,rel} = 20$

$g^*_{C,rel} = 37$



Ausgabe: Farbmetrisches Natürliches-Reflektiv-System NRS18

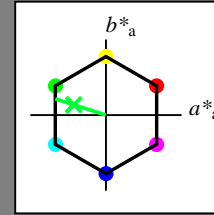
für Buntton $h^* = lab^*h = 162/360 = 0.451$

lab^*tch und lab^*nch

D65: Buntton G

LCH*Ma: 50 70 162

olv*Ma: 0.0 1.0 0.22



NRS18; adaptierte CIELAB-Daten

	$L^*=L^*_a$	a^*_a	b^*_a	$C^*_{ab,a}$	$h^*_{ab,a}$
OMa	43.81	67.03	38.7	77.4	30
YMa	69.61	0.0	77.4	77.4	90
LMa	43.81	-67.02	38.7	77.4	150
CMa	69.61	-67.02	-38.69	77.4	210
VMa	43.81	0.0	-77.39	77.4	270
MMa	69.61	67.03	-38.69	77.4	330
NMa	18.01	0.0	0.0	0.0	0
WMa	95.41	0.0	0.0	0.0	0
RCIE	39.92	58.74	27.99	65.07	25
JCIE	81.26	-2.88	71.56	71.62	92
GCIE	52.23	-42.41	13.6	44.55	162
BCIE	30.57	1.41	-46.46	46.49	272

Dreiecks-Helligkeit t^*

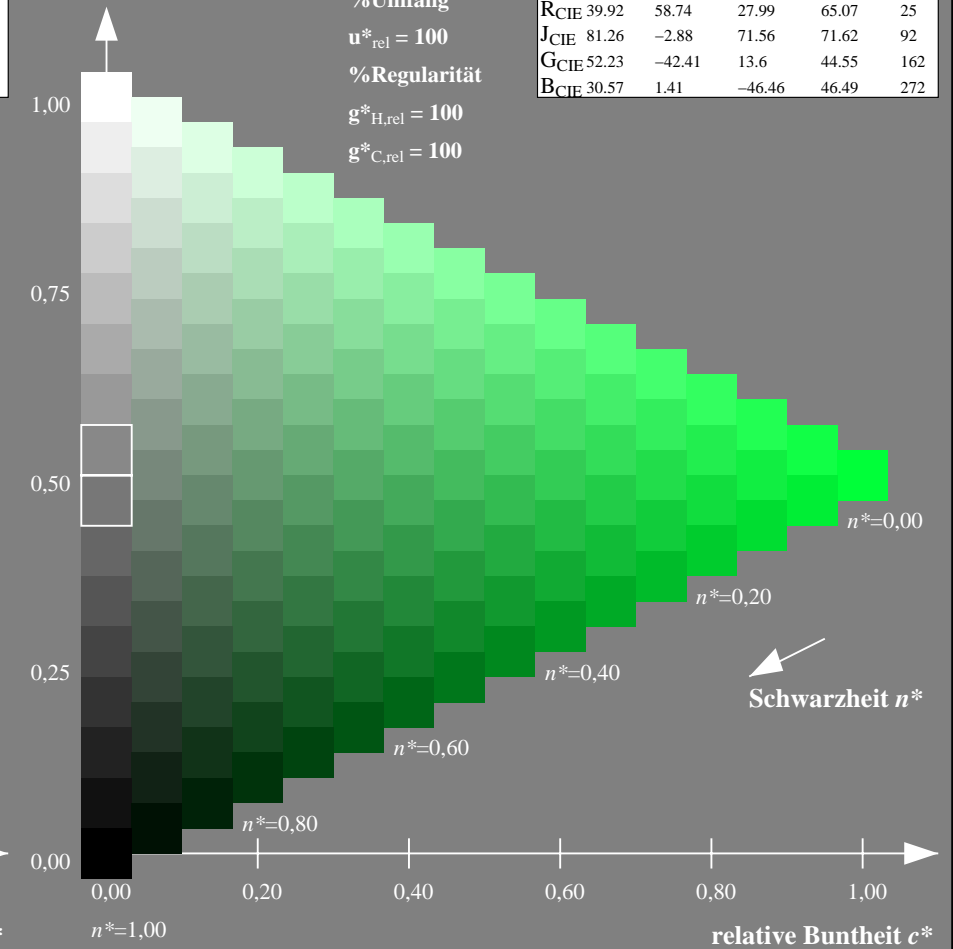
%Umfang

$u^*_{rel} = 100$

%Regularität

$g^*_{H,rel} = 100$

$g^*_{C,rel} = 100$



NG900-7, 9stufige Reihen für konstanten CIELAB Buntton $162/360 = 0.451$ (links)

16stufige Reihen für konstanten CIELAB Buntton $162/360 = 0.451$ (rechts)

Eingabe: Farbmetrisches Fernseh-Licht-System TLS00

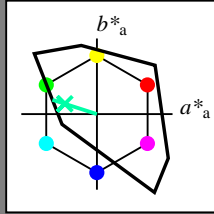
für Buntton $h^* = lab^*h = 162/360 = 0.451$

lab^*tch und lab^*nch

D65: Buntton G

LCH*Ma: 86 62 162

olv*Ma: 0.0 1.0 0.65



TLS00; adaptierte CIELAB-Daten

	$L^*=L^*_a$	a^*_a	b^*_a	$C^*_{ab,a}$	$h^*_{ab,a}$
OMa	50.5	76.92	64.55	100.42	40
YMa	92.66	-20.69	90.75	93.08	103
LMa	83.63	-82.75	79.9	115.04	136
CMa	86.88	-46.16	-13.55	48.12	196
VMa	30.39	76.06	-103.59	128.52	306
MMa	57.3	94.35	-58.41	110.97	328
NMa	0.01	0.0	0.0	0.0	0
WMa	95.41	0.0	0.0	0.0	0
RCIE	39.92	58.74	27.99	65.07	25
JCIE	81.26	-2.88	71.56	71.62	92
GCIE	52.23	-42.41	13.6	44.55	162
BCIE	30.57	1.41	-46.46	46.49	272

Dreiecks-Helligkeit t^*

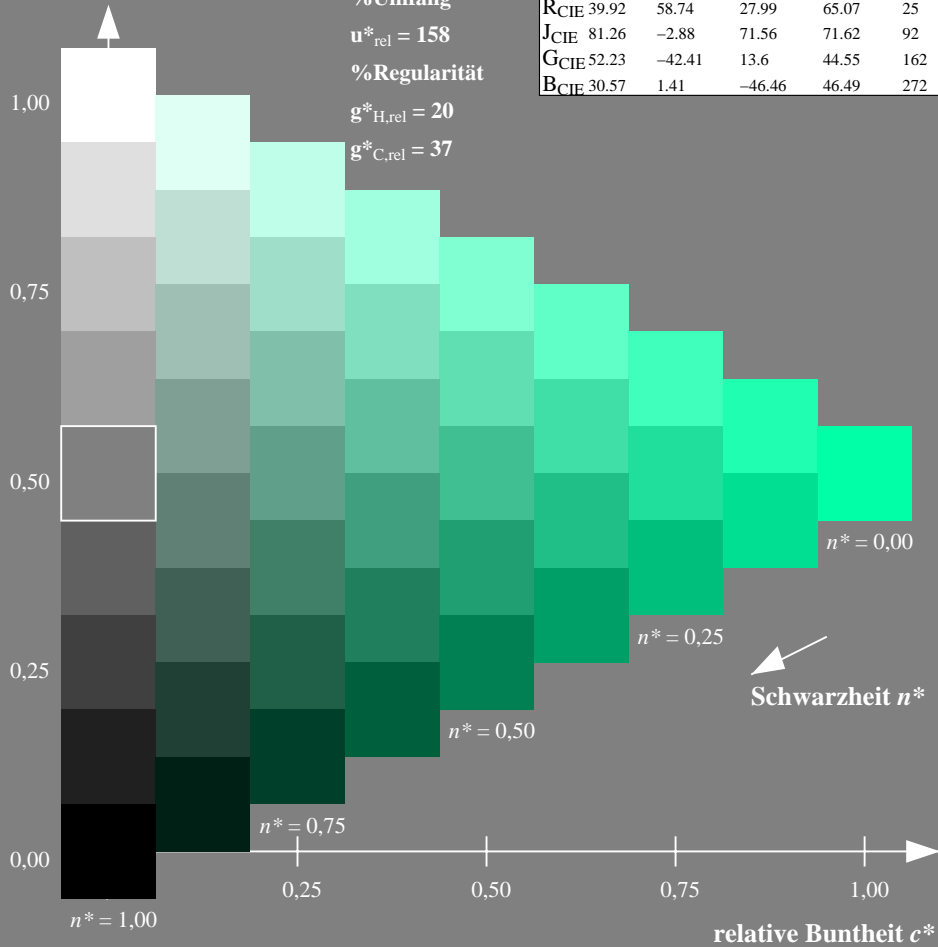
%Umfang

$u^*_{rel} = 158$

%Regularität

$g^*_{H,rel} = 20$

$g^*_{C,rel} = 37$



Ausgabe: Farbmetrisches Standard-Reflektiv-System SRS18

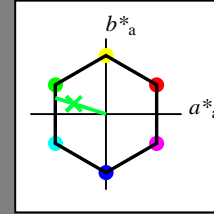
für Buntton $h^* = lab^*h = 162/360 = 0.451$

lab^*tch und lab^*nch

D65: Buntton G

LCH*Ma: 57 70 162

olv*Ma: 0.0 1.0 0.22



SRS18; adaptierte CIELAB-Daten

	$L^*=L^*_a$	a^*_a	b^*_a	$C^*_{ab,a}$	$h^*_{ab,a}$
OMa	56.71	67.03	38.7	77.4	30
YMa	56.71	0.0	77.4	77.4	90
LMa	56.71	-67.02	38.7	77.4	150
CMa	56.71	-67.02	-38.69	77.4	210
VMa	56.71	0.0	-77.39	77.4	270
MMa	56.71	67.03	-38.69	77.4	330
NMa	18.01	0.0	0.0	0.0	0
WMa	95.41	0.0	0.0	0.0	0
RCIE	39.92	58.74	27.99	65.07	25
JCIE	81.26	-2.88	71.56	71.62	92
GCIE	52.23	-42.41	13.6	44.55	162
BCIE	30.57	1.41	-46.46	46.49	272

Dreiecks-Helligkeit t^*

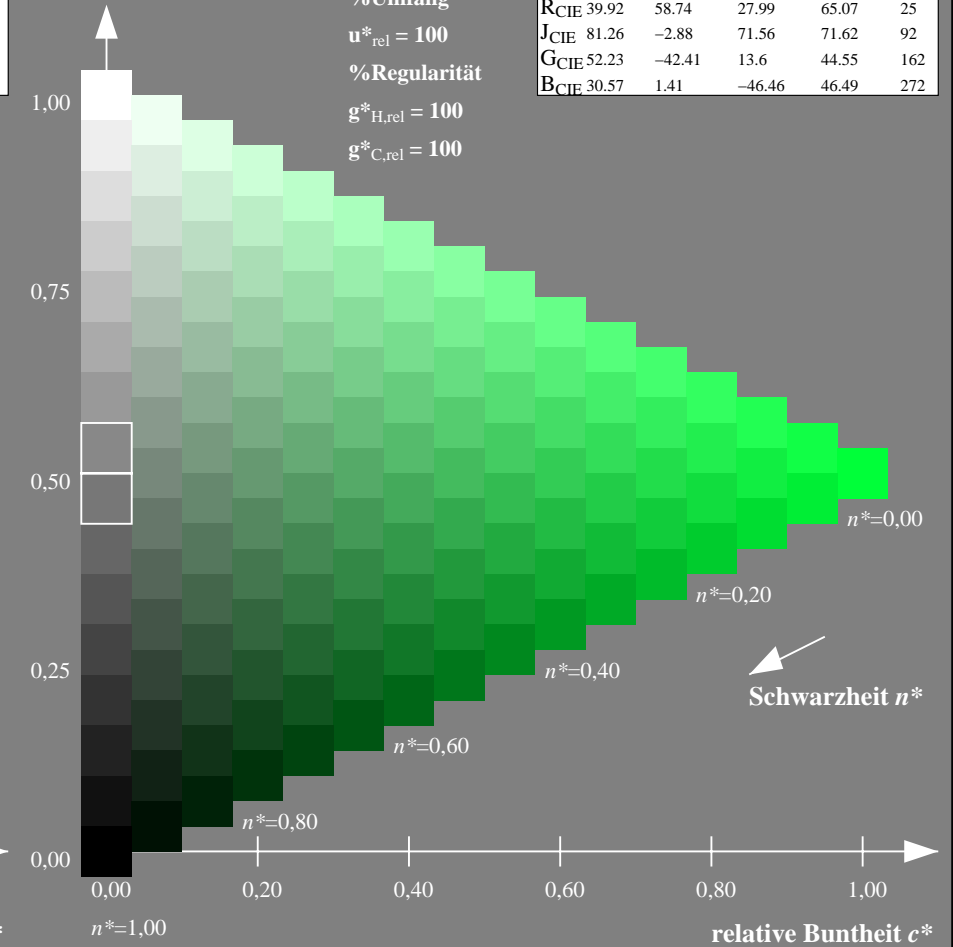
%Umfang

$u^*_{rel} = 100$

%Regularität

$g^*_{H,rel} = 100$

$g^*_{C,rel} = 100$



NG900-7, 9stufige Reihen für konstanten CIELAB Buntton $162/360 = 0.451$ (links)

16stufige Reihen für konstanten CIELAB Buntton $162/360 = 0.451$ (rechts)

Eingabe: Farbmetrisches Fernseh-Licht-System TLS00

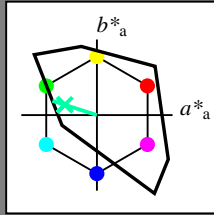
für Buntton $h^* = lab^*h = 162/360 = 0.451$

lab^*tch und lab^*nch

D65: Buntton G

LCH*Ma: 86 62 162

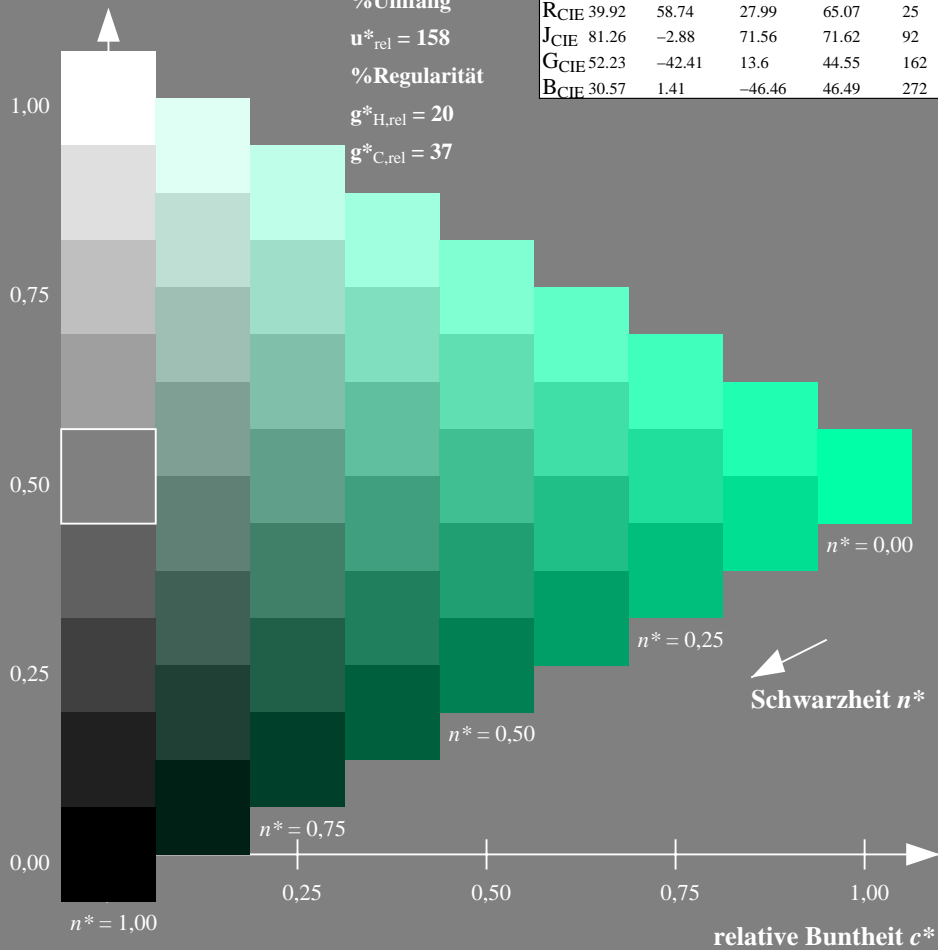
olv*Ma: 0.0 1.0 0.65



TLS00; adaptierte CIELAB-Daten

	$L^*=L^*_a$	a^*_a	b^*_a	$C^*_{ab,a}$	$h^*_{ab,a}$
OMa	50.5	76.92	64.55	100.42	40
YMa	92.66	-20.69	90.75	93.08	103
LMa	83.63	-82.75	79.9	115.04	136
CMa	86.88	-46.16	-13.55	48.12	196
VMa	30.39	76.06	-103.59	128.52	306
MMa	57.3	94.35	-58.41	110.97	328
NMa	0.01	0.0	0.0	0.0	0
WMa	95.41	0.0	0.0	0.0	0
RCIE	39.92	58.74	27.99	65.07	25
JCIE	81.26	-2.88	71.56	71.62	92
GCIE	52.23	-42.41	13.6	44.55	162
BCIE	30.57	1.41	-46.46	46.49	272

Dreiecks-Helligkeit t^*



Ausgabe: Farbmetrisches Fernseh-Licht-System TLS70

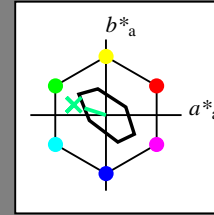
für Buntton $h^* = lab^*h = 162/360 = 0.451$

lab^*tch und lab^*nch

D65: Buntton G

LCH*Ma: 90 30 162

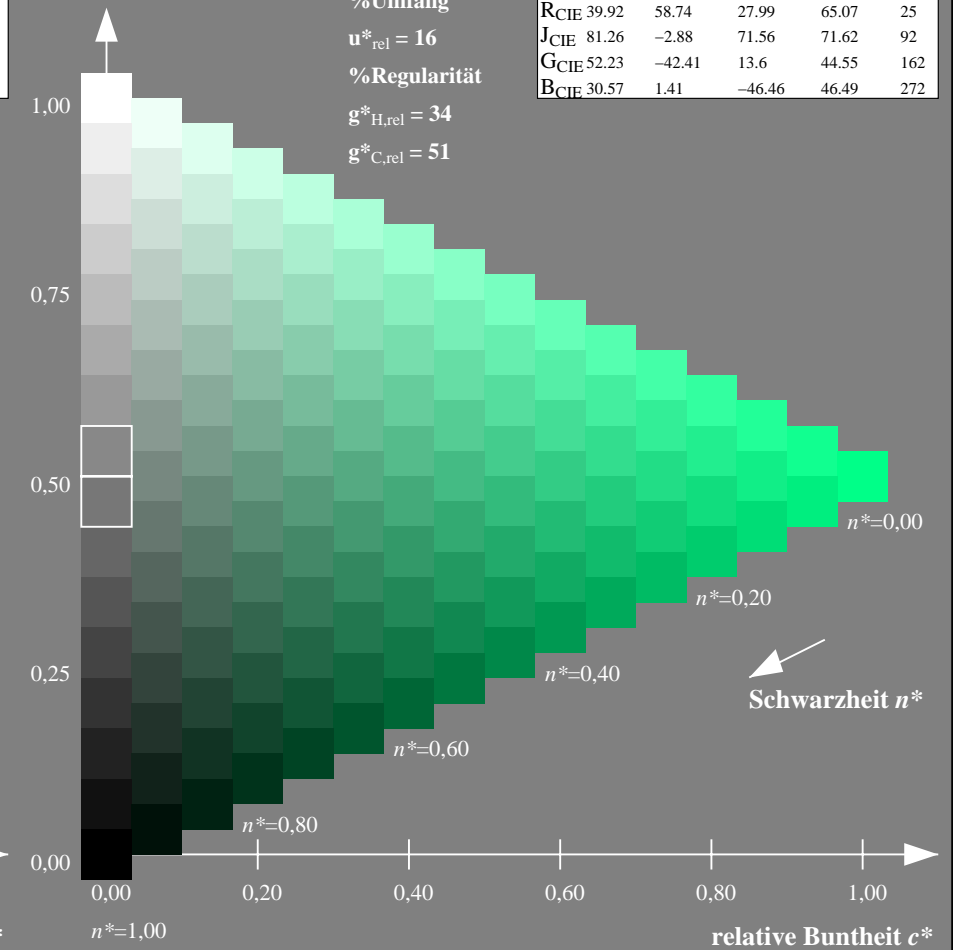
olv*Ma: 0.0 1.0 0.53



TLS70; adaptierte CIELAB-Daten

	$L^*=L^*_a$	a^*_a	b^*_a	$C^*_{ab,a}$	$h^*_{ab,a}$
OMa	76.43	26.27	10.57	28.32	22
YMa	93.93	-10.76	34.63	36.27	107
LMa	89.32	-35.8	27.64	45.24	142
CMa	90.93	-21.95	-7.07	23.07	198
VMa	72.1	15.76	-35.63	38.97	294
MMa	78.5	37.52	-25.23	45.22	326
NMa	69.7	0.0	0.0	0.0	0
WMa	95.41	0.0	0.0	0.0	0
RCIE	39.92	58.74	27.99	65.07	25
JCIE	81.26	-2.88	71.56	71.62	92
GCIE	52.23	-42.41	13.6	44.55	162
BCIE	30.57	1.41	-46.46	46.49	272

Dreiecks-Helligkeit t^*



NG900-7, 9stufige Reihen für konstanten CIELAB Buntton $162/360 = 0.451$ (links)

16stufige Reihen für konstanten CIELAB Buntton $162/360 = 0.451$ (rechts)

Eingabe: Farbmetrisches Drucker-Reflektiv-System DRSXX

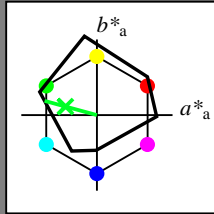
für Buntton $h^* = lab^*h = 165/360 = 0.458$

lab^*tch und lab^*nch

D65: Buntton G

LCH*Ma: 49 72 165

olv*Ma: 0.0 1.0 0.15



DRSXX; adaptierte CIELAB-Daten

	$L^*=L^*_a$	a^*_a	b^*_a	$C^*_{ab,a}$	$h^*_{ab,a}$
O _{Ma}	42.21	66.82	50.6	83.82	37
Y _{Ma}	90.32	-16.51	104.33	105.63	99
L _{Ma}	48.21	-75.63	30.65	81.61	158
C _{Ma}	53.44	-33.33	-47.49	58.03	235
V _{Ma}	34.16	-0.92	-46.56	46.58	269
M _{Ma}	42.71	79.0	-1.95	79.03	359
N _{Ma}	16.56	0.0	0.0	0.0	0
W _{Ma}	96.31	0.0	0.0	0.0	0
R _{CIE}	39.92	59.78	25.77	65.1	23
J _{CIE}	81.26	-2.51	69.07	69.11	92
G _{CIE}	52.23	-41.57	11.3	43.09	165
B _{CIE}	30.57	2.6	-48.62	48.7	273

Dreiecks-Helligkeit t^*

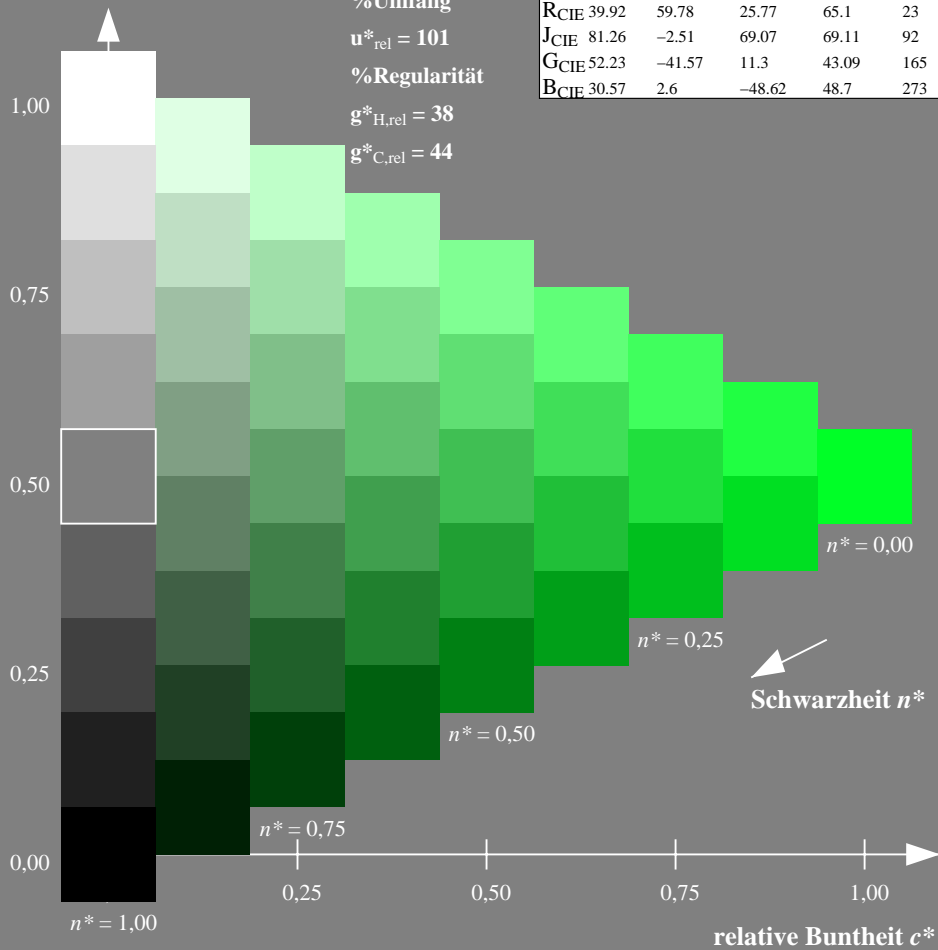
%Umfang

$u^*_{rel} = 101$

%Regularität

$g^*_{H,rel} = 38$

$g^*_{C,rel} = 44$



Ausgabe: Farbmetrisches Offset-Reflektiv-System ORS18

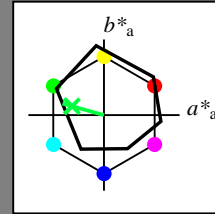
für Buntton $h^* = lab^*h = 164/360 = 0.457$

lab^*tch und lab^*nch

D65: Buntton G

LCH*Ma: 53 57 164

olv*Ma: 0.0 1.0 0.25



ORS18; adaptierte CIELAB-Daten

	$L^*=L^*_a$	a^*_a	b^*_a	$C^*_{ab,a}$	$h^*_{ab,a}$
O _{Ma}	47.94	65.39	50.52	82.63	38
Y _{Ma}	90.37	-10.26	91.75	92.32	96
L _{Ma}	50.9	-62.83	34.96	71.91	151
C _{Ma}	58.62	-30.34	-45.01	54.3	236
V _{Ma}	25.72	31.1	-44.4	54.22	305
M _{Ma}	48.13	75.28	-8.36	75.74	354
N _{Ma}	18.01	0.0	0.0	0.0	0
W _{Ma}	95.41	0.0	0.0	0.0	0
R _{CIE}	39.92	58.66	26.98	64.57	25
J _{CIE}	81.26	-2.16	67.76	67.79	92
G _{CIE}	52.23	-42.25	11.76	43.87	164
B _{CIE}	30.57	1.15	-46.84	46.86	271

Dreiecks-Helligkeit t^*

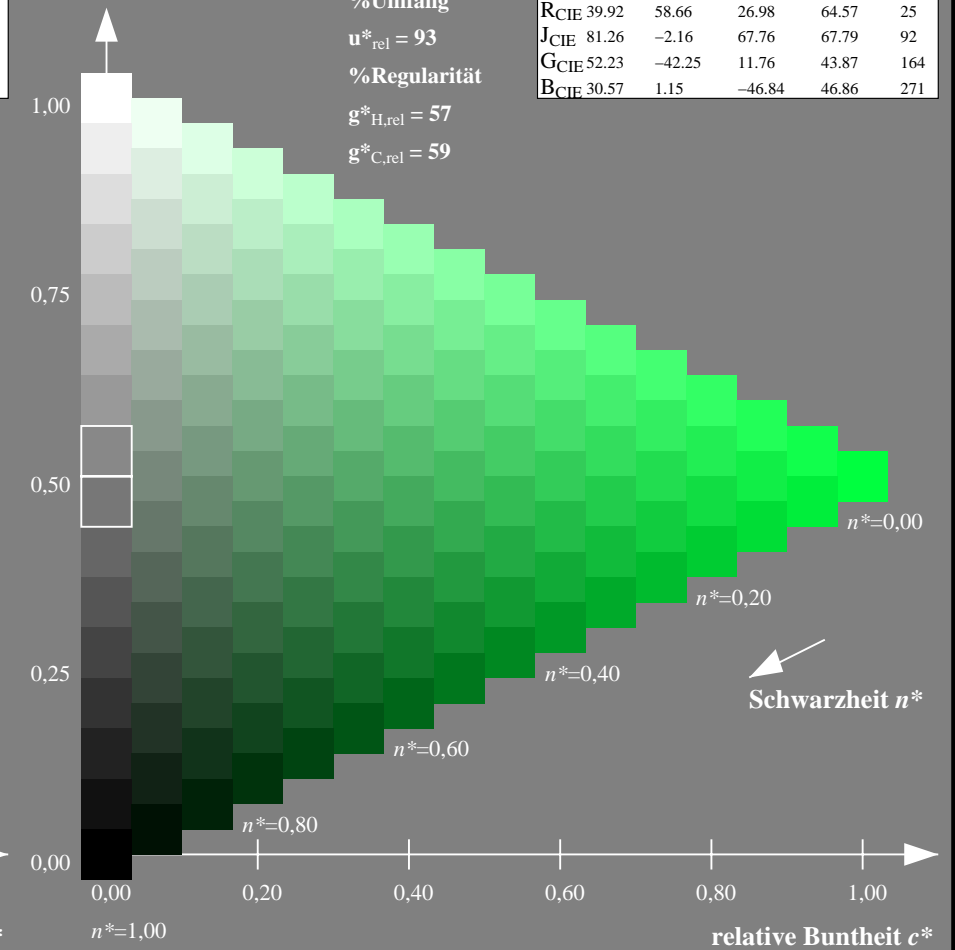
%Umfang

$u^*_{rel} = 93$

%Regularität

$g^*_{H,rel} = 57$

$g^*_{C,rel} = 59$



NG900-7, 9stufige Reihen für konstanten CIELAB Buntton $165/360 = 0.458$ (links)

16stufige Reihen für konstanten CIELAB Buntton $164/360 = 0.457$ (rechts)

Eingabe: Farbmetrisches Drucker-Reflektiv-System DRSXX

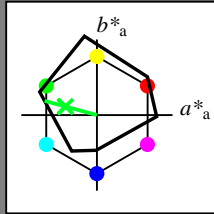
für Buntton $h^* = lab^*h = 165/360 = 0.458$

lab^*tch und lab^*nch

D65: Buntton G

LCH*Ma: 49 72 165

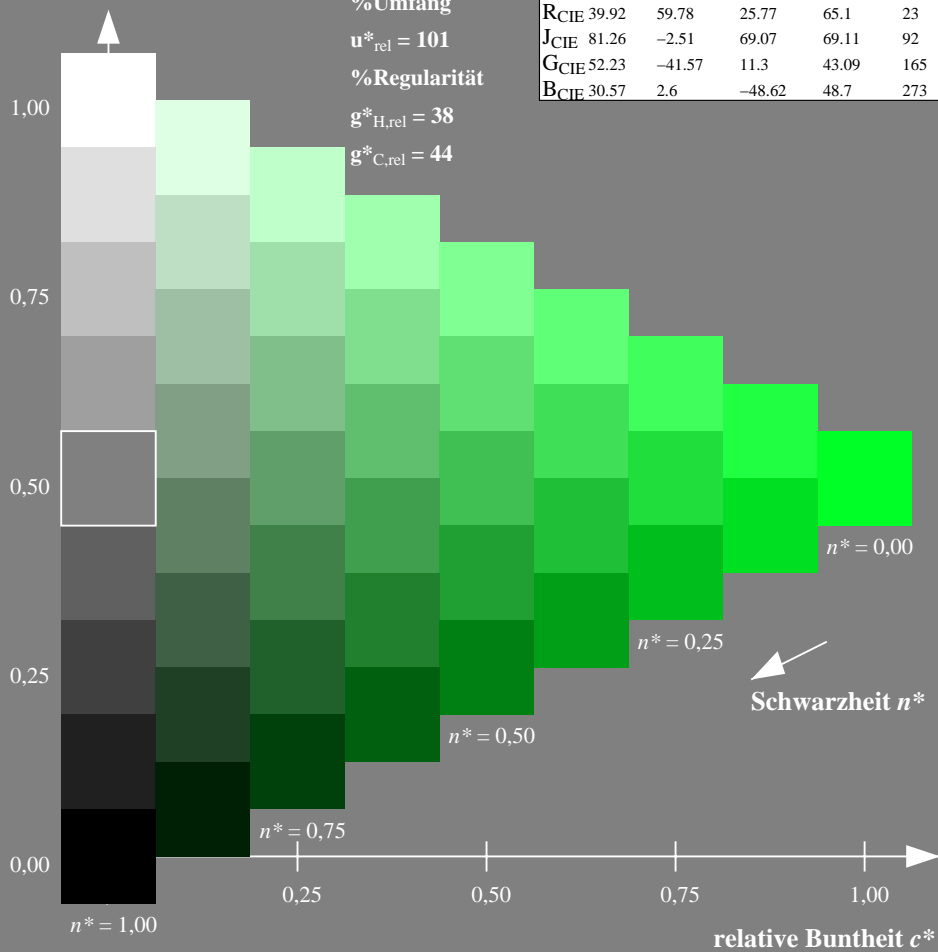
olv*Ma: 0.0 1.0 0.15



DRSXX; adaptierte CIELAB-Daten

	$L^*=L^*_a$	a^*_a	b^*_a	$C^*_{ab,a}$	$h^*_{ab,a}$
OMa	42.21	66.82	50.6	83.82	37
YMa	90.32	-16.51	104.33	105.63	99
LMa	48.21	-75.63	30.65	81.61	158
CMa	53.44	-33.33	-47.49	58.03	235
VMa	34.16	-0.92	-46.56	46.58	269
MMa	42.71	79.0	-1.95	79.03	359
NMa	16.56	0.0	0.0	0.0	0
WMa	96.31	0.0	0.0	0.0	0
RCIE	39.92	59.78	25.77	65.1	23
JCIE	81.26	-2.51	69.07	69.11	92
GCIE	52.23	-41.57	11.3	43.09	165
BCIE	30.57	2.6	-48.62	48.7	273

Dreiecks-Helligkeit t^*



Ausgabe: Farbmetrisches Fernseh-Licht-System TLS00

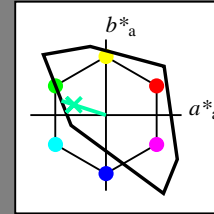
für Buntton $h^* = lab^*h = 162/360 = 0.451$

lab^*tch und lab^*nch

D65: Buntton G

LCH*Ma: 86 62 162

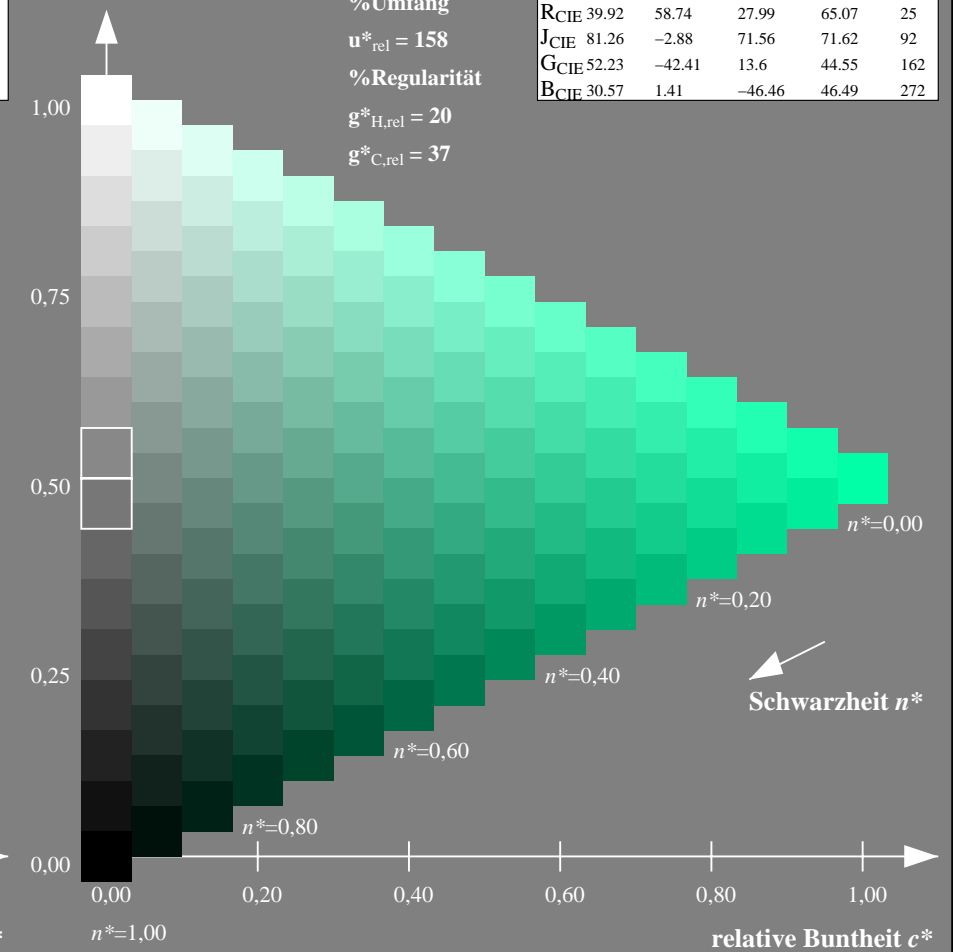
olv*Ma: 0.0 1.0 0.65



TLS00; adaptierte CIELAB-Daten

	$L^*=L^*_a$	a^*_a	b^*_a	$C^*_{ab,a}$	$h^*_{ab,a}$
OMa	50.5	76.92	64.55	100.42	40
YMa	92.66	-20.69	90.75	93.08	103
LMa	83.63	-82.75	79.9	115.04	136
CMa	86.88	-46.16	-13.55	48.12	196
VMa	30.39	76.06	-103.59	128.52	306
MMa	57.3	94.35	-58.41	110.97	328
NMa	0.01	0.0	0.0	0.0	0
WMa	95.41	0.0	0.0	0.0	0
RCIE	39.92	58.74	27.99	65.07	25
JCIE	81.26	-2.88	71.56	71.62	92
GCIE	52.23	-42.41	13.6	44.55	162
BCIE	30.57	1.41	-46.46	46.49	272

Dreiecks-Helligkeit t^*



NG900-7, 9stufige Reihen für konstanten CIELAB Buntton $165/360 = 0.458$ (links)

16stufige Reihen für konstanten CIELAB Buntton $162/360 = 0.451$ (rechts)

Eingabe: Farbmetrisches Drucker-Reflektiv-System DRSXX

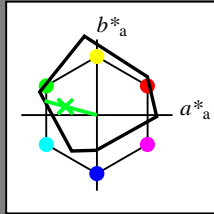
für Buntton $h^* = lab^*h = 165/360 = 0.458$

lab^*tch und lab^*nch

D65: Buntton G

LCH*Ma: 49 72 165

olv*Ma: 0.0 1.0 0.15



DRSXX; adaptierte CIELAB-Daten

	$L^*=L^*_a$	a^*_a	b^*_a	$C^*_{ab,a}$	$h^*_{ab,a}$
OMa	42.21	66.82	50.6	83.82	37
YMa	90.32	-16.51	104.33	105.63	99
LMa	48.21	-75.63	30.65	81.61	158
CMa	53.44	-33.33	-47.49	58.03	235
VMa	34.16	-0.92	-46.56	46.58	269
MMa	42.71	79.0	-1.95	79.03	359
NMa	16.56	0.0	0.0	0.0	0
WMa	96.31	0.0	0.0	0.0	0
RCIE	39.92	59.78	25.77	65.1	23
JCIE	81.26	-2.51	69.07	69.11	92
GCIE	52.23	-41.57	11.3	43.09	165
BCIE	30.57	2.6	-48.62	48.7	273

Dreiecks-Helligkeit t^*

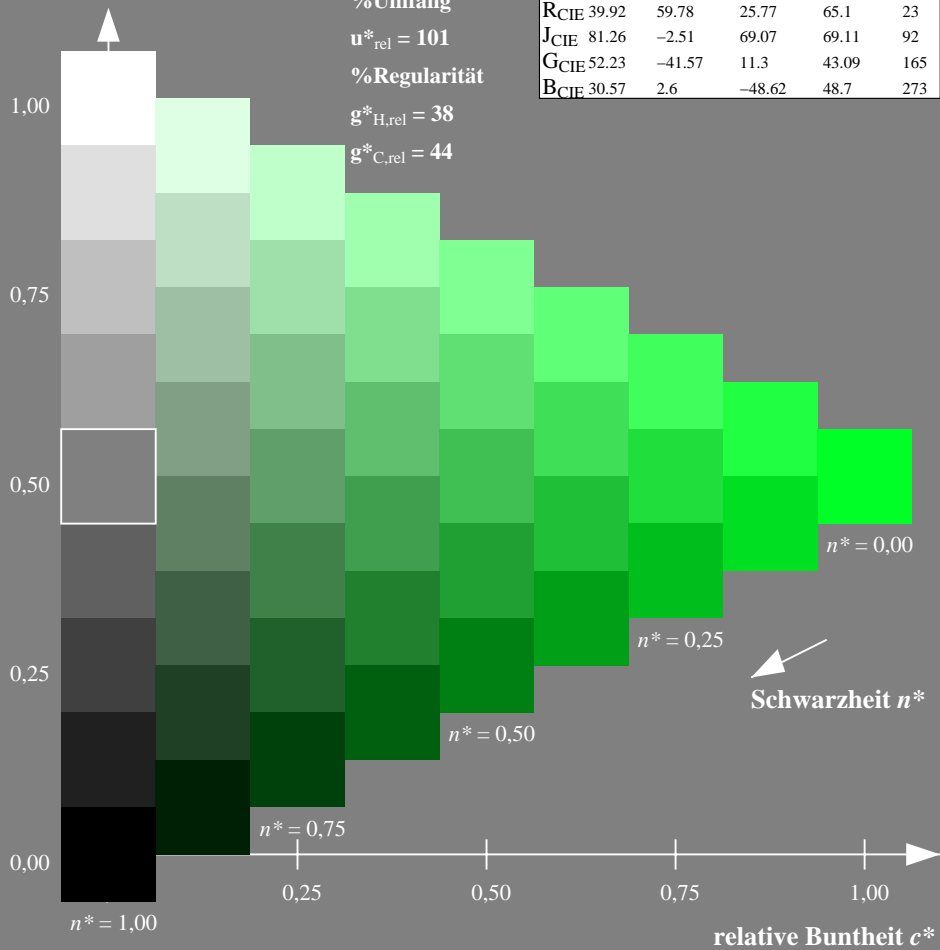
%Umfang

$u^*_{rel} = 101$

%Regularität

$g^*_{H,rel} = 38$

$g^*_{C,rel} = 44$



Schwarzheit n^*

Ausgabe: Farbmetrisches Drucker-Reflektiv-System DRSXX

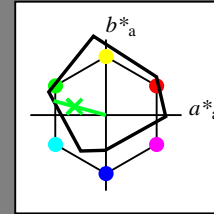
für Buntton $h^* = lab^*h = 165/360 = 0.458$

lab^*tch und lab^*nch

D65: Buntton G

LCH*Ma: 49 72 165

olv*Ma: 0.0 1.0 0.15



DRSXX; adaptierte CIELAB-Daten

	$L^*=L^*_a$	a^*_a	b^*_a	$C^*_{ab,a}$	$h^*_{ab,a}$
OMa	42.21	66.82	50.6	83.82	37
YMa	90.32	-16.51	104.33	105.63	99
LMa	48.21	-75.63	30.65	81.61	158
CMa	53.44	-33.33	-47.49	58.03	235
VMa	34.16	-0.92	-46.56	46.58	269
MMa	42.71	79.0	-1.95	79.03	359
NMa	16.56	0.0	0.0	0.0	0
WMa	96.31	0.0	0.0	0.0	0
RCIE	39.92	59.78	25.77	65.1	23
JCIE	81.26	-2.51	69.07	69.11	92
GCIE	52.23	-41.57	11.3	43.09	165
BCIE	30.57	2.6	-48.62	48.7	273

Dreiecks-Helligkeit t^*

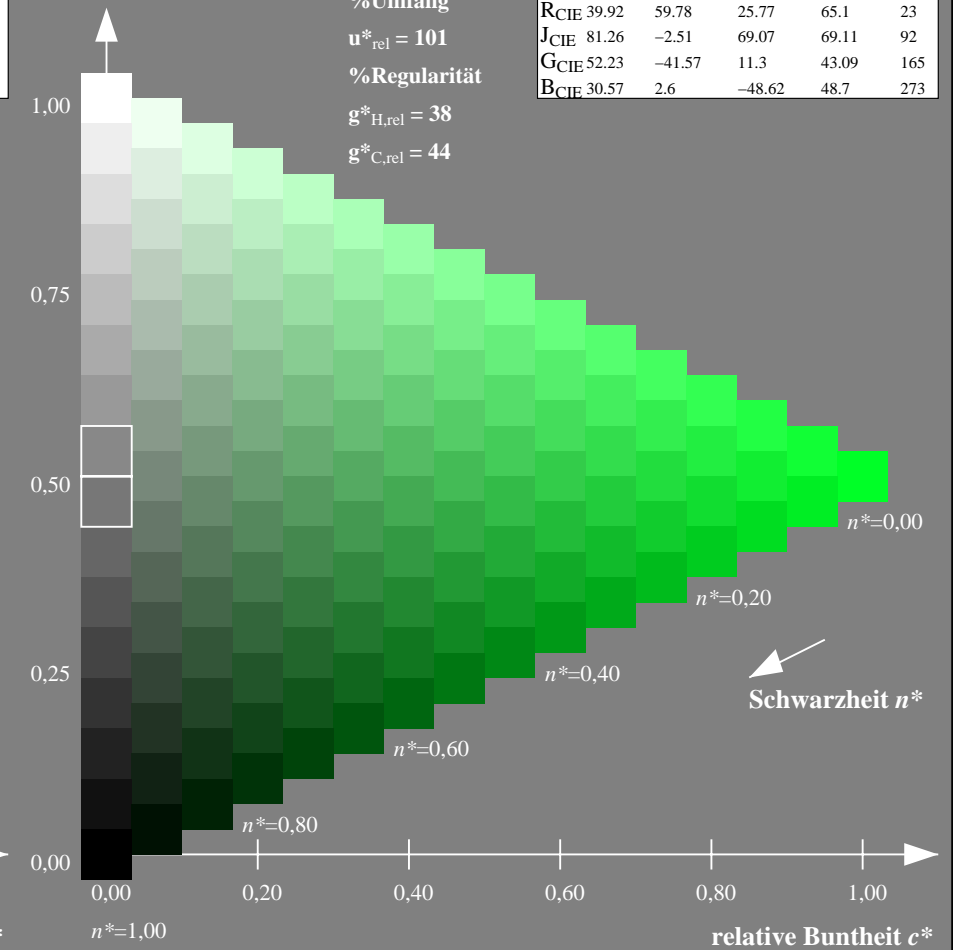
%Umfang

$u^*_{rel} = 101$

%Regularität

$g^*_{H,rel} = 38$

$g^*_{C,rel} = 44$



Schwarzheit n^*

NG900-7, 9stufige Reihen für konstanten CIELAB Buntton $165/360 = 0.458$ (links)

16stufige Reihen für konstanten CIELAB Buntton $165/360 = 0.458$ (rechts)

Eingabe: Farbmetrisches Drucker-Reflektiv-System DRSXX

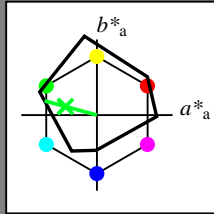
für Buntton $h^* = lab^*h = 165/360 = 0.458$

lab^*tch und lab^*nch

D65: Buntton G

LCH*Ma: 49 72 165

olv*Ma: 0.0 1.0 0.15



DRSXX; adaptierte CIELAB-Daten

	$L^*=L^*_a$	a^*_a	b^*_a	$C^*_{ab,a}$	$h^*_{ab,a}$
OMa	42.21	66.82	50.6	83.82	37
YMa	90.32	-16.51	104.33	105.63	99
LMa	48.21	-75.63	30.65	81.61	158
CMa	53.44	-33.33	-47.49	58.03	235
VMa	34.16	-0.92	-46.56	46.58	269
MMa	42.71	79.0	-1.95	79.03	359
NMa	16.56	0.0	0.0	0.0	0
WMa	96.31	0.0	0.0	0.0	0
RCIE	39.92	59.78	25.77	65.1	23
JCIE	81.26	-2.51	69.07	69.11	92
GCIE	52.23	-41.57	11.3	43.09	165
BCIE	30.57	2.6	-48.62	48.7	273

Dreiecks-Helligkeit t^*

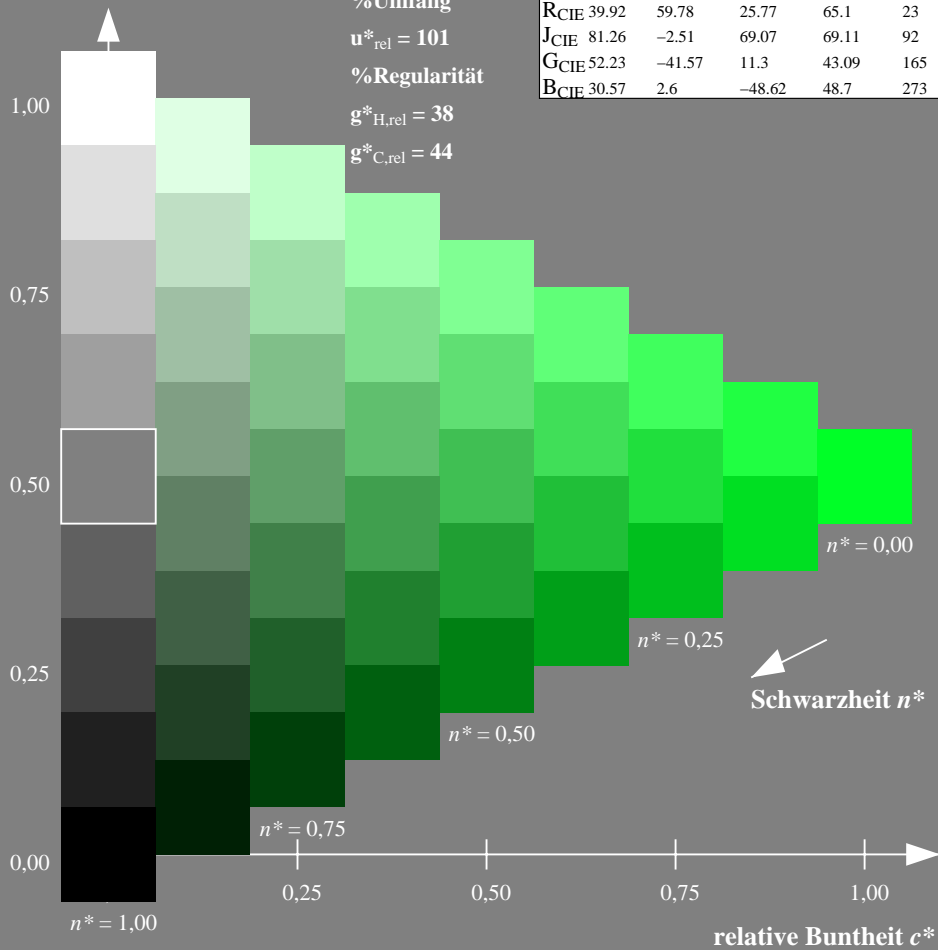
%Umfang

$u^*_{rel} = 101$

%Regularität

$g^*_{H,rel} = 38$

$g^*_{C,rel} = 44$



Ausgabe: Farbmetrisches Fernseh-Licht-System TLS18

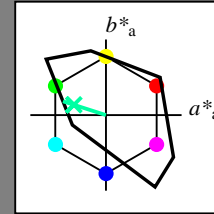
für Buntton $h^* = lab^*h = 162/360 = 0.451$

lab^*tch und lab^*nch

D65: Buntton G

LCH*Ma: 86 60 162

olv*Ma: 0.0 1.0 0.64



TLS18; adaptierte CIELAB-Daten

	$L^*=L^*_a$	a^*_a	b^*_a	$C^*_{ab,a}$	$h^*_{ab,a}$
OMa	52.76	71.63	49.88	87.29	35
YMa	92.74	-20.02	84.97	87.3	103
LMa	84.0	-78.98	73.94	108.2	137
CMa	87.14	-44.41	-13.11	46.32	196
VMa	35.47	64.92	-95.06	115.12	304
MMa	59.01	89.33	-55.67	105.26	328
NMa	18.01	0.0	0.0	0.0	0
WMa	95.41	0.0	0.0	0.0	0
RCIE	39.92	58.74	27.99	65.07	25
JCIE	81.26	-2.88	71.56	71.62	92
GCIE	52.23	-42.41	13.6	44.55	162
BCIE	30.57	1.41	-46.46	46.49	272

Dreiecks-Helligkeit t^*

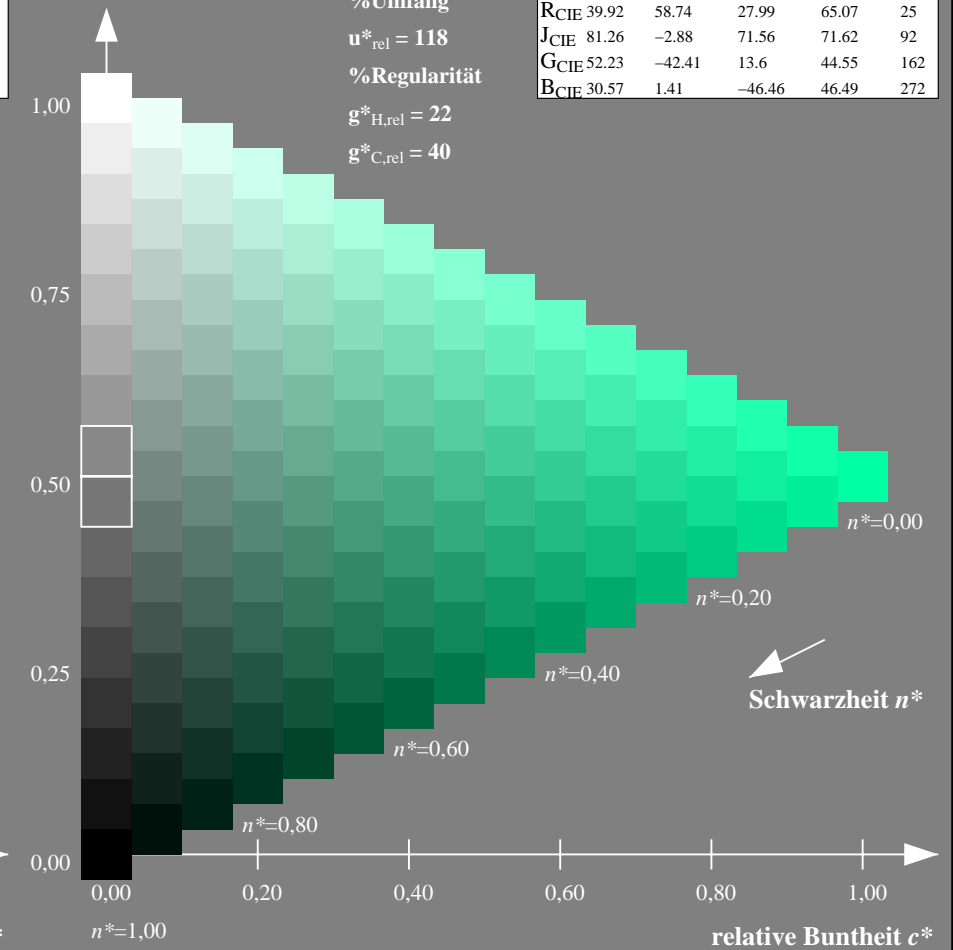
%Umfang

$u^*_{rel} = 118$

%Regularität

$g^*_{H,rel} = 22$

$g^*_{C,rel} = 40$



NG900-7, 9stufige Reihen für konstanten CIELAB Buntton $165/360 = 0.458$ (links)

16stufige Reihen für konstanten CIELAB Buntton $162/360 = 0.451$ (rechts)

Eingabe: Farbmetrisches Drucker-Reflektiv-System DRSXX

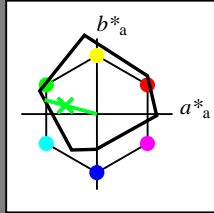
für Buntton $h^* = lab^*h = 165/360 = 0.458$

lab^*tch und lab^*nch

D65: Buntton G

LCH*Ma: 49 72 165

olv*Ma: 0.0 1.0 0.15



DRSXX; adaptierte CIELAB-Daten

	$L^*=L^*_a$	a^*_a	b^*_a	$C^*_{ab,a}$	$h^*_{ab,a}$
O _{Ma}	42.21	66.82	50.6	83.82	37
Y _{Ma}	90.32	-16.51	104.33	105.63	99
L _{Ma}	48.21	-75.63	30.65	81.61	158
C _{Ma}	53.44	-33.33	-47.49	58.03	235
V _{Ma}	34.16	-0.92	-46.56	46.58	269
M _{Ma}	42.71	79.0	-1.95	79.03	359
N _{Ma}	16.56	0.0	0.0	0.0	0
W _{Ma}	96.31	0.0	0.0	0.0	0
R _{CIE}	39.92	59.78	25.77	65.1	23
J _{CIE}	81.26	-2.51	69.07	69.11	92
G _{CIE}	52.23	-41.57	11.3	43.09	165
B _{CIE}	30.57	2.6	-48.62	48.7	273

Dreiecks-Helligkeit t^*

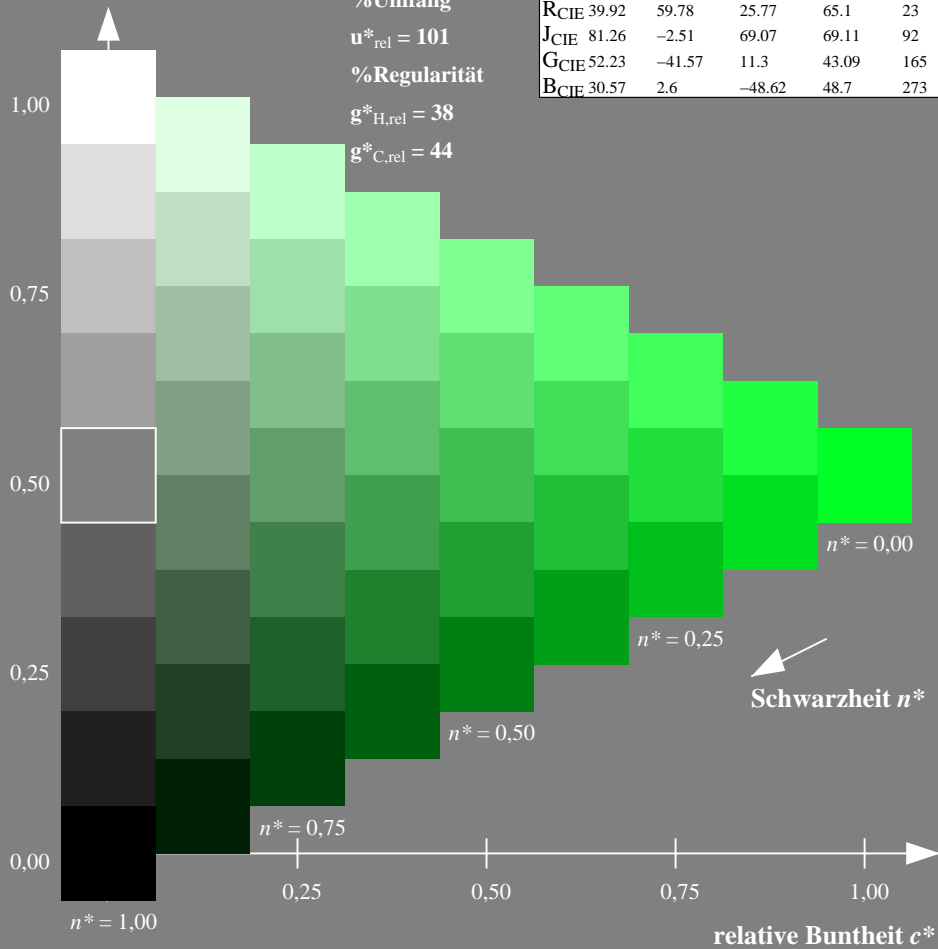
%Umfang

$u^*_{rel} = 101$

%Regularität

$g^*_{H,rel} = 38$

$g^*_{C,rel} = 44$



Ausgabe: Farbmetrisches Natürliches-Licht-System NLS00

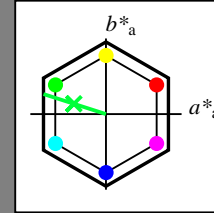
für Buntton $h^* = lab^*h = 162/360 = 0.451$

lab^*tch und lab^*nch

D65: Buntton G

LCH*Ma: 39 87 162

olv*Ma: 0.0 1.0 0.22



NLS00; adaptierte CIELAB-Daten

	$L^*=L^*_a$	a^*_a	b^*_a	$C^*_{ab,a}$	$h^*_{ab,a}$
O _{Ma}	31.81	82.62	47.7	95.4	30
Y _{Ma}	63.61	0.0	95.4	95.4	90
L _{Ma}	31.81	-82.61	47.7	95.4	150
C _{Ma}	63.61	-82.61	-47.69	95.4	210
V _{Ma}	31.81	0.0	-95.39	95.4	270
M _{Ma}	63.61	82.62	-47.69	95.4	330
N _{Ma}	0.01	0.0	0.0	0.0	0
W _{Ma}	95.41	0.0	0.0	0.0	0
R _{CIE}	39.92	58.74	27.99	65.07	25
J _{CIE}	81.26	-2.88	71.56	71.62	92
G _{CIE}	52.23	-42.41	13.6	44.55	162
B _{CIE}	30.57	1.41	-46.46	46.49	272

Dreiecks-Helligkeit t^*

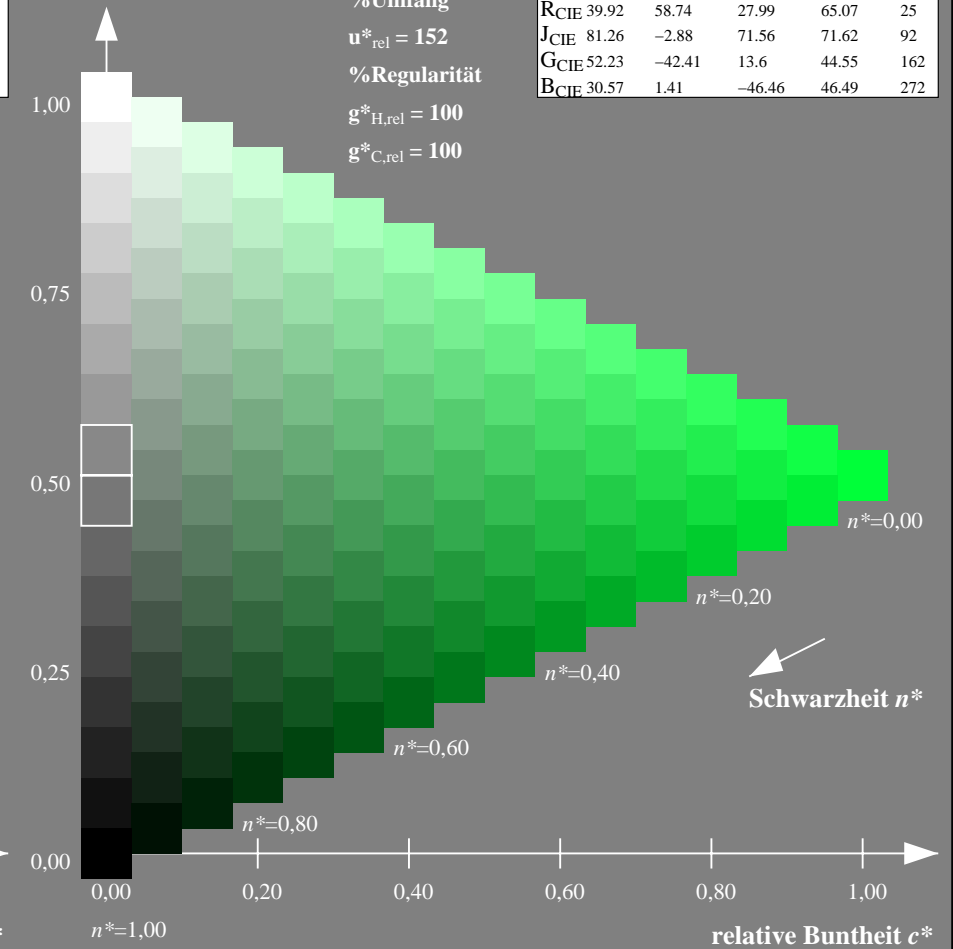
%Umfang

$u^*_{rel} = 152$

%Regularität

$g^*_{H,rel} = 100$

$g^*_{C,rel} = 100$



NG900-7, 9stufige Reihen für konstanten CIELAB Buntton $165/360 = 0.458$ (links)

16stufige Reihen für konstanten CIELAB Buntton $162/360 = 0.451$ (rechts)

Eingabe: Farbmetrisches Drucker-Reflektiv-System DRSXX

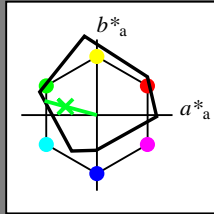
für Buntton $h^* = lab^*h = 165/360 = 0.458$

lab^*tch und lab^*nch

D65: Buntton G

LCH*Ma: 49 72 165

olv*Ma: 0.0 1.0 0.15



DRSXX; adaptierte CIELAB-Daten

	$L^*=L^*_a$	a^*_a	b^*_a	$C^*_{ab,a}$	$h^*_{ab,a}$
OMa	42.21	66.82	50.6	83.82	37
YMa	90.32	-16.51	104.33	105.63	99
LMa	48.21	-75.63	30.65	81.61	158
CMa	53.44	-33.33	-47.49	58.03	235
VMa	34.16	-0.92	-46.56	46.58	269
MMa	42.71	79.0	-1.95	79.03	359
NMa	16.56	0.0	0.0	0.0	0
WMa	96.31	0.0	0.0	0.0	0
RCIE	39.92	59.78	25.77	65.1	23
JCIE	81.26	-2.51	69.07	69.11	92
GCIE	52.23	-41.57	11.3	43.09	165
BCIE	30.57	2.6	-48.62	48.7	273

Dreiecks-Helligkeit t^*

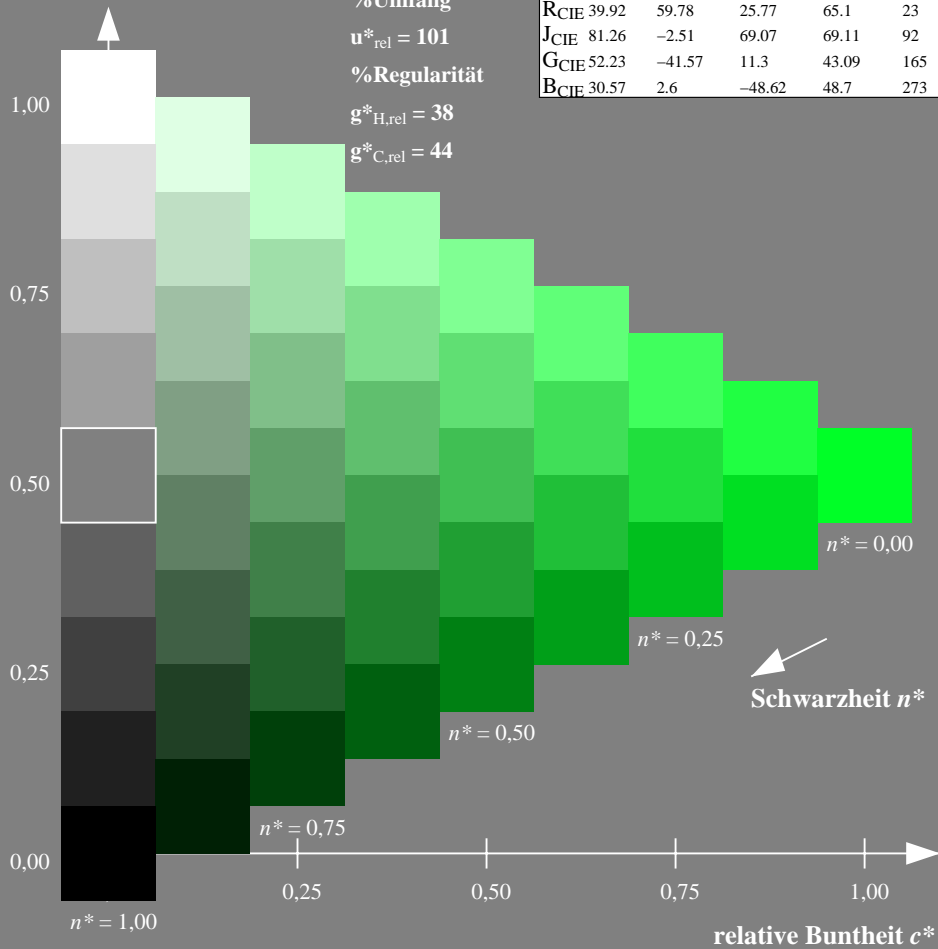
%Umfang

$u^*_{rel} = 101$

%Regularität

$g^*_{H,rel} = 38$

$g^*_{C,rel} = 44$



Ausgabe: Farbmetrisches Natürliches-Reflektiv-System NRS18

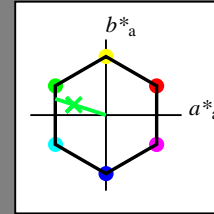
für Buntton $h^* = lab^*h = 162/360 = 0.451$

lab^*tch und lab^*nch

D65: Buntton G

LCH*Ma: 50 70 162

olv*Ma: 0.0 1.0 0.22



NRS18; adaptierte CIELAB-Daten

	$L^*=L^*_a$	a^*_a	b^*_a	$C^*_{ab,a}$	$h^*_{ab,a}$
OMa	43.81	67.03	38.7	77.4	30
YMa	69.61	0.0	77.4	77.4	90
LMa	43.81	-67.02	38.7	77.4	150
CMa	69.61	-67.02	-38.69	77.4	210
VMa	43.81	0.0	-77.39	77.4	270
MMa	69.61	67.03	-38.69	77.4	330
NMa	18.01	0.0	0.0	0.0	0
WMa	95.41	0.0	0.0	0.0	0
RCIE	39.92	58.74	27.99	65.07	25
JCIE	81.26	-2.88	71.56	71.62	92
GCIE	52.23	-42.41	13.6	44.55	162
BCIE	30.57	1.41	-46.46	46.49	272

Dreiecks-Helligkeit t^*

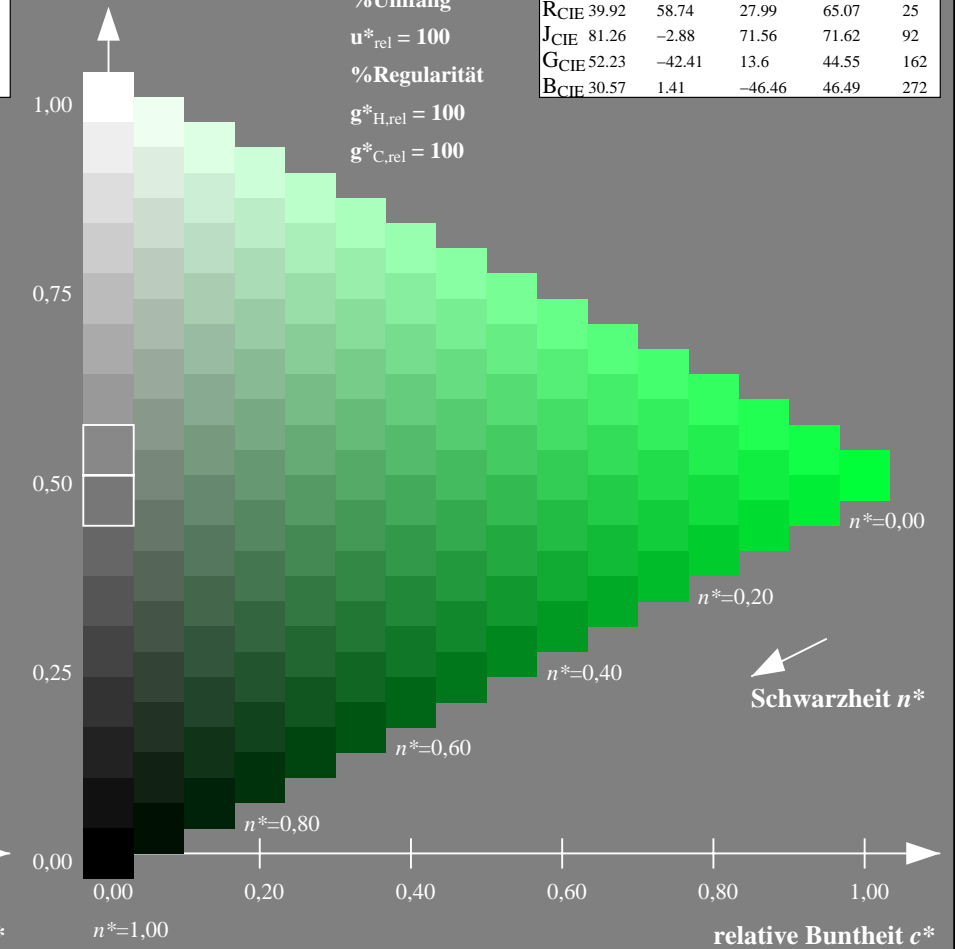
%Umfang

$u^*_{rel} = 100$

%Regularität

$g^*_{H,rel} = 100$

$g^*_{C,rel} = 100$



NG900-7, 9stufige Reihen für konstanten CIELAB Buntton $165/360 = 0.458$ (links)

16stufige Reihen für konstanten CIELAB Buntton $162/360 = 0.451$ (rechts)

Eingabe: Farbmetrisches Drucker-Reflektiv-System DRSXX

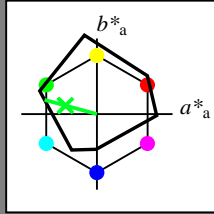
für Buntton $h^* = lab^*h = 165/360 = 0.458$

lab^*tch und lab^*nch

D65: Buntton G

LCH*Ma: 49 72 165

olv*Ma: 0.0 1.0 0.15



DRSXX; adaptierte CIELAB-Daten

	$L^*=L^*_a$	a^*_a	b^*_a	$C^*_{ab,a}$	$h^*_{ab,a}$
OMa	42.21	66.82	50.6	83.82	37
YMa	90.32	-16.51	104.33	105.63	99
LMa	48.21	-75.63	30.65	81.61	158
CMa	53.44	-33.33	-47.49	58.03	235
VMa	34.16	-0.92	-46.56	46.58	269
MMa	42.71	79.0	-1.95	79.03	359
NMa	16.56	0.0	0.0	0.0	0
WMa	96.31	0.0	0.0	0.0	0
RCIE	39.92	59.78	25.77	65.1	23
JCIE	81.26	-2.51	69.07	69.11	92
GCIE	52.23	-41.57	11.3	43.09	165
BCIE	30.57	2.6	-48.62	48.7	273

Dreiecks-Helligkeit t^*

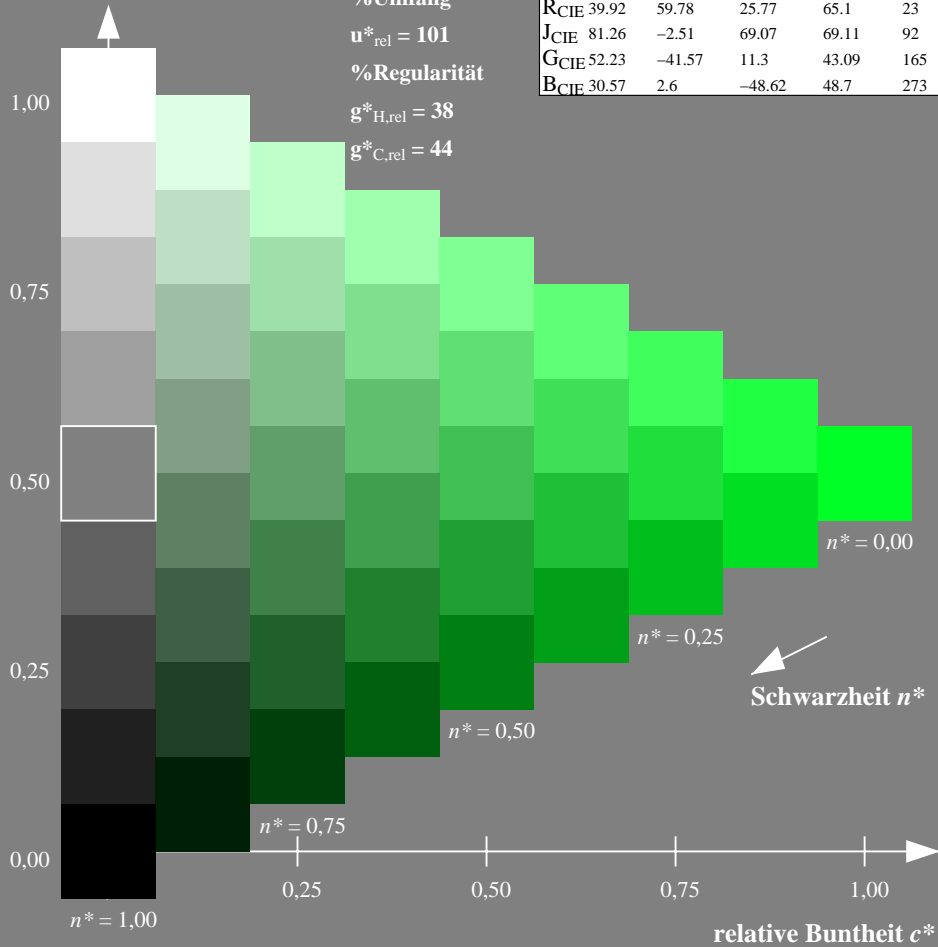
%Umfang

$u^*_{rel} = 101$

%Regularität

$g^*_{H,rel} = 38$

$g^*_{C,rel} = 44$



Ausgabe: Farbmetrisches Standard-Reflektiv-System SRS18

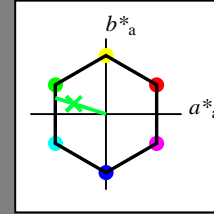
für Buntton $h^* = lab^*h = 162/360 = 0.451$

lab^*tch und lab^*nch

D65: Buntton G

LCH*Ma: 57 70 162

olv*Ma: 0.0 1.0 0.22



SRS18; adaptierte CIELAB-Daten

	$L^*=L^*_a$	a^*_a	b^*_a	$C^*_{ab,a}$	$h^*_{ab,a}$
OMa	56.71	67.03	38.7	77.4	30
YMa	56.71	0.0	77.4	77.4	90
LMa	56.71	-67.02	38.7	77.4	150
CMa	56.71	-67.02	-38.69	77.4	210
VMa	56.71	0.0	-77.39	77.4	270
MMa	56.71	67.03	-38.69	77.4	330
NMa	18.01	0.0	0.0	0.0	0
WMa	95.41	0.0	0.0	0.0	0
RCIE	39.92	58.74	27.99	65.07	25
JCIE	81.26	-2.88	71.56	71.62	92
GCIE	52.23	-42.41	13.6	44.55	162
BCIE	30.57	1.41	-46.46	46.49	272

Dreiecks-Helligkeit t^*

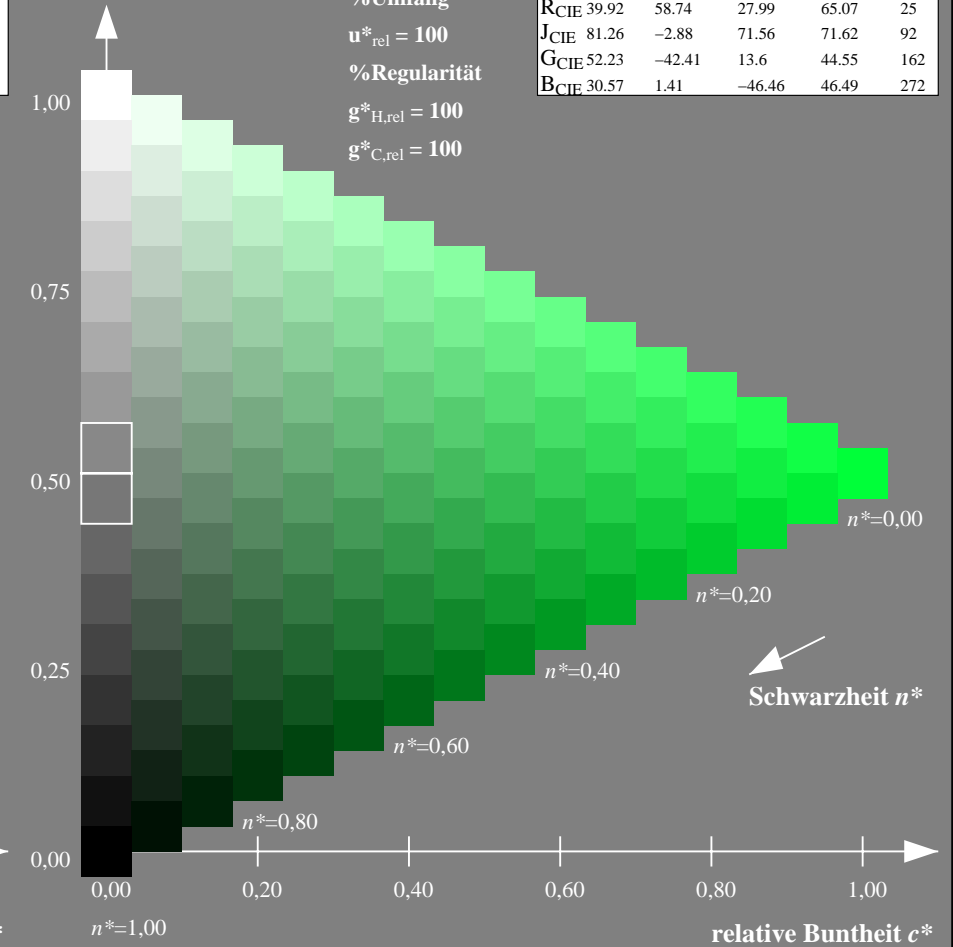
%Umfang

$u^*_{rel} = 100$

%Regularität

$g^*_{H,rel} = 100$

$g^*_{C,rel} = 100$



NG900-7, 9stufige Reihen für konstanten CIELAB Buntton 165/360 = 0.458 (links)

16stufige Reihen für konstanten CIELAB Buntton 162/360 = 0.451 (rechts)

Eingabe: Farbmetrisches Drucker-Reflektiv-System DRSXX

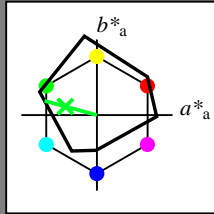
für Buntton $h^* = lab^*h = 165/360 = 0.458$

lab^*tch und lab^*nch

D65: Buntton G

LCH*Ma: 49 72 165

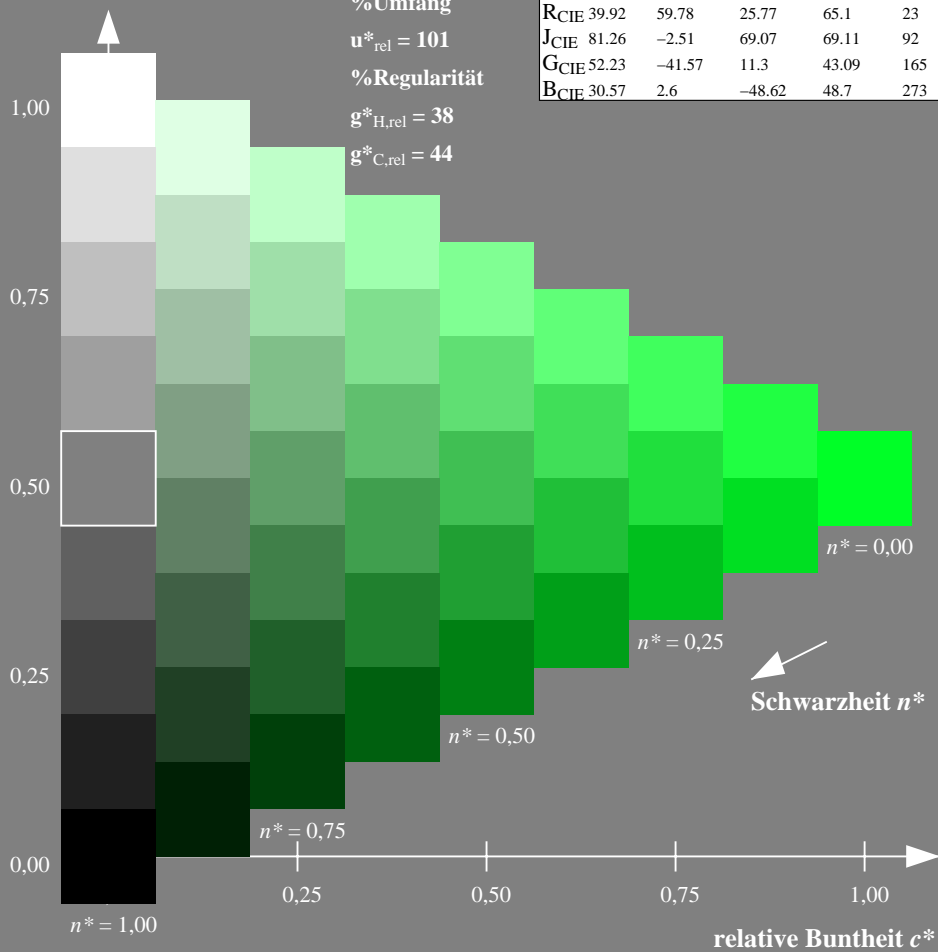
olv*Ma: 0.0 1.0 0.15



DRSXX; adaptierte CIELAB-Daten

	$L^*=L^*_a$	a^*_a	b^*_a	$C^*_{ab,a}$	$h^*_{ab,a}$
O _{Ma}	42.21	66.82	50.6	83.82	37
Y _{Ma}	90.32	-16.51	104.33	105.63	99
L _{Ma}	48.21	-75.63	30.65	81.61	158
C _{Ma}	53.44	-33.33	-47.49	58.03	235
V _{Ma}	34.16	-0.92	-46.56	46.58	269
M _{Ma}	42.71	79.0	-1.95	79.03	359
N _{Ma}	16.56	0.0	0.0	0.0	0
W _{Ma}	96.31	0.0	0.0	0.0	0
R _{CIE}	39.92	59.78	25.77	65.1	23
J _{CIE}	81.26	-2.51	69.07	69.11	92
G _{CIE}	52.23	-41.57	11.3	43.09	165
B _{CIE}	30.57	2.6	-48.62	48.7	273

Dreiecks-Helligkeit t^*



Ausgabe: Farbmetrisches Fernseh-Licht-System TLS70

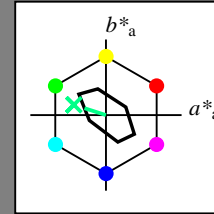
für Buntton $h^* = lab^*h = 162/360 = 0.451$

lab^*tch und lab^*nch

D65: Buntton G

LCH*Ma: 90 30 162

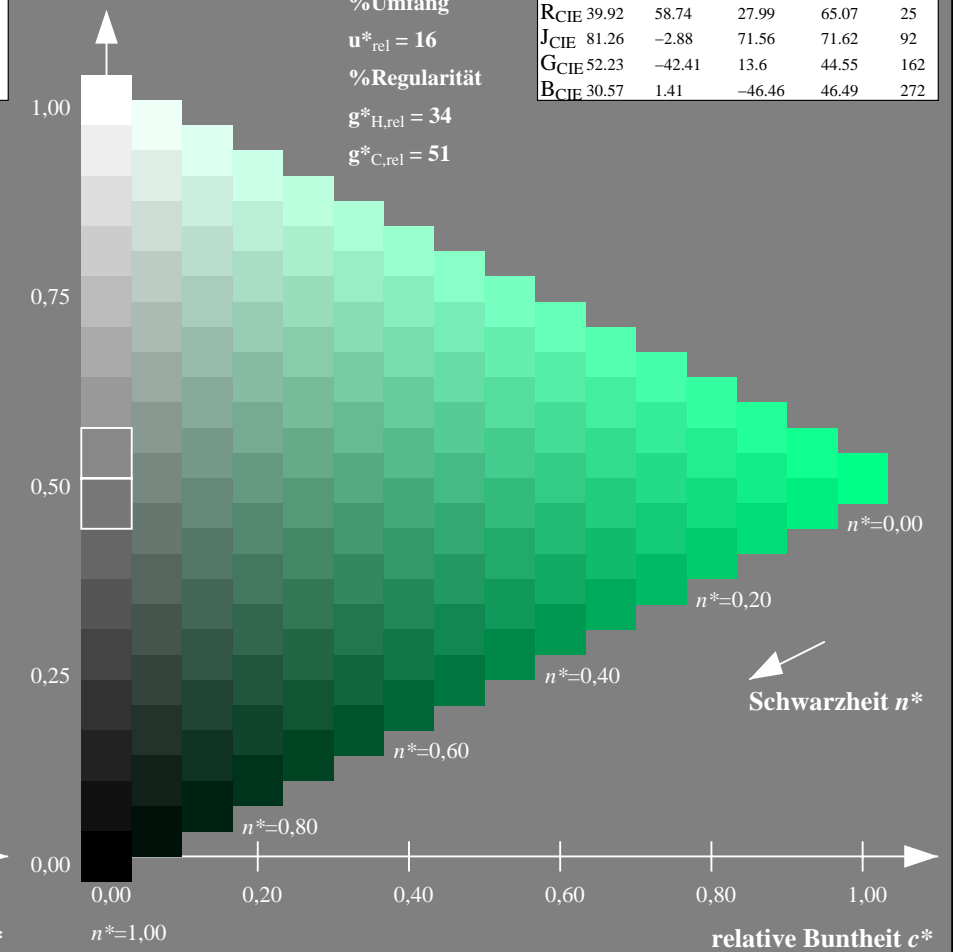
olv*Ma: 0.0 1.0 0.53



TLS70; adaptierte CIELAB-Daten

	$L^*=L^*_a$	a^*_a	b^*_a	$C^*_{ab,a}$	$h^*_{ab,a}$
O _{Ma}	76.43	26.27	10.57	28.32	22
Y _{Ma}	93.93	-10.76	34.63	36.27	107
L _{Ma}	89.32	-35.8	27.64	45.24	142
C _{Ma}	90.93	-21.95	-7.07	23.07	198
V _{Ma}	72.1	15.76	-35.63	38.97	294
M _{Ma}	78.5	37.52	-25.23	45.22	326
N _{Ma}	69.7	0.0	0.0	0.0	0
W _{Ma}	95.41	0.0	0.0	0.0	0
R _{CIE}	39.92	58.74	27.99	65.07	25
J _{CIE}	81.26	-2.88	71.56	71.62	92
G _{CIE}	52.23	-42.41	13.6	44.55	162
B _{CIE}	30.57	1.41	-46.46	46.49	272

Dreiecks-Helligkeit t^*



NG900-7, 9stufige Reihen für konstanten CIELAB Buntton $165/360 = 0.458$ (links)

16stufige Reihen für konstanten CIELAB Buntton $162/360 = 0.451$ (rechts)

Eingabe: Farbmetrisches Fernseh-Licht-System TLS18

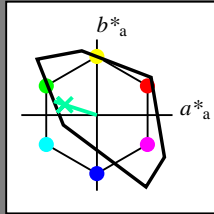
für Buntton $h^* = lab^*h = 162/360 = 0.451$

lab^*tch und lab^*nch

D65: Buntton G

LCH*Ma: 86 60 162

olv*Ma: 0.0 1.0 0.64



TLS18; adaptierte CIELAB-Daten

	$L^*=L^*_a$	a^*_a	b^*_a	$C^*_{ab,a}$	$h^*_{ab,a}$
OMa	52.76	71.63	49.88	87.29	35
YMa	92.74	-20.02	84.97	87.3	103
LMa	84.0	-78.98	73.94	108.2	137
CMa	87.14	-44.41	-13.11	46.32	196
VMa	35.47	64.92	-95.06	115.12	304
MMa	59.01	89.33	-55.67	105.26	328
NMa	18.01	0.0	0.0	0.0	0
WMa	95.41	0.0	0.0	0.0	0
RCIE	39.92	58.74	27.99	65.07	25
JCIE	81.26	-2.88	71.56	71.62	92
GCIE	52.23	-42.41	13.6	44.55	162
BCIE	30.57	1.41	-46.46	46.49	272

Dreiecks-Helligkeit t^*

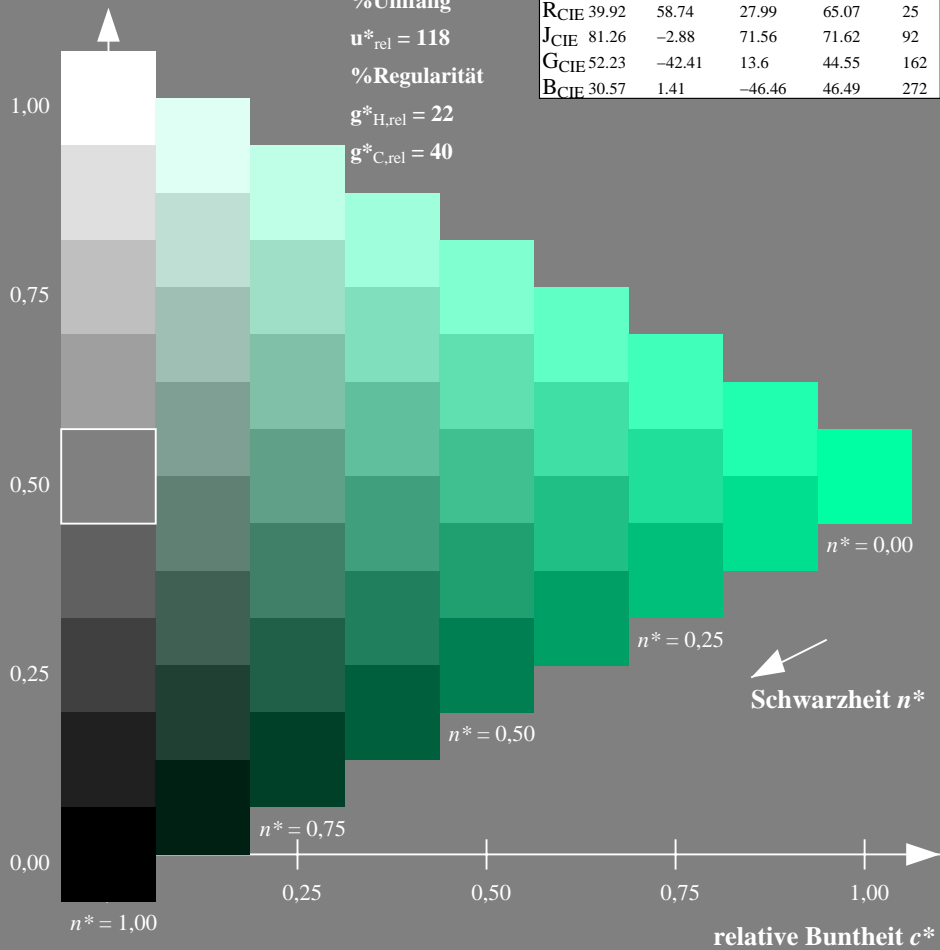
%Umfang

$u^*_{rel} = 118$

%Regularität

$g^*_{H,rel} = 22$

$g^*_{C,rel} = 40$



Ausgabe: Farbmetrisches Offset-Reflektiv-System ORS18

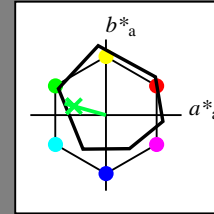
für Buntton $h^* = lab^*h = 164/360 = 0.457$

lab^*tch und lab^*nch

D65: Buntton G

LCH*Ma: 53 57 164

olv*Ma: 0.0 1.0 0.25



ORS18; adaptierte CIELAB-Daten

	$L^*=L^*_a$	a^*_a	b^*_a	$C^*_{ab,a}$	$h^*_{ab,a}$
OMa	47.94	65.39	50.52	82.63	38
YMa	90.37	-10.26	91.75	92.32	96
LMa	50.9	-62.83	34.96	71.91	151
CMa	58.62	-30.34	-45.01	54.3	236
VMa	25.72	31.1	-44.4	54.22	305
MMa	48.13	75.28	-8.36	75.74	354
NMa	18.01	0.0	0.0	0.0	0
WMa	95.41	0.0	0.0	0.0	0
RCIE	39.92	58.66	26.98	64.57	25
JCIE	81.26	-2.16	67.76	67.79	92
GCIE	52.23	-42.25	11.76	43.87	164
BCIE	30.57	1.15	-46.84	46.86	271

Dreiecks-Helligkeit t^*

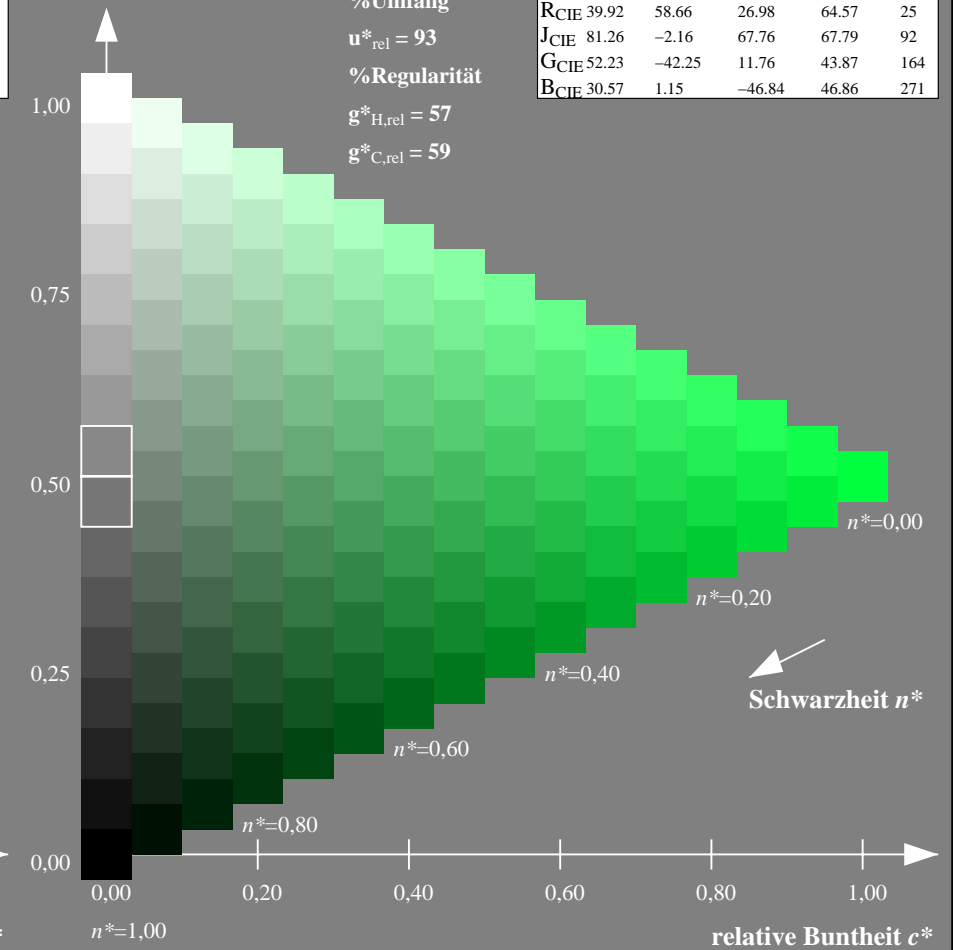
%Umfang

$u^*_{rel} = 93$

%Regularität

$g^*_{H,rel} = 57$

$g^*_{C,rel} = 59$



NG900-7, 9stufige Reihen für konstanten CIELAB Buntton $162/360 = 0.451$ (links)

16stufige Reihen für konstanten CIELAB Buntton $164/360 = 0.457$ (rechts)

Eingabe: Farbmetrisches Fernseh-Licht-System TLS18

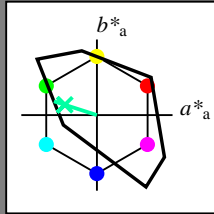
für Buntton $h^* = lab^*h = 162/360 = 0.451$

lab^*tch und lab^*nch

D65: Buntton G

LCH*Ma: 86 60 162

olv*Ma: 0.0 1.0 0.64



TLS18; adaptierte CIELAB-Daten

	$L^*=L^*_a$	a^*_a	b^*_a	$C^*_{ab,a}$	$h^*_{ab,a}$
O _{Ma}	52.76	71.63	49.88	87.29	35
Y _{Ma}	92.74	-20.02	84.97	87.3	103
L _{Ma}	84.0	-78.98	73.94	108.2	137
C _{Ma}	87.14	-44.41	-13.11	46.32	196
V _{Ma}	35.47	64.92	-95.06	115.12	304
M _{Ma}	59.01	89.33	-55.67	105.26	328
N _{Ma}	18.01	0.0	0.0	0.0	0
W _{Ma}	95.41	0.0	0.0	0.0	0
R _{CIE}	39.92	58.74	27.99	65.07	25
J _{CIE}	81.26	-2.88	71.56	71.62	92
G _{CIE}	52.23	-42.41	13.6	44.55	162
B _{CIE}	30.57	1.41	-46.46	46.49	272

Dreiecks-Helligkeit t^*

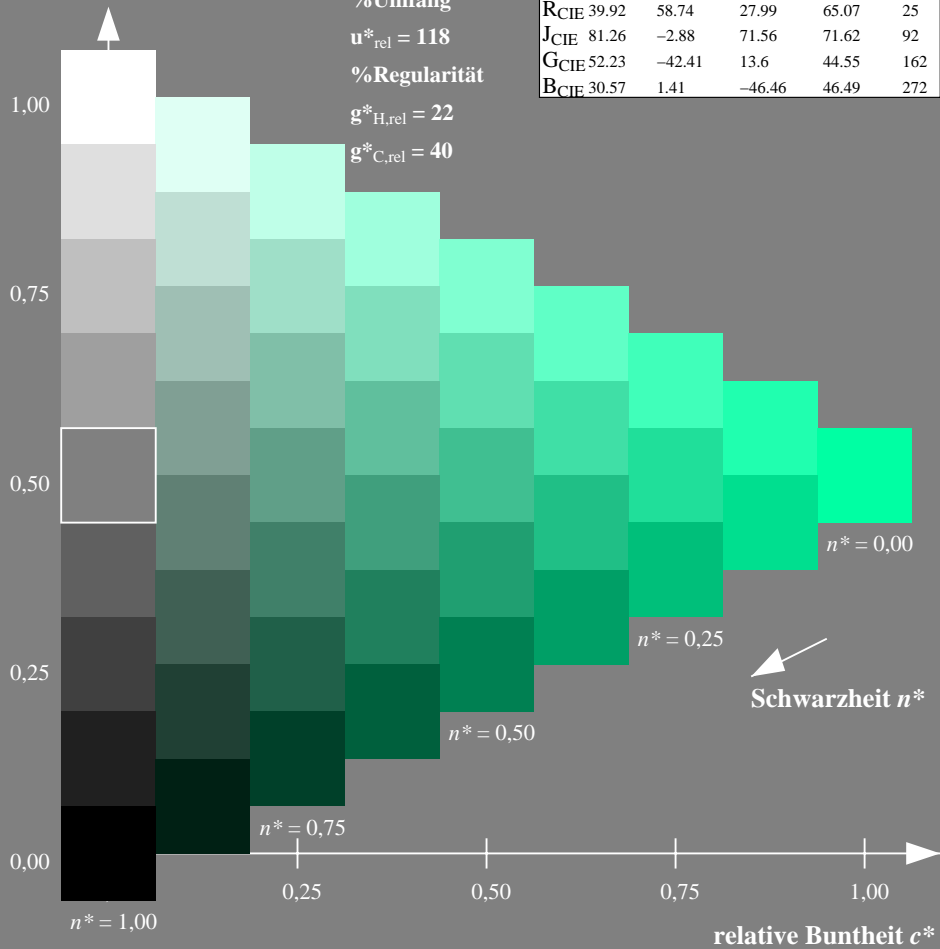
%Umfang

$u^*_{rel} = 118$

%Regularität

$g^*_{H,rel} = 22$

$g^*_{C,rel} = 40$



Ausgabe: Farbmetrisches Fernseh-Licht-System TLS00

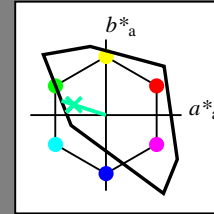
für Buntton $h^* = lab^*h = 162/360 = 0.451$

lab^*tch und lab^*nch

D65: Buntton G

LCH*Ma: 86 62 162

olv*Ma: 0.0 1.0 0.65



TLS00; adaptierte CIELAB-Daten

	$L^*=L^*_a$	a^*_a	b^*_a	$C^*_{ab,a}$	$h^*_{ab,a}$
O _{Ma}	50.5	76.92	64.55	100.42	40
Y _{Ma}	92.66	-20.69	90.75	93.08	103
L _{Ma}	83.63	-82.75	79.9	115.04	136
C _{Ma}	86.88	-46.16	-13.55	48.12	196
V _{Ma}	30.39	76.06	-103.59	128.52	306
M _{Ma}	57.3	94.35	-58.41	110.97	328
N _{Ma}	0.01	0.0	0.0	0.0	0
W _{Ma}	95.41	0.0	0.0	0.0	0
R _{CIE}	39.92	58.74	27.99	65.07	25
J _{CIE}	81.26	-2.88	71.56	71.62	92
G _{CIE}	52.23	-42.41	13.6	44.55	162
B _{CIE}	30.57	1.41	-46.46	46.49	272

Dreiecks-Helligkeit t^*

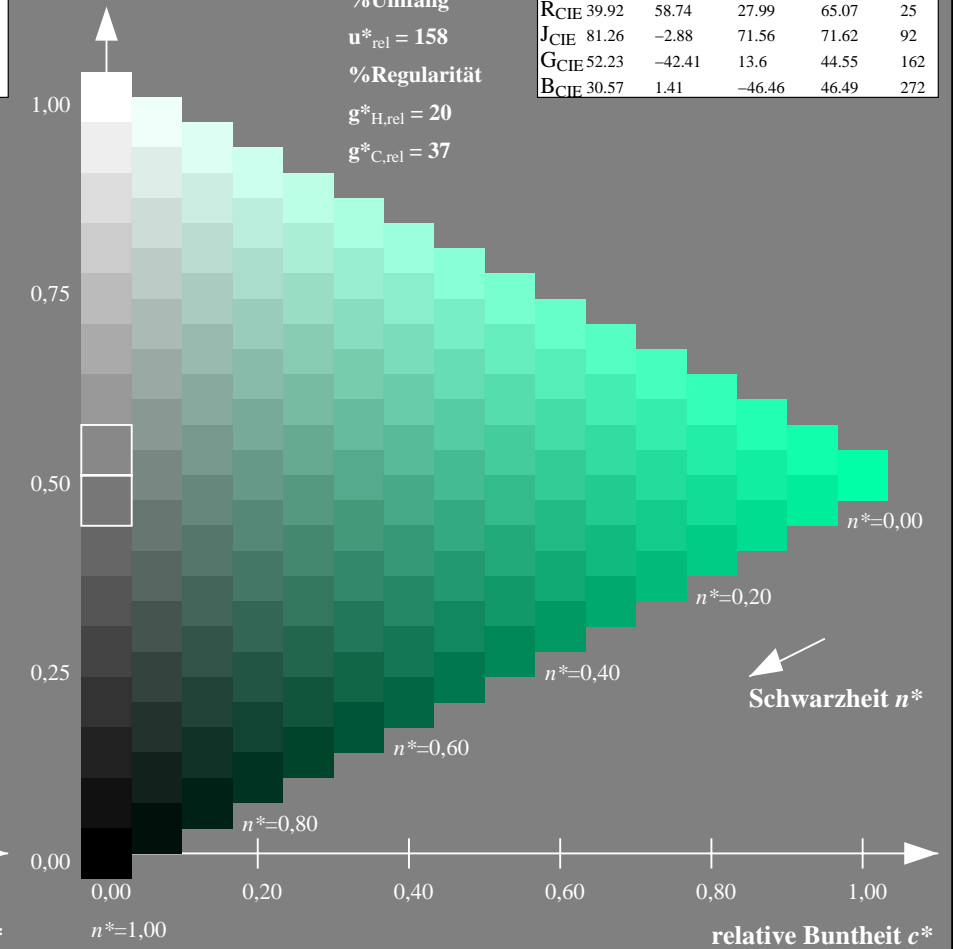
%Umfang

$u^*_{rel} = 158$

%Regularität

$g^*_{H,rel} = 20$

$g^*_{C,rel} = 37$



NG900-7, 9stufige Reihen für konstanten CIELAB Buntton $162/360 = 0.451$ (links)

16stufige Reihen für konstanten CIELAB Buntton $162/360 = 0.451$ (rechts)

Eingabe: Farbmetrisches Fernseh-Licht-System TLS18

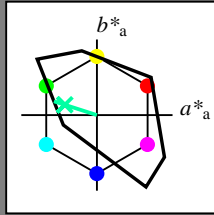
für Buntton $h^* = lab^*h = 162/360 = 0.451$

lab^*tch und lab^*nch

D65: Buntton G

LCH*Ma: 86 60 162

olv*Ma: 0.0 1.0 0.64



TLS18; adaptierte CIELAB-Daten

	$L^*=L^*_a$	a^*_a	b^*_a	$C^*_{ab,a}$	$h^*_{ab,a}$
OMa	52.76	71.63	49.88	87.29	35
YMa	92.74	-20.02	84.97	87.3	103
LMa	84.0	-78.98	73.94	108.2	137
CMa	87.14	-44.41	-13.11	46.32	196
VMa	35.47	64.92	-95.06	115.12	304
MMa	59.01	89.33	-55.67	105.26	328
NMa	18.01	0.0	0.0	0.0	0
WMa	95.41	0.0	0.0	0.0	0
RCIE	39.92	58.74	27.99	65.07	25
JCIE	81.26	-2.88	71.56	71.62	92
GCIE	52.23	-42.41	13.6	44.55	162
BCIE	30.57	1.41	-46.46	46.49	272

Dreiecks-Helligkeit t^*

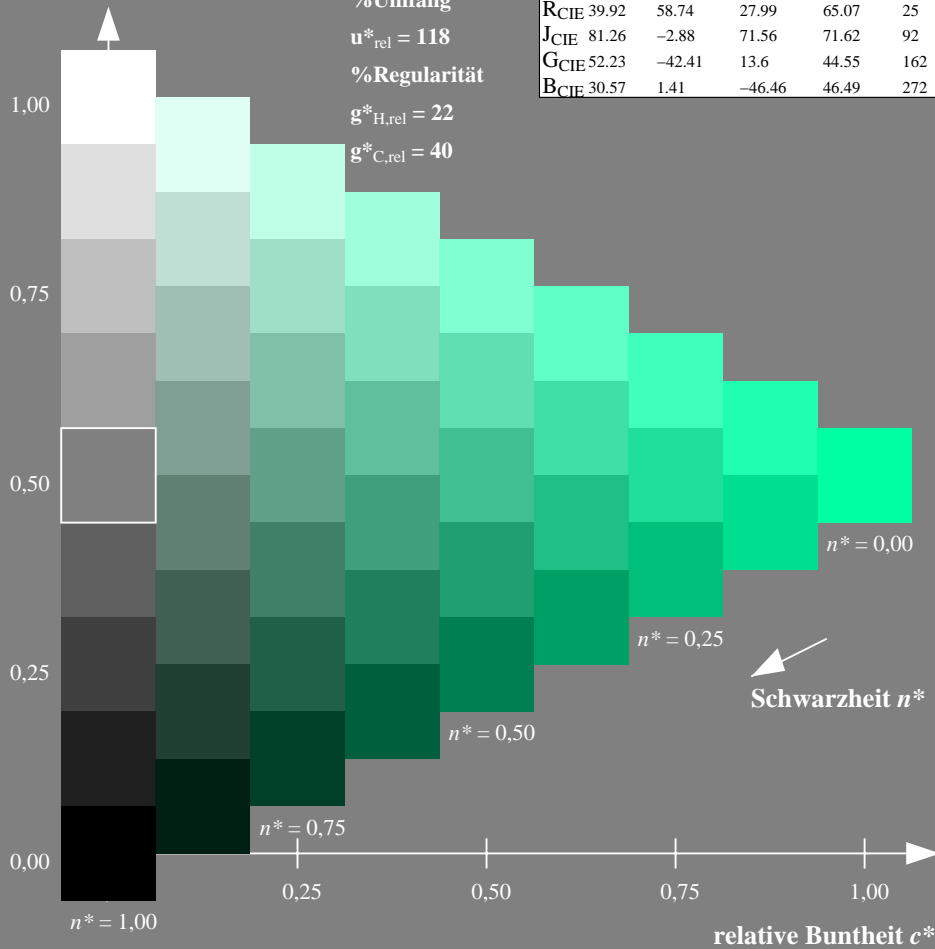
%Umfang

$u^*_{rel} = 118$

%Regularität

$g^*_{H,rel} = 22$

$g^*_{C,rel} = 40$



Ausgabe: Farbmetrisches Drucker-Reflektiv-System DRSXX

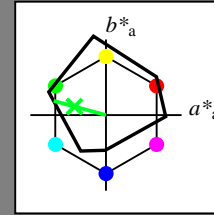
für Buntton $h^* = lab^*h = 165/360 = 0.458$

lab^*tch und lab^*nch

D65: Buntton G

LCH*Ma: 49 72 165

olv*Ma: 0.0 1.0 0.15



DRSXX; adaptierte CIELAB-Daten

	$L^*=L^*_a$	a^*_a	b^*_a	$C^*_{ab,a}$	$h^*_{ab,a}$
OMa	42.21	66.82	50.6	83.82	37
YMa	90.32	-16.51	104.33	105.63	99
LMa	48.21	-75.63	30.65	81.61	158
CMa	53.44	-33.33	-47.49	58.03	235
VMa	34.16	-0.92	-46.56	46.58	269
MMa	42.71	79.0	-1.95	79.03	359
NMa	16.56	0.0	0.0	0.0	0
WMa	96.31	0.0	0.0	0.0	0
RCIE	39.92	59.78	25.77	65.1	23
JCIE	81.26	-2.51	69.07	69.11	92
GCIE	52.23	-41.57	11.3	43.09	165
BCIE	30.57	2.6	-48.62	48.7	273

Dreiecks-Helligkeit t^*

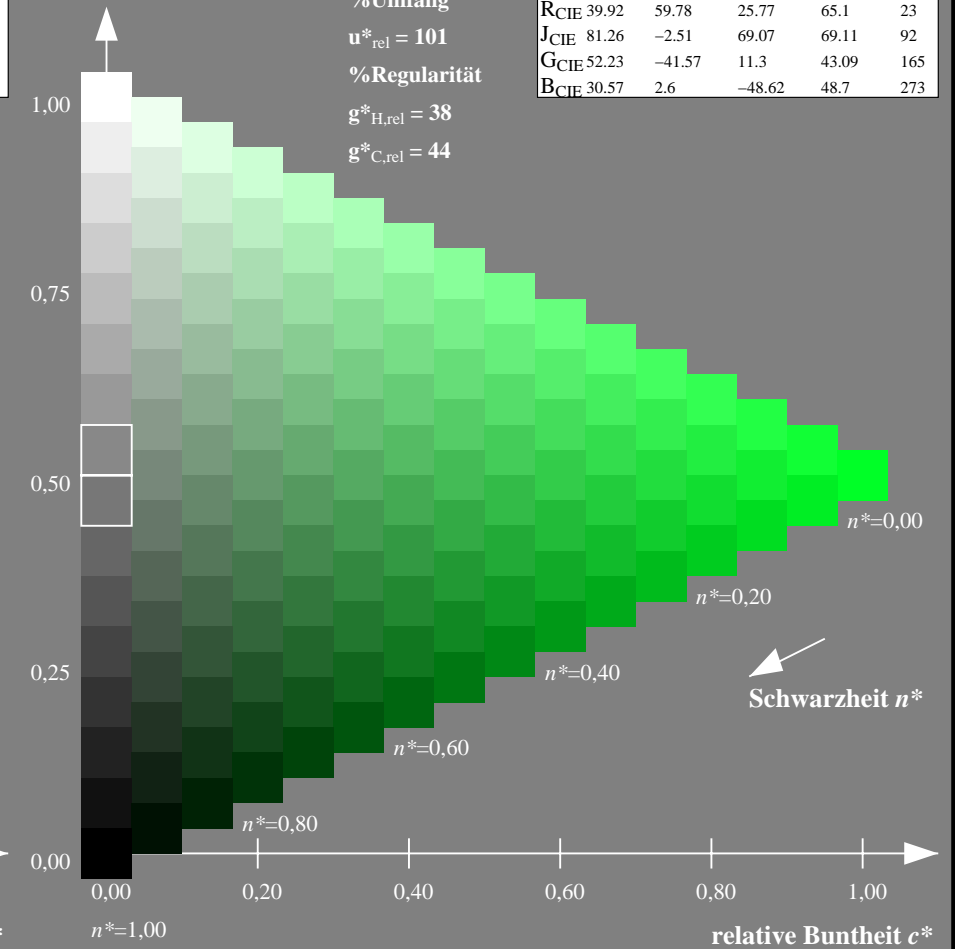
%Umfang

$u^*_{rel} = 101$

%Regularität

$g^*_{H,rel} = 38$

$g^*_{C,rel} = 44$



NG900-7, 9stufige Reihen für konstanten CIELAB Buntton $162/360 = 0.451$ (links)

16stufige Reihen für konstanten CIELAB Buntton $165/360 = 0.458$ (rechts)

Eingabe: Farbmetrisches Fernseh-Licht-System TLS18

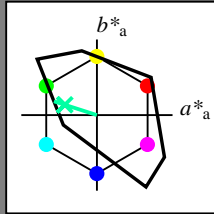
für Buntton $h^* = lab^*h = 162/360 = 0.451$

lab^*tch und lab^*nch

D65: Buntton G

LCH*Ma: 86 60 162

olv*Ma: 0.0 1.0 0.64



TLS18; adaptierte CIELAB-Daten

	$L^*=L^*_a$	a^*_a	b^*_a	$C^*_{ab,a}$	$h^*_{ab,a}$
OMa	52.76	71.63	49.88	87.29	35
YMa	92.74	-20.02	84.97	87.3	103
LMa	84.0	-78.98	73.94	108.2	137
CMa	87.14	-44.41	-13.11	46.32	196
VMa	35.47	64.92	-95.06	115.12	304
MMa	59.01	89.33	-55.67	105.26	328
NMa	18.01	0.0	0.0	0.0	0
WMa	95.41	0.0	0.0	0.0	0
RCIE	39.92	58.74	27.99	65.07	25
JCIE	81.26	-2.88	71.56	71.62	92
GCIE	52.23	-42.41	13.6	44.55	162
BCIE	30.57	1.41	-46.46	46.49	272

Dreiecks-Helligkeit t^*

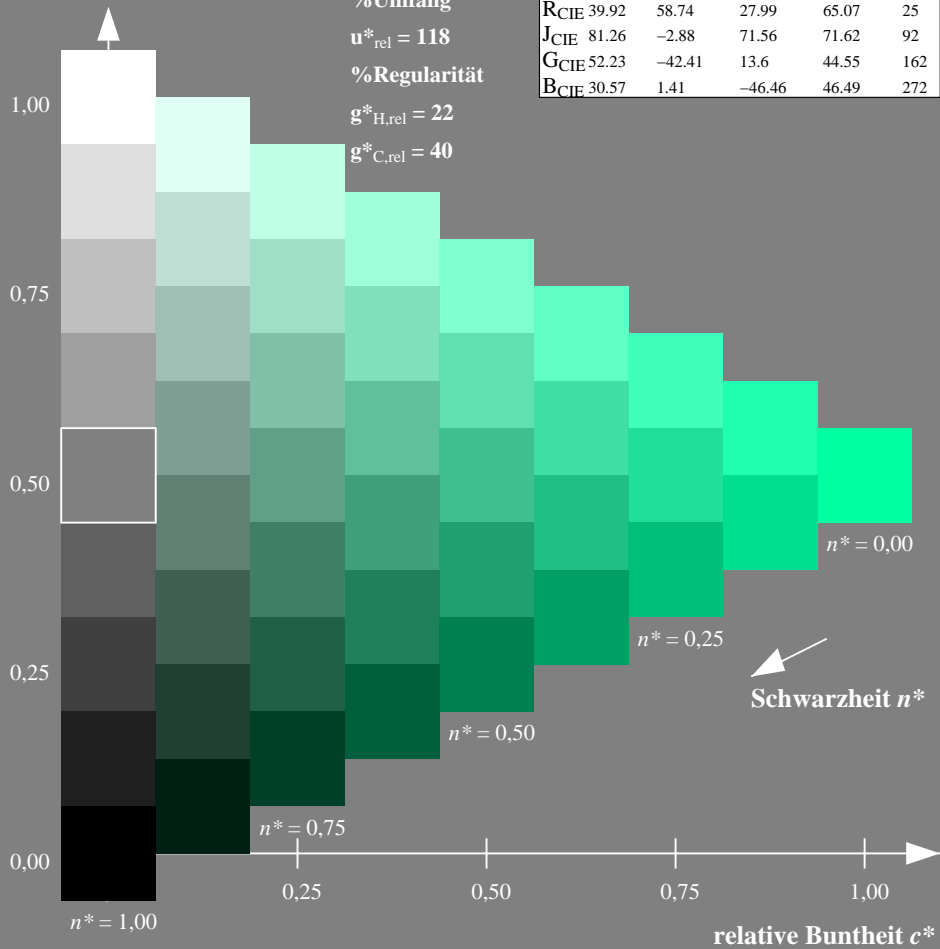
%Umfang

$u^*_{rel} = 118$

%Regularität

$g^*_{H,rel} = 22$

$g^*_{C,rel} = 40$



Ausgabe: Farbmetrisches Fernseh-Licht-System TLS18

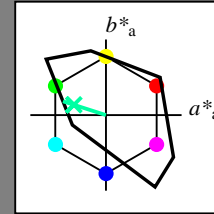
für Buntton $h^* = lab^*h = 162/360 = 0.451$

lab^*tch und lab^*nch

D65: Buntton G

LCH*Ma: 86 60 162

olv*Ma: 0.0 1.0 0.64



TLS18; adaptierte CIELAB-Daten

	$L^*=L^*_a$	a^*_a	b^*_a	$C^*_{ab,a}$	$h^*_{ab,a}$
OMa	52.76	71.63	49.88	87.29	35
YMa	92.74	-20.02	84.97	87.3	103
LMa	84.0	-78.98	73.94	108.2	137
CMa	87.14	-44.41	-13.11	46.32	196
VMa	35.47	64.92	-95.06	115.12	304
MMa	59.01	89.33	-55.67	105.26	328
NMa	18.01	0.0	0.0	0.0	0
WMa	95.41	0.0	0.0	0.0	0
RCIE	39.92	58.74	27.99	65.07	25
JCIE	81.26	-2.88	71.56	71.62	92
GCIE	52.23	-42.41	13.6	44.55	162
BCIE	30.57	1.41	-46.46	46.49	272

Dreiecks-Helligkeit t^*

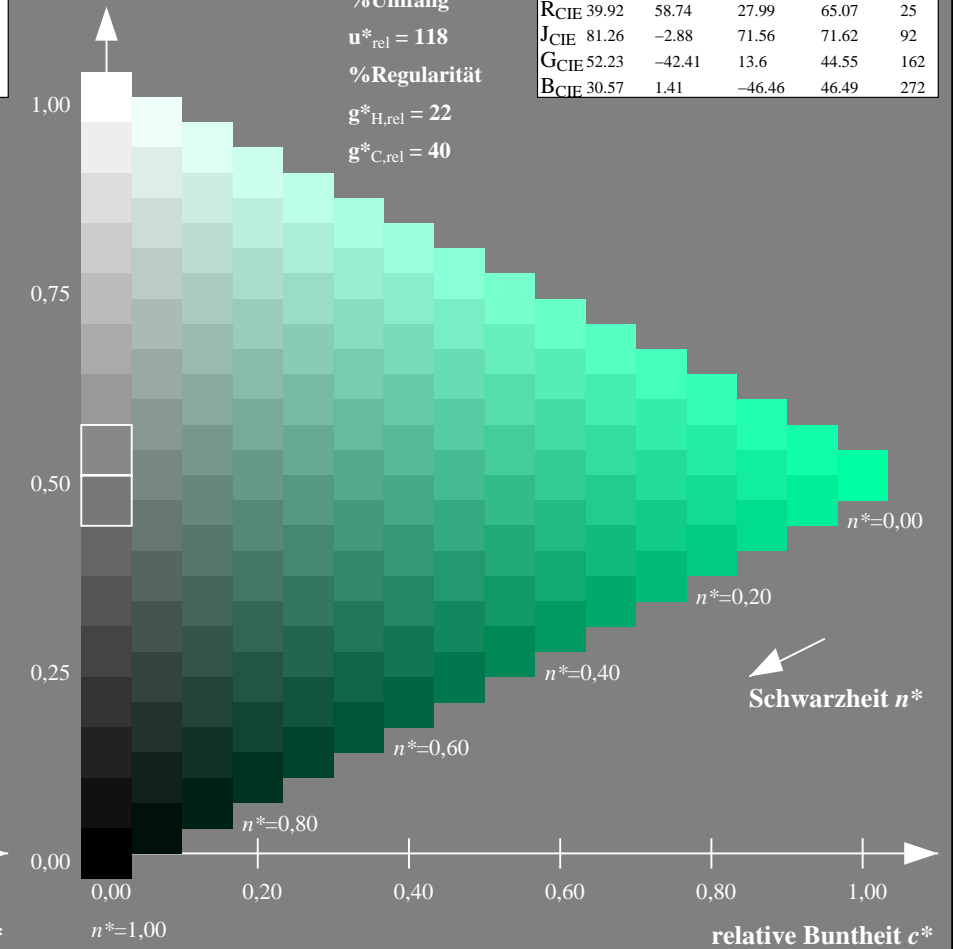
%Umfang

$u^*_{rel} = 118$

%Regularität

$g^*_{H,rel} = 22$

$g^*_{C,rel} = 40$



NG900-7, 9stufige Reihen für konstanten CIELAB Buntton $162/360 = 0.451$ (links)

16stufige Reihen für konstanten CIELAB Buntton $162/360 = 0.451$ (rechts)

Eingabe: Farbmetrisches Fernseh-Licht-System TLS18

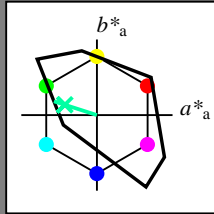
für Buntton $h^* = lab^*h = 162/360 = 0.451$

lab^*tch und lab^*nch

D65: Buntton G

LCH*Ma: 86 60 162

olv*Ma: 0.0 1.0 0.64



TLS18; adaptierte CIELAB-Daten

	$L^*=L^*_a$	a^*_a	b^*_a	$C^*_{ab,a}$	$h^*_{ab,a}$
OMa	52.76	71.63	49.88	87.29	35
YMa	92.74	-20.02	84.97	87.3	103
LMa	84.0	-78.98	73.94	108.2	137
CMa	87.14	-44.41	-13.11	46.32	196
VMa	35.47	64.92	-95.06	115.12	304
MMa	59.01	89.33	-55.67	105.26	328
NMa	18.01	0.0	0.0	0.0	0
WMa	95.41	0.0	0.0	0.0	0
RCIE	39.92	58.74	27.99	65.07	25
JCIE	81.26	-2.88	71.56	71.62	92
GCIE	52.23	-42.41	13.6	44.55	162
BCIE	30.57	1.41	-46.46	46.49	272

Dreiecks-Helligkeit t^*

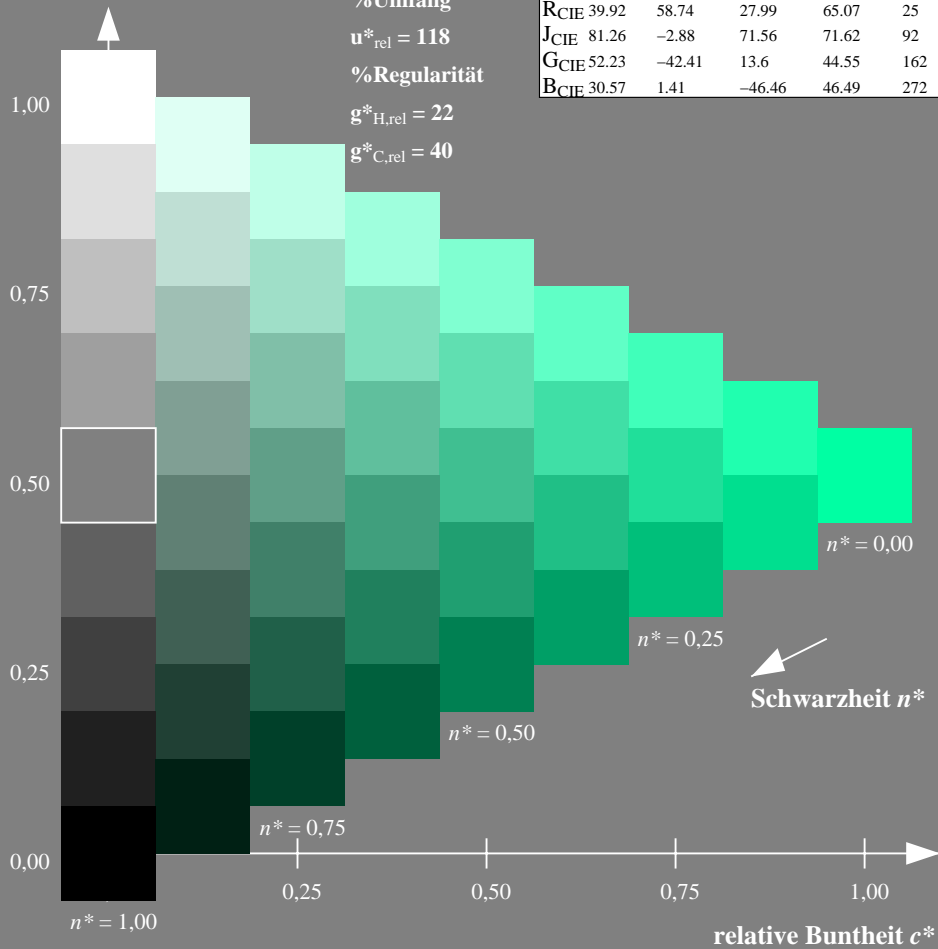
%Umfang

$u^*_{rel} = 118$

%Regularität

$g^*_{H,rel} = 22$

$g^*_{C,rel} = 40$



Ausgabe: Farbmetrisches Natürliches-Licht-System NLS00

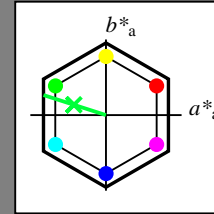
für Buntton $h^* = lab^*h = 162/360 = 0.451$

lab^*tch und lab^*nch

D65: Buntton G

LCH*Ma: 39 87 162

olv*Ma: 0.0 1.0 0.22



NLS00; adaptierte CIELAB-Daten

	$L^*=L^*_a$	a^*_a	b^*_a	$C^*_{ab,a}$	$h^*_{ab,a}$
OMa	31.81	82.62	47.7	95.4	30
YMa	63.61	0.0	95.4	95.4	90
LMa	31.81	-82.61	47.7	95.4	150
CMa	63.61	-82.61	-47.69	95.4	210
VMa	31.81	0.0	-95.39	95.4	270
MMa	63.61	82.62	-47.69	95.4	330
NMa	0.01	0.0	0.0	0.0	0
WMa	95.41	0.0	0.0	0.0	0
RCIE	39.92	58.74	27.99	65.07	25
JCIE	81.26	-2.88	71.56	71.62	92
GCIE	52.23	-42.41	13.6	44.55	162
BCIE	30.57	1.41	-46.46	46.49	272

Dreiecks-Helligkeit t^*

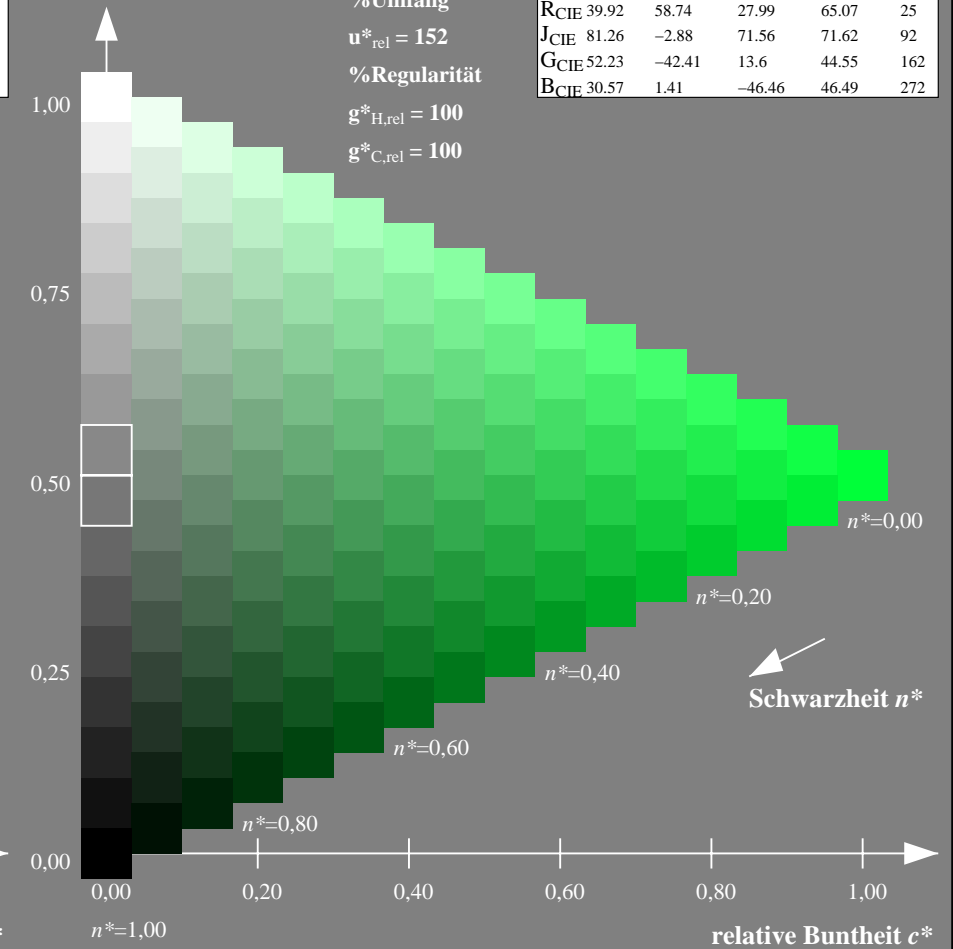
%Umfang

$u^*_{rel} = 152$

%Regularität

$g^*_{H,rel} = 100$

$g^*_{C,rel} = 100$



NG900-7, 9stufige Reihen für konstanten CIELAB Buntton $162/360 = 0.451$ (links)

16stufige Reihen für konstanten CIELAB Buntton $162/360 = 0.451$ (rechts)

Eingabe: Farbmetrisches Fernseh-Licht-System TLS18

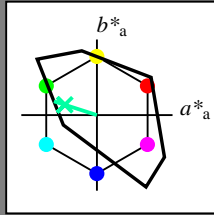
für Buntton $h^* = lab^*h = 162/360 = 0.451$

lab^*tch und lab^*nch

D65: Buntton G

LCH*Ma: 86 60 162

olv*Ma: 0.0 1.0 0.64



TLS18; adaptierte CIELAB-Daten

	$L^*=L^*_a$	a^*_a	b^*_a	$C^*_{ab,a}$	$h^*_{ab,a}$
OMa	52.76	71.63	49.88	87.29	35
YMa	92.74	-20.02	84.97	87.3	103
LMa	84.0	-78.98	73.94	108.2	137
CMa	87.14	-44.41	-13.11	46.32	196
VMa	35.47	64.92	-95.06	115.12	304
MMa	59.01	89.33	-55.67	105.26	328
NMa	18.01	0.0	0.0	0.0	0
WMa	95.41	0.0	0.0	0.0	0
RCIE	39.92	58.74	27.99	65.07	25
JCIE	81.26	-2.88	71.56	71.62	92
GCIE	52.23	-42.41	13.6	44.55	162
BCIE	30.57	1.41	-46.46	46.49	272

Dreiecks-Helligkeit t^*

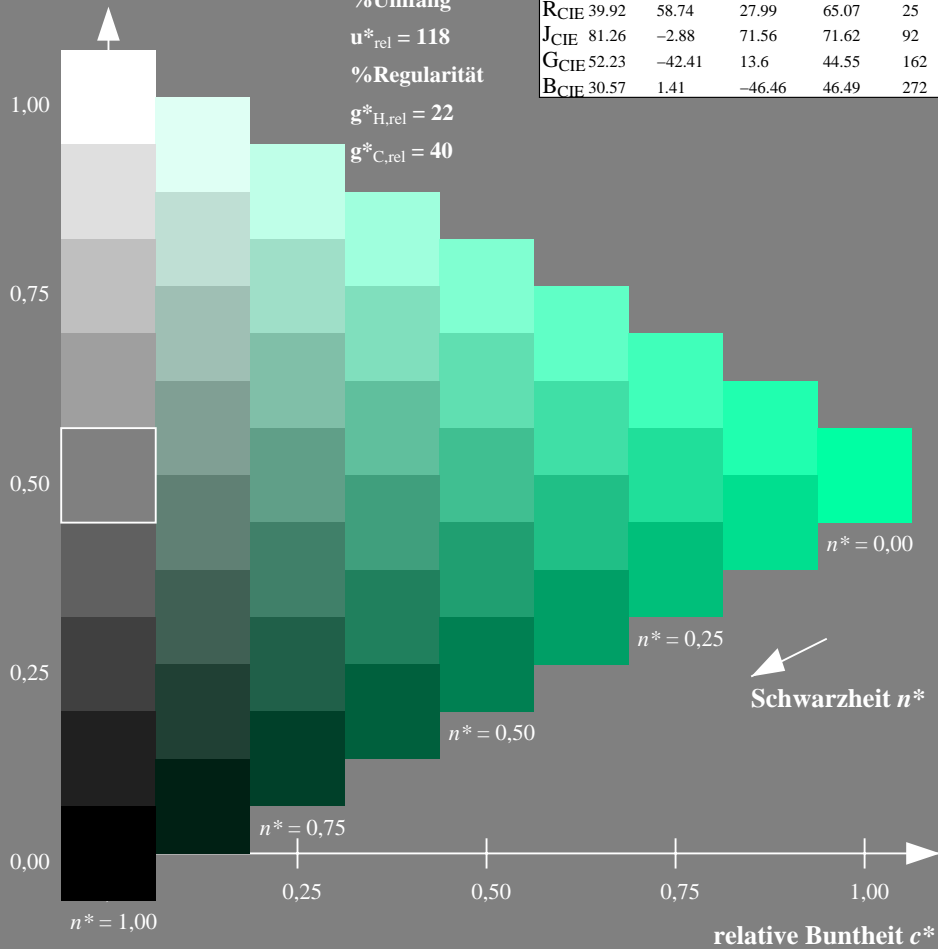
%Umfang

$u^*_{rel} = 118$

%Regularität

$g^*_{H,rel} = 22$

$g^*_{C,rel} = 40$



NG900-7, 9stufige Reihen für konstanten CIELAB Buntton $162/360 = 0.451$ (links)

Ausgabe: Farbmetrisches Natürliches-Reflektiv-System NRS18

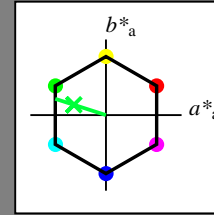
für Buntton $h^* = lab^*h = 162/360 = 0.451$

lab^*tch und lab^*nch

D65: Buntton G

LCH*Ma: 50 70 162

olv*Ma: 0.0 1.0 0.22



NRS18; adaptierte CIELAB-Daten

	$L^*=L^*_a$	a^*_a	b^*_a	$C^*_{ab,a}$	$h^*_{ab,a}$
OMa	43.81	67.03	38.7	77.4	30
YMa	69.61	0.0	77.4	77.4	90
LMa	43.81	-67.02	38.7	77.4	150
CMa	69.61	-67.02	-38.69	77.4	210
VMa	43.81	0.0	-77.39	77.4	270
MMa	69.61	67.03	-38.69	77.4	330
NMa	18.01	0.0	0.0	0.0	0
WMa	95.41	0.0	0.0	0.0	0
RCIE	39.92	58.74	27.99	65.07	25
JCIE	81.26	-2.88	71.56	71.62	92
GCIE	52.23	-42.41	13.6	44.55	162
BCIE	30.57	1.41	-46.46	46.49	272

Dreiecks-Helligkeit t^*

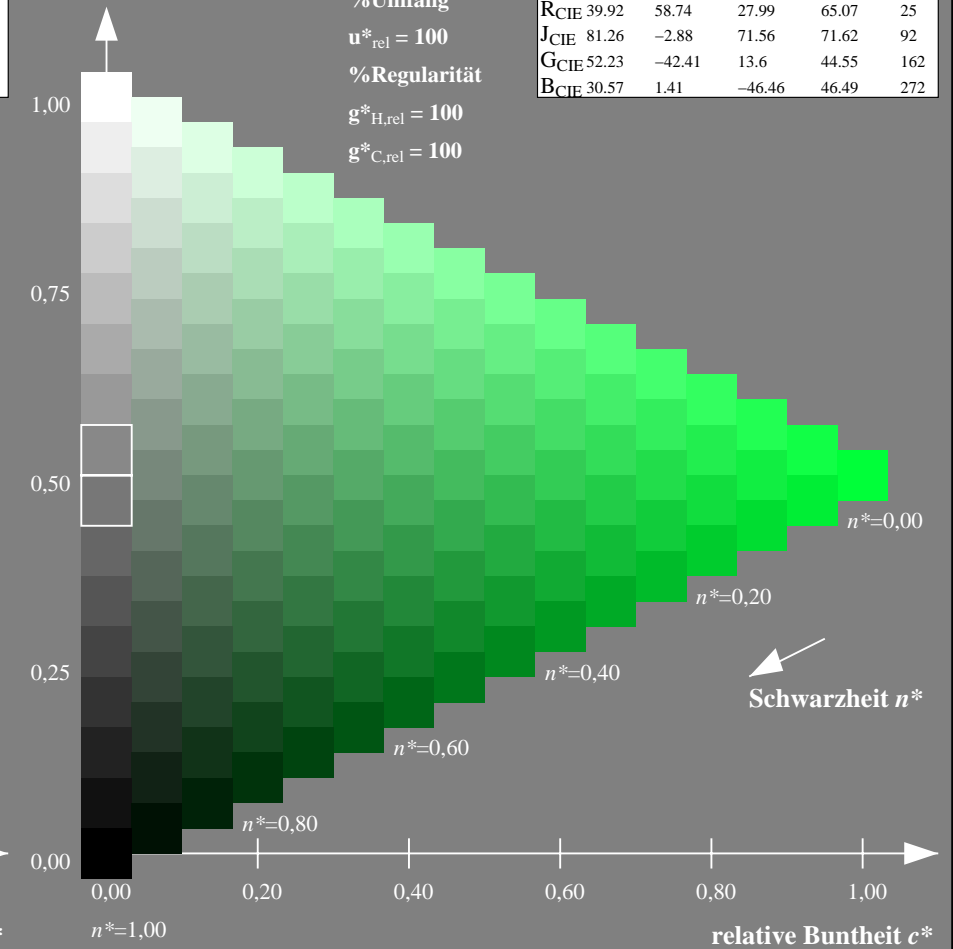
%Umfang

$u^*_{rel} = 100$

%Regularität

$g^*_{H,rel} = 100$

$g^*_{C,rel} = 100$



16stufige Reihen für konstanten CIELAB Buntton $162/360 = 0.451$ (rechts)

Eingabe: Farbmetrisches Fernseh-Licht-System TLS18

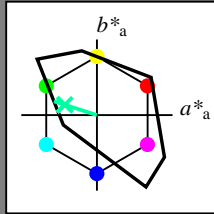
für Buntton $h^* = lab^*h = 162/360 = 0.451$

lab^*tch und lab^*nch

D65: Buntton G

LCH*Ma: 86 60 162

olv*Ma: 0.0 1.0 0.64



TLS18; adaptierte CIELAB-Daten

	$L^*=L^*_a$	a^*_a	b^*_a	$C^*_{ab,a}$	$h^*_{ab,a}$
OMa	52.76	71.63	49.88	87.29	35
YMa	92.74	-20.02	84.97	87.3	103
LMa	84.0	-78.98	73.94	108.2	137
CMa	87.14	-44.41	-13.11	46.32	196
VMa	35.47	64.92	-95.06	115.12	304
MMa	59.01	89.33	-55.67	105.26	328
NMa	18.01	0.0	0.0	0.0	0
WMa	95.41	0.0	0.0	0.0	0
RCIE	39.92	58.74	27.99	65.07	25
JCIE	81.26	-2.88	71.56	71.62	92
GCIE	52.23	-42.41	13.6	44.55	162
BCIE	30.57	1.41	-46.46	46.49	272

Dreiecks-Helligkeit t^*

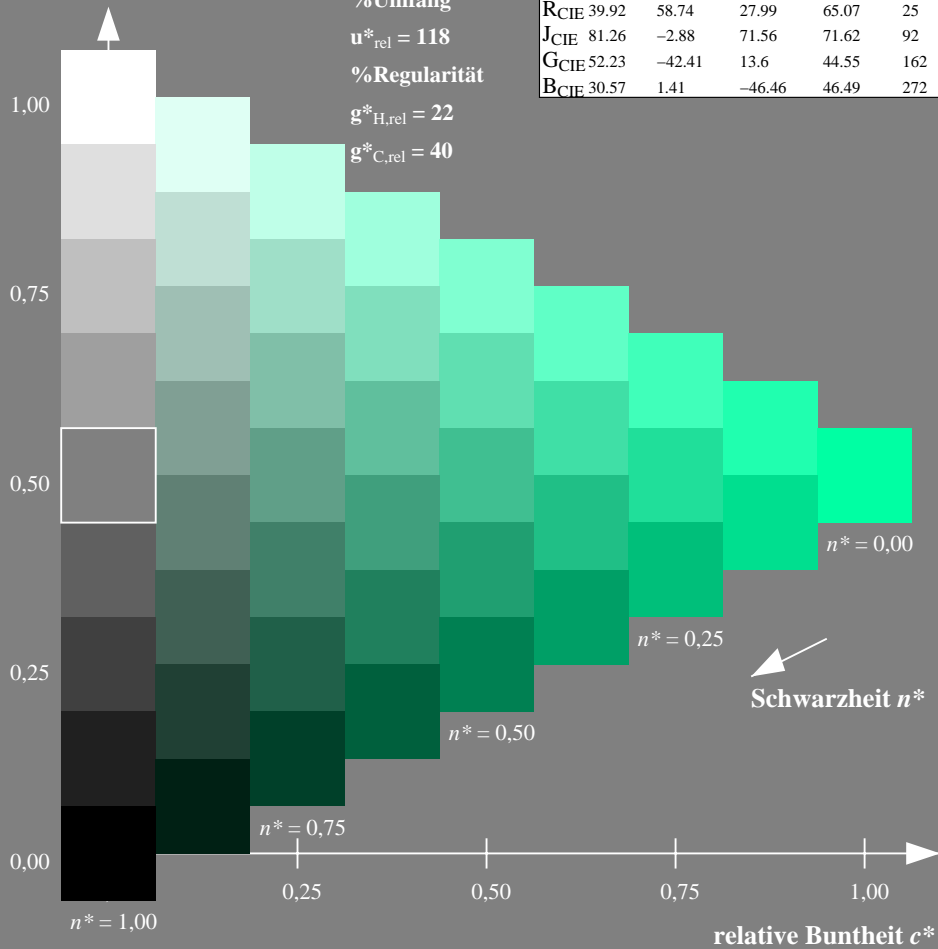
%Umfang

$u^*_{rel} = 118$

%Regularität

$g^*_{H,rel} = 22$

$g^*_{C,rel} = 40$



Ausgabe: Farbmetrisches Standard-Reflektiv-System SRS18

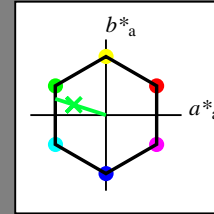
für Buntton $h^* = lab^*h = 162/360 = 0.451$

lab^*tch und lab^*nch

D65: Buntton G

LCH*Ma: 57 70 162

olv*Ma: 0.0 1.0 0.22



SRS18; adaptierte CIELAB-Daten

	$L^*=L^*_a$	a^*_a	b^*_a	$C^*_{ab,a}$	$h^*_{ab,a}$
OMa	56.71	67.03	38.7	77.4	30
YMa	56.71	0.0	77.4	77.4	90
LMa	56.71	-67.02	38.7	77.4	150
CMa	56.71	-67.02	-38.69	77.4	210
VMa	56.71	0.0	-77.39	77.4	270
MMa	56.71	67.03	-38.69	77.4	330
NMa	18.01	0.0	0.0	0.0	0
WMa	95.41	0.0	0.0	0.0	0
RCIE	39.92	58.74	27.99	65.07	25
JCIE	81.26	-2.88	71.56	71.62	92
GCIE	52.23	-42.41	13.6	44.55	162
BCIE	30.57	1.41	-46.46	46.49	272

Dreiecks-Helligkeit t^*

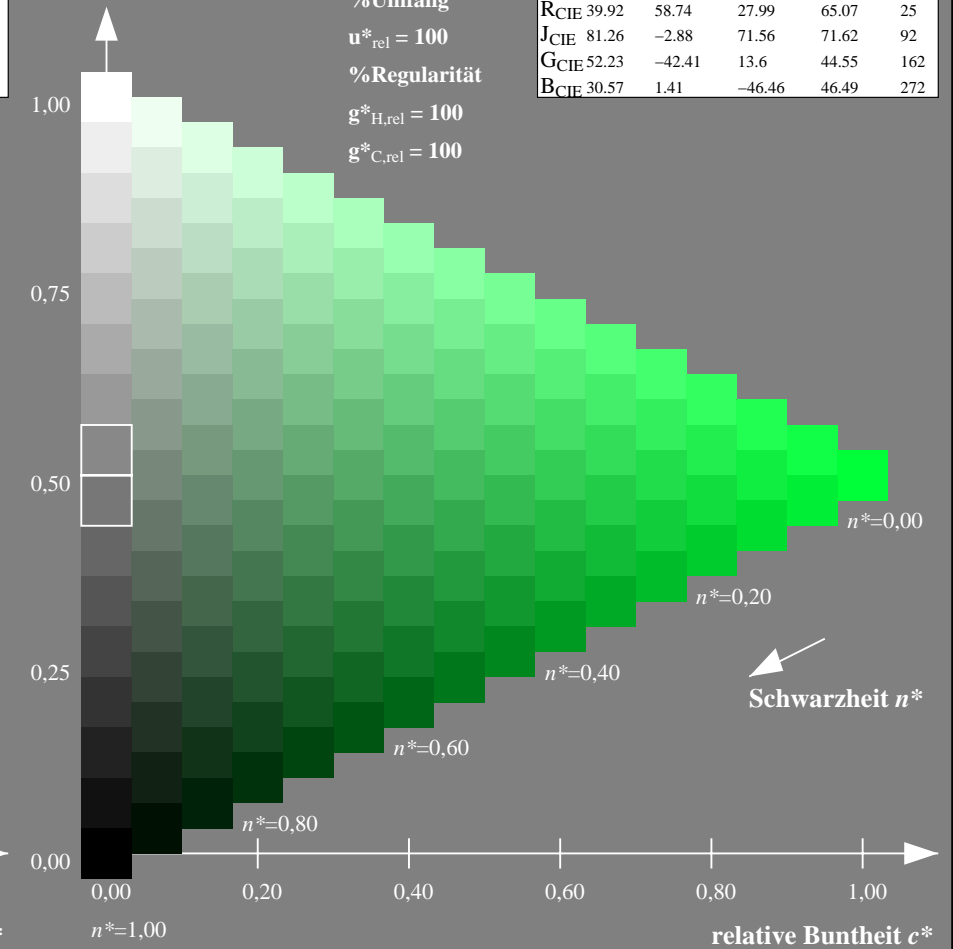
%Umfang

$u^*_{rel} = 100$

%Regularität

$g^*_{H,rel} = 100$

$g^*_{C,rel} = 100$



NG900-7, 9stufige Reihen für konstanten CIELAB Buntton $162/360 = 0.451$ (links)

16stufige Reihen für konstanten CIELAB Buntton $162/360 = 0.451$ (rechts)

Eingabe: Farbmetrisches Fernseh-Licht-System TLS18

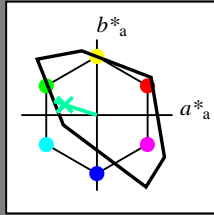
für Buntton $h^* = lab^*h = 162/360 = 0.451$

lab^*tch und lab^*nch

D65: Buntton G

LCH*Ma: 86 60 162

olv*Ma: 0.0 1.0 0.64



TLS18; adaptierte CIELAB-Daten

	$L^*=L^*_a$	a^*_a	b^*_a	$C^*_{ab,a}$	$h^*_{ab,a}$
OMa	52.76	71.63	49.88	87.29	35
YMa	92.74	-20.02	84.97	87.3	103
LMa	84.0	-78.98	73.94	108.2	137
CMa	87.14	-44.41	-13.11	46.32	196
VMa	35.47	64.92	-95.06	115.12	304
MMa	59.01	89.33	-55.67	105.26	328
NMa	18.01	0.0	0.0	0.0	0
WMa	95.41	0.0	0.0	0.0	0
RCIE	39.92	58.74	27.99	65.07	25
JCIE	81.26	-2.88	71.56	71.62	92
GCIE	52.23	-42.41	13.6	44.55	162
BCIE	30.57	1.41	-46.46	46.49	272

Dreiecks-Helligkeit t^*

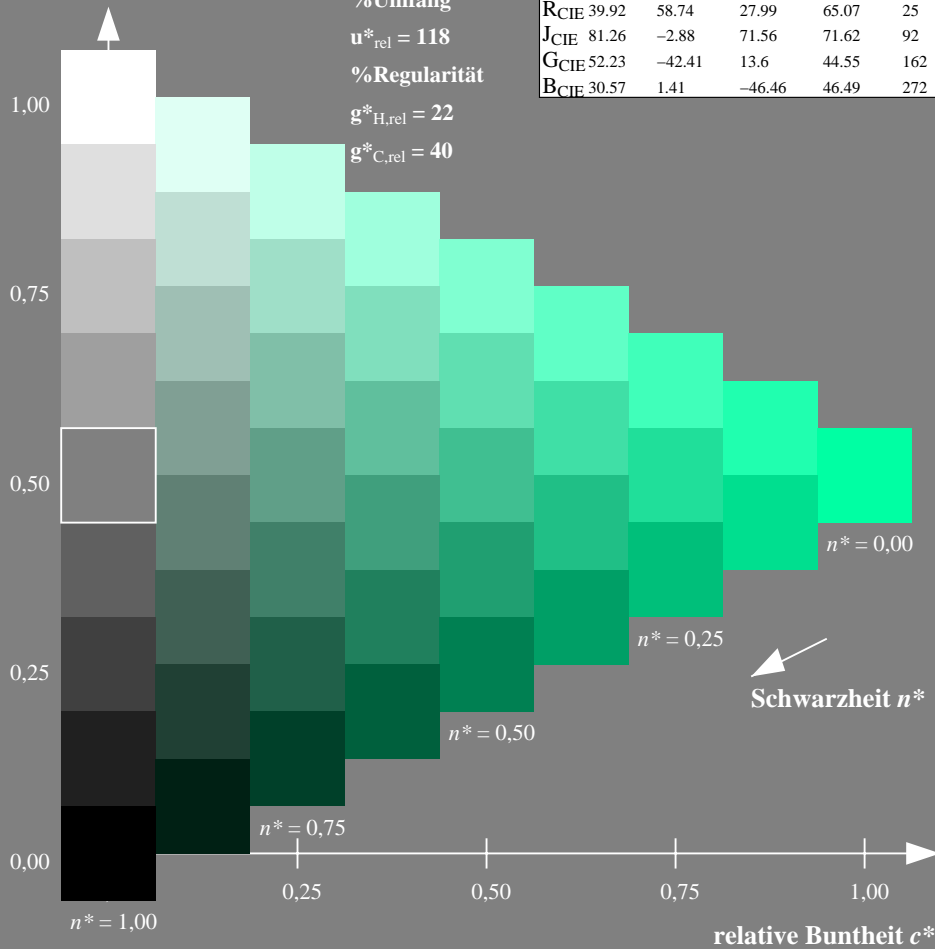
%Umfang

$u^*_{rel} = 118$

%Regularität

$g^*_{H,rel} = 22$

$g^*_{C,rel} = 40$



Ausgabe: Farbmetrisches Fernseh-Licht-System TLS70

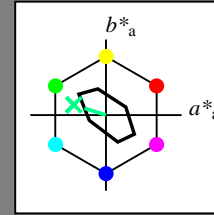
für Buntton $h^* = lab^*h = 162/360 = 0.451$

lab^*tch und lab^*nch

D65: Buntton G

LCH*Ma: 90 30 162

olv*Ma: 0.0 1.0 0.53



TLS70; adaptierte CIELAB-Daten

	$L^*=L^*_a$	a^*_a	b^*_a	$C^*_{ab,a}$	$h^*_{ab,a}$
OMa	76.43	26.27	10.57	28.32	22
YMa	93.93	-10.76	34.63	36.27	107
LMa	89.32	-35.8	27.64	45.24	142
CMa	90.93	-21.95	-7.07	23.07	198
VMa	72.1	15.76	-35.63	38.97	294
MMa	78.5	37.52	-25.23	45.22	326
NMa	69.7	0.0	0.0	0.0	0
WMa	95.41	0.0	0.0	0.0	0
RCIE	39.92	58.74	27.99	65.07	25
JCIE	81.26	-2.88	71.56	71.62	92
GCIE	52.23	-42.41	13.6	44.55	162
BCIE	30.57	1.41	-46.46	46.49	272

Dreiecks-Helligkeit t^*

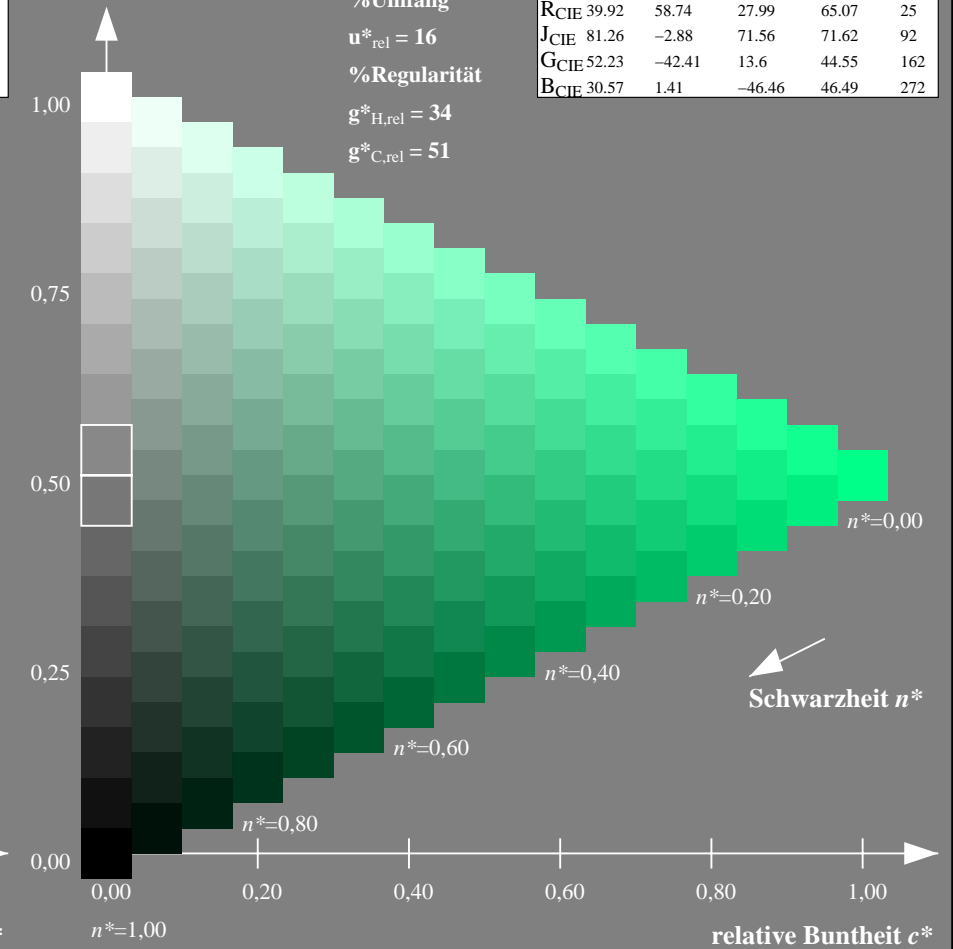
%Umfang

$u^*_{rel} = 16$

%Regularität

$g^*_{H,rel} = 34$

$g^*_{C,rel} = 51$



NG900-7, 9stufige Reihen für konstanten CIELAB Buntton $162/360 = 0.451$ (links)

16stufige Reihen für konstanten CIELAB Buntton $162/360 = 0.451$ (rechts)

Eingabe: Farbmetrisches Natürliches-Licht-System NLS00

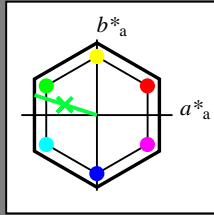
für Buntton $h^* = lab^*h = 162/360 = 0.451$

lab^*tch und lab^*nch

D65: Buntton G

LCH*Ma: 39 87 162

olv*Ma: 0.0 1.0 0.22



NLS00; adaptierte CIELAB-Daten

	$L^*=L^*_a$	a^*_a	b^*_a	$C^*_{ab,a}$	$h^*_{ab,a}$
OMa	31.81	82.62	47.7	95.4	30
YMa	63.61	0.0	95.4	95.4	90
LMa	31.81	-82.61	47.7	95.4	150
CMa	63.61	-82.61	-47.69	95.4	210
VMa	31.81	0.0	-95.39	95.4	270
MMa	63.61	82.62	-47.69	95.4	330
NMa	0.01	0.0	0.0	0.0	0
WMa	95.41	0.0	0.0	0.0	0
RCIE	39.92	58.74	27.99	65.07	25
JCIE	81.26	-2.88	71.56	71.62	92
GCIE	52.23	-42.41	13.6	44.55	162
BCIE	30.57	1.41	-46.46	46.49	272

Dreiecks-Helligkeit t^*

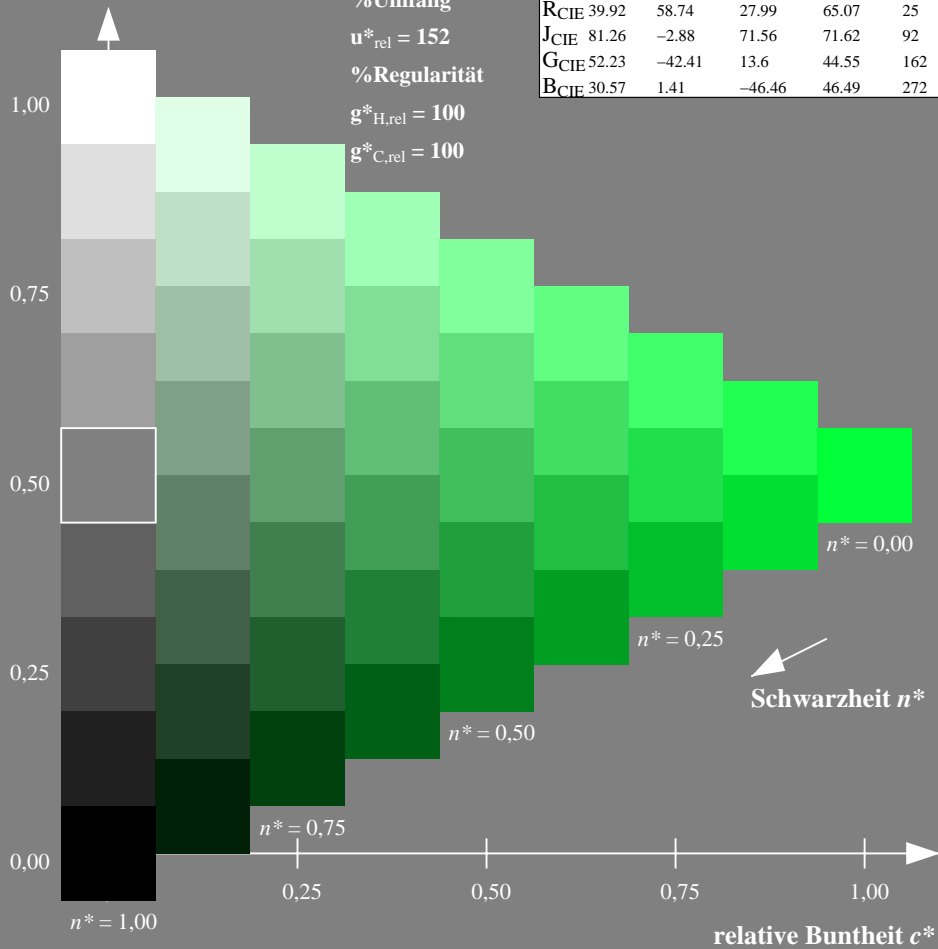
%Umfang

$u^*_{rel} = 152$

%Regularität

$g^*_{H,rel} = 100$

$g^*_{C,rel} = 100$



Ausgabe: Farbmetrisches Offset-Reflektiv-System ORS18

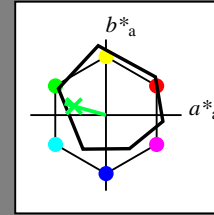
für Buntton $h^* = lab^*h = 164/360 = 0.457$

lab^*tch und lab^*nch

D65: Buntton G

LCH*Ma: 53 57 164

olv*Ma: 0.0 1.0 0.25



ORS18; adaptierte CIELAB-Daten

	$L^*=L^*_a$	a^*_a	b^*_a	$C^*_{ab,a}$	$h^*_{ab,a}$
OMa	47.94	65.39	50.52	82.63	38
YMa	90.37	-10.26	91.75	92.32	96
LMa	50.9	-62.83	34.96	71.91	151
CMa	58.62	-30.34	-45.01	54.3	236
VMa	25.72	31.1	-44.4	54.22	305
MMa	48.13	75.28	-8.36	75.74	354
NMa	18.01	0.0	0.0	0.0	0
WMa	95.41	0.0	0.0	0.0	0
RCIE	39.92	58.66	26.98	64.57	25
JCIE	81.26	-2.16	67.76	67.79	92
GCIE	52.23	-42.25	11.76	43.87	164
BCIE	30.57	1.15	-46.84	46.86	271

Dreiecks-Helligkeit t^*

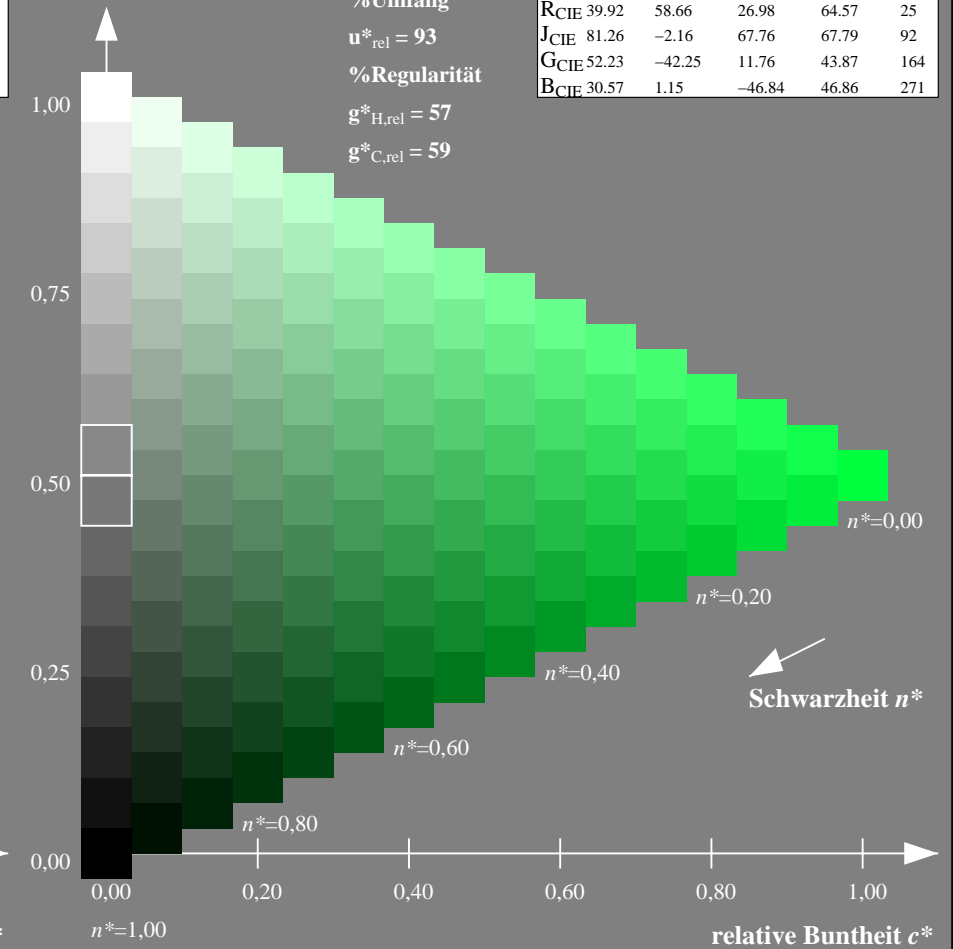
%Umfang

$u^*_{rel} = 93$

%Regularität

$g^*_{H,rel} = 57$

$g^*_{C,rel} = 59$



NG900-7, 9stufige Reihen für konstanten CIELAB Buntton $162/360 = 0.451$ (links)

16stufige Reihen für konstanten CIELAB Buntton $164/360 = 0.457$ (rechts)

Eingabe: Farbmetrisches Natürliches-Licht-System NLS00

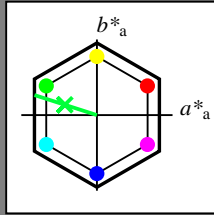
für Buntton $h^* = lab^*h = 162/360 = 0.451$

lab^*tch und lab^*nch

D65: Buntton G

LCH*Ma: 39 87 162

olv*Ma: 0.0 1.0 0.22



NLS00; adaptierte CIELAB-Daten

	$L^*=L^*_a$	a^*_a	b^*_a	$C^*_{ab,a}$	$h^*_{ab,a}$
O _{Ma}	31.81	82.62	47.7	95.4	30
Y _{Ma}	63.61	0.0	95.4	95.4	90
L _{Ma}	31.81	-82.61	47.7	95.4	150
C _{Ma}	63.61	-82.61	-47.69	95.4	210
V _{Ma}	31.81	0.0	-95.39	95.4	270
M _{Ma}	63.61	82.62	-47.69	95.4	330
N _{Ma}	0.01	0.0	0.0	0.0	0
W _{Ma}	95.41	0.0	0.0	0.0	0
R _{CIE}	39.92	58.74	27.99	65.07	25
J _{CIE}	81.26	-2.88	71.56	71.62	92
G _{CIE}	52.23	-42.41	13.6	44.55	162
B _{CIE}	30.57	1.41	-46.46	46.49	272

Dreiecks-Helligkeit t^*

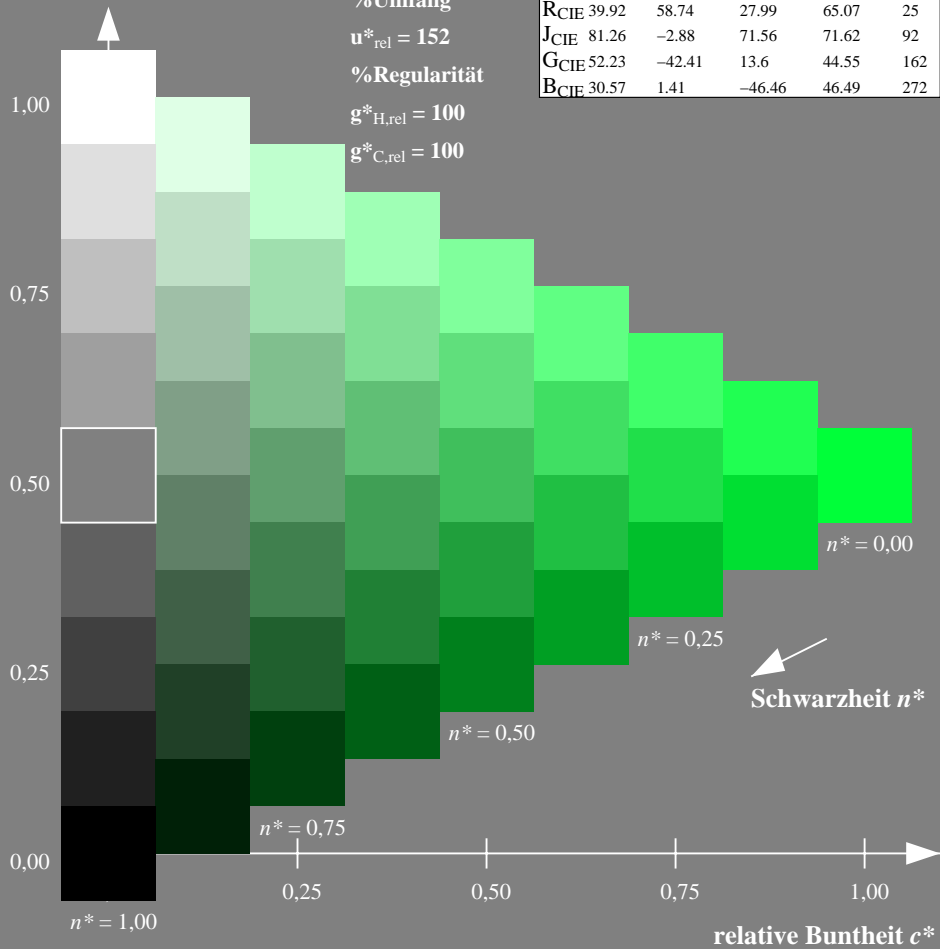
%Umfang

$u^*_{rel} = 152$

%Regularität

$g^*_{H,rel} = 100$

$g^*_{C,rel} = 100$



Ausgabe: Farbmetrisches Fernseh-Licht-System TLS00

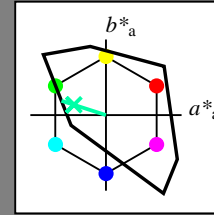
für Buntton $h^* = lab^*h = 162/360 = 0.451$

lab^*tch und lab^*nch

D65: Buntton G

LCH*Ma: 86 62 162

olv*Ma: 0.0 1.0 0.65



TLS00; adaptierte CIELAB-Daten

	$L^*=L^*_a$	a^*_a	b^*_a	$C^*_{ab,a}$	$h^*_{ab,a}$
O _{Ma}	50.5	76.92	64.55	100.42	40
Y _{Ma}	92.66	-20.69	90.75	93.08	103
L _{Ma}	83.63	-82.75	79.9	115.04	136
C _{Ma}	86.88	-46.16	-13.55	48.12	196
V _{Ma}	30.39	76.06	-103.59	128.52	306
M _{Ma}	57.3	94.35	-58.41	110.97	328
N _{Ma}	0.01	0.0	0.0	0.0	0
W _{Ma}	95.41	0.0	0.0	0.0	0
R _{CIE}	39.92	58.74	27.99	65.07	25
J _{CIE}	81.26	-2.88	71.56	71.62	92
G _{CIE}	52.23	-42.41	13.6	44.55	162
B _{CIE}	30.57	1.41	-46.46	46.49	272

Dreiecks-Helligkeit t^*

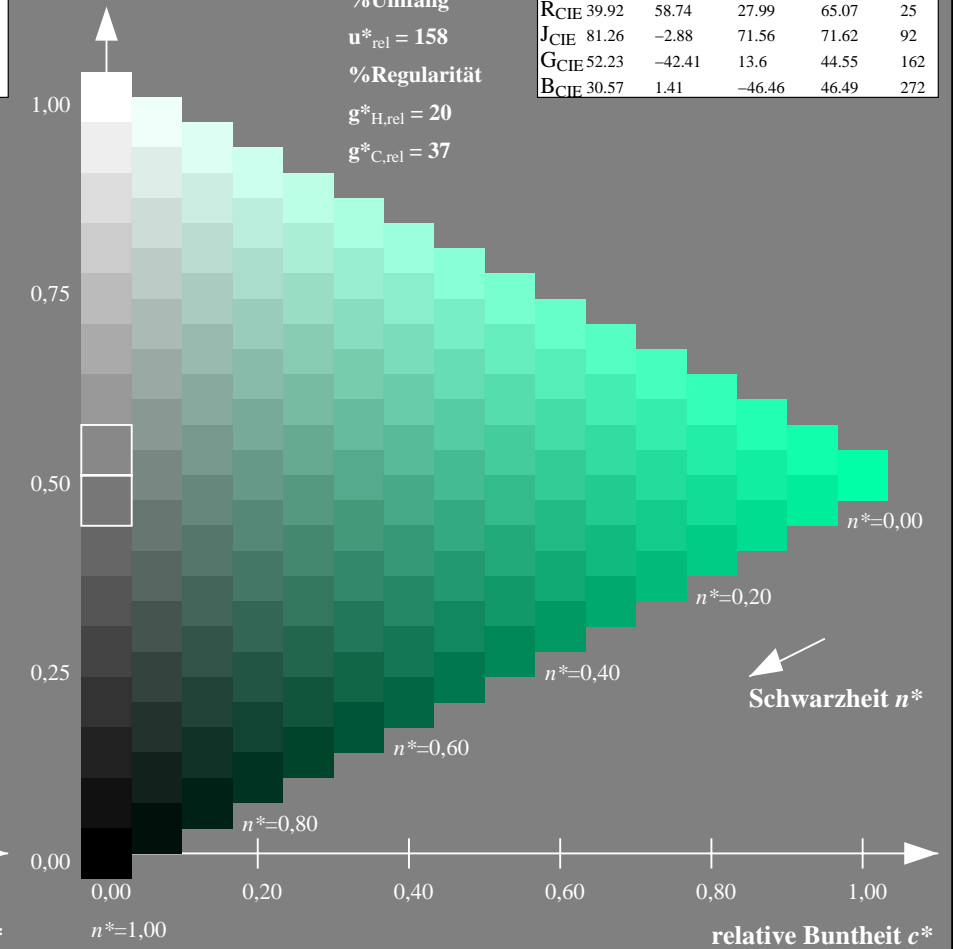
%Umfang

$u^*_{rel} = 158$

%Regularität

$g^*_{H,rel} = 20$

$g^*_{C,rel} = 37$



NG900-7, 9stufige Reihen für konstanten CIELAB Buntton $162/360 = 0.451$ (links)

16stufige Reihen für konstanten CIELAB Buntton $162/360 = 0.451$ (rechts)

Eingabe: Farbmetrisches Natürliches-Licht-System NLS00

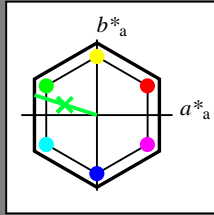
für Buntton $h^* = lab^*h = 162/360 = 0.451$

lab^*tch und lab^*nch

D65: Buntton G

LCH*Ma: 39 87 162

olv*Ma: 0.0 1.0 0.22



NLS00; adaptierte CIELAB-Daten

	$L^*=L^*_a$	a^*_a	b^*_a	$C^*_{ab,a}$	$h^*_{ab,a}$
OMa	31.81	82.62	47.7	95.4	30
YMa	63.61	0.0	95.4	95.4	90
LMa	31.81	-82.61	47.7	95.4	150
CMa	63.61	-82.61	-47.69	95.4	210
VMa	31.81	0.0	-95.39	95.4	270
MMa	63.61	82.62	-47.69	95.4	330
NMa	0.01	0.0	0.0	0.0	0
WMa	95.41	0.0	0.0	0.0	0
RCIE	39.92	58.74	27.99	65.07	25
JCIE	81.26	-2.88	71.56	71.62	92
GCIE	52.23	-42.41	13.6	44.55	162
BCIE	30.57	1.41	-46.46	46.49	272

Dreiecks-Helligkeit t^*

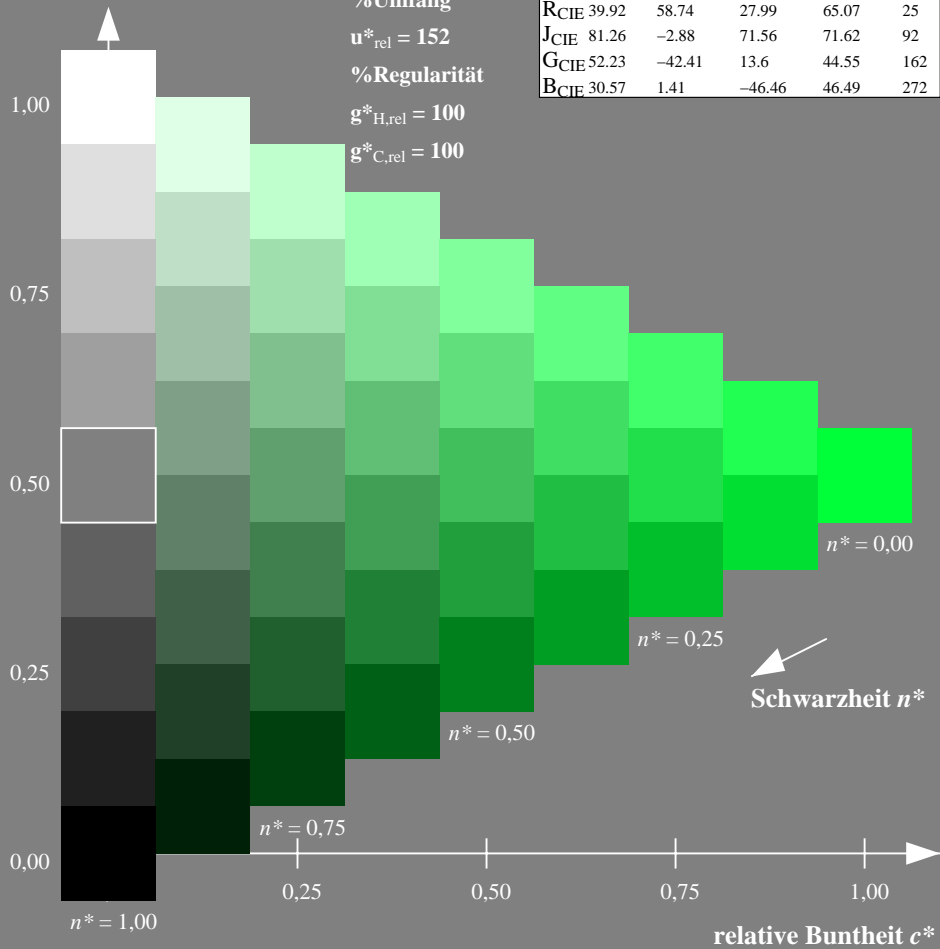
%Umfang

$u^*_{rel} = 152$

%Regularität

$g^*_{H,rel} = 100$

$g^*_{C,rel} = 100$



Ausgabe: Farbmetrisches Drucker-Reflektiv-System DRSXX

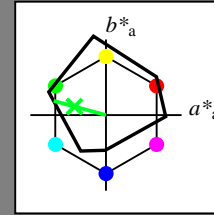
für Buntton $h^* = lab^*h = 165/360 = 0.458$

lab^*tch und lab^*nch

D65: Buntton G

LCH*Ma: 49 72 165

olv*Ma: 0.0 1.0 0.15



DRSXX; adaptierte CIELAB-Daten

	$L^*=L^*_a$	a^*_a	b^*_a	$C^*_{ab,a}$	$h^*_{ab,a}$
OMa	42.21	66.82	50.6	83.82	37
YMa	90.32	-16.51	104.33	105.63	99
LMa	48.21	-75.63	30.65	81.61	158
CMa	53.44	-33.33	-47.49	58.03	235
VMa	34.16	-0.92	-46.56	46.58	269
MMa	42.71	79.0	-1.95	79.03	359
NMa	16.56	0.0	0.0	0.0	0
WMa	96.31	0.0	0.0	0.0	0
RCIE	39.92	59.78	25.77	65.1	23
JCIE	81.26	-2.51	69.07	69.11	92
GCIE	52.23	-41.57	11.3	43.09	165
BCIE	30.57	2.6	-48.62	48.7	273

Dreiecks-Helligkeit t^*

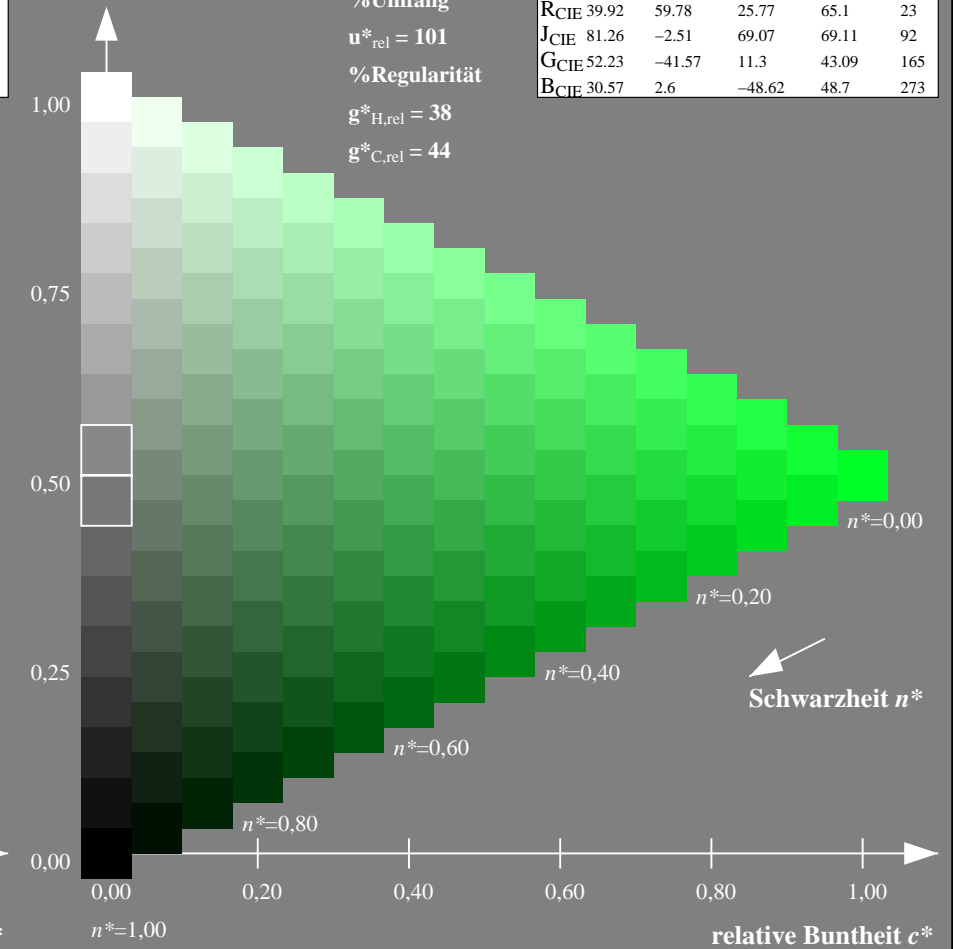
%Umfang

$u^*_{rel} = 101$

%Regularität

$g^*_{H,rel} = 38$

$g^*_{C,rel} = 44$



NG900-7, 9stufige Reihen für konstanten CIELAB Buntton $162/360 = 0.451$ (links)

16stufige Reihen für konstanten CIELAB Buntton $165/360 = 0.458$ (rechts)

Eingabe: Farbmetrisches Natürliches-Licht-System NLS00

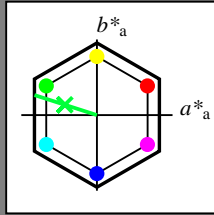
für Buntton $h^* = lab^*h = 162/360 = 0.451$

lab^*tch und lab^*nch

D65: Buntton G

LCH*Ma: 39 87 162

olv*Ma: 0.0 1.0 0.22



NLS00; adaptierte CIELAB-Daten

	$L^*=L^*_a$	a^*_a	b^*_a	$C^*_{ab,a}$	$h^*_{ab,a}$
OMa	31.81	82.62	47.7	95.4	30
YMa	63.61	0.0	95.4	95.4	90
LMa	31.81	-82.61	47.7	95.4	150
CMa	63.61	-82.61	-47.69	95.4	210
VMa	31.81	0.0	-95.39	95.4	270
MMa	63.61	82.62	-47.69	95.4	330
NMa	0.01	0.0	0.0	0.0	0
WMa	95.41	0.0	0.0	0.0	0
RCIE	39.92	58.74	27.99	65.07	25
JCIE	81.26	-2.88	71.56	71.62	92
GCIE	52.23	-42.41	13.6	44.55	162
BCIE	30.57	1.41	-46.46	46.49	272

Dreiecks-Helligkeit t^*

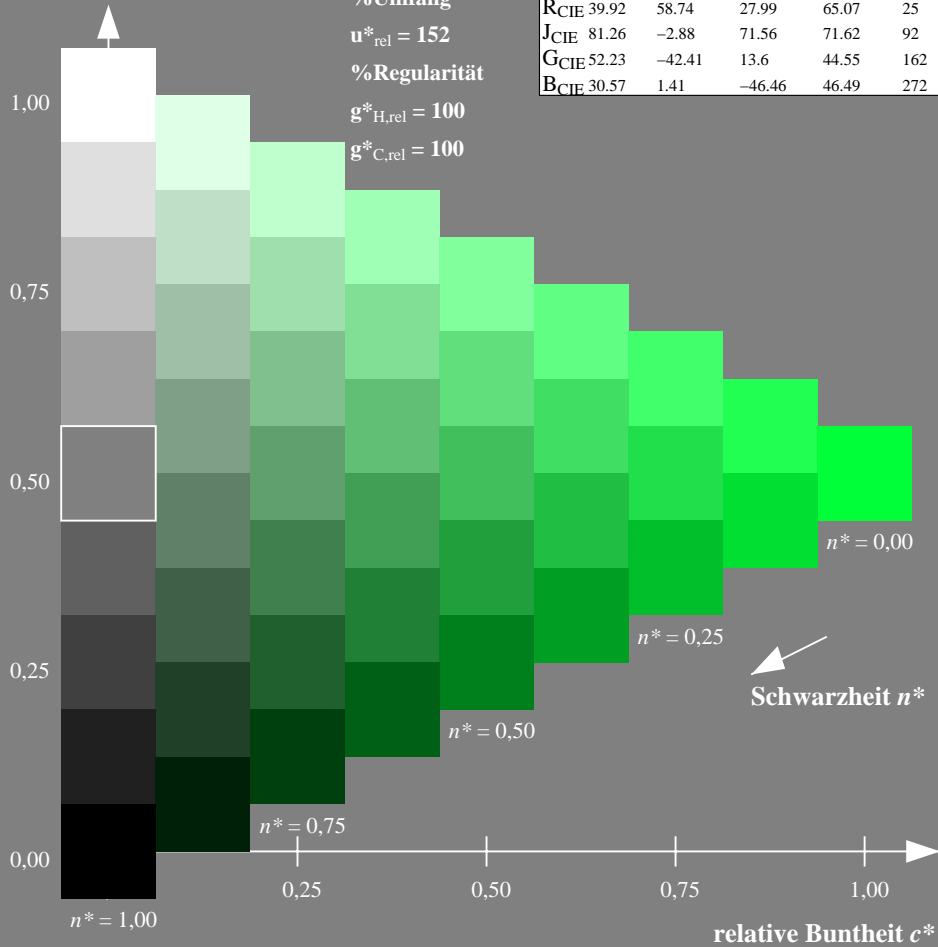
%Umfang

$u^*_{rel} = 152$

%Regularität

$g^*_{H,rel} = 100$

$g^*_{C,rel} = 100$



Ausgabe: Farbmetrisches Fernseh-Licht-System TLS18

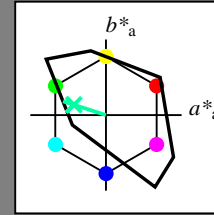
für Buntton $h^* = lab^*h = 162/360 = 0.451$

lab^*tch und lab^*nch

D65: Buntton G

LCH*Ma: 86 60 162

olv*Ma: 0.0 1.0 0.64



TLS18; adaptierte CIELAB-Daten

	$L^*=L^*_a$	a^*_a	b^*_a	$C^*_{ab,a}$	$h^*_{ab,a}$
OMa	52.76	71.63	49.88	87.29	35
YMa	92.74	-20.02	84.97	87.3	103
LMa	84.0	-78.98	73.94	108.2	137
CMa	87.14	-44.41	-13.11	46.32	196
VMa	35.47	64.92	-95.06	115.12	304
MMa	59.01	89.33	-55.67	105.26	328
NMa	18.01	0.0	0.0	0.0	0
WMa	95.41	0.0	0.0	0.0	0
RCIE	39.92	58.74	27.99	65.07	25
JCIE	81.26	-2.88	71.56	71.62	92
GCIE	52.23	-42.41	13.6	44.55	162
BCIE	30.57	1.41	-46.46	46.49	272

Dreiecks-Helligkeit t^*

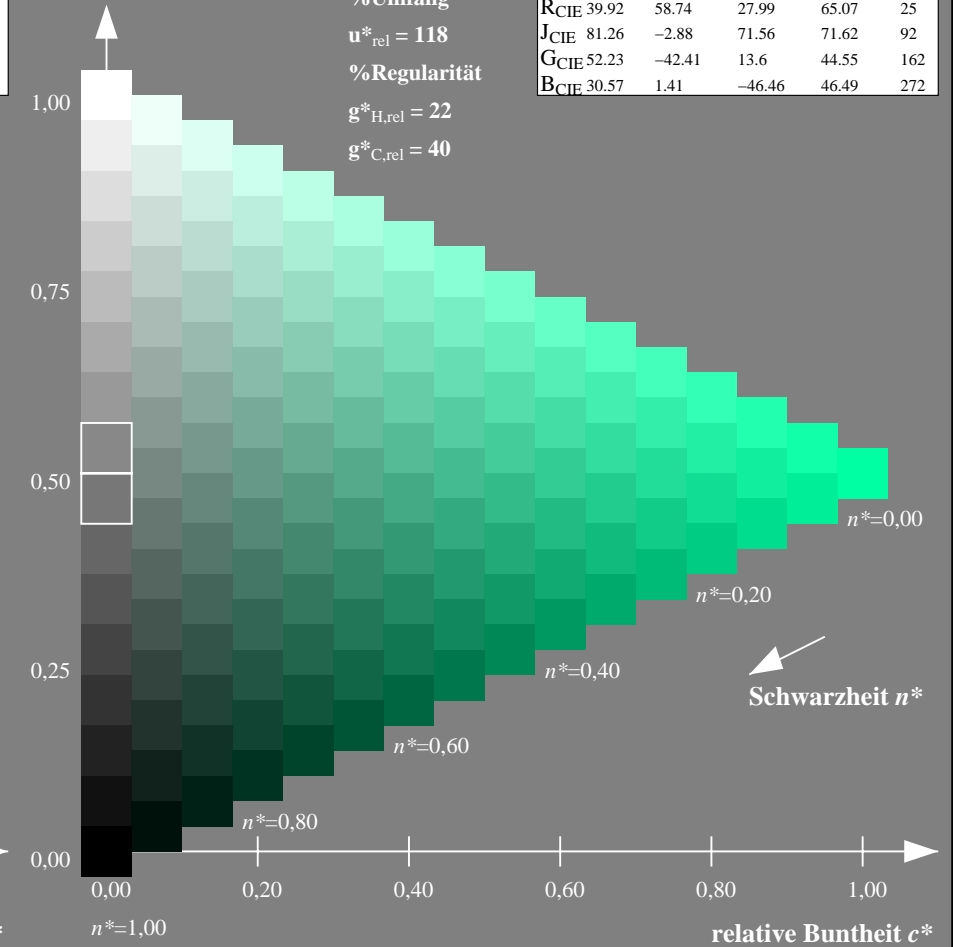
%Umfang

$u^*_{rel} = 118$

%Regularität

$g^*_{H,rel} = 22$

$g^*_{C,rel} = 40$



NG900-7, 9stufige Reihen für konstanten CIELAB Buntton $162/360 = 0.451$ (links)

16stufige Reihen für konstanten CIELAB Buntton $162/360 = 0.451$ (rechts)

Eingabe: Farbmetrisches Natürliches-Licht-System NLS00

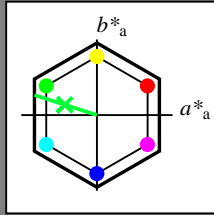
für Buntton $h^* = lab^*h = 162/360 = 0.451$

lab^*tch und lab^*nch

D65: Buntton G

LCH*Ma: 39 87 162

olv*Ma: 0.0 1.0 0.22



NLS00; adaptierte CIELAB-Daten

	$L^*=L^*_a$	a^*_a	b^*_a	$C^*_{ab,a}$	$h^*_{ab,a}$
O _{Ma}	31.81	82.62	47.7	95.4	30
Y _{Ma}	63.61	0.0	95.4	95.4	90
L _{Ma}	31.81	-82.61	47.7	95.4	150
C _{Ma}	63.61	-82.61	-47.69	95.4	210
V _{Ma}	31.81	0.0	-95.39	95.4	270
M _{Ma}	63.61	82.62	-47.69	95.4	330
N _{Ma}	0.01	0.0	0.0	0.0	0
W _{Ma}	95.41	0.0	0.0	0.0	0
R _{CIE}	39.92	58.74	27.99	65.07	25
J _{CIE}	81.26	-2.88	71.56	71.62	92
G _{CIE}	52.23	-42.41	13.6	44.55	162
B _{CIE}	30.57	1.41	-46.46	46.49	272

Dreiecks-Helligkeit t^*

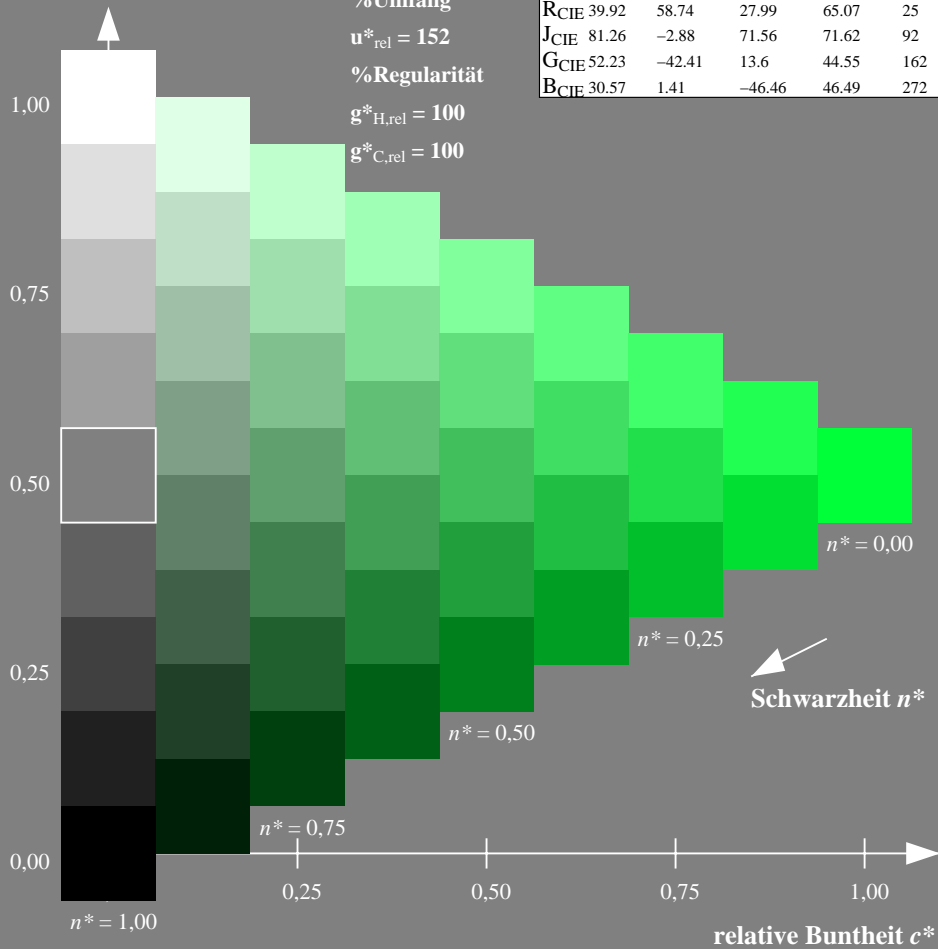
%Umfang

$u^*_{rel} = 152$

%Regularität

$g^*_{H,rel} = 100$

$g^*_{C,rel} = 100$



Ausgabe: Farbmetrisches Natürliches-Licht-System NLS00

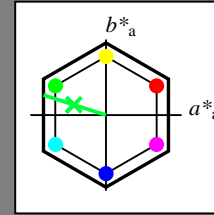
für Buntton $h^* = lab^*h = 162/360 = 0.451$

lab^*tch und lab^*nch

D65: Buntton G

LCH*Ma: 39 87 162

olv*Ma: 0.0 1.0 0.22



NLS00; adaptierte CIELAB-Daten

	$L^*=L^*_a$	a^*_a	b^*_a	$C^*_{ab,a}$	$h^*_{ab,a}$
O _{Ma}	31.81	82.62	47.7	95.4	30
Y _{Ma}	63.61	0.0	95.4	95.4	90
L _{Ma}	31.81	-82.61	47.7	95.4	150
C _{Ma}	63.61	-82.61	-47.69	95.4	210
V _{Ma}	31.81	0.0	-95.39	95.4	270
M _{Ma}	63.61	82.62	-47.69	95.4	330
N _{Ma}	0.01	0.0	0.0	0.0	0
W _{Ma}	95.41	0.0	0.0	0.0	0
R _{CIE}	39.92	58.74	27.99	65.07	25
J _{CIE}	81.26	-2.88	71.56	71.62	92
G _{CIE}	52.23	-42.41	13.6	44.55	162
B _{CIE}	30.57	1.41	-46.46	46.49	272

Dreiecks-Helligkeit t^*

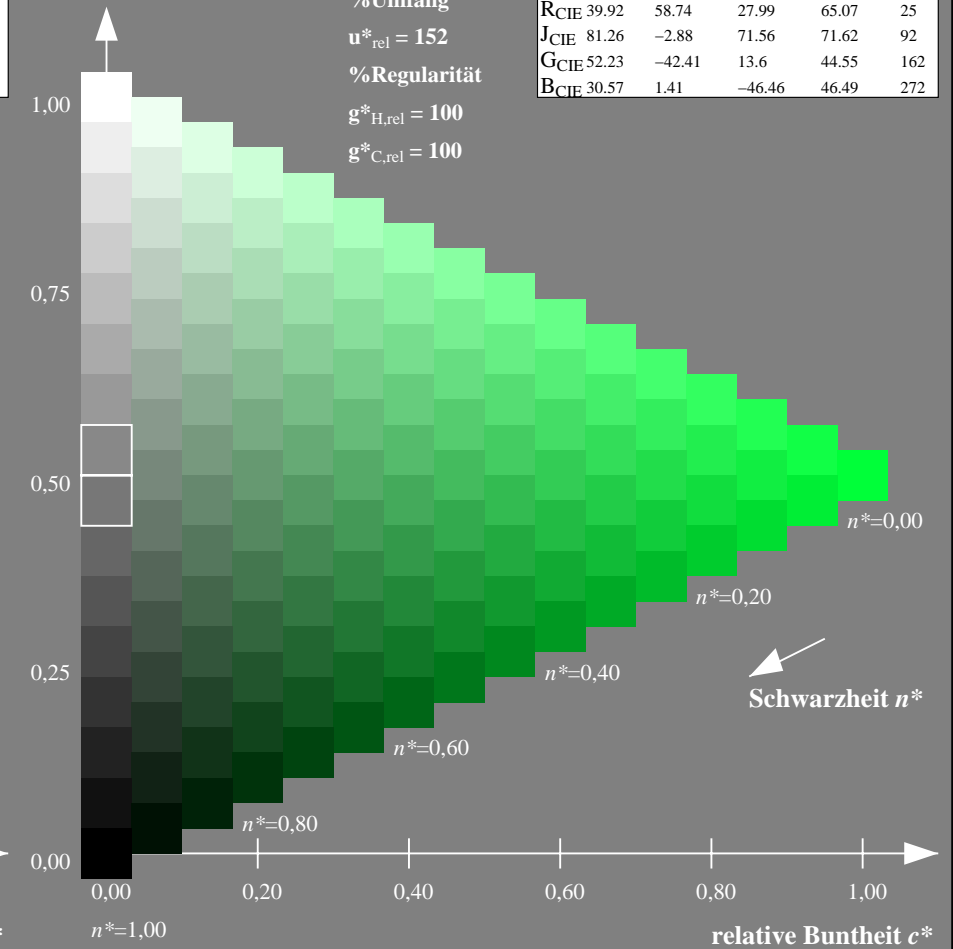
%Umfang

$u^*_{rel} = 152$

%Regularität

$g^*_{H,rel} = 100$

$g^*_{C,rel} = 100$



NG900-7, 9stufige Reihen für konstanten CIELAB Buntton $162/360 = 0.451$ (links)

16stufige Reihen für konstanten CIELAB Buntton $162/360 = 0.451$ (rechts)

Eingabe: Farbmetrisches Natürliches-Licht-System NLS00

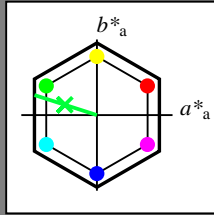
für Buntton $h^* = lab^*h = 162/360 = 0.451$

lab^*tch und lab^*nch

D65: Buntton G

LCH*Ma: 39 87 162

olv*Ma: 0.0 1.0 0.22



NLS00; adaptierte CIELAB-Daten

	$L^*=L^*_a$	a^*_a	b^*_a	$C^*_{ab,a}$	$h^*_{ab,a}$
O _{Ma}	31.81	82.62	47.7	95.4	30
Y _{Ma}	63.61	0.0	95.4	95.4	90
L _{Ma}	31.81	-82.61	47.7	95.4	150
C _{Ma}	63.61	-82.61	-47.69	95.4	210
V _{Ma}	31.81	0.0	-95.39	95.4	270
M _{Ma}	63.61	82.62	-47.69	95.4	330
N _{Ma}	0.01	0.0	0.0	0.0	0
W _{Ma}	95.41	0.0	0.0	0.0	0
R _{CIE}	39.92	58.74	27.99	65.07	25
J _{CIE}	81.26	-2.88	71.56	71.62	92
G _{CIE}	52.23	-42.41	13.6	44.55	162
B _{CIE}	30.57	1.41	-46.46	46.49	272

Dreiecks-Helligkeit t^*

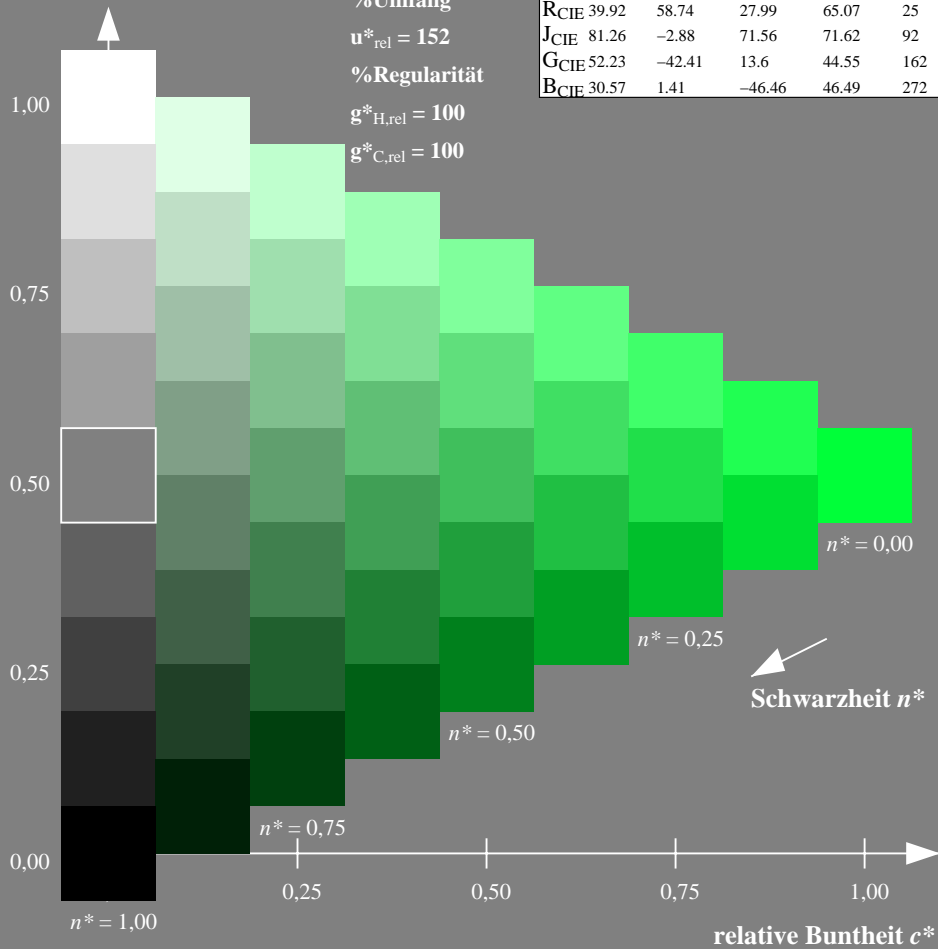
%Umfang

$u^*_{rel} = 152$

%Regularität

$g^*_{H,rel} = 100$

$g^*_{C,rel} = 100$



Schwarzheit n^*

Ausgabe: Farbmetrisches Natürliches-Reflektiv-System NRS18

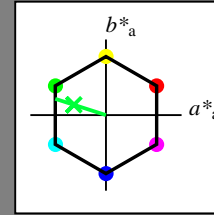
für Buntton $h^* = lab^*h = 162/360 = 0.451$

lab^*tch und lab^*nch

D65: Buntton G

LCH*Ma: 50 70 162

olv*Ma: 0.0 1.0 0.22



NRS18; adaptierte CIELAB-Daten

	$L^*=L^*_a$	a^*_a	b^*_a	$C^*_{ab,a}$	$h^*_{ab,a}$
O _{Ma}	43.81	67.03	38.7	77.4	30
Y _{Ma}	69.61	0.0	77.4	77.4	90
L _{Ma}	43.81	-67.02	38.7	77.4	150
C _{Ma}	69.61	-67.02	-38.69	77.4	210
V _{Ma}	43.81	0.0	-77.39	77.4	270
M _{Ma}	69.61	67.03	-38.69	77.4	330
N _{Ma}	18.01	0.0	0.0	0.0	0
W _{Ma}	95.41	0.0	0.0	0.0	0
R _{CIE}	39.92	58.74	27.99	65.07	25
J _{CIE}	81.26	-2.88	71.56	71.62	92
G _{CIE}	52.23	-42.41	13.6	44.55	162
B _{CIE}	30.57	1.41	-46.46	46.49	272

Dreiecks-Helligkeit t^*

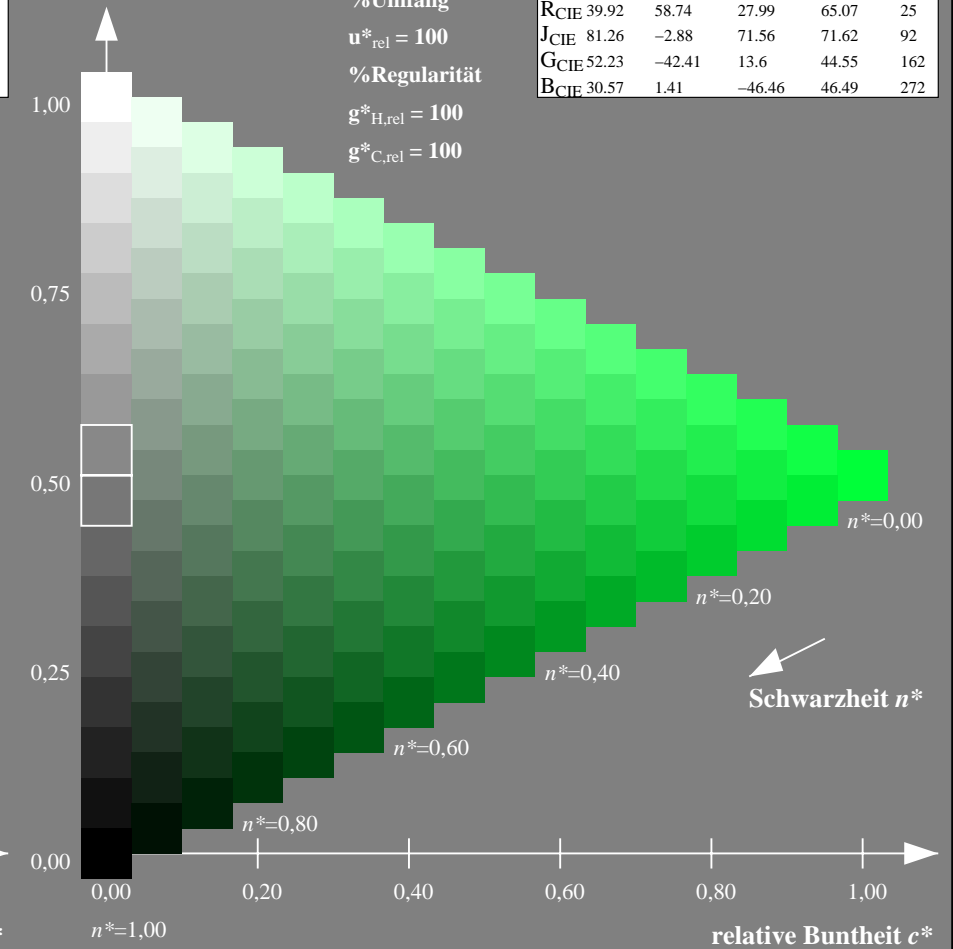
%Umfang

$u^*_{rel} = 100$

%Regularität

$g^*_{H,rel} = 100$

$g^*_{C,rel} = 100$



Schwarzheit n^*

NG900-7, 9stufige Reihen für konstanten CIELAB Buntton $162/360 = 0.451$ (links)

16stufige Reihen für konstanten CIELAB Buntton $162/360 = 0.451$ (rechts)

Eingabe: Farbmetrisches Natürliches-Licht-System NLS00

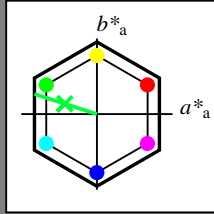
für Buntton $h^* = lab^*h = 162/360 = 0.451$

lab^*tch und lab^*nch

D65: Buntton G

LCH*Ma: 39 87 162

olv*Ma: 0.0 1.0 0.22



NLS00; adaptierte CIELAB-Daten

	$L^*=L^*_a$	a^*_a	b^*_a	$C^*_{ab,a}$	$h^*_{ab,a}$
OMa	31.81	82.62	47.7	95.4	30
YMa	63.61	0.0	95.4	95.4	90
LMa	31.81	-82.61	47.7	95.4	150
CMa	63.61	-82.61	-47.69	95.4	210
VMa	31.81	0.0	-95.39	95.4	270
MMa	63.61	82.62	-47.69	95.4	330
NMa	0.01	0.0	0.0	0.0	0
WMa	95.41	0.0	0.0	0.0	0
RCIE	39.92	58.74	27.99	65.07	25
JCIE	81.26	-2.88	71.56	71.62	92
GCIE	52.23	-42.41	13.6	44.55	162
BCIE	30.57	1.41	-46.46	46.49	272

Dreiecks-Helligkeit t^*

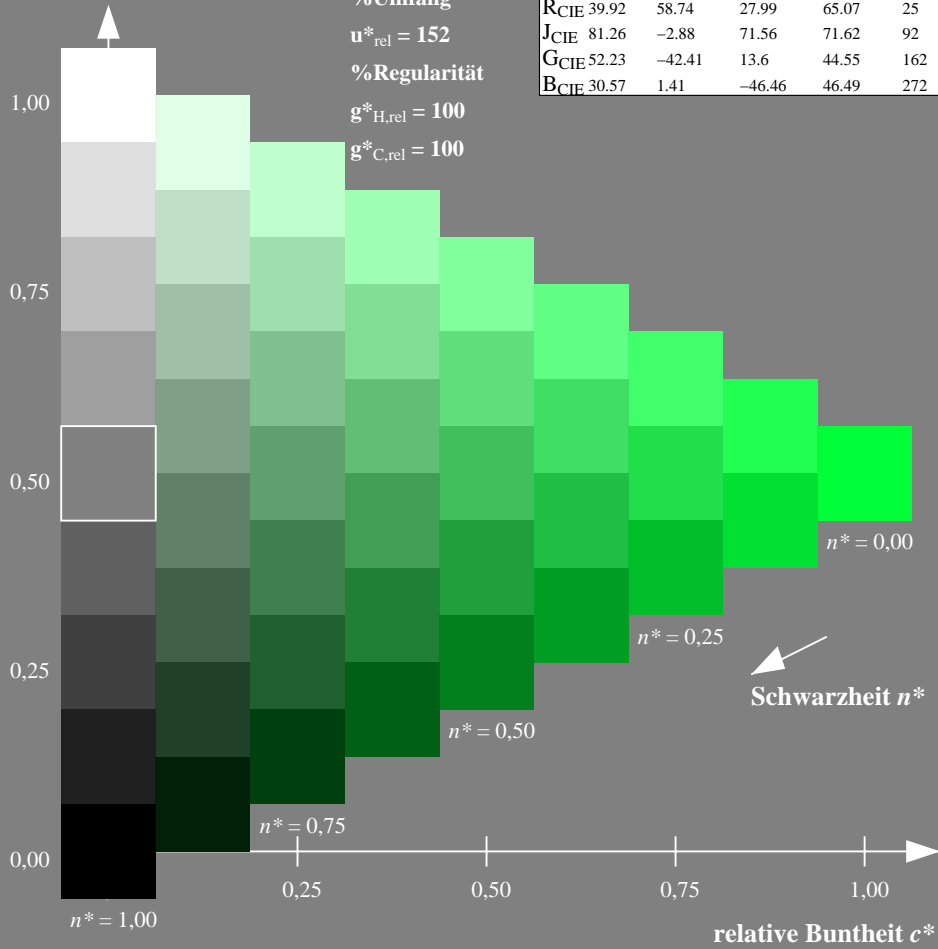
%Umfang

$u^*_{rel} = 152$

%Regularität

$g^*_{H,rel} = 100$

$g^*_{C,rel} = 100$



Ausgabe: Farbmetrisches Standard-Reflektiv-System SRS18

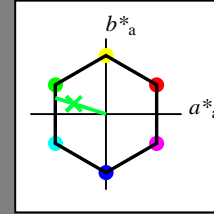
für Buntton $h^* = lab^*h = 162/360 = 0.451$

lab^*tch und lab^*nch

D65: Buntton G

LCH*Ma: 57 70 162

olv*Ma: 0.0 1.0 0.22



SRS18; adaptierte CIELAB-Daten

	$L^*=L^*_a$	a^*_a	b^*_a	$C^*_{ab,a}$	$h^*_{ab,a}$
OMa	56.71	67.03	38.7	77.4	30
YMa	56.71	0.0	77.4	77.4	90
LMa	56.71	-67.02	38.7	77.4	150
CMa	56.71	-67.02	-38.69	77.4	210
VMa	56.71	0.0	-77.39	77.4	270
MMa	56.71	67.03	-38.69	77.4	330
NMa	18.01	0.0	0.0	0.0	0
WMa	95.41	0.0	0.0	0.0	0
RCIE	39.92	58.74	27.99	65.07	25
JCIE	81.26	-2.88	71.56	71.62	92
GCIE	52.23	-42.41	13.6	44.55	162
BCIE	30.57	1.41	-46.46	46.49	272

Dreiecks-Helligkeit t^*

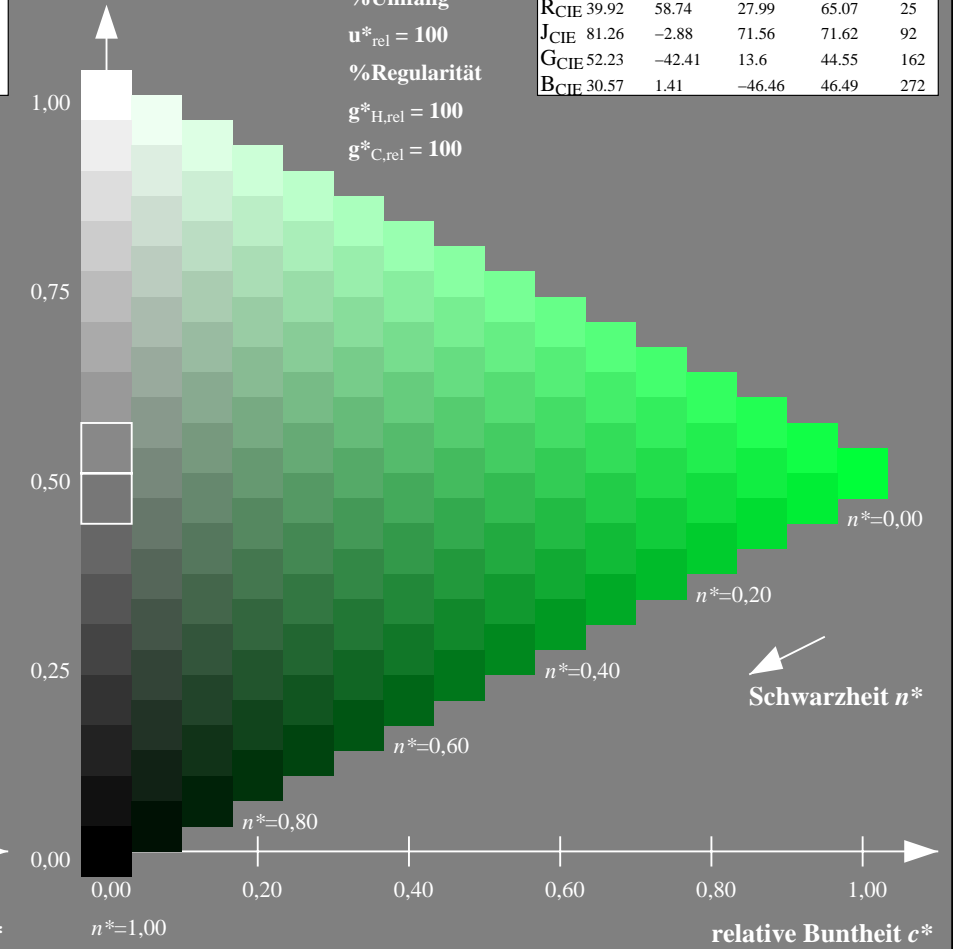
%Umfang

$u^*_{rel} = 100$

%Regularität

$g^*_{H,rel} = 100$

$g^*_{C,rel} = 100$



NG900-7, 9stufige Reihen für konstanten CIELAB Buntton $162/360 = 0.451$ (links)

16stufige Reihen für konstanten CIELAB Buntton $162/360 = 0.451$ (rechts)

Eingabe: Farbmetrisches Natürliches-Licht-System NLS00

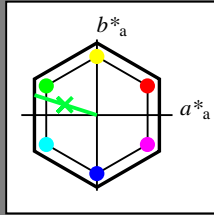
für Buntton $h^* = lab^*h = 162/360 = 0.451$

lab^*tch und lab^*nch

D65: Buntton G

LCH*Ma: 39 87 162

olv*Ma: 0.0 1.0 0.22



NLS00; adaptierte CIELAB-Daten

	$L^*=L^*_a$	a^*_a	b^*_a	$C^*_{ab,a}$	$h^*_{ab,a}$
O _{Ma}	31.81	82.62	47.7	95.4	30
Y _{Ma}	63.61	0.0	95.4	95.4	90
L _{Ma}	31.81	-82.61	47.7	95.4	150
C _{Ma}	63.61	-82.61	-47.69	95.4	210
V _{Ma}	31.81	0.0	-95.39	95.4	270
M _{Ma}	63.61	82.62	-47.69	95.4	330
N _{Ma}	0.01	0.0	0.0	0.0	0
W _{Ma}	95.41	0.0	0.0	0.0	0
R _{CIE}	39.92	58.74	27.99	65.07	25
J _{CIE}	81.26	-2.88	71.56	71.62	92
G _{CIE}	52.23	-42.41	13.6	44.55	162
B _{CIE}	30.57	1.41	-46.46	46.49	272

Dreiecks-Helligkeit t^*

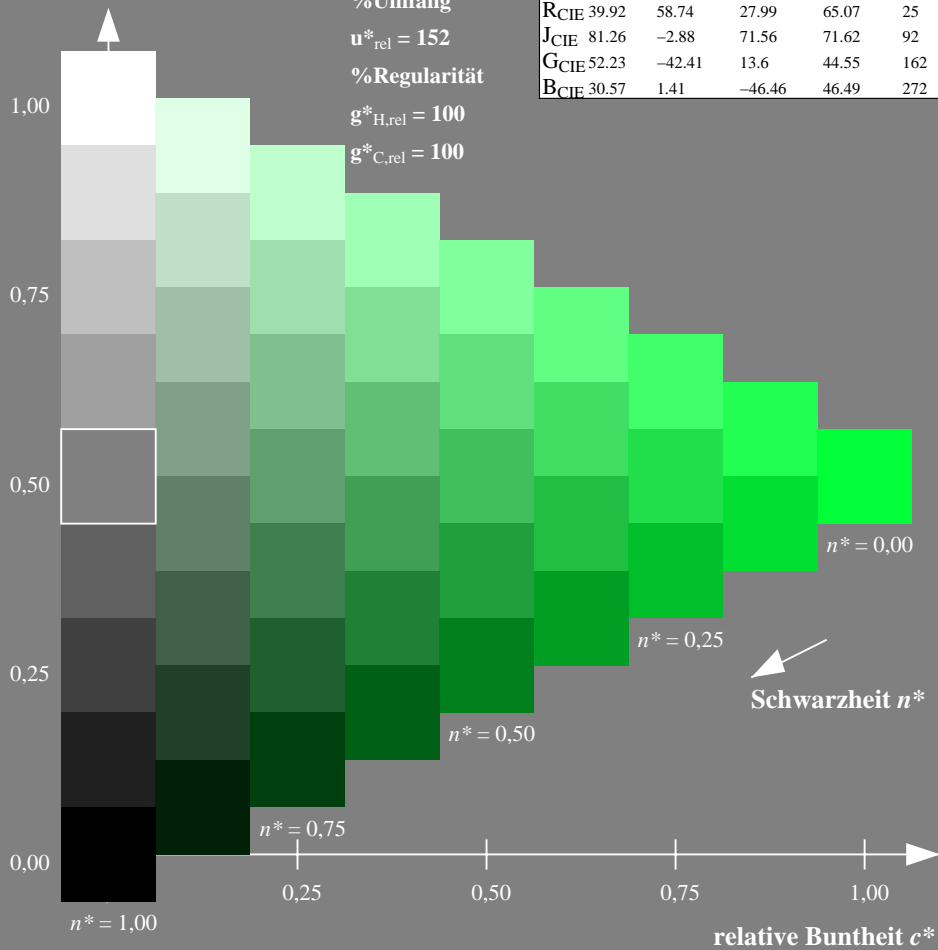
%Umfang

$u^*_{rel} = 152$

%Regularität

$g^*_{H,rel} = 100$

$g^*_{C,rel} = 100$



Ausgabe: Farbmetrisches Fernseh-Licht-System TLS70

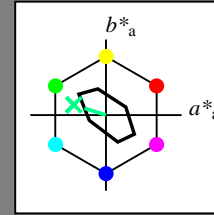
für Buntton $h^* = lab^*h = 162/360 = 0.451$

lab^*tch und lab^*nch

D65: Buntton G

LCH*Ma: 90 30 162

olv*Ma: 0.0 1.0 0.53



TLS70; adaptierte CIELAB-Daten

	$L^*=L^*_a$	a^*_a	b^*_a	$C^*_{ab,a}$	$h^*_{ab,a}$
O _{Ma}	76.43	26.27	10.57	28.32	22
Y _{Ma}	93.93	-10.76	34.63	36.27	107
L _{Ma}	89.32	-35.8	27.64	45.24	142
C _{Ma}	90.93	-21.95	-7.07	23.07	198
V _{Ma}	72.1	15.76	-35.63	38.97	294
M _{Ma}	78.5	37.52	-25.23	45.22	326
N _{Ma}	69.7	0.0	0.0	0.0	0
W _{Ma}	95.41	0.0	0.0	0.0	0
R _{CIE}	39.92	58.74	27.99	65.07	25
J _{CIE}	81.26	-2.88	71.56	71.62	92
G _{CIE}	52.23	-42.41	13.6	44.55	162
B _{CIE}	30.57	1.41	-46.46	46.49	272

Dreiecks-Helligkeit t^*

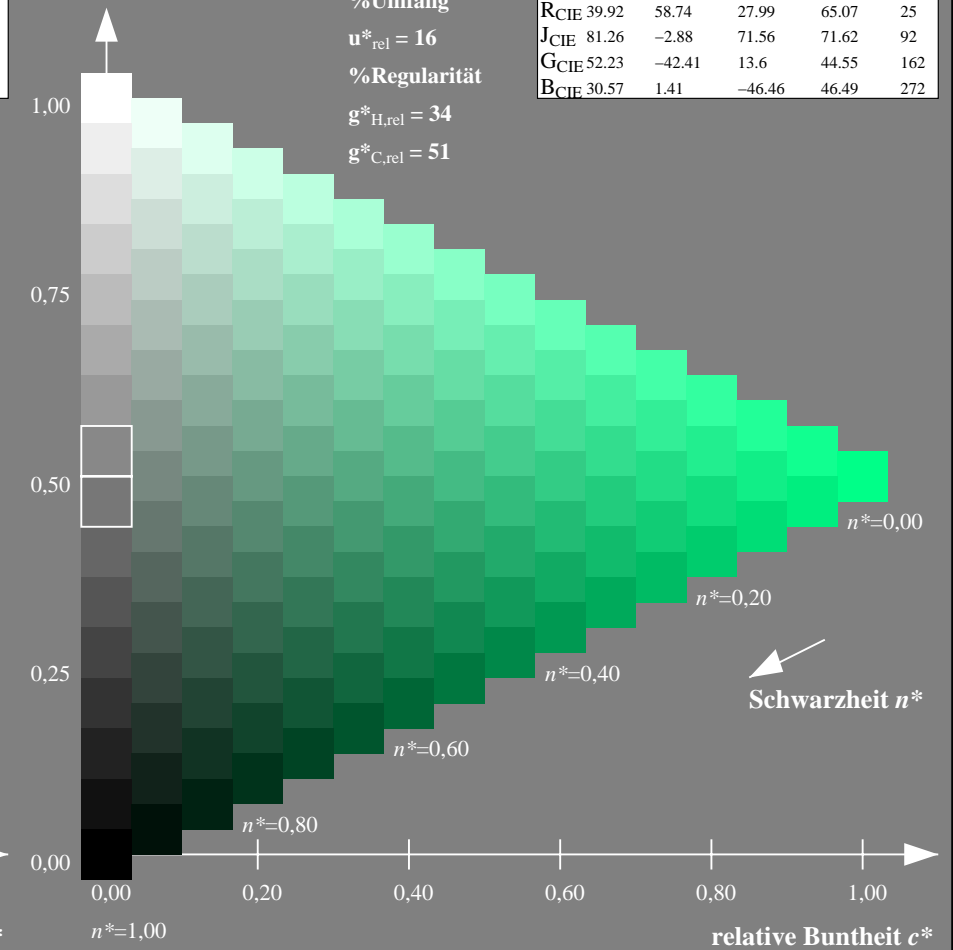
%Umfang

$u^*_{rel} = 16$

%Regularität

$g^*_{H,rel} = 34$

$g^*_{C,rel} = 51$



NG900-7, 9stufige Reihen für konstanten CIELAB Buntton $162/360 = 0.451$ (links)

16stufige Reihen für konstanten CIELAB Buntton $162/360 = 0.451$ (rechts)

Eingabe: Farbmetrisches Natürliches-Reflektiv-System NRS18

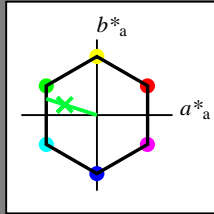
für Buntton $h^* = lab^*h = 162/360 = 0.451$

lab^*tch und lab^*nch

D65: Buntton G

LCH*Ma: 50 70 162

olv*Ma: 0.0 1.0 0.22



NRS18; adaptierte CIELAB-Daten

	$L^*=L^*_a$	a^*_a	b^*_a	$C^*_{ab,a}$	$h^*_{ab,a}$
OMa	43.81	67.03	38.7	77.4	30
YMa	69.61	0.0	77.4	77.4	90
LMa	43.81	-67.02	38.7	77.4	150
CMa	69.61	-67.02	-38.69	77.4	210
VMa	43.81	0.0	-77.39	77.4	270
MMa	69.61	67.03	-38.69	77.4	330
NMa	18.01	0.0	0.0	0.0	0
WMa	95.41	0.0	0.0	0.0	0
RCIE	39.92	58.74	27.99	65.07	25
JCIE	81.26	-2.88	71.56	71.62	92
GCIE	52.23	-42.41	13.6	44.55	162
BCIE	30.57	1.41	-46.46	46.49	272

Dreiecks-Helligkeit t^*

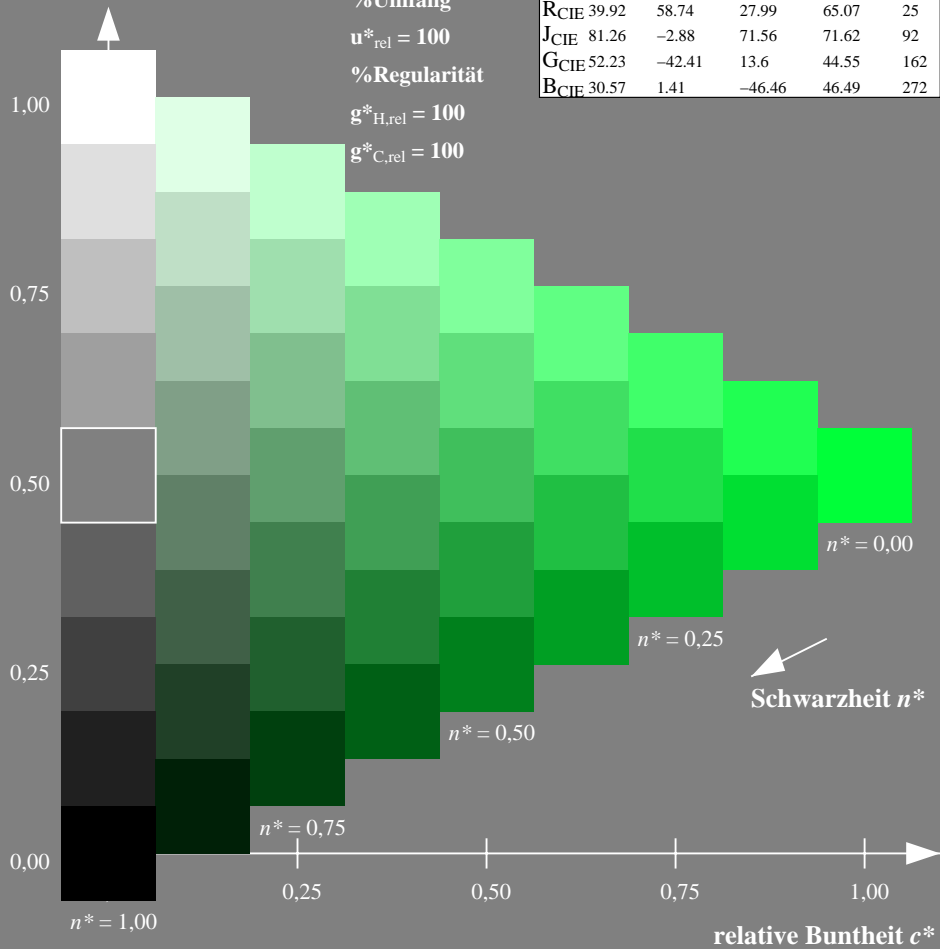
%Umfang

$u^*_{rel} = 100$

%Regularität

$g^*_{H,rel} = 100$

$g^*_{C,rel} = 100$



Ausgabe: Farbmetrisches Offset-Reflektiv-System ORS18

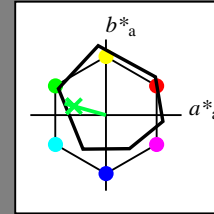
für Buntton $h^* = lab^*h = 164/360 = 0.457$

lab^*tch und lab^*nch

D65: Buntton G

LCH*Ma: 53 57 164

olv*Ma: 0.0 1.0 0.25



ORS18; adaptierte CIELAB-Daten

	$L^*=L^*_a$	a^*_a	b^*_a	$C^*_{ab,a}$	$h^*_{ab,a}$
OMa	47.94	65.39	50.52	82.63	38
YMa	90.37	-10.26	91.75	92.32	96
LMa	50.9	-62.83	34.96	71.91	151
CMa	58.62	-30.34	-45.01	54.3	236
VMa	25.72	31.1	-44.4	54.22	305
MMa	48.13	75.28	-8.36	75.74	354
NMa	18.01	0.0	0.0	0.0	0
WMa	95.41	0.0	0.0	0.0	0
RCIE	39.92	58.66	26.98	64.57	25
JCIE	81.26	-2.16	67.76	67.79	92
GCIE	52.23	-42.25	11.76	43.87	164
BCIE	30.57	1.15	-46.84	46.86	271

Dreiecks-Helligkeit t^*

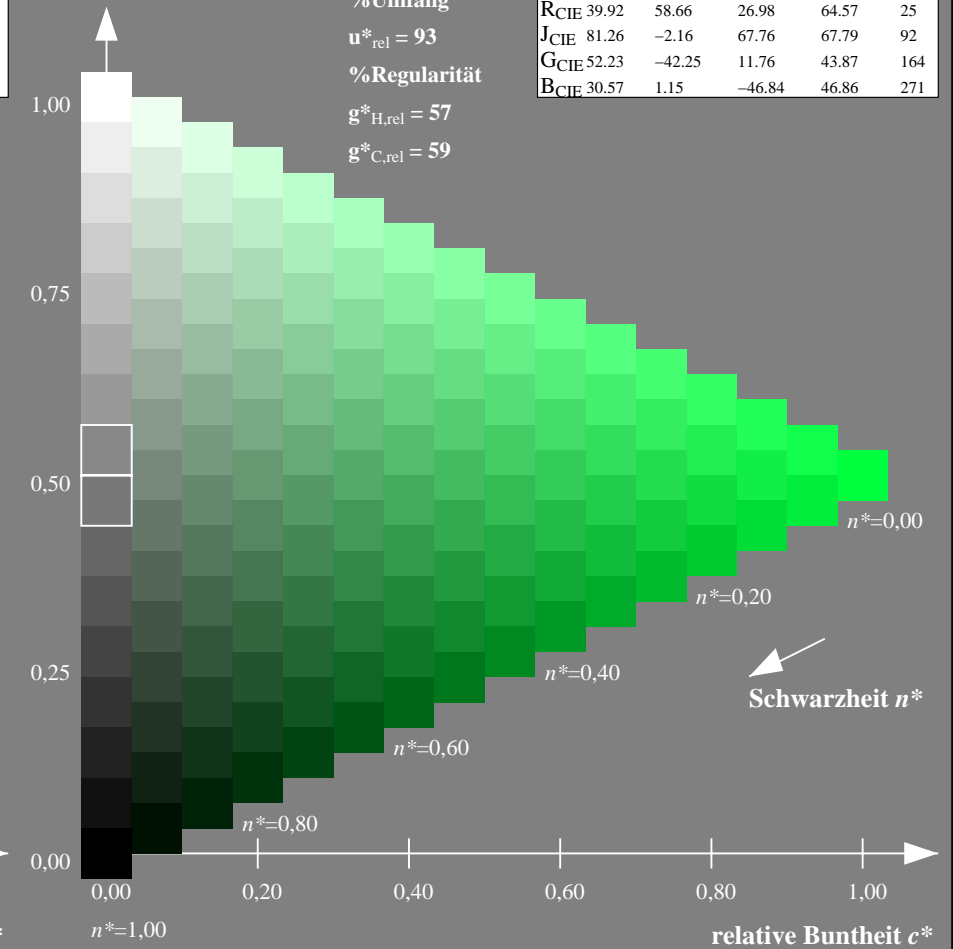
%Umfang

$u^*_{rel} = 93$

%Regularität

$g^*_{H,rel} = 57$

$g^*_{C,rel} = 59$



NG900-7, 9stufige Reihen für konstanten CIELAB Buntton $162/360 = 0.451$ (links)

16stufige Reihen für konstanten CIELAB Buntton $164/360 = 0.457$ (rechts)

Eingabe: Farbmetrisches Natürliches-Reflektiv-System NRS18

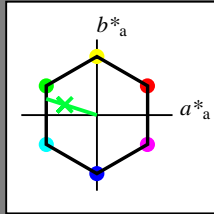
für Buntton $h^* = lab^*h = 162/360 = 0.451$

lab^*tch und lab^*nch

D65: Buntton G

LCH*Ma: 50 70 162

olv*Ma: 0.0 1.0 0.22



NRS18; adaptierte CIELAB-Daten

	$L^*=L^*_a$	a^*_a	b^*_a	$C^*_{ab,a}$	$h^*_{ab,a}$
OMa	43.81	67.03	38.7	77.4	30
YMa	69.61	0.0	77.4	77.4	90
LMa	43.81	-67.02	38.7	77.4	150
CMa	69.61	-67.02	-38.69	77.4	210
VMa	43.81	0.0	-77.39	77.4	270
MMa	69.61	67.03	-38.69	77.4	330
NMa	18.01	0.0	0.0	0.0	0
WMa	95.41	0.0	0.0	0.0	0
RCIE	39.92	58.74	27.99	65.07	25
JCIE	81.26	-2.88	71.56	71.62	92
GCIE	52.23	-42.41	13.6	44.55	162
BCIE	30.57	1.41	-46.46	46.49	272

Dreiecks-Helligkeit t^*

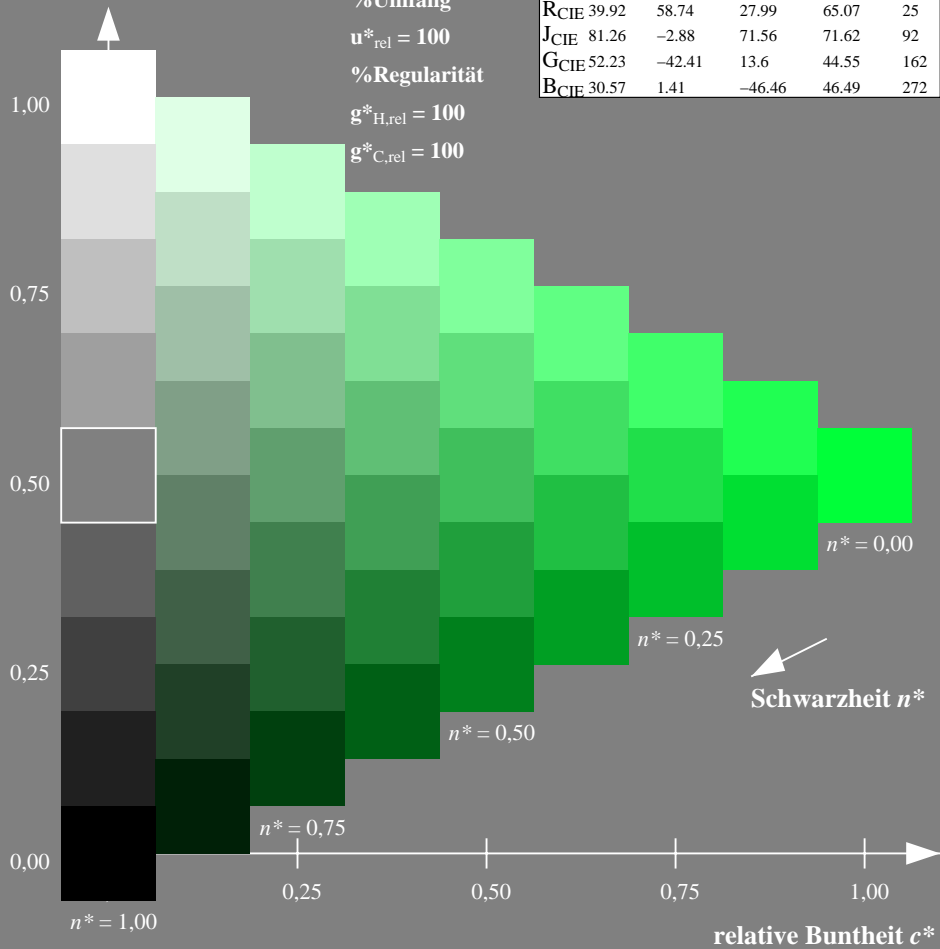
%Umfang

$u^*_{rel} = 100$

%Regularität

$g^*_{H,rel} = 100$

$g^*_{C,rel} = 100$



Ausgabe: Farbmetrisches Fernseh-Licht-System TLS00

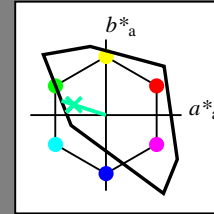
für Buntton $h^* = lab^*h = 162/360 = 0.451$

lab^*tch und lab^*nch

D65: Buntton G

LCH*Ma: 86 62 162

olv*Ma: 0.0 1.0 0.65



TLS00; adaptierte CIELAB-Daten

	$L^*=L^*_a$	a^*_a	b^*_a	$C^*_{ab,a}$	$h^*_{ab,a}$
OMa	50.5	76.92	64.55	100.42	40
YMa	92.66	-20.69	90.75	93.08	103
LMa	83.63	-82.75	79.9	115.04	136
CMa	86.88	-46.16	-13.55	48.12	196
VMa	30.39	76.06	-103.59	128.52	306
MMa	57.3	94.35	-58.41	110.97	328
NMa	0.01	0.0	0.0	0.0	0
WMa	95.41	0.0	0.0	0.0	0
RCIE	39.92	58.74	27.99	65.07	25
JCIE	81.26	-2.88	71.56	71.62	92
GCIE	52.23	-42.41	13.6	44.55	162
BCIE	30.57	1.41	-46.46	46.49	272

Dreiecks-Helligkeit t^*

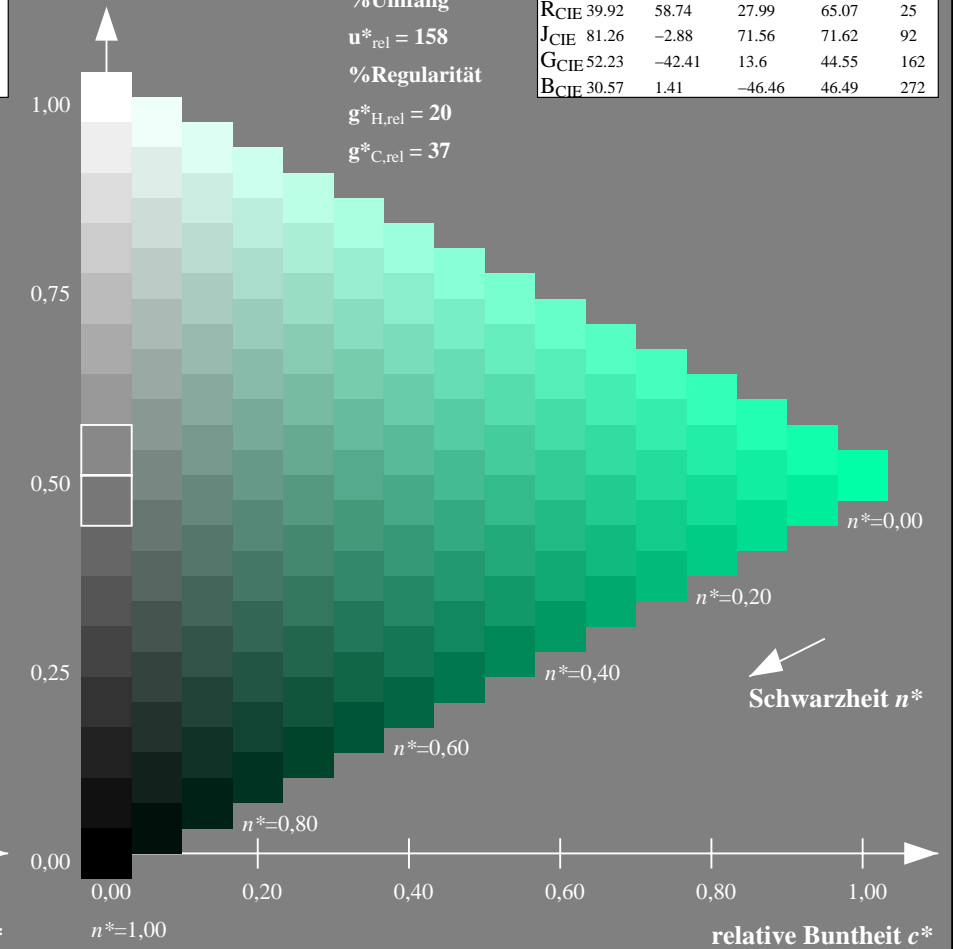
%Umfang

$u^*_{rel} = 158$

%Regularität

$g^*_{H,rel} = 20$

$g^*_{C,rel} = 37$



NG900-7, 9stufige Reihen für konstanten CIELAB Buntton $162/360 = 0.451$ (links)

16stufige Reihen für konstanten CIELAB Buntton $162/360 = 0.451$ (rechts)

Eingabe: Farbmetrisches Natürliches-Reflektiv-System NRS18

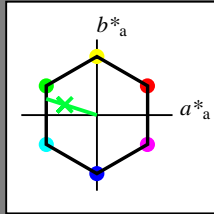
für Buntton $h^* = lab^*h = 162/360 = 0.451$

lab^*tch und lab^*nch

D65: Buntton G

LCH*Ma: 50 70 162

olv*Ma: 0.0 1.0 0.22



NRS18; adaptierte CIELAB-Daten

	$L^*=L^*_a$	a^*_a	b^*_a	$C^*_{ab,a}$	$h^*_{ab,a}$
OMa	43.81	67.03	38.7	77.4	30
YMa	69.61	0.0	77.4	77.4	90
LMa	43.81	-67.02	38.7	77.4	150
CMa	69.61	-67.02	-38.69	77.4	210
VMa	43.81	0.0	-77.39	77.4	270
MMa	69.61	67.03	-38.69	77.4	330
NMa	18.01	0.0	0.0	0.0	0
WMa	95.41	0.0	0.0	0.0	0
RCIE	39.92	58.74	27.99	65.07	25
JCIE	81.26	-2.88	71.56	71.62	92
GCIE	52.23	-42.41	13.6	44.55	162
BCIE	30.57	1.41	-46.46	46.49	272

Dreiecks-Helligkeit t^*

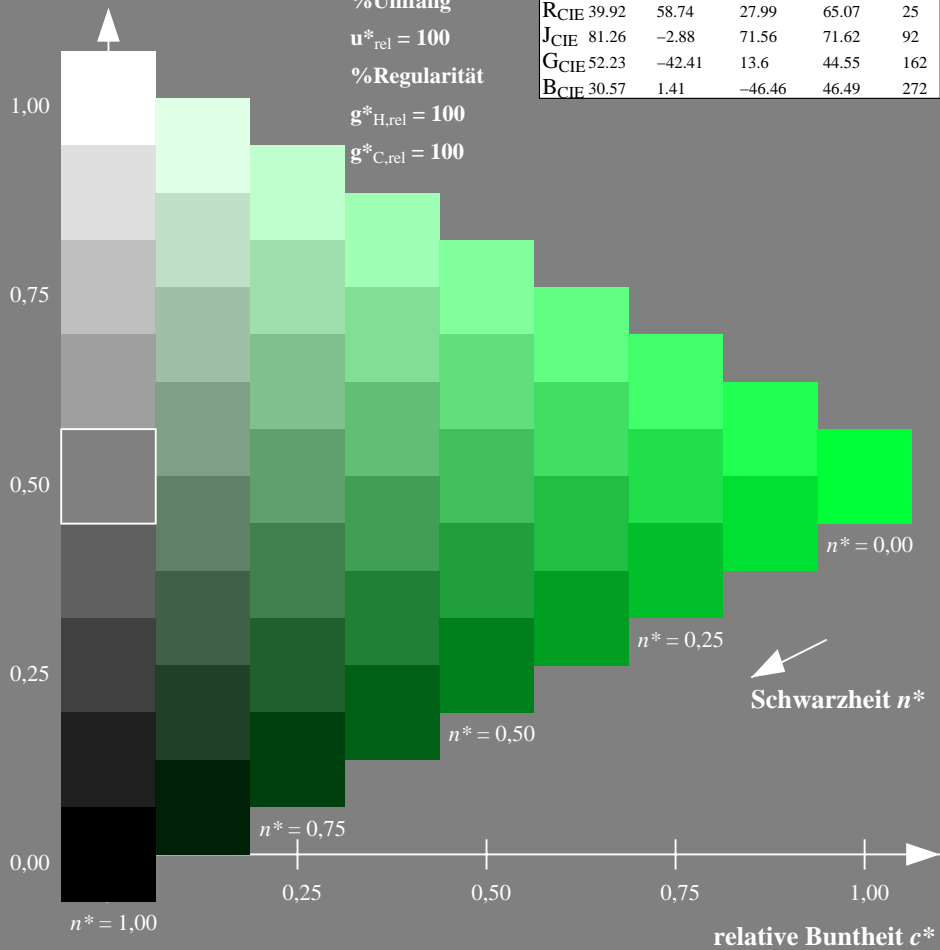
%Umfang

$u^*_{rel} = 100$

%Regularität

$g^*_{H,rel} = 100$

$g^*_{C,rel} = 100$



Ausgabe: Farbmetrisches Drucker-Reflektiv-System DRSXX

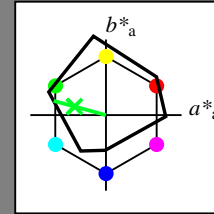
für Buntton $h^* = lab^*h = 165/360 = 0.458$

lab^*tch und lab^*nch

D65: Buntton G

LCH*Ma: 49 72 165

olv*Ma: 0.0 1.0 0.15



DRSXX; adaptierte CIELAB-Daten

	$L^*=L^*_a$	a^*_a	b^*_a	$C^*_{ab,a}$	$h^*_{ab,a}$
OMa	42.21	66.82	50.6	83.82	37
YMa	90.32	-16.51	104.33	105.63	99
LMa	48.21	-75.63	30.65	81.61	158
CMa	53.44	-33.33	-47.49	58.03	235
VMa	34.16	-0.92	-46.56	46.58	269
MMa	42.71	79.0	-1.95	79.03	359
NMa	16.56	0.0	0.0	0.0	0
WMa	96.31	0.0	0.0	0.0	0
RCIE	39.92	59.78	25.77	65.1	23
JCIE	81.26	-2.51	69.07	69.11	92
GCIE	52.23	-41.57	11.3	43.09	165
BCIE	30.57	2.6	-48.62	48.7	273

Dreiecks-Helligkeit t^*

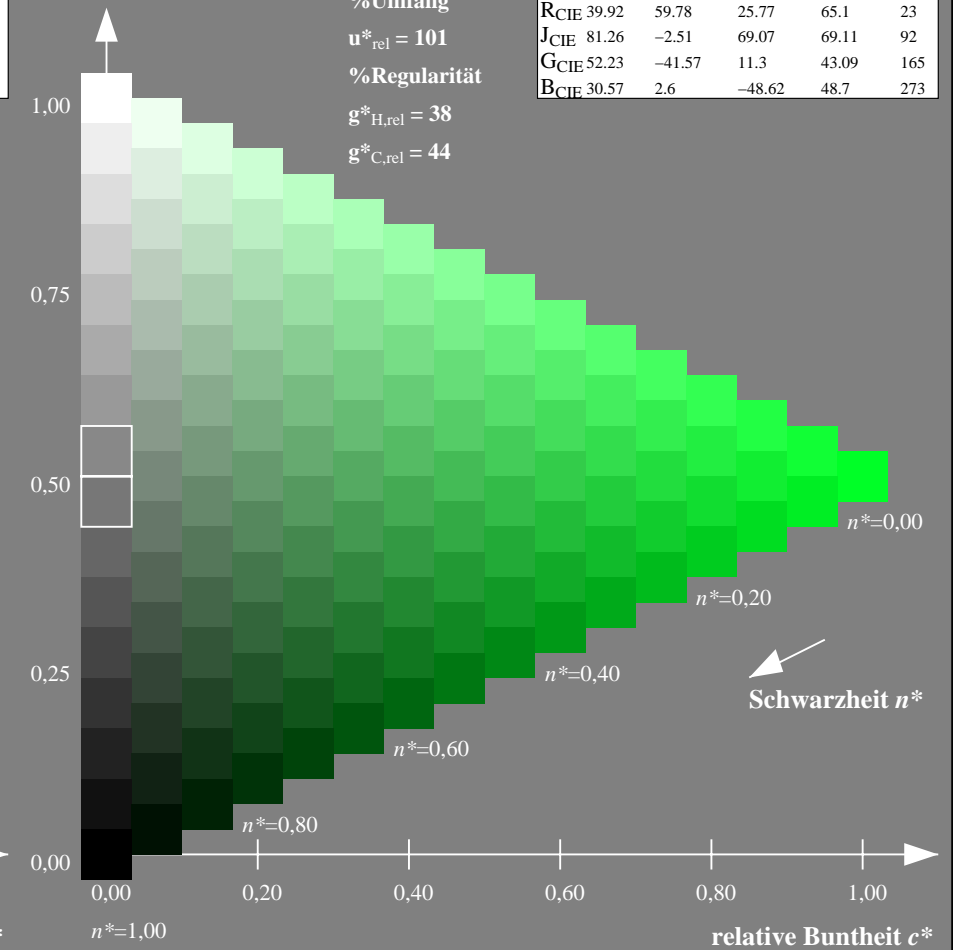
%Umfang

$u^*_{rel} = 101$

%Regularität

$g^*_{H,rel} = 38$

$g^*_{C,rel} = 44$



NG900-7, 9stufige Reihen für konstanten CIELAB Buntton $162/360 = 0.451$ (links)

16stufige Reihen für konstanten CIELAB Buntton $165/360 = 0.458$ (rechts)

Eingabe: Farbmetrisches Natürliches-Reflektiv-System NRS18

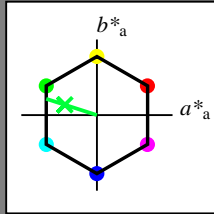
für Buntton $h^* = lab^*h = 162/360 = 0.451$

lab^*tch und lab^*nch

D65: Buntton G

LCH*Ma: 50 70 162

olv*Ma: 0.0 1.0 0.22



NRS18; adaptierte CIELAB-Daten

	$L^*=L^*_a$	a^*_a	b^*_a	$C^*_{ab,a}$	$h^*_{ab,a}$
OMa	43.81	67.03	38.7	77.4	30
YMa	69.61	0.0	77.4	77.4	90
LMa	43.81	-67.02	38.7	77.4	150
CMa	69.61	-67.02	-38.69	77.4	210
VMa	43.81	0.0	-77.39	77.4	270
MMa	69.61	67.03	-38.69	77.4	330
NMa	18.01	0.0	0.0	0.0	0
WMa	95.41	0.0	0.0	0.0	0
RCIE	39.92	58.74	27.99	65.07	25
JCIE	81.26	-2.88	71.56	71.62	92
GCIE	52.23	-42.41	13.6	44.55	162
BCIE	30.57	1.41	-46.46	46.49	272

Dreiecks-Helligkeit t^*

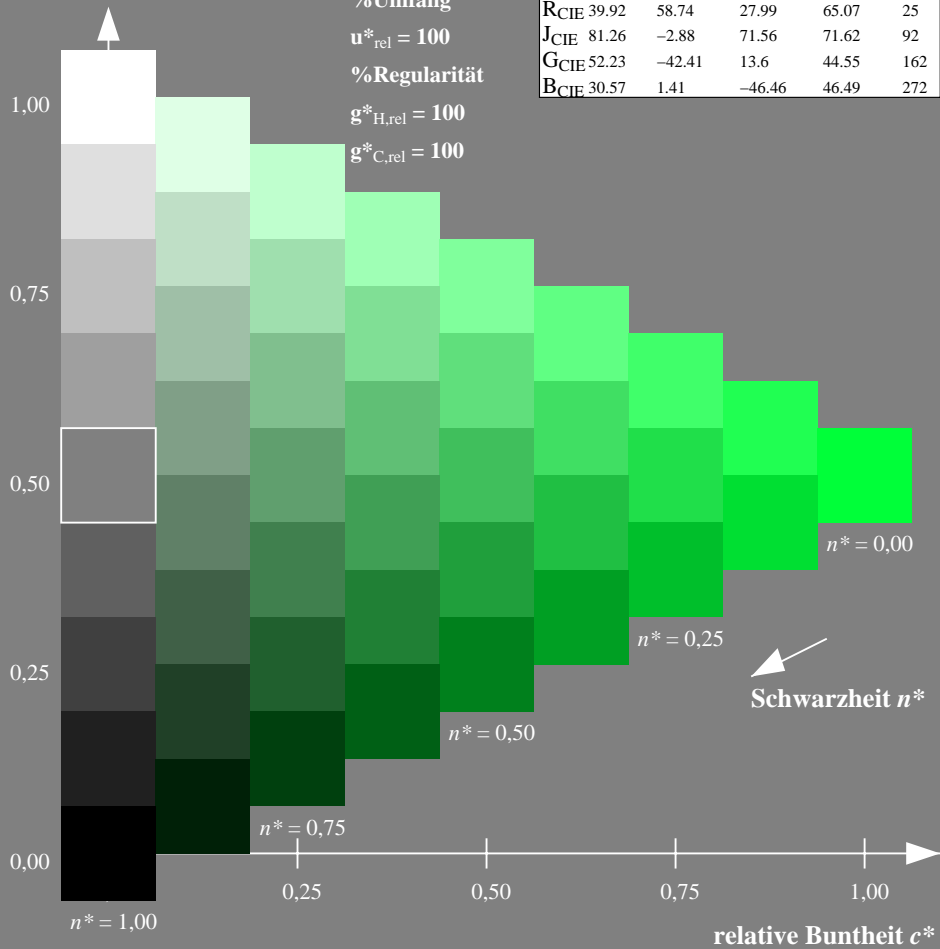
%Umfang

$u^*_{rel} = 100$

%Regularität

$g^*_{H,rel} = 100$

$g^*_{C,rel} = 100$



Schwarzheit n^*

Ausgabe: Farbmetrisches Fernseh-Licht-System TLS18

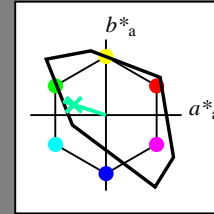
für Buntton $h^* = lab^*h = 162/360 = 0.451$

lab^*tch und lab^*nch

D65: Buntton G

LCH*Ma: 86 60 162

olv*Ma: 0.0 1.0 0.64



TLS18; adaptierte CIELAB-Daten

	$L^*=L^*_a$	a^*_a	b^*_a	$C^*_{ab,a}$	$h^*_{ab,a}$
OMa	52.76	71.63	49.88	87.29	35
YMa	92.74	-20.02	84.97	87.3	103
LMa	84.0	-78.98	73.94	108.2	137
CMa	87.14	-44.41	-13.11	46.32	196
VMa	35.47	64.92	-95.06	115.12	304
MMa	59.01	89.33	-55.67	105.26	328
NMa	18.01	0.0	0.0	0.0	0
WMa	95.41	0.0	0.0	0.0	0
RCIE	39.92	58.74	27.99	65.07	25
JCIE	81.26	-2.88	71.56	71.62	92
GCIE	52.23	-42.41	13.6	44.55	162
BCIE	30.57	1.41	-46.46	46.49	272

Dreiecks-Helligkeit t^*

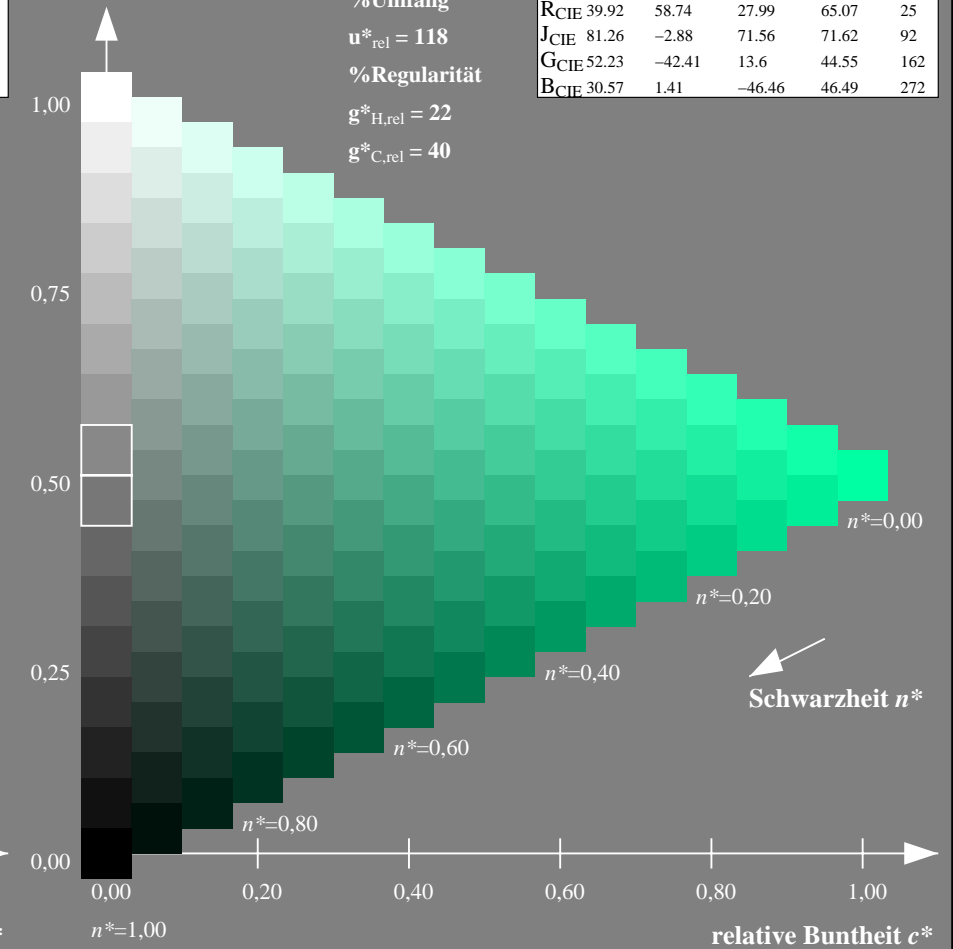
%Umfang

$u^*_{rel} = 118$

%Regularität

$g^*_{H,rel} = 22$

$g^*_{C,rel} = 40$



Schwarzheit n^*

NG900-7, 9stufige Reihen für konstanten CIELAB Buntton $162/360 = 0.451$ (links)

16stufige Reihen für konstanten CIELAB Buntton $162/360 = 0.451$ (rechts)

Eingabe: Farbmetrisches Natürliches-Reflektiv-System NRS18

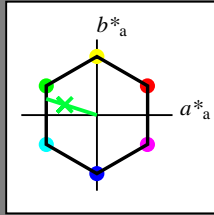
für Buntton $h^* = lab^*h = 162/360 = 0.451$

lab^*tch und lab^*nch

D65: Buntton G

LCH*Ma: 50 70 162

olv*Ma: 0.0 1.0 0.22



NRS18; adaptierte CIELAB-Daten

	$L^*=L^*_a$	a^*_a	b^*_a	$C^*_{ab,a}$	$h^*_{ab,a}$
OMa	43.81	67.03	38.7	77.4	30
YMa	69.61	0.0	77.4	77.4	90
LMa	43.81	-67.02	38.7	77.4	150
CMa	69.61	-67.02	-38.69	77.4	210
VMa	43.81	0.0	-77.39	77.4	270
MMa	69.61	67.03	-38.69	77.4	330
NMa	18.01	0.0	0.0	0.0	0
WMa	95.41	0.0	0.0	0.0	0
RCIE	39.92	58.74	27.99	65.07	25
JCIE	81.26	-2.88	71.56	71.62	92
GCIE	52.23	-42.41	13.6	44.55	162
BCIE	30.57	1.41	-46.46	46.49	272

Dreiecks-Helligkeit t^*

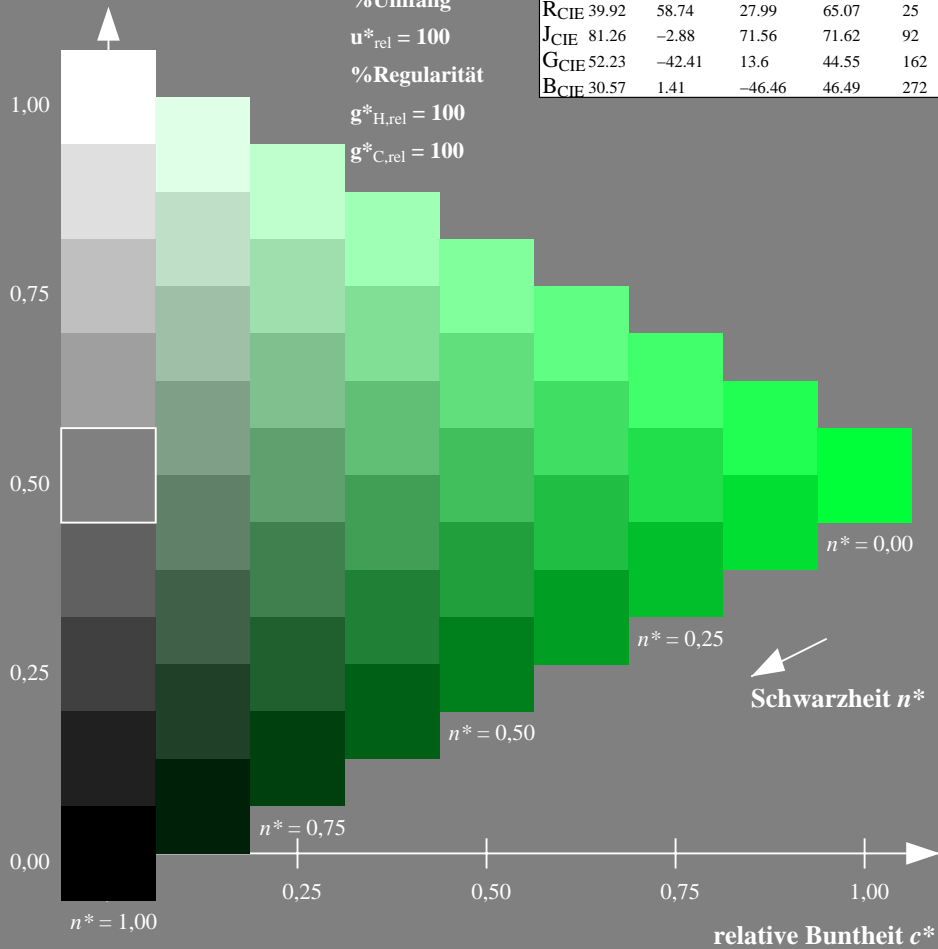
%Umfang

$u^*_{rel} = 100$

%Regularität

$g^*_{H,rel} = 100$

$g^*_{C,rel} = 100$



Ausgabe: Farbmetrisches Natürliches-Licht-System NLS00

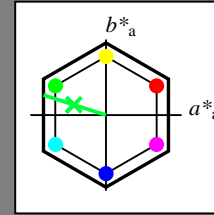
für Buntton $h^* = lab^*h = 162/360 = 0.451$

lab^*tch und lab^*nch

D65: Buntton G

LCH*Ma: 39 87 162

olv*Ma: 0.0 1.0 0.22



NLS00; adaptierte CIELAB-Daten

	$L^*=L^*_a$	a^*_a	b^*_a	$C^*_{ab,a}$	$h^*_{ab,a}$
OMa	31.81	82.62	47.7	95.4	30
YMa	63.61	0.0	95.4	95.4	90
LMa	31.81	-82.61	47.7	95.4	150
CMa	63.61	-82.61	-47.69	95.4	210
VMa	31.81	0.0	-95.39	95.4	270
MMa	63.61	82.62	-47.69	95.4	330
NMa	0.01	0.0	0.0	0.0	0
WMa	95.41	0.0	0.0	0.0	0
RCIE	39.92	58.74	27.99	65.07	25
JCIE	81.26	-2.88	71.56	71.62	92
GCIE	52.23	-42.41	13.6	44.55	162
BCIE	30.57	1.41	-46.46	46.49	272

Dreiecks-Helligkeit t^*

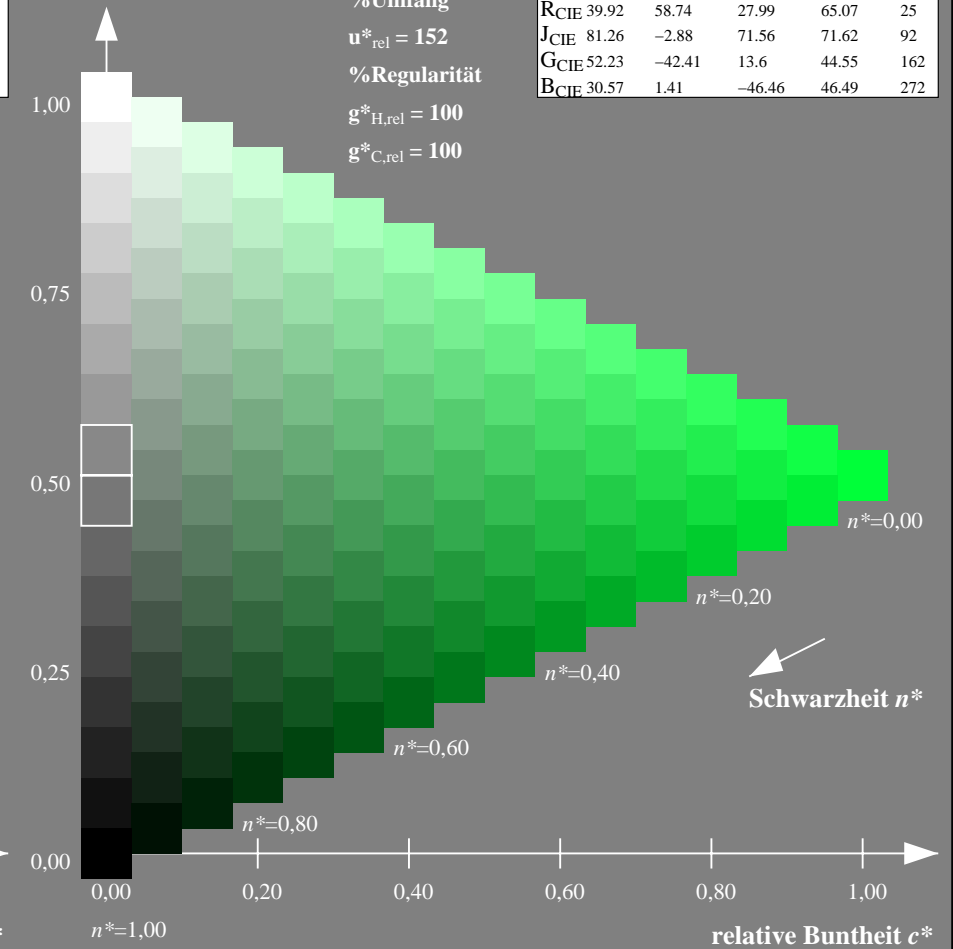
%Umfang

$u^*_{rel} = 152$

%Regularität

$g^*_{H,rel} = 100$

$g^*_{C,rel} = 100$



NG900-7, 9stufige Reihen für konstanten CIELAB Buntton $162/360 = 0.451$ (links)

16stufige Reihen für konstanten CIELAB Buntton $162/360 = 0.451$ (rechts)

Eingabe: Farbmétrisches Natürliches-Reflektiv-System NRS18

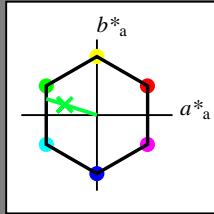
für Buntton $h^* = lab^*h = 162/360 = 0.451$

lab^*tch und lab^*nch

D65: Buntton G

LCH*Ma: 50 70 162

olv*Ma: 0.0 1.0 0.22



NRS18; adaptierte CIELAB-Daten

	$L^*=L^*_a$	a^*_a	b^*_a	$C^*_{ab,a}$	$h^*_{ab,a}$
O _{Ma}	43.81	67.03	38.7	77.4	30
Y _{Ma}	69.61	0.0	77.4	77.4	90
L _{Ma}	43.81	-67.02	38.7	77.4	150
C _{Ma}	69.61	-67.02	-38.69	77.4	210
V _{Ma}	43.81	0.0	-77.39	77.4	270
M _{Ma}	69.61	67.03	-38.69	77.4	330
N _{Ma}	18.01	0.0	0.0	0.0	0
W _{Ma}	95.41	0.0	0.0	0.0	0
R _{CIE}	39.92	58.74	27.99	65.07	25
J _{CIE}	81.26	-2.88	71.56	71.62	92
G _{CIE}	52.23	-42.41	13.6	44.55	162
B _{CIE}	30.57	1.41	-46.46	46.49	272

Dreiecks-Helligkeit t^*

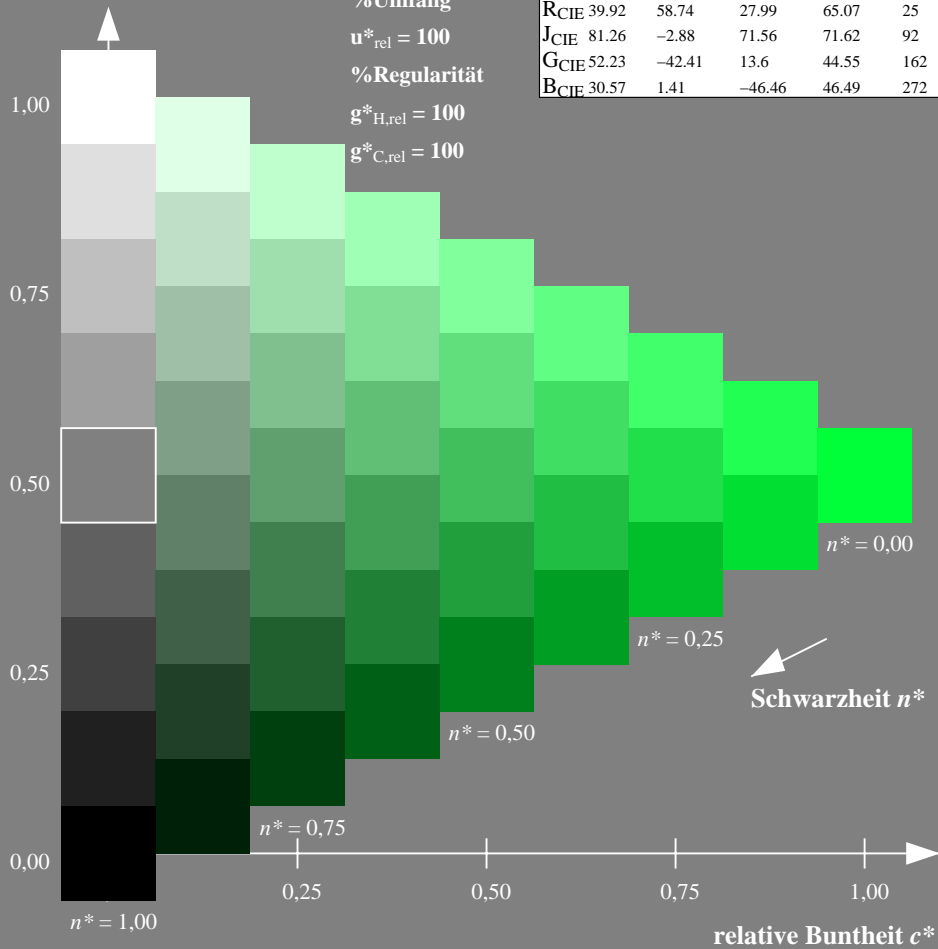
%Umfang

$u^*_{rel} = 100$

%Regularität

$g^*_{H,rel} = 100$

$g^*_{C,rel} = 100$



Ausgabe: Farbmétrisches Natürliches-Reflektiv-System NRS18

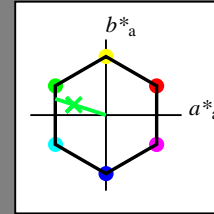
für Buntton $h^* = lab^*h = 162/360 = 0.451$

lab^*tch und lab^*nch

D65: Buntton G

LCH*Ma: 50 70 162

olv*Ma: 0.0 1.0 0.22



NRS18; adaptierte CIELAB-Daten

	$L^*=L^*_a$	a^*_a	b^*_a	$C^*_{ab,a}$	$h^*_{ab,a}$
O _{Ma}	43.81	67.03	38.7	77.4	30
Y _{Ma}	69.61	0.0	77.4	77.4	90
L _{Ma}	43.81	-67.02	38.7	77.4	150
C _{Ma}	69.61	-67.02	-38.69	77.4	210
V _{Ma}	43.81	0.0	-77.39	77.4	270
M _{Ma}	69.61	67.03	-38.69	77.4	330
N _{Ma}	18.01	0.0	0.0	0.0	0
W _{Ma}	95.41	0.0	0.0	0.0	0
R _{CIE}	39.92	58.74	27.99	65.07	25
J _{CIE}	81.26	-2.88	71.56	71.62	92
G _{CIE}	52.23	-42.41	13.6	44.55	162
B _{CIE}	30.57	1.41	-46.46	46.49	272

Dreiecks-Helligkeit t^*

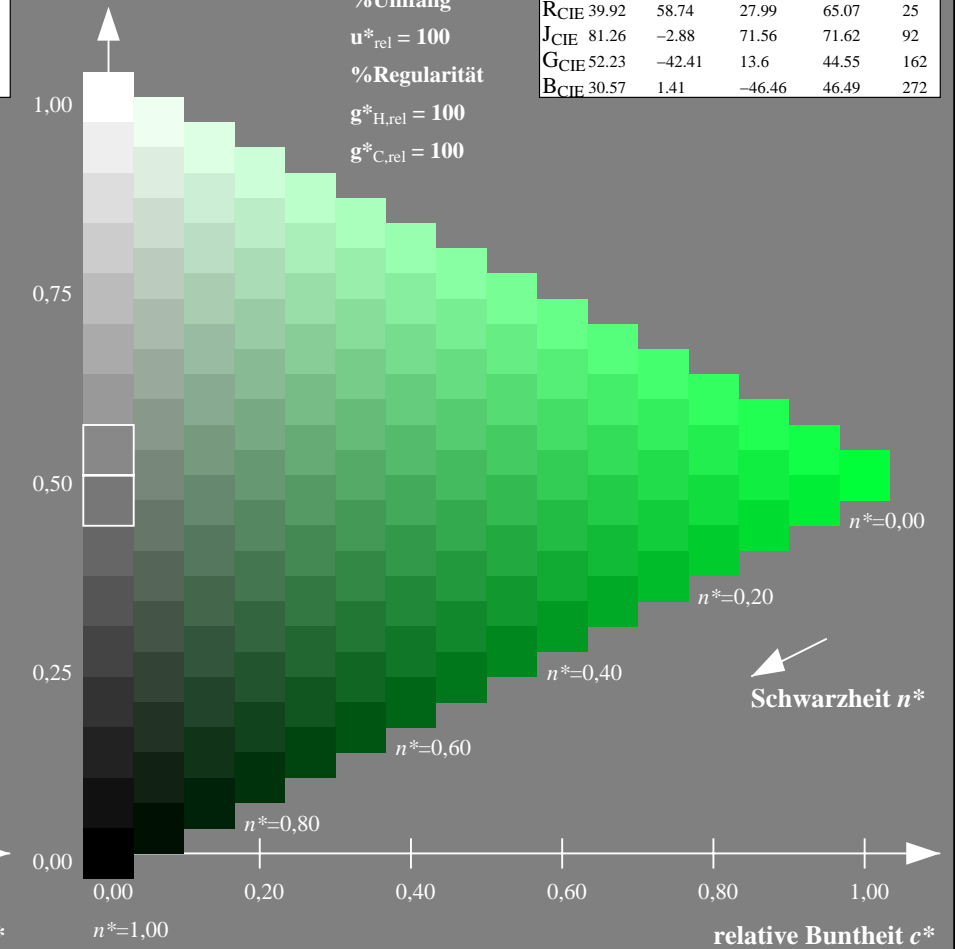
%Umfang

$u^*_{rel} = 100$

%Regularität

$g^*_{H,rel} = 100$

$g^*_{C,rel} = 100$



NG900-7, 9stufige Reihen für konstanten CIELAB Buntton 162/360 = 0.451 (links)

16stufige Reihen für konstanten CIELAB Buntton 162/360 = 0.451 (rechts)

Eingabe: Farbmetrisches Natürliches-Reflektiv-System NRS18

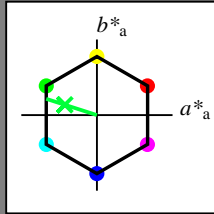
für Buntton $h^* = lab^*h = 162/360 = 0.451$

lab^*tch und lab^*nch

D65: Buntton G

LCH*Ma: 50 70 162

olv*Ma: 0.0 1.0 0.22



NRS18; adaptierte CIELAB-Daten

	$L^*=L^*_a$	a^*_a	b^*_a	$C^*_{ab,a}$	$h^*_{ab,a}$
OMa	43.81	67.03	38.7	77.4	30
YMa	69.61	0.0	77.4	77.4	90
LMa	43.81	-67.02	38.7	77.4	150
CMa	69.61	-67.02	-38.69	77.4	210
VMa	43.81	0.0	-77.39	77.4	270
MMa	69.61	67.03	-38.69	77.4	330
NMa	18.01	0.0	0.0	0.0	0
WMa	95.41	0.0	0.0	0.0	0
RCIE	39.92	58.74	27.99	65.07	25
JCIE	81.26	-2.88	71.56	71.62	92
GCIE	52.23	-42.41	13.6	44.55	162
BCIE	30.57	1.41	-46.46	46.49	272

Dreiecks-Helligkeit t^*

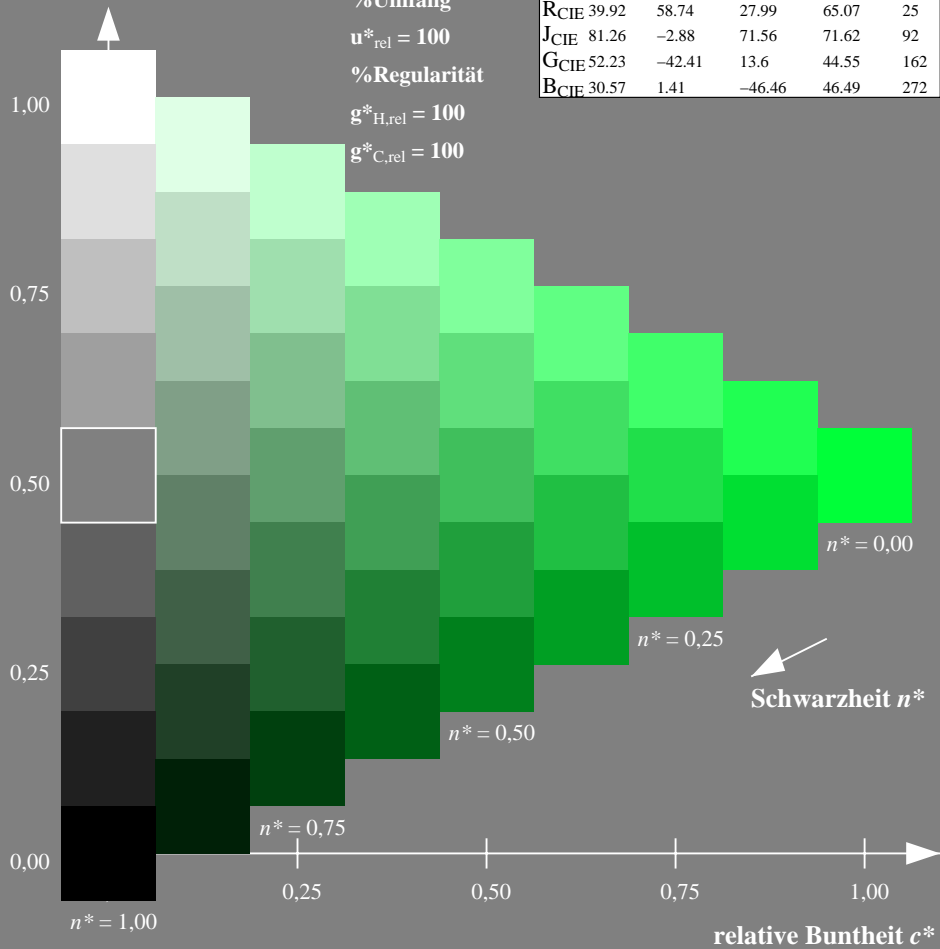
%Umfang

$u^*_{rel} = 100$

%Regularität

$g^*_{H,rel} = 100$

$g^*_{C,rel} = 100$



Ausgabe: Farbmetrisches Standard-Reflektiv-System SRS18

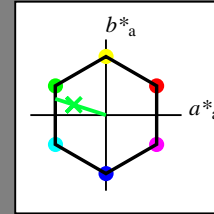
für Buntton $h^* = lab^*h = 162/360 = 0.451$

lab^*tch und lab^*nch

D65: Buntton G

LCH*Ma: 57 70 162

olv*Ma: 0.0 1.0 0.22



SRS18; adaptierte CIELAB-Daten

	$L^*=L^*_a$	a^*_a	b^*_a	$C^*_{ab,a}$	$h^*_{ab,a}$
OMa	56.71	67.03	38.7	77.4	30
YMa	56.71	0.0	77.4	77.4	90
LMa	56.71	-67.02	38.7	77.4	150
CMa	56.71	-67.02	-38.69	77.4	210
VMa	56.71	0.0	-77.39	77.4	270
MMa	56.71	67.03	-38.69	77.4	330
NMa	18.01	0.0	0.0	0.0	0
WMa	95.41	0.0	0.0	0.0	0
RCIE	39.92	58.74	27.99	65.07	25
JCIE	81.26	-2.88	71.56	71.62	92
GCIE	52.23	-42.41	13.6	44.55	162
BCIE	30.57	1.41	-46.46	46.49	272

Dreiecks-Helligkeit t^*

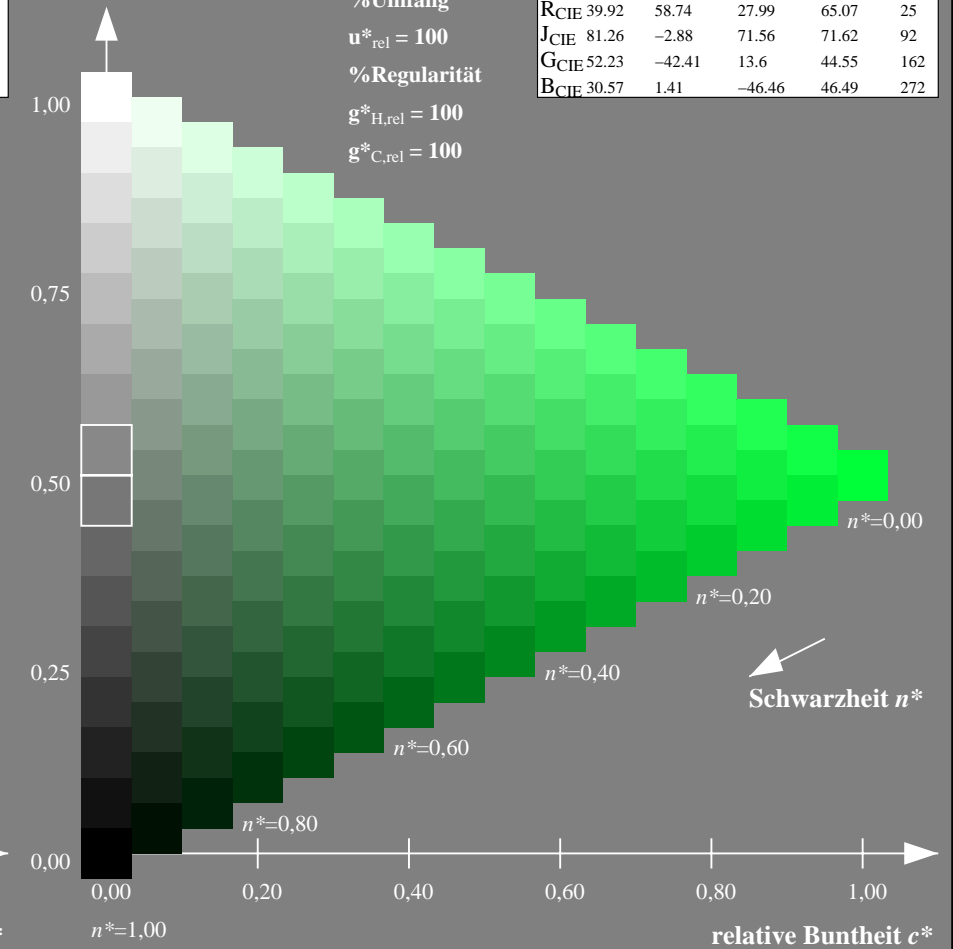
%Umfang

$u^*_{rel} = 100$

%Regularität

$g^*_{H,rel} = 100$

$g^*_{C,rel} = 100$



NG900-7, 9stufige Reihen für konstanten CIELAB Buntton $162/360 = 0.451$ (links)

16stufige Reihen für konstanten CIELAB Buntton $162/360 = 0.451$ (rechts)

Eingabe: Farbmetrisches Natürliches-Reflektiv-System NRS18

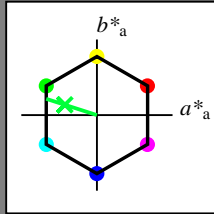
für Buntton $h^* = lab^*h = 162/360 = 0.451$

lab^*tch und lab^*nch

D65: Buntton G

LCH*Ma: 50 70 162

olv*Ma: 0.0 1.0 0.22



NRS18; adaptierte CIELAB-Daten

	$L^*=L^*_a$	a^*_a	b^*_a	$C^*_{ab,a}$	$h^*_{ab,a}$
O _{Ma}	43.81	67.03	38.7	77.4	30
Y _{Ma}	69.61	0.0	77.4	77.4	90
L _{Ma}	43.81	-67.02	38.7	77.4	150
C _{Ma}	69.61	-67.02	-38.69	77.4	210
V _{Ma}	43.81	0.0	-77.39	77.4	270
M _{Ma}	69.61	67.03	-38.69	77.4	330
N _{Ma}	18.01	0.0	0.0	0.0	0
W _{Ma}	95.41	0.0	0.0	0.0	0
R _{CIE}	39.92	58.74	27.99	65.07	25
J _{CIE}	81.26	-2.88	71.56	71.62	92
G _{CIE}	52.23	-42.41	13.6	44.55	162
B _{CIE}	30.57	1.41	-46.46	46.49	272

Dreiecks-Helligkeit t^*

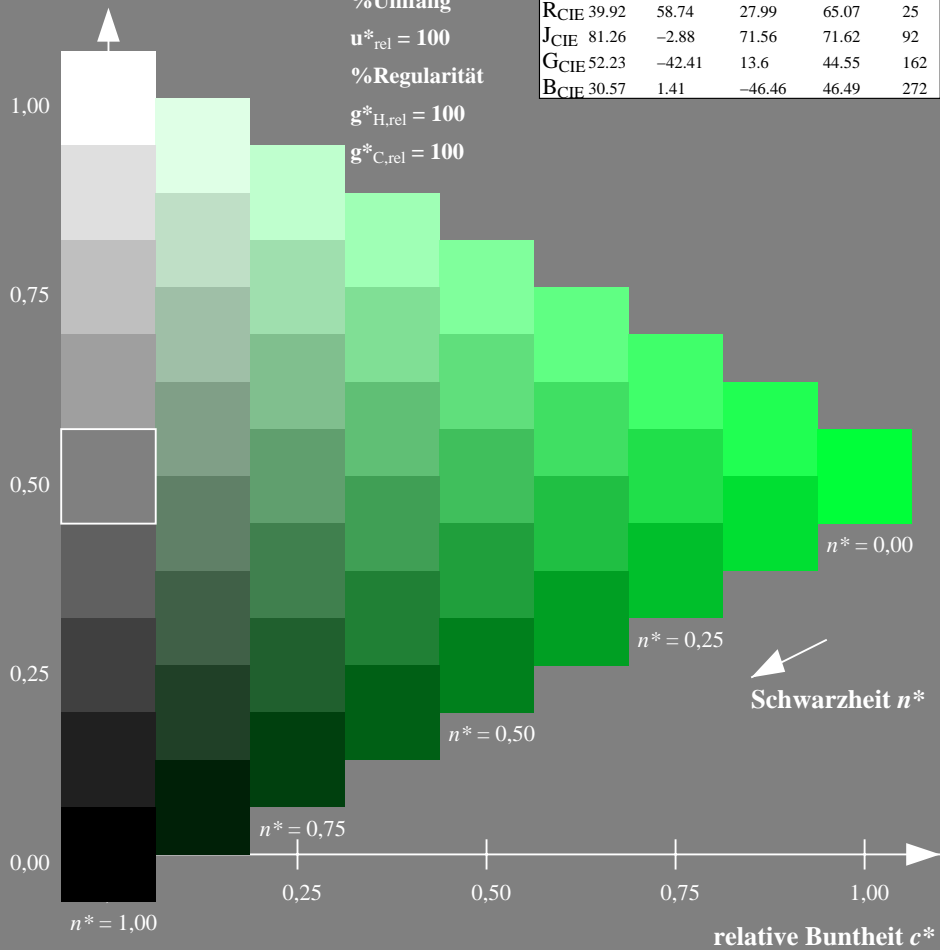
%Umfang

$u^*_{rel} = 100$

%Regularität

$g^*_{H,rel} = 100$

$g^*_{C,rel} = 100$



Ausgabe: Farbmetrisches Fernseh-Licht-System TLS70

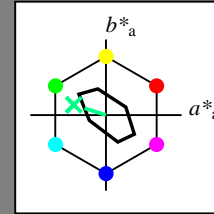
für Buntton $h^* = lab^*h = 162/360 = 0.451$

lab^*tch und lab^*nch

D65: Buntton G

LCH*Ma: 90 30 162

olv*Ma: 0.0 1.0 0.53



TLS70; adaptierte CIELAB-Daten

	$L^*=L^*_a$	a^*_a	b^*_a	$C^*_{ab,a}$	$h^*_{ab,a}$
O _{Ma}	76.43	26.27	10.57	28.32	22
Y _{Ma}	93.93	-10.76	34.63	36.27	107
L _{Ma}	89.32	-35.8	27.64	45.24	142
C _{Ma}	90.93	-21.95	-7.07	23.07	198
V _{Ma}	72.1	15.76	-35.63	38.97	294
M _{Ma}	78.5	37.52	-25.23	45.22	326
N _{Ma}	69.7	0.0	0.0	0.0	0
W _{Ma}	95.41	0.0	0.0	0.0	0
R _{CIE}	39.92	58.74	27.99	65.07	25
J _{CIE}	81.26	-2.88	71.56	71.62	92
G _{CIE}	52.23	-42.41	13.6	44.55	162
B _{CIE}	30.57	1.41	-46.46	46.49	272

Dreiecks-Helligkeit t^*

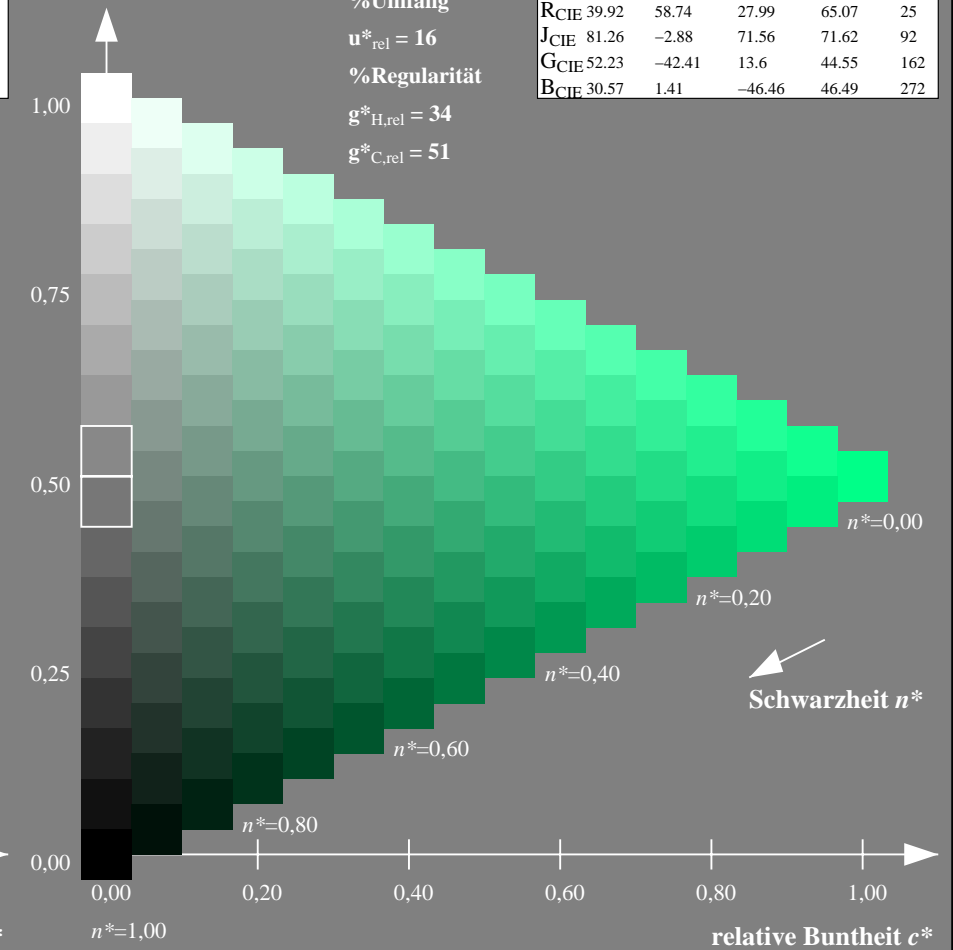
%Umfang

$u^*_{rel} = 16$

%Regularität

$g^*_{H,rel} = 34$

$g^*_{C,rel} = 51$



NG900-7, 9stufige Reihen für konstanten CIELAB Buntton $162/360 = 0.451$ (links)

16stufige Reihen für konstanten CIELAB Buntton $162/360 = 0.451$ (rechts)

Eingabe: Farbmetrisches Standard-Reflektiv-System SRS18

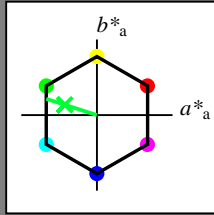
für Buntton $h^* = lab^*h = 162/360 = 0.451$

lab^*tch und lab^*nch

D65: Buntton G

LCH*Ma: 57 70 162

olv*Ma: 0.0 1.0 0.22



SRS18; adaptierte CIELAB-Daten

	$L^*=L^*_a$	a^*_a	b^*_a	$C^*_{ab,a}$	$h^*_{ab,a}$
O _{Ma}	56.71	67.03	38.7	77.4	30
Y _{Ma}	56.71	0.0	77.4	77.4	90
L _{Ma}	56.71	-67.02	38.7	77.4	150
C _{Ma}	56.71	-67.02	-38.69	77.4	210
V _{Ma}	56.71	0.0	-77.39	77.4	270
M _{Ma}	56.71	67.03	-38.69	77.4	330
N _{Ma}	18.01	0.0	0.0	0.0	0
W _{Ma}	95.41	0.0	0.0	0.0	0
R _{CIE}	39.92	58.74	27.99	65.07	25
J _{CIE}	81.26	-2.88	71.56	71.62	92
G _{CIE}	52.23	-42.41	13.6	44.55	162
B _{CIE}	30.57	1.41	-46.46	46.49	272

Dreiecks-Helligkeit t^*

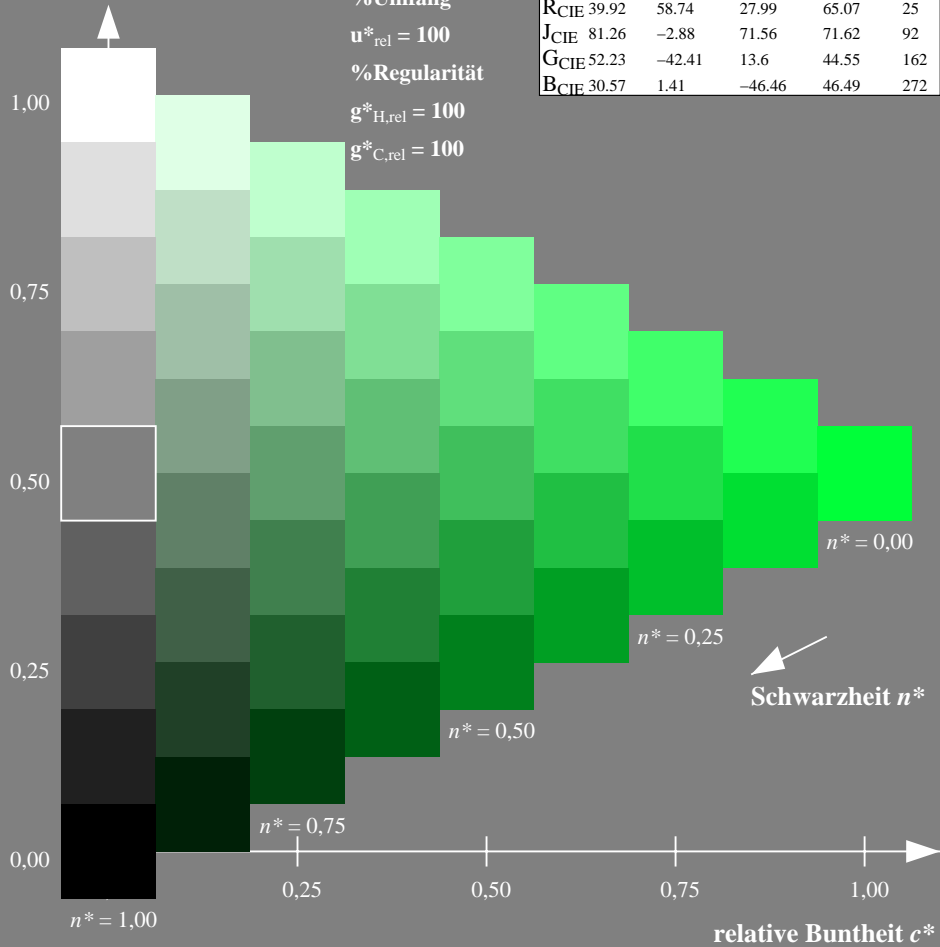
%Umfang

$u^*_{rel} = 100$

%Regularität

$g^*_{H,rel} = 100$

$g^*_{C,rel} = 100$



Ausgabe: Farbmetrisches Offset-Reflektiv-System ORS18

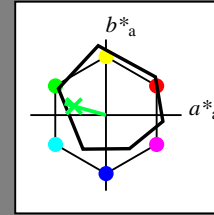
für Buntton $h^* = lab^*h = 164/360 = 0.457$

lab^*tch und lab^*nch

D65: Buntton G

LCH*Ma: 53 57 164

olv*Ma: 0.0 1.0 0.25



ORS18; adaptierte CIELAB-Daten

	$L^*=L^*_a$	a^*_a	b^*_a	$C^*_{ab,a}$	$h^*_{ab,a}$
O _{Ma}	47.94	65.39	50.52	82.63	38
Y _{Ma}	90.37	-10.26	91.75	92.32	96
L _{Ma}	50.9	-62.83	34.96	71.91	151
C _{Ma}	58.62	-30.34	-45.01	54.3	236
V _{Ma}	25.72	31.1	-44.4	54.22	305
M _{Ma}	48.13	75.28	-8.36	75.74	354
N _{Ma}	18.01	0.0	0.0	0.0	0
W _{Ma}	95.41	0.0	0.0	0.0	0
R _{CIE}	39.92	58.66	26.98	64.57	25
J _{CIE}	81.26	-2.16	67.76	67.79	92
G _{CIE}	52.23	-42.25	11.76	43.87	164
B _{CIE}	30.57	1.15	-46.84	46.86	271

Dreiecks-Helligkeit t^*

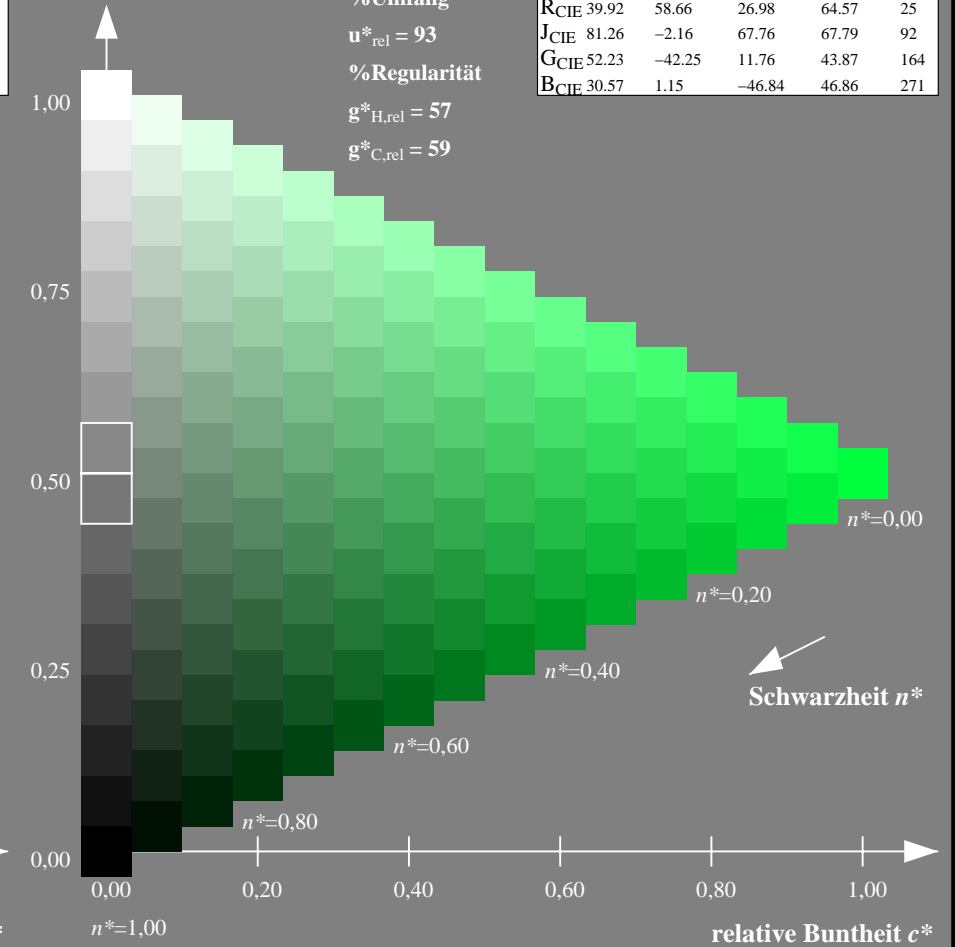
%Umfang

$u^*_{rel} = 93$

%Regularität

$g^*_{H,rel} = 57$

$g^*_{C,rel} = 59$



NG900-7, 9stufige Reihen für konstanten CIELAB Buntton $162/360 = 0.451$ (links)

16stufige Reihen für konstanten CIELAB Buntton $164/360 = 0.457$ (rechts)

Eingabe: Farbmetrisches Standard-Reflektiv-System SRS18

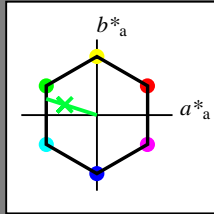
für Buntton $h^* = lab^*h = 162/360 = 0.451$

lab^*tch und lab^*nch

D65: Buntton G

LCH*Ma: 57 70 162

olv*Ma: 0.0 1.0 0.22



SRS18; adaptierte CIELAB-Daten

	$L^*=L^*_a$	a^*_a	b^*_a	$C^*_{ab,a}$	$h^*_{ab,a}$
O _{Ma}	56.71	67.03	38.7	77.4	30
Y _{Ma}	56.71	0.0	77.4	77.4	90
L _{Ma}	56.71	-67.02	38.7	77.4	150
C _{Ma}	56.71	-67.02	-38.69	77.4	210
V _{Ma}	56.71	0.0	-77.39	77.4	270
M _{Ma}	56.71	67.03	-38.69	77.4	330
N _{Ma}	18.01	0.0	0.0	0.0	0
W _{Ma}	95.41	0.0	0.0	0.0	0
R _{CIE}	39.92	58.74	27.99	65.07	25
J _{CIE}	81.26	-2.88	71.56	71.62	92
G _{CIE}	52.23	-42.41	13.6	44.55	162
B _{CIE}	30.57	1.41	-46.46	46.49	272

Dreiecks-Helligkeit t^*

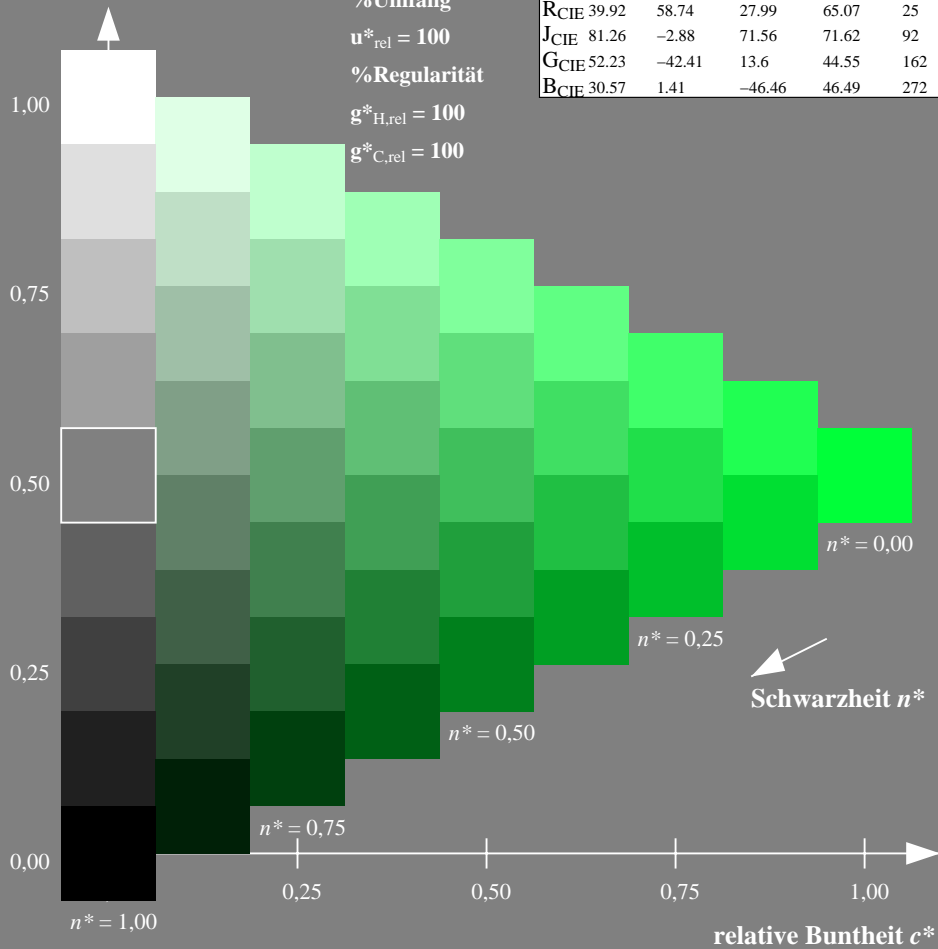
%Umfang

$u^*_{rel} = 100$

%Regularität

$g^*_{H,rel} = 100$

$g^*_{C,rel} = 100$



Ausgabe: Farbmetrisches Fernseh-Licht-System TLS00

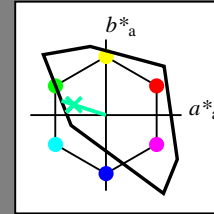
für Buntton $h^* = lab^*h = 162/360 = 0.451$

lab^*tch und lab^*nch

D65: Buntton G

LCH*Ma: 86 62 162

olv*Ma: 0.0 1.0 0.65



TLS00; adaptierte CIELAB-Daten

	$L^*=L^*_a$	a^*_a	b^*_a	$C^*_{ab,a}$	$h^*_{ab,a}$
O _{Ma}	50.5	76.92	64.55	100.42	40
Y _{Ma}	92.66	-20.69	90.75	93.08	103
L _{Ma}	83.63	-82.75	79.9	115.04	136
C _{Ma}	86.88	-46.16	-13.55	48.12	196
V _{Ma}	30.39	76.06	-103.59	128.52	306
M _{Ma}	57.3	94.35	-58.41	110.97	328
N _{Ma}	0.01	0.0	0.0	0.0	0
W _{Ma}	95.41	0.0	0.0	0.0	0
R _{CIE}	39.92	58.74	27.99	65.07	25
J _{CIE}	81.26	-2.88	71.56	71.62	92
G _{CIE}	52.23	-42.41	13.6	44.55	162
B _{CIE}	30.57	1.41	-46.46	46.49	272

Dreiecks-Helligkeit t^*

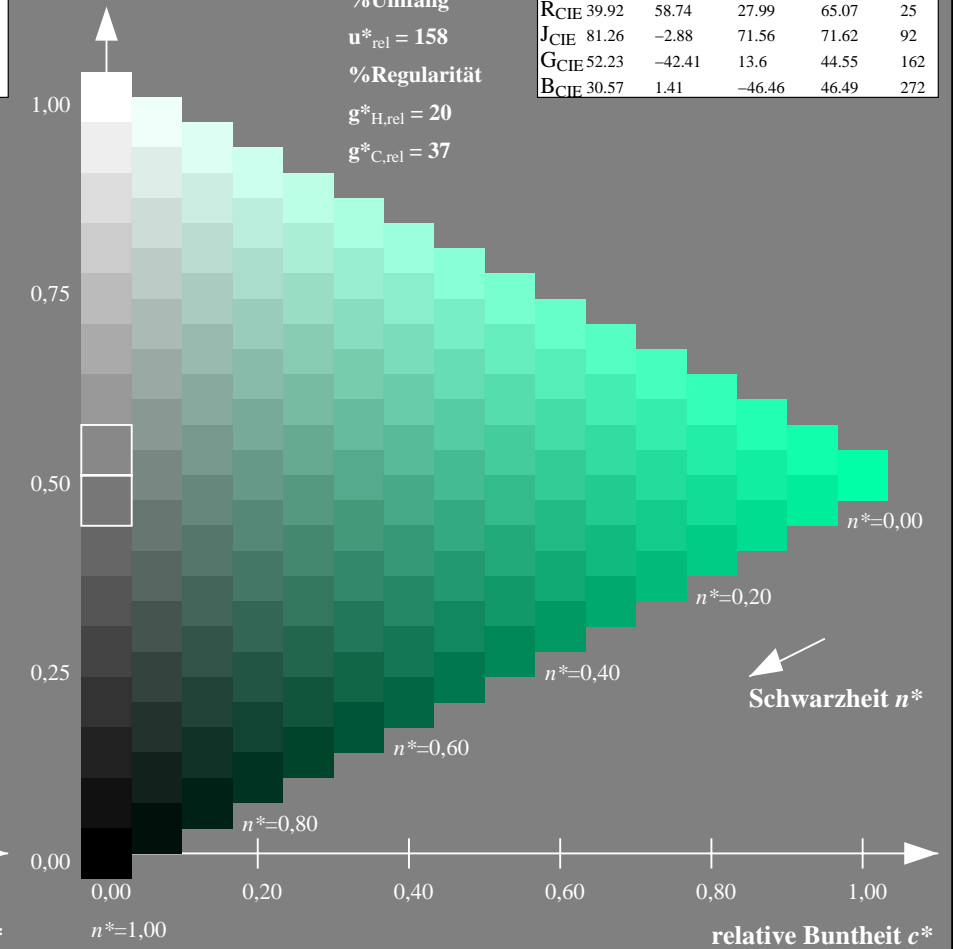
%Umfang

$u^*_{rel} = 158$

%Regularität

$g^*_{H,rel} = 20$

$g^*_{C,rel} = 37$



NG900-7, 9stufige Reihen für konstanten CIELAB Buntton $162/360 = 0.451$ (links)

16stufige Reihen für konstanten CIELAB Buntton $162/360 = 0.451$ (rechts)

Eingabe: Farbmetrisches Standard-Reflektiv-System SRS18

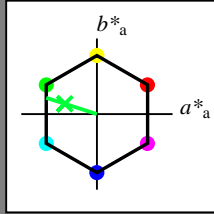
für Buntton $h^* = lab^*h = 162/360 = 0.451$

lab^*tch und lab^*nch

D65: Buntton G

LCH*Ma: 57 70 162

olv*Ma: 0.0 1.0 0.22



SRS18; adaptierte CIELAB-Daten

	$L^*=L^*_a$	a^*_a	b^*_a	$C^*_{ab,a}$	$h^*_{ab,a}$
OMa	56.71	67.03	38.7	77.4	30
YMa	56.71	0.0	77.4	77.4	90
LMa	56.71	-67.02	38.7	77.4	150
CMa	56.71	-67.02	-38.69	77.4	210
VMa	56.71	0.0	-77.39	77.4	270
MMa	56.71	67.03	-38.69	77.4	330
NMa	18.01	0.0	0.0	0.0	0
WMa	95.41	0.0	0.0	0.0	0
RCIE	39.92	58.74	27.99	65.07	25
JCIE	81.26	-2.88	71.56	71.62	92
GCIE	52.23	-42.41	13.6	44.55	162
BCIE	30.57	1.41	-46.46	46.49	272

Dreiecks-Helligkeit t^*

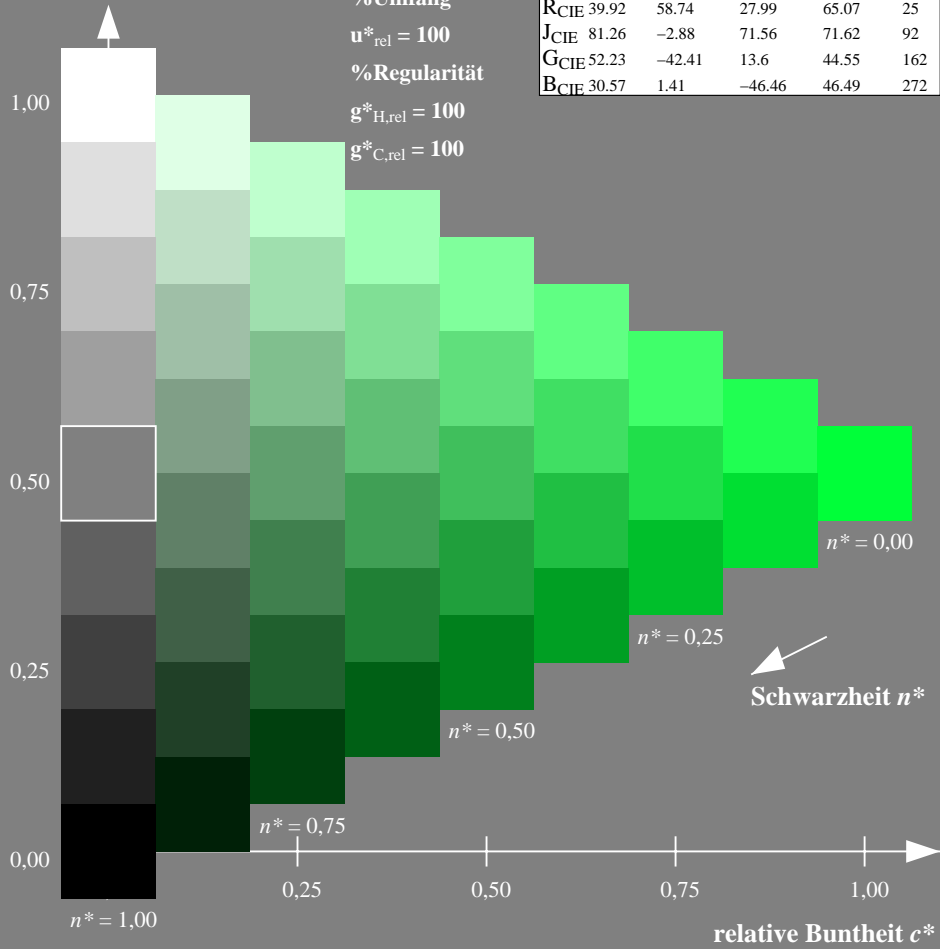
%Umfang

$u^*_{rel} = 100$

%Regularität

$g^*_{H,rel} = 100$

$g^*_{C,rel} = 100$



Ausgabe: Farbmetrisches Drucker-Reflektiv-System DRSXX

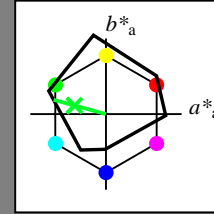
für Buntton $h^* = lab^*h = 165/360 = 0.458$

lab^*tch und lab^*nch

D65: Buntton G

LCH*Ma: 49 72 165

olv*Ma: 0.0 1.0 0.15



DRSXX; adaptierte CIELAB-Daten

	$L^*=L^*_a$	a^*_a	b^*_a	$C^*_{ab,a}$	$h^*_{ab,a}$
OMa	42.21	66.82	50.6	83.82	37
YMa	90.32	-16.51	104.33	105.63	99
LMa	48.21	-75.63	30.65	81.61	158
CMa	53.44	-33.33	-47.49	58.03	235
VMa	34.16	-0.92	-46.56	46.58	269
MMa	42.71	79.0	-1.95	79.03	359
NMa	16.56	0.0	0.0	0.0	0
WMa	96.31	0.0	0.0	0.0	0
RCIE	39.92	59.78	25.77	65.1	23
JCIE	81.26	-2.51	69.07	69.11	92
GCIE	52.23	-41.57	11.3	43.09	165
BCIE	30.57	2.6	-48.62	48.7	273

Dreiecks-Helligkeit t^*

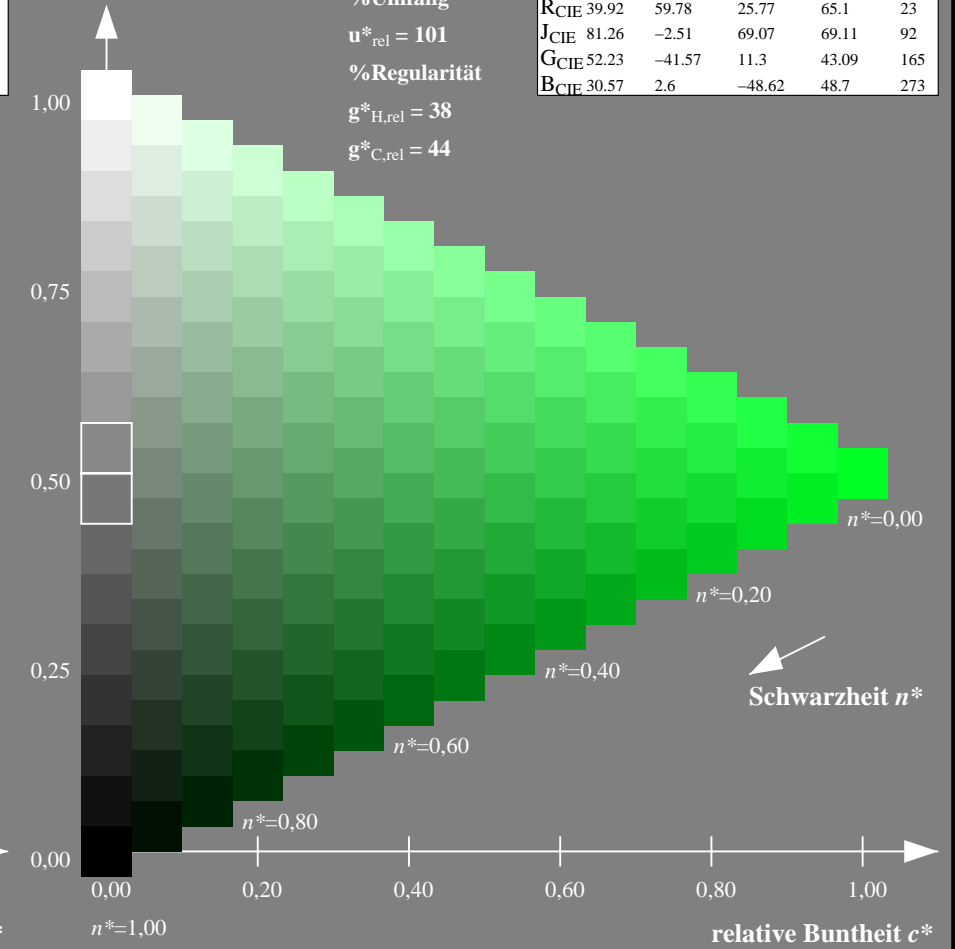
%Umfang

$u^*_{rel} = 101$

%Regularität

$g^*_{H,rel} = 38$

$g^*_{C,rel} = 44$



NG900-7, 9stufige Reihen für konstanten CIELAB Buntton $162/360 = 0.451$ (links)

16stufige Reihen für konstanten CIELAB Buntton $165/360 = 0.458$ (rechts)

Eingabe: Farbmetrisches Standard-Reflektiv-System SRS18

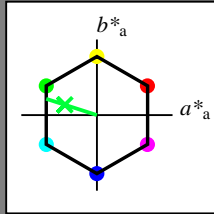
für Buntton $h^* = lab^*h = 162/360 = 0.451$

lab^*tch und lab^*nch

D65: Buntton G

LCH*Ma: 57 70 162

olv*Ma: 0.0 1.0 0.22



SRS18; adaptierte CIELAB-Daten

	$L^*=L^*_a$	a^*_a	b^*_a	$C^*_{ab,a}$	$h^*_{ab,a}$
OMa	56.71	67.03	38.7	77.4	30
YMa	56.71	0.0	77.4	77.4	90
LMa	56.71	-67.02	38.7	77.4	150
CMa	56.71	-67.02	-38.69	77.4	210
VMa	56.71	0.0	-77.39	77.4	270
MMa	56.71	67.03	-38.69	77.4	330
NMa	18.01	0.0	0.0	0.0	0
WMa	95.41	0.0	0.0	0.0	0
RCIE	39.92	58.74	27.99	65.07	25
JCIE	81.26	-2.88	71.56	71.62	92
GCIE	52.23	-42.41	13.6	44.55	162
BCIE	30.57	1.41	-46.46	46.49	272

Dreiecks-Helligkeit t^*

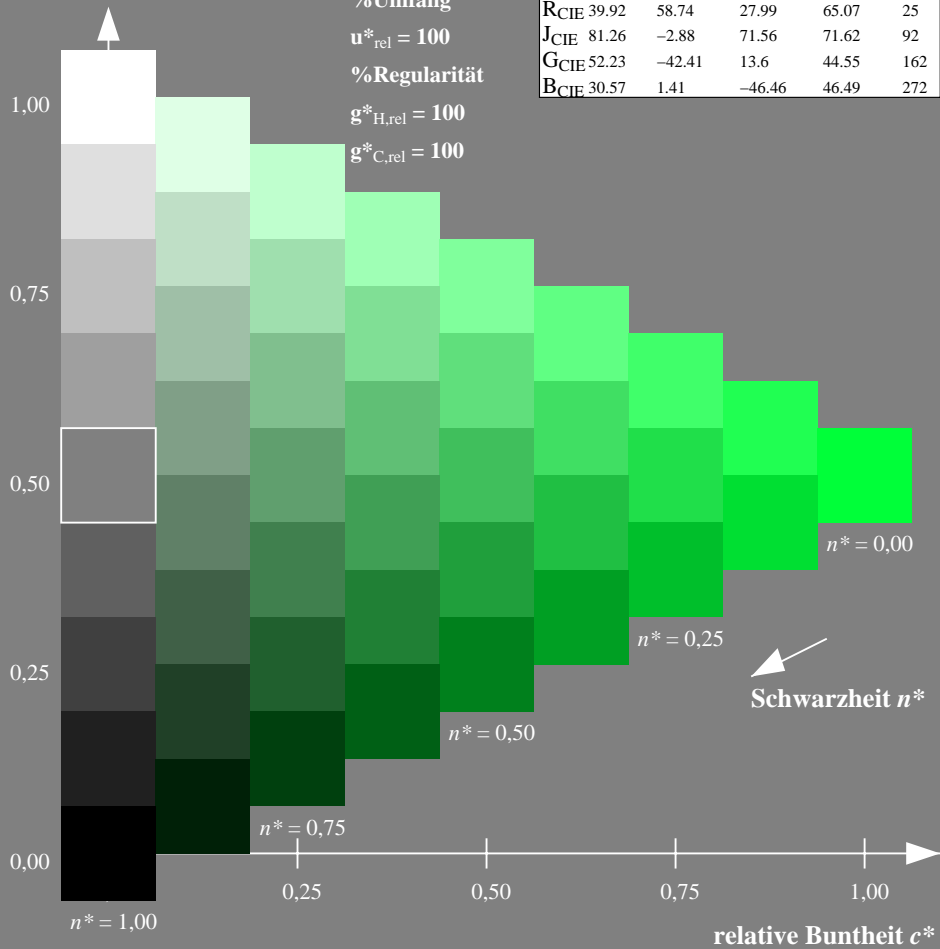
%Umfang

$u^*_{rel} = 100$

%Regularität

$g^*_{H,rel} = 100$

$g^*_{C,rel} = 100$



Ausgabe: Farbmetrisches Fernseh-Licht-System TLS18

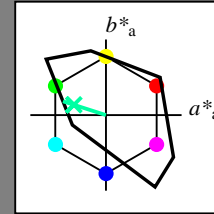
für Buntton $h^* = lab^*h = 162/360 = 0.451$

lab^*tch und lab^*nch

D65: Buntton G

LCH*Ma: 86 60 162

olv*Ma: 0.0 1.0 0.64



TLS18; adaptierte CIELAB-Daten

	$L^*=L^*_a$	a^*_a	b^*_a	$C^*_{ab,a}$	$h^*_{ab,a}$
OMa	52.76	71.63	49.88	87.29	35
YMa	92.74	-20.02	84.97	87.3	103
LMa	84.0	-78.98	73.94	108.2	137
CMa	87.14	-44.41	-13.11	46.32	196
VMa	35.47	64.92	-95.06	115.12	304
MMa	59.01	89.33	-55.67	105.26	328
NMa	18.01	0.0	0.0	0.0	0
WMa	95.41	0.0	0.0	0.0	0
RCIE	39.92	58.74	27.99	65.07	25
JCIE	81.26	-2.88	71.56	71.62	92
GCIE	52.23	-42.41	13.6	44.55	162
BCIE	30.57	1.41	-46.46	46.49	272

Dreiecks-Helligkeit t^*

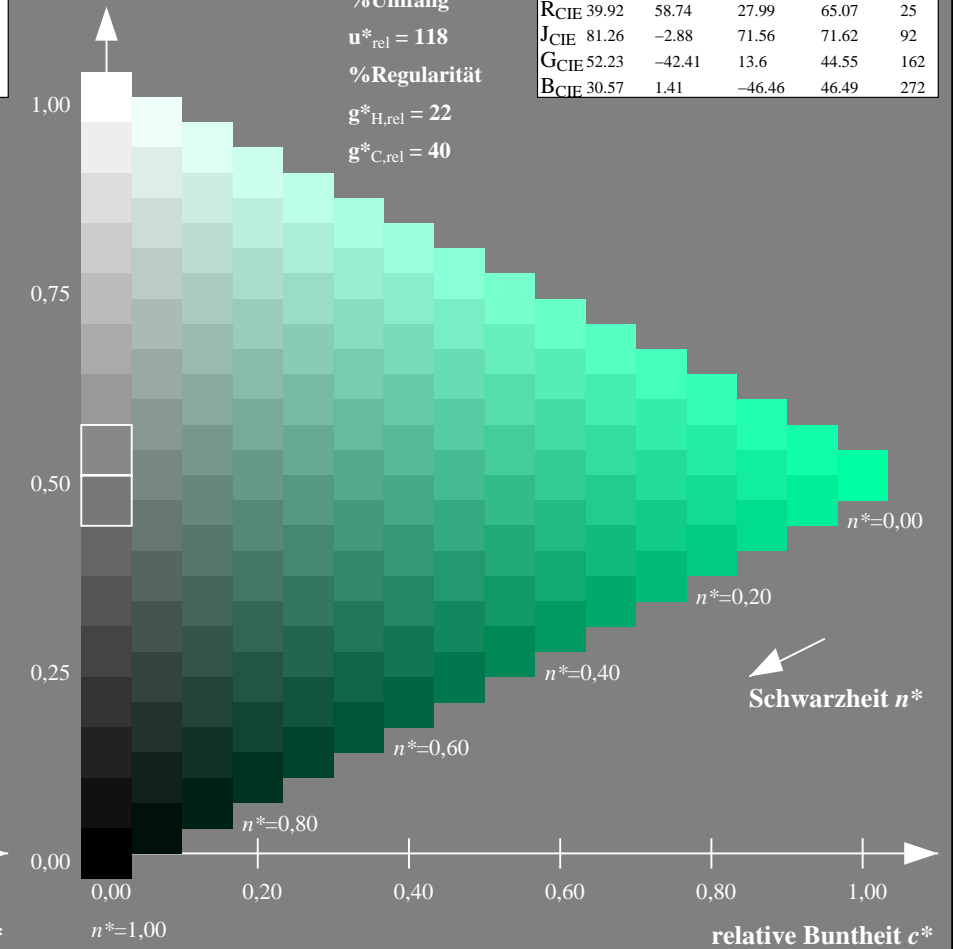
%Umfang

$u^*_{rel} = 118$

%Regularität

$g^*_{H,rel} = 22$

$g^*_{C,rel} = 40$



NG900-7, 9stufige Reihen für konstanten CIELAB Buntton $162/360 = 0.451$ (links)

16stufige Reihen für konstanten CIELAB Buntton $162/360 = 0.451$ (rechts)

Eingabe: Farbmetrisches Standard-Reflektiv-System SRS18

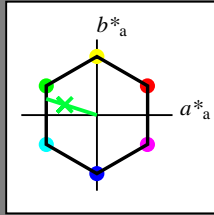
für Buntton $h^* = lab^*h = 162/360 = 0.451$

lab^*tch und lab^*nch

D65: Buntton G

LCH*Ma: 57 70 162

olv*Ma: 0.0 1.0 0.22



SRS18; adaptierte CIELAB-Daten

	$L^*=L^*_a$	a^*_a	b^*_a	$C^*_{ab,a}$	$h^*_{ab,a}$
OMa	56.71	67.03	38.7	77.4	30
YMa	56.71	0.0	77.4	77.4	90
LMa	56.71	-67.02	38.7	77.4	150
CMa	56.71	-67.02	-38.69	77.4	210
VMa	56.71	0.0	-77.39	77.4	270
MMa	56.71	67.03	-38.69	77.4	330
NMa	18.01	0.0	0.0	0.0	0
WMa	95.41	0.0	0.0	0.0	0
RCIE	39.92	58.74	27.99	65.07	25
JCIE	81.26	-2.88	71.56	71.62	92
GCIE	52.23	-42.41	13.6	44.55	162
BCIE	30.57	1.41	-46.46	46.49	272

Dreiecks-Helligkeit t^*

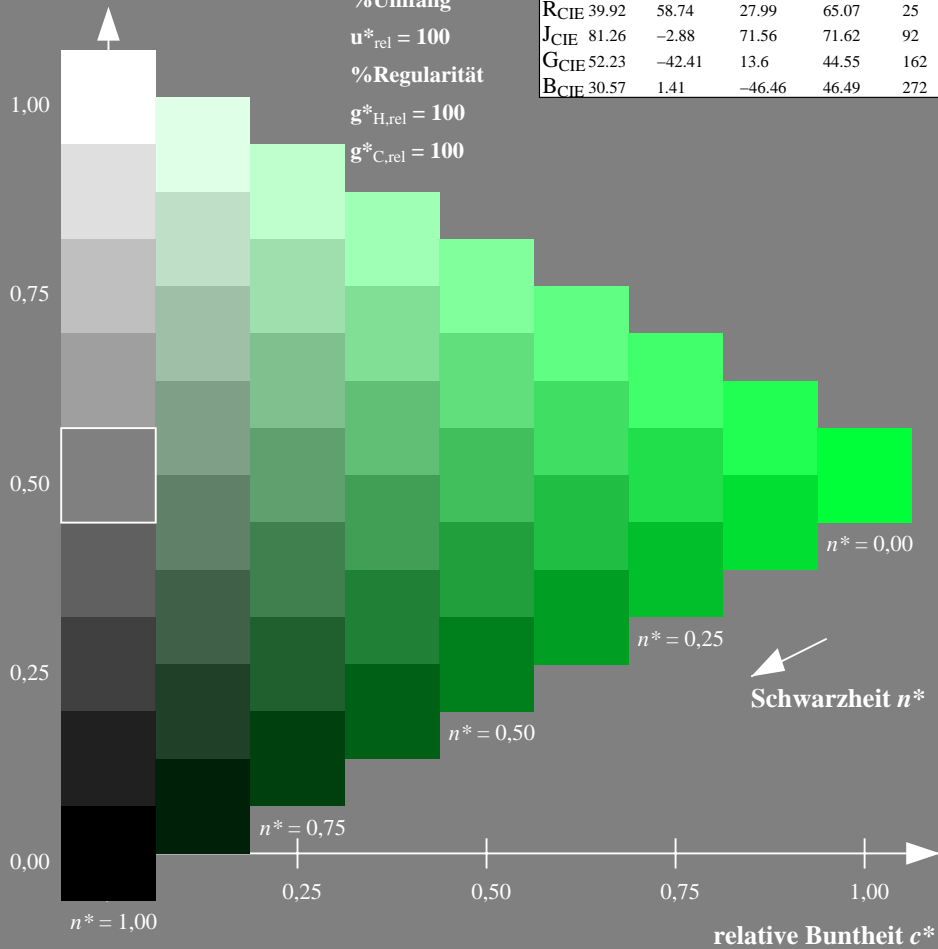
%Umfang

$u^*_{rel} = 100$

%Regularität

$g^*_{H,rel} = 100$

$g^*_{C,rel} = 100$



Ausgabe: Farbmetrisches Natürliches-Licht-System NLS00

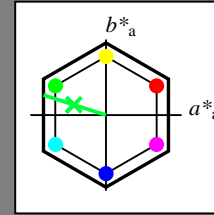
für Buntton $h^* = lab^*h = 162/360 = 0.451$

lab^*tch und lab^*nch

D65: Buntton G

LCH*Ma: 39 87 162

olv*Ma: 0.0 1.0 0.22



NLS00; adaptierte CIELAB-Daten

	$L^*=L^*_a$	a^*_a	b^*_a	$C^*_{ab,a}$	$h^*_{ab,a}$
OMa	31.81	82.62	47.7	95.4	30
YMa	63.61	0.0	95.4	95.4	90
LMa	31.81	-82.61	47.7	95.4	150
CMa	63.61	-82.61	-47.69	95.4	210
VMa	31.81	0.0	-95.39	95.4	270
MMa	63.61	82.62	-47.69	95.4	330
NMa	0.01	0.0	0.0	0.0	0
WMa	95.41	0.0	0.0	0.0	0
RCIE	39.92	58.74	27.99	65.07	25
JCIE	81.26	-2.88	71.56	71.62	92
GCIE	52.23	-42.41	13.6	44.55	162
BCIE	30.57	1.41	-46.46	46.49	272

Dreiecks-Helligkeit t^*

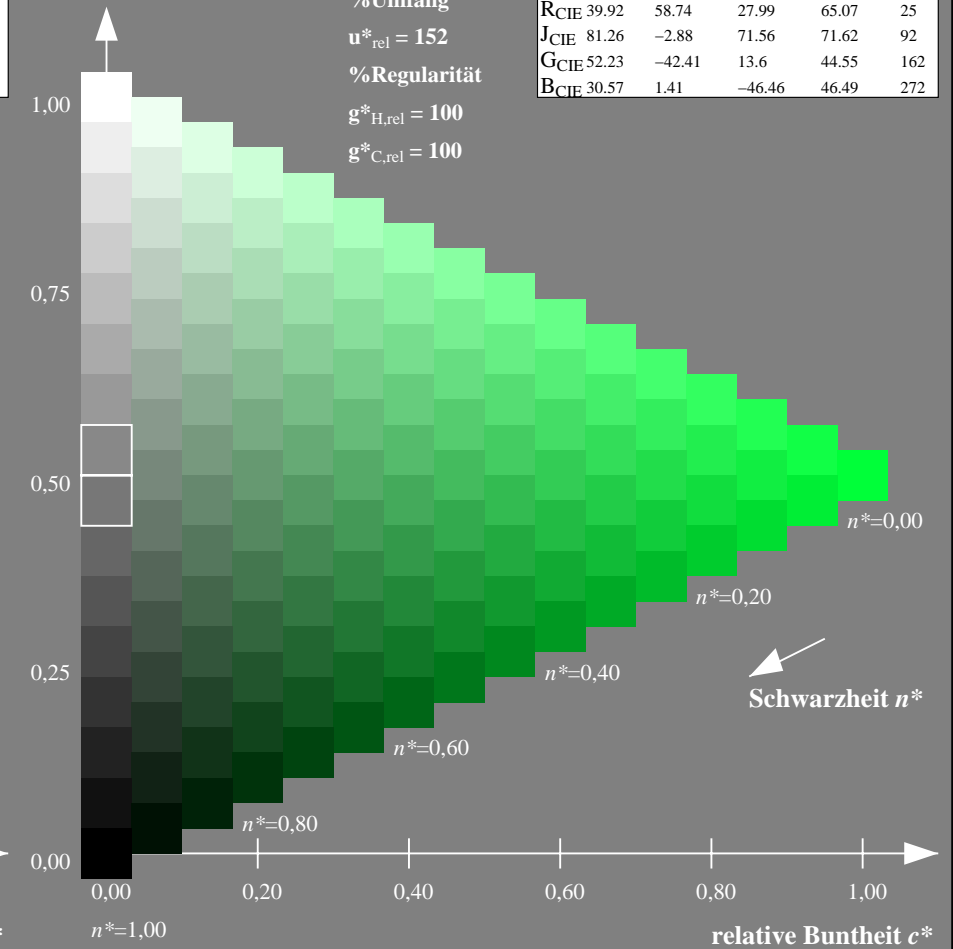
%Umfang

$u^*_{rel} = 152$

%Regularität

$g^*_{H,rel} = 100$

$g^*_{C,rel} = 100$



NG900-7, 9stufige Reihen für konstanten CIELAB Buntton $162/360 = 0.451$ (links)

16stufige Reihen für konstanten CIELAB Buntton $162/360 = 0.451$ (rechts)

Eingabe: Farbmetrisches Standard-Reflektiv-System SRS18

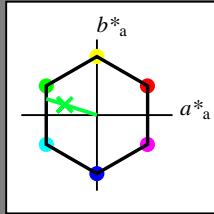
für Buntton $h^* = lab^*h = 162/360 = 0.451$

lab^*tch und lab^*nch

D65: Buntton G

LCH*Ma: 57 70 162

olv*Ma: 0.0 1.0 0.22



SRS18; adaptierte CIELAB-Daten

	$L^*=L^*_a$	a^*_a	b^*_a	$C^*_{ab,a}$	$h^*_{ab,a}$
O _{Ma}	56.71	67.03	38.7	77.4	30
Y _{Ma}	56.71	0.0	77.4	77.4	90
L _{Ma}	56.71	-67.02	38.7	77.4	150
C _{Ma}	56.71	-67.02	-38.69	77.4	210
V _{Ma}	56.71	0.0	-77.39	77.4	270
M _{Ma}	56.71	67.03	-38.69	77.4	330
N _{Ma}	18.01	0.0	0.0	0.0	0
W _{Ma}	95.41	0.0	0.0	0.0	0
R _{CIE}	39.92	58.74	27.99	65.07	25
J _{CIE}	81.26	-2.88	71.56	71.62	92
G _{CIE}	52.23	-42.41	13.6	44.55	162
B _{CIE}	30.57	1.41	-46.46	46.49	272

Dreiecks-Helligkeit t^*

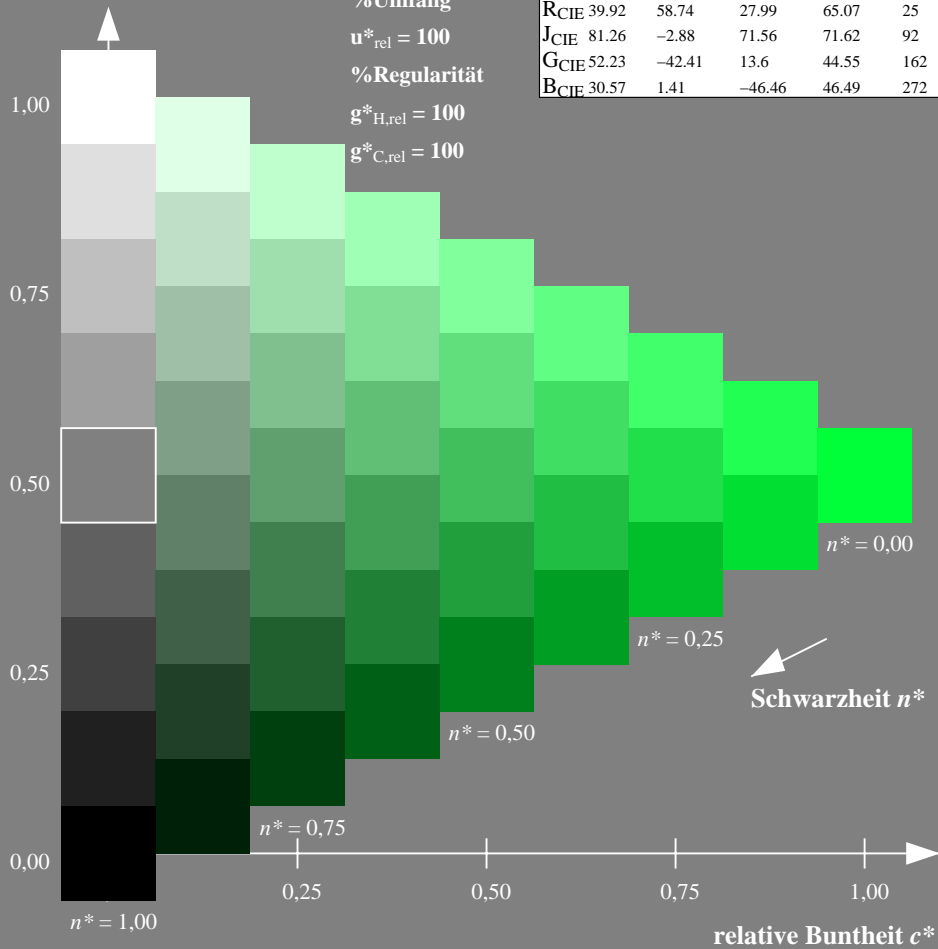
%Umfang

$u^*_{rel} = 100$

%Regularität

$g^*_{H,rel} = 100$

$g^*_{C,rel} = 100$



Ausgabe: Farbmetrisches Natürliches-Reflektiv-System NRS18

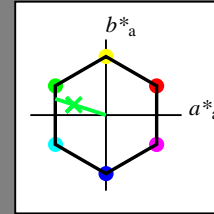
für Buntton $h^* = lab^*h = 162/360 = 0.451$

lab^*tch und lab^*nch

D65: Buntton G

LCH*Ma: 50 70 162

olv*Ma: 0.0 1.0 0.22



NRS18; adaptierte CIELAB-Daten

	$L^*=L^*_a$	a^*_a	b^*_a	$C^*_{ab,a}$	$h^*_{ab,a}$
O _{Ma}	43.81	67.03	38.7	77.4	30
Y _{Ma}	69.61	0.0	77.4	77.4	90
L _{Ma}	43.81	-67.02	38.7	77.4	150
C _{Ma}	69.61	-67.02	-38.69	77.4	210
V _{Ma}	43.81	0.0	-77.39	77.4	270
M _{Ma}	69.61	67.03	-38.69	77.4	330
N _{Ma}	18.01	0.0	0.0	0.0	0
W _{Ma}	95.41	0.0	0.0	0.0	0
R _{CIE}	39.92	58.74	27.99	65.07	25
J _{CIE}	81.26	-2.88	71.56	71.62	92
G _{CIE}	52.23	-42.41	13.6	44.55	162
B _{CIE}	30.57	1.41	-46.46	46.49	272

Dreiecks-Helligkeit t^*

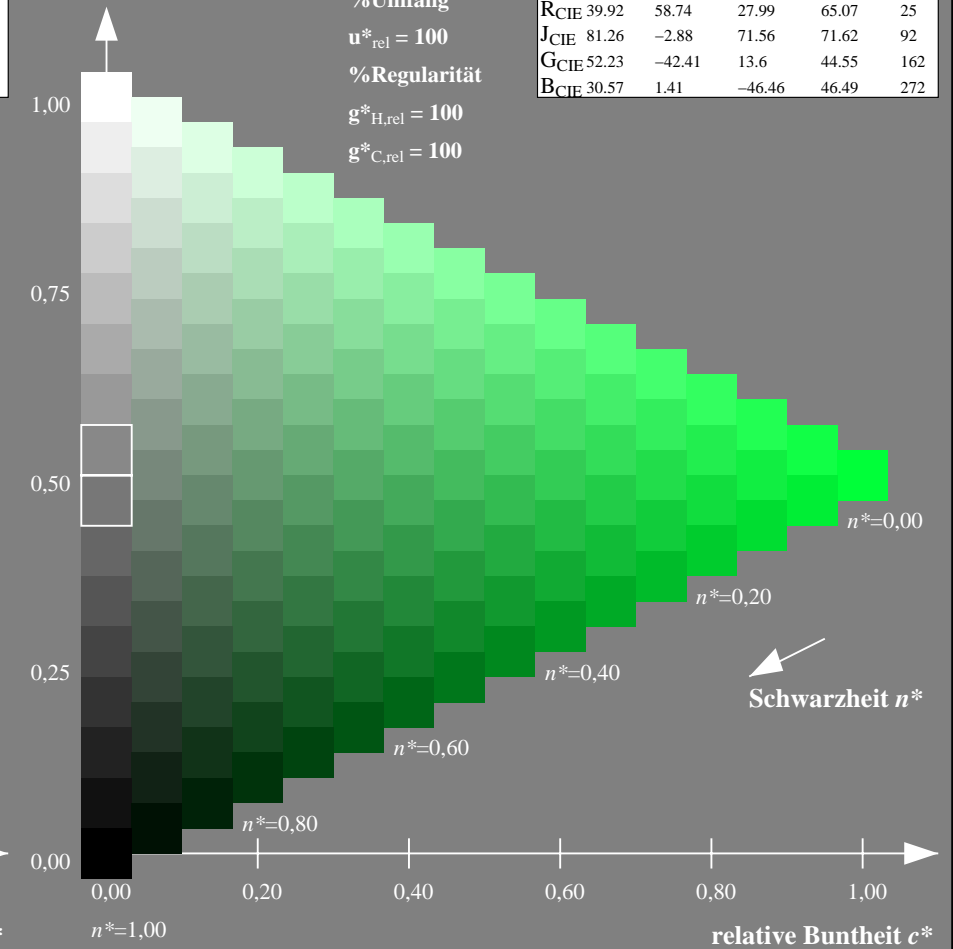
%Umfang

$u^*_{rel} = 100$

%Regularität

$g^*_{H,rel} = 100$

$g^*_{C,rel} = 100$



NG900-7, 9stufige Reihen für konstanten CIELAB Buntton $162/360 = 0.451$ (links)

16stufige Reihen für konstanten CIELAB Buntton $162/360 = 0.451$ (rechts)

Eingabe: Farbmétrisches Standard-Reflektiv-System SRS18

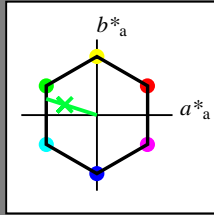
für Buntton $h^* = lab^*h = 162/360 = 0.451$

lab^*tch und lab^*nch

D65: Buntton G

LCH*Ma: 57 70 162

olv*Ma: 0.0 1.0 0.22



SRS18; adaptierte CIELAB-Daten

	$L^*=L^*_a$	a^*_a	b^*_a	$C^*_{ab,a}$	$h^*_{ab,a}$
OMa	56.71	67.03	38.7	77.4	30
YMa	56.71	0.0	77.4	77.4	90
LMa	56.71	-67.02	38.7	77.4	150
CMa	56.71	-67.02	-38.69	77.4	210
VMa	56.71	0.0	-77.39	77.4	270
MMa	56.71	67.03	-38.69	77.4	330
NMa	18.01	0.0	0.0	0.0	0
WMa	95.41	0.0	0.0	0.0	0
RCIE	39.92	58.74	27.99	65.07	25
JCIE	81.26	-2.88	71.56	71.62	92
GCIE	52.23	-42.41	13.6	44.55	162
BCIE	30.57	1.41	-46.46	46.49	272

Dreiecks-Helligkeit t^*

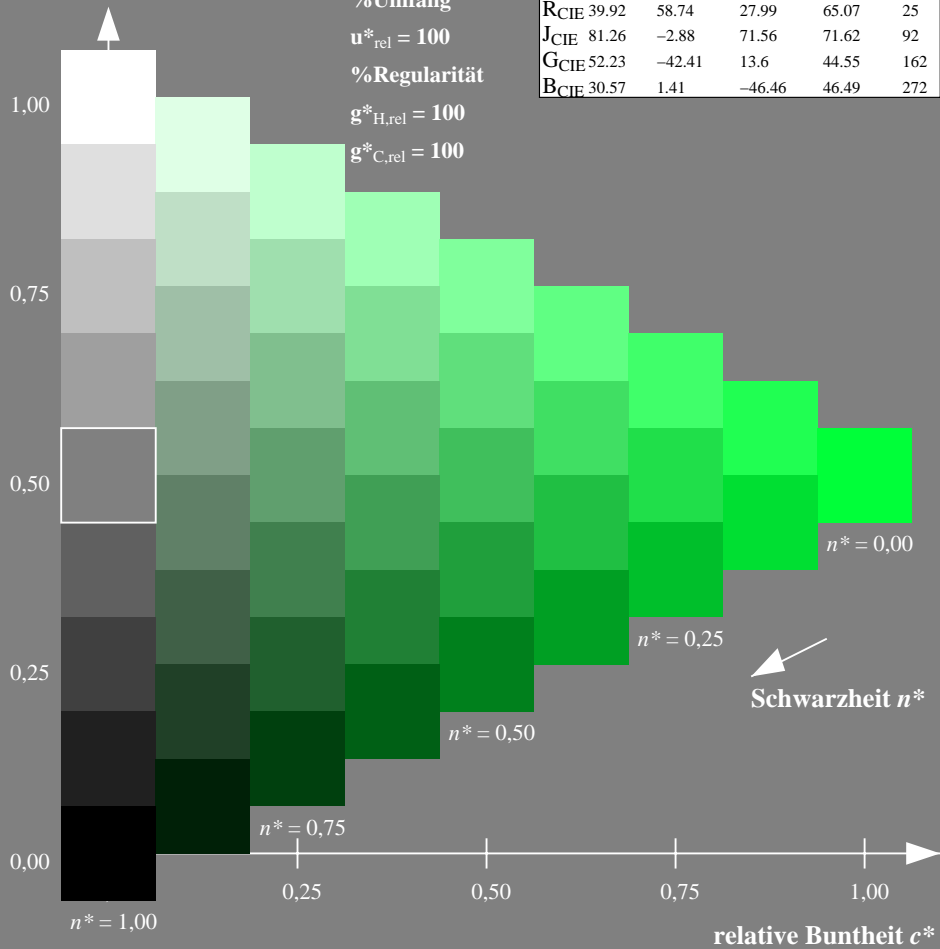
%Umfang

$u^*_{rel} = 100$

%Regularität

$g^*_{H,rel} = 100$

$g^*_{C,rel} = 100$



Ausgabe: Farbmétrisches Standard-Reflektiv-System SRS18

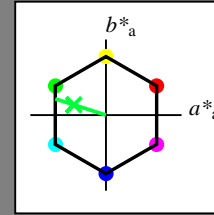
für Buntton $h^* = lab^*h = 162/360 = 0.451$

lab^*tch und lab^*nch

D65: Buntton G

LCH*Ma: 57 70 162

olv*Ma: 0.0 1.0 0.22



SRS18; adaptierte CIELAB-Daten

	$L^*=L^*_a$	a^*_a	b^*_a	$C^*_{ab,a}$	$h^*_{ab,a}$
OMa	56.71	67.03	38.7	77.4	30
YMa	56.71	0.0	77.4	77.4	90
LMa	56.71	-67.02	38.7	77.4	150
CMa	56.71	-67.02	-38.69	77.4	210
VMa	56.71	0.0	-77.39	77.4	270
MMa	56.71	67.03	-38.69	77.4	330
NMa	18.01	0.0	0.0	0.0	0
WMa	95.41	0.0	0.0	0.0	0
RCIE	39.92	58.74	27.99	65.07	25
JCIE	81.26	-2.88	71.56	71.62	92
GCIE	52.23	-42.41	13.6	44.55	162
BCIE	30.57	1.41	-46.46	46.49	272

Dreiecks-Helligkeit t^*

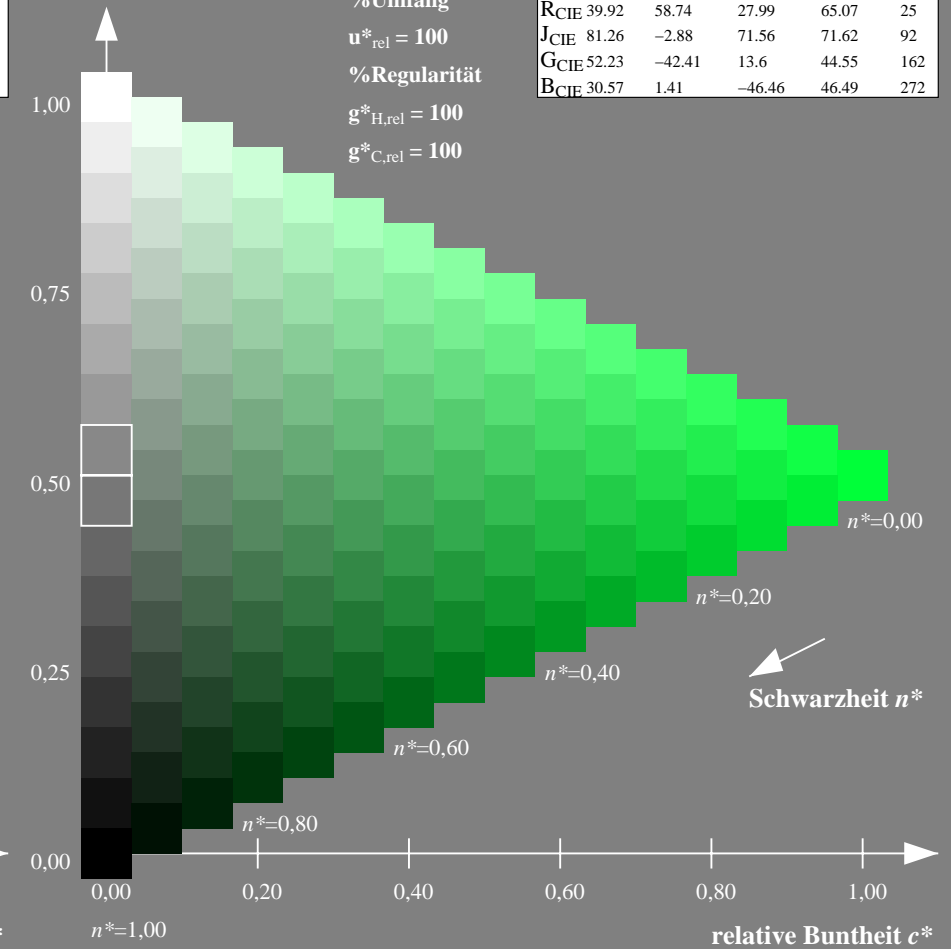
%Umfang

$u^*_{rel} = 100$

%Regularität

$g^*_{H,rel} = 100$

$g^*_{C,rel} = 100$



NG900-7, 9stufige Reihen für konstanten CIELAB Buntton $162/360 = 0.451$ (links)

16stufige Reihen für konstanten CIELAB Buntton $162/360 = 0.451$ (rechts)

Eingabe: Farbmetrisches Standard-Reflektiv-System SRS18

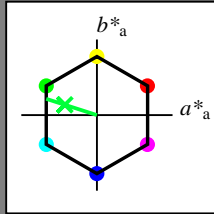
für Buntton $h^* = lab^*h = 162/360 = 0.451$

lab^*tch und lab^*nch

D65: Buntton G

LCH*Ma: 57 70 162

olv*Ma: 0.0 1.0 0.22



SRS18; adaptierte CIELAB-Daten

	$L^*=L^*_a$	a^*_a	b^*_a	$C^*_{ab,a}$	$h^*_{ab,a}$
O _{Ma}	56.71	67.03	38.7	77.4	30
Y _{Ma}	56.71	0.0	77.4	77.4	90
L _{Ma}	56.71	-67.02	38.7	77.4	150
C _{Ma}	56.71	-67.02	-38.69	77.4	210
V _{Ma}	56.71	0.0	-77.39	77.4	270
M _{Ma}	56.71	67.03	-38.69	77.4	330
N _{Ma}	18.01	0.0	0.0	0.0	0
W _{Ma}	95.41	0.0	0.0	0.0	0
R _{CIE}	39.92	58.74	27.99	65.07	25
J _{CIE}	81.26	-2.88	71.56	71.62	92
G _{CIE}	52.23	-42.41	13.6	44.55	162
B _{CIE}	30.57	1.41	-46.46	46.49	272

Dreiecks-Helligkeit t^*

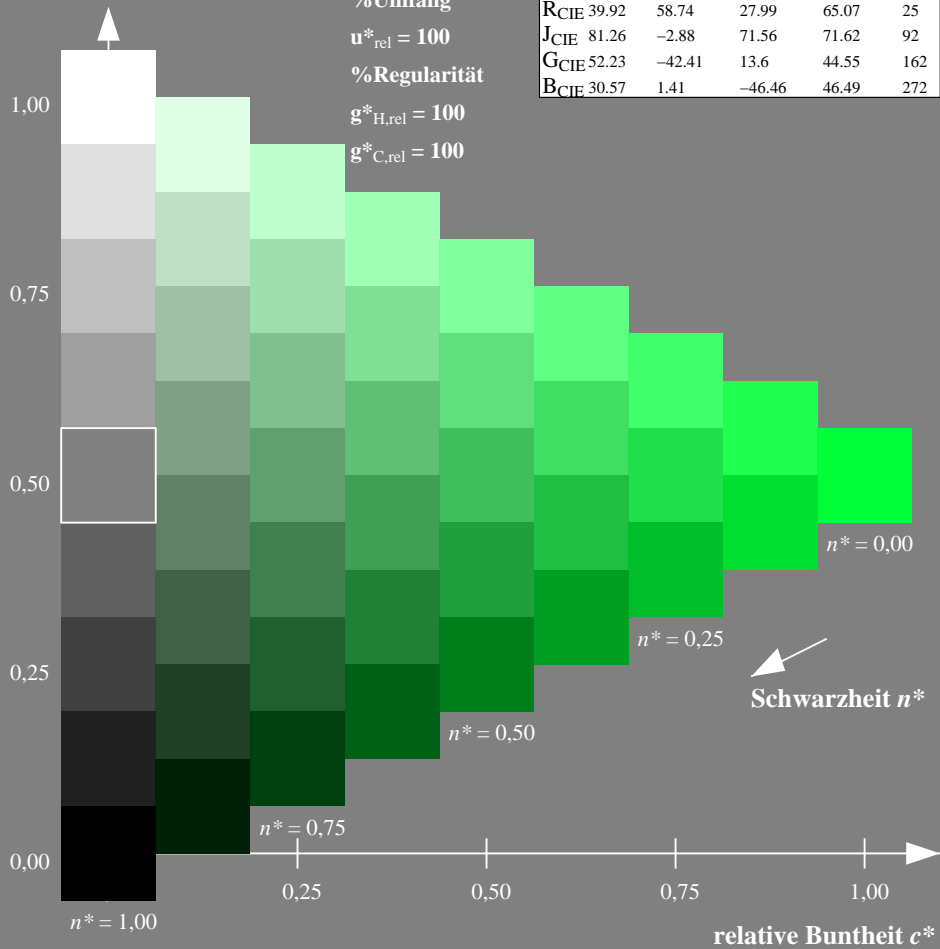
%Umfang

$u^*_{rel} = 100$

%Regularität

$g^*_{H,rel} = 100$

$g^*_{C,rel} = 100$



Ausgabe: Farbmetrisches Fernseh-Licht-System TLS70

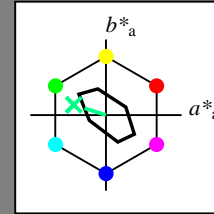
für Buntton $h^* = lab^*h = 162/360 = 0.451$

lab^*tch und lab^*nch

D65: Buntton G

LCH*Ma: 90 30 162

olv*Ma: 0.0 1.0 0.53



TLS70; adaptierte CIELAB-Daten

	$L^*=L^*_a$	a^*_a	b^*_a	$C^*_{ab,a}$	$h^*_{ab,a}$
O _{Ma}	76.43	26.27	10.57	28.32	22
Y _{Ma}	93.93	-10.76	34.63	36.27	107
L _{Ma}	89.32	-35.8	27.64	45.24	142
C _{Ma}	90.93	-21.95	-7.07	23.07	198
V _{Ma}	72.1	15.76	-35.63	38.97	294
M _{Ma}	78.5	37.52	-25.23	45.22	326
N _{Ma}	69.7	0.0	0.0	0.0	0
W _{Ma}	95.41	0.0	0.0	0.0	0
R _{CIE}	39.92	58.74	27.99	65.07	25
J _{CIE}	81.26	-2.88	71.56	71.62	92
G _{CIE}	52.23	-42.41	13.6	44.55	162
B _{CIE}	30.57	1.41	-46.46	46.49	272

Dreiecks-Helligkeit t^*

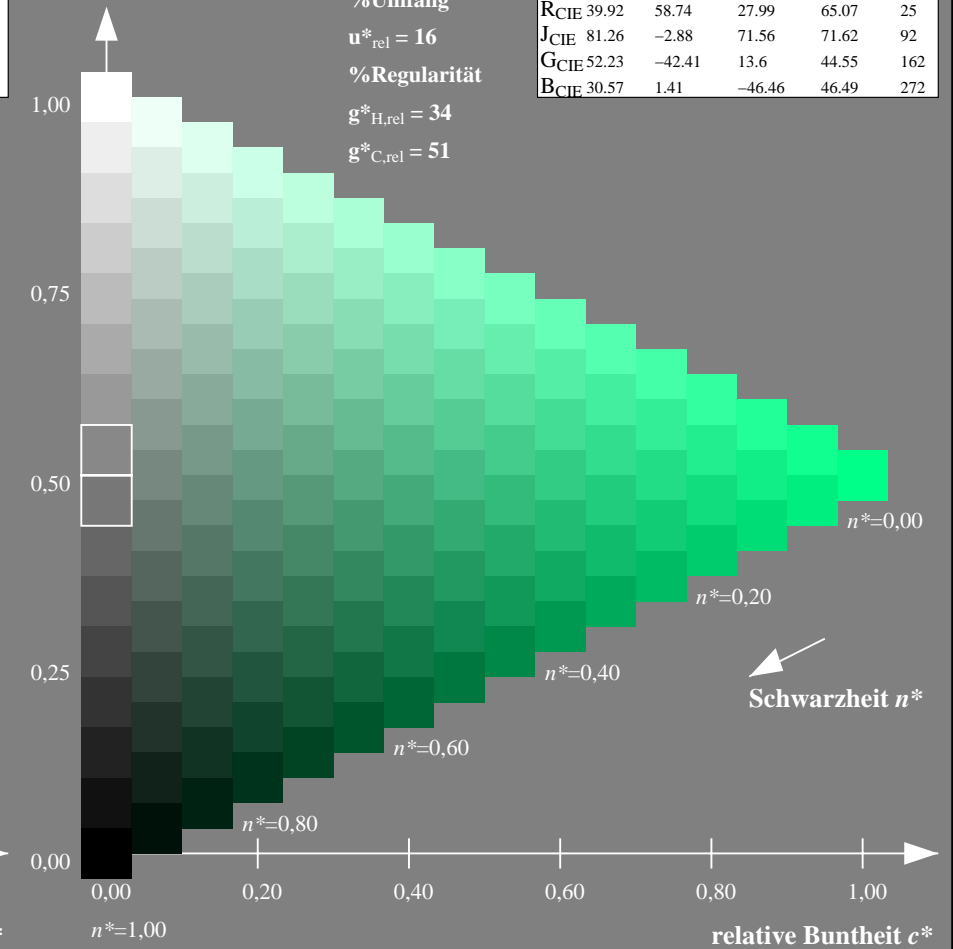
%Umfang

$u^*_{rel} = 16$

%Regularität

$g^*_{H,rel} = 34$

$g^*_{C,rel} = 51$



NG900-7, 9stufige Reihen für konstanten CIELAB Buntton $162/360 = 0.451$ (links)

16stufige Reihen für konstanten CIELAB Buntton $162/360 = 0.451$ (rechts)

Eingabe: Farbmetrisches Fernseh-Licht-System TLS70

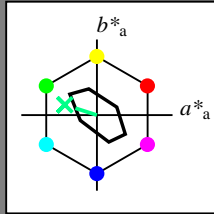
für Buntton $h^* = lab^*h = 162/360 = 0.451$

lab^*tch und lab^*nch

D65: Buntton G

LCH*Ma: 90 30 162

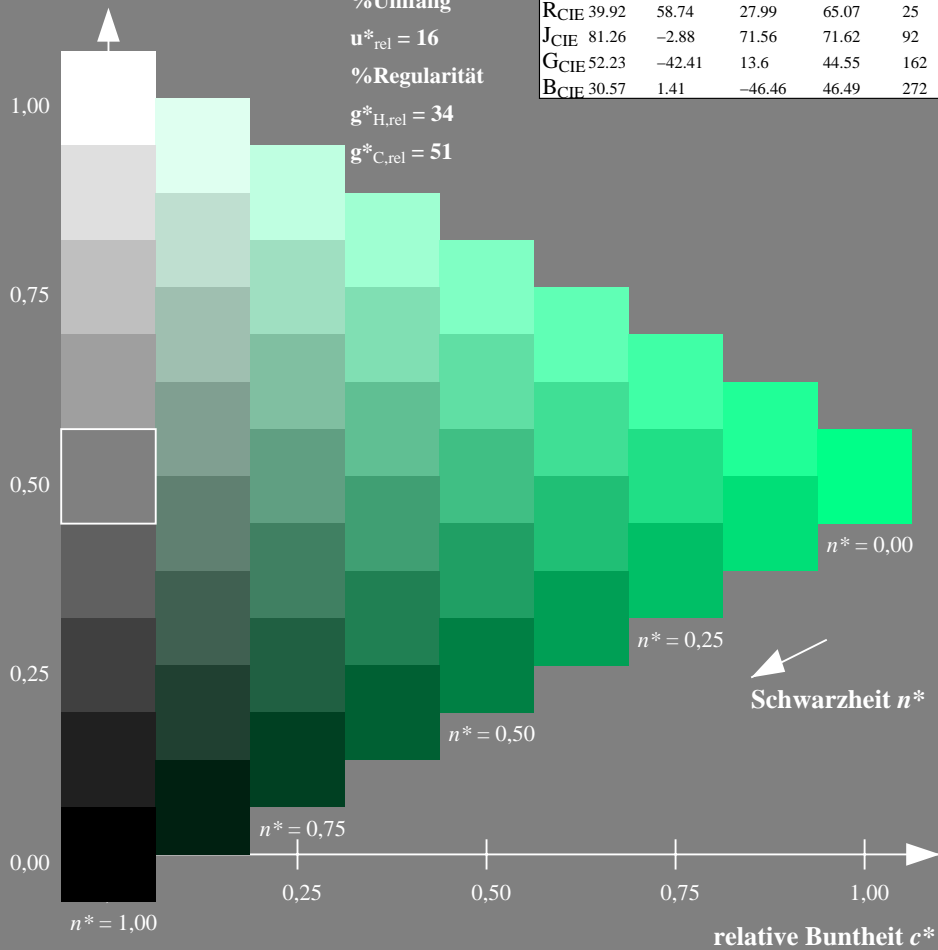
olv*Ma: 0.0 1.0 0.53



TLS70; adaptierte CIELAB-Daten

	$L^*=L^*_a$	a^*_a	b^*_a	$C^*_{ab,a}$	$h^*_{ab,a}$
O _{Ma}	76.43	26.27	10.57	28.32	22
Y _{Ma}	93.93	-10.76	34.63	36.27	107
L _{Ma}	89.32	-35.8	27.64	45.24	142
C _{Ma}	90.93	-21.95	-7.07	23.07	198
V _{Ma}	72.1	15.76	-35.63	38.97	294
M _{Ma}	78.5	37.52	-25.23	45.22	326
N _{Ma}	69.7	0.0	0.0	0.0	0
W _{Ma}	95.41	0.0	0.0	0.0	0
R _{CIE}	39.92	58.74	27.99	65.07	25
J _{CIE}	81.26	-2.88	71.56	71.62	92
G _{CIE}	52.23	-42.41	13.6	44.55	162
B _{CIE}	30.57	1.41	-46.46	46.49	272

Dreiecks-Helligkeit t^*



NG900-7, 9stufige Reihen für konstanten CIELAB Buntton $162/360 = 0.451$ (links)

Ausgabe: Farbmetrisches Offset-Reflektiv-System ORS18

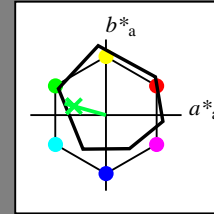
für Buntton $h^* = lab^*h = 164/360 = 0.457$

lab^*tch und lab^*nch

D65: Buntton G

LCH*Ma: 53 57 164

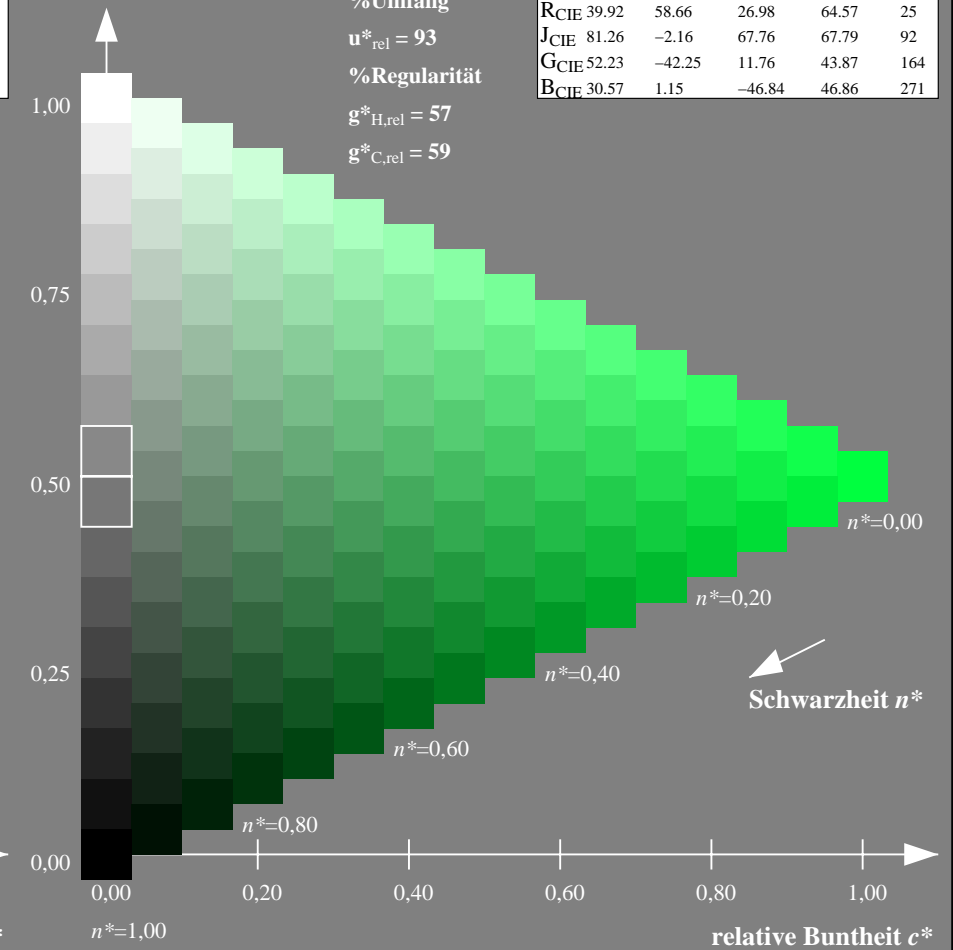
olv*Ma: 0.0 1.0 0.25



ORS18; adaptierte CIELAB-Daten

	$L^*=L^*_a$	a^*_a	b^*_a	$C^*_{ab,a}$	$h^*_{ab,a}$
O _{Ma}	47.94	65.39	50.52	82.63	38
Y _{Ma}	90.37	-10.26	91.75	92.32	96
L _{Ma}	50.9	-62.83	34.96	71.91	151
C _{Ma}	58.62	-30.34	-45.01	54.3	236
V _{Ma}	25.72	31.1	-44.4	54.22	305
M _{Ma}	48.13	75.28	-8.36	75.74	354
N _{Ma}	18.01	0.0	0.0	0.0	0
W _{Ma}	95.41	0.0	0.0	0.0	0
R _{CIE}	39.92	58.66	26.98	64.57	25
J _{CIE}	81.26	-2.16	67.76	67.79	92
G _{CIE}	52.23	-42.25	11.76	43.87	164
B _{CIE}	30.57	1.15	-46.84	46.86	271

Dreiecks-Helligkeit t^*



16stufige Reihen für konstanten CIELAB Buntton $164/360 = 0.457$ (rechts)

Eingabe: Farbmetrisches Fernseh-Licht-System TLS70

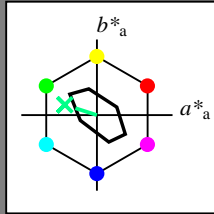
für Buntton $h^* = lab^*h = 162/360 = 0.451$

lab^*tch und lab^*nch

D65: Buntton G

LCH*Ma: 90 30 162

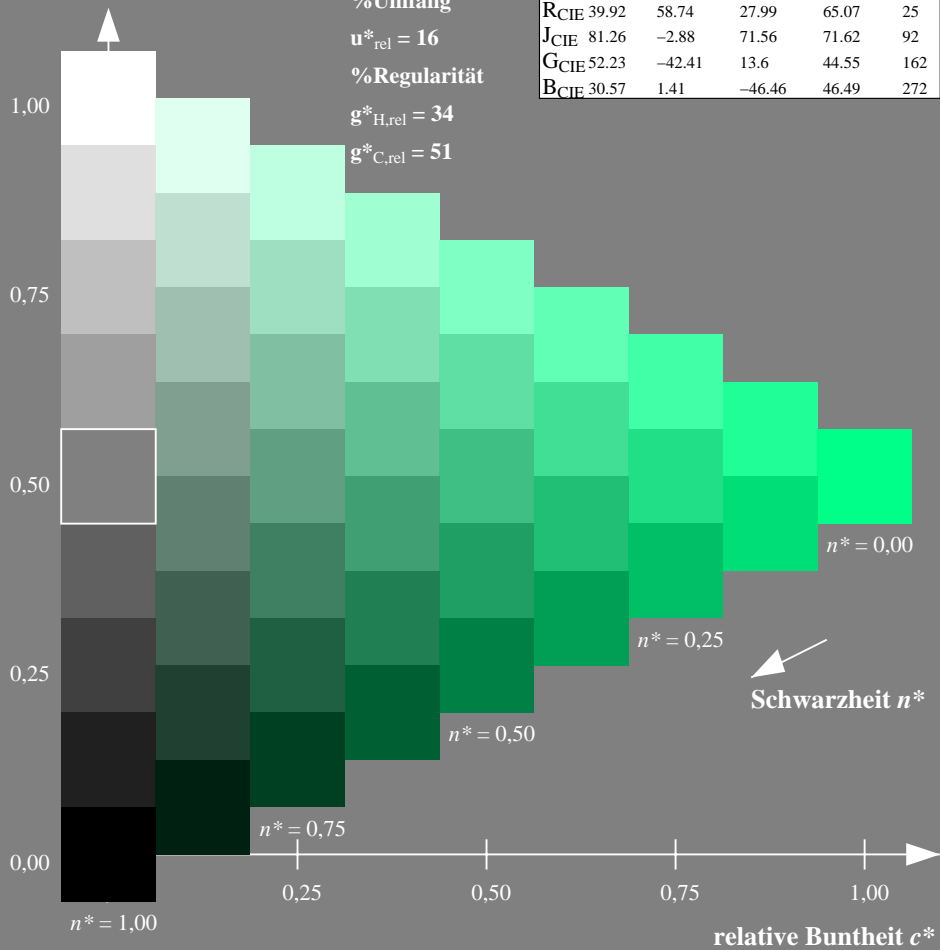
olv*Ma: 0.0 1.0 0.53



TLS70; adaptierte CIELAB-Daten

	$L^*=L^*_a$	a^*_a	b^*_a	$C^*_{ab,a}$	$h^*_{ab,a}$
OMa	76.43	26.27	10.57	28.32	22
YMa	93.93	-10.76	34.63	36.27	107
LMa	89.32	-35.8	27.64	45.24	142
CMa	90.93	-21.95	-7.07	23.07	198
VMa	72.1	15.76	-35.63	38.97	294
MMa	78.5	37.52	-25.23	45.22	326
NMa	69.7	0.0	0.0	0.0	0
WMa	95.41	0.0	0.0	0.0	0
RCIE	39.92	58.74	27.99	65.07	25
JCIE	81.26	-2.88	71.56	71.62	92
GCIE	52.23	-42.41	13.6	44.55	162
BCIE	30.57	1.41	-46.46	46.49	272

Dreiecks-Helligkeit t^*



Ausgabe: Farbmetrisches Fernseh-Licht-System TLS00

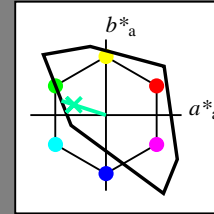
für Buntton $h^* = lab^*h = 162/360 = 0.451$

lab^*tch und lab^*nch

D65: Buntton G

LCH*Ma: 86 62 162

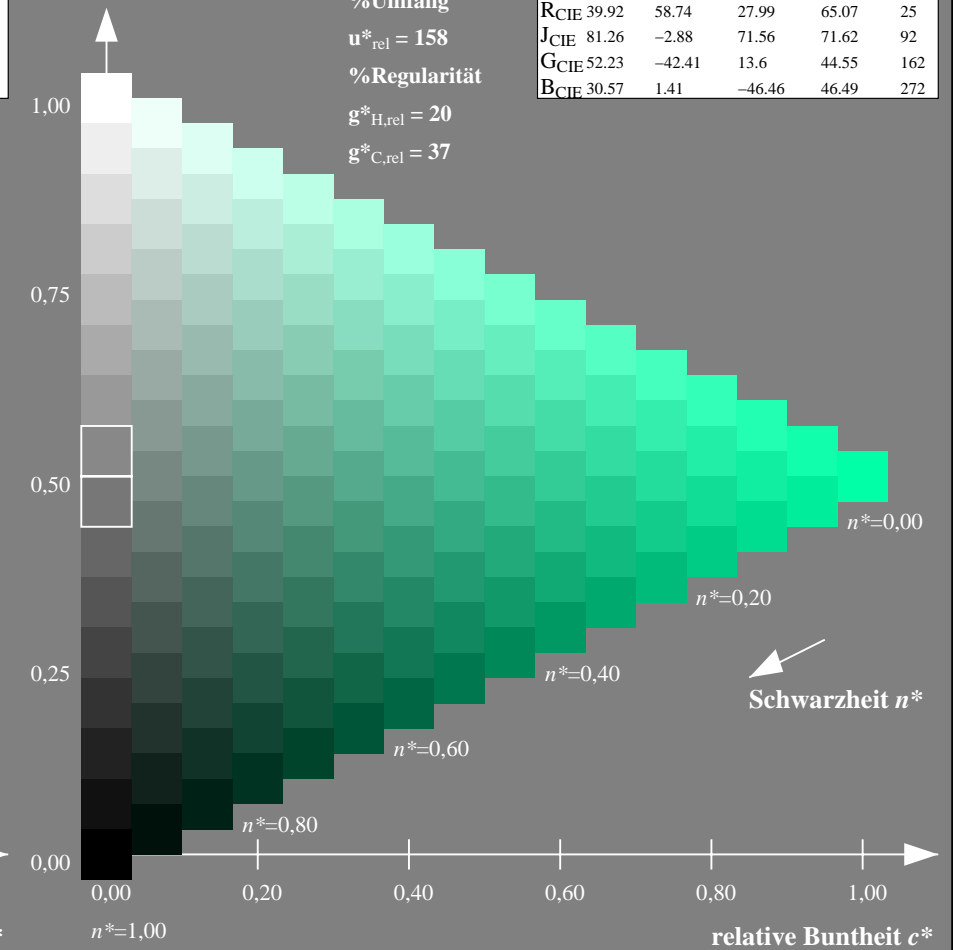
olv*Ma: 0.0 1.0 0.65



TLS00; adaptierte CIELAB-Daten

	$L^*=L^*_a$	a^*_a	b^*_a	$C^*_{ab,a}$	$h^*_{ab,a}$
OMa	50.5	76.92	64.55	100.42	40
YMa	92.66	-20.69	90.75	93.08	103
LMa	83.63	-82.75	79.9	115.04	136
CMa	86.88	-46.16	-13.55	48.12	196
VMa	30.39	76.06	-103.59	128.52	306
MMa	57.3	94.35	-58.41	110.97	328
NMa	0.01	0.0	0.0	0.0	0
WMa	95.41	0.0	0.0	0.0	0
RCIE	39.92	58.74	27.99	65.07	25
JCIE	81.26	-2.88	71.56	71.62	92
GCIE	52.23	-42.41	13.6	44.55	162
BCIE	30.57	1.41	-46.46	46.49	272

Dreiecks-Helligkeit t^*



NG900-7, 9stufige Reihen für konstanten CIELAB Buntton $162/360 = 0.451$ (links)

16stufige Reihen für konstanten CIELAB Buntton $162/360 = 0.451$ (rechts)

Eingabe: Farbmetrisches Fernseh-Licht-System TLS70

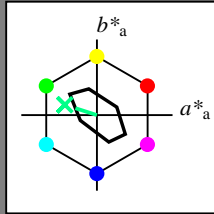
für Buntton $h^* = lab^*h = 162/360 = 0.451$

lab^*tch und lab^*nch

D65: Buntton G

LCH*Ma: 90 30 162

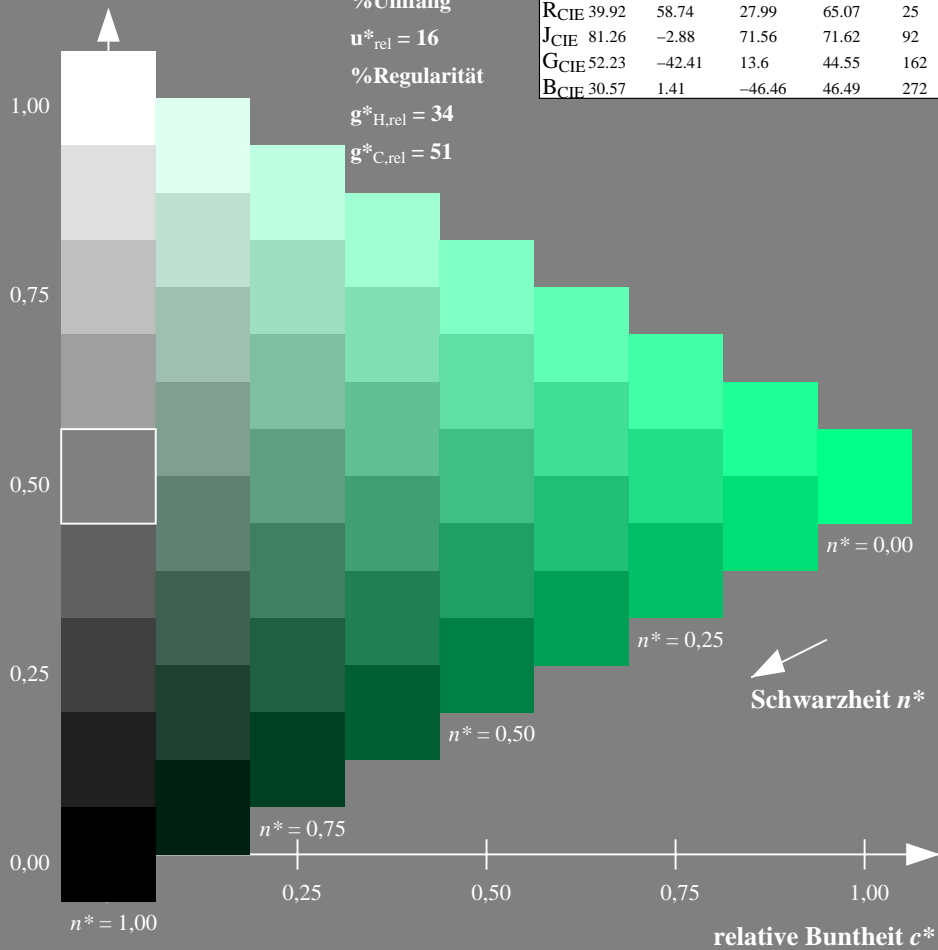
olv*Ma: 0.0 1.0 0.53



TLS70; adaptierte CIELAB-Daten

	$L^*=L^*_a$	a^*_a	b^*_a	$C^*_{ab,a}$	$h^*_{ab,a}$
OMa	76.43	26.27	10.57	28.32	22
YMa	93.93	-10.76	34.63	36.27	107
LMa	89.32	-35.8	27.64	45.24	142
CMa	90.93	-21.95	-7.07	23.07	198
VMa	72.1	15.76	-35.63	38.97	294
MMa	78.5	37.52	-25.23	45.22	326
NMa	69.7	0.0	0.0	0.0	0
WMa	95.41	0.0	0.0	0.0	0
RCIE	39.92	58.74	27.99	65.07	25
JCIE	81.26	-2.88	71.56	71.62	92
GCIE	52.23	-42.41	13.6	44.55	162
BCIE	30.57	1.41	-46.46	46.49	272

Dreiecks-Helligkeit t^*



Ausgabe: Farbmetrisches Drucker-Reflektiv-System DRSXX

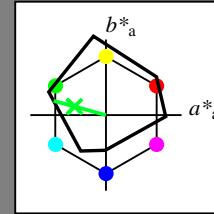
für Buntton $h^* = lab^*h = 165/360 = 0.458$

lab^*tch und lab^*nch

D65: Buntton G

LCH*Ma: 49 72 165

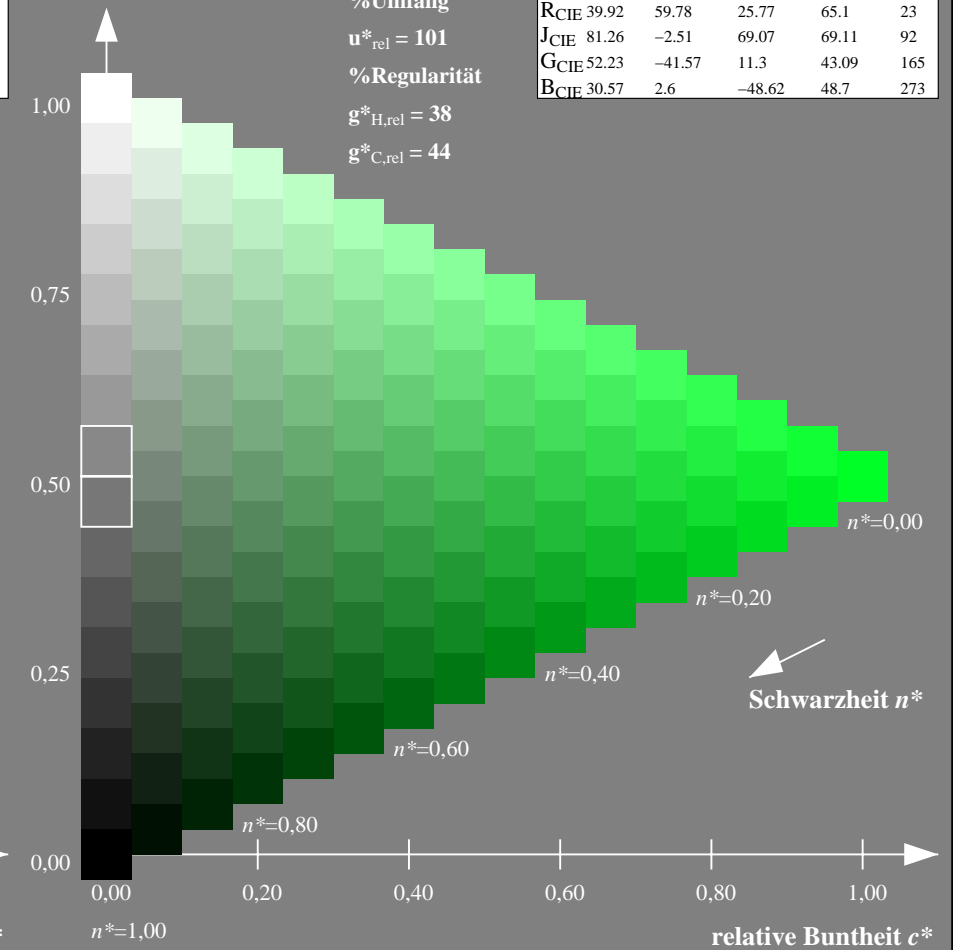
olv*Ma: 0.0 1.0 0.15



DRSXX; adaptierte CIELAB-Daten

	$L^*=L^*_a$	a^*_a	b^*_a	$C^*_{ab,a}$	$h^*_{ab,a}$
OMa	42.21	66.82	50.6	83.82	37
YMa	90.32	-16.51	104.33	105.63	99
LMa	48.21	-75.63	30.65	81.61	158
CMa	53.44	-33.33	-47.49	58.03	235
VMa	34.16	-0.92	-46.56	46.58	269
MMa	42.71	79.0	-1.95	79.03	359
NMa	16.56	0.0	0.0	0.0	0
WMa	96.31	0.0	0.0	0.0	0
RCIE	39.92	59.78	25.77	65.1	23
JCIE	81.26	-2.51	69.07	69.11	92
GCIE	52.23	-41.57	11.3	43.09	165
BCIE	30.57	2.6	-48.62	48.7	273

Dreiecks-Helligkeit t^*



NG900-7, 9stufige Reihen für konstanten CIELAB Buntton $162/360 = 0.451$ (links)

16stufige Reihen für konstanten CIELAB Buntton $165/360 = 0.458$ (rechts)

Eingabe: Farbmetrisches Fernseh-Licht-System TLS70

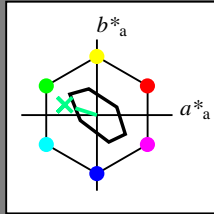
für Buntton $h^* = lab^*h = 162/360 = 0.451$

lab^*tch und lab^*nch

D65: Buntton G

LCH*Ma: 90 30 162

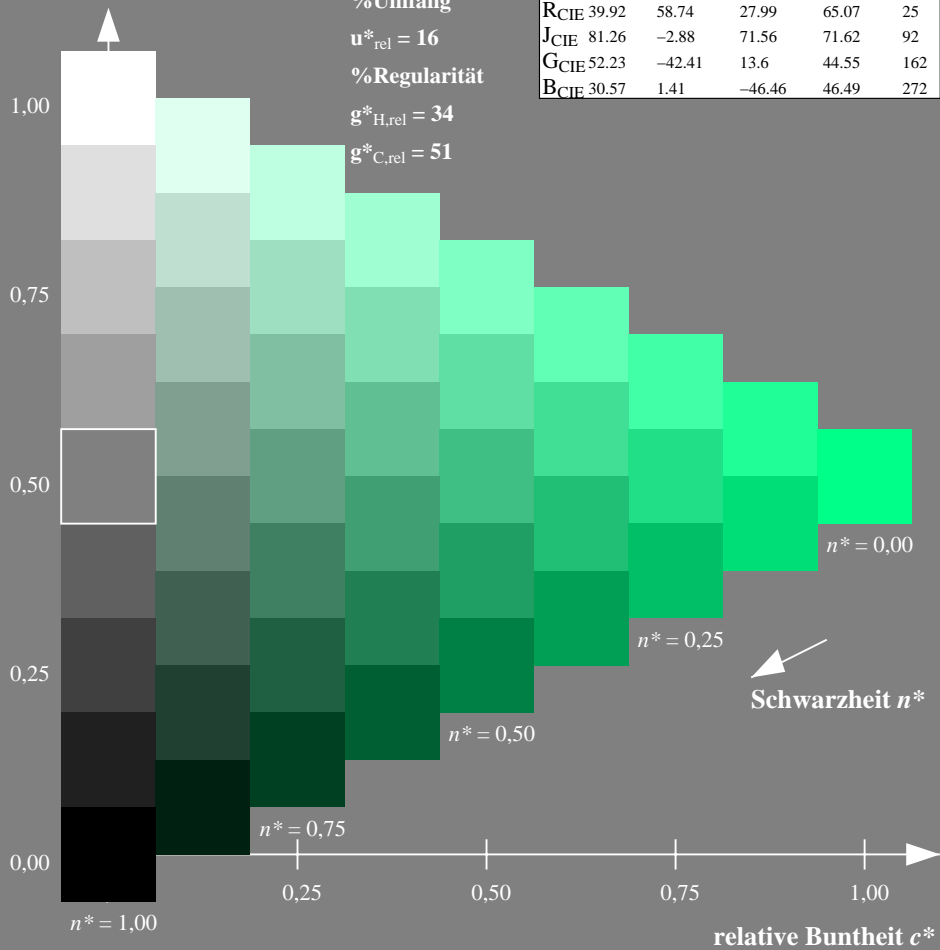
olv*Ma: 0.0 1.0 0.53



TLS70; adaptierte CIELAB-Daten

	$L^*=L^*_a$	a^*_a	b^*_a	$C^*_{ab,a}$	$h^*_{ab,a}$
OMa	76.43	26.27	10.57	28.32	22
YMa	93.93	-10.76	34.63	36.27	107
LMa	89.32	-35.8	27.64	45.24	142
CMa	90.93	-21.95	-7.07	23.07	198
VMa	72.1	15.76	-35.63	38.97	294
MMa	78.5	37.52	-25.23	45.22	326
NMa	69.7	0.0	0.0	0.0	0
WMa	95.41	0.0	0.0	0.0	0
RCIE	39.92	58.74	27.99	65.07	25
JCIE	81.26	-2.88	71.56	71.62	92
GCIE	52.23	-42.41	13.6	44.55	162
BCIE	30.57	1.41	-46.46	46.49	272

Dreiecks-Helligkeit t^*



Ausgabe: Farbmetrisches Fernseh-Licht-System TLS18

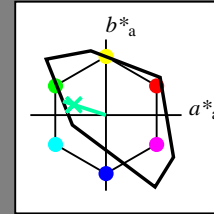
für Buntton $h^* = lab^*h = 162/360 = 0.451$

lab^*tch und lab^*nch

D65: Buntton G

LCH*Ma: 86 60 162

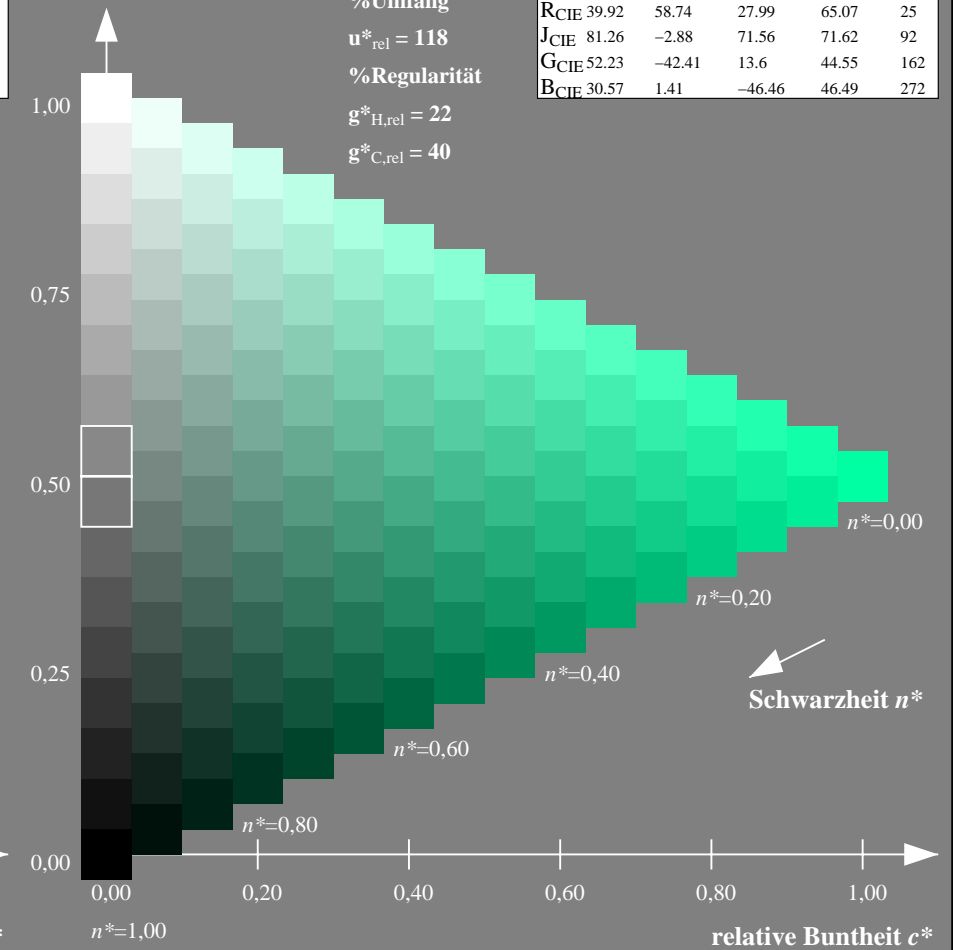
olv*Ma: 0.0 1.0 0.64



TLS18; adaptierte CIELAB-Daten

	$L^*=L^*_a$	a^*_a	b^*_a	$C^*_{ab,a}$	$h^*_{ab,a}$
OMa	52.76	71.63	49.88	87.29	35
YMa	92.74	-20.02	84.97	87.3	103
LMa	84.0	-78.98	73.94	108.2	137
CMa	87.14	-44.41	-13.11	46.32	196
VMa	35.47	64.92	-95.06	115.12	304
MMa	59.01	89.33	-55.67	105.26	328
NMa	18.01	0.0	0.0	0.0	0
WMa	95.41	0.0	0.0	0.0	0
RCIE	39.92	58.74	27.99	65.07	25
JCIE	81.26	-2.88	71.56	71.62	92
GCIE	52.23	-42.41	13.6	44.55	162
BCIE	30.57	1.41	-46.46	46.49	272

Dreiecks-Helligkeit t^*



NG900-7, 9stufige Reihen für konstanten CIELAB Buntton $162/360 = 0.451$ (links)

16stufige Reihen für konstanten CIELAB Buntton $162/360 = 0.451$ (rechts)

Eingabe: Farbmetrisches Fernseh-Licht-System TLS70

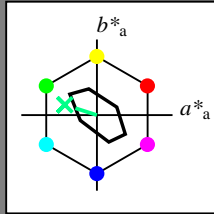
für Buntton $h^* = lab^*h = 162/360 = 0.451$

lab^*tch und lab^*nch

D65: Buntton G

LCH*Ma: 90 30 162

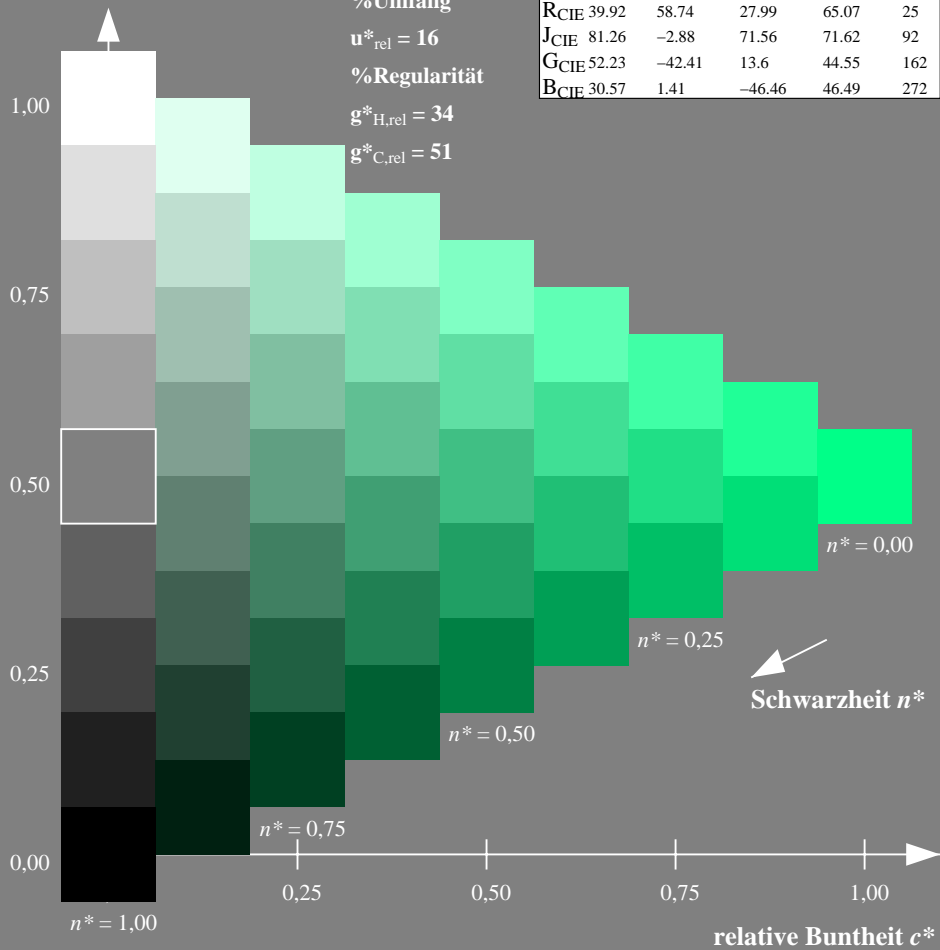
olv*Ma: 0.0 1.0 0.53



TLS70; adaptierte CIELAB-Daten

	$L^*=L^*_a$	a^*_a	b^*_a	$C^*_{ab,a}$	$h^*_{ab,a}$
O _{Ma}	76.43	26.27	10.57	28.32	22
Y _{Ma}	93.93	-10.76	34.63	36.27	107
L _{Ma}	89.32	-35.8	27.64	45.24	142
C _{Ma}	90.93	-21.95	-7.07	23.07	198
V _{Ma}	72.1	15.76	-35.63	38.97	294
M _{Ma}	78.5	37.52	-25.23	45.22	326
N _{Ma}	69.7	0.0	0.0	0.0	0
W _{Ma}	95.41	0.0	0.0	0.0	0
R _{CIE}	39.92	58.74	27.99	65.07	25
J _{CIE}	81.26	-2.88	71.56	71.62	92
G _{CIE}	52.23	-42.41	13.6	44.55	162
B _{CIE}	30.57	1.41	-46.46	46.49	272

Dreiecks-Helligkeit t^*



Ausgabe: Farbmetrisches Natürliches-Licht-System NLS00

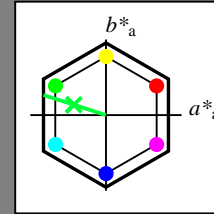
für Buntton $h^* = lab^*h = 162/360 = 0.451$

lab^*tch und lab^*nch

D65: Buntton G

LCH*Ma: 39 87 162

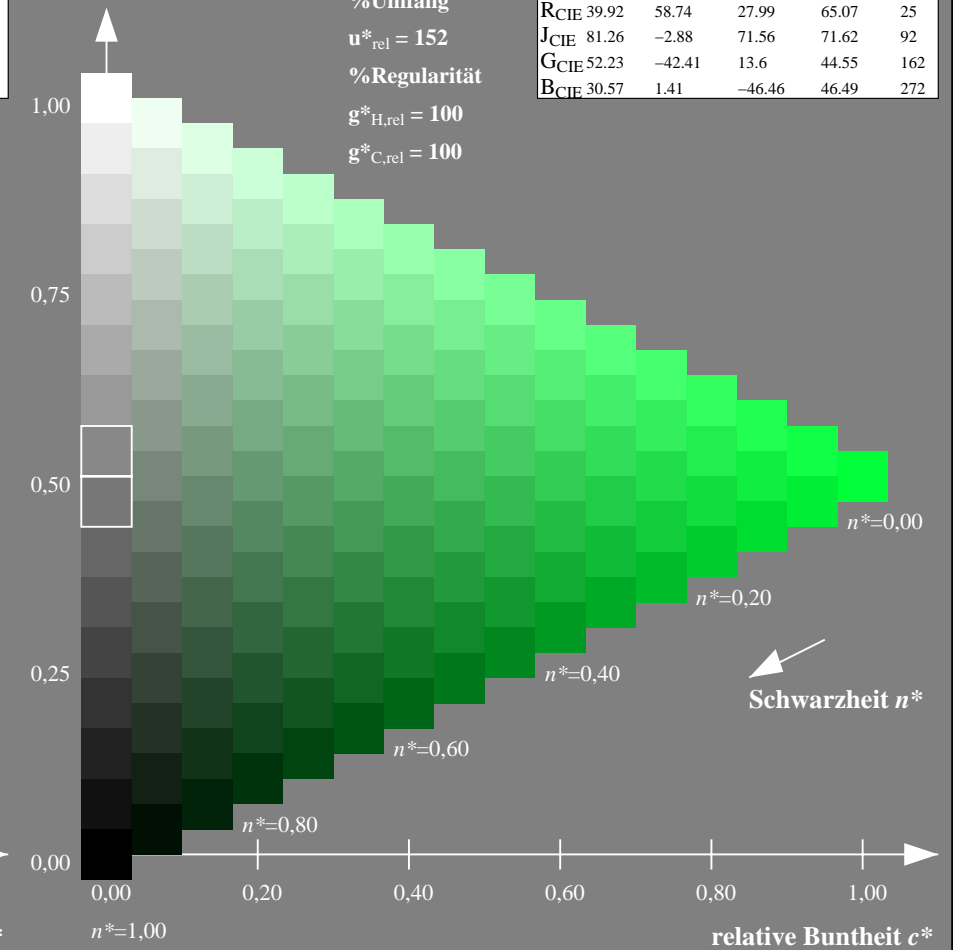
olv*Ma: 0.0 1.0 0.22



NLS00; adaptierte CIELAB-Daten

	$L^*=L^*_a$	a^*_a	b^*_a	$C^*_{ab,a}$	$h^*_{ab,a}$
O _{Ma}	31.81	82.62	47.7	95.4	30
Y _{Ma}	63.61	0.0	95.4	95.4	90
L _{Ma}	31.81	-82.61	47.7	95.4	150
C _{Ma}	63.61	-82.61	-47.69	95.4	210
V _{Ma}	31.81	0.0	-95.39	95.4	270
M _{Ma}	63.61	82.62	-47.69	95.4	330
N _{Ma}	0.01	0.0	0.0	0.0	0
W _{Ma}	95.41	0.0	0.0	0.0	0
R _{CIE}	39.92	58.74	27.99	65.07	25
J _{CIE}	81.26	-2.88	71.56	71.62	92
G _{CIE}	52.23	-42.41	13.6	44.55	162
B _{CIE}	30.57	1.41	-46.46	46.49	272

Dreiecks-Helligkeit t^*



NG900-7, 9stufige Reihen für konstanten CIELAB Buntton $162/360 = 0.451$ (links)

16stufige Reihen für konstanten CIELAB Buntton $162/360 = 0.451$ (rechts)

Eingabe: Farbmetrisches Fernseh-Licht-System TLS70

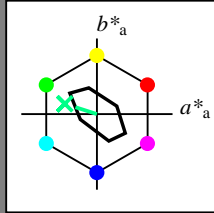
für Buntton $h^* = lab^*h = 162/360 = 0.451$

lab^*tch und lab^*nch

D65: Buntton G

LCH*Ma: 90 30 162

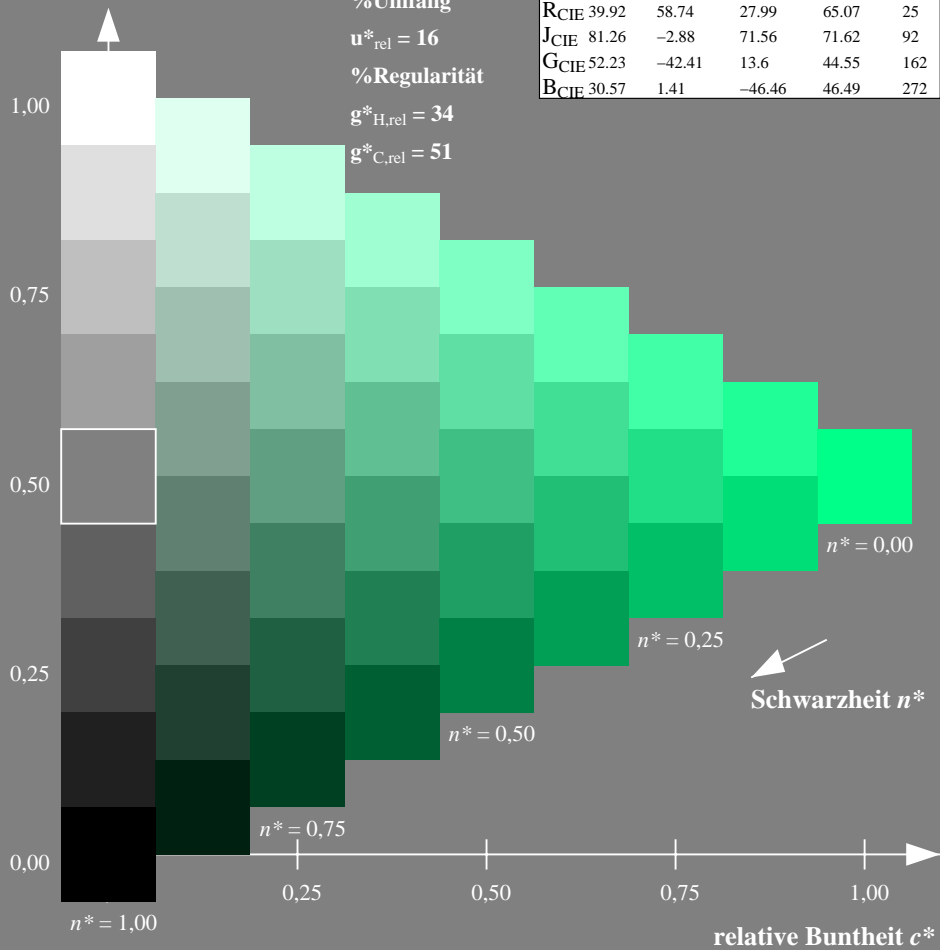
olv*Ma: 0.0 1.0 0.53



TLS70; adaptierte CIELAB-Daten

	$L^*=L^*_a$	a^*_a	b^*_a	$C^*_{ab,a}$	$h^*_{ab,a}$
O _{Ma}	76.43	26.27	10.57	28.32	22
Y _{Ma}	93.93	-10.76	34.63	36.27	107
L _{Ma}	89.32	-35.8	27.64	45.24	142
C _{Ma}	90.93	-21.95	-7.07	23.07	198
V _{Ma}	72.1	15.76	-35.63	38.97	294
M _{Ma}	78.5	37.52	-25.23	45.22	326
N _{Ma}	69.7	0.0	0.0	0.0	0
W _{Ma}	95.41	0.0	0.0	0.0	0
R _{CIE}	39.92	58.74	27.99	65.07	25
J _{CIE}	81.26	-2.88	71.56	71.62	92
G _{CIE}	52.23	-42.41	13.6	44.55	162
B _{CIE}	30.57	1.41	-46.46	46.49	272

Dreiecks-Helligkeit t^*



Ausgabe: Farbmetrisches Natürliches-Reflektiv-System NRS18

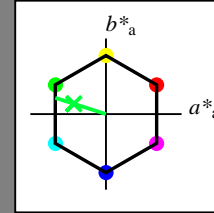
für Buntton $h^* = lab^*h = 162/360 = 0.451$

lab^*tch und lab^*nch

D65: Buntton G

LCH*Ma: 50 70 162

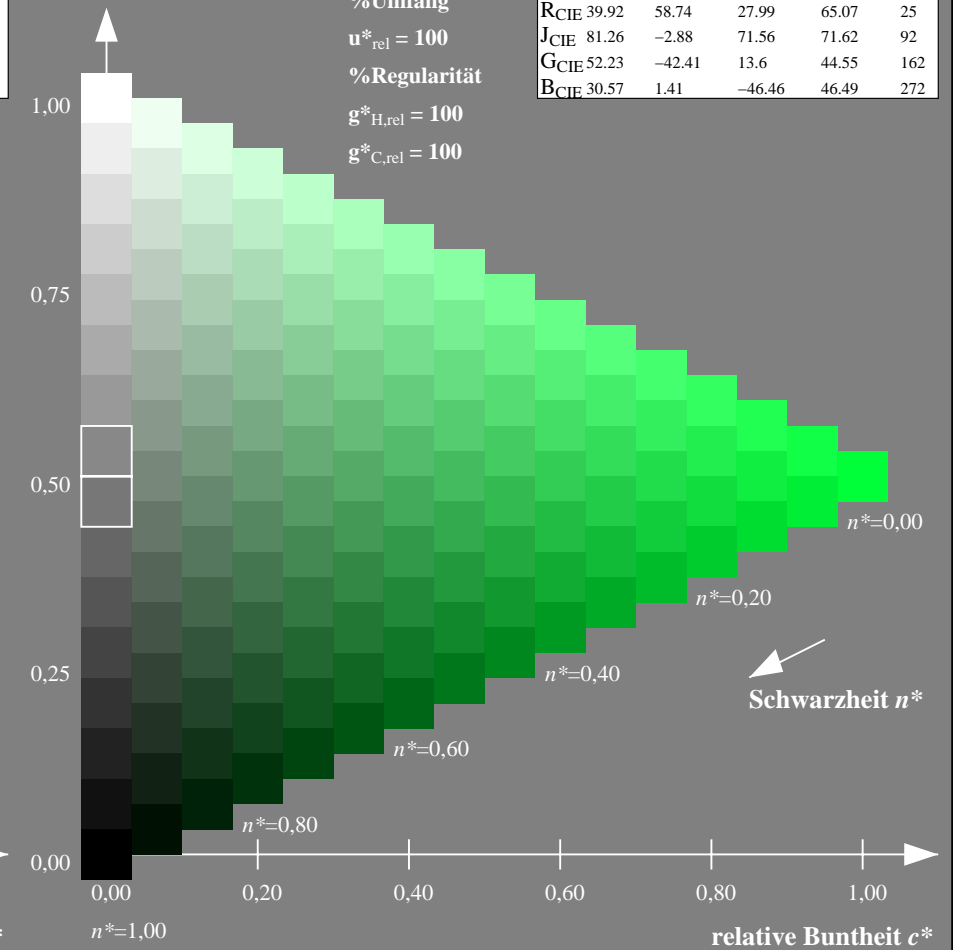
olv*Ma: 0.0 1.0 0.22



NRS18; adaptierte CIELAB-Daten

	$L^*=L^*_a$	a^*_a	b^*_a	$C^*_{ab,a}$	$h^*_{ab,a}$
O _{Ma}	43.81	67.03	38.7	77.4	30
Y _{Ma}	69.61	0.0	77.4	77.4	90
L _{Ma}	43.81	-67.02	38.7	77.4	150
C _{Ma}	69.61	-67.02	-38.69	77.4	210
V _{Ma}	43.81	0.0	-77.39	77.4	270
M _{Ma}	69.61	67.03	-38.69	77.4	330
N _{Ma}	18.01	0.0	0.0	0.0	0
W _{Ma}	95.41	0.0	0.0	0.0	0
R _{CIE}	39.92	58.74	27.99	65.07	25
J _{CIE}	81.26	-2.88	71.56	71.62	92
G _{CIE}	52.23	-42.41	13.6	44.55	162
B _{CIE}	30.57	1.41	-46.46	46.49	272

Dreiecks-Helligkeit t^*



NG900-7, 9stufige Reihen für konstanten CIELAB Buntton $162/360 = 0.451$ (links)

16stufige Reihen für konstanten CIELAB Buntton $162/360 = 0.451$ (rechts)

Eingabe: Farbmetrisches Fernseh-Licht-System TLS70

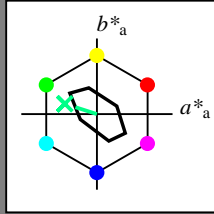
für Buntton $h^* = lab^*h = 162/360 = 0.451$

lab^*tch und lab^*nch

D65: Buntton G

LCH*Ma: 90 30 162

olv*Ma: 0.0 1.0 0.53



TLS70; adaptierte CIELAB-Daten

	$L^*=L^*_a$	a^*_a	b^*_a	$C^*_{ab,a}$	$h^*_{ab,a}$
OMa	76.43	26.27	10.57	28.32	22
YMa	93.93	-10.76	34.63	36.27	107
LMa	89.32	-35.8	27.64	45.24	142
CMa	90.93	-21.95	-7.07	23.07	198
VMa	72.1	15.76	-35.63	38.97	294
MMa	78.5	37.52	-25.23	45.22	326
NMa	69.7	0.0	0.0	0.0	0
WMa	95.41	0.0	0.0	0.0	0
RCIE	39.92	58.74	27.99	65.07	25
JCIE	81.26	-2.88	71.56	71.62	92
GCIE	52.23	-42.41	13.6	44.55	162
BCIE	30.57	1.41	-46.46	46.49	272

Dreiecks-Helligkeit t^*

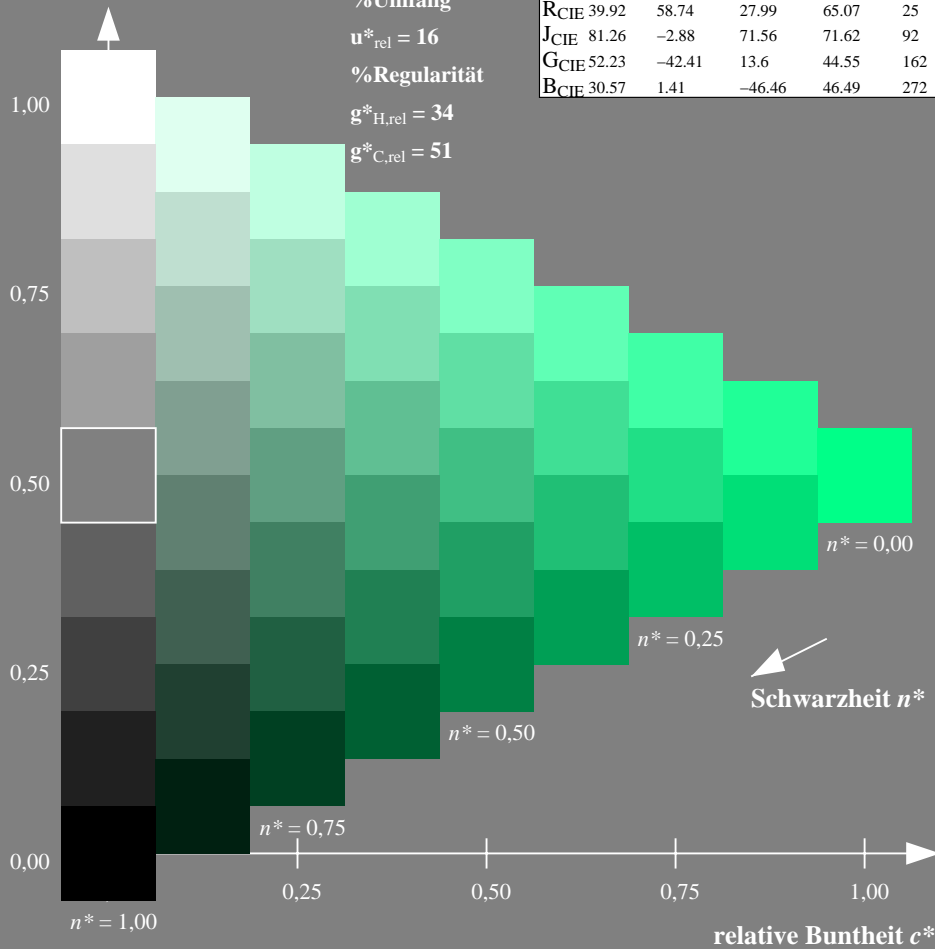
%Umfang

$u^*_{rel} = 16$

%Regularität

$g^*_{H,rel} = 34$

$g^*_{C,rel} = 51$



Ausgabe: Farbmetrisches Standard-Reflektiv-System SRS18

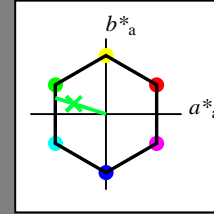
für Buntton $h^* = lab^*h = 162/360 = 0.451$

lab^*tch und lab^*nch

D65: Buntton G

LCH*Ma: 57 70 162

olv*Ma: 0.0 1.0 0.22



SRS18; adaptierte CIELAB-Daten

	$L^*=L^*_a$	a^*_a	b^*_a	$C^*_{ab,a}$	$h^*_{ab,a}$
OMa	56.71	67.03	38.7	77.4	30
YMa	56.71	0.0	77.4	77.4	90
LMa	56.71	-67.02	38.7	77.4	150
CMa	56.71	-67.02	-38.69	77.4	210
VMa	56.71	0.0	-77.39	77.4	270
MMa	56.71	67.03	-38.69	77.4	330
NMa	18.01	0.0	0.0	0.0	0
WMa	95.41	0.0	0.0	0.0	0
RCIE	39.92	58.74	27.99	65.07	25
JCIE	81.26	-2.88	71.56	71.62	92
GCIE	52.23	-42.41	13.6	44.55	162
BCIE	30.57	1.41	-46.46	46.49	272

Dreiecks-Helligkeit t^*

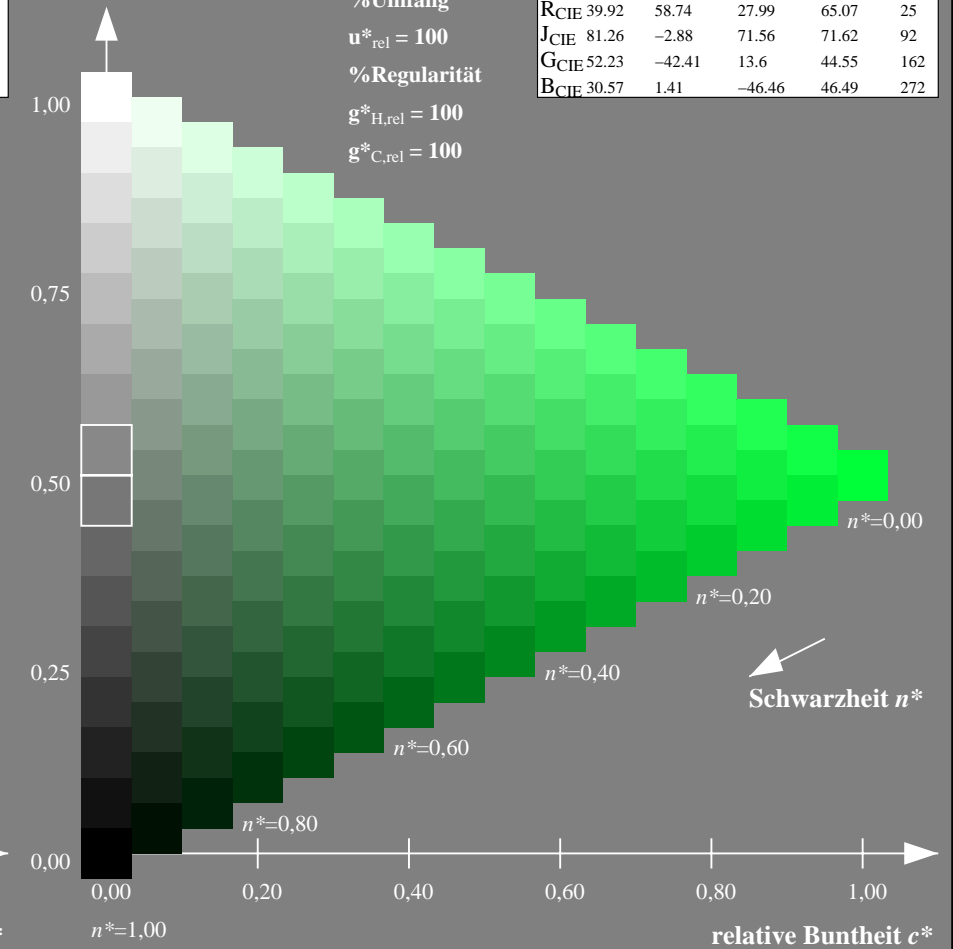
%Umfang

$u^*_{rel} = 100$

%Regularität

$g^*_{H,rel} = 100$

$g^*_{C,rel} = 100$



NG900-7, 9stufige Reihen für konstanten CIELAB Buntton $162/360 = 0.451$ (links)

16stufige Reihen für konstanten CIELAB Buntton $162/360 = 0.451$ (rechts)

Eingabe: Farbmetrisches Fernseh-Licht-System TLS70

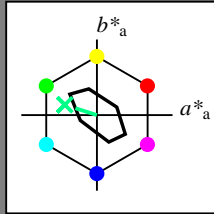
für Buntton $h^* = lab^*h = 162/360 = 0.451$

lab^*tch und lab^*nch

D65: Buntton G

LCH*Ma: 90 30 162

olv*Ma: 0.0 1.0 0.53



TLS70; adaptierte CIELAB-Daten

	$L^*=L^*_a$	a^*_a	b^*_a	$C^*_{ab,a}$	$h^*_{ab,a}$
O _{Ma}	76.43	26.27	10.57	28.32	22
Y _{Ma}	93.93	-10.76	34.63	36.27	107
L _{Ma}	89.32	-35.8	27.64	45.24	142
C _{Ma}	90.93	-21.95	-7.07	23.07	198
V _{Ma}	72.1	15.76	-35.63	38.97	294
M _{Ma}	78.5	37.52	-25.23	45.22	326
N _{Ma}	69.7	0.0	0.0	0.0	0
W _{Ma}	95.41	0.0	0.0	0.0	0
R _{CIE}	39.92	58.74	27.99	65.07	25
J _{CIE}	81.26	-2.88	71.56	71.62	92
G _{CIE}	52.23	-42.41	13.6	44.55	162
B _{CIE}	30.57	1.41	-46.46	46.49	272

Dreiecks-Helligkeit t^*

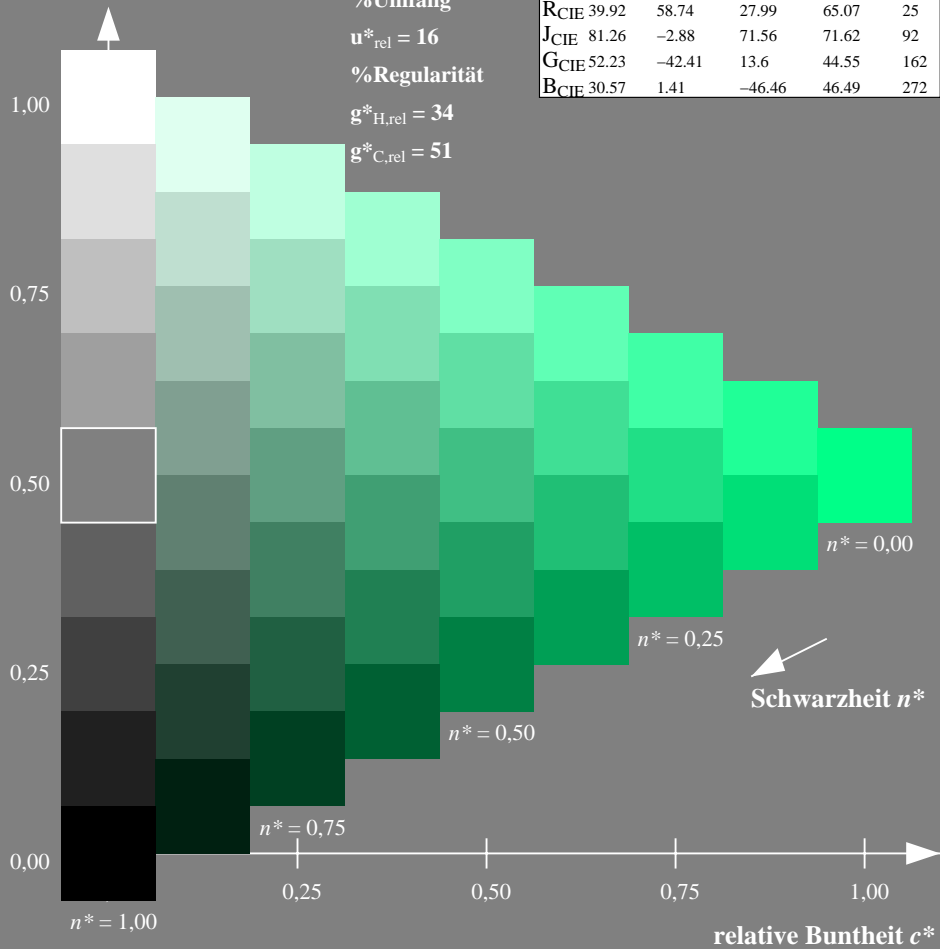
%Umfang

$u^*_{rel} = 16$

%Regularität

$g^*_{H,rel} = 34$

$g^*_{C,rel} = 51$



Ausgabe: Farbmetrisches Fernseh-Licht-System TLS70

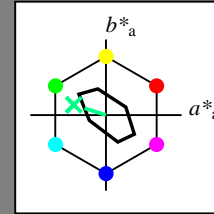
für Buntton $h^* = lab^*h = 162/360 = 0.451$

lab^*tch und lab^*nch

D65: Buntton G

LCH*Ma: 90 30 162

olv*Ma: 0.0 1.0 0.53



TLS70; adaptierte CIELAB-Daten

	$L^*=L^*_a$	a^*_a	b^*_a	$C^*_{ab,a}$	$h^*_{ab,a}$
O _{Ma}	76.43	26.27	10.57	28.32	22
Y _{Ma}	93.93	-10.76	34.63	36.27	107
L _{Ma}	89.32	-35.8	27.64	45.24	142
C _{Ma}	90.93	-21.95	-7.07	23.07	198
V _{Ma}	72.1	15.76	-35.63	38.97	294
M _{Ma}	78.5	37.52	-25.23	45.22	326
N _{Ma}	69.7	0.0	0.0	0.0	0
W _{Ma}	95.41	0.0	0.0	0.0	0
R _{CIE}	39.92	58.74	27.99	65.07	25
J _{CIE}	81.26	-2.88	71.56	71.62	92
G _{CIE}	52.23	-42.41	13.6	44.55	162
B _{CIE}	30.57	1.41	-46.46	46.49	272

Dreiecks-Helligkeit t^*

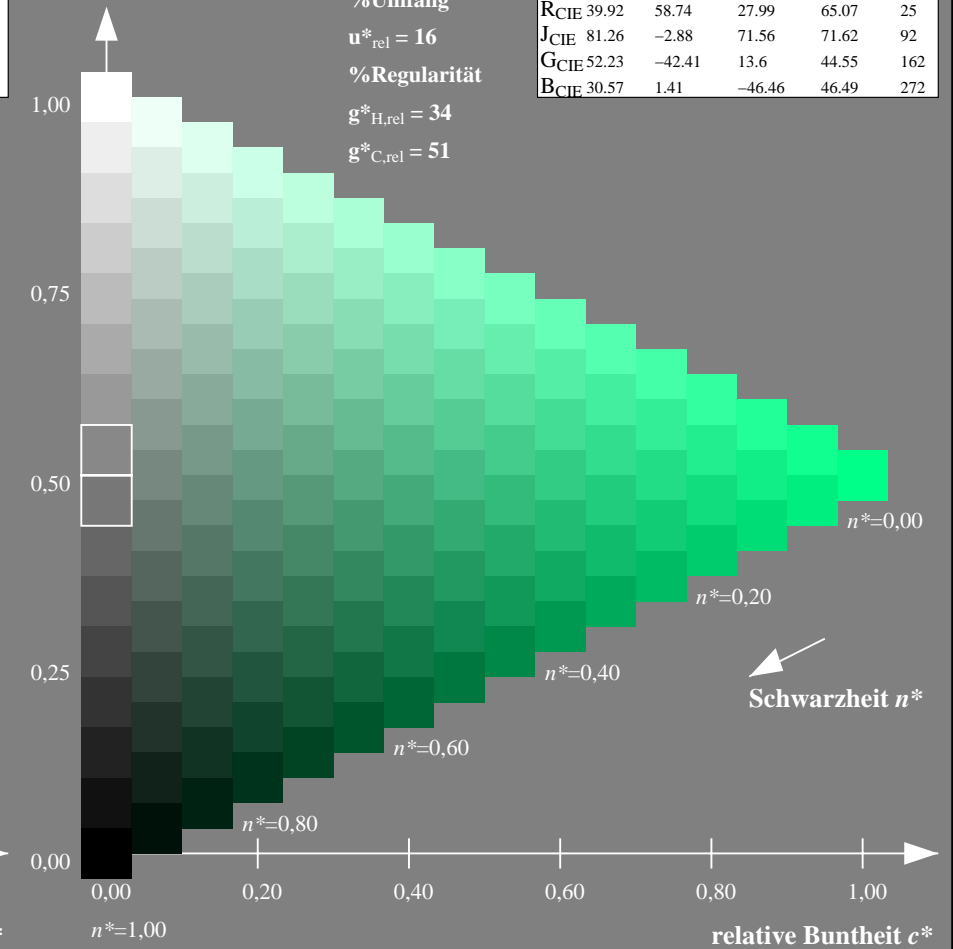
%Umfang

$u^*_{rel} = 16$

%Regularität

$g^*_{H,rel} = 34$

$g^*_{C,rel} = 51$



NG900-7, 9stufige Reihen für konstanten CIELAB Bunnton $162/360 = 0.451$ (links)

16stufige Reihen für konstanten CIELAB Bunnton $162/360 = 0.451$ (rechts)

Eingabe: Farbmetrisches Offset-Reflektiv-System ORS18

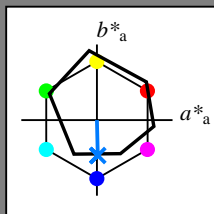
für Buntton $h^* = lab^*h = 271/360 = 0.754$

lab^*tch und lab^*nch

D65: Buntton B

LCH*Ma: 42 45 271

olv*Ma: 0.0 0.49 1.0



ORS18; adaptierte CIELAB-Daten

	$L^*=L^*_a$	a^*_a	b^*_a	$C^*_{ab,a}$	$h^*_{ab,a}$
OMa	47.94	65.39	50.52	82.63	38
YMa	90.37	-10.26	91.75	92.32	96
LMa	50.9	-62.83	34.96	71.91	151
CMa	58.62	-30.34	-45.01	54.3	236
VMa	25.72	31.1	-44.4	54.22	305
MMa	48.13	75.28	-8.36	75.74	354
NMa	18.01	0.0	0.0	0.0	0
WMa	95.41	0.0	0.0	0.0	0
RCIE	39.92	58.66	26.98	64.57	25
JCIE	81.26	-2.16	67.76	67.79	92
GCIE	52.23	-42.25	11.76	43.87	164
BCIE	30.57	1.15	-46.84	46.86	271

Dreiecks-Helligkeit t^*

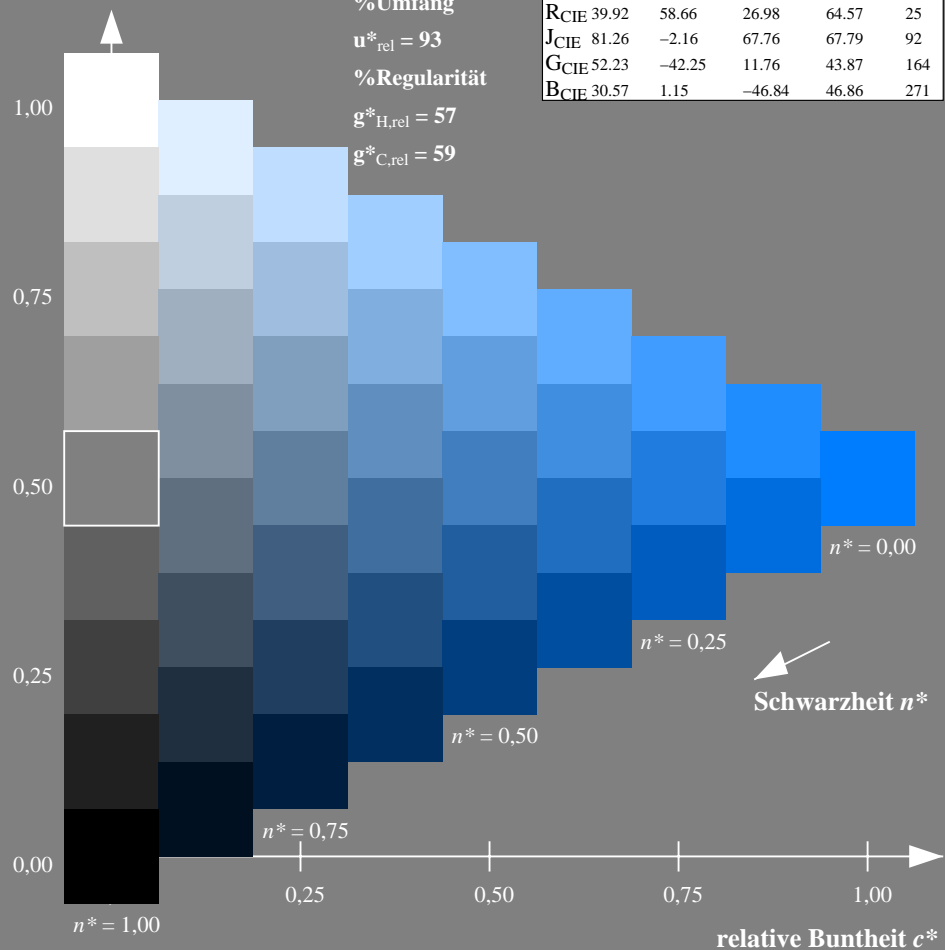
%Umfang

$u^*_{rel} = 93$

%Regularität

$g^*_{H,rel} = 57$

$g^*_{C,rel} = 59$



Ausgabe: Farbmetrisches Offset-Reflektiv-System ORS18

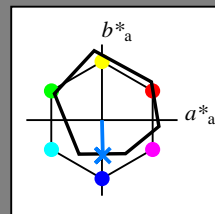
für Buntton $h^* = lab^*h = 271/360 = 0.754$

lab^*tch und lab^*nch

D65: Buntton B

LCH*Ma: 42 45 271

olv*Ma: 0.0 0.49 1.0



ORS18; adaptierte CIELAB-Daten

	$L^*=L^*_a$	a^*_a	b^*_a	$C^*_{ab,a}$	$h^*_{ab,a}$
OMa	47.94	65.39	50.52	82.63	38
YMa	90.37	-10.26	91.75	92.32	96
LMa	50.9	-62.83	34.96	71.91	151
CMa	58.62	-30.34	-45.01	54.3	236
VMa	25.72	31.1	-44.4	54.22	305
MMa	48.13	75.28	-8.36	75.74	354
NMa	18.01	0.0	0.0	0.0	0
WMa	95.41	0.0	0.0	0.0	0
RCIE	39.92	58.66	26.98	64.57	25
JCIE	81.26	-2.16	67.76	67.79	92
GCIE	52.23	-42.25	11.76	43.87	164
BCIE	30.57	1.15	-46.84	46.86	271

Dreiecks-Helligkeit t^*

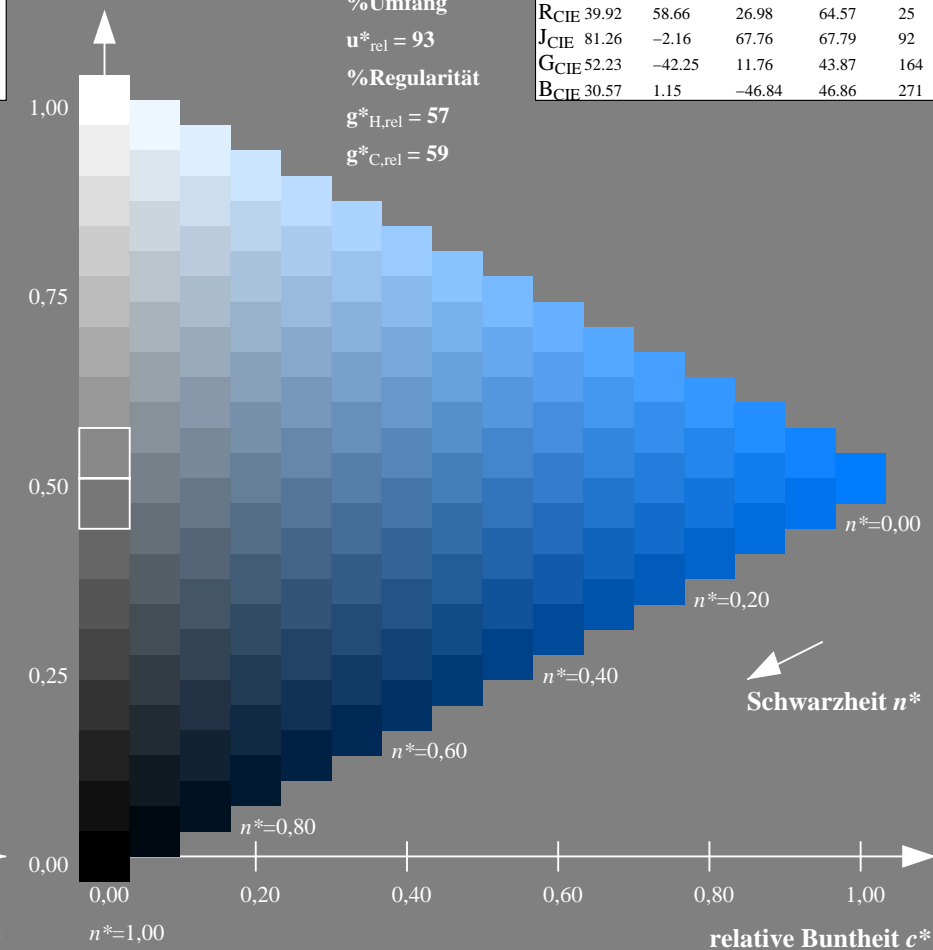
%Umfang

$u^*_{rel} = 93$

%Regularität

$g^*_{H,rel} = 57$

$g^*_{C,rel} = 59$



NG900-7, 9stufige Reihen für konstanten CIELAB Buntton $271/360 = 0.754$ (links)

16stufige Reihen für konstanten CIELAB Buntton $271/360 = 0.754$ (rechts)

Eingabe: Farbmetrisches Offset-Reflektiv-System ORS18

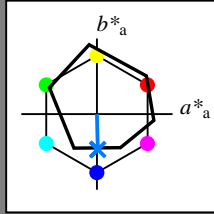
für Buntton $h^* = lab^*h = 271/360 = 0.754$

lab^*tch und lab^*nch

D65: Buntton B

LCH*Ma: 42 45 271

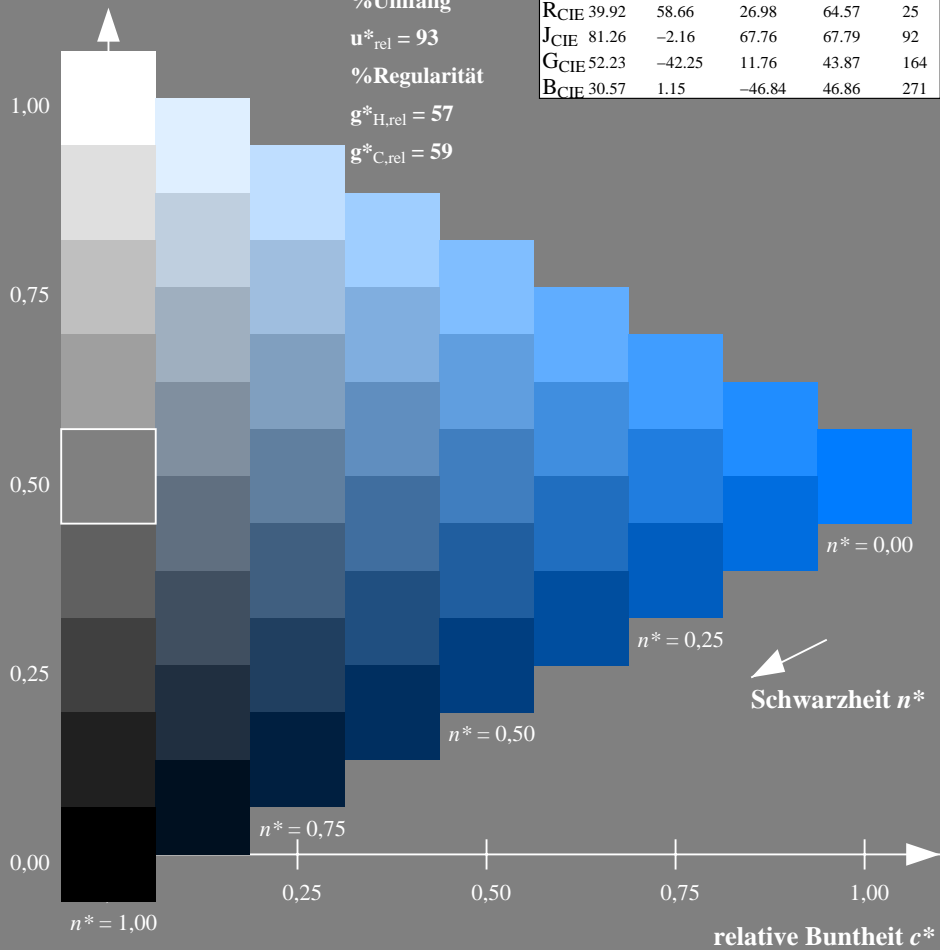
olv*Ma: 0.0 0.49 1.0



ORS18; adaptierte CIELAB-Daten

	$L^*=L^*_a$	a^*_a	b^*_a	$C^*_{ab,a}$	$h^*_{ab,a}$
OMa	47.94	65.39	50.52	82.63	38
YMa	90.37	-10.26	91.75	92.32	96
LMa	50.9	-62.83	34.96	71.91	151
CMa	58.62	-30.34	-45.01	54.3	236
VMa	25.72	31.1	-44.4	54.22	305
MMa	48.13	75.28	-8.36	75.74	354
NMa	18.01	0.0	0.0	0.0	0
WMa	95.41	0.0	0.0	0.0	0
RCIE	39.92	58.66	26.98	64.57	25
JCIE	81.26	-2.16	67.76	67.79	92
GCIE	52.23	-42.25	11.76	43.87	164
BCIE	30.57	1.15	-46.84	46.86	271

Dreiecks-Helligkeit t^*



NG900-7, 9stufige Reihen für konstanten CIELAB Buntton 271/360 = 0.754 (links)

Ausgabe: Farbmetrisches Fernseh-Licht-System TLS00

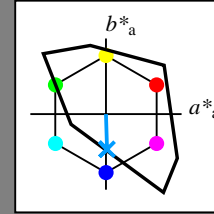
für Buntton $h^* = lab^*h = 272/360 = 0.755$

lab^*tch und lab^*nch

D65: Buntton B

LCH*Ma: 65 49 272

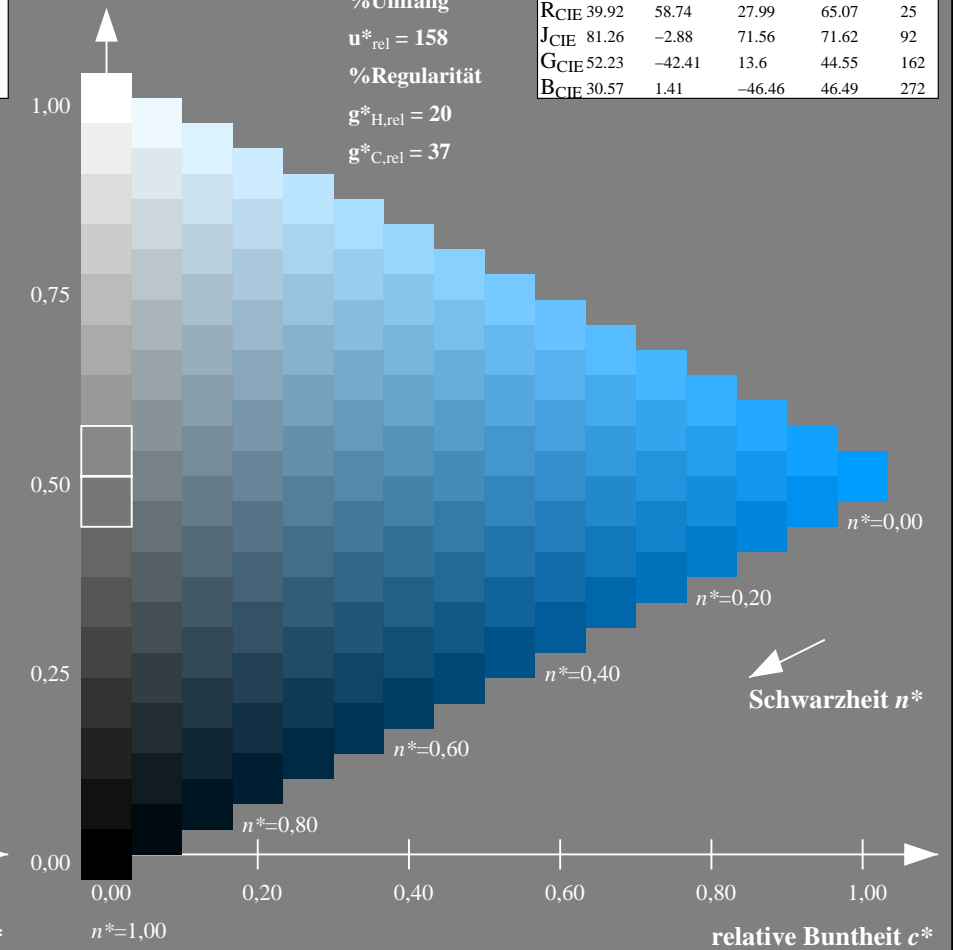
olv*Ma: 0.0 0.61 1.0



TLS00; adaptierte CIELAB-Daten

	$L^*=L^*_a$	a^*_a	b^*_a	$C^*_{ab,a}$	$h^*_{ab,a}$
OMa	50.5	76.92	64.55	100.42	40
YMa	92.66	-20.69	90.75	93.08	103
LMa	83.63	-82.75	79.9	115.04	136
CMa	86.88	-46.16	-13.55	48.12	196
VMa	30.39	76.06	-103.59	128.52	306
MMa	57.3	94.35	-58.41	110.97	328
NMa	0.01	0.0	0.0	0.0	0
WMa	95.41	0.0	0.0	0.0	0
RCIE	39.92	58.74	27.99	65.07	25
JCIE	81.26	-2.88	71.56	71.62	92
GCIE	52.23	-42.41	13.6	44.55	162
BCIE	30.57	1.41	-46.46	46.49	272

Dreiecks-Helligkeit t^*



16stufige Reihen für konstanten CIELAB Buntton 272/360 = 0.755 (rechts)

Eingabe: Farbmetrisches Offset-Reflektiv-System ORS18

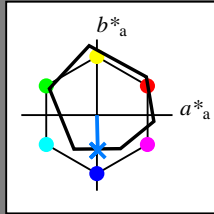
für Buntton $h^* = lab^*h = 271/360 = 0.754$

lab^*tch und lab^*nch

D65: Buntton B

LCH*Ma: 42 45 271

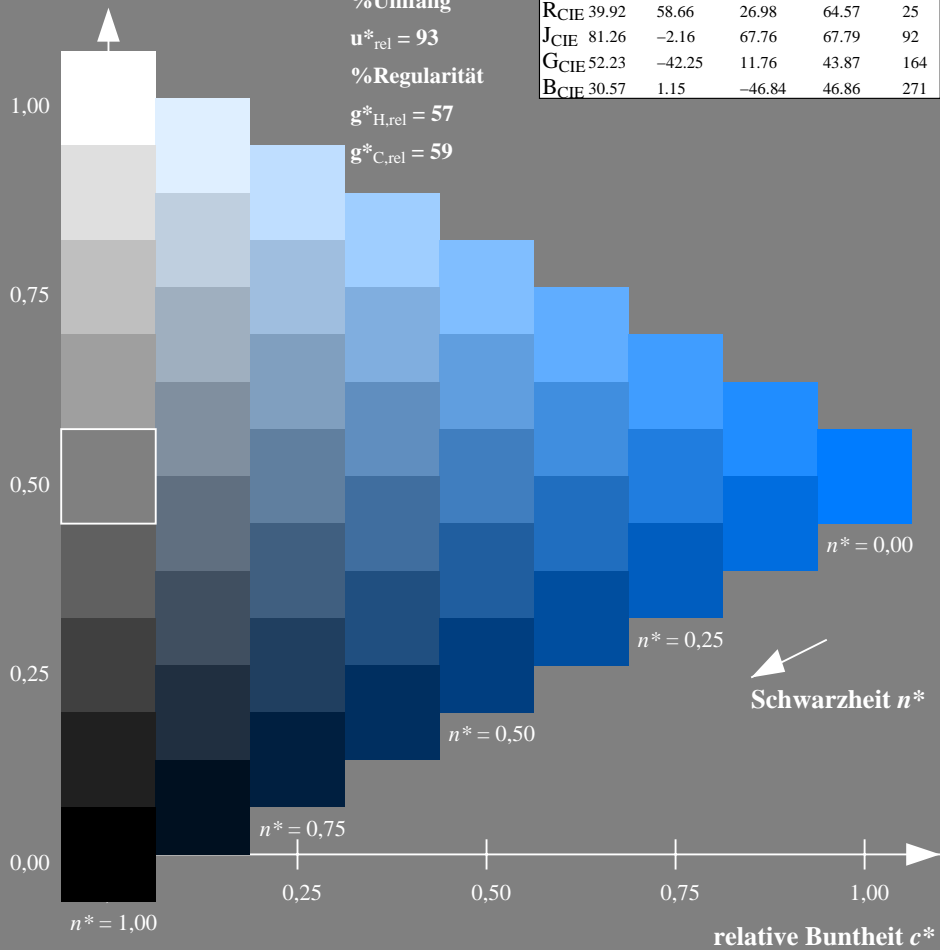
olv*Ma: 0.0 0.49 1.0



ORS18; adaptierte CIELAB-Daten

	$L^*=L^*_a$	a^*_a	b^*_a	$C^*_{ab,a}$	$h^*_{ab,a}$
OMa	47.94	65.39	50.52	82.63	38
YMa	90.37	-10.26	91.75	92.32	96
LMa	50.9	-62.83	34.96	71.91	151
CMa	58.62	-30.34	-45.01	54.3	236
VMa	25.72	31.1	-44.4	54.22	305
MMa	48.13	75.28	-8.36	75.74	354
NMa	18.01	0.0	0.0	0.0	0
WMa	95.41	0.0	0.0	0.0	0
RCIE	39.92	58.66	26.98	64.57	25
JCIE	81.26	-2.16	67.76	67.79	92
GCIE	52.23	-42.25	11.76	43.87	164
BCIE	30.57	1.15	-46.84	46.86	271

Dreiecks-Helligkeit t^*



Ausgabe: Farbmetrisches Drucker-Reflektiv-System DRSXX

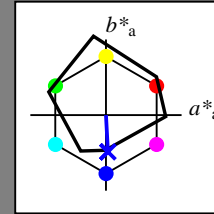
für Buntton $h^* = lab^*h = 273/360 = 0.759$

lab^*tch und lab^*nch

D65: Buntton B

LCH*Ma: 35 45 273

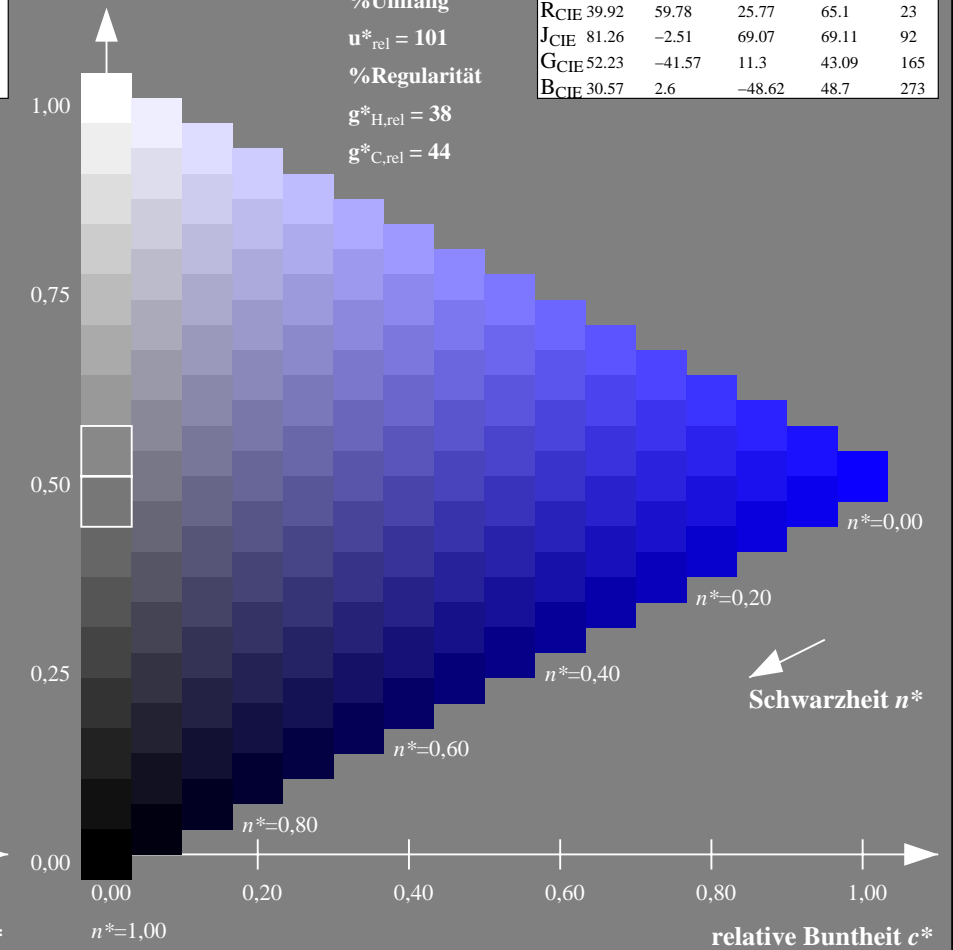
olv*Ma: 0.04 0.0 1.0



DRSXX; adaptierte CIELAB-Daten

	$L^*=L^*_a$	a^*_a	b^*_a	$C^*_{ab,a}$	$h^*_{ab,a}$
OMa	42.21	66.82	50.6	83.82	37
YMa	90.32	-16.51	104.33	105.63	99
LMa	48.21	-75.63	30.65	81.61	158
CMa	53.44	-33.33	-47.49	58.03	235
VMa	34.16	-0.92	-46.56	46.58	269
MMa	42.71	79.0	-1.95	79.03	359
NMa	16.56	0.0	0.0	0.0	0
WMa	96.31	0.0	0.0	0.0	0
RCIE	39.92	59.78	25.77	65.1	23
JCIE	81.26	-2.51	69.07	69.11	92
GCIE	52.23	-41.57	11.3	43.09	165
BCIE	30.57	2.6	-48.62	48.7	273

Dreiecks-Helligkeit t^*



NG900-7, 9stufige Reihen für konstanten CIELAB Buntton 271/360 = 0.754 (links)

16stufige Reihen für konstanten CIELAB Buntton 273/360 = 0.759 (rechts)

Eingabe: Farbmetrisches Offset-Reflektiv-System ORS18

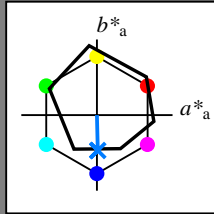
für Buntton $h^* = lab^*h = 271/360 = 0.754$

lab^*tch und lab^*nch

D65: Buntton B

LCH*Ma: 42 45 271

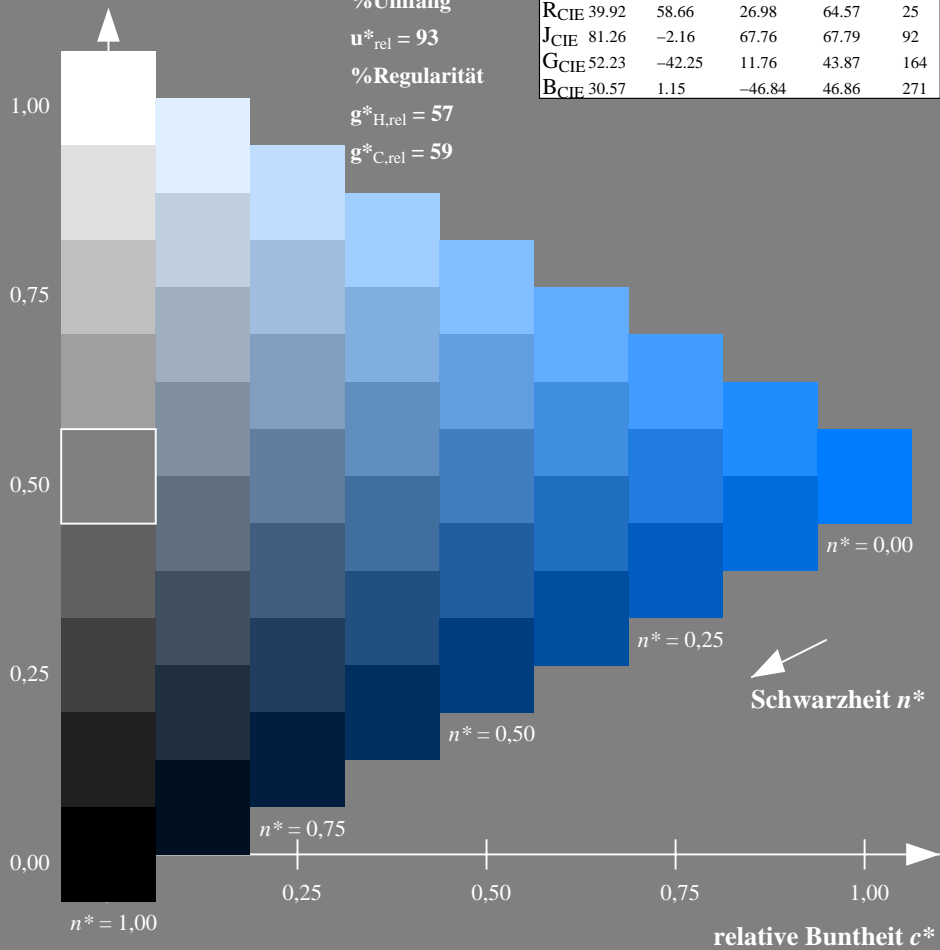
olv*Ma: 0.0 0.49 1.0



ORS18; adaptierte CIELAB-Daten

	$L^*=L^*_a$	a^*_a	b^*_a	$C^*_{ab,a}$	$h^*_{ab,a}$
OMa	47.94	65.39	50.52	82.63	38
YMa	90.37	-10.26	91.75	92.32	96
LMa	50.9	-62.83	34.96	71.91	151
CMa	58.62	-30.34	-45.01	54.3	236
VMa	25.72	31.1	-44.4	54.22	305
MMa	48.13	75.28	-8.36	75.74	354
NMa	18.01	0.0	0.0	0.0	0
WMa	95.41	0.0	0.0	0.0	0
RCIE	39.92	58.66	26.98	64.57	25
JCIE	81.26	-2.16	67.76	67.79	92
GCIE	52.23	-42.25	11.76	43.87	164
BCIE	30.57	1.15	-46.84	46.86	271

Dreiecks-Helligkeit t^*



Ausgabe: Farbmetrisches Fernseh-Licht-System TLS18

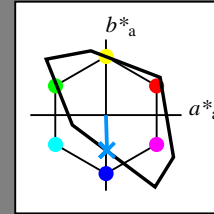
für Buntton $h^* = lab^*h = 272/360 = 0.755$

lab^*tch und lab^*nch

D65: Buntton B

LCH*Ma: 65 48 272

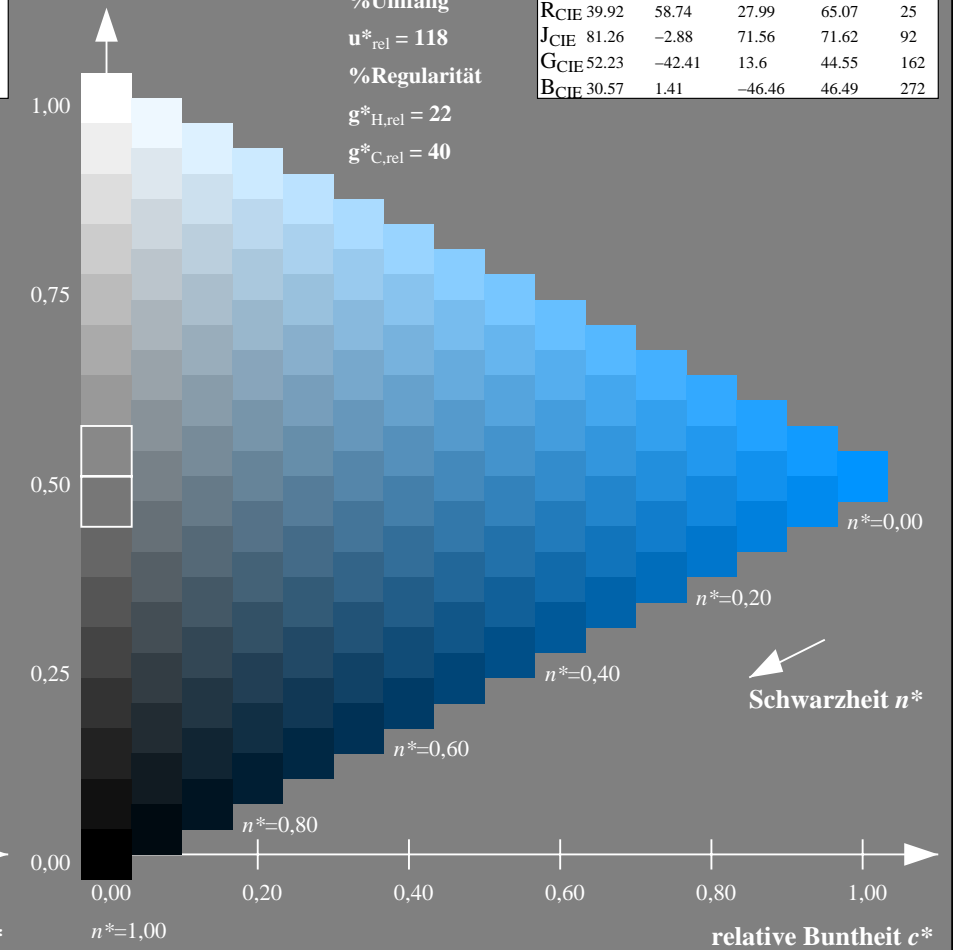
olv*Ma: 0.0 0.58 1.0



TLS18; adaptierte CIELAB-Daten

	$L^*=L^*_a$	a^*_a	b^*_a	$C^*_{ab,a}$	$h^*_{ab,a}$
OMa	52.76	71.63	49.88	87.29	35
YMa	92.74	-20.02	84.97	87.3	103
LMa	84.0	-78.98	73.94	108.2	137
CMa	87.14	-44.41	-13.11	46.32	196
VMa	35.47	64.92	-95.06	115.12	304
MMa	59.01	89.33	-55.67	105.26	328
NMa	18.01	0.0	0.0	0.0	0
WMa	95.41	0.0	0.0	0.0	0
RCIE	39.92	58.74	27.99	65.07	25
JCIE	81.26	-2.88	71.56	71.62	92
GCIE	52.23	-42.41	13.6	44.55	162
BCIE	30.57	1.41	-46.46	46.49	272

Dreiecks-Helligkeit t^*



NG900-7, 9stufige Reihen für konstanten CIELAB Buntton $271/360 = 0.754$ (links)

16stufige Reihen für konstanten CIELAB Buntton $272/360 = 0.755$ (rechts)

Eingabe: Farbmetrisches Offset-Reflektiv-System ORS18

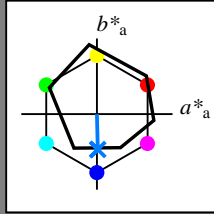
für Buntton $h^* = lab^*h = 271/360 = 0.754$

lab^*tch und lab^*nch

D65: Buntton B

LCH*Ma: 42 45 271

olv*Ma: 0.0 0.49 1.0



ORS18; adaptierte CIELAB-Daten

	$L^*=L^*_a$	a^*_a	b^*_a	$C^*_{ab,a}$	$h^*_{ab,a}$
OMa	47.94	65.39	50.52	82.63	38
YMa	90.37	-10.26	91.75	92.32	96
LMa	50.9	-62.83	34.96	71.91	151
CMa	58.62	-30.34	-45.01	54.3	236
VMa	25.72	31.1	-44.4	54.22	305
MMa	48.13	75.28	-8.36	75.74	354
NMa	18.01	0.0	0.0	0.0	0
WMa	95.41	0.0	0.0	0.0	0
RCIE	39.92	58.66	26.98	64.57	25
JCIE	81.26	-2.16	67.76	67.79	92
GCIE	52.23	-42.25	11.76	43.87	164
BCIE	30.57	1.15	-46.84	46.86	271

Dreiecks-Helligkeit t^*

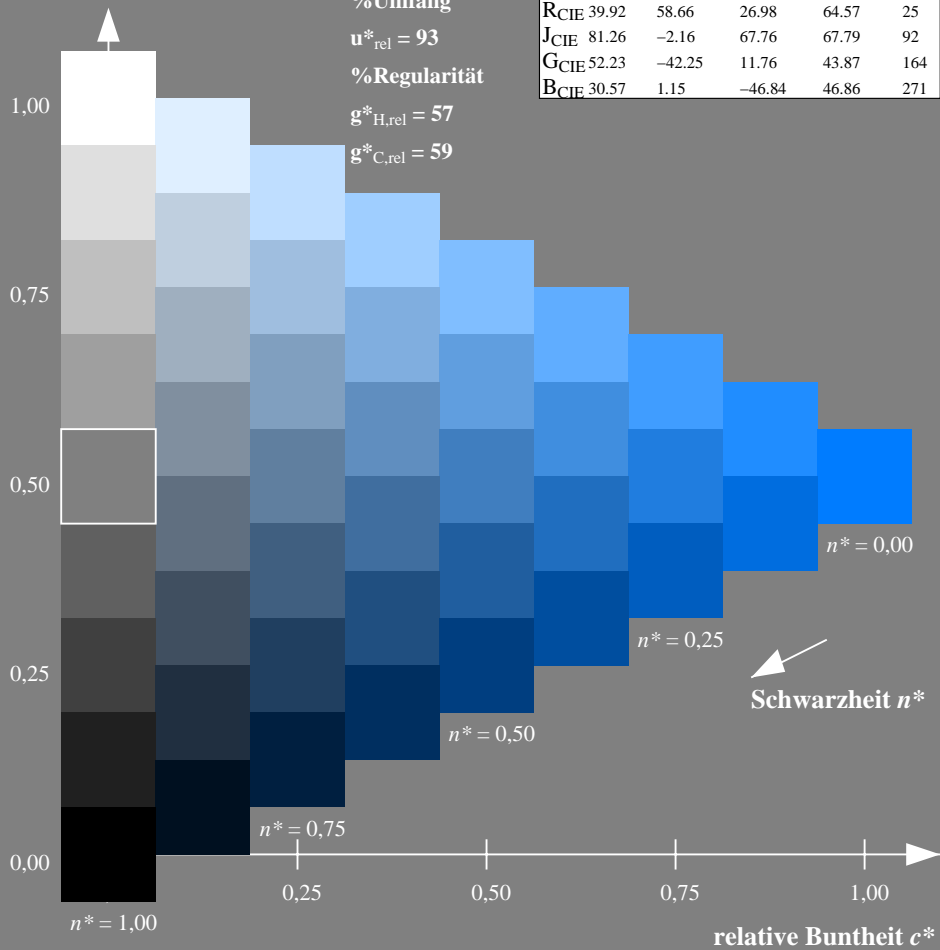
%Umfang

$u^*_{rel} = 93$

%Regularität

$g^*_{H,rel} = 57$

$g^*_{C,rel} = 59$



Ausgabe: Farbmetrisches Natürliches-Licht-System NLS00

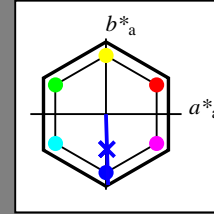
für Buntton $h^* = lab^*h = 272/360 = 0.755$

lab^*tch und lab^*nch

D65: Buntton B

LCH*Ma: 33 94 272

olv*Ma: 0.03 0.0 1.0



NLS00; adaptierte CIELAB-Daten

	$L^*=L^*_a$	a^*_a	b^*_a	$C^*_{ab,a}$	$h^*_{ab,a}$
OMa	31.81	82.62	47.7	95.4	30
YMa	63.61	0.0	95.4	95.4	90
LMa	31.81	-82.61	47.7	95.4	150
CMa	63.61	-82.61	-47.69	95.4	210
VMa	31.81	0.0	-95.39	95.4	270
MMa	63.61	82.62	-47.69	95.4	330
NMa	0.01	0.0	0.0	0.0	0
WMa	95.41	0.0	0.0	0.0	0
RCIE	39.92	58.74	27.99	65.07	25
JCIE	81.26	-2.88	71.56	71.62	92
GCIE	52.23	-42.41	13.6	44.55	162
BCIE	30.57	1.41	-46.46	46.49	272

Dreiecks-Helligkeit t^*

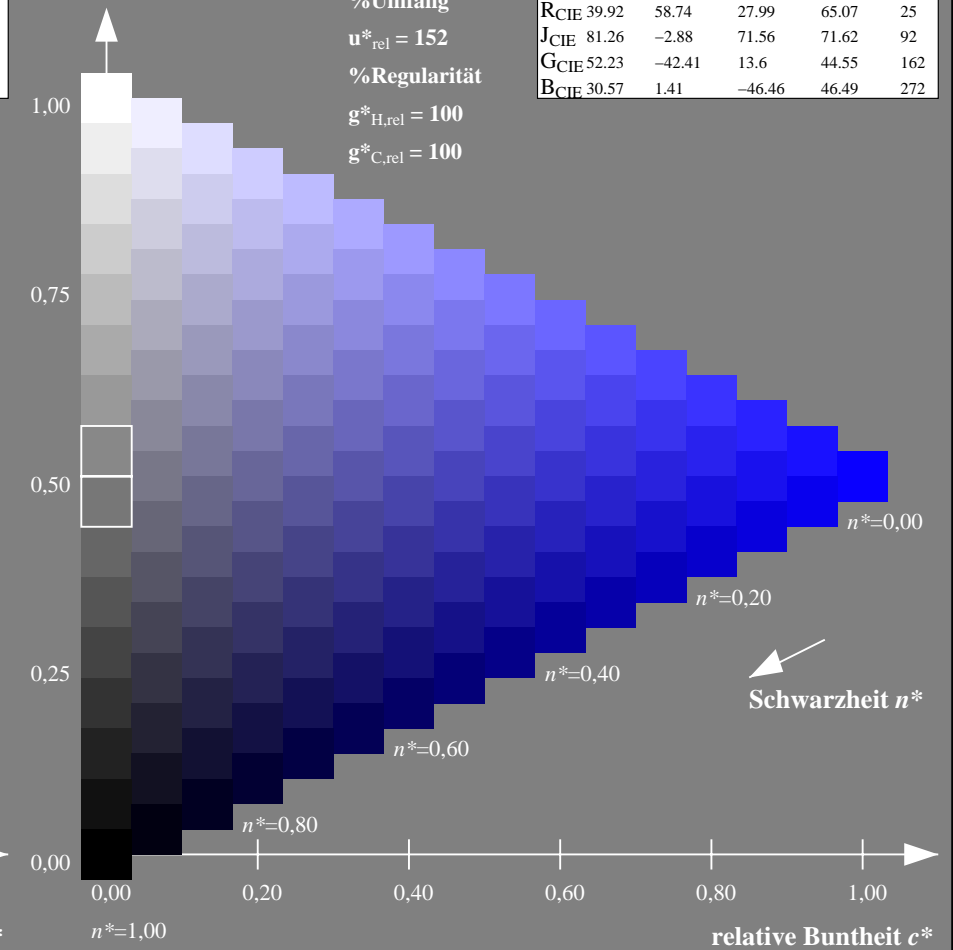
%Umfang

$u^*_{rel} = 152$

%Regularität

$g^*_{H,rel} = 100$

$g^*_{C,rel} = 100$



NG900-7, 9stufige Reihen für konstanten CIELAB Buntton 271/360 = 0.754 (links)

16stufige Reihen für konstanten CIELAB Buntton 272/360 = 0.755 (rechts)

Eingabe: Farbmetrisches Offset-Reflektiv-System ORS18

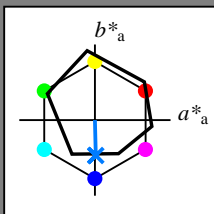
für Buntton $h^* = lab^*h = 271/360 = 0.754$

lab^*tch und lab^*nch

D65: Buntton B

LCH*Ma: 42 45 271

olv*Ma: 0.0 0.49 1.0



ORS18; adaptierte CIELAB-Daten

	$L^*=L^*_a$	a^*_a	b^*_a	$C^*_{ab,a}$	$h^*_{ab,a}$
OMa	47.94	65.39	50.52	82.63	38
YMa	90.37	-10.26	91.75	92.32	96
LMa	50.9	-62.83	34.96	71.91	151
CMa	58.62	-30.34	-45.01	54.3	236
VMa	25.72	31.1	-44.4	54.22	305
MMa	48.13	75.28	-8.36	75.74	354
NMa	18.01	0.0	0.0	0.0	0
WMa	95.41	0.0	0.0	0.0	0
RCIE	39.92	58.66	26.98	64.57	25
JCIE	81.26	-2.16	67.76	67.79	92
GCIE	52.23	-42.25	11.76	43.87	164
BCIE	30.57	1.15	-46.84	46.86	271

Dreiecks-Helligkeit t^*

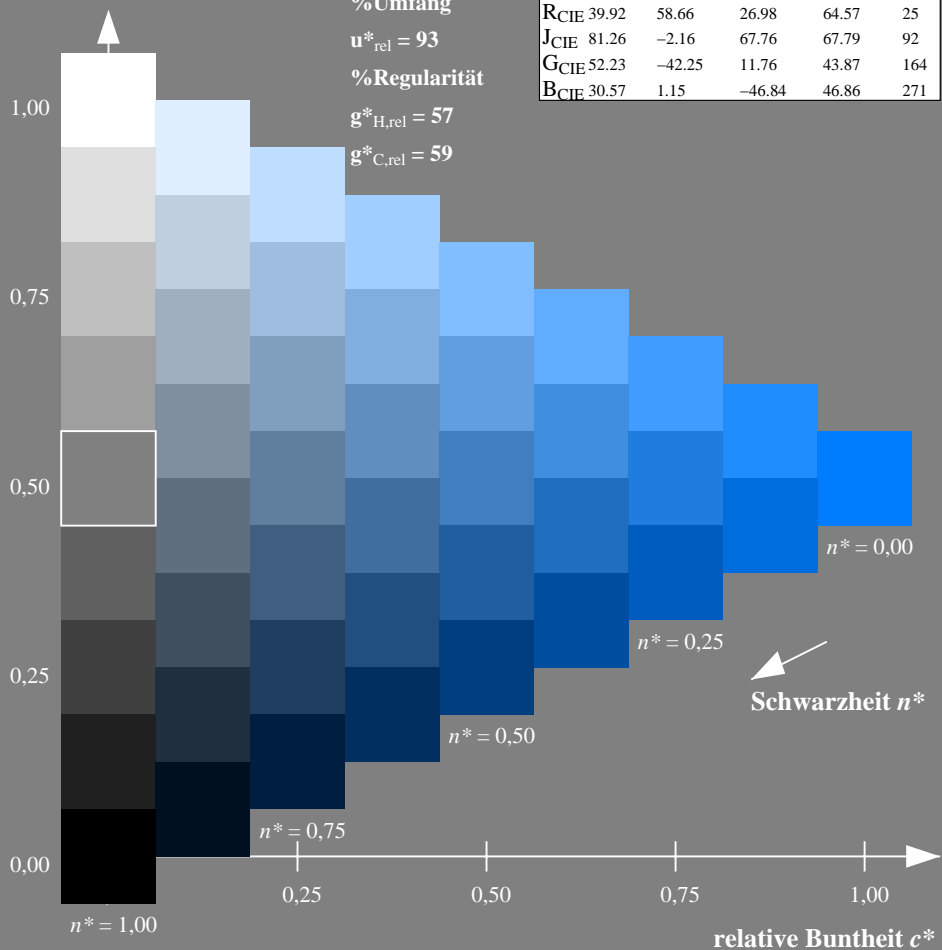
%Umfang

$u^*_{rel} = 93$

%Regularität

$g^*_{H,rel} = 57$

$g^*_{C,rel} = 59$



Ausgabe: Farbmetrisches Natürliches-Reflektiv-System NRS18

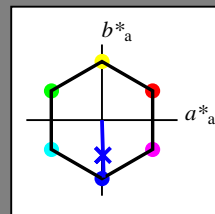
für Buntton $h^* = lab^*h = 272/360 = 0.755$

lab^*tch und lab^*nch

D65: Buntton B

LCH*Ma: 45 76 272

olv*Ma: 0.03 0.0 1.0



NRS18; adaptierte CIELAB-Daten

	$L^*=L^*_a$	a^*_a	b^*_a	$C^*_{ab,a}$	$h^*_{ab,a}$
OMa	43.81	67.03	38.7	77.4	30
YMa	69.61	0.0	77.4	77.4	90
LMa	43.81	-67.02	38.7	77.4	150
CMa	69.61	-67.02	-38.69	77.4	210
VMa	43.81	0.0	-77.39	77.4	270
MMa	69.61	67.03	-38.69	77.4	330
NMa	18.01	0.0	0.0	0.0	0
WMa	95.41	0.0	0.0	0.0	0
RCIE	39.92	58.74	27.99	65.07	25
JCIE	81.26	-2.88	71.56	71.62	92
GCIE	52.23	-42.41	13.6	44.55	162
BCIE	30.57	1.41	-46.46	46.49	272

Dreiecks-Helligkeit t^*

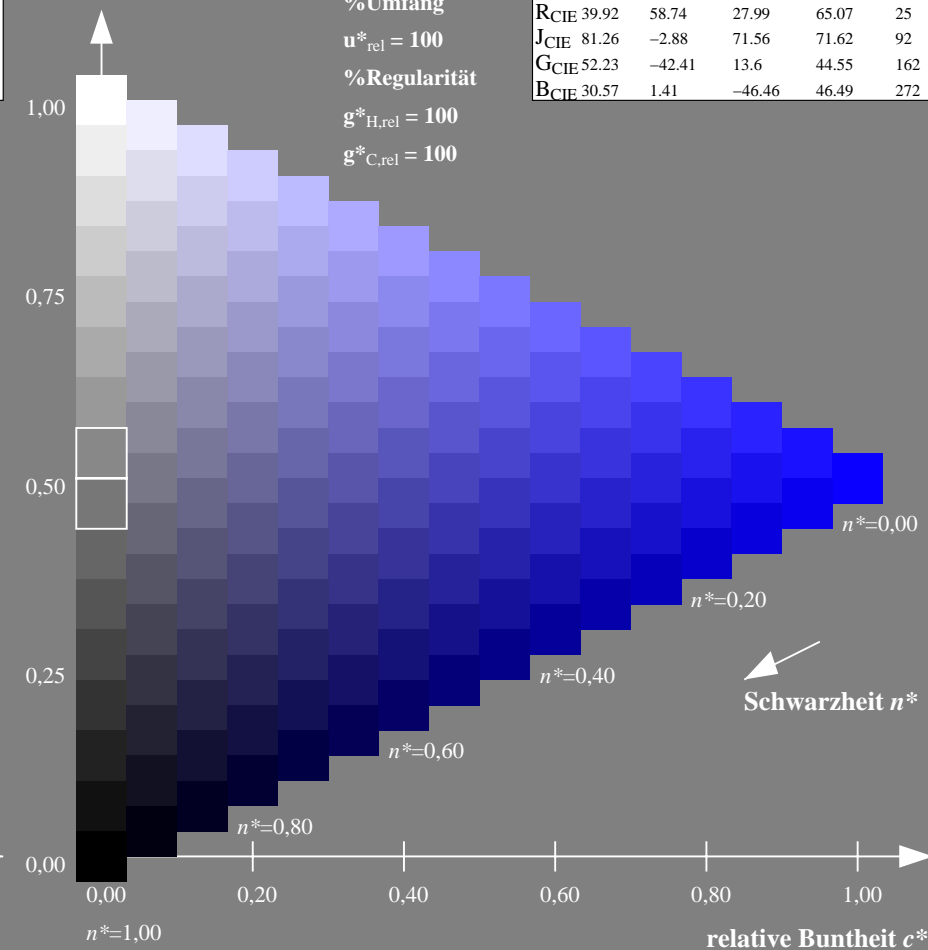
%Umfang

$u^*_{rel} = 100$

%Regularität

$g^*_{H,rel} = 100$

$g^*_{C,rel} = 100$



NG900-7, 9stufige Reihen für konstanten CIELAB Buntton $271/360 = 0.754$ (links)

16stufige Reihen für konstanten CIELAB Buntton $272/360 = 0.755$ (rechts)

Eingabe: Farbmetrisches Offset-Reflektiv-System ORS18

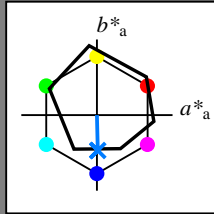
für Buntton $h^* = lab^*h = 271/360 = 0.754$

lab^*tch und lab^*nch

D65: Buntton B

LCH*Ma: 42 45 271

olv*Ma: 0.0 0.49 1.0



ORS18; adaptierte CIELAB-Daten

	$L^*=L^*_a$	a^*_a	b^*_a	$C^*_{ab,a}$	$h^*_{ab,a}$
OMa	47.94	65.39	50.52	82.63	38
YMa	90.37	-10.26	91.75	92.32	96
LMa	50.9	-62.83	34.96	71.91	151
CMa	58.62	-30.34	-45.01	54.3	236
VMa	25.72	31.1	-44.4	54.22	305
MMa	48.13	75.28	-8.36	75.74	354
NMa	18.01	0.0	0.0	0.0	0
WMa	95.41	0.0	0.0	0.0	0
RCIE	39.92	58.66	26.98	64.57	25
JCIE	81.26	-2.16	67.76	67.79	92
GCIE	52.23	-42.25	11.76	43.87	164
BCIE	30.57	1.15	-46.84	46.86	271

Dreiecks-Helligkeit t^*

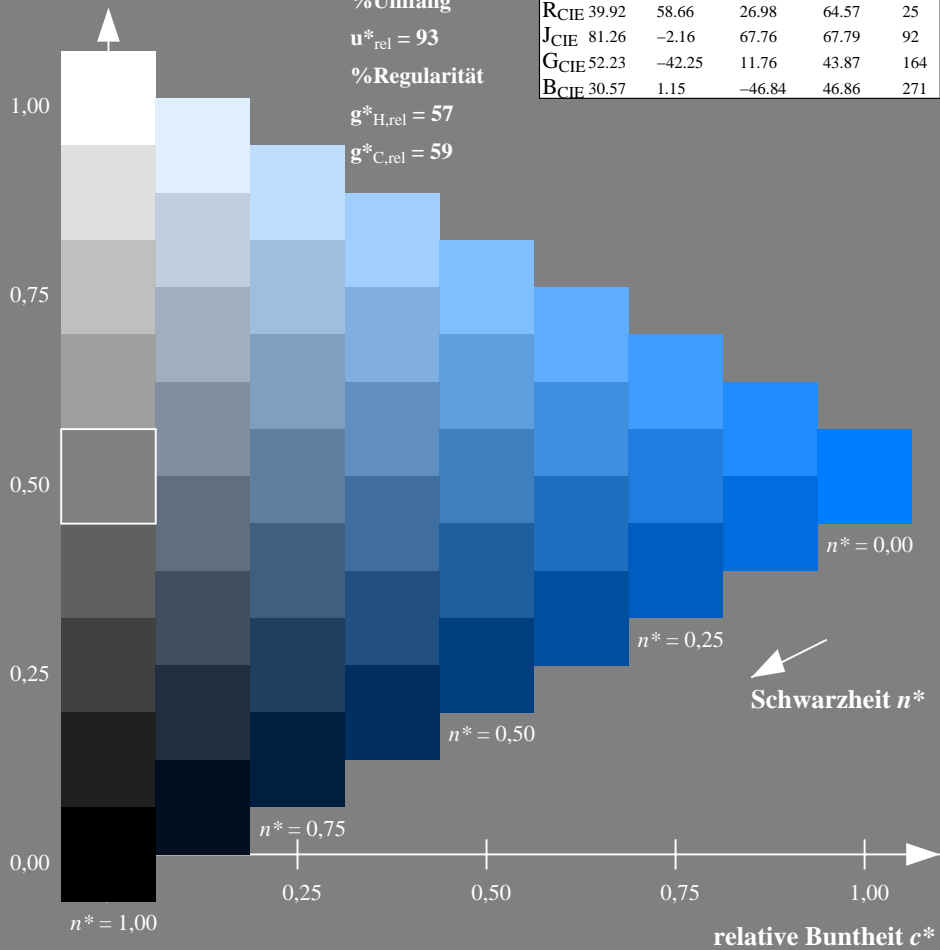
%Umfang

$u^*_{rel} = 93$

%Regularität

$g^*_{H,rel} = 57$

$g^*_{C,rel} = 59$



Schwarzheit n^*

Ausgabe: Farbmetrisches Standard-Reflektiv-System SRS18

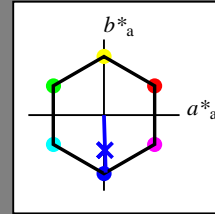
für Buntton $h^* = lab^*h = 272/360 = 0.755$

lab^*tch und lab^*nch

D65: Buntton B

LCH*Ma: 57 76 272

olv*Ma: 0.03 0.0 1.0



SRS18; adaptierte CIELAB-Daten

	$L^*=L^*_a$	a^*_a	b^*_a	$C^*_{ab,a}$	$h^*_{ab,a}$
OMa	56.71	67.03	38.7	77.4	30
YMa	56.71	0.0	77.4	77.4	90
LMa	56.71	-67.02	38.7	77.4	150
CMa	56.71	-67.02	-38.69	77.4	210
VMa	56.71	0.0	-77.39	77.4	270
MMa	56.71	67.03	-38.69	77.4	330
NMa	18.01	0.0	0.0	0.0	0
WMa	95.41	0.0	0.0	0.0	0
RCIE	39.92	58.74	27.99	65.07	25
JCIE	81.26	-2.88	71.56	71.62	92
GCIE	52.23	-42.41	13.6	44.55	162
BCIE	30.57	1.41	-46.46	46.49	272

Dreiecks-Helligkeit t^*

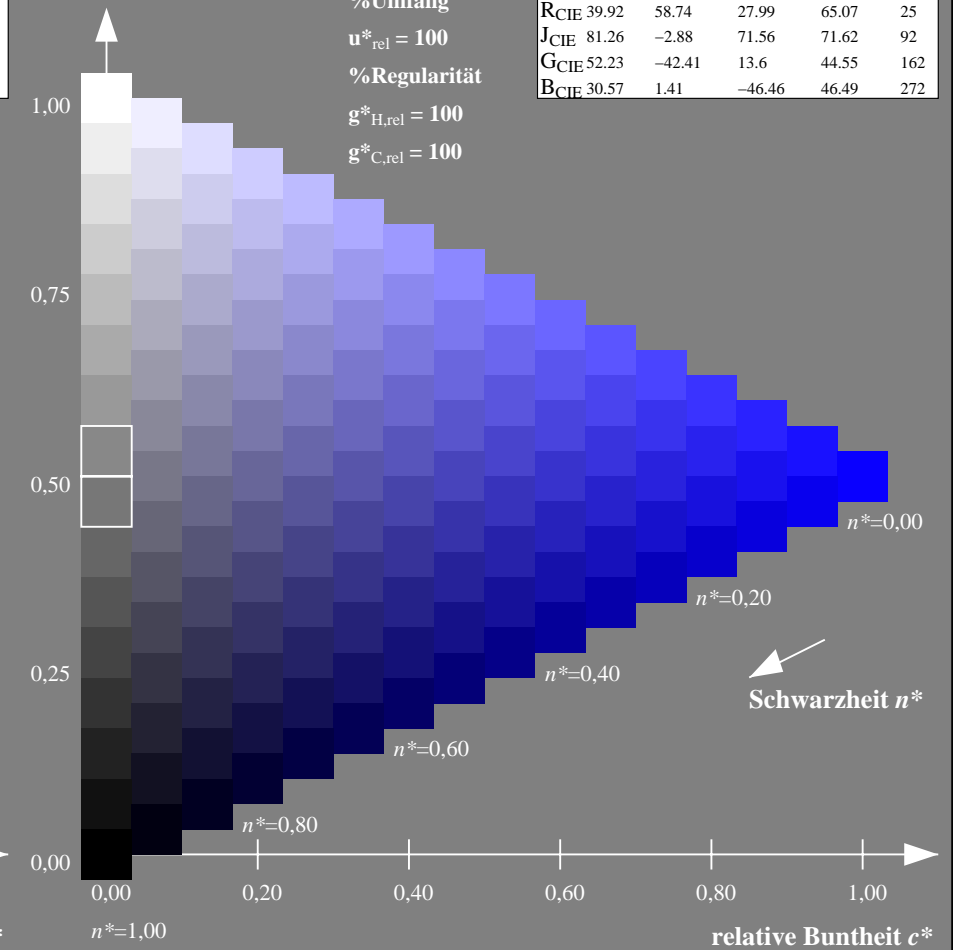
%Umfang

$u^*_{rel} = 100$

%Regularität

$g^*_{H,rel} = 100$

$g^*_{C,rel} = 100$



Schwarzheit n^*

NG900-7, 9stufige Reihen für konstanten CIELAB Buntton $271/360 = 0.754$ (links)

16stufige Reihen für konstanten CIELAB Buntton $272/360 = 0.755$ (rechts)

Eingabe: Farbmetrisches Offset-Reflektiv-System ORS18

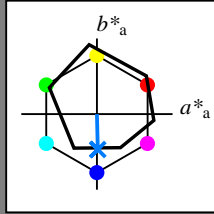
für Buntton $h^* = lab^*h = 271/360 = 0.754$

lab^*tch und lab^*nch

D65: Buntton B

LCH*Ma: 42 45 271

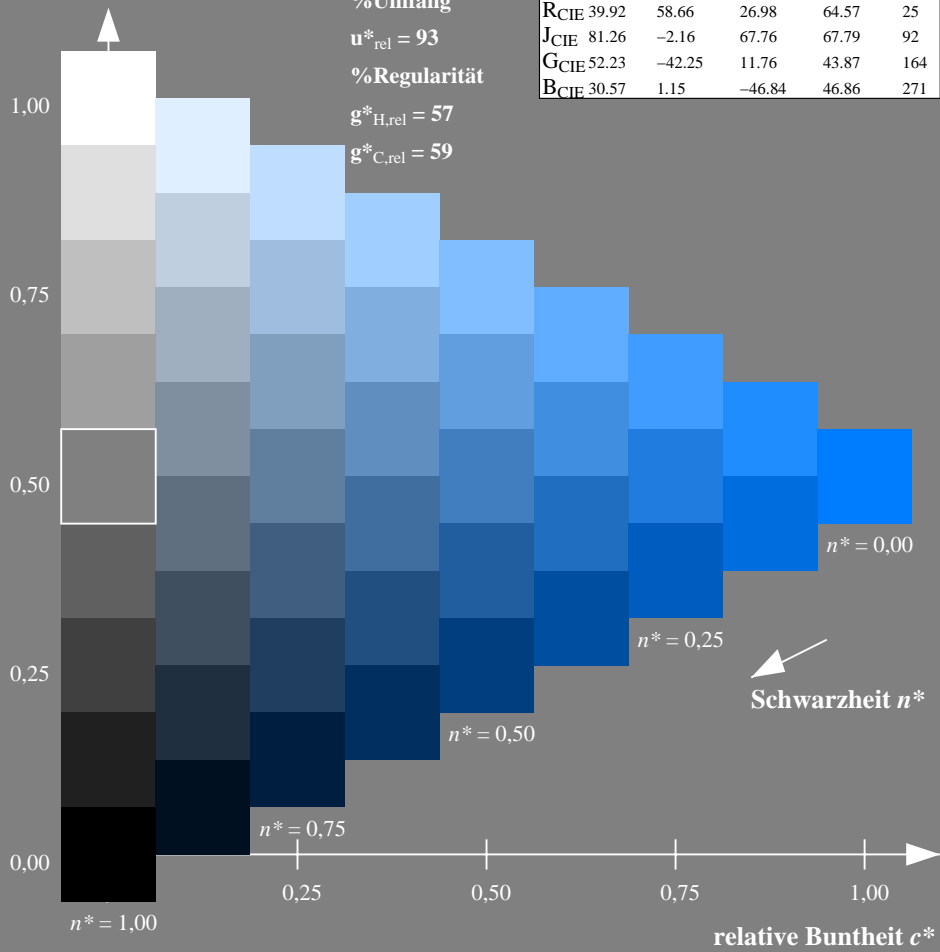
olv*Ma: 0.0 0.49 1.0



ORS18; adaptierte CIELAB-Daten

	$L^*=L^*_a$	a^*_a	b^*_a	$C^*_{ab,a}$	$h^*_{ab,a}$
O _{Ma}	47.94	65.39	50.52	82.63	38
Y _{Ma}	90.37	-10.26	91.75	92.32	96
L _{Ma}	50.9	-62.83	34.96	71.91	151
C _{Ma}	58.62	-30.34	-45.01	54.3	236
V _{Ma}	25.72	31.1	-44.4	54.22	305
M _{Ma}	48.13	75.28	-8.36	75.74	354
N _{Ma}	18.01	0.0	0.0	0.0	0
W _{Ma}	95.41	0.0	0.0	0.0	0
R _{CIE}	39.92	58.66	26.98	64.57	25
J _{CIE}	81.26	-2.16	67.76	67.79	92
G _{CIE}	52.23	-42.25	11.76	43.87	164
B _{CIE}	30.57	1.15	-46.84	46.86	271

Dreiecks-Helligkeit t^*



Ausgabe: Farbmetrisches Fernseh-Licht-System TLS70

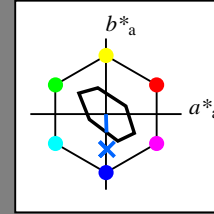
für Buntton $h^* = lab^*h = 272/360 = 0.755$

lab^*tch und lab^*nch

D65: Buntton B

LCH*Ma: 80 24 272

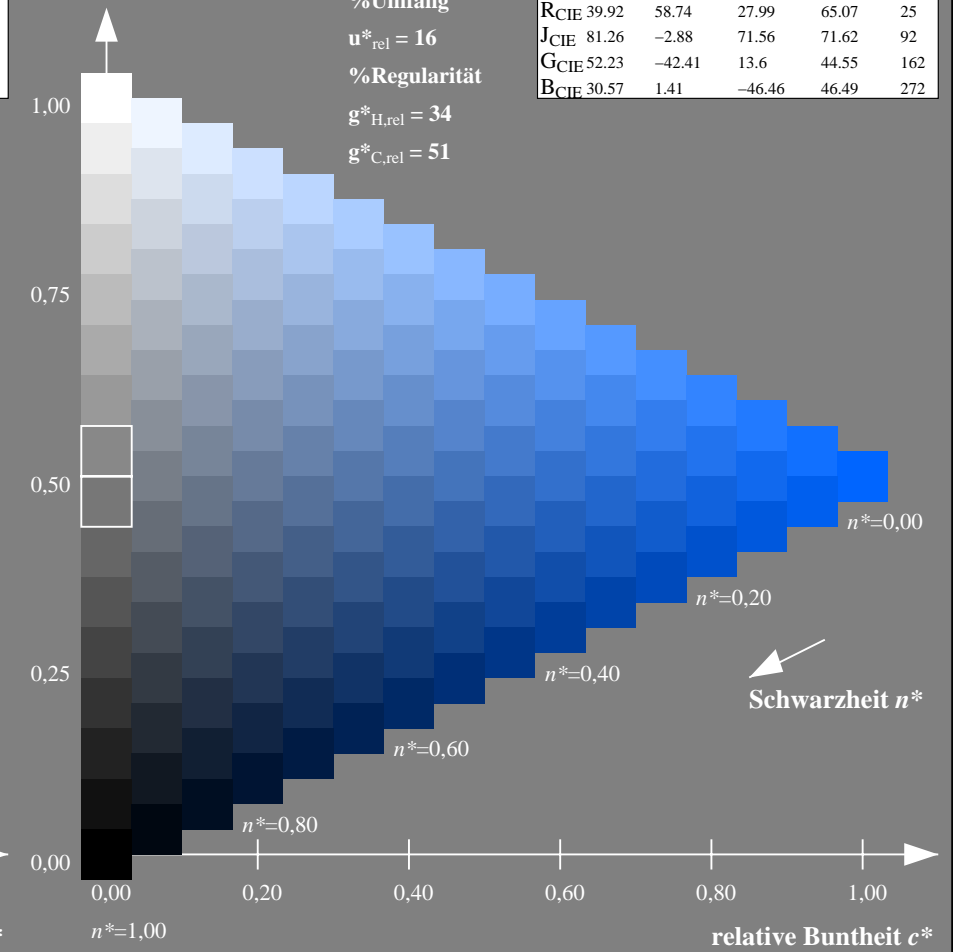
olv*Ma: 0.0 0.4 1.0



TLS70; adaptierte CIELAB-Daten

	$L^*=L^*_a$	a^*_a	b^*_a	$C^*_{ab,a}$	$h^*_{ab,a}$
O _{Ma}	76.43	26.27	10.57	28.32	22
Y _{Ma}	93.93	-10.76	34.63	36.27	107
L _{Ma}	89.32	-35.8	27.64	45.24	142
C _{Ma}	90.93	-21.95	-7.07	23.07	198
V _{Ma}	72.1	15.76	-35.63	38.97	294
M _{Ma}	78.5	37.52	-25.23	45.22	326
N _{Ma}	69.7	0.0	0.0	0.0	0
W _{Ma}	95.41	0.0	0.0	0.0	0
R _{CIE}	39.92	58.74	27.99	65.07	25
J _{CIE}	81.26	-2.88	71.56	71.62	92
G _{CIE}	52.23	-42.41	13.6	44.55	162
B _{CIE}	30.57	1.41	-46.46	46.49	272

Dreiecks-Helligkeit t^*



NG900-7, 9stufige Reihen für konstanten CIELAB Buntton $271/360 = 0.754$ (links)

16stufige Reihen für konstanten CIELAB Buntton $272/360 = 0.755$ (rechts)

Eingabe: Farbmetrisches Fernseh-Licht-System TLS00

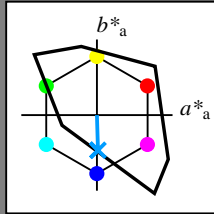
für Buntton $h^* = lab^*h = 272/360 = 0.755$

lab^*tch und lab^*nch

D65: Buntton B

LCH*Ma: 65 49 272

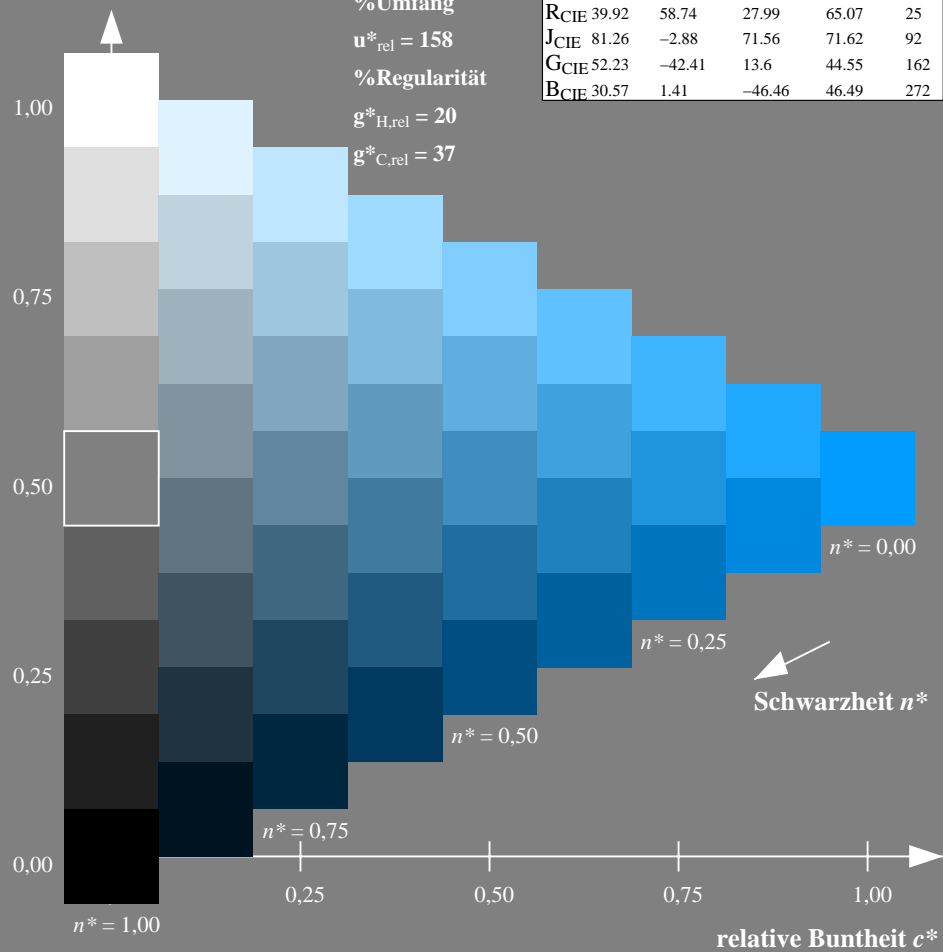
olv*Ma: 0.0 0.61 1.0



TLS00; adaptierte CIELAB-Daten

	$L^*=L^*_a$	a^*_a	b^*_a	$C^*_{ab,a}$	$h^*_{ab,a}$
OMa	50.5	76.92	64.55	100.42	40
YMa	92.66	-20.69	90.75	93.08	103
LMa	83.63	-82.75	79.9	115.04	136
CMa	86.88	-46.16	-13.55	48.12	196
VMa	30.39	76.06	-103.59	128.52	306
MMa	57.3	94.35	-58.41	110.97	328
NMa	0.01	0.0	0.0	0.0	0
WMa	95.41	0.0	0.0	0.0	0
RCIE	39.92	58.74	27.99	65.07	25
JCIE	81.26	-2.88	71.56	71.62	92
GCIE	52.23	-42.41	13.6	44.55	162
BCIE	30.57	1.41	-46.46	46.49	272

Dreiecks-Helligkeit t^*



Ausgabe: Farbmetrisches Offset-Reflektiv-System ORS18

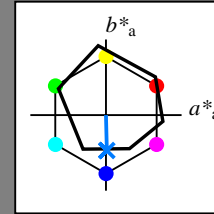
für Buntton $h^* = lab^*h = 271/360 = 0.754$

lab^*tch und lab^*nch

D65: Buntton B

LCH*Ma: 42 45 271

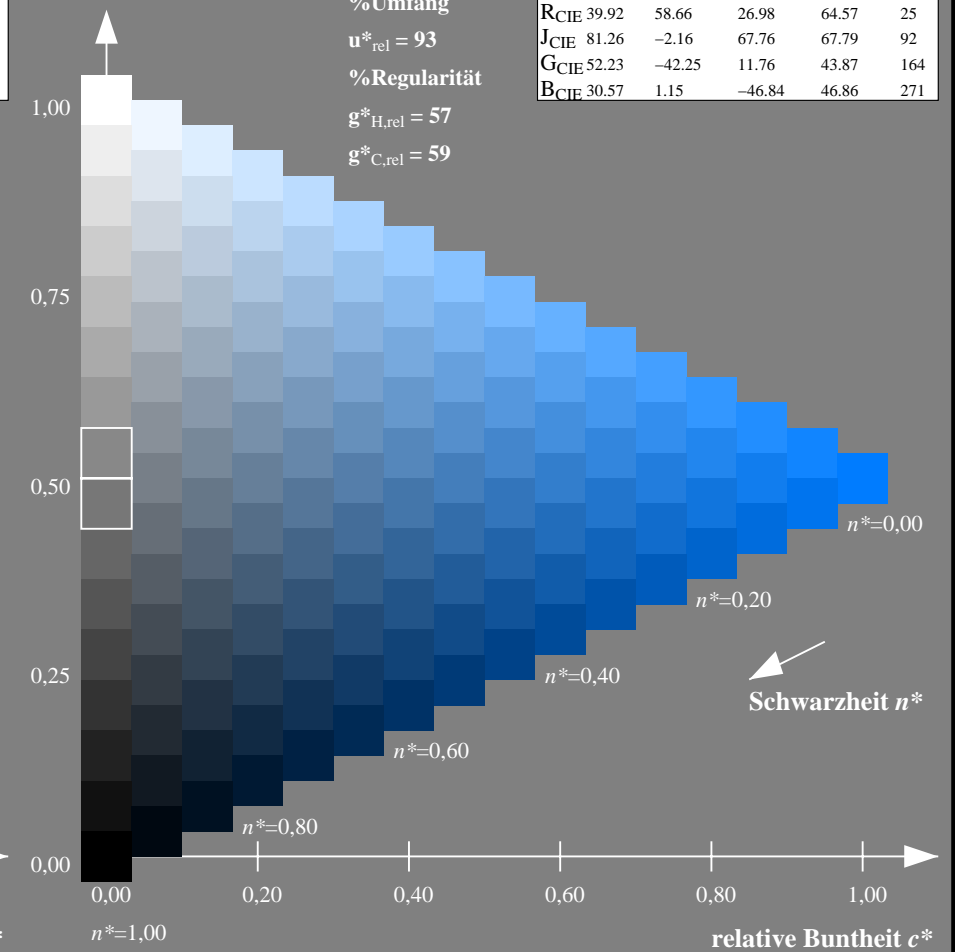
olv*Ma: 0.0 0.49 1.0



ORS18; adaptierte CIELAB-Daten

	$L^*=L^*_a$	a^*_a	b^*_a	$C^*_{ab,a}$	$h^*_{ab,a}$
OMa	47.94	65.39	50.52	82.63	38
YMa	90.37	-10.26	91.75	92.32	96
LMa	50.9	-62.83	34.96	71.91	151
CMa	58.62	-30.34	-45.01	54.3	236
VMa	25.72	31.1	-44.4	54.22	305
MMa	48.13	75.28	-8.36	75.74	354
NMa	18.01	0.0	0.0	0.0	0
WMa	95.41	0.0	0.0	0.0	0
RCIE	39.92	58.66	26.98	64.57	25
JCIE	81.26	-2.16	67.76	67.79	92
GCIE	52.23	-42.25	11.76	43.87	164
BCIE	30.57	1.15	-46.84	46.86	271

Dreiecks-Helligkeit t^*



NG900-7, 9stufige Reihen für konstanten CIELAB Buntton $272/360 = 0.755$ (links)

16stufige Reihen für konstanten CIELAB Buntton $271/360 = 0.754$ (rechts)

Eingabe: Farbmetrisches Fernseh-Licht-System TLS00

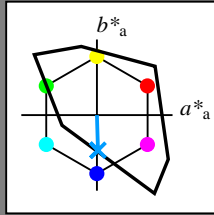
für Buntton $h^* = lab^*h = 272/360 = 0.755$

lab^*tch und lab^*nch

D65: Buntton B

LCH*Ma: 65 49 272

olv*Ma: 0.0 0.61 1.0



TLS00; adaptierte CIELAB-Daten

	$L^*=L^*_a$	a^*_a	b^*_a	$C^*_{ab,a}$	$h^*_{ab,a}$
OMa	50.5	76.92	64.55	100.42	40
YMa	92.66	-20.69	90.75	93.08	103
LMa	83.63	-82.75	79.9	115.04	136
CMa	86.88	-46.16	-13.55	48.12	196
VMa	30.39	76.06	-103.59	128.52	306
MMa	57.3	94.35	-58.41	110.97	328
NMa	0.01	0.0	0.0	0.0	0
WMa	95.41	0.0	0.0	0.0	0
RCIE	39.92	58.74	27.99	65.07	25
JCIE	81.26	-2.88	71.56	71.62	92
GCIE	52.23	-42.41	13.6	44.55	162
BCIE	30.57	1.41	-46.46	46.49	272

Dreiecks-Helligkeit t^*

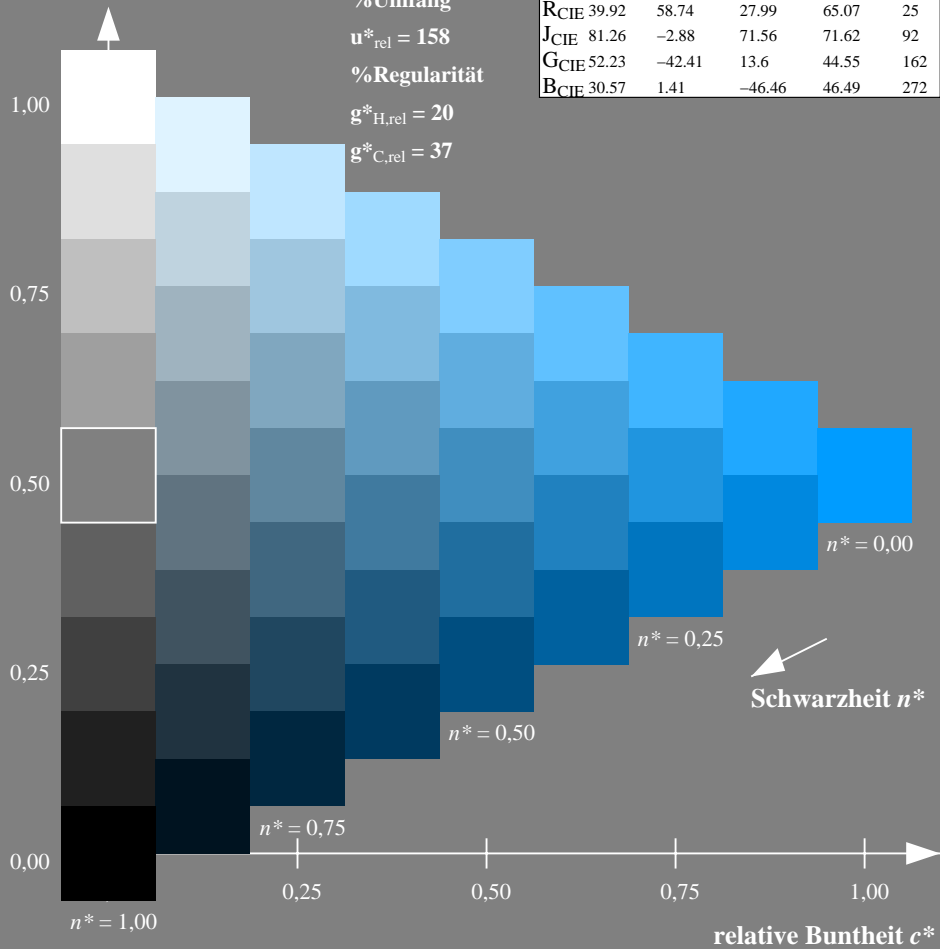
%Umfang

$u^*_{rel} = 158$

%Regularität

$g^*_{H,rel} = 20$

$g^*_{C,rel} = 37$



Ausgabe: Farbmetrisches Fernseh-Licht-System TLS00

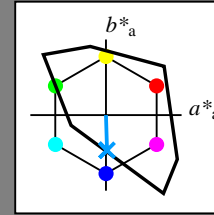
für Buntton $h^* = lab^*h = 272/360 = 0.755$

lab^*tch und lab^*nch

D65: Buntton B

LCH*Ma: 65 49 272

olv*Ma: 0.0 0.61 1.0



TLS00; adaptierte CIELAB-Daten

	$L^*=L^*_a$	a^*_a	b^*_a	$C^*_{ab,a}$	$h^*_{ab,a}$
OMa	50.5	76.92	64.55	100.42	40
YMa	92.66	-20.69	90.75	93.08	103
LMa	83.63	-82.75	79.9	115.04	136
CMa	86.88	-46.16	-13.55	48.12	196
VMa	30.39	76.06	-103.59	128.52	306
MMa	57.3	94.35	-58.41	110.97	328
NMa	0.01	0.0	0.0	0.0	0
WMa	95.41	0.0	0.0	0.0	0
RCIE	39.92	58.74	27.99	65.07	25
JCIE	81.26	-2.88	71.56	71.62	92
GCIE	52.23	-42.41	13.6	44.55	162
BCIE	30.57	1.41	-46.46	46.49	272

Dreiecks-Helligkeit t^*

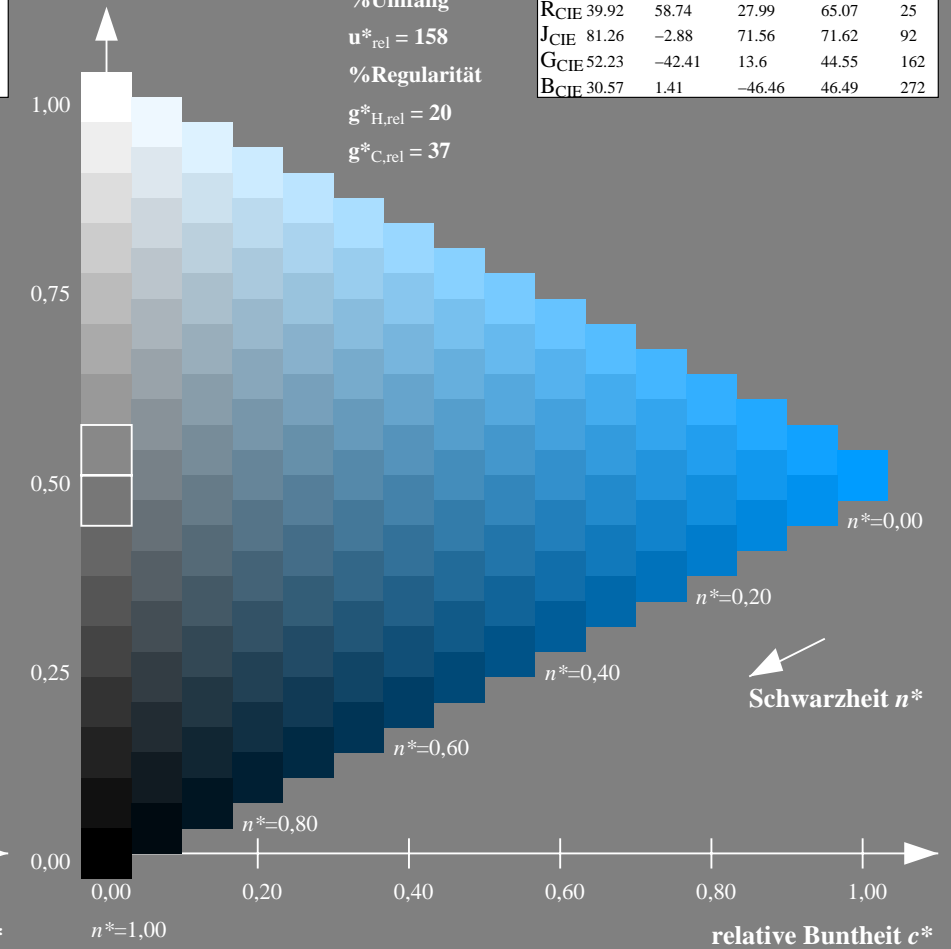
%Umfang

$u^*_{rel} = 158$

%Regularität

$g^*_{H,rel} = 20$

$g^*_{C,rel} = 37$



NG900-7, 9stufige Reihen für konstanten CIELAB Buntton $272/360 = 0.755$ (links)

16stufige Reihen für konstanten CIELAB Buntton $272/360 = 0.755$ (rechts)

Eingabe: Farbmatisches Fernseh-Licht-System TLS00

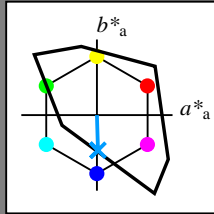
für Buntton $h^* = lab^*h = 272/360 = 0.755$

lab^*tch und lab^*nch

D65: Buntton B

LCH*Ma: 65 49 272

olv*Ma: 0.0 0.61 1.0



TLS00; adaptierte CIELAB-Daten

	$L^*=L^*_a$	a^*_a	b^*_a	$C^*_{ab,a}$	$h^*_{ab,a}$
OMa	50.5	76.92	64.55	100.42	40
YMa	92.66	-20.69	90.75	93.08	103
LMa	83.63	-82.75	79.9	115.04	136
CMa	86.88	-46.16	-13.55	48.12	196
VMa	30.39	76.06	-103.59	128.52	306
MMa	57.3	94.35	-58.41	110.97	328
NMa	0.01	0.0	0.0	0.0	0
WMa	95.41	0.0	0.0	0.0	0
RCIE	39.92	58.74	27.99	65.07	25
JCIE	81.26	-2.88	71.56	71.62	92
GCIE	52.23	-42.41	13.6	44.55	162
BCIE	30.57	1.41	-46.46	46.49	272

Dreiecks-Helligkeit t^*

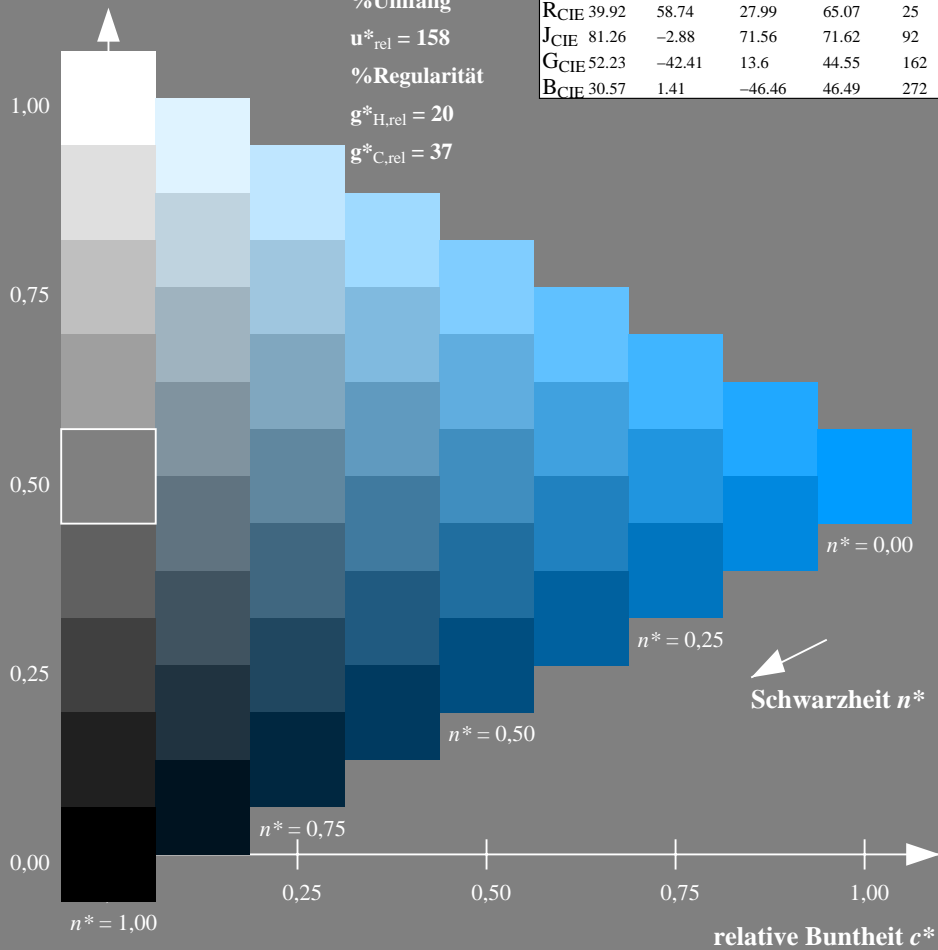
%Umfang

$u^*_{rel} = 158$

%Regularität

$g^*_{H,rel} = 20$

$g^*_{C,rel} = 37$



Ausgabe: Farbmatisches Drucker-Reflektiv-System DRSXX

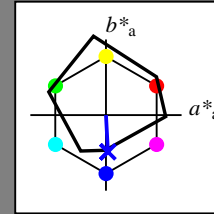
für Buntton $h^* = lab^*h = 273/360 = 0.759$

lab^*tch und lab^*nch

D65: Buntton B

LCH*Ma: 35 45 273

olv*Ma: 0.04 0.0 1.0



DRSXX; adaptierte CIELAB-Daten

	$L^*=L^*_a$	a^*_a	b^*_a	$C^*_{ab,a}$	$h^*_{ab,a}$
OMa	42.21	66.82	50.6	83.82	37
YMa	90.32	-16.51	104.33	105.63	99
LMa	48.21	-75.63	30.65	81.61	158
CMa	53.44	-33.33	-47.49	58.03	235
VMa	34.16	-0.92	-46.56	46.58	269
MMa	42.71	79.0	-1.95	79.03	359
NMa	16.56	0.0	0.0	0.0	0
WMa	96.31	0.0	0.0	0.0	0
RCIE	39.92	59.78	25.77	65.1	23
JCIE	81.26	-2.51	69.07	69.11	92
GCIE	52.23	-41.57	11.3	43.09	165
BCIE	30.57	2.6	-48.62	48.7	273

Dreiecks-Helligkeit t^*

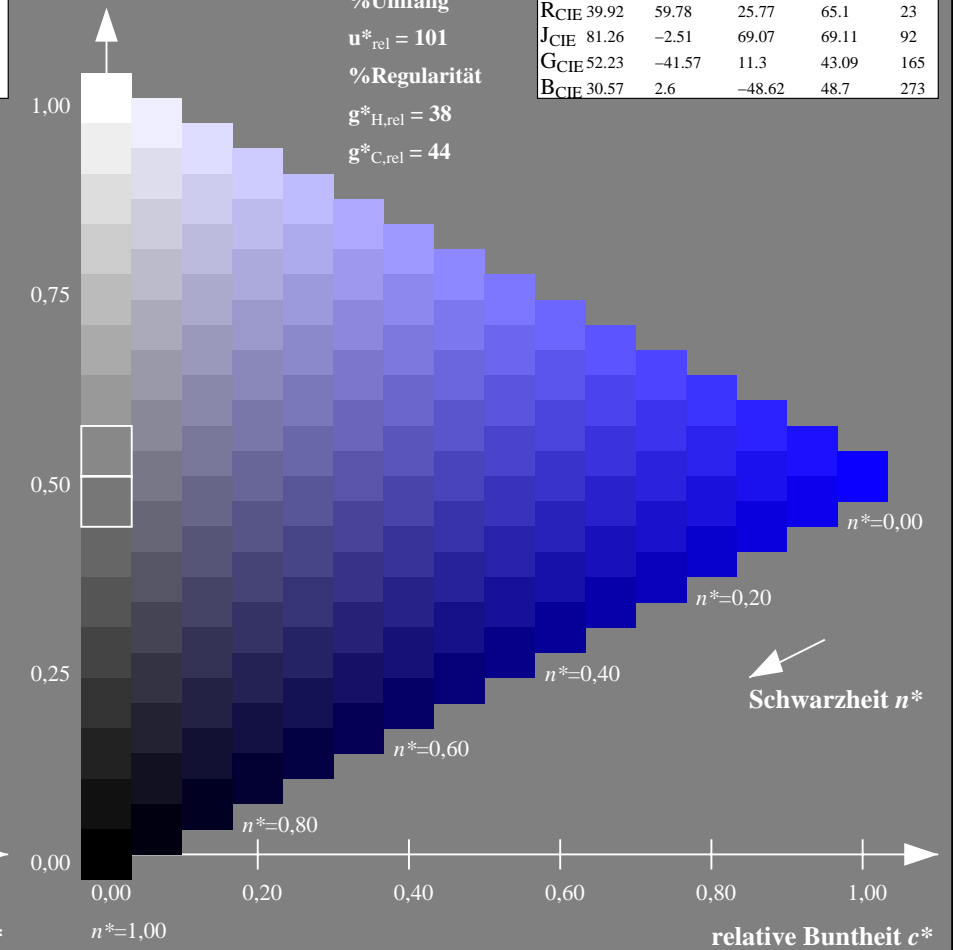
%Umfang

$u^*_{rel} = 101$

%Regularität

$g^*_{H,rel} = 38$

$g^*_{C,rel} = 44$



NG900-7, 9stufige Reihen für konstanten CIELAB Buntton 272/360 = 0.755 (links)

16stufige Reihen für konstanten CIELAB Buntton 273/360 = 0.759 (rechts)

Eingabe: Farbmetrisches Fernseh-Licht-System TLS00

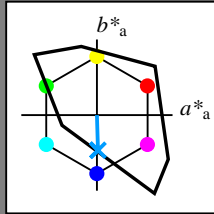
für Buntton $h^* = lab^*h = 272/360 = 0.755$

lab^*tch und lab^*nch

D65: Buntton B

LCH*Ma: 65 49 272

olv*Ma: 0.0 0.61 1.0



TLS00; adaptierte CIELAB-Daten

	$L^*=L^*_a$	a^*_a	b^*_a	$C^*_{ab,a}$	$h^*_{ab,a}$
OMa	50.5	76.92	64.55	100.42	40
YMa	92.66	-20.69	90.75	93.08	103
LMa	83.63	-82.75	79.9	115.04	136
CMa	86.88	-46.16	-13.55	48.12	196
VMa	30.39	76.06	-103.59	128.52	306
MMa	57.3	94.35	-58.41	110.97	328
NMa	0.01	0.0	0.0	0.0	0
WMa	95.41	0.0	0.0	0.0	0
RCIE	39.92	58.74	27.99	65.07	25
JCIE	81.26	-2.88	71.56	71.62	92
GCIE	52.23	-42.41	13.6	44.55	162
BCIE	30.57	1.41	-46.46	46.49	272

Dreiecks-Helligkeit t^*

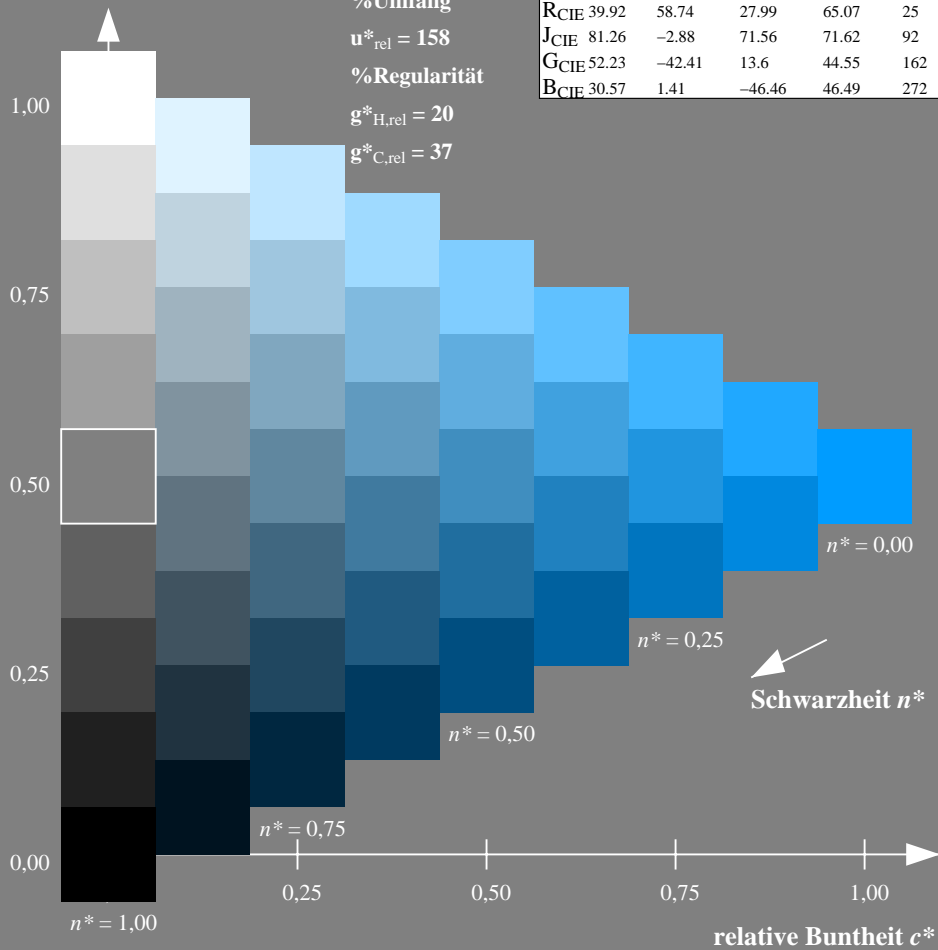
%Umfang

$u^*_{rel} = 158$

%Regularität

$g^*_{H,rel} = 20$

$g^*_{C,rel} = 37$



Ausgabe: Farbmetrisches Fernseh-Licht-System TLS18

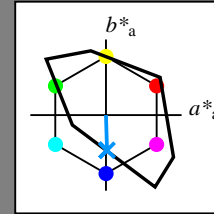
für Buntton $h^* = lab^*h = 272/360 = 0.755$

lab^*tch und lab^*nch

D65: Buntton B

LCH*Ma: 65 48 272

olv*Ma: 0.0 0.58 1.0



TLS18; adaptierte CIELAB-Daten

	$L^*=L^*_a$	a^*_a	b^*_a	$C^*_{ab,a}$	$h^*_{ab,a}$
OMa	52.76	71.63	49.88	87.29	35
YMa	92.74	-20.02	84.97	87.3	103
LMa	84.0	-78.98	73.94	108.2	137
CMa	87.14	-44.41	-13.11	46.32	196
VMa	35.47	64.92	-95.06	115.12	304
MMa	59.01	89.33	-55.67	105.26	328
NMa	18.01	0.0	0.0	0.0	0
WMa	95.41	0.0	0.0	0.0	0
RCIE	39.92	58.74	27.99	65.07	25
JCIE	81.26	-2.88	71.56	71.62	92
GCIE	52.23	-42.41	13.6	44.55	162
BCIE	30.57	1.41	-46.46	46.49	272

Dreiecks-Helligkeit t^*

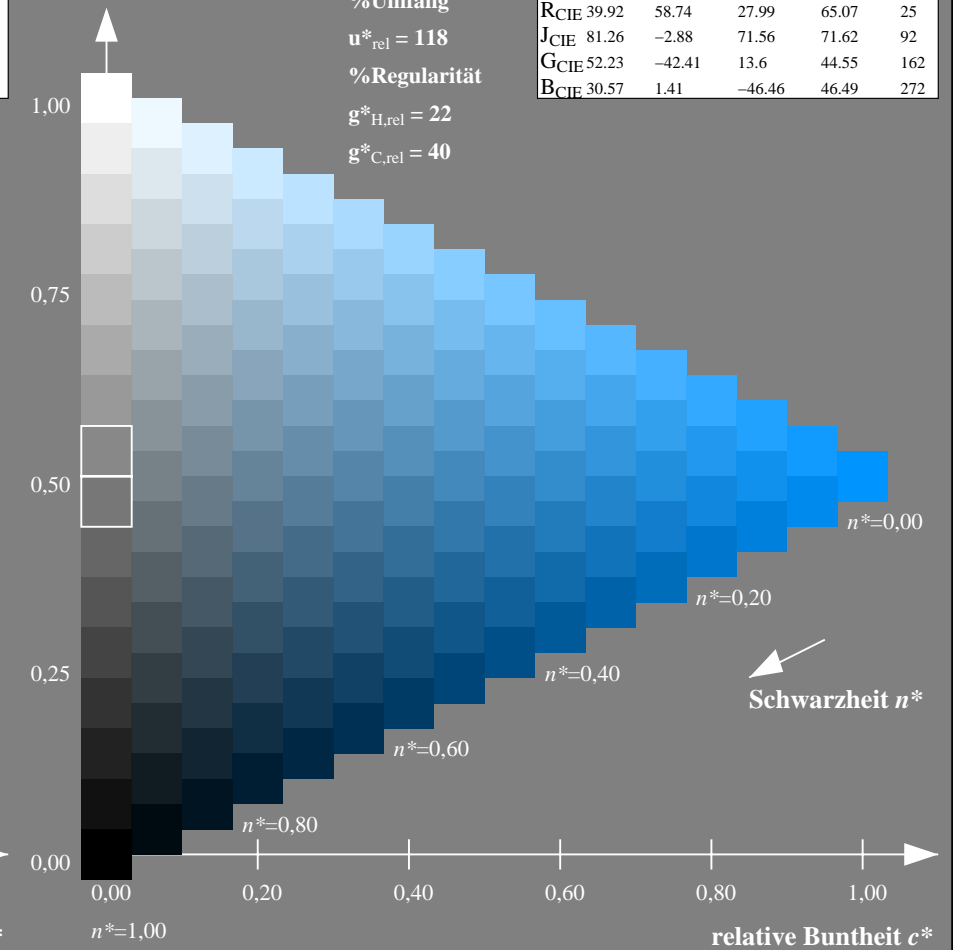
%Umfang

$u^*_{rel} = 118$

%Regularität

$g^*_{H,rel} = 22$

$g^*_{C,rel} = 40$



NG900-7, 9stufige Reihen für konstanten CIELAB Buntton $272/360 = 0.755$ (links)

16stufige Reihen für konstanten CIELAB Buntton $272/360 = 0.755$ (rechts)

Eingabe: Farbmetrisches Fernseh-Licht-System TLS00

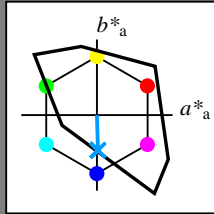
für Buntton $h^* = lab^*h = 272/360 = 0.755$

lab^*tch und lab^*nch

D65: Buntton B

LCH*Ma: 65 49 272

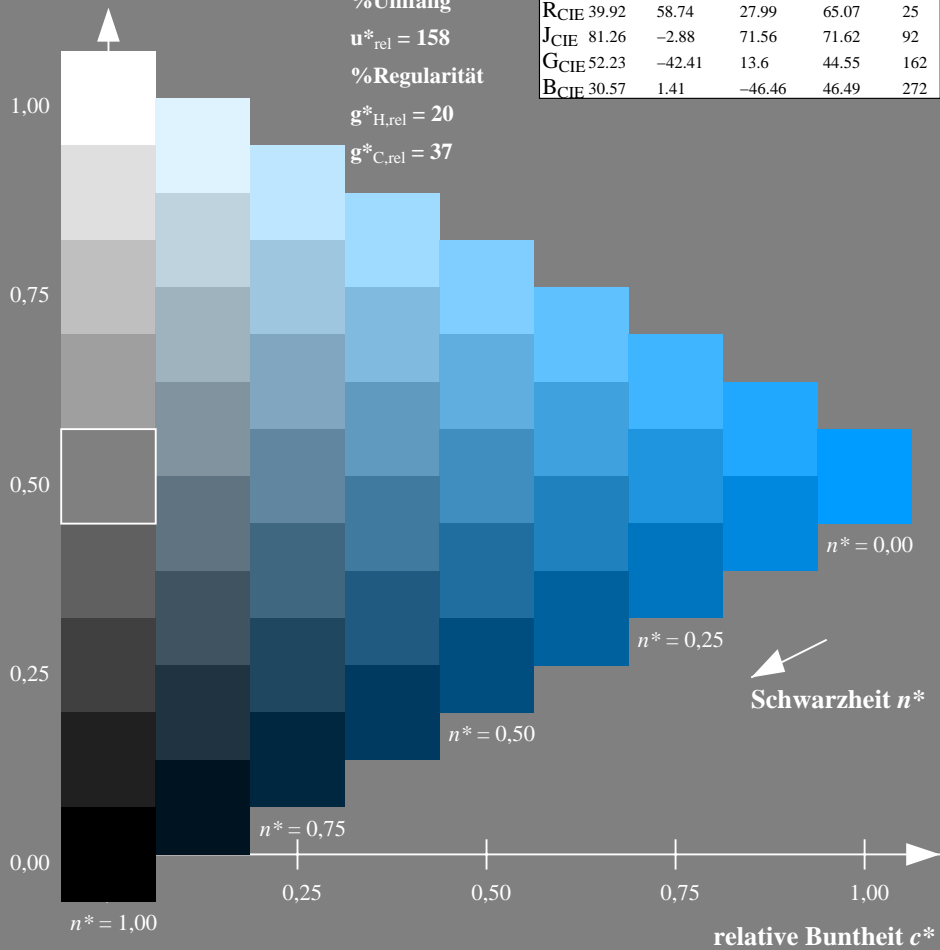
olv*Ma: 0.0 0.61 1.0



TLS00; adaptierte CIELAB-Daten

	$L^*=L^*_a$	a^*_a	b^*_a	$C^*_{ab,a}$	$h^*_{ab,a}$
O _{Ma}	50.5	76.92	64.55	100.42	40
Y _{Ma}	92.66	-20.69	90.75	93.08	103
L _{Ma}	83.63	-82.75	79.9	115.04	136
C _{Ma}	86.88	-46.16	-13.55	48.12	196
V _{Ma}	30.39	76.06	-103.59	128.52	306
M _{Ma}	57.3	94.35	-58.41	110.97	328
N _{Ma}	0.01	0.0	0.0	0.0	0
W _{Ma}	95.41	0.0	0.0	0.0	0
R _{CIE}	39.92	58.74	27.99	65.07	25
J _{CIE}	81.26	-2.88	71.56	71.62	92
G _{CIE}	52.23	-42.41	13.6	44.55	162
B _{CIE}	30.57	1.41	-46.46	46.49	272

Dreiecks-Helligkeit t^*



Ausgabe: Farbmetrisches Natürliches-Licht-System NLS00

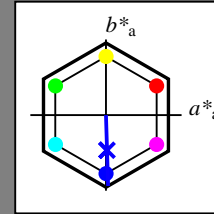
für Buntton $h^* = lab^*h = 272/360 = 0.755$

lab^*tch und lab^*nch

D65: Buntton B

LCH*Ma: 33 94 272

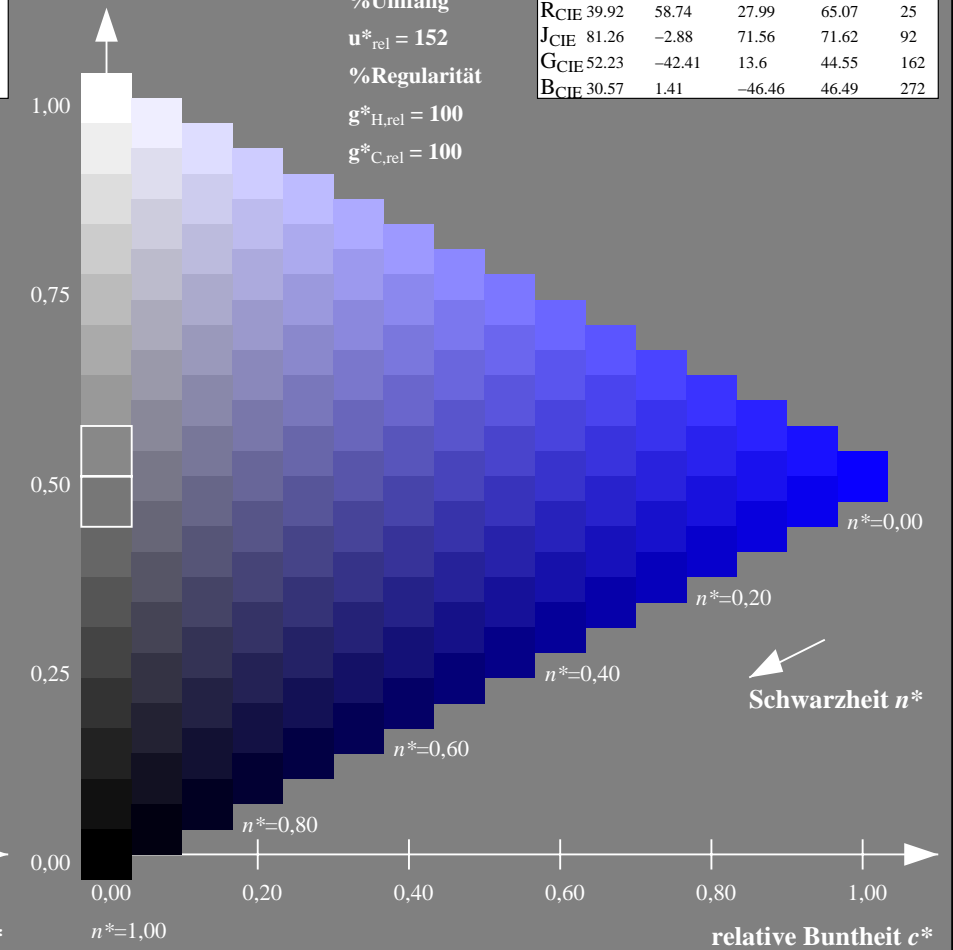
olv*Ma: 0.03 0.0 1.0



NLS00; adaptierte CIELAB-Daten

	$L^*=L^*_a$	a^*_a	b^*_a	$C^*_{ab,a}$	$h^*_{ab,a}$
O _{Ma}	31.81	82.62	47.7	95.4	30
Y _{Ma}	63.61	0.0	95.4	95.4	90
L _{Ma}	31.81	-82.61	47.7	95.4	150
C _{Ma}	63.61	-82.61	-47.69	95.4	210
V _{Ma}	31.81	0.0	-95.39	95.4	270
M _{Ma}	63.61	82.62	-47.69	95.4	330
N _{Ma}	0.01	0.0	0.0	0.0	0
W _{Ma}	95.41	0.0	0.0	0.0	0
R _{CIE}	39.92	58.74	27.99	65.07	25
J _{CIE}	81.26	-2.88	71.56	71.62	92
G _{CIE}	52.23	-42.41	13.6	44.55	162
B _{CIE}	30.57	1.41	-46.46	46.49	272

Dreiecks-Helligkeit t^*



NG900-7, 9stufige Reihen für konstanten CIELAB Buntton $272/360 = 0.755$ (links)

16stufige Reihen für konstanten CIELAB Buntton $272/360 = 0.755$ (rechts)

Eingabe: Farbmetrisches Fernseh-Licht-System TLS00

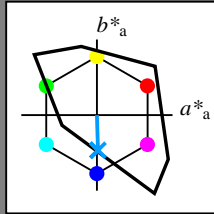
für Buntton $h^* = lab^*h = 272/360 = 0.755$

lab^*tch und lab^*nch

D65: Buntton B

LCH*Ma: 65 49 272

olv*Ma: 0.0 0.61 1.0



TLS00; adaptierte CIELAB-Daten

	$L^*=L^*_a$	a^*_a	b^*_a	$C^*_{ab,a}$	$h^*_{ab,a}$
O _{Ma}	50.5	76.92	64.55	100.42	40
Y _{Ma}	92.66	-20.69	90.75	93.08	103
L _{Ma}	83.63	-82.75	79.9	115.04	136
C _{Ma}	86.88	-46.16	-13.55	48.12	196
V _{Ma}	30.39	76.06	-103.59	128.52	306
M _{Ma}	57.3	94.35	-58.41	110.97	328
N _{Ma}	0.01	0.0	0.0	0.0	0
W _{Ma}	95.41	0.0	0.0	0.0	0
R _{CIE}	39.92	58.74	27.99	65.07	25
J _{CIE}	81.26	-2.88	71.56	71.62	92
G _{CIE}	52.23	-42.41	13.6	44.55	162
B _{CIE}	30.57	1.41	-46.46	46.49	272

Dreiecks-Helligkeit t^*

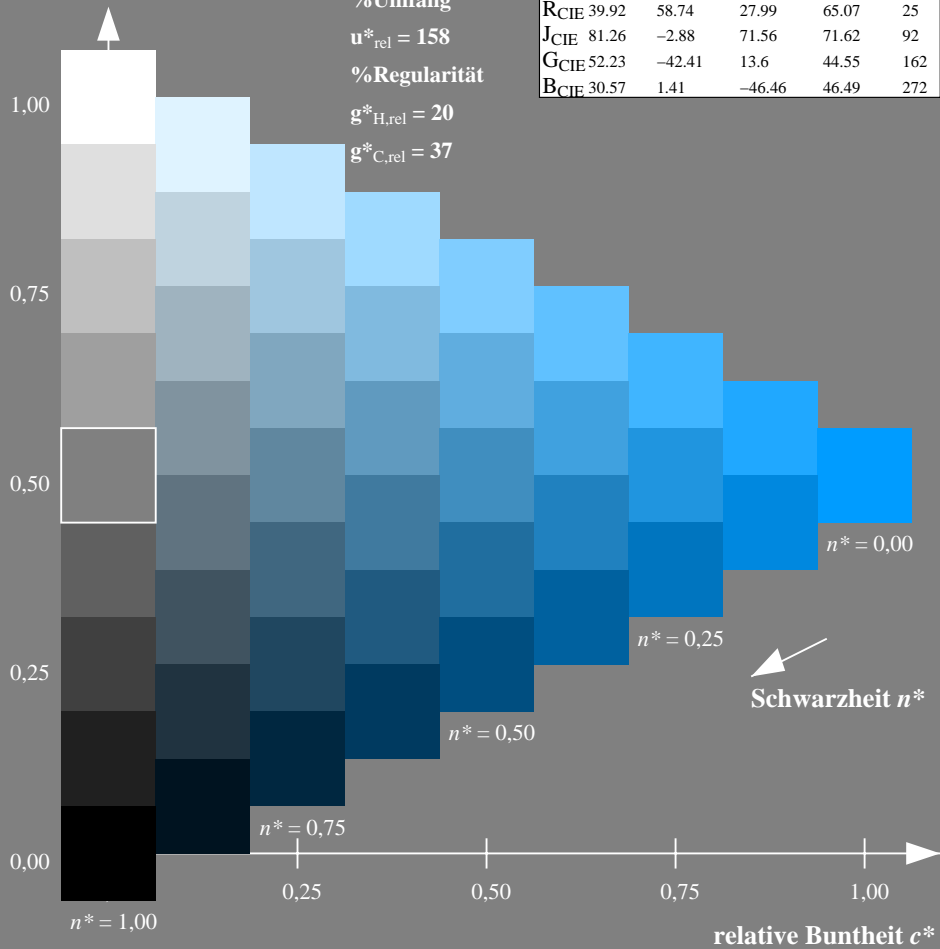
%Umfang

$u^*_{rel} = 158$

%Regularität

$g^*_{H,rel} = 20$

$g^*_{C,rel} = 37$



Schwarzheit n^*

Ausgabe: Farbmetrisches Natürliches-Reflektiv-System NRS18

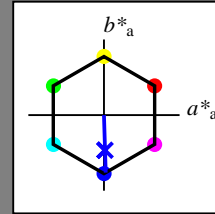
für Buntton $h^* = lab^*h = 272/360 = 0.755$

lab^*tch und lab^*nch

D65: Buntton B

LCH*Ma: 45 76 272

olv*Ma: 0.03 0.0 1.0



NRS18; adaptierte CIELAB-Daten

	$L^*=L^*_a$	a^*_a	b^*_a	$C^*_{ab,a}$	$h^*_{ab,a}$
O _{Ma}	43.81	67.03	38.7	77.4	30
Y _{Ma}	69.61	0.0	77.4	77.4	90
L _{Ma}	43.81	-67.02	38.7	77.4	150
C _{Ma}	69.61	-67.02	-38.69	77.4	210
V _{Ma}	43.81	0.0	-77.39	77.4	270
M _{Ma}	69.61	67.03	-38.69	77.4	330
N _{Ma}	18.01	0.0	0.0	0.0	0
W _{Ma}	95.41	0.0	0.0	0.0	0
R _{CIE}	39.92	58.74	27.99	65.07	25
J _{CIE}	81.26	-2.88	71.56	71.62	92
G _{CIE}	52.23	-42.41	13.6	44.55	162
B _{CIE}	30.57	1.41	-46.46	46.49	272

Dreiecks-Helligkeit t^*

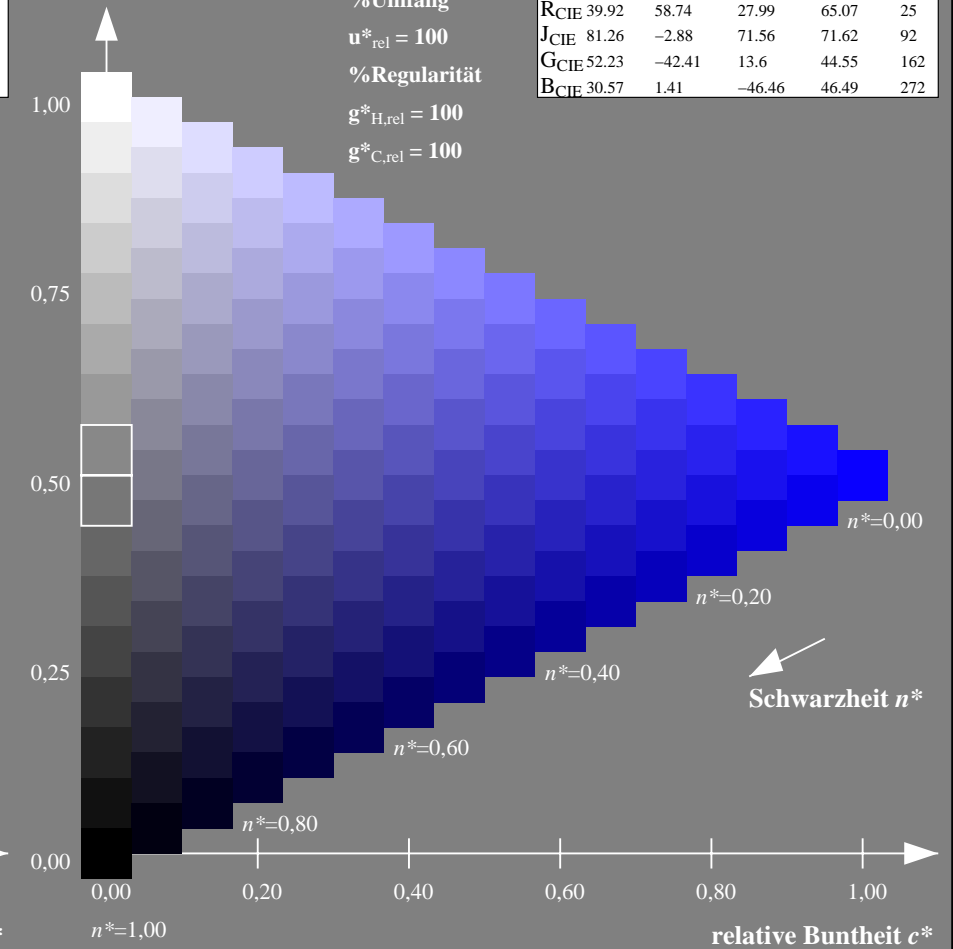
%Umfang

$u^*_{rel} = 100$

%Regularität

$g^*_{H,rel} = 100$

$g^*_{C,rel} = 100$



Schwarzheit n^*

NG900-7, 9stufige Reihen für konstanten CIELAB Buntton $272/360 = 0.755$ (links)

16stufige Reihen für konstanten CIELAB Buntton $272/360 = 0.755$ (rechts)

Eingabe: Farbmetrisches Fernseh-Licht-System TLS00

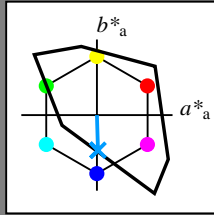
für Buntton $h^* = lab^*h = 272/360 = 0.755$

lab^*tch und lab^*nch

D65: Buntton B

LCH*Ma: 65 49 272

olv*Ma: 0.0 0.61 1.0



TLS00; adaptierte CIELAB-Daten

	$L^*=L^*_a$	a^*_a	b^*_a	$C^*_{ab,a}$	$h^*_{ab,a}$
OMa	50.5	76.92	64.55	100.42	40
YMa	92.66	-20.69	90.75	93.08	103
LMa	83.63	-82.75	79.9	115.04	136
CMa	86.88	-46.16	-13.55	48.12	196
VMa	30.39	76.06	-103.59	128.52	306
MMa	57.3	94.35	-58.41	110.97	328
NMa	0.01	0.0	0.0	0.0	0
WMa	95.41	0.0	0.0	0.0	0
RCIE	39.92	58.74	27.99	65.07	25
JCIE	81.26	-2.88	71.56	71.62	92
GCIE	52.23	-42.41	13.6	44.55	162
BCIE	30.57	1.41	-46.46	46.49	272

Dreiecks-Helligkeit t^*

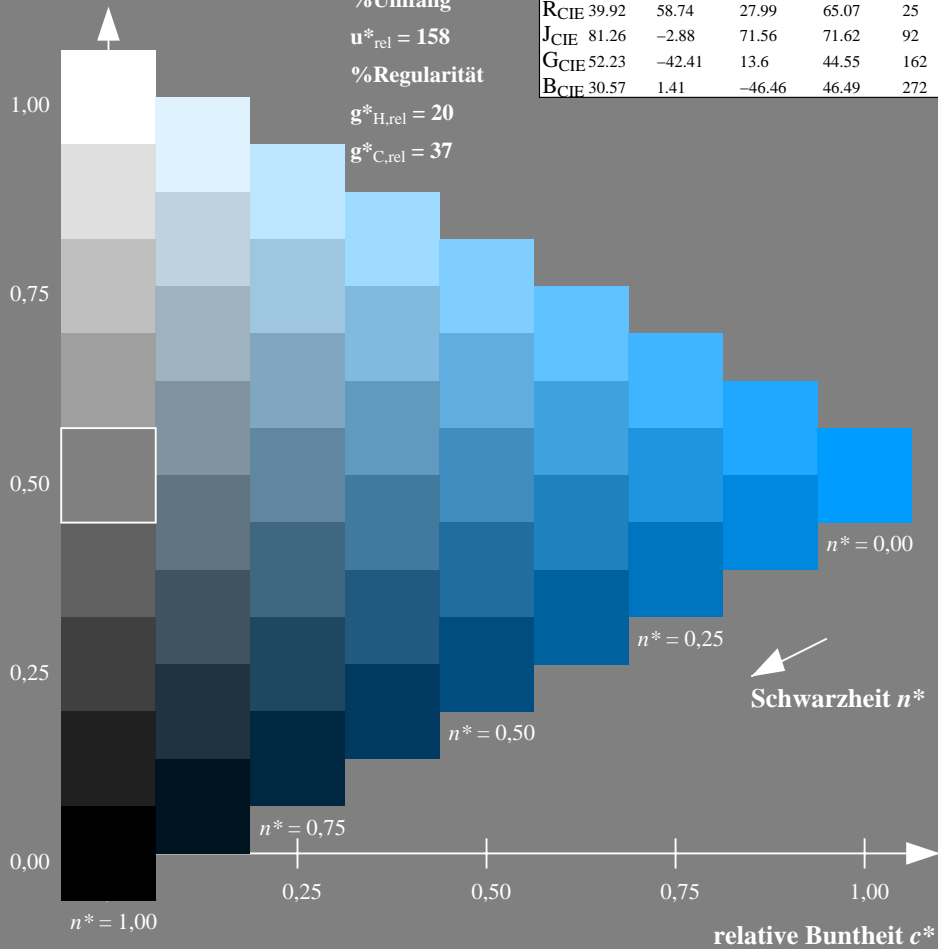
%Umfang

$u^*_{rel} = 158$

%Regularität

$g^*_{H,rel} = 20$

$g^*_{C,rel} = 37$



Ausgabe: Farbmetrisches Standard-Reflektiv-System SRS18

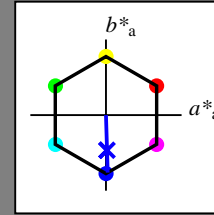
für Buntton $h^* = lab^*h = 272/360 = 0.755$

lab^*tch und lab^*nch

D65: Buntton B

LCH*Ma: 57 76 272

olv*Ma: 0.03 0.0 1.0



SRS18; adaptierte CIELAB-Daten

	$L^*=L^*_a$	a^*_a	b^*_a	$C^*_{ab,a}$	$h^*_{ab,a}$
OMa	56.71	67.03	38.7	77.4	30
YMa	56.71	0.0	77.4	77.4	90
LMa	56.71	-67.02	38.7	77.4	150
CMa	56.71	-67.02	-38.69	77.4	210
VMa	56.71	0.0	-77.39	77.4	270
MMa	56.71	67.03	-38.69	77.4	330
NMa	18.01	0.0	0.0	0.0	0
WMa	95.41	0.0	0.0	0.0	0
RCIE	39.92	58.74	27.99	65.07	25
JCIE	81.26	-2.88	71.56	71.62	92
GCIE	52.23	-42.41	13.6	44.55	162
BCIE	30.57	1.41	-46.46	46.49	272

Dreiecks-Helligkeit t^*

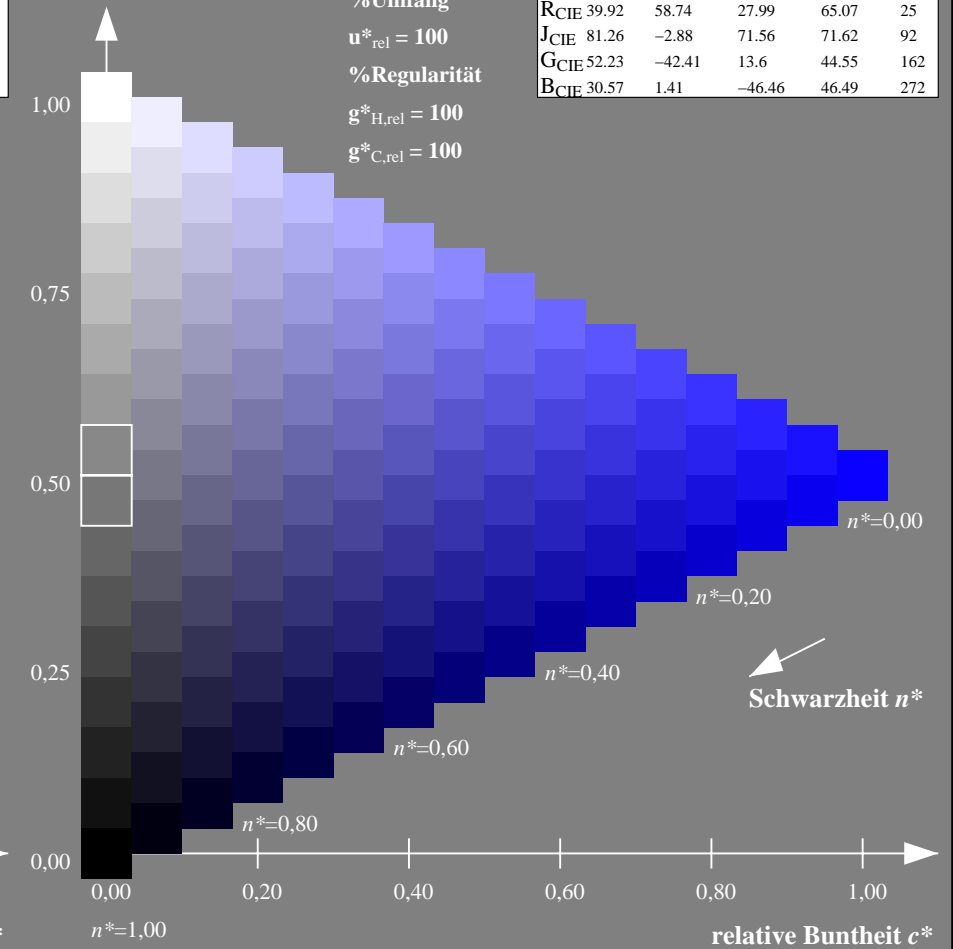
%Umfang

$u^*_{rel} = 100$

%Regularität

$g^*_{H,rel} = 100$

$g^*_{C,rel} = 100$



NG900-7, 9stufige Reihen für konstanten CIELAB Buntton $272/360 = 0.755$ (links)

16stufige Reihen für konstanten CIELAB Buntton $272/360 = 0.755$ (rechts)

Eingabe: Farbmetrisches Fernseh-Licht-System TLS00

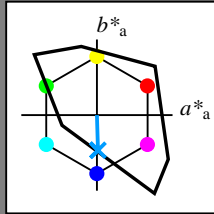
für Buntton $h^* = lab^*h = 272/360 = 0.755$

lab^*tch und lab^*nch

D65: Buntton B

LCH*Ma: 65 49 272

olv*Ma: 0.0 0.61 1.0



TLS00; adaptierte CIELAB-Daten

	$L^*=L^*_a$	a^*_a	b^*_a	$C^*_{ab,a}$	$h^*_{ab,a}$
OMa	50.5	76.92	64.55	100.42	40
YMa	92.66	-20.69	90.75	93.08	103
LMa	83.63	-82.75	79.9	115.04	136
CMa	86.88	-46.16	-13.55	48.12	196
VMa	30.39	76.06	-103.59	128.52	306
MMa	57.3	94.35	-58.41	110.97	328
NMa	0.01	0.0	0.0	0.0	0
WMa	95.41	0.0	0.0	0.0	0
RCIE	39.92	58.74	27.99	65.07	25
JCIE	81.26	-2.88	71.56	71.62	92
GCIE	52.23	-42.41	13.6	44.55	162
BCIE	30.57	1.41	-46.46	46.49	272

Dreiecks-Helligkeit t^*

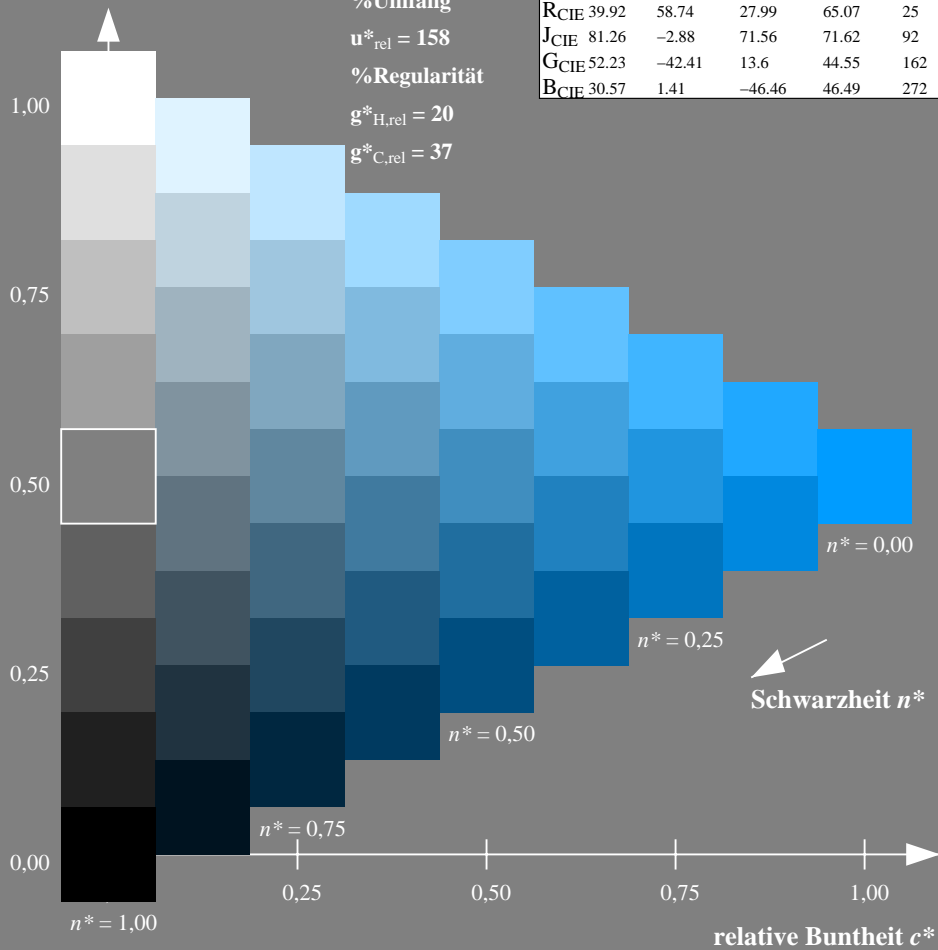
%Umfang

$u^*_{rel} = 158$

%Regularität

$g^*_{H,rel} = 20$

$g^*_{C,rel} = 37$



Ausgabe: Farbmetrisches Fernseh-Licht-System TLS70

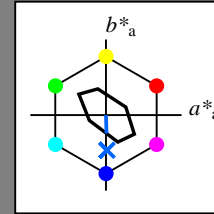
für Buntton $h^* = lab^*h = 272/360 = 0.755$

lab^*tch und lab^*nch

D65: Buntton B

LCH*Ma: 80 24 272

olv*Ma: 0.0 0.4 1.0



TLS70; adaptierte CIELAB-Daten

	$L^*=L^*_a$	a^*_a	b^*_a	$C^*_{ab,a}$	$h^*_{ab,a}$
OMa	76.43	26.27	10.57	28.32	22
YMa	93.93	-10.76	34.63	36.27	107
LMa	89.32	-35.8	27.64	45.24	142
CMa	90.93	-21.95	-7.07	23.07	198
VMa	72.1	15.76	-35.63	38.97	294
MMa	78.5	37.52	-25.23	45.22	326
NMa	69.7	0.0	0.0	0.0	0
WMa	95.41	0.0	0.0	0.0	0
RCIE	39.92	58.74	27.99	65.07	25
JCIE	81.26	-2.88	71.56	71.62	92
GCIE	52.23	-42.41	13.6	44.55	162
BCIE	30.57	1.41	-46.46	46.49	272

Dreiecks-Helligkeit t^*

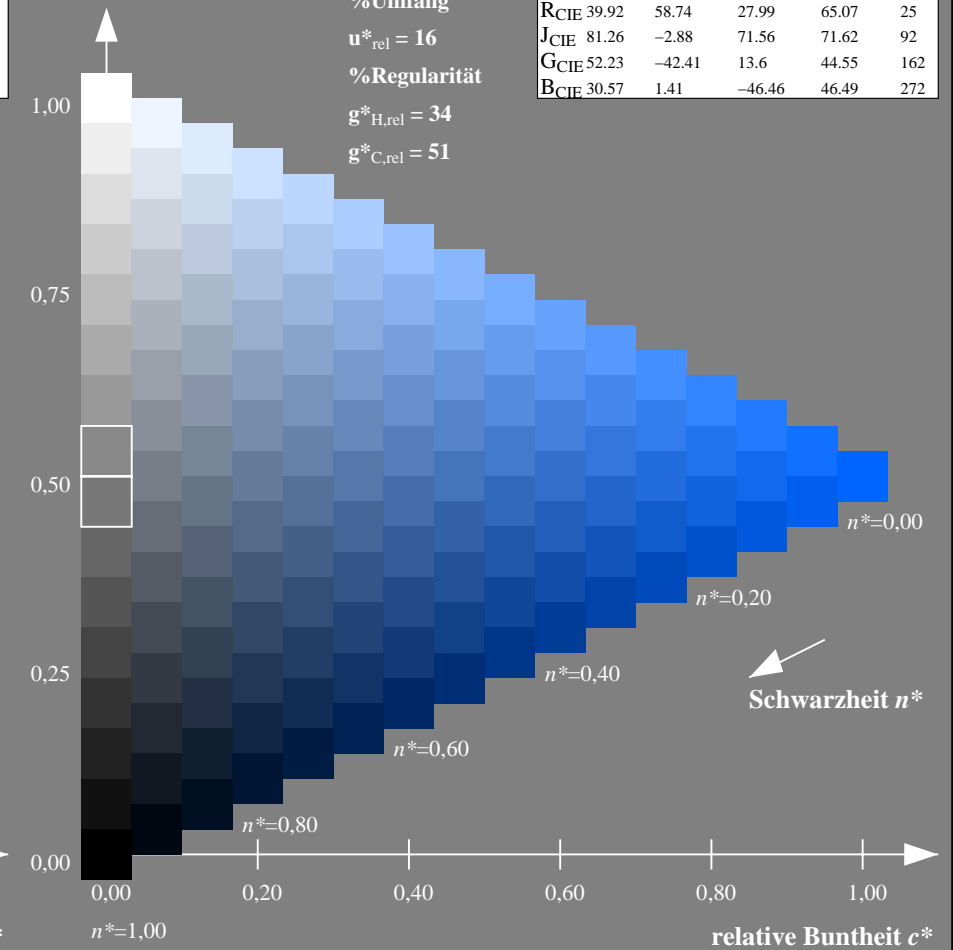
%Umfang

$u^*_{rel} = 16$

%Regularität

$g^*_{H,rel} = 34$

$g^*_{C,rel} = 51$



NG900-7, 9stufige Reihen für konstanten CIELAB Buntton $272/360 = 0.755$ (links)

16stufige Reihen für konstanten CIELAB Buntton $272/360 = 0.755$ (rechts)

Eingabe: Farbmetrisches Drucker-Reflektiv-System DRSXX

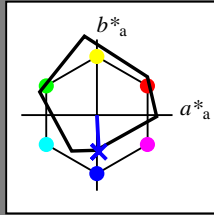
für Buntton $h^* = lab^*h = 273/360 = 0.759$

lab^*tch und lab^*nch

D65: Buntton B

LCH*Ma: 35 45 273

olv*Ma: 0.04 0.0 1.0



DRSXX; adaptierte CIELAB-Daten

	$L^*=L^*_a$	a^*_a	b^*_a	$C^*_{ab,a}$	$h^*_{ab,a}$
OMa	42.21	66.82	50.6	83.82	37
YMa	90.32	-16.51	104.33	105.63	99
LMa	48.21	-75.63	30.65	81.61	158
CMa	53.44	-33.33	-47.49	58.03	235
VMa	34.16	-0.92	-46.56	46.58	269
MMa	42.71	79.0	-1.95	79.03	359
NMa	16.56	0.0	0.0	0.0	0
WMa	96.31	0.0	0.0	0.0	0
RCIE	39.92	59.78	25.77	65.1	23
JCIE	81.26	-2.51	69.07	69.11	92
GCIE	52.23	-41.57	11.3	43.09	165
BCIE	30.57	2.6	-48.62	48.7	273

Dreiecks-Helligkeit t^*

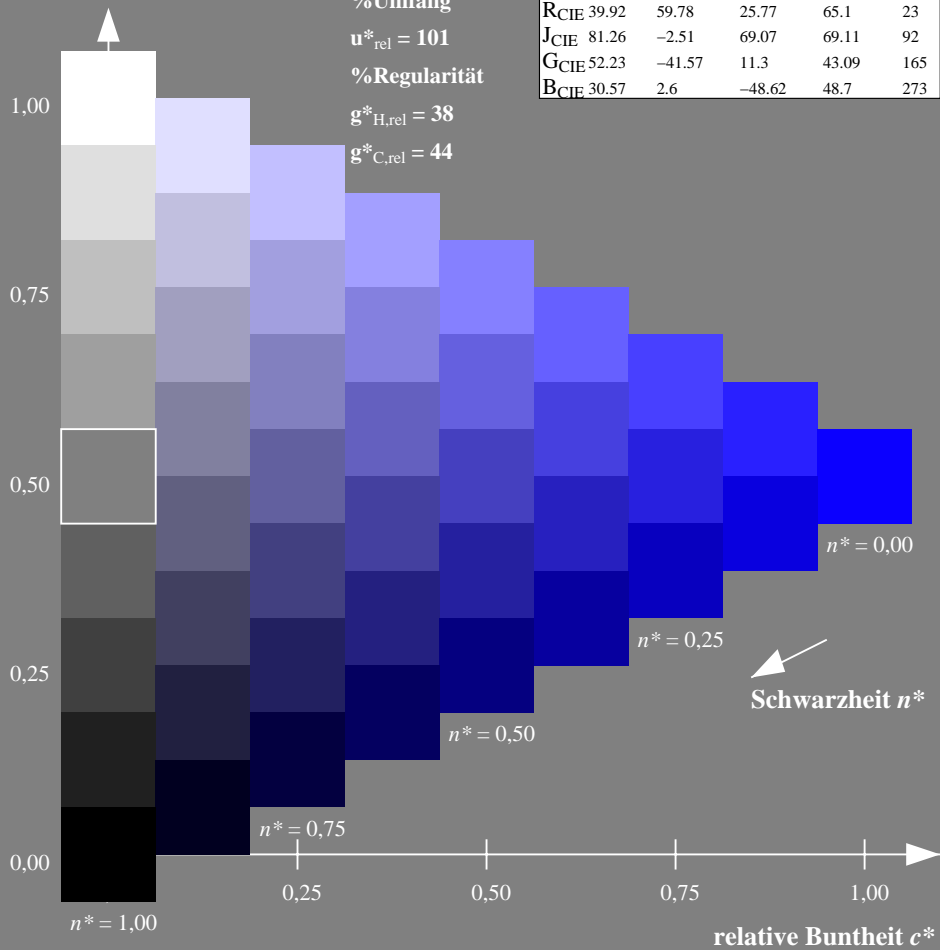
%Umfang

$u^*_{rel} = 101$

%Regularität

$g^*_{H,rel} = 38$

$g^*_{C,rel} = 44$



Ausgabe: Farbmetrisches Offset-Reflektiv-System ORS18

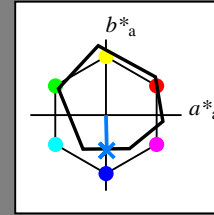
für Buntton $h^* = lab^*h = 271/360 = 0.754$

lab^*tch und lab^*nch

D65: Buntton B

LCH*Ma: 42 45 271

olv*Ma: 0.0 0.49 1.0



ORS18; adaptierte CIELAB-Daten

	$L^*=L^*_a$	a^*_a	b^*_a	$C^*_{ab,a}$	$h^*_{ab,a}$
OMa	47.94	65.39	50.52	82.63	38
YMa	90.37	-10.26	91.75	92.32	96
LMa	50.9	-62.83	34.96	71.91	151
CMa	58.62	-30.34	-45.01	54.3	236
VMa	25.72	31.1	-44.4	54.22	305
MMa	48.13	75.28	-8.36	75.74	354
NMa	18.01	0.0	0.0	0.0	0
WMa	95.41	0.0	0.0	0.0	0
RCIE	39.92	58.66	26.98	64.57	25
JCIE	81.26	-2.16	67.76	67.79	92
GCIE	52.23	-42.25	11.76	43.87	164
BCIE	30.57	1.15	-46.84	46.86	271

Dreiecks-Helligkeit t^*

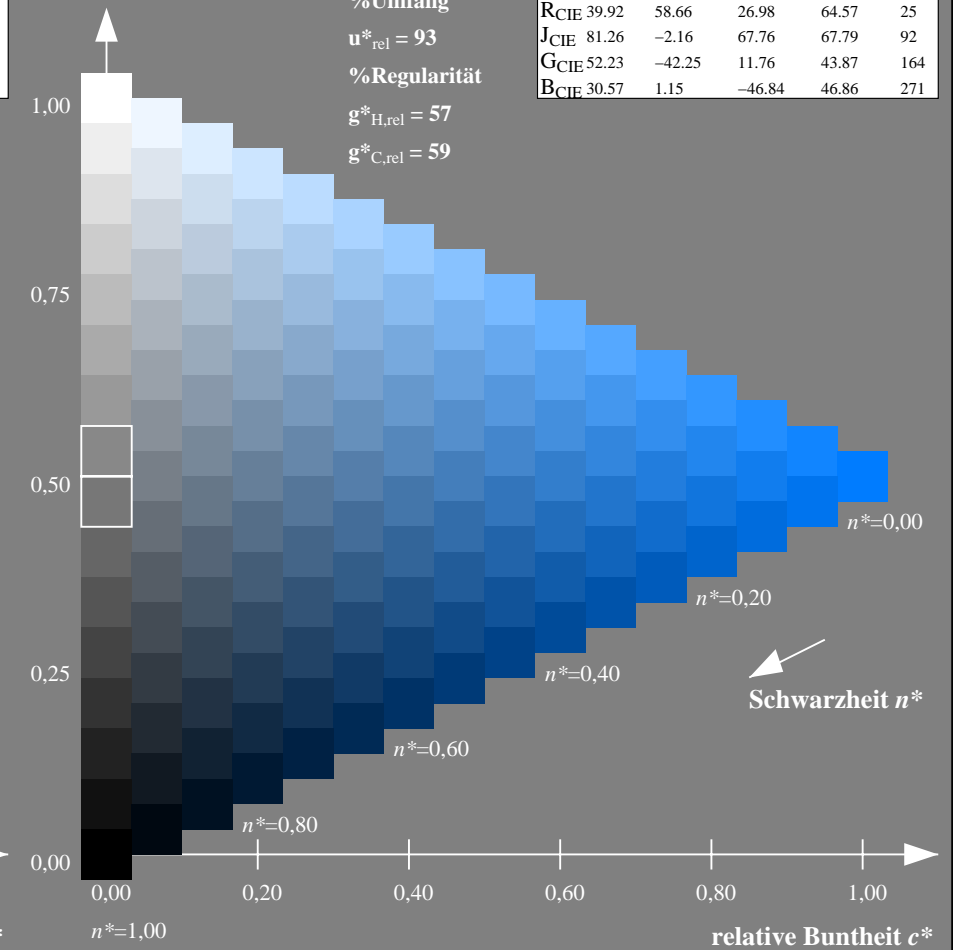
%Umfang

$u^*_{rel} = 93$

%Regularität

$g^*_{H,rel} = 57$

$g^*_{C,rel} = 59$



NG900-7, 9stufige Reihen für konstanten CIELAB Buntton $273/360 = 0.759$ (links)

16stufige Reihen für konstanten CIELAB Buntton $271/360 = 0.754$ (rechts)

Eingabe: Farbmetrisches Drucker-Reflektiv-System DRSXX

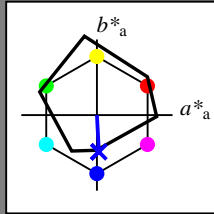
für Buntton $h^* = lab^*h = 273/360 = 0.759$

lab^*tch und lab^*nch

D65: Buntton B

LCH*Ma: 35 45 273

olv*Ma: 0.04 0.0 1.0



DRSXX; adaptierte CIELAB-Daten

	$L^*=L^*_a$	a^*_a	b^*_a	$C^*_{ab,a}$	$h^*_{ab,a}$
OMa	42.21	66.82	50.6	83.82	37
YMa	90.32	-16.51	104.33	105.63	99
LMa	48.21	-75.63	30.65	81.61	158
CMa	53.44	-33.33	-47.49	58.03	235
VMa	34.16	-0.92	-46.56	46.58	269
MMa	42.71	79.0	-1.95	79.03	359
NMa	16.56	0.0	0.0	0.0	0
WMa	96.31	0.0	0.0	0.0	0
RCIE	39.92	59.78	25.77	65.1	23
JCIE	81.26	-2.51	69.07	69.11	92
GCIE	52.23	-41.57	11.3	43.09	165
BCIE	30.57	2.6	-48.62	48.7	273

Dreiecks-Helligkeit t^*

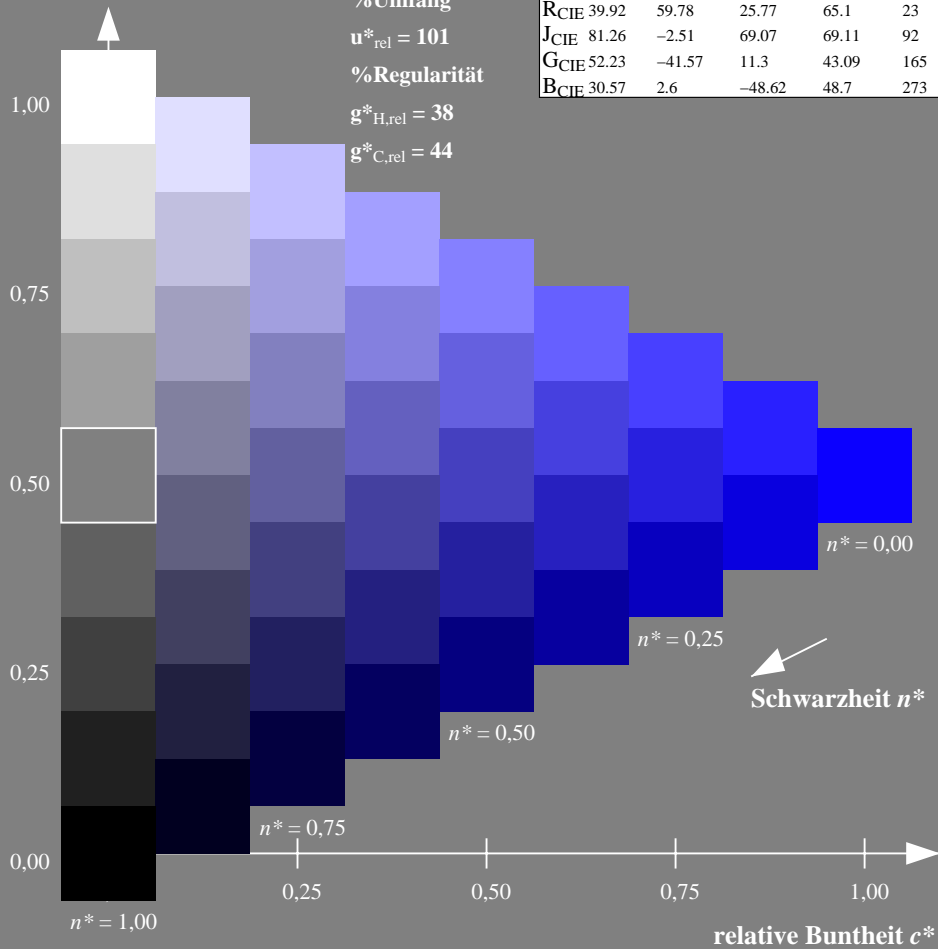
%Umfang

$u^*_{rel} = 101$

%Regularität

$g^*_{H,rel} = 38$

$g^*_{C,rel} = 44$



Ausgabe: Farbmetrisches Fernseh-Licht-System TLS00

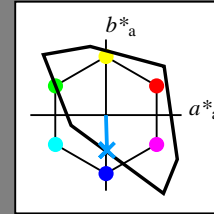
für Buntton $h^* = lab^*h = 272/360 = 0.755$

lab^*tch und lab^*nch

D65: Buntton B

LCH*Ma: 65 49 272

olv*Ma: 0.0 0.61 1.0



TLS00; adaptierte CIELAB-Daten

	$L^*=L^*_a$	a^*_a	b^*_a	$C^*_{ab,a}$	$h^*_{ab,a}$
OMa	50.5	76.92	64.55	100.42	40
YMa	92.66	-20.69	90.75	93.08	103
LMa	83.63	-82.75	79.9	115.04	136
CMa	86.88	-46.16	-13.55	48.12	196
VMa	30.39	76.06	-103.59	128.52	306
MMa	57.3	94.35	-58.41	110.97	328
NMa	0.01	0.0	0.0	0.0	0
WMa	95.41	0.0	0.0	0.0	0
RCIE	39.92	58.74	27.99	65.07	25
JCIE	81.26	-2.88	71.56	71.62	92
GCIE	52.23	-42.41	13.6	44.55	162
BCIE	30.57	1.41	-46.46	46.49	272

Dreiecks-Helligkeit t^*

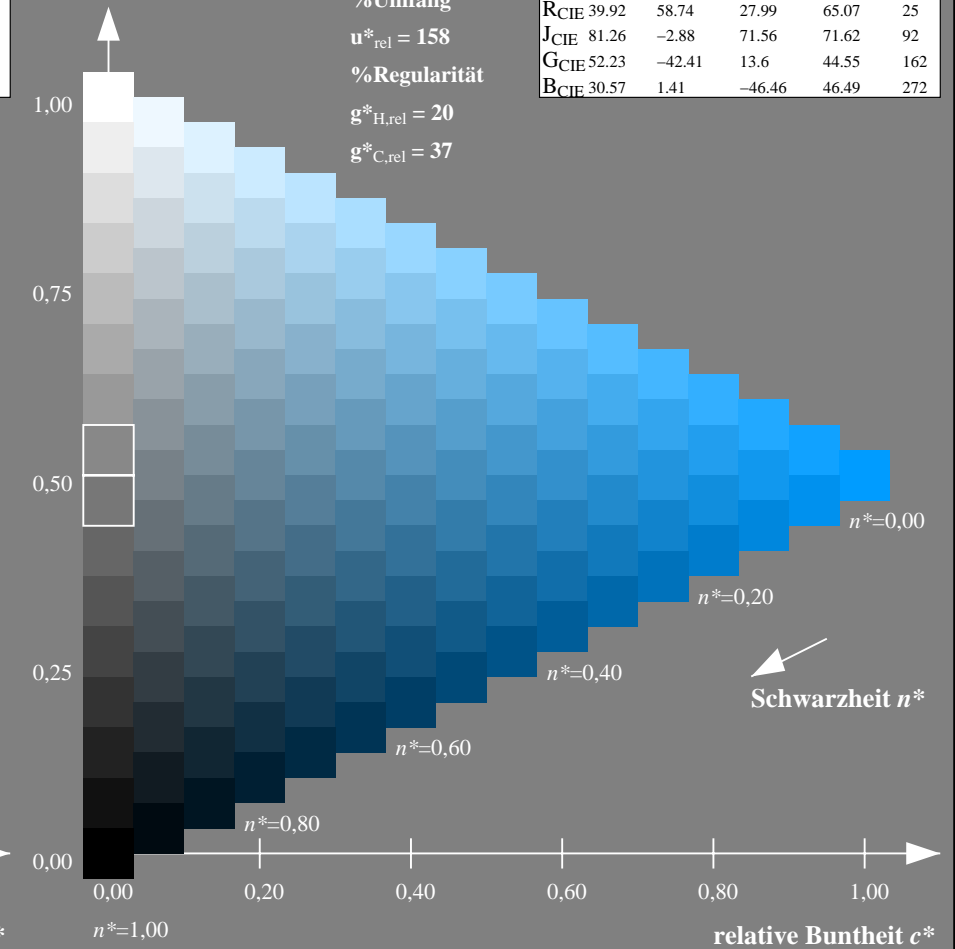
%Umfang

$u^*_{rel} = 158$

%Regularität

$g^*_{H,rel} = 20$

$g^*_{C,rel} = 37$



NG900-7, 9stufige Reihen für konstanten CIELAB Buntton $273/360 = 0.759$ (links)

16stufige Reihen für konstanten CIELAB Buntton $272/360 = 0.755$ (rechts)

Eingabe: Farbmetrisches Drucker-Reflektiv-System DRSXX

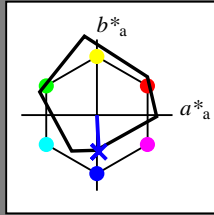
für Buntton $h^* = lab^*h = 273/360 = 0.759$

lab^*tch und lab^*nch

D65: Buntton B

LCH*Ma: 35 45 273

olv*Ma: 0.04 0.0 1.0



DRSXX; adaptierte CIELAB-Daten

	$L^*=L^*_a$	a^*_a	b^*_a	$C^*_{ab,a}$	$h^*_{ab,a}$
OMa	42.21	66.82	50.6	83.82	37
YMa	90.32	-16.51	104.33	105.63	99
LMa	48.21	-75.63	30.65	81.61	158
CMa	53.44	-33.33	-47.49	58.03	235
VMa	34.16	-0.92	-46.56	46.58	269
MMa	42.71	79.0	-1.95	79.03	359
NMa	16.56	0.0	0.0	0.0	0
WMa	96.31	0.0	0.0	0.0	0
RCIE	39.92	59.78	25.77	65.1	23
JCIE	81.26	-2.51	69.07	69.11	92
GCIE	52.23	-41.57	11.3	43.09	165
BCIE	30.57	2.6	-48.62	48.7	273

Dreiecks-Helligkeit t^*

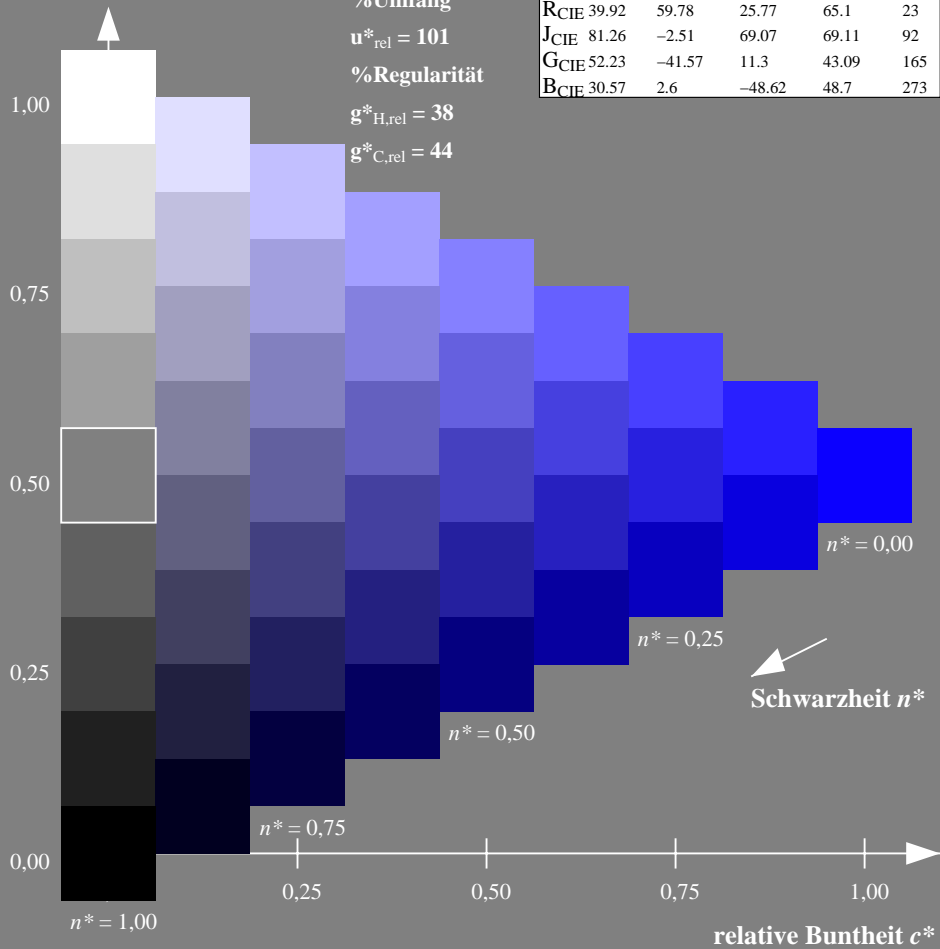
%Umfang

$u^*_{rel} = 101$

%Regularität

$g^*_{H,rel} = 38$

$g^*_{C,rel} = 44$



Ausgabe: Farbmetrisches Drucker-Reflektiv-System DRSXX

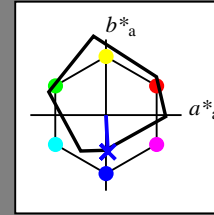
für Buntton $h^* = lab^*h = 273/360 = 0.759$

lab^*tch und lab^*nch

D65: Buntton B

LCH*Ma: 35 45 273

olv*Ma: 0.04 0.0 1.0



DRSXX; adaptierte CIELAB-Daten

	$L^*=L^*_a$	a^*_a	b^*_a	$C^*_{ab,a}$	$h^*_{ab,a}$
OMa	42.21	66.82	50.6	83.82	37
YMa	90.32	-16.51	104.33	105.63	99
LMa	48.21	-75.63	30.65	81.61	158
CMa	53.44	-33.33	-47.49	58.03	235
VMa	34.16	-0.92	-46.56	46.58	269
MMa	42.71	79.0	-1.95	79.03	359
NMa	16.56	0.0	0.0	0.0	0
WMa	96.31	0.0	0.0	0.0	0
RCIE	39.92	59.78	25.77	65.1	23
JCIE	81.26	-2.51	69.07	69.11	92
GCIE	52.23	-41.57	11.3	43.09	165
BCIE	30.57	2.6	-48.62	48.7	273

Dreiecks-Helligkeit t^*

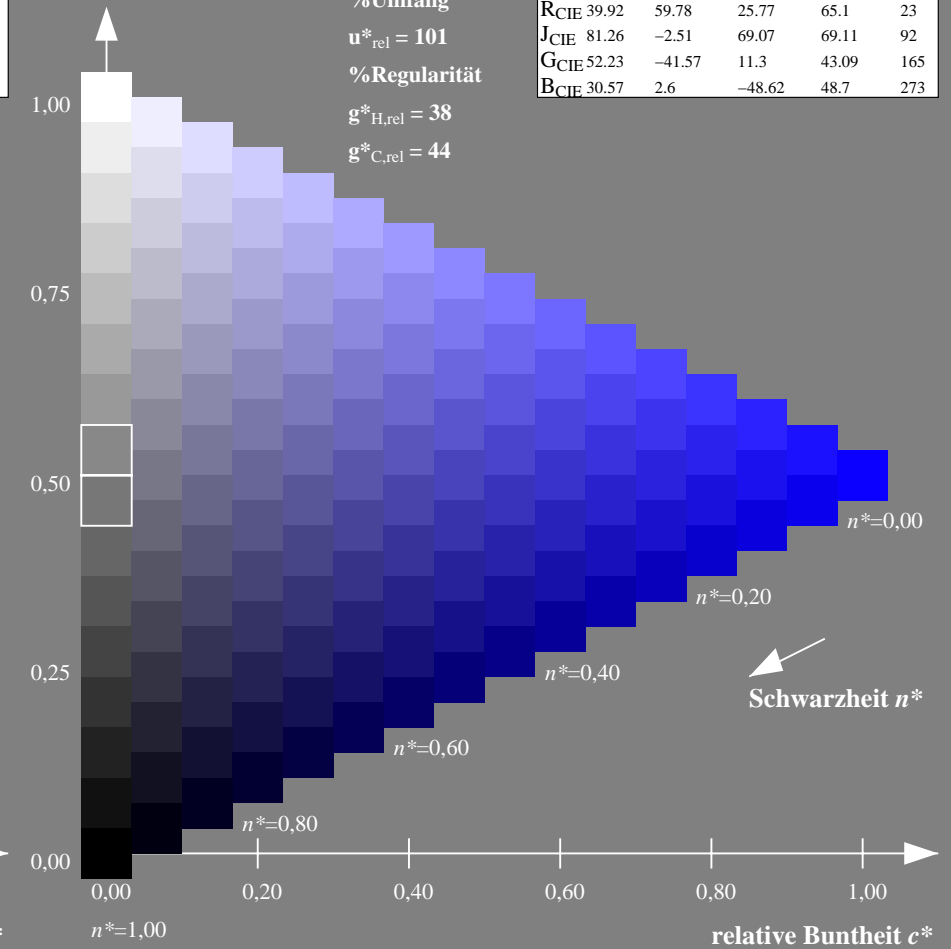
%Umfang

$u^*_{rel} = 101$

%Regularität

$g^*_{H,rel} = 38$

$g^*_{C,rel} = 44$



NG900-7, 9stufige Reihen für konstanten CIELAB Buntton $273/360 = 0.759$ (links)

16stufige Reihen für konstanten CIELAB Buntton $273/360 = 0.759$ (rechts)

Eingabe: Farbmetrisches Drucker-Reflektiv-System DRSXX

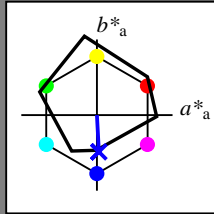
für Buntton $h^* = lab^*h = 273/360 = 0.759$

lab^*tch und lab^*nch

D65: Buntton B

LCH*Ma: 35 45 273

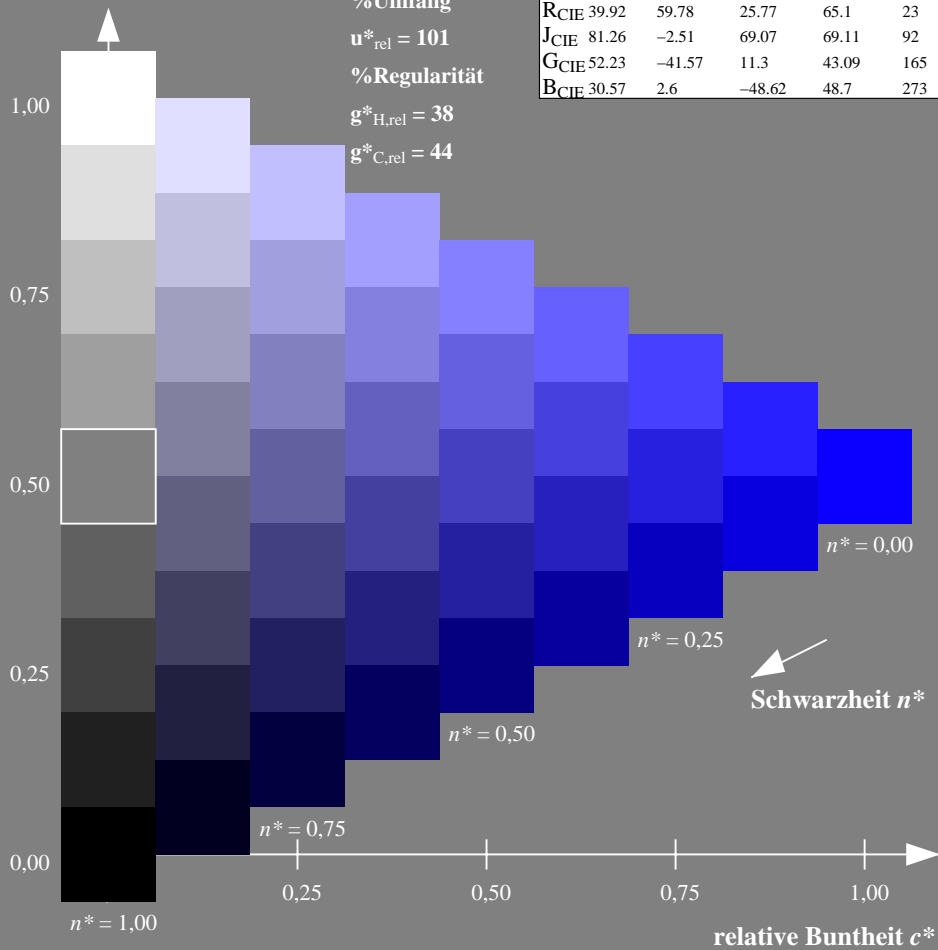
olv*Ma: 0.04 0.0 1.0



DRSXX; adaptierte CIELAB-Daten

	$L^*=L^*_a$	a^*_a	b^*_a	$C^*_{ab,a}$	$h^*_{ab,a}$
O _{Ma}	42.21	66.82	50.6	83.82	37
Y _{Ma}	90.32	-16.51	104.33	105.63	99
L _{Ma}	48.21	-75.63	30.65	81.61	158
C _{Ma}	53.44	-33.33	-47.49	58.03	235
V _{Ma}	34.16	-0.92	-46.56	46.58	269
M _{Ma}	42.71	79.0	-1.95	79.03	359
N _{Ma}	16.56	0.0	0.0	0.0	0
W _{Ma}	96.31	0.0	0.0	0.0	0
R _{CIE}	39.92	59.78	25.77	65.1	23
J _{CIE}	81.26	-2.51	69.07	69.11	92
G _{CIE}	52.23	-41.57	11.3	43.09	165
B _{CIE}	30.57	2.6	-48.62	48.7	273

Dreiecks-Helligkeit t^*



Ausgabe: Farbmetrisches Fernseh-Licht-System TLS18

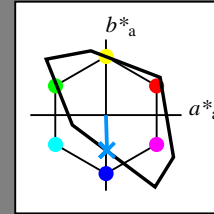
für Buntton $h^* = lab^*h = 272/360 = 0.755$

lab^*tch und lab^*nch

D65: Buntton B

LCH*Ma: 65 48 272

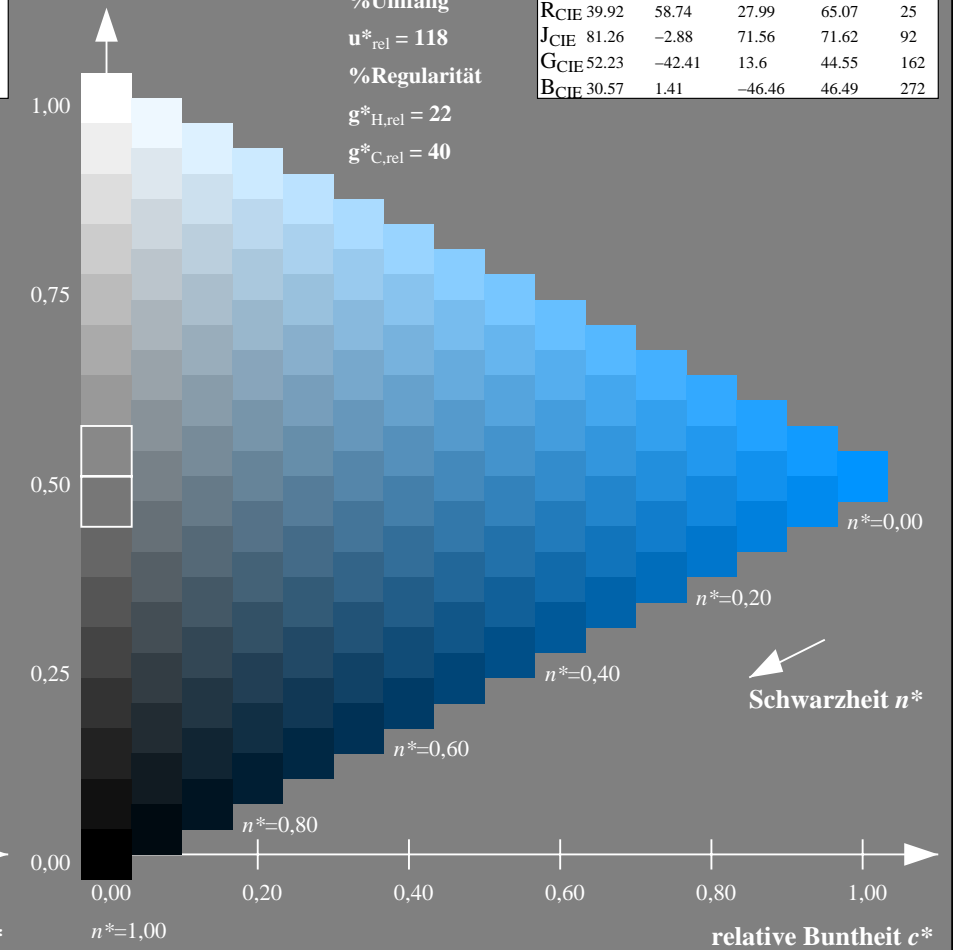
olv*Ma: 0.0 0.58 1.0



TLS18; adaptierte CIELAB-Daten

	$L^*=L^*_a$	a^*_a	b^*_a	$C^*_{ab,a}$	$h^*_{ab,a}$
O _{Ma}	52.76	71.63	49.88	87.29	35
Y _{Ma}	92.74	-20.02	84.97	87.3	103
L _{Ma}	84.0	-78.98	73.94	108.2	137
C _{Ma}	87.14	-44.41	-13.11	46.32	196
V _{Ma}	35.47	64.92	-95.06	115.12	304
M _{Ma}	59.01	89.33	-55.67	105.26	328
N _{Ma}	18.01	0.0	0.0	0.0	0
W _{Ma}	95.41	0.0	0.0	0.0	0
R _{CIE}	39.92	58.74	27.99	65.07	25
J _{CIE}	81.26	-2.88	71.56	71.62	92
G _{CIE}	52.23	-42.41	13.6	44.55	162
B _{CIE}	30.57	1.41	-46.46	46.49	272

Dreiecks-Helligkeit t^*



NG900-7, 9stufige Reihen für konstanten CIELAB Buntton $273/360 = 0.759$ (links)

16stufige Reihen für konstanten CIELAB Buntton $272/360 = 0.755$ (rechts)

Eingabe: Farbmetrisches Drucker-Reflektiv-System DRSXX

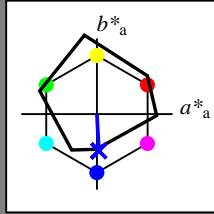
für Buntton $h^* = lab^*h = 273/360 = 0.759$

lab^*tch und lab^*nch

D65: Buntton B

LCH*Ma: 35 45 273

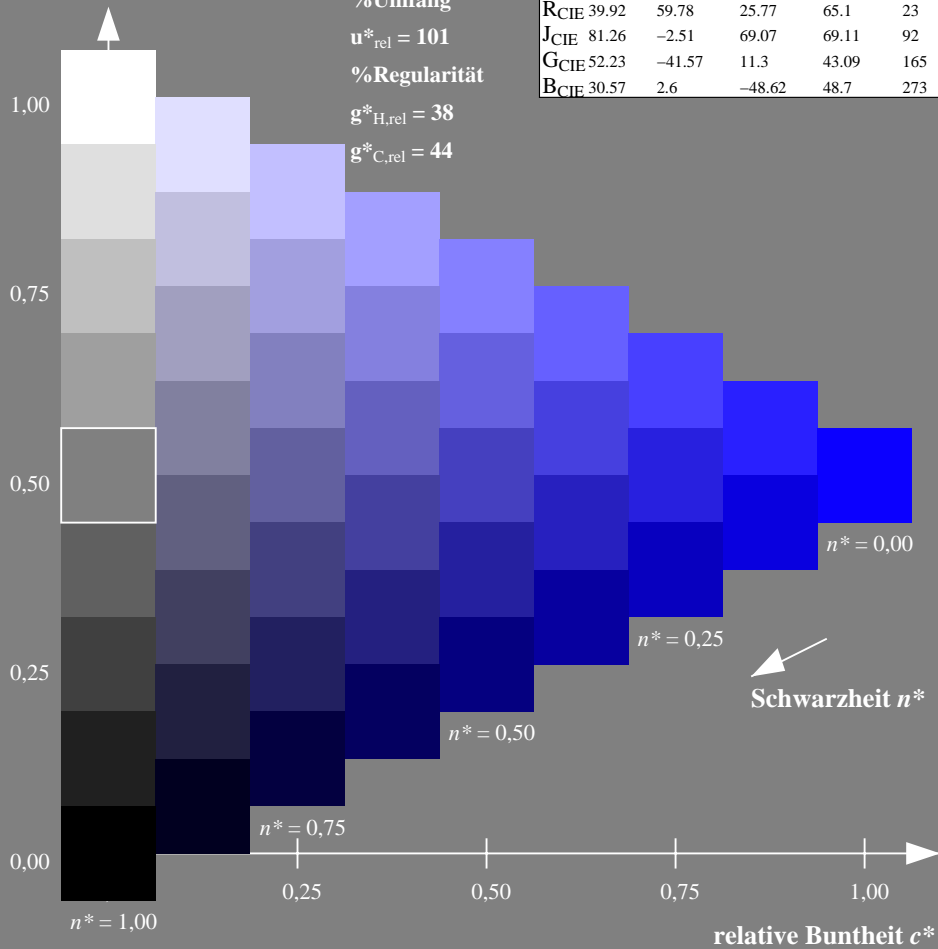
olv*Ma: 0.04 0.0 1.0



DRSXX; adaptierte CIELAB-Daten

	$L^*=L^*_a$	a^*_a	b^*_a	$C^*_{ab,a}$	$h^*_{ab,a}$
O _{Ma}	42.21	66.82	50.6	83.82	37
Y _{Ma}	90.32	-16.51	104.33	105.63	99
L _{Ma}	48.21	-75.63	30.65	81.61	158
C _{Ma}	53.44	-33.33	-47.49	58.03	235
V _{Ma}	34.16	-0.92	-46.56	46.58	269
M _{Ma}	42.71	79.0	-1.95	79.03	359
N _{Ma}	16.56	0.0	0.0	0.0	0
W _{Ma}	96.31	0.0	0.0	0.0	0
R _{CIE}	39.92	59.78	25.77	65.1	23
J _{CIE}	81.26	-2.51	69.07	69.11	92
G _{CIE}	52.23	-41.57	11.3	43.09	165
B _{CIE}	30.57	2.6	-48.62	48.7	273

Dreiecks-Helligkeit t^*



Ausgabe: Farbmetrisches Natürliches-Licht-System NLS00

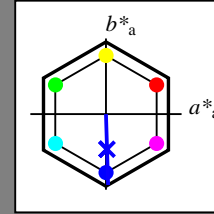
für Buntton $h^* = lab^*h = 272/360 = 0.755$

lab^*tch und lab^*nch

D65: Buntton B

LCH*Ma: 33 94 272

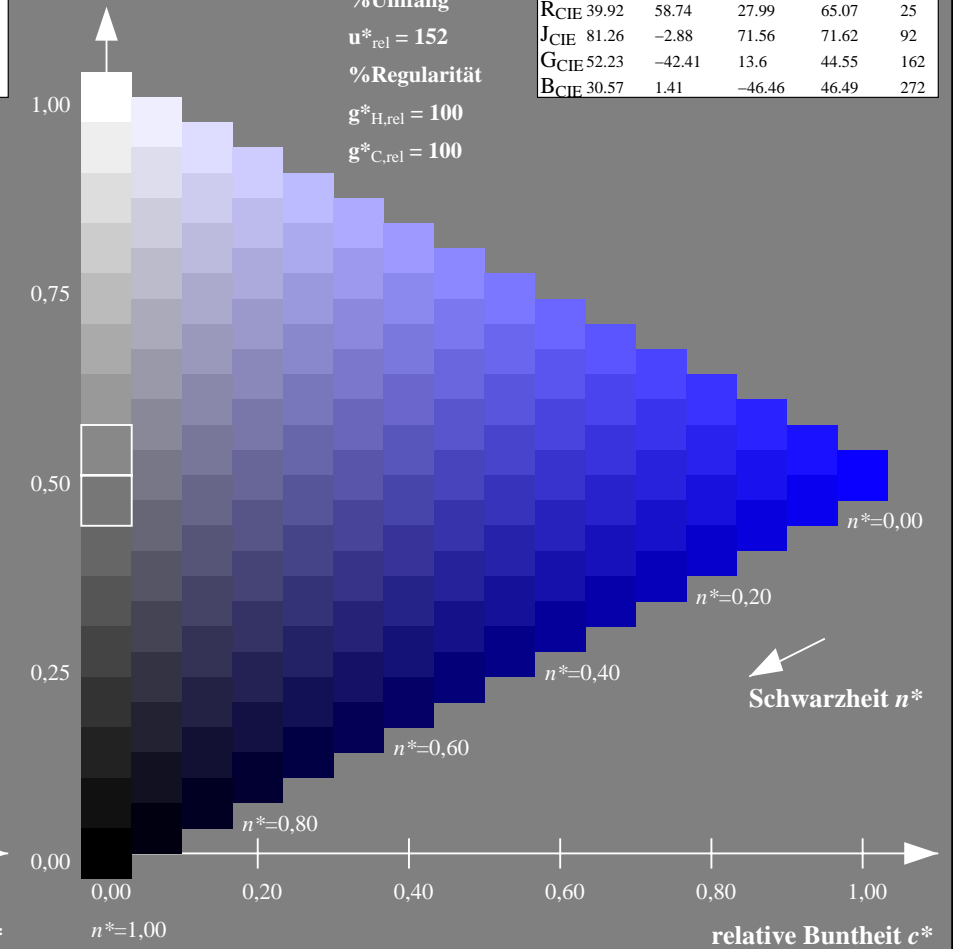
olv*Ma: 0.03 0.0 1.0



NLS00; adaptierte CIELAB-Daten

	$L^*=L^*_a$	a^*_a	b^*_a	$C^*_{ab,a}$	$h^*_{ab,a}$
O _{Ma}	31.81	82.62	47.7	95.4	30
Y _{Ma}	63.61	0.0	95.4	95.4	90
L _{Ma}	31.81	-82.61	47.7	95.4	150
C _{Ma}	63.61	-82.61	-47.69	95.4	210
V _{Ma}	31.81	0.0	-95.39	95.4	270
M _{Ma}	63.61	82.62	-47.69	95.4	330
N _{Ma}	0.01	0.0	0.0	0.0	0
W _{Ma}	95.41	0.0	0.0	0.0	0
R _{CIE}	39.92	58.74	27.99	65.07	25
J _{CIE}	81.26	-2.88	71.56	71.62	92
G _{CIE}	52.23	-42.41	13.6	44.55	162
B _{CIE}	30.57	1.41	-46.46	46.49	272

Dreiecks-Helligkeit t^*



NG900-7, 9stufige Reihen für konstanten CIELAB Buntton 273/360 = 0.759 (links)

16stufige Reihen für konstanten CIELAB Buntton 272/360 = 0.755 (rechts)

Eingabe: Farbmetrisches Drucker-Reflektiv-System DRSXX

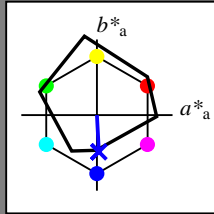
für Buntton $h^* = lab^*h = 273/360 = 0.759$

lab^*tch und lab^*nch

D65: Buntton B

LCH*Ma: 35 45 273

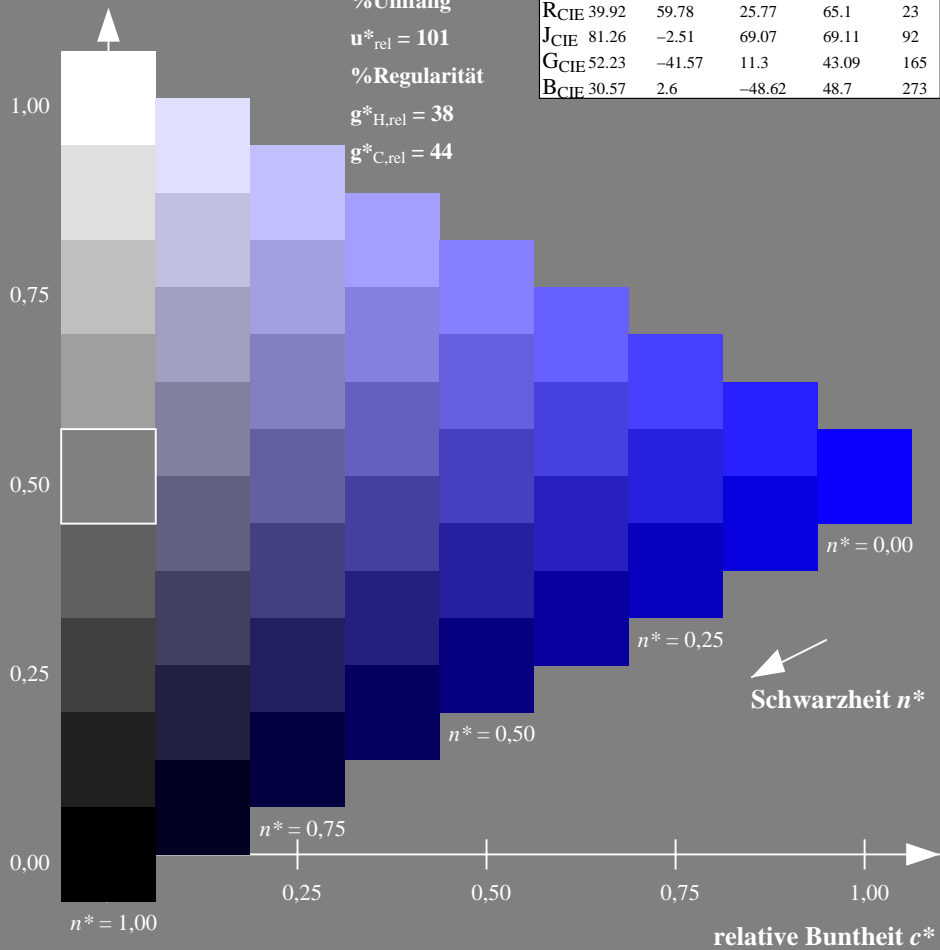
olv*Ma: 0.04 0.0 1.0



DRSXX; adaptierte CIELAB-Daten

	$L^*=L^*_a$	a^*_a	b^*_a	$C^*_{ab,a}$	$h^*_{ab,a}$
OMa	42.21	66.82	50.6	83.82	37
YMa	90.32	-16.51	104.33	105.63	99
LMa	48.21	-75.63	30.65	81.61	158
CMa	53.44	-33.33	-47.49	58.03	235
VMa	34.16	-0.92	-46.56	46.58	269
MMa	42.71	79.0	-1.95	79.03	359
NMa	16.56	0.0	0.0	0.0	0
WMa	96.31	0.0	0.0	0.0	0
RCIE	39.92	59.78	25.77	65.1	23
JCIE	81.26	-2.51	69.07	69.11	92
GCIE	52.23	-41.57	11.3	43.09	165
BCIE	30.57	2.6	-48.62	48.7	273

Dreiecks-Helligkeit t^*



Ausgabe: Farbmetrisches Natürliches-Reflektiv-System NRS18

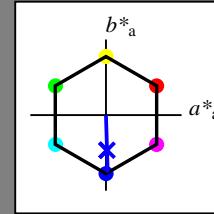
für Buntton $h^* = lab^*h = 272/360 = 0.755$

lab^*tch und lab^*nch

D65: Buntton B

LCH*Ma: 45 76 272

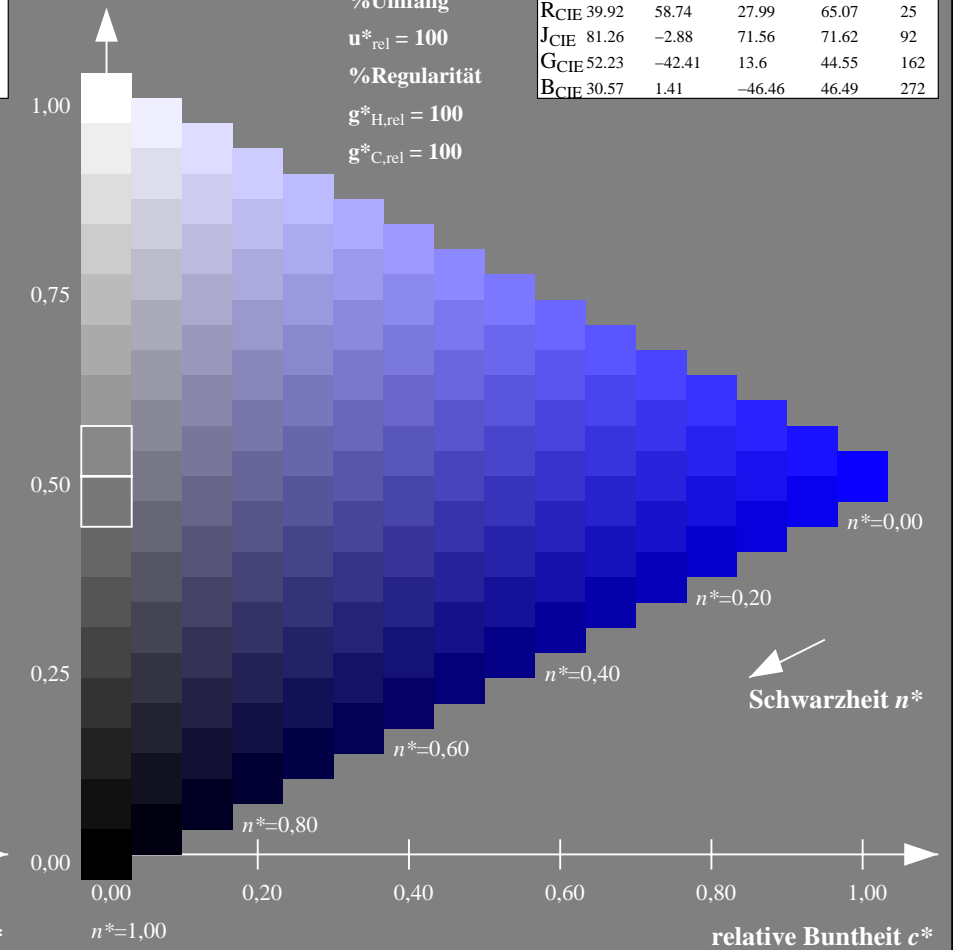
olv*Ma: 0.03 0.0 1.0



NRS18; adaptierte CIELAB-Daten

	$L^*=L^*_a$	a^*_a	b^*_a	$C^*_{ab,a}$	$h^*_{ab,a}$
OMa	43.81	67.03	38.7	77.4	30
YMa	69.61	0.0	77.4	77.4	90
LMa	43.81	-67.02	38.7	77.4	150
CMa	69.61	-67.02	-38.69	77.4	210
VMa	43.81	0.0	-77.39	77.4	270
MMa	69.61	67.03	-38.69	77.4	330
NMa	18.01	0.0	0.0	0.0	0
WMa	95.41	0.0	0.0	0.0	0
RCIE	39.92	58.74	27.99	65.07	25
JCIE	81.26	-2.88	71.56	71.62	92
GCIE	52.23	-42.41	13.6	44.55	162
BCIE	30.57	1.41	-46.46	46.49	272

Dreiecks-Helligkeit t^*



NG900-7, 9stufige Reihen für konstanten CIELAB Buntton $273/360 = 0.759$ (links)

16stufige Reihen für konstanten CIELAB Buntton $272/360 = 0.755$ (rechts)

Eingabe: Farbmetrisches Drucker-Reflektiv-System DRSXX

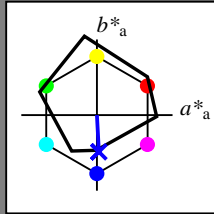
für Buntton $h^* = lab^*h = 273/360 = 0.759$

lab^*tch und lab^*nch

D65: Buntton B

LCH*Ma: 35 45 273

olv*Ma: 0.04 0.0 1.0



DRSXX; adaptierte CIELAB-Daten

	$L^*=L^*_a$	a^*_a	b^*_a	$C^*_{ab,a}$	$h^*_{ab,a}$
OMa	42.21	66.82	50.6	83.82	37
YMa	90.32	-16.51	104.33	105.63	99
LMa	48.21	-75.63	30.65	81.61	158
CMa	53.44	-33.33	-47.49	58.03	235
VMa	34.16	-0.92	-46.56	46.58	269
MMa	42.71	79.0	-1.95	79.03	359
NMa	16.56	0.0	0.0	0.0	0
WMa	96.31	0.0	0.0	0.0	0
RCIE	39.92	59.78	25.77	65.1	23
JCIE	81.26	-2.51	69.07	69.11	92
GCIE	52.23	-41.57	11.3	43.09	165
BCIE	30.57	2.6	-48.62	48.7	273

Dreiecks-Helligkeit t^*

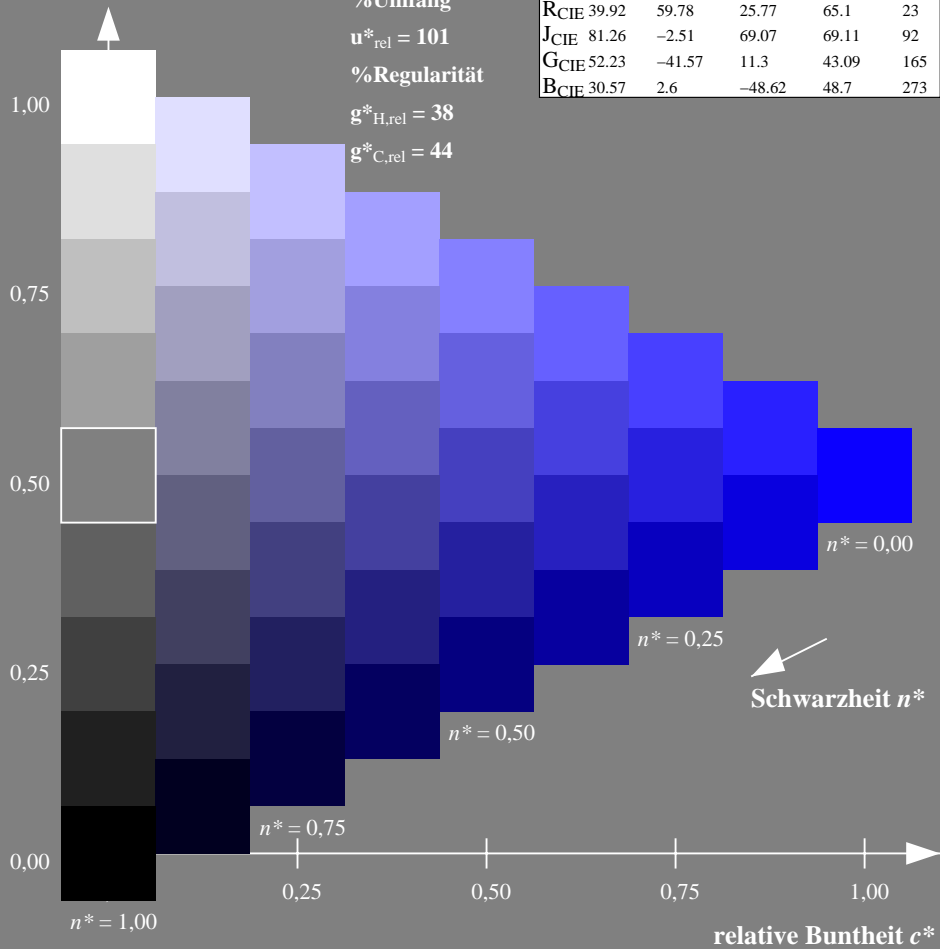
%Umfang

$u^*_{rel} = 101$

%Regularität

$g^*_{H,rel} = 38$

$g^*_{C,rel} = 44$



Ausgabe: Farbmetrisches Standard-Reflektiv-System SRS18

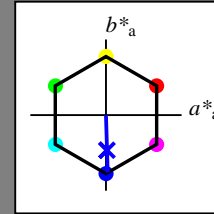
für Buntton $h^* = lab^*h = 272/360 = 0.755$

lab^*tch und lab^*nch

D65: Buntton B

LCH*Ma: 57 76 272

olv*Ma: 0.03 0.0 1.0



SRS18; adaptierte CIELAB-Daten

	$L^*=L^*_a$	a^*_a	b^*_a	$C^*_{ab,a}$	$h^*_{ab,a}$
OMa	56.71	67.03	38.7	77.4	30
YMa	56.71	0.0	77.4	77.4	90
LMa	56.71	-67.02	38.7	77.4	150
CMa	56.71	-67.02	-38.69	77.4	210
VMa	56.71	0.0	-77.39	77.4	270
MMa	56.71	67.03	-38.69	77.4	330
NMa	18.01	0.0	0.0	0.0	0
WMa	95.41	0.0	0.0	0.0	0
RCIE	39.92	58.74	27.99	65.07	25
JCIE	81.26	-2.88	71.56	71.62	92
GCIE	52.23	-42.41	13.6	44.55	162
BCIE	30.57	1.41	-46.46	46.49	272

Dreiecks-Helligkeit t^*

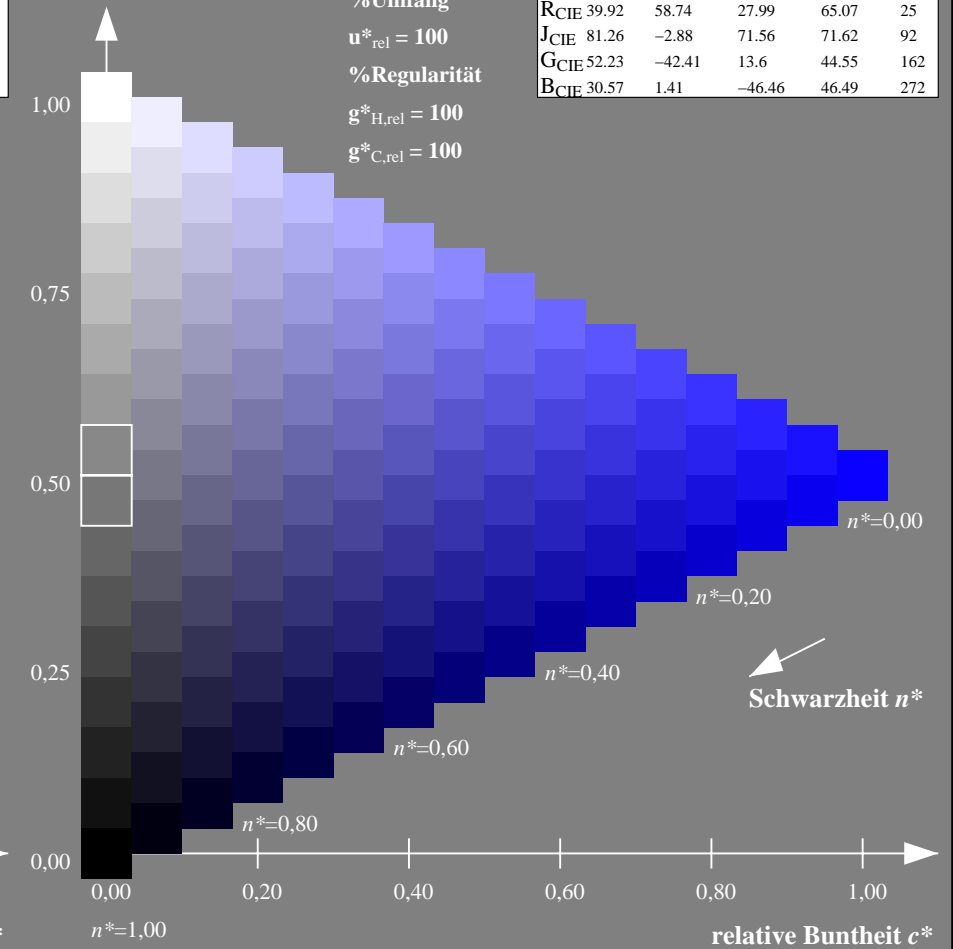
%Umfang

$u^*_{rel} = 100$

%Regularität

$g^*_{H,rel} = 100$

$g^*_{C,rel} = 100$



NG900-7, 9stufige Reihen für konstanten CIELAB Buntton $273/360 = 0.759$ (links)

16stufige Reihen für konstanten CIELAB Buntton $272/360 = 0.755$ (rechts)

Eingabe: Farbmetrisches Drucker-Reflektiv-System DRSXX

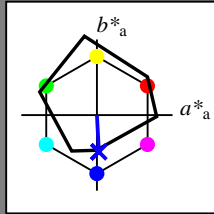
für Buntton $h^* = lab^*h = 273/360 = 0.759$

lab^*tch und lab^*nch

D65: Buntton B

LCH*Ma: 35 45 273

olv*Ma: 0.04 0.0 1.0



DRSXX; adaptierte CIELAB-Daten

	$L^*=L^*_a$	a^*_a	b^*_a	$C^*_{ab,a}$	$h^*_{ab,a}$
O _{Ma}	42.21	66.82	50.6	83.82	37
Y _{Ma}	90.32	-16.51	104.33	105.63	99
L _{Ma}	48.21	-75.63	30.65	81.61	158
C _{Ma}	53.44	-33.33	-47.49	58.03	235
V _{Ma}	34.16	-0.92	-46.56	46.58	269
M _{Ma}	42.71	79.0	-1.95	79.03	359
N _{Ma}	16.56	0.0	0.0	0.0	0
W _{Ma}	96.31	0.0	0.0	0.0	0
R _{CIE}	39.92	59.78	25.77	65.1	23
J _{CIE}	81.26	-2.51	69.07	69.11	92
G _{CIE}	52.23	-41.57	11.3	43.09	165
B _{CIE}	30.57	2.6	-48.62	48.7	273

Dreiecks-Helligkeit t^*

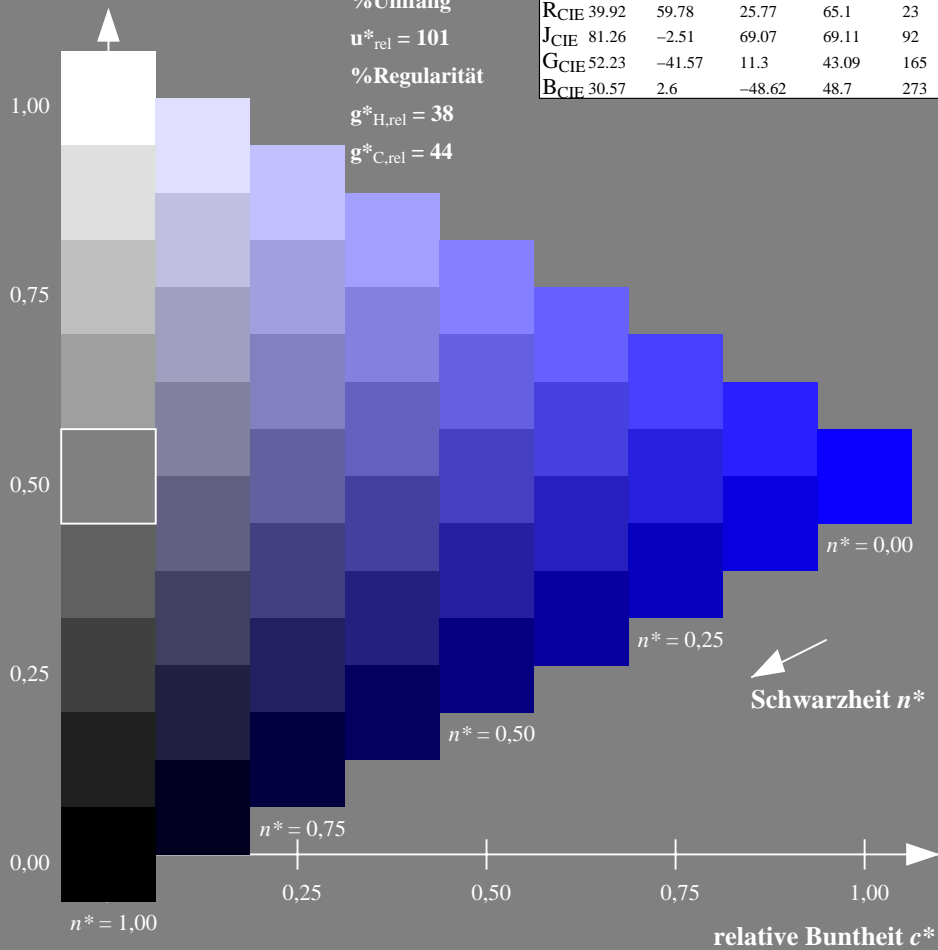
%Umfang

$u^*_{rel} = 101$

%Regularität

$g^*_{H,rel} = 38$

$g^*_{C,rel} = 44$



Ausgabe: Farbmetrisches Fernseh-Licht-System TLS70

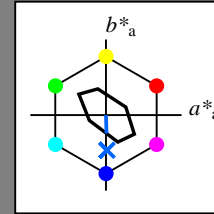
für Buntton $h^* = lab^*h = 272/360 = 0.755$

lab^*tch und lab^*nch

D65: Buntton B

LCH*Ma: 80 24 272

olv*Ma: 0.0 0.4 1.0



TLS70; adaptierte CIELAB-Daten

	$L^*=L^*_a$	a^*_a	b^*_a	$C^*_{ab,a}$	$h^*_{ab,a}$
O _{Ma}	76.43	26.27	10.57	28.32	22
Y _{Ma}	93.93	-10.76	34.63	36.27	107
L _{Ma}	89.32	-35.8	27.64	45.24	142
C _{Ma}	90.93	-21.95	-7.07	23.07	198
V _{Ma}	72.1	15.76	-35.63	38.97	294
M _{Ma}	78.5	37.52	-25.23	45.22	326
N _{Ma}	69.7	0.0	0.0	0.0	0
W _{Ma}	95.41	0.0	0.0	0.0	0
R _{CIE}	39.92	58.74	27.99	65.07	25
J _{CIE}	81.26	-2.88	71.56	71.62	92
G _{CIE}	52.23	-42.41	13.6	44.55	162
B _{CIE}	30.57	1.41	-46.46	46.49	272

Dreiecks-Helligkeit t^*

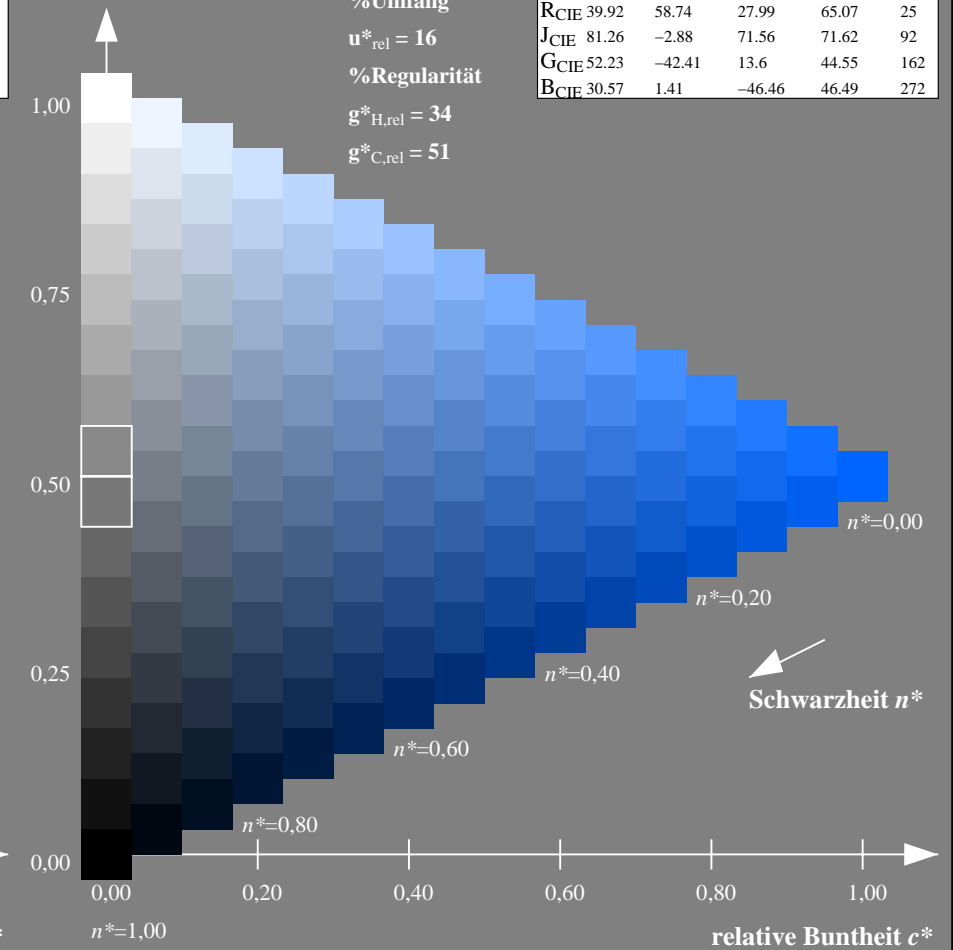
%Umfang

$u^*_{rel} = 16$

%Regularität

$g^*_{H,rel} = 34$

$g^*_{C,rel} = 51$



NG900-7, 9stufige Reihen für konstanten CIELAB Buntton $273/360 = 0.759$ (links)

16stufige Reihen für konstanten CIELAB Buntton $272/360 = 0.755$ (rechts)

Eingabe: Farbmetrisches Fernseh-Licht-System TLS18

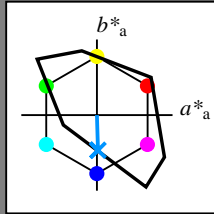
für Buntton $h^* = lab^*h = 272/360 = 0.755$

lab^*tch und lab^*nch

D65: Buntton B

LCH*Ma: 65 48 272

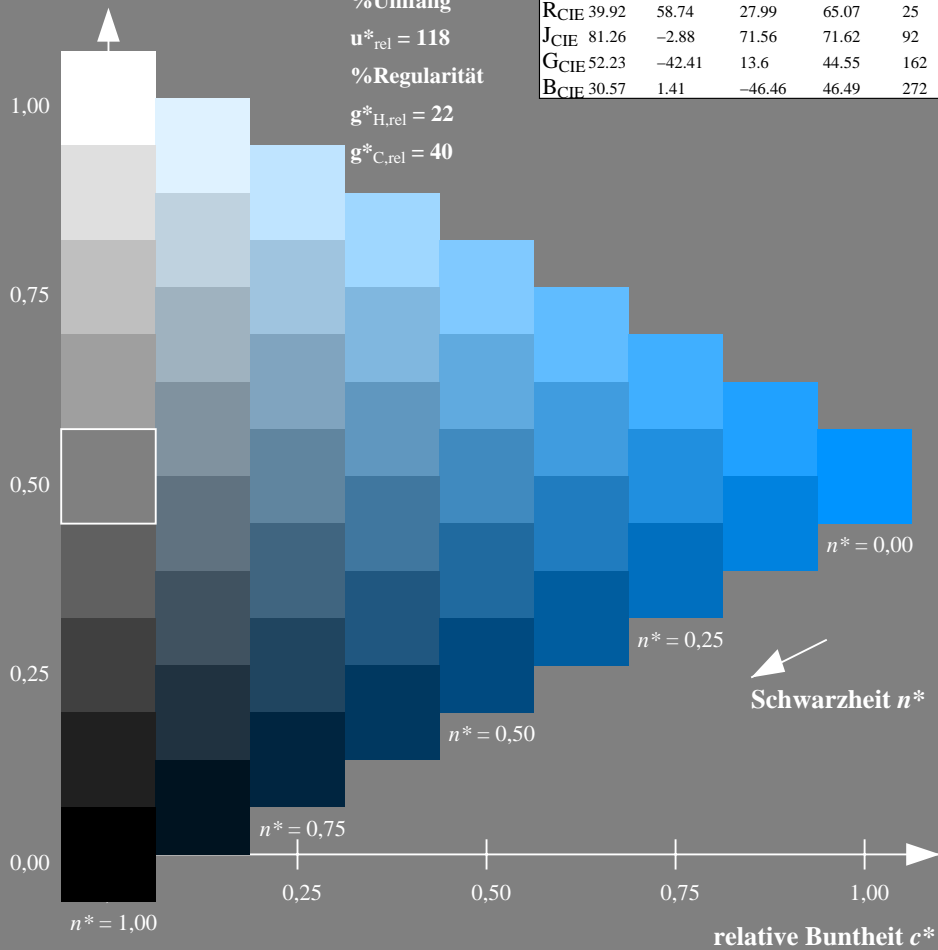
olv*Ma: 0.0 0.58 1.0



TLS18; adaptierte CIELAB-Daten

	$L^*=L^*_a$	a^*_a	b^*_a	$C^*_{ab,a}$	$h^*_{ab,a}$
OMa	52.76	71.63	49.88	87.29	35
YMa	92.74	-20.02	84.97	87.3	103
LMa	84.0	-78.98	73.94	108.2	137
CMa	87.14	-44.41	-13.11	46.32	196
VMa	35.47	64.92	-95.06	115.12	304
MMa	59.01	89.33	-55.67	105.26	328
NMa	18.01	0.0	0.0	0.0	0
WMa	95.41	0.0	0.0	0.0	0
RCIE	39.92	58.74	27.99	65.07	25
JCIE	81.26	-2.88	71.56	71.62	92
GCIE	52.23	-42.41	13.6	44.55	162
BCIE	30.57	1.41	-46.46	46.49	272

Dreiecks-Helligkeit t^*



Ausgabe: Farbmetrisches Offset-Reflektiv-System ORS18

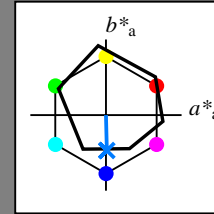
für Buntton $h^* = lab^*h = 271/360 = 0.754$

lab^*tch und lab^*nch

D65: Buntton B

LCH*Ma: 42 45 271

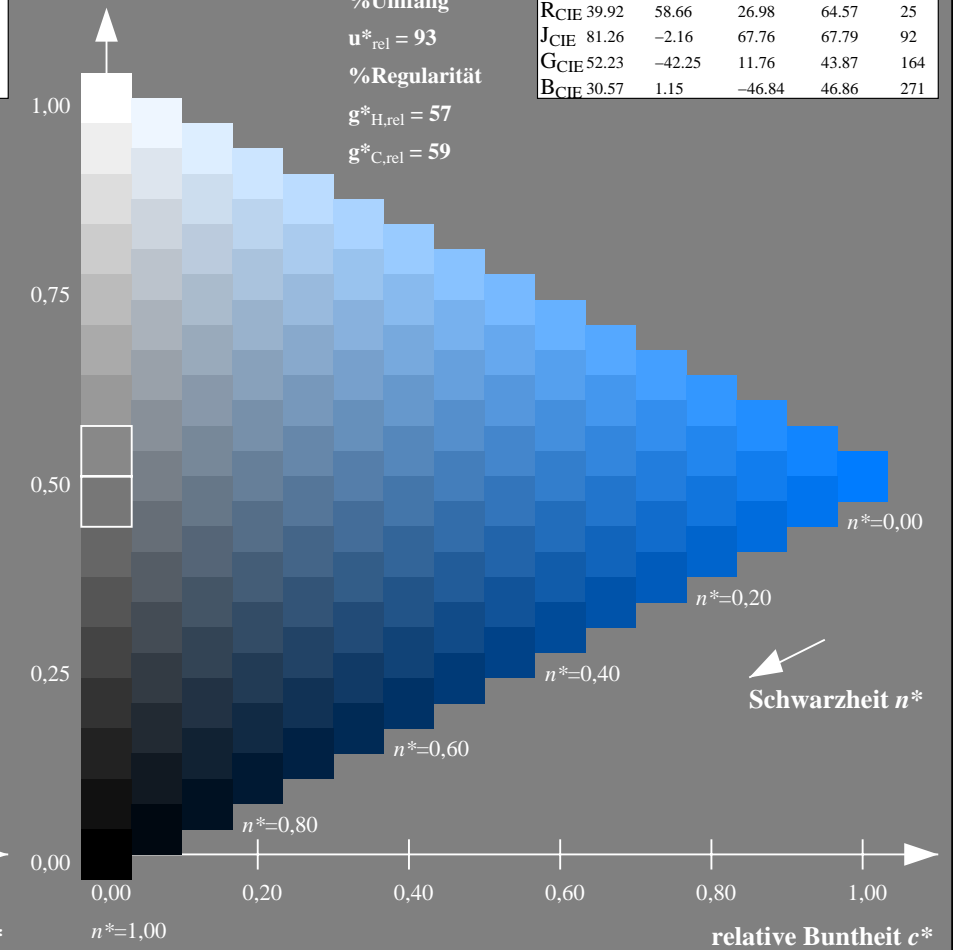
olv*Ma: 0.0 0.49 1.0



ORS18; adaptierte CIELAB-Daten

	$L^*=L^*_a$	a^*_a	b^*_a	$C^*_{ab,a}$	$h^*_{ab,a}$
OMa	47.94	65.39	50.52	82.63	38
YMa	90.37	-10.26	91.75	92.32	96
LMa	50.9	-62.83	34.96	71.91	151
CMa	58.62	-30.34	-45.01	54.3	236
VMa	25.72	31.1	-44.4	54.22	305
MMa	48.13	75.28	-8.36	75.74	354
NMa	18.01	0.0	0.0	0.0	0
WMa	95.41	0.0	0.0	0.0	0
RCIE	39.92	58.66	26.98	64.57	25
JCIE	81.26	-2.16	67.76	67.79	92
GCIE	52.23	-42.25	11.76	43.87	164
BCIE	30.57	1.15	-46.84	46.86	271

Dreiecks-Helligkeit t^*



NG900-7, 9stufige Reihen für konstanten CIELAB Buntton $272/360 = 0.755$ (links)

16stufige Reihen für konstanten CIELAB Buntton $271/360 = 0.754$ (rechts)

Eingabe: Farbmetrisches Fernseh-Licht-System TLS18

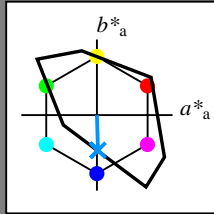
für Buntton $h^* = lab^*h = 272/360 = 0.755$

lab^*tch und lab^*nch

D65: Buntton B

LCH*Ma: 65 48 272

olv*Ma: 0.0 0.58 1.0



TLS18; adaptierte CIELAB-Daten

	$L^*=L^*_a$	a^*_a	b^*_a	$C^*_{ab,a}$	$h^*_{ab,a}$
OMa	52.76	71.63	49.88	87.29	35
YMa	92.74	-20.02	84.97	87.3	103
LMa	84.0	-78.98	73.94	108.2	137
CMa	87.14	-44.41	-13.11	46.32	196
VMa	35.47	64.92	-95.06	115.12	304
MMa	59.01	89.33	-55.67	105.26	328
NMa	18.01	0.0	0.0	0.0	0
WMa	95.41	0.0	0.0	0.0	0
RCIE	39.92	58.74	27.99	65.07	25
JCIE	81.26	-2.88	71.56	71.62	92
GCIE	52.23	-42.41	13.6	44.55	162
BCIE	30.57	1.41	-46.46	46.49	272

Dreiecks-Helligkeit t^*

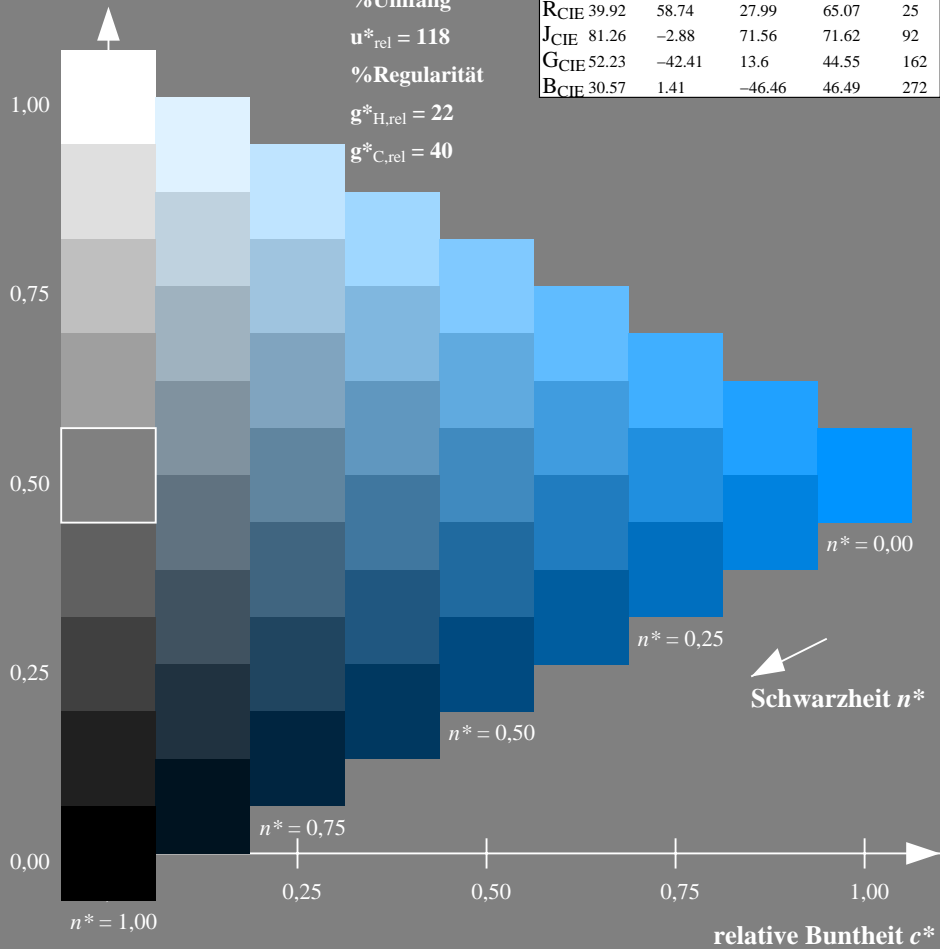
%Umfang

$u^*_{rel} = 118$

%Regularität

$g^*_{H,rel} = 22$

$g^*_{C,rel} = 40$



Ausgabe: Farbmetrisches Fernseh-Licht-System TLS00

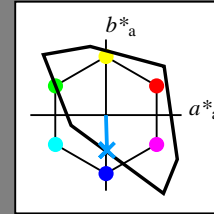
für Buntton $h^* = lab^*h = 272/360 = 0.755$

lab^*tch und lab^*nch

D65: Buntton B

LCH*Ma: 65 49 272

olv*Ma: 0.0 0.61 1.0



TLS00; adaptierte CIELAB-Daten

	$L^*=L^*_a$	a^*_a	b^*_a	$C^*_{ab,a}$	$h^*_{ab,a}$
OMa	50.5	76.92	64.55	100.42	40
YMa	92.66	-20.69	90.75	93.08	103
LMa	83.63	-82.75	79.9	115.04	136
CMa	86.88	-46.16	-13.55	48.12	196
VMa	30.39	76.06	-103.59	128.52	306
MMa	57.3	94.35	-58.41	110.97	328
NMa	0.01	0.0	0.0	0.0	0
WMa	95.41	0.0	0.0	0.0	0
RCIE	39.92	58.74	27.99	65.07	25
JCIE	81.26	-2.88	71.56	71.62	92
GCIE	52.23	-42.41	13.6	44.55	162
BCIE	30.57	1.41	-46.46	46.49	272

Dreiecks-Helligkeit t^*

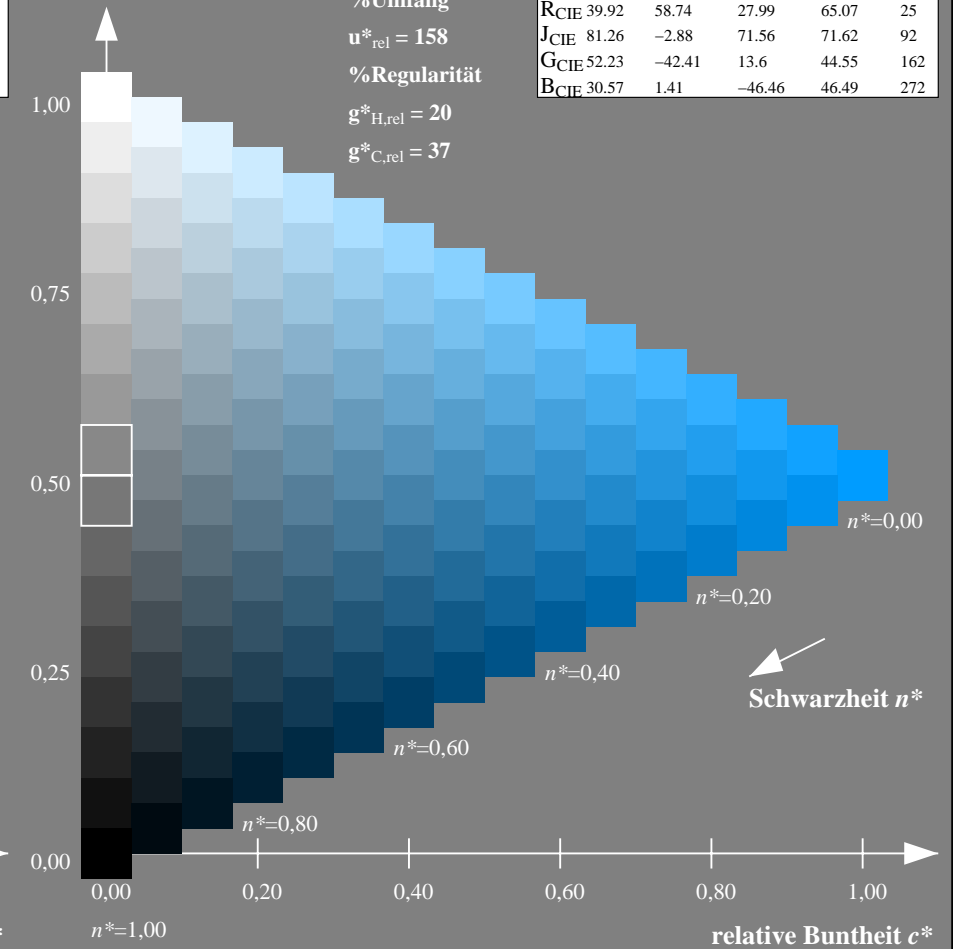
%Umfang

$u^*_{rel} = 158$

%Regularität

$g^*_{H,rel} = 20$

$g^*_{C,rel} = 37$



NG900-7, 9stufige Reihen für konstanten CIELAB Buntton $272/360 = 0.755$ (links)

16stufige Reihen für konstanten CIELAB Buntton $272/360 = 0.755$ (rechts)

Eingabe: Farbmetrisches Fernseh-Licht-System TLS18

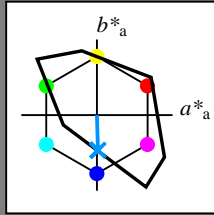
für Buntton $h^* = lab^*h = 272/360 = 0.755$

lab^*tch und lab^*nch

D65: Buntton B

LCH*Ma: 65 48 272

olv*Ma: 0.0 0.58 1.0



TLS18; adaptierte CIELAB-Daten

	$L^*=L^*_a$	a^*_a	b^*_a	$C^*_{ab,a}$	$h^*_{ab,a}$
OMa	52.76	71.63	49.88	87.29	35
YMa	92.74	-20.02	84.97	87.3	103
LMa	84.0	-78.98	73.94	108.2	137
CMa	87.14	-44.41	-13.11	46.32	196
VMa	35.47	64.92	-95.06	115.12	304
MMa	59.01	89.33	-55.67	105.26	328
NMa	18.01	0.0	0.0	0.0	0
WMa	95.41	0.0	0.0	0.0	0
RCIE	39.92	58.74	27.99	65.07	25
JCIE	81.26	-2.88	71.56	71.62	92
GCIE	52.23	-42.41	13.6	44.55	162
BCIE	30.57	1.41	-46.46	46.49	272

Dreiecks-Helligkeit t^*

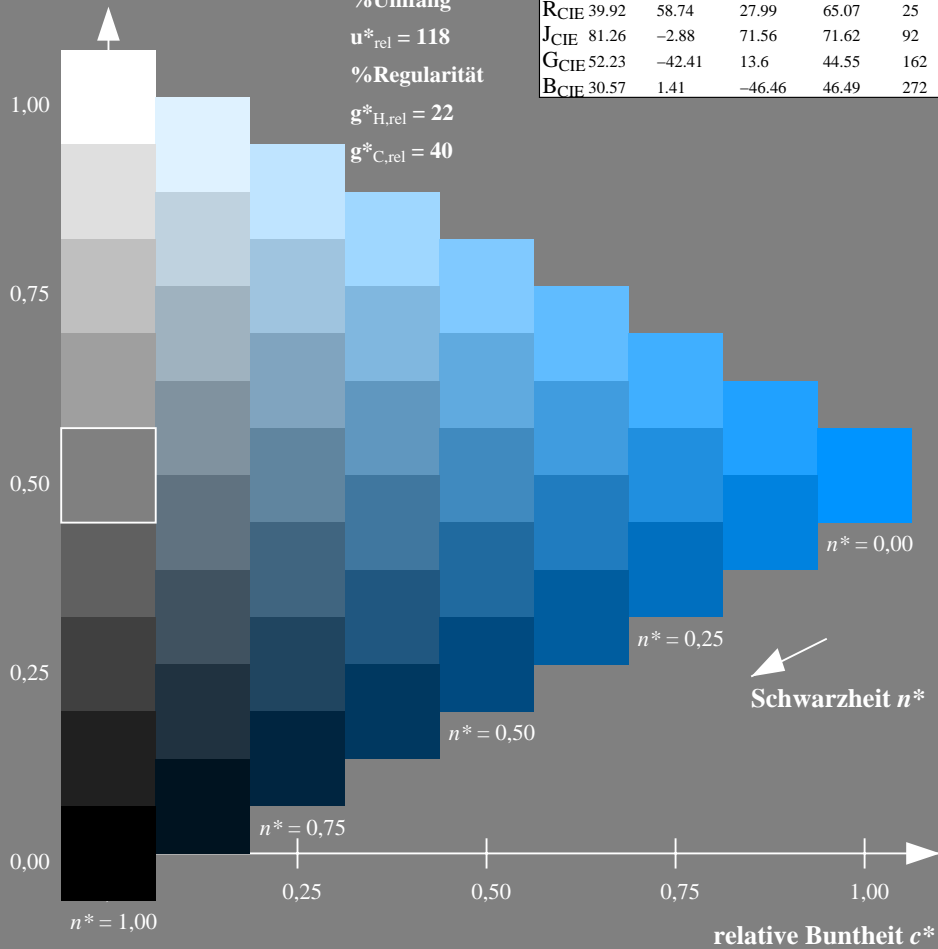
%Umfang

$u^*_{rel} = 118$

%Regularität

$g^*_{H,rel} = 22$

$g^*_{C,rel} = 40$



Ausgabe: Farbmetrisches Drucker-Reflektiv-System DRSXX

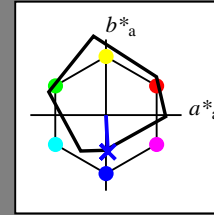
für Buntton $h^* = lab^*h = 273/360 = 0.759$

lab^*tch und lab^*nch

D65: Buntton B

LCH*Ma: 35 45 273

olv*Ma: 0.04 0.0 1.0



DRSXX; adaptierte CIELAB-Daten

	$L^*=L^*_a$	a^*_a	b^*_a	$C^*_{ab,a}$	$h^*_{ab,a}$
OMa	42.21	66.82	50.6	83.82	37
YMa	90.32	-16.51	104.33	105.63	99
LMa	48.21	-75.63	30.65	81.61	158
CMa	53.44	-33.33	-47.49	58.03	235
VMa	34.16	-0.92	-46.56	46.58	269
MMa	42.71	79.0	-1.95	79.03	359
NMa	16.56	0.0	0.0	0.0	0
WMa	96.31	0.0	0.0	0.0	0
RCIE	39.92	59.78	25.77	65.1	23
JCIE	81.26	-2.51	69.07	69.11	92
GCIE	52.23	-41.57	11.3	43.09	165
BCIE	30.57	2.6	-48.62	48.7	273

Dreiecks-Helligkeit t^*

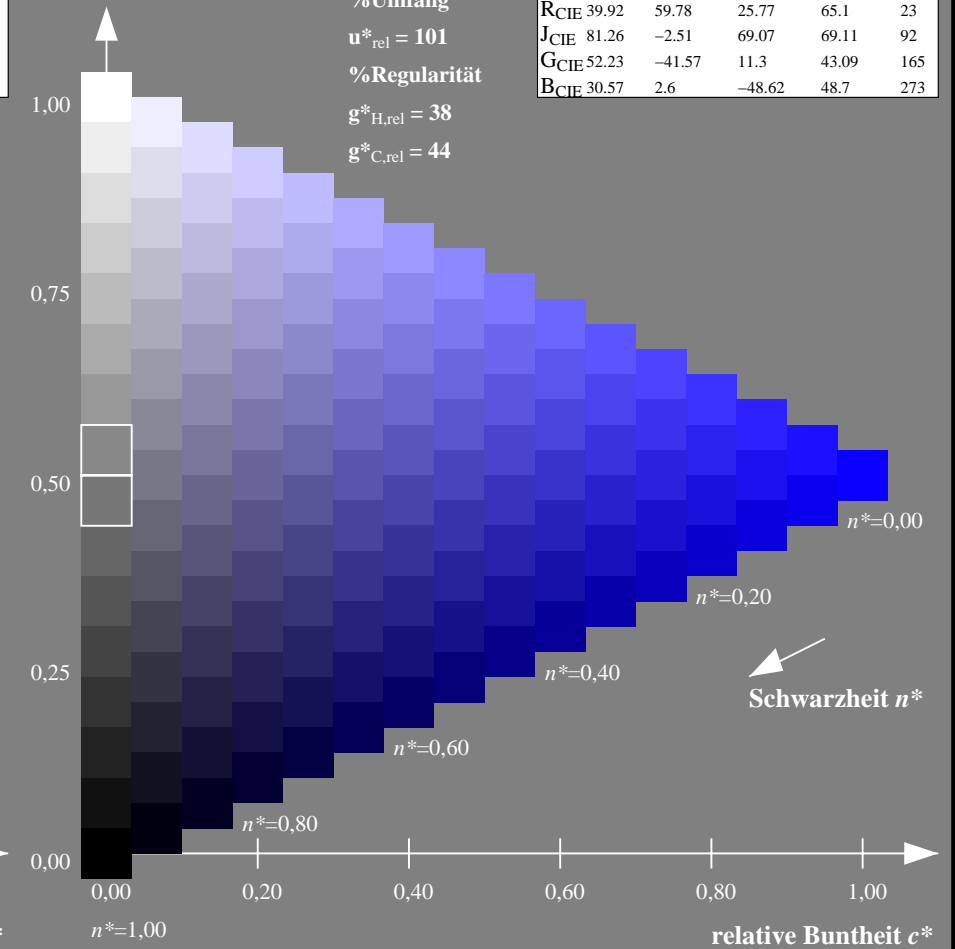
%Umfang

$u^*_{rel} = 101$

%Regularität

$g^*_{H,rel} = 38$

$g^*_{C,rel} = 44$



NG900-7, 9stufige Reihen für konstanten CIELAB Buntton $272/360 = 0.755$ (links)

16stufige Reihen für konstanten CIELAB Buntton $273/360 = 0.759$ (rechts)

Eingabe: Farbmetrisches Fernseh-Licht-System TLS18

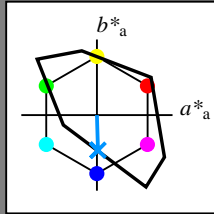
für Buntton $h^* = lab^*h = 272/360 = 0.755$

lab^*tch und lab^*nch

D65: Buntton B

LCH*Ma: 65 48 272

olv*Ma: 0.0 0.58 1.0



TLS18; adaptierte CIELAB-Daten

	$L^*=L^*_a$	a^*_a	b^*_a	$C^*_{ab,a}$	$h^*_{ab,a}$
OMa	52.76	71.63	49.88	87.29	35
YMa	92.74	-20.02	84.97	87.3	103
LMa	84.0	-78.98	73.94	108.2	137
CMa	87.14	-44.41	-13.11	46.32	196
VMa	35.47	64.92	-95.06	115.12	304
MMa	59.01	89.33	-55.67	105.26	328
NMa	18.01	0.0	0.0	0.0	0
WMa	95.41	0.0	0.0	0.0	0
RCIE	39.92	58.74	27.99	65.07	25
JCIE	81.26	-2.88	71.56	71.62	92
GCIE	52.23	-42.41	13.6	44.55	162
BCIE	30.57	1.41	-46.46	46.49	272

Dreiecks-Helligkeit t^*

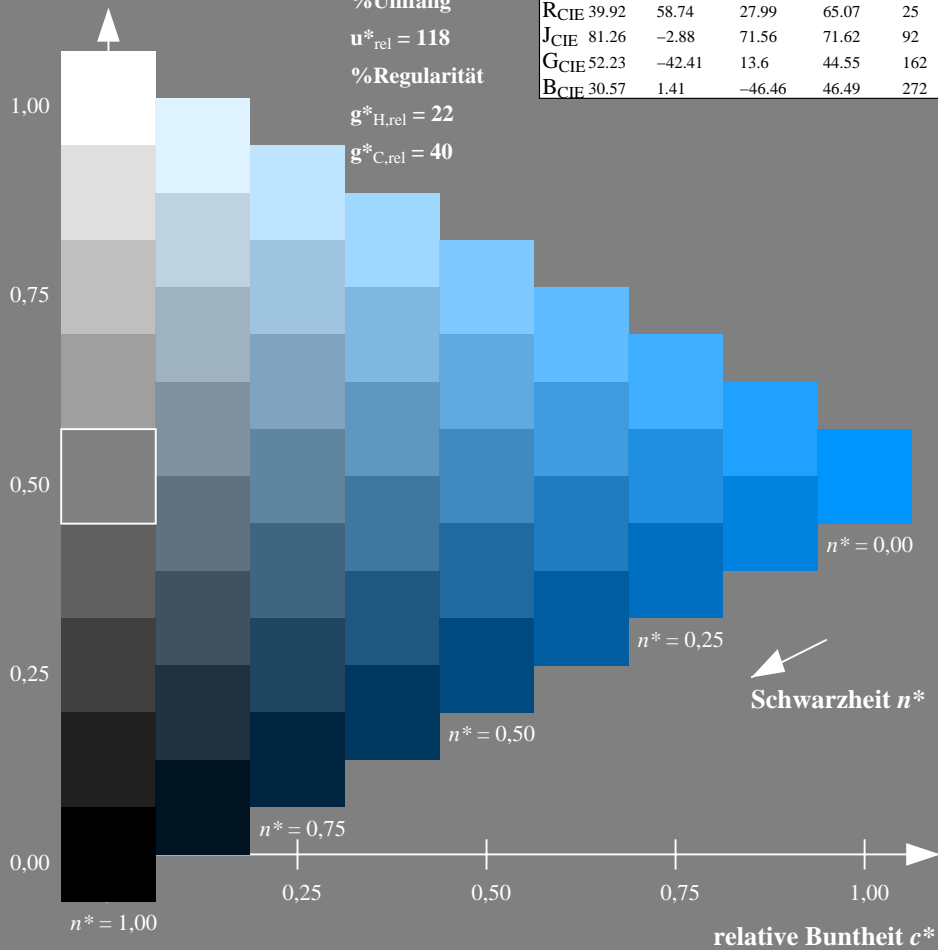
%Umfang

$u^*_{rel} = 118$

%Regularität

$g^*_{H,rel} = 22$

$g^*_{C,rel} = 40$



Ausgabe: Farbmetrisches Fernseh-Licht-System TLS18

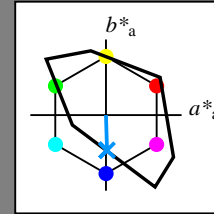
für Buntton $h^* = lab^*h = 272/360 = 0.755$

lab^*tch und lab^*nch

D65: Buntton B

LCH*Ma: 65 48 272

olv*Ma: 0.0 0.58 1.0



TLS18; adaptierte CIELAB-Daten

	$L^*=L^*_a$	a^*_a	b^*_a	$C^*_{ab,a}$	$h^*_{ab,a}$
OMa	52.76	71.63	49.88	87.29	35
YMa	92.74	-20.02	84.97	87.3	103
LMa	84.0	-78.98	73.94	108.2	137
CMa	87.14	-44.41	-13.11	46.32	196
VMa	35.47	64.92	-95.06	115.12	304
MMa	59.01	89.33	-55.67	105.26	328
NMa	18.01	0.0	0.0	0.0	0
WMa	95.41	0.0	0.0	0.0	0
RCIE	39.92	58.74	27.99	65.07	25
JCIE	81.26	-2.88	71.56	71.62	92
GCIE	52.23	-42.41	13.6	44.55	162
BCIE	30.57	1.41	-46.46	46.49	272

Dreiecks-Helligkeit t^*

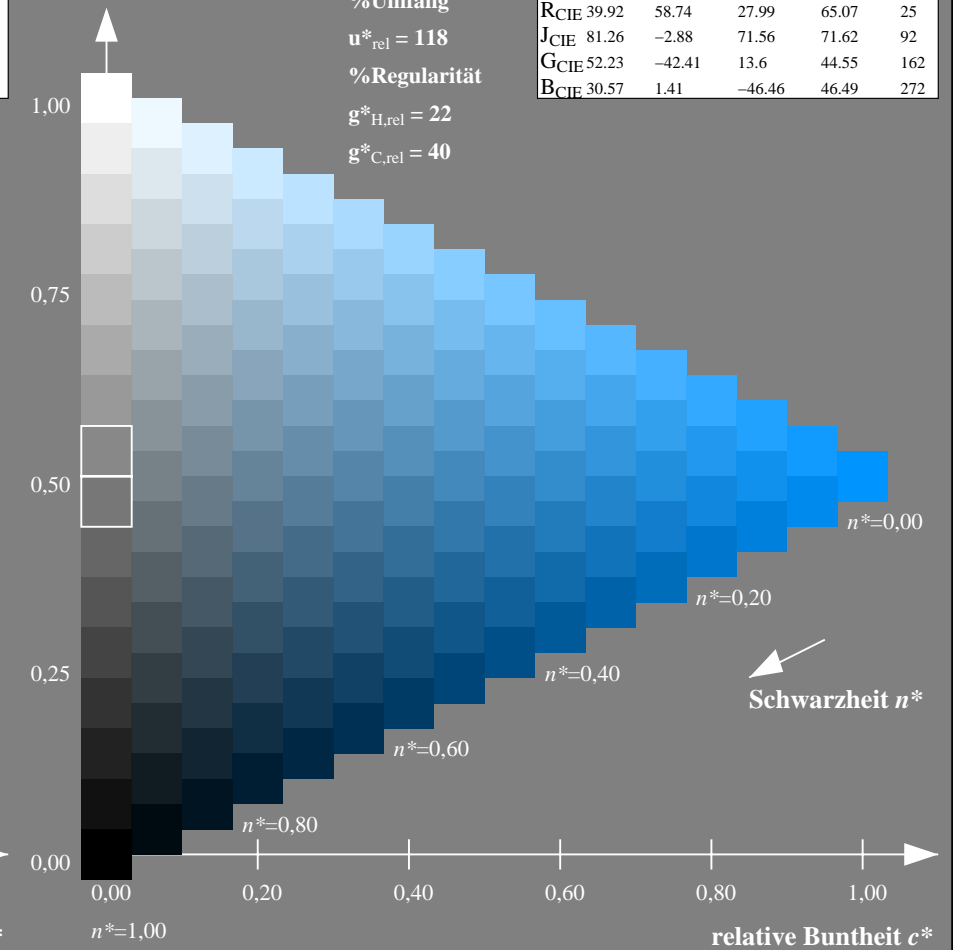
%Umfang

$u^*_{rel} = 118$

%Regularität

$g^*_{H,rel} = 22$

$g^*_{C,rel} = 40$



NG900-7, 9stufige Reihen für konstanten CIELAB Buntton $272/360 = 0.755$ (links)

16stufige Reihen für konstanten CIELAB Buntton $272/360 = 0.755$ (rechts)

Eingabe: Farbmetrisches Fernseh-Licht-System TLS18

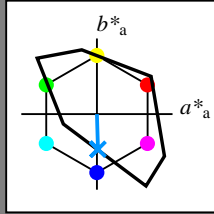
für Buntton $h^* = lab^*h = 272/360 = 0.755$

lab^*tch und lab^*nch

D65: Buntton B

LCH*Ma: 65 48 272

olv*Ma: 0.0 0.58 1.0



TLS18; adaptierte CIELAB-Daten

	$L^*=L^*_a$	a^*_a	b^*_a	$C^*_{ab,a}$	$h^*_{ab,a}$
OMa	52.76	71.63	49.88	87.29	35
YMa	92.74	-20.02	84.97	87.3	103
LMa	84.0	-78.98	73.94	108.2	137
CMa	87.14	-44.41	-13.11	46.32	196
VMa	35.47	64.92	-95.06	115.12	304
MMa	59.01	89.33	-55.67	105.26	328
NMa	18.01	0.0	0.0	0.0	0
WMa	95.41	0.0	0.0	0.0	0
RCIE	39.92	58.74	27.99	65.07	25
JCIE	81.26	-2.88	71.56	71.62	92
GCIE	52.23	-42.41	13.6	44.55	162
BCIE	30.57	1.41	-46.46	46.49	272

Dreiecks-Helligkeit t^*

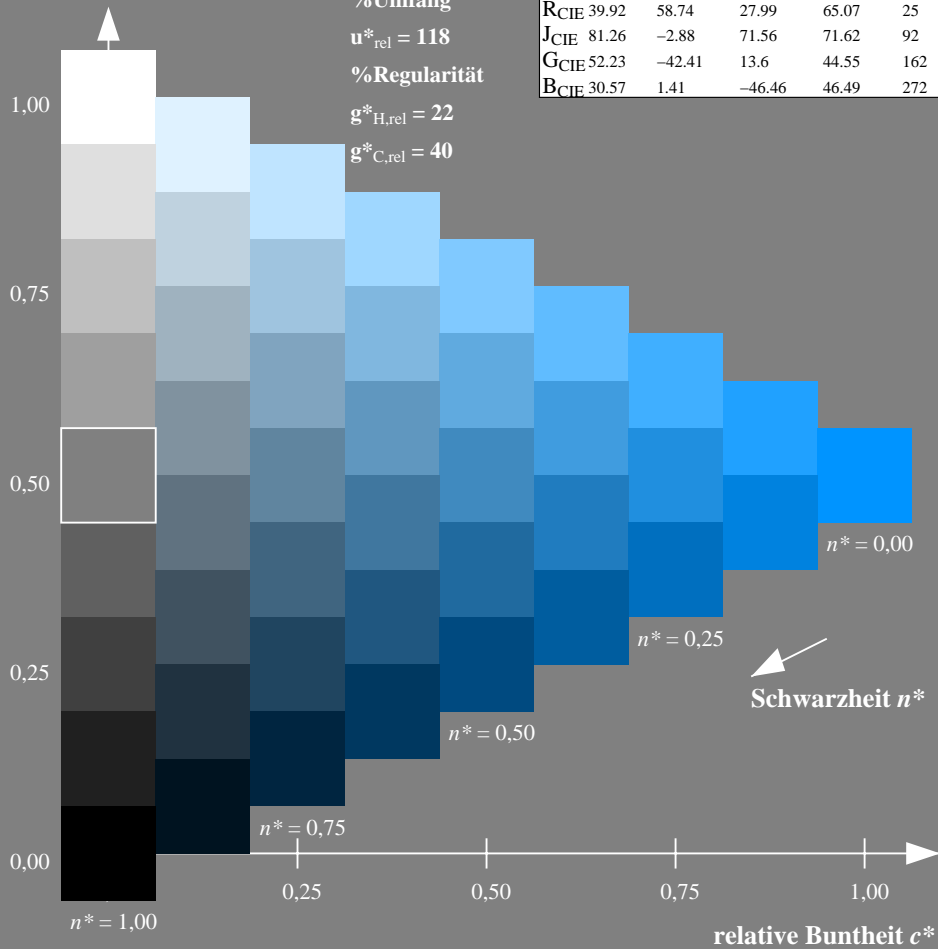
%Umfang

$u^*_{rel} = 118$

%Regularität

$g^*_{H,rel} = 22$

$g^*_{C,rel} = 40$



Ausgabe: Farbmetrisches Natürliches-Licht-System NLS00

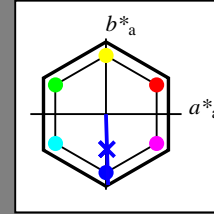
für Buntton $h^* = lab^*h = 272/360 = 0.755$

lab^*tch und lab^*nch

D65: Buntton B

LCH*Ma: 33 94 272

olv*Ma: 0.03 0.0 1.0



NLS00; adaptierte CIELAB-Daten

	$L^*=L^*_a$	a^*_a	b^*_a	$C^*_{ab,a}$	$h^*_{ab,a}$
OMa	31.81	82.62	47.7	95.4	30
YMa	63.61	0.0	95.4	95.4	90
LMa	31.81	-82.61	47.7	95.4	150
CMa	63.61	-82.61	-47.69	95.4	210
VMa	31.81	0.0	-95.39	95.4	270
MMa	63.61	82.62	-47.69	95.4	330
NMa	0.01	0.0	0.0	0.0	0
WMa	95.41	0.0	0.0	0.0	0
RCIE	39.92	58.74	27.99	65.07	25
JCIE	81.26	-2.88	71.56	71.62	92
GCIE	52.23	-42.41	13.6	44.55	162
BCIE	30.57	1.41	-46.46	46.49	272

Dreiecks-Helligkeit t^*

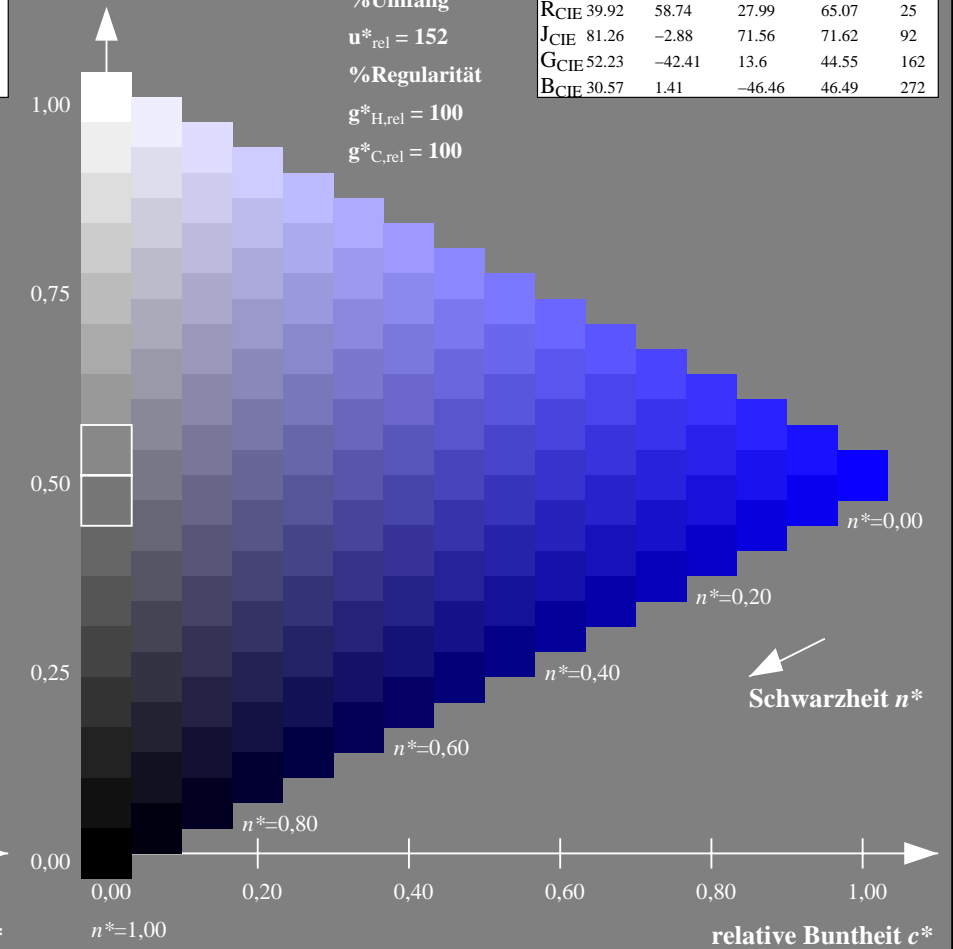
%Umfang

$u^*_{rel} = 152$

%Regularität

$g^*_{H,rel} = 100$

$g^*_{C,rel} = 100$



NG900-7, 9stufige Reihen für konstanten CIELAB Buntton $272/360 = 0.755$ (links)

16stufige Reihen für konstanten CIELAB Buntton $272/360 = 0.755$ (rechts)

Eingabe: Farbmetrisches Fernseh-Licht-System TLS18

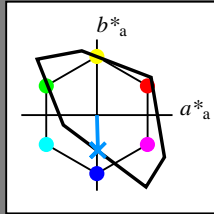
für Buntton $h^* = lab^*h = 272/360 = 0.755$

lab^*tch und lab^*nch

D65: Buntton B

LCH*Ma: 65 48 272

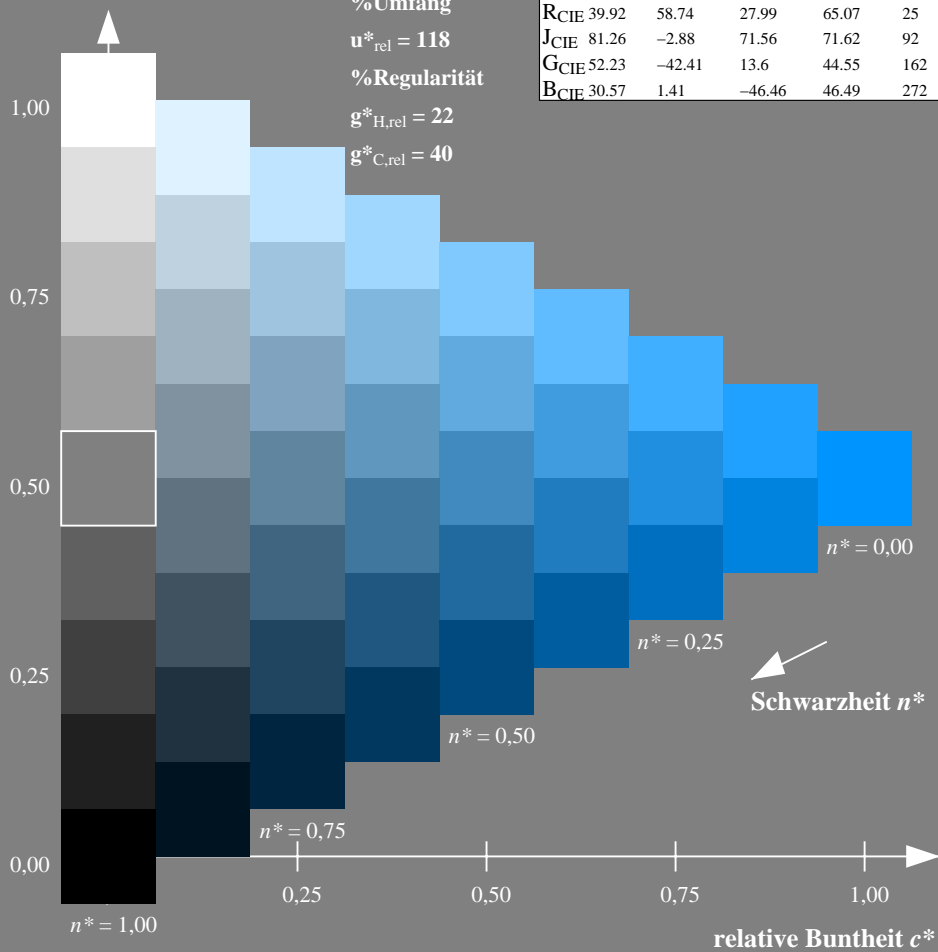
olv*Ma: 0.0 0.58 1.0



TLS18; adaptierte CIELAB-Daten

	$L^*=L^*_a$	a^*_a	b^*_a	$C^*_{ab,a}$	$h^*_{ab,a}$
O _{Ma}	52.76	71.63	49.88	87.29	35
Y _{Ma}	92.74	-20.02	84.97	87.3	103
L _{Ma}	84.0	-78.98	73.94	108.2	137
C _{Ma}	87.14	-44.41	-13.11	46.32	196
V _{Ma}	35.47	64.92	-95.06	115.12	304
M _{Ma}	59.01	89.33	-55.67	105.26	328
N _{Ma}	18.01	0.0	0.0	0.0	0
W _{Ma}	95.41	0.0	0.0	0.0	0
R _{CIE}	39.92	58.74	27.99	65.07	25
J _{CIE}	81.26	-2.88	71.56	71.62	92
G _{CIE}	52.23	-42.41	13.6	44.55	162
B _{CIE}	30.57	1.41	-46.46	46.49	272

Dreiecks-Helligkeit t^*



Ausgabe: Farbmetrisches Natürliches-Reflektiv-System NRS18

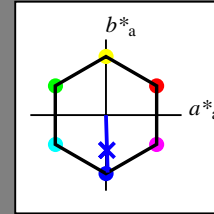
für Buntton $h^* = lab^*h = 272/360 = 0.755$

lab^*tch und lab^*nch

D65: Buntton B

LCH*Ma: 45 76 272

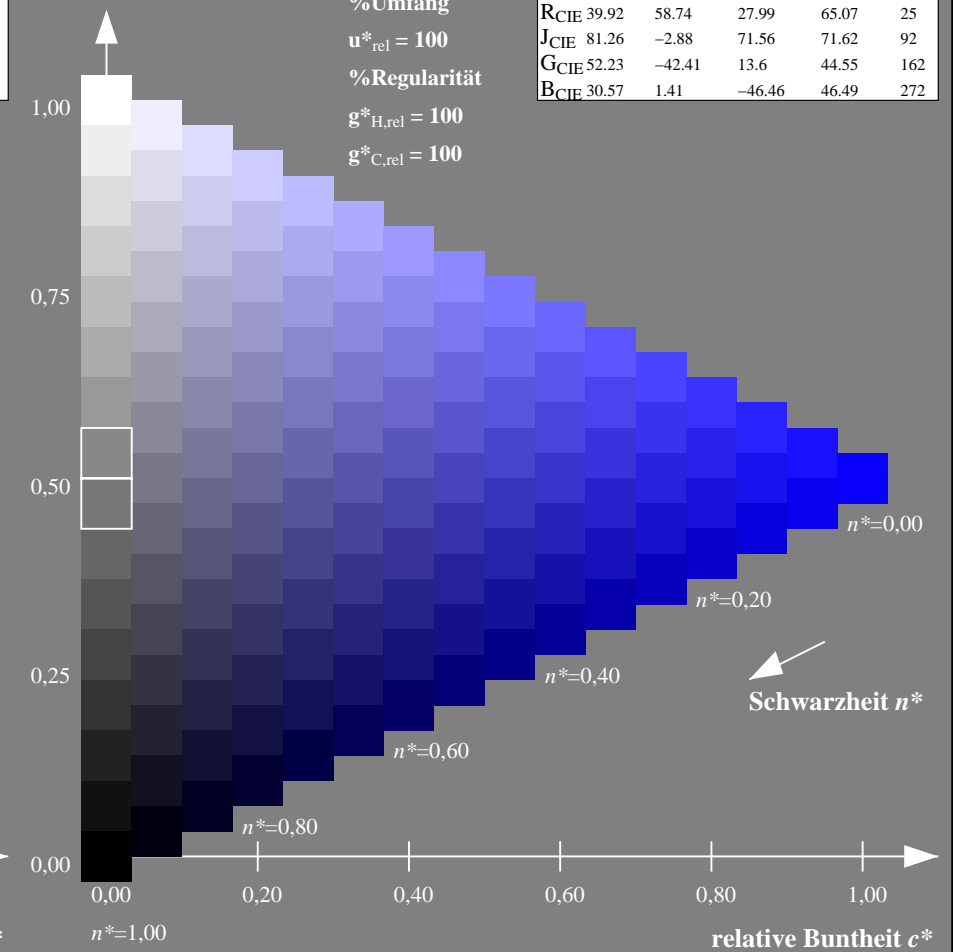
olv*Ma: 0.03 0.0 1.0



NRS18; adaptierte CIELAB-Daten

	$L^*=L^*_a$	a^*_a	b^*_a	$C^*_{ab,a}$	$h^*_{ab,a}$
O _{Ma}	43.81	67.03	38.7	77.4	30
Y _{Ma}	69.61	0.0	77.4	77.4	90
L _{Ma}	43.81	-67.02	38.7	77.4	150
C _{Ma}	69.61	-67.02	-38.69	77.4	210
V _{Ma}	43.81	0.0	-77.39	77.4	270
M _{Ma}	69.61	67.03	-38.69	77.4	330
N _{Ma}	18.01	0.0	0.0	0.0	0
W _{Ma}	95.41	0.0	0.0	0.0	0
R _{CIE}	39.92	58.74	27.99	65.07	25
J _{CIE}	81.26	-2.88	71.56	71.62	92
G _{CIE}	52.23	-42.41	13.6	44.55	162
B _{CIE}	30.57	1.41	-46.46	46.49	272

Dreiecks-Helligkeit t^*



NG900-7, 9stufige Reihen für konstanten CIELAB Buntton $272/360 = 0.755$ (links)

16stufige Reihen für konstanten CIELAB Buntton $272/360 = 0.755$ (rechts)

Eingabe: Farbmimetrisches Fernseh-Licht-System TLS18

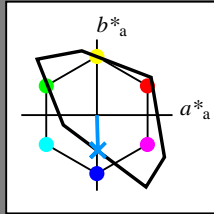
für Buntton $h^* = lab^*h = 272/360 = 0.755$

lab^*tch und lab^*nch

D65: Buntton B

LCH*Ma: 65 48 272

olv*Ma: 0.0 0.58 1.0



TLS18; adaptierte CIELAB-Daten

	$L^*=L^*_a$	a^*_a	b^*_a	$C^*_{ab,a}$	$h^*_{ab,a}$
OMa	52.76	71.63	49.88	87.29	35
YMa	92.74	-20.02	84.97	87.3	103
LMa	84.0	-78.98	73.94	108.2	137
CMa	87.14	-44.41	-13.11	46.32	196
VMa	35.47	64.92	-95.06	115.12	304
MMa	59.01	89.33	-55.67	105.26	328
NMa	18.01	0.0	0.0	0.0	0
WMa	95.41	0.0	0.0	0.0	0
RCIE	39.92	58.74	27.99	65.07	25
JCIE	81.26	-2.88	71.56	71.62	92
GCIE	52.23	-42.41	13.6	44.55	162
BCIE	30.57	1.41	-46.46	46.49	272

Dreiecks-Helligkeit t^*

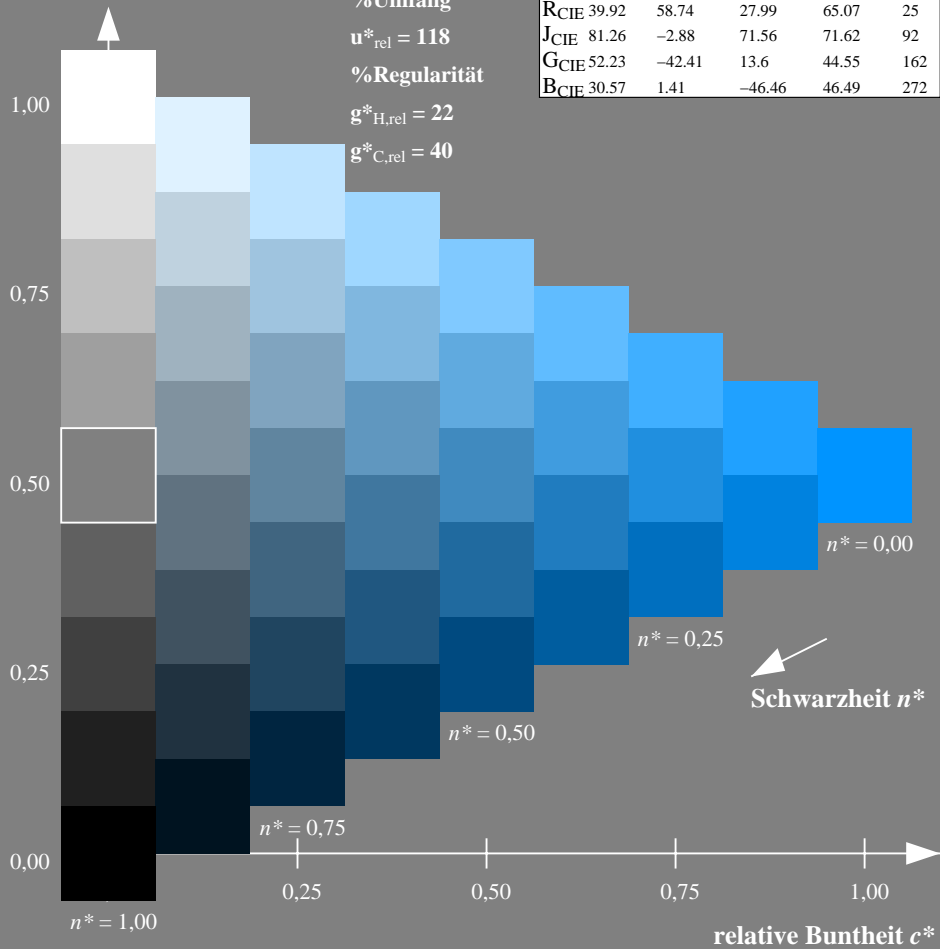
%Umfang

$u^*_{rel} = 118$

%Regularität

$g^*_{H,rel} = 22$

$g^*_{C,rel} = 40$



Ausgabe: Farbmimetrisches Standard-Reflektiv-System SRS18

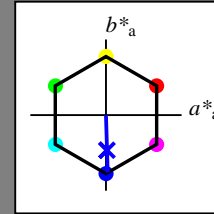
für Buntton $h^* = lab^*h = 272/360 = 0.755$

lab^*tch und lab^*nch

D65: Buntton B

LCH*Ma: 57 76 272

olv*Ma: 0.03 0.0 1.0



SRS18; adaptierte CIELAB-Daten

	$L^*=L^*_a$	a^*_a	b^*_a	$C^*_{ab,a}$	$h^*_{ab,a}$
OMa	56.71	67.03	38.7	77.4	30
YMa	56.71	0.0	77.4	77.4	90
LMa	56.71	-67.02	38.7	77.4	150
CMa	56.71	-67.02	-38.69	77.4	210
VMa	56.71	0.0	-77.39	77.4	270
MMa	56.71	67.03	-38.69	77.4	330
NMa	18.01	0.0	0.0	0.0	0
WMa	95.41	0.0	0.0	0.0	0
RCIE	39.92	58.74	27.99	65.07	25
JCIE	81.26	-2.88	71.56	71.62	92
GCIE	52.23	-42.41	13.6	44.55	162
BCIE	30.57	1.41	-46.46	46.49	272

Dreiecks-Helligkeit t^*

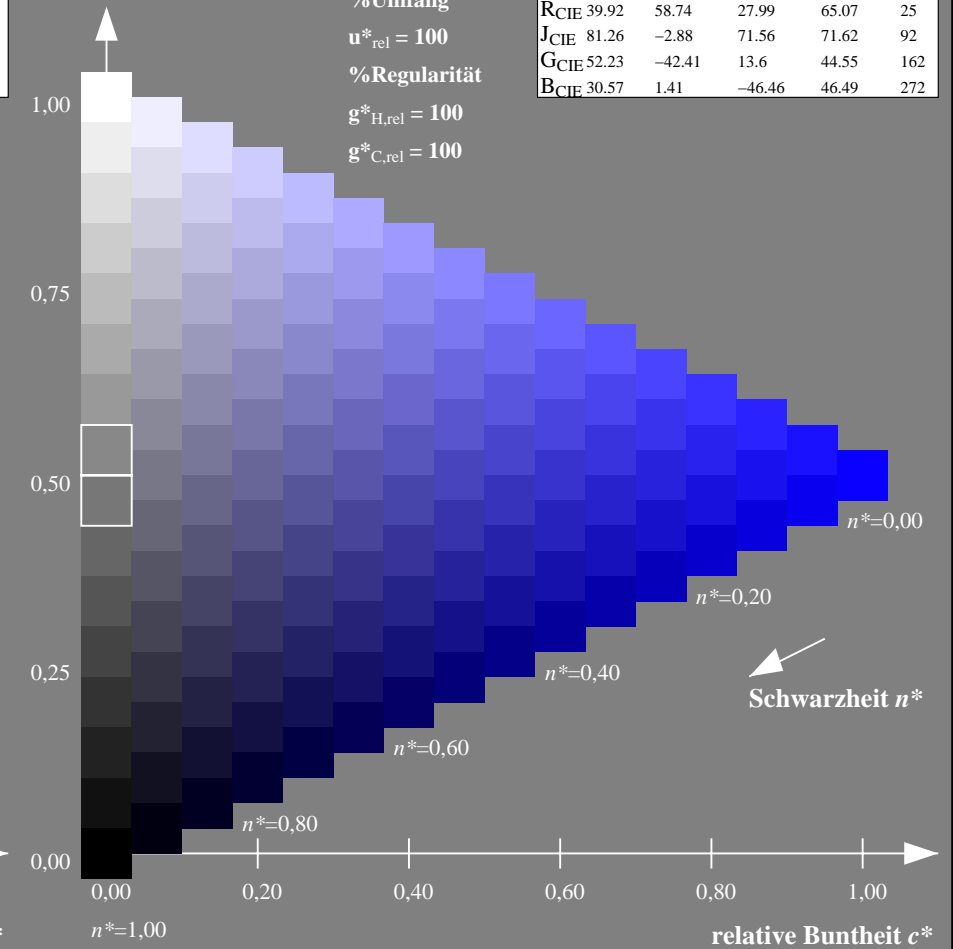
%Umfang

$u^*_{rel} = 100$

%Regularität

$g^*_{H,rel} = 100$

$g^*_{C,rel} = 100$



NG900-7, 9stufige Reihen für konstanten CIELAB Buntton 272/360 = 0.755 (links)

16stufige Reihen für konstanten CIELAB Buntton 272/360 = 0.755 (rechts)

Eingabe: Farbmetrisches Fernseh-Licht-System TLS18

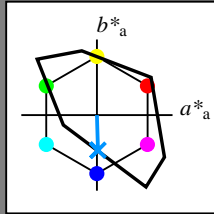
für Buntton $h^* = lab^*h = 272/360 = 0.755$

lab^*tch und lab^*nch

D65: Buntton B

LCH*Ma: 65 48 272

olv*Ma: 0.0 0.58 1.0



TLS18; adaptierte CIELAB-Daten

	$L^*=L^*_a$	a^*_a	b^*_a	$C^*_{ab,a}$	$h^*_{ab,a}$
OMa	52.76	71.63	49.88	87.29	35
YMa	92.74	-20.02	84.97	87.3	103
LMa	84.0	-78.98	73.94	108.2	137
CMa	87.14	-44.41	-13.11	46.32	196
VMa	35.47	64.92	-95.06	115.12	304
MMa	59.01	89.33	-55.67	105.26	328
NMa	18.01	0.0	0.0	0.0	0
WMa	95.41	0.0	0.0	0.0	0
RCIE	39.92	58.74	27.99	65.07	25
JCIE	81.26	-2.88	71.56	71.62	92
GCIE	52.23	-42.41	13.6	44.55	162
BCIE	30.57	1.41	-46.46	46.49	272

Dreiecks-Helligkeit t^*

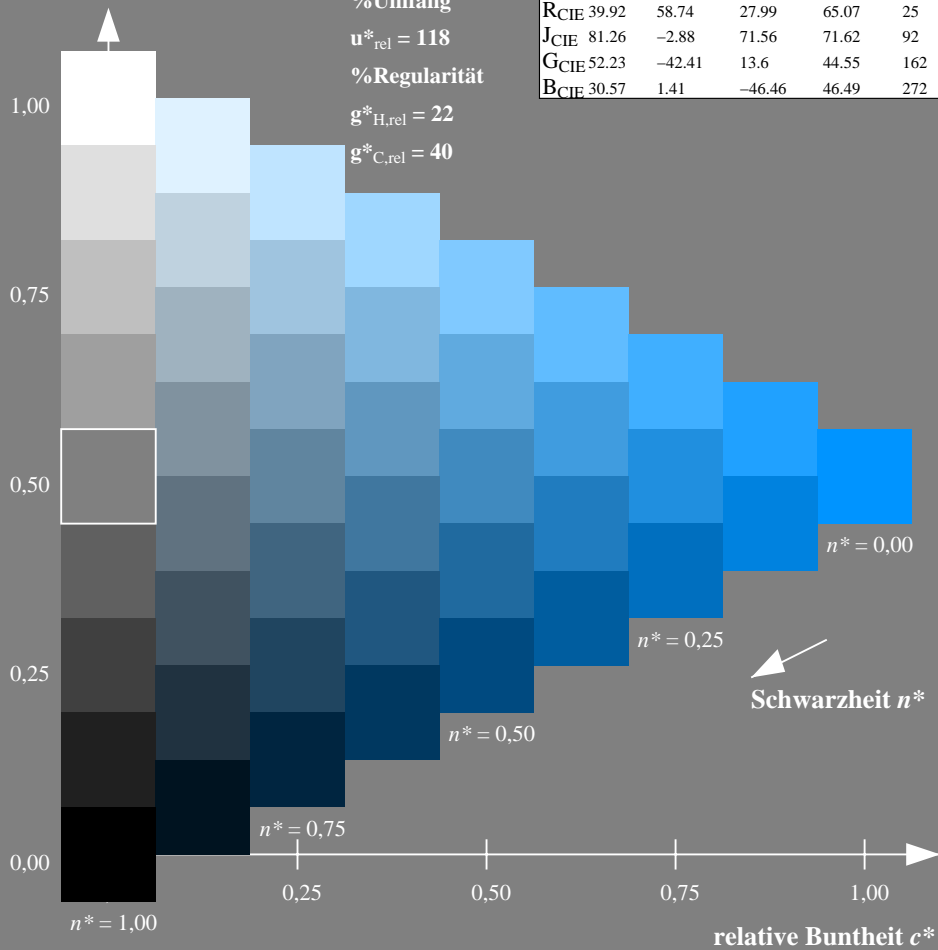
%Umfang

$u^*_{rel} = 118$

%Regularität

$g^*_{H,rel} = 22$

$g^*_{C,rel} = 40$



Ausgabe: Farbmetrisches Fernseh-Licht-System TLS70

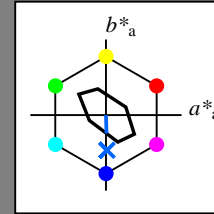
für Buntton $h^* = lab^*h = 272/360 = 0.755$

lab^*tch und lab^*nch

D65: Buntton B

LCH*Ma: 80 24 272

olv*Ma: 0.0 0.4 1.0



TLS70; adaptierte CIELAB-Daten

	$L^*=L^*_a$	a^*_a	b^*_a	$C^*_{ab,a}$	$h^*_{ab,a}$
OMa	76.43	26.27	10.57	28.32	22
YMa	93.93	-10.76	34.63	36.27	107
LMa	89.32	-35.8	27.64	45.24	142
CMa	90.93	-21.95	-7.07	23.07	198
VMa	72.1	15.76	-35.63	38.97	294
MMa	78.5	37.52	-25.23	45.22	326
NMa	69.7	0.0	0.0	0.0	0
WMa	95.41	0.0	0.0	0.0	0
RCIE	39.92	58.74	27.99	65.07	25
JCIE	81.26	-2.88	71.56	71.62	92
GCIE	52.23	-42.41	13.6	44.55	162
BCIE	30.57	1.41	-46.46	46.49	272

Dreiecks-Helligkeit t^*

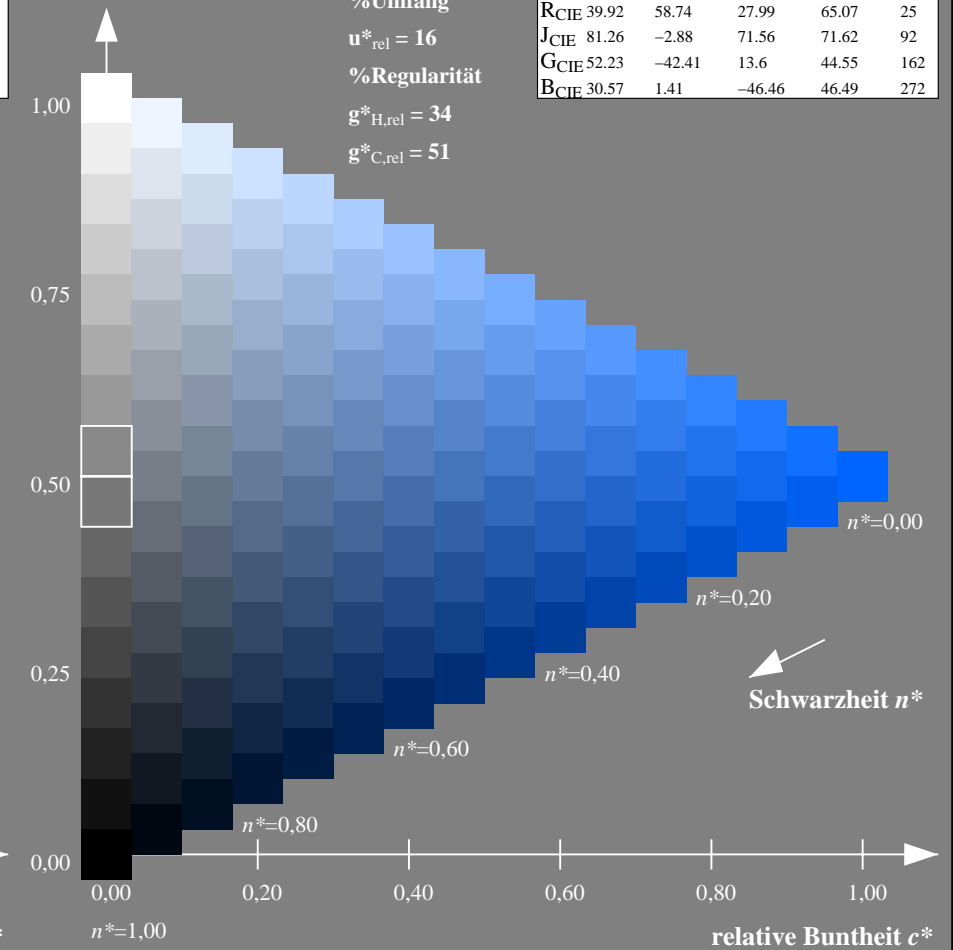
%Umfang

$u^*_{rel} = 16$

%Regularität

$g^*_{H,rel} = 34$

$g^*_{C,rel} = 51$



NG900-7, 9stufige Reihen für konstanten CIELAB Buntton $272/360 = 0.755$ (links)

16stufige Reihen für konstanten CIELAB Buntton $272/360 = 0.755$ (rechts)

Eingabe: Farbmetrisches Natürliches-Licht-System NLS00

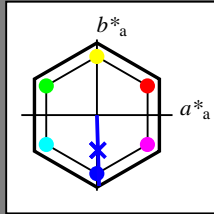
für Buntton $h^* = lab^*h = 272/360 = 0.755$

lab^*tch und lab^*nch

D65: Buntton B

LCH*Ma: 33 94 272

olv*Ma: 0.03 0.0 1.0



NLS00; adaptierte CIELAB-Daten

	$L^*=L^*_a$	a^*_a	b^*_a	$C^*_{ab,a}$	$h^*_{ab,a}$
OMa	31.81	82.62	47.7	95.4	30
YMa	63.61	0.0	95.4	95.4	90
LMa	31.81	-82.61	47.7	95.4	150
CMa	63.61	-82.61	-47.69	95.4	210
VMa	31.81	0.0	-95.39	95.4	270
MMa	63.61	82.62	-47.69	95.4	330
NMa	0.01	0.0	0.0	0.0	0
WMa	95.41	0.0	0.0	0.0	0
RCIE	39.92	58.74	27.99	65.07	25
JCIE	81.26	-2.88	71.56	71.62	92
GCIE	52.23	-42.41	13.6	44.55	162
BCIE	30.57	1.41	-46.46	46.49	272

Dreiecks-Helligkeit t^*

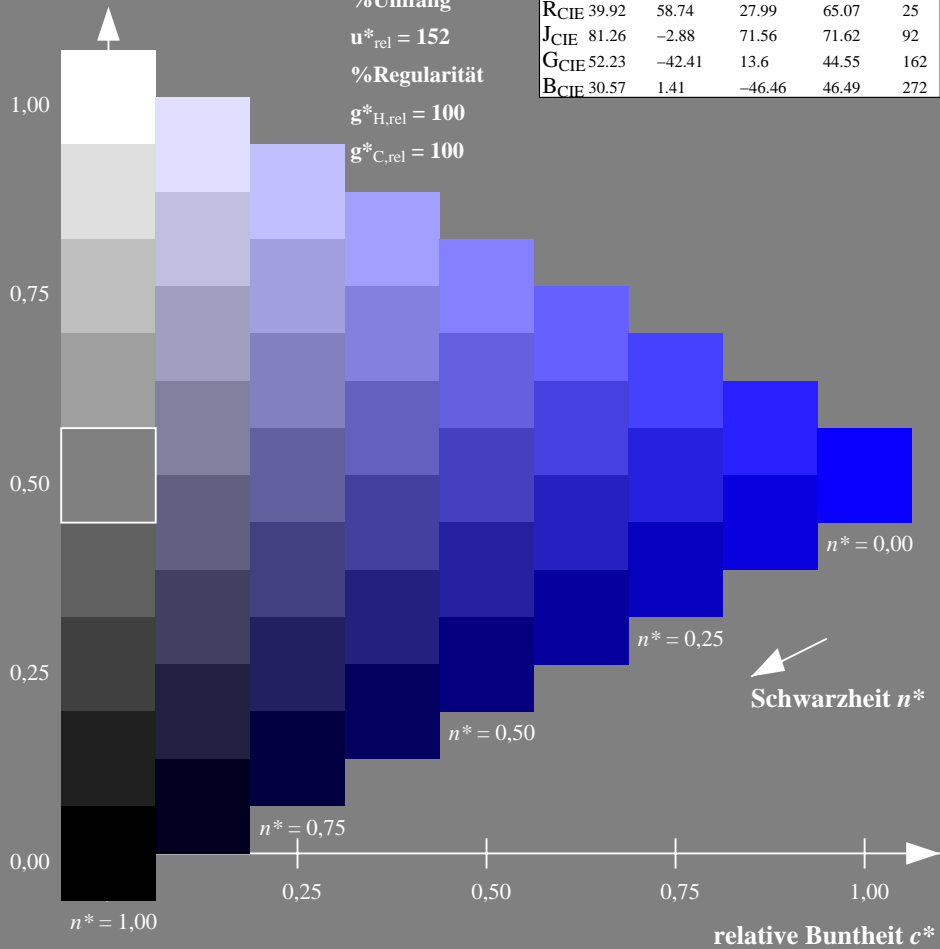
%Umfang

$u^*_{rel} = 152$

%Regularität

$g^*_{H,rel} = 100$

$g^*_{C,rel} = 100$



Ausgabe: Farbmetrisches Offset-Reflektiv-System ORS18

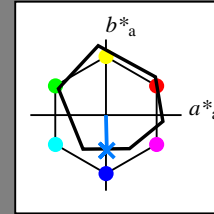
für Buntton $h^* = lab^*h = 271/360 = 0.754$

lab^*tch und lab^*nch

D65: Buntton B

LCH*Ma: 42 45 271

olv*Ma: 0.0 0.49 1.0



ORS18; adaptierte CIELAB-Daten

	$L^*=L^*_a$	a^*_a	b^*_a	$C^*_{ab,a}$	$h^*_{ab,a}$
OMa	47.94	65.39	50.52	82.63	38
YMa	90.37	-10.26	91.75	92.32	96
LMa	50.9	-62.83	34.96	71.91	151
CMa	58.62	-30.34	-45.01	54.3	236
VMa	25.72	31.1	-44.4	54.22	305
MMa	48.13	75.28	-8.36	75.74	354
NMa	18.01	0.0	0.0	0.0	0
WMa	95.41	0.0	0.0	0.0	0
RCIE	39.92	58.66	26.98	64.57	25
JCIE	81.26	-2.16	67.76	67.79	92
GCIE	52.23	-42.25	11.76	43.87	164
BCIE	30.57	1.15	-46.84	46.86	271

Dreiecks-Helligkeit t^*

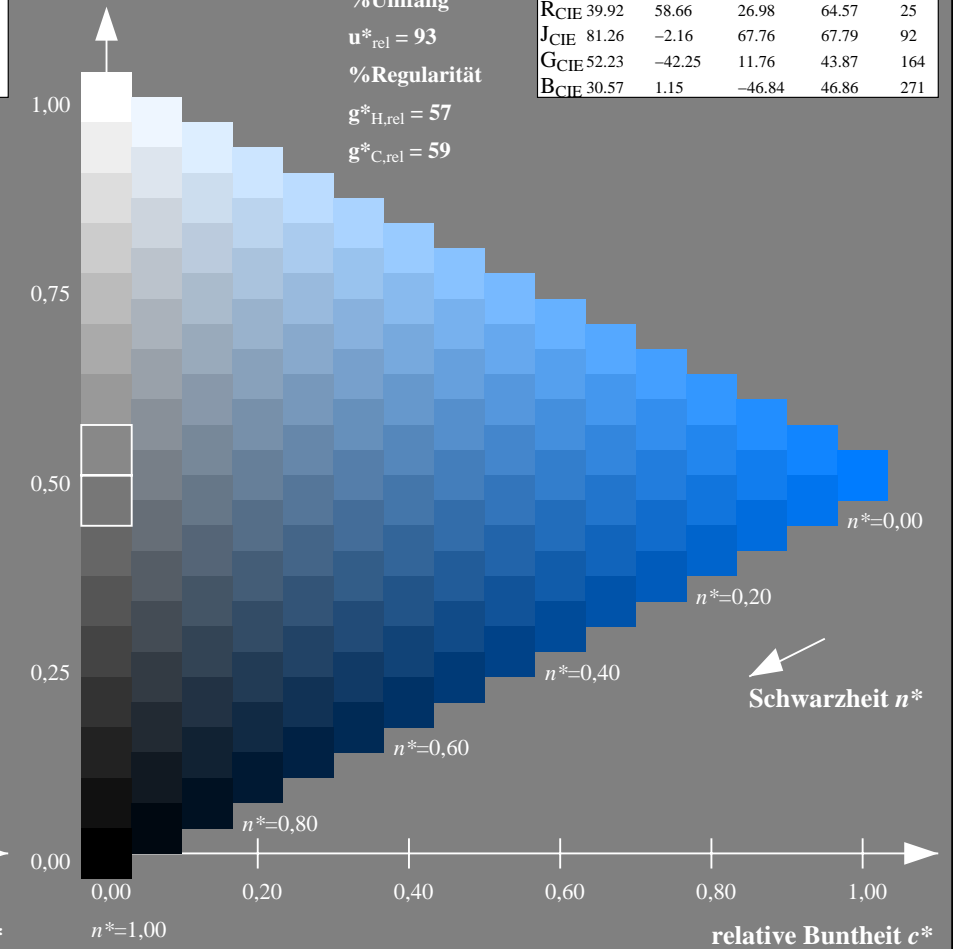
%Umfang

$u^*_{rel} = 93$

%Regularität

$g^*_{H,rel} = 57$

$g^*_{C,rel} = 59$



NG900-7, 9stufige Reihen für konstanten CIELAB Buntton $272/360 = 0.755$ (links)

16stufige Reihen für konstanten CIELAB Buntton $271/360 = 0.754$ (rechts)

Eingabe: Farbmetrisches Natürliches-Licht-System NLS00

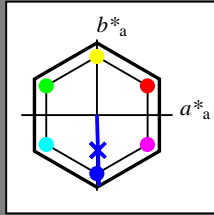
für Buntton $h^* = lab^*h = 272/360 = 0.755$

lab^*tch und lab^*nch

D65: Buntton B

LCH*Ma: 33 94 272

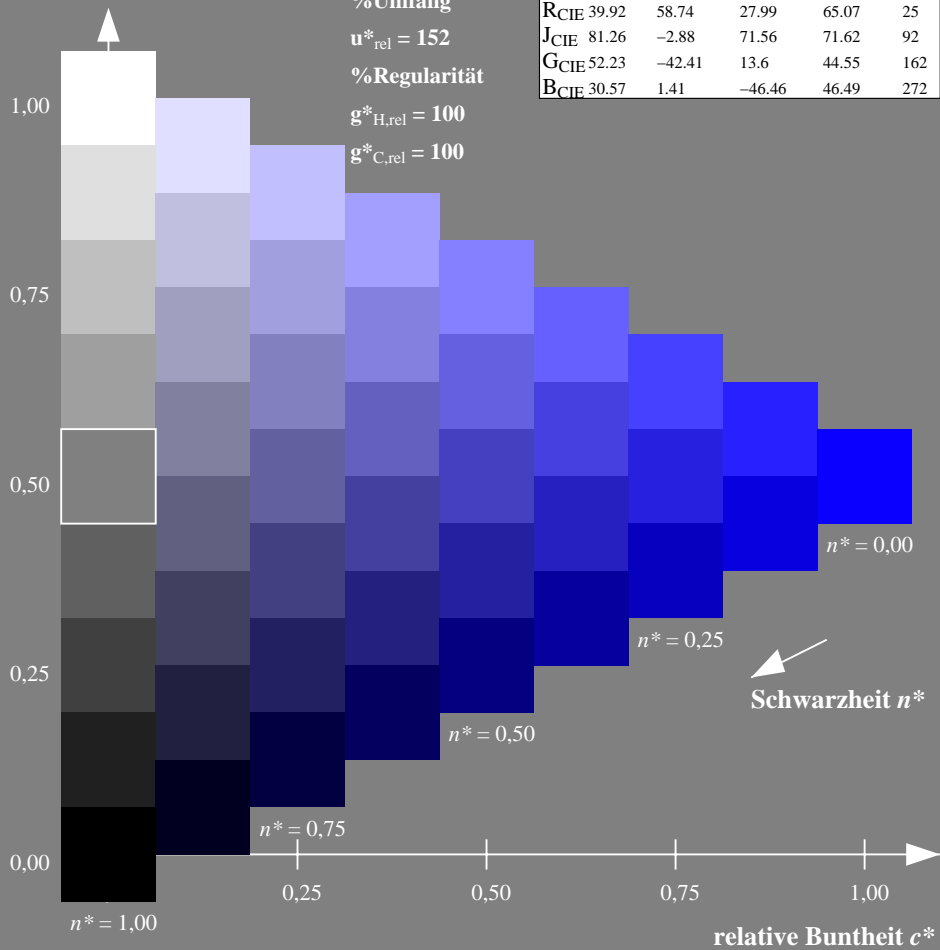
olv*Ma: 0.03 0.0 1.0



NLS00; adaptierte CIELAB-Daten

	$L^*=L^*_a$	a^*_a	b^*_a	$C^*_{ab,a}$	$h^*_{ab,a}$
OMa	31.81	82.62	47.7	95.4	30
YMa	63.61	0.0	95.4	95.4	90
LMa	31.81	-82.61	47.7	95.4	150
CMa	63.61	-82.61	-47.69	95.4	210
VMa	31.81	0.0	-95.39	95.4	270
MMa	63.61	82.62	-47.69	95.4	330
NMa	0.01	0.0	0.0	0.0	0
WMa	95.41	0.0	0.0	0.0	0
RCIE	39.92	58.74	27.99	65.07	25
JCIE	81.26	-2.88	71.56	71.62	92
GCIE	52.23	-42.41	13.6	44.55	162
BCIE	30.57	1.41	-46.46	46.49	272

Dreiecks-Helligkeit t^*



Ausgabe: Farbmetrisches Fernseh-Licht-System TLS00

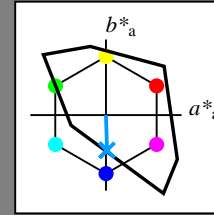
für Buntton $h^* = lab^*h = 272/360 = 0.755$

lab^*tch und lab^*nch

D65: Buntton B

LCH*Ma: 65 49 272

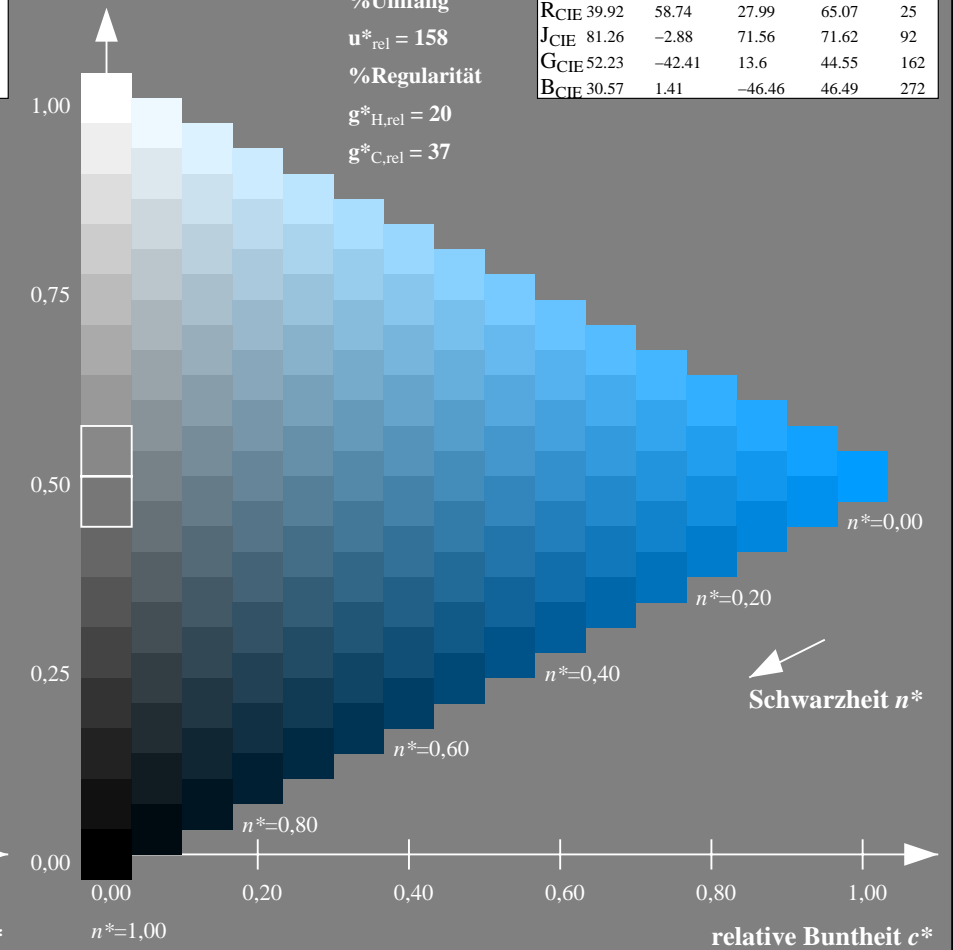
olv*Ma: 0.0 0.61 1.0



TLS00; adaptierte CIELAB-Daten

	$L^*=L^*_a$	a^*_a	b^*_a	$C^*_{ab,a}$	$h^*_{ab,a}$
OMa	50.5	76.92	64.55	100.42	40
YMa	92.66	-20.69	90.75	93.08	103
LMa	83.63	-82.75	79.9	115.04	136
CMa	86.88	-46.16	-13.55	48.12	196
VMa	30.39	76.06	-103.59	128.52	306
MMa	57.3	94.35	-58.41	110.97	328
NMa	0.01	0.0	0.0	0.0	0
WMa	95.41	0.0	0.0	0.0	0
RCIE	39.92	58.74	27.99	65.07	25
JCIE	81.26	-2.88	71.56	71.62	92
GCIE	52.23	-42.41	13.6	44.55	162
BCIE	30.57	1.41	-46.46	46.49	272

Dreiecks-Helligkeit t^*



NG900-7, 9stufige Reihen für konstanten CIELAB Buntton $272/360 = 0.755$ (links)

16stufige Reihen für konstanten CIELAB Buntton $272/360 = 0.755$ (rechts)

Eingabe: Farbmetrisches Natürliches-Licht-System NLS00

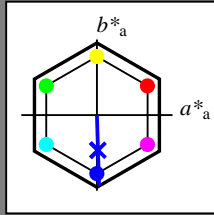
für Buntton $h^* = lab^*h = 272/360 = 0.755$

lab^*tch und lab^*nch

D65: Buntton B

LCH*Ma: 33 94 272

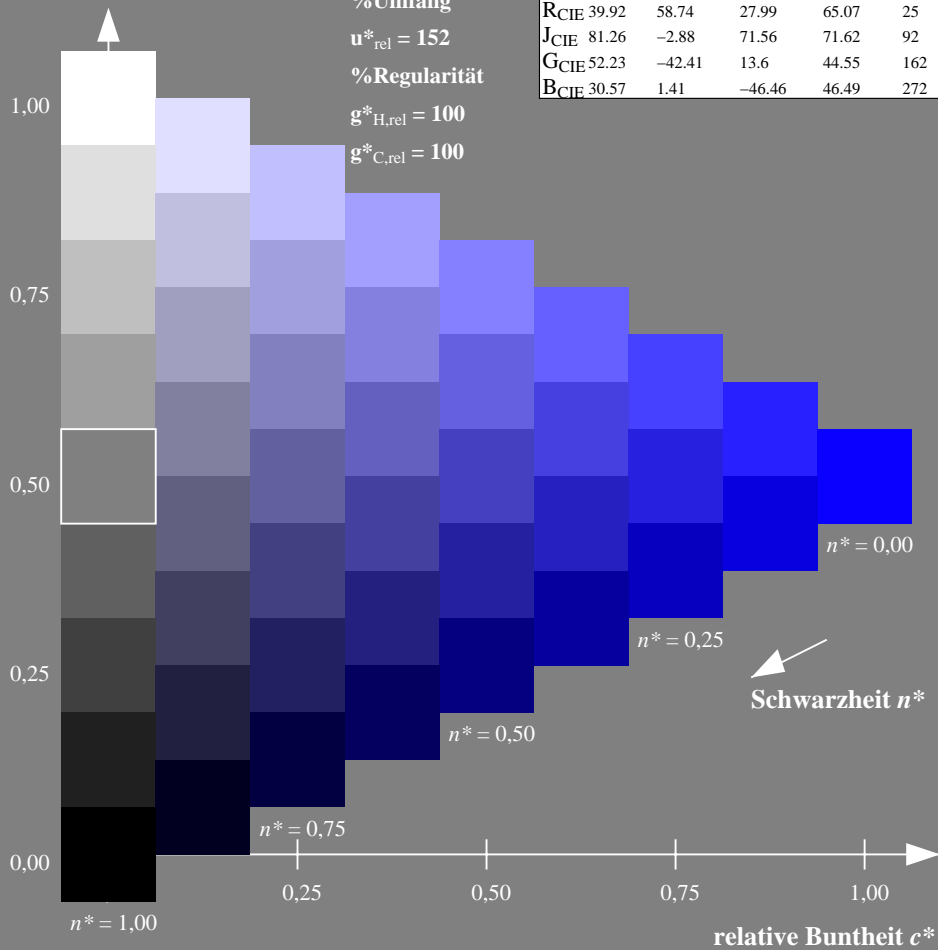
olv*Ma: 0.03 0.0 1.0



NLS00; adaptierte CIELAB-Daten

	$L^*=L^*_a$	a^*_a	b^*_a	$C^*_{ab,a}$	$h^*_{ab,a}$
O _{Ma}	31.81	82.62	47.7	95.4	30
Y _{Ma}	63.61	0.0	95.4	95.4	90
L _{Ma}	31.81	-82.61	47.7	95.4	150
C _{Ma}	63.61	-82.61	-47.69	95.4	210
V _{Ma}	31.81	0.0	-95.39	95.4	270
M _{Ma}	63.61	82.62	-47.69	95.4	330
N _{Ma}	0.01	0.0	0.0	0.0	0
W _{Ma}	95.41	0.0	0.0	0.0	0
R _{CIE}	39.92	58.74	27.99	65.07	25
J _{CIE}	81.26	-2.88	71.56	71.62	92
G _{CIE}	52.23	-42.41	13.6	44.55	162
B _{CIE}	30.57	1.41	-46.46	46.49	272

Dreiecks-Helligkeit t^*



Ausgabe: Farbmetrisches Drucker-Reflektiv-System DRSXX

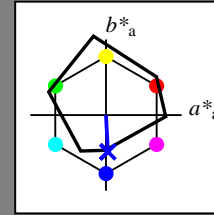
für Buntton $h^* = lab^*h = 273/360 = 0.759$

lab^*tch und lab^*nch

D65: Buntton B

LCH*Ma: 35 45 273

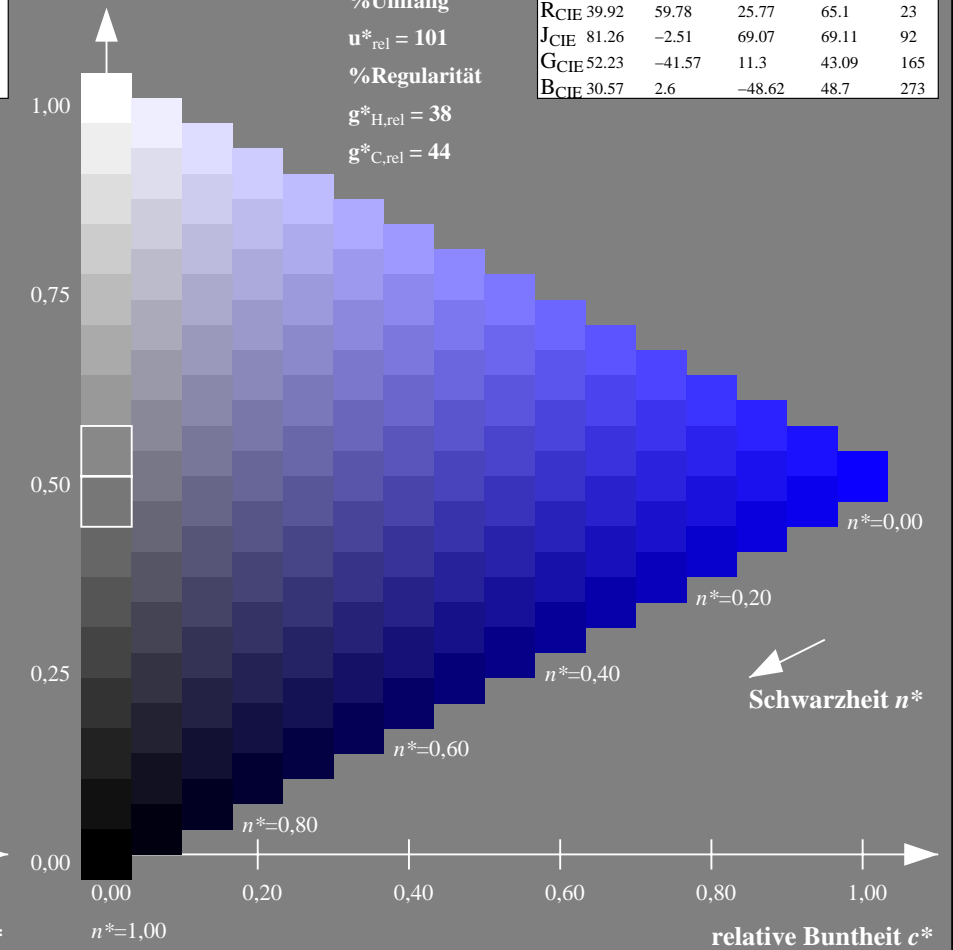
olv*Ma: 0.04 0.0 1.0



DRSXX; adaptierte CIELAB-Daten

	$L^*=L^*_a$	a^*_a	b^*_a	$C^*_{ab,a}$	$h^*_{ab,a}$
O _{Ma}	42.21	66.82	50.6	83.82	37
Y _{Ma}	90.32	-16.51	104.33	105.63	99
L _{Ma}	48.21	-75.63	30.65	81.61	158
C _{Ma}	53.44	-33.33	-47.49	58.03	235
V _{Ma}	34.16	-0.92	-46.56	46.58	269
M _{Ma}	42.71	79.0	-1.95	79.03	359
N _{Ma}	16.56	0.0	0.0	0.0	0
W _{Ma}	96.31	0.0	0.0	0.0	0
R _{CIE}	39.92	59.78	25.77	65.1	23
J _{CIE}	81.26	-2.51	69.07	69.11	92
G _{CIE}	52.23	-41.57	11.3	43.09	165
B _{CIE}	30.57	2.6	-48.62	48.7	273

Dreiecks-Helligkeit t^*



NG900-7, 9stufige Reihen für konstanten CIELAB Buntton $272/360 = 0.755$ (links)

16stufige Reihen für konstanten CIELAB Buntton $273/360 = 0.759$ (rechts)

Eingabe: Farbmetrisches Natürliches-Licht-System NLS00

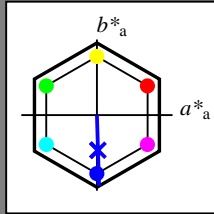
für Buntton $h^* = lab^*h = 272/360 = 0.755$

lab^*tch und lab^*nch

D65: Buntton B

LCH*Ma: 33 94 272

olv*Ma: 0.03 0.0 1.0



NLS00; adaptierte CIELAB-Daten

	$L^*=L^*_a$	a^*_a	b^*_a	$C^*_{ab,a}$	$h^*_{ab,a}$
O _{Ma}	31.81	82.62	47.7	95.4	30
Y _{Ma}	63.61	0.0	95.4	95.4	90
L _{Ma}	31.81	-82.61	47.7	95.4	150
C _{Ma}	63.61	-82.61	-47.69	95.4	210
V _{Ma}	31.81	0.0	-95.39	95.4	270
M _{Ma}	63.61	82.62	-47.69	95.4	330
N _{Ma}	0.01	0.0	0.0	0.0	0
W _{Ma}	95.41	0.0	0.0	0.0	0
R _{CIE}	39.92	58.74	27.99	65.07	25
J _{CIE}	81.26	-2.88	71.56	71.62	92
G _{CIE}	52.23	-42.41	13.6	44.55	162
B _{CIE}	30.57	1.41	-46.46	46.49	272

Dreiecks-Helligkeit t^*

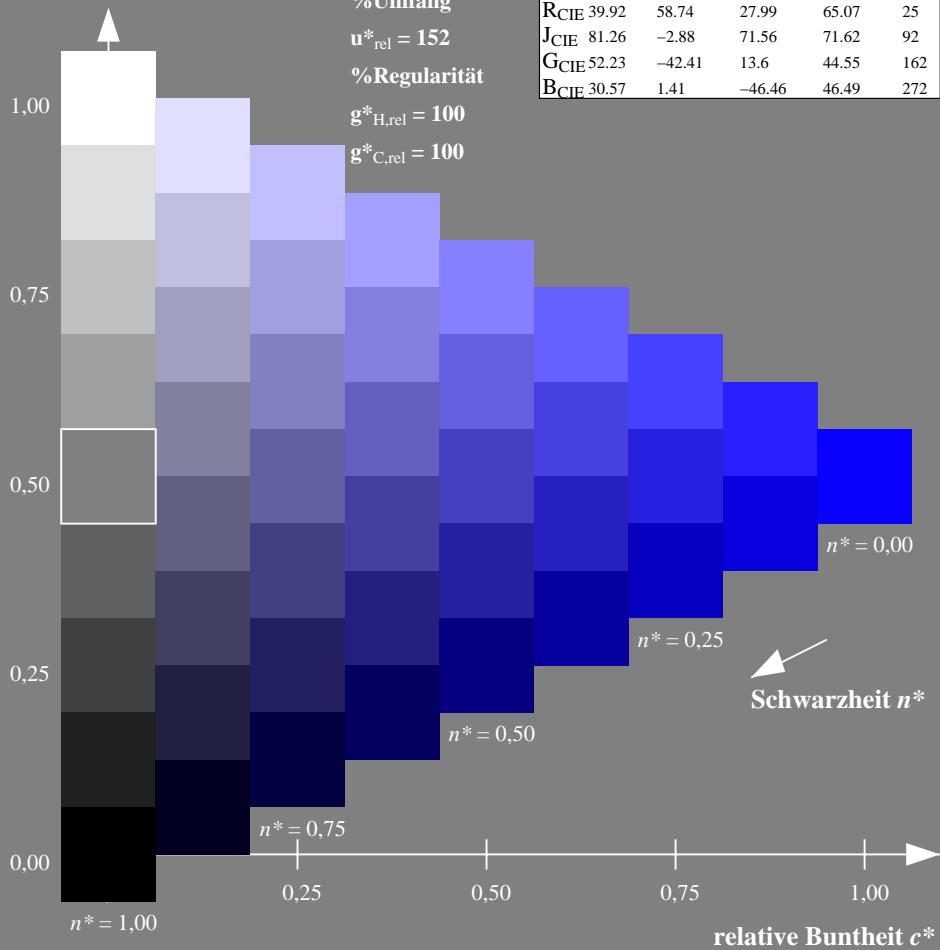
%Umfang

$u^*_{rel} = 152$

%Regularität

$g^*_{H,rel} = 100$

$g^*_{C,rel} = 100$



Ausgabe: Farbmetrisches Fernseh-Licht-System TLS18

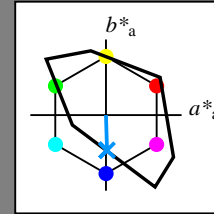
für Buntton $h^* = lab^*h = 272/360 = 0.755$

lab^*tch und lab^*nch

D65: Buntton B

LCH*Ma: 65 48 272

olv*Ma: 0.0 0.58 1.0



TLS18; adaptierte CIELAB-Daten

	$L^*=L^*_a$	a^*_a	b^*_a	$C^*_{ab,a}$	$h^*_{ab,a}$
O _{Ma}	52.76	71.63	49.88	87.29	35
Y _{Ma}	92.74	-20.02	84.97	87.3	103
L _{Ma}	84.0	-78.98	73.94	108.2	137
C _{Ma}	87.14	-44.41	-13.11	46.32	196
V _{Ma}	35.47	64.92	-95.06	115.12	304
M _{Ma}	59.01	89.33	-55.67	105.26	328
N _{Ma}	18.01	0.0	0.0	0.0	0
W _{Ma}	95.41	0.0	0.0	0.0	0
R _{CIE}	39.92	58.74	27.99	65.07	25
J _{CIE}	81.26	-2.88	71.56	71.62	92
G _{CIE}	52.23	-42.41	13.6	44.55	162
B _{CIE}	30.57	1.41	-46.46	46.49	272

Dreiecks-Helligkeit t^*

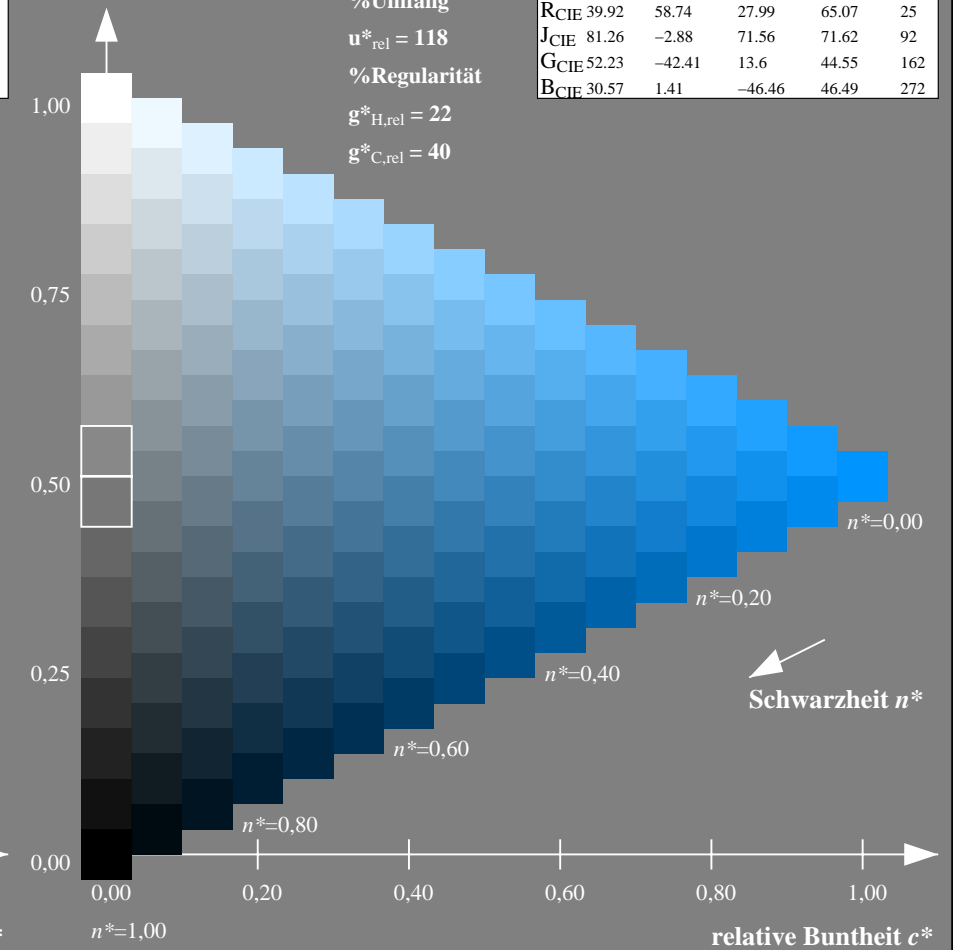
%Umfang

$u^*_{rel} = 118$

%Regularität

$g^*_{H,rel} = 22$

$g^*_{C,rel} = 40$



NG900-7, 9stufige Reihen für konstanten CIELAB Buntton $272/360 = 0.755$ (links)

16stufige Reihen für konstanten CIELAB Buntton $272/360 = 0.755$ (rechts)

Eingabe: Farbmetrisches Natürliches-Licht-System NLS00

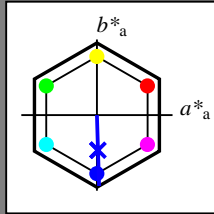
für Buntton $h^* = lab^*h = 272/360 = 0.755$

lab^*tch und lab^*nch

D65: Buntton B

LCH*Ma: 33 94 272

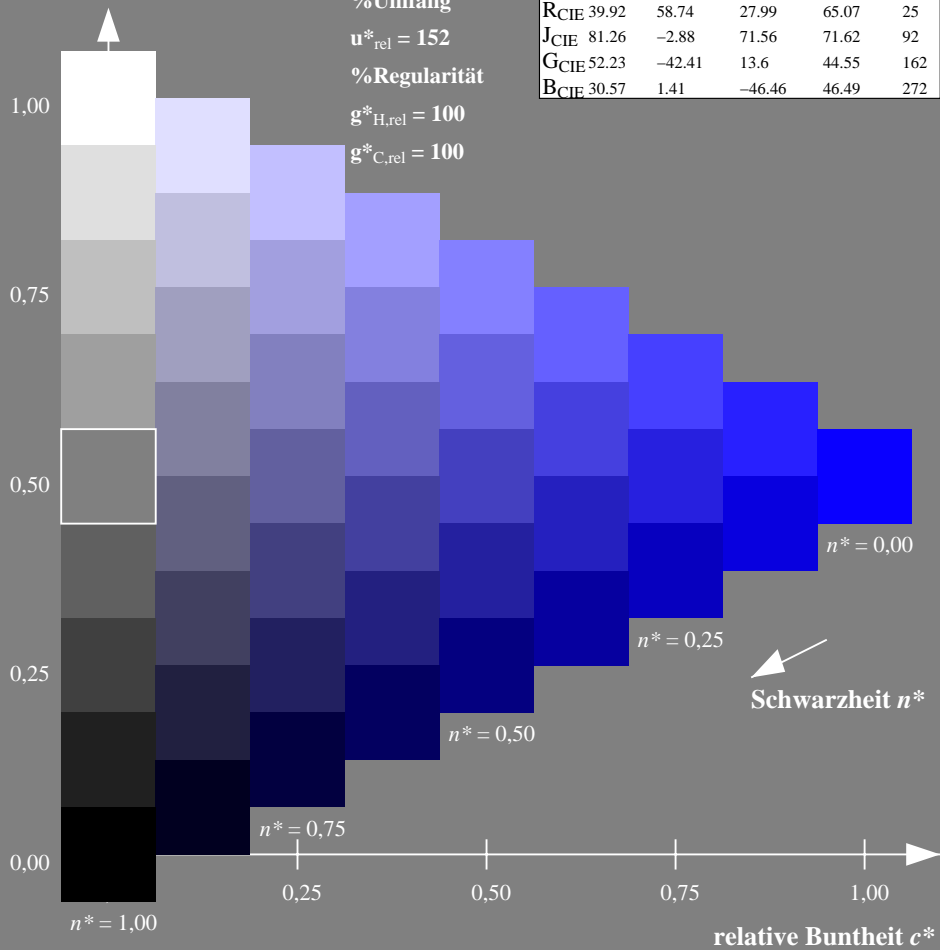
olv*Ma: 0.03 0.0 1.0



NLS00; adaptierte CIELAB-Daten

	$L^*=L^*_a$	a^*_a	b^*_a	$C^*_{ab,a}$	$h^*_{ab,a}$
O _{Ma}	31.81	82.62	47.7	95.4	30
Y _{Ma}	63.61	0.0	95.4	95.4	90
L _{Ma}	31.81	-82.61	47.7	95.4	150
C _{Ma}	63.61	-82.61	-47.69	95.4	210
V _{Ma}	31.81	0.0	-95.39	95.4	270
M _{Ma}	63.61	82.62	-47.69	95.4	330
N _{Ma}	0.01	0.0	0.0	0.0	0
W _{Ma}	95.41	0.0	0.0	0.0	0
R _{CIE}	39.92	58.74	27.99	65.07	25
J _{CIE}	81.26	-2.88	71.56	71.62	92
G _{CIE}	52.23	-42.41	13.6	44.55	162
B _{CIE}	30.57	1.41	-46.46	46.49	272

Dreiecks-Helligkeit t^*



Ausgabe: Farbmetrisches Natürliches-Licht-System NLS00

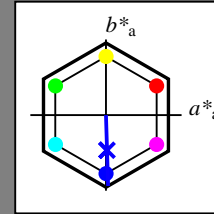
für Buntton $h^* = lab^*h = 272/360 = 0.755$

lab^*tch und lab^*nch

D65: Buntton B

LCH*Ma: 33 94 272

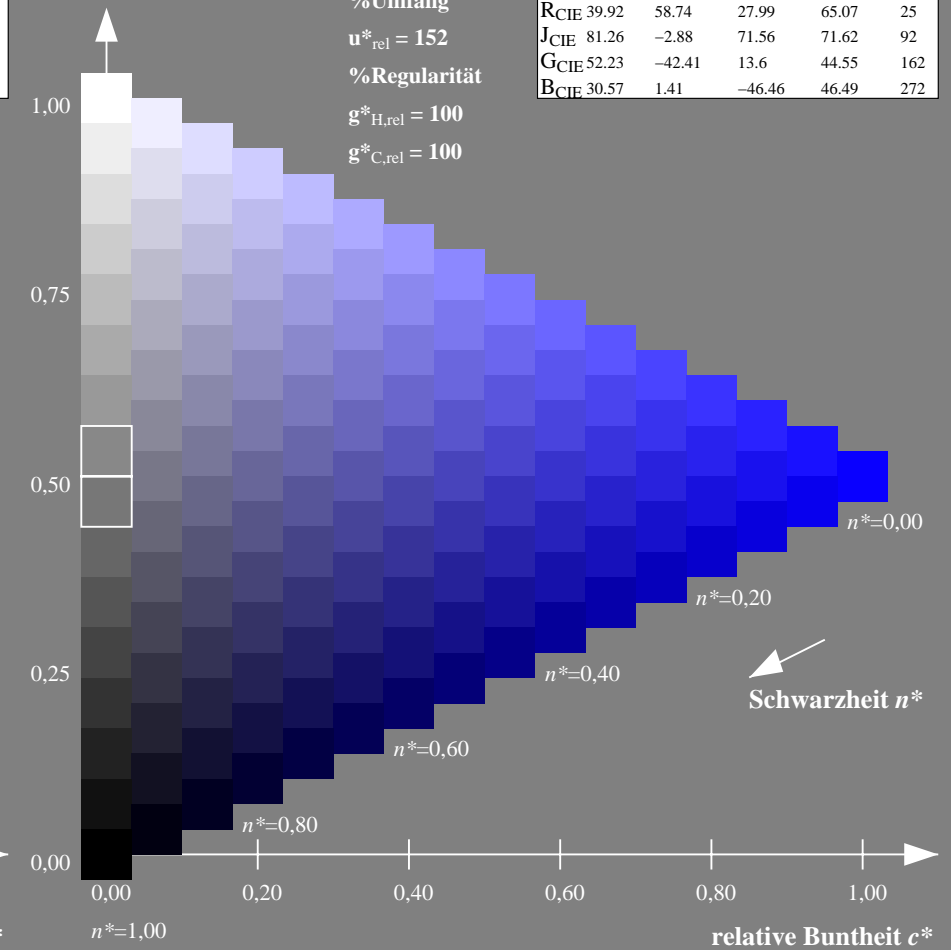
olv*Ma: 0.03 0.0 1.0



NLS00; adaptierte CIELAB-Daten

	$L^*=L^*_a$	a^*_a	b^*_a	$C^*_{ab,a}$	$h^*_{ab,a}$
O _{Ma}	31.81	82.62	47.7	95.4	30
Y _{Ma}	63.61	0.0	95.4	95.4	90
L _{Ma}	31.81	-82.61	47.7	95.4	150
C _{Ma}	63.61	-82.61	-47.69	95.4	210
V _{Ma}	31.81	0.0	-95.39	95.4	270
M _{Ma}	63.61	82.62	-47.69	95.4	330
N _{Ma}	0.01	0.0	0.0	0.0	0
W _{Ma}	95.41	0.0	0.0	0.0	0
R _{CIE}	39.92	58.74	27.99	65.07	25
J _{CIE}	81.26	-2.88	71.56	71.62	92
G _{CIE}	52.23	-42.41	13.6	44.55	162
B _{CIE}	30.57	1.41	-46.46	46.49	272

Dreiecks-Helligkeit t^*



NG900-7, 9stufige Reihen für konstanten CIELAB Buntton $272/360 = 0.755$ (links)

16stufige Reihen für konstanten CIELAB Buntton $272/360 = 0.755$ (rechts)

Eingabe: Farbmetrisches Natürliches-Licht-System NLS00

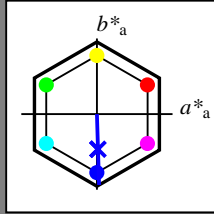
für Buntton $h^* = lab^*h = 272/360 = 0.755$

lab^*tch und lab^*nch

D65: Buntton B

LCH*Ma: 33 94 272

olv*Ma: 0.03 0.0 1.0



NLS00; adaptierte CIELAB-Daten

	$L^*=L^*_a$	a^*_a	b^*_a	$C^*_{ab,a}$	$h^*_{ab,a}$
O _{Ma}	31.81	82.62	47.7	95.4	30
Y _{Ma}	63.61	0.0	95.4	95.4	90
L _{Ma}	31.81	-82.61	47.7	95.4	150
C _{Ma}	63.61	-82.61	-47.69	95.4	210
V _{Ma}	31.81	0.0	-95.39	95.4	270
M _{Ma}	63.61	82.62	-47.69	95.4	330
N _{Ma}	0.01	0.0	0.0	0.0	0
W _{Ma}	95.41	0.0	0.0	0.0	0
R _{CIE}	39.92	58.74	27.99	65.07	25
J _{CIE}	81.26	-2.88	71.56	71.62	92
G _{CIE}	52.23	-42.41	13.6	44.55	162
B _{CIE}	30.57	1.41	-46.46	46.49	272

Dreiecks-Helligkeit t^*

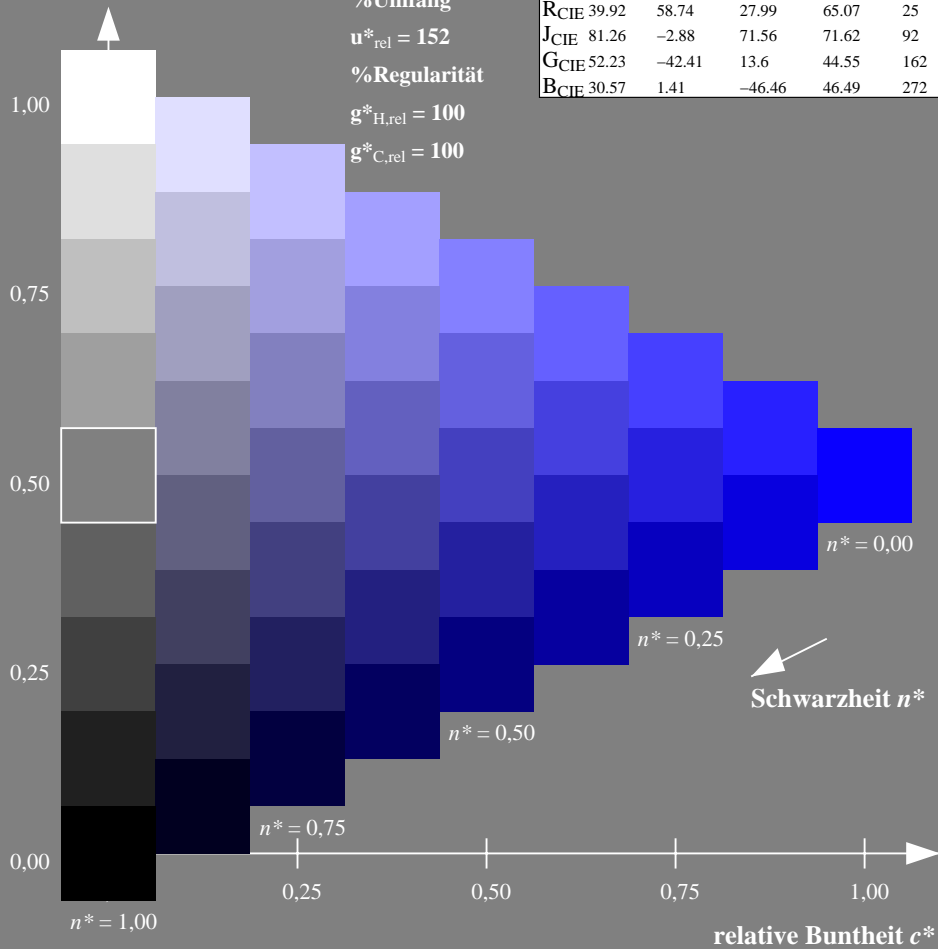
%Umfang

$u^*_{rel} = 152$

%Regularität

$g^*_{H,rel} = 100$

$g^*_{C,rel} = 100$



NG900-7, 9stufige Reihen für konstanten CIELAB Buntton $272/360 = 0.755$ (links)

Ausgabe: Farbmetrisches Natürliches-Reflektiv-System NRS18

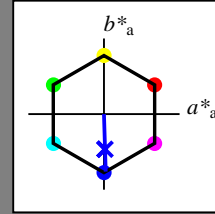
für Buntton $h^* = lab^*h = 272/360 = 0.755$

lab^*tch und lab^*nch

D65: Buntton B

LCH*Ma: 45 76 272

olv*Ma: 0.03 0.0 1.0



NRS18; adaptierte CIELAB-Daten

	$L^*=L^*_a$	a^*_a	b^*_a	$C^*_{ab,a}$	$h^*_{ab,a}$
O _{Ma}	43.81	67.03	38.7	77.4	30
Y _{Ma}	69.61	0.0	77.4	77.4	90
L _{Ma}	43.81	-67.02	38.7	77.4	150
C _{Ma}	69.61	-67.02	-38.69	77.4	210
V _{Ma}	43.81	0.0	-77.39	77.4	270
M _{Ma}	69.61	67.03	-38.69	77.4	330
N _{Ma}	18.01	0.0	0.0	0.0	0
W _{Ma}	95.41	0.0	0.0	0.0	0
R _{CIE}	39.92	58.74	27.99	65.07	25
J _{CIE}	81.26	-2.88	71.56	71.62	92
G _{CIE}	52.23	-42.41	13.6	44.55	162
B _{CIE}	30.57	1.41	-46.46	46.49	272

Dreiecks-Helligkeit t^*

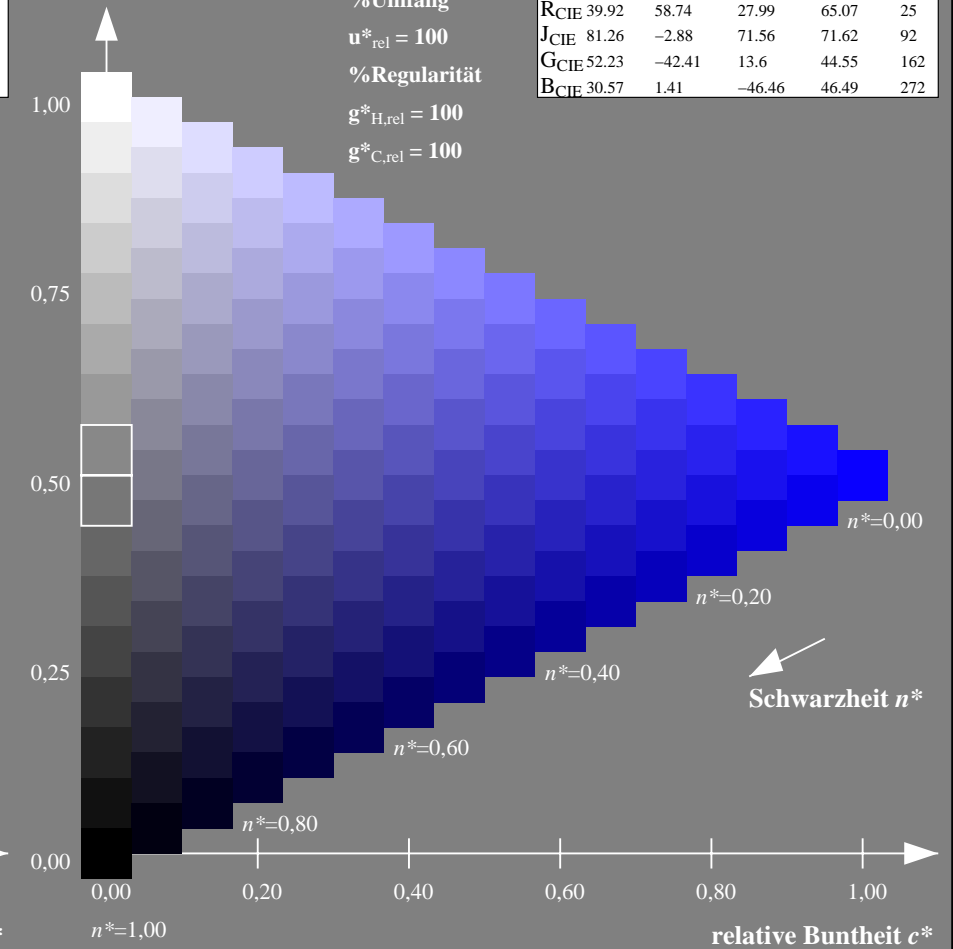
%Umfang

$u^*_{rel} = 100$

%Regularität

$g^*_{H,rel} = 100$

$g^*_{C,rel} = 100$



16stufige Reihen für konstanten CIELAB Buntton $272/360 = 0.755$ (rechts)

Eingabe: Farbmetrisches Natürliches-Licht-System NLS00

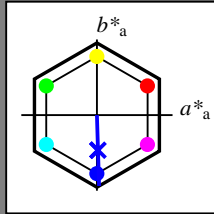
für Buntton $h^* = lab^*h = 272/360 = 0.755$

lab^*tch und lab^*nch

D65: Buntton B

LCH*Ma: 33 94 272

olv*Ma: 0.03 0.0 1.0



NLS00; adaptierte CIELAB-Daten

	$L^*=L^*_a$	a^*_a	b^*_a	$C^*_{ab,a}$	$h^*_{ab,a}$
O _{Ma}	31.81	82.62	47.7	95.4	30
Y _{Ma}	63.61	0.0	95.4	95.4	90
L _{Ma}	31.81	-82.61	47.7	95.4	150
C _{Ma}	63.61	-82.61	-47.69	95.4	210
V _{Ma}	31.81	0.0	-95.39	95.4	270
M _{Ma}	63.61	82.62	-47.69	95.4	330
N _{Ma}	0.01	0.0	0.0	0.0	0
W _{Ma}	95.41	0.0	0.0	0.0	0
R _{CIE}	39.92	58.74	27.99	65.07	25
J _{CIE}	81.26	-2.88	71.56	71.62	92
G _{CIE}	52.23	-42.41	13.6	44.55	162
B _{CIE}	30.57	1.41	-46.46	46.49	272

Dreiecks-Helligkeit t^*

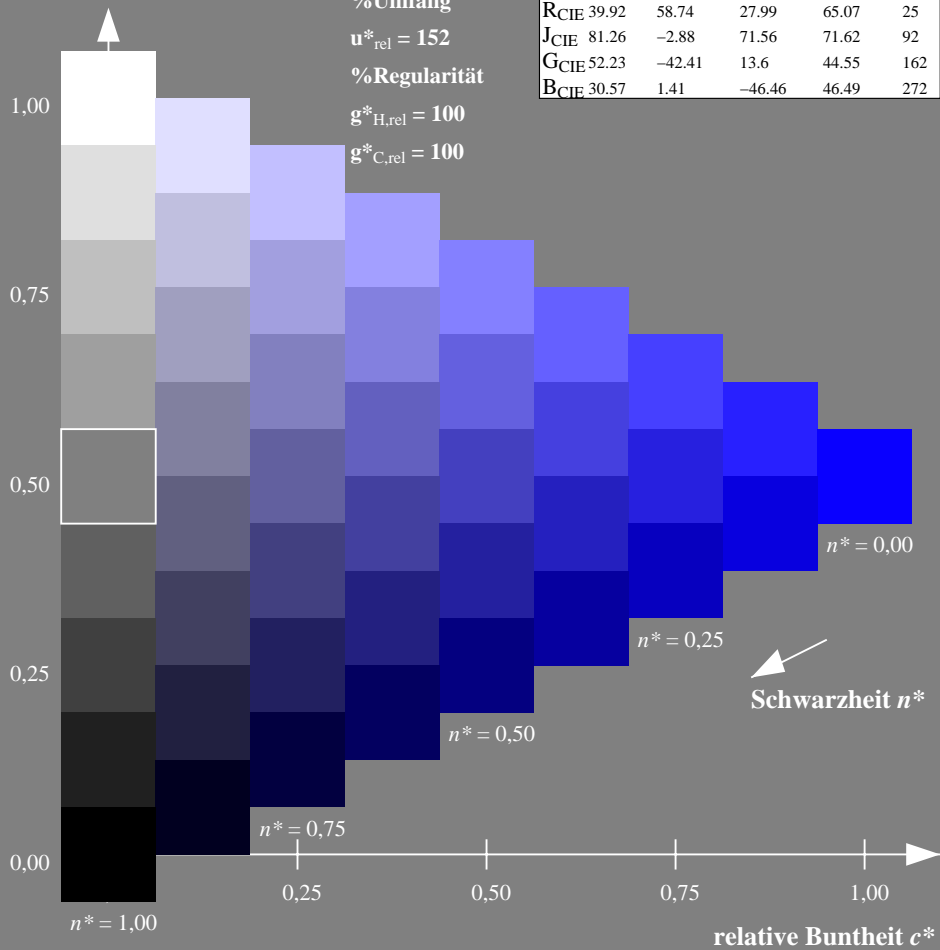
%Umfang

$u^*_{rel} = 152$

%Regularität

$g^*_{H,rel} = 100$

$g^*_{C,rel} = 100$



Ausgabe: Farbmetrisches Standard-Reflektiv-System SRS18

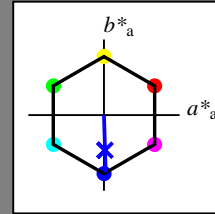
für Buntton $h^* = lab^*h = 272/360 = 0.755$

lab^*tch und lab^*nch

D65: Buntton B

LCH*Ma: 57 76 272

olv*Ma: 0.03 0.0 1.0



SRS18; adaptierte CIELAB-Daten

	$L^*=L^*_a$	a^*_a	b^*_a	$C^*_{ab,a}$	$h^*_{ab,a}$
O _{Ma}	56.71	67.03	38.7	77.4	30
Y _{Ma}	56.71	0.0	77.4	77.4	90
L _{Ma}	56.71	-67.02	38.7	77.4	150
C _{Ma}	56.71	-67.02	-38.69	77.4	210
V _{Ma}	56.71	0.0	-77.39	77.4	270
M _{Ma}	56.71	67.03	-38.69	77.4	330
N _{Ma}	18.01	0.0	0.0	0.0	0
W _{Ma}	95.41	0.0	0.0	0.0	0
R _{CIE}	39.92	58.74	27.99	65.07	25
J _{CIE}	81.26	-2.88	71.56	71.62	92
G _{CIE}	52.23	-42.41	13.6	44.55	162
B _{CIE}	30.57	1.41	-46.46	46.49	272

Dreiecks-Helligkeit t^*

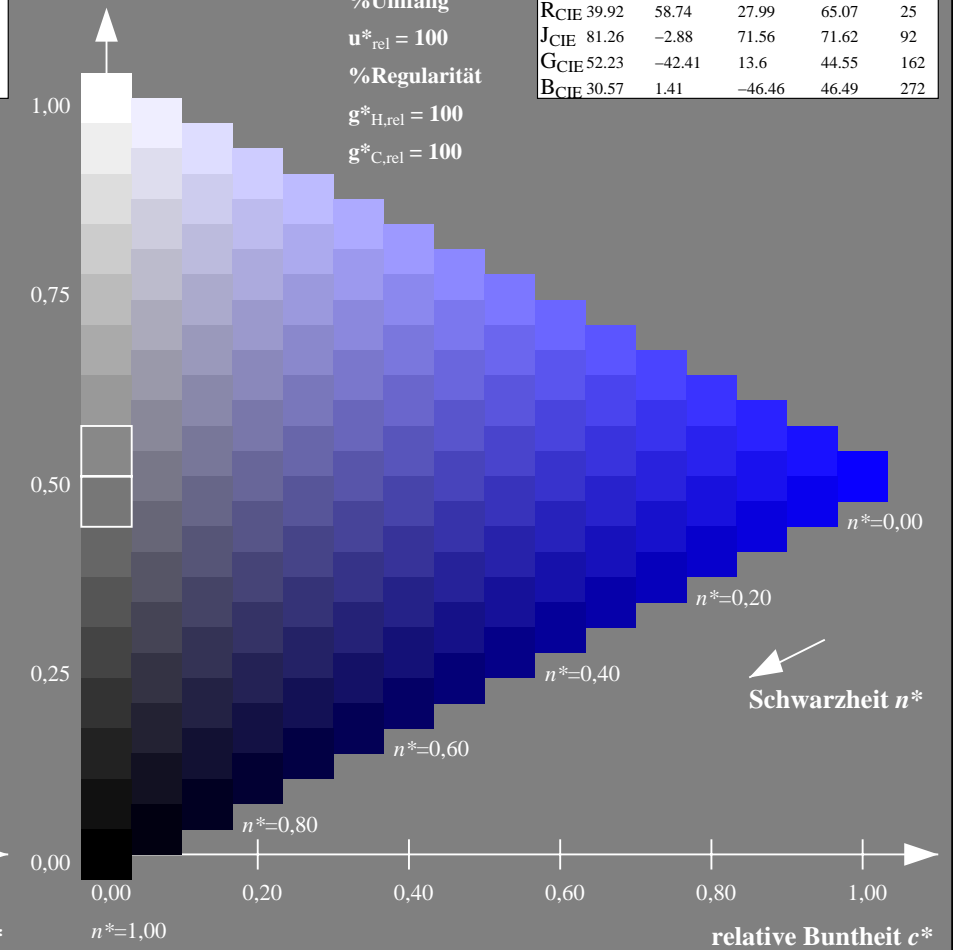
%Umfang

$u^*_{rel} = 100$

%Regularität

$g^*_{H,rel} = 100$

$g^*_{C,rel} = 100$



NG900-7, 9stufige Reihen für konstanten CIELAB Buntton $272/360 = 0.755$ (links)

16stufige Reihen für konstanten CIELAB Buntton $272/360 = 0.755$ (rechts)

Eingabe: Farbmetrisches Natürliches-Licht-System NLS00

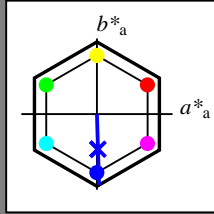
für Buntton $h^* = lab^*h = 272/360 = 0.755$

lab^*tch und lab^*nch

D65: Buntton B

LCH*Ma: 33 94 272

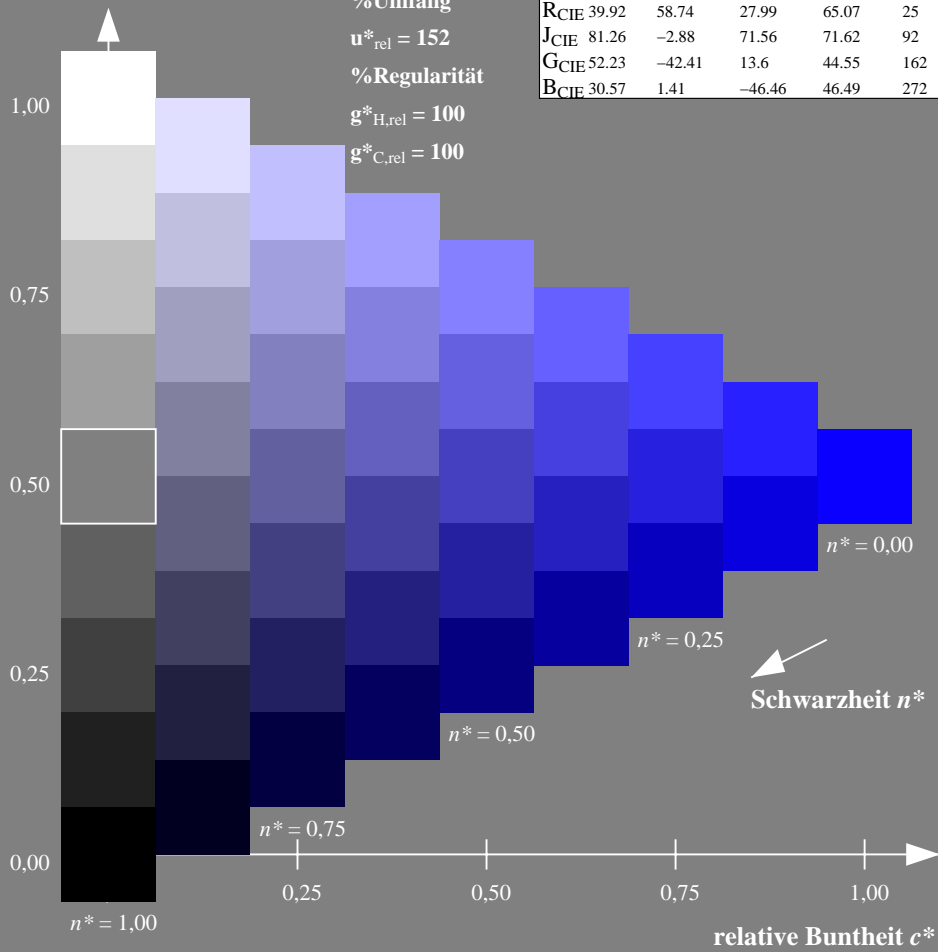
olv*Ma: 0.03 0.0 1.0



NLS00; adaptierte CIELAB-Daten

	$L^*=L^*_a$	a^*_a	b^*_a	$C^*_{ab,a}$	$h^*_{ab,a}$
O _{Ma}	31.81	82.62	47.7	95.4	30
Y _{Ma}	63.61	0.0	95.4	95.4	90
L _{Ma}	31.81	-82.61	47.7	95.4	150
C _{Ma}	63.61	-82.61	-47.69	95.4	210
V _{Ma}	31.81	0.0	-95.39	95.4	270
M _{Ma}	63.61	82.62	-47.69	95.4	330
N _{Ma}	0.01	0.0	0.0	0.0	0
W _{Ma}	95.41	0.0	0.0	0.0	0
R _{CIE}	39.92	58.74	27.99	65.07	25
J _{CIE}	81.26	-2.88	71.56	71.62	92
G _{CIE}	52.23	-42.41	13.6	44.55	162
B _{CIE}	30.57	1.41	-46.46	46.49	272

Dreiecks-Helligkeit t^*



Ausgabe: Farbmetrisches Fernseh-Licht-System TLS70

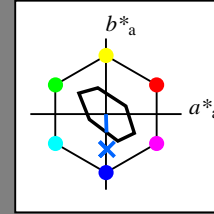
für Buntton $h^* = lab^*h = 272/360 = 0.755$

lab^*tch und lab^*nch

D65: Buntton B

LCH*Ma: 80 24 272

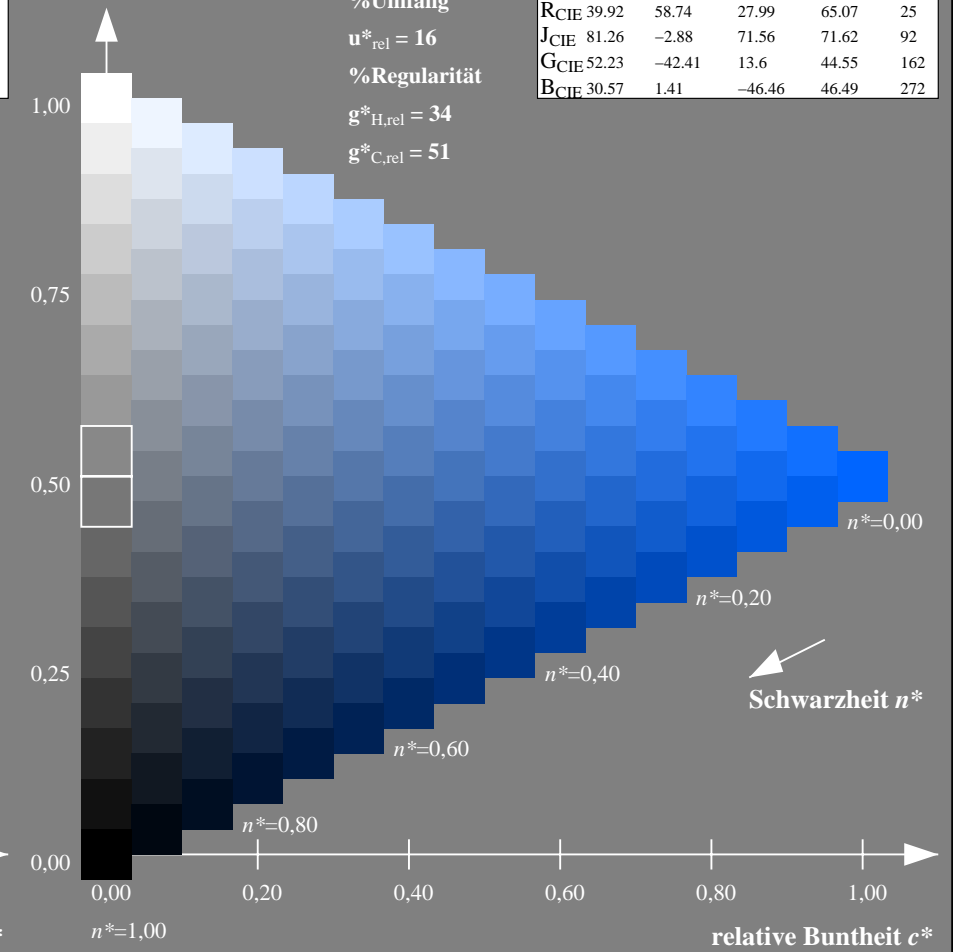
olv*Ma: 0.0 0.4 1.0



TLS70; adaptierte CIELAB-Daten

	$L^*=L^*_a$	a^*_a	b^*_a	$C^*_{ab,a}$	$h^*_{ab,a}$
O _{Ma}	76.43	26.27	10.57	28.32	22
Y _{Ma}	93.93	-10.76	34.63	36.27	107
L _{Ma}	89.32	-35.8	27.64	45.24	142
C _{Ma}	90.93	-21.95	-7.07	23.07	198
V _{Ma}	72.1	15.76	-35.63	38.97	294
M _{Ma}	78.5	37.52	-25.23	45.22	326
N _{Ma}	69.7	0.0	0.0	0.0	0
W _{Ma}	95.41	0.0	0.0	0.0	0
R _{CIE}	39.92	58.74	27.99	65.07	25
J _{CIE}	81.26	-2.88	71.56	71.62	92
G _{CIE}	52.23	-42.41	13.6	44.55	162
B _{CIE}	30.57	1.41	-46.46	46.49	272

Dreiecks-Helligkeit t^*



NG900-7, 9stufige Reihen für konstanten CIELAB Buntton $272/360 = 0.755$ (links)

16stufige Reihen für konstanten CIELAB Buntton $272/360 = 0.755$ (rechts)

Eingabe: Farbmetrisches Natürliches-Reflektiv-System NRS18

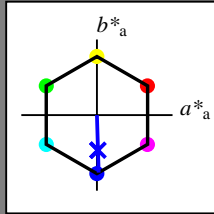
für Buntton $h^* = lab^*h = 272/360 = 0.755$

lab^*tch und lab^*nch

D65: Buntton B

LCH*Ma: 45 76 272

olv*Ma: 0.03 0.0 1.0



NRS18; adaptierte CIELAB-Daten

	$L^*=L^*_a$	a^*_a	b^*_a	$C^*_{ab,a}$	$h^*_{ab,a}$
OMa	43.81	67.03	38.7	77.4	30
YMa	69.61	0.0	77.4	77.4	90
LMa	43.81	-67.02	38.7	77.4	150
CMa	69.61	-67.02	-38.69	77.4	210
VMa	43.81	0.0	-77.39	77.4	270
MMa	69.61	67.03	-38.69	77.4	330
NMa	18.01	0.0	0.0	0.0	0
WMa	95.41	0.0	0.0	0.0	0
RCIE	39.92	58.74	27.99	65.07	25
JCIE	81.26	-2.88	71.56	71.62	92
GCIE	52.23	-42.41	13.6	44.55	162
BCIE	30.57	1.41	-46.46	46.49	272

Dreiecks-Helligkeit t^*

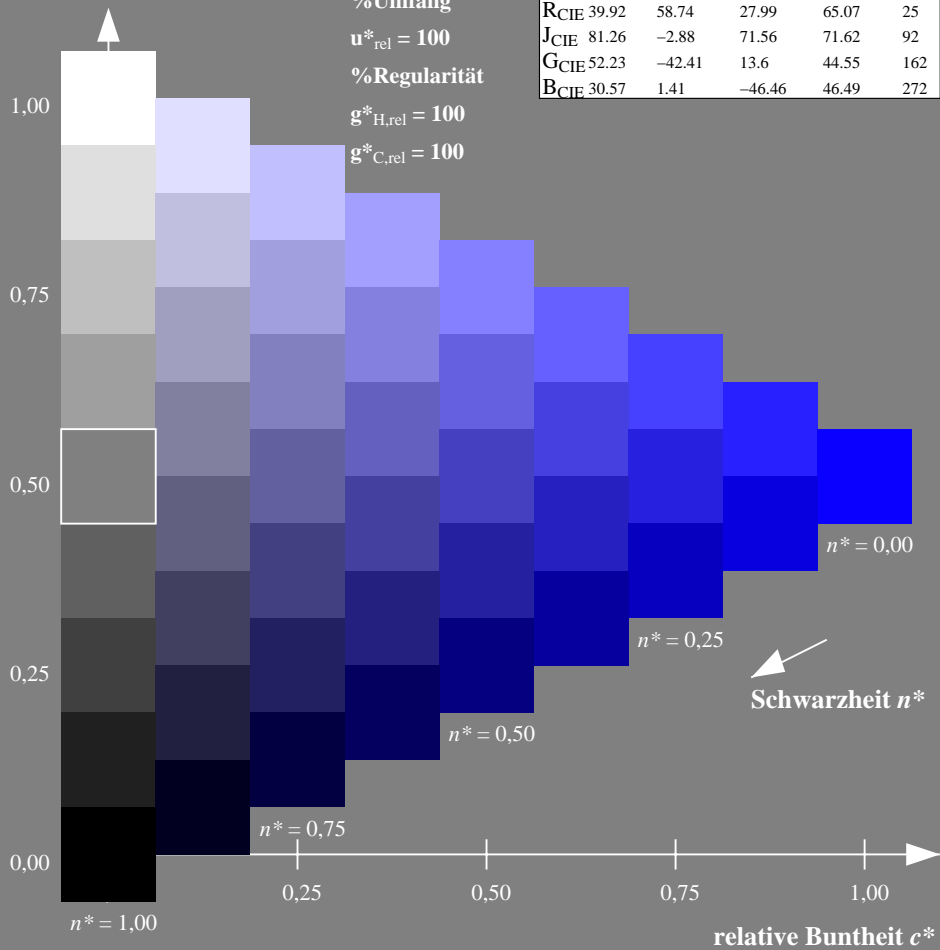
%Umfang

$u^*_{rel} = 100$

%Regularität

$g^*_{H,rel} = 100$

$g^*_{C,rel} = 100$



Ausgabe: Farbmetrisches Offset-Reflektiv-System ORS18

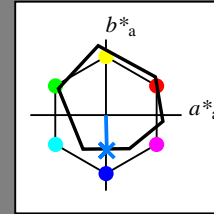
für Buntton $h^* = lab^*h = 271/360 = 0.754$

lab^*tch und lab^*nch

D65: Buntton B

LCH*Ma: 42 45 271

olv*Ma: 0.0 0.49 1.0



ORS18; adaptierte CIELAB-Daten

	$L^*=L^*_a$	a^*_a	b^*_a	$C^*_{ab,a}$	$h^*_{ab,a}$
OMa	47.94	65.39	50.52	82.63	38
YMa	90.37	-10.26	91.75	92.32	96
LMa	50.9	-62.83	34.96	71.91	151
CMa	58.62	-30.34	-45.01	54.3	236
VMa	25.72	31.1	-44.4	54.22	305
MMa	48.13	75.28	-8.36	75.74	354
NMa	18.01	0.0	0.0	0.0	0
WMa	95.41	0.0	0.0	0.0	0
RCIE	39.92	58.66	26.98	64.57	25
JCIE	81.26	-2.16	67.76	67.79	92
GCIE	52.23	-42.25	11.76	43.87	164
BCIE	30.57	1.15	-46.84	46.86	271

Dreiecks-Helligkeit t^*

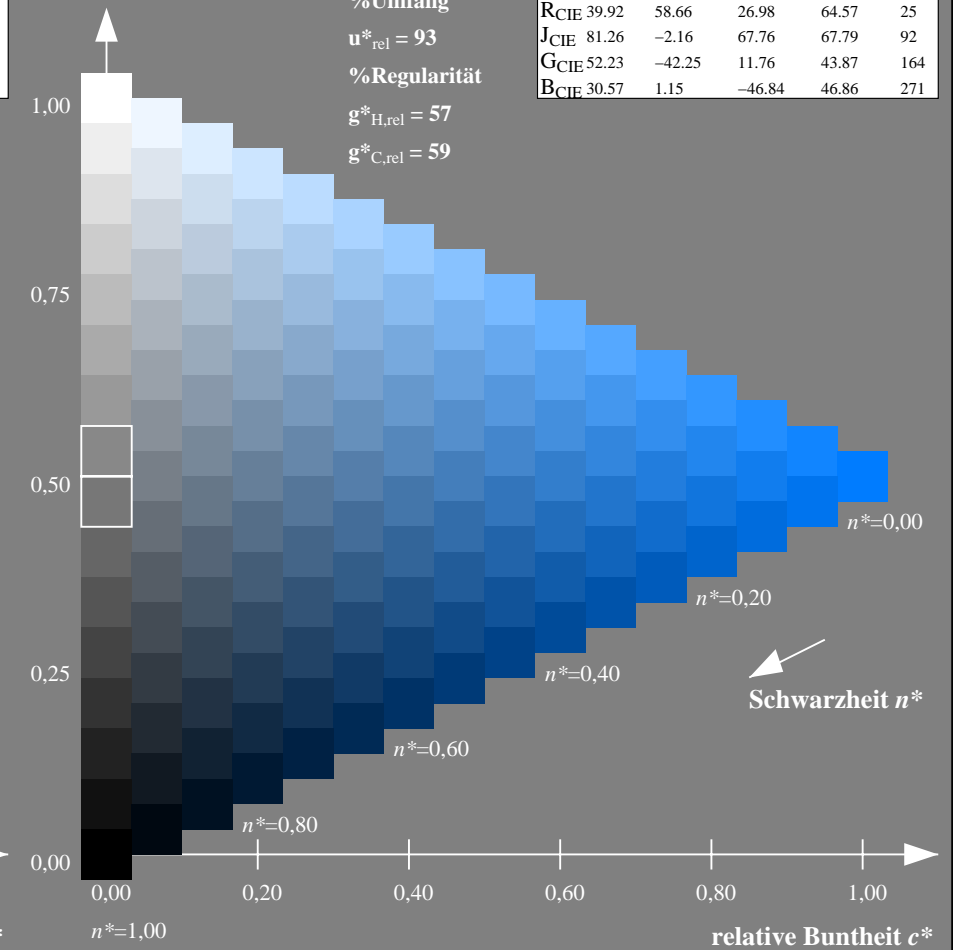
%Umfang

$u^*_{rel} = 93$

%Regularität

$g^*_{H,rel} = 57$

$g^*_{C,rel} = 59$



NG900-7, 9stufige Reihen für konstanten CIELAB Buntton $272/360 = 0.755$ (links)

16stufige Reihen für konstanten CIELAB Buntton $271/360 = 0.754$ (rechts)

Eingabe: Farbmetrisches Natürliches-Reflektiv-System NRS18

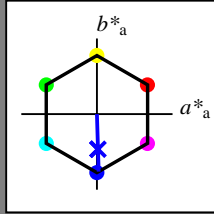
für Buntton $h^* = lab^*h = 272/360 = 0.755$

lab^*tch und lab^*nch

D65: Buntton B

LCH*Ma: 45 76 272

olv*Ma: 0.03 0.0 1.0

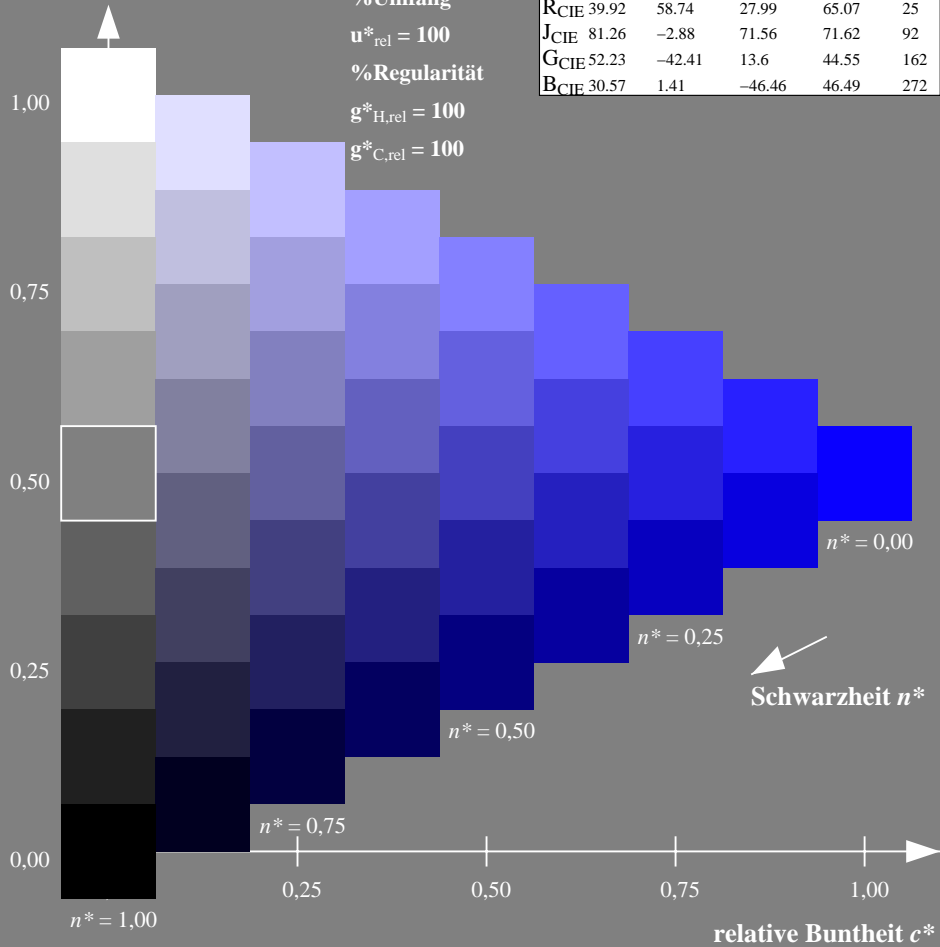


NRS18; adaptierte CIELAB-Daten

	$L^*=L^*_a$	a^*_a	b^*_a	$C^*_{ab,a}$	$h^*_{ab,a}$
OMa	43.81	67.03	38.7	77.4	30
YMa	69.61	0.0	77.4	77.4	90
LMa	43.81	-67.02	38.7	77.4	150
CMa	69.61	-67.02	-38.69	77.4	210
VMa	43.81	0.0	-77.39	77.4	270
MMa	69.61	67.03	-38.69	77.4	330
NMa	18.01	0.0	0.0	0.0	0
WMa	95.41	0.0	0.0	0.0	0
RCIE	39.92	58.74	27.99	65.07	25
JCIE	81.26	-2.88	71.56	71.62	92
GCIE	52.23	-42.41	13.6	44.55	162
BCIE	30.57	1.41	-46.46	46.49	272

Dreiecks-Helligkeit t^*

%Umfang
 $u^*_{rel} = 100$
 %Regularität
 $g^*_{H,rel} = 100$
 $g^*_{C,rel} = 100$



Ausgabe: Farbmetrisches Fernseh-Licht-System TLS00

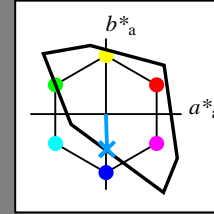
für Buntton $h^* = lab^*h = 272/360 = 0.755$

lab^*tch und lab^*nch

D65: Buntton B

LCH*Ma: 65 49 272

olv*Ma: 0.0 0.61 1.0

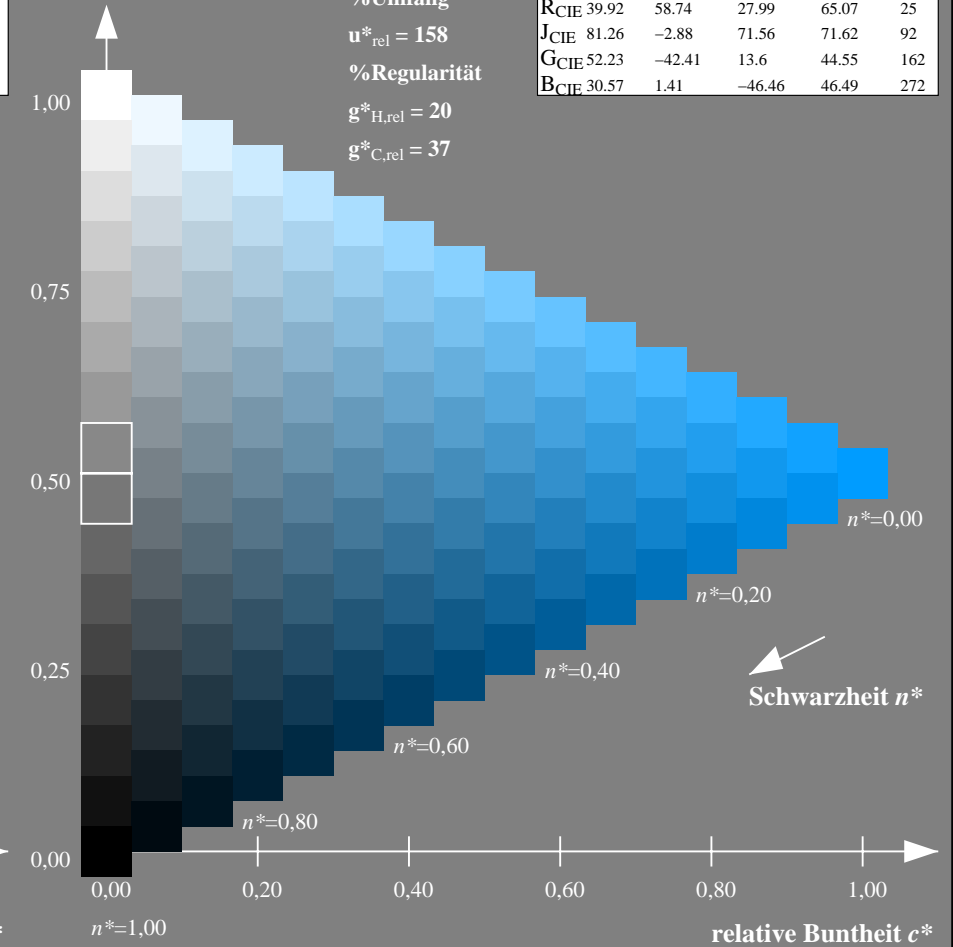


TLS00; adaptierte CIELAB-Daten

	$L^*=L^*_a$	a^*_a	b^*_a	$C^*_{ab,a}$	$h^*_{ab,a}$
OMa	50.5	76.92	64.55	100.42	40
YMa	92.66	-20.69	90.75	93.08	103
LMa	83.63	-82.75	79.9	115.04	136
CMa	86.88	-46.16	-13.55	48.12	196
VMa	30.39	76.06	-103.59	128.52	306
MMa	57.3	94.35	-58.41	110.97	328
NMa	0.01	0.0	0.0	0.0	0
WMa	95.41	0.0	0.0	0.0	0
RCIE	39.92	58.74	27.99	65.07	25
JCIE	81.26	-2.88	71.56	71.62	92
GCIE	52.23	-42.41	13.6	44.55	162
BCIE	30.57	1.41	-46.46	46.49	272

Dreiecks-Helligkeit t^*

%Umfang
 $u^*_{rel} = 158$
 %Regularität
 $g^*_{H,rel} = 20$
 $g^*_{C,rel} = 37$



NG900-7, 9stufige Reihen für konstanten CIELAB Buntton $272/360 = 0.755$ (links)

16stufige Reihen für konstanten CIELAB Buntton $272/360 = 0.755$ (rechts)

Eingabe: Farbmetrisches Natürliches-Reflektiv-System NRS18

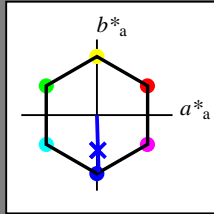
für Buntton $h^* = lab^*h = 272/360 = 0.755$

lab^*tch und lab^*nch

D65: Buntton B

LCH*Ma: 45 76 272

olv*Ma: 0.03 0.0 1.0



NRS18; adaptierte CIELAB-Daten

	$L^*=L^*_a$	a^*_a	b^*_a	$C^*_{ab,a}$	$h^*_{ab,a}$
OMa	43.81	67.03	38.7	77.4	30
YMa	69.61	0.0	77.4	77.4	90
LMa	43.81	-67.02	38.7	77.4	150
CMa	69.61	-67.02	-38.69	77.4	210
VMa	43.81	0.0	-77.39	77.4	270
MMa	69.61	67.03	-38.69	77.4	330
NMa	18.01	0.0	0.0	0.0	0
WMa	95.41	0.0	0.0	0.0	0
RCIE	39.92	58.74	27.99	65.07	25
JCIE	81.26	-2.88	71.56	71.62	92
GCIE	52.23	-42.41	13.6	44.55	162
BCIE	30.57	1.41	-46.46	46.49	272

Dreiecks-Helligkeit t^*

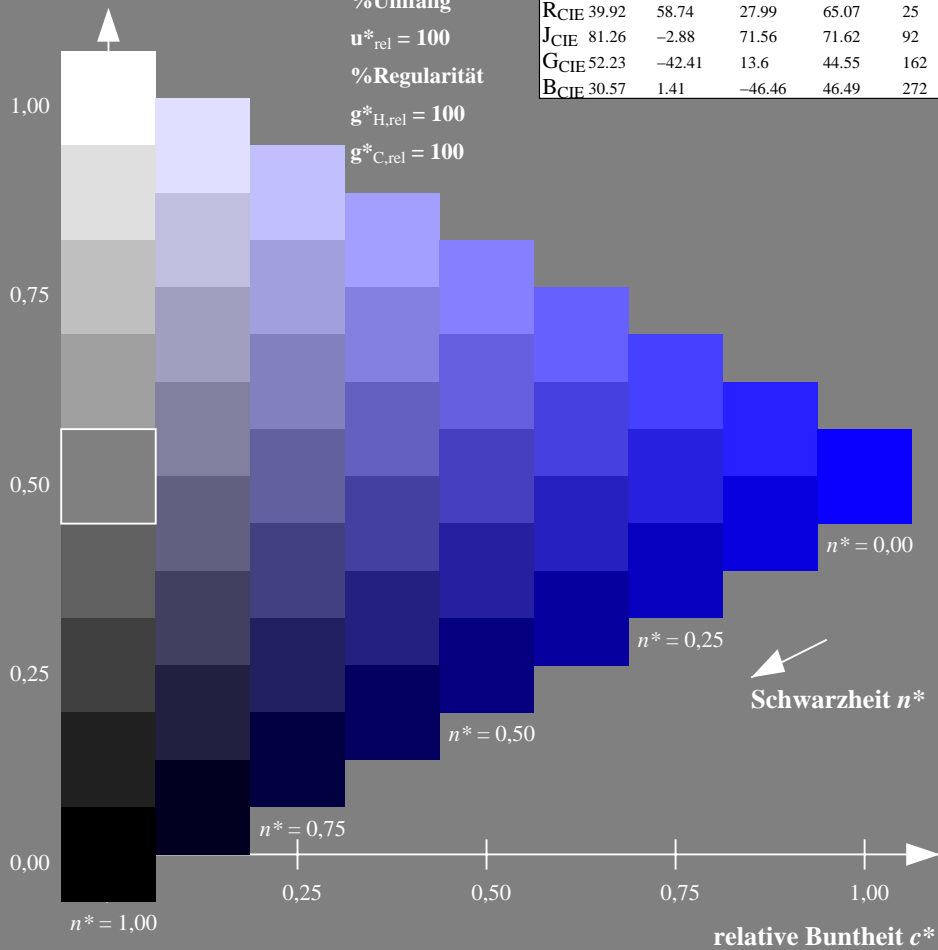
%Umfang

$u^*_{rel} = 100$

%Regularität

$g^*_{H,rel} = 100$

$g^*_{C,rel} = 100$



Ausgabe: Farbmetrisches Drucker-Reflektiv-System DRSXX

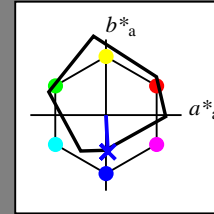
für Buntton $h^* = lab^*h = 273/360 = 0.759$

lab^*tch und lab^*nch

D65: Buntton B

LCH*Ma: 35 45 273

olv*Ma: 0.04 0.0 1.0



DRSXX; adaptierte CIELAB-Daten

	$L^*=L^*_a$	a^*_a	b^*_a	$C^*_{ab,a}$	$h^*_{ab,a}$
OMa	42.21	66.82	50.6	83.82	37
YMa	90.32	-16.51	104.33	105.63	99
LMa	48.21	-75.63	30.65	81.61	158
CMa	53.44	-33.33	-47.49	58.03	235
VMa	34.16	-0.92	-46.56	46.58	269
MMa	42.71	79.0	-1.95	79.03	359
NMa	16.56	0.0	0.0	0.0	0
WMa	96.31	0.0	0.0	0.0	0
RCIE	39.92	59.78	25.77	65.1	23
JCIE	81.26	-2.51	69.07	69.11	92
GCIE	52.23	-41.57	11.3	43.09	165
BCIE	30.57	2.6	-48.62	48.7	273

Dreiecks-Helligkeit t^*

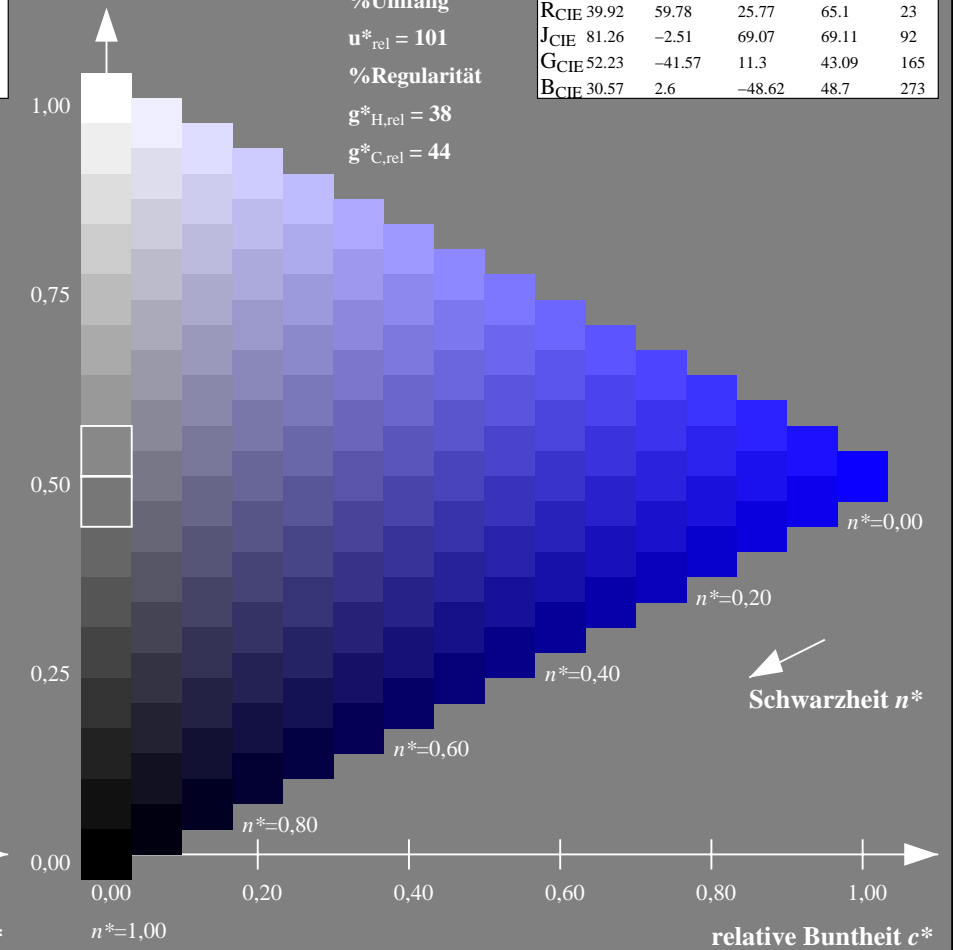
%Umfang

$u^*_{rel} = 101$

%Regularität

$g^*_{H,rel} = 38$

$g^*_{C,rel} = 44$



NG900-7, 9stufige Reihen für konstanten CIELAB Buntton $272/360 = 0.755$ (links)

16stufige Reihen für konstanten CIELAB Buntton $273/360 = 0.759$ (rechts)

Eingabe: Farbmetrisches Natürliches-Reflektiv-System NRS18

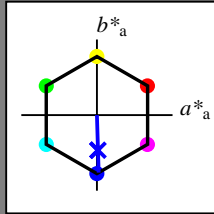
für Buntton $h^* = lab^*h = 272/360 = 0.755$

lab^*tch und lab^*nch

D65: Buntton B

LCH*Ma: 45 76 272

olv*Ma: 0.03 0.0 1.0



NRS18; adaptierte CIELAB-Daten

	$L^*=L^*_a$	a^*_a	b^*_a	$C^*_{ab,a}$	$h^*_{ab,a}$
OMa	43.81	67.03	38.7	77.4	30
YMa	69.61	0.0	77.4	77.4	90
LMa	43.81	-67.02	38.7	77.4	150
CMa	69.61	-67.02	-38.69	77.4	210
VMa	43.81	0.0	-77.39	77.4	270
MMa	69.61	67.03	-38.69	77.4	330
NMa	18.01	0.0	0.0	0.0	0
WMa	95.41	0.0	0.0	0.0	0
RCIE	39.92	58.74	27.99	65.07	25
JCIE	81.26	-2.88	71.56	71.62	92
GCIE	52.23	-42.41	13.6	44.55	162
BCIE	30.57	1.41	-46.46	46.49	272

Dreiecks-Helligkeit t^*

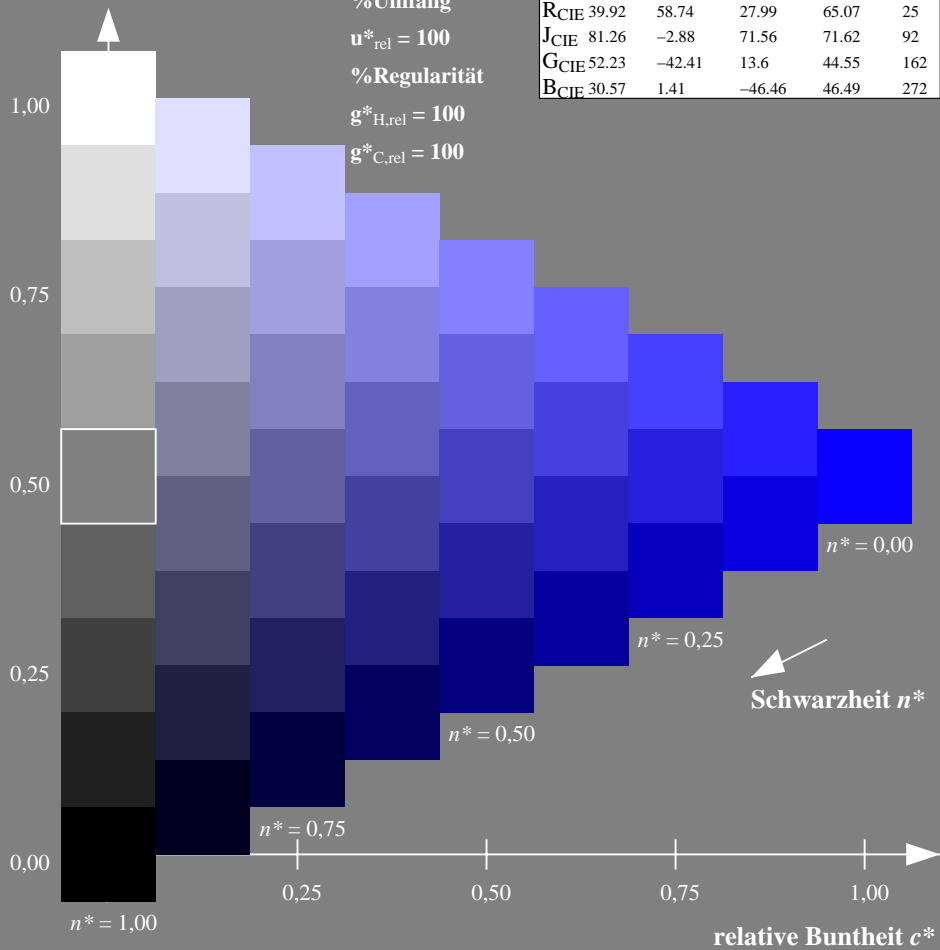
%Umfang

$u^*_{rel} = 100$

%Regularität

$g^*_{H,rel} = 100$

$g^*_{C,rel} = 100$



Ausgabe: Farbmetrisches Fernseh-Licht-System TLS18

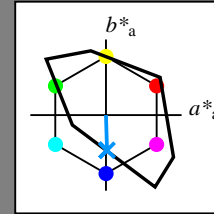
für Buntton $h^* = lab^*h = 272/360 = 0.755$

lab^*tch und lab^*nch

D65: Buntton B

LCH*Ma: 65 48 272

olv*Ma: 0.0 0.58 1.0



TLS18; adaptierte CIELAB-Daten

	$L^*=L^*_a$	a^*_a	b^*_a	$C^*_{ab,a}$	$h^*_{ab,a}$
OMa	52.76	71.63	49.88	87.29	35
YMa	92.74	-20.02	84.97	87.3	103
LMa	84.0	-78.98	73.94	108.2	137
CMa	87.14	-44.41	-13.11	46.32	196
VMa	35.47	64.92	-95.06	115.12	304
MMa	59.01	89.33	-55.67	105.26	328
NMa	18.01	0.0	0.0	0.0	0
WMa	95.41	0.0	0.0	0.0	0
RCIE	39.92	58.74	27.99	65.07	25
JCIE	81.26	-2.88	71.56	71.62	92
GCIE	52.23	-42.41	13.6	44.55	162
BCIE	30.57	1.41	-46.46	46.49	272

Dreiecks-Helligkeit t^*

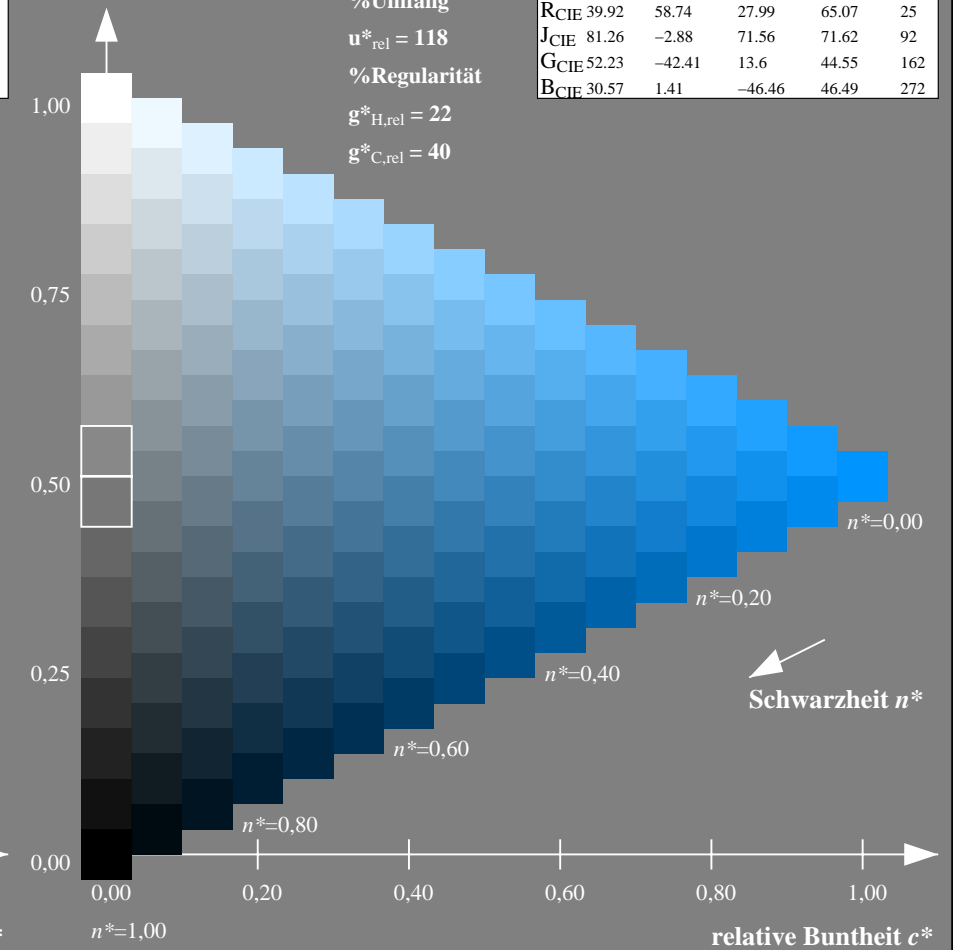
%Umfang

$u^*_{rel} = 118$

%Regularität

$g^*_{H,rel} = 22$

$g^*_{C,rel} = 40$



NG900-7, 9stufige Reihen für konstanten CIELAB Buntton $272/360 = 0.755$ (links)

16stufige Reihen für konstanten CIELAB Buntton $272/360 = 0.755$ (rechts)

Eingabe: Farbmetrisches Natürliches-Reflektiv-System NRS18

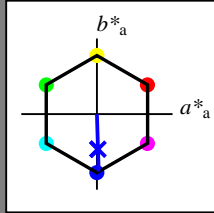
für Buntton $h^* = lab^*h = 272/360 = 0.755$

lab^*tch und lab^*nch

D65: Buntton B

LCH*Ma: 45 76 272

olv*Ma: 0.03 0.0 1.0



NRS18; adaptierte CIELAB-Daten

	$L^*=L^*_a$	a^*_a	b^*_a	$C^*_{ab,a}$	$h^*_{ab,a}$
OMa	43.81	67.03	38.7	77.4	30
YMa	69.61	0.0	77.4	77.4	90
LMa	43.81	-67.02	38.7	77.4	150
CMa	69.61	-67.02	-38.69	77.4	210
VMa	43.81	0.0	-77.39	77.4	270
MMa	69.61	67.03	-38.69	77.4	330
NMa	18.01	0.0	0.0	0.0	0
WMa	95.41	0.0	0.0	0.0	0
RCIE	39.92	58.74	27.99	65.07	25
JCIE	81.26	-2.88	71.56	71.62	92
GCIE	52.23	-42.41	13.6	44.55	162
BCIE	30.57	1.41	-46.46	46.49	272

Dreiecks-Helligkeit t^*

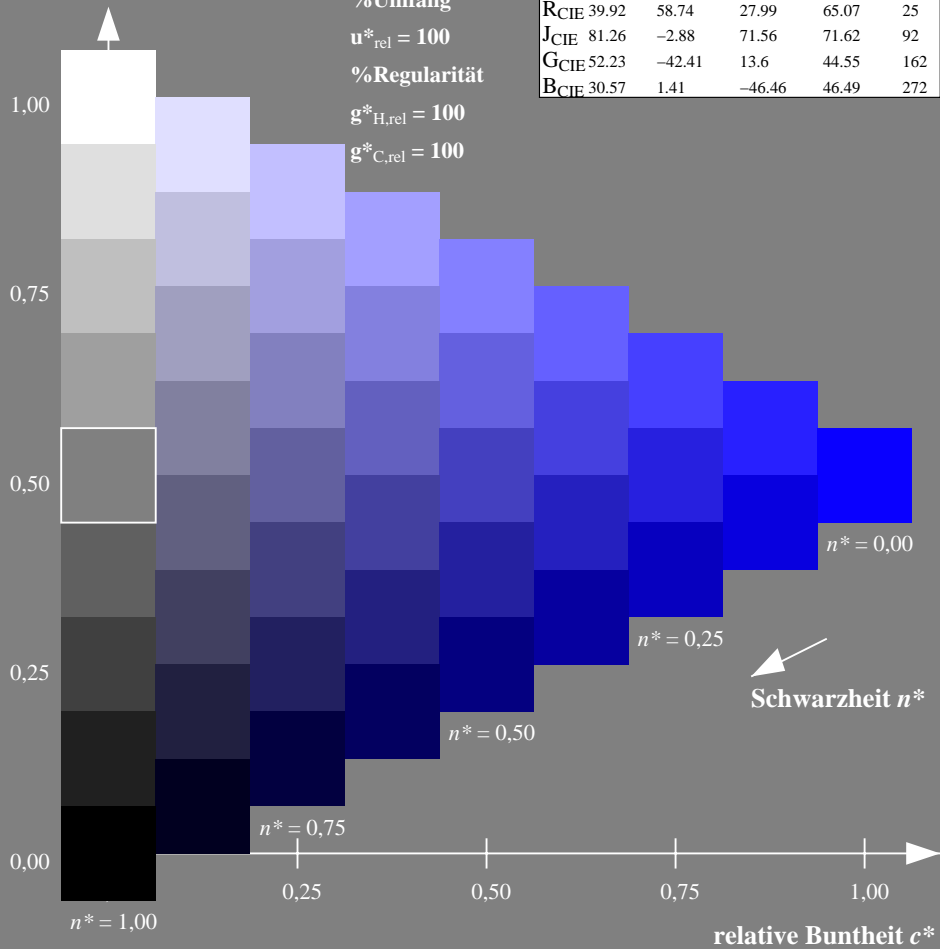
%Umfang

$u^*_{rel} = 100$

%Regularität

$g^*_{H,rel} = 100$

$g^*_{C,rel} = 100$



Ausgabe: Farbmetrisches Natürliches-Licht-System NLS00

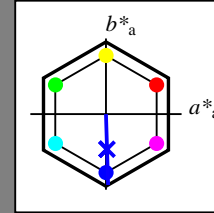
für Buntton $h^* = lab^*h = 272/360 = 0.755$

lab^*tch und lab^*nch

D65: Buntton B

LCH*Ma: 33 94 272

olv*Ma: 0.03 0.0 1.0



NLS00; adaptierte CIELAB-Daten

	$L^*=L^*_a$	a^*_a	b^*_a	$C^*_{ab,a}$	$h^*_{ab,a}$
OMa	31.81	82.62	47.7	95.4	30
YMa	63.61	0.0	95.4	95.4	90
LMa	31.81	-82.61	47.7	95.4	150
CMa	63.61	-82.61	-47.69	95.4	210
VMa	31.81	0.0	-95.39	95.4	270
MMa	63.61	82.62	-47.69	95.4	330
NMa	0.01	0.0	0.0	0.0	0
WMa	95.41	0.0	0.0	0.0	0
RCIE	39.92	58.74	27.99	65.07	25
JCIE	81.26	-2.88	71.56	71.62	92
GCIE	52.23	-42.41	13.6	44.55	162
BCIE	30.57	1.41	-46.46	46.49	272

Dreiecks-Helligkeit t^*

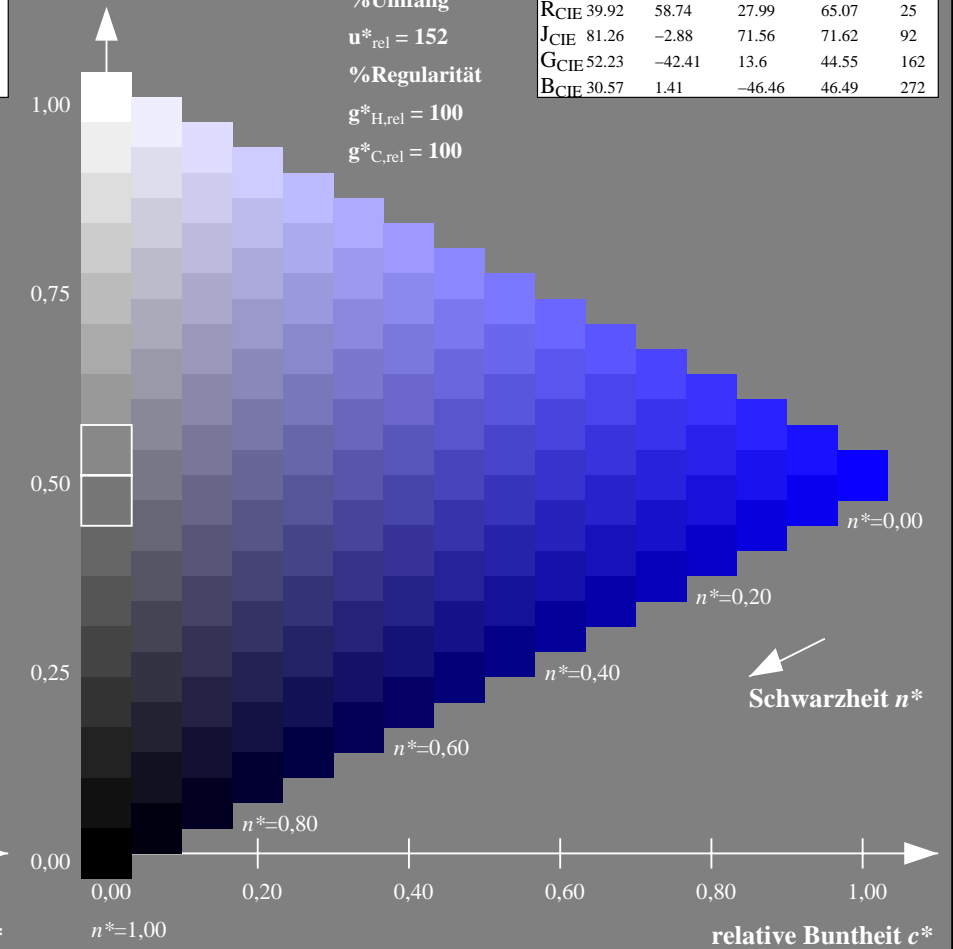
%Umfang

$u^*_{rel} = 152$

%Regularität

$g^*_{H,rel} = 100$

$g^*_{C,rel} = 100$



NG900-7, 9stufige Reihen für konstanten CIELAB Buntton $272/360 = 0.755$ (links)

16stufige Reihen für konstanten CIELAB Buntton $272/360 = 0.755$ (rechts)

Eingabe: Farbmetrisches Natürliches-Reflektiv-System NRS18

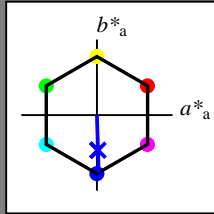
für Buntton $h^* = lab^*h = 272/360 = 0.755$

lab^*tch und lab^*nch

D65: Buntton B

LCH*Ma: 45 76 272

olv*Ma: 0.03 0.0 1.0



NRS18; adaptierte CIELAB-Daten

	$L^*=L^*_a$	a^*_a	b^*_a	$C^*_{ab,a}$	$h^*_{ab,a}$
OMa	43.81	67.03	38.7	77.4	30
YMa	69.61	0.0	77.4	77.4	90
LMa	43.81	-67.02	38.7	77.4	150
CMa	69.61	-67.02	-38.69	77.4	210
VMa	43.81	0.0	-77.39	77.4	270
MMa	69.61	67.03	-38.69	77.4	330
NMa	18.01	0.0	0.0	0.0	0
WMa	95.41	0.0	0.0	0.0	0
RCIE	39.92	58.74	27.99	65.07	25
JCIE	81.26	-2.88	71.56	71.62	92
GCIE	52.23	-42.41	13.6	44.55	162
BCIE	30.57	1.41	-46.46	46.49	272

Dreiecks-Helligkeit t^*

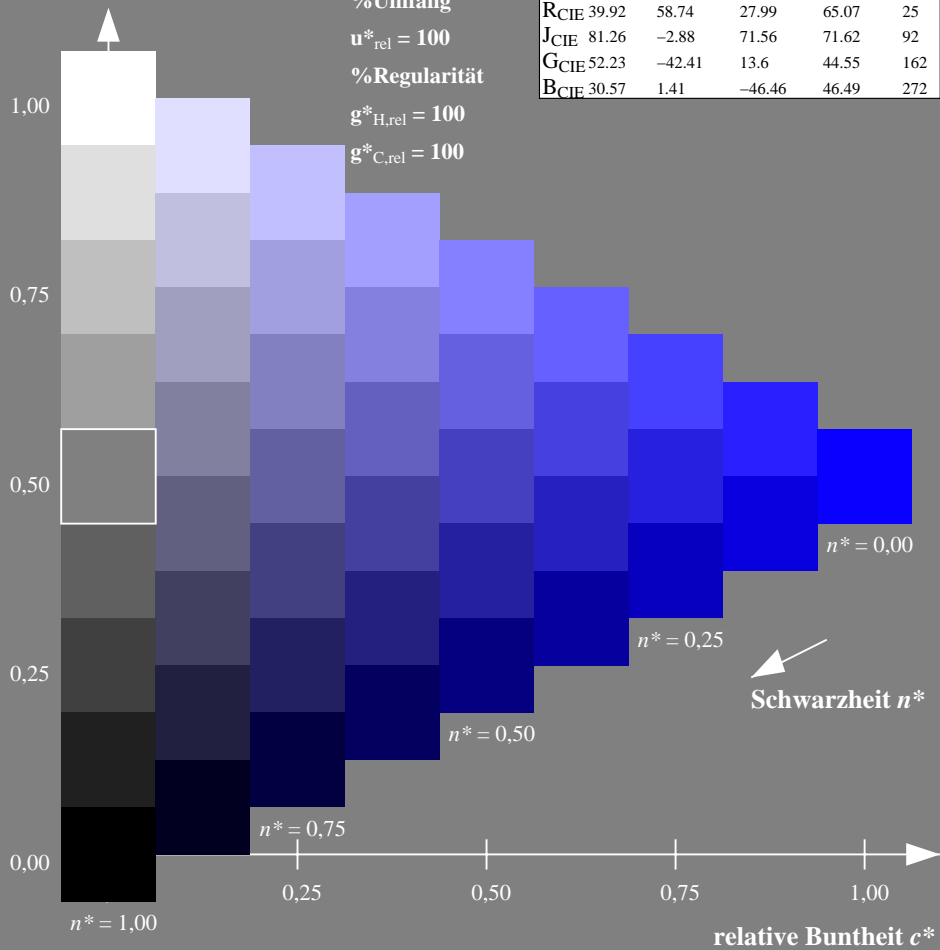
%Umfang

$u^*_{rel} = 100$

%Regularität

$g^*_{H,rel} = 100$

$g^*_{C,rel} = 100$



NG900-7, 9stufige Reihen für konstanten CIELAB Buntton $272/360 = 0.755$ (links)

Ausgabe: Farbmetrisches Natürliches-Reflektiv-System NRS18

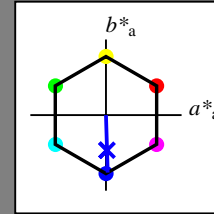
für Buntton $h^* = lab^*h = 272/360 = 0.755$

lab^*tch und lab^*nch

D65: Buntton B

LCH*Ma: 45 76 272

olv*Ma: 0.03 0.0 1.0



NRS18; adaptierte CIELAB-Daten

	$L^*=L^*_a$	a^*_a	b^*_a	$C^*_{ab,a}$	$h^*_{ab,a}$
OMa	43.81	67.03	38.7	77.4	30
YMa	69.61	0.0	77.4	77.4	90
LMa	43.81	-67.02	38.7	77.4	150
CMa	69.61	-67.02	-38.69	77.4	210
VMa	43.81	0.0	-77.39	77.4	270
MMa	69.61	67.03	-38.69	77.4	330
NMa	18.01	0.0	0.0	0.0	0
WMa	95.41	0.0	0.0	0.0	0
RCIE	39.92	58.74	27.99	65.07	25
JCIE	81.26	-2.88	71.56	71.62	92
GCIE	52.23	-42.41	13.6	44.55	162
BCIE	30.57	1.41	-46.46	46.49	272

Dreiecks-Helligkeit t^*

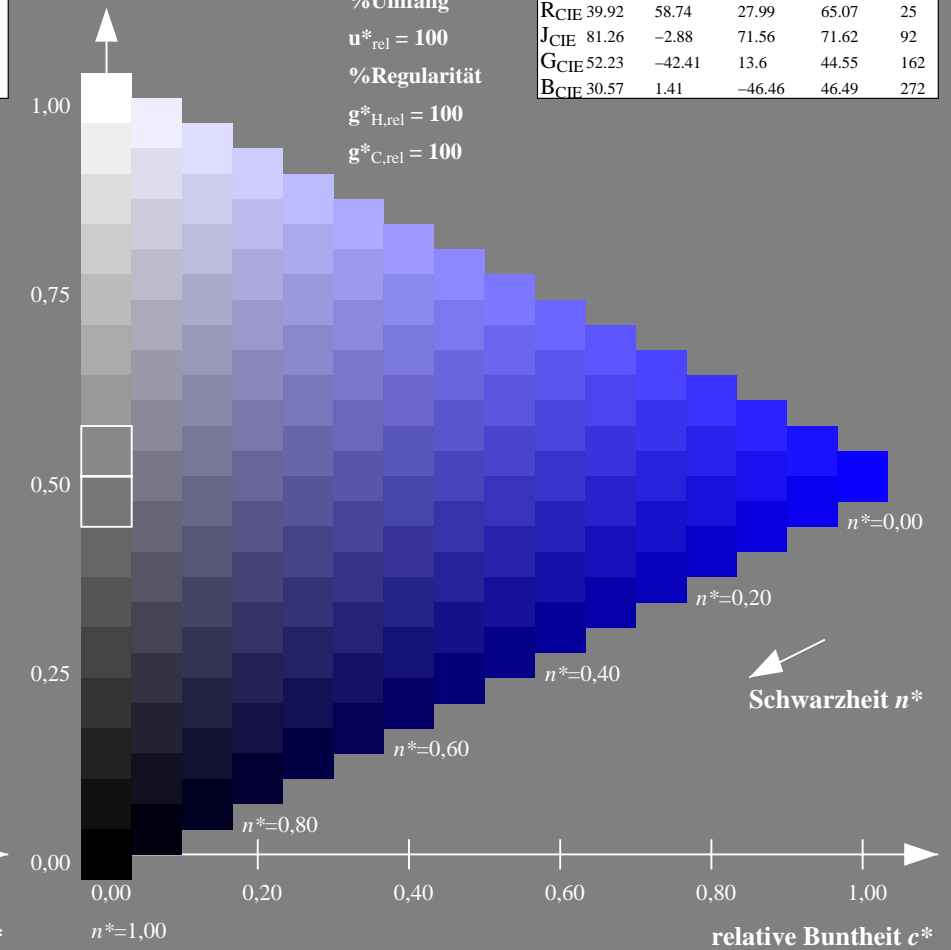
%Umfang

$u^*_{rel} = 100$

%Regularität

$g^*_{H,rel} = 100$

$g^*_{C,rel} = 100$



16stufige Reihen für konstanten CIELAB Buntton $272/360 = 0.755$ (rechts)

Eingabe: Farbmetrisches Natürliches-Reflektiv-System NRS18

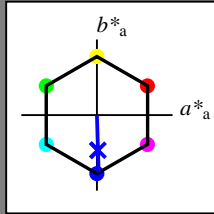
für Buntton $h^* = lab^*h = 272/360 = 0.755$

lab^*tch und lab^*nch

D65: Buntton B

LCH*Ma: 45 76 272

olv*Ma: 0.03 0.0 1.0



NRS18; adaptierte CIELAB-Daten

	$L^*=L^*_a$	a^*_a	b^*_a	$C^*_{ab,a}$	$h^*_{ab,a}$
OMa	43.81	67.03	38.7	77.4	30
YMa	69.61	0.0	77.4	77.4	90
LMa	43.81	-67.02	38.7	77.4	150
CMa	69.61	-67.02	-38.69	77.4	210
VMa	43.81	0.0	-77.39	77.4	270
MMa	69.61	67.03	-38.69	77.4	330
NMa	18.01	0.0	0.0	0.0	0
WMa	95.41	0.0	0.0	0.0	0
RCIE	39.92	58.74	27.99	65.07	25
JCIE	81.26	-2.88	71.56	71.62	92
GCIE	52.23	-42.41	13.6	44.55	162
BCIE	30.57	1.41	-46.46	46.49	272

Dreiecks-Helligkeit t^*

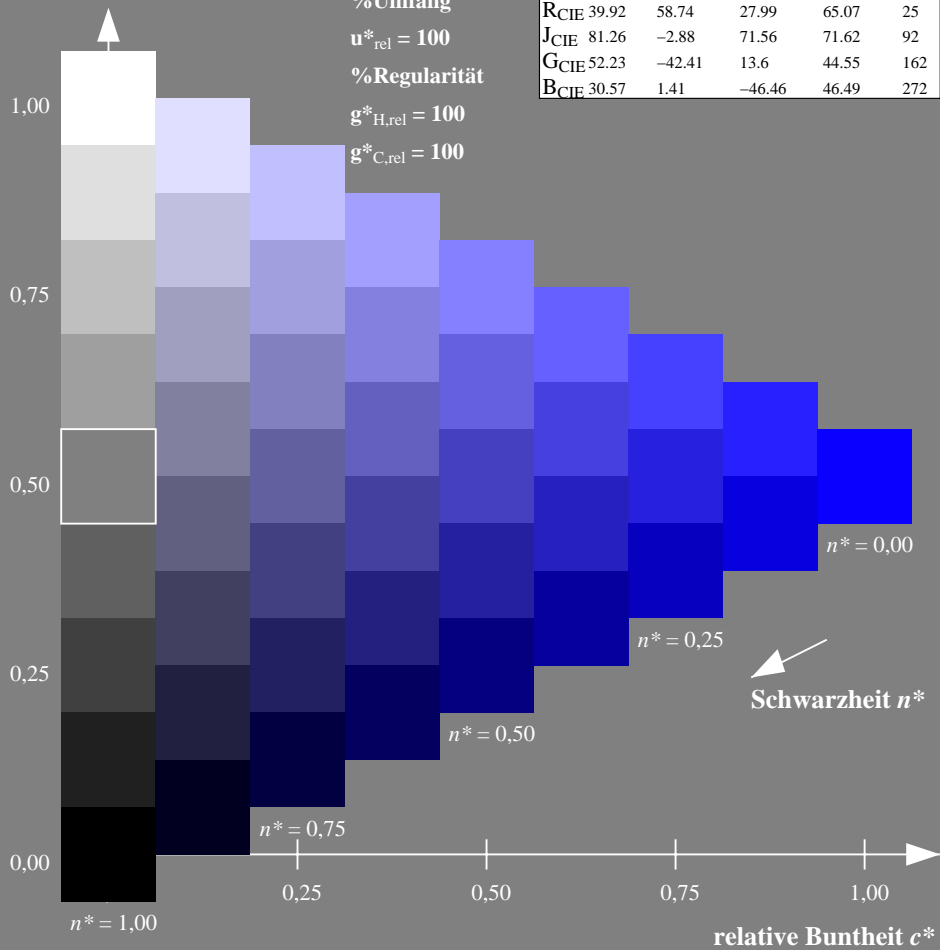
%Umfang

$u^*_{rel} = 100$

%Regularität

$g^*_{H,rel} = 100$

$g^*_{C,rel} = 100$



Ausgabe: Farbmetrisches Standard-Reflektiv-System SRS18

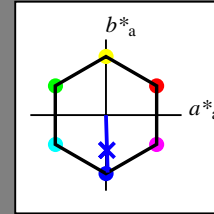
für Buntton $h^* = lab^*h = 272/360 = 0.755$

lab^*tch und lab^*nch

D65: Buntton B

LCH*Ma: 57 76 272

olv*Ma: 0.03 0.0 1.0



SRS18; adaptierte CIELAB-Daten

	$L^*=L^*_a$	a^*_a	b^*_a	$C^*_{ab,a}$	$h^*_{ab,a}$
OMa	56.71	67.03	38.7	77.4	30
YMa	56.71	0.0	77.4	77.4	90
LMa	56.71	-67.02	38.7	77.4	150
CMa	56.71	-67.02	-38.69	77.4	210
VMa	56.71	0.0	-77.39	77.4	270
MMa	56.71	67.03	-38.69	77.4	330
NMa	18.01	0.0	0.0	0.0	0
WMa	95.41	0.0	0.0	0.0	0
RCIE	39.92	58.74	27.99	65.07	25
JCIE	81.26	-2.88	71.56	71.62	92
GCIE	52.23	-42.41	13.6	44.55	162
BCIE	30.57	1.41	-46.46	46.49	272

Dreiecks-Helligkeit t^*

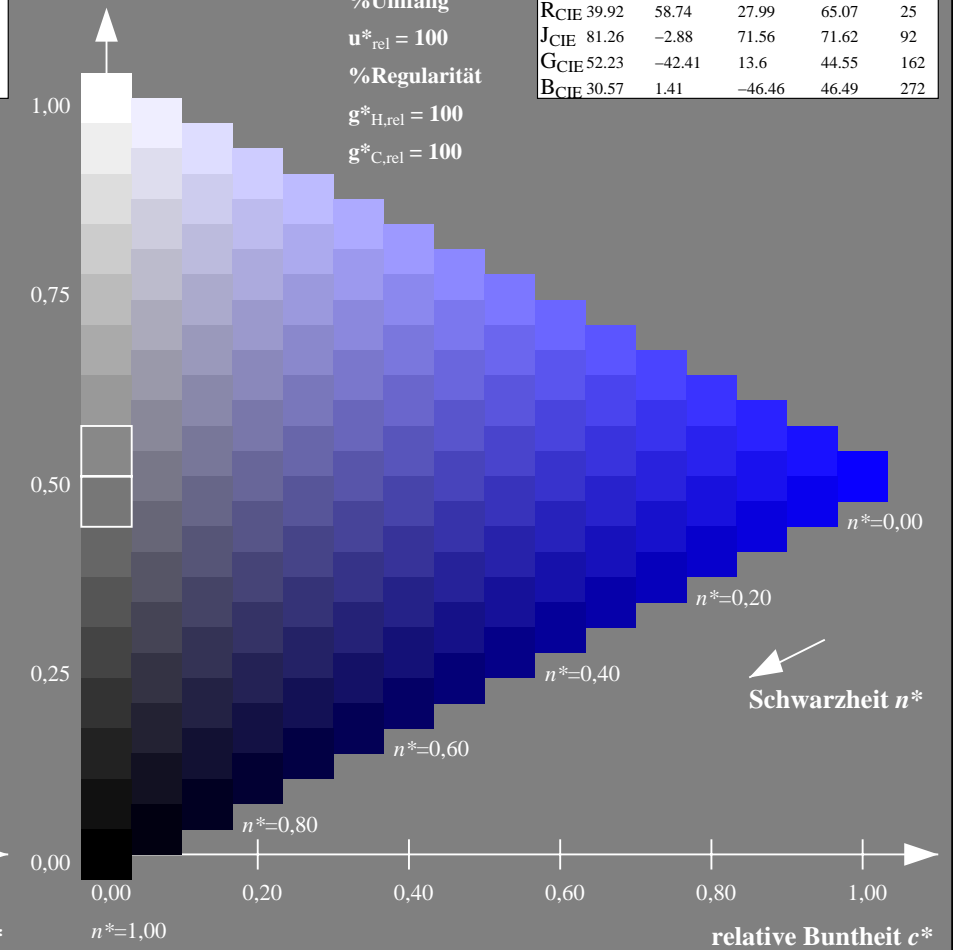
%Umfang

$u^*_{rel} = 100$

%Regularität

$g^*_{H,rel} = 100$

$g^*_{C,rel} = 100$



NG900-7, 9stufige Reihen für konstanten CIELAB Buntton $272/360 = 0.755$ (links)

16stufige Reihen für konstanten CIELAB Buntton $272/360 = 0.755$ (rechts)

Eingabe: Farbmetrisches Natürliches-Reflektiv-System NRS18

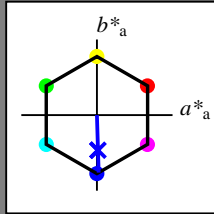
für Buntton $h^* = lab^*h = 272/360 = 0.755$

lab^*tch und lab^*nch

D65: Buntton B

LCH*Ma: 45 76 272

olv*Ma: 0.03 0.0 1.0

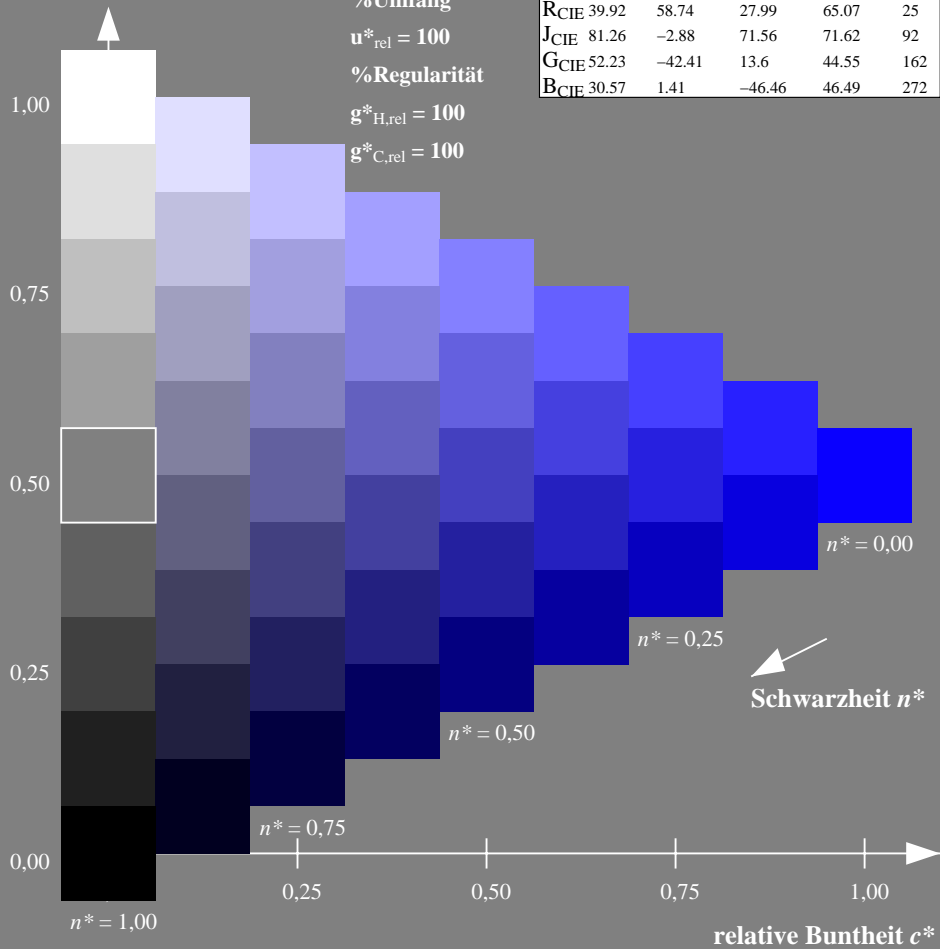


NRS18; adaptierte CIELAB-Daten

	$L^*=L^*_a$	a^*_a	b^*_a	$C^*_{ab,a}$	$h^*_{ab,a}$
OMa	43.81	67.03	38.7	77.4	30
YMa	69.61	0.0	77.4	77.4	90
LMa	43.81	-67.02	38.7	77.4	150
CMa	69.61	-67.02	-38.69	77.4	210
VMa	43.81	0.0	-77.39	77.4	270
MMa	69.61	67.03	-38.69	77.4	330
NMa	18.01	0.0	0.0	0.0	0
WMa	95.41	0.0	0.0	0.0	0
RCIE	39.92	58.74	27.99	65.07	25
JCIE	81.26	-2.88	71.56	71.62	92
GCIE	52.23	-42.41	13.6	44.55	162
BCIE	30.57	1.41	-46.46	46.49	272

Dreiecks-Helligkeit t^*

%Umfang
 $u^*_{rel} = 100$
 %Regularität
 $g^*_{H,rel} = 100$
 $g^*_{C,rel} = 100$



Ausgabe: Farbmetrisches Fernseh-Licht-System TLS70

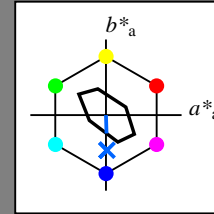
für Buntton $h^* = lab^*h = 272/360 = 0.755$

lab^*tch und lab^*nch

D65: Buntton B

LCH*Ma: 80 24 272

olv*Ma: 0.0 0.4 1.0

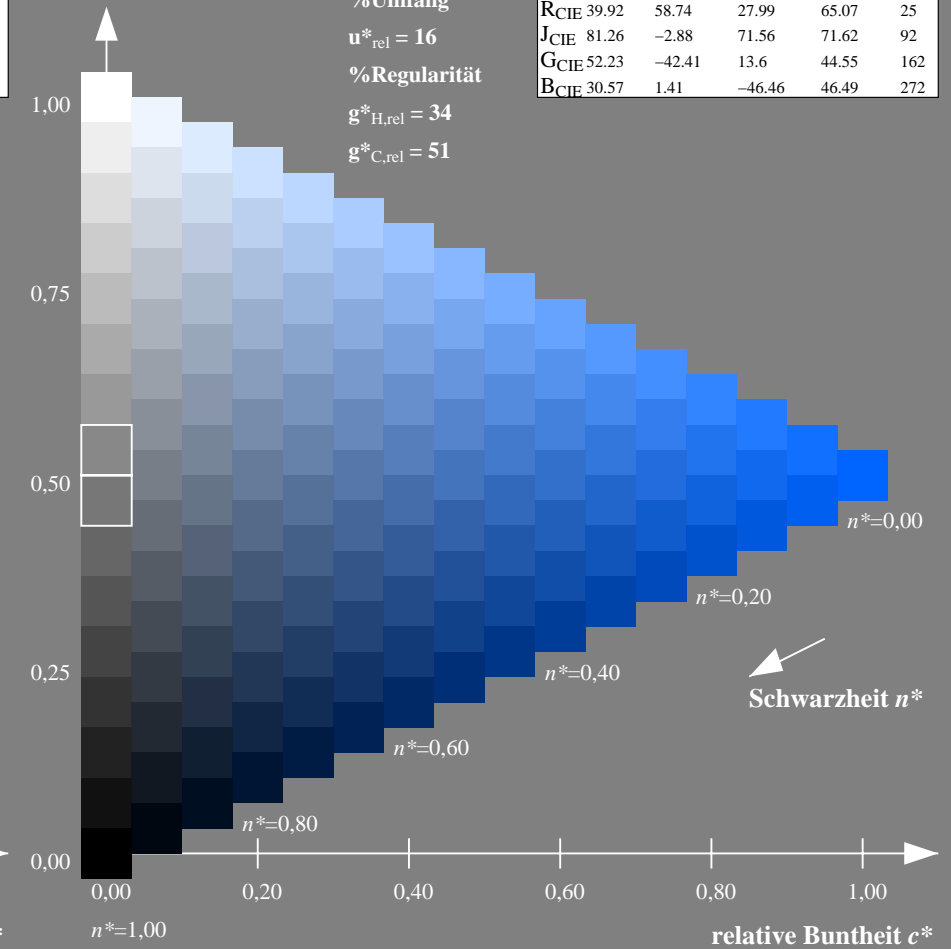


TLS70; adaptierte CIELAB-Daten

	$L^*=L^*_a$	a^*_a	b^*_a	$C^*_{ab,a}$	$h^*_{ab,a}$
OMa	76.43	26.27	10.57	28.32	22
YMa	93.93	-10.76	34.63	36.27	107
LMa	89.32	-35.8	27.64	45.24	142
CMa	90.93	-21.95	-7.07	23.07	198
VMa	72.1	15.76	-35.63	38.97	294
MMa	78.5	37.52	-25.23	45.22	326
NMa	69.7	0.0	0.0	0.0	0
WMa	95.41	0.0	0.0	0.0	0
RCIE	39.92	58.74	27.99	65.07	25
JCIE	81.26	-2.88	71.56	71.62	92
GCIE	52.23	-42.41	13.6	44.55	162
BCIE	30.57	1.41	-46.46	46.49	272

Dreiecks-Helligkeit t^*

%Umfang
 $u^*_{rel} = 16$
 %Regularität
 $g^*_{H,rel} = 34$
 $g^*_{C,rel} = 51$



NG900-7, 9stufige Reihen für konstanten CIELAB Buntton $272/360 = 0.755$ (links)

16stufige Reihen für konstanten CIELAB Buntton $272/360 = 0.755$ (rechts)

Eingabe: Farbmetrisches Standard-Reflektiv-System SRS18

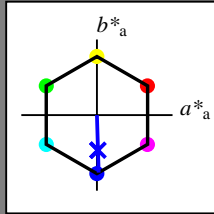
für Buntton $h^* = lab^*h = 272/360 = 0.755$

lab^*tch und lab^*nch

D65: Buntton B

LCH*Ma: 57 76 272

olv*Ma: 0.03 0.0 1.0



SRS18; adaptierte CIELAB-Daten

	$L^*=L^*_a$	a^*_a	b^*_a	$C^*_{ab,a}$	$h^*_{ab,a}$
OMa	56.71	67.03	38.7	77.4	30
YMa	56.71	0.0	77.4	77.4	90
LMa	56.71	-67.02	38.7	77.4	150
CMa	56.71	-67.02	-38.69	77.4	210
VMa	56.71	0.0	-77.39	77.4	270
MMa	56.71	67.03	-38.69	77.4	330
NMa	18.01	0.0	0.0	0.0	0
WMa	95.41	0.0	0.0	0.0	0
RCIE	39.92	58.74	27.99	65.07	25
JCIE	81.26	-2.88	71.56	71.62	92
GCIE	52.23	-42.41	13.6	44.55	162
BCIE	30.57	1.41	-46.46	46.49	272

Dreiecks-Helligkeit t^*

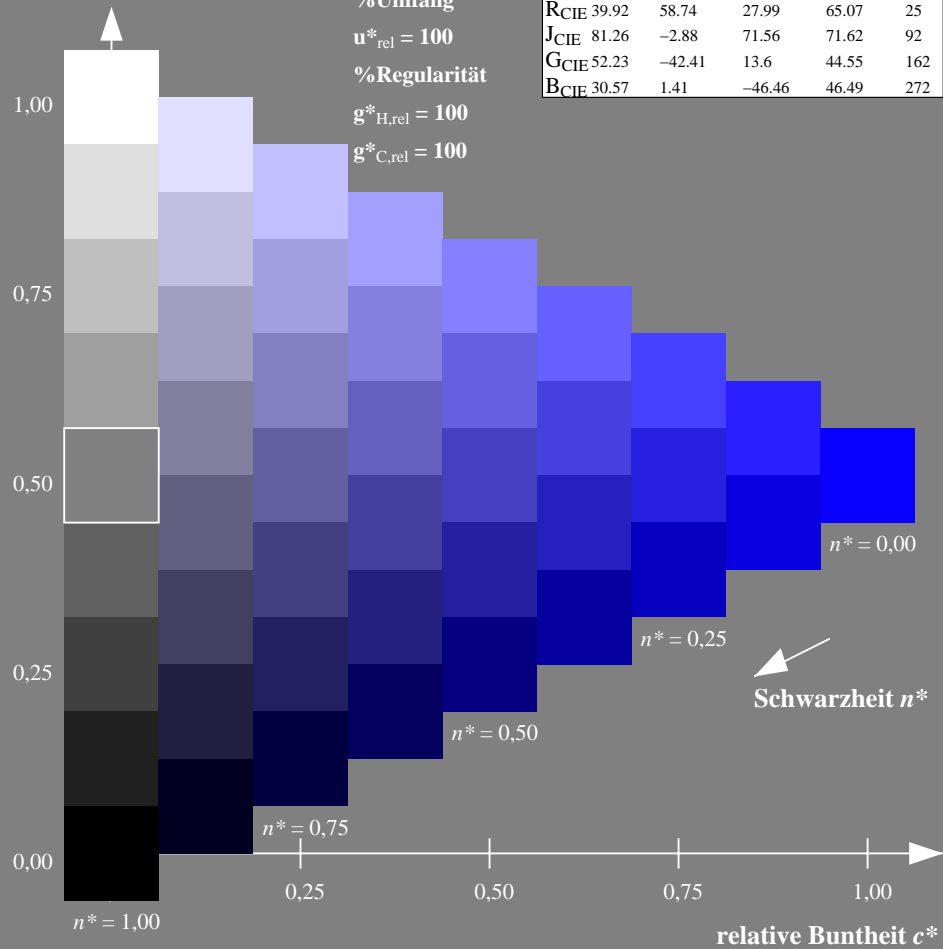
%Umfang

$u^*_{rel} = 100$

%Regularität

$g^*_{H,rel} = 100$

$g^*_{C,rel} = 100$



Ausgabe: Farbmetrisches Offset-Reflektiv-System ORS18

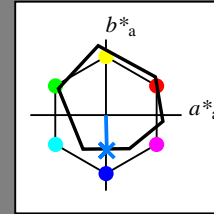
für Buntton $h^* = lab^*h = 271/360 = 0.754$

lab^*tch und lab^*nch

D65: Buntton B

LCH*Ma: 42 45 271

olv*Ma: 0.0 0.49 1.0



ORS18; adaptierte CIELAB-Daten

	$L^*=L^*_a$	a^*_a	b^*_a	$C^*_{ab,a}$	$h^*_{ab,a}$
OMa	47.94	65.39	50.52	82.63	38
YMa	90.37	-10.26	91.75	92.32	96
LMa	50.9	-62.83	34.96	71.91	151
CMa	58.62	-30.34	-45.01	54.3	236
VMa	25.72	31.1	-44.4	54.22	305
MMa	48.13	75.28	-8.36	75.74	354
NMa	18.01	0.0	0.0	0.0	0
WMa	95.41	0.0	0.0	0.0	0
RCIE	39.92	58.66	26.98	64.57	25
JCIE	81.26	-2.16	67.76	67.79	92
GCIE	52.23	-42.25	11.76	43.87	164
BCIE	30.57	1.15	-46.84	46.86	271

Dreiecks-Helligkeit t^*

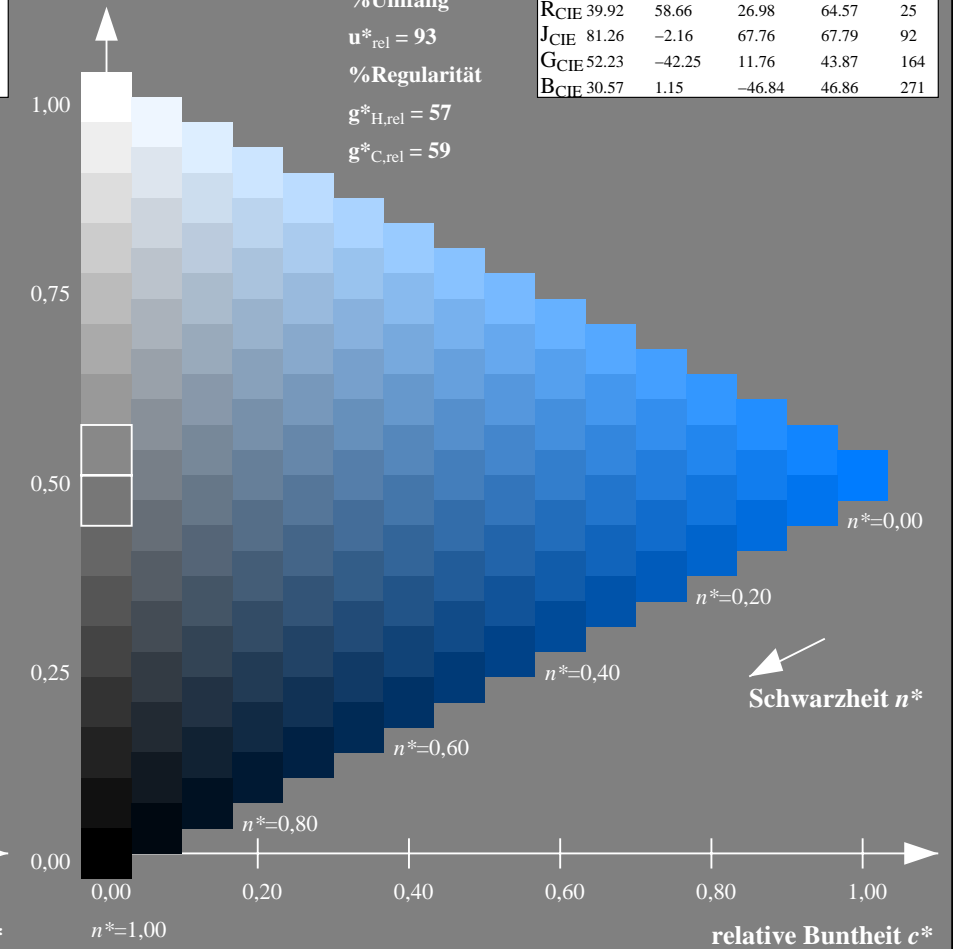
%Umfang

$u^*_{rel} = 93$

%Regularität

$g^*_{H,rel} = 57$

$g^*_{C,rel} = 59$



NG900-7, 9stufige Reihen für konstanten CIELAB Buntton $272/360 = 0.755$ (links)

16stufige Reihen für konstanten CIELAB Buntton $271/360 = 0.754$ (rechts)

Eingabe: Farbmetrisches Standard-Reflektiv-System SRS18

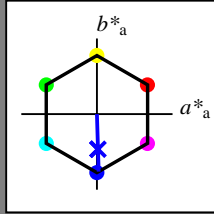
für Buntton $h^* = lab^*h = 272/360 = 0.755$

lab^*tch und lab^*nch

D65: Buntton B

LCH*Ma: 57 76 272

olv*Ma: 0.03 0.0 1.0



SRS18; adaptierte CIELAB-Daten

	$L^*=L^*_a$	a^*_a	b^*_a	$C^*_{ab,a}$	$h^*_{ab,a}$
OMa	56.71	67.03	38.7	77.4	30
YMa	56.71	0.0	77.4	77.4	90
LMa	56.71	-67.02	38.7	77.4	150
CMa	56.71	-67.02	-38.69	77.4	210
VMa	56.71	0.0	-77.39	77.4	270
MMa	56.71	67.03	-38.69	77.4	330
NMa	18.01	0.0	0.0	0.0	0
WMa	95.41	0.0	0.0	0.0	0
RCIE	39.92	58.74	27.99	65.07	25
JCIE	81.26	-2.88	71.56	71.62	92
GCIE	52.23	-42.41	13.6	44.55	162
BCIE	30.57	1.41	-46.46	46.49	272

Dreiecks-Helligkeit t^*

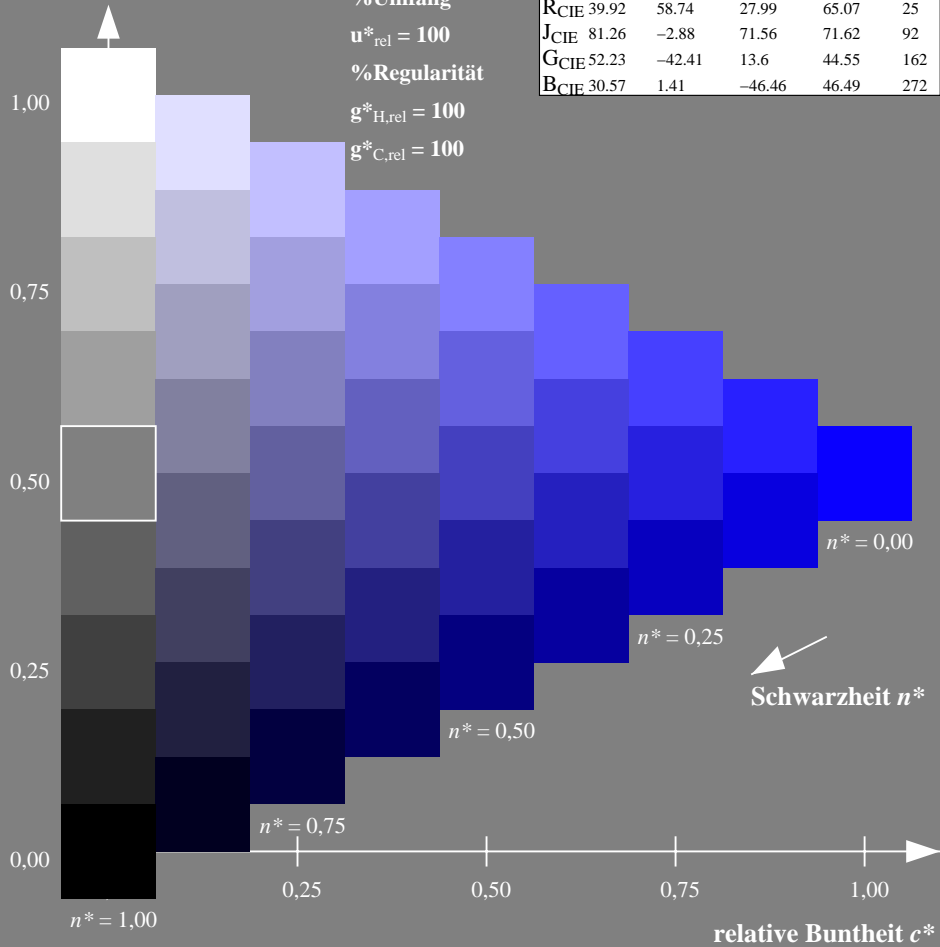
%Umfang

$u^*_{rel} = 100$

%Regularität

$g^*_{H,rel} = 100$

$g^*_{C,rel} = 100$



Ausgabe: Farbmetrisches Fernseh-Licht-System TLS00

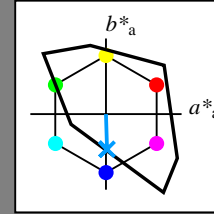
für Buntton $h^* = lab^*h = 272/360 = 0.755$

lab^*tch und lab^*nch

D65: Buntton B

LCH*Ma: 65 49 272

olv*Ma: 0.0 0.61 1.0



TLS00; adaptierte CIELAB-Daten

	$L^*=L^*_a$	a^*_a	b^*_a	$C^*_{ab,a}$	$h^*_{ab,a}$
OMa	50.5	76.92	64.55	100.42	40
YMa	92.66	-20.69	90.75	93.08	103
LMa	83.63	-82.75	79.9	115.04	136
CMa	86.88	-46.16	-13.55	48.12	196
VMa	30.39	76.06	-103.59	128.52	306
MMa	57.3	94.35	-58.41	110.97	328
NMa	0.01	0.0	0.0	0.0	0
WMa	95.41	0.0	0.0	0.0	0
RCIE	39.92	58.74	27.99	65.07	25
JCIE	81.26	-2.88	71.56	71.62	92
GCIE	52.23	-42.41	13.6	44.55	162
BCIE	30.57	1.41	-46.46	46.49	272

Dreiecks-Helligkeit t^*

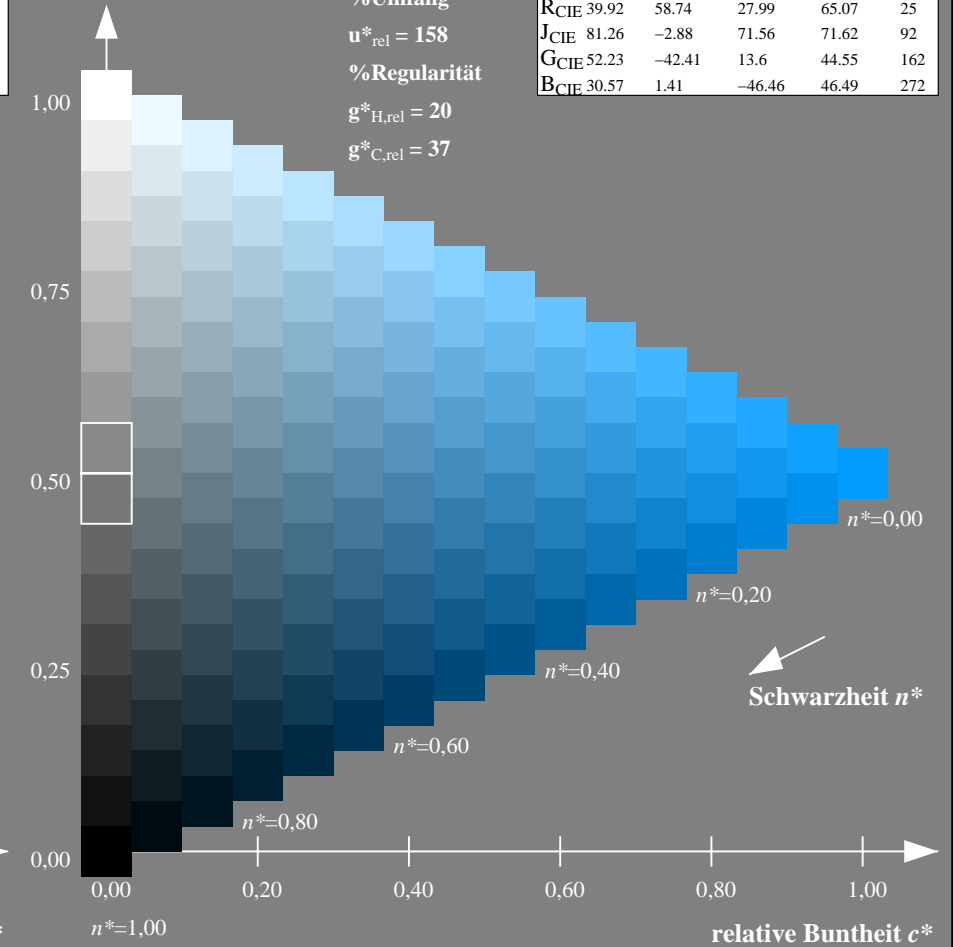
%Umfang

$u^*_{rel} = 158$

%Regularität

$g^*_{H,rel} = 20$

$g^*_{C,rel} = 37$



NG900-7, 9stufige Reihen für konstanten CIELAB Buntton $272/360 = 0.755$ (links)

16stufige Reihen für konstanten CIELAB Buntton $272/360 = 0.755$ (rechts)

Eingabe: Farbmetrisches Standard-Reflektiv-System SRS18

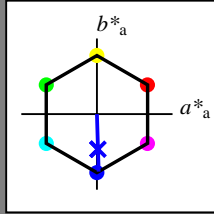
für Buntton $h^* = lab^*h = 272/360 = 0.755$

lab^*tch und lab^*nch

D65: Buntton B

LCH*Ma: 57 76 272

olv*Ma: 0.03 0.0 1.0



SRS18; adaptierte CIELAB-Daten

	$L^*=L^*_a$	a^*_a	b^*_a	$C^*_{ab,a}$	$h^*_{ab,a}$
O _{Ma}	56.71	67.03	38.7	77.4	30
Y _{Ma}	56.71	0.0	77.4	77.4	90
L _{Ma}	56.71	-67.02	38.7	77.4	150
C _{Ma}	56.71	-67.02	-38.69	77.4	210
V _{Ma}	56.71	0.0	-77.39	77.4	270
M _{Ma}	56.71	67.03	-38.69	77.4	330
N _{Ma}	18.01	0.0	0.0	0.0	0
W _{Ma}	95.41	0.0	0.0	0.0	0
R _{CIE}	39.92	58.74	27.99	65.07	25
J _{CIE}	81.26	-2.88	71.56	71.62	92
G _{CIE}	52.23	-42.41	13.6	44.55	162
B _{CIE}	30.57	1.41	-46.46	46.49	272

Dreiecks-Helligkeit t^*

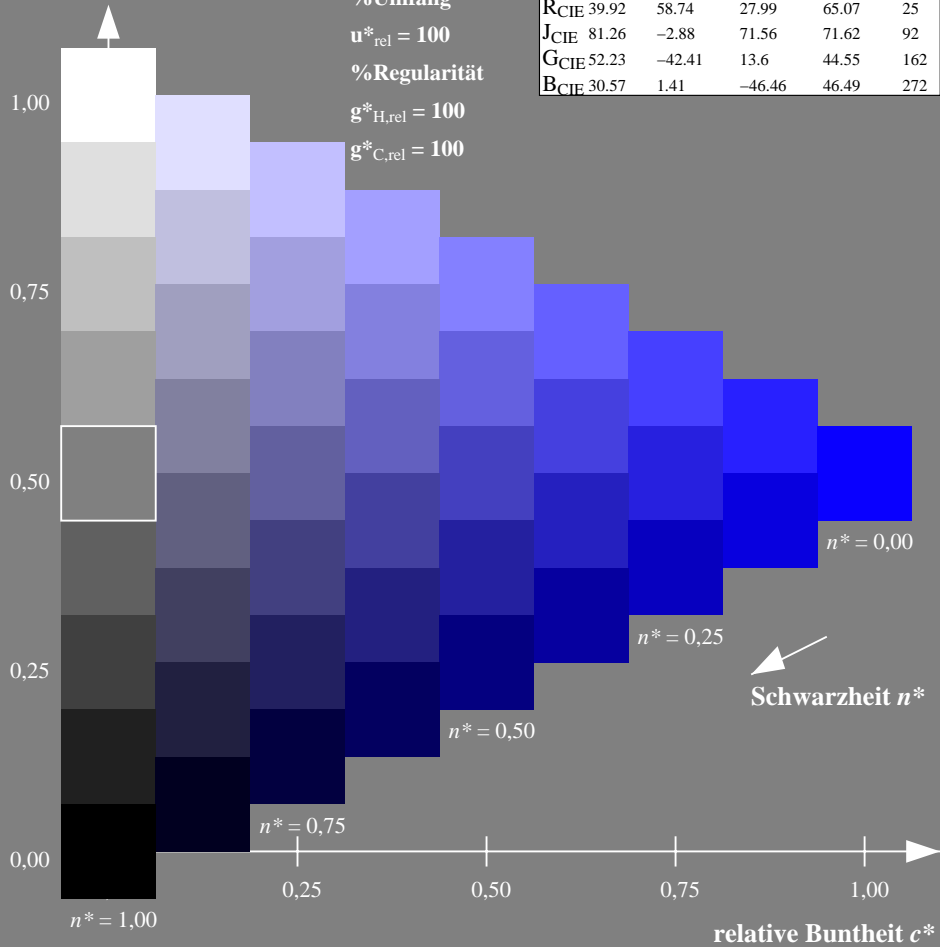
%Umfang

$u^*_{rel} = 100$

%Regularität

$g^*_{H,rel} = 100$

$g^*_{C,rel} = 100$



Ausgabe: Farbmetrisches Drucker-Reflektiv-System DRSXX

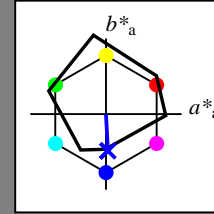
für Buntton $h^* = lab^*h = 273/360 = 0.759$

lab^*tch und lab^*nch

D65: Buntton B

LCH*Ma: 35 45 273

olv*Ma: 0.04 0.0 1.0



DRSXX; adaptierte CIELAB-Daten

	$L^*=L^*_a$	a^*_a	b^*_a	$C^*_{ab,a}$	$h^*_{ab,a}$
O _{Ma}	42.21	66.82	50.6	83.82	37
Y _{Ma}	90.32	-16.51	104.33	105.63	99
L _{Ma}	48.21	-75.63	30.65	81.61	158
C _{Ma}	53.44	-33.33	-47.49	58.03	235
V _{Ma}	34.16	-0.92	-46.56	46.58	269
M _{Ma}	42.71	79.0	-1.95	79.03	359
N _{Ma}	16.56	0.0	0.0	0.0	0
W _{Ma}	96.31	0.0	0.0	0.0	0
R _{CIE}	39.92	59.78	25.77	65.1	23
J _{CIE}	81.26	-2.51	69.07	69.11	92
G _{CIE}	52.23	-41.57	11.3	43.09	165
B _{CIE}	30.57	2.6	-48.62	48.7	273

Dreiecks-Helligkeit t^*

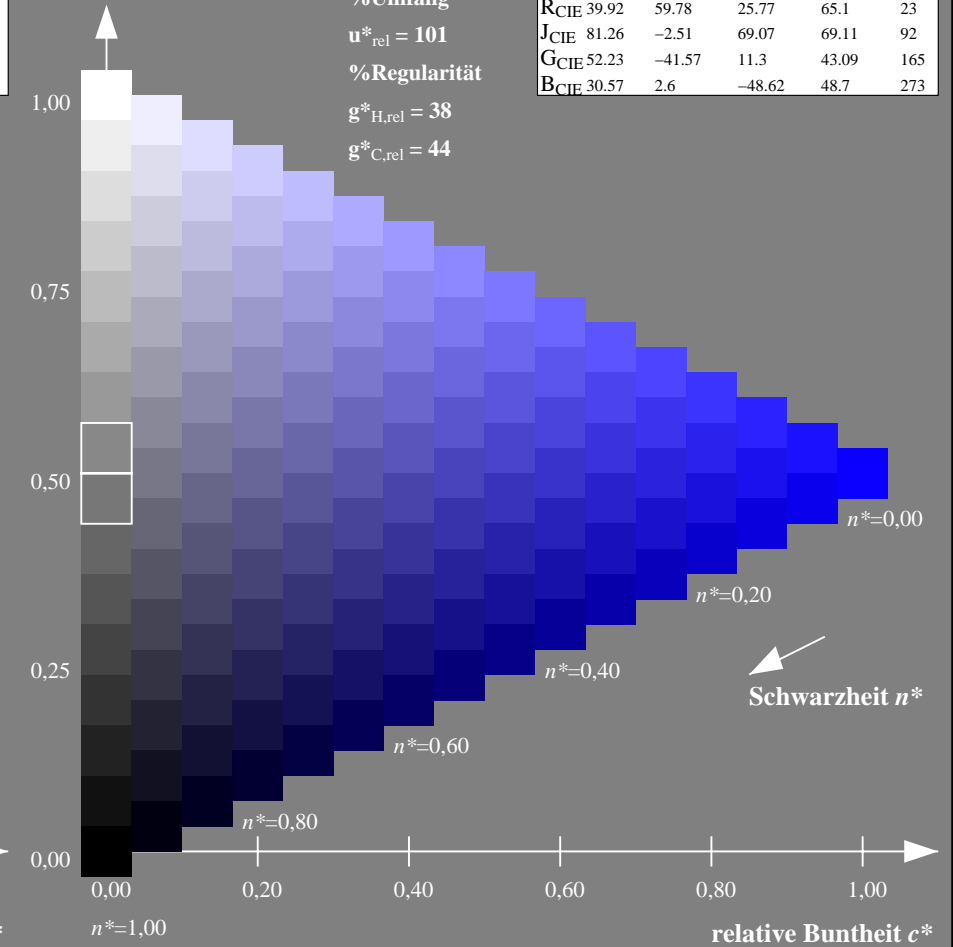
%Umfang

$u^*_{rel} = 101$

%Regularität

$g^*_{H,rel} = 38$

$g^*_{C,rel} = 44$



NG900-7, 9stufige Reihen für konstanten CIELAB Buntton $272/360 = 0.755$ (links)

16stufige Reihen für konstanten CIELAB Buntton $273/360 = 0.759$ (rechts)

Eingabe: Farbmetrisches Standard-Reflektiv-System SRS18

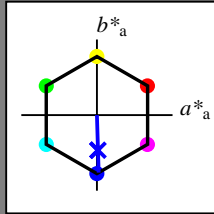
für Buntton $h^* = lab^*h = 272/360 = 0.755$

lab^*tch und lab^*nch

D65: Buntton B

LCH*Ma: 57 76 272

olv*Ma: 0.03 0.0 1.0



SRS18; adaptierte CIELAB-Daten

	$L^*=L^*_a$	a^*_a	b^*_a	$C^*_{ab,a}$	$h^*_{ab,a}$
O _{Ma}	56.71	67.03	38.7	77.4	30
Y _{Ma}	56.71	0.0	77.4	77.4	90
L _{Ma}	56.71	-67.02	38.7	77.4	150
C _{Ma}	56.71	-67.02	-38.69	77.4	210
V _{Ma}	56.71	0.0	-77.39	77.4	270
M _{Ma}	56.71	67.03	-38.69	77.4	330
N _{Ma}	18.01	0.0	0.0	0.0	0
W _{Ma}	95.41	0.0	0.0	0.0	0
R _{CIE}	39.92	58.74	27.99	65.07	25
J _{CIE}	81.26	-2.88	71.56	71.62	92
G _{CIE}	52.23	-42.41	13.6	44.55	162
B _{CIE}	30.57	1.41	-46.46	46.49	272

Dreiecks-Helligkeit t^*

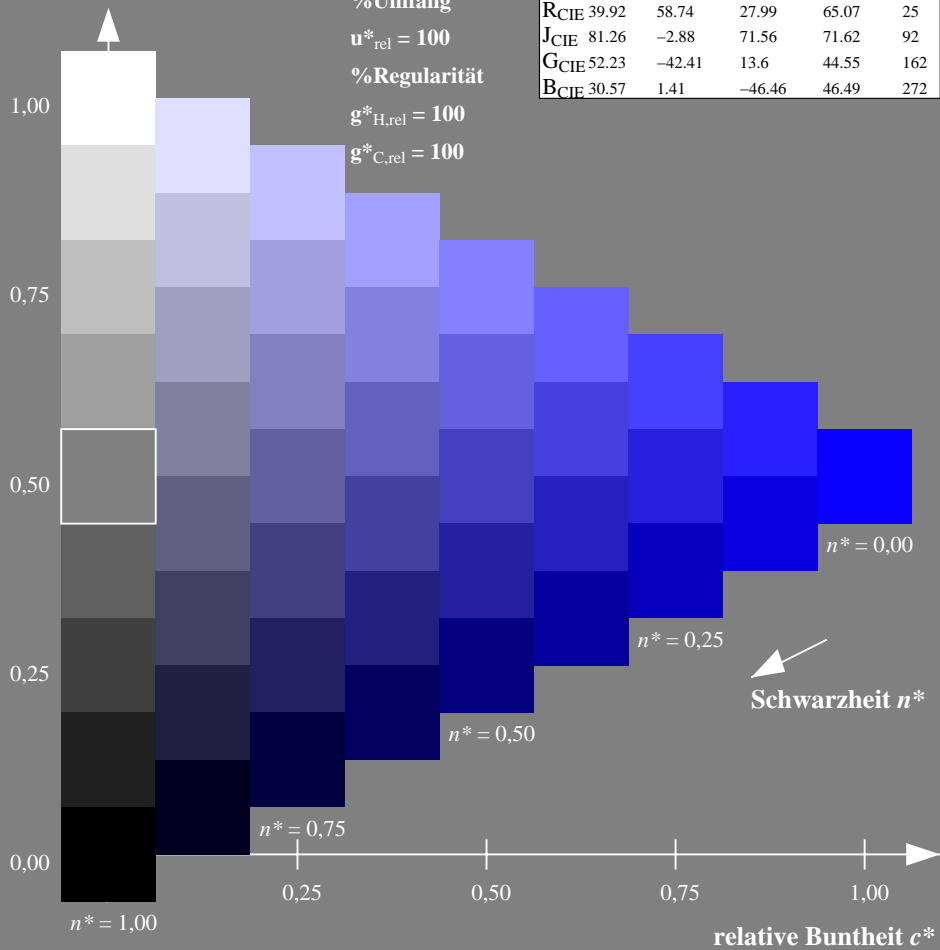
%Umfang

$u^*_{rel} = 100$

%Regularität

$g^*_{H,rel} = 100$

$g^*_{C,rel} = 100$



Ausgabe: Farbmetrisches Fernseh-Licht-System TLS18

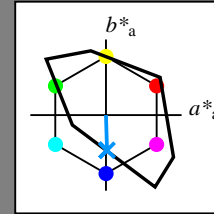
für Buntton $h^* = lab^*h = 272/360 = 0.755$

lab^*tch und lab^*nch

D65: Buntton B

LCH*Ma: 65 48 272

olv*Ma: 0.0 0.58 1.0



TLS18; adaptierte CIELAB-Daten

	$L^*=L^*_a$	a^*_a	b^*_a	$C^*_{ab,a}$	$h^*_{ab,a}$
O _{Ma}	52.76	71.63	49.88	87.29	35
Y _{Ma}	92.74	-20.02	84.97	87.3	103
L _{Ma}	84.0	-78.98	73.94	108.2	137
C _{Ma}	87.14	-44.41	-13.11	46.32	196
V _{Ma}	35.47	64.92	-95.06	115.12	304
M _{Ma}	59.01	89.33	-55.67	105.26	328
N _{Ma}	18.01	0.0	0.0	0.0	0
W _{Ma}	95.41	0.0	0.0	0.0	0
R _{CIE}	39.92	58.74	27.99	65.07	25
J _{CIE}	81.26	-2.88	71.56	71.62	92
G _{CIE}	52.23	-42.41	13.6	44.55	162
B _{CIE}	30.57	1.41	-46.46	46.49	272

Dreiecks-Helligkeit t^*

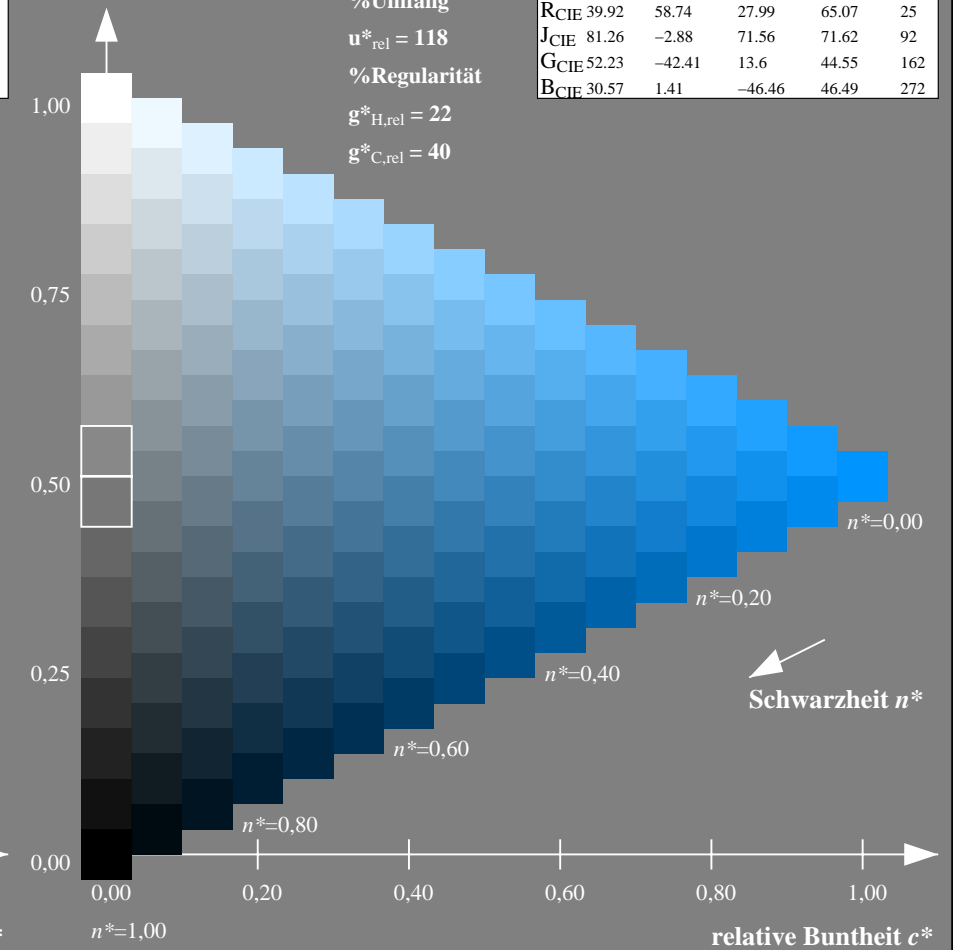
%Umfang

$u^*_{rel} = 118$

%Regularität

$g^*_{H,rel} = 22$

$g^*_{C,rel} = 40$



NG900-7, 9stufige Reihen für konstanten CIELAB Buntton $272/360 = 0.755$ (links)

16stufige Reihen für konstanten CIELAB Buntton $272/360 = 0.755$ (rechts)

Eingabe: Farbmetrisches Standard-Reflektiv-System SRS18

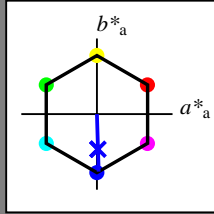
für Buntton $h^* = lab^*h = 272/360 = 0.755$

lab^*tch und lab^*nch

D65: Buntton B

LCH*Ma: 57 76 272

olv*Ma: 0.03 0.0 1.0



SRS18; adaptierte CIELAB-Daten

	$L^*=L^*_a$	a^*_a	b^*_a	$C^*_{ab,a}$	$h^*_{ab,a}$
OMa	56.71	67.03	38.7	77.4	30
YMa	56.71	0.0	77.4	77.4	90
LMa	56.71	-67.02	38.7	77.4	150
CMa	56.71	-67.02	-38.69	77.4	210
VMa	56.71	0.0	-77.39	77.4	270
MMa	56.71	67.03	-38.69	77.4	330
NMa	18.01	0.0	0.0	0.0	0
WMa	95.41	0.0	0.0	0.0	0
RCIE	39.92	58.74	27.99	65.07	25
JCIE	81.26	-2.88	71.56	71.62	92
GCIE	52.23	-42.41	13.6	44.55	162
BCIE	30.57	1.41	-46.46	46.49	272

Dreiecks-Helligkeit t^*

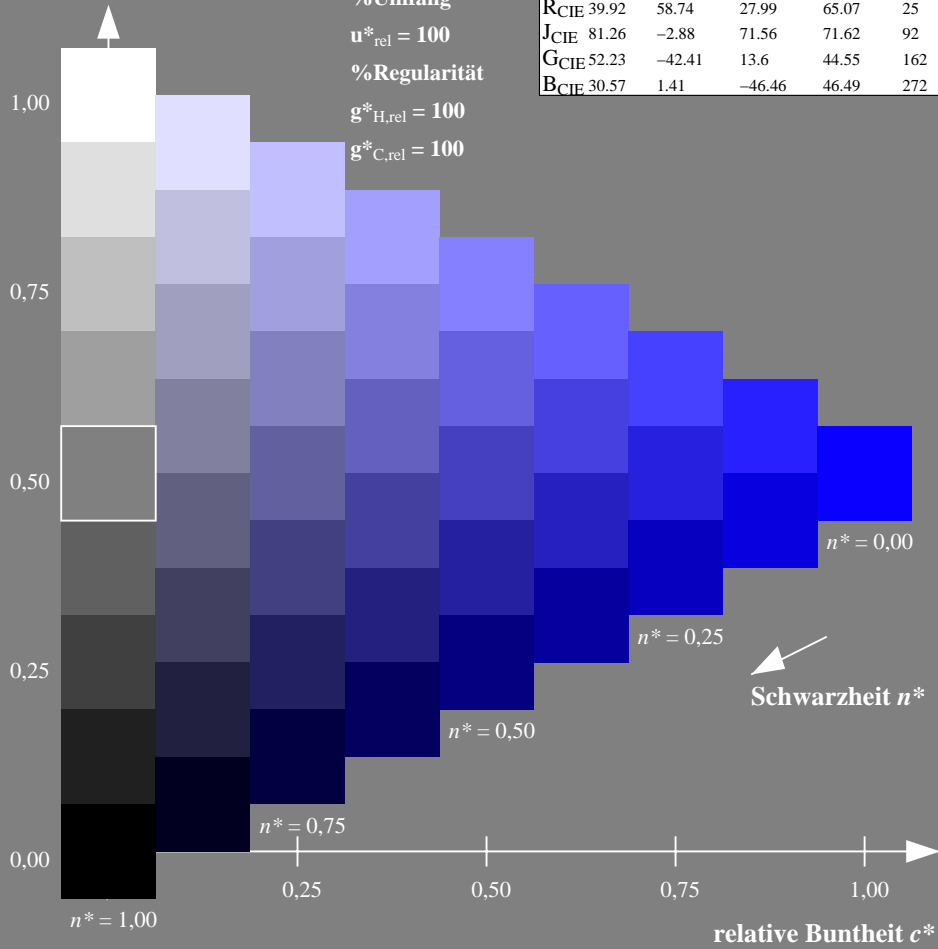
%Umfang

$u^*_{rel} = 100$

%Regularität

$g^*_{H,rel} = 100$

$g^*_{C,rel} = 100$



Ausgabe: Farbmetrisches Natürliches-Licht-System NLS00

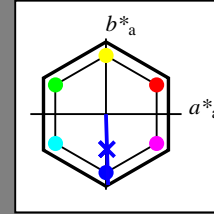
für Buntton $h^* = lab^*h = 272/360 = 0.755$

lab^*tch und lab^*nch

D65: Buntton B

LCH*Ma: 33 94 272

olv*Ma: 0.03 0.0 1.0



NLS00; adaptierte CIELAB-Daten

	$L^*=L^*_a$	a^*_a	b^*_a	$C^*_{ab,a}$	$h^*_{ab,a}$
OMa	31.81	82.62	47.7	95.4	30
YMa	63.61	0.0	95.4	95.4	90
LMa	31.81	-82.61	47.7	95.4	150
CMa	63.61	-82.61	-47.69	95.4	210
VMa	31.81	0.0	-95.39	95.4	270
MMa	63.61	82.62	-47.69	95.4	330
NMa	0.01	0.0	0.0	0.0	0
WMa	95.41	0.0	0.0	0.0	0
RCIE	39.92	58.74	27.99	65.07	25
JCIE	81.26	-2.88	71.56	71.62	92
GCIE	52.23	-42.41	13.6	44.55	162
BCIE	30.57	1.41	-46.46	46.49	272

Dreiecks-Helligkeit t^*

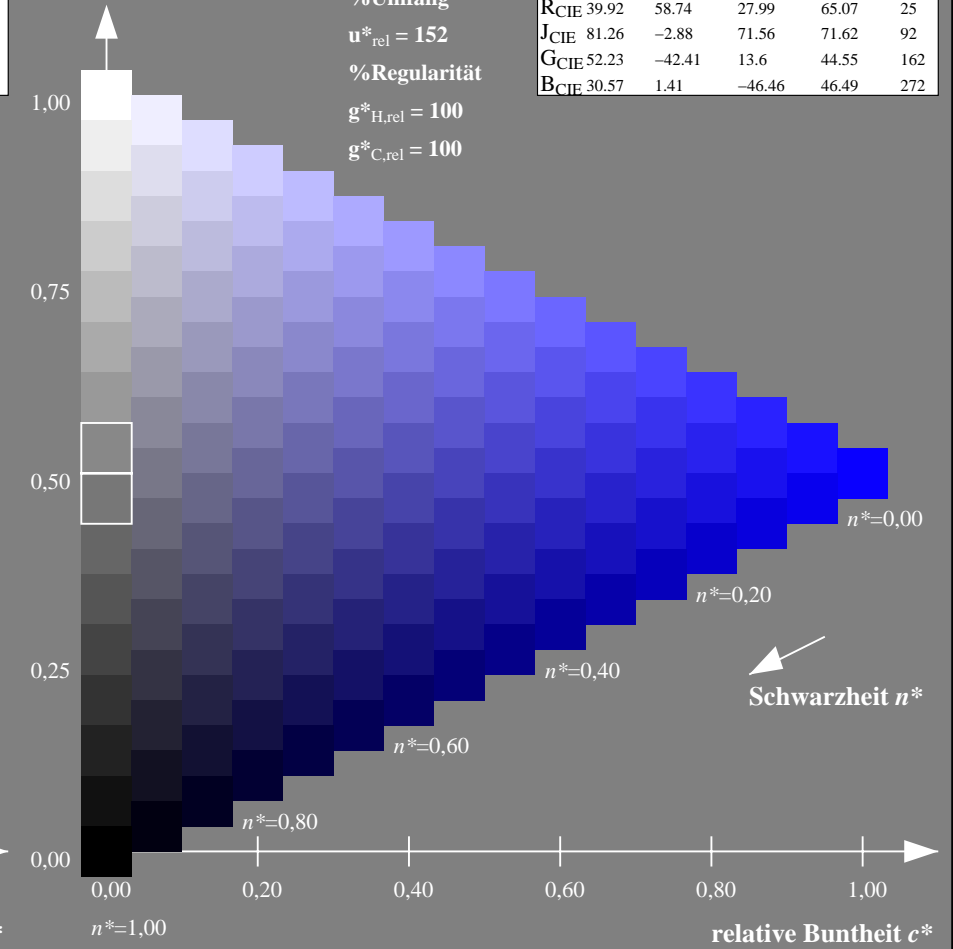
%Umfang

$u^*_{rel} = 152$

%Regularität

$g^*_{H,rel} = 100$

$g^*_{C,rel} = 100$



NG900-7, 9stufige Reihen für konstanten CIELAB Buntton $272/360 = 0.755$ (links)

16stufige Reihen für konstanten CIELAB Buntton $272/360 = 0.755$ (rechts)

Eingabe: Farbmetrisches Standard-Reflektiv-System SRS18

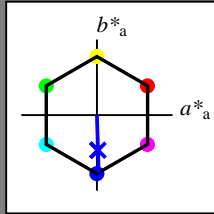
für Buntton $h^* = lab^*h = 272/360 = 0.755$

lab^*tch und lab^*nch

D65: Buntton B

LCH*Ma: 57 76 272

olv*Ma: 0.03 0.0 1.0



SRS18; adaptierte CIELAB-Daten

	$L^*=L^*_a$	a^*_a	b^*_a	$C^*_{ab,a}$	$h^*_{ab,a}$
OMa	56.71	67.03	38.7	77.4	30
YMa	56.71	0.0	77.4	77.4	90
LMa	56.71	-67.02	38.7	77.4	150
CMa	56.71	-67.02	-38.69	77.4	210
VMa	56.71	0.0	-77.39	77.4	270
MMa	56.71	67.03	-38.69	77.4	330
NMa	18.01	0.0	0.0	0.0	0
WMa	95.41	0.0	0.0	0.0	0
RCIE	39.92	58.74	27.99	65.07	25
JCIE	81.26	-2.88	71.56	71.62	92
GCIE	52.23	-42.41	13.6	44.55	162
BCIE	30.57	1.41	-46.46	46.49	272

Dreiecks-Helligkeit t^*

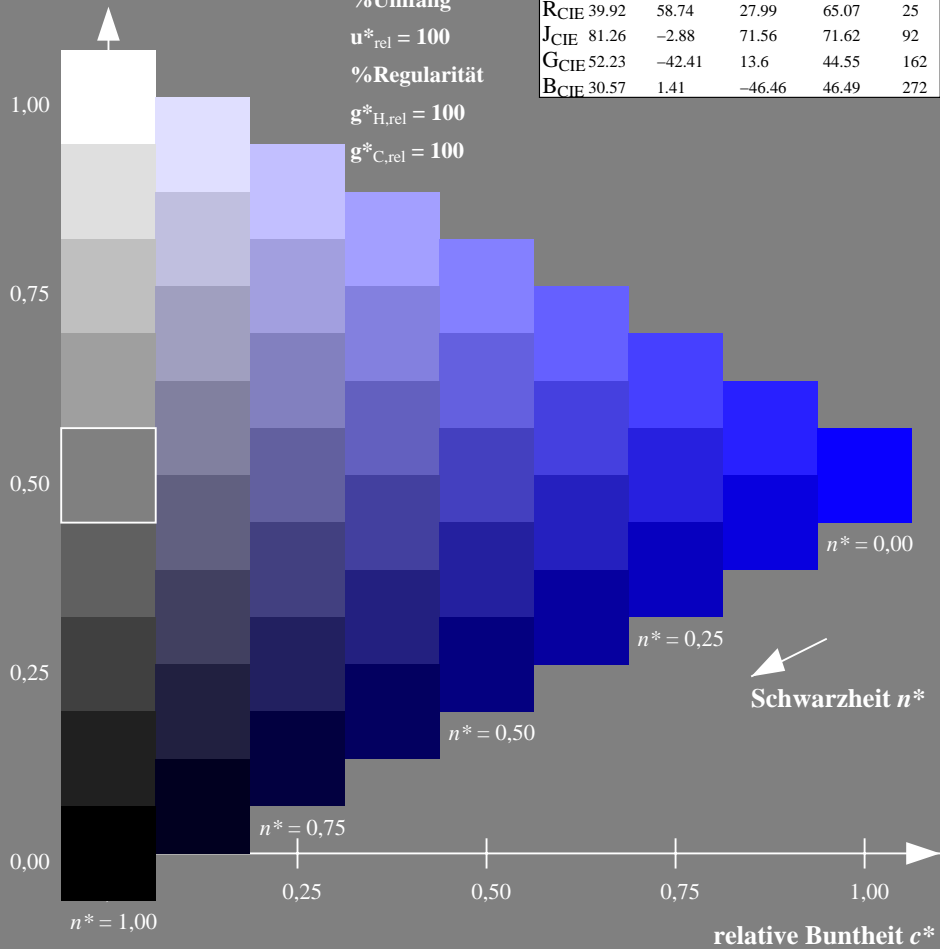
%Umfang

$u^*_{rel} = 100$

%Regularität

$g^*_{H,rel} = 100$

$g^*_{C,rel} = 100$



Ausgabe: Farbmetrisches Natürliches-Reflektiv-System NRS18

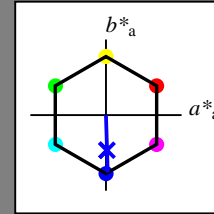
für Buntton $h^* = lab^*h = 272/360 = 0.755$

lab^*tch und lab^*nch

D65: Buntton B

LCH*Ma: 45 76 272

olv*Ma: 0.03 0.0 1.0



NRS18; adaptierte CIELAB-Daten

	$L^*=L^*_a$	a^*_a	b^*_a	$C^*_{ab,a}$	$h^*_{ab,a}$
OMa	43.81	67.03	38.7	77.4	30
YMa	69.61	0.0	77.4	77.4	90
LMa	43.81	-67.02	38.7	77.4	150
CMa	69.61	-67.02	-38.69	77.4	210
VMa	43.81	0.0	-77.39	77.4	270
MMa	69.61	67.03	-38.69	77.4	330
NMa	18.01	0.0	0.0	0.0	0
WMa	95.41	0.0	0.0	0.0	0
RCIE	39.92	58.74	27.99	65.07	25
JCIE	81.26	-2.88	71.56	71.62	92
GCIE	52.23	-42.41	13.6	44.55	162
BCIE	30.57	1.41	-46.46	46.49	272

Dreiecks-Helligkeit t^*

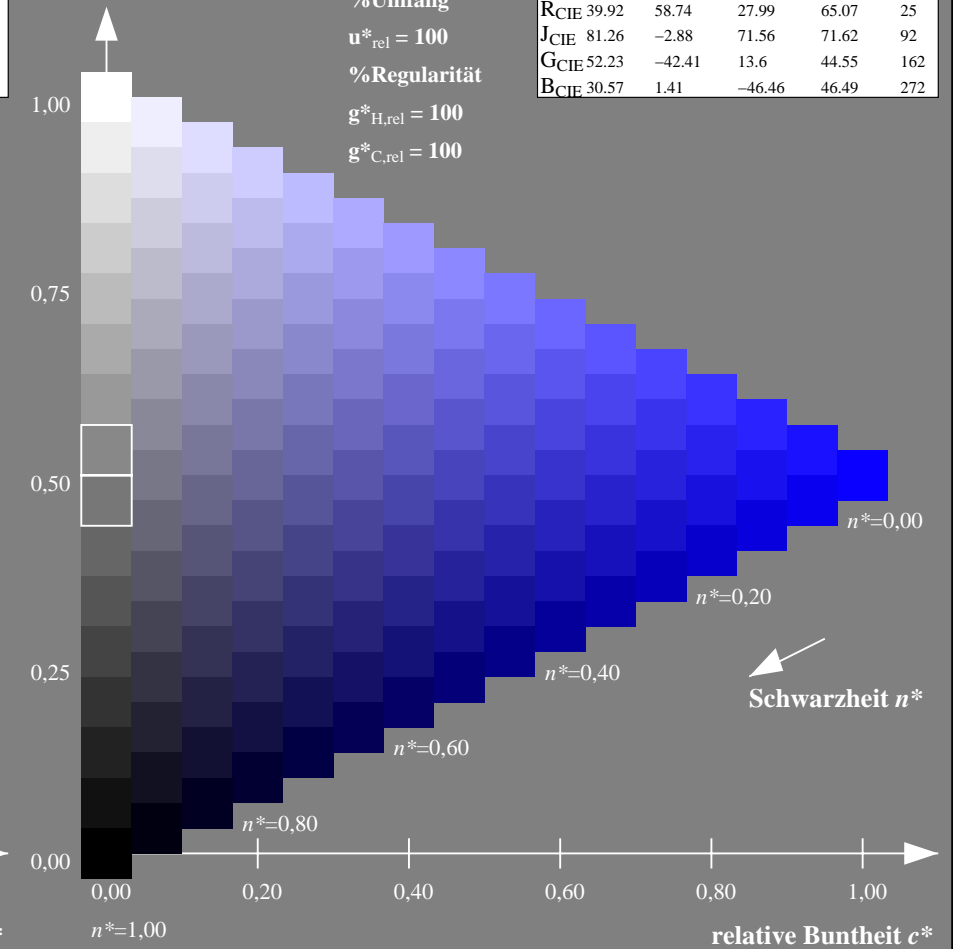
%Umfang

$u^*_{rel} = 100$

%Regularität

$g^*_{H,rel} = 100$

$g^*_{C,rel} = 100$



NG900-7, 9stufige Reihen für konstanten CIELAB Buntton $272/360 = 0.755$ (links)

16stufige Reihen für konstanten CIELAB Buntton $272/360 = 0.755$ (rechts)

Eingabe: Farbmetrisches Standard-Reflektiv-System SRS18

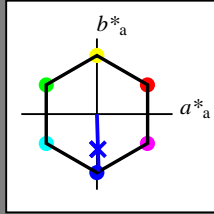
für Buntton $h^* = lab^*h = 272/360 = 0.755$

lab^*tch und lab^*nch

D65: Buntton B

LCH*Ma: 57 76 272

olv*Ma: 0.03 0.0 1.0



SRS18; adaptierte CIELAB-Daten

	$L^*=L^*_a$	a^*_a	b^*_a	$C^*_{ab,a}$	$h^*_{ab,a}$
OMa	56.71	67.03	38.7	77.4	30
YMa	56.71	0.0	77.4	77.4	90
LMa	56.71	-67.02	38.7	77.4	150
CMa	56.71	-67.02	-38.69	77.4	210
VMa	56.71	0.0	-77.39	77.4	270
MMa	56.71	67.03	-38.69	77.4	330
NMa	18.01	0.0	0.0	0.0	0
WMa	95.41	0.0	0.0	0.0	0
RCIE	39.92	58.74	27.99	65.07	25
JCIE	81.26	-2.88	71.56	71.62	92
GCIE	52.23	-42.41	13.6	44.55	162
BCIE	30.57	1.41	-46.46	46.49	272

Dreiecks-Helligkeit t^*

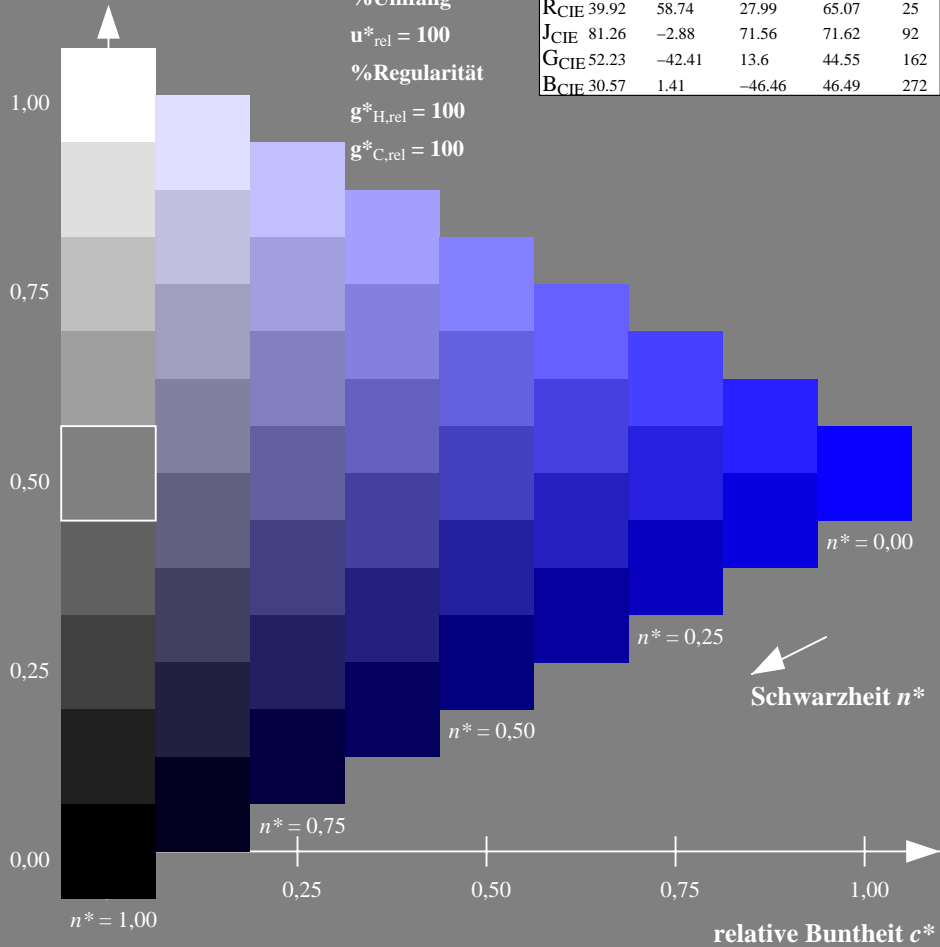
%Umfang

$u^*_{rel} = 100$

%Regularität

$g^*_{H,rel} = 100$

$g^*_{C,rel} = 100$



Ausgabe: Farbmetrisches Standard-Reflektiv-System SRS18

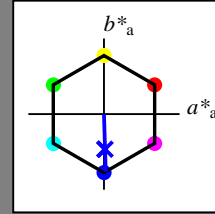
für Buntton $h^* = lab^*h = 272/360 = 0.755$

lab^*tch und lab^*nch

D65: Buntton B

LCH*Ma: 57 76 272

olv*Ma: 0.03 0.0 1.0



SRS18; adaptierte CIELAB-Daten

	$L^*=L^*_a$	a^*_a	b^*_a	$C^*_{ab,a}$	$h^*_{ab,a}$
OMa	56.71	67.03	38.7	77.4	30
YMa	56.71	0.0	77.4	77.4	90
LMa	56.71	-67.02	38.7	77.4	150
CMa	56.71	-67.02	-38.69	77.4	210
VMa	56.71	0.0	-77.39	77.4	270
MMa	56.71	67.03	-38.69	77.4	330
NMa	18.01	0.0	0.0	0.0	0
WMa	95.41	0.0	0.0	0.0	0
RCIE	39.92	58.74	27.99	65.07	25
JCIE	81.26	-2.88	71.56	71.62	92
GCIE	52.23	-42.41	13.6	44.55	162
BCIE	30.57	1.41	-46.46	46.49	272

Dreiecks-Helligkeit t^*

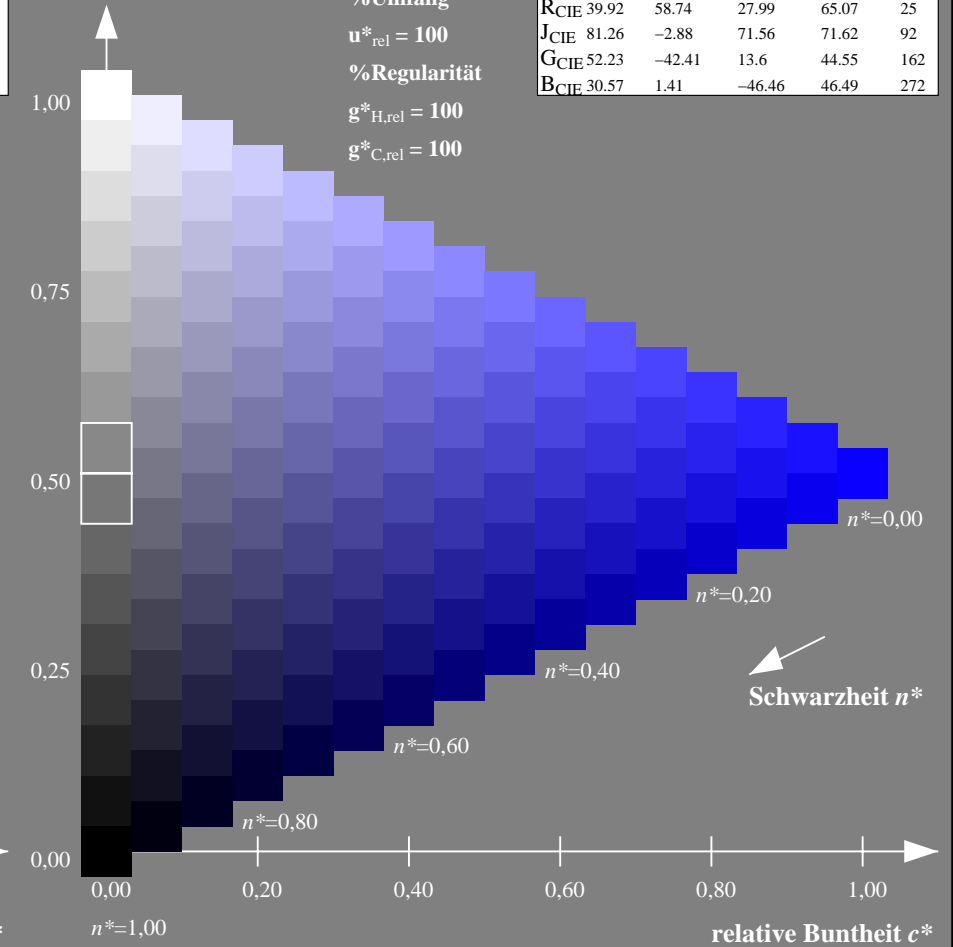
%Umfang

$u^*_{rel} = 100$

%Regularität

$g^*_{H,rel} = 100$

$g^*_{C,rel} = 100$



NG900-7, 9stufige Reihen für konstanten CIELAB Buntton $272/360 = 0.755$ (links)

16stufige Reihen für konstanten CIELAB Buntton $272/360 = 0.755$ (rechts)

Eingabe: Farbmetrisches Standard-Reflektiv-System SRS18

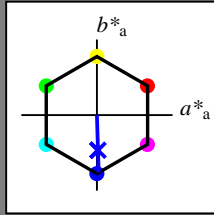
für Buntton $h^* = lab^*h = 272/360 = 0.755$

lab^*tch und lab^*nch

D65: Buntton B

LCH*Ma: 57 76 272

olv*Ma: 0.03 0.0 1.0



SRS18; adaptierte CIELAB-Daten

	$L^*=L^*_a$	a^*_a	b^*_a	$C^*_{ab,a}$	$h^*_{ab,a}$
O _{Ma}	56.71	67.03	38.7	77.4	30
Y _{Ma}	56.71	0.0	77.4	77.4	90
L _{Ma}	56.71	-67.02	38.7	77.4	150
C _{Ma}	56.71	-67.02	-38.69	77.4	210
V _{Ma}	56.71	0.0	-77.39	77.4	270
M _{Ma}	56.71	67.03	-38.69	77.4	330
N _{Ma}	18.01	0.0	0.0	0.0	0
W _{Ma}	95.41	0.0	0.0	0.0	0
R _{CIE}	39.92	58.74	27.99	65.07	25
J _{CIE}	81.26	-2.88	71.56	71.62	92
G _{CIE}	52.23	-42.41	13.6	44.55	162
B _{CIE}	30.57	1.41	-46.46	46.49	272

Dreiecks-Helligkeit t^*

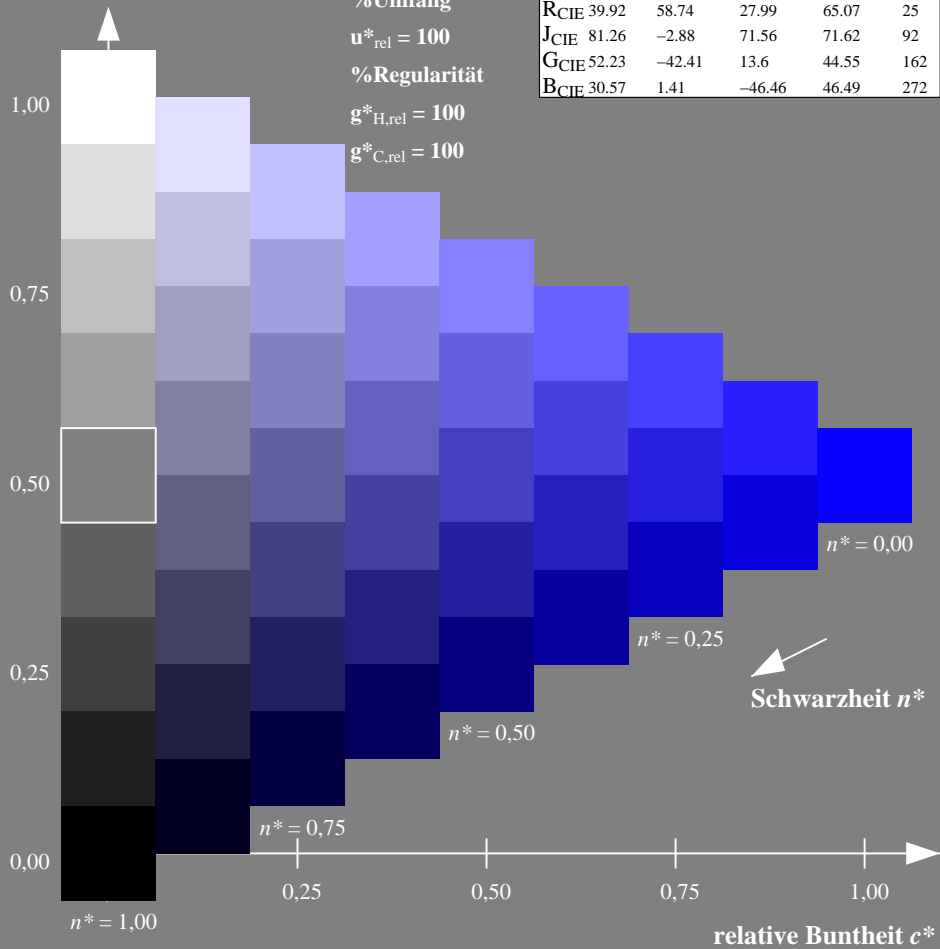
%Umfang

$u^*_{rel} = 100$

%Regularität

$g^*_{H,rel} = 100$

$g^*_{C,rel} = 100$



Ausgabe: Farbmetrisches Fernseh-Licht-System TLS70

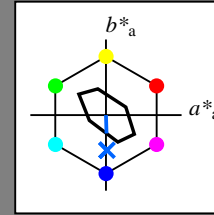
für Buntton $h^* = lab^*h = 272/360 = 0.755$

lab^*tch und lab^*nch

D65: Buntton B

LCH*Ma: 80 24 272

olv*Ma: 0.0 0.4 1.0



TLS70; adaptierte CIELAB-Daten

	$L^*=L^*_a$	a^*_a	b^*_a	$C^*_{ab,a}$	$h^*_{ab,a}$
O _{Ma}	76.43	26.27	10.57	28.32	22
Y _{Ma}	93.93	-10.76	34.63	36.27	107
L _{Ma}	89.32	-35.8	27.64	45.24	142
C _{Ma}	90.93	-21.95	-7.07	23.07	198
V _{Ma}	72.1	15.76	-35.63	38.97	294
M _{Ma}	78.5	37.52	-25.23	45.22	326
N _{Ma}	69.7	0.0	0.0	0.0	0
W _{Ma}	95.41	0.0	0.0	0.0	0
R _{CIE}	39.92	58.74	27.99	65.07	25
J _{CIE}	81.26	-2.88	71.56	71.62	92
G _{CIE}	52.23	-42.41	13.6	44.55	162
B _{CIE}	30.57	1.41	-46.46	46.49	272

Dreiecks-Helligkeit t^*

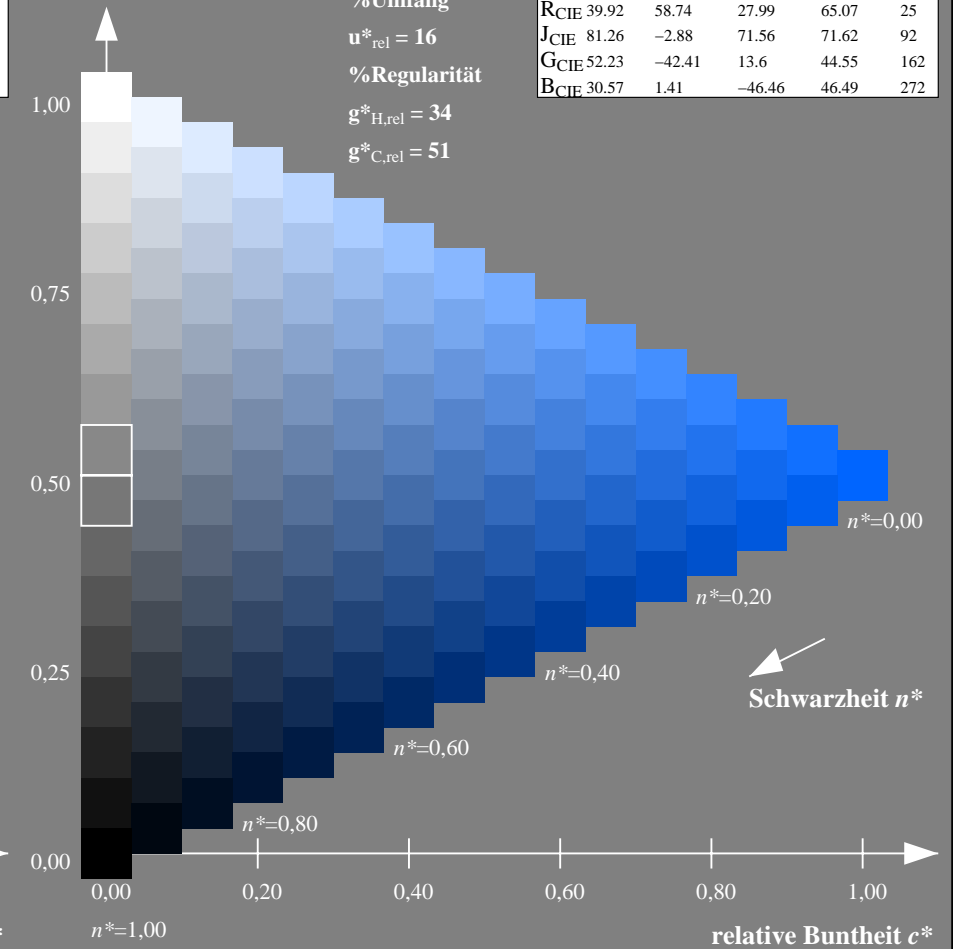
%Umfang

$u^*_{rel} = 16$

%Regularität

$g^*_{H,rel} = 34$

$g^*_{C,rel} = 51$



NG900-7, 9stufige Reihen für konstanten CIELAB Buntton $272/360 = 0.755$ (links)

16stufige Reihen für konstanten CIELAB Buntton $272/360 = 0.755$ (rechts)

Eingabe: Farbmetrisches Fernseh-Licht-System TLS70

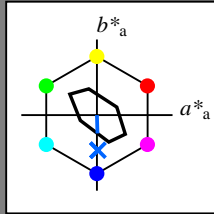
für Buntton $h^* = lab^*h = 272/360 = 0.755$

lab^*tch und lab^*nch

D65: Buntton B

LCH*Ma: 80 24 272

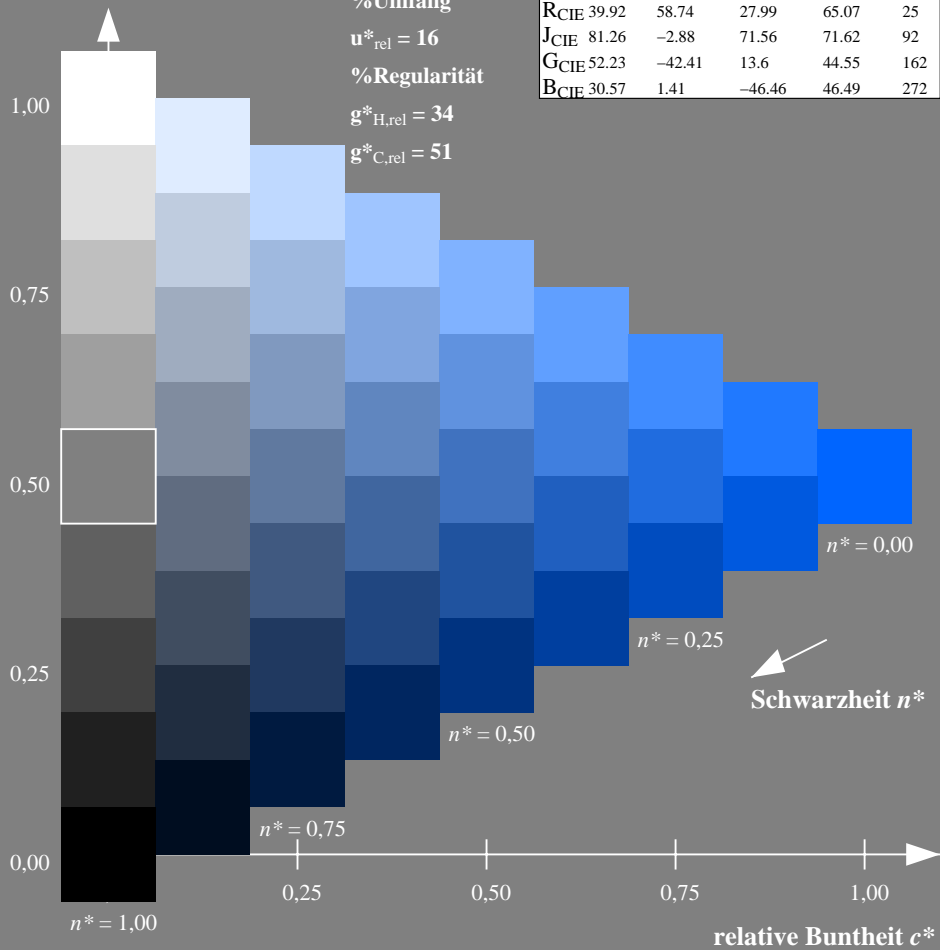
olv*Ma: 0.0 0.4 1.0



TLS70; adaptierte CIELAB-Daten

	$L^*=L^*_a$	a^*_a	b^*_a	$C^*_{ab,a}$	$h^*_{ab,a}$
OMa	76.43	26.27	10.57	28.32	22
YMa	93.93	-10.76	34.63	36.27	107
LMa	89.32	-35.8	27.64	45.24	142
CMa	90.93	-21.95	-7.07	23.07	198
VMa	72.1	15.76	-35.63	38.97	294
MMa	78.5	37.52	-25.23	45.22	326
NMa	69.7	0.0	0.0	0.0	0
WMa	95.41	0.0	0.0	0.0	0
RCIE	39.92	58.74	27.99	65.07	25
JCIE	81.26	-2.88	71.56	71.62	92
GCIE	52.23	-42.41	13.6	44.55	162
BCIE	30.57	1.41	-46.46	46.49	272

Dreiecks-Helligkeit t^*



Ausgabe: Farbmetrisches Offset-Reflektiv-System ORS18

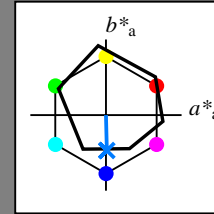
für Buntton $h^* = lab^*h = 271/360 = 0.754$

lab^*tch und lab^*nch

D65: Buntton B

LCH*Ma: 42 45 271

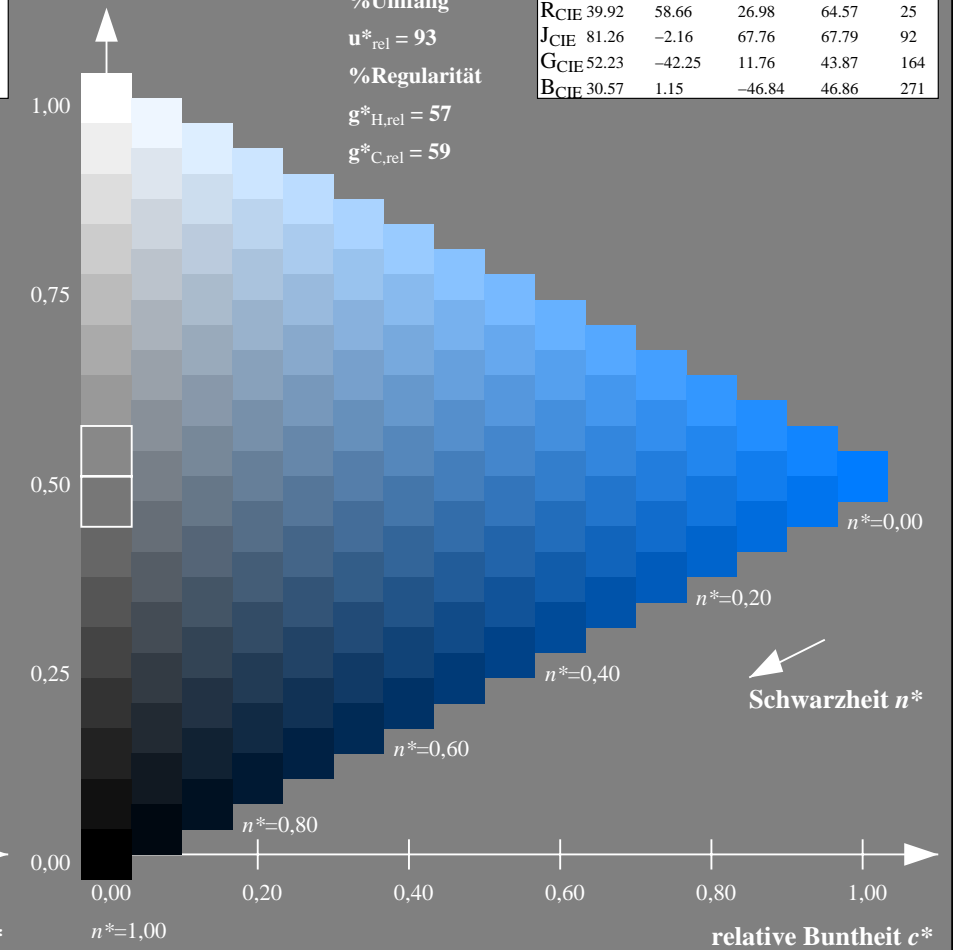
olv*Ma: 0.0 0.49 1.0



ORS18; adaptierte CIELAB-Daten

	$L^*=L^*_a$	a^*_a	b^*_a	$C^*_{ab,a}$	$h^*_{ab,a}$
OMa	47.94	65.39	50.52	82.63	38
YMa	90.37	-10.26	91.75	92.32	96
LMa	50.9	-62.83	34.96	71.91	151
CMa	58.62	-30.34	-45.01	54.3	236
VMa	25.72	31.1	-44.4	54.22	305
MMa	48.13	75.28	-8.36	75.74	354
NMa	18.01	0.0	0.0	0.0	0
WMa	95.41	0.0	0.0	0.0	0
RCIE	39.92	58.66	26.98	64.57	25
JCIE	81.26	-2.16	67.76	67.79	92
GCIE	52.23	-42.25	11.76	43.87	164
BCIE	30.57	1.15	-46.84	46.86	271

Dreiecks-Helligkeit t^*



NG900-7, 9stufige Reihen für konstanten CIELAB Buntton $272/360 = 0.755$ (links)

16stufige Reihen für konstanten CIELAB Buntton $271/360 = 0.754$ (rechts)

Eingabe: Farbmetrisches Fernseh-Licht-System TLS70

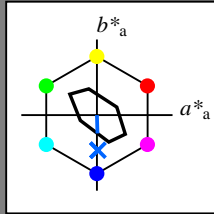
für Buntton $h^* = lab^*h = 272/360 = 0.755$

lab^*tch und lab^*nch

D65: Buntton B

LCH*Ma: 80 24 272

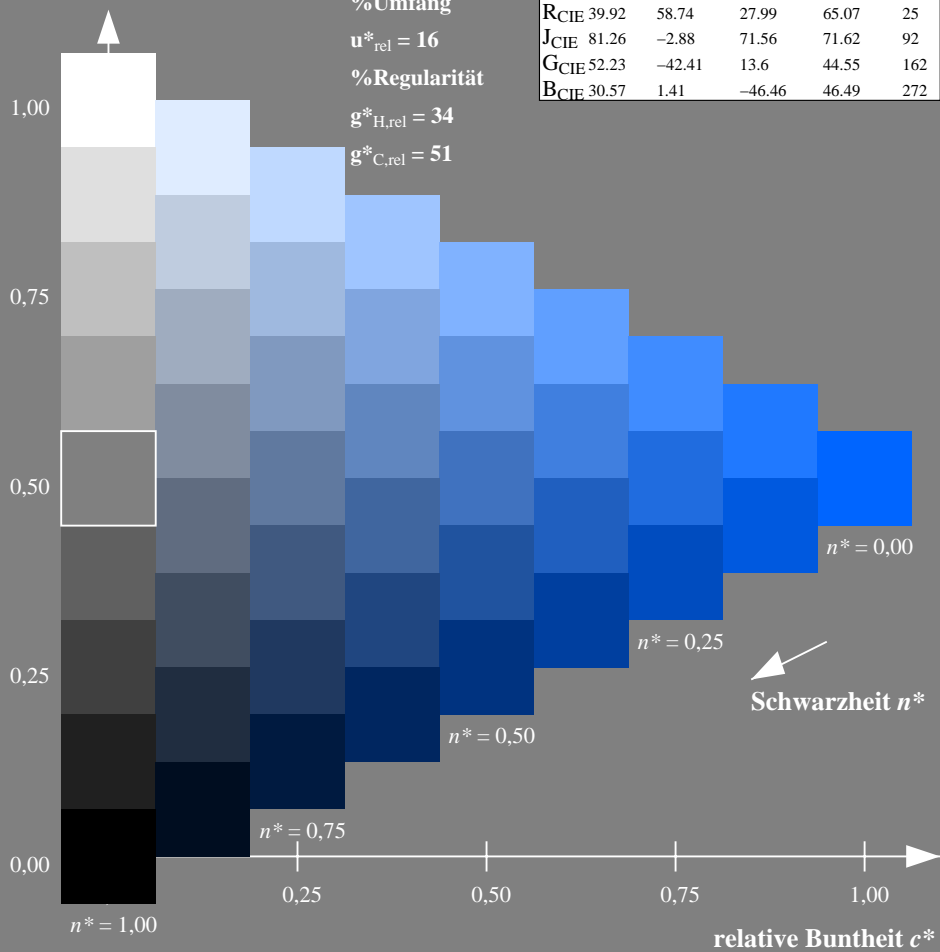
olv*Ma: 0.0 0.4 1.0



TLS70; adaptierte CIELAB-Daten

	$L^*=L^*_a$	a^*_a	b^*_a	$C^*_{ab,a}$	$h^*_{ab,a}$
O _{Ma}	76.43	26.27	10.57	28.32	22
Y _{Ma}	93.93	-10.76	34.63	36.27	107
L _{Ma}	89.32	-35.8	27.64	45.24	142
C _{Ma}	90.93	-21.95	-7.07	23.07	198
V _{Ma}	72.1	15.76	-35.63	38.97	294
M _{Ma}	78.5	37.52	-25.23	45.22	326
N _{Ma}	69.7	0.0	0.0	0.0	0
W _{Ma}	95.41	0.0	0.0	0.0	0
R _{CIE}	39.92	58.74	27.99	65.07	25
J _{CIE}	81.26	-2.88	71.56	71.62	92
G _{CIE}	52.23	-42.41	13.6	44.55	162
B _{CIE}	30.57	1.41	-46.46	46.49	272

Dreiecks-Helligkeit t^*



Ausgabe: Farbmetrisches Fernseh-Licht-System TLS00

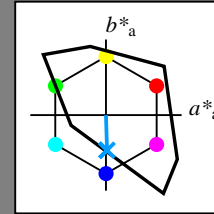
für Buntton $h^* = lab^*h = 272/360 = 0.755$

lab^*tch und lab^*nch

D65: Buntton B

LCH*Ma: 65 49 272

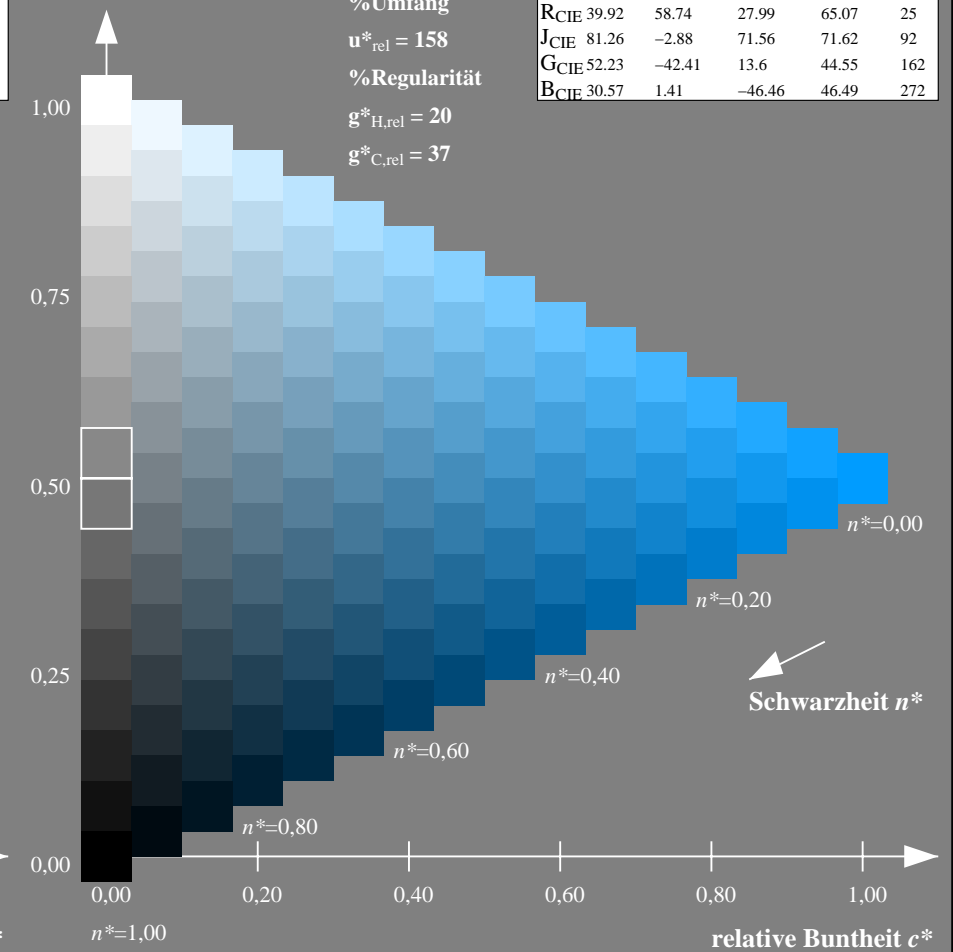
olv*Ma: 0.0 0.61 1.0



TLS00; adaptierte CIELAB-Daten

	$L^*=L^*_a$	a^*_a	b^*_a	$C^*_{ab,a}$	$h^*_{ab,a}$
O _{Ma}	50.5	76.92	64.55	100.42	40
Y _{Ma}	92.66	-20.69	90.75	93.08	103
L _{Ma}	83.63	-82.75	79.9	115.04	136
C _{Ma}	86.88	-46.16	-13.55	48.12	196
V _{Ma}	30.39	76.06	-103.59	128.52	306
M _{Ma}	57.3	94.35	-58.41	110.97	328
N _{Ma}	0.01	0.0	0.0	0.0	0
W _{Ma}	95.41	0.0	0.0	0.0	0
R _{CIE}	39.92	58.74	27.99	65.07	25
J _{CIE}	81.26	-2.88	71.56	71.62	92
G _{CIE}	52.23	-42.41	13.6	44.55	162
B _{CIE}	30.57	1.41	-46.46	46.49	272

Dreiecks-Helligkeit t^*



NG900-7, 9stufige Reihen für konstanten CIELAB Buntton $272/360 = 0.755$ (links)

16stufige Reihen für konstanten CIELAB Buntton $272/360 = 0.755$ (rechts)

Eingabe: Farbmetrisches Fernseh-Licht-System TLS70

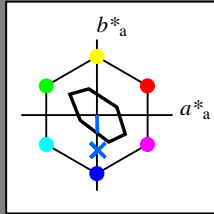
für Buntton $h^* = lab^*h = 272/360 = 0.755$

lab^*tch und lab^*nch

D65: Buntton B

LCH*Ma: 80 24 272

olv*Ma: 0.0 0.4 1.0



TLS70; adaptierte CIELAB-Daten

	$L^*=L^*_a$	a^*_a	b^*_a	$C^*_{ab,a}$	$h^*_{ab,a}$
OMa	76.43	26.27	10.57	28.32	22
YMa	93.93	-10.76	34.63	36.27	107
LMa	89.32	-35.8	27.64	45.24	142
CMa	90.93	-21.95	-7.07	23.07	198
VMa	72.1	15.76	-35.63	38.97	294
MMa	78.5	37.52	-25.23	45.22	326
NMa	69.7	0.0	0.0	0.0	0
WMa	95.41	0.0	0.0	0.0	0
RCIE	39.92	58.74	27.99	65.07	25
JCIE	81.26	-2.88	71.56	71.62	92
GCIE	52.23	-42.41	13.6	44.55	162
BCIE	30.57	1.41	-46.46	46.49	272

Dreiecks-Helligkeit t^*

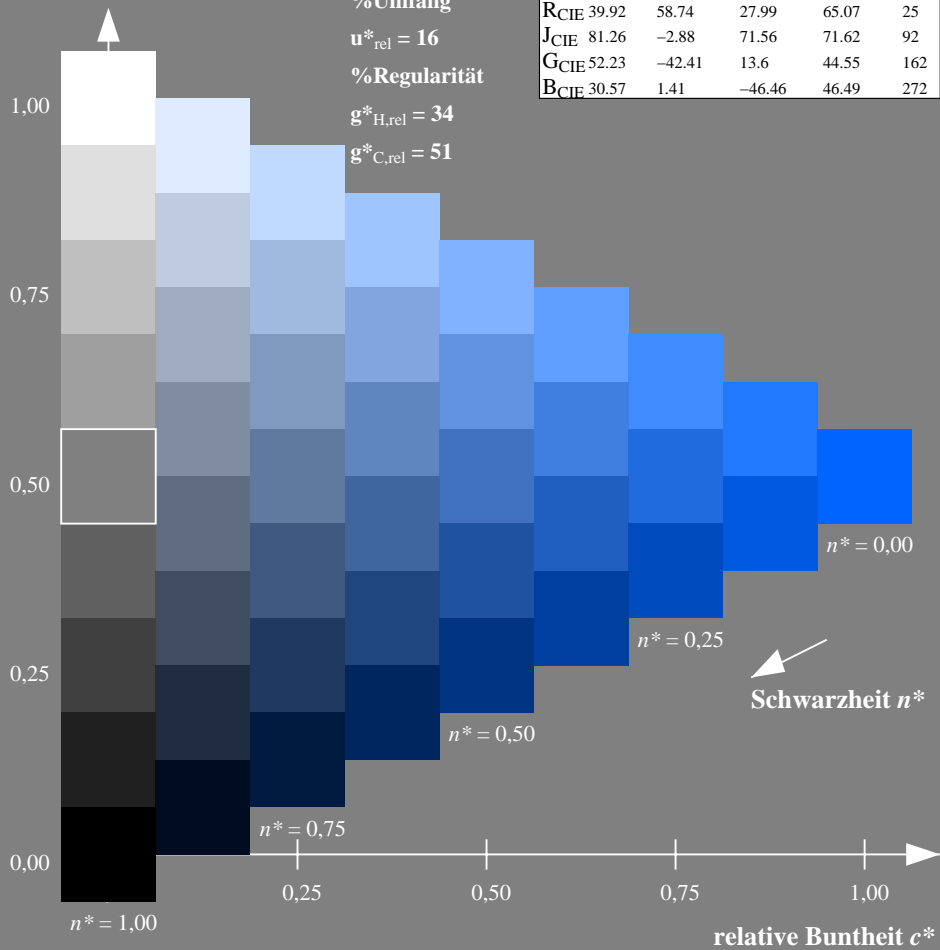
%Umfang

$u^*_{rel} = 16$

%Regularität

$g^*_{H,rel} = 34$

$g^*_{C,rel} = 51$



Ausgabe: Farbmetrisches Drucker-Reflektiv-System DRSXX

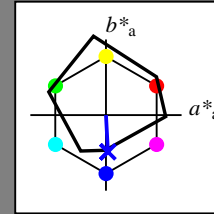
für Buntton $h^* = lab^*h = 273/360 = 0.759$

lab^*tch und lab^*nch

D65: Buntton B

LCH*Ma: 35 45 273

olv*Ma: 0.04 0.0 1.0



DRSXX; adaptierte CIELAB-Daten

	$L^*=L^*_a$	a^*_a	b^*_a	$C^*_{ab,a}$	$h^*_{ab,a}$
OMa	42.21	66.82	50.6	83.82	37
YMa	90.32	-16.51	104.33	105.63	99
LMa	48.21	-75.63	30.65	81.61	158
CMa	53.44	-33.33	-47.49	58.03	235
VMa	34.16	-0.92	-46.56	46.58	269
MMa	42.71	79.0	-1.95	79.03	359
NMa	16.56	0.0	0.0	0.0	0
WMa	96.31	0.0	0.0	0.0	0
RCIE	39.92	59.78	25.77	65.1	23
JCIE	81.26	-2.51	69.07	69.11	92
GCIE	52.23	-41.57	11.3	43.09	165
BCIE	30.57	2.6	-48.62	48.7	273

Dreiecks-Helligkeit t^*

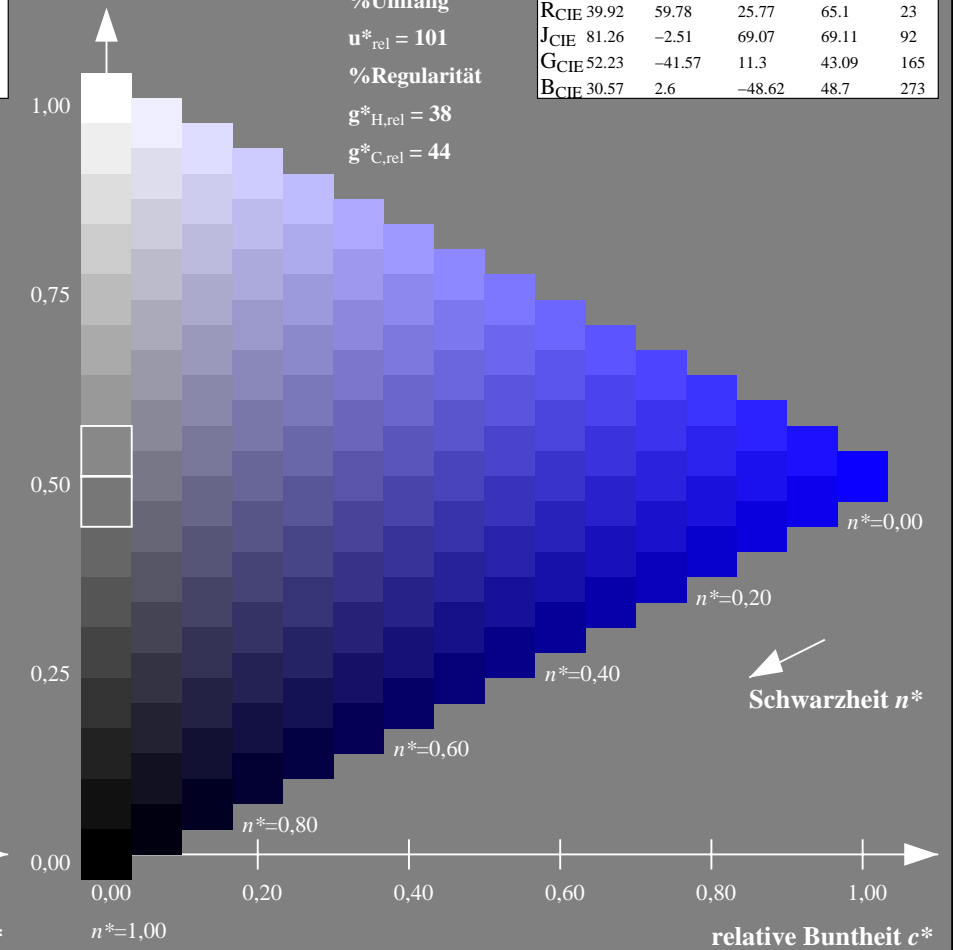
%Umfang

$u^*_{rel} = 101$

%Regularität

$g^*_{H,rel} = 38$

$g^*_{C,rel} = 44$



NG900-7, 9stufige Reihen für konstanten CIELAB Buntton $272/360 = 0.755$ (links)

16stufige Reihen für konstanten CIELAB Buntton $273/360 = 0.759$ (rechts)

Eingabe: Farbmetrisches Fernseh-Licht-System TLS70

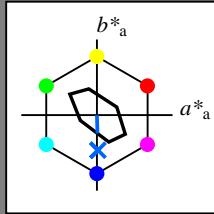
für Buntton $h^* = lab^*h = 272/360 = 0.755$

lab^*tch und lab^*nch

D65: Buntton B

LCH*Ma: 80 24 272

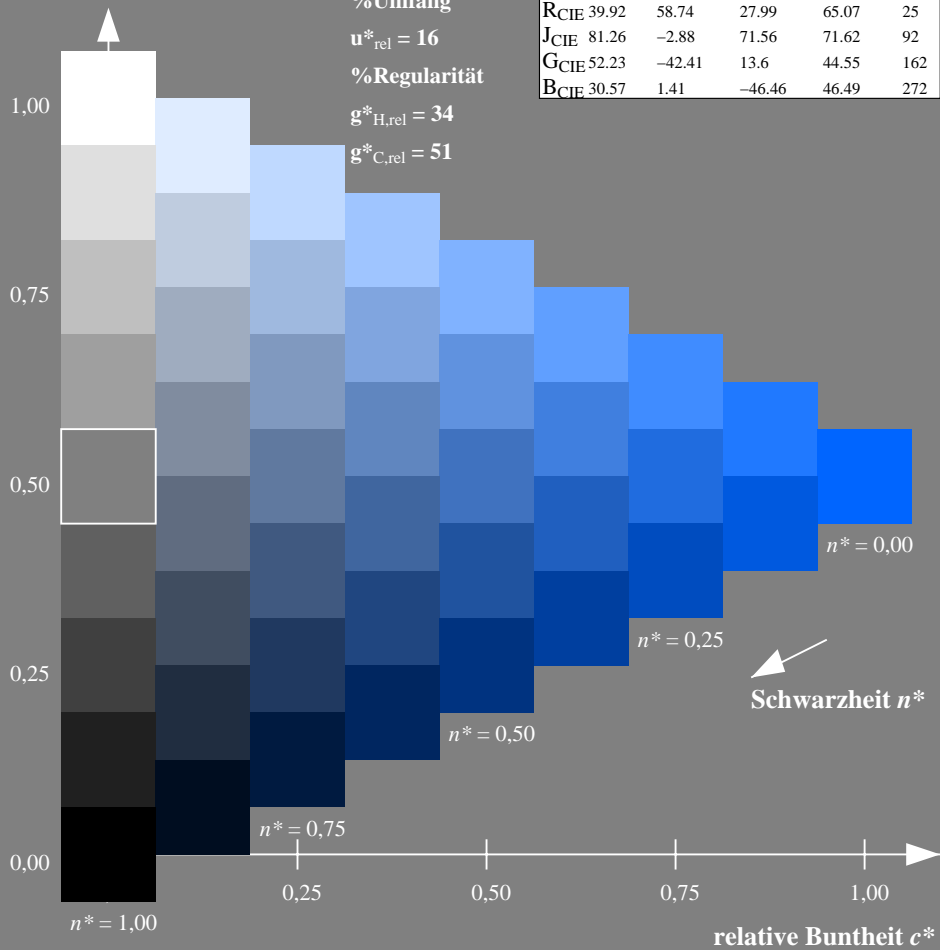
olv*Ma: 0.0 0.4 1.0



TLS70; adaptierte CIELAB-Daten

	$L^*=L^*_a$	a^*_a	b^*_a	$C^*_{ab,a}$	$h^*_{ab,a}$
OMa	76.43	26.27	10.57	28.32	22
YMa	93.93	-10.76	34.63	36.27	107
LMa	89.32	-35.8	27.64	45.24	142
CMa	90.93	-21.95	-7.07	23.07	198
VMa	72.1	15.76	-35.63	38.97	294
MMa	78.5	37.52	-25.23	45.22	326
NMa	69.7	0.0	0.0	0.0	0
WMa	95.41	0.0	0.0	0.0	0
RCIE	39.92	58.74	27.99	65.07	25
JCIE	81.26	-2.88	71.56	71.62	92
GCIE	52.23	-42.41	13.6	44.55	162
BCIE	30.57	1.41	-46.46	46.49	272

Dreiecks-Helligkeit t^*



Ausgabe: Farbmetrisches Fernseh-Licht-System TLS18

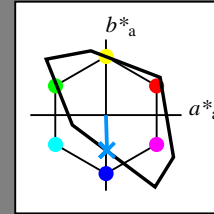
für Buntton $h^* = lab^*h = 272/360 = 0.755$

lab^*tch und lab^*nch

D65: Buntton B

LCH*Ma: 65 48 272

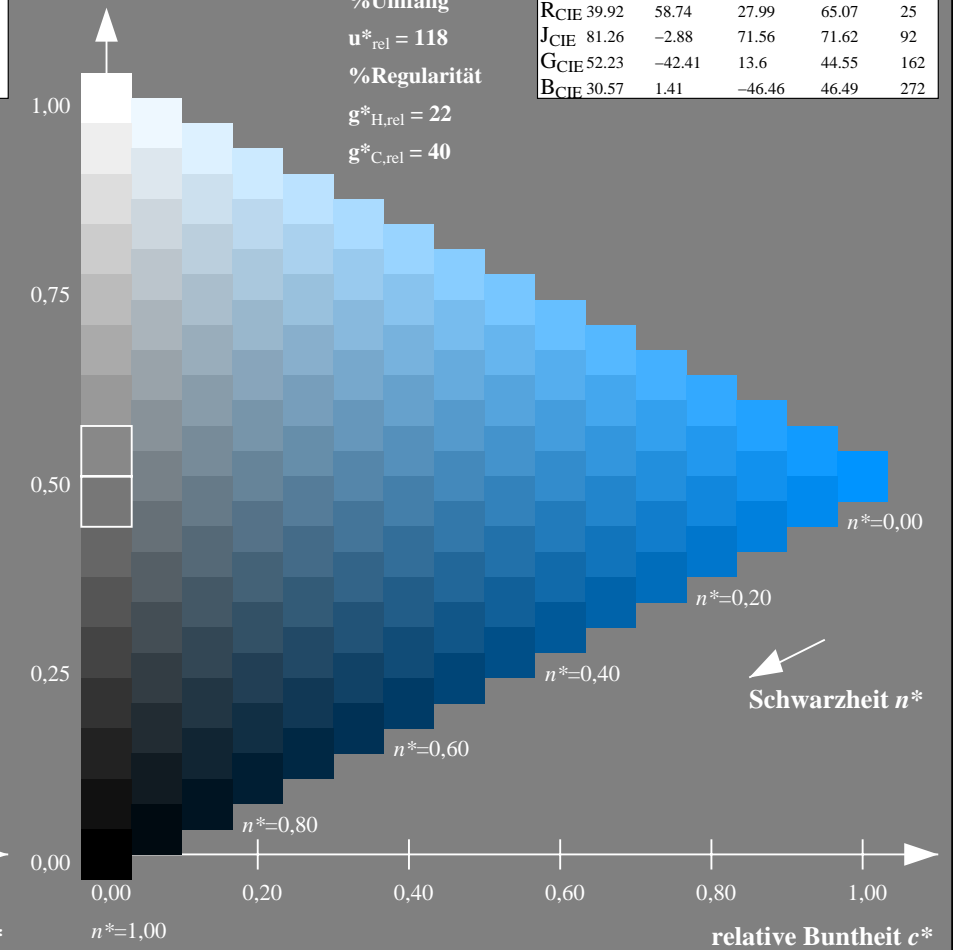
olv*Ma: 0.0 0.58 1.0



TLS18; adaptierte CIELAB-Daten

	$L^*=L^*_a$	a^*_a	b^*_a	$C^*_{ab,a}$	$h^*_{ab,a}$
OMa	52.76	71.63	49.88	87.29	35
YMa	92.74	-20.02	84.97	87.3	103
LMa	84.0	-78.98	73.94	108.2	137
CMa	87.14	-44.41	-13.11	46.32	196
VMa	35.47	64.92	-95.06	115.12	304
MMa	59.01	89.33	-55.67	105.26	328
NMa	18.01	0.0	0.0	0.0	0
WMa	95.41	0.0	0.0	0.0	0
RCIE	39.92	58.74	27.99	65.07	25
JCIE	81.26	-2.88	71.56	71.62	92
GCIE	52.23	-42.41	13.6	44.55	162
BCIE	30.57	1.41	-46.46	46.49	272

Dreiecks-Helligkeit t^*



NG900-7, 9stufige Reihen für konstanten CIELAB Buntton $272/360 = 0.755$ (links)

16stufige Reihen für konstanten CIELAB Buntton $272/360 = 0.755$ (rechts)

Eingabe: Farbmetrisches Fernseh-Licht-System TLS70

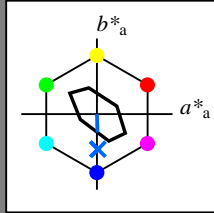
für Buntton $h^* = lab^*h = 272/360 = 0.755$

lab^*tch und lab^*nch

D65: Buntton B

LCH*Ma: 80 24 272

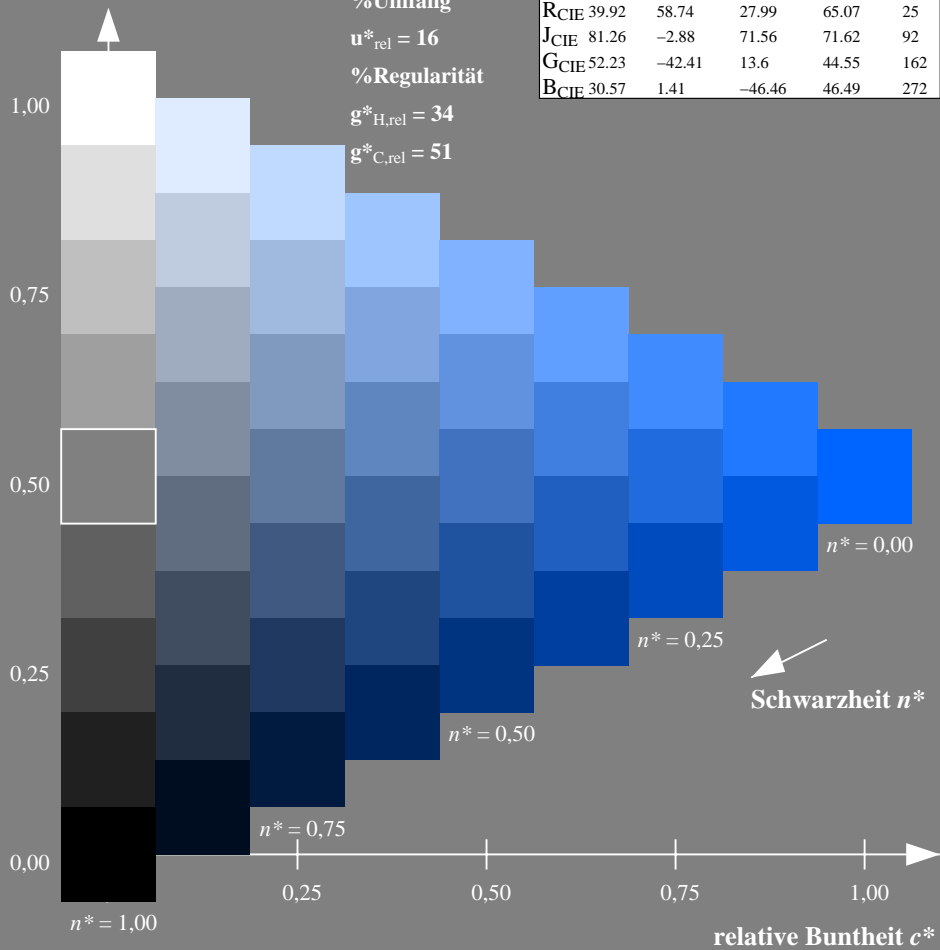
olv*Ma: 0.0 0.4 1.0



TLS70; adaptierte CIELAB-Daten

	$L^*=L^*_a$	a^*_a	b^*_a	$C^*_{ab,a}$	$h^*_{ab,a}$
O _{Ma}	76.43	26.27	10.57	28.32	22
Y _{Ma}	93.93	-10.76	34.63	36.27	107
L _{Ma}	89.32	-35.8	27.64	45.24	142
C _{Ma}	90.93	-21.95	-7.07	23.07	198
V _{Ma}	72.1	15.76	-35.63	38.97	294
M _{Ma}	78.5	37.52	-25.23	45.22	326
N _{Ma}	69.7	0.0	0.0	0.0	0
W _{Ma}	95.41	0.0	0.0	0.0	0
R _{CIE}	39.92	58.74	27.99	65.07	25
J _{CIE}	81.26	-2.88	71.56	71.62	92
G _{CIE}	52.23	-42.41	13.6	44.55	162
B _{CIE}	30.57	1.41	-46.46	46.49	272

Dreiecks-Helligkeit t^*



Ausgabe: Farbmetrisches Natürliches-Licht-System NLS00

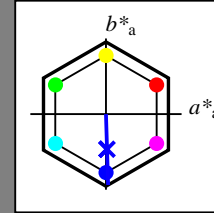
für Buntton $h^* = lab^*h = 272/360 = 0.755$

lab^*tch und lab^*nch

D65: Buntton B

LCH*Ma: 33 94 272

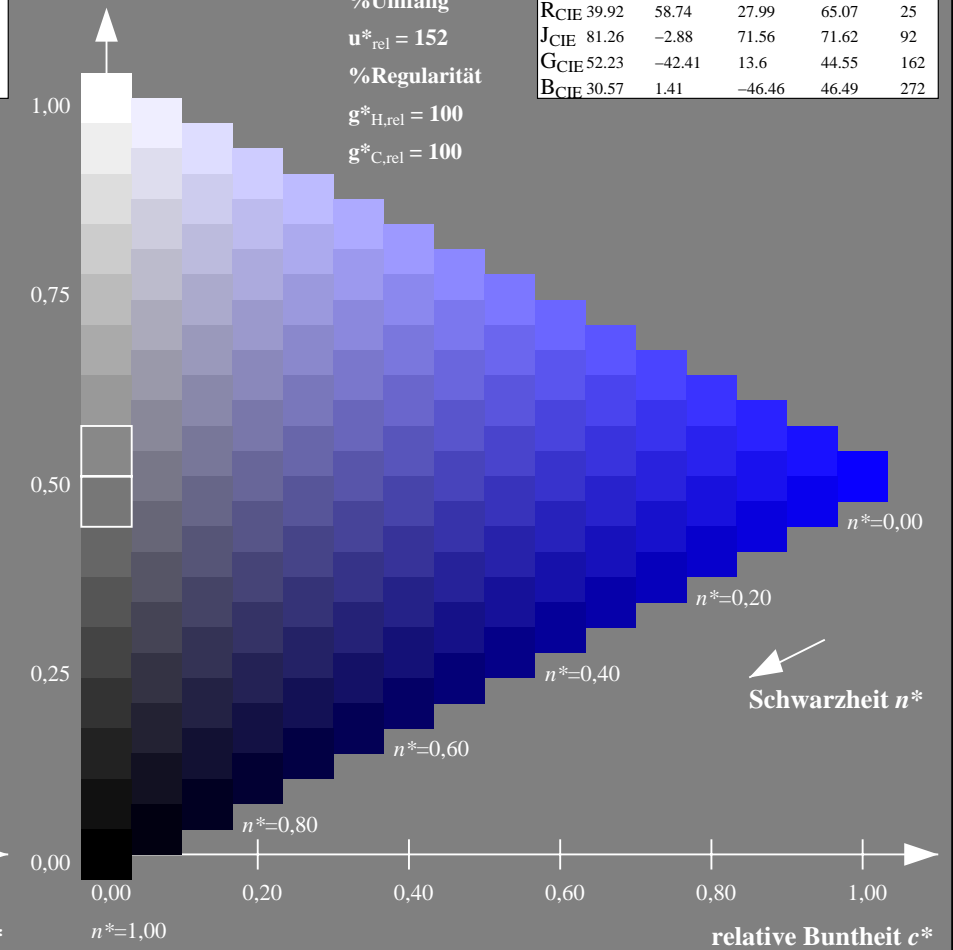
olv*Ma: 0.03 0.0 1.0



NLS00; adaptierte CIELAB-Daten

	$L^*=L^*_a$	a^*_a	b^*_a	$C^*_{ab,a}$	$h^*_{ab,a}$
O _{Ma}	31.81	82.62	47.7	95.4	30
Y _{Ma}	63.61	0.0	95.4	95.4	90
L _{Ma}	31.81	-82.61	47.7	95.4	150
C _{Ma}	63.61	-82.61	-47.69	95.4	210
V _{Ma}	31.81	0.0	-95.39	95.4	270
M _{Ma}	63.61	82.62	-47.69	95.4	330
N _{Ma}	0.01	0.0	0.0	0.0	0
W _{Ma}	95.41	0.0	0.0	0.0	0
R _{CIE}	39.92	58.74	27.99	65.07	25
J _{CIE}	81.26	-2.88	71.56	71.62	92
G _{CIE}	52.23	-42.41	13.6	44.55	162
B _{CIE}	30.57	1.41	-46.46	46.49	272

Dreiecks-Helligkeit t^*



NG900-7, 9stufige Reihen für konstanten CIELAB Buntton $272/360 = 0.755$ (links)

16stufige Reihen für konstanten CIELAB Buntton $272/360 = 0.755$ (rechts)

Eingabe: Farbmetrisches Fernseh-Licht-System TLS70

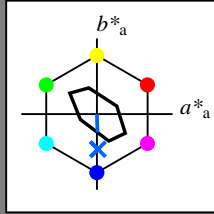
für Buntton $h^* = lab^*h = 272/360 = 0.755$

lab^*tch und lab^*nch

D65: Buntton B

LCH*Ma: 80 24 272

olv*Ma: 0.0 0.4 1.0



TLS70; adaptierte CIELAB-Daten

	$L^*=L^*_a$	a^*_a	b^*_a	$C^*_{ab,a}$	$h^*_{ab,a}$
O _{Ma}	76.43	26.27	10.57	28.32	22
Y _{Ma}	93.93	-10.76	34.63	36.27	107
L _{Ma}	89.32	-35.8	27.64	45.24	142
C _{Ma}	90.93	-21.95	-7.07	23.07	198
V _{Ma}	72.1	15.76	-35.63	38.97	294
M _{Ma}	78.5	37.52	-25.23	45.22	326
N _{Ma}	69.7	0.0	0.0	0.0	0
W _{Ma}	95.41	0.0	0.0	0.0	0
R _{CIE}	39.92	58.74	27.99	65.07	25
J _{CIE}	81.26	-2.88	71.56	71.62	92
G _{CIE}	52.23	-42.41	13.6	44.55	162
B _{CIE}	30.57	1.41	-46.46	46.49	272

Dreiecks-Helligkeit t^*

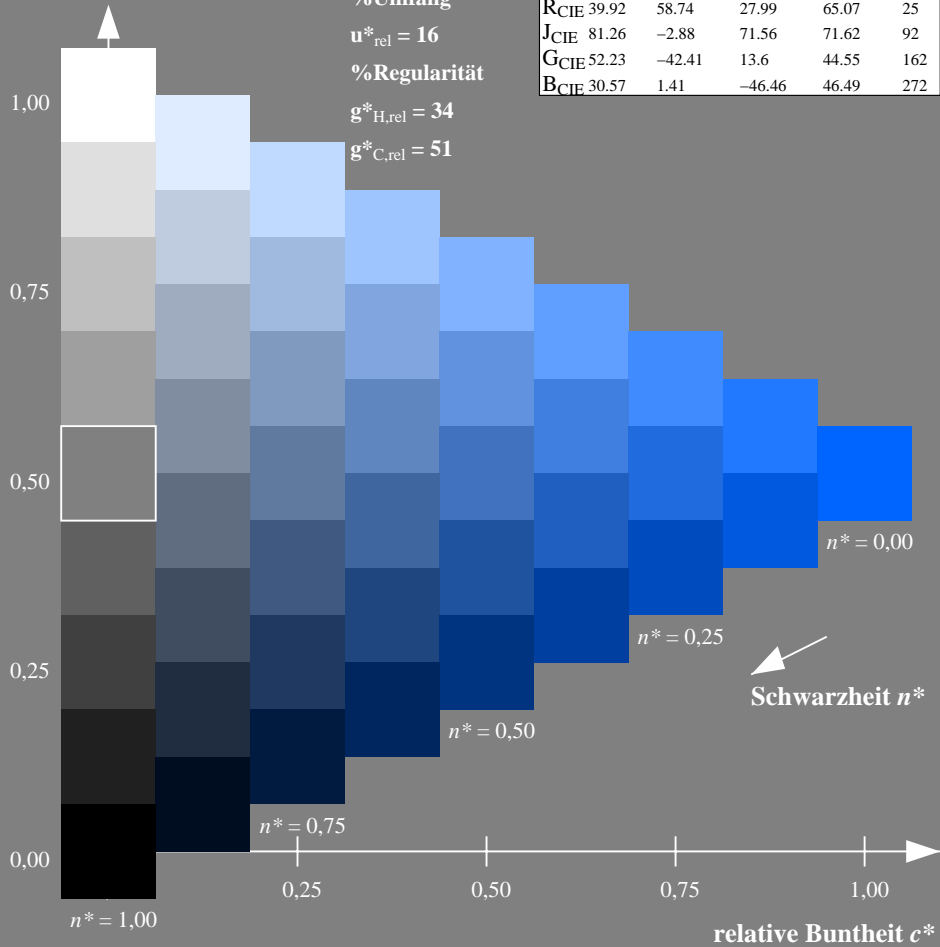
%Umfang

$u^*_{rel} = 16$

%Regularität

$g^*_{H,rel} = 34$

$g^*_{C,rel} = 51$



Ausgabe: Farbmetrisches Natürliches-Reflektiv-System NRS18

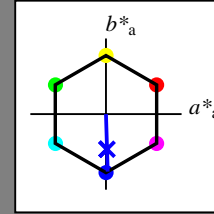
für Buntton $h^* = lab^*h = 272/360 = 0.755$

lab^*tch und lab^*nch

D65: Buntton B

LCH*Ma: 45 76 272

olv*Ma: 0.03 0.0 1.0



NRS18; adaptierte CIELAB-Daten

	$L^*=L^*_a$	a^*_a	b^*_a	$C^*_{ab,a}$	$h^*_{ab,a}$
O _{Ma}	43.81	67.03	38.7	77.4	30
Y _{Ma}	69.61	0.0	77.4	77.4	90
L _{Ma}	43.81	-67.02	38.7	77.4	150
C _{Ma}	69.61	-67.02	-38.69	77.4	210
V _{Ma}	43.81	0.0	-77.39	77.4	270
M _{Ma}	69.61	67.03	-38.69	77.4	330
N _{Ma}	18.01	0.0	0.0	0.0	0
W _{Ma}	95.41	0.0	0.0	0.0	0
R _{CIE}	39.92	58.74	27.99	65.07	25
J _{CIE}	81.26	-2.88	71.56	71.62	92
G _{CIE}	52.23	-42.41	13.6	44.55	162
B _{CIE}	30.57	1.41	-46.46	46.49	272

Dreiecks-Helligkeit t^*

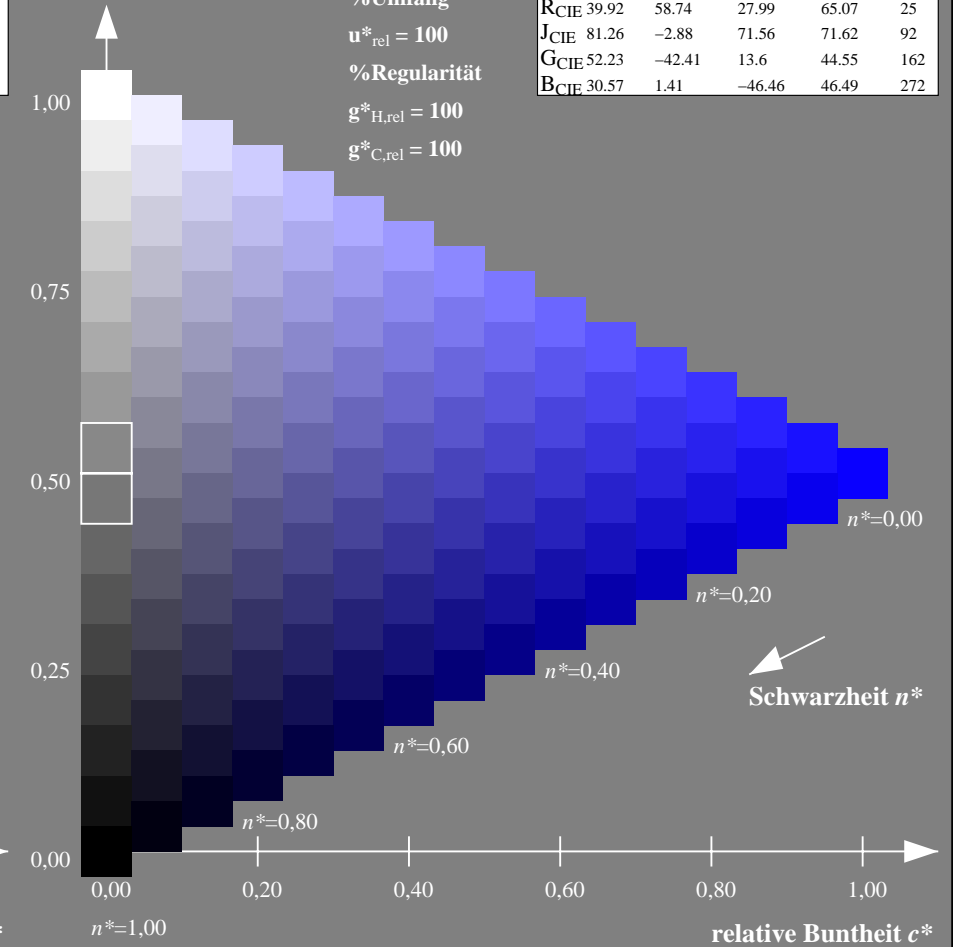
%Umfang

$u^*_{rel} = 100$

%Regularität

$g^*_{H,rel} = 100$

$g^*_{C,rel} = 100$



NG900-7, 9stufige Reihen für konstanten CIELAB Buntton $272/360 = 0.755$ (links)

16stufige Reihen für konstanten CIELAB Buntton $272/360 = 0.755$ (rechts)

Eingabe: Farbmetrisches Fernseh-Licht-System TLS70

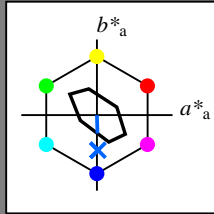
für Buntton $h^* = lab^*h = 272/360 = 0.755$

lab^*tch und lab^*nch

D65: Buntton B

LCH*Ma: 80 24 272

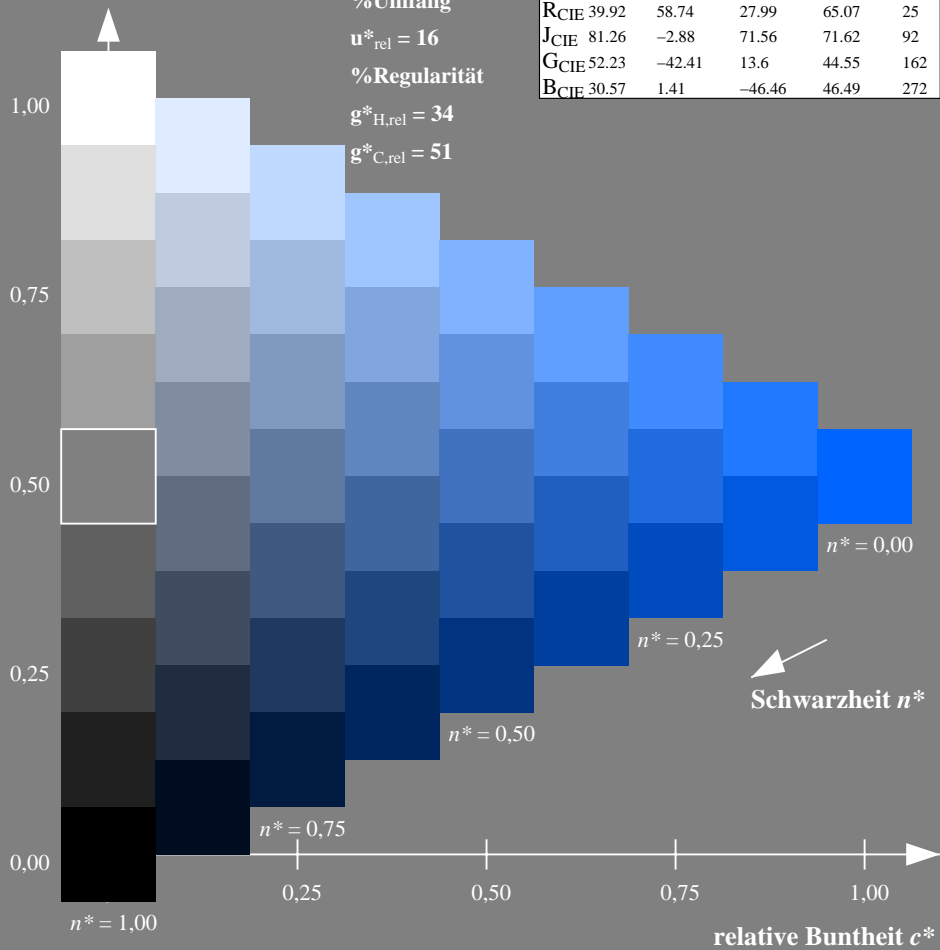
olv*Ma: 0.0 0.4 1.0



TLS70; adaptierte CIELAB-Daten

	$L^*=L^*_a$	a^*_a	b^*_a	$C^*_{ab,a}$	$h^*_{ab,a}$
OMa	76.43	26.27	10.57	28.32	22
YMa	93.93	-10.76	34.63	36.27	107
LMa	89.32	-35.8	27.64	45.24	142
CMa	90.93	-21.95	-7.07	23.07	198
VMa	72.1	15.76	-35.63	38.97	294
MMa	78.5	37.52	-25.23	45.22	326
NMa	69.7	0.0	0.0	0.0	0
WMa	95.41	0.0	0.0	0.0	0
RCIE	39.92	58.74	27.99	65.07	25
JCIE	81.26	-2.88	71.56	71.62	92
GCIE	52.23	-42.41	13.6	44.55	162
BCIE	30.57	1.41	-46.46	46.49	272

Dreiecks-Helligkeit t^*



Ausgabe: Farbmetrisches Standard-Reflektiv-System SRS18

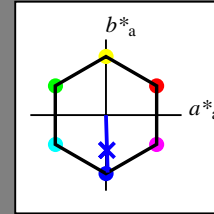
für Buntton $h^* = lab^*h = 272/360 = 0.755$

lab^*tch und lab^*nch

D65: Buntton B

LCH*Ma: 57 76 272

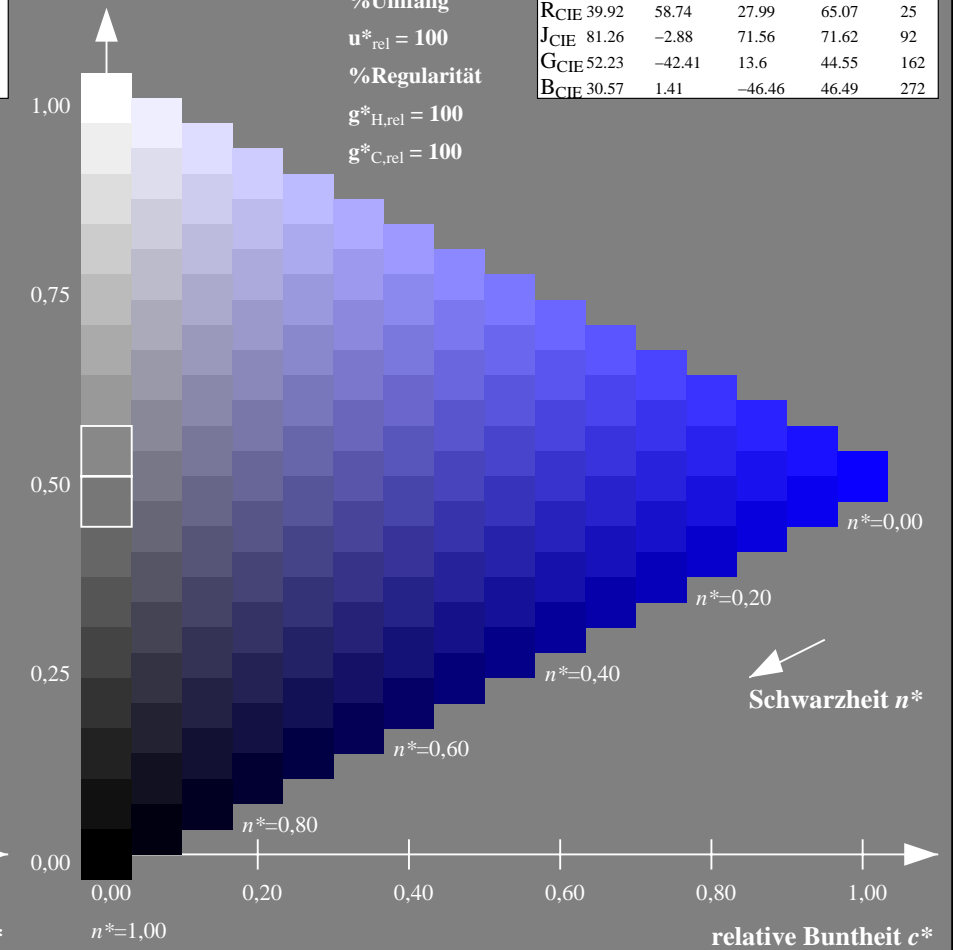
olv*Ma: 0.03 0.0 1.0



SRS18; adaptierte CIELAB-Daten

	$L^*=L^*_a$	a^*_a	b^*_a	$C^*_{ab,a}$	$h^*_{ab,a}$
OMa	56.71	67.03	38.7	77.4	30
YMa	56.71	0.0	77.4	77.4	90
LMa	56.71	-67.02	38.7	77.4	150
CMa	56.71	-67.02	-38.69	77.4	210
VMa	56.71	0.0	-77.39	77.4	270
MMa	56.71	67.03	-38.69	77.4	330
NMa	18.01	0.0	0.0	0.0	0
WMa	95.41	0.0	0.0	0.0	0
RCIE	39.92	58.74	27.99	65.07	25
JCIE	81.26	-2.88	71.56	71.62	92
GCIE	52.23	-42.41	13.6	44.55	162
BCIE	30.57	1.41	-46.46	46.49	272

Dreiecks-Helligkeit t^*



NG900-7, 9stufige Reihen für konstanten CIELAB Buntton $272/360 = 0.755$ (links)

16stufige Reihen für konstanten CIELAB Buntton $272/360 = 0.755$ (rechts)

Eingabe: Farbmetrisches Fernseh-Licht-System TLS70

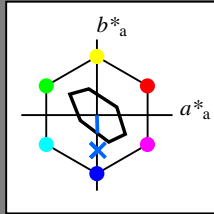
für Buntton $h^* = lab^*h = 272/360 = 0.755$

lab^*tch und lab^*nch

D65: Buntton B

LCH*Ma: 80 24 272

olv*Ma: 0.0 0.4 1.0



TLS70; adaptierte CIELAB-Daten

	$L^*=L^*_a$	a^*_a	b^*_a	$C^*_{ab,a}$	$h^*_{ab,a}$
O _{Ma}	76.43	26.27	10.57	28.32	22
Y _{Ma}	93.93	-10.76	34.63	36.27	107
L _{Ma}	89.32	-35.8	27.64	45.24	142
C _{Ma}	90.93	-21.95	-7.07	23.07	198
V _{Ma}	72.1	15.76	-35.63	38.97	294
M _{Ma}	78.5	37.52	-25.23	45.22	326
N _{Ma}	69.7	0.0	0.0	0.0	0
W _{Ma}	95.41	0.0	0.0	0.0	0
R _{CIE}	39.92	58.74	27.99	65.07	25
J _{CIE}	81.26	-2.88	71.56	71.62	92
G _{CIE}	52.23	-42.41	13.6	44.55	162
B _{CIE}	30.57	1.41	-46.46	46.49	272

Dreiecks-Helligkeit t^*

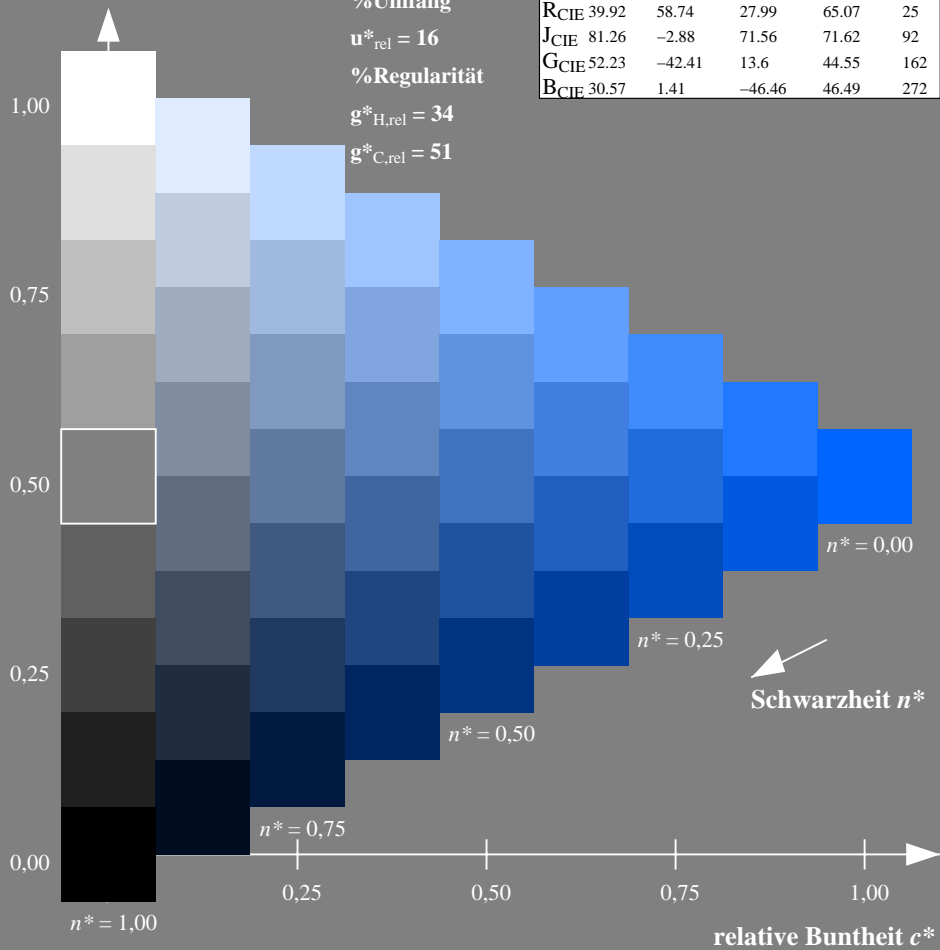
%Umfang

$u^*_{rel} = 16$

%Regularität

$g^*_{H,rel} = 34$

$g^*_{C,rel} = 51$



Ausgabe: Farbmetrisches Fernseh-Licht-System TLS70

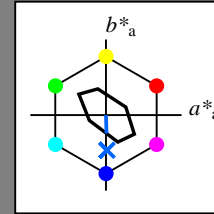
für Buntton $h^* = lab^*h = 272/360 = 0.755$

lab^*tch und lab^*nch

D65: Buntton B

LCH*Ma: 80 24 272

olv*Ma: 0.0 0.4 1.0



TLS70; adaptierte CIELAB-Daten

	$L^*=L^*_a$	a^*_a	b^*_a	$C^*_{ab,a}$	$h^*_{ab,a}$
O _{Ma}	76.43	26.27	10.57	28.32	22
Y _{Ma}	93.93	-10.76	34.63	36.27	107
L _{Ma}	89.32	-35.8	27.64	45.24	142
C _{Ma}	90.93	-21.95	-7.07	23.07	198
V _{Ma}	72.1	15.76	-35.63	38.97	294
M _{Ma}	78.5	37.52	-25.23	45.22	326
N _{Ma}	69.7	0.0	0.0	0.0	0
W _{Ma}	95.41	0.0	0.0	0.0	0
R _{CIE}	39.92	58.74	27.99	65.07	25
J _{CIE}	81.26	-2.88	71.56	71.62	92
G _{CIE}	52.23	-42.41	13.6	44.55	162
B _{CIE}	30.57	1.41	-46.46	46.49	272

Dreiecks-Helligkeit t^*

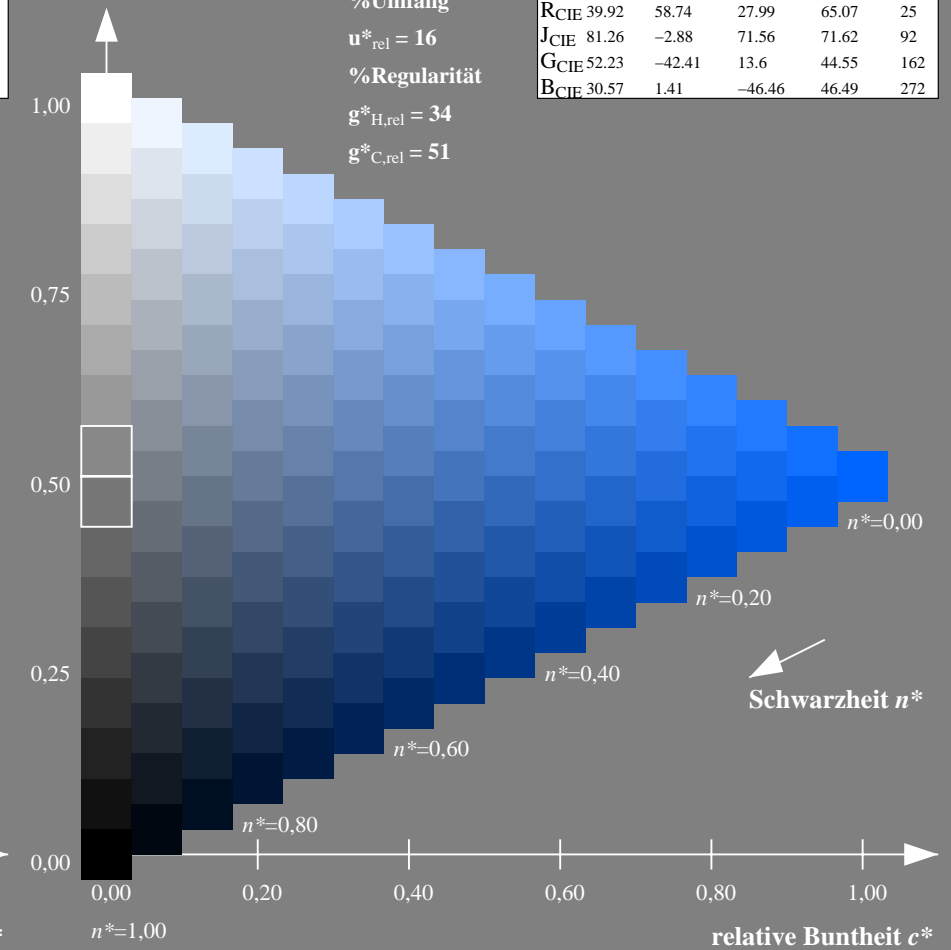
%Umfang

$u^*_{rel} = 16$

%Regularität

$g^*_{H,rel} = 34$

$g^*_{C,rel} = 51$



NG900-7, 9stufige Reihen für konstanten CIELAB Buntton $272/360 = 0.755$ (links)

16stufige Reihen für konstanten CIELAB Buntton $272/360 = 0.755$ (rechts)